



*Lehrbuch*

**Lehrbuch**  
der  
**Ingenieur- und Maschinen-Mechanik.**

---

Ohne  
Anwendung des höhern Calculs  
für den  
**Unterricht an technischen Lehranstalten**  
sowie zum  
**Gebrauche für Techniker**  
bearbeitet

von  
**Julius Weisbach,**  
Königlich Sächsischer Bergrath und Professor an der Königlich Sächsischen Bergakademie zu Freiberg.

---

**In drei Theilen.**

---

Dritter Theil:  
**Die Mechanik der Zwischen- und Arbeitsmaschinen.**

---

Mit gegen 3000 in den Text eingedruckten Holzschnitten.

---

**Braunschweig,**  
Druck und Verlag von Friedrich Vieweg und Sohn.  
1 8 5 5.

*Moses Strang*

# Die Mechanik

der

## Zwischen- und Arbeitsmaschinen.

---

Ohne

Anwendung des höhern Calculs

für den

Unterricht an technischen Lehranstalten

sowie zum

Gebrauche für Techniker

bearbeitet

von

**Julius Weisbach,**

Königlich Sächsischer Bergrath und Professor an der Königlich Sächsischen Bergakademie zu Freiberg.

---

Mit gegen 800 in den Text eingedruckten Holzstichen.

---

**Braunschweig,**

Neuer  
Druck und Verlag von Friedrich Vieweg und Sohn.

1855.

8582

TB

W-3

3

-2

## Vorrede.

---

Wenn auch bei Bearbeitung des dritten Bandes meiner Ingenieur- und Maschinenmechanik mehrfache und länger anhaltende Unterbrechungen vorgekommen sind, so ist deshalb doch im Plane des ganzen Werkes nichts verändert worden und die Behandlungsweise in demselben überall dieselbe geblieben. Nur sind in den ersten Lieferungen dieses Bandes einige Fehler und Mängel wahrgenommen worden, weshalb ich mich genöthigt gesehen habe, dieser Schlußlieferung einige Cartons beizufügen, in welchen die hauptsächlichsten Unrichtigkeiten beseitigt sind.

Dieser Band besteht aus zwei Abtheilungen, wovon die eine die Zwischen- und die andere die Arbeitsmaschinen behandelt. Die Uebertragung der mechanischen Arbeit der Kraft- oder Umtriebsmaschinen auf die Arbeitsmaschinen ist entweder mit einer bloßen Fortpflanzung, oder mit einer Abänderung der Bewegung verbunden, und die letztere besteht entweder in einer Abänderung der Geschwindigkeit, oder in einer Abänderung der Bewegungsweise. Zu den Zwischenmaschinen oder Maschinentheilen, welche bloß die Fortpflanzung der Bewegung bewirken, gehören die im ersten Kapitel abgehandelten Wellen, Stangen, Seile, Ketten u. s. w., wogegen die Zwischenmaschinen, welche die Abänderung oder Umsehung der Geschwindigkeit der stetigen Kreisbewegung hervorbringen, die im zweiten



Kapitel abgehandelten Zahn- und Riemenräderwerke in sich fassen. Ferner zur Umsehung der stetigen Kreisbewegung in eine absehbare geradlinige, sowie umgekehrt zur Umänderung der letzteren in die erstere, dienen die verschiedenen Excentriks und vor Allem die Krummzapfenmechanismen, welche möglichst gründlich und ausführlich im dritten Kapitel abgehandelt werden. Mit dem Krummzapfenmechanismus ist noch ein besonderer Apparat verbunden, welcher im vierten Kapitel unter dem Titel »die Gerad- und Senkrechtführung« Gegenstand der Behandlung ist. Im fünften Kapitel sind ferner die Schrauben und Schraubenräder, und im sechsten Kapitel die ungewöhnlicheren Mechanismen zur Abänderung der Bewegung abgehandelt. Den Schluß der ersten Abtheilung bildet endlich ein sechstes Kapitel, worin die Mechanismen zum Reguliren des Ganges, und die Hülfsmittel zum In- und Außergangsetzen einer Maschine Gegenstände der Behandlung sind.

Ich habe bei Bearbeitung dieser Abtheilung immer nur das Wichtigste und Bewährteste ins Auge gefaßt, wenn aber trotzdem durch dieselbe nicht allen Ansprüchen genügt wird, so bitte ich zu berücksichtigen, daß es keine leichte Arbeit ist, aus der großen, sehr zerstreuten und außerordentlich schnell wachsenden Stoffmenge die zweckentsprechende Auswahl zu treffen. Auch ist nicht außer Acht zu lassen, daß die Ingenieur- und Maschinenmechanik kein Lehrbuch der Maschinenbaukunst ist und daher specielle praktische Regeln der Maschinenbaukunst in derselben nicht zu suchen sind. Von diesem Gesichtspunkte aus sind auch die Anmerkungen auf Seite 304 und 316 in der *Constructionslehre für den Maschinenbau* von Moll und Reuleaux zu beurtheilen. Wenn in diesem Werke mehrere specielle Lehren mitgetheilt werden, welche in Werken über Mechanik nicht stehen, so liegt dies in der Natur der Sache; es würde sogar einem Werke über Maschinenbaukunst ein Vorwurf zu machen sein, wenn dies nicht der Fall wäre. Daß aber die Herren Verfasser der gedachten *Constructionslehre* gerade deshalb den Schriftstellern über Mechanik irrige Ansichten unterschoben, bedarf einer Widerlegung. In der Anmerkung auf Seite 316 sagen sie z. B., »die meisten technischen Schriftsteller, unter anderen Burg, Weisbach, Redtenbacher, Armengaud, stellen die durchaus irrige Behauptung auf, daß alle Räder mit Fadenlinienverzahnung immer

dann richtig zusammen arbeiten können, wenn sie nur gleiche Theilung haben« Nach meiner Ueberzeugung läßt sich gegen diesen Satz nichts einwenden, daß aber derselbe noch eine Ergänzung nöthig hat, wenn man noch eine besondere Bedingung macht, z. B. fordert, daß diese Räder ein gewisses Umsehungsverhältniß geben sollen, versteht sich wohl von selbst.

Die zweite und größere Abtheilung des dritten Bandes, welche von den Arbeitsmaschinen, d. i. von denjenigen Maschinen handelt, durch welche die geforderte Arbeit verrichtet, z. B. Wasser gehoben, Eisen geschmiedet wird u. s. w., zerfällt in vier Abschnitte. Der erstere Abschnitt behandelt die sogenannten Förderungsmaschinen, d. i. die Maschinen zum Heben und Fortschaffen der Körper auf Straßen, Schienen- und Wasserwegen; im zweiten Abschnitt sind die Wasserhebungsmaschinen, d. i. die Maschinen zum Heben und Fortschaffen des Wassers, und im dritten Abschnitt die Luftbewegungsmaschinen, insbesondere die sogenannten Gebläse- und Wettermaschinen Gegenstand der Behandlung. Ich habe bei schriftlicher Bearbeitung dieser Maschinen möglichste Vollständigkeit zu erzielen gesucht, und auch ältere und unvollkommenere Maschinen mit in Betrachtung gezogen, weil ich es für eine besondere und nicht unwichtige Aufgabe der Maschinenmechanik halte, auf theoretischem Wege auch die Unvollkommenheiten und Mängel an Maschinen zu untersuchen. Im vierten und letzten Abschnitte der zweiten Abtheilung behandle ich noch diejenigen Formveränderungsmaschinen, deren Umtrieb nur die Ueberwindung der Schwerkraft oder das Heben von Gewichten erfordert. Bei den übrigen Maschinen dieser Kategorie sind die Arbeitsverrichtungen meist so eigenthümlicher Art, daß sich ihre mechanischen Leistungen ohne besondere Erfahrungssätze nicht ermitteln lassen; es ist daher die Behandlung dieser Maschinen speciellen Zweigen der Technik, z. B. der mechanischen Technologie, Mühlenbaukunst, Landwirthschaft u. s. w. zu überlassen. Zu den Arbeitsmaschinen, welche mittels niederfallender Gewichte arbeiten, gehören die Poch-, Stampf- und Hammerwerke, welche daher auch hier eine systematische und gründliche Behandlung gefunden haben.

In dem mit diesem Werke verbundenen Taschenbuch »Der Ingenieur« werden, wie nicht anders erwartet werden kann, nicht bloß die allgemeinen Constructionsregeln, theoretischen und Erfahrungs-

sätze der hier abgehandelten Maschinen zusammengestellt, sondern auch die zur Construction und Beurtheilung der Leistung anderer Arbeitsmaschinen nöthigen theoretischen und empirischen Regeln und Sätze mitgetheilt.

Schließlich erlaube ich mir nur noch auf eine Auslassung des Herrn Professors Schellbach in der Vorrede zu seinen neuen Elementen der Mechanik, Berlin 1860, hier in wenigen Worten Folgendes zu erwidern. Herr Professor Schellbach findet darin einen Anstoß, daß ich in meiner Mechanik die Masse eines Körpers durch den Quotienten aus dem Gewichte desselben und der Beschleunigung der Schwere messe. Obgleich Herr Professor Schellbach hierbei indirect mit einer großen Anschuldigung gegen mich hervortritt, glaube ich doch meine Schüler und die Leser meines Werkes dadurch beruhigen zu können, daß ich hierin den berühmtesten neueren Autoritäten, Poisson, Navier, Poncelet u. s. w., gefolgt bin (s. Poisson's *Traité de Mécanique*, Band 1, Seite 227, 2. Aufl. ferner Navier's *Résumé des leçons de Mécanique*, Seite 81, und Poncelet's *Introduction à la Mécanique industrielle*, Seite 116, 2. Aufl.).

So übergebe ich denn hiermit den geehrten Lesern meiner Ingenieur- und Maschinenmechanik den Schluß des ganzen Werkes, begleitet mit dem Wunsche, daß diese Schrift trotz ihrer Mängel eine nachsichtige Beurtheilung finden, Ingenieuren und Mechanikern als ein nützliches Lehr- und Handbuch dienen und der deutschen Literatur zur Ehre gereichen möge!

Freiberg, den 15. September 1860.

Der Verfasser.



# Inhalt des dritten Theiles.

## Erste Abtheilung.

### Die Mechanik der Zwischenmaschinen.

§.	Einleitung.	Seite
1	Zwischenmaschinen . . . . .	7
	Erstes Kapitel.	
	Von den fortpflanzenden Maschinentheilen.	
2	Wellen, Zapfen und Zapfenlager . . . . .	8
3—4	Wellenstärken . . . . .	9
5	Zapfenstärken . . . . .	13
6	Kuppelungen . . . . .	15
7	Universalgelenke . . . . .	18
8—9	Zapfenlager . . . . .	22
10	Stangen . . . . .	26
11	Hubverlust . . . . .	27
12	Gestängschlösser . . . . .	29
13—15	Bruchschwingen und Gestängkreuze . . . . .	30
16	Biegsame Fortpflanzungsmittel . . . . .	37
17	Ketten . . . . .	38
18	Drahtseile . . . . .	40
19	Hanfseile . . . . .	42
20—21	Tragkraft der Hanfseile . . . . .	43
22	Vergleichung der Seile und Ketten . . . . .	46
23—24	Leitrollen, Seilscheiben. . . . .	48

## Zweites Kapitel.

### Von den Räderwerken, oder den Hülfsmitteln zur Abänderung der stetigen Kreisbewegung.

25	Räderwerke, Zahn- und Riemen-Räderwerke. . . . .	52
26	Einfache Räderwerke . . . . .	54
27	Zusammengesetzte Räderwerke . . . . .	56
28	Artenbrüche und Artenreibungen der Räderwerke. . . . .	58

§.		Seite
29	Niemenräder . . . . .	59
30	Niemenspannungen . . . . .	60
31	Treibriemen . . . . .	63
32	Spannrollen . . . . .	65
33	Niemenführung . . . . .	69
34—35	Niemenräder (Trommeln). . . . .	71
36	Seil-, Ketten- und Stangenräder . . . . .	77
37	Zahnräder . . . . .	79
38	Conische Räder . . . . .	80
39	Hyperboloid . . . . .	82
40—44	Hyperboloidenräder . . . . .	84
45	Reibungsräder . . . . .	92
46—47	Radzähne . . . . .	93
48	Zahn- und Kammräder . . . . .	96
49	Zahndimensionen . . . . .	97
50—51	Zähnezahl . . . . .	98
52—56	Zahnreibung . . . . .	102
57	Stufenräder . . . . .	111
58—59	Allgemeine Zahnformen . . . . .	113
60—61	Epicycloiden- und Evolventenzähne . . . . .	117
62—63	Kreisförmige Zähne . . . . .	120
64—65	Willis' Zahnformen. . . . .	122
66	Donthographie . . . . .	124
67—68	Drehlinge . . . . .	127
69	Kumpfe . . . . .	132
70	Zusammengesetzte Zahnflächen . . . . .	134
71	Innere Verzahnung . . . . .	136
72—73	Evolventenverzahnung . . . . .	138
74	Willis' Verzahnung der Räder . . . . .	143
75—76	Verzahnung conischer Räder . . . . .	145
77	Hyperboloidenräder . . . . .	148
78	Kammräder . . . . .	150
79	Radconstructionen. Hölzerne Zahnräder . . . . .	151
80	Eiserne Zahnräder . . . . .	153

### Drittes Kapitel.

Von den Excentris und den Krummzapfen, als den  
einfachsten Hülfsmitteln zur Verwandlung der  
Kreiselbewegung in eine geradlinige, und  
umgekehrt.

81	Seilkorb . . . . .	156
82	Gezähnte Stange . . . . .	158
83—84	Daumen . . . . .	159
85	Hebelbewegung . . . . .	162
86	Angriff ohne Stoß . . . . .	163
87—88	Excentris . . . . .	165
89—90	Krummzapfen . . . . .	168

§.		Seite
91	Doppelte Krummzapfen . . . . .	173
92—93	Kurbelstange . . . . .	174
94	Balancier . . . . .	177
95	Bewegung des Krummzapfens . . . . .	179
96	Geschwindigkeiten der Kurbel . . . . .	181
97—98	Kräfte der Kurbel . . . . .	182
99	Kurbelreibungen . . . . .	185
100	Mechanik des Krummzapfens . . . . .	188
101	Trägheit des Lenkers . . . . .	190
102	Maximal- und Minimalgeschwindigkeit . . . . .	191
103	Umdrehungszeit des Krummzapfens . . . . .	193
104	Bewegung durch eine Stangenkraft . . . . .	194
105	Einfluß kurzer Kurbelstangen . . . . .	195
106—109	Theorie doppelter Krummzapfen . . . . .	197
110—111	Theorie dreifacher Krummzapfen . . . . .	205
112	Ungleichförmigkeitsgrad verschiedener Krummzapfen . . . . .	209
113	Krummzapfen für oscillirende Cylinder . . . . .	212
114—116	Krummzapfen für Hebel und Balanciers . . . . .	213
117—119	Krummzapfen mit veränderlicher Umdrehungskraft . . . . .	220
120	Doppelte Krummzapfen bei Expansions-Dampfmaschinen . . . . .	229

Viertes Kapitel.

Von den Gerad- und Senkrechtführungen bei der Verwandlung der Kreisbewegung in die geradlinige, und umgekehrt, bei der Umsezung der geradlinigen Bewegung in die freisförmige.

121—122	Feste Leitungen, Leitungsrahmen . . . . .	233
123—124	Gegenlenker . . . . .	237
125—126	Seitenabweichung der Gegenlenker . . . . .	241
127—128	Contrebalancier . . . . .	246
129—131	Watt'sches Parallelogramm . . . . .	252
132	Seitenabweichung der Parallelogrammführung . . . . .	259
133—134	Geradföhrung mit oscillirendem Träger . . . . .	261

Fünftes Kapitel.

Von den Schrauben und von den Schraubenrädern.

135	Schraubenlinie . . . . .	267
136	Schraubenfläche und Schraube . . . . .	268
137	Schraubenbewegung . . . . .	271
138	Schraubenzieher, Schraubenschlüssel . . . . .	273
139	Anwendung der Schrauben . . . . .	274
140	Stärke und andere Dimensionen der Schrauben . . . . .	275
141—143	Theorie der flachgängigen Schrauben . . . . .	276
144	Theorie der scharfgängigen Schraube . . . . .	283
145	Schrauben als Befestigungsmittel . . . . .	287
146	Differenzialschrauben . . . . .	288



§.		Seite
147—148	Schraube ohne Ende . . . . .	290
149—150	Schraubenräder . . . . .	295

### Sechstes Kapitel.

#### Von den ungewöhnlicheren Zwischenmaschinen oder Hülfsmitteln zur Abänderung der Bewegung.

151	Elliptische Räder . . . . .	300
152	Spiralräder . . . . .	302
153	Conische Spiralräder . . . . .	304
154	Eccentrische Kreisträder . . . . .	307
155—156	Spickefvorgelege, Differenzialgetriebe . . . . .	309
157	Laufgetriebe . . . . .	312
158	Geradlinig wiederkehrende Bewegung . . . . .	314
159	Kreisförmig wiederkehrende Bewegung . . . . .	316
160	Sperrräder und Sperrklinken . . . . .	318

### Siebentes Kapitel.

#### Von den mechanischen Vorrichtungen zum Reguliren, Moderiren, Egalisiren, In- und Außergangsetzen der Maschinen.

161	Regulatoren, Moderatoren u. s. w. . . . .	321
162	Ankerhemmung . . . . .	322
163	Cylinderhemmung . . . . .	324
164	Der Windfang . . . . .	328
165—167	Die Bremse . . . . .	330
168	Anwendung der Bremse . . . . .	336
169—171	Theorie der Bremse . . . . .	337
172	Gegengewichte . . . . .	345
173—175	Gegengewichtsbalancier . . . . .	346
176	Hydraulischer und pneumatischer Balancier . . . . .	353
177—178	Zugbrücken . . . . .	356
179—182	Gegengewicht bei Krummzapfen und Gestängen . . . . .	362
183—192	Schwungräder . . . . .	373
193—197	Conisches Pendel . . . . .	395
198	Parabelischer Centrifugalregulator . . . . .	406
199	Differenzial- und Pendelregulatoren . . . . .	409
200	Federregulator . . . . .	411
201	Hydraulische und pneumatische Regulatoren . . . . .	413
202—204	Ein- und Ausrückvorrichtungen . . . . .	415

## Zweite Abtheilung.

### Die Mechanik der Arbeitsmaschinen.

#### Einleitung.

§.		Seite
205	Einteilung der Arbeitsmaschinen . . . . .	425

#### Erster Abschnitt.

#### Von den Förderungsmaschinen.

##### Erstes Kapitel.

##### Von den Maschinen zum Heben der Lasten auf kleinere Höhen.

206	Verschiedene Arten der Förderungsmaschinen . . . . .	426
207	Hebel und Hebeladen . . . . .	427
208	Rollen . . . . .	429
209	Rollen und Flaschenzüge . . . . .	431
210—211	Flaschenzüge . . . . .	434
212	Winden, Bau- und Fuhrmannswinden . . . . .	440
213	Hydraulische Presse . . . . .	442
214	Hydraulische Winde . . . . .	444
215	Transportable Bergelegshäspel . . . . .	446
216	Gegenwinden oder Differenzialhäspel . . . . .	449
217—219	Aufzüge . . . . .	452
220	Pneumatische Aufzüge . . . . .	459
221	Wassersäulenaufzug . . . . .	463
222—223	Hänge- und Ablademaschinen . . . . .	466
224—227	Krahne . . . . .	473
228	Bewegliche Krahne . . . . .	485
229	Wassersäulenkrahn . . . . .	487
230	Dampfkrahn . . . . .	491
231	Statik der Krahne . . . . .	493
232	Mechanik der Krahne . . . . .	497
233	Rammmaschinen . . . . .	500
234	Runstramme . . . . .	503
235	Dampftramme . . . . .	506
236	Mechanische Arbeit der Rammern . . . . .	510
237	Abbohrmaschinen . . . . .	511



Zweites Kapitel.Von den Maschinen zum Heben der Lasten auf  
größere Höhen.

§.	Seite
238 Verschiedene Maschinen zum Fördern in Schächten . . . . .	514
239—240 Berghaspel . . . . .	515
241 Vorgelegeshapel . . . . .	521
242—244 Hand- und Pferdewöpel . . . . .	524
245 Spiralkorb . . . . .	535
246—248 Wasserrad- und Turbinenwöpel . . . . .	540
249—250 Wassersäulengöpel . . . . .	555
251—252 Dampföpel . . . . .	560

Drittes Kapitel.Von dem Fortschaffen der Lasten auf ganz oder nahe  
horizontalen Wegen.

253 Förderungsmethoden . . . . .	568
254 Förderungsmittel . . . . .	569
255 Schiebarren . . . . .	571
256 Zweirädrige Karren . . . . .	573
257 Wagenräder . . . . .	576
258 Widerstand der Fahrbahn . . . . .	579
259 Anstoß der Räder an Steine . . . . .	581
260—262 Vierrädriger Wagen . . . . .	584
263 Widerstandscoefficienten . . . . .	593
264 Schienenbahnen . . . . .	598
265 Schienen und Schwellen . . . . .	600
266 Unterbau . . . . .	603
267 Verbindung getrennter Schienenbahnen . . . . .	607
268 Eisenbahnwagenräder . . . . .	612
269 Eisenbahnwagen . . . . .	616
270 Seilbahnen . . . . .	618
271 Atmosphärische Eisenbahnen . . . . .	621
272 Locomotiven . . . . .	623
273—274 Locomotivenkessel . . . . .	625
275 Beschreibung einer abgebildeten Locomotive . . . . .	631
276 Locomotivenmechanismen . . . . .	635
277 Locomotivensteuerung . . . . .	639
278—279 Schieberbewegung . . . . .	643
280—282 Stephenson'sche Coulfiffe . . . . .	650
283—284 Dampfswagengestelle . . . . .	662
285 Tender . . . . .	666
286 Dampfswagen mit drehbaren Axengestellen . . . . .	670
287—293 Theorie der Bewegung der Dampfswagen . . . . .	674
294 Gegengewichte . . . . .	693
295—296 Widerstand auf Eisenbahnen . . . . .	697

§.		Seite
297	Schiffahrtskanäle . . . . .	704
298	Speisung der Canäle . . . . .	706
299	Kammerschleusen . . . . .	709
300—301	Schleusenthore . . . . .	713
302	Wasserbedarf beim Durchschleusen . . . . .	720
303	Seitenbassin . . . . .	723
304	Girard's Schleuse mit Schwimmer . . . . .	725
305	Schiffsaufzüge . . . . .	728
306—307	Construction der Schiffe . . . . .	730
308	Schiffsriffe . . . . .	736
309	Schiffsformen . . . . .	738
310	Stabilität der Schiffe . . . . .	741
311	Widerstand des Wassers . . . . .	746
312	Schiffsziehen . . . . .	747
313	Das Steuern der Schiffe . . . . .	751
314	Fortbewegung der Schiffe durch Rudern . . . . .	753
315	Ruderschaukel, Schaufelrad . . . . .	756
316	Flügelrad . . . . .	759
317	Bugsiren durch Dampfschiffe . . . . .	761
318	Verbindung der Ruderräder mit der Dampfmaschine . . . . .	762
319	Ruderräder . . . . .	765
320	Schaukelräder . . . . .	767
321	Schraubenträder . . . . .	772
322	Dampfschiffsmaschinen . . . . .	776
323	Schiffsdampfessel . . . . .	780
324	Ablassen des Kesselwassers . . . . .	782

## Zweiter Abschnitt.

### Von den Wasserhebungsmaschinen.

#### Erstes Kapitel.

#### Von den Maschinen zum Heben des Wassers auf kleinere Höhen.

325	Verschiedene Arten des Wasserhebens . . . . .	785
326	Wasserschaukeln . . . . .	787
327	Wurfräder . . . . .	789
328	Schöpfräder . . . . .	791
329—330	Zellen- und Schneckenräder . . . . .	793
331	Paternosterwerke . . . . .	799
332	Schaukelwerke . . . . .	803
333	Leistung der Paternosterwerke . . . . .	806
334—335	Archimedische Wasserschnecke . . . . .	811
336—338	Wasserschraube . . . . .	819



Zweites Kapitel.Von den Maschinen zum Heben des Wassers auf  
größere Höhen.

<u>§.</u>	<u>Seite</u>
339—340 Die Spiralpumpe . . . . .	828
341—343 Centrifugalpumpen . . . . .	834
344 Rotationspumpen . . . . .	842
345 Verschiedene Arten von Pumpen . . . . .	844
346 Pumpen mit Ventilkolben . . . . .	845
347—348 Pumpen mit Masfivkolben . . . . .	848
349 Doppelpumpen . . . . .	852
350 Saughöhe . . . . .	854
351 Schädlicher Raum . . . . .	857
352 Pumpenröhren . . . . .	859
353—355 Pumpenventile . . . . .	861
356 Pumpenkolben . . . . .	867
357 Niedrige und hohe Saugsäße . . . . .	870
358 Mönchs- und Perspectivpumpen . . . . .	872
359 Saug- und Druckpumpen . . . . .	874
360 Mönchspumpen . . . . .	876
361 Kastenpumpen und doppelwirkende Pumpen . . . . .	877
362 Hubwassermenge und Kolbendurchmesser einer Pumpe . . . . .	881
363—364 Nebenhindernisse der Pumpen . . . . .	884
365—366 Arbeit zur Bewegung der Pumpen . . . . .	887
367 Pumpenwerke, Kunstgezeuge, Handpumpen . . . . .	895
368—370 Feuersprizen . . . . .	897
371—372 Berechnung der Feuersprizen . . . . .	906
373 Kunstgezeuge . . . . .	913
374 Kunstgestänge . . . . .	916
375 Abfünfte . . . . .	919
376—378 Wassersäulenfünfte . . . . .	923
379—380 Dampfpumpen . . . . .	935
381—382 Dampffünfte . . . . .	940
383 Dampffunst mit Balancier . . . . .	945
384 Directwirkende Dampffunst . . . . .	949
385 Städtische Wasserhebungsdampfmaschine . . . . .	953
386 Accumulator . . . . .	956
387 Hydraulische Widder oder Stoßheber . . . . .	959
388 Saugende Stoßheber . . . . .	961
389 Leistung der Stoßheber . . . . .	963
390 Theorie des Stoßhebers . . . . .	965
391—392 Saugheber . . . . .	968
393 Theorie des Saughebers . . . . .	972
394 Der Heronsbrunnen, die Wasserhebungs-Luftmaschine . . . . .	976



## D r i t t e r   A b s c h n i t t .

## V o n   d e n   L u f t b e w e g u n g s m a s c h i n e n .

## E r s t e s   K a p i t e l .

## B e w e g u n g   d e r   L u f t   d u r c h   d i e   W ä r m e .

§.		Seite
395	Fortschaffen der Luft, Gebläse und Wettermaschinen . . . . .	979
396	Bewegung der Luft durch Temperaturdifferenz . . . . .	981
397	Natürlicher Luft- und Wetterwechsel . . . . .	985
398	Künstlicher Luft- und Wetterwechsel, Wetteröfen . . . . .	988
399	Theorie des künstlichen Wetterwechsels . . . . .	991

## Z w e i t e s   K a p i t e l .

F o r t b e w e g u n g   d e r   L u f t   d u r c h   d i r e c t e s   Z u s a m m e n d r ü c k e n  
o d e r   A u s d e h n e n   d e r s e l b e n .

400	Gebläse und Ventilatoren . . . . .	995
401	Kolbengebläse . . . . .	996
402	Windregulatoren . . . . .	999
403	Kastengebläse . . . . .	1003
404	Wettersap . . . . .	1005
—	Glockengebläse . . . . .	1006
405	Ederne Balgen . . . . .	1007
406—407	Doppeltwirkende Cylindergebläse. Liegendes Cylindergebläse . .	1010
408	Schiebergebläse . . . . .	1016
409—410	Gebläsekolben und deren Liderungen . . . . .	1020
411	Windleitungen . . . . .	1025
412	Düsen, Düsenstellung . . . . .	1027
413	Erhitzte Gebläseluft . . . . .	1030
414—415	Theoretische Arbeit der Gebläse . . . . .	1032
416	Der schädliche Raum der Kolbengebläse . . . . .	1040
417	Verluste durch die Ventile . . . . .	1043
418	Verluste durch die Schieber . . . . .	1047
419	Schiebermechanismus . . . . .	1050
420	Gebläse-Indicatoren . . . . .	1053
421	Nebenhindernisse und Betriebskraft der Ventilgebläse . . . .	1055
422	Nebenhindernisse und Betriebskraft der Schiebergebläse . . .	1060
423—424	Theorie der Windregulatoren . . . . .	1063
425—426	Windmenge, Größe der Düsenmündung für kalte Gebläseluft . .	1070
427—428	Größe der Düsenmündung für erhitzte Gebläseluft . . . . .	1078
429	Größe und Dimensionen der Kolbengebläse . . . . .	1084

§.	Seite
430 Umtriebsmaschinen der Gebläse . . . . .	1090
431—433 Dampfmaschinen-, Ventil- und Schiebergebläse . . . . .	1095
434 Größe der Umtriebskraft, Aufschlagwassermenge, Dampfmenge . . . . .	1107
435 Schwungrad direct wirkender Dampfmaschinengebläse . . . . .	1109
436—437 Rotirende Kolbengebläse . . . . .	1112

### Drittes Kapitel.

#### Pressungsveränderung und Fortbewegung der Luft durch die Kraft der Trägheit.

438 Ventilatoren . . . . .	1121
439 Centrifugalventilatoren . . . . .	1123
440—441 Theorie der Ventilatoren . . . . .	1127
442 Ventilatoren mit krummen Schaufeln . . . . .	1134
443 Construction der Ventilatoren . . . . .	1138
444 Rad- und Diffuserschaufeln . . . . .	1143
445—446 Verschiedene Constructionen der Centrifugalventilatoren . . . . .	1148
447 Windradventilatoren und Schraubenventilatoren . . . . .	1155
448 Theorie der Schraubenventilatoren . . . . .	1158

### Viertes Kapitel.

#### Zusammenbrückung und Fortbewegung der Luft mittels des Wassers.

449 Spiral- und Schraubengebläse . . . . .	1162
450—452 Cagniardellen . . . . .	1164
453 Ketten- oder Paternostergebläse . . . . .	1176
454 Wassersäulengebläse . . . . .	1178
455—456 Wassertrommelgebläse . . . . .	1182
457 Saugstrahlpumpe . . . . .	1188
458 Giffard's Speisepumpe . . . . .	1190

### Vierter Abschnitt.

#### Von den Maschinen, welche zur Formveränderung der Körper dienen.

459 Boch- und Hammerwerke . . . . .	1196
460 Boch- und Stampfwerke . . . . .	1197
461 Grzpochwerke . . . . .	1199
462 Delfrucht-Stampfwerke . . . . .	1203
463—465 Hebling und Heblingswelle . . . . .	1205

§.	Seite
466—467 Theorie der Poch- und Stampfwerke . . . . .	1213
468—469 Umtriebsmaschinen der Poch- und Stampfwerke . . . . .	1220
470 Umtriebskraft der Poch- und Stampfwerke . . . . .	1225
471 Stempel- oder Freifallhämmer . . . . .	1227
472—473 Theorie der Stempelhämmer . . . . .	1232
474 Frictionshämmer . . . . .	1243
475—476 Theorie der Frictionshämmer . . . . .	1249
477—480 Dampfhämmer, zwei Hauptsysteme derselben . . . . .	1256
481 Andere Dampfhammersysteme . . . . .	1268
482 Theorie der Dampfhämmer . . . . .	1270
483—484 Hebelhammerwerke . . . . .	1277
485—486 Schwanzhämmer . . . . .	1285
487 Hammergerüste . . . . .	1291
488 Umtriebsmaschine der Hammerwerke . . . . .	1293
489 Steiermärkisches Hammerwerk . . . . .	1295
490 Schwanzhammer mit Dampfmaschinenbetrieb . . . . .	1298
491—492 Aufwerfhämmer . . . . .	1300
493 Stirnhämmer, Brusthämmer . . . . .	1305
494 Walfhämmer . . . . .	1309
495 Welldaumen und Daumenconstructions . . . . .	1312
496 Statik der Hebelhammerwerke . . . . .	1316
497—498 Mechanik der Hebelhammerwerke . . . . .	1321
499—500 Leistung der Hammerwerke . . . . .	1328
501 Fallzeit der Hebelhämmer . . . . .	1335
502 Arbeitsverlust beim Fallen und Aufschlagen des Hammers . . .	1337
503 Stoß gegen den Hammerreitel . . . . .	1339

## Erste Abtheilung.

# Die Mechanik der Zwischenmaschinen.

### Einleitung.

1. Die Kraft- oder Umtriebsmaschinen, wie z. B. die Wasserräder, Dampfmaschinen u. s. w., geben selten unmittelbar diejenigen Bewegungen, welche zur Verrichtung einer gewissen Arbeit, z. B. zum Wasserheben durch Pumpen, oder zum Schmieden der Metalle mittels Hämmer u. s. w. nöthig sind; meist bedarf es vielmehr noch gewisser Vorrichtungen, der sogenannten Zwischenmaschinen, welche die Bewegungen der Kraftmaschinen abändern, umsetzen und auf die Arbeitsmaschinen übertragen (vergl. II. §. 42). Bei einer gewöhnlichen Sägemühle z. B. wird die Kreisbewegung des Wasserrades mittels Räder, Krummzapfen u. s. w. umgesezt, abgeändert und auf das Sägegatter, den arbeitenden Maschinenthail, übertragen. Die Zwischenmaschinen bestehen aus Rädern, Hebeln, Schrauben, Stangen, Seilen, Riemen u. s. w. und sind so mannigfaltig, daß sie sich nicht gut in ein geordnetes System zusammenstellen lassen. Manche derselben dienen zur bloßen Fortpflanzung der Bewegung, andere zur Aenderung der Bewegungsrichtung, andere zur Veränderung der Geschwindigkeit, noch andere zur Abänderung der Bewegungsweise u. s. w.

Die Kraft- oder Umtriebsmaschinen liefern uns vorzüglich nur zwei Bewegungen, die stetige Bewegung im Kreise und die absehbende Bewegung in der geraden Linie, deshalb haben wir denn auch im Folgenden vorzüglich nur von der Fortpflanzung, Umsehung und Absehung dieser Bewegungen zu handeln.

Anmerkung. Sehr gewöhnlich theilt man die Bewegungen bei Maschinen in einfache und zusammengesetzte, erstere aber wieder in geradlinige und kreisförmige ein, und unterscheidet in beiden Fällen die stetige und die absehbende oder hin- und hergehende Bewegung von einander. Hiernach giebt es also vier verschiedene einfache Bewegungen, und sechszehn Maschinensysteme, wodurch jede dieser Bewegungen in sich selbst oder in eine der drei übrigen abgeändert wird. Man findet hierüber Ausführliches im ersten Bande der allgemeinen Maschinenencyclopädie von Hülße, ferner in den

Zwischen-  
maschinen.

Principles of Mechanism, by Robert Willis, London 1841, in Verdam's Grundsätze der angewandten Werkzeugwissenschaft und Mechanik, Weimar 1834, und in der Schrift von Lanz und Bétancourt: „Essai sur la composition des machines“, deutsch unter dem Titel „Versuch über die Zusammensetzung der Maschinen“ von Kreyher, Berlin 1829.

## Erstes Kapitel.

### Von den fortpflanzenden Maschinentheilen.

Wellen und  
zapfen.

§. 2. Die Wellen (franz. arbres; engl. shafts, journals) sind die ersten Hilfsmittel zur Fortpflanzung einer stetigen Kreisbewegung. Ihre Umdrehungsaxe fällt in der Regel mit ihrer geometrischen Längenaxe zusammen. Nach der Lage ihrer Axen hat man liegende, stehende oder geneigte Wellen. Schwache stehende Wellen nennt man Spindeln (franz. fuseaux; engl. spindles). Man hat Wellen aus Holz, Guß- oder Schmiedeeisen. Die hölzernen Wellen werden gewöhnlich polygonal bearbeitet, gußeiserne Wellen sind cylindrisch und entweder massiv oder hohl und erhalten nicht selten noch Rippen oder Federn (franz. nervures; engl. feathers); schmiedeeisernen Wellen giebt man meist einen quadratischen Querschnitt oder läßt sie cylindrisch abdrehen. Damit die Wellen während ihrer Umdrehung nicht in Schwingungen gerathen, oder vielmehr bald größere, bald kleinere Biegungen erleiden, soll man ihnen möglichst regelmäßige Querschnitte geben.

Eine Welle ist noch mit Köpfen zur Aufnahme von Bewegungstheilen, z. B. Rädern, und mit Zapfen zur Uebertragung ihres Druckes auf die Unterstüßung verbunden. Die Köpfe oder die Stellen, wo die Räder auf den Wellen aufsitzen, erhalten um  $\frac{1}{4}$  bis  $\frac{1}{3}$  mehr Stärke als die Welle selbst; sie sind meist rund, oder regelmäßig prismatisch. Die Zapfen (franz. tourillons; engl. gudgeons) sind genau abgedrehte cylindrische Theile der Welle, welche in entsprechend ausgedrehten Lagern, den sogenannten Zapfenlagern oder Pfannen (franz. coussinets; engl. plumber blocks), umlaufen. Bei einer stehenden Welle heißt der untere Zapfen gewöhnlich der Stift (franz. und engl. pivot) und das Lager, worin derselbe umläuft, die Pfanne (franz. crapaudino; engl. step, bearing). Die Zapfen sind in der Regel von Guß- oder Schmiedeeisen und bilden sehr oft mit der Welle ein Ganzes, die Zapfenlager bestehen zwar oft aus Gußeisen oder Messing, sind aber am besten aus Rothguß (5 Theile Kupfer und 1 Theil Zinn) herzustellen. Mehreres über diesen Gegenstand ist schon II. §. 90 abgehandelt worden.

§. 3. Die Stärke, welche einer Welle zu geben ist, richtet sich theils nach der Belastung, theils nach dem Kraft- oder Torsionsmomente der Welle. Bei wenig belasteten Wellen läßt sich dieselbe vorzüglich aus letzterem berechnen. Ist  $Pa$  das Kraftmoment, welches durch eine Welle übertragen wird, so haben wir nach I. §. 211 für die Stärke  $d = 2r$  einer runden gußeisernen Welle:

$$Pa = 12600 r^3 = 1575 d^3, \text{ und daher } d = \sqrt[3]{\frac{Pa}{1575}} \text{ Zoll,}$$

oder, wenn man  $Pa$  in Fußpfund, also den Hebelarm  $a$  in Fußen giebt,

$$d = \sqrt[3]{\frac{Pa}{131}} = 0,197 \sqrt[3]{Pa} \text{ Zoll.}$$

Der größeren Sicherheit wegen ist jedoch erfahrungsmäßig  $d = 0,35 \sqrt[3]{Pa}$  Zoll zu nehmen.

Ist  $L$  die Leistung in Pferdekraften (zu 510 Fßpf.), welche durch die Welle fortgepflanzt wird, und  $u$  die Anzahl der Wellenumdrehungen pro Minute, so hat man  $L = \frac{\pi u a}{30} \cdot \frac{P}{510}$ , daher  $Pa = \frac{15300 L}{\pi u}$  und

$$d = 6 \sqrt[3]{\frac{L}{u}} \text{ Zoll.}$$

Ist die Welle hohl und  $n$  das Verhältniß des innern Durchmessers  $d_1$  zum äußern, also  $d_1 = n d$ , so hat man

$$d = 6 \sqrt[3]{\frac{L}{(1 - n^4)u}} \text{ Zoll, z. B. für } n = 0,6, \quad d = 6,3 \sqrt[3]{\frac{L}{u}}$$

und die Eisenstärke:  $\frac{d - d_1}{2} = 1,26 \sqrt[3]{\frac{L}{u}} \text{ Zoll.}$

Für einen Schaft oder eine Welle mit quadratischem Querschnitte ist, wenn  $s$  die Seite desselben bezeichnet, das Torsionsmoment

$$\frac{8 \sqrt{2}}{3 \pi} \cdot \left(\frac{s}{d}\right)^3 = 1,2 \left(\frac{s}{d}\right)^3 \text{ mal}$$

so groß als für die runde Welle, und daher

$$s = 6 \sqrt[3]{\frac{L}{1,2u}} = 5,65 \sqrt[3]{\frac{L}{u}} \text{ Zoll.}$$

Schmiedeeiserne Wellen können um 4 Procent schwächer, und hölzerne, namentlich solche aus Eichen- oder Tannenholz, müssen mindestens doppelt so stark gemacht werden, als gußeiserne Wellen.

Lange Transmissionswellen müssen eine größere Stärke erhalten, als obige Formeln angeben, damit die Torsionswinkel nicht sehr groß ausfallen.

Setzt man in der Formel  $Pa = 160000 \frac{\alpha^0 r^4}{l}$  (I. §. 211) statt  $r^4 = \frac{d^4}{16}$ ,



Wellenstärke. drückt man ferner den Hebelarm  $a$  und die Länge  $l$  der Welle in Fuß aus und nimmt man den zulässigen Torsionswinkel  $\alpha^0 = (1/4)^0$ , so erhält man  $Pa = 17 \frac{d^4}{l}$ , daher die entsprechende Stärke einer gußeisernen

Transmissionswelle  $d = 0,49 \sqrt[4]{Pal} = 4 \sqrt[4]{\frac{Ll}{u}}$  Zoll.

Diese Formel ist nur anzuwenden, wenn die Wellenlänge

$$l > \left(\frac{6}{4}\right)^4 \sqrt[3]{\frac{L}{u}}, \text{ d. i. } > 5 \sqrt[3]{\frac{L}{u}} \text{ ist.}$$

Drückt man  $\frac{L}{u}$  durch  $d$  aus, und  $l$  wie  $d$  in Zollen, so läßt sich diese

Bedingung auch durch  $l > 12 \cdot \frac{6^3}{4^4} d$ , d. i.  $l > 10 d$  ausdrücken.

Wenn eine Welle der Wirkung einer lebendigen Kraft ausgesetzt ist, wie z. B. wenn auf derselben ein Schwungrad sitzt, so muß man deren Stärke nach dieser Wirkung berechnen. Ist  $G$  das Gewicht des Schwungringes und  $v$  die Geschwindigkeit desselben, so hat man das Arbeitsquantum, welches dieser Ring ausgiebt, wenn er in Ruhe versetzt wird,  $L = \frac{v^2}{2g} G$ .

Ist dagegen  $Pa$  das Torsionsmoment und  $\alpha$  der Torsionsbogen, so hat man die Arbeit, durch welche die Torsion hervorgebracht wird,  $L = \frac{\alpha a P}{2}$ ,

oder, da nach I. §. 209, für eine cylindrische Welle  $\alpha = \frac{4 l Pa}{\pi r^4 E}$  ist,

$$L = \frac{2 l (Pa)^2}{\pi r^4 E} = \frac{\pi r^4 E}{8 l} \cdot \alpha^2,$$

und da endlich für das Abwürgen, nach I. §. 211,  $\left(\frac{\alpha r}{l}\right)^2 = \frac{2K}{E}$  ist,

$$L = \frac{1}{4} \pi r^2 l K.$$

Hiernach erhält man für die Wellenstärke  $d = 2r$  die Formel

$$d = 4 \sqrt[4]{\frac{L}{\pi l K}},$$

oder, wenn man für Gußeisen  $K = 1000$  Pfund setzt,

$$d = 0,07 \sqrt[4]{\frac{L}{l}} = 0,07 \sqrt[4]{\frac{v^2}{2gl}} \cdot G.$$

Beispiel. Welche Stärke ist einer massiven gußeisernen Welle zu geben, wenn dieselbe bei 20 Umdrehungen pro Minute ein Arbeitsquantum von 40 Pferdekraften fortpflanzen soll? Nach der Formel  $d = 6 \sqrt[3]{\frac{L}{u}}$ , folgt die gesuchte Stärke  $d = 6 \sqrt[3]{\frac{40}{20}} = 7\frac{1}{7}$  Zoll. Bei einer Länge  $l$  von 20 Fuß

würde nach der Formel  $d = 4 \sqrt[4]{\frac{Ll}{u}}$  diese Stärke  $d = 4 \sqrt[4]{2 \cdot 20} = 4 \cdot 2,5$  Wellenstärken.  $= 10$  Zoll betragen müssen, und wenn hingegen diese Welle nur 5 Fuß Länge hätte und ein Schwungrad von 10 Fuß Halbmesser und 20000 Pfund Gewicht trüge, so würde nach der Formel  $d = 0,07 \sqrt[4]{\frac{v^2}{2gl}} G$  die Stärke der Welle  $d = 0,07 \sqrt[4]{\left(\frac{10 \cdot 20 \cdot \pi}{30}\right)^2 \cdot \frac{20000}{62,5 \cdot 5}} = 0,07 \sqrt[4]{438,6 \cdot 64} = 11,7$  Zoll sein müssen.

§. 4. Aus der Belastung  $Q$  einer Welle läßt sich die Stärke derselben nach den schon in I. §. 202 und II. §. 89 gegebenen Regeln berechnen. Ist die Last  $Q$  auf den Theil  $c$  der ganzen Wellenlänge  $l$  gleichmäßig vertheilt, und steht der Mittelpunkt des Theiles  $c$  oder der Last  $Q$  von den beiden Lagern oder Stützpunkten um  $l_1$  und  $l_2$  ab, so hat man für die Seite

$s$  einer vierkantigen Welle:  $s = \sqrt[3]{\frac{6Q}{K} \left( \frac{l_1 l_2}{l} - \frac{c}{8} \right)}$ . Giebt man

$c, l, l_1$  und  $l_2$  in Fuß und nimmt man für  $\frac{K}{6} = 1000$  Pfund, so erhält man für eine solche Welle aus Gußeisen

$$s = 0,23 \sqrt[3]{Q \left( \frac{l_1 l_2}{l} - \frac{c}{8} \right)} \text{ Zoll.}$$

Für eine massive cylindrische Welle ist dagegen die Stärke

$$d = 1,2 s = 0,28 \sqrt[3]{Q \left( \frac{l_1 l_2}{l} - \frac{c}{8} \right)},$$

und für eine hohle, wenn die Weite der Höhlung  $nd$  ist,

$$d = 0,28 \sqrt[3]{\frac{Q}{1 - n^4} \left( \frac{l_1 l_2}{l} - \frac{c}{8} \right)}.$$

In vielen Fällen kann man die Belastung  $Q$  in einem Punkte der Welle wirkend annehmen, also  $\frac{c}{8}$  gegen  $\frac{l_1 l_2}{l}$  vernachlässigen; es ist dann

$\frac{Q l_1 l_2}{l} = R_1 l_1$ , wo  $R_1$  den Druck in einem Zapfen und  $l_1$  den Abstand der Last  $Q$  von diesem Zapfen bezeichnet, und daher für eine massive runde Welle aus Gußeisen:  $d = 0,28 \sqrt[3]{R_1 l_1}$ .

In vielen Fällen steht das Torsionsmoment  $Pa$  und das Biegemoment  $R_1 l_1$  in einem Verhältnisse zu einander, welches erfordert, daß man bei der Stärkebestimmung einer Welle auf beide Momente zugleich Rücksicht nehmen muß. Es ist dann nach der Theorie der zusammengesetzten Festigkeit (s. Ingenieur, Seite 427 und Seite 555) für eine runde gußeiserne Welle:  $d^6 = (0,28)^3 R_1 l_1 d^3 + (0,35)^6 P^2 a^2$ , oder, wenn man



Wellenarten.  $\frac{R_1 l_1}{Pa} = m$  und  $(0,256 m + \sqrt{1 + 0,0655 m^2})^{1/3} = \psi$  setzt,

$$d = 0,35 \psi \sqrt[3]{Pa} = 6 \psi \sqrt[3]{\frac{L}{u}} \text{ Zoll.}$$

für $m = 1/2$	1	2	3	4	5	6
ist $\psi = 1,04$	1,09	1,18	1,27	1,35	1,43	1,50

Fig. 1. u. 2. Ist eine gußeiserne Welle vierkantig und gerippt, wie Fig. 1 und 2 im Querschnitte vor Augen führen, so hat man



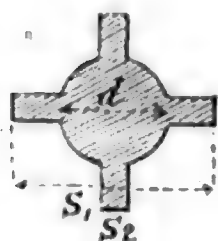
$$s = 0,23 \sqrt[3]{\frac{m R_1 l_1}{1 + (m^3 - 1)n + (m - 1)n^3}} \text{ zu setzen,}$$

wobei  $m$  das Verhältniß  $\frac{s_1}{s}$  der ganzen Rippenhöhe  $s_1$  zur Seite  $s$  der Welle und  $n$  das Verhältniß  $\frac{s_2}{s}$  der Rippendicke  $s_2$  zu eben derselben bezeichnet.

Gewöhnlich nimmt man  $m = \frac{s_1}{s} = 3$  und  $n = \frac{s_2}{s} = 1/3$ ,

daher hat man  $s = 0,23 \sqrt[3]{\frac{3}{9,74} R_1 l_1} = 0,15 \sqrt[3]{R_1 l_1}$  Zoll.

Fig. 3.



Für eine gerippte runde Welle, wie Fig. 3, ist dage-

$$\text{gen } d = 0,28 \sqrt[3]{\frac{m R_1 l_1}{1 + 1,7 [(m^3 - 1)n + (m - 1)n^3]}}$$

wo  $m$  und  $n$  die Verhältnisse  $\frac{s_1}{d}$  und  $\frac{s_2}{d}$  der Höhe  $s_1$  und Dicken  $s_2$  der Rippen zum Welledurchmesser  $d$  bezeichnen.

Gewöhnlich nimmt man  $m = \frac{s_1}{d} = 3$  und  $n = \frac{s_2}{d} = 1/3$ , und

erhält daher  $d = 0,28 \sqrt[3]{\frac{3}{15,86} R_1 l_1} = 0,15 \sqrt[3]{R_1 l_1}$  Zoll.

Lange Wellen müssen, wenn sie stark belastet sind, nicht nach der Festigkeit, sondern nach der Elasticität berechnet werden, weil durch das Einbiegen ein unaufhörlicher Wechsel in die Spannungen der Welle kommt, und dadurch die Haltbarkeit und der genaue Gang derselben leicht beeinträchtigt werden kann. Nimmt man auf jeden laufenden Fuß der Welle  $1/120$  Zoll Einbiegung, setzt man also für die ganze Einbiegung einer in der Mitte belasteten Welle:  $a = 1/120 \cdot \frac{l}{12}$ , so erhält man, da nach I. §. 190 diese

Einbiegung  $a$  auch  $= \frac{Ql^3}{48WE}$  ist,  $Ql^2 = \frac{1}{30} WE$ ,

also für eine quadratische Welle, wo  $W = \frac{s^4}{12}$  ist,  $Ql^2 = \frac{s^4}{360} E$ ,

dagegen für eine runde Welle, wo  $W = \frac{\pi r^4}{4} = \frac{\pi d^4}{64}$ ,  $Ql^2 = \frac{\pi}{1920} d^4 E$ .

Führen wir nun für Gußeisen  $E = 17000000$  Pfund ein, und nehmen wir die Wellenlänge  $l$  in Fuß gegeben an, so erhalten wir

$$Ql^2 = \frac{17000000}{144 \cdot 360} \cdot s^4 = 328 s^4 = 193 d^4,$$

daher umgekehrt,  $s = 0,24 \sqrt[4]{Ql^2}$  und  $d = 0,27 \sqrt[4]{Ql^2}$ .

Hölzerne Wellen sind auch in diesem Falle doppelt so stark, und schmiedeeiserne um 5 Procent schwächer zu machen. Man kann hiernach auch leicht beurtheilen, bei welcher Wellenlänge die eine oder die andere Formel die größere Stärke giebt. Z. B. für eine runde gußeiserne Welle ist die

letzte Formel anzuwenden, wenn  $0,27 \sqrt[4]{Ql^2} > 0,28 \sqrt[3]{\frac{Q}{2} \cdot \frac{l}{2}}$ ,

also wenn  $l > \left(\frac{0,28}{0,27}\right)^6 \frac{\sqrt[3]{Q}}{16}$ , d. i.  $l > 0,078 \sqrt[3]{Q}$  ist.

Drückt man  $Q$  durch  $d$  aus, so erhält man auch die Bedingung

$l > \frac{\sqrt[3]{0,078}}{0,27} d$ , oder wenn man auch  $l$  in Zoll giebt, wenn  $l > 12,4 d$  ist.

Beispiel. Welche Stärke ist einer gußeisernen Welle zu geben, welche bei einer Länge von 8 Fuß ein Arbeitsquantum  $L$  von 20 Pferdekraften aufzunehmen, in der Mitte eine Last von 4000 Pfund zu tragen hat und pro Minute 30 Umdrehungen machen soll? Es ist hier  $Pa = \frac{30 \cdot 510}{\pi} \cdot \frac{L}{u} = \frac{510 \cdot 20}{\pi} = 3247$

Fußpfund und  $R_1 l_1 = \frac{Q}{2} \cdot \frac{l}{2} = 2000 \cdot 4 = 8000$ , daher  $m = \frac{R_1 l_1}{Pa} = \frac{8000}{3247} = 2,4$  und nach der obigen Tabelle  $\psi = 1,22$ , endlich aber die gesuchte Wellenstärke  $d = 6 \cdot 1,22 \sqrt[3]{\frac{20}{30}} = 6,4$  Zoll.

§. 5. Die Stärke der Zapfen einer Welle hängt von dem Zapfendrucke oder von der Belastung der Welle ab. Ist der Zapfendruck  $= R$ , der Zapfendurchmesser  $= d$  und die Zapfenlänge  $= l$ , so hat man, wenn man den ungünstigsten Fall nimmt, daß  $R$  am äußersten Ende des Zapfens wirkt, nach der Theorie der relativen Festigkeit, und wenn, wie meist, das Material aus Gußeisen besteht (s. I. S. 214)  $Rl = 4700 r^3 = 4700 \left(\frac{d}{2}\right)^3$

und daher  $d = 2 \sqrt[3]{\frac{Rl}{4700}} = 0,12 \sqrt[3]{Rl}$ .

Zapfenstärken.

In der Regel ist  $l = \frac{5}{4}d$  bis  $\frac{3}{2}d$ , weshalb1)  $d = 0,048 \sqrt[3]{R}$  Zoll genommen wird.

Schmiedeeiserne Zapfen sind um  $\frac{1}{4}$  schwächer zu machen. Nach Buchanan und Armengaud ist für die Zapfenlänge ein mittlerer Werth einzusetzen und deshalb 2)  $d = 0,27 \sqrt[3]{R}$  Zoll zu nehmen.

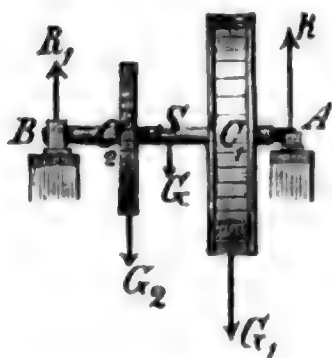
Jedenfalls fallen nach dieser Formel die Zapfenstärken bei schwachen Belastungen zu groß aus.

Hiernach ist folgende Tabelle der Zapfenstärken zusammengesetzt.

Zapfendrucke in Centnern zu 100 Pfd.	2	5	10	20	50	100	150	200
Zapfenstärken in Zollen								
nach 1	0,68	1,07	1,52	2,15	3,39	4,80	5,88	6,69
„ 2	1,60	2,13	2,70	3,40	4,62	5,81	6,66	7,33

Was die Zapfendrucke anlangt, so kann man dieselben aus dem Gewichte  $G$  der Welle  $AB$ , Fig. 4, und aus den Gewichten  $G_1$  und  $G_2$  der auf ihr sitzenden Räder, sowie aus der ganzen Wellenlänge  $AB = l$ , und aus den Abständen

Fig. 4.



Wellenlänge  $AB = l$ , und aus den Abständen  $BC_1 = l_1$  und  $BC_2 = l_2$  der Lastpunkte oder Radmitteln  $C_1$  und  $C_2$  von einem Stützpunkte  $B$  berechnen. Es ist nämlich der Druck im Zapfen A:

$$R = \frac{\frac{1}{2} G l + G_1 l_1 + G_2 l_2}{l}, \text{ und der in B}$$

$$R_1 = \frac{\frac{1}{2} G l + G_1 (l - l_1) + G_2 (l - l_2)}{l}.$$

Befindet sich ein Zapfen zwischen den Rändern, deren Momente einander entgegen wirken, wie z. B. bei  $S$  in Fig. 4, so muß dessen Stärke wie die einer Welle aus dem Torsionsmomente berechnet werden.

Die Stärke eines Stiftes oder stehenden Zapfens bestimmt sich mittels der Torsion, welche die Reibung an der Basis des Stiftes hervorbringt. Aus dem Gewichte oder dem Axendrucke  $G$  der Welle ergibt sich mit Hilfe des Reibungscoefficienten  $f$  ( $= 0,15$ ) die Reibung an der Basis, und ist nun  $d$  die Stärke dieses Stiftes, so hat man das Reibungs- oder Torsionsmoment  $Pa = \frac{f G d}{2}$ . Setzt man nun dieses in Formel

$$d = 0,35 \sqrt[3]{Pa} \text{ für die Wellenstärke, also } P = fG \text{ und } a = \frac{d}{2},$$

oder vielmehr  $\frac{d}{24}$ , weil  $a$  in Fuß gegeben sein soll, so erhält man

$$d^2 = (0,35)^2 \cdot \frac{0,15}{24} G = 0,000268 G,$$

Zapfenstärken.

und daher  $d = 0,0164 \sqrt{G}$  Zoll; da aber  $f$  leicht noch einmal so groß ausfallen kann,  $d = 0,025 \sqrt{G}$ .

Diese Formel entspricht auch ziemlich der Regel Tredgold's, nach welcher man eiserne Zapfen nur mit 1500 Pfund Druck pr. Quadratzoll belasten soll.

Die Stifte schnell umlaufender Turbinenwellen müssen, damit sie nicht leicht warm werden, eine größere Stärke erhalten. Ist  $u$  die Umdrehungszahl der Welle pr. Minute, so kann man

$$d = 0,017 \sqrt{(1 + 0,1u)G} \text{ Zoll in Anwendung bringen.}$$

Beispiel. Eine liegende Welle  $AB$ , Fig. 4, von 7 Fuß Länge, trägt 2 Räder, durch welche ein Arbeitsquantum  $L$  von 16 Pferdekraften fortgepflanzt wird. Wenn nun diese Welle pr. Minute 12 Umdrehungen macht, das eine Rad 1000 Pfund und das andere 4500 Pfund wiegt, ferner jenes 3 Fuß von dem einen und dieses  $1\frac{1}{2}$  von dem anderen Stützpunkte absteht, welche Stärken müssen die gußeiserne Welle und die Zapfen derselben erhalten? Die Wellenstärke ist nach

dem Torsionsmoment:  $6 \sqrt[3]{\frac{16}{12}} = 6,6$ , sicherer also 7 Zoll zu machen. Die

Welle erhält hiernach annähernd das Gewicht  $G = \frac{\pi \cdot 7^2}{4 \cdot 144} \cdot 7 \cdot 475 = 889$  Pfd.

Setzt man hiernach  $G = 889$ ,  $G_1 = 1000$ ,  $G_2 = 4500$ ,  $l = 7$ ,  $l_1 = 3$  und  $l_2 = 5,5$ , so erhält man den Zapfendruck auf der einen Seite

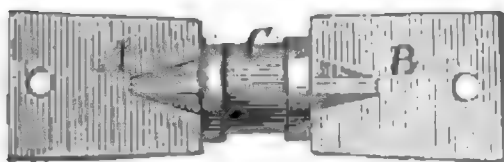
$$R = \frac{889 \cdot 3,5 + 1000 \cdot 3 + 4500 \cdot 5,5}{7} = 4409 \text{ Pfd.,}$$

folglich den auf der anderen:  $R_1 = 889 + 5500 - 4409 = 1980$  Pfd., und hiernach die entsprechenden Zapfenstärken:

$$d = 0,048 \sqrt{4409} = 3,19 \text{ Zoll und } d_1 = 0,048 \sqrt{1980} = 2,14 \text{ Zoll.}$$

§. 6. Lange Wellen werden aus mehreren Stücken mittels sogenannter Kuppelungen (franz. accouplements; engl. couplings) zusammengesetzt. Es giebt feste und lösbare Kuppelungen. Von den letzteren ist weiter unten bei den sogenannten Ein- und Ausrückvorrichtungen die Rede. In der Regel werden durch eine Kuppelung zwei oder mehrere Wellen so mit einander verbunden, daß die Axen derselben in eine gerade Linie fallen, jedoch verbindet man durch das Universalgelenk zuweilen auch Wellen, deren Richtungen um einen mäßigen Winkel von einander abweichen.

Fig. 5.



Die gewöhnlichen festen Kuppelungen sind entweder solche mit einem, oder solche mit zwei Halsen (Zapfen) und den zugehörigen Lagern.

Die einfachste Kuppelung zweier Holzwellen gewährt der doppelte Blattzapfen  $ACB$ , Fig. 5, aus Guß-



gleiches Blatt der anderen Welle greift; man giebt denselben zuweilen Kuppelungen. einen quadratischen, jetzt aber meist einen kreisförmigen Querschnitt. Die Kuppelungshülse oder der Muff paßt genau auf die Kuppelungsköpfe und wird damit noch durch einen Keil, Splint oder Schlüssel *SS* (franz. *clavette*; engl. *key*), welcher in rinnenförmigen Vertiefungen des Kuppelkopfes und des Kuppelmuffs zu liegen kommt, fest verbunden.

Die Dimensionen einer solchen Kuppelung bestimmen sich aus der nach der bekannten Formel  $d = 6 \sqrt[3]{\frac{L}{u}}$  zu berechnenden Wellenstärke mittels folgender Verhältnisse:

Durchmesser des Kuppelungskopfes  $d_1 = \frac{5}{4} d$ ,

Wandstärke der Kuppelhülse  $e = \frac{1}{3} d$ ,

Länge derselben  $l = 2 d$ ,

Breite und Dicke des Schlüsselkeiles  $b_1 = 0,9e$  und  $e_1 = \frac{1}{2} b_1$ .

Die Hauptdimension ist allerdings die Stärke  $e$  der Kuppelhülse. Sie läßt sich unter der Voraussetzung berechnen, daß das Torsionsmoment der Hülse dem des Kuppelkopfes gleich sein muß. Bezeichnen wir nun den äußern Durchmesser der Hülse, d. i.  $d_1 + 2e$ , durch  $d_2$ , so erfüllen wir diese Bedingung, wenn wir  $\frac{d_2^4 - d_1^4}{d_2} = d_1^3$  setzen. Nennen wir  $\frac{d_2}{d_1} = x$ , so stoßen wir hiernach auf die biquadratische Gleichung  $x^4 - x = 1$ , deren Auflösung  $x = 1,22$  giebt, wonach also  $d_2 = 1,22 d_1 = 1,525 d$  und  $e = \frac{0,22 d_1}{2} = 0,11 d_1 = 0,1375 d$  folgt. Wegen der Schwächung durch die Höhlung des Splintes wird allerdings  $e$  noch ansehnlich größer, nämlich  $\frac{1}{3} d$  genommen.

Sogenannte Scheiben oder Kränzelkuppelungen führen die Figuren 10 und 11 vor Augen. Bei beiden Kuppelungen sind *A* und *B* die Kuppelscheiben

Fig. 10.

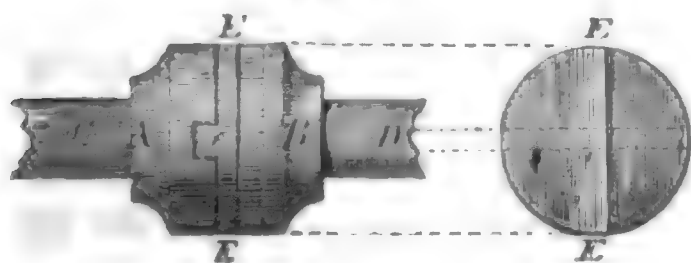
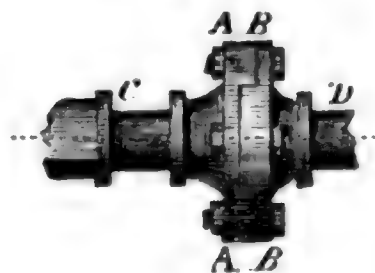


Fig. 11.

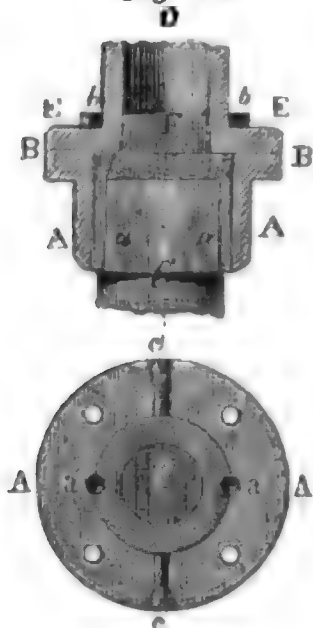


und *C* und *D* die Wellenhälfe. Die Kuppelscheiben der ersten sind mit Nuthen versehen, die der letzteren aber mit in einander greifenden Kreissectoren. Zwischen jene kommt noch eine dritte Scheibe *E* zu liegen, welche auf den entgegengesetzten Seiten mit Rippen versehen ist, die in die gleichgestalteten Nuthen der ersten Scheiben zu liegen kommen. Um das Aus-



Kuppelungen. greifen der Scheiben zu verhindern, schraubt man diese, wie aus Fig. 11 zu ersehen ist, zusammen.

Fig. 12.

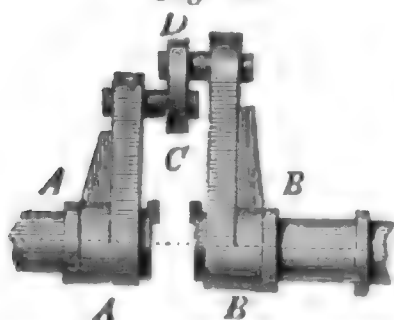


Eine ähnliche Kuppelung, Fig. 12, wendet man auch bei stehenden Wellen an. Es ist hier *AA* die mit einem Kranze *BB* versehene Hülse, welche über die untere Welle *C* geschoben und durch die Splinte *a, a* damit fest verbunden wird, *D* aber die in einen Kranz *EE* auslaufende Welle, welche durch die Schrauben *b, b* und mittels der schraubenförmigen Schlüsselbolzen *c, c* an den unteren Kranz befestigt ist; endlich ist *F* ein conischer Kern, welcher innerlich über beide Wellenenden weggreift und dazu dient, die Wellenachsen in einer geraden Linie zu erhalten.

Universal-  
gelenk.

§. 7. Wenn die Axen zweier Wellen nicht genau in eine gerade Linie fallen, oder nicht genau darin liegend erhalten werden können, so kann man die in Fig. 13 abgebildete Krummzapfenkuppelung anwenden. Hier

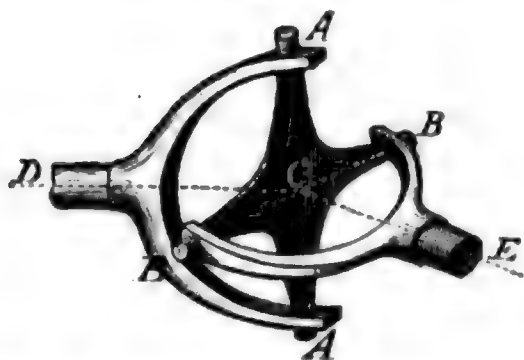
Fig. 13.



ist an jedes der beiden Wellenenden *A* und *B* ein Krummzapfen angebracht, und es sind die Warzen *C* und *D* beider durch ein Gelenk *CD* verbunden. Um diese Verbindung sehr nachgiebig zu machen, kann man die Warzen kugelförmig gestalten und die Gelenkaugen ebenso ausschöhlen.

Sollen die zu kuppelnden Wellen unter einem gewissen Winkel zusammenstoßen, so kann man sich des Universalgelenkes bedienen. Das Universalgelenk (franz. joint universel ou brisé; engl. universal joint) von Hook, Fig. 14 besteht in einem beweg-

Fig. 14.



lichen Kreuze *ABCBA*, dessen zapfenförmige Enden durch die hügel förmigen Enden *ADA* und *BEB* der zu verbindenden Wellen gesteckt werden. Bei Umdrehung der Welle *D* durchläuft der Arm *AA* des Kreuzes eine auf der Umdrehungsaxe winkelrechte Ebene, und da der Arm *BB* unveränderlich mit *AA* und mit der Welle *E* verbunden

ist, so führt er denselben in einem Abstände von einem Rechtwinkel in einer auf der Axe von *E* winkelrecht stehenden Ebene mit sich fort und dreht dabei natürlich die Welle *E* um ihre eigene Axe herum. Diese Uebertragung der Umdrehungsbewegung einer Welle auf eine andere ist





Unterfals-  
potenzf.

und  $\text{tang. } \psi$  negativ sind,  $\psi$  größer ist als  $\varphi$ . Mit diesem abwechselnden Voreilen und Zurückbleiben der zweiten Welle ist natürlich auch ein steter Wechsel in der Geschwindigkeit derselben verbunden.

Aus Band I. S. 19 ist bekannt, daß die Geschwindigkeit einer ungleichförmigen Bewegung der Quotient aus einem Raum- und dem zu dessen Durchlaufung nöthigen Zeitelemente, daß also  $v = \frac{\sigma}{\tau}$  ist. Für eine an-

dere Bewegung ist  $v_1 = \frac{\sigma_1}{\tau}$ ; vergleichen wir daher beide mit einander, so

erhalten wir  $\frac{v_1}{v} = \frac{\sigma_1}{\sigma}$ , d. i. die Geschwindigkeiten zweier Bewegungen verhalten sich wie die in gleichen Zeitelementen durchlaufenen Wegelemente. Bringen wir diesen Satz hier zu Anwendung.

Lassen wir  $\varphi$  um ein Element  $\Delta \varphi$  wachsen, so wird aus  $\text{tang. } \varphi$ ,  
 $\text{tang. } (\varphi + \Delta \varphi) = \frac{\text{tang. } \varphi + \text{tang. } \Delta \varphi}{1 - \text{tang. } \varphi \text{ tang. } \Delta \varphi}$ , oder, da  $\text{tang. } \Delta \varphi$  we-  
 gen seiner Kleinheit  $\Delta \varphi$  gesetzt und die Potenzen von  $\Delta \varphi$  außer Acht  
 gelassen werden können,

$$\text{tang. } (\varphi + \Delta \varphi) = \frac{\text{tang. } \varphi + \Delta \varphi}{1 - \text{tang. } \varphi \Delta \varphi} = \text{tang. } \varphi + (1 + \text{tang. } \varphi^2) \Delta \varphi;$$

hiernach nimmt also  $\text{tang. } \varphi$  um  $(1 + \text{tang. } \varphi^2) \Delta \varphi = \frac{\Delta \varphi}{\cos. \varphi^2}$  zu, wenn

$\varphi$  um  $\Delta \varphi$  größer wird, und ebenso  $\text{tang. } \psi$  um  $\frac{\Delta \psi}{\cos. \psi^2}$ , wenn  $\psi$  um

$\Delta \psi$  wächst. Setzen wir diese Wachsthümer statt  $\text{tang. } \varphi$  und  $\text{tang. } \psi$   
 in die Formel  $\text{tang. } \psi = \text{tang. } \varphi \cos. \alpha$ , so bekommen wir folglich

$$\frac{\Delta \psi}{\cos. \psi^2} = \frac{\Delta \varphi}{\cos. \varphi^2} \cdot \cos. \alpha,$$

und das Verhältniß der Geschwindigkeiten  $w$  und  $v$  der Wurzeln  $H$  und  $A$ :

$$\begin{aligned} \frac{w}{v} &= \frac{\Delta \psi}{\Delta \varphi} = \frac{\cos. \psi^2}{\cos. \varphi^2} \cos. \alpha = \frac{1 + \text{tang. } \varphi^2}{1 + \text{tang. } \psi^2} \cdot \cos. \alpha \\ &= \frac{1 + \text{tang. } \varphi^2}{1 + \text{tang. } \varphi^2 \cos. \alpha^2} \cdot \cos. \alpha. \end{aligned}$$

Dieses Verhältniß ist für  $\text{tang. } \varphi = \infty$ , also für  $\varphi = \frac{\pi}{2}$ , am größ-  
 ten, und zwar  $\frac{w}{v} = \frac{\cos. \alpha}{\cos. \alpha^2} = \frac{1}{\cos. \alpha}$ , dagegen am kleinsten für  
 $\text{tang. } \varphi = \varphi = 0$  nämlich  $\frac{w}{v} = \cos. \alpha$ , und ist endlich gleich Eins,  
 wenn  $(1 + \text{tang. } \varphi^2) \cos. \alpha = 1 + \text{tang. } \varphi^2 \cos. \alpha^2$ , oder

$1 - \cos. \alpha = (1 - \cos. \alpha) \tan. \varphi^2 \cos. \alpha$ , d. i. wenn

$$\tan. \varphi = \sqrt{\frac{1}{\cos. \alpha}} \text{ also } \tan. \psi = \sqrt{\cos. \alpha}$$

ist. Es schwankt also das Geschwindigkeitsverhältniß  $\frac{w}{v}$  bei jeder Drehung

um einen Quadranten zwischen den Grenzen  $\frac{1}{\cos. \alpha}$  und  $\cos. \alpha$  und ist bei

dem durch die Gleichung  $\tan. \varphi = \sqrt{\frac{1}{\cos. \alpha}}$  bestimmten Drehungs-

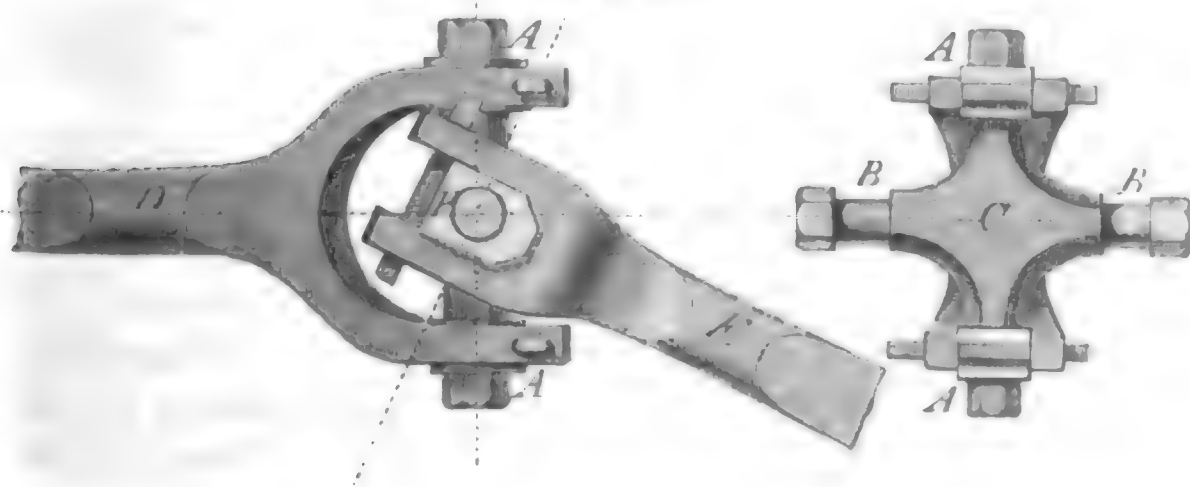
winkel  $\varphi$ , der Einheit gleich. Ist  $P$  die an dem Hebelsarm  $CA$  wirkende Umdrehungskraft der Welle  $CD$  und  $Q$  die entsprechende, an dem gleichen Hebelsarme  $CH$  wirkende Umdrehungskraft der zweiten Welle, so hat man

$$\text{auch } Pv = Qw, \text{ und daher } \frac{Q}{P} = \frac{v}{w} = \frac{1 + \tan. \varphi^2 \cos. \alpha^2}{(1 + \tan. \varphi^2) \cos. \alpha}.$$

Im Allgemeinen wird man das Universalgelenk nur bei Uebertragung kleiner Kräfte und bei mäßigen Ablenkungen ( $\alpha^0$  höchstens  $30^0$ ) anwenden, weil außerdem die ganze Vorrichtung zu stark gemacht werden muß, um hinreichende Festigkeit zu besitzen, und auch die Reibung und Ungleichförmigkeit des Ganges zu groß ausfällt. Bei größeren Abweichungen der Wellenachsen und zumal, wenn diese nicht in einer Ebene liegen, muß man ein doppeltes Universalgelenk anwenden.

Die specielle Zusammensetzung eines einfachen Universalgelenkes ist aus den zwei Ansichten in Fig. 16 zu entnehmen. Ein doppeltes Universalge-

Fig. 16.



lenk besteht aus zwei an den entgegengesetzten Enden eines Zwischenstückes sitzenden Kreuzen, wovon überdies noch das eine an die eine und das andere an die andere Welle angeschlossen ist.

Beispiel. Für ein einfaches Universalgelenk mit dem Nutenwinkel  $\alpha^0 = 30^0$  hat man das kleinste Geschwindigkeitsverhältniß  $\frac{w_1}{v_1} = \cos. 30^0 = 0,866$  und

Universal-  
gelenk.

das größte:  $\frac{w_2}{v_2} = \frac{1}{\cos. 30^\circ} = 1,155$ ; daher das Verhältniß zwischen beiden  $= \left(\frac{1}{\cos. 30^\circ}\right)^2 = \frac{4}{3}$ ; wenn also die eine Welle gleichförmig umläuft, so verändert sich die Geschwindigkeit der andern Welle periodisch um  $\frac{4}{3} - 1 = \frac{1}{3}$  ihres mittleren Werthes, oder es ist, wie man sagt, der Grad ihres ungleichförmigen Ganges  $= \frac{1}{3}$ . Beide Wellen haben einerlei Umlaufgeschwindigkeit bei den Umdrehungswinkeln  $\varphi_1$  und  $\psi_1$ , welche bestimmt sind durch die Formeln

$$\text{tang. } \varphi_1 = \sqrt{\frac{1}{\cos. \alpha}} = \sqrt{1,155} = 1,074 \text{ und}$$

$$\text{tang. } \psi_1 = \sqrt{\cos. \alpha} = \sqrt{0,866} = 0,931.$$

Da hieraus  $\varphi_1 = 47^\circ, 3'$  und  $\psi_1 = 42^\circ, 57'$  folgt, so ist die größte Abweichung der Umdrehungswinkel beider Wellen im ersten und dritten Quadranten:  $\varphi - \psi = 4^\circ, 6'$ ; und im zweiten und vierten  $= - 4^\circ, 6'$ .

Zapfenlager.

§. 8. Die Zapfenlager müssen die umlaufende Welle in einer richtigen und unveränderlichen Lage erhalten; man muß sie daher auf starken Fundamenten oder Gestellen befestigen. Man hat zunächst Zapfenlager für liegende Wellen und solche für stehende Wellen zu unterscheiden. Die Zapfenlager liegender Wellen ruhen entweder unmittelbar auf dem Fundamente, oder sie sind zunächst auf ein Gerüste, das sogenannte Lagergerüste, befestigt. Zuweilen besteht dieses Gerüste nur in einem hölzernen, vielleicht noch auf Streckhölzern liegenden Block, dem sogenannten Angewelle oder Angewäge; oft besteht dieses auch in einem Bock aus Holz oder Gußeisen, wo man es dann mit einem Bocklager zu thun hat, zuweilen endlich ist dasselbe ein Hängegerüste, welches das Lager von unten mit einem festliegenden Balken u. s. w. verbindet, wo man dann ein sogenanntes Hängelager erhält.

Die Zapfenlager werden in das Angewäge meist nur eingesetzt und zu diesem Zwecke an den Enden abgeschrägt oder mit einem Falze versehen, kommt aber ein Zapfenlager unmittelbar auf das Fundament oder auf einen Bock oder Hängegerüste zu liegen, so wird dasselbe mittels 2 oder 4 Schrauben aufgeschraubt, und zu diesem Zwecke mit einer Platte, der sogenannten Sohlplatte, versehen. Diese kommt oft nicht unmittelbar auf das Mauerwerk zu liegen, sondern man bedeckt das letztere, des Schutzes wegen, erst mit einer Schwellenplatte.

Zu einem vollständigen Zapfenlager gehört noch ein Deckel und ein Futter, letzteres gewöhnlich aus Bronze oder Rothguß. Da es dem Abführen durch die Reibung des Zapfens ausgesetzt ist, so muß man es leicht auswechseln können, und deshalb in das eigentliche Lager nur einsetzen.

Die Einrichtung eines zweckmäßigen Zapfenlagers mit Angewäge führt

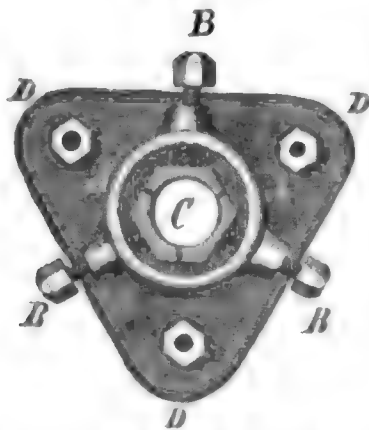






Zapfenlager.

Fig. 27.



Die Halslager sind oft genau so geformt, wie gewöhnliche Zapfenlager; man kann sie aber auch so einrichten, wie Fig. 27 im Grundrisse zeigt. Es ist hier *A* das Lagergehäuse, *C* das aus drei Theilen bestehende Futter im Innern desselben und *B, B, B* sind 3 Stellschrauben, sowie *D, D, D* drei Schrauben, womit die Sohlplatte auf der Unterstüßung festgeschraubt werden kann.

Stangen.

§. 10. Es ist nun auch von den Stangen zu handeln, wodurch die absehbende Bewegung in der geraden Linie, wie die der Wassersäulenmaschinen, Dampfmaschinen u. s. w. fortgepflanzt und nach Befinden in eine andere Richtung gebracht wird. Es gehören hierher außer den Kolbenstangen, noch die sogenannten Kunstgestänge (franz. *tirans, maitresses* tiges des pompes; engl. *main-rods of pumps*), wie sie vorzüglich beim Bergbau vorkommen.

Die Kolbenstangen (vergl. II. §. 191 und §. 295) sind, wenn sie durch eine Stopfbüchse gehen, genau abgedrehte schmiedeeiserne, die Kunststangen sowie die Kolbenstangen ohne Stopfbüchse hingegen sind meist parallelepipedische, aus Holz oder Schmiedeeisen geformte Stangen. Die ersteren wirken meist ziehend und schiebend, die letzteren hingegen nur ziehend. Man hat jeder Stange einen der Zug- oder Schubkraft entsprechenden Querschnitt zu geben.

Wirkt eine Stange bloß ziehend, und zwar mit der Kraft  $P$ , so hat man ihr den Querschnitt  $F = \frac{P}{K}$  zu geben, und es ist nach I. §. 186 für Holz, bei 10facher Sicherheit,  $F = \frac{P}{1200}$  Quadratzoll, für Schmiedeeisen, bei 6facher Sicherheit,  $F = \frac{P}{10000}$ , und für Gußeisen, bei 6facher Sicherheit,  $F = \frac{P}{3000}$  Quadratzoll.

Für die Stärke  $d_1$  einer cylindrischen Kolbenstange aus Schmiedeeisen, hat man hiernach  $d_1 = \sqrt{\frac{4F}{\pi}} = \sqrt{\frac{4P}{10000\pi}} = 0,0113 \sqrt{P}$  Zoll.

Ist  $d$  der Durchmesser des Kolbens und  $p$  der Druck auf jeden Quadratzoll, so hat man auch  $P = \frac{\pi d^2}{4} p$  und daher

$$d_1 = d \sqrt{\frac{p}{10000}} = 0,01 \cdot d \sqrt{p},$$

oder, wenn man  $p$  in Atmosphären, jede zu 15,05 Pfund ausdrückt,

Stangen.

$$d_1 = 0,0388 d \sqrt{p}.$$

Zur Verhinderung des Biegens muß man diesen Stangen schon eine gewisse Anfangsstärke geben, weshalb man für Stangen mit Zugkraft

$$d_1 = 0,026 d (1,0 + \sqrt{p}) \text{ Zoll,}$$

und für Zug- und Druckkraft

$$d_1 = 0,053 d (1,4 + \sqrt{p}) \text{ Zoll nimmt.}$$

Beispiel. Für eine einfachwirkende Wassersäulenmaschine mit 350 Fuß oder  $\frac{350}{23} = 10,6$  Atmosphären Gefälle und einem Treibkolben von 18 Zoll Durchmesser ist eine Kolbenstange von der Stärke  $d_1 = 0,026 (1,0 + \sqrt{10,6}) d = 0,026 \cdot 4,26 d = 0,111 d = 2$  Zoll nöthig. Für ein an diese Stange anzuschließendes hölzernes Schachtgestänge ist, da die ganze Zugkraft

$$P = \left(\frac{3}{4}\right)^2 \pi \cdot 350 \cdot 66 = 40821 \text{ Pfund}$$

beträgt, der Querschnitt  $F = \frac{40821}{1200} = 34$  Quadratzoll. Wegen des Stängengewichtes ist dieser Querschnitt noch etwas größer zu nehmen. (Vergl. I. §. 185.)

§. 11. Ein besonderes Verhältniß, welches sich bei langen Gestängen herausstellt, ist noch der sogenannte Hubverlust, oder die Größe, um welche der Weg  $s_1$  des Lastpunktes kleiner ausfällt als der Weg  $s$  des Kraftpunktes. Es entspringt derselbe theils aus der Elasticität der Stangen an sich, theils aus der unvollkommenen Verbindung derselben durch die sogenannten Schlösser. Durch den Hubverlust, welcher aus der Ausdehnung der Stangen erwächst, geht der Maschine an Wirkungsgrad nichts verloren; die Arbeit, welche beim Aufgange des Gestänges auf die Ausdehnung desselben verwendet wird, wird beim Niedergange desselben, wo sich das Gestänge wieder zusammenzieht, wieder gewonnen.

Hubverlust.

Ist  $P$  die Gestängskraft mit Ausschluß des Gestängengewichtes,  $F$  der Querschnitt und  $l$  die Länge des Gestänges,  $E$  aber Elasticitätsmodul, so hat man die Ausdehnung oder den Hubverlust beim Aufgange des Gestänges:

$$\lambda = \frac{Pl}{FE} \text{ (s. I. §. 183). So viel legt also der Kraftpunkt Weg zurück,}$$

ehe der Lastpunkt sich zu bewegen anfängt; ist daher  $s$  der Weg des ersten,

so hat man den Weg des letzteren:  $s_1 = s - \lambda = s - \frac{Pl}{FE}$ , und da-

her die entsprechende Nutzleistung  $L_1 = Ps_1 = P \left( s - \frac{Pl}{FE} \right)$ . Wäh-

rend der Ausdehnung um  $\lambda$  wächst die Kraft allmählig von Null bis  $P$ , und es ist daher die verlorene und auf die Ausdehnung des Gestänges ver-

wendete Leistung  $L_2 = \frac{P\lambda}{2} = \frac{P^2 l}{2FE}$ , also die Leistung der Kraft wäh-

rend des Aufganges:  $L = L_1 + L_2 = P \left( s - \frac{Pl}{2FE} \right)$ .



Hubverluste.

Beim Rückgange des Gestänges wird der Kraftpunkt zum Lastpunkt und der Lastpunkt zum Kraftpunkt; es legt der erstere den Weg  $s_1$ , der letztere aber den Weg  $s$  zurück, und es wird hierbei außer der Arbeit  $G s_1$  des Gestängengewichtes, welche beim Aufgange zu überwinden war, und daher im Ganzen nicht nutzbringend ist, noch die Arbeit  $L_2 = \frac{P\lambda}{2} = \frac{P_2 l}{2FE}$  durch die Zusammenziehung der Stange um  $\lambda = l - l_1$  verrichtet, also für ein ganzes Spiel die Nutzleistung  $L_1 + L_2 = P \left( s - \frac{Pl}{2FE} \right) =$  der Kraftleistung  $L$  sein, und folglich durch die Ausdehnung des Gestänges keine Verminderung des Wirkungsgrades erwachsen.

Anderes aber ist es mit dem Ausdehnen in den Gestängeschlössern; dieses besteht in einer kleinen Verschiebung zweier gegen einander gepreßten Körper und hat daher sowohl beim Hin- als beim Rückgange die widerstehende Reibung zu überwinden. (Vergl. I. §. 154.) Der entsprechende Arbeitsverlust ist natürlich a priori nicht zu ermitteln, da er von der Solidität der Verbindung der Theile des Schlosses unter einander abhängt.

Die Ausdehnung, welche durch das Gestängengewicht hervorgebracht wird, ist eine bleibende, und kommt deshalb nicht in Betracht. Es ist dieselbe verhältnißmäßig nur halb so groß als die von  $P$  hervorbrachte, also  $= \frac{Gl}{2FE}$

Ist die Belastung gleichförmig auf das Gestänge vertheilt, so hat man ebenfalls die Ausdehnung nur  $= \frac{Pl}{2FE}$ , und es stellt sich dann der entsprechende Arbeitsverlust  $= \frac{2}{3} P\lambda = \frac{1}{3} \cdot \frac{P_2 l}{FE}$  heraus.

Beispiel. Wenn ein eisernes Gestänge von 1000 Fuß Länge eine ziemlich gleichförmig vertheilte Pumpenlast von 50000 Pfund zu tragen hat, so muß man demselben nach I. §. 185 den Querschnitt

$$F = \frac{50000}{10000 - 12000 \cdot 0,294} = \frac{50}{6,472} = 7,72 \text{ Quadratzoll}$$

geben, und man erhält hiernach das Gestängengewicht  $G = 12000 \cdot 7,72 \cdot 0,294 = 27236$  Pfund. Die bleibende Ausdehnung, welche das Gestänge durch sein eigenes Gewicht erleidet, ist, da der Elasticitätsmodul des Stabeisens  $E = 290000000$

Pfund beträgt,  $\lambda = \frac{Gl}{2FE} = \frac{27236 \cdot 12000}{2 \cdot 290000000 \cdot 7,72} = 0,730$  Zoll; die Ausdehnung und Zusammenziehung der Stangen beim Aufgang beträgt dagegen

$$\lambda = \frac{Pl}{2FE} = \frac{50000 \cdot 12000}{2 \cdot 7,72 \cdot 290000000} = 1,340 \text{ Zoll.}$$

Wäre der durch die Verschiebung in den Schlössern hervorbrachte Hubverlust  $\lambda_2 = 2$  Zoll, so würde man den Arbeitsverlust bei jedem Auf- und Rückgange

$$= \frac{P\lambda_2}{2} = \frac{50000 \cdot 2}{2 \cdot 12} = 4167 \text{ Fußpfund erhalten.}$$

§. 12. Die hölzernen Gestänge sind vierkantig, und haben, wenn sie vertikal hängen, einen quadratischen, wenn sie aber liegen oder eine geneigte Lage haben, einen rechteckigen Querschnitt. Um sie in ihrer Lage zu erhalten, umgiebt oder unterstützt man sie in der Regel durch die sogenannten

Gestängeschleifer.

Fig. 28.

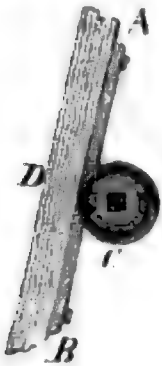
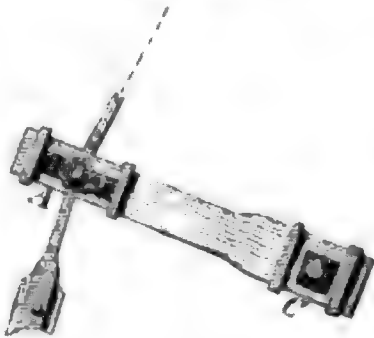


Fig. 29.



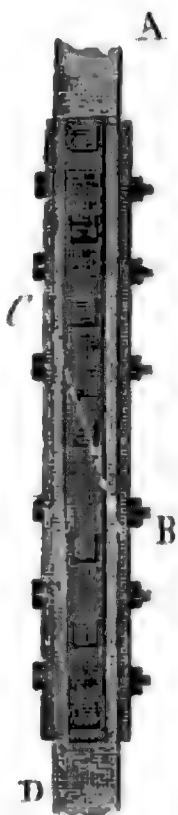
Gestängewalzen. Eine solche Walze ist in C, Fig. 28 abgebildet. Sie ist meist mit einem eisernen Mantel umgeben. D ist das Gestänge und A B die zum Schutze des Gestänges auf dieses aufgeschraubte Schleppschiene. Zuweilen unterstützt man auch die Gestänge durch Schwingen, wie A C, Fig. 29, die allerdings noch Seitenbewegungen

zulassen, und wenigstens sehr lang sein müssen, damit diese nicht groß ausfallen. Die Verbindung der 20 bis 30 Fuß langen Stangen unter einander

Fig. 30.



Fig. 31.



der erfolgt durch sogenannte Laschenschlosser. Es werden nämlich die Stangenenden stumpf oder schräg an einander gestoßen, die entgegengesetzten Seiten derselben mit Schienen oder sogenannten Laschen bedeckt und Schraubenbolzen durchgezogen. Ein Laschenschloß, wie es vorzüglich beim hiesigen Bergbau vorkommt, führt Fig. 30 vor Augen. Es sind hier zwei 5 bis 6 Fuß lange Laschen auf die Stangenenden A B und C B aufgekämmt, und mit diesen durch 8 Schraubenbolzen und 2 Bänder oder Ringe fest verbunden.

Ein anderes Gestängeschloß mit 4 Laschen, welches bei der Wassersäulenmaschine in Huelgoat vorkommt, zeigt Fig. 31. Die Stangenenden A C und B D sind hier schräg an einander gestoßen und mittels 12 Schrauben und vier schmiedeeisernen Laschen fest mit einander verbunden. Um allen Spielraum der Bolzen

in ihren Löchern zu vermeiden, sind die Bolzen genau nach einem und demselben und mit dem Bohrer zum Durchlochen genau übereinstimmenden Modelle anzufertigen.

Die eisernen Gestänge sind in der Regel aus 10 bis 15 Fuß langen Stangen mit quadratischem Querschnitte ( $1\frac{1}{2}$  bis  $2\frac{1}{2}$  Zoll Seitenlänge) zusammengesetzt. Die Verbindung unter einander erfolgt ebenfalls durch

Gestäng-  
schlößer.

Laschen oder Hülßen. Ein eisernes Laschenschloß der Art zeigt Fig. 32. Es hat hier jedes Stangenende  $AB$  und  $CB$  nur einen Kamm und es sind die Laschen durch je zwei Bolzen mit einem Stangenende verbunden. Ein Hülßenschloß ist in Fig. 33 abgebildet. Es wird hier die Verbindung durch zwei hohe Bolzen  $A$  und  $B$ , welche durch die Hülse und durch je ein Gestängende zugleich gehen, hervorgebracht. Ein nach Art der Ketten bei Hängebrücken aus je vier Stangen zusammengesetztes und ebenfalls in Huelgoat angewendetes Gestänge zeigt Fig. 34. Es sind

Fig. 32.



Fig. 33.



Fig. 34.

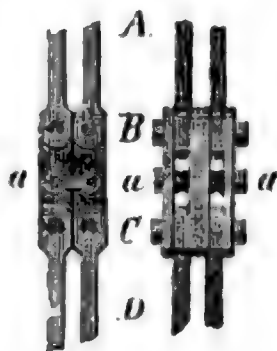


Fig. 35.



hier je zwei Gestängenden durch Bolzen  $B$  und  $C$  mit je drei Laschen und die beiden Laschen eines Gestängepaares mit denen des andern durch ein Quergelenk  $aa$  verbunden.

Die Art und Weise, wie ein hölzernes Gestänge an die Kolbenstange angeschloffen wird, ist aus Fig. 35 zu ersehen. Es ist hier an das obere Ende  $C$  des Gestänges eine eiserne Stange  $AB$  angeschloffen, und diese wieder mittels eines Hülßenschlosses  $D$  mit dem Kolbenstangenende  $A$  verbun-

den. Die Befestigung erfolgt durch Klammern  $aa$  und Splinte oder Reile  $bb$ .

Bruch-  
schwingen.

§. 13. Um eine Richtungsänderung in einem Gestänge hervorzubringen, ist ein Winkelhebel nöthig, den man gewöhnlich eine Bruchschwinge, und wenn der Ablenkungswinkel groß ist und einem Rechtwinkel nahe kommt, ein Gestängkreuz nennt. Durch eine Bruchschwinge wird ein Gestänge in zwei Theile zertheilt, und das Ende eines jeden Theiles läuft

Fig. 36.



Fig. 37.



in ein sogenanntes Krückeneisen  $AB$ , Fig. 36, aus, das mit der Bruchschwinge durch einen Bolzen  $CD$  verbunden ist. Zu diesem Zwecke ist das Krückeneisen mit einem Auge, die Bruchschwinge aber mit einer bedeckten Pfanne  $EF$ , Fig. 37, versehen. Bei einem sehr kleinen Bruch- oder Ablenkungswinkel bildet die Bruchschwinge einen einfachen Arm  $AC$ , Fig. 38,

und es sind auch wohl beide Gestänge nur mittels eines einzigen Bolzens *A* an denselben angeschlossen; gewöhnlicher aber hat jedes Gestänge seinen Arm und Bolzen besonders, wie z. B. bei der Bruchschwinge *A C B*, Fig. 39. Die beiden Arme dieser Bruch-

Bruch-  
schwingen.

Fig. 38.

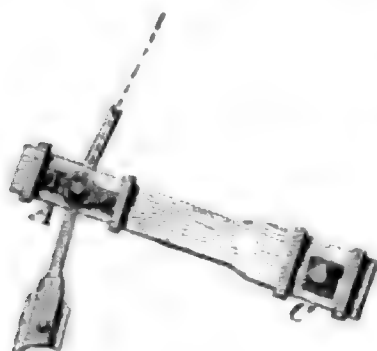
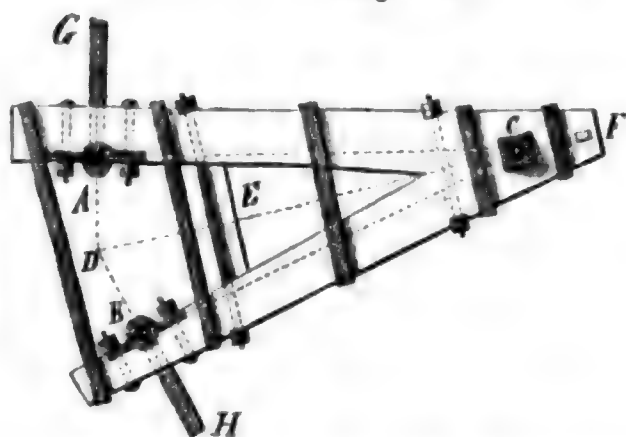


Fig. 39.



schwinge sind auf einander geschmiegt und werden, um das Auseinanderziehen derselben durch die Stangenkräfte zu verhindern, noch durch fünf schmiedeeiserne Ringe und durch zwei Schraubenbolzen zusammengehalten; außerdem noch mit einer Strebe *E* und durch eingefeste Riegel, wie *F*, mit einander verbunden. Die Drehungsaxe oder das sogenannte Walzeisen *C* ist in der Mitte vierkantig geschmiedet, um es fest einkleben zu können. Die Pfannen oder Pfadeisen *A* und *B* sind, um die Arme nicht unnöthig zu schwächen, auf die inneren Armflächen und zwar jede mittels vier Bolzen aufgeschraubt. Die Krückeneisen *AG* und *BH* beider Stangenenden gehen natürlich durch die zu diesem Zwecke gehörig ausgeschnittenen Armenden hindurch. Die Einrichtungen von Stangenkreuzen lassen sich aus Fig. 40 und 41 ersehen. Fig. 40 ist ein hölzernes und Fig. 41 ein gußeisernes Kreuz; beide dienen zur Richtungsänderung um

Fig. 40.

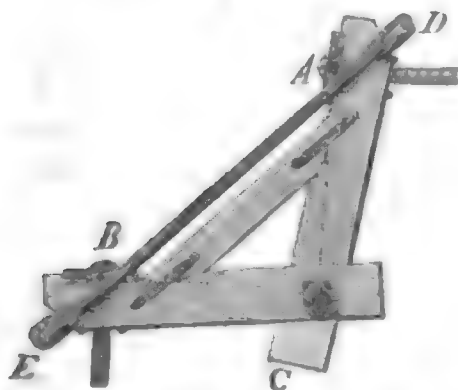
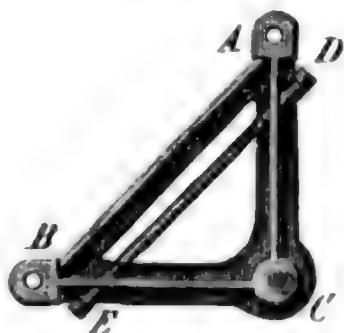


Fig. 41.



90 Grad; *A* und *B* sind die Pfad- und *C* ist das Walzeisen. Einen wesentlichen Theil dieser Kreuze machen die schmiedeeisernen Kopfstangen *DE* aus, welche die von den Gestängkräften hervorgebrachten Spannungen größtentheils aufzunehmen und dadurch das Ab- oder Losbrechen der Arme zu verhindern haben. Wenn es darauf ankommt, die Gestänge



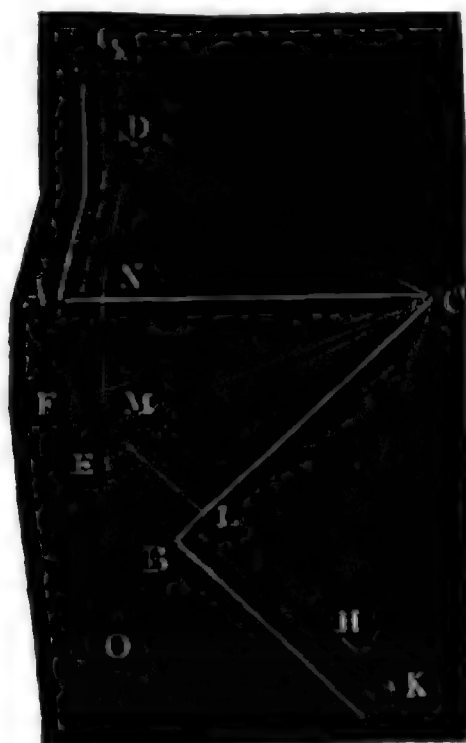


Legt man die Gestängare mitten durch  $e$ , also in die punktirten Linien, welche  $AD$  und  $BH$  halbiren, so fällt die Seitenbewegung beiderseits nur  $= \frac{e}{2}$  aus.

Bruch-  
schwingen.

Für ein Gestängkreuz oder für eine Bruchschwinge mit zwei Armen hat man folgende Verhältnisse. Es seien  $MG$  und  $MK$ , Fig. 44, die Gestängrichtungen,  $MC$  die Mittel- oder Halbierungslinie und  $C$  die Umdrehungsaxe. Fällten wir nun die Perpendikel  $CN$  und  $CL$  auf die Hublinien, und tragen wir von den Lothpunkten  $N$  und  $L$  aus, zu beiden Seiten den halben Schub  $s$  auf, machen wir also

Fig. 44.



$ND = NE = LF = LH = \frac{s}{2}$ ,

und verbinden wir die erhaltenen Endpunkte mit  $C$ , so erhalten wir in

$$CD = CE = CF = CH$$

nicht nur die Armlänge  $a$ , sondern auch die äußersten Stellungen der Arme, und es lassen sich nun leicht die Bögen  $DAE$  und  $FBH$  beschreiben, in welchen sich die Aufhängepunkte beider Gestänge bewegen.

Bezeichnen wir auch hier den Schub  $DE = FH$  durch  $s$ , so haben wir für den Drehungswinkel  $DCE = FCH = \beta$ ,  $\sin. \frac{\beta}{2} = \frac{s}{2a}$  und die Seitenbewegung  $AN = BL$ ,  $e = a \left(1 - \cos. \frac{\beta}{2}\right)$  oder annähernd,  $e = \frac{s^2}{8a}$ .

Meist nimmt man  $a = 2s$  bis  $3s$ , und erhält daher  $e = \frac{s}{16}$  bis  $\frac{s}{24}$ .

Diese Abweichung hängt also von dem Drehungswinkel  $KMO = \alpha$  gar nicht ab und ist stets kleiner, wie bei einer einfachen Schwinge, wie Fig. 43.

Die Lothpunkte  $N$  und  $L$  bestimmen sich durch den Abschnitt  $MN = ML = d$  mittels der Formel  $d = a \cos. \frac{\beta}{2} \cdot \tan. \frac{\alpha}{2}$ .

Auch hier ist es, um die Nachtheile der Seitenbewegung  $e$  möglichst herabzuziehen, nöthig, die Gestängare in die  $AN$  und  $BL$  halbirenden, durch Punkte angedeuteten Linien zu legen.

Beispiel. Für einen Ablenkungswinkel  $\alpha$  von  $30^\circ$ , einen Gestängschub  $s = 4$  Fuß und eine Armlänge  $a = \frac{5}{2}s = 10$  Fuß hat man bei einer ein-

Bruch-  
führungen.

fachen Schwinke  $\sin. \frac{\beta}{2} = \frac{4}{20 \cos. 15^\circ} = \frac{0,2}{0,9659} = 0,2070$ , daher  $\frac{\beta}{2} = 11^\circ, 57'$ ; folglich den ganzen Drehungswinkel  $\beta = 23^\circ, 54'$ , und die Seitenbewegung  $c = 10(1 - \cos. 26^\circ 57') = 10 \cdot 0,1086 = 1,086$  Fuß. Bei Anwendung von zwei Armen dagegen ist  $\sin. \frac{\beta}{2} = 0,2$ , folglich  $\frac{\beta}{2} = 11^\circ, 32'$ , also  $\beta = 23^\circ, 4'$ ,  $e = 10(1 - \cos. 11^\circ, 32') = 0,2$  Fuß und  $d = 10 \cos. 11^\circ, 32' \cdot \tan. 15^\circ = 2,625$  Fuß.

Anmerkung. Durch die Seitenbewegung  $\frac{e}{2}$  zu beiden Seiten der mittleren Schublinie erleidet das Gestänge eine Biegung, welche die Festigkeit der Stangen beeinträchtigt. Nehmen wir an, daß das Gestänge in einem Abstände  $l$  von der Schwinke in einer Führung befindlich sei, und setzen wir die Kraft, welche am Aufhängepunkte nöthig ist, um die Biegung  $\frac{e}{2}$  hervorzubringen,  $= P_1$ , so haben wir nach I. §. 189  $P_1 l = \frac{3 W E}{l^2} \cdot \frac{e}{2}$  und nach §. 201 auch, wenn  $P$  die Ausdehnungskraft der Stange bezeichnet,  $P_1 l = \frac{b h^2}{6} \left( K - \frac{P}{F} \right)$ ; führen wir daher  $W = \frac{b h^3}{12}$  ein, wobei  $b$  die Breite und  $h$  die Dicke des Gestänges (in der Schwingungsebene gemessen) bezeichnet, so erhalten wir den erforderlichen Gestängquerschnitt  $F = \frac{P}{K \left( 1 - \frac{3 h e}{4 l^2} \cdot \frac{E}{K} \right)}$ , annähernd  $F = \left( 1 + \frac{3 h e}{4 l^2} \cdot \frac{E}{K} \right) \frac{P}{K}$ ,

oder, wenn man den bloß der Ausdehnungskraft entsprechenden Querschnitt  $\frac{P}{K} = F_1$  setzt,  $F = \left( 1 + \frac{3 h e}{4 l^2} \cdot \frac{E}{K} \right) F_1$ .

Führt man endlich noch  $e = \frac{s^2}{8a}$  ein, so erhält man  $F = \left( 1 + \frac{3 h s^2}{32 a l^2} \cdot \frac{E}{K} \right) F_1$  und umgekehrt, die einem gegebenen Querschnittsverhältnisse  $\frac{F}{F_1}$  entsprechende Armlänge  $a = \frac{3 h s^2}{32 l^2} \cdot \frac{E}{\left( \frac{F}{F_1} - 1 \right) K}$ .

Gewiß wird  $\frac{F}{F_1}$  nicht viel über Eins betragen dürfen. Ist der Hub  $s = 40$  Zoll, die Stangendicke  $h = 6$  Zoll, die Stangenlänge  $l = 240$  Zoll, nimmt man den Elasticitätsmodul  $E = 1800000$  Pfd., und den Festigkeits- oder vielmehr den Sicherheitsmodul  $K = 1200$  Pfd., so hat man hiernach bei dem Verhältnisse  $\frac{F}{F_1} = \frac{6}{5}$ , die Armlänge

$a = \frac{3 \cdot 6 \cdot 1600}{32 \cdot 57600} \cdot \frac{1800000}{\frac{1}{5} \cdot 1200} = \frac{9}{576} \cdot \frac{5 \cdot 3000}{2} = \frac{15000}{128} = 117$  Zoll, also ungefähr  $= 3s$ .

§. 15. Die Stärkenverhältnisse eines Gestängkreuzes oder einer Bruchschwinke lassen sich aus der Gestängkraft  $P$ , deren Richtung durch das Kreuz verändert wird, berechnen. Zunächst bestimmt sich die Stärke  $d$  der



Bolzen, womit die Gestänge an die Kreuzarme angeschlossen sind, wie die eines Wellzapfens, nach einer Formel  $d = \mu \sqrt{P}$ ; da aber diese Bolzen aus Schmiedeeisen sind, und da die Kraft  $P$ , welche dieselben aufzunehmen haben, ihre Richtung nur wenig ändert, also nicht wie beim Wellzapfen ein ununterbrochenes Biegen der Bolzen nach allen Seiten hin stattfindet, so kann man  $\mu$  viel kleiner, nämlich  $= 0,015$ , also  $d = 0,015 \sqrt{P}$  Zoll nehmen.

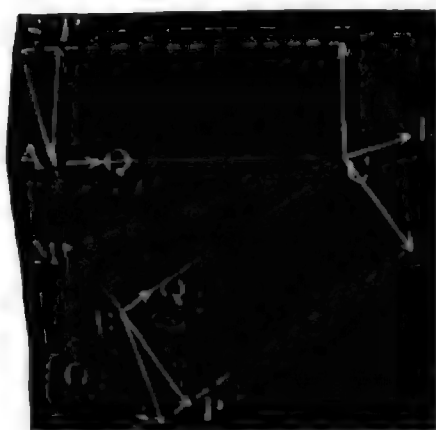
Bruch-  
schwinge.

Aus den Gestängkräften  $P$  und  $P$ , Fig. 45, ergibt sich mit Hülfe des Ablenkungswinkels  $AMO = \alpha$ , der Druck im Walzeisen,  $R = 2 P \sin. \frac{\alpha}{2}$ ;

da dieses ebenfalls aus Schmiedeeisen besteht und nur um einen Winkel  $\beta$  gedreht, also während eines Spieles nicht nach allen Seiten hin gebogen wird, so kann man sich hier ebenfalls eines kleineren Coefficienten wie bei den Wellzapfen bedienen. Lassen wir den Einfluß des Gewichtes vom Kreuze außer Acht, so können wir mit hinreichender Sicherheit die mittlere

Stärke des Walzeisens,  $d_1 = 0,030 \sqrt{P \sin. \frac{\alpha}{2}}$  setzen.

Fig. 45.



Der Querschnitt  $A$  der eisernen Spannschienen oder Stangen, welche die Köpfe der Kreuzarme zusammenhalten, bestimmt sich unter der Voraussetzung, daß diese Schienen den Componenten  $S = \frac{P}{\cos. \frac{\alpha}{2}}$  der Gestängkraft von einem

Arme zum andern übertragen, durch die Formel  $A = \frac{P}{10000 \cos. \frac{\alpha}{2}}$  Quadratzoll.

In der Regel geht die Richtung dieser Stangen nicht genau durch die Angriffspunkte von  $P$  und  $P$ , weshalb noch kleine Seitenkräfte übrig bleiben, die von den Armen oder nach Befinden von Bändern um dieselben aufzunehmen sind.

Der Querschnitt  $A_1$  der Arme ist aus der Seitenkraft  $Q = P \tan. \frac{\alpha}{2}$  nach der rückwirkenden Festigkeit zu berechnen. Man kann mit Sicherheit

für Holz  $A_1 = \frac{P \tan. \frac{\alpha}{2}}{600}$  und für Gußeisen  $A_1 = \frac{P \tan. \frac{\alpha}{2}}{15000}$  Quadratzoll nehmen.

Ohne Anwendung von Spannschienen und Bändern u. s. w. würden die Arme der Bruchschwingen eine viel größere Stärke erhalten müssen.

Bruch-  
sicherungen.

Ist  $h$  die Höhe und  $e$  die Dicke der Arme und setzt man  $\frac{h}{e} = m$  (für Eisen = 2 bis 4, für Holz =  $\frac{7}{5}$ ), so hat man nach der Theorie der relativen Festigkeit  $Pa = \frac{1}{m} h^3 K$ , und es ist hiernach, wenn  $a$  in Zoll eingeführt wird, für gußeiserne Winkelhebel  $h = 0,1 \sqrt[3]{mPa}$ , und für hölzerne  $h = 0,17 \sqrt[3]{mPa}$  Zoll.

Bei Anwendung eines Kreuzes oder einer Bruchschlinge geht durch die Reibungen an den Bolzen und an dem Walzeisen ein Theil der Kraft verloren. Die Reibung an einem Bolzen, auf den Kraftpunkt in der Gestängare reducirt, ist  $F = f \frac{d}{2a} P$  zu setzen, weil sich bei einem Anhebe der Bolzen in der Pfanne um einen Winkel  $\beta$  dreht, also die Reibung den Weg  $\frac{\beta d}{2}$  zurücklegt, während die Kraft  $P$  den Weg  $s = 2 a \sin. \frac{\beta}{2}$  oder nahe =  $\beta a$  macht. Für beide Gestängbolzen hat man daher  $F = f \frac{d}{a} P$ .

Für die Reibung  $F_1$  des Walzeisens hat man, da hier der Druck  $R = 2 P \sin. \frac{\alpha}{2}$  ist,  $F_1 = f \frac{d_1}{a} P \sin. \frac{\alpha}{2}$ .

Mit Berücksichtigung des Druckes, welcher aus dem Gewichte  $G$  des Kreuzes entspringt, hat man, wenn  $\delta$  den Neigungswinkel des Druckes  $R = 2 P \sin. \frac{\alpha}{2}$  gegen den Horizont und  $n$  das Verhältniß  $\frac{G}{R}$  bezeichnet,  $F_1 = f \frac{d_1}{a} P \sin. \frac{\alpha}{2} \sqrt{1 + n^2 - 2n \sin. \delta}$ .

Beispiel. Für ein hölzernes Gestängkreuz, welches eine Gestängkraft  $P = 40000$  Pfund um einen Winkel  $\alpha = 60^\circ$  ablenken soll, hat man Folgendes:

- 1) Die Bolzenstärke  $d = 0,015 \sqrt[3]{40000} = 3$  Zoll,
- 2) die Stärke des Walzeisens  $d_1 = 0,03 \sqrt[3]{40000 \sin. 30^\circ} = 4,25$  Zoll,
- 3) den Querschnitt der Spannschienen  $A = \frac{40000}{10000 \cos. 30^\circ} = 4,6$  Quadratzell,
- 4) den Querschnitt eines Armes  $A_1 = \frac{40000 \operatorname{tg}. 30^\circ}{600} = 38,5$  Quadratzell.

Nimmt man die Armlänge  $a = 100$  Zoll, und den Reibungscoefficienten  $f = 0,075$ , so hat man noch den Kraftverlust durch die Bolzenreibung

$$F = 0,075 \cdot \frac{3}{100} \cdot 40000 = 90 \text{ Pfd.},$$

und den durch die Reibung am Walzeisen

$$F_1 = 0,075 \cdot \frac{4,25}{100} \cdot 40000 \sin. 30^\circ = 63,75 \text{ Pfd.};$$

durch das Gewicht des Kreuzes wird dieser Werth noch etwas vergrößert.

§. 16. Zur Fortpflanzung einer stetigen Bewegung in der geraden Linie wendet man zum Theil Ketten (franz. chaînes; engl. chains, iron-cables), vorzüglich aber Seile, und zwar entweder Hanfseile (franz. cordes, cordages de chanvre; engl. cordes, ropes, cables of hemp) oder Eisen- drahtseile (franz. cordes en fils de fer; engl. cables of iron-wire) an. In der Regel werden diese über Rollen oder Scheiben gelegt und nach Befinden auf Trommeln oder Körbe aufgewickelt, und deshalb verlangt man von ihnen einen gewissen Grad von Biegsamkeit. Die letztere nimmt aber ab, wenn die Stärke des Seiles oder der Kette eine größere wird; deshalb ist es denn eine Regel, ihnen nur diejenige Stärke zu geben, welche nöthig ist, um die gegebene Last auf die Dauer und mit Sicherheit zu tragen, um so mehr, da sie dann am leichtesten ausfallen und deshalb am wenigsten zur Vergrößerung der übrigen Nebenhindernisse beitragen. Die Drahtseile sind unter diesen drei Fortpflanzungsmitteln der Bewegung die vollkommensten, denn sie sind bei gleicher Tragkraft nicht allein die schwächsten und leichtesten, sondern auch die wohlfeilsten. Ueberdies besitzen sie auch einen hohen Grad von Elasticität, die bei den Hanfseilen nur schwach ist und den Ketten ganz abgeht. Der Steifigkeits- oder Straffheitswiderstand der Ketten und Seile, welcher bei dem Umbiegen derselben um Rollen, Trommeln u. s. w. zu überwinden ist, besteht bei den Ketten nur in einer gegenseitigen Reibung der Kettenglieder, bei den Seilen aber theils in einer natürlichen Steifigkeit der Drähte oder Fäden, und theils in der Reibung dieser unter einander. Beim Abwickeln der Ketten oder Seile von Trommeln u. s. w. äußert bei gleicher Spannung die Reibung zwischen den Kettengliedern oder den Seilfäden denselben Widerstand wie beim Aufwickeln, der eigentliche Steifigkeitswiderstand der Drähte oder Fäden hingegen, fällt nach dem Grade der Elasticität dieser sehr verschieden aus. Hanfseile besitzen nur eine sehr geringe Elasticität; sie haben nur ein sehr schwaches, oder nach Befinden gar kein Bestreben, sich, nachdem sie gebogen worden sind, wieder gerade zu strecken; bei Drahtseilen hingegen ist die Elasticität sehr groß, und deshalb wird denn auch beim Abwickeln der Drahtseile ein großer Theil von der Kraft wieder gewonnen, welche vorher auf das Aufwickeln derselben verwendet worden ist. Natürlich ist hierbei vorauszusetzen, daß beim Auflegen des Drahtseiles auf eine Scheibe u. s. w. die Elasticitätsgrenze nicht überschritten, also der Durchmesser der Scheibe oder Trommel nicht zu klein sei. Hanfseile kann man deshalb bei gleicher Tragfähigkeit über kleinere Rollen legen als Drahtseile. Aus diesem Grunde werden Drahtseile bei Flaschen- oder Klobenzügen nicht und bei Haspeln seltener, dagegen bei Göpeln ganz gewöhnlich, und zwar mit vielem Vortheile angewendet. Was denjenigen Theil des Biegungswiderstandes anlangt, welcher von der Reibung abhängt, so kann man diesen bei Eisenketten und Eisendrahtseilen

Diegetische  
Fortpflanzungs-  
mittel.

durch Schmieren oder Oelen herabziehen. Es ist daher zweckmäßig, diese Organe der Bewegungsfortpflanzung von Zeit zu Zeit mit weicher Schmiere zu schmieren. Hingegen das Theeren macht die Hanfseile, sowie das Ritten die Drahtseile steifer. Man ist aber oft genöthigt, eines oder das andere als Schutzmittel gegen die Feuchtigkeit anzuwenden.

Ketten.

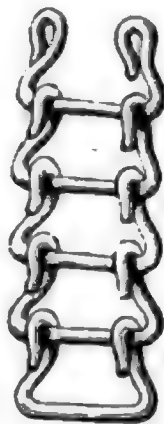
§. 17. Die Ketten, welche zur Fortpflanzung oder Uebertragung der Bewegung einer Maschine dienen, werden größtentheils aus geschmiedetem

Fig. 46.

Fig. 47.

Fig. 48.

Fig. 49.



Eisen angefertigt. Die in Fig. 46 und Fig. 47 abgebildeten Ketten lassen sich nicht gut um Trommeln legen, und können daher nur als einfache Verbindungs- oder Befestigungsstücke angewendet werden. Die in Fig. 48 abgebildete Kette wurde nach Gerstner als Treibekette auf der böhmischen Eisenerzgrube Krusna

Hora fast 30 Jahre lang ohne Unterbrechung benutzt. Die Bandketten von Baucanson, wovon Fig. 49 eine perspectivische Ansicht giebt, sind nur zur Uebertragung schwacher Körper geeignet, weil ihre Glieder nicht zusammengeschweißt, sondern nur umgebogen sind. Bei einer Drahtdicke von  $\frac{3}{16}$  Zoll und einem Gewichte von  $21\frac{1}{2}$  Loth von einem laufenden Fuß ist die Tragkraft einer solchen Kette 855 Pfund und die zulässige Spannung 250 Pfund.

Hierher gehört auch die Bandkette von Prochó, welche aus abwechselnden Ringen und Blechstücken besteht und durch Fig. 50 in zwei Ansichten vor Augen geführt wird. Die vorzüglichsten Ketten, welche beim Maschinenwesen in Anwendung kommen, sind die Galle'schen Gelenk- oder Laschenkettten, wo die Glieder durch besondere Bolzen mit einander verbunden sind. Sehr einfach ist die in Fig. 51 abgebildete Kette dieser Art. *ABC* ist ein gabelförmiges Glied und *BC* der Bolzen, welcher es mit dem folgenden Gliede verbindet. In der Anfertigung noch leichter sind die aus einfachen Schienen oder Laschen zusammengesetzten Ketten, wie Fig. 52 und Fig. 53. Bei der Kette in Fig. 52 befindet sich zwischen einem Laschenpaare eine einfache, bei der in Fig. 53 aber ein anderes Laschenpaar. Sehr oft wendet man aber auch Ketten mit je vier oder noch mehr Laschen an. Jedenfalls sind die Laschenkettten zur Fortpflanzung größerer Kräfte und zum Auflegen auf Scheiben und Zirkelstücke geeignet. Die Kettenbolzen sind an einem Ende mit einem Kopfe versehen, und erhalten am anderen



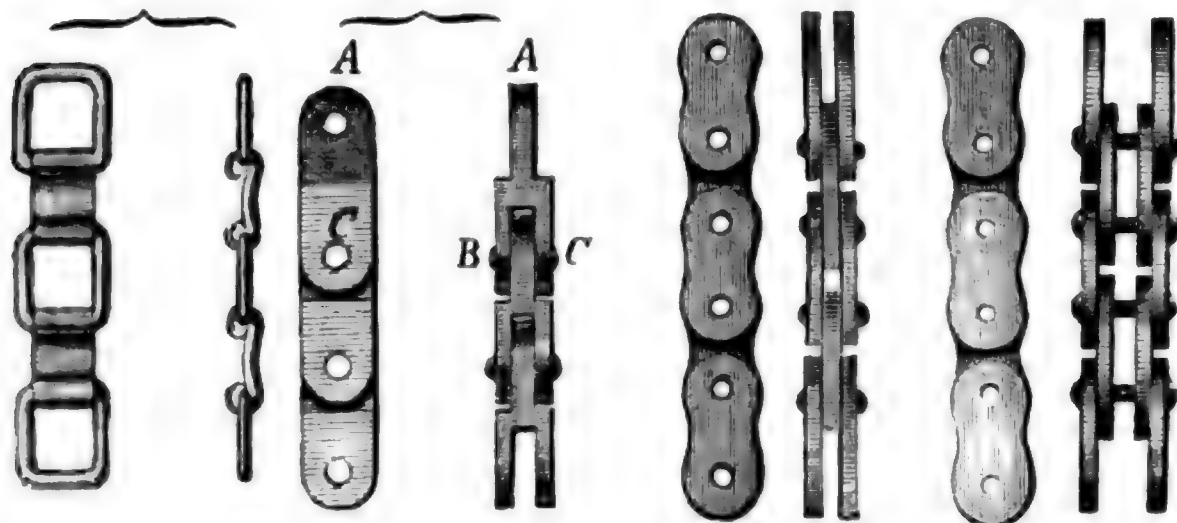
Ende einen Vorstecker oder einen Nietkopf oder eine Schraubenmutter. Zum Ketten.

Fig. 50.

Fig. 51.

Fig. 52.

Fig. 53.



Schutze der Laschen legt man wohl noch Stoßscheiben unter und füttert auch wohl die Augen derselben mit Messing aus.

Die Stärke der Kettenbolzen bestimmt sich wie die der Gestängbolzen s. §. 15, und die der Kettenglieder wie die der Gestänge. Nimmt man die Breite der schmiedeeisernen Glieder drei Mal so groß als die Bolzendurchmesser, so erhält man die Dicke derselben, da durch das Bolzenauge ein

Drittel der Breite verloren geht, bei der Spannkraft  $P$ ,  $e = \frac{P}{20000 d}$  Zoll,

also  $d = 0,015 \sqrt{P}$  gesetzt,  $\frac{e}{d} = \frac{1}{4,5}$ , und  $\frac{e}{3d} = \frac{1}{13,5}$ . Um

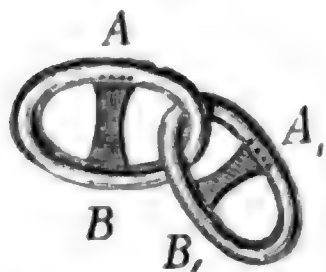
noch mehr Sicherheit zu erhalten, möchte aber

$$\frac{e}{d} = \frac{1}{3}, \text{ d. i. } \frac{e}{3d} = \frac{1}{9},$$

also die Dicke der Laschen einem Drittel der Bolzendicke und einem Neunteil der Laschenbreite gleich zu machen sein.

Der Reibungswiderstand, welcher beim Umlegen einer Kette um eine Rolle zu überwinden ist, wird nach I. §. 177 bestimmt.

Fig. 54.



Was endlich noch die sogenannten Ketten-  
taue anlangt, wie sie besonders beim Schiffs-  
wesen in Gebrauch sind, so werden dieselben aus  
dem besten Rundeisen von  $\frac{1}{2}$  bis 2 Zoll Dicke  
angefertigt, und es erhalten dieselben eine beson-  
dere Festigkeit durch eingesezte Steege, wie  $AB$ ,  
Fig. 54.

Anmerkung Ueber die Anfertigung der Ketten und namentlich über die  
der Kettentaue ist nachzusehen: Prechtl's Encyclopädie, Bd. VIII, Artikel Ket-  
ten, ferner in Karmarsch und Geeren's technischem Wörterbuche, und in den  
Verhandlungen des Gewerbevereins in Preußen, Jahrgänge 1824 und 1835.

Drahtseile.

§. 18. Die Drahtseile werden aus drei bis sechs Lizen (franz. torons; engl. strands), wovon jede aus vier bis acht einzelnen Drähten besteht, zusammengedreht. Die Stärke der Drähte beträgt

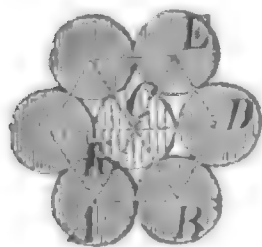
Fig. 55.



bei Treibseilen, welche mehr als 1500 Pfund tragen und über hohe Scheiben zu liegen kommen, ungefähr  $\frac{1}{8}$  Zoll, es wiegen je 100 Fuß Drahtlänge 4,33 Pfund; bei Haspelseilen hingegen, welche nur 200 Pfund tragen,  $\frac{1}{32}$  Zoll, und es wiegen je 100 Fuß Draht 0,271 Pfund. Die Verbindung der Drähte unter einander zu einer Lize führt Fig. 55 vor Augen. Man sieht, diese Lize besteht aus vier Drähten, die einen hohlen Raum  $M$  zwischen sich lassen. Man hat in neueren Zeiten, namentlich in den Kohlenbergwerken am Rhein, diesen Raum mit einer getheerten Hanffschnur ausgefüllt, oder vielmehr die Drähte um eine Hanffseele gewunden, und dadurch eine größere Biegsamkeit und Festigkeit der

Seile zu erzielen gesucht, sowie die Anwendung mehrerer Drähte in einer

Fig. 56.



Lize ermöglicht.

Aus der Anzahl  $n$  der Drähte einer Lize folgt der Centriwinkel  $ACB = BCD = \alpha$  des von den Drahtaxen gebildeten Polygons  $ABE$ , Fig. 56,

$$\alpha = \frac{360^\circ}{n}, \text{ und hieraus wieder mittels der Draht-}$$

stärke  $d$  der Durchmesser  $2CK$  des nach Befinden durch

eine Hanffseele auszufüllenden hohlen Raumes:  $d_1 = \left( \frac{1 - \sin. \frac{1}{2} \alpha}{\sin. \frac{1}{2} \alpha} \right) d$ .

Je größer die Anzahl der Drähte ist, desto größer fällt hiernach auch der Durchmesser des hohlen Raumes aus. Während für  $n = 4$ , also  $\alpha = 90^\circ$

$$d_1 = \left( \frac{1 - \sin. 45^\circ}{\sin. 45^\circ} \right) d = (\sqrt{2} - 1) d = 0,414 d \text{ sich ergibt, ist hier-}$$

nach für  $n = 6$ ,  $d_1 = \left( \frac{1 - \frac{1}{2}}{\frac{1}{2}} \right) d = d$ , und für  $n = 8$ ,

$$d_1 = \left( \frac{1 - 0,3827}{0,3827} \right) d = 1,613 d.$$

Der Durchmesser des Kreises, in welchem die Axen der Drähte liegen, ist

$$d_2 = d + d_1 = \frac{d}{\sin. \frac{1}{2} \alpha}.$$

Ist  $l$  die Länge des Lizenstückes, auf welche eine Windung kommt, so hat man die entsprechende Drahtlänge nach dem Pythagorischen Lehrsatz:

$$l_1 = \sqrt{l^2 + (\pi d_2)^2}, \text{ annähernd} = l + \frac{(\pi d_2)^2}{2l}, \text{ und daher die Ver-}$$



Verkürzung eines Drahtstückes beim Zusammenschlagen zu einer Lige:

Drahtseile.

$$\lambda = l_1 - l = \frac{\pi^2 d_2^2}{2l}, \text{ relativ } \frac{\lambda}{l} = \frac{1}{2} \left( \frac{\pi d_2}{l} \right)^2.$$

Der Drehungswinkel  $\delta$ , um welchen ein Draht durch das Zusammenschlagen zu einer Lige aus der axonalen Lage gebracht wird, ist mittels der Katheten  $\pi d_2$  und  $l$  durch die Gleichung  $\tan \delta = \frac{\pi d_2}{l}$  bestimmt.

Umgekehrt hat man  $\frac{l}{d_2} = \pi \cot \delta$  und  $\frac{l}{d} = \frac{\pi \cot \delta}{\sin \frac{1}{2} \alpha}$ .

Der gewöhnliche Drehungswinkel der Drähte in den Ligen ist  $8^\circ$  bis  $15^\circ$ . Nehmen wir  $\delta = 10^\circ$  und  $n = 4$ , also  $\frac{1}{2} \alpha = 45^\circ$ , so erhalten wir  $\frac{l}{d} = \frac{3,14 \cdot 5,67}{0,707} = 25$ , also bei  $\frac{1}{8}$  Zoll Drahtstärke die Länge einer Windung  $l = 2\frac{5}{8} = 3\frac{1}{8}$  Zoll.

Die Seile werden aus den Ligen genau so zusammengesetzt, wie die Ligen aus Drähten. Durchschnitte mehrerer aus 3 bis 6 Ligen bestehenden Seile sind in den Figuren 57, 58, 59 und 60 abgebildet. Fig. 57 zeigt den

Fig. 57.



Fig. 58.

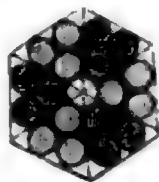


Fig. 59.

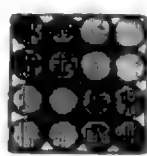
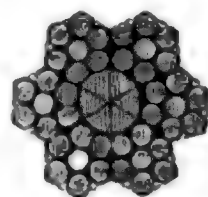


Fig. 60.



Querschnitt eines Seiles aus drei sechsdrahtigen Ligen, Fig. 58 den eines Seiles aus sechs dreidrahtigen Ligen, Fig. 59 zeigt ferner den Querschnitt eines Seiles von 4 Ligen, jede zu 4 Drähten und Fig. 60 den eines Seiles von 6 Ligen, jede zu 6 Drähten, mit einer Hanf- oder Drahtseele. Durch die Drehung der Ligen kommen diese Querschnitte in alle möglichen Lagen, und es nimmt das ganze, namentlich aber das dem Querschnitte Fig. 58 entsprechende Seil eine mehr cylindrische Form an.

Was die Cylinder anlangt, um welche man sich die Ligen schraubenförmig aufgewunden zu denken hat, so sind die Durchmesser derselben folgende: für die Seile mit den Querschnitten in Fig. 57 und 58,

$$d_3 = 2d + \frac{d}{\sin 60^\circ} = 3,155d,$$

für das nach Fig. 59,  $d_3 = 2d_2 = \frac{2d}{\sin 45^\circ} = 2,828d$

und für das nach Fig. 60,  $d_3 = 2d + 4d \sin 60^\circ = 5,464d$ .

Nimmt ein Ligenumschlag ein Axenstück des Seiles von der Länge  $l_2$  ein, so ist seine Länge:  $l_3 = \sqrt{l_2^2 + (\pi d_3)^2}$ , daher die Verkürzung einer Lige

Traktseile. beim Zusammenschlagen :

$$\lambda = l_3 - l_2 = \sqrt{l_2^2 + (\pi d_3)^2} - l_2, \text{ annähernd } = \frac{\pi^2 d_3^2}{2l_2}.$$

Der Drehungswinkel einer Lige ist bestimmt durch die Formel:

$$\text{tang. } \delta_1 = \frac{\pi d_3}{l_2}.$$

In der Regel ist auch  $\delta_1 = 10$  bis 25 Grad, wenigstens ist es nicht rathsam, die Drehung über 15 Grad hinausgehen zu lassen.

Es ist übrigens leicht zu ermessen, weshalb man hier die Drähte nicht einfach nebeneinander legt, sondern schraubenförmig zusammenschlägt. Beim Umlegen um eine Scheibe oder Trommel müssen sich nur die äußeren Drähte ausdehnen; besteht daher das Seil nur aus nebeneinanderliegenden Drähten, so wird nur ein Theil der Drähte ausgedehnt, und daher das Zerreißen der äußeren Drähte eher eintreten, als wenn das Seil geschlagen ist, wo ein und derselbe Draht bald außen, bald innen zu liegen kommt und daher alle Drähte eine gleiche Spannung erhalten.

Anmerkung. Die Drahtstücke, welche man bei der Drahtseilfabrikation verwendet, haben eine Länge von 60 bis 120 Fuß, und müssen deshalb zur Bildung längerer Seile durch bloßes Zusammenwickeln oder Zusammenlöthen ihrer Enden mit einander verbunden werden.

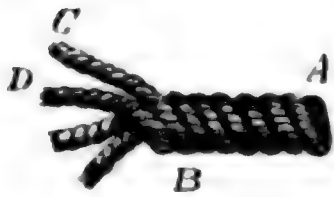
Hanfseile.

§. 19. Die Anwendung der Hanfseile ist durch die Einführung der Drahtseile bedeutend gemäßiget worden. Jetzt findet man diese Seile fast nur noch bei Flaschenzügen angewendet. Das Material zu diesen Seilen ist gut gehechelter Hanf, am besten aus Rußland oder aus dem Elsaß, Breisgau u. s. w. Dieser wird zunächst zu Fäden oder Garn versponnen; aus diesen werden ferner durch Zusammendrehen die sogenannten Schnüre oder Ligen und aus diesen endlich die Seile gebildet. Die Fäden werden von einer Stärke angewendet, daß eine Länge von 300 bis 400 Fuß ein Pfund wiegt, acht bis sechzig Fäden geben eine Lige und drei bis vier Ligen geben ein Seil. Starke Taue endlich werden aus drei bis vier einzelnen Seilen zusammengedreht, oder, wie man sagt, abgestückt.

Vier- und mehrschäftigen Seilen, d. i. Seilen aus vier oder mehr Ligen, giebt man, namentlich wenn dieselben stark sind, eine Hanfseele, damit sich die einzelnen Ligen regelmäßig schraubenförmig aneinander anlegen, und dieselben nicht in den von der Hanfseele auszufüllenden hohlen Raum treten. Die Drehungswinkel der Fäden in den Ligen, und die der Ligen in den Seilen, sind 30 bis 50 Grad; durch sehr starke Drehungen verliert das Seil zuviel an Festigkeit, und bei sehr schwachen Drehungen besitzt es nicht die erforderliche Dichtigkeit. Am angemessensten ist jedenfalls diejenige Drehung, bei welcher die Reibung der Fäden oder Ligen unter einander ihrer Festigkeit gleichkommt. Damit die Seile nicht unnöthig steif ausfallen, und

damit sie möglichst wenig Bestreben zur Drehbewegung annehmen, sollen sanftete.

Fig. 61.



die Drehungsrichtungen der Seile und Ligen, so wie die der Ligen und ihrer Fäden die entgegengesetzten sein. Wenn also ein Seil wie  $AB$ , Fig. 61, rechts gedreht sein soll, so müssen dessen Ligen, wie  $BC$ ,  $BD$  u. s. w. eine linke, und dagegen die Fäden der letzteren wieder eine rechte Drehung erhalten.

Durch das einfache Zusammendrehen wird natürlich eine Verkürzung in der Axenlänge der Fäden oder Ligen herbeigeführt, und könnte dasselbe ohne alle Spannung der Fäden erfolgen, so würde bei dem Drehungswinkel  $\delta$  die einer Fadenlänge  $l$  entsprechende Ligenlänge  $l_1 = l \cos. \delta$ , also die Verkürzung  $\lambda = l_1 - l = l(1 - \cos. \delta)$  betragen. Z. B. für eine Drehung  $\delta$  von 40 Grad würde die Verkürzung  $\lambda = (1 - \cos. 40^\circ) l = 0,234 l$ , d. i. über 23 Procent ausmachen; da aber durch die Reibung und durch das Einklemmen der Ligen und Fäden unter einander noch eine Spannung in diese kommt, so ist mit dem Zusammendrehen stets auch noch eine gewisse Ausdehnung der Fäden und Ligen verbunden, so daß, zumal wenn den Seilen ein sogenannter Draht gegeben wird, d. h. wenn die Seile nach dem Zusammenschlagen noch eine besondere Drehung erhalten, die Verkürzung der Ligen im Seile statt 23 Procent nur 10 bis 15 Procent beträgt.

Ein Haupterforderniß eines guten Seiles ist außer der Festigkeit und Biegsamkeit auch noch die Dauerhaftigkeit desselben. Um die letztere zu erhöhen, muß man durch starkes Zusammendrehen oder durch einen Theerüberzug das Eindringen des Wassers möglichst verhindern. Da aber durch diese Mittel den ersten Erfordernissen entgegengewirkt wird, so ist mit denselben eine gewisse Grenze nicht zu überschreiten. Der Theer (franz. goudron; engl. tar) wird gewöhnlich in solcher Menge angewendet, daß durch ihn das Seil um ein Fünftel seines Gewichtes schwerer wird.

§. 20. Die Tragkraft eines Seiles hängt nicht allein von der materiellen Beschaffenheit, von dem Querschnitte  $F$  und von der Anzahl  $n$  der Fäden des Seiles, sondern auch von der Stärke der Drehung der Fäden und Ligen desselben ab, denn durch die letztere erhalten die Fäden und Ligen

Tragkraft  
der  
Sanftete.

Fig. 62.

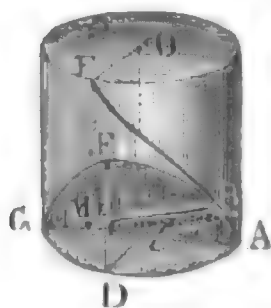


auch ohne Belastung eine gewisse, einen Theil der Tragkraft in Anspruch nehmende Spannung. Wegen der schraubenförmigen Windungen, welche die Fäden und Ligen bilden, ist diese Spannung überdies nicht gleichförmig auf den Querschnitt dieser vertheilt, sondern am äußeren Umfange größer als in der Axe der Fäden oder Ligen, und deshalb die dadurch hervorgerachte Verminderung

Tragkraft  
der  
Hanfseile.

der Tragkraft bei einer starken Drehung der Fäden sehr beträchtlich. Der

Fig. 63.



Halbmesser  $MA = MB$ , Fig. 63, nach welchem ein Faden  $ABF$  in einer Lige oder eine Lige im Seile gebogen ist, fällt mit dem Krümmungshalbmesser einer Ellipse  $ABEG$  zusammen, deren Ebene um den Drehungswinkel  $OCE = \delta$  von der Axe der Lige oder des Seiles abweicht. Der Halbmesser  $CA = CD = r$  des Zylinders, um welchen die Fadenaxe gewickelt ist, ist zugleich

die kleine Halbaxe der Ellipse, dagegen  $CE = \frac{CD}{\cos. DCE} = \frac{r}{\sin. \delta}$ , die große Halbaxe der Ellipse, und daher der Krümmungshalbmesser des Fadens (s. Ingenieur S. 238),

$$MA = MB = \frac{CE^2}{CA} = \frac{r^2}{r \sin. \delta^2} = \frac{r}{\sin. \delta^2}.$$

Nun wächst aber die Spannung am äußersten Umfange eines Fadens direct wie die Stärke und umgekehrt wie der Krümmungshalbmesser der Fadenaxe, daher nimmt denn auch dieselbe wie das Quadrat des Sinus des Drehungswinkels zu. Wie sehr ein Seil durch eine starke Drehung an Festigkeit verliert, zeigt folgendes Beispiel von Muschenbroek. Ein Seil, welches bis ein Fünftel Verkürzung gedreht war, zerriß bei 6205 Pfund Belastung, als es aber eine Drehung bis ein Viertel Verkürzung erhielt, bei 4850 Pfund, und als es endlich durch weitere Drehung um ein Drittel verkürzt wurde, gar schon bei 4098 Pfund.

Uebrigens ist leicht zu ermessen, daß stärkere, aus mehr Fäden bestehende Seile verhältnißmäßig weniger Tragkraft besitzen als schwächere. Es findet bei jenen nicht allein an sich eine größere Ungleichheit in der Spannung der Fäden statt, sondern es wird auch dieselbe beim Umbiegen um Rollen oder Trommeln noch besonders erhöht. Durch diese Ungleichheit wird aber die Tragkraft herabgezogen, weil hier die stärker gespannten Fäden eher zerreißen, als wenn die Spannung eine gleichförmige wäre.

Endlich wird die Tragkraft eines Seiles auch noch durch die Masse, und selbst durch das Theeren vermindert. Nach Muschenbroek's Versuchen trägt ein ungetheertes Seil, wenn es ganz durchnäßt ist, nur sieben Zehntel so viel als wenn es trocken ist. Das Eindringen der Masse wird besonders dann verhindert, wenn man nicht das fertige Seil, sondern schon die Fäden oder Ligen theert. Je nachdem man nun diese warm oder kalt zusammen-dreht (warm oder kalt registriert), fallen die Seile mehr oder weniger dicht, und mehr oder weniger steif aus.

§. 21. Die Stärke eines Hanfseiles für eine gegebene Tragkraft  $P$  läßt sich



mittels der in I. §. 186 mitgetheilten Festigkeitscoefficienten berechnen; nur ist hierbei zu berücksichtigen, daß man dreifache Sicherheit zu geben hat, wenn das Seil ein stehendes ist, also nur zur Befestigung dient, und dagegen sechsfache Sicherheit nehmen muß, wenn das Seilwerk ein laufendes ist, sich also über Rollen und Trommeln wickelt. Sehen wir den Festigkeitsmodul für Hanfseile von  $\frac{1}{8}$  Zoll Dicke = 10000 Pfund, und den für Seile von 5 Zoll Stärke = 5000 Pfund, so können wir allgemein für Seile von  $d$  Zoll Stärke den Festigkeitsmodul  $K = 10000 (1 - 0,1 d)$  Pfund annehmen.

Tragkraft  
der  
Hanfseile.

Es ist daher die Tragkraft =  $P$ , bei dreifacher Sicherheit

$$P = \frac{1}{3} \cdot 10000 (1 - 0,1 d) \cdot \frac{\pi d^2}{4} = 2618 (1 - 0,1 d) d^2$$

und bei sechsfacher Sicherheit:  $P = 1309 (1 - 0,1 d) d^2$ , umgekehrt also die der gegebenen Tragkraft oder Spannung entsprechende Seildicke, im

ersten Falle  $d = \sqrt{\frac{P}{2618 (1 - 0,1 d)}}$ , oder annähernd

$$1) d = 0,01954 (1 + 0,05 d) \sqrt{P} = 0,01954 (1 + 0,001 \sqrt{P}) \sqrt{P}$$

und im zweiten Falle:

$$2) d = 0,02764 (1 + 0,05 d) \sqrt{P} = 0,02764 (1 + 0,0014 \sqrt{P}) \sqrt{P} \text{ Zoll.}$$

Was das Seilgewicht anlangt, so kann man annehmen, daß dasselbe nahe wie das Quadrat der Seilstärke wächst. Nun wiegt aber der laufende Fuß Hanfseil von 1 Zoll Stärke, ungetheert 0,3 Pfund, und getheert 0,36 Pfund; es läßt sich daher das Gewicht eines laufenden Fußes Hanfseil von  $d$  Zoll Stärke setzen:

$$3) G = 0,3 d^2 \text{ bis } 0,36 d^2 \text{ Pfund.}$$

Umgekehrt entspricht dem Gewichte  $G$  eine Stärke:

$$4) d = 1,82 \sqrt{G} \text{ bis } 1,67 \sqrt{G} \text{ Zoll.}$$

Sehen wir den Werth  $d = 1,82 \sqrt{G}$  in die obigen Formeln, so erhalten wir das Gewicht des laufenden Fußes Seil, bei dreifacher Sicherheit:

$$5) G = 0,0001146 (1 + 0,002 \sqrt{P}) P \text{ Pfund,}$$

und bei sechsfacher Sicherheit:

$$6) G = 0,0002292 (1 + 0,0028 \sqrt{P}) P \text{ Pfund.}$$

Hiernach ist folgende Tabelle berechnet worden:

Tragkraft  
der  
Hanfseile.

Seilspannung in Centnern, zu 100 Pfund		1	4	9	16	25	36	49	64	81	100
Seilstärke in Zollen	bei 3facher Sicherheit	0,20	0,40	0,60	0,81	1,03	1,24	1,46	1,69	1,91	2,15
	bei 6facher Sicherheit	0,28	0,57	0,86	1,17	1,48	1,80	2,12	2,46	2,80	3,15
Gewicht von je 100 Fuß ungetheer- ten Seiles	bei 3facher Sicherheit	1,17	4,77	10,9	19,8	31,5	46,2	61,0	85,1	109,5	137,5
	bei 6facher Sicherheit	2,36	9,68	22,4	40,9	65,3	96,4	131,3	179,5	234,4	293,4

Beispiel. Die Stärke eines ungetheerten Haspelseiles, welches eine Last von 4 Centnern tragen soll, ist nach der letzten Tabelle, so wie nach einer der obigen Formeln:  $d = 0,57$  Zoll, und das Gewicht von 150 Fuß Seil:

$$G = 9,68 \cdot \frac{150}{100} = 14,52 \text{ Pfund.}$$

Vergleichung  
der Seile  
und Ketten.

§. 22. Wie sich die Drahtseile, Hanfseile und Kettentaue in Hinsicht auf Festigkeit, Gewicht und Preis gegen einander verhalten, ist aus folgender Tabelle zu entnehmen, welche eine vergleichende Zusammenstellung der Resultate von den Versuchen enthält, die zu diesem Zwecke auf Befehl der englischen Admiralität angestellt worden sind.



T a b e l l e

über die Festigkeit, das Gewicht und den Preis von Drahtseilen,  
Hanfseilen und Kettentauen.

Vergleichung  
der Seile  
mit Ketten.

Belastung, bei welcher die Seile zerreißen, in Tonnen (tons) u. s. w.	Gattungen der Seile.	Umfang der Hanf- und Drahtseile; Dicke des Rund eisens bei den Ketten.	Gewicht von 1 Faden (fathom) = 6 Engl. Fuß, in Engl. Pfd. 1 Pf. = 16 Unz.	Preis von 1 Faden = 6 Fuß, in Schilling u. Pence. 1 Sch. = 12 Pc. = 10 Silbgr.
1 Tonne = 2240 engl. Pfund = 2172 preuß. "	{ Drahtseil Hanfseil Kettentau	1 Zoll Engl. 2 " " $\frac{1}{4}$ " "	— Pf. 12 Unz. 1 " 1 " 3 " — "	— Sch. 5 Pc. — " $5\frac{1}{2}$ " 1 " 6 "
8 Tonnen = 17920 engl. Pfund = 17379 preuß. "	{ Drahtseil Hanfseil Kettentau	2 " " 5 " " $\frac{1}{2}$ " "	2 " 10 " 6 " — " 16 " — "	1 " 6 " 2 " $7\frac{1}{2}$ " 4 " — "
16 Tonnen = 26880 engl. Pfund = 26069 preuß. "	{ Drahtseil Hanfseil Kettentau	$2\frac{1}{2}$ " " 7 " " $1\frac{1}{16}$ " "	4 " 8 " 12 " 3 " 27 " — "	2 " $5\frac{1}{2}$ " 5 " 4 " 6 " — "
16 Tonnen = 35840 engl. Pfund = 34758 preuß. "	{ Drahtseil Hanfseil Kettentau	3 " " 8 " " $\frac{13}{16}$ " "	6 " 12 " 14 " 3 " 37 " — "	3 " $7\frac{1}{2}$ " 6 " $2\frac{1}{2}$ " 8 " — "
20 Tonnen = 44800 engl. Pfund = 43448 preuß. "	{ Drahtseil Hanfseil Kettentau	$3\frac{1}{2}$ " " 9 " " $\frac{29}{32}$ " "	9 " 4 " 19 " 6 " 46 " — "	5 " — " 8 " $3\frac{3}{4}$ " 9 " 7 "
24 Tonnen = 53760 engl. Pfund = 52138 preuß. "	{ Drahtseil Hanfseil Kettentau	4 " " 10 " " $\frac{31}{32}$ " "	12 " 4 " 25 " — " 53 " — "	6 " $7\frac{1}{2}$ " 10 " $11\frac{1}{4}$ " 10 " $10\frac{1}{2}$ "
30 Tonnen = 67200 engl. Pfund = 65172 preuß. "	{ Drahtseil Hanfseil Kettentau	$4\frac{1}{2}$ " " 11 " " $1\frac{1}{16}$ " "	16 " 5 " 30 " — " 62 " — "	8 " 10 " 13 " $1\frac{1}{4}$ " 12 " 11 "
36 Tonnen = 80640 engl. Pfund = 78206 preuß. "	{ Drahtseil Hanfseil Kettentau	5 " " $12\frac{1}{2}$ " " $\frac{13}{16}$ " "	22 " 5 " 35 " 10 " 78 " — "	12 " 1 " 15 " $7\frac{3}{4}$ " 16 " 3 "
44 Tonnen = 98560 engl. Pfund = 95586 preuß. "	{ Drahtseil Hanfseil Kettentau	$5\frac{1}{2}$ " " 14 " " $\frac{15}{16}$ " "	27 " — " 41 " 10 " 96 " — "	14 " 11 " 18 " $3\frac{1}{2}$ " 20 " — "
54 Tonnen = 120960 engl. Pfd. = 117310 preuß. "	{ Drahtseil Hanfseil Kettentau	6 " " 15 " " $1\frac{7}{16}$ " "	34 " — " 47 " 8 " 115 " — "	18 " 6 " 20 " $9\frac{1}{2}$ " 24 " — "

Vergleichung  
der Seile  
und Ketten.

Die Vergleichung der in dieser Tabelle enthaltenen Versuchsergebnisse führt auf Folgendes.

Bei gleicher Tragkraft ist stets das Drahtseil das leichtere und wohlfeilere und das Kettentau stets das schwerere und meist auch immer das theurere Fortpflanzungsmittel. Es läßt sich im Mittel annehmen, daß bei gleicher Tragkraft das Gewicht des Drahtseiles gleich ist 0,5, und das eines Ketten-  
taues 2,5mal so groß als das eines Hanfseiles, daß ferner die Stärke des Drahtseiles nur 0,4 und die Stärke des Rundeisens, aus dem die Ketten-  
glieder bestehen, 0,3 von der eines Hanfseiles beträgt. Aus diesen Verhältnissen können wir daher sehr leicht mit Hilfe der im vorigen Paragraphen gegebenen Formeln die Stärke und das Gewicht der Drahtseile und Ketten-  
glieder eines Taus finden, welches einer gegebenen Tragkraft entspricht.

Beispiel. Welche Stärke soll ein Drahtseil erhalten, wenn dasselbe als Treibseil dienen und höchstens 30 Centner tragen soll. Für ein Hanfseil ist die gesuchte Stärke

$d = 0,02764 (1 + 0,0014 \cdot \sqrt{3000}) \sqrt{3000} = 1,51 \cdot 1,076 = 1,63$  Zoll,  
und daher für das Drahtseil  $d = 0,4 \cdot 1,63 = 0,65$  Zoll. Giebt man nur dreifache Sicherheit, so fällt hiernach  $d = 0,46$  Zoll aus. Nimmt man an, das Seil bestehe aus 16 Drähten von  $\frac{1}{8}$  Zoll Dicke, so erhält man die Festigkeit dieser nach I. §. 186

$$P = 16 \cdot (\frac{1}{8})^2 \cdot \frac{\pi}{4} \cdot 85000 = 0,1963 \cdot 85000 = 16686 \text{ Pfund};$$

und daher die Tragkraft bei 6facher Sicherheit = 2781 Pfund. Das Gewicht des laufenden Fußes Hanfseil von 30 Centner Tragkraft ist

$0,0002292 \cdot 3000 (1 + 0,0028 \cdot \sqrt{3000}) = 0,6876 \cdot 1,1533 = 0,793$  Pfund,  
und daher das des Drahtseiles =  $0,5 \cdot 0,793 = 0,3965$  Pfund. Nimmt man das Gewicht eines Cubizzolles Drahteisen 0,294 Pfund an (s. Ingenieur S. 362), so erhält man das Gewicht von einem Fuß Seil, welches aus 16 ein achtel Zoll dicken Drähten besteht, annähernd  $G = 0,294 \cdot 16 \cdot 0,1227 = 0,577$  Pfund.

Leitrollen.

§. 23. Die Richtung eines Seiles oder einer Kette wird durch eine Leitrolle (franz. poulie de renvoi; engl. guide pulley) abgeändert (s. I. §. 150). Der Durchmesser einer Leitrolle richtet sich nach der Stärke und nach dem Grade der Biegsamkeit des Seiles, welches sich um diese legt. Starke und weniger biegsame Seile erhalten Leitrollen oder sogenannte Seilscheiben von 6 bis 10 Fuß Durchmesser, schwache Hanfseile aber solche von  $\frac{1}{2}$  bis 1 Fuß. Im Allgemeinen nimmt der Steifigkeitswiderstand des Seiles und die Reibung der Rolle ab, und es wird ebenso das Abführen des Seiles und der Zapfen oder sogenannten Walzeisen ein kleinerer, wenn der Durchmesser der Seilscheibe vergrößert wird. Da aber mit dem letzteren auch das Gewicht der Seilscheibe und deshalb auch die Zapfenreibung wächst, so giebt es allerdings eine Grenze in der Auswahl der vortheilhaftesten Seilscheibenhöhe. Kleine Leitrollen bestehen in einer einfachen Holz- oder Metallscheibe, wie ABC, Fig. 64 und Fig. 65, größere

aber bilden ein Rad, wie *ABC*, Fig. 66, aus Holz oder Eisen. Damit das Leitrollen.

Fig. 64.



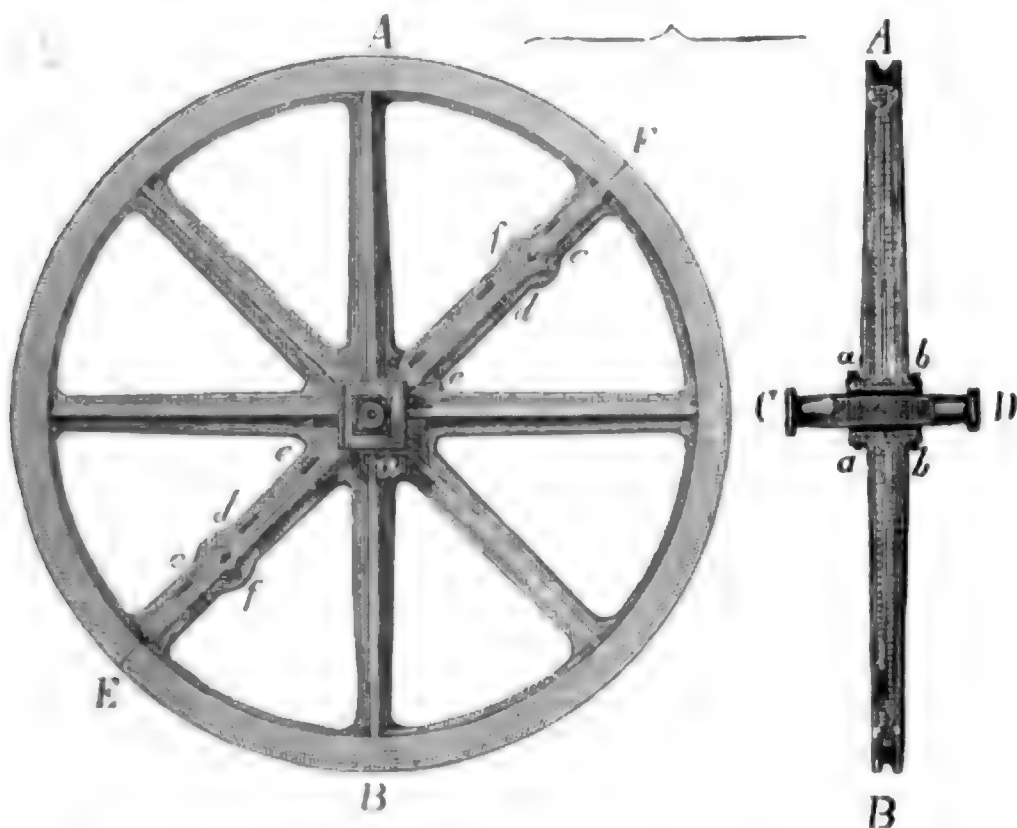
Fig. 65.



Seil von der Rolle nicht herabgleiten könne, ist eine Spur oder Rinne (franz. gorge; engl. groove) am Umfange der letzteren ausgenommen; und besteht die Scheibe aus Guss-eisen, so füttert man diese Spur, wie *A* und *B*, Fig. 66, zeigt, mit Holz aus, um das Abführen des Seiles zu mäßigen und den Scheibenkranz zu schonen.

Die schmiedeeiserne Axe oder das Walzeisen *CD*, um welche sich die Leitrolle dreht, ist entweder mit dieser fest oder sie ist durch eine genau auszu-

Fig. 66.



drehende Nabe (franz. moyeu; engl. nave) mit der Rolle lose verbunden. Jedenfalls ist die erstere Anordnung die solidere, und daher bei größeren und festliegenden Seilscheiben stets anzuwenden, die zweite dagegen nur bei kleinen und transportablen Leitrollen, wo es darauf ankommt, die Zapfenlager zu ersparen. Wenn mehrere mit verschiedenen Geschwindigkeiten umlaufende Rollen auf einer Axe zugleich sitzen, so ist die lose Verbindung durch eine Nabe sogar nothwendig. Bei der festen Verbindung der Axe und Rolle findet die Axenreibung an den Enden, bei der losen dagegen in der Mitte der Axe statt; da aber, ohne die Festigkeit zu beeinträchtigen, die Axe an den Enden schwächer sein kann als in der Mitte, und da die Axs-

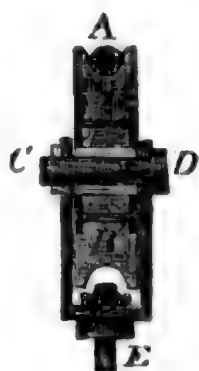
Leitrollen

beit der Reibung mit der Axenstärke zunimmt, so läßt sich bei der festen Verbindung eine kleinere Axenreibung erzielen als bei der losen. Der Hauptnachtheil der letzteren Verbindung besteht aber in unsicherer und schwankender Bewegung, welche die Rolle annimmt, wenn die Nabe und Ase abge-

Fig. 67.



Fig. 68.

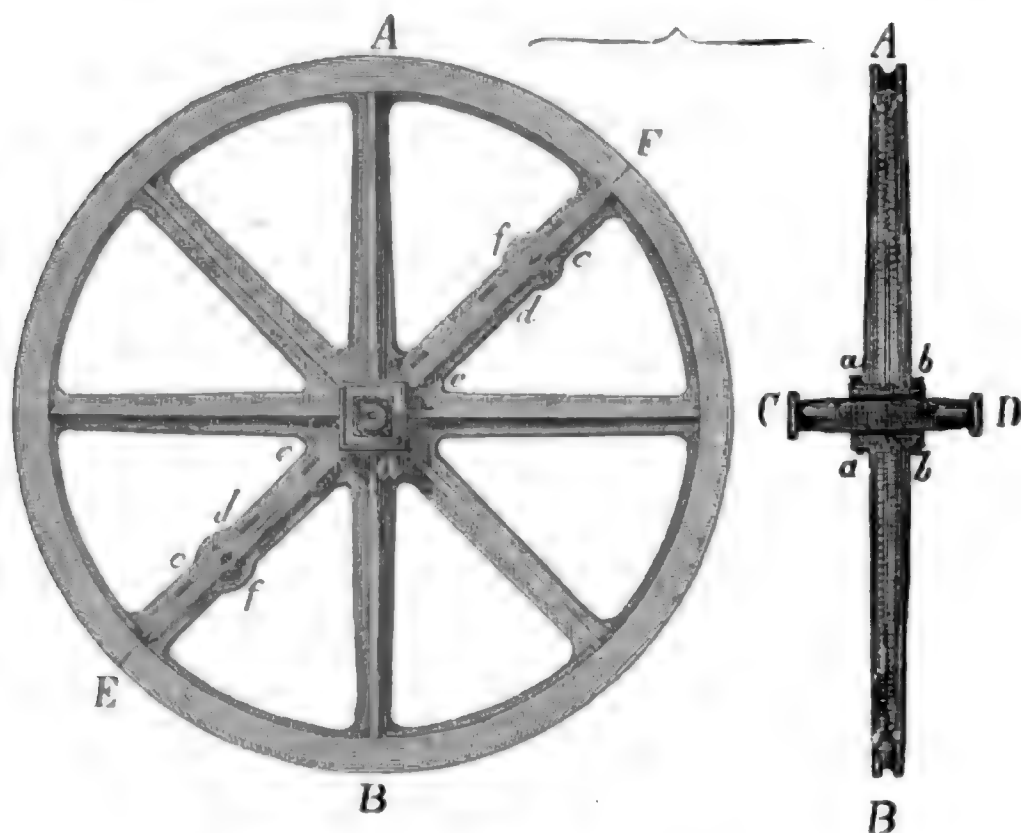


führt sind, erstere also weiter geworden ist als letztere dick.

Bei den transportablen Leitrollen für schwache Hanfseile sitzt die mit einem Kopfe und einem Vorstecker versehene Ase oder der Bolzen *CD* in einem sogenannten Kloben (franz. *chape*; engl. *block*) *CED*, Fig. 67 und 68; bei den großen Seilscheiben für Drahtseile ist die an beiden Enden abgedrehte Ase *CD*, Fig. 69, in die vierseitige Hülse *ab ab* eingekleimt.

Die hier abgebildete Scheibe besteht aus zwei Theilen, die durch Schrauben

Fig. 69.



wie *c, d, e*, durch schmiedeeiserne Ringe, wie *aa, bb* und durch Splinte wie *f, f* fest mit einander verbunden sind.

§. 24. Bei der Anwendung von Leitrollen kommen zwei Fälle vor, entweder läßt sich durch die beiden Seil- oder Bewegungsrichtungen eine Ebene legen, oder es ist dies nicht möglich; im ersten Falle genügt stets eine Leitrolle, im zweiten sind deren zwei nöthig. Die Umdrehungsebene einer Seilscheibe fällt mit der Ebene, welche durch die beiden Seilrichtungen *KM* und











ein Drittel von dem des anderen ist, läuft in derselben Zeit drei Mal so oft um als das letztere.

Einfache  
Räderwerke.

Wirkt die Umdrehungskraft  $P$  des Treibrades an einem Hebelarme  $CA = a$  und die Last  $Q$  an einem Hebelarme  $DB = b$ , so hat man ferner für die Kraft  $K$  an den Umfängen des Treib- und des Getriebrades, deren Theorie der Radwelle zufolge,

$$K = \frac{CA}{CE} \cdot P = \frac{DB}{DE} \cdot Q, \text{ oder}$$

$$K = \frac{a}{r_1} \cdot P = \frac{b}{r_2} \cdot Q, \text{ und daher}$$

$$\frac{P}{Q} = \frac{r_1}{r_2} \cdot \frac{b}{a} = \frac{u_2}{u_1} \cdot \frac{b}{a} = \psi \frac{b}{a};$$

während also bei einer einfachen Radwelle das Verhältniß zwischen Kraft und Last gleich ist dem Verhältnisse zwischen dem Hebelarme der Last und dem der Kraft, ist es bei einer doppelten Radwelle, mit einfacher Umsehung gleich dem Producte aus der Umsehungszahl und diesem Hebelarmverhältnisse.

Ist ferner  $v$  die Geschwindigkeit der Kraft  $P$  und  $w$  die der Last  $Q$ , so hat man auch  $c = \frac{r_1}{a} v = \frac{r_2}{b} w$ , daher

$$\frac{w}{v} = \frac{r_1}{r_2} \cdot \frac{b}{a} = \frac{u_2}{u_1} \cdot \frac{b}{a} = \psi \frac{b}{a},$$

und also auch  $\frac{w}{v} = \frac{P}{Q}$ , oder  $Pv = Qw$ , d. i. Arbeit der Kraft gleich Arbeit der Last, wie allerdings aus dem Principe der Arbeiten unmittelbar folgt.

Beispiele. 1) Wenn die Radwelle  $CA$ , Fig. 75, pr. Min. 20 Umdrehungen macht, und die Radwelle  $DB$  in der Minute 6 Umdrehungen machen soll, so hat man es mit dem Umsehungsverhältnisse  $\psi = \frac{u_2}{u_1} = \frac{6}{20} = 0,3$  zu thun, und wenn daher der Halbmesser  $CE = r_1$  des Treibers 5 Zoll beträgt, so muß der Halbmesser  $DE = r_2$  des Getriebrades:

$$r_2 = \frac{u_1}{u_2} r_1 = \frac{r_1}{\psi} = \frac{5}{0,3} = 16\frac{2}{3} \text{ Zoll betragen.}$$

2) Wenn bei einem Räderwerke wie Fig. 75 und 76 die Kraft  $P = 40$  Pfund an einem Hebelarme  $CA = a = 18$  Zoll, und die Last  $Q = 500$  Pfund an einem Hebelarme  $DB = b = 4$  Zoll wirkt, so ist das nöthige Umsehungsverhältniß  $\psi = \frac{a}{b} \cdot \frac{P}{Q} = \frac{Pa}{Qb} = \frac{40 \cdot 18}{500 \cdot 4} = \frac{9}{25}$ , d. h. es muß die Treibwelle 25 Umdrehungen machen, während die Getriebwelle deren nur 9 macht. Nimmt man den Halbmesser des Treibrades  $r_1 = 6$  Zoll, so fällt hiernach der des Getriebes  $r_2 = \frac{r_1}{\psi} = \frac{6 \cdot 25}{9} = 16\frac{2}{3}$  Zoll aus.





Ebenso ist für ein dreifaches Räderwerk

$$\frac{P}{Q} = \psi_1 \cdot \psi_2 \cdot \psi_3 \cdot \frac{b}{a} = \psi \cdot \frac{b}{a},$$

Zusammen-  
gefaßte  
Räderwerke.

und das Umsehungsverhältniß desselben  $\psi = \psi_1 \cdot \psi_2 \cdot \psi_3$ .

Bezeichnet wieder  $v$  die Geschwindigkeit der Kraft  $P$ ,  $w$  die der Last  $Q$ , so haben wir natürlich auch  $Pv = Qw$ , und daher

$$\frac{w}{v} = \frac{P}{Q} = \psi \cdot \frac{b}{a}.$$

Bei einem mehrfachen Räderwerke ist also

1) das Umsehungsverhältniß das Product aus den Umsehungsverhältnissen seiner Räderpaare, oder der Quotient aus dem Producte der Halbmesser der Treibräder und dem Producte der Halbmesser der Getriebräder, und

2) das Verhältniß der Kraft zur Last gleich dem der Geschwindigkeit der Last zu der der Kraft, gleich dem Producte aus dem Umsehungsverhältnisse des ganzen Werkes und dem Verhältnisse des Lastarmes zum Kraftarme.

Beispiele. 1) Um durch ein Wasserrad, welches pr. Minute 8 Umdrehungen macht, einen Ventilator mit pr. Min. 800 Umdrehungen in Bewegung zu setzen, ist eine Umsehung  $\psi = \frac{800}{8} = 100$  nöthig, die sich durch ein dreifaches Räderwerk mit den Umsehungsverhältnissen  $\psi_1 = 4$ ,  $\psi_2 = 5$  und  $\psi_3 = 5$  bewirken läßt. Geben wir jedem der drei Treibräder den Halbmesser  $r_1 = r_3 = r_5 = 30$  Zoll, so bekommen wir für die Halbmesser der Getriebräder:

$$r_2 = \frac{r_1}{\psi_1} = \frac{30}{4} = 7\frac{1}{2} \text{ Zoll, und } r_4 = r_6 = \frac{r_3}{\psi_2} = \frac{30}{5} = 6 \text{ Zoll.}$$

2) Um mittels einer Kraft von 30 Pfund eine Last von 900 Pfund zu heben, kann man einen Hasepel mit doppeltem Räderwerke oder, wie man sagt, mit doppeltem Vorgelege anwenden. Ist nun der Hebelarm der Kraft  $a = 18$  Zoll, und der der Last  $b = 5$  Zoll, so bedarf es der Umsehung

$$\psi = \frac{a}{b} \cdot \frac{P}{Q} = \frac{18}{5} \cdot \frac{30}{900} = \frac{3}{25}.$$

Nun läßt sich  $\frac{3}{25}$  in die nahe gleichen Factoren  $\frac{7}{20}$  und  $\frac{12}{35}$  zerlegen, daher kann man auch durch das eine Räderpaar die Umsehung  $\psi_1 = \frac{7}{20}$  und durch das andere die Umsehung  $\psi_2 = \frac{12}{35}$  hervorbringen, oder den Halbmesser des ersten Treibrades  $r_1 = 7$  Zoll, den des zweiten  $r_3 = 6$  Zoll, dagegen den Halbmesser des ersten Getriebes  $r_2 = 20$  Zoll, und den des zweiten  $r_4 = 17\frac{1}{2}$  Zoll machen. Ist die Geschwindigkeit der Kraft  $v = 2\frac{1}{2}$  Fuß, so hat man die der Last

$$w = \psi \cdot \frac{b}{a} v = \frac{P}{Q} v = \frac{1}{30} \cdot \frac{5}{2} = \frac{1}{12} \text{ Fuß} = 1 \text{ Zoll.}$$

Um diese 30 Fuß hoch zu heben, muß der Kraftpunkt den Weg  $30 \cdot 30 = 900$  Fuß zurücklegen, also die Kurbelwelle  $u = \frac{900}{2\pi a} = \frac{900}{3 \cdot \pi} = 95\frac{1}{2}$  Umdrehungen machen.



Setzt man endlich in der Kraftformel  $P = \psi \cdot \frac{b}{a} Q$ , statt  $P, P - F_1$  Nebenräder.

und statt  $Q, Q + F_2$ , so erhält man die Beziehung zwischen Kraft und Last mit Hinsicht auf die Axenreibungen:

$$P = \psi \frac{b}{a} (Q + F_2) + F_1$$

$$= \psi \frac{b}{a} Q + \varphi \left( \frac{\varrho_1}{a} R_1 + \psi \cdot \frac{\varrho_2}{a} R_2 \right) \text{ oder}$$

$Pa = \psi Q b + \varphi (R_1 \varrho_1 + \psi R_2 \varrho_2)$ , und es sind für  $R_1$  und  $R_2$  die nach obigen Formeln zu berechnenden Zapfendrucke einzusetzen.

**Beispiel.** Welche Kraft erfordert ein Haspel mit Vorgelege, wie Fig. 78, wenn die Last  $Q = 500$  Pfund beträgt, der Hebelarm der Last  $b = 4$  Zoll, der der Kraft  $a = 18$  Zoll, der Halbmesser des Treibrades  $r_1 = 6$  Zoll und der des Getriebrades  $r_2 = 16\frac{2}{3}$  Zoll, ferner der Halbmesser des Zapfens von der Kraftwelle  $\frac{1}{2}$  Zoll und der von der Lastwelle 1 Zoll, endlich das Gewicht von jener Welle 60 Pfund und das von dieser 120 Pfund und der Coefficient der Zapfenreibung  $\varphi = 0,1$  beträgt? Ohne Rücksicht auf die Zapfenreibungen wäre

die Kraft  $P = \psi \cdot \frac{b}{a} Q = \frac{r_1}{r_2} \cdot \frac{b}{a} Q = \frac{6}{16\frac{2}{3}} \cdot \frac{4}{18} \cdot 500 = 40$  Pfund

(vergl. §. 26, das Beispiel 2.); mit Rücksicht dieser hat man hingegen, da der Zapfendruck  $R_1 = P + K + G = 40 + \frac{18}{6} \cdot 40 + 60 = 220$  Pfund, und der Zapfendruck  $R_2 = Q - K + G_1 = 500 - \frac{18}{6} \cdot 40 + 120 = 500$  Pfund beträgt,

$$P = \psi \frac{b}{a} \cdot Q + \varphi \left( \frac{\varrho_1}{a} R_1 + \psi \frac{\varrho_2}{a} R_2 \right)$$

$$= 40 + 0,1 \left( \frac{1}{2} \cdot 220 + \frac{18}{50} \cdot \frac{1}{18} \cdot 500 \right) = 40 + \frac{11}{18} + 1 = 41,6 \text{ Pfund.}$$

§. 29. Bei einem Riementäderwerke, oder bei der Uebertragung durch einen Riemen oder Seil ohne Ende (franz. courroie sans fin; engl. endless strap) ist die nöthige Riemenspannung  $S$  von der fortzupflanzenden Kraft  $K$ , von dem mit Riemen bedeckten Theile der Räder und von den Coefficienten  $\varphi$  der Reibung zwischen dem Riemen und dem Radumfang abhängig. Der Theorie der Seilreibung (s. I. §. 176) zu Folge ist die Kraft zum Fortziehen eines Seiles über einen festliegenden Cylinder, wenn  $a$  den mit Seil bedeckten Bogen vom Halbmesser  $= 1$  und  $S_2$  die Spannung des Seiles am anderen Ende bezeichnet,

$$S_1 = e^{\varphi a} S_2 = (2,71828)^{\varphi a} \cdot S_2,$$

und daher die Reibung des Seiles oder Riemens auf diesem Cylinder

$$K = S_1 - S_2 = (e^{\varphi a} - 1) S_2.$$

Diese Formel findet bei dem Riemen ohne Ende ihre unmittelbare Anwendung, denn es ist hier nur die Reibung zwischen Riemen und Rad, durch welche der Riemen vom Rade mit fortgeführt wird, und daher nöthig, daß dieselbe mindestens der nöthigen Umdrehungskraft  $K$  gleichkomme. Setzen

Riemen-  
räder.

Riemen-  
räder.

wir daher  $K = S_1 - S_2 = (e^{\varphi\alpha} - 1) S_2$ , so erhalten wir die Spannung des Riemens, welcher sich von dem Treibrade ab und auf das Getriebrad aufwickelt:

$$1) S_2 = \frac{K}{e^{\varphi\alpha} - 1}, \text{ sowie}$$

die Spannung des Riemens, welcher sich von dem Getriebrade ab und auf das Treibrad aufwickelt:

$$2) S_1 = \frac{e^{\varphi\alpha} K}{e^{\varphi\alpha} - 1}, \text{ und}$$

die mittlere, dem Riemen vor der Bewegung zu ertheilende Spannung:

$$3) S = \frac{S_1 + S_2}{2} = \frac{e^{\varphi\alpha} + 1}{e^{\varphi\alpha} - 1} \cdot \frac{K}{2};$$

und es wird die Umdrehungskraft  $K$  durch die Formeln

$$\begin{aligned} K &= \frac{L}{c} = \frac{30 L}{\pi u_1 r_1} = \frac{30 L}{\pi u_2 r_2} \\ &= \frac{9,549 L}{u_1 r_1} = \frac{9,549 L}{u_2 r_2}, \end{aligned}$$

worin  $L$  das Arbeitsquantum des Räderwerkes pr. Sec. bezeichnet,  $u_1, u_2, r_1$  und  $r_2$  die oben gebrauchten Bedeutungen haben, oder durch die Formel

$$K = \frac{Pa}{r_1} = \frac{Qb}{r_2},$$

wo  $Pa$  das statische Kraft- und  $Qb$  das statische Lastmoment bezeichnet, gefunden.

Beispiel. Wenn ein Seil ohne Ende ein Arbeitsquantum  $L$  von 2 Pferdekraften so fortspinnt, daß das Treibseil eine Geschwindigkeit von 6 Fuß besitzt, und wenn ferner die beiden Radwellen, um welche dieses Seil läuft, so weit von einander entfernt sind, daß man annehmen kann, das letztere bedeckt den halben Umfang von jedem der Räder, so hat man bei dem Reibungscoefficienten  $\varphi = 1/2$  zwischen Seil und Rad

$$e^{\varphi\alpha} = (2,71828)^{0,5 \cdot 3,1416} = 2,71828^{1,5708} = 4,81$$

und daher die Seilspannungen:

$$\begin{aligned} S_2 &= \frac{K}{e^{\varphi\alpha} - 1} = \frac{L}{c(e^{\varphi\alpha} - 1)} = \frac{2 \cdot 510}{6(4,81 - 1)} = \frac{170}{3,81} = 44,6 \text{ Pfund} \\ \text{und } S_1 &= e^{\varphi\alpha} S_2 = 4,81 \cdot 44,6 = 214,6 \text{ Pfund,} \end{aligned}$$

folglich die mittlere Spannung vor dem Ingangsehen der Maschine:

$$S = \frac{S_1 + S_2}{2} = \frac{214,6 + 44,6}{2} = 129,6 \text{ Pfund.}$$

Riemen-  
spannungen.

§. 30. Zur Berechnung der Riemenspannungen ist dem Vorhergehenden zu Folge, die Kenntniß der Reibungscoefficienten zwischen Riemen und Rad,





Riemen-  
spannungen.

$$b. i. \quad l = 2 d \sin. \frac{\alpha}{2} + \alpha r_1 + (2\pi - \alpha) r_2,$$

und dagegen beim gekreuzten:

$$l = 2 d \sin. \frac{\alpha}{2} + (2\pi - \alpha) (r_1 + r_2).$$

Für eine große Entfernung beider Rren von einander läßt sich

$$\cos. \frac{\alpha}{2} = 0, \text{ also } \frac{\alpha^0}{2} = 90^\circ, \alpha = 180^\circ \text{ oder } \alpha = \pi$$

und daher  $l = 2d + \pi(r_1 + r_2)$  annehmen.

Aus  $\varphi$  und  $\alpha$  bestimmt sich nun auch die Potenz  $e^{\varphi\alpha}$  und hieraus wieder das Verhältniß der Riemenspannungen. Vorzügliche Dienste leistet aber hierbei folgende Tabelle der Riemenspannungen:

Verhältniß $\frac{\alpha}{2\pi} = \frac{\alpha^0}{360^0}$	Werthe von $e^{\varphi\alpha}$					
	Neue Riemen auf hölzernen Rädern $\varphi = 0,50.$	Gewöhnliche Riemen		Reuchte Riemen auf eiserne Rädern $\varphi = 0,38.$	Schnüre auf Rädern von Holz	
		auf hölzernen Rädern $\varphi = 0,47.$	auf eiserne Rädern $\varphi = 0,28.$		rauh $\varphi = 0,50.$	polirt $\varphi = 0,30.$
0,2	1,87	1,80	1,42	1,61	1,87	1,51
0,3	2,57	2,43	1,69	2,05	2,57	1,86
0,4	3,51	3,26	2,02	2,60	3,51	2,29
0,5	4,81	4,38	2,41	3,30	4,81	2,82
0,6	6,59	5,88	2,87	4,19	6,58	3,47
0,7	9,02	7,90	3,43	5,32	9,01	4,27
0,8	12,34	10,62	4,09	6,75	12,34	5,25
0,9	16,90	14,27	4,87	8,57	16,90	6,46
1,0	23,14	19,16	5,81	10,89	23,14	7,95

Beispiel. Wenn bei einem Riemen ohne Ende mit eiserne Rädern das fortzupflanzende Arbeitsquantum 4 Pferdekraften gleich ist, und eine Geschwindigkeit des Treibriemens von 8 Fuß vorausgesetzt wird, wenn ferner der Halbmesser des Treibrades 30 Zoll, der des Getriebrades 5 Zoll, und die Entfernung beider Radaren 90 Zoll beträgt, welches werden die nöthigen Riemenspannungen sein? Es ist hier  $r_1 = 30$ ,  $r_2 = 5$  und  $d = 90$ , daher bei offenem Riemen  $\cos. \frac{\alpha}{2} = \pm \frac{30-5}{90} = \pm \frac{5}{18} = \pm 0,2777\dots$ ; hiernach

$$\frac{1}{2}\alpha = 73^\circ 52\frac{1}{3}' \text{ und } 106^\circ 7\frac{2}{3}', \text{ und}$$

$$\alpha = 147^\circ 44\frac{2}{3}' \text{ und } 212^\circ 15\frac{1}{3}',$$

dagegen bei gekreuzten Riemen:

$$\cos. \frac{\alpha}{2} = - \frac{30 + 5}{90} = - 7/18 = - 0,38888, \text{ und hiernach}$$

Riemen-  
spannungen.

$$\frac{\alpha}{2} = 180^\circ - 67^\circ, 7' = 112^\circ, 53', \text{ und } \alpha = 225^\circ, 46'.$$

Im ersten Falle ist natürlich der kleinere Winkel  $\alpha = 147^\circ, 44\frac{2}{3}'$  anzunehmen, damit der Riemen auf keinem der beiden Radumfangs forttratsche. Wir haben

$$\text{hiernach hier } \frac{\alpha}{2\pi} = \frac{147,74}{360} = 0,410 \text{ und im zweiten Falle:}$$

$$\frac{\alpha}{2\pi} = \frac{225,77}{360} = 0,627.$$

Nimmt man  $\varphi = 0,28$ , so erhält man durch Interpolation mittels der letzten Tabelle für den ersten Fall:  $e\varphi\alpha = 2,02 + 0,1 \cdot (2,41 - 2,02) = 2,06$ ,

und für den zweiten:  $e\varphi\alpha = 2,87 + 0,27 \cdot (3,43 - 2,87) = 3,02$ ,

womit die unmittelbare Rechnung auch ziemlich übereinstimmt. Nun ist noch die

überzutragende Kraft  $K = \frac{L}{c} = \frac{4 \cdot 510}{8} = 255$  Pfund; daher folgt denn für

$$\text{den ersten Fall: } S_2 = \frac{255}{2,06 - 1} = \frac{255}{1,06} = 240,6 \text{ Pfund,}$$

$$S_1 = 2,06 \cdot 240,6 = 495,6, \text{ und}$$

$$S = \frac{S_1 + S_2}{2} = 368,1 \text{ Pfund,}$$

wozu der Sicherheit wegen noch 10 Procent gesetzt werden können, so daß also  $S = 405$  Pfund als Spannung der noch stillstehenden Maschine zu nehmen ist.

$$\text{Für den zweiten Fall ist: } S_2 = \frac{255}{3,02 - 1} = \frac{255}{2,02} = 126,2 \text{ Pfund,}$$

$$S_1 = 3,02 \cdot 126,2 = 381,1 \text{ Pfund, und}$$

$$S = \frac{S_1 + S_2}{2} = 253,6 \text{ Pfund.}$$

oder der Sicherheit wegen  $S = 253,6 + 25,4 = 279$  Pfund.

§. 31. Die Riemen werden gewöhnlich aus gutem lohgaren Kuh- <sup>Leibrriemen.</sup> oder Rindsleder, und zwar am besten aus dem sogenannten Kernleder, vom Rücken der Thiere geschnitten. Eine Haut giebt zwei Streifen von ungefähr 2 Linien Dicke, 8 Zoll Breite und 5 Fuß Länge. Diese Lederstreifen werden entweder unmittelbar oder nachdem man sie erst in schmalere Riemen zerschnitten hat, an den Enden zusammengenäht. Nach Bevan (s. Dingler's polytechn. Journal, Bd. XVI.) ist

der Festigkeitsmodul des Kuhleders:  $K = 3980$  Pfund,

und der Elasticitätsmodul desselben:  $E = 10050$  Pfund;

ei 4facher Sicherheit würde daher der Sicherheitsmodul  $K_1 = 1000$  Pfund betragen. Nach den Erfahrungen der Maschinenbauer ist jedoch  $K_1 = 250$  Pfund zu nehmen, wobei sich das Ausdehnungsverhältniß

$$\frac{\lambda}{l} = \frac{K_1}{E} = \frac{250}{10050} = 1/40$$

herausstellt, also eine Verlängerung von ungefähr 3 Procent statt hat. Nach

*Freibriemen.* Morin ist, wenn 1 Quadratcentimeter zur Einheit angenommen wird,  $K_1 = 20$  Kilogramme, und hiernach die zulässige Riemenspannung auf jeden Quadratzoll Querschnitt:  $K_1 = \frac{200000 \cdot 2,138}{144 \cdot 10,152} = 293$  Pfund, also über 250 Pfund.

Setzen wir nun die Riemenbreite  $= b$ , und nehmen wir die Riemenstärke  $= \frac{1}{6}$  Zoll an, so bekommen wir hiernach die Maximalspannung  $S_1 = 250 \cdot \frac{b}{6}$  ungefähr  $= 40 b$ , und die Riemenbreite  $b = \frac{S_1}{40}$  Zoll.

Nun ist aber im Mittel, namentlich dann, wenn der Riemen nahe den halben Umfang des Rades bedeckt und der Reibungscoefficient  $\varphi = 0,28$  ist,  $S_1$  nahe  $2 K = 2 \frac{L}{c}$ , daher erhält man auch

$$b = \frac{K}{20} = \frac{1}{20} \cdot \frac{L}{c},$$

oder wenn man die Leistung  $L$  nicht in Fußpfund, sondern in Pferdekraften giebt,  $b = 25 \cdot \frac{L}{c}$  Zoll.

Es wächst hiernach die Riemenbreite direct wie das überzutragende Arbeitsquantum, und umgekehrt wie die Geschwindigkeit. Für  $\frac{L}{c} = \frac{1}{3}$ , z. B. für  $L = 10$  und  $c = 30$ , oder  $L = 5$  und  $c = 15$ , fällt die Riemenbreite schon 8 Zoll aus. Man ersieht hieraus, daß die Anwendung eines Riemenräderwerkes nur bei einer kleinen oder mäßigen Leistung und bei einer großen Geschwindigkeit möglich ist. Riemen von 9 und mehr Zoll Breite anzuwenden, ist deshalb nicht zweckmäßig, weil sich dieselben in Folge ihrer ungleichen Dicke ungleich recken und deshalb nicht gleichmäßig auf die Radumfänge auflegen. Bei größeren Kräften  $\left(\frac{L}{c}\right)$  bedient man sich daher zweier Riemen, oder einer Kette, oder besser eines Zahnräderwerkes. Ueber einander genähte Riemen wendet man wegen ihrer Steifigkeit und ihres starken Abführens nicht gern an.

Der Dauerhaftigkeit und nöthigen Schmiegsamkeit wegen, hat man übrigens die Riemen durch eine Talgsmiere stets fettig zu halten.

Die Riemen von Guttapercha haben ziemlich dieselben Eigenschaften wie die Lederriemen; es ist nicht allein die Dichtigkeit der Guttapercha nahe gleich der des Rindleders ( $\gamma = 0,03$  Pfund), sondern es ist auch nach den allerdings sehr im Kleinen angestellten Versuchen von Herrn Feistmantel, der Festigkeitsmodul ziemlich derselbe und nur der Elasticitätsmodul ungefähr 30 Procent kleiner als beim Leder. Man kann daher bei gleicher Dicke die

Gutta percha-Riemen bei derselben Breite verwenden wie die Lederriemen. Treibriemen. Die größere Wohlfeilheit, die Unverwüstlichkeit dieses Stoffes u. s. w. tragen sehr zur Empfehlung der Treibriemen aus Gutta percha bei, und es ist nur die größere Ausdehnung derselben bei hoher Temperatur, welche die Anwendung derselben in manchen Fällen unmöglich, oder mindestens unzweckmäßig macht.

Beispiel. Für das im letzten Beispiele (§. 30) behandelte Riemenräderwerk durch die Maximalspannung  $S_1 = \frac{e^{\varphi^\alpha} K}{e^{\varphi^\alpha} - 1} = 381,1$  Pfund gefunden; es ist daher die Breite des hierzu nöthigen Riemens:

$$b = \frac{S_1}{40} = \frac{381,1}{40} = 9\frac{1}{2} \text{ Zoll.}$$

Die Länge desselben aber hat man nach der Formel:

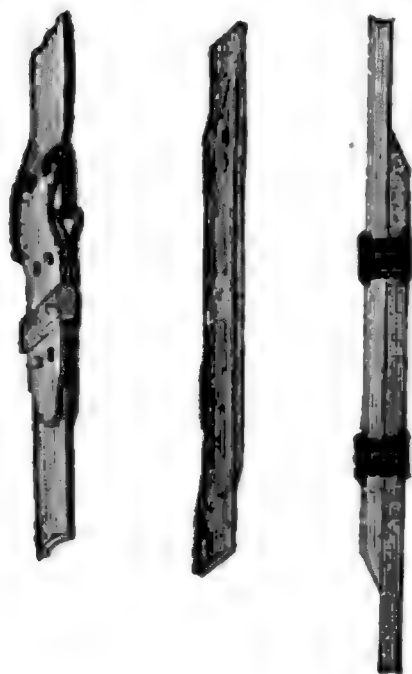
$$l = 2d \sin. \frac{\alpha}{2} + (2\pi - \alpha) (r_1 + r_2),$$

$$l = 2 \cdot 90 \sin. 112^\circ, 53' + (30 + 5) \text{ arc. } 225^\circ, 46'$$

$$= 165,83 + 137,91 = 303,74 \text{ Zoll.}$$

§. 32. Da sich die Riemen, namentlich wenn sie neu sind, fortwährend recken (dehnen), so muß man deren Spannung von Zeit zu Zeit nachhelfen.

Fig. 82. Fig. 83. Fig. 84.



Sind nun die Riemen zusammengeschnallt, wie Fig. 82 vor Augen führt, so hat diese Correction gar keine Schwierigkeit; hat man es aber mit einem zusammenge-  
nähten (s. Figur 83), zusammengeschaubten (Fig. 84) oder zusammengeleimten Treibriemen von Leder, oder mit einem durch ein heißes Platteisen zusammenschweißten Riemen von Gutta percha zu thun, so ist das Trennen und Wiedervereinigen der Riemenenden umständlich, und deshalb die Anwendung einer besonderen Stellvorrichtung von Vortheil.

Dieses Stellen läßt sich entweder an den Wellenlagern oder an den Riemen selbst bewerkstelligen. Das erstere ist aber nur selten gestattet, weil die Wellen meist festliegen müssen, dagegen die Stellung an den Riemen mittels sogenannter Spannrollen (franz. rouleaux de tension; engl. expanding rollers) fast in allen Fällen anwendbar. Zwei solcher Spannrollen sind in Fig. 85 und Fig. 86 auf folgender Seite abgebildet. Bei der Einrichtung in Fig. 85 sitzt die Rolle B auf einem Schieber, den ein Gewicht G niederzieht, bei der Einrichtung Fig. 86







Spannrolle. einem Hebel  $ABOB$  befestigen und durch ein Gewicht  $G$  an den Riemen andrücken lassen.

Beispiel. Wenn für ein Räderwerk mit offenem Treibriemen  $K = 255$  Pfund,  $r_1 = 30$ ,  $r_2 = 5$  und  $d = 90$  Zoll (vergl. Beispiel zu §. 30), und hiernach  $\alpha^0 = 147^0,44\frac{2}{3}'$  ist, und wenn man nun  $\delta = 120^0$  nimmt, so erhält man zunächst

$$\sin. \left( \frac{\alpha}{2} + \beta + \frac{\delta}{2} \right) = \frac{30-5}{90} \sin. 60^0 = \frac{5}{18} \cdot 0,86603 = 0,24056,$$

hiernach  $\frac{\alpha}{2} + \beta + \frac{\delta}{2} = 180^0 - 13^0,55' = 166^0,5'$ , und daher

$$\beta = 166^0,5' - \frac{\alpha + \delta}{2} = 166^0,5' - 133^0,52' = 32^0,13',$$

hiernach  $\varphi(\alpha + \beta) = 0,28 \cdot \frac{179^0,57\frac{2}{3}'}{360^0} \cdot 2\pi = 0,13993 \cdot 2\pi = 0,8795$  und

$$S_2 = \frac{K}{e^{\varphi(\alpha + \beta)} - 1} = \frac{255}{e^{0,8795} - 1} = \frac{255}{1,409} = 181 \text{ Pfund,}$$

und die entsprechende Kraft der Rolle, insofern diese den schlaffen Riemen spannt:

$$P = S_2 \cos. \frac{\delta}{2} = 362 \cdot \cos. 60^0 = 181 \text{ Pfund.}$$

Anmerkung. Die Bedingungen, unter welchen die Veränderlichkeit in der Spannung des Treibriemens durch das Auf- oder Abwickeln des letzteren ausgeglichen wird, lassen sich durch zwei Gleichungen ausdrücken, aus welchen sich die Winkel  $\beta$  und  $\delta$  berechnen lassen. Die erste von diesen Gleichungen ist die oben angegebene Gleichung

$$\sin. \left( \frac{\alpha}{2} + \beta + \frac{\delta}{2} \right) = \frac{r_1 - r_2}{d} \sin. \frac{\delta}{2},$$

die zweite hingegen läßt sich durch die Differenzialrechnung finden; sie nimmt in dem Falle, wenn die Spannrolle auf den schlaffen Riemen drückt, die Form:

$$\text{tang.} \frac{\delta}{2} = \varphi \frac{e^{\varphi(\alpha + \beta)}}{e^{\varphi(\alpha + \beta)} - 1} \left( 1 - \frac{r_1 - r_2}{d} \cdot \frac{\cos. \frac{1}{2} \delta}{\cos. \left( \frac{\alpha}{2} + \beta + \frac{\delta}{2} \right)} \right),$$

und in dem Falle, wenn sie den straffen Riemen spannt, die Form:

$$\text{tang.} \frac{\delta}{2} = \frac{\varphi}{e^{\varphi(\alpha + \beta)} - 1} \left( 1 - \frac{r_1 - r_2}{d} \cdot \frac{\cos. \frac{1}{2} \delta}{\cos. \left( \frac{\alpha}{2} + \beta + \frac{\delta}{2} \right)} \right) \text{ an.}$$

Wenn der Abstand  $d$  sehr groß ist gegen  $r_1 - r_2$ , so hat man nahe  $\alpha = \pi$ ,  $\alpha^0 = 180^0$ , und  $\frac{\delta}{2} = 180^0 - \left( \frac{\alpha}{2} + \beta \right) = 90^0 - \beta$ ,

$$\text{folglich entweder } \text{tang.} \frac{\delta}{2} = \cotg. \beta = \varphi \cdot \frac{e^{\varphi(\pi + \beta)}}{e^{\varphi(\pi + \beta)} - 1}$$

$$\text{oder } \text{tang.} \frac{\delta}{2} = \cotg. \beta = \frac{\varphi}{e^{\varphi(\pi + \beta)} - 1}.$$

Für  $\varphi = 0,28$  erhält man im ersten Falle, wenn man

$$\pi + \beta = 0,7 \cdot 2\pi = 252^0, \text{ also } \beta = 72^0 \text{ nimmt,}$$

$$\text{tang.} \frac{\delta}{2} = \cotg. \beta = \frac{0,28 \cdot 3,43}{2,43} = 0,395,$$



Riemen-  
führung.

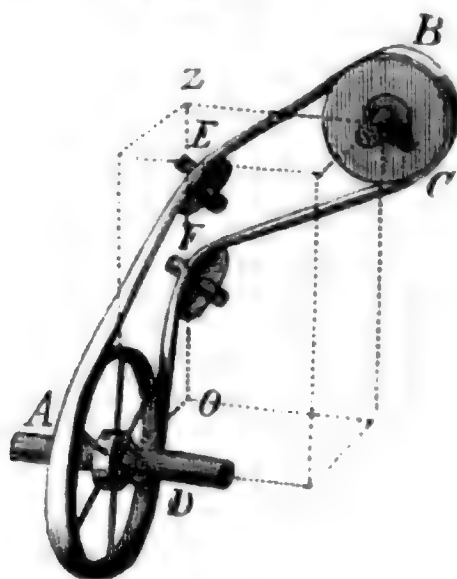
und es ist nun hiernach leicht zu beurtheilen, wie viel der Riemen durch diese Wendung an Festigkeit verliert.

Wenn die Umdrehungsebenen beider Räder nicht in eine einzige Ebene fallen, so hat man meist besondere Leitrollen anzuwenden, um das tangential Auf- und Ablegen des Riemens zu bewirken. Sind, wie in Fig. 91, die mittlen durch die Räder gehenden Umdrehungsebenen parallel, so findet man die erforderlichen Leitrollen, wenn man je zwei parallele Tangenten, wie  $AE$  und  $BF$  an die Durchschnitte beider Räder legt; ein Perpendikel  $EF$  zwischen diesen beiden Geraden ist dann der Durchmesser der entsprechenden Leitrolle.

Fig. 91.



Fig. 92.



Wenn endlich die beiden Radenden weder zusammenfallen noch parallel sind, wie  $AD$  und  $BC$ , Fig. 92, so hat man zunächst die Durchschnittslinie  $OZ$  dieser Ebenen aufzusuchen, und dann von zwei willkürlichen Punkten  $E$  und  $F$  in denselben Tangenten  $EA$ ,  $EB$  so wie  $FC$  und  $FD$  nach den Radumfängen zu ziehen: die Ebenen durch je zwei dieser Linien sind dann die Umdrehungsebenen der nöthigen Leitrollen, deren Anlage u. s. w. nun nach §. 24 leicht bestimmt werden kann.

Fig. 93.



Um die Lage eines Riemens auf dem Umfange des Rades etwas zu verändern, hat man nur während der Bewegung den anlaufenden Riementheil  $AB$ , Fig. 93, etwas zur Seite zu drücken; in Folge der Reibung zwischen Riemen und Radumfang kommt der Riemen, nachdem das Rad ungefähr eine halbe Umdrehung gemacht hat, in eine neue Lage  $A_1B_1$  zur Seite der ersteren. Bei dem ablaufenden Riementheile würde dieses Zurseitedrücken ohne Erfolg sein.

Hiernach ist nun auch leicht zu ermessen, daß bei einem Riemen ohne Ende, wie in Fig. 94 abgebildet ist, wo die Durchschnittslinie  $BD$  zwischen beiden Umdrehungslinien beide Radumfänge tangirt, und namentlich, wenn die Riemen nicht sehr kurz sind, die Leitrollen entbehrlich sind. Es ist nur nöthig, daß die Drehbewegung in der durch die Pfeile angegebenen Richtung vor sich gehe, wobei die auflaufenden Riementheile tangential zu den entsprechenden Radumfängen liegen. Endlich kann man aber auch in diesem Falle wenigstens eine Leitrolle ersparen, wenn man den einen Riementheil in der Richtung  $BD$  der Durchschnittslinie der Umdrehungsebenen spannt.

Riemen-  
führung.

Fig. 94.

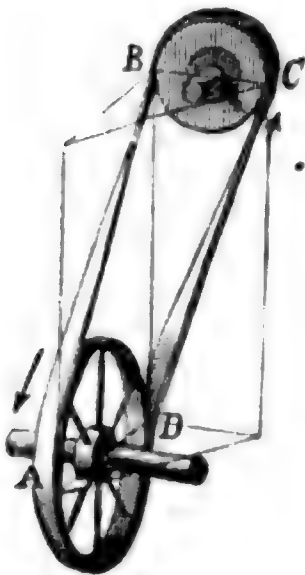
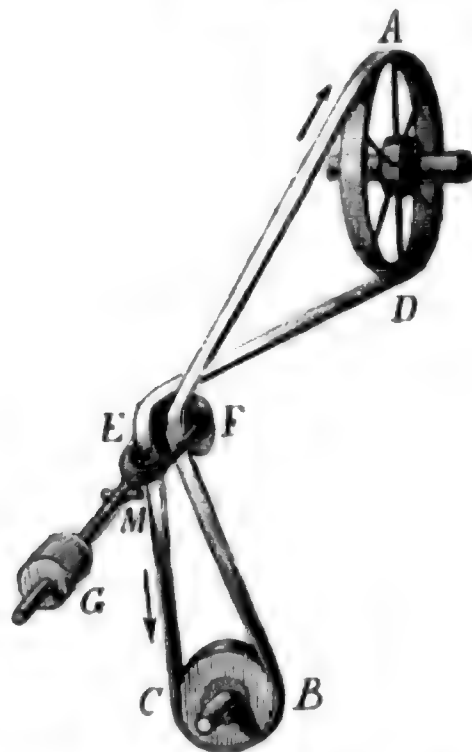


Fig. 95.



Anmerkung. Zuweilen werden Leitrollen auch nur angewendet, um wegen Mangel oder Ersparniß an Platz den Riemen zur Seite zu ziehen. Auch kann man sehr oft die Leitrolle mit einer Spannrolle vereinigen, wie z. B. in Fig. 95, wo der Riemen  $ABCD$  über zwei Rollen  $E$  und  $F$  läuft, die an dem gabelförmigen Ende eines Hebels sitzen, der um eine Achse  $M$  drehbar ist und mittels eines Gewichtes  $G$  die Rollen empordrückt und den Riemen spannt.

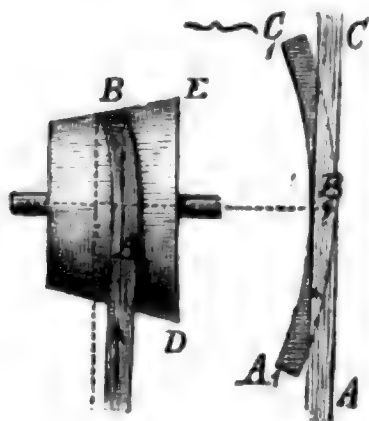
§. 34. Die Räder, Rollen, Scheiben oder Trommeln (franz. tambours; engl. drums) der Riemenräderwerke werden entweder von Holz oder von Eisen ausgeführt. Die Spur- oder Bahnbreite macht man gewöhnlich um ein Viertel größer als die Riemenbreite, auch giebt man der Spur eine kleine Wölbung. In der Regel nimmt man die Höhe der letzteren gleich einem Zehntel der Spurbreite; hohe Räder wölbt man aber auch zuweilen nach einer Kugelzone. Durch die Wölbung der Riemenspur wird nicht allein das Auslegen des Riemens erleichtert, sondern auch eine sichere Lage desselben bewirkt. Beim Auslegen auf eine conische Trommel, Fig. 96, soll das gerade Riemenstück  $ABC$  die Form eines Ringstückes  $A_1BC_1$  an-

Riemenräd.



Riemenräder. nehmen; diesem widersteht aber der Riemen vermöge seiner Elasticität bis

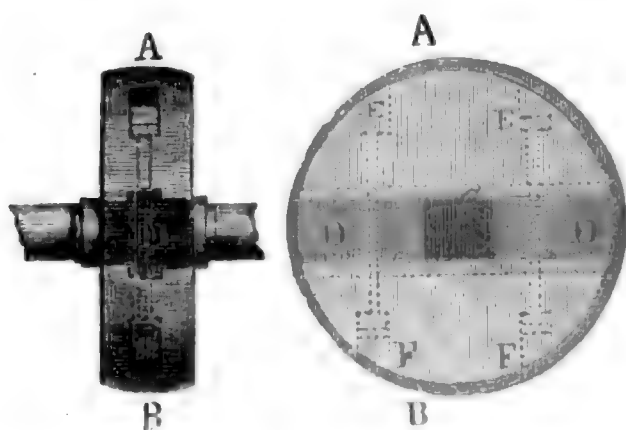
Fig. 96.



zu einem gewissen Grade, und deshalb fällt auch die Gestalt des Riemens zwischen  $ABC$  und  $A_1BC_1$ . Diesem zu Folge liegt stets der folgende Berührungspunkt  $A$  der Basis  $DE$  der kegelförmigen Trommel näher, als jeder vorausgegangene  $B$  und es rückt folglich auch der ganze Riemen bei weiterer Drehung der Trommel immer näher und näher an die Basis der letzteren. Ist dagegen die Trommel gewölbt, so zieht sich der Riemen aus demselben Grunde nach

und nach von selbst nach der Mitte oder dem größten Querschnitte derselben. Uebrigens ist beim Befestigen und Ablehren der Rolle auf ihrer Ase darauf zu sehen, daß dieselbe genau rund gehe und nicht weise, weil sich sonst der Riemen leicht abschlägt. Wirken Seitenkräfte auf den Riemen, wie z. B. bei Räderwerken mit stehenden Axen das Gewicht des Riemens, oder liegt die Riemenaxe nicht genau in der Umbrehungsebene, wie bei Räderwerken mit gekreuzten Riemen, so muß man das Rad mit einem vorstehenden Kranz oder Rand versehen, damit sich der Riemen nicht abwickelt.

Fig. 97.



Nur kleine Riemenscheiben von höchstens 1 Fuß Durchmesser lassen sich aus einem einzigen Bohlenstück drehen, größere muß man aus mehreren Pfostenstücken zusammensetzen. Eine Scheibe der zweiten Art führt Fig. 97 in zwei Ansichten vor Augen. Es sind hier die Mittelstücke  $D$  und  $D_1$ , welche das zur

Aufnahme der Ase dienende Auge  $C$  zwischen sich lassen, zwischen den beiden Seitenstücken  $A$  und  $B$  eingefalzt oder eingezapft, und zur Befestigung von eisernen, außen durch Holzstücke bedeckte Bolzen  $EF$ ,  $EF$  durchzogen. Eine andere Zusammensetzung der hölzernen Riemenräder aus drei mit den Fasern sich kreuzenden Bohlenlagern zeigt Fig. 98. Diese Räder sind noch von zwei Scheiben  $AB$  und  $DE$  begrenzt, welche aus Holzsectoren zusammengesetzt und nicht nur durch hölzerne Bolzen mit dem Radkörper, sondern auch durch eiserne Bolzen, wie  $FG$ ,  $HK$  u. s. w. unter einander verbunden werden. Da diese Scheiben den inneren Radkörper an Höhe übertreffen, so





hat man  $\cos. \frac{\alpha}{2} = \pm \frac{r_2 - r_1}{d}$  und

$$l = 2d \sin. \frac{\alpha}{2} + \alpha r_1 + (2\pi - \alpha) r_2,$$

und es findet das einfache Verhältniß wie bei den geschränkten Riemen nicht Statt. Setzen wir aber annähernd

$$\sin. \frac{\alpha}{2} = 1 - \frac{1}{2} \left( \cos. \frac{\alpha}{2} \right)^2 = 1 - \frac{1}{2} \frac{(r_2 - r_1)^2}{d^2} \text{ und}$$

$$\alpha = \pi - (\pi - \alpha) = \pi - 2 \sin. \frac{(\pi - \alpha)}{2} = \pi - 2 \cos. \frac{\alpha}{2} = \pi - \frac{2(r_2 - r_1)}{d},$$

so erhalten wir die Riemenlänge

$$\begin{aligned} l &= 2d - \frac{(r_2 - r_1)^2}{d} + \left( \pi - \frac{2(r_2 - r_1)}{d} \right) r_1 + \left( \pi + \frac{2(r_2 - r_1)}{d} \right) r_2 \\ &= 2d + \pi(r_1 + r_2) + \frac{(r_1 - r_2)^2}{d}. \end{aligned}$$

Ist  $\psi$  das Umsehungsverhältniß  $\frac{u_2}{u_1} = \frac{r_1}{r_2}$ , so hat man  $r_1 = \psi r_2$  und daher  $l = 2d + \pi(\psi + 1)r_2 + \frac{(\psi - 1)^2 r_2^2}{d}$ .

Für ein anderes Räderpaar mit den Halbmessern  $r_3$  und  $r_4$  und dem Umsehungsverhältnisse  $\psi_1 = \frac{r_3}{r_4}$  hat man ebenso

$$l = 2d + \pi(\psi_1 + 1)r_4 + \frac{(\psi_1 - 1)^2 r_4^2}{d}.$$

Aus der letzteren Gleichung erhält man folgende Formel für den einer bestimmten Riemenlänge  $l$  und einem bestimmten Umsehungsverhältnisse  $\psi_1$  entsprechenden Radhalbmesser

$$r_4 = \frac{-\pi(\psi_1 + 1)d + \sqrt{4(\psi_1 - 1)^2(l - 2d)d + \pi^2(\psi_1 + 1)^2 d^2}}{2(\psi_1 - 1)^2},$$

oder, wenn die beiden Radaxen im Verhältnisse zu den Radhalbmessern sehr entfernt sind, wenn z. B. der Axenabstand mindestens dreimal so groß ist, als der Durchmesser der größeren Scheibe, was zur Verminderung der Ungleichheit der beiden Riemenbögen sehr zweckmäßig ist, genau genug

$$r_4 = \left[ 1 - \left( \frac{\psi_1 - 1}{\psi_1 + 1} \right)^2 \frac{l - 2d}{\pi^2 d} \right] \frac{l - 2d}{\pi(\psi_1 + 1)}.$$

Für  $\psi_1 = 1$ , also bei Gleichheit beider Scheibendurchmesser, erhält man sehr richtig  $r_4 = \frac{l - 2d}{2\pi}$ , d. i.  $l = 2d + 2\pi r_4$ , und für

$l - 2d = \pi(r_1 + r_2)$ , d. i. für eine sehr große Centraldistanz  $d$ ,

$$r_4 = \frac{r_1 + r_2}{\psi_1 + 1}, \text{ so wie } r_3 = \psi_1 r_4 = \frac{\psi_1(r_1 + r_2)}{\psi_1 + 1}.$$

Riemenräder.

Statt der Scheibensysteme wendet man auch wohl zwei conische Trommeln (franz. cônes tronqués; engl. conical drums) *A* und *B*, Fig. 105, an, und bewirkt die Stellung des Riemens auf denselben durch ein gabelförmiges Riemenisen *CDE*. Man hat hier den Vortheil, innerhalb gewisser Grenzen jedes beliebige Umsehungsverhältniß herstellen zu können, dagegen aber auch den Nachtheil, daß der Riemen, namentlich wenn er breit ist, sehr ungleich ausgespannt wird.

Fig. 105.

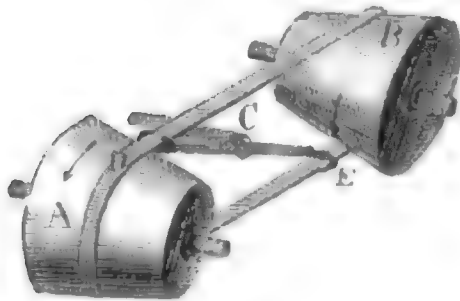
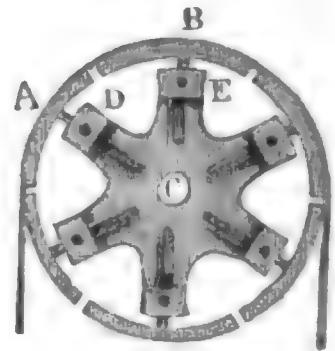


Fig. 106.



Anmerkung. Um das Umsehungsverhältniß oder die Riemenspannung zu reguliren, bedient man sich auch wohl der sogenannten Expansionsrollen, worüber ausführlich gehandelt wird in den Verhandlungen des Vereines zur Verbesserung des Gewerbfleißes in Preußen, Jahrg. XXII., 1843. Eine der einfachsten Rollen dieser Art ist in Fig. 106 abgebildet. Hier besteht der Radfranz aus 6 abgesonderten Sektoren mit Stielen *CA*, *CB* u. s. w., die sich radial durch Hülsen wie *D*, *C* u. s. w. schieben und durch Schrauben feststellen lassen. Um den Riemen eine stärkere oder schwächere Spannung zu geben, oder die Riemen Geschwindigkeit zu vergrößern oder zu verkleinern, hat man die Stiele *CA*, *CB* u. s. w. weiter heraus- oder hereinzuschieben.

Beispiel. Wenn bei einer Drehbank zwei zusammengehörige Schnurscheiben die Halbmesser  $r_1 = 12$  und  $r_2 = 2$  Zoll haben, der Arenabstand  $d$  beider Scheiben 36 Zoll beträgt, und man will außer dem entsprechenden Umsehungsverhältniß  $\psi = \frac{r_1}{r_2} = 12/2 = 6$  auch noch ein zweites  $\psi_1 = 4$  herstellen, so findet man die Halbmesser der entsprechenden Getriebescheiben wie folgt:

Der Schnurbogen ist bestimmt durch die Formel

$$\cos. \frac{\alpha}{2} = \frac{r_1 - r_2}{d} = \frac{12 - 2}{36} = \frac{1}{3}, \text{ es ist folglich } \frac{\alpha^0}{2} = 70^{\circ} 31' \frac{3}{4}, \text{ also } \alpha = 141^{\circ} 31' \frac{1}{2}, \text{ daher die Länge der ganzen Schnur:}$$

$$l = 2d \sin. \frac{\alpha}{2} + \alpha r_2 + (2\pi - \alpha) r_1 = 67,882 + 4,924 + 45,855 = 118,661 \text{ Zoll.}$$

Die Näherungsformel giebt

$$l = 2d + \pi(r_1 + r_2) + \frac{(r_1 - r_2)^2}{d} = 72 + 3,1416 \cdot 14 + \frac{10^2}{36} = 118,760 \text{ Zoll.}$$

Setzt man nun  $l - 2d = 46,661$  und  $\psi_1 = 4$  in die Näherungsformel

$$r_4 = \left[ 1 - \left( \frac{\psi_1 - 1}{\psi_1 + 1} \right)^2 \frac{l - 2d}{\pi^2 d} \right] \cdot \frac{l - 2d}{\pi(\psi_1 + 1)},$$

so erhält man für den Halbmesser des gesuchten Scheibenpaares:



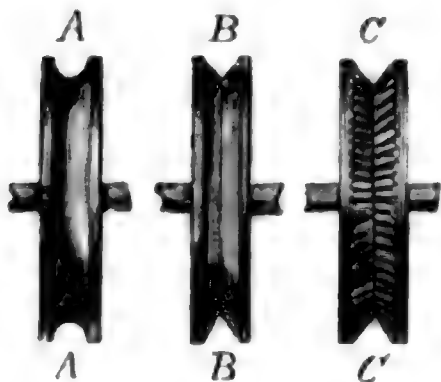
$$r_4 = \left(1 - \left(\frac{3}{5}\right)^2 \cdot \frac{46,661}{36\pi^2}\right) \cdot \frac{46,661}{5\pi} = \frac{0,9528 \cdot 9,3322}{\pi} = 2,830 \text{ Zoll Kleinräder.}$$

und  $r_3 = \psi_1 r_4 = 4 \cdot 2,830 = 11,320 \text{ Zoll.}$

Besondere Tabellen von Gang hierzu werden mitgetheilt von Vriz in den Verhandlungen des Vereines zur Beförderung des Gewerbflusses in Preußen, Jahrgang XI., 1832.

§. 36. Wenn die zu übertragende Kraft nicht groß ist, so kann man die Riemen durch Seile oder Schnüre von Hanf, Gedärmen, Gutta percha u. s. w. ersetzen. Die Schnüre gewähren noch den Vortheil, daß sie nicht so leicht abschlagen und sich leichter zur Seite biegen, leichter auf conische Trommeln

Fig. 107.

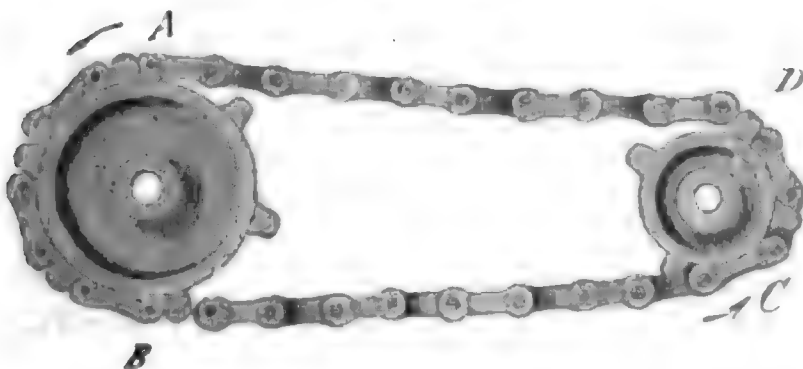


auslegen lassen u. s. w. Die hierzu nöthigen Schnurscheiben erhalten keinen gewölbten Kranz, sondern eine vertiefte Rinne oder Spur zur Aufnahme der Schnur, wie A, B, C, Fig. 107, vor Augen führt. Die Scheibe BB mit der scharfen Spur (von circa 60 Grad Convergenz) hat vor der Scheibe AA mit runder Spur den Vortheil, daß sich hier die Schnur mehr

einklemmt und daher bei gleicher Spannung mehr Reibung giebt als bei AA. Um das Gleiten der Schnur zu verhindern, versieht man auch wohl die Spurwände mit Kerben wie bei CC. Uebrigens hat die scharfe Spur noch den Vortheil, daß sie für dickere und schwächere Schnüre zugleich brauchbar ist.

Auf der anderen Seite lassen sich aber auch die Riemen nicht anwenden, wenn die zu übertragende Kraft groß oder die Geschwindigkeit klein ist, weil sie nicht die hinreichende Festigkeit besitzen, oder wenigstens eine übermäßige Breite nöthig hätten. In der Regel ist in solchen Fällen ein Zahnradwerk anzuwenden; wenn aber die beiden Wellen einen größeren Abstand von einander haben müssen, also nicht ein bloßes Umsetzen, sondern auch ein Fortpflanzen der Bewegung nöthig ist, so bedient man sich in diesem Falle

Fig. 108.



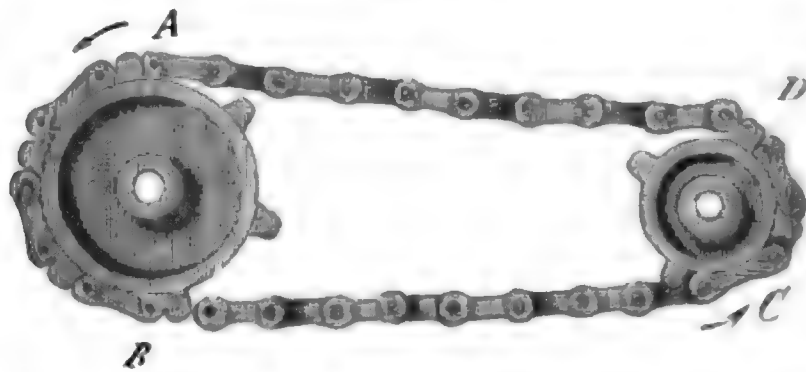
entweder eines Kettenräderwerkes oder eines sogenannten Stangenvorgeleges.

Ein Kettenräderwerk ist in Fig. 108 abgebildet; die Kette ABCD ist eine so

Sehnen-  
und  
Kettenräder.

genannte Laschenkette, und jedes der beiden Räder ist mit Zähnen ( $AB$  mit 6 und  $CD$  mit 4) ausgerüstet, die in die von je zwei Laschen gebildeten

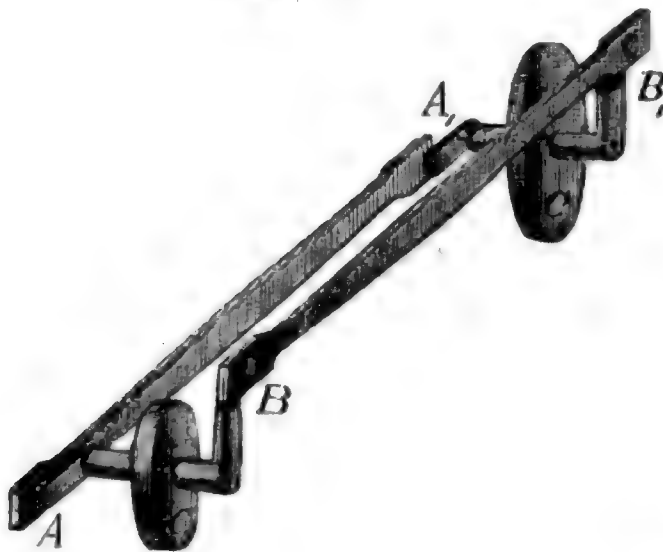
Fig. 109.



Glieder der Kette eingreifen. Diese Uebertragung mittels Zähnen macht eine weitere Spannung der Kette überflüssig, was ein nicht unbedeutender Vorzug dieses Räderwerkes von dem Riemenräderwerke ist.

Man kann endlich auch statt der Ketten Stangen in Anwendung bringen, wenn es nur auf eine Fortpflanzung, nicht aber auf eine Umsehung

Fig. 110.



der Umdrehungsbewegung abgesehen ist. In diesem Falle versteht man beide genau parallel zu legende Wellen  $C$  und  $C_1$ , Figur 110, mit doppelten um einen Rechtwinkel von einander abweichenden Kurbeln oder Krummzapfen  $A, B$  und  $A_1, B_1$  und verbindet dieselben durch die Stangen  $AA_1$  und  $BB_1$ . Durch diese Verbindung wird zwar die Bewegung

der einen Welle auf die andere Welle vollständig übertragen, sie reicht jedoch nicht aus, wenn die Wellen sehr entfernt von einander sind, weil die langen Stangen, welche hierzu nöthig sind, sich biegen und daher ihre Kraft nicht durch Schub oder Druck von der einen Welle auf die andere übertragen können. In diesem Falle muß man jeden der vier Krummzapfen verdoppeln und vier Stangen anwenden, so daß immer zwei Stangen durch Zug wirken, während die zwei anderen Stangen ohne Arbeit zurückgehen. Man erhält so ein sogenanntes Stangenvorgelege, welches beim Bergbau nicht selten in Anwendung kommt.



Zaburäder.

den Radumfang die entsprechende Kegelform haben, da die Umfangsgeschwindigkeiten  $c$  und  $v$  in den Punkten  $A$  und  $B$  nicht nur in dem Verhältnisse  $\frac{KA}{MB}$  der Halbmesser  $KA$  und  $MB$  des einen Rades, sondern auch in dem Verhältnisse  $\frac{LA}{NB}$  der Halbmesser  $LA$  und  $NB$  des anderen Rades zu einander stehen müssen, und dieser Proportion  $\left(\frac{KA}{MB} = \frac{LA}{NB}\right)$  durch die Lage des Punktes  $B$  in der nach dem Axendurchschnitte  $C$  gerichteten Geraden  $AC$  Genüge geleistet wird.

Ganz anders ist dagegen das Verhältniß, wenn die Radaxen weder parallel sind, noch sich schneiden, also gar nicht in einer Ebene liegen. Hier kann die gerade Berührungslinie  $AB$  nur mit einer der beiden Radaxen in eine Ebene fallen, es kann also auch nur das eine Rad eine cylindrische oder conische Form erhalten. Das andere Rad hingegen ist von einer Rotationsfläche zu begrenzen, die entsteht, wenn sich eine gerade Linie (die Berührungslinie) um eine Axe dreht, mit der sie nicht in eine Ebene zusammenfällt. Wir werden im Folgenden sehen, daß diese Fläche ein sogenanntes Rotationshyperboloid ist, weshalb man diese Art von Rädern Hyperboloidenräder nennt. Bei einem solchen Räderpaare wird der Proportion  $\frac{KA}{MB} = \frac{LA}{NB}$  zwischen den Halbmessern nicht Genüge geleistet, weshalb auch ein theilweises Gleiten des einen Radumfangs auf den anderen stattfinden und daher ein größeres Reibungshinderniß eintreten muß.

Conische Räder.

§. 38. Bei dem cylindrischen Räderwerke Fig. 113 sind die Radhalbmesser  $KA = r_1$  und  $LA = r_2$  durch das Umsehungsverhältniß

$$\psi = \frac{u_2}{u_1} = \frac{r_1}{r_2} \text{ (vergl. §. 26)}$$

und durch den Abstand  $KL = d = r_1 + r_2$  beider Radaxen  $CX$  und  $DY$  von einander bestimmt, es ist nämlich

$$r_1 = \frac{\psi d}{1 + \psi} \text{ und } r_2 = \frac{d}{1 + \psi}.$$

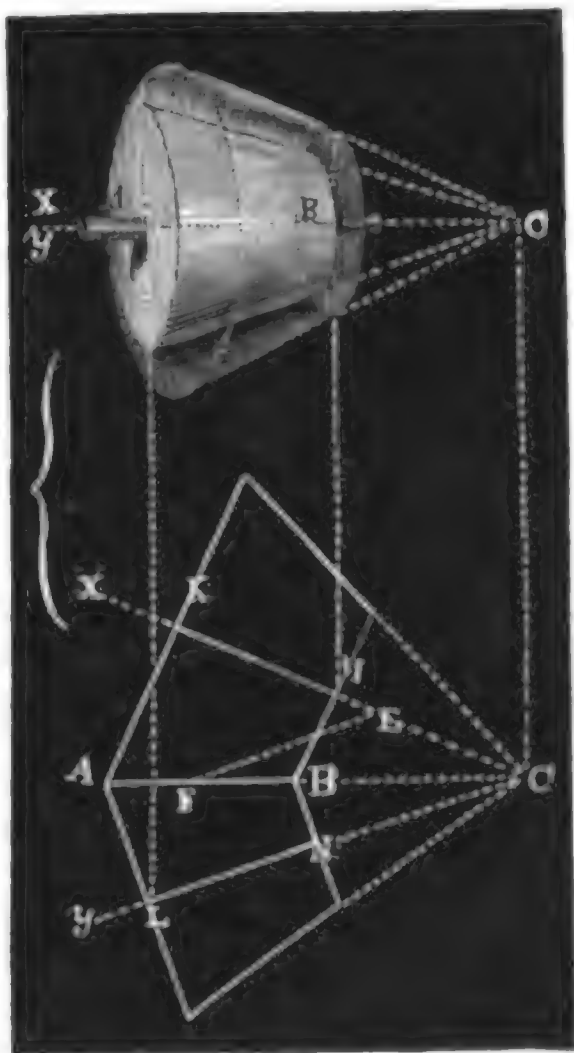
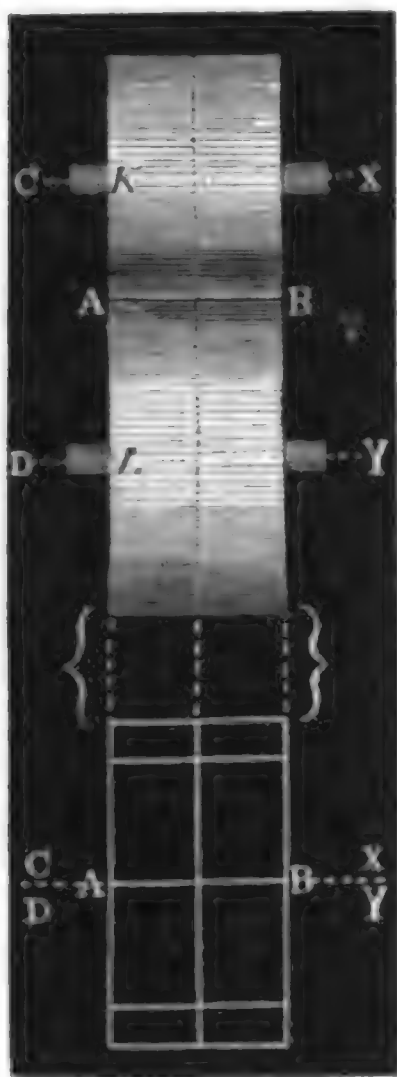
Bei den conischen Rädern  $AM$  und  $AN$ , Fig. 114, findet eine solche Bestimmung nicht Statt. Hier sind zunächst die Winkel  $ACK = \delta_1$  und  $ACL = \delta_2$ , um welche die Berührungslinie  $AB$  von beiden Radaxen absteht, aus dem Axenwinkel  $XCY = KCL = \delta$  und dem Umsehungsverhältnisse  $\psi = \frac{u_2}{u_1}$  zu finden. Es ist hier der Halbmesser  $AK = r_1 = CA \sin. \delta_1$  und der Halbmesser  $AL = r_2 = CA \sin. \delta_2$ , und daher das Umsehungsverhältniß  $\psi = \frac{u_2}{u_1} = \frac{r_1}{r_2} = \frac{\sin. \delta_1}{\sin. \delta_2}$ , d. h. die Win-

Uelgeschwindigkeiten beider Räder verhalten sich umgekehrt wie die Sinus der Winkel, um welche ihre Axen von der Mittel- oder Berührungslinie

Centrale  
Räder.

Fig. 113.

Fig. 114.



abweichen. Zieht man von einem beliebigen Punkte  $E$  der Ase  $CK$  aus eine Linie  $EF$  parallel der anderen Ase  $CY$ , so erhält man ein Dreieck, in welchem die Winkel  $\delta_1$  und  $\delta_2$  zugleich vorkommen; es ist nämlich der Winkel  $ECF = \delta_1$  und der Winkel  $EFC = FCL = \delta_2$ , und da nun  $\frac{\sin. ECF}{\sin. EFC} = \frac{EF}{EC}$  ist, so hat man  $\psi = \frac{r_1}{r_2} = \frac{\sin. \delta_1}{\sin. \delta_2} = \frac{EF}{EC}$ .

Um hiernach die Winkel  $\delta_1$  und  $\delta_2$  construierend zu finden, nimmt man die Linien  $CE$  und  $EF$  in dem Verhältnisse  $1 : \psi$  und zieht die Gerade  $CF$ . Will man diese Winkel aus  $\delta$  und  $\psi$  durch Rechnung finden, so bringe man das Dreieck  $CEF$  zur Auflösung. Dieses giebt

$$\text{tang. } ECF = \frac{EF \cdot \sin. \delta}{CE + EF \cos. \delta} = \frac{r_1 \sin. \delta}{r_2 + r_1 \cos. \delta}, \text{ d. i.}$$

$$\text{tang. } \delta_1 = \frac{\psi \sin. \delta}{1 + \psi \cos. \delta}, \text{ sowie } \text{tang. } \delta_2 = \frac{\sin. \delta}{\psi + \cos. \delta}.$$

Ist der eine Radhalbmesser  $AL = r_2$  gegeben, so findet man den andern durch die Formel  $r_1 = \psi r_2$  sogleich, giebt man aber die Central-



Conische  
Räder.

distanz  $CA = a$ , so hat man die beiden Radhalbmesser  $AK = r_1$  und  $AL = r_2$  durch die Formel  $r_1 = a \sin. \delta_1$  und  $r_2 = a \sin. \delta_2$  zu berechnen.

Für die Kegelhöhen  $CK = h_1$  und  $CL = h_2$  hat man endlich

$$h_1 = a \cos. \delta_1 = r_1 \cotg. \delta_1 = \left( \frac{1 + \psi \cos. \delta}{\psi \sin. \delta} \right) r_1 = \frac{r_2 + r_1 \cos. \delta}{\sin. \delta}$$

und

$$h_2 = a \cos. \delta_2 = r_2 \cotg. \delta_2 = \left( \frac{\psi + \cos. \delta}{\sin. \delta} \right) r_2 = \frac{r_1 + r_2 \cos. \delta}{\sin. \delta}.$$

Beispiel. Wenn bei einem conischen Räderwerke der Arenwinkel  $\delta = 70$  Grad und das Umsehungsverhältniß  $\psi = \frac{u_2}{u_1} = 7/2$  sein soll, so hat man für die Convergenzwinkel der einzelnen Räder:

$$\text{tang. } \delta_1 = \frac{7 \sin. 70^\circ}{2 + 7 \cos. 70^\circ} = \frac{7 \cdot 0,93969}{2 + 7 \cdot 0,34202} = \frac{6,5778}{4,3941} = 1,49697, \text{ hier:}$$

nach  $\delta_1 = 56^\circ, 15'$ , und  $\delta_2 = 13^\circ, 45'$ . Soll nun noch der äußerste Berührungspunkt  $A$  zwischen beiden Rädern um 60 Zoll von dem Arendurchschnitte  $C$  abstehen, so hat man die äußeren Radhalbmesser

$$r_1 = 60 \sin. 56^\circ, 15' = 49,89 \text{ Zoll und } r_2 = 60 \sin. 13^\circ, 45' = 14,26 \text{ Zoll.}$$

$$\text{und die entsprechenden Kegelhöhen}$$

$$h_1 = 60 \cos. 56^\circ, 15' = 33,33 \text{ Zoll und } h_2 = 60 \cos. 13^\circ, 45' = 58,28 \text{ Zoll.}$$

Soll endlich die Berührungslinie  $AB$  eine Länge von 8 Zoll erhalten, so hat man die inneren Radhalbmesser

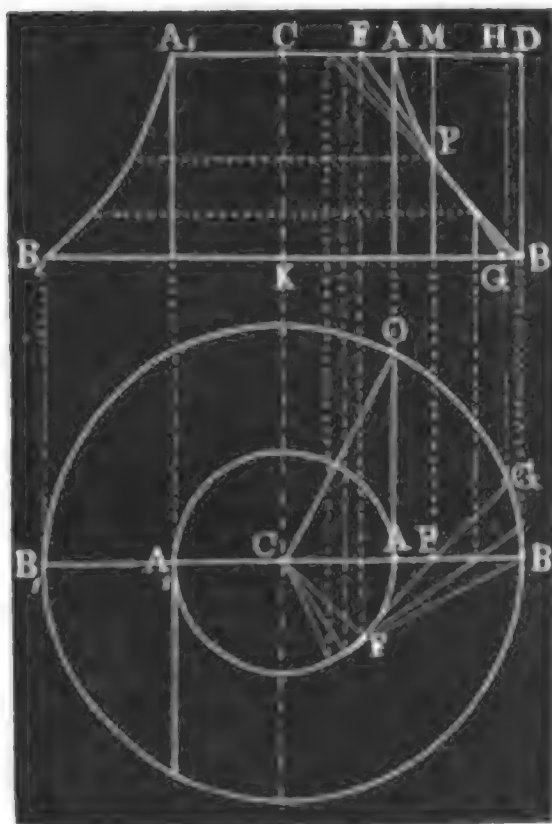
$$r_1 = 52 \sin. 56^\circ, 15' = 43,24 \text{ Zoll und } r_2 = 52 \sin. 13^\circ, 45' = 12,36 \text{ Zoll,}$$

$$\text{und die entsprechenden Centralabstände oder Kegelhöhen}$$

$$h_1 = 52 \cos. 56^\circ, 15' = 28,89 \text{ und } h_2 = 52 \cos. 13^\circ, 45' = 50,51 \text{ Zoll.}$$

Fig. 115.

Hyperboloid.



§. 39. Die Entstehung eines Hyperboloides, wonach ein Hyperboloidenrad zu construiren ist, läßt sich durch Betrachtung der Fig. 115 nachweisen. Es sind  $AA_1$  und  $BB_1$  zwei parallele Grundkreise, welche in dem Abstände  $CK = h$  von einander abstehen, und es ist die Gerade  $FG$ , deren Horizontalprojection wir der Ordinate

$$AO = \sqrt{CO^2 - CA^2}$$

gleich machen wollen, die Erzeugungsline, welche mit dem einen Endpunkte  $F$  im Kreise  $AA_1$  und mit dem anderen im Kreise  $BB_1$  fortrückt. Eine vertikale Mittelebene  $ABB_1A_1$  schneidet die von  $FG$  beschriebene Fläche in zwei Curven  $AB$  und

und  $A_1 B_1$ , von welchen wir nachweisen werden, daß sie einer Hyperbel angehören, deren Mittelpunkt mit dem Centrum  $C$  der kleineren Grundfläche und deren Axe mit dem Durchmesser dieser Fläche zusammenfällt. Für jeden Punkt  $P$  in der Linie  $AB$  ist

$$\frac{PM}{GH} = \frac{FM}{FH} \text{ (Aufriß)} = \frac{FP}{FG} \text{ (Grundriß)}.$$

Bezeichnen wir nun die Kreishalbmesser  $CA$  und  $KB$  durch  $a$  und  $r$  und die Coordinaten  $CM$  und  $MP$  des Punktes  $P$  durch  $x$  und  $y$ , so haben wir nach dem Grundrisse:

$$FG = AO = \sqrt{r^2 - a^2} \text{ und } FP = \sqrt{CP^2 - CF^2} = \sqrt{x^2 - a^2},$$

und daher  $\frac{y}{h} = \frac{\sqrt{x^2 - a^2}}{\sqrt{r^2 - a^2}}$ , also  $y = \frac{h}{a} \sqrt{x^2 - a^2}$ ,

wenn die vierte Proportionale  $\frac{ha}{\sqrt{r^2 - a^2}}$  von  $\sqrt{x^2 - a^2}$ ,  $a$  und  $h$  durch

$b$  bezeichnet wird. Nun ist aber  $y = \frac{b}{a} \sqrt{x^2 - a^2}$  die Gleichung einer

Hyperbel (s. Ingenieur, S. 214) von den Halbaren  $a$  und  $b$ , daher auch  $AB$  ein Hyperbelbogen und  $A$  der Scheitel desselben, sowie  $AB B_1 A_1$  ein durch Umdrehung dieses Bogens um die Axe  $CK$  erzeugtes Hyperboloid.

Setzt man den Winkel, welchen die Erzeugungslinie  $FG$  mit einer Geraden parallel zur Axe  $CK$  einschließt,  $= \delta$ , also den Winkel, unter welchem sie die Grundflächen durchschneidet,  $= 90^\circ - \delta$ , so haben wir

$$\text{tang. } \delta = \frac{\sqrt{r^2 - a^2}}{h} = \frac{a}{b}, \text{ und daher einfacher}$$

$$y = \sqrt{x^2 - a^2} \cdot \cotg. \delta, \text{ sowie } x = \sqrt{a^2 + y^2 (\text{tang. } \delta)^2}.$$

Für große  $x$  hat man annähernd  $y = x \cotg. \delta$ , woraus folgt, daß sich das Hyperboloid immer näher und näher an einen Regelmantel anschließt, je mehr man dasselbe erweitert. Die Seite dieses Mantels oder

Fig. 116.



des sogenannten Asymptotenkegels schließt mit der Axe  $CK$  denselben Winkel  $\delta$  ein wie die Erzeugungslinie  $FG$  mit einer Parallelen zu  $CK$ .

Der Winkel  $PTM = \alpha$ , Figur 116, unter welchem die Tangente  $PT$  irgend eines Punktes  $P$  der Hyperbel  $AB$  die Abscissenaxe  $CA$  schneidet, ist durch die Tangentenformel

$$\text{tang. } \alpha = \frac{b}{a} \cdot \frac{x}{\sqrt{x^2 - a^2}} = \frac{x \cotg. \delta}{\sqrt{x^2 - a^2}} \text{ bestimmt.}$$

**Hyperboloid.** Dieser Winkel ist zugleich die Seitenneigung  $TDH$  einer Kegelfläche  $DD_1 EE_1$ , welche eine eben so hohe Hyperboloidenzone in der Mitte  $PP_1$  berührt, und daher annähernd für diese gesetzt werden kann. Ist  $e$  die Höhe  $HL$  dieser Zone und  $r$  ihr mittlerer Halbmesser  $PK = CM = x$ , so hat man für die Halbmesser  $HD = r_1$  und  $LE = r_2$  der Grundflächen der Kegelfläche

$$r_1 = r + \frac{1}{2} e \cotg. \alpha = r + \frac{1}{2} \frac{e}{r} \sqrt{r^2 - a^2} \tan g. \delta \text{ und}$$

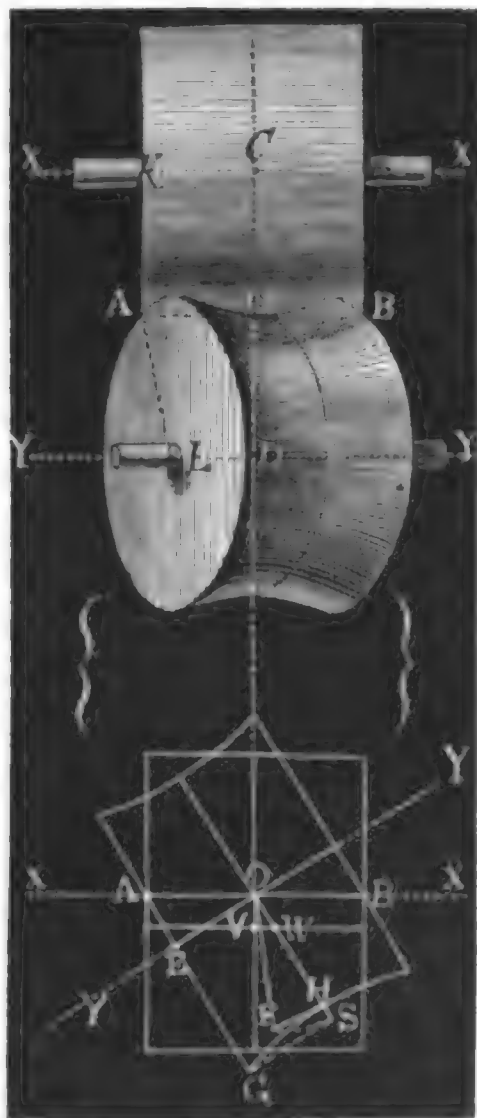
$$r_2 = r - \frac{1}{2} e \cotg. \alpha = r - \frac{1}{2} \frac{e}{r} \sqrt{r^2 - a^2} \tan g. \delta.$$

Da endlich die Axenprojection der Erzeugungslinie des Hyperboloides  $APP_1 A_1$ :  $CK = h = \sqrt{r^2 - a^2} \cotg. \delta$  ist, so hat man auch

$$r_1 = r + \frac{1}{2} \frac{eh}{r} (\tan g. \delta)^2 \text{ und } r_2 = r - \frac{1}{2} \frac{eh}{r} (\tan g. \delta)^2.$$

**Hyperboloiden-  
räder.**

§. 40. Die Anwendung der Hyperboloide bei den Rädern soll in Folgendem gezeigt werden. Es sei  $ACB$ , Fig. 117, ein cylindrisches Rad, welches auf der Welle  $XX$  sitzt, und  $ADB$  ein anderes Rad auf der Welle  $YY$ , welches von jenem in Umdrehung zu setzen ist. Soll nun die Berührung beider Räder in einer Seite  $AB$  des ersten Rades erfolgen, so wird jedenfalls der Umfang des zweiten Rades eine Rotationsfläche sein müssen, welche entsteht, wenn  $AB$  in unveränderlichem Abstände um  $YY$  herumgeführt wird. Liegen  $XX$  und  $YY$  in einer Ebene, so ist diese Fläche ein Kegel, befinden sich aber dieselben in verschiedenen Ebenen, wie in der Abbildung, so bildet sie nach dem Vorhergehenden ein Hyperboloid.



Während das cylindrische Rad über seiner ganzen Breite  $AB$  hin einen und denselben Halbmesser  $CO = KA = r_1$  hat, ist der Halbmesser des Hyperboloidenrades veränderlich; er ist am kleinsten an der Stelle, wo die Radaxen  $XX$  und  $YY$  einander am nächsten stehen, und fällt immer größer und größer aus,

je mehr er von dem kürzesten Abstände  $CD = d$  zwischen diesen Axen

entfernt ist. Der kleinste oder Halshalbmesser des Hyperboloidenrades ist  $a = d - r_1$ , für einen anderen Halbmesser  $AL = x$  (Aufriß) im Abstände  $OE = y$  (Grundriß) vom Perpendikel  $CD$  ist nach dem Vorausgeschickten, wenn noch der Winkel  $AOE$ , um welchen die Berührungslinie  $AB$  oder Ase  $XX$  von einer Parallelen zu  $YY$  abweicht, mit  $\delta$  bezeichnet wird,  $x = \sqrt{a^2 + y^2 (\tan \delta)^2}$ , oder, wenn man das Perpendikel  $AE$ , d. i. die Projection  $y \tan \delta$  der Berührungslinie  $AO$  auf die Grund- oder Endfläche  $AL$  des Hyperboloides mit  $z$  bezeichnet,  $x = \sqrt{a^2 + z^2}$ .

Um hiernach einen Halbmesser  $OS = EG$  (Grundriß) construierend zu finden, hat man zu dem Halbmesser  $OH = a$  des Halses oder der Kehle und der Projection  $AE = FH = z$  als Katheten, die Hypotenuse  $OF = OS$  anzugeben.

Die Umfangsgeschwindigkeiten beider Räder sind nicht gleich; während der Umfang des cylindrischen Rades einen Weg  $OV$  (Grundriß) zurücklegt, durchläuft der Halsumfang des Hyperboloidenrades im Abstände  $DO = a = r_2$  (Aufriß) einen Weg  $OW$  (Grundriß); es ist  $DV = OW \cos. \delta$ , und also auch für die entsprechenden Geschwindigkeiten  $c_1$  und  $c_2$ :

$$c_1 = c_2 \cos. \delta.$$

Sind  $u_1$  und  $u_2$  die Umdrehungszahlen, so hat man nach §. 26 auch

$$\frac{c_1}{c_2} = \frac{u_1 r_1}{u_2 r_2};$$

verbindet man daher diese beiden Gleichungen mit einander, so erhält man das Umsehungsverhältniß  $\psi = \frac{u_2}{u_1} = \frac{r_1}{r_2 \cos. \delta}$ .

Giebt man  $\psi$ ,  $d$  und  $\delta$ , so hat man

$$r_1 = \frac{\psi \cos. \delta \cdot d}{1 + \psi \cos. \delta} \text{ und } r_2 = \frac{d}{1 + \psi \cos. \delta}.$$

Beispiel. Für ein hyperboloidisches Räderwerk, wie Fig. 117, dessen Aren um die Normale  $CD = d = 50$  Zoll von einander absteigen, und bei Zurückführung auf einen gemeinschaftlichen Durchschnittspunkt einen Winkel  $\delta$  von 25 Grad zwischen sich einschließen, hat man bei dem Umsehungsverhältnisse  $\psi = \frac{u_2}{u_1} = \frac{2}{5}$ , da  $\cos. \delta = \cos. 25^\circ = 0,9063$  ist, die Radhalbmesser

$$r_1 = \frac{0,4 \cdot 0,9063 \cdot 50}{1 + 0,4 \cdot 0,9063} = \frac{18,126}{1,3625} = 13,30 \text{ Zoll und}$$

$$r_2 = \frac{50}{1,3625} = 36,70 \text{ Zoll.}$$

Giebt man dem cylindrischen Rade eine Dicke von 6 Zoll, nimmt man also  $AO = e = 3$  Zoll, so erhält man die Dicke des Hyperboloidenrades:

$$2e_1 = 2e \cos. \delta = 6 \cos. 25^\circ = 5,44 \text{ Zoll, ferner}$$

$$AE = z = e \sin. \delta = 3 \cdot 0,4226 = 1,27 \text{ Zoll}$$

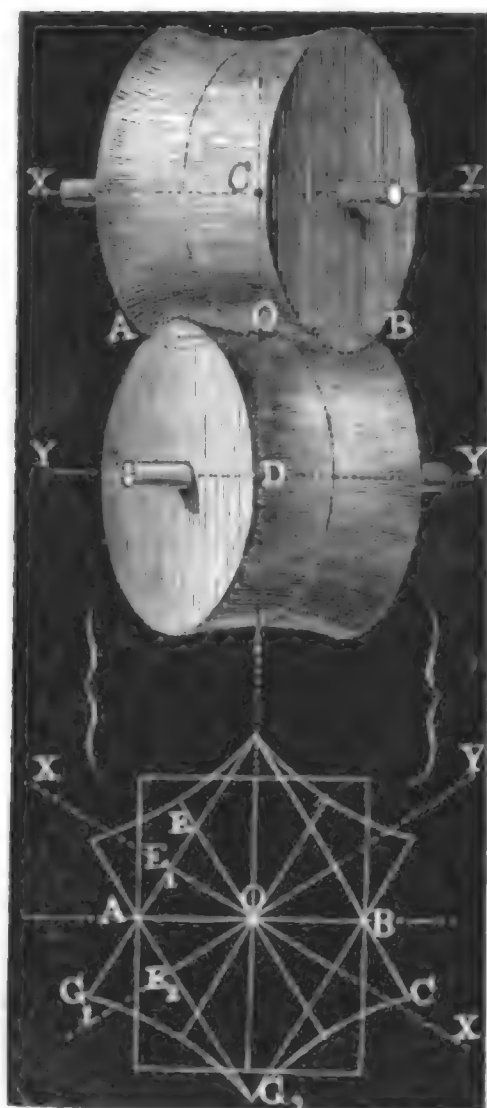
und endlich die Halbmesser der äußeren Grundflächen des Hyperboloidenrades:

$$x = \sqrt{a^2 + z^2} = \sqrt{r_1^2 + z^2} = \sqrt{1348,50} = 36,72 \text{ Zoll.}$$



hyperboloiden-  
berühräder.

§. 41. Man kann auch das cylindrische Rad durch ein anderes Hyperboloidenrad, wie in Fig. 118 zu er-  
sehen ist, ersetzen, ohne die Berührungslinie  $AB$  zu verändern. Dieses zweite Rad ist übrigens ganz so anzuordnen und zu construiren wie das erste. Setzen wir die Länge der Berührungslinie  $AB = 2l$ , also ihre halbe Länge  $AO = BO = l$ , und bezeichnen wir die Winkel  $AOX$  und  $AOY$  (Grundriß), welche die auf denselben Punkt  $O$  zurückgeführten Radaren mit  $AB$  einschließen, durch  $\delta_1$  und  $\delta_2$ , so haben wir die Projectionen von  $AO = l$  auf die äußeren Grundflächen beider Räder:  $AE_1 = z_1 = AO \sin. \delta_1 = l \sin. \delta_1$  und  $AE_2 = z_2 = AO \sin. \delta_2 = l \sin. \delta_2$ ; ferner die Raddicken  $e_1 = 2 OE_1 = 2l \cos. \delta_1$  und  $e_2 = 2l \cos. \delta_2$ , und endlich die äußeren Radhalbmesser  $E_1 G_1 = x_1 = \sqrt{r_1^2 + z_1^2}$  und  $E_2 G_2 = x_2 = \sqrt{r_2^2 + z_2^2}$ .



Das Geschwindigkeitsverhältniß zwischen beiden Rädern ist durch die Winkel  $\delta_1$  und  $\delta_2$  bestimmt. Setzen wir die Geschwindigkeit des Rades  $ACB$  im Abstände  $CO = r_1, = c_1$  und die des Rades  $ADB$  im Abstände  $DO = r_2, = c_2$  die des imaginären Cylinderrades aber  $= c$ , so haben wir nach dem Vorhergehenden  $c = c_1 \cos. \delta_1$  und auch  $c = c_2 \cos. \delta_2$ ; daher folgt  $c_1 \cos. \delta_1 = c_2 \cos. \delta_2$ , also  $\frac{c_1}{c_2} = \frac{\cos. \delta_2}{\cos. \delta_1}$ , und da  $\frac{c_1}{c_2}$

auch  $= \frac{u_1 r_1}{u_2 r_2}$  ist,  $\frac{u_1 r_1}{u_2 r_2} = \frac{\cos. \delta_2}{\cos. \delta_1}$ , also das Umsehungsverhältniß:

$$\psi = \frac{u_2}{u_1} = \frac{r_1 \cos. \delta_1}{r_2 \cos. \delta_2}.$$

Ist  $d, \psi$ , und  $\delta$  gegeben, so hat man wie oben

$$r_1 = \frac{\psi d \cos. \delta_2}{\cos. \delta_1 + \psi \cos. \delta_2} \quad \text{und} \quad r_2 = \frac{d \cos. \delta_1}{\cos. \delta_1 + \psi \cos. \delta_2}.$$

Beispiel. Wenn der Normalstand beider Radaren 40 Zoll und das Umsehungsverhältniß  $\psi = \frac{3}{2}$  betragen soll, so hat man bei den Arenwinkeln



$\delta_1 = 45^\circ$  und  $\delta_2 = 45^\circ$ , also  $\delta = 90^\circ$ , wie bei einem gewöhnlichen cylindrischen Räderwerke,  $r_1 = \frac{\psi d}{1 + \psi} = \frac{1,5 \cdot 40}{2,5} = 24$  Zoll und  $r_2 = \frac{40}{2,5} = 16$  Zoll. Hyperboloidenräder.

§. 42. Räder, welche sich außerhalb des kürzesten Abstandes  $CD$  zwischen beiden Axen  $XX$  und  $YY$ , Fig. 119, berühren, müssen die Formen abgestumpfter Hyperboloide  $ABM$  und  $ABL$  erhalten.

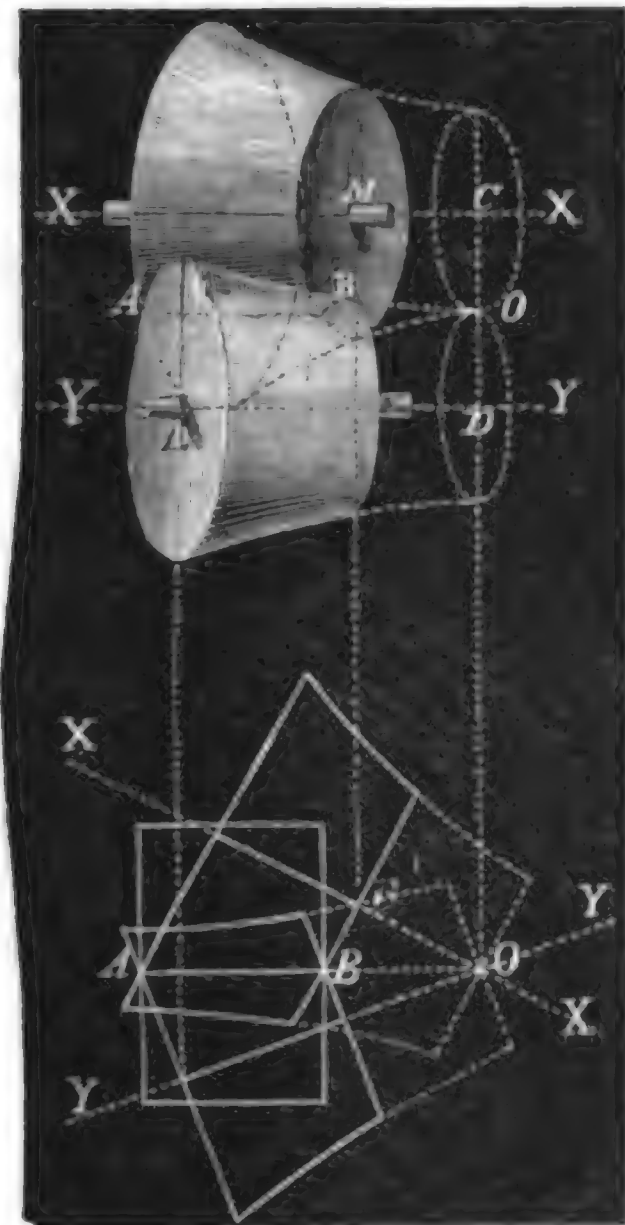
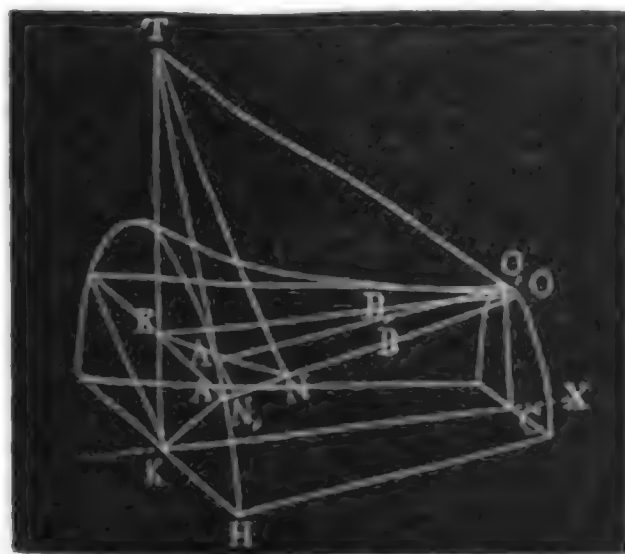


Fig. 120.



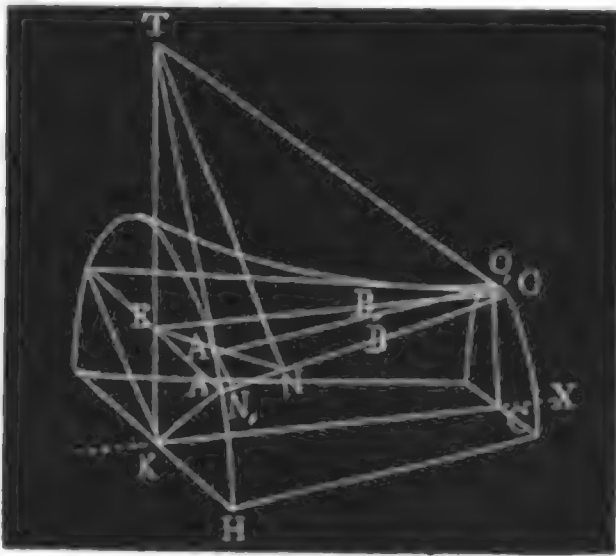
Die Construction dieser Hyperboloide mittels der Kehlhalbmesser  $CO = r_1$  und  $DO = r_2$ , so wie der Axenwinkel  $AOX = \delta_1$  und  $AOY = \delta_2$  (Grundriß) bleibt übrigens genau die oben angegebene. Damit die Bewegung möglichst unmittelbar von einem Rade auf das andere übertragen werde, müssen sich beide Räder an allen Stellen der Linie  $AB$  mathematisch berühren. In diesem Falle nimmt bei Anwendung eines gewissen Druckes das eine Rad das andere durch die bloße Reibung mit herum; außerdem aber sind Zähne oder Kerben in den Radumfängen unumgänglich nothwendig. Es ist also erforderlich, daß beide Radumfänge an jeder Stelle der Linie  $AB$  eine gemeinschaftliche Berührungsebene haben, daß also auch an jeder Stelle von  $AB$  die Berührungsebene des einen Rades denselben Neigungswinkel mit der Ebene parallel zu beiden Radaxen einschließe, wie die des anderen.

Jedenfalls ist die Ebene  $ATO$ , Fig. 120, durch die Erzeugungslinie  $AB$  ( $AO$ ) und durch die Tangente  $AT$  an den Leitungs- oder Umdrehungskreis  $AHK$  Be-

§ Vorbelo-  
denräder.

rührungsebene im Punkte  $A$ , und der Winkel  $TNE$ , welchen die Perpen-

Fig. 121.



dikel  $EN$  und  $TN$  auf  $AO$  zwischen sich einschließen, Neigungswinkel dieser Ebene gegen die parallel zu beiden Rädern gelegte Grundebene  $EAO$  oder  $KHC$ . Setzen wir diesen Winkel  $= \Theta$ , so haben wir

$$\text{tang. } \Theta = \frac{ET}{EN},$$

oder, da einer bekannten Eigenschaft des Kreises zu Folge,

$$ET = \frac{EA^2}{EK} \text{ ist,}$$

$$\text{tang. } \Theta = \frac{EA^2}{EK \cdot EN}.$$

Nun ist aber  $EK = OC = r_1$ , ferner

$$EN = EA \cos. AEN = EA \cos. \delta_1 \text{ und}$$

$$\text{tang. } \Theta = \frac{l \sin. \delta_1}{r_1 \cos. \delta_1} = \frac{l}{r_1} \text{ tang. } \delta_1.$$

Setzt man  $r_1$  und  $\delta_2$  statt  $r_1$  und  $\delta_1$  ein, so erhält man für den Neigungswinkel der Berührungsebene des zweiten Rades

$$\text{tang. } \Theta = \frac{l}{r_2} \text{ tang. } \delta_2,$$

und daher durch Gleichsetzen beider Tangenten folgende Bedingung für die mathematische Berührung beider Hyperboloidenräder

$$\frac{\text{tang. } \delta_1}{r_1} = \frac{\text{tang. } \delta_2}{r_2}, \text{ oder } \frac{\text{tang. } \delta_1}{\text{tang. } \delta_2} = \frac{r_1}{r_2}.$$

§. 43. Das Geschwindigkeits- oder Umsehungsverhältniß des Hyperboloidenräderwerkes in Fig. 119 entwickelt sich auf folgende Weise. Kommt die Berührungslinie  $AO$ , Fig. 121, in die Lage  $A_1O_1$ , so rückt der Punkt  $A$  im Umfange des Umdrehungskreises  $AHK$  um einen Weg  $AA_1$  fort, während seine Projection in einer Normalebene zu  $AO$  den Weg  $N_1A_1$  zurücklegt, und es ist auch  $\frac{AA_1}{N_1A_1} = \frac{AT}{NT}$  das Verhältniß  $\frac{c_1}{c}$  zwischen der Umfangsgeschwindigkeit des Rades  $AHK$  und ihrer Projection rechtwinklig auf  $AO$ . Nun hat man aber

$$NT^2 = AT^2 - AN^2, \text{ ferner}$$

$$\frac{AT}{AE} = \frac{KA}{KE} = \frac{x_1}{r_1} \text{ und } AN = AE \sin. \delta_1;$$

daher folgt denn  $\frac{c_1}{c} = \frac{x_1}{\sqrt{x_1^2 - r_1^2 \sin. \delta_1^2}}$ ,

sowie für ein zweites Rad

$$\frac{c_2}{c} = \frac{x_2}{\sqrt{x_2^2 - r_2^2 \sin. \delta_2^2}},$$

und endlich das Geschwindigkeitsverhältniß beider in Berührung stehenden Radumfangs:

$$\frac{c_1}{c_2} = \frac{x_1}{x_2} \cdot \frac{\sqrt{x_2^2 - r_2^2 \sin. \delta_2^2}}{\sqrt{x_1^2 - r_1^2 \sin. \delta_1^2}}.$$

Nest folgt das Umsehungsverhältniß

$$\psi = \frac{u_2}{u_1} = \frac{c_2}{c_1} \cdot \frac{x_1}{x_2} = \frac{\sqrt{x_1^2 - r_1^2 \sin. \delta_1^2}}{\sqrt{x_2^2 - r_2^2 \sin. \delta_2^2}},$$

oder, wenn man  $x_1^2 = r_1^2 + a^2 \sin. \delta_1^2$  und  $x_2^2 = r_2^2 + a^2 \sin. \delta_2^2$

einführt,  $\psi = \sqrt{\frac{a^2 \sin. \delta_1^2 + r_1^2 \cos. \delta_1^2}{a^2 \sin. \delta_2^2 + r_2^2 \cos. \delta_2^2}}$ .

Damit sich die Räder mathematisch berühren, muß aber

$$\frac{r_1^2}{r_2^2} = \frac{\tan. \delta_1^2}{\tan. \delta_2^2} = \frac{\sin. \delta_1^2}{\cos. \delta_1^2} \cdot \frac{\cos. \delta_2^2}{\sin. \delta_2^2},$$

also  $r_1^2 \cos. \delta_1^2 = \frac{\sin. \delta_1^2}{\sin. \delta_2^2} \cdot r_2^2 \cos. \delta_2^2$  sein, daher folgt

$$\begin{aligned} a^2 \sin. \delta_1^2 + r_1^2 \cos. \delta_1^2 &= \frac{a^2 \sin. \delta_1^2 \sin. \delta_2^2 + r_2^2 \sin. \delta_1^2 \cos. \delta_2^2}{\sin. \delta_2^2} \\ &= \left( \frac{\sin. \delta_1^2}{\sin. \delta_2^2} \right)^2 \cdot (a^2 \sin. \delta_2^2 + r_2^2 \cos. \delta_2^2) \end{aligned}$$

und das Umsehungsverhältniß sehr einfach, also  $\psi = \frac{\sin. \delta_1}{\sin. \delta_2}$ , genau wie bei den conischen Rädern.

Ist  $\psi$  und  $\delta = \delta_1 + \delta_2$  gegeben, so findet man wie bei Kegels- oder Winkelrädern

$$\text{aus } \left\{ \begin{array}{l} 1) \frac{\delta_1 + \delta_2}{2} = \frac{\delta}{2} \\ 2) \tan. \left( \frac{\delta_1 - \delta_2}{2} \right) = \frac{\psi - 1}{\psi + 1} \cdot \tan. \frac{\delta}{2} \end{array} \right\}$$

$$\delta_1 = \frac{\delta_1 + \delta_2}{2} + \frac{\delta_1 - \delta_2}{2} \text{ und}$$

$$\delta_2 = \frac{\delta_1 + \delta_2}{2} - \frac{\delta_1 - \delta_2}{2}.$$

Ist ferner der kürzeste Arenabstand  $d$  gegeben, so erhält man noch

Hyperbo-  
loidenräder.die Kehlhalbmesser  $r_1$  und  $r_2$  durch die Formeln

$$r_1 = \frac{d \tan \delta_1}{\tan \delta_1 + \tan \delta_2} \text{ und } r_2 = \frac{d \tan \delta_2}{\tan \delta_1 + \tan \delta_2}.$$

Giebt man endlich noch den Abstand  $l$  eines Berührungspunktes  $A$  von der kürzesten Linie  $CD = d$  zwischen beiden Radaxen, so hat man die entsprechenden Radhalbmesser  $x_1 = \sqrt{r_1^2 + l^2 \sin^2 \delta_1}$  und

$$x_2 = \sqrt{r_2^2 + l^2 \sin^2 \delta_2}.$$

Anmerkung. Nimmt man  $\delta_1 = \delta_2 = 0$ , so erhält man  $x_1 = r_1$  und  $x_2 = r_2$ , sowie  $\psi = \frac{r_1}{r_2}$ ; nimmt man aber  $r_1 = r_2 = 0$ , so hat man

$x_1 = l \sin \delta_1$  und  $x_2 = l \sin \delta_2$ , und es bleibt  $\psi = \frac{\sin \delta_1}{\sin \delta_2}$ . Im ersten

Falle hat man es mit einem Cylinder- und im zweiten mit einem Kegeltäderwerke zu thun, und es sind diese Folgerungen mit dem Obigen im vollkommensten Einklang.

Beispiel. Soll ein hyperboloidisches Räderwerk construirt werden, dessen kürzester Arenabstand  $d = 20$  Zoll, Arenwinkel  $\delta = 90^\circ$  und Umsehungsverhältniß  $\psi = \frac{2}{1}$  ist, so hat man für dasselbe, da in diesem Falle  $\sin \delta_2 = \cos \delta_1$ , also  $\frac{\sin \delta_1}{\sin \delta_2} = \frac{\sin \delta_1}{\cos \delta_1} = \tan \delta_1 = 2$  ist,

$$\delta_1 = 63^\circ 26' \text{ und } \delta_2 = 26^\circ 34'.$$

Ferner folgt der Halshalbmesser  $r_1 = \frac{20 \cdot 2}{2 + \frac{1}{2}} = \frac{80}{5} = 16$  und

$$r_2 = \frac{20 \cdot \frac{1}{2}}{2 + \frac{1}{2}} = 4 \text{ Zoll.}$$

Sollen endlich die beiden äußersten Berührungspunkte der Räder um 30 und 38 Zoll von dem kürzesten Arenabstande  $d$  entfernt sein, so hat man die entsprechenden Radhalbmesser für das eine Rad:

$$x_1 = \sqrt{16^2 + 30^2 (\sin 63^\circ 26')^2} = \sqrt{975,98} = 31,24 \text{ Zoll,}$$

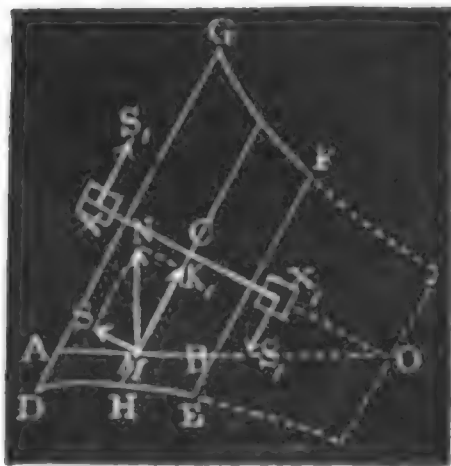
$$\text{und } = \sqrt{16^2 + 38^2 (\sin 63^\circ 26')^2} = \sqrt{1411,20} = 37,57 \text{ Zoll,}$$

und für das andere Rad:

$$x_2 = \sqrt{4^2 + 30^2 (\sin 26^\circ 34')^2} = \sqrt{196} = 14,00 \text{ Zoll,}$$

$$\text{und } = \sqrt{4^2 + 38^2 (\sin 26^\circ 34')^2} = \sqrt{304,83} = 17,45 \text{ Zoll.}$$

Fig. 122.



§. 44. Die Hyperboloidenräder stehen den Cylinder- und Kegeltädern nicht allein wegen der größeren Zahn-, sondern auch wegen der größeren Arenreibung nach. Die Normalkraft  $N$ , Fig. 122, mit welcher ein Rad auf das andere wirkt, zerlegt sich in eine Seitenkraft  $K$  in der Umdrehungsebene, und in eine Seitenkraft  $S$  parallel zur Radare  $XX$ ; jene bringt genau denselben Arendruck hervor, wie die Umdrehungskraft bei den

Cylinder- und Kegelhädern, diese hingegen sucht nicht allein das ganze Rad in der Axenrichtung fortzuschieben, sondern auch dasselbe um eine Linie rechtwinkelig zur Umdrehungsaxe zu drehen (s. I. S. 123). Ist  $M$  das Kraftmoment des Rades  $DEFG$  und  $x_1$  der mittlere Halbmesser  $CH$  desselben,

Hyperboloidenräder.

so hat man die Umdrehungskraft  $K_1 = \frac{M}{x_1}$ , und da nun  $K_1 c_1 = N c$

ist, die Normalkraft  $N = \frac{c_1}{c} K_1 = \frac{x_1 K_1}{\sqrt{x_1^2 - r_1^2 \sin. \delta_1^2}}$ .

und daher die Seitenkraft

$$S = \sqrt{N^2 - K_1^2} = \frac{r_1 \sin. \delta_1 \cdot K_1}{\sqrt{x_1^2 - r_1^2 \sin. \delta_1^2}} = \frac{r_1 \sin. \delta_1 \cdot K_1}{\sqrt{h^2 \sin. \delta_1^2 + r_1^2 \cos. \delta_1^2}},$$

wobei  $h$  den Abstand  $CO$  des Radmittels  $C$  von dem Perpendikel zwischen beiden Radaxen bezeichnet,  $r_1$  und  $\delta_1$  aber die oben angegebenen Bedeutungen haben.

Die Kraft  $S$  erzeugt eine Reibung an der Basis des Zapfens  $X$ , deren Moment bei dem Zapfenhalbmesser  $\varphi_1$ ,  $\frac{2}{3} \varphi S \varphi_1$  zu setzen ist, und dann eine Vergrößerung der Seitenreibung an beiden Zapfen  $X$  und  $X_1$ , die um so größer ausfällt, je kürzer die Radaxe  $XX_1$  ist. Bezeichnen wir die Länge

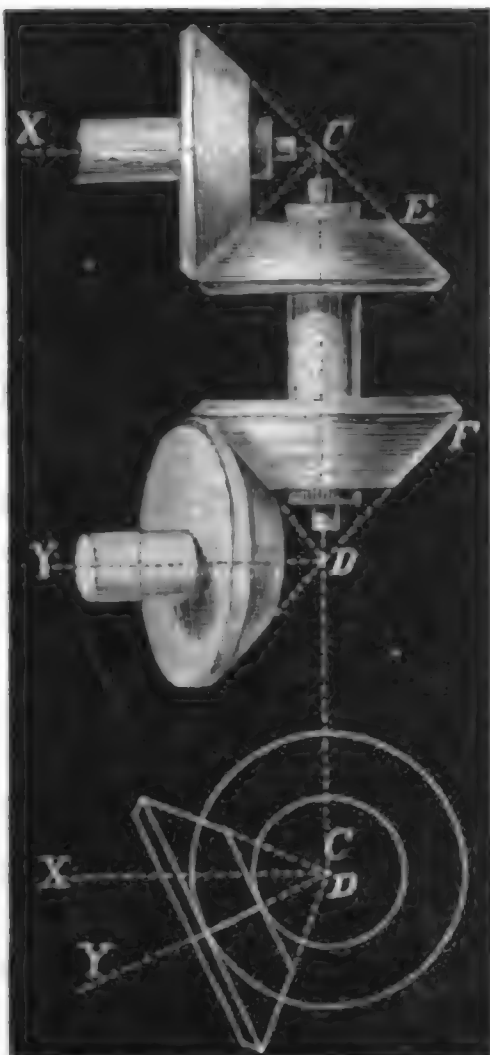
Fig 123.

$XX_1$  dieser Axe durch  $l_1$ , so haben wir die Seitenkraft in jedem der Zapfen,

$$S_1 = \frac{x_1}{l_1} S.$$

und es ist nun hiernach mit Anwendung des in §. 28 Vorgetragenen die Seitenreibung selbst zu berechnen.

Wegen dieser Hindernisse wendet man daher auch oft statt zweier Hyperboloidenräder ein doppeltes conisches Räderwerk an. Es kommt hierbei nur darauf an, daß man die beiden Axenrichtungen  $CX$  und  $DY$ , Figur 123 und Fig. 124 (auf folgd. Seite), durch eine Linie  $CD$  verbindet, und diese zur Umdrehungsaxe einer Welle mit zwei Zwischenrädern  $E$  und  $F$  macht.



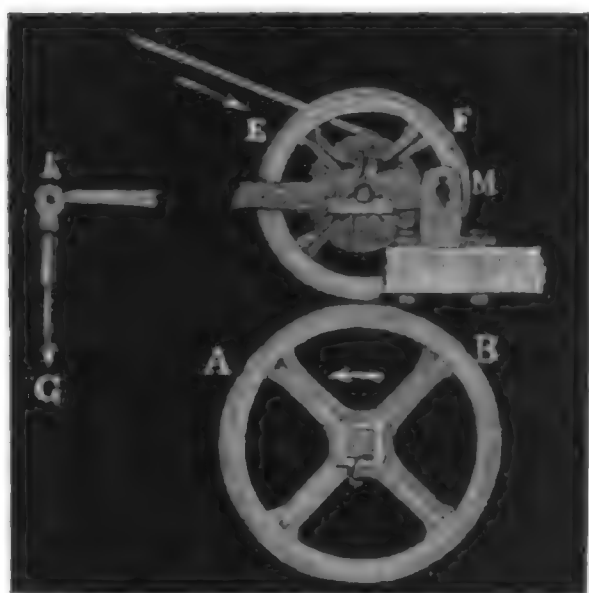




thige Druck zwischen den Rädern mindestens  $= 2K$  betragen müsse. Bei den Riemenrädern ist der Druck, mit welchem der Treibriemen die Räder gegen einander zieht, in der Regel, zumal wenn der mit Riemen bedeckte Bogen nahe den halben Radumfang einnimmt, kleiner als  $2K$ , und deshalb die Anwendung dieser Räder vortheilhafter als die der Reibungsräder. Die Vergrößerungen, welche die Zapfenreibungen beider Räder durch diesen Druck  $R$  erleiden, sind nach §. 28 zu beurtheilen. Ueberdies bieten aber die Reibungsräder noch den Uebelstand dar, daß wenigstens das eine von ihnen keine feste Lagerung erhalten kann, da nur durch die Arenlager der Druck  $R$  auf das Rad übertragen werden kann. Es werden deshalb die Reibungsräder auch nur selten, und in der Regel nur da angewendet, wo man es, wie z. B. bei Mühlen- oder Gichtaufzügen, mit

Reibungs-  
räder.

Fig. 125.



einer unveränderlichen Last zu thun hat, und wo ein sich oft wiederholendes In- und Außergangsetzen der Maschine nöthig ist.

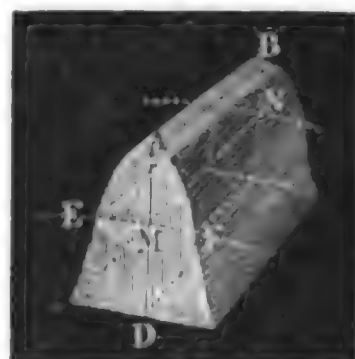
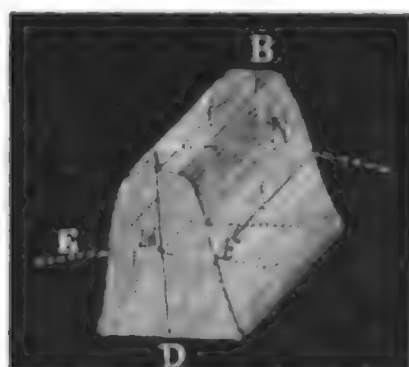
Die Einrichtung eines solchen Räderwerkes ist aus Fig. 125 zu ersehen.  $ACB$  ist das festgelagerte Treibrad und  $EDF$  das bewegliche Getriebrad. Die Zapfenlager des letzteren sitzen in einem gegabelten Hebel  $KDM$ , der um  $M$  drehbar ist, und durch eine bei  $K$  angreifende Kraft  $G$  auf oder nieder gedrückt wird, je nachdem das Getriebrad in oder außer Gang gesetzt werden soll.

§. 46. Die sicherste Mittheilung der rotirenden Bewegung findet jedenfalls nur bei den Zahnrädern (s. §. 25) Statt. Wir haben oben (§. 26) vorausgesetzt, daß die mit einander arbeitenden Räder eine und dieselbe Umfangsgeschwindigkeit  $c$  haben, und es ist nun nöthig, daß durch die Verzahnung der Radumfänge dieser Forderung kein Eintrag geschehe. Deshalb müssen die Zähne nicht nur bestimmte Formen haben, sondern auch in vollkommen gleichen Abständen von einander stehen. Man nennt diese Abstände die Theilung (franz. le pas; engl. the pitch) eines Räderwerkes, und trägt diese als Bögen auf diejenigen Kreise auf, in welchen man sich die Räder in Berührung denken kann. Deshalb heißen auch diese Kreise die Theilkreise oder Theilrisse des Räderwerkes (franz. cercles primitifs; engl. pitch circles). In der Regel legt man die Theilkreise mitten durch das Rad. Unter den Radhalbmessern ( $r_1$  und  $r_2$ ) werden stets die Halbmesser der Theilkreise verstanden. Die Zähne der Stirn-

Abstand

Zähne.

räder haben die Formen von Prismen, wie  $AEDFB$ , Fig. 126, die der  
 Regel- und Hyperboloidenräder aber die von abgestumpften Pyramiden, wie  
 Fig. 126. Fig. 127.



$AEDFB$ , Fig. 127. Bei jenen ist die gerade Erzeugungslinie in allen ihren Stellungen der Radaxe parallel, bei diesen ist sie aber stets nach dem Axendurchschnitte oder nach dem Berührungspunkte der Kehlkreise gerichtet. Als Leitlinie dient das Zahnprofil in der Theilkreisebene. Die End- oder Stirnflächen der Zähne legt man rechtwinkelig gegen die von der Erzeugungslinie gebildeten Seitenflächen. Sie fallen daher bei den Stirnrädern in eine Ebene winkelrecht zur Umdrehungsaxe und bei den Regel- und Hyperboloidenrädern in einen Kegelmantel. Jeder Zahn besteht aus einem Ober- oder Kopftheil, und aus einem Unter- oder Fußtheil; jener steht über dem Theilriß und dieser unter demselben. Die Seitenflächen des ersteren bilden die sogenannte Zahnwölbung, die des letzteren werden aber die Seiten oder Flanken des Zahnes schlechtweg genannt. Die Zahnform ist in der Regel eine symmetrische; sie läßt sich durch eine Ebene  $ABD$  in zwei congruente Hälften theilen. Von den drei Dimensionen eines Zahnes wird

die Breite  $AB$  (franz. largeur; engl. breath) in der Richtung der Radaxe, oder vielmehr der imaginären Berührungslinie  $MN$ ,

Die Dicke  $EF$  (franz. épaisseur; engl. thickness) im Umfang des Theilriffes, und

die Höhe oder Länge  $AD$  desselben (franz. longueur; engl. length) radial oder vielmehr rechtwinkelig zur Berührungsebene zwischen den Radoberflächen gelegt.

Zahn- und  
Nahmrad.

§. 47. Wiewohl die Zähne gewöhnlich auf dem äußeren Radumfang festsetzen, oder aus demselben hervorragen, so bringt man sie doch auch zuweilen an der inneren Umfläche des Radkranzes, oder wohl gar an einer der Stirnflächen desselben an.

Im ersteren Falle hat man es mit

äußerer Verzahnung (franz. engrenage extérieur; engl. spur-wheels),

im zweiten aber mit

innerer Verzahnung oder inneren Zahnrädern (franz. engrenage intérieur; engl. annular wheels) zu thun.

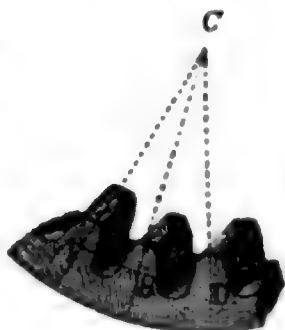
Fig. 128 zeigt ein Stück von einem Rade mit äußerer und Fig. 129 ein solches mit innerer Verzahnung, dort sind die Zähne A, B, D vom Kranze aus radial auswärts, hier aber radial einwärts gerichtet. Die

Fig. 128.

Fig. 129.

Fig. 130.

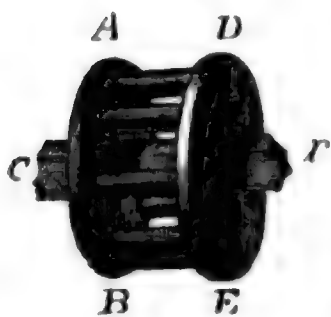
Fig. 131.



Räder mit Zähnen auf den Seitenflächen, wie in Fig. 130 und Fig. 131 zu sehen ist, heißen Kron- und Kammräder (franz. roues à couronne, roues à chan; engl. crown wheels, face wheels). Man nennt sehr gewöhnlich die Zähne dieser Räder Kämme, unterscheidet aber besser, wie die Engländer, Zähne (franz. dents; engl. teeths), von den Kammern (franz. aluchons; engl. cogs), indem man die mit dem Radkranze ein Ganzes ausmachenden Zähne, Zähne schlechtweg, die in den Radkranz eingesetzten Zähne (von Holz) Kämme nennt.

Um das Biegen und Abbrechen langer Zähne zu verhindern, befestigt

Fig. 132.



man diese auch oft mit ihren Enden in zwei parallelen Kränzen oder Scheiben A B und D E, wie z. B. in Fig. 132 zu sehen ist. Ein solches Rad nennt man dann gewöhnlich einen Drehling oder Trilling (franz. lanterne; engl. lantern, trundle, wallower), und die meist cylindrisch oder conisch geformten Zähne desselben werden Triebstöße (franz. fuseaux; engl. staves) genannt. Ein kleines Rad, wo die Zähne oder Stäbe mit dem Rade aus einem

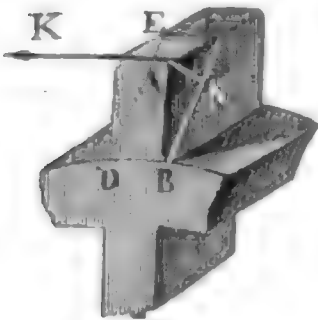
Stücke gearbeitet sind, nennen die Deutschen gewöhnlich einen Kumpf.

Wenn eine oscillirende oder absehbende Bewegung im Kreise fortzupflanzen ist, so bedarf man statt eines ganzen Rades nur eines Radsector's, und wenn es sich um eine hin- und hergehende geradlinige Bewegung handelt, so geht der Radsector in eine gezahnte Stange (franz. crémailière; engl. rack) über. Die Theorie dieser letzteren ist von der der Zahnräder nicht verschieden, denn man kann sich die Zahnstange als einen Radsector von unendlich großem Halbmesser denken.

Zahn- und  
Rahmräder.

§. 48. Das erste und wichtigste Element eines Zahnrades ist die Zahnstärke. Dieselbe hängt, wie wir sogleich beweisen wollen, nur von der Umdrehungskraft  $K$  ab. Da bei einer ungenauen Ausführung oder beim

Fig. 133.



Dazwischenkommen eines kleinen Körpers, die Kraft  $K$  in dem äußersten Eckpunkte  $A$ , Fig. 133, des Zahnes angreifen kann, so erfordert es die Sicherheit, diesen Eckpunkt  $A$  als Angriffspunkt anzunehmen, und eine solche Zahndicke anzuwenden, welche das Abbrechen der Ecke in der Fläche  $BDEF$  verhindert. Ein Perpendikel  $AN$  vom Eckpunkte  $A$  gegen die angenommene Bruchfläche  $ABEF$  ist der Hebelarm der Kraft. Setzen wir den Winkel  $ABF$ , um welchen diese Bruchfläche von der Stirnfläche  $ABD$  abweicht,  $= \varphi$ , so haben wir diesen Hebelarm  $AN = AB \sin. \varphi$  und die Breite der Bruchfläche

$$BF = \frac{AB}{\cos. \varphi}.$$

Bezeichnet man noch die Zahndicke  $BD$  (eigentlich ihren mittleren Werth) mit  $b$  und den Festigkeitsmodul mit  $K_1$ , so haben wir beim Abbrechen eines Balkens (s. I. §. 196)

$$AN \cdot K = BF \cdot \overline{BD^2} \cdot \frac{K_1}{6}, \text{ d. i.}$$

$$AB \sin. \varphi \cdot K = \frac{AB}{\cos. \varphi} \cdot b^2 \cdot \frac{K_1}{6}, \text{ folglich}$$

$$K = \frac{b^2 K_1}{6 \sin. \varphi \cos. \varphi} = \frac{b^2 K_1}{3 \sin. 2 \varphi}.$$

Der Sicherheit wegen ist nun für  $\varphi$  derjenige Werth zu nehmen, der  $K$  zum Minimo, also den Nenner  $3 \sin. 2 \varphi$  zum Maximo macht. Nun wird aber  $\sin. 2 \varphi$  am größten, und zwar  $=$  Eins, wenn  $2 \varphi = 90^\circ$ , also  $\varphi = 45^\circ$  ist, daher hat man also auch  $\sin. 2 \varphi = 1$  und

$$K = \frac{b^2 K_1}{3}, \text{ so wie umgekehrt,}$$

$$b = \sqrt{\frac{3 K}{K_1}} \text{ zu setzen.}$$

Setzt man nach I. §. 198 für Gußeisen  $\frac{K_1}{6} = 1000$  Pfund, so erhält man für Zähne aus diesem Stoffe, die Dicke

$$b = \sqrt{\frac{K}{2000}} = 0,0223 \sqrt{K},$$

wofür man aber wegen des allmäligen Abführens der Zähne

$$b = 0,03 \sqrt{K} \text{ nimmt.}$$



Die Kraft  $K$  bestimmt sich aus dem Arbeitsquantum  $L$  (Pferdekräfte), welches durch die Zähne von dem einen Rade auf das andere übertragen wird, und aus der Umfangsgeschwindigkeit  $c$  (Fuß) mittels der Formel  $K = \frac{510 L}{c}$ . Daher hat man denn die Stärke gußeiserner Zähne:

$$b = 0,03\sqrt{K} = 0,677 \sqrt{\frac{L}{c}} = 7,26 \sqrt{\frac{L}{u r}} \text{ Zoll,}$$

wofern  $u$  die Umdrehungszahl des Rades pr. Minute und  $r$  den in Zollen ausgedrückten Radhalbmesser bezeichnet.

Hölzerne Zähne müssen bei gleicher Sicherheit noch ein Mal so dick gemacht werden als gußeiserne; da man aber dieselben leicht auswechseln kann, und überdies zu ihrer Anfertigung das festeste harte Holz (oder Wurzeln) von Weißbuche, Esche, Birnbaum, Eßig- oder Vogelbeerbaum u. s. w. verwendet, so macht man sie oft nur um die Hälfte dicker als die gußeisernen Zähne, also

$$b = 0,045 \quad \sqrt{k} = 1,016 \quad \sqrt{\frac{L}{e}} = 10,89 \quad \sqrt{\frac{L}{u r}} \text{ Soll.}$$

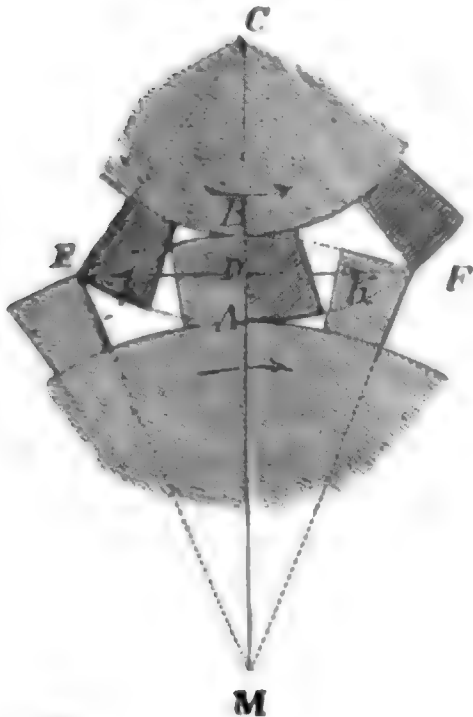
Die Zähne von Messing oder Rothguß erhalten um ein Drittel mehr Stärke als die von Gußeisen.

Endlich soll man Räderwerken, welche Stöße auszuhalten haben, wie z. B. bei Hammerwerken, Windmühlen u. s. w. stärkere Zähne geben, als die vorstehenden Regeln vorschreiben.

Beispiel. Für ein Zahnrad von 20 Zoll Halbmesser, welches pr. Minute 15 Umdrehungen zu machen und eine Leistung von 30 Pferdekraften fortzupflanzen hat, ist die Stärke seiner Zähne, wenn dieselben aus Gußeisen bestehen sollen:

$$b = 7,26 \sqrt{\frac{30}{15 \cdot 20}} = 7,26 \sqrt{0,1} = 2,30 \text{ Zoll.}$$

Fig. 134.



§. 49. Die Breite eines Zahnes, Zahn-  
parallel zur Nadaxe, oder vielmehr zur Dimensionen.  
imaginären Berührungslinie gemessen,  
wird

bei langsam umlaufenden Rädern:

$$l = 4b \text{ bis } 5b,$$

bei schnell umgehenden aber

$l = 6b$  bis  $7b$

gemacht.

Die Zahnhöhe oder Länge  $h$  ist von der Zahnform abhängig, und muß daher für jede Zahnform besonders bestimmt werden. Gewöhnlich ist jedoch

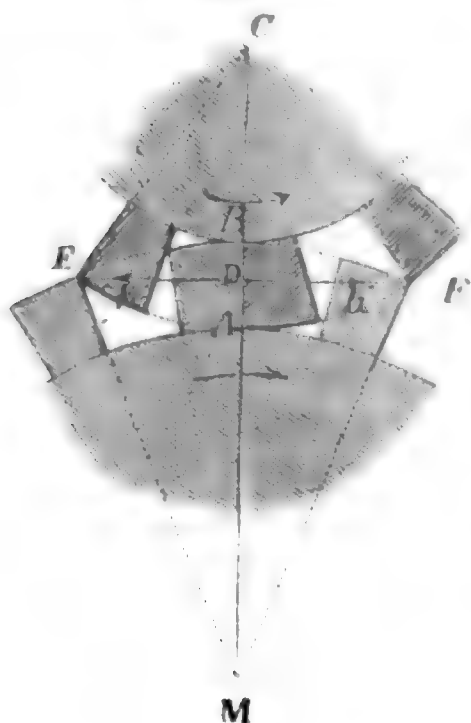
$$h = 1,2 b \text{ bis } 1,5 b.$$

Wären die Zähne von ebenen Sei-

Zahn-  
dimensionen.

tenflächen begrenzt, wie z. B. Fig. 135 vor Augen führt, so würde die

Fig. 135.



Zahnlänge  $AB = h$  mindestens der Summe  $AD + DB$  zweier Bogenhöhen  $AD$  und  $BD$  gleich sein müssen. Setzen wir die Hälfte  $DE = DF$  der Sehne  $EF$ , welche den Anfangs- und Endpunkt des Eingriffes verbindet,  $= s$ , und die Halbmesser  $CE$  und  $ME$  oder  $CF$  und  $MF$ ,  $= r_1$  und  $r_2$ , so haben wir annähernd

$$AD = \frac{s^2}{2r_1} \text{ und } BD = \frac{s^2}{2r_2},$$

und daher die gesuchte Zahnlänge:

$$h = \frac{s^2}{2} \left( \frac{1}{r_1} + \frac{1}{r_2} \right).$$

Wenn, wie gewöhnlich, und wie auch aus der Figur zu ersehen ist, immer zwei Paar Zähne mit einander im Eingriff sind, also der Eingriff eines Zahnepaares ( $E$ ) beginnt, wenn der Eingriff eines anderen ( $F$ ) aufhört, so läßt sich  $DE = DF =$  der Theilung  $s$  und also auch annähernd der doppelten Zahndicke  $2b$  gleichsetzen.

Auch kann man für  $r_1$  und  $r_2$  die Theilkreishalbmesser  $CD$  und  $MD$  substituieren.

Die Weite der Zahnücke nimmt man, um das Einklemmen zu vermeiden, um ein Zehntel größer als die Zahndicke, jedoch geht man damit bei den auf das Genaueste ausgeführten Rädern aus Eisen oder Messing auf  $\frac{1}{15}$  herab, und steigt bei wenig accurat herzustellenden Zahnrädern von Holz bis auf  $\frac{1}{7}$ . Halten wir die Mittelzahl  $\frac{1}{10}$  fest, so bekommen wir für die Weite einer Zahnücke  $= 1,1 b$  und daher die Theilung

$$s = b + 1,1 b = 2,1 b.$$

Um einen sanften Gang zu erhalten und dem starken Abführen der Zähne zu begegnen, macht man gern die Zähne des einen Rades von Holz, und stellt das andere Rad ganz aus Eisen her. Ist dann  $b_1$  die Stärke eines eisernen und  $b_2$  die eines hölzernen Zahnes, so hat man

$$s = b_1 + 1,1 b_2.$$

Zahnezahl.

§. 50. Aus der gefundenen Theilung  $s$  ergibt sich endlich noch die entsprechende Anzahl  $n$  der Zähne, indem man setzt

$$n = \frac{2\pi r}{s} = 6,283 \frac{r}{s},$$

und hierbei immer die nächst größere oder kleinere ganze Zahl annimmt. Man hat

für $s =$	$\frac{1}{4}$	$\frac{1}{2}$	$\frac{3}{4}$	1	$1\frac{1}{2}$	2	$2\frac{1}{2}$	3 Zoll.
$n =$	25,133	12,566	8,378	6,283	4,189	3,141	2,513	2,094 r.
und $r =$	0,03979	0,07958	0,1194	0,1592	0,2387	0,3183	0,3979	0,4775 n.

3 Zähneabl.

Zum Auftragen der Theilung kann man natürlich nur die Sehne des Theilkreisbogens zwischen die Zirkelspitzen fassen, der von der Theilung  $s$  gebildet wird. Es ist daher nöthig, daß man das Verhältniß dieser Sehne  $s_1$  zum Bogen  $s$  kenne.

Der der Theilung  $s$  entsprechende Theilwinkel  $\beta$  ist bestimmt durch die bekannte Formel

$$\beta^{\circ} = \frac{360^{\circ}}{n} = \frac{360^{\circ} s}{2 \pi r} = \frac{180^{\circ} s}{\pi r} = 57^{\circ},296 \frac{s}{r},$$

und aus ihm bestimmt sich die Sehne, durch die ebenfalls bekannte Formel

$$s_1 = 2 r \sin. \frac{\beta}{2} = 2 r \sin. \left( \frac{180^{\circ}}{n} \right) = 2 r \sin. \left( 28^{\circ},648 \frac{s}{r} \right).$$

Annähernd kann man (s. Ingenieur, S. 225)

$$\sin. \frac{\beta}{2} = \frac{\beta}{2} - \frac{\beta^3}{2 \cdot 3 \cdot 8} = \frac{\beta}{2} (1 - \frac{1}{24} \beta^2),$$

wo  $\beta = \frac{s}{r}$ , den Bogen für den Halbmesser 1 bezeichnet, setzen, daher auch

$$\begin{aligned} s_1 &= 2 r \cdot \frac{s}{2 r} \left[ 1 - \frac{1}{24} \left( \frac{s}{r} \right)^2 \right] = s \left[ 1 - \frac{1}{24} \left( \frac{s}{r} \right)^2 \right] \\ &= \frac{2 \pi r}{n} \left[ 1 - \frac{1}{24} \cdot \left( \frac{2 \pi}{n} \right)^2 \right] = \frac{6,283 r}{n} \left( 1 - \frac{1,645}{n^2} \right) \text{ folgt.} \end{aligned}$$

Wir werden weiter unten sehen, daß die Reibung zwischen den Zähnen um so kleiner ausfällt, je größer die Anzahl der Zähne ist. Aus diesem Grunde vermehrt man auch diese Zahl soviel wie möglich, oder wendet, was auf Eins hinauskommt, möglichst hohe Räder an. Nach Buchanan ist zu einem guten Gange erforderlich, daß ein Treibrad mindestens 6 und ein Getriebrad wenigstens 10 Zähne habe; es ist jedoch rathsam, jene Zahlen mindestens auf resp. 8 und 12 zu steigern, und nur bei Drillingen eine so kleine Anzahl von Triebstöcken anzuwenden. Bei Räderwerken, welche einen sanften Gang erfordern, geht man aber mit der Anzahl der Zähne nicht gern unter 20 herab.

Damit sich die Zähne des kleineren Rades im Vergleich zu denen des größeren nicht zu schnell abnutzen, ist es auch rathsam, mit dem Umsehungsverhältniße  $\psi$  die Grenzen  $\frac{6}{1}$  und  $\frac{1}{8}$  nicht zu überschreiten, also dem größ-

**Zähnezahl.** Deren Rade nicht mehr als höchstens 6 Mal so viel Zähne zu geben als dem kleineren Rade. Meist begnügt man sich aber mit dem Umsehungsverhältnisse  $\frac{3}{1}$  oder  $\frac{1}{3}$ , und wendet zur weiteren Umsehung mehrfache Räderwerke an.

Endlich ist es auch zweckmäßig, wenn die Anzahl der Zähne des Treib- und die des Getriebrades keinen gemeinschaftlichen Theiler haben, weil dann jeder Zahn des einen Rades nach und nach mit jedem des anderen zum Eingriff kommt, und dadurch das stärkere und ungleichmäßige Abführen der Zähne vermieden wird, was eintritt, wenn nur gewisse Zähne des einen Rades mit gewissen des anderen in Berührung kommen. Hätte z. B. das eine Rad 20 und das andere 28 Zähne, wären also beide Zähnezahlen durch 4 theilbar, so würde jeder Zahn des ersten Rades nur mit 7 Zähnen des anderen, und jeder des anderen nur mit 5 Zähnen des ersteren zusammentreffen; geben wir aber dem letzteren Rade 29 Zähne, so wird während 29 Umdrehungen des ersteren oder 20 Umdrehungen des letzteren, jeder der 20 Zähne des ersteren Rades mit jedem der 29 des anderen ein Mal in Berührung kommen. Am besten ist es, für die Anzahl der Zähne des kleineren Rades Primzahlen, wie 13, 17, 19, 23 u. s. w. auszuwählen, weil dann für das größere Rad leicht eine durch die Zahl der Radarme theilbare Zähnezahl gefunden werden kann.

**Beispiel.** Wenn eine Welle von einer anderen ein Arbeitsquantum  $L$  von 25 Pferbekräften aufnehmen und pro Minute 9 Umdrehungen machen soll, während jene 27 Mal umläuft, kann man auf dieselbe ein Getriebrad von 54 Zoll, und auf die Umtriebswelle ein Treibrad von 18 Zoll Halbmesser aufsetzen. Stellt man nun das kleinere Getriebrad ganz aus Gußeisen her, so hat man die Stärke

seiner Zähne  $b_1 = 7,26 \sqrt{\frac{25}{27 \cdot 18}} = 1,65$  Zoll, und versteht man das große Getriebrad mit hölzernen Zähnen, so kann man diese von der Stärke

$$b_2 = 1,5 \cdot b_1 = 1,5 \cdot 1,65 = 2,47 \text{ Zoll}$$

machen, und folglich die Theilung

$$s = 1,65 + 1,1 \cdot 2,47 = 4,37 \text{ Zoll}$$

in Anwendung bringen. Diese Theilung führt auf die Zähnezahlen

$$n_1 = \frac{2 \pi r_1}{s} = \frac{6,283 \cdot 18}{4,37} = 25,88 \text{ und}$$

$$n_2 = \frac{2 \pi r_2}{s} = \frac{6,283 \cdot 54}{4,37} = 77,64,$$

so daß dem Treibrade 26 und dem Getriebrade 77 oder 78 Zähne zu geben sein möchten. Behalten wir die Zahlen 26 und 77 bei, so wird allerdings das Umsehungsverhältniß  $\psi = \frac{26}{77} = 0,3376$ , also nicht ganz  $\frac{1}{3}$ , wie gefordert wird; wogegen durch die Zähnezahlen  $n_1 = 26$  und  $n_2 = 78$  dieser Forderung vollkommen Genüge geleistet wird. Die der Zähnezahl  $n_1 = 26$  entsprechende Spannweite der Theilung des Treibrades ist

$$s_1 = \frac{6,283 \cdot 18}{26} \left(1 - \frac{1,645}{26^2}\right) = 4,350 (1 - 0,00243) = 4,339 \text{ Zoll,}$$



und die der Zähnezahl  $n_2 = 77$  des Getriebrades entsprechende Birkelfpannung: Zähnezahl.

$$s_2 = 4,350 \left(1 - \frac{1,645}{77^2}\right) = 4,350 (1 - 0,00027) = 4,349 \text{ Zoll.}$$

Anmerkung. Tabellen zur Erleichterung der Rechnungen bei Anordnung eines Räderwerkes theilt der »Ingenieur«, Seite 561, 562 und 563 mit.

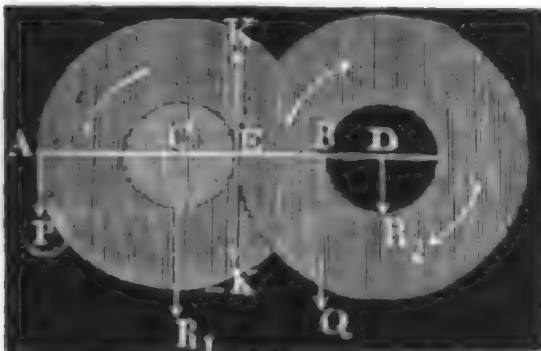
§. 51. Da die Theilung  $s$  zweier mit einander arbeitenden Räder eine und dieselbe sein muß, so hat man für die Zähnezahlen  $n_1$  und  $n_2$  und die Theilungshalbmesser  $r_1$  und  $r_2$  dieser Räder:

$$n_1 = \frac{2 \pi r_1}{s} \text{ und } \frac{2 \pi r_2}{s}, \text{ also } \frac{n_1}{n_2} = \frac{r_1}{r_2} = \frac{u_2}{u_1} = \psi.$$

Es verhalten sich also die Zähnezahlen zweier in einander greifenden Räder wie ihre Theilungshalbmesser, oder umgekehrt wie die Umdrehungszahlen der Räder, und es ist das Umsetzungsverhältniß auch gleich dem Verhältnisse zwischen der

Zähnezahl des Treibrades und dem des Getriebrades.

Fig. 136.



Auch können wir hiernach bei einem Räderwerke, wie Figur 136, (s. §. 26), wo die Last  $Q$  an einem Hebelarme  $DB = b$ , und die Kraft  $P$  an einem Hebelarme  $CA = a$  wirkt, statt

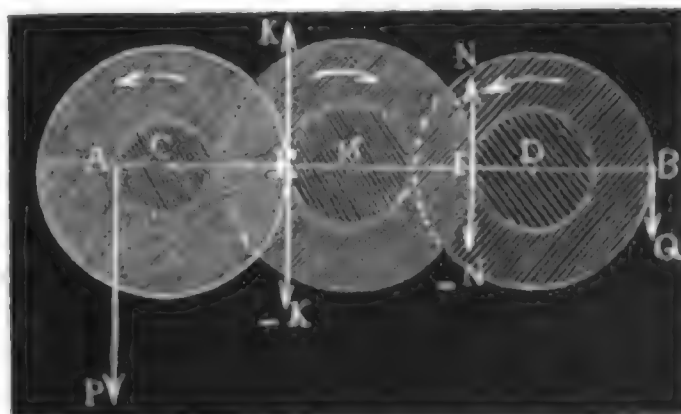
$$\frac{P}{Q} = \frac{r_1}{r_2} \cdot \frac{b}{a} = \frac{n_1}{n_2} \cdot \frac{b}{a}, \text{ also } P = \frac{n_1}{n_2} \cdot \frac{b}{a} Q,$$

so wie das Verhältniß der Geschwindigkeiten  $v$  und  $w$  von  $P$  und  $Q$ :

$$\frac{w}{v} = \frac{r_1}{r_2} \cdot \frac{b}{a} = \frac{n_1}{n_2} \cdot \frac{b}{a}, \text{ also } w = \frac{n_1}{n_2} \cdot \frac{b}{a} v \text{ setzen.}$$

Ebenso ist für ein doppeltes Räderwerk, wie Fig. 137, wenn  $n_1$  die

Fig. 137.



Zahl der Zähne des Treibrades  $CE$ ,  $n_2$  die Zähnezahl des Getriebrades  $ME$ ,  $n_3$  die Zähnezahl des Treibrades  $MF$  und  $n_4$  die des Getriebrades  $DF$



*Zähnezabl.* bezeichnet, Kraft  $P$  und Last  $Q$  aber an den Hebelarmen  $CA = a$  und  $DB = b$  wirken, das Kräfte- oder umgekehrte Geschwindigkeitsverhältniß:

$$\frac{P}{Q} = \frac{w}{v} = \frac{n_1}{n_2} \cdot \frac{n_3}{n_4} \cdot \frac{b}{a}.$$

**Beispiel.** Um mittels eines Aufzuges eine Last  $Q$  von 3000 Pfund zu heben, die an einem Hebelarme  $b = 8$  Zoll wirkt, ist, wenn jedes der beiden Treibräder 15 Zähne, das eine Getriebrad 48 und das andere 64 Zähne hat, eine am Hebelarme  $a = 20$  Zoll wirkende Kraft

$$P = \frac{15}{48} \cdot \frac{15}{64} \cdot \frac{8}{20} \cdot 3000 = 87,89 \text{ Pfund}$$

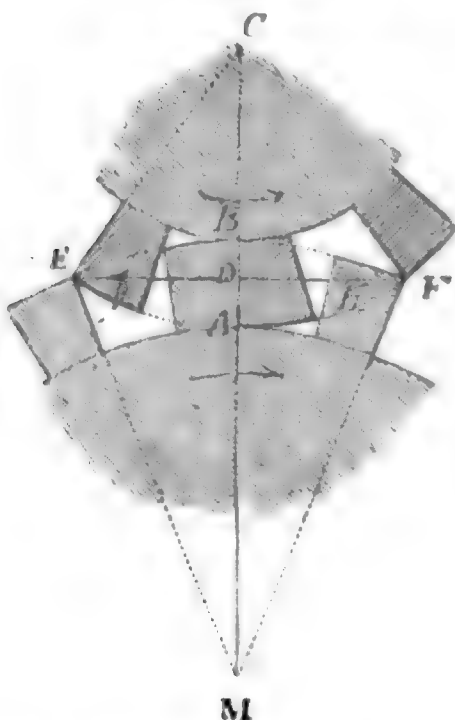
nöthig, und um diese Last 20 Fuß hoch zu heben, muß der Kraftpunkt einen Weg von  $\frac{48}{15} \cdot \frac{64}{15} \cdot \frac{20}{8} \cdot 20 = 682\frac{2}{3}$  Fuß, also die Kraftwelle

$$\frac{682\frac{2}{3}}{\pi \frac{40}{12}} = \frac{2048}{31,415} = 65,2 \text{ Umdrehungen machen.}$$

*Zahnreibung.*

§. 52. Die Reibung zwischen den Zähnen eines Stirnrades läßt sich,

Fig. 138.



wenn wir die Zähne von ebenen Seitenflächen, wie in Fig. 138, begrenzt annehmen, auf folgende Weise ermitteln. Die Kraft, mit welcher die Zähne gegen einander drücken, ist zwar etwas veränderlich, kann aber, weil diese Veränderlichkeit nur klein ist, der Kraft  $K$  im Berührungspunkte  $D$  der Theilkreise gleichgesetzt werden. Ihr entspricht daher bei dem Reibungscoefficienten  $\varphi$  eine parallel zur Zahnfläche  $AB$  wirkende Reibung  $F_1 = \varphi K$ . Während ein arbeitendes Zähnpaar von dem ersten Eingriff  $E$  bis in die Centrallinie  $CM$  rückt, und also den Weg  $ED$  zurücklegt, durchläuft die Ecke des einen Zahnes

die ganze Seitenfläche des anderen, und während das Zähnpaar aus der Centrallinie bis zum Ende des Eingriffs rückt, schiebt sich die Ecke des anderen Zahnes an der ganzen Seitenfläche des ersteren hin. Es durchläuft folglich die Reibung  $F_1 = \varphi K$  den Weg  $AB$ , während die Kraft  $K$  im Theilkreise einen Weg  $DE = DF = s$  macht. Nun ist aber nach §. 49,

$$AB = \frac{s^2}{2} \left( \frac{1}{r_1} + \frac{1}{r_2} \right), \text{ daher folgt denn die auf den Theilkreis re-}$$

$$\text{ducirte Zahnreibung } F = \frac{AB}{s} \cdot F_1 = \frac{s}{2} \left( \frac{1}{r_1} + \frac{1}{r_2} \right) \cdot \varphi K.$$

Wenn nun, wie meist immer, zwei Paar Zähne im Eingriff sind, so ist auch  $s$  die Theilung, und bezeichnen nun noch  $n_1$  und  $n_2$  die den Radhalb-

messern  $r_1$  und  $r_2$  entsprechenden Zähnezahlen, so haben wir

$$s = \frac{2\pi r_1}{n_1} = \frac{2\pi r_2}{n_2}, \text{ daher } \frac{s}{2r_1} = \frac{\pi}{n_1} \text{ und } \frac{s}{2r_2} = \frac{\pi}{n_2},$$

endlich aber

$$F = \left( \frac{\pi}{n_1} + \frac{\pi}{n_2} \right) \varphi K = \left( \frac{1}{n_1} + \frac{1}{n_2} \right) \pi \varphi K.$$

Im Mittel kann man  $\varphi = 0,11$  und deshalb  $\pi \varphi = 1/3$ , also

$$F = \left( \frac{1}{n_1} + \frac{1}{n_2} \right) \frac{K}{3} \text{ setzen.}$$

Sind nicht 2, sondern  $\nu$  Zähne im Eingriff, so ist

$$s = \frac{\nu}{2} \cdot \frac{2\pi r_1}{n_1} = \frac{\nu}{2} \cdot \frac{2\pi r_2}{n_2}, \text{ und daher}$$

$$F = \left( \frac{1}{n_1} + \frac{1}{n_2} \right) \frac{\nu \pi}{2} \cdot \varphi K.$$

Es läßt sich später nachweisen, daß diese Formel auch für Zähne gilt, deren Seitenflächen nach einer krummen Linie abgerundet sind, wenn die Länge derselben klein, also die Anzahl derselben sehr groß ist.

Für den Eingriff eines Zahnrades in eine gezahnte Stange hat man  $n_2 = \infty$ , daher  $\frac{1}{n_2} = 0$ , und die gesuchte Zahnreibung

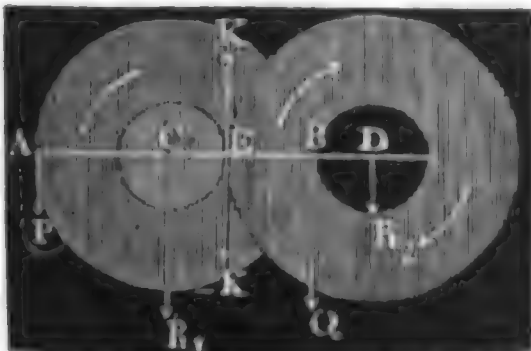
$$F = \frac{\pi}{n_1} \varphi K.$$

Das Hauptergebnis, welches sich in der gefundenen Formel herausstellt, ist, daß die Zahnreibung um so kleiner ausfällt, je mehr die Räder Zähne haben.

Die Kraft im Theilkreise mit Berücksichtigung der Zahnreibung ist hier-

$$\text{nach } K + F = \left[ 1 + \left( \frac{1}{n_1} + \frac{1}{n_2} \right) \pi \varphi \right] K,$$

Fig. 139.



$$\text{d. i. } 1 + \left( \frac{1}{n_1} + \frac{1}{n_2} \right) \pi \varphi'$$

Mal so groß als ohne Zahnreibung; und deshalb ist auch für ein Räderwerk, wie Fig. 139 (§. 26), bei dem die Kraft  $P$  am Hebelarm  $a$  und die Last  $Q$  am Hebelarm  $b$  wirkt, mit Berücksichtigung der Zahnreibung

Zahnreibung.

$$\begin{aligned}
 P &= \left[ 1 + \left( \frac{1}{n_1} + \frac{1}{n_2} \right) \pi \varphi \right] \frac{r}{a} K \\
 &= \left[ 1 + \left( \frac{1}{n_1} + \frac{1}{n_2} \right) \pi \varphi \right] \frac{r_1}{a} \cdot \frac{b}{r_2} Q \\
 &= \left[ 1 + \left( \frac{1}{n_1} + \frac{1}{n_2} \right) \right] \frac{n_1}{n_2} \cdot \frac{b}{r_2} Q.
 \end{aligned}$$

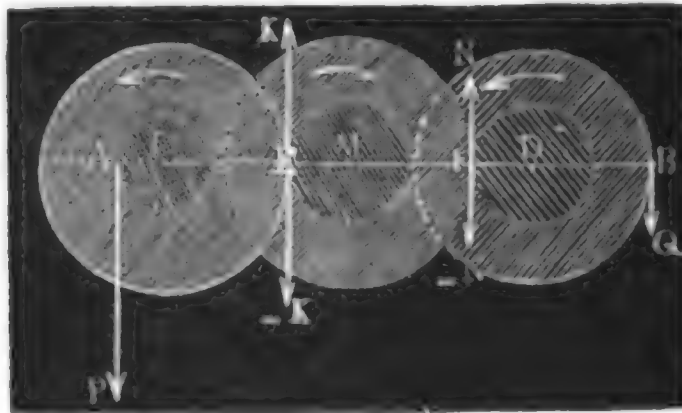
Für ein doppeltes Räderwerk ist ebenso

$$P = \left[ 1 + \left( \frac{1}{n_1} + \frac{1}{n_2} \right) \pi \varphi \right] \left[ 1 + \left( \frac{1}{n_3} + \frac{1}{n_4} \right) \pi \varphi \right] \cdot \frac{n_1}{n_2} \cdot \frac{n_3}{n_4} Q,$$

annähernd

$$P = \left[ 1 + \left( \frac{1}{n_1} + \frac{1}{n_2} + \frac{1}{n_3} + \frac{1}{n_4} \right) \pi \varphi \right] \frac{n_1}{n_2} \cdot \frac{n_3}{n_4} Q.$$

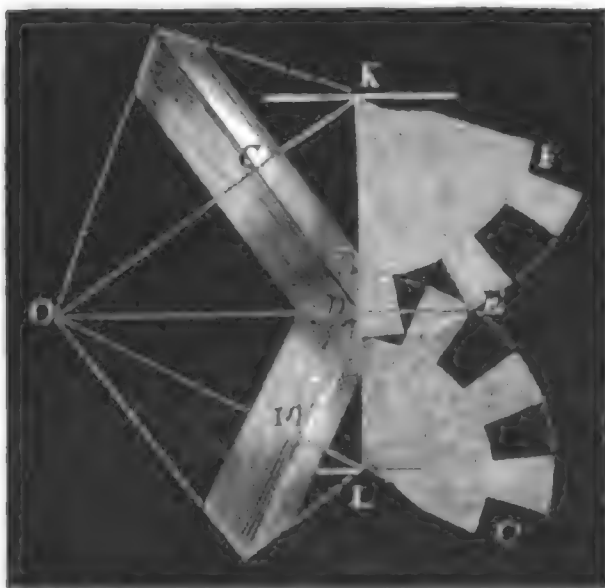
Beispiel. Nach der vorstehenden Regel ist für den Aufzug mit doppeltem  
Fig. 140.



Räderwerke, Fig. 140, im vorigen Beispiele, die Kraft, mit Berücksichtigung der Zahnreibung, wenn wir  $\pi \varphi = \frac{1}{3}$  setzen,

$$\begin{aligned}
 P &= \left[ 1 + \left( \frac{1}{15} + \frac{1}{15} + \frac{1}{48} + \frac{1}{64} \right) \cdot \frac{1}{3} \right] \cdot \frac{15}{48} \cdot \frac{15}{64} \cdot \frac{8}{20} \cdot 3000 \\
 &= \left( 1 + \frac{1}{3} \cdot 0,1696 \right) \cdot \frac{5}{16} \cdot \frac{3}{32} \cdot 3000 = 1,0565 \cdot 87,9 = 92,86 \text{ Pfund,} \\
 &\text{d. i. reichlich } 5\frac{1}{2} \text{ Procent größer als ohne Zahnreibung. Die nach §. 28 zu} \\
 &\text{Fig. 141.}
 \end{aligned}$$

berechnende Zapfenreibung vergrößert diese Kraft ebenfalls noch um einige Procent.



§. 53. Die Theorie der Zahnreibung u. s. w. von einem conischen Räderwerke läßt sich leicht aus der eines cylindrischen Räderwerkes, und zwar wie folgt, entwickeln. Zwei Wellen  $OK$  und  $OL$ , Fig. 141, welche einen gewissen Winkel  $KOL = \delta$  zwischen sich einschließen, lassen sich nicht nur durch zwei conische Räder

der  $DC$  und  $DM$ , sondern auch durch zwei (in der Abbildung umgeklappte) Zahnreibung. Sektoren mit einander in Verbindung setzen. Es ist das Umsehungsverhältniß eins und dasselbe, wenn die gemeinschaftliche Umdrehungsebene  $KDL$  beider Sektoren winkelrecht auf der gemeinschaftlichen Berührungslinie  $OD$  steht und die Umdrehungsachsen derselben parallel mit dieser Linie laufen. Für diese Sektoren ist aber die Zahnreibung genau wie bei den Stirnrädern

$$F = \frac{s}{2} \left( \frac{1}{y_1} + \frac{1}{y_2} \right) \varphi K,$$

wenn  $s$  die Theilung  $DE$  bezeichnet, welche die Sektoren mit den conischen Rädern gemeinschaftlich haben,  $y_1$  und  $y_2$  aber die Halbmesser  $KD$  und  $LD$  repräsentiren. Diese Sektorenhalbmesser lassen sich aber aus den Radhalbmessern  $CD = r_1$  und  $MD = r_2$  und den Arenwinkeln  $DOC = \delta_1$  und  $DOM = \delta_2$ , da  $KDC = DOC$  und  $LDM = DOM$  ist, mittels der Ausdrücke  $y_1 = \frac{r_1}{\cos. \delta_1}$  und  $y_2 = \frac{r_2}{\cos. \delta_2}$  berechnen, weshalb nun

$$F = \frac{s}{2} \left( \frac{\cos. \delta_1}{r_1} + \frac{\cos. \delta_2}{r_2} \right) \varphi K \text{ sich herausstellt.}$$

Noch ist aber nach §. 38,  $\sin. \delta_1 = \frac{r_1 \sin. \delta}{\sqrt{r_1^2 + r_2^2 + 2 r_1 r_2 \cos. \delta}}$ , also

$$\frac{\cos. \delta_1}{r_1} = \frac{\sqrt{\left(\frac{r_2}{r_1}\right)^2 + 2 \left(\frac{r_2}{r_1}\right) \cos. \delta + \cos. \delta^2}}{\sqrt{r_1^2 + r_2^2 + 2 r_1 r_2 \cos. \delta}}$$

$$= \left( \frac{r_2}{r_1} + \cos. \delta \right) : \sqrt{r_1^2 + r_2^2 + 2 r_1 r_2 \cos. \delta} \text{ und ebenso}$$

$$\frac{\cos. \delta_2}{r_2} = \left( \frac{r_1}{r_2} + \cos. \delta \right) : \sqrt{r_1^2 + r_2^2 + 2 r_1 r_2 \cos. \delta}, \text{ daher}$$

$$\begin{aligned} \frac{\cos. \delta_1}{r_1} + \frac{\cos. \delta_2}{r_2} &= \left( \frac{r_1}{r_2} + \frac{r_2}{r_1} + 2 \cos. \delta \right) : \sqrt{r_1^2 + r_2^2 + 2 r_1 r_2 \cos. \delta} \\ &= \frac{r_1^2 + r_2^2 + 2 r_1 r_2 \cos. \delta}{r_1 r_2} : \sqrt{r_1^2 + r_2^2 + 2 r_1 r_2 \cos. \delta} \end{aligned}$$

$$= \sqrt{\frac{1}{r_1^2} + \frac{1}{r_2^2} + 2 \cdot \frac{1}{r_1} \cdot \frac{1}{r_2} \cos. \delta},$$

und folglich

$$F = \frac{s}{2} \sqrt{\frac{1}{r_1^2} + \frac{1}{r_2^2} + 2 \cdot \frac{1}{r_1} \cdot \frac{1}{r_2} \cos. \delta} \cdot \varphi K.$$

Führen wir endlich noch  $\frac{s}{2 r_1} = \frac{\pi}{n_1}$  und  $\frac{s}{2 r_2} = \frac{\pi}{n_2}$  ein, so erhalten wir die in Frage stehende Zahnreibung

Zahnreibung.

$$F = \sqrt{\frac{1}{n_1^2} + \frac{1}{n_2^2} + 2 \cdot \frac{1}{n_1} \cdot \frac{1}{n_2} \cos. \delta} \cdot \pi \varphi K,$$

und daher auch

$$P = \left(1 + \pi \varphi \sqrt{\frac{1}{n_1^2} + \frac{1}{n_2^2} + 2 \cdot \frac{1}{n_1} \cdot \frac{1}{n_2} \cos. \delta}\right) \frac{n_1}{n_2} \cdot \frac{b}{a} Q,$$

wenn  $Q$  die Last und  $P$  die Kraft,  $b$  den Hebelarm der ersteren und  $a$  den der letzteren bezeichnet.

Stehen die Radaren auf einander rechtwinkelig, so hat man

$$\cos. \delta = \cos. 90^\circ = 0, \text{ und daher } F = \sqrt{\frac{1}{n_1^2} + \frac{1}{n_2^2}} \cdot \pi \varphi K.$$

Liegen hingegen die Aren parallel, also die Radflächen in einerlei Ebene, so hat man bei äußerer Berührung  $\cos. \delta = \cos. 0 = 1$ , und daher wie oben

$$F = \sqrt{\frac{1}{n_1^2} + 2 \cdot \frac{1}{n_1} \cdot \frac{1}{n_2} + \frac{1}{n_2^2}} \cdot \pi \varphi K = \left(\frac{1}{n_1} + \frac{1}{n_2}\right) \cdot \pi \varphi K,$$

endlich bei innerer Berührung  $\cos. \delta = \cos. 180^\circ = -1$ , also

$$F = \sqrt{\frac{1}{n_1^2} - 2 \cdot \frac{1}{n_1} \cdot \frac{1}{n_2} + \frac{1}{n_2^2}} \cdot \pi \varphi K = \left(\frac{1}{n_1} - \frac{1}{n_2}\right) \cdot \pi \varphi K,$$

wobei aber für  $n_1$  stets die kleinere Zähnezahl zu setzen ist. Man ersieht hieraus, daß die Zahnreibung bei inneren Stirnrädern am kleinsten, bei äußeren Stirnrädern aber am größten ist, und daß sie bei conischen Rädern einen mittleren Werth hat.

Beispiel. Für ein einfaches Räderwerk, dessen Räder 47 und 18 Zähne haben, ist die Zahnreibung

1) bei rechtwinkliger Arenlage

$$F = \sqrt{\frac{1}{17^2} + \frac{1}{48^2}} \cdot \pi \varphi K = 0,0624 \pi \varphi K,$$

2) bei paralleler Arenlage und äußerer Berührung:

$$F = \left(\frac{1}{17} + \frac{1}{48}\right) \cdot \pi \varphi K = 0,0796 \pi \varphi K,$$

endlich 3) bei paralleler Arenlage und innerer Berührung:

$$F = \left(\frac{1}{17} - \frac{1}{48}\right) \cdot \pi \varphi K = 0,0380 \pi \varphi K.$$

Ist  $\pi \varphi = \frac{1}{3}$ , so verzehrt hiernach die Zahnreibung im ersten Falle reichlich 2, im zweiten reichlich  $2\frac{1}{4}$ , und im dritten Falle nahe  $1\frac{1}{4}$  Procent der Arbeitskraft des Räderwerkes.

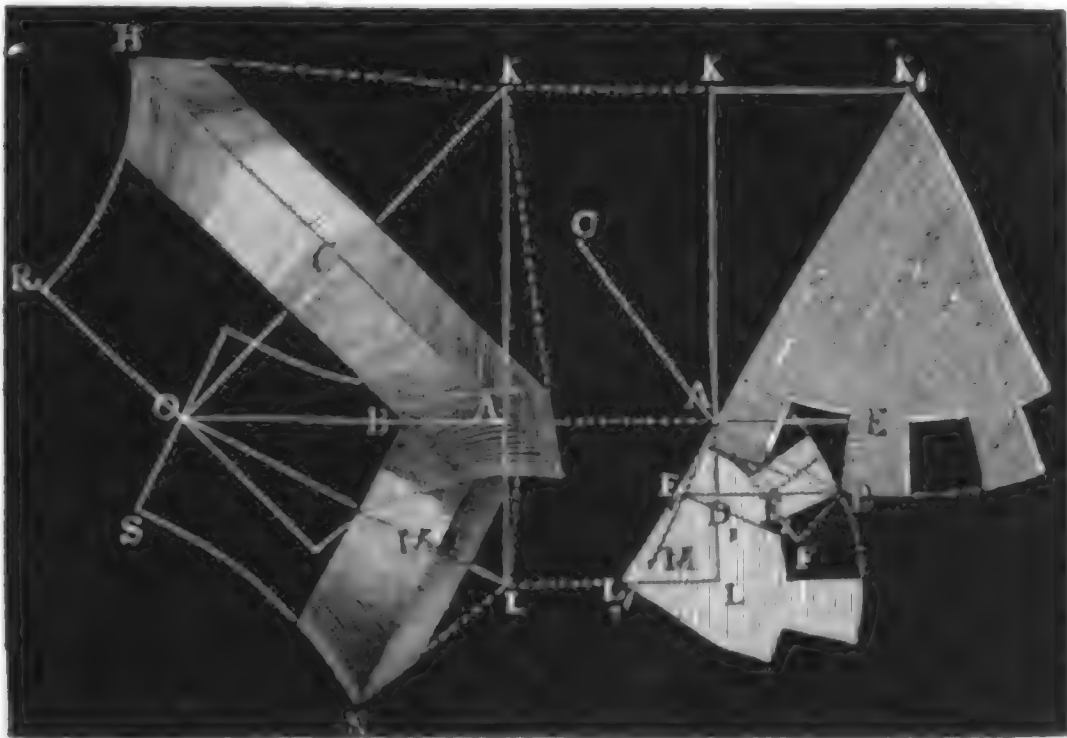
§. 54. Bei den Hyperboloidenräderwerken ist der Weg der Reibung zwischen den Zahnflächen zusammengesetzt aus einem Wege längs der Zahnlänge und aus einem Wege oder einer Verschiebung in der Richtung der Zahnbreite. Jener Weg läßt sich wie bei conischen Räderwerken ermitteln, indem wir wieder das Räderwerk  $CAM$ , Fig. 142, durch ein Sektorenpaar  $ADK_1$  und  $ADL_1$  ersetzen. Die Umdrehungsebene dieser Sektoren (welche in der Figur umgeklappt sind), steht auf der Berührungslinie  $OA$  zwischen



den Radumfängen rechtwinkelig, und die Drehaxen derselben laufen mit dieser Linie parallel und gehen durch die Punkte  $K_1$  und  $L_1$ , in welchen die

Zabreibung.

Fig. 142.



Umdrehungsaxen  $OC$  und  $OM$  der Hyperboloidenräder von der Normal-ebene  $KAL$  geschnitten werden. Von diesen Punkten steht der eine um den Kehlhalmmesser  $OR$  über, und der andere um den Kehlhalmmesser  $OS$  unter der durch  $OA$  und mit den beiden Radaxen parallel gelegten Bild-ebene; es ist also  $KK_1 = OR = r_1$  und  $LL_1 = OS = r_2$ .

Bezeichnen wir wieder die Halbmesser  $AK_1$  und  $AL_1$  der gezahnten Sektoren mit  $y_1$  und  $y_2$ , sowie die Theilung  $AD$  desselben durch  $s$ , so haben wir wie oben den Reibungsweg rechtwinkelig zu  $AB$  oder in der Umdrehungsebene  $KAL$ :  $\sigma_1 = \frac{s^2}{2} \left( \frac{1}{y_1} + \frac{1}{y_2} \right)$ .

Was dagegen die Verschiebung längs der Bahnbreite  $AB$  anlangt, so besteht diese aus einem Theil  $D_1E_1$ , um welchen sich ein Zahn des Rades  $AMN$  von der Normalen  $AD_1$  wegschiebt, und aus einem Theil  $D_1F_1$ , um welchen sich ein Zahn des Rades  $ACH$  in der entgegengesetzten Rich- tung bewegt. Beide Wege sind die Hypotenusen von zwei rechtwinkeli- gen Dreiecken  $AD_1E_1$  und  $AD_1F_1$  mit der gemeinschaftlichen Kathete  $AD_1 = AD \cos. DAD_1$  und den Winkeln  $D_1AE_1 = AOC = \delta_1$  und  $D_1AF_1 = OOM = \delta_2$ . Nun ist aber der Winkel  $DAD_1 = AK_1K = AL_1L$ , und

$$\cos. AK_1K = \cos. AL_1L = \frac{KK_1}{AK_1} = \frac{r_1}{y_1} = \frac{r_2}{y_2},$$

daher folgen denn die Verschiebungen

Zahnreibung.

$$D_1 E_1 = A D_1 \operatorname{tang.} \delta_1 = \frac{s r_1}{y_1} \operatorname{tang.} \delta_1 \text{ und}$$

$$D_1 F_1 = A D_1 \operatorname{tang.} \delta_2 = \frac{s r_2}{y_2} \operatorname{tang.} \delta_2,$$

also die ganze Breitenverschiebung

$$\sigma_2 = D_1 E_1 + D_1 F_1 = s \left( \frac{r_1}{y_1} \operatorname{tang.} \delta_1 + \frac{r_2}{y_2} \operatorname{tang.} \delta_2 \right).$$

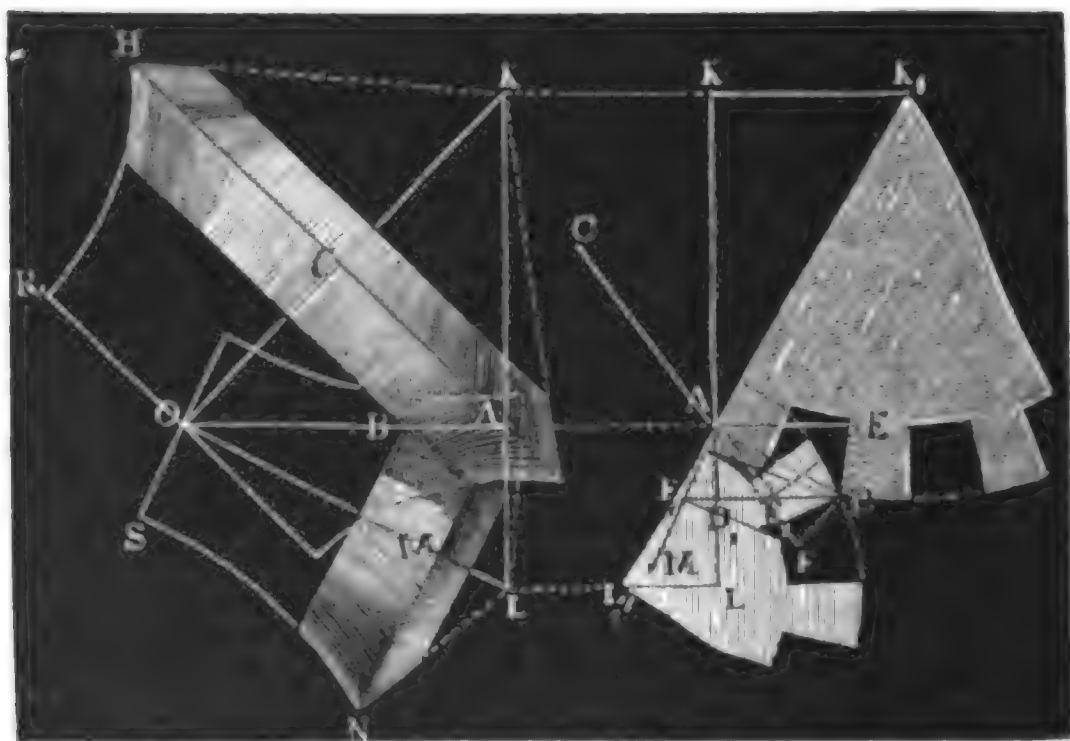
Endlich ergibt sich durch Anwendung des pythagorischen Lehrsatzes der ganze Reibungsweg

$$\sigma = \sqrt{\sigma_1^2 + \sigma_2^2} = s \sqrt{\frac{s^2}{4} \left( \frac{1}{y_1} + \frac{1}{y_2} \right)^2 + \left( \frac{r_1}{y_1} \operatorname{tang.} \delta_1 + \frac{r_2}{y_2} \operatorname{tang.} \delta_2 \right)^2},$$

und die gesuchte Zahnreibung, auf den Theilkreis der Sektoren reducirt:

$$F = \frac{\varphi K \cdot \sigma}{s} = \sqrt{\frac{s^2}{4} \left( \frac{1}{y_1} + \frac{1}{y_2} \right)^2 + \left( \frac{r_1 \operatorname{tang.} \delta_1}{y_1} + \frac{r_2 \operatorname{tang.} \delta_2}{y_2} \right)^2} \cdot \varphi K.$$

Fig. 143.



§. 55. In der vorstehenden Formel für die Zahnreibung von Hyperboloidenrädern sind die Sektorenhalbmesser

$$y_1 = \sqrt{l^2 \operatorname{tang.}^2 \delta_1 + r_1^2} \text{ und}$$

$$y_2 = \sqrt{l^2 \operatorname{tang.}^2 \delta_2 + r_2^2}, \text{ wo } l \text{ den Abstand } AO$$

des äußersten Berührungspunktes von dem Durchschnitte  $O$  der beiden Kehlkreise bezeichnet, einzusetzen; auch hat man für  $s$  denjenigen Werth der Theilung zu nehmen, welchen die Formeln in §. 49 geben. Es ist übrigens schon oben §. 43 angegeben worden, wie die Kehlhalbmesser  $r_1$  und  $r_2$  und die Axenwinkel  $\delta_1$  und  $\delta_2$  aus dem Normalabstande  $d = r_1 + r_2$ , aus

dem ganzen Arenwinkel  $\delta = \delta_1 + \delta_2$  und aus dem Umsehungsverhältniß Zahnreibung. nisse  $\psi$  zu berechnen sind.

Von der Theilung  $AD = s$  rechtwinkelig gegen die Berührungslinie sind übrigens die Umfangstheilungen  $AE = s_1$  und  $AF = s_2$  der Räder  $CA$  und  $MA$  zu unterscheiden; jedenfalls ist  $s$  Projection von  $s_1$  und  $s_2$  in der Sectorenebene, und daher

$$\overline{AE}^2 = \overline{AE_1}^2 + \overline{EE_1}^2 = \overline{AD_1}^2 + \overline{D_1E_1}^2 + \overline{EE_1}^2 = \overline{AD}^2 + \overline{D_1E_1}^2, \text{ d. i.}$$

$$s_1^2 = s^2 + \overline{AD}^2 \text{ tang. } \delta_1^2 = s^2 + \left( \frac{K K_1}{A K_1} \right)^2 s^2 \text{ tang. } \delta_1^2$$

$$= \left( 1 + \frac{r_1^2 \text{ tang. } \delta_1^2}{y_1^2} \right) s^2.$$

Hiernach also sind die beiden Umfangstheilungen

$$s_1 = \frac{s}{y_1} \sqrt{y_1^2 + r_1^2 \text{ tang. } \delta_1^2} = s \sqrt{\frac{l^2 \text{ tang. } \delta_1^2 + r_1^2 (1 + \text{tang. } \delta_1^2)}{l^2 \text{ tang. } \delta_1^2 + r_1^2}}, \text{ d. i.}$$

$$s_1 = s \sqrt{\frac{l^2 \sin. \delta_1^2 + r_1^2}{l^2 \sin. \delta_1^2 + r_1^2 \cos. \delta_1^2}} \text{ und}$$

$$s_2 = s \sqrt{\frac{l^2 \sin. \delta_2^2 + r_2^2}{l^2 \sin. \delta_2^2 + r_2^2 \cos. \delta_2^2}}.$$

Was die Halbmesser  $x_1$  und  $x_2$  der Radumfänge anlangt, so bestimmen sich dieselben aus den Kehlhalbmessern  $r_1$  und  $r_2$  und aus ihren Projectionen  $AC = l \sin. \delta_1$  und  $AM = l \sin. \delta_2$  mittels der Formeln

$$x_1 = \sqrt{l^2 \sin. \delta_1^2 + r_1^2} \text{ und}$$

$$x_2 = \sqrt{l^2 \sin. \delta_2^2 + r_2^2};$$

und es ergeben sich nun die Zähnezahlen  $n_1$  und  $n_2$  durch folgende Formeln:

$$n_1 = \frac{2 \pi x_1}{s_1} = \frac{2 \pi}{s} \sqrt{l^2 \sin. \delta_1^2 + r_1^2 \cos. \delta_1^2} \text{ und}$$

$$n_2 = \frac{2 \pi x_2}{s_2} = \frac{2 \pi}{s} \sqrt{l^2 \sin. \delta_2^2 + r_2^2 \cos. \delta_2^2}.$$

Endlich ist noch das Umsehungsverhältniß

$$\psi = \frac{u_2}{u_1} = \frac{n_1}{n_2} = \sqrt{\frac{l^2 \sin. \delta_1^2 + r_1^2 \cos. \delta_1^2}{l^2 \sin. \delta_2^2 + r_2^2 \cos. \delta_2^2}},$$

oder, da  $\frac{\text{tang. } \delta_1}{\text{tang. } \delta_2} = \frac{r_1}{r_2}$ , also  $r_2 \cotg. \delta_2 = r_1 \cotg. \delta_1$  ist,

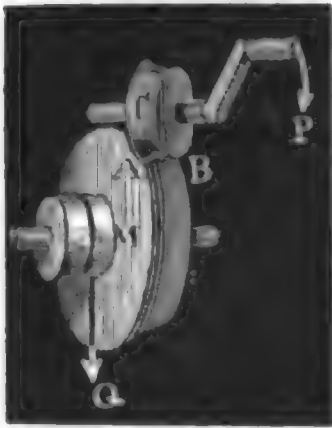
$$\psi = \sqrt{\frac{l^2 + r_1^2 \cotg. \delta_1^2}{l^2 + r_2^2 \cotg. \delta_2^2}} \cdot \frac{\sin. \delta_1}{\sin. \delta_2} = \frac{\sin. \delta_1}{\sin. \delta_2},$$

wie wir schon oben, §. 43, gefunden haben.

Anmerkung. Die vorstehenden Formeln gelten natürlich auch für conische und cylindrische Werke, wenn man in ihnen  $\delta_1 = \delta_2 = 0$ , oder  $r_1 = r_2 = 0$  setzt.

Zahnreibung.

Fig. 144.



§. 56. Man kann nun auch für ein vollständiges hyperbolisches Räderwerk  $CAM$ , Fig. 144, dessen Kräfte  $P$  und  $Q$  an den Hebelarmen  $a$  und  $b$  wirken, das Kraft- oder Geschwindigkeitsverhältniß berechnen. Während die Kraft  $K$  den Weg  $s$  und  $F = \varphi K$  den Weg  $\sigma$  durchläuft, legt  $P$  den Weg  $\frac{2\pi a}{n_1}$  und  $Q$  den Weg  $\frac{2\pi b}{n_2}$  zurück, es ist folglich ohne Rücksicht auf Reibung

$$Ks = P \cdot \frac{2\pi a}{n_1} = Q \cdot \frac{2\pi b}{n_2},$$

sonach auch

$$F\sigma = \varphi K\sigma = \varphi \cdot \frac{2\pi a}{n_1} \cdot \frac{\sigma}{s} P = \varphi \cdot \frac{2\pi b}{n_2} \cdot \frac{\sigma}{s} Q,$$

und folglich, mit Rücksicht auf die Zahnreibung,

$$\begin{aligned} \frac{2\pi a}{n_1} P &= \frac{2\pi b}{n_2} Q + F\sigma \\ &= \frac{2\pi b}{n_2} Q + \frac{2\pi b}{n_2} \cdot \frac{\sigma}{s} \cdot \varphi Q = \frac{2\pi b}{n_2} \left(1 + \frac{\sigma}{s} \varphi\right) Q, \end{aligned}$$

d. i.

$$\begin{aligned} P &= \left(1 + \frac{\sigma}{s} \varphi\right) \frac{n_1}{n_2} \cdot \frac{b}{a} Q \\ &= \left[1 + \varphi \sqrt{\frac{s^2}{4} \left(\frac{1}{y_1} + \frac{1}{y_2}\right)^2 + \left(\frac{r_1 \tan \delta_1}{y_1} + \frac{r_2 \tan \delta_2}{y_2}\right)^2}\right] \frac{n_1}{n_2} \cdot \frac{b}{a} Q. \end{aligned}$$

$$\text{Da } y_1 = \sqrt{l^2 \tan^2 \delta_1 + r_1^2} = \frac{\sqrt{l^2 \sin^2 \delta_1 + r_1^2 \cos^2 \delta_1}}{\cos \delta_1} \text{ und}$$

$$n_1 = \frac{2\pi}{s} \sqrt{l^2 \sin^2 \delta_1 + r_1^2 \cos^2 \delta_1} \text{ ist, so hat man}$$

$$\frac{y_1}{n_1} = \frac{s}{2\pi \cos \delta_1}, \text{ und ebenso } \frac{y_2}{n_2} = \frac{s}{2\pi \cos \delta_2},$$

weßhalb einfach auch

$$P = \left[1 + \varphi \sqrt{\left(\frac{\cos \delta_1}{n_1} + \frac{\cos \delta_2}{n_2}\right)^2 + \frac{4}{s^2} \left(\frac{r_1 \sin \delta_1}{n_1} + \frac{r_2 \sin \delta_2}{n_2}\right)^2}\right] \cdot \frac{n_1}{n_2} \cdot \frac{b}{a} Q$$

zu setzen ist.

Nun hat man aber  $\frac{\sin \delta_1}{\sin \delta_2} = \frac{n_1}{n_2}$ , und  $\delta_1 + \delta_2 = \delta$ , daher

$$\sin \delta_1 = \frac{n_1 \sin \delta}{\sqrt{n_1^2 + n_2^2 + 2n_1 n_2 \cos \delta}}, \text{ und}$$

$$\cos \delta_1 = \frac{n_1 \cos \delta_1 + n_2}{\sqrt{n_1^2 + n_2^2 + 2n_1 n_2 \cos \delta}}, \text{ sowie}$$

$$\cos. \delta_2 = \frac{n_2 \cos. \delta_2 + n_1}{\sqrt{n_1^2 + n_2^2 + 2 n_1 n_2 \cos. \delta}} \text{ und}$$

$$\frac{\cos. \delta_1}{n_1} + \frac{\cos. \delta_2}{n_2} = \frac{n_1^2 + n_2^2 + 2 n_1 n_2 \cos. \delta}{n_1 n_2 \sqrt{n_1^2 + n_2^2 + 2 n_1 n_2 \cos. \delta}}$$

$$= \sqrt{\frac{1}{n_1^2} + \frac{1}{n_2^2} + 2 \cdot \frac{1}{n_1} \cdot \frac{1}{n_2} \cos. \delta};$$

$$\text{ferner ist } \frac{r_1 \sin. \delta_1}{n_1} = \frac{r_1 \sin. \delta}{\sqrt{n_1^2 + n_2^2 + 2 n_1 n_2 \cos. \delta}} \text{ und}$$

$$\frac{r_2 \sin. \delta_2}{n_2} = \frac{r_2 \sin. \delta}{\sqrt{n_1^2 + n_2^2 + 2 n_1 n_2 \cos. \delta}},$$

oder,  $r_1 + r_2 = d$  gesetzt,

$$\frac{r_1 \sin. \delta_1}{n_1} + \frac{r_2 \sin. \delta_2}{n_2} = \frac{d \sin. \delta}{\sqrt{n_1^2 + n_2^2 + 2 n_1 n_2 \cos. \delta}},$$

und daher ist ziemlich einfach

$$P = \left( 1 + \pi \varphi \sqrt{\frac{1}{n_1^2} + \frac{1}{n_2^2} + 2 \cdot \frac{1}{n_1} \cdot \frac{1}{n_2} \cos. \delta + \frac{4 d^2 \sin. \delta^2}{s^2 (n_1^2 + n_2^2 + 2 n_1 n_2 \cos. \delta)}} \right) \frac{n_1}{n_2} \cdot \frac{b}{a} Q$$

$$= \left( 1 + \pi \varphi \sqrt{\frac{n_1^2 + n_2^2 + 2 n_1 n_2 \cos. \delta}{n_1^2 n_2^2} + \frac{4 d^2 \sin. \delta^2}{s^2 (n_1^2 + n_2^2 + 2 n_1 n_2 \cos. \delta)}} \right) \frac{n_1}{n_2} \cdot \frac{b}{a} Q.$$

Beispiel. Für ein hyperboloidisches Räderwerk mit 17 und 48 Zähnen, dessen Arenprojectionen den Winkel  $\delta = 90^\circ$  zwischen sich einschließen, dessen kürzester Arenabstand  $d = 12$  Zoll und Theilung  $s = 1\frac{3}{4}$  Zoll ist, hat man die Zahnreibung

$$F = \sqrt{\frac{17^2 + 48^2}{17^2 \cdot 48^2} + \frac{16 \cdot 4 \cdot 144}{49 (17^2 + 48^2)}} \cdot \pi \varphi K = \sqrt{\frac{2593}{17^2 \cdot 48^2} + \frac{9216}{49 \cdot 2593}} \pi \varphi K$$

$$= \sqrt{0,003894 + 0,07254} \cdot \pi \varphi K = \sqrt{0,07643} \cdot \pi \varphi K = 0,276 \cdot \pi \varphi K,$$

also für  $\pi \varphi = \frac{1}{3}$ ,  $F = 0,092 \cdot K$ , d. i. über 9 Procent der Arbeitskraft, also viel mehr als bei cylindrischen und conischen Räderwerken (s. Beispiel zu §. 53).

§. 57. Wir haben im Vorstehenden gefunden und schon §. 52 bemerkt, Stufenräder. daß der Arbeitsverlust durch die Zahnreibung um so kleiner ausfällt, je größer die Anzahl ( $n_1$  und  $n_2$ ) der Zähne ist. Wenn, wie wir seither angenommen haben, die Zähne nur in einem Kreise neben einander stehen, so wird aber der Zähnezahl durch die Zahndicke und durch den Umfang der Räder eine Grenze entgegengesetzt; stellen wir aber die Zähne in zwei oder mehreren Kreisen hinter einander, so können wir die Anzahl der Zähne unbeschadet ihrer Dicke beliebig vergrößern. Wegen der stufenförmigen Aufeinanderfolge der Zähne nennt man solche Räder Stufenräder, sonst auch nach ihrem Erfinder Hook'sche Räder. Ein Stufenrad mit zwei

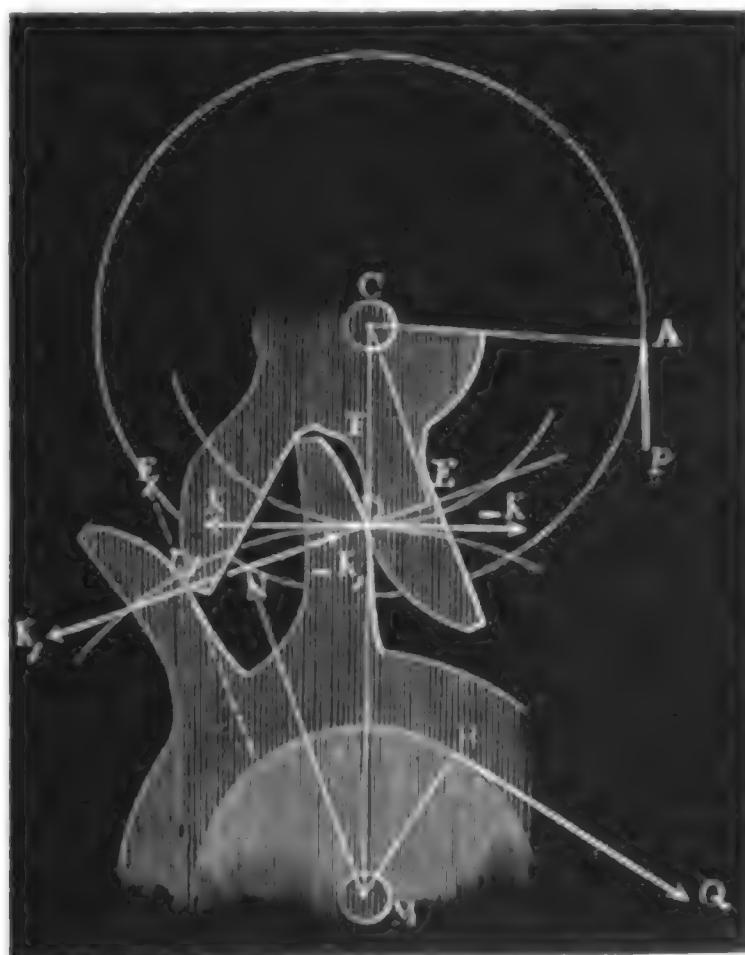




§. 58. Von den Zähnen eines Räderwerkes fordern wir nicht allein, Zahnform. daß sie eine der überzutragenden Kraft angemessene Stärke, sondern auch, daß sie eine Form haben, bei welcher die Uebertragung der Bewegung des einen Rades auf das andere vollkommen, ohne Stöße und ohne Unterbrechung vor sich gehe, und daher bei allen Zahnstellungen die Umfangs- oder Theilrißgeschwindigkeit des Getriebrades auf die des Treibrades unverändert übertragen werde. Wenn also das eine Rad, wie gewöhnlich, gleichförmig umläuft, so fordern wir, daß selbst bei unendlich kleiner Geschwindigkeit, und also ohne Einwirkung der Trägheit, auch das andere Rad eine gleichförmige Umdrehungsbewegung annehme.

Bei der Berührung zweier Zähne in einem Punkte  $D$  innerhalb der Centrallinie  $CM$ , Fig. 148, sind die Hebelarme  $CD$  und  $MD$  der Kräfte

Fig. 148.



$K$  und  $-K$ , mit welchen die Zähne gegen einander drücken, gleich den Theilkreishalbmessern  $r_1$  und  $r_2$ , weil in diesem Falle die Zahnflächen von  $CM$  tangirt werden und daher die Drucklinie rechtwinklig auf  $CM$  steht. Berühren sich aber die Zähne in einem Punkte  $D_1$  außerhalb der Centrallinie, so befindet sich die gemeinschaftliche Berührungsebene  $D_1 F_1$ , und also auch die Drucklinie, in einer anderen Lage, und es sind daher auch die Hebelarme  $CE$  und  $MN$  der Druckkräfte  $K_1$  und  $-K_1$  kleiner als die Theilkreishalbmesser  $r_1$  und  $r_2$ . Der ersten Angriffsweise zufolge ist das Umsehungs-



§. 59. Mit Hilfe der vorstehenden Regel läßt sich nun auch die Form der Zähne des einen Rades finden, wenn die des andern gegeben ist. Es sei  $A A_1 A_2 A_3 A_4$ , Fig. 150, die gegebene und  $B B_1 B_2 B_3 B_4$  die gesuchte Zahnform.

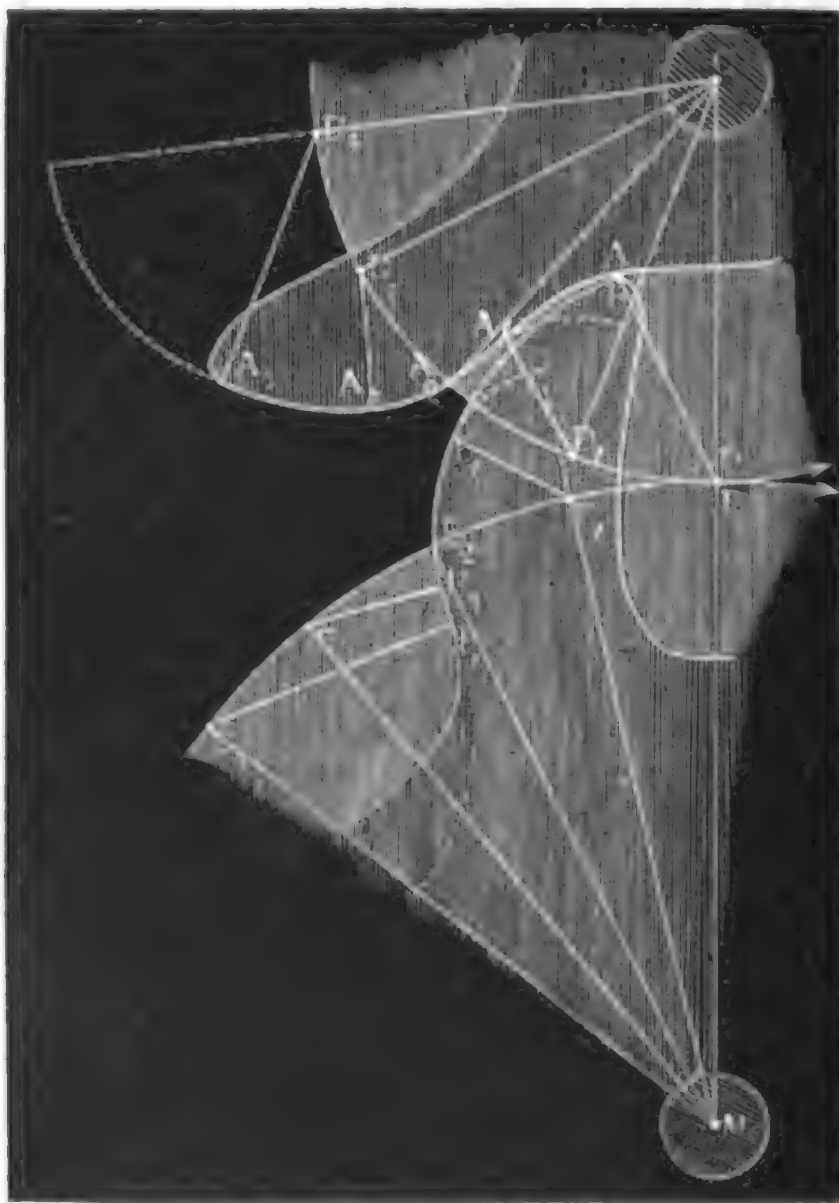


Zahnform, ferner  $CM$  die Centrallinie,  $DD_1$  der Theilkreis des einen und  $EE_1$  der des andern Rades. Füllen wir von dem Theilpunkte  $D(E)$  in der Centrallinie ein Perpendikel  $DA(EB)$  gegen die gegebene Zahnfläche, so bekommen wir im Lothpunkte  $A(B)$  den Anfangspunkt der gesuchten Zahncurve; machen wir ferner den Bogen  $EB_2$  gleich dem Theilbogen  $DA_2$ , so erhalten wir denjenigen Punkt  $B_2$  dieser Curve, welcher mit  $A_2$  gleichzeitig in der Centrallinie ankommt. Machen wir ferner den Bogen  $EE_1$  gleich einem Bogen  $DD_1$  des ersten Theilkreises, fällen wir von  $D_1$  ein Perpendikel  $D_1A_1$  gegen die gegebene Curve, und tragen wir dieses als  $E_1B_1$  so an den Radius  $ME_1$ , daß der Winkel  $ME_1B_1$  den Winkel  $CD_1A_1$  zu zwei Rechten ergänzt, so bekommen wir denjenigen Punkt  $B_1$  der gesuchten Curve, welcher mit  $A_1$  in Berührung kommt, wenn  $D_1$  nach  $D$  und  $E_1$  nach  $E$  gekommen ist. Auf gleiche Weise lassen sich noch andere Punkte



*Bahnform* der gesuchten Zahncurve finden. Schneiden wir z. B.  $EE_3 = DD_3$ , so wie  $EE_4 = DD_4$  ab, fällen wir aus den Punkten  $D_3$  und  $D_4$  die Perpendikel  $D_3A_3$  und  $D_4A_4$  gegen die gegebene Zahncurve, so bleibt uns nur noch übrig, diese Perpendikel als  $E_3B_3$  und  $E_4B_4$  so an die Radhalbmesser  $ME_3$  und  $ME_4$  anzutragen, daß der Winkel  $ME_3B_3$  den Winkel  $CD_3A_3$  und der Winkel  $ME_4B_4$  den Winkel  $CD_4A_4$  zu zwei Rechtwinkeln ergänzt. Es ist nun leicht zu ermessen, daß die Punkte  $A_3$  und  $B_3$ , sowie die Punkte  $A_4$  und  $B_4$  zusammentreffen, wenn  $D_3$  und  $E_3$ , so wie später  $D_4$  und  $E_4$

Fig. 151.



die Centrallinie  $CM$  erreicht haben. Die Richtigkeit dieser Construction folgt aus der im vorigen Paragraphen gefundenen Regel unmittelbar, da ihr zu Folge bei jeder Zahnstellung die Normale im Berührungspunkte durch den Berührungspunkt  $D$  ( $E$ ) der Theilkreise geht.

Die relative Bewegung zwischen beiden Rädern ist dieselbe, es mögen sich dieselben um ihre Axen  $C$  und  $M$  mit einer gemeinschaftlichen Geschwindigkeit  $c$  umdrehen, oder es mag das eine Rad stillstehen und das andere mit seinem Theilkreise  $DD_4$  auf dem Theilkreise  $EE_4$  des ersteren sich fort-

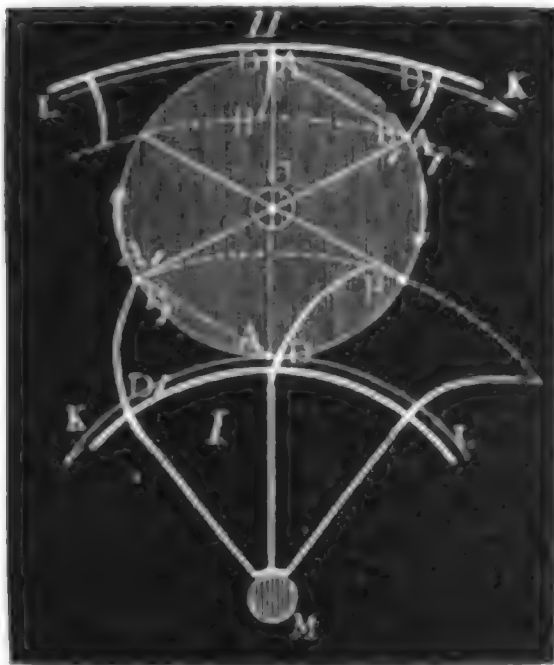


wälzen. Auch im letzteren Falle kommt allmählig  $D_1$  mit  $E_1$ ,  $D_3$  mit  $E_3$ ,  $D_4$  mit  $E_4$  und ebenso auch  $A_1$  mit  $B_1$ ,  $A_2$  mit  $B_2$ ,  $A_3$  mit  $B_3$  u. s. w. in Berührung. Deshalb findet man auch die Zahncurve  $B B_1 B_2 B_3 B_4$ , wenn man in beliebigen Punkten  $A, A_1, A_2, A_3$  u. s. w. der gegebenen Zahncurve Perpendikel errichtet, und den Theilkreis, welcher dieser Zahncurve angehört, nach und nach um die Bögen  $DD_1, DD_2, DD_3, DD_4$  fortwälzt, welche durch diese Perpendikel von dem Theilkreise abgeschnitten werden: die Punkte  $A_1, A_2, A_3, A_4$  kommen dabei in die Lagen  $B_1, B_2, B_3$  und  $B_4$ , und geben dadurch den Lauf der gesuchten Zahncurve an. Wenn man die Curve  $AA_4$  in verschiedenen Lagen aufzeichnet, welche sie während des Wälzens einnimmt, so erhält man die Curve  $BB_4$  auch dadurch, daß man einen Zug führt, welcher alle diese Curven berührt, denn es ist die gesuchte Zahncurve die sogenannte Umhüllungscurve (franz. enveloppante; engl. involute) der gegebenen.

§. 60. Man kann nun für die Zähne des einen Rades beliebige Formen annehmen, und nach dem Vorhergehenden die Zahnformen des zweiten Rades finden.

1) Sind die Zähne  $A, A_1 \dots$  des Getriebrades  $ACA$ , Figur 152,

Fig. 152.



bloße Punkte, oder unendlich dünne Stäbe, parallel zur Umdrehungsaxe  $C$ , so erhält man die Zahncurve  $B_1 D_1$  des Treibrades, wenn man den Theilkreis  $ACA$  des ersten Rades auf dem Theilkreise  $KDL$  des zweiten fortwälzt, denn es ist dann bei jeder Stellung der Zähne gegen einander der Weg  $AA_1$  im Theilkreise des einen Rades gleich dem Wege  $DD_1$  im Theilkreise des anderen. Befindet sich der Theilkreis  $ACA$  außerhalb des Theilkreises  $KL$ , wie in I., so besteht die Zahncurve  $B_1 D_1$  oder  $BD$  in einer Epicycloide, befindet er sich aber inner-

halb  $KL$ , wie in II., so bildet  $B_1 D_1$  oder  $BD$  eine Hypocycloide (s. Ingenieur, S. 244 u. s. w.). Der Theorie dieser Curven zu Folge geht die Normale  $B_1 D$  zum Bogen  $B_1 D_1$  stets durch den Punkt  $A (D)$ , es entsprechen daher auch diese Formen der Forderung des letzten Paragraphen.

2) Werden die Zähne des Getriebrades  $ACA$ , Fig. 153, von radialen Linien  $AB, A_1 B_1$  u. s. w. gebildet, so sind die Zähne  $DE, D_1 E_1$  u. s. w.

Bahnform.

des Treibrades  $ADD_1$  nach Epiz- oder Hypocycloiden zu formen, die entstehen, wenn man einen Kreis  $AE_1C$ , dessen Durchmesser dem Halbmesser  $CA$  des Theilkreises vom Getriebe gleich ist, auf dem Theilkreise  $KL$  des Treibrades fortwälzt, denn es ist in diesem Falle der Bogen  $DE_1$  des Erzeugungskreises gleich den Bögen  $DD_1$  und  $AA_1$  der Theilkreise, es sind also die gleichzeitigen Wege in beiden Theilkreisen gleich groß. Da die Normale  $E_1A$  im Berührungspunkte  $E_1$  stets durch den Berührungspunkt  $A(D)$  der Theilkreise geht, so sind auch schon aus diesem Grunde die angegebenen Zahnformen die angemessenen.

Während bei der Construction in Fig. 152 der Berührungspunkt  $A$  im Theilkreise fortgeht, rückt er hier in dem Erzeugungskreise  $AC$  fort.

Bei den eben besprochenen Anordnungen fängt der Angriff in der Centrallinie  $CM$  an, und endigt sich bei  $B_1(E_1)$ ; will man aber  $KML$  durch  $ACA$  in Umtrieb setzen, so beginnt der Angriff in  $B_1(E_1)$  und endigt sich bei  $A(D)$  in der Centrallinie.

Fig. 153.

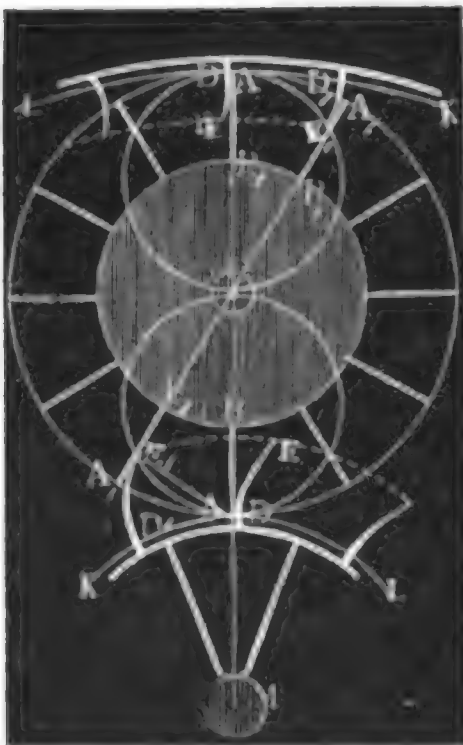
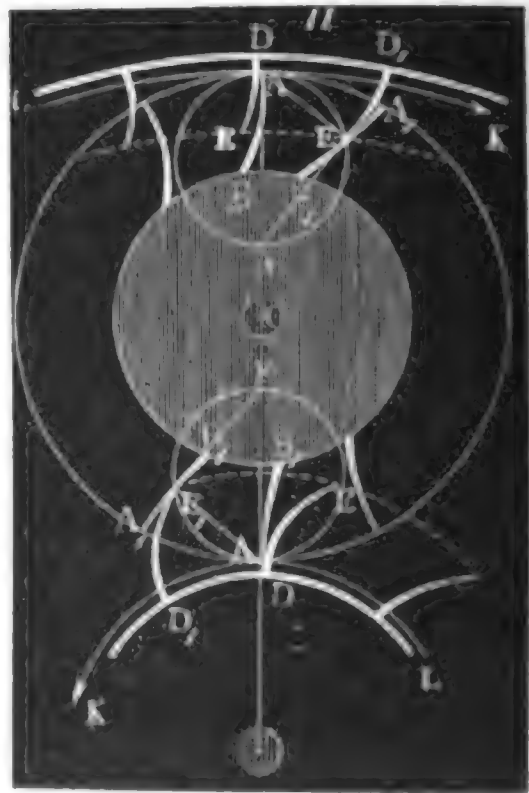


Fig. 154.



§. 61. Man kann auch die Zähne beider Räder nach krummen Linien formen.

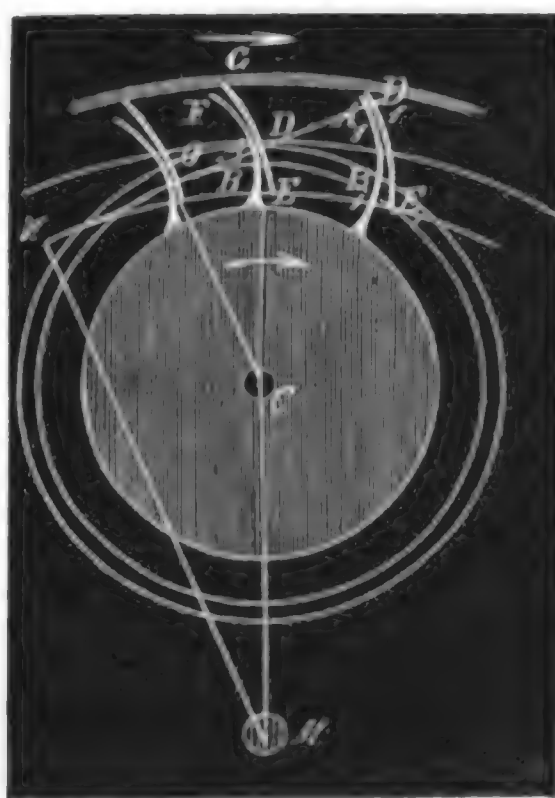
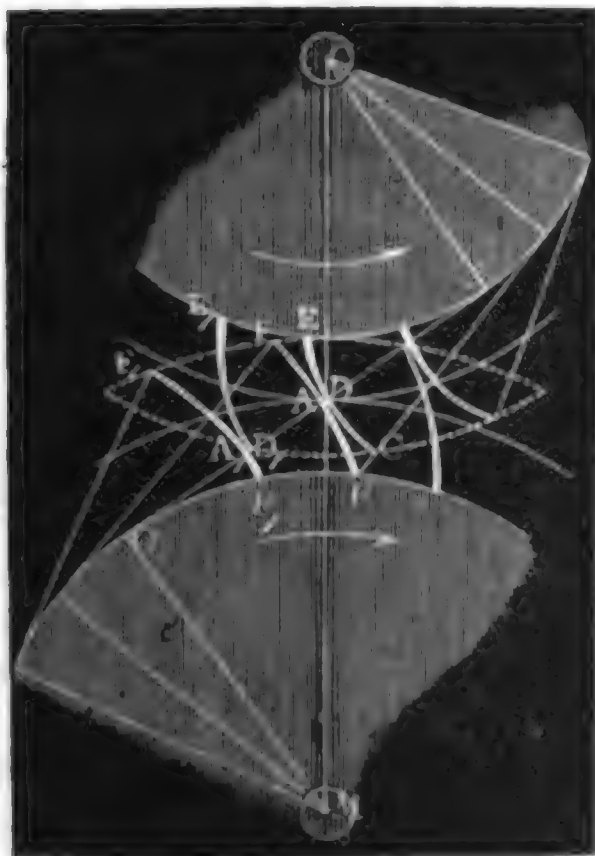
1) Wälzt man einen beliebigen Erzeugungskreis  $AE_1F$ , Fig. 154, I. und II., auf den Theilkreisen beider Räder, so beschreibt ein Punkt  $E_1$  desselben in I. einen Hypocycloidenbogen  $E_1A_1$  und einen Epicycloidenbogen  $E_1D_1$  und in II. zwei Hypocycloidenbögen  $E_1A_1$  und  $E_1D_1$ , nach welchen man die Zähne beider Räder gestalten kann, denn es ist hierbei der Bogen  $AA_1$  gleich dem Bogen  $DD_1$ , und auch  $E_1A$  oder  $E_1D$  die

gemeinschaftliche Normale so wie  $E_1 F$  die gemeinschaftliche Tangente zu beiden Curven. Diese Construction schließt auch die vorigen beiden in sich ein. Nimmt man den Erzeugungskreis  $AF$  gleich dem Theilkreise des einen Rades, so geht der Bogen  $E_1 A_1$  in einen bloßen Punkt über, und nimmt man ihn halb so hoch als den Theilkreis, läßt also  $F$  mit  $C$  zusammenfallen, so geht der Hypocycloidenbogen  $E_1 A_1$  in eine gerade Linie über. Es ist übrigens leicht zu erachten, daß der Berührungspunkt zwischen beiden Zähnen in dem Bogen  $AE_1$  des Erzeugungskreises fortgeht.

2) Legt man durch den Berührungspunkt  $A(D)$ , Figur 155 und 156 der Theilkreise in willkürlicher Richtung eine Gerade, und fällt man auf diese die Perpendikel  $CN$  und  $MO$  von den Drehungsaren  $C$  und  $M$  aus,

Fig. 155.

Fig. 156.



so erhält man in diesen die Halbmesser zweier Kreise  $OB$  und  $NE$ , deren Evolventen (s. Ingenieur, Seite 246) ebenfalls als Zahnformen beider Räder dienen können. Das Stück  $OA$  der Grundlinie  $NO$  liefert beim Aufwickeln auf  $OB$  den Bogen  $AB$ , und das Stück  $ND$  beim Aufwickeln auf  $NE$ , den Bogen  $DE$ ; beide Bögen haben in dem gemeinschaftlichen Berührungspunkte  $A(D)$ ,  $ON$  zur Normale. Ebenso beschreibt beim Aufwickeln des Stückes  $OA_1$  der Endpunkt  $A_1$  einen Evolventenbogen  $A_1 B_1$  und beim Aufwickeln des Stückes  $ND_1$  auf  $NE_1$  den Bogen  $D_1 E_1$  und es ist  $NO$  abermals die gemeinschaftliche Normale des Berührungspunktes  $A_1(D_1)$ . Nun ist aber  $A_1 B_1$  so wie  $AB$  ein Theil von einem größeren Evolventenbogen  $B_1 F_1 = BF_1$ , und ebenso  $DE$  nur ein Theil

**Zahnform.** von dem größeren Evolventenbogen  $EG = E_1D_1$ ; daher berühren sich auch zwei Evolventenbögen  $B_1F_1$  und  $D_1E_1$  in allen ihren Stellungen während der Umdrehung um  $M$  und  $C$  so, daß der gemeinschaftliche Berührungspunkt in der Geraden  $ON$  bleibt und diese Linie stets eine Normale zu beiden Curven bildet. Geht diese Linie durch den Berührungspunkt der beiden Theilkreise, so sind nach §. 58 die Bögen  $B_1F_1$  und  $D_1E_1$  passende Zahnformen, was jedoch auch aus der Gleichheit:

$$BB_1 = AA_1 = DD_1 = EE_1$$

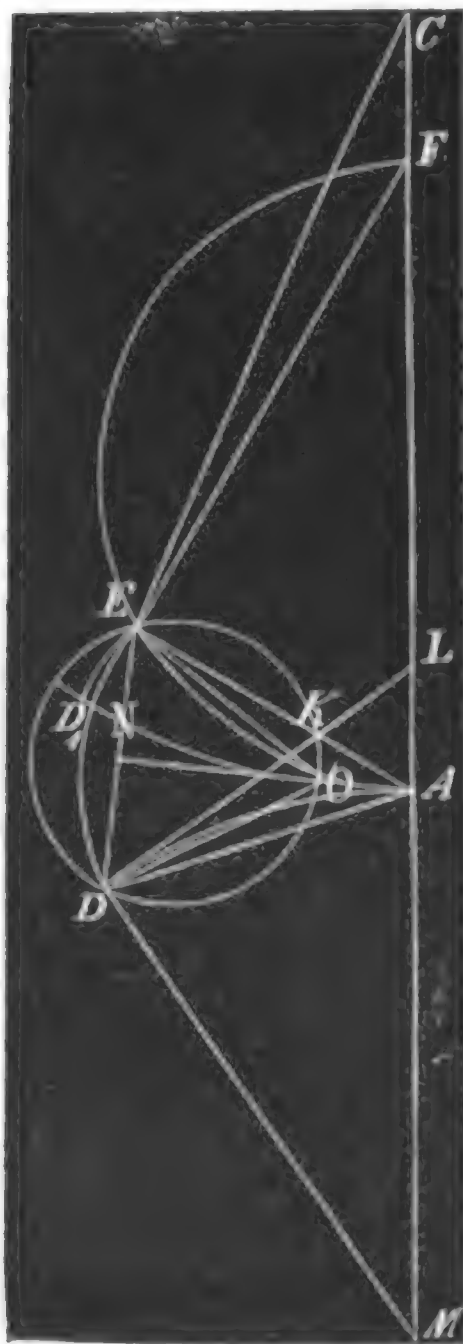
der gleichzeitigen Wege gefolgert werden kann.

**Kreisförmige  
Zähne.**

§. 62. Da man es bei den Zahnformen nur mit sehr kurzen Epicycloidenbögen u. s. w. zu thun hat, so kann man auch dieselben durch Kreisbögen ersetzen, ohne bedeutende Abweichungen im Gange des Räderwerkes zu erhalten. Im Folgenden soll nun gezeigt werden, wie die passenden

Fig. 157.

Halbmesser dieser Kreisbögen zu finden sind.



Es seien  $AD$  und  $AD_1$  die Theilbögen, so wie  $M$  und  $C$ , Fig. 157, die Axen eines Räderwerkes; ferner  $AEF$  ein beliebiger Erzeugungskreis, welcher durch Wälzen auf  $AD$  die Zahnform  $ED$  des einen Rades  $AMD_1$  und durch Wälzen auf  $AD_1$  die Zahnform  $ED_1$  des Rades  $ACD_1$  giebt. Der Entstehungsweise einer Epicycloide zufolge sind  $MD$  und  $FE$  Tangenten und folglich die Perpendikel  $DL$  und  $EA$  Normalen in den Endpunkten  $D$  und  $E$  des Bogens  $DE$ . Wäre nun der Durchschnittspunkt  $K$  beider Normalen von  $D$  und  $E$  gleich entfernt, so würde sich ein aus  $K$  durch  $D$  und  $E$  beschriebener Kreisbogen sehr genau an den Epicycloidenbogen anschließen; da dies aber nicht der Fall ist, so bleibt nur noch übrig, einen Kreisbogen anzugeben, dessen Richtungen in den beiden Endpunkten  $D$  und  $E$  von dem Epicycloidenbogen gleichviel abweicht. Legen wir durch  $D, E$  und  $K$  einen Kreis und errichten wir in der Mitte  $N$  von  $DE$  auf  $DE$  ein Perpendikel, so schnei-



der dieses jenen Kreis in einem Punkte  $O$ , aus dem der gesuchte Kreisbogen  $DE$  zu beschreiben ist, denn da die Peripheriewinkel  $KDO$  und  $KEO$  einander gleich sind, so weichen auch die Halbmesser  $OD$  und  $OE$  von den Normalen  $KD$  und  $KE$ , und folglich auch die Kreisbogenenden von den Epicycloidenenden um gleichviel von einander ab.

Der Halbmesser  $OD = OE = a_1$  dieses Kreisbogens bestimmt sich aus der Sehne  $DE = d$  und aus dem Centriwinkel  $DK'E = DOE = \alpha$  mittels der bekannten Formel  $a_1 = \frac{d}{2 \sin. \frac{\alpha}{2}}$ , und es kommt daher

nur noch darauf an, Ausdrücke für  $d$  und  $\alpha$  zu finden.

Auf gleiche Weise läßt sich auch der Halbmesser eines Kreisbogens angeben, welcher den Epicycloidenbogen  $ED_1$  ersetzt.

§. 63. Sehen wir den Theilkreishalbmesser  $MA = r_1$ , den Halbmesser  $\frac{1}{2} AF$  des Erzeugungskreises  $= r$ , ferner den Theilwinkel  $AMD = \beta_1$  und den entsprechenden Winkel  $AFE$  des Erzeugungskreises  $= \beta$ , so haben wir die Sehnen  $AD = 2r_1 \sin. \frac{\beta_1}{2}$  und  $AE = 2r \sin. \beta$ , wofür annähernd  $AD = AE = r_1 \beta_1 = 2r\beta$  zu setzen ist.

Ferner haben wir den Winkel  $DAE = 180^\circ - DAM - EAF = 180^\circ - (90^\circ - \frac{1}{2}\beta_1) - (90^\circ - \beta) = \frac{1}{2}\beta_1 + \beta$ , und es läßt sich folglich die Sehne

$$DE = d = 2DA \sin. \frac{DAE}{2} = r_1 \beta_1 (\frac{1}{2}\beta_1 + \beta) \\ = r_1 \beta_1^2 \left( \frac{1}{2} + \frac{\beta}{\beta_1} \right) = \frac{(r + r_1)r}{2r} \beta_1^2 \text{ setzen.}$$

Ferner ist der Winkel  $DOE = DK'E = 180^\circ - DLM - EAF = 180^\circ - (90^\circ - \beta_1) - (90^\circ - \beta) = \beta_1 + \beta$ , und daher der gesuchte

$$\text{Halbmesser } DO = EO = \frac{DN}{\sin. DON} = \frac{\frac{1}{2}d}{\sin. \frac{1}{2}(\beta + \beta_1)},$$

$$\text{wofür annähernd } = \frac{d}{\beta + \beta_1} = \frac{(r + r_1)r_1 \beta_1^2}{2r(\beta + \beta_1)} = \frac{(r + r_1)\beta_1}{2r \left( 1 + \frac{r_1}{2r} \right)},$$

$$\text{d. i. } a_1 = \frac{(r_1 + r)r_1 \beta_1}{r_1 + 2r}, \text{ oder, da } r_1 \beta_1 \text{ die Theilung } AD = s \text{ ist,}$$

$$a_1 = \left( \frac{r_1 + r}{r_1 + 2r} \right) s \text{ gesetzt werden kann.}$$

Um endlich den Halbmesser  $a_2$  für den Bogen  $D_1E$  zu finden, haben wir in der letzten Formel statt  $r_1$  den Halbmesser  $CA = r_2$  des zweiten Theilkreises und den Halbmesser  $r$  des Hilfskreises negativ einzusetzen, weshalb folgt  $a_2 = \left( \frac{r_2 - r}{r_2 - 2r} \right) s$ .



Kreisförmige  
Zähne.

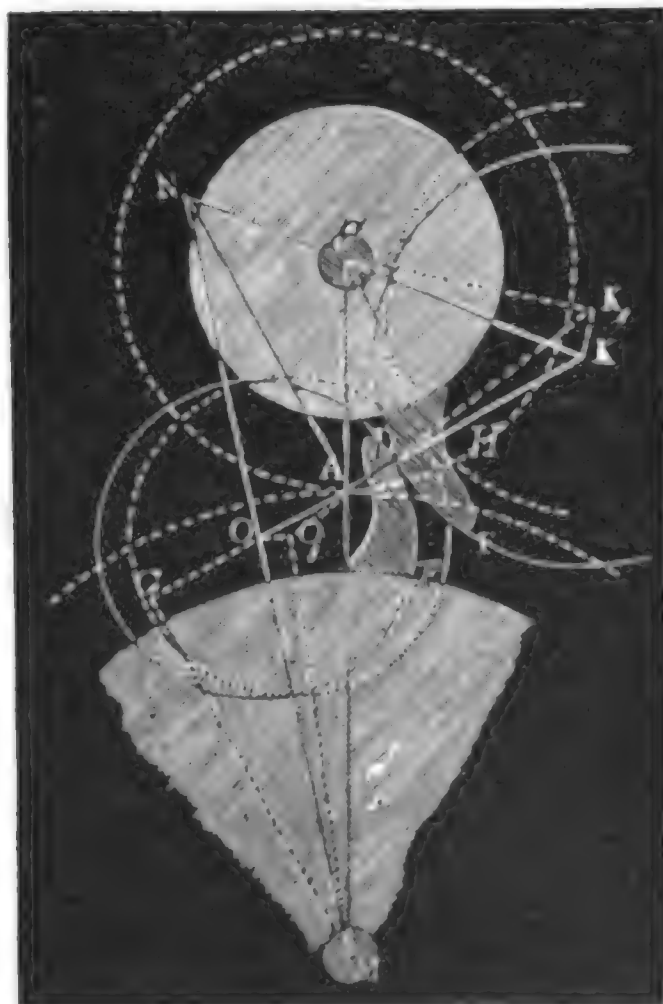
Machen wir  $r = \frac{1}{2} r_2$ , so erhalten wir  $a_1 = \left( \frac{2r_1 + r_2}{r_1 + r_2} \right) \frac{s}{2}$ , oder  
da  $\frac{r_1}{r_2}$  das Umsehungsverhältniß  $\psi$  ist,  $a_1 = \frac{2\psi + 1}{\psi + 1} \cdot \frac{s}{2}$ , und  
 $a_2 = \infty$ .

Setzen wir hingegen  $r = r_2$ , so erhalten wir die Krümmungshalbmesser  $a_1 = \left( \frac{r_1 + r_2}{r_1 + 2r_2} \right) s = \left( \frac{\psi + 1}{\psi + 2} \right) s$  und  
 $a_2 = 0 \cdot s = 0$ .

In beiden Fällen hat man es mit den in §. 60 abgehandelten und in den Figuren 152 und 153 dargestellten epicycloidischen Zahnconstructions zu thun. Geht das eine Rad in eine gezahnte Stange über, so hat man  $r_1 = \infty$ , und daher den Krümmungshalbmesser seiner Zähne  $a_1 = s$  zu nehmen.

Willis's  
Zahnformen.

§. 64. Folgende Betrachtungsweise führt uns noch auf eine andere, zuerst von Willis (s. dessen Principles of Mechanism) angegebene Zahnconstruktion. Fig. 158.



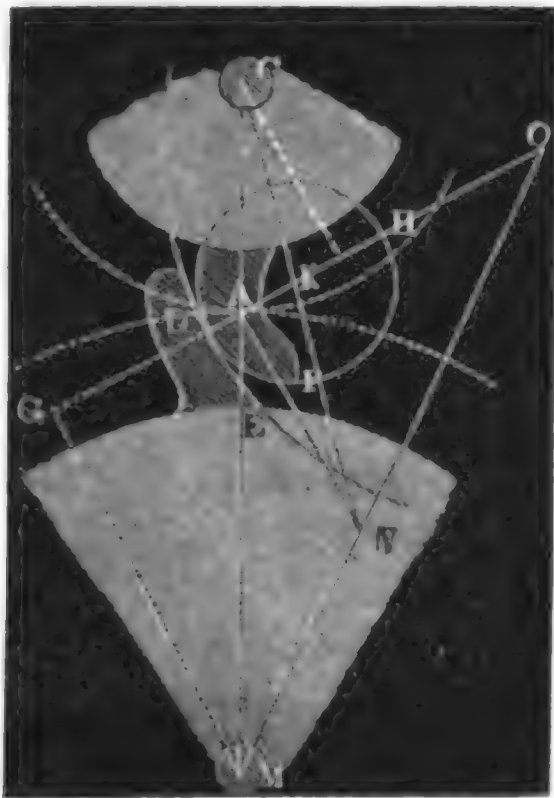
Die Berührungslinie  $KO$  zweier kreisförmigen Zähne geht nicht allein durch die Mittelpunkte  $K$  und  $O$  der Kreisbögen  $DE$  und  $DF$ , Figur 158, wonach diese Zähne geformt sind, sondern ist auch während des Eingreifens oder Fortrückens dieses Zähnpaares immer von derselben Größe, nämlich gleich der Summe der beiden Krümmungshalbmesser  $OD$  und  $KD$ . Nun bewegt sich aber  $O$  in einem Kreisbogen  $OO_1$  um  $M$  und  $K$  in einem Kreisbogen  $KK_1$  um  $C$ , es ist daher nach I. §. 96 anzunehmen, daß sich  $OK$  in einem kleinen Bogen um den Punkt  $N$  drehe, in

welchem sich die Geraden  $MO$  und  $KC$  durch die Dreharen  $M$  und  $C$  schneiden. Da aber auch  $OK$  in allen Stellungen durch den Punkt  $A$

gehen soll, in welchem sich die Theilkreise beider Räder berühren (s. III. §. 58), so darf die Bewegung des Punktes  $A$  der Linie  $OK$  nur in der Richtung dieser Linie vor sich gehen; es muß also  $OK$  Tangente von dem kleinen Bogen sein, welchen  $A$  beschreibt, während  $O$  den Bogen  $OO_1$  und  $K$  den Bogen  $KK_1$  durchläuft, und daher das Centrum  $N$  auch in der Normale liegen, welche sich in  $A$  auf  $OK$  errichten läßt.

Umgekehrt findet man daher auch die Mittelpunkte  $O$  und  $K$  der Kreisbögen  $DE$  und  $DF$  für die Zähne, wenn man durch  $A$  eine willkürliche

Fig. 159.



Linie  $GH$  zieht, auf dieser in  $A$  ein willkürliches Perpendikel  $AN$  errichtet, und von dem Endpunkte  $N$  desselben nach den Drehaxen  $M$  und  $C$  der Räder gerade Linien  $NM$  und  $NC$  zieht; die Durchschnittspunkte  $O$  und  $K$  dieser Linien mit  $GH$  sind die gesuchten Mittelpunkte der Zahnkreise, und theilt man nun noch  $OK$  beliebig in  $D$ , so erhält man in  $OD$  und  $KD$  die fraglichen Krümmungshalbmesser.

Legt man das Perpendikel  $AN$ , Fig. 159, auf die andere Seite von  $GH$ , so fallen die Mittelpunkte  $O$  und  $K$  auf eine Seite von  $A$  und es ist dann der eine Zahnbogen  $DE$  concav.

§. 65. Die Krümmungsmittelpunkte  $O$  und  $K$ , Fig. 158, bestimmen sich mittels der Rechnung auf folgende Weise. Setzen wir den Winkel  $CAK = MAO$ , um welchen die mittlere Drucklinie von der Centrallinie  $MC$  abweichen soll,  $= \Theta$  und die Normale  $AN = k$ , die Abstände  $AO$  und  $AK$  der Krümmungsmittelpunkte  $O$  und  $K$  von dem Berührungspunkte  $A$  der Theilkreise  $= x_1$  und  $x_2$ , und behalten wir die Bezeichnung der Theilkreishalbmesser  $MA$  und  $CA$  durch  $r_1$  und  $r_2$  aus dem Früheren bei. Es sind dann die Perpendikel von  $M$  und  $C$  auf  $GH$ :

$$MG = r_1 \sin. \Theta \text{ und } CH = r_2 \sin. \Theta,$$

und die Abschnitte derselben auf  $GH$  von  $A$  aus,

$$AG = r_1 \cos. \Theta \text{ und } AH = r_2 \cos. \Theta.$$

Hieraus folgt nun  $GO = GA - OA = r_1 \cos. \Theta - x_1$  und

$$HK = AK - AH = r_1 - r_2 \cos \Theta,$$

Aus der Ähnlichkeit der Dreiecke  $ONA$  und  $OMG$  ergibt sich die Pro:

Willis' Zahnformen.

$$\text{portion } \frac{AO}{AN} = \frac{GO}{GM}, \text{ d. i. } \frac{x_1}{k} = \frac{r_1 \cos. \Theta - x_1}{r_1 \sin. \Theta},$$

$$\text{und es folgt hieraus } x_1 = \frac{k r_1 \cos. \Theta}{k + r_1 \sin. \Theta},$$

und auf gleiche Weise folgt aus der Proportion

$$\frac{AK}{AN} = \frac{HK}{CH}, \text{ d. i. } \frac{x_2}{k} = \frac{x_2 - r_1 \cos. \Theta}{r_2 \sin. \Theta}, \text{ oder}$$

$$x_2 = \frac{k r_2 \cos. \Theta}{k - r_2 \sin. \Theta}.$$

Für den Fall in Fig. 159, wo eine Zahnfläche  $DE$  concav ist, hat man

$$OA = x_1 = \frac{k r_1 \cos. \Theta}{r_1 \sin. \Theta - k} \quad \text{und} \quad KA = x_2 = \frac{k r_2 \cos. \Theta}{r_2 \sin. \Theta + k}.$$

Nimmt man  $k = r_1 \sin. \Theta$ , so fällt  $x_1$  unendlich groß aus, und es geht der Kreisbogen  $DE$  in eine gerade Linie über. Nimmt man für alle Räder  $k$  und  $\Theta$  gleich groß an, so erhält man nach der letzten Formel den Rad-halbmesser, bei welchem die Zahnfläche  $DE$  eben ausfällt,  $r = \frac{k}{\sin. \Theta}$ und die Halbmesser für Räder mit concaver Zahnfläche  $DE$  stets größer als  $r = \frac{k}{\sin. \Theta}$ . Setzen wir den Minimalwerth  $r = \frac{k}{\sin. \Theta}$  in dieletzten Formeln für  $x_1$  und  $x_2$ , so erhalten wir

$$x_1 = \frac{r r_1 \cos. \Theta}{r_1 - r} \quad \text{und} \quad x_2 = \frac{r r_2 \cos. \Theta}{r_2 + r}.$$

Nun hat man aber bei der Theilung  $s$ , für die Zähnezahlen  $n$ ,  $n_1$  und  $n_2$  bei Rädern mit den Halbmessern  $r$ ,  $r_1$  und  $r_2$ 

$$n = \frac{2\pi r}{s}, \quad n_1 = \frac{2\pi r_1}{s} \quad \text{und} \quad n_2 = \frac{2\pi r_2}{s},$$

daher folgt

$$x_1 = \frac{n n_1}{n_1 - n} \cdot \frac{s}{2\pi} \cos. \Theta \quad \text{und} \quad x_2 = \frac{n n_2}{n_2 + n} \cdot \frac{s}{2\pi} \cos. \Theta,$$

oder, wenn man mit Willis  $\Theta = 75^\circ$  Grad und die kleinste Zähnezahl  $n = 12$  annimmt,

$$x_1 = \frac{12 \cos. 75^\circ}{2\pi} \cdot \frac{n_1 s}{n_1 - 12} = 0,4943 \frac{n_1 s}{n_1 - 12} \quad \text{und}$$

$$x_2 = \frac{12 \cos. 75^\circ}{2\pi} \cdot \frac{n_2 s}{n_2 + 12} = 0,4943 \frac{n_2 s}{n_2 + 12}.$$

Dontographie.

§. 66. Zur Construction der Zahncurven kann man sich besonderer Apparate, die man Dontographie nennt, bedienen. Bei Anwendung von Kreisbögen reicht hierzu der Zirkel aus, jedoch kann man sich zur Aus-

mittelung der Mittelpunkte  $K$  und  $O$  nach Willis eines in Fig. 160 ab: Odontographie.

Fig. 160.

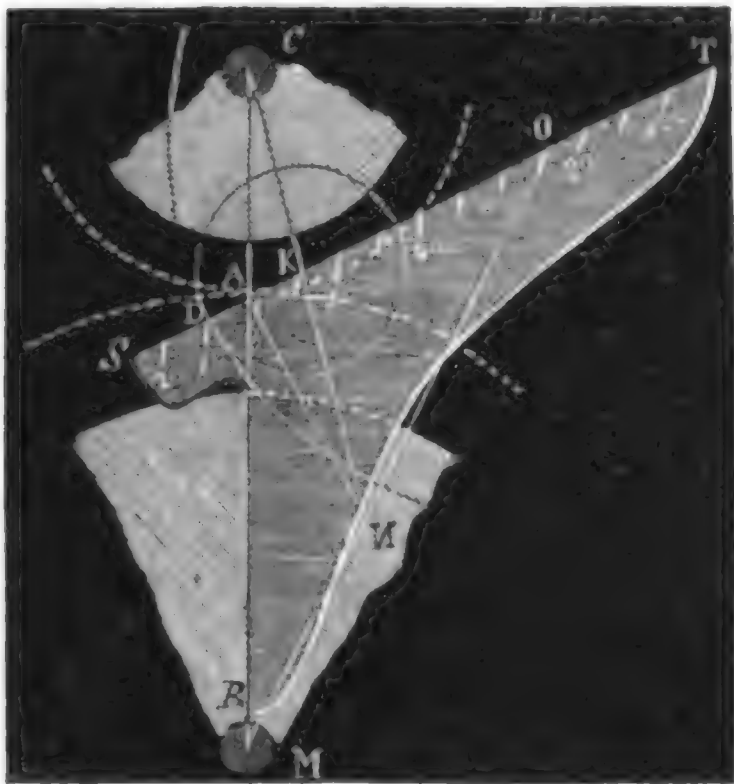
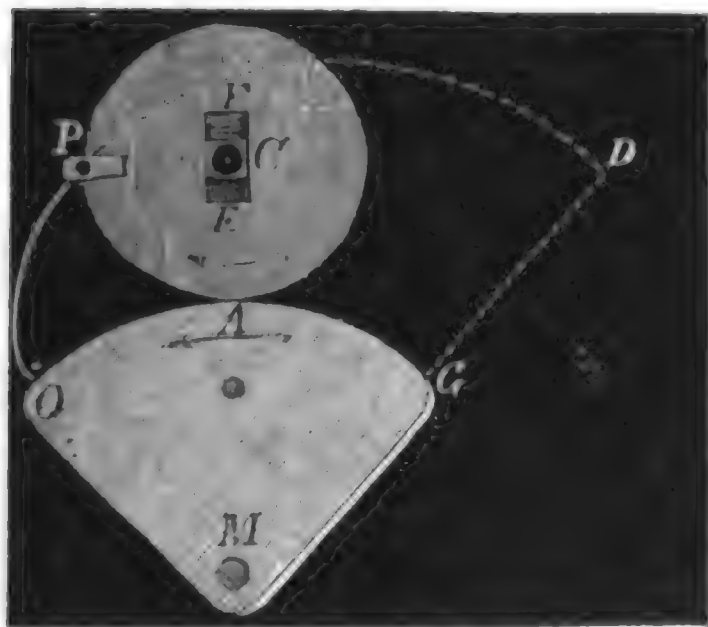


Fig. 161.



gebildeten Winkelhakens  $STR$  bedienen, den man mit dem einen Schenkel  $AR$  an die Centrallinie  $CM$  so anlegt, daß der Nullpunkt ( $o$ ) des anderen Schenkels  $ST$  an den Berührungspunkt  $A$  der Theilkreise zu liegen kommt. Die nach den letzten Formeln zu berechnenden Abscissen ( $x_1$  und  $x_2$ ) der Mittelpunkte der Bahnbögen werden nun auf der Eintheilung des Schenkels abgelesen.

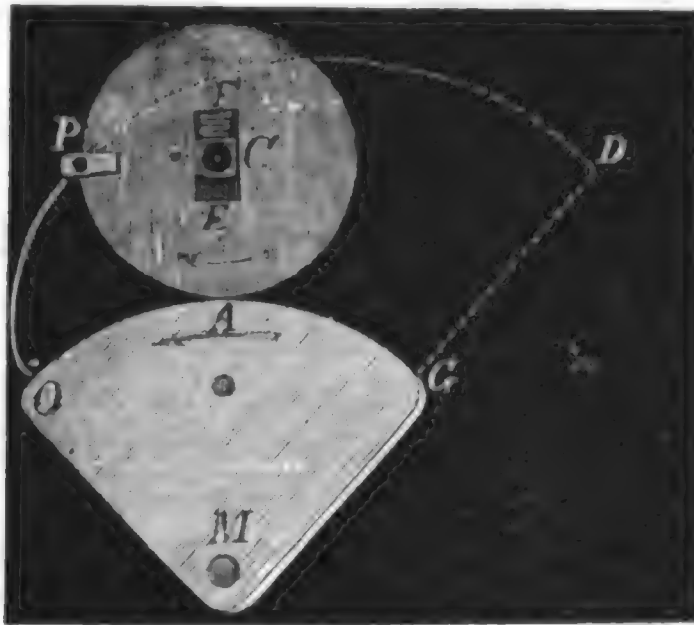
Ueber die geometrische Construction der Epicycloiden, Evoluten u. s. w. wird im „Ingenieur“, Seite 243 bis 246, das Nöthige gesagt, hier möge aber noch die mechanische Construction dieser Zahncurven durch Odontographie abgehandelt werden. Den Apparat zur Construction einer Epicycloide  $OPD$  zeigt Fig. 161;  $AM$  ist eine um die Ase  $M$  drehbare, nach einem Bogen  $OAG$  des Grundkreises abgerundete, und  $ACP$

eine andere um  $C$  drehbare und den Erzeugungskreis vorstellende Scheibe. Damit beim Umdrehen der einen Scheibe auch die andere mit umlaufe, wird das Lager  $EF$  der Ase  $C$  durch eine Spiralfeder in der Richtung  $CM$  und dadurch auch diese Scheibe gegen die andere gedrückt; die Reibung, welche hieraus zwischen den Radumfängen entsteht, macht nun, daß das eine Rad dem andern mit gleicher Umfangsgeschwindigkeit folgt. Beide Scheiben liegen auf einer ebenen Tafel, auf welcher die Ase  $M$  feststeht, und



Chontographie. in welcher ein Spalt zur Aufnahme der Feder  $F$  und des Zapfenlagers  $EF$

Fig. 162.



ausgenommen ist. Um einen Epicycloidenbogen zu beschreiben, wird an der untern Fläche von  $OMG$  ein Blatt Papier angeklebt, und an dem Umfange von  $ACP$  ein Stift  $P$  befestigt; dreht man nun die erste Scheibe mit dem Blatte um  $M$ , so zeichnet  $P$  auf dieses den Epicycloidenbogen  $OP$ , der sich durch weiteres Umdrehen bis auf eine halbe Epicycloide  $OPD$  ausdehnen läßt.

Hypocycloiden lassen sich auf gleiche Weise mittels eines in Fig. 163 abgebildeten Apparates construiren. Dreht man den Sector  $OG$  um seine Ase  $M$  herum, so zeichnet der Stift  $P$  am Umfange der Scheibe  $APC$  auf das Blatt, welches mit  $OG$  umläuft, die Hypocycloide  $OPD$ , die auch durch Umwälzen des Kreises  $AP$  auf der inneren Seite des Bogens  $OG$  beschrieben werden würde.

Fig. 164.

Fig. 163.





Läßt man den inneren Umfang eines Kreisbogens  $PQ$ , Fig. 164, auf dem Umfange eines kleineren Kreises  $AO$  wälzen, befestigt man also bei diesem Apparate das Blatt Papier auf der Scheibe  $AO$  und den Stift  $P$  auf dem Umfange des Bogens  $PAQ$ , so beschreibt  $P$  eine andere Hypocycloide  $OPD$ , welche den Spirallinien beizuzählen ist.

Fig. 165.

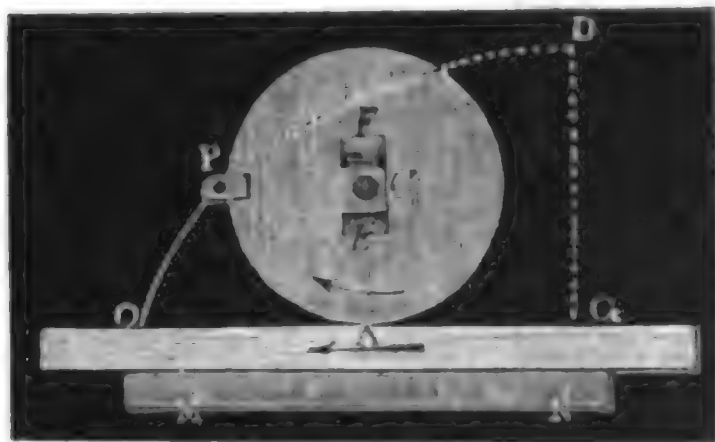
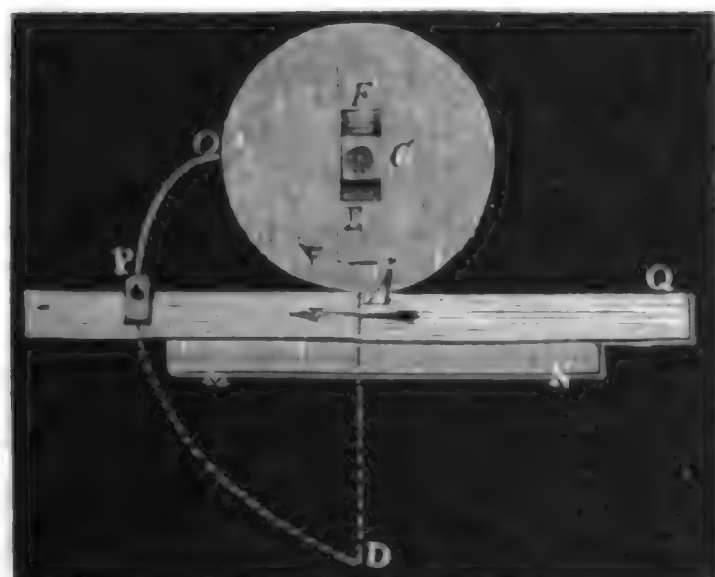


Fig. 166.

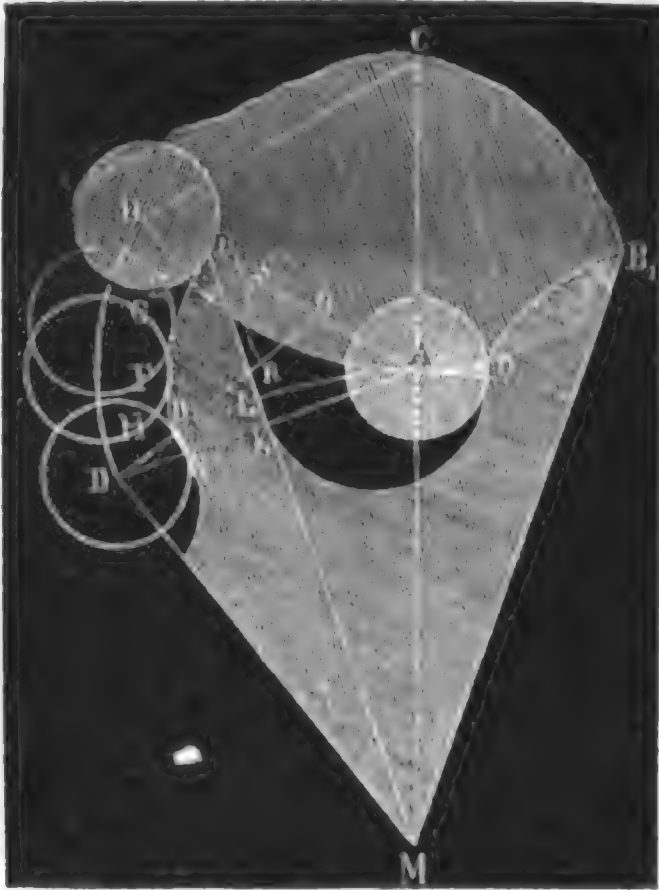


Ersetzt man den einen Bogen oder die eine Scheibe durch eine gerade Linie oder Lineal  $OG$ , Fig. 165, oder  $PQ$ , Fig. 166, und schiebt man dasselbe in der Führung  $MN$  tangential an dem Umfange einer ebenfalls durch eine Feder  $FE$  angeordneten Scheibe  $AC$  hin, so erhält man eine Cycloide  $OPD$ , wenn, wie in Fig. 165, das Blatt Papier auf dem Lineale und der Stift  $P$  auf der Scheibe feststeht, und dagegen eine Kreisevolvente wie  $OPD$  in Fig. 166, wenn das Blatt Papier von der Scheibe  $ACO$  und der Stift  $P$  vom Lineale  $PQ$  getragen wird.

§. 67. Es ist nun zu zeigen, wie die im Vorstehenden mitgetheilten Regeln über die besten Zahnformen auf die Zahnconstructions wirklich angewendet werden. Um zunächst die erste der in §. 60 mitgetheilten Regeln praktisch anzuwenden, können wir die Zähne  $A, B \dots$  des einen Rades, welche wir uns dort als Punkte oder als parallel zur Umdrehungsaxe laufende gerade Linien gedacht haben, durch einen Cylinder oder sogenannten Triebstock ersetzt denken, dessen Axe mit dieser Linie zusammenfällt. In diesem Falle befindet sich der Berührungspunkt nicht mehr in der Linie oder in der Mitte  $B$ , Fig. 167 (auf folgd. Seite), des Triebstockes, sondern er steht stets um die halbe Dicke  $BB_1 = DD_1$  desselben davon ab, und es muß daher auch die Vorderfläche des Zahnes nach einer krummen Linie

Drehlinge. geformt werden, die von dem Epicycloidenbogen  $BD$  an allen Stellen um  $BB_1 = DD_1$  absteht. Man findet diese Curve  $B_1D_1$ , die man auch eine Parallele oder Nequidistante zur gegebenen nennt, wenn man mit dem gegebenen Abstände  $BB_1 = DD_1$  als Halbmesser, aus der letzteren viele Kreisbögen, wie  $EF$ ,  $GH$  u. s. w. beschreibt, und einen Zug führt, welcher alle diese Bögen berührt.

Fig. 167.



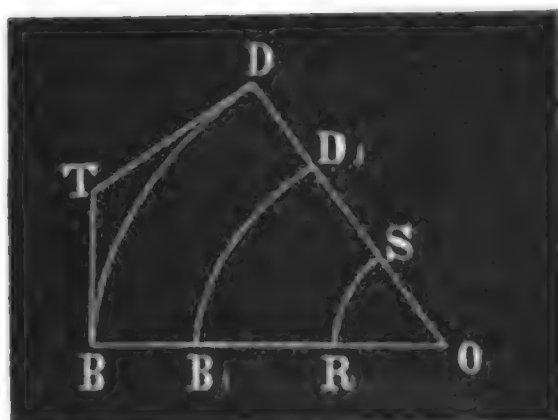
Wird der Drehling  $ABC$  von dem Zahnrad  $AMD$  in Bewegung gesetzt, so erfolgt der Eingriff, wenn die Axe  $A$  des Triebstockes in der Centrallinie  $CM$  der beiden Räder steht, und es tritt das Ausstreichen ein, wenn sich die

Triebstockaxe um die Theilung  $AB = s$  von der Centrallinie entfernt hat. Setzt dagegen der Drehling das Zahnrad in Umdrehung, so tritt das umgekehrte Verhältniß ein, es beginnt der Eingriff in  $B_1$  und hört derselbe in  $D_1$  auf. In beiden Fällen ist immer nur ein Zahn mit einem Triebstocke in Eingriff; nimmt man aber  $AB = AD$  größer als die Theilung oder verlängert man den Zahnbogen  $D_1B_1$  noch etwas über  $B_1$  hinaus, so kommen zum Theil zwei Zähne mit zwei Triebstöcken in Eingriff. Da beide Räder in  $A$  einerlei Bewegungsrichtung haben, so ist jedenfalls der Eingriff daselbst ein vollkommener und weniger leicht mit Stößen verbunden als der in  $B_1$  außerhalb der Centrallinie. Sind überdies die Zähne von Holz, so würde sich im letztern Falle bei der Bewegung des Triebstockes gegen den Spahn der Zähne eine größere Reibung und ein stärkeres Auführen der Zähne herausstellen. Deshalb läßt man denn auch immer nur den Drehling (mit Triebstöcken) von dem Zahnrad in Umdrehung setzen. Vollständige Constructionen von Räderwerken mit Drehlingen führen die Figuren 168 und 169 vor Augen. In Figur 168 ist sowohl der Fall abgebildet, wo der Drehling  $ACB$  ein Rad von außen, als auch der, wo er ein Rad von innen berührt. Im ersten Falle hat man es bekanntlich mit einer Epi- und im zweiten mit einer Hypocycloide  $DBE$  zu thun. Figur 169



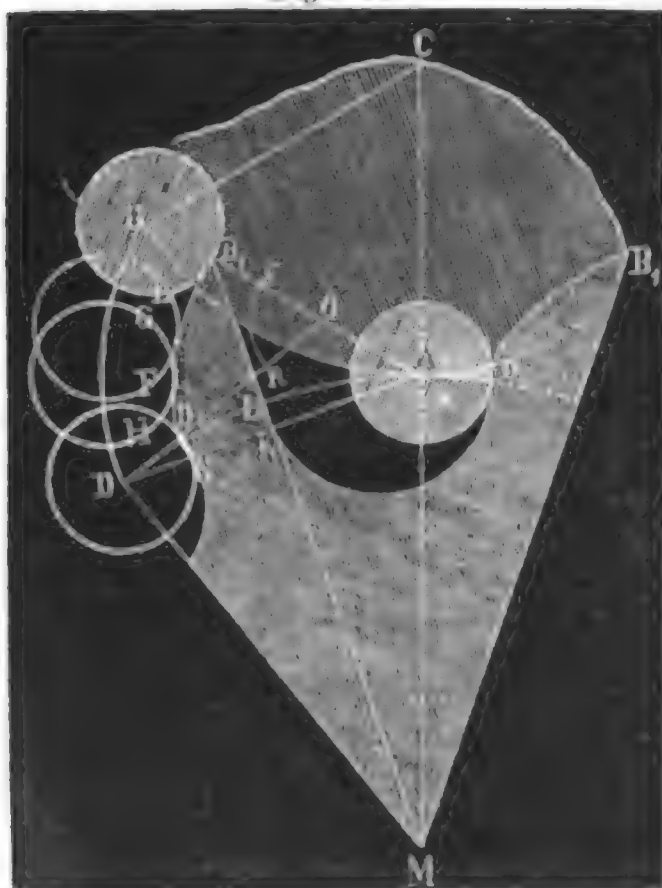
Drehlinge.

Fig. 171.



$B$ , die in  $D_1$  parallel der in  $D$  u. s. w. Zweitens ist die Länge des Bogens  $B_1 D_1$  der Aequidistante um einen Kreisbogen  $RS$  kleiner oder größer als der entsprechende Bogen der gegebenen Curve, der zum Halbmesser  $OR = OS$  den Abstand  $BB_1 = DD_1$  zwischen beiden Curven und zum Centriwinkel den Winkel  $BOD$  zwischen den beiden Normalen  $BO$  und  $DO$  hat.

Fig. 172.



§. 68. Die Dimensionen der Zähne eines Drehlingräderwerkes berechnen sich auf folgende Weise. Es seien  $r_1$  und  $r_2$  die Theilkreishalbmesser  $MA$  und  $CA$ , Figur 172, beider Räder, ferner seien  $\beta_1$  und  $\beta_2$  die entsprechenden Theilwinkel  $AMD$  und  $ACB$ , und endlich sei  $b_1$  die Dicke eines Zahnes und  $b_2$  die eines Triebstockes, und zwar jede nahe der halben Theilung

$$\frac{s}{2} = \frac{AB}{2} = \frac{AD}{2}.$$

Die Sehne oder gerade Theilung

$$AD = s_1 \text{ ist hiernach} = 2 AM \sin. AMD = 2 r_1 \sin. \frac{\beta_1}{2}, \text{ und}$$

$$AB = s_2 = 2 AC \sin. ACB = 2 r_2 \sin. \frac{\beta_2}{2}.$$

Ferner ist in dem rechtwinkligen Dreiecke  $AB_1 K$  die Hypotenuse

$$AB_1 = AB - BB_1 = 2 r_2 \sin. \frac{\beta_2}{2} - \frac{1}{2} b_2$$

und der Winkel  $B_1 AK = \frac{\beta_1 + \beta_2}{2}$ , daher die Kathete, oder die Hervorragung des Zahnes über der Sehne  $AD$ :

$$B_1 K = AB_1 \sin. B_1 AK = \left( 2 r_2 \sin. \frac{\beta_2}{2} - \frac{1}{2} b_2 \right) \sin. \left( \frac{\beta_1 + \beta_2}{2} \right).$$

Zieht man hiervon die Bogenhöhe

$$KL = r_1 \left( 1 - \cos. \frac{\beta_1}{2} \right) = 2r_1 \left( \sin. \frac{\beta_1}{4} \right)^2$$

ab, so folgt die Höhe des Zahnobertheiles

$$B_1 L = h = KB_1 - KL$$

$$= \left( 2r_2 \sin. \frac{\beta_2}{2} - \frac{1}{2} b_2 \right) \sin. \left( \frac{\beta_1 + \beta_2}{2} \right) - 2r_1 \left( \sin. \frac{\beta_1}{4} \right)^2.$$

Setzt man nun annähernd  $2r_2 \sin. \frac{\beta_2}{2} = s$ ,  $\frac{1}{2} b_2 = \frac{s}{4}$ ,

$$\sin. \left( \frac{\beta_1 + \beta_2}{2} \right) = \frac{\beta_1 + \beta_2}{2} = \frac{1}{2} \left( \frac{s}{r_1} + \frac{s}{r_2} \right) \text{ und}$$

$$\sin. \left( \frac{\beta_1}{4} \right)^2 = \frac{\beta_1^2}{16} = \frac{1}{16} \left( \frac{s}{r_1} \right)^2,$$

so erhält man sehr einfach

$$h = \frac{3}{8} s^2 \left( \frac{1}{r_1} + \frac{1}{r_2} \right) - \frac{1}{8} \frac{s^2}{r_1} = \left( \frac{2}{r_1} + \frac{3}{r_2} \right) \frac{s^2}{8},$$

oder durch Einführung der Zähnezahlen  $n_1 = \frac{2\pi r_1}{s}$ , und  $n_2 = \frac{2\pi r_2}{s}$ ,

$$h = \left( \frac{2}{n_1} + \frac{3}{n_2} \right) \frac{\pi s}{4}.$$

Die Zahndicke ist, wenn man symmetrische Zähne anwendet, also an das Zahnvordertheil  $B_1 K' N$  noch ein congruentes Hintertheil ansetzt,  $b_1$ , mindestens  $= 2NK = 2(AD - DN - AK)$ , d. i.

$$b_1 = 2 \left[ 2r_1 \sin. \frac{\beta_1}{2} - \frac{b_2}{2} - \left( 2r_2 \sin. \frac{\beta_2}{2} - \frac{1}{2} b_2 \right) \cos. \left( \frac{\beta_1 + \beta_2}{2} \right) \right],$$

annähernd, da sich  $\sin. \frac{\beta_1}{2} = \frac{\beta_1}{2} - \frac{\beta_1^3}{48}$ ,  $\sin. \frac{\beta_2}{2} = \frac{\beta_2}{2} - \frac{\beta_2^3}{48}$  und

$\cos. \left( \frac{\beta_1 + \beta_2}{2} \right) = 1 - \frac{(\beta_1 + \beta_2)^2}{8}$  setzen läßt, und  $r_1 \beta_1 = r_2 \beta_2 = s$  ist,

$$b_1 = 2 \left[ r_1 \beta_1 - \frac{r_1 \beta_1^3}{24} - \frac{b_2}{2} - \left( r_2 \beta_2 - \frac{r_2 \beta_2^3}{24} - \frac{b_2}{2} \right) \left( 1 - \frac{(\beta_1 + \beta_2)^2}{8} \right) \right]$$

$$= 2 \left[ -\frac{r_1 \beta_1^3}{24} + \frac{r_2 \beta_2^3}{24} + \left( r_2 \beta_2 - \frac{b_2}{2} \right) \frac{(\beta_1 + \beta_2)^2}{8} \right],$$

oder, da sich  $b_2 = \frac{s}{2}$  setzen läßt,

$$b_1 = \frac{s}{4} \left( -\frac{\beta_1^2}{3} + \frac{\beta_2^2}{3} + \frac{3}{4} (\beta_1 + \beta_2)^2 \right) = (5\beta_1^2 + 18\beta_1\beta_2 + 13\beta_2^2) \frac{s}{48}.$$

Führt man endlich  $\beta_1 = \frac{2\pi}{n_1}$  und  $\beta_2 = \frac{2\pi}{n_2}$  ein, so erhält man

$$b_1 = \left( \frac{5}{n_1^2} + \frac{18}{n_1 n_2} + \frac{13}{n_2^2} \right) \frac{\pi^2 s}{12}.$$



Drehlinge. Nun darf aber  $b_1$  höchstens  $= \frac{s}{2}$  sein, daher folgt die Bedingung für die kleinsten Zähnezahlen:  $\frac{5}{n_1^2} + \frac{18}{n_1 n_2} + \frac{13}{n_2^2} = \frac{12}{2 \cdot \pi^2} = 0,608$ . Für  $n_1 = n_2$  erhält man hiernach  $\frac{36}{n_1^2} = 0,608$ , und

$$n_1 = n_2 = \sqrt{\frac{36}{0,608}} = 7,7, \text{ d. i. mindestens } 8.$$

Für  $n_1 = \infty$ , also für einen Drehling mit Zahnstange, erhält man aber

$$n_2 = \sqrt{\frac{13}{0,608}} = 4,6, \text{ also wenigstens } = 5,$$

für  $n_2 = \infty$ , also für eine Stange mit Triebstöcken, stellt sich endlich

$$n_1 = \sqrt{\frac{5}{0,608}} = 2,9, \text{ also mindestens } = 3 \text{ heraus.}$$

Bei Anwendung eines Rades mit innerer Verzahnung geht  $\frac{\beta_1 + \beta_2}{2}$  in  $\frac{\beta_2 - \beta_1}{2}$  über, weshalb  $h = \left( \frac{3}{n_2} - \frac{2}{n_1} \right) \frac{\pi s}{4}$  und

$$b_1 = \left( \frac{5}{n_1^2} - \frac{18}{n_1 n_2} + \frac{13}{n_2^2} \right) \frac{\pi^2 s}{12} \text{ ausfällt,}$$

und die obige Bedingung für die kleinsten Zähnezahlen in folgende übergeht,

$$\frac{5}{n_1^2} - \frac{18}{n_1 n_2} + \frac{13}{n_2^2} = 0,608.$$

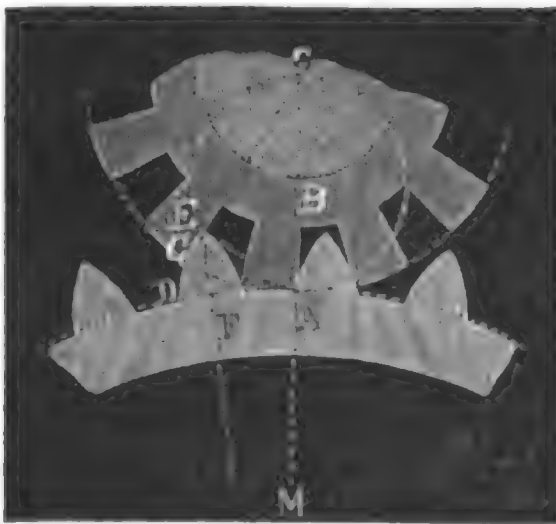
Für  $n_1 = 2 n_2$  folgt z. B. hiernach  $\frac{21}{n_1^2} = 0,608$ , daher ist

$$n_1 = \sqrt{\frac{21}{0,608}} = 5,9, \text{ also die kleinste Anzahl der Triebstöcke } n = 6.$$

Anm.

§. 69. Die Anwendung der zweiten Constructionregel läßt sich unmittelbar in der Praxis so anwenden, wie in Fig. 173 zu sehen ist. Die

Fig. 173.



Zahnflächen des einen Rades, und zwar des kleineren, welches man auch, namentlich wenn es aus einem einzigen Stücke besteht, einen Kumpf nennt, sind hier radial, wie z. B.  $AB$ ; die des anderen wird dagegen von einem Epicycloidenbogen  $DE$  gebildet, der entsteht, wenn sich der Kreis  $ACE$ , dessen Durchmesser dem Theilkreishalbmesser des Kumpfes gleich ist, auf dem Theilkreise des an-

deren Rades wälzt. Aus schon oben angegebenen Gründen ist es zweckmäßiger, wenn der Kumpf von dem Rade mit Epicycloidenzähnen getrieben wird, und nicht umgekehrt; wenn der Angriff in  $A$ , d. i. in der Centralinie  $CM$  erfolgt, und daher ein Zahn des letzteren Rades einen Zahn des ersten Rades von  $A$  nach  $G$  schiebt, während er selbst von  $A$  nach  $D$  geht. Macht man  $AD = AE =$  der Theilung  $s$ , so ist natürlich immer nur ein Zähnpaar im Eingriff, nimmt man aber  $AD = AE$  größer als  $s$ , so arbeiten auch mehrere Zähnpaare auf ein Mal.

Kumpfe.

Behalten wir die Bezeichnungen des vorigen Paragraphen bei, setzen wir z. B.  $CA = r_2$  und  $\angle ACE = \beta_2$ , so erhalten wir die Höhe des Zahnobertheiles vom Kumpfe:

$$EG = h_2 = CG - CE = r_2 - r_2 \cos. \beta_2 = r_2 (1 - \cos. \beta_2), \\ = 2 r_2 \left( \sin. \frac{\beta_2}{2} \right)^2, \text{ und annähernd } = \frac{1}{2} r_2 \beta_2^2 = \frac{\pi s}{n_2};$$

dagegen folgt die Höhe eines Zahnes vom Rade  $AMD$ :

$$EF = h_1 = ME - MF = \sqrt{MA^2 + AE^2 - 2MA \cdot AE \cos. MAE} - MA \\ = \sqrt{r_1^2 + r_2^2 (\sin. \beta_2)^2 + 2 r_1 r_2 (\sin. \beta_2)^2} - r_1 \\ = \sqrt{r_1^2 + r_2 (r_2 + 2 r_1) (\sin. \beta_2)^2} - r_1,$$

annähernd

$$= \frac{r_2 (r_2 + 2 r_1)}{2 r_1} (\sin. \beta_2)^2 = \frac{(2 r_1 + r_2) r_2 \beta_2^2}{2 r_1} = \left( \frac{1}{n_1} + \frac{2}{n_2} \right) \pi s.$$

Die Dicke  $b_1$  eines Zahnes muß mindestens  $= 2 DF$  sein; setzen wir sie  $= 2 DF = 2 (AD - AF)$ , so erhalten wir

$$b_1 = 4 r_1 \sin. \frac{\beta_1}{2} - 2 EA \cos. EAF = 4 r_1 \sin. \frac{\beta_1}{2} - 2 r_2 \sin. \beta_2 \cos. \left( \frac{\beta_1}{2} + \beta_2 \right),$$

d. i. annähernd

$$b_1 = 2 r_1 \beta_1 - \frac{r_1 \beta_1^3}{12} - (2 r_2 \beta_2 - \frac{1}{3} r_2 \beta_2^3) \left[ 1 - \frac{1}{2} \left( \frac{\beta_1 + 2 \beta_2}{2} \right)^2 \right] \\ = \left( -\frac{\beta_1^2}{12} + \frac{\beta_2^2}{3} + \frac{(\beta_1 + 2 \beta_2)^2}{4} \right) s = \left( \frac{1}{6} \beta_1^2 + \beta_1 \beta_2 + \frac{1}{3} \beta_2^2 \right) s \\ = \left( \frac{1}{n_1^2} + \frac{6}{n_1 n_2} + \frac{8}{n_2^2} \right) \frac{2 \pi^2 s}{3}.$$

Setzen wir nun noch  $b_1 = \frac{1}{2} s$ , um mindestens symmetrische Zähne zu erhalten, so folgt die Bedingung

$$\frac{1}{n_1^2} + \frac{6}{n_1 n_2} + \frac{8}{n_2^2} = \frac{3}{4 \pi^2} = 0,076.$$

Für  $n_1 = n_2$  folgt hiernach  $\frac{15}{n_1^2} = 0,076$ , daher  $n_1 = \sqrt{\frac{15}{0,076}} = 14$ ;

*Beispiel* für  $n_1 = \infty$ , erhält man aber  $n_2 = \sqrt{\frac{8}{0,076}} = 10,25$ , und  
für  $n_2 = \infty$ , ergibt sich  $n_1 = \sqrt{\frac{1}{0,076}} = 3,6$ .

Bei einer Zahnstange mit abgerundeten Zähnen ist also die kleinste Zähnezahl des Getriebes  $= 11$ , und bei einer Zahnstange mit ebenen Zähnen ist die kleinste Zähnezahl des Getriebes  $= 4$ .

Anmerkung. Die Zahnreibung bei diesem Räderwerke ist dieselbe wie die bei Anwendung eines Trillings, und auch dieselbe wie bei den Rädern mit ebenen Zahnflächen, nämlich  $F = \left(\frac{1}{n_1} + \frac{1}{n_2}\right) \pi \varphi K$  (s. §. 52). Bei einer kleinen Theilung können wir den Reibungsbogen  $DE$  seiner Höhe  $FE$  gleichsetzen; es ist folglich der relative Reibungsweg, während das Zahnepaar von  $A$  nach  $F$  rückt,  $\sigma = DE - GE = h_1 - h_2 = \left(\frac{1}{n_1} + \frac{2}{n_2}\right) \pi s - \frac{\pi s}{n_2} = \left(\frac{1}{n_1} + \frac{1}{n_2}\right) \pi s$ , daher bei dem Drucke  $K$ , die entsprechende Arbeit der Reibung,

$$L = \sigma \cdot \varphi K = \left(\frac{1}{n_1} + \frac{1}{n_2}\right) \pi \varphi K s,$$

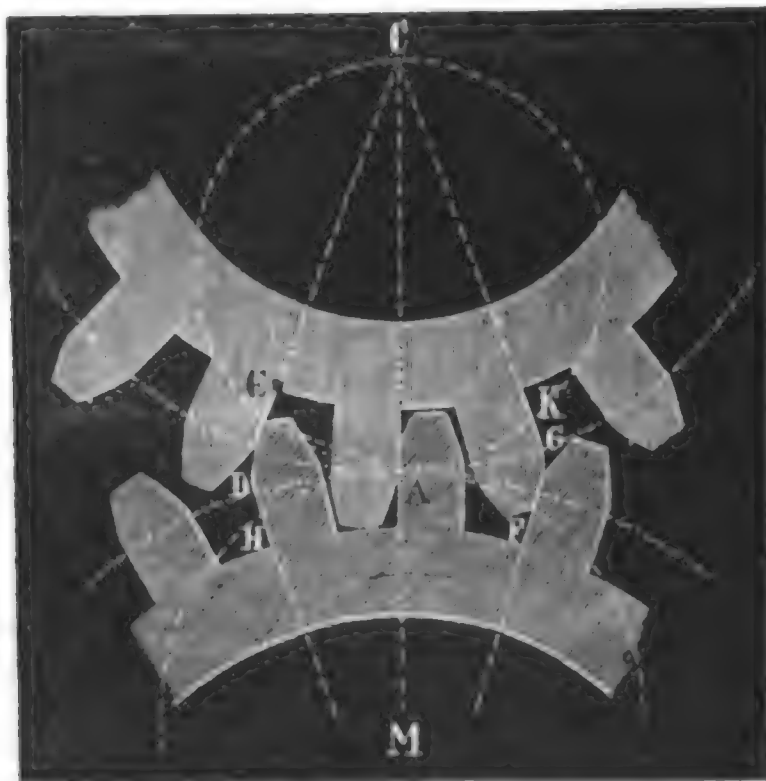
und die Reibung, auf den Theilkreis reducirt,

$$F = \left(\frac{1}{n_1} + \frac{1}{n_2}\right) \pi \varphi K.$$

Zusammen-  
gesetzte  
Zahnflächen.

§. 70. Wenn der Eingriff der Zahnräder eben so viel vor der Central-  
linie beginnen als hinter derselben aufhören soll, so muß man die Zahnfläche  
eines jeden Rades aus einer epicycloidischen Wölbung und einer ebenen

Fig. 174.



Flanke bestehen lassen. Die Anordnung eines solchen Räderwerkes ist aus Figur 174 zu er-  
sehen. Es sind hier zu den zwei Theilkrei-  
sen noch zwei halb so hohe Erzeugungskreise  $HAF$  und  $EAK$  hin-  
zuzufügen. Trägt man auf diesen von  $A$  aus die Theilung  $s$  als  $AE = AF$  auf und legt man die Bogen  $AE = AF$  als  $AD = AG$  wälzend auf die Theilkreise auf, so

bekommt man die Zahnwölbungen  $DE$  und  $FG$ , und es sind nun durch Hinzufügung der radiallaufenden Flanken  $DH$  und  $GK$  die Zahnflächen

*EDH* und *FGK* leicht zu ergänzen. Um das Räderwerk auch entgegen- Zusammen-  
gesetzte  
Zahnflächen. gesetzt laufen lassen zu können, oder um nach Befinden die Zähne, wenn sie von Holz sind, umsehen zu können, formt man ihre Hinterflächen genau so wie ihre Vorderflächen. Bei der Bewegung vor der Centrallinie rückt der ebene Theil *HD* des Treibradzahnes an dem gewölbten Theil *FG* des Getriebradzahnes hin, und bei der Bewegung hinter derselben schiebt sich die Wölbung *DE* des Treibradzahnes über der ebenen Flanke *GH* des Getriebradzahnes hin.

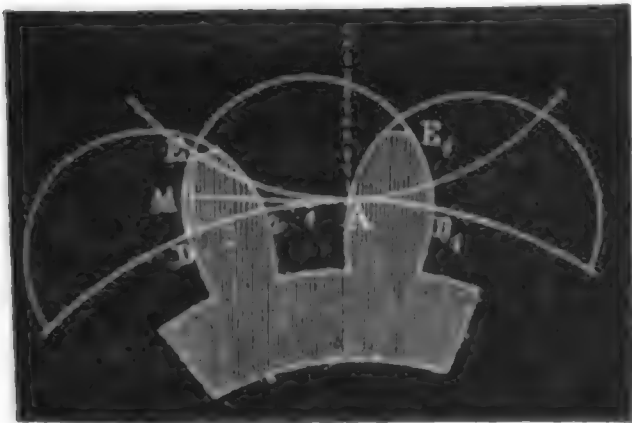
Ist das Getriebe, oder vielmehr das kleinere Rad sehr klein, der Druck *K* zwischen den Zähnen aber sehr groß, so fallen die Zahnenden oft zu spitz aus, um hinreichenden Widerstand leisten zu können, weshalb man dann den Eingriff von zwei Paar Zähnen aufgeben muß, und  $AE = AF$  nur  $\frac{3}{4}s$  oder wohl gar nur  $\frac{s}{2}$  macht, in welchem letzteren Falle immer nur ein Zähnepaar arbeitet. Sind umgekehrt beide Räder hoch und ist *K* klein, so kann man mehr als zwei Paar Zähne zugleich arbeiten lassen und deshalb  $AE = AF = \frac{3}{2}s$  nehmen.

Uebrigens kann man aber auch die Epicycloidenbögen *DE* und *GF* durch Kreisbögen ersetzen und die Halbmesser derselben nach §. 63 berechnen, oder  $= \frac{3}{4}s$  nehmen u. s. w.

Der Vortheil der in diesem Paragraphen abgehandelten Zahnconstruktion vor der vorigen (§. 69), liegt besonders darin, daß hier unter übrigens gleichen Umständen stets doppelt so viele Zähnepaare arbeiten als dort, daher auch der Druck zwischen je zwei Zähnen nur halb so groß ist, und deshalb nicht nur ein gleichmäßigerer Gang, sondern auch ein schwächeres Abführen der Zähne erzielt wird.

Selbst dann, wenn man wegen der Kleinheit des einen Rades genöthigt ist, die Zahl der arbeitenden Zähnepaare zu beschränken, oder nach Befinden auf eins herabzuziehen, ist die Anwendung dieser Zahnconstruktion von Vortheil, weil durch sie die Abstände der arbeitenden Zähnepaare von der Centrallinie auf das Minimum herabgezogen und dadurch die starken Krümmungen der Zähne und die starken Seitendrucke am Anfang und am Ende des Eingreifens vermieden werden.

Fig. 175.



gen der Zähne und die starken Seitendrucke am Anfang und am Ende des Eingreifens vermieden werden.

Anmerkung. Den Mittelpunkt (1) Fig 175, des Kreisbogens, wonach man die Zahnflächen wölbt, findet man meist auch dadurch, daß man in der Mitte *M* der Sehne *DE* ein Perpendikel *M1* errichtet und bis

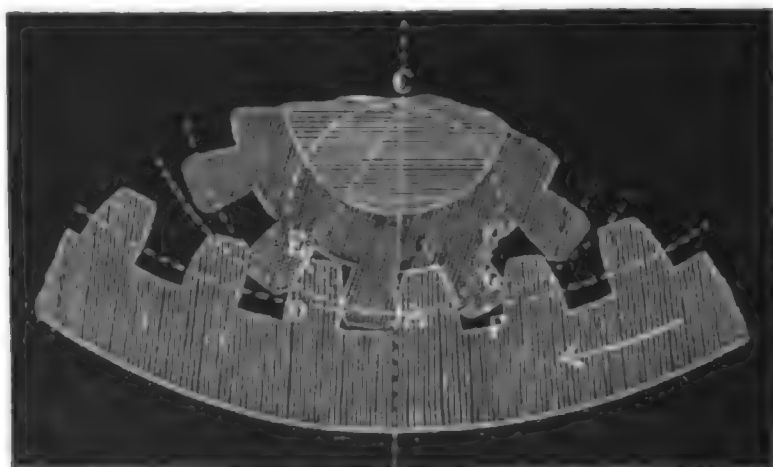


zum Durchschnitte 1 mit dem Theilkreise  $AD$  verlängert. Oft beschreibt man die Zahnwölbung auch mit einem Halbmesser  $1D = \frac{3}{4}s$  oder mit einem Halbmesser  $AD = s$ . Wenn die Radhalbmesser sehr ungleich und die Zähne sehr dick sind, so weichen jedoch die dadurch erhaltenen Zahnformen von der regelrechten Form zu sehr ab.

Innere  
Verzahnung.

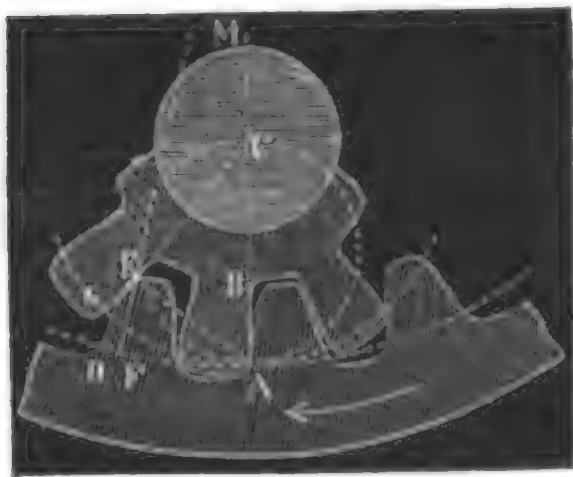
§. 71. Bei einem inneren Zahnräderwerke wie Fig. 176, welches nicht selten angewendet wird, um die Umdrehungskraft eines verticalen Wasserrades ohne Torsion der Wasserradwelle fortzupflanzen, findet man die Zahnformen wie folgt. Es sei  $C$  die Umdrehungsaxe des inneren Getriebes,

Fig. 176.



und  $A$  der Berührungspunkt der Theilkreise beider Räder, also  $CA$  der Halbmesser des Theilkreises des Getriebes oder der Durchmesser des Erzeugungskreises  $AECK$  für die Zahnwölbungen des Rades. Nimmt man nun  $AE = s$  und wälzt man  $AE$  auf dem Theilkreise des letzteren Rades, so beschreibt  $E$  die gesuchte Zahnwölbung  $ED$ . Nimmt man ferner  $AF = AD = AE = s$  und wälzt man diesen Theilkreisbogen auf dem Theilkreise des Getriebes, so beschreibt  $F$  die Zahnwölbung  $FG$  des Getriebes. Es ist hiernach leicht zu ermessen, welche Berührungen während des Arbeitens eines Zahnepaares vorkommen. Vor der Centrallinie gleitet immer derselbe Punkt  $D$  der Zahnfläche  $DE$  an der Zahnwölbung  $FG$  hin, hinter der Centrallinie hingegen rückt die Zahnfläche  $DE$  über der ebenen Flanke  $GK$  des Getriebzahnes hin.

Fig. 177.



Aus der ununterbrochenen Berührung des Anfangspunktes  $D$  der Zahnfläche mit der Fläche  $FG$  erwächst jedenfalls ein stärkeres Abführen des Zahnes an dieser Stelle, und deshalb giebt man oft auch das Arbeiten der Zähne vor der Centrallinie ganz auf, und giebt zu diesem Zwecke dem Getriebe nur ebene Zahnflächen, wie  $AB$ , Fig. 177.



Wenn die Buchstaben  $r_1, r_2, \beta_1, \beta_2, n_1$  und  $n_2$  die schon oben wiederholt gebrauchten Bedeutungen auch hier behalten, so haben wir die Zahnhöhe des Getriebrades Innere  
Verzahnung.

$$EG = h_2 = r_2 (1 - \cos. \beta_2) = 2r_2 \left( \sin. \frac{\beta_2}{2} \right)^2,$$

$$\text{annähernd} \quad = \frac{1}{2} r_2 \beta_2^2 = \frac{s^2}{2r_2} = \frac{\pi s}{n_2};$$

ferner die Zahnhöhe des Treibrades:

$$\begin{aligned} EF = h_1 &= \sqrt{AM^2 + AE^2 - 2AM \cdot AE \cos. EAM} - AM \\ &= \sqrt{r_1^2 + r_2^2 (\sin. \beta_2)^2 - 2r_1 r_2 (\sin. \beta_2)^2} - r_1 \\ &= \sqrt{r_1^2 - r_2 (2r_1 - r_2) (\sin. \beta_2)^2} - r_1, \end{aligned}$$

annähernd

$$= \frac{(2r_1 - r_2)r_2 (\sin. \beta_2)^2}{2r_1} = \frac{(2r_1 - r_2)r_2 \beta_2^2}{2r_1} = \frac{(2r_1 - r_2)s^2}{2r_1 r_2}, \text{ d. i.}$$

$$h_1 = \left( \frac{2}{n_2} - \frac{1}{n_1} \right) \pi s;$$

endlich die Zahnbreite mindestens

$$= 2DF = 2(AD - AF) = 4r_1 \sin. \frac{\beta_1}{2} - 2AE \cos. EAF, \text{ d. i.}$$

$$b_1 = 4r_1 \sin. \frac{\beta_1}{2} - 2r_2 \sin. \beta_2 \cos. (\beta_2 - \frac{1}{2}\beta_1),$$

annähernd, wenn man

$$\sin. \frac{\beta_1}{2} = \frac{\beta_1}{2} - \frac{\beta_1^3}{48}, \quad \sin. \beta_2 = \beta_2 - \frac{\beta_2^3}{6} \text{ und}$$

$$\cos. (\beta_2 - \frac{1}{2}\beta_1) = 1 - \frac{1}{2} (\beta_2 - \frac{1}{2}\beta_1)^2 \text{ setzt,}$$

$$\begin{aligned} b_1 &= 2r_1 \left( \beta_1 - \frac{\beta_1^3}{24} \right) - 2r_2 \left( \beta_2 - \frac{\beta_2^3}{6} \right) [1 - \frac{1}{2} (\beta_2 - \frac{1}{2}\beta_1)^2] \\ &= -\frac{r_1 \beta_1^3}{12} + \frac{r_2 \beta_2^3}{3} + r_2 \beta_2 (\beta_2 - \frac{1}{2}\beta_1)^2, \end{aligned}$$

oder, da  $r_1 \beta_1 = r_2 \beta_2 = s$  ist,

$$b_1 = (\frac{1}{6}\beta_1^2 - \beta_1 \beta_2 + \frac{1}{3}\beta_2^2) s,$$

endlich, da  $\beta_1 = \frac{2\pi}{n_1}$  und  $\beta_2 = \frac{2\pi}{n_2}$  ist,

$$\begin{aligned} b_1 &= \left( \frac{1}{6n_1^2} - \frac{1}{n_1 n_2} + \frac{4}{3n_2^2} \right) \cdot 4\pi^2 s \\ &= \left( \frac{1}{6n_1^2} - \frac{1}{n_1 n_2} + \frac{4}{3n_2^2} \right) \cdot 39,478 \cdot s. \end{aligned}$$

Setzt man nun  $b_1 = \frac{1}{2}s$  als äußerste Grenze, so erhält man die Be-

$$\text{dingung } \frac{1}{6n_1^2} - \frac{1}{n_1 n_2} + \frac{4}{3n_2^2} = \frac{1}{79} = 0,0127.$$

Innere  
Verzahnung

Ist  $n_1$  sehr groß, oder unendlich, so hat man hiernach  $\frac{4}{3n_2^2} = 0,0127$  und  $n_2 = \sqrt{105} = 10,25$ , dann sind also mindestens 11 Zähne im Getriebe nöthig; ist aber  $n_2 = \frac{1}{2}n_1$ , also  $n_1 = 2n_2$ , so hat man  $\frac{7}{8n_2^2} = \frac{1}{79}$ , und  $n_2 = \sqrt{69} = 8,3$ , also die Anzahl der Getriebzähne wenigstens = 9.

Anmerkung. Die Arbeit der Zahnreibung ist bei Durchlaufung der Theilung  $AD = AE = s$ ,

$$L = F s = (DE - GE) \varphi K \text{ annähernd} = (h_1 - h_2) \varphi K$$

$$= \left[ \left( \frac{2}{n_2} - \frac{1}{n_1} \right) \pi s - \frac{\pi s}{n_2} \right] \varphi K = \left( \frac{1}{n_2} - \frac{1}{n_1} \right) \pi \varphi K s,$$

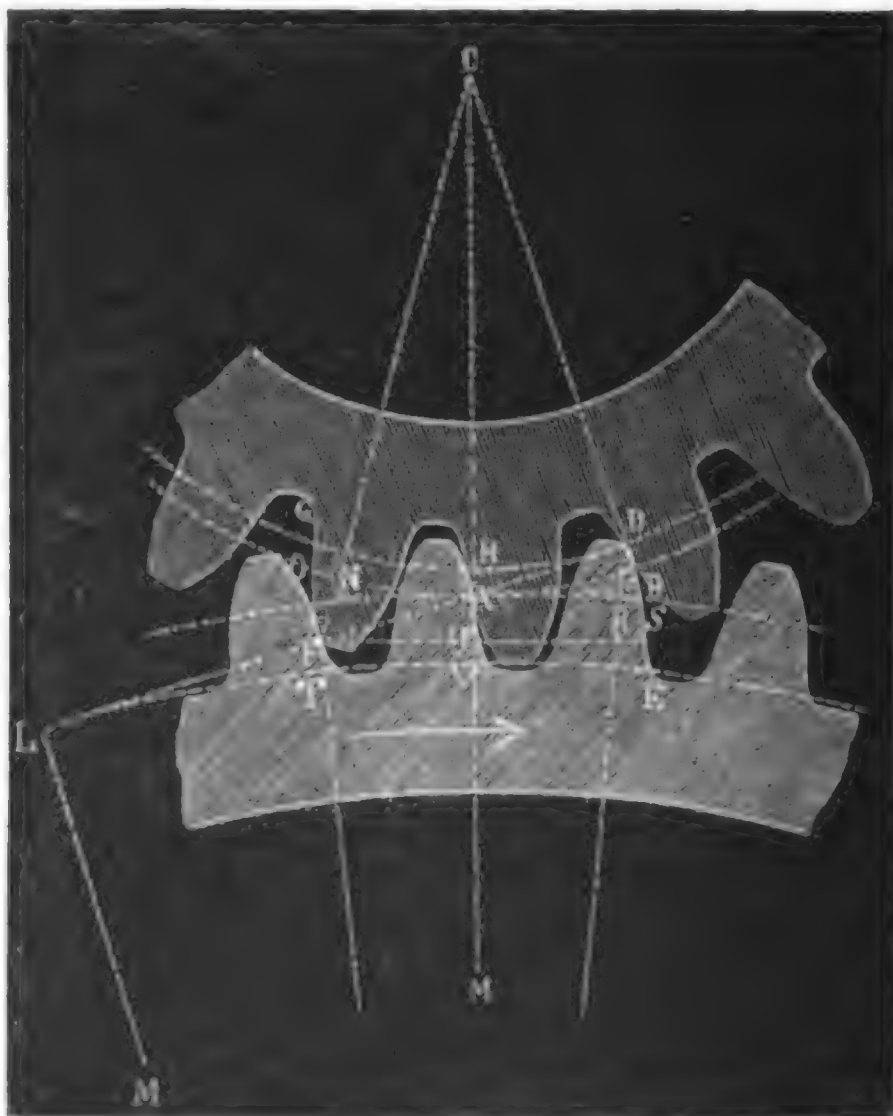
und daher die Zahnreibung selbst, ganz in Uebereinstimmung mit dem Früheren,

$$F = \left( \frac{1}{n_2} - \frac{1}{n_1} \right) \pi \varphi K.$$

Äußere  
Zähne

§. 72. Nach der Kreisevolvente (franz. d'évoloppante de cercle; engl. involute of the cercle) werden die Radzähne auf folgende Weise construirt. Man errichte im Berührungspunkte  $A$  beider Theilkreise  $CA$  und  $MA$ , Fig. 178, ein Perpendikel  $AB$  auf der Centrallinie  $CM$ , und

Fig. 178.



made dieses der Theilung, oder nach Befinden nur Dreiviertel derselben gleich. Von  $B$  ziehe man nun eine Gerade nach der Axe  $C$  des kleineren Rades, und falle von  $A$  ein Perpendikel  $AD$  gegen  $BC$ . Ferner verlängere man  $AD$  rückwärts, falle von  $M$  gegen die Verlängerung das Perpendikel, oder, was auf eins hinauskommt, ziehe  $ML$  parallel  $DC$ , und beschreibe aus  $C$  und  $M$  Kreisbögen durch  $D$  und  $L$ . Macht man nun noch  $AF$  gleich  $AD$  und wickelt man  $DF$  auf  $DG$ , und  $LD$  auf  $LE$  auf, so erhält man in den Evolventenbögen  $FG$  und  $DE$  die gesuchten Zahnformen. Nach dieser Construction ist nicht nur  $DF = \text{Bogen } DG$ , sondern auch  $AD = \text{Bogen } DH$ , daher die Theilung

$$s = \frac{CA}{CD} \cdot DH = \frac{CA}{CD} \cdot AD, \text{ und } \frac{s}{AD} = \frac{CA}{CD}.$$

Nun ist aber auch wegen Aehnlichkeit der Dreiecke  $BAD$  und  $ACD$ ,  $\frac{AB}{AD} = \frac{CA}{CD}$ , daher folgt denn  $AB = s$ , und zugleich die Richtigkeit der Construction.

Die Dimensionen der Evolventenzähne ergeben sich wie folgt.

Die Hervorragung eines Getriebzahnes  $FG$  über seinem Theilkreise ist:

$$NF = h_2 = CF - CA = \sqrt{CA^2 - AD^2} + FD - CA = \sqrt{CA^2 + 3AD^2} - CA \\ = \sqrt{r_2^2 + 3s_1^2} - r_2, \text{ wofern } AD = AF \text{ mit } s_1 \text{ bezeichnet wird.}$$

$$\text{Annähernd ist nun } h_2 = \frac{3s_1^2}{2r_2} = \frac{3s^2}{2r_2} = \frac{3\pi s}{n_2}.$$

Die kleinste Getriebzahnbreite  $b_2$  ist

$$= 2ON = 2(AO - AN) = 2(s - r_2 \varphi_2)$$

zu setzen, wenn  $\varphi_2$  den Winkel  $ACF$  bezeichnet. Nun ist aber

$$\text{tang. } \varphi_2 = \frac{AF \cdot \sin. FAM}{CA + AF \cos. FAM} = \frac{s_1 \sin. CAD}{r_2 + s_1 \cos. CAD} = \frac{s_1 \cdot \sin. ABD}{r_2 + s_1 \cdot \frac{s_1}{r_2}} \\ = \frac{s_1^2 r_2}{s(r_2^2 + s_1^2)} = \frac{r_1}{s\left(\frac{r_2^2}{s_1^2} + 1\right)} = \frac{r_2}{s\left(\frac{r_2^2 + s^2}{s^2} + 1\right)} = \frac{r_2 s}{r_2^2 + 2s^2}$$

$$\text{annähernd} = \frac{s}{r_2} \left(1 - \frac{2s^2}{r_2^2}\right), \text{ und (nach "Ingenieur", Seite 225)}$$

$$\varphi_2 = \text{tang. } \varphi_2 - \frac{1}{3}(\text{tang. } \varphi_1)^3 + \dots, \text{ daher hier}$$

$$\varphi_2 = \frac{s}{r_2} - \frac{2s^3}{r_2^3} - \frac{1}{3} \frac{s^3}{r_2^3} = \frac{s}{r_2} - \frac{7s^3}{3r_2^3} \text{ und}$$

$$b_2 = 2\left(s - s + \frac{7s^3}{3r_2^3}\right) = \frac{14}{3} \frac{s^3}{r_2^3} = \frac{14}{3} \cdot \frac{4\pi^2}{n_2^3} \cdot s = 184,23 \frac{s}{n_2^2}.$$

Für die Höhe eines Zahnes vom größeren Rade hat man

Evolventen-  
zähne.  $DR = h_1 = MD - MA = \sqrt{ML^2 + LD^2} - MA = \sqrt{MA^2 - AL^2 + LD^2} - MA$

$$= \sqrt{r_1^2 - \left(\frac{r_1}{r_2} s_1\right)^2 + \left(\frac{r_1}{r_2} s_1 + s_1\right)^2} - r_1$$

$$= \sqrt{r_1^2 + \left(\frac{2r_1}{r_2} + 1\right) s_1^2} - r_1,$$

da  $\frac{AL}{AD} = \frac{MA}{CA}$ , d. i.  $AL = \frac{r_1 s_1}{r_2}$  ist.

Annähernd hat man nun

$$h_1 = \left(\frac{2r_1}{r_2} + 1\right) \frac{s_1^2}{2r_1} = \left(\frac{2}{r_2} + \frac{1}{r_1}\right) \frac{s^2}{2} = \left(\frac{2}{n_2} + \frac{1}{n_1}\right) \pi s.$$

Endlich ist das entsprechende Minimum der Zahnbreite

$$b_1 = 2RS = 2(AS - AR) = 2(s - r_1 \varphi_1),$$

wo  $\varphi_1$  den Centriwinkel  $AMD$  bezeichnet.

Nun ist  $\tan \varphi_1 = \frac{AD \sin. CAD}{MA + AD \cos. CAD} = \frac{r_1 s}{r_1^2 + 2s^2}$ , annähernd

$$= \frac{s}{r_1} \left(1 - \frac{2s^2}{r_1^2}\right), \text{ hiernach}$$

$$\varphi_1 = \frac{s}{r_1} - \frac{2}{3} \cdot \frac{s^3}{r_1^3},$$

daher  $b_1 = \frac{4}{3} \cdot \frac{s^3}{r_1^2} = \frac{4}{3} \cdot \frac{\pi^2}{n_1^2} \cdot s = 184,23 \frac{s}{n_1^2}.$

Setzen wir nun  $b_1 + b_2 = s$ , so erhalten wir folgende Bedingungs-  
gleichung für die kleinste Zähnezahl:

$$184,23 \left(\frac{1}{n_1^2} + \frac{1}{n_2^2}\right) = 1, \text{ oder } \frac{1}{n_1^2} + \frac{1}{n_2^2} = \frac{1}{184}.$$

Für  $n_1 = n_2$  ist hiernach  $\frac{2}{n_1^2} = \frac{1}{184}$ , folglich  $n_1 = n_2 = \sqrt{368} = 19,$

für  $n_1 = \infty$  ist dagegen  $\frac{1}{n_2^2} = \frac{1}{184}$ , folglich  $n_2 = \sqrt{184} = 13,5.$

Man ersieht hieraus, daß die Evolventenzähne höher und breiter ausfallen als die Epicycloidenzähne, und daß deshalb bei den Räderwerken der ersten Art die Minimalzähnezahl größer ist als die bei den Räderwerken mit epicycloidischen Zähnen.

Anmerkung. Die Arbeit der Zahnreibung vor der Centrallinie ist

$L_1 = \varphi K_1 (FO - AU) = \varphi K_1 (EG - OG - AV + UV),$   
wenn  $K_1$  den Normaldruck zwischen den Zähnen bezeichnet. Nun sind aber (nach „Ingenieur“, Seite 246) die Evolventenbogenlängen

$$FG = \frac{FD^2}{2CD}, \quad OG = AH = \frac{AD^2}{2CD},$$

$$\text{ferner } AV = \frac{AL^2}{2ML} \quad \text{und} \quad UV = FT = \frac{FL^2}{2ML},$$

$$\begin{aligned}
 \text{daher folgt denn } L_1 &= \frac{\varphi K_1}{2} \left( \frac{FD^2 - AD^2}{CD} - \frac{AL^2 - FL^2}{ML} \right) \\
 &= \frac{\varphi K_1}{2} \left( \frac{4s_1^2 - s_1^2}{CD} - \frac{\left(\frac{r_1}{r_2}s_1\right)^2 - \left(\frac{r_1s_1}{r_2} - s_1\right)^2}{ML} \right) \\
 &= \frac{\varphi K_1}{2} \left( \frac{3s_1^2}{CD} - \frac{(2r_1 - r_2)s_1^2}{ML \cdot r_2} \right) \\
 &= \frac{\varphi K_1 s_1^2}{2} \left( \frac{3}{CD} - \frac{2r_1 - r_2}{ML \cdot r_2} \right).
 \end{aligned}$$

Es giebt die Normalkraft  $K_1$  eine Tangentialkraft  $K = \frac{s_1}{s} K_1$ , daher folgt, wenn man noch annähernd  $CD = CA = r_2$  und  $ML = MA = r_1$  setzt,

$$L = \frac{\varphi K s s_1}{2} \left( \frac{3}{r_2} - \frac{2r_1 - r_2}{r_1 r_2} \right) = \frac{\varphi K s s_1}{2} \left( \frac{1}{r_1} + \frac{1}{r_2} \right)$$

und die Reibung auf den Theilkreis reducirt:

$$F = \frac{L}{s} = \left( \frac{1}{r_1} + \frac{1}{r_2} \right) \frac{\varphi K s}{2},$$

oder, da  $2\pi r_1 = n_1 s_1$  und  $2\pi r_2 = n_2 s_1$  ist,

$$F = \left( \frac{1}{n_1} + \frac{1}{n_2} \right) \pi \varphi K, \text{ wie oben.}$$

Eben so groß ist sie auch bei dem Eingriff hinter der Centrallinie.

§. 73. Die Evolventenverzahnung ist jedenfalls die vollkommenste aller Zahnconstructions; sie steht der Epicycloidenverzahnung nur in sofern nach, als sie längere Zähne liefert, und deshalb eine größere Anzahl von Zähnen fordert als diese. Da jedoch auch aus anderen Gründen eine größere Zähnezahl mechanisch vortheilhaft ist, so tritt dieser Nachtheil sehr in den Hintergrund. Der Vorwurf, welchen man diesen Rädern noch macht, daß bei ihnen aus der schiefen Wirkung der Druckkraft  $K_1$  Seitendrucke

$N_1 = \frac{s}{r_1} K_1$ , und  $N_2 = \frac{s}{r_2} K_1$  entspringen, welche die Zapfenreibung vergrößern, ist ebenfalls von keiner Erheblichkeit, da sich bei der Epicycloidenverzahnung Seitendrucke ebenfalls efinden, so lange die Zähne außerhalb der Centrallinie auf einander wirken. Dagegen hat aber die Evolventenverzahnung folgende wesentliche Vorzüge.

1) Da der Druck  $K_1$  zwischen den Evolventenzähnen vom Anfang bis Ende des Eingriffes unverändert derselbe bleibt, so findet bei diesen Zähnen eine gleichförmigere und deshalb weniger nachtheilige Abnutzung statt, als bei den Epicycloidenzähnen, wo dieser Druck veränderlich ist.

2) Ein und dasselbe Rad  $EML$ , mit Evolventenzähnen, Fig. 179 (auf folgd. Seite), kann zugleich mit verschiedenen Rädern, wie  $DCG$ ,  $D_1C_1G_1$  u. s. w. arbeiten, denn die Evolventenbogen  $DE$  oder  $D_1E$ , welche einem und demselben Grundkreise entsprechen, sind nur der Länge nach von einander verschieden,  $D_1E$  ist nur ein Theil von  $DE$ . Bei der Epicycloiden-



Evolventen-  
zähne.

verzahnung hingegen hängt die Zahnform des einen Rades auch von dem Theilkreishalbmesser des anderen ab, es kann also hier ein Rad nicht zugleich mit anderen von verschiedenen Halbmessern arbeiten. Räder mit Evolventenverzahnung können also stets, wenn sie nur einerlei Theilung haben, in einander regelrecht eingreifen. Es gewährt hiernach diese Verzahnung nicht allein eine allgemeinere Anwendung, sondern auch den großen ökonomischen Vortheil, daß durch sie die Anschaffung einer großen Anzahl von Gußmodellen erspart wird, da bei der Epicycloidenverzahnung für jede Theilung und für jedes Umsehungsverhältniß ein besonderes Räderpaar, bei der Evolventenverzahnung aber zur Herstellung einer verlangten Umsehung nur eine Auswahl unter den verschiedenen Rädern von derselben Theilung nöthig ist.

Fig. 179.

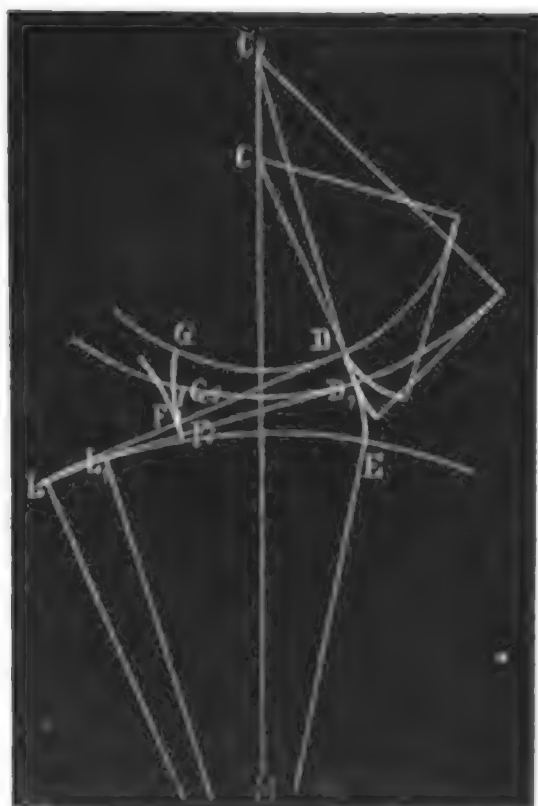
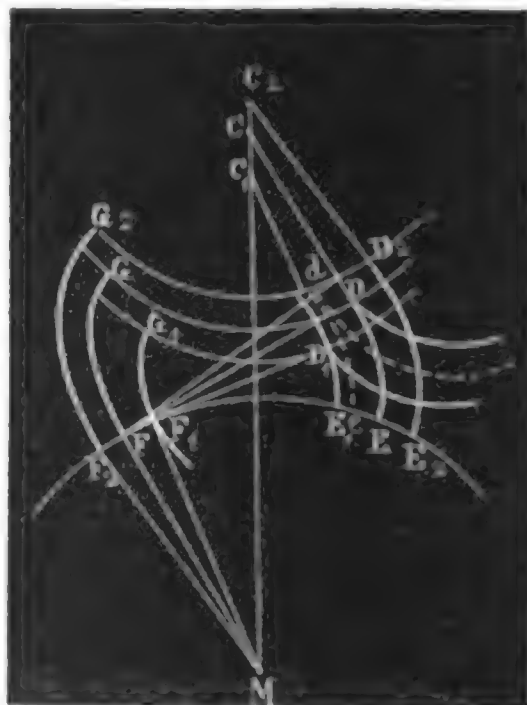


Fig. 180.



3) Wenn bei der Evolventenverzahnung die Axenlage eine andere wird, was durch Abführen oder Vorrücken der Zapfenlager leicht möglich ist, so wird dadurch nur die Dauer, nicht aber die Regelmäßigkeit des Eingreifens verändert. Rückt das Rad  $CDG$ , Fig. 180, dem Rade  $EMF$  näher, kommt es also in die Lage  $C_1D_1G_1$ , so kommt der Punkt, wo das Eingreifen aufhört, von  $D$  nach  $D_1$ , rückt es dagegen entfernter, kommt es also in die Lage  $C_2D_2G_2$ , so würde die Stelle, wo das Eingreifen aufhört, nach  $D_2$  gelangen, da aber der Zahn  $DE$  der festen Rades nicht die Länge  $D_2E_2$  hat, so ist der Eingriff in einem Punkte  $d$  beendet, der ebenso wie  $D_1$  vor  $D$  liegt. Bei der Epicycloidenverzahnung verursacht hingegen jede Aenderung der Axenstellung einen fehlerhaften Eingriff, und es wird dadurch nicht nur der regelmäßige Gang gestört, sondern auch leicht ein Einklemmen

und Abbrechen der Zähne herbeigeführt. Aus diesem Grunde ist es auch nöthig, den Epicycloidenzähnen einen größeren Spielraum (franz. jeu; engl. back-lash) zu geben, als den Evolventenzähnen.

§. 74. Die aus §. 64 bekannte Zahnconstruction mittels Kreisbögen wird praktisch auf folgende Weise angewendet. Man zieht durch den Berührungspunkt  $A$  in der Centrallinie  $CM$ , Fig. 181, eine Gerade  $OO_1$ ,  
Fig. 181.



welche um den Winkel  $CAO = MAO_1 = 75^\circ$  von der Centrallinie abweicht, errichtet hierauf ein Perpendikel und schneidet von demselben zu beiden Seiten von  $A$  ein Perpendikel  $AN = AN_1 \perp CL$  (wo  $C$  die Are des kleineren Rades ist) ab. Zieht man nun die geraden Linien  $MNO$ ,  $CKN$ ,  $MK_1N_1$  und  $CN_1O_1$ , so erhält man in den Durchschnitten  $O$ ,  $K$ ,  $K_1$  und  $O_1$  die Mittelpunkte der Kreisbögen  $BD$ ,  $FG$ ,  $D_1E_1$  und  $G_1H_1$ , von welchen je zwei eine Zahncurve, wie  $BDE = B_1D_1E_1$  und  $FGH = F_1G_1H_1$  bilden. Sollen nun, wie in der Figur, stets zwei Zähnpaare arbeiten, so trägt man auf die Theilkreise die Hälfte der Theilung  $s$  als  $AD = AD_1$

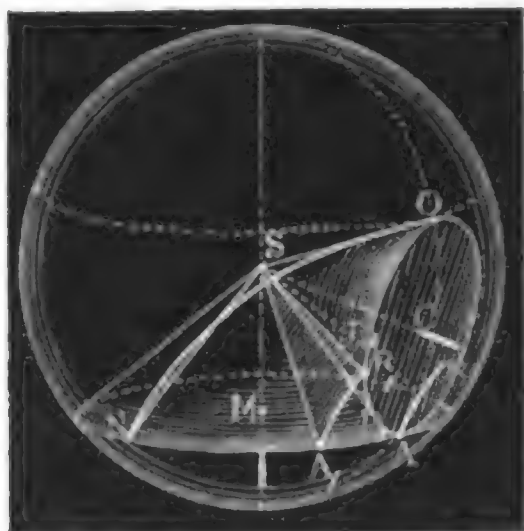




Verabnung  
conischer  
Räder.

$A_1B_1$  u. s. w. des ersteren regelrecht fortgeschoben werden, wenn diese nach einer sphärischen Epicycloide geformt wären, die entsteht, wenn man  $ACOS$  auf  $AMNS$  wälzt; denn es würden dann die Bogen  $AA_1$  und  $DD_1$  einander gleich, also, wie nöthig, die gleichzeitigen Wege in beiden Theilkreisen gleich groß sein.

Fig. 184.

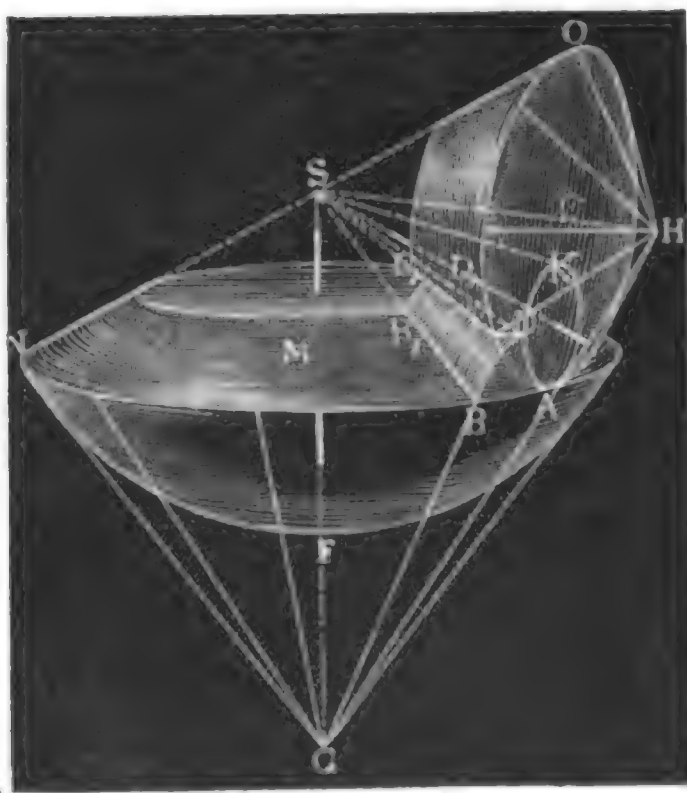


Statt des punktförmigen Zahnes  $B_1$  kann man auch einen geradlinigen Zahn  $B_1S$  anwenden, und den Bogen  $A_1B_1$  durch eine schiefe Fläche  $A_1B_1S$  ersetzen, die entsteht, wenn man eine Gerade durch  $A_1B_1$  und

$S$  bewegt. Hiernach lassen sich die Zahnflächen eines Rades finden, welches einen conischen Drehling in Umdrehung setzt. Es sind dann  $DS$ ,  $D_1S$  u. s. w. die Axen der ebenfalls nach Regeln zu formenden Triebstöcke, und es ist die schiefe Fläche  $A_1B_1S$  durch eine andere zu ersetzen, deren Leitlinie Aequidistante von  $A_1B_1$  ist (vergl. III., §. 67, Anmerkung).

Eine allgemeinere Zahnconstruction ist folgende. Es sei wieder  $A$  der Berührungspunkt, oder vielmehr  $AS$  die Berührungslinie zwischen zwei conischen Rädern  $AMNS$  und  $ACEO$ , Figur 185. Man lege über  $AS$  noch einen dritten Regel- oder Kugelsector  $ADKS$  und wälze diesen nicht allein über der Regel- oder Kugelfläche  $ASN$ , sondern auch in der Regel- oder Kugelfläche  $ASO$ ; dabei beschreibt eine Seite  $DS$  von  $ADKS$  die schiefen Flächen  $DBS$  und  $DES$ , und wenn man nun die Zähne vom Rade  $AMN$  nach  $DBS$  und die vom Rade  $ACO$  nach  $DES$  formt, so setzt, da  $AD = AB = AE$  ist, augenfällig das eine Rad das andere regelrecht in Umdrehung (vergl. §. 61). Natürlich ist es nicht nöthig, vollständige

Fig. 185.



in Umdrehung (vergl. §. 61). Natürlich ist es nicht nöthig, vollständige

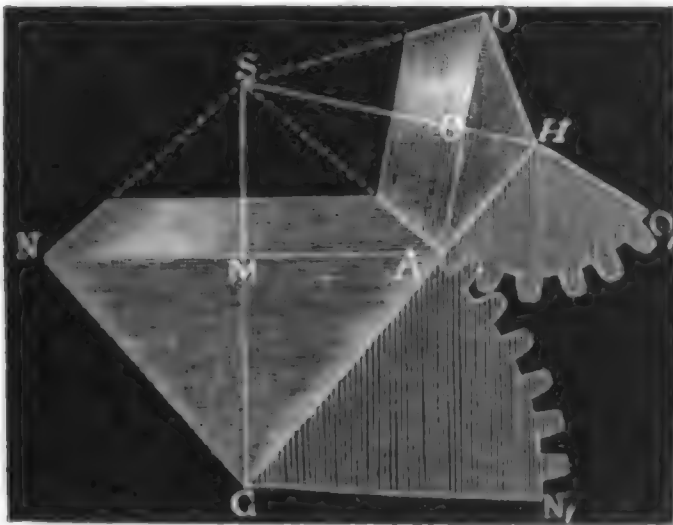


Regel anzuwenden, sondern hinreichend sich abgekürzter Regel- und Zahnflächen, wie z. B.  $DBB_1D_1$  und  $DEE_1D_1$  zu bedienen.

Verzahnung  
conischer  
Räder.

§. 76. Zieht man durch den Berührungspunkt  $A$  eine Gerade  $GH$  rechtwinkelig auf  $AS$ , welche beide Radaren  $SM$  und  $SC$  mit einander verbindet, so kann man mit den Theilen  $AG$  und  $AH$  derselben um diese Arcen zwei neue Regelflächen  $AGN$  und  $AHO$  beschreiben, welche die den Calotten  $AFN$  und  $AKO$  entsprechende Kugeloberfläche in  $A$  mathematisch berühren. Da sich nun aber annehmen läßt, daß zwei sich berührende Flächen ein um den Berührungspunkt herumliegendes Flächenelement oder kleines Flächenstück mit einander gemeinschaftlich haben, so kann man sich auch vorstellen, daß der kleine, dem Punkte  $A$  sehr nahe liegende Bogen  $DB$  in der Regelfläche  $AGN$  und ebenso der kleine Bogen  $DE$  in der Regelfläche  $AHO$  befindlich sei. Durch diese Zurückführung der Kugelfläche  $NFAO$  auf zwei

Fig. 186.



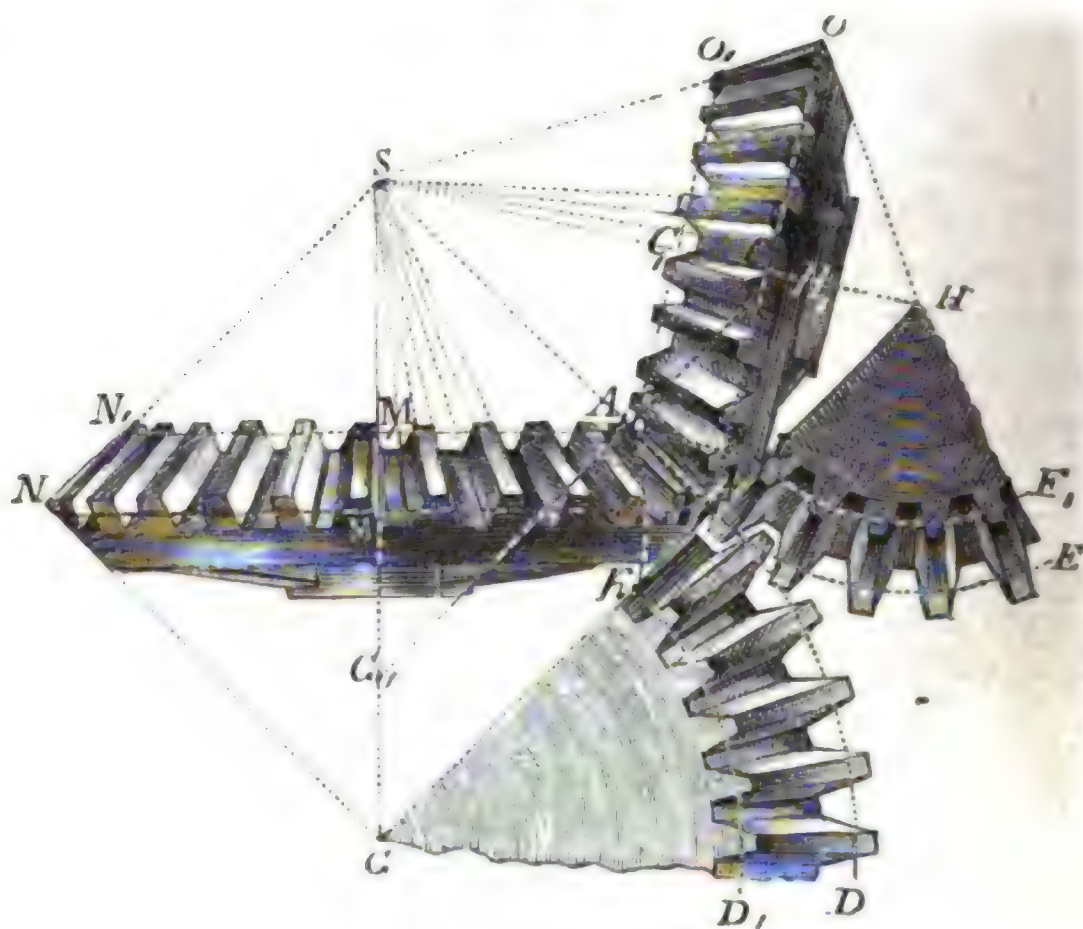
Regelflächen  $AGN$  und  $AHO$  gelangt man aber nach Tredgold zu einer sehr einfachen Zahnconstruction für conische Räder (s. Tredgold's edition of Buchanan's Essay on Millwork); man wickelt nämlich die Regelflächen  $AGN$  und  $AHO$ , Fig. 186, ab, breitet sie auf einer Ebene aus, und verzahnt die so erhaltenen Sektoren  $AGN_1$  und  $AHO_1$  nach einer der oben mitgetheilten Regeln für die Zahncon-

struction von Stirnrädern. Wickelt man dann diese Sektoren wieder als Regelmäntel auf, so bekommt man in den Zähnen derselben die Leitlinien der Zahnflächen beider Räder, und es lassen sich nun durch Bewegung einer stets nach  $S$  gerichteten Geraden diese Flächen leicht selbst finden. Man kann sich zur Anfertigung dieser Zahnsectoren des dünnen Bleches, Leders u. s. w. bedienen. Die speciellere Ausführung dieser Constructionregel ist aus Fig. 187 auf folgd. Seite zu ersehen.

Verzahnung  
conischer  
Räder.

Es ist hier  $AA_1$  die Berührungslinie zwischen beiden Rädern; es sind ferner  $AGD$  und  $AHE$  die zwei Sektoren, deren an den Theilkreisbögen  $AD$  und  $AE$  hinlaufende Zähne die Stirnflächen der Zähne an

Fig. 187.



den äußeren Radumfängen  $AMN$  und  $ACO$  geben, und es sind  $KGD_1$  und  $LHE_1$  die zwei Zahnsectoren für die Stirnflächen an den inneren Radumfängen  $A_1M_1N_1$  und  $AC_1O_1$ .

Der Halbmesser  $AG = y_1$  und  $AH = y_2$  der Kreissectoren, welche dieser Zahnconstruction zu Grunde zu legen sind, bestimmen sich, wenn, wie oben (§. 38)  $r_1$  und  $r_2$  die äußeren Radhalbmesser  $MA$  und  $CA$ ,  $a$  den Kugelhalbmesser  $SA$ ,  $\delta_1$  und  $\delta_2$  die Winkel  $ASM$  und  $ASC$  bezeichnen,

durch die Formeln  $y_1 = a \operatorname{tang}.\delta_1 = \frac{r_1}{\cos.\delta_1}$  und

$$y_2 = a \operatorname{tang}.\delta_2 = \frac{r_2}{\cos.\delta_2}. \quad (\text{Vergl. §. 53.})$$

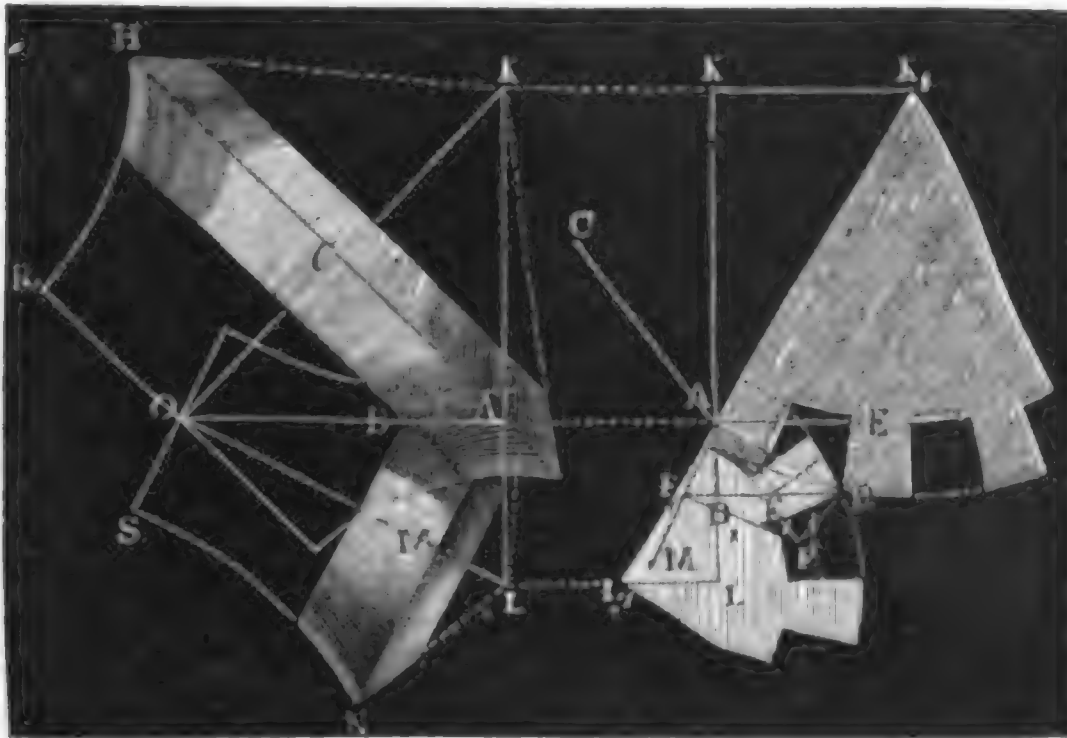
Diese Werthe sind in den Formeln von §. 63 und 65 statt  $r_1$  und  $r_2$  einzuführen, auch hat man natürlich

$$\frac{y_1}{y_2} = \frac{\operatorname{tang}.\delta_1}{\operatorname{tang}.\delta_2} = \left( \frac{\psi + \cos.\delta}{1 + \psi \cos.\delta} \right) \psi \text{ zu substituiren.}$$

Hyperboloiden-  
räder.

§. 77. Dieselbe Construction läßt sich auch bei den Hyperboloidenrädern anwenden. Auch hier kann man die Stirnflächen der Zähne in

Regelflächen  $ABK$  und  $ALN$ , Fig. 188, liegend annehmen. Wenn man <sup>überbleibenden</sup> die durch Abwicklung dieser Flächen erhaltenen Kreissectoren nach den be-  
 räder.  
 Fig. 188.



kannten Regeln verzahnt, so erhält man genau so wie im Vorstehenden die gesuchten Zahnprofile. Die Halbmesser oder Regelseiten  $AK_1 = y_1$  und  $AL_1 = y_2$  werden nach §. 55 durch die Formeln

$$y_1 = \sqrt{l^2 \tan^2 \delta_1 + r_1^2} \text{ und}$$

$$y_2 = \sqrt{l^2 \tan^2 \delta_2 + r_2^2}$$

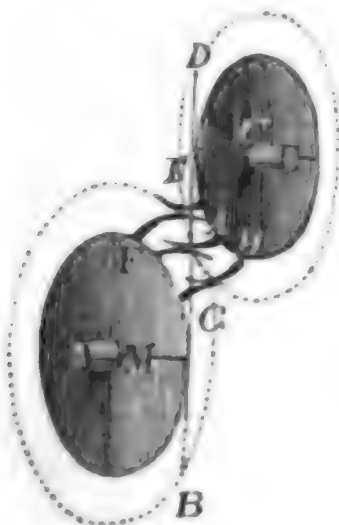
bestimmt; übrigens aber hat man wie bei Regelrädern

$$\frac{y_1}{y_2} = \frac{\tan \delta_1}{\tan \delta_2} = \left( \frac{\psi + \cos \delta}{1 + \psi \cos \delta} \right) \psi$$

zu sehen, um nach den Formeln in §. 63 und 65 die Abrundungshalbmesser zu finden.

Die auf die aufgewickelten Kugelflächen aufzutragenden Theilungen sind,

Fig. 189.

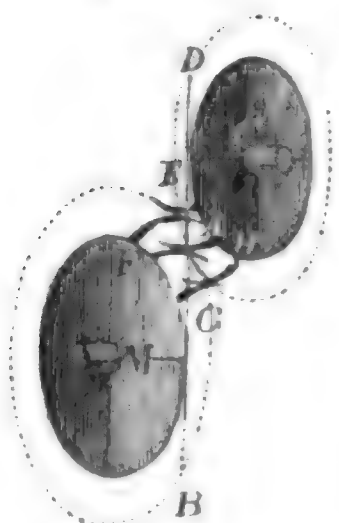


nachdem man mittels der Formeln in §. 48 und §. 49 die normale Theilung  $s$  berechnet hat, mittels der in §. 55 entwickelten Formeln für  $s_1$  und  $s_2$  zu finden. Je nachdem man für  $l$  den Abstand  $OA$  oder den Abstand  $OB$  einsetzt, bekommt man natürlich durch die Formeln für  $y_1$  und  $y_2$  die Sektorenhalbmesser für die äußeren oder die für die inneren Stirnflächen.

Bei der Zahnconstruction dieser Räder läßt sich auch die Kreisevolvente in Anwendung bringen. Man kann nämlich die gerade Linie  $BD$ , in welcher



Fig. 190.



Kammräder.

sich je zwei Radaren  $AMB$  und  $ACD$ , Fig. 190, schneiden, auf die beiden Kreise  $MFG$  und  $CEH$  aufwickeln, welche sich aus  $M$  und  $C$  beschreiben lassen und  $BD$  berühren, und die Zähne nach sich hierbei ergebenden Evolventenbögen  $EF$  und  $GH$  formen.

§. 78. Man kann auch bei Räderwerken mit sich schneidenden Axen Drehlinge mit Triebstöcken anwenden. Die letzteren sind in diesem Falle eigentlich nach Kegeln zu formen, deren Seiten nach dem Axendurchschnitte gerichtet sein müssen; der leichteren Ausführung und größeren Haltbarkeit

wegen macht man dieselben aber, zumal wenn sie lang sind, cylindrisch, und giebt den Zähnen der zugehörigen Kron- oder Kammräder (s. §. 47) besondere Formen. Jedenfalls ist aber die Anwendung eines gewöhnlichen conischen Räderwerkes dieser Radconstruction vorzuziehen. Die Zähne oder Kämme rundet man in der Regel, und zwar wie folgt, nach zwei Richtungen kreisförmig ab.

Fig. 191, I. und II., führt ein solches Räderwerk in zwei Projectionen vor Augen. Das Profil  $BD = B_1D_1$  eines Kammes parallel zur Umdrehungsebene des Drehlings, ist eigentlich eine Parallele zur Cycloide, welche der Theilkreis  $CAA_1$  beim Wälzen auf seiner Basis beschreibt, wird aber in der Regel durch einen aus dem Berührungspunkte  $A$  beider Theilkreise beschriebenen Kreisbogen ersetzt. Die Profile  $EF$  und  $E_1F_1$  parallel zur Umdrehungsebene des Kammrades werden von anderen Kreisbögen gebildet, welche die Seiten des Triebstockes in  $E$  und  $E_1$  berühren, deren Mittelpunkte  $K$  und  $K_1$  daher gefunden werden, wenn man Perpendikel auf diese Seiten errichtet und Tangenten zum Theilkreise  $OMM_1$  des Kammrades durch die Mittelpunkte  $M$  und  $M_1$  der Kämme legt.

Eine andere Construction der Kämme zeigt Fig. 192, I. und II., in zwei Ansichten. Die Form eines Kammes ist hier ein Conoid, dessen Durchschnichts- oder Erzeugungslinie  $BD = B_1D_1$  auf folgende Weise gefunden wird. Es ist  $MB$  der willkürliche Halbmesser von der Basis dieses Körpers rechtwinkelig gegen die Seite des cylindrischen Triebstockes gelegt,  $MM_1$  die Theilung und  $D_1$  der in der Sehne  $AA_1$  liegende Berührungspunkt; daher das Perpendikel  $M_1D_1$  in II., rechtwinkelig zur Seite des Triebstockes der Halbmesser der Kopffläche des Kammes. Auf gleiche Weise lassen sich auch noch die Halbmesser von zwischenliegenden Querschnitten des Kammes finden, wenn man  $AA_1 = MM_1$  nur einem Theile der Theilung gleich nimmt.

Fig. 191.

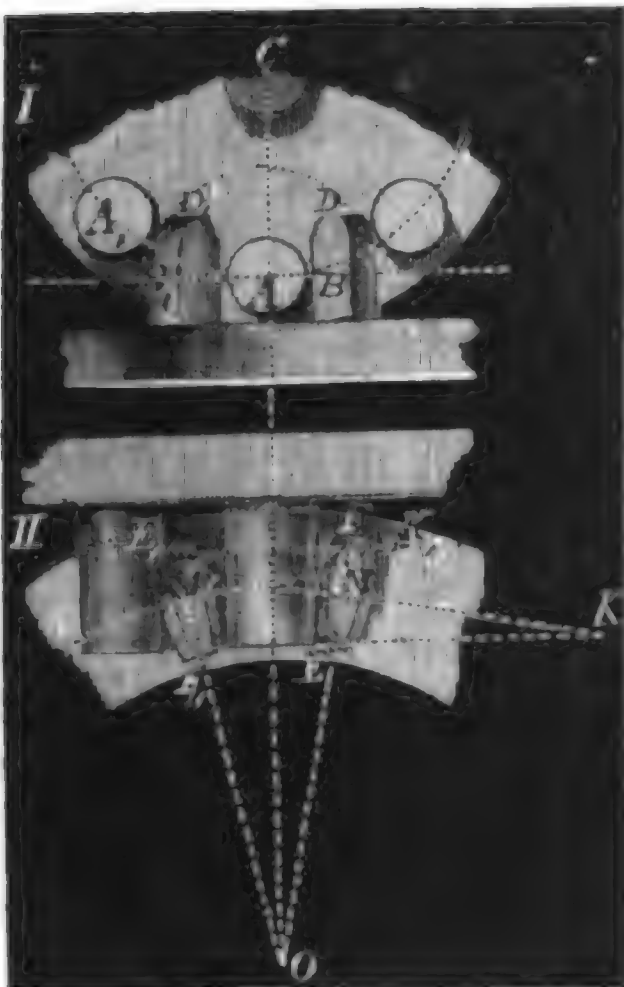
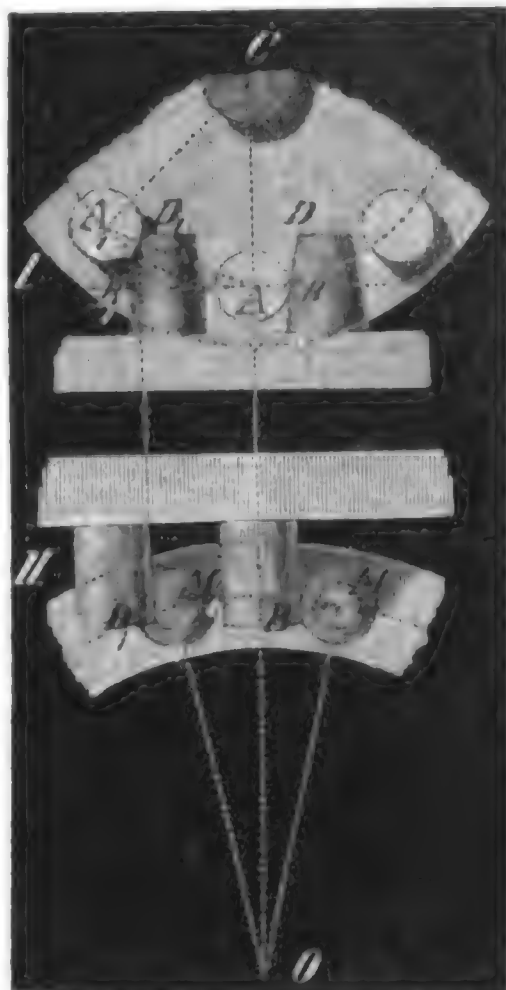


Fig. 192.

Rammräder.



Anmerkung. Die im letzten Paragraphen behandelten Räderwerke haben den Mangel, daß sich ihre Zähne oder Rämme nur in einem Punkte berühren, und daher schneller abführen, als wenn die Berührung in einer Linie Statt hat. Olivier (s. dessen geometrische Theorie der Zahnradwerke) unterscheidet hier- nach Kraft- und Präcisionsräderwerke von einander, und versteht unter den ersteren diejenigen, deren Zähne sich in einer Linie, und unter den letzteren diejenigen, deren Zähne sich in einem Punkte berühren, weil sich jene mehr zum Fortpflanzen einer Kraft, diese aber mehr zum Umsetzen einer Bewegung ohne Kraft, wie z. B. für Zählapparate, Uhren u. s. w. eignen.

§. 79. Die Zahnräder werden entweder aus Holz oder aus Eisen angefertigt. Eiserner Zahnräder sind aus leicht begreiflichen Gründen den hölzernen Zahnrädern vorzuziehen. Von hölzernen Rädern läßt sich, wenn sie zumal der veränderlichen Witterung und der abwechselnden Nässe sehr ausgesetzt sind, ein regelrechter Eingriff nie erwarten, da dieselben sich leicht werfen oder ziehen, und mit der Zeit unrund werden. Unter gewissen Um- ständen, namentlich wegen der leichten Herstellung werden jedoch hölzerne Zahnräder, zumal zu vorübergehenden Zwecken, immer in Anwendung bleiben.

Har-  
constructionen.

An einem Zahnrade ist zu unterscheiden:

- 1) der Radkranz (franz. anneau, jante; engl. rim),
- 2) die Zähne (franz. dents; engl. cogs, teeths),
- 3) die Radarme (franz. bras; engl. arms) und
- 4) die Hülse oder Nabe (franz. moyeu; engl. nave).





rad, einen Zahn für ein Kammrad, und einen Triebstock für einen Drehling vor Augen. Die Verbindung der Arme und Kämme mit dem Radkranz ist in Fig. 194 und Fig. 195 in einem Durchschnitte zu ersehen. Es ist  $AB$  der Kamm,  $C$  und  $D$  sind die Felgenlagen,  $EF$  die Arme und  $GH$  ist der Bolzen, wodurch der Kranz mit den Armen verbunden ist. Die größere Hälfte eines Radarmes zeigt Fig. 196 in  $EGF$ ;  $F$  ist der Einschnitt zur

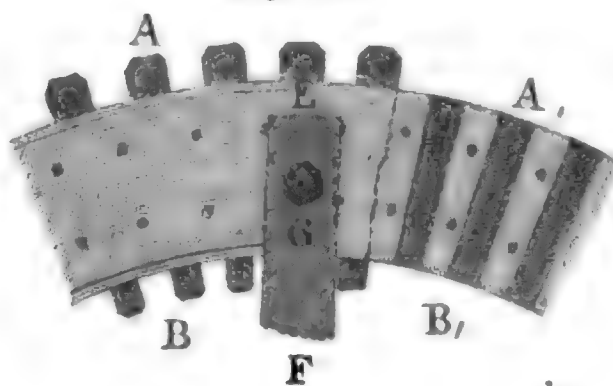
• eiserne  
Zahnrad.

Fig. 196.



Ueberplattung mit einem anderen Arme,  $G$  das Loch für den Bolzen, womit der Kranz an dem Arm befestigt wird. Aus Fig. 197 ist endlich die Vernagelung der

Fig. 197.



Felgenlagen, so wie das Einsetzen der Kämme zu ersehen; während  $AB$  einen Zahn vorstellt, führt  $A_1B_1$  ein Zahnlager vor Augen.

§. 80. Bei den eisernen Zahnradern bildet entweder der Kranz mit den Zähnen ein Ganzes, oder es werden in denselben hölzerne Zähne besonders eingesetzt. Sehr zweckmäßig ist es, wenn man ein Rad mit hölzernen Zähnen mit einem ganz eisernen Rade zusammen arbeiten läßt; man erhält dabei nicht nur einen sehr sanften Gang, sondern auch eine sehr schwache Zahnreibung; auch werden durch diese Anordnung die nachtheiligen Wirkungen der Stöße, zumal bei großen Umfangsgeschwindigkeiten, gemäßiget. Wegen des stärkeren Abführens der hölzernen Zähne macht man gewöhnlich das kleinere Rad ganz aus Gußeisen und giebt dem größeren Rade hölzerne Zähne. Das beste Schmiermittel der Zähne ist grüne oder weiche Seife mit Fett oder Del vermischt.

• eiserne  
Zahnrad.

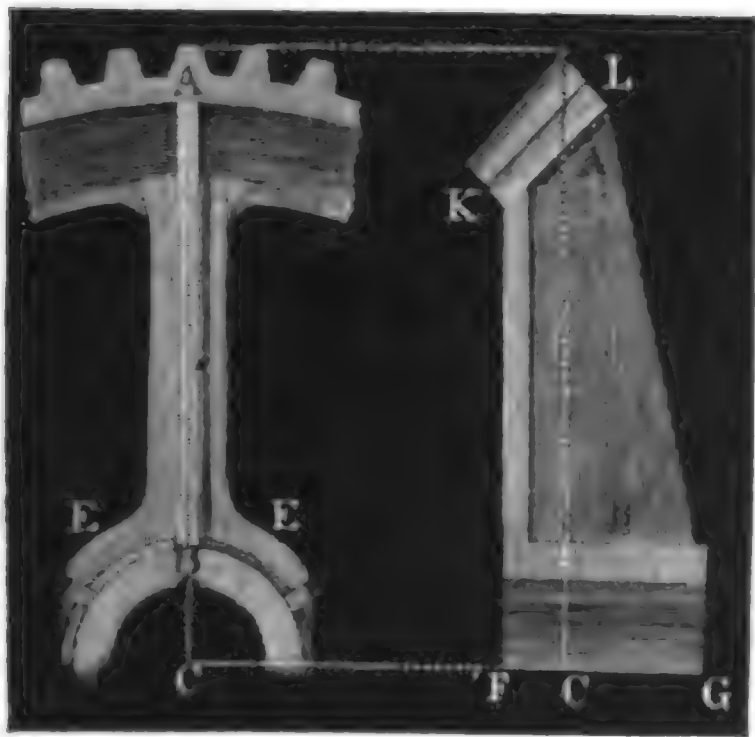
Größere Räder von 8 bis 10 Fuß Höhe gießt man nicht gern aus einem Stücke, weil diese in Folge des ungleichen Erhaltens leicht zerspringen; man zieht es vielmehr vor, bei solchen Rädern die Arme und den Kranz erst besonders zu gießen, und nachher durch Schrauben mit einander zu verbinden.

Was die Dimensionen ganz eiserner Räder anlangt, so giebt man dem Kranz derselben eine der Zahndicke gleiche Breite; erstere auf dem Theilkreise, letztere radial gemessen, und macht die Dicke desselben auch der Zahnbreite (parallel zur Axe gemessen) gleich; bei eisernen Rädern mit hölzernen Zähnen



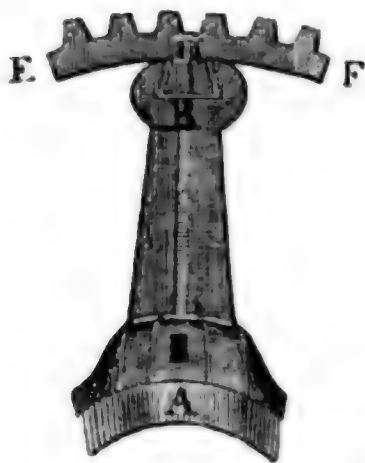
Der Hülse oder Nabe, womit das Rad auf der Welle sitzt, giebt man  
Fig. 201.

Eiserne  
Zahnräder.



eine Länge  $FG$ , welche die Kranzdicke oder Zahnbreite  $KL$   $1\frac{1}{4}$  bis  $1\frac{3}{4}$  mal enthält, und die mittlere Wandstärke von  $1\frac{1}{4}$  bis  $1\frac{1}{2}$  der Zahndicke. Die Welle erhält in der Regel da, wo das Rad aufsitzt, einen Kopf, der wie ein gewöhnlicher Kuppelkopf (vgl. §. 6) um  $\frac{1}{3}$  stärker gemacht wird, als die Welle. Zur Befestigung genügt ein einziger Bolzen oder Schlüsselkeil, wie  $S$ , Fig. 200, wenn die Nabe genau centrirt (und wenig

Fig. 202.



conisch) abgedreht ist, außerdem aber sind 4 bis 8 schmiedeeiserne Keile nöthig, um das Rad centrirt auf der Welle festzumachen.

Die Art und Weise, wie der Kranz eines hohen Rades durch Schrauben  $SS_1$  mit seinen Armen verbunden wird, ist aus Figur 199 zu ersehen. Wie sehr hohe Räder sich aus einem Wellkranz  $A$ , einzelnen Armen  $AB$  und einzelnen Kranzstücken  $DE$  und  $DF$  zusammensetzen lassen, führt Figur 202 vor Augen.

**Schlussanmerkung.** Die geometrische Construction der Radzähne ist zuerst von dem dänischen Astronomen Römer, nächstdem aber von Lahire, Camus und Depacieur gezeigt worden. Ueberdies haben sich aber auch Euler und Kästner damit beschäftigt, die besten Zahnformen der Räderwerke auszumitteln. Man findet die hierauf bezüglichen Schriften angeführt in Gytelwein's Statik, Bd. I. Ausführlich über die Verzeichnung der Radzähne handelt außer Gytelwein auch noch Gerstner im dritten Bande seiner Mechanik, sowie Hachette in seinem Traité élém. de machines, ferner in der neuesten Zeit Olivier in seiner geometrischen Theorie der Zahnräderwerke (deutsch von Schnuse), und Willis in seinen Principles of Mechanism. Die Räderwerke überhaupt werden ausführlich behandelt in Verdam's Grundsätzen der angewandten Werkzeugwissenschaft und Mechanik, Theil II. (aus dem Holländischen von Schmidt), ferner in Painblé's Maschinenkunde, in Salzenberg's Ver-

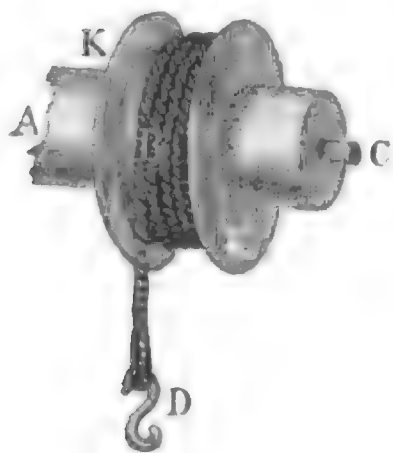
tragen über Maschinenbau, in Kohl's Elementen von Maschinen. Auch ist das Nöthigste hiervon enthalten in Morin's Aide-mémoire und Medtenbacher's Resultaten für den Maschinenbau.

### Drittes Kapitel.

#### Von den Excentriks und den Krummzapfen, als den einfachsten Hilfsmitteln zur Verwandlung der Kreisbewegung in eine geradlinige, und umgekehrt.

Seilkorb.

§. 81. Das einfachste Mittel zum Umsetzen der Kreisbewegung in eine geradlinige, und umgekehrt, der geradlinigen in eine kreisförmige, besteht in der Anwendung eines Seilkorbes (franz. tambour; engl. drum), d. i. einer Welle oder Trommel mit umgewickelm Seil, Fig. 203.



Wird die Welle AC durch ein Rad oder durch eine Kurbel u. s. w. in Umdrehung gesetzt, so wickelt sich das Seil BD auf den Korb KK auf, und es wird dadurch die am Seilende D wirkende Last gehoben, oder in geradlinige Bewegung versetzt; wirkt umgekehrt eine Zugkraft am Seilende D, so wickelt sich das Seil all-

mählig vom Korb ab, und es nimmt die Welle AC, worauf der Korb fest sitzt, eine drehende Bewegung an. Ist  $r$  der Korbbahnmesser und  $d$  die Seilstärke, so hat man, wenn sich das Seil nur einfach aufwickelt, den mittleren Hebelarm des Seiles:  $b = r + \frac{d}{2}$ , und ist nun noch  $u$  die Zahl der Umdrehungen pr. Minute, so hat man die Geschwindigkeit des Seiles:  $v = \frac{\pi u}{30} \left( r + \frac{d}{2} \right) = 0,1047 u \left( r + \frac{d}{2} \right)$ .

Wickelt sich das Seil mehrmals über sich selbst auf, so ist der Hebelarm  $b$  veränderlich, und daher für denselben ein mittlerer Werth zu finden. Ist  $l$  die Länge des Seilsfaches, so hat man die Anzahl der Seilumschläge in einer Reihe:  $n = \frac{l}{d}$ ; und da sich nun die Länge eines Seilumschla-



ges  $= 2\pi \left(r + \frac{d}{2}\right)$  setzen läßt, so hat man die Länge des Seiles, welches den Seilkorb das erste Mal bedeckt, annähernd

$$s_1 = 2\pi n \left(r + \frac{d}{2}\right) = \frac{2\pi l}{d} \left(r + \frac{d}{2}\right).$$

Setzt man statt  $r$ ,  $r + d$ , so erhält man die Seillänge, welche die zweite Seilbedeckung ausmacht,

$$s_2 = \frac{2\pi l}{d} \left(r + \frac{3d}{2}\right);$$

ebenso erhält man die Seillänge für eine dritte Bedeckung

$$s_3 = \frac{2\pi l}{d} \left(r + \frac{5d}{2}\right),$$

und allgemein die für eine  $m$ te Bedeckung,

$$s_m = \frac{2\pi l}{d} [r + (m - 1/2)d].$$

Durch Summation dieser Werthe ergibt sich nun die ganze Länge des aufgewickelten Seiles:

$$s = s_1 + s_2 + \dots + s_m = \frac{2\pi l}{d} \left[ mr + \left(1 + 2 + \dots + m - \frac{m}{2}\right)d \right],$$

oder, da  $1 + 2 + \dots + m = \left(\frac{1+m}{2}\right)m$  ist,

$$s = \frac{2\pi l}{d} \left(mr + \frac{m^2 d}{2}\right) = \frac{2\pi m l}{d} \left(r + \frac{m d}{2}\right).$$

Umgekehrt folgt hiernach  $m^2 + \frac{2r}{d}m = \frac{s}{\pi l}$ , daher

$$m = -\frac{r}{d} + \sqrt{\frac{s}{\pi l} + \left(\frac{r}{d}\right)^2},$$

und daher die Anzahl der Seilumschläge oder Korbumdrehungen bei Aufwicklung der Seillänge  $s$ :

$$n_1 = m \cdot n = \frac{l}{d} \left[ \sqrt{\frac{s}{\pi l} + \left(\frac{r}{d}\right)^2} - \frac{r}{d} \right] = \frac{r l}{d^2} \left( \sqrt{\frac{s d^2}{\pi l r^2} + 1} - 1 \right).$$

Setzt man nun  $s = 2\pi b n_1$ , so erhält man den gesuchten mittleren Hebelarm

$$b = \frac{s}{2\pi n_1} = \frac{s d^2}{2\pi r l \left( \sqrt{\frac{s d^2}{\pi l r^2} + 1} - 1 \right)} = \left( \sqrt{\frac{s d^2}{\pi l r^2} + 1} + 1 \right) \cdot \frac{r}{2},$$

wofür in der Regel annähernd  $b = \left(1 + \frac{s d^2}{4\pi l r^2}\right)r$  genommen werden

kann. Hiernach ist die mittlere Geschwindigkeit des Seiles:

$$v = \frac{\pi u}{30} b = 0,1047 \left(1 + \frac{s d^2}{4\pi l r^2}\right) u r.$$

Seiltorb.

Beispiel. Für die Seillänge  $s = 2000$  Fuß, Seilstärke  $d = \frac{1}{2}$  Zoll, Seilsacklänge  $l = 8$  Zoll und den Korbhalbmesser  $r = 2\frac{1}{2}$  Fuß, ist der mittlere Hebelarm

$$b = \left(1 + \frac{2000}{4\pi \cdot \frac{2}{3} \cdot 60^2}\right) r = \left(1 + \frac{5}{24\pi}\right) r = 1,066 r = 32 \text{ Zoll.}$$

und wird nun das Seil in 10 Minuten aufgewickelt, so ist die mittlere Geschwindigkeit desselben  $v = \frac{2000}{600} = \frac{10}{3}$  Fuß, und die entsprechende mittlere Umdrehungszahl pr. Min.  $u = \frac{30v}{\pi b} = \frac{30 \cdot 40}{32 \cdot \pi} = \frac{75}{2\pi} = 11,94$ .

Gezähnte Stange.

§. 82. Wir haben schon im letzten Kapitel wiederholt darauf hingewiesen, daß sich die Theorie eines Räderpaares auch auf die eines Rades mit gezählter Stange (s. §. 47) anwenden läßt, und daß es hierbei nichts weiter als des Unendlichgroßseins des Radhalbmessers bedarf. Deshalb bleibt uns denn auch über die Anwendung des Rades mit gezählter Stange als Hilfsmittel zum Umsetzen der Kreisbewegung in eine gerade, und umgekehrt, zur Verwandlung der geradlinigen Bewegung in eine kreisförmige, nur noch wenig zu sagen übrig. Besteht das Rad in einem Drehling (mit Triebstöcken), so sind die Zähne der Stange nach einer Cycloide zu formen, welche den Theilkreis des Rades zum Erzeugungskreise hat (s. §. 67, Fig. 168). Giebt man den Radzähnen ebene und radial gerichtete Seitenflächen  $AB, A_1B_1 \dots$ , Fig. 204, so sind die Zähne  $DE, D_1E_1$  nach einer Cycloide zu formen, welche von einem Kreise  $AB_1C$  erzeugt wird, der den

Fig. 204.

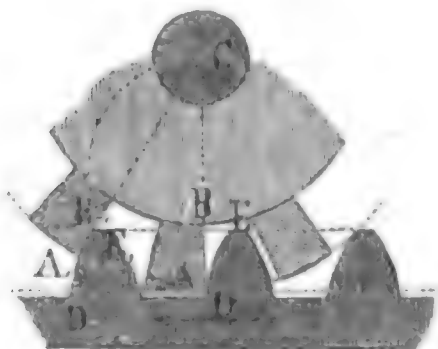


Fig. 205.



Radhalbmesser  $CA$  zum Durchmesser hat (s. §. 68, Fig. 170). Wenn man hingegen den Radzähnen  $AB, A_1B_1 \dots$  Fig. 205 die Evolventenform giebt, so reducirt sich die Zahnform der Stange auf einen Punkt  $D, D_1 \dots$ , und es ist die übrigens beliebig zu formende Zahnfläche  $DE$  in  $D$  rechtwinkelig gegen die Stangenrichtung  $ST$  zu legen. Während sich jene Construction mehr zur Bewegung des Rades durch die Stange eignet, ist diese Construction mehr dazu geschickt, die Stange durch das Rad zu bewegen.

Bei den soeben abgehandelten Constructionen erfolgt der Angriff erst in der Centrallinie  $CA$ , soll hingegen derselbe schon vor derselben eintreten, so hat man beide Constructionen mit einander zu vereinigen, nämlich die Rad- oder Getriebzähne nach einem Kreisevolventenbogen  $A_1B_1$ , Figur 206, und die

Stangenzähne nach einem Cylinderbogen  $D_1 E_1$  zu gestalten. Es kommt dann

Gezahnte  
Stange.

Fig. 206.



auf der einen Seite der Centrallinie der Evolventenbogen  $A_1 B_1$  des Radzahnes mit einer und derselben Stelle  $D$  des Stangenzahnes, und auf der anderen Seite der Cycloidenbogen  $D_1 E_1$  des Stangenzahnes mit dem ebenen Theile des Radzahnes in Berührung. Uebrigens läßt sich auch die einfache Evolventenverzahnung, wie sie in §. 72 beschrieben worden ist, verwenden. Die Zähne der

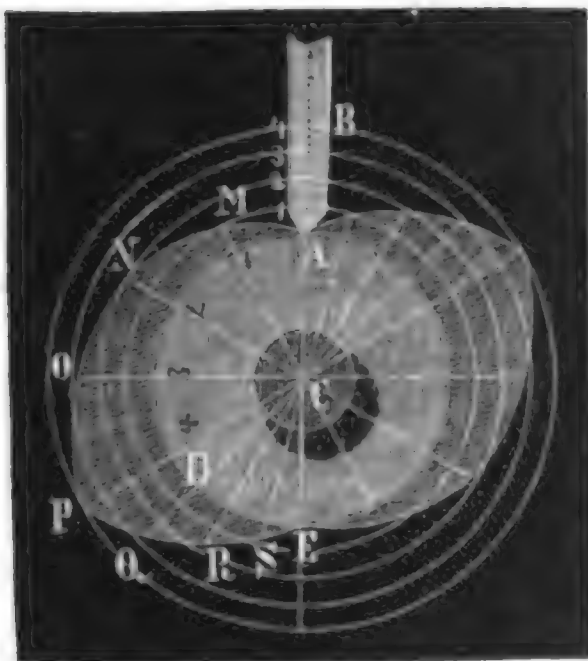
Stange nehmen hierbei eine trianguläre Form an.

§. 83. Um Stangen oder Hebel durch eine umlaufende Welle auf und nieder zu bewegen oder hin und her zu schieben, versieht man letztere mit zahnähnlichen Ansätzen oder sogenannten Daumen (franz. *comes*; engl. *cams*, *tappets*), die im Ganzen nach denselben Regeln zu construiren sind, wie die Zähne. Wir müssen bei der Construction der Daumen unterscheiden, ob die Richtung der Stange radial, d. i. nach der Ase der Welle geht, oder ob sie neben der Ase vorbeigeht, ferner ob die Stange gleichförmig oder ungleichförmig aufsteigen soll, u. s. w.

Daumen.

Der einfachste Fall ist der, wenn die Stangenaxe radial zur Welle steht,

Fig. 207.



und die Bewegung derselben gleichförmig, d. i. so erfolgen soll, daß gleichen Umdrehungswinkeln der Welle gleiche Wege der Stange entsprechen. Es sei in Fig. 207,  $AB = s$  der Weg, welchen die Stange bei Umdrehung der Welle um den Winkel  $ACD$  durchlaufen soll. Theilen wir nun sowohl die Hublinie  $AB$ , als auch den Boden  $AD$  in gleiche Theile, z. B. 4, beschreiben wir durch die Theilpunkte der ersteren aus  $C$  concentrische Kreisbögen und ziehen wir durch die Theilpunkte 1, 2, 3.. des letzteren radiale Linien bis zu

den Durchschnitten  $M, N, O, P$ , mit den entsprechenden Kreisbögen, so erhalten wir in  $AMNOP$  eine archimedische Spirallinie (franz. *spirale d'Archimède*; engl. *spiral of Archimedes*), nach welcher in diesem Falle der Hebedaumen zu formen ist; denn kommen beim Umbrehen der Welle die Punkte 1, 2, 3, 4 im Kreise nach und nach nach  $A$ , so gelangt

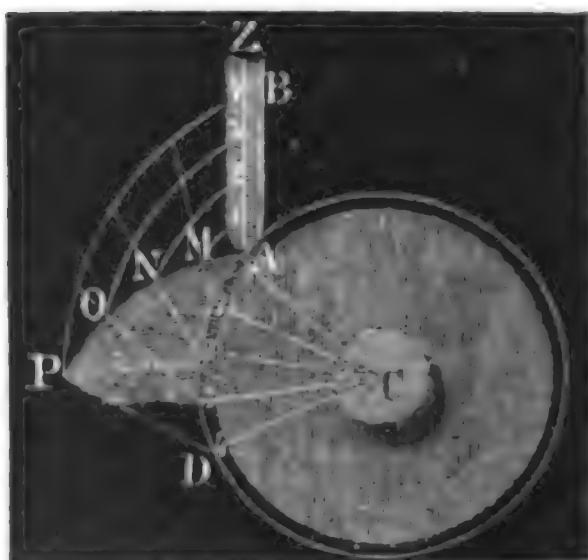
**Daumen.**  $M, N, O, P$  nach 1, 2, 3, 4 in der Hublinie, und es wird dabei die Stange um den Weg  $A1, A2, A3, A4$ , also vollkommen gleichförmig angehoben. Soll ebenso die Stange gleichförmig niedergelassen werden, während sich die Welle gleichförmig um einen Winkel  $DCE$  dreht, so findet man die niedersteigende Daumencurve  $PQRSE$ , wenn man auch den Bogen  $DE$  in (4) gleiche Theile theilt, durch die Theilpunkte die Halbmesser  $CQ, CR, CS$  zieht und dieselben bis zu den entsprechenden Kreisbögen verlängert.

Um die gleitende Reibung zwischen dem Stangenfuße und der Daumenfläche zu umgehen, versieht man den ersteren sehr gewöhnlich mit einem sogenannten Friktionsrade, und construirt die Daumenflächen nach einer Parallelen  $A_1N_1P_1R_1$ , Fig. 208, welche an allen Stellen um den Halbmesser  $AA_1 = NN_1 = P_1P_1 = RR_1$ , von der archimedischen Spirale oder sogenannten Spinnlinie (Neoide)  $ANPR$  absteht. Wenn die Stange bei einer Wellenumdrehung nur ein Spiel machen soll, so bildet der Daumen mit der Welle, wie z. B. in Fig. 208, eine sogenannte Herzscheibe (franz. roue en coeur; engl. heart-wheel).

Fig 208



Fig. 209.



§. 84. Bildet die Stangenrichtung  $AZ$ , Fig. 209, eine Secante zur umlaufenden Welle, so erleidet die Construction des Daumens eine Modification. Soll auch hier die Stange um  $AB$  aufsteigen, während sich die Welle um den Winkel  $ACD$  dreht, so bleibt zwar die Eintheilung von  $AB$  und  $DE$  in gleiche Theile und die Construction von Kreisbögen aus der Wellenaxe  $C$  dieselbe, es sind aber an die Theilpunkte 1, 2, 3, 4 des Bogens  $AD$  Linien von gleicher Länge mit  $AB$ , oder, was auf eins hinauskommt, Linien so zu legen, daß sie mit den entsprechenden Halbmessern  $C1, C2, C3$  u. s. w. denselben Winkel einschließen wie  $AB$  mit  $CA$ . Die Durchschnittpunkte  $M, N, O, P$  dieser Linien mit den Kreisbögen aus  $C$  geben dann die gesuchte Daumencurve; denn wenn die Theilpunkte 1, 2, 3, 4 von  $AD$  nach  $A$  kommen, gelangt  $M, N, O, P$  nach 1, 2, 3, 4 der



Hublinie, steigt also auch der Stangenfuß um die gleichen Theile  $A1, 12, 23, 34$ . Daumen.

Steht die Hublinie  $AB$ , Fig. 210, rechtwinkelig auf dem Wellenhalbmesser  $CA$ , bildet sie also eine Tangente zur Welle, so ändert sich die Construction nicht; es sind dann auch die geraden Linien, welche man durch die Theilpunkte 1, 2, 3, 4 des Grund- oder Theilkreises zu legen hat, Tangenten zu diesem Kreise. Nimmt man noch den Theilbogen  $AD$  gleich der Hublinie  $AB$ , so geht die Daumencurve in die bekannte Kreisevolvente über (s. §. 82). Bei Anwendung eines Friktionsrädchen sind natürlich alle diese Curven durch Nequidistanten zu ihnen zu ersetzen. Bei den Daumen, welche nach der Kreisevolvente geformt sind, steht die Berührungsfläche winkelrecht auf der Hublinie, weshalb auch die Last der Stange von dem Daumen unmittelbar aufgenommen wird, und in der Stange keine durch eine besondere Führung aufzunehmende Seitenkraft zurückbleibt. Aus diesem Grunde gehören denn auch die Kreisevolventendaumen zu den vorzüglicheren.

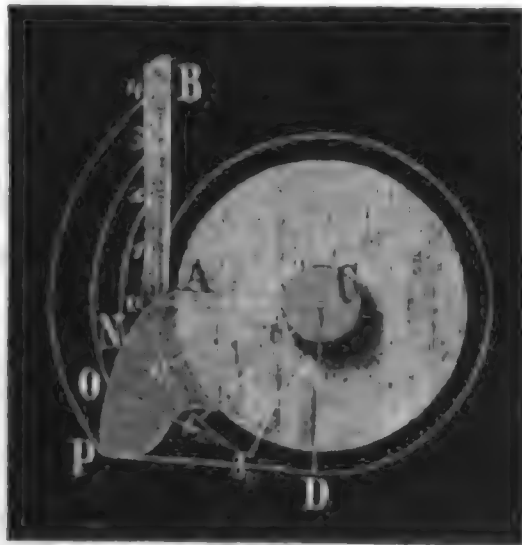
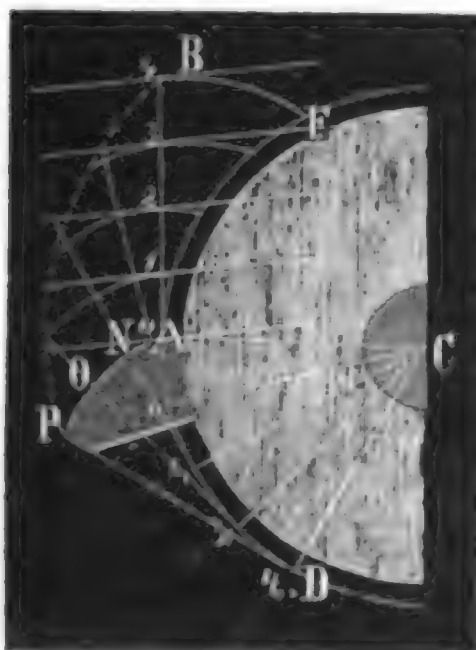


Fig. 210.

Bei den Daumen, welche nach der Kreisevolvente geformt sind, steht die Berührungsfläche winkelrecht auf der Hublinie, weshalb auch die Last der Stange von dem Daumen unmittelbar aufgenommen wird, und in der Stange keine durch eine besondere Führung aufzunehmende Seitenkraft zurückbleibt. Aus diesem Grunde gehören denn auch die Kreisevolventendaumen zu den vorzüglicheren.

Anmerkung. Nur in Folge der Reibung zwischen dem Daumen und der

Fig. 211.



Stange wird die Stange nach der Welle hin etwas zur Seite gezogen; wenn man aber die Daumenfläche so formt, daß ihre Normale an der Berührungsstelle stets um den Reibungswinkel  $\varphi$  von der Hublinie oder Stangenare abweicht, so fällt auch selbst dieses Zurseiteziehen weg. Sehen wir die Hubhöhe  $AB = DP$ , Fig. 211,  $= h$ , den Halbmesser  $CA = CD = CE$  des Theilkreises  $= r$  und den Bogen  $AD = AE$  desselben  $= b$ , so hat man folgende einfache und durch den höheren Calcul leicht zu findende Gleichung

$$b = h \left( 1 + \varphi \frac{h}{2r} \right),$$

oder, wenn man den Reibungscoefficienten  $\varphi = 0,1$  setzt, .

$$b = \left( 1 + 0,05 \frac{h}{r} \right) h,$$

während bei der Kreisevolvente  $b = h$  ist. Setzt man statt  $h$ ,  $\frac{1}{4}h$ ,  $\frac{2}{4}h$ ,  $\frac{3}{4}h$  u. s. w., so giebt diese Formel auch die entsprechenden Werthe von  $b$ , und es ist nun mittels derselben die Curve  $ANOP$  leicht zu construiren. Ist z. B.  $h = r$ ,



so hat man für  $A2 = 2N = \frac{h}{2}$  den entsprechenden Bogen

$$2A = (1 + 0,05 \cdot \frac{1}{2}) \frac{h}{2} = 1,025 \cdot \frac{h}{2} = 0,5125 h,$$

ferner für  $A3 = 3N = \frac{3h}{4}$ , den Bogen

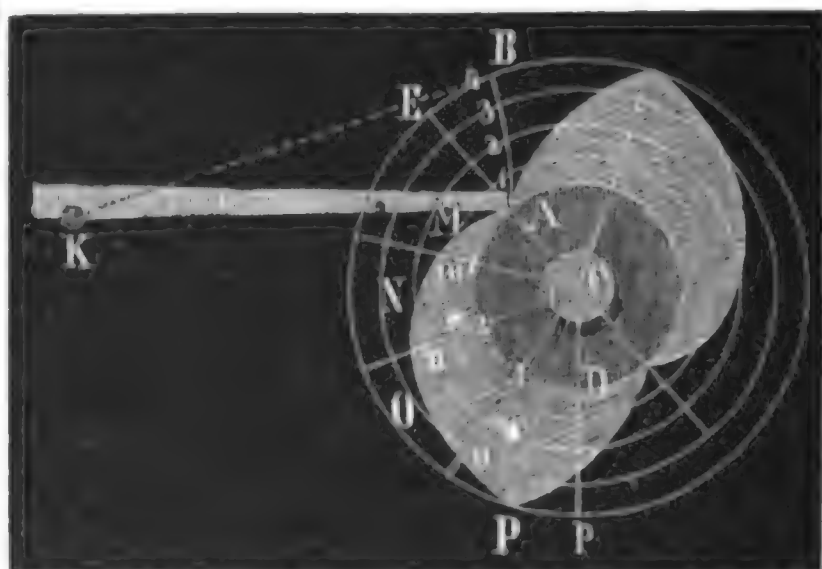
$$3A = (1 + 0,05 \cdot \frac{3}{4}) \frac{3h}{4} = 1,0375 \cdot \frac{3}{4} h = 0,778 h \text{ u. s. w.}$$

Hebel-  
bewegung.

§. 85. Man kann auch die Stangen durch Hebel ersetzen und daher statt einer geradlinigen Bewegung, eine schwingende oder absehbende Kreisbewegung mittels Daumen aus der stetigen Kreisbewegung einer Welle ableiten.

Soll z. B. ein Hebel  $KA$ , Fig. 212 durch die Daumen einer Welle  $ACD$  aufgehoben werden, und das Hebelende den Weg  $AB$  gleichförmig durchlaufen, während sich die Welle um den Winkel  $ACD$  dreht, so theile man

Fig. 212.



die Bögen  $AB$  und  $AD$  in gleiche Theile, beschreibe durch die Theilpunkte von  $AB$  aus  $C$  concentrische Kreise und ziehe durch die Theilpunkte von  $AD$  Radien. Giebt man sich nun die Punkte  $m, n, o, p$  an, wo diese Halbmesser die entsprechenden Kreise durchschneiden, und trägt von denselben aus die Bögen, welche zwischen den Theilpunkten 1, 2, 3, 4 von  $AB$  und dem verlängerten Radius  $CA$  ( $CE$ ) enthalten sind, als  $mM, nN, oO, pP$  auf, so erhält man in  $AMNOP$  die gesuchte Daumencurve, denn wenn die Punkte 1, 2, 3, 4 des Bogens  $AD$  nach und nach nach  $A$  kommen, gelangen die Punkte  $M, N, O, P$  nach 1, 2, 3, 4 ( $B$ ) des Bogens  $AB$ ; es entsprechen also gleichen Umdrehungsbögen der Welle auch gleiche Wege des Hebelendes  $A$ .

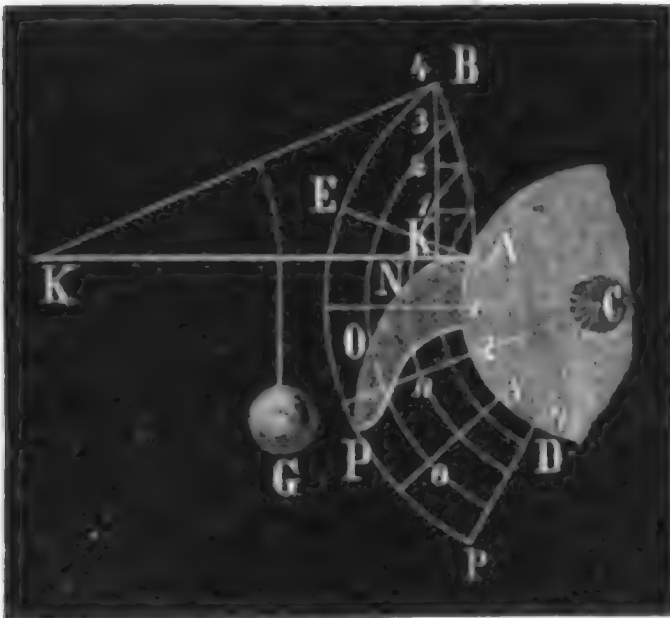
Hängt an dem Hebel ein Gewicht  $G$ , welches von einer Daumenwelle gleichförmig aufzuheben ist, so hat man, wie aus Fig. 213 zu ersehen ist,

die Vertikalprojection  $BK$  des Bogens  $AB$  in gleiche Theile zu theilen, horizontale Linien durch die erhaltenen Theilpunkte 1, 2, 3, 4 zu legen und die concentrischen Kreisbögen durch die Durchschnitte dieser Linien mit  $AB$  zu beschreiben, übrigens aber wie vorhin zu verfahren.

Hebel-  
bewegung.

Fig. 213.

Fig. 214.



Wenn die Stangenaxe oder die Bewegungsebene des Hebels nicht in die Umdrehungsebene der Daumenwelle fällt, so müssen natürlich auch die Daumen aus der letzteren Ebene hervorstehen. Soll z. B. die Stange  $BE$ , Fig. 214, von einem umlaufenden Rade  $AK$  um einen Weg  $AB$  ausgeschoben werden, dessen Richtung die Radaxe  $CK$  unter einem gegebenen Winkel  $ACK$  schneidet, so muß der Durchschnitt eines Daumens eine conische Fläche  $DB_1F$  bilden, die von den nach oben angegebenen Regeln zu findenden Curven  $DB_1$  und  $FB_1$  begrenzt wird. Endlich ist auch leicht zu ermessen, wie die Construction abzuändern ist, wenn statt der Stange ein Hebel in einem Bogen  $AB$  von einem Daumen der Scheibe  $AK$  ausgeschoben werden soll.

Was die rückgehende Bewegung anlangt, so kann diese entweder durch ein Gegengewicht, oder durch eine Feder, oder endlich auch dadurch bewirkt werden, daß das Stangen- oder Hebelende mittels eines Bolzens oder Hakens an den zu diesem Zwecke mit einer Spur versehenen Daumen angeschlossen wird.

§. 86. Bei den im Vorstehenden abgehandelten Formen der Hebedäumen erfolgt beim Angriffe stets ein Stoß, da der vorher in Ruhe befindlichen Stange (Hebel) von dem Daumen plötzlich eine sich nachher immer gleichbleibende Geschwindigkeit mitgetheilt wird. Dieser Stoß wächst mit der Masse und der Geschwindigkeit der Stange und giebt nicht nur zu einem Arbeitsverluste, sondern auch zu einem stärkeren Abführen der Maschine Veranlassung, und deshalb sollte diese Construction der Daumen auch nur

Angriff  
ohne Stoß.

Angriff  
ohne Stoß.

bei kleinen Geschwindigkeiten und nur dann angewendet werden, wenn die Masse der Stange oder des Hebels klein ist, gegen die Masse der armirten Daumenwelle. Ist  $c$  die Geschwindigkeit der Stange während des Aufsteigens oder Ausschließens,  $M$  die Masse derselben und  $M_1$  die auf den Angriffspunkt reducirte träge Masse der Daumenwelle, so hat man nach I., §. 258, den Arbeitsverlust bei jedem Angriffe:

$$L = \frac{c^2}{2} \cdot \frac{M M_1}{M + M_1} = \frac{c^2}{2} \cdot \frac{M}{\frac{M}{M_1} + 1}.$$

Man ersieht, daß derselbe nur für  $c = 0$ , und  $M = 0$  oder  $M_1 = \infty$ , verschwindet.

Um die Nachtheile des stoßweisen Angriffes zu umgehen, muß man die Daumen so formen, daß sie die Stange oder den Hebel nur allmählig, z. B. in eine gleichförmig beschleunigte Bewegung setzen. Constructionen der Art führen die Figuren 215 und 216 vor Augen, und zwar erstere für eine

Fig. 215.

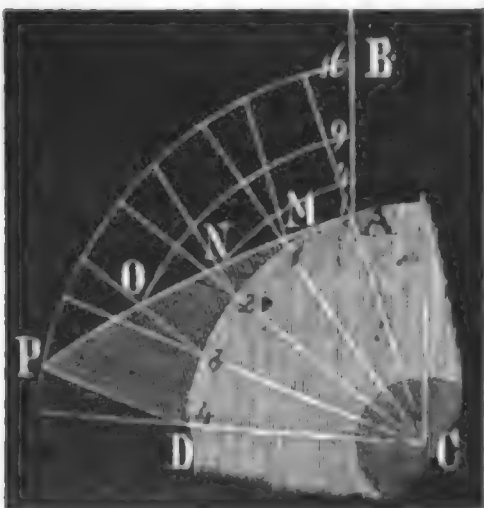
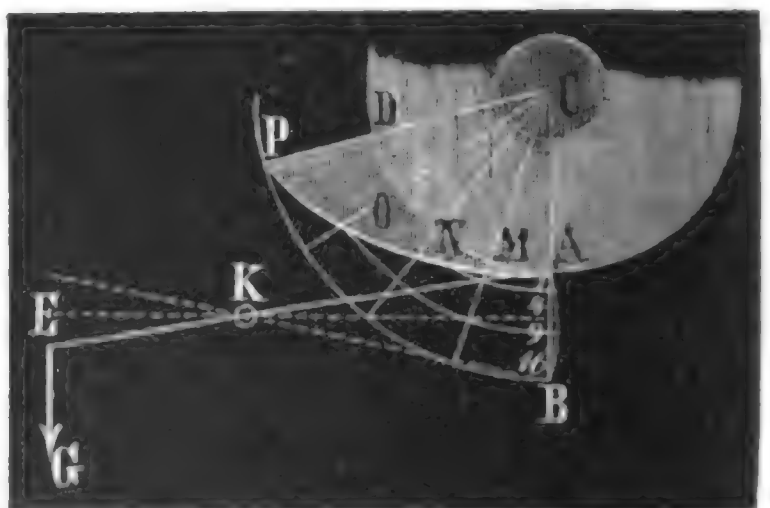


Fig. 216.

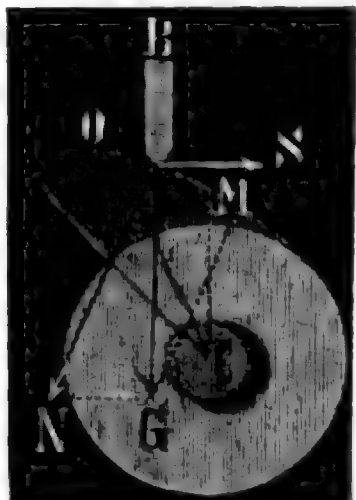


Stange und letztere für einen Hebel  $AK'E$ . Der wesentliche Unterschied dieser Construction von der vorigen besteht darin, daß hier die Hublinie  $AB$  nicht in gleiche, sondern in solche Theile getheilt wird, die sich zu einander wie die ungeraden Zahlen 1, 3, 5, 7 verhalten, deren Endpunkte also um die Quadratzahlen 1, 4, 9, 16 vom Anfangspunkte  $A$  (s. I., §. 16) abstehen. Es geht daher auch die Daumencurve durch die Durchschnittspunkte  $M, N, O, P$ , zwischen den durch die Theilpunkte 1, 4, 9, 16 aus der Umdrehungsaxe beschriebenen Kreisen und den durch die an die Theilpunkte 1, 2, 3, 4 des Theilkreises gehörig angelegten Hublinien.

Ein Uebelstand jedoch erwächst auch aus dieser Construction. Dieser besteht darin, daß hierbei leicht die Winkel zu spitz werden, unter welchen sich die Daumencurve  $AMNOP$  und die Hublinie schneiden, woraus ein stärkeres Zurseiteziehen oder Zurseite drücken der Stange und daher auch eine größere

Seitenreibung erwächst.

Fig. 217.



Ist  $G$  die Last der Stange  $AB$ , Fig. 217, und  $\alpha$  der Winkel  $NAG$ , um welchen die Normale  $AN$  der Daumencurve  $MO$  von der Hublinie abweicht, so hat man die in der Stange zurückbleibende Seitenkraft  $S = G \tan \alpha$ , und die auf die Daumenwelle übergehende Kraft

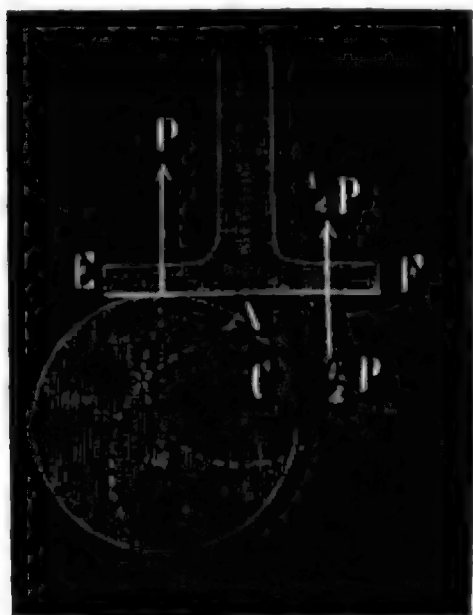
$$N = \frac{G}{\cos \alpha}.$$

Jene Seitenkraft erzeugt eine Seitenreibung in der Senkrechtführung der Stange, und diese Kraft, da sie größer als  $G$  ist, vergrößert den Zapfendruck und daher auch die Zapfenreibung.

Angst ohne Stab.

§. 87. Am einfachsten und vollkommensten wird das allmälige Aufheben und Niederlassen von Stangen oder Hebeln durch sogenannte excentrische Scheiben oder Excentriks (franz. excentriques; engl. excentrics) erreicht. Dieselben sind kreisförmige, elliptische, ovale Scheiben u. s. w., die

Fig. 218.



sich um eine excentrische, d. i. nicht durch ihren Mittelpunkt gehende Axe, drehen. Unter ihnen sind die Kreisexcentriks, die in einer einfachen cylindrischen Scheibe bestehen, die gewöhnlichsten. Fig. 218 führt ein Kreisexcentrik vor Augen;  $M$  ist der Mittelpunkt und  $C$  die Umdrehungsaxe desselben. Die Stange  $BK$  ist hier mit einem Schuh  $EF$  ausgerüstet, dessen horizontale Grundfläche von dem Umfange des Excentriks tangiert wird. Die Bewegungsverhältnisse des Kreisexcentriks sind dieselben wie die des Krummzapfens (vergl.

II., §. 307). Dreht sich das Excentrik um einen Winkel  $OCM = \beta$ , so steigt die Stange um den Weg

$$\begin{aligned} AK &= KO - AO = KN + NO - AO = DM + NO - AO = NO \\ &= CO - CN, \text{ d. i. } s = r (1 - \cos. \beta), \text{ wenn } r \text{ die Excentricität} \\ &\text{ } CM \text{ der Scheibe bezeichnet.} \end{aligned}$$

Nimmt  $\beta$  um einen sehr kleinen Theil  $\Delta \beta$  zu, so steigt  $s$  noch um den kleinen Weg

$$\begin{aligned} \Delta s &= r [1 - \cos. (\beta + \Delta \beta)] - r (1 - \cos. \beta) = r [\cos. \beta - \cos. (\beta + \Delta \beta)] \\ &= r (\cos. \beta - \cos. \beta \cdot \cos. \Delta \beta + \sin. \beta \sin. \Delta \beta), \end{aligned}$$

d. i. da  $\cos. \Delta \beta = 1$  und  $\sin. \Delta \beta = \Delta \beta$  gesetzt werden kann, um



Excentris.  $\Delta s = r \sin. \beta \cdot \Delta \beta$  höher, und es ist daher das Verhältniß zwischen der Geschwindigkeit  $w$  der Stange und der Geschwindigkeit  $v$  des Excentriks im Punkte  $M$ :  $\frac{w}{v} = \frac{\Delta s}{r \cdot \Delta \beta} = \sin. \beta$ .

Da für  $\beta = 0$  und  $\beta = 180^\circ$ ,  $\sin. \beta = 0$  ist, so folgt, daß die Stange mit einer unendlich kleinen Geschwindigkeit zu steigen anfängt, und daß sie nach einer halben Umdrehung des Excentriks und nach Zurücklegung des Weges  $AB = r(1 + 1) = 2r$ , mit unendlich kleiner Geschwindigkeit zu steigen aufhört. Auch ist leicht einzusehen, daß ebenso während der zweiten Hälfte einer Umdrehung der Niedergang der Stange mit Null Geschwindigkeit beginnt, und aufhört. Endlich zeigt auch die Formel, daß in den Quadraturen, d. i. für  $\beta = 90^\circ$  und  $270^\circ$ , die Stange ihre Maximalgeschwindigkeit  $w = v$  erlangt.

Die Last  $Q$  in der Stangenaxe wird nur bei dem höchsten und tiefsten Stande der Stange vom Excentrik unmittelbar aufgenommen, in jedem anderen Stande wirkt aber die Kraft  $P = Q$  excentrisch, und es bekommt dadurch die Stange ein Bestreben zur Drehung, dem das Moment

$$\frac{1}{2} P \cdot 2 DK = P \cdot DK = Pr \sin. \beta$$

entspricht. Dieses Bestreben erzeugt, indem ihm durch die Führung der Stange entgegengewirkt wird, eine besondere Seitenreibung. Die Reibung zwischen dem Excentrik und dem Stangensfuße ist  $= \varphi P$  und consumirt, bei einer halben Umdrehung des Excentriks, die Arbeit

$$\varphi P \cdot \pi a = \varphi \pi Q a.$$

Da diese mit dem Halbmesser  $MD = a$  der Scheibe wächst, so folgt, daß man diesen möglichst klein nehmen soll.

Berücksichtigt man nun diese Reibung, so hat man die Kraft zum Aufheben der Stange, da diese bei einer halben Umdrehung den Weg  $2r$  zurücklegt,  $P = Q + \frac{1}{2r} \cdot \varphi \pi P a$ , hiernach  $P \left(1 - \frac{\varphi \pi a}{2r}\right) = Q$ ,

$$\text{daher } P = \frac{Q}{1 - \frac{\varphi \pi a}{2r}}, \text{ annähernd } = \left(1 + \frac{\varphi \pi a}{2r}\right) Q.$$

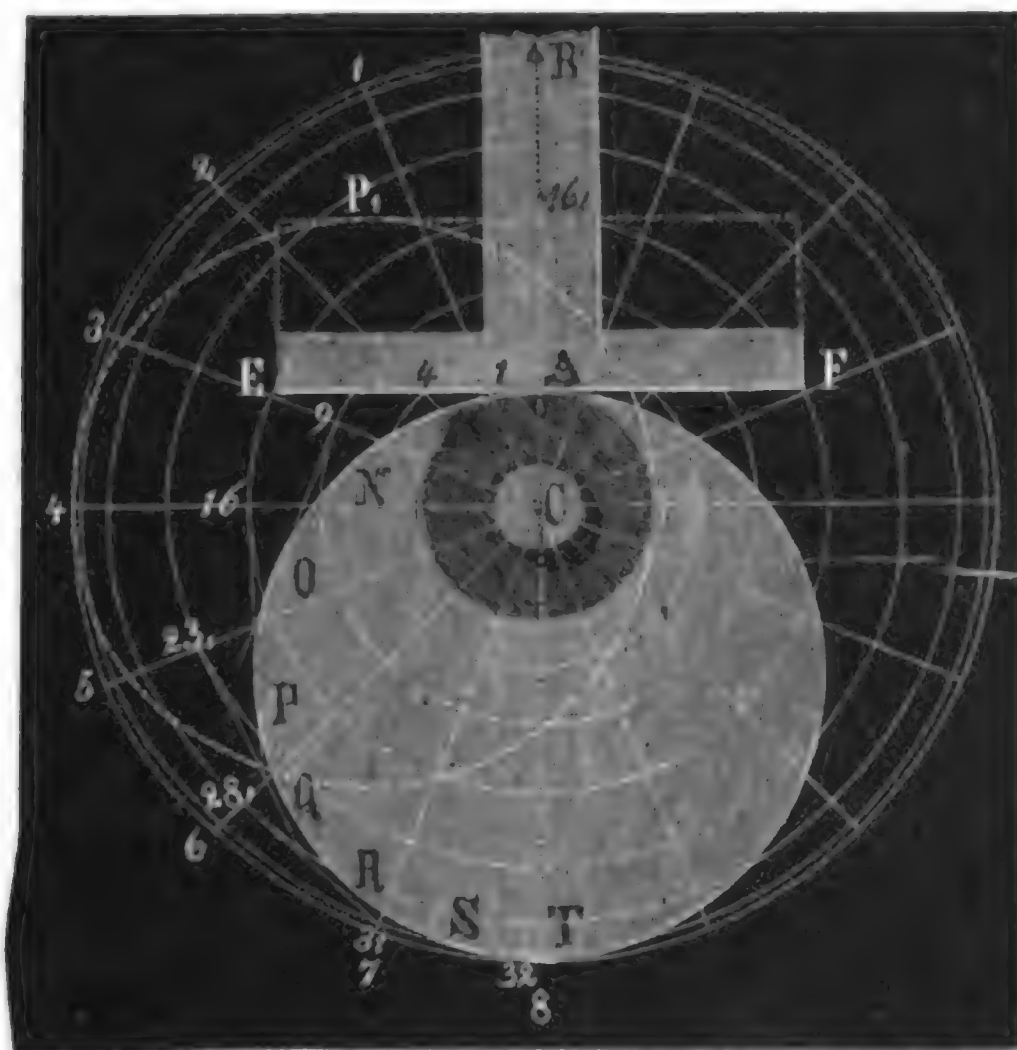
§. 88. Zu manchen Zwecken kann es angemessener sein, sich eines besonders geformten Excentriks zu bedienen. Soll z. B. eine Stange durch ein Excentrik während einer Umdrehung gleichförmig beschleunigt aufgehoben und ebenso gleichförmig verzögert niedergelassen werden, so hat man folgende Construction anzuwenden, um die entsprechende Form des Excentriks zu erhalten.

Man theile die Hubhöhe  $AB$ , Fig. 219, in Theile, die sich wie die Zahlen 1, 3, 5, 7, 5, 3, 1 zu einander verhalten, und beschreibe durch die er-



haltenen Theilpunkte concentrische Kreise aus der Drehungsaxe  $C$  der Welle. Excentris.  
 Ferner theile man den äußersten, mit dem Halbmesser  $CB = CT$  beschriebenen Kreis in gleiche Theile, und gebe sich die Durchschnitte 1, 4, 9, 16, 23 .. zwischen jenen Kreisen und den nach den letzten Theilpunkten gezogenen

Fig. 219.

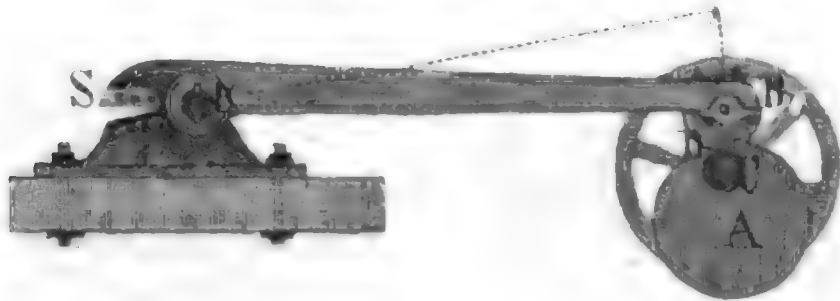


nen Halbmessern  $C1, C2, C3, C4$  u. s. w. an. Endlich errichte man in diesen Durchschnittpunkten Perpendikel auf den entsprechenden Halbmessern, und führe einen Zug  $AMNOP...$ , welcher alle diese Perpendikel der Reihe nach tangirt. Wird das Excentrik nach diesem Zuge begrenzt, so hebt dasselbe die Stange  $EBF$  anfangs gleichförmig beschleunigt und nachher gleichförmig verzögert, und läßt dieselbe während der zweiten Hälfte seiner Umdrehung auch so nieder. Denn wenn die Punkte 1, 4, 9, 16 u. s. w. in die Hublinie gelangen, nehmen die durch sie gehenden Perpendikel oder Tangenten der Curve  $AMNOP...$  eine horizontale Lage an, wird also auch die Stange, deren Fußlinie  $EF$  das Excentrik stets berührt, um die Theile 1, 3, 5, 7 .. der Hublinie gehoben; läuft also die Welle gleichförmig um, so steigt die Stange auf die angegebene Weise empor.

Statt einer Stange kann man auch einen Hebel durch ein Excentrik in Umdrehung setzen und weil hier der Nachtheil der excentrischen Wirkung

**Excentrische.** wegfällt, so ist diese Art der Umsehung noch vollkommener und wird daher bei Loch- oder Durchstoßmaschinen, Scheeren u. s. w. vorzüglich angewendet. Die Einrichtung einer Eisenscheere ist aus Fig. 220 zu ersehen. Es

Fig. 220.



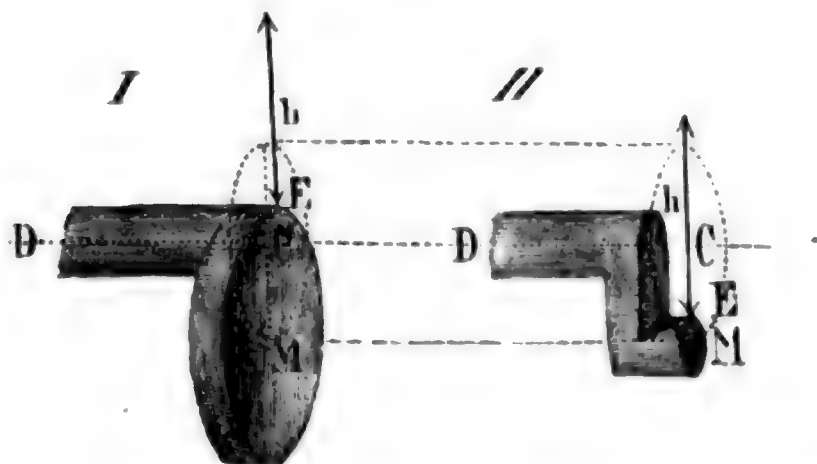
ist hier  $CA$  das Excentrik,  $KS$  die Scheerenschneide,  $KB$  der Scheerenarm und  $BD$  ein Friktionrad, mittels dessen das Excentrik auf den Scheerenarm wirkt.

Bei dem gewöhnlichen Excentrik entspricht immer einer Umdrehung der Welle auch nur ein Ausschub oder ein Hin- und Rückgang der Stange oder des Hebels. Jedoch hat man auch Excentriks, welche bei einer Umdrehung zwei oder drei Stangenspiele liefern; diese lassen sich jedoch angemessener den Daumenwellen beizählen. Eine elliptische Scheibe, welche sich z. B. um ihren Mittelpunkt dreht, liefert bei jeder Umdrehung zwei Spiele, und ist passender mit einer Welle mit zwei Daumen zu vergleichen als mit einem Excentrik.

**Krummzapfen.**

§. 89. Von dem Kreisexcentrik ist der Krummzapfen oder die Kurbel (franz. la manivelle; engl. the crank) nicht wesentlich verschieden (s. II., §. 307). Ist die Excentricität  $CM = r$  des Kreisexcentriks in I., Fig. 221, dieselbe, wie die Armlänge  $CM = r$  eines Krummzapfens  $DCM$ , in II., Fig. 221, so ist der Hub oder Schub in beiden derselbe

Fig. 221.



nämlich  $h = 2r$ . Auch ist bei beiden Vorrichtungen der dem Drehungswinkel  $\beta$  entsprechende Stangenweg  $s = r (1 - \cos. \beta)$  einer und ders-

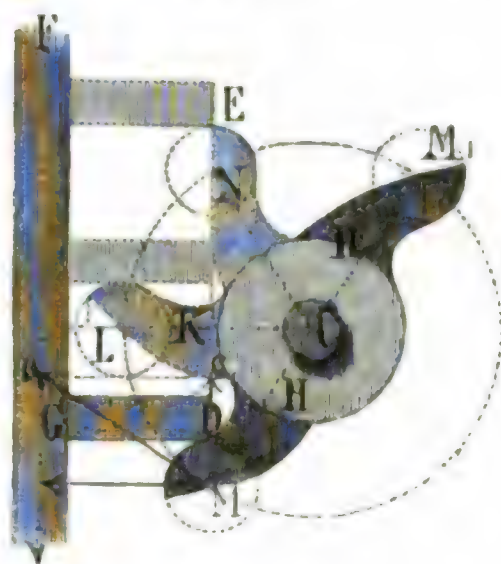
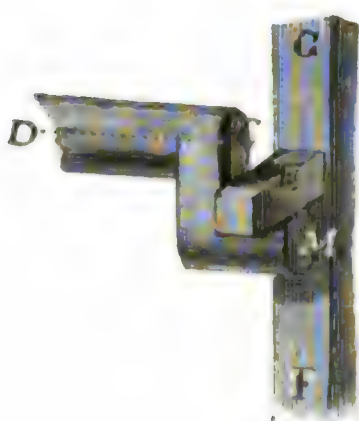
selbe, und es hängt derselbe gar nicht von dem Halbmesser  $ME$  der Scheibe oder Warze ab.

Krumm-  
zapfen.

Wie eine Stange durch einen einfachen Krummzapfen bewegt werden kann, ist aus Fig. 222 zu ersehen. Die Warze  $M$  (franz. bouton; engl. the pin) greift hier unter einen Daumen  $E$ , welcher aus der Stange  $FG$  winkelrecht vorsteht, und treibt denselben vor sich her. Soll die Stange bei einem Anhub mehr als ein Spiel machen, so kann man einen doppelten oder mehrfachen Krummzapfen oder einen Drehling mit Triebstöcken anwenden. Da in diesem Falle nur ein Theil des Umfanges

Fig. 222.

Fig. 223.



der Warze oder des Triebstockes mit dem Däumling in Berührung kommt, so braucht man auch nicht vollständige Warzen oder Triebstöcke einzusetzen, und kann statt derselben Heblinge oder Hebedaumen, wie  $MH$ ,  $M_1H_1$ , Fig. 223, in Anwendung bringen. Diese Construction hat vor der gewöhnlichen Anwendung von Evolventenheblingen zwei wesentliche Vorzüge. Erstens ist hier die mittlere Entfernung des Angriffspunktes zwischen Hebling und Däumling von der Axe des Stempels kleiner als bei den Heblingen nach der Kreisevolvente, und zweitens fällt hier der Stoß beim Angriff, und also auch der hieraus erwachsende Arbeitsverlust kleiner aus als bei den Evolventenheblingen.

Hört der Angriff um denselben Winkel über der horizontalen Centralinie  $CK$  auf, als derselbe unter derselben beginnt, ist also

$$NCK = MCK = \frac{1}{2} MCN = \frac{1}{2} \beta,$$

so hat man den Hub oder Schub

$$MN = DE = h = 2r \sin. \frac{\beta}{2},$$

wenn  $\beta$  den Theilwinkel  $MCN$  und  $r$  die mechanische Armlänge  $CM = CN$



Krumm-  
zapfen.

der Heblinge bezeichnet; und es ist die Däumlinglänge

$$GD = KL = b \text{ beinahe} = r \left(1 - \cos. \frac{\beta}{2}\right) + r_1,$$

wenn  $r_1$  den Krümmungshalbmesser  $MD = NE$  eines Heblings repräsentirt. Da der Angriffspunkt zwischen Hebling und Däumling während des Aufsteigens der Stange der Axe des Stempels näher rückt, so fällt natürlich die mittlere Excentricität noch viel kleiner als  $b$  aus.

Die Geschwindigkeit  $Mc_1 = c_1$ , mit welcher der Hebling gegen den Däumling stößt, ist, wenn  $c$  die Umdrehungsgeschwindigkeit  $Mc$  im Theilkreise bezeichnet,  $c_1 = c \cos. \frac{\beta}{2}$ , und fällt daher um so kleiner aus, je mehr sich  $\frac{\beta}{2}$  dem Rechtwinkel nähert, je tiefer also der Angriff erfolgt.

Sind  $M$  und  $M_1$  die Massen des Stempels und der Welle, so hat man daher das bei jedem Angriffe durch den Stoß verlorene Arbeitsquantum  $L = \frac{c^2}{2g} \left(\cos. \frac{\beta}{2}\right)^2 \frac{MM_1}{M + M_1}$ , annähernd

$$= \frac{Mc^2}{2g} \left(\cos. \frac{\beta}{2}\right)^2; \text{ während es bei der Anwendung von Evolventenheblingen, wo der Angriff in der Centrallinie } CK \text{ erfolgt,}$$

$$L = \frac{c^2}{2g} \cdot \frac{MM_1}{M + M_1} \text{ ist.}$$

§. 90. Der Krummzapfen  $CA$ , Fig. 224, ist das gewöhnlichste und vorzüglichste Hilfsmittel zum Umsetzen der stetigen Kreisbewegung in eine geradlinig wiederkehrende, oder umgekehrt, der geradlinig hin- und her-, oder auf- und niedergehenden Bewegung in eine stetige Kreisbewegung. Zu demselben gehört noch die Kurbelstange  $AB$  (franz. la bielle; engl. the connecting rod) als wesentlicher Bestandtheil. Dieselbe ist mit dem einen Ende  $A$  an die Warze des Krummzapfens, und mit dem andern Ende  $B$  an den Kopf der Stange  $BF$  angeschlossen, welche entweder durch den Krummzapfen in geradlinig wiederkehrende Bewegung gesetzt wird, oder denselben eine stetige Kreisbewegung ertheilt. In vielen Fällen kann man die Kurbelstange nicht unmittelbar mit der auf- und nieder-, oder hin- und hergehenden Stange verbinden, sondern es ist nöthig, einen Hebel oder Balancier zwischen beide zu bringen. In Fig. 225 ist die Kurbelstange  $AB$  an einen Balancier  $BD$  und in Fig. 226 an einen Winkelhebel  $BDE$  angeschlossen. Die erste Construction kommt vorzüglich bei Dampfmaschinen vor, wo der Balancier mittels der Kolbenstange in schwingende Bewegung gesetzt und aus dieser Bewegung mittels des Krummzapfens eine rotirende Kreisbewegung abgeleitet wird. Den zwei-

ten Fall hingegen bietet vorzüglich eine sogenannte Radkunst dar, wo die rotirende Kreisbewegung eines Wasserrades mittels Krummzapfen und

Krumm-  
zapfen.

Fig. 224.

Fig. 225.

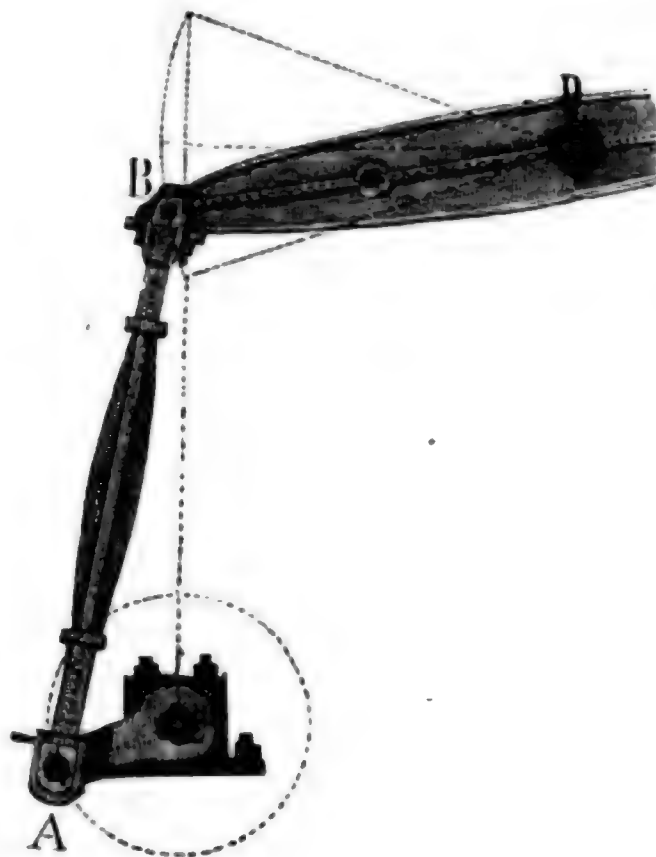
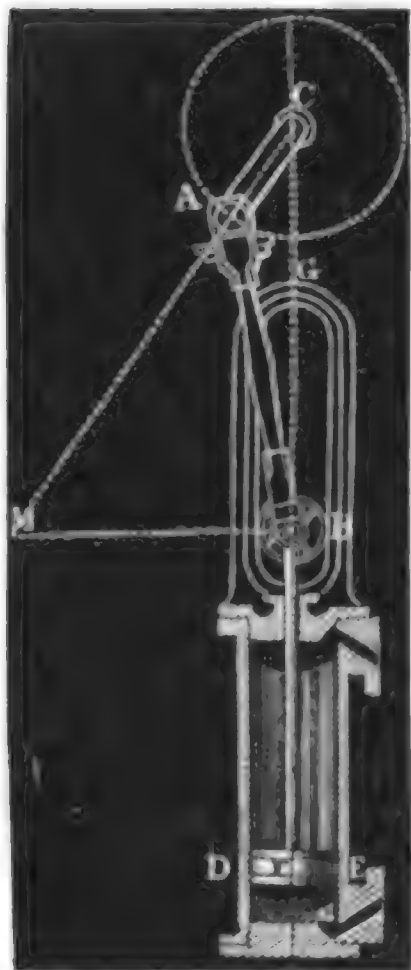
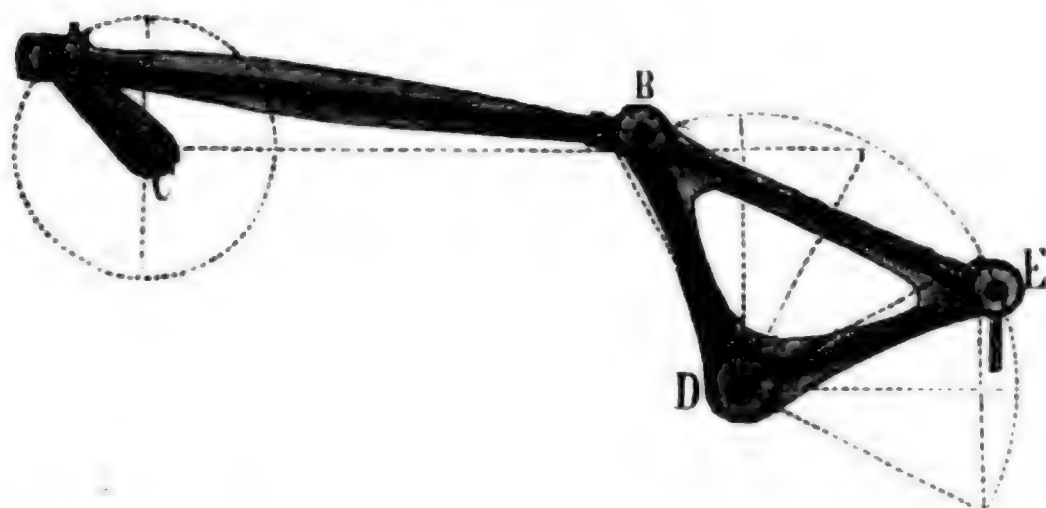


Fig. 226.



Winkelhebel (Kunstkreuz) in eine auf- und niedergehende Gestängbewegung umzuändern ist.

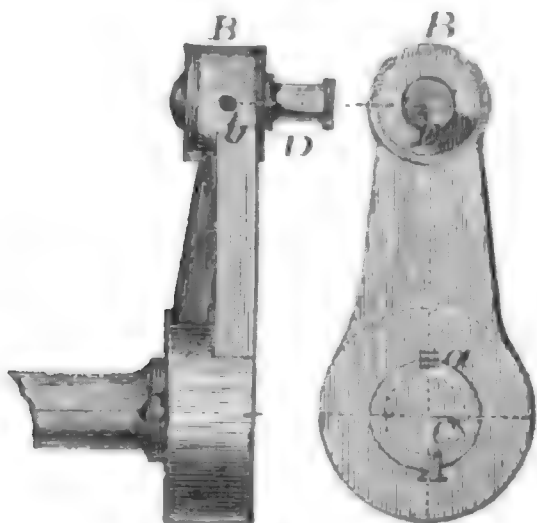
Man bildet zwar zuweilen die Kurbel aus einem Gußstücke, es ist jedoch besser, dieselbe aus drei Stücken zusammenzusetzen, namentlich, wenn der Zapfen mit der umlaufenden Welle ein Ganzes bildet. Die Con



Krumm-  
zapfen.

struction und Zusammensetzung eines solchen Krummzapfens zeigt Figur

Fig. 227.



227 in zwei Ansichten. Der Kurbelarm  $AB$  ist mit zwei ausgedrehten Augen versehen, durch das eine kommt der Wellen- oder Zapfenkopf  $C$  und durch das andere das Kopfstück der Warze  $D$ . Die Befestigung des Armes mit dem Zapfenkopfe erfolgt durch einen Splint  $a$ , und die der Warze mit dem Arme durch einen Bolzen  $b$ , oder auch durch eine Schraube am Ende des Warzenkopfes. Ist ein veränderlicher Kurbelhub nöthig, so muß

man die Warze stellbar einrichten, und zu diesem Zwecke den Kurbelarm mit einem Schliße und einer Stellschraube versehen. Auch wendet man wohl statt des Armes eine ganze Scheibe mit mehreren Löchern zur Aufnahme der Warze an. Zuweilen kann man endlich auch die Warze in die Stirnfläche oder in den Arm eines auf der umlaufenden Welle sitzenden Rades einsetzen, und dadurch den Kurbelarm oder Kurbelbug ganz ersparen.

Was die Dimensionen der Kurbel betrifft, so berechnet man die Zapfenstärke  $d$  (Wellenstärke) nach der §. 3 mitgetheilten Formel

$$d = 0,35 \sqrt[3]{Pa} = 6 \sqrt[3]{\frac{L}{u}} \text{ Zoll,}$$

und dagegen die Warzenstärke  $d_1$  nach der Formel

$$d_1 = 0,048 \sqrt[3]{R} \text{ des §. 5.}$$

Nun ist aber die Kraft, mit welcher die Warze auf die Stange wirkt, oder umgekehrt,  $R = \frac{\pi}{2}$  mal der am Kurbelarme  $a$  wirkenden Umdrehungskraft  $P_1$ , daher hat man

$$d_1 = 0,048 \sqrt[3]{\frac{\pi}{2} P}, \text{ und } \frac{d_1}{d} = \frac{0,048 \sqrt[3]{\frac{\pi}{2} P}}{0,35 \sqrt[3]{Pa}},$$

oder, wenn  $a$  wie  $d_1$  und  $d$  in Zollen ausgedrückt wird,

$$\frac{d_1^2}{d^3} = \frac{(0,048)^2 \cdot \pi P}{2 \cdot (0,35)^3 \cdot \frac{Pa}{12}} = \frac{0,0023 \cdot 6 \pi}{0,0429 a} = \frac{1}{a},$$

und daher  $\frac{d_1}{d} = \sqrt{\frac{d}{a}}.$

Hierbei wird jedoch vorausgesetzt, daß die Warze und der Kurbelarm aus Guß- oder Schmiedeeisen bestehen; ist aber nur die erste gußeisern und der letzte aus Schmiedeeisen, so hat man

Krumm-  
zapfen.

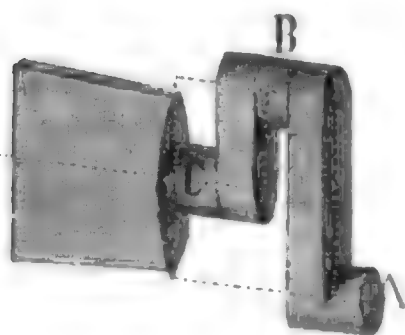
$$\frac{d_1}{d} = 0,75 \sqrt{\frac{d}{a}}.$$

Die Stärke des Kurbelarmes läßt sich wie die eines Radarmes (s. II., §. 89) berechnen.

Dem Zapfenkopfe giebt man die Stärke  $\frac{3}{4} d$ , und ebenso dem Warzenkopfe die Stärke  $\frac{3}{4} d_1$ . Die Wandstärke des Zapfen- und des Warzenringes wird  $\frac{5}{8} d$  und  $\frac{5}{8} d_1$  und die Länge dieser Ringe  $= \frac{3}{4} d$  und  $\frac{3}{4} d_1$  genommen.

§. 91. Man wendet nicht selten auch doppelte oder mehrfache Krummzapfen an. Figur 228 zeigt

Doppelte  
Krumm-  
zapfen.



einen doppelten Krummzapfen für ein sogenanntes Stangenvorgelege (s. III., §. 36), mit Warzen A und B, die einander diametral gegenüberstehen. Wenn die eine Warze aufsteigt, ist natürlich die andere im Niedergange begriffen; es halten sich daher die Gewichte der in A und B hängenden Stangen ein-

ander das Gleichgewicht. Die mittlere Warze B ist ebenso stark zu machen als der Zapfen C, da sie die Torsion einer Kraft P auszuhalten hat, deren Hebelarm  $AB = 2CB = 2r$  ist, und das Torsionsmoment des Zapfens:  $2P \cdot CB = 2Pr$  ist. Dasselbe gilt auch von den Armen AB und BC; das Moment zum Abbrechen des einen ist  $P \cdot AB = 2Pr$  und das des anderen  $2P \cdot CA$ , also ebenfalls  $= 2Pr$ .

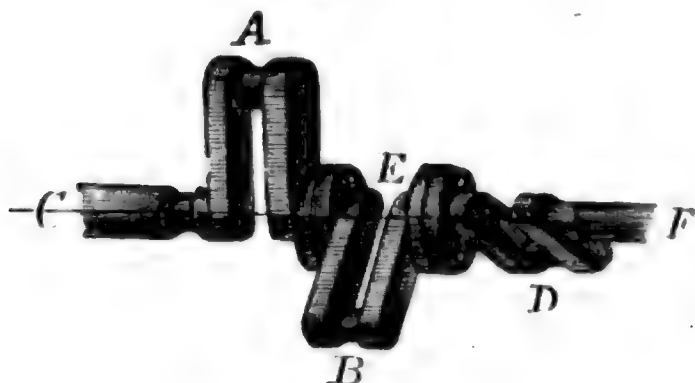
Bei den gewöhnlichen Radkünsten, oder Pumpenwerken, welche durch ein Wasserrad in Bewegung gesetzt werden, bildet jedes der beiden Wellenenden einen einfachen Krummzapfen, und es steht die Warze des einen ebenfalls um 180 Grad von der des andern ab; es wirken daher auch beide zusammen, so wie der doppelte Krummzapfen in Fig. 228 allein. Diese diametrale Stellung der Warzen ist jedoch nur bei einfachwirkenden Maschinen, d. i. nur dann angemessen, wenn nur zum Auf- nicht aber zum Rückgange der Gestänge Kraft nöthig ist. Ist aber die Kraft beim Hin- und Rückgange der Stangen dieselbe, wie z. B. bei doppelt wirkenden Dampfmaschinen, so muß man die Warzen der beiden Krummzapfen auf das Viertel stellen, d. i. um 90 Grad von einander abstehen lassen, damit sich die Stangenkräfte in der Umdrehung der Krummzapfenwelle

Doppelte  
Krumm-  
zapfen.

am vollständigsten unterstützen. Man findet solche Krummzapfen vorzüglich bei Dampfschiffen und Dampfwagen.

Bei einem dreifachen Krummzapfen oder einer Verbindung von

Fig. 229.



drei Krummzapfen, wie Fig. 229, stehen die Warzen A, B, D im Drittel, d. i. um 120 Grad von einander ab; bei einem vierfachen Krummzapfen stehen dieselben im Viertel u. s. w.

Zwei oder mehrfache Krummzapfen oder Kurbeln werden in der Regel

durch gebrochene oder gekröpfte Wellen, wie CEF, Fig. 229, gebildet. Diese Wellen werden seltener aus einem Stücke gegossen, sondern, wie aus der Figur zu ersehen ist, aus Theilen zusammengesetzt, oder aus gefrischtem Eisen geschmiedet. Die geschmiedeten Krummzapfen sind überhaupt, und zumal dann den gußeisernen vorzuziehen, wenn die Maschine Stößen ausgesetzt ist. Mit Recht vermeidet man gern lange gekröpfte Wellen, und ersetzt dieselben lieber durch besonders gelagerte kurze Wellenstücke mit Krummzapfenkuppelung (s. III., §. 7, Fig. 13).

Kurbelstange

§. 92. Die Kurbel- oder Lenkstangen (Lenker) erhalten wegen der vollkommneren Uebertragung der Kraft, mindestens die 5fache Kurbelarmlänge, oder den  $2\frac{1}{2}$ fachen Warzenkreisdurchmesser zu ihrer Länge; wenn es möglich ist, geht man jedoch damit gern auf die 6- bis 7fache Arm-länge hinauf. Bei den einfachwirkenden Kurbeln erfolgt die Mittheilung der Kraft nur durch Zug, und es ist daher auch der Querschnitt der Kurbelstange wie der einer gewöhnlichen Zugstange (s. III., §. 10) zu berechnen. Bei dem doppelt, also ziehend und schiebend wirkenden Krummzapfen ist hingegen der Stangenquerschnitt nach der Theorie der rückwirkenden Festigkeit zu bestimmen.

Nach I., §. 208 ist die Kraft zum Zerknicken einer cylindrischen Stange von der Länge  $l$  und der Stärke  $d_2$ :  $R = \frac{\pi^3}{4} \cdot \frac{d_2^4}{16 l^2} \cdot E$ , und nach einer der Formeln des vorigen Paragraphen ist die Stärke der Warze  $d_1 = 0,048 \sqrt[3]{R}$ ; eliminirt man daher aus beiden Gleichungen die Stangenkraft  $R$ , so erhält man die Gleichung

$$\frac{\pi^3}{4} \cdot \frac{d_2^4}{16 l^2} E = \left( \frac{d_1}{0,048} \right)^2,$$

$$\text{und hiernach } d_2 = \sqrt[3]{\frac{64}{\pi^3 E}} \cdot \sqrt{\frac{l d_1}{0,048}} = 5,47 \sqrt{\frac{l d_1}{\sqrt{E}}}.$$

Kurbelstange.

Nun haben wir aber in §. 90 auch  $\frac{d_1}{d} = \sqrt{\frac{d}{a}}$  angegeben, daher erhalten wir  $\frac{d_2}{d} = 5,47 \sqrt{\frac{l}{\sqrt{a d E}}}$ , oder, wenn wir den Elasticitätsmodul des Gußeisens  $E = 17'000000$  und das Verhältniß  $\frac{l}{a}$  der Lenkerlänge  $l$  zur Kurbelarmlänge  $a$ ,  $= n$  setzen,

$$\frac{d_2}{d} = 0,0852 \sqrt[3]{n} \cdot \sqrt{\frac{a}{d}}$$

Nimmt man  $n = 6$  und verdoppelt man die Stärke der Sicherheit wegen, so erhält man  $\frac{d_2}{d} = 0,42 \sqrt{\frac{a}{d}}$ .

Bei langen Kurbelstangen findet man meist das Verhältniß  $\frac{d_2}{l} = 1/36$  angewendet, jedoch bei kurzen Stangen und bedeutenden Kräften steigt man damit bis auf  $1/18$  und wohl noch höher. An den Enden kann man  $d_2$  um ein Viertel kleiner nehmen. Uebrigens wird der mittlere Theil der gußeisernen Lenker in der Regel aus 4 Rippen gebildet, und die Seite des dieselben umschließenden Quadrats  $1/20$  der Länge  $l$  des Lenkers genommen.

Man bestimmt auch wohl den mittleren Querschnitt der Kurbelstange unter der Voraussetzung, daß man die Belastung auf jeden Quadratzoll Querschnitt bei Gußeisen  $K = 500$  Pfund, und bei Schmiedeeisen  $K = 1000$  Pfund setzt.

Beispiel. Man soll für eine Dampfmaschine von 40 Pferbekräften, welche pr. Minute 20 Spiele macht, die nöthigen Dimensionen des Krummzapfens berechnen. Die Wellen- oder Zapfenstärke ist

$$d = 6 \sqrt[3]{\frac{L}{u}} = 6 \sqrt[3]{\frac{40}{20}} = 6 \cdot 1,26 = 7,56 \text{ Zoll,}$$

wofür 8 Zoll genommen werden soll; die Warzenstärke ist, bei einer Kurbelarmlänge  $a$  von 18 Zoll,

$$d_1 = d \sqrt{\frac{d}{a}} = d \sqrt{\frac{8}{18}} = d \sqrt{\frac{4}{9}} = \frac{2}{3} d = 5\frac{1}{3} \text{ Zoll,}$$

endlich die Stärke der Kurbelstange

$$\begin{aligned} d_2 &= 0,42 \cdot d \sqrt{\frac{a}{d}} = 0,42 \sqrt[3]{\frac{a}{d}} \cdot d = 0,42 \cdot \sqrt[3]{\frac{18}{8}} \cdot d \\ &= 0,514 \cdot d = 4,1 \text{ Zoll,} \end{aligned}$$

und der entsprechende Querschnitt  $F = 13,2$  Quadratzoll.

Die Kraft der Stangenare ist, da dieselbe pr. Minute den Weg  $2 \cdot 3 \cdot 20 = 120$

Kurbelstange. Fuß zurücklegt,  $K = \frac{510 \cdot 60 \cdot 40}{2 \cdot 3 \cdot 20} = 10200$  Pfund,

und daher die Belastung auf jeden Quadratzoll

$$K = \frac{10200}{13,2} = 773 \text{ Pfund.}$$

§. 93. Das Auge in der Kurbelstange, durch welches die Warze des Krummzapfens geht, ist mit metallenen Futterstücken versehen, die sich durch Klammer und Splint festkeilen lassen. Um das Zurückziehen des Keiles oder Splintes (der Clavette) zu verhindern, versieht man die Klammer  $AB$ , Fig. 230, mit einem Haken, und den Splint  $EF$  mit einer Schraube, so daß sich die letztere durch eine Schraubenmutter  $S$  anziehen läßt.

Fig. 230.

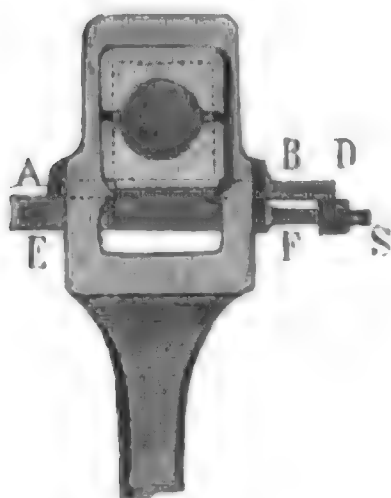
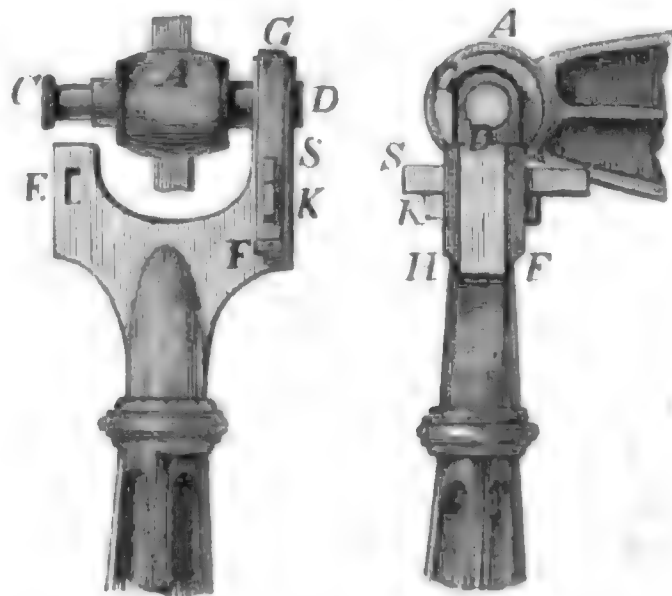


Fig. 231.



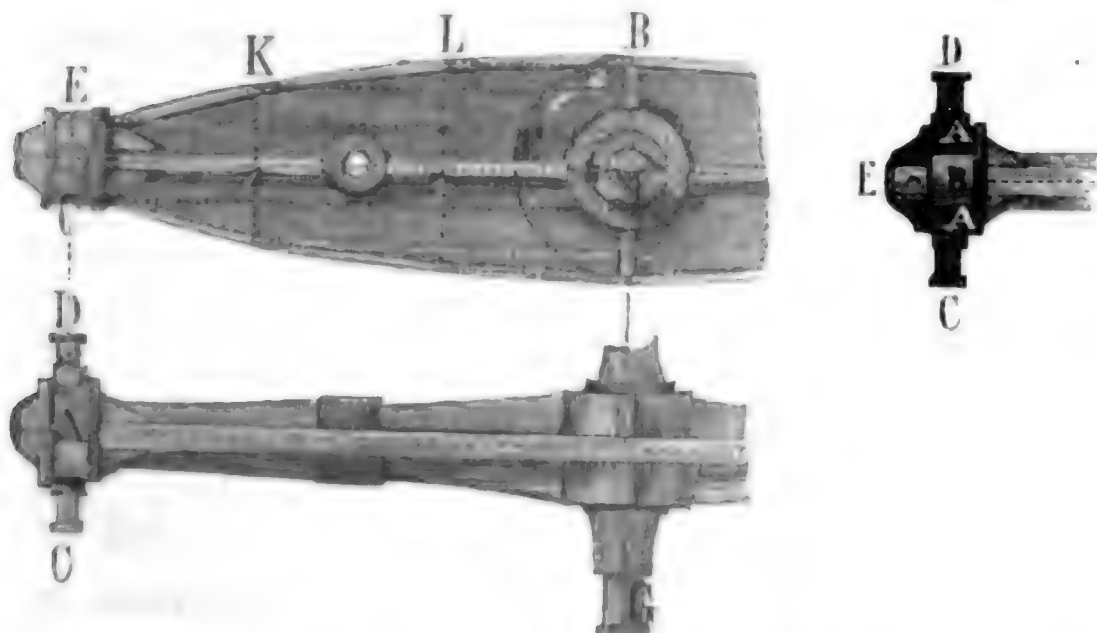
Am anderen Ende, wo die Kurbelstange an einem Hebel, Balancier u. s. w. angeschlossen ist, wird dieselbe in der Regel gegabelt, um das Hebelende  $A$  mittels eines Bolzens  $CD$ , Fig. 231, zwischen sich fassen zu können. Jedes der beiden Gabelenden wie  $E$ , wird mit einem schmiedeeisernen Bügel  $FGH$  umgeben, der die metallenen Futterstücke für die Bolzenlagerung umgiebt, und mittels Klammer  $K$  und Splint  $S$  mit der Gabel fest verbunden. Die Gabelung der Kurbelstange wird erspart, wenn das Balancier- oder Hebelende gespalten ist, oder wenn der Balancier aus zwei gleichen Stücken besteht, die in einem gewissen Abstände neben einander liegen, und mit einander durch Schraubenbolzen fest verbunden sind. Es greift in diesem Falle das Ende der Kurbelstangenenden zwischen diese Balancierstücke und ist damit durch einen einzigen Bolzen verbunden.

Die Köpfe der einfachen Balancier sind entweder flach, oder sie sind kugelförmig. Bei den letzteren sitzen die Bolzen, woran die Kurbelstange



hängt, auf einem Muff fest, der um einen Zapfen drehbar ist, in welchem Kurbelstange  
das Balancierende ausläuft. Es läßt sich dadurch das Abbrechen des einen  
oder anderen Verbindungsstückes verhindern, wenn die Bewegungsebene des  
Balanciers nicht genau mit der der Stange zusammenfällt.

Die Einrichtung eines Kuglkopfes ist aus Fig. 232 und Fig. 233 zu  
Fig. 232. Fig. 233.



ersehen. Es sind C und D die Bolzen zum Aufhängen der Stange, es  
ist ferner AA der Muff, welcher mit diesen Bolzen ein Ganzes bildet und  
um den Zapfen B drehbar ist, endlich ist E eine Schale, welche das Zurück-  
gehen des Muffes verhindern soll, und deshalb mittels eines Bolzens auf  
das äußerste Ende des Balanciers befestigt wird.

§. 94. Was den Balancier selbst anlangt, so läßt man denselben nicht Balancier  
gern über 40 Grad ausschlagen, um nicht zu große Seitenbewegungen zu  
erhalten. Ist  $l$  die Armlänge des Balanciers (in der Regel die Hälfte der  
Länge des Balanciers) und  $\alpha$  der Schwingungswinkel desselben, so haben  
wir den Stangenschub  $s = 2l \sin. \frac{\alpha}{2}$ , und daher umgekehrt

$$l = \frac{s}{2 \sin. \frac{\alpha}{2}} = \frac{a}{\sin. \frac{\alpha}{2}}, \text{ da } s \text{ auch } = 2a,$$

d. i. der doppelten Kurbelhöhe gleich ist. Für  $\alpha = 40^\circ$  erhalten wir

$$l = \frac{a}{\sin. 20^\circ} = \frac{a}{0,3420} = 3,086 a.$$

Meist nimmt man  $l = 3a = \frac{3}{2}s$ .

Ist  $h$  die Höhe des Balanciers in der Mitte und  $b$  die Breite desselben,  
so hat man für denselben die bekannte Festigkeitsformel  $Rl = 1000 bh^2$   
in Anwendung zu bringen.

Balancier. Man nimmt aber meist  $b = \frac{h}{16}$  (bis  $\frac{h}{12}$ ), und  $l = 3a$ ; führen wir daher diese Werthe ein, so bekommen wir  $Ra = 1000 \cdot \frac{h^3}{48}$ , und daher

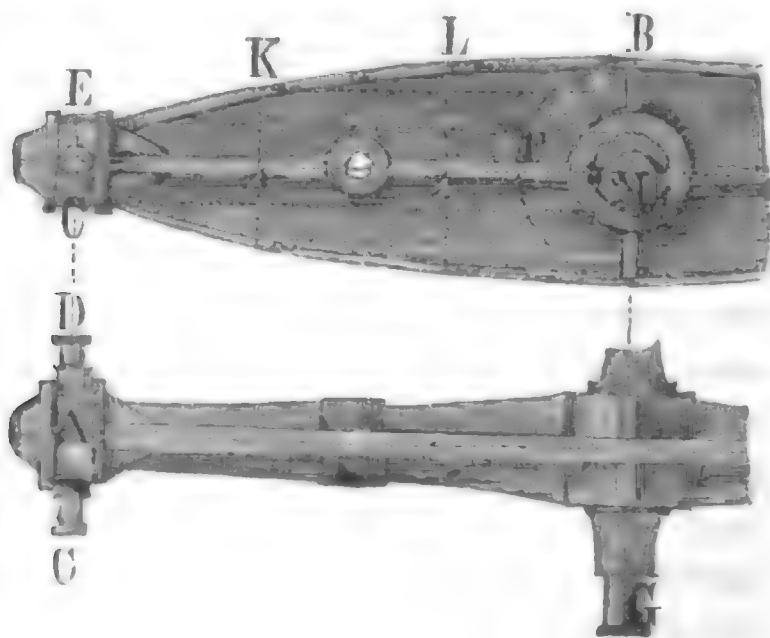
$$h = \sqrt[3]{\frac{48Ra}{1000}}.$$

Nun haben wir aber die Stangenkraft  $R = \frac{2}{\pi}P$ , und nach §. 90 die Stärke der Kurbelzapfen:  $d = 0,35 \sqrt[3]{\frac{Pa}{12}}$ ; es folgt daher auch  $\frac{h}{d} = \frac{1}{0,35} \sqrt[3]{\frac{48 \cdot 24}{1000 \pi}} = 2$ , wofür aber, um hinreichende Sicherheit zu erhalten,  $= 3$  zu nehmen sein möchte. Sehr oft findet man auch die Höhe des Balanciers in der Mitte,  $h = a = \frac{l}{3}$ . An den Enden genügt die Höhe  $h_1 = \frac{h}{3}$  bis  $\frac{h}{2}$ .

Zur Verstärkung erhält der Balancier noch eine Mittelrippe und eine Saumrippe. Die Höhe dieser Rippen nimmt man  $= b = \frac{h}{16}$ , die Breite aber  $2b$  und  $4b$ .

Das Längenprofil des Balanciers sollte zwar von einer Parabelfläche gebildet werden (s. I., §. 204), allein man bringt auch oft folgende Construction in Anwendung. Man theilt die Armlänge  $CM = l$ , Fig. 234, in gleiche Theile  $C1, 12, 2M$ , errichtet auf  $CM$  Perpendikel in den Theilpunkten; beschreibt ferner mit der halben Balancierhöhe  $MB = \frac{1}{2}h$  einen

Fig. 234.



Kreis aus der Drehaxe  $M$  des Balanciers, zieht in dem Abstände  $CE = \frac{1}{2} h_1$  Balancier. der halben Balancierhöhe am Ende eine Parallele  $EF$  zu  $CM$ , und theilt den dadurch abgeschnittenen Bogen  $FB$  ebenfalls in gleiche Theile  $F1$ ,  $12$ ,  $2B$ . Endlich legt man noch durch die letzten Theilpunkte Parallellinien zu  $CM$ , und bemerkt sich die Durchschnittpunkte  $K$ ,  $L$  dieser Parallelen mit den Perpendikeln durch die Theilpunkte der  $CM$ . Die Curve durch die Punkte  $E$ ,  $K$ ,  $L$ ,  $B$  giebt die gesuchte Begrenzungslinie des Balanciers.

Die Stärke eines Bolzens  $C$  und  $D$  ist, da jeder nur die Hälfte der Stangenkraft aufnimmt,  $d_3 = d_1 V^{1/2} = 0,7 d_1$ , d. i. sieben Zehntel der Warzenstärke, die Stärke  $d_4$  der Axe oder des Walzeisens  $G$  wird doppelt so groß als  $d_3$ , also  $d_4 = 2 d_3 = 2 V^{1/2} \cdot d_1 = V 2 \cdot d_1 = 1,4 d_1$  genommen. Die Hülflenlänge des Walzeisens nimmt man  $0,3 s$ , und die ganze Länge desselben  $= 0,7 s$ .

Beispiel. Für die im Beispiele zu §. 92 behandelte Dampfmaschine erhalten wir, da die Kurbelhöhe  $a = 18$  Zoll ist, die Länge der Kurbelstange  $=$  der des gleicharmigen Balanciers:

$$2l = 6a = 6 \cdot \frac{3}{2} = 9 \text{ Fuß} = 108 \text{ Zoll};$$

ferner die Balancierhöhe in der Mitte:  $h = 3d = 3 \cdot 8 = 24$  Zoll, die am Ende  $h_1 = 0,4h = 10$  Zoll und die Balancierbreite  $b = \frac{h}{16} = 1\frac{1}{2}$  Zoll;

ferner ist die Stärke der Bolzen zum Aufhängen der Kurbelstange

$$d_3 = 0,7 \cdot d_1 = 0,7 \cdot 5\frac{1}{3} = 3\frac{3}{4} \text{ Zoll},$$

und die Stärke des Walzeisens:  $d_4 = 2 \cdot d_3 = 7\frac{1}{2}$  Zoll zu nehmen.

§. 95. Bei der im Folgenden zu entwickelnden Theorie des Krumm-

Bewegung  
des Krumm-  
zapfens.

zapfens haben wir auf folgende Unterschiede Rücksicht zu nehmen:

- 1) Es kann der Krummzapfen einfach oder doppelt wirken.
- 2) Es kann derselbe ein einfacher oder mehrfacher sein, d. i. allein oder mit mehreren zusammenwirken.
- 3) Es kann die Stangenkraft constant oder veränderlich sein.
- 4) Es kann ferner die Kurbelstange unmittelbar mit der auf- und niedergehenden Stange verbunden sein, oder es kann sich zwischen beiden ein Hebel oder Balancier befinden.
- 5) Es kann endlich die Bewegung von der Krummzapfenwelle ausgehen und auf eine Stange übertragen, oder es kann der Krummzapfen durch eine hin- und zurückgehende Stange in Umdrehung gesetzt werden.

Wir heben unsere Untersuchung mit dem einfachen doppelwirkenden Krummzapfen an, dessen Kurbelstange unmittelbar mit einer Kolbenstange verbunden ist, und setzen dabei eine constante Stangenkraft oder Stangenlast voraus.

Es bezeichne in der Folge  $P$  die auf den Warzenkreis reducirte Umdrehungskraft, und  $Q$  die in der diametralen oder Stangenrichtung wirkende

Bewegung  
des Krummzapfens.

Gegenkraft, ferner  $r$  die Kurbelarmlänge oder den Warzenkreishalbmesser  $CA$ . Fig. 235, und  $l$  die Länge  $AB$  der Kurbelstange. Denken wir uns

Fig. 235.



die Bewegung anfangend, wenn die Warze in einem der todten, d. i. in einem der Punkte  $O$  oder  $U$  steht, wo die Gestängrichtung den Warzenkreis schneidet; bezeichnen wir den veränderlichen, im todten Punkte  $O$  anfangenden Umdrehungswinkel  $OCA$  durch  $\beta$ , ferner die entsprechende Abweichung  $ABC$  des Lenkers von der Richtung  $BC$  der Kolbenstange durch  $\alpha$  und den entsprechenden Weg  $DB$  durch  $s$ . Setzen wir noch die auf den Warzenkreis reducirte Umdrehungsmasse der Maschine  $= M$ , und die Stangenmasse  $= M_1$ ; ferner die Umdrehungszahl des Krummzapfens pr. Minute  $= u$ , die mittlere Geschwindigkeit der Warze  $= c$ , und die Geschwindigkeit derselben im todten Punkte  $O$ ,  $= c_1$ ; ferner die veränderliche Geschwindigkeit derselben überhaupt  $= v$ , ihren Maximalwerth aber  $= v_1$

und ihren Minimalwerth  $= v_2$ , endlich aber die veränderliche Geschwindigkeit der Stange  $= w$ . Der geradlinige Weg  $DB$ , welchen das Stangenende  $B$  zurücklegt, während die Warze den Bogen  $OA = r\beta$  durchläuft, ist

$$s = BC - DC = BH - CH - (DO - CO) = l \cos. \alpha - r \cos. \beta - (l - r) \\ = r(1 - \cos. \beta) - l(1 - \cos. \alpha).$$

Nun hat man aber noch im Dreiecke  $ABC$ ,

$$\frac{\sin. ABC}{\sin. ACB} = \frac{CA}{AB}, \text{ d. i. } \frac{\sin. \alpha}{\sin. \beta} = \frac{r}{l},$$

es folgt daher  $s = r(1 - \cos. \beta) - l + \sqrt{l^2 - r^2(\sin. \beta)^2}$ .

Da aber  $l$  mindestens  $= 5r$  genommen wird, so ist  $(r \sin. \beta)^2$  sehr klein gegen  $l^2$  und daher annähernd

$$\sqrt{l^2 - r^2(\sin. \beta)^2} = l - \frac{1}{2} l \left( \frac{r \sin. \beta}{l} \right)^2 \text{ zu setzen,}$$

so daß nun  $s = r(1 - \cos. \beta) - \frac{r^2(\sin. \beta)^2}{2l}$  folgt. (Vergl. II., §. 307.)

Für den ersten todten Punkt hat man  $\beta = 0$ , daher  $\sin. \beta = 0$ ,

$\cos. \beta = 1$  und  $s = 0$ ; für den zweiten todten Punkt aber  $\beta^0 = 180^\circ$ , oder  $\beta = \pi$ , daher  $\sin. \beta = 0$ ,  $\cos. \beta = -1$ , und  $s = 2r$ . Ferner für ein Viertel der Umdrehung, d. i. für  $\beta^0 = 90^\circ$  oder  $270^\circ$  hat man  $\sin. \beta^2 = 1$ ,  $\cos. \beta = 0$ , und daher

$$s = r - l + \sqrt{l^2 - r^2} = r - \frac{r^2}{2l} = r \left(1 - \frac{r}{2l}\right),$$

also nicht ganz den halben Weg  $DM$ .

Setzen wir aber  $s = r$ , so erhalten wir die Gleichung

$$l + r \cos. \beta = \sqrt{l^2 - r^2 (\sin. \beta)^2},$$

und es bestimmt sich hiernach  $\cos. \beta = -\frac{r}{2l}$ .

Beispiel. Bei einem Krummzapfen mit dem Verhältnisse  $\frac{l}{r} = 5$  ist  $\cos. \beta = -0.1$  und daher  $\beta^0 = 180^\circ - 84^\circ, 15' = 95^\circ, 45'$ . Es tritt also bei diesem Abstände der Warze vom oberen todten Punkte, oder bei dem Abstände  $84^\circ, 15'$  vom unteren todten-Punkte das Hubmittel ein. Steht die Warze im Viertel, so ist der Hub nur  $r(1 - 0.1) = 0.9r$ .

§. 96. Das Geschwindigkeitsverhältniß zwischen der Stangen- und der Kurbelbewegung ergibt sich, da einem kleinen Zuwachs  $d\beta$  von  $\beta$  das kleine Wachsthum von  $s$

$$\begin{aligned} ds &= r([1 - \cos.(\beta + d\beta)] - (1 - \cos. \beta)) - \frac{r^2}{2l} ([\sin.(\beta + d\beta)]^2 - (\sin. \beta)^2) \\ &= r[\cos.(\beta) - \cos.(\beta + d\beta)] - \frac{r^2}{2l} ([\sin(\beta + d\beta)]^2 - (\sin. \beta)^2) \\ &= r \sin. \beta \cdot d\beta - \frac{r^2}{2l} [(\sin. \beta + \cos. \beta \cdot d\beta)^2 - (\sin. \beta)^2] \\ &= r \sin. \beta \cdot d\beta - \frac{r^2}{2l} \cdot 2 \sin. \beta \cos. \beta \cdot d\beta \\ &= r \sin. \beta \cdot d\beta \left(1 - \frac{r}{l} \cos. \beta\right) \text{ entspricht,} \end{aligned}$$

$$\frac{w}{c} = \frac{ds}{r d\beta} = \sin. \beta \left(1 - \frac{r}{l} \cos. \beta\right) = \sin. \beta - \frac{r}{2l} \sin. 2\beta.$$

Hiernach ist z. B. in den todten Punkten, wo man  $\beta = 0$  oder  $= \pi$ , also  $\sin. \beta = 0$  hat, das Verhältniß der Stangengeschwindigkeit  $w$  zur mittleren Warzengeschwindigkeit  $c$ ,  $= 0$ , also die Geschwindigkeit der Stange  $= 0$ ; dagegen für die Quadratur oder die Viertelsstellung der Warze, wo  $\beta = 90^\circ$  oder  $270^\circ$ , also  $\sin. \beta = \pm 1$  und  $\cos. \beta = 0$  ist, stellt sich  $\frac{w}{c} = \pm 1$  heraus, hat also die Stange mit der Warze einerlei Geschwin-

digkeit. Beim halben Hube, wo  $\cos. \beta = -\frac{r}{2l}$  ist, hat man dieses



Geschwindigkeit.  
seiten der  
Ruhel.

Geschwindigkeitsverhältniß:

$$\frac{w}{c} = \sqrt{1 - \left(\frac{r}{2l}\right)^2 \left(1 + \frac{r^2}{2l^2}\right)} = 1 + \frac{3}{8} \left(\frac{r}{l}\right)^2.$$

Das Maximum der Stangengeschwindigkeit  $w$  tritt ein, wenn ein unendlich kleines Wachsthum von  $\beta$  keine Veränderung in  $\frac{w}{c}$  giebt; wenn also

$$\sin.(\beta + d\beta) - \sin.\beta - \frac{r}{2l} [\sin.2(\beta + d\beta) - \sin.2\beta] = \text{Null}$$

ausfällt. Nun ist aber  $\sin.(\beta + d\beta) = \sin.\beta + \cos.\beta \cdot d\beta$  und

$$\sin.2(\beta + d\beta) = \sin.2\beta + 2 \cdot \cos.2\beta \cdot d\beta$$

zu setzen, daher folgt die Bedingung

$$\cos.\beta \cdot d\beta - \frac{r}{l} \cos.2\beta \cdot d\beta = 0, \text{ oder}$$

$$\cos.\beta = \frac{r}{l} \cos.2\beta; \text{ oder genau genug, } \cos.\beta = -\frac{r}{l},$$

und das entsprechende Maximum des Geschwindigkeitsverhältnisses:

$$\frac{w}{c} = \sqrt{1 - \frac{r^2}{l^2} \left(1 + \frac{r^2}{l^2}\right)} = 1 + \frac{1}{2} \frac{r^2}{l^2}.$$

Endlich ist der mittlere Werth von diesem Verhältnisse, da für  $\beta = \pi$ ,  $s = 2r$  ist,  $\frac{w}{c} = \frac{\pi r}{2r} = \frac{2}{\pi} = 0,6366$ .

Fig. 236.



Kräfte der  
Ruhel.

Beispiel. Ist das Verhältniß

$\frac{r}{l} = \frac{1}{5}$ , so erhalten wir das Geschwindigkeitsverhältniß im Submittel:

$$\frac{w}{c} = 1 + \frac{3}{8} \left(\frac{1}{5}\right)^2 = 1,015;$$

dagegen das Maximum dieses Verhältnisses:

$$\frac{w}{c} = 1 + \frac{1}{2} \left(\frac{1}{5}\right)^2 = 1,02.$$

§. 97. Die Beziehung zwischen der Umdrehungskraft  $P$  und der Stangenkraft  $Q$  läßt sich durch Kraftzerlegung wie folgt ausmitteln. Die Stangenkraft  $Q$  zerlegt sich in zwei Seitenkräfte  $R$  und  $N$ , wovon  $R$  in der Axe des Lenkers und  $N$  winkeltrecht zur Stangenaxe wirkt, und von der Führung oder Leitung der Stange aufgenommen wird. Es ist  $R = \frac{Q}{\cos.\alpha}$

$$\text{und } N = Q \tan g.\alpha.$$

Die Axenkraft  $R$  des Lenkers zerlegt sich wieder in die Tangential- oder Umdrehungskraft  $P$  des Krummzapfens und die Kraft  $S$ , welche nach der Axe des Krummzapfens gerichtet ist und von dieser aufgenommen wird. Es ist  $P = R \sin. RAC$  und  $S = R \cos. RAC$ . Kräfte der Kurbel.

Nun hat man  $ACO = \beta = RAC + ABC = RAC + \alpha$ , daher ergibt sich  $RAC = \beta - \alpha$  und

$$P = R \sin.(\beta - \alpha) = \frac{Q \sin.(\beta - \alpha)}{\cos. \alpha} = Q(\sin. \beta - \cos. \beta \tan. \alpha),$$

so wie

$$S = R \cos.(\beta - \alpha) = \frac{Q \cos.(\beta - \alpha)}{\cos. \alpha} = Q(\cos. \beta + \sin. \beta \tan. \alpha).$$

Dem Principe der virtuellen Geschwindigkeiten zufolge ist auch  $Pv = Qw$ ,

und daher  $\frac{P}{Q} = \frac{w}{v} = \frac{\sin(\beta - \alpha)}{\cos. \alpha} = \sin. \beta - \cos. \beta \tan. \alpha,$

oder  $\tan. \alpha$  annähernd  $= \sin. \alpha = \frac{r}{l} \sin. \beta$  gesetzt,

$$\frac{P}{Q} = \frac{w}{v} = \sin. \beta \left(1 - \frac{r}{l} \cos. \beta\right),$$

wie wir auch im vorigen Paragraphen gefunden haben.

Ist demnach die Kraft  $Q$  unverändert dieselbe, so ist  $P$  veränderlich, und zwar für  $\beta = 0$  oder  $180^\circ$ ,  $P$  auch  $= 0$ , und für

$$\beta = \arccos. \left( \cos. = - \frac{r}{l} \right), \text{ ein Maximum,}$$

und zwar  $P = \left(1 + \frac{r^2}{2l^2}\right) Q.$

Im Mittel ist aber  $P = \frac{2}{\pi} Q = 0,6366 Q$ , so wie umgekehrt

$$Q = \frac{\pi}{2} P = 1,5708 P.$$

Ist die Kraft beim Hingange eine andere als beim Rückgange, hat man dieselbe in einem Falle  $Q_1$  und im anderen  $Q_2$ , so stellt sich die mittlere Umdrehungskraft  $P = \frac{Q_1 + Q_2}{\pi}$  heraus, und wirkt endlich der Krummzapfen nur einfachwirkend, so hat man  $Q_2 = 0$  und daher

$$P = \frac{Q}{\pi} = 0,3183 Q.$$

Zwei einfach wirkende Krummzapfen mit diametral gegenüber stehenden Warzen wirken genau wie ein doppelt wirkender Krummzapfen.

Anmerkung. Durch Anbringung eines Gegengewichtes läßt sich die Ungleichheit der Stangenkräfte  $Q_1$  und  $Q_2$  aufheben, und die Ungleichförmigkeit der Drehbewegung herabziehen. Hiervon ist jedoch erst weiter unten die Rede.

Stränge der  
Kurbel.

§. 98. Bei einem doppelten Krummzapfen mit den aufs Viertel gestellten Warzen stellen sich folgende Kraftverhältnisse heraus.

Es ist für die eine Warze die Umdrehungskraft

$$P_1 = \left(1 - \frac{r}{l} \cos. \beta\right) Q_1 \sin. \beta,$$

und für die andere, um  $\frac{\pi}{2} = 90^\circ$  abstehende diese Kraft

$$\begin{aligned} P_2 &= \left[1 - \frac{r}{l} \cos. \left(\frac{\pi}{2} + \beta\right)\right] Q_2 \sin. \left(\frac{\pi}{2} + \beta\right) \\ &= \left(1 + \frac{r}{l} \sin. \beta\right) Q_2 \cos. \beta, \end{aligned}$$

und daher die ganze Umdrehungskraft

$$\begin{aligned} P &= P_1 + P_2 = \left(1 - \frac{r}{l} \cos. \beta\right) Q_1 \sin. \beta + \left(1 + \frac{r}{l} \sin. \beta\right) Q_2 \cos. \beta \\ &= Q_1 \sin. \beta + Q_2 \cos. \beta - \frac{(Q_1 - Q_2)}{2} \cdot \frac{r}{l} \sin. 2\beta; \end{aligned}$$

also für gleiche Stangenkräfte  $Q_1 = Q_2 = Q$ ,

$$P = Q(\sin. \beta + \cos. \beta).$$

Es ist hiernach für  $\beta = 0$ ,  $P = Q_2$ , für  $\beta = 90^\circ$ ,  $P = Q_1$  und für  $\tan. \beta = \frac{Q_1}{Q_2} = 1$ ,  $P$  ein Maximum, und zwar

$$P = (Q_1 \tan. \beta + Q_2) \cos. \beta = \frac{(Q_1^2 + Q_2^2) \cos. \beta}{Q_2} = \sqrt{Q_1^2 + Q_2^2}.$$

Ist  $Q_1 = Q_2 = Q$ , so hat man die größte Kraft

$$P = Q \sqrt{2} = 1,4142 Q,$$

und zwar bei dem Drehungswinkel  $\beta = 45^\circ$ . Die Formel

$$P = Q_1 \sin. \beta + Q_2 \cos. \beta - \frac{(Q_1 - Q_2)}{2} \cdot \frac{r}{l} \sin. 2\beta$$

gilt jedoch nur für die Bewegung im ersten Quadranten. Ist  $\beta$  zwischen  $\frac{\pi}{2}$  und  $\pi$  enthalten, so hat man  $Q_2$  negativ, und daher

$$P = Q_1 \sin. \beta - Q_2 \cos. \beta = \frac{(Q_1 + Q_2)}{2} \frac{r}{l} \sin. 2\beta.$$

Für die Bewegung durch den dritten Quadranten ist auch  $Q_1$  negativ, und

$$\text{daher } P = -Q_1 \sin. \beta - Q_2 \cos. \beta + \frac{(Q_1 - Q_2)}{2} \frac{r}{l} \sin. 2\beta,$$

und endlich für den vierten Quadranten ist  $Q_1$  noch negativ,  $Q_2$  aber positiv, und daher

$$P = -Q_1 \sin. \beta + Q_2 \cos. \beta + \frac{(Q_1 + Q_2)}{2} \frac{r}{l} \sin. 2\beta.$$

Ist  $\beta = 2\pi$  geworden, d. i. hat sich die erste Warze des doppelten Krummzapfens um  $360^\circ$  gedreht, so hat  $P$  den Weg  $2\pi r$  und  $Q_1 + Q_2$  den Weg  $2 \cdot 2r$  durchlaufen, es ist daher

$$2\pi r P = 4r(Q_1 + Q_2),$$

und folglich wieder

$$P = \frac{2}{\pi}(Q_1 + Q_2) = 0,6366(Q_1 + Q_2),$$

wie beim einfachen Krummzapfen. In der Regel sind, wie z. B. bei Locomotiven, Dampfschiffen u. s. w. die beiden Stangen- oder Kolbenkräfte einander gleich, es ist daher die resultirende Umdrehungskraft

$$P = \frac{4}{\pi} Q = 1,2732 Q.$$

Um bei langen Gestängen die Fortpflanzung der Kraft nicht durch Schub, sondern nur durch Zug zu bewirken, wendet man zwei doppelte oder einen vierarmigen einfachwirkenden Krummzapfen an, dessen Warzen um je  $90^\circ$  Grad von einander absteilen. Hier erfolgt bei der rückkehrenden Stange keine Kraftübertragung und es ist deshalb das Bewegungsverhältniß dasselbe wie bei den zweiarmigen doppeltwirkenden Krummzapfen.

Anmerkung. Bei dem dreifachen Krummzapfen, dessen Warzen um je  $120^\circ$  Grad von einander absteilen, hat man, wenn man der Einfachheit wegen das Glied mit dem Faktor  $\frac{r}{l} \cos. \beta$  wegen seiner Kleinheit unbeachtet läßt:

$$\begin{aligned} P_1 &= Q_1 \sin. \beta, \\ P_2 &= Q_2 \sin. (\beta + 120^\circ) \\ &= \frac{Q_2}{2} (\sqrt{3} \cdot \cos. \beta - \sin. \beta) \text{ und} \\ P_3 &= - Q_3 \sin. (\beta + 240^\circ) \\ &= \frac{Q_3}{2} (\sqrt{3} \cdot \cos. \beta + \sin. \beta), \end{aligned}$$

folglich die ganze Umdrehungskraft, wenn man die Stangenkräfte einander gleich annimmt, also  $Q_1 = Q_2 = Q_3 = Q$  setzt,

$$P = P_1 + P_2 + P_3 = Q(\sin. \beta + \sqrt{3} \cdot \cos. \beta) = 2 Q \sin. (\beta + 60^\circ).$$

§. 99. Bei Anwendung eines Krummzapfens stellen sich besonders drei Widerstände oder Nebenhindernisse ein, nämlich die Zapfenreibung, die Warzenreibung und die Stangenreibung. Was zunächst die Zapfenreibung anlangt, so ist dieselbe wie jede andere Zapfenreibung zu berechnen. Ist  $r_1$  der Zapfenhalbmesser und  $R_1$  der mittlere, vorzüglich von dem Gewichte der armirten Krummzapfenwelle abhängige Zapfendruck, so hat man die auf den Warzenkreis reducirte Zapfenreibung

$$F_1 = \frac{r_1}{r} \varphi R_1.$$

Natürlich ist für jeden einzelnen Fall  $R_1$  auch besonders zu finden.

Kurbel-  
reibungen.

Die Warzenreibung ist  $= \varphi R = \frac{\varphi Q}{\cos. \alpha}$ , annähernd  $= \varphi Q$ , und durchläuft pr. Umdrehung der Krummzapfenwelle den Umfang  $2 \pi r_2$  der Warze, es ist folglich dieselbe, auf den Warzenkreis reducirt:

$$F_2 = \frac{2 \pi r_2 \varphi R}{2 \pi r} = \frac{r_2}{r} \varphi R = \frac{r_2}{r} \varphi Q = \frac{\pi}{2} \cdot \frac{r_2}{r} \varphi P.$$

Da bei dem Kreisexcentrif  $\frac{r_2}{r}$  größer als 1 ist, bei dem gewöhnlichen Krummzapfen aber ein kleiner ächter Bruch, so fällt diese Reibung bei dem ersteren viel größer aus als bei dem letzteren, und es ist daher das Kreisexcentrif nur in besonderen Fällen, wie z. B. bei der Steuerung von Maschinen, anzuwenden. Bei dem einfachwirkenden Krummzapfen übt auch noch das Stangengewicht auf die Zapfen- und Warzenreibung einen Einfluß aus, wie das in der Folge an mehreren Beispielen gezeigt werden wird.

Endlich die Stangen- oder vielmehr die Stangenkopfreibung hängt von dem Seitendrucke  $N = Q \tan \alpha$  ab; da aber dieser veränderlich ist, so muß für denselben der mittlere Werth gefunden werden. Es ist annähernd  $N = Q \sin. \alpha = Q \frac{r}{l} \sin. \beta$ , daher die entsprechende Reibung  $\varphi N = \varphi \frac{Qr}{l} \sin. \beta$ , und da die Geschwindigkeit der Stange  $w = c \sin. \beta$  gesetzt werden kann, die entsprechende Arbeit der Seitenreibung, wenn dieselbe bloß gleitend ist,  $= \varphi \frac{Qr}{l} c (\sin. \beta)^2$ . Nun ist aber  $(\sin. \beta)^2 = \frac{1 - \cos. 2\beta}{2}$ , und das Mittel der Cosinus aller Winkel von 0 bis  $360^\circ = \text{Null}$ , daher hat man auch das Mittel von  $(\sin. \beta)^2$  während eines Auf- oder Niederganges  $= \frac{1}{2}$ , und den mittleren Werth von der Seitenreibung  $= \frac{1}{2} \varphi Q \frac{rc}{l}$ , und endlich die auf den Warzenkreis reducirte Stangenkopfreibung

$$F_3 = \frac{r}{2l} \cdot \varphi Q = \frac{r}{2l} \varphi \cdot \frac{\pi}{2} P = \frac{\pi}{4} \cdot \frac{r}{l} \varphi P.$$

Bersieht man den Bolzen, wodurch die Stange mit dem Lenker verbunden ist, mit einem Friktionrade, so verwandelt sich diese gleitende Reibung in eine Zapfenreibung, und ist nun  $a$  der Halbmesser dieses Friktionrades und  $r_3$  der Halbmesser seines Bolzens, so hat man

$$F_2 = \frac{r_3}{a} \cdot \frac{\pi}{4} \cdot \frac{r}{l} \varphi P = \frac{\pi}{4} \cdot \frac{r_3}{a} \cdot \frac{r}{l} \cdot \varphi P = \frac{r_3}{a} \cdot \frac{r}{2l} \varphi Q.$$



Während wir nun ohne Rücksicht auf Reibung für einen einarmigen doppelwirkenden Krummzapfen das Kraftverhältniß  $\frac{P}{Q} = \frac{2}{\pi}$  haben, ist demnach mit Rücksicht auf die Reibungen zu setzen,

Arbeits-  
reibungen

1) wenn  $P$  die Kraft und  $Q$  die Last ist, also die Stange durch den Krummzapfen bewegt wird,

$$P = \frac{2}{\pi} Q + F_1 + F_2 + F_3 = \frac{2}{\pi} Q + \frac{r_1}{r} \varphi R_1 + \frac{r_2}{r} \varphi Q + \frac{r_3}{a} \cdot \frac{r}{2l} \varphi Q$$

$$= \left[ \frac{2}{\pi} + \varphi \left( \frac{r_2}{r} + \frac{r_3}{a} \cdot \frac{r}{2l} \right) \right] Q + \frac{r_1}{r} \varphi R_1,$$

2) wenn  $P$  die Last und  $Q$  die Kraft ist, also der Krummzapfen durch die Stange bewegt wird,

$$Q = \frac{\pi}{2} (P + F_1 + F_2 + F_3)$$

$$= \frac{\pi}{2} \left( P + \frac{r_1}{r} \varphi R_1 + \frac{r_2}{r} \varphi Q + \frac{r_3}{a} \cdot \frac{r}{2l} \varphi Q \right)$$

$$= \frac{\pi}{2} \left( \left[ 1 + \varphi \frac{\pi}{2} \left( \frac{r_2}{r} + \frac{r_3}{a} \cdot \frac{r}{2l} \right) \right] P + \frac{r_1}{r} \varphi R_1 \right).$$

Anmerkung 1. Die Reibung am Umfange des Bolzens, womit der Lenker mit dem Stangenkopfe verbunden ist, kann man wegen ihrer Kleinheit außer Acht lassen. Ist  $r_4$  der Halbmesser dieses Bolzens, so hat man diese Reibung auf den Warzenkreis reducirt,

$$F_4 = \frac{2}{\pi} \cdot \frac{r_4}{l} \varphi Q = \frac{r_4}{l} \varphi P,$$

weil sich während einer Umdrehung des Krummzapfens dieser Bolzen in dem Bogen  $\frac{2r}{l}$  hin- und zurückschwingt, also die Reibung  $\varphi Q$  den Weg  $\frac{4r}{l} \cdot r_4$  macht.

Anmerkung 2. Die Reibungen können unter gewissen Umständen auch noch durch die Trägheit der Gestängmasse vergrößert werden; in der Regel findet jedoch eine Ausgleichung statt, da nicht nur die Arbeit, welche bei der ersten Hälfte des Stangenaufganges durch die Ueberwindung der Trägheit verloren geht, in der zweiten Hälfte desselben wieder zu Gute kommt, sondern auch die daraus erwachsende Vergrößerung der Reibung bei der ersten Hälfte des Aufganges durch eine gleiche Verminderung derselben in der zweiten Hälfte wieder ausgeglichen wird.

Beispiel. Ist bei einem Krummzapfen die auf den Warzenkreis reducirte Last  $P = 2500$  Pfund, der Zapfendruck  $R_1 = 10000$  Pfund, die Armlänge oder der Halbmesser des Warzenkreises  $r = 18$  Zoll, ferner der Zapfenhalbmesser  $r_1 = 4$  Zoll, der Warzenhalbmesser  $r_2 = 2\frac{1}{2}$  Zoll, die Länge des Lenkers  $l = 90$  Zoll, der Arenhalbmesser der Friktionsräder am Stangenkopfe  $r_3 = 1\frac{1}{2}$  Zoll, und der Halbmesser dieser Räder  $a = 5$  Zoll, so hat man bei dem Reibungs-



Die Stangenmasse  $M_1$  hat die Geschwindigkeit

W. Baumf.  
des Krumm-  
zapfens.

$$w = v \left( \sin. \beta - \frac{r}{2l} \sin. 2\beta \right),$$

die beim Durchgange der Warze durch den todten Punkt = Null war, es ist daher die Arbeit, welche diese erfordert, während die Warze von  $O$  nach

$$A \text{ geht, } L_2 = \frac{v^2}{2} \left( \sin. \beta - \frac{r}{2l} \sin. 2\beta \right)^2 M_1.$$

Lassen wir vor der Hand die Masse des Lenkers außer Acht, so erhalten wir daher folgende Bewegungsformel für den einarmigen Krummzapfen:

$$\begin{aligned} Pr - Qr \left( 1 - \cos. \beta - \frac{r}{2l} (\sin. \beta)^2 \right) \\ = \frac{M(v^2 - c_1^2)}{2} + \frac{M_1}{2} v^2 \left( \sin. \beta - \frac{r}{2l} \sin. 2\beta \right)^2. \end{aligned}$$

Damit die Maschine einen beharrlichen Gang behalte, so muß nach einer halben Umdrehung, wo die Kraft  $Q$  die entgegengesetzte Richtung annimmt, eine Periode der Bewegung beendigt, und daher die Geschwindigkeit  $v$  wieder in  $c_1$  übergegangen sein. Dies vorausgesetzt, können wir in unserer Formel gleichzeitig  $\beta = \pi$  und  $v = c_1$  setzen, und bekommen so den Ausdruck

$$\pi Pr - (1 - \cos. \pi) Qr = \frac{M(c_1^2 - c_1^2)}{2} + \frac{M_1 c_1^2}{2} \sin. \pi,$$

d. i., da  $\cos. \pi = -1$  und  $\sin. \pi = 0$  ist,  $(\pi P - 2Q)r = 0$ , also  $P = \frac{2}{\pi} Q$ , oder  $Q = \frac{\pi}{2} P$ , wie wir allerdings schon gefunden haben.

Setzen wir aber dieses Verhältniß in unsere Hauptformel, so bekommen wir

$$\begin{aligned} \left( \frac{2}{\pi} \beta - 1 + \cos. \beta + \frac{r}{2l} (\sin. \beta)^2 \right) Qr \\ = \frac{M(v^2 - c_1^2)}{2} + \frac{M_1 v^2}{2} \left( \sin. \beta - \frac{r}{2l} \sin. 2\beta \right)^2; \end{aligned}$$

und es folgt nun die Warzengeschwindigkeit

$$v = \sqrt{\frac{Mc_1^2 + 2Qr \left( \frac{2}{\pi} \beta - 1 + \cos. \beta + \frac{r}{2l} (\sin. \beta)^2 \right)}{M + M_1 \left( \sin. \beta - \frac{r}{2l} \sin. 2\beta \right)^2}}.$$

Wären wir bei unserer Untersuchung von dem anderen todten Punkte  $U$  ausgegangen, so würden die Glieder mit  $\frac{r}{2l}$  das entgegengesetzte Zeichen erhalten haben, und daher der Ausdruck für die Warzengeschwindigkeit folgender sein:



von einerlei Querschnitt bilde, so können wir uns in  $L$  den  $n$ ten Theil dieser Masse, also  $\frac{M_2}{n}$  befindlich denken, und die lebendige Kraft desselben

$$= \frac{M_2}{n} \cdot w_1^2 = \frac{M_2}{n} \cdot \left( \frac{KL}{AB} \right)^2 \cdot w^2$$

setzen. Nun ist aber  $AB = l$ , und der Winkel  $ABC = \alpha$  klein, also das Dreieck  $ABK$ , nahe rechtwinkelig und der Winkel

$$KAB = ACO - ABC = \beta - \alpha, \text{ nahe } = \beta,$$

daher folgt denn annähernd

$$KB = l \tan \beta, \text{ und}$$

$$\overline{KL}^2 = \overline{KB}^2 + \overline{BL}^2 = (l \tan \beta)^2 + x^2,$$

wenn wir  $BL$  noch durch  $x$  bezeichnen. Es ist daher die lebendige Kraft des Lenkers:

$$l = \frac{M_2}{n} \left( \frac{(l \tan \beta)^2 + x^2}{(l \tan \beta)^2} \right) w^2 = \frac{M_2}{n} v^2 \sin^2 \beta \left( 1 + \frac{x^2}{l^2} (\cot \beta)^2 \right).$$

Setzen wir nun nach und nach statt  $x$  die Werthe  $\frac{l}{n}, \frac{2l}{n}, \frac{3l}{n} \dots \frac{nl}{n}$

ein, so giebt uns diese Kraft die lebendige Kraft aller Stangenelemente, und man erhält zuletzt durch Summation die lebendige Kraft des ganzen Lenkers:

$$\begin{aligned} K &= \frac{M_2}{n} (v \sin \beta)^2 \left[ n + \left( \frac{\cot \beta}{n} \right)^2 (1^2 + 2^2 + 3^2 + \dots + n^2) \right] \\ &= M_2 (v \sin \beta)^2 \left( 1 + \frac{(\cot \beta)^2}{n^3} \cdot \frac{n^3}{3} \right) = M_2 v^2 \left( (\sin \beta)^2 + \frac{(\cos \beta)^2}{3} \right) \\ &= \frac{1}{3} M_2 v^2 [1 + 2 (\sin \beta)^2] = \frac{1}{3} M_2 v^2 + \frac{2}{3} M_2 v^2 (\sin \beta)^2. \end{aligned}$$

Nun ist aber die lebendige Kraft der rotirenden Masse  $M, = M v^2$ , und die der auf- und niedergehenden Stangenmasse  $M_1, = M_1 v^2 (\sin \beta)^2$ ; es läßt sich daher annehmen, daß ein Drittel der Masse des Lenkers die rotirende Masse, und zwei Drittel derselben die Stangenmasse vergrößere. Setzen wir in der Folge voraus, daß diese Vertheilung vollzogen sei, so haben wir die Lenkermasse nicht weiter in Betracht zu ziehen.

§. 102. Wir fordern von allen Maschinen, daß sich die Rotationsgeschwindigkeit  $v$  nur innerhalb enger Grenzen verändere, daß also weder der Maximalwerth  $v_1$  von  $v$  viel größer, noch der Minimalwerth  $v_2$  viel kleiner als die mittlere Geschwindigkeit  $c$  sei; deshalb können wir denn auch der Geschwindigkeitsformel

$$v = \sqrt{\frac{M c_1^2 + 2 Q r \left( \frac{2}{\pi} \beta - 1 + \cos \beta \right)}{M + M_1 (\sin \beta)^2}}$$



Maximal- und die einfachere Form  
Minimalge-  
schwindigkeit.

$$\begin{aligned}
 &= \sqrt{\left(1 - \frac{M_1}{M} (\sin. \beta)^2\right) \left[c_1^2 + \frac{2Qr}{M} \left(\frac{2}{\pi} \beta - 1 + \cos. \beta\right)\right]} \\
 &= c_1 \sqrt{1 + \frac{2Qr}{Mc_1^2} \left(\frac{2}{\pi} \beta - 1 + \cos. \beta\right) - \frac{M_1}{M} (\sin. \beta)^2} \\
 &= c_1 \left[1 + \frac{Qr}{Mc_1^2} \left(\frac{2}{\pi} \beta - 1 + \cos. \beta\right) - \frac{M_1}{2M} (\sin. \beta)^2\right] \text{ geben.}
 \end{aligned}$$

Wird der Drehungsbogen  $\beta$  um ein Element  $d\beta$  größer, so nimmt  $\frac{2}{\pi} \beta$  um  $\frac{2}{\pi} d\beta$  zu, ferner  $\cos. \beta$  um  $\sin. \beta \cdot d\beta$  ab, und

$(\sin. \beta)^2 = \frac{1 - \cos. 2\beta}{2}$  um  $\sin. 2\beta \cdot d\beta$  zu; man hat daher die entsprechende Veränderung von  $v$ :

$$dv = c_1 d\beta \left[ \frac{Qr}{Mc_1^2} \left( \frac{2}{\pi} - \sin. \beta \right) - \frac{M_1}{2M} \cdot \sin. 2\beta \right],$$

und folglich

$$\frac{Qr}{Mc_1^2} \left( \frac{2}{\pi} - \sin. \beta \right) - \frac{M_1}{2M} \sin. 2\beta = \text{Null zu setzen,}$$

wenn  $v$  ein Maximum oder Minimum sein soll. Es folgt hiernach der Drehungswinkel für den Maximal- oder Minimalwerth der Wurzengeschwindigkeit:  $\sin. \beta = \frac{2}{\pi} - \frac{M_1 c_1^2 \sin. 2\beta}{2Qr}$ .

Annähernd ist jedenfalls

$$\sin. \beta = \frac{2}{\pi} = 0,6366, \text{ also } \beta^0 = 39^0, 32', \text{ oder } 140^0, 28'.$$

Es ist nun leicht zu ermessen, daß in dem hier betrachteten Falle, also wenn die Bewegung vom Krümmzapfen auf die Stange übertragen wird, dem spitzen Winkel, welcher dem

$$\sin. \beta = \frac{2}{\pi} - \frac{M_1 c_1^2 \sin. 2\beta}{2Qr}$$

entspricht, und nahe  $39^0, 32'$  ist, der Maximalwerth ( $v_1$ ) von  $v$ , und dem stumpfen Winkel für eben diesen Sinus, und der nahe  $140^0, 28'$  beträgt, der Minimalwerth ( $v_2$ ) von  $v$  entspricht.

Setzen wir die gefundenen Zahlenwerthe für  $\beta$  in die Formel

$$v = c_1 \left[ 1 + \frac{Qr}{Mc_1^2} \left( \frac{2}{\pi} \beta - 1 + \cos. \beta \right) - \frac{M_1}{2M} (\sin. \beta)^2 \right],$$

so erhalten wir die Maximalgeschwindigkeit

$$v_1 = \left( 1 + 0,2105 \cdot \frac{Qr}{Mc_1^2} - 0,2026 \frac{M_1}{M} \right) c,$$

und die Minimalgeschwindigkeit

$$v_2 = \left( 1 - 0,2105 \cdot \frac{Qr}{Mc_1^2} - 0,2026 \frac{M_1}{M} \right) c.$$

In der Regel ist das Massenverhältniß  $\frac{M_1}{M}$  klein genug, um es vernachlässigen zu können, weshalb wir auch einfach

$$v_1 = \left( 1 + 0,2105 \frac{Qr}{Mc_1^2} \right) c_1 \text{ und}$$

$$v_2 = \left( 1 - 0,2105 \frac{Qr}{Mc_1^2} \right) c_1 \text{ setzen.}$$

§. 103 \*). Es ist nun noch zu untersuchen, ob die Geschwindigkeit  $c_1$  in den todten Punkten  $O$  und  $U$  des Warzenkreises der mittleren Umdrehungsgeschwindigkeit  $c$  der Warzen gleich gesetzt werden könne. Die letztere bestimmt sich aus der Zeit  $t$ , innerhalb welcher die Warze den Halbkreis  $\pi r$  durchläuft, mittels der bekannten Formel  $c = \frac{\pi r}{t}$ ; die erstere hingegen ist nur durch Integration der Differenzialformel  $ds = v dt$  (s. I., §. 19 \*)), wo  $ds$  das in einem Zeitelemente  $dt$  durchlaufene Raumelement bezeichnet, zu finden.

Setzen wir für die veränderliche Geschwindigkeit den Näherungswert

$$v = c_1 \left[ 1 + \frac{Qr}{Mc_1^2} \left( \frac{2}{\pi} \beta - 1 + \cos. \beta \right) - \frac{M_1}{2M} (\sin. \beta)^2 \right], \text{ oder}$$

$$\frac{1}{v} = \frac{1}{c_1} \left[ 1 - \frac{Qr}{Mc_1^2} \left( \frac{2}{\pi} \beta - 1 + \cos. \beta \right) + \frac{M_1}{2M} (\sin. \beta)^2 \right], \text{ und}$$

führen wir für das Wegelement den Ausdruck  $ds = r d\beta$  ein, so erhalten wir die Formel

$$dt = \frac{ds}{v} = \left[ 1 - \frac{Qr}{Mc_1^2} \left( \frac{2}{\pi} \beta - 1 + \cos. \beta \right) + \frac{M_1}{2M} (\sin. \beta)^2 \right] \frac{r d\beta}{c_1},$$

deren Integration auf einen Ausdruck für die Umdrehungszeit  $t$  führt.

Es ist nach I., Art. 13 der analytischen Hülfslehren,

$$\int \beta d\beta = \frac{\beta^2}{2}, \text{ ferner nach Art. 20 derselben}$$

$$\int \cos. \beta d\beta = \sin. \beta \text{ und}$$

$$\int (\sin. \beta)^2 d\beta = \int \left( \frac{1 - \cos. 2\beta}{2} \right) d\beta = \frac{\beta}{2} - \frac{\sin. 2\beta}{4},$$

daher folgt

$$t = \int \left[ 1 - \frac{Qr}{Mc_1^2} \left( \frac{2}{\pi} \beta - 1 + \cos. \beta \right) + \frac{M_1}{2M} (\sin. \beta)^2 \right] \frac{r d\beta}{c_1}$$

$$= \left[ \beta - \frac{Qr}{Mc_1^2} \left( \frac{\beta^2}{\pi} - \beta + \sin. \right) + \frac{M_1}{4M} \left( \beta - \frac{\sin. 2\beta}{2} \right) \right] \frac{r}{c_1} + Const.$$

Umdrehungs-  
zeit.

Im todten Punkte ist  $l$  mit  $\beta$  zugleich Null; da das gefundene Integral auch ohne Constante für  $\beta = 0$ ,  $l = 0$  giebt, so fällt die letztere ebenfalls Null aus, und man hat daher auch nur noch  $\beta = \pi$ , so wie  $\sin. \pi$  und  $\sin. 2\pi = 0$  zu setzen, um die Formel für die halbe Umdrehungszeit zu erhalten. Es ist hiernach die letztere

$$t = \left[ \pi - \frac{Qr}{Mc_1^2} (\pi - \pi + \sin. \pi) + \frac{M_1}{4M} \left( \pi - \frac{\sin. 2\pi}{2} \right) \right] \frac{r}{c_1} \\ = \left( 1 + \frac{M_1}{4M} \right) \frac{\pi r}{c_1};$$

daher die mittlere Warzengeschwindigkeit

$$c = \frac{\pi r}{t} = \left( 1 - \frac{M_1}{4M} \right) c_1, \text{ oder, wenn, wie meist, die Stangenmasse } M_1 \text{ viel kleiner ist als die rotirende Masse } M, \text{ genau genug } c = c_1, \text{ d. i. die mittlere Warzengeschwindigkeit gleich der Warzengeschwindigkeit in den todten Punkten.}$$

Macht der Krummzapfen pro Minute  $u$  Umdrehungen, so haben wir

$$c = \frac{\pi u r}{30} = 0,1047 u r,$$

daher die Maximalgeschwindigkeit

$$v_1 = \left( 1 + 0,2105 \frac{Qr}{Mc^2} \right) c = \left( 1 + 19,2 \frac{Q}{Mu^2 r} \right) \cdot 0,1047 u r,$$

und die Minimalgeschwindigkeit

$$v_2 = \left( 1 - 0,2105 \frac{Qr}{Mc^2} \right) c = \left( 1 - 19,2 \frac{Q}{Mu^2 r} \right) \cdot 0,1047 u r.$$

Bewegung  
durch eine  
Stangentraft.

§. 104. Geht die Bewegung von der Stange aus, wird also der Krummzapfen durch die Stangentraft  $Q$ , z. B. mittels einer Dampfmaschine in Bewegung gesetzt, so hat man die dem Umdrehungsbogen  $\beta$  entsprechende Arbeit, welche auf die Beschleunigung der trägen Massen verwendet, oder durch die Verzögerung in Anspruch genommen wird (vergl. §. 100),

$$Qr \left( 1 - \cos. \beta - \frac{r}{2l} (\sin. \beta)^2 \right) - Pr \beta,$$

und es ist daher hier

$$Qr \left( 1 - \cos. \beta - \frac{r}{2l} (\sin. \beta)^2 - \frac{2}{\pi} \beta \right) \\ = \frac{M(v^2 - c_1^2)}{2} + \frac{M_1 v^2}{2} \left( \sin. - \beta \frac{r}{2l} \sin. 2\beta \right)^2$$

zu setzen.

Bernachlässigen wir auch hier die Glieder mit dem Factor  $\frac{r}{2l}$ , setzen wir also wieder eine sehr lange Kurbelstange voraus, so erhalten wir fol-

gende Ausdrücke für die Wazengeschwindigkeit, welche nur durch ein Vorzeichen von den in §. 100 und 101 gefundenen abweichen:

Bewegung  
durch eine  
Stangenkraft.

$$v = \sqrt{\frac{Mc_1^2 + 2Qr \left(1 - \cos.\beta - \frac{2}{\pi} \beta\right)}{M + M_1 (\sin.\beta)^2}}$$

$$= \sqrt{\frac{Mc_1^2 - 2Qr \left(\frac{2}{\pi} \beta - 1 + \cos.\beta\right)}{M + M_1 (\sin.\beta)^2}},$$

annähernd,

$$v = c_1 \left[1 - \frac{Qr}{Mc_1^2} \left(\frac{2}{\pi} \beta - 1 + \cos.\beta\right) - \frac{M_1}{2M} (\sin.\beta)^2\right].$$

Es ist hier für die Maximal- und Minimalgeschwindigkeit

$$\sin.\beta = \frac{2}{\pi} + \frac{M_1 c_1^2 \sin.2\beta}{2Qr},$$

oder, wenn  $M_1 c_1^2$  klein ist gegen  $Qr$ , einfacher, wie oben,

$$\sin.\beta = \frac{2}{\pi} = 0,6366,$$

also  $\beta = 39^\circ, 32'$  und  $\beta = 140^\circ, 28'$ ; nur findet der Unterschied gegen den zuerst betrachteten Fall statt, daß dem spitzen Winkel nicht die Maximal-, sondern die Minimalgeschwindigkeit entspricht, und daß ebenso bei dem stumpfen Umdrehungswinkel nicht die Minimal-, sondern die Maximalgeschwindigkeit eintritt.

Wir haben, wenn wir überdies noch  $c_1 = c$  setzen, wie oben, die Minimalgeschwindigkeit  $v_2 = \left(1 - 0,2105 \frac{Qr}{Mc^2}\right) c$ ,

und die Maximalgeschwindigkeit

$$v_1 = \left(1 + 0,2105 \frac{Qr}{Mc^2}\right) c.$$

§. 105. Da wir bei den letzten Entwicklungen das Glied mit dem Factor  $\frac{r}{2l}$  vernachlässigt haben, so gelten dieselben streng nur bei unendlich

Einfluß  
kurzer  
Kurbelstangen.

langen und annähernd nur bei sehr langen Stangen, und es ist daher noch besonders zu untersuchen, wie groß die eminenten Geschwindigkeitswerthe ausfallen, wenn, wie meist, die Kurbelstangenlänge  $l$  nur 4 bis 6 mal so groß ist, als der Kurbelhalbmesser  $r$ , wenn also  $\frac{r}{l} = 1/6$  bis  $1/4$

ist. Jedenfalls haben wir hier von dem vollständigeren Ausdrücke

$$v = c \left[1 \pm \frac{Qr}{Mc^2} \left(\frac{2}{\pi} \beta - 1 + \cos.\beta \pm \frac{r}{2l} (\sin.\beta)^2\right)\right]$$

Einfluß  
kurzer  
Aurbelangen.

die eminenten Werthe zu ermitteln, und deshalb nach §. 102

$$\frac{2}{\pi} - \sin. \beta \pm \frac{r}{2l} \cdot \sin. 2\beta = 0,$$

d. i.  $\sin. \beta = \frac{2}{\pi} \pm \frac{r}{2l} \sin. 2\beta$  zu setzen, und das Pluszeichen für die Bewegung in der ersten, das Minuszeichen aber für die in der zweiten Hälfte des Warkreises zu gebrauchen.

$$\text{Für } \frac{r}{l} = 1/4 \text{ ist } \sin. \beta = \frac{2}{\pi} \pm 0,125 \sin. 2\beta.$$

Dem Ausdrucke  $\sin. \beta = \frac{2}{\pi} + 0,125 \sin. 2\beta$  entsprechen ziemlich genau die Winkel  $\beta = 49^\circ, 29'$  und  $\beta = 148^\circ, 14'$ ;

dem Ausdrucke  $\sin. \beta = \frac{2}{\pi} - 0,125 \sin. 2\beta$  aber die Winkel  $\beta = 31^\circ, 46'$  und  $\beta = 130^\circ, 31'$ .

Wenn man nun die vier Winkelwerthe in die obige Geschwindigkeitsformel einsetzt, so erhält man in dem Falle, wenn die Bewegung von dem Krummzapfen ausgeht, für die erste Hälfte der Umdrehung die Maximal-

$$\text{geschwindigkeit } v_1 = \left(1 + 0,2718 \frac{Qr}{Mc^2}\right) c,$$

und die Minimalgeschwindigkeit

$$v_2 = \left(1 - 0,1686 \frac{Qr}{Mc^2}\right) c;$$

dagegen für die zweite Hälfte der Umdrehung die Maximalgeschwindigkeit

$$v_1 = \left(1 + 0,1686 \frac{Qr}{Mc^2}\right) c,$$

und die Minimalgeschwindigkeit

$$v_2 = \left(1 - 0,2718 \frac{Qr}{Mc^2}\right) c.$$

Bei dem Verhältnisse  $\frac{r}{l} = 1/3$  ist  $\sin. \beta = \frac{2}{\pi} \pm 0,1 \sin. 2\beta$ , und daher entweder  $\beta = 47^\circ, 25'$  und  $146^\circ, 45'$  oder  $\beta = 33^\circ, 5'$  und  $132^\circ, 35'$ .

Für die erste Umdrehungshälfte sind hiernach die beiden eminenten Geschwindigkeiten  $v_1 = \left(1 + 0,2577 \frac{Qr}{Mc^2}\right) c$  und

$$v_2 = \left(1 - 0,1757 \frac{Qr}{Mc^2}\right) c,$$

und für die beiden letzten Quadranten der Umdrehung ist



Einfluß  
kurzer  
Kurbelstangen.

$$v_1 = \left(1 + 0,1757 \frac{Qr}{Mc^2}\right) c \text{ und}$$

$$v_2 = \left(1 - 0,2577 \frac{Qr}{Mc^2}\right) c.$$

Ist endlich  $\frac{r}{l} = \frac{1}{6}$ , also  $\sin. \beta = \frac{2}{\pi} \pm 0,0833 \sin. 2\beta$ , so hat man das eine Mal  $\beta = 46^\circ, 3$ , und  $145^\circ, 58'$ , und ein anderes Mal  $\beta = 34^\circ, 2'$  und  $133^\circ, 57'$ ; und es sind hiernach die eminenten Geschwindigkeiten in den ersten beiden Quadranten der Um-

brechung  $v_1 = \left(1 + 0,2489 \frac{Qr}{Mc^2}\right) c \text{ und}$

$$v_2 = \left(1 - 0,1807 \frac{Qr}{Mc^2}\right) c;$$

dagegen dieselben in der zweiten Hälfte der Umdrehung

$$v_1 = \left(1 + 0,1807 \frac{Qr}{Mc^2}\right) c \text{ und}$$

$$v_2 = \left(1 - 0,2489 \frac{Qr}{Mc^2}\right) c.$$

\* Fig. 239.



Geht die Bewegung von der Stange aus, wird z. B. der Krummzapfen durch eine Kolbenkraft in Umdrehung gesetzt, so gehen die im Vorstehenden gefundenen Maximalgeschwindigkeiten, in Minimal-, und die letzteren Geschwindigkeiten wieder in die ersteren über. Man hat also nur in den vorstehenden Ausdrücken die Pluszeichen in Minus-, und die Minuszeichen in Plus umzuändern, um die eminenten Werthe der Geschwindigkeiten bei dieser Bewegungsweise zu finden.

§. 106. Bei einem doppelten Krummzapfen, dessen Warzen A und B, Fig. 239, um den Rechtwinkel ACB von einander ab- stehen, stellt sich das Bewegungsgesetz noch einfacher heraus als bei einer einfachen Kurbel. Nehmen wir wieder an, daß der Krummzapfen von zwei Stangen- oder Kolbenkräften  $Q_1$  und  $Q_2$  in Bewegung gesetzt werde, und setzen wir den gewöhnlichen Fall (bei Dampfwagen und Dampfsschiffen) voraus, daß diese beiden Kräfte einander gleich seien, also  $Q_1 = Q_2 = Q$  sei.

Theorie  
doppelter  
Krummzapfen.

Theorie  
doppelter  
Krummzapfen.

Wir haben wieder die während der Umdrehung des Krummzapfens um den Winkel  $OCA = MCB = \beta$  verrichtete Arbeit der ersten Kraft

$$Qr \left( 1 - \cos. \beta \mp \frac{r}{2l} (\sin. \beta)^2 \right),$$

setzen wir aber in diesem Ausdrucke ein Mal  $\beta = 90^\circ$  und ein anderes Mal statt  $\beta$ ,  $90^\circ + \beta$ , und ziehen wir diese erhaltenen Werthe von einander ab, so erhalten wir die Arbeit der an der zweiten Warze  $B$  angreifenden Kraft

$$\begin{aligned} & Qr \left( 1 - \cos. (90^\circ + \beta) \mp \frac{r}{2l} [\sin. (90^\circ + \beta)]^2 \right) \\ & \quad - Qr \left( 1 - \cos. 90^\circ \mp \frac{r}{2l} (\sin. 90^\circ)^2 \right) \\ & = Qr \left( 1 + \sin. \beta \mp \frac{r}{2l} (\cos. \beta)^2 \right) - Qr \left( 1 \mp \frac{r}{2l} \right) \\ & = Qr \left( \sin. \beta \pm \frac{r}{2l} [1 - (\cos. \beta)^2] \right) \\ & = Qr \left( \sin. \beta \pm \frac{r}{2l} (\sin. \beta)^2 \right), \end{aligned}$$

und es ergibt sich nun durch Vereinigung dieses Ausdruckes mit dem obigen die Arbeit beider Stangenkräfte zusammen:

$$Qr \left( 1 + \sin. \beta - \cos. \beta \mp \frac{r}{2l} (\sin. \beta)^2 \pm \frac{r}{2l} (\sin. \beta)^2 \right), \text{ d. i.}$$

$$1) Qr (1 + \sin. \beta - \cos. \beta)$$

für die Bewegung beider Warzen in der ersten Umdrehungshälfte, dagegen

$$2) Qr \left( 1 + \sin. \beta - \cos. \beta + \frac{r}{l} (\sin. \beta)^2 \right),$$

wennn sich die eine Warze im zweiten und die andere im dritten Quadranten bewegt, ferner wie erst

$$3) Qr (1 + \sin. \beta - \cos. \beta),$$

wenn beide Warzen in der zweiten Hälfte des Warzenkreises stehen, und

$$4) Qr \left( 1 + \sin. \beta - \cos. \beta - \frac{r}{l} (\sin. \beta)^2 \right),$$

wenn die vorausgehende Warze den ersten, also die folgende den letzten Quadranten durchläuft.

Die dem Umdrehungswinkel  $\beta$  entsprechende Arbeit der auf den Warzenkreis reducirten Kraft oder Last  $P$  ist, wie oben  $Pr\beta$ , folglich die auf die Beschleunigung der trägen Massen verwendete Arbeit

$$L = Qr \left( 1 + \sin. \beta - \cos. \beta \pm \frac{r}{2l} (\sin. \beta)^2 \mp \frac{r}{2l} (\sin. \beta)^2 \right) - Pr\beta,$$

wofür wir zunächst, bei langen Stangen,

$$L = Qr (1 + \sin. \beta - \cos. \beta) - Pr\beta \text{ setzen können.}$$

Das Arbeitsquantum der rotirenden Masse  $M$  ist wieder

$$L_1 = \frac{M (v^2 - c_1^2)}{2},$$

und ebenso das der einen Stange

$$L_2 = \frac{M_1 v^2}{2} \left( \sin. \beta \mp \frac{r}{2l} \sin. 2 \beta \right)^2.$$

Anders ist es bei der andern Stange, deren Masse wir ebenfalls  $= M_1$  annehmen wollen. Setzen wir in dem letzten Ausdrucke  $\beta = 90^\circ$  und  $v = c_1$ , so erhalten wir das Arbeitsvermögen dieser Stange am Anfange der Periode, setzen wir aber statt  $\beta$ ,  $90^\circ + \beta$  und  $v = v$ , so erhalten wir das Arbeitsvermögen der Stange in dem Augenblicke, wenn die zweite Warte in  $B$  ankommt, sich also der Krummzapfen um  $\beta$  gedreht hat; es ist folglich die während dieser Drehung um  $\beta = OCA = MCB$ , von der zweiten Stange in Anspruch genommene Arbeit:

$$\begin{aligned} L_3 &= \frac{M_1 v^2}{2} \left( \sin. (90^\circ + \beta) \mp \frac{r}{2l} \sin. 2 (90^\circ + \beta) \right)^2 \\ &\quad - \frac{M_1 c_1^2}{2} \left( \sin. 90^\circ \mp \frac{r}{2l} \sin. 180^\circ \right)^2 \\ &= \frac{M_1 v^2}{2} \left( \cos. \beta \pm \frac{r}{2l} \sin. 2 \beta \right)^2 - \frac{M_1 c_1^2}{2}. \end{aligned}$$

Wenn wir noch die Potenzen von  $\frac{r}{2l}$ , also sehr kleine Größen, Null setzen, so können wir

$$\begin{aligned} L_2 &= \frac{M_1 v^2}{2} \left( (\sin. \beta)^2 \mp \frac{r}{l} \sin. \beta \sin. 2 \beta \right) \text{ und} \\ L_3 &= \frac{M_1 v^2}{2} \left( (\cos. \beta)^2 \pm \frac{r}{l} \cos. \beta \sin. 2 \beta \right) - \frac{M_1 c_1^2}{2} \end{aligned}$$

annehmen, und da  $(\sin. \beta)^2 + (\cos. \beta)^2 = 1$  ist,

$$L_2 + L_3 = \frac{M_1 (v^2 - c_1^2)}{2} + \frac{M_1 v^2}{2} \left( \mp \frac{r}{l} \sin. \beta \sin. 2 \beta \pm \frac{r}{l} \cos. \beta \sin. 2 \beta \right)$$

schreiben.

Da endlich nicht allein  $\frac{r}{l}$ , sondern auch  $\frac{M_1}{M}$  in der Regel ein kleiner Bruch ist, so kann man in dem Ausdrucke für die vollständige Arbeit der trägen Massen  $M$ ,  $M_1$  und  $M_1$  sogar noch  $\frac{r}{2l} M_1$  gegen  $M$  unbeachtet lassen, also

$$\begin{aligned} L &= L_1 + L_2 + L_3 = \frac{M (v^2 - c_1^2)}{2} + \frac{M_1 (v^2 - c_1^2)}{2} \\ &= (M + M_1) \left( \frac{v^2 - c_1^2}{2} \right) \text{ annehmen.} \end{aligned}$$

Theorie  
doppelter  
Krummzapfen

Setzt man nun diesen Werth für  $L$  dem oben gefundenen gleich, so erhält man folgende Gleichung

$$Qr \left( 1 + \sin. \beta - \cos. \beta \pm \frac{r}{2l} (\sin. \beta)^2 + \frac{r}{2l} (\sin. \beta)^2 \right) - Pr \beta = (M + M_1) \frac{(v^2 - c_1^2)}{2},$$

welche für lange Stangen folgende einfachere Form annimmt,

$$Qr (1 + \sin. \beta - \cos. \beta) - Pr \beta = (M + M_1) \frac{(v^2 - c_1^2)}{2}.$$

Hat sich der Krummzapfen um einen Quadranten  $\frac{\pi}{2}$  gedreht, kommt z. B. die eine Warze  $A$  nach  $M$  und die andere  $B$  nach  $U$ , so ist eine Periode der Bewegung beendet, und daher  $v$  wieder  $= c_1$ . Dies vorausgesetzt, folgt

$$Qr (1 + \sin. 90^\circ - \cos. 90^\circ) - Pr \frac{\pi}{2} = (M + M_1) \frac{(c_1^2 - c_1^2)}{2},$$

$$\text{d. i. } 2Qr - \frac{\pi Pr}{2} = 0, \text{ also } P = \frac{4}{\pi} Q.$$

Wenn man diesen Werth von  $P$  in die letzte Gleichung setzt, so nimmt dieselbe folgende Form an:

$$Qr \left( 1 + \sin. \beta - \cos. \beta - \frac{4}{\pi} \beta \right) = (M + M_1) \cdot \frac{v^2 - c_1^2}{2}.$$

§. 107. Aus der letzten Gleichung läßt sich folgende Formel für die veränderliche Warzengeschwindigkeit ableiten:

$$v = \sqrt{c_1^2 + \frac{2Qr \left( 1 + \sin. \beta - \cos. \beta - \frac{4}{\pi} \beta \right)}{M + M_1}},$$

die aber recht gut bei großen Massen und kleiner Veränderlichkeit der Geschwindigkeit durch folgende ersetzt werden kann:

$$\begin{aligned} v &= c_1 \left( 1 + \frac{Qr \left( 1 + \sin. \beta - \cos. \beta - \frac{4}{\pi} \beta \right)}{(M + M_1) c_1^2} \right) \\ &= c_1 \left( 1 - \frac{Qr \left( \frac{4}{\pi} \beta + \cos. \beta - 1 - \sin. \beta \right)}{(M + M_1) c_1^2} \right). \end{aligned}$$

Damit  $v$  ein Maximum oder Minimum werde, muß

$$\frac{4}{\pi} \beta + \cos. \beta - \sin. \beta$$

weder wachsen noch abnehmen, wenn  $\beta$  um ein Element  $d\beta$  größer oder

kleiner wird. Nun ist aber das Element

$$\text{von } \frac{4}{\pi} \beta, \quad \frac{4}{\pi} d\beta,$$

$$\text{von } \cos. \beta, \quad - \sin. \beta d\beta \quad \text{und}$$

$$\text{von } \sin. \beta, \quad \cos. \beta d\beta \quad (\text{f. I. Art. 19 der analyt. Hülfslehren}),$$

$$\text{daher hat man } \frac{4}{\pi} d\beta - \sin. \beta \cdot d\beta - \cos. \beta d\beta = 0, \text{ d. i.}$$

$$\sin. \beta + \cos. \beta = \frac{4}{\pi}, \text{ also auch}$$

$$(\sin. \beta + \cos. \beta)^2 = \left(\frac{4}{\pi}\right)^2,$$

$$\text{oder, da } (\sin. \beta)^2 + (\cos. \beta)^2 = 1 \quad \text{und} \quad 2 \sin. \beta \cos. \beta = \sin. 2\beta \text{ ist,}$$

$$\sin. 2\beta = \left(\frac{4}{\pi}\right)^2 - 1 = 0,6211.$$

Die entsprechenden Werthe von  $2\beta$  sind

$$38^\circ, 24' \text{ und } 141^\circ, 36',$$

also die des Umdrehungswinkels  $\beta$  selbst:

$$19^\circ, 12' \text{ und } 70^\circ, 48'.$$

Geht die Bewegung von den Stangen aus, so entspricht  $\beta = 19^\circ, 12'$  dem kleinsten und  $\beta = 70^\circ, 48'$  dem größten Geschwindigkeitswerthe, geht hingegen die Bewegung von der Krummzapfenwelle aus, so findet, wie beim einfachen Krummzapfen, das Gegentheil statt.

Setzen wir die gefundenen Werthe von  $\beta$  in die letzte Formel für  $v$  ein, so giebt uns dieselbe die Maximalgeschwindigkeit

$$v_1 = \left(1 + 0,0422 \frac{Qr}{(M + M_1) c_1^2}\right) c_1$$

und die Minimalgeschwindigkeit

$$v_2 = \left(1 - 0,0422 \frac{Qr}{(M + M_1) c_1^2}\right) c_1$$

oder da hier, wo innerhalb eines Quadranten sowohl eine Maximal- als auch eine Minimalgeschwindigkeit vorkommt, die Geschwindigkeit  $c_1$  in den toten Punkten der mittleren Geschwindigkeit  $c = \frac{\pi ur}{30}$  gleichgesetzt werden kann,

$$v_1 = \left(1 + 0,0422 \frac{Qr}{(M + M_1) c^2}\right) c \quad \text{und}$$

$$v_2 = \left(1 - 0,0422 \frac{Qr}{(M + M_1) c^2}\right) c.$$

§. 108. Diese eminenten Geschwindigkeiten fallen bedeutend anders aus, wenn die Kurbelstange nicht unendlich, sondern nur 4 bis 6mal so lang ist als der Kurbelarm.



Theorie  
doppelter  
Krummzapfen.

In diesem Falle können wir aus der Formel

$$L = Qr \left( 1 + \sin. \beta - \cos. \beta \pm \frac{r}{2l} (\sin. \beta)^2 \mp \frac{r}{2l} (\sin. \beta)^2 \right) - Pr \beta$$

$$= Qr \left( 1 + \sin. \beta - \cos. \beta \pm \frac{r}{2l} (\sin. \beta)^2 \mp \frac{r}{2l} (\sin. \beta)^2 - \frac{4}{\pi} \beta \right)$$

die Glieder mit dem Factor  $\frac{r}{2l}$  nicht fallen lassen, wenn sie sich nicht von selbst heben. Wir haben hiernach, und in Uebereinstimmung mit dem in §. 106 Gefundenen, für die auf einander folgenden Quadranten einer Umdrehung nachstehende Arbeiten, welche auf die Veränderung des Bewegungszustandes des Krummzapfens verwendet werden:

- 1)  $L = \left( 1 + \sin. \beta - \cos. \beta - \frac{4}{\pi} \beta \right) Qr,$
- 2)  $L = \left( 1 + \sin. \beta - \cos. \beta + \frac{r}{l} (\sin. \beta)^2 - \frac{4}{\pi} \beta \right) Qr,$
- 3)  $L = \left( 1 + \sin. \beta - \cos. \beta - \frac{4}{\pi} \beta \right) Qr$  und
- 4)  $L = \left( 1 + \sin. \beta - \cos. \beta - \frac{r}{l} (\sin. \beta)^2 - \frac{4}{\pi} \beta \right) Qr.$

Es ist folglich für den ersten und dritten Quadranten der Umdrehung, wie oben, der auf die eminenten Geschwindigkeitswerthe führende Umdrehungswinkel durch die Formel  $\sin. \beta + \cos. \beta = \frac{4}{\pi}$ , oder

$$\sin. 2\beta = \left( \frac{4}{\pi} \right)^2 - 1 \text{ bestimmt.}$$

Für den zweiten und vierten Quadranten hat man dagegen (vergl. §. 105)

$$\sin. \beta + \cos. \beta = \frac{4}{\pi} \mp \frac{r}{l} \sin. 2\beta$$

zu setzen, um die Maximal- und Minimalgeschwindigkeiten zu finden.

Bernachlässigt man die Potenzen von  $\frac{r}{l}$ , so kann man

$$\left( \frac{4}{\pi} \mp \frac{r}{l} \sin. 2\beta \right)^2 = \left( \frac{4}{\pi} \right)^2 \mp \frac{8}{\pi} \cdot \frac{r}{l} \sin. 2\beta, \text{ und daher}$$

$$\sin. 2\beta = \left( \frac{4}{\pi} \right)^2 \mp \frac{8}{\pi} \cdot \frac{r}{l} \sin. 2\beta - 1,$$

$$\text{b. i. } \sin. 2\beta = \frac{\left( \frac{4}{\pi} \right)^2 - 1}{1 \pm \frac{8}{\pi} \cdot \frac{r}{l} \sin. 2\beta} \text{ setzen.}$$

Genauer ist aber noch

$$\sin. 2 \beta = \frac{\left(\frac{4}{\pi}\right)^2 - 1}{1 \pm \frac{8}{\pi} \cdot \frac{r}{l} - \left(\frac{r}{l}\right)^2 \sin. 2 \beta}.$$

§. 109. Die beiden Winkel  $\beta = 19^\circ, 12'$  und  $70^\circ, 48'$ , welche der ersten Gleichung  $\sin. 2 \beta = \left(\frac{4}{\pi}\right)^2 - 1 = 0,62114$  entsprechen, führen auf die schon oben gefundenen eminenten Geschwindigkeiten im ersten und dritten Quadranten

$$v_1 = \left(1 + 0,04217 \frac{Qr}{(M + M_1) c^2}\right) c \text{ und}$$

$$v_2 = \left(1 - 0,04217 \frac{Qr}{(M + M_1) c^2}\right) c,$$

welche ganz unabhängig von  $\frac{r}{l}$  oder der Stangenlänge sind.

Ganz anders stellen sich aber die Bewegungsverhältnisse des doppelten Krümmzapfens im zweiten und vierten Quadranten der Umdrehung heraus, wenn das Verhältniß  $\frac{r}{l}$  nicht unendlich klein, sondern, wie gewöhnlich,  $\frac{1}{4}$ ,  $\frac{1}{5}$  oder  $\frac{1}{6}$  ist.

Für  $\frac{r}{l} = \frac{1}{4}$  ist annähernd

$$\sin. 2 \beta = \frac{\left(\frac{4}{\pi}\right)^2 - 1}{1 \pm \frac{8}{\pi} \cdot \frac{1}{4}} = \frac{0,62114}{1 \pm 0,63662}.$$

Nehmen wir nun das Pluszeichen im Nenner, so erhalten wir

$$\sin. 2 \beta = \frac{0,62214}{1,63662} = 0,37952, \text{ oder schärfer}$$

$$\sin. 2 \beta = \frac{0,62214}{1,63662 - \frac{1}{16} \cdot 0,3795} = 0,38572.$$

Diesem Sinus entsprechen die beiden Winkel  $2 \beta = 22^\circ, 41'$  und  $2 \beta = 157^\circ, 19'$ ; es sind folglich die einfachen Winkel

$$\beta = 11^\circ, 20\frac{1}{2}' \text{ und } \beta = 78^\circ, 39\frac{1}{2}',$$

und diese führen auf die Leistungen

$$L = \left(1 + \sin. \beta - \cos. \beta + \frac{r}{l} (\sin. \beta)^2 - \frac{4}{\pi} \beta\right) Qr$$

$$= (1 + 0,19666 - 0,98047 + \frac{1}{4} \cdot 0,03867 - 0,25204) Qr$$

$$= -0,02618 Qr \text{ und}$$

Theorie  
doppelter  
Strahlungspfen.

$$L = (1 + 0,9804 - 0,19666 + \frac{1}{4} \cdot 0,96118 - 1,74796) Qr \\ = 0,27618 Qr.$$

Nimmt man das Minuszeichen, so erhält man

$$\sin. 2\beta = \frac{0,62114}{0,36338} = 1,704,$$

also über 1, welches beweist, daß es im vierten Quadranten weder ein Geschwindigkeitsmaximum, noch ein Geschwindigkeitsminimum giebt.

Für  $\frac{r}{l} = \frac{1}{5}$  ist im zweiten Quadranten

$$\sin. 2\beta = \frac{0,62114}{1 + \frac{8}{\pi} \cdot \frac{1}{5}} = \frac{0,62114}{1,5093} = 0,41154, \text{ oder schärfer}$$

$$\sin. 2\beta = \frac{0,62114}{1,50930 - \frac{1}{25} \cdot 0,4115} = \frac{0,62114}{1,49284} = 0,41608,$$

woraus  $2\beta = 24^{\circ}, 35'$ , und  $2\beta = 155^{\circ}, 25'$ , also  
 $\beta = 12^{\circ}, 17\frac{1}{2}'$  und  $\beta = 77^{\circ}, 42\frac{1}{2}'$  folgt.

Die diesen Winkeln entsprechenden Leistungen im zweiten Quadranten sind

$$L = -0,02827 Qr \text{ und } L = 0,22827 Qr.$$

Für den dritten Quadranten ist

$$\sin. 2\beta = \frac{0,62114}{0,4907} = 1,26 \text{ also über 1,}$$

und daher ein eminenter Geschwindigkeitswerth nicht vorhanden.

Für  $\frac{r}{l} = \frac{1}{6}$  ist endlich im zweiten Quadranten

$$\sin. 2\beta = \frac{0,62114}{1 + \frac{8}{\pi} \cdot \frac{1}{6}} = \frac{0,62114}{1,4244} = 0,43607,$$

oder genauer

$$\sin. 2\beta = \frac{0,62114}{1,4244 - \frac{1}{36} \cdot 0,43608} = \frac{0,62114}{1,4123} = 0,43981,$$

und hiernach  $2\beta = 26^{\circ}, 6'$  und  $2\beta = 153^{\circ}, 54'$ , also  
 $\beta = 13^{\circ}, 3'$  und  $\beta = 76^{\circ}, 57'$ .

Die entsprechenden Leistungen sind

$$L = -0,02987 Qr \text{ und } L = 0,19155 Qr.$$

Für den vierten Quadranten ist

$$\sin. 2\beta = \frac{0,62114}{0,5756} = 1,08,$$

und daher auch keine eminente Geschwindigkeit.

Aus dem Vorstehenden ergeben sich nun die eminenten Geschwindigkeiten im zweiten Quadranten:

$$1) \text{ für } \frac{r}{l} = 1/4,$$

$$v_1 = \left(1 + 0,2762 \frac{Qr}{(M + M_1) c^2}\right) c \text{ und}$$

$$v_2 = \left(1 - 0,02618 \frac{Qr}{(M + M_1) c^2}\right) c,$$

Fig. 240.

$$\text{ferner } 2) \text{ für } \frac{r}{l} = 1/5,$$

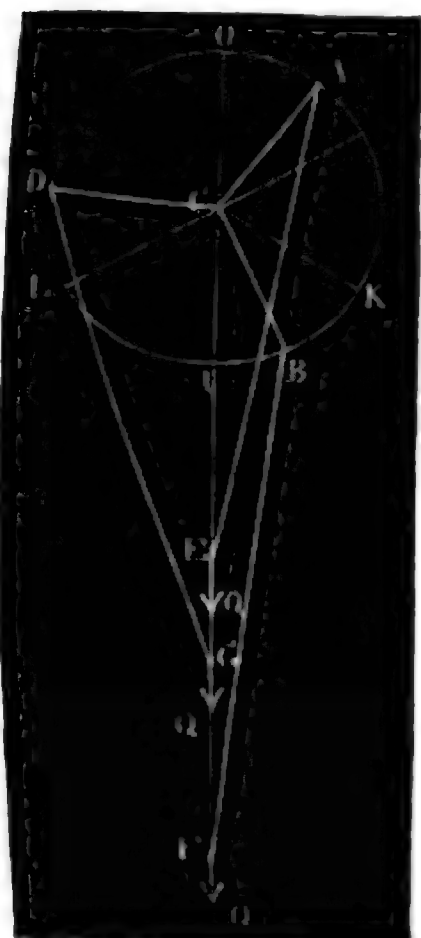
$$v_1 = \left(1 + 0,2283 \frac{Qr}{(M + M_1) c^2}\right) c \text{ und}$$

$$v_2 = \left(1 - 0,02827 \frac{Qr}{(M + M_1) c^2}\right) c,$$

$$\text{endlich } 3) \text{ für } \frac{r}{l} = 1/6,$$

$$v_1 = \left(1 + 0,19155 \frac{Qr}{(M + M_1) c^2}\right) c \text{ und}$$

$$v_2 = \left(1 - 0,02987 \frac{Qr}{(M + M_1) c^2}\right) c.$$



§. 110. Für einen dreifachen Krummzapfen  $ABD$ , Fig. 240, dessen Wurzeln  $A$ ,  $B$  und  $D$  um je 120 Grad von einander abstehen, ist, wenn an jeder Stange eine constante Kraft  $Q$  wirkt, die den Umdrehungswinkel  $OCA = KCB = LCD = \beta$  entsprechende mechanische Arbeit dieser Kräfte:

Theorie  
dreifacher  
Krummzapfen.

$$\begin{aligned} L &= Qr \left(1 - \cos. \beta \mp \frac{r}{2l} (\sin. \beta)^2\right) \\ &+ Qr \left(1 - \cos. (120^\circ + \beta) \mp \frac{r}{2l} [\sin. (120^\circ + \beta)]^2\right) \\ &\quad - 1 + \cos. 120^\circ \pm \frac{r}{2l} (\sin. 120^\circ)^2 \\ &+ Qr \left(1 - \cos. (60^\circ + \beta) \pm \frac{r}{2l} [\sin. (60^\circ + \beta)]^2\right) \\ &\quad - 1 + \cos. 60^\circ \mp \frac{r}{2l} (\sin. 60^\circ)^2 \\ &= Qr \left[1 - \cos. \beta + \cos. (60^\circ - \beta) - \cos. (60^\circ + \beta) \right. \\ &\quad \left. \mp \frac{r}{2l} \left( (\sin. \beta)^2 + [\sin. (60^\circ - \beta)]^2 - [\sin. (60^\circ + \beta)]^2 \right) \right] \end{aligned}$$

Theorie  
dreifacher  
Hammern.

$$\begin{aligned}
 &= Qr \left( 1 - 2 \cos. (60^\circ + \beta) \right. \\
 &\quad \left. \mp \frac{r}{2l} [(\sin. \beta)^2 - 4 \sin. 60^\circ \cos. 60^\circ \sin. \beta \cos. \beta] \right) \\
 &= Qr \left( 1 - 2 \cos. (60^\circ + \beta) \mp \frac{r}{2l} \sin. \beta (\sin. \beta - \sqrt{3} \cdot \cos. \beta) \right) \\
 &= Qr \left( 1 - 2 \cos. (60^\circ + \beta) \pm \frac{r}{l} \sin. \beta \sin. (60^\circ - \beta) \right).
 \end{aligned}$$

Die gleichzeitige Arbeit der Umdrehungskraft  $P$  ist wieder  $Pr\beta$ , folglich die auf die Beschleunigung der Massen verwendete Arbeit

$$L = Qr \left( 1 - 2 \cos. (60^\circ + \beta) \pm \frac{r}{l} \sin. \beta \sin. (60^\circ - \beta) \right) - Pr\beta.$$

Diese Arbeit vertheilt sich auf die rotirende Masse  $M$ , welche, wie bekannt, den Theil  $L_1 = \frac{M(v^2 - c^2)}{2}$  in Anspruch nimmt, ferner auf die erste Stangenmasse  $M_1$ , deren Geschwindigkeit aus 0 in  $v \sin. \beta$  übergeht, auf die zweite Stangenmasse  $M_1$ , deren Geschwindigkeit  $c \sin. 60^\circ$  sich in  $v \sin. (60^\circ - \beta)$  umändert, und endlich auf die dritte Stangenmasse, deren Geschwindigkeit aus  $c \sin. 60^\circ$  in  $v \sin. (60^\circ + \beta)$  übergeht. Der Inbegriff der diesen Umänderungen entsprechenden Arbeiten ist

$$\begin{aligned}
 L_2 &= \frac{M_1}{2} [v^2 (\sin. \beta)^2 + v^2 [\sin. (60^\circ - \beta)]^2 - c^2 (\sin. 60^\circ)^2 \\
 &\quad + v^2 [\sin. (60^\circ + \beta)]^2 - c^2 (\sin. 60^\circ)^2] \\
 &= \frac{M_1}{2} [v^2 (\sin. \beta)^2 + v^2 (\sin. 60^\circ \cos. \beta - \cos. 60^\circ \sin. \beta)^2 \\
 &\quad + v^2 (\sin. 60^\circ \cos. \beta + \cos. 60^\circ \sin. \beta)^2 - 2 c^2 (\sin. 60^\circ)^2] \\
 &= \frac{M_1}{2} [v^2 (\sin. \beta)^2 + 2 v^2 (\frac{3}{4} \cos. \beta^2 + \frac{1}{4} \sin. \beta^2) - 2 \cdot \frac{3}{4} c^2] \\
 &= \frac{3}{4} M_1 [v^2 (\sin. \beta)^2 + v^2 (\cos. \beta)^2 - c^2] \\
 &= \frac{3}{4} M_1 (v^2 - c^2).
 \end{aligned}$$

Wir haben hiernach zu setzen:

$$\begin{aligned}
 Qr \left( 1 - 2 \cos. (60^\circ + \beta) \pm \frac{r}{l} \sin. \beta \sin. (60^\circ - \beta) \right) - Pr\beta \\
 = (M + \frac{3}{2} M_1) \cdot \frac{v^2 - c^2}{2}
 \end{aligned}$$

oder, wenn wir sehr lange Stangen voraussetzen, und deshalb das Glied mit  $\frac{r}{l}$  vernachlässigen,

$$Qr [1 - 2 \cos. (60^\circ + \beta)] - Pr\beta = (M + \frac{3}{2} M_1) \cdot \frac{v^2 - c^2}{2}.$$

Noch erfordert der Beharrungszustand, daß für  $\beta = \frac{1}{2} \pi = 60^\circ$ ,



wo die zweite Warze in den todten Punkt  $U$  gelangt, wieder  $v$  in  $c$  übergehe; es ist deshalb

Theorie dreifacher Krummzapfen.

$$Qr (1 - 2 \cos. 120^\circ) - Pr \frac{\pi}{3} = 0, \text{ d. i.}$$

$$P = \frac{2Q}{\frac{1}{3}\pi} = \frac{6}{\pi} Q, \text{ und daher}$$

$$Qr \left( 1 - 2 \cos. (60^\circ + \beta) - \frac{6}{\pi} \beta \right) = (M + \frac{3}{2} M_1) \cdot \frac{v^2 - c^2}{2}$$

zu setzen.

Hiernach erhalten wir nun folgenden Ausdruck für die veränderliche Warzengeschwindigkeit

$$v = \sqrt{c^2 + \frac{2Qr \left( 1 - 2 \cos. (60^\circ + \beta) - \frac{6}{\pi} \beta \right)}{M + \frac{3}{2} M_1}}, \text{ annähernd}$$

$$= c \left[ 1 - \left( \frac{6}{\pi} \beta + 2 \cos. (60^\circ + \beta) - 1 \right) \cdot \frac{Qr}{(M + \frac{3}{2} M_1) c^2} \right].$$

Diese Geschwindigkeit nimmt mit  $2 \cos. (60^\circ + \beta) + \frac{6}{\pi} \beta$  zugleich ihre eminenten Werthe an, und zwar für  $\sin. (60^\circ + \beta) = \frac{3}{\pi} = 0,9549$ .

Die entsprechenden Winkel sind

$$60^\circ + \beta = 72^\circ, 44' \quad \text{und} \quad 60^\circ + \beta = 107^\circ, 16';$$

es ist also  $\beta = 12^\circ, 44' \quad \text{und} \quad \beta = 47^\circ, 16'.$

Im vorliegenden Falle entspricht dem ersten Winkel die Minimal-, und dem zweiten die Maximalgeschwindigkeit; geht hingegen die Bewegung von dem Krummzapfen aus, so findet das Gegentheil statt. Führen wir diese Werthe für  $\beta$  in den letzten Ausdruck für  $v$  ein, so erhalten wir für beide Bewegungsweisen die Maximalgeschwindigkeit

$$v_1 = \left( 1 + 0,0181 \frac{Qr}{(M + \frac{3}{2} M_1) c^2} \right) c$$

und die Minimalgeschwindigkeit

$$v_2 = \left( 1 - 0,0181 \frac{Qr}{(M + \frac{3}{2} M_1) c^2} \right) c.$$

Anmerkung. Aus dem Nenner  $M + \frac{3}{2} M_1 = M + \frac{1}{2} \cdot 3 M_1$ , ist zu ersehen, daß die Theile der Stangenmasse nur halb so viel Einfluß auf die Bewegung des Krummzapfens haben als die Theile der rotirenden Masse. Ebenso ist es bei dem doppelten und ungefähr auch bei dem einfachen Krummzapfen.

§. 111 \*). Diese eminenten Geschwindigkeitswerthe fallen bei endlichen Stangenlängen allerdings noch etwas anders aus. Es ist hier

Theorie  
dreifacher  
Krummzapfen.

$$v = c \left[ 1 - \left( \frac{6}{\pi} \beta + 2 \cos. (60^\circ + \beta) - 1 \mp \frac{r}{l} \sin. \beta \sin. (60^\circ - \beta) \right) \cdot \frac{Qr}{(M + \frac{3}{2} M_1) c^2} \right]$$

zu setzen, und daher das Maximum von

$$\frac{6}{\pi} \beta + 2 \cos. (60^\circ + \beta) \mp \frac{r}{l} \sin. \beta \sin. (60^\circ - \beta) \text{ aufzusuchen.}$$

Die Differenzialrechnung findet durch Nullsetzen des Differenzialverhältnisses von diesem Ausdrucke

$$\frac{6}{\pi} - 2 \sin. (60^\circ + \beta) \mp \frac{r}{l} [\sin. (60^\circ - \beta) \cos. \beta - \sin. \beta \cos. (60^\circ - \beta)] = 0,$$

$$\text{oder } \sin. (60^\circ + \beta) = \frac{3}{\pi} \mp \frac{r}{2l} \sin. (60^\circ - 2\beta).$$

Behandeln wir nun den Specialfall  $\frac{r}{l} = \frac{1}{6}$ , so erhalten wir

$$\sin. (60^\circ + \beta) = \frac{3}{\pi} \mp 0,1 \cdot \sin. (60^\circ - 2\beta).$$

Für  $\sin. (60^\circ + \beta) = \frac{3}{\pi} - 0,1 \cdot \sin. (60^\circ - 2\beta)$  sind

$$\beta = 0^\circ, 20' \text{ und } \beta = 39^\circ, 18'$$

die entsprechenden Werthe,

für  $\sin. (60^\circ + \beta) = \frac{3}{\pi} + 0,1 \cdot \sin. (60^\circ - 2\beta)$  hingegen

$$\beta = 20^\circ, 42' \text{ und } \beta = 59^\circ, 40'.$$

Es ist nun

$\frac{6}{\pi} \beta + 2 \cos. (60^\circ + \beta) - 1 - \frac{r}{l} \sin. \beta \sin. (60^\circ - \beta)$  für  
 $\beta = 0^\circ, 20' = 0,0111 + 0,9899 - 1 - 0,0010 = 0,0000$  und für  
 $\beta = 39^\circ, 17' = 1,3100 - 0,3232 - 1 - 0,0448 = - 0,0580$ ,  
daher sind die eminenten Geschwindigkeiten im ersten Sextanten der Umdrehung

$$v_1 = \left( 1 + 0,0580 \frac{Qr}{(M + \frac{3}{2} M_1) c^2} \right) c, \text{ und}$$

$$v_2 = \left( 1 - 0,0000 \frac{Qr}{(M + \frac{3}{2} M_1) c^2} \right) c.$$

Dagegen ist

$\frac{6}{\pi} \beta + 2 \cos. (60^\circ - \beta) - 1 + \frac{r}{l} \sin. \beta \sin. (60^\circ - \beta)$  für  
 $\beta = 20^\circ 42' = 0,6900 + 0,3232 - 1 + 0,0448 = 0,0580$  und für  
 $\beta = 59^\circ, 40' = 1,9889 - 0,9899 - 1 + 0,0010 = - 0,0000$ ,

und es sind daher die eminenten Geschwindigkeiten im zweiten Sextanten der Umdrehung:

$$v_1 = \left(1 + 0,0000 \frac{Qr}{(M + \frac{3}{2} M_1) c^2}\right) c \quad \text{und}$$

$$v_2 = \left(1 - 0,0580 \frac{Qr}{(M + \frac{3}{2} M_1) c^2}\right) c.$$

In den übrigen Umdrehungssextanten wiederholen sich diese Geschwindigkeitsverhältnisse.

§. 112. Die Umdrehung eines Krummzapfens erfolgt jedenfalls um so ungleichförmiger, je größer die Differenz  $v_1 - v_2$  zwischen der Maximal- und Minimalgeschwindigkeit desselben in Hinsicht auf die mittlere Geschwindigkeit  $c$ , je größer also das Verhältniß  $\frac{v_1 - v_2}{c}$  ist. Wir können daher

Grad der  
Ungleich-  
förmigkeit.

auch dieses Verhältniß den Grad der Ungleichförmigkeit der Krummzapfenbewegung nennen, und es künftig durch den Buchstaben  $\delta$  bezeichnen. Zu einem guten Gange einer Maschine gehört, daß dieses Verhältniß eine gewisse Grenze nicht überschreite (§. II., §. 66). Bei Maschinen, wie Pumpen, Mühlen u. s. w., welche keine große Gleichförmigkeit des Ganges erfordern, soll  $\delta = \frac{1}{20}$  bis  $\frac{1}{30}$  sein, bei Maschinen, wie z. B. Spinnereien und Webereien, welche einen sehr gleichförmigen Gang nöthig haben, soll dagegen  $\delta = \frac{1}{40}$  bis  $\frac{1}{60}$  betragen.

Die in dem Vorhergehenden gefundenen Formeln setzen uns in den Stand, den Grad der Ungleichförmigkeit für die verschiedenen Krummzapfen wie folgt zu finden.

I. Für den einfachen Krummzapfen hat man

1) bei unendlich langer Stange, wo  $\frac{r}{l} = 0$  ist, nach §. 103,

$$v_1 = \left(1 + 0,2105 \frac{Qr}{Mc^2}\right) c \quad \text{und}$$

$$v_2 = \left(1 - 0,2105 \frac{Qr}{Mc^2}\right) c,$$

folglich den Grad der Ungleichförmigkeit

$$\delta = \frac{v_1 - v_2}{c} = 2 \cdot 0,2105 \cdot \frac{Qr}{Mc^2} = 0,4210 \frac{Qr}{Mc^2}. \quad \text{Ist dagegen}$$

2)  $\frac{r}{l} = \frac{1}{6}$ , so hat man nach §. 105,

$$\delta = \frac{v_1 - v_2}{c} = 2 \cdot 0,2489 \cdot \frac{Qr}{Mc^2} = 0,4978 \frac{Qr}{Mc^2}; \quad \text{ist ferner}$$

III.

Grad der  
Ungleich-  
förmigkeit.

3)  $\frac{r}{l} = \frac{1}{3}$ , so fällt

$$\delta = \frac{v_1 - v_2}{c} = 2 \cdot 0,2577 \cdot \frac{Qr}{Mc^2} = 0,5154 \frac{Qr}{Mc^2} \text{ aus; ist}$$

endlich 4)  $\frac{r}{l} = \frac{1}{4}$ , so wird gar

$$\delta = \frac{v_1 - v_2}{c} = 2 \cdot 0,2718 \cdot \frac{Qr}{Mc^2} = 0,5436 \frac{Qr}{Mc^2}.$$

II. Für den doppelten Krummzapfen, und zwar

1) bei unendlich langer Stange, wo  $\frac{r}{l} = 0$  ist, stellt sich nach §. 107,

$$\delta = \frac{v_1 - v_2}{c} = 2 \cdot 0,0422 \cdot \frac{Qr}{(M + M_1)c^2} = 0,0844 \frac{Qr}{(M + M_1)c^2}$$

heraus;

2) bei dem Verhältnisse  $\frac{r}{l} = \frac{1}{6}$ , dagegen, nach §. 109,

$$\delta = \frac{v_1 - v_2}{c} = (0,1916 + 0,0422) \frac{Qr}{(M + M_1)c^2} = 0,2338 \frac{Qr}{(M + M_1)c^2};$$

3) bei dem Verhältnisse  $\frac{r}{l} = \frac{1}{5}$ ,

$$\delta = \frac{v_1 - v_2}{c} = (0,2283 + 0,0422) \frac{Qr}{(M + M_1)c^2} = 0,2705 \frac{Qr}{(M + M_1)c^2},$$

und 4) bei dem Verhältnisse  $\frac{r}{l} = \frac{1}{4}$ ,

$$\delta = \frac{v_1 - v_2}{c} = (0,2762 + 0,0422) \frac{Qr}{(M + M_1)c^2} = 0,3184 \frac{Qr}{(M + M_1)c^2}.$$

III. Für den dreifachen Krummzapfen ist

1) bei unendlich langer Stange, also  $\frac{r}{l} = 0$ , nach §. 110,

$$\delta = \frac{v_1 - v_2}{c} = 2 \cdot 0,0181 \frac{Qr}{(M + \frac{3}{2}M_1)c^2} = 0,0362 \frac{Qr}{(M + \frac{3}{2}M_1)c^2},$$

und 2) bei dem Verhältnisse  $\frac{r}{l} = \frac{1}{5}$ , nach §. 111,

$$\delta = \frac{v_1 - v_2}{c} = 2 \cdot 0,0580 \frac{Qr}{(M + \frac{3}{2}M_1)c^2} = 0,1160 \frac{Qr}{(M + \frac{3}{2}M_1)c^2}.$$

Man ersieht aus diesen Formeln, daß unter übrigens gleichen Umständen die Ungleichförmigkeitsgrade um so mehr abnehmen, je länger die Kurbelstangen sind und je größer die Anzahl derselben ist.

Beim einfachen Krummzapfen ist

Grad der  
Ungleich-  
förmigkeit.

für $\frac{r}{l} = 0,$	$\frac{1}{6}$	$\frac{1}{5}$	$\frac{1}{4}$
$\delta = 0,4210$	0,4978	0,5154	$0,5436 \frac{Qr}{Mc^2},$
also das Verhältniß 1	: 1,182	: 1,224	: 1,292.

Bei langen Stangen ist ferner

für den einfachen	doppelten	dreifachen Krummzapfen
$\delta = 0,4210 \frac{Qr}{Mc^2}$	$0,0422 \frac{2Qr}{Mc^2}$	$0,01207 \frac{3Qr}{Mc^2}$
also das Verhältniß nahe 35	: 3,5	: 1

Bei dem Stangenlängenverhältniß  $\frac{r}{l} = \frac{1}{5}$  dagegen

für den einfachen	doppelten	dreifachen Krummzapfen
$\delta = 0,5154 \frac{Qr}{Mc^2}$	$0,1352 \frac{2Qr}{Mc^2}$	$0,0387 \frac{3Qr}{Mc^2},$
also das Verhältniß nahe 13,3	: 4	: 1

Beispiel. Wenn die bewegende Kraft des Kolbens einer Dampfmaschine 10000 Pfund ist, und der Hub  $2r$  dieser Maschine 4 Fuß mißt, wenn ferner die Maschine pro Minute 24 Spiele macht und die ganze rotirende Masse der Maschine, auf den Wazgenkreis reducirt,  $M = \frac{G}{g} = \frac{250000}{31,25} = 8000$  Pfund beträgt, so ist der Ungleichförmigkeitsgrad dieser Maschine:

bei Anwendung eines Dampfzylinders und eines einfachen Krummzapfens  
und bei dem Stangenlängenverhältniß  $\frac{r}{l} = \frac{1}{6},$

$$\delta = 0,5154 \frac{Qr}{Mc^2} = 0,5154 \cdot \frac{10000 \cdot 2}{8000 \cdot (0,1047 \cdot 24 \cdot 2)^2}$$

$$= \frac{5154}{4000 \cdot (5,0256)^2} = \frac{1,2885}{25,25} = \frac{1}{20},$$

dagegen bei Anwendung von zwei Dampfzylindern und doppeltem Krummzapfen und dem Verhältnisse  $\frac{r}{l} = \frac{1}{5},$

$$\delta = 0,2705 \cdot \frac{10000 \cdot 2}{8000 \cdot 25,25} = \frac{2,705}{4 \cdot 25,25} = \frac{0,6762}{25,25} = \frac{1}{34},$$





Während die Warte den Winkel  $ACO = \beta$  durchläuft, legt die Stangenkraft  $Q$  einen Weg  $s$  zurück, welcher der Linie  $AD$ , d. i. der Differenz  $KO - KA$  der Abstände  $KO$  und  $KD$  des festen Punktes von den beiden Endpunkten  $O$  und  $A$  des Weges  $OA = r\beta$ , gleich ist. Es ist also

$$\begin{aligned} s &= a + r - \sqrt{a^2 + 2ar \cos. \beta + r^2}, \text{ oder} \\ s &= a + r - a \left( 1 + \frac{2r}{a} \cos. \beta + \frac{r^2}{a^2} \right)^{1/2}, \text{ annähernd} \\ &= a + r - a \left( 1 + \frac{r \cos. \beta}{a} + \frac{r^2}{2a^2} - \frac{1}{8} \frac{r^2 (\cos. \beta)^2}{a^2} \right) \\ &= r - r \cos. \beta - \frac{r^2}{2a} [1 - (\cos. \beta)^2] \\ &= r (1 - \cos. \beta) - \frac{r^2}{2a} \sin. \beta^2. \end{aligned}$$

Für den gewöhnlichen Krummzapfen mit besonderer Kurbelstange ist aber, §. 95 zu Folge, der Weg der Stangenkraft  $Q$  annähernd,

$$s = r (1 - \cos. \beta) - \frac{r^2}{2l} (\sin. \beta)^2;$$

wenn man daher in dieser Formel die Lenkstangenlänge  $l$  durch den Krenabstand  $a$  ersetzt, so geht die vorige Formel unmittelbar aus dieser hervor. Diese Uebereinstimmung zwischen den Wegen und also auch die zwischen den Arbeiten ( $Qs$ ) beider Arten der Krummzapfenbewegung berechtigt uns nun auch, alle die im Vorstehenden gefundenen Formeln für die Bewegung des einfachen Krummzapfens (§. 95 bis §. 105) nach Umänderung der GröÙe  $l$  in  $a$  auf den Krummzapfen mit oscillirendem Cylinder anzuwenden. Es ist folglich in Betreff dieser Maschine nichts Neues zu finden. Da nach dem Obigen (§. 112) die Ungleichförmigkeit der rotirenden Bewegung des Krummzapfens der ersten Art zunimmt, wenn die Kurbelstange ( $l$ ) eine kürzere wird, so folgt, daß dieselbe bei einem Krummzapfen der zweiten Art ebenfalls wächst, wenn der Abstand der Schwingungsaxe  $K$  von der Drehungsaxe  $C$  abnimmt.

§. 114. Wir haben oben (§. 95 bis §. 112), bei unseren Entwicklungen in Betreff der Krummzapfenbewegung vorausgesetzt, daß die Kurbelstange unmittelbar mit der Kolbenstange verbunden sei, daß sich also das eine Ende der Kolbenstange in gerader Linie auf- und nieder-, oder hin- und herbewege, während das andere im Kreise herumläuft; jetzt wollen wir aber noch den in Fig. 243 a. f. S. abgebildeten und bereits in §. 90 besprochenen Fall in Betracht ziehen, wo durch Zwischenstellung eines Balancier oder Hebels entweder die geradlinige Bewegung der Kolbenstange oder die stetige Kreis-

Krummzapfen  
bei  
oscillirenden  
Dampf-  
maschinen.

Krummzapfen  
mit  
Balancier  
oder Hebel.



so haben wir

Krümmzapfen  
mit  
Balancer  
oder Hebel.

1) die Vertikalprojection der Kurbelstange  $AD$ :

$$HD = HN + ND = RM + ND = CM - CR + ND, \text{ oder } AD \cos. ADH = OF - CA \cos. ACR + KD \sin. DKL, \text{ d. i. } l \cos. \delta = l - r \cos. \beta + a \sin. \alpha, \text{ und}$$

2) die Horizontalprojection derselben

$$AH = AR - HR = AR - MN = AR - KN + KM, \text{ oder } AD \sin. ADH = CA \sin. ACR - KD \cos. DKL + KF \cos. FKL, \text{ d. i. } l \sin. \delta = r \sin. \beta - a (\cos. \alpha - \cos. \alpha_1).$$

Da  $(\sin. \delta)^2 + (\cos. \delta)^2 = 1$  ist, so hat man hier

$$l^2 = (l - r \cos. \beta + a \sin. \alpha)^2 + [r \sin. \beta - a (\cos. \alpha - \cos. \alpha_1)]^2, \text{ und daher}$$

$$l - r \cos. \beta + a \sin. \alpha = \sqrt{l^2 - [r \sin. \beta - a (\cos. \alpha - \cos. \alpha_1)]^2}, \text{ d. i. annähernd}$$

$$a \sin. \alpha = r \cos. \beta - \frac{l}{2} \left( \frac{r \sin. \beta - a (\cos. \alpha - \cos. \alpha_1)}{l} \right)^2.$$

Nun ist aber  $\cos. \alpha - \cos. \alpha_1$  annähernd

$$= 1 - \frac{1}{2} (\sin. \alpha)^2 - 1 + \frac{1}{2} (\sin. \alpha_1)^2, \text{ daher folgt}$$

$$a \sin. \alpha = r \cos. \beta - \frac{(r \sin. \beta - \frac{1}{2} a [(\sin. \alpha_1)^2 - (\sin. \alpha)^2])^2}{2l}.$$

Setzen wir noch rechts  $\sin. \alpha = \frac{r \cos. \beta}{a}$ , so wie

$$\sin. \alpha_1 = \frac{r}{a}, \text{ so erhalten wir}$$

$$a \sin. \alpha = r \cos. \beta - \frac{1}{2l} \left( r \sin. \beta - \frac{r^2}{2a} [1 - (\cos. \beta)^2] \right)^2 \\ = r \cos. \beta - \frac{r^2 (\sin. \beta)^2}{2l} \left( 1 - \frac{r \sin. \beta}{2a} \right)^2, \text{ und daher}$$

$$\sin. \alpha = \frac{r \cos. \beta}{a} - \frac{r^2 (\sin. \beta)^2}{2al} \left( 1 - \frac{r \sin. \beta}{2a} \right)^2, \text{ oder}$$

genau genug, da  $\frac{r}{a} = \frac{1}{3}$  oder noch kleiner gemacht wird,

$$\sin. \alpha = \frac{r \cos. \beta}{a} - \frac{r^2 (\sin. \beta)^2}{2al} + \frac{r^3}{2a^2 l} (\sin. \beta)^3.$$

Es kommt nun darauf an, den Bogen oder Weg  $FD = s = a(\alpha_1 - \alpha)$  zu finden, welcher dem Umdrehungswinkel  $OCA = \beta$  entspricht. Da

$$\alpha = \sin. \alpha + \frac{1}{6} (\sin. \alpha)^3 \text{ (s. „Ingenieur“, Seite 225)}$$

gesetzt werden kann, so folgt für unsern Fall

Krummzapfen  
mit  
Balancier  
oder Hebel.

$$\alpha = \frac{r \cos. \beta}{a} - \frac{r^2 (\sin. \beta)^2}{2 a l} + \frac{r^3 (\sin. \beta)^3}{2 a^2 l} + \frac{r^3 (\cos. \beta)^3}{6 a^3} \quad \text{und}$$

$$\alpha_1 = \frac{r}{a} + \frac{r^3}{6 a^3},$$

und es ist daher der Weg oder Schub  $DF$ :

$$\begin{aligned} s &= r(1 - \cos. \beta) + \frac{r^2 (\sin. \beta)^2}{2 l} - \frac{r^3 (\sin. \beta)^3}{2 a l} + \frac{r^3}{6 a^2} [1 - (\cos. \beta)^3] \\ &= r \left[ 1 - \cos. \beta + \frac{r}{2 l} (\sin. \beta)^2 - \frac{r^2}{2 a l} (\sin. \beta)^3 + \frac{r^2}{6 a^2} [1 - (\cos. \beta)^3] \right]. \end{aligned}$$

Für die aufsteigende Stange  $BE$  ist

$$EJ = l \cos. \delta = l + r \cos. \beta - a \sin. \alpha \quad \text{und}$$

$$BJ = l \sin. \delta = r \sin. \beta + a (\cos. \alpha - \cos. \alpha_1), \quad \text{daher}$$

$$l + r \cos. \beta - a \sin. \alpha = \sqrt{l^2 - [r \sin. \beta + a (\cos. \alpha - \cos. \alpha_1)]^2},$$

woraus nun

$$\alpha = \frac{r \cos. \beta}{a} + \frac{r^2 (\sin. \beta)^2}{2 a l} + \frac{r^3 (\sin. \beta)^3}{2 a^2 l} + \frac{r^3 (\cos. \beta)^3}{6 a^3} \quad \text{und der}$$

dem Umdrehungswinkel  $UCB = \beta$  entsprechende Schub  $GE = a(\alpha_1 - \alpha)$

$$s_1 = r \left( 1 - \cos. \beta - \frac{r (\sin. \beta)^2}{2 l} - \frac{r^2 (\sin. \beta)^3}{2 a l} + \frac{r^2}{6 a^2} [1 - (\cos. \beta)^3] \right)$$

sich ergibt.

Für  $\beta = 0^\circ$  ist natürlich  $s = s_1 = 0$  und

$$\text{für } \beta = 180^\circ, s = s_1 = 2r + \frac{2r^3}{6a^2} = 2r \left[ 1 + \frac{1}{6} \left( \frac{r}{a} \right)^2 \right]$$

$$= 2a \operatorname{arc.} \left( \sin. = \frac{r}{a} \right) = 2\alpha_1 a.$$

Für  $\beta = 90^\circ$ , also bei den Quadraturen der Umdrehung ist dagegen

$$s = r \left( 1 + \frac{r}{2l} - \frac{r^2}{2al} + \frac{r^3}{6a^2} \right) \quad \text{und}$$

$$s_1 = r \left( 1 - \frac{r}{2l} - \frac{r^2}{2al} + \frac{r^3}{6a^2} \right).$$

§. 115 \*). Wenn der Balancier durch eine constante Tangentialkraft  $Q$  auf und nieder bewegt wird, so haben wir bei Umdrehung des Krummzapfens um den Winkel  $\beta$  die verrichtete Arbeit dieser Kraft

$$\begin{aligned} Qs &= Qr \left( 1 - \cos. \beta \pm \frac{r}{2l} (\sin. \beta)^2 - \frac{r^2 (\sin. \beta)^3}{2 a l} \right. \\ &\quad \left. + \frac{r^2}{6 a^2} [1 - (\cos. \beta)^3] \right), \end{aligned}$$

während von der Umdrehungskraft  $P$  des Krummzapfens wieder die Arbeit



$Pr\beta$  geleistet wird. Es ist daher die auf die Beschleunigung der trägen Massen verwendete Arbeit

Krümmzapfen  
mit  
Balancer  
oder Hebel.

$$L = Qs - Pr\beta = Qr \left( 1 - \cos.\beta \pm \frac{r}{2l} (\sin.\beta)^2 - \frac{r^2 (\sin.\beta)^3}{2al} + \frac{r^2}{6a^2} [1 - (\cos.\beta)^3] \right) - Pr\beta.$$

Da wegen des nöthigen Beharrungszustandes für  $\beta = \pi$ ,  $L = 0$  sein muß, so hat man

$$\pi Pr = Qr \left( 2 + \frac{2r^2}{6a^2} \right) = 2Qr \left[ 1 + \frac{1}{6} \left( \frac{r}{a} \right)^2 \right] = 2Qa\alpha_1,$$

und daher

$$L = Qr \left( 1 - \cos.\beta \pm \frac{r}{2l} (\sin.\beta)^2 - \frac{r^2}{2al} (\sin.\beta)^3 + \frac{r^2}{6a^2} [1 - (\cos.\beta)^3] - \frac{2\beta}{\pi} \left[ 1 + \frac{1}{6} \left( \frac{r}{a} \right)^2 \right] \right).$$

Um diejenigen Drehungswinkel zu finden, welche auf die eminenten Geschwindigkeitswerthe führen, differenziiiren wir diesen Ausdruck in Hinsicht auf  $\beta$  und setzen das erhaltene Differenzialverhältniß = Null. Dies giebt

$$\sin.\beta \pm \frac{r}{2l} \sin.2\beta - \frac{3r^2}{2al} (\sin.\beta)^2 \cos.\beta + \frac{3r^2}{6a^2} (\cos.\beta)^2 \sin.\beta - \frac{2}{\pi} \left[ 1 + \frac{1}{6} \left( \frac{r}{a} \right)^2 \right], \text{ d. i.}$$

$$\sin.\beta = \frac{2}{\pi} \left[ 1 + \frac{1}{6} \left( \frac{r}{a} \right)^2 \right] - \frac{r}{2l} \sin.2\beta \left( \pm 1 - \frac{3r}{2a} \sin.\beta + \frac{rl}{2a^2} \cos.\beta \right).$$

Mit Hülfe der diesem Sinus entsprechenden Winkel lassen sich nun die eminenten Leistungswerthe  $L$ , und hieraus wieder, nach den aus dem Obigen bekannten Formeln die eminenten Geschwindigkeiten

$$v_2 = \left( 1 + \frac{L}{Mc^2} \right) c \text{ und}$$

$$v_1 = \left( 1 - \frac{L}{Mc^2} \right) c \text{ berechnen.}$$

Ziehen wir nun den gewöhnlichen Fall,  $\frac{r}{l} = \frac{1}{5}$  und  $\frac{r}{a} = \frac{1}{3}$  in Betracht, für welchen

$$\sin.\beta = \frac{55}{64} \cdot \frac{2}{\pi} - 0,1 \cdot (\pm 1 - \frac{1}{2} \sin.\beta + 0,2778 \cos.\beta) \sin.2\beta \text{ und}$$

$$L = Qr \left( 1 - \cos.\beta \pm 0,1 (\sin.\beta)^2 - \frac{1}{30} (\sin.\beta)^3 + \frac{1}{54} [1 - (\cos.\beta)^3] - \frac{55}{64} \cdot \frac{2}{\pi} \beta \right) \text{ ist.}$$

Krummzapfen  
mit  
Balancier  
oder Hebel.

Der ersten Formel entsprechen folgende Winkel:

$$\beta = 30^{\circ}, 4' \quad \text{und} \quad = 136^{\circ}, 5',$$

$$\text{ sowie } \beta = 49^{\circ}, 35' \quad \text{und} \quad = 148^{\circ}, 56',$$

und diese geben die eminenten Geschwindigkeiten in der ersten Hälfte der Umdrehung:

$$v_2 = \left(1 - 0,1804 \frac{Qr}{Mc^2}\right) c \quad \text{und}$$

$$v_1 = \left(1 + 0,2428 \frac{Qr}{Mc^2}\right) c,$$

und dagegen die in der zweiten Umdrehungshälfte

$$v_2 = \left(1 - 0,2687 \frac{Qr}{Mc^2}\right) c \quad \text{und}$$

$$v_1 = \left(1 + 0,1701 \frac{Qr}{Mc^2}\right) c.$$

Es ist folglich die größte Geschwindigkeitsdifferenz

$$(0,2428 + 0,2687) \frac{Qr}{Mc} = 0,5115 \frac{Qr}{Mc},$$

und daher der Grad der Ungleichförmigkeit dieser Krummzapfenbewegung

$$\delta = 0,5115 \frac{Qr}{Mc^2},$$

während wir oben §. 112 für den Fall, wenn das zweite Stangenende geradlinig auf- und niedergeht,

$$\delta = 0,5154 \frac{Qr}{Mc^2},$$

also nur sehr wenig mehr gefunden haben.

Der Unterschied zwischen der Krummzapfenbewegung mit und der ohne Balancier fällt also so unbedeutend aus, daß man von demselben bei den gewöhnlichen Fällen der Anwendung ganz absehen kann.

§. 116. Um die aus der bogenförmigen Bewegung des Balanciers hervorgehende Seitenbewegung der Kurbelstange möglichst herabzuziehen, legt man das Centrum  $c$  der Kurbel  $OU$ , Fig. 245, nicht in die Sehne  $FG$  des von dem Balancierende durchlaufenen Bogens  $FLG$ , sondern in die Parallele  $CN$  zu  $FG$ , welche die Bogenhöhle  $ML$  halbt. Der Vortheil, welcher hieraus erwächst, wird aber wieder dadurch aufgehoben, daß dann die todten Punkte  $O_1$  und  $U_1$  nicht mit den höchsten und tiefsten Punkten  $O$  und  $U$  des Warzenkreises zusammenfallen, und daher nicht genau um einen Halbkreis von einander abstehen. Die Winkel  $OCO_1 = \mu$  und  $UCU_1 = \nu$ , um welche die todten Punkte  $O_1$  und  $U_1$  von



Krummzapfen  
mit  
Balancier  
oder Hebel.

daher folgt

$$\cos. NCK - \cos. G_1CK = - \frac{r^2}{(4l - r)\sqrt{l^2 + a^2}} \text{ und}$$

$$NCK - G_1CK = NCG_1 = UCU_1 = v = \frac{r^2}{4a(l - r)}.$$

Für  $\frac{r}{a} = \frac{1}{3}$  und  $\frac{r}{l} = \frac{1}{3}$  ist demnach

$$= \frac{1}{4 \cdot 3 \cdot 6} = \frac{1}{72}, \text{ also } \mu^0 = \frac{180^0 \mu}{\pi} = 0^0,796 = 0^0,48' \text{ und}$$

$$v = \frac{1}{4 \cdot 3 \cdot 4} = \frac{1}{48}, \text{ also } v^0 = \frac{180^0 \cdot v}{\pi} = 1^0,194 = 1^0,12'.$$

Es sind folglich die Abstände der todten Punkte  $O_1$  und  $U_1$  von einander

$$180^0 \pm (v - \mu) = 180^0,24' \text{ und } 179^0,36'.$$

Nach dem Obigen (§. 114) sind die Wege  $FF_1$  und  $GG_1$ , um welche der Balancier in Folge der schiefen Kurbelstellung über den Enden  $F$  und  $G$  des Bogens  $FLG = 2a\alpha_1$  hinausgeht,

$$FF_1 = \sigma = (1 - \cos. \mu)r = (1 - \cos. 0^0,48')r = (1 - 0,99990)r = 0,00010r$$

$$\text{und } GG_1 = \sigma_1 = (1 - \cos. v)r = (1 - \cos. 1^0,12')r = (1 - 0,99978)r = 0,00022r,$$

also so unbedeutend, daß sie außer Betracht kommen können.

Krummzapfen  
mit veränder-  
licher Umbre-  
hungskraft.

§. 117. Wir haben bis jetzt stets eine constante Stangenkraft  $Q$  vorausgesetzt, es können daher auch die gefundenen Regeln nicht auf die Krummzapfenbewegung bei Expansionsdampfmaschinen angewendet werden, wo die Stangenkraft  $Q$  variabel ist. Die häufige Anwendung dieser Maschine macht es daher nöthig, daß wir auch noch die Bewegungsverhältnisse der Krummzapfen mit veränderlicher Kraft kennen lernen. Ziehen wir zunächst wieder einen einfachen Krummzapfen in Betracht, setzen wir ferner eine unendlich lange Kurbelstange voraus, und sehen wir noch von allen Nebenverhältnissen, also auch von dem Gegendruck auf den Dampfkolben ab.

Von der Expansion gilt wieder die aus dem Obigen bekannte Regel (§. 100):

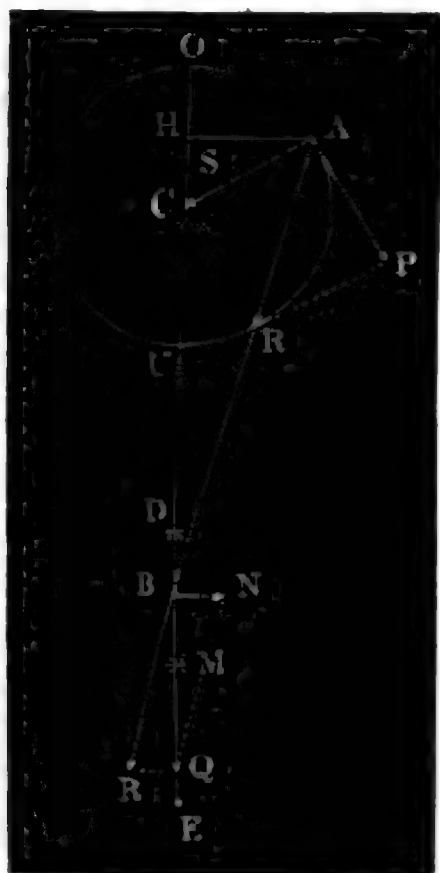
$$Qr(1 - \cos. \beta) - Pr\beta = \frac{M(v^2 - c^2)}{2}, \text{ und es ist daher auch wieder}$$

$$v = \sqrt{c^2 + \frac{2r}{Mc^2}[Q(1 - \cos. \beta) - P\beta]} \text{ oder annähernd}$$

$$1) v = c \left( 1 + \frac{2r}{Mc^2}[Q(1 - \cos. \beta) - P\beta] \right).$$

Ist das Expansionsverhältniß  $= \epsilon$  (siehe II., §. 380), so wird bei einem Krümmzapfen mit veränderlicher Umdrehungskraft. Kolbenwege  $OH = s$ , Fig. 246, der Dampfzufluß abgesperrt und es tritt nun eine allmähliche Abnahme der Kraft  $Q$  ein, so daß dieselbe am Ende des ganzen Kolbenweges  $s_1 = 2r$ , dem Mariotte'schen Gesetze zu Folge, nur noch die Größe

Fig. 246.



tritt nun eine allmähliche Abnahme der Kraft  $Q$  ein, so daß dieselbe am Ende des ganzen Kolbenweges  $s_1 = 2r$ , dem Mariotte'schen Gesetze zu Folge, nur noch die Größe

$$Q_1 = \frac{sQ}{s_1} \text{ hat.}$$

Der Drehungswinkel  $ACO = \beta$ , bei welchem die Expansion beginnt, ist durch die Gleichung

$$\frac{s_1}{s} = \frac{2r}{(1 - \cos. \beta_1)r} = \frac{2}{1 - \cos. \beta_1} = \epsilon$$

bestimmt, welche

$$\cos. \beta_1 = 1 - \frac{2}{\epsilon} \text{ giebt.}$$

Hat sich der Krümmzapfen um einen Winkel  $\beta > \beta_1$  gedreht und folglich die Stange den Weg  $r(1 - \cos. \beta)$  zurückgelegt, so ist nach II., §. 253 die Arbeit der Kraft:

$$\begin{aligned} Fsp \left[ 1 + \text{Log. nat.} \left( \frac{s_1}{s} \right) \right] &= Qs \left( 1 + \text{Log. nat.} \frac{1 - \cos. \beta}{1 - \cos. \beta_1} \right) \\ &= Qs \left( 1 + \text{Log. nat.} \frac{(1 - \cos. \beta)\epsilon}{2} \right); \end{aligned}$$

daher gilt denn auch für die Bewegung des Krümmzapfens während der Expansion die Formel:

$$Qs \left( 1 + \text{Log. nat.} \frac{(1 - \cos. \beta)\epsilon}{2} \right) - Pr\beta = \frac{M(v^2 - c^2)}{2}, \text{ und es ist}$$

hiernach die veränderliche Warzengeschwindigkeit

$$v = \sqrt{c^2 + \frac{1}{M} \left[ Qs \left( 1 + \text{Log. nat.} \frac{(1 - \cos. \beta)\epsilon}{2} \right) - Pr\beta \right]},$$

annähernd

$$2) v = c \left( 1 + \frac{1}{Mc^2} \left[ Qs \left( 1 + \text{Log. nat.} (1 - \cos. \beta) \frac{\epsilon}{2} \right) - Pr\beta \right] \right).$$

Da für  $\beta = \pi$ , also  $1 - \cos. \beta = 1 + 1 = 2$ ,  $v = c$  sein muß, so hat man



Krummzapfen  
mit veränder-  
licher Umdre-  
hungskraft.

$$P = \frac{Qs}{\pi r} (1 + \text{Log. nat. } \varepsilon) = \frac{Qs_1}{\varepsilon \pi r} (1 + \text{Log. nat. } \varepsilon) \\ = \frac{2Q}{\varepsilon \pi} (1 + \text{Log. nat. } \varepsilon) \text{ in die Formeln 1) und 2) einzusetzen,}$$

um die Geschwindigkeiten vor und während der Expansion zu finden. Durch Differenziren der Formeln findet man die Gleichungen für die auf die größten und kleinsten Geschwindigkeitswerthe führenden Winkel; es ist nämlich

1) für die Bewegung vor der Expansion

$$\sin. \beta = \frac{P}{Q} = \frac{2}{\varepsilon \pi} (1 + \text{Log. nat. } \varepsilon) \text{ und}$$

2) für die Bewegung während der Expansion

$$Qs \frac{\sin. \beta}{1 - \cos. \beta} = Pr, \text{ d. i.} \\ \cotg. \frac{\beta}{2} = \frac{Pr}{Qs} = \frac{\varepsilon P}{2Q} = \frac{1 + \text{Log. nat. } \varepsilon}{\pi}.$$

Nehmen wir das Expansionsverhältniß  $\varepsilon = \frac{s_1}{s} = 2$  an, so erhalten wir für die Bewegung vor der Expansion

$$\sin. \beta = \frac{2}{2\pi} (1 + \text{Log. nat. } 2) = \frac{1}{\pi} (1 + 0,69315) = 0,53894 \text{ und} \\ \text{hiernach } \beta = 32^\circ, 37'; \text{ daher die Minimalgeschwindigkeit des Krumm-} \\ \text{zapfens:}$$

$$v_2 = \left( 1 + \frac{Qr}{Mc^2} [(1 - \cos. \beta) - 0,53894 \cdot \text{arc. } \beta] \right) c \\ = \left( 1 + (1 - 0,84230 - 0,53894 \cdot 0,56927) \frac{Qr}{Mc^2} \right) c \\ = \left( 1 + (0,15770 - 0,30681) \frac{Qr}{Mc^2} \right) c = \left( 1 - 0,1491 \frac{Qr}{Mc^2} \right) c.$$

Für die Bewegung während der Expansion ist dagegen

$$\cotg. \frac{\beta}{2} = \frac{1 + \text{Log. nat. } 2}{\pi} = 0,53894, \text{ daher}$$

$$\frac{\beta}{2} = 61^\circ, 41', \text{ daher } \beta = 123^\circ, 22', \text{ und die entsprechende Maxi-} \\ \text{malgeschwindigkeit}$$

$$\begin{aligned}
 v_1 &= \left( 1 + [(1 + \text{Log. nat.}(1 - \cos. 123^\circ, 22') - 0,53894 \text{arc.} 123^\circ, 22')] \frac{Qr}{Mc^2} \right) c \quad \text{Krummzapfen mit veränderlicher Umdrehungskraft.} \\
 &= \left( 1 + (1 + \text{Log. nat.} 1,55000 - 0,53894 \cdot 2,15315) \frac{Qr}{Mc^2} \right) c \\
 &= \left( 1 + (1,43825 - 1,16044) \frac{Qr}{Mc^2} \right) c = \left( 1 + 0,2778 \frac{Qr}{Mc^2} \right) c.
 \end{aligned}$$

Es ist folglich für dieses Expansionsverhältniß der Grad der Ungleichförmigkeit

$$\begin{aligned}
 \delta &= (0,1491 + 0,2778) \frac{Qr}{Mc^2} = 0,4269 \frac{Qr}{Mc^2}, \text{ oder, da } P = 0,53894 Q \text{ ist,} \\
 \delta &= \frac{0,4269 Pr}{0,5389 Mc^2} = 0,7922 \frac{Pr}{Mc^2}.
 \end{aligned}$$

In folgender Tabelle sind die in den Expansionsverhältnissen  $\epsilon = 2, 3, 4, 5, 6$  entsprechenden Ungleichförmigkeitsgrade angegeben.

Expansionsverhältnisse $\epsilon$ . .	2	3	4	5	6
Ungleichförmigkeitsgrade . .	0,7922	0,8523	0,8914	0,9223	0,9473 $\frac{Pr}{Mc^2}$ .

§. 118. Wir wollen nun unsere Regel über die Bewegung der Krummzapfen bei Expansions-Dampfmaschinen dadurch allgemeiner machen, daß wir eine endliche Stangenlänge voraussetzen, und deshalb

statt  $1 - \cos. \beta$  den schärferen Werth  $1 - \cos. \beta \mp \frac{r}{2l} (\sin. \beta)^2$  einführen. Es ist dann für die Bewegung vor der Expansion

$$v = \left[ 1 + \frac{r}{Mc^2} \left( Q \left[ 1 - \cos. \beta \mp \frac{r}{2l} (\sin. \beta)^2 \right] - P \beta \right) \right] c$$

und der Winkel für die Minimalgeschwindigkeit bestimmt durch die Formel

$$\begin{aligned}
 \sin. \beta &= \frac{P}{Q} \pm \frac{r}{2l} \sin. 2\beta \\
 &= \frac{2}{\epsilon \pi} (1 + \text{Log. nat. } \epsilon) \pm \frac{r}{2l} \sin. 2\beta.
 \end{aligned}$$

Für die Bewegung während der Expansion hat man hingegen

$$v = \left( 1 + \frac{1}{Mc^2} \left[ Q \left( 1 + \text{Log. nat.} \left[ 1 - \cos. \beta \mp \frac{r}{2l} (\sin. \beta)^2 \right] \frac{\epsilon}{2} \right) - Pr \beta \right] \right) c,$$

und hiernach für den Winkel, welcher auf die Maximalgeschwindigkeit führt,

Stummzapfen  
mit veränder-  
licher Umdre-  
hungskraft.

$$Q_s \left( \frac{\sin. \beta \mp \frac{r}{2l} \sin. 2\beta}{1 - \cos. \beta \mp \frac{r}{2l} (\sin. \beta)^2} \right) = Pr, \text{ oder}$$

$$\frac{\cotg. \frac{1}{2} \beta \cdot \left( 1 \mp \frac{r}{l} \cos. \beta \right)}{1 \mp \frac{r}{2l} (1 + \cos. \beta)} = \frac{Pr}{Q_s}, \text{ oder}$$

$$\cotg. \frac{1}{2} \beta \left( 1 \pm \frac{r}{2l} (1 - \cos. \beta) \right) = \frac{Pr}{Q_s}, \text{ d. i.}$$

$$\begin{aligned} \cotg. \frac{1}{2} \beta &= \frac{Pr}{Q_s \left[ 1 \pm \frac{r}{l} \left( \sin. \frac{\beta}{2} \right)^2 \right]} = \frac{Pr}{Q_s} \left[ 1 \mp \frac{r}{l} \left( \sin. \frac{\beta}{2} \right)^2 \right] \\ &= \frac{1 + \text{Log. nat. } \varepsilon}{\pi} \left[ 1 \mp \frac{r}{l} \left( \sin. \frac{\beta}{2} \right)^2 \right]. \end{aligned}$$

Das Expansionsverhältniß ist aber hier

$$\varepsilon = \frac{2}{1 - \cos. \beta_1 \mp \frac{r}{2l} (\sin. \beta_1)^2}, \text{ also der Umdrehungswinkel,}$$

bei welchem die Expansion eintritt, bestimmt durch die Formel

$$\cos. \beta_1 = 1 - \frac{2}{\varepsilon} \mp \frac{r}{2l} (\sin. \beta_1)^2.$$

Für das Expansionsverhältniß  $\varepsilon = 2$  und für die Stangenlänge  $l = 5r$ , also für  $\frac{r}{2l} = \frac{1}{10}$  haben wir hiernach Folgendes. Der Bewegung vor der Expansion entspricht

$$\sin. \beta = \frac{1 + \text{Log. nat. } \varepsilon}{\pi} \pm 0,1 \sin. 2\beta = 0,53894 \pm 0,1 \sin. 2\beta;$$

es ist hiernach für diese Bewegung,  $\beta = 39^\circ, 35'$  oder  $\beta = 27^\circ, 14'$ .

Diesen Winkeln entsprechen die folgenden Geschwindigkeitsminima:

$$\begin{aligned} 1) v_2 &= \left( 1 + [1 - \cos. 39^\circ, 35' - 0,1 (\sin. 39^\circ, 35')^2 \right. \\ &\quad \left. - 0,53894 \text{ arc. } 39^\circ, 35'] \frac{Qr}{Mc^2} \right) c \\ &= \left( 1 + (1 - 0,77070 - 0,04060 - 0,37283) \frac{Qr}{Mc^2} \right) c \\ &= \left( 1 - 0,1836 \frac{Qr}{Mc^2} \right) c \text{ und} \end{aligned}$$

$$\begin{aligned}
 2) \quad r_2 &= \left( 1 - [1 - \cos. 27^\circ, 14' + 0,1 (\sin. 27^\circ, 14')^2 \right. \\
 &\quad \left. - 0,53894 \operatorname{arc}. 27^\circ, 14'] \frac{Qr}{Mc^2} \right) c \\
 &= \left( 1 - (1 - 0,88915 + 0,02094 - 0,25617) \frac{Qr}{Mc^2} \right) c \\
 &= \left( 1 - 0,1244 \frac{Qr}{Mc^2} \right) c.
 \end{aligned}$$

Krummzapfen  
mit veränder-  
ter Umdre-  
hungszeit.

Für die Bewegung während der Expansion hat man dagegen

$$\cotg. \frac{1}{2} \beta = \frac{0,53894}{1 \pm 0,2 \left( \sin. \frac{\beta}{2} \right)^2}, \text{ wonach sich folgende Winkel ergeben:}$$

$\beta = 130^\circ, 20'$  und  $\beta = 115^\circ, 40'$ , die auf folgende Maximalgeschwin-  
digkeiten führen:

$$\begin{aligned}
 r_1 &= \left( 1 - (1 + \operatorname{Log. nat.} [1 - \cos. 130^\circ, 20' - 0,1 (\sin. 130^\circ, 20')^2] \right. \\
 &\quad \left. - 0,53894 \operatorname{arc}. 130^\circ, 20') \frac{Qr}{Mc^2} \right) c \\
 &= \left( 1 - (1 + \operatorname{Log. nat.} 1,58912 - 1,22594) \frac{Qr}{Mc^2} \right) c \\
 &= \left( 1 + 0,2372 \frac{Qr}{Mc^2} \right) c \text{ und}
 \end{aligned}$$

$$\begin{aligned}
 r_1 &= \left( 1 - (1 + \operatorname{Log. nat.} [1 - \cos. 115^\circ, 40' + 0,1 (\sin. 115^\circ, 40')^2] \right. \\
 &\quad \left. - 0,53894 \operatorname{arc}. 115^\circ, 40') \frac{Qr}{Mc^2} \right) c \\
 &= \left( 1 - (1 + \operatorname{Log. nat.} 1,51437 - 1,0880) \frac{Qr}{Mc^2} \right) c \\
 &= \left( 1 + 0,3270 \frac{Qr}{Mc^2} \right) c.
 \end{aligned}$$

Es ist folglich der Ungleichförmigkeitsgrad dieser Krummzapfenbewegung

$$\delta = (0,3270 + 0,1836) \frac{Qr}{Mc^2} = 0,5106 \frac{Qr}{Mc^2}, \text{ oder, da}$$

$$P = (1 + \operatorname{Log. nat.} \epsilon) \frac{Q}{\pi} = 0,5389 Q \text{ ist,}$$

$$\delta = \frac{0,5106 Pr}{0,5389 Mc^2} = 0,9475 \frac{Pr}{Mc^2}.$$

In folgender Tabelle sind die den Expansionsverhältnissen  $\epsilon = 2, 3, 4, 5, 6$  entsprechenden Grade der Ungleichförmigkeit dieser Krummzapfen-  
bewegung aufgeführt:

Krummzapfen  
mit veränder-  
licher Umkre-  
bungskraft.

Expansionsverhältnisse $\varepsilon$ ..	2	3	4	5	6
Ungleichförmigkeitsgrade $\delta$ .	0,9475	1,004	1,038	1,062	$1,084 \frac{Pr}{Mc^2}$

§. 119. Wir haben endlich noch die Theorie der Krummzapfenbewegung bei Expansionsdampfmaschinen dadurch allgemeiner zu machen, daß wir noch auch die aus der Kolbenreibung, aus dem Gegendruck auf der andern Fläche des Kolbens u. s. w. bestehende Nebenlast  $R$  mit in Rechnung bringen. Die Kolbenreibung können wir nach Pambour (S. II., §. 377) pr. Quadratzoll Kolbenfläche,  $= \frac{25}{d}$  Pfund, wo  $d$  den Kolbendurchmesser bezeichnet, setzen, der Gegendruck auf der hinteren Kolbenfläche ist hingegen bei Maschinen mit Condensation 1,51 und bei solchen ohne Condensation 15,1 Pfund auf den Quadratzoll Kolbenfläche zu setzen. Ist daher  $F$  die Kolbenfläche in Quadratzoll, so hat man diesen Widerstand

bei Condensationsmaschinen,  $R = \left( \frac{25}{d} + 1,51 \right) F$ , und

bei Maschinen ohne Condensation,  $R = \left( \frac{25}{d} + 15,1 \right) F$  Pfund,

wogegen die Kolbenkraft vor der Expansion, bei  $p$  Pfund Dampfdruck auf den Quadratzoll,  $Q = Fp$  Pfund beträgt.

Es ist leicht zu ermessen, daß für diese Krummzapfen die Wurzengeschwindigkeit vor der Expansion durch die Formel

$$v = \left( 1 + \left[ (Q - R) \left( 1 - \cos. \beta \mp \frac{r}{2l} (\sin. \beta)^2 \right) - P\beta \right] \frac{r}{Mc^2} \right)^c,$$

und dagegen die während der Expansion durch die Formel

$$v = \left[ 1 + \left( Qs \left[ 1 + \text{Log. nat.} \left( 1 - \cos. \beta \mp \frac{r}{2l} (\sin. \beta)^2 \right) \frac{\varepsilon}{2} \right] - Pr\beta - Rr \left( 1 - \cos. \beta \mp \frac{r}{2l} (\sin. \beta)^2 \right) \right) \frac{1}{Mc^2} \right] c$$

bestimmt werden muß.

Die Minimalgeschwindigkeit vor der Expansion ist mit Hülfe der im vorigen Paragraphen gefundenen Formel zu ermitteln, wenn man darin nur statt  $Q$ ,  $Q - R$  setzt. Man hat folglich

$$\sin. \beta = \frac{P}{Q - R} \pm \frac{r}{2l} \sin. 2\beta, \text{ oder}$$

$$\sin. \beta = \frac{2}{\pi \left( 1 - \frac{R}{Q} \right)} \left( \frac{1 + \text{Log. nat.} \varepsilon}{\varepsilon} - \frac{R}{Q} \right) \pm \frac{r}{2l} \sin. 2\beta,$$



wenn man berücksichtigt, daß hier des Beharrungszustandes wegen

$$P = \frac{Qs(1 + \text{Log. nat. } \varepsilon) - 2Rr}{\pi r} = \frac{2Q}{\pi \varepsilon} (1 + \text{Log. nat. } \varepsilon) - \frac{2}{\pi} R$$

Krümmzapfen  
mit veränder-  
licher Umkre-  
bungskraft.

zu setzen ist.

Für die Maximalgeschwindigkeit während der Expansion hat man hin-  
gegen

$$Qs \cdot \frac{\sin. \beta \mp \frac{r}{2l} \sin. 2\beta}{1 - \cos. \beta \mp \frac{r}{2l} (\sin. \beta)^2} - Pr - Rr \left( \sin. \beta \mp \frac{r}{2l} \sin. 2\beta \right) = 0,$$

oder

$$\left( \sin. \beta \mp \frac{r}{2l} \sin. 2\beta \right) \left( \frac{Qs}{1 - \cos. \beta \mp \frac{r}{2l} (\sin. \beta)^2} - Rr \right) = Pr,$$

und hieraus ergibt sich

$$\begin{aligned} \cotg. \frac{1}{2} \beta &= \frac{Pr}{Qs \left[ 1 \pm \frac{r}{l} \left( \sin. \frac{\beta}{2} \right)^2 \right] - 2Rr \left( \sin. \frac{\beta}{2} \right)^2 \left( 1 \mp \frac{r}{l} \cos. \beta \right)} \\ &= \frac{Qs(1 + \text{Log. nat. } \varepsilon) - 2Rr}{\pi \left( Qs \left[ 1 + \frac{r}{l} \left( \sin. \frac{\beta}{2} \right)^2 \right] - 2Rr \left( \sin. \frac{\beta}{2} \right)^2 \left( 1 \mp \frac{r}{l} \cos. \beta \right) \right)} \\ &= \frac{1 + \text{Log. nat. } \varepsilon - \frac{\varepsilon R}{Q}}{\pi \left[ 1 \pm \frac{r}{l} \left( \sin. \frac{\beta}{2} \right)^2 - \frac{\varepsilon R}{Q} \left( \sin. \frac{\beta}{2} \right)^2 \left( 1 \mp \frac{r}{l} \right) \cos. \beta \right]}. \end{aligned}$$

Wir wissen schon aus II., §. 374, daß die vortheilhafteste Dampfbes-  
nutzung dann statt hat, wenn die Dampfkraft  $\frac{Q}{\varepsilon}$  am Ende des Kolbens-

hubes  $s_1 = 2r = \varepsilon s$  dem Widerstande  $R$  gleich und folglich auch  $\frac{\varepsilon R}{Q} = 1$  ist. Unter dieser Voraussetzung nehmen unsere Formeln folgende einfache Gestalten an:

Für die Minimalgeschwindigkeit:

$$\sin. \beta = \frac{2 \text{Log. nat. } \varepsilon}{\pi (\varepsilon - 1)} \pm \frac{r}{2l} \sin. 2\beta$$

und für die Maximalgeschwindigkeit:

$$\cotg. \frac{1}{2} \beta = \frac{\text{Log. nat. } \varepsilon}{\pi \left( \cos. \frac{\beta}{2} \right)^2 \left[ 1 \pm \frac{2r}{l} \left( \sin. \frac{\beta}{2} \right)^2 \right]}.$$

Arbeitsaufwand  
mit veränder-  
licher Umdre-  
hungskraft.

Die Umdrehungskraft ist ferner für diesen Fall

$$P = \frac{2Q}{\pi \varepsilon} \text{Log. nat. } \varepsilon = \frac{2}{\pi} R \text{Log. nat. } \varepsilon,$$

und daher sind die eminenten Geschwindigkeiten

$$v_2 = \left( 1 + \left[ (\varepsilon - 1) \left( 1 - \cos. \beta \mp \frac{r}{2l} (\sin. \beta)^2 \right) - \frac{2}{\pi} \beta \text{Log. nat. } \varepsilon \right] \frac{Qr}{\varepsilon M c^2} \right) c$$

und

$$v_1 = \left( 1 + \left[ 1 + \cos. \beta \pm \frac{r}{2l} (\sin. \beta)^2 + 2 \text{Log. nat.} \left( 1 - \cos. \beta \mp \frac{r}{2l} (\sin. \beta)^2 \right) \frac{\varepsilon}{2} - \frac{2}{\pi} \beta \text{Log. nat. } \varepsilon \right] \frac{Qr}{\varepsilon M c^2} \right) c.$$

Nehmen wir wieder  $\frac{r}{l} = 1/5$  und  $\varepsilon = 2$  an, so erhalten wir für die Winkel der Minimalgeschwindigkeiten

$$\sin. \beta = \frac{2 \text{Log. nat. } 2}{\pi} \pm 0,1 \sin. 2\beta = 0,6366 \cdot 0,69315 \pm 0,1 \sin. 2\beta,$$

oder

$$\sin. \beta = \frac{0,44126}{1 \mp 0,2 \cos. \beta}, \text{ und es ist hiernach}$$

entweder  $\beta = 32^\circ, 51/2'$  oder  $\beta = 21^\circ 50'$ .

Die entsprechenden Minimalgeschwindigkeiten sind

$$v_2 = \left( 1 + [1 - \cos. 32^\circ, 51/2' - 0,1 (\sin. 32^\circ, 51/2')^2 - 0,44126 \cdot \text{arc. } 32^\circ, 51/2'] \frac{Qr}{2 M c^2} \right) c$$

$$= \left( 1 - 0,0613 \frac{Qr}{M c^2} \right) c \text{ und}$$

$$v_2 = \left( 1 + [1 - \cos. 21^\circ, 50' + 0,1 \sin. (21^\circ, 50')^2 - 0,44126 \cdot \text{arc. } 21^\circ, 50'] \frac{Qr}{2 M c^2} \right) c.$$

Für die Winkel der Maximalgeschwindigkeiten ist dagegen

$$\cotg. 1/2 \beta = \frac{\text{Log. nat. } 2}{\pi (\cos. 1/2 \beta)^2 \left[ 1 \pm 0,4 \left( \sin. \frac{\beta}{2} \right)^2 \right]}$$

$$= \frac{0,22063}{(\cos. 1/2 \beta)^2 \left[ 1 \pm 0,4 \left( \sin. \frac{\beta}{2} \right)^2 \right]},$$

und hiernach entweder  $\beta = 116^\circ, 32'$  oder  $\beta = 104^\circ, 12'$ .

Die entsprechenden Maximalgeschwindigkeiten sind

Krummzapfen  
mit veränder-  
licher Umdre-  
hungsraft.

$$v_1 = \left( 1 + (1 + \cos. 116^\circ, 32' + 0,1 (\sin. 116^\circ, 32')^2 + 2 \text{ Log. nat. } [1 - \cos. 116^\circ, 32' - 0,1 (\sin. 116^\circ, 32')^2] - 0,44126 \text{ arc. } 116^\circ, 32') \frac{Qr}{2Mc^2} \right) c$$

$$= \left( 1 + 0,1803 \frac{Qr}{Mc^2} \right) c \text{ und}$$

$$v_2 = \left( 1 + (1 + \cos. 104^\circ, 12' - 0,1 (\sin. 104^\circ, 12')^2 + 2 \text{ Log. nat. } [1 + \cos. 104^\circ, 12' + 0,1 (\sin. 104^\circ, 12')^2] - 0,44126 \text{ arc. } 104^\circ, 12') \frac{Qr}{2Mc^2} \right) c$$

$$= \left( 1 + 0,2212 \frac{Qr}{Mc^2} \right) c;$$

daher der Ungleichförmigkeitsgrad

$$\delta = (0,2212 + 0,0613) \frac{Qr}{Mc^2} = 0,2825 \frac{Qr}{Mc^2},$$

oder, da  $P = \frac{2Q}{\pi \varepsilon} \text{ Log. nat. } \varepsilon = \frac{0,69315}{\pi} Q = 0,22063 Q$  ist,

$$\delta = \frac{0,2825}{0,22063} \cdot \frac{Pr}{Mc^2} = 1,280 \frac{Pr}{Mc^2}.$$

In folgender Tabelle sind die den Expansionsverhältnissen  $\varepsilon = 2, 3, 4, 5, 6$  entsprechenden Ungleichförmigkeitsgrade angegeben.

Expansionsverhältnisse $\varepsilon \dots$	2	3	4	5	6
Ungleichförmigkeitsgrade $\delta$ .	1,280	1,374	1,421	1,453	1,477 $\frac{Pr}{Mc^2}$

§. 120. Sehr verwickelt stellen sich die Bewegungsverhältnisse der doppelten Krummzapfen an Expansionsmaschinen, z. B. bei Dampfwagen und Dampfschiffen, heraus. Wir wollen hier jedoch die Untersuchung dadurch vereinfachen, daß wir erstens eine unendlich lange Kurbelstange voraussetzen, und daß wir zweitens von der constanten Nebenlast ganz absehen. Ist das Expansionsverhältniß nicht unter 2, so wird von den beiden Dampfmaschinen mindestens stets eine mit Expansion des Dampfes arbeiten, und wir können daher wieder jede, einem Umdrehungsquadranten entsprechende Periode aus zwei Theilen bestehend annehmen, nämlich aus einem Theile, wo nur eine Maschine mit Expansion arbeitet, und einem Theile, wo beide Maschinen mit expandirtem Dampfe arbeiten.

Doppelte  
Krummzapfen  
bei  
Expansions-  
Dampfmaschi-  
nen.

In dem ersten Theil der Bewegungsperiode verrichtet die eine Maschine

Deppelte  
Krummzapfen  
bei  
Expansions-  
Maschinen.

während der Umdrehung des Krummzapfens um den Winkel  $\beta$  die Arbeit

$L_1 = Qr (1 - \cos. \beta)$ , dagegen die andere Maschine die Arbeit

$$\begin{aligned} L_2 &= Qs \left( 1 + \text{Log. nat.} [1 - \cos. (90^\circ + \beta)] \frac{\varepsilon}{2} \right) \\ &\quad - Qs \left( 1 + \text{Log. nat.} (1 - \cos. 90^\circ) \frac{\varepsilon}{2} \right) \\ &= Qs \left( \text{Log. nat.} (1 + \sin. \beta) \frac{\varepsilon}{2} - \text{Log. nat.} \frac{\varepsilon}{2} \right) \\ &= Qs \text{Log. nat.} (1 + \sin. \beta). \end{aligned}$$

Da die Arbeit der Last  $P$  wieder  $Pr\beta$  ist, so folgt für diesen Theil der Periode die die Umdrehungsgeschwindigkeit des Krummzapfens verändernde Leistung

$$\begin{aligned} L &= L_1 + L_2 - Pr\beta \\ &= Qr (1 - \cos. \beta) + Qs \text{Log. nat.} (1 + \sin. \beta) - Pr\beta. \end{aligned}$$

In dem zweiten Theile einer Umdrehungsperiode ist die Leistung der ersten Maschine

$$L_1 = Qs \left( 1 + \text{Log. nat.} (1 - \cos. \beta) \frac{\varepsilon}{2} \right),$$

während  $L_2$  unverändert  $= Qs \text{Log. nat.} (1 + \sin. \beta)$  bleibt; man hat daher für diesen Theil

$$\begin{aligned} L &= Qs \left( 1 + \text{Log. nat.} (1 - \cos. \beta) \frac{\varepsilon}{2} \right) + Qs \text{Log. nat.} (1 + \sin. \beta) - Pr\beta \\ &= Qs \left( 1 + \text{Log. nat.} (1 + \sin. \beta) (1 - \cos. \beta) \frac{\varepsilon}{2} \right) - Pr\beta. \end{aligned}$$

Der Beharrungszustand der Maschine fordert, daß für  $\beta = \frac{\pi}{2}$ ,  $L = 0$  sei; es ist folglich

$$\frac{Pr\pi}{2} = Qs (1 + \text{Log. nat.} \varepsilon), \text{ d. i.}$$

$$P = \frac{2}{\pi} \cdot \frac{s}{r} (1 + \text{Log. nat.} \varepsilon) Q, \text{ oder, da}$$

$$\varepsilon = \frac{2r}{s}, \text{ also } \frac{s}{r} = \frac{2}{\varepsilon} \text{ ist,}$$

$$P = \frac{4}{\pi} (1 + \text{Log. nat.} \varepsilon) \frac{Q}{\varepsilon}.$$

Diesem zu Folge erhalten wir nun

1) für den Bewegungszustand während der Expansion einer Maschine

$$L = \left( 1 - \cos. \beta + \frac{2}{\varepsilon} \text{Log. nat.} (1 + \sin. \beta) - \frac{4\beta}{\pi \varepsilon} (1 + \text{Log. nat.} \varepsilon) \right) Qr,$$

also die entsprechende Geschwindigkeit

$$v = \left[ 1 + \left( 1 - \cos. \beta + \frac{2}{\varepsilon} \text{Log. nat.} (1 + \sin. \beta) - \frac{4\beta}{\varepsilon \pi} (1 + \text{Log. nat.} \varepsilon) \right) \frac{Qr}{Mc^2} \right] c, \quad \begin{array}{l} \text{Tabelle} \\ \text{Krummzapfen} \\ \text{bei} \\ \text{Expansion} \\ \text{Dampfmaschinen.} \end{array}$$

und

2) für den Bewegungszustand während der Expansion beider Maschinen

$$L = \left[ \frac{2}{\varepsilon} \left( 1 + \text{Log. nat.} (1 + \sin. \beta) (1 - \cos. \beta) \frac{\varepsilon}{2} \right) - \frac{4\beta}{\pi \varepsilon} (1 + \text{Log. nat.} \varepsilon) \right] Qr$$

$$= \left( 1 + \text{Log. nat.} (1 + \sin. \beta) (1 - \cos. \beta) \frac{\varepsilon}{2} - \frac{2\beta}{\pi} (1 + \text{Log. nat.} \varepsilon) \right) \frac{2 Qr}{\varepsilon},$$

also die entsprechende Geschwindigkeit

$$v = \left[ 1 + \left( 1 + \text{Log. nat.} (1 + \sin. \beta) (1 - \cos. \beta) \frac{\varepsilon}{2} - \frac{2\beta}{\pi} (1 + \text{Log. nat.} \varepsilon) \right) \frac{2 Qr}{\varepsilon M c^2} \right] c.$$

Durch Differenzieren und Nullsetzen des Differenzialquotienten dieser beiden Ausdrücke für  $v$  erhalten wir diejenigen Umdrehungswinkel, bei welchen  $v$  zum Maximum und Minimum wird. Es ist

$$\text{für 1) } \sin. \beta + \frac{2}{\varepsilon} \cdot \frac{\cos. \beta}{1 + \sin. \beta} - \frac{4}{\pi \varepsilon} (1 + \text{Log. nat.} \varepsilon) = 0,$$

d. i.

$$\sin. \beta = \frac{2}{\varepsilon} \left( \frac{2}{\pi} (1 + \text{Log. nat.} \varepsilon) - \frac{\cos. \beta}{1 + \sin. \beta} \right), \text{ und}$$

$$\text{für 2) } \frac{\cos. \beta}{1 + \sin. \beta} + \frac{\sin. \beta}{1 - \cos. \beta} - \frac{2}{\pi} (1 + \text{Log. nat.} \varepsilon) = 0,$$

$$\text{oder } \cotg. \frac{1}{2} \beta + \cotg. (45^\circ + \frac{1}{2} \beta) = \frac{2}{\pi} (1 + \text{Log. nat.} \varepsilon).$$

Nehmen wir wieder das Expansionsverhältniß  $\varepsilon = 2$  an, so erhalten wir für die Winkel der Maximal- und Minimalgeschwindigkeit zugleich, da in diesem Falle stets nur eine Maschine mit Expansion arbeitet,

$$\sin. \beta = \frac{2}{\pi} (1 + \text{Log. nat.} 2) - \cotg. \left( 45 + \frac{\beta}{2} \right), \text{ oder}$$

$$\cotg. \left( 45^\circ + \frac{\beta}{2} \right) + \sin. \beta = 1,07788;$$

es ist hiernach

$$\beta = 30^\circ, 9' \text{ und } \beta = 79^\circ, 0',$$

und es sind die entsprechenden Geschwindigkeiten

$$v_2 = \left( 1 + (0,13529 + \text{Log. nat.} 1,50227 - 1,07788 \text{arc.} 30^\circ, 9') \frac{Qr}{Mc^2} \right) c$$

$$= \left( 1 - 0,0249 \frac{Qr}{Mc^2} \right) c, \text{ und}$$



Tabelle  
Kimmergeraden  
bei  
Expansions-  
Taufmaße-  
nen.

$$v_1 = \left( 1 + (0,80919 + \text{Log. nat. } 1,98163 - 1,07788 \text{ arc. } 79^\circ) \frac{Qr}{Mc^2} \right) c$$

$$= \left( 1 + 0,0069 \frac{Qr}{Mc^2} \right) c.$$

Hiernach ist der Grad der Ungleichförmigkeit für dieses Expansionsverhältniß ( $\varepsilon = 2$ )

$$\delta = (0,0249 + 0,0069) \frac{Qr}{Mc^2} = 0,0318 \frac{Qr}{Mc^2}$$

$$= \frac{0,0318}{1,07788} \cdot \frac{Pr}{Mc^2} = 0,0295 \frac{Pr}{Mc^2}.$$

Nehmen wir noch  $\varepsilon = 3$ , so erhalten wir

$$1) \frac{2}{3} \cotg. \left( 45^\circ + \frac{\beta}{2} \right) + \sin. \beta = \frac{4}{3\pi} (1 + \text{Log. nat. } 3) = 0,89068;$$

hiernach ist  $\beta = 30^\circ, 47'$  und die entsprechende Minimalgeschwindigkeit

$$v_2 = \left( 1 + (0,14089 + \frac{2}{3} \text{Log. nat. } 1,51179 \right.$$

$$\left. - 0,89068 \cdot \text{arc. } 30^\circ, 47') \frac{Qr}{Mc^2} \right) c$$

$$= \left( 1 - 0,0621 \frac{Qr}{Mc^2} \right) c.$$

Ferner ist

$$2) \cotg. \frac{1}{2} \beta + \cotg. (45^\circ + \frac{1}{2} \beta) = \frac{2}{\pi} (1 + \text{Log. nat. } 3) = 1,3360;$$

hiernach  $\beta = 78^\circ, 8'$  und die entsprechende Maximalgeschwindigkeit

$$v_1 = \left[ 1 + \left( 1 + \text{Log. nat. } 1,97863 \cdot 0,79437 \cdot \frac{3}{2} \right. \right.$$

$$\left. \left. - 1,3360 \cdot \text{arc. } 78^\circ, 8' \right) \frac{2 Qr}{3 Mc^2} \right] c$$

$$= \left( 1 + 0,0238 \frac{Qr}{Mc^2} \right) c.$$

Es ist folglich für dieses Expansionsverhältniß der Grad der Ungleichförmigkeit

$$\delta = (0,0621 + 0,0238) \frac{Qr}{Mc^2} = 0,0859 \frac{Qr}{Mc^2}$$

$$= \frac{0,0859}{0,89068} \cdot \frac{Pr}{Mc^2} = 0,0964 \frac{Pr}{Mc^2}.$$

Folgende Tabelle enthält die Ungleichförmigkeitsgrade für die Expansionsverhältnisse 2, 3, 4, 5, 6.

Expansionsverhältnisse $\epsilon \dots$	2	3	4	5	6	Tabelle Krummzapfen bei Expansions- Dampfmaschi- nen.
Ungleichförmigkeitsgrade $\delta$	0,0295	0,0964	0,1359	0,1643	0,1824	

$$\frac{Pr}{Mc^2}$$

Wir ersen aus den vorstehenden Entwicklungen und Zusammenstellungen, daß bei gleichem  $\frac{Pr}{Mc^2}$ , d. i. daß unter gleichen Umständen und Verhältnissen, die Ungleichförmigkeit in der Umdrehungsbewegung der Krummzapfen um so mehr zunimmt, je weiter die Expansion des Dampfes gesteigert wird, daß daher umgekehrt, bei gleichem Gange der Maschine, die träge Masse  $M$  derselben um so größer gemacht werden muß, je mehr der Dampf durch Expansion wirkt. Diese träge Umdrehungsmasse  $M$  erhalten wir in den sogenannten Schwungrädern, von welchen jedoch erst in dem siebenten Kapitel die Rede sein kann.

Schlussanmerkung. Die Literatur über die Theorie der Krummzapfen ist ziemlich ausgedehnt. Der Verfasser hat dieselbe vollständig mitgetheilt in einer größeren Abhandlung mit dem Titel: »Ueber die Theorie des Krummzapfens« im polytechn. Centralblatte, Jahrgang 1843, Band 1. Die erste richtige Theorie haben wir Gytelwein zu danken; vor und selbst nach Gytelwein ist vieles Unrichtige namentlich in Betreff des Einflusses der Gestängmasse auf den Gang dieser Maschine geschrieben worden. Diese Maschine ist hier wegen ihrer Wichtigkeit ausführlicher behandelt worden, als in anderen Werken über Mechanik. Nur Morin bespricht in dem dritten Theile seiner Leçons de mécanique pratique die Theorie des Krummzapfens ausführlich; er entwickelt jedoch dieselbe nur auf dem Wege des Construïrens.

## Viertes Kapitel.

### Von den Gerad- oder Senkrechtführungen bei der Verwandlung der Kreisbewegung in die geradlinige, und umgekehrt, bei der Umsehung der geradlinigen Bewegung in die kreisförmige.

§. 121. Um die drehende Bewegung eines Krummzapfens oder die schwingende Bewegung eines Balanciers oder Hebels in eine möglichst geradlinig absehende Bewegung umzuändern, oder umgekehrt, um aus der letzteren Bewegung eine der ersteren Bewegungen abzuleiten, ist es nöthig, den Kopf der in ihrer Ase auf und nieder oder hin und her zu bewegen:

2te Fortung.



bung  $F = 2 \varphi R$  zu überwinden. Der Hebelarm des Kräftepaares derse Leitung.  $(Q, -Q)$  ist  $AH = r \sin. \beta$ , der des Kräftepaares  $(R, -R)$  hingegen, ist die Höhe  $EF = a$  des Querhauptes; man hat folglich  $Ra = Qr \sin. \beta$ ,

also  $R = \frac{r Q \sin. \beta}{a}$  und die veränderliche Reibung

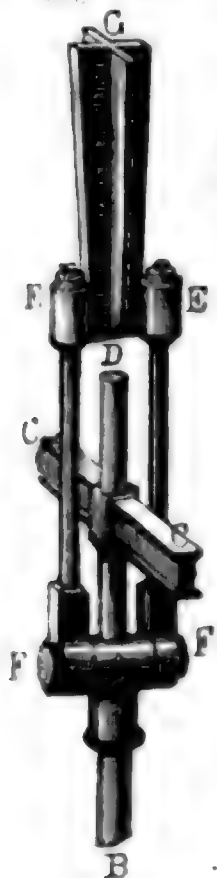
$F = 2 \varphi \frac{r}{a} Q \sin. \beta$ , deren mittlerer Werth aber nach §. 99

$F = \varphi \frac{r}{a} Q$  zu setzen ist.

Wenn hiernach die Höhe  $a$  des Querhauptes nicht groß ist, so kann diese Seitenreibung desselben in der Führung sehr ansehnlich ausfallen.

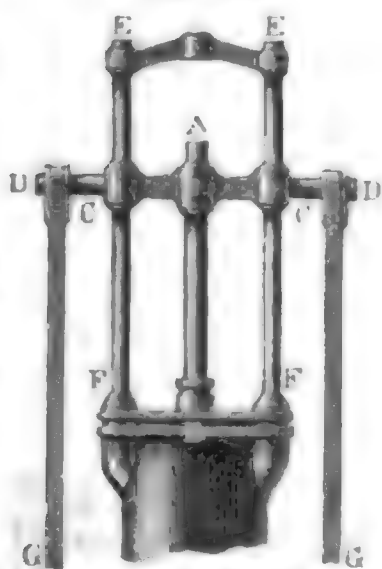
Man wendet diese Construction in neueren Zeiten bei direct wirkenden Dampfpumpen an, wo das Querhaupt als Verbindungsstück der Kolbenstangen beider Maschinen und der Krummzapfen nur zum Anschluß eines Schwungrades dient. Da hier die Kolbenstange der Pumpe mit der der Dampfmaschine einerlei Axenlinie hat, so fällt natürlich bei Maschinen ohne Expansion die excentrische Wirkung der Kraft  $Q$  weg. Ist aber  $Q$  variabel, wie z. B. bei Expansionsdampfmaschinen, so wird allerdings durch die excentrische Wirkung des regulirenden Krummzapfens eine Seitenreibung  $F$  hervorgebracht werden.

Fig. 250.



§. 122. Eine einfache und bei Pumpen und Feuersprizen häufig vorkommende Führung besteht in der Anwendung von cylindrischen Leitungsbüchsen. Eine solche Leitung zeigt z. B. Fig. 250. Es hat hier die Kolbenstange  $AB$  ein cylindrisches Verlängerungsstück  $AD$ , welches durch die Leitungsbüchse  $CC$  hindurch geht, während die gegabelte und durch das

Fig. 251.



Querhaupt  $FAF$  mit der Kolbenstange verbundene Kurbelstange  $FEGEF$  mit ihren Zinken  $EF$  und  $EF$  über diese Büchse wegreift.

Bei der Leitung in Fig. 251 bilden die Leitungsbüchsen  $C$  und  $C'$  Theile des Querhauptes  $DAD$  der Kolbenstange  $AB$ , und es umfassen dieselben cylindrischen Leitungsstangen  $EF$ ,  $EF$ , an denen sie mittelst der Kurbelstangen  $DG$ ,  $DG$  auf und nieder geschoben werden.

Zuweilen läßt man auch die von einem Hebel  $CD$  mittels eines Bolzens  $D$  auf und nieder geführte Stange  $AB$ , Fig. 252 (auf folgender Seite) zwischen Walzen  $E$ ,  $E$  und  $F$ ,  $F$  laufen.





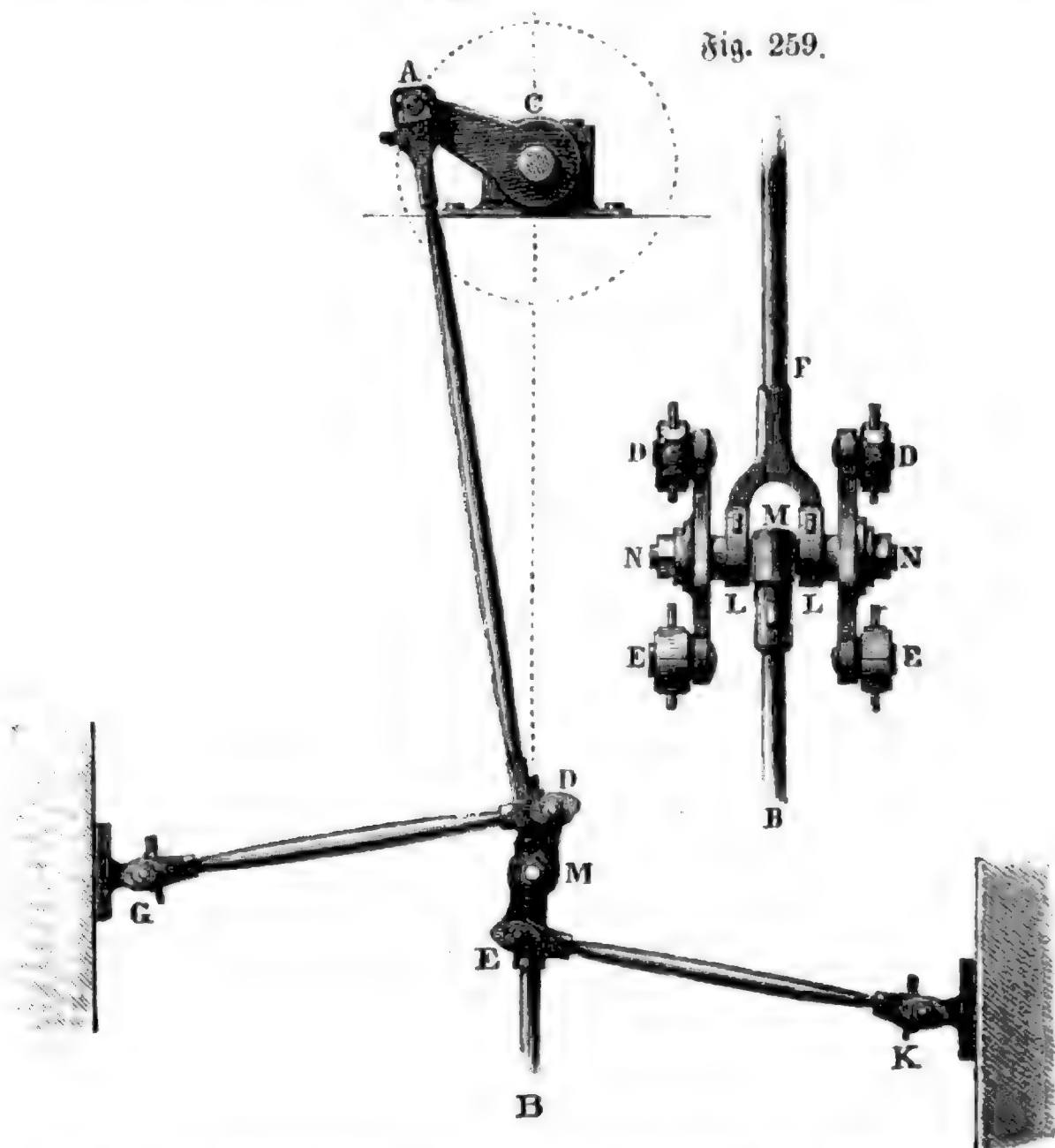


Gegenlenker.

Die einfachste Geradföhrung dieser Art ist die mit zwei gleichen Lenkern oder Gegenlenkern (franz. guides; engl. rods). Zwei gleiche Hebel oder Lenkarme  $DG$  und  $EK$ , Fig. 258, welche sich um die festen Axen  $G$  und  $K$  drehen, sind hier durch ein Gelenk  $DE$  (franz. joint, fléau, article; engl. link) mit einander verbunden, und in der Mitte  $M$  dieses Gelenkes ist nicht allein die Kolbenstange  $MB$  aufgehängt, sondern auch das Ende der Kurbelstange  $AM$  angeschlossen. Während der Aufhängepunkt  $M$  durch die Kurbelstange auf- und niedergeführt wird, macht jeder Lenker eine Schwingung auf- und abwärts und erhält dabei den Punkt  $M$  nahe in einer und derselben Vertikallinie.

Fig. 258.

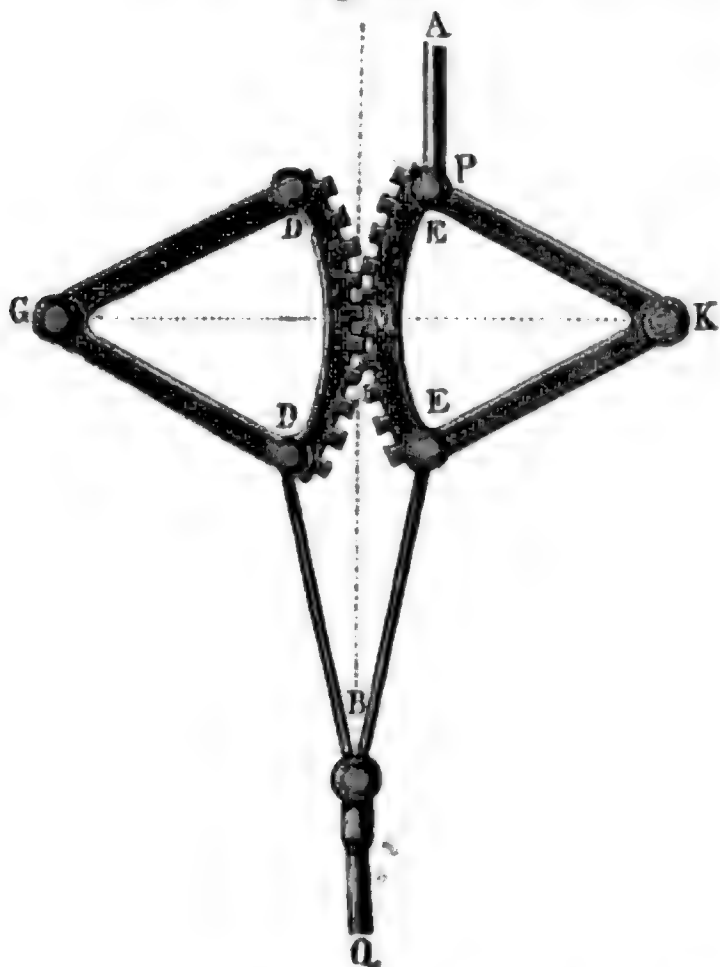
Fig. 259.



Die genaue Zusammensetzung dieser Geradföhrung ist aus Fig. 259 zu entnehmen. Das gabelförmige Ende der Kurbelstange ist mittels eines Bügels  $LFL$  (wie in Fig. 231) an die von dem Querschnitte der Kolbenstange  $MB$  gebildete Ase  $NN$  angeschlossen, und die Gelenke  $DE$ ,  $DE$  sind mit ihren Augen in der Mitte an die Enden dieser angeschoben. Die Schrauben  $N, N$  verhindern das Herabgehen der Gelenke von der Ase

$NMN$  und die Bolzen oder Warzen  $D, E, D, E$  dienen zum Anschluß der zwei Gegenteiler. Paar Lenkarme an die Gelenke. Die Verdoppelung der Gelenke und Lenkarme ist nöthig, um das seitliche Wanken der Kurbelstange  $MB$  zu verhindern.

Fig. 260.



Anmerkung. Wenn man zwei einander genau gegenüberstehende Hebel oder Lenker  $GDD$  und  $KEE$ , Fig. 260, mit gezahnten Zirkelstücken  $DM$  und  $EM$  verbindet, so daß beide Hebel gleiche Schwingungen machen müssen, so wird der Kopf  $B$  der vollkommen symmetrisch an beide Lenker angehängenen Kolbenstange  $BQ$  genau in einer geraden Linie bewegt werden. Die Kurbelstange  $AP$  kann entweder nur an einen oder an beide Lenker zugleich angeschlossen werden.

Statt der gezahnten Sectoren kann man auch einfache Zirkelstücke anwenden und dieselben durch Ketten mit einander verbinden. Wegen ihrer Complication wendet man jedoch diese übrigens geometrisch richtige Geradföhrung nicht gern an.

§. 124. Die aus einfachen Gelenken und Lenkern zusammengesetzten Mechanismen, und also auch die in Fig. 258 abgebildete Geradföhrung geben niemals eine vollkommen geradlinige Bewegung, sondern beschreiben ein Stück einer der 8 ähnlichen in das Geschlecht der Lemniscaten oder Schleifenlinien (franz und engl. lemiscates) gehörenden Curven. Wenn man den aus dem Gelenk  $DE$ , Fig. 261 (s. f. S.), und aus den Lenkarmen  $GD$  und  $KE$  bestehenden Mechanismus in alle möglichen Lagen bringt, so durchläuft der Mittelpunkt des Gelenkes oder der Aufhängepunkt  $M$  der Kolbenstange die vollständige Lemniscate  $MOQ$ , läßt man aber die Lenkarme  $GD$  und  $KE$  nur um die Winkel  $D_1GD_2$  und  $E_1KE_2$  schwingen, so gelangt das Gelenk  $DE$  nur in die äußersten Lagen  $D_1E_1$  und  $D_2E_2$ , und es bewegt sich  $M$  nur in dem einer geraden Linie nahe kommenden Bogen  $M_1MM_2$  auf und nieder. Es ist hiernach leicht zu ermessen, daß die Bewegung des Stangenkopfes  $M$  um so mehr von einer geraden Linie abweicht, je größer die Schwingungswinkel sind und je kürzer das Gelenk in Hinsicht auf die Armlänge ist.









und  $\frac{CP}{PN} = \frac{\sin. CNP}{\sin. NCP} = \frac{\sin. (\delta - \alpha)}{\sin. (\alpha_1 + \alpha)}$  ist,

$$3) \frac{\sin. \delta}{\sin. \alpha_1} = \frac{2 \sin. (\delta - \alpha)}{\sin. (\alpha_1 + \alpha)}.$$

Es ist zu erwarten, daß an der Stelle, wo die Seitenabweichung am größten ausfällt, das Gelenk ziemlich aufrecht steht, daß also  $\delta$  nahe  $= 90^\circ$ , also  $\sin. \delta = 1$  und dagegen  $\alpha_1$  nahe  $= \alpha$ , also  $\cos. (\alpha_1 - \alpha) = 1$  ist; deshalb können wir auch diese drei Gleichungen in folgende umändern.

Die erste Gleichung giebt

$$\cos. \alpha_1 + \cos. \alpha = \frac{b - d \cos. \delta}{a},$$

oder nach „Ingenieur“, Seite 223,

$$2 \cos. \left( \frac{\alpha_1 + \alpha}{2} \right) \cos. \left( \frac{\alpha_1 - \alpha}{2} \right) = \frac{b - d \cos. \delta}{a}; \text{ es ist}$$

folglich  $\cos. \left( \frac{\alpha_1 + \alpha}{2} \right) = \frac{b - d \cos. \delta}{2a}$  zu setzen.

Die zweite Gleichung giebt dagegen

$$\sin. \alpha_1 - \sin. \alpha = \frac{d \sin. \delta - c}{a}, \text{ oder}$$

$$\cos. \left( \frac{\alpha_1 + \alpha}{2} \right) \sin. \left( \frac{\alpha_1 - \alpha}{2} \right) = \frac{d - c}{2a};$$

es resultirt folglich aus der Verbindung beider Gleichungen

$$\sin. \left( \frac{\alpha_1 - \alpha}{2} \right) = \frac{d - c}{b - d \cos. \delta}.$$

Die dritte Gleichung läßt sich auf folgende Weise umformen:

$$\sin. (\alpha_1 + \alpha) = 2 \sin. \alpha_1 \sin. (\delta - \alpha),$$

$$\sin. \alpha_1 \cos. \alpha + \cos. \alpha_1 \sin. \alpha = 2 \sin. \alpha_1 (\cos. \alpha - \cos. \delta \sin. \alpha),$$

oder  $2 \sin. \alpha \sin. \alpha_1 \cos. \delta = \sin. (\alpha_1 - \alpha)$ ; es ist also hiernach

$$\begin{aligned} \sin. \left( \frac{\alpha_1 - \alpha}{2} \right) \text{ auch} &= \sin. \left( \frac{\alpha_1 + \alpha}{2} \right)^2 \cos. \delta \\ &= \left[ 1 - \left( \frac{b - d \cos. \delta}{2a} \right)^2 \right] \cos. \delta \end{aligned}$$

zu nehmen.

Setzt man endlich diese beiden Werthe für  $\sin. \left( \frac{\alpha_1 - \alpha}{2} \right)$  einander gleich, so erhält man die Gleichung

$$\left[ 1 - \left( \frac{b - d \cos. \delta}{2a} \right)^2 \right] \cos. \delta = \frac{d - c}{b - d \cos. \delta},$$

Seiten-  
abweichung  
der  
Gelenkfer.

und es ist hiernach, wenn man die Potenzen von  $\cos. \delta$  vernachlässigt,

$$\cos. \delta = \frac{d - c}{b \left(1 - \frac{b^2}{4a^2}\right)}.$$

Wenn man noch die Bogenhöhe  $ER$  durch  $e$  bezeichnet, so hat man

$$b = GD + RK = GD + EK - ER = 2a - e, \text{ daher}$$

$$b^2 = 4a^2 - 4ae + e^2 \text{ und}$$

$$\frac{b^2}{4a^2} = 1 - \frac{e}{a} + \frac{e^2}{4a^2}, \text{ also annähernd}$$

$$1 - \frac{b^2}{4a^2} = \frac{e}{a} \text{ und } \cos. \delta = \frac{a(d - c)}{be}.$$

Mit Hülfe dieses Winkels kann man nun auch die Winkel  $\alpha$  und  $\alpha_1$  finden; es ist

$$\begin{aligned} \cos. \alpha &= \cos. \left( \frac{\alpha_1 + \alpha}{2} \right) - \sin. \left( \frac{\alpha_1 + \alpha}{2} \right) \sin. \left( \frac{\alpha_1 - \alpha}{2} \right) \\ &= \frac{b - d \cos. \delta}{2a} + \cos. \delta \left[ \sin. \left( \frac{\alpha_1 + \alpha}{2} \right) \right]^3 \\ &= \frac{b - d \cos. \delta}{2a} + \cos. \delta \left[ 1 - \left( \frac{b - d \cos. \delta}{2a} \right)^2 \right]^{3/2}, \text{ d. i.} \end{aligned}$$

$$\cos. \alpha = \frac{b}{2a} - \left[ \frac{d}{2a} - \left( \frac{e}{a} \right)^{3/2} \right] \cos. \delta \text{ und}$$

$$\cos. \alpha_1 = \frac{b}{2a} - \left[ \frac{d}{2a} + \left( \frac{e}{a} \right)^{3/2} \right] \cos. \delta.$$

§. 126. In der Regel ist der Hub  $s = 2FR$  und die Gelenklänge  $DE = NP = d$ , sowie der Elongations- oder halbe Schwingungswinkel  $EKF = \frac{\beta}{2}$  gegeben, und man hat nun hieraus die übrigen Größen der Geradföhrung zu finden.

Zunächst ist die Armlänge

$$1) a = \frac{s}{2 \sin. \frac{\beta}{2}},$$

wobei man, um keine zu große Seitenbewegung zu erhalten,  $\beta$  nicht über 30 Grad nimmt.

Nun folgt die Bogenhöhe oder Seitenbewegung des Lenkers

$$2) e = a \left( 1 - \cos. \frac{\beta}{2} \right) = a - \sqrt{a^2 - \frac{s^2}{4}},$$

$$\text{annähernd, } e = \frac{s^2}{8a}.$$

Ferner ist der Horizontalabstand zwischen den Drehungsachsen  $G$  und  $K$  der Lenkarme

Seiten-  
abweichung  
der  
Gegenlenker.

$$3) b = 2a - e = 2a - \frac{s^2}{8a},$$

und dagegen der vertikale Abstand  $HK$  zwischen diesen Punkten

$$4) c = \sqrt{d^2 - e^2}, \text{ annähernd } c = d - \frac{e^2}{2d}.$$

Nun folgt für die größte Seitenabweichung des Stangenkopfes

$$5) \cos. \delta = \frac{a(d - c)}{be} = \frac{ae}{2bd},$$

$$6) \cos. \alpha = \frac{b}{2a} - \left[ \frac{d}{2a} - \left( \frac{e}{a} \right)^{3/2} \right] \frac{ae}{2bd}$$

$$= \frac{b}{2a} - \frac{e}{4b} + \frac{e^2}{2bd} \sqrt{\frac{e}{a}} \text{ und}$$

$$7) \cos. \alpha_1 = \frac{b}{2a} - \frac{e}{4b} - \frac{e^2}{2bd} \sqrt{\frac{e}{a}},$$

endlich aber diese Seitenabweichung selbst

$$8) f = \frac{b}{2} - a \cos. \alpha - \frac{d}{2} \cos. \delta$$

$$= \frac{b}{2} - \frac{b}{2} + \frac{ae}{4b} + \frac{ae^2}{2bd} \sqrt{\frac{e}{a}} - \frac{ae}{4b} = \frac{ae^2}{2bd} \sqrt{\frac{e}{a}};$$

oder annähernd, wenn man  $b = 2a$  setzt,

$$8^*) f = \frac{e^2}{4d} \sqrt{\frac{e}{a}}.$$

Hat das Gelenk eine aufrechte oder der Hublinie parallele Lage, ist also  $\delta = 0$ , so ist

$$\cos. \alpha_1 = \cos. \left( \frac{\alpha + \alpha_1}{2} \right) - \sin. \left( \frac{\alpha_1 + \alpha}{2} \right) \sin. \left( \frac{\alpha_1 - \alpha}{2} \right)$$

$$= \frac{b}{2a} - \frac{d - c}{2a} \cdot \frac{\sin. \left( \frac{\alpha_1 + \alpha}{2} \right)}{\sin. \left( \frac{\alpha_1 - \alpha}{2} \right)} = \frac{b}{2a} - \frac{d - c}{b} \sqrt{\frac{e}{a}},$$

und daher die entsprechende Seitenabweichung von der mittleren Hublinie  $AB$ :

$$f = \frac{b}{2} - a \cos. \alpha_1 = \frac{a(d - c)}{b} \sqrt{\frac{e}{a}} = \frac{e^2}{4d} \sqrt{\frac{e}{a}}, \text{ d. i.}$$

gleich der oben gefundenen Maximalabweichung.

Wir können also annehmen, daß schon bei der senkrechten Lage eines Gelenkes die Abweichung nahe ein Größtes und zwar

Seiten-  
abweichung  
der  
Gegenlenker.

$$\begin{aligned}
 f &= \frac{e^2}{4d} \sqrt{\frac{e}{a}} = \frac{a^2}{4d} \left(1 - \cos. \frac{\beta}{2}\right)^2 \sqrt{1 - \cos. \frac{\beta}{2}} \\
 &= \frac{a^2 \sqrt{2}}{d} \left(\sin. \frac{\beta}{4}\right)^5 = \frac{s^2 \sqrt{2}}{4d} \frac{\left(\sin. \frac{\beta}{4}\right)^5}{4 \left(\sin. \frac{\beta}{4} \cos. \frac{\beta}{4}\right)^2}, \\
 &= \frac{s^2}{16d} \sqrt{2} \cdot \left(\sin. \frac{\beta}{4}\right)^3 = 0,0884 \frac{s^2}{d} \left(\sin. \frac{\beta}{4}\right)^3 \text{ ausfällt.}
 \end{aligned}$$

Bei der Schwingung der Lenkarme auf der entgegengesetzten Seite von  $EK$  und  $GD$  nimmt natürlich  $f$  den entgegengesetzten Werth an. Man ersieht aus der letzten Formel, daß die größte Seitenabweichung wie das Quadrat des Hubes, und, nahe wie der Schwingungswinkel, dagegen umgekehrt wie die Gelenklänge wächst.

Beispiel. Ist der Drehungswinkel  $\beta = 60^\circ$  und die Gelenklänge  $d = \frac{1}{2}s$ , so haben wir die Lenkarmlänge  $a = \frac{s}{2 \sin. 30^\circ} = s$ , ferner die Bogenhöhe  $e = a(1 - \cos. 30^\circ) = (1 - 0,8660)s = 0,1340s$ , ferner den Horizontalabstand der Aren beider Lenkarme,  $b = 2a - e = 2s - 0,1340s = 1,8660s$ , und den Vertikalabstand beider

$c = \sqrt{d^2 - e^2} = \sqrt{\frac{1}{2}s^2 - (0,134s)^2} = 0,4817s$   
und endlich die größte Seitenabweichung

$$f = \frac{(0,1340s)^2}{4 \cdot \frac{1}{2}s} \sqrt{\frac{0,1340s}{s}} = 0,00898 \sqrt{0,1340} \cdot s = 0,00329s,$$

z. B. bei  $s = 6$  Fuß Hub,  $f = 0,01974$  Fuß =  $\frac{1}{4}$  Zoll.

Centre-  
balancier.

§. 127. Die Senkrechtführung mittels Gegenlenker läßt sich auch dann mit Vortheil anwenden, wenn es darauf ankommt, eine an einem schwingenden Balancier hängende Kolbenstange in gerader Linie zu führen. Es ist allerdings am besten, wenn man dem Balancier einen Lenkerarm gegenüberstellt, der mit dem entsprechenden Balancierarme gleiche Länge hat, allein zur Ersparung des Raumes wendet man wohl auch einen kürzeren Lenkarm an und bringt ihn wohl gar auf der Seite des Balanciers an.

Die Anordnung in einem oder dem anderen dieser beiden Fälle ist nach Fig. 265 und Fig. 266 auf folgende Weise zu treffen. Es sei  $ACB$  der nicht über  $60$  Grad messende Schwingungswinkel des Balanciers, und  $CD$  die horizontale Halbierungslinie dieses Winkels. Man ziehe die dem Hube  $s$  gleiche Sehne  $AB$ , theile die Bogenhöhe  $DE$  in  $M$  in zwei gleiche Theile und ziehe durch  $M$  die eine Hublinie vorstellende Vertikale  $FH$ . Durchschneidet man nun mit einer gewissen Länge  $d$  aus  $A$ ,  $D$  und  $B$  die Hublinie in  $F$ ,  $G$  und  $H$ , so erhält man hierdurch den höchsten, mittleren und tiefsten Stand des Aufhängepunktes der Kolbenstange.





Contre-  
balancier.

Ist nun noch die Gelenkstücklänge  $AF = DG = BH = d$  und die Gelenklänge  $KF = LG = NH = d_1$ , so haben wir für die Bogenhöhe  $RL = e_1$  des Lenkers

$$\frac{LQ}{DM} = \frac{LG}{DG}, \text{ d. i. } \frac{1/2 e_1}{1/2 e} = \frac{d_1}{d}, \text{ und daher}$$

$$e_1 = \frac{d_1}{d} e = \frac{d_1}{d} a \left(1 - \cos. \frac{\beta}{2}\right) = \frac{d_1}{d} \frac{s \left(1 - \cos. \frac{\beta}{2}\right)}{2 \sin. \frac{\beta}{2}}.$$

Aus der Sehne  $KN = AB = s$  und der Höhe  $RL = e_1$  ergibt sich nun der Halbmesser  $OK = OL = ON$  des Bogens  $KLN$ , d. i. die Länge  $a_1$  des Lenkers, mit Hülfe der bekannten Formel

$$\begin{aligned} a_1 &= \frac{s^2}{8 e_1} + \frac{e_1}{2} = \frac{s}{4} \cdot \frac{d}{d_1} \frac{\sin. \frac{\beta}{2}}{1 - \cos. \frac{\beta}{2}} + \frac{s}{4} \cdot \frac{d_1}{d} \frac{1 - \cos. \frac{\beta}{2}}{\sin. \frac{\beta}{2}} \\ &= \left( \frac{d}{d_1} \frac{\sin. \frac{\beta}{2}}{1 - \cos. \frac{\beta}{2}} + \frac{d_1}{d} \frac{1 - \cos. \frac{\beta}{2}}{\sin. \frac{\beta}{2}} \right) \frac{s}{4} \\ &= \left[ \frac{d}{d_1} \left(1 + \cos. \frac{\beta}{2}\right) + \frac{d_1}{d} \left(1 - \cos. \frac{\beta}{2}\right) \right] \frac{a}{2} \\ &= \left[ \frac{d_1}{d} \left(\sin. \frac{\beta}{4}\right)^2 + \frac{d}{d_1} \left(\cos. \frac{\beta}{4}\right)^2 \right] a. \end{aligned}$$

Ist umgekehrt die Lenkerlänge  $a_1$  gegeben, so läßt sich hiernach das Verhältniß  $\frac{d_1}{d} = n$  der Gelenktheile finden. Es ist hiernach

$$\begin{aligned} n \left(\sin. \frac{\beta}{4}\right)^2 + \frac{1}{n} \left(\cos. \frac{\beta}{4}\right)^2 &= \frac{a_1}{a}, \text{ und daher} \\ n &= \frac{m - \sqrt{m^2 - \left(\sin. \frac{\beta}{2}\right)^2}}{2 \left(\sin. \frac{\beta}{4}\right)^2}, \text{ wenn } m = \frac{a_1}{a} \text{ das Ver-} \end{aligned}$$

hältniß der Armlänge  $a_1$  und  $a$  zu einander bezeichnet.

Es ist übrigens bei einem kleinen Schwingungswinkel  $\beta$ ,

$$\left(\sin. \frac{\beta}{4}\right)^2 \text{ nahe Null, und } \left(\cos. \frac{\beta}{4}\right)^2 \text{ nahe } = \text{Eins,}$$

weshalb denn  $\frac{a_1}{a} = m = \frac{d}{d_1} = \frac{1}{n}$  gesetzt werden kann.

Die Anlenge des Lenkarmes wird bestimmt durch die horizontale Abscisse

Contre  
balancier.

$$CX = b = CD - DM \mp QL \pm OL$$

$$= a \pm a_1 - \frac{1}{2}(e \pm e_1) = (1 \pm m)a - (1 \pm n)\frac{e}{2},$$

wobei die oberen Zeichen für den Fall in Figur 265, und die unteren Zeichen für den Fall in Fig. 266, gelten; und durch die vertikale Ordinate

$$XO = MQ = c = \sqrt{(d_1 \pm d)^2 - \frac{1}{4}(e \pm e_1)^2} = (n \pm 1)\sqrt{d^2 - \frac{1}{4}e^2}.$$

Beispiel. Ist für eine Geradsführung mit Contrebalancier das Verhältniß  $\frac{a}{s} = \frac{3}{2}$ , macht man also die Länge  $a$  des Balancierarmes  $\frac{3}{2}$  mal dem Kolbenschube  $s$ , so hat man

$\sin. \frac{\beta}{2} = \frac{s}{2a} = \frac{1}{3}$ , hiernach  $\frac{\beta}{2} = 19^\circ, 28', 17''$ , und daher den ganzen Schwingungswinkel  $\beta = 38^\circ, 56', 34''$ . Ferner ist die Bogenhöhe  $e = a \left(1 - \cos. \frac{\beta}{2}\right) = (1 - 0,9428)a = 0,0572a$ . Soll ferner der Gegenlenker die Länge  $a_1 = ma = \frac{2}{3}a$  erhalten, so ist

$$n = \frac{\frac{2}{3} - \sqrt{(\frac{2}{3})^2 - (\sin. 19^\circ, 28', 17'')^2}}{2(\sin. 9^\circ, 44', 8'')^2} = 1,5627,$$

nimmt man daher  $d = \frac{1}{4}s = \frac{1}{4} \cdot \frac{2}{3}a = \frac{1}{6}a = 0,1667a$ , so erhält man

$$d_1 = nd = 1,5617 \cdot \frac{a}{6} = 0,2603a,$$

und daher  $d + d_1 = 0,4270a$ .

Endlich ist, da wir es hier mit dem in Fig. 265 abgebildeten Falle zu thun haben, die Abscisse des Drehpunktes  $O$ :

$$b = (1 + 0,6667)a - (1 + 1,5627) \cdot 0,0572 \frac{a}{2}$$

$$= (1,6667 - 0,0733)a = 1,5934a,$$

und die Ordinate desselben:

$$c = \sqrt{(0,4270a)^2 - (0,0733a)^2} = 0,4206a.$$

Ist man wegen Mangel an Raum genöthigt, die Construction in Fig. 266 anzuwenden, so hat man bei übrigens gleichen Verhältnissen

$$DL = GL - DG = d_1 - d = 0,2603a - 0,1667a = 0,0936a,$$

$$\text{und } e_1 - e = 0,5617 \cdot 0,0572a = 0,0321a, \text{ ferner}$$

$$b = (1 - 0,6667)a + 0,0160a = 0,3493a \text{ und}$$

$$c = \sqrt{(0,0936a)^2 - (0,0160a)^2} = 0,0922a.$$

§. 128. Die Seitenabweichung bei der im Vorstehenden kennen gelernten Geradsführung mit Gegenlenker ist, wie wir aus §. 126 wissen, nahe ein Maximum, wenn das Gelenk  $AK = DL$ , Fig. 267 (a. folgd. Seite), in die vertikale Stellung  $UT$  gelangt, und läßt sich unter dieser Voraussetzung wie folgt ermitteln.

Es ist  $US = UH + HS$  und auch  $= UT + TS$ ; nun haben wir aber  $HS = c$ , und  $UT = d_1 \pm d$ , ferner einer bekannten Eigenschaft des Kreises zu Folge,



und hiernach ist die gesuchte Seitenabweichung

Centre-  
balancier.

$$f = \frac{d + d_1 - c + \sqrt{e_1 \left( a_1 - \frac{e_1}{4} \right)} - \sqrt{e \left( a - \frac{e}{4} \right)}}{\frac{a - \frac{1}{2}e}{\sqrt{e \left( a - \frac{e}{4} \right)}} + \frac{a_1 - \frac{1}{2}e_1}{\sqrt{e_1 \left( a_1 - \frac{e_1}{4} \right)}}};$$

oder, wenn man im Nenner annähernd

$$\frac{a - \frac{1}{2}e}{\sqrt{e \left( a - \frac{e}{4} \right)}} = \sqrt{\frac{a}{e}} \text{ und } \frac{a_1 - \frac{1}{2}e_1}{\sqrt{e_1 \left( a_1 - \frac{e_1}{4} \right)}} = \sqrt{\frac{a_1}{e_1}} \text{ setzt,}$$

$$f = \frac{d + d_1 - c + \sqrt{e_1 \left( a_1 - \frac{e_1}{4} \right)} - \sqrt{e \left( a - \frac{e}{4} \right)}}{\sqrt{\frac{a}{e}} + \sqrt{\frac{a_1}{e_1}}}.$$

Hat der Lenker mit dem Balancier gleiche Länge, so ist  $a_1 = a$ ,  $d_1 = d$  und  $e_1 = e$ , daher

$$f = \frac{2d - c}{2\sqrt{\frac{a}{e}}} = \frac{e^2}{4c} \sqrt{\frac{e}{a}},$$

was auch mit dem in §. 126 Gefundenen übereinstimmt.

In diesem Falle sind die Abweichungen in beiden Hubhälften gleich groß, nur ist die eine positiv und die andere negativ, d. i. die eine rechts und die andere links von der Hublinie. Sind aber die Armlängen ungleich, so hat man die Seitenabweichung in der unteren Hubhälfte

$$f_1 = \frac{d + d_1 - c + \sqrt{e \left( a - \frac{e}{4} \right)} - \sqrt{e_1 \left( a_1 - \frac{e_1}{4} \right)}}{\sqrt{\frac{a}{e}} + \sqrt{\frac{a_1}{e_1}}}.$$

Für die Anordnung in Fig. 266 ist

$$\begin{aligned} & \sqrt{\left( \frac{e}{2} + f \right) \left( 2a - \frac{e}{2} - f \right)} + d_1 - d \\ &= \sqrt{\left( \frac{e_1}{2} - f \right) \left( 2a_1 - \frac{e_1}{2} + f \right)} + c, \end{aligned}$$

und daher

$$f = \frac{\sqrt{e_1 \left( a_1 - \frac{e_1}{4} \right)} - \sqrt{e \left( a - \frac{e}{4} \right)} - (d_1 - d - c)}{\sqrt{\frac{a}{e}} + \sqrt{\frac{a_1}{e_1}}} \text{ und}$$



Centre-  
balancier.

$$f_1 = \frac{V e \left( a - \frac{e}{4} \right) - V e_1 \left( a_1 - \frac{e_1}{4} \right) - (d_1 - d - c)}{V \frac{a}{e} + V \frac{a_1}{e_1}}.$$

Beispiel. Für die Senkrechtführung im letzten Beispiele (§. 127) haben wir bei der Construction in Fig. 265:

$$d_1 + d - c = 0,4270 a - 0,4206 a = 0,0064 a, \text{ ferner}$$

$$V e \left( a - \frac{e}{4} \right) = a V 0,0572 \cdot 0,9857 = 0,2374 a,$$

$$V e_1 \left( a_1 - \frac{e_1}{4} \right) = a V 1,5617 \cdot 0,0572 \cdot 0,6444 = 0,2398 a, \text{ und}$$

$$V \frac{a}{e} = V \frac{1}{0,0572} = 4,181, \text{ sowie } V \frac{a_1}{e_1} = V \frac{0,6667}{1,5617 \cdot 0,0572} = 2,732;$$

es ist folglich die größte Seitenabweichung bei der Schwingung nach oben:

$$f = \frac{0,0064 a + 0,2398 a - 0,2374 a}{4,181 + 2,732} = \frac{0,0088 a}{12,82} = 0,00069 a$$

und bei der nach unten:

$$f_1 = \frac{0,0064 a + 0,2374 a - 0,2398 a}{6,913} = \frac{0,0040 a}{6,913} = 0,00058 a.$$

Für die Construction in Fig. 266 ist

$$d_1 - d - c = 0,0936 a - 0,0922 a = 0,0014 a, \text{ und daher}$$

$$f = \left( \frac{0,2398 - 0,2374 - 0,0014}{6,913} \right) a = 0,00014 a \text{ und}$$

$$f_1 = \left( \frac{0,2384 - 0,2398 - 0,0014}{6,913} \right) a = - 0,00041 a.$$

Diese Abweichungen sind so klein, daß sie in der Ausführung ganz verschwinden.

Watt'sches  
Parallelo-  
gramm.

§. 129. Eine der vorzüglichsten Vorrichtungen zur Senkrechtführung ist das bewegliche Parallelogramm (franz. parallélogramme articulé), welches auch das Charnier-Parallelogramm, oder der Storchschnabel, oder nach seinem Erfinder, das Watt'sche Parallelogramm (engl. parallelogram of Watt) genannt wird. Die Construction dieses Mechanismus ist folgende: In der Längsaxe des um  $C$  drehbaren Balanciers  $AC$ , Fig. 268, sitzen zwei Bolzen  $A$  und  $B$  fest, an welchen zwei gleichlange Stangenpaare, die sogenannten Hängestangen oder Hängeschienen  $AD$  und  $BE$  (franz. tringles; engl. strops, links) herabhängen. Die an einem und demselben Bolzen hängenden Hängeschienen sind unter sich durch Stifte oder Bolzen  $D$  und  $E$  und diese wieder mit einander durch ein Paar Stangen, die sogenannten Parallel- oder Verbindungsstangen (franz. varges; engl. parallel-rods) so verbunden, daß die vier Bolzen  $A$ ,  $B$ ,  $E$  und  $D$  bei allen











$$l = \frac{s}{2 \sin. \frac{\beta}{2}}, \text{ und die Bogenhöhe } HF:$$

$$e = l \left( 1 - \cos. \frac{\beta}{2} \right) = \frac{s \left( 1 - \cos. \frac{\beta}{2} \right)}{2 \sin. \frac{\beta}{2}}.$$

Sehen wir ferner die Länge einer Hängemaschine  $AD = BE = d$  und die des ganzen Gelenkes  $AR = d_1$ , und bezeichnen nur die Armlänge  $CB$  durch  $a$ , also die Länge des Parallelogrammes  $AB$  durch  $l - a$ , so haben wir für die Sehne  $EE_1 = s_1$ , und Höhe  $ON = e_1$  des vom Lenker durchlaufenen Bogens Folgendes:

$$\text{Zunächst ist } \frac{BB_1}{AA_1} = \frac{CB}{CA}, \text{ oder, da } BB_1 = EE_1 = s_1 \text{ ist,}$$

$$\frac{s_1}{s} = \frac{a}{l}, \text{ und daher die gesuchte Sehne}$$

$$s_1 = \frac{as}{l}.$$

Die Bogenhöhe  $ON$  ist gleich der Projection von  $EB$  minus der von  $BL$ , plus der von  $LN$ , jede in Hinsicht auf  $CH$  genommen. Aber die Projection von  $EB$  ist = der von  $LN$ ,

$$\text{d. i. } \frac{AD}{AR} \cdot MF = \frac{d}{d_1} \cdot \frac{e}{2},$$

und die Projection von  $BL$  ist

$$LQ = \frac{CB}{CA} \cdot HF = \frac{ae}{l},$$

daher folgt

$$e_1 = \frac{de}{d_1} - \frac{ae}{l} = \left( \frac{d}{d_1} - \frac{a}{l} \right) e = \left( \frac{d}{d_1} - \frac{a}{l} \right) \left( 1 - \cos. \frac{\beta}{2} \right) l.$$

Bei dem gewöhnlichen Parallelogramm, wie Fig. 270, ist  $d_1 = d$ , folglich:

$$e_1 = (l - a) \left( 1 - \cos. \frac{\beta}{2} \right).$$

Aus der Sehne  $s_1$  und der Bogenhöhe  $e_1$  folgt nun die entsprechende Lenkerlänge

$$\begin{aligned} a_1 &= \frac{s_1^2}{8e_1} + \frac{e_1}{2} \\ &= \frac{a^2 s^2}{8 \left( \frac{d}{d_1} - \frac{a}{l} \right) \left( 1 - \cos. \frac{\beta}{2} \right) l} + \left( \frac{d}{d_1} - \frac{a}{l} \right) \left( 1 - \cos. \frac{\beta}{2} \right) \frac{l}{2}, \end{aligned}$$

Rechtliches  
Parallelo-  
gramm.

oder einfacher

$$a_1 = \left( \left( \frac{dl}{d_1 a} - 1 \right) \left( \sin. \frac{\beta}{4} \right)^2 + \frac{\left( \cos. \frac{\beta}{4} \right)^2}{\frac{d}{d_1} \frac{l}{a} - 1} \right) a.$$

Für das gewöhnliche Parallelogramm, wo  $d_1 = d$  ist, hat man

$$a_1 = \left( \left( \frac{l}{a} - 1 \right) \left( \sin. \frac{\beta}{4} \right)^2 + \frac{\left( \cos. \frac{\beta}{4} \right)^2}{\frac{l}{a} - 1} \right) a,$$

oder, wenn man die Länge  $l - a$  des Parallelogrammes durch  $l_1$  bezeichnet,

$$a_1 = l_1 \left( \sin. \frac{\beta}{4} \right)^2 + \frac{a^2}{l_1} \left( \cos. \frac{\beta}{4} \right)^2.$$

Sehr gewöhnlich nimmt man  $l_1 = a = \frac{1}{2} l$ , und dann hat man die Lenkerlänge

$$a_1 = \left[ \left( \sin. \frac{\beta}{4} \right)^2 + \left( \cos. \frac{\beta}{4} \right)^2 \right] a = a = \frac{1}{2} l.$$

Wenn also die Länge des Parallelogrammes der halben Armlänge des Balanciers gleich gemacht wird, so muß der Lenker mit dem Parallelogramme eben diese Länge erhalten. Siehe Figur 268.

Giebt man das Armlängenverhältniß  $\frac{a_1}{a} = m$ , so findet man, wie in §. 127, die Verhältnißzahl

$$n = \frac{d}{d_1} \cdot \frac{l}{a} - 1 \text{ durch die Formel}$$

$$n = \frac{m - \sqrt{m^2 - \left( \sin. \frac{\beta}{2} \right)^2}}{2 \left( \sin. \frac{\beta}{4} \right)^2}.$$

Die Lage des Arpunktes  $G$  ist endlich bestimmt durch die Coordinaten  $CU = b$  und  $UG = c$  mittels der Formeln

$CU = CL$  minus Projection von  $LN + NG$ , d. i.

$$b = a - \frac{d}{d_1} \cdot \frac{e}{2} + a_1 = a + a_1 - \frac{de}{2d_1} \text{ und}$$

$UG = \sqrt{LN^2 - (\text{Project. von } LN)^2}$ , d. i.

$$c = \sqrt{d^2 - \left( \frac{de}{2d_1} \right)^2} = d \sqrt{1 - \left( \frac{e}{2d_1} \right)^2}.$$

Beispiel. Wenn für eine Senkrechtführung mit einfachem Parallelogramme, Mathisches Parallelogramm.  
 $\frac{a}{l} = 0,6$  und  $d = d_1 = \frac{1}{2} s$ , der Schwingungswinkel  $\beta$  aber  $= 50$  Grad  
 genommen wird, so hat man die Armlänge

$$l = \frac{s}{2 \sin. 25^\circ} = 1,1831 \cdot s. \text{ Ferner die Armlänge}$$

$$a = 0,6 l = 0,7099 s, \text{ und die Armlänge}$$

$$a_1 = [\frac{2}{3} (\sin. 12\frac{1}{2}^\circ)^2 + \frac{3}{2} (\cos. 12\frac{1}{2}^\circ)^2] \cdot 0,7099 s = 1,0371 \cdot s.$$

Ferner ist die Bogenhöhe

$$e = (1 - \cos. 25^\circ) \cdot 1,1831 s = 0,1108 s, \text{ und die Bogenhöhe}$$

$$e_1 = (1 - 0,6) \cdot 0,1108 s = 0,0443 s.$$

Endlich folgen die Coordinaten des Arpunktes des Lenkers:

$$b = 0,7099 s + 1,0371 s - 0,0554 s = 1,6916 s$$

und

$$c = \sqrt{(0,5 s)^2 - 0,0554 s)^2} = 0,4969 s.$$

§. 132. Die Seitenabweichung oder die größte Abweichung von Seitenabweichung der Parallelogrammführung.  
 der geraden Linie, welche der Parallelogrammmechanismus noch übrig läßt,  
 kann man annähernd auf dieselbe Weise finden, wie in §. 128, die Seiten-  
 bewegung der Geradföhrung mit Gegenlenkern.

Wenn wir zunächst nur den Aufhängepunkt  $W$ , Fig. 271, in der einen  
 Hängemaschine  $BE$  ins Auge fassen wollen, so haben wir nur nöthig, den  
 aus zwei Lenkerarmen  $CB$  und  $GE$  und aus dem Gelenk  $BE$  bestehenden  
 Mechanismus in Untersuchung zu ziehen, da aber dieser mit der Gerads-  
 föhrung Fig. 267 vollkommen übereinstimmt, so bleibt uns nur übrig, die  
 in §. 128 entwickelten Formeln unserem Falle anzupassen. Die dort ge-  
 fundenen Formeln für die größte Seitenabweichung sind folgende:

$$f = \frac{d + d_1 - c + \sqrt{e_1 \left( a_1 - \frac{e_1}{4} \right)} - \sqrt{c \left( a - \frac{e}{4} \right)}}{\sqrt{\frac{a}{e}} + \sqrt{\frac{a_1}{e_1}}} \text{ und}$$

$$f_1 = \frac{d + d_1 - c + \sqrt{e \left( a - \frac{e}{4} \right)} - \sqrt{e_1 \left( a_1 - \frac{e_1}{4} \right)}}{\sqrt{\frac{a}{e}} + \sqrt{\frac{a_1}{e_1}}}.$$

und die in denselben vorkommenden Größen haben folgende Bedeutungen:

$a$  und  $a_1$  sind die Längen  $CB$  und  $GE$  der Lenkarme,

$c$  ist die Coordinate  $GU$ ,

$d$  ist die Gelenkstücklänge  $BW$ , welche sich durch die Proportion

$$\frac{BW}{AR} = \frac{CB}{CA}, \text{ d. i., nach den Bezeichnungen des letzten Paragraphen,}$$

Seitenabwei-  
chung der Pa-  
rallelogramm-  
führung.

durch  $\frac{BW}{d_1} = \frac{a}{l}$  bestimmt; wir hatten also hier statt  $d$ ,  $BW = \frac{a d_1}{l}$  einzusetzen. Ebenso ist, wenn wir diese Formeln für  $f$  und  $f_1$  auf unseren Fall anwenden wollen, statt  $d_1$ ,  $WE = BE - BW = d - \frac{a d_1}{l}$  einzuführen.

Endlich bedeutet in diesen Formeln  $e$  die Bogenhöhe  $LQ$ , welche wir  $= \frac{ae}{l}$  gefunden haben, und  $e_1$  die Bogenhöhe  $ON$ , welche ebenfalls nach dem vorigen Paragraphen:  $e_1 = \left(\frac{d}{d_1} - \frac{a}{l}\right)e$  zu setzen ist.

Setzen wir diese Werthe in die obigen Formeln ein, so erhalten wir für die gesuchten Seitenabweichungen die Parallelogrammführung:

$$f = \frac{d - c + \sqrt{e_1 \left(a_1 - \frac{e_1}{4}\right)} - \frac{a}{l} \sqrt{e \left(l - \frac{e}{4}\right)}}{\sqrt{\frac{l}{e}} + \sqrt{\frac{a_1}{e_1}}} \quad \text{und}$$

$$f_1 = \frac{d - c + \frac{a}{l} \sqrt{e \left(l - \frac{e}{4}\right)} - \sqrt{e_1 \left(a_1 - \frac{e_1}{4}\right)}}{\sqrt{\frac{l}{e}} + \sqrt{\frac{a_1}{e_1}}}.$$

Da bei der Schwingung des Balanciers die Punkte  $R$  und  $W$  Parallellinien beschreiben, so sind die Seitenabweichungen des Punktes  $R$

$$\frac{CA}{CB} = \frac{l}{a} \text{ mal so groß als die von } W.$$

Beispiel. Für die Senkrechtführung im letzten Beispiele (§. 131) ist  $d - c = (0.5 - 0.4969)s = 0.0031s$ , ferner

$$\begin{aligned} \sqrt{e_1 \left(a_1 - \frac{e_1}{4}\right)} &= s \sqrt{0.0443 \cdot 1.0260} = 0.2132s, \\ \frac{a}{l} \sqrt{e \left(l - \frac{e}{4}\right)} &= 0.6s \sqrt{0.1108 \cdot 1.1554} = 0.2147s, \\ \sqrt{\frac{l}{e}} &= \sqrt{\frac{1.1831}{0.1108}} = 3.2678 \quad \text{und} \\ \sqrt{\frac{a_1}{e_1}} &= \sqrt{\frac{1.0371}{0.0443}} = 4.8385; \end{aligned}$$

demnach folgen die größten Seitenabweichungen des Punktes  $W$  von den Vertikalen:

$$\begin{aligned} f &= \frac{0.0031s + 0.2132s - 0.2147s}{3.2678 + 4.8385} = 0.0002s \quad \text{und} \\ f_1 &= \frac{0.0031s + 0.2147s - 0.2132s}{3.2678 + 4.8385} = 0.0006s; \end{aligned}$$

und dagegen die der an  $R$  hängenden Kolbenstange:

$$\frac{l}{a} f = \frac{5}{3} \cdot 0,0002 s = 0,0003 s \quad \text{und}$$

$$\frac{l}{a} f_1 = \frac{5}{3} \cdot 0,0006 s = 0,0010 s.$$

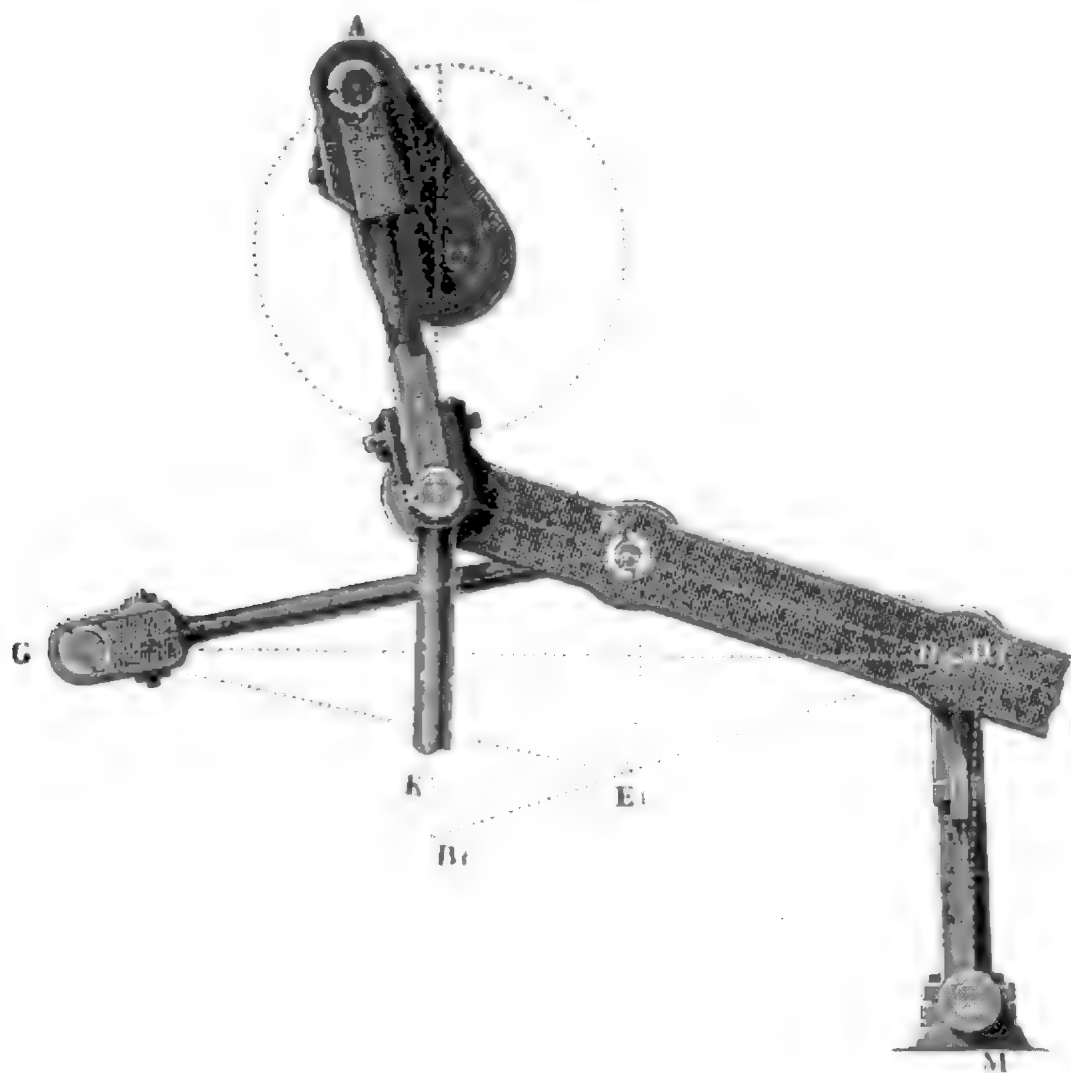
3. B. für den Hub  $s = 6$  Fuß

$$\frac{l}{a} f = 0,0018 \text{ Fuß} = 0,0216 \text{ Zoll} = 0,26 \text{ Linien, und}$$

$$\frac{l}{a} f_1 = 0,006 \text{ Fuß} = 0,072 \text{ Zoll} = 0,86 \text{ Linien.}$$

§. 133. Eine sehr einfache und in neueren Zeiten nicht selten angewendete Geradföhrung ist in Fig. 272 abgebildet. Der Balancier  $BD$ , Geradföhrung mit offener Trägers

Fig. 272.



welcher durch einen Krummzapfen  $CA$  mittels der Kurbelstange  $AB$  auf- und niederbewegt wird, ruht hier mit seiner Axe  $D$  nicht in einem fest liegenden Lager, sondern auf säulenförmigen, um eine Axe  $M$  drehbaren Trägern  $MD$ , und der Lenker  $GE$  ist hier unmittelbar mit dem Balancier  $BD$  verbunden. Der Träger  $MD$  vertritt hier die Stelle des Gelenkes; wenn sich auch der Punkt  $E$  des Balanciers in einem Kreisbogen  $EE_1$  um  $G$  bewegt, so geht doch der Aufhängepunkt der Kolbens-





$$a_1 = \frac{s_1^2}{8e_1} + \frac{e_1}{2} = \frac{a^2 \left( \sin. \frac{\beta}{2} \right)^2}{2(l-a) \left( 1 - \cos. \frac{\beta}{2} \right)} + \frac{l-a}{2} \left( 1 - \cos. \frac{\beta}{2} \right),$$

Geradföhrung mit gleitendem Träger.

d. i.

$$a_1 = \left[ \frac{l-a}{a} \left( \sin. \frac{\beta}{4} \right)^2 + \frac{a}{l-a} \left( \cos. \frac{\beta}{4} \right)^2 \right] a, \text{ oder das Verhältniß}$$

$$\frac{a_1}{a} = m = \frac{l-a}{a} \left( \sin. \frac{\beta}{4} \right)^2 + \frac{a}{l-a} \left( \cos. \frac{\beta}{4} \right)^2.$$

Umgekehrt hat man das Verhältniß

$$\frac{l-a}{a} = n = \frac{m - \sqrt{m^2 - \left( \sin. \frac{\beta}{2} \right)^2}}{2 \left( \sin. \frac{\beta}{2} \right)^2}.$$

Meist nimmt man  $a = \frac{l}{2}$ , schiebt also den Lenker in der Mitte des Balancierarmes  $BD$  an, und dann hat man auch

$$a_1 = a = \frac{l}{2}.$$

§. 134. Bei der im vorstehenden Paragraphen beschriebenen Anordnung der Geradföhrung mit einem beweglichen Träger ist ebenfalls der Aufhängepunkt der Kolbenstange in seinem höchsten, tiefsten und mittleren Stande in derselben Geraden  $BK B_1$ , Fig. 274 (s. f. S.), bei jedem anderen Stande weicht er jedoch rechts oder links um Etwas von dieser Linie ab, es ist also auch diese Geradföhrung keine vollkommene. Da der Träger bei dem höchsten und niedrigsten Kolbenstande die Stellung  $MD$  und bei dem mittleren Kolbenstande die Stellung  $MD_1$  einnimmt, so ist zu erwarten, daß er bei den Kolbenständen, wo die Seitenabweichungen  $OL = f$  und  $O_1 L_1 = f_1$  am größten sind, die Mittelstellung  $MR$  einnehme. Unter dieser Voraussetzung können wir nun auch diese Seitenbewegungen wie folgt ermitteln.

Die Sehne  $DD_1$  des vom Träger beschriebenen Bogens ist

$$KD_1 - KD = l \left( 1 - \cos. \frac{\beta}{2} \right), \text{ folglich die Ordinate}$$

$$ND = ND_1 = \frac{1}{2} DD_1 = y = \frac{l \left( 1 - \cos. \frac{\beta}{2} \right)}{2}.$$

Aus ihr und aus der gegebenen Trägerlänge  $MR = d$  ergibt sich folglich annähernd die Abscisse

$$RN = x = \frac{y^2}{2d}.$$









THE UNIVERSITY OF CHICAGO

PHYSICS DEPARTMENT

PHYSICS 311

LECTURE 1

LECTURE 2

LECTURE 3

LECTURE 4

LECTURE 5

LECTURE 6

LECTURE 7

LECTURE 8

LECTURE 9

LECTURE 10

LECTURE 11

LECTURE 12

LECTURE 13

LECTURE 14

LECTURE 15

LECTURE 16

LECTURE 17

LECTURE 18

LECTURE 19

Schrauben-  
linie.

und ist  $h$  die Höhe  $GH$  eines Schraubenganges, so hat man für das Ansteigen  $GBH = \alpha$  desselben:

$$\text{tang. } \alpha = \frac{GH}{BG} = \frac{h}{2\pi r}.$$

Es wächst also das Ansteigen der Schraube mit der Höhe ihrer Gänge, und nimmt ab, wenn der Halbmesser ein größerer wird.

Jeder Punkt  $P$  in der Schraubenlinie ist bestimmt durch eine kreisbogenförmige Abscisse  $BO = x$ , und durch eine mit der Axe oder Seite des Cylinders parallel laufende Ordinate  $OP = y$ , und es ist die Gleichung zwischen  $x$  und  $y$  die der geraden Linie  $BH$ , nämlich

$$\frac{PO}{OB} = \frac{GH}{GB}, \text{ d. i. } \frac{y}{x} = \frac{h}{2\pi r} = \text{tang. } \alpha, \text{ oder}$$

$$y = x \text{ tang. } \alpha \\ = \beta r \text{ tang. } \alpha,$$

wenn  $\beta$  den basischen Winkel  $BAO_1$  bezeichnet, um welchen der Punkt  $P$  vom Anfangspunkte  $B$  absteht. Es wächst also die Ordinate  $y$  direct wie der basische Winkel  $\beta$ , und es ist hiernach die Construction der Schraubenlinie leicht zu vollziehen.

Die Länge eines Schraubenbogens  $BP$  ist

$$s = \sqrt{x^2 + y^2} = \frac{y}{\sin. \alpha} = \frac{x}{\cos. \alpha} = \frac{\beta r}{\cos. \alpha},$$

und die einer ganzen Windung

$$BH = l = \sqrt{h^2 + (2\pi r)^2} = \frac{h}{\sin. \alpha} = \frac{2\pi r}{\cos. \alpha}.$$

Die Tangente  $PT$  für einen Punkt  $P$  der Schraubenlinie ist gleich dem rectificirten Schraubenbogen  $PB = s$ , und ihre basische Projection  $O_1T_1$  ist Tangente zur kreisförmigen Basis und gleich der rectificirten Abscisse  $BO = x$ .

Schrauben-  
fläche und  
Schraube.

§. 136. Bewegt sich eine gerade Linie  $BB_1$ , Fig. 278 und 279, so, daß sie eine Schraubenlinie  $BLK$  nie verläßt und stets auch durch die Axe  $AX$  des Cylinders geht, um welchen diese Schraubenlinie sich windet, so durchläuft sie eine sogenannte Schraubenfläche  $BB_1L_1LKK_1$ . Je nachdem die Erzeugungslinie  $B_1B$  recht- oder schiefwinkelig gegen die Axe  $AX$  der Schraube gerichtet ist, hat man es mit einer rechtwinkelligen oder mit einer schiefen Schraubenfläche zu thun. Fig. 278 repräsentirt eine rechtwinkelige, und Fig. 279 eine schiefe Schraubenfläche. Statt der geraden Erzeugungslinie  $BB_1$  kann man auch eine krumme Linie oder eine ganze Figur, z. B. ein Dreieck, Viereck, einen Halbkreis u. s. w. so auf dem Cylindermantel fortrücken lassen, daß die Ebene dieser Figur stets durch die Axe des Cylinders geht, und die











Wird die letztere umgedreht, so läuft auch die Mutter *CC* um und zieht dabei die Schraubenspindel allmählig empor. Die dadurch zu hebende Last wirkt entweder an dem Kopfe *A*, oder an dem Fuße *BG* der Schraubenspindel.

Schrauben-  
bewegung.

§. 138. Die Umdrehung der Schrauben erfolgt meist nur durch die menschliche Hand und zwar

Schrauben-  
schlüssel.

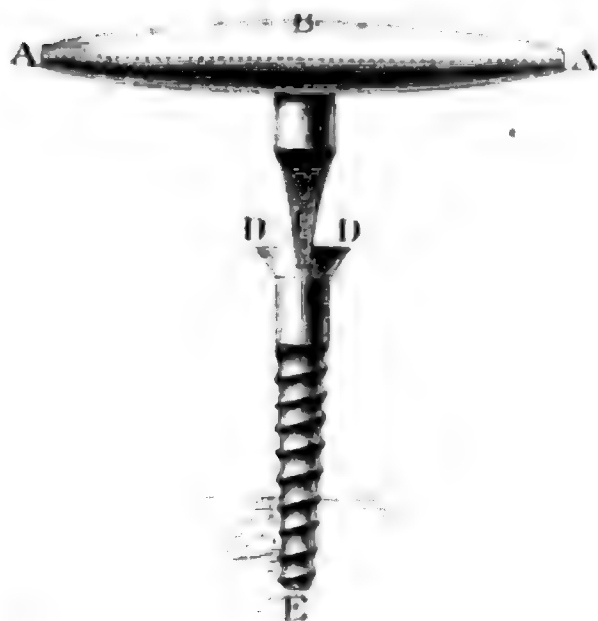
- 1) entweder unmittelbar, oder
- 2) mittelbar, d. h. mittels eines Schraubenziehers oder Schraubenschlüssels.

In beiden Fällen ist es nöthig, entweder den Kopf der Schraubenspindel oder die Schraubenmutter selbst zum Angreifen der Umdrehungskraft geschikt zu machen. In dem ersten Falle giebt man z. B. deshalb dem Schraubenkopf oder der Schraubenmutter einen gerändelten Umfang, oder versieht sie mit besonderen Flügeln, oder man bedient sich der Hebel, Schwengel oder Räder zur Umdrehung der Schrauben. Die Umdrehung der Schraubenspindel mittels eines Hebels *GG* ist aus den Figuren 287 und 288 zu ersehen; die Umdrehung der Schraubenmutter *CC* mittels eines Rades *EE* kommt bei der Wagenwinde in Fig. 290 vor.

Die Schraubenzieher (franz. *tournevis*; engl. *screw-drivers*) dienen vorzüglich zum Umdrehen der Schraubenspindel, wogegen die Schraubenschlüssel (franz. *clefs à vis*; engl. *turn-screws*) mehr zum Umdrehen der Schraubenmutter angewendet werden. Beide Apparate bestehen wesentlich in einem Hebel, welcher den umzudrehenden Schraubentheil ergreift, der eine hierzu passende Gestalt erhalten muß. Zu diesem Zwecke werden z. B. die Schraubenköpfe quadratisch oder hexagonal geformt, oder es werden Einschnitte oder Löcher in denselben angebracht.

Ein meißelförmiger Schraubenzieher *ABC* zum Einbohren einer sich die Mutter selbst bildenden Holzschraube *DE* ist in Fig. 291

Fig. 291.



abgebildet. Der Kopf *D* dieser Schraube ist zum Einsetzen des Schraubenziehers mit einem Einschnitt versehen. Einen Schraubenschlüssel *AB* für eine quadratische Schraubenmutter *B* zeigt Fig. 292 (s. f. S.), und einen solchen für eine hexagonale Mutter Fig. 293. Man hat auch Universalschraubenschlüssel, welche sich bei

Schrauben-  
schlüssel.

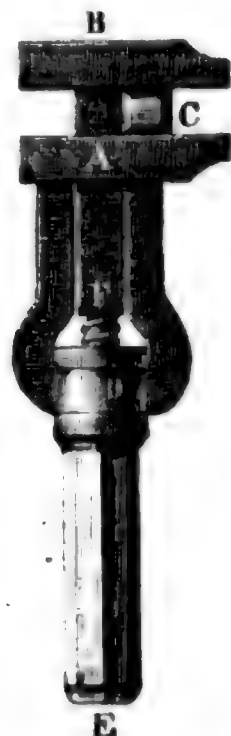
Schraubenköpfen und Schraubenmuttern von verschiedenen Größen an-

Fig. 294.

Fig. 292.



Fig. 293.



wenden lassen; Fig. 294 giebt die Abbildung eines solchen Schlüssels. Von den beiden Backen A und B, womit hier der Schraubenkopf C ergriffen wird, ist der eine (A) mit der Handhabe DE fest, dagegen der andere (B) vermittle einer Schraube F, deren Mutter in der Handhabe enthalten ist, verbunden. Durch Drehung der letzteren um ihre eigene Längsaxe läßt sich der Abstand zwischen den beiden Backen, der Dicke des Schraubenkopfes entsprechend stellen.

Anwendung  
der Schrauben.

§. 139. Sehr mannigfaltig ist die Anwendung der Schrauben. Am häufigsten dienen dieselben

1) als Befestigungsmittel zweier Körper (s. Fig. 289). Nächstdem wendet man sie aber auch an,

2) um eine kreisförmige Bewegung in eine geradlinige umzuändern, namentlich wenn es darauf ankommt, kleine geradlinige Bewegungen zu erzeugen oder große Kräfte auszuüben. Wegen der großen Reibung, welche die Schrauben verursachen, wendet man dieselben jedoch nur selten als stetig arbeitende Zwischenmaschine, desto häufiger aber als Stellapparate bei Maschinen und Instrumenten an. Stellschrauben, welche dazu dienen, Maschinen oder Instrumententheile auf einen gewissen Ort einzustellen, kennen wir schon vielfach aus dem Früheren, so z. B. Band III, Fig. 24, 26, 106 u. s. w. Vorzügliche Anwendung finden die Schrauben, wenn es darauf ankommt, genaue Messungen oder Einteilungen zu bewirken. Die hierzu verwendeten Schrauben heißen Mikrometerschrauben. Mittels derselben schließt man aus dem Umdre-

hungswinkel der Schraube auf den Weg ihres axialen Fortrückens, und man versteht zu diesem Zwecke den Schraubenkopf mit einer Eintheilung. Anwendung der Schrauben. Da bei einer vollständigen Umdrehung ( $360^\circ$ ) die Schraube um ihre Ganghöhe  $h$  fortrückt, so wird sie bei der Drehung von  $\beta^\circ$  um einen Weg  $s$  fortrücken, welcher durch die Proportion  $\frac{s}{h} = \frac{\beta^\circ}{360^\circ}$  bestimmt ist.

Mikrometerschrauben müssen sehr accurat, und namentlich so construirt sein, daß das Ansteigen  $\alpha$  an allen Stellen sehr genau eines und dasselbe ist.

Bei den sogenannten Pressen und Prägwerken dienen die Schrauben dazu, um eine große Kraft durch Druck oder Stoß auszuüben und dadurch Körper zusammenzudrücken oder in ihrer Form zu verändern. Die sogenannten Druck-, Preß- oder Klemmschrauben endlich werden angewendet, um das Verschieben zweier Körper an einander durch die aus dem Schraubendrucke hervorgehende Reibung zu verhindern.

§. 140. Der Querschnitt  $F$  und also auch die Stärke  $d_1$  einer Schraubenspindel muß eine der Axenkraft  $Q$  der Schraube angemessene Größe haben. Dimensionen der Schrauben. Ist  $K$  die Festigkeit des Schraubenmaterials, so haben wir bekanntlich

$$Q = F K = \frac{\pi d_1^2}{4} K \text{ und daher ist umgekehrt } d_1 = \sqrt{\frac{4 Q}{\pi K}}.$$

Da die Schraube außer der Axenkraft  $Q$  auch eine dem  $Q$  proportionale Torsionskraft auszuhalten hat, so ist allerdings  $K$  kleiner als gewöhnlich anzunehmen, oder  $d_1$  noch etwas größer zu machen, als diese Formel mit Anwendung des bekannten  $K$  giebt. Nach I., §. 189 wäre für Schmiedeeisen bei sechsfacher Sicherheit,  $K = 10000$  Pfund, und für Holz bei zehnfacher Sicherheit,  $K = 1200$  Pfund. Dies vorausgesetzt bekämen wir hiernach die Stärke eiserner Schraubenspindeln:

$d_1 = 0,0113 \sqrt{Q}$ , und die hölzerner,  $d_1 = 0,0326 \sqrt{Q}$  Zoll; aus dem angegebenen Grunde nimmt man aber für eiserne Schrauben

$$d_1 = 0,02 \sqrt{Q} \text{ Zoll} = 0,24 \sqrt{Q} \text{ Linien},$$

und für hölzerne Schrauben,  $d_1 = 0,05 \sqrt{Q} \text{ Zoll} = 0,60 \sqrt{Q} \text{ Linien}$ .

Rechnet man im Mittel den äußeren Durchmesser der Schraube:  $d_2 = 1,2 d_1$ , so folgt auch für eiserne Schrauben:

$$d_2 = 0,024 \sqrt{Q} \text{ Zoll} = 0,288 \sqrt{Q} \text{ Linien},$$

und für hölzerne Schrauben:  $d_2 = 0,06 \sqrt{Q} \text{ Zoll} = 0,720 \sqrt{Q} \text{ Linien}$ .

Mit Hülfe des Steigwinkels  $\alpha_2$  der äußeren Schraubenslinie läßt sich nun auch die Ganghöhe und zwar mittels der Formel

$$h = \pi d_2 \tan \alpha_2 \text{ berechnen.}$$

In der Regel giebt man statt  $\alpha_2$  das Verhältniß  $n = \frac{d_2}{h} = \frac{\cot \alpha_2}{\pi}$

des Durchmessers  $d_2$  zur Höhe  $h$  eines Schraubenganges, oder die Anzahl

Dimensionen  
der Schrauben.

$n$  der Gewinde auf das Stück  $d_2$  von der Axenlänge der Schraubenspinde, und dann berechnet sich die Höhe eines Schraubenganges mittels der einfachen Formel

$$h = \frac{d_2}{n}.$$

Nach Reuleaux soll man für eiserne Schrauben mit dreiseitigen Gewinden:

$$h = 0,04 + 0,08 d_2 \text{ Zoll, also } n = \frac{d_2}{0,04 + 0,08 d_2},$$

und für solche mit vierseitigen Gewinden:

$$h = 0,08 + 0,09 d_2 \text{ Zoll, also } n = \frac{d_2}{0,08 + 0,09 d_2} \text{ setzen.}$$

Bei eisernen Schrauben mit dreiseitigen Gängen von  $\frac{1}{4}$  bis 4 Zoll Stärke ist gewöhnlich  $n = 5$  bis 12, hingegen bei Holzschrauben von  $\frac{1}{2}$  bis 2 Zoll Stärke, ist  $n = \frac{7}{2}$  bis 4. Eiserne Schrauben mit rechteckigen Gewinden erhalten bei  $\frac{1}{2}$  bis 4 Zoll Stärke,  $n = 4$  bis 9.

Anmerkung. Der Durchmesser des Schraubenkernes ist für Schrauben mit dreiseitigen Gewinden:

$$d_1 = 0,9 d_2 - 0,052 \text{ Zoll,}$$

und für solche mit quadratischen Gewinden:  $d_1 = 0,91 d_2 - 0,08$ ;

es ist also die Gangtiefe bei den ersteren Gewinden:

$$b = \frac{d_2 - d_1}{2} = 0,05 d_2 + 0,026,$$

und bei den letzteren:  $d = \frac{d_2 - d_1}{2} = 0,045 d_2 + 0,04 = \frac{1}{2} h.$

Schrauben mit zwei oder mehreren quadratischen Gewinden erhalten die Gangtiefe  $b = \frac{d_2 - d_1}{2} = \frac{m h}{2}$ , wenn  $m$  die Anzahl der Gewinde bezeichnet; es ist also hier  $d_1 = d_2 - m h.$

Damit weder die Gewinde der Schraubenspinde noch die der Schraubennutter abreißen, muß man der letzteren eine gewisse Höhe  $h_1$  geben. Die Fläche, in welcher das Abreißen der Schraubengewinde erfolgt, ist  $= \pi d_1 \cdot \frac{h_1}{2}$ , und läßt sich daher auch dem Querschnitt  $\frac{\pi d_1^2}{4}$  des Schraubengewindes gleichsetzen. Hier-

nach ist nun  $\pi d_1 \frac{h_1}{2} = \frac{\pi d_1^2}{4}$ , d. i.  $h_1 = \frac{d_1}{2}.$

In der Praxis macht man aber, um der Mutter eine sichere Führung zu geben, gewöhnlich  $h_1 = d_2$  bis  $\frac{1}{3} d_2$ . Der Durchmesser des Kreises, welcher sich in das von der Basis der Schraubennutter gebildete Sechseck einschreiben läßt, erhält den Durchmesser  $d_3 = 1,4 d_2 + 0,2 \text{ Zoll.}$

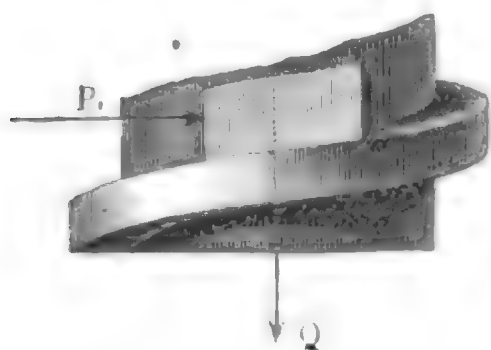
Der Schraubenkopf bekommt bei demselben Durchmesser  $d_2$  nur die Höhe  $h_2 = 0,7 d_2.$

Theorie der  
Nachgängigen  
Schrauben.

§. 141. Die Theorie der Schraube läßt sich auf die der schiefen Ebene (s. I., §. 162) zurückführen; das vertikal niederziehende Gewicht  $G$  der schiefen Ebene ist hier die parallel zur Axe der Schraube wirkende und auf den mit der Mutter in Berührung kommenden Theil der Schraubenfläche vertheilte Last  $Q$ , Fig. 295, und die Kraft  $P$  der schiefen Ebene ist hier die Umdrehungskraft  $P_1$  der Schraube, welche wir uns zunächst in der Mitte



der Breite der Schraubenfläche angreifend denken können. Ist nun die  
Fig. 295.



Schraube flachgängig, und ihr Ansteigen  $= \alpha$ , der Reibungswinkel aber  $= \varphi$ , so können wir daher nach I., §. 162 die Umdrehungskraft der Schraubenmutter oder Spindel setzen:

$$P_1 = Q \operatorname{tang.} (\alpha \pm \varphi),$$

wobei das Pluszeichen zu nehmen ist, wenn es darauf ankommt, die Umdrehung der Schraube durch  $P_1$  zu bewirken, und das Minuszeichen,

wenn  $P_1$  bloß die Umdrehung der Schraube durch  $Q$  verhindern soll.

Giebt man statt des Steigwinkels  $\alpha$  den mittleren Schraubenhalbmesser  $r$  oder Durchmesser  $d = 2r$ , und die Ganghöhe  $h$ , so hat man

$$\operatorname{tang.} \alpha = \frac{h}{2\pi r} \text{ und daher}$$

$$P_1 = \frac{\operatorname{tang.} \alpha \pm \operatorname{tang.} \varphi}{1 \mp \operatorname{tg.} \alpha \cdot \operatorname{tang.} \varphi} Q = \frac{\frac{h}{2\pi r} \pm \varphi}{1 \mp \varphi \cdot \frac{h}{2\pi r}} Q = \frac{h \pm 2\varphi\pi r}{2\pi r \mp \varphi h} Q$$

$$= \frac{h \pm \varphi\pi d}{\pi d \mp \varphi h} \cdot Q, \text{ wobei } \varphi \text{ den Reibungscoefficienten bezeichnet.}$$

Diese Formel gilt übrigens ebenso gut für zwei- und mehrgängige Schrauben als für eine eingängige Schraube.

Der mittlere Durchmesser  $d$  der Schraube bestimmt sich aus dem Durchmesser  $d_1$  der Spindel und aus dem äußeren Durchmesser  $d_2$  der Schraube nach I., §. 171 durch die Formel

$$d = \sqrt[3]{\frac{d_2^3 - d_1^3}{d_2^2 - d_1^2}} = \frac{d_2 + d_1}{2} + \frac{(d_2 - d_1)^2}{6(d_2 + d_1)} = a + \frac{b^2}{3a},$$

wenn  $a$  das arithmetische Mittel  $\frac{d_1 + d_2}{2}$  und  $b$  die Gewindbreite oder die halbe Differenz  $\frac{d_2 - d_1}{2}$  der Durchmesser  $d_2$  und  $d_1$  bezeichnet.

Meist ist  $\frac{b^2}{3a}$  so klein, daß man ohne Bedenken den mittleren Schraubendurchmesser  $d = \frac{d_1 + d_2}{2}$ , d. i. dem arithmetischen Mittel aus dem inneren und aus dem äußeren Schraubendurchmesser gleichsetzen kann.

Ohne Reibung hätten wir

$$P_1 = Q \operatorname{tang.} \alpha = \frac{h}{2\pi r} Q = \frac{h}{\pi d} Q;$$

Theorie der  
flachgängigen  
Schrauben.

es ist folglich der Wirkungsgrad einer zur Arbeitsverrichtung dienenden

$$\text{Schraube } \eta = \frac{\text{tang. } \alpha}{\text{tang.}(\alpha + \varphi)}.$$

Man sieht, daß der Wirkungsgrad nicht allein für  $\alpha = 0$ , sondern auch für  $\alpha + \varphi = 90^\circ$ , d. i. für  $\alpha = 90^\circ - \varphi$  unendlich klein wird; bei einem unendlich kleinen Steigwinkel und bei dem Steigwinkel  $\alpha = 90^\circ - \varphi$ , welcher den Reibungswinkel zu einem Rechten ergänzt, ist also die Nutzlast der Schraube nur ein unendlich kleiner Theil der Gesamtlast. Der Wirkungsgrad  $\eta = \text{tang. } \alpha \text{ cotg.}(\alpha + \varphi)$  ist dagegen ein Maximum für

$$\alpha = \frac{90^\circ - \varphi}{2} = 45^\circ - \frac{\varphi}{2} \text{ oder für}$$

$$\text{cotg. } 2\alpha = \text{tang. } \varphi = \varphi \text{ (vergl. II., §. 3), und zwar}$$

$$\eta = \left[ \text{tang.} \left( 45^\circ - \frac{\varphi}{2} \right) \right]^2.$$

Für metallene Schrauben ist (nach I., §. 161) der Reibungscoefficient  $\varphi = \text{tang. } \varphi = 0,12$  und daher  $\varphi = 6^\circ, 51'$ ; diesem nach ist folglich der Wirkungsgrad einer flachgängigen Schraube ein Maximum für das Ansteigen  $\alpha = 45^\circ - 3^\circ, 25\frac{1}{2}' = 41^\circ, 34\frac{1}{2}'$ , und zwar

$$\eta = (\text{tang. } 41^\circ, 34\frac{1}{2}')^2 = 0,7869.$$

Bei allen größeren oder kleineren Steigungswinkeln ist also der Wirkungsgrad kleiner. Man ersieht hieraus, daß mit der Anwendung einer Schraube als Zwischen- oder Arbeitsmaschine ein namhafter Verlust an Kraft verbunden ist, und wendet deshalb dieselbe als Arbeitsmaschine auch fast nur bei Präg- und Stoßwerken und zwar da nur mit starkem Ansteigen an.

§. 142. Die Kraft, womit die Schraube umgedreht wird, hat ihren Angriffspunkt nicht in den Schraubengängen selbst, sondern sie wirkt an einem längeren Arme  $CA = a$  eines im Kopfe der Schraube Fig. 296, oder am Umfange der Schraubenmutter C, Fig. 299, angebrachten Hebels. Es ist folglich auch das Moment  $Pa$  dieser Kraft dem Momente

$P_1 r = \frac{P_1 d}{2}$  der im vorigen Paragraphen gefundenen Kraft  $P_1$ , welche im Schraubengewinde selbst angreift, gleich zu setzen. Hiernach haben wir also

$$\begin{aligned} P &= \frac{r}{a} P_1 \\ &= \frac{r}{a} Q \text{ tang.}(\alpha + \varphi) \\ &= \frac{h \pm \varphi \pi d}{\pi d \mp \varphi h} \cdot \frac{d}{2a} Q. \end{aligned}$$

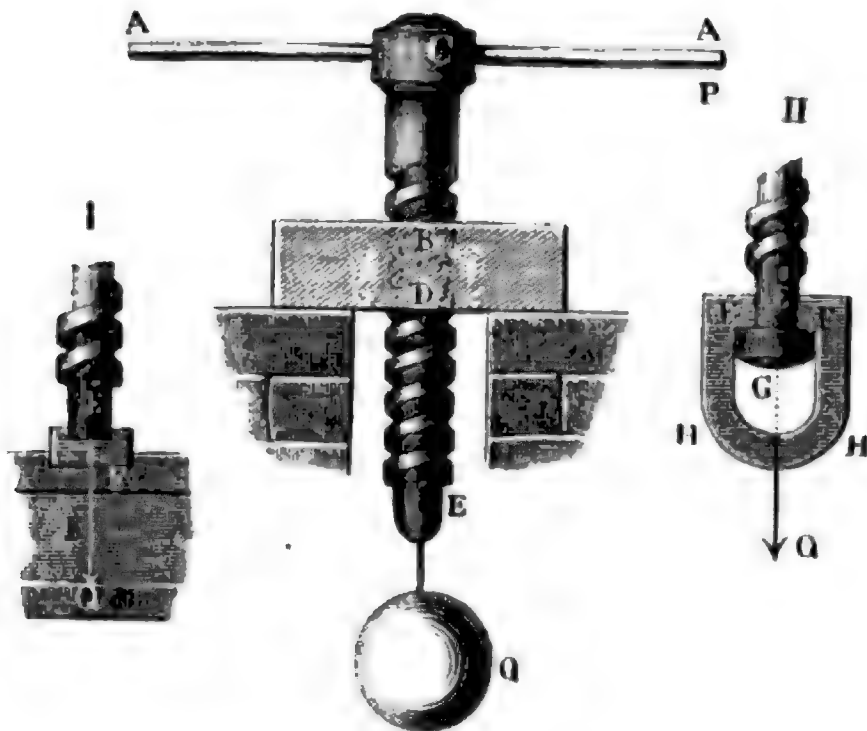
Diese Kraft  $P$  wird oft noch vermehrt durch andere Hindernisse, welche sich bei Umdrehung der Schraube einstellen.



Schon wenn die Kraft  $P$  einseitig, d. i. nicht an einem doppelarmigen Hebel angreift, stellt sich in der Schraubenmutter eine Seitenreibung ähnlich

Theorie der  
Nachhängigen  
Schrauben.

Fig. 296.



wie bei den einmännischen Haspeln und einschwenkeligen Göpeln (s. II., §. 85, Anmerkung) heraus. Ist die Höhe  $BD$  der Schraubenmutter  $= h_1$ , und sind die Abstände der Umdrehungsebene der Kraft von den Grundflächen der Mutter  $CB = l_1$  und  $CD = l_2$ , so haben wir den Druck, mit welchem die Schraube bei  $B$  in der Richtung der Kraft wirkt,

$$R_1 = \frac{l_2}{h_1} P,$$

und die, mit welcher sie bei  $D$  entgegengesetzt wirkt,

$$R_2 = \frac{l_1}{h_1} P,$$

und es sind daher die entsprechenden Seitenreibungen auf den Kraftpunkt reducirt, im Ganzen,

$$\begin{aligned} F &= \varphi \frac{d_2}{2a} (R_1 + R_2) \\ &= \varphi \frac{d_2}{2a h_1} (l_1 + l_2) P \end{aligned}$$

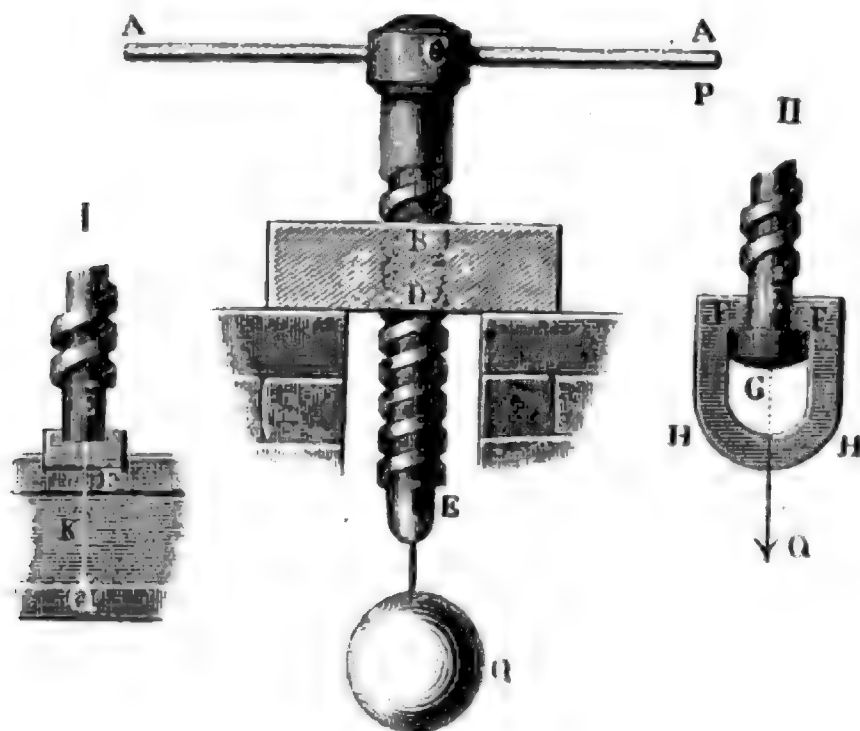
Wenn sich ferner die Last oder der zu überwindende Widerstand  $Q$  nicht mit der Schraube umdreht, wie z. B. in I. und II. zu Fig. 296, so findet auch noch eine Reibung an dem Schraubenende statt, die nach I., §. 171 zu beurtheilen ist. In I. bildet das Schraubenende  $E$  einen stehenden Zapfen und dreht sich in einer Pfanne  $F$ , während sie den darunter befindlichen Körper mit einer Kraft  $Q$  zusammendrückt. Ist  $r_1$  der Halbmesser

Theorie der  
Rachgängigen  
Schrauben.

dieses Schraubenendes, so haben wir dem genannten Paragraphen zu Folge, die auf den Kraftpunkt reducirte Reibung zwischen  $E$  und  $F$ :

$$F_1 = \frac{2}{3} \varphi \frac{r_1}{a} Q.$$

Hängt dagegen die Last  $Q$  mittels eines Dehres  $FH$ , Fig. 297 II., an Fig. 297.



dem zu diesem Zwecke mit einem Knopfe  $G$  ausgerüsteten Schraubenende  $E$ , und sind die Halbmesser der ringförmigen Berührungsfläche  $FF$  des Knopfes  $G$ ,  $r_1$  und  $r_2$ , so haben wir die auf den Kraftpunkt  $A$  reducirte Reibung auf dieser Fläche:  $F_1 = \frac{2}{3} \left( \frac{r_1^3 - r_2^3}{r_1^2 - r_2^2} \right) \cdot \frac{\varphi Q}{a}$ .

Beispiel. Welche Kraft  $P$  ist zum Umdrehen einer Schraube nöthig, um damit eine Last  $Q$  von 1600 Pfund zu heben, wenn diese Schraube die Spindelstärke  $d_1 = 0,025 \sqrt{1600} = 1$  Zoll und die Ganghöhe  $h = \frac{1}{3} d_1 = \frac{1}{3}$  Zoll hat? Es ist hiernach für den Steigwinkel  $\alpha$ :

$$\text{tang. } \alpha = \frac{h}{\pi d_1} = \frac{1}{3} \cdot 0,3183 = 0,1061, \text{ also } \alpha = 6^\circ, 3'.$$

Wenn man den Reibungswinkel  $\varphi = 6^\circ, 51'$  annimmt, so hat man daher die Umdrehungskraft  $P_1 = Q \text{ tang. } (\alpha + \varphi) = 1600 \text{ tang. } 12^\circ, 54' = 366,4$  Pfund. Ist nun der Hebelarm der Kraft  $CA = a = 16$  Zoll, und dagegen die äußere Schraubenstärke  $d_2 = \frac{5}{4} d_1 = \frac{5}{4}$  Zoll, also die mittlere Schraubenstärke

$$d = \frac{d_1 + d_2}{2} = \frac{9}{8} \text{ Zoll.}$$

so hat man die nöthige Kraft am Schwengel

$$P = \frac{d}{2a} P_1 = \frac{9}{16 \cdot 16} \cdot 366,4 = 12,88 \text{ Pfund.}$$



$$P_1 \left( 1 - \varphi_1 \frac{d}{2a_1} \operatorname{tang.}(\alpha + \varrho) \right) = Q \operatorname{tang.}(\alpha + \varrho),$$

$$\text{d. i. } P_1 = \frac{Q \operatorname{tang.}(\alpha + \varrho)}{1 - \varphi_1 \frac{d}{2a_1} \operatorname{tang.}(\alpha + \varrho)}.$$

Sind noch  $r_1$  und  $r_2$  die Halbmesser der Reibungsfläche  $F$  oder  $G$  zwischen der Schraube und dem Gestelle  $HH$ , so haben wir das Moment der Reibung an dieser Fläche:

$$\varphi (Q + F) \cdot \frac{2}{3} \frac{r_1^3 - r_2^3}{r_1^2 - r_2^2},$$

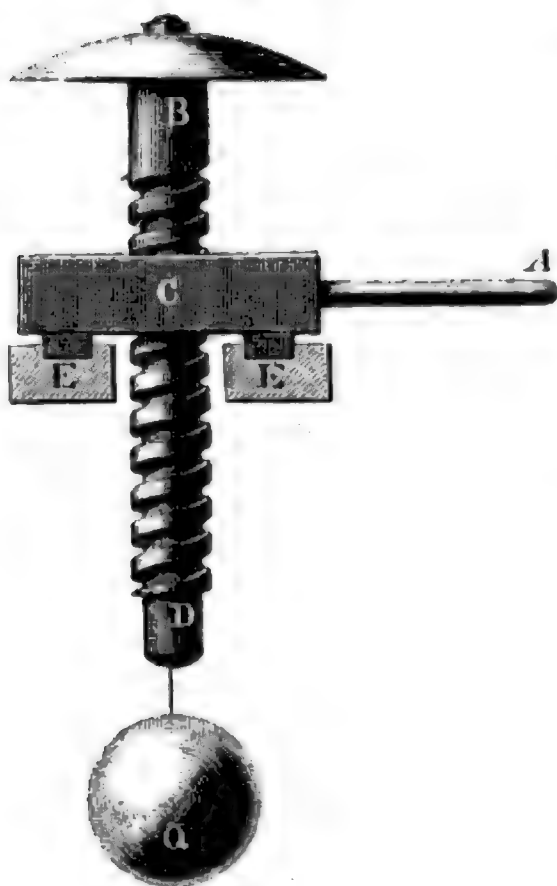
und es ist daher das Moment der am Hebelarme  $CA = a$  wirkenden Umdrehungskraft  $P$ :

$$\begin{aligned} Pa &= \frac{P_1 d}{2} + \varphi (Q + F) \cdot \frac{2}{3} \frac{r_1^3 - r_2^3}{r_1^2 - r_2^2} \\ &= \left( \frac{d}{2} + \frac{2}{3} \varphi \frac{r_1^3 - r_2^3}{r_1^2 - r_2^2} \cotg.(\alpha + \varrho) \right) P_1, \end{aligned}$$

und die gesuchte Umdrehungskraft

$$P = \frac{\frac{d}{2} \operatorname{tang.}(\alpha + \varrho) + \frac{2}{3} \varphi \frac{r_1^3 - r_2^3}{r_1^2 - r_2^2}}{1 - \varphi_1 \frac{d}{2a_1} \operatorname{tang.}(\alpha + \varrho)} \cdot \frac{Q}{a}.$$

Fig. 299.



Wenn die Schraubenspindel  $BD$ , Fig. 299, mit der daran hängenden Last  $Q$  durch Umdrehung der Mutter eines Hebels  $CA = a$  emporgehoben wird, so ist außer der bekannten Reibung in den Gewinden noch besonders die Reibung der Ringfläche  $EE$  der Mutter auf ihrer Pfanne zu überwinden. Sind wieder  $r_1$  und  $r_2$  die Halbmesser dieser Ringfläche, so haben wir das Moment dieser Reibung

$$\varphi Q \cdot \frac{2}{3} \frac{r_1^3 - r_2^3}{r_1^2 - r_2^2}$$

und daher zu setzen:

$$Pa = \frac{Qd}{2} \tan(\alpha + \varrho) + \frac{2}{3} \varphi Q \frac{r_1^3 - r_2^3}{r_1^2 - r_2^2}, \text{ folglich} \quad \text{Theorie der schiefgängigen Schrauben.}$$

$$P = \left( \frac{d}{2} \tan(\alpha + \varrho) + \frac{2}{3} \varphi \cdot \frac{r_1^3 - r_2^3}{r_1^2 - r_2^2} \right) \frac{Q}{a}.$$

Wenn die Kraft nur an einem Arme wirkt, so haben wir überdies noch eine Seitenreibung  $\varphi P$  in den Schraubengängen, weshalb dann

$$P = \left( \frac{d}{2} \tan(\alpha + \varrho) + \frac{2}{3} \varphi \cdot \frac{r_1^3 - r_2^3}{r_1^2 - r_2^2} \right) \frac{Q}{a - \varphi \frac{d}{2}}$$

zu nehmen ist.

Beispiel. Welche Last  $Q$  kann durch die Schraube  $BD$  in Fig. 299 gehoben werden, wenn die Kraft  $P = 30$  Pfund an einem Hebelarme  $CA = 20$  Zoll wirkt, wenn ferner das Ansteigen dieser Schraube  $\alpha = 10$  Grad und die mittlere Schraubenstärke  $d = 2$  Zoll beträgt, und wenn die Halbmesser der Reibungsfläche der Mutter,  $r_1 = 5$  und  $r_2 = 3\frac{1}{2}$  Zoll betragen?

Setzen wir den Reibungswinkel  $\varrho = 7^\circ$  und den Reibungscoefficienten  $\varphi = 0,125$ , so erhalten wir

$$\frac{d}{2} \tan(\alpha + \varrho) = 1 \cdot \tan.17^\circ = 0,3057,$$

$$\frac{2}{3} \varphi \frac{r_1^3 - r_2^3}{r_1^2 - r_2^2} = \frac{2}{3} \cdot 0,125 \cdot \frac{125 - 42,875}{25 - 12,25} = 0,5368 \text{ und}$$

$$a - \varphi \frac{d}{2} = 20 - 0,125 \cdot 1 = 19,875; \text{ daher die Last}$$

$$Q = \frac{\left( a - \varphi \frac{d}{2} \right) P}{\frac{d}{2} \tan(\alpha + \varrho) + \frac{2}{3} \varphi \cdot \frac{r_1^3 - r_2^3}{r_1^2 - r_2^2}}$$

$$= \frac{19,875 \cdot 30}{0,3057 + 0,5368} = \frac{596,25}{0,8425} = 707,7 \text{ Pfund.}$$

Diese Last fällt hier wegen der großen Reibung an der Grundfläche der Schraubenmutter verhältnißmäßig so sehr klein aus. Ohne diese Reibung wäre

$$Q = \frac{596,25}{0,3057} = 1950 \text{ Pfund.}$$

§. 144. Die schiefgängige Schraube, oder die Schraube mit triangulärem Gewinde giebt mehr Reibung als die flachgängige Schraube, weil hier wegen der Schrägheit der Schraubenfläche ein größerer Normaldruck zwischen den Gewinden vorkommt, als bei den Schrauben mit rectangulären Gewinden. Setzen wir auch die Kraft oder Last  $Q$ , parallel zur Axe  $CX$ , Fig. 300 (auf folgd. Seite),  $AQ = Q$ , ferner die Umdrehungskraft im Mittel der Schraubengewinde,  $AP_1 = P_1$  und das Ansteigen der Gewinde,  $BAD = \alpha$ , und bezeichnen wir die Neigung der Erzeugungslinie  $CA$  der Schraubenfläche gegen die Basis der Schraube,  $CAH = \beta$ . Legen wir zunächst durch den Punkt  $A$ , in welchem wir uns die Kräfte wirksam denken können, eine Tangentialebene an den die Schraube begrenzenden Cylinder, und ziehen wir in dieser Ebene eine Linie  $AN_2$  winkelrecht





Es ist nun noch nöthig, den Winkel  $\delta$  aus  $\alpha$  und  $\beta$  zu bestimmen.

Abenthe der  
scharfgängigen  
Schraube.

Da  $N_2$  rechtwinkelig auf der Ebene  $BAH$ , und  $N$  rechtwinkelig auf der Ebene  $BAC$  steht, so folgt, daß die beiden letzten Ebenen ebenfalls den Winkel  $NAN_2 = \delta$  zwischen sich einschließen oder daß der sphärische Winkel  $B$  eines aus  $A$  beschriebenen sphärischen Dreieckes  $BHK$  auch  $= \delta$  ist. In diesem sphärischen Dreiecke ist ferner die Seite  $HK = \beta$ , die Seite  $BH = 90^\circ$ , und der sphärische Winkel  $H = 90^\circ - \alpha$ , daher giebt die bekannte Formel der sphärischen Trigonometrie

$$\cotg. B = \frac{\cos. HK \cdot \sin. BH - \cos. H \sin. HK \cos. BH}{\sin. H \sin. HK},$$

$$\cotg. \delta = \frac{\cos. \beta \sin. 90^\circ - \cos. (90^\circ - \alpha) \sin. \beta \cos. 90^\circ}{\sin. (90^\circ - \alpha) \sin. \beta}$$

$$= \frac{\cos. \beta}{\cos. \alpha \sin. \beta} = \frac{\cotg. \beta}{\cos. \alpha}, \text{ oder}$$

$$\text{tang. } \delta = \text{tang. } \beta \cos. \alpha.$$

$$\text{Aber } \cos. \delta = \frac{1}{\sqrt{1 + \text{tang. } \delta^2}}, \text{ daher folgt}$$

$$\begin{aligned} \cos. \delta &= \frac{1}{\sqrt{1 + (\text{tang. } \beta)^2 (\cos. \alpha)^2}} = \frac{1}{\sqrt{1 + (\text{tang. } \beta)^2 \cdot \frac{1}{1 + (\text{tang. } \alpha)^2}}} \\ &= \frac{\sqrt{1 + (\text{tang. } \alpha)^2}}{\sqrt{1 + (\text{tang. } \alpha)^2 + (\text{tang. } \beta)^2}}. \end{aligned}$$

Hiernach bestimmt sich nun die Reibung der Schraube

$$F = \varphi N = \frac{\varphi (P_1 \sin. \alpha + Q \cos. \alpha) \sqrt{1 + (\text{tang. } \alpha)^2 + (\text{tang. } \beta)^2}}{\sqrt{1 + (\text{tang. } \alpha)^2}}$$

$= \varphi \cos. \alpha (P_1 \sin. \alpha + Q \cos. \alpha) \sqrt{1 + (\text{tang. } \alpha)^2 + (\text{tang. } \beta)^2}$ ,  
und es ist daher die Kraftformel für die scharfgängige Schraube

$$P_1 \cos. \alpha = Q \sin. \alpha \pm \varphi \cos. \alpha (P_1 \sin. \alpha + Q \cos. \alpha) \sqrt{1 + (\text{tang. } \alpha)^2 + (\text{tang. } \beta)^2},$$

oder

$$\begin{aligned} P_1 [1 \mp \varphi \sin. \alpha \sqrt{1 + (\text{tang. } \alpha)^2 + (\text{tang. } \beta)^2}] \\ = Q [\text{tang. } \alpha \pm \varphi \cos. \alpha \sqrt{1 + (\text{tang. } \alpha)^2 + (\text{tang. } \beta)^2}]. \end{aligned}$$

Es ist folglich

$$P_1 = \frac{Q [\text{tang. } \alpha \pm \varphi \cos. \alpha \sqrt{1 + (\text{tang. } \alpha)^2 + (\text{tang. } \beta)^2}]}{1 \mp \varphi \sin. \alpha \sqrt{1 + (\text{tang. } \alpha)^2 + (\text{tang. } \beta)^2}}$$

Ist  $d$  der mittlere Schraubendurchmesser und  $a$  der Hebelarm, woran

Theorie der  
scharfgängigen  
Schraube.

die Kraft  $P$  wirkt, so hat man  $Pa = P_1 \frac{d}{2}$ , daher

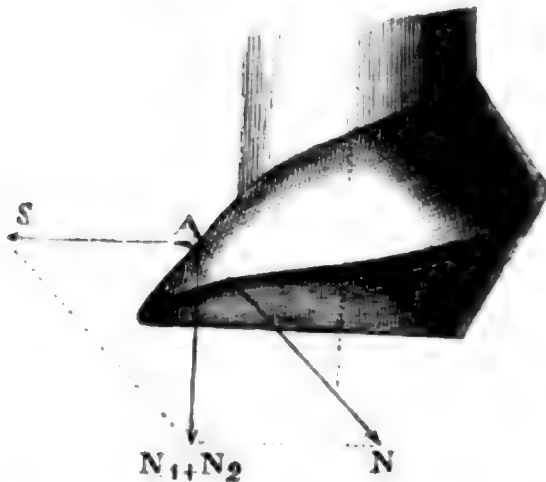
$$P = \frac{d}{2a} P_1, \text{ d. i.}$$

$$P = \frac{d}{2a} Q \frac{[\text{tang. } \alpha \pm \varphi \cos. \alpha \sqrt{1 + (\text{tang. } \alpha)^2 + (\text{tang. } \beta)^2}]}{1 \mp \varphi \sin. \alpha \sqrt{1 + (\text{tang. } \alpha)^2 + (\text{tang. } \beta)^2}}$$

Die scharfgängigen Schrauben werden wegen ihrer größeren Reibung vorzüglich nur als Befestigungsmittel angewendet, und haben dann nur ein kleines Ansteigen  $\alpha$ . Daher können wir für sie auch annähernd

$$\begin{aligned} P &= \frac{\text{tang. } \alpha \pm \varphi \cos. \alpha \sqrt{1 + (\text{tang. } \beta)^2}}{1 \mp \varphi \sin. \alpha \sqrt{1 + (\text{tang. } \beta)^2}} \cdot \frac{d}{2a} Q \\ &= \frac{\text{tang. } \alpha \cdot \cos. \beta \pm \varphi \cos. \alpha}{\cos. \beta \mp \varphi \sin. \alpha} \cdot \frac{d}{2a} Q \\ &= \frac{\text{tang. } \alpha \cos. \beta \pm \varphi}{\cos. \beta \mp \varphi \text{ tang. } \alpha} \cdot \frac{d}{2a} Q \\ &= \frac{h \cos. \beta \pm \varphi \pi d}{\pi d \cos. \beta \mp \varphi h} \cdot \frac{d}{2a} Q \text{ setzen.} \end{aligned}$$

Fig. 301.



Diese Formel ergibt sich auch unmittelbar, wenn man den Normaldruck  $AN$ , Fig. 301,

$$\begin{aligned} N &= \frac{(N_1 + N_2)}{\cos. \beta} \\ &= \frac{P_1 \sin. \alpha + Q \cos. \alpha}{\cos. \beta} \end{aligned}$$

setzt.

Beispiel. Für eine scharfgängige Schraube mit dem Ansteigen  $\alpha = 6^\circ 3'$  und dem Neigungswinkel  $\beta = 45^\circ$  ist

$\sqrt{1 + (\text{tang. } \alpha)^2 + (\text{tang. } \beta)^2} = \sqrt{1 + (0,106)^2 + 1} = \sqrt{2,0112} = 1,418$ ; nimmt man noch den Reibungscoefficienten  $\varphi = 0,12$  an, so hat man

$$\varphi \cos. \alpha \sqrt{1 + (\text{tang. } \alpha)^2 + (\text{tang. } \beta)^2} = 0,12 \cdot 0,9944 \cdot 1,418 = 0,1691$$

$$\text{und } \varphi \sin. \alpha \sqrt{1 + (\text{tang. } \alpha)^2 + (\text{tang. } \beta)^2} = 0,12 \cdot 0,1054 \cdot 1,418 = 0,0179.$$

Soll nun mittels dieser Schraube eine Last  $Q$  von 1600 Pfund gehoben werden, und hierbei die Kraft an einem Hebelarme  $a = 16$  Zoll wirken, während die Schraube selbst nur die mittlere Stärke  $d = \frac{9}{8}$  Zoll hat, so hat man die Kraft

$$P = \frac{0,1060 + 0,1691}{1 - 0,0179} \cdot \frac{9}{16 \cdot 16} \cdot 1600 = \frac{0,2751}{0,9821} \cdot \frac{900}{16} = 15,76 \text{ Pfund, wä-}$$

rend wir für eine flachgängige Schraube unter übrigens gleichen Umständen im Beispiele zu §. 142,  $P$  nur  $= 12,88$  Pfund gefunden haben.

Die Näherungsformel

$$P = \frac{\tan \alpha \cos \beta + \varphi}{\cos \beta - \varphi \tan \alpha} \cdot \frac{d}{2a} Q$$

gibt uns diese Kraft

$$P = \frac{0,106 \cdot 0,7071 + 0,12}{0,7071 - 0,12 \cdot 0,106} \cdot \frac{900}{16} = 15,79 \text{ Pfund.}$$

§. 145. Wenn schon die flachgängigen Schrauben wegen ihrer großen Reibung sich nicht gut zur Fortpflanzung oder Ausübung einer mechanischen Arbeit eignen, so sind die Schrauben mit scharfgängigen Gewinden hierzu noch unvorteilhafter zu gebrauchen. Anders ist es aber in allen den Fällen, wenn die Schrauben als Befestigungsmittel dienen. Hier kommt es darauf an, daß die Schraube oder Schraubenmutter nicht zurückgehe, d. i. durch die Spannkraft  $Q$  nicht in Umdrehung gesetzt werde; da nun aber die Reibung jede Bewegung zu verhindern sucht, so ist sie für diese Schrauben vorteilhaft, und es nützen folglich Schrauben mit triangulären Gewinden hier mehr als solche mit rectangulären Gewinden.

Schrauben  
als  
Befestigungs-  
mittel.

Solche Schrauben, wie z. B. Pressschrauben, Schraubenbolzen u. s. w., erhalten, eben damit sie nicht zurückgehen, schwach ansteigende Gewinde oder kleine Steigwinkel, wir können daher für sie die letzte Näherungsformel mit dem unteren Zeichen:

$$P = \frac{h \cos \beta - \varphi \pi d}{\pi d \cos \beta + \varphi h} \cdot \frac{d}{2a} Q \text{ gebrauchen.}$$

Setzen wir nun hierin  $P = 0$ , so erhalten wir die Bedingung

$$h \cos \beta - \varphi \pi d = 0, \text{ d. i.}$$

$$\tan \alpha = \frac{h}{\pi d} = \frac{\varphi}{\cos \beta} = \frac{\tan \varphi}{\cos \beta},$$

also für flachgängige Schrauben, wo  $\beta = \text{Null}$ , also  $\cos \beta = \text{Eins}$  ist,

$$\tan \alpha = \tan \varphi, \text{ d. i.}$$

$$\alpha = \varphi.$$

Flachgängige Schrauben also, bei welchen das Ansteigen der Gewinde noch nicht dem Reibungswinkel gleich ist, gehen nicht zurück, wie groß auch die Spannung  $Q$  derselben sei. Bei scharfgängigen Schrauben aus Metall macht man  $\beta = 25$  bis 30 Grad und bei solchen aus Holz  $\beta = 30$  bis 40 Grad. Nehmen wir die ungünstigen Fälle, setzen wir also für jene Schrauben  $\beta = 25$  und für diese  $\beta = 30$  Grad, so erhalten wir im

$$\text{ersten Fall } \tan \alpha = \frac{\tan \varphi}{\cos 25^\circ} = 1,1034 \tan \varphi,$$

oder auch annähernd  $\alpha = 1,10 \varphi$ , und im zweiten

$$\tan \alpha = \frac{\tan \varphi}{\cos 30^\circ} = 1,16 \tan \varphi,$$

oder annähernd  $\alpha = 1,16 \varphi$ .

Schrauben  
als  
Befestigungs-  
mittel.

Nimmt man  $\beta = 45^\circ$ , so erhält man

$$\tan \alpha = \frac{\tan \varphi}{\cos 45^\circ} = 1,41 \tan \varphi,$$

oder annähernd  $\alpha = 1,41 \varphi$ .

Scharfgängige Schrauben können also 10 bis 41 Procent mehr Steigung erhalten als flachgängige Schrauben. Nach I., §. 161 ist bei trockenem Zustande der Körper und für die Reibung der Ruhe

bei Metall auf Metall  $\varphi = 0,18$ , und hiernach  $\varphi = 10^\circ, 12'$ ,

" " Holz  $\varphi = 0,60$ , " "  $\varphi = 30^\circ, 58'$ ,

" Holz " "  $\varphi = 0,50$ , " "  $\varphi = 26^\circ, 34'$ .

Durch die Reibung der Schraubenköpfe und Schraubenmutter in den Berührungsflächen mit den Körpern, deren Befestigung dieselben bewirken, wird dem Zurückgehen noch ein besonderes Hinderniß entgegengesetzt. Dagegen wird das Zurückgehen oder Sichumdrehen der Schrauben durch Stöße oder Erschütterungen sehr befördert, indem diese den die Reibung erzeugenden Druck und also auch die der Axenkraft  $Q$  entgegenwirkenden Hindernisse auf Augenblicke aufheben.

Um dieses, namentlich durch wiederholte Erschütterungen herbeigeführte Zurückgehen der Schrauben zu verhindern, wendet man entweder sogenannte Gegenmutter an, oder gebraucht besonders Splinte oder Federn, welche in hierzu angebrachte Löcher oder Einschnitte im Kopfe oder in der Mutter der Schraube eingreifen.

Differenzial-  
schrauben.

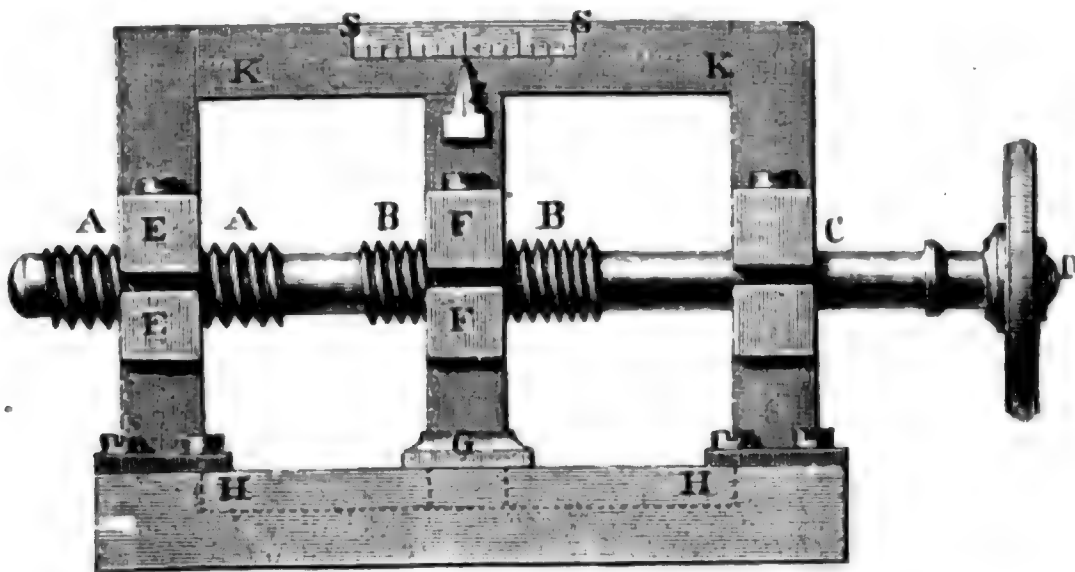
§. 146. Ist  $v$  die Umfangsgeschwindigkeit der Schraube in der Entfernung des mittleren Halbmessers  $r = \frac{d}{2}$  und  $w$  die Geschwindigkeit der progressiven Bewegung in der Axenrichtung der Schraube, so gilt das Verhältniß  $\frac{w}{v} = \tan \alpha = \frac{h}{2\pi r} = \frac{h}{\pi d} = 0,3183 \frac{h}{d}$ .

Man kann also hiernach aus einer Umdrehungsbewegung mittels der Schraube jede beliebig langsame Bewegung in der geraden Linie ableiten. Da indessen die Höhe oder Dicke der rectangulären Gewinde der halben und die der triangulären Gewinde der ganzen Gangbreite gleich zu machen sind, so fallen also auch bei sehr kleinen Geschwindigkeitsverhältnissen  $\frac{v}{w}$  oder kleinen Steigwinkeln ( $\alpha$ ) die Dicken der Gewinde sehr klein und vielleicht so klein aus, daß sie nicht die nöthige Haltbarkeit besitzen. Dieser Uebelstand läßt sich aber durch eine Doppelschraube, welche man auch die Differenzialschraube (franz. vis différentielle, vis à double pas de Prony; engl. differential screw, Hunters screw) nennt, beseitigen.

Eine solche Schraube ist in Fig. 302 abgebildet. Die Schraubenspindel *A B C* hat hier zweierlei Gewinde und bewegt sich mit dem einen Gewinde *AA* in einer festen Mutter *EE*, während sie mit dem anderen Gewinde *BB*

Differenzial-  
schraube.

Fig. 302.



eine bewegliche Mutter *FF* fortschiebt. Ist nun *h* die Ganghöhe der ersten und *h*<sub>1</sub> die der zweiten Schraube, so wird bei einer Umdrehung mittels des Kopfes *D* die Spindel um *h* nach der einen und die Mutter *FF* um *h*<sub>1</sub> nach der entgegengesetzten Arienrichtung fortgeschoben, und man hat daher die absolute Arienbewegung der letzteren:

$$h - h_1 = \pi (d \tan \alpha - d_1 \tan \alpha_1),$$

wenn *d* und *d*<sub>1</sub> die mittleren Durchmesser und  $\alpha$  und  $\alpha_1$  die Steigwinkel beider Schraubengewinde bezeichnen. Ist daher *w* die progressive Geschwindigkeit der beweglichen Mutter *FF* und *v* wieder die mittlere Umdrehungsgeschwindigkeit der Schraubenspindel, so giebt die Proportion

$$\frac{w}{v} = \frac{h - h_1}{\pi d},$$

welcher zufolge die Geschwindigkeit *w* der Differenz der Ganghöhen proportional ist.

Die Mutter *FF* trägt einen Querarm *GZ*, dessen Enden in Falzen *HH* und *KK* laufen; und wenn diese Vorrichtung als Micrometerschraube dienen soll, so ist noch an das eine Ende dieses Querarmes ein Zeiger *Z* angebracht, welcher an einer festen Scala *SS* hinläuft, deren Theile durch den Zeiger weiter eingetheilt werden. Wenn z. B. die Ganghöhen *h* = 1 Linie und *h*<sub>1</sub> = 0,9 Linie betragen, so kommt auf jede Umdrehung der Schraube *h* - *h*<sub>1</sub> = 0,1 Linie Zeigerbewegung; wäre also die Scala *SS* in Linien getheilt, so gäbe der Zeiger, selbst wenn man nur nach ganzen Umdrehungen zählt, Zehntel der Scalentheile an.



Differenzial-  
schraube.

Ist  $Q$  die an der Mutter  $FF$  angreifende und parallel zur Schraubenaxe wirkende Last, und  $P$  die an einem Hebelarm  $a$  wirkende Umdrehungskraft, so können wir in dem Falle, wenn die mit den Winkeln  $\alpha$  und  $\alpha_1$  ansteigenden Gewinde einerlei mittleren Durchmesser  $d$  haben, setzen

$$\begin{aligned} P &= \frac{d}{2a} [Q \operatorname{tang.} (\alpha + \varphi) - Q \operatorname{tang.} (\alpha_1 - \varphi)] \\ &= \frac{d}{2a} Q [\operatorname{tang.} (\alpha + \varphi) - \operatorname{tang.} (\alpha_1 - \varphi)] \\ &= \frac{d}{2a} Q \frac{\sin. (\alpha - \alpha_1 + 2\varphi)}{\cos. (\alpha + \varphi) \cos. (\alpha_1 - \varphi)}, \end{aligned}$$

während bei der einfachen Schraube

$$P = \frac{d}{2a} Q \operatorname{tang.} (\alpha + \varphi) = \frac{d}{2a} Q \frac{\sin. (\alpha + \varphi)}{\cos. (\alpha + \varphi)} \text{ ist.}$$

Es ist leicht zu ermessen, daß in Folge der doppelten Reibung die Differenzialschraube einen noch kleineren Wirkungsgrad hat als die einfache Schraube.

**Beispiel.** Es sei der kleinere Steigwinkel einer Differenzialschraube,  $\alpha_1 = 5^\circ$  und der größere,  $\alpha = 10^\circ, 56'$ , ferner der mittlere Durchmesser  $d = \frac{9}{16}$  Zoll, der Hebelarm der Kraft  $a = 16$  Zoll und die Last  $Q = 1600$  Pfund, wie groß ist die Kraft?

Wir setzen hier  $\alpha + \varphi = 10^\circ, 56' + 6^\circ, 53' = 17^\circ, 49'$ ,  
und  $\alpha_1 - \varphi = 5^\circ - 6^\circ, 53' = -1^\circ, 53'$ , haben hiernach  
 $\operatorname{tang.} (\alpha + \varphi) = 0,3214$  und  $\operatorname{tang.} (\alpha_1 - \varphi) = -0,0329$ ;  
es ist folglich die nöthige Kraft

$$P = (0,3214 + 0,0329) \cdot \frac{9 \cdot 1600}{16 \cdot 16} = 0,3543 \cdot \frac{900}{16} = 19,93 \text{ Pfund.}$$

Nach dem Beispiele zu §. 142 fordert die einfache Schraube mit rectangulären Gängen bei derselben Ganghöhe,  $P = 12,88$ , und nach dem Beispiele zu §. 144, die mit triangulären Gängen,  $P = 15,79$  Pfund.

Schraube  
ohne Ende.

§. 147. Es ist nicht nöthig, daß die Schraube mit einer Mutter versehen sei, man kann auch eine Schraubenspinde zwischen die Zähne einer gezahnten Stange oder eines gezahnten Rades greifen lassen, und das letztere durch Umdrehung der Schraube in Bewegung setzen. Es gehört hieher vorzüglich die Schraube ohne Ende (franz. vis sans fin; engl. endless screw). Diese Vorrichtung kommt vorzüglich dann zur Anwendung, wenn eine sanfte oder langsame Kreisbewegung erstrebt wird, oder wenn eine große Last mittels einer kleinen Umdrehungskraft gehoben werden soll. Diese Maschine besteht aus einer durch eine Kurbel  $BD$  oder ein Rad in Umdrehung gesetzten Schraubenspinde oder Schnecke  $AB$ , Figur 303, (franz. serpe; engl. worm) und aus einem gezahnten Rade  $EF$ , dessen Zähne zwischen die Gewinde der Schraube  $GH$  greifen. Während der Umdrehung der Schraube schieben die Schraubengewinde die Zähne des









Schraube  
ohne Ende.

durch die Reibung zwischen den Zähnen und Gewinden namhaft vergrößert. Wenn wir bei dem letzten Widerstande die radiale Bewegung an den Zahnflächen unbeachtet lassen und nur den weit größeren Reibungsweg längs der Schraubengewinde in Betracht ziehen, so können wir die Reibung an den Schraubengewinden gleich der einer Schraube mit Mutter und daher nach §. 142

$$P = \frac{r}{a_1} \cdot \frac{h + 2\varphi\pi r}{2\pi r - \varphi h} \cdot \frac{b_1}{r_1} Q$$

$$= \frac{h + 2\varphi\pi r}{2\pi r - \varphi h} \cdot \frac{r}{r_1} \cdot \frac{b_1}{a_1} Q \text{ setzen,}$$

wobei  $r$  den mittleren Schrauben- und  $r_1$  den mittleren Zahnradhalbmesser bezeichnen.

Hat die Schnecke nur ein Gewinde, so ist  $h = \frac{2\pi r_1}{n}$ , und dann läßt sich einfacher  $P = \frac{r_1 + \varphi nr}{nr - \varphi r_1} \cdot \frac{r}{r_1} \cdot \frac{b_1}{a_1} Q$  schreiben.

Für eine Schnecke mit  $m$  Gewinden ist dagegen  $h = \frac{m}{n} \cdot 2\pi r_1$ ,

und daher  $P = \frac{mr_1 + \varphi nr}{nr - \varphi mr_1} \cdot \frac{r}{r_1} \cdot \frac{b_1}{a_1} Q$ .

Nur in seltenen Fällen setzt man die Schraube durch ein Zahnrad in Umdrehung; es hat die Schraube ein starkes Ansteigen und besteht dann meist aus mehreren Gewinden. Für diesen Fall ist natürlich

$$P = \frac{mr_1 - \varphi nr}{nr + \varphi mr_1} \cdot \frac{r}{r_1} \cdot \frac{b_1}{a_1} Q, \text{ oder}$$

$$Q = \frac{nr_1 + \varphi mr}{mr - \varphi nr_1} \cdot \frac{r}{r_1} \cdot \frac{a_1}{b_1} P.$$

Beispiel. Es soll mittels einer Schraube ohne Ende eine Last  $Q$  von 2000 Pfund gehoben werden, wie groß ist die hierzu nöthige Kraft, wenn die Last am Hebelarme  $b_1 = 10$  Zoll und die Kraft am Hebelarme  $a_1 = 18$  Zoll wirkt und wenn das Zahnrad einen Halbmesser  $r_1$  von 20 Zoll hat? Es ist hier die Kraft zwischen den Zähnen  $K = \frac{b_1}{r_1} Q = \frac{10}{20} \cdot 2000 = 1000$  Pfund, und daher nach §. 48 die erforderliche Stärke der gußeisernen Zähne, so wie die der Gewinde  $b = 0,03 \sqrt{K} = 0,03 \sqrt{1000} = 0,03 \cdot 31,62 = 0,95$  Zoll, und daher die Theilung oder Ganghöhe  $h = 2,1 \cdot b = 2$  Zoll. Nun folgt die Anzahl der Zähne:  $n = \frac{2\pi r_1}{h} = 6,283 \cdot \frac{20}{2} = 62,83$ , wofür wir indessen 64 nehmen wollen. Geben wir der Schnecke nur ein Gewinde, und machen wir deren mittleren Halbmesser  $r = \frac{d}{2} = 3h = 6$  Zoll, so erhalten wir für das mittlere Ansteigen derselben

$$\text{tang. } \alpha = \frac{h}{\pi d} = \frac{2}{\pi \cdot 12} = \frac{0,3183}{6} = 0,05305, \text{ d. i. } \alpha = 3^\circ 2'.$$

Ohne Rücksicht auf Nebenhindernisse wäre nun

$$\frac{P}{Q} = \frac{w}{v} = \frac{b_1}{na_1} = \frac{10}{64 \cdot 18} = \frac{1}{672} = 0,00868,$$

folglich die Kraft  $P = 0,00868 Q = 0,00868 \cdot 2000 = 17,36$  Pfund.

Mit Rücksicht auf die Zahnreibung ist, wenn man  $\varphi = 0,12$  nimmt,

$$P = \frac{r_1 + \varphi nr}{nr - \varphi r_1} \cdot \frac{r}{r_1} \cdot \frac{b_1}{a_1} Q = \frac{20 + 0,12 \cdot 64 \cdot 6}{64 \cdot 6 - 0,12 \cdot 20} \cdot \frac{10}{20} \cdot \frac{1}{18} \cdot 2000$$

$$= \frac{20 + 46,08}{384 - 2,4} \cdot \frac{1000}{3} = \frac{66080}{1144,8} = 57,72 \text{ Pfund.}$$

Man ersieht hieraus, daß durch die Reibung zwischen den Zähnen und Schraubengängen die Kraft  $\frac{57,72}{17,36} = 3,3$ mal vergrößert wird, und daher der Wirkungsgrad dieser Maschine nur  $\eta = \frac{1}{3,3} = 0,30$  ist.

Durch die Reibung an den Zapfen  $M$ ,  $A$  und  $B$  steigt sich die Kraft  $P$  noch um Etwas, wird also  $\eta$  noch mehr herabgezogen.

Soll die Last  $Q$  auf  $s_1 = 50$  Fuß Höhe gehoben werden, so ist der entsprechende Weg des Kraftpunktes  $D$ :

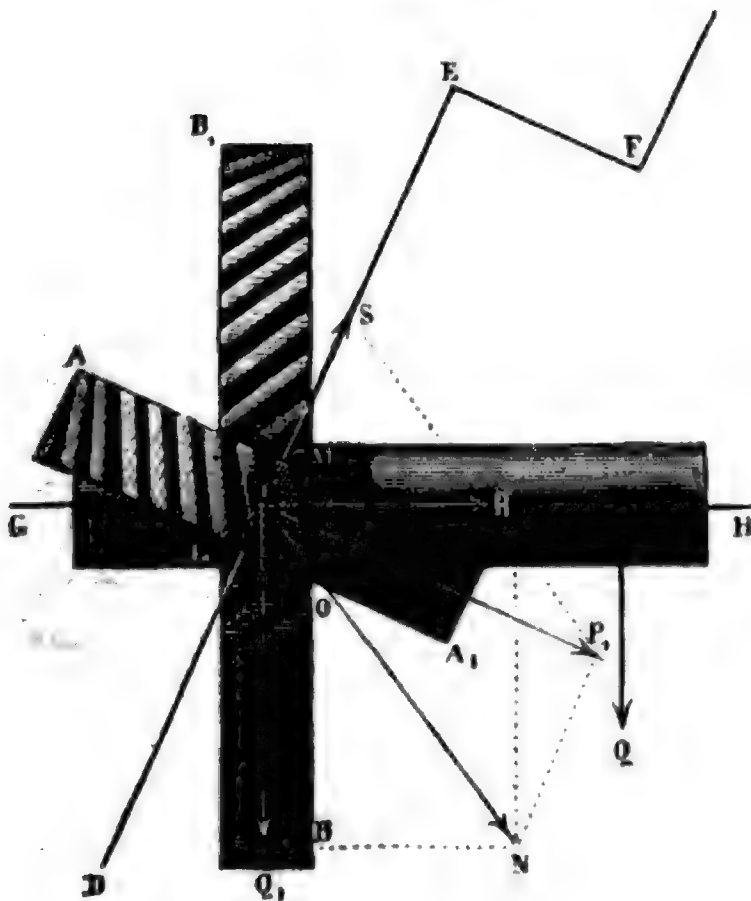
$$s = \frac{v}{w} s_1 = 57\frac{1}{2} \cdot 50 = 5760 \text{ Fuß,}$$

und daher die erforderliche Umdrehungszahl der Schnecke

$$u_1 = \frac{s}{2\pi a_1} = \frac{5760}{86\pi} = 50,93.$$

§. 149. Mit der Schraube ohne Ende stehen die Schraubenträder

Fig. 306.



oder die Räder mit schiefen Zähnen in genauem Zusammenhange. Ein Schraubenträderwerk besteht im Wesentlichen aus zwei in einandergreifenden Schraubenspindeln; und da sich das Zahnrad der Schraube ohne Ende ebenfalls als eine Schraubenspindel ansehen läßt, deren Gewinde die Zähne dieses Rades bilden, so ist auch die Schraube ohne Ende ein Schraubenträderwerk, und zwar ein solches, wo sich die Umdrehungsebenen unter dem Rechtwinkel schneiden.

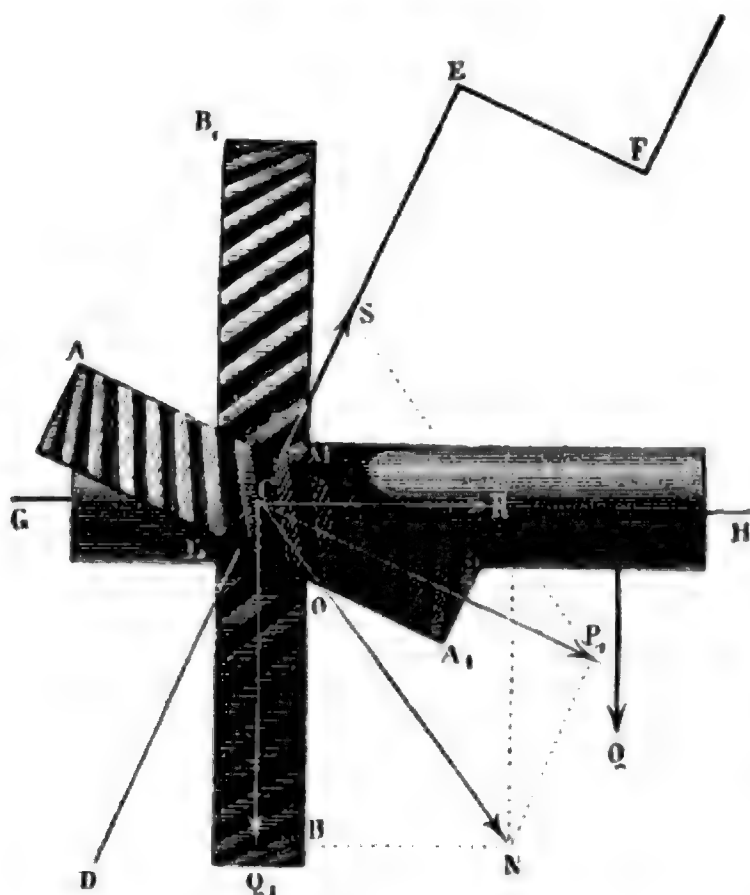
Schraube ohne Ende.

Schraubenträder.

Schrauben-  
räder.

Ein Schraubenräderwerk, dessen Umdrehungsebenen einen schiefen Winkel

Fig. 307.



$P_1 C Q_1 = \alpha$  zwischen sich einschließen, ist in Figur 307 abgebildet. Es sind hier  $AA_1$  und  $BB_1$  die beiden Räder mit schiefen oder Schraubenzähnen, welche um die nicht in einerlei Ebene liegenden Axen  $DE$  und  $GH$  drehbar sind. Wird nun  $AA_1$  durch eine Kraft  $P$ , z. B. mittels einer Kurbel  $EF$ , in Umdrehung gesetzt, so greifen die (allerdings in der Figur verdeckten) Zähne  $LM$  desselben zwischen die Zähne des Rades  $BB_1$ , und setzen dadurch auch das letztere in Umdrehung, so wie

die an der Welle dieses Rades wirkende Last  $Q$  in Bewegung.

Nehmen wir an, daß die Berührungsfläche  $LM$  zwischen den Zähnen im Berührungspunkte um die Winkel  $CMA = \alpha$  und  $CMB = \alpha_1$  von den Umdrehungsebenen beider Räder abweiche, daß also die Normale  $CN$  zu jener Berührungsebene mit diesen Umdrehungsebenen die Winkel  $NCP_1 = 90^\circ - \alpha$  und  $NCQ_1 = 90^\circ - \alpha_1$  bilde; bezeichnen wir ferner die Radhalbmesser  $CA$  und  $CB$  durch  $r$  und  $r_1$  und setzen wir den Hebelarm der Kraft  $P$ ,  $EF = a$  und den der Last  $Q$ ,  $= b$ . Der Druck  $N$  zwischen den Zähnen giebt erstens die Seitenkräfte  $P_1$  und  $S$  des Rades  $AA_1$ , und zweitens auch die Seitenkräfte  $Q_1$  und  $R$  der Radwelle  $BB_1$ , und von diesen Kräften ist  $P_1$  die Umdrehungskraft von  $AA_1$ , so wie  $Q_1$  die von  $BB_1$ , dagegen sind  $S$  und  $R$  parallel zu den Radaxen wirkende Kräfte, welche keinen directen Einfluß auf die Umdrehung ausüben, sondern nur die Zapfenreibungen vergrößern.

Wir haben, unserer Bezeichnung entsprechend,

$$P_1 = N \cos. NCP_1 = N \sin. \alpha \quad \text{und}$$

$$Q_1 = N \cos. NCQ_1 = N \sin. \alpha_1;$$

folglich ist 
$$\frac{P_1}{Q_1} = \frac{\sin. \alpha}{\sin. \alpha_1};$$



aber es ist auch  $P_1 = \frac{a}{r} P$  und  $Q_1 = \frac{b}{r_1} Q$ ,

daher haben wir, wenn von allen Nebenhindernissen abgesehen wird,

$$\frac{P_1}{Q_1} = \frac{ar_1 P}{brQ}, \text{ und folglich}$$

$$\frac{P}{Q} = \frac{br}{ar_1} \cdot \frac{P_1}{Q_1} = \frac{br \sin. \alpha}{ar_1 \sin. \alpha_1}, \text{ also}$$

$$P = \frac{r \sin. \alpha}{r_1 \sin. \alpha_1} \cdot \frac{b}{a} Q.$$

Stehen die Radebenen winkelmäßig auf einander, so hat man  $\alpha + \alpha_1 = 90^\circ$ , daher  $\sin. \alpha_1 = \cos. \alpha$  und  $\frac{\sin. \alpha}{\sin. \alpha_1} = \frac{\sin. \alpha}{\cos. \alpha} = \tan. \alpha$ , folglich ist

hier die Kraft  $P = \frac{r}{r_1} \cdot \frac{b}{a} Q \tan. \alpha$ , wie bei der Schraube ohne Ende.

Will man diese Kraft mit Berücksichtigung der Reibung bestimmen, so hat man die Seitenkraft nicht in der Normale, sondern um den Reibungswinkel  $\varphi$  davon abweichend anzunehmen, weshalb nun auch

$$P_1 = N \sin. (\alpha + \varphi) \text{ und}$$

$$Q_1 = N \sin. (\alpha_1 - \varphi) \text{ zu setzen ist.}$$

Deshalb erhalten wir hier

$$\frac{P_1}{Q_1} = \frac{ar_1 P}{brQ} = \frac{\sin. (\alpha + \varphi)}{\sin. (\alpha_1 - \varphi)}, \text{ und daher}$$

$$P = \frac{r \sin. (\alpha + \varphi)}{r_1 \sin. (\alpha_1 - \varphi)} \cdot \frac{b}{a} Q.$$

Schließen die beiden Umdrehungswinkel den Rechtwinkel zwischen sich ein, ist also  $\alpha + \alpha_1 = 90^\circ$ , so hat man

$\sin. (\alpha_1 - \varphi) = \sin. [90^\circ - (\alpha + \varphi)] = \cos. (\alpha + \varphi)$  und daher

$$P = \frac{r \sin. (\alpha + \varphi)}{r_1 \cos. (\alpha + \varphi)} \cdot \frac{b}{a} Q = \frac{r}{r_1} \cdot \frac{b}{a} Q \tan. (\alpha + \varphi),$$

wie bei der Schraube ohne Ende.

Nehmen wir dagegen  $\alpha_1 = 180^\circ - \alpha$ , so haben wir es mit bloßen Stirnrädern mit Schraubenzähnen (s. III., §. 57) zu thun, und es stellt

$$\text{sich hier } P = \frac{r \sin. (\alpha + \varphi)}{r_1 \sin. [180^\circ - (\alpha + \varphi)]} \cdot \frac{b}{a} Q = \frac{r}{r_1} \cdot \frac{b}{a} Q$$

heraus, so daß also hier die Reibung ganz ausfällt.

Ein Hauptübelstand der Schraubenräder besteht in der excentrischen Wirkung der Seitenkräfte  $S$  und  $R$ , vermöge welcher die Räder nicht allein in ihrer Axenrichtung, sondern auch seitlich auf ihre Lager wirken, und zwar letzteres um so mehr, je kürzer ihre Axen sind.

Schrauben-  
räder.

Sind  $l$  und  $l_1$  die Axenlängen beider Räder, von Zapfen zu Zapfen gemessen, so haben wir die in entgegengesetzten Richtungen wirkenden Kräfte, mit welcher die Welle  $DE$  des Rades durch  $S$  gegen seine Lager gedrückt wird,

$$S_1 = S_2 = \frac{r}{l} S,$$

und die mit welcher die Welle  $GH$  des Rades  $BB_1$  durch  $R$  gegen seine Lager gepreßt wird,  $R_1 = R_2 = \frac{r_1}{l_1} R$ .

Beispiel. Bei einem Schraubenräderwerke ist die Last  $Q = 3000$  Pfund, der Hebelarm der Kraft  $a = 40$  Zoll und der der Last  $b = 15$  Zoll, ferner der Halbmesser des Treibrades  $r = 8$  und der des Getriebrades  $r_1 = 25$  Zoll, endlich der Winkel, um welchen die Umdrehungsebenen beider Räder von der Bahnsebene abweichen,  $\alpha = \alpha_1 = 60^\circ$ , und man sucht die nöthige Kraft  $P$

Dhne Rücksicht auf Nebenhindernisse ist

$$P = \frac{r \sin. \alpha}{r_1 \sin. \alpha_1} \cdot \frac{b}{a} Q = \frac{r}{r_1} \cdot \frac{b}{a} Q = \frac{8}{25} \cdot \frac{15}{40} \cdot 3000 = 360 \text{ Pfund.}$$

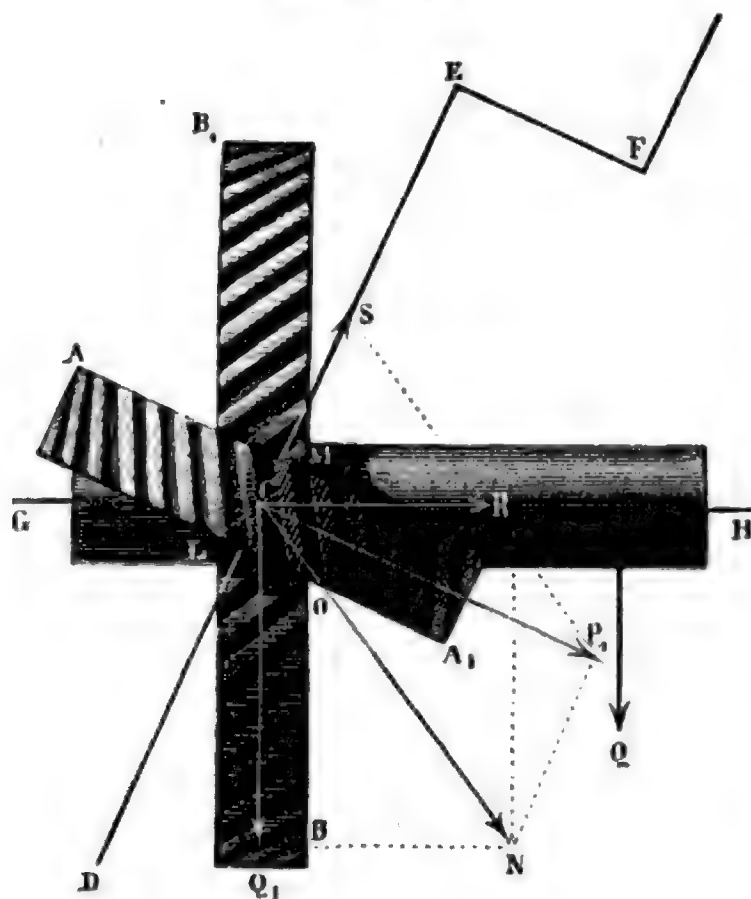
mit Rücksicht auf die Zahnreibung ist, wenn man den Reibungswinkel  $\varrho = 7^\circ$  nimmt,

$$P = \frac{r \sin. (\alpha + \varrho)}{r_1 \sin. (\alpha_1 - \varrho)} \cdot \frac{b}{a} Q = \frac{8 \sin. 67^\circ}{25 \sin. 53^\circ} \cdot \frac{15}{40} \cdot 3000$$

$$= 360 \cdot \frac{\sin. 67^\circ}{\sin. 53^\circ} = 415 \text{ Pfund, es verzehrt also die Zahnreibung}$$

$$\frac{415 - 360}{415} = 0,132, \text{ d. i. über 13 Procent der Kraft.}$$

Fig. 308.



§. 150. Die Anordnung eines Schraubenräderwerkes ist, wie folgt, zu vollziehen. Während ein Zahn  $LM$ , Fig. 308, arbeitet, rückt das eine Rad um  $LO$  und das andere um  $MO$  fort, es ist folglich das Verhältniß der Umdrehungsgeschwindigkeiten  $c$  und  $c_1$  beider Räder  $\frac{c}{c_1} = \frac{LO}{MO} = \frac{\sin. \alpha_1}{\sin. \alpha}$ , und daher das Umsetzungsverhältniß oder das Verhältniß der Umdrehungszahl  $u$  des einen Rades pro Min. zu der ( $u_1$ ) des anderen

$$\psi = \frac{u_1}{u} = \frac{30 c_1}{\pi r_1} : \frac{30 c}{\pi r} = \frac{c_1 r}{c r_1} = \frac{r \sin. \alpha}{r_1 \sin. \alpha_1}.$$

Schrauben-  
räder.

In der Regel ist  $\psi$  gegeben, und daher mittels der letzten Formel aus drei der Größen  $r$ ,  $r_1$ ,  $\alpha$  und  $\alpha_1$  die vierte zu berechnen. Ist dies geschehen, so kann aus der gegebenen Last  $Q$  mittels der obigen Kraftformel die Kraft  $P$  und hieraus wieder der Normaldruck zwischen den Zähnen

$$N = \frac{P_1}{\sin. \alpha} = \frac{a P}{r \sin. \alpha} \text{ berechnet werden.}$$

Dieser Normaldruck giebt nun die normale Zahndicke nach III., §. 48,

$$b = 0,03 \sqrt{N},$$

und hiernach ist die Theilung am Umfange des Triebrades

$$s = \frac{2,1 b}{\sin. \alpha}$$

und die am Umfange des Getriebrades

$$s_1 = \frac{2,1 b}{\sin. \alpha_1} \text{ zu bestimmen.}$$

Die Anzahl der Zähne des ersten Rades ist nun

$$n = \frac{2 \pi r}{s} = \frac{2 \pi r \sin. \alpha}{2,1 b}, \text{ und die des zweiten}$$

$$n_1 = \frac{2 \pi r_1}{s_1} = \frac{2 \pi r_1 \sin. \alpha_1}{2,1 b},$$

folglich das Verhältniß der Zähnezahlen:

$$\frac{n}{n_1} = \frac{r \sin. \alpha}{r_1 \sin. \alpha_1} = \psi,$$

wie bei den gewöhnlichen Zahnräderwerken.

Daher ist auch das einfache Kraft- oder Geschwindigkeitsverhältniß dieses Räderwerkes:

$$\frac{P}{Q} = \frac{w}{v} = \frac{r \sin. \alpha}{r_1 \sin. \alpha_1} \cdot \frac{b_1}{a_1} = \frac{n}{n_1} \cdot \frac{b_1}{a_1} = \frac{1}{\psi} \cdot \frac{b_1}{a_1}.$$

Beispiel. Bei dem im vorigen Beispiele betrachteten Räderwerke, wo  $\alpha = \alpha_1 = 60^\circ$  ist, hat man das Umsehungsverhältniß

$$\psi = \frac{u_1}{u} = \frac{r}{r_1} = \frac{2}{3};$$

sollte dasselbe aber bei denselben Halbmessern  $\frac{1}{2}$  werden, so müßte

$$\frac{r \sin. \alpha}{r_1 \sin. \alpha_1} = \frac{1}{2}, \text{ also } \frac{\sin. \alpha}{\sin. \alpha_1} = \frac{1}{2} \cdot \frac{2}{3} = \frac{1}{3} \text{ sein.}$$

Nun ist aber  $\alpha + \alpha_1 = 120^\circ$ , folglich hat man

$$\tan. \alpha = \frac{5 \sin. 120^\circ}{8 - 5 \cos. 120^\circ} = \frac{4,330}{5,5} = 0,7873, \text{ also } \alpha = 38^\circ, 13' \text{ und}$$

$$\tan. \alpha_1 = \frac{8 \sin. 120^\circ}{5 - 8 \cos. 120^\circ} = \frac{6,928}{1} = 6,928, \text{ also } \alpha_1 = 81^\circ, 47'.$$

Schrauben-  
räder.Die Kraft ist bei derselben Last  $Q = 3000$  Pfund

$$P = \frac{r \sin. (\alpha + \varrho)}{r_1 \sin. (\alpha_1 - \varrho)} \cdot \frac{b_1}{a_1} Q = \frac{8 \sin. 45^\circ, 13'}{25 \sin. 74^\circ, 47'} \cdot \frac{15}{40} \cdot 3000$$

$$= 360 \frac{\sin. 45^\circ, 13'}{\sin. 74^\circ, 47'} = 264,8 \text{ Pfund};$$

folglich der Normaldruck  $N = \frac{a P}{r \sin. \alpha} = \frac{40 \cdot 264,8}{8 \sin. 38^\circ, 13'} = 2140$  Pfund,und daher die normale Zahndicke  $b = 0,03 \sqrt{N} = 0,03 \sqrt{2140} = 1,39$  Zoll.Nun folgen die Theilungen  $s = \frac{2,1 b}{\sin. \alpha} = \frac{2,1 \cdot 1,39}{\sin. 38^\circ, 13'} = 4,718,$ 

$$\text{und } s_1 = \frac{2,1 b}{\sin. \alpha_1} = \frac{2,1 \cdot 1,39}{\sin. 81^\circ, 47'} = 2,949 \text{ Zoll,}$$

und endlich die entsprechenden Zähnezahlen

$$n = \frac{2 \pi r}{s} = \frac{6,283 \cdot 8}{4,718} = 10,6 \text{ und}$$

$$n_1 = \frac{2 \pi r_1}{s_1} = \frac{6,283 \cdot 25}{2,949} = 53,2,$$

wofür  $n = 11$  und  $n_1 = 55$  zu nehmen sein möchte.

Schlussanmerkung. Eine sehr vollständige praktische Abhandlung über die Schrauben von Karmarsch findet sich im dreizehnten Bande von Brecht's technologischer Encyclopädie. Ueber die Theorie der Schraube handelt auch Poncellet in seinem Cours de Mécanique appliquée aux machines (deutsch unter dem Titel »Lehrbuch der Anwendung der Mechanik auf Maschinen«), nächst dem auch Navier in seinem Résumé des Leçons sur l'application de la mécanique etc. und Coriolis in seinem Calcul de l'effet des machines. Von den Schraubenrädern spricht Olivier in seiner geometrischen Theorie der Zahnräderwerke. Es ist auch hierüber nachzulesen Willis' Principles of mechanism.

## Sechstes Kapitel.

### Von den ungewöhnlicheren Zwischenmaschinen oder Hülfsmitteln zur Abänderung der Bewegung.

Elliptische  
Räder.

§. 151. Wir haben im zweiten Kapitel (III.) nur von denjenigen Räderwerken gehandelt, welche mit einer und derselben unveränderlichen Geschwindigkeit umlaufen; es bleibt uns daher noch übrig auch von den allerdings nur selten vorkommenden Räderwerken mit veränderlicher Umdrehungsgeschwindigkeit zu sprechen. Ziehen wir insbesondere den Fall in Untersuchung, wo ein mit unveränderlicher Winkelgeschwindigkeit umlaufendes Rad ein anderes Rad mit veränderlicher Winkelgeschwindigkeit umtreibt. Es gehören hierher vorzüglich die elliptischen Räderwerke. Dieselben bestehen aus zwei elliptischen Stirnrädern  $ACB$  und  $A_1 C_1 B_1$ , Fig. 309,









*Spiralräder.* den größten  $CB = DA = r_1 = r\sqrt{2} = 1,4142 r$ , und zwar für  $\varphi = ACB = ADE = \frac{\pi}{4}$  ( $45^\circ$ ). Wird nun in die Gleichung

$$\varphi \operatorname{tang.} \alpha = \operatorname{Log. nat.} \left( \frac{z}{r} \right),$$

$\varphi = \frac{\pi}{4}$  und  $z = r\sqrt{2}$  eingesetzt, so erhält man für den constanten Tangentenwinkel  $\alpha$  der hier anzuwendenden Spirallinie

$$\operatorname{tang.} \alpha = \frac{4}{\pi} \operatorname{Log. nat.} \sqrt{2} = \frac{2}{\pi} \operatorname{Log. nat.} 2 = 0,44128,$$

und daher  $\alpha = 23^\circ, 49'$ ; und es ist nun die Gleichung der Radcurven  $AB$  und  $EA$ :  $z = r e^{0,44128 \varphi}$ , oder

$$\operatorname{Log.} \left( \frac{z}{r} \right) = 0,44128 \varphi \operatorname{Log.} e.$$

z. B. nimmt man  $\varphi = \frac{\pi}{8}$  ( $22\frac{1}{2}^\circ$ ), so ist für den Radiusvector  $CP = z$ ,

$$\operatorname{Log.} \left( \frac{z}{r} \right) = 0,44128 \cdot \frac{\pi}{8} \cdot 0,43429 = 0,07526,$$

folglich  $CP = z = 1,189 r$ .

Das Umsehungsverhältniß ist hier, bei der Berührung in  $A$ :

$$\psi_1 = \frac{r}{r_1} = \frac{1}{\sqrt{2}} = 0,7072,$$

und bei der zwischen  $B$  und  $E$ :

$$\psi_2 = \frac{r_1}{r} = \sqrt{2} = 1,4142,$$

also das Verhältniß der größten zur kleinsten Winkelgeschwindigkeit

$$\chi = \frac{\psi_2}{\psi_1} = \frac{\sqrt{2}}{\frac{1}{\sqrt{2}}} = 2.$$

Anmerkung. Wenig anders geformte viereckige Räder sind bei den Buchdruckerpressen von Bacon und Donkin angewendet worden. Man sieht leicht ein, daß hier während einer Umdrehung abwechselnd vier Maximal- und vier Minimalgeschwindigkeiten vorkommen.

*Conische  
Spiralräder.*

153 \*). Ist  $\varphi$  der Umdrehungswinkel des einen Rades und  $\varphi_1$  der entsprechende Winkel des zweiten Rades, so hat man das Umsehungsverhältniß  $\psi = \frac{\varphi_1}{\varphi}$ .

Bei den gewöhnlichen Kreisrädern ist dieses Verhältniß eine constante Zahl; bei elliptischen, spiralförmigen und anderen Rädern ist es hingegen eine veränderliche Zahl, z. B.  $\psi = \alpha + \beta \varphi$ , wo  $\alpha$  und  $\beta$  besonders zu

bestimmende Größen bedeuten. Dann ist aber auch  $\psi$  nicht  $= \frac{\varphi_1}{\varphi}$ , sondern <sup>Conische</sup> ~~Spiralräder.~~

sondern  $\frac{d\varphi_1}{d\varphi}$ , wo  $d\varphi_1$  und  $d\varphi$  die Elemente von  $\varphi_1$  und  $\varphi$  bezeichnen, zu setzen, und es giebt uns die Integration die Abhängigkeit zwischen den gleichzeitigen Umdrehungswinkeln  $\varphi$  und  $\varphi_1$  die Formel

$$\varphi_1 = \int \psi d\varphi = \int (\alpha + \beta\varphi) d\varphi = \alpha\varphi + \frac{\beta}{2} \varphi^2.$$

Ist nun  $d$  der Abstand der Radaxen von einander, so erhalten wir, wie in III., §. 38, die beiden den Umdrehungswinkeln  $\varphi$  und  $\varphi_1$  entsprechenden Radhalbmesser  $z = \frac{\psi}{1 + \psi} d$  und  $z_1 = \frac{d}{1 + \psi}$ .

Leicht kann man nun mit Hülfe dieser Formeln die Anordnung eines, gewissen Forderungen entsprechenden ungleichförmig umlaufenden Räderwerkes vollziehen. Verlangen wir z. B., daß sich das Getriebrad drei Mal umdreht, während das Treibrad zwei Mal umläuft, und daß sich die Geschwindigkeit des letzteren hierbei verdoppeln soll, so haben wir die Bedingungen

$$3 \cdot 2\pi = \alpha \cdot 2 \cdot 2\pi + \frac{\beta}{2} \cdot (2 \cdot 2\pi)^2, \text{ d. i.}$$

$$3 = 2\alpha + 4\pi\beta, \text{ und}$$

$$\alpha + \beta \cdot 2 \cdot 2\pi = 2\alpha, \text{ d. i. } \alpha = 4\pi\beta;$$

weshalb nun  $\alpha = 1$  und  $\beta = \frac{1}{4\pi}$ , also

$$\psi = 1 + \frac{\varphi}{4\pi} \text{ und } \varphi_1 = \varphi + \frac{\varphi^2}{8\pi} \text{ folgt.}$$

Die Halbmesser für den Anfang der Umdrehung sind:

$$r = \frac{d}{1 + 1} = \frac{d}{2} \text{ und } r_1 = \frac{d}{2},$$

dagegen die für das Ende der Drehungen  $\varphi = 4\pi$  und  $\varphi_1 = 6\pi$ ,

$$z = \frac{2d}{1 + 2} = \frac{2}{3}d \text{ und } z_1 = \frac{d}{1 + 2} = \frac{d}{3}.$$

Hiernach lassen sich die zuerst von Römer angegebenen conischen Räder, deren Zähne in Spiral- oder Schraubenlinien neben einander stehen, construiren. Ein solches, dem soeben behandelten Falle entsprechendes Räderpaar ist in Figur 312 (auf folgd. Seite) abgebildet. Diese Räder drehen sich um die unter sich parallelen Axen  $C$  und  $D$  und berühren einander in der in der Figur verdeckten Linie  $AB$ . Die hier nur durch Punkte angedeuteten Radzähne laufen bei dem Treibrade  $CA$  in zwei, und







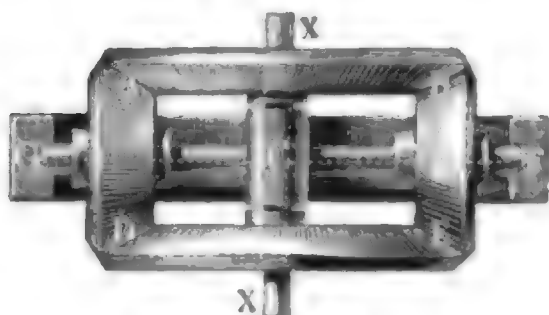


Beide Krummzapfen vollenden übrigens gleichzeitig eine Umdrehung, es ist daher das mittlere Umsehungsverhältniß derselben  $\psi = 1$ .

§. 155. Kommt es darauf an, einer Welle eine kleine Umdrehungsgeschwindigkeit zu ertheilen, so kann man sich hierzu eines Epicykel-Vor-

Epicykel-  
vorgelege.

Fig. 317.



geleget bedienen, welches im Wesentlichen aus drei Rädern besteht, von denen sich das eine zwischen den beiden anderen wälzt. Das einfachste Epicykel-Vorgelege ist in Fig. 317 abgebildet. Die beiden conischen Räder  $AB$  und  $DE$  drehen sich mit verschiedenen Umfangsgeschwin-

digkeiten  $v$  und  $v_1$  um eine gemeinschaftliche Ase  $XX$ , und geben dem zwischen ihnen liegenden conischen Rade  $BE$  nicht allein eine Umdrehung um seine eigene Ase  $CF$ , sondern auch eine Bewegung um die gemeinschaftliche Ase  $XX$ . Setzen wir die Umdrehungsgeschwindigkeit des Getriebes  $BE$  um  $CF = c$  und die Umdrehungsgeschwindigkeit seines Mittelpunktes  $M$  um  $XX = w$ , so haben wir in dem Falle, wenn beide Räder in einer Richtung umlaufen, für den Berührungspunkt  $B$ :

$$v = w + c,$$

und für den Berührungspunkt  $E$ , wo die Geschwindigkeiten  $r$  und  $c$  einander entgegengesetzt sind:  $v_1 = w - c$ .

Aus beiden Formeln ergiebt sich durch Addition die Umdrehungsgeschwin-

digkeit um  $XX$ :  $w = \frac{v + v_1}{2},$

und die um  $CF$ :  $c = \frac{v - v_1}{2}.$

Laufen die Räder  $AB$  und  $DE$  in entgegengesetzten Richtungen um, ist

also  $v_1$  negativ, so hat man hingegen  $w = \frac{v - v_1}{2}$

$$\text{und } c = \frac{v + v_1}{2}.$$

Ist der dem mittleren Halbmesser der Räder  $AB$  und  $DE$  gleiche Abstand  $CM$  des Radmittels  $M$  von der Umdrehungsase  $XX$ ,  $= r$ , so hat

man die Umdrehungszahl des Rades  $AB$ :  $u = \frac{30v}{\pi r},$

ferner die des Rades  $DE$ :  $u_1 = \frac{30v_1}{\pi r_1},$

und endlich die des Radarmes  $CM$  um eben die Ase  $XX$ :

$$u_2 = \frac{30w}{\pi r} = \frac{30(v \pm v_1)}{2\pi r}, \text{ d. i. } u_2 = \frac{u \pm u_1}{2}.$$





Epicykel-  
vorgelege.

Sind endlich  $r$  und  $r_1$  die Halbmesser  $MB$  und  $ME$  des Doppelrades  $BE$ , so haben wir noch die Umdrehungsgeschwindigkeit des Berührungspunktes  $E$  um  $M$  und um  $D$ :

$$c_1 = \frac{r_1}{r} c = \frac{r_1}{r} (v - \omega a).$$

Der Umdrehungsgeschwindigkeit  $v$  des inneren Rades entspricht die Umdrehungszahl  $u = \frac{30 v}{\pi r}$ , der Umdrehungsgeschwindigkeit  $c_1$  des äußeren, wenn  $a_1$  dessen Halbmesser ist, die Umdrehungszahl

$$u_1 = \frac{30 c_1}{\pi a_1} = \frac{30}{\pi} \cdot \frac{r_1}{r} \cdot \frac{v - \omega a}{a_1},$$

und endlich der Winkelgeschwindigkeit  $\omega$  des Armes die Umdrehungszahl

$$u_2 = \frac{30 \omega}{\pi}.$$

Es ist hiernach die relative Umdrehungszahl des äußeren Rades  $DE$  auch

$$u_3 = \frac{r_1}{a_1} u - \frac{r_1}{a_1} \cdot \frac{a}{r} u_2,$$

und folglich die absolute Umdrehungszahl, d. i. die in Hinsicht auf den umgebenden Raum, da  $DE$  mit dem Arme  $CD$  gleichzeitig um  $C$  rotirt,

$$u_3 = u_1 + u_2 = \frac{r_1}{a_1} u - \left( \frac{r_1}{a_1} \cdot \frac{a}{r} - 1 \right) u_2.$$

Ist das innere Rad fest, also  $u = 0$ , so hat man

$$u_3 = - \left( \frac{r_1}{a_1} \cdot \frac{a}{r} - 1 \right) u_2,$$

und hiernach wird also das äußere Rad  $DE$  bei Umdrehung des Armes  $CD$  sich absolut gar nicht drehen, wenn

$$\frac{r_1}{a_1} \cdot \frac{a}{r} = 1, \text{ d. i. } \frac{r_1}{r} = \frac{a_1}{a} \text{ ist,}$$

sich ferner mit  $CD$  in gleicher Richtung drehen, wenn  $u_3$  positiv, also

$$\frac{r_1}{a_1} \cdot \frac{a}{r} < 1, \text{ d. i. } \frac{r_1}{r} < \frac{a_1}{a} \text{ ist,}$$

und endlich mit dem Arme  $CD$  entgegengesetzt umlaufen, wenn  $u_3$  negativ,

$$\text{d. i. } \frac{r_1}{r} > \frac{a_1}{a} \text{ ist.}$$

Anmerkung. Auf diese Theorie der Epicykelvorgelege beruht wesentlich die Einrichtung der sogenannten Planetarien, und auf die letzte Betrachtung die des mechanischen Paradoron von Ferguson. S. Willis' Principles of Mechanism. Art. 406.

Laufgetriebe.

§. 157. Zu den Epicykelvorgelegen gehört auch das sogenannte Laufgetriebe oder das Sonnen- und Planetenrad von Watt (franz. la moucho; engl. sun and planets wheel), dessen vorzüglichste Einrichtung





















griffspunkte  $A$  und  $D$  der Klinken von einander abstehen. Wirkt die Kraft  $P$  am Hebelarme  $MK = a$  und die Last  $Q$  am Hebelarme  $CH = b$ , so ist das Verhältniß  $\frac{P}{Q} = \frac{r_1}{r} \cdot \frac{b}{a} = \frac{\alpha}{\beta} \cdot \frac{b}{a} Q$ , also die Kraft

$$P = \frac{r_1}{r} \cdot \frac{b}{a} Q = \frac{\alpha}{\beta} \cdot \frac{b}{a} Q.$$

Wenn also das Verhältniß der Armlänge  $r_1$  zum Radhalbmesser oder das des Theilwinkels  $\alpha$  zum Schwingungswinkel  $\beta$  sehr klein gemacht wird, so wird die Kraft nur ein kleiner Theil der Last sein.

Beispiel. Es sei der Radius des Rades,  $r = 9$  Zoll, die Anzahl der Zähne desselben,  $n = 60$ , also der Theilwinkel  $\alpha = \frac{360^\circ}{60} = 6^\circ$ , ferner sei der Schwingungswinkel  $\beta = 30$  Grad, der Winkel zwischen den Angriffspunkten beider Klinken  $\delta = 12^\circ$ , der Hebelarm der Last  $Q$ ,  $b = 6$  Zoll, und der der Kraft  $a = 60$  Zoll. Dann ist der erforderliche Hebelarm der Klinken

$$r_1 = \frac{ar}{\beta} = \frac{6}{30} \cdot 9 = 1,8 \text{ Zoll,}$$

die Länge der einen Klinken

$$l = \frac{10,8 \cos. 12^\circ - 8,2}{\sin. 12^\circ} = \frac{2,364}{0,2079} = 11,37 \text{ Zoll,}$$

und die Länge der anderen

$$l_1 = \frac{10,8 - 8,2 \cos. 12^\circ}{\sin. 12^\circ} = \frac{2,779}{0,2079} = 13,37 \text{ Zoll,}$$

endlich das Kraftverhältniß  $P = \frac{6}{30} \cdot \frac{6}{60} \cdot Q = \frac{1}{50} Q$ , also die Kraft 2 Procent der Last.

Schlussanmerkung. Die in dieses Kapitel einschlagende Literatur ist in Band III., S. 1 angegeben.

## Siebentes Kapitel.

### Von den mechanischen Vorrichtungen zum Reguliren, Moderiren, Egalisiren, In- und Außergangsetzen der Maschinen.

§. 161. An jeder Maschine müssen gewisse Vorrichtungen angebracht sein, welche die Maschine in den Stand setzen, daß sie die ihr zukommende mechanische Arbeit ungehindert in gehöriger Ordnung und mit einer gewissen Geschwindigkeit und Regelmäßigkeit verrichte. Diese Vorrichtungen sind die sogenannten Regulatoren oder regulirenden Maschinentheile (franz. régulateurs; engl. regulators). Viele von diesen Apparaten kennen

Regulatoren. wir schon aus dem Früheren, namentlich in den sogenannten Steuerungssystemen bei den Wassersäulenmaschinen und Dampfmaschinen (s. II., §. 221, §. 328 u. s. w.), und in den Schüßensystemen bei den vertikalen und horizontalen Wasserrädern (s. II., §. 116, §. 134, §. 178 u. s. w.); manche andere Vorrichtungen dieser Art sollen aber noch im Folgenden abgehandelt werden. Auch die sogenannten Moderatoren (franz. modérateurs; engl. moderators) sind den regularisirenden Maschinentheilen beizuzählen. Sie dienen dazu, die aus einer überwiegenden Kraft hervorgehende Beschleunigung einer Maschine aufzuheben, und einen möglichst gleichförmigen Gang derselben zu erzielen. Es gehören hierher die Hemmung bei den Uhren, der Windfang oder das Flügelrad bei dem Schlagwerk der Uhren, bei den sogenannten Bratenwendern u. s. w., und vorzüglich noch die sogenannte Bremse. An diese Vorrichtungen schließen sich diejenigen Maschinentheile an, welche den Zweck haben, den an und für sich ungleichförmigen Gang einer Maschine in einen möglichst gleichförmigen Beharrungszustand zu bringen. Man kann dieselben die Egalisatoren nennen. Die vorzüglichsten Egalisatoren sind die Gegengewichtsbalanciers und die Schwungräder. Die Reihe der regulirenden Maschinentheile wird endlich durch die sogenannten Gouvernateuren (engl. governors) geschlossen, welche den Zweck haben, die Betriebskraft der Last entsprechend und so zu reguliren, daß eine Veränderung der letzteren keine ansehnliche Veränderung in der Geschwindigkeit des Ganges der Maschine hervorbringt. Es gehört vorzüglich hierher das sogenannte conische Pendel oder der Schwunghugelregulator.

Zum Schluß haben wir noch diejenigen Vorrichtungen abzuhandeln, welche zum In- und Außergangsetzen einer Maschine dienen, wozu vorzüglich die sogenannten Ein- und Ausrückvorrichtungen gehören.

Unter-  
hemmung.

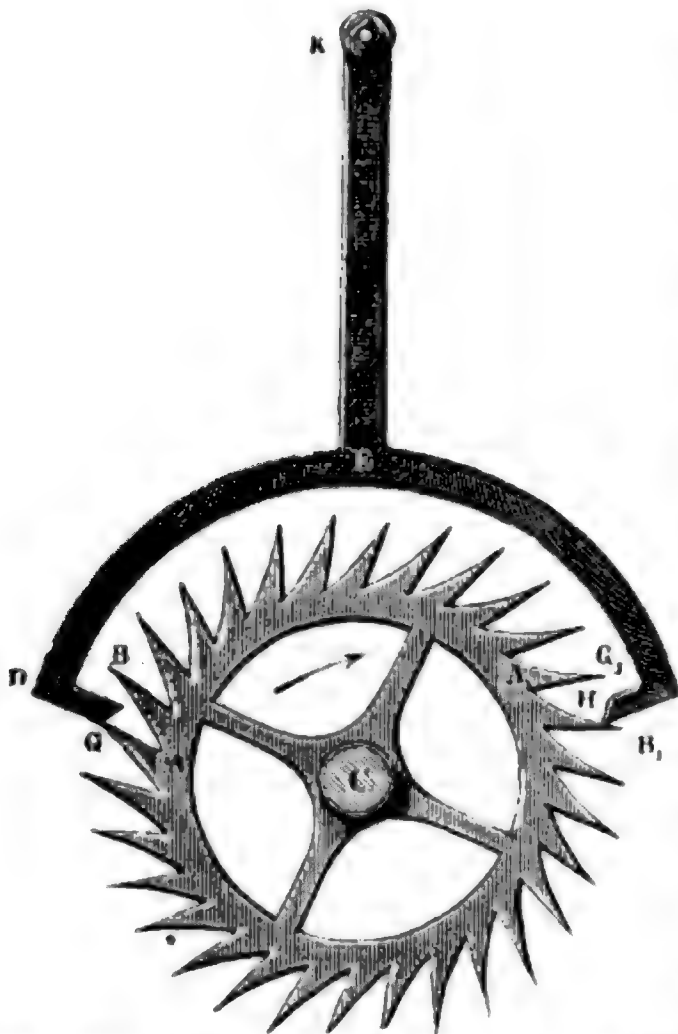
§. 162. Durch ein niedersinkendes Gewicht allein, läßt sich eine Maschine oder ein Uhrwerk nicht in einen gleichförmigen Bewegungszustand versetzen, denn der Ueberschuß der Kraft dieses Gewichtes über die Last oder den Widerstand erzeugt eine beschleunigte Bewegung, vermöge welcher das Gewicht allmählig schneller und schneller sinkt und in kurzer Zeit den ihm dargebotenen Fallraum durchläuft. Um dieses zu verhindern, um also ein langsames und möglichst gleichförmiges Niedersinken des Gewichtes und daher auch einen gleichförmigen Gang der durch das niedersinkende Gewicht bewegten Maschine zu erhalten, ist es nöthig, das Niedersinken dieses Gewichtes in kurzen Absätzen zu unterbrechen, so daß es sich nach jedem Absatze von neuem in Bewegung setzen muß. Diese Unterbrechung der Bewegung eines sinkenden Gewichtes in kurzen Absätzen wird durch die sogenannte Hemmung (franz. échappement; engl. escapement) in Verbindung mit einem Pendel hervorgebracht.

Unter den verschiedenen Hemmungsmethoden ist es die sogenannte Ankerhemmung (franz. échappement à ancre; engl. anchor-escapement), welche am gewöhnlichsten angewendet wird.

Anker-  
hemmung.

Die Einrichtung und Wirkungsweise dieser Hemmung ist folgende. *ABC*

Fig. 335.



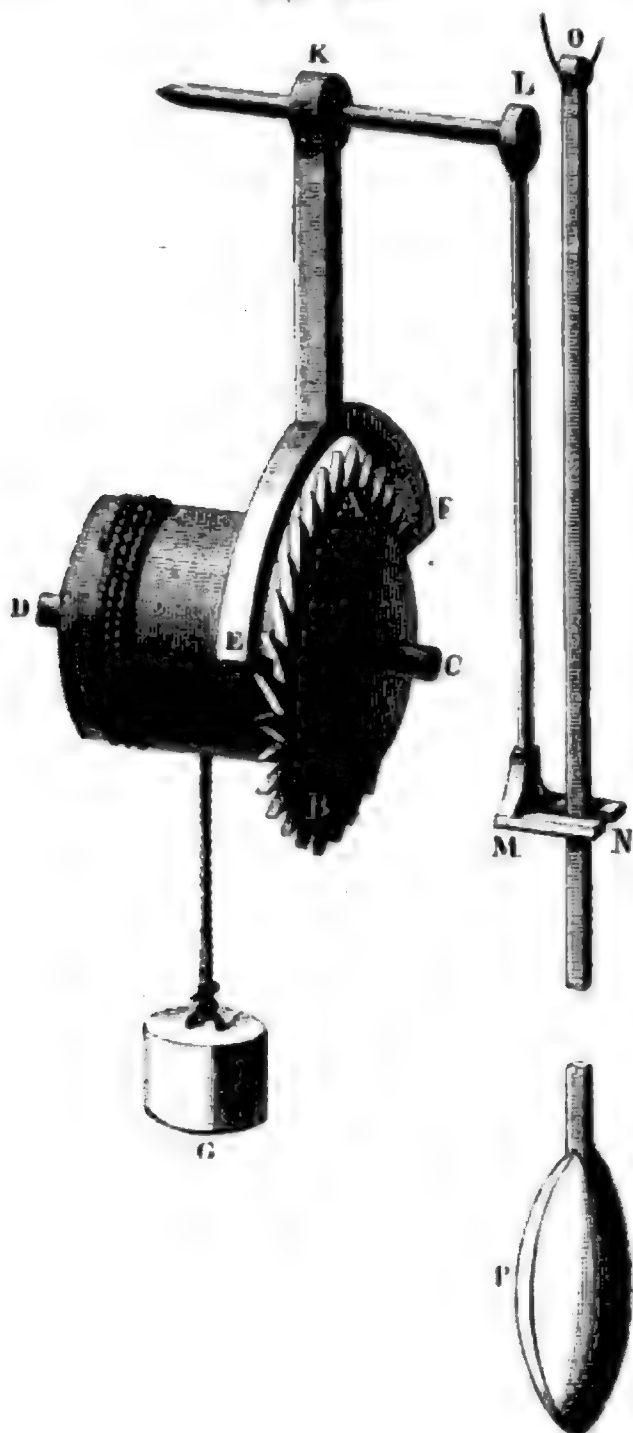
ist ein Rad mit schiefen Zähnen, ähnlich einem Sperrrade (s. III., §. 160), unter dem Namen Steigrade bekannt. Dieses Rad kann zwar durch ein niederziehendes Gewicht unmittelbar in Bewegung gesetzt werden, gewöhnlich ist aber ein Räderwerk zwischen dem Steigrade und der von dem mittels einer Schnur durch ein niedersinkendes Gewicht in Umdrehung gesetzten Trommel angebracht, wodurch das Verhältniß der Geschwindigkeit des sinkenden Gewichtes zu der des Steigrades bedeutend herabgezogen wird, so daß das letztere viele Umdrehungen macht, ehe das erstere um ein Ansehnliches sinkt. Ueber dem Steigrade hängt der um die Ase *K* drehbare und durch ein gewöhnliches Pendel (s. I., §. 260) in schwingende Bewegung

versetzte Anker oder sogenannte englische Haken *DEF*, welcher mit seinen hakenförmigen Enden *DG* und *FH* zwischen die Zähne des Steigrades eingreift. Die Grenzflächen *DG* und *FH* dieser hakenförmigen Enden sind concentrisch zur Drehungsaxe *K* gekrümmt, und es kommt, je nachdem der Haken nach links oder nach rechts ausschwingt, entweder die Fläche *HF* des Hakens mit der Zahnfläche *A<sub>1</sub>G<sub>1</sub>* oder die Fläche *DG* mit der Zahnfläche *AG* in Berührung, wobei jedes Mal das Steigrade, nachdem es durch das niedersinkende Gewicht in der Richtung des Pfeiles um die halbe Zahntheilung umgedreht worden ist, auf einen Augenblick aufgehalten wird. Bei diesem Mechanismus rückt also das Steigrade während einer Pendelschwingung um einen halben Zahn weiter und wird am Ende desselben auf einen Augenblick in Ruhe versetzt. Durch den Widerstand der Luft und durch die Reibungen an der Aufhängung des Pendels und zwischen den Zähnen des Steigrades und den Ankerhaken wird natürlich die lebendige Kraft des Pendels bei jeder Schwingung geschwächt, und also auch die Schwingungs-

Anker-  
hemmung.

elongation vermindert; wenn folglich dasselbe nicht von Zeit zu Zeit einen

Fig. 336.



neuen Impuls erhielte, würde es sehr bald die Ankerhaken gar nicht mehr aus den Zähnen des Steigrades herausheben und daher die Umdrehung des letzteren so wie das Spiel des ganzen Mechanismus in kurzer Zeit beendigt sein. Dieses wird aber dadurch verhindert, daß bei jedem Ausschwunge eine Zahnspitze *G* oder *G<sub>1</sub>* an einer der schiefen Endflächen der Ankerhaken hingleitet und dabei dem Anker einen kleinen Schub auswärts, d. i. in der jedesmaligen Schwingungsrichtung, giebt.

Eine monodimetrische Abbildung des ganzen Hemmungsapparates führt Figur 336 vor Augen. Es ist *AB* das Steigrad, welches auf der Welle *CD* fest sitzt, die mittels einer Schnur von dem niederziehenden Gewichte *G* das Umdrehungsbestreben erhält. Man sieht ferner in *EKF* den Anker, der mittels eines gabelförmigen Hebels *LMN* von dem in *O* aufgehängenen Pendel *OP* um seine Ase *KL* in Schwingung versetzt wird.

Cylindrische  
hemmung.

§. 163. Das Pendel einer Hemmung läßt sich auch durch eine dünne Spiralfeder mit einem kleinen Schwungrade, die sogenannte *Unruhe* (franz. spirale; engl. pendulous spring) ersetzen. In Fig. 337 ist *AB* das um die Ase *C* drehbare Schwungrädchen und *DEF* die dazu gehörige Spiralfeder, welche mit dem Ende *D* auf dem Gestelle des Apparates und mit dem Ende *F* auf der Welle des Rädchens fest sitzt. Wird das letztere in der Richtung des Pfeiles um einen mäßigen Winkel gedreht und nach diesem sich selbst überlassen, so geht die Spirale in Folge ihrer Elasticität nicht allein in ihre erste Form zurück, sondern zieht sich in Folge der Trägheit des Schwungrädchens auch noch mehr zusammen, und gelangt so in einen schwingenden Zustand



ähnlich wie ein Pendel oder ein elastischer Stab (s. I., Anhang §. 20 \*)). Was bei dem Pendel die Schwerkraft ist, ist hier die Elasticität der Spiralfeder.

Entscheidung.

**Fig. 337.**

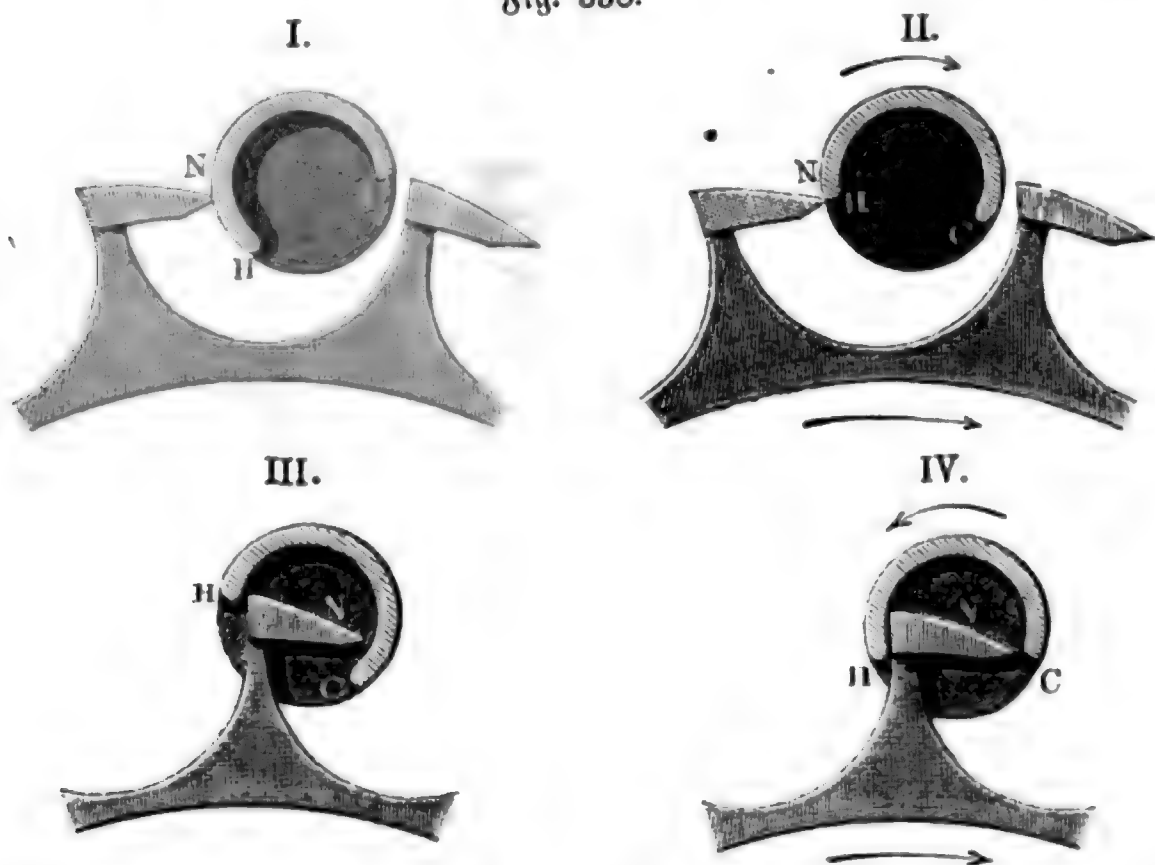


Es kommt nun darauf an, diese Unruhe mit der Hemmung so zu verbinden, daß das Ganze die Wirkung eines niederziehenden Gewichtes oder einer gespannten Feder regulirt. Die vorzüglichste Hemmung für diesen Zweck ist die sogenannte Cylinderhemmung, welche im Wesentlichen folgende Einrichtung hat. Die Spindel  $CG$  der Unruhe besteht aus einem hohlen Cylinder von polirtem Stahl und hat bei  $CH$  einen größeren und einen kleineren Ausschnitt. Das Steigrad  $KLM$ , welches durch die Kraft eines Gewichtes oder einer Feder um seine Ase  $MO$  stetig umgedreht wird, hat zwölf ganz eigenthümlich geformte hakenförmige Zähne, welche mit ihrer Spitze  $N$  abwechselnd gegen die äußere und innere Fläche des ausgeschnittenen Theiles der cylindrischen Ase der Unruhe stoßen, wodurch natürlich jedes Mal die Umdrehung des Steigrades aufgehalten wird. Wie durch das Eingreifen der Zähne des Steigrades in die cylindrische Ase der Unruhe und durch die verschiedenen Stellungen der letzteren das regelmäßige Spiel des ganzen Hemmungsapparates bewirkt wird, ist am besten aus Figur 338, I., II., III. und IV. (auf folgd. Seite) zu ersehen. In I., wo die Unruhe und folglich auch ihr cylindrisches Asestück die größte Elongation nach der einen

Cylinder-  
hemmung.

Seite hat, hält sie das Steigrad mittels des Zahnes *N* in seiner Bewegung vollständig auf; in II., wo die Unruhe schon einen Theil ihrer Schwingung gemacht hat, erhält sie von dem nun frei werdenden Zahne *N* einen kleinen Impuls zur Fortsetzung ihrer Schwingung; in III. hat die Unruhe ihre

Fig. 338.



größte Elongation auf der anderen Seite ihrer Bewegung erreicht und bringt dabei das Steigrad abermals zum Stillstand, und in IV. ist die Unruhe wieder in Rückschwingung begriffen und nimmt hierbei noch einen kleinen Stoß von der durchgehenden Zahnspitze *N* des Steigrades auf.

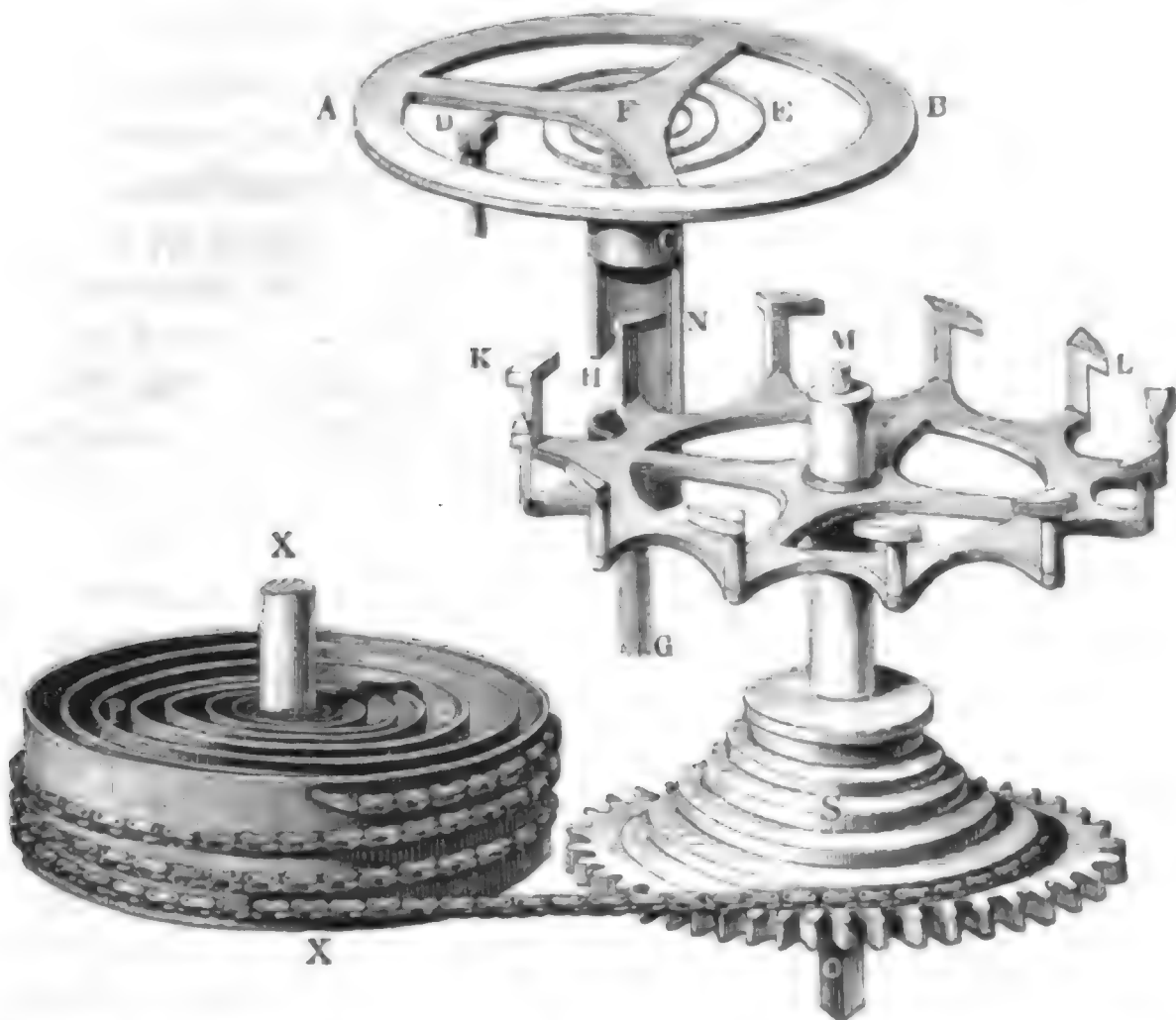
In Figur 339 ist noch das Treibwerk abgebildet. Es ist hier *PQ* die sogenannte Trommel, welche die stählerne Triebfeder *P* einschließt, deren eines Ende an dem innern Umfange und deren anderes Ende an der Umdrehungsaxe *XX* der Trommel feststeht. Ferner ist *S* die spiralförmige Schnecke, welche wir hier auf der Welle des Steigrades sitzend annehmen, jedoch bei den Uhrwerken in der Regel durch ein Räderwerk mit der Axe des Steigrades in Verbindung gesetzt ist. Die Trommel und die Schnecke sind endlich noch durch eine Kette mit einander verbunden, welche sich von der Schnecke auf die Trommel wickelt, während die letztere durch die gespannte Feder in Umdrehung gesetzt wird. Die Schnecke mit ihren Spiralswindungen ist deshalb nöthig, weil die Spannkraft der Feder allmählig abnimmt, je mehr sich dieselbe von der Trommel ab- und daher auf die Schnecke aufwickelt. Nimmt dann hierbei der Radius der Spirale auf der letzteren in demselben Maße zu als die Spann- oder Umdrehungskraft der Triebfeder sich vermindert, so bleibt das Umdrehungsmoment ein constantes.



Die Umdrehungsgeschwindigkeit des Steigrades hängt übrigens nicht, oder nur sehr wenig von der Umtriebskraft desselben ab, sondern ist bestimmt durch die Länge des Pendels oder der Feder in der Unruhe; je länger diese

Gilliver-  
hemmung.

Fig. 339.



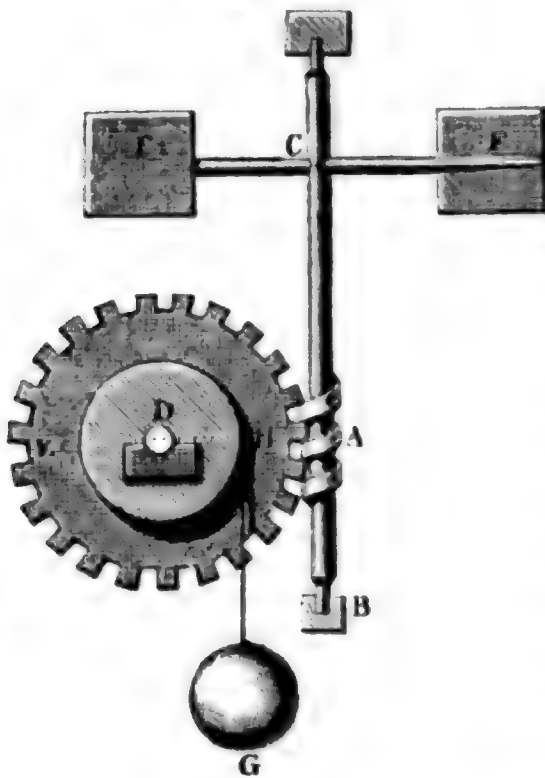
wesentlichen Theile eines Uhrwerkes gemacht werden, desto langsamer schwingen dieselben (vergl. I., §. 261 und Anhang §. 21 \*) und desto langsamer geht also auch das Steigrad mit dem ganzen Uhrwerke. Die Umtriebskraft hat nur Einwirkung auf die Schwingungsamplitude, und insofern allerdings einen secundären Einfluß auf die Schwingungsdauer (s. I., §. 262 \*)); um denselben aber so viel wie möglich herabzuziehen, giebt man der Umtriebskraft den kleinsten Werth, macht sie also nur so groß als eben nöthig ist, um eine Bewegung des Uhrwerkes zu erhalten.

Anmerkung. Es giebt sehr verschiedene Hemmungsarten, namentlich unterscheidet man die zurückspringende, ruhende und freie Hemmung von einander. Wir haben hier nur von den ruhenden Hemmungen gesprochen, weil dieselben jetzt am gewöhnlichsten angewendet werden. Dieselben rühren vorzüglich von Element und Graham her. Bei der zurückspringenden Hemmung verursachen die beiden Lappen oder Reile des Ankers nicht bloß einen momentanen Stillstand, sondern auch ein kleines Zurückgehen des Steigrades. Die sogenannte freie Hemmung macht die Schwingungen des Pendels oder der Unruhe von der Umtriebskraft ganz unabhängig und wird deshalb vorzüglich bei den besten astronomischen Uhren angewendet.

Windfang.

§. 164. Der Windfang oder das Flügelrad (franz. volant à ailettes; engl. fly) ist ein vorzügliches Mittel zur Erzeugung einer gleichförmigen Bewegung, er hat aber den großen Mangel, daß er einen großen Theil der Arbeitskraft der Maschine zu seiner Bewegung in Anspruch nimmt. Man wendet ihn deshalb nicht gern zu einer ununterbrochenen Arbeitsverrichtung, sondern nur dann an, wenn es darauf ankommt, auf kurze Zeit eine möglichst gleichförmige Bewegung herzustellen. Deshalb hat man ihn auch nur bei dem Schlagwerke der Uhren, wo er die Umdrehungsbewegung des sogenannten Laufwerkes derselben nur während des Schlagens des Schlägels auf die Glocke zu reguliren hat. Als Regulierungsmittel chronometrischer Apparate (s. I., Anhang §. 21 \*) Anmerkung 3) leistet er indessen ebenfalls

Fig. 340.



sehr nützliche Dienste. Im Wesentlichen besteht der Windfang in einer Welle  $BC$ , Fig. 340, mit zwei ebenen Flügeln  $F, F$  in der Ebene der Umdrehungsaxe, also rechtwinkelig auf der Umdrehungsebene der Welle. Auf dieser Welle sitzt noch ein kleines Getriebe oder ein stark ansteigendes Schraubengewinde  $A$ , in welches ein größeres Zahnrad  $ADE$  eingreift, das durch eine Feder oder ein Gewicht entweder unmittelbar, wie in der Figur, oder mittelbar, nämlich durch zwischengestelltes Räderwerk, in Umdrehung gesetzt wird. Der Widerstand, welchen die Luft den Flügeln bei ihrer Umdrehung um  $BC$  entgegensetzt, wächst mit dem Quadrate der Umdrehungsgeschwindigkeit und gelangt daher auch bei

einer gewissen Umdrehungsgeschwindigkeit des Windfanges mit dem Gewichte oder der Umtriebskraft ins Gleichgewicht, so daß von diesem Augenblicke an die anfangs beschleunigte Bewegung in eine gleichförmige übergeht. Es findet also bei diesem Regulirungsapparate ein ganz anderes Verhältniß statt als bei der Hemmung mit Steigrad, da hier die Geschwindigkeit von der Triebkraft abhängt, wogegen sie bei der Hemmung am Steigrade nur von der Pendel- oder Federlänge bestimmt wird. Deshalb ist auch die Bewegung dieses Apparates auf die Dauer nicht gleichförmig, nimmt z. B. eine andere Geschwindigkeit an, wenn sich der Reibungszustand oder der Zustand der den Apparat umgebenden atmosphärischen Luft ändert.

Ist  $F$  der Inhalt der Flügelflächen zusammengekommen,  $\xi$  der Widerstandscoefficient der Luft, ferner  $\gamma$  die Dichtigkeit der Luft,  $g$  die Beschleu-

nigung der Schwere und  $l$  die Entfernung der Flügelmitte von der Umdrehungsaxe, so haben wir das Moment des Widerstandes, welchen die Luft dem Windfang entgegensetzt:

$$Ql = \xi \cdot \frac{v^2}{2g} F \gamma \cdot l = \xi \frac{v^2}{2g} Fl \gamma \text{ (s. I., §. 432).}$$

Ist  $P$  die dem Gewichte  $G$  entsprechende Umdrehungskraft des Zahnrades nach Abzug der Reibung und anderer Nebenhindernisse, und  $r$  der Hebelarm dieser Kraft, also  $Pr$  das Moment derselben, so haben wir die Gleichung

$$Ql = \xi \cdot \frac{v^2}{2g} Fl \gamma = Pr,$$

und daher die Geschwindigkeit der Flügelmitte,  $v = \sqrt{\frac{2gPr}{\xi \cdot Fl \gamma}}$ .

Nimmt nun  $P$  um eine kleine GröÙe  $\Delta P$  zu oder ab, so erhält diese Geschwindigkeit eine Zu- oder Abnahme, welche durch die Formel

$$v \pm \Delta v = \sqrt{\frac{2g(P \pm \Delta P)r}{\xi \cdot Fl \gamma}},$$

oder einfacher, durch die Proportion  $\frac{\Delta v}{v} = \frac{1}{2} \frac{\Delta P}{P}$  bestimmt ist.

Wenn also während der Bewegung des Windfanges die Kraft innerhalb der engen Grenzen  $P \left(1 - \frac{\Delta P}{P}\right)$  und  $P \left(1 + \frac{\Delta P}{P}\right)$  schwankt, so verändert sich die Geschwindigkeit nur innerhalb der Grenzen

$$v \left(1 - \frac{\Delta v}{v}\right) = v \left(1 - \frac{1}{2} \frac{\Delta P}{P}\right)$$

und  $v \left(1 + \frac{\Delta v}{v}\right) = v \left(1 + \frac{1}{2} \frac{\Delta P}{P}\right).$

Was den Coefficient  $\xi$  anlangt, so ist derselbe nicht ganz constant, sondern für eine kleine rectanguläre Fläche  $\xi = 1,254 \left(1 + \frac{1,295 \sqrt{F}}{l}\right)$  zu setzen.

Beispiel. Durch welches Gewicht wird der in Figur 340 abgebildete Apparat mit 30 Fuß Geschwindigkeit umgetrieben, wenn dasselbe an einem Hebelarme  $DH = a = 4$  Zoll wirkt, während der mittlere Flügelhalbmesser  $CF$ ,  $l = 8$  Zoll, die Seitenlänge der beiden quadratischen Flügel 4 Zoll beträgt und das Zahnrad  $AE$ ,  $n = 30$  Zähne, die Schraube  $A$  aber  $m = 2$  Gewinde hat? Nehmen wir an, daß der Apparat durch die Reibung 35 Procent der Kraft verliere, so können wir das Kraftmoment dieses Gewichtes in Hinsicht auf die Flügelwelle setzen (s. III., §. 148):

$$Pr = (1 - 0,35) \cdot \frac{m G a}{n} = 0,65 \cdot \frac{2 \cdot 4 G}{30} = 0,1733 G,$$

ferner haben wir die Flügelfläche  $F = 2 \cdot 4^2 = 32$  Quadrat Zoll, und das Gewicht eines Cubikzolls Luft,  $\gamma = \frac{66}{800 \cdot 1728} = \frac{0,0825}{1728}$  Pfund; führen

Wir nun noch  $l = 8$ ,  $2g = 2 \cdot 12 \cdot 31,25 = 24 \cdot 31,25$  Zoll,  
 $v^2 = (12 \cdot 30)^2 = 144 \cdot 900$  und  
 $\zeta = 1,254 (1 + 1,295 \cdot \frac{1}{8}) = 2,066$  ein,

so erhalten wir die Gleichung

$$0,1733 G = \zeta \cdot \frac{v^2}{2g} Fly = 2,066 \cdot \frac{144 \cdot 900 \cdot 32 \cdot 8 \cdot 0,0825}{24 \cdot 31,25 \cdot 1728} = \frac{2,066 \cdot 66}{31,25},$$

und daher das gesuchte Gewicht  $G = \frac{2,066 \cdot 66}{0,1733 \cdot 31,25} = 25,18$  Pfund.

Die mittlere Umdrehungszahl des Flügelrades pro Minute ist

$$u = \frac{30 \cdot v}{\pi l} = 9,549 \cdot \frac{v}{l} = 9,549 \cdot \frac{12 \cdot 30}{8} = 429,7.$$

Sollten die Nebenhindernisse innerhalb 10 Procent des Gewichtes  $G$  schwanken, oder sollte  $P$  bald 0,40, bald 0,30 Procent des Gewichtes beanspruchen, wäre also auch das Umdrehungsmoment bald  $\frac{5}{66} = \frac{1}{13}$  kleiner, bald ebensoviel größer als das mittlere Moment  $Pr = 0,1733 G$ , so würde die Umdrehungszahl  $u$  nie mehr als um  $\frac{1}{26}$  größer oder kleiner, also höchstens auf

$$429,7 (1 + \frac{1}{26}) = 429,7 + 16,5 = 446,2 \text{ steigen,}$$

$$\text{oder auf } 429,7 (1 - \frac{1}{26}) = 429,7 - 16,5 = 413,2 \text{ sinken können.}$$

Dieses Reguliren der Bewegung ist allerdings, da das Gewicht  $G$  mit der Geschwindigkeit  $w = \frac{m}{n} \cdot \frac{a}{l} v = \frac{2}{30} \cdot \frac{1}{8} 30 = 1$  Fuß sinkt, mit einem Arbeitsaufwande von  $L = Gw = 25,18 \cdot 1 = 25,18$  Fußpfund pro Secunde verbunden.

Bremse.

§. 165. Die in der praktischen Mechanik am häufigsten angewendeten Moderatoren einer Kraft sind die Bremse (franz. freins; engl. breaks), worunter man alle diejenigen Mechanismen versteht, welche die Bewegung einer Maschine durch den Reibungswiderstand mäßigen oder nach Befinden ganz aufheben. Da durch die Reibung nur die Bewegung geschwächt, nie aber beschleunigt oder erzeugt wird, so ist mit der Anwendung eines Bremses stets eine Krafttödtung oder Arbeitsvernichtung verbunden und es gehört aus diesem Grunde ein Brems nicht zu den willkommenen Hilfsapparaten einer Maschine. Man soll sich daher auch der Bremse nur in allen den Fällen zur Regulirung der Bewegung einer Maschine bedienen, wenn andere Regulierungsmittel und zumal solche, welche durch bewegende Kräfte, z. B. durch Gewichte, Federn oder träge Massen wirken, nicht ausreichen oder überhaupt keine Anwendung gestatten. Da die Reibung proportional mit dem Drucke eines ruhenden Körpers gegen die bewegten Körper wächst und abnimmt, so kommt es bei den Bremsen nur darauf an, einen festen Körper gegen den in seiner Bewegung zu regulirenden Maschinentheil mit einer gewissen Kraft zu drücken. In der Regel besteht der zu regulirende Maschinentheil in einer rotirenden Welle, Trommel oder einem Rade, und hat man es mit einem Wagen zu thun, so dient hierzu gleich ein Paar Räder, worauf dieser fortrollt. Im letzteren Falle kann natürlich die fortschreitende Bewegung des Wagens durch den Brems nur indirect, d. h. nur dadurch mode-



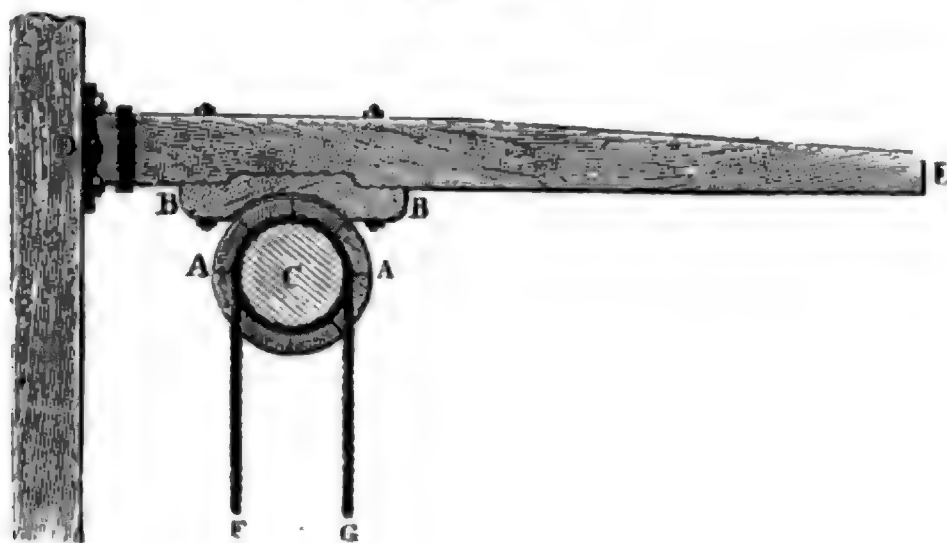
zirt werden, daß die rollende Bewegung der Räder in eine ganz oder theilweise gleitende Bewegung verwandelt wird. Kommen die Räder ganz zum Stillstand, so verwandelt sich die unbedeutende rollende Reibung in die gleitende Reibung, deren Ueberwindung meist schon eine sehr große Kraft erfordert. Uebrigens kann das Umdrehen der Wagenräder auch durch sogenannte Hemmketten und Hemmschuhe (franz. enrayures, sabots; engl. triggers) verhindert werden.

Dem Vorstehenden zu Folge besteht jeder Bremsapparat aus zwei Haupttheilen, aus dem rotirenden Bremsrade und aus dem auf dieses aufzudrückenden Körper, dem Bremse im engeren Sinne des Wortes. Nach der Gestalt und Beschaffenheit des letzteren Theiles lassen sich nun folgende Bremsapparate von einander unterscheiden:

- 1) die Backen- oder Laschenbremse,
- 2) die Glieder- oder Kettenbremse,
- 3) die Seil-, Draht-, Band- und Gurtbremse,
- 4) die Excentrikbremse,
- 5) die Kegelmse.

Der Backen- oder Laschenbrems besteht aus einem oder zwei Holz- oder Eisenstücken, den sogenannten Bremsbacken, welche mit großer Kraft gegen den Umfang einer Welle oder eines auf ihr sitzenden Rades, des sogenannten Bremsrades, gedrückt werden. Der Glieder- oder Kettenbrems ist eine Kette oder ein gegliederter Gurt, welcher um das Bremsrad herumgeschlungen und durch ein Gewicht oder eine andere Kraft gespannt wird. Bei dem Seil-, Draht-, Band- oder Gurtbrems ist es ein um das zu bremsende Rad gewundener biegsamer Körper, z. B. ein Seil, Draht, Band u. s. w., welcher die Umdrehung dieses Rades moderirt oder aufhebt. Der Excentrikbrems besteht aus einem Excentrik und der Kegelmse aus einem hohlen Kegel, welcher in oder über das ebenfalls conisch geformte Bremsrad geschoben wird.

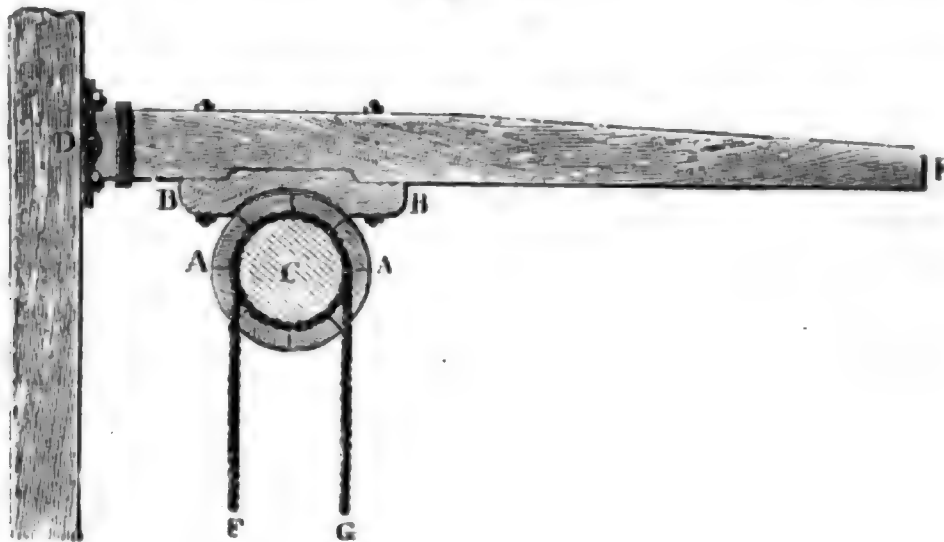
§. 166. Ein einfacher, jedoch nur einseitig wirkender Backenbrems  
Fig. 341.



Bremsen.

für eine liegende Welle ist in Fig. 342 abgebildet.  $AA$  ist das aus Dauben zusammengesetzte Bremsrad,  $BB$  der bogenförmig ausgeschnittene

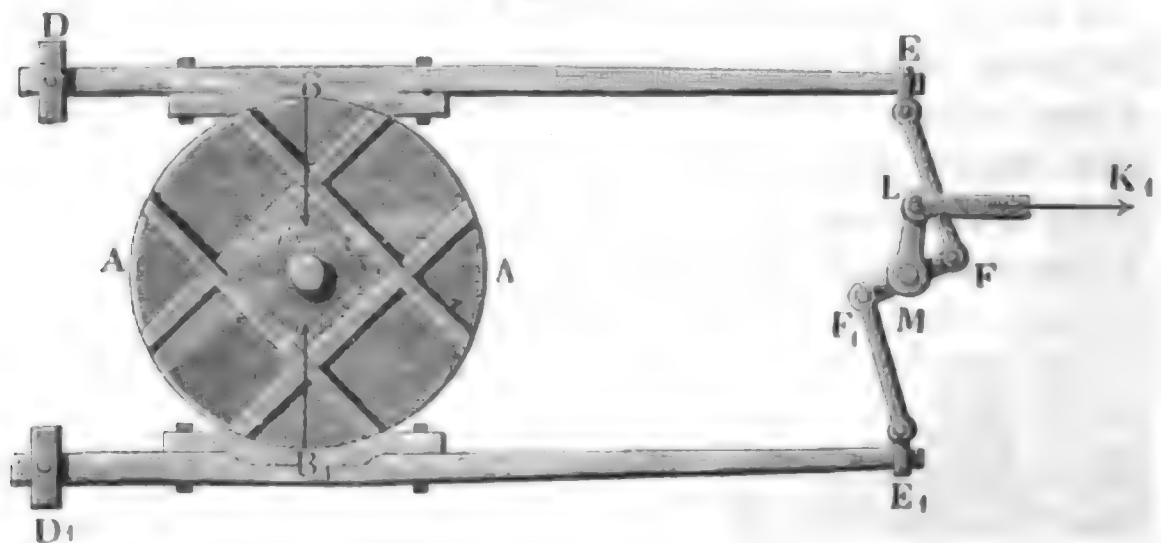
Fig. 342.



Bremsbacken und  $DE$  der sogenannte Bremsdrücker, welcher in  $D$  seinen Stützpunkt hat und in  $E$  niedergedrückt wird, wenn es darauf ankommt, das Niedersinken des an einem der beiden Seilenden  $F$  und  $G$  hängenden Gewichtes zu reguliren.

Um durch das Bremsen oder Aufdrücken des Bremsbackens auf das Bremsrad die Welle und ihre Zapfen nicht zu verletzen, wendet man lieber doppelte Bremsbacken an, welche an entgegengesetzten Seiten auf dieses Rad drücken. Ein solches Rad ist in Fig. 343 abgebildet. Es ist auch hier  $AA$

Fig. 343.



das um  $C$  drehbare Bremsrad, und es sind  $B, B_1$  die auf den um  $D$  und  $D_1$  drehbaren Bremsdrückern  $DE$  und  $D_1 E_1$  feststehenden Bremsbacken. Um die Kraft, mit welcher die Bremsbacken auf das Rad drücken, noch zu verstärken, kann man noch ein aus einem doppelarmigen Hebel  $FMF_1$  bestehendes Vorgelege anwenden. Die Bremsdrücker  $DE$  und  $D_1 E_1$  sind dann

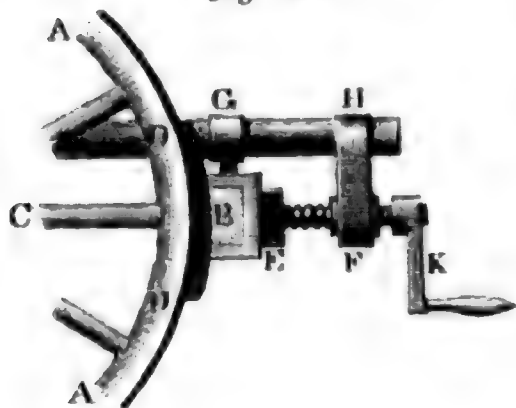


durch Zugstangen  $EF$  und  $E_1F_1$  an die Arme  $MF$  und  $MF_1$  dieses Hebels angeschlossen, und dieser wird mittels eines Armes  $ML$  von der Kraft  $K$  ergriffen.

Bremse.

Zu den Backenbremsen gehören auch noch die sogenannten Schleif-

Fig. 344.

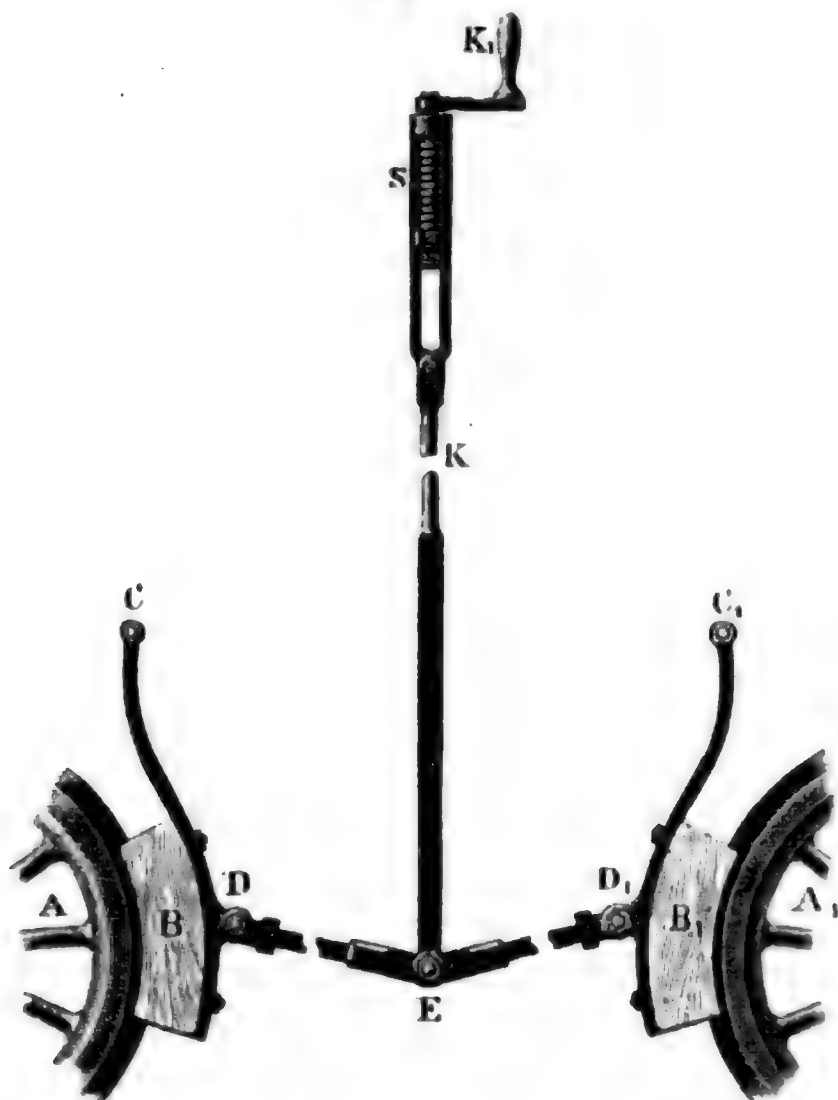


zeuge der Radfahrwerke. Ein solches Schleifzeug ist in Figur 344 abgebildet.  $ACA$  ist ein Theil des Rades,  $B$  ein quer über beide Räder weggehender Bremsbaum mit den eisernen Bremsbacken  $DD$ , und  $EF$  eine Schraube, welche mittels einer Kurbel  $K$  nach der einen oder nach der anderen Richtung umgedreht wird, wenn es darauf an-

kommt, die Bremsbacken entweder auf das Rad aufzudrücken oder von demselben abzuziehen. Zu diesem Zwecke ist der Bremsbaum in  $G$  verschiebbar und dagegen die Schraube in  $H$  unverrückbar an dem Wagengestelle aufgehangen.

Ein anderes Schleifwerk für einen Eisenbahnwagen ist in Fig. 345 ab-

Fig. 345.

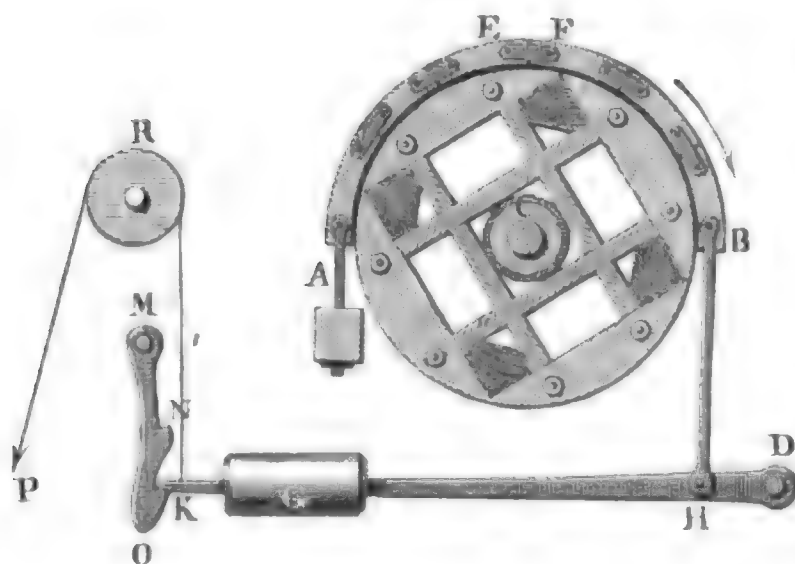


gebildet. Es sind hier  $A$  und  $A_1$  die Wagenräder,  $B$  und  $B_1$  die Bremsbacken und  $CD$ ,  $C_1D_1$  Stangen, womit diese in  $C$  und  $C_1$  am Wagen hängen. Das Ausdrücken der Bremsbacken auf die Wagenräder erfolgt durch eine Kurbel  $K_1$  in Verbindung mit einer Schraube  $S$  und dem Kniehebelsmechanismus  $CDE$  und  $C_1D_1E$ . Durch Umdrehung der Schraube  $S$  mittels der Kurbel nach der einen oder anderen Richtung kann die Zugstange  $EK$ , und

Bremse. mit ihr also auch der Aufhängepunkt *E* aufgezogen oder niedergelassen werden, womit natürlich entweder ein Aufdrücken oder ein Abziehen der Backen *B* und *B*<sub>1</sub> von den Rädern *A* und *A*<sub>1</sub> verbunden ist.

§. 167. Einen aus hölzernen Gliedern oder Ringstücken zusammenge-

Fig. 346.



setzten Gliederbremse, wie er vorzüglich bei Windmühlen zur Anwendung kommt, zeigt Figur 346. Es ist hier *ACB* das auf der Flügelwelle *C* (s. II., §. 248) aufsitze Bremsrad und *AEFB* der dieses Rad umgürtende Brems- oder Preßring. Die Verbindung der Glieder unter einander wird durch eiserne La-

schen wie *EF* und eiserne Bolzen *E* und *F*, welche letztere durch die Gliederenden hindurchgehen, bewirkt. Das eine Ende *A* dieses Gurtes ist an dem Gebäude des Gebäudes befestigt, und das andere Ende *B* mittels einer eisernen Zugschiene *BH* an einem um *D* drehbaren Hebel *KD* angeschlossen. Dieser Hebel ruht für gewöhnlich mit seinem Ende *K* auf einem Zahn *O* einer um *M* drehbaren Klinke, und hält dabei den Bremskranz in einem Abstände von ungefähr  $\frac{1}{4}$  bis  $\frac{1}{2}$  Zoll frei über dem Bremsrade; soll aber gebremst, d. i. die Welle *C* in Ruhe oder in eine langsamere Bewegung versetzt werden, so zieht man mit einem Rucke am Ende *P* einer über einer Leitrolle *R* liegenden und am Hebelende *K* befestigten Schnur. Hierbei trifft das Ende *K* an einen zweiten Zahn *N* der Klinke, und theilt dadurch der letzteren einen Schwung nach außen mit; läßt man daher in diesem Momente mit dem Zuge nach, so fällt der Hebel *KD* ungehindert herab und drückt, zumal mit Hilfe des an ihm befestigten Gewichtes *G*, den Bremskranz fest auf das Bremsrad auf.

Ein einfacher Band- oder Gurtbrems ist in Fig. 347 abgebildet; *ACA*<sub>1</sub> ist das Bremsrad, *BAEA*<sub>1</sub> *B*<sub>1</sub> das eiserne Blechband. Die Enden *B* und *B*<sub>1</sub> des letzteren sind an einem Hebel *DK* angeschlossen, und es ist hieraus leicht zu ersehen, wie durch Niederdrücken des Hebelendes *K* das Band gespannt wird.

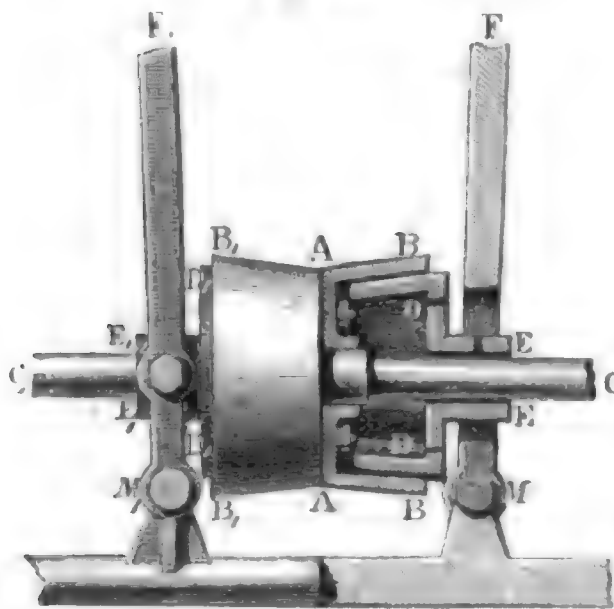
Einen Drahtbrems für einen Krahn führt Fig. 348 vor Augen. Es ist auf der zu bremsenden Welle *C* eine metallene Scheibe oder Trommel



Bremsen

In Fig. 350 ist noch ein Regelbrems abgebildet. Auf der sich um ihre Ase umdrehenden Welle  $CC$ ,

Fig. 350.



sieht ein doppelter Regel  $AAB$  —  $AAB_1$ , wovon der eine im Durchschnitt und der andere von außen zu sehen ist. Zwei andere Regel  $DD$  und  $D_1D_1$  im Innern dieser Regel sitzen mittels Muffe  $EE$  und  $E_1E_1$  auf der Welle  $CC_1$  und lassen sich auf dieser mit Hilfe zweier um  $M$  und  $M_1$  drehbarer Hebel  $FM$  und  $F_1M_1$  verschieben. Diese Hebel sind so mit einander verbunden, daß sie sich gleichzeitig entweder nach innen oder nach außen bewegen lassen.

Im erstenen Falle schieben sie die conischen Räder  $DD$  und  $D_1D_1$  in die hohlen Regel  $AB$  und  $AB_1$ , so daß zwischen den Außenflächen des einen und den Innenflächen des anderen Regelpaares eine Reibung entsteht, wodurch die Umdrehung der Welle  $CC_1$  entweder gemäßigt oder ganz aufgehoben werden kann. Im zweiten Falle treten hingegen die Regel  $AB$ ,  $A_1B_1$  aus den Regeln  $DD$  und  $D_1D_1$  heraus und es kann dann  $BAB_1$  mit  $CC_1$  ungehindert umlaufen.

Anwendung  
der Bremsen.

§. 168. Es ist von einem zweckmäßigen Brems zu verlangen, daß er ohne großen Kraftaufwand und ohne nachtheilige Wirkungen auf die Maschine die Bewegung der letzteren schnell und sicher hemme oder nach Befinden gar aufhebe. Da der Reibungswiderstand, durch welchen die Maschine gehemmt oder in Ruhe versetzt wird, nicht allein von dem Drucke, sondern auch von dem Reibungscoefficienten abhängt, so kommt es nicht allein darauf an, einen großen Druck auf das Bremsrad auszuüben, sondern es ist auch darauf zu sehen, daß die Reibungsflächen mehr rauh als glatt sind. Aus dem letzteren Grunde läßt man nicht gern Eisen auf Eisen, sondern lieber Holz auf Holz oder wenigstens Holz auf Eisen sich reiben, und macht deshalb gern die Bremsbacken oder den Bremsgurt aus Holz (s. I., §. 161). Der Druck ist der auszuübenden Bremskraft proportional und läßt sich durch Vertheilung der letzteren sowie durch Hinzufügung von Hebeln beliebig vergrößern (s. Fig. 346 und Fig. 343). Dieser Vergrößerung der Bremskraft ist aber wieder durch den vorgeschriebenen Weg der letzteren eine Grenze gesetzt. Je mehr die Brems- oder Zugkraft durch Hebel u. s. w. vergrößert auf den Brems übertragen wird, desto kleiner fällt natürlich auch der Weg des letzteren aus. Nun muß aber dieser Weg oder Abstand des

Bremse vom Bremsrade eine gewisse Größe haben, damit das Bremsrad, selbst wenn es nicht ganz rund ginge, beim gewöhnlichen Gange nicht am Brems schleift; es ist folglich umgekehrt, von der Zugkraft während des Bremsens ein mit diesem Abstände und mit dem Umsehungsverhältniß dieser Kraft proportional wachsender Weg zurückzulegen. Dieser Weg darf jedoch, der Armlänge des Menschen entsprechend, nur eine gewisse Größe haben, und folglich kann auch das Umsehungsverhältniß oder die Vergrößerung der Bremskraft eine gewisse Grenze nicht überschreiten.

Anwendung  
der Bremse.

Damit der Druck des Bremses auf die Welle des Bremsrades nicht nachtheilig wirke, ist es nöthig, den Brems auf die entgegengesetzten Seiten des Bremsrades oder rundherum auf dieses Rad zu vertheilen. Aus diesem Grunde sind z. B. die Bremse in Figur 347, 348 und 350 denen in Figur 342, 344, 345 u. s. w. vorzuziehen.

Um überhaupt den Arbeitsaufwand, also das Product aus Kraft und Weg des Bremsens, möglichst herabzuziehen, ist es rathsam, an denjenigen Stellen zu bremsen, wo die Maschine am schnellsten geht und eben deshalb die kleinste Umdrehungskraft hat. Man bremst daher bei einer Maschine diejenige Welle, welche die meisten Umdrehungen macht, und zwar nicht unmittelbar, sondern mittels eines die Umdrehungsgeschwindigkeit vergrößernden und folglich die Umdrehungskraft vermindernenden Bremsrades.

Besitzt die durch den Brems zu hemmende Maschine eine große und schnell umlaufende Masse, so ist es zweckmäßig, die Maschine an einer dieser Masse sehr nahen Stelle zu bremsen, um die Wirkungen der Reaction, welche die träge Masse bei ihrer verzögerten Bewegung ausübt, für die Maschine so unschädlich wie möglich zu machen. Deshalb bremst man denn auch Wasserräder und Schwungräder gern unmittelbar an ihrem Umfange oder wenigstens an mit diesen Rädern fest verbundenen Bremsrädern. Hat man es nicht bloß mit der Aufhebung der lebendigen Kraft, sondern auch mit der Vernichtung der Umtriebskraft einer Maschine zu thun, so ist es auf der anderen Seite auch wünschenswerth, daß das Bremsen so viel wie möglich in der Nähe des Angriffspunktes der Umdrehungskraft erfolge.

§. 169. Es ist nun im Folgenden die Theorie des Bremses als eines den Gang einer Maschine moderirenden oder sistirenden Hilfsapparates, zu entwickeln. Denken wir uns die ganze Masse der Maschine auf den Umfang des Bremsrades reducirt, bezeichnen wir dieselbe mit  $M$ , und nehmen wir ebenso an, daß die bewegende Kraft oder Ueberwucht  $P$  der Maschine, so wie der vom Brems erzeugte Widerstand  $F$  an dem Bremsradumfang wirke. Es ist dann die Acceleration des Radumfanges vor dem Bremsen:

Theorie  
der Bremse.

$$p = \frac{P}{M},$$



Theorie  
der Bremsen.

und dagegen die Retardation des Radumfanges während des Bremsens:

$$p_1 = \frac{F - P}{M} \quad (\text{f. I., §. 65}).$$

Ist nun die Zeit für den ersten Bewegungszustand  $= t$  und die des zweiten  $= t_1$ , so hat man den Zuwachs an Geschwindigkeit im ersten Falle:

$$v = pt = \frac{P}{M} t,$$

und die Verminderung der Geschwindigkeit im zweiten Falle:

$$v_1 = p_1 t_1 = \frac{F - P}{M} t_1 \quad (\text{f. I., §. 9}).$$

Hat der Radumfang anfangs die Geschwindigkeit  $c$ , und handelt es sich bloß darum, diese Geschwindigkeit trotz der Ueberwucht zu behalten, so muß  $v_1 = 0$ , also  $F = P$ , d. i. der durch das Bremsen hervorzubringende Widerstand der Ueberwucht  $P$  gleich sein. Soll hingegen die Bewegung des Rades in einer gegebenen Zeit  $t_1$  aufgehoben, also die Maschine zum Stillstande gebracht werden, so hat man

$$c - v_1 = 0, \quad \text{d. i. } v_1 = c \quad \text{oder} \quad \left( \frac{F - P}{M} \right) t_1 = c$$

zu setzen, und es folgt nun der erforderliche Bremswiderstand:

$$F = P + \frac{Mc}{t_1}.$$

Ist hingegen die Geschwindigkeit des Rades  $c + v$  in der Zeit  $t_1$  auf die Größe  $c$  zurückzuführen, so hat man

$$c + v - v_1 = c, \quad \text{d. i. } v_1 = v \quad \text{oder} \quad \left( \frac{F - P}{M} \right) t_1 = v,$$

also den entsprechenden Bremswiderstand

$$F = P + \frac{Mv}{t_1}.$$

Wäre der durch das Bremsen wegzunehmende Geschwindigkeitsüberschuß  $v$  aus der während der Zeit wirkenden Ueberwucht  $P$  erwachsen, so würde

$$v = \frac{P}{M} t \quad \text{und daher}$$

$$F = P + \frac{t}{t_1} P = \left( \frac{t + t_1}{t_1} \right) P \quad \text{zu setzen sein.}$$

Giebt man statt der Zeiten  $t$  und  $t_1$  die entsprechenden Wege des Bremsradumfanges, setzt man also den der Ueberwucht  $P$  und der Zeit  $t$  entsprechenden Weg  $= s$  und dagegen den der verzögernden Kraft  $F - P$  und der Zeit  $t_1$  entsprechenden Weg  $= s_1$ , so hat man für den Fall, daß durch das Bremsen die Geschwindigkeit  $c + v$  auf  $c$  zurückgebracht werden soll,

$$\text{die Arbeit } \frac{M}{2} [(c + v)^2 - c^2] = (F - P) s_1 \quad (\text{f. I., §. 71}),$$





Theorie  
der Bremse.

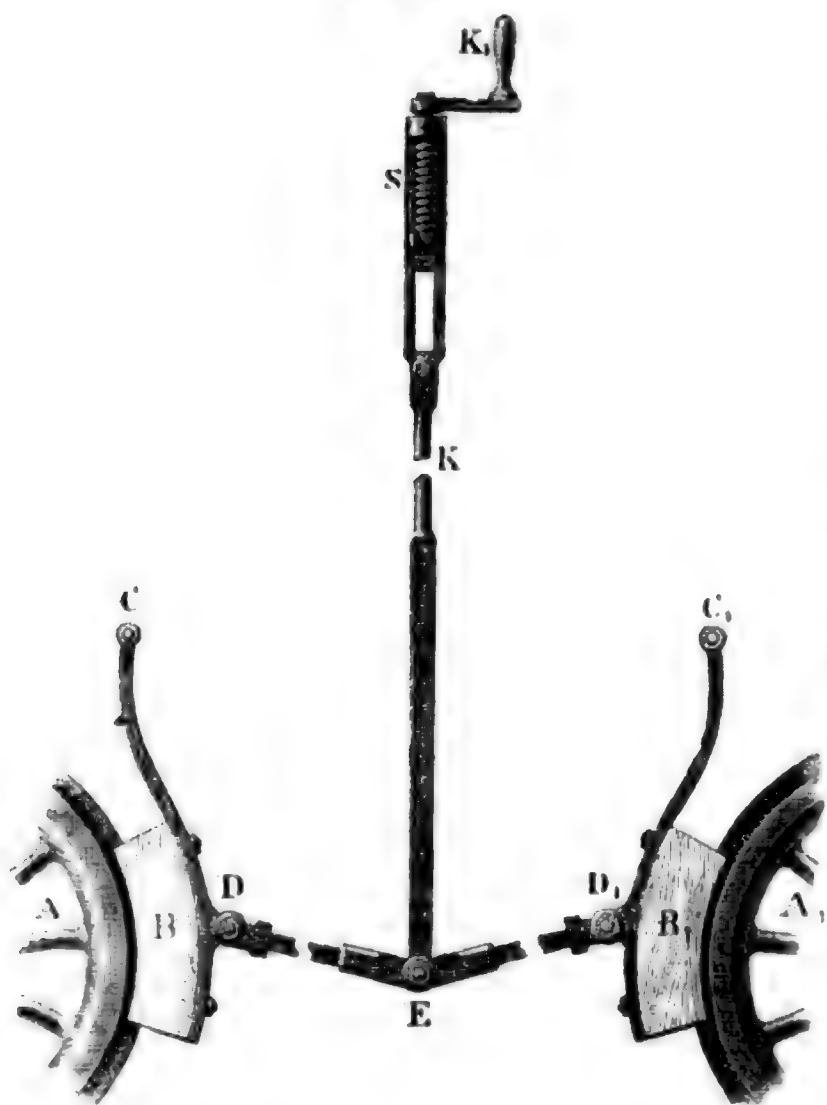
arm  $DB$  des Druckes, so hat man  $aK = bR$ , und daher

$$F = \varphi R = \varphi \frac{a}{b} K.$$

Ist noch ein Vorgelegshebel angebracht, und wirkt bei demselben die Kraft  $K_1$  am Hebelarme  $ML = a_1$ , und die Schwengelkraft  $K$  am Hebelarme  $MF = b_1$ , so hat man  $a_1 K_1 = b_1 K = b_1 \frac{b}{a} R$ , und daher die Reibung

$$1) F = \varphi R = \varphi \frac{a}{b} \cdot \frac{a_1}{b_1} K_1.$$

Fig. 352.



Die Verdoppelung der Bremsbacken u. Hebel ändert diese Formel nicht; es ist dann  $R$  die Summe der Drücke und also auch  $F$  die Summe der Reibungen an beiden Seiten.

Bei dem Wagenbrems, Fig. 352, mit Kniehebel und Schraube ist das Verhältniß zwischen Kraft  $K_1$  und Druck  $R$  oder Reibung  $F$  wie folgt zu beurtheilen. Weichen die Druckstangenachsen  $DE$  und  $D_1E_1$  um einen Winkel  $DEK = D_1EK = \beta$  von der Zugstangenaxe

$KE$  ab, so ist der Druck  $R$ , mit welchem jede Stange den Bremsbacken auswärts schiebt, durch die bekannte Formel

$$R = \frac{K}{2 \cos. \beta} \text{ (s. I., §. 75) bestimmt.}$$

Geht die Richtung der Stange  $DE$  durch die Radaxe, so ist  $R$  zugleich der Normaldruck auf den Radumfang, und daher der Reibungswiderstand an beiden Rädern zusammen

$$F = 2 \varphi R = \frac{\varphi K}{\cos. \beta}.$$

Es wirkt der Kniehebel genau wie ein Keil, und es ist leicht einzusehen, daß sich durch ihn ein sehr großer Druck und also auch eine sehr große Reibung erzeugen läßt, wenn man den Neigungswinkel  $\cos.\beta$  sehr klein, also  $\beta$  nahe  $90^\circ$  macht.

Zwecke  
der Bremse.

Wirkt die Bremskraft  $K_1$  an einem Hebelarme  $a$ , ist die mittlere Dicke der Schraube  $S, = d$ , das Ansteigen der Schraube  $= \alpha$  und der Reibungswinkel  $= \varphi$ , so haben wir nach III., §. 142, die Kraft

$$K_1 = \frac{d}{2a} K \tan g. (\alpha + \varphi)$$

und daher den Reibungswiderstand

$$2) F = \frac{\varphi K}{\cos.\beta} = \varphi \cdot \frac{2a}{d} K_1 \frac{\cotang. (\alpha + \varphi)}{\cos.\beta}.$$

Verbinden wir nun die eine oder die andere der Formeln unter 1) und 2) mit einer der Formeln

$$F = P + \frac{Mv}{t}, \quad F = P + \frac{M}{2s_1} [(c+v)^2 - c^2] \text{ u. s. w.},$$

so erhalten wir die gesuchte Regel zur Berechnung der Hauptdimensionen des gewissen Forderungen entsprechenden Bremses.

Beispiel. Ein Dampfwagenzug von der Masse

$$M = \frac{100000}{g} = 0,032 \cdot 100000 = 3200 \text{ Pfund}$$

bewegt sich mit der Geschwindigkeit  $c + v = 30$  Fuß vorwärts, und es soll diese Geschwindigkeit wegen Ueberschreitung einer noch 250 Fuß entfernten Brücke durch Bremsen auf 12 Fuß zurückgeführt werden; mit welcher Kraft hat man zu diesem Zwecke die Wagenbremsen zu ziehen, wenn die Hauptverhältnisse derselben folgende sind:  $\varphi = 0,4$ ,  $\frac{2a}{d} = 15$ ,  $\alpha + \varphi = 12^\circ$ ,  $\beta = 72\frac{1}{2}^\circ$ ?

Wir haben zu setzen:

$$\varphi \cdot \frac{2a}{d} \cdot K_1 \frac{\cotang. (\alpha + \varphi)}{\cos.\beta} = \frac{M}{2s_1} [(c+v)^2 - c^2], \text{ d. i.}$$

$$0,4 \cdot 15 \cdot \frac{\cotang. 12^\circ}{\cos. 72\frac{1}{2}^\circ} \cdot K_1 = \frac{3200}{500} (30^2 - 12^2),$$

weshalb die gesuchte Kraft an der Bremsenkurbel

$$K_1 = \frac{32 (900 - 144) \cos. 72\frac{1}{2}^\circ \tan g. 12^\circ}{0,4 \cdot 15 \cdot 5} = \frac{32 \cdot 756}{30} \cos. 72\frac{1}{2}^\circ \tan g. 12^\circ$$

$$= 806,4 \cdot 0,8007 \cdot 0,2126 = 51,55 \text{ Pfund folgt.}$$

Wenn man also zwei Bremsen anwendet, so ist jede Bremsenkurbel mit 25,78 Pfund Kraft anzudrücken. Die Zeit des Bremses ist, da hierbei der Weg  $s_1 = 250$  Fuß mit der mittleren Geschwindigkeit  $c_1 = \frac{30 + 12}{2} = 21$  Fuß zurückgelegt wird,

$$t_1 = \frac{s_1}{c_1} = \frac{250}{21} = 11,9 \text{ Secunden.}$$

Das hierbei verrichtete Arbeitsvermögen beträgt

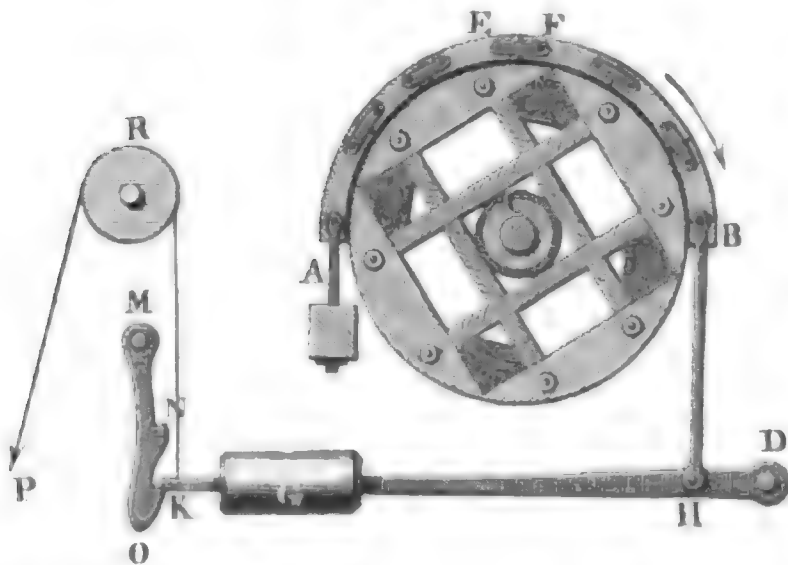
$$\frac{M}{2} [(c+v)^2 - c^2] = 1600 \cdot 756 = 1209600 \text{ Fußpfund.}$$

Theorie  
der Bremse.

Bei dieser Berechnung ist vorausgesetzt worden, daß die Ueberwucht Null sei. Wird während des Bremsens der Dampf abgesperrt, so hat man natürlich einen negativen Werth für  $P$  einzusetzen und es fällt  $K_1$  noch kleiner aus.

§. 171. Für die übrigen Bremse, welche wir oben (§. 167) kennen gelernt haben, berechnet sich die Bremskraft wie folgt.

Fig. 353.



Bei dem Glieder-  
brems in Fig. 353 ist  
die Reibung wie die einer  
Kette nach I., §. 175,  
zu berechnen. Ist  $\beta$  die  
Länge des durch den  
Bremskranz bedeckten  
Bogens  $AFB$ , auf den  
Halbmesser 1 reducirt,  
und  $n$  die Anzahl der  
Glieder, also der Bogen  
eines Gliedes:  $\alpha = \frac{\beta}{n}$ ;

ist ferner die Kraft, mit welcher das Ende  $B$  des Bremskranzes gespannt wird,  $= Q$ , so hat man die gesuchte Reibung

$$F = \left[ \left( 1 + 2 \varphi \sin. \frac{\beta}{2n} \right)^n - 1 \right] Q,$$

und wirkt die Spannkraft  $Q$  an einem Hebelarme  $DH = b$ , während das Gewicht  $G$  am Hebelarme  $DG = a$  niederzieht, so hat man bei freihängendem Hebel,  $Q = \frac{a}{b} G$ , und daher

$$F = \left[ \left( 1 + 2 \varphi \sin. \frac{\beta}{2n} \right)^n - 1 \right] \cdot \frac{a}{b} G.$$

Hat man es mit einem Draht- oder Bandbrems zu thun, so ist  $n = \infty$  und daher nach I., §. 176 die Reibung

$$F = (e^{\varphi \beta} - 1) Q \text{ zu setzen.}$$

Diese Formel findet ihre unmittelbare Anwendung bei dem Drahtbrems in Fig. 354, wo allerdings  $\beta$  mehreren Umwindungen entspricht, also mehrmals, z. B. 5mal  $2\pi$ , zu setzen ist.

Bei dem Bandbrems in Fig. 355 ist zwar ebenfalls

$$F = (e^{\varphi \beta} - 1) Q,$$

es sind aber hier die beiden Bandenden mit den Kräften  $Q$  und  $e^{\varphi \beta} Q$  zu spannen, und es ist daher die erforderliche Kraft am Hebelende, wenn der Hebelarm  $DK$  derselben durch  $a$  und die Hebelarme  $DB = DB_1$  der







Bremse ausrüsten, damit man durch denselben im Nothfalle der ganzen Windkraft das Gleichgewicht halten könne, wenn z. B. durch einen Bruch die Arbeitsmaschine zufällig außer Gang gekommen wäre? Wir haben hier die Kraft  $P$  der Reibung

$F = \left[ \left( 1 + 2 \varphi \sin. \frac{\beta}{2n} \right)^n - 1 \right] \frac{a}{b} G$  gleich zu setzen. Nehmen wir nun

hierin  $\varphi = 0,4$ ,  $n = 6$ ,  $\beta = 180^\circ$ , also  $\frac{\beta}{2n} = 15^\circ$ , und das Hebelarmver-

hältniß  $\frac{a}{b} = 6$  an, so haben wir

$$F = [(1 + 0,8 \sin. 15^\circ)^6 - 1] \cdot 6 G = 12,55 G,$$

und daher das gesuchte Gewicht

$$G = \frac{527,04}{12,55} = 42 \text{ Pfund.}$$

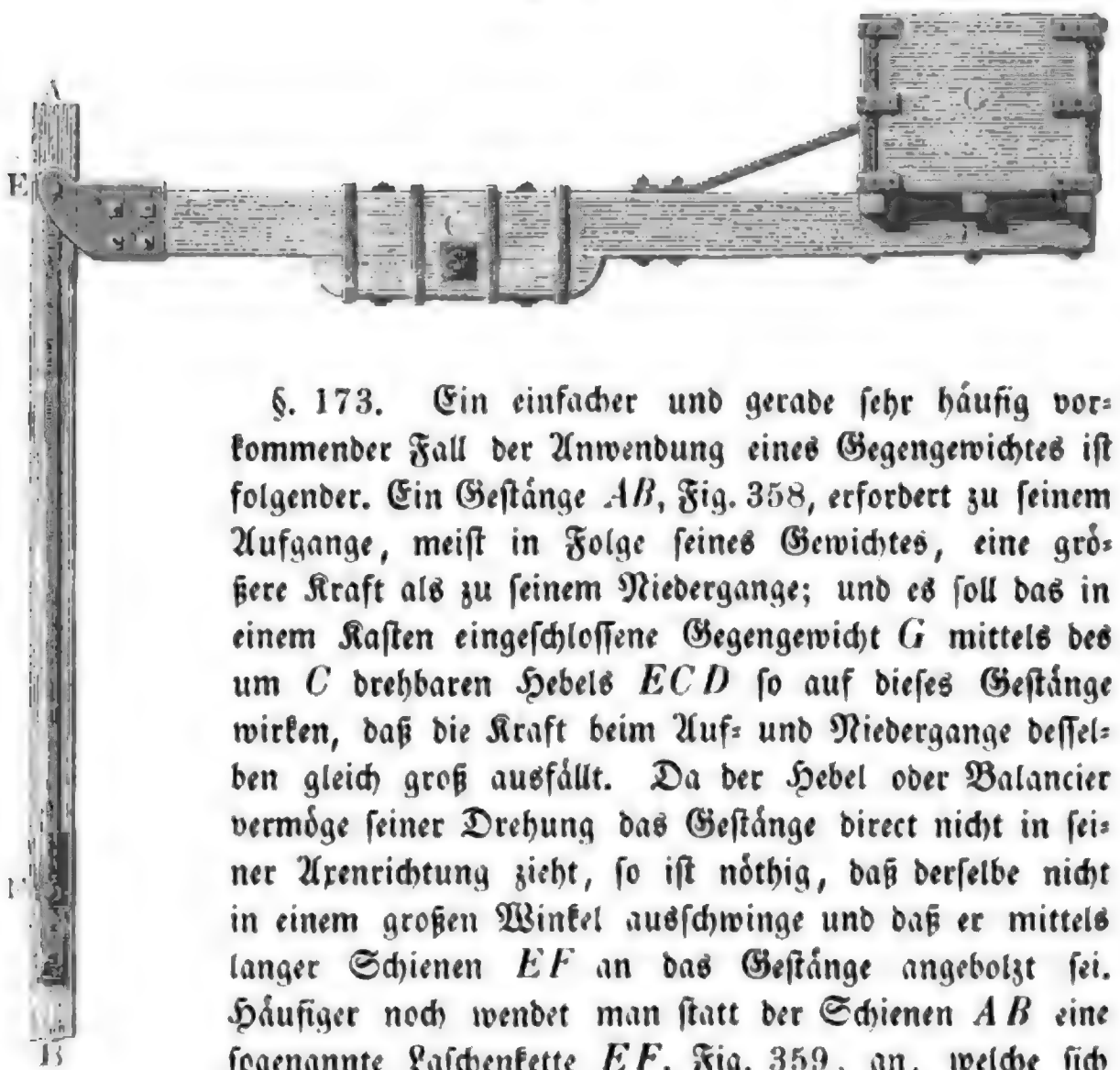
§. 172. Ein vorzügliches Hülfsmittel zur Regulirung einer Kraft oder Gegengewichte. Bewegung besteht in der Anwendung von Gegengewichten (franz. contre-poids; engl. countre poises). In der Regel sind die Gegengewichte wirkliche Gewichte, welche durch Steigen und Sinken die absehbende oder veränderliche Wirkung einer Kraft reguliren; man kann aber auch diese Gewichte durch den Druck des Wassers oder der Luft ersetzen; und hat es dann mit sogenannten hydraulischen und pneumatischen Gegengewichten oder Balanciers zu thun. Am häufigsten kommen die aus wirklichen Gewichten bestehenden Gegengewichte vor. Ist die zu regulirende Bewegung stetig kreisförmig, so wird das Gegengewicht fest mit der umlaufenden Welle verbunden; erfolgt hingegen die Befestigung absehbend geradlinig oder kreisförmig, so wirken die Gegengewichte meist mittels Hebel oder Rollen auf den in seiner Bewegung zu regulirenden Maschinentheil.

Bei der stetigen Kreisbewegung, und vorzüglich bei der Krummzapfenbewegung, ist nach jeder Umdrehung eine Periode beendet; es kommt daher auch hier nur darauf an, daß innerhalb derselben das Gegengewicht ein Mal sinke und ein Mal steige, und zwar ersteres während des Mangels und letzteres während des Ueberschusses an Kraft. Bei der absehbenden Bewegung in der geraden Linie oder im Kreise findet allerdings etwas Aehnliches statt, da hier nach einem Auf- und einem Niedergange eine Periode beendet ist, innerhalb welcher das Gegengewicht ein Mal steigen und sinken muß; da aber bei weitem am häufigsten Gegengewichte nur zur Ausgleichung des Gewichtes der Maschine oder gewisser Theile derselben dienen, so muß jedes Gegengewicht eine der Maschine entgegengesetzte Bewegung machen, d. i. es muß niedersinken, wenn jene steigt, und dagegen emporsteigen, wenn jene niedergeht. Es kann deshalb das Gegengewicht nicht unmittelbar an den auf- und niedergehenden Maschinentheil, z. B. an das Gestänge (s. III., §. 10), angeschlossen werden, sondern es ist ein

Gegengewichte. **zweiarmiger Hebel** oder nach Befinden, eine Rolle oder eine Radwelle nöthig, welche die Bewegungsrichtung des Gegengewichtes in die der Maschine oder des Gestänges umändert. Solche doppelarmige Hebel mit Gegengewichten sind unter dem Namen **Gegengewichtsbalancier** bekannt. Ist die auszugleichende Kraft sehr variabel, so reicht vielleicht der fast nur constant wirkende Gleichgewichtsbalancier nicht aus, und man nimmt deshalb zu **Gegengewichtsketten** oder zu **Spiraltrommeln** mit Gegengewichten, oder zu sogenannten **Ausgleichswagen** seine Zuflucht. Diese Vorrichtungen kommen vorzüglich auch bei der Regulirung der stetigen Bewegung in der geraden Linie, z. B. bei der Schachtförderung zur Ausgleichung des veränderlichen Seilgewichtes, zur Anwendung.

Bei doppelten und doppelt wirkenden Kolben-Maschinen ist das Ausgleichen der Gewichte oder Kräfte auch oft durch bloßes Kuppeln, d. i. durch Anwendung eines doppelarmigen Hebels oder Balanciers ohne Gegengewicht zu bewirken. Zwei durch einen Balancier mit einander verbundene Gestänge gleichen sich gegenseitig aus, da sich das eine nicht ohne das andere bewegen kann.

Fig. 358.



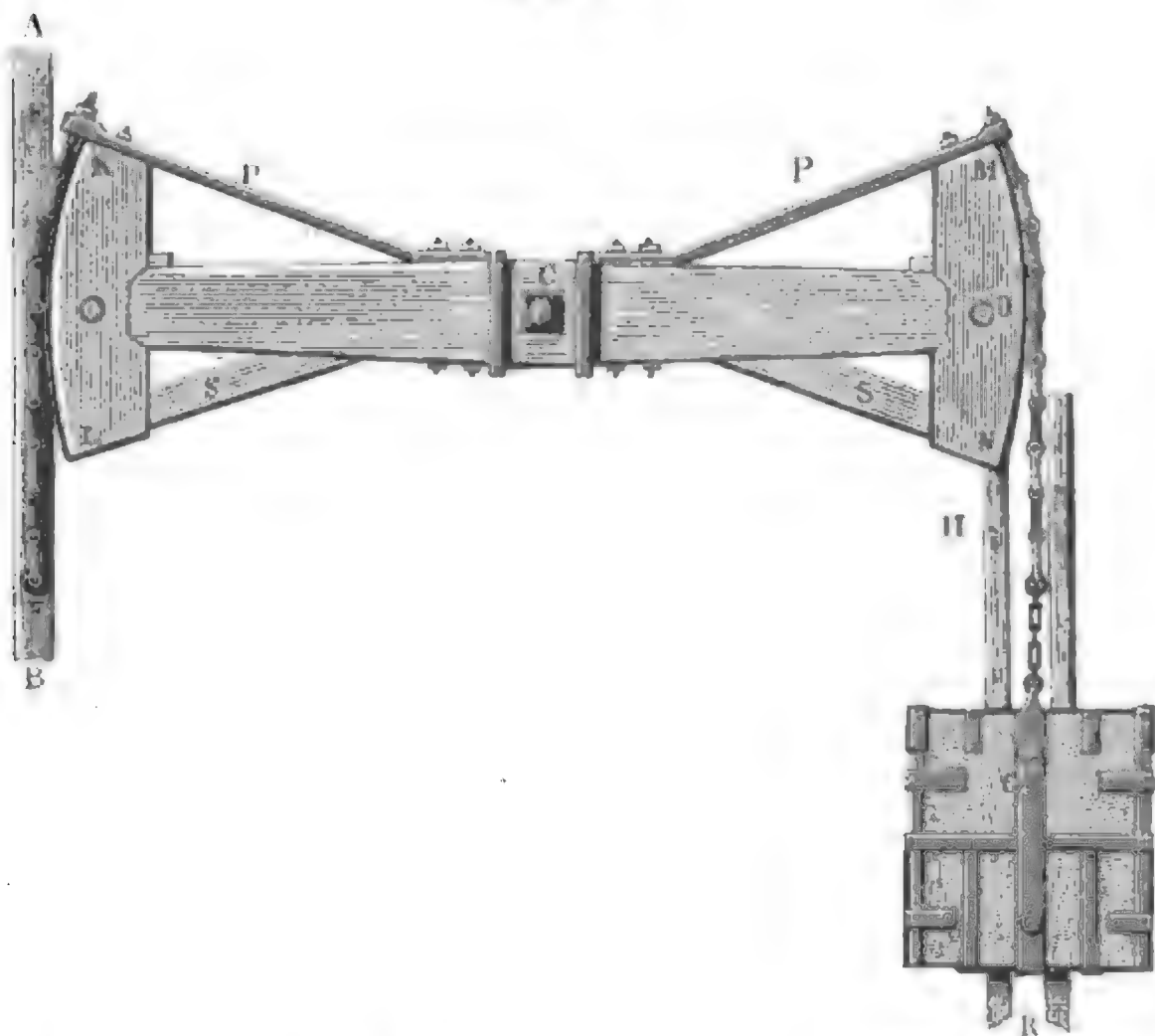
Gegengewichtsbalancier.

§. 173. Ein einfacher und gerade sehr häufig vorkommender Fall der Anwendung eines Gegengewichtes ist folgender. Ein Gestänge  $AB$ , Fig. 358, erfordert zu seinem Aufgange, meist in Folge seines Gewichtes, eine größere Kraft als zu seinem Niedergange; und es soll das in einem Kasten eingeschlossene Gegengewicht  $G$  mittels des um  $C$  drehbaren Hebels  $ECD$  so auf dieses Gestänge wirken, daß die Kraft beim Auf- und Niedergange desselben gleich groß ausfällt. Da der Hebel oder Balancier vermöge seiner Drehung das Gestänge direct nicht in seiner Auenrichtung zieht, so ist nöthig, daß derselbe nicht in einem großen Winkel ausschwinde und daß er mittels langer Schienen  $EF$  an das Gestänge angebolzt sei. Häufiger noch wendet man statt der Schienen  $AB$  eine sogenannte **Laschenkette**  $EF$ , Fig. 359, an, welche sich

während der Schwingung des Balanciers  $KLCD$  auf das Cirkelstück  $KL$  am Ende des Hebels auf- und abwickelt. Damit das Gegengewicht  $G$  während der Drehung des Balanciers seinen Hebelarm  $CD$  nicht ändere, ist dasselbe ebenfalls mittels Laschenkettten an das andere Ende des Balan-

Gegen-  
gewicht-  
balancier.

Fig. 359.



ciers angeschlossen. Um die Seitenschwankungen des Gewichtskastens  $G$  zu verhindern, erhält derselbe Seitenwalzen, womit er sich in einer Spur  $HR$  auf- und niederbewegen kann, und um der Verbindung der Cirkelstücke  $KL$  und  $MN$  mit dem Waagbaume Haltbarkeit zu verschaffen, sind noch Streben  $SS$  und Spannschienen  $PP$  aufgesetzt.

Aus dem Stangenschub oder Hub  $s$  und Schwingungswinkel  $\beta$  des Balanciers, welcher letztere nie über 60 Grad genommen werden soll, ist die Armlänge  $CK = CL = a$  leicht zu berechnen. Da sich bei jedem Spiele ein Kettenstück von der Länge  $s$  auf das Cirkelstück auf- und abwickelt, so ist

$$s = \frac{\beta^0}{180^0} \cdot \pi a, \text{ und daher umgekehrt}$$

$$a = \frac{180^0 \cdot s}{\beta^0 \cdot \pi} = 57,296 \frac{s}{\beta^0}.$$

Hat man es dagegen mit der Aufhängung in Fig. 358 zu thun, und

Gegen-  
gewichts-  
balancier.

trifft man hierbei die Einrichtung, daß sich die Hängemaschine beim höchsten und tiefsten Stande gleich, und zwar eben so viel nach links als beim mittleren Stande des Balanciers nach rechts neigt, so hat man wie bei jedem Kreuze und jedem Balancier (S. III., §. 14 und §. 126):

$$s = 2a \sin. \frac{\beta}{2}, \text{ also umgekehrt}$$

$$a = \frac{s}{2 \sin. \frac{\beta}{2}}.$$

Den Hebelarm  $CD = b$  des Gewichtes nimmt man in der Regel dem Hebelarme  $a$  gleich. Wie auch das Gestänge gegen den Horizont geneigt sei, immer ist doch zu fordern, daß der Schwingungswinkel  $\beta$  durch das Perpendikel vom Drehungspunkte  $C$  gegen die Gestängare halbiert werde. Ist die Gestängare vertikal, so hat natürlich jenes Perpendikel eine horizontale Lage; und ist das Gestänge unter einem Winkel  $\alpha$  gegen den Horizont geneigt, so hat es eine entgegengesetzte Neigung von  $90^\circ - \alpha$  gegen den Horizont. Eine ähnliche Forderung hat man an die Aufhängeweise des Gegengewichtes  $G$  zu machen; da dasselbe nur vertikal niederzieht, so soll der Schwingungsbogen auf dieser Seite von der Horizontalen durch den Drehungspunkt  $C$  halbiert werden und daher der Balancier die Form eines Winkelhebels annehmen, dessen Arme um den Winkel  $90^\circ - \alpha$  von einander abweichen.

§. 174. Die Anordnung und Berechnung eines Balanciers mit hängendem Gegengewichte, sei es ein gerader oder ein Winkelhebel, ist wie folgt zu vollziehen. Es sei die Kraft zum Aufziehen des Gestänges  $AB$ ,  $= Q_1$  und die zum Niederziehen  $= Q_2$ , also die mittlere Kraft zum Auf- und Niedergange:

$$Q = \frac{Q_1 + Q_2}{2}.$$

Dann ist die Kraft, mit welcher dem Aufgehen des Gestänges zu Hülfe zu kommen ist, und welche auch das Gestänge bei seinem Niedergange zu überwinden hat:

$$P = Q_1 - Q = Q - Q_2, \text{ d. i.}$$

$$P = \frac{Q_1 - Q_2}{2}.$$

Es sei ferner der Hebelarm  $CK = CL$ , Fig. 359, auf der Seite des Gestänges  $= a$ , und der Hebelarm  $CD$  auf der Seite des Gegengewichtes  $= b$ ; und setzen wir noch die Größe dieses Gegengewichtes  $= G_1$ , so haben wir, ohne Berücksichtigung aller Nebenhindernisse:

$$Pa = G_1 b,$$

also das zur Ausgleichung der halben Kraftdifferenz  $P = \frac{Q_1 - Q_2}{2}$  nöthige Gegengewicht:

$$G_1 = \frac{a}{b} P = \frac{a}{b} \cdot \frac{Q_1 - Q_2}{2}.$$

In der Regel besteht die Kraft zum Aufgange aus einer Last  $R_1$  und dem Gewichte  $G$  des armirten Gestänges, und die Kraft zum Niedergange aus einer anderen Last  $R_2$  minus dem Gewichte  $G$  des Gestänges, ist also

$$\begin{aligned} Q_1 &= R_1 + G \text{ und} \\ Q_2 &= R_2 - G \end{aligned}$$

zu setzen, weshalb denn die erforderliche Größe des Gegengewichtes

$$G_1 = \frac{a}{b} \left( G + \frac{R_1 - R_2}{2} \right) \text{ folgt, und}$$

$$G_1 = \frac{a}{b} G$$

ausfällt, wenn die Kräfte  $R_1$  und  $R_2$  einander gleich sind.

Ist der Balancier unsymmetrisch, hat also die eine Hälfte ein anderes Moment als die andere, so hat man natürlich zu dem Gegengewichte noch das Tarirgewicht, d. i. das vom Schwerpunkte des Balanciers auf den Umfang des Cirkelstückes reducirte Gewicht des leeren Balanciers zu addiren.

Die Reibung am Zapfen oder Walzeisen  $C$  verändert die Kräfte  $Q_1$  und  $Q_2$  zum Auf- und Niederziehen des Gestänges nur wenig. Ist  $G_2$  das ganze Gewicht des armirten, jedoch unbelasteten Gegengewichtsbalanciers,  $\varphi$  der Reibungscoefficient und  $r$  der Halbmesser des Zapfens, so hat man die auf den Umfang des Cirkelstückes  $KL$  oder auf die Gestängaxe reducirte Zapfenreibung:  $F = \varphi \frac{r}{a} (P + G_1 + G_2).$

Da dieselbe sowohl bei dem Aufgang als auch bei dem Niedergang des Gestänges zu überwinden ist, so erfordert sie natürlich keine Ausgleichung, und ist also auch ohne Einfluß auf die Größe des Gegengewichtes. Wohl aber giebt die Zapfenreibung Veranlassung zu einem Arbeitsverluste, der bei jedem Auf- oder Niedergange  $Fs = \varphi \frac{r}{a} (P + G_1 + G_2)s$ , und daher, bei  $n$  Spielen pro Minute in der Secunde,

$$L = \frac{n}{60} \cdot 2Fs = \frac{n}{30} \cdot \varphi \frac{r}{a} (P + G_1 + G_2)s \text{ beträgt.}$$

Dasselbe Verhältniß findet statt bei der nach I., §. 177 zu berechnenden Kettengliederreibung.

Die Trägheit des Gestänges wird durch die des Balanciers noch vergrößert. Ist  $T$  das Trägheitsmoment des unbelasteten Balanciers, so hat



Gegen-  
gewichts-  
balancier.

man das Trägheitsmoment des belasteten  $= T + G_1 b^2$ , und daher die träge Masse des Balanciers, auf die Gestänge reducirt:

$$M_1 = \frac{T + G_1 b^2}{G a^2}.$$

Diese träge Masse übt nur ihren Einfluß auf den Gang oder die Geschwindigkeit der Maschine, keineswegs aber auf die mechanische Arbeit derselben aus, da die Kraft, welche am Anfange des Auf- oder Niederganges zur Ueberwindung der Trägheit des Balanciers erfordert wird, gegen Ende desselben, während dieser allmählig zur Ruhe übergeht, wieder gewonnen wird.

Beispiel. Ein sogenanntes Kunstgestänge hat das Gewicht  $G = 20000$  Pfund, und seine Pumpenlast beträgt beim Aufgange 40000 Pfund, beim Niedergange aber nur 8000 Pfund, welches Gegengewicht erfordert dasselbe zu seiner Ausgleichung? Wenden wir einen ganz symmetrischen Balancier mit hängendem Gegengewichte an, und lassen wir denselben nur  $50^\circ$  schwingen, so haben wir bei dem Hube  $s = 5$  Fuß die erforderliche Armlänge  $a = b = 57,296 \cdot \frac{5}{60} = 5,730$  Fuß, und das nöthige Gegengewicht:

$$G_1 = G + \frac{R_1 - R_2}{2} = 20000 + \frac{40000 - 8000}{2} = 36000 \text{ Pfd.}$$

Wiegt der unbelastete Balancier 4000 Pfund ( $G_2$ ), so hat das Walzeisen nach III, §. 15, die Stärke:

$$d = 2r = 0,030 \sqrt{\frac{2 G_1 + G_2}{2}} = 0,030 \sqrt{38000} = 5,85 \text{ Zoll,}$$

wofür wir jedoch 6 Zoll nehmen wollen. Die Reibung an dieser Axe ist nun, wenn wir  $\varphi = 0,075$  setzen:

$$F = \varphi \frac{r}{a} (2 G_1 + G_2) = 0,075 \cdot \frac{1 \cdot 76000}{4 \cdot 5,73} = 248,7 \text{ Pfund,}$$

und der entsprechende Arbeitsverlust pro Spiel:

$$2 F s = 10 \cdot 248,7 = 2487 \text{ Fußpfund,}$$

oder pro Secunde, wenn das Gestänge in der Minute 5 Spiele macht:

$$L = \frac{n}{60} \cdot 2 F s = \frac{2487}{12} = 207,25 \text{ Fußpfund.}$$

§. 175. Wenn das Gegengewicht fest mit dem Balancier verbunden ist, so findet keine vollständige Ausgleichung statt, da sich dann der Hebelarm, und also auch das Moment des Gegengewichts, mit der Drehung des Balanciers ändert. Nehmen wir an, daß der Schwerpunkt  $S$  des belasteten Balanciers  $DCE$ , Fig. 360, beim halben Hube mit der Drehungsaxe  $C$  in gleichem Niveau sich befinde, daß er also bei jeder Schwingung:

um  $SCS_1 = \frac{\beta}{2}$  steige und um  $SCS_2 = \frac{\beta}{2}$  sinke.

Ist dann wieder der Hebelarm  $CS = CS_1 = CS_2$  des Gegengewichtes  $G_1$ ,  $= b$ , so haben wir den in der Vertikale zu messenden Weg von  $G_1$ :

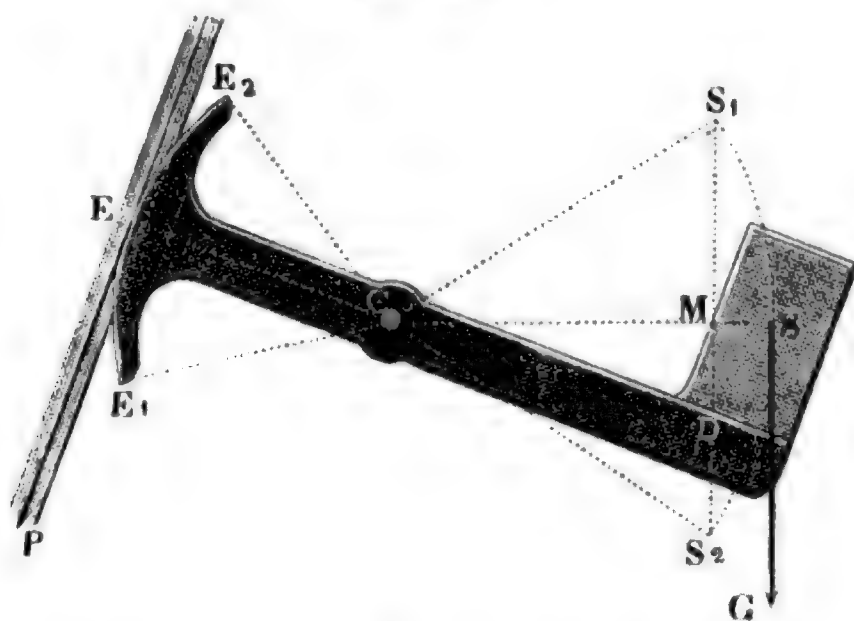
$$S_1 S_2 = 2 S_1 M = 2 C S_1 \cdot \sin. S_1 C M = 2 b \sin. \frac{\beta}{2},$$



und daher die Arbeit des Gewichtes  $G$  bei einer Schwingung  $G_1 \cdot \overline{S_1 S_2} = 2 G_1 b \sin. \frac{\beta}{2}$ . Der gleichzeitige Weg des Gestänges ist aber  $s = a\beta$ , wenn  $a$  den Hebelarm  $CE = CE_1 = CE_2$  des Gestänges

Gegen-  
gewichts-  
balancier.

Fig. 360.



bezeichnet, folglich ist der mittlere Werth der Kraft, mit welcher das Gegengewicht dem aufgehenden Gestänge zu Hülfe kommt:

$$P = \frac{2 G_1 b \sin. \frac{\beta}{2}}{s} = \frac{2 G_1 b \sin. \frac{\beta}{2}}{a\beta},$$

annähernd, da  $\sin. \frac{\beta}{2} = \frac{\beta}{2} - \frac{1}{6} \left( \frac{\beta}{2} \right)^3$  (s. Ingenieur, S. 225) gesetzt werden kann:

$$P = (1 - \frac{1}{24} \beta^2) \frac{b}{a} G_1.$$

Da in der Hubmitte der Hebelarm von  $G_1$ ,  $CS = b$ , und an den Hubenden derselbe  $CS_1 = CS_2 = b \sin. \frac{\beta}{2}$  ist, so fällt der Werth dieser Kraft im ersten Falle:

$$P_1 = \frac{b}{a} G_1, \text{ und in den beiden letzten Fällen:}$$

$$P_2 = \frac{b}{a} G_1 \sin. \beta \text{ aus.}$$

Um die den Stangenkräften  $Q_1$  und  $Q_2$  entsprechende Größe des Gegengewichtes zu finden, müssen wir in der Formel

$$G_1 = \frac{a}{b} \left( \frac{Q_1 - Q_2}{2} \right) \text{ des vorigen §. 174, statt}$$



gegen den Horizont geneigt sei, also die Längenare  $DE$  des Balanciers beim halben Hube von der Vertikalen  $CK$  ebenfalls um  $KCS = \alpha$  abweiche. Setzen wir ferner den Abstand  $CS$  des Schwerpunktes  $S$  des Balanciers von der Drehungsare  $C_1 = b$  und den Winkel  $SCD$ , um welchen  $CS$  von der Längenare  $CD$  abweicht,  $= \delta$ . Ist nun wieder  $ECE_1 = ECE_2 = SCS_1 = SCS_2 = \frac{\beta}{2}$ , so haben wir die Sehne  $S_1S_2 = 2b \sin. \frac{\beta}{2}$ , und ihre Abweichung  $HS_1S_2$  vom Horizont,  $= KCS = KCD + DCS = \alpha + \delta$ . Es ist daher der Weg des Schwerpunktes oder des Gegengewichtes  $G_1$  bei jedem Auf- oder Niedergange,  $S_1H = S_1S_2 \sin. HS_1S_2 = 2b \sin. \frac{\beta}{2} \sin. (\alpha + \delta)$ , und die mittlere Kraft, mit welcher  $G_1$  das Gestänge aufzieht,

Gegen-  
gewichts-  
balancier.

$$P = \frac{2 G_1 b \sin. \frac{\beta}{2} \sin. (\alpha + \delta)}{s} = (1 - \frac{1}{24} \beta^2) \frac{b}{a} G_1 \sin. (\alpha + \delta).$$

Macht man  $\alpha + \delta = 90^\circ$ , also  $\delta = 90^\circ - \alpha$ , d. i. legt man  $CS$  horizontal, so fällt natürlich  $P$  am größten, und zwar, wie oben im Haupttert,

$$P = (1 - \frac{1}{24} \beta^2) \frac{b}{a} G_1 \text{ aus.}$$

Die den Stangenkräften  $Q_1$  und  $Q_2$  entsprechende Größe des Gegengewichtes ist für unseren allgemeinen Fall:

$$G_1 = \left[ 1 + \frac{1}{24} \left( \frac{s}{a} \right)^2 \right] \frac{a}{b} \cdot \frac{Q_1 - Q_2}{2 \sin. (\alpha + \delta)},$$

oder wenn das Gestänge durch Stangen an den Balancier angeschlossen ist,

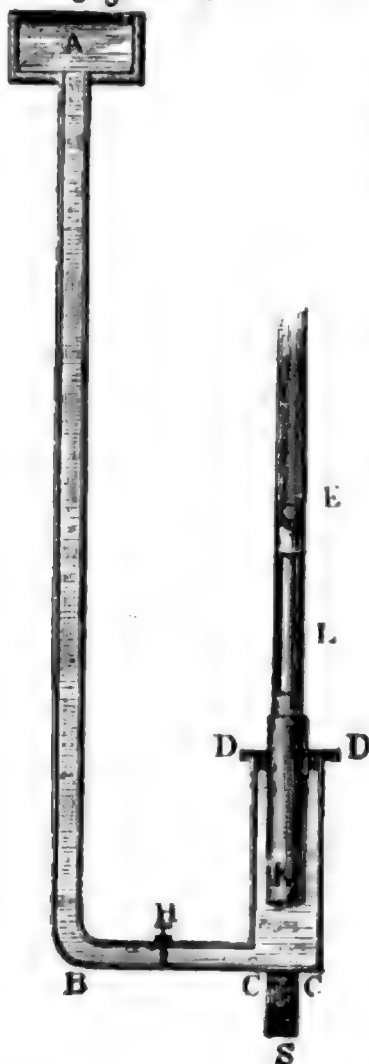
$$G_1 = \frac{a}{b} \cdot \frac{Q_1 - Q_2}{2 \sin. (\alpha + \delta)}.$$

§. 176. Wir wissen schon aus dem zweiten Theile (s. II., §. 232), daß man die Kraft eines Gegengewichtes durch den hydrostatischen Druck einer Wassersäule, also überhaupt den Gewichtsbalancier durch einen hydraulischen Balancier ersetzen kann. Bei Anwendung dieses Apparates an Wassersäulenmaschinen bedurfte es nur einer Verlängerung des Ausgußrohres nach oben, um eine den Aufgang des Treibekolbens und des damit verbundenen Gestänges unterstützende und den zu schnellen Niedergang desselben hemmende Kraft zu erhalten; in anderen Fällen ist es hingegen nothwendig, einen besonderen Kolben zur Aufnahme des Wasserdruckes herzustellen. Eine Skizze von einem solchen hydraulischen Balancier führt Fig. 362 (a. f. S.) vor Augen. Die drückende Wassersäule ist von der Röhre  $ABC$  eingeschlossen und der den Wasserdruck aufnehmende und mit dem Gestänge  $ES$  fest verbundene Mönchskolben  $KL$  bewegt sich in dem Stiefel oder Cylinder  $CCDD$ . Damit die Kraft  $P$ , mit welcher der Kolben vom Wasser aufwärts getrieben wird, nicht excentrisch auf das Gestänge  $ES$  wirke und dasselbe zur Seite ziehe, ist es zweckmäßig, dasselbe so zu gabeln, daß es den Stiefel  $CD$  sammt Kolben  $KL$  und Kolbenstange  $LE$  umfaßt. Ist  $F$  der Querschnitt des Kolbens

Hydraulischer  
Balancier.

Hydraulischer  
Balancier.und  $h$  die senkrechte Höhe der Kolbenfläche beim mittleren Stande des Kol-

Fig. 362.



bens unter dem Wasserspiegel im Speisereservoir A, so hat man die Kraft, mit welcher der hydraulische Balancier in der Anrichtungsrichtung auf das Gefälle wirkt,  $P = F h \gamma$ , oder wenn  $F$  in Quadratsfuß und  $h$  in Fuß gegeben ist,

$$P = 66 F h \text{ Pfund.}$$

Noch nimmt aber die Kolbenreibung einen ansehnlichen Theil hiervon in Anspruch, und es ist mit Berücksichtigung derselben nach II., §. 235, bei der Breite  $b$  der Liderung und dem Durchmesser  $d$  des Kolbens,

$$P = \left(1 - 4 \varphi \frac{b}{d}\right) F h \gamma \text{ zu setzen.}$$

Die übrigen hydraulischen Hindernisse lassen sich wie die einer Wassersäulenmaschine beurtheilen, und sind auch bei einer Weite  $d_1 = \frac{1}{2} d$  der Röhren und einer kleinen Kolbengeschwindigkeit von 1 bis 2 Fuß klein genug, um sie außer Acht lassen zu können.

Der hydraulische Balancier hat den Vortheil der Einfachheit und Raumersparniß vor dem Gewichtsbalancier, dagegen ist er aber auch mechanisch unvollkommener, da die Kolbenreibung viel mehr Kraft verzehrt als die Zapfen- und Kettenreibung des Gewichtsbalancier. Ueberdies hat der Gewichtsbalancier den großen Vorzug, daß man durch Zulegen oder Wegnehmen von Gewichten die Kraft  $P$  desselben nach Bedürfniß leicht verändern kann, wogegen bei dem hydraulischen Balancier durch Stellung der Regulirungsklappe  $H$  nur Kraft vernichtet aber nicht geschaffen werden kann, vielmehr hierzu, wenn der Druck des Wassers bei völlig geöffneter Klappe nicht mehr ausreicht, eine Verlängerung der Wassersäule nach oben nöthig ist. Ist  $\xi$  der der Stellung des Hahnes oder der Klappe  $H$  entsprechende Widerstandscoefficient,  $d$  der Durchmesser des Kolbens,  $d_1$  die Weite der Röhre und  $v$  die Geschwindigkeit des Kolbens, so hat man (nach I., §. 377 und II., §. 237) den Theil der Druckhöhe  $h$ , welcher durch den Durchgang des Wassers durch diesen Regulirungsapparat verloren geht,

$$h_1 = \xi \cdot \left(\frac{d}{d_1}\right)^4 \cdot \frac{v^2}{2g},$$

und den entsprechenden Arbeitsverlust pro Secunde:

$$L_1 = Q h_1 \gamma = \xi \cdot \left(\frac{d}{d_1}\right)^4 \cdot \frac{v^2}{2g} \cdot \frac{\pi d^2}{4} v \gamma = \frac{\pi}{4} \xi \gamma \cdot \frac{d^6}{d_1^4} \cdot \frac{v^3}{2g}.$$

Anmerkung. Man kann sich endlich auch statt der drückenden Wassersäule  $AB$  der comprimirtten Luft bedienen, welche man in einem Windkessel einschließt, der mit dem Cylinder  $CD$  communicirt. Da das Entweichen der Luft nicht ganz vermieden werden kann, so ist es nöthig, eine kleine Luftpumpe anzuwenden, welche neue Luft zupumpt und dabei die Spannung im Windkessel auf einer gewissen Höhe erhält. Die Kraft  $P$ , mit welcher ein solcher pneumatischer Balancier dem aufgehenden Gestänge zu Hülfe kommt, ist allerdings variabel, um indessen die Veränderlichkeit dieser Kraft möglichst herabzuziehen, ist es nöthig, den Windkessel viel größer zu machen als den Cylinderraum.

Ist  $V$  das Volumen des Windreservoirs sammt Communicationstrohr und  $p$  die Pressung der Luft in demselben beim tiefften Kolbenstande, ferner  $F$  die Kolbenfläche und  $s$  der Kolbenhub, so haben wir die Pressung der Luft beim höchsten Kolbenstande, dem Mariotte'schen Gesetze zu Folge,  $p_1 = \frac{Vp}{V + Fs}$ , und die verrichtete Arbeit der comprimirtten Luft während der Kolbenbewegung (s. I, §. 330)

$$L = Vp \text{ Log. nat. } \left( \frac{p}{p_1} \right) = Vp \text{ Log. nat. } \left( \frac{V + Fs}{V} \right).$$

Ist der atmosphärische Druck gegen die Außenfläche des Kolbens pro Quadratzeil  $p_0$ , also im Ganzen  $Fp_0$ , so müssen wir noch die Arbeit  $Fp_0 s$  in Abzug bringen, so daß wir nun

$$L = Vp \text{ Log. nat. } \left( \frac{V + Fs}{V} \right) - Fp_0 s,$$

und die mittlere Kraft dieses pneumatischen Balanciers

$$P = \frac{L}{s} = \frac{Vp}{s} \text{ Log. nat. } \left( \frac{V + Fs}{V} \right) - Fp_0,$$

oder mit Berücksichtigung der Kolbenreibung,

$$P = \frac{Vp}{s} \text{ Log. nat. } \left( \frac{V + Fs}{V} \right) - Fp_0 - 4\varphi \frac{b}{d} F(p - p_0)$$

(s. II, §. 373) erhalten.

Ist  $\frac{Fs}{V}$  klein, so kann man

$$\text{Log. nat. } \left( \frac{V + Fs}{V} \right) = \frac{Fs}{V} - \frac{1}{2} \left( \frac{Fs}{V} \right)^2$$

(s. »Ingenieur«, Seite 136) setzen, und es ist senach einfacher

$$P = \left( 1 - 4\varphi \frac{b}{d} \right) F(p - p_0) - \frac{1}{2} \frac{Fs}{V} \cdot Fp.$$

Beim Niedergang des Gestänges ist natürlich die Reibung ebenfalls hinderlich, und daher

$$P = \left( 1 + 4\varphi \frac{b}{d} \right) F(p - p_0) - \frac{1}{2} \frac{Fs}{V} \cdot Fp.$$

Beispiel. Wenn verlangt wird, den im Beispiele zu §. 174 behandelten Gewichtbalancier durch einen hydraulischen oder gar durch einen pneumatischen Balancier zu ersetzen, so haben wir folgende Rechnungen anzustellen. Die erforderliche Kraft  $P$  zum Ausgleichen ist 36000 Pfund, steht uns daher eine Wassersäule von 100 Fuß Höhe zu Gebote, so bedürfen wir für den Treibkolben einen

Querschnitt  $F = \frac{P}{66h} = \frac{36000}{6600} = 5,454$  Quadratfuß, oder einen

Durchmesser  $d = \sqrt{\frac{4F}{\pi}} = 2,635$  Fuß = 31,62 Zell.

Pneumatischer  
Balancier.

Nehmen wir  $4 \varphi \frac{b}{d} = 0,1$  an (s. II., §. 235), so erhalten wir die durch die Kolbenreibung verloren gehende Arbeit pro Spiel

$$4 \varphi \frac{b}{d} F h \gamma \cdot 2 s = 0,1 \cdot 5,454 \cdot 100 \cdot 66 \cdot 8 = 28797 \text{ Fußpfund,}$$

d. i. pro Secunde:  $L = \frac{5}{60} \cdot 28797 = 2398 \text{ Fußpfund} = 4,7 \text{ Pferdekkräfte.}$

Wenden wir hingegen einen pneumatischen Balancier an, in welchem die Luft auf 10 Atmosphären gespannt wird, und fordern wir, daß sich die Spannung beim Aufgange des Kolbens höchstens um  $\frac{1}{10}$  ihres anfänglichen Werthes vermindere, so haben wir für die Kolbenfläche, beim Hube  $s = 4$  Fuß,

$$F = \left( \frac{p}{p_1} - 1 \right) \frac{V}{s} = \left( \frac{10}{7} - 1 \right) \frac{V}{4} = \frac{V}{28},$$

und daher für die Größe  $V$  des Windkessels, da  $p = 10 p_0$  und

$$\begin{aligned} P = \frac{V p}{s} \text{ Log. nat. } \left( \frac{p}{p_1} \right) - F p_0 &= (10 \text{ Log. nat. } \frac{10}{7} - \frac{1}{7}) \frac{V p_0}{4} \\ &= (1,3553 - 0,1429) \frac{V p_0}{4} = 0,3031 V p_0 \text{ ist,} \end{aligned}$$

$$V = \frac{P}{0,3031 p_0} = \frac{36000}{0,3031 \cdot 144 \cdot 15,1} = \frac{36000}{659,06} = 54,62 \text{ Cubißfuß.}$$

Hiernach bestimmt sich die wirkliche Größe der Kolbenfläche

$$F = \frac{V}{28} = 1,950 \text{ Quadratsfuß,}$$

und daher der Durchmesser derselben

$$d = \sqrt{\frac{4 F}{\pi}} = 1,575 \text{ Fuß} = 18,9 \text{ Zoll.}$$

Die Leistung, welche durch die Kolbenreibung bei diesem Ausgleichungsmittel verloren geht, ist pro Spiel

$$4 \varphi \frac{b}{d} F (p - p_0) \cdot 2 s = 0,1 \cdot 1,95 \cdot 9 \cdot 144 \cdot 15,1 \cdot 8 = 30526 \text{ Fußpfund,}$$

also pro Secunde:

$$L = \frac{30526}{12} = 2544 \text{ Fußpfund, d. i. nahe 5 Pferdekkräfte.}$$

Der Gewichtsbalancier verliert nach der Rechnung des Beispiels im §. 174 nur 207,25 Fußpfund, d. i. über 12mal weniger durch die Reibung.

Zugbrücken.

§. 177. Sehr mannigfaltige Gegengewichtsapparate kommen bei den sogenannten Zugbrücken (franz. ponts lévis; engl. draw-bridges) in Anwendung. Von den vorzüglichsten Constructionen dieser Art sei daher zunächst noch die Rede.

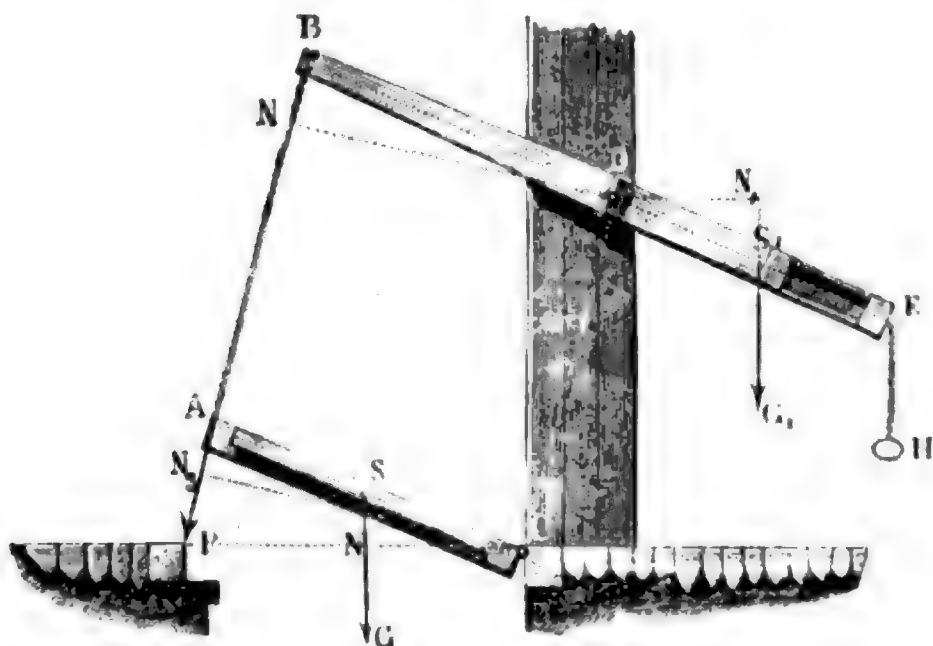
Die einfachste Zugbrücke ist die mit Schlagbäumen. Die Brücke CA, Fig. 363, ist hier um die Angeln C drehbar, und mit Ketten AB an den Schwengel oder Schlagbaum BDE aufgehängt. Wird nun das Ende des letzteren mittels einer Handhabe oder Kette H niedergezogen, so steigt das Ende B derselben empor und es schlägt sich die Brückenbahn auf. Das Hauptaugenmerk bei der Construction einer solchen Brücke ist darauf zu richten, daß sich dieselbe in allen Richtungen von selbst das Gleichgewicht



halte und daher beim Auf- und Niederlassen nur eine Kraft zur Ueberwindung der Reibungen erfordere. Wenn die Dreharen  $C$  und  $D$  und die Auf-

Zugbrücken.

Fig. 363.



hängepunkte  $A$  und  $B$  die vier Eckpunkte eines Parallelogrammes bilden, wenn also bei jeder Stellung der Brücke  $AB$  parallel  $CD$  und  $AC$  parallel  $BD$  bleibt, also auch der Neigungswinkel  $\alpha$  von  $CA$  gegen den Horizont stets derselbe ist wie der von  $DB$  oder  $DE$ , so wird das einmal hergestellte Gleichgewicht durch die Drehung der Brücke nicht gestört werden, denn ist  $G$  das im Schwerpunkte  $S$  niederziehende Gewicht der Brücke und  $G_1$  das im Schwerpunkte  $S_1$  niederziehende Gewicht des Schlagbaumes, so haben wir für den Gleichgewichtszustand

$$G_1 \overline{DN_1} = P \cdot \overline{DN_2} = P \cdot \overline{CN_3} = G \cdot \overline{CN}, \text{ oder}$$

$$G_1 \cdot \overline{DS_1} \cos. \alpha = G \cdot \overline{CS} \cos. \alpha, \text{ d. i.}$$

$$G_1 \cdot \overline{DS_1} = G \cdot \overline{CS};$$

es ist folglich die Größe des Gegengewichtes  $G_1 = \frac{\overline{CS}}{\overline{DS_1}} \cdot G$  gar nicht vom

Neigungswinkel abhängig, und es wird also auch bei allen Neigungen der Brücke dieses Gegengewicht dem Gewichte der Brücke das Gleichgewicht halten.

Da während des Aufklappens der Brückenbahn der Hebelarm  $CN$  des Brückenbahngewichtes  $G$  allmählig immer kleiner und kleiner wird, so erfordert also auch dieses Aufklappen ein allmählig abnehmendes Kraftmoment; will man daher statt des Schwengels oder Schlagbaumes  $BE$  ein wirkliches Gegengewicht in Anwendung bringen, so muß man entweder dieses Gewicht selbst, oder den Hebelarm desselben veränderlich machen.

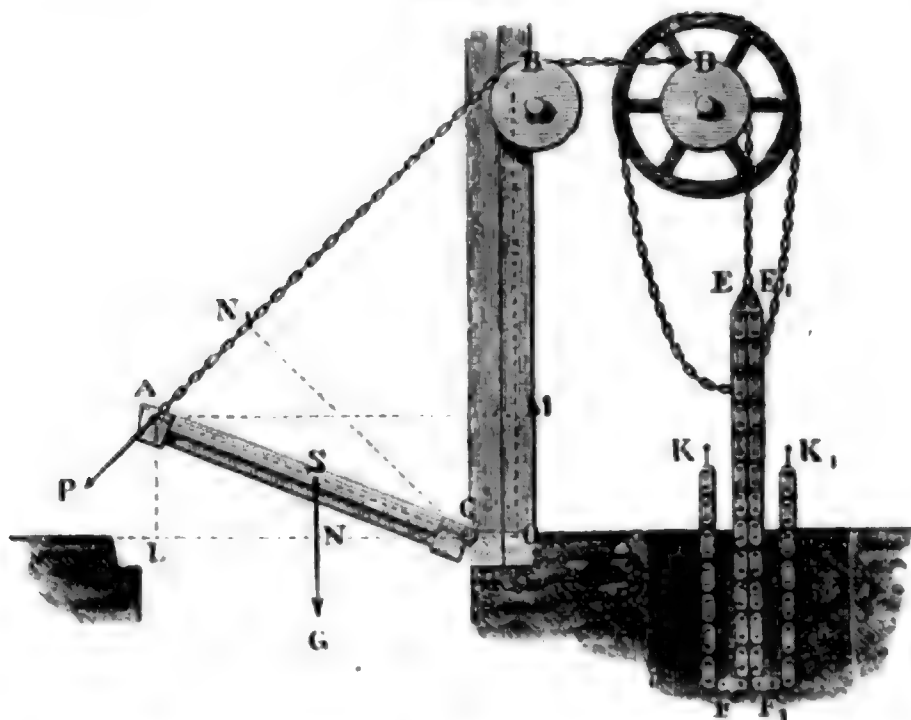
Nach dem ersten Principe ist die Zugbrücke von Poncelet, und nach dem zweiten Principe die von Derch's construiert. Bei den Poncelet'schen

**Zugbrücken.** Zugbrücken besteht das Gegengewicht in einer Kette, welche mit dem unteren Ende an einem festen Punkte aufgehängt und an dem oberen Ende mit der Kette zum Aufziehen der Brücke verbunden ist. Wenn sich nun beim Aufgange der Brücke das obere Kettenende immer mehr und mehr herabsenkt, so kommen gleichzeitig immer mehr und mehr Kettenglieder unter das feste Ende der Kette zu hängen, die nun vom festen Aufhängepunkt getragen werden und folglich nichts mehr zum Aufziehen der Brücke beitragen. Auf diese Weise vermindert sich also auch die Zugkraft immer mehr und mehr, je höher die Brücke steigt. Bei der Zugbrücke von *Verché* hingegen ist das Gegengewicht an einem Excentrik oder einem Spiralgange aufgehängt, um dessen Welle sich die Kette zum Aufziehen der Brücke wickelt, während das Gewicht niedersinkt.

Anmerkung. Man kann auch das Gegengewicht auf einer krummlinigen Bahn, deren Neigung von oben nach unten allmählig abnimmt, herabsinken lassen. Da das Bestreben zum Herabgleiten mit dem Neigungswinkel einer schiefen Ebene wächst und abnimmt, so ist es möglich, daß das Gegengewicht bei jedem Stande der Brückenklappe das Gleichgewicht hält. Es gehören hierher die Zugbrücken mit der Sinusoidenbahn von *Belidor* und *Delile*. Hierüber ist nachzulesen: *Hülfs's allgemeine Maschinenencyclopädie*, Band II., Artikel *»bewegliche Brücken«*, dann *Poncelet's Cours de mécanique appl aux machines*, deutsch von *Schnuse*, und *Sganzin's Cours de constructions*.

§. 178. Eine *Poncelet'sche* Zugbrücke mit Ausgleichungskette ist in Fig. 364 abgebildet. Es ist hier *CA* die um *C* drehbare Brückenbahn,

Fig. 364.



*ABDE* die über eine Leitrolle *B* hin- und an der Trommel *D* herablaufende Zugkette, und *EFK*, *E<sub>1</sub>F<sub>1</sub>K<sub>1</sub>* stellen die daran hängenden Gleichgewichtsketten vor, welche mit den unteren Enden an den festen Punkten *K'*

und  $K_1$  aufgehangen sind. Leicht ist zu ermessen, wie sich das Gewicht dieser Kette mit dem Gewichte  $G$  der Brücke ins Gleichgewicht setzen kann.

Setzen wir den Abstand des Schwerpunktes  $S$  der Brücke von der Drehungsaxe  $C$ ,  $= a$ , und den Abstand des Angriffspunktes  $A$  der Ketten von eben dieser Axe  $= b$ , ferner den allmählig von 0 bis  $90^\circ$  wachsenden Umdrehungswinkel  $ACL = \alpha$  und den Winkel  $BAC$ , welchen die Kettenaxe mit der Längensaxe der Brücke einschließt,  $= \psi$ , so haben wir die Hebelarme der Kräfte  $G$  und  $P$ :

$$CN = CS \cos. \alpha = a \cos. \alpha \text{ und}$$

$$CN_1 = CA \sin. \psi = b \sin. \psi,$$

und es ist daher die Zugkraft der Kette  $ABDE$ :

$$P = \frac{Ga \cos. \alpha}{b \sin. \psi}.$$

Um den Winkel  $\psi$  durch den Umdrehungswinkel  $\alpha$  auszudrücken, führen wir den Hülfswinkel  $BAM = \beta$  ein, setzen also  $\psi = \alpha + \beta$ , und bestimmen nun  $\beta$  auf folgende Weise. Es ist

$$BM = BO - NO = BO - AL \text{ und}$$

$$AM = CO + LC, \text{ folglich}$$

$$\text{tang. } \beta = \text{tang. } BAM = \frac{BM}{AM} = \frac{BO - AL}{CO + LC}$$

$$= \frac{h - b \sin. \alpha}{c + b \cos. \alpha},$$

wosern wir die Höhe  $BO$  des Berührungspunktes  $B$  der Kette mit der Leitrolle über der Drehungsaxe  $C$  durch  $h$ , und den Horizontalabstand  $CO$  dieser Punkte von einander durch  $c$  bezeichnen.

Für die niedergelassene Brücke ist  $\alpha = 0$ , daher hat man hier

$$\text{tang. } \beta = \frac{h}{b + c} \text{ und } P = \frac{Ga}{b \sin. \beta} = \frac{Ga \sqrt{(b + c)^2 + h^2}}{bh};$$

für die aufgezugene Brücke hingegen ist  $\alpha = 90^\circ$ , daher  $\text{tang. } \beta = \frac{h - b}{c}$

und  $P = 0$  zu setzen. Soll nun die Ausgleichungskette für diese zwei Stellungen der Brückenbahn das Gleichgewicht herstellen, so muß man ihr eine Länge

$$EF + FK = E_1F_1 + F_1K_1 = \sqrt{(b + c)^2 + h^2}$$

und ein Gewicht

$$G_1 = P = \frac{Ga \sqrt{(b + c)^2 + h^2}}{bh}$$

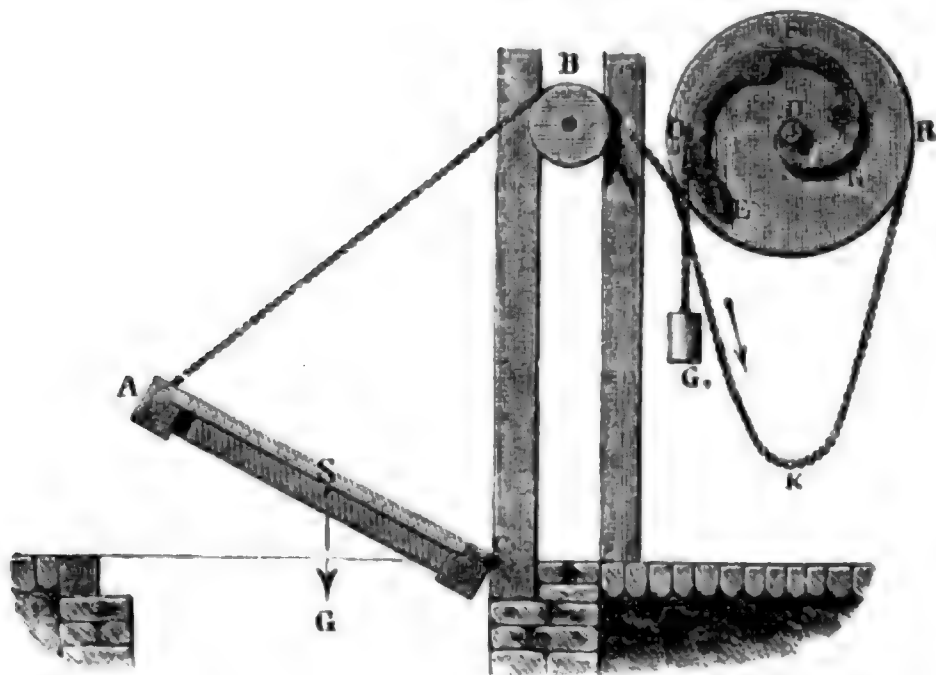
geben, also jede Längeneinheit derselben  $\frac{Ga}{bh}$  wiegen lassen.

Will man auch bei den Zwischenstellungen ausgleichen, so muß man die

**Zugbrücken.** Kettenglieder ungleich schwer machen, und zwar von oben nach unten allmählig schwerer werden lassen. Die obigen Formeln reichen übrigens vollkommen aus, um die Anordnung der Kette dieser Forderung entsprechend zu bewerkstelligen. Wir nehmen für  $\alpha$  eine steigende Reihe von Werthen, z. B.  $\alpha = 0^\circ, 10^\circ, 20^\circ, 30^\circ$  u. s. w. an, berechnen mit Hülfe der obigen Formel die entsprechenden Werthe von  $\beta$  und  $\psi = \alpha + \beta$ , und hieraus wieder die entsprechenden Kraftwerthe  $P$ , und endlich auch noch jedesmalige Länge des Kettenstückes  $AB$ , nämlich  $l = \sqrt{(c + b \cos. \alpha)^2 + (h - b \sin. \alpha)^2}$ . Ist nun  $P, P_1, P_2, P_3, P_4$  u. s. w. die Reihe der Kraftwerthe und  $l, l_1, l_2, l_3, l_4$  u. s. w. die Reihe der Kettenlängen  $AB$ , so hat man die den Stücken  $l_1 - l, l_2 - l_1, l_3 - l_2, l_4 - l_3$  u. s. w. der Ausgleichungskette (von den festen Punkten  $K$  oder  $K_1$  ausgegangen) zu gebenden Gewichte:  $P_1 - P, P_2 - P_1, P_3 - P_2, P_4 - P_3$  u. s. w.

Die wesentliche Einrichtung einer Zugbrücke mit Excentrik ist aus Fig. 365 zu ersehen. Hier wickelt sich die Kette  $ABE$ , womit die Brücke

Fig. 365.



$AC$  aufgezogen wird, auf eine Trommel  $EFR$ , welche mittels einer Kette  $K$  ohne Ende um ihre Achse  $D$  umgedreht werden kann. Mit dieser Trommel ist der Spiralgang  $EFG$  verbunden, um welchen sich eine Kette  $OG_1$  windet, an der das Gegengewicht  $H_1$  niederzieht. Während die Brücke durch Umdrehung der Trommel allmählig aufgezogen wird, wickelt sich die Kette  $OG_1$  immer mehr und mehr von der Spirale  $EFG$  ab und es erhält das Gegengewicht  $G_1$  immer kleinere und kleinere Hebelarme  $DO$ , so daß das Moment desselben bei jeder Stellung dem ebenfalls allmählig abnehmenden Momente der Brücke gleich bleiben kann.

Die Berechnung von  $\beta, P$  und  $l$  ist hier dieselbe wie bei der vorigen

Zugbrücke. Ist  $r$  der constante Halbmesser der Trommel oder Scheibe Zugbrücken. und  $z$  der veränderliche Halbmesser  $DO$  der Spirale, so hat man

$$G_1 z = Pr, \text{ und daher}$$

$$z = \frac{Pr}{G_1} = \frac{Gra \cos. \alpha}{G_1 b \sin. (\alpha + \beta)}.$$

Am Anfang ist  $a = 0$  und daher

$$z = \frac{Gra}{G_1 b \sin. \beta} = \frac{Gra \sqrt{(b+c)^2 + h^2}}{G_1 b h}$$

am Ende hingegen  $\alpha = 90^\circ$  und daher  $z = 0$ ; wegen der Reibung kann man jedoch diesen Halbmesser dem Halbmesser des Zapfens  $D$  gleichnehmen.

Soll die Spirale nur eine Windung machen, so muß der Umfang der Scheibe  $OR$  der aufzuwindenden Kettenlänge

$$\sqrt{(b+c)^2 + h^2} - \sqrt{c^2 + (h-b)^2}$$

gleich sein, und hiernach ist der nöthige Scheibenhalmesser

$$r = \frac{\sqrt{(b+c)^2 + h^2} - \sqrt{c^2 + (h-b)^2}}{2\pi}.$$

Wenn man für den Neigungswinkel der Brückenbahn eine Reihe  $0, \alpha_1, \alpha_2, \alpha_3 \dots$  von Werthen annimmt und hiernach auch für den Hülfswinkel  $\beta$  eine Reihe  $\beta_0, \beta_1, \beta_2, \beta_3 \dots$  berechnet, so läßt sich nun auch für den Radiusvector  $z$  der Spirale eine Reihe  $z_0, z_1, z_2, z_3 \dots$  und ebenso für die Kettenlänge  $l$  eine Reihe  $l_0, l_1, l_2, l_3$  u. s. w. von Werthen ermitteln, und werden endlich noch die letzteren Werthe um die Länge  $\sqrt{c^2 + (h-b)^2}$  des zurückbleibenden Kettenstückes vermindert und die Reste mit  $\frac{360^\circ}{2\pi r} = \frac{180^\circ}{\pi r} = \frac{57^\circ, 296}{r}$  multiplicirt, so erhält man auch eine Reihe  $\varphi_0, \varphi_1, \varphi_2, \varphi_3$  u. s. w. von den den Radien  $z_0, z_1, z_2, z_3$  u. s. w. entsprechenden Centriwinkeln und es läßt sich nun hiernach die Spirale leicht verzeichnen.

Beispiel. Es ist die Anordnung einer Zugbrücke mit einem Spiralarade zu vollziehen, welche das Gewicht  $G = 6000$  Pfund und die Länge  $b = 12$  Fuß hat, und für welche  $h = 15$  Fuß,  $c = 4$  Fuß und  $a = 6$  Fuß ist.

Nehmen wir nur folgende Werthe

$$\alpha = 0^\circ, 18^\circ, 36^\circ, 54^\circ, 72^\circ, 90^\circ \text{ an,}$$

und berechnen wir zunächst mittels der Formel

$$\tan. \beta = \frac{h - b \sin. \alpha}{c + b \cos. \alpha} = \frac{15 - 12 \sin. \alpha}{4 + 12 \cos. \alpha}$$

die entsprechenden Werthe für  $\beta$ :

$$43^\circ, 9'; 36^\circ, 14'; 30^\circ, 6'; 25^\circ, 34'; 24^\circ, 57'; 36^\circ, 52',$$

und daraus wieder für  $\alpha + \beta$ :

$$43^\circ, 9'; 54^\circ, 14'; 66^\circ, 6'; 79^\circ, 34'; 96^\circ, 57'; 126^\circ, 52'.$$





stanten Auf- und Niedergangskraft oder Last  $Q = Q_1 + Q_2$ , und es finden daher die Lehren in §. 95, §. 99, §. 100 u. s. w. für diesen Zapfen auch ihre Anwendung bei den doppelten Krummzapfen mit gegenüberliegenden Warzen. Gegengewicht  
bei Krumm-  
zapfen.

Ganz anders sind hingegen die Bewegungsverhältnisse eines einfachen Krummzapfens, wo die Kraft oder Last  $Q_1 = R_1 + G$  zum Aufgange eine andere ist als die Kraft  $Q_2 = R_2 - G$  zum Niedergange. Hier fällt in der Regel die Ungleichförmigkeit der Bewegung so groß aus, daß eine Ausgleichung durch Gegengewichte unumgänglich nothwendig ist. Nehmen wir an, daß die Bewegung vom Krummzapfen ausgehe, und durch denselben die Gestänglasten  $Q_1$  und  $Q_2$  zu überwinden sind. Ist nun  $c_1$  die Warzengeschwindigkeit im untersten todten Punkte  $U$  und  $c_2$  die Warzengeschwindigkeit im obersten todten Punkte  $O$ , so haben wir die bekannten Arbeitsgleichungen

$$M \left( \frac{c_2^2}{2} - \frac{c_1^2}{2} \right) = \pi P r - 2 Q_1 r \text{ und}$$

$$M \left( \frac{c_1^2}{2} - \frac{c_2^2}{2} \right) = \pi P r - 2 Q_2 r, \text{ woraus nun durch Addition}$$

$$2 \pi P r = 2 (Q_1 + Q_2) r, \text{ d. i.}$$

$$P = \frac{Q_1 + Q_2}{\pi} \text{ sich ergibt, und dann noch}$$

$$c_2 = \sqrt{c_1^2 - \frac{2 r (Q_1 - Q_2)}{M}}, \text{ annähernd}$$

$$c_2 = c_1 - \frac{(Q_1 - Q_2) r}{M c_1} \text{ folgt.}$$

Wenn wir voraussetzen, daß  $Q_1 > Q_2$  ist, so haben wir hiernach auch  $c_1 > c_2$ . Die Geschwindigkeit  $c_1$  ist jedoch noch keinesweges der größte und ebenso  $c_2$  der kleinste Geschwindigkeitswerth; um die eminenten Geschwindigkeitswerthe  $v_1$  und  $v_2$  zu finden, müssen wir vielmehr in der Formel

$$v = c_1 + \left( \frac{P \beta - Q_1 (1 - \cos. \beta)}{M c_1} \right) r$$

für  $\beta$  die durch  $\sin. \beta = \frac{P}{Q_1} = \frac{Q_1 + Q_2}{\pi Q_1}$  bestimmten Werthe, und für  $M$  die um die halbe Gestängmasse vergrößerte und auf den Warzenkreis reducirte Rotationsmasse einführen.

Setzt man annähernd für die Maximalgeschwindigkeit  $v_1$

$$\beta = \frac{P}{Q_1} \text{ und } 1 - \cos. \beta = 2 \left( \sin. \frac{\beta}{2} \right)^2 = \frac{P^2}{2 Q_1^2},$$

so erhält man die in Frage stehende Maximalgeschwindigkeit

Gegengewicht  
bei Krumm-  
zapfen.

$$v_1 = c_1 + \left( \frac{P^2}{Q_1} - \frac{P^2}{2Q_1} \right) \frac{r}{Mc_1} = c_1 + \frac{(Q_1 + Q_2)^2 r}{2\pi^2 Q_1 Mc_1}.$$

nimmt man aber

$$\text{statt } \beta, = \pi - \frac{P}{Q_1} \text{ und}$$

$$\text{statt } 1 - \cos. \beta, \quad 1 + \cos. \beta = 2 \left( \cos. \frac{\beta}{2} \right)^2 = 2 - 2 \left( \sin. \frac{\beta}{2} \right)^2,$$

so erhält man die fragliche Minimalgeschwindigkeit

$$\begin{aligned} v_2 &= c_1 + \left[ P \left( \pi - \frac{P}{Q_1} \right) - 2Q_1 + \frac{P^2}{2Q_1} \right] \frac{r}{Mc_1} = c_1 + \left( Q_1 - Q_2 - \frac{P^2}{2Q_1} \right) \frac{r}{Mc_1} \\ &= c_2 - \frac{(Q_1 + Q_2)^2 r}{2\pi^2 Q_1 Mc_1}. \end{aligned}$$

Diesem zufolge ist nun der Ungleichförmigkeitsgrad  $\delta$  dieses einfachen Krummzapfens

$$\begin{aligned} \delta &= \frac{v_1 - v_2}{c_1} = \frac{c_1 - c_2}{c_1} + \frac{(Q_1 + Q_2)^2 r}{\pi^2 Q_1 Mc_1^2} \\ &= \left( Q_1 - Q_2 + \frac{(Q_1 + Q_2)^2}{\pi^2 Q_1} \right) \frac{r}{Mc_1^2}. \end{aligned}$$

Wäre die Kraft zum Auf- und Niedergang dieselbe, nämlich  $= Q$ , so hätten wir

$$\delta = \frac{4}{\pi^2} \cdot \frac{Qr}{Mc^2} = 0,4046 \frac{Qr}{Mc_1^2} \text{ oder genauer, nach §. 112,}$$

$$\delta = 0,4210 \frac{Qr}{Mc^2};$$

wäre aber  $Q_1$  viel größer als  $Q_2$ , so erhalten wir einen viel größeren Grad der Ungleichförmigkeit. 3. B.  $Q_2 = 0$  gäbe

$$\delta = 1,1013 \frac{Q_1 r}{Mc_1^2}.$$

Es kann endlich  $Q_2 = R_1 - G$  sogar negativ und deshalb  $\delta$  noch viel größer ausfallen. Sicherlich darf aber doch  $v_2$  nie Null oder gar negativ werden, und es fordert daher der Beharrungszustand dieser Maschine, daß

$$c_2 > \frac{(Q_1 + Q_2)^2 r}{2\pi^2 Q_1 Mc_1}, \text{ oder}$$

$$c_1 - \frac{(Q_1 - Q_2) r}{Mc_1} > \frac{(Q_1 + Q_2)^2 r}{2\pi^2 Q_1 Mc_1}, \text{ d. i.}$$

$$Mc_1^2 > \left( Q_1 - Q_2 + \frac{(Q_1 + Q_2)^2}{2\pi^2 Q_1} \right) r \text{ sei.}$$

Bei großen Differenzen zwischen  $Q_1$  und  $Q_2$ , wie 3. B. bei den sogenannten Wasserkünsten vorkommen, kann hiernach die erforderliche Masse

$M$  unthunlich groß ausfallen, und deshalb eine Ausgleichung durch Gegengewichte unbedingt nöthig sein. Gegengewicht  
bei Krumm-  
zapfen.

Beispiel. Welchen Ungleichförmigkeitsgrad besitzt ein Krummzapfen mit einfachem Gestänge, welches 30000 Pfund wiegt, zu seinem Aufzuge 35000 und zu seinem Niedergange 5000 Pfund Kraft erfordert, während die rotirende Masse des Krummzapfens, auf den Warzenkreis reducirt,  $\frac{700000}{g}$  Pfund beträgt, der Halbmesser des Warzenkreises  $r = 2$  Fuß und die Geschwindigkeit im unteren toten Punkte ebenfalls 2 Fuß mißt? Es ist hier

$$Q_1 = R_1 + G = 35000 + 30000 = 65000 \text{ und}$$

$$Q_2 = R_2 - G = 5000 - 30000 = -25000 \text{ Pfund, folglich}$$

$$Q_1 - Q_2 = 90000 \text{ und } \frac{(Q_1 + Q_2)^2}{\pi^2 Q_1} = 2493 \text{ Pfund; ferner ist noch}$$

$$M = \frac{700000 + 15000}{31,25} = 22880 \text{ Pfund, und folglich}$$

$$Mc_1^2 = 22880 \cdot 4 = 91520 \text{ kleiner als}$$

$$\left( Q_1 - Q_2 + \frac{(Q_1 + Q_2)^2}{2 \pi^2 Q_1} \right) r = (90000 + 1247) \cdot 2 = 182493.$$

Bei diesen Verhältnissen kann also die Maschine gar nicht mit Beharrung umlaufen.

Hätte man durch ein Gegengewicht von 30000 Pfund das Stangengewicht ausgeglichen, so würde unter der Voraussetzung, daß durch das Gegengewicht die Gestängmasse verdoppelt wird, der Ungleichförmigkeitsgrad dieser Maschine, da hier

$$Q_1 = 35000, \quad Q_2 = 5000 \text{ und } M = \frac{700000 + 30000}{31,25} = 23360 \text{ Pfund ist,}$$

$$\delta = \left( Q_1 - Q_2 + \frac{(Q_1 + Q_2)^2}{\pi^2 Q_1} \right) \frac{r}{Mc_1^2} = (30000 + 4632) \cdot \frac{2}{23360 \cdot 2^2} \\ = \frac{17316}{23360} = 0,741, \text{ also noch zu groß ausfallen.}$$

Hätte man durch ein Gegengewicht von  $\frac{Q_1 - Q_2}{2} = 45000$  Pfund die ganze Gestängkraft ausgeglichen, so würde, da dann die mittlere Last  $Q = \frac{35000 + 5000}{2} = 20000$  Pfund betrüge, der Ungleichförmigkeitsgrad, und zwar nur bei sehr langer Kurbelstange:

$$\delta = 0,421 \cdot \frac{Qr}{Mc_1} = 0,421 \cdot \frac{20000 \cdot 2 \cdot 31,25}{(700000 + 37500) 4} = 0,1784 \text{ sein.}$$

§. 180. Wir haben schon im vorigen Paragraphen gezeigt, daß bei einem doppelten Krummzapfen mit zwei einander gegenüberliegenden Warzen und zwei gleichen und gleichbelasteten Gestängen eine vollständige Ausgleichung der Lasten statt hat; jetzt wollen wir aber noch hinzufügen, daß dies auch bei einem einfachen Krummzapfen möglich sei, wenn derselbe mittels Kreuze zwei gleiche Gestänge zugleich, und zwar ein auf- und ein niedergehendes, in Bewegung setzt. Diese Anordnung läßt sich bei mäßig langen Stangen immer mit Vortheil anwenden, da mit derselben











Gegengewicht  
bei Krümm-  
gassen

eben diese Kraft vermindert. Ist nun  $Q$  die Stangenkraft, so hat man folglich den Warzendruck  $Q + \frac{Mv^2}{r} \cos. \beta$  zwischen  $Q - \frac{Mv^2}{r}$  und  $Q + \frac{Mv^2}{r}$  stets wachsend und abnehmend, und also auch die Warzenreibung entsprechend veränderlich. So lange  $Q - \frac{Mv^2}{r}$  nicht negativ ausfällt, also  $\frac{Mv^2}{r} < Q$  ist, hat diese Veränderlichkeit auf die Arbeit der Warzenreibung keinen directen Einfluß, denn der Zuwachs der Reibung durch die Trägheit in einem Quadranten wird durch die Verminderung derselben im folgenden Quadranten wieder aufgehoben; da aber die Warzenstärke der größten Kraft  $Q + \frac{Mv^2}{r}$  entsprechen, also nach §. 90,  $d_2 = 0,048 \sqrt{Q + \frac{Mv^2}{r}}$  genommen werden muß, und die Arbeit der Reibung mit der Stärke  $d_2$  wächst, so hat die Trägheitskraft allerdings auch einen secundären Einfluß auf dieses Bewegungshinderniß.

Ist hingegen  $\frac{Mv^2}{r} > Q$ , so wird bei einem stumpfen Umdrehungswinkel  $\beta_1$ , welcher durch die Formel  $\cos. \beta_1 = - \frac{Qr}{Mv^2}$  bestimmt ist, ein negativer Warzendruck eintreten, und da negativer Druck ebenso gut Reibung giebt als positiver, so ist auch im zweiten Quadranten die Verminderung der Reibung durch die Trägheit nicht genau gleich der Vergrößerung derselben im ersten Quadranten.

Allgemein ist die Warzenreibung

$$\varphi (Q + K) = \varphi \left( Q + \frac{Mv^2}{r} \cos. \beta \right),$$

und daher die Arbeit derselben bei Umdrehung um einen Winkel  $\beta_1$ , wenn, wie in §. 99,  $r_2$  den Warzenhalbmesser bezeichnet,

$$\begin{aligned} & \varphi Q \beta_1 r_2 + \varphi \frac{r_2 Mv^2}{r} \int_0^{\beta_1} \cos. \beta \delta \beta \\ &= \varphi Q \beta_1 r_2 + \varphi \frac{r_2 Mv^2}{r} \sin. \beta_1. \end{aligned}$$

Für den zweiten Theil  $\pi - \beta_1$  der Umdrehung ist der Druck  $Q + K$  negativ, die Reibung aber, als widerstehende Kraft, bleibt positiv, daher hat man hier die Arbeit der Warzenreibung

$$- \left( \varphi (\pi - \beta_1) r_2 + \varphi \frac{r_2 Mv^2}{r} (\sin. 2\pi - \sin. \beta_1) \right),$$

und es folgt die gesammte Arbeit der Reibung während einer halben Umdrehung,  $L = \varphi Q r_2 (2\beta_1 - \pi) + 2\varphi \frac{Mr_2 v^2}{r} \sin. \beta_1$ .





Kurbelstange (s. III., §. 101) an der Kreisbewegung Theil nimmt, so hat man schon an der Warze desselben eine gewisse Centrifugalkraft, da anzunehmen ist, daß nur die Gestängmasse plus zwei Drittel der Masse der Lenkstange eine Trägheitskraft  $K_1$ , daß dagegen die Masse des Kurbelarmes plus das dritte Drittel der Masse der Lenkstange eine Centrifugalkraft  $P_1$  ausübt, die von der entgegengesetzt wirkenden Centrifugalkraft  $P$  des Gegengewichtes aufgehoben wird. Wollte man also eine vollständige Ausgleichung der Massen eines einfachen Krummzapfens herstellen, so müßte das Gegengewicht aus drei Theilen bestehen, einem Kurbelarme, welcher dem arbeitenden Kurbelarme vollkommen gleich zu machen und ihm gegenüberzustellen ist, ferner aus einer Kurbelstange von gleichem Gewicht mit der arbeitenden Kurbelstange, und drittens aus einem an das Ende dieser Stange anzuhängenden und nur in einer geraden Linie auf- und niedergehenden Gewichte.

Gegengewicht  
bei Krumm-  
zapfen.

Anmerkung. Von der Ausgleichung der Massen bei doppelten Krummzapfen mit ins Viertel gestellten Warzen, wird bei den Locomotiven die Rede sein.

§. 183. Es ist uns schon aus dem Früheren (s. II., §. 66) bekannt, daß sich die arbeitenden Maschinen entweder in einem gleichförmigen oder in einem ungleichförmigen Beharrungszustande befinden. Der gleichförmige Beharrungszustand einer Maschine kann nur bei einer stetigen, und ins Besondere bei der stetig kreisförmigen Bewegung vorkommen, und zwar nur dann, wenn sowohl das Moment der Kraft als auch das der Last während der Bewegung unveränderlich ist. Es kommt daher auch dieser Bewegungszustand vorzüglich bei den Radmaschinen und zwar bei den Wasserrädern vor. Ein ungleichförmiger Beharrungszustand tritt dagegen bei allen Maschinen mit absehbender Bewegung ein, weil diese innerhalb kurzer Zeitabschnitte aus der Ruhe in Bewegung und aus der Bewegung in Ruhe übergehen, und daher bald verzögert, bald beschleunigt werden müssen. In diesem Bewegungszustande befinden sich alle Kolbenmaschinen, seien es Wassersäulenmaschinen oder Dampfmaschinen, da diese Maschinen durch den Treibkolben in eine geradlinig absehbende Bewegung versetzt werden. Ist die Kolbenkraft überdies noch variabel, wie z. B. bei den Expansionsdampfmaschinen, so fällt natürlich der Bewegungszustand um so ungleichförmiger aus. Es hängt aber der Bewegungszustand nicht allein von der Kraft- oder Umtriebsmaschine, sondern ebenso gut auch von der Last- oder Arbeitsmaschine ab. Ist die Arbeitsverrichtung einer Maschine mit einer absehbenden, z. B. auf- und niedergehenden Bewegung verbunden, so hat natürlich auch die ganze Maschine einen ungleichförmigen Beharrungszustand. Ein Pumpenwerk oder eine gewöhnliche Sägemühle u. s. w. befinden sich z. B., selbst wenn sie durch ein Wasserrad in Bewegung gesetzt werden, aus diesem Grunde stets in einem ungleichförmigen Bewegungszustande. Auch dann, wenn die Arbeitsmaschine eine stetige Bewegung be-

Bewegung-  
szust.

Schwingung.  
säßer.

sicht, ist der Beharrungszustand derselben nur ein ungleichförmiger, sowie das Lastmoment derselben veränderlich ist oder wohl gar intermittirend wirkt. In diesem Falle kann natürlich kein statisches Gleichgewicht zwischen der Kraft und Last stattfinden, sondern es muß bald die Kraft, bald die Last überwiegen, und daher auch die Maschine bald beschleunigt, bald verzögert umlaufen. Es kann deshalb z. B. bei den Poch-, Hammer- und Walzwerken nur von einem ungleichförmigen Bewegungszustande die Rede sein. Ein Walzwerk nimmt z. B. während des Walzens eine verzögerte Bewegung an, und geht dagegen wieder beschleunigt, sowie das Metall durch die Walzen gelaufen ist und diese leer umgehen.

Dem Vorstehenden zu Folge lassen sich folgende Fälle, bei welchen eine Maschine einen gleichförmigen Bewegungszustand annimmt, aufzählen.

- 1) Die Kraftmaschine wirkt stetig kreisförmig und die Lastmaschine oder der Arbeitsmechanismus hat eine absehbende Bewegung, und zwar meist in der geraden Linie (Radkunst).
- 2) Die Kraftmaschine wirkt absehbend in der geraden Linie und die Arbeitsmaschine hat eine stetige Bewegung, und zwar meist im Kreise (Dampfsgöpel).
- 3) Beide Maschinen bewegen sich stetig kreisförmig, es ist aber das Moment der Kraft oder Last, und zwar in der Regel das der letzteren, veränderlich (Radwalzwerk).
- 4) Die Kraftmaschine hat eine absehbende Bewegung, und der Arbeitsmechanismus bewegt sich stetig kreisförmig mit veränderlichem Momente (Dampfwalzwerk).
- 5) Sowohl die Kraft- als auch die Arbeitsmaschine bewegen sich absehbend, und zwar in der Regel geradlinig absehbend (Dampfkunst).

§. 184. Auf welche Weise auch eine Maschine in Bewegung gesetzt werde und ihre Arbeit verrichten möge, immer ist doch zu verlangen, daß

- 1) diejenigen Mechanismen, welche eine stetige (Kreis-) Bewegung haben, möglichst gleichförmig umlaufen, und daß
- 2) diejenigen Mechanismen, welche sich absehbend (geradlinig) bewegen, bei jedem Spiele allmählig und ohne Stöße aus der Ruhe in Bewegung und ebenso mit stetig abnehmender Geschwindigkeit aus der Bewegung in Ruhe übergehen.

Da eine rotirende Umtriebsmaschine nur bei einer gewissen Umdrehungsgeschwindigkeit vortheilhaft arbeitet, so würde sie folglich weniger leisten, wenn sie bald langsamer, bald schneller umlief. Hätten wir es z. B. mit einem überschlägigen Wasserrade zu thun, so würden sich hierbei manche Zellen nur wenig und andere übermäßig mit Wasser anfüllen, und sich daher auch zu zeitig ausgießen, und dadurch dem Rade Arbeit entzogen werden.



Ebenso ist es aber auch bei den rotirenden Arbeitsmaschinen; auch diese arbeiten nur bei einer gewissen Geschwindigkeit mit Vortheil, und verlieren daher an Leistung oder liefern wohl gar ein schlechtes Arbeitsproduct, wenn die Umdrehungsgeschwindigkeit in einem hohen Grade veränderlich ist. Nicht minder nöthig ist es aber auch, daß eine auf- und nieder-, oder hin- und hergehende Maschine, und zwar sowohl Kraft- als Arbeitsmaschine bei jedem Spiele mit allmählig wachsender Geschwindigkeit aus der Ruhe in Bewegung und mit allmählig abnehmender Geschwindigkeit aus der Bewegung in Ruhe übergehe, außerdem aber keinen größeren Geschwindigkeitsveränderungen unterworfen sei. Die mit plötzlichen Geschwindigkeitsveränderungen verbundenen Stöße verursachen nicht allein Verluste in der Leistung der Maschinen, sondern führen auch ein starkes Abnutzen und baldiges Zerstoren der Maschine herbei, und wenn die Geschwindigkeit der Maschine innerhalb eines Spieles großen Veränderungen unterworfen ist, so fallen auch die Nebenhindernisse, und ins Besondere die hydraulischen Widerstände und andere Verluste größer aus, als wenn sich die Geschwindigkeit von ihrem mittleren Werthe nicht sehr entfernt.

Echren-  
räder.

Das vorzüglichste Mittel zur Erzielung eines möglichst gleichförmigen Ganges besteht in der Vermehrung der Massen und zwar ins Besondere der rotirenden Masse. Da die Beschleunigung  $p = \frac{P}{M}$  einer Bewegung

direct wie die Kraft  $P$  und umgekehrt wie die Masse  $M$  wächst, so muß natürlich ein gewisser Ueberschuß an Kraft oder Last in einer gewissen Zeit einen um so größeren Geschwindigkeitszuwachs oder eine um so größere Geschwindigkeitsabnahme hervorbringen, je kleiner die Masse  $M$  der Maschine ist. Wäre die Masse einer Maschine sehr klein, so würde sie vielleicht gar keinen Beharrungszustand annehmen können; eine vielleicht nur mäßige Ueberwucht würde ihr schon in einer kurzen Zeit eine übermäßige Geschwindigkeit beibringen und ein mäßiger Ueberschuß des Lastmomentes über das Kraftmoment würde der Maschine vielleicht in wenigen Augenblicken ihre lebendige Kraft ganz entziehen und sie ganz in Ruhe versetzen. Es ist also nöthig, daß eine Maschine eine gewisse Masse besitze, und daß dieselbe um so größer sei, je regelmäßiger und gleichförmiger sich dieselbe bewegen soll.

Uebrigens ist uns auch aus der Theorie der Krummzapfenbewegung bekannt, daß sich die Umdrehungsbewegung eines Krummzapfens der Gleichförmigkeit um so mehr nähert, je größer die Massen und zumal die rotirenden Massen desselben sind.

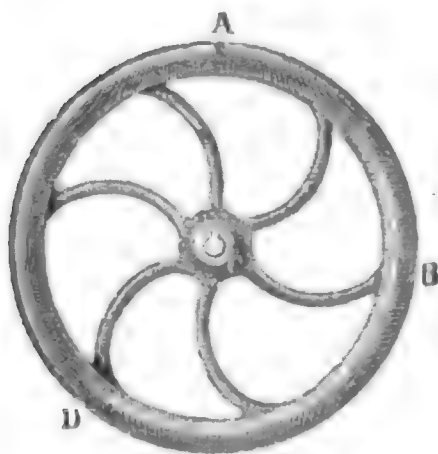
In manchen Fällen besitzt eine Maschine schon an und für sich eine so große Masse oder ein so großes Trägheitsmoment, daß die Umdrehungsgeschwindigkeit derselben nur innerhalb enger Grenzen variirt, also der Grad der Ungleichförmigkeit (s. S. 112), wie erwünscht, nur sehr klein ist,

**Schwungräder.** in anderen Fällen ist es hingegen nöthig, die Umdrehungsmasse einer Maschine zu vergrößern, um die Ungleichförmigkeit derselben bis auf einen gewissen Grad herabzuziehen. Solche bloß zum Herabziehen der Ungleichförmigkeit des Bewegungszustandes einer Maschine dienenden rotirenden Maschinen erhalten die Form eines Rades, damit sie die statischen Verhältnisse der Maschine nicht verändern und die nöthige Haltbarkeit besitzen, und heißen deshalb Schwungräder (franz. volants; engl. fly-wheels). Schwungräder sind also sehr wichtige Theile einer Maschine mit ungleichförmigem Beharrungszustande, ohne welche diese Maschine die ihr zukommenden Arbeiten vielleicht gar nicht oder wenigstens sehr unvollkommen verrichten würde. Hohe und schnell umlaufende Wasserräder, sowie große Trommeln und Zahnräder, schnell umlaufende Mühl- und Schleifsteine u. s. w. wirken natürlich ganz wie Schwungräder und vertreten daher auch sehr oft die Stelle eines Schwungrades. So würden z. B. Sägemühlen, Pumpenwerke u. s. w. zu ihrer regelmäßigen Arbeitsverrichtung ein Schwungrad nöthig haben, wenn sie nicht durch Wasserräder in Bewegung gesetzt würden, die durch ihre Trägheit ebenso wie die Schwungräder, trotz der hier vorkommenden großen Veränderlichkeit des Lastmomentes, die Geschwindigkeitsveränderungen in engen Grenzen erhalten.

- §. 185. Die Schwungräder sind in der Regel aus Gusseisen und bestehen
- 1) aus dem Schwungringe (franz. l'anneau; engl. the ring) oder der eigentlichen Schwungmasse,
  - 2) aus den Radarmen (franz. les bras; engl. the arms), und
  - 3) aus der Hülse oder dem Wellkranze (franz. le noyau, moyeu; engl. the nave), womit das Schwungrad auf der Welle fest sitzt.

Ein kleines aus dem Ganzen gegossenes Schwungrad ist in Fig. 374

Fig. 374.



abgebildet. *ABD* ist der Schwungring, *C* die Radhülse oder Nabe und *BC*, *DC* u. s. w. sind die Radarme. Man giebt diesen Rädern gern gekrümmte Arme, damit sich dieselben beim Erkalten nach dem Gusse nicht von dem Ringe lostrennen oder eine nachtheilige Spannung erhalten. Um den Luftwiderstand möglichst herabzuziehen, rundet man nicht allein die Arme, sondern auch den Kranz ab, oder giebt beiden Stücken elliptische Querschnitte. Größere

Schwungräder gießt man, um die Nachtheile des ungleichen Erkaltes nach dem Gusse zu umgehen, in zwei Stücken, nämlich die Rosette getrennt von dem Schwungring mit seinen Armen. In Fig. 375 ist ein Theil

eines solchen Schwungrades, und zwar in der vordern Ansicht (I.) und im Querschnitte (II.) abgebildet. *A* ist ein Stück des Schwungringes, *AB* ein Radarm und *BDEFG* die Rosette mit ihrem Auge *C*. Es ist der Armkranz oder die Rosette zur Ausnahme von fünf Armen eingerichtet, und die Befestigung dieser Theile mit der Rosette durch je zwei Schraubenbolzen *m, n* bewerkstelligt. Man kann aber auch den Wellkranz mit den Armen aus dem Ganzen machen und den Schwungradkranz besonders gießen.

Schwungrad.

Fig. 375.

Fig. 376.

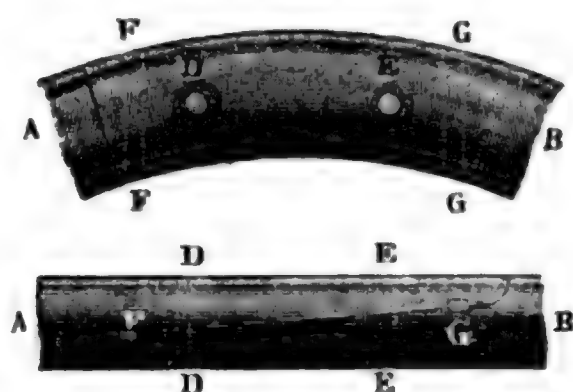
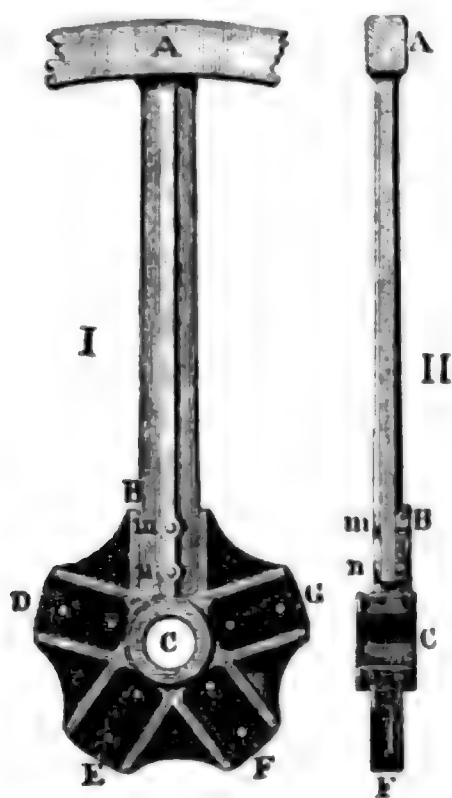


Fig. 377.



Große Schwungringe von 15 Fuß Höhe und darüber müssen aus zwei bis sechs Stücken zusammengesetzt werden. Uebrigens kann man aber hierbei jede Felge oder jedes Ringstück gleich mit einem Arme aus dem Ganzen gießen, oder man kann wieder die Arme mit dem Wellkranz ein Ganzes bilden lassen, oder man kann endlich, und dies ist besonders bei sehr hohen Rädern nöthig, auch die Radarme einzeln gießen lassen und dieselben durch Bolzen, Splinte u. s. w. sowohl mit dem Rad- als auch mit dem Wellkranze verbinden. Die Verbindung der Felgen eines Schwungringes unter einander läßt sich durch Ueberplattung und mittels Schraubenbolzen bewerkstelligen; man kann aber auch die Felgenenden stumpf an einander anstoßen und auf dieselben schwalbenschwanzförmige Platten aus Schmiedeeisen aufbolzen, oder die zu diesem Zwecke hohlgegossenen Enden der Felgen mit Stücken aus Schmiedeeisen ausfüllen, und dieselben durch Splinte mit den Felgen fest verbinden. Eine Felgenverbindung der ersten Art zeigt Fig. 376. *A* und *B* sind übereinandergeplattete Felgenenden, *DD* und *EE* die durchgezogenen Schraubenbolzen und *FF* und *GG* die eingelegten Federn. Die zweite Verbindungsweise ist aus Fig. 377 zu ersehen; *A* und *B* sind die

Schwun-  
gräder.

beiden stumpf zusammengestoßenen Felgenenden,  $DD$  und  $EE$  aber die eingelegten Platten mit den Bolzen  $DE$ ,  $DE$  und einer zwischenliegenden Feder  $F$ . In Figur 378 ist noch die Verbindung der Kranzfelgen durch eingefeste Schienen vor Augen geführt;  $A$  und  $B$  sind die Felgenenden,  $CD$  ist die eingefeste, und von außen gar nicht sichtbare Schiene,  $E$  und  $F$  sind eingeschobene Keile, wodurch die Endflächen der Felgen fest an einander getrieben werden können.

Fig. 378.

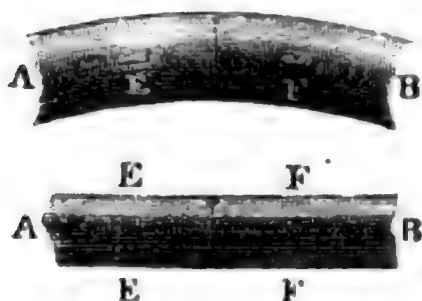
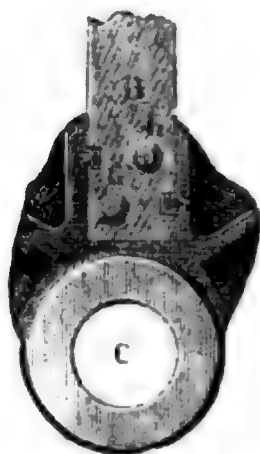


Fig. 380.



Fig. 379.



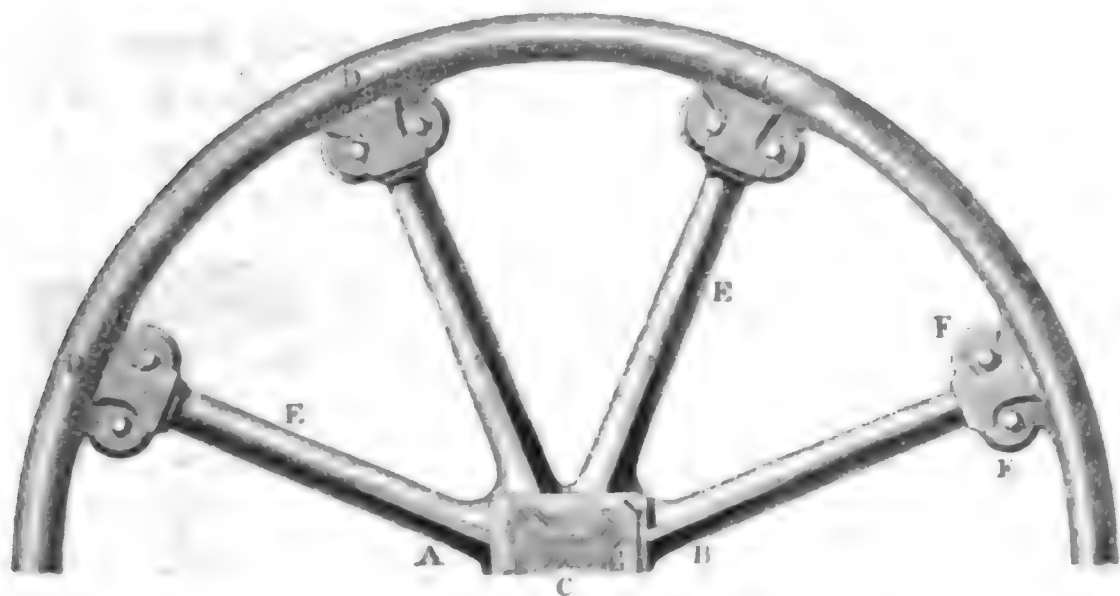
Die Verbindung des Radkranzes erfolgt am einfachsten durch Schwalbenschwänze, in welche man die Armdenden auslaufen läßt, und welche man in entsprechenden Ausschnitten am inneren Radumfang verkeilt. Setzt man überdies noch einen radialllaufenden Splint  $DE$ , Fig. 379, ein, so wird die Verbindung des Schwalbenschwanzes  $AB$  mit dem Radkranze  $R$  noch besonders verstärkt. Statt der Schwalbenschwänze wendet man auch wohl bloße Nasen oder Vorsprünge an, wie z. B. aus der Fig. 380 zu ersehen ist, welche überdies noch die Verbindung der Arme mit dem Wellenkranz zeigt. Es ist  $AB$  der abgebrochen gezeichnete Arm, und es sind  $DD$  die Nasen im Rad- und  $EE$  im Wellenkranz,  $F, F \dots$  und  $G, G \dots$  Bolzen, wodurch die Armdenden gegen ihre Lagerungsflächen gedrückt werden.

Die Verbindungsstellen der Radfelgen liegen entweder zwischen den Verbindungsstellen mit den Radarmen, oder sie fallen mit diesen zusammen. Die letztere Anordnung zeigt Fig. 381. Die Arme des hier abgebildeten Rades bilden mit dem auf der Welle  $C$  aufgetheilten Wellenkranz  $AB$  ein



Ganzes, und sind dagegen mit dem Radkranze durch Schwalbenschwänze *D* und Schraubenbolzen *F*, *F'* verbunden. Schwungrad.

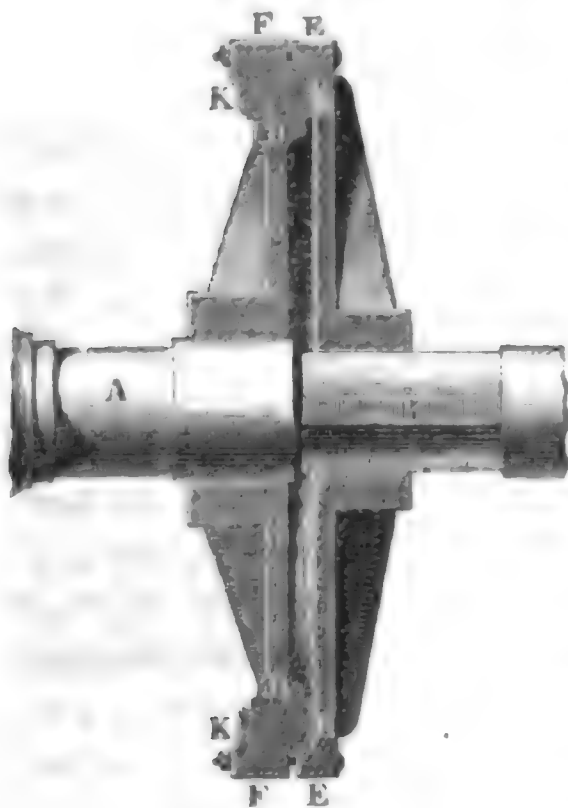
Fig. 381.



Wenn die Welle, worauf das Schwungrad sitzt, zur Ausgleichung der Gewichte ein Gegengewicht erfordert, so wird dieses mit dem Schwungrade verbunden, indem man an der dem Schwerpunkte des auszugleichenden Gewichtes gegenüberliegenden Stelle ein Stück Blei anbringt, wozu man gleich beim Gusse des Ringes eine Höhlung am inneren Umfange desselben aussparen kann.

Ist das Schwungrad plötzlichen Geschwindigkeitsveränderungen ausgesetzt,

Fig. 382.



wie z. B. bei Walzwerken, so kann leicht ein Abbrechen der Arme desselben herbeigeführt werden, weshalb man wohl dieselben aus Holz macht, oder noch besser eine Friccions-Kuppelung anwendet. Eine solche Kuppelung wird in Figur 382 vor Augen geführt. Es ist hier auf jeder der zu kuppelnden Wellen *A* und *B* eine Scheibe *DD* und *EE* aufgesetzt, und es umfaßt die letztere Scheibe die erstere mittels eines Kranzes *FF*, der durch Schraubenbolzen scharf gegen die auf die erste Scheibe aufgelegten Holzkränze *KK* angezogen wird. Für die gewöhnliche Arbeitsverrichtung der Maschine ist die aus diesem Drucke entspringende Reibung

hinreichend, um die Bewegung der einen Scheibe auf die andere überzutragen;





Sehen wir endlich  $S = FK$ , wo  $K$  den Modul der absoluten Festigkeit Schwungräder. bezeichnet, so erhalten wir  $FK = \frac{Fv^2\gamma}{g}$ , und es ist daher die Umfangs-

geschwindigkeit des Rades  $v = \sqrt{\frac{gK}{\gamma}}$  gar nicht von den Raddimensionen abhängig.

Da nun für Gußeisen bei sechsfacher Sicherheit, nach I., §. 189,  $K = 144 \cdot 3000$ , das Gewicht eines Cubikfußes Gußeisen  $= 7,2 \cdot 66 = 475,2$  Pfund beträgt und die Beschleunigung der Schwere  $g = 31,25$  Fuß ist, so ist die Maximalgeschwindigkeit eines Schwungrades

$$v = 12 \sqrt{\frac{31,25 \cdot 3000}{475,2}} = 168 \text{ Fuß.}$$

Diese Formel gilt vorzüglich für einen aus dem Ganzen gegossenen Schwungring; ist derselbe hingegen aus Felgen zusammengesetzt, so kann er auch durch Zerreißen der Verbindungsstücke zu Bruche gehen, wenn diese keinen hinreichend großen Querschnitt haben. Da die Spannung  $S = \frac{Fv^2\gamma}{g}$

nicht allein vom massiven Theile des Ringes, sondern auch von den Verbindungsstücken, wie z. B. von den Einsatzplatten mit Schwalbenschwänzen auszuhalten ist, so können wir, wofern durch  $F_1$  der Querschnitt und durch  $K_1$  der Festigkeitsmodul dieser Stücke bezeichnet wird, setzen:

$$F_1 K_1 = \frac{Fv^2\gamma}{g},$$

$$\text{und daher } F_1 = \frac{v^2\gamma}{gK_1} F.$$

Um  $F_1$  nicht so groß machen zu müssen als  $F$ . verwendet man zu den Verbindungsstücken lieber Schmiedeeisen, dessen Festigkeitsmodul mit Hinsicht auf sechsfache Sicherheit,  $K_1 = 10000$  Pfund, also über drei Mal so groß ist als der des Gußeisens. Wir erhalten hiernach

$$F_1 = \frac{475,2 F v^2}{31,25 \cdot 144 \cdot 10000} = 0,00001056 F v^2.$$

Nimmt man die Maximalgeschwindigkeit  $v = 100$  Fuß, so ergibt sich

Fig. 384.



$F_1 = 0,1056 F$ , es ist also dann der ganze Querschnitt der Verbindungsstücke  $DD$ , Fig. 384, reichlich ein Zehntel von dem des ganzen Ringes zu nehmen. Dasselbe gilt natürlich auch von den Splinten und Bolzen der Verbindungsstücke in Fig. 376 und Fig. 378.





Schwungräder.

§. 188. Wenn eine Maschine ohne Stöße oder plötzliche Geschwindigkeitsveränderungen arbeitet, so ist die Arbeit  $P_1 s_1$ , welche die trägen Massen derselben während des einen Theiles einer Periode ihrer Bewegung, und zwar während des Ueberganges der Maximalgeschwindigkeit  $v_1$  in die Minimalgeschwindigkeit  $v_2$  verrichten, eben so groß als die Arbeit  $P_2 s_2$ , welche diese Massen in dem zweiten Theile der Periode, d. i. während die Minimalgeschwindigkeit  $v_2$  in die Maximalgeschwindigkeit  $v_1$  übergeht, wieder in Anspruch nehmen. Ist daher  $M$  die constante rotirende Masse, auf irgend einen Punkt der Maschine reducirt, dessen Geschwindigkeit abwechselnd von  $v_1$  zu  $v_2$  sinkt und von  $v_2$  zu  $v_1$  steigt, ist ferner  $M_1$  die eben dahin reducirte Masse, welche sich, wie z. B. ein Kolben sammt seiner Stange hin- und herbewegt, und die Geschwindigkeiten  $\alpha_1 v_1$  und  $\alpha_2 v_2$  besitzt, während die rotirende Masse die Geschwindigkeiten  $v_1$  und  $v_2$  hat, so gilt (vergl. I., §. 81) die Formel  $\frac{1}{2} M (v_1^2 - v_2^2) + \frac{1}{2} M_1 (\alpha_1 v_1^2 - \alpha_2 v_2^2) = P_1 s_1 = P_2 s_2$ .

Nun ist aber statt  $\frac{v_1 + v_2}{2}$  die mittlere Geschwindigkeit  $c$ , und statt  $v_1 - v_2 = \delta c$  zu setzen, wo  $\delta$  den Ungleichförmigkeitsgrad bezeichnet, daher haben wir  $v_1 = \frac{c(2 + \delta)}{2}$  und  $v_2 = \frac{c(2 - \delta)}{2}$ ; es nimmt folglich unsere Grundgleichung folgende Form an:

$\delta M c^2 + \frac{1}{8} M_1 c^2 [\alpha_1 (2 + \delta)^2 - \alpha_2 (2 - \delta)^2] = P_1 s_1 = P_2 s_2$ , und es folgt nun für die einem geforderten Ungleichförmigkeitsgrad nöthige Rotations- oder Schwungradmasse

$$M = \frac{P_1 s_1}{\delta c^2} - \frac{M_1}{8 \delta} [\alpha_1 (2 + \delta)^2 - \alpha_2 (2 - \delta)^2].$$

oder einfacher, da wir stets verlangen müssen, daß  $\delta$  ein kleiner ächter Bruch, also  $(2 \pm \delta)^2$  sehr nahe  $= 4 \pm 4 \delta$  s. i.,

$$M = \frac{P_1 s_1}{\delta c^2} - \frac{M_1}{2} \left( \alpha_1 + \alpha_2 + \frac{\alpha_1 - \alpha_2}{\delta} \right).$$

Endlich läßt sich die Ueberwucht oder die Arbeit  $P_1 s_1 = P_2 s_2$  der trägen Massen,  $= \mu \cdot \frac{60'' L}{u}$  setzen, wenn man unter  $L$  die Arbeit der Maschine pro Secunde, also unter  $\frac{60'' L}{u}$  die Arbeit pro Umdrehung versteht, und also annimmt, daß  $P_1 s_1 = P_2 s_2$  der  $\mu$ te Theil dieser Arbeit sei; folglich haben wir für die praktische Anwendung noch geeigneter

$$M = \frac{60'' \mu}{\delta} \cdot \frac{L}{u c^2} - \frac{M_1}{2} \left( \alpha_1 + \alpha_2 + \frac{\alpha_1 - \alpha_2}{\delta} \right) \text{ zu setzen.}$$

Uebrigens ist in sehr vielen Fällen die in absehbender Bewegung befindliche und mit  $M$  auf einen und denselben Punkt zu reducirende Masse  $M_1$  gegen

die rotirende Masse  $M$  klein genug, um sie ganz außer Acht zu lassen, also Common-  
räder.

$$M = \frac{60 \mu}{\delta} \cdot \frac{L}{u c^2} \quad \text{oder}$$

$$M c^2 = \frac{60 \mu}{\delta} \cdot \frac{L}{u} \quad \text{setzen zu können.}$$

Diese Formel gestattet eine unmittelbare Anwendung auf alle Krummzapfenbewegungen. Wir haben im dritten Kapitel für diese gefunden

$$\delta = \psi \cdot \frac{Q r}{M c^2} = \chi \cdot \frac{P r}{M c^2},$$

wo  $P$  die Umdrehungs- und  $Q$  die Stangenkraft,  $r$  den Warzenkreishalbmesser,  $c$  die mittlere Warzengeschwindigkeit und  $M$  die auf den Warzenkreis reducirte Umdrehungsmasse,  $\psi$  und  $\chi$  für verschiedene Krummzapfenmechanismen besonders berechnete Coefficienten sind.

Wir haben folglich hier ohne weitere Untersuchung

$$M c^2 = \chi \cdot \frac{P r}{\delta} = \frac{\chi}{\delta} \cdot \frac{30 P c}{\pi u} \quad \text{oder}$$

$$M c^2 = 15300 \cdot \frac{\chi}{\pi \delta} \cdot \frac{L}{u} \quad \text{zu setzen,}$$

wenn wir unter  $L$  die Arbeit  $\frac{P c}{510}$  der Maschine in Pferdekraften verstehen; es ist also hier

$$60 \mu = 15300 \cdot \frac{\chi}{\pi} = \frac{15300}{\pi} \cdot \frac{\pi}{2} \psi = 7650 \psi \quad \text{zu setzen.}$$

Es ist übrigens ganz gleich, ob wir für  $M$  die auf den Warzenkreis reducirte Umdrehungsmasse und für  $c$  die Umdrehungsgeschwindigkeit der Warze, oder ob wir für  $M$  die auf den Umfang des Schwungrades reducirte Masse und für  $c$  die Umfangsgeschwindigkeit dieses Rades einsetzen, da zwei Massen  $M$  und  $M_1$  einander vollständig ersetzen, wenn ihre lebendigen Kräfte  $M c^2$  und  $M_1 c_1^2$  einander gleich sind.

Beispiel. Für einen einfachen Krummzapfen von doppelter Wirkung und sehr langer Lenkstange ist Seite 209 der Ungleichförmigkeitsgrad gefunden worden

$$\delta = 0,4210 \frac{Q r}{M c^2};$$

folglich haben wir umgekehrt:

$$M c^2 = 0,4210 \frac{Q r}{\delta} = 3220,65 \frac{L}{\delta u}.$$

Nehmen wir, nach Watt,  $\delta = \frac{1}{32}$ , so erhalten wir

$$M c^2 = 32 \cdot 3220,65 \frac{L}{u} = 103061 \frac{L}{u},$$

und wenn man die Masse  $M$  durch das Gewicht  $G = g M = 31,25 M$  ersetzt

$$G c^2 = 31,25 \cdot 103061 \cdot \frac{L}{u} = 3220656 \frac{L}{u}.$$

Schwungräder.

Ist nun die Umdrehungszahl des Schwungrades pro Minute  $u = 20$ , und der Halbmesser desselben  $r = 10$  Fuß, die Leistung der Maschine aber  $L = 40$  Pferdekkräfte, so erhalten wir die Umdrehungsgeschwindigkeit

$$c = \frac{\pi u r}{30} = 0,10472 \cdot 20 \cdot 10 = 20,944 \text{ Fuß,}$$

und daher das erforderliche Gewicht des Schwungringes

$$G = \frac{3220656 \cdot 40}{20,944^2 \cdot 20} = 14684 \text{ Pfund.}$$

§. 189. Wenn wir in der Formel

$$\begin{aligned} G c^2 &= 31,25 \cdot 7650 \cdot \frac{\psi L}{\delta u} = 31,25 \cdot \frac{15300}{\pi} \cdot \frac{\chi L}{\delta u} \\ &= 239060 \frac{\psi L}{\delta u} = 152190 \frac{\chi L}{\delta u} \end{aligned}$$

die verschiedenen Krummzapfenmechanismen entsprechenden Werthe von  $\psi$  und  $\chi$  aus den Tabellen des dritten Kapitels (Band III.) auf Seite 211, 229 und 233 einsetzen, so erhalten wir eine Menge Specialformeln zur Bestimmung der Schwungradgewichte, und es sind dieselben in der folgenden Tabelle neben einander gestellt worden.

Tabelle zur Bestimmung der Schwungradgewichte, enthaltend die Coefficienten

$$\alpha = 152190 \chi \text{ und}$$

$$\alpha_1 = 152190 \frac{\chi}{\delta} = 152190 \cdot 32 \chi = 4870080 \chi$$

$$\text{der Formeln } G = \alpha \frac{L}{\delta u c^2} \text{ und } G = \alpha_1 \frac{L}{u c^2}.$$

I. Krummzapfen mit constanter Stangenkraft Q, wie z. B. für Pumpen, Sägemühlen und Dampfmaschinen ohne Expansion.	$\alpha$	$\alpha_1$
1) Einfache Krummzapfen:		
bei der Lenkstangenlänge . . . $l = \infty$	100640	3221000
„ „ „ . . . $l = 6r$	119000	3808000
„ „ „ . . . $l = 5r$	123210	3943000
„ „ „ . . . $l = 4r$	129950	4159000
2) Doppelte Krummzapfen mit auf Viertel gestellten Warzen, wie z. B. bei Locomotiven:		
bei der Lenkstangenlänge . . . $l = \infty$	10090	322800
„ „ „ . . . $l = 6r$	27950	894200
„ „ „ . . . $l = 5r$	32330	1035000
„ „ „ . . . $l = 4r$	38060	1218000



3) Dreifacher Krummzapfen mit auf das Drit- tel gestellten Warzen:	$\alpha$	$\alpha_1$
bei der Lenkstangenlänge . . . $= \infty$	2880	92300
" " " " " $l = 5r$	9240	295800
II. Krummzapfen mit veränderlicher Stangenkraft und insbesondere für Expansionsdampfma- schinen.		
1) Einfache Krummzapfen:		
mit der Lenkstangenlänge . . . $l = 5r$		
bei dem Expansionsverhältniß $\varepsilon = 2$	194800	6234000
" " " " $\varepsilon = 3$	209100	6691000
" " " " $\varepsilon = 4$	216300	6922000
" " " " $\varepsilon = 5$	221100	7076000
" " " " $\varepsilon = 6$	224800	7193000
2) Doppelte Krummzapfen mit auf das Vier- tel gestellten Warzen und unendlich langer Lenkstange, ohne Rücksicht auf Nebenhinder- nisse:		
bei dem Expansionsverhältniß $\varepsilon = 2$	4490	143700
" " " " $\varepsilon = 3$	14670	469500
" " " " $\varepsilon = 4$	20680	661800
" " " " $\varepsilon = 5$	25000	800100
" " " " $\varepsilon = 6$	27760	888300

In Betreff dieser Tabelle ist noch zu bemerken, daß sie in  $G$  nicht das bloße Gewicht des Schwungringes, sondern die in Gewicht verwandelte vollständige Umdrehungsmaße der Maschine mit Einschluß der Hälfte derjenigen Massen, welche sich absehbend bewegen, bestimmt. Da in der Formel  $G$  und  $c^2$  zugleich vorkommen, so ist es gleichgültig, auf welchen Punkt die Masse  $\frac{G}{g}$  reducirt wird, wenn nur für  $c$  die Geschwindigkeit dieses Punktes gesetzt wird. Der letzte Theil (II. 2) dieser Tabelle giebt, da er nur für unendlich lange Lenkstangen und ohne Rücksicht auf Nebenhindernisse berechnet worden ist, zu kleine Werthe an, die nach Umständen wohl verdoppelt werden müssen.

§. 190. Das Gewicht des Schwungrades für Maschinen, welche, wie Hammer-, Poch- und Walzwerke, plötzlichen Geschwindigkeitsveränderungen unterworfen sind, läßt sich auf folgende Weise ausmitteln. Denken wir uns wieder sämtliche Kräfte und Massen auf denselben Punkt, z. B. bei einem Walzwerke auf den Umfang der Walzen, oder bei einem Ham-

Eckung-  
räder.

merwerke auf den Punkt reducirt, in welchem der Hammer von den Well-  
baumen ergriffen wird. Bezeichnen wir die constant wirkende Umdrehungs-  
kraft durch  $P$ , die in Absätzen zu bewegende Last, z. B. das Gewicht des  
Hammers, durch  $Q$ , ferner die stetig rotirende Masse durch  $M$  und die ab-  
wechselnd aus der Ruhe in Bewegung zu setzende Masse durch  $M_1$ , und  
setzen wir wieder die Maximalgeschwindigkeit  $= v_1$  und die Minimalge-  
schwindigkeit  $= v_2$ .

Ein Spiel oder eine Periode der Bewegung der Maschine besteht hier  
aus drei Theilen. Zuerst wird die Last  $Q$  von der Maschine stoßweise er-  
griffen und es geht fast plötzlich die Maximalgeschwindigkeit  $v_1$  des An-  
griffspunktes der Kraft in eine kleinere Geschwindigkeit  $v$  über, welche,  
wenn wir einen unelastischen Stoß voraussetzen, nach I., §. 272 durch die

Formel  $v = \frac{Mv_1}{M + M_1}$  bestimmt wird.

In dem folgenden Theile der Periode, während welcher die Maschine  
die Last  $Q$  bewegt, also wirkliche Arbeit verrichtet, besitzt die Maschine eine  
verzögerte Bewegung und es geht hierbei die Geschwindigkeit allmählig in  
ihr Minimum  $v_2$  über. Hieran schließt sich endlich der letzte Theil des  
ganzen Spieles, in welchem die Maschine ganz leer geht, also ihr Arbeits-  
vermögen nur auf die Beschleunigung ihrer Masse  $M$  verwendet, und die  
Geschwindigkeit wieder zu ihrem Maximalwerthe gelangt. Während des  
Stoßes, oder während des ersten Theiles der Periode ist der Weg der Ma-  
schine oder des Punktes, auf welchen wir die Kraft und Last, sowie alle  
Massen reducirt annehmen, fast Null, in dem zweiten Theile der Periode  
hingegen durchläuft Kraft und Last einen gewissen Weg  $s$ , und im letzten  
Theile des Spieles legt die Kraft allein einen gewissen Weg  $s_1$  zu-  
rück. Deshalb gelten denn auch für die beiden letzten Bewegungszustände  
die bekannten Formeln

$$Ps = Qs - \frac{1}{2}(M + M_1)(v^2 - v_2^2) \text{ und} \\ Ps_1 = \frac{1}{2}M(v_1^2 - v_2^2).$$

Setzen wir in der letzten Formel, wie in §. 188,  $\frac{v_1 + v_2}{2} = c$  und  
 $v_1 - v_2 = \delta c$ , bezeichnen wir also auch hier die mittlere Geschwindig-  
keit der Maschine durch  $c$  und den Grad der Ungleichförmigkeit derselben  
durch  $\delta$ , so erhalten wir folgende Grundformel:

$$Ps_1 = \delta Mc^2, \text{ oder} \\ M = \frac{Ps_1}{\delta c^2},$$

aus der sich die einem gewissen Ungleichförmigkeitsgrade  $\delta$  entsprechende  
Umdrehungsmasse  $M$  berechnen läßt.

Ist  $\mu$  das Verhältniß  $\frac{s_1}{s + s_1} = \frac{P s_1}{P(s + s_1)}$  des Weges  $s_1$ , während die Maschine leert geht, zum ganzen Weg  $s + s_1$  eines Spieles, oder das Verhältniß der Ueberwucht oder Arbeit während des beschleunigten Ganges zur Arbeit während eines ganzen Spieles, so kann man auch schreiben:

$$M = \frac{\mu P (s + s_1)}{\delta c^2} = \frac{60'' \mu}{\delta} \cdot \frac{L}{u c^2},$$

wenn  $u$  die Anzahl der Spiele pro Min. und  $L$  die Leistung  $\frac{u}{60} P(s + s_1)$  der Maschine pro Secunde bezeichnet.

Da die Arbeit  $P(s + s_1)$  nicht allein auf die Ueberwindung der Last  $Q$ , sondern auch auf die Veränderung des Bewegungszustandes der Masse  $M_1$  verwendet wird, und da durch den Stoß selbst, nach I., §. 275, die Arbeit  $\frac{1}{2} (v_1 - v)^2 \frac{M M_1}{M + M_1}$  verloren geht, so haben wir zu setzen

$$P(s + s_1) = Qs + \frac{1}{2} M_1 v_2^2 + \frac{1}{2} \cdot \frac{M M_1}{M + M_1} \cdot (v_1 - v)^2, \text{ oder}$$

$$\frac{u}{60} P(s + s_1) = \frac{u}{60} Qs + \frac{u}{60} \left( \frac{1}{2} M_1 v_2^2 + \frac{1}{2} \cdot \frac{M M_1}{M + M_1} (v_1 - v)^2 \right)$$

d. i.

$$L = L_1 + \frac{u}{60} \left( \frac{1}{2} M_1 v_2^2 + \frac{1}{2} \frac{M M_1}{M + M_1} (v_1 - v)^2 \right),$$

wofern  $L_1 = \frac{u}{60} Qs$  die Arbeit der Last  $Q$  pro Secunde bezeichnet.

Nun ist aber noch

$$v = \frac{M v_1}{M + M_1}, \text{ ferner}$$

$$v_1 = \left( 1 + \frac{\delta}{2} \right) c, \text{ sowie } v_2 = \left( 1 - \frac{\delta}{2} \right) c;$$

daher folgt dann

$$L = L_1 + \frac{u}{60} \cdot \frac{c^2}{2} \left[ \left( 1 - \frac{\delta}{2} \right)^2 M_1 + \left( 1 + \frac{\delta}{2} \right)^2 \frac{M M_1^3}{(M + M_1)^3} \right],$$

und die gesuchte Umdrehungsmasse

$$M = \frac{60'' \mu}{\delta} \cdot \frac{L_1}{u c^2} + \frac{\mu}{2 \delta} \left[ \left( 1 - \frac{\delta}{2} \right)^2 M_1 + \left( 1 + \frac{\delta}{2} \right)^2 \frac{M M_1^3}{(M + M_1)^3} \right],$$

oder einfacher, da  $\delta$  sehr klein gegen 1 gefordert werden muß:

$$M = \frac{60'' \mu}{\delta} \cdot \frac{L_1}{u c^2} + \frac{\mu}{2 \delta} \left( M_1 + \frac{M M_1^3}{(M + M_1)^3} \right).$$

Schwun-  
gräder.

**Schwungräder.** Drücken wir noch die Massen  $M$  und  $M_1$  durch Gewichte  $G = g M$  und  $G_1 = g M_1$ , sowie die Leistung  $L_1$  in Pferdekraften aus, so erhalten wir für das Gewicht des Schwungringes die Formel

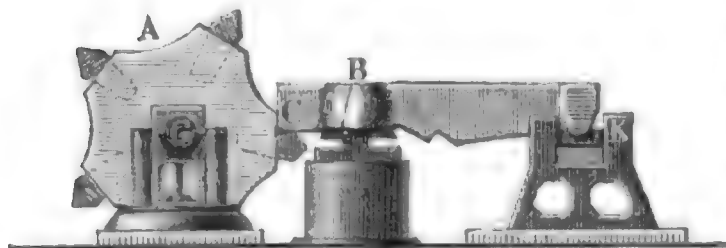
$$G = 31,25 \cdot \frac{60'' \mu}{\delta} \cdot \frac{510 L_1}{u c^2} + \frac{\mu}{2 \delta} \left( G_1 + \frac{G G_1^3}{(G + G_1)^3} \right) \\ = 956250 \cdot \frac{\mu L_1}{\delta u c^2} + \frac{\mu}{2 \delta} \left( G_1 + \frac{G G_1^3}{(G + G_1)^3} \right).$$

In der Regel ist  $G_1$  gegen  $G$  so klein, daß sich diese Gleichung in Beziehung auf  $G$  sehr bequem auf dem Wege des Näherens auflösen läßt.

**Anmerkung.** In den Artikeln »Hammerwerke, Pochwerke, Walzwerke u. s. w.« wird dieser Gegenstand weiter verfolgt.

**Beispiel.** Ein Stirnhammer  $CK$  von 10000 Pfund Gewicht, Fig. 387,

Fig. 387.



Welle  $AG$  pro Minute 90mal und zwar so hoch aufgehoben, daß der Schwerpunkt desselben 1 Fuß senkrecht steigt; wie groß ist das erforderliche Gewicht der Umdrehungsmasse, wenn die Welle während des Anhebens denselben Weg zurücklegt, als während des Leergehens, wenn also  $\mu = \frac{1}{2}$  ist, und wenn der

Ungleichförmigkeitsgrad  $\delta = \frac{1}{20}$  gefordert wird? Die effective Leistung dieser Maschine ist  $L_1 = \frac{90}{60} \cdot 10000 \cdot 1 = 15000$  Fußpfund = 29,412 Pferdekraften, da

sie in jeder Secunde den Hammer  $\frac{90}{60} = \frac{3}{2}$  mal hebt und hierbei jedes Mal  $10000 \cdot 1 = 10000$  Fußpfund leistet; das erforderliche Umdrehungsgewicht auf den Angriffspunkt der Daumen reducirt, ist nach der letzten Formel

$$G = 956250 \cdot \frac{\mu L_1}{\delta u c^2} + \frac{\mu}{2 \delta} \left( G_1 + \frac{G G_1^3}{(G + G_1)^3} \right) \\ = 956250 \cdot \frac{1}{2} \cdot \frac{29,412}{\frac{1}{20} \cdot 90 \cdot 4} + \frac{\frac{1}{2}}{2 \cdot \frac{1}{20}} \left( G_1 + \frac{G G_1^3}{(G + G_1)^3} \right) \\ = 781250 + 5 \left( G_1 + \frac{G G_1^3}{(G + G_1)^3} \right).$$

Wäre nun noch die träge Masse des Hammers, auf den Angriffspunkt  $C$  reducirt,  $G_1 = 6000$  Pfund, so hätte man

$$G = 781250 + 5 \left[ 6000 + \left( \frac{6000}{G + 6000} \right)^3 G \right],$$

und es ist nun schon sehr genau

$$G = 781250 + 30000 = 811250 \text{ Pfund,}$$

da das Glied  $5 \cdot \left( \frac{6000}{G + 6000} \right)^3 G$ , wenn man darin  $G = 811250$  setzt, nur

$$5 \cdot \left( \frac{6000}{811250} \right)^3 \cdot 811250 = 1,6 \text{ Pfund giebt.}$$

Ist der mittlere Halbmesser des Schwungrades 5mal so groß als der Hebelarm  $GC$  des Daumens  $C$ , läuft also auch der Schwungring 5mal so schnell um, als der Daumen, so hat man das eigentliche Gewicht des Schwungringes

Schwungräder.

$$\frac{G}{5^2} = \frac{811250}{25} = 32450 \text{ Pfund.}$$

§. 191. Die vorstehende Theorie des Schwungrades giebt uns die träge Masse  $M = \frac{G}{g} = 0,032 \text{ } G$  dieses Maschinentheiles auf einen gewissen, mit einer gewissen Geschwindigkeit  $c$  umlaufenden Punkt reducirt; nun besteht aber diese Masse in der Regel aus einem Ringe, aus einer gewissen Anzahl von Armen und aus einer Hülse; es ist daher noch zu erörtern, wie sich die ganze Masse  $M$  auf diese einzelnen Theile vertheilt. Den größten Theil dieser Masse liefert der Schwungring, da dieser nicht allein das größte Gewicht, sondern auch die größte Geschwindigkeit, und folglich das größte Trägheitsmoment besitzt. Die Radarme vergrößern die Masse des Schwungrades nur wenig, da sie nicht allein viel leichter sind als der Schwungring, sondern auch eine viel kleinere mittlere Geschwindigkeit haben als der Ring. Die Hülse des Schwungrades hat endlich bei ihrem mäßigen Gewichte und ihrer kleinen Umdrehungsgeschwindigkeit in Hinsicht auf den Schwungring ein so kleines Trägheitsmoment, daß deren träge Masse ganz unbeachtet bleiben kann.

Ist  $R$  das Gewicht des Schwungringes und  $A$  das Gewicht der Arme, welche diesen Ring mit der Hülse verbinden, ist ferner  $r_1$  der äußere und  $r_2$  der innere Halbmesser des Ringes, so hat man, in sofern man die Querschnitte desselben als ein Rechteck und die Arme als dünne Prismen behandelt, nach I., §. 235 und §. 232, das Trägheitsmoment des Ringes  $= \frac{1}{2} R (r_1^2 + r_2^2)$  und das der Arme  $= \frac{1}{3} A r_2^2$ , also das des ganzen Schwungrades,

$$T = \frac{1}{2} R (r_1^2 + r_2^2) + \frac{1}{3} A r_2^2.$$

Führen wir aber den mittleren Halbmesser  $r = \frac{r_1 + r_2}{2}$  und die Ringbreite  $b = r_1 - r_2$  ein, so erhalten wir

$$T = R \left( r^2 + \frac{b^2}{4} \right) + \frac{1}{3} A \left( r - \frac{b}{2} \right)^2,$$

wofür der Einfachheit wegen, da  $b$  nicht leicht über  $0,1 r$ , also  $\frac{b^2}{4}$  nicht leicht über  $\frac{1}{400} r^2$ , und  $A$  ansehnlich kleiner als  $R$  ist,

$$T = (R + \frac{1}{3} A) r^2$$

gesetzt werden kann, so daß nun sehr einfach die auf den mittleren Radhalbmesser reducirte Masse des Schwungrades

$$M = \frac{(R + \frac{1}{3} A) r^2}{g r^2}, \text{ oder } G = R + \frac{1}{3} A \text{ folgt.}$$



**Schwungräder** Wenn wir daher nach einer Regel des vorigen Paragraphen die träge Masse  $M = \frac{G}{g}$  des Schwungrades bestimmt haben, so kommt es nun noch darauf an, dieselbe auf den Ring  $R$  und auf die Arme zu vertheilen. Ist  $F$  der Querschnitt des Schwungringes,  $F_2 = \nu F$  der der Arme,  $n$  die Anzahl derselben und  $\gamma$  die Dichtigkeit des Gußeisens, aus welchem das ganze Rad besteht, so haben wir

$$R = 2\pi r F \gamma \text{ und } A = n F_2 r \gamma = \nu n F r \gamma, \text{ daher}$$

$$G = 2\pi F r \gamma + \frac{1}{3} n F_2 r \gamma = (2\pi + \frac{1}{3} \nu n) F r \gamma,$$

und es bestimmt sich daher der Querschnitt des Schwungringes aus der Masse  $M = \frac{G}{g}$  des ganzen Rades, mittels der Formel

$$F = \frac{G}{(2\pi + \frac{1}{3} \nu n) r \gamma} = \frac{0,00033493}{1 + 0,053 \nu n} \cdot \frac{G}{r} \text{ Quadratfuß}$$

$$= 0,04823 (1 - 0,053 \nu n) \frac{G}{r} \text{ Quadratzoll,}$$

wobei jedoch  $r$  in Fuß zu geben ist.

Die Anzahl  $n$  der Radarme ist 4 bis 8, das Querschnittsverhältniß  $\nu = \frac{F_2}{F} = \frac{1}{4}$  bis  $\frac{1}{2}$ , und die radiale Breite des Ringes ein bis zwei Mal so groß als dessen Dicke.

**Beispiel.** Wenn wir dem Schwungrade in §. 190, dessen Gewicht wir 32450 Pfund gefunden haben,  $n = 6$  Arme, jeden vom Querschnitte  $F_2 = \nu F = \frac{1}{3} F$  und von der Länge  $r = 10$  Fuß geben wollen, so muß der Querschnitt seines Ringes

$$F = 0,04823 (1 - 0,053 \cdot 6 \cdot \frac{1}{3}) \cdot \frac{32450}{10}$$

$$= 0,04823 \cdot 0,894 \cdot 3245 = 139,6 \text{ Quadratzoll}$$

erhalten, und wäre nun noch das Verhältniß der Breite  $d$  zur Dicke  $e$  dieses Querschnittes  $= \frac{3}{2}$  gefordert, so würde

$$\frac{3}{2} e^2 = 139,6, \text{ folglich}$$

$$e = 9,647 \text{ und } d = 14,470 \text{ Zoll}$$

gemacht werden müssen.

§. 192. Da die lebendige Kraft, mit welcher das Schwungrad den Gang einer Maschine regulirt, vermittels der Radarme vom Schwungringe auf die Welle und die übrige Maschine übertragen wird, so sind diese einer Spannung ausgesetzt, und zwar einer Spannung, die sich innerhalb einer Periode oder eines Spieles der Maschine stetig ändert, so daß diese Arme während des beschleunigten Ganges der Maschine nach der einen, und während des verzögerten Ganges derselben nach der anderen Seite gebogen werden. Um dieser sich unaufhörlich ändernden Biegung



auf die Dauer hinreichenden Widerstand entgegenzusetzen, müssen daher auch die Arme eine angemessene Stärke erhalten, die sich wie folgt berechnen läßt.

Nehmen wir an, daß sich das Schwungrad um den Bogen  $\alpha$  dreht, während seine Maximalgeschwindigkeit  $v_1$  in die Minimalgeschwindigkeit  $v_2$  übergeht, und setzen wir wieder den mittleren Halbmesser des Schwungrades  $= r$ , sowie die träge Masse desselben, auf  $r$  reducirt,  $= M$ . Dann erhalten wir die Kraft, mit welcher die Radarme abwechselnd vor- und rückwärts gebogen werden:

$$P = \frac{\text{Arbeit}}{\text{Weg}} = \frac{1/2 M(v_1^2 - v_2^2)}{\alpha r},$$

oder, da  $1/2(v_1^2 - v_2^2) = (v_1 - v_2) \frac{(v_1 + v_2)}{2} = \delta c^2$  ist,

$$P = \frac{\delta M c^2}{\alpha r}.$$

Ist nun  $n$  die Anzahl der Radarme,  $h$  die Dicke, und  $b = mh$  die Breite eines Radarmes, jene in tangentieller, und diese in axieller Richtung gemessen, so haben wir die Kraft zum Abbrechen dieser Arme (vergl. II., §. 111):

$$P = n \cdot \frac{b h^2}{r} \cdot \frac{K}{6} = \frac{m n h^3}{r} \cdot \frac{K}{6},$$

und es gilt daher die Gleichung

$$Pr = \frac{\delta M c^2}{\alpha} = m n h^3 \cdot \frac{K}{6}, \text{ wonach sich}$$

$$h = \sqrt[3]{\frac{\delta M c^2}{\alpha m n \cdot \frac{K}{6}}} \text{ ergibt.}$$

Führen wir statt der lebendigen Kraft  $M c^2$  der Schwungradmasse die Leistung  $L$  der Maschine ein, und setzen wir zu diesem Zwecke

$$\delta M c^2 = 60'' \mu \cdot \frac{L}{u},$$

so erhalten wir folgenden Ausdruck für die Armdicke:

$$h = \sqrt[3]{\frac{60'' \mu L}{\alpha m n u \cdot \frac{K}{6}}}.$$

Damit die Welle des Schwungrades von der lebendigen Kraft desselben nicht abgewürgt werde, muß der Hals der Welle, an welchem das Schwungrad aufsitzt, ebenfalls eine gewisse Stärke  $d$  erhalten. Setzen wir das Moment zum Abwürgen  $Pr = d^3 \cdot K_1$ , so erhalten wir hiernach

$$d = \sqrt[3]{\frac{\delta M c^2}{\alpha K_1}} = \sqrt[3]{\frac{60 \mu L}{\alpha u K_1}}.$$

Schwungräder. und es folgt das Verhältniß

$$\frac{h}{d} = \sqrt[3]{\frac{6 K_1}{m n K}}.$$

Nehmen wir nun aus I., §. 203,  $\frac{K}{6} = 1700$  und  $K_1 = \frac{1}{8} \cdot 12600 = 1575$ , so erhalten wir  $\frac{h}{d} = 0,975 \sqrt[3]{\frac{1}{m n}}$  oder nahe  $= \sqrt[3]{\frac{1}{m n}}$ .

Für runde Wellen, welche die Leistung  $L$  unmittelbar übertragen, ist

$$d = \sqrt[3]{\frac{Pr}{K_1}} = \sqrt[3]{\frac{Lr}{v K_1}} = \sqrt[3]{\frac{30 L}{\pi u K_1}}.$$

Nun haben wir aber bei Wasser- und anderen Rädern (s. II., §. 111)

$d = 6,12 \sqrt[3]{\frac{L}{u}}$  Zoll gesetzt, wenn  $L$  in Pferdekraften gegeben ist; folglich können wir nehmen

$$\sqrt[3]{\frac{30}{\pi K_1}} = 6,12, \text{ und } \sqrt[3]{\frac{60}{K_1}} = 6,12 \sqrt[3]{2\pi} = 11,29;$$

so daß sich nun die Wellenstärke für Schwungräder

$$d = 11,29 \sqrt[3]{\frac{\mu L}{\alpha u}} \text{ Zoll}$$

ergiebt, und endlich hiernach die Armdicke  $h = \sqrt[3]{\frac{1}{m n}}$  und Armbreite  $b = m h$  leicht berechnet werden kann.

Beispiel. Wenn für das Schwungrad eines Stirnhammers im Beispiele zu §. 190 die Leistung  $L = 29,412$  Pferdekraften gefunden, wenn ferner für dieses Rad  $\mu = \frac{1}{2}$ ,  $\alpha = \frac{\pi}{6}$  und  $u = 10$  angenommen worden ist, so können wir nun auch die erforderlichen Hals- und Armstärken dieses Rades finden. Es ist nämlich die Halsstärke

$$d = 11,29 \sqrt[3]{\frac{\frac{1}{2} \cdot 29,412}{\frac{\pi}{6} \cdot 10}} = 11,29 \sqrt[3]{\frac{8,8236}{\pi}} = 15,93 \text{ Zoll};$$

und wenn man die Anzahl der Arme  $n = 6$  und das Dimensionsverhältniß  $m = \frac{2}{3}$  nimmt, die Armdicke

$$h = \sqrt[3]{\frac{d}{m n}} = \sqrt[3]{\frac{d}{4}} = 0,630 \cdot 15,93 = 10,04 \text{ Zoll},$$

und die Armbreite  $b = \frac{2}{3} \cdot 10,04 = 6,69 \text{ Zoll}$ .

Anmerkung. So nützlich auch ein Schwungrad als Bewegungsregulator und Kraftconservator ist, so bietet es auch den Vortheil dar, daß es durch seine Zapfenreibung einen nicht unbeträchtlichen Theil des Leistungsvermögens der Maschine verzehrt. Dieser Arbeitsverlust ist nach II., §. 127,

$$L_1 = 0,00015 \varphi u \sqrt[3]{G^3}$$

zu setzen, wenn  $G$  das Gewicht des Rades,  $u$  die Umdrehungszahl desselben pro

Minute und  $\phi$  den Reibungscoefficienten bezeichnet. Für das Schwungrad im letzten Beispiele ist hiernach

$$L_1 = 0,00015 \cdot 0,075 \cdot 10 \sqrt{32430^3} = 0,0001125 \cdot 4750000 = 534 \text{ Fuß.}$$

d. i. mehr als eine Pferdekraft.

§. 193. Wenn die Kraft oder Last einer Maschine unaufhörlich zufälligen Veränderungen ausgesetzt ist, so regulirt man den Gang derselben, indem man den Zutritt des arbeitenden Körpers oder Motors, z. B. des Wassers, Dampfes u. s. w., von der Geschwindigkeit abhängig macht, so daß mit einer Zu- oder Abnahme der Geschwindigkeit eine Verminderung oder Vergrößerung der arbeitenden Masse verbunden ist und daher jene Zu- oder Abnahme eine gewisse Grenze nicht überschreiten kann. Die Vorrichtungen, wodurch eine solche Regulirung des Motors bewirkt wird, kann man im Allgemeinen Gouvernatores (franz. gouverneurs, engl. governors) nennen. Einer der vorzüglichsten Gouvernatores ist das conische Pendel oder der Centrifugal- oder Schwungkugel-Regulator (franz. pendule conique, régulateur à force centrifuge, engl. conical pendulum, governor of Watt). Derselbe besteht in der Hauptsache aus einer umlaufenden stehenden Welle oder Spindel  $CD$ ,

Conisches  
Pendel.

Fig. 388.

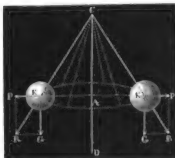


Fig. 388, und aus zwei Kugeln, den sogenannten Schwungkugeln  $K, K'$ , welche durch Arme  $CK, CK'$  und Ebnieren  $C, C'$  mit der erstern verbunden sind und sich in Folge der Umdrehung der Welle von dieser entfernen, so daß sie sich selbst in einem Kreise, und ihre Arme in einem Kegelmantel um die Ase  $CD$  herumdrehen.

Die Stellung der Kugeln gegen die Umdrehungsaxe ist durch

das Gleichgewicht zwischen dem Gewichte  $G$  und der Centrifugalkraft  $P$  derselben bedingt, welches eintritt, sowie die Mittelkraft aus  $G$  und  $P$  in der Richtung des Armes  $CK$  zieht, und daher  $R$  von dem Aufhängepunkte  $C$  aufgenommen wird. Die Aehnlichkeit der Dreiecke  $CAK$  und  $K'GH$  giebt uns die Proportion

$$\frac{CA}{KA} = \frac{KG}{RG};$$

bezeichnen wir folglich noch den Abstand  $AK$  der Kugelmittelpunkte von der Umdrehungsaxe, oder den Halbmesser des conischen Pendels, durch  $r$ , und den senkrechten Abstand  $CA$  der Kugeln von ihrem Aufhängepunkte  $C$ ,

Conisches  
Pendel.oder die sogenannte Höhe des conischen Pendels, durch  $h$ , so haben wir

$$\frac{h}{r} = \frac{G}{P}.$$

Nun ist aber nach I., §. 246, die Centrifugalkraft  $P = \omega^2 Mr = \frac{\omega^2 Gr}{g}$ , wofern  $\omega$  die Winkelgeschwindigkeit des umlaufenden Pendels bezeichnet; daher haben wir hier

$$\frac{h}{r} = \frac{Gg}{\omega^2 Gr} = \frac{g}{\omega^2 r}, \text{ d. i.}$$

$$h = \frac{g}{\omega^2}.$$

Führen wir noch statt  $\omega$  die Zeit  $t$  einer Umdrehung ein, setzen wir also  $\omega = \frac{2\pi}{t}$ , so erhalten wir die Höhe des conischen Pendels,

$$h = \frac{g t^2}{4 \pi^2} = 0,7916 t^2 \text{ Fuß,}$$

und umgekehrt die Umdrehungszeit

$$t = 2\pi \sqrt{\frac{h}{g}} = 1,124 \sqrt{h} \text{ Secunden.}$$

Es wächst also die Umdrehungszeit oder die Zeit eines Pendelspielles wie die Quadratwurzel aus der Höhe des conischen Pendels, und es hängt diese Zeit nur von dieser Höhe ab. Bei dem gemeinen Kreispendel, welches in einer Vertikalebene schwingt, ist nach I., §. 261, die Zeit einer Schwingung bei kleiner Elongation:

$$t = \pi \sqrt{\frac{l}{g}},$$

wo  $l$  die Länge des Pendels bezeichnet.

Es ist also die Zeit eines Spieles, oder die Zeit, innerhalb welcher ein Pendel zu demselben Orte zurückkehrt, für beide Pendel durch gleichgeformte Ausdrücke

$$t = \pi \sqrt{\frac{h}{g}} \text{ und } t = \pi \sqrt{\frac{l}{g}}$$

bestimmt, und folglich die Schwingungszeit beider Pendel eine und dieselbe, wenn die Höhe  $h$  des einen gleich ist der Länge  $l$  des anderen.

§. 194. Die einfache Formel  $h = \frac{g}{\omega^2} = \frac{g t^2}{4 \pi^2}$  zeigt, daß die Höhe  $h$  des conischen Pendels abnimmt, also die Kugeln desselben steigen, wenn die Winkelgeschwindigkeit  $\omega$  desselben eine größere wird, und daß dagegen die Höhe  $h$  desselben zunimmt, oder die Kugeln fallen, wenn diese Geschwindigkeit schwächer wird. Setzt man folglich die stehende Welle dieses

Regulators so mit einer arbeitenden Maschine in Verbindung, daß sie an der rotirenden Bewegung derselben in allen ihren Phasen mit Theil nimmt, so werden also auch die Kugeln zu steigen anfangen, wenn die Maschine aus einer gewissen mittleren Geschwindigkeit in eine größere übergeht, und sie werden umgekehrt herabsinken, sowie die Geschwindigkeit der Maschine eine kleinere wird. Es ist folglich ein solcher Apparat ein Zeiger, welcher durch die Stellung seiner Kugeln die Geschwindigkeit der arbeitenden Maschine anzeigt, und wornach also auch der Zutritt des Motors regulirt werden kann. Um dieses Reguliren nicht mit der Hand machen zu müssen, bedarf es nur noch einer Verbindung der Schwungkugeln mit demjenigen Theile der arbeitenden Maschine, durch welchen der Zufluß des Motors unmittelbar regulirt wird, der z. B. bei den Dampfmaschinen in der sogenannten Admissionsklappe (einem Drosselventile), und bei den Wasserrädern in einem Schubrette besteht.

Conisches  
Pendel.

Nimmt dann, entweder in Folge einer Vergrößerung der Kraft oder in Folge der Verminderung der Last, die Maschine und also auch der Regulator eine größere Umdrehungsgeschwindigkeit an, so heben sich die Schwungkugeln des letzteren um Etwas und stellen die Zutrittsklappe oder Schüße mittels Stangen, Hebel u. s. w. so, daß die Zutrittsöffnung, und also auch die Menge des zufließenden Motors eine kleinere und folglich der weiteren Zunahme der Umdrehungsgeschwindigkeit eine Grenze gesetzt wird; geht umgekehrt, entweder bei Abnahme der Kraft oder bei Zunahme der Last, die Geschwindigkeit der Maschine in eine kleinere über, so sinken die Schwungkugeln und stellen die Admissionsklappe oder Schüße so, daß der Querschnitt der Zuflußöffnung und also auch das Quantum des zufließenden Motors größer und folglich auch das Arbeitsvermögen der Maschine vergrößert wird, und daher die Geschwindigkeit entweder wieder steigt oder mindestens nicht noch weiter sinkt.

Ist die Kraft zum Stellen des Admissionsapparates, wie z. B. die zum Ziehen eines Schubrettes, ziemlich groß, so erfordert diese sehr große Schwungkugeln, und deshalb zieht man es dann vor, die Schwungkugeln nur zum Umsteuern eines Apparates zu benutzen, durch welchen der Admissionsapparat mit der arbeitenden Maschine so in Verbindung gesetzt wird, daß diese Maschine die Zuflußklappe oder Schüße selbst stellt.

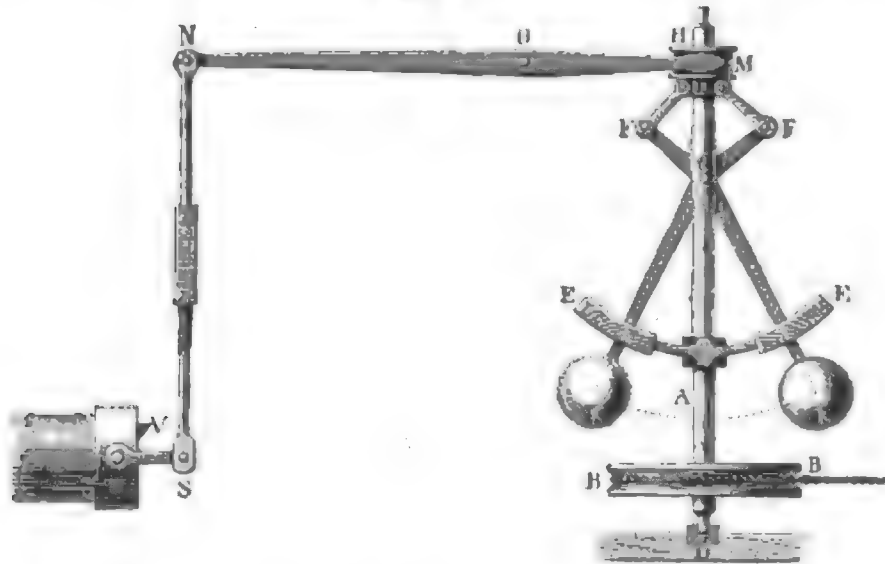
§. 195. Wie das conische Pendel mit einer Dampfmaschine in Verbindung gesetzt wird, ist zwar schon aus den Figuren 487 und 516 zu den Paragraphen 335 und 348 des zweiten Theiles zu ersehen, es ist aber nöthig, daß wir hier noch specieller in die Beschreibung dieses Apparates und seiner Verbindung mit der arbeitenden Maschine eingehen.

Die Einrichtung eines Centrifugalregulators zum Stellen der Admis-

Construiren  
Pendel.

sionsklappe einer Dampfmaschine ist aus Figur 389 zu ersehen. Die stehende Welle  $CD$  ist mit einer Schnurscheibe  $BB$  ausgerüstet, um die sich

Fig. 389.



eine Schnur ohne Ende wickelt, die zugleich auf der Schwungradwelle der Maschine liegt und den Regulator in Umdrehung versetzt. Die um den Bolzen  $C$  drehbaren Arme  $CK$ ,  $CK$  sind von den Seitenbacken eines Bügels  $EE$  eingeschlossen, welcher nicht allein dem Ausschwingen der Kugeln  $K$  und  $K$  eine Grenze setzt, sondern auch die Bewegung derselben in der Vertikalebene durch  $CD$  sichert. Bei der Einrichtung des abgebildeten Regulators ist über das genau abgedrehte obere Ende der stehenden Welle eine Hülse  $H$  gesteckt, welche durch Stäbe  $FL$ ,  $FL$  auf- und niedergeschoben werden kann, die mittels Charniere an diese Hülse und an die rückwärts verlängerten Armenden  $CF$ ,  $CF$  angeschlossen sind. Den Hals der Hülse  $H$  umfaßt das gabelförmige Ende eines um  $O$  drehbaren Hebels  $MON$ , der mit dem Arme oder Schlüssel  $ST$ , wodurch die Klappe  $V$  um ihre Axe gedreht werden kann, durch eine Stange  $NS$  verbunden ist. Leicht ist einzusehen, wie mit dem Sinken und Steigen der Kugeln  $K$  und  $K$  ein Sinken und Steigen der Hülse  $H$  und hiermit wieder eine die Durchgangsöffnung des Dampfes verkleinernde oder vergrößernde Stellung der Klappe  $V$  verbunden ist.

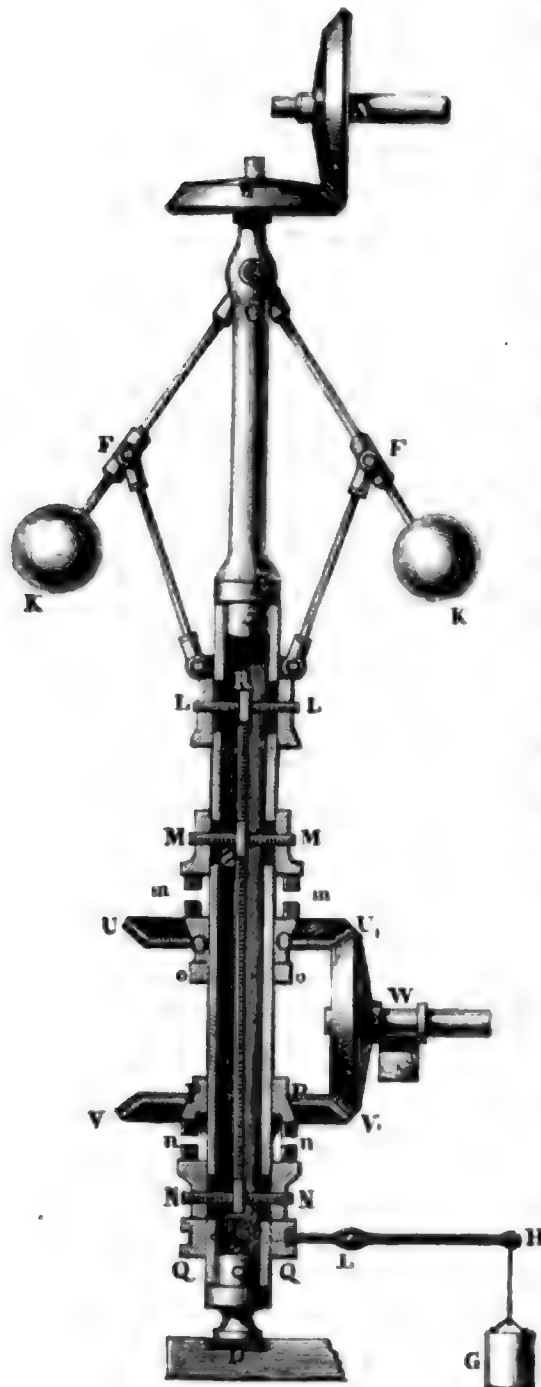
Ein Centrifugalregulator zum Stellen der Schütze eines Wasserrades ist in Figur 390 (auf nebenstehender Seite) abgebildet. Die stehende Welle  $BD$  desselben wird hier durch ein Räderwerk  $AB$  in Umdrehung gesetzt und besteht zum großen Theil aus einer Röhre  $DT$ , welche außen genau abgedreht ist, so daß sich auf deren Umfang nicht allein die



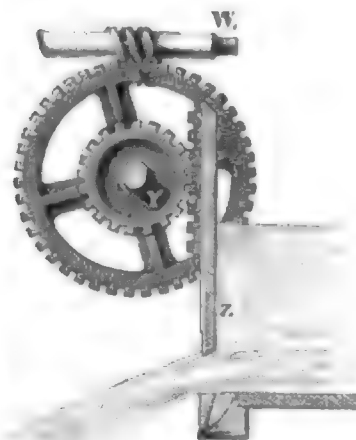
Muffe *LL*, *MM* und *NN* ungehindert verschieben, sondern auch andere Muffe *OO*, *PP* und *QQ* frei umdrehen lassen. Der oberste Muff *LL*

Genüßes  
Vendel.

Fig. 390.



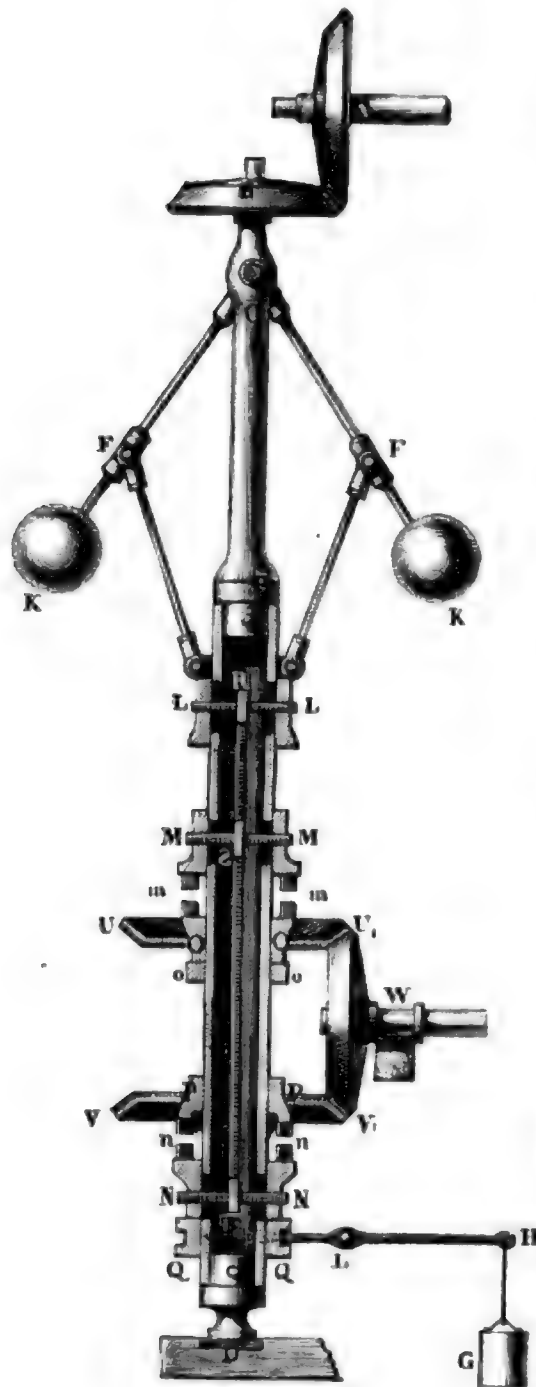
ist mittels der Stäbe *FL*, *FL* an die um den Bolzen *C* drehbaren Schwungkugelarme *CK*, *CK* angehängt, und muß deshalb mit den Schwungkugeln *K*, *K* steigen und fallen. Die beiden Muffe *MM* und *NN* sind mit dem ersteren durch drei Querstäbe, *R*, *S*, *T* und einer Stange *RST* im Innern des röhrenförmigen Theiles der stehenden Welle verbunden, und die letztere ist an den Stellen, wo diese Muffe aufliegen, geschliffen, damit sie den durchgesteckten Querbolzen und also auch dem ganzen Muffensysteme beim Auf- und Niederschieben kein Hinderniß in den Weg legt. Um dieses Verschieben durch die Schwungkugeln möglichst zu erleichtern, läßt man die ganze Mufferverbindung durch ein Gegengewicht *G* tragen,



Goussches  
Feudel.

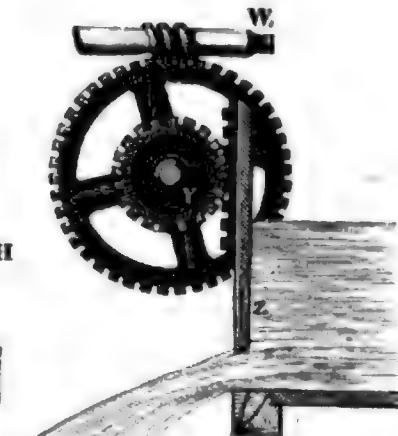
welches mittels eines Hebels  $QH$  und einer Hülse  $QQ$  von unten auf den Muff  $NN$  brückt. Die Muffe  $OO$  und  $PP$  stehen für gewöhnlich

Fig. 391.



mit dem ersteren Muffsysteme nicht in Verbindung; sie ruhen auf zwei Kränzen  $oo$  und  $pp$ , welche auf dem Wellenumfange fest aufsitzen, und bilden die Hüllen zweier conischen Zahnräder  $UU_1$  und  $VV_1$ , zwischen welchen ein drittes conisches Rad  $U_1 V_1$  liegt, das auf der horizontalen Kraftwelle  $WW_1$  einer Schraube ohne Ende  $X$  aufsitzt. Auf der Lastwelle der letzteren sitzt außer dem größeren Krastrade noch ein kleineres Lastrad  $Y$ , dessen Zähne eine gezahnte Stange ergreifen, welche auf dem Schubrette feststeht, wodurch der Zufluß des Aufschlagwassers regulirt wird.

Bei der Stellung, welche die Figur darstellt, läuft die stehende Welle um, ohne mittel eines der Räder  $UU_1$ ,



und  $VV_1$  u. s. w. auf den Schußapparat zu wirken. Nimmt aber die stehende Welle eine größere Umdrehungsgeschwindigkeit an und wird hierbei die Muffverbindung  $LMN$  von den Schwungkugeln gehoben, so greift die nach Art der Sperrräder (s. S. 160) gezahnte Stirn  $nn$  des Muffes  $NN$  in die ebenso gezahnte Grundfläche der Hülse  $PP$  und es wird nun diese Hülse gezwungen, mit dem Muffe  $NN$  und mit der stehenden Welle umzulaufen. Da die Hülse  $PP$  mit dem Rade  $VV_1$  ein Ganzes bildet, so gelangt nun auch dieses und folglich auch der ganze Mechanismus  $WXYZ$  in Bewegung, wobei das Schub Brett herabsinkt, und folglich das Aufschlagquantum vermindert, also auch dem weiteren Wachsen der Geschwindigkeit der Maschine eine Grenze gesetzt wird. Läuft umgekehrt die stehende Welle zu langsam um, so wird das Muffsystem  $LMN$  von dem Schwungkugelapparat herabgeschoben, und es kommt nun die gezahnte Grundfläche  $mm$  des Muffes  $MM$  mit dem gezahnten Scheitel der Hülse  $OO$  zum Eingriff, so daß nun das Zahnrad  $UU_1$  umzulaufen genöthigt wird, und die Welle  $WW_1$  in die umgekehrte Umdrehungsbewegung geräth. Hierbei muß natürlich die Schütze steigen und die Ausflußmenge, und folglich auch die Umrtriebskraft wachsen, und ebenso auch die Umdrehungsgeschwindigkeit wieder zunehmen, oder mindestens nicht noch weiter herabsinken.

Es ist übrigens nicht nöthig, die Welle  $WW_1$  durch den Regulator in Umdrehung zu setzen; man kann auch die Räder  $UU_1$  und  $VV_1$  mit einer besonderen Welle versehen, welche durch die arbeitende Maschine unmittelbar in Umdrehung gesetzt wird.

Um die Empfindlichkeit des Centrifugalregulators so viel wie möglich zu erhöhen, ist es übrigens nöthig, die Regulirungsklappe oder Schütze durch ein Gegengewicht zu äquilibriren, so daß die Kraft zur Bewegung derselben rück- und vorwärts nur in dem passiven Widerstande der Reibung besteht.

§. 196. Wegen des unvermeidlichen Widerstandes, welcher bei der Bewegung des Muffes durch die Schwungkugeln zu überwinden ist, können sich diese Kugeln nicht bei jeder beliebig kleinen Geschwindigkeitsveränderung heben oder senken, sondern es muß dieselbe erst bis zu einer gewissen Größe anwachsen, bei welcher die Zu- oder Abnahme der Centrifugalkraft hinreichend ist, den passiven Widerstand des Muffes zu überwinden. Deshalb ist es denn auch nöthig, daß die Schwungkugeln des Regulators ein diesem Widerstande des Muffes angemessenes Gewicht erhalten.

Die Centrifugalkraft einer Kugel ist

$$P = \omega^2 Mr, \text{ und geht in} \\ P_1 = \omega_1^2 Mr$$

Genäherter  
Bauzel.

über, wenn sich die Winkelgeschwindigkeit  $\omega$  in  $\omega_1$  umändert. Die der Geschwindigkeitsveränderung  $\omega_1 - \omega$  entsprechende Kraftveränderung ist folglich

$$\begin{aligned}\Delta P &= P_1 - P = (\omega_1^2 - \omega^2) Mr = (\omega_1 - \omega) (\omega_1 + \omega) Mr \\ &= \delta \left( \frac{\omega_1 + \omega}{2} \right)^2 Mr, \text{ oder annähernd}\end{aligned}$$

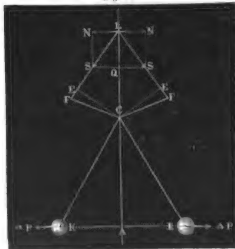
$$\Delta P = \delta \omega^2 Mr,$$

wenn  $\delta$  wie seither, den zulässigen Grad der Ungleichförmigkeit im Gange der Maschine bezeichnet.

Der Widerstand  $Q$  des Ruffes erfordert zu seiner Ueberwindung eine Stangentkraft  $LS = S$ , Fig. 392, welche an einem Hebelarme  $CE = \overline{CL} \sin. CLE$  wirkt, während die bewegende Kraft  $\Delta P$  den Hebelarm

Fig. 392.

$CA = h$  hat. Sehen wir den Winkel  $CLF$ , welchen bei der mittleren Stellung der Schwungkugeln die Ruffträger  $FL$  mit der Ase  $AL$  der stehenden Welle einschließen,  $= \beta$ , und den Abstand des Ruffes  $L$  von dem Aufhängepunkte  $C$  der Kugeln, bei der mittleren Stellung der Kugeln und mittleren Geschwindigkeit der Maschine,  $= l$ , so haben wir das Moment des Ruffwiderstandes



$$S \cdot \overline{CL} \cdot \sin. CLE = \frac{Ql \sin. \beta}{\cos. \beta} = Ql \tan. \beta,$$

und setzen wir dasselbe dem Momente

$$\Delta P \cdot h = \delta \omega^2 Mrh = \delta Gr$$

gleich, so erhalten wir folgende einfache Formel für das Gewicht beider Schwungkugeln zusammen

$$G = \frac{Ql \tan. \beta}{\delta r},$$

also für das Gewicht einer Kugel

$$\frac{1}{2} G = \frac{Ql \tan. \beta}{2 \delta r}.$$

Diese Formel gilt auch dann noch, wenn, wie in Figur 391, die Muff Centrifugal  
Hebel. unmittelbar an den Kugelarmen  $CK$  hängen.

Es wächst also das Gewicht der Schwungkugeln nicht allein mit dem Widerstande des Muffes, sondern auch mit dem mittleren Abstände  $CL = l$  des Muffes von dem Aufhängepunkte der Kugeln und mit dem Winkel, um welchen die Arme der Muffträger von der Axe der Spindel abweichen, und kann dagegen um so kleiner gemacht werden, je größer der mittlere Abstand der Schwungkugeln von der Umdrehungsaxe und je größer der geforderte Grad der Ungleichförmigkeit ist. Da aber dem Principe der virtuellen Geschwindigkeiten zu Folge, der Weg  $s$  des Muffes mit dem Gewichte der Kugeln wächst, und die Stellung der Dampfsklappe u. s. w. erfordert, daß dieser Weg eine gewisse Größe habe, so muß man den Regulator so anordnen, daß die Schwungkugeln nicht zu leicht ausfallen.

Das gewöhnliche Gewicht einer Schwungkugel für Dampfmaschinenregulatoren ist 20 bis 40 Pfund.

Beispiel. Wenn bei einem Schwungkugelregulator die Kraft zum Verschieben des Muffes  $Q = 10$  Pfund, das Längenverhältniß  $\frac{l}{r} = \frac{1}{2}$ , der Ungleichförmigkeitsgrad  $\delta = \frac{1}{20}$  und der Winkel  $\beta = 30$  Grad beträgt, so ist das entsprechende Gewicht einer Schwungkugel

$$\frac{1}{2} G = \frac{Q l \tan \beta}{2 \delta r} = \frac{10 \cdot 1 \cdot \tan 30^\circ}{2 \cdot \frac{1}{20} \cdot 2} = 50 \cdot 0,5774 = 28,87 \text{ Pfund.}$$

§. 197. Um die Hebel- oder Räderwerke des Regulirungsapparates anordnen zu können, ist es nothwendig, den ganzen Weg des Muffes auf der Spindel, während die Schwungkugeln aus ihrer tiefsten Lage in ihre höchste Lage gelangen, zu kennen. Sind  $\beta_1$  und  $\beta_2$  die Neigungswinkel der Muffträger, sowie  $\varepsilon_1$  und  $\varepsilon_2$  die der Arme derselben gegen die Spindelaxe  $AL$  (Figur 392) beim tiefsten und beim höchsten Stande der Schwungkugeln, und bezeichnen wir die Länge  $LF$  eines Muffträgers mit  $b$ , die eines Armes  $CF$  aber mit  $e$ , so haben wir für die ganze Verschiebung des Muffes:

$$s = b (\cos. \beta_1 - \cos. \beta_2) + e (\cos. \varepsilon_1 - \cos. \varepsilon_2) \text{ oder}$$

$$s = \frac{b}{2} \sin. \left( \frac{\beta_2 + \beta_1}{2} \right) \sin. \left( \frac{\beta_2 - \beta_1}{2} \right) + \frac{e}{2} \sin. \left( \frac{\varepsilon_2 + \varepsilon_1}{2} \right) \sin. \left( \frac{\varepsilon_2 - \varepsilon_1}{2} \right).$$

Die Winkel  $\beta_1$ ,  $\beta_2$ ,  $\varepsilon_1$  und  $\varepsilon_2$  hängen auch noch von den entsprechenden Werthen des Winkels  $KCA$  ab, welchen die Kugelarme  $CK$  mit der Spindelaxe  $CA$  bilden. Sehen wir diese Winkelwerthe  $\alpha_1$  und  $\alpha_2$  und bezeichnen wir die Armlänge  $CK$  selbst durch  $a$ . Damit beim tiefsten Kugelstande der kleinste Zuwachs an Umdrehungsgeschwindigkeit ein Heben und also auch eine Verminderung der Zutrittsöffnung bewirke, muß das Moment der Centrifugalkraft gleich sein dem des Kugelgewichtes plus dem

Centrifugal-  
Pendel.

Momente des passiven Muffwiderstandes; und damit beim höchsten Kugelstande die kleinste Verminderung der Umdrehungsgeschwindigkeit eine Senkung der Kugeln und also auch eine Vergrößerung der Klappenmündung zur Folge habe, muß das Moment der Centrifugalkraft um das Moment des Muffwiderstandes kleiner sein, als das des Kugelgewichtes. Diesem zu Folge können wir also setzen:

$$\omega^2 \frac{G}{g} a^2 \sin. \alpha_1 \cos. \alpha_1 = G a \sin. \alpha_1 + Q e \sin. (\beta_1 + \varepsilon_1) \text{ und}$$

$$\omega^2 \frac{G}{g} a^2 \sin. \alpha_2 \cos. \alpha_2 = G a \sin. \alpha_2 - Q e \sin. (\beta_2 + \varepsilon_2).$$

Damit umgekehrt bei der tiefsten Kugelstellung die Abnahme der Geschwindigkeit  $\omega$  um  $\frac{1}{2} \delta \omega$  eine Senkung der Kugeln hervorbringe, muß die entsprechende Verminderung des Centrifugalmomentes gleich sein dem doppelten Momente des Muffwiderstandes, d. i.

$$\delta \omega^2 \frac{G}{g} a^2 \sin. \alpha_1 \cos. \alpha_1 = 2 Q e \sin. (\beta_1 + \varepsilon_1),$$

und damit bei der höchsten Kugelstellung eine Zunahme der Geschwindigkeit  $\omega$  um  $\frac{1}{2} \delta \omega$  ein Steigen der Kugeln bewirke, muß die entsprechende Vergrößerung des Centrifugalmomentes gleich sein dem doppelten Momente des Muffwiderstandes, d. i.

$$\delta \omega^2 \frac{G}{g} a^2 \sin. \alpha_2 \cos. \alpha_2 = 2 Q e \sin. (\beta_2 + \varepsilon_2).$$

Verbinden wir nun vorstehende Gleichungen mit einander, so erhalten wir die Gleichungen:

$$(1 - \frac{1}{2} \delta) \omega^2 a \cos. \alpha_1 = g \text{ und } (1 + \frac{1}{2} \delta) \omega^2 a \cos. \alpha_2 = g,$$

woraus nun die gesuchten Winkel der Kugelstellung folgen.

$$1) \cos. \alpha_1 = \frac{g}{\left(1 - \frac{\delta}{2}\right) \omega^2 a} = \frac{h}{\left(1 - \frac{\delta}{2}\right) a} = \frac{\cos. \alpha}{1 - \frac{1}{2} \delta} \text{ und}$$

$$2) \cos. \alpha_2 = \frac{g}{\left(1 + \frac{\delta}{2}\right) \omega^2 a} = \frac{h}{\left(1 + \frac{\delta}{2}\right) a} = \frac{\cos. \alpha}{1 + \frac{1}{2} \delta},$$

wosern  $h$  die Höhe und  $\alpha$  den Elongationswinkel für die mittlere Kugelstellung bezeichnen.

Ist  $\Theta$  der Winkel  $KCF$ , welcher von den Armen  $CF$  und  $CK$  des Kugelhebels gebildet wird, so haben wir für die Winkel, um welche  $CF$  von der Spindelaxe abweicht, in einem Falle:

$$3) \varepsilon_1 = 180^\circ - \Theta + \alpha_1, \text{ und im anderen}$$

$$4) \varepsilon_2 = 180^\circ - \Theta + \alpha_2.$$



Aus diesen Winkeln folgen nun auch die Werthe des Winkels  $FLC$ , Centrifugal-Hebel. welchen die Muffsträger mit der Spindelaxe bilden, durch

$$5) \quad \sin. \beta_1 = \frac{e}{b} \sin. \varepsilon_1 \text{ und}$$

$$6) \quad \sin. \beta_2 = \frac{e}{b} \sin. \varepsilon_2.$$

Nun berechnet sich auch die ganze Verschiebung des Muffes:

$$7) \quad s = b (\cos. \beta_1 - \cos. \beta_2) + e (\cos. \varepsilon_1 - \cos. \varepsilon_2).$$

Endlich das erforderliche Gewicht der Schwungkugeln ist durch die Dreysegleichung

$$8) \quad G = \frac{g e Q \sin. (\beta_1 + \varepsilon_1)}{\delta \omega^2 a^2 \sin. \alpha_1 \cos. \alpha_1} = \frac{g e Q \sin. (\beta_2 + \varepsilon_2)}{\delta \omega^2 a^2 \sin. \alpha_2 \cos. \alpha_2}$$

gegeben, weshalb überdies noch der Gleichung

$$\frac{\sin. (\beta_1 + \varepsilon_1)}{\sin. \alpha_1 \cos. \alpha_1} = \frac{\sin. (\beta_2 + \varepsilon_2)}{\sin. \alpha_2 \cos. \alpha_2}, \text{ oder}$$

$$\frac{\sin. (\beta_1 + \varepsilon_1)}{\sin. (\beta_2 + \varepsilon_2)} = \frac{\sin. 2 \alpha_1}{\sin. 2 \alpha_2}$$

durch Auswahl des Winkels  $\Theta$  Genüge zu leisten ist.

Nimmt man  $\Theta = 180^\circ$ , macht man also die Hebel gerade und überdies  $b = e$ , so hat man

$$\beta_1 = \varepsilon_1 = \alpha_1 \text{ und}$$

$$\beta_2 = \varepsilon_2 = \alpha_2, \text{ folglich auch}$$

$$\sin. (\beta_1 + \varepsilon_1) = \sin. 2 \alpha_1, \text{ sowie } \sin. (\beta_2 + \varepsilon_2) = \sin. 2 \alpha_2,$$

und es ist also bei dieser Anordnung der letzten Bedingungs-gleichung Genüge gethan.

Uebrigens ist in diesem Falle das Kugelgewicht

$$G \text{ auch} = \frac{g e Q \sin. (\beta + \varepsilon)}{\delta \omega^2 a^2 \sin. \alpha \cos. \alpha} = \frac{2 e Q \cos. \alpha}{\delta a}$$

zu setzen, wenn  $\beta$  und  $\varepsilon$  der mittleren Kugelstellung entsprechen.

Wegen der Kleinheit des Werthes  $\delta$  werden, den Gleichungen (1) und (2) zu Folge, die Winkel  $\alpha_1$  und  $\alpha_2$  nicht sehr von einander abweichen, können also auch die Kugeln nur in einem kleinen Bogen auf- und niedersteigen und die Hülse nur wenig verschieben.

Beispiel. Für einen Centrifugalregulator mit dem mittleren Elongationswinkel  $\alpha = 25^\circ$  und dem Ungleichförmigkeitsgrade  $\delta = \frac{1}{100}$  ist

$$\cos. \alpha_1 = \frac{\cos. \alpha}{1 - \frac{1}{2} \delta} = \frac{\cos. 25^\circ}{1 - \frac{1}{200}} \text{ und } \cos. \alpha_2 = \frac{\cos. \alpha}{1 + \frac{1}{2} \delta} = \frac{\cos. 25^\circ}{1 + \frac{1}{200}}$$

hiernach  $\alpha_1 = 21^\circ, 38'$  und  $\alpha_2 = 27^\circ, 51'$ .

Nimmt man nun noch  $\Theta = 180^\circ$  und  $b = e$ , also  $\beta_1 = \varepsilon_1 = \alpha_1$  und  $\beta_2 = \varepsilon_2 = \alpha_2$ , sowie  $\beta = \varepsilon = \alpha$ , so hat man die ganze Verschiebung des Muffes

$$s = 2 b (\cos. \alpha_1 - \cos. \alpha_2) = 0,09078 b.$$

Ist die mittlere Umdrehungszahl des Regulators pro Minute  $n = 40$ , so hat man die Winkelgeschwindigkeit desselben

$$\omega = \frac{\pi n}{30} = 3,1416 \cdot \frac{40}{30} = 4,1888 \text{ Fuß.}$$

daher die mittlere Höhe des conischen Pendels

$$h = \frac{g}{\omega^2} = \frac{31,25}{(4,1888)^2} = 1,7810 \text{ Fuß.}$$

und die Armlänge desselben

$$a = \frac{h}{\cos. \alpha} = \frac{1,7810}{\cos. 25^\circ} = 1,9651 \text{ Fuß.}$$

Nimmt man nun noch  $b = e = 1,5$  Fuß, so erhält man

$$s = 0,09078 \cdot 1,5 = 0,13617 \text{ Fuß} = 1,634 \text{ Zoll.}$$

und das Gewicht einer Kugel

$$G = \frac{e Q \cos. \alpha}{s a} = \frac{1,5 \cos. 25^\circ}{\frac{1}{30} \cdot 1,9651} \cdot Q = 13,836 Q,$$

oder für  $Q = 10$  Pfund:

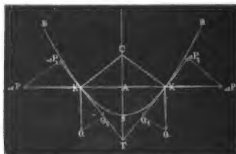
$$G = 138,36 \text{ Pfund.}$$

Verstellbarer  
Centrifugal-  
regulator.

§. 198. Es ist ein großer Uebelstand des im Vorstehenden kennen ge-  
lehrten Centrifugalregulators von Watt, daß er nur innerhalb einer sehr  
kleinen Ruffverschiebung vollständig, oder vielmehr bis auf einen kleinen  
Grad der Ungleichförmigkeit zu reguliren vermag. Die Ursache desselben

ist darin begründet, daß die Winkelgeschwindigkeit  $\omega = \sqrt{\frac{g}{h}}$  für die  
verschiedenen Kugelstellungen nicht einerlei ist, sondern immer mehr ab-  
nimmt, je größer die Höhe  $h$  des conischen Pendels ist. Um daher ein  
bei allen Kugelstellungen gleichmäßig regulirendes Centrifugal-Pendel zu  
erhalten, müßte man dasselbe nicht in einem Punkte  $C$  aufhängen, son-  
dern seine Kugeln in einer Curve zu steigen oder zu fallen nöthigen, bei  
welcher  $h$  eine constante Größe ist. Die Höhe  $h$  ist bei einer Curve  $KSA$ .  
Fig. 393, nichts weiter als die Subnormale  $CA$ , folglich hat man

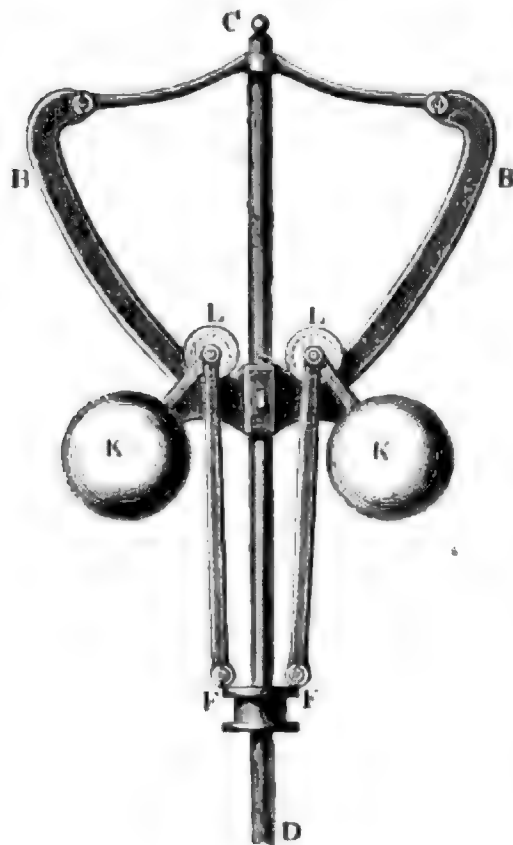
Fig. 393.



es hier mit derjenigen Curve zu thun, deren Subnormale constant ist. Diese Curve ist aber die gemeine Parabel (s. den Ingenieur, S. 242), und folglich hat man also auch die Schwungkugeln nicht in einem Kreisbogen, sondern in einem Parabelbogen *BSB* steigen und fallen zu lassen. Einen solchen Apparat hat zuerst Herr G. Ad. Franke construirt, und derselbe den Namen »parabolischer Centrifugalregulator« erhalten.

Die einfachste Einrichtung eines solchen Regulators zeigt Fig. 394. Die Schwungkugeln *K, K* sind mittels Gabeln *KL* an die Axen von

Fig. 394.



Rollen *L, L* aufgehangen, welche mit ihren Spuren im Innern der Bögen *SB, SB* fortrollen können. An die Axen dieser Rollen sind zugleich auch die Muffträger *LF, LF* aufgehangen, und es ist nun leicht zu ermessen, wie bei der Umdrehung der Spindel *CD* der Muff mittels der Rollen *LL* von der Centrifugalkraft der Kugeln auf einer gewissen Höhe erhalten und bei Veränderung der Umdrehungsgeschwindigkeit von *CD* aufgehoben oder niedergeschoben werden kann. Da es natürlich darauf ankommt, daß der Schwerpunkt einer jeden Schwungkugel in der Parabel auf- und niedersteige, so muß die Leitcurve oder innere Seite der Bögen *SB, SB* nach

einer Aequidistanten zur Parabel geformt werden, welche an allen Stellen um eine und dieselbe Größe von dieser absteht (s. III., §. 67). Da die Subnormale einer Parabel gleich ist dem halben Parameter derselben, so hat man natürlich den letzteren  $p = 2h = \frac{2g}{\omega^2}$ , s. B.

für  $u = 40$ ,  $p = 2h = 42,76$ , für  $u = 50$ ,  $p = 2h = 27,36$ ,  
und für  $u = 60$ ,  $p = 2h = 19,00$  Zoll.

THE  
JOURNAL OF THE  
ROYAL ANTHROPOLOGICAL INSTITUTE



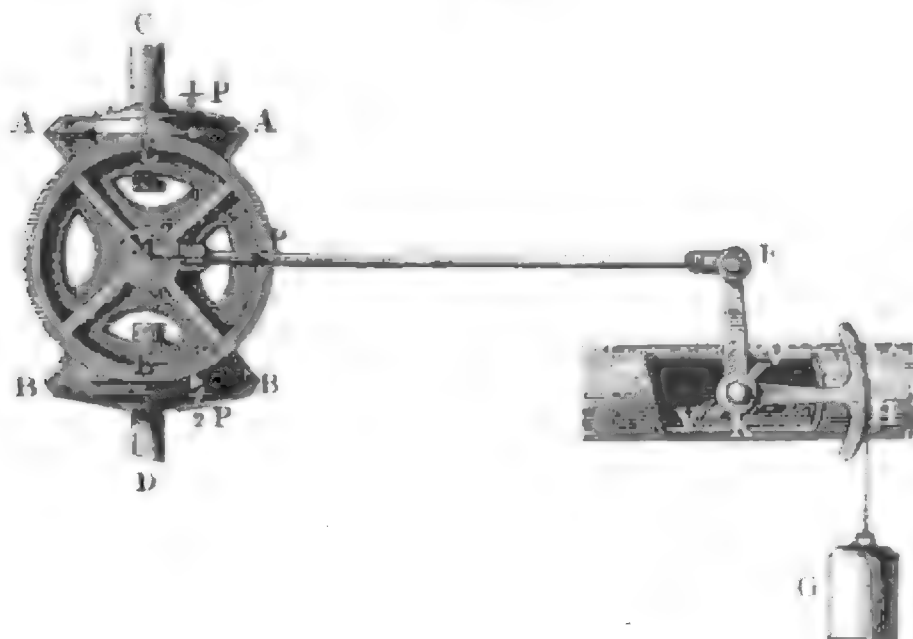
THE  
JOURNAL OF THE  
ROYAL ANTHROPOLOGICAL INSTITUTE

THE  
JOURNAL OF THE  
ROYAL ANTHROPOLOGICAL INSTITUTE

§. 199. Wenn man die Umdrehungsbewegung des einfachen Watt'schen Centrifugalregulators nicht von der Bewegung der arbeitenden Maschine abhängig macht, so erhält man in ihm ebenfalls einen weit vollkommeneren Regulirungsapparat. Differenzialregulator.

Auf diesem Principe beruht der Differenzial-Regulator von Siemens, dessen wesentliche Einrichtung aus Fig. 396 zu ersehen sein möchte. Das conische Rad *AA* wird durch ein auf seiner vertikalen Welle

Fig. 396.



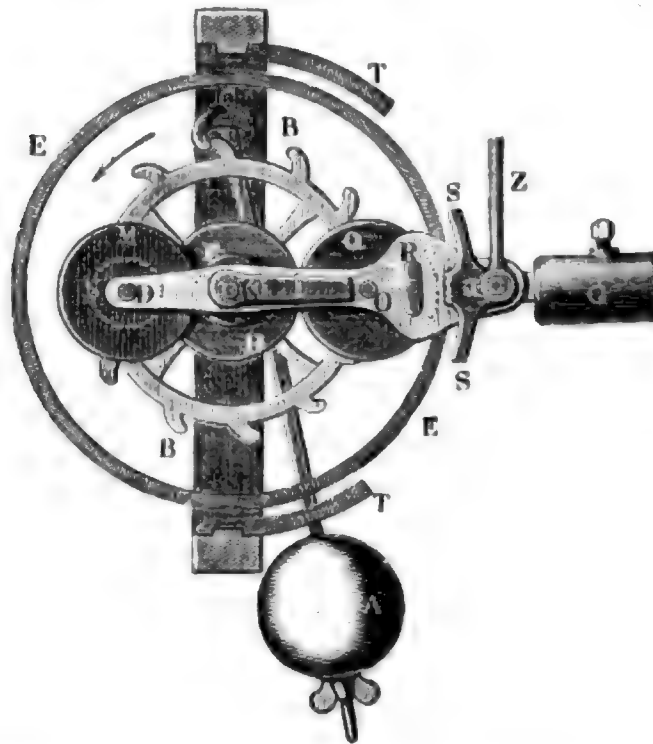
*C* sitzendes conisches Pendel mit sehr großen Schwungkugeln in Umdrehung gesetzt, das conische Rad *BB* hingegen wird mittels seiner stehenden Welle von der arbeitenden Maschine in umgekehrter Richtung umgedreht. Zwischen beiden Rädern *AA* und *BB* ist ein drittes conisches Rad *EE*, dessen horizontale Ase *M* nicht fest liegt, sondern um die vertikale Ase *CD* drehbar ist. An die Ase *M* ist noch eine Zugstange *MF* angeschlossen, welche mittels eines Armes *KF* die Admissionsklappe *VV* ergreift und mittels eines Hebels *FKH* von einem Gegengewichte *G* gespannt wird. Die Kraft *P*, mit welcher die Stange *MF* von *G* angezogen wird, zerlegt sich in zwei gleiche Seitenkräfte  $\frac{1}{2}P$ ,  $\frac{1}{2}P$ , wovon die eine die passiven Widerstände des conischen Pendels überwindet, und die andere von der Umdrehungskraft des Rades *BB*, überwunden wird. Laufen die Räder *AA* und *BB* mit gleichen Geschwindigkeiten in entgegengesetzten Richtungen um, so wirken dieselben wie ein Kräftepaar auf das Rad *EE*, und setzen daher dasselbe, ohne einen Aseindruck hervorzubringen, ebenfalls in Umdrehung. Nimmt hingegen die Umdrehungsgeschwindigkeit von *BB* zu oder ab, so wird, da die Geschwindigkeit von *AA* wegen der Trägheit der schweren Schwungkugeln nur langsam zu- oder abnehmen kann, das

Rad *EE* im Ganzen mit seiner Ase *M* vor- oder zurückgehen, und dabei mittels der Zugstange *MF* das Ventil *VV* so in Bewegung setzen, daß entweder die Eröffnung desselben verkleinert oder vergrößert und folglich dem weiteren Wachsen oder Abnehmen der Geschwindigkeit der Maschine eine Grenze gesetzt wird.

Pendel-  
regulator.

Durch den Pendel-Regulator wird ebenfalls ein vollkommneres Reguliren des Ganges einer Maschine erzielt, als durch den einfachen Watt'schen Schwungkugelregulator. Die wesentliche Einrichtung eines solchen Regulators von Cohen, David und Siama in Paris, ist aus Fig. 397 zu ersehen. Ein gewöhnliches Pendel *CA* ist durch eine Ep-

Fig. 397.



lingerhemmung *C* (s. III., §. 163) mit einem Steigrade *BB* in Verbindung gesetzt. Das letztere ist mittels einer Spiralfeder so an ein innen verzahntes Rad *EE* (die Verzahnung ist hier, wie bei den übrigen Rädern der Einfachheit wegen weggelassen) angeschlossen, daß beide gemeinschaftlich in der Richtung des Pfeiles um die Ase *K* sich umdrehen, während das Pendel hin- und herschwingt. Um die Ase *K* sind noch zwei Zahnrädchen *F* und *H*, sowie zwei Hebel *KL* und *DO* drehbar, von welchen der erstere mit der Zugstange *Z* für die Admissionsklappe verbunden ist. Der letztere trägt noch drei andere Zahnräder *M*, *N*, *Q*, welche



mit den ersteren ein Epicykel-Vorgelege (s. III., §. 155 und §. 156) in der Art bilden, daß *F* mit *M*, *N* mit *H*, *H* mit *Q* und *Q* mit *EE* zum Eingriff kommt. Wird das Rad *F* durch die arbeitende Maschine in Umdrehung gesetzt, so nehmen natürlich auch die Räder *M*, *N*, *H* und *Q* eine Umdrehung um ihre entsprechenden Axen *D*, *K* und *O* an. Hat nun das mit dem Steigrabe *BB* verbundene Zahnrad *EE* dieselbe innere Umfangsgeschwindigkeit wie das in dasselbe eingreifende Zahnrad *Q*, so bleibt der Hebel *DO* mit seinen Radaxen in unveränderter Stellung; nimmt aber die Geschwindigkeit der arbeitenden Maschine, und also auch die der Räder *F*, *M*, *N*, *H* und *Q* zu oder ab, so dreht sich der Hebel *DO* mit seinen Rädern um *K* mit einer der Differenz der Umfangsgeschwindigkeiten von *EE* und *Q* gleichen Geschwindigkeit. Diese Drehung wird mittels eines Bolzens *R*, welcher auf dem Hebel *KL* feststeht und in einen Schlitze im Hebel *DO* eingreift, auch diesem Hebel mitgetheilt, der mittels der Stange *Z* die Admissionsklappe so stellt, daß der Motor in kleinerer oder größerer Menge zufließt, und dadurch das Wachsen oder Abnehmen der Geschwindigkeit der arbeitenden Maschine verhindert wird.

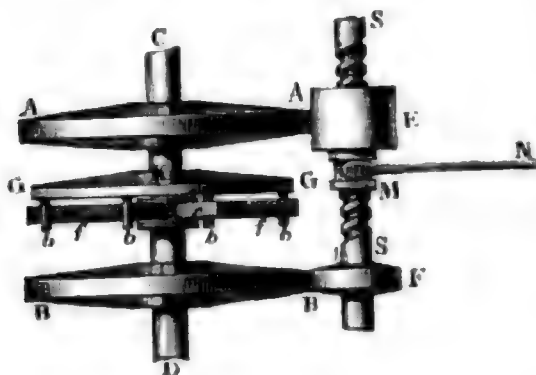
Wendel-  
regulator.

Ein Gegengewicht *G* am Ende des Hebels *DO* dient zur Ueberwindung der passiven Widerstände des Regulators, und die Nasen *S*, *S* an demselben, sowie die Hörner *T*, *T* an dem Gestelle des Apparates, dienen dazu, das Spiel des Hebels *DO*, einem gewissen Grad des Regulirens entsprechend, in gewissen Grenzen einzuschließen.

§. 200. Dem Federregulator von Poncelet liegt eine sehr sinnreiche Idee zum Grunde. Zwei gleiche Räder *AA* und *BB*, Figur 398, setzen hier zwei gleiche Getriebe *E* und *F* in Umdrehung, wovon

Acher-  
regulator.

Fig. 398.



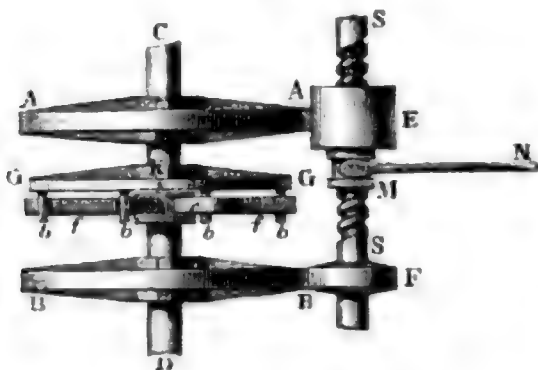
das eine als Schraubenmutter ausgehöhlt ist und das andere auf der Schraubenspindel *SS* feststeht, welche durch jene Mutter hindurchgeht. Laufen nun beide Räder, und folglich auch beide Getriebe gleich schnell um, so ändert das die Schraubenmutter bildende Getriebe seine Stellung auf der Spindel nicht; dreht sich aber das

eine schneller um als das andere, so verschiebt sich dieses Getriebe auf der Spindel. Verbindet man daher mit diesem Getriebe noch einen Ruff *M*,

Regulator.

so kann derselbe wieder mittels eines Hebels *MN* die Admissionsklappe einstellen. Die Welle *C* des Rades *AA* wird von der arbeitenden Maschine umgedreht, und sie selbst trägt ihre Umdrehung auf die Welle *D* des Rades *BB* mittels Bolzen *b, b . . .* und Stahlfedern *f, f . . .* über,

Fig. 399.



von denen die ersteren den Umfang einer Scheibe *GG* auf der Welle *C* einnehmen, und die letzteren aus einem Muff *K* auf der Welle *D* radial hervorstehen. Bleibt sich die Umdrehungskraft der Welle *C* gleich, so läuft *BB* mit derselben Geschwindigkeit um wie *AA*, und es behält also auch der Muff *M* seine Stellung auf der

Schraubenspindel *SS*; nimmt aber diese Kraft, und folglich auch die Biegung der Federn *f, f . . .* ab oder zu, so bleibt das Rad *AA* in seiner Bewegung etwas gegen *BB* zurück oder eilt demselben etwas voraus; es ist auch die Geschwindigkeit der Mutter *E* nicht mehr die der Spindel *SS*, und es rückt folglich die Mutter mit dem Muff *M* auf der Spindel um einen gewissen, der Verminderung oder Vergrößerung der Umdrehungskraft proportionalen Weg fort. Auf diese Weise ist also mit jeder Veränderung der Kraft oder Last der Maschine eine Verschiebung des Muffes *M* und folglich auch eine Verstellung der mittels der Stange *MN* an *M* angeschlossenen Admissionsklappe verbunden. Auf dem Principe, die Admissionsklappe oder das Schubbrett mittels eines auf einer Schraubenspindel umlaufenden Muffes in Bewegung zu setzen, beruhen noch andere, in neueren Zeiten construirte Regulatoren.

Bei dem Regulator der Gebrüder Laukner besteht die Schraubenspindel in einer Verlängerung der Welle des arbeitenden Wasserrades, und die Schraubenmutter bildet die Ase eines kleinen Wasserrades mit constanter Beaufschlagung, und also auch constanter Umdrehungsgeschwindigkeit. So lange beide Räder mit gleicher Winkelgeschwindigkeit umlaufen, bleibt das letztere Rad sammt des an seiner hohlen Ase sitzenden Muffes auf derselben Stelle der Schraubenspindel; nimmt aber das arbeitende Wasserrad eine größere oder kleinere Geschwindigkeit an, so rückt die Schraubenmutter mit dem sie umgebenden kleinen Wasserrade etwas in der Ase-richtung der Schraubenspindel fort, und es giebt der an ihr sitzende Muff dem Schubbrette des arbeitenden Wasserrades eine andere Stellung, wobei

das Aufschlagsquantum des arbeitenden Rades verändert und die erste Unterhaltungsgeschwindigkeit wieder hergestellt wird.

Der Hie'sche Flügelregulator und der Wiede'sche Pendelregulator beruhen auf demselben Principe; bei jenem ist es ein Flügelrad und bei diesem ein Pendel, wodurch die Bewegung der Schraubenmutter regulirt wird.

§. 201. Man hat auch mit Vortheil hydraulische und pneumatische Regulatoren in Anwendung gebracht. Der hydraulische oder Wasserregulator besteht aus einer kleinen Pumpe, welche durch die arbeitende Maschine bewegt wird, und welche ihr Hubwasser in ein Reservoir ausgießt, worin ein Schwimmer befindlich ist, der mittels Stangen und Hebel den Zufluß des Motors der Maschine regulirt. Nimmt die letztere eine größere oder kleinere Geschwindigkeit an, so gießt die Pumpe mehr oder weniger Wasser in das Reservoir, als unten zurückfließt, und es steigt oder fällt daher das Wasser in demselben mit dem Schwimmer, wodurch nun die Zutrittsmündung des Motors, folglich auch das Quantum desselben vermindert oder vergrößert, und die erste Geschwindigkeit der arbeitenden Maschine ganz oder beinahe wieder hergestellt wird.

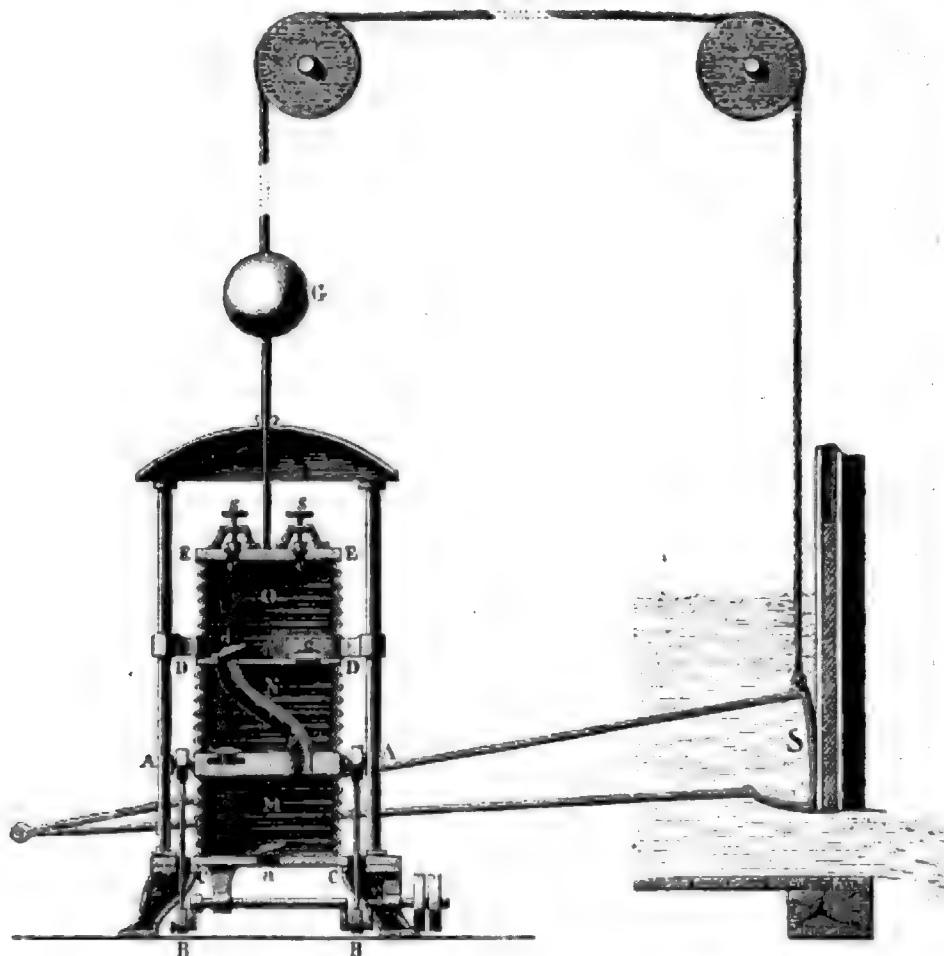
hydraulische  
und  
pneumatische  
Regulatoren.

Häufiger wird in der neuesten Zeit der pneumatische oder Luftregulator (franz. régulateur à l'air, ou à soufflet) von Molinié zum Reguliren des Ganges der Dampfmaschinen und vorzüglich der Wasserräder angewendet. Dieser Regulator besteht in der Hauptsache aus einem doppelwirkenden Blasebalg und ist wie folgt eingerichtet (Fig. 400 auf folgender Seite).

*AA* ist ein Kolben, welcher mittels der Krummzapfen *B*, *B* und der Kurbelstangen *AB*, *AB* von der arbeitenden Maschine auf- und niederbewegt wird; er bildet die Trennung der beiden Gebläseräume *M* und *N*, welche übrigens von dem festliegenden Boden *CC* und Deckel *DD* und von in regelmäßigen Falten gelegten Federmänteln begrenzt werden. Ueber dem festliegenden Deckel *DD* steht noch ein drittes Luftreservoir mit einem beweglichen Deckel *EE*, in welchem eine Stange festsißt, an welche der den Zufluß des Motors regulirende Apparat sich anschließt. Die beiden unteren Räume *M* und *N* sind durch die Saugventile *a* und *b* mit der äußeren Luft, und durch die Blaseventile *c* und *d* mit dem oberen Luftraume *O* in Verbindung gesetzt. Beim Aufgange des Kolbens *AA* tritt die äußere Luft durch *a* in den sich allmählig vergrößernden Raum *M*, und die innere Luft durch das Ventil *c* aus dem sich allmählig zusammenziehenden Raum *N* in das dritte Reservoir *O*; beim Niedergange dieses Kolbens strömt die äußere Luft durch das Ventil *b* in den sich allmählig ausdehnenden Raum *N*, und die innere Luft durch das Ventil *d* aus dem immer niedriger und niedriger werdenden Raume *M* in das obere Reservoir, wäh-

Hydraulische und pneumatische Regulatoren. rend die Ventile *a* und *c* in Folge des Luftdruckes von innen verschlossen bleiben. Damit die äußere Luft durch das Ventil *b* ohne Hinderniß von unten in den Raum *N* strömen könne, ist die Einmündung des Kanales, welcher die Luft von außen nach innen führt und von *b* im Innern bedeckt wird, in dem Umfange des Kolbens *AA* angebracht, und damit die Luft aus *M* ungestört durch *N* hindurch nach *O* strömen könne, sind die

Fig. 400.



Räume durch einen Schlauch *F* mit einander in Verbindung gesetzt, dessen Ausmündung das Ventil *d* bedeckt. Die Luft, welche aus den Gebälkerräumen *M* und *N* mittels des Kolbens *AA* in das Reservoir *O* gedrückt wird, strömt aus diesem wieder durch die Mündungen *e, e* im beweglichen Deckel *EE* in die freie Luft. Durch conische Ventile, welche sich mittels der Schrauben *s, s* beliebig stellen lassen, ist dieser Ausfluß nach Erforderniß zu reguliren.

Im Beharrungszustande der arbeitenden Maschine schicken die Gebälke

räume *M* und *N* so viel Luft in das Reservoir *O*, als durch dessen Ausmündungen *e* und *e* fortströmt, und es bleibt folglich hierbei der Deckel *EE* mit seiner durch ein Gegengewicht *G* belasteten Stange und der daran angehangenen Stütze *S* (oder des daran angeschlossenen Dampfventiles) in einer unveränderlichen Stellung; ändert sich aber die Geschwindigkeit der arbeitenden Maschine und folglich auch die des an ihr angeschlossenen Gebläsekolbens *AA*, so wird auch das Windquantum ein anderes, welches er dem Reservoir zuführt, und es ändert sich in Folge dessen auch der Stand des Deckels *EE* mit dem Gegengewichte *G* und dem Schuttbrette *S*. Auf diese Weise wird also mit einer Verminderung der Geschwindigkeit der Maschine ein Aufheben und folglich eine Vergrößerung der Schutzöffnung, und dagegen mit einer Vergrößerung dieser Geschwindigkeit ein Sinken und demnach auch eine Verminderung der Schutzöffnung verbunden sein, und hiernach der Aufschlag so regulirt werden können, daß sich die Geschwindigkeit nur innerhalb gewisser und ziemlich enger Grenzen verändern kann.

Anmerkung. Sehr ausführlich über die Theorie der Gouvernatores oder Regulatoren im engeren Sinne handelt Voncelet in seinem *Cours de mécanique appliqués etc.* (deutsch von Schnuse). Den parabelischen Centrifugalregulator behandelt Herr Franke im ersten Jahrgang (1849) der Zeitschrift des österreichischen Ingenieur-Vereins. Der Pendelregulator von Cohen 1c. wird im polytechnischen Centralblatt (1851) beschrieben, und der pneumatische Regulator von Moliné in Armengaud's *Traité des moteurs hydrauliques et à vapeurs*.

§. 202. Nicht unwichtige und oft sehr wesentliche Theile einer Maschine sind die sogenannten Ein- und Ausrückvorrichtungen (franz. *modificateurs, embrayages*, engl. *engaging and disengaging machinery*). Diese Vorrichtungen haben den Zweck, ohne Störung der ganzen Maschine, entweder einen Maschinenteil schnell und willkürlich in und außer Gang zu setzen, oder den letzteren nach Bedürfnis zu verändern, z. B. in einen entgegengesetzten zu verwandeln. Am gewöhnlichsten sind diejenigen Maschinen, wodurch ein Maschinenteil oder die ganze Arbeitsmaschine in und außer Gang gesetzt wird. Dieselben bestehen entweder in einem Ein- oder Ausrücken der Kuppelung oder in einem Ein- und Ausrücken der Riemen oder Zahnräder. Kuppelungen, welche zum Ein- und Ausrücken eingerichtet sind, heißen lösbare Kuppelungen (s. III., §. 6). Einige solcher lösbaren Kuppelungen sind in folgenden Figuren abgebildet.

Fig. 401 (auf folgender Seite) zeigt die sogenannte Klinkenkuppelung. *A* ist die eine, und *B* die andere der mit einander zu kuppelnden Wellen; an die letztere ist mittels eines Bolzens *C* die Klinken *CD* angeschlossen, und auf der ersteren sitzt die Scheibe *EE* fest, welche an ihrer Stirnfläche mit Sperrzähnen versehen ist. Soll die Welle *A* durch die

hydraulische  
und  
pneumatische  
Regulatoren.

Ein- und  
Ausrückvor-  
richtungen.

Ein- und  
Ausrückver-  
richtungen.

Welle *B* in Umdrehung gesetzt werden, so wird die während des Stillstandes von *A* frei herabhängende Klinke zwischen die Zähne von *EE* geschoben; und umgekehrt, soll die Welle *A* zum Stillstand kommen, so wird die Klinke wieder aus den Zähnen von *EE* herausgerückt.

Fig. 402.

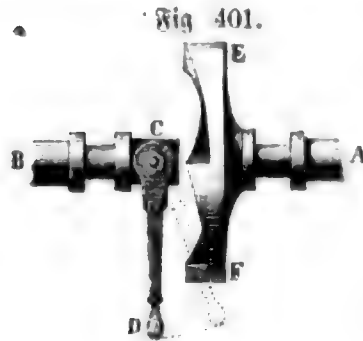
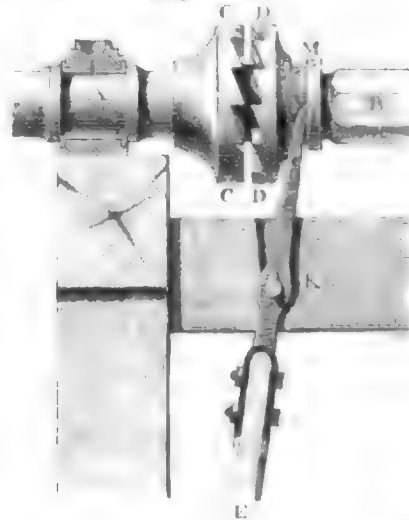
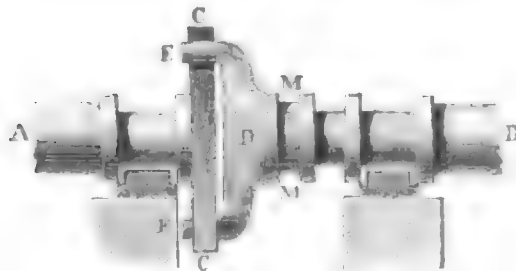


Fig. 401.



Weit solider ist die Zahnscheibenkuppelung in Fig. 402. Beide Wellenenden *A* und *B* sind hier mit auf ihrer Stirnfläche gezahnten Scheiben *CC* und *DD* versehen, welche so dicht mit einander zum Eingriff gebracht werden können, daß sie scheinbar nur eine einzige Scheibe bilden. Die eine Scheibe *CC* ist auf der Triebwelle *A* festgekeilt, die andere Scheibe *DD* hingegen ist auf dem abgedrehten und mit zwei Längentrippen oder Splinten versehenen Ende der Getriebwelle *B* verschiebbar, jedoch wegen der Splinte nicht drehbar. Um das Verschieben der zweiten Scheibe bewirken zu können, ist diese Scheibe mit einem Muff *M* versehen, welcher von den Zinken *KF* einer Gabel *EKF*, des sogenannten Rückhebels oder der Rückgabel, umfaßt wird. Leicht ist einzusehen, wie durch Drehen dieses Hebels um seine Ase *K* die Scheibe *DD* auf dem Ende der Welle *B* hin- und zurückgeschoben, und folglich auch das In- und Ausgehen der Welle hervorgebracht werden kann.

Fig. 403.



In Fig. 403 ist die sogenannte Klauenkuppelung abgebildet, welche ebenfalls hierher gehört. Hier endigt sich die Triebwelle *A* in einem Querarml *CC*, der sogenannten Krücke, während auf dem rund abgedrehten

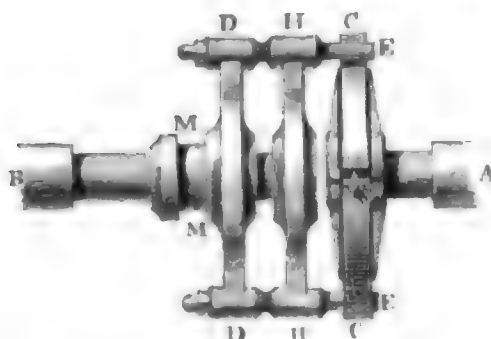


und mit einem Splint versehenen Ende der Getriebwelle *B*, eine Klaue *EDE* verschiebbar sitzt, welche über die Enden der Krücke *CC* weggreift. Dieses Verschieben oder Ein- und Ausrücken der Klaue erfolgt mittels einer Rückgabel, welche in den Hals *MM* des Ruffes *D* eingreift.

Ein- und  
Ausrückvor-  
richtungen.

Um die Stöße beim Einrücken so viel wie möglich unschädlich zu machen, wendet man eine Frictionskuppelung an (vergl. III., S. 185). Eine solche lösbare Frictionskuppelung führt Fig. 404 vor Augen. Auf

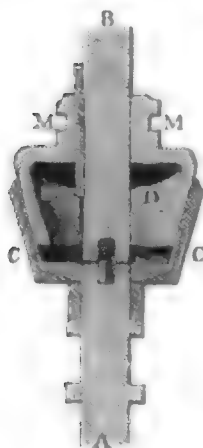
Fig. 404.



der Triebwelle *A* sitzt hier eine Scheibe *OO* fest, in deren vertieftem Umfange ein zweitheiliger Frictionsring *CC* eingelegt ist, der durch Schrauben wie *S* beliebig stark angezogen werden kann. Auf dem Ende der Getriebwelle *B* ist die Krücke *DD* verschiebbar, welche zwei Bolzen *DE*, *DE* trägt, die durch Hülsen *H*, *H* am Ende einer zwei-

ten, auf dem Ende von *B* feststehenden Krücke *HH* hindurchgehen und sich an die Nasen *C*, *C* anlegen, mit welchen der Frictionsring versehen ist. Die Krücke oder Klaue *DD* ist mit einem Ruff *MM* versehen, welcher durch eine Rückgabel verschoben werden kann. Je nachdem *MM* vor- oder zurückgeschoben wird, legen sich die Bolzen *DE*, *DE* an *C*, *C*, oder ziehen sich von *C*, *C* zurück, und es wird folglich in einem Falle die Welle *B* von *A* mit umgedreht, und in dem anderen Falle von *A* losgemacht. Ist die Kraft, welche die Welle *B* zu ihrer Umdrehung erfordert, sehr groß, so übertrifft sie vielleicht die Reibung des Bremskranzes *CC* auf der Scheibe, und es geht dann die Welle *A* um, ohne daß sie *B* mitnimmt; wenn nun

Fig. 405.



aber diese Kraft während der Ueberwindung der Trägheit der Welle *B* allmählig abnimmt, so wird sie endlich von der Reibung des Bremskranzes wieder übertroffen, und es geräth so die Welle *B* erst allmählig in Umdrehung.

In Fig. 405 ist endlich noch eine Frictionskegelskuppelung für eine stehende Welle abgebildet. Auf der Triebwelle *A* sitzt der hohle Keil *CC* fest, und auf der Getriebwelle *B* ist der Keil *DD* verschiebbar, der mit seinem äußeren Umfang gegen den inneren Umfang des ersten Kegels gedrückt wird. Ist die Kraft, mit welcher *DD* gegen *CC* drückt, hinreichend groß, so wird *B* in

Uin- und  
Umdre-  
hungen.

Folge der hieraus erwachsenden Reibung von *A* in seiner Umdrehung mit-  
genommen.

§. 203. Das Aus- und Einrücken der Riemenräder erfolgt in der Regel mittels der festen und losen Rolle oder Scheibe (franz. *poulie fixe et folle*, engl. *fast and loose pulley*). Es seien hier auf derselben Welle *AB*, Fig. 406, zwei gewöhnliche Riemenscheiben (s. III., §. 34)

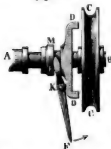
Fig. 406.



die Axe *K* drehbare Leitzgabel abgebildet.

Schnur-, Riemen- und Zahnräder lassen sich auch mittels einer gleitenden Gabel oder Klaue aus- und einrücken, wie z. B. aus Fig. 407

Fig. 407.



zu sehen ist. Hier ist *CC* eine lose Rolle auf der umlaufenden Welle *AB*, *DD* eine mit ihrem Nuss *M* auf dieser Welle verschieb-, jedoch nicht drehbare Klaue, und *EKF* eine um die feste Axe *K* drehbare Rückgabel. Soll die Schnurscheibe mit der Welle *AB* zugleich umlaufen, so rückt man das Ende *F* der Gabel in der Richtung des Pfeiles auswärts und schiebt dadurch die Zinken *D*, *D'* der Krücke in entsprechende Vertiefungen der Rolle *CC*.

Man kann aber auch die Klaue auf der Welle *AB* ganz befestigen und den Nuss *M* sammt der Rückgabel *EKF* mit der losen Rolle verbinden. Dann läßt sich die Rolle in die Krücke

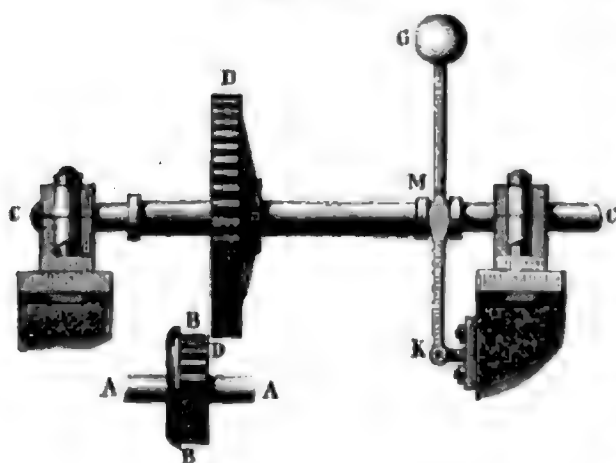
ein- und ausrücken, und man hat es mit der sogenannten gleitenden Rolle zu thun. Ein- und  
Ausrückvor-  
richtungen.

Man kann endlich auch die Klaue, so wie die Rolle lose auf der Welle laufen lassen, wenn man deren Zinken, wie bei der Frictionskupplung in Fig. 404, durch Führungen in einer festen Krücke gehen läßt. In diesem Falle hat man es mit der sogenannten Bajonet- oder Gabelkupplung zu thun.

Bei Zahnrädern läßt sich das Ein- und Ausrücken dadurch bewerkstelligen, daß man das eine Zahnrad aus dem Eingriffe mit dem anderen bringt. Dies kann dadurch geschehen, entweder daß man jenes Rad mittels einer Rückgabel auf seiner Welle, oder daß man diese Welle selbst in ihrer Axenrichtung verschiebt, oder daß man endlich die Lagerung der letzteren verrückt.

Es ist leicht einzusehen, wie ein Zahnrad oder die Welle desselben mittels Muff und Rückgabel in der Axenrichtung verschoben werden kann. Ein Mechanismus der letzten Art ist in Fig. 408 abgebildet. AA ist die

Fig. 408.



Triebwelle mit dem Triebrad *BB*, und *CC* die Getriebwelle mit dem auf ihr feststehenden Getriebrad *DD*. Auf der Welle *CC* sitzt ein Muff *M* fest, welcher von einem Rückhebel *KMG* ergriffen wird, der einerseits um eine feste Ase *K* drehbar ist, und andererseits ein Gewicht *G* trägt, durch welches nicht allein das Einrücken des

Rades *DD* in *BB* erleichtert, sondern auch das Verharren im Eingriff dieser Räder mit einander bewirkt wird.

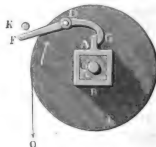
Die Art und Weise, wie das Ein- und Ausrücken mittels Bewegung des Zapfenlagers hervorgebracht werden kann, ist schon aus III., §. 45, Figur 125, bekannt. Das Aus- und Einrücken eines Rades oder einer Trommel auf ihrer Welle wird auch zuweilen durch ein Sperrrad *AB*, Fig. 409 (auf folgender Seite), bewirkt. Dieses Sperrrad sitzt auf der Welle *C* fest, während die Trommel *DE* lose auf derselben ist. Auf der Stirnfläche der letzteren ist die Ase *D* einer Sperrklinke *FDG* befestigt, welche mit dem einen Ende *G* in die Zähne des Sperrrades eingreift,

Die- und  
Werkzeu-  
stangen.

und an dem anderen Ende  $F$  von einer Feder angedrückt wird. Geht die Welle mit dem Sperrrade in der Richtung des Pfeiles um, so wirkt die Sperrklinke so auf die Trommel, daß auch diese mit umzulaufen gezwungen wird; geht aber die Welle umgekehrt um, so hält sich die Sperrklinke aus, und es bleibt die Trommel stehen.

Fig. 409.

Fig. 410.

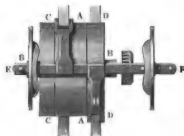


Anstatt eines Sperrrades kann man auch einen bloßen Zahn  $A$  anwenden, welcher aus der Welle  $ACB$ , Fig. 410, radial hervorsticht. Läßt man das Ende  $F$  des Sperrhakens  $FDG$  gegen ein festes Hinderniß  $K$  stoßen, so wird die Trommel  $DE$  ausgerückt, und diese bleibt dann während der weiteren Umdrehung der Welle stehen oder nimmt in Folge der Wirkung eines Gewichtes  $Q$  eine umgekehrte Umdrehung an.

§. 204. Im Folgenden sind endlich noch einige Mechanismen beschrieben, wodurch nicht ein bloßes In- und Ausser-Gangsetzen eines Maschinentheiles, sondern ein Umsetzen der Bewegung desselben in die entgegengesetzte Richtung oder in eine andere Geschwindigkeit bewirkt wird.

Um einem Stiernäderwerke die entgegengesetzte Umdrehungsbewegung

Fig. 411.



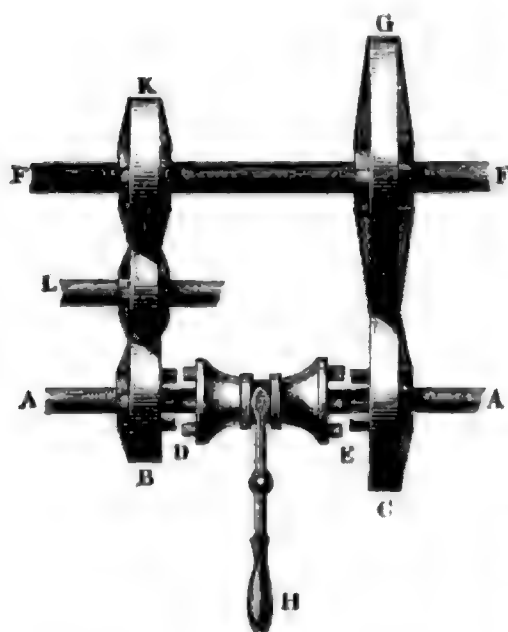
zu geben, bedarf es nur der Anwendung zweier Riemen, eines offenen und eines gekreuzten. Je nachdem der eine oder der andere Riemen auf der Trommel  $AA$ , Fig. 411, aufliegt, wird die Welle  $BB$ , worauf diese Trommel feststeht, nach der einen oder nach der anderen Richtung umgedreht (vergl. III., §. 23). Sagen nun noch auf dieser

Welle zwei lose Rollen *CC* und *DD*, so kann man immer einen von beiden Riemen durch Auflegen auf eine dieser Rollen unthätig machen, während der andere Riemen auf der festen Rolle ausliegt und arbeitet. Zum Auf- und Abschieben der Riemen auf und von diesen drei Trommeln dient ein Riegel *EF*, welcher längs dieser Trommeln hinläuft, und zwei Arme *G* und *H* trägt, die in Ohren auslaufen, durch welche die Riemen hindurchgehen.

Ein- und  
Ausdrückvor-  
richtungen.

Um ein Zahnradwerk nach Belieben bald links, bald rechts umlaufen zu lassen, kann man folgende Uebertragung in Anwendung bringen. Auf

Fig. 412.



der stets nach einer Richtung umlaufenden Triebwelle *AA*, Figur 412, sitzen zwei lose Zahnräder *B* und *C* und ein zwar verschiebbarer, jedoch nicht um diese Welle drehbarer Muff *DE*. Die Stirnflächen dieses Muffes und ebenso die Stirnflächen der Hülzen der Zahnräder *B* und *C* sind mit Zähnen oder Daumen *D* und *E* ausgerüstet, und es läßt sich der Muff mittels des Hebels *H* so in das eine oder das andere dieser Räder einrücken, daß dasselbe durch den Eingriff dieser Daumen oder Zähne gezwungen wird, mit der Triebwelle

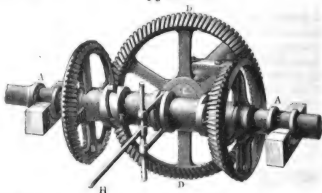
*AA* umzulaufen. Auf der Getriebwelle *FF*, welche bald nach der einen, bald nach der anderen Richtung umgedreht werden soll, sitzen zwei Zahnräder *G* und *K* fest, von welchen das erstere unmittelbar in das Zahnrad *C* eingreift, das andere aber mit dem Zahnrad *B* durch ein Zwischenrad *L* in Verbindung gesetzt ist. Ist der Muff in das Zahnrad *C* eingerückt, so läuft *C* mit *AA* in gleicher, und dagegen *G* sowie *FF* in entgegengesetzter Richtung um; ist dagegen der Muff in das Zahnrad *B* eingerückt, so geht *B* in gleicher, *L* in entgegengesetzter, und folglich *K*, sowie *FF*, wieder in gleicher Richtung mit *AA* um.

Eine ähnliche Umrückvorrichtung ist in Fig. 413 (auf folgender Seite) abgebildet. Auf der Triebwelle *AA* sitzen zwei conische Räder *B* und *C* lose auf, welche gleichzeitig in ein drittes Zahnrad *D* eingreifen, das auf einer Welle *EE* fest sitzt, die bald nach links, bald nach rechts umgedreht wer-

(110) und  
Schrägen-  
richtung.

den soll. Zu diesem Zwecke ist die Welle *AA* mit einem auf ihr umkehrbaren Nuss *FG* versehen, der mittels eines Hebels *H* nach Belieben nach

Fig. 413.

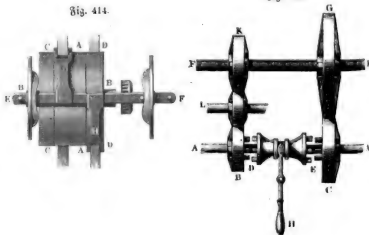


rechts oder links geschoben, und dabei mit einer seiner gezahnten Seitenflächen in die Verzahnung der Hülse des einen oder anderen Rades *B* oder *C* zum Eingriff gebracht werden kann.

Die in den Figuren 414 und 415 abgebildeten Mechanismen können auch noch in Anwendung kommen, wenn es nicht bloß darauf ankommt, die Umdrehungsrichtung zu verändern, sondern auch dann, wenn eine Veränderung der Umdrehungsgeschwindigkeit verlangt wird. Läßt

Fig. 415.

Fig. 414.





man z. B. die beiden Riemen bei der Vorrichtung in Figur 414 über Trommeln von verschiedenen Durchmessern laufen, so ist auch die Umdrehungsgeschwindigkeit der Welle, worauf diese Trommeln feststehen, verschieden, je nachdem der eine oder der andere Riemen zugleich auf der festen Trommel *AA* der Triebwelle *BB* liegt. Giebt man dem Räderpaare *CG* in Fig. 415 ein anderes Umsehungsverhältniß als dem Räderpaare *BK*, so wird durch das Umrücken des Ruffes *DE* auf der nach einerlei Richtung umlaufenden Welle *AA* nicht allein die Umdrehungsrichtung, sondern auch die Umdrehungsgeschwindigkeit der Welle *FF* verändert. Läßt man das Zwischenrad *L* ausfallen, also *B* unmittelbar in *K* eingreifen, so wird durch das Umluppeln wenigstens die Umdrehungsgeschwindigkeit von *FF* verändert.

Mittels des Mechanismus in Fig. 416 läßt sich ebenfalls eine Welle *FF* mit zwei verschiedenen Geschwindigkeiten umbrehen, und zwar dadurch, daß man entweder das Triebrad *B* in das Getriebe *D*, oder das Triebrad *C* in das Getriebe *E* einrückt. Setzt man auf *FF* noch zwei andere Getriebräder und bringt man auf *AA* noch einen zweiten Ruff mit zwei anderen Triebrädern, so kann man der Welle vier verschiedene Umdrehungsgeschwindigkeiten ertheilen.

Fig. 416.

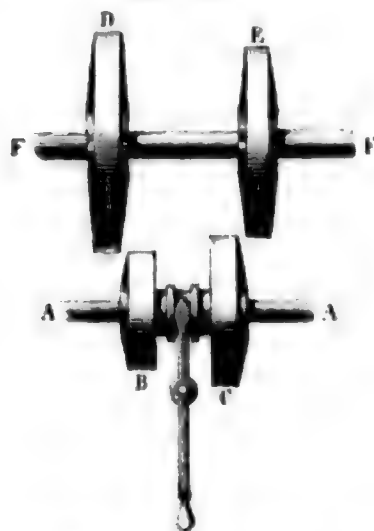
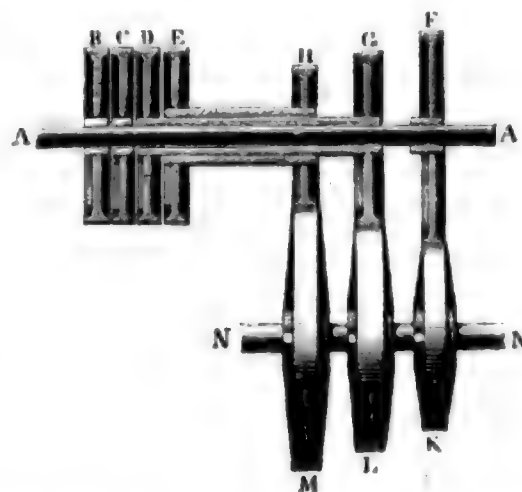


Fig. 417.

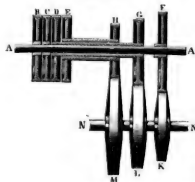


In Figur 417 ist endlich noch eine Vorrichtung abgebildet, wodurch eine Getriebewelle *NN* durch eine Triebwelle *AA* nach Belieben mit drei verschiedenen Geschwindigkeiten umgedreht werden kann. Es ist hier *B* eine lose, *C* eine feste Riemenscheibe, und *F* ein festes Zahnrad, welches in das auf *NN* sitzende Zahnrad *K* eingreift. Es läßt sich also durch die Riemenscheibe *C* die Welle *AA* mit dem Rade *F* und dadurch wieder das

Ein- und  
Wendel-  
richtungen.

Rab *K* mit der Welle *NN* in Umdrehung setzen. Das Riemenrad *D*

Fig. 418.



und das Zahnrad *G* sitzen auf einer hohlen Welle, welche über *AA* weggesteckt ist, und daher ungehindert um *AA* laufen kann. Ebenso sitzt das Riemenrad *E* mit dem Zahnrad *H* auf einer hohlen Welle, welche wiederum die erste hohle Welle umschließt, und ohne diese umlaufen kann. Die Zahnräder *G* und *H* greifen in die Zahnräder *L* und *M* auf der Welle *NN*. Je nachdem der Treibriemen auf *B*, *C*, *D* oder *E* liegt, bleibt hiernach die Welle *AA* und also auch *NN* in Ruhe, oder *AA* geht mit *F*, *K* und *NN* um, oder *NN* gelangt mittels *G* und *L* oder mittels *H* und *M* in Umdrehung.

## Zweite Abtheilung.

# Die Mechanik der Arbeitsmaschinen.

### Einleitung.

§. 205. Die Arbeitsmaschinen, von welchen im Folgenden die Rede sein wird, sind diejenigen mechanischen Hülfsmittel, wodurch der Zweck der Maschinen überhaupt zunächst erlangt, nämlich mechanische Arbeit verrichtet wird. Sie bilden in Vereinigung mit Kraft- und Zwischenmaschinen in der Regel erst vollständige Maschinen. Vergl. II., §. 63, und III., §. 1. Nach der Art der Arbeitsverrichtung können wir die sämtlichen Arbeitsmaschinen in zwei Hauptsysteme abtheilen, nämlich:

Arbeits-  
maschinen.

I. in Maschinen zum Fortschaffen oder die fortschaffenden oder translocirenden Maschinen, und

II. in die Maschinen zum Formverändern der Körper oder formverändernde Maschinen.

Was zunächst die fortschaffenden Arbeitsmaschinen anlangt, so haben wir hier nach dem Aggregatzustande des fortzuschaffenden Körpers folgende drei Maschinensysteme zu unterscheiden:

1) die Förderungsmaschinen oder Maschinen zum Fortschaffen fester Körper,

2) die Wasserhebungsmaschinen oder Maschinen zum Heben und Fortschaffen des Wassers, und

3) die Gebläse- und Wettermaschinen, oder Maschinen zum Fortschaffen der Luft.

Eine größere Mannigfaltigkeit findet unter denjenigen Maschinen statt, welche den Zweck haben, Körper in ihrer Form zu verändern. Es gehören z. B. hierher:

1) die Zerkleinerungsmaschinen, als Pochwerke, Quetschwerke, Mahlmühlen u. s. w.,

Arbeits-  
maschinen.

- 2) die Metallbearbeitungsmaschinen, als Hammerwerke, Walzwerke, Bohrwerke u. s. w.,
- 3) die Holzbearbeitungsmaschinen, als Sägemühlen, Dreh-, Hobelbänke u. s. w.,
- 4) die Manufacturmaschinen, zur Bearbeitung der Wolle, Baumwolle und des Papiers,
- 5) die Maschinen zum Land- und Wasserbau,
- 6) die Schiffsbaumaschinen,
- 7) die Kriegsmaschinen,
- 8) die Agricultur- oder landwirthschaftlichen Maschinen u. s. w.

Anmerkung. Es ist weder unserem Zwecke entsprechend noch ausführbar, die sämtlichen hier aufgezählten Maschinen abzuhandeln; ein großer Theil dieser Maschinen findet in den Werken über mechanische Technologie, Landwirthschaft u. s. w. einen viel angemesseneren Platz, da die von ihm zu verrichtenden Arbeiten ganz eigenthümlicher Art sind.

## Erster Abschnitt.

### Von den Förderungsmaschinen.

#### Erstes Kapitel.

#### Von den Maschinen zum Heben der Lasten auf kleine Höhen.

Förderungs-  
maschinen.

§. 206. Wir unterscheiden im Folgenden dreierlei Systeme der Maschinen zum Heben und Fortschaffen fester Körper, nämlich:

- 1) die Maschinen zum Heben der Lasten auf kleine Höhen,
- 2) die Maschinen zum Fortschaffen der Lasten auf mehr oder weniger stark ansteigenden längeren Wegen, und
- 3) die Maschinen zum Fortschaffen der Lasten auf ganz oder nahe horizontalen Wegen.

In diesem Kapitel ist nur von dem ersten Maschinensysteme die Rede. Es gehört hierher vorzüglich auch eine größere Anzahl von Baumaschinen oder mechanischen Hülfsmitteln, welche bei Auführung oder Aufstellung der Bauwerke und Maschinen zur Anwendung kommen.

Die in diesem ersten Kapitel abzuhandelnden Maschinen sind folgende: Förderungsmaschinen.

- 1) die Hebel und Hebeladen,
- 2) die Rollen und ihre Verbindungen als Rollen- und Flaschenzüge.
- 3) die Radwellen und Winden,
- 4) die sogenannten Aufzüge,
- 5) die verschiedenen Arten von Kränen,
- 6) die Rammmaschinen, und
- 7) die Erdbohrmaschinen.

Die meisten dieser Maschinen werden durch die menschliche Hand in Bewegung gesetzt, selten kommen bei denselben thierische Kräfte in Anwendung; und in der neuesten Zeit erst hat man auch die Wasserkraft und die Dampfkraft zum Umtrieb dieser Maschinen verwendet. Hierher gehören z. B. der Wassersäulenkran, die Dampframmaschine u. s. w.

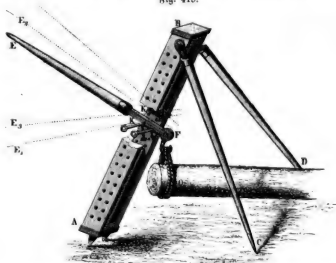
§. 207. Der Hebel (franz. levier, engl. lever) wird sehr oft angewendet, um mittels einer kleineren Kraft eine ansehnlich größere Last empor zu heben. Der Weg oder die Höhe, auf welche eine Last mittels eines Hebels auf ein Mal gehoben werden kann, ist bei der gewöhnlichen Arm- und Hebellänge sehr klein, und beträgt oft kaum einige Zoll. Um daher durch einen Hebel auf eine größere Höhe, z. B. auf mehrere Fuß zu heben, ist es nöthig, den Stützpunkt des Hebels allmählig zu heben und nach jedem Höherrücken des Stützpunktes den Hebel von Neuem in Bewegung zu setzen. Hierbei ist es jedoch nöthig, daß die Last während der Verrückung des Stützpunktes auf andere Weise unterstützt werde. Bei den sogenannten Hebeladen besteht die Unterstützung in zwei Bolzen, und es wird der Hebel abwechselnd um den einen oder den anderen dieser Bolzen gedreht. Die Art und Weise, wie bei einer gewöhnlichen deutschen Hebelade das Aufrücken der Bolzen ermöglicht wird, ist aus Fig. 419 (auf folgender Seite) zu ersehen. Hebeladen.

Es ist  $ABCD$  ein Dreifuß, an welchem ein Bein  $AB$  aus zwei Brettern besteht, die einen länglichen Raum zwischen sich lassen, durch welchen der Hebel oder die eigentliche Hebelade  $EF$  hindurchgeht. Dieses Bein des Dreifußes  $AB$  enthält zwei Reihen Löcher, durch welche die als Stützpunkte des Hebels dienenden eisernen Pflöcke  $K$  und  $L$  gesteckt werden. Um nun die an den kurzen Arm des Hebels angehängte Last, z. B. das Ende  $Q$  eines Baumstammes auf einen Wagen zu heben, drückt man das Ende  $E$  des langen Hebelarmes nieder nach  $E_1$ , und steckt den Pflock  $L$  nach  $L_1$ , hebt dann wieder  $E$  von  $E_1$  nach  $E_2$ ,

**Cyberlebens**

und steckt den Pfloß  $K$  nach  $K_1$ , drückt dann wieder  $F$  von  $E_2$  nach  $E_3$  herab und steckt  $L_1$  nach  $L_2$  u. s. w. Durch dieses wiederholte Aufs- und

Fig. 419.



Niederdrücken des Hebels  $EF$  und das abwechselnde allmälige Weiterstecken der als Stützpunkte dieses Hebels dienenden Pföcke  $K$  und  $L$  bringt

Fig. 420.



man endlich den Hebel sammt der Last auf die verlangte Höhe.

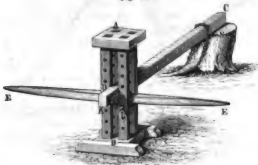
Bei der sogenann-  
ten französischen  
Hebelade, welche  
in Fig. 420 abge-  
bildet ist, wird das  
Einflecken der Pflöcke  
oder Stüßholzen  
durch das Auf- und  
Niederdrücken des  
Hebels selbst bewirkt.  
Zu diesem Zwecke ist  
der Hebel  $EF$  an  
die durch den Bügel



*B* unter sich verbundenen Bolzen *K* und *L* mittels der Hängeeisen *KM* und *LN* aufgehangen. Bei dem Auf- und Niederdrücken des Hebels *EF* rückt bald der eine, bald der andere Bolzen (*K*, *L*) um einen Zahn an der doppelt gezahnten Stütze *AC* empor.

Beide Hebeladen haben den Nachtheil, daß sie die Last *Q* nicht bloß anheben, sondern bei jedem Aufgange des Kraftpunktes wieder etwas niederlassen. Dieser Mangel ist aber bei der in Fig. 421 abgebildeten sogenannten schwedischen Hebelade nicht vorhanden. Dieselbe hat vier

Fig. 421.



Stützsäulen *AB*, wovon eine jede mit einer Reihe von Löchern versehen ist, durch welche die Stützbolzen gesteckt werden; und die Last ist zwischen diesen Säulen angebracht. Die Hebelade in Figur 421 dient zum Ausrodern eines Stockes *S* und wirkt zunächst auf einen Hebebaum *CD*, der mittels einer Kette an eine Wurzel des auszurodenden Stockes angeschlossen ist.

§. 208. Die Rollen (s. I., §. 150) und ihre Verbindungen unter

Fig. 422.

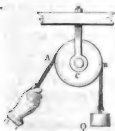


Fig. 423.



einander sind sehr gewöhnliche Hülfsmittel zum Heben größerer Lasten auf kleinere Höhen. Die feste oder Leitrolle *ACB*, Fig. 422, dient hierbei nur als Mittel zur Abänderung der Bewegungsrichtung (s. III., §. 23 und §. 24), da bei ihr die Last *Q* an einem Seilende zum Aufziehen eine gleich große Kraft *P* am anderen Seilende erfordert. Anders ist es aber bei der losen oder Kraftrolle *ACB*, Fig. 423;

gewöhnlich.

Rollen.

Rollen.

wenn hier beide Seilenden nahe vertikal gerichtet sind, so ist zum Aufziehen der an der Ase  $C$  der Rolle hängenden Last eine halb so große Kraft  $P$  an einem oder dem anderen Seilende nöthig, also

$$P \doteq \frac{1}{2} Q, \text{ und umgekehrt} \\ Q = 2 P.$$

Diese Beziehungen zwischen Kraft und Last werden allerdings durch die Zapfenreibung und durch die Steifigkeit des Seiles noch um ein Namhaftes abgeändert.

Ist  $a$  der Rollen- und  $r$  der Zapfenhalbmesser,  $\varphi$  der Reibungscoefficient und  $G$  das Gewicht einer Leitrolle, so haben wir das Kraftverhältniß dieser Rolle mit Rücksicht der Zapfenreibung:

$$Pa = Qa + \varphi r (P + Q + G);$$

nehmen wir noch den Seilsteifigkeitswiderstand

$$S = d^\mu (K + \nu Q) \text{ (s. I., §. 179)}$$

hinzu, so erhalten wir folgende Gleichung:

$$Pa = Qa + \varphi r (P + Q + G) + d^\mu (K + \nu Q),$$

und hieraus entwickelt sich folgende Formel für die Kraft:

$$P = \left( \frac{a + \varphi r + \nu d^\mu}{a - \varphi r} \right) Q + \frac{\varphi r G + d^\mu K}{a - \varphi r}.$$

Bezeichnen wir nun noch der Einfachheit wegen:

$$\frac{a + \varphi r + \nu d^\mu}{a - \varphi r} \text{ durch } \alpha$$

und

$$\frac{\varphi r G + d^\mu K}{a - \varphi r} \text{ durch } R,$$

so nimmt unsere Kraftformel für die Leitrolle folgende einfache Gestalt an:

$$P = \alpha Q + R.$$

Bei der Kraftrolle wirkt die Kraft  $P$  am Hebelarme  $BA = 2a$ , und die um das Rollengewicht  $G$  vergrößerte Last  $Q + G$  am Hebelarme  $BC = a$ ; man hat daher hier, wenn  $S$  die Spannung des sich aufwickelnden Seiles bezeichnet:

$$2 Pa = (Q + G) a + \varphi Qr + d^\mu K + \nu d^\mu S; \text{ oder da} \\ S + P = Q + G \text{ zu setzen ist,}$$

$2 Pa = (Q + G) a + \varphi Qr + d^\mu K + \nu d^\mu (Q + G - P)$ , woraus sich nun folgende Kraftformel ergibt:

$$P = \frac{a + \varphi r + \nu d^\mu}{2a + \nu d^\mu} Q + \frac{(a + \nu d^\mu) G + d^\mu K}{2a + \nu d^\mu},$$

wofür wir  $P = \alpha_1 Q + R_1$  setzen wollen, indem wir

$$\frac{a + \varphi r + v d^\mu}{2 a + v d^\mu} \text{ durch } \alpha_1 \text{ und}$$

$$\frac{(a + v d^\mu) G + d^\mu K}{2 a + v d^\mu} \text{ durch } R_1$$

bezeichnen.

Beispiel. Welche Kraft  $P$  erfordert eine Last  $Q = 400$  Pfund zum Aufziehen entweder mittels einer Seil- oder mittels einer Kraftrolle, wenn der Halbmesser dieser Rolle  $a = 4$  Zoll, die Stärke des anzuwendenden Hanfseiles  $d = \frac{1}{2}$  Zoll, der Zapfenhalbmesser  $r = \frac{3}{8}$  Zoll, und das Gewicht der Rolle  $G = 25$  Pfund beträgt? Setzen wir nun noch den Reibungscoefficienten  $\varphi = 0.1$  und nach L. §. 179,  $\mu = 1.4$ ,  $v = 0.141$  und  $K = 6.83$  ein, so erhalten wir:

1) für eine feste oder Seilrolle

$$\begin{aligned} P &= \frac{4 + 0.1 \cdot \frac{3}{8} + 0.141 (\frac{1}{2})^{1.4}}{4 - 0.1 \cdot \frac{3}{8}} \cdot 400 + \frac{0.1 \cdot \frac{3}{8} \cdot 25 + (\frac{1}{2})^{1.4} \cdot 6.83}{4 - 0.1 \cdot \frac{3}{8}} \\ &= \frac{4.0375 + 0.0534}{3.9625} \cdot 400 + \frac{0.9375 + 2.5881}{3.9625} \\ &= \frac{1636.36}{3.9625} + \frac{3.5256}{3.9625} = 412.96 + 0.89 \approx 413.85 \text{ Pfund.} \\ &\text{und dagegen} \end{aligned}$$

2) für eine feste oder Kraftrolle

$$\begin{aligned} P &= \frac{1636.36}{8 + 0.0534} + \frac{(4 + 0.0534) \cdot 25 + 2.5881}{8 + 0.0534} \\ &= \frac{1636.36}{8.0534} + \frac{103.923}{8.0534} = 203.19 + 12.90 = 216.09 \text{ Pfund.} \end{aligned}$$

§. 209. Mit Hülfe der vorstehenden Formeln lassen sich nun auch die Theorien der Rollen- und Flaschen- oder Klobenzüge (franz. moufles, engl. tackles or pulleys) leicht entwickeln. Bei einem Rollenzuge hängen mehrere Rollen einzeln unter einander, bei einem Flaschenzuge hingegen befinden sich mehrere Rollen in einem Gehäuse, der sogenannten Flasche oder dem Kloben, neben, über oder hinter einander.

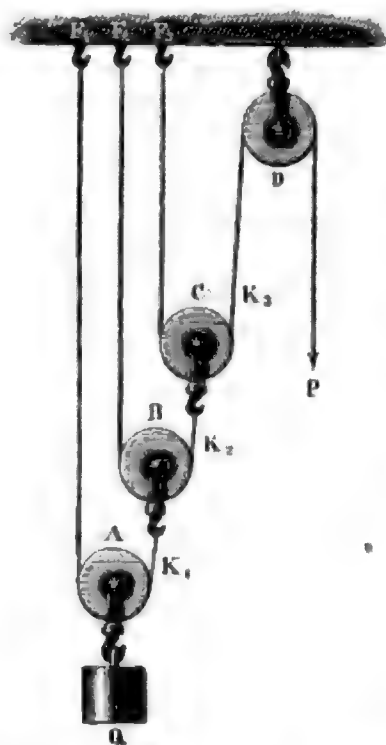
Ein einfacher Rollenzug ist in Figur 424 (auf folgender Seite) abgebildet. Die Last  $Q$  hängt hier zunächst an der losen Rolle  $A$ , das eine Seilende von dieser wieder an der Axe einer zweiten losen Rolle  $B$ , das eine Seilende von dieser Rolle wieder an der Axe einer dritten losen Rolle  $C$  u. s. w., und um endlich die Zugkraft  $P$  von oben nach unten wirken lassen zu können, ist das eine Seilende der obersten losen Rolle noch über eine feste Rolle  $D$  weggeführt.

Bei Vernachlässigung der Nebenhindernisse ist das Kraftverhältniß  $\frac{P}{Q}$  eines solchen Rollenzuges leicht wie folgt zu finden. Die Kraft der ersten

Hoben- und  
Blaßhensüge.

Rolle A ist  $K_1 = \frac{Q}{2}$ , die der zweiten, da  $K_1$  an ihr als Last wirkt,

Fig. 424.



$K_2 = \frac{K_1}{2} = \frac{Q}{4}$ , die der dritten, da an ihr wieder  $K_2$  als Last zieht,  $K_3 = \frac{K_2}{2} = \frac{Q}{8}$ . Wenn also der Rollenzug aus drei losen Rollen besteht, so ist die erforderliche Zugkraft

$$P = \frac{Q}{2 \cdot 2 \cdot 2} = \frac{Q}{8};$$

wenn dagegen die Zahl der losen Rollen  $n = 4$  ist,

$$P = \frac{Q}{2 \cdot 2 \cdot 2 \cdot 2} = \frac{Q}{2^4} = \frac{Q}{16},$$

und allgemein für einen Rollenzug mit  $n$  losen Rollen ist:

$$P = \frac{Q}{2^n}.$$

Während die Rolle A mit der Last  $Q$  auf die Höhe  $h$  steigt, muß die Rolle B um  $2h$ , und die Rolle C um  $2 \cdot 2h = 4h$  Höhe steigen, der An-

griffspunkt der Kraft  $P = K_3$  aber den Weg  $s = 2 \cdot 4h = 8h$  zurücklegen. Natürlich ist  $Ps = Qh$ , also der Kraftweg  $s$  um so größer, je kleiner die Kraft ausfällt. Damit die Last  $Q$  ohne Unterbrechung auf diese Höhe  $h$  gehoben werden könne, muß dafür gesorgt sein, daß der Abstand der obersten losen Rolle C von der festen Rolle mindestens  $4h$  betrage. Allgemein bei  $n$  losen Rollen ist natürlich

$$s = 2^n \cdot h$$

und der erforderliche Abstand der  $n$ ten oder obersten Kraftrolle von der Leitrolle

$$s_1 = 2^{n-1} \cdot h.$$

Mit Rücksicht auf die Nebenhindernisse ist zu setzen:

$$K_1 = \alpha_1 Q + R_1,$$

$$K_2 = \alpha_1 K_1 + R_1 = \alpha_1^2 Q + (\alpha_1 + 1) R_1,$$

$$K_3 = \alpha_1 K_2 + R_1 = \alpha_1^3 Q + (\alpha_1^2 + \alpha_1 + 1) R_1,$$

und allgemein, bei  $n$  losen Rollen:

$$K_n = \alpha_1^n Q + (1 + \alpha_1 + \alpha_1^2 + \dots + \alpha_1^{n-1}) R_1,$$

oder, da die Summe der geometrischen Progression  $1 + \alpha_1 + \alpha_1^2 + \dots + \alpha_1^{n-1}$  Werte von Gleichung 137.

(s. Ingenieur Seite 138)  $\frac{\alpha_1^n - 1}{\alpha_1 - 1} = \frac{1 - \alpha_1^n}{1 - \alpha_1}$  ist,

$$K_n = \alpha_1^n Q + \left( \frac{1 - \alpha_1^n}{1 - \alpha_1} \right) R_1,$$

und daher die erforderliche Kraft am Zugseile

$$\begin{aligned} P &= \alpha K_n + R \\ &= \alpha \left[ \alpha_1^n Q + \left( \frac{1 - \alpha_1^n}{1 - \alpha_1} \right) R_1 \right] + R, \end{aligned}$$

wo  $\alpha$ ,  $\alpha_1$ ,  $R$  und  $R_1$  die im vorigen Paragraphen angegebenen Bedeutungen haben.

Beispiel. Welche Kraft erfordert ein aus 4 losen und einer festen Rolle bestehender Rollenzug, um durch denselben eine Last von 1500 Pfund zu heben, vorausgesetzt, daß derselbe aus Rollen zusammengesetzt ist, wie sie im Beispiele des vorigen Paragraphen angenommen wurden?

Es ist hier  $\alpha = 1,0324$  und  $R = 0,89$ , ferner

$\alpha_1 = 0,5080$  und  $R_1 = 12,90$  Pfund,

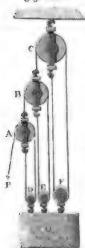
$Q = 1500$  und  $n = 4$ ,

folglich die gesuchte Kraft

$$\begin{aligned} P &= 1,0324 \left( 0,508^4 \cdot 1500 + \frac{1 - 0,508^4}{1 - 0,508} \cdot 12,90 \right) + 0,89 \\ &= 1,0324 (99,89 + 24,47) + 0,89 \\ &= 129,28 \text{ Pfund.} \end{aligned}$$

Anmerkung. Man kann auch einen Rollenzug umwenden, und zu diesem

Fig. 425.



Zwecke denselben mit der Rolle A aufhängen, die Last  $Q$  aber an die Seile  $AF_1$ ,  $BF_2$  und  $CF_3$ , Fig. 424, zu gleich aufhängen. Dann wirken die Rollen A, B und C wie bloße Leitrollen und die Leitrolle D ist ganz entbehrlich. Ohne Rücksicht auf die Nebenhindernisse ist hier

$$Q = F_1 + F_2 + F_3 = 4P + 2P + P = 7P,$$

und daher umgekehrt

$$P = \frac{Q}{7}.$$

Eine andere Abänderung eines Rollenzuges ist in Fig. 425 abgebildet. Es hängen hier von den drei unter einander hängenden Rollen A, B und C Seile herab, welche um die Rollen D, E und F geschlungen sind, an welchen die Last  $Q$  hängt, und deren Enden an die Rollen der Rollen A, B und C angeknüpft sind. Das um die Rolle D liegende Seil zieht die Last  $Q$  mit der Kraft  $2P$ , das um die Rolle E liegende Seil hingegen, da es zugleich die durch die Kraft  $3P$  abwärts gezogene Rolle A trägt, zieht  $Q$  mit der Kraft  $2 \cdot 3P = 6P$ , und endlich das um die Rolle F liegende Seil, da es die durch die Kraft  $3 \cdot 3P = 9P$  niedergezogene Rolle B trägt, zieht  $Q$  mit der Kraft  $2 \cdot 9P = 18P$ , und es

ist folglich die ganze Kraft, mit welcher  $Q$  unmittelbar gehoben wird:

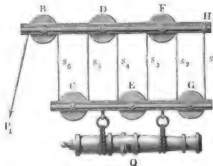
$$2 P + 6 P + 18 P = 26 P, \text{ also } 26 P = Q, \text{ also umgekehrt:}$$

$$Q = \frac{P}{26}.$$

Bildungsges.

§. 210. Bei dem in Fig. 426 abgebildeten Flaschenzuge befinden sich die Rollen eines Klobens neben einander;  $B, D$  und  $F$  sind die Rollen in der festen und  $C, E$  und  $G$  die Rollen in der losen

Fig. 426.



der festen und  $C, E$  und  $G$  die Rollen in der losen Flasche; während die Last  $Q$  an der letzteren niederzieht, wirkt die Kraft  $P$  an einem Ende des Seiles, welches um die Rollen beider Flaschen geschlungen ist. Die Last  $Q$  wird hier von den zwischen beiden Flaschen gespannten Seilen zugleich getragen; ist also  $n$  die Anzahl dieser Seile, so hat man die

Spannung eines solchen Seiles, sowie auch die Kraft am Seilende, wenn man die Nebenhindernisse nicht beachtet:

$$P = \frac{Q}{n}.$$

Um die Last  $Q$  auf die Höhe  $h$  zu heben, muß auch jedes der zwischen beiden Kloben gespannten Seile um  $h$  verkürzt, und folglich das Seilende von der Kraft  $P$  um den Weg

$$s = n h$$

niedergezogen werden.

Sehr richtig ist  $P s = Q h$ .

Will man das Kraftverhältniß mit Rücksicht auf die Zapfenreibung und Steifigkeit des Seiles bestimmen, so muß man von der Formel des §. 208 für eine feste Rolle

$$P = \alpha Q + R$$

Gebrauch machen. Es ist auch hier

$$\alpha = \frac{a + \varphi r + \nu d^{\mu}}{a - \varphi r},$$

dagegen aber

$$R \text{ nur} = \frac{d^{\mu} K}{a - \varphi r},$$

da das Gewicht  $G$  der Rolle die Zapfenreibung an den unteren Rollen



ebensviel vermindert, als es dieselben an den oberen Rollen vergrößert, Stoßvergrößerung, und folglich hier ganz außer Acht bleiben kann.

Setzen wir folglich die Spannung des ersten Seiles  $GH = S_1$ , so haben wir die des zweiten Seiles  $FG$ , da  $S_1$  bei der Rolle  $G$  als Last wirkt:

$$S_2 = \alpha S_1 + R;$$

ferner die des dritten Seiles  $EF$ :

$$S_3 = \alpha S_2 + R = \alpha^2 S_1 + (\alpha + 1) R;$$

ferner die des vierten Seiles  $DE$ :

$$S_4 = \alpha S_3 + R = \alpha^3 S_1 + (\alpha^2 + \alpha + 1) R,$$

und allgemein, die des  $n$ ten Seiles:

$$\begin{aligned} S_n &= \alpha^{n-1} S_1 + (\alpha^{n-2} + \alpha^{n-3} + \dots + \alpha + 1) R \\ &= \alpha^{n-1} S_1 + \left( \frac{\alpha^{n-1} - 1}{\alpha - 1} \right) R. \end{aligned}$$

Nun ist aber für die Last  $Q$  sammt dem Gewichte  $G$  des armirten Klobens  $CG$ :

$$Q + G = S_1 + S_2 + S_3 + \dots + S_n,$$

daher haben wir, wenn wir die obigen Werthe für  $S_1, S_2, S_3$  u. s. w. einsetzen,

$$\begin{aligned} Q + G &= (1 + \alpha + \alpha^2 + \dots + \alpha^{n-1}) S_1 \\ &\quad + (\alpha^{n-1} - 1 + \alpha^{n-2} - 1 + \alpha^{n-3} - 1 + \dots + \alpha - 1 + 1 - 1) \frac{R}{\alpha - 1} \\ &= \left( \frac{\alpha^{n-1} - 1}{\alpha - 1} \right) S_1 + (1 + \alpha + \alpha^2 + \dots + \alpha^{n-1} - n) \frac{R}{\alpha - 1} \\ &= \left( \frac{\alpha^{n-1} - 1}{\alpha - 1} \right) S_1 + \left( \frac{\alpha^{n-1} - 1}{\alpha - 1} - n \right) \frac{R}{\alpha - 1}, \end{aligned}$$

oder wenn wir noch  $\alpha^{n-1} S_1 = S_n - \left( \frac{\alpha^{n-1} - 1}{\alpha - 1} \right) R$  einführen,

$$Q + G = \frac{\alpha^{n-1}}{\alpha^{n-1} (\alpha - 1)} \left[ S_n - \left( \frac{\alpha^{n-1} - 1}{\alpha - 1} \right) R \right] + \left( \frac{\alpha^{n-1} - 1}{\alpha - 1} - n \right) \frac{R}{\alpha - 1},$$

und folglich die Spannung des  $n$ ten Seiles:

$$S_n = \frac{(\alpha - 1) \alpha^{n-1}}{\alpha^n - 1} (Q + G) + \left( \frac{n \alpha^{n-1}}{\alpha^n - 1} - \frac{1}{\alpha - 1} \right) R.$$

Die Kraft am Seilende ist endlich:

$$\begin{aligned} P &= \alpha S_n + R \\ &= \frac{(\alpha - 1) \alpha^n}{\alpha^n - 1} (Q + G) + \left( \frac{n \alpha^n}{\alpha^n - 1} - \frac{1}{\alpha - 1} \right) R. \end{aligned}$$

Gleichenzug. Sieht man von dem Widerstande  $R$  ab, so hat man:

$$P = \frac{(\alpha - 1) \alpha^n}{\alpha^n - 1} (Q + G).$$

Sind Kraft und Last gegeben, so kann man nach der erforderlichen Rollen- oder Seilzahl fragen. Es ist

$$\frac{\alpha^n - 1}{\alpha^n} = \frac{(\alpha - 1) (Q + G)}{P}, \text{ oder}$$

$$\frac{1}{\alpha^n} = \frac{P - (\alpha - 1) (Q + G)}{P}, \text{ und daher}$$

$$n = \frac{\text{Log. } P - \text{Log. } [P - (\alpha - 1) (Q + G)]}{\text{Log. } \alpha}.$$

Damit die Aufgabe möglich, also die gegebene Last  $Q$  mittels des Gleichenzuges durch die gegebene Kraft zu heben sei, muß

$$P > (\alpha - 1) (Q + G), \text{ d. i.}$$

$$\frac{P}{Q + G} > \alpha - 1, \text{ also } \frac{P}{Q + G} > \frac{2\varphi r + v d \mu}{\alpha - \varphi r} \text{ sein.}$$

Diese Formeln lassen sich auch noch auf den Klobenzug in Fig. 427 (auf folgender Seite) anwenden, wo die Rollen eines Klobens  $A$  oder  $B$  mit ihren Augen über eine und dieselbe feste Axt geschoben sind und sich daher einzeln um diese drehen.

Will man die Rollen auf die Axt eines Klobens befestigen und diese in Pfannen laufen lassen, so muß man die Rollen des ganzen Klobenzuges von ungleichen Durchmessern machen, damit das Seil nicht auf denselben zu gleiten genöthigt ist. Ein solcher Klobenzug ist in Fig. 428 (a. f. S.) abgebildet. Das eine Seilende ist an dem oberen Kloben  $A$  befestigt und läuft zunächst um die kleinste Rolle des unteren Klobens  $B$ . Ist  $d$  der Durchmesser dieser Rolle, so sind  $3d$  und  $5d$  die Durchmesser der beiden anderen Rollen des unteren,  $2d$ ,  $4d$  und  $6d$  aber die Durchmesser der Rollen des oberen Klobens. Es bilden also die Durchmesser und Umfänge der Rollen, auf welche sich die Seile 1, 2, 3, 4, 5, 6 wickeln, eine arithmetische Reihe, sowie auch die gleichzeitigen Verkürzungen dieser Seile während des Aufziehens der Last, und es ziehen sich hierbei diese Seile ohne Gleiten über die mit gleicher Geschwindigkeit umlaufenden Rollen. Diese zuerst von White construirten Klobenzüge geben in Folge der Kleinheit einiger Rollen eine ansehnliche Nebenlast, zumal da sich bei ihnen das Gleiten des Seiles, in Folge der Stärke desselben, nicht ganz vermeiden läßt.

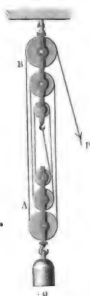
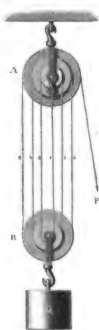
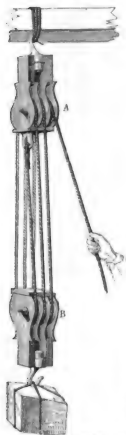
Sehr häufig wendet man auch Kloben mit unter einander hängenden Rollen von ungleichen Durchmessern, wie  $A$  und  $B$ , Figur 429, an

Theoretisch ist natürlich auch hier  $P = \frac{Q}{n}$ . Die vollständige Berechnung *anschauliche*.

Fig. 427.

Fig. 428.

Fig. 429.



der Kraft ist wegen der Ungleichheit der Rollen weitläufig; in der Regel möchte es aber genügen, wenn man einen mittleren Rollendurchmesser ermittelt, und diesen in die obigen Formeln einsetzt.

**Beispiel.** Welche Kraft erfordert das Aufheben einer Last  $Q$  von 800 Pfund mittels eines Flaschenzugs, wie in Fig. 429, mit 6 gespannten Seilen von je  $\frac{1}{4}$  Zoll Stärke und 6 Rollen vom mittleren Halbmesser  $a = 4$  Zoll, mit Zapfen von 1 Zoll Stärke?

$$\text{Es ist } a = \frac{a + \varphi r + r d^{\frac{1}{2}}}{a - \varphi r} = \frac{4 + 0,1 \cdot \frac{1}{2} + 0,141 \cdot (\frac{3}{4})^{\frac{1}{2}}}{4 - 0,1 \cdot \frac{1}{2}} = \frac{4,1443}{3,95} \\ = 1,0492, \text{ ferner } a^6 = a^6 = 1,3338,$$

$$\text{und } R = \frac{d^{\frac{1}{2}} K}{a - \varphi r} = \frac{0,6685 \cdot 6,83}{3,95} = 1,1558 \text{ Pfund.}$$



Hängt an der losen Rolle  $B$  noch eine zweite lose Rolle  $D$ , wie in Glaschenzüge. Figur 432, im Abstände  $BD = a_1$ , und steigt  $D$  mit der Last  $Q$  um

Fig. 432.



$DE = h$ , also  $B$  um  $BC = 2h$ , so ist der Weg vom unteren Seilstücke  $2hq$ :

$$S_1 S = a_1 + h - \frac{h}{2} = a_1 + \frac{h}{2},$$

und dagegen der des oberen Seilstückes  $4hq$  zwischen  $B$  und  $C$ :

$$SA = a - h,$$

also die Arbeit, welche beide Seilstücke in Anspruch nehmen:

$$\begin{aligned} L &= 4hq(a - h) + 2hq\left(a_1 + \frac{h}{2}\right) \\ &= 2hq(2a + a_1 - \frac{3}{2}h). \end{aligned}$$

Hängt noch eine dritte lose Rolle an  $D$ , so ist ferner die ganze Arbeit, welche das Seilgewicht beim Anheben der Last  $Q$  um  $h$  nöthig macht:

$$\begin{aligned} L &= 8hq(a - 2h) + 4hq(a_1 + h) + 2hq\left(a_2 + \frac{h}{2}\right) \\ &= 2hq(4a + 2a_1 + a_2 - \frac{11}{2}h), \end{aligned}$$

wofern  $a_2$  den anfänglichen Abstand der beiden unteren Rollen von einander bezeichnet.

Um Seil zu ersparen, hängt man die losen Rollen dicht unter einander, so daß  $a_1 = a_2$  u. s. w. nahe

Null, also  $L = 2hq(4a - \frac{11}{2}h)$  ausfällt.

Allgemein für  $n$  lose Rollen ist dann diese Arbeit:

$$L = \left(2^n a - \frac{2^{2n} - 1}{3} \cdot h\right) qh.$$

Für einen Flaschenzug ist endlich, wenn die anfängliche Höhe der unteren Flasche unter dem Standpunkte des Arbeiters  $= a$  und die Steighöhe desselben  $= h$  ist, für  $n$  gespannte Seile, die von diesen beanspruchte Arbeit, wie bei einer losen und festen Rolle:

$$L = nqh\left(a - \frac{h}{2}\right).$$

Den Einfluß des Seilgewichtes auf die Zapfenreibung und den Steifigkeitswiderstand kann man wegen seiner Kleinheit in der Regel außer Acht lassen. Uebrigens ist aus den vorstehenden Formeln zu ersehen, daß das Seilgewicht die erforderliche Arbeit der Kraft eben so gut vermindern als vergrößern kann.

Beispiel. Nach III., §. 21, wiegt der laufende Fuß Hanfseil bei  $d$  Zoll Stärke im Mittel:  $q = 0,33 d^2$  Pfund, also z. B. bei 1 Zoll Stärke:  $q = 0,33$

Steifhänge.

Pfund. Verwendet man dieses Seil bei einem Rollenzuge von  $n = 3$  festen Rollen, durch welchen eine Last  $Q = 800$  Pfund  $h = 10$  Fuß hoch gehoben wird, so hat man die Vergrößerung der aufzuwendenden Arbeit  $Qh = 8000$  Fußpfund durch das Gewicht des Seiles:

$$L = (8a - 11h) \cdot 0,33h = (8a - 110) \cdot 3,3;$$

also bei der Höhe des Kraftpunktes über dem Lastpunkte,  $a = 20$  Fuß,  $L = 50 \cdot 3,3 = 165$  Fußpfund, d. i. reichlich 2 Procent der Nutzleistung. Wäre  $a = 0$ , ständen also die Arbeiter neben der zu hebenden Last, so wäre  $L = - 330$  Fußpfund, also ein Arbeitsgewinn von  $\frac{33000}{8000} = 4$  Procent reichlich vorhanden.

Für einen Flaschenzug mit  $n = 8$  Seilen wäre hingegen:

$$L = 8 \cdot 0,33h \left(a - \frac{h}{2}\right) = 2,64h \left(a - \frac{h}{2}\right),$$

also z. B. bei einer Hubhöhe  $h$  von 20 Fuß und einer Standhöhe  $a = 10$  Fuß,  $L = 2,64 \cdot 20 (10 - 10) = 0$ ; dagegen bei  $a = 0$ ,  $L = - 2,64 \cdot 20 \cdot 10 = - 528$  Fußpfund. Die Nutzleistung wäre aber  $Qh = 800 \cdot 20 = 16000$  Fußpfund, folglich der Arbeitsgewinn durch das Seilgewicht im letzteren Falle  $\frac{52800}{16000} = 3,3$  Procent.

§. 212. Die Wagen- und Bauwinden (franz. crics, engl. lifting-jacks) sind vorzügliche Hilfsmittel, um größere Lasten, z. B. beladene Wagen, schwere Maschinen- oder Baustücke u. s. w. auf kleinere Höhen zu heben. Die gewöhnlichen Wagen- und Bauwinden bestehen in einer gezahnten Stange, welche mittels eines gezahnten Rades durch eine Kurbel in Bewegung gesetzt wird, und dabei die auf ihr ruhende oder an ihr hängende Last mit empor nimmt. Bei den stärkeren Winden neuerer Construction ist die gezahnte Stange durch eine Schraubenspindel und die einfache Kurbel durch eine Schraube ohne Ende ersetzt (vergl. III., §. 137).

Eine Winde mit gezahnter Stange ist in Fig. 433 abgebildet. Die gezahnte Stange  $A$  ergreift die Last entweder mittels der Klaue  $A$  oder

Fig. 433.



mittels eines Hakens am Fuße desselben. In sie greift das Getriebe  $C$ , welches entweder unmittelbar durch eine Kurbel in Umdrehung gesetzt werden kann, oder, wie hier, mittels einer Kurbel  $DE$  und eines gezahnten Räderwerkes  $BD$  in Bewegung gesetzt wird. Um das Zurückgehen der belasteten Stange zu verhindern, ist noch eine Sperrklinke angebracht, welche entweder in die Zähne der Stange  $AB$  oder in ein besonderes Sperrrädchen eingreift, das auf der Kolbenwelle  $D$  feststeht.

Sieht man von den Nebenhindernissen ab, so ist das Kraftverhältniß bei dieser Maschine nach bekannten Regeln wie folgt zu ermitteln. Es sei die Kurbelhöhe  $DE = a$  und der mittlere Halbmesser des in die Zahnstange eingreifenden Getriebes  $= r$ , ferner die Anzahl



der Zähne des mit  $C$  auf derselben Welle sitzenden Rades  $B = n_1$ , und die Anzahl der Zähne des auf der Kurbelwelle sitzenden Rades  $= n_2$ . Ist nun noch  $Q$  die Last in der Krenrichtung der gezahnten Stange und  $P$  die Umdrehungskraft der Kurbel, so haben wir:

$$\frac{Pa}{Qr} = \frac{n_2}{n_1} \text{ und daher } P = \frac{n_2}{n_1} \cdot \frac{r}{a} Q.$$

Für die Winde in Figur 434 mit schraubenförmiger Stange  $AB$  und einer Schraube ohne Ende  $EF$  bestimmt sich, wenn die Kraft  $P$  zur Umdrehung der Schraubenspindel  $F$  an einem Hebelarme  $a$  angreift, wenn ferner das Zahnrad  $EE$ , dessen Auge die Schraubenspindel  $AB$  als Mutter umfaßt,  $n$  Zähne hat, der mittlere Halbmesser dieser Spindel  $= r$  und die Ganghöhe derselben  $= h$ , also für das Ansteigen  $\alpha$  derselben  $\text{tang. } \alpha = \frac{h}{2\pi r}$  ist, ohne Berücksichtigung der Nebenhindernisse:

$$P = \frac{r}{a} \cdot \frac{Q \text{ tang. } \alpha}{n} = \frac{h}{2\pi a} \cdot \frac{Q}{n}.$$

Durch die Reibung wird allerdings diese Kraft noch bedeutend vergrößert (vergl. III., §. 148).

Fig. 434.

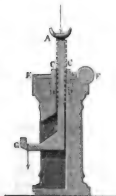
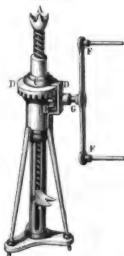


Fig. 435.



Eine Winde neuerer Construction stellt Fig. 435 dar. Es ist hier die Mutter  $C$  der schraubenförmigen Spindel  $AB$  von einem Kronenrad  $DD$  umgeben, in welches ein Zahnradchen  $E$  eingreift, das mit einer doppelten Kurbel  $FF$  auf einerlei Welle  $G$  sitzt. Behalten wir die obigen Bezeich-

Windungen bei, und setzen wir die Anzahl der Zähne des Getriebes  $DD = n_1$ , die des kleineren Triebades  $E$  aber  $n_2$ , so haben wir die Kraft an den Kurbelspielen:

$$P = \frac{r}{a} \cdot \frac{n_2}{n_1} Q \tan \alpha = \frac{h}{2\pi a} \cdot \frac{n_2}{n_1} Q.$$

Beispiel. Welche Last  $Q$  kann durch eine Kraft  $P$  von 30 Pfund mittels einer der im Vorstehenden behandelten Winden gehoben werden, wenn das Zahnzahlverhältniß  $\frac{n_2}{n_1} = \frac{1}{4}$ , wenn ferner die Kurbelarmlänge  $a = 15$  Zoll, und bei der Winde in Figur 433, der Halbmesser des Getriebes, welches in die Zahnstange eingreift,  $r = 2\frac{1}{2}$  Zoll; dagegen bei den beiden letzten Winden die Schraubenganghöhe  $h = 1$  Zoll, und endlich die Anzahl der Zähne des Stirnades  $EE$  der zweiten Winde  $n = 20$  beträgt?

Für die erste Winde ist

$$Q = \frac{n_1}{n_2} \cdot \frac{a}{r} P = 4 \cdot \frac{15 \cdot 2}{5} \cdot 30 = 720 \text{ Pfund}$$

für die zweite Winde hingegen

$$Q = \frac{2\pi a}{h} \cdot n P = \frac{6,283 \cdot 15 \cdot 20 \cdot 30}{1} = 56547 \text{ Pfund,}$$

und für die dritte Winde

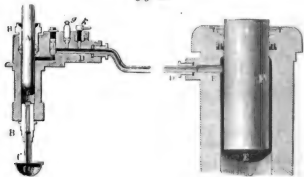
$$Q = \frac{n_1}{n_2} \cdot \frac{2\pi a}{h} P = 4 \cdot \frac{6,283 \cdot 15 \cdot 30}{1} = 11309 \text{ Pfund.}$$

Die Reibungen ziehen diese Kräfte ( $Q$ ) noch ein Bedeutendes herab.

Hydraulische  
Pressen.

§. 213. In neueren Zeiten wendet man nicht selten die hydraulischen oder Bramah'schen Pressen (franz. presses hydrauliques, engl. hydraulic presses) als Winden, d. i. als Vorrichtungen zum Heben großer Lasten auf kleine Höhen an. Die wesentliche Einrichtung einer hydraulischen Presse ist aus Figur 436 zu ersehen.  $A$  ist der sogenannte Kraftkolben, welcher durch Menschen-, Dampf- oder Wasserkraft in einem Cylinder  $BB$  auf- und niedergetrieben wird. Beim Aufgange dieses Kol-

Fig. 436



Wasser wird durch das sich in ein Sieb endigende Saugrohr  $BC$  Wasser aus einem Reservoir angesaugt, und beim Niedergange desselben wird Wasser aus  $BB$  durch das Communicationsrohr  $DD$  nach einem weiteren Cylinders  $EE$  getrieben, welches einen größeren Kolben, den sogenannten Presskolben  $F$ , emporreibt. Das sich nach oben öffnende Saugventil  $a$  am oberen Ende des Saugrohrs  $BC$  verhindert das Zurückfließen des Wassers beim Niedergange des Kolbens  $A$ , und das Sperrventil  $b$ , welches bei diesem Niedergange von dem aus  $B$  durch  $D$  nach  $E$  fließenden Wasser gehoben wird, versperst den Rücktritt des Wassers beim Aufgange des Kolbens  $A$ , während das Saugventil von dem durch  $C$  eingesaugten Wasser gehoben wird. Um den Druck des eingesperrten Wassers zu messen und zu begrenzen, ist noch ein durch ein Gewicht beschwertes Sicherheitsventil  $g$  angebracht, und um das Wasser aus dem Presscylinder auslaufen lassen zu können, dient ein durch eine Schraube zu stellendes Ablassventil  $k$ .

Querschnitts-  
Strich.

Das Kraftverhältnis bei einer hydraulischen oder hydrostatischen Presse läßt sich mit Hilfe eines aus Band I., §. 296 bekannten hydrostatischen Grundgesetzes ohne Umstände ermitteln. Ist  $F$  der Querschnitt des Kraft- und  $F_1$  der des Presskolbens und ist  $P$  die Kraft des ersteren,  $P_1$  aber die des letzteren, so hat man

$$\frac{P_1}{P} = \frac{F_1}{F}, \text{ also } P_1 = \frac{F_1}{F} P.$$

oder, wenn man statt der Kreisflächen  $F$  und  $F_1$  die Durchmesser  $d$  und  $d_1$  einführt, also  $\frac{F_1}{F} = \frac{\pi d_1^2}{\pi d^2} = \frac{d_1^2}{d^2}$  setzt:

$$\frac{P_1}{P} = \frac{d_1^2}{d^2}, \text{ also } P_1 = \frac{d_1^2}{d^2} P.$$

Dieses Verhältniß wird durch die Kolbenreibungen noch etwas alterirt. Ist  $\varphi$  der Reibungscoefficient und sind  $b$  und  $b_1$  die Breiten der Liderungsfränge der Kolben, so hat man nach II., §. 235 den Druck des Kraftkolbens nach Abzug der Kolbenreibung:

$$x = P - 4\varphi \frac{b}{d} x, \text{ d. i. } x = \frac{P}{1 + 4\varphi \frac{b}{d}}.$$

und dagegen den Druck des Presskolbens vor Abzug seiner Reibung:

$$x_1 = P_1 + 4\varphi \frac{b_1}{d_1} x_1, \text{ d. i. } x_1 = \frac{P_1}{1 - 4\varphi \frac{b_1}{d_1}}.$$

Setzt man daher  $\frac{x_1}{x} = \frac{d_1^2}{d^2}$ , so folgt:

Hydraulische  
Presse.

$$\frac{P_1}{P} \cdot \frac{1 + 4\varphi \frac{b}{d}}{1 - 4\varphi \frac{b_1}{d_1}} = \frac{d_1^2}{d^2}, \text{ oder}$$

$$P_1 = \left( \frac{1 - 4\varphi \frac{b_1}{d_1}}{1 + 4\varphi \frac{b}{d}} \right) \left( \frac{d_1}{d} \right)^2 P,$$

oder annähernd:

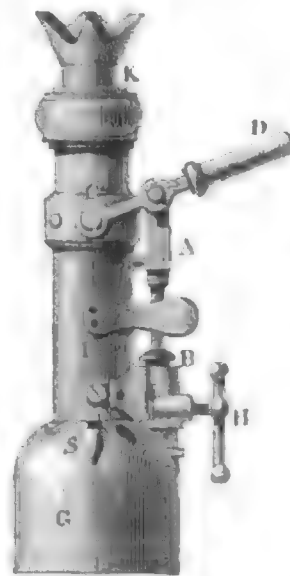
$$P_1 = \left[ 1 - 4\varphi \left( \frac{b}{d} + \frac{b_1}{d_1} \right) \right] \left( \frac{d_1}{d} \right)^2 P.$$

Diese Formel setzt übrigens noch voraus, daß die Geschwindigkeit des Wassers, und also auch die des niedergehenden Kraftkolbens nur eine kleine sei, weil sonst auch noch die hydraulischen Hindernisse eine namhafte Kraftverminderung herbeiführen würden.

Hydraulische  
Winde.

§. 214. Die äußere Ansicht einer hydraulischen Winde ist in Figur 437 abgebildet. *AB* ist der Kraftkolben, welcher mittels des Hebels *CD*

Fig. 437.



auf- und niedergedrückt wird. Dieser Kolben zieht bei seinem Aufgange Wasser aus dem Reservoir *G* in den Stiefel *E* und drückt es bei seinem Niedergange von da in den Zylinder *F*, wobei es den Presskolben *K* sammt der auf dessen Haupt wirkenden Last empor-schiebt. Die Füllung des Reservoirs mit Wasser erfolgt durch die Schnauze *S* und das Zurückfließen des Wassers aus dem Presszylinder in das Reservoir wird durch Drehung des Hebels und Eröffnung eines mit diesem in Verbindung gesetzten Ventiles bewirkt. Bei einiger Anstrengung und entsprechender Anordnung kann man mittels einer solchen Winde ein Gewicht von 10 bis 15 Tonnen heben.

Zum Heben der in II., §. 55 und 56 beschriebenen Röhrenbrücken von Eisenblech wurden

die stärksten hydraulischen Pressen angewendet; dieselben standen im Innern der thurmformigen Brückenpfeiler 40 Fuß über den Auflagerflächen der Röhre, und wurden durch Dampfmaschinen von je 40 Pferdekraften in Bewegung gesetzt. Die zu hebenden Röhrenstücke, welche mit einer Länge von 460 Fuß von einem Pfeiler bis zum anderen reichten

und je 1726 Tonnen wogen, waren an ihren Enden mit gußeisernen Rahmen ausgerüstet, an welche je zwei acht- und neunfache schmiedeeiserne Laschenkettten angeschlossen wurden, die von dem Querkopfe der Presskolben der hydraulischen Pressen herabhängen. Die Aufstellungsweise dieser hydraulischen Winden und die Aufhängungsweise der die Kistenenden tragenden Ketten ist aus den Figuren 438 und 439 zu ersehen. In beiden Abbildungen ist *A* der Presskolben und *B* der Stiefel, worin der erstere

Fig. 438.

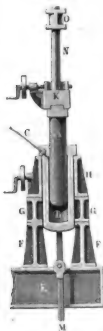
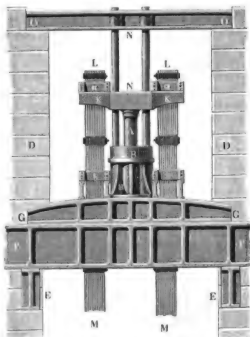


Fig. 439.



von dem durch das Rohr *C* zurückgepressten Wasser emporgeschoben wird. *DD* sind die Thurmmauern, *EE*, *FF* und *GG* gußeiserne Balken und *H* ist ein besonderes gußeisernes Gestelle zur Unterstützung des mit einer sehr großen Kraft nach unten drückenden Presscylinders *B*. Ferner sieht man in *KK* das Querkopfe des Presskolbens, an welchem die Tragketten herabhängen, und in *NN* die cylindrischen Leitstangen des Presskolbens, welche durch das Querkopfe hindurchgehen und unten auf dem Cylinder feststehen, oben aber durch einen eisernen Balken *OO* hindurchgehen. Zum

Hydraulische  
Zwinde.

Festhalten der Ketten über dem Querköpfe dienen Klemmen *aa*, welche durch Schrauben gegen die zwischenliegenden Kettenschienen angebrückt werden können. Denselben Zweck haben auch die Klemmen *bb*, welche angezogen wurden, wenn beim Anfange eines neuen Kolbenspieles die Ketten durch Wegnahme einer Gliederreihe verkürzt werden sollten. Um bei etwaigem Zerbersten der Presse oder Zerreißen der Ketten: u. s. w. das Herabstürzen der Röhre zu verhindern, wurden die Röhrenenden gleich während ihres Aufsteigens untermauert.

Drei hydraulische Pressen kamen bei der Errichtung der Britannia-Brücke zur Anwendung; eine größere von 10 Fuß Länge, 11 Zoll Metall-dicke und 20 Zoll lichtigem Durchmesser, und zwei kleinere von je nur 18 Zoll lichtigem Durchmesser; während diese gemeinschaftlich das eine Ende der Röhre hoben, wurde das andere Ende derselben von der ersten Presse allein zum Steigen gebracht. Der Kraftkolben einer Presse hatte nur  $1\frac{1}{16}$  Zoll Durchmesser und saß mit dem Dampfkolben, dessen Durchmesser 17 Zoll betrug, auf einer und derselben horizontalen Kolbenstange. Der Schub der Dampf- und Kraftkolben betrug nur 16 Zoll, der eines Presskolbens aber 6 Fuß. Die schmiedeeiserne Röhre, welche das Wasser in den Presscylinder führte, war innen nur  $\frac{1}{2}$  und außen 1 Zoll weit.

Beispiel. Wenn, wie in II., §. 55 angegeben wird, eines der größeren Röhrenstücke der Britannia-Brücke, welches je zwei Pfeiler mit einander verbindet, 1726 Tonnen wiegt, so mußte beim Heben desselben von der großen Presse allein und von den beiden kleineren Pressen zusammen eine Kraft von  $\frac{1726}{2} = 863$  Tonnen ausgeübt werden. Dem Durchmesser des Presskolbens von 20 Zoll entspricht ein Querschnitt von  $\left(\frac{20}{2}\right)^2 \pi = 314,16$  Quadrat Zoll; folglich ist der nöthige Druck des Wassers im Innern der Presse auf den Quadrat Zoll

$$p = \frac{863}{314,16} = 2,747 \text{ Tonnen, oder die Tonne} = 2240 \text{ Pfund angenommen.}$$

$$p = 2,747 \cdot 2240 = 6153 \text{ Pfund, oder die Atmosphäre in englischem Maas}$$

$$= 14,706 \text{ Pfund gesetzt: } p = \frac{6153}{14,706} = 418 \text{ Atmosphären.}$$

Der Kraftkolben hat hierbei mindestens eine Kraft von  $\left(\frac{17}{16}\right)^2 \cdot \pi \cdot 6153 = 21822$  Pfund auszuüben, und es ist der erforderliche Dampfdruck auf den Quadrat Zoll, da die Dampfkolbenfläche  $16^2 \cdot \pi = 804,25$  Quadrat Zoll mißt,

$$P_1 = \frac{21822}{804,25} = 27,13 \text{ Pfund, d. i. noch nicht ganz zwei Atmosphären.}$$

Transpectable  
Werkzeuge  
haspel.

§. 215. Die in Bd. II., §. 84 behandelten Kreuz- und Spillenshaspel, sowie die stehenden Wellen mit mehreren Schwengeln sind sehr gewöhnliche Hülfsmittel, wodurch bei Bauausführungen große Lasten oder Baustücke auf mäßige Höhen gehoben werden. Diese Maschinen er-

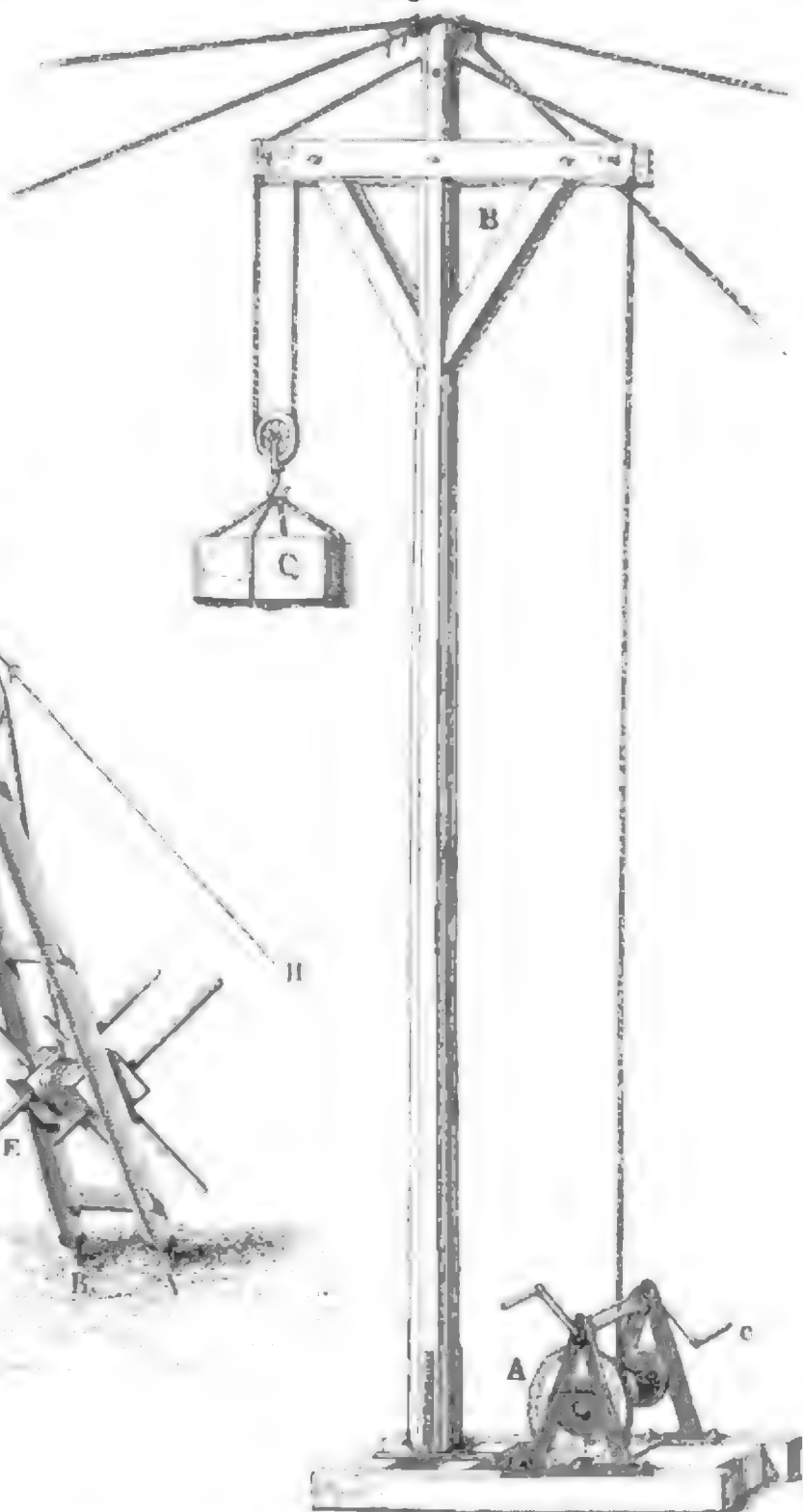
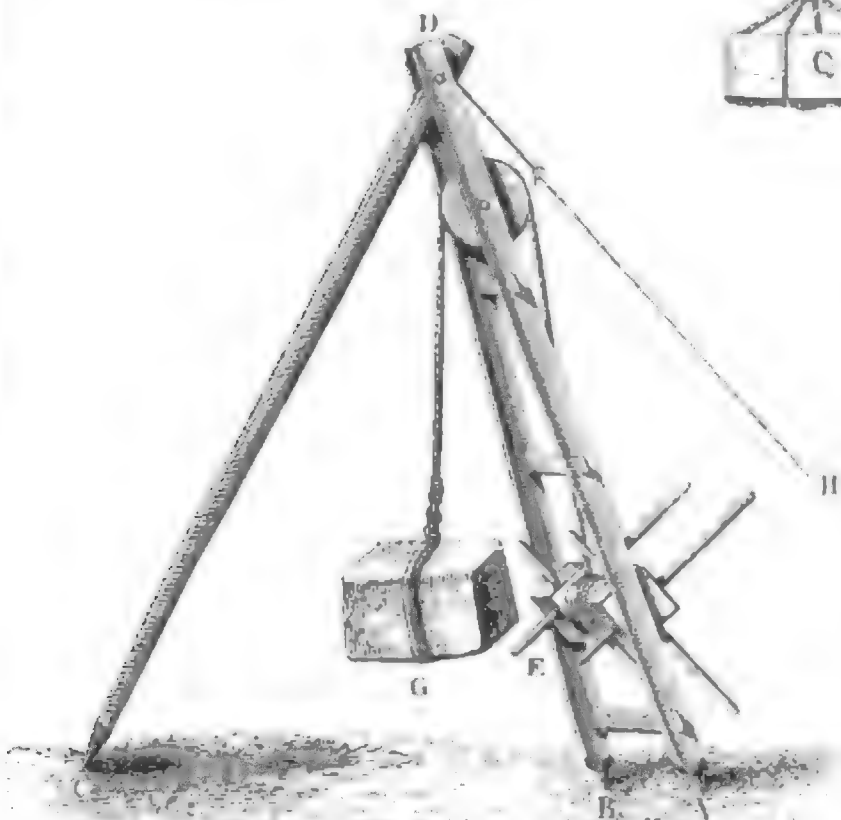


halten in solchen Fällen ein transportables Gestelle, z. B. einen **Bock** Transportable Vorlege- bock. (franz. chèvre, engl. gin), wie in Fig. 440. Hier sind  $AD$  und  $BD$

Fig. 441.

zwei fest mit einander verbundene Beine und es ist  $CD$  ein drittes Bein, welches sich um den Bolzen  $D$  drehen läßt. Zwischen dem ersten Beinpaare ist der Kreuzhaspel  $E$  und die Leitrolle  $F$  gelagert, über welche das Seil läuft, das einerseits die Last  $G$  trägt,

Fig. 440.



und sich andererseits auf den Rundtheil des Haspels aufwickelt. Wenn es der Raum nicht gestattet, ein drittes Bein  $CD$  in Anwendung zu bringen, so ist es nöthig, das Haspelgestelle  $ABD$  von hinten durch Seile oder Ketten  $DH$  aufrecht zu erhalten.

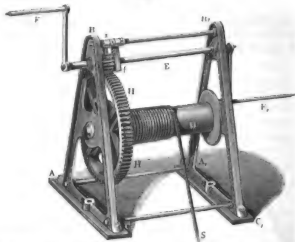
Das Gerüste zum Aufziehen einer Last kann man auch aus einem Kreuze, wie  $AB$ , Fig. 441, bestehen lassen, und dasselbe durch Taue oder Ketten, welche vom Kopfe dieses Kreuzes bis in den benachbarten Erdboden hineingehen, in aufrechter Stellung erhalten. Bei der abgebildeten

Transportable  
Vorgelegshä-  
sel.

Vorrichtung hängt die Last  $Q$  zunächst an einer losen Rolle, und das Seil wird mittels dreier festen Rollen nach dem unten stehenden Haspel  $C$  herabgeführt.

Der transportable Vorgelegshäsel oder die Vorgelegswinde (franz. treuil, engl. crab), wodurch die Last emporgehoben wird, ist ein gewöhnliches Hilfsmittel zum Heben größerer Lasten auf mäßige Höhen. Die specielle Einrichtung dieser Hebemaschine ist in Fig. 442 abgebildet. Die

Fig. 442.



gußeisernen Böcke  $ABC$  und  $A_1B_1C_1$  sind durch die schmiedeeisernen Bolzen  $AA_1$ ,  $BB_1$  und  $CC_1$  zu einem Ganzen vereinigt, und lassen sich mit ihren Fußplatten  $AC$  und  $A_1C_1$  auf eine starke hölzerne Grundlage aufschrauben. Dieses Gestelle trägt zwei horizontale Wellen; nämlich eine hohle gußeiserne Welle  $D$  zum Aufwickeln des Seiles  $S$ , woran die Last hängt, und eine schwache Welle  $E$ , mit den Kurbeln  $F$  und  $F_1$ . Die Kraft  $P$  der Kurbeln wird mittels eines kleinen Zahnrades  $G$  von etwa 10 Zähnen und eines größeren Zahnrades  $H$  von etwa 70 Zähnen auf die Lastwelle  $D$  übertragen. Eine Sperrklinke  $s$ , welche vom Bolzen  $BB_1$  herabhängt und in das Rad  $G$  eingreift, verhindert das Zurückgehen der Last, wenn die Kraft zu wirken aufhört, und eine sogenannte Falle  $f$ , welche ebenfalls von  $BB_1$  herabhängt und die Welle  $E$  umfaßt, verhindert das Ausweichen dieser Welle in ihrer Aorenrichtung. Wird diese Falle ausgehoben, so kann man die Welle so weit verschieben, daß  $G$  aus dem Eingriff mit  $H$  kommt, und die Welle  $D$  beim Abwickeln des Seiles  $S$  ohne  $EG$  umläuft.

Ist  $P$  die Kraft,  $Q$  die Last,  $a$  die Kurbelarmlänge,  $b$  der Hebelarm der Last oder die halbe Stärke der Welle sammt halber Stärke des Seiles, und ist  $n_1$  die Anzahl der Zähne des kleinen Treibrades  $G$ ,  $n_2$  aber die des größeren Getriebrades  $H$ , so hat man wie III., §. 51:

$$P = \frac{n_1}{n_2} \cdot \frac{b}{a} Q.$$

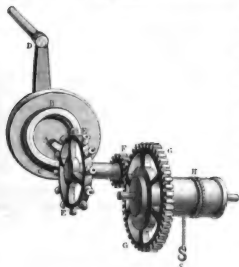
Reißt man das Seil, wie in Fig. 441, noch über eine lose Rolle gehen, so hat man statt  $Q$ ,  $\frac{Q}{2}$  zu setzen, weshalb dann

$$P = \frac{n_1}{n_2} \cdot \frac{b}{a} \frac{Q}{2} \text{ ist.}$$

Beispiel. Wenn bei dem Aufzug in Fig. 441 die Last  $Q = 2800$  Pfund, das Armverhältniß  $\frac{b}{a} = \frac{1}{4}$ , und das Zähnezahlenverhältniß  $\frac{n_1}{n_2} = \frac{1}{7}$  beträgt, so hat man die erforderliche Kraft an den Haspelhörnern, ohne Rücksicht auf Reibung:

$$P = \frac{1}{7} \cdot \frac{1}{4} \cdot \frac{2800}{2} = \frac{400}{8} = 50 \text{ Pfund.}$$

§. 216. Eine andere Vorrichtung zum Aufziehen großer Lasten ist Long's tragbare Hebemaschine (s. Civil-Engineer and Architects Journal, July 1852; auch Dingler's Journal, Bd. 125). Der wesentlichste Theil dieser Maschine ist die Spiralscheibe  $ABC$ , Fig. 443, welche durch eine Kur-



bel  $D$  in Umdrehung gesetzt wird, und mit ihrem Spiralgange in die aus cylindrischen Rollen bestehenden Zähne eines Rades  $EE$  eingreift. Mit dem letzteren Rade auf einerlei Welle sitzt noch das kleine Zahnrad  $F$ , und dieses greift wieder in ein größeres Zahnrad  $G$ , das auf dem Rundbaum  $H$  aufsitzt, um welchen sich das die Last tragende Seil  $S$  wickelt. Leicht ist einzusehen, daß das Rad  $EE$  bei einer Umdre-

*Gegenüber* hnung der Spiralscheibe oder der Schnecke *ABC* von dieser um einen Zahn fortgeschoben wird. Ist *a* die Kurbelarmlänge, *b* der Hebelarm der an *S* hängenden Last, ferner *n* die Anzahl der Zähne oder Rollen des Rades *EE*, dagegen *n*<sub>1</sub> die der Zähne von *FF* und *n*<sub>2</sub> die Anzahl der Zähne von *GG*, so hat man für die Kraft an der Kurbelspitze:

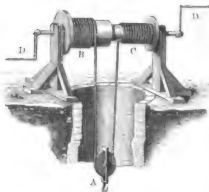
$$P = \frac{n_1}{n_2} \cdot \frac{b}{a} \cdot \frac{Q}{n}$$

Die Wirkung der Spiralscheibe ist mit der einer Schraube ohne Ende (s. III., §. 148) zu vergleichen; denn wenn man das Vorgelege wegläßt, also die Last *Q* unmittelbar an die Welle des Rades hängt, so hat man für beide Maschinen:

$$P = \frac{b}{a} \cdot \frac{Q}{n}$$

Es gehört auch hierher die sogenannte Gegenwinde oder der Picht- oder Differenzialhaspel (franz. treuil de la Chine, engl. chinese capstan), welcher in Fig. 444 abgebildet ist. Die Last *Q* hängt hier an

Fig. 444.



einer losen Rolle *A* und die Enden des Seiles, welches diese Rolle trägt, sind in entgegengesetzten Richtungen um eine Welle *BC* mit zweierlei Durchmesser gewickelt. Wird nun diese Welle durch eine Kurbel *D* oder auf eine andere Weise in Umdrehung gesetzt, so wickelt sich das eine Seilende auf den stärkeren Theil *B* der Welle auf und das andere Ende von

dem schwächeren Theil *C* derselben ab, und es verkürzt sich folglich das herabhängende Seil *BAC* bei jeder Umdrehung der Welle nur um die Differenz der Wellenumfänge *B* und *C*.

Sind *r*<sub>1</sub> und *r*<sub>2</sub> die Halbmesser dieser Umfänge, so hat man die Verkürzung des Seiles bei einer Umdrehung =  $2\pi(r_1 - r_2)$  und folglich den entsprechenden Weg der Last *Q*:

$$\frac{2\pi(r_1 - r_2)}{2} = \pi(r_1 - r_2),$$

wogegen die Kraft *P* bei der Höhe *a* des Kurbelhornes den Weg  $2\pi a$

zurücklegt. Es ist hiernach

$$2\pi a P = \pi(r_1 - r_2) Q, \text{ d. i.}$$

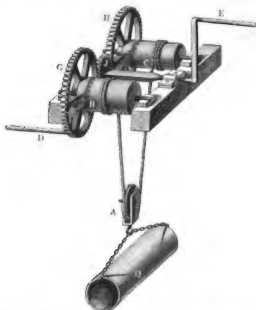
$$P = \frac{r_1 - r_2}{2a} Q,$$

und es fällt folglich die Kraft um so kleiner aus, je weniger die Stärke des einen Rundbaumtheiles von der des anderen abweicht.

Der Aufzug in Fig. 445 ist eine Gegenwinde mit Vorgelege.

Die Seilenden liegen hier in entgegengesetzten Richtungen auf den Wellen

Fig. 445.



*B* und *C* von ungleicher Stärke, welche durch die Kurbeln *D* und *E* mittels des Räderwerkes *FGH* in entgegengesetzten Richtungen umgedreht werden. Ist hier wieder *a* die Kurbelhöhe und sind *r*<sub>1</sub> und *r*<sub>2</sub> die Halbmesser der Wellen *B* und *C*; ist ferner *n*<sub>1</sub> die Anzahl der Zähne des Rades *F* auf der Kurbelwelle, *n*<sub>2</sub> aber die Anzahl der Zähne von jedem der beiden Getriebräder *G* und *H*, so hat man die Kraft, durch welche die Last *Q* gehoben wird:

$$P = \frac{n_1}{n_2} \cdot \frac{r_1 - r_2}{2a} Q.$$

Aus III., §. 160 ist endlich noch zu ersehen, daß man auch Sperrräder





Kette ohne Ende ist die Kette entweder mit besonderen Aufziehschlägen zur Aufnahme der Last versehen, oder sie erhält Haken, womit sie die emporzuhebende Last oder das Gefäß, in welchem dieselbe enthalten ist, ergreift. In beiden Fällen wird das Fortlaufen der Ketten und das Emporsteigen der Last durch Umdrehung der Welle bewirkt, auf welcher das eine Rad oder das eine Räderpaar, um welche sich die Kette ohne Ende legt, fest sitzt. Aufzüge, welche die Last durch ein Seil mit Ende emporheben, haben entweder eine Trommel, auf welche sich das Seil während des Aufsteigens der Last aufwickelt, oder erhalten einen Kolben, welcher durch den Druck des Dampfes oder Wassers in Bewegung gesetzt wird und dabei das Seil mit sich fortzieht. Die Umdrehung der Trommel kann entweder durch die Kraft der Menschen oder die des Wassers, Dampfes u. s. w. bewirkt werden.

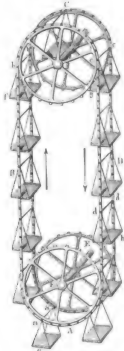
In den meisten Fällen sind diese Aufzüge nur mit einem Ziehseile versehen, und es ist deshalb nöthig, daß dasselbe wieder herabgelassen wird, bevor es eine neue Last erfassen und emporheben kann. Um dieses Zurückgehen des Ziehseiles zu reguliren, zumal, wenn dasselbe noch ein leeres Gefäß oder eine Schaafe zur Aufnahme der Last trägt, bedient man sich eines Gegengewichtes oder eines Bremses. In selteneren Fällen wendet man, wie bei der im folgenden Kapitel abzuhandelnden Schachtförderung zwei Zugseile mit zwei Gefäßen an, so daß immer während des Aufsteigens der Last das leere Gefäß niedersinken kann. Um die rückgängige Bewegung der Aufzüge hervorzubringen, hat man Aus- und Einrückzeuge anzubringen, wie aus III., §. 204 bekannt sind.

Hat man es mit einer lockeren Fördermasse zu thun, so kann man auch den Aufzug in einer Eimer- oder Becherkette bestehen lassen, die nahe die Einrichtung hat, welche bereits in II., §. 244 angegeben worden ist. Es gehören hierher die sogenannten Elevatoren, welche zum Emporheben des Getreides oder Mehlens in Mühlen angewendet werden, und in gewissem Grade auch die sogenannten Baggermaschinen zum Ausbaggern oder Reinigen der Flußbetten und Häfen von Sand, Schlamm u. s. w.

§. 218. Ein Sichtaufzug mit Kette ohne Ende ist in Figur 447 (auf folgender Seite) abgebildet. *A* und *C* sind zwei Paar mindestens 7 Fuß hohe Eisenscheiben mit keilförmigen Zähnen, und *ABCD* ist ein Paar um beide Scheidenpaare liegende schmiedeeiserne Laskettenketten, zwischen deren Glieder die Zähne der Scheiben greifen, so daß diese Ketten, selbst bei einem größeren Widerstande derselben, von den umlaufenden Scheiben mitgenommen werden. Die beiden Ketten sind in gewissen Abständen durch schmiedeeiserne Bolzen *aa*, *bb*, *cc*, . . . mit einander verbunden, an welchen die Aufziehschaalen *e*, *f*, *g*, *h* u. s. w. hängen, die zur

*Wahlgg.* Aufnahme der Lasten oder der die Erze enthaltenden Aufziehgefäße dienen. Die Weile EE des unteren Scheibenpaares wird mittels eines Räderwerkes durch ein Wasserrad oder eine Dampfmaschine langsam umgedreht,

Fig. 447.

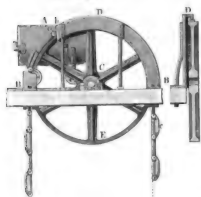


so daß die Ketten eine kleine Geschwindigkeit von etwa  $\frac{1}{2}$  Fuß annehmen. Wird die Last, z. B. ein Erzklüfchen, auf die emporsteigende Schaafe e gestellt, so steigt dieselbe allmählig empor, und ist diese Schaafe oben, z. B. in f, angelangt, so kann man diese Last wieder von dem Aufzuge abheben. Nachdem man das Klüfchen ausgeleert hat, setzt man es wieder auf eine Aufziehschaafe, welche nun mit demselben auf der anderen Seite des Aufzuges herabsinkt, so daß es unten vom Aufzuge abgenommen und von neuem gefüllt werden kann. Uebrigens ist es mit keinem wesentlichen Nachtheil verbunden, wenn das Abheben eines gefüllten oder leeren Erzklüfchens ein Mal aus Versehen unterblieben ist: ein solches Klüfchen macht dann noch einen Umlauf mehr, erfordert dabei aber weiter keinen Arbeitsaufwand, da es beim darauf folgenden Sinken fast eben so viel Arbeit verrichtet, als es beim nächstfolgenden Steigen beansprucht.

Man kann auch die Aufziehschaalen ganz entbehren, wenn man die Ketten ohne Ende mit Bolzen oder Haken versieht, womit sie die Last oder das Gefäß, welches dieselbe enthält, ergreifen.

Bei dem in Fig. 448 (auf nebensteh. Seite) nur theilweise abgebildeten Gichtaufzuge besteht das aufziehende Gefäß in einem Hund oder Wagen A, dessen Seitenwände mit Haken a, a, ausgerüstet sind, die von den Bolzen b, b der Aufziehketten ergriffen werden und sich erst davon wieder losmachen, wenn der Wagen oben angekommen ist. Diese Wagen werden nicht allein auf einer Schienenbahn unten zugeführt, sondern auch auf eine solche oben abgesetzt. Die obere Schienenbahn erhält so viel Rollen, daß sich die Wagen durch ihre eigene Schwere von dem Aufzuge entfernen und der Gicht zulaufen. Die ausgeleerten Wagen werden auf einer zweiten Bahn wieder niedergelassen. Damit die Ketten durch die etwas excentrisch wirkende Wagenlast nicht schief oder gar von den Scheiben

Fig. 448.



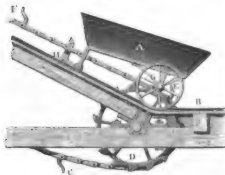
Wurfger.

herabgezogen werden, sind die Ketten noch mit besonderen Gliedern *c, c* versehen, und die Scheiben *CE* an den Stellen, wo die Ketten aufstiegen, mit festen rinnenförmigen Leitungen *BDB* für diese Glieder umgeben.

Die Einrichtung eines Wichtaufzuges mit endloser Kette und gegen den Horizont geneigter Bahn ist aus Fig. 449 zu erkennen, welche den unteren Theil desselben, und zumal die Art und Weise wie der Wagen von den Haken an der Kette ergriffen wird, vor Augen führt. Der Wagen *A* wird auf der Schienenbahn *B* zugeführt und die endlosen Ketten *CDEF* über eine Rolle oder Scheibe *DE* geleitet, die mit Zähnen ausgerüstet ist, welche zwischen die gabelsförmigen Glieder der Kette greifen.

In Abständen von circa 10 Fuß von einander sind die ungefähr je 1 Fuß langen Kettenglieder mit Haken *C, E, F*... versehen, welche die hintere Wagenare *G* ergreifen und so den Wagen mit empor nehmen, bis er sich, oben angekommen, von selbst aushängt, und auf einer geneigten Bahn

Fig. 449.



Aufzüge.

ohne äußere Beihülfe der Sicht zuläuft. Die obere Scheibe befindet sich über dem Sichtboden und wird mittels Räderwerk durch Dampf- oder Wasserkraft in Umdrehung gesetzt. Damit die Wagen beim etwaigen Zerreißen der Ketten nicht herabstürzen und Schaden anrichten, sind noch kleine Winkelhebel  $H$  längs der Bahn angebracht, welche zwar die Wagen-are aufwärts gehen lassen, sich aber dem Rückwärtsgehen derselben entgegensetzen. Das Zurücklassen der leeren Wagen erfolgt auf einer Seitenbahn und mittels eines gewöhnlichen Bremshaspels (s. III., §. 166).

Sieht man von den Nebenhindernissen ab, so kann man den Arbeitsaufwand eines Aufzuges mit endloser Kette leicht wie folgt berechnen. Es sei das Gewicht der Fördermasse in einem Gefäße oder Wagen  $= Q$ , die Förderhöhe  $= h$  und die Anzahl der in einer Minute zu hebenden Gefäße oder Wagen  $= n$ . Die Leistung pro Gefäß ist dann  $= Qh$ , folglich die pro Minute  $nQh$ , und daher die pro Secunde:

$$L = \frac{n}{60} Qh.$$

Diese Formel gilt jedoch nur dann, wenn das leer niedersteigende Fördergefäß  $G$ , wie z. B. in Fig. 447, dem aufsteigenden vollen zu Hülfe kommt.

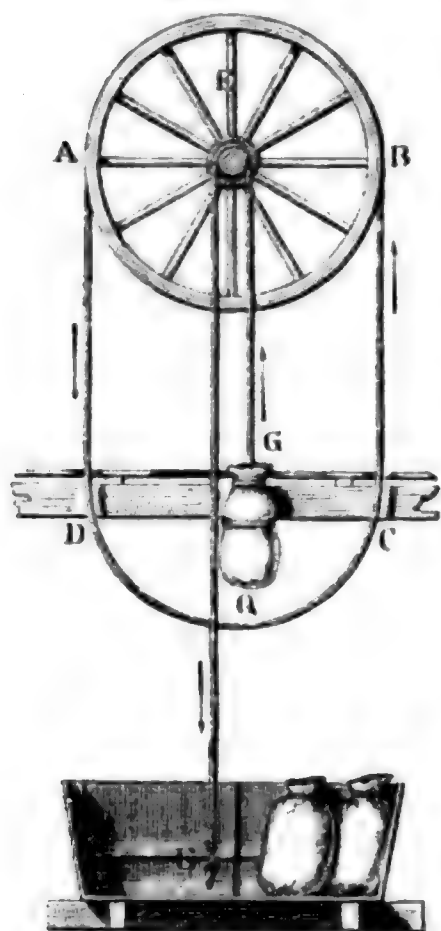
Außerdem ist  $L = \frac{n}{60} (Q + G) h$  zu setzen.

Anmerkung. Einen Aufzug, wie in Fig. 448, hat in der neuesten Zeit Favé zum Schachtfördern empfohlen (s. Armengaud's Génie industriel, deutsch Dingler's polytechn. Journal, Bd. 126, oder polytechn. Centralblatt, 1852). Um das Aufsteigen der gefüllten und das Niederlassen der leeren Wagen an derselben endlosen Kette möglich zu machen, wird von Favé empfohlen, die gefüllten und leeren Förderwagen mittels eines auf Rädern stehenden und auf einer Schienenbahn beweglichen Bodens der endlosen Kette zuzuführen und von ihr abzunehmen. Zur Förderung aus tiefen Schächten möchte diese Maschine nicht tauglich sein.

§. 219. Ein einfacher Handaufzug ist in Figur 450 (auf nebenstehender Seite) abgebildet. Eine Spurscheibe  $AB$  von 7 bis 8 Fuß Durchmesser läßt sich mittels des Seiles  $ABCD$  ohne Ende beliebig nach rechts oder links umbrehen, wobei sich das ohnedies mehrmals um die Welle  $E$  dieser Scheibe gelegte Seil auf der einen Seite ab- und auf der anderen aufwickelt. Ist nun an dem Ende des sich aufwickelnden Seiles eine Last  $Q$  angehängen, so gelangt diese durch die Drehung der Scheibe zum Steigen, während das leere Seilende allmählig von oben nach unten herabsinkt. Hat man auf diese Weise die Last  $Q$  von  $F$  nach  $G$  gehoben und oben abgehängt, so kann man an das herabgesunkene leere Seilende eine neue Last hängen, und diese durch Umdrehung der Scheibe in umgekehrter Richtung zum Steigen bringen.

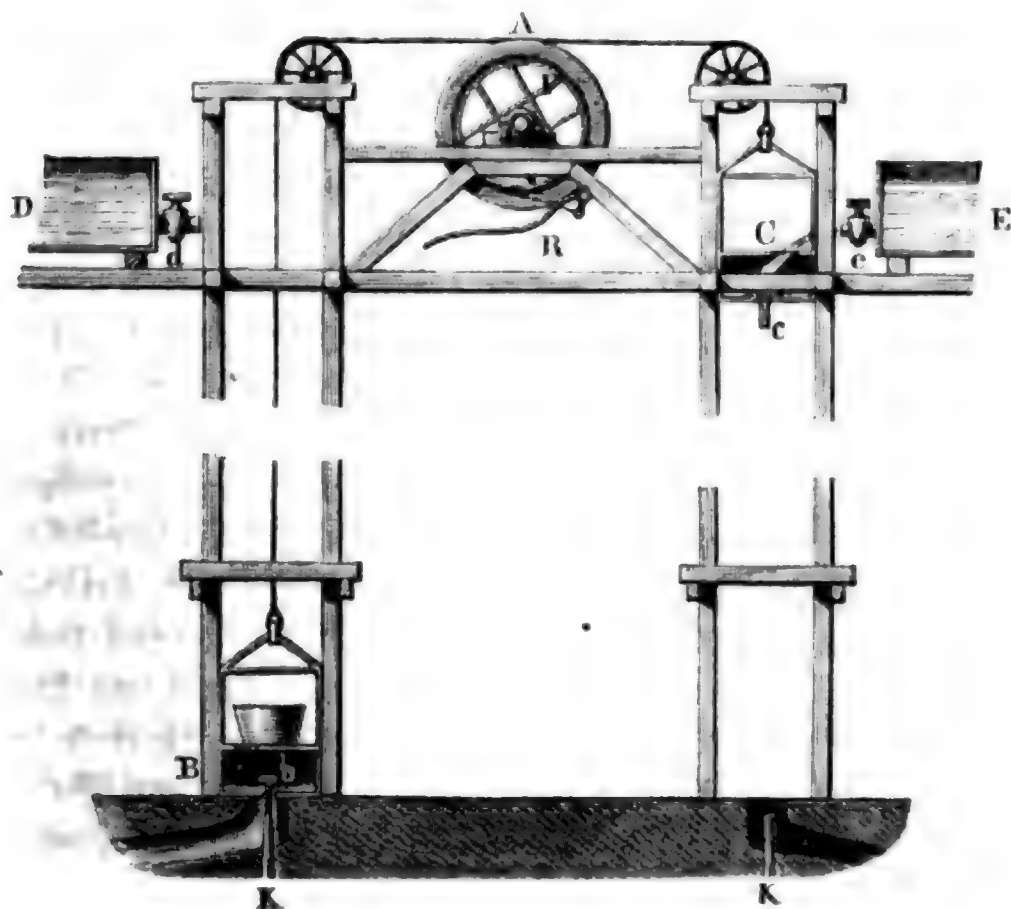
Ein Sichtaufzug mit Wasserkraft kann besonders dann sehr einfach ausfallen, wenn das Wasser auf der Höhe des Sichtbodens zu- Aufgabe.

Fig. 450.



fließt, weil dann die eigentliche Umtriebsmaschine ganz wegfällt. Einen solchen Aufzug führt Fig. 451 vor Augen. A ist eine große Scheibe, um welche das Drahtseil zwei- bis dreimal gelegt ist, an dessen Enden die Aufzugschaalen B und C hängen, auf welche die Fördergefäße gesetzt werden. Jede Schaaale hat einen doppelten Boden und bildet ein niedriges, wasserdichtes Gefäß, welches aus einem Behälter D oder E auf dem Sichtboden mit Wasser angefüllt und durch ein Ventil b in dem untersten Boden wieder geleert werden kann. Soll nun eine belastete Schaaale empor- und gleichzeitig eine nur das leere Gefäß tragende Schaaale niedersteigen, so öffnet man den Hahn des Aufschlagreservoirs auf der Seite der leeren Schaaale und füllt das von ihrem Doppelboden gebildete Gefäß mit Wasser. Das Gewicht desselben bringt nun diese Schaaale zum Sinken und hebt gleichzeitig mit die belastete Schaaale in die Höhe. Ist die belastete Schaaale oben und

Fig. 451.

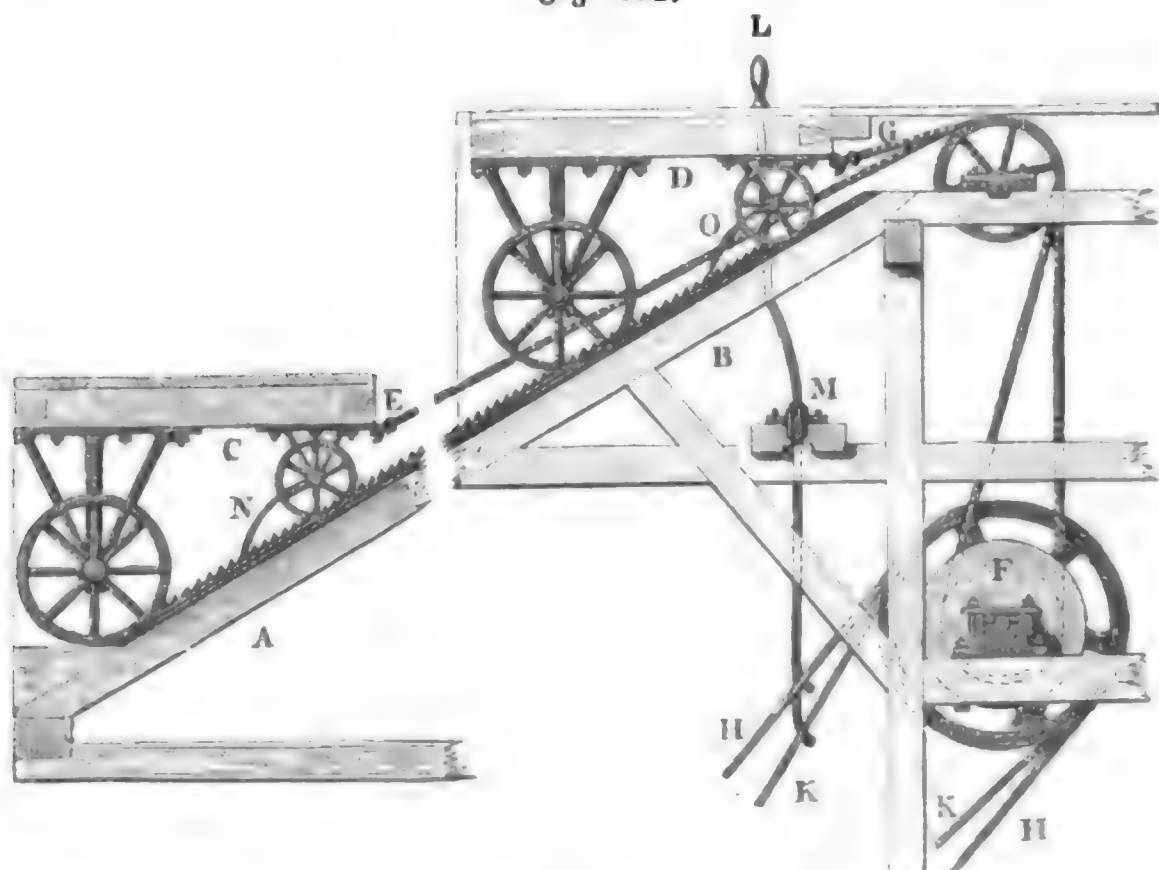


Aufzüge.

die mit Wasser gefüllte Schaale unten angekommen, so öffnet sich das mit seinem Stiel auf ein Hinderniß *K* stoßende Ventil, und es fließt das Wasser aus dieser Schaale, die nun ebenfalls belastet und durch die Füllung der oben angekommenen Schaale gehoben werden kann. Um das Auf- und Niedersteigen der Schaaalen zu reguliren, ist die Scheibe *A* noch mit einem Bremsrade *F* versehen, und die beschleunigende Kraft durch Bremsen an dem Drücker *R* aufzuheben.

Ein größerer Gichtaufzug, durch Wasser oder Dampf bewegt, ist in Fig. 452 abgebildet. Derselbe besteht aus zwei neben einander auf-

Fig. 452.



steigenden Schienenbahnen *A* und *B* mit einer Neigung von 30 bis 45 Grad und einer Länge von 40 bis 70 Fuß. Auf jeder dieser Bahnen befindet sich ein Wagen *C* (*D*) mit ungleich hohen Rädern und horizontalem Boden zur Aufnahme der in Körben, Kästen oder Wagen verpackten Förderlasten (Erze, Coaks u. s. w.). Beide Wagen sind durch ein Seil *EFG* mit einander verbunden, welches um den Korb oder die Trommel *F* gelegt ist, und daher während der Umdrehung der letzteren den einen Wagen auf der Bahn emporzieht und den anderen herabläßt. Um die regelmäßige Abwechselung im Steigen des vollen und Herablassen des leeren Wagens zu bewirken, muß die Trommel abwechselnd zum Rechts- und Linksumlaufen eingerichtet und daher noch ein Aus- und Einrückzeug angebracht sein. Das letztere kann in einem Zahnradwerke, wie III., Fig. 413 oder 415, oder in einem Riementäderwerke, wie Fig. 414, bestehen. Bei dem abgebildeten Aufzuge ist das letztere angewendet. Von



den beiden Riemen  $HH$  und  $KK$ , welche die Umtriebskraft auf die Korbbwelle übertragen, ist der eine offen und der andere gekreuzt; und je nachdem nun durch den Rückhebel  $LMK$  der eine oder der andere Riemen auf eine feste oder auf die lose Rolle der Umtriebswelle geschoben wird, gelangt die Korbbwelle nach der einen oder nach der anderen Richtung in Umdrehung. Die gezahnten Stangen längs einer Bahn dienen dazu, den Wagen mittels einer Klinkle aufzuhalten, sobald das Zugseil abreißt.

Ist  $Q$  die durch diesen Aufzug emporzuhebende Last,  $s$  der Weg desselben auf der geneigten Ebene oder Schienenbahn und  $\alpha$  der Neigungswinkel dieser Bahn gegen den Horizont, so hat man die auf den Korbumfang reduirte Kraft  $P = Q \sin. \alpha$ , und die erforderliche Arbeit zum Aufziehen  $P s = Q s \sin. \alpha$ .

Beispiel. Ist die Last eines Aufzuges  $Q = 1000$  Pfund, der Neigungswinkel des Aufzuges,  $\alpha = 30^\circ$  und die Länge der Aufzugbahn,  $s = 70$  Fuß, so hat man die Kraft  $P = 1000 \sin. 30^\circ = 500$  Pfund und die Arbeit  $P s = 500 \cdot 70 = 35000$  Fußpfund. Läßt man den Wagen mit  $2\frac{1}{2}$  Fuß mittlerer Geschwindigkeit aufsteigen, so hat man die mittlere Leistung der Maschine pro Secunde  $L = 500 \cdot 2,5 = 1250$  Fußpfund, oder, wenn wir der Nebenhindernisse wegen 15 Procent zusetzen,  $L = 1250 \cdot 1,15 = 1438$  Fußpfund, d. i. beinahe 3 Pferdekkräfte. Die Zeit eines Aufzuges ist

$$t = \frac{s}{v} = \frac{70}{2,5} = \frac{140}{5} = 28 \text{ Secunden};$$

sehen wir die Stillstandszeit 62 Secunden, so haben wir folglich den Zeitaufwand für ein Aufstreiben  $90''$ . Sell nun der Gichtaufzug zwei Hohöfen mit Eisenerzen, Kehlen und Zuschlägen von im Ganzen täglich 2 . 70000 = 140000 Pfd. versorgen, so sind hierzu  $\frac{140000}{1000} = 140$  Aufgänge, und ein Zeitaufwand von  $140 \cdot 90'' = 140 \cdot 1,5' = 7\frac{1}{2} = 3\frac{1}{2}$  Stunde Zeit nöthig.

§. 220. In neuerer Zeit hat man auch pneumatische Aufzüge pneumatische Aufzüge in Anwendung gebracht. Zwei solcher Gichtaufzüge sind in den Figuren 453 und 454 (auf folgender Seite) abgebildet. Der Aufzug in Fig. 453 ist von Gibbons für vier Eisenhohöfen in der Nähe von Dudley construiert worden und hat sich schon seit einer Reihe von Jahren bewährt. Derselbe besteht aus einer  $5\frac{1}{2}$  Fuß weiten und  $51\frac{1}{2}$  Fuß langen Röhre  $AB$  aus Eisenblech, welche von unten mit comprimierter Luft gefüllt wird, und von dieser sammt der auf der von ihrem Deckel  $A$  gebildeten Plattform stehenden Last  $Q$  senkrecht emporgehoben wird. Die comprimirete Luft wird aus dem Windreservoir des Gebläses, welches die Hohöfen mit Wind versorgt, durch die Röhrenleitung  $CDEFG$  zugeführt, und der Abschluß der unten offenen Röhre  $AB$  wird durch Wasser bewirkt, welches den ausgemauerten Schacht  $BEF$  fast ganz ausfüllt. Damit  $AB$ , welches anfangs auf einem Stege im Schachtiefsten aufliegt, genau senkrecht

Pneumatische  
Aufzüge.

emporsteigen könne, läßt man dasselbe innerhalb des Schachtes in Walzen *K, K* und außerhalb desselben in einer aus vier Säulen bestehenden Leitung gehen, gegen welche sich vier aus dem Haupte der Röhre *AB* hervorstehende Arme *LL* stemmen.

Fig. 453.

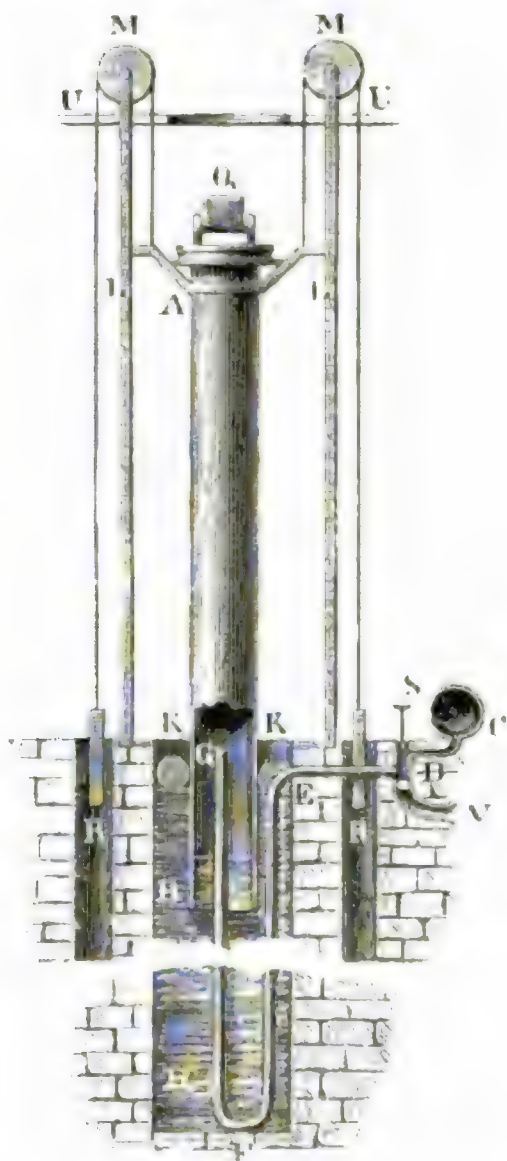
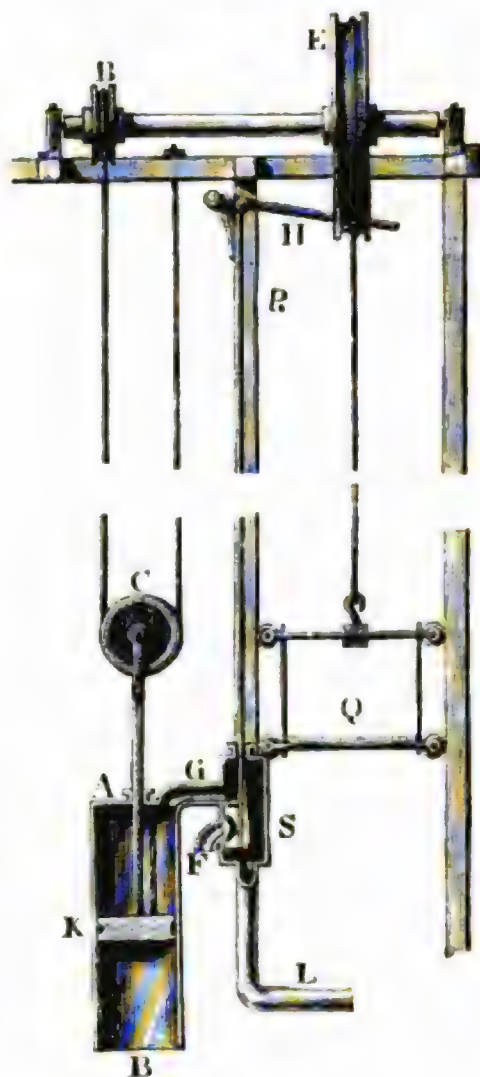


Fig. 454.



Um den Auf- und Niedergang der Kraströhre *AB* zu reguliren, ist die Leitung, welche den Wind der Röhre zuführt, mit einem Steuerzylinder *DS* versehen, in welchem ein Steuerkolben *D* (s. II., §. 221) auf- und niedergeschoben werden kann. Steht die Kraströhre unten auf, und hat man die Last *Q* auf die Plattform derselben gebracht, so schiebt man den Steuerkolben abwärts und bringt ihn in die Stellung, welche die Figur anzeigt. In Folge dessen ist nun das Innere von *AB* mit dem Windreservoir des Gebläses in Communication gesetzt, und es wird diese Röhre durch das Uebergewicht des inneren Luftdruckes über den äußeren Luftdruck emporgehoben. Ist später die Last *Q* beinahe in das Niveau des Gichtbodens *UU* gekommen, so zieht die Kraströhre mittels eines Hebels den Steuerkolben *S* wieder empor, und es tritt nun das Innere von

*AB* durch das Ausblaserohr *V* mit der äußeren Luft in Verbindung. Hat man nun durch Gegengewichte *R, R*, welche mittels über die Rollen *M, M* weggeführter Seile *LMR, LMR* an die Arme *L, L* der Röhre *AB* angeschlossen sind, das Gewicht der letzteren beinahe äquilibriert, so sinkt nun die von der Last *Q* befreite Röhre *AB* wieder langsam herab, und treibt hierbei die Luft aus ihrem Inneren durch *V* nach außen. Außer der Mündung *V* ist noch ein Ventil im Kopfe der Kraftröhre angebracht, durch welches sich das Auf- und Niedersteigen der Kraftröhre reguliren läßt. (Näheres über diesen Aufzug s. The Civil-Eng. and Arch. Journal, 1849; und polytechn. Centralblatt, Jahrgang 1850.)

Statt der langen Kraftröhre läßt sich ein gewöhnlicher Cylinder *AB*, Fig. 454, mit Kolben und Kolbenstange anwenden, wenn man die Luft nicht unmittelbar an die Kolbenstange anschließt, sondern dieselbe durch ein Vorlege mit der Kolbenstange verbindet. Bei der Einrichtung des in Figur 454 abgebildeten Aufzuges wird der Kolbenhub *s* zunächst durch die lose Rolle *C* verdoppelt und dann durch die Welle *DE* mit den Rollen *D* und *E* in einem noch stärkeren Verhältnisse vergrößert. Ist z. B. der Durchmesser der Rolle *D* viermal in dem Durchmesser der Rolle *E* enthalten, so ist die Umfangsgeschwindigkeit der letzteren Rolle, und also auch die an derselben hängende Last *Q*,  $2 \cdot 4 = 8$  mal so groß als die Kraft des Kolben *K*, und es bedarf daher dieser nur einen Hub von 5 Fuß, um die Last *Q*,  $5 \cdot 8 = 40$  Fuß hoch zu heben. Der Zu- und Austritt des Windes aus dem Cylinder *AB* wird durch einen Schieber *S* bewirkt, der durch einen Hebel *H* mittels einer Stange *RS* auf- und niedergeschoben werden kann. In der gezeichneten Stellung gelangt die comprimirt Luft aus dem Regulator auf dem Wege *LSG* in den Cylinder; ist aber gegen Ende des Kolbenniederganges oder Lastaufganges der Schieber aufgezogen, so strömt die Luft auf dem Wege *GF* im Schieber *S* in die freie Luft.

Die Berechnung eines pneumatischen Luftaufzuges ist wie folgt zu vollziehen. Ist *F* die Kolbenfläche, *p* der äußere und *p*<sub>1</sub> der innere Luft- oder Winddruck pro Quadrat Zoll, so hat man die Kraft des Kolbens *K*.

$$P = F(p_1 - p),$$

und ist *a* der Halbmesser der Rolle *D*, *b* aber der der Rolle *E*, so folgt die Last:

$$Q = \frac{aP}{2b} = \frac{a(p_1 - p)F}{2b}.$$

Umgekehrt ist also die einer gegebenen Last *Q* entsprechende Größe der Kolbenfläche in Quadrat Zoll:

$$F = \frac{2bQ}{a(p_1 - p)},$$

<sup>pneumatische Aufzüge.</sup> welche allerdings wegen der Kolbenreibung und wegen anderer Nebenhindernisse noch um circa 25 Procent größer genommen werden muß. Bei dem Aufzuge in Figur 453 hat man dagegen einfach

$$Q = F (p_1 - p) \text{ und daher}$$

$$F = \frac{Q}{p_1 - p}.$$

Ist  $s$  der Kolbenhub, so hat man die Steighöhe der Last  $Q$ :

$$h = \frac{b}{a} \cdot 2s = \frac{2bs}{a},$$

und daher die geleistete Arbeit der Maschine für ein Aufziehen:

$$Ps = Qh = F (p_1 - p) s = V_1 (p_1 - p),$$

wosern  $V_1$  den Inhalt des Cylinders oder das bei einem Aufziehen verbrauchte Windquantum bezeichnet.

Ist  $n$  die Anzahl der Aufziehungen pro Minute, so ergibt sich folglich die Leistung der Maschine pro Secunde:

$$L_1 = \frac{n}{60} Ps = \frac{n}{60} Qh = \frac{n}{60} V_1 (p_1 - p).$$

Die entsprechende Leistung des Gebläses ist, da dasselbe Luft von der Pressung  $p$  in den Regulator drückt, worin die Pressung  $p_1$  ist, nach I., §. 330:

$$L = \frac{n}{60} V_1 p_1 \text{ Log. nat. } \left( \frac{p_1}{p} \right),$$

oder annähernd, bei einer mäßigen Pressung (s. I., §. 391):

$$L = \frac{n}{60} V_1 p_1 \left( \frac{p_1 - p}{p} \right) \left( 1 - \frac{p_1 - p}{2p} \right);$$

folglich ist der Wirkungsgrad des pneumatischen Aufzuges selbst, wenn man von allen diesen geodynamischen Hindernissen abzieht:

$$\eta = \frac{L_1}{L} = \frac{p}{p_1} \left( 1 - \frac{p_1 - p}{2p} \right), \text{ wofür meist} \\ = \frac{p}{p_1} \text{ gesetzt werden kann.}$$

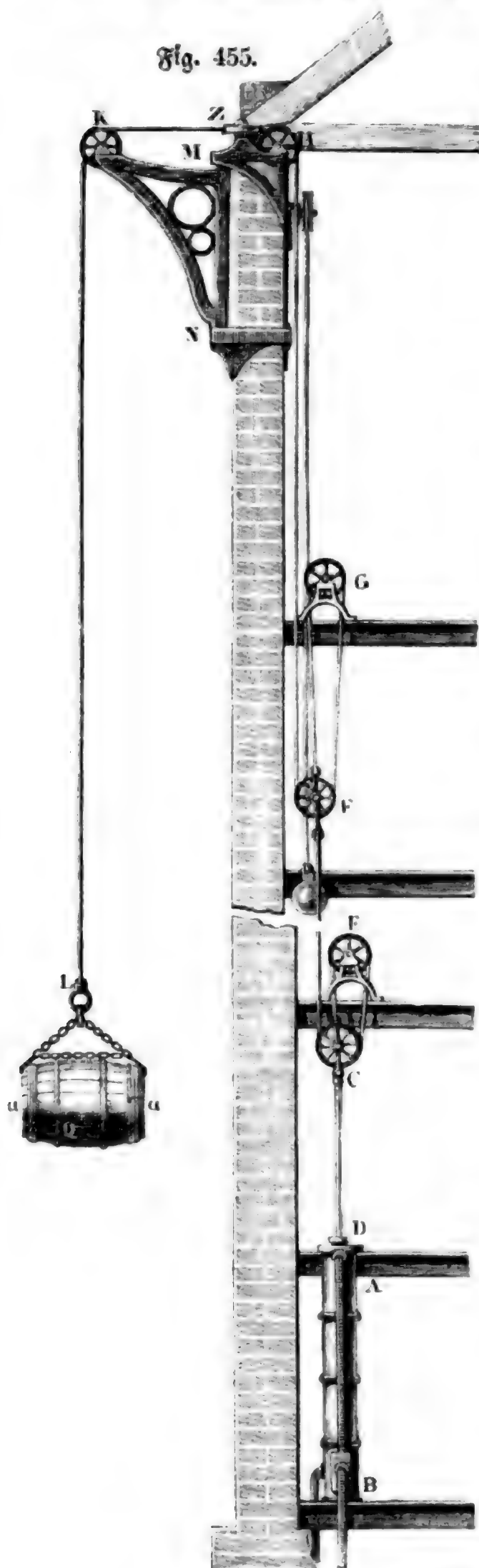
Beispiel. Wenn bei dem pneumatischen Aufzuge in Fig. 454 die Pressung der inneren Gebläseluft  $p_1 = \frac{1}{4} p$  ist, wenn ferner die Last  $Q = 1500$  Pfund und das Umsehungsverhältniß  $\frac{a}{b} = \frac{1}{4}$  beträgt, so hat man die erforderliche Querschnittsfläche des Windcylinders:

$$F = \frac{2bsQ}{a(p_1 - p)} = \frac{8 \cdot 1500}{\frac{1}{4}p} = \frac{48000}{p} = \frac{48000}{15,1} = 3177 \text{ Quadratzell.}$$

und daher den entsprechenden Kolbendurchmesser:

$$d = \sqrt{\frac{4F}{\pi}} = 63,6 \text{ Zell.}$$

Fig. 455.



Der Sicherheit und insbe- <sup>pneumatische</sup>sondere der Kolbenreibung wegen, Aufzüge.  
möchte aber der Durchmesser

$$d = 72 \text{ Zoll}$$

in Anwendung zu bringen sein. Ist die ganze Steighöhe der Last  $h = 40$  Fuß und die Anzahl der Aufgänge pro Stunde  $= 30$ , so hat man die Nutzleistung des Aufzuges im Mittel pro Secunde:

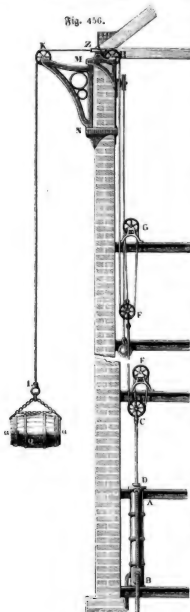
$$L = \frac{30 \cdot 1500 \cdot 40}{60 \cdot 60} = \frac{1500}{3} = 500 \text{ Fußpfund.}$$

Wenn man diesen Aufzug 10 Stunden lang arbeiten läßt, so hebt man ein Erz- und Kohlenquantum von  $10 \cdot 30 \cdot 1500 = 450000$  Pfund, welches für zwei große Eisenhöfen vollkommen ausreicht.

§. 221. In neueren Zeiten <sup>Wassersäulen-</sup>wendet man, zumal in Eng- aufzug.  
land, auch Wassersäulen-  
aufzüge an. Dieses sind  
Aufzüge, welche durch den  
Druck einer Wassersäule in Be-  
wegung gesetzt werden. Einen  
solchen Aufzug, von Arm-  
strong construirt, zeigt Fi-  
gur 455.  $AB$  ist der Treibe-  
cylinder, in welchem durch den  
Druck des Wassers ein Kol-  
ben von oben nach unten ge-  
trieben wird. An diesem Kol-  
ben sitzt eine Stange  $CD$   
fest, an deren Kopf nicht allein  
eine Rolle  $C$ , sondern auch  
das Ende eines Seiles befe-  
stigt ist. Dieses Seil ist zu-  
erst um eine feste Leitrolle  $E$ ,  
dann um die Rolle  $C$  am  
Kopfe der Kolbenstange ge-  
schlagen und geht von da auf-  
wärts nach einer dritten Rolle

Werkstätten-  
aufzug.

Fig. 456.



*F*, mit deren *Are* es fest verbunden ist. Ein zweites Seil steigt zunächst von der *Are* der letzteren Rolle zu einer vierten Rolle *G* auf, geht von da wieder nach der Rolle *F* herab, und erhebt sich nun bis unter das Dach des Baarenmagazins, für welches der Aufzug bestimmt ist. Hier führen es zunächst zwei Leitrollen *H* und *J* nach der *Armspitze* einer stehenden Welle *MN*, und von da wird es durch die Rolle *K* vertikal abwärts geleitet. Am Ende *L* des vertikal herabhängenden Seiles ist endlich eine Kette angeschlossen, welche zwei Haken *a, a* trägt, womit die zu hebende Last *Q* erfaßt werden kann. Es hängt also hier die Kolbenstange *CD* mittels der Rolle *C* an drei Seilen, und das eine von diesen drei Seilen mittels der Rolle *G* wieder an drei Seilen; ist folglich *P* die Kolbenkraft, so hat man die Spannung eines der drei Seile, welche die Rolle *C* tragen,  $= \frac{P}{3}$ , und die Spannung des Seiles *FHJKL*, an welchem die Last *Q* hängt,  $= \frac{1}{3} \cdot \frac{P}{3} = \frac{P}{9}$ . Sehen wir von den Nebenhindernissen ab, so haben wir demnach  $Q = \frac{P}{9}$ , und umgekehrt,  $P = 9Q$ .



Sehen wir die Höhe der drückenden Wassersäule =  $h$  und den Kolben: Wassersäule.  
querschnitt =  $F$ , so haben wir  $P = F h \gamma$ , und folglich umgekehrt, die  
nöthige Kolbenfläche:

$$F = \frac{P}{h \gamma} = \frac{9Q}{h \gamma}.$$

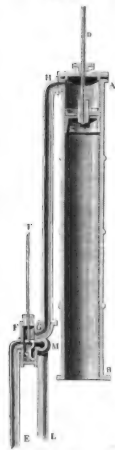
Der erforderliche Kolbenweg  $s$  ist ein Neuntel der ganzen Förder- oder Steighöhe der Last  $Q$ .

Fig. 457.

Die Steuerung der Maschine, wodurch der Zutritt des Kraftwassers zum Treibecylinder abwechselnd hergestellt und aufgehoben werden kann, wird durch einen Schieber, wie bei einer Dampfmaschine, bewirkt. Man sieht in  $AB$ , Fig. 457, das Innere des Treibecylinders, in  $K$  den Treibekolben, und in  $KD$  die Treibekolbenlänge. Es ist ferner  $S$  der Steuerschieber,  $EF$  das Eintritts-,  $GH$  das Communications- und  $LM$  das Austrittsrohr. Bei der abgebildeten Stellung des Steuerschiebers strömt das Kraftwasser auf dem Wege  $EFGH$  nach dem Treibecylinder und nöthigt den Treibekolben  $K$  zum Niedergange. Hat man aber den Steuerschieber mittels seiner Stange  $ST$  hinreichend aufgezo- gen, so ist dem Kraftwasser der Weg nach  $G$ , und folglich auch nach dem Treibecylinder versperrt; dagegen kann während des nun ein- tretenden Kolbenaufganges das vorher wirk- sam gewesene Wasser auf dem Wege  $HG$  in die Steuerkammer zurück- und von da durch  $ML$  zum Ausgusse gelangen.

Um die Geschwindigkeit des Treibekolben- Auf- und Niederganges mäßigen zu können, ist nun wie bei einer gewöhnlichen Wasser- säulenmaschine, sowohl das Eintrittsrohr  $EF$  als auch das Austrittsrohr  $ML$  mit Hähnen oder Drosselventilen auszurüsten (s. II., §. 233); auch kann man, wenn die zu hebenden Waaren von sehr verschiedenem Gewichte sind, statt eines Treibecylinders, deren drei nebeneinander stehende anwenden, und nun

je nach der Größe der Last entweder nur den Kolben des einen, oder den



Wassersäulen-  
aufzug.

von zwei, oder den von allen drei Cylindern arbeiten lassen. Der hier beschriebene Aufzug nähert sich insofern schon mehr einem im Folgenden abzuhandelnden Krähne, als er nicht bloß zum Heben, sondern auch zum Fortschaffen in horizontaler Richtung eingerichtet ist, da er noch eine Drehung um die vertikale Ase  $MN$  (Fig. 456) zuläßt, wodurch das Hineinschaffen der Last  $Q$  in das Gebäude erleichtert wird.

**Beispiel.** Wenn bei dem in Fig. 456 abgebildeten Wassersäulenaufzuge die Kolbenreibung 15 und die hydraulischen Hindernisse 10 Procent der ganzen Wasserkraft verzehren, und wenn ferner durch das Umlegen der Aufzugseile um jede der sieben Rollen  $C, E, F, G, H, J, K$  die Last um fünf Procent wächst, welchen Querschnitt erfordert der Treibekolben, um bei einem Gefälle  $h$  von 100 Fuß eine Last  $Q$  von 2000 Pfund emporzuheben?

Die erforderliche Spannung des Seiles  $FH$  ist, da dasselbe über drei Rollen  $H, J, K$  liegt:

$$S = (1,05)^3 Q = 1,1576 \cdot Q.$$

Die Spannung des Seiles  $CF$  ist, da sie drei Seilspannungen  $S$ ,  $1,05 S$  und  $(1,05)^2 S$  das Gleichgewicht hält:

$$S_1 = [1 + 1,05 + (1,05)^2] S = (1 + 1,05 + 1,1025) S = 3,1525 S \\ = 3,1525 \cdot 1,1576 Q = 3,6494 Q.$$

Die Stangenkraft ist, da sie ebenfalls drei Seilspannungen das Gleichgewicht hält:

$$P = [1 + 1,05 + (1,05)^2] S_1 = 3,1525 S_1 = 3,1525 \cdot 3,6494 Q \\ = 11,504 Q. \text{ Auf der anderen Seite ist aber auch}$$

$P = (1 - 0,15 - 0,10) F h \gamma = 0,75 F h \gamma$   
zu setzen; es folgt daher der gesuchte Kolbenquerschnitt

$$F = \frac{11,504 Q}{0,75 h \gamma}, \text{ oder } Q = 2000, h = 100 \text{ und } \gamma = 66 \text{ gesetzt,}$$

$$F = \frac{11,504 \cdot 2000}{0,75 \cdot 100 \cdot 66} = 4,648 \text{ Quadratfuß,}$$

und der entsprechende Kolbendurchmesser:

$$d = \sqrt{\frac{4 F}{\pi}} = 2,433 \text{ Fuß} = 29,2 \text{ Zoll.}$$

Der Wirkungsgrad dieses Aufzuges ist allerdings nur:

$$\eta = \frac{9 Q s}{F s h \gamma} = \frac{9 Q}{F h \gamma} = \frac{9 \cdot 2000}{4,648 \cdot 100 \cdot 66} = \frac{30}{4,648 \cdot 11} = \frac{30}{51,13} = 0,5867.$$

Singe-  
maschinen.

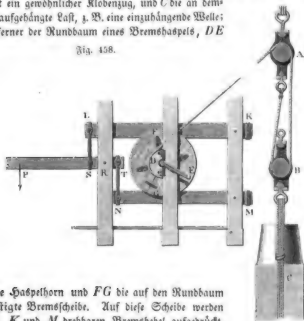
§. 222. Nicht selten kommt es auch vor, daß man größere Lasten nicht emporzuheben, sondern niederzulassen hat. Damit dieses Niederlassen ohne Beschädigung der Last und Maschine erfolge, muß dasselbe möglichst sanft und gleichförmig vor sich gehen, und es ist deshalb die Ueberwucht der Last durch eine Gegenkraft aufzuheben. Diese Gegenkraft kann aber nicht in einem Gegengewichte oder einer anderen activen Kraft bestehen, da dieselbe nach dem Niederlassen der Last an die Stelle derselben tritt und folglich ebenso wie diese eine Gegenkraft zu ihrer Vernichtung erfor-

dem würde. Anders ist es aber, wenn man dem beschleunigten Niedergange der Last eine passive Kraft entgegensetzt, da diese zu wirken aufhört, sowie die Bewegung beendet ist. Es ist deshalb stets auch nur ein *Bremse* (III. §. 165), womit man das Niederlassen der Lasten reguliert.

Der Mechanismus zum Niederlassen der Lasten besteht in der Regel der Hauptsache nach aus einer liegenden Welle mit einem *Bremsscheibe* oder einer *Bremsscheibe*. Um diese Welle ist das *Seil* geschlungen, an welchem die Last hängt und welches sich während des Niederlassens der Last allmählig abwickelt, wobei der *Bremsscheitel* auf das *Bremsscheibe* aufzubringen ist.

Einen solchen *Bremshaspel*, wie er hierorts zum Einhängen der Bau- und Maschinenstücke in Schächten angewendet wird, stellt Fig. 458 vor. *AB* ist ein gewöhnlicher *Klobenzug*, und *C* die an demselben aufgehängte Last, z. B. eine einzuhängende Welle; *D* ist ferner der *Rundbaum* eines *Bremshaspels*, *DE*

Fig. 458.



das eine *Haspelhorn* und *FG* die auf den *Rundbaum D* befestigte *Bremsscheibe*. Auf diese *Scheibe* werden die um *K* und *M* drehbaren *Bremsscheitel* aufgedrückt, und hierzu dient der *Bremsscheitel PR*, welcher um die feste *Axe R* drehbar ist. Während ein Arbeiter den *Bremsscheitel* niederdrückt, und dadurch das *Gewicht* der Last *C* aufhebt, dreht ein anderer Arbeiter die *Kurbel DE* langsam um, wobei sich das auf dem *Rundbaume D* liegende *Seil* von demselben abwickelt, und die Last *C* langsam *nieder-sinkt*.

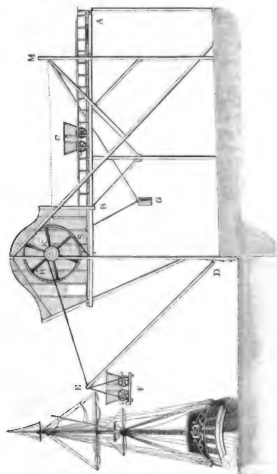
Ist *Q* die Last, und *n* die Anzahl der von *A* nach *B* gespannten *Seile*,



§. 223. Zu den Maschinen zum Hängen oder Niederlassen von Lasten gehören auch die sogenannten Drops, d. i. diejenigen Mechanismen, womit man in England die Wagen, welche auf einer Eisenbahn zugefahren werden, sammt ihrer Last herabläßt in die Kohlenschiffe. Eine solche Hängemaschine ist in Figur 460 abgebildet. *AB* ist eine Schienenbahn, auf welcher ein Kohlenwagen, wie *C*, zugefahren wird; *DE* ist ein um

eloge-  
maisonne.

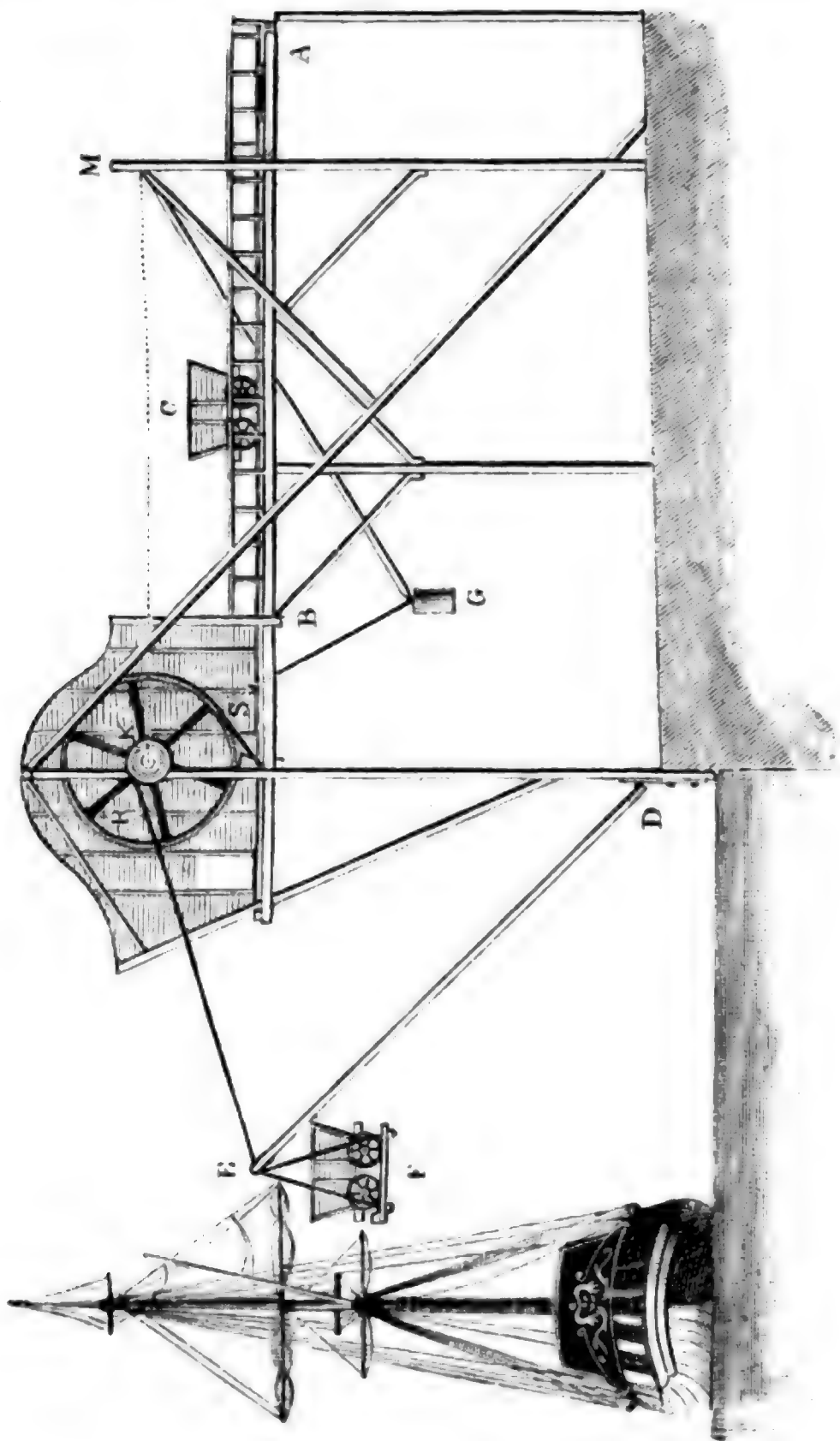
Fig. 460.



Hänge-  
maschinen.

*D* drehbarer Hebel, an welchem eine Brücke oder Schale *F* hängt, welche bei dem höchsten Stande des Hebels in die Fortsetzung der Bahn *AB* fällt, und einen Kohlenwagen aufnimmt. An dem Ende *E* des Hebels ist ein Seil *EK* angebracht, welches sich beim Niederlassen eines gefüllten Wagens bis zum Kohlenschiffe von der Welle *K* ab- und beim Aufziehen des leeren Wagens auf diese Welle aufwickelt. Um das Letztere ohne Hülfe

Fig. 461.





einer besonderen Kraft bewirken zu können, ist ein Gegengewicht  $G$  angebracht, welches einerseits an einem um  $M$  drehbaren Hebel  $GM$  und andererseits an einem Seile  $GK$  hängt, das sich beim Niederlassen des Wagens auf die Welle  $K$  aufwickelt, und hierbei  $G$  emporhebt, und sich dagegen beim Aufziehen der leeren Wagen durch  $G$ , von dieser Welle wieder abwickelt. Damit sowohl das Niederlassen des gefüllten als auch das Aufziehen des geleerten Wagens möglichst gleichförmig und mit mäßiger Geschwindigkeit erfolge, ist noch auf der Welle  $K$  ein hohes Bremsrad  $RS$  befestigt, welches durch ein Bandbrems  $S$  (s. Fig. 347, Seite 335) gebremst werden kann.

Abmagerung

Bei der Anordnung und Construction einer solchen Hängemaschine kommt es nicht allein darauf an, daß das Gegengewicht ohne weitere Nachhülfe den leeren Wagen wieder emporhebe, sondern daß auch die Kraft zum Bremsen, wodurch sowohl dem beschleunigten Niedergange des gefüllten, als auch dem beschleunigten Aufgange des leeren Wagens entgegengewirkt wird, möglichst klein und deshalb in dem einen Falle eben so groß sei als in dem anderen Falle.

Nehmen wir an, daß die beiden Hebel  $DE$  und  $MG$  zugleich horizontal seien, wenn der Wagen seinen tiefsten Det erreicht hat, und daß  $DE$  nahe  $= DK$ , sowie  $MG$  nahe  $= MK$  sei. Ist dann  $Q$  das Gewicht der abzuladenden Kohlen eines Wagens, und  $W$  das Gewicht des letzteren sammt Schaafe u. s. w., so haben wir die Kraft am Umfange der Welle, welche der Last  $Q + W$  das Gleichgewicht hält,  $\frac{Q+W}{\sin. 45^\circ} = (Q+W)\sqrt{2}$ ;

und da nun dieser Kraft das Gegengewicht  $G$  entgegenwirkt, so hat man die Kraft, welche durch das Bremsen beim Niedergange des gefüllten Wagens aufzuheben ist:

$$P = (Q + W) \sqrt{2} - G.$$

Dem leeren Wagen entspricht hingegen nur die Kraft  $W\sqrt{2}$  am Umfange der Welle  $K$ , und folglich ist die Kraft, welche durch das Bremsen beim Aufgange des leeren Wagens zu verrichten ist:

$$P = G - W\sqrt{2}.$$

Durch Gleichsetzen dieser beiden Kräfte erhalten wir nun:

$$(Q + W) \sqrt{2} - G = G - W\sqrt{2},$$

und daher für die Größe des Gegengewichts, den Ausdruck:

$$1) \quad G = \frac{(Q + 2W) \sqrt{2}}{2} = (Q + 2W) \sqrt{\frac{1}{2}} = 0,7071(Q + 2W).$$

Reicht beim höchsten Stande des Wagens der Hebel  $DE$  um den Winkel  $EDK = \alpha$  von der Vertikalen und dagegen der Hebel  $MG$  um den Winkel  $KMG = \beta$  von der Horizontalen ab, so haben wir für diesen Stand:

5. Fig.  
mehrmals.

$$P = \frac{(Q + W) \sin. \alpha}{\cos. \frac{\alpha}{2}} - \frac{G \cos. \beta}{\cos. \frac{\beta}{2}}, \text{ sowie}$$

$$P = \frac{G \cos. \beta}{\cos. \frac{\beta}{2}} - \frac{W \sin. \alpha}{\cos. \frac{\alpha}{2}}, \text{ und es ist daher hiernach}$$

$$G = \frac{(Q + 2W) \sin. \alpha \cos. \frac{\beta}{2}}{2 \cos. \frac{\alpha}{2} \cos. \beta} = \frac{(Q + 2W) \sin. \frac{\alpha}{2} \cos. \frac{\beta}{2}}{\cos. \beta}$$

zu nehmen.

Setzen wir nun diese beiden Ausdrücke für  $G$  einander gleich, so erhalten wir für die Abhängigkeit der Winkel  $\alpha$  und  $\beta$  unter einander:

$$\frac{\sin. \frac{\alpha}{2} \cos. \frac{\beta}{2}}{\cos. \beta} = \sqrt{1/2}, \text{ woraus sich}$$

$$2) \quad \cos. \frac{\beta}{2} = \frac{\sin. \frac{\alpha}{2} + \sqrt{4 + \left(\sin. \frac{\alpha}{2}\right)^2}}{2 \sqrt{2}} \text{ ergibt.}$$

Da bei Umdrehung der Welle  $K$  das sich einerseits abwickelnde Seilstück dem sich andererseits aufwickelnden Seilstück an Länge gleich sein muß, so hat man noch

$$GK = DE \cdot \sqrt{2} - EK,$$

d. i., wenn man die Armlänge  $DE$  durch  $a$  und die Armlänge  $MG$  durch  $b$  bezeichnet,

$$2b \sin. \frac{\beta}{2} = a \sqrt{2} - 2a \sin. \frac{\alpha}{2},$$

und daher ist das erforderliche Armlängenverhältniß:

$$3) \quad \frac{b}{a} = \frac{\sqrt{1/2} - \sin. \frac{\alpha}{2}}{\sin. \frac{\beta}{2}}.$$

Wenn nun auch hiernach die Bremskraft am Anfange und am Ende des Niederlassens des vollen und des Aufziehens des leeren Wagens dieselbe ist, so folgt daraus noch nicht, daß sich die Kraft auch während des Niederlassens und Aufziehens gleich bleibe.

Beispiel. Wenn bei einer Hängebmaschine, wie in Figur 461, die Last  $Q = 1600$  und der Wagen  $W = 600$  Pfund schwer ist, so hat man die Größe des erforderlichen Gegengewichts

$$G = 0,7071 (Q + 2W) = 0,7071 \cdot 2800 = 1980 \text{ Pfund,}$$

und daher die erforderliche Gegenkraft am Umfange der Welle:

$$P = (Q + W) \sqrt{2} - G = G - W \sqrt{2} = 1132 \text{ Pfund.}$$

Ist nun der Durchmesser des Bremsrades sechs Mal so groß als der der Welle, so hat man diese Kraft, auf den Umfang dieses Rades reducirt:

$$F = \frac{1132}{6} = 189 \text{ Pfund.}$$

Bedeckt der Bremsgurt fünf Sechstel des Radumfanges, ist der Kraftarm des Bremsdrückels acht Mal so lang als der Lastarm, und nimmt man den Reibungscoefficienten des Bremses  $\varphi = 0,3$  an, so hat man nach §. 171 die erforderliche Bremskraft:

$$K = \frac{e^{\varphi \beta} + 1}{e^{\varphi \beta} - 1} \cdot \frac{b}{a} F, \text{ da } \varphi \beta = 0,3 \cdot \frac{5}{6} \cdot \pi = 0,7854,$$

folglich, da  $e^{0,7854} = 2,1828$ ,  $\frac{b}{a} F = 2,193$  ist,

$$K = \frac{2,193}{1,193} \cdot \frac{189}{8} = 63,2 \text{ Pfund.}$$

Weicht der Hebel  $DE$  bei seinem höchsten Stande noch  $\alpha = 10$  Grad von der Vertikalen ab, so hat man für den größten Neigungswinkel  $\beta$  des Schwengels  $MG$  gegen den Horizont, da  $\sin. \frac{\alpha}{2} = \sin. 10^\circ = 0,1736$ , folglich

$$\left(\sin. \frac{\alpha}{2}\right)^2 = 0,03013 \text{ ist,}$$

$$\cos. \frac{\beta}{2} = \frac{0,1736 + \sqrt{4,03013}}{2 \sqrt{2}} = \frac{1,0905}{\sqrt{2}} = 0,7713,$$

daher  $\frac{\beta}{2} = 39^\circ, 32'$ , folglich  $\beta = 79^\circ, 4'$ , und endlich das Armlängenverhältniß:

$$\frac{b}{a} = \frac{0,7071 - \sin. \frac{\alpha}{2}}{\sin. \frac{\beta}{2}} = \frac{0,7071 - 0,1736}{0,6365} = 0,8382.$$

Ist die Last  $h = 40$  Fuß hoch herabzulassen, so hat man die Länge des Hebels  $DE$ :

$$a = \frac{h}{\cos. \alpha} = \frac{40}{\cos. 20^\circ} = 42,56 \text{ Fuß, und die des Hebels } MG:$$

$$b = 0,8382 \cdot 42,56 = 35,68 \text{ Fuß.}$$

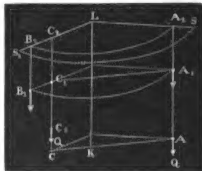
§. 224. Die Krähne oder Kraniche (franz. grues, engl. cranes) sind die vorzüglichsten Hülfsmittel, um größere Lasten auf kleineren Wegen in horizontaler und in vertikaler Richtung fortzuschaffen; man findet sie deshalb auch vorzüglich in Schiffswerften, Waarenmagazinen, technischen Werkstätten und auf Bauplätzen angewendet. Der Haupttheil eines Krannes besteht in einer stehenden Welle, durch deren Umdrehung das Fortschaffen der Lasten in horizontaler Richtung erfolgt. Um außerdem noch die Last zu heben oder niederzulassen, ist mit dieser stehenden Welle noch eine liegende Radwelle verbunden, auf welche die Kette oder das Seil zu liegen kommt, woran die Last hängt. Die horizontale Bewegung

Ein-  
richtungen.

Risbee.

**Krahne.** der Last erfolgt in einem Kreise, der natürlich um so größer ausfällt, je länger der Arm oder der sogenannte Schnabel (franz. la volée, engl. the gib or neck) des Krahnes, d. i. je entfernter der Aufhängepunkt der Last von der Axe der stehenden Welle ist. Ist daher, wie bei den meisten Krahnen, dieser Aufhängepunkt am Armende fest, so kann man die Last durch Umdrehung des Krahnes nicht nach jedem beliebigen Punkte horizontal fortzuschaffen. Um dies zu können, ist vielmehr noch eine veränderliche Schnabellänge, oder wenigstens eine Beweglichkeit des Aufhängepunktes der Last längs des Schnabels nöthig. Krahne mit dieser besondern Einrichtung werden vorzüglich in Gießereien zur Bewegung der großen Formkästen, Modelle und Gußstücke angewendet. Wie durch einen solchen Krahn eine Last  $Q$  von jedem beliebigen Punkte  $A$  nach jedem beliebigen Punkte  $B$  in der nächsten Umgebung desselben gebracht werden

Fig. 462.



kann, ist aus Figur 462 zu ersehen, wo  $KL$  die stehende Welle und  $LS$  den Schnabel des Krahnes vorstellt. Zunächst wird der Schnabel durch Drehung der Welle  $KL$  über den Ort  $A$  der Last  $Q$  gebracht, der Aufhängepunkt  $A_2$  derselben über  $A$  gestellt, und  $A$  mit  $A_2$  durch eine Kette in Verbindung gesetzt. Dann wird die Last mit Hilfe der stehenden Welle nach  $A_1$ , d. i. so hoch emporgehoben, als es nöthig ist, um sie ungehindert horizontal fortzuschaffen zu können; darauf dreht man wieder  $KL$  so weit um, daß der Schnabel in die Lage  $LS_1$  senkrecht über den Ort  $C_2$  zu stehen kommt, wohin die Last  $Q$  gebracht werden soll, schiebt den nun nach  $B_1$  gekommenen Aufhängepunkt der Last längs des Schnabels nach  $C_1$  über den gegebenen Ort  $C_2$ , und läßt endlich die Last in  $C_1$  herab nach diesem Orte  $C_2$ . Man hat auf diese Weise die Last  $Q$  im Ganzen um einen horizontalen Weg  $AC = A_1C_1$  fortbewegt und um eine gewisse Höhe  $CC_2$  senkrecht gehoben. Bei den gewöhnlichen Krahnen, welche eine Verschiebung des Aufhängepunktes der Last längs des Schnabels nicht gestatten, kann die horizontale Verschiebung  $AC$  der Last nicht jede beliebige Größe und Richtung erhalten, da sie die Sehne  $s = 2r \sin. \frac{\beta}{2}$  eines Kreisbogens bildet, dessen Halbmesser  $r$  die

Schnabellänge und Centriwinkel  $\beta$  der Umdrehungswinkel der stehenden Welle ist.

Krahn.

Die Bewegung der Krähne, und insbesondere auch das Aufziehen und Niederlassen der Lasten mit Hülfe der an denselben angebrachten horizontalen Radwelle, erfolgt sehr gewöhnlich durch die menschliche Kraft; in neueren Zeiten bedient man sich hierzu jedoch auch der Wasser- und Dampfkraft. In diesen Fällen hat man es mit sogenannten Wasserfäulen-  
krähnen und Dampfkrähnen zu thun.

§. 225. Ein aus Holz und Eisen zusammengefügter Krahn mit veränderlicher Schnabellänge, vom Herrn Cavé und für den Hafen zu Brest construiert, ist in Fig. 463 u. Fig. 464 abgebildet. Es ist hier  $PP$  die gußeiserne stehende Welle,  $Q$  der Zapfen oder Stift, und  $R$  der abgedrehte Hals derselben; es ist ferner  $TU$  der im Kopfe dieser Welle feststehende hölzerne Schnabel und  $V$  die ebenfalls hölzerne Strebe desselben; endlich ist  $U$  eine Leitrolle,  $W$  eine an dieser hängende Kraftrolle und  $X$  ein an

Fig. 463.

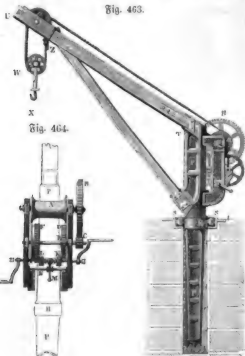
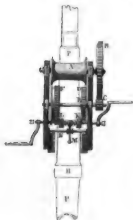


Fig. 464.



Krahn.

der Ase der letzteren hängender Haken zum Erfassen der Last. Das Seil, welches um beide Rollen liegt, ist mit einem Ende Z an dem Schnabel-

Fig. 465.

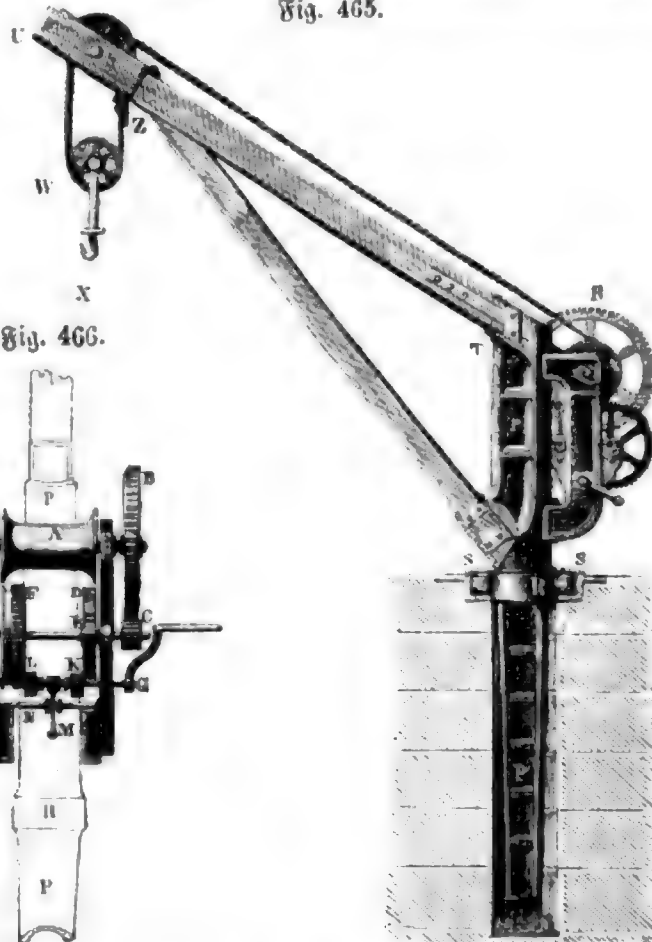
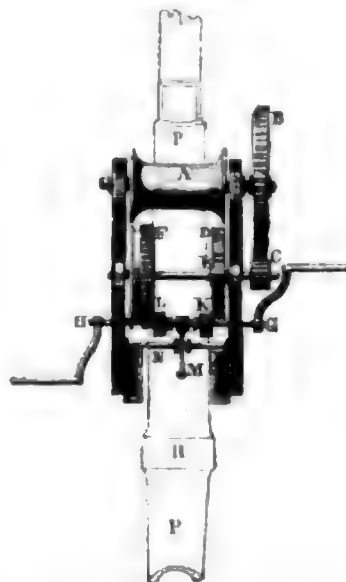


Fig. 466.



ende befestigt, und wickelt sich mit dem anderen Ende um eine Trommel oder Welle A auf. Auf dieser Welle sitzt ein Zahnrad B von 66 Zähnen fest, welches durch ein kleineres Zahnrad C von 11 Zähnen in Umdrehung gesetzt werden kann; und auf der Welle dieses Triebrades C befindet sich ein anderes größeres Zahnrad D mit 51 Zähnen, welches durch ein kleines Zahnrad K auf der Kurbelwelle GH in Umdrehung gesetzt werden kann. Bei dieser Anordnung kommen auf jede Umdrehung der Welle A,  $\frac{66}{11} = 6$  Umdrehungen der Welle von C und D, und  $6 \cdot \frac{51}{9} = 36$  Umdrehungen der Kurbelwelle. Fordert man aber noch ein stärkeres Umsetzungsverhältniß, so muß man außerdem noch von einer Radwelle EF Gebrauch machen, welche aus einem kleineren Zahnrade E von 9 und einem größeren Zahnrade F von 51 Zähnen besteht. Während das erstere statt K in das Zahnrad D eingreift, kommt F mit einem zweiten Getriebrädchen L auf der Kurbelwelle GH mit ebenfalls 9 Zähnen, zum Eingriff.



Bei dieser Umsehung, wo also  $D$  nicht unmittelbar mit der Kurbelwelle in Verbindung ist, macht die Welle von  $EF$ , 36 und folglich die Kurbelwelle,  $36 \cdot \frac{24}{9} = 216$  Umdrehungen, während die Trommel  $A$  einmal umläuft. Um mit Bequemlichkeit nach Bedürfniß das eine oder das andere Umsehungsverhältniß anwenden zu können, macht man die Triebräder  $K$  und  $L$  auf der Kurbelwelle  $GH$  verschiebbar, und setzt zu diesem Zwecke beide Räder auf einen gemeinschaftlichen Nuss, welcher die Axe  $GH$  umschließt und in der Mitte drei Hälften hat, in welche sich das hakenförmige Ende einer Falle oder eines Hebels einlegen läßt, der um eine feste Axe  $N$  drehbar und mit einem Gegengewichte  $M$  versehen ist. Je nachdem nun das Triebrad  $K$  in das Getriebrad  $D$ , oder das Triebrad  $L$  in das Getriebrad  $F$  eingreift, kommt diese Welle entweder in den linken oder in den rechten Halbring des Nusses zwischen  $K$  und  $L$  zu liegen, und soll endlich gar keins dieser Räder zum Eingriff kommen, also das übrige Räderwerk sammt der Last von der Kurbelwelle unabhängig gemacht werden, so muß sich, wie in der Figur vor Augen geführt wird, die Falle in den mittleren Halbring einlegen. Dieses ist allemal nöthig, wenn es darauf ankommt, die Kraftrolle  $W$  mit dem Haken herabzulassen und mit demselben eine neue Last zu erfassen.

Die excentrische Aufhängung der Last macht, daß die stehende Welle  $PQ$  des Krannes ein bedeutendes Bestreben zum Umstürzen oder Umdrehen um eine horizontale Axe hat, und deshalb mit seinem Halste  $R$  einen ansehnlichen Seitendruck gegen die Führung  $SS$  ausübt. Ist  $G$  die Last am Haken  $W$  des Krannes,  $l$  der Abstand  $PQ$  des Halses  $R$  vom Zapfen  $Q$  des Krannes, und  $a$  der Normalabstand des Aufhängepunktes der Last von der Axe  $PQ$ , so hat man diesen Seitendruck in dem Halslager

$$R = \frac{a}{l} G.$$

Es wächst also dieser Seitendruck nicht allein wie die Länge des Schnabels, sondern auch umgekehrt wie der Abstand des Halses vom Zapfen der stehenden Welle; und es ist daher besonders darauf zu sehen, daß der letztere nicht zu klein ausfalle.

Um die aus dem Seitendruck  $R$  des Halses der stehenden Welle hervorgehende Seitenreibung möglichst herabzuziehen, umgibt man noch diesen Hals mit Frictionsrollen (franz. galets, engl. frictionrollers), wie  $S, S, S$ , Fig. 467, welche sich bei der

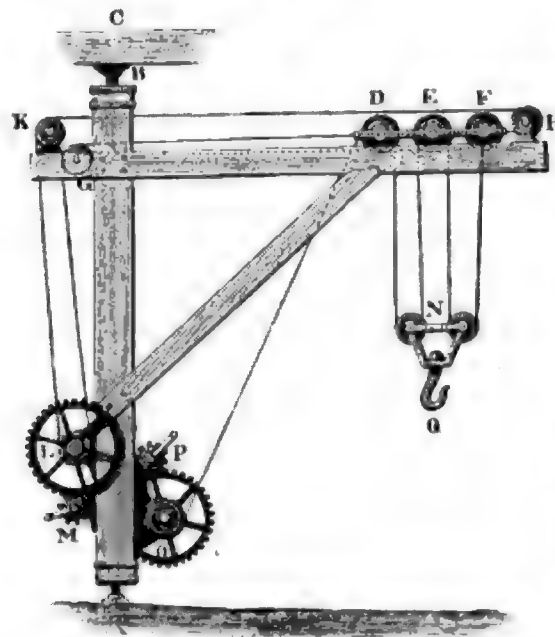


**Krahne.** Umdrehung des Krahnes auf der Innenseite eines cylindrischen Gehäuses aus Gußeisen fortwälzen. Um diese Walzen in gehörigem Abstände von einander zu erhalten, sind dieselben mit Axen versehen und mit zwei Halsringen umgeben, durch welche diese Axen hindurchgehen; und um auch die Reibung des untersten Halsringes auf seiner Grundfläche in eine rollende zu verwandeln, sind noch vertikale Rollen  $S_1, S_1, S_1$  angebracht, welche sich gegen die Grundfläche des cylindrischen Gehäuses im Mauerwerke des Krahnes stützen.

§. 226. Steht ein Krahne innerhalb eines Gebäudes, so kann man denselben oben durch das Gebäude stützen, und ihm deshalb anstatt des Halses mit einem Zapfen am oberen Ende der stehenden Welle ausrüsten, wodurch, dem Obigen zu Folge, der Seitendruck möglichst herabgezogen wird, und folglich auch die Seitenreibung, welche sich der Umdrehung des Krahnes entgegensetzt, kleiner ausfällt als bei dem Krahne in Figur 465.

Krahne dieser Art sind in den Figuren 468 und 469 abgebildet. Bei beiden Krahnen ist  $A$  der untere Zapfen oder Stift,  $B$  der obere Zapfen und  $C$  der Balken, an welchem das Lager der letzteren sitzt. Diese beiden Krahne sind auch mit den Mechanismen zur Veränderung des Abstandes der Last von der Axe der stehenden Welle  $AB$  ausgerüstet. Bei

Fig. 468.



dem ersten Krahne besteht dieser Mechanismus aus einem sechsrädrigen Wagen  $DEF$ , an welchem die auf- und niederzulassende Last angehängt wird und welcher mittels einer Schnur ohne Ende auf dem aus doppelten Bohlen bestehenden Schnabel  $GH$  hin- und zurückgezogen werden kann. Um diese Bewegung der Last bequem von unten bewirken zu können, ist das Seil ohne Ende über die Leitrollen  $G, H, K$  und um die Trommel  $L$  am Fuße des Krahnes gelegt, und auf

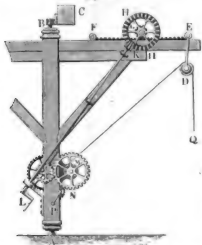
dieser Trommel ein größeres Zahnrad befestigt, welches mittels eines kleinen Triebbrädhens durch eine Kurbel  $M$  in Umdrehung gesetzt werden kann.

aufgezogen und niedergelassen wird, läuft erseitigen Flaschenzug bildendes Rollensystem oft zur Ueberwindung der Last vierfach ver-  
 terseits auf einer Trommel *O*, welche mittels  
 ertwerkes durch eine Kurbel *P* in Bewegung  
 gesetzt werden kann.

Krahn.

Bei dem Krahne in Figur 469 ist die Leitrolle *D*, um welche sich die  
 die Last *Q* tragende Zugkette legt, durch ein Gelenk *DE* mit einer gezahn-

Fig. 469.



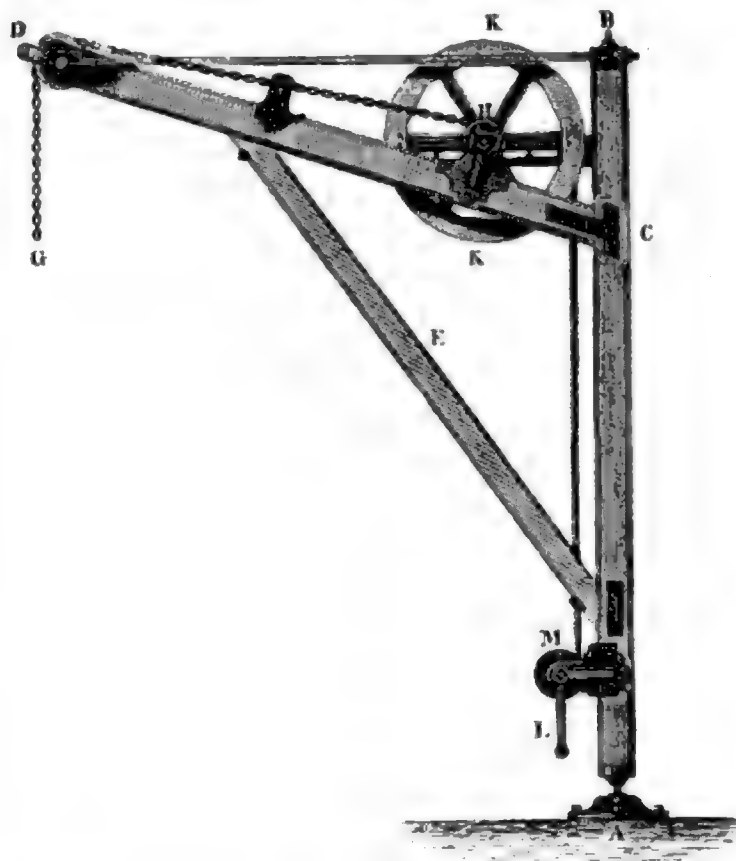
ten Stange *EF* verbunden,  
 die sich mittels eines Zahn-  
 rädchens *G* auf der oberen  
 Seite des Krahnschnabels  
 hin- und zurückschieben  
 läßt. Um diese Verschie-  
 bung ohne große Kraft-  
 anstrengung von unten  
 aus bewirken zu können,  
 ist auf der Welle des klei-  
 nen Triebrädchens *G* noch  
 ein größeres Winkelrad  
*HH* befestigt, in welches  
 ein kleines conisches Trieb-  
 rad *K* eingreift, das am  
 Ende einer nach dem Fuße  
 des Krahnes herabgehen-  
 den und in eine Kurbel *L*  
 auslaufenden Welle *KL*

festsetzt. Leicht ist zu ermeßen, wie durch Umdrehung dieser Kurbel die  
 gezahnte Stange *EF* sammt der an ihre hängenden Last *Q* auf dem  
 Schnabel des Krahnes radial aus- oder einwärts bewegt werden kann.  
 Das Zugseil oder die Aufziehkette wickelt sich wie gewöhnlich um eine  
 Trommel *M*, die mittels eines Zahnradwerkes *N* und einer Kurbel *P*  
 durch die menschliche Hand in Umdrehung gesetzt werden kann.

Bei den englischen Eisenbahnen wendet man zum Auf- und Abladen  
 der Güter einfache Krähne mit einfachem Vorgelege ohne Zahnräder an,  
 deren Einrichtung aus der Abbildung in Figur 470 (auf folgender Seite)  
 zu ersehen ist. Es ist hier der Schnabel *CD* nicht allein durch eine  
 Stütze *E*, sondern auch durch schmiedeeiserne Zugstangen *BD* unterstützt.  
 Die Kette *GDDH* zum Aufziehen der Last legt sich um eine Trommel *H*,  
 welche mit einer hohen Scheibe *KK* auf einer und derselben Welle fest-

Krahne. sieht. Die letztere hat an ihrem Umfange eine tiefe Spur, in welche sich ein Seil legen läßt, dessen Ende sich während der Umdrehung der Kurbel *L* um die Trommel *M* wickelt. Mit *M* ist noch eine Frictionscheibe ver-

Fig. 470.

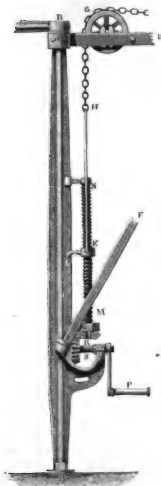


bunden, um welche ein Seil liegt, wodurch das beschleunigte Niederlassen der Güter verhindert wird.

In Figur 471 (auf nebenstehender Seite) ist noch der Haupttheil eines von Herrn Nowotny in Leipzig construirten Krahnes mit Schraubebewegung abgebildet. Es ist hier *AB* die stehende Welle aus Gußeisen, *CD* sind die abgebrochen gezeichneten Schienen aus Schmiedeeisen von 3 Zoll Höhe und  $\frac{1}{2}$  Zoll Dicke, welche den Schnabel des Krahnes bilden, und *EF* sind die ebenfalls abgebrochen dargestellten schienenförmigen Streben des Schnabels. Die Kette, welche die nach Befinden 15 Centner schwere Last trägt, läuft über zwei größere Leitrollen, wovon jedoch, und zwar in *G*, nur eine abgebildet ist. Das Ende *H* dieser Kette ist an eine lange Gabel *Hk* angeschlossen, welche eine Schraubenmutter *K* trägt, die mittels einer kleinen Gabel die innere Rippe der stehenden Welle

*AB* umfaßt. Die Schraubenspindel *MN* läßt sich mittels eines conischen Räderwerkes *RS* und einer Kurbel *P* in Umbrehung setzen. Während

Fig. 471.



dieser Umbrehung steigt *KL* auf, oder abwärts und bringt mittels der Gabel *HK* und der Kette *HG* u. s. w. die Last zum Sinken oder Steigen.

§. 227 Wenn es die Localität weder erlaube, die stehende Welle eines Krahnes von oben, noch dieselbe ganz tief unten im Fundamente zu unterstützen, so ersetzt man dieselbe durch einen starken, mittels Bolzen oder Anker fest mit dem Fundamente verbundenen Ständer, ähnlich wie bei einer Windmühle (s. II., §. 248), und umgibt denselben mit einem drehbaren Rahmen, welcher mit dem Schnabel des Krahnes ein Ganzes ausmacht.

Einen solchen Krahn, vom Herrn Fairbairn aus Eisenblech konstruirt, zeigt Fig. 472 (auf folgender Seite). Es ist hier *AB* der gußeiserne Ständer, welcher mittels eines eisernen Kreuzes *CAC* und der Bolzen *CD*, *CD* . . . fest mit dem Fundamente *F* verbunden ist. Der eigentliche Krahn *EGK* ist nach Art der Röhrenbrücken aus Eisenblech zusammengesetzt; er ruht mit einer metallenen Pfanne *B* auf dem Kopfe des Ständers und umgibt denselben an seinem Fuße mit einem brei-

ten Halbring *H*. Der Mechanismus zum Heben der Last ist der gewöhnliche.

Fig. 472.

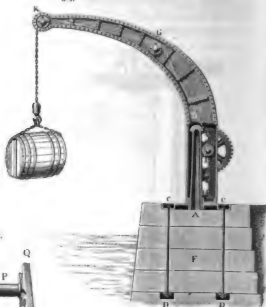
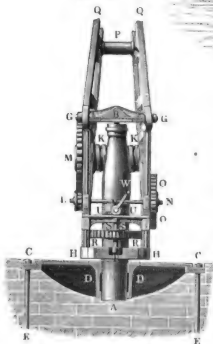


Fig. 473.



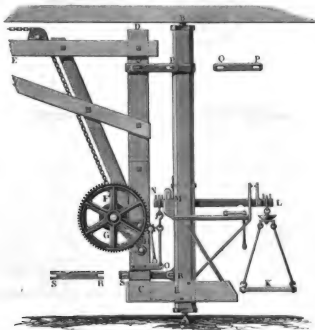
In Figur 473 ist die hintere Ansicht eines gußeisernen Krahnes mit festem Ständer *AB* abgebildet. Dieser Ständer ruht mit seinem Fuße *A* unmittelbar auf dem Fundamente, und wird durch ein starkes vierarmiges Kreuz *CD* und eine starke Hülse *DD* mittels der Bolzen *CE*, *CE* . . . fest mit dem Fundamente verbunden. Der Krahn selbst ruht mittels einer Pfanne *B* in dem Querriegel *GG* auf dem Stifte im Kopfe des Ständers, und umgibt denselben mittels eines Halorings *HH*.



Die Trommel *KK* ist zur Aufnahme der Aufziehkette längs ihres Umfanges schraubenförmig ausgeschnitten; sie läßt sich, wie an vielen anderen Kränen, durch das Räderwerk *LM* entweder unmittelbar, oder erst mit Hilfe des Räderwerkes *NOO* in Umdrehung setzen. Die beiden gußeisernen Backen *GQ*, *GQ*, welche den Schnabel bilden, sind in der Figur, bei *QQ* hinter der Leitrolle *P*, abgebrochen gezeichnet. Dieser Krahn zeichnet sich vor den seither beschriebenen Kränen noch dadurch aus, daß er mit einem besonderen Mechanismus zum Umdrehen um seine vertikale Ase ausgerüstet ist. Es sitzt nämlich hier auf dem Ständer ein Zahnrad *RR* fest, in welches ein Zahnradchen *SS* eingreift, dessen stehende Welle *TV* im Krahngestelle gelagert ist, und durch ein conisches Räderwerk *UV* mittels einer Kurbel *W* in Umdrehung gesetzt werden kann. Es ist leicht einzusehen, wie aus dieser Umdrehung auch eine Umdrehung des ganzen Krahngestelles um den Ständer *AB* hervorgeht.

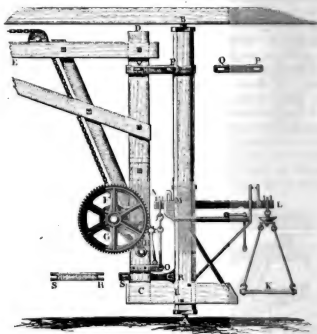
Zuweilen sind auch die Kräne so eingerichtet, daß man an denselben die von denselben zu bewegenden Lasten gleich mit abwägen kann. Ein solcher Krahn, mit einer nach dem aus II, §. 73, Anmerk., bekannten Principe der George'schen Brückenwaagen construirten Abwiegvorrichtung ist in Figur 474 vor Augen geführt. *AB* ist die stehende Krahn-

Fig. 474.



*Rechner.* welle und *CDE* der eigentliche Krahn, zum Theil abgebrochen gezeichnet, mit der Trommel *F* und dem Räderwerke *GH* zum Aufziehen und Niederlassen der Last. Vor und nach dem Abwägen der Last ruht die Säule *CD* sammt der Last auf dem Querfuß *U* der stehenden Welle *AB*;

Fig. 475.

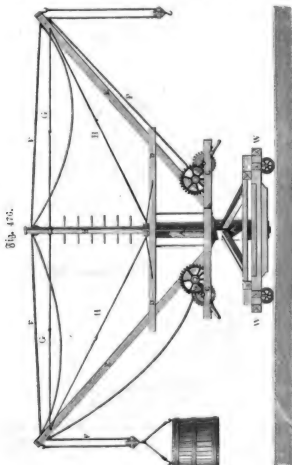


kommt es aber darauf an, die Last abzuwägen, so legt man so viel Gewicht auf die Waagschale *K*, als nöthig ist, um die Säule *CD* mittels des um *M* drehbaren Waagbalkens *LMN* und der Zugstange *NO* im Schweben zu erhalten. Um das Umschlagen des Krahnes zu verhindern, ist derselbe mit der stehenden Welle *AB* noch durch zwei Paar Schienen, wie *PQ* und *RS* verbunden, welche vier scharfe Schneiden *P*, *Q*, *R* und *S* in der stehenden Welle *AB* und in der Säule *CD* theils umfassen (*PQ*) und theils sich gegen dieselben anstemmen (*RS*). Die Angaben der Waage hängen, wie aus II, §. 73 bekannt ist, nur von den Verhältnissen des Waagbalkens *LMN* ab; ist das Armlängenverhältniß  $\frac{ML}{MN} = 10$ , so giebt

das Gewicht auf der Waagschale das Gewicht der Last zehnfach verkleinert an.

§. 228. Beim Bauwesen ist man oft genöthigt, bewegliche Krähne in Anwendung zu bringen. Dieselben sind auf ein Gestelle mit vier Rädern gestellt und lassen sich dadurch an jede Stelle, wo sie gebraucht werden sollen, hinführen. Einen doppelten Krahn dieser Art zeigt Figur 476. Es ist hier *AA* ein hohler Ständer, welcher mit dem Wagen *W W* fest verbunden ist, und *B* die stehende Welle des Krahnes, welche sich in der Höhlung des Ständers *A* drehen läßt. Die beiden Schnäbel *E*

Bewegliche  
Krähne.



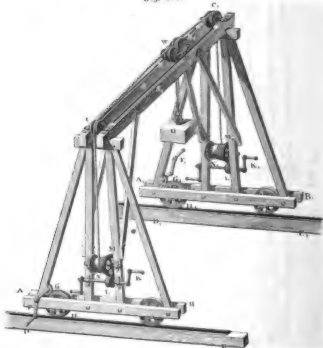
Stützgerüste  
Krahnen.

und *E* des Krahnes stützen sich auf einen Rahmen *CC*, welcher den Ständer mit einem Halsringe umgiebt, und die Räderwerke zum Aufziehen der Lasten trägt; und sind mit der stehenden Welle *B* durch ein Paar Pfosten *DD* und durch eiserne Zugstangen *G*, *G* und *H*, *H* verbunden. Die übrige Einrichtung ist nach dem Vorausgegangenen leicht zu beurtheilen. In der Zeichnung ist nur die eine Hälfte des Krahnes belastet, und daher nur das Seil *FFFF* gespannt.

Die Stabilität eines belasteten Krahnes dieser Art fordert, daß die vertikale Schwerlinie desselben durch das Viereck hindurchgehe, dessen Ecken den Berührungspunkten der Räder mit der Bahn entsprechen.

Ein anderes Hebezeug, welches den Zweck eines Krahnes vollständig erfüllt, jedoch weder mit einer stehenden Welle, noch mit einem Ständer ausgerüstet ist, sieht Fig. 477 vor Augen. Im Ganzen besteht diese

Fig. 477.



Vorrichtung aus zwei Böden *ABC* und *A<sub>1</sub>B<sub>1</sub>C<sub>1</sub>*, welche durch Schwellen und Streben unter sich zu einem Ganzen vereinigt, und mittels vier Räder auf eine Schienentbahn *DE* und *D<sub>1</sub>E<sub>1</sub>* gesetzt sind. Zur Fortbe-

Bewegliche Krabbe.

Bewegung dieses Hebezeuges auf der Schienenbahn dienen Kurbeln  $F, F_1$ , welche mittels kleiner Zahnräder  $G, G_1$  die Wagen- oder Bodräder  $H, H_1$  in Umdrehung setzen. Die Schwellen  $S$  und  $S_1$ , welche die beiden Böcke mit einander verbinden, bilden eine zweite Schienenbahn, welche einen vierrädrigen Wagen trägt, auf dessen Axen je eine Leitrolle  $R, R_1$  fest sitzt, um welche die Seile gelegt sind, mittels welcher die Last  $Q$  nicht allein gehoben, sondern auch längs der Bahn  $SS_1$  fortbewegt werden kann. Diese Seile werden mittels der Leitrollen  $C, C_1$  aus der horizontalen Lage in eine vertikale gebracht, und wickeln sich um die Trommeln  $N$  und  $N_1$ , welche durch Kurbeln  $K$  und  $K_1$  mittels der Zahnräderwerke  $LM, L_1, M_1$  in Umdrehung gesetzt werden können. Werden beide Kurbeln  $K$  und  $K_1$  gleich schnell nach entgegengesetzten Richtungen umgedreht, so gelangt die Last  $Q$  nur zum senkrechten Aufsteigen oder Niedersinken; werden dagegen beide Kurbeln in gleicher Richtung gleich schnell umgedreht, so bewegt sich die Last längs  $SS_1$  in horizontaler Richtung, und wird endlich nur eine Kurbel umgedreht, die andere aber festgehalten, so bewegt sich die Last unter einer Neigung von 45 Grad auf- oder abwärts. Man kann auf diese Weise mittels dieses Hebezeuges die Last  $Q$  an jeden beliebigen Ort zwischen den Vertikalebene  $DEC$  und  $D_1E_1C_1$  bringen.

§. 229. In England bringt man jetzt nicht selten Wassersäulen-  
Krahn, von Armstrong construirt, in Anwendung. Ein solcher Krahn besteht aus zwei Wassersäulenmaschinen mit gemeinschaftlicher Einfalltröhre. Die eine dieser Maschinen dient zum Aufziehen und Niederlassen der Last, die andere hingegen zum Umdrehen des Krahnens um seine stehende Welle; jene ist einfach, diese hingegen doppelt-wirkend. Die wesentliche Einrichtung eines solchen Krahnens ist aus der Seitenansicht desselben in Figur 478 (auf folgender Seite) ersichtlich.

Wassersäulen-Krahn.

$AA$  ist der Treibeocylinder der Maschine zum Heben der Last, und  $BB$  die Communicationsröhre, welche demselben das Wasser zu- und abführt. Die Kolbenstange  $CD$  dieser Maschine ist mit einem Wagen  $DD$  versehen, welcher während des Kolbenspieles mit seinen vier Rädern  $D, D \dots$  auf einer Schienenbahn  $EE$  hin- und zurückläuft. In dem Gestelle dieses Wagens sitzt eine Rolle  $FF$  und ist das Ende einer Kette befestigt, welche sich zunächst um eine feste Rolle  $G$ , dann um die Rolle  $FF$  und zuletzt um eine feste Rolle  $H$  legt. Von der letzteren Rolle aus geht diese Kette senkrecht durch den hohlen gußeisernen Ständer  $KL$  des Krahnens und wird durch eine Rolle  $H_1$  nach einer Rolle  $H_2$  in der Spitze des Balancier-schnabels geleitet, von wo sie senkrecht herabhängt. Während der Treibe-kolben in  $AA$  durch das Kraftwasser um einen gewissen Weg ausgeschoben wird, steigt die Last  $Q$  am Ende der Kette in Folge der Führung um die drei Rollen  $F, G$  und  $H$  um das Dreifache dieses Weges.







THE  
MUSEUM OF THE  
CITY OF BOSTON

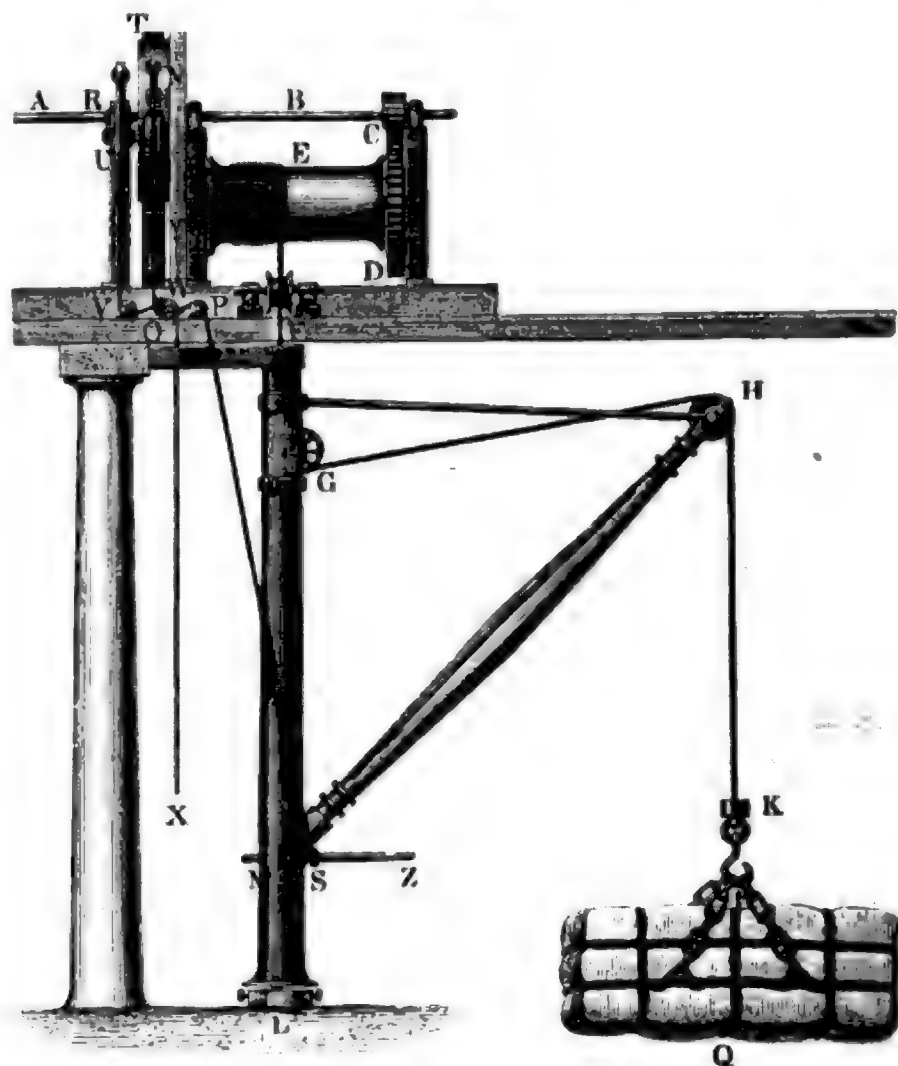


THE  
MUSEUM OF THE  
CITY OF BOSTON

100

*Dampfkrahn.* radvorgelegtes *CD* eine Trommel *E* in Umdrehung, auf welche sich das Seil *EFGHK* aufwickelt, womit die Last *Q*, z. B. ein Baumwollballon, emporgehoben wird. Der eigentliche Krahn besteht aus der stehenden Welle *FL* und dem durch eine schmiedeeiserne Zugstange unterstützten

Fig. 483.



*Schnabel MN.* Das obere Ende der stehenden Welle ist der *Arx* nach durchbohrt und mit einer Leitrolle *G* versehen, um das Zugseil in der *Arx* der Welle bis zu einer Leitrolle *F* senkrecht emporzuführen. Die ganze Arbeit dieses Krahnes wird auf folgende Weise regulirt.

Die Transmissionswelle *B* trägt eine außen und innen abgedrehte Trommel *T*. Diese ist außen von einem Bremsgürtel umgeben, der mittels eines Hebels *N* und eines Seiles *NOPS* nach Belieben an den äußeren

Umfang dieser Trommel angepreßt werden kann. An dem Ende der Welle *A* sitzt eine Bremscheibe, welche, wenn sie gegen den inneren Umfang der Trommel *T* gepreßt wird, die Umdrehungsbewegung dieser Welle auf die Welle *B* überträgt. Um diese Uebertragung der Bewegung nach Belieben herstellen und aufheben zu können, hat man das Zapfenlager *R* der Welle *A* auf einen Hebel *U* gesetzt, der mittels eines Seiles *UVWX* angehoben und niedergelassen werden kann. Soll die angehängte Last *Q* emporgehoben werden, so zieht man am Seile *X* und bringt dadurch das Frictionsrad auf der Welle *A* mit der Trommel *T* auf der Welle *B* in Berührung. Während dieser Berührung wird die Welle *B* von der stetig umlaufenden Welle *A* in Umdrehung gesetzt, wobei sich auch die Trommel *E* umdreht und das Seil aufwickelt, an welchem die Last hängt, die auf diese Weise zum Steigen gelangt. Dieses Steigen ist aber sogleich beendigt, wenn man mit dem Zuge am Seile *OX* nachläßt, da dann der Hebel *U*, auf welchem das Zapfenlager *R* der Welle *A* ruht, unterstützt von einem Gegengewichte, wieder in seine ursprüngliche Lage zurückfällt, und folglich die Verbindung der Welle *B* mit der Welle *A* ganz gehoben wird. Damit aber während der Umdrehung der stehenden Welle mittels der Spille *MZ* die Last nicht wieder zurückfinke, wird der die Trommel *T* umgebende Brems mittels des Seiles *PS* auf diese Trommel aufgedrückt, und zu diesem Zwecke das Ende *S* des angespannten Seiles an die Spille *MZ* befestigt. Ist endlich die Last *Q* über den Punkt gelangt, wo sie abgeladen werden soll, so bindet man das Ende des Seiles *PS* wieder los und läßt den Brems wieder zurückfallen, wobei ein an den Hebel *N* desselben angehängtes Gewicht *V* zu Hilfe kommt. Um nun eine neue Last fassen zu können, muß die stehende Welle wieder mittels der Spille *MZ* auf den ersten Ort zurückgeführt werden, während sich das Seil durch das Gewicht der Kette und Haken und, nach Befinden, auch mit Unterstützung eines besonderen Gegengewichtes *K*, von selbst wieder herabzieht.

§. 231. Um die Stabilitäts- und Festigkeitsverhältnisse eines Krannes zu beurtheilen, denken wir den Schnabel desselben als ein aus drei Stäben bestehendes Dreieck *ABC*, Figur 484 (auf folgender Seite), an dessen Spitze *C* die Last *Q* senkrecht niederzieht, und dessen Grundlinie *AB* mit der Ase der stehenden Welle oder dem Ständer des Krannes zusammenfällt. Zunächst kommt es darauf an, die Spannung *Q<sub>1</sub>* der Strebe oder des Stabes *AC* und die Spannung *Q<sub>2</sub>* der Zugstange oder des Stabes *BC* zu finden. Beide Kräfte müssen der Last *Q* und der ihr gleichzusetzenden Spannung des von der Schnabelspitze nach der Krannase *AB* geführten Seiles das Gleichgewicht halten. Bezeichnen wir den Neigungswinkel *ACH* der Strebe *AC* gegen den Horizont durch  $\alpha_1$ , den Neigungswinkel

Erst ist der Krann.



1. *What is the main purpose of the study?*  
 2. *What are the research objectives?*  
 3. *What is the research methodology?*  
 4. *What are the results of the study?*  
 5. *What are the conclusions of the study?*  
 6. *What are the limitations of the study?*  
 7. *What are the implications of the study?*  
 8. *What are the future research directions?*  
 9. *What are the contributions of the study?*  
 10. *What are the key findings of the study?*



$$Q_1 = \frac{Q \cos. \alpha_1}{\sin. (\alpha_1 - \alpha_2)} \text{ aus.}$$

Einheit der  
Kraft.

Soll die Zugstange ohne Spannung sein, also die Strebe allein die Mit-  
telkraft aus der Seilspannung und der Last aufnehmen, so muß

$$\cos. \alpha_1 = \sin. (\alpha_1 - \alpha). \text{ d. i. } 90 - \alpha_1 = \alpha_1 - \alpha,$$

also  $\alpha = 2 \alpha_1 - 90^\circ$  sein.

Die entsprechende Spannung der Strebe ist

$$Q_1 = 2 Q \cos. (\alpha_1 - \alpha) = 2 Q \sin. \alpha_1.$$

Setzt man den Querschnitt der Strebe  $= F_1$  und den der Zugstange  
 $= F_2$ , den Festigkeitsmodul der ersten  $= K_1$  und den der zweiten  $= K_2$ ,  
so haben wir:

$$F_1 = \frac{Q_1}{K_1} \text{ und } F_2 = \frac{Q_2}{K_2}.$$

Die Last  $Q$  biegt die stehende Welle oder den Krahnbaum vermöge ih-  
rer excentrischen Wirkung mit dem Momente  $Qa$ , wenn  $a$  den Normal-  
oder Horizontalabstand  $CH$  der Last von der Are dieser Welle bezeichnet;  
und hiernach ist auch vorzüglich die Stärke dieser Welle zu berechnen.

Ist der Querschnitt derselben ein Quadrat von der Seitenlänge  $s$ , so  
hat man

$$Qa = s^3 \frac{K}{6}, \text{ und daher umgekehrt}$$

$$s = \sqrt[3]{\frac{6 Q a}{K}};$$

ist hingegen derselbe ein Kreis vom Halbmesser  $r$ , so hat man

$$Qa = \frac{\pi r^3}{4} \cdot K, \text{ und daher umgekehrt}$$

$$r = \sqrt[3]{\frac{4 Q a}{\pi K}}.$$

Ist  $l$  die Entfernung  $FG$  der beiden Stützpunkte  $F$  und  $G$  des Krahn-  
baumes von einander, so hat man die Kraft, mit welcher in Folge der  
excentrischen Aufhängung von  $Q$  der obere Zapfen nach der Seite des Halses  
und der untere Zapfen nach der entgegengesetzten Seite zu gedrückt wird,

$$R = \frac{a}{l} Q.$$

Dieser Druck ist von dem Krahngerüste oder Fundamente aufzunehmen,  
und giebt zu einer besonderen Seitenreibung an dem Zapfen oder, nach  
Befinden, dem Halse des Krahnbaumes Veranlassung, und ist daher durch  
Vergrößerung von  $l$ , d. i. dadurch herabzuziehen, daß man die beiden  
Stützpunkte  $F$  und  $G$  des Krahnbaumes möglichst entfernt von einander  
legt. Bei den Krähen mit Ständer oder festem Krahnbaum, wie Figur  
472 u. 473, hat man die Höhe  $l_1$  der Zapfenhülse und ebenso die Entfernung

Statt der  
Krahne.

$l_2$  der Bolzen, womit die Fußplatte oder das Fußkreuz dieser Hülse auf das Fundament aufgeschraubt ist, dem Momente  $Q a$  entsprechend groß zu machen.

Die Kraft, mit welcher der Fußzapfen des Ständers in seiner Hülse sich um eine horizontale Axe zu drehen sucht, ist

$$R_1 = \frac{a}{l_1} Q,$$

und die, mit welcher er sich von dem Fundamente loszumachen sucht, und welche daher die Bolzen im Fundamente auszuhalten haben, ist

$$R_2 = \frac{a}{l_2} Q.$$

Bei den Krahnen, welche auf Rädern stehen, muß das Moment  $Qa$  durch das des Gewichtes  $G$  vom leeren Krahne überwunden werden. Ist  $b$  der kleinste Horizontalabstand der Radaren von dem Schwerpunkte des leeren Krahnes, so hat man das Moment von  $G$ ,  $G b$ , und daher dafür zu sorgen, daß  $G b > Q a$ , oder

$$a > \frac{Q}{G} a \text{ sei.}$$

Die Wirkungen der excentrischen Aufhängung der Last  $Q$  lassen sich durch ein Gegengewicht aufheben, welches auf der entgegengesetzten Seite von  $Q$  anzubringen ist. Ist  $Q_1$  die Größe eines solchen Gegengewichtes und  $a_1$  dessen Abstand von der Axe des Krahnbaukes, so erfordert diese Ausgleichung

$$Q_1 a_1 = Q a, \text{ also } Q_1 = \frac{a}{a_1} Q.$$

Wenn man das Gegengewicht beweglich macht, so kann man auch dessen Hebelarme

$$a_1 = \frac{Q}{Q_1} a$$

der jedesmaligen Last  $Q$  entsprechend abändern.

Durch das Gegengewicht wird natürlich nicht allein die Stabilität und Festigkeit wesentlich erhöht, sondern auch die Seitenreibung des Krahnes fast auf Null herabgezogen. Da die Spannkkräfte  $Q_1$  und  $Q_2$  der Streben und Zugstangen schief auf den Krahnbau übergetragen werden, so muß durch solide Verbindung dieser Theile mit dem Krahnbau dafür gesorgt werden, daß auch die in der Krahnbauaxe wirkenden Componenten  $Q_1 \sin. \alpha_1$  und  $Q_2 \sin. \alpha_2$  dieser Kräfte mit Sicherheit aufgehoben werden.

Beispiel. Wenn bei dem in Figur 463 abgebildeten Krahne die größte Last  $Q = 20$  Tonnen oder circa  $Q = 40000$  Pfund beträgt, wenn ferner das Zugseil mit dem Schwengel eine und dieselbe Neigung  $\alpha = \alpha_2 = 25^\circ$ , die Strebe aber

die Neigung  $\alpha_1 = 50^\circ$  gegen den Horizont hat, wenn ferner die mechanische Armlänge oder Ausladung desselben:  $a = 16$  Fuß und die Entfernung  $l = 12$  Fuß beträgt; welche Dimensionen sind diesem Krane zu geben? Da hier die Last an einer losen Rolle hängt, so ist die Spannung des Seiles nur  $\frac{Q}{2}$  und daher zu setzen:

1) die Spannung der Strebe:

$$Q_1 = \frac{Q \cos. \alpha_2}{\sin. (\alpha_1 - \alpha_2)} = \frac{40000 \cos. 25^\circ}{\sin. 25^\circ} = 40000 \cotang. 25^\circ = 85780 \text{ Pfd.},$$

und

2) die Spannung des Schwengeles:

$$Q_2 = Q \left( \frac{\cos. \alpha_1}{\sin. (\alpha_1 - \alpha_2)} - \frac{1}{2} \right) = \frac{40000 \cos. 50^\circ}{\sin. 25^\circ} - 20000 = 40840 \text{ Pfd.}$$

Nimmt man nach I., §. 212, den Festigkeitsmodul für das Verdrücken des Nichtenholzes, aus welchem hier die Strebe besteht,  $K = 500$  Pfund, so erhält man den nothigen Querschnitt dieser Strebe:

$$F_1 = \frac{Q_1}{K} = \frac{85780}{500} = 171,6 \text{ Quadratzell.}$$

und nimmt man den Festigkeitsmodul für das Zerreißen, nach I., §. 189,  $K = 1200$  Pfund, so erhält man den erforderlichen Querschnitt des hölzernen Schwengeles:

$$F_2 = \frac{Q_2}{K} = \frac{40840}{1200} = 34 \text{ Quadratzell.}$$

Der Querschnitt des gußeisernen Kranbaumes ist durch den Halbmesser  $r = \sqrt[3]{\frac{4 Q a}{\pi K}}$  bestimmt. Setzen wir  $Q a = 40000 \cdot 16 \cdot 12 = 7680000$  und  $\frac{K}{4}$  nach I., §. 203,  $= 8000$ , so erhalten wir hiernach den gesuchten Halbmesser:

$$r = \sqrt[3]{\frac{7680000}{8000 \pi}} = \sqrt[3]{\frac{960}{\pi}} = 6,74 \text{ Zell.}$$

also die Stärke des Halses  $R$ :

$$d = 2r = 13,48, \text{ oder in runder Zahl, } 14 \text{ Zoll.}$$

Diese Stärke kann aus bekannten Gründen nach den Enden zu abnehmen.

Die Kraft, mit welcher der Kran auf das Lager  $Q$  vertikal nach unten drückt, ist  $V = Q + G$ , also, wenn das Gewicht  $G$  des Kranes zu 18000 Pfd. abgeschätzt wird,  $V = 40000 + 18000 = 58000$  Pfund; die Kraft, mit welcher er dagegen am Hals  $R$  und am Lager  $Q$  horizontal wirkt:

$$R = \frac{a}{l} Q = \frac{16 \cdot 40000}{12} = \frac{160000}{3} = 53333 \text{ Pfund.}$$

Damit dieser große Seitendruck vom Fundamente aufgenommen werden könne, ist es nothig, die Steine desselben durch Anker mit einander zu verbinden.

§. 232. Den vorzüglichsten Arbeitsaufwand, welchen das Fortschaffen der Lasten durch Krane nöthig macht, erfordert das Heben der Last; weniger Arbeit beansprucht die Drehung des Kranes um seine vertikale Ase, und das überhaupt seltener nöthige Fortbewegen der Last in radialer Richtung, da es hierbei nur auf Ueberwindung der Reibung ankommt.

1. The first step in the process of developing a business plan is to conduct a market analysis. This involves researching the industry, identifying potential customers, and understanding the competitive landscape. A thorough market analysis provides valuable insights into the opportunities and challenges of the market, which are essential for formulating a realistic business plan.

2. Once the market analysis is complete, the next step is to define the business's mission and vision. The mission statement outlines the company's purpose and its commitment to its stakeholders, while the vision statement describes the long-term goals and aspirations of the business. These statements serve as a guiding light for the company's strategic decisions and actions.

3. The third step in developing a business plan is to conduct a financial analysis. This involves estimating the company's costs, revenues, and profits over a period of time. A financial analysis helps to determine the feasibility of the business and provides a basis for setting realistic financial goals. It also identifies the key financial risks and opportunities that the company may face.

4. The fourth step is to develop a marketing strategy. This involves identifying the target market, selecting the appropriate marketing channels, and developing a plan to reach and persuade the target audience. A well-defined marketing strategy is essential for the success of the business, as it ensures that the company is effectively reaching its potential customers.

5. The fifth step is to develop an operational plan. This involves detailing the day-to-day activities of the business, including the production process, the management of resources, and the implementation of the marketing and financial strategies. An operational plan provides a clear roadmap for the company's operations and helps to ensure that the business is running smoothly and efficiently.

6. The final step in developing a business plan is to write the business plan itself. This involves synthesizing all the information gathered in the previous steps into a coherent and compelling document. The business plan should clearly articulate the company's mission, vision, and financial goals, and it should provide a detailed overview of the company's operations and marketing strategy. A well-written business plan is a critical tool for securing financing and for guiding the company's growth and development.

Der Kolbenreibung und anderer Nebenhindernisse wegen muß man aber Mechanik der Kräfte. 25 Procent zusehen.

Bei dem Dampfkrahn in Figur 483 mit dreifachem Vorgelege hat man, wenn man unter  $a_1$  den Kurbelhalbmesser der Dampfmaschine versteht und statt der Zähnezahilverhältnisse  $\frac{n_1}{n_3}$  und  $\frac{n_2}{n_4}$  die entsprechenden Trommelhalbmesserverhältnisse  $\frac{r_1}{r_3}$  und  $\frac{r_2}{r_4}$  einführt:

$$P = \frac{\pi}{2} \cdot \frac{r_1}{r_3} \cdot \frac{r_2}{r_4} \cdot \frac{n_3}{n_5} \cdot \frac{b_1}{a_1} \cdot Q.$$

Ist  $F$  die Kolbenfläche und  $p$  der Dampfdruck auf die Flächeneinheit, so gilt auch die Formel  $P = Fp$ , und es ist daher umgekehrt die nöthige Kolbenfläche:

$$F = \frac{P}{p} = \frac{\pi}{2} \cdot \frac{r_1}{r_3} \cdot \frac{r_2}{r_4} \cdot \frac{n_3}{n_5} \cdot \frac{b_1}{a_1} \cdot \frac{Q}{p}.$$

Bei dem Niederlassen der Last ist dieser Kraft  $P$  durch den Brems das Gleichgewicht zu halten.

Kommt es darauf an, den Krahn um seine vertikale Ase umzudrehen, so hat man die Reibung an der Basis des Zapfens und die Seitenreibung an beiden Zapfen, oder nach Befinden, an dem Zapfen und am Halse zu überwinden.

Ist  $Q$  das Gewicht des leeren Krahnes, und  $\varrho_1$  der Halbmesser seines unteren Zapfens oder Stiftes, so hat man das Moment der Reibung an der Basis dieses Stiftes nach I., §. 171

$$= \frac{2}{3} \varphi \varrho_1 (Q + G).$$

Die aus dem Seitendrucke  $R = \frac{a}{l} Q$  hervorgehende Seitenreibung hat, wenn noch  $\varrho_2$  den Halbmesser des Krabnhalses oder oberen Zapfens bezeichnet, das Moment

$$\varphi R (\varrho_1 + \varrho_2) = \varphi \frac{a}{l} Q (\varrho_1 + \varrho_2).$$

Wirkt daher die Umdrehungskraft  $P_1$  an einem Hebelarme  $r$ , so ist für dieselbe

$$P_1 r = \frac{2}{3} \varphi \varrho_1 (G + Q) + \varphi \frac{a}{l} (\varrho_1 + \varrho_2) Q \text{ und daher}$$

$$P_1 = \frac{2}{3} \varphi \frac{\varrho_1}{r} (G + Q) + \varphi \frac{a}{l} \left( \varrho_1 + \frac{\varrho_2}{r} \right) Q.$$

Bei dem Krabne in Figur 473 wird diese Kraft noch durch ein Räderwerk herabgezogen, und bei dem Wassersäulenkrahn in Figur 478 wird diese Kraft durch den Kolben einer doppelwirkenden Wassersäule ausgeübt. Ist  $F_1$  die Kolbenfläche dieser Maschine, so hat man

$$F_1 = \frac{P_1}{h_1 \gamma} \text{ zu setzen.}$$

The following table shows the results of the regression analysis for the dependent variable "Number of children in the household" (N = 1,000). The independent variables are "Age of the head of household" and "Gender of the head of household". The table includes the coefficient estimates, standard errors, t-statistics, and p-values for each variable.

Variable	Coefficient	Standard Error	t-statistic	p-value
Age of the head of household	0.05	0.02	2.50	0.01
Gender of the head of household (Male = 1, Female = 0)	-0.10	0.03	-3.33	0.00
Constant	1.50	0.10	15.00	0.00

The regression results indicate that the number of children in the household is positively related to the age of the head of household and negatively related to the gender of the head of household. Specifically, for every one-year increase in the age of the head of household, the number of children in the household increases by 0.05, holding all other variables constant. Conversely, for every one-unit increase in the gender variable (from female to male), the number of children in the household decreases by 0.10, holding all other variables constant.

# Journal of Management Education



The Journal of Management Education is a peer-reviewed journal that publishes research and practice in the field of management education. The journal is published by the American Management Education Association (AMEA) and is available online through the journal's website. The journal's content is organized into several sections, including research, practice, and theory. The journal is a key resource for management educators and researchers.

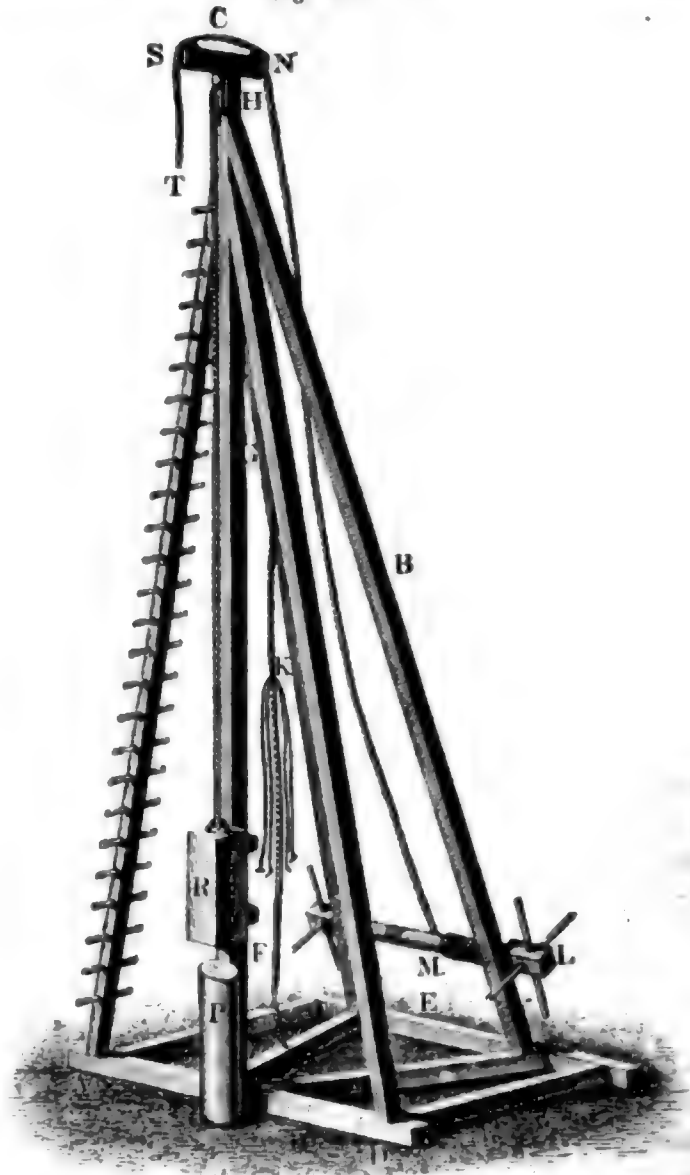
The journal's content is organized into several sections, including research, practice, and theory. The journal is a key resource for management educators and researchers. The journal's content is organized into several sections, including research, practice, and theory. The journal is a key resource for management educators and researchers.



Ramm-  
maschinen.

Fig. 487, an einer aus einer oder zwei Ruthen, den sogenannten Läufern, Lauferruthen oder Mäcklern, bestehenden Führung auf und nieder, und er ist zu diesem Zwecke mit Armen ausgerüstet, welche diese Ruthen umfassen. Das Rammgerüste *ABC* ruht auf einem beweglichen Schwellwerk *ADE*, welches einen Dielenboden für die sogenannte Stube, d. i.

Fig. 487.



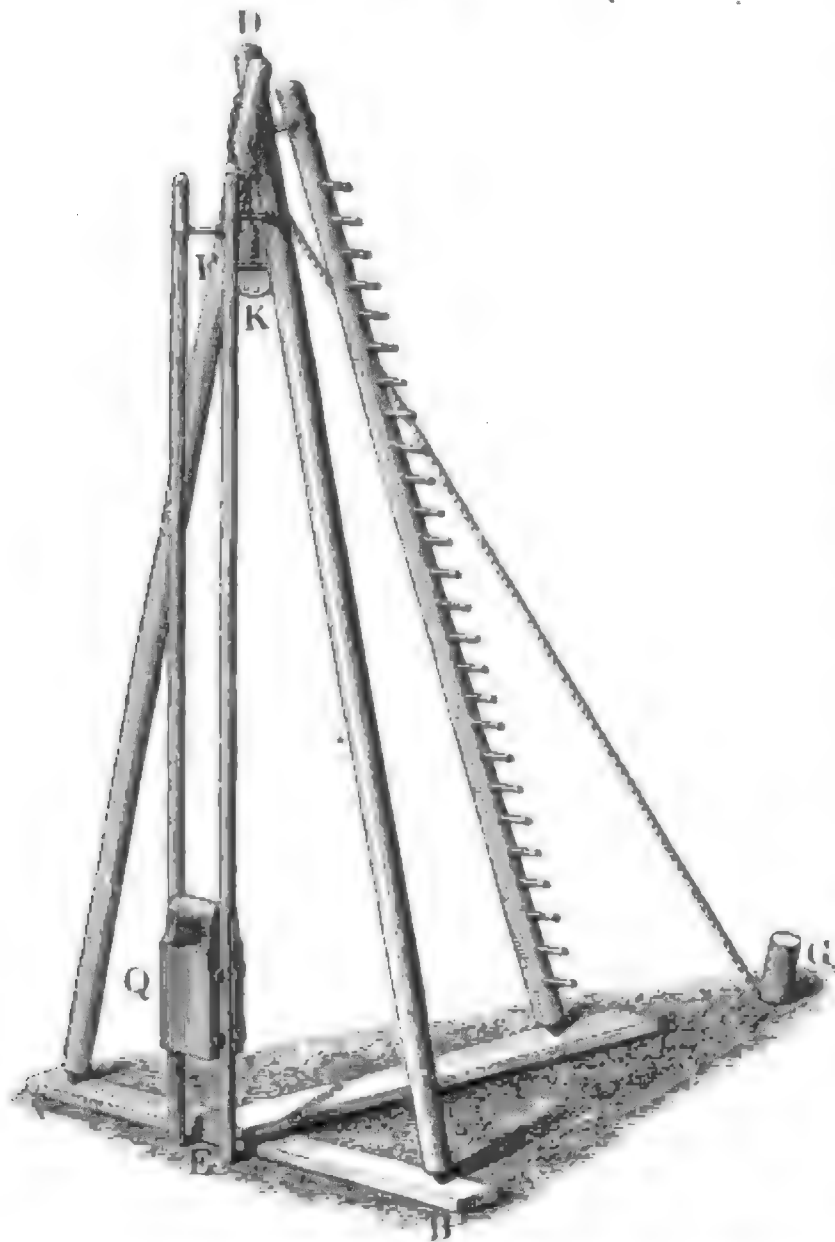
den Standpunkt der Arbeiter, erhält. In dem oberen Ende der Läufer-  
ruthe *FGH* ist die sogenannte Rammscheibe *H* eingelassen, welche  
das Rammtau *RHK* vom Klope nach der Stube herabführt. Zum  
Sehen des Pfahles *P* dient eine Winde *LM*, deren Zapfenlager auf der

hinteren Streben des Gerüsts festzugen. Das Windetau *MNST* geht über zwei Rollen in dem sogenannten Krahnballen *C*, der auf dem oberen Ende der Läuferruthe liegt.

Mann-  
maschinen.

Sehr einfach und zweckmäßig ist die in Fig. 488 abgebildete holländische Ramme. Es besteht hier die ganze Rüstung aus drei Bäumen

Fig. 488.



*AD*, *BD* und *CD*, welche unten mit eisernen Dornen versehen sind, womit sie auf zwei über das Kreuz gelegte Pfosten zu stehen kommen, und oben durch einen mit einem Scharniere versehenen Bolzen mit einander verbunden sind. Der Rammkloß *Q* ist hier mit acht kurzen Armen versehen, welche die dünnen Ruthen der sogenannten Scheere *EF* zwischen sich fassen. Diese Ruthen werden mit ihren eisernen Füßen entweder unmittelbar in das Erdreich gesetzt, oder sie kommen auf besondere Bohlen zu stehen; am Kopfe sind sie dagegen durch eiserne Bügel mit den Rüstbäu-

men verbunden. Durch das sogenannte Kopftau *MG*, welches vom Kopfe des Gerüsts nach einem in das Erdreich eingeschlagenen Pfahl *G* herabgeht, wird der feste Stand des Gerüsts noch besonders erhöht. Die Rammscheibe *K* befindet sich in einem Kloben, welcher mittels einer Kette an den Kopf des Gerüsts aufgehangen ist.

§. 234. Bei dem Ziehen der Arbeiter an den Leinen des Rammtaues Rammramme wird das menschliche Arbeitsvermögen sehr unvollständig benutzt, zumal da zum Heben eines schweren Rammkloßes, selbst bei einer großen Anzahl

**Kunstramme.** von Arbeitern, eine große Anstrengung erforderlich ist, welche es nöthig macht, daß diese Arbeitsvorrichtung in kurzen Absätzen mit mindestens ebenso langen Zwischenpausen erfolgt. Es ist überdies ein auch theoretisch nachzuweisender Erfahrungssatz, daß der Wirkungsgrad des Rammens mit dem Gewichte und der Steighöhe des Rammbärs wächst; da nun aber bei der Zugramme die Anzahl der Arbeiter nicht ohne Nachtheil in der Wirkung des Einzelnen vergrößert und der Rammkloß höchstens 4 bis 5 Fuß hoch gehoben und geschleudert werden kann, so ist das Einrammen der Pfähle mittels der Zugramme aus doppelten Gründen eine mechanisch unvollkommene Arbeitsverrichtung. Diese Unvollkommenheiten lassen sich aber bei den Kunstrammen größtentheils vermeiden, da man hier nicht allein mit mehr Vortheil die Arbeiter an einer Radwelle arbeiten lassen, sondern auch durch Vorgelege das Gewicht und die Steighöhe des Rammbärs beliebig vergrößern kann. Es haben folglich die Kunstrammen einen entschiedenen Vorzug vor den Zugrammen.

Die Einrichtung einer einfachen Kunstramme ist aus Fig. 489 a. f. S. zu ersehen. Die Arbeiter setzen hier eine Welle *B* mittels einer doppelten Kurbel *AA* in Umdrehung, und diese Welle theilt ihre Bewegung mittels der Zahnräder *E* und *F* einer Trommel *G* mit, um welche sich das eine Ende des Rammtaues wickelt. Ist der Rammbär *Q* nach mehrmaligem Umdrehen der Kurbel auf eine gewisse Höhe gestiegen, so verschiebt man die Kurbelwelle *B* mittels des Hebels *UDE* in ihrer Auenrichtung und bringt dadurch das Zahnrad *E* aus dem Eingriffe mit dem Zahnrade *F*, so daß nunmehr der Rammkloß *Q* ungehindert auf den Pfahl *P* herabfallen kann. Diese Einrichtung einer Kunstramme hat aber noch den Nachtheil, daß sich das Rammtau beim Niederfallen des Rammbärs sehr schnell über die Leitrolle wegziehen und von der Trommel abwickeln muß, wobei es nicht allein leicht in Unordnung geräth, sondern auch mit diesen Maschinentheilen zugleich stark abgeführt wird. Deshalb zieht man es vor, den Rammbär mittels eines Hakens an das Rammtau zu hängen, welcher sich von selber löst, und also den Rammbär zurückfallen läßt, nachdem er eine gewisse Steighöhe erreicht hat. Sehr zweckmäßig ist die Anwendung einer Zange, wie Figur 490 vor Augen führt. Der Rammbär *Q*, welcher hier in einer Führung zwischen den zwei Lauftrüthen beweglich ist, hat ein Dehr, womit er von einer aus zwei Haken *HOK*. *HOK* bestehenden Zange ergriffen wird, die mittels ihrer Bolzen *O*, *O* auf einem besonderen Stücke *F*, dem sogenannten Fallblock, festsitzen. Dieser Block ist unmittelbar an das Rammtau befestigt und läßt sich wie der Rammbär in der Führung zwischen den Lauferrüthen verschieben. Zwei Stahlfedern *I*, *I*, welche auf diesem Blocke festsitzen, drücken die langen Schenkel *H*, *H* der Zange nach außen, und folglich das Gebiß *K*, *K* der



der Trommel, so daß nun auch der Fallblock frei wird und zum Herabfallen gelangt. Beim Aufschlagen dieses Blockes auf den Rammbär öffnet sich nun auch in Folge ihrer besonderen Form das Gebiß  $K'K'$  der Zange  $HKKH$  und erfaßt das Dehr des Rammbärs, der sich nun durch Umdrehung der Kurbel  $AA$  von neuem emporheben läßt.

Mittels der hier beschriebenen Kunstramme hebt man Rammbäre von 700 bis 1500 Pfund durch drei bis sechs Mann 15 bis 30 Fuß hoch.

Dampfstramme.

§. 235. Man hat auch Kunstrammen durch Treträder, Hand- und Pferdegöpel, oder durch Wasserräder in Umtrieb gesetzt, und in neueren Zeiten sogar die Dampfkraft hierzu in Anwendung gebracht. Insbesondere haben sich aber die Dampfstrammen von Nasmyth als sehr kräftige und brauchbare Maschinen bewährt.

Diese Rammmaschine unterscheidet sich von den anderen Maschinen dieser Art besonders dadurch, daß sie den sehr schweren Rammbär auf eine kleine Höhe hebt und ihn sehr schnell aufeinander folgende Schläge machen läßt. Da diese Leistung des Rammbärs von dem Producte  $Qh$  aus seinem Gewichte  $Q$  und seiner Steighöhe  $h$  abhängt, so wird dadurch, daß man  $h$  in demselben um so viel vermindert, als man  $Q$  größer nimmt, nichts an Leistung verloren, wohl aber hat man dann den Vortheil, daß man den Dampf direct wirken, d. h. den Rammbär gleich unmittelbar von der Stange des Dampfkolbens heben lassen kann, was bei der gewöhnlichen Steighöhe der Rammbäre unmöglich wäre. Ein Hauptvortheil der Dampfstramme besteht aber noch darin, daß man mit derselben die Arbeit des Einrammens möglichst beschleunigen kann, zumal da, wie es scheint, das Eindringen der Pfähle durch die schnelle Aufeinanderfolge der Schläge befördert wird. Der Rammbär einer solchen Maschine hat ein Gewicht von 50 Centnern und macht in einer Minute 70 bis 80 Schläge von je 3 Fuß Höhe. Da bei der Kunstramme mit Kurbelbewegung nur wenig Arbeiter zugleich arbeiten können, folglich deren Arbeitsquantum in einer gewissen Zeit nur ein sehr kleines sein kann, so muß natürlich deren Arbeitsverrichtung sehr langsam vor sich gehen, und daher die Anzahl der Anhübe des Rammbärs sehr klein ausfallen. In der That, solche Maschinen machen in der Stunde auch nur 10 bis 40 Schläge.

Die Nasmyth'sche Dampfstramme ruht auf einer Plattform mit 4 Rädern, welche auf einer Eisenbahn längs der Pfahlreihen laufen. Der Läufer des Rammbärs ist fest an eine Seite dieser Plattform angeschraubt, und wird nicht allein durch zwei Streben, sondern auch durch Zugstangen, welche vom Kopfe desselben nach den vier Ecken der Plattform herabgehen, in seiner vertikalen Lage erhalten. Auf diesem Kopfe sitzt eine große Leitzrolle, über welche eine starke Kette läuft, an deren einem Ende der ganze

aggression, and the victim's perception of the aggressor's intentions. The authors suggest that the victim's perception of the aggressor's intentions is a key factor in the victim's decision to use force in self-defense. The authors also suggest that the victim's perception of the aggressor's intentions is a key factor in the victim's decision to use force in self-defense.



**CONTENTS**

ORIGINAL ARTICLES	1
REPORTS	1
SYMPOSIUM	1
DEPARTMENTS	1
EDITORIAL	1
BOOK REVIEW	1
NOTES	1
ANNOUNCEMENTS	1

Subscription prices: Single copies, 15 cents; 12 issues, \$1.50; 24 issues, \$2.85; 52 issues, \$5.25. Advance payment in full is required. Payment in advance is required. Payment in advance is required.





der Dampf unter den Kolben *B* und hebt denselben sammt dem daran Dampfzammme. hängenden Rammbar *Q* 3 Fuß hoch empor. Gegen Ende des Hubes trifft der Rammbar einen Steuerhebel *abc*, welcher sich um die feste Ase *c* dreht und in *b* die Steuerschieberstange *ss* angreift, wodurch nun der Schieber *S* zum Steigen gebracht und der Zutritt des Dampfes zum Dampfzylinder abgesperrt wird. Die Dampfkolben *B* und der Dampfschieber *S* befinden sich nun in der in *II.* angegebenen Stellung, wobei der Dampf nicht allein durch ein bei *T* sich anschließendes Ausblaserohr, sondern auch durch die Löcher *l, l* im Umfange des Dampfzylinders ausströmen kann. In Folge dessen fällt der Rammbar fast augenblicklich auf den Pfahlkopf *P* herab, und treibt den Pfahl um einen gewissen Weg tiefer in das Erdreich ein, worauf nun noch ein Nachsinken des dadurch seiner Stütze beraubten Apparates *ADDE* erfolgt. Bei dem Aufschlagen des Rammbars gelangt die Zunge *efg* aus der Lage, welche *II.* anzeigt, in die von *I.* und drückt dabei den längern Arm des Hebels *hkl* auswärts, so daß nun der kürzere Arm desselben aus dem Ausschnitte in der Schieberstange *ss* ausschnappt, und diese sammt dem Schieber durch den Druck des Dampfes über den am obern Ende dieser Stange sitzenden Gegenkolben *K'* herabsinkt; worauf nun dem Dampfe wieder der Zutritt zum Dampfzylinder eröffnet wird. Während des nun erfolgenden Kolbenaufganges wird die Zunge *efg* von der Röhrenwand *DDK* bei *g* wieder in die Stellung von *II.* herabgedrückt, so daß nun ihre Wirkung auf den Hebel *hkl* aufhört und der kurze Arm desselben durch den Druck einer Feder wieder in den Einschnitt der mittlerweile emporgestiegenen Steuerschieberstange einschnappt.

Damit der Treibeapparat sammt dem Kolben allmählig senkrecht niedersinkt, ist der Käufer mit Eisenschienen ausgerüstet, welche durch an der Blechröhre befestigte Klammern umfaßt werden. Um ferner den Kolbenaufgang zu begrenzen und das Aufschlagen des Kolbens auf den Zylinderdeckel zu vermeiden, hat man den Obertheil dieses Zylinders luftdicht verschlossen, und um endlich die Erschütterungen beim Aufschlagen des Rammbars auf den Pfahl für den Kolben und dessen Stange möglichst unschädlich zu machen, ist die Verbindung dieser Stange mit dem Rammkloß durch Einlage von Pappelholzscheiben möglichst elastisch gemacht.

Anmerkung. Bei einer Biletirung in den Catharinendock zu London hat man die atmosphärische Ramme von Clarke und Varley in Anwendung gebracht, welche den Rammbar durch den Druck der atmosphärischen Luft hebt. Bei dieser Ramme ist das Rammseil an die Stange eines Kolbens angeschlossen, welcher in einem Zylinder spielt, der oben offen ist und unten mit dem Vacuo einer Luftpumpe in Verbindung steht (siehe die Zeitschrift: Der Ingenieur, Bd. II.).

Mechanische  
Arbeit der  
Hammern.

§. 236. Der mechanische Arbeitsaufwand, welchen das Einschlagen der Pfähle mittels einer Rammmaschine in Anspruch nimmt, läßt sich aus dem Gewichte des Rammbärs, der Steighöhe desselben und der Anzahl der Anhube berechnen. Dem Gewichte  $Q$  des Rammbärs und der Steighöhe  $h$  desselben entspricht pro Anhub die mechanische Leistung,  $Qh$ . Erfordert nun das Einschlagen eines Pfahles  $n$  Schläge, so ist folglich der mechanische Arbeitsaufwand für einen Pfahl  $= nQh$ , und ist endlich  $m$  die Anzahl der täglich einzuschlagenden Pfähle, so hat man die durch die Rammmaschine täglich beanspruchte mechanische Arbeit:

$$L = mnQh,$$

und umgekehrt, die Anzahl der Pfähle, welche mit einer gegebenen Arbeit  $L$  täglich eingeschlagen werden können:

$$m = \frac{L}{nQh}.$$

Nach den französischen Angaben ist für das Arbeiten an der Zugramme, sowie in allen den Fällen, wo es darauf ankommt, eine Last mittels eines über eine Rolle laufenden Seiles emporzuheben und nach jedem Anhub wieder zurückfallen zu lassen:

die Kraft eines Menschen,  $K = 38$  Pfund, mittlere Geschwindigkeit  $c = 0,64$  Fuß, und Arbeitszeit  $t = 6$  Stunden, und folglich das tägliche Arbeitsquantum  $Kct = 38 \cdot 0,64 \cdot 6 \cdot 60 \cdot 60 = 525300$  Fußpfund. Nach I., §. 84 ist dagegen die tägliche Leistung eines Menschen an der Kurbel 1'175040 Fußpfund, und zwar bei der mittleren Kraft  $K = 17$  Pfund, Geschwindigkeit  $c = 2,4$  Fuß und Arbeitszeit  $t = 8$  Stunden. Diesem zufolge ist also auch die mechanische Leistung des Menschen an der Kunstramme mit einer Kurbel  $\frac{1'175040}{525300} = 2,24$ , d. i. nahe

$2\frac{1}{4}$  mal so groß als an der Zugramme. Dieses ungünstige Verhältniß in der Leistung der Zugramme hat seinen Grund darin, daß hier die Kraft des Menschen  $K = 38$  Pfund nicht allein von ihrem mittleren Werthe bedeutend abweicht, sondern auch unter ungünstigen Umständen ausgeübt werden muß, wobei sich die Arbeiter so sehr anstrengen müssen, daß sie je nach einer kurzen Arbeitsdauer oder sogenannten Hitze von oft nur 40 bis 60 Secunden eine Arbeitspause von 2 bis 3 Minuten nöthig haben. Kräftige und eingeübte Arbeiter liefern allerdings zuweilen ein nahe doppelt so großes Arbeitsquantum an der Zugramme, nicht selten aber kommt es auch vor, zumal wenn die Anzahl der Arbeiter sehr groß ist, daß die Leistung eines Arbeiters den oben angegebenen Werth noch nicht einmal erreicht.

Bei der Zugramme bestimmt sich das Verhältniß zwischen der Kraft  $P$  und dem Gewichte  $Q$  des Rammbärs einfach aus dem Winkel  $\alpha$ , um

welchen die einzelnen Zugseile von der Vertikalen oder der Richtung des Rammtaues abweichen. Von der ganzen Kraft  $P$  eines Arbeiters kommt nur der vertikale Component  $P \cos. \alpha$  zur Wirkung; ist folglich  $v$  die Anzahl der Arbeiter, so hat man die Kraft des einzelnen:

$$P = \frac{Q}{v \cos. \alpha}.$$

Bei einer Kunstramme mit Vorgelegshapel ist dagegen, wie aus dem in §. 215 Angegebenen unmittelbar hervorgeht, diese Kraft:

$$P = \frac{n_1}{n_2} \cdot \frac{b}{a} \cdot \frac{Q}{v}.$$

Für die Dampfamme ist einfach die zum unmittelbaren Heben des Rammbärs nöthige Dampf- oder Kolbenkraft:

$$P = Q.$$

Beispiel. Wenn der Rammbär einer Zugamme 700 Pfund schwer ist, und die Zugkraft eines Arbeiters in der Richtung des Rammtaues,  $P = 35$  Pfund angenommen wird, so hat man die nöthige Anzahl der Arbeiter  $v = \frac{Q}{P} = \frac{700}{35}$

$= 20$ , und daher die tägliche Leistung derselben  $L = v Kcl = 20 \cdot 525300 = 10506000$  Fußpfund. Soll der Rammbär bei jedem Anhub 4 Fuß gehoben werden, und ein Pfahl zu seinem Einrammen 1500 Schläge erfordern, so ist das auf das Einschlagen eines Pfahls verwendete Arbeitsquantum  $= 700 \cdot 4 \cdot 1500 = 4200000$  Fußpfund, und daher die Anzahl der täglich einzurammenden Pfähle

$$m = \frac{10506000}{4200000} = 2\frac{1}{2}.$$

Bei Anwendung einer Kunstramme mit Kurbelbewegung würde man vielleicht nur 4 Arbeiter zum Heben des Rammbärs verwenden, dafür aber denselben etwa 20 Fuß hoch heben. Wäre hier die Anzahl der Zähne des Rades auf der Kurbelwelle 4 mal in der des Rades auf der Seiltrommel enthalten, also  $\frac{n_1}{n_2} = \frac{1}{4}$ , und der Halbmesser  $b$  der letzteren 3 mal in

der Kurbellänge  $a$  enthalten, also  $\frac{b}{a} = \frac{1}{3}$ , so hätte man die Kraft zum Auf-

$$\text{ziehen des Rammbärs: } P = \frac{1}{4} \cdot \frac{1}{3} \cdot \frac{700}{4} = \frac{1}{12} \cdot 175 = 14,58 \text{ Pfund,}$$

also etwas kleiner, als eben angegeben worden ist. Da hier die Steighöhe des Rammbärs  $\frac{2}{3} = 5$  mal so groß ist als bei der Zugamme, so läßt sich voraussetzen, daß hier ein Pfahl zu seinem Eintreiben nur  $\frac{1}{5}$  mal so viel, d. i. nur  $\frac{1}{5} \cdot 1500 = 300$  Schläge bedarf. Ein jeder Schlag nimmt  $700 \cdot 20 = 14000$  Fußpfund Arbeit in Anspruch; da das tägliche Arbeitsquantum der 4 Arbeiter  $4 \cdot 1175040 = 4700160$  Fußpfund beträgt, so ist folglich die Anzahl der mit dieser Maschine täglich einzutreibenden Pfähle:

$$m = \frac{4700160}{300 \cdot 14000} = \frac{4700160}{4200000} = 1,12.$$

Anmerkung. Ueber die Tragfähigkeit der eingerammten Pfähle ist in Theil I, §. 287 u. f. w. das Nöthigste mitgetheilt worden.

§. 237. Das sogenannte Abbohren (franz. le sondage; engl. the boring) oder Bohren von runden tiefen Löchern in die feste Erdrinde hat

The first part of the paper discusses the importance of the research and the objectives of the study. It then presents a literature review of the existing research on the topic. The second part of the paper describes the methodology used in the study, including the data collection and analysis techniques. The third part of the paper presents the results of the study, and the fourth part discusses the conclusions and implications of the findings.



The results of the study indicate that there is a significant positive correlation between the variables studied. This finding is consistent with the theoretical framework proposed in the introduction. The study also identifies several factors that influence the relationship between the variables, which may be useful for future research and practical applications.

des Schwengels  $QR$ , der Stange  $LM$  und des Schwengels  $EFG$  das Bohrgestänge emporgehoben werden kann. Damit das Bohrloch möglichst rund ausfalle, muß der Bohrer mittels eines Querarmes oder des sogenannten Stangenbündels  $K$  nach jedem Stöße um einen kleinen Theil des ganzen Umfanges gedreht werden.

Wenn sich das Bohrloch so stark mit Bohrmehl oder Schmand angefüllt hat, daß dadurch die Wirksamkeit des Bohrers gehindert wird, so zieht man das Bohrgestänge aus dem Bohrloche heraus, schraubt statt des Bohrers den mit einem Ventile versehenen Bohrlöffel an das Gestänge, und hängt nun dasselbe wieder in das Bohrloch. Um nun den Löffel mit Bohrschmand zu füllen, hebt man das Bohrgestänge einige Mal auf und nieder. Hierauf zieht man das Gestänge wieder aus dem Bohrloche, schraubt den Löffel ab und das Bohrstück an und läßt das Bohrgestänge in das Bohrloch, so daß nun das Bohren von Neuem beginnen kann. Wenn das Bohrloch eine größere Tiefe erreicht hat, so ist das Herausziehen des Bohrers mit vielen Umständen und großem Zeitaufwand verbunden, da hierbei das Bohrgestänge in Theile zerlegt werden muß. Dieses Herausziehen des Bohrgestänges aus dem Bohrloche wird durch ein starkes Tau  $UV$  bewirkt, welches über eine Rolle am Kopfe des Bohrgerüsts weggeführt ist, und um den Rundbaum des Haspels  $ST$  gelegt wird, wenn zum Herausziehen verschritten werden soll.

Aus dem Vorstehenden ist zu ersehen, daß das Abbohren mit dem Erdbohrer aus einer dreifachen Arbeit besteht. Es ist nämlich das Bohrgestänge

- 1) in Höhen von etwa 100 Schlägen emporzuheben,
- 2) hierbei dasselbe allmählig umzubrechen und
- 3) dasselbe von Zeit zu Zeit ganz aus dem Bohrloch herauszuziehen und wieder in dasselbe hinabzulassen.

Der Arbeitsaufwand, welchen das Heben des Bohrers beansprucht, ist so zu beurtheilen, wie die Arbeit an der Kunstramme. Ist  $Q$  das Gewicht des Bohrgestänges und  $h$  dessen Fallhöhe, so hat man die mechanische Arbeit bei jedem Gestänghube  $= Qh$  und ist folglich die mittlere Anzahl der Anhübe pro Minute  $= n$  (etwa 30 bis 40), so hat man die Leistung pro Secunde  $L = \frac{n}{60} Qh$ .

Ist die Kurbelarmlänge  $= a$ , die Länge des Kraftarmes des Schwengels  $QR = a_1$ , die des Lastarmes desselben  $= b_1$ , ferner die Länge des Kraftarmes des Schwengels  $EFG = a_2$ , und die seines Lastarmes  $= b_2$ , ferner  $n_1$  die Anzahl der Zähne des Zahnrades auf der Kurbelwelle und  $n_2$  die Anzahl der Zähne des Zahnrades auf der Trommelwelle und endlich  $n_3$  die Anzahl der Hebebaumen dieser Welle, so bestimmt sich

mit Bohr-  
maschinen.

das Verhältniß der Kurbelkraft  $P$  zum Gewichte  $Q$  des Bohrgestänges durch die Formel

$$\frac{P}{Q} = \frac{n_1}{n_2} \cdot \frac{b_1}{a_1} \cdot \frac{b_2}{a_2} \cdot \frac{n_3 h}{2 \pi a}.$$

Die Kraft zum Drehen des Bohrers ist, wenn der Bohrer an einem Dehre hängt, nach III., §. 142 zu berechnen. Was aber die Arbeit zum Herausziehen des ganzen Bohrgestänges aus dem Bohrloch anlangt, so ist diese dem Producte aus dem Gewichte des Gestänges und aus der Erhebung seines Schwerpunktes gleich zu setzen.

Beispiel. Um einen Erdbohrer von 2000 Pfund Gewicht 1 Fuß hoch zu heben, ist eine Arbeit von 2000 Fußpfund nöthig. Verwendet man aber hierzu drei Arbeiter und läßt man dieselben an einer Kurbel wirken, so liefern diese täglich  $3 \cdot 1'175040 = 3'525120$  Fußpfund Arbeit, und es können dieselben folglich den Bohrer in dieser Zeit  $\frac{3'525120}{2000} = 1762$  mal anheben.

Wäre das Zähnezahlverhältniß des Bohrhaspels  $\frac{n_1}{n_2} = \frac{1}{4}$ , das Armlängenverhältniß  $\frac{b_1}{a_1} = \frac{3}{4}$ , das Armlängenverhältniß  $\frac{b_2}{a_2} = \frac{1}{4}$ , die Anzahl der Druckbaumen  $n_3 = 4$  und die Kurbelarmlänge  $a = 1$  Fuß, so hätte man, nach dem Obigen, die erforderliche Kraft an den Kurbelspielen:

$$P = \frac{n_1}{n_2} \cdot \frac{b_1}{a_1} \cdot \frac{b_2}{a_2} \cdot \frac{n_3 h}{2 \pi a} Q = \frac{1}{4} \cdot \frac{3}{4} \cdot \frac{1}{4} \cdot \frac{4 \cdot 1}{8 \pi} \cdot 2000 \\ = \frac{2000}{16 \pi} = 39,8 \text{ Pfund};$$

so daß auf jeden der drei Arbeiter nur 13,3 Pfund käme.

## Zweites Kapitel.

### Von den Maschinen zum Heben der Lasten auf größere Höhen.

Schacht-  
förderung.

§. 238. Das Heben der Lasten auf größere Höhen kommt vorzüglich bei der Förderung in Schächten (franz. puits, engl. shafts), d. i. auf den mehr oder weniger senkrechten Wegen vor, wodurch die Grubenbaue entweder unter einander oder mit der Tagesoberfläche verbunden sind. Deshalb soll denn auch in diesem Kapitel nur von der Schachtförderung die Rede sein. Der wesentlichste Theil einer Schachtförderungsmaschine ist eine Radwelle in Verbindung mit Seilen, an deren Enden zwei zur Aufnahme der Lasten dienende Fördergefäße befestigt sind. Je nachdem diese Maschine nach der einen oder nach der an-



deren Richtung umgedreht wird, wickelt sich das eine oder das andere Seil <sup>entweder</sup> auf die Welle auf oder von derselben ab, wobei natürlich allemal das gefüllte Fördergefäß mit emporgehoben und das entleerte Fördergefäß niedergelassen werden kann. Durch diese Einrichtung unterscheiden sich die Schachtfördermaschinen vorzüglich von den Aufzügen, bei welchen in der Regel nur ein Seil mit einem Fördergefäße angewendet wird. Kommt es nur darauf an, kleinere Fördermassen aus kleineren Tiefen emporzuschaffen, so bedient man sich in der Regel des gewöhnlichen Haspels als Fördermaschine, und läßt denselben durch zwei Arbeiter, die sogenannten Haspelnächte, in Umdrehung setzen. Um größere Förderquanta auszufördern, wendet man aber die stehende Welle oder den Göpel an, und zwar entweder den sogenannten Handgöpel, oder den Ochsen- oder Pferdegöpel (s. II., §. 84 und §. 85). Ist es endlich nöthig, in einer gegebenen Zeit ein bedeutendes Förderquantum zu Tage zu fördern, so muß man entweder von der Wasserkraft oder von der Dampfkraft Gebrauch machen. In Deutschland nennt man auch diese durch Wasser oder Dampf in Bewegung gesetzten Fördermaschinen Göpel, und unterscheidet hiernach noch die Wasser- und Dampföpel von einander.

Die Umtriebsmaschine eines Wassergöpels kann entweder in einem vertikalen oder in einem horizontalen Wasserrade oder gar in einer Wassersäulenmaschine bestehen, und es ist hiernach dieselbe entweder ein sogenannter Wasserradgöpel oder ein Turbinengöpel oder ein Wassersäulengöpel.

Hiernach ist denn auch in diesem Kapitel von folgenden Arbeitsmaschinen die Rede:

- 1) der Haspel (Zieh- oder Verahaspel),
- 2) der Handgöpel,
- 3) der Pferdegöpel (Treibgöpel),
- 4) der Wasserradgöpel,
- 5) der Turbinengöpel,
- 6) der Wassersäulengöpel und
- 7) der Dampföpel.

§. 239. Die Einrichtung eines Ziehhaspels nach Freiburger Construction <sup>Verahaspel.</sup> ist aus Fig. 494 (a. f. S.) zu sehen. *AA* ist die Welle oder der sogenannte Rundbaum, um welche ein Seil *B* gewickelt ist, an dessen Enden *C* und *D* die in mit Eisen beschlagenen Kùbeln bestehenden Fördergefäße angehängt sind. In dieser Figur ist nur der eine Kùbel *K*, und zwar derjenige, welcher entweder soeben gefüllt an der Schachtmündung ankommt oder im Schachte leer niedergeht, abgebildet; der andere Kùbel









$$R = S_1 + S_2 + G_1 \sin. \alpha \\ = (Q + 2G + G_1) \sin. \alpha + \varphi Q \cos. \alpha$$

Bergkatzel

gesetzt werden kann.

Nimmt man  $\varphi_1 = 0,1$  an, so hat man hiernach:

$$W_3 = 0,1 \frac{r}{b} [(Q + 2G + G_1) \sin. \alpha + \varphi Q \cos. \alpha].$$

Sehen wir nun das Moment der Umdrehungskraft  $P$  dem Momente der Gesamtlast  $W_1 + W_2 + W_3$  gleich, so erhalten wir folgende Kraftformel:

$$Pa = (W_1 + W_2 + W_3) b, \text{ oder} \\ Pa = [Q \sin. \alpha + 0,3 (Q + 2G) \cos. \alpha] b \\ + d^{1,4} [6,83 + 0,141 (Q + G) (\sin. \alpha + \varphi \cos. \alpha)] \\ + 0,1 r [(Q + 2G + G_1) \sin. \alpha + \varphi Q \cos. \alpha].$$

Hat man mit Hülfe dieser Formel die Kraft  $P$  eines Haspels bestimmt, so berechnet sich nun auch mit Hülfe der bekannten Kraftformel (S. II., S. 80) die entsprechende Geschwindigkeit des Kraftpunktes oder der Haspelspille:

$$v = \left(2 - \frac{P}{K}\right) c,$$

und hieraus wieder die mittlere Geschwindigkeit der Last:

$$w = \frac{b}{a} v.$$

Ist  $s$  die flache Schachtteufe oder der ganze Lastweg, so hat man die Zeit zum Herausziehen eines Kübels:

$$t_1 = \frac{s}{w} = \frac{as}{bv},$$

und ist  $t_2$  die Stillstandszeit oder Zeit zum Anfüllen und Ausleeren eines Kübels,  $t$  aber die ganze Schichtzeit, so folgt endlich die Anzahl der pro Schicht auszufördernden Kübel:

$$n = \frac{t}{t_1 + t_2}.$$

Der obigen Kraftformel kann man auch folgende Form geben:

$$P = \left(1 + 0,141 \frac{d^{1,4}}{b} + 0,1 \frac{r}{b}\right) (1 + 0,3 \cotg. \alpha) \frac{b}{a} Q \sin. \alpha \\ + \left[0,6 G \cotg. \alpha + \frac{d^{1,4}}{b} \left(\frac{6,83}{\sin. \alpha} + 0,141 G (1 + 0,3 \cotg. \alpha)\right) \right. \\ \left. + 0,1 \cdot \frac{r}{b} (2G + G_1)\right] \frac{b \sin. \alpha}{a},$$

oder



Geschwindigkeit desselben  $c = 2,4$  Fuß; folglich ist in dem vorliegenden Falle Bergbaupr. die Geschwindigkeit der Kraft:

$$v = \left(2 - \frac{P}{K}\right) c = \left(2 - \frac{30}{34}\right) \cdot 2,4 = \frac{19}{17} \cdot 2,4 = 2,68 \text{ Fuß};$$

also die der Last:

$$w = \frac{b}{a} v = \frac{4,459}{16} \cdot 2,68 = 0,747 \text{ Fuß},$$

und daher die Zeit zum Herausziehen eines gefüllten Kübels aus der Tiefe  $s = 150$  Fuß.

$$t_1 = \frac{s}{w} = \frac{150}{0,747} = 199,8 \text{ Sec.} = 3 \text{ Min. } 13,8 \text{ Sec.}$$

Der der mittleren Arbeitszeit von  $t = 8$  Stunden  $= 28800$  Sekunden entsprechende Weg der Last ist

$$s_1 = svt = 0,747 \cdot 28800 = 21514 \text{ Fuß},$$

und folglich die von zwei Arbeitern täglich auszufördernde Kugelzahl:

$$n = \frac{s_1}{s} = \frac{21514}{150} = 143.$$

Erfordert die Zeit zum Füllen und Leeren eines Kübels 1 Minute, so ist die ganze Stillstandszeit  $143 \cdot 1 = 143 \text{ Min.} = 2 \text{ Stunden } 23 \text{ Min.}$  und daher die ganze Schichtzeit 10 Stunden 23 Min.

#### §. 241. Aus der Formel

$$\frac{b}{a} = \frac{K}{\left((1 + \delta)(1 + 0,3 \cot g. \alpha) Q + \frac{W'}{2}\right) \sin. \alpha}$$

Bergbaupr.  
haspel.

ist zu ersehen, daß der mittlere Hebelarm  $b$  der Last und also auch die Stärke des Rundbaumes

$$d_1 = \left(1 - \frac{s d^2}{4 \pi l b^2}\right) \cdot 2 b$$

um so schwächer ausfallen muß, je größer die Förderlast  $Q$  eines Kübels ist. Nun erfordert aber das Tragvermögen des Rundbaumes und die unvollkommene Biegsamkeit des Seiles, zumal wenn dasselbe, wie in neuerer Zeit sehr gewöhnlich, aus Eisendraht besteht, daß die Stärke des Rundbaumes unter eine gewisse Größe nicht herabgehe; deshalb ist es daher nöthig, zum Ausfordern größerer oder untheilbarer Lasten Haspel mit Vorgelege in Anwendung zu bringen. Einen transportablen Vorgelegshaspel, welcher hierzu anwendbar wäre, kennen wir schon aus III., §. 215, Fig. 442; bei dem hiesigen Bergbau hat man aber den Vorgelegshaspeln folgende Einrichtung gegeben.

Der Rundbaum  $A$ , Fig. 495 (a. f. S.), ist hier 12 bis 16 Zoll stark, und trägt ein größeres eisernes Zahnrad  $BD$  von 40 bis 60 Zähnen, während auf der eisernen Kurbelwelle  $EF$  (in der Figur verdeckt) ein kleineres eisernes Zahnrad  $E$  von 12 bis 15 Zähnen festsetzt. In der Regel läßt man an jedem der beiden Kurbelhörner  $G$  und  $H$  einen



The American Medical Association is a non-profit corporation organized for the purpose of promoting the science and art of medicine and the health of the people. It is composed of medical practitioners of all branches and schools of medicine, and of laymen who are interested in the health of the community. The Association is organized into a national body and into local branches in every part of the United States. The national body is composed of the representatives of the local branches, and the local branches are composed of the members of the Association in each locality. The Association is organized into a national body and into local branches in every part of the United States. The national body is composed of the representatives of the local branches, and the local branches are composed of the members of the Association in each locality.

The American Medical Association is a non-profit corporation organized for the purpose of promoting the science and art of medicine and the health of the people. It is composed of medical practitioners of all branches and schools of medicine, and of laymen who are interested in the health of the community. The Association is organized into a national body and into local branches in every part of the United States. The national body is composed of the representatives of the local branches, and the local branches are composed of the members of the Association in each locality.



$$P = \left[ 1 + \varphi_2 \pi \left( \frac{1}{n_1} + \frac{1}{n_2} \right) \right] [(1 + \delta) Q + W] \frac{n_1}{n_2} \cdot \frac{b}{a} \sin. \alpha, \quad \text{Bergschneepressen.}$$

wobei jedoch noch die Zapfenreibung an der Kurbelwelle u. s. w. außer Acht geblieben ist.

Ist  $a_2$  der Halbmesser des Zahnrades auf der Lastwelle, so hat man den Druck zwischen den Zähnen beider Räder annähernd:

$$R = \frac{b}{a_2} Q \sin. \alpha.$$

und ist noch  $r_2$  der Halbmesser der Zapfen der Last- und der Kraft- oder Kurbelwelle, so hat man die auf den Kraftpunkt reduzierte Zapfenreibung der Kurbelwelle:

$$F = \varphi_1 \frac{r_2}{a} \sqrt{G_2^2 + R^2} = \varphi_1 \frac{r_2}{a} \sqrt{G_2^2 + \left( \frac{b}{a_2} Q \sin. \alpha \right)^2}.$$

Der aus dem Seitendrucke  $R$  hervorgehende Zuwachs der Zapfenreibung der Lastwelle kann wegen seiner Kleinheit außer Acht gelassen werden. Bei Haspeln für einen steigeren Schacht ist  $\alpha = 90^\circ$ , folglich  $\sin. \alpha = 1$  und  $\cos. \alpha = \cotg. \alpha = 0$ , daher einfacher:

$$P = \left[ 1 + \varphi_2 \pi \left( \frac{1}{n_1} + \frac{1}{n_2} \right) \right] [(1 + \delta) Q + W] \frac{n_1}{n_2} \cdot \frac{b}{a} + F, \text{ und}$$

$$F = \varphi_1 \frac{r_2}{a} \sqrt{G_2^2 + \left( \frac{b Q}{a_2} \right)^2}.$$

Die erste Formel ist vorzüglich anzuwenden, wenn es darauf ankommt, das einer gegebenen Last  $Q$  entsprechende vortheilhafteste Umsehungsverhältniß  $\psi = \frac{n_1}{n_2}$  zu bestimmen. Da für diesen Fall

$$P = K + \frac{F}{2} + \frac{n_1}{n_2} \frac{b}{a} \left[ 1 + \varphi_2 \pi \left( \frac{1}{n_1} + \frac{1}{n_2} \right) \right] \frac{W}{2}$$

sein soll, so folgt, indem man  $P$  eliminirt:

$$K = \frac{F}{2} = \frac{n_1}{n_2} \frac{b}{a} \left[ \left( \left[ 1 + \varphi_2 \pi \left( \frac{1}{n_1} + \frac{1}{n_2} \right) \right] (1 + \delta) Q + \frac{W}{2} \right) \frac{b}{a} \right], \text{ oder annähernd}$$

$$\frac{n_1}{n_2} = \frac{a K}{b Q}.$$

Beispiel. Ist für einen Vorgelegshaspel zu einem steigeren Schachte gegeben: die Last  $Q = 200$  Pfund, die Kurbelhöhe  $a = 16$  Zell, und der mittlere Hebelarm der Last  $b = 8$  Zell, so hat man zunächst bei Anstellung von zwei Haspelnecchten mit je 17 Pfund Kraft das Umsehungsverhältniß annähernd

$$\frac{n_1}{n_2} = \frac{a K}{b Q} = \frac{16 \cdot 34}{8 \cdot 200} = \frac{34}{100}, \text{ also ungefähr } \frac{1}{3}.$$





Hand- und  
Vierdegöpel.

nen in seigeren Schächten zu verhindern, wendet man an manchen Orten noch sogenannte Bandseile an, welche aus mehreren Rundseilen zusammengenäht werden; weit besser ist es jedoch auch hier eine Tonnenleitung anzuwenden. Die Treibetonnen für seigere Schächte sind parallelepipedische Kästen mit vier Seitenwalzen, wovon je zwei an einer Seitenwand der Tonne sitzen und zwischen zwei in dem Fallen des Schachtes niedergehenden Streichbäumen beweglich sind. Die Treibetonnen für flache Schächte sind prismatische Kästen mit trapezoidalen Seitenwänden, und erhalten außer den Seitenwalzen noch vier Räder oder Bauchwalzen, womit sie auf den in neueren Zeiten meist mit Eisenschienen belegten Streichbäumen laufen. Um so wenig wie möglich Aufenthalt beim Füllen und Leeren der Fördergefäße zu haben und das Fördern möglichst zu beschleunigen, hängt man, zumal bei seigeren Schächten, statt der Treibetonnen ein mit einer Schale versehenes Gestelle an das Treibeseil und fördert gleich die Wagen, in welchen die Fördermassen dem Schachte zugefördert werden, nachdem man sie auf die Schale geschoben hat, zu Tage.

Damit sich das Treib- oder Förderseil nicht auf dem Liegenden des Schachtes abreibe, werden von Distanz zu Distanz Seilwalzen angebracht, über welche das Seil hinläuft.

Um endlich das aus dem Schachte gekommene Fördergefäß zu leeren, muß noch eine besondere Stürzvorrichtung angebracht werden, welche aus Haken, den sogenannten Stürzhaken, und aus zwei Bolzen, den sogenannten Stürzaxen, besteht. Jene sitzen auf den Streichbäumen über der Schachtbrüstung, diese hingegen ragen aus den Seitenwänden der Tonne etwas unter dem Mittel derselben hervor. Soll die Tonne gestürzt werden, so läßt man die Stürzhaken mittels eines Hebels herab, damit sich die Stürzaxen der niederzulassenden Tonne in dieselben einlegen können. Werden statt der Tonnen die Förderwagen auf Schalen empor getrieben, so müssen zwar die letzteren durch niederzulassenden Haken vor dem unzeitigen Niedergehen gesichert werden, dagegen kommt es dann nur noch darauf an, den gefüllten Wagen von der Schale abzugiehen und ihn durch einen leeren zu ersetzen.

§. 243. Die Einrichtung eines Handgöpels für einen flachen Schacht kann man aus der monodimetrischen Zeichnung desselben in Fig. 496 ersehen. *A* ist die stehende Welle und *B, B, B* sind die drei auf derselben befestigten Schwengel, deren Enden von den Arbeitern ergriffen und von denselben fortgeschoben werden. Diese Welle ruht mit ihrem unteren Zapfen oder Stifte in einer Pfanne, welche in dem sogenannten Göpelstock *C* eingelassen ist, und wird mit ihrem oberen Zapfen durch ein an einen Balken *D* des Göpelhauses angeschraubtes Lager gestützt. Die

THE UNIVERSITY OF CHICAGO  
PRESS  
CHICAGO, ILLINOIS 60607  
U.S.A. AND LONDON, ENGLAND



Hand- und  
Pferdegöpel.

halten. Die eine Tonne *II* ist soeben über Tage angekommen und von den Stürzhaken erfaßt, die andere Tonne ist dagegen am Füllorte angelangt, und deshalb in der Zeichnung nicht angegeben. Von der Tonnenleitung sind nur die Streichbäume *K*, *K*, *ic.* sichtbar; von den Straßbäumen, worauf die Tonne mit ihren Rädern oder Walzen *a*, *b* . . läuft, ist bei *L* nur das Ende des einen bemerkbar. Ebenso bemerkt man von den vier Stürzhaken, welche in den Streichbäumen eingelassen sind, in *c* und *d* deren nur zwei. *MN* ist die sogenannte Schachtbrüstung, welche bei *M* den Fahr- und bei *N* die beiden Abtheilungen des Treibschachtes von außen umgiebt. Die untere Korbseibe dient zugleich als Bremsrad, wenn es darauf ankommt, die Maschine zu sistiren. Dieses Bremsen wird durch Niederdrücken eines um *O* drehbaren Hebels *OP*, des sogenannten Bremsdrückels, hervorgebracht. Dieser wirkt mittels einer vertikalen (in der Figur kaum sichtbaren) Zugstange auf ein um *R* drehbares Kreuz *QR*, welches mit dem schon aus §. 170, Fig. 351 bekannten Bremswerk *TUV* durch eine horizontale Zugstange *S* in Verbindung gesetzt ist.

Die Einrichtung eines sächsischen Pferdegöpels ist aus Figur 497 zu entnehmen. Es ist auch hier *A* die stehende Welle, *B* der Schwengel und *C* der die erstere unterstützende Göpelstock, dessen specielle Zusammensetzung aus Figur 498 (S. 530) ersehen werden kann. Hier ist *a* ein durch Anker mit dem aufgemauerten Göpelstocke verbundenes Lager aus Holz, durch welches die Gegenkeile *b, b* hindurchgehen, welche die Pfannen tragen, in welchen der in dem unteren Zapfen *d* der stehenden Welle *A* eingesezte Stahlstift läuft. (Vergl. §. 9, Fig. 24—26.) Von den beiden Körben *D* und *D*<sub>1</sub>, Fig. 497, ist der untere fest auf der stehenden Welle, der obere aber beweglich auf derselben. Für gewöhnlich ruht der erstere auf dem letzteren und ist mit demselben durch Bolzen verbunden, die aus dem oberen Armgeviere des unteren Korbes hervorragen und in entsprechende Löcher im unteren Armgeviere des oberen Korbes eingreifen. Kommt es aber darauf an, die leere Tonne im Schachte fortzurücken, so dreht man an einer Winde *a*, welche durch eine Kette *b* und einen Arm *c* mit der Horizontalwelle *d* in Verbindung gesetzt ist, von welcher zwei den oberen Korb tragende Ketten, wie *e*, herabhängen. Dadurch wird der obere Korb von dem unteren abgehoben, und es kann nun die stehende Welle mit dem unteren Korbe umlaufen, folglich die mit demselben verbundene leere Tonne beliebig höher oder tiefer gerückt werden, ohne daß der obere Korb umläuft und die an ihm hängende volle Tonne ihren Ort ändert. Der untere Korb *D* wird durch Knaggen *E* und Streben *F* von unten unterstützt, und der Schwengel *B* ist oben in die stehende Welle eingezapft und verschraubt, übrigens aber auch noch in dem unteren Korbe festgekeilt, und



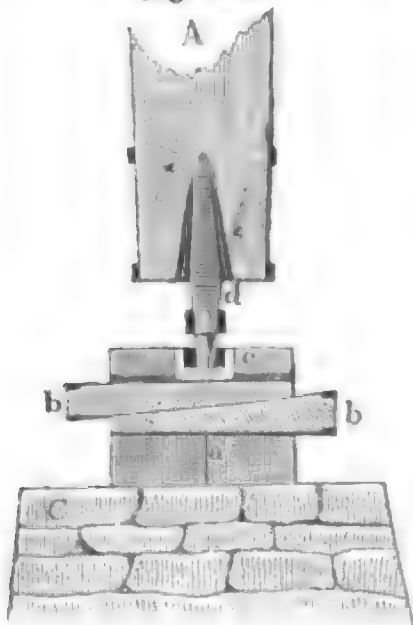
THE JOURNAL OF THE AMERICAN MEDICAL ASSOCIATION  
PUBLISHED WEEKLY  
CHICAGO, ILL., MAY 1, 1919  
Vol. 34, No. 19



Pferd- und  
Pferdegöpel.

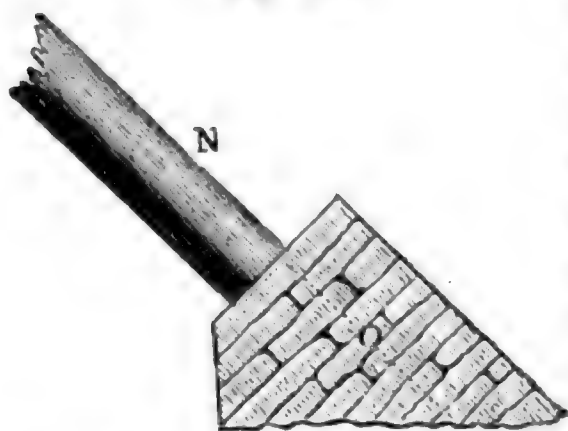
Pferde ziehen, ist durch einen Stecknagel *H* an das untere Ende des

Fig. 498.



aus Fig. 499 zu ersehen ist, und sind entweder oben in einander, oder an

Fig. 499.



gelernt haben. Die Fig. 496 zeigt in *gk* einen von den beiden Hebeln, an welchen die auf den unteren Kranz des oberen oder unteren Korbes zu drückenden Bremsbacken befestigt sind. Um das Bremsen ohne Anstrengung und von dem Treibehause aus bewirken zu können, ist noch eine Wendedocke *h* (vergl. S. 13) angebracht, welche durch, in der Figur nicht sichtbare, Zugstangen an die Bremshebel und durch die hölzerne Zugstange *l* mit einem Kreuze *m* in Verbindung steht, von dem eine dritte Zugstange *n* herabhängt, welche mittels eines Drückels *p* niedergezogen werden kann. Um den Brems in der einen oder der anderen Stellung zu erhalten, ist zur Seite des Drückels eine gezahnte Stange angebracht und der Drückel selbst mit einem Zahne versehen, womit man denselben in diese Stange einschieben kann.

§. 244. Der Arbeitsaufwand, welchen die Bewegung eines Pferde-  
göpels nöthig macht, ist mit Hülfe des in II., §. 85 über die stehenden

Wollen überhaupt Gesagten leicht zu beurtheilen, zumal da hier viele Verhältnisse dieselben sind, wie bei der Haspelförderung. Bezeichnen wir auch hier durch  $Q$  die Förderlast in einer Tonne, durch  $G$  das Gewicht einer leeren Tonne, dagegen durch  $G_1$  das Gewicht der Seilwalzen im Liegenden des Schachtes, durch  $G_2$  das Gewicht einer Seilscheibe und durch  $G_3$  das Gewicht der armirten stehenden Welle; setzen wir ferner den Fallwinkel des Schachtes  $= \alpha$ , den Halbmesser einer Tonnenwalze  $= r$ , den Halbmesser des Zapfens derselben  $= \rho$ , ferner den Halbmesser einer Seilwalze  $= r_1$  und den ihres Zapfens  $= \rho_1$ , sowie den Halbmesser einer Seilscheibe  $= r_2$  und den ihres Zapfens  $= \rho_2$ ; bezeichnen wir noch den Halbmesser des Stiftes der stehenden Welle durch  $\rho_3$  und den des Zapfens durch  $\rho_4$ . Setzen wir ferner die Länge der stehenden Welle, vom Stift bis zum oberen Zapfen gemessen,  $= l$ , den mittleren Abstand der beiden Körbe von dem Stifte  $= l_1$  und den von dem oberen Zapfen  $= l_2$ , die mechanische Schwengellänge, vom Schwengel nagel rechtwinklig zur Ase der stehenden Welle gemessen,  $= a$ , die Deichsellänge  $= d$ , den mittleren Lastarm des Korbes  $= b$ , die flache Schachtteufe  $= s$ , die Seilstärke  $= \delta$ , endlich das Gewicht des laufenden Fußes Treibseils  $= \gamma$  und das Gewicht des ganzen Treibseiles, d. i.  $s\gamma$ ,  $= S$ .

Die reine Last ist auch hier, da sich die beiden Tonnen das Gleichgewicht halten,  $W = Q \sin. \alpha$ .

Die beiden Tonnen drücken mit der Kraft  $(Q + 2G) \cos. \alpha$  gegen die Tonnenleitung, und würden hier die gleitende Reibung  $\varphi (Q + 2G) \cos. \alpha$  zu überwinden haben, wenn sie ohne Räder wären; durch diese Räder wird aber die gleitende Reibung in eine zu vernachlässigende rollende und in folgende Zapfenreibung verwandelt:

$$W_1 = \varphi \frac{\rho}{r} (Q + 2G) \cos. \alpha.$$

Die Treibseile drücken mit dem Gewichte  $S = s\gamma$  gegen die Seilwalzen im Schachte, und geben hier eine Zapfenreibung, welche sich annähernd

$$W_2 = \varphi \frac{\rho_1}{r_1} (S + G_1) \cos. \alpha$$

setzen läßt.

Die Gesamtspannung der beiden Seile ist  $(Q + 2G + S) \sin. \alpha$  anzunehmen, weshalb nach L., §. 181 der Steifigkeitswiderstand des Seiles an den Seilscheiben

$$W_3 = K + \frac{\gamma (Q + 2G + S) \sin. \alpha}{r_2}$$

zu setzen ist.

Die Seilscheiben wirken durch ihr Gewicht  $2G_2$  vertikal abwärts, und





The first part of the document discusses the importance of maintaining accurate records of all transactions. It emphasizes that proper record-keeping is essential for ensuring the integrity of the financial system and for providing a clear audit trail. The document also highlights the need for transparency and accountability in all financial dealings.

The second part of the document outlines the specific procedures for recording transactions. It details the steps involved in the accounting process, from the initial recording of a transaction to the final posting to the general ledger. The document also provides guidance on how to handle complex transactions and how to ensure that all entries are properly classified and recorded.

The third part of the document discusses the importance of reconciling accounts. It explains that regular reconciliations are necessary to ensure that the books are balanced and that there are no discrepancies between the recorded transactions and the actual transactions. The document also provides instructions on how to perform a reconciliation and how to resolve any differences that may arise.

### Appendix A: Sample Journal Entries

This appendix provides a series of sample journal entries to illustrate the proper format and classification for various types of transactions. The entries are organized into two columns, with the debit entry on the left and the credit entry on the right. Each entry includes a brief description of the transaction and the corresponding amounts.

The first entry shows a cash sale of goods, with the debit to Cash and the credit to Sales Revenue. The second entry shows a purchase of inventory on credit, with the debit to Inventory and the credit to Accounts Payable. The third entry shows a sale of services, with the debit to Accounts Receivable and the credit to Service Revenue. The fourth entry shows a payment of an expense, with the debit to an expense account and the credit to Cash.

The fifth entry shows a depreciation expense, with the debit to Depreciation Expense and the credit to Accumulated Depreciation. The sixth entry shows a payment of a liability, with the debit to Accounts Payable and the credit to Cash. The seventh entry shows a transfer of funds between two bank accounts, with debits and credits to both Cash accounts.

The eighth entry shows a closing entry, with the debit to Income Summary and the credit to Retained Earnings. The ninth entry shows a dividend payment, with the debit to Dividends and the credit to Cash. The tenth entry shows a correction of an error, with the debit to an expense account and the credit to another expense account.

Der Hebelarm der Kraft ist

Cont. mit  
Trommel.

$$a_1 = u - \frac{d^2}{8a} = 24 - \frac{100}{192} = 23,48 \text{ Fuß,}$$

folglich die erforderliche Pferdekraft:

$$P = \frac{b}{a_1} (W + W_1 + \dots + W_n) = \frac{5,022}{23,48} \cdot 989,12 = 211,56 \text{ Pferd.}$$

Nun ist nach II., §. 85 die mittlere Zugkraft zweier Pferde  $K = 2 \cdot 95 = 190$  Pfund und die mittlere Geschwindigkeit derselben  $c = 2,9$  Fuß, demnach hat man die zu fordernde Geschwindigkeit der Pferde:

$$v = \left(2 - \frac{K}{P}\right) c = \left(2 - \frac{190}{211,56}\right) \cdot 2,9 = 3,195 \text{ Fuß,}$$

und die mittlere Geschwindigkeit der Tonne:

$$w = \frac{b}{a_1} v = \frac{5,022}{23,48} \cdot 3,195 = 0,683 \text{ Fuß.}$$

Die Zeit zum Ausfordern einer Tonne ist:

$$t_1 = \frac{s}{w} = \frac{800}{0,683} = 1171 \text{ Sec.} = 19', 31''.$$

Rechnet man hierzu noch 5 Minuten = 300 Secunden Stillstandszeit, so kommt auf das Treiben einer Tonne im Ganzen die Zeit 1471 Secunden, und es folgt daher die Anzahl der in einer Schichtzeit von 8 Stunden auszufordernden Tonnen:

$$n = \frac{8 \cdot 60 \cdot 60}{1471} = 20.$$

Um die ganze tägliche Arbeitskraft der Pferde zu verbrauchen, müßte dagegen die Anzahl der Tonnen:

$$n = \frac{P \cdot t}{Q \cdot s} = \frac{w \cdot t}{s} = \frac{0,683 \cdot 8 \cdot 60 \cdot 60}{800} = 24,6, \text{ d. i. } 24 \text{ bis } 25 \text{ sein.}$$

Die entsprechende tägliche Leistung des Gezele ist:

$$1000 \cdot 800 \sin 70^\circ \cdot 24,6 = 12'212000 \text{ Fußpfund,}$$

die Maximalleistung der beiden Pferde dagegen, nach II., §. 85:

$$2 \cdot 7'734400 = 15'868800 \text{ Fußpfund,}$$

folglich der Wirkungsgrad der Maschine:

$$\eta = \frac{12'212}{15'869} = 0,770.$$

§. 245. Da sich das Treibeseil, woran die volle Tonne hängt, wäh- Spiralfarb.  
rend des Aufsteigens dieser Tonne allmählig auf den Korb auf- und sich  
das Treibeseil, woran die leere Tonne hängt, allmählig von dem Korb ab-  
wickelt, so ist die Gesamtlast während des Ausforderns einer Tonne nicht  
constant, sondern sie ist anfangs  $Q + S$ , nimmt allmählig ab, ist ferner  
auf dem halben Wege der Tonne, wo sich die beiden Seilgewichte  $\frac{S}{2}$   
und  $\frac{S}{2}$  das Gleichgewicht halten,  $Q$  und sinkt nun immer mehr und mehr,  
bis sie zuletzt, wenn die volle Tonne oben ankommt,  $Q - S$  ausfällt. Es  
beträgt folglich die größte Veränderung der Last  $= \frac{2S}{Q}$  der letzteren. Die-

Spiralkorb.

selbe wächst also mit dem Seilgewichte, d. i. mit der Schachttiefe  $s$  und mit dem Gewichte  $\gamma$  einer laufenden Längeneinheit Seil, und ist deshalb bei den Drahtseilen, die bei gleicher Tragkraft ungefähr halb so schwer sind, als die Hanfseile, viel kleiner als bei den Hanfseilen. Ueberträte das Gewicht  $S = s\gamma$  eines Seiles das der Fördermasse, was bei Anwendung von Hanfseilen und beim Treiben aus tiefen Schächten vorkommen kann, so würde die Gesamtlast, bevor die volle Tonne über Tage ankommt, Null betragen, und auf dem übrigen Wege dieser Tonne sogar negativ ausfallen, also eine Ueberwucht vorhanden sein. Dieser Zustand der Göpelförderung ist mit dem Abwärtsfahren eines Wagens auf einer stark geneigten Straße zu vergleichen; so gut man hier durch Einhemmen oder Bremsen das beschleunigte Herabrollen des Wagens verhindern muß, ebenso hat man bei der Göpelförderung einen Widerstand anzubringen, so wie die Last negativ wird, und folglich der Göpel von selbst zu gehen anfängt. Dieses Hemmen des Göpels kann entweder durch Anziehen des Bremses, oder durch Anhängen eines Schlittens oder sogenannten Schlepphundes, welchen der Schwengel, woran die Pferde ziehen, mit herum führt, bewirkt werden. Da die mechanische Arbeit, welche diese Hilfsmittel consumiren, für die Maschine ganz verloren geht, so greift man natürlich sehr ungern zur Anwendung derselben und giebt den Gegengewichten und den Spiralkörben den Vorzug. Da es hier darauf ankommt, ein veränderliches Gewicht während der Durchlaufung eines größeren Weges auszugleichen, so bietet die Anwendung von Gegengewichten, wie wir in §. 178 und §. 179 bei den Zugbrücken kennen gelernt haben, Schwierigkeiten dar. Am leichtesten möchte noch ein sogenannter Ausgleichungswagen anwendbar sein, welcher während des Ausförderns der Tonne auf einer kurzen krummlinigen Bahn ein Mal herauf- und herabsteigt und hierbei die volle Tonne in ihrem Aufgange auf der ersten Hälfte ihres Weges eben so viel unterstützt, als sie auf der zweiten Hälfte hindert. Weit zweckmäßiger ist allerdings die Anwendung eines Spiralkorbes, eines Korbes von veränderlichem Halbmesser. Bei demselben nimmt der Hebelarm der vollen Tonne immer mehr und mehr zu, je weiter dieselbe herauskommt, und dagegen der Hebelarm der leeren Tonne immer mehr und mehr zu, je tiefer dieselbe hineinkommt, so daß das Moment der erforderlichen Umdrehungskraft trotz der Veränderlichkeit der Last während des Ausförderns der vollen Tonne nahe dasselbe bleibt.

Die Einrichtung eines Spiralkorbes nach v. Gerstner ist aus Figur 500 zu ersehen.  $A$  stellt das untere und  $B$  das obere Seilschach des ganzen Korbes,  $CD$  aber das obere Ende der stehenden Welle vor, worauf der ganze Korb befestigt ist,  $E$  ist der in  $F$  aufgehängene Brems, welcher durch das hölzerne Gestänge  $G$  und die Wendedocke  $H$  mittels eiserner



Figure 1



The first step in the process is to identify the problem. This involves understanding the context of the problem and the data available. The next step is to develop a hypothesis or a model that explains the data. This is followed by testing the hypothesis using statistical methods. The final step is to interpret the results and draw conclusions. The process is iterative, meaning that it may be necessary to revise the hypothesis or the model as more data is collected or as the results of the tests are analyzed.

The second step in the process is to collect data. This involves identifying the variables that are being measured and the methods used to collect the data. The third step is to analyze the data. This involves using statistical methods to test the hypothesis and to draw conclusions. The fourth step is to interpret the results. This involves understanding the meaning of the results and how they relate to the problem at hand.

The final step in the process is to communicate the results. This involves writing a report or a paper that describes the findings of the study. The report should include a clear statement of the problem, a description of the methods used, a presentation of the results, and a discussion of the conclusions. The report should also include a bibliography of the sources used in the study.



der größte Lastarm:

Spiralforb.

$$DB = r_2 = \left( \frac{R_1 + R_2 + 2\mu S}{R_1 + R_2 + \mu S} \right) r = \left( 1 + \frac{\mu S}{R_1 + R_2 + \mu S} \right) r.$$

Will man von der Ausgleichung in den Zwischenständen absehen, so giebt man jedem Korbe die Form eines abgekürzten Kegels und den Grundflächen desselben die soeben gefundenen Halbmesser  $r_1$  und  $r_2$ . Die der ganzen Seillänge  $s$  entsprechende Anzahl der Windungen ist:

$$n = \frac{s}{2\pi r};$$

und folglich die Höhe eines Seilsackes oder der einen Korbhälfte, wenn jede Seilwindung die Höhe  $\lambda$  in Anspruch nimmt:

$$l = n\lambda.$$

In der Regel kann man bei diesen Dimensionsbestimmungen

für  $R_1 = (Q + G) \sin. \alpha$ ,

für  $R_2 = G \sin. \alpha$ , und

für  $\mu = \sin. \alpha$

setzen, so daß sich

$$r = b = \frac{Pa}{Q \sin. \alpha},$$

$$r_1 = \left( 1 - \frac{S}{Q + 2G + S} \right) r \text{ und}$$

$$r_2 = \left( 1 + \frac{S}{Q + 2G + S} \right) r \text{ heraussstellt.}$$

Beispiel. Wäre für einen Spiralkorb der mittlere Halbmesser  $r = 5$  Fuß, so würde bei der Tonnenlast  $Q = 1000$  Pfund, dem Tonnengewicht  $G = 400$  Pfund und dem Seilgewicht  $S = 400$  Pfund der erforderliche kleinste Halbmesser derselben

$$r_1 = \left( 1 - \frac{400}{1000 + 800 + 400} \right) r = \left( 1 - \frac{2}{11} \right) r = \frac{9 \cdot 5}{11} = 4 \frac{1}{11} \text{ Fuß,}$$

und dagegen der größte Halbmesser

$$r_2 = \left( 1 + \frac{2}{11} \right) r = \frac{13 \cdot 5}{11} = 5 \frac{1}{11} \text{ Fuß}$$

betragen müssen.

Bei der Schachttaupe  $s = 800$  Fuß wäre die erforderliche Anzahl der Windungen eines Seilsackes:

$$n = \frac{s}{2\pi r} = \frac{800}{2\pi \cdot 5} = \frac{80}{\pi} = 25 \frac{1}{2},$$

und rechnet man auf jede Windung  $\lambda = 1 \frac{1}{2}$  Zoll Höhe, so würde die Höhe einer Korbhälfte:

$$l = 25 \frac{1}{2} \cdot \frac{1}{2} = 25 \frac{1}{2} \cdot \frac{1}{8} = 3,2 \text{ Fuß ausfallen.}$$

Anmerkung. Wenn der Spiralkorb bei allen Tonnenständen ausgleichen soll, so muß er die Form eines Rotationskörpers erhalten, dessen Erzeugungslinie dem Querschnitt der sogenannten Karnieflisten, wie auch Fig. 501 vor Au-

gen führt, ähnlich ist. Geht man dann vom mittleren Halbmesser  $EF = r$  aus, so hat man für die dem Umdrehungsbogen  $\beta$  entsprechende Veränderung des Radius oder Radiusarmes:

$$s = \pm \sqrt{\frac{2r^2\beta}{\left(\frac{R_1 + R_2}{\mu\gamma} + s\right)^2 + s^2 - 4r^2\beta^2}}, \text{ oder annähernd:}$$

$$s = \pm \sqrt{\frac{2r^2\beta}{\left(\frac{Q + 2G}{\gamma} + s\right)^2 + s^2 - 4r^2\beta^2}}.$$

Wegen der Entwicklung dieser Formel ist in des Verfassers Bergmaschinenmechanik Bd. II. sowie Versiner's Mechanik Bd. I. nachzusehen.

20. Aufl. 1897.

§. 216. Die Wassergöpel sind durch die Kraft des Wassers in Bewegung gesetzte liegende Radwellen; bei ihnen ist also die Korbwelle nicht vertikal, sondern horizontal. Am häufigsten kommen die durch vertikale Wasserräder in Bewegung gesetzten Wassergöpel oder sogenannten Wasserradgöpel zur Anwendung. Sie sind meist ohne Vorgelege, d. h. das Wasserrad sitzt hier mit den Körben, wovon der eine stets beweglich ist, auf einerlei Welle. Die Treibseile können natürlich hier von den über den Schachtmündungen hängenden Seilscheiben nicht horizontal nach dem Korb geführt werden. Hängt das Wasserrad tief unterirdisch, so müssen die Seile durch je zwei Seilscheiben nach einem besonderen Seilschachte geleitet werden, in welchem sie nach dem Korb herabgehen. Die Treibseile sind natürlich dann um die Tiefe dieses Schachtes länger zu machen, als wenn sich der Korb über Tage befindet. Wenn auch dadurch die Zapfenreibungen vergrößert werden, so ist der hieraus erwachsende Arbeitsverlust nicht so groß, als bei einem Stangenvorgelege, welches den über Tage befindlichen Korb mit der Welle des unter Tage hängenden Wasserrades verbindet. Die wesentliche Einrichtung eines solchen Stangenvorgeleges ist schon aus III., §. 36, Fig. 110 bekannt. Da die Stangen dieser Zwischermaschine nicht bloß auf- und niedergehen, sondern auch an der Kreisbewegung der Krummzapfen Antheil nehmen, so kann man sie nicht mit einer Leitung (s. §. 121) versehen und deshalb auch dieselben nicht durch Schuß, sondern nur durch Zug wirken lassen. Aus diesem Grunde besteht denn auch ein solches Vorgelege nicht bloß aus zwei Gestängen und aus zwei Paar auf das Viertel gestellten einfachen Krummzapfen, wie Fig. 110 vor Augen führt, sondern aus vier Gestängen und zwei Paar doppelten Krummzapfen mit gegenüber liegenden Warzen, wie Fig. 228. Damit von diesen vier Gestängen regelmäßig zwei niedergehen und arbeiten, stellt man die beiden doppelten Krummzapfen einer und derselben Welle so gegen einander, daß ihre Warzen um je einen Viertalkreis von einander abstehen.

Eine Haupteigenthümlichkeit des Wasserradgöpels ist das Kehrrad.

Um abwechselnd die eine oder die andere Tonne auszutreiben, muß die Korbwelle ein Mal in der einen und das andere Mal in der anderen Richtung umgehen; da nun aber ein einfaches Wasserrad nur nach der einen Richtung umläuft, so ist bei Anwendung desselben als Umtriebsmaschine eines Göpels eine leicht lösbare Kuppelung (s. S. 204, Fig. 412 und 413) nöthig, durch deren Umrücken die entgegengesetzte Umdrehung der Korbwelle hervorgebracht wird. Der größeren Sicherheit wegen leistet man aber auf die Anwendung einer solchen Kuppelung Verzicht und bedient sich lieber zweier ein Ganzes, das sogenannte Kehrrad, ausmachenden Wasserräder mit entgegengesetzter Schaufelung und Beaufschlagung. Je nachdem man nun das Wasser auf die eine oder auf die andere Abtheilung des Kehrrades schlägt, nimmt natürlich dieses und folglich auch die Korbwelle, auf welcher es entweder festläuft, oder mit welcher es durch Gestänge verbunden ist, die eine oder die andere Umdrehungsbewegung an, und treibt hierbei entweder die eine oder die andere Tonne aus dem Schachte.

Das Aufziehen und Niederlassen der Schuttbretter für die beiden Aufschläge des Kehrrades erfolgt durch einen Doppelhebel, dessen Arm zwischen beiden Schuttbrettern liegt und dessen Arme durch die zu diesem Zwecke der Länge nach geschliffen Schützenstangen hindurchgehen. Zur Bewegung dieses Doppelhebels dient der Schützenbrüchel, d. i. ein über Tage befindlicher einarmiger Hebel und ein Schützengestänge, welches von diesem Brüchel nach jenem Doppelhebel herabgeht. Um die Maschine in Ruhe zu versetzen, nachdem die volle Tonne über Tage angekommen ist, wird nicht allein durch Niederlassen der einen Schütze der Aufschlag abgeschnitten, sondern auch der Brems angezogen, welcher den die Scheidewand zwischen beiden Abtheilungen des Kehrrades bildenden Rad- oder Bremskranz umgiebt. Die Einrichtung dieser Bremsvorrichtung weicht von der eines Pferdégöpels nicht ab; der hierzu nöthige Bremsbrüchel befindet sich neben dem Schützenbrüchel und neben Brücheln zum Auf- und Niederlassen der Stürzhaken.

Die Tonnen sind hier in der Regel größer als bei den Pferdégöpeln und bewegen sich auch schneller als diese; während die letzteren 8 bis 10 Kübel fassen und mit 1 bis  $1\frac{1}{2}$  Fuß Geschwindigkeit getrieben werden, giebt man jenen einen Fassungsraum von 12 bis 15 Kübel und läßt sie mit  $1\frac{1}{2}$  bis 3 Fuß Geschwindigkeit aufsteigen.

Die Art und Weise, wie das Füllen einer Tonne in sehr kurzer Zeit und mit der kleinsten Gefahr bewirkt wird, ist aus Figur 502 (a. f. S.) zu sehen. Es ist A die zu füllende Tonne, welche mit ihren Walzen a, a zwischen den Streichbäumen BB, CC läuft, und während des Füllens auf den über den Einstreichen wegliegenden Hölzern D, E ruht; FH ist ein Wagen oder Hund, durch welchen auf einer Eisenbahn G die För-

the *Journal of the History of Biology* in 1966, and the *Journal of the History of Life Sciences* in 1968. The *Journal of the History of Biology* was the first of these journals to be published, and it was the only one to be published by a university press. The *Journal of the History of Life Sciences* was the second to be published, and it was the only one to be published by a commercial publisher. The *Journal of the History of Biology* was the first to be published by a university press, and it was the only one to be published by a university press.



The *Journal of the History of Biology* was the first to be published by a university press, and it was the only one to be published by a university press. The *Journal of the History of Life Sciences* was the second to be published, and it was the only one to be published by a commercial publisher. The *Journal of the History of Biology* was the first to be published by a university press, and it was the only one to be published by a university press.

The *Journal of the History of Biology* was the first to be published by a university press, and it was the only one to be published by a university press. The *Journal of the History of Life Sciences* was the second to be published, and it was the only one to be published by a commercial publisher. The *Journal of the History of Biology* was the first to be published by a university press, and it was the only one to be published by a university press.















1. The first step in the process of the scientific method is to make an observation or ask a question. This leads to the second step, which is to do background research.

2. The third step is to form a hypothesis, which is a prediction or an educated guess about the outcome of the experiment. This is followed by the fourth step, which is to design an experiment.

3. The fifth step is to conduct the experiment and collect data. This is followed by the sixth step, which is to analyze the data and draw conclusions.

4. The seventh step is to communicate the results of the experiment. This can be done through a report, a presentation, or a publication. The eighth step is to repeat the experiment to verify the results.

5. The ninth step is to apply the results of the experiment to real-world situations. This can be done by using the results to make predictions or to design new experiments.

6. The tenth step is to evaluate the results of the experiment. This can be done by comparing the results to the hypothesis and to the results of other experiments.

7. The eleventh step is to draw conclusions from the results of the experiment. This can be done by summarizing the findings and by discussing the implications of the results.

8. The twelfth step is to communicate the results of the experiment. This can be done through a report, a presentation, or a publication.

9. The thirteenth step is to repeat the experiment to verify the results. This can be done by conducting the experiment again and by comparing the results to the first experiment.

Wasserräder.

worin  $Q_1$  das Aufschlagsquantum pr. Secunde,  $c_1$  die Eintrittsgeschwindigkeit des Wassers in das Rad,  $\mu_1$  den Eintrittswinkel,  $v_1$  die mittlere Geschwindigkeit des Rades im Theilrisse,  $h_1$  die Höhe des wasserhaltenden,  $h_2$  die Höhe des Ausguß-Bogens und  $\xi$  einen Coefficienten bezeichnet. Ist noch  $a_1$  der Halbmesser des Theilkreises, so haben wir:

$$w = \frac{bv_1}{a_1}$$

und daher das zum Ausfordern der Last  $Q$  erforderliche Aufschlagsquantum pr. Secunde:

$$Q_1 = \frac{(Q \sin. \alpha + W + W_1 + W_2 + W_3 + W_4 + W_5) br_1}{\left( \frac{(c_1 \cos. \mu_1 - v_1) v_1}{g} + h_1 + \xi h_2 \right) a_1 \gamma}$$

Geht jedes Treibseil noch über eine zweite Seilscheibe oder über eine Seilwalze, so hat man zu den obigen Widerständen noch den wie  $W_2$  und  $W_3$  zu berechnenden Seilsteifigkeits- und Zapfenreibungswiderstand an diesen Leitrollen hinzuzufügen.

Bei einem Wasserradböpel mit Stangen vorgelegt ist statt  $W_3$  Zapfenreibung der Korbwelle einzusetzen. Da während einer halben Umdrehung der Welle die Seillänge  $\pi b$  aufgewickelt wird und die Gestängskraft  $R$  um den Durchmesser  $2r_4$  des Warzenkreises fortrückt, so ist für diese Kraft:

$$R = \frac{\pi b}{2r_4} (Q \sin. \alpha + W + W_1 + W_2 + W_3 + W_4).$$

Wiegen nun noch die vier Stangen, welche an den beiden doppelten Krummzapfen der Korbwelle hängen, zusammen  $G_4$ , während das Gewicht der armirten Korbwelle  $G_3$  beträgt, so haben wir folglich die Componenten des Zapfendruckes dieser Welle:

$$G_3 + G_4 + R - (Q + 2G + S) \sin. \alpha \sin. \beta \text{ und } (Q + 2G + S) \sin. \alpha \cos. \beta$$

und daher die entsprechende Zapfenreibung:

$$W_5 = \varphi \frac{\rho_3}{b} [0,96 (G_3 + G_4 + R) - (Q + 2G + S) \sin. \alpha (0,96 \sin. \beta - 0,40 \cos. \beta)].$$

Der Druck zwischen den Stangen und den Warzen der Krummzapfen des Korbes ist  $R + G$ , dagegen der Druck, mit welchem die Warzen der Krummzapfen des Wasserrades auf die Stangenenden wirken, ist nur  $R$ ; messen nun noch die sämtlichen Warzenhalbmesser  $= \rho_4$ , so haben wir demnach die auf den Lastpunkt reducirte Warzenreibung:

$$W_6 = \varphi \frac{\rho_4}{b} (G_4 + 2R).$$

Endlich ist noch die Zapfenreibung des Wasserrades, wenn dasselbe das Gewicht  $G_5$  und den Zapfenhalbmesser  $\rho_5$  hat:



## CONTENTS

Page

THE AMERICAN MEDICAL ASSOCIATION'S POSITION ON THE  
PROPOSED CHANGES IN THE MEDICAL EDUCATION OF  
THE PHYSICIAN

THE AMERICAN MEDICAL ASSOCIATION'S POSITION ON THE  
PROPOSED CHANGES IN THE MEDICAL EDUCATION OF  
THE PHYSICIAN

## THE AMERICAN MEDICAL ASSOCIATION'S POSITION ON THE PROPOSED CHANGES IN THE MEDICAL EDUCATION OF THE PHYSICIAN

THE AMERICAN MEDICAL ASSOCIATION'S POSITION ON THE  
PROPOSED CHANGES IN THE MEDICAL EDUCATION OF  
THE PHYSICIAN

THE AMERICAN MEDICAL ASSOCIATION'S POSITION ON THE  
PROPOSED CHANGES IN THE MEDICAL EDUCATION OF  
THE PHYSICIAN

THE AMERICAN MEDICAL ASSOCIATION'S POSITION ON THE  
PROPOSED CHANGES IN THE MEDICAL EDUCATION OF  
THE PHYSICIAN

## THE AMERICAN MEDICAL ASSOCIATION'S POSITION ON THE PROPOSED CHANGES IN THE MEDICAL EDUCATION OF THE PHYSICIAN

THE AMERICAN MEDICAL ASSOCIATION'S POSITION ON THE  
PROPOSED CHANGES IN THE MEDICAL EDUCATION OF  
THE PHYSICIAN

THE AMERICAN MEDICAL ASSOCIATION'S POSITION ON THE  
PROPOSED CHANGES IN THE MEDICAL EDUCATION OF  
THE PHYSICIAN

the firm's reputation. The firm's reputation is a critical asset for the firm's success.

The firm's reputation is a critical asset for the firm's success.

The firm's reputation is a critical asset for the firm's success.

The firm's reputation is a critical asset for the firm's success.

The firm's reputation is a critical asset for the firm's success.

The firm's reputation is a critical asset for the firm's success.

The firm's reputation is a critical asset for the firm's success.

The firm's reputation is a critical asset for the firm's success.

The firm's reputation is a critical asset for the firm's success.

The firm's reputation is a critical asset for the firm's success.

The firm's reputation is a critical asset for the firm's success.

The firm's reputation is a critical asset for the firm's success.

The firm's reputation is a critical asset for the firm's success.

The firm's reputation is a critical asset for the firm's success.

The firm's reputation is a critical asset for the firm's success.

**CONTENTS**  
ORIGINAL ARTICLES  
The Effect of the Diet on the Blood Sugar in the Normal Individual and in the Diabetic . . . . .  
The Effect of the Diet on the Blood Sugar in the Normal Individual and in the Diabetic . . . . .  
The Effect of the Diet on the Blood Sugar in the Normal Individual and in the Diabetic . . . . .  
The Effect of the Diet on the Blood Sugar in the Normal Individual and in the Diabetic . . . . .

**DEPARTMENTS**  
The Effect of the Diet on the Blood Sugar in the Normal Individual and in the Diabetic . . . . .  
The Effect of the Diet on the Blood Sugar in the Normal Individual and in the Diabetic . . . . .  
The Effect of the Diet on the Blood Sugar in the Normal Individual and in the Diabetic . . . . .  
The Effect of the Diet on the Blood Sugar in the Normal Individual and in the Diabetic . . . . .

**ORIGINAL ARTICLES**  
The Effect of the Diet on the Blood Sugar in the Normal Individual and in the Diabetic . . . . .  
The Effect of the Diet on the Blood Sugar in the Normal Individual and in the Diabetic . . . . .  
The Effect of the Diet on the Blood Sugar in the Normal Individual and in the Diabetic . . . . .  
The Effect of the Diet on the Blood Sugar in the Normal Individual and in the Diabetic . . . . .

## ORIGINAL ARTICLES

**THE EFFECT OF THE DIET ON THE BLOOD SUGAR IN THE NORMAL INDIVIDUAL AND IN THE DIABETIC**  
The Effect of the Diet on the Blood Sugar in the Normal Individual and in the Diabetic . . . . .  
The Effect of the Diet on the Blood Sugar in the Normal Individual and in the Diabetic . . . . .  
The Effect of the Diet on the Blood Sugar in the Normal Individual and in the Diabetic . . . . .  
The Effect of the Diet on the Blood Sugar in the Normal Individual and in the Diabetic . . . . .

**DEPARTMENTS**  
The Effect of the Diet on the Blood Sugar in the Normal Individual and in the Diabetic . . . . .  
The Effect of the Diet on the Blood Sugar in the Normal Individual and in the Diabetic . . . . .  
The Effect of the Diet on the Blood Sugar in the Normal Individual and in the Diabetic . . . . .  
The Effect of the Diet on the Blood Sugar in the Normal Individual and in the Diabetic . . . . .

**ORIGINAL ARTICLES**  
The Effect of the Diet on the Blood Sugar in the Normal Individual and in the Diabetic . . . . .  
The Effect of the Diet on the Blood Sugar in the Normal Individual and in the Diabetic . . . . .  
The Effect of the Diet on the Blood Sugar in the Normal Individual and in the Diabetic . . . . .  
The Effect of the Diet on the Blood Sugar in the Normal Individual and in the Diabetic . . . . .

Wassergöpel

Der Steifigkeitswiderstand bleibt wie oben:

$$W_1 = K + \frac{r}{b} (Q + G + \frac{1}{2} S) = 3,8 \text{ Pfund.}$$

Die Spannung der Stangen, welche die Umdrehungskraft des Wasserrades auf die Korbwelle übertragen, ist:

$$R = \frac{\pi b}{2 r_s} (Q + W + W_1 + \dots),$$

und beträgt bei dem Warzenkreishalbmesser  $r_s = 20$  Zoll:

$$R = \frac{\pi \cdot 61,11}{40} \cdot 1555,4 = 7465 \text{ Pfund.}$$

Ist nun noch das Gewicht der armirten Korbwelle  $G_a = 10000$  Pfund, das Gewicht der vier Zug- oder Korbstangen  $G_s = 20000$  Pfund, das Gewicht des Wasserrades  $G_w = 35000$  Pfund, und der Halbmesser der Warzen aller Krummzapfen  $\rho_s = 4$  Zoll, so haben wir die Zapfenreibung der Korbwelle:

$$\begin{aligned} W_2 &= \varphi \frac{\rho_s}{b} \left( 0,96 [G_a + G_s + R - (Q + 2 G + S) \sin. \beta] \right. \\ &\quad \left. + 0,40 (Q + 2 G + S) \cos. \beta \right) \\ &= 0,075 \cdot \frac{5}{61,11} [0,96 (37465 - 2475) + 0,40 \cdot 2475] = 212,2 \text{ Pfund,} \end{aligned}$$

ferner die Reibung an den Warzen der Krummzapfen:

$$W_3 = \varphi (G_s + 2 R) = 0,075 \cdot \frac{4}{61,11} \cdot 35038 = 172,0 \text{ Pfund,}$$

und die Zapfenreibung des Wasserrades:

$$W_7 = \varphi \frac{\rho_w}{b} (G_w - R) = 0,075 \cdot \frac{5}{61,11} \cdot 27481 = 170,0 \text{ Pfund.}$$

Nun setzt die gesammte Last des Wassergöpels mit Vorgelege:

$$Q + W_1 + W_2 + \dots + W_7 = 2109,6 \text{ Pfund,}$$

d. h. um  $2109,6 - 1831,5 = 278,1$  Pfund oder um  $\frac{278,100}{1831,5} = 15$  Procent größer als beim Wassergöpel ohne Vorgelege.

5) Bestände die Umtriebsmaschine in einer Turbine und wäre die Seilführung dieselbe wie bei dem ersten Göpel ohne Vorgelege, so hätte man die Widerstände  $W_1$ ,  $W_2$  und  $W_7$  auch den dort gefundenen gleich, also

$Q_1 = Q + W_1 + W_2 + W_7 = 1500 + 17,2 + 51,6 + 3,8 = 1575,6$  Pfund zu setzen. Nehmen wir aber noch an, daß das Gewicht der armirten Korbwelle  $G_a = 10000$  Pfund, das Gewicht der armirten Vorgelegewelle  $G_v = 4000$  und das Gewicht der armirten Turbinenwelle  $G_t = 3000$  Pfund betrage; setzen wir die Anzahl der Zähne der beiden Triebäder (vergl. Fig. 507)  $m_1 = 19$  und  $m_2 = 13$ , und die der Getriebräder  $n_1 = 100$  und  $n_2 = 60$ , ferner die Zapfenhalbmesser  $\rho_a = 4$ ,  $\rho_v = 3$ ,  $\rho_s = 2$  und  $\rho_t = 1\frac{1}{2}$  Zoll, und die Halbmesser des Turbinenvorgeleges  $a_1 = 6\frac{1}{2}$  und  $b_1 = 30$  Zoll, so haben wir noch folgende Widerstände.

Die Zapfenreibung der Korbwelle:

$$\begin{aligned} W_2 &= \varphi \frac{\rho_a}{b} [G_a - (Q + 2 G + S - 2 S_1)] = 0,075 \cdot \frac{4}{61,11} (10000 - 3300) \\ &= 32,9 \text{ Pfund,} \end{aligned}$$

die Zapfenreibung der Vorgelegewelle:

1. The first step in the process is to identify the problem.

2. The second step is to define the problem in terms of specific, measurable, achievable, relevant, and time-bound (SMART) objectives.

3. The third step is to develop a plan of action to address the problem.

4. The fourth step is to implement the plan of action.

5. The fifth step is to monitor and evaluate the progress of the plan of action.

6. The sixth step is to report on the results of the plan of action.

7. The seventh step is to review the results of the plan of action and make adjustments as needed.

8. The eighth step is to document the results of the plan of action.

9. The ninth step is to share the results of the plan of action with stakeholders.

10. The tenth step is to celebrate the success of the plan of action.

11. The eleventh step is to learn from the experience and apply the lessons learned to future projects.

12. The twelfth step is to continue to monitor and evaluate the progress of the plan of action.

13. The thirteenth step is to report on the results of the plan of action.

14. The fourteenth step is to review the results of the plan of action and make adjustments as needed.

15. The fifteenth step is to document the results of the plan of action.

16. The sixteenth step is to share the results of the plan of action with stakeholders.

17. The seventeenth step is to celebrate the success of the plan of action.

18. The eighteenth step is to learn from the experience and apply the lessons learned to future projects.

19. The nineteenth step is to continue to monitor and evaluate the progress of the plan of action.

20. The twentieth step is to report on the results of the plan of action.

21. The twenty-first step is to review the results of the plan of action and make adjustments as needed.

22. The twenty-second step is to document the results of the plan of action.

23. The twenty-third step is to share the results of the plan of action with stakeholders.

24. The twenty-fourth step is to celebrate the success of the plan of action.

25. The twenty-fifth step is to learn from the experience and apply the lessons learned to future projects.



the "new" and "old" forms of knowledge, and the "new" and "old" forms of power.

As a result, the "new" and "old" forms of knowledge and power are not only different but also in tension with each other. The "new" and "old" forms of knowledge and power are not only different but also in tension with each other. The "new" and "old" forms of knowledge and power are not only different but also in tension with each other. The "new" and "old" forms of knowledge and power are not only different but also in tension with each other.

The "new" and "old" forms of knowledge and power are not only different but also in tension with each other. The "new" and "old" forms of knowledge and power are not only different but also in tension with each other. The "new" and "old" forms of knowledge and power are not only different but also in tension with each other. The "new" and "old" forms of knowledge and power are not only different but also in tension with each other.

The "new" and "old" forms of knowledge and power are not only different but also in tension with each other. The "new" and "old" forms of knowledge and power are not only different but also in tension with each other. The "new" and "old" forms of knowledge and power are not only different but also in tension with each other. The "new" and "old" forms of knowledge and power are not only different but also in tension with each other.

The "new" and "old" forms of knowledge and power are not only different but also in tension with each other. The "new" and "old" forms of knowledge and power are not only different but also in tension with each other. The "new" and "old" forms of knowledge and power are not only different but also in tension with each other. The "new" and "old" forms of knowledge and power are not only different but also in tension with each other.

The "new" and "old" forms of knowledge and power are not only different but also in tension with each other. The "new" and "old" forms of knowledge and power are not only different but also in tension with each other. The "new" and "old" forms of knowledge and power are not only different but also in tension with each other. The "new" and "old" forms of knowledge and power are not only different but also in tension with each other.



Wassersäulen-  
göpel.

Beendigung des Ausschubes die Communication zwischen  $G$  und  $H$ , sowie zwischen  $L$  und  $M$  wieder hergestellt ist und ein neues Treibkolbenspiel beginnen kann.

Das Kolbenspiel der zweiten Maschine  $L_1 M_1 H_1$  ist ganz dasselbe wie das soeben erklärte Kolbenspiel der ersten Maschine  $LMH$ , da beide Maschinen ganz gleich construirt sind und die Zu- und Ableitungsröhren  $BDE$  und  $NOP$  gemeinschaftlich haben. Damit die Umdrehungskraft, welche aus beiden Maschinen resultirt, während einer Umdrehung des Korbes möglichst wenig variire, stellt man die Krummzapfen und Excentrik dieser Maschinen auf das Viertel gegen einander, so daß die eine Maschine der anderen um einen halben Schub vorausgeht. Dreht man den Vierwegehahn  $A$  durch einen Hebel  $Aa$  um einen Winkel von 45 Grad, so wird aller Zu- und Abfluß des Wassers aus den Treibecylindern aufgehoben, und dreht man ihn um einen Rechtwinkel, so wird der Zufluß in einen Abfluß und der Abfluß in einen Zufluß verwandelt. Kommt es daher darauf an, den Göpel, nachdem die volle Tonne über Tage angekommen ist, in Stillstand zu bringen, so hat der Treibemeister den Steuerhebel  $Aa$  um 45 Grad zu drehen, und soll später, nachdem man die volle Tonne geleert und die leere gefüllt hat, die Maschine in der umgekehrten Richtung umlaufen, so ist dieser Hebel noch weiter um 45 Grad zu drehen.

Ein wichtiger Gegenstand bei den Wassersäulenmaschinen zur Erzielung einer rotirenden Bewegung und folglich auch bei den Wassersäulengöpeln ist, daß man den Steuerkolben  $R$  und  $S$  eine Länge oder Höhe gebe, welche ganz knapp die Weite der Communicationsröhren  $L$  und  $H$  erreicht, damit beim Umsteuern, und zwar in der Zeit, wenn diese Kolben vor den Einmündungen dieser Röhren vorbeigehen, das Wasser im Treibecylinder nicht vollständig abgesperret wird, was bei dem großen Widerstande des Wassers gegen Ausdehnung und Zusammendrückung höchst nachtheilige Größe veranlassen würde (vergl. II., §. 224). Damit die Steuerkolben dieser Maschinen nicht zu kurz oder niedrig ausfallen, bedient man sich auch hier der cylindrischen Communicationsröhren, obgleich es aus in II. §. 241 angegebenen Gründen zweckmäßig wäre, diesen Röhren einen rechteckigen Querschnitt zu geben. Ohne dies ist hier ein kleiner Verlust an Kraftwasser durch den unvollständigen Abschluß der Steuerkolben unvermeidlich, zumal da diese Kolben bei ihrer mittleren Stellung einen Augenblick lang die Einfüllröhre mit der Austrageröhre in Communication setzen.

Anmerkung. Der Wassersäulengöpel auf dem Andreas-Schachte zu Schemnitz benützt ein Gefälle von 355 Fuß, hat einen Kolbendurchmesser von 6,2 Zoll und einen Hub von 38,2 Zoll und macht während des Treibens im Mittel pr. Min.  $4\frac{1}{4}$  Spiel, wobei die Tonne eine mittlere Geschwindigkeit von  $1\frac{1}{2}$  Fuß hat.

§. 250. Die Widerstände eines Wassersäulengöpels sind zum großen Theil dieselben wie die eines Wasserradgöpels mit Stangenvorlege. Behalten wir die schon eben gebrauchten Beziehungen bei, so bleiben nicht allein die reine Last  $Q$  und die Widerstände  $W$  und  $W_1$  (§. 248) im Schachte, sondern auch die Widerstände  $W_2$  und  $W_3$  an den Seilscheiben und der Steifigkeitswiderstand  $W_4$  des sich auf den Korb aufwickelnden Seiles dieselben, während dagegen die Zapfenreibung  $W_5$  des Korbes, die Warzenreibung  $W_6$  des Krummzapfens und die Reibung  $W_7$  der Stangenköpfe in die Geradföhrung sich ändern und nach III., §. 99 zu beurtheilen sind. Die Stangenkraft ist auch hier

$$R = \frac{\pi b}{2r_4} (Q + W + W_1 + \dots)$$

zu setzen, wenn  $r_4$  den Warzenkreishalbmesser und  $b$  den mittleren Lastarm bezeichnet.

Aus dem Gewichte  $G_3$  des Korbes, der Größe  $Q + 2G + S$  der Seilspannungen und der Stangenkraft  $R$  bestimmt sich die Zapfenreibung des Korbes:

$$W_5 = \varphi \frac{\varrho_3}{b} (0,96 [G_3 - (Q + 2G + S) \sin. \beta] + 0,10 R).$$

Wenn man die Beziehungen in III., §. 99 dem Vorstehenden entsprechend umändert und überdies den Halbmesser eines Frictionsrades der Stangenföhrung durch  $r_3$ , den Zapfenhalbmesser desselben durch  $\varrho_3$  und die Länge der Kurbelstangen durch  $l$  bezeichnet, so folgt die erforderliche Kolbenkraft der Dampfmaschine:

$$P = \left[ 1 + \varphi \frac{\pi}{2} \left( \frac{\varrho_1}{r_1} + \frac{\varrho_5}{r_5} \cdot \frac{r_4}{2l} \right) \right] \frac{\pi b}{2r_4} (Q + W + W_1 + W_2 + W_3 + W_4 + W_6).$$

Kennt man nun noch den Wirkungsgrad  $\eta$  der Wassersäulenmaschine allein, so kann man auch

$$P = \eta F h \gamma,$$

und folglich die Größe der Kolbenfläche

$$F = \frac{P}{\eta h \gamma}$$

berechnen, wonach sich endlich der erforderliche Kolbendurchmesser eines Cylinders

$$d = \sqrt{\frac{2F}{\pi}}$$

ergiebt.

Die Bewegung der Steuerkolbenstange erfordert natürlich noch einen kleinen Kraftaufwand, weshalb man  $d$  noch etwas größer zu nehmen hat, als diese Formel angiebt. Macht man, um Reservekraft zu haben,  $d$  an-















Dampfsgdrel. wofür in der Regel einfacher

$$W_6 = \varphi \frac{\varrho_3}{b} [G_3 - (Q + 2 G + S)]$$

gesetzt werden kann.

Die Zahnreibung ist, wie bekannt:

$$W_6 = \varphi \pi \left( \frac{1}{m} + \frac{1}{n} \right) (Q + W + W_1 + \dots).$$

Ist  $\varrho_4$  der Halbmesser der Zapfen der Kurbelwelle und  $G_4$  das Gewicht dieser Welle sammt dem Gewichte des auf ihr sitzenden Schwungrades u. s. w., so hat man die Zapfenreibung dieser Welle:

$$\begin{aligned} W_7 &= \varphi \frac{n}{m} \frac{\varrho_4}{b} (0,96 G_4 + 0,40 P) \\ &= \varphi \frac{\varrho_4}{b} \left( 0,96 \frac{n}{m} G_4 + 0,40 \frac{\pi b}{s} (Q + W + W_1 + \dots) \right). \end{aligned}$$

Diese Formel setzt voraus, daß die Dampfmaschine eine liegende, und daß das Gewicht  $G_4$  größer als die Stangentkraft  $P$  sei. Der Druck  $R$  zwischen den Zähnen ist weder bei  $W_5$  noch bei  $W_7$  in Betracht zu ziehen, da die Maschine abwechselnd in der einen oder in der anderen Richtung umläuft, wobei die Vertikaldrücke  $G_3$  und  $G_4$  abwechselnd um  $R$  vergrößert oder verkleinert werden.

Die Warzenreibung ist nach III., §. 99, wenn  $\varrho_5$  den Warzenhalbmesser bezeichnet:

$$\begin{aligned} W_8 &= \frac{\pi}{2} \cdot \frac{\varrho_4}{1/2 s} \varphi (Q + W + W_1 + \dots) \\ &= \varphi \pi \frac{\varrho_5}{s} (Q + W + W_1 + \dots) \end{aligned}$$

und die gleitende Reibung in der Führung des Stangentkopfes, wenn  $l$  die Länge der Kurbelstange bezeichnet:

$$\begin{aligned} W_9 &= \frac{\pi}{4} \cdot \frac{1/2 s}{l} \varphi (Q + W + W_1 + \dots) \\ &= \varphi \frac{\pi}{8} \cdot \frac{s}{l} (Q + W + W_1 + \dots). \end{aligned}$$

Bersteht man nun unter  $\eta$  den Wirkungsgrad der eigentlichen Dampfmaschine ( $\eta = 1/3$  bis  $1/2$ ), so hat man endlich die Dampfkraft:

$$P = \frac{1}{\eta} \cdot \frac{m}{n} \cdot \frac{\pi b}{s} (Q + W + W_1 + \dots + W_9),$$

und den entsprechenden Durchmesser des Dampfkolbens:

$$d = \sqrt{\frac{4}{\eta} \cdot \frac{m}{n} \cdot \frac{b (Q + W + W_1 + \dots + W_9)}{s (p - q)}}.$$

THE JOURNAL OF THE AMERICAN MEDICAL ASSOCIATION  
PUBLISHED WEEKLY  
CHICAGO, ILL., MAY 11, 1932  
Vol. 100, No. 20

Subscription price, Five Dollars Per Annum in Advance.  
Single Copies, Fifteen Cents.

Entered as Second-Class Matter, May 26, 1917.  
Postpaid at Chicago, Ill., May 11, 1932.  
Acceptance for mailing at special rate of postage provided for in  
Post Office Department Circular No. 1110, approved October 3, 1917.  
Postage paid by Chicago, Ill.

Copyright, 1932, by American Medical Association  
Printed at the American Medical Association, 535 North Dearborn St., Chicago, Ill.

Second-Class Postage Paid at Chicago, Ill.  
Postmaster: Send address changes to JOURNAL OF THE AMERICAN MEDICAL ASSOCIATION, 535 North Dearborn St., Chicago, Ill.

Subscription price, Five Dollars Per Annum in Advance.  
Single Copies, Fifteen Cents.

Entered as Second-Class Matter, May 26, 1917.  
Postpaid at Chicago, Ill., May 11, 1932.

Acceptance for mailing at special rate of postage provided for in  
Post Office Department Circular No. 1110, approved October 3, 1917.  
Postage paid by Chicago, Ill.

Copyright, 1932, by American Medical Association  
Printed at the American Medical Association, 535 North Dearborn St., Chicago, Ill.

Second-Class Postage Paid at Chicago, Ill.  
Postmaster: Send address changes to JOURNAL OF THE AMERICAN MEDICAL ASSOCIATION, 535 North Dearborn St., Chicago, Ill.

Subscription price, Five Dollars Per Annum in Advance.  
Single Copies, Fifteen Cents.

Entered as Second-Class Matter, May 26, 1917.  
Postpaid at Chicago, Ill., May 11, 1932.

Acceptance for mailing at special rate of postage provided for in  
Post Office Department Circular No. 1110, approved October 3, 1917.  
Postage paid by Chicago, Ill.

Copyright, 1932, by American Medical Association  
Printed at the American Medical Association, 535 North Dearborn St., Chicago, Ill.

Second-Class Postage Paid at Chicago, Ill.  
Postmaster: Send address changes to JOURNAL OF THE AMERICAN MEDICAL ASSOCIATION, 535 North Dearborn St., Chicago, Ill.

Subscription price, Five Dollars Per Annum in Advance.  
Single Copies, Fifteen Cents.

Entered as Second-Class Matter, May 26, 1917.  
Postpaid at Chicago, Ill., May 11, 1932.

Acceptance for mailing at special rate of postage provided for in  
Post Office Department Circular No. 1110, approved October 3, 1917.  
Postage paid by Chicago, Ill.

Copyright, 1932, by American Medical Association  
Printed at the American Medical Association, 535 North Dearborn St., Chicago, Ill.

Second-Class Postage Paid at Chicago, Ill.  
Postmaster: Send address changes to JOURNAL OF THE AMERICAN MEDICAL ASSOCIATION, 535 North Dearborn St., Chicago, Ill.

### 3.1.1. *Information science*

Information science is a discipline that studies the nature, structure and use of information, and the processes of information creation, organisation, storage, retrieval and communication.

Information science is a multidisciplinary field that draws on a wide range of disciplines, including computer science, library science, sociology, psychology, linguistics, and philosophy. It is concerned with the study of information in all its forms, from physical documents to digital data, and with the ways in which information is created, organised, stored, retrieved and communicated. Information science is a dynamic and evolving field, and its boundaries are constantly being redefined as new technologies and theories emerge.

Information science is a broad and interdisciplinary field that encompasses a wide range of topics, including the study of information systems, information retrieval, information organisation, information communication, and information policy. It is a field that is constantly evolving, and its boundaries are constantly being redefined as new technologies and theories emerge.

### 3.1.2. *Library science*

Library science is a discipline that studies the nature, structure and use of libraries, and the processes of library creation, organisation, storage, retrieval and communication. Library science is a multidisciplinary field that draws on a wide range of disciplines, including computer science, library science, sociology, psychology, linguistics, and philosophy. It is concerned with the study of libraries in all their forms, from physical libraries to digital libraries, and with the ways in which libraries are created, organised, stored, retrieved and communicated. Library science is a dynamic and evolving field, and its boundaries are constantly being redefined as new technologies and theories emerge.

Da nun der Theil  $(Q + G) \sin \alpha$  bei allen Förderungsweisen einer und derselbe ist, so folgt, daß der Kraftunterschied bei denselben verhältnißmäßig um so kleiner ausfällt, je größer der Steigungswinkel  $\alpha$  der Straße ist, auf welcher die Last fortgeschafft wird. Die Förderung in Karren (franz. brouettes; engl. carts, wheel-barrows) steht zwischen dem Tragen auf dem Rücken und dem Fortschaffen in Wagen inne, weil hier noch ein Theil der Last  $Q$  von dem Arbeiter unmittelbar aufgenommen wird. Die Kraft zur Förderung mittelst Schlitten oder Schleifen (franz. traineaux; engl. sledges) ist bekanntlich nach der Art und dem Zustande der sich reibenden Flächen sehr verschieden. Für die Bewegung eines Schlittens mit hölzernen Kufen auf einer glatten Holz- oder Steinbahn ist der Reibungscoefficient:

im ungeschmierten Zustande . . . . .	$\mu = 0,38,$
geschmiert mit trockener Seife . . . . .	$\mu = 0,15,$
geschmiert mit Talg . . . . .	$\mu = 0,07.$

Auf einer guten Schneebahn fällt die Reibung eines solchen Schlittens nur 0,035 aus, und für die Bewegung stählerner Schlittentufen auf gefrorenem Schnee oder Eis ist  $\mu = 0,02$ . Bei der Bewegung der Wagen auf guten Straßen fällt  $\mu = 0,02$  bis 0,04 aus, und für die Bewegung der Wagen auf Eisenbahnen ist  $\mu$  gar nur 0,003 bis 0,005.

Was endlich das Fortschaffen der Lasten zu Wasser anlangt, so ist hier der Widerstandcoefficient  $\mu$  gar nicht constant, sondern es wächst derselbe mit dem Quadrate der relativen Geschwindigkeit des Fahrzeugs (S. I, §. 428 u. f. w.). Ist diese Geschwindigkeit sehr klein, so fällt hier  $\mu$  noch kleiner als 0,003 aus; es ist folglich dann das Fortschaffen der Lasten zu Wasser noch vortheilhafter als das auf Eisenbahnen.

§. 254. Bei der Förderung auf mehr oder weniger horizontalen Wegen wird der Arbeitsaufwand durch das Gewicht  $Q_1$  des Fördergefäßes (franz. und engl. vehicule) nicht unansehnlich erhöht. Das Verhältniß  $\frac{Q_1}{Q} = v$  des Gewichtes des Förderungsmittels zu dem der Last ist zugleich die relative Vergrößerung des Arbeitsaufwandes, welchen das Mitfortschaffen des Förderungsmittels erfordert; nun beträgt aber das Gewicht  $Q_1$  meist  $\frac{1}{3}$  bis  $\frac{1}{2}$  der Last  $Q$ , folglich erfordert auch beim Tragen und Fördern in Wagen, Schlitten u. f. w. das Gewicht des Fördergefäßes eine Vergrößerung der Arbeit von  $v = \frac{1}{3}$  bis  $\frac{1}{2}$  der Nutzleistung. Muß das Förderungsmittel überdies noch leer zurückgeschafft werden, wie es z. B. bei wiederholtem Transport auf derselben Strecke nöthig ist, so ist diese Vergrößerung der Arbeit sogar das Doppelte, d. i.  $2v = \frac{2}{3}$  bis  $\frac{1}{2}$  der Nutzleistung.

Förd. mittel.

Bei der Förderung durch Menschen und Thiere haben wir nach II. §. 80:

für die Geschwindigkeit  $v$  beim Hinwege, mit gefülltem Fördergefäße:

$$\left(2 - \frac{v}{c}\right) K = \mu (1 + v) Q,$$

und für die Geschwindigkeit  $v_1$  beim Rückwege, mit leerem Fördermittel:

$$\left(2 - \frac{v_1}{c}\right) K = \mu v Q.$$

Es ist folglich:

$$v = c \left(2 - \mu (1 + v) \frac{Q}{K}\right) \text{ und} \\ v_1 = c \left(2 - \mu v \frac{Q}{K}\right),$$

wobei  $c$  die mittlere Geschwindigkeit und  $K$  die entsprechende mittlere Kraft des Arbeiters bezeichnet.

Wird nun der Förderungsweg  $s$  in der Schichtzeit  $t$   $n$ mal hin und ebenso oft her zurückgelegt, so hat man:

$$n = \frac{t}{\frac{s}{v} + \frac{s}{v_1}}, \text{ oder } ns = \frac{t}{\frac{1}{v} + \frac{1}{v_1}} = \frac{v v_1 t}{v + v_1},$$

und daher die Nutzleistung pr. Schicht:

$$Qns = \frac{Q v v_1 t}{v + v_1} = \frac{K v_1 t}{\mu (1 + v)} \frac{\left(2 - \frac{v}{c}\right) v}{v_1 + v}.$$

Die Geschwindigkeit  $v_1$  ist nur wenig kleiner als  $2c$  und läßt sich daher als constant ansehen. Dies vorausgesetzt, erhalten wir nun durch Differenziren den vortheilhaftesten Geschwindigkeitswerth:

$$v = \sqrt{(2c + v_1) v_1} - v_1,$$

folglich als ersten Näherungswerth:

$$v_1 = 2c \text{ und}$$

$$v = 2c (\sqrt{2} - 1) = 0,828 c,$$

woraus nun:

$$Q = \left(2 - \frac{v}{c}\right) \frac{K}{\mu (1 + v)} = 1,172 \frac{K}{\mu (1 + v)},$$

und ein zweiter Näherungswerth:

$$v_1 = c \left(2 - 1,172 \frac{v}{1 + v}\right)$$

folgt, und sich endlich auch  $v$  und  $Q$  genauer bestimmen lassen.

Setzen wir  $v = 0$ , nehmen wir also an, daß der Arbeiter nach jedem Transport ohne alle Last zurückgehe, so haben wir genau:

$$v_1 = 2c, v = 0,828c \text{ und } Q = 1,172 \frac{K}{\mu},$$

Förderungs-  
mittel.

und daher die tägliche Nutzleistung:

$$Qns = 1,172 \frac{K}{\mu} \cdot \frac{0,828c \cdot 2ct}{2,828c} = 0,686 \frac{K}{\mu} ct,$$

d. i. circa  $\frac{2}{3}$  der Arbeitsfähigkeit des Arbeiters.

Die mittleren Werthe für  $K$ ,  $c$  und  $t$  beim Tragen auf dem Rücken, wo  $\mu = 1$  zu setzen ist, sind bereits Bd. II., §. 79 mitgetheilt worden.

Beispiel. Wenn die Kraft zum Fortschaffen einer Last  $P = \frac{1}{20} Q$ , also  $\mu = \frac{1}{20} = 0,05$  ist und wenn das Gewicht des Förderungsmittele  $Q_1 = \frac{1}{4} Q$ , also  $v = \frac{1}{4}$  beträgt, und dasselbe nach jedem Gange wieder leer mit zurückgebracht werden muß, so ist die vortheilhafteste Geschwindigkeit auf dem Rückwege:

$$v_1 = c(2 - 1,172 \cdot \frac{1}{5}) = 1,7656c,$$

ferner die auf dem Hinwege:

$$v = (\sqrt{1,7656 \cdot 3,7656} - 1,7656)c = 0,8129c;$$

die reine Last:

$$Q = (2 - 0,8129) \frac{K}{\frac{1}{20} \cdot \frac{1}{4}} = 18,99K,$$

und die entsprechende Nutzleistung:

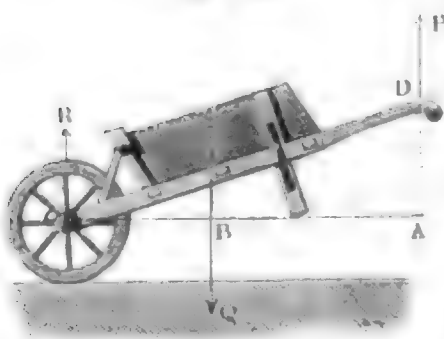
$$Qns = \frac{Qvv_1t}{v + v_1} = \frac{0,8129 \cdot 1,7656 \cdot 18,99Kct}{2,5785} = 10,57Ket$$

$$= 0,5285 \frac{Ket}{\mu},$$

d. i. beinahe 53 Procent des Arbeitsvermögens.

§. 255. Die durch Menschenkraft in Bewegung zu setzenden einräd- Schlebkarren  
rigen Fuhrwerke sind der Schiebbock und der Schiebkarren. Beide bilden einen einarmigen Hebel, *CSD*, Fig. 512, dessen Stützpunkt  $C$  die Dres-

Fig. 512.



hungspare des Rades und dessen Kraftpunkt  $D$  die Handhaben des Arbeiters bilden; sie unterscheiden sich jedoch dadurch von einander, daß die letztere mit einem vollständigen Kasten zur Aufnahme der Last ausgerüstet ist, wogegen der erstere nur eine über das Rad weggreifende Rücklehne hat. Fig. 512 führt einen Schiebkarren vor Augen, wie er zum Fortschaffen von Erd-

massen beim Eisenbahnbau gebraucht wird; in Fig. 513 (a. f. S.) ist dagegen ein sogenannter Auslaufkarren abgebildet, welcher beim Bergbau zum Ausstürzen der zu Tage ausgeführten Gesteinmassen auf die Halde dient. Bei dem ersten Karren sitzt das eigentliche Fördergefäß auf den





THEY ARE THE ONLY TWO IN THE WORLD WHO HAVE BEEN AWARDED THE HIGHEST HONOR IN THE FIELD OF LITERATURE.

THEY ARE THE ONLY TWO IN THE WORLD WHO HAVE BEEN AWARDED THE HIGHEST HONOR IN THE FIELD OF LITERATURE.

THEY ARE THE ONLY TWO IN THE WORLD WHO HAVE BEEN AWARDED THE HIGHEST HONOR IN THE FIELD OF LITERATURE.

THEY ARE THE ONLY TWO IN THE WORLD WHO HAVE BEEN AWARDED THE HIGHEST HONOR IN THE FIELD OF LITERATURE.

THEY ARE THE ONLY TWO IN THE WORLD WHO HAVE BEEN AWARDED THE HIGHEST HONOR IN THE FIELD OF LITERATURE.

THEY ARE THE ONLY TWO IN THE WORLD WHO HAVE BEEN AWARDED THE HIGHEST HONOR IN THE FIELD OF LITERATURE.

THEY ARE THE ONLY TWO IN THE WORLD WHO HAVE BEEN AWARDED THE HIGHEST HONOR IN THE FIELD OF LITERATURE.

THEY ARE THE ONLY TWO IN THE WORLD WHO HAVE BEEN AWARDED THE HIGHEST HONOR IN THE FIELD OF LITERATURE.

THEY ARE THE ONLY TWO IN THE WORLD WHO HAVE BEEN AWARDED THE HIGHEST HONOR IN THE FIELD OF LITERATURE.

THEY ARE THE ONLY TWO IN THE WORLD WHO HAVE BEEN AWARDED THE HIGHEST HONOR IN THE FIELD OF LITERATURE.

THEY ARE THE ONLY TWO IN THE WORLD WHO HAVE BEEN AWARDED THE HIGHEST HONOR IN THE FIELD OF LITERATURE.

THEY ARE THE ONLY TWO IN THE WORLD WHO HAVE BEEN AWARDED THE HIGHEST HONOR IN THE FIELD OF LITERATURE.

THEY ARE THE ONLY TWO IN THE WORLD WHO HAVE BEEN AWARDED THE HIGHEST HONOR IN THE FIELD OF LITERATURE.

THEY ARE THE ONLY TWO IN THE WORLD WHO HAVE BEEN AWARDED THE HIGHEST HONOR IN THE FIELD OF LITERATURE.

THEY ARE THE ONLY TWO IN THE WORLD WHO HAVE BEEN AWARDED THE HIGHEST HONOR IN THE FIELD OF LITERATURE.

täglich 7'373000 Fußpfund. Bei dem hiesigen Bergbau fördert ein Arbeiter <sup>2 Räderkarren.</sup> in der allerdings nur sechsstündigen Arbeitszeit 120 Kübel Berge (Steinstücke) auf 80 Meter horizontaler Entfernung. Die entsprechende tägliche Nutzleistung ist, wenn wir, wie oben (§. 239), den Kübel zu 92 Pfund Gewicht annehmen, nur  $120 \cdot 80 \cdot 3,1862 \cdot 92 = 2'814000$  Fußpfund. Die Leistung der Karrenförderung verändert sich mit dem Hebelarmverhältniß  $\frac{b}{a}$ , welches meist innerhalb der Grenzen  $\frac{1}{5}$  und  $\frac{1}{3}$  liegt, und kann daher bei verschiedenen Karren und verschiedener Aufladung sehr verschieden ausfallen, zumal wenn der Weg nicht ganz horizontal ist.

Beispiel. Wenn bei einem Schiebkarren, dessen Gewicht sammt Last 200 Pfund beträgt, das Hebelarmverhältniß  $\frac{b}{a} = \frac{1}{4}$  beträgt, so hat man für die Tragkraft des Arbeiters  $P = \frac{b}{a} (Q + O_1) = \frac{1}{4} \cdot 200 = 50$  Pfund. Vergleichen wir nun diese Anstrengung mit dem Tragen auf dem Rücken, wobei nach II., §. 79,  $K = 85\frac{1}{2}$ ,  $c = 2,4$  und  $t = 7$ , also  $Qct = 5'171040$  angegeben worden ist, so finden wir die der Tragkraft  $P = 50$  Pfund entsprechende Geschwindigkeit:

$$v = c \left( 2 - \frac{P}{K} \right) = 2,4 \cdot \left( 2 - \frac{50}{85,5} \right) = 2,4 \cdot \frac{242}{171} = 3,40 \text{ Fuß,}$$

und nehmen wir an, daß die Fördermasse des Karrens  $Q = 100$  Pfund beträgt, so haben wir die tägliche Leistung bei dieser Förderungsweise:

$$Qvt = 100 \cdot 3,4 \cdot 7 \cdot 60 \cdot 60 = 8448000 \text{ Fußpfund,}$$

wobei jedoch noch nicht auf das leere Zurückfahren Rücksicht genommen worden ist. Wir wissen aus dem Obigen, daß hierdurch die Leistung circa ein Drittel kleiner wird; weshalb wir also auch die effective Leistung pr. Schicht nur

$$\frac{1}{3} \cdot 8,448000 = 5'632000 \text{ Fußpfund setzen dürfen.}$$

§. 256. Die Förderung in zweirädrigen Wagen oder Karren <sup>zweirädrige Karren.</sup> ist ebenso zu beurtheilen wie die Förderung mittelst der sogenannten Schiebkarren. Sie werden sowohl durch Menschen als durch Pferde in Bewegung gesetzt, und haben zwei Deichseln (franz. timons; engl. poles), welche eine sogenannte Gabel (franz. limon; engl. thill), zwischen welche der Arbeiter oder das Zugpferd zu stehen kommt, bilden. Die Last wird auf diese Karren so aufgepackt, daß der Schwerpunkt derselben nahe vor der Radaxe zu liegen kommt, folglich nur ein kleiner Theil der Last mittelst der Gabel auf den Rücken des arbeitenden Geschöpfes zu übertragen ist. Ist die Länge  $CD$  eines solchen in Fig. 514 (a. f. S.) abgebildeten Karrens  $= a$ , ferner der Abstand des Schwerpunktes der Last  $Q$  des Karrens von der Radaxe  $C$ , in der Deichselaxe gemessen, d. i.  $CE = b$ , und der Abstand desselben Punktes von dieser Axe, d. i.  $SE = c$ . Nehmen wir an, daß der Weg unter dem Winkel  $\alpha$  ansteige, und daß die Deichsel unter demselben Winkel  $ACD = \alpha$  gegen den Horizont geneigt



the person in the photograph is looking down at a small object in their hands. The person is wearing a dark jacket and a light-colored shirt. The background is dark and indistinct.

The person in the photograph is looking down at a small object in their hands. The person is wearing a dark jacket and a light-colored shirt. The background is dark and indistinct.

The person in the photograph is looking down at a small object in their hands. The person is wearing a dark jacket and a light-colored shirt. The background is dark and indistinct.

The person in the photograph is looking down at a small object in their hands. The person is wearing a dark jacket and a light-colored shirt. The background is dark and indistinct.

The person in the photograph is looking down at a small object in their hands. The person is wearing a dark jacket and a light-colored shirt. The background is dark and indistinct.

The person in the photograph is looking down at a small object in their hands. The person is wearing a dark jacket and a light-colored shirt. The background is dark and indistinct.

The person in the photograph is looking down at a small object in their hands. The person is wearing a dark jacket and a light-colored shirt. The background is dark and indistinct.

$Z = R \sin. \alpha + W$ , also für die Bewegung auf horizontalem Wege  $Z = W$  zu setzen. Zweirädrige  
Karren.

Da sich das arbeitende Geschöpf beim Fortziehen oder Fortschieben einer Last durch die Reibung seiner Füße auf dem Fußboden festhalten muß, so ist natürlich nöthig, daß die Zugkraft  $Z$  diese Reibung nicht übertreffe. Ist  $\varphi$  der entsprechende Reibungswinkel und  $G$  das Gewicht des arbeitenden Geschöpfes, so kann man setzen:

$$\text{tang. } \varphi = \frac{G + P}{Z}.$$

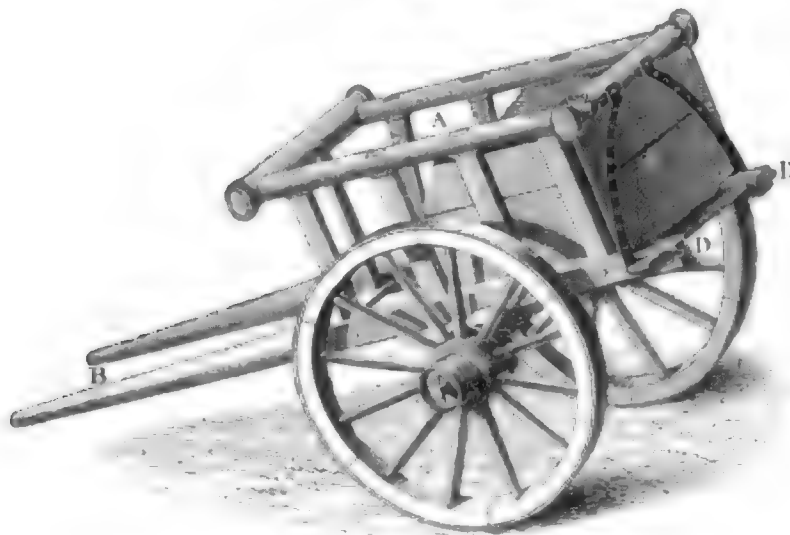
Es ist also das Verhältniß  $\frac{P}{Z}$  der Tragkraft zur Zugkraft um so größer oder kleiner zu nehmen je größer oder kleiner der Reibungswinkel  $\varphi$  oder je rauher oder glatter der Fußboden ist. Für die Zugkraft der Pferde auf horizontalen Straßen ist z. B. erfahrungsmäßig die Leistung am größten, wenn  $\frac{P}{Z} = \frac{1}{3}$  beträgt. Wenden wir diese Regel auf die zweirädrigen Fuhrwerke an, so haben wir

$$\frac{bQ}{aW} = \frac{1}{3}, \text{ also } \frac{b}{a} = \frac{1}{3} \frac{W}{Q}$$

zu nehmen.

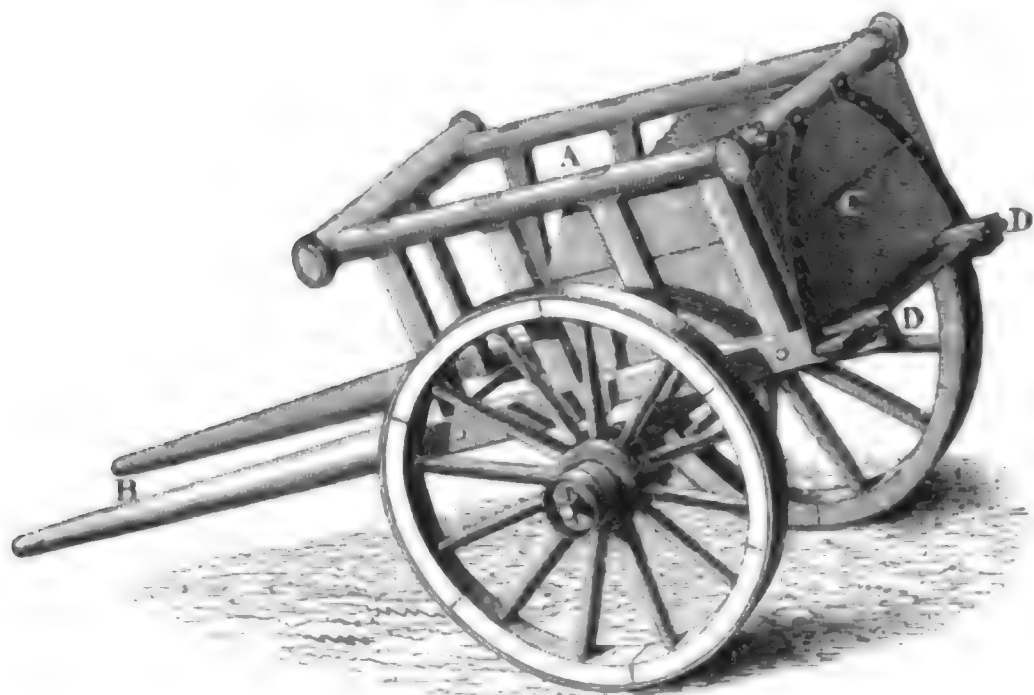
Die zweirädrigen Karren werden vorzüglich zum Erdtransport bei Eisenbahnanlagen gebraucht und hier entweder von einem Pferde oder von zwei bis drei Arbeitern fortbewegt. Der Kasten zur Aufnahme der Erde sitzt entweder fest auf der Radaxe oder er ist um eine besondere Achse drehbar, also zum Umkippen eingerichtet, weshalb auch solche Karren gewöhnlich Wippkarren genannt werden. In Figur 515 ist ein ge-

Fig. 515.



Zweirädrige Karren. wöhnlicher Erdtransport. (Roll- oder Hand-) Karren abgebildet. Der Wagenkasten *A* sitzt hier fest auf den Deichseln *B*, und ist zum Füllen

Fig. 516.



und Leeren mit einer lösbaren Hinterwand *C* versehen. Die Vorderwand und ein Theil der Seitenwände sind der Deutlichkeit wegen abgenommen gezeichnet. Um diese Karren nicht allein durch Schub, sondern auch durch Zug fortbewegen zu können, sind noch Haken *D*, *D* zum Einhängen eines Zugseiles angebracht.

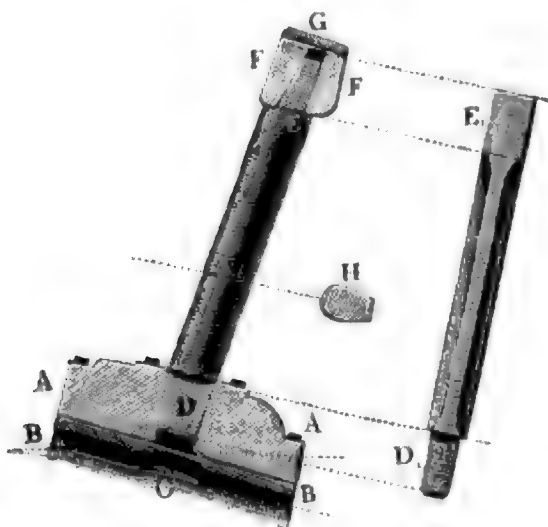
Wagenräder.

§. 257. Den wesentlichsten Theil aller Karren und Wagen bilden die Räder (franz. roues; engl. wheels) mit ihren Axen (franz. essieux; engl. axles). Die Räder bestehen aus dem Kranze, der Nabe und den Armen oder Speichen (vergl. §. 79). Die Radkränze der Karren und Wagen für gewöhnliche Straßen werden aus bogenförmigen Holzstücken, den sogenannten Radfelgen (franz. jantes; engl. fellies) zusammengesetzt, und mit einem schmiedeeisernen Bande, dem sogenannten Radreifen (franz. la bande; engl. the hoop), umgeben. Die Nabe (franz. le moyen; engl. the nave) eines Rades besteht in einem Holzkerne, welcher von außen mit eisernen Bändern umgeben ist und in seinem Inneren ein hohles Metallfutter enthält, durch welches die Radaxe hindurchgeht. Die Radspeichen (franz. les rais; engl. the spokes) verbinden den Radkranz mit der Nabe und sind deshalb in diesen beiden Radtheilen eingezapft. Sie sind in der Regel von Eichenholz und haben einen mehr oder weniger elliptischen Querschnitt. Meist hat ein Rad 12 Speichen.

Die Wagenaxen sind entweder aus Schmiedeeisen oder aus Holz und an der unteren Fläche mit Eisen beschlagen. Der mittlere Theil oder Körper einer Wagenaxe hat einen mehr oder weniger rectangulären Querschnitt, die Enden oder Zapfen desselben (franz. fusées d'essieu; engl. axle arms), welche durch die Radnabe hindurchgesteckt werden, sind dagegen cylindrisch oder wenig conisch geformt. Durch die Conicität der Radaxen wird nicht allein die Masse, sondern auch der Reibungswiderstand derselben vermindert. Wären die Fahrstraßen vollkommen eben, so würde man die Radebene in eine Ebene rechtwinkelig zu ihrer Axe legen und diese Axe selbst ganz gerade machen müssen; da aber dieselben meist uneben sind, Geleise und andere störende Erhöhungen und Vertiefungen enthalten, so giebt man gewöhnlich den Wagenrädern eine conische Form, legt also die Radspeichen in einen Kegelmantel und giebt auch den Zapfen oder Axenschenkeln eine kleine Neigung gegen den Horizont. Läßt man nun noch jeder Nabe einen kleinen Spielraum auf ihrem Zapfen längs der Axe, so kann sich das Rad beim Uebersteigen einer kleinen Erhöhung oder beim Einsinken in eine kleine Vertiefung in der Axenrichtung so verschieben, daß die Axe mit der auf ihr ruhenden Last nur wenig oder gar nicht steigt oder sinkt und sich daher auch die Zugkraft wenig verändert. Es ist eine längst bekannte Erfahrung, daß diese Conicität der Räder in Vereinigung mit einer gewissen Neigung der Axenschenkel und einem gewissen Spielraume des Rades längs seiner Axe um so größer sein muß, je schlechter und unebener die Fahrstraße ist.

Fig. 517 führt die Zusammensetzung eines Wagenrades in einem Durchschnitte vor Augen. *AA* ist die eine Hälfte der Nabe und *BB* ihr metallenes Futter, welches in der Mitte bei *C* eine Höhlung zur Aufnahme

Fig. 517.



der Schmiere enthält. *DE* ist eine Radspeiche, *FF* der Radkranz und *G* der eiserne Reifen um denselben. Bei *H* sieht man noch den Querschnitt eines Radarmes und *D, E<sub>1</sub>* giebt die äußere Ansicht eines Radarmes.

Die conischen Wagenräder haben den Nachtheil, daß sie sich nicht bloß auf dem Fußboden fortwälzen, sondern auch zum Theil auf demselben fortgleiten, da verschiedene, der Axe näher oder entfernter liegende Punkte des Radumfangs ver-







The image is a square, dark, and textured. It appears to be a close-up of a rough, dark material, possibly a book cover or a photograph of a dark object. The texture is grainy and uneven, with some lighter areas and some darker areas. The overall appearance is that of a close-up of a rough, dark material.

The image is a square, dark, and textured. It appears to be a close-up of a rough, dark material, possibly a book cover or a photograph of a dark object. The texture is grainy and uneven, with some lighter areas and some darker areas. The overall appearance is that of a close-up of a rough, dark material.

The image is a square, dark, and textured. It appears to be a close-up of a rough, dark material, possibly a book cover or a photograph of a dark object. The texture is grainy and uneven, with some lighter areas and some darker areas. The overall appearance is that of a close-up of a rough, dark material.



THE UNIVERSITY OF CHICAGO PRESS  
54 EAST 57TH STREET  
NEW YORK, N.Y. 10022

THE UNIVERSITY OF CHICAGO PRESS  
54 EAST 57TH STREET  
NEW YORK, N.Y. 10022

THE UNIVERSITY OF CHICAGO PRESS  
54 EAST 57TH STREET  
NEW YORK, N.Y. 10022

THE UNIVERSITY OF CHICAGO PRESS  
54 EAST 57TH STREET  
NEW YORK, N.Y. 10022

THE UNIVERSITY OF CHICAGO PRESS  
54 EAST 57TH STREET  
NEW YORK, N.Y. 10022

THE UNIVERSITY OF CHICAGO PRESS  
54 EAST 57TH STREET  
NEW YORK, N.Y. 10022

THE UNIVERSITY OF CHICAGO PRESS  
54 EAST 57TH STREET  
NEW YORK, N.Y. 10022

THE UNIVERSITY OF CHICAGO PRESS  
54 EAST 57TH STREET  
NEW YORK, N.Y. 10022

Von dem Fortschaffen der Lasten auf ganz oder nahe horizontalen Wegen. 581  
 zu sehen, folglich hat man das Moment, mit welchem  $R$  der Umdrehung  
 des Rades entgegenwirkt:

$$R \cdot CM = R \cdot \frac{3}{8} \sqrt[3]{\frac{3 R r}{\mu b}} = \frac{3}{8} \sqrt[3]{\frac{3 R^4 r}{\mu b}}.$$

Da sich der Widerstand  $R$  mit dem Gewichte  $Q$  des belasteten Rades  
 ins Gleichgewicht setzt, so haben wir auch  $R = Q$ , und folglich das ganze  
 Widerstandsmoment:

$$Pr = \varphi Q \varrho + \frac{3}{8} \sqrt[3]{\frac{3 Q^4 r}{\mu b}},$$

und die entsprechende Zugkraft an der Achse:

$$\begin{aligned} P &= \varphi \frac{\varrho}{r} Q + \frac{3}{8r} \sqrt[3]{\frac{3 Q^4 r}{\mu b}} \\ &= \varphi \frac{\varrho}{r} Q + \frac{3}{8} \sqrt[3]{\frac{3 Q^4}{\mu b r^2}} = \varphi \frac{\varrho}{r} Q + \psi \sqrt[3]{\frac{Q^4}{b r^2}} \\ &= \left( \varphi \varrho + \psi \sqrt[3]{\frac{Q r}{b}} \right) \frac{Q}{r}, \end{aligned}$$

insofern  $\psi$  den Coefficienten  $\frac{3}{8} \sqrt[3]{\frac{3}{\mu}}$  bezeichnet.

Während also der eine Theil der Zugkraft  $P$  einfach wie die Last  $Q$  und  
 wie das Verhältniß  $\frac{\varrho}{r}$  des Axenhalbmessers zum Radhalbmesser wächst,  
 nimmt der andere Theil im Verhältniß von  $Q^{3/4}$  zu und wächst umgekehrt  
 wie die Cubikwurzel aus der Rad- oder Geleisbreite  $b$  und aus dem Qua-  
 drate des Radhalbmessers  $r$ . Es ist also vortheilhaft, hohe und breittel-  
 ge Räder anzuwenden, und dieselbe Last auf mehrere Räder zu vertheilen.

§ 259 Auf eine ganz andere Weise ist der Widerstand zu beurthei-  
 len, welchen größere Unebenheiten oder Hervorragungen des Weges, z. B.  
 unverrückbare Steine, dem Fortrollen der Wagen entgegensetzen. Es tritt  
 dann bei jedem Anstoßen an ein solches Hinderniß eine plötzliche Rich-  
 tungsveränderung ein, womit bekanntlich alle Mal ein Verlust an leben-  
 digen Kraft verbunden ist, zumal wenn das Wagengestelle fest auf der  
 Achse sitzt, und folglich der Stoß ein fast unelastischer ist. Der diesem  
 Bewegungshindernisse entsprechende Kraftverlust ist wie folgt zu beurthei-  
 len. Das Wagenrad  $ABD$ , Fig. 520 (a. f. S.), welches auf dem Wege  
 $LA$  fortrollt, stoße bei  $B$  an eine Hervorragung  $BK$  von der Höhe  
 $AH = h$ , und sei durch Drehung um  $B$  auf dieselbe hinaufzubringen,  
 wobei seine Axe  $C$  den Kreisbogen  $CE$  beschreibt. Die Geschwindigkeit  $v$   
 der mit der Axe fest verbundenen Last  $Q$  zerlegt sich bei dem Anstoße in  
 die Seitengeschwindigkeiten  $v_1$  und  $v_2$ , wovon diejenige ( $v_2$ ), welche die

Widerstand  
 der Räder be-

Winkel der  
 Räder an  
 Steine.





**Abstract**

1. The first step is to identify the problem or question that needs to be answered. This involves understanding the context and the specific requirements of the task.

1999, 2000, 2001, 2002, 2003, 2004, 2005, 2006, 2007, 2008, 2009, 2010, 2011, 2012, 2013, 2014, 2015, 2016, 2017, 2018, 2019, 2020, 2021, 2022, 2023, 2024, 2025, 2026, 2027, 2028, 2029, 2030, 2031, 2032, 2033, 2034, 2035, 2036, 2037, 2038, 2039, 2040, 2041, 2042, 2043, 2044, 2045, 2046, 2047, 2048, 2049, 2050, 2051, 2052, 2053, 2054, 2055, 2056, 2057, 2058, 2059, 2060, 2061, 2062, 2063, 2064, 2065, 2066, 2067, 2068, 2069, 2070, 2071, 2072, 2073, 2074, 2075, 2076, 2077, 2078, 2079, 2080, 2081, 2082, 2083, 2084, 2085, 2086, 2087, 2088, 2089, 2090, 2091, 2092, 2093, 2094, 2095, 2096, 2097, 2098, 2099, 2100, 2101, 2102, 2103, 2104, 2105, 2106, 2107, 2108, 2109, 2110, 2111, 2112, 2113, 2114, 2115, 2116, 2117, 2118, 2119, 2120, 2121, 2122, 2123, 2124, 2125, 2126, 2127, 2128, 2129, 2130, 2131, 2132, 2133, 2134, 2135, 2136, 2137, 2138, 2139, 2140, 2141, 2142, 2143, 2144, 2145, 2146, 2147, 2148, 2149, 2150, 2151, 2152, 2153, 2154, 2155, 2156, 2157, 2158, 2159, 2160, 2161, 2162, 2163, 2164, 2165, 2166, 2167, 2168, 2169, 2170, 2171, 2172, 2173, 2174, 2175, 2176, 2177, 2178, 2179, 2180, 2181, 2182, 2183, 2184, 2185, 2186, 2187, 2188, 2189, 2190, 2191, 2192, 2193, 2194, 2195, 2196, 2197, 2198, 2199, 2200, 2201, 2202, 2203, 2204, 2205, 2206, 2207, 2208, 2209, 2210, 2211, 2212, 2213, 2214, 2215, 2216, 2217, 2218, 2219, 2220, 2221, 2222, 2223, 2224, 2225, 2226, 2227, 2228, 2229, 2230, 2231, 2232, 2233, 2234, 2235, 2236, 2237, 2238, 2239, 2240, 2241, 2242, 2243, 2244, 2245, 2246, 2247, 2248, 2249, 2250, 2251, 2252, 2253, 2254, 2255, 2256, 2257, 2258, 2259, 2260, 2261, 2262, 2263, 2264, 2265, 2266, 2267, 2268, 2269, 2270, 2271, 2272, 2273, 2274, 2275, 2276, 2277, 2278, 2279, 2280, 2281, 2282, 2283, 2284, 2285, 2286, 2287, 2288, 2289, 2290, 2291, 2292, 2293, 2294, 2295, 2296, 2297, 2298, 2299, 2300, 2301, 2302, 2303, 2304, 2305, 2306, 2307, 2308, 2309, 2310, 2311, 2312, 2313, 2314, 2315, 2316, 2317, 2318, 2319, 2320, 2321, 2322, 2323, 2324, 2325, 2326, 2327, 2328, 2329, 2330, 2331, 2332, 2333, 2334, 2335, 2336, 2337, 2338, 2339, 2340, 2341, 2342, 2343, 2344, 2345, 2346, 2347, 2348, 2349, 2350, 2351, 2352, 2353, 2354, 2355, 2356, 2357, 2358, 2359, 2360, 2361, 2362, 2363, 2364, 2365, 2366, 2367, 2368, 2369, 2370, 2371, 2372, 2373, 2374, 2375, 2376, 2377, 2378, 2379, 2380, 2381, 2382, 2383, 2384, 2385, 2386, 2387, 2388, 2389, 2390, 2391, 2392, 2393, 2394, 2395, 2396, 2397, 2398, 2399, 2400, 2401, 2402, 2403, 2404, 2405, 2406, 2407, 2408, 2409, 2410, 2411, 2412, 2413, 2414, 2415, 2416, 2417, 2418, 2419, 2420, 2421, 2422, 2423, 2424, 2425, 2426, 2427, 2428, 2429, 2430, 2431, 2432, 2433, 2434, 2435, 2436, 2437, 2438, 2439, 2440, 2441, 2442, 2443, 2444, 2445, 2446, 2447, 2448, 2449, 2450, 2451, 2452, 2453, 2454, 2455, 2456, 2457, 2458, 2459, 2460, 2461, 2462, 2463, 2464, 2465, 2466, 2467, 2468, 2469, 2470, 2471, 2472, 2473, 2474, 2475, 2476, 2477, 2478, 2479, 2480, 2481, 2482, 2483, 2484, 2485, 2486, 2487, 2488, 2489, 2490, 2491, 2492, 2493, 2494, 2495, 2496, 2497, 2498, 2499, 2500, 2501, 2502, 2503, 2504, 2505, 2506, 2507, 2508, 2509, 2510, 2511, 2512, 2513, 2514, 2515, 2516, 2517, 2518, 2519, 2520, 2521, 2522, 2523, 2524, 2525, 2526, 2527, 2528, 2529, 2530, 2531, 2532, 2533, 2534, 2535, 2536, 2537, 2538, 2539, 2540, 2541, 2542, 2543, 2544, 2545, 2546, 2547, 2548, 2549, 2550, 2551, 2552, 2553, 2554, 2555, 2556, 2557, 2558, 2559, 2560, 2561, 2562, 2563, 2564, 2565, 2566, 2567, 2568, 2569, 2570, 2571, 2572, 2573, 2574, 2575, 2576, 2577, 2578, 2579, 2580, 2581, 2582, 2583, 2584, 2585, 2586, 2587, 2588, 2589, 2590, 2591, 2592, 2593, 2594, 2595, 2596, 2597, 2598, 2599, 2600, 2601, 2602, 2603, 2604, 2605, 2606, 2607, 2608, 2609, 2610, 2611, 2612, 2613, 2614, 2615, 2616, 2617, 2618, 2619, 2620, 2621, 2622, 2623, 2624, 2625, 2626, 2627, 2628, 2629, 2630, 2631, 2632, 2633, 2634, 2635, 2636, 2637, 2638, 2639, 2640, 2641, 2642, 2643, 2644, 2645, 2646, 2647, 2648, 2649, 2650, 2651, 2652, 2653, 2654, 2655, 2656, 2657, 2658, 2659, 2660, 2661, 2662, 2663, 2664, 2665, 2666, 2667, 2668, 2669, 2670, 2671, 2672, 2673, 2674, 2675, 2676, 2677, 2678, 2679, 2680, 26

1. *Journal of the American Medical Association*, 273: 2539-2544, 1995.

1. *Journal of the American Medical Association*, 2000; 283: 2689-2695.

100

Figure 1

100



\_\_\_\_\_





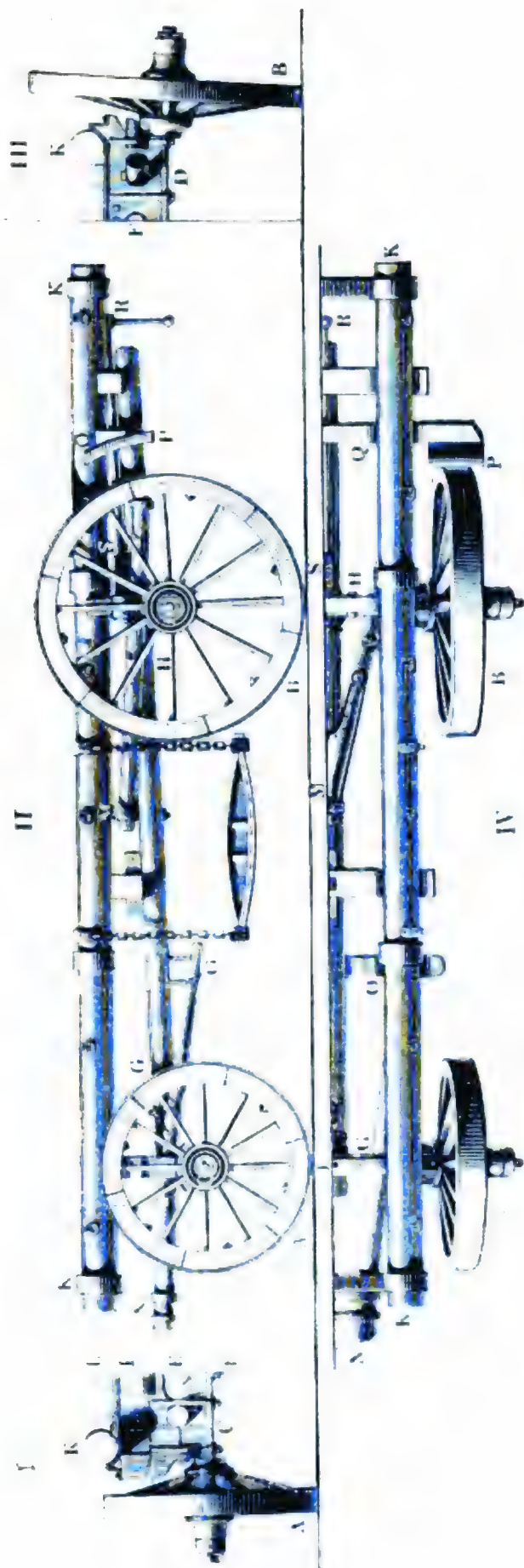
Viererräderiger  
Wagen.

und *D*, auf welchen die sogenannten Tragschemel *E* und *F* befestigt sind, die durch den sogenannten Langbaum *GH* mit einander in Verbindung stehen. Ueber dem Tragschemel *E* liegt noch ein zweites Querkholz, der sogenannte Lenkschemel *J* und dieser ist wieder mittels der Tragbäume, wie z. B. *KK*, mit dem Tragschemel *F* verbunden. Es bilden also die Schemel *F* und *J* mit den Tragbäumen ein Geviere, welches die Basis des Wagenraumes abgibt. Um den Wagen lenken oder ihm mit Leichtigkeit eine andere Richtung geben zu können, ist es nöthig, daß man die vordere Radare unabhängig von dem übrigen Radgestelle in der Horizontalebene um einen gewissen Winkel drehen könne, und dies wird durch einen starken eisernen Stift, den sogenannten Reihnagel *LL* bewirkt. Derselbe geht senkrecht durch die Mitte der vorderen Radare, und zwar nicht allein durch den Tragschemel *E* und den Lenkschemel *J*, sondern auch noch durch das übrigens in *E* frei bewegliche Ende des Langbaumes. Durch den Tragschemel *F* geht ein Paar Arme hindurch, welche bei *M* mit dem Langbaum fest verbunden sind; und durch den Tragschemel *E* sind zwei andere Arme hindurchgesteckt, an welche sich bei *N* die Deichsel anschließt und die deshalb die Deichselarme genannt werden. Zur weiteren Unterstützung der Deichsel dient ein Querkholz *O*, die sogenannte Brücke, welche sich in der Mitte gegen den Langbaum stützt. Noch sieht man in *PQRS* das aus §. 166 bekannte Reime- oder Schleifwerk, welches in der Hauptsache aus zwei eisernen Platten, wie z. B. *P*, besteht, die auf einem Querarm *Q* feststehen, der mittels der Schraubenspindel *RS* hin- und zurückgeschoben werden kann.

Der Angriffspunkt der Zugkraft oder der Befestigungspunkt des sogenannten Dreischeites befindet sich im Niveau der vorderen Radare, und zwar am Ende der Deichsel, wo diese mit ihren Armen verbunden ist. Er liegt also auch ungefähr um den Halbmesser der Vorderräder über dem Fahrwege. Da es nun aber vorthailhaft ist, wenn die Zugkraft unter einem gewissen, der Größe des Widerstandes entsprechenden Winkel von unten nach oben wirkt, so giebt man in der Regel den Vorderrädern eines Wagens einen kleineren Durchmesser als den Hinterrädern, obgleich im Allgemeinen die Kraft zur Bewegung des Wagens kleiner ausfällt, wenn die Höhe der Räder eine größere ist. Dieses schiefe Ziehen der Kraft, und folglich die Anwendung von kleineren Vorderrädern, ist besonders bei schlechten Gebirgswegen von Wichtigkeit.

§. 261. Die in §. 258 gefundenen Formeln für die Bewegung eines belasteten Rades oder Räderpaares lassen sich auch dazu anwenden, die Zugkraft viererräderiger Fuhrwerke auf ebenen Fahrstraßen zu bestimmen. Es sei wieder die Größe der Förderlast  $= Q$ , die des Wagenkastens oder

Fig. 524.





oder annähernd und einfacher, wenn wir  $\psi \sqrt[3]{\frac{Qr}{b}}$ , worin  $r$  das Mittel Vieräderiger  
Wagen. aus beiden Radhalbmessern bezeichnet, durch  $\psi_1$  bezeichnen:

$$P_2 = \frac{\psi_1}{r_1} \left( (1 + \nu) \frac{e_2}{e} Q + R_1 \right) + \frac{\psi_1}{r_2} \left( (1 + \nu) \frac{e_1}{e} Q + R_2 \right) \\ = \psi_1 \left[ (1 + \nu) \left( \frac{e_2}{r_1} + \frac{e_1}{r_2} \right) \frac{Q}{e} + \frac{R_1}{r_1} + \frac{R_2}{r_2} \right].$$

Hiernach ist nun die gesammte Zugkraft, wofür der Wagen keine Stein- oder andere Hervorragungen zu überschreiten hat:

$$P = P_1 + P_2 = \varphi (1 + \nu) \left( \frac{e_1 e_2}{r_1} + \frac{e_2 e_1}{r_2} \right) \frac{Q}{e} \\ + \psi_1 \left[ (1 + \nu) \left( \frac{e_2}{r_1} + \frac{e_1}{r_2} \right) \frac{Q}{e} + \frac{R_1}{r_1} + \frac{R_2}{r_2} \right] \\ = (1 + \nu) \left[ \varphi \left( \frac{e_1 e_2}{r_1} + \frac{e_2 e_1}{r_2} \right) + \psi_1 \left( \frac{e_2}{r_1} + \frac{e_1}{r_2} \right) \right] \frac{Q}{e} \\ + \psi_1 \left( \frac{R_1}{r_1} + \frac{R_2}{r_2} \right).$$

Wenn die Straße unter dem Winkel  $\alpha$  ansteigt, so ist zu dieser Kraft (vergl. §. 253) noch die Kraft

$$(Q + Q_1 + R_1 + R_2 + G) \sin. \alpha = [(1 + \nu) Q + R_1 + R_2 + G] \sin. \alpha,$$

wo  $G$  das Gewicht des Motors bezeichnet, hinzuzufügen.

Außerdem verändert sich auch hierbei die Lage des Schwerpunktes der Last gegen die Radaxen, wobei die Verhältnisse  $\frac{e_1}{e}$  und  $\frac{e_2}{e}$ , und folglich auch beide Theile  $P_1$  und  $P_2$  der Kraft eine Aenderung erleiden. Gelangt der Wagen auf eine ansteigende Straße, so bewegt sich der Schwerpunkt des Wagens einwärts und es nimmt folglich  $\frac{e_2}{e}$  ab und  $\frac{e_1}{e}$  zu, und kommt er dagegen auf einen abfallenden Weg, so tritt das Umgekehrte ein, es nimmt  $\frac{e_2}{e}$  zu und  $\frac{e_1}{e}$  ab. Dadurch erhält im ersten Falle die hintere und im zweiten die vordere Achse eine größere Belastung, und dies ist ein Grund mehr, daß man der ohnedies stärker belasteten Hinterachse größere Räder giebt als der Vorderachse. Die Armverhältnisse  $\frac{e_1}{e}$  und  $\frac{e_2}{e}$  bei einer geneigten Bahn lassen sich genau so berechnen, wie die einer gewöhnlichen Waage. (S. II., §. 69.) Denken wir uns den Wagenkasten  $CDFE$  um seinen Schwerpunkt  $S$  gedreht, und dadurch in die Lage  $C_1 D_1 F_1 E_1$  gebracht; dadurch geht der Arm  $SE = SE_1 = e_1$  in  $SG$  und der Arm  $SF = SF_1$  in  $SH$  über. Bezeichnen wir nun den Drehungswinkel





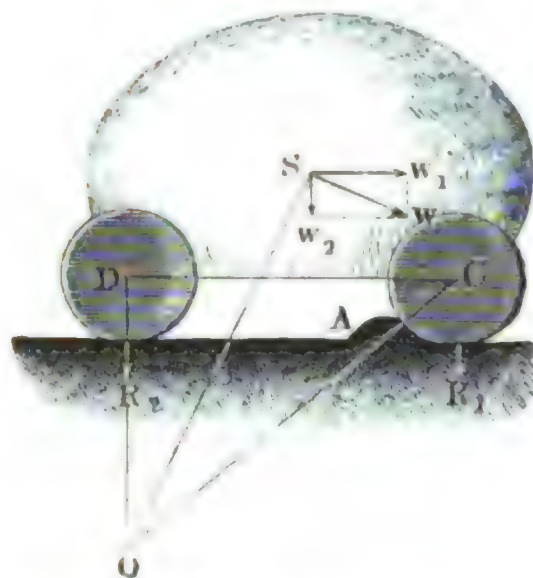


Uebrigst  
Wagen.

Es hängen also die Geschwindigkeitsverluste nicht allein von den Horizontalabständen  $e_1$  und  $e_2$ , sondern auch von dem Vertikalabstande  $a$  des Schwerpunktes  $S$  von den Radaren  $C$  und  $D$  ab.

Auf ähnliche Weise läßt sich auch der Geschwindigkeitsverlust finden,

Fig. 528.



wenn das eine Räderpaar, z. B.  $C$  in Fig. 528, von einem Hindernisse  $A$  herabrollt. Es ist hier die verlorene Geschwindigkeit:

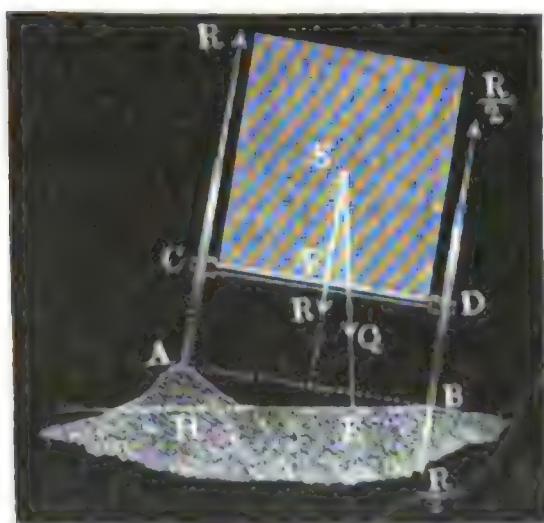
$$w_2 = w \sin. DOS = w \sin. \beta$$

$$= \frac{w e_2}{\sqrt{e_2^2 + (e \cotg. \alpha + a)^2}}$$

Während bei den in Fig. 526 und Fig. 527 abgebildeten Fällen die Stoßkräfte  $R_1$ ,  $R_2$  einen Winkel  $COD$  zwischen sich einschließen, laufen in diesem Falle die Richtungen dieser Kräfte unter sich parallel.

Stoßen beide Räderpaare zugleich an gleich hohe Hindernisse, so ist  $\beta = \alpha$  und daher  $v_2 = v \sin. \alpha$ , wie in dem Falle, wenn die trägen Massen an der Radare feststehen. Das Verhältniß ist aber viel verwickelter, wenn, wie meist, nur ein Rad  $AC$ , Fig. 529, an ein hartes Hinderniß stößt.

Fig. 529.



Ist  $d$  die Länge  $CD$  der Radare oder der Abstand der beiden Räder einer Achse von einander und  $h$  die Höhe  $AB$  des Hindernisses, so hat man für den Neigungswinkel  $ABH = \delta$  der Radare gegen den Horizont:

$$\sin. \delta = \frac{h}{d}$$

Liegt der Schwerpunkt der Last  $Q$  um die Höhe  $FS = a$  über der Radare, so hat man den Hebelarm dieser Last in Hinsicht auf den Fußpunkt des ungehobenen Rades:

$$BE = x = \frac{d}{2} \cos. \beta - (r + a) \sin. \beta.$$

Es nähert sich dieser Arm, und also auch die Stabilität des Wagens bei gleicher Achsneigung  $\beta$  um so mehr der Null, je höher die Räder sind, je höher der Schwerpunkt der Ladung liegt und je kürzer die Achslänge  $d$  ist. Die letzten beiden Ausdrücke finden jedoch nur dann eine unmittelbare Anwendung, wenn beide Räder auf einer und derselben Seite



Von dem Fortschaffen der Lasten auf ganz oder nahe horizontalen Wegen. 593  
 des Rades an ein Hinderniß zugleich stoßen, so daß jede Radaxe die Nei- Ueberschieber-  
Wagen.  
 gung  $\sin. \beta = \frac{h}{d}$  annimmt. Ist aber nur eine Radaxe geneigt, so hat  
 man in dem Ausdrucke:

$$x = \frac{d}{2} \cos. \beta - (a + r) \sin. \beta$$

für das Maß der Stabilität des ganzen Wagens statt  $\sin. \beta = \frac{1}{2} \frac{h}{d}$   
 einzusetzen. Ist endlich  $\tan. \beta > \frac{d}{2(a+r)}$ , so fällt der Wagen um.

Die Neigung  $\beta$  kann die eine oder können beide Radaxen auch dann  
 annehmen, wenn die Fahrstraße nach der einen Seite hin abschüssig ist.  
 Doch ist hier ein Umstürzen des Wagens weniger leicht möglich, als beim  
 Anstoßen an Hervorragungen, weil dort auch noch die Wirkungen des  
 Stoßes hinzutreten. Da in diesem Falle die Reaction ( $-R$ ) des Hinder-  
 nisses  $A$  nicht der im Schwerpunkte  $S_1$  der Belastung angreifenden Träg-  
 heitskraft  $R$  direct entgegenwirkt, so bildet sich noch ein Kräftepaar  
 $\frac{R}{2}, -\frac{R}{2}$ , welches den Wagen um den Fußpunkt  $B$  des tieferstehenden  
 Rades zu drehen sucht und folglich dem Momente des Gewichtes  $Q$  ent-  
 gegenwirkt. Das Moment dieses Kräftepaares ist  $Rd$ , während das  
 Moment vom Gewichte  $Q$ ,  $Qx$  beträgt; wenn also

$$Rd > Q \left( \frac{d}{2} \cos. \beta - (a + r) \sin. \beta \right),$$

oder wenn

$$\tan. \beta > \frac{d}{2(a+r)} - \frac{Rd}{Q(a+r) \cos. \beta}$$

ist, so verliert der Wagen seine Stabilität.

Bei der gewöhnlichen, uns aus §. 260 bekannten Einrichtung der  
 Wagen haben übrigens während der Neigung der einen Radaxe der Lang-  
 baum, sowie auch die beiden Tragbäume eine Torsion auszuhalten, wodurch  
 die Haltbarkeit des ganzen Wagens sehr gefährdet sein kann.

§. 263. Nach den ausführlichsten Versuchen, welche in neuerer Zeit Widerstands-  
coefficienten.  
 von Morin angestellt worden sind, ist der Widerstand, welchen ein gutes  
 Steinpflaster oder eine festzusammengefahrene Schotterstraße der Bewe-  
 gung der Wagen entgegensetzt,

- 1) nahe direct proportional der Last,
- 2) umgekehrt proportional der Radhöhe, und dagegen
- 3) beinahe unabhängig von der Anzahl der Räder und von der Felgen-  
 oder Radreifenbreite.

Widerstands-  
coefficienten.

Auf weichem oder zusammendrückbarem Boden, sowie auch auf frisch beschotterten Straßen nimmt dagegen dieser Widerstand ab, wenn die Reifenbreite eine größere wird. Beim langsamen Fahren (unter 3 Fuß Geschwindigkeit) ist dieser Widerstand ziemlich unabhängig von der Geschwindigkeit und eben so groß bei Wagen mit Federn wie bei Wagen ohne Federn. Bei größerer Schnelligkeit wächst dagegen dieser Widerstand, zumal während des Fahrens auf harter Schotterstraße oder auf Steinpflaster, nahe proportional der Geschwindigkeit; auch ist hierbei die Kraft kleiner, wenn der Wagenkasten in Federn hängt, als wenn er fest auf den Radaxen aufliegt. Je elastischer der Fahrweg und je elastischer der Wagen sowie die Last auf demselben ist, desto kleiner fällt in diesem Falle auch die Zugkraft aus.

Die Reifenbreite von 4 bis  $4\frac{1}{2}$  Zoll ist bei Lastwagen die angemessenste, da schmalere Räder die Straße zu sehr angreifen, und breitere keine Kraftersparniß geben. Die Umstände und Verhältnisse, welche die Zugkraft steigern, verschlechtern natürlich auch die Fahrstraße.

Die ersten der im Vorstehenden angegebenen Regeln weichen besonders darin von der weiter oben entwickelten Theorie ab, als dieser zu Folge die

Zugkraft dem Ausdrücke  $\sqrt[3]{\frac{Q^4}{b r^2}}$  proportional ist, also direct wie  $Q^{\frac{4}{3}}$  und umgekehrt wie  $\sqrt[3]{r^2}$  und  $\sqrt[3]{b}$  wächst. Nun ist aber:

$$\sqrt[3]{Q^4} = \sqrt[3]{Q} \cdot Q, \sqrt[3]{r^2} = \sqrt[3]{\frac{1}{r}} \cdot r \text{ und } \sqrt[3]{1,1} = 1,032;$$

wenn folglich die Werthe von  $Q$ ,  $r$  und  $b$  innerhalb enger Grenzen schwanken und von gewissen mittleren Werthen nicht um mehr als 10 Procent abweichen, so kann man annähernd  $1,032 = 1$ , also für  $\sqrt[3]{Q}$ ,  $\sqrt[3]{r}$  und  $\sqrt[3]{b}$  constante mittlere Werthe setzen, und nach Morin rechnen, daß die Zugkraft der Last  $Q$  direct und dem Radhalbmesser  $r$  umgekehrt wachse, dagegen aber von der Reifenbreite  $b$  gar nicht abhänge. Diese Voraussetzung läßt sich noch besonders dadurch rechtfertigen, daß der Widerstand der Fuhrwerke nicht allein aus der Zusammendrückung des Bodens, sondern auch aus der Reibung und, namentlich beim Fahren auf einer harten Straße, aus einer Menge von Stößen entspringt, und daß bei den zuletzt genannten Hindernissen, der Theorie zu Folge, diese Proportionalität wirklich statt hat.

Folgende Tabelle enthält die verschiedenen Widerstandscoefficienten einiger Wagen auf verschiedenen Straßen. Um die Kraft  $P$  zum Fortziehen einer Last  $Q$  zu finden, muß man zu derselben noch das ganze Wagen-  
gewicht ( $Q_1 + R_1 + R_2$ ) addiren, und diese Summe mit dem aus der Tabelle entnommenen Widerstandscoefficienten  $\xi$  multipliciren, also



$$P = \xi (Q + Q_1 + R_1 + R_2)$$

Widerstands-  
coefficienten

setzen.

Hat die Straße ein Ansteigen  $\alpha$ , und der Motor ein Gewicht  $G$ , so kommt hierzu noch die Kraft:

$$P_1 = (Q + Q_1 + R_1 + R_2 + G) \sin. \alpha.$$

Tabelle der Widerstandscoefficienten für Fuhrwerke.

Die Reifenbreite ist 4 bis 4½ Zoll, die Arenstärke 2½ Zoll, der Coefficient der Arenreibung  $\varphi = 0,065$ .

Bezeichnung der Straße.	Frachtwagen.		Karren.		Gilwagen.
	Mittl. Radhöhe in Fuß.		Radhöhe in Fuß.		Radhöhe in Fuß.
	4	4½	5	6⅔	3½
I. Schotterstraße:					
1) in sehr gutem Zustande, trocken und eben.	1/50	1/58	1/68	1/83	Schritt 1/48 Trab 1/41 sch. Trab 1/40
2) wenig feucht, mit Staub und einigen freiliegenden Schotterstücken.	1/35	1/41	1/47	1/59	Schritt 1/34 Trab 1/27 sch. Trab 1/24
3) sehr hart, grober Schotter, naß.	1/48	1/56	1/57	1/71	Schritt 1/18 Trab 1/27 sch. Trab 1/23
4) hart, mit leichten Geleisen und weichem Koth.	1/27	1/32	1/36	1/45	Schritt 1/26 Trab 1/22 sch. Trab 1/20
5) hart mit Geleisen und Koth.	1/22	1/26	1/30	1/37	Schritt 1/21 Trab 1/18 sch. Trab 1/17
6) sehr verfahren und mit dickem Koth.	1/19	1/22	1/25	1/31	Schritt 1/18 Trab 1/16 sch. Trab 1/15
7) sehr aufgerissen, mit Koth und 2 bis 3 Zoll tiefen Geleisen.	1/14	1/17	1/19	1/24	Schritt 1/14 Trab 1/12 sch. Trab 1/12
8) sehr schlecht, dicker Koth, harter und rauher Grund, 3 bis 4 Zoll tiefe Geleise.	1/13	1/15	1/17	1/21	Schritt 1/12 Trab 1/10
II. Sandsteinpflaster:					
1) sehr gutes.	1/65	1/75	1/86	1/109	Schritt 1/52 Trab 1/42 sch. Trab 1/36
2) gewöhnliches, trocken.	1/60	1/70	1/80	1/100	Schritt 1/57 Trab 1/41 sch. Trab 1/36

Widerstands-  
coefficienten.

Tabelle der Widerstandscoefficienten für Fuhrwerke.  
(Fortsetzung von vorhergehender Seite.)

Bezeichnung der Straße.	Frachtwagen.		Karren.		Gilwagen.
	Mittl. Radhöhe in Fuß.		Radhöhe in Fuß.		Radhöhe in Fuß.
	4	4½	5	6⅔	3½
3) gewöhnliches, naß und mit Koth.	1/40	1/34	1/74	1/70	{ Schritt 1/44 Trab 1/39 sch. Trab 1/30
III. Brückenbahn von Holz . . .	1/43	1/30	1/69	1/71	Schr. u. Tr. 1/41
IV. Erdbamm:					
1) sehr gut und trocken . . .	1/27	1/22	1/36	1/15	" " " 1/20
2) mit einer 1 bis 1⅔ Zoll hohen Kiesdecke . . . .	1/10	1/12	1/14	1/17	" " " 1/10
3) mit einer 2 bis 3½ Zoll hohen Kiesdecke . . . .	1/9	1/10	1/12	1/15	" " " 1/9
4) mit einer 4 bis 5½ Zoll hohen Kieseldecke . . . .	1/8	1/10	1/11	1/14	" " " 1/8
V. Straße m. ungebahntem Schnee	1/14	1/17	1/19	1/21	" " " 1/14

Beispiel. Welche Zugkraft erfordert ein belasteter Wagen von 8000 Pfund zu seiner Fortbewegung auf einer horizontalen Schotterstraße von mittlerer Güte? Nehmen wir an, daß die mittlere Radhöhe 4½ Fuß betrage, so können wir der vorstehenden Tabelle zu Folge den Widerstandscoefficienten  $\zeta = \frac{1}{41}$  und folglich die erforderliche Zugkraft:

$$P = \zeta \cdot (Q + Q_1 + \dots) = \frac{1}{41} \cdot 8000 = 195 \text{ Pfund setzen.}$$

Nun ist aber nach II., §. 80, die mittlere Zugkraft eines Pferdes,  $K = 120$  Pfund, und die mittlere Geschwindigkeit desselben  $c = 4$  Fuß, folglich wären zum Fortziehen dieses Wagens 2 Pferde nöthig, und die zu fordernde Geschwindigkeit des Wagens:

$$v = \left(2 - \frac{P}{K}\right) c = \left(2 - \frac{195}{240}\right) \cdot 4 = 4,75 \text{ Fuß.}$$

Hat dieselbe Straße ein Ansteigen von  $\alpha = \frac{1}{50}$ , so ist zu der gefundenen Kraft noch  $P_1 = \alpha (Q + Q_1 + \dots)$  zu addiren. Spannt man dann 4 Zugpferde vor, so wird dadurch die Belastung um  $4 \cdot 600 = 2400$  Pfund größer; es ist folglich die Last:

$$Q + Q_1 + \dots = 8000 + 2400 = 10400 \text{ Pfund,}$$

und

$$P_1 = \frac{1}{50} \cdot 10400 = 208 \text{ Pfund,}$$

Widerstands-  
coefficienten.

also die ganze Zugkraft:

$$P = 195 + 208 = 403 \text{ Pfund,}$$

und die entsprechende Fahrgeschwindigkeit:

$$v = \left(2 - \frac{403}{480}\right) \cdot 4 = 4,64 \text{ Fuß.}$$

Behält man dagegen nur 2 Pferde bei, so hat man:

$$P = 195 + \frac{1}{50} \cdot (8000 + 1200) = 195 + 184 = 379 \text{ Pfund,}$$

und

$$v = \left(2 - \frac{379}{240}\right) \cdot 4 = 1,685 \text{ Fuß.}$$

Hätte endlich die Straße ein Fallen  $\alpha$  von  $\frac{1}{50}$ , so würde bei zwei Zugpferden der Gewinn an Kraft

$$P_1 = \frac{1}{50} \cdot (8000 + 1200) = 184 \text{ Pfund}$$

betragen, und folglich die Zugkraft der Pferde nur

$$P = 195 - 184 = 11 \text{ Pfund,}$$

und die entsprechende Geschwindigkeit

$$v = \left(2 - \frac{11}{240}\right) \cdot 4 = 7,817 \text{ Fuß betragen.}$$

Aus den Geschwindigkeiten  $v$  und den Weglängen  $s$  lassen sich die Fahrzeiten  $\left(t = \frac{s}{v}\right)$  berechnen, und ist die Summe dieser Zeiten der täglichen Arbeitszeit  $8 \cdot 60 \cdot 60 = 28800$  Secunden gleich, so hat man in der Summe der Weglängen den täglich zurückgelegten Weg. Wäre z. B. in dem vorliegenden Falle die Länge des ansteigenden Weges 20000 Fuß, und die des abfallenden 24000 Fuß, so hätte man mit Beibehaltung von zwei Pferden die entsprechenden Zeiten:

$$\frac{20000}{1,685} = 11869 \text{ Sec. und } \frac{24000}{7,817} = 3070 \text{ Sec.,}$$

und es bliebe folglich für das Fahren auf dem horizontalen Theil der Straße die Zeit:  $28800 - (11869 + 3070) = 13861$  Sec., also die Fahrweglänge  $\frac{13861}{4,75} = 2918$  Fuß übrig.

Anmerkung I. \*) Mit Hülfe der zuletzt angegebenen Formeln für die Zugkraft der Wagen läßt sich auch das vortheilhafteste Ansteigen der Straßen finden. Der Ausdruck  $P = \zeta (Q + Q_1) + (Q + Q_1 + G) \sin. \alpha$  für die Zugkraft  $P$  geht, wenn man das Gewicht  $Q_1$  des ganzen leeren Wagens  $= \nu Q$  und das Gewicht  $G$  der Pferde  $= \mu K$  setzt, in folgenden

$$\left(2 - \frac{v}{c}\right) K = (\zeta + \sin. \alpha) (1 + \nu) Q + \mu K \sin. \alpha$$

über, woraus die Last

$$Q = \frac{\left(2 - \frac{v}{c} - \mu \sin. \alpha\right) K}{(1 + \nu) (\zeta + \sin. \alpha)} \text{ folgt.}$$

Da es nur darauf ankommt,  $Q$  auf eine gewisse Höhe zu heben, so ist die Nutzlast  $Q \sin. \alpha$ , und die Nutzleistung:

Widerstands-  
coefficienten.

$$Q v \sin. \alpha = \frac{\left(2 - \frac{v}{c} - \mu \sin. \alpha\right) K v \sin. \alpha}{(1 + v) (\zeta + \sin. \alpha)}.$$

Damit diese ein Maximum werde, hat man diesen Ausdruck ein Mal in Hinsicht auf  $v$  und ein anderes Mal in Hinsicht auf  $\alpha$  zu differenziiiren, und die so erhaltenen Differenzialquotienten Null zu setzen. Auf diese Weise findet man:

$$\frac{v}{c} = 1 - \frac{\mu \sin. \alpha}{2} \text{ und } (\sin. \alpha)^2 + 2 \sin. \alpha = \frac{\zeta}{\mu} \left(2 - \frac{v}{c}\right),$$

woraus sich  $\sin. \alpha = -\frac{1}{4}\zeta + \sqrt{\frac{\zeta}{\mu} + \frac{9}{16}\zeta^2}$  ergibt, und hiernach das vortheilhafteste Ansteigen  $\alpha$  bestimmt ist.

B. B. für  $\zeta = \frac{1}{30}$  und  $\mu = 5$  hat man:

$$\sin. \alpha = -\frac{1}{40} + \sqrt{\frac{1}{150} + \frac{9}{16} \frac{1}{900}} = -0,025 + 0,0882 \\ = 0,0632 = \frac{1}{16}.$$

Anmerkung II. Versuche über die Widerstände der Straßen sind in früheren Zeiten von Rumford, Edgeworth, Bevan u. s. w. und in neueren Zeiten in sehr ausgedehntem Maße von Morin, nächst dem auch von Kossak, von der königl. bayerischen Artillerie u. s. w. angestellt worden. Ausführlich über diese Versuche handelt Brir in der Schrift: Ueber die Reibung und den Widerstand der Fuhrwerke auf Straßen, Berlin 1850. Auch ist hierüber nachzulesen Gerstner's Mechanik, Band I, Kap. VII. Die oben §. 258 entwickelte Formel über den Widerstand des zusammengedrückbaren Bodens wird in den letzter beiden Werken zuerst mitgetheilt. Die Theorie der Fuhrwerke wird ferner behandelt in der Théorie des affuts et des voitures d'artillerie, par Migout et Berchery, Paris 1840. Das Hauptwerk von Morin hat den Titel: Expériences sur le tirage des voitures et sur les effets destructeurs qu'elles s'exercent sur les routes, par A. Morin. Paris 1842. Die Hauptergebnisse der Morin'schen Versuche sind auch in Morin's Aide-mémoire de mécanique pratique enthalten.

Schienen-  
bahnen.

§. 264. Um den Widerstand, welchen die Straße der Umdrehung der Wagenräder entgegensetzt, so viel wie möglich herabzuziehen, läßt man die Räder auf besonderen Schienen (franz. und engl. rails) laufen. Zwei solcher Schienen liegen in parallelen Richtungen neben einander und bilden eine sogenannte Schienenbahn (franz. chemin à ornières; engl. railroad). Nur selten läßt man diese Schienen aus bloßen Holz- oder Steinschwellen bestehen, mit mehr Vortheil wendet man gußeiserne Schienen an, am zweckmäßigsten und deshalb am häufigsten sind aber die aus gefrischtem Eisen gewalzten Schienen, und die hiernach benannten Eisenbahnen (franz. chemins de fer; engl. [iron] railways). Der Widerstand dieser Schienen besteht fast nur aus der wälzenden Reibung, welche, wie wir wissen (§. I., §. 174), bei Rädern von einiger Höhe sehr klein ist in Hinsicht auf die Aerenreibung. Während überhaupt bei dem Fortschaffen der Lasten auf Schotterstraßen (franz. chaussées en empierrément:

engl. broken-stone roads) der Widerstand an dem Umfange der Räder der größere und der an dem Umfange der Axen der kleinere ist, tritt bei dem Transport auf Eisenbahnen gerade das Gegentheil ein; es ist nämlich hier die Axenreibung der größere und die wälzende Reibung am Umfange der Räder der kleinere Widerstand. Für die Axenreibung ist der Reibungscoefficient  $\varphi = 0,054$  (s. I., §. 164), und folglich, bei der Axenstärke von  $2\frac{1}{2}$  Zoll und der Radhöhe von 50 Zoll, die auf den Radumfang reducirte Zapfenreibung:

Schienenbahnen.

$$F_1 = \varphi \frac{Q}{r} = 0,054 \cdot \frac{5}{100} Q = 0,0027 Q.$$

Für die wälzende Reibung ist hingegen  $\varphi = 0,018$ ; ist daher der Radhalbmesser  $r = 25$  Zoll, so hat man die Größe dieses Reibungswiderstandes:

$$F_2 = \varphi \frac{Q}{r} = 0,018 \frac{Q}{25} = 0,00072 Q,$$

d. i.  $\frac{72}{270} = \frac{4}{15}$  mal so groß als die Zapfenreibung, oder circa  $26\frac{2}{3}$  Procent der letzteren. Hiernach ist der gesammte Reibungswiderstand bei der Bewegung eines Wagens auf einer Schienenbahn:

$$F_1 + F_2 = 0,00270 Q + 0,00072 Q = 0,00342 Q,$$

d. i. circa ein Drittel Procent der Last. Beim Fahren auf einer sehr guten Chaussee ist dieser Widerstand (s. Tabelle §. 263)  $\frac{1}{50} Q = 0,02 Q$ ,

d. i. 2 Procent  $Q$ ; diesem zu Folge wäre also die Kraft zum Fortschaffen der Lasten auf den besten horizontalen Straßen  $\frac{0,02000}{0,00342} = 5,85$ , also

nahe 6mal so groß, als auf Eisenbahnen. Beim Transport auf schlecht unterhaltenen Straßen steigert sich der Widerstand auf  $\frac{1}{20} Q = 0,05 Q$ ,

dann ist also die Kraft zum Transport auf Straßen  $\frac{5000}{342} = 14,6$  mal

so groß als auf Eisenbahnen. Hiernach ist nun der große Vortheil der Eisenbahnförderung im Vergleich zur Straßenförderung zu ermessen.

Dieses günstige Verhältniß der Eisenbahnen wird jedoch beim Ansteigen ( $\alpha$ ) derselben bedeutend gemäßigt, da hier für beide Arten des Fortschaffens in Folge der Schwerkraft überdies noch die Kraft  $Q \sin. \alpha$  (vergl.

§. 253) erfordert wird. Wäre nun z. B. das Ansteigen  $\sin. \alpha = \frac{1}{100}$ ,

hätte also sowohl die Eisenbahn als auch die Straße auf je 100 Fuß Erstreckung 1 Fuß Ansteigen, so würde zu den gefundenen Widerständen noch  $0,01 Q$  zu addiren sein, also der Widerstand auf der Eisenbahn

$$0,0034 Q + 0,0100 Q = 0,0134 Q,$$



und dagegen auf der Straße, im ersten Falle:

$$0,02 Q + 0,01 Q = 0,03 Q,$$

und im zweiten:  $0,05 Q + 0,01 Q = 0,06 Q$  betragen.

Es wäre also dann für den einen Fall die Zugkraft auf der Straße nur  $\frac{0,0300}{0,0134} = 2\frac{1}{4}$ , und für den zweiten dieselbe nur  $\frac{0,060}{0,0134} = 4\frac{1}{2}$ mal so groß als auf der Eisenbahn. Läuft die Straße oder Schienenbahn abwärts, so kommt natürlich die Schwerkraft mit der Größe  $Q \sin. \alpha$  der Kraft zur Ueberwindung der übrigen Widerstände zu Hülfe, und ist diese Kraft größer als die Reibungswiderstände, so tritt sogar ein Kraftüberschuß hervor, der nur durch Einhemmen oder Bremsen (vergl. S. 165) zu vernichten ist. Hätten wir z. B.  $\sin. \alpha = \frac{1}{100}$  (Fallen), so würde die Kraft zum Fortschaffen auf der Eisenbahn

$$0,0034 Q - 0,01 Q = - 0,0066 Q$$

sein, also ein Kraftüberschuß von circa  $\frac{2}{3}$  Procent der Last durch Bremsen aufzuheben sein, dagegen hätte man die Kraft auf der Straße

$$\text{im ersten Falle: } 0,02 Q - 0,01 Q = 0,01 Q,$$

$$\text{und im zweiten: } 0,05 Q - 0,01 Q = 0,04 Q.$$

Wenn wir die Kraft zum Fortschaffen auf horizontalen Eisenbahnen wegen Hinzutritt anderer Nebenhindernisse, z. B. wegen der Seitenreibungen an den Schienen, wegen des Luftwiderstandes u. s. w.,  $P = 0,004 Q$  setzen, so müssen wir dieselbe für das Fortschaffen auf einer Bahn von  $\alpha$  Ansteigen  $(0,004 + \sin. \alpha) Q$  annehmen, und erhalten also für das Ansteigen  $\sin. \alpha = \frac{1}{250} = 0,004$ , die doppelte Kraft, ferner für ein An-

steigen  $\sin. \alpha = \frac{1}{100}$ , schon die  $1\frac{1}{4} = 3\frac{1}{2}$ fache Kraft, und für ein

Ansteigen von  $\sin. \alpha = \frac{1}{50}$ , sogar die 6fache Kraft. Es ist also im letzteren Falle der Arbeitsaufwand zum Fortschaffen einer Last auf 1 Meile Bahn ebenso groß als zum Fortschaffen derselben auf einer horizontalen Bahnstrecke von 6 Meilen Länge. Man ersieht hieraus, daß die Zugkraft der Wagen auf einer Eisenbahn mit verschiedenen Steigungsverhältnissen innerhalb sehr weiter Grenzen schwankt.

Schienen und  
Schwellen.

§. 265. Die Eisenschienen, welche man zu den Schienenbahnen verwendet, haben sehr verschiedene Querprofile. Wollte man Wagen mit gewöhnlichen Rädern auf einer Schienenbahn laufen lassen, so müßte man den Schienen einen nach oben vorstehenden Rand geben, welcher das Abgleiten der Wagen von der Bahn verhindert; solche Spurschienen

wurden früher bei Berg- und Hüttenwerken angewendet und sind in England unter dem Namen tram-roads bekannt. Da es aber viel einfacher und viel vollkommener ist, wenn man das Abgleiten der Wagen von der Bahn durch Ränder, welche an den Rädern selbst sitzen, verhindert, so wendet man jetzt in der Regel randlose Kantenschienen (franz. ornieres saillantes; engl. edge-rails) an, und giebt den Wagenrädern an der inneren Seite ringsherum einen vorstehenden Rand, den sogenannten Spurkranz. Da das Rad auf der Drehbank abgedreht werden kann, so läßt sich natürlich auch der Spurkranz genauer herstellen als der Spurrand einer Spurschiene.

Kantenschienen aus gewöhnlichem Flacheisen, mit rectangulärem Querschnitte, wendet man nur zum Transport kleinerer Lasten, wie z. B. in Bergwerken an; man legt dieselben entweder breit auf, oder stellt sie, und zwar mit Vortheil, auf's Hohe. Bei Eisenbahnen, auf welchen Dampfwagen fahren, wendet man dagegen meist sogenannte Stuhlschienen an, deren Querprofil einen breiten Kopf A von beinahe elliptischer Form haben. In Fig. 530 ist das Querprofil einer einfachen und in Fig. 531

Fig. 530.



Fig. 531.



Fig. 532.



Fig. 533.



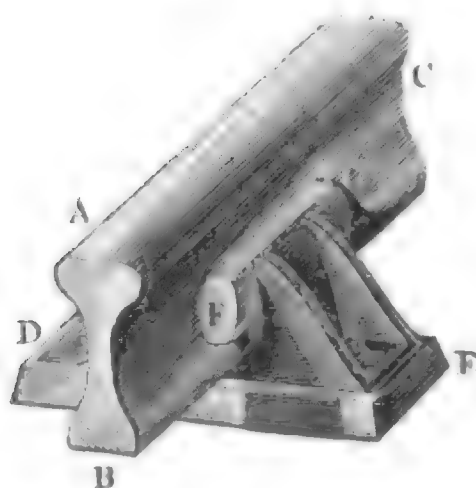
das einer doppelten Stuhlschiene abgebildet. Sehr zweckmäßig sind die Schienen mit einer breiten Grundfläche B, welche im Querprofile die Form von Fig. 532 haben und gewöhnlich unter dem Namen Vignolschienen bekannt sind. Nicht selten sind auch die Hohl- oder Brückenschienen in Anwendung gekommen, deren Querprofil in Fig. 533 abgebildet ist. Die gewöhnliche Höhe der Schienen ist 4 bis 5 Zoll, die Breite am Kopfe 2 bis  $2\frac{1}{2}$  Zoll, die Breite am Fuße 2 bis 4 Zoll. Meist hat eine Schiene eine Länge von 15 bis 18 Fuß, und es wiegt der laufende Fuß derselben 15 bis 25 Pfund. Die größte Belastung einer Schiene durch ein Rad soll 120 Centner nicht übersteigen. Die gewöhnliche Spurweite, d. i. der lichte Abstand zwischen je zwei Schienen einer Bahn, ist 4 Fuß  $8\frac{1}{2}$  Zoll engl. = 54,87 Zoll preuß., und der Spielraum der Räder auf den Schienen  $\frac{5}{8}$  bis  $\frac{7}{8}$  Zoll. Nur wenige Bahnen haben eine größere Spurweite, wie z. B. die Great-Western-Bahn in England, deren Spurweite sogar 7 Fuß engl. beträgt.

Schienen und  
Schwellen.

Die Schienen erhalten Unterlagen von Steinen, Gussseisen oder Holz; wegen ihrer Elasticität zieht man die hölzernen Unterlagen oder sogenannten Holzschwellen und zwar insbesondere die Querschwellen (franz. traverses; engl. sleepers) aus Eichen- und Nadelholz allen anderen Unterlagen vor. Diese haben eine Länge von 8 bis 9 Fuß und liegen in Abständen von  $2\frac{1}{2}$  bis 3 Fuß von einander. Die Querschnitte dieser Schwellen sind entweder halbkreisförmig, rechteckig oder dreieckig. Die Schwellen mit kreisförmigem Querschnitt haben circa 1 Fuß Durchmesser, die mit rechteckigem Querschnitt sind 1 Fuß breit und  $\frac{1}{2}$  Fuß hoch und die mit dreieckigem Querschnitt sind ungefähr 16 Zoll breit und 8 Zoll hoch. Die ersteren beiden Schwellenarten werden mit ihren breiten Flächen aufgelegt, die letztere aber mit ihren beiden schmalen, ungefähr  $11\frac{1}{4}$  Zoll breiten Seitenflächen. Jene werden mittels eines, diese hingegen mittels zweier Diametralschnitte aus runden oder vierkantig bearbeiteten Holzstücken erhalten.

Die Schienen werden auf den Schwellen durch besondere gusseiserne Stühle, sowie durch Schrauben und Hakennägel befestigt. Sehr mannigfaltig ist die Form der Schienenstühle (franz. coussinets; engl. chairs), in der Hauptsache besteht aber jeder Stuhl aus einer Fußplatte *DE*, Fig. 534,

Fig. 534.



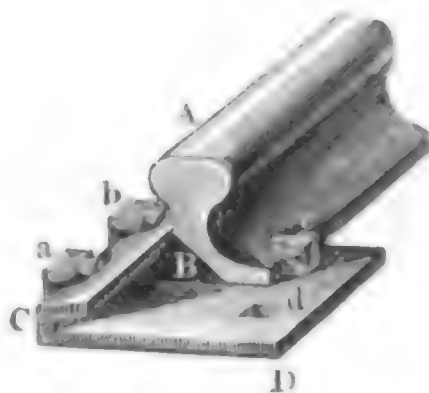
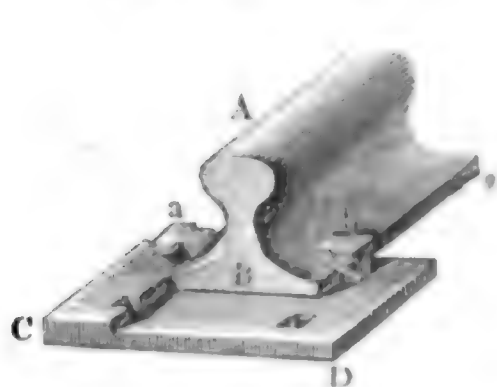
womit er auf der Schwelle aufzuliegen kommt, und aus einem Sattel, in welchem die Schiene *ABC* ruht. Die Befestigung des Stuhles wird durch zwei Holzschrauben oder eiserne Bolzen bewirkt, zu welchem Zwecke die Fußplatte mit zwei Löchern (*a*) versehen ist. Die Schiene befestigt man durch trockene Holzkeile (*FG*) in dem Sattel. Man hat nicht nöthig, die Schienen auf jeder Schwelle mittels Stühle zu befestigen; es genügt, wenn nur an dem Zusam-

menstoß je zweier Schienenenden ein Stuhl in Anwendung kommt und die Befestigung auf den übrigen Schwellen mittels eiserner Hakennägel erfolgt. Man legt auch wohl die zusammenstoßenden Schienenenden (*AB*) bloß auf eine einfache eiserne Unterlagsplatte *CD*, wie Fig. 535, und befestigt dieselben sammt der Unterlagsplatte durch vier Hakennägel (wie *a, b*) mit der Schwelle. Um das Ausweichen der Schienen nach außen zu verhindern, bedient man sich nicht selten auch der Krempelplatten, d. i. der Unterlagsplatten mit umgebogenem Rande, Fig. 536. Endlich verbindet man auch jetzt sehr gewöhnlich die Schienenenden noch durch schmiedeeiserne Faschen von 1 Zoll Dicke, 2 Zoll Breite und 8 bis 12 Zoll Länge, die

Von dem Fertigmachen der Lasten auf ganz oder nahe horizontalen Wegen. 603  
 man mittels 2 bis 4 starker Schraubenbolzen, welche durch die Schienen Schienen und Schwellen.

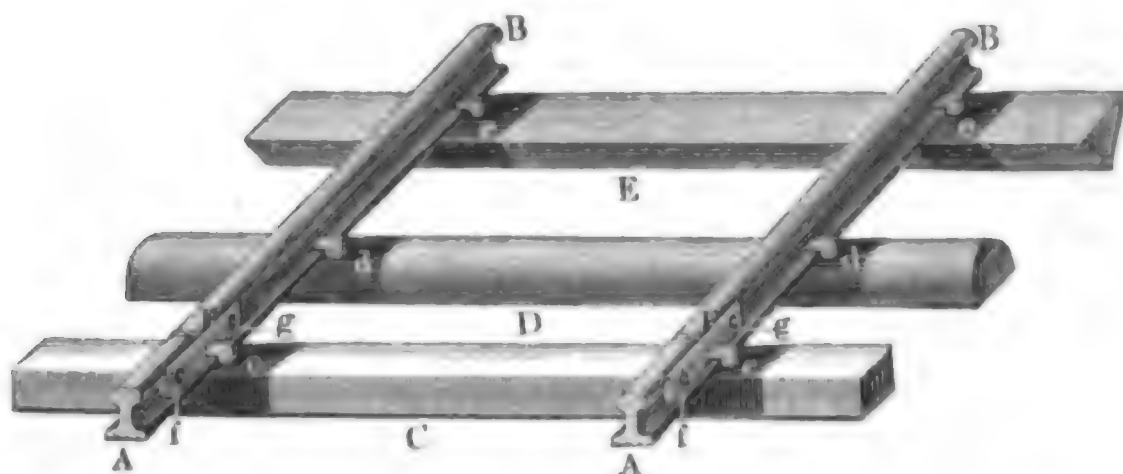
Fig. 535.

Fig. 536.



hindurchgehen, seitlich an die letzteren anschließt. In Fig. 537 ist die Auflagerung der Schienen auf dreierlei Querschwellen, sowie die Verbin-

Fig. 537.

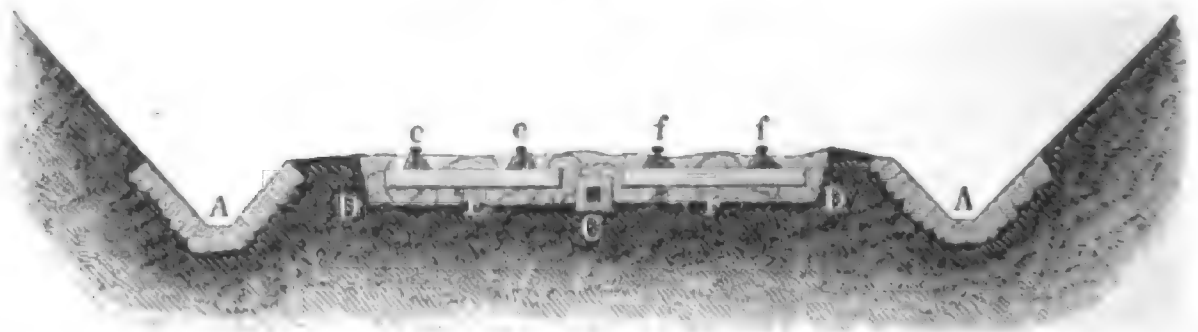


dung der Schienenenden mittels Laschen und die Befestigung derselben mittels Hakennägel auf den Schwellen vor Augen geführt. *AB*, *AB* sind die Schienen, *C, D, E* drei Schwellen, *F, F* die Laschen, welche die Schienenenden mit einander verbinden, *c, d, e* die Hakennägel zur Verbindung der Schienen mit den Schwellen und *f, g* stellen die Schrauben vor, womit die Laschen an die Schienen angeschlossen sind.

§. 266. Die Schwellen mit den Bahnschienen und ihren Verbindungs- Unterbau.  
 theilen machen den sogenannten Oberbau einer Eisenbahn aus, wogegen die Bettung der Schwellen sammt den dazu nöthigen Dämmen, Einschnitten, Durchlässen u. s. w. den sogenannten Unterbau einer Schienenbahn bilden. Die Dämme, auf welche die Schwellen zu liegen kommen, haben, je nachdem sie für Bahnen mit einem einfachen Geleise oder für solche mit Doppelgeleisen bestimmt sind, eine Kronenbreite von mindestens 15 Fuß, oder eine solche von 24 bis 28 Fuß. Die Böschung der Dämme ist gewöhnlich  $1\frac{1}{2}$  bis 2 Fußig. Zum Abziehen des Wassers sind nicht allein Gräben zu beiden Seiten des Dammes geführt, sondern es werden wohl



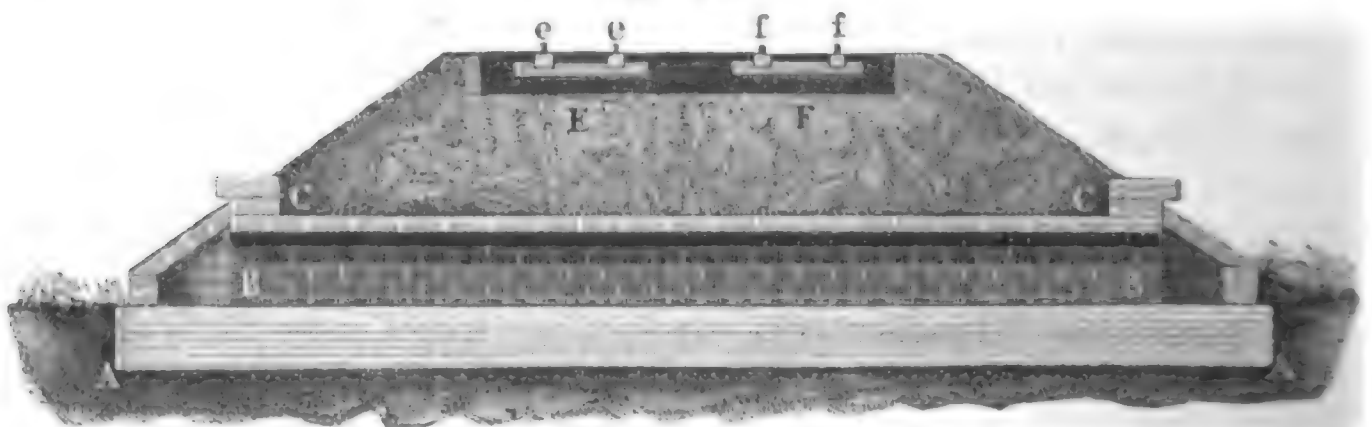
Unterbau. auch Kanäle durch den Damm selbst gelegt. In Fig. 538 ist das Quer-  
Fig. 538.



profil eines gewöhnlichen Eisenbahndammes abgebildet. *A, A* sind die Seitengräben, *C* ist eine Anzucht oder ein bedecktes Steingerinne im Dammkörper, *DD* ist die aus grobem Sande oder Gerölle oder kleinen Steinstückchen bestehende Unterbettung der Schwellen, *E* und *F* sind die Querschwellen mit den Schienen *e, e* und *f, f*.

Zieht sich die Eisenbahn an einem Böhänge hin, oder überschreitet dieselbe Schluchten oder andere kleine Vertiefungen, so hat man zum Abführen des Wassers sogenannte Durchlässe quer durch den Dammkörper hindurch zu führen. Bei niedrigen Dämmen sind die Durchlässe in die Dammkrone eingeschnitten, und heißen dann Schienendurchlässe; die Durchlässe höherer Dämme hingegen liegen vollständig im Dammkörper. Sie sind entweder Röhren-, oder Platten- oder Brückendurchlässe. Im ersten Falle bestehen sie aus eisernen oder steinernen Röhren, im zweiten sind sie mit Steinplatten bedeckt und im dritten Falle sind sie überwölbt. Das Querprofil eines Dammes mit einem Plattendurchlaß zeigt Fig. 539. Es ist hier *AA* die Grundmauer, *BB* die eine Seiten-

Fig. 539.



mauer und *CC* die aus Steinplatten bestehende Decke des höchstens 3 Fuß breiten Durchlasses; auch sieht man über *E* und *F* die neben einander liegenden Querschwellen mit den Schienen *e, e* und *f, f*.

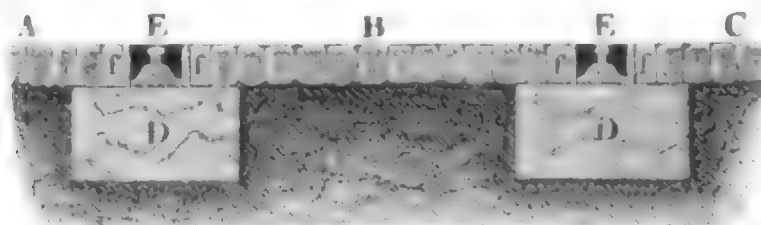
Bei Ueberschreitung eines Baches oder Flusses ist natürlich die Eisenbahn auf eine Brücke zu legen. Wenn es geht, so legt man die Bahn-

linie in gerader Linie rechtwinklig gegen die Stromrichtung; nicht selten ist Unterbau. man jedoch auch genöthigt, die Eisenbahnbrücke schief oder wohl gar in einer Curve über ein fließendes Wasser zu führen. Am häufigsten wendet man steinerne Eisenbahnbrücken oder solche aus Ziegeln an, nächstdem aber auch eiserne und insbesondere schmiedeeiserne Brücken. Röhrenbrücken und Röhrenträgerbrücken (s. II., §. 55) wird man vorzüglich dann anwenden, wenn die Bahnlinie nicht hoch über den höchsten Stand des fließenden Wassers gelegt werden kann. Für steinerne Brücken von 5 bis 60 Fuß innerer Weite ist die gewöhnliche Stärke des Schlußsteins 15 bis 40 Zoll, und die Auflagerung der Schwellen 15 bis 32 Zoll; folglich liegt die Bahn im Ganzen  $2\frac{1}{2}$  bis 6 Fuß über dem innern Gewölbscheitel, wogegen bei eisernen Brücken die Höhe der Bahn über der Scheitelfläche der Brückenöffnung nur  $1\frac{1}{4}$  bis 3 Fuß beträgt und ohnedies die Zusammenziehung der letzteren an den Seiten wegfällt.

Um die Beaufsichtigung einer Eisenbahn nicht zu erschweren, überschreitet man Wege und Straßen nicht gern im Niveau der Bahnlinie, sondern führt die Bahn lieber über oder unter anderen Wegen weg. Bei Unterführung eines Feldwegs rechnet man für die hierzu nöthige Eisenbahnbrücke 12 Fuß Breite und eben soviel Höhe, und bei Unterführung einer Chaussée 18 bis 24 Fuß Brückenbreite und 15 bis 16 Fuß Höhe. Bei Ueberführung einer Straße ist die Regel zu befolgen, daß die freie lichte Höhe längs der ganzen Bahnbreite mindestens 15 Fuß betragen soll.

In Fig. 540 ist die Ueberführung einer Straße im Niveau der Eisen-

Fig. 540.



bahn abgebildet. Es ist *ABC* die zu diesem Zwecke gepflasterte Fahrstraße, und es sind *D, D* die Tragsteine für die Stühle, auf welchen die Schienen *E, E* ruhen. Diese Stühle befinden sich in rinnenförmigen Vertiefungen, welche zum Schutze der Schienen gegen das Anstoßen der Wagenräder auf beiden Seiten mit Eisenplatten *f, f* ausgefüllt sind.

Man überschreitet in der Regel mit den Eisenbahnen nicht folgende Steigungsverhältnisse:

Unterbau.

$$\text{im flachen Lande} \quad \alpha = \frac{1}{200},$$

$$\text{im hügeligen Lande} \quad \alpha = \frac{1}{100},$$

$$\text{im Gebirge} \quad \alpha = \frac{1}{40},$$

und geht nur ausnahmsweise unter folgende Curvenhalbmesser herunter:

$$\text{im flachen Lande} \quad r = 3600 \text{ Fuß},$$

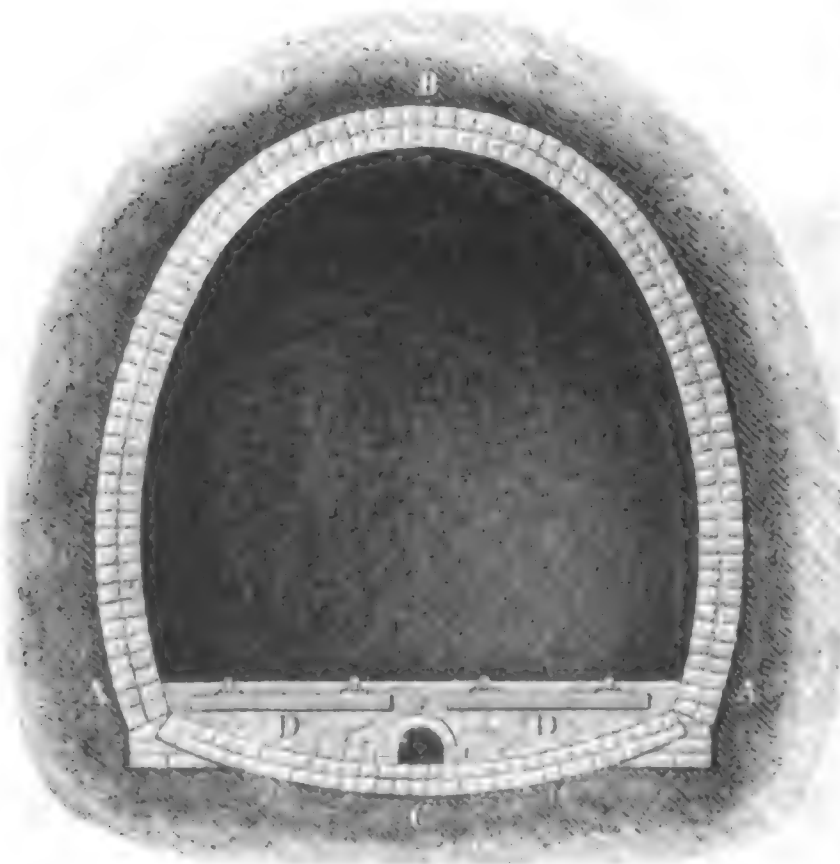
$$\text{im hügeligen Lande} \quad r = 2000 \text{ „}$$

$$\text{im Gebirge} \quad r = 1200 \text{ „}$$

Die kleinsten Radien sind 600 Fuß.

Diesen Forderungen einer zweckmäßigen Bahnlinie kann in vielen Fällen entweder nur durch längere Einschnitte und Tunnels, oder durch höhere Dämme und Viaducte Genüge geschehen. Es ist sehr zweckmäßig, wenn die Eisenbahnlinie in einer Höhe fortläuft, bei welcher das bei den Einschnitten oder Abträgen (franz. déblais; engl. cuttings) gewonnene Material zu Aufträgen oder zum Auffüllen der Dämme (franz. remblais; engl. embankments) in der Nähe wieder verwendet werden kann. Meist transportirt man die gewonnenen Erdmassen nicht über 2500 Fuß, und nur höchst selten 4000 bis 5000 Fuß. Die Tunnels (Stollen) oder gänzlich unterirdischen Schienenwege kommen nur dann zur Anwendung, wenn die Einschnitte wegen ihrer großen Tiefe und

Fig. 541.



Weite zu kostspielig sind.

Das Querprofil eines Tunnels zeigt Fig. 541.

Man sieht in  $ABA$  die den Tunnelraum umschließende Mauer, und in  $ACA$  die Mauer zum Schutze der Sohle. Ueber der letzteren befindet sich die gewöhnliche Schwellenbettung  $DD$ , in welcher noch ein Abzugsgraben ausgemauert ist. Die Höhe und Weite des aus Kreishögen zusammengesetzten Gewölbes ist meist 25 Fuß und die Mauerstärke  $1\frac{1}{2}$  Fuß.

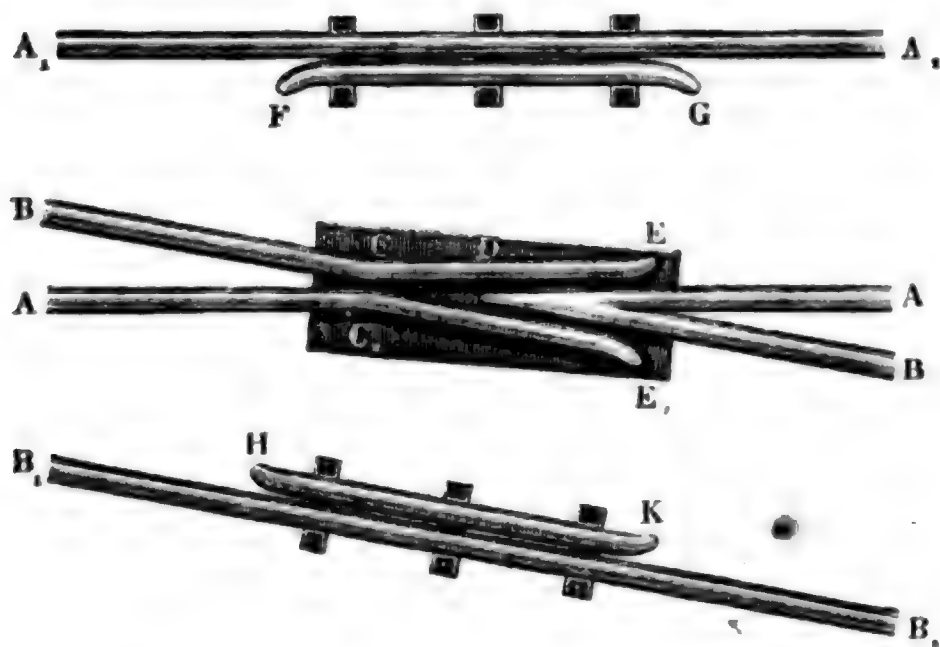


Die Viaducte oder Landbrücken kommen besonders dann in Anwendung, wenn die massiven Dämme sehr hoch und deshalb sehr kostbar ausfallen würden, oder dieselben ohnedies Futtermauern und Durchlässe erhalten müßten.

§. 267. Es ist oft nöthig, daß eine Eisenbahn eine andere durchschneide, oder daß sich eine und dieselbe Bahnlinie in zwei getrennte Schienenwege auflöse, oder daß endlich zwei getrennte Eisenbahnen durch eine dritte mit einander verbunden werden; in allen diesen Fällen sind gewisse Vorrichtungen oder Mechanismen nöthig, welche wir im Folgenden näher kennen lernen werden. Durchschneiden sich zwei Eisenbahnen, so kommen vier Punkte vor, wo sich je zwei einzelne Schienenstränge durchkreuzen. In diesen Kreuzpunkten ist, damit der Spurkranz an den Wagenrädern ungehindert laufen könne, jede der beiden Stränge auf eine kurze Distanz unterbrochen, und um bei Ueberschreitung eines solchen Punktes die richtige Bewegung der Räder auf der Bahn zu sichern, bringt man noch sogenannte Zwangsschienen (franz. contre-rails; engl. guard-rails) an, welche in der Nähe dieser Kreuzpunkte ein Stück innerhalb der Hauptschienen fortlaufen, und die Spurkränze gegen diese andrücken. In Fig. 542 ist die Horizontalprojection eines solchen Eisenbahnschienenkreuzes

Verbindung  
getrennter  
Schienen-  
bahnen.

Fig. 542.



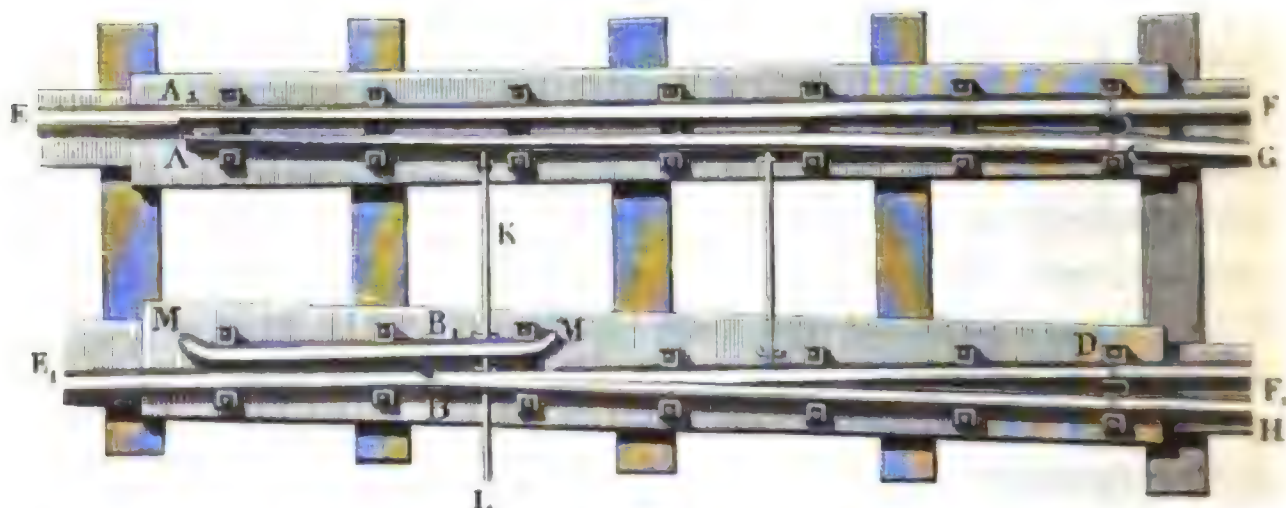
abgebildet. Die beiden inneren Stränge  $AA$  und  $BB$  durchkreuzen sich bei  $CD$ , wo also auch eine kurze Unterbrechung beider Schienen vorhanden ist;  $FG$  und  $HK$  sind die Zwangsschienen, welche an den inneren Seiten der äußeren Schienenstränge  $A_1 A_1$  und  $B_1 B_1$  hinlaufen; und als solche dienen auch die Schienenansätze  $CE$  und  $C_1 E_1$ , welche äußerlich

Verbindung  
getrennter  
Eisen-  
bahnen.

ein Stück an den Schienenenden  $DA$  und  $DB$  hinlaufen und mit denselben auf einer Eisenplatte  $C_1DE_1$  festsitzen.

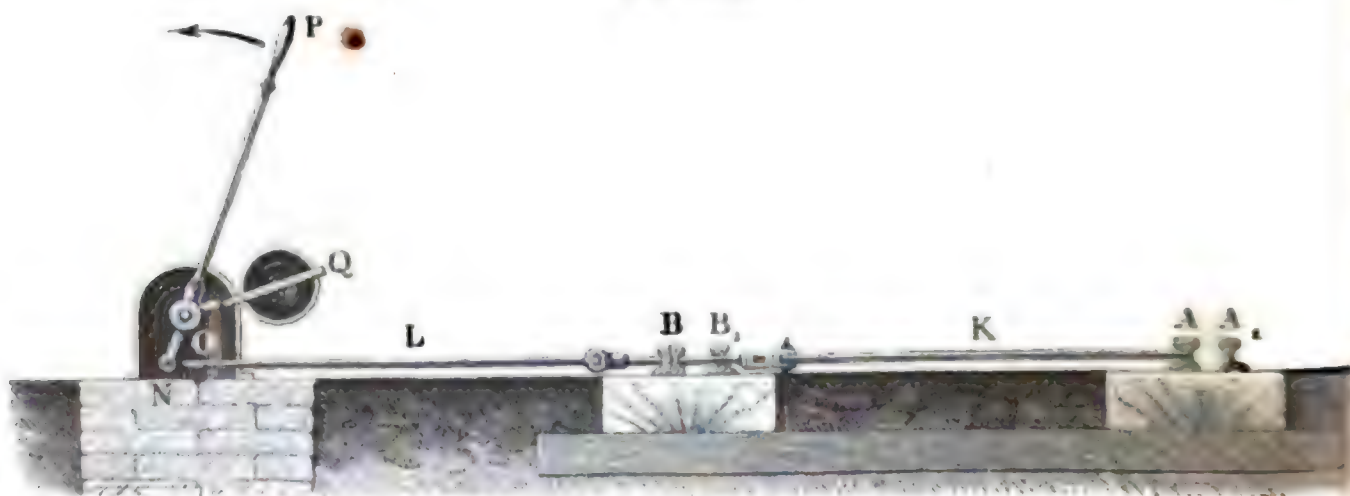
An den sogenannten Ausweicheplätzen, d. i. an denjenigen Stellen, wo zwei Bahnen auseinander gehen, oder wo von einer Bahn eine Seitenbahn abgeht, ist ein durch die Hand zu stellender Mechanismus nöthig, durch welchen es möglich gemacht wird, daß der Wagenzug nach Belieben auf der einen oder auf der anderen Bahn fortgeht. Die Einrichtung einer solchen Eisenbahnweiche (engl. switch) ist aus Fig. 543 zu er-

Fig. 543.



sehen. Die wesentlichen Theile derselben bestehen aus zwei Zungen (franz. aiguilles; engl. tongues)  $CA$  und  $DB$ , welche nach Belieben in die eine oder in die andere Bahnrichtung gestellt werden können und zu diesem Zwecke bei  $C$  und  $D$  entweder um Bolzen drehbar oder durch Stahlfedern an die nebenanliegenden Schienen angeschlossen sind. Bei der in der Figur angedeuteten Stellung der Zungen geht der Zug ungehindert auf dem Hauptgleise  $EF$ ,  $E_1F_1$  fort; soll er dagegen in die Seitenbahn  $AG$ ,  $BH$  einlaufen, so schiebt man die Zungen mittels der Stange  $KL$  auswärts, so daß  $A$  bei  $A_1$  an den Hauptstrang und  $B$  bei  $B_1$  an die Zwangsschiene  $MM$  anzuliegen kommt. Den Mechanismus zur Stellung der Zungen führt Fig. 544 vor Augen. Es ist auch hier  $KL$  die Zug-

Fig. 544.

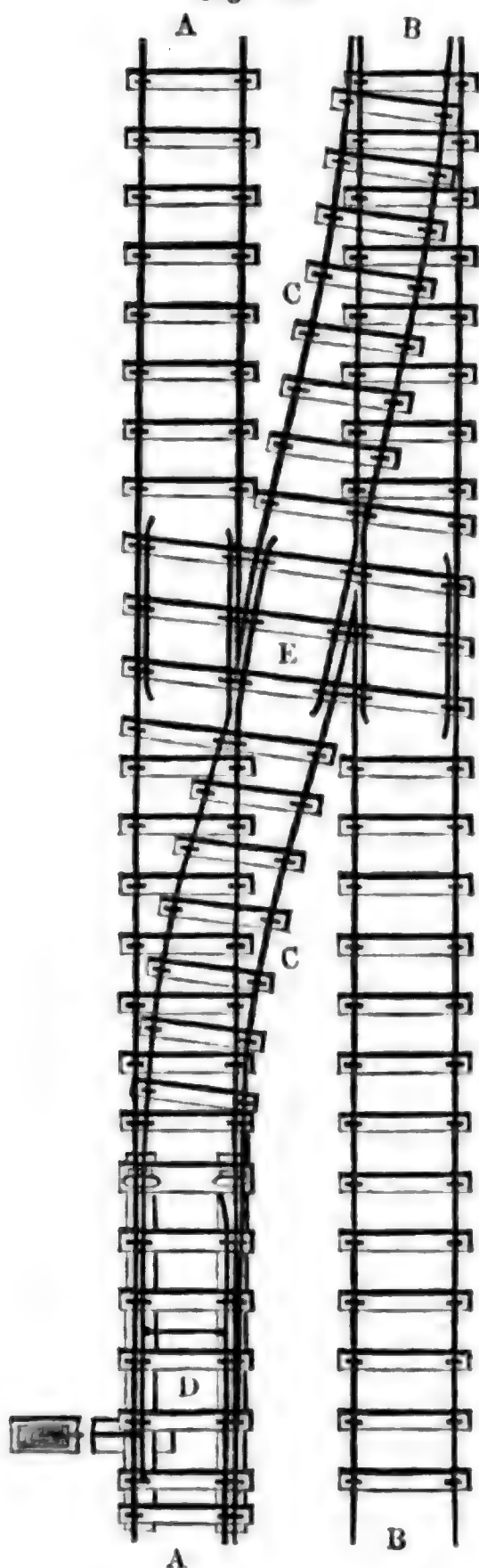




stange, und es sind  $A$  und  $B$  die Zungenenden, welche durch diese Stange nach Belieben an die festliegenden Schienen  $A_1$ ,  $B_1$  angeschoben oder von denselben abgezogen werden können. Zur Bewegung der Stange  $KL$  dient der um  $O$  drehbare Hebel  $NOP$ , welcher mit einer Handhabe  $P$  ausgerüstet ist und ein Gegengewicht  $Q$  trägt, welches die Zungen von selbst in die in der Figur angegebene Stellung bringt, wobei der Wagenzug der Hauptlinie folgt. Soll hingegen dieser Zug in die Seitenlinie

Verbindung  
getrennter  
Schienen-  
bahnen.

Fig. 545.



einlaufen, so dreht man den Hebel in der Richtung des Pfeiles, wobei die Zungen ihre gewöhnliche Stellung verlassen und sich an  $A_1$  und  $B_1$  anlegen.

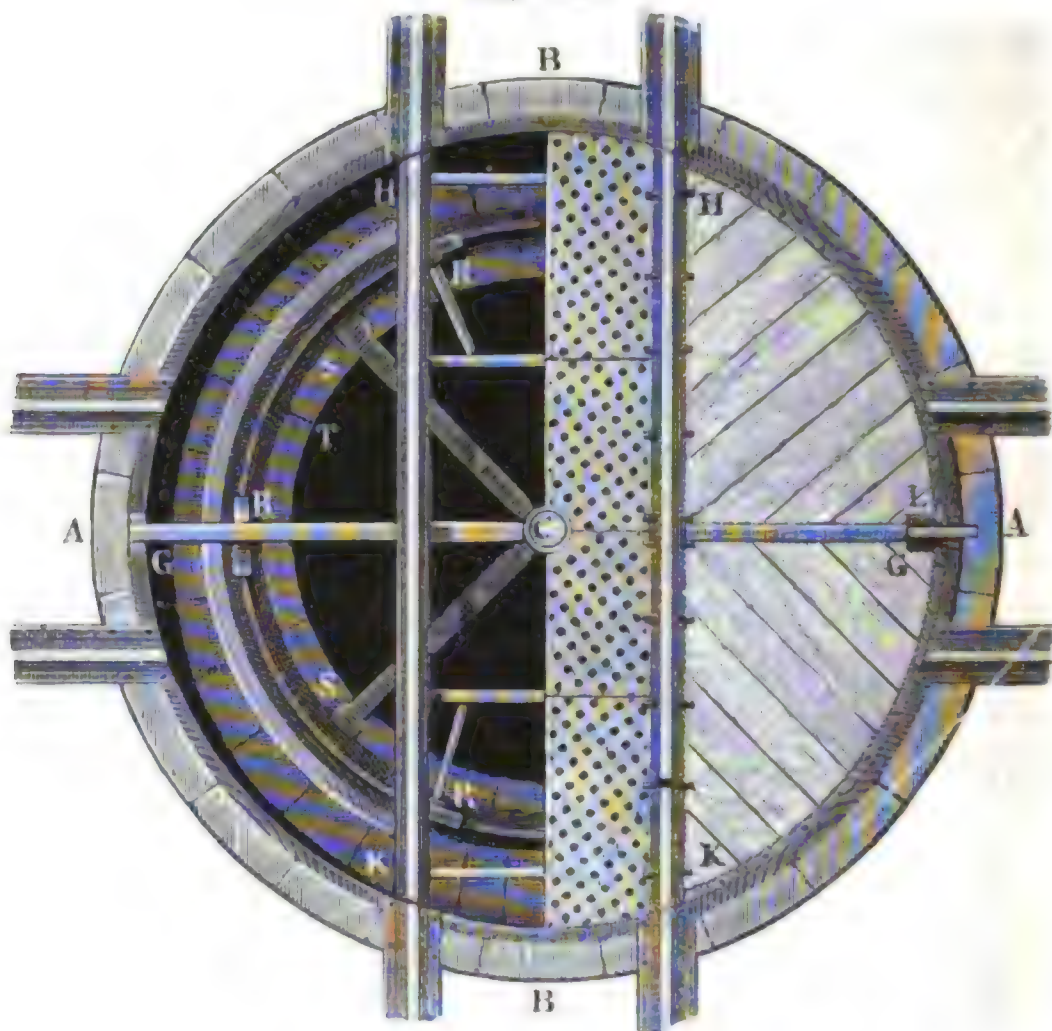
In Fig. 545 sind noch zwei nebeneinander laufende Hauptbahnen  $AA$ ,  $BB$ , mit einer zwischenliegenden Seitenbahn  $CC$ , durch welche man von der einen Hauptbahn auf die andere übergehen kann, abgebildet. Diese Zwischenbahn ist mit jeder Hauptbahn durch eine Weiche mit beweglichen Zungen verbunden und durchschneidet mit ihren beiden Spuren die inneren Geleise der Hauptbahn. Eine solche Weiche ist bei  $D$  abgebildet und das gedachte Bahnlinienkreuz mit den nöthigen Zwangsschienen ersieht man bei  $E$ .

In den Bahnhöfen (franz. gares; engl. stations), wo man wegen Mangel an Platz die verschiedenen Bahnstränge nicht unter so kleinen Winkeln zusammenstoßen lassen kann, als für die Anwendung gewöhnlicher Weichen nöthig ist, bedient man sich der sogenannten Drehscheiben (franz. plaques tournantes; engl. turntables), um einen Wagen von einer Schienenbahn auf die andere zu bringen. Diese Drehscheiben sind runde Tische von 12 bis 16 Fuß Durchmesser, welche um einen in ihrer Mitte angebrachten vertikalen Zapfen drehbar und dadurch geschickt sind, den auf ihnen stehenden

Verbindung  
getrennter  
Schienen-  
bahnen.

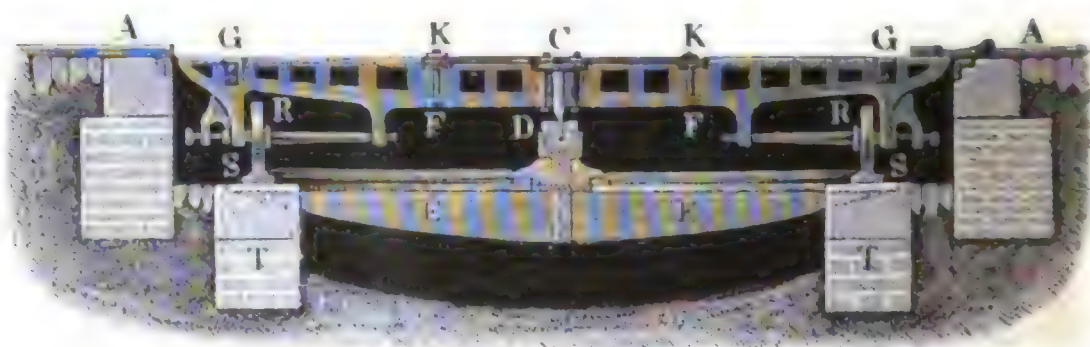
Wagen aus einer Bahnrichtung in die andere zu bringen. Fig. 546 ist

Fig. 546.



der Grundriß einer zur Hälfte aufgedeckten Drehscheibe, und Fig. 547 ein

Fig. 547.



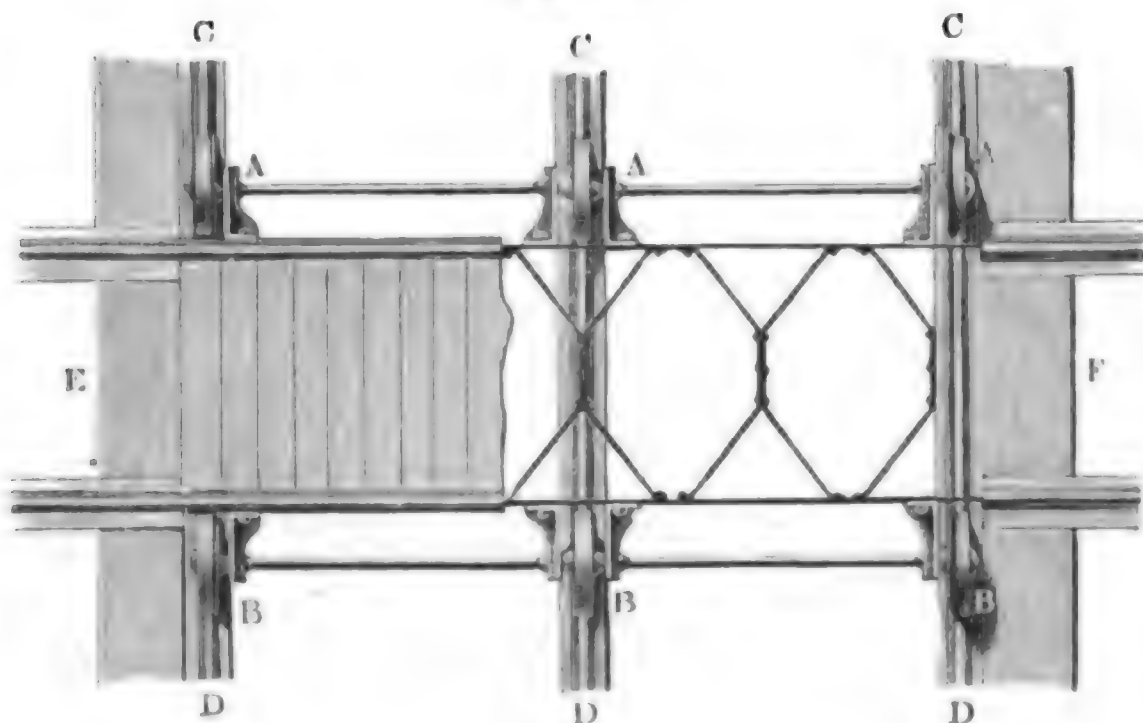
vertikaler Durchschnitt derselben. Die beiden Eisenbahnen *AA* und *BB*, welche durch die Drehscheibe mit einander in Verbindung gesetzt werden, schneiden sich hier unter einem Rechtwinkel. Der Stift *C* dieser Drehscheibe bewegt sich in einem Zapfenlager *D*, welches auf einem starken gußeisernen vierarmigen Träger *EE* ruht. Uebrigens besteht die Drehscheibe aus drei gußeisernen Rippen *FK*, *FK* und *GG*, wovon die ersten

beiden zugleich als Stütze der Schienen *HK*, *HK* dienen, und ist in der Mitte mit Gußeisenplatten und zu den Seiten mit Holzbohlen bedeckt. Um die Drehung der Scheibe sammt ihrer Belastung so leicht wie möglich zu bewirken, unterstützt man sie noch an ihrem Umfange durch sechs conische Räder *R*, *R*, *R* u. s. w., deren Umdrehungsaxen nach der Ase des Stiftes *C* gerichtet sind, und deren Zapfenlager theils unmittelbar, theils mittelbar an den drei Haupttrippen der Drehscheibe festsitzen. Diese Räder laufen auf einer kreisrunden Eisenbahn *SS*, welche den gußeisernen Träger *EE* umschließt und mit ihm auf demselben Fundamente *TT* ruht. Will man die Zapfenreibung der Rollen *R*, *R* . . auf ihr Minimum zurückführen, so kann man auch die Drehscheibe selbst mittels eines auf ihrer unteren Fläche aufgesetzten Kranzes auf den Frictionrollen *R*, *R* . . aufruhelassen. Dann ist hauptsächlich nur die rollende Reibung zwischen den Rollen und den sie umfassenden Kranzen zu überwinden.

Verbindung  
getrennter  
Schienen-  
bahnen.

Die sogenannten Schiebebrücken erfüllen einen ähnlichen Zweck wie die Drehscheiben; es lassen sich durch dieselben die Wagen leicht aus den Remisen und von einer Bahn auf eine andere Parallelbahn bringen. Den Grundriß einer solchen Schiebebrücke führt Fig. 548 vor Augen.

Fig. 548.



Sie ist aus Blechrippen zusammengesetzt und ruht auf sechs Rädern *A*, *A*, *A* und *B*, *B*, *B*, die auf drei parallelen in einer Grube liegenden Schienen *CD*, *CD*, *CD* laufen. Diese Grube durchschneidet das Eisenbahnsystem rechtwinkelig, und es läßt sich daher die Brücke leicht von einer Schienenbahn wie z. B. *EF*, nach der anderen schieben. Man hat kürzere und längere Schiebebrücken; erstere dienen zur Versetzung der Personen- und Güterwagen und letztere zur Verschiebung der Dampfwagen



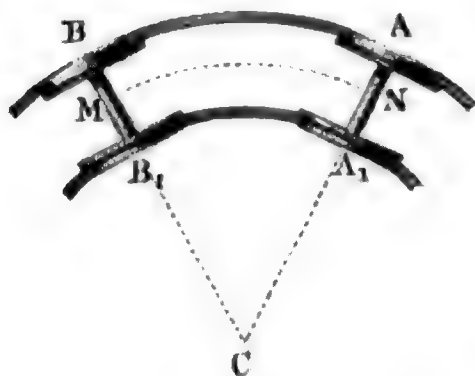
sammt Tender. Jene lassen sich mit der bloßen Hand bewegen, diese erhalten hingegen ein durch eine Kurbel in Bewegung zu setzendes Triebwerk.

Eisenbahn-  
wagentäder.

§. 268. Die Räder der Eisenbahnwagen weichen in mehrfacher Beziehung von den gewöhnlichen Wagentädern (s. §. 257) ab. Damit diese Räder nicht von der Schienenbahn abgleiten, erhalten sie an ihrem äußeren Umfange eine ring- oder wulstförmige Erhöhung, den sogenannten Spurkranz (franz. le boudin; engl. the flange) von circa  $1\frac{1}{2}$  Zoll Breite und 1 Zoll Dicke, womit sie sich an die innere Seite der Schienen anlegen. Auch erfordert die Sicherheit der Bewegung auf der Schienenbahn, daß die zwei Räder einer jeden Achse fest und zwar genau im rechten Winkel mit dieser Achse verbunden seien, daß sich also die Eisenbahnwagentäder mit ihren Naben nicht um eine feste Achse drehen, sondern daß die letztere in Lagern läuft, welche mit dem Wagengestelle fest verbunden sind. Diese feste Verbindung der Wagentäder mit ihrer Achse macht, daß sich beide Räder mit einerlei Geschwindigkeit umdrehen, was auch dann, wenn die beiden Räder gleich hoch sind, bei der Bewegung in einer geraden Bahn ohne nachtheilige Folgen ist. Anders stellt sich aber das Verhältniß heraus, wenn sich das Räderpaar in einer Curve bewegt. Hier muß das Rad auf der äußeren Schiene einen größeren Weg machen als das Rad auf der inneren Schiene, und es müssen deshalb beide Räder außer ihrer wälzenden Bewegung auch noch eine kleine gleitende Bewegung auf den Schienen annehmen, und zwar das äußere Rad in und das innere Rad entgegengesetzt der Bewegungsrichtung des ganzen Wagens.

Ist  $CM = CN = r$  der mittlere Curvenhalbmesser,  $AA_1 = BB_1$

Fig 549.



$= b$  der innere Abstand der beiden Schienen oder der Spurkränze beider Räder von einander, und  $MN = s$  ein gewisser Weg der Achse, so haben wir für die entsprechenden Wege der Räder A und B:

$$AB = \left( \frac{r + \frac{1}{2}b}{r} \right) s = s + \frac{bs}{2r}$$

und

$$A_1B_1 = \left( \frac{r - \frac{1}{2}b}{r} \right) s = s - \frac{bs}{2r},$$

und folglich den Weg des Schleifens eines jeden Rades:

$$AB - s = s - A_1B_1 = \frac{bs}{2r}.$$

Ist endlich  $Q$  die ganze Belastung der Achse und  $\varphi$  der Coefficient der gleitenden Reibung der Räder auf den Schienen, so haben wir die

Arbeit, welche auf diese Reibung während Durchlaufung des Weges  $s$  zu verwenden ist: Eisenbahn-  
wagentäder.

$$L_1 = \varphi Q \cdot \frac{b s}{2 r},$$

und folglich die entsprechende Vergrößerung der Zugkraft, und zwar für beide Räder zusammen:

$$P = \frac{2 L_1}{s} = \frac{b}{r} \varphi Q.$$

Dieser Widerstand wächst umgekehrt wie der Curvenhalbmesser; deshalb soll man den letzteren immer möglich groß zu machen suchen. Für die gewöhnliche Spurweite  $b$  von  $56\frac{1}{2}$  Zoll und den Curvenhalbmesser  $r = 600$  Fuß fällt, da  $\varphi$  im Mittel  $= 0,18$  gesetzt werden kann, dieser Widerstand des Schleifens  $\frac{56,5}{600 \cdot 12} \cdot 0,18 Q = 0,0014 Q$  aus.

Um dieses Schleifen der Räder auf den Schienen zu vermeiden oder so viel wie möglich herabzuziehen, giebt man den Rädern einen Spielraum von circa  $\frac{3}{4}$  Zoll zwischen den Schienen, giebt auch den Radkränzen an ihrem Umfange, mit welchem sie auf den Schienen laufen, eine Conicität von circa  $\frac{1}{20}$ , dergestalt, daß sie bei einer Breite von 4 Zoll in der Nähe des Spurkranges einen Durchmesser erhalten, welcher den Durchmesser an der äußeren Seite um  $2 \cdot 4 \cdot \frac{1}{20} = 0,4$  Zoll übertrifft, und giebt endlich auch der Schienenoberfläche eine gleiche Neigung oder krümmt deren Quersprofil nach einem Halbmesser von 5 bis 7 Zoll. Während sich nun das Räderpaar auf einer geraden Bahnstrecke so stellt, daß der Spielraum zwischen dem Spurkrange und der Schiene zu beiden Seiten gleich, also circa  $\frac{3}{8}$  Zoll ist, rückt das Räderpaar beim Eintritt in eine Curve in der Richtung seiner Axe auswärts, so daß der Spielraum an der inneren Schiene ein größerer und der an der äußeren Schiene ein kleinerer wird, oder wohl gar ganz verschwindet, und folglich das äußere Rad mit einem größeren Umfange auf den Schienen fortrollt, als das innere Rad. Ist die Größe des mittleren Raddurchmessers  $d$  und die Veränderung desselben beim Eintritt in die Curve  $= \pm \delta$ , so haben wir für den Fall, daß die Räder bloß rollen, folgende leicht zu beweisende Proportion:

$$\frac{r}{b} = \frac{d}{2 \delta},$$

und folglich den entsprechenden Curvenhalbmesser der Bahn:

$$r = \frac{d}{2 \delta} b.$$

Für  $d = 40$  Zoll,  $\delta = \frac{3}{4} \cdot \frac{1}{4} \cdot 0,4 = 0,075$  Zoll, und  $b = 56\frac{1}{2}$  Zoll ist folglich:



Eisenbahn-  
wagenräder.

$$r = \frac{40 \cdot 56,5}{0,15} = 15067 \text{ Zoll} = 1255 \text{ Fuß.}$$

Wenn also der Curvenhalbmesser einer solchen Eisenbahn unter 1255 Fuß ist, so findet trotz der Conicität der Räder noch ein, wenn auch bedeutend kleineres Schleifen der Räder auf den Schienen statt.

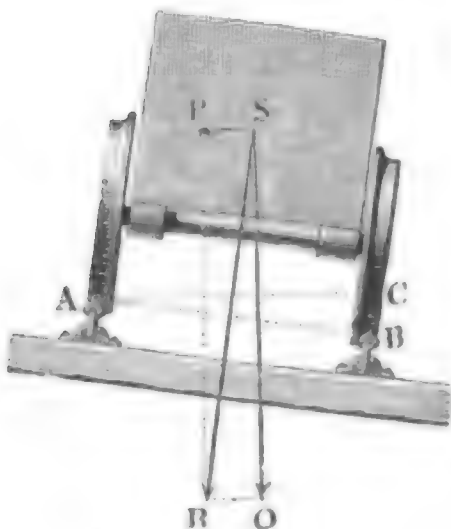
Uebrigens hat die Conicität der Räder noch den Vortheil, daß durch sie dem Andrücken der Spurkränze an die Schienenbahn vorgebeugt und die daraus entspringende Reibung vermieden oder wenigstens herabgezogen wird.

Eine Hauptrolle spielt bei der Bewegung eines Wagens oder eines Räderpaares in einer Curve noch die Centrifugalkraft der belasteten Achse. Ist  $c$  die Geschwindigkeit derselben in der Curve, so haben wir bekanntlich (s. I., §. 246) die Centrifugalkraft der Last  $Q$ :

$$P = \frac{c^2}{gr} Q.$$

Diese Kraft drückt nicht allein das äußere Rad mit seinem Spurkränze gegen die Schiene, sondern giebt auch der Last, da sie nicht in der Ase selbst, sondern über derselben liegt, ein Bestreben zum Umkippen, vermöge dessen der Vertikaldruck auf der äußeren Schiene vergrößert und der auf der inneren Schiene verkleinert wird. Um diese nachtheiligen Wirkungen

Fig. 550.



der Centrifugalkraft zu beseitigen, hat man nur nöthig, die äußere Schiene  $B$ , Fig. 550, um eine gewisse Höhe  $BC = h$  über der inneren Schiene  $A$ , und zwar so zu legen, daß die Mittelkraft  $R$ , welche aus dem Gewichte  $Q$  und aus der Centrifugalkraft  $P$  resultirt, rechtwinkelig gegen die normale Verbindungslinie  $AB$  der beiden Schienenflächen  $A$  und  $B$  steht. Dies bedingt aber die Proportion:

$$\frac{BC}{AB} = \frac{P}{Q}, \text{ d. i. } \frac{h}{b} = \frac{c^2}{gr};$$

es ist folglich die gesuchte Höhe  $h = \frac{c^2 b}{gr}$ .

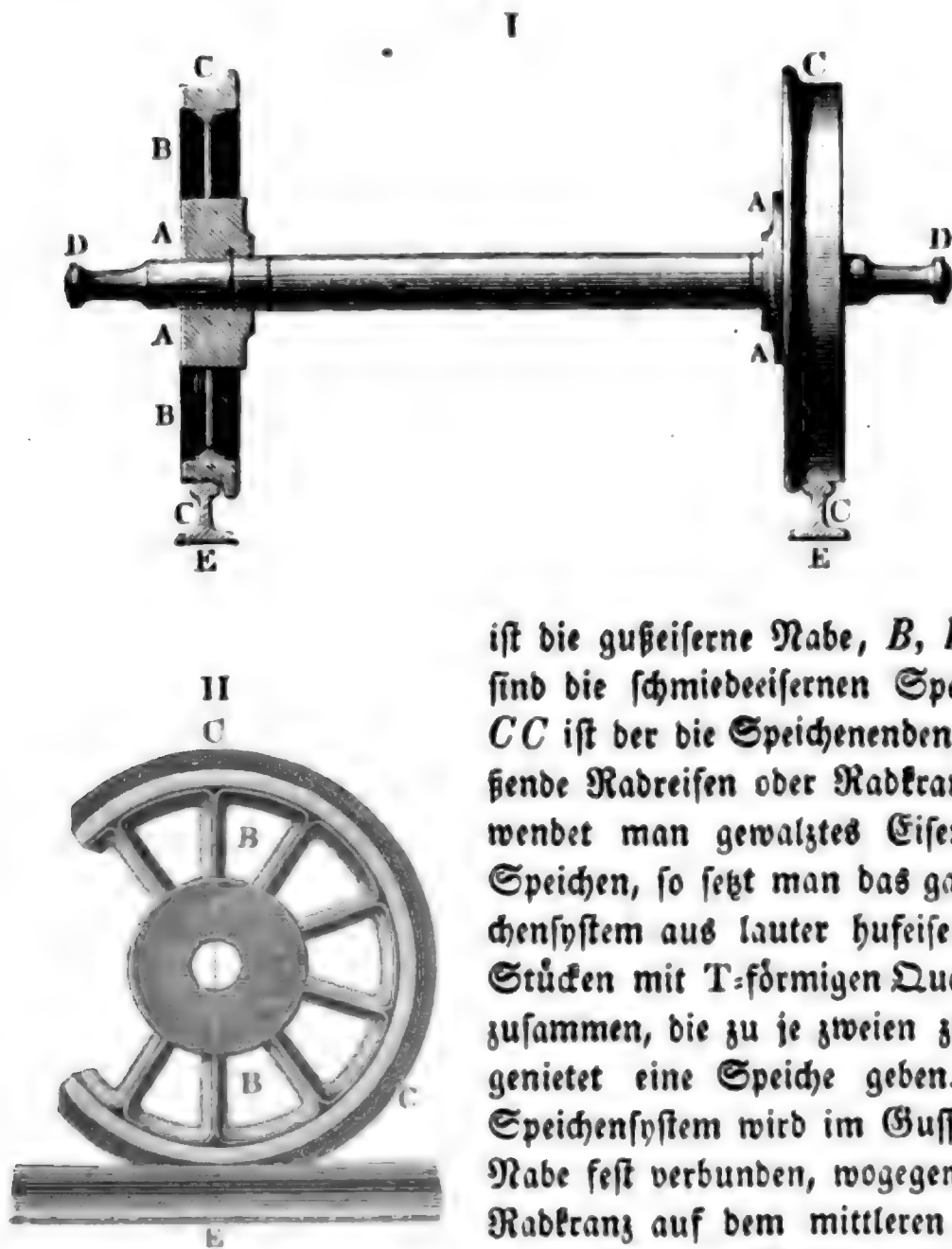
Da diese Höhe mit dem Quadrate der Geschwindigkeit wächst, so kann natürlich auch nur bei einer gewissen Fahrgeschwindigkeit die Schienenlage die richtige sein. Die seitliche Verschiebung der an ihrem Umfange conisch abgedrehten Räder auf der äußeren Seite bewirkt eine Erhebung der Ase um  $\frac{\delta}{2}$  und auf der inneren Seite eine gleichgroße Senkung, folglich wird

schon dadurch die Ase am äußeren Ende um  $2 \cdot \frac{\delta}{2} = \delta$  über der inneren Ase erhöht, und es bleibt demnach nur noch die erforderliche Erhebung der äußeren Schiene über der inneren:

$$h_1 = h - \delta = \frac{c^2 b}{gr} - \delta.$$

Was das Material anlangt, aus welchem die Eisenbahnräder bestehen, so wendet man nur noch bei Menschen- und Pferdeisenbahnen aus dem Ganzen gegossene Räder von Gußeisen an, bei Eisenbahnen, welche mit Dampfkraft betrieben werden, macht man dagegen jetzt die Räder entweder ganz oder wenigstens größtentheils aus Schmiedeeisen. Die gewöhnliche Zusammensetzung solcher Räder ist folgende: AA, Fig. 551 und 552,

Fig. 551.



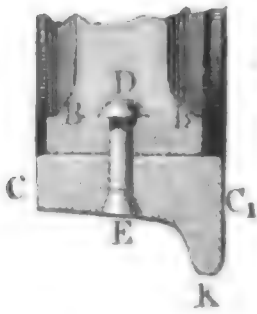
ist die gußeiserne Nabe, B, B u. s. w. sind die schmiedeeisernen Speichen und CC ist der die Speichenenden umschließende Radreifen oder Radkranz. Verwendet man gewalztes Eisen zu den Speichen, so setzt man das ganze Speichensystem aus lauter hufeisenförmigen Stücken mit T-förmigen Querschnitten zusammen, die zu je zweien zusammenge Nietet eine Speiche geben. Dieses Speichensystem wird im Gusse mit der Nabe fest verbunden, wogegen man den Radkranz auf dem mittleren Theil der hufeisenförmigen Stücke aufnietet. Die

Art und Weise dieser Verbindung ist aus Fig. 553 (a. f. S.) beson-

Eisenbahn-  
wagenträder.

ders zu sehen

Fig. 553.



*BB* ist das Mittelstück zwischen je zwei Speichen, *CC* der Radreifen mit seinem Spurkranz *C<sub>1</sub>K*, und *DE* der Nietbolzen. Verwendet man bloßes Schmiedeeisen zu den Radspeichen, so giebt man diesen auch wohl bloß eine T-Form, und schweißt dieselben an ihren oberen Enden zusammen, während man die unteren Enden ebenfalls in die Nabe eingießt. Noch mehr Solidität erhält man endlich, wenn man an die inneren Speichenenden Eisenstücke anschmiedet und aus diesen die Nabe zusammenschweißt.

Die Fig. 551 zeigt noch in *DD* die schmiedeeiserne Radaxe mit ihren Zapfen oder Axenschenkeln *D, D*, auf welche das Wagengestelle mittels besonderer Lager zu ruhen kommt; auch bemerkt man in *E, E* die Schienen, worauf die beiden Räder laufen.

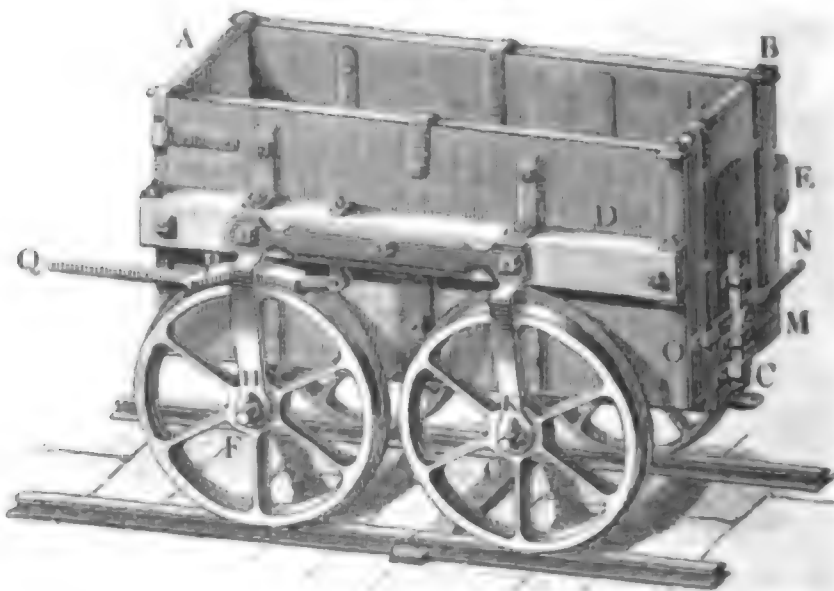
Die Höhe der Räder ist 3 bis  $3\frac{1}{2}$  Fuß, die Stärke einer Axc innerhalb der Nabe 4 und in der Mitte  $3\frac{5}{8}$  Zoll, ferner die Stärke eines Axenschenkels  $2\frac{5}{8}$  Zoll und die Länge desselben 5 Zoll. Die größte Bruttobelastung einer Wagenaxe wird zu 90 Centnern angenommen.

Eisenbahn-  
wagen.

§. 269. Fracht- und Personenwagen auf Eisenbahnen erhalten in der Regel je zwei Axen mit je zwei Rädern, dagegen Dampfwagen je drei Axen mit sechs Rädern. Diese Axen sind entweder fest mit dem Untergestelle des Wagens verbunden oder das letztere ruht mittels Stahlfedern auf den ersteren. Die erstere Verbindungsweise kommt nur bei Eisenbahnwagen vor, welche durch Menschen oder Pferde in Bewegung gesetzt werden und zum Fördern von Erd- oder Gesteinsmassen u. s. w. dienen.

In Fig. 554 ist ein derartiger Wagen abgebildet, welcher beim Bergbau zur Berg- oder Erzförderung gebraucht wird, und entweder durch einen Arbeiter fortgeschoben oder in Verbindung mit mehreren dergleichen Wa-

Fig. 554.



gen von einem Pferde fortgezogen werden kann. Das Gefäß zur Aufnahme der Fördermasse besteht in einem parallelepipedischen Holzkasten  $ABC$ , welcher am Boden und an den beiden Seiten durch Langschwellen  $C, D, E$ , sowie auch noch durch eine Menge von eisernen Schienen und Bändern verstärkt wird. Dieser Kasten ruht mit seinem Boden auf den Radaxen  $F$  und  $G$ , und ist auch noch durch die eisernen Schienen  $H$  und  $K$  mit den letzteren verbunden. Die Füllung desselben erfolgt von oben und zwar in der Regel aus einer sogenannten Rolle, d. i. aus einem Behältnisse, in welchem die Fördermasse angesammelt wird, und welches unten mit Thüren oder Schiebern versehen ist, die während der Füllung des Wagens offen zu erhalten sind. Das Entleeren des Wagens wird durch eine Thür bewirkt, welche die ganze Hinterwand des Wagenkastens bildet und um eine horizontale Ase  $L$  drehbar ist. Zum Verschließen dieser Thür dient ein eiserner Riegel  $M$ , der mittels eines Hebels  $NO$  aufgezogen oder niedergelassen werden kann. Um beim Abwärtsfahren die beschleunigte Bewegung des Wagens zu moderiren, ist endlich noch ein eiserner Brems  $P$  an den Wagenkasten angeschlossen, welcher mittels der Handhabe  $Q$  auf den Umfang des einen Rades aufgedrückt werden kann. Die Spurweite der Eisenbahnen, auf welchen diese Wagen laufen, ist 3 bis 4 Fuß, die Länge des Wagenkastens  $4\frac{1}{2}$  bis 6 Fuß, die Höhe desselben  $2\frac{1}{2}$  bis  $3\frac{1}{2}$  Fuß, und seine Weite  $2\frac{1}{4}$  bis  $3\frac{1}{4}$  Fuß; die Höhe der gußeisernen Räder beträgt nur 2 bis 3 Fuß.

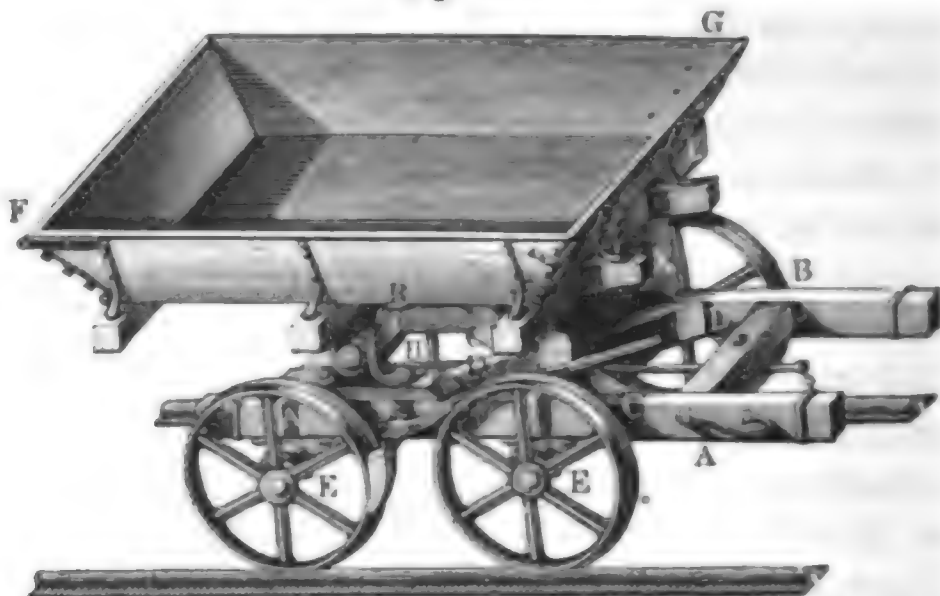
Eine andere Art von Eisenbahnwagen sind diejenigen, welche bei Anlegung von Eisenbahnen zum Transport der Erdmassen auf einer sogenannten Dienst- oder Interimbahn dienen. Die Kästen dieser Wagen sind in der Regel, um sie leicht und schnell entleeren zu können, um eine horizontale Ase drehbar, weshalb man auch diese Wagen gewöhnlich unter dem Namen Wippwagen kennt. Eine monodimetrische Abbildung von diesen Wagen zeigt Fig. 555 (a. f. S.). Das Untergestell dieses Wagens ist ein Rahmen, welcher aus zwei Langschwellen  $AA, BB$ , zwei Querschwellen  $AB, AB$  und zwei Diagonalthölzern  $CC, DD$  zusammengesetzt ist. Auf den ersteren sind die gußeisernen Lager  $E, E$  für die schmiedeeisernen Radaxen festgeschraubt. Der Wagenkasten  $FG$  ist pyramidalisch geformt, ist unten circa 5 bis 6 Fuß lang und breit und hat eine Tiefe von  $1\frac{1}{2}$  Fuß, und einen Fassungsraum von circa 70 Cubikfuß, oder circa 40 Centner Erdmasse. Zum Umschlagen oder Wippen dieses Kastens dienen zwei starke Charniere, wie z. B.  $H$ , welche theils durch eiserne Fußgestelle, die auf dem Untergestelle feststehen, und theils durch eiserne Backen, welche auf einem Querholze im Boden des Kastens festgeschraubt sind, gebildet werden. Zur weiteren Unterstützung des Kastens dienen ferner noch zwei Querschwellen  $K$  und  $L$ , wovon die eine auf dem Untergestelle

Eisenbahn-  
wagen.



Eisenbahn- und die andere auf dem Boden des Kastens befestigt ist. Damit der Ka-  
wagen.

Fig. 555.



sten während des Transportes nicht umkippe, ist an der Schwelle *K* eine Schloßhaspe und an der Schwelle *L* ein Schloßband befestigt; wird nun das letztere mit seinem Auge über die Haspe weggelegt und durch dieselbe ein Bolzen gesteckt, so ist dadurch die feste Verbindung des Kastens mit dem Untergestelle bewirkt. Man bedient sich der Dienstbahnen nur dann, wenn die Förderwege mindestens 3000 Fuß betragen. Gewöhnlich ziehen auf denselben zwei Pferde drei beladene Wagen, wogegen ein Dampfwagen deren zwanzig auf ein Mal fortschafft.

Bei den Eisenbahnwagen, welche durch Dampfkraft in Bewegung gesetzt werden, sind die Zapfenlager nicht mit dem Untergestelle fest verbunden, sondern sie tragen das Untergestelle mittels der sogenannten Druckfedern, welche in ihrer Mitte mit dem Zapfenlager und an ihren Enden mit dem Untergestelle fest verbunden sind. Um die seitliche Verrückung der Lager zu verhindern, werden dieselben noch von einer schmiedeeisernen Senkrechtführung eingeschlossen, welche an das Untergestelle festgeschraubt ist. Dieselbe Verbindungsweise kommt auch bei den Dampfwagen vor, weshalb hier die specielle Behandlung derselben übergangen werden kann.

Eisenbahnen. §. 270. Die Dampfmaschinen, welche zum Fortschaffen der Eisenbahnwagen dienen, sind entweder stationäre oder locomotive. In der Regel bedient man sich, der Einfachheit wegen, der letzteren oder sogenannten Dampfwagen (franz. und engl. locomotives) und nimmt nur dann zu den stehenden Dampfmaschinen seine Zuflucht, wenn die Eisenbahn ein starkes Ansteigen hat oder eine sogenannte schiefe Ebene (franz. rampe; engl. ramp) bildet, auf welcher der Dampfwagen nicht hinaufsteigen kann. Die stehenden Dampfmaschinen sind uns schon aus Band II., Abschn. II., Kap. IV. u. s. w. bekannt. Je nach der Art und Weise, wie sie die Wagen fortbewegen, hat man entweder sogenannte

Seileisenbahnen oder  
atmosphärische Eisenbahnen.

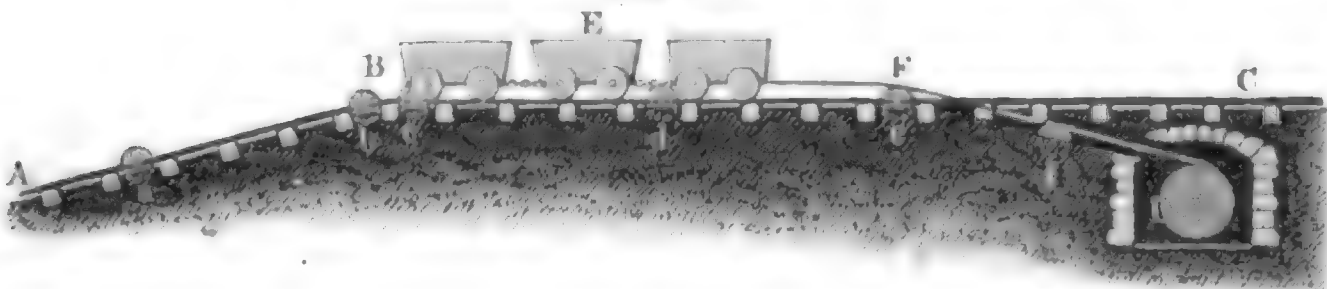
Seilbahnen.

Bei den Seileisenbahnen werden die Wagen mittels eines starken Seiles fortgezogen, welches sich um eine große Trommel wickelt, die durch die stehende Dampfmaschine in Bewegung gesetzt wird. Es ist daher auch eine solche Eisenbahn im Wesentlichen nichts weiter als ein Dampfsgöpel (s. S. 238 und 251).

Bei der bekannten Eisenbahn von London nach Blackwall wickelt sich jedes Ende des Zugseiles auf eine große eiserne Trommel von 23 Fuß Höhe, welche durch zwei starke Schiffsdampfmaschinen in Umdrehung gesetzt wird. Zur Unterstützung dieses 40 Tonnen schweren Seiles sind längs der ganzen Bahn 3 Fuß hohe gußeiserne Seilscheiben angebracht. Die Wagen sind, ohne daß die Bewegung aufgehalten wird, mit Leichtigkeit an das Seil anzuhängen und von demselben abzulösen.

Damit die Trommel, auf welche sich das Seil aufwickelt, der Fortsetzung der Bahn nicht hinderlich sei, muß man dieselbe entweder in einer Curve um dieselbe herumführen, oder man muß, wie es meist geschieht, die Trommel unterirdisch legen, und das Seil nicht allein ein großes Stück horizontal, sondern auch noch nach dieser Trommel zu abfallend leiten. In Fig. 556 hat man ein ideales Bild von einer Seilbahn. *AB* ist das

Fig. 556.



obere Ende der schiefen Ebene oder Rampe, auf welcher der Wagenzug durch eine stehende Maschine hinaufgezogen wird, *BC* ist die horizontale Fortsetzung der Bahn, und *D* ist der in einem unterirdischen Gewölbe eingeschlossene Seilkorb, welcher durch eine zur Seite stehende Dampfmaschine in Bewegung gesetzt werden kann. Zwischen den Schienen liegen von Distanz zu Distanz die Seiltrollen *a, b, c, d, e, f*, welche das Zugseil, woran der Wagenzug *E* angehängen ist, längs der Bahn unterstützen und von einem Punkte *F* der horizontalen Bahnstrecke *BC* nach dem Korbe *D* führen. Sowie der Wagenzug vollständig auf der horizontalen Bahnstrecke angekommen ist, wird derselbe vom Seile abgehängt und durch eine Locomotive weiter befördert. Beim Herabgehen von der schiefen Ebene hat man natürlich die Ueberwucht durch Bremsen der Wagen und des Korbes aufzuheben.

Sehr zweckmäßig ist es, wenn die Ueberwucht eines niedergehenden





§. 271. Bei den atmosphärischen Eisenbahnen werden die Wagen durch den Druck der Luft in Bewegung gesetzt. Zu diesem Zwecke legt man längs der ganzen Bahnlinie zwischen die beiden Schienen eine eiserne Röhre von circa 18 Zoll Weite, in welcher ein Kolben eingeschlossen ist, dessen Stange mit dem ersten Wagen in fester Verbindung steht; wird nun durch eine große Luftpumpe die Luft entweder auf der einen Seite des Kolbens verdünnt oder auf der anderen Seite desselben verdichtet, so erhält die eine Fläche des Kolbens einen kleineren oder größeren Druck als die andere und es setzt der Ueberschuß dieser beiden Drücke den Kolben sammt den daran angeschlossenen Wagenzug in Bewegung. Wegen des leichteren luftdichten Abschließens der Röhre hat man bis jetzt nur das Princip des Saugens oder der Luftverdünnung (nach Clegg und Samuda) in Anwendung gebracht, wiewohl auch das Forttreiben des Kolbens durch comprimirt Luft in Vorschlag (von Piatti) gebracht worden ist. Wenn man bei einer atmosphärischen Eisenbahn der ersten Art durch die Luft- oder Saugpumpe das Volumen der Luft nur auf das Doppelte ausdehnt, so sinkt der Druck derselben gegen die entsprechende Kolbenfläche auf die Hälfte seines ursprünglichen Werthes. Nimmt man folglich den Atmosphärendruck zu 15 Pfund auf den Quadratzoll an, so hat man den Druck der verdünnten Luft  $= 15 \cdot \frac{1}{2} = 7\frac{1}{2}$  Pfund und daher die Treibkraft pr. Quadratzoll Kolbenfläche ebenfalls nur  $15 - 7\frac{1}{2} = 7\frac{1}{2}$  Pfund. Nun entspricht aber dem Kolbendurchmesser von 18 Zoll eine Kolbenfläche von  $9^2 \cdot \pi = 81 \cdot \pi = 254,5$  Quadratzoll, demnach ist der gesuchte Ueberschuß des Luftdruckes  $= 254,5 \cdot 7,5 = 1908,75$  Pfund, und folglich, wenn man noch 10 Procent desselben als die Kraft zur Ueberwindung der Kolbenreibung in Abzug bringt, die übrig bleibende Betriebskraft des Wagenzuges  $1908,75 - 190,87 = 1717,88$  Pfund.

Die allgemeine Einrichtung einer atmosphärischen Eisenbahn läßt sich aus dem Längendurchschnitte in Fig. 558 (a. f. S.) ansehen. Man sieht in  $AA_1$  die Treibröhre, welche mit der Schienenbahn auf denselben Querschwellen befestigt ist, in  $B$  den Treibkolben, in  $S$  dessen Stange und in  $T$  ein Gegengewicht am Ende der letzteren. In der Mitte der Kolbenstange ist ein breiter Querarm  $C$  von starkem Eisenblech aufgesattelt, welcher durch den Längenschlitz in der Treibröhre hindurchgeht und zur Verbindung der Kolbenstange mit dem darüber stehenden Wagen  $W$  dient. Auf dem Schlitz längs der ganzen Treibröhre liegt ein Federventil  $G$ , welches zur Verstärkung mit Eisenplatten bedeckt und mit der einen Seite auf der Treibröhre befestigt ist, wie aus den Querschnitten der Treibröhre in Fig. 559 und Fig. 560 gesehen werden kann. In dem gewöhnlichen Zustande ist natürlich dieses Ventil geschlossen, wie Fig. 560 vor Augen führt; wenn aber der Kolben durch die Verdünnung der Luft

Atmosphä-  
rische Eisen-  
bahnen.



auf der Seite *A* in progressive Bewegung geräth, so wird das Ventil nahe hinter demselben durch vier Räder *H, H . .*, welche auf der Kolbenstange festsetzen, aufgehoben, wie in Fig. 559 zu ersehen ist, und es kann folglich der Querarm *C* ungehindert mit dem Kolben fortgehen und den Wagen *W* mit sich fortnehmen. Die Auflagerungsflächen des Ventiles sind vollkommen glatt abgehobelt, auch wird zum luftdichten Verschluss noch eine Composition von Wachs und Talg zwischen das Ventil und die Röhre (bei *F*) eingelegt. Nachdem der Querarm eine Stelle der Röhre verlassen hat, fällt das Ventil hinter demselben wieder zu, und wird durch eine Rolle *R*, welche am hinteren Ende des Wagens *W* befestigt ist, auf seinen Sitz fest aufgedrückt; den hermetischen Abschluss bewirkt aber endlich noch ein erwärmtes Bügeleisen *N*, welches über der Composition *F* hingleitet, und dieselbe auf kurze Zeit erweicht. Noch ist das Ventil *G* vor Beschädigung von außen durch eine Klappe *I* aus dünnem Eisenblech geschützt, welche mittels Lederohren mit der Röhre verbunden ist und durch Rollen wie *D*, welche am Wagengestelle festsetzen, an der Stelle aufgehoben wird, welche der Querarm der Kolbenstange zu passieren hat.

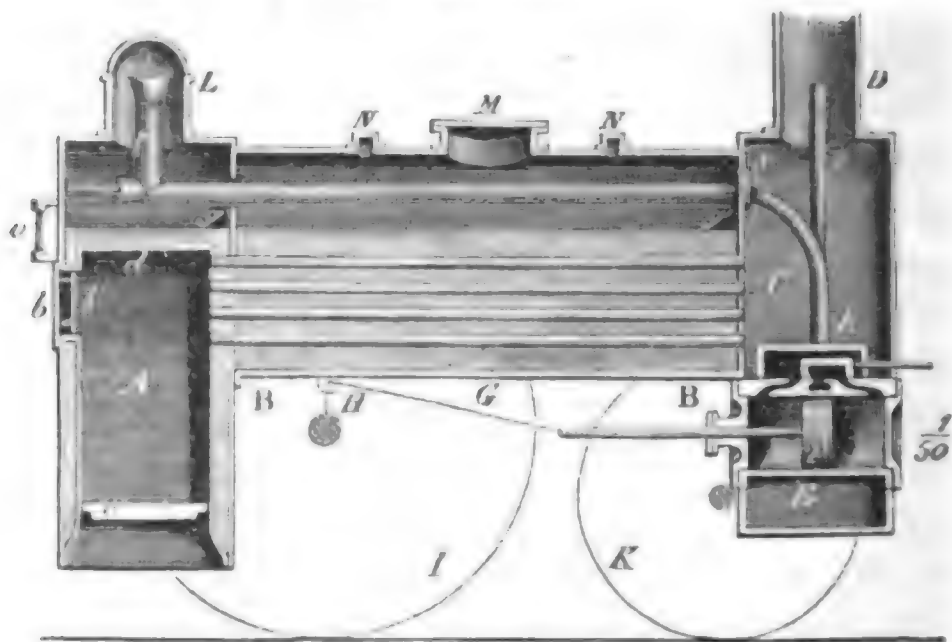
atmosphärische Eisenbahnen.

Ein Hauptvorteil der atmosphärischen Eisenbahnen vor den Bahnen mit Dampfmaschinenbetrieb besteht in der Ersparnis des Dampfzuges, durch dessen Gewicht von 20 bis 30 Tonnen das Gewicht des ganzen Wagenzuges leicht um 20 Procent vergrößert werden kann. Dagegen sind aber auch die atmosphärischen Eisenbahnen viel kostbarer als die gewöhnlichen Eisenbahnen, zumal da sie zur Herstellung des luftverdünnten Raumes eine Menge stehender Maschinen erfordern, welche in Abständen von 3 bis 5 engl. Meilen längs der Bahn aufzustellen sind. Ohnedies sind die atmosphärischen Eisenbahnen öfteren Unterbrechungen ausgesetzt, da durch einen unvollkommen luftdichten Abschluss die Bewegung des ganzen Wagenzuges aufgehoben werden kann. Es ist deshalb auch die Anwendung einer atmosphärischen Eisenbahn nur eine exceptionelle (wie z. B. die zu St. Germain), und möchte nur dann zu rechtfertigen sein, wenn es darauf ankommt, den Betrieb auf einer stark ansteigenden kurzen Eisenbahnstrecke herzustellen, wo die Dampfmaschinen nicht im Stande sind, größere Wagenzüge mit sich empor zu nehmen.

§. 272. Das gewöhnliche Förderungs mittel auf Eisenbahnen sind die sogenannten Locomotiven oder Dampfmaschinen. Sie bestehen in der Hauptsache aus einem Wagen, welcher eine Dampfmaschine sammt Kessel trägt, die mittels Umdrehung der einen Achse das Ganze in fortschreitende Bewegung setzt. Folgendes ist die wesentliche Einrichtung eines Dampfzuges, wovon Fig. 561 (a. f. S.) einen Längendurchschnitt zeigt. *A* ist der sogenannte Feuerkasten (franz. foyer, boîte à feu; engl. fire-box), in welchem das Brennmaterial verbrannt wird, welches man durch

Locomotiven.

Locomotiven. die mit einer Schutzplatte *b'* versehene Heizthür *b* einträgt. Dieser  
Fig. 561.



Kasten ist unten durch den Rost *c* und an den Seiten durch doppelte, mittels Stehbolzen unter einander verbundene Blechwände, zwischen welchen Wasser enthalten ist, umgrenzt. An den Feuerkasten schließt sich der cylindrische Theil *B B* des Kessels an, welcher ein System von Röhren, die sogenannten Heizröhren (franz. tubes; engl. pipes) einschließt, und übrigens mit dem zu verdampfenden Wasser angefüllt ist. Das Feuer oder die erhitzte Luft durchströmt die Feuerrohre und setzt hierbei so viel Wärme an das dieselben umgebende Wasser ab, daß dieses in Dampf verwandelt wird. Von da gelangt die erhitzte Luft in den sogenannten Rauchkasten (franz. boîte à fumée; engl. smoke box) *C*, und dieser führt sie endlich in den Schornstein *D*. Der Dampf, welcher sich aus dem Wasser entwickelt, das den Heizraum und die Heizröhren umschließt, füllt den oberen Theil des cylindrischen Kessels *B*, sowie auch den sogenannten Dampfdom *L* aus, welcher sich unmittelbar über dem Feuerkasten befindet, und tritt von oben in das Dampfrohr *fg g'*. Die Dampfmaschine besteht aus zwei Cylindern, wovon jedoch in der Figur, und zwar in *E*, nur der eine sichtbar ist; deshalb theilt sich auch das Dampfrohr bei *y* in zwei Zweige, wovon jeder den Dampf nach einer besonderen Dampfkammer *h* führt. Nachdem der Dampf in dem Cylinder gewirkt, also dessen Kolben *F* hin- oder zurückgeschoben hat, gelangt er in das beiden Maschinen gemeinschaftliche Blaserohr *i* und tritt endlich aus demselben in den Schornstein, wo er vorzüglich noch den wesentlich nothwendigen Luftzug erzeugt.

Die ganze Maschine ruht auf den Axen von zwei (oder drei) Paar Rädern *J* und *K*, und je nachdem sich die beiden Dampfcylinder zwischen den Rädern befinden, oder außerhalb derselben liegen, ist entweder die eine Axe *H*

doppelt gekröpft, oder jedes ihrer Räder mit einer Warze versehen, in jedem Falle aber jeder der beiden auf die eine oder die andere Weise gebildeten Krummzapfen durch eine Kurbelstange *G* mit dem einen oder dem anderen Treibekolben *F* in Verbindung gesetzt. Diese Krummzapfen sind gegen einander auf das Viertel gestellt, d. h. ihre Warzen stehen um 90 Grad von einander ab, und dem entsprechend sind auch die Stellungen der beiden Treibekolben stets um den halben Schub von einander verschieden. Hierbei wirkt der eine Kolben mit seiner vollen Kraft auf den Krummzapfen, wenn die Warze des anderen Kolbens im todten Punkte steht, also die Kolbenkraft gar nichts zur Umdrehung des Krummzapfens beiträgt; es variirt daher die Umdrehungskraft der Triebaxe in ziemlich engen Grenzen und erfordert zu ihrer Ausgleichung kein besonderes Schwungrad (vergl. §. 106).

Die Bewegung der Schieber *h* erfolgt durch Excentriks, welche auf der Triebaxe *H* feststehen.

In der Figur sieht man noch bei *M* das Mannloch, bei *N, N* die Löcher für die Sicherheitsventile und bei *O* den Wasserstandszeiger mit Glasröhre

Dem Dampfwagen unmittelbar folgt noch ein Munitionswagen, der sogenannte Tender (franz. und engl. tender), welcher zum Transport des Feuerungsmaterials und des Speisewassers dient. Zur Speisung des Kessels dient eine Saug- und Druckpumpe, welche vermittels eines Schlauches u. s. w. das Wasser aus dem Tender in den Kessel bringt. An den Tender ist der eigentliche Wagenzug (franz. convoi; engl. train) angeschlossen. Zum Befahren kürzerer Bahnstrecken wendet man in neuerer Zeit auch Locomotiven an, welche das Wasser und Brennmaterial gleich mit sich führen, indem man dem hinteren Theil dieser Wagen die Einrichtung der Tender giebt. In England sind die Dampfwagen unter dem Namen „Tank-engines“ bekannt.

§. 273. Wir werden im Folgenden die einzelnen Theile einer Locomotive etwas specieller beschreiben.

Der Feuerraum eines Dampfwagens wird durch einen umgestürzten, also unten offenen, parallelepipedischen Kasten gebildet. Man verwendet hierzu drei Stück Eisen-, oder noch besser Kupferbleche von  $\frac{1}{2}$  bis 1 Zoll Dicke, welche durch dichte Nietung mit einander verbunden werden. Dieser sogenannte innere Feuerkasten wird in einem Abstände von  $3\frac{1}{2}$  bis 4 Zoll von einem zweiten Blechkasten, dem sogenannten äußeren Feuerkasten, umgeben, und mit diesem durch kupferne Stehbolzen (franz. entretoises; engl. stays) verbunden. Die Stärke dieser Bolzen beträgt circa  $\frac{3}{4}$  Zoll und ihr Abstand von einander 4 Zoll.



Recompten-  
leffel.

Die Decke des inneren Feuerkastens ist durch starke schmiedeeiserne Brückenstäbe von circa 4 Zoll Höhe und 1 Zoll Dicke verstärkt. Diese Stäbe liegen in Abständen von 5 bis 6 Zoll der Länge des Kessels nach neben einander und sind in Abständen von 5 bis 6 Zoll auf die innere Blechdecke aufgebolt und wohl auch mit dem äußeren Feuerkasten an einigen Stellen verstrebt.

Damit durch die Oeffnung für die Heizthür der wasserdichte Verschluss in dem Raume zwischen beiden Feuerkasten nicht unterbrochen werde, ist ein eiserner Ring eingesetzt, welcher rings um diese Oeffnung herum die inneren und äußeren Blechwände mit einander verbindet. Der Theil der vorderen Seitenwand, in welchem die Heizröhren in den Feuerraum einmünden, wird, da an dieser Stelle der äußere Feuerkasten unterbrochen ist, bloß dadurch verstärkt, daß man zu ihm stärkeres Blech verwendet.

Der mit Wasser angefüllte Raum, welcher den ganzen Feuerheerd umgiebt, wird von unten durch einen mit beiden Blechwänden mittels Nieten verbundenen Kranz geschlossen, an welchem ein anderer Kranz befestigt ist, auf den die Roststäbe zu liegen kommen. Diese Stäbe bestehen aus geschmiedetem oder gewalztem Eisen, sind 4 Zoll hoch, oben  $\frac{3}{4}$  bis 1 Zoll und unten  $\frac{3}{8}$  bis  $\frac{5}{8}$  Zoll dick. Je nach der Güte des Brennstoffes läßt man diese Stäbe  $\frac{3}{4}$  bis  $\frac{5}{4}$  Zoll von einander abstehen. Die unverbrannten Ueberreste der Verbrennung, welche zwischen den Roststäben hindurchfallen, werden durch den sogenannten Aschenfall aufgefangen, damit sie nicht zu Feuersbrünsten Veranlassung geben. Ein solcher Aschenfall besteht in einem Blechkasten, welcher die Grundfläche des Rostes vollständig einschließt und an der vorderen Seite mit einer Thür versehen ist, welche der Maschinenwärter zur Regulirung des Luftzuges nach Belieben mehr oder weniger eröffnen kann.

Um eine möglichst große Heizfläche zu erhalten, müssen Rauch- oder Heizröhren von kleiner Weite und in großer Anzahl angewendet werden; damit dieselben aber durch die Ueberreste der Verbrennung nicht verstopft und dem Luftzug nicht zu viel Hindernisse in den Weg gelegt werden, giebt man diesen Röhren eine Weite von  $1\frac{1}{2}$  bis 2 Zoll. In der Regel verwendet man zu denselben Messingblech von circa 1 Linie Dicke. Diese Röhren werden in entsprechende Löcher in der Vorderwand des Feuer- und in der Hinterwand des Rauchkastens eingesetzt, und darin durch eingetriebene Stahlringe mit conischem Rande befestigt. Den kürzesten Abstand je zweier Röhren von einander nimmt man 7 bis 8 Linien, so daß bei dem äußeren Röhrendurchmesser von 2 Zoll die Arenabstände der benachbarten Röhren 2 Zoll 7 bis 8 Linien betragen. Gewöhnlich ist die Anzahl dieser Röhren 70 bis 150 und die Länge derselben 6 bis 12 Fuß. Während die directe Heizfläche oder die Fläche des inneren Feuer-

kastens 40 bis 60 Quadratfuß beträgt, ist die indirecte Heizfläche oder die der Heizröhren 400 bis 800 Quadratfuß. Die Heizröhren werden von einem cylindrischen Kessel aus Eisenblech umgeben, welcher sich einerseits an den Feuer- und andererseits an den Rauchkasten anschließt und eine Weite von 3 bis 4 Fuß hat. Um die Wärme so viel wie möglich in dem Kessel zurückzuhalten, umgiebt man ihn entweder mit einem Mantel aus Filz und mit einem Mantel aus Holzdauben; oder man legt um denselben nur einen von dünnem Eisenbleche umhüllten Mantel aus Holzdauben. Locomotiv-  
kessel.

Der obere Theil oder die Haube des äußeren Feuerkastens erhält sehr verschiedene Formen. Am einfachsten ist es, diese Fläche halbcylindrisch zu gestalten, so daß sie eine Fortsetzung der oberen Hälfte des cylindrischen Kessels bildet.

Der Rauchkasten hat im Ganzen dieselbe Form wie der äußere Feuerkasten, nur ist er niedriger als dieser und unten durch eine ebene oder halbcylindrische Fläche begrenzt. Während in der Hinterfläche desselben die vorderen Enden der Heizröhren festsetzen, enthält die Vorderfläche eine Thür, welche zum Reinigen und zu Reparaturen der Heizröhren u. s. w. dient. Dieser Rauchkasten ist einfach aus Blech zusammengenietet, welches eine Stärke von 2 bis 3 Linien hat. Nur zur Hinterfläche, durch welche die Heizröhren hindurchgehen, und welche den Dampf- oder Wasserdruck auszuhalten hat, verwendet man Blech von circa  $\frac{3}{4}$  Zoll Dicke. Um den Luftzug so viel wie möglich zu begünstigen, giebt man dem Dampfkasten einen möglichst kleinen Raum, namentlich macht man seine Länge nur  $1\frac{1}{2}$  bis 2 Fuß, wogegen die des Feuerkastens 3 bis 4 Fuß beträgt.

Vom Rauchkasten aus steigt die Esse empor, welche aus Eisenblech von 2 Linien Dicke zusammengenietet ist. Sie ist cylindrisch und hat bei einer Höhe von 5 bis 7 Fuß eine Weite von 1 bis  $1\frac{1}{4}$  Fuß. Ihr Querschnitt ist meist nahe 0,7 von dem sämmtlicher Heizröhren. In der Esse befindet sich ferner noch ein Drahtgitter, durch welches das Auswerfen der glühenden Kohlenstücke verhindert wird, auch ist noch eine Klappe angebracht, durch welche sich die Esse während des Stillstandes der Maschine verschließen läßt.

Ferner versieht man noch den Rauchkasten mit einem Register oder Schieber, durch dessen Eröffnung äußere Luft in den Rauchkasten eingelassen und der Zug in den Röhren regulirt werden kann. Endlich erhalten zu demselben Zwecke auch wohl die sämmtlichen Austrittsmündungen der Heizröhren Blechdeckel, welche sich, wie die Fensterjalousien, in beliebigem Grade eröffnen lassen.

§. 274. Der Dampf, welcher sich auf der Oberfläche des Wassers im Kessel bildet, wird durch das sogenannte Dampfrohr der Dampfkammer



Locomotiven-  
Kessel.

zugeführt. Damit so wenig wie möglich Wasser von dem Dampfe in das Dampfrohr u. s. w. mit fortgerissen werde, legt man die Einmündung des Dampfrohres möglichst hoch über den Wasserspiegel, und versieht zu diesem Zwecke den Dampfkessel mit einem kesselförmigen Aufbau aus Messingblech, dem sogenannten Dome, innerhalb dessen das Einmündungsstück des Dampfrohres senkrecht emporsteigt. Man setzt den Dom entweder auf den Feuerkasten oder auf den cylindrischen Theil des Kessels. Da sich über dem inneren Feuerkasten in Folge der größeren Hitze mehr Dämpfe entwickeln, so möchte allerdings der Dampfdom über demselben anzubringen sein; da aber auch an dieser Stelle die stärksten Wallungen des kochenden Wassers und folglich auch das stärkste Fortreißen des Wassers durch den sich bildenden Dampf erfolgt, so ist es zweckmäßiger, den Dom über den cylindrischen Theil des Dampfkessels, jedoch näher dem Feuer- als dem Rauchkasten zu legen.

Das Dampfrohr ist in der Regel aus Kupferblech und hat einen Querschnitt von  $\frac{1}{12}$  bis  $\frac{1}{10}$  des Querschnittes eines Dampfeylinders. Der Regulator, durch welchen die Dampfmenge, welche das Dampfrohr nach der Maschine führt, regulirt wird, besteht entweder in einem Schieber oder in einer kreisrunden Scheibe mit ausgestoßenen Sektoren. Die Bewegung dieses Apparates erfolgt in der Regel mit Hülfe einer Kurbel, deren Welle mittels einer Stopfbüchse durch die Hinterwand des äußeren Feuerkastens geführt ist. Bei den Locomotiven von Crampston erfolgt der Eintritt des Dampfes in das Dampfrohr durch einen Spalt, welcher auf der oberen Seite längs des ganzen Rohres hinläuft, und es ist hier der regulirende Dampfschieber nahe über den Dampfeylindern angebracht. Um das Fortreißen des Wassers u. s. w. so viel wie möglich zu vermindern, ist es zweckmäßig, den Dampf mittels Mäntel, welche die Einmündung des Dampfrohres umgeben, einige Mal fallend und steigend zu führen, ehe er in das Dampfrohr eintritt, weil hierbei dem fortgerissenen Wasser zum Zurückfallen Gelegenheit gegeben wird.

Die beiden Zweigröhren, welche den Dampf nach den Dampfkammern der beiden Dampfeylinder führen, sind mit dem einfachen Dampfrohre durch ein gußeisernes Zwischenstück verbunden, welches sich oben im Inneren des Rauchkastens befindet und an der Hinterwand dieses Kastens festsetzt.

Die Röhren, welche den verbrauchten Dampf aus den Cylindern führen, werden ebenfalls durch ein gußeisernes Zwischenstück mit dem Ausblaserohre vereinigt; dasselbe befindet sich entweder nahe über den Cylindern oder unmittelbar unter der Einmündung in die Esse. Die Ausmündung des Ausblaserohres ist conisch zusammengezogen, um eine größere Geschwindigkeit des austretenden Dampfes und dadurch wieder einen stär-

keren Luftzug in der Esse zu erzeugen. Uebrigens hat jede der beiden Austrageröhren, wie das Einmündungsstück des Dampfrohres, ein Zehntel der Kolbenfläche, und dagegen das Ausblaserohr ein Fünftel derselben zum Querschnitte. Um die Geschwindigkeit des austretenden Dampfes zu reguliren, wendet man auch wohl eine veränderliche Ausmündung an, indem man in das Ausmündungsstück zwei Klappen einsetzt, zwischen welchen der Dampf ausbläst. Diese Klappen lassen sich mittels einer Zugstange und einer Kurbel zugleich stellen.

Locomotiven-  
Kessel.

Das Speisen des Kessels erfolgt durch zwei Speisepumpen. Die Kolbenstangen derselben werden entweder an die Querhäupter der Dampf-  
kolbenstangen, oder an die Steuerungs-*excentriks* angeschlossen; im ersten Falle haben diese Pumpen den Schub von 18 bis 27 Zoll mit dem Dampfkolben gemeinschaftlich, und es ist der Kolbendurchmesser derselben nur  $1\frac{1}{2}$  bis  $2\frac{1}{2}$  Zoll; im zweiten Falle hingegen ist der Schub 5 bis  $6\frac{1}{2}$  Zoll und der Kolbendurchmesser 4 Zoll. Der Pumpencylinder ist aus Gußeisen oder Messing und hat nur wenig mehr Weite ( $1\frac{1}{2}$  Linie) als der Kolben. Der letztere ist ein langer abgedrehter Cylinder und wird durch eine Stopfbüchse abgelidert, welche an das eine Ende des Pumpencylinders festgeschraubt ist. Die Ventile dieser Pumpen sind entweder Regel- oder Kugelventile; jene gleiten mittels Flügel, welche an der unteren Ventilfläche feststehen, in dem oberen Theile der Saugröhren; diese bewegen sich in glockenförmigen Gehäusen, welche über den Ventilflächen angebracht sind. In der Regel hat jede Speisepumpe ein Saugventil und zwei nahe über einander stehende Druck- oder Steigventile; und überdies noch ein Ventil oder einen Hahn nahe bei der Einmündung des Steigrohres in den Kessel, welcher das Wasser in dem Kessel zurückhält, während die Pumpe geprüft oder reparirt wird. Um die Wirksamkeit der Pumpe zu prüfen und die etwa in derselben angesammelte Luft fortzuschaffen, läßt man noch ein kurzes Proberohr in den Raum zwischen beiden Steigventilen einmünden, welches für gewöhnlich durch einen Hahn verschlossen wird. Man verlangt nicht nur, daß eine Speisepumpe allein den Dampfkessel hinreichend mit Wasser zu versorgen vermöge, sondern man fordert auch, daß sie effectiv das dreifache Speisewasserquantum zu liefern im Stande sei.

Das Wasser wird den Speisepumpen aus dem Tender mittels kupferner Röhren von  $1\frac{1}{2}$  bis 2 Zoll Weite zugeführt, deren Einmündungen nach Belieben durch Ventile verschlossen werden können. Damit sich diese Verbindungsrohren kleinen Veränderungen in dem Abstände des Tenders von der Locomotive ohne Nachtheil accommodiren, versieht man dieselben mit Kugelgelenken und mit Stopfbüchsen, wie in Band II., Seite 200, Fig. 214 und Fig. 215 vor Augen geführt worden ist. Aus

Locomotiven-  
kessel.

jeder dieser Röhren läßt man noch eine sogenannte Wärmeröhre emporsteigen, welche ganz oben in den Kessel einmündet, und die dazu dient, den Dampf während des Stillstandes zurück in den Tender zu führen, und dadurch das Wasser in demselben anzuwärmen. Die Steigröhre ist, wie auch das Communications- und Saugrohr, aus Kupferblech und hat auch die nämliche Weite wie jene Röhre. Man hat diese Röhre an verschiedenen Stellen in den Kessel ausmünden lassen; jedoch läßt sich leicht einsehen, daß es zweckmäßiger ist, die Einmündungsstelle so entfernt wie möglich vom Brennherde zu legen.

Die im Vorstehenden behandelten Speisepumpen speisen natürlich nur während der Bewegung des Dampfwagens; will man aber die Füllung des Kessels mit Wasser ohne Bewegung des Dampfwagens bewirken, so muß man noch eine besondere Speisepumpe, und zwar entweder eine sogenannte Handpumpe oder eine Dampfpumpe, anbringen, je nachdem man dieselbe durch die Hand oder durch eine besondere Dampfmaschine in Bewegung setzen lassen will. Es ist endlich ein sehr zu beachtender Gegenstand, daß man zum Speisen der Locomotivenkessel möglichst reines Wasser verwende.

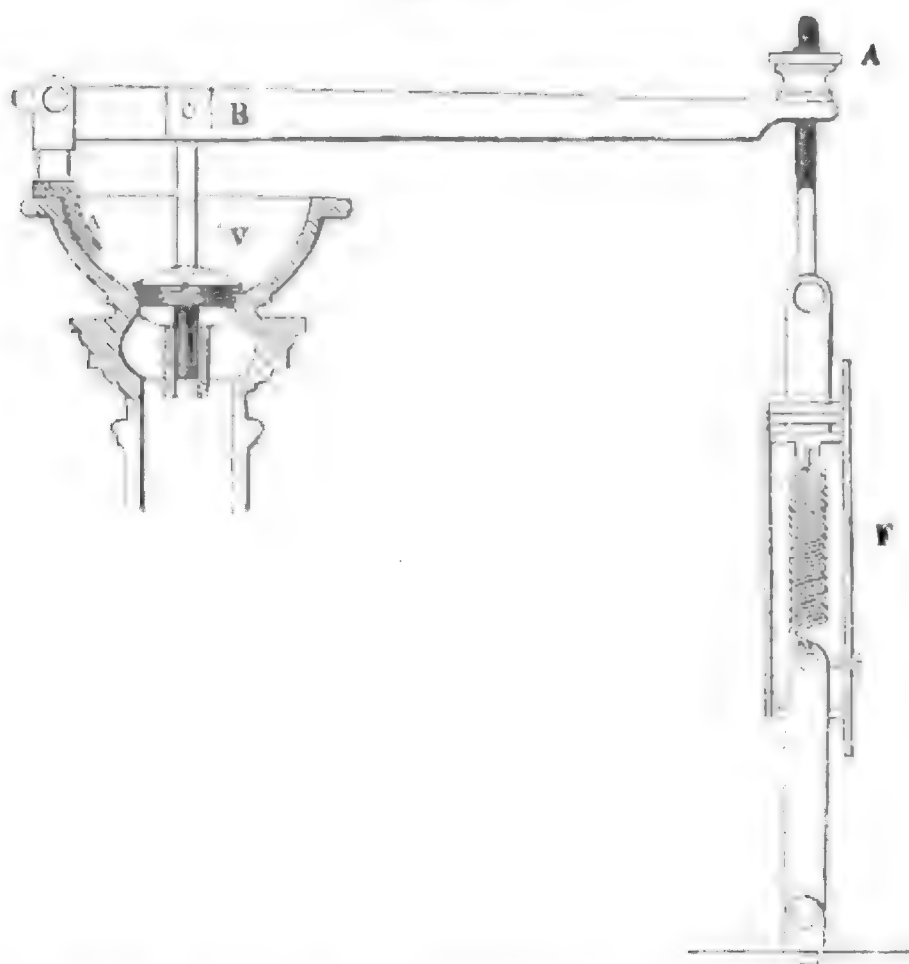
Um den inneren Zustand des Dampfkessels anzuzeigen, und um die Dampfspannung und den Wasserstand in demselben innerhalb gewisser Grenzen zu erhalten, sind noch Sicherheitsventile, Manometer, Wasserstandszeiger u. s. w. angebracht. Jeder Locomotivenkessel erhält zwei Sicherheitsventile, und zwar am besten eins im Vorder- und eins im Hintertheil des Kessels. Diese Ventile können wegen des Schwankens der Dampfwagen nicht durch Gewichte belastet werden, sondern werden mittels Stahlfedern auf ihren Sitz aufgedrückt. Man bedient sich hierzu gewöhnlich einer schraubensförmig gewundenen Drahtfeder *F*, Figur 562 (auf nebensteh. S.), und läßt dieselbe mittels eines einarmigen Hebels *A B C* auf das Ventil *V* wirken. Die übrige Einrichtung der Sicherheitsventile ist aus II., §. 317 bekannt.

Was das Messen des Dampfdruckes in Locomotivkesseln anlangt, so wendet man hierzu die Differentialmanometer von Richard, sowie auch die von Galv-Cazalat an; auch sind in neuerer Zeit Metallmanometer in Anwendung gekommen. S. II., §. 315 und 316. Auch kann man sich einfacher Kolbenmanometer bedienen, welche die Einrichtung eines gewöhnlichen Dampfindicators haben (s. II., §. 366).

Der Wasserstandszeiger (s. II., §. 312) besteht in einer 15 Zoll langen und  $1\frac{1}{2}$  Zoll weiten Glasröhre, welche oben in den Dampfraum und unten in den Wasserraum des Kessels einmündet und durch Hähne nach Belieben mit diesen Räumen in und außer Communication gesetzt werden kann. Außerdem versieht man den Locomotivenkessel noch mit

Von dem Fortschaffen der Lasten auf ganz oder nahe horizontalen Wegen. 631  
 drei Probehähnen, welche in verschiedenen Höhen über einander aus-  
 münden. Locomotiven-  
kessel.

Fig. 562.



Endlich gehört zu einem vollständigen Locomotivenkessel noch eine Dampfpfeife (franz. sifflet à vapeur; engl. steam-wistle). Dieselbe besteht 1) aus einem Reservoir, welches durch einen Hahn mit dem Dampf- raume in Verbindung gesetzt werden kann und mit einer schmalen ring- förmigen Mündung versehen ist, und 2) aus einer Metallglocke, welche nahe über der Mündung des genannten Reservoirs hängt und durch den aus dieser Mündung strömenden Dampf in Schwingungen versetzt wird. Man wendet die Dampfpfeife an, um damit die Ankunft und den Abgang eines Dampfwagenzuges anzuzeigen, oder dadurch das An- und Abziehen der Bremse anzuordnen u. s. w.

§ 275. Die vorstehende Beschreibung der Locomotivenkessel wird durch folgende Abbildungen einer sechsrädrigen Locomotive mit außenliegenden Cylindern noch besonders illustriert. Es zeigt: Beschreibung  
einer  
abgebildeten  
Locomotive.

Fig. 563 die äußere Seitenansicht,

Fig. 564 den Längendurchschnitt,

Fig. 565 den Querdurchschnitt durch den Feuerkasten, und

Fig. 566 den Querdurchschnitt durch den Rauchkasten und Schorn-  
 stein.





dem Dampfrohre fest verbunden und die andere um ihre Ase drehbar ist. Je nachdem die Oeffnungen dieser beiden Scheiben ganz, oder nur zum Theil, oder gar nicht über einander stehen, wird das Einstömen des Dampfes in das Dampfrohr in größerem oder kleinerem Maasse erfolgen oder ganz unterbrochen werden. Die entsprechenden Drehungen der äußeren Scheibe werden durch die Kurbel *T* bewirkt, deren Welle mittels Hebel und Zugstangen an diese Scheibe angeschlossen ist. In *W* sieht man auch den Schieber, welcher eine Oeffnung im Rauchkasten bedeckt und mittels der Stange *ZW* aufgezogen wird, wenn zur Ermäßigung des Zuges, Luft in den Rauchkasten gelassen werden soll.

**Beschreibung  
einer  
abgebildeten  
Locomotive.**

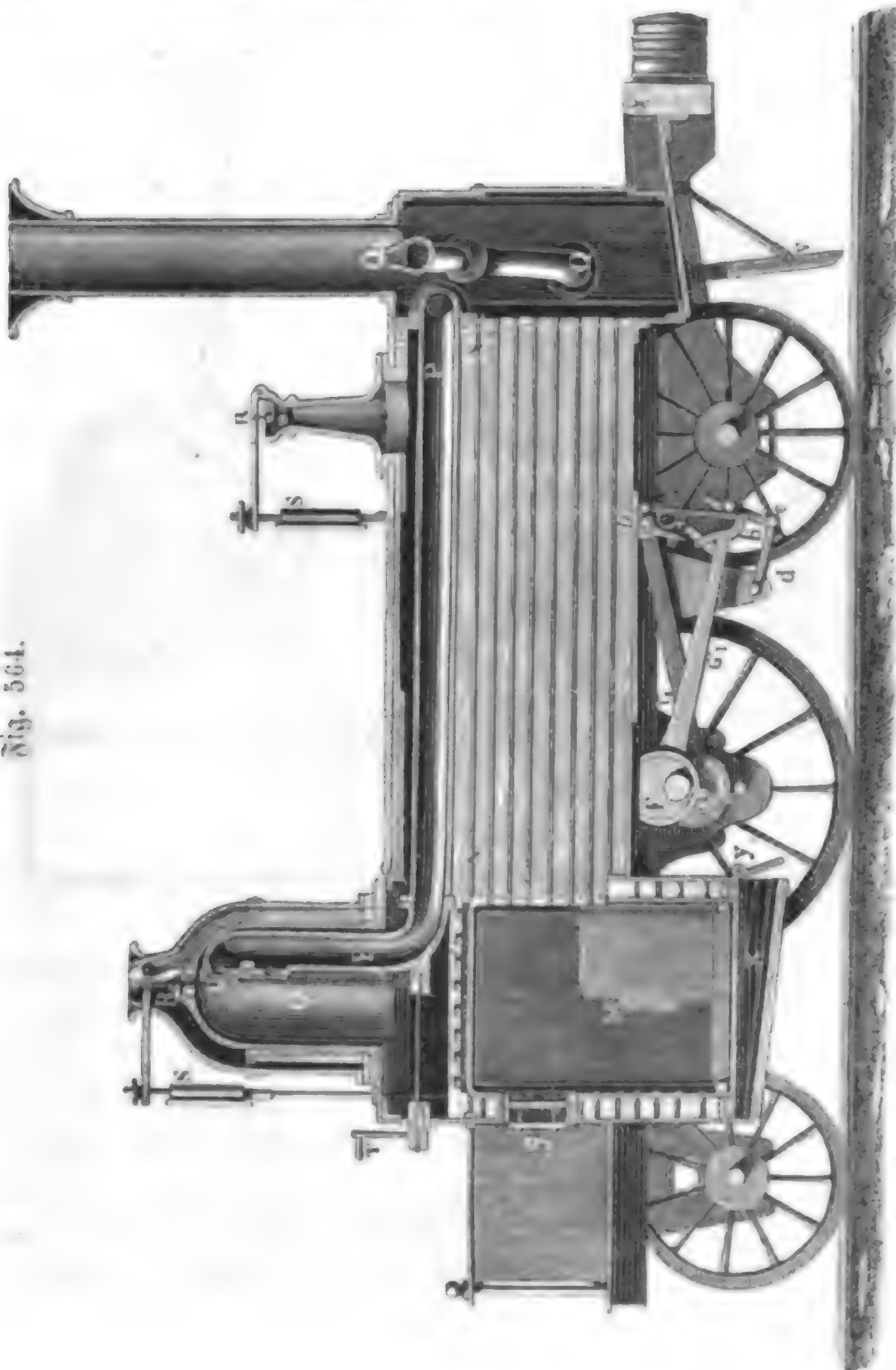


Fig. 561.





die andere Klaue mit dem Hebel *II* zum Eingriff bringen. Wenn bei dem Eingriffe der einen Klaue der Dampfchieber hingeschoben wird, so bewirkt dagegen der Eingriff der anderen Klaue das Zurückgehen des Dampfchiebers; und wenn in dem einen Falle die Triebaxe nach der einen Richtung gedreht und hierbei der Dampfswagen vorwärts bewegt wird, so nimmt dagegen im zweiten Falle die Triebaxe die entgegengesetzte und folglich auch der Dampfswagen eine rückwärtsgehende Bewegung an (vergl. II., S. 334).

Beschreibung  
einer  
abgebildeten  
Locomotive.

In Fig. 563 ist auch noch eine Speisepumpe *o p* vor Augen geführt. Die Kolbenstange *m* dieser Pumpe ist an das Querhaupt *a a* der Treibekolbenstange *B* angeschlossen und der an ihr sitzende Kolben bewegt sich in dem Cylinder *n* hin und zurück, wobei das Speisewasser durch das Rohr *o O* aus dem Tender angesaugt und durch das Rohr *p P* bei *q* in den Kessel eingebracht wird.

Noch sieht man bei *V* den sogenannten Eiskrager oder Schneeschuh, wodurch etwa auf den Schienen liegende Körper von diesen herabgestoßen werden. Endlich zeigt die Fig. 564 in *X* den Aschenfall und in *Y* die an demselben angebrachte und zum Reguliren des Luftzuges dienende Klappe.

§. 276 In Betreff des Bewegungsmechanismus der Dampfswagen müssen noch folgende Specialitäten angegeben werden.

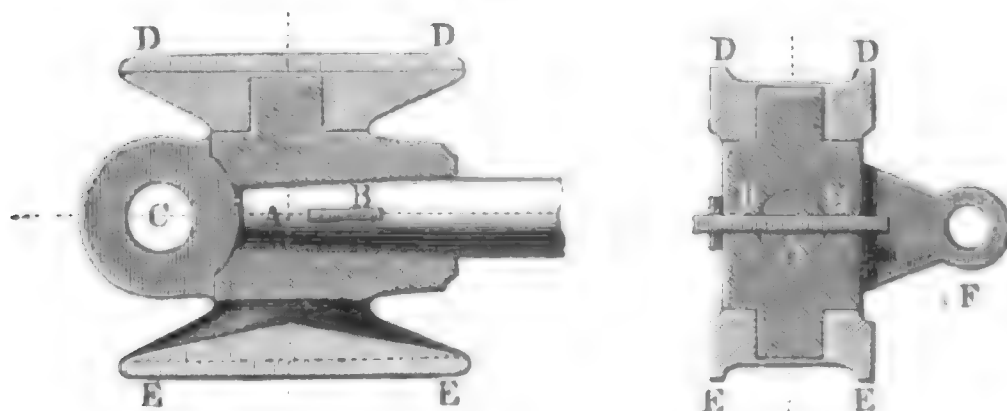
Locomotiven-  
mechanismen.

Die Dampfeylinder sind aus Gußeisen und befinden sich entweder im Rauchkasten oder unter oder neben demselben, zuweilen aber auch, wie z. B. bei den Locomotiven von Crampton, an den Seiten des cylindrischen Kesselraumes. Wenn sie außerhalb des Rauchkastens angebracht sind, so muß man ihrer Abkühlung durch Filz- und Holz- oder Blechmäntel so viel wie möglich entgegenwirken. Jeder der beiden Dampfwege erhält den zehnten Theil der Kolbenfläche zu seinem Querschnitte, dagegen der zwischen beiden befindliche Kanal, durch welchen der verbrauchte Dampf dem Ausblaserohre zugeführt wird, den fünften Theil dieser Fläche. Zum Ablassen des sich beim Stillstehen der Maschine in den Cylindern niederschlagenden Wassers sind kleine Hähnen an den Enden der Cylinder angebracht, auch versieht man die Cylinder noch mit Del-Hähnen zum Schmieren der Kolben und Schieber. Von den beiden Deckplatten, wodurch die Dampfeylinder verschlossen werden, erhält die hintere zur Durchföhrung der Kolbenstange eine messingene Stopfbüchse mit Hanfsliderung.

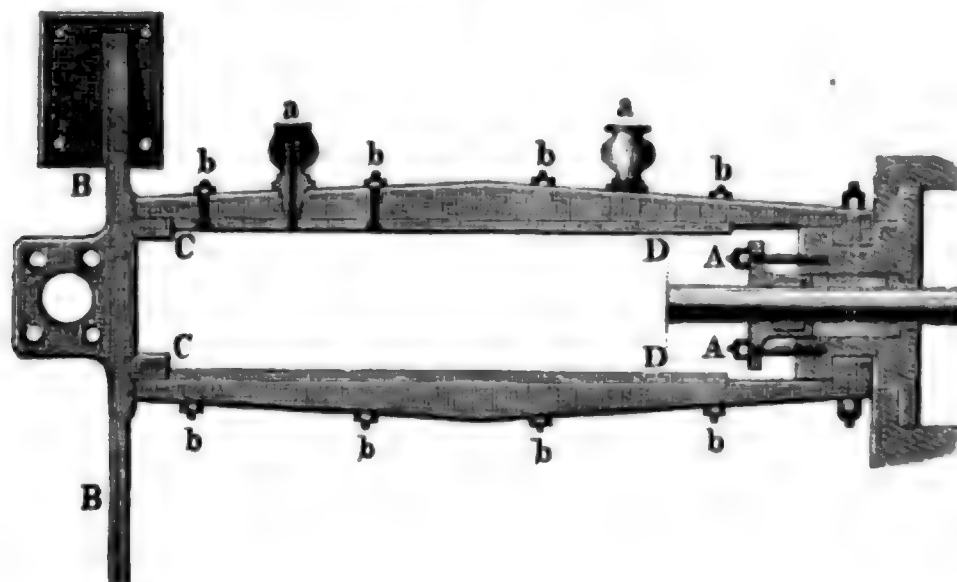
Die Dampfkolben erhalten eine schon aus Band II., S. 325 bekannte Metallliderung. Die letztere liegt zwischen zwei den eigentlichen Kolbenkörper ausmachenden Tellern aus Gußeisen und besteht aus zwei über



Von dem Fortschaffen der Lasten auf ganz oder nahe horizontalen Wegen. 637  
 den Längsschwellen des Wagengestelles festgeschraubt werden. Sehr ge- Locomotiven-  
mechanismen.  
 Fig. 568.



wöhnlich bekleidet man auch die Reibungsflächen mit besonderen Stahlschienen, die man mittels Schrauben auf die Innenflächen des Leitungsrahmens aufschraubt. In Fig. 569 sieht man das Längenprofil eines  
 Fig. 569.



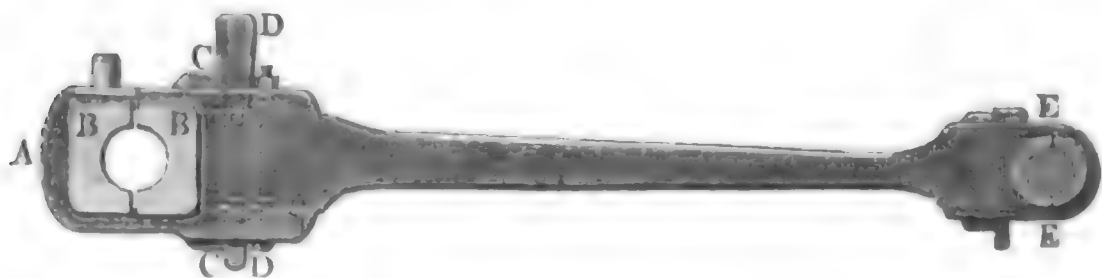
solchen Leitungsrahmens, und zwar in *AA* die Stopfbüchse und in *BB* den Support, woran die Leitungsschienen *CD*, *CD* angeschraubt sind; auch werden in *a, a* die Delbecher und in *b, b.* die Schrauben, womit die Reibungsschienen auf die Leitungsschienen aufgeschraubt werden, vor Augen geführt.

Die Kurbel- oder Triebstangen, welche die Kraft der Dampfkolben auf die Triebare übertragen, sind von Schmiedeeisen und haben mindestens fünfmal so viel Länge als die Kurbelarme. Man hat einfache und gabelförmige Triebstangen. Die einfachen Kurbelstangen sind Eisenstäbe von rechteckigem Querschnitte und laufen an beiden Enden in Köpfen aus, womit sie einerseits an die Querköpfe der Kolbenstange und andererseits an die Kurbelwarzen angeschlossen werden. Der kleinere Kopf umfaßt den Bolzen im Querkopf der Kolbenstange, und der grö-

Locomotiven-  
mechanismen.

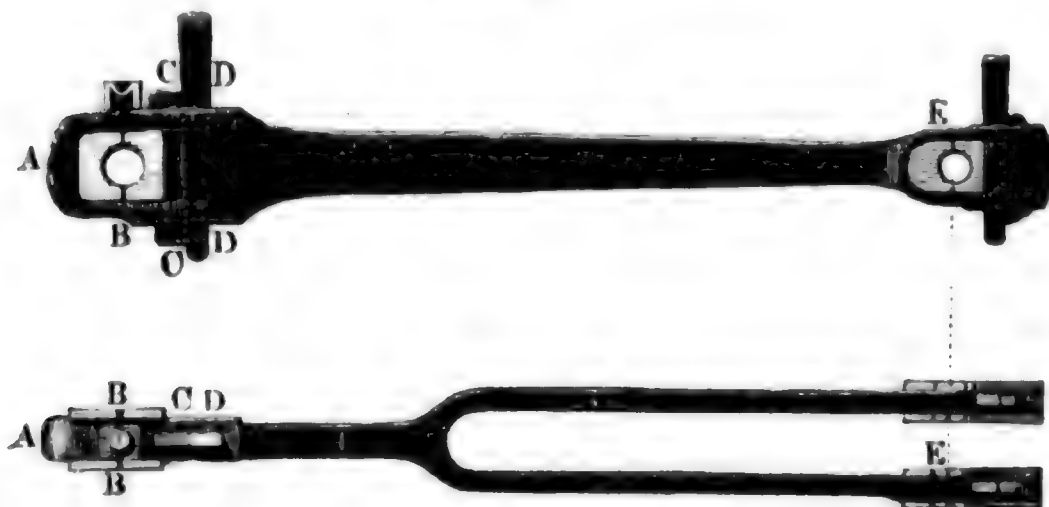
here ergreift die eine Warze der Triebaxe; beide sind zu diesem Zwecke mit Lagern aus Bronze ausgefüllt. Die gabelförmigen Triebstangen bilden an dem einen Ende zwei Köpfe, welche die Bolzen im Querhaupte der Kolbenstange von beiden Seiten erfassen. In Fig. 570 ist die Längensicht

Fig. 570.



einer einfachen und in Fig. 571 ist die Längensicht und der Grundriß

Fig. 571.



einer gabelförmigen Triebstange abgebildet. Man sieht in *A* den großen Kopf mit dem Metalllager *BB* für die Kurbelwarze und die Klammer *CC* und Keil *DD* zum Stellen derselben, und ebenso in *E* die Augen u. s. w. für den Bolzen im Querhaupte.

Damit der, zumal bei stark ansteigenden Gebirgsbahnen bedeutend anwachsende Widerstand des Wagenzuges von der Locomotive überwunden werden könne, muß die Reibung derselben auf der Schienenbahn möglichst vergrößert werden, weshalb man in solchen Fällen noch eine zweite oder beide anderen Radaxen mit der Triebaxe kuppelt. Dieses Kuppeln der Radaxen erfolgt durch sogenannte Kuppelstangen, welche mit ihren Köpfen an Warzen angeschlossen werden, die in die Nabe der Triebräder eingeseht sind.

Die Triebaxe oder diejenige Wagenaxe, welche durch die Dampfkraft mittels der Kurbelstangen in Umdrehung gesetzt wird, ist entweder gerade, oder gekröpft; und zwar ersteres bei Dampfmaschinen mit



außenliegenden Cylindern, und letzteres bei solchen mit innen- Locomotiv-  
mechanismen.  
liegenden Cylindern. Bei den Triebaxen der ersteren Art werden die Kurbeln durch die Triebräder selbst gebildet, indem man die schmiedeeisernen Warzen in die zu diesem Zwecke verstärkten Radnaben einsetzt; bei den Axen der zweiten Art sind es dagegen die Kröpfe, wodurch die Kurbeln gebildet werden.

Die Zapfen oder Axenschenkel, womit das Wagengestelle auf den Axen ruht, sind entweder zwischen oder außerhalb beider Räder, je nachdem der Gestellrahmen zwischen den Rädern oder außerhalb derselben liegt. Eine gewöhnliche Radaxe der zweiten Art kennen wir schon aus §. 268, Fig. 551, Triebaxen der ersten Art hingegen sind in den Figuren 572 und 573

Fig. 572.

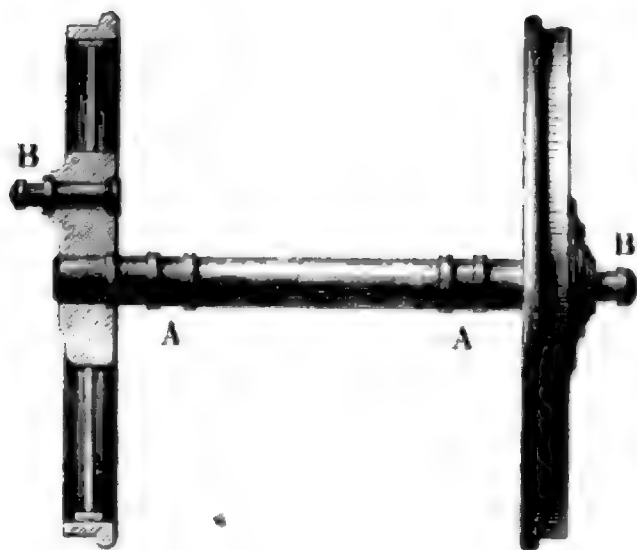
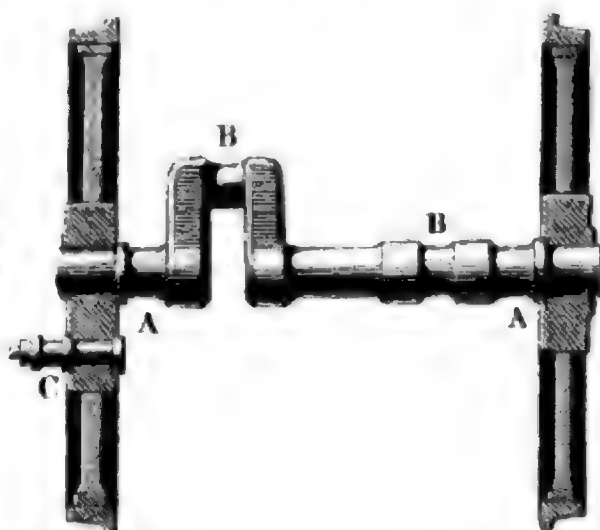


Fig. 573.



nebst den Triebrädern vor Augen geführt, und zwar in Fig. 572 eine gerade und in Fig. 573 eine gekröpfte Triebaxe. Es sind hier *AA* die Axenschenkel, *B, B* die Kurbelwarzen und es ist *C*, Fig. 573, eine Kupplwarze. Das Nähere über die Construction der Räder ist aus §. 268 bekannt. Uebrigens soll man die Axenschenkel so stark machen, daß der Druck auf den Quadrat Zoll nicht mehr als 300 bis 400 Pfund beträgt.

§. 277. Die Steuerung oder das regelmäßige Zulassen und Ab- Locomotiv-  
steuerung.  
sperrern des Dampfes zum Dampfcylinder erfolgt durch den schon aus Band II. bekannten Dampfchieber und mittels der in II., §. 334 beschriebenen Kreiſscentriſs. Was zunächst die Dampfchieber anlangt, so macht man dieselben, der größeren Dauerhaftigkeit wegen, gewöhnlich aus Gußeisen. Man giebt denselben entweder eine horizontale, oder eine vertikale, oder eine geneigte Lage, und bringt dieselben entweder über oder unter den Dampfcylindern an. Zur Bewegung des Dampfchiebers dient eine genau rund abgedrehte Stange aus Stahl oder

Locomotiv-  
Heuerung.

Schmiedeeisen, welche den Schieber mittels eines Rahmens umfaßt und in einer Stopfbüchse läuft. Der Schieberrahmen ist entweder an seine Stange angeschweißt, oder er wird mit derselben durch Schrauben oder Keile fest verbunden. Obgleich der Schieber durch den Dampf, welcher den Schieberkasten anfüllt, gegen seine Lagerfläche angeedrückt wird, so ist es doch noch nöthig, die Schieberstange nach der entgegengesetzten Seite des Schiebers zu verlängern und das Ende derselben entweder durch eine einfache Hülse oder durch eine zweite Stopfbüchse zu führen. Die Schieberstange wird entweder direct oder erst mittels eines Hebels von der Excentrikstange in Bewegung gesetzt. Im ersteren Falle erhält sie ihre Führung entweder durch eine einfache Leitungsbüchse mit quadratischem Auge, oder durch einen Lenkarm, dessen Drehungsaxe an den Dampfkessel angeschlossen ist; im zweiten Falle hat die Schieberstange nicht allein eine Leitungsbüchse, sondern auch eine zweischienige Lenkstange, welche mittels Bolzen sowohl einerseits an das Schieberstangenende als auch andererseits an den oberen Arm des Zwischenhebels angeschlossen ist.

Zu jedem Dampfschieber gehören zwei Excentriks, von welchen wieder jedes aus einer Excentrikscheibe, einem Excentrikband und einer Excentrikstange besteht. Die beiden Excentrikscheiben sind dicht neben einander auf der Triebaxe festgekeilt oder festgeschraubt; man setzt sie aus zwei Theilen zusammen, wovon jeder die eine Hälfte der Triebaxe umfaßt, und verbindet dieselben mittels Keile oder Stifte fest mit einander. Um das seitliche Verrücken des Excentrikringes zu verhindern, bringt man in dem Umfang der Excentrikscheibe eine Spur an, in welche dann theilweise der Excentrikring zu liegen kommt. Die Excentrikringe werden ebenfalls aus zwei Stücken zusammengesetzt; dieselben erhalten diametral gerichtete Ohren, um sie mit einander durch Schraubenbolzen verbinden zu können. Die Excentrikstange macht entweder mit der einen Hälfte des Excentrikringes ein Ganzes aus, oder es sind diese Stücke durch Schrauben mit einander verbunden. Im letzteren Falle macht man den Excentrikring aus Messing, während man die Excentrikstangen aus Schmiedeeisen bestehen läßt. Wenn man die Speisepumpe durch die Excentrikstange in Bewegung setzen läßt, so giebt man der anderen Hälfte des Excentrikringes eine Nase, welche durchlocht ist, um einen Bolzen hindurchstecken zu können. Die Länge einer Excentrikstange ist  $4\frac{1}{2}$  bis 7 Fuß, ihre Dicke  $\frac{3}{4}$  bis 1 Zoll und ihre Höhe nahe am Excentrikring 3 bis 4 Zoll und dagegen am Ende 2 bis 3 Zoll. Die Excentriks haben einen Durchmesser von 10 bis 12 Zoll und eine Dicke von 2 bis 3 Zoll.

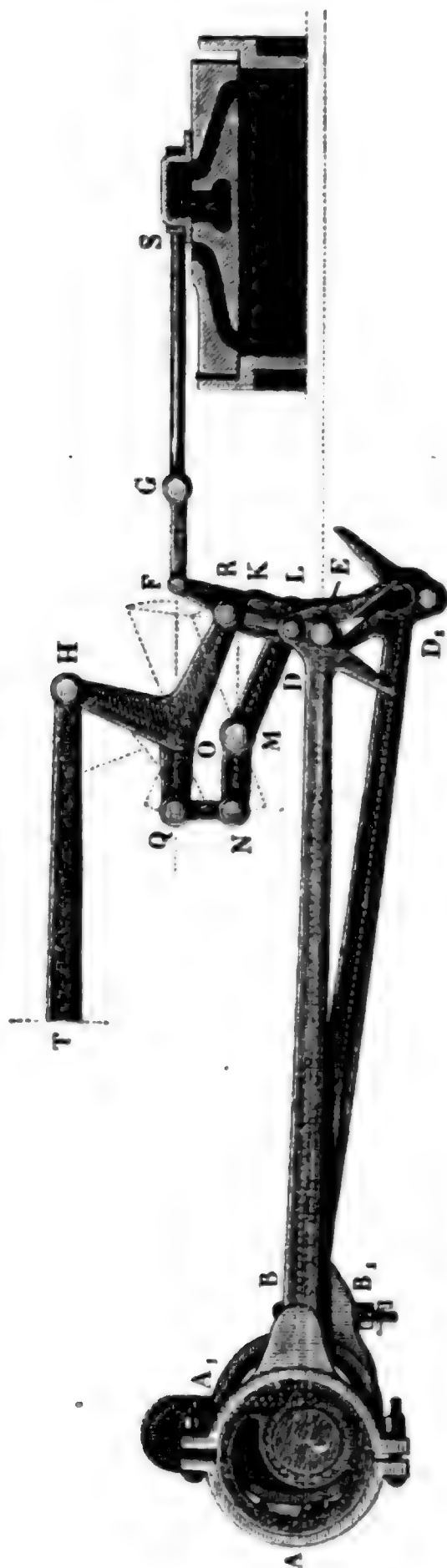
Es sind bei den Locomotiven zwei wesentlich verschiedene Umsteuerungssysteme in Anwendung; nämlich die ältere mittels Klauen oder Gabeln und die neuere mittels der Stephenson'schen Coulisse. Die allgemeine

Einrichtung der Gabelsteuerung ist zum Theil schon aus II., S. 334, Fig. 486 bekannt; ihre specielle Einrichtung aber aus Fig. 574 zu entnehmen. Man sieht hier bei  $AB$  und  $A_1 B_1$  die beiden Excentriks, welche in entgegen-

Locomotive  
Steuerung.

gesetzten Stellungen auf der Triebwelle  $C$  befestigt sind; ferner sind  $BD$  und  $B_1 D_1$  die Excentrikstangen mit entgegengesetzt gerichteten Gabeln  $D$  und  $D_1$ , und es ist  $EKF$  der um die Ase  $K$  drehbare Hebel, welcher zur Verbindung der Excentrikstangen mit der Schieberstange  $FGS$  dient. Der nach unten gerichtete Arm  $KE$  dieses Hebels hat bei  $E$  eine Warze, welche genau in die halbkreisförmigen Vertiefungen der Excentrikgabeln paßt, wogegen der nach oben gerichtete Arm  $KF$  durch einen Bolzen mit dem Gelenke  $FG$  am Ende der Schieberstange verbunden ist. Um nach Belieben die Warze  $E$  mittels der einen oder der anderen Gabel erfassen zu können, ist die eine Gabel  $D$  mittels einer einfachen Lenkstange, und die andere Gabel  $D_1$  mittels zweier solcher Stangen und eines Hebels  $LMN$  an einen Hebel  $HOR$  dergestalt angeschlossen, daß beim Drehen des letzteren nach der einen oder der anderen Richtung stets beide Gabeln zugleich gehoben oder gesenkt werden. Dieses Drehen des Hebels wird von dem Locomotivführer durch einen Rückhebel bewirkt, der mittels einer in der Figur nur zum Theil abgebildeten Stange  $T$  an den dreiarmigen Hebel

Fig. 574.

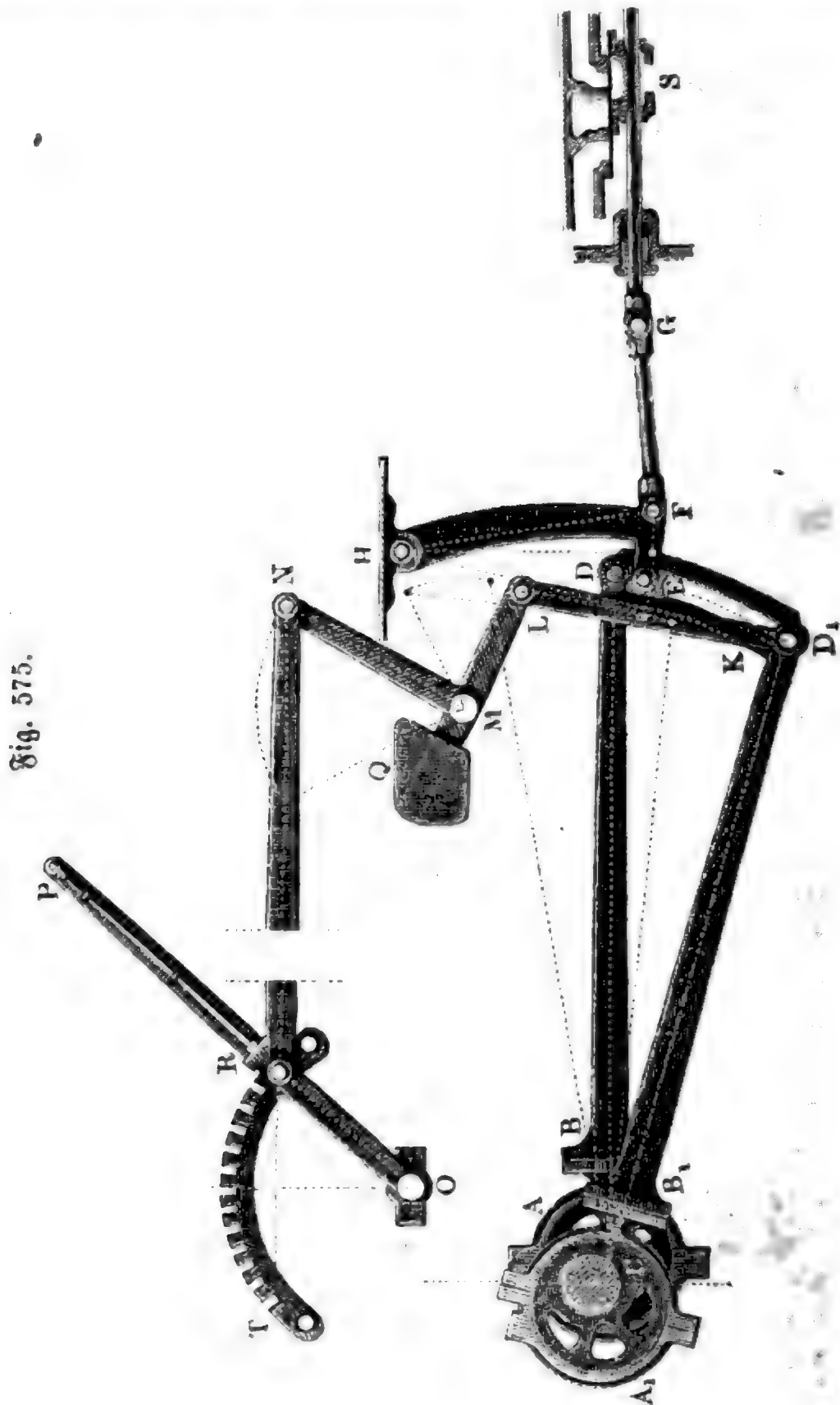




Locomotive-  
Heuerung.

*HOR* angeschlossen ist. Es ist leicht zu ermessen, daß das Aus- und Einrücken einer Gabel nur dann erfolgen kann, wenn die Warze *E*, und folglich auch der Schieber *S*, sich in der Mitte ihres Laufes befinden, und daß nach einem solchen Wechsel des Eingriffes, die Bewegung des Schiebers die entgegengesetzte Richtung annehmen muß.

Bei dem Steuerungsmechanismus mittels der Stephenson'schen Couliſſe ſind die Enden  $D$  und  $D_1$  der beiden Excentrikſtangen feſt an der Couliſſe oder dem Steuerrahmen  $DD_1$ , Fig. 575, angeſchloſſen, und



derselbe ist mittels einer Stange  $KL$  an einen Winkelhebel  $LMN$  aufgehoben, wodurch er innerhalb gewisser Grenzen aufgezogen und niedergelassen werden kann. Die Coulisse hat die Form eines langgezogenen Ringes oder Kettengliedes (vergl. III., §. 251) und ist mit einer rinnenförmigen Leitung ausgerüstet, in welcher ein verschiebbarer Kopf  $E$  liegt, der von dem Ende der Dampfchieberstange  $FGS$  ergriffen wird. In Fig. 575 sieht man auch einen Theil des von dem Locomotivführer commandirten Rückhebels  $OP$  und die Stange  $NR$ , welche denselben mit dem Winkelhebel  $NML$  verbindet, woran der Steuerrahmen aufgehoben ist. Der Rückhebel bewegt sich an einem mit Kerben versehenen Kreissector  $RT$ , worin er durch einen Riegel  $PR$  in verschiedenen Stellungen fixirt werden kann; zur leichteren Bewegung desselben ist der Winkelhebel  $LMN$  noch mit einem Gegengewichte  $Q$  ausgerüstet. Es ist leicht einzusehen, daß sich, da das Ende der Schieberstange in einer Leitung liegt, oder an einem Lenkarme  $FH$  aufgehoben ist, während der Bewegung des Rückhebels der Steuerrahmen über den Kopf  $E$  hinschiebt, und daß dadurch dieser Kopf bald dem einen, bald dem anderen Ende des Steuerrahmens näher gebracht werden kann. Steht der Kopf in der Mitte zwischen den Angriffspunkten der beiden Excentrikstangen, so fällt die Bewegung des Schiebers fast Null aus; je näher hingegen derselbe dem Angriffspunkt der einen oder der anderen Excentrikstange kommt, desto mehr folgt er natürlich auch der Bewegung derselben. Da nun aber die eine Excentrikstange rückwärts geht, während sich die andere vorwärts schiebt, so nimmt daher auch der Schieber die entgegengesetzte Bewegung an, so wie man den Steuerrahmen aus einer Stellung in die entgegengesetzte bringt.

Locomotiv-  
steuerung.

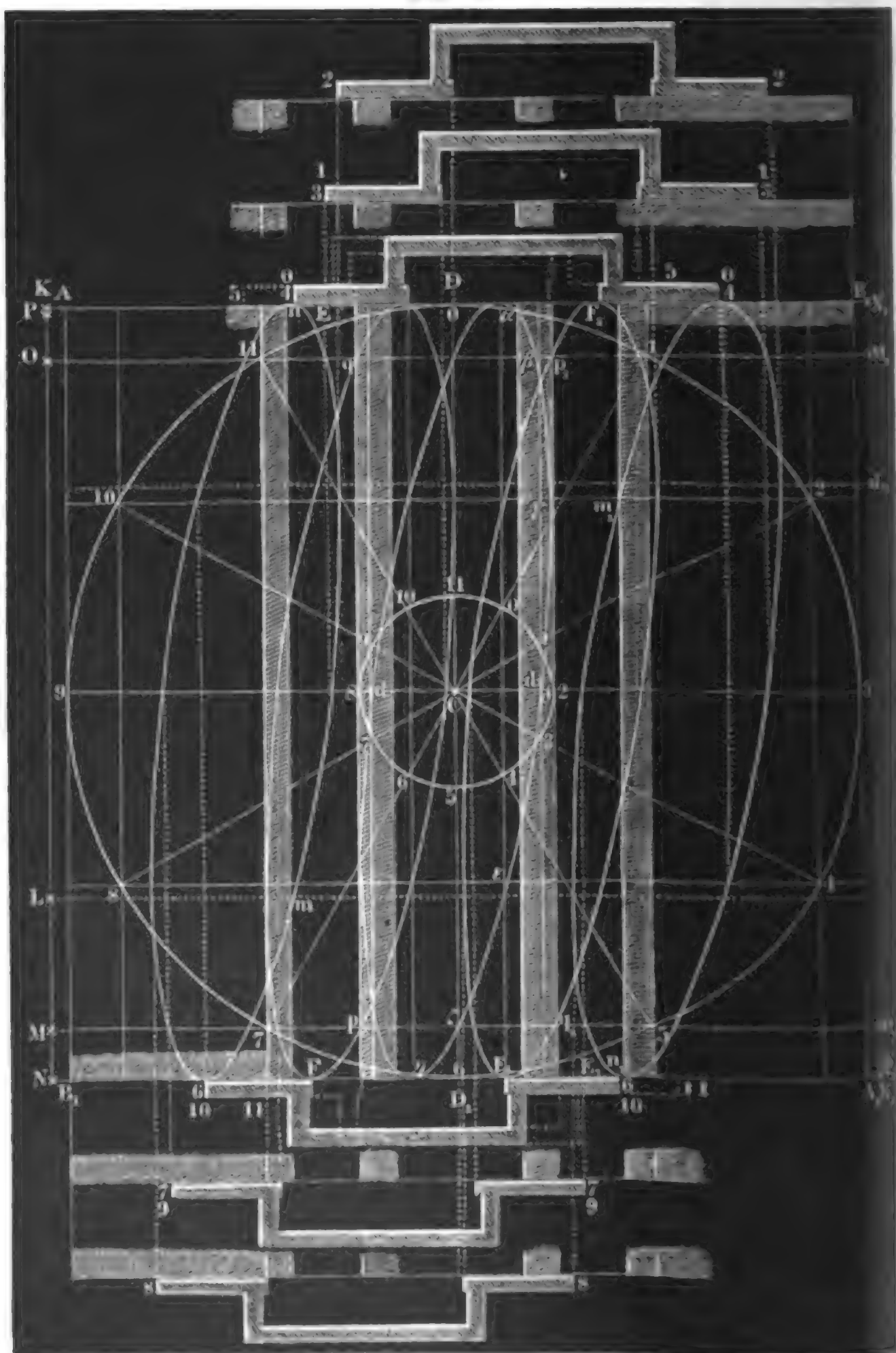
§. 278. Der Stephenson'sche Steuerrahmen ist nicht allein ein bequemes Hülfsmittel zum Umsteuern einer Dampfmaschine, sondern auch ein höchst einfacher und nützlicher Mechanismus zur Erzielung einer variablen Dampferpansion. Um die Wirkungsweise dieser Vorrichtung vollständig beurtheilen zu können, ist es nöthig, sich das in II., §. 336 u. f. w. über das Verhältniß der Schieberbewegung zur Dampfkolbenbewegung Abgehandelte genau wieder zu vergegenwärtigen, wozu insbesond. re noch die Betrachtung der graphischen Darstellung in Figur 576 (a. f. S.) zweckdienlich sein wird. Wir haben schon in II., §. 338 die Wege des Dampfkolbens als Abscissen und die entsprechenden Schieberwege als Ordinaten einer Curve aufgetragen und bewiesen, daß diese Curve eine Ellipse ist. Um diese Curve ohne Weiteres finden zu können, haben wir bei der Darstellung in Fig. 576 angenommen, daß diese beiden Wege rechtwinkelig gegen einander stehen, daß sich z. B. der Dampfkolben nicht in der Richtung  $AB$  oder  $BA$  des Dampfchiebers, sondern in der Richtung  $DD_1$  rechtwinkelig gegen  $AB$  bewege. Ist  $CD = CD_1$  die Armlänge des

Schieber-  
bewegung.

Stiebs-  
bewegung.

um die Ase  $C$  umlaufenden Krummzapfens und  $Cd = Cd_1$  die Excentricität oder Armlänge des ebenfalls um  $C$  drehbaren Excentriks, so wird

Fig. 576.



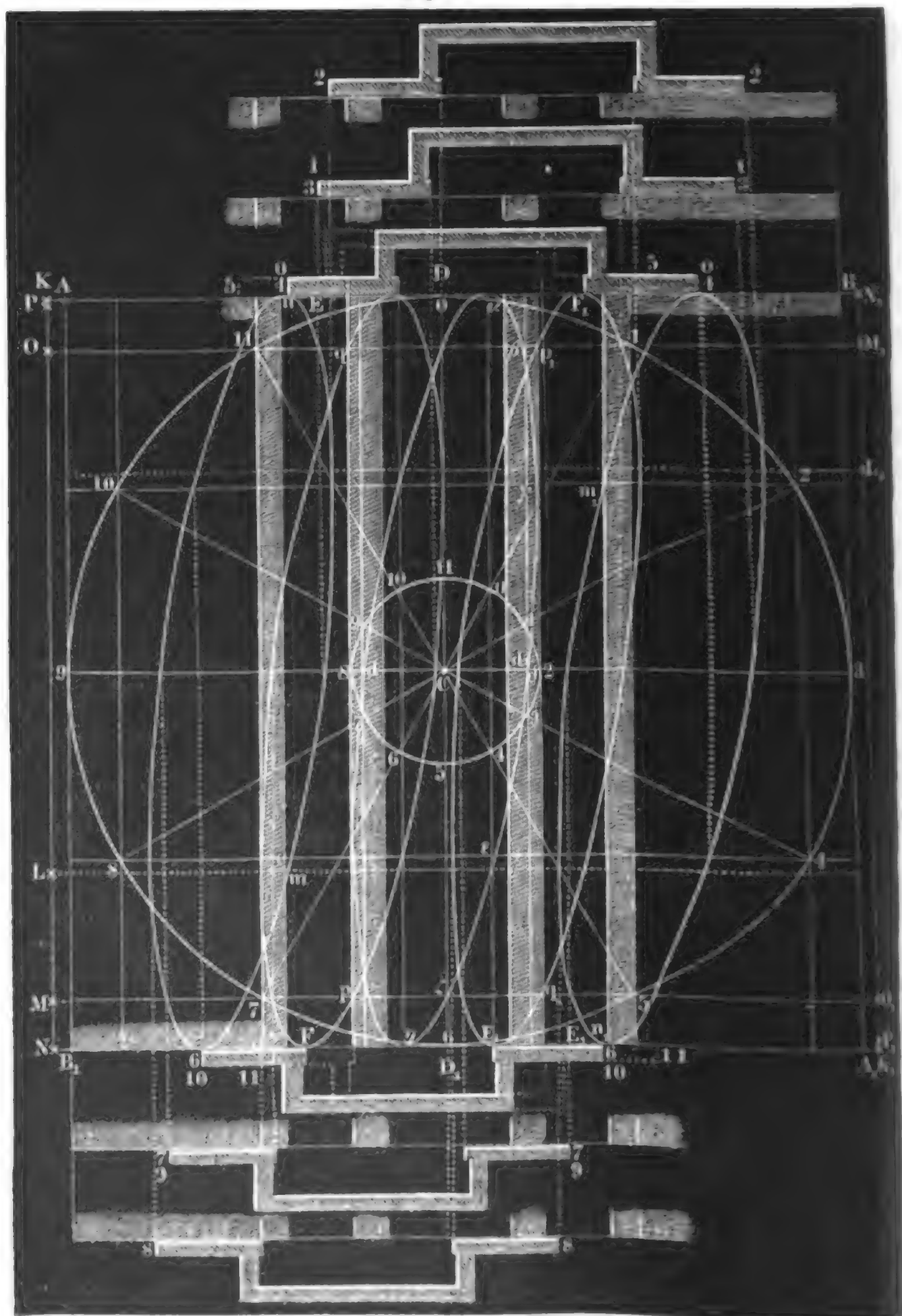
folglich während einer Umdrehung um  $C$  der Kolben den Weg  $DD_1$  und dagegen der Schieber den Weg  $dd_1$  hin und zurück durchlaufen. Da der Schiebermechanismus in Folge seiner hin- und rückgängigen Bewegung in Kurzem einen, wenn auch nur kleinen todtten Gang erhält, und da ohnedies der Dampf nicht momentan zu- und abströmen kann, so muß man nicht allein den Weg, auf welchem der Dampf dem Cylinder zugeführt, sondern auch den Weg, auf welchem er aus demselben abgeleitet wird, schon etwas eher eröffnen, als der Dampfkolben seinen Weg vollendet hat. Dieses Vorgehen oder Voreilen des Dampfsschiebers wird theils dadurch erlangt, daß man die Dampfwege mittels einer gewissen Fläche vom Dampfsschieber bedeckt, und theils dadurch, daß man dem Excentrik eine besondere Stellung gegen den Krummzapfen giebt. Steht der Dampfkolben in  $AB$  oder  $A_1 B_1$ , d. i. am Ende seines Weges, so müßte der Dampfsschieber die Mitte seines Weges, also die Stellung  $5 \div 5$  einnehmen, und die Dampfwege  $EF$  und  $F_1 E_1$  mit seiner Breite bedecken, wenn kein Voreilen stattfinden sollte. Wird aber ein Voreilen des Dampfsschiebers verlangt, so muß der Schieber bei der angenommenen Stellung des Dampfkolbens die Stellung  $0 \div 0$  einnehmen, wobei nicht nur einerseits der Dampfweg  $EF$  zur Zuleitung des Dampfes über den Kolben, sondern auch andererseits der Kanal  $F_1 E_1$  zum Abströmen des Dampfes in den Raum  $DD_1$  eröffnet wird, welcher entweder in den Condensator oder in die freie Luft führt. Theilt man den Warzenkreis  $DD_1$  des Krummzapfens, und ebenso den Excentrikkreis  $dd_1$  in gleiche Theile, wie z. B. in der Figur, jeden in zwölf gleiche Theile, und zieht man durch die Theilpunkte des einen Parallellinien zu  $AB$  oder  $A_1 B_1$ , und durch die des zweiten Parallellinien zu  $AB_1$  oder  $A_1 B$ , so schneiden diese Parallelen die entsprechenden Kolbenwege auf  $DD_1$  und die entsprechenden Schieberwege auf  $AB = A_1 B_1$  ab, und es ist nun leicht, die Curve zu construiren, welche den Zusammenhang zwischen diesen Wegen graphisch darstellt. Zur Erreichung eines gewissen Voreilens ist es natürlich nöthig, daß das Excentrik um einen gewissen Winkel dem Krummzapfen vorausgestellt sei, daß also auch Null des Excentriks um einen gewissen Winkel, z. B. in der Figur um 30 Grad, dem Nullpunkt  $D$  des Krummzapfens vorausgehe. Dies vorausgesetzt, haben wir nur die Durchschnitte  $\alpha, \beta, \gamma, \delta \dots$  zwischen den Parallelen zu  $AB$  durch 0, 1, 2, 3 . . des Warzenkreises und den Parallelen zu  $AB_1$  durch 0, 1, 2, 3 . . des Excentrikkreises aufzusuchen, um beliebige Punkte in der Schiebercurve zu bestimmen. Diese Curve  $\alpha \beta \gamma \delta \dots$  entspricht nur dem Mittelpunkt des Schiebers; verschiebt man aber dieselbe rechts und links um die Abstände der Endpunkte der beiden Schieberdecken von diesem Mittelpunkt, so führt dieselbe auch den Zusammenhang zwischen den Kolbenständen und den verschiedenen Er-



Schieber-  
bewegung.

öffnungen und Bedeckungen des Schiebers vor Augen. Verfolgt man den Lauf der linken Curve, welche dem linken Schieberende zukommt, so

Fig. 577.





Schieber-  
bewegung.

$\alpha$  den Winkel bezeichnet, um welchen das Excentrik dem Krummzapfen vorgestellt ist, und wenn vorausgesetzt wird, daß die Excentrikstange sehr lang sei.

Bezeichnen wir nun noch den Abstand der inneren Seitenwand der Schiebermündungen von der Mittellinie  $DD_1$  durch  $a$ , die Breite dieser Mündungen durch  $b$ , also den Abstand der äußeren Seitenwand derselben von eben dieser Ase durch  $a + b$ , drücken wir endlich die halbe innere Weite des Schiebers durch  $a_1$  und die Breite einer Schieberdecke durch  $b_1$ , also die halbe äußere Schieberbreite durch  $a_1 + b_1$  aus, so haben wir:

1) die dem Schieberwege  $s_1$  entsprechende äußere Schieberöffnung:

$$z_1 = a + b + s_1 - (a_1 + b_1) = s_1 - [b_1 - b - (a - a_1)],$$

und dagegen

2) die dem Schieberweg  $s_2$  entsprechende innere Schieberöffnung:

$$z_2 = a_1 + s_2 - a = s_2 - (a - a_1).$$

Geht das äußere Schieberende durch die äußere Mündungswand  $mn$ , so ist  $z_1 = 0$ , und folglich der entsprechende Schieberweg:

$$s_1 = b_1 - b - (a - a_1),$$

und geht dagegen das innere Ende der Schieberdecke durch die innere Mündungswand  $pq$ , so hat man  $z_2 = 0$ , und folglich den entsprechenden Schieberweg:

$$s_2 = a - a_1.$$

Nun ist aber

$$s_1 = r_1 \sin. (\alpha + \varphi_1) \text{ und}$$

$$s_2 = r_1 \sin. (\alpha + \varphi_2)$$

zu setzen, wenn man unter  $\varphi_1$  und  $\varphi_2$  die den Wegen  $s_1$  und  $s_2$  entsprechenden Stellwinkel der Krummzapfenwarze versteht; folglich hat man umgekehrt:

$$\sin. (\alpha + \varphi_1) = \frac{b_1 - b - (a - a_1)}{r_1}$$

und

$$\sin. (\alpha + \varphi_2) = \frac{a - a_1}{r_1}.$$

Jede dieser beiden Formeln giebt zwei Winkelwerthe, nämlich einen spitzen und einen stumpfen Winkel, und allen diesen vier Winkeln entsprechen die Punkte  $m$ ,  $n$ ,  $p$  und  $q$ , welche die Anfänge des Absperrens, des Ablassens, des Comprimirens und des Zulassens angeben, und zwar giebt der spitze Werth von  $\varphi_1$  in  $m$  den Anfang des Absperrens,

„ „ „ „  $\varphi_2$  in  $p$  den Anfang des Ablassens,

„ stumpfe „ „  $\varphi_2$  in  $q$  den Anfang des Comprimirens, und

„ „ „ „  $\varphi_1$  in  $n$  den Anfang des Dampfzulassens an.

Aus diesen vier Winkelwerthen bestimmen sich nun auch mittels der Formel:



$$s = r (1 - \cos. \varphi) \mp \frac{r^2}{2l} (\sin. \varphi)^2$$

die entsprechenden Kolbenwege, wenn man darin statt  $\varphi$  die angegebenen Werthe für  $\varphi_1$  und  $\varphi_2$  einsetzt. Auch ist es nun leicht, hieraus wieder das bei jedem Kolbenspiele verbrauchte Dampfquantum und den Expansionsgrad der Maschine zu bestimmen.

Beispiel. Es sei bei einer Locomotivmaschine der Abstand der inneren Kanalwand von der Mittellinie,  $a = 1,2 r_1$ , die Breite der Kanalmündung  $b = 0,8 r_1$ , ferner die halbe innere Schieberweite  $a_1 = 1,1 r_1$  und die Breite einer Schieberdecke  $b_1 = 1,3 r_1$ ; man soll für ein Voreilen des Excentriks von  $\alpha = 30$  Grad die Bewegungsverhältnisse des Dampfchiebers angeben.

Es ist zunächst für die Dampfadmision:

$$\sin. (\alpha + \varphi_1) = \frac{b_1 - b - (a - a_1)}{r_1} = - 0,5 - 0,1 = 0,4$$

und daher:

$$\alpha + \varphi_1 = 23^\circ, 35' \text{ oder } 156^\circ, 25',$$

hiernach:

$$\varphi_1 = - 6^\circ, 25' \text{ oder } 126^\circ, 25';$$

es tritt also bei dem Drehungswinkel des Krummzapfens von  $126^\circ, 25'$  die Dampfabspernung ein, und es erfolgt dagegen die neue Admision des Dampfes, wenn die Krummzapfenwarze noch  $6^\circ, 25'$  vor ihrem todten oder Anfangspunkte steht.

Dann haben wir:

$$\sin. (\alpha + \varphi_2) = \frac{a - a_1}{r_1} = - 0,1,$$

und hiernach:

$$\alpha + \varphi_2 = - 5^\circ, 45' \text{ oder } 185^\circ, 45',$$

daher:

$$\varphi_2 = - 35^\circ, 45' \text{ oder } 155^\circ, 45';$$

wonach also das Dampfablassen bei  $155^\circ, 45'$  Warzenstellung und die Compression des Dampfes  $35^\circ, 45'$  vor der völligen Umdrehung der Warze beginnt.

Nehmen wir nun noch an, daß die Länge der Kurbelstange  $l = 5 r$  sei, so haben wir:

1) den Kolbenweg während des Dampfzuflusses oder beim Eintritt der Dampfabspernung:

$$\begin{aligned} s_1 &= (1 - \cos. \varphi_1) r - 0,1 (\sin. \varphi_1)^2 r \\ &= [1 - \cos. 126^\circ, 25' - 0,1 (\sin. 126^\circ, 25')^2] r \\ &= (1 + 0,5937 + 0,0648) r = 1,5289 r \text{ oder } 1,6585 r. \end{aligned}$$

2) den Kolbenweg beim Eintritt des Dampfaußblasens:

$$\begin{aligned} s_2 &= (1 - \cos. \varphi_2) r - 0,1 (\sin. \varphi_2)^2 r \\ &= [1 - \cos. 155^\circ, 45' \mp 0,1 (\sin. 155^\circ, 45')^2] r \\ &= (1 + 0,9118 \mp 0,0169) r = 1,8949 r \text{ oder } 1,9287 r. \end{aligned}$$

Es ist folglich der Weg während der Expansion:

$$s_2 - s_1 = 1,8949 r - 1,5289 r = 0,3660 r,$$

oder:

$$= 1,9287 r - 1,6585 r = 0,2702 r,$$

und das Expansionsverhältniß:

$$\epsilon = \frac{s_2}{s_1} = \frac{1,8949 r}{1,5289 r} = 1,239 \text{ oder } \frac{1,9287}{1,6585} = 1,163.$$

Schieber-  
bewegung.

Ferner ist für den Rückgang des Kolbens:

3) der Kolbenweg beim Eintritt der Compression:

$$s_1 = [(1 + \cos. 35^\circ, 45') \pm 0,1 (\sin. 35^\circ, 45')^2] r \\ = (1 + 0,8116 \pm 0,0342) r = 1,8458 r \text{ oder } 1,7774 r$$

und der Kolbenweg bei Eröffnung des Dampfweges:

$$4) s_2 = [1 + \cos. 6^\circ, 25' \pm 0,1 (\sin. 6^\circ, 25')^2] r \\ = (1 + 0,9937 \pm 0,0012) r = 1,9949 r \text{ oder } 1,9925 r.$$

Es ist folglich der Weg während der Compression:

$$s_2 - s_1 = 1,9949 r - 1,8458 r = 0,1487 r$$

oder:

$$1,9925 r - 1,7774 r = 0,2151 r,$$

und das Compressionsverhältniß:

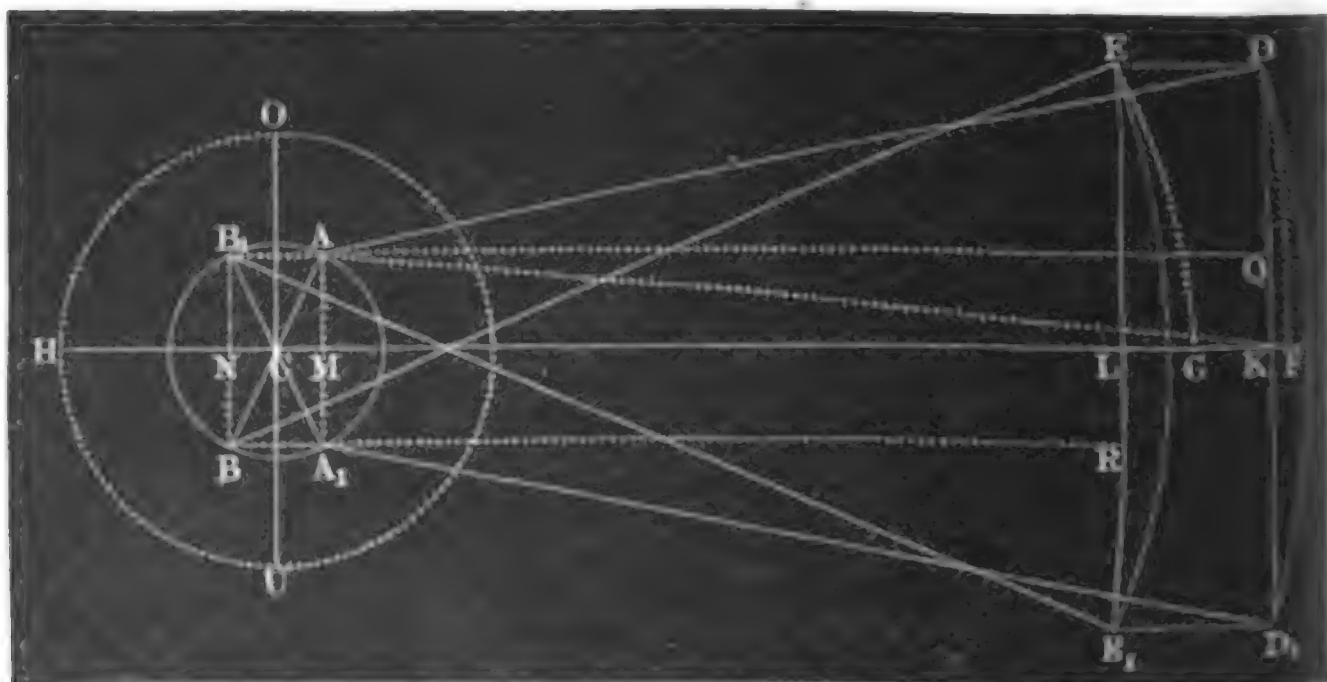
$$\frac{s_2}{s_1} = \frac{1,9949}{1,8458} = 1,082, \text{ oder } = \frac{1,9925}{1,7774} = 1,21.$$

Der Arbeitsverlust, welchen die Vergrößerung des Gegenbrucks in Folge dieser Compression verursacht, wird dadurch fast ganz wieder ausgeglichen, daß er eine ihm entsprechende Dampfersparniß veranlaßt.

Stephenson'sche  
Coulisse.

§. 280. Die Bewegungsverhältnisse eines Dampfsschiebers mittels der Stephenson'schen Coulisse und doppelter Excentriks erfordern eine besondere Untersuchung. In Fig. 578 sei  $C$  die Triebaxe,  $HOU$  der

Fig. 578.



Wagen- und  $AA_1 B_1 B$  der Excentrikkreis. Denken wir uns die Pleuel des Dampfzylinders um 90 Grad gedreht, nehmen wir also wieder an, daß der Dampfkolben auf- und niedergeht, während sich der Schieber hin- und herbewegt. Dann sind  $O$  und  $U$  die todtten Punkte des Krummzapfens, wo sich die Krummzapfenwarze befindet, wenn der Dampfkolben an den Enden seines Weges steht, und sich der Schieber um das sogenannte Voreilen rechts oder links von seiner mittleren Stellung entfernt

hat. Trägt man den Winkel  $\alpha$  des Voreilens in  $C$  zu beiden Seiten auf  $OU$  auf, so schneidet man von dem Excentrikkreise zwei Paar Punkte Stephenson's  
sche Couliſſe.  $A$  und  $A_1$ ,  $B$  und  $B_1$  ab, in welchen die Mittelpunkte der beiden Excentriks stehen, wenn sich die Krummzapfenwarze in den todten Punkten befindet. Giebt man nun noch die Länge  $l_1 = AD = A_1 D_1 = BE = B_1 E_1$  einer Excentrikstange und die halbe Länge  $c = KD = K D_1 = LE = L E_1$  der Couliſſe, so findet man die dieser Stellung des Krummzapfens entsprechende Couliſſenstellung, wenn man in den Abständen  $+c$  und  $-c$  zu beiden Seiten der Horizontalen  $CK$  Parallelen zu dieser Linie zieht und mit der Länge  $l_1$  aus  $A$  und  $B$  die obere und aus  $A_1$  und  $B_1$  die untere Parallele durchschneidet. Verbindet man nun die oberen Durchschnittpunkte  $D$  und  $E$  mit den unteren Durchschnittpunkten  $D_1$  und  $E_1$ , durch gerade Linien  $DD_1$  und  $EE_1$ , so geben diese die Stellungen der Couliſſe an, wenn die Warze des Krummzapfens in dem einen oder dem anderen todten Punkte  $O$  oder  $U$  ist.

Wenn beim Umsteuern die Couliſſe so weit herabgelassen wird, daß  $D$  in die Horizontale  $CK$  kommt, so wird der in der Mitte  $K$  der Couliſſe angreifende Schieberstangenkopf, und folglich auch der Schieber selbst, um einen gewissen Weg  $KF$  verschoben werden, wenn die Axe der Couliſſe  $DKD_1$  eine gerade Linie bildet. Dieser Weg ist:

$KF = CF - CK = CM + MF - (CM + AQ) = MF - AQ$ ,  
insofern  $AM$  ein Perpendikel auf  $CK$  und  $AQ$  eine Parallele zu  $CK$  bezeichnet. Nun ist aber:

$$MF = \sqrt{AF^2 - AM^2} = \sqrt{l_1^2 - (r_1 \cos. \alpha)^2} = l_1 - \frac{(r_1 \cos. \alpha)^2}{2 l_1} + \dots$$

und

$$\begin{aligned} AQ &= \sqrt{AD^2 - DQ^2} = \sqrt{l_1^2 - (DK - AM)^2} = \\ &= \sqrt{l_1^2 - (c - r_1 \cos. \alpha)^2} = l_1 - \frac{(c - r_1 \cos. \alpha)^2}{2 l_1} = l_1 - \frac{c^2}{2 l_1} \\ &\quad + \frac{c r_1 \cos. \alpha}{l_1} - \left( \frac{r_1 \cos. \alpha}{2 l_1} \right)^2. \end{aligned}$$

Daher haben wir annähernd:

$$KF = \frac{c^2}{2 l_1} - \frac{c r_1 \cos. \alpha}{l_1}.$$

Denselben Werth für  $KF$  erhalten wir natürlich auch für das Aufziehen der Couliſſe um  $c$ , wo dann  $D_1$  nach  $F$  kommt. Anders ist es aber bei der gekreuzten Stellung der Excentrikstangen, wo die eine Stange die Lage  $BE$  und die andere die Lage  $B_1 E_1$  hat. Wenn man hier  $E$  nach  $G$  herabläßt, so hat man den entsprechenden Weg des Schiebers:

Stevenson's.  
s. d. Coulisse.

$$LG = NG - BR,$$

insofern  $BN$  ein Loth auf  $CK$  und  $BR$  eine Parallele zu  $CK$  ist.

Nun hat man aber:

$$NG = \sqrt{BG^2 - BN^2} = \sqrt{l_1^2 - (r_1 \cos. \alpha)^2} = l_1 - \frac{r_1^2 \cos. \alpha^2}{2 l_1} + \dots$$

und

$$\begin{aligned} BR &= \sqrt{BE^2 - ER^2} = \sqrt{BE^2 - (EL + NB)^2} = \\ &= \sqrt{l_1^2 - (c + r_1 \cos. \alpha)^2} = l_1 - \frac{(c + r_1 \cos. \alpha)^2}{2 l_1} = l_1 - \frac{c^2}{2 l_1} \\ &\quad - \frac{c r_1 \cos. \alpha}{l_1} - \frac{r_1^2 \cos. \alpha^2}{2 l_1}, \end{aligned}$$

daher ist

$$LG = \frac{c^2}{2 l_1} + \frac{c r_1 \cos. \alpha}{l_1}$$

zu sehen.

Jedenfalls ist zu wünschen, daß sowohl beim Niederlassen als auch beim Heben der Coulisse der Schieber so wenig wie möglich verschoben werde, und deshalb macht man die Coulisse auch nicht geradlinig, sondern man krümmt sie nach einem gewissen Halbmesser  $z$ . Diesem Halbmesser und der halben Sehne  $KD = LE = c$  entspricht die Bogenhöhe:

$$KF = LG = \frac{c^2}{2 z} \quad (\text{s. Ingen. Geometrie S. 234});$$

sollte daher bei der gedachten Coulissenverstellung der Schieber in seiner Stellung beharren und also auch das Voreilen unverändert bleiben, so müßte  $\frac{c^2}{2 z}$  jedem der obigen Werthe für  $KF$  und  $LG$  gleich sein. Da nun aber diese Werthe selbst nicht unter sich gleich sind, so ist wenigstens zu fordern, daß die Abweichung möglichst klein und deshalb  $\frac{c^2}{2 z}$  bei der einen Stangenstellung eben so viel zu groß als im anderen zu klein sei. Hiernach ist also:

$$\frac{c^2}{2 z} - KF = LG - \frac{c^2}{2 z}, \quad \text{d. i.}$$

$$\frac{c^2}{z} = KF + LG = \frac{c^2}{l_1}, \quad \cdot \quad \cdot$$

folglich  $z = l_1$ , d. i. der Krümmungshalbmesser der Coulisse der Stangenlänge gleich zu machen. Die entsprechende Schieberverschiebung oder Veränderung des Voreilens ist dann:

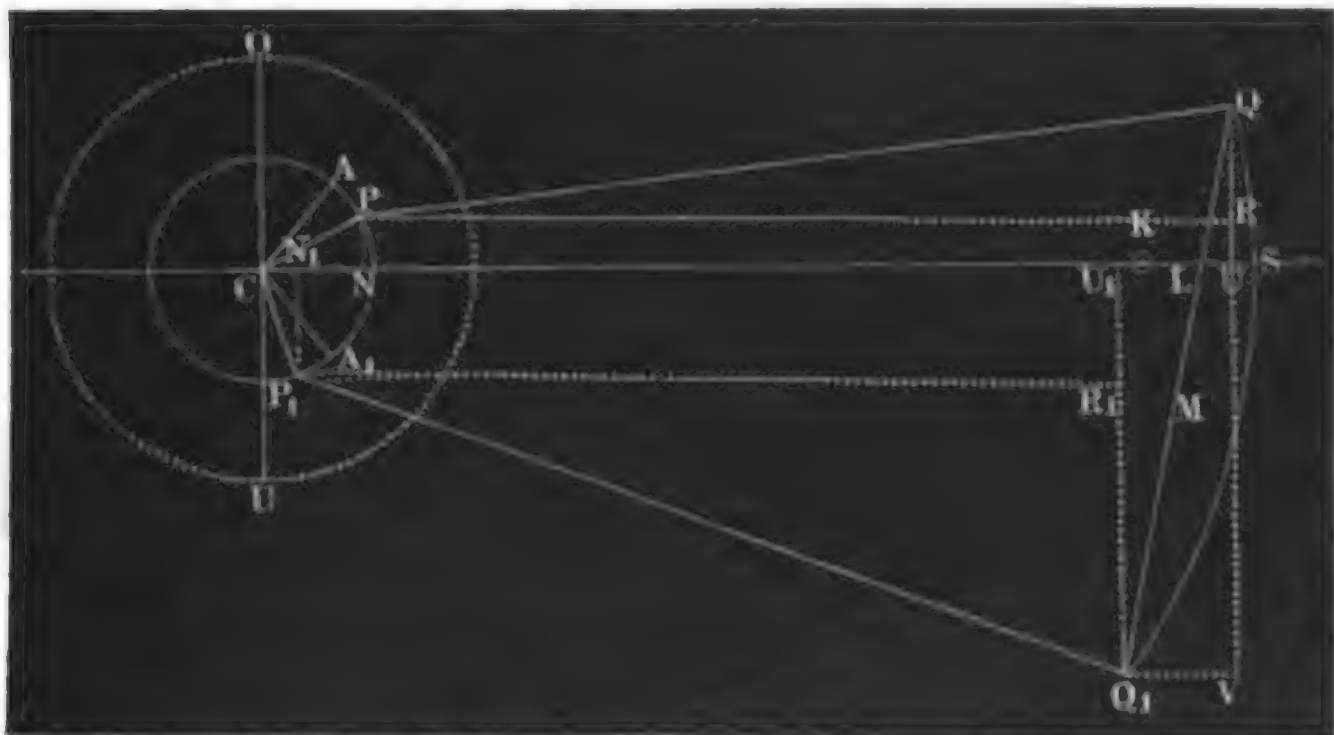
$$x = \frac{c^2}{2 z} - \left( \frac{c^2}{2 l_1} \mp \frac{c r_1 \cos. \alpha}{l_1} \right) = \pm \frac{c r_1 \cos. \alpha}{l_1},$$

z. B. für  $\frac{c}{l_1} = 1/4$  und  $\cos. \alpha = \cos. 30^\circ = 0,866$ ,  $x = 0,217 r_1$ .

§. 281. Die Abhängigkeit zwischen der Bewegung des Schiebers und der des Krummzapfens ist bei der Stephenson'schen Couliſſe viel complicirter, als bei den einfachen Excentriks, und läßt sich nur unter der Voraussetzung, daß die Länge  $CA = r_1$  des Excentrikarmes klein sei gegen die Couliſſenlänge  $2c$  und daß diese wieder klein sei gegen die Stangenlänge  $l_1$ , durch eine geschlossene Formel ausdrücken. Setzen wir wieder den Winkel des Voreilens  $OCA = UCA_1$ , Fig. 579,  $= \alpha$ , und neh-

Stephenson'sche Couliſſe.

Fig. 579.



men wir an, daß sich die Kurbelwarze um den veränderlichen Winkel  $ACP = A_1CP_1 = \varphi$  gedreht habe, wobei die eine Excentrikstange  $PQ$  in die Neigung  $QPR = \delta$ , und die andere Excentrikstange  $P_1Q_1$  in die Neigung  $Q_1P_1R_1 = \delta_1$  gekommen ist, und die Couliſſe  $QMQ_1$  um den Winkel  $Q_1QV = \psi$  von der Vertikalen  $QV$  abweicht. Behalten wir die übrigen Bezeichnungen des vorigen Paragraphen bei und denken wir uns noch die Couliſſe so weit herabgelassen, daß der Mittelpunkt  $M$  der Couliſſe um die Höhe  $ML = y$  unter der Horizontalen  $CS$  zu liegen kommt.

Es ist dann die Horizontalprojection von  $CPQ$ :

$$CU = CN + PR = CP \cos. PCN + \sqrt{PQ^2 - QR^2} \\ = r_1 \sin. (\alpha + \varphi) + \sqrt{l_1^2 - [c - y - r_1 \cos. (\alpha + \varphi)]^2},$$

annähernd

$$= r_1 \sin. (\alpha + \varphi) + l_1 - \frac{[c - y - r_1 \cos. (\alpha + \varphi)]^2}{2 l_1},$$

und dagegen die Horizontalprojection von  $CP_1Q_1$ :





$$CU = r_1 \sin. (\alpha + \varphi) + l_1 - \frac{c^2}{2l_1} - \frac{y^2}{2l_1} + \frac{cy}{l_1} \\ + \frac{cr_1}{l_1} \cos. (\alpha + \varphi) - \frac{yr_1}{l_1} \cos. (\alpha + \varphi)$$

Strobenfon's.  
siehe Coulisse.

ab, so erhalten wir den Horizontalabstand des Coulissenpunktes  $L$  von der Umdrehungsaxe:

$$CL = r_1 \sin. (\alpha + \varphi) + l_1 - \frac{c^2}{2l_1} + \frac{y^2}{2l_1} \\ - \frac{(c-y)r_1}{c} \cos. \alpha \sin. \varphi + (c^2 - y^2) \frac{r_1}{cl_1} \cos. \alpha \cos. \varphi.$$

Um nun noch den Abstand des Angriffspunktes  $S$  der Schieberstange von der Umdrehungsaxe zu finden, müssen wir noch

$$LS = \frac{(c-y)^2}{2l_1} = \frac{c^2}{2l_1} + \frac{y^2}{2l_1} - \frac{cy}{l_1}$$

addiren, und dann folgt:

$$CS = r_1 \sin. (\alpha + \varphi) + l_1 - \frac{(c-y)y}{l_1} \\ - \frac{(c-y)r_1}{c} \cos. \alpha \sin. \varphi + \frac{(c^2 - y^2)r_1}{cl_1} \cos. \alpha \cos. \varphi,$$

oder, wenn wir im Abstände

$$CK = k = l_1 - \frac{(c-y)y}{l_1}$$

den festen Punkt  $K$  annehmen, und den Abstand  $KS = CS - CK$  mit  $x$  bezeichnen:

$$x = r_1 \sin. (\alpha + \varphi) - \frac{(c-y)r_1}{c} \cos. \alpha \left( \sin. \varphi - \frac{c+y}{l_1} \cos. \varphi \right).$$

Setzt man in dieser Formel statt  $\varphi$ ,  $180^\circ + \varphi$ , so erhält man:

$$x = - \left[ r_1 \sin. (\alpha + \varphi) - \frac{(c-y)r_1}{c} \cos. \alpha \left( \sin. \varphi - \frac{c+y}{l_1} \cos. \varphi \right) \right],$$

also genau den entgegengesetzten Werth, woraus folgt, daß der Angriffspunkt  $S$  der Steuerstange während einer Umdrehung der Kurbelwarze zu beiden Seiten des Punktes vollkommen symmetrisch hin- und herschwingt. Diese Formel für die Bewegung des Dampfchiebers gilt nicht allein für ein vollständiges Kolbenspiel, d. i. sowohl für den Niedergang als auch für den Aufgang, sondern auch für die Bewegung der Maschine in entgegengesetzter Richtung. Um letztere zu erhalten, giebt man beim mittleren Kolbenstande der Coulisse die entgegengesetzte Stellung, wobei die eine Excentrikstange an die Stelle der anderen tritt und folglich in der Bewegung des Schiebers nichts geändert wird. Anders ist dagegen das Bewegungsverhältniß, wenn gleich von vornherein die Excentrikstangen gekreuzt sind. Es ist in diesem Falle:



Stephen-son's  
sche Coulisse.  $QR = c + y + r_1 \cos. (\alpha + \varphi)$  anstatt  $c - y - r_1 \cos. (\alpha + \varphi)$   
und

$Q_1 R_1 = c - y + r_1 \cos. (\alpha - \varphi)$  anstatt  $c + y - r_1 \cos. (\alpha - \varphi)$ ,  
und in Folge dessen

$$x = r_1 \sin. (\alpha + \varphi) - \frac{(c - y) r_1}{c} \cos. \alpha \left( \sin. \varphi + \frac{c + y}{l_1} \cos. \varphi \right).$$

§. 282. Setzt man in den vorstehenden Hauptformeln  $y = 0$ , nimmt man also an, daß die Coulisse weder gehoben noch niedergelassen sei, sondern ihre mittlere Aufhängung einnehme, so hat man:

$$\begin{aligned} x &= r_1 \sin. (\alpha + \varphi) - r_1 \cos. \alpha \sin. \varphi \pm \frac{r_1 c}{l_1} \cos. \alpha \cos. \varphi \\ &= \left( \sin. \alpha \pm \frac{c}{l_1} \cos. \alpha \right) r_1 \cos. \varphi. \end{aligned}$$

Dieser Ausdruck giebt für  $\varphi = 0$  Grad:

$$x = \left( \sin. \alpha \pm \frac{c}{l_1} \cos. \alpha \right) r_1,$$

für  $\varphi = 180$  Grad:

$$x = - \left( \sin. \alpha \pm \frac{c}{l_1} \cos. \alpha \right) r_1,$$

und für  $\varphi = 90$  Grad und  $270$  Grad:

$$x = 0;$$

es durchläuft folglich bei dieser Aufhängung der Coulisse der Schieber während einer Umdrehung des Krummzapfens den kleinen Weg

$$s = 2 \left( \sin. \alpha \pm \frac{c}{l_1} \cos. \alpha \right) r_1$$

hin und zurück. Das Voreilen des Schiebers:

$$x = \pm \left( \sin. \alpha \pm \frac{c}{l_1} \cos. \alpha \right) r_1$$

ist zugleich der Weg des Schiebers zu beiden Seiten seiner Mittellage, und es findet folglich die Eröffnung des Dampfweges nur auf einen Augenblick lang statt.

Nimmt man ferner  $y = c$ , hängt man also die Coulisse so, daß der Angriffspunkt der einen Excentrikstange mit dem Angriffspunkt der Steuerstange in ein Niveau kommt, so hat man:

$$x = r_1 \sin. (\alpha + \varphi),$$

und dann bewegt sich der Schieber genau so, als wenn er bloß von einem Excentrif geführt würde, und wie wir bereits aus §. 279 kennen.

Die Hauptformel:

$$x = r_1 \sin. (\alpha + \varphi) - \frac{(c - y) r_1}{c} \cos. \alpha \left( \sin. \varphi \mp \frac{c + y}{l_1} \cos. \varphi \right),$$

worin das obere Zeichen für Excentriks mit geöffneten Stangen und das untere für solche mit gekreuzten Stangen gilt, läßt sich auch auf folgende Weise schreiben: Eisenbahn-  
fahr-Gesetze

$$x = r_1 \sin. \alpha \cos. \varphi + \frac{r_1 y}{c} \cos. \alpha \sin. \varphi \pm \frac{r_1 (c^2 - y^2)}{c l_1} \cos. \alpha \cos. \varphi,$$

oder:

$$x = \frac{r_1 y}{c} \cos. \alpha \sin. \varphi + \left( \sin. \alpha \pm \frac{c^2 - y^2}{c l_1} \cos. \alpha \right) r_1 \cos. \varphi.$$

Bezeichnen wir  $\frac{r_1 y}{c} \cos. \alpha$  durch  $p$  und  $r_1 \left( \sin. \alpha \pm \frac{c^2 - y^2}{c l_1} \cos. \alpha \right)$  durch  $q$ , so können wir einfach

$$x = p \sin. \varphi + q \cos. \varphi$$

setzen, und nun sehr leicht übersehen, daß dieser Schieberweg = Null ist, für  $p \sin. \varphi = - q \cos. \varphi$ , d. i. für

$$\text{tang. } \varphi = - \frac{q}{p} = - \frac{c}{y} \left( \text{tang. } \alpha \pm \frac{c^2 - y^2}{c l_1} \right).$$

Dagegen ist dieser Weg ein Maximum für:

$$\text{tang. } \varphi = \frac{p}{q} = \frac{y}{c \left( \text{tang. } \alpha \pm \frac{c^2 - y^2}{c l_1} \right)}, \text{ oder}$$

$$\sin. \varphi = \frac{y}{\sqrt{y^2 + c^2 \left( \text{tang. } \alpha \pm \frac{c^2 - y^2}{c l_1} \right)^2}} \text{ und}$$

$$\cos. \varphi = \frac{c \left( \text{tang. } \alpha \pm \frac{c^2 - y^2}{2c} \right)}{\sqrt{y^2 + c^2 \left( \text{tang. } \alpha \pm \frac{c^2 - y^2}{c l_1} \right)^2}}.$$

Der entsprechende Maximalwerth ist:

$$x = \frac{r_1 \cos. \alpha}{c} \sqrt{y^2 + c^2 \left( \text{tang. } \alpha \pm \frac{c^2 - y^2}{c l_1} \right)^2}.$$

Die Hauptaufgabe besteht in der Bestimmung des Drehungswinkels  $\varphi$  aus dem gegebenen Schieberwege; es ist also nöthig, die Grundgleichung  $x = p \sin. \varphi + q \cos. \varphi$  in Hinsicht auf  $\varphi$  aufzulösen.

Setzen wir

$$\sin. \varphi = \frac{\text{tang. } \varphi}{\sqrt{1 + \text{tang. } \varphi^2}} \text{ und } \cos. \varphi = \frac{1}{\sqrt{1 + \text{tang. } \varphi^2}}$$

ein und quadriren wir diese Gleichung, so erhalten wir Folgendes:

Steuersou-  
fche Gouille.

$$(1 + \operatorname{tang.} \varphi^2) x^2 = p^2 \operatorname{tang.} \varphi^2 + 2 p q \operatorname{tang.} \varphi + q^2,$$

oder:

$$(x^2 - p^2) \operatorname{tang.} \varphi^2 - 2 p q \operatorname{tang.} \varphi = q^2 - x^2,$$

so daß nun

$$\operatorname{tang.} \varphi = \frac{p q \pm x \sqrt{p^2 + q^2 - x^2}}{x^2 - p^2}$$

folgt.

Hiernach haben wir also für die Schieberstellung, welche dem Wege  $x$  entspricht, zwei Winkel  $\varphi_1$  und  $\varphi_2$ , welche durch die Gleichungen:

$$\operatorname{tang.} \varphi_1 = \frac{p q - x \sqrt{p^2 + q^2 - x^2}}{x^2 - p^2}$$

und

$$\operatorname{tang.} \varphi_2 = \frac{p q + x \sqrt{p^2 + q^2 - x^2}}{x^2 - p^2}$$

bestimmt sind.

Von den beiden Werthen des Winkels  $\varphi$ , welche jede dieser Gleichungen giebt, gilt der eine für den positiven und der andere für den negativen Werth von  $x$ , weil die Grundgleichung auf positive und negative Werthe von  $x$  zugleich anwendbar ist.

Noch folgt aus den beiden letzten Gleichungen:

$$\operatorname{tang.} \varphi_1 + \operatorname{tang.} \varphi_2 = \frac{2 p q}{x^2 - p^2}$$

und

$$\operatorname{tang.} \varphi_1 \operatorname{tang.} \varphi_2 = \frac{x^2 - q^2}{x^2 - p^2},$$

woraus sich wieder

$$\operatorname{tang.} (\varphi_1 + \varphi_2) = \frac{\operatorname{tang.} \varphi_1 + \operatorname{tang.} \varphi_2}{1 - \operatorname{tang.} \varphi_1 \operatorname{tang.} \varphi_2} = \frac{2 p q}{q^2 - p^2}$$

ergiebt.

Hiernach ist die Summe  $\varphi_1 + \varphi_2$  der beiden Drehungswinkel, bei welchen der Schieber dieselbe Stellung auf dem Hin- und Rückwege einnimmt, gar nicht vom Wege  $x$  abhängig, also constant, und folglich auch der Drehungswinkel für die extreme Stellung des Schiebers:

$$\omega = \frac{\varphi_1 + \varphi_2}{2}, \text{ sowie}$$

$$\omega - \varphi_1 = \varphi_2 - \omega,$$

d. i. der Drehungswinkel, während der Schieber von irgend einer Stellung bis zum Ende seines Weges gelangt, eben so groß als der Drehungswinkel, bei welchem derselbe aus der letzteren Stellung in die erstere zurückkehrt.

Behalten wir die in §. 279 gebrauchten Bezeichnungen bei, so können wir auch hier die dem Schieberwege  $x_1$  entsprechende äußere Schieber-<sup>Stephenson'sche Coulfisse</sup>eröffnung:

$$z_1 = x_1 - [(a_1 - a) + (b_1 - b)],$$

und dagegen die dem Schieberwege  $x_2$  zugehörige innere Schieber-eröffnung:

$$z_2 = x_2 - (a_1 - a)$$

setzen.

Auch erhalten wir durch Nullsetzen von  $z_1$  und  $z_2$  diejenigen Schieberwege, bei welchen sowohl die äußere als auch die innere Eröffnung eintritt, nämlich:

$$x_1 = a_1 - a + b_1 - b \text{ und}$$

$$x_2 = a_1 - a.$$

Führen wir endlich diese Werthe für  $x$  in die obigen Gleichungen für *lang.*  $\varphi_1$  und *lang.*  $\varphi_2$  ein, so können wir nicht allein die entsprechenden Drehungswinkel  $\varphi_1$  und  $\varphi_2$  der Kurbelwelle, sondern auch den entsprechenden Kolbenweg:

$$s = r (1 - \cos. \varphi) \mp \frac{r^2}{2l} (\sin. \varphi)^2,$$

und folglich auch die Dampfmenge, den Expansionsgrad u. s. w. bestimmen.

Beispiel. Für die Stephenson'sche Coulfissensteuerung einer Locomotive sei wieder (s. Beispiel in §. 279) das Voreilen des Excentriks:

$$\alpha = 30 \text{ Grad,}$$

die äußere Schieberbedeckung:

$$x_1 = a_1 - a + b_1 - b = (-0,1 + 0,5) r_1 = 0,4 r_1,$$

und die innere Schieberbedeckung:

$$x_2 = a_1 - a = -0,1 \cdot r_1;$$

ferner sei die halbe Coulfissenlänge  $c = 4 r_1$ , die Länge einer Excentrifflänge  $l_1 = 4 c = 16 r_1$ , und die Senkung der Coulfisse unter ihrem mittleren Stande  $y = \frac{3}{4} c$ .

Dann haben wir:

$$p = \frac{r_1 y}{c} \cos. \alpha = \frac{3}{4} r_1 \cos. \alpha = 0,64952 r_1, \text{ und}$$

$$q = r_1 \left( \sin. \alpha \pm \frac{c^2 - y^2}{c l_1} \cos. \alpha \right) = r_1 [\sin. 30^\circ \pm \frac{1}{4} (1 - \frac{9}{16}) \cos. 30^\circ]$$

$$= (0,5 \pm 0,09472) r_1, \text{ und zwar}$$

$$q = 0,59472 r_1 \text{ für geöffnete und}$$

$$q = 0,40528 r_1 \text{ für gekreuzte Excentrifflängen.}$$

Stephenson'sche Genuisse.

I. Bei dem ersten Steuerungsmechanismus, also bei über einander liegenden Excentriflängen, ist nun

1) für die Winkel, bei welchen der Dampfzutritt beginnt oder aufhört:

$$\begin{aligned} \text{tang. } \varphi &= \frac{pq \mp x \sqrt{p^2 + q^2 - x^2}}{x^2 - p^2} = \frac{0,38628 \mp 0,4 \sqrt{0,61556}}{(0,42187 - 0,16)} \\ &= \frac{0,38628 \mp 0,31383}{-0,26187} = - \frac{0,07245}{0,26187} = - 0,27667, \text{ oder} \\ &= - \frac{0,70011}{0,26187} = - 2,6735, \text{ und hiernach} \end{aligned}$$

$$\varphi_1 = - 15^\circ, 28' \text{ und } \varphi_2 = 180^\circ - 69^\circ, 29\frac{1}{2}' = 110^\circ, 30\frac{1}{2}'.$$

Bei dem ersten Winkel tritt die Admission und bei dem zweiten die Abspernung des Dampfes ein.

2) Für die Winkel, bei welchen der Dampfaustritt aufhört und beginnt, ist dagegen:

$$\begin{aligned} \text{tang. } \varphi &= \frac{0,38628 \pm 0,1 \sqrt{0,76556}}{(0,42187 - 0,01)} = \frac{0,38628 \pm 0,08749}{-0,41187} \\ &= - \frac{0,47377}{0,41187} = - 1,15030, \text{ oder} \\ &= - \frac{0,29979}{0,41187} = - 0,72788; \end{aligned}$$

und hiernach ist der Drehungswinkel für das Ende des Ausblasens:

$$\varphi_1 = - 49^\circ, 0'$$

und der Drehungswinkel für den Anfang desselben:

$$\varphi_2 = 180^\circ - 36^\circ, 3' = 143^\circ, 57'.$$

II. Bei dem Steuerungsmechanismus mit gekreuzten Excentriflängen ist dagegen:

1) Für die Winkel beim Anfang und Ende des Dampfzutrittes:

$$\begin{aligned} \text{tang. } \varphi &= \frac{0,26324 \mp 0,4 \sqrt{0,42613}}{-0,26187} = \frac{0,26324 \mp 0,26112}{-0,26187} \\ &= - \frac{0,00212}{0,26187} = - 0,008096 \text{ oder} \\ &= - \frac{0,52436}{0,26187} = - 2,00235, \text{ und hiernach} \end{aligned}$$

$$\varphi_1 = - 0^\circ, 27\frac{1}{2}' \text{ und } \varphi_2 = 180^\circ - 63^\circ, 28' = 116^\circ, 32'.$$

2) Für die Winkel beim Ende und Anfang des Ausblasens:

$$\begin{aligned} \text{tang. } \varphi &= \frac{0,26324 \pm 0,1 \sqrt{0,57613}}{-0,41187} = \frac{0,26324 \pm 0,07590}{-0,41187} \\ &= - \frac{0,33914}{0,41187} = - 0,82342 \text{ oder} \\ &= - \frac{0,18734}{0,41187} = - 0,45486, \text{ und hiernach} \end{aligned}$$

$$\varphi_1 = - 39^\circ, 28' \text{ und } \varphi_2 = 180^\circ - 24^\circ, 27\frac{1}{2}' = 155^\circ, 32\frac{1}{2}'.$$

Nehmen wir nun wieder an, daß die Länge  $l$  der Kurbelstange fünf Mal so groß sei als die Länge  $r$  des Kurbelarmes, so erhalten wir folgende Beziehungen zwischen der Bewegung des Dampfkolbens und der des Dampfchiebers.

I. Bei der Coulissensteuerung mit offenen Excentrifflangen.

Stephenson'sche Coulisse.

1) Der Kolbenweg während des Dampfzuflusses oder beim Momente des Absperrens:

$$\begin{aligned} s_1 &= [(1 - \cos. \varphi_1 \mp 0,1 (\sin. \varphi_1)^2) r \\ &= [1 - \cos. 110^\circ, 30\frac{1}{2}' \mp 0,1 (\sin. 110^\circ, 30\frac{1}{2}')^2] r \\ &= (1 + 0,3503 \mp 0,0877) r = 1,2626 r \text{ oder } 1,4380 r. \end{aligned}$$

2) Der Kolbenweg am Ende der Expansion oder beim Eintritt des Ausblasens:

$$\begin{aligned} s_2 &= [1 - \cos. 143^\circ, 57' \mp 0,1 (\sin. 143^\circ, 57')^2] r \\ &= (1 + 0,8085 \mp 0,0346) r = 1,7739 r \text{ oder } 1,8431 r. \end{aligned}$$

Es ist folglich der Weg während der Expansion:

$$\begin{aligned} s_2 - s_1 &= 1,7739 r - 1,2626 r = 0,5113 r, \text{ oder} \\ &= 1,8431 r - 1,4380 r = 0,4051 r, \end{aligned}$$

und das Expansionsverhältniß:

$$\varepsilon = \frac{s_2}{s_1} = \frac{1,7739}{1,2626} = 1,406 \text{ oder } = \frac{1,8431}{1,4380} = 1,282.$$

Ferner ist der Kolbenweg am Ende des Ausblasens oder beim Eintritt der Compression:

$$\begin{aligned} 3) \quad s_1 &= [(1 + \cos. 49^\circ, 0') \pm 0,1 (\sin. 49^\circ, 0')^2] r \\ &= (1 + 0,6561 \pm 0,0570) r = 1,7131 r \text{ oder } 1,5991 r, \end{aligned}$$

und der Kolbenweg bei Eröffnung des Dampfweges:

$$\begin{aligned} 4) \quad s_2 &= [(1 + \cos. 15^\circ, 28') \pm 0,1 (\sin. 15^\circ, 28')^2] r \\ &= (1 + 0,9638 \pm 0,0071) r = 1,9709 r \text{ oder } 1,9567 r; \end{aligned}$$

folglich der Weg während der Compression:

$$\begin{aligned} s_2 - s_1 &= 1,9709 r - 1,7131 r = 0,2578 r, \text{ oder} \\ &= 1,9567 r - 1,5991 r = 0,3576 r, \end{aligned}$$

und das Compressionsverhältniß:

$$\frac{s_2}{s_1} = \frac{1,9709}{1,7131} = 1,150 \text{ oder } = \frac{1,9567}{1,5991} = 1,223.$$

II. Bei der Coulissensteuerung mit gekreuzten Excentrifflangen:

1) Der Kolbenweg im Momente des Dampfabsperrens:

$$\begin{aligned} s_1 &= [1 - \cos. 116^\circ, 32' \mp 0,1 (\sin. 116^\circ, 32')^2] r \\ &= (1 + 0,4467 \mp 0,0800) r = 1,3667 r \text{ oder } 1,5267 r. \end{aligned}$$

2) Der Kolbenweg beim Anfang des Dampfablassens:

$$\begin{aligned} s_2 &= [1 - \cos. 155^\circ, 32\frac{1}{2}' \mp 0,1 (\sin. 155^\circ, 32\frac{1}{2}')^2] r \\ &= (1 + 0,9103 \mp 0,0171) r = 1,8932 r \text{ oder } = 1,9274 r. \end{aligned}$$

Es ist daher der Weg während der Expansion:

$$\begin{aligned} s_2 - s_1 &= 1,8932 r - 1,3667 r = 0,5265 r, \text{ oder} \\ &= 1,9274 r - 1,5267 r = 0,4007 r \end{aligned}$$

und das Expansionsverhältniß:

$$\frac{s_2}{s_1} = \frac{1,8932}{1,3667} = 1,385, \text{ oder } = \frac{1,9274}{1,5267} = 1,262$$



Stephenson's  
für Goulme.

3) Der Kolbenweg beim Eintritt der Luftcompression:

$$s_1 = [1 + \cos. 39^\circ, 28' \pm 0,1 (\sin. 39^\circ, 28')^2] r \\ = (1,7720 \pm 0,0404) = 1,8124 r \text{ oder } 1,7316 r, \text{ und}$$

4) der Kolbenweg beim Eintritt der Dampfadmiffion:

$$s_2 = [1 + \cos. 0^\circ, 27\frac{1}{2}' \pm 0,1 (\sin. 0^\circ, 27\frac{1}{2}')^2] 2 r.$$

Hiernach folgt der Weg während der Compression:

$$s_2 - s_1 = 2 r - 1,8124 r = 0,1876 r \text{ oder } 2 r - 1,7316 = 0,2684 r \\ \text{und das Compressionsverhältniß:}$$

$$\frac{s_2}{s_1} = \frac{2}{1,8124} = 1,104 \text{ oder } 1,155. \text{ (Vergl. Beispiel zu §. 279).}$$

Dampf-  
wagengeſtelle.

§. 283. Das Dampftrawagengeſtelle beſteht in der Hauptsache aus zwei Langſchwellen, welche durch zwei Querschwellen ſo mit einander verbunden ſind, daß das Ganze eine Art Rahmen bildet, auf welchem nicht allein der Dampfkessel, ſondern auch der ganze Bewegungsmechanismus des Wagens ruht. Dieſer Rahmen ſtützt ſich mittels Federn und der ſogenannten Schmierbüchſen (franz. boites à graisse; engl. oilboxes) auf die Radaxen. Damit ſich dieſe Schmierbüchſen oder Axenlager nicht in horizontaler Richtung verſchieben können, ſind die ſogenannten Axenhalter oder Leitungsplatten (franz. plaques de garde; engl. guiding-plates) angebracht, welche durch Bolzen mit den Langſchwellen feſt verbunden werden und reſtangularä Schlitze bilden, in welche die Schmierbüchſen zu liegen kommen. Sind die Langſchwellen von Holz, ſo bekleidet man ſie zu beiden Seiten mit Blech; ſehr gewöhnlich beſtehen ſie auch bloß aus Eiſenblech; auch wendet man dann nicht ſelten zwei Paar Langſchwellen an, und verſieht das innere Paar mit den Leitungsplatten für die Treib-, das äußere Paar aber mit Leitungsplatten für die beiden anderen Radaxen. Die vordere Querschwelle iſt in der Regel von Holz; ſie hat eine Höhe von 12 bis 15 Zoll und eine Breite von 6 bis 9 Zoll und iſt mittels Winkelblechen mit den Langſchwellen verbunden. Sie trägt in ihrer Mitte den Haken zum Anhängen einer Zugkette und nahe an ihren Enden die ſogenannten Puffer (franz. tampons de choc; engl. cushions, buffers), welche letztere dazu dienen ſollen, einen möglichſt elatiſchen Stoß zu erzeugen, wenn die Locomotive gegen ein Hinderniß ſtößt, und deſhalb aus Polſter von Hanfzöpfen oder Lederscheiben, Caoutſchuk, Spiralfedern u. ſ. w. beſtehen. Der hintere Querriegel beſteht entweder ebenfalls aus Holz oder wird aus Eiſenblech zuſammengenietet; er trägt ebenfalls ein Paar Puffer ſowie die ſogenannte Sicherheitskette, womit der Tender angehängen wird.

Damit ſich der Kessel der Locomotive ohne Nachtheil durch die Hitze ausdehnen könne, muß er auf den Langſchwellen in der Längenrichtung ein wenig verſchiebbar ſein, und dies bewirkt man dadurch, daß man die Löcher für



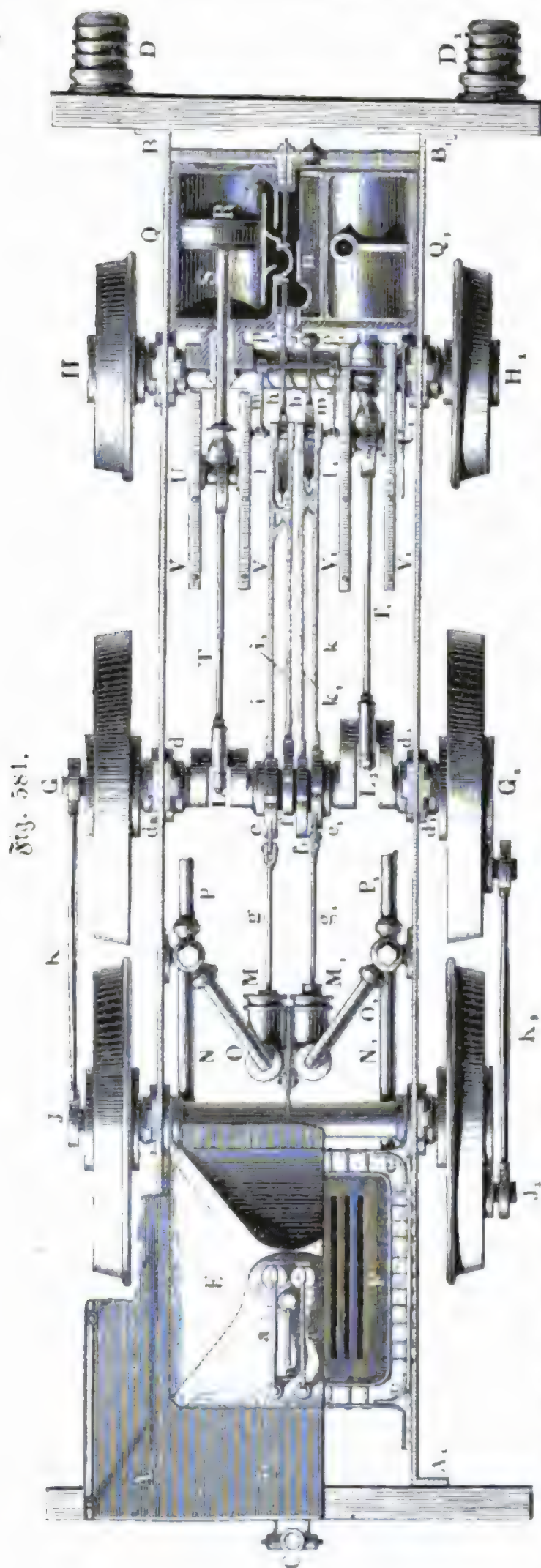
die Bolzen, womit man den Kessel mit den Längsschwellen verbindet, oval gestaltet. Diese Bolzen gehen aber nicht durch den Kessel selbst, sondern durch besondere Kesselträger aus Eisenblech, welche einerseits fest an den Kessel angenietet und andererseits auf die angegebene Weise mit den Längsschwellen verbunden sind. Die Dampf-, Pumpencylinder u. s. w. sind mittels der an sie angegossenen Flanschen auf das Wagengestelle aufgebolzt.

Dampf-  
wagengestelle.

Die Schmierbüchsen liegen zwischen zwei Leitungsplatten und umfassen je eine Leitungplatte zu beiden Seiten; sie sind in der Regel aus Gußeisen und enthalten ein Futter aus Bronze (82 Theile Kupfer und 18 Theile Zink), welches unmittelbar auf die Axenschenkel zu liegen kommt. Die Deckel, womit diese Büchsen von unten geschlossen werden, bestehen entweder aus Bronze oder aus Gußeisen und sind durch Bolzen mit den letzteren fest verbunden. Uebrigens ist die Verbindung dieser Theile der Schmierbüchsen wie bei den gewöhnlichen Zapfenlagern (s. III., §. 8, Fig. 18), auch sind in den Köpfen der Schmierbüchsen trichterförmige Vertiefungen zur Aufnahme der Schmiere angebracht, welche durch feine Löcher und Rinnen dem Umfange der Axenschenkel zugeführt wird.

Die Druckfedern, wodurch das Gewicht des Wagens auf die Schmierbüchsen übergetragen wird, bestehen 1) aus 10 bis 20 Stahlschienen von  $\frac{1}{4}$  bis  $\frac{1}{2}$  Zoll Stärke und 3 bis 4 Zoll Breite, 2) aus einem ringförmigen Saume, welcher diese Schienen in der Mitte mit einander vereinigt, und 3) aus den Bolzen, wodurch das Ganze mit dem Wagengestelle verbunden ist. Von diesen Schienen haben nur zwei bis vier die volle Länge der ganzen Feder von 3 bis 5 Fuß, die übrigen nehmen nach der Reihe, wie sie über einander liegen, allmählig an Länge ab, so daß die ganze Feder in der Mitte 4 bis 7 Zoll und an den Enden nur 1 bis 2 Zoll hoch ist. Die Bogenhöhe dieser Federn ist gewöhnlich 3 bis 5 Zoll und nimmt bei einer Belastung von 50 bis 75 Centnern um 2 bis 3 Zoll zu. Die Druckfeder stützt sich mittels ihres Saumes entweder von oben, oder, wie z. B. bei den Crampton'schen Locomotiven, von unten, auf das Axenlager oder die Schmierbüchse, und zwar entweder mittels eines kurzen senkrechten Bolzens, oder mittels eines ringförmigen Gliedes. Die Hängebolzen, wodurch das Wagengestelle mit den Federenden verbunden ist, gehen entweder durch die zu diesem Zwecke durchloch-ten Federenden hindurch und werden durch Schraube und Gegenschraube mit diesen fest verbunden, oder man versieht dieselbe noch mit Querbolzen und läßt dieselben von den Federenden umfassen.

§. 284. In Fig. 581 (a. f. S.) ist der Grundriß eines Dampfswagen- gestelles sammt den mit demselben verbundenen Bewegungsmechanismen

Dampf-  
wagengeſtelle

abgebildet. Man sieht in  $AB$ ,  $A_1B_1$  die aus starkem Eisenblech bestehenden Längsschwellen, sowie in  $AA_1$  und  $BB_1$  die hölzernen Querschwellen des Wagengestelles, ferner ist  $C$  die Sicherheitskette, womit der Wagenzug an die Locomotive angehängen wird, und es sind  $D, D_1$  zwei Puffer auf der vorderen Querschwelle  $BB_1$ . Bei  $A$  ist ein Theil der Plattform, welche dem Locomotivenführer als Standpunkt dient, ferner bei  $E$  ein Theil des Dampfdomes und bei  $F$  ein Theil des Feuerrostes vor Augen geführt. Auch sieht man in  $a, a$  die beiden Sicherheitsventile, in  $b$  die Dampfpfeife, sowie in  $c, c$  den Wasserraum, womit der ganze Feuerkasten umgeben ist. Dieser Dampfswagen besteht aus sechs Rädern; es sind  $G, G_1$  die Treibräder, und es ist  $H, H_1$  das vordere und  $J, J_1$  das hintere Räderpaar. Die letzteren Räder sind mit den Treibrädern durch die Stangen  $K, K_1$  gekuppelt, weshalb diese Räderpaare vollkommen gleiche Durchmesser erhalten müssen und wodurch die Maschine zum Befahren ansteigender Bahnstrecken

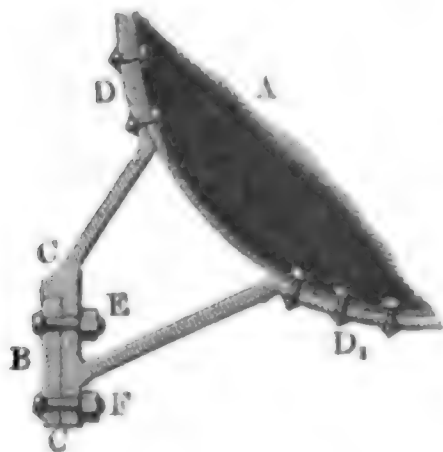


geeigneter wird. Die Treibaxe  $G G_1$  unterstützt das Wagengestelle mittels der zwischen den Leitungsplatten  $d d_1$  liegenden Zapfenlager; sie ist bei  $L$  und  $L_1$  gekröpft und trägt in der Mitte zwei Paar Excentriks  $e, e_1$  und  $f, f_1$ , welche zur Bewegung der Pumpenstangen  $g, g_1$  und zur Bewegung der Dampfchieberstangen  $h, h_1$  dienen. Was die Speisepumpen anlangt, so sind  $M, M_1$  die Pumpencylinder,  $N, N_1$  die mit dem Tender in Verbindung stehenden Saugröhren,  $O, O_1$  die Communications- und  $P, P_1$  die Steigröhren, welche das Speisewasser in den Kessel führen. Die Locomotive ist eine Stephenson'sche mit innen liegenden Dampfcylindern  $Q$  und  $Q_1$ , wovon der eine im Durchschnitt und der andere von außen gesehen wird. Man bemerkt in  $R$  einen Kolben und in  $S$  seine Stange, ferner in  $T, T_1$  die einerseits an die Kröpfe  $L, L_1$  der Treibaxe und andererseits an die Querarme  $U, U_1$  der Kolbenstangen angeschlossenen Kurbelstangen und in  $V, V_1$  die Leitungsrahmen dieser Querarme. Von den vier Excentrikstangen  $i, i_1$  und  $k, k_1$  gehören natürlich immer zwei und zwei einer und derselben Schieberstange  $h$  oder  $h_1$  an; zur Verbindung dieser Stangen unter einander dienen die aus §. 277 bekannten Klauen  $l, l_1$ , und das Umsteuern wird mittels der Arme  $m, m_1$  u. s. w. durch Heben oder Senken der Excentrikstangenenden bewirkt. Endlich sieht man noch bei  $n$  den einen Dampfchieber und bei  $p$  und  $p_1$  die Stopfbüchsen der Schieberstangen.

Dampf-  
wagengestelle

In folgenden Figuren 582, 583 und 584 sind noch einige Details des Wagengestelles vor Augen geführt. Fig. 582 zeigt die Verbindung des Dampfkessels  $A$  mit dem Gestellrahmen  $B$  durch eine starke Blechplatte  $C C$ , welche einerseits (bei  $D$  und  $D_1$ ) auf den Kesselmantel aufgenietet und andererseits durch Schraubenbolzen  $E$  und  $F$  mit dem Gestellrahmen verbunden wird. Damit sich der Kessel in der Hitze ohne Nachtheil ausdehnen könne, sind die Bolzenlöcher nicht kreis-, sondern länglichrund. Fig. 583 (a. f. S.) giebt den Vertikal- und den Horizontaldurchschnitt einer Axenlagerung. Hier ist  $A$  das metallene Lagerfutter, welches unmittelbar auf die Nabe zu liegen kommt, ferner  $B$  das eigentliche Zapfenlager oder die Schmierbüchse mit den Schmiertrögen  $a, a$ , den Schmierlöchern  $b, b$  und dem Lager  $c$  für den Bolzen der Druckfedern, und  $C C_1 C$  der Schutzdeckel des Zapfenlagers, welcher von unten in das letztere eingeschoben und in demselben durch den Bolzen  $D D$  festgehalten wird. Die Längsschwellen sind aus doppelten Eisenschie-

Fig. 582.

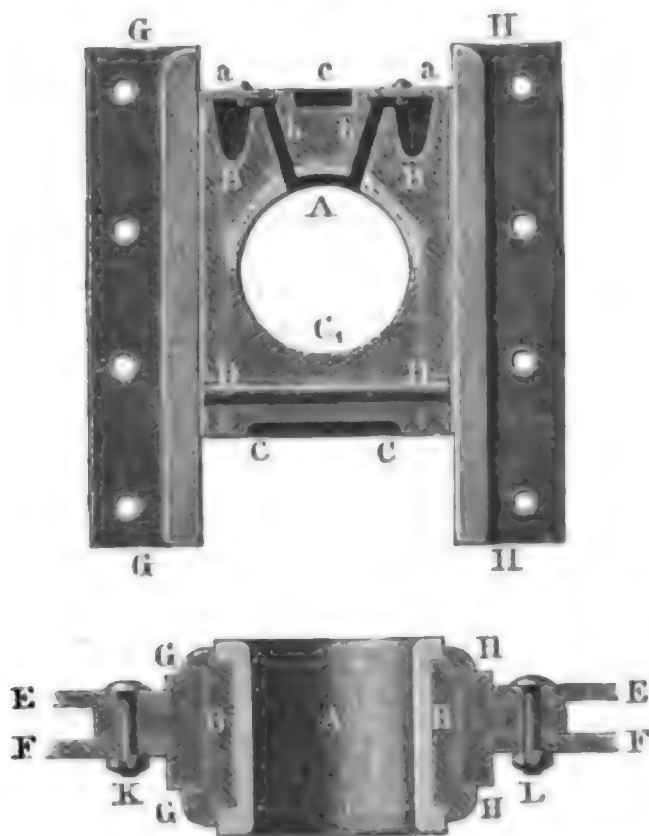


Die Längsschwellen sind aus doppelten Eisenschie-

Dampf-  
wagengestelle.

nen *EE* und *FF* zusammengesetzt, und zwischen dieselben sind die Leis-  
tungsplatten oder Arenhalter *GG*, *HH* eingeschoben. Die feste Ver-

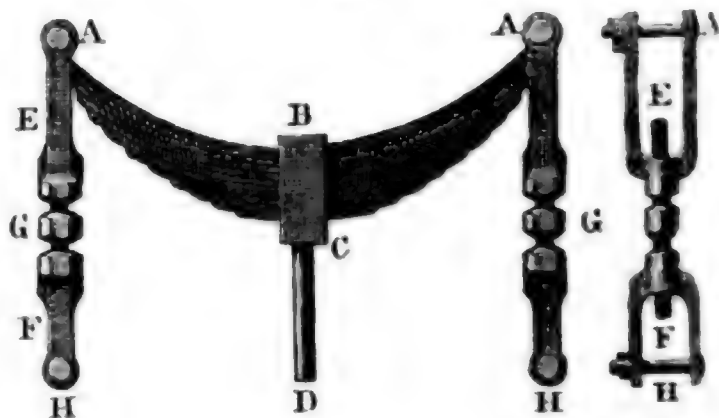
Fig. 583.



bindung der letzteren mit den er-  
steren erfolgt durch die Bolzen *K*,  
*L* u. s. w., während die Verbin-  
dung der Schmierbüchse mit den Lei-  
stungsplatten nur durch Nuth und  
Falz bewirkt wird.

In Fig. 584 sind endlich noch  
zwei Ansichten einer Druckfeder ab-

Fig. 584.



gebildet. *ABA* ist die Federschicht, und *BC* der Ring, wodurch die Fe-  
dern fest mit einander verbunden sind, und welcher den Kopf des Bolzen  
*CD* bildet, womit die ganze Belastung der Feder auf die Schmierbüchse  
übertragen wird.

Die Hängestangen, womit das Wagengestelle an die Federenden ange-  
hängen wird, bestehen hier aus zwei Bügeln *E* und *F*, welche durch eine  
doppelte Schraube *G* mit einander verbunden sind. Der eine Bügel *E*  
wird durch den Bolzen *A* mit der Feder und der andere Bügel *F* durch  
den Bolzen *H* mit der Langschwelle oder dem Gestellrahmen fest verbunden.

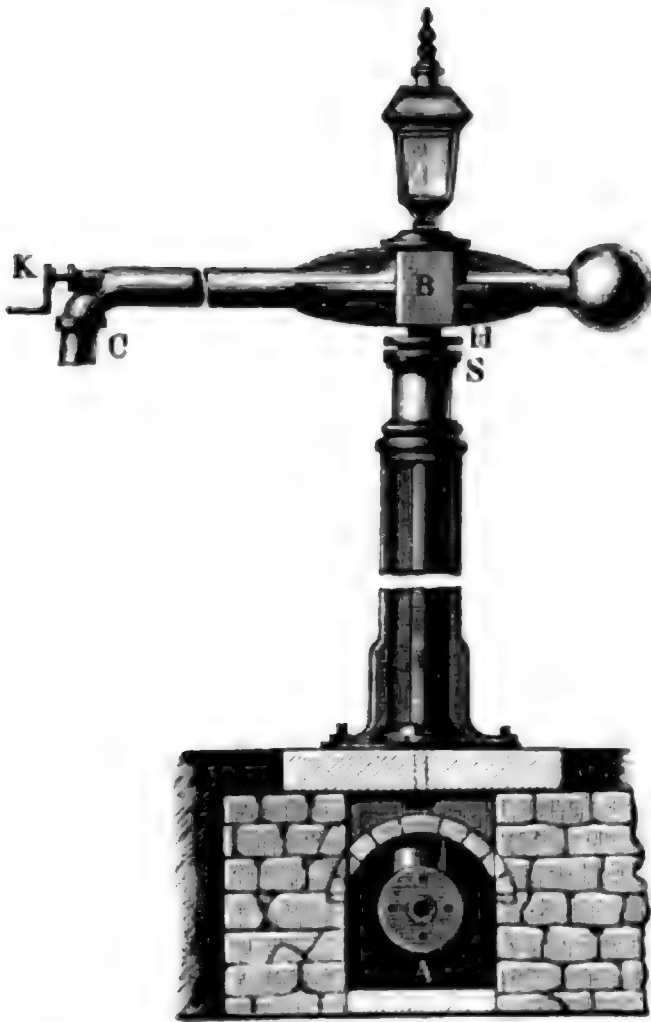
Tender.

§. 285. Der Tender oder Munitionswagen für die Locomotive  
ist ein gewöhnlicher vierräderiger Eisenbahnwagen, welcher ein hufeisen-  
förmiges Blechgefäß zur Aufnahme des Speisewassers sowie das zwischen  
demselben aufgeschüttete Feuerungsmaterial (Koks) trägt. Das Wasser  
wird dem Tender durch den sogenannten Wasserkrahn (franz. grue  
hydraulique; engl. water crane) zugeführt, welcher zur Seite der Eisen-  
bahn steht und dessen röhrenförmiger Schnabel nach dem Tender herum-  
gedreht werden muß, wenn es darauf ankommt, den letzteren mit Wasser  
zu versorgen. Die äußere Seitenansicht eines solchen Wasserkrahnes zeigt  
Fig. 585. Das durch die Röhre *A* zufließende Wasser steigt im hohlen  
Ständer *AB* empor, und strömt von da im Schnabel *BC* der Ausmün-

Von dem Fortschaffen der Lasten auf ganz oder nahe horizontalen Wegen. 667  
 dung C zu. Zum Reguliren und Absperren des Wassers dient ein Ven-

Tender.

Fig. 585.



til in der Einmündung des Schnabels, welches durch eine Kurbel K in Bewegung gesetzt wird. Damit sich der Kopf mit dem Schnabel um die Ase des Ständers drehen lasse, ohne den wasserdichten Verschluss zu beeinträchtigen, ist bei S eine Stopfbüchse angebracht, durch welche der genau abgedrehte Hals H hindurchgeht.

Das Wasser fließt aus dem Krahne zunächst in einen Korb aus durchlochttem Kupferblech, worin die etwa mit dem Wasser zugeführten fremdartigen Körper, als Stroh- und Grashalme, Holzstückchen u. s. w. aufgefangen werden. Die Speiseröhre mündet in dem Vordertheile des Ten-

ders ein und enthält zwei Ventile, wodurch der Eintritt des Wassers in diese Röhre regulirt werden kann. Das Aufdrücken und Zurückziehen dieser Ventile erfolgt durch Schraubenspindeln, welche durch Handhaben oder Kurbeln in Umdrehung gesetzt werden. Das Gestelle des Tenders ist von dem der Locomotive und der anderen Eisenbahnwagen nicht verschieden. Die Verbindung des Tenders mit der Locomotive erfolgt in der Regel durch eine sogenannte Spannstange und durch zwei Bolzen, welche durch die Enden dieser Stangen hindurch gehen, überdies aber auch noch durch zwei Sicherheitsketten, welche jedoch nur locker gespannt sein dürfen. Um die Stöße zwischen dem Dampfwagen und dem Tender so viel wie möglich unschädlich zu machen, stößt man sie außerdem noch mittels zwei Paar Puffer gegen einander. Auf ähnliche Weise hängt man auch die übrigen Wagen an einander. Die Puffer verbindet man in der Regel nicht unmittelbar mit dem Wagengestelle, sondern man versieht dieselben mit besonderen Stoßstangen, welche entweder auf die Enden einer Stahlfeder oder, wie z. B. bei den Maschinen von Crampton, mittels Rollen auf in Cylindern eingeschlossene Polster von Caoutschukscheiben wirken. Man giebt der Verbindung des Wagenzuges und des Tenders wohl



Von dem Fortschaffen der Lasten auf ganz oder nahe horizontalen Wegen. 669  
 der Kurbel, Schraube und Hebel auf die Schienen aufgedrückt wird. Ein  
 solcher von dem französischen Ingenieur Laignel construirter Brems ist  
 in Fig. 587 und Fig. 588 abgebildet. Man sieht in A, A die zwischen

Tender.

Fig. 587.

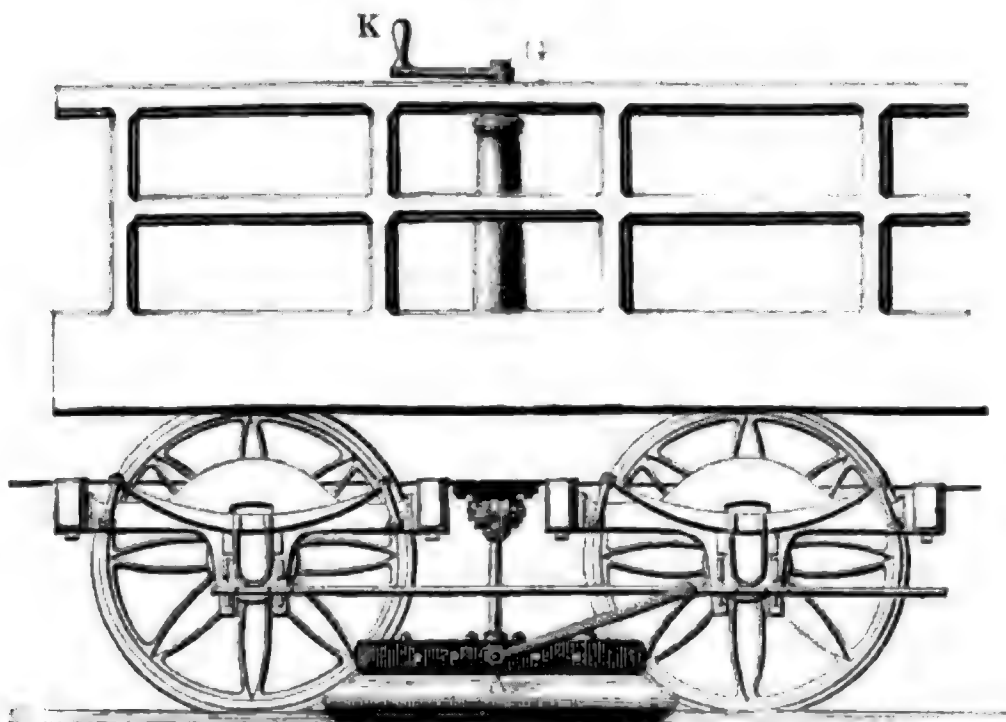
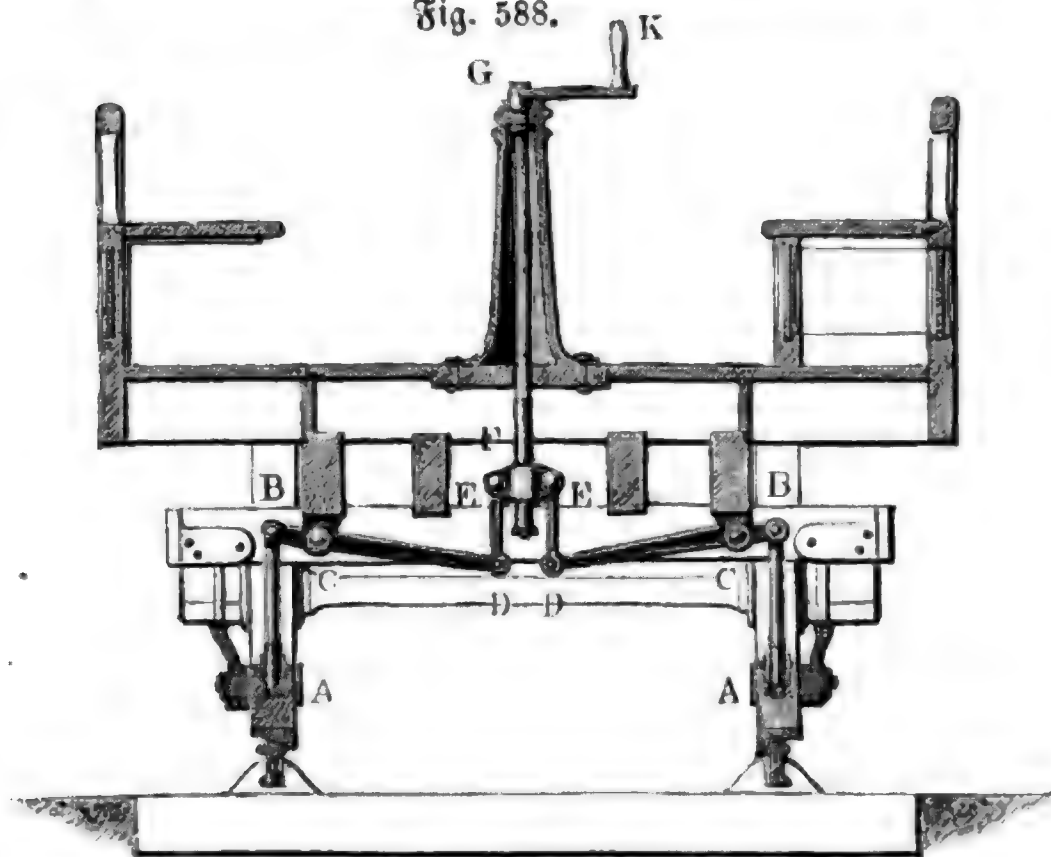


Fig. 588.



je zwei Rädern hängenden Hemmschuhe, ferner in *B C D* Hebel, welche  
 in *C* an das Wagengestelle angeschlossen sind, und durch Stangen einer-  
 seits mit den Hemmschuhen und andererseits mit einer Schraubenmutter  
*E E* verbunden sind, welche durch Umdrehung der Schraubenspindel *F C*  
 mittels der Kurbel *K* gehoben und gesenkt werden kann.



Tender.

In neueren Zeiten hat man auch eine nach demselben Principe construirte Dampfbremse angewendet, wo das Ausdrücken der Hemmschuhe durch die Kolbenkraft einer kleinen Dampfmaschine bewirkt wird.

Treibbare  
Wagengestelle.

§. 286. Nicht allein die feste Verbindung der Dampf- und anderer Eisenbahnwagenräder mit ihren Axen, sondern auch die Art und Weise der Verbindung des Wagengestelles mit den Radaxen macht, daß man mit denselben nicht auf Eisenbahnen mit kleinen Krümmungshalbmessern unter 500 Fuß u. s. w. fahren kann. Da die Radaxen rechtwinkelig gegen die Langschwellen des Gestellrahmens stehen und die letzteren Sehnen der von den Bahnschienen gebildeten Curven bilden, so gehen die Drehungsebenen der Wagenräder nicht tangential oder parallel zu den Schienenbahnen, sondern sie schneiden dieselben unter einem gewissen Winkel; und in Folge dessen hat jedes Rad ein gewisses Bestreben zum Entgleisen, welches noch dadurch besonders gesteigert wird, daß mit der schiefen Stellung der Radaxen gegen die Bahncurve eine Zunahme des Spielraumes zwischen den Rädern und den Bahnschienen verbunden ist. Wenn nun aber auch das Entgleisen durch die Spurkränze verhindert wird, so hat diese Abweichung der Umdrehungsebene der Räder von der Richtung ihrer fortschreitenden Bewegung den großen Nachtheil, daß dadurch eine gleitende Reibung der Wagenräder auf der Schienenbahn entsteht, die bei starken Krümmungen einen großen Theil der Umtriebskraft in Anspruch nimmt. Die Abweichung der Umdrehungsebene der Räder von der Richtung der Bahn ist gleich dem Winkel  $\delta$  zwischen der Tangente und der Sehne eines Kreises, und läßt sich einfach durch die Formel:

$$\sin. \delta = \frac{l}{2r},$$

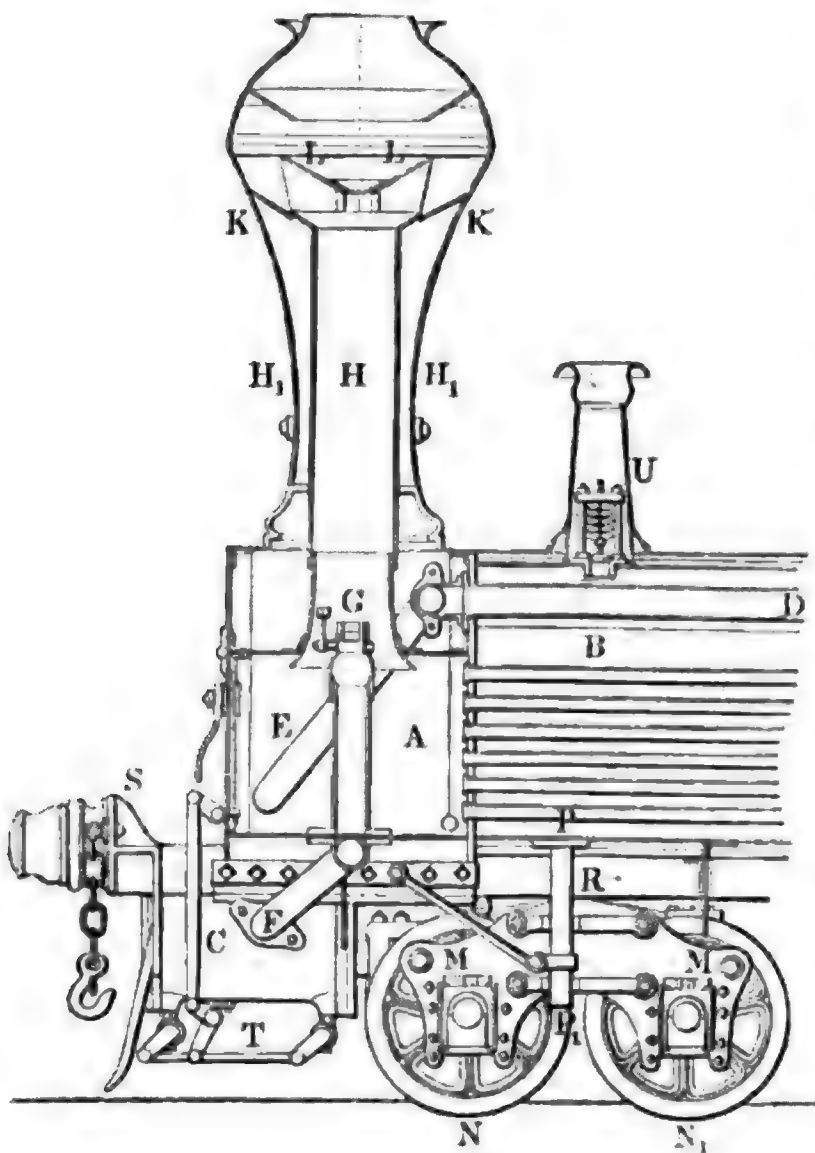
worin  $r$  den Krümmungshalbmesser und  $l$  die Sehne oder den Abstand der Radaxen von einander bezeichnet, bestimmen. Es ist also dieselbe nicht allein von dem Curvenhalbmesser, sondern auch von dem Abstände der Radaxen abhängig, und fällt um so größer aus, je größer dieser Abstand oder je länger der Wagen ist. Aus diesem Grunde ist es also zum Befahren starker Krümmungen zweckmäßiger, wenn die Radaxen nahe beisammen stehen, als wenn ihr Abstand von einander groß ist. Am größten fällt dieser Abstand bei den sechsräderigen Wagen, also namentlich bei den Locomotiven aus, da hier unter  $l$  der Abstand der äußersten Radaxen von einander zu verstehen ist, also diese Größe viel größer ausfällt als bei den vierräderigen Wagen. Wegen der Mittelaxe wird die Krümmung der Schienenbahn noch dadurch besonders eingeschränkt, daß sich in Folge deren Anwendung die mittleren Räder auf den Schienen in ihrer Axenrichtung um die bekannte Bogenhöhe  $\frac{l^2}{8r}$  verschieben, welcher natür-

lich zur Verhinderung des Entgleisens noch nicht der Radkranzbreite gleich sein darf.

**Drehbare  
Wagenstelle.**

Diese große Beschränkung der Eisenbahncurven setzt der Tracirung der Eisenbahnen in Gebirgen ein großes Hinderniß in den Weg, da es hierbei nicht allein auf die Vermeidung großer Steigwinkel, sondern auch auf die Umgehung kleiner Curvenhalbmesser ankommt; es wäre daher von einer sehr großen Wichtigkeit, wenn man durch besondere Construction der Eisenbahnwagen die Anwendung stärkerer Krümmungen oder kleinerer Krümmungshalbmesser möglich machen könnte. Mehrere solche Hülfsmittel sind bereits zur Anwendung gekommen; es gehören namentlich hierher die Wagen von Morris mit drehbaren Wagengestellen und die Wagen von Arnour mit drehbaren Axen. Die ersteren Wagen sind vorzüglich in Nordamerika und nächstdem auch in Deutschland zur Anwendung gekommen, letztere aber sind von Frankreich ausgegangen und da bei der Eisenbahn von Paris nach Sceaux angewendet worden. Es ist jedoch nicht zu läugnen, daß durch diese Beweglichkeit der Axen die Eisenbahnwagen viel von ihrer Stabilität und Solidität verlieren, weshalb die Anwendung dieses Principes wohl nie allgemein werden dürfte.

Fig. 589.

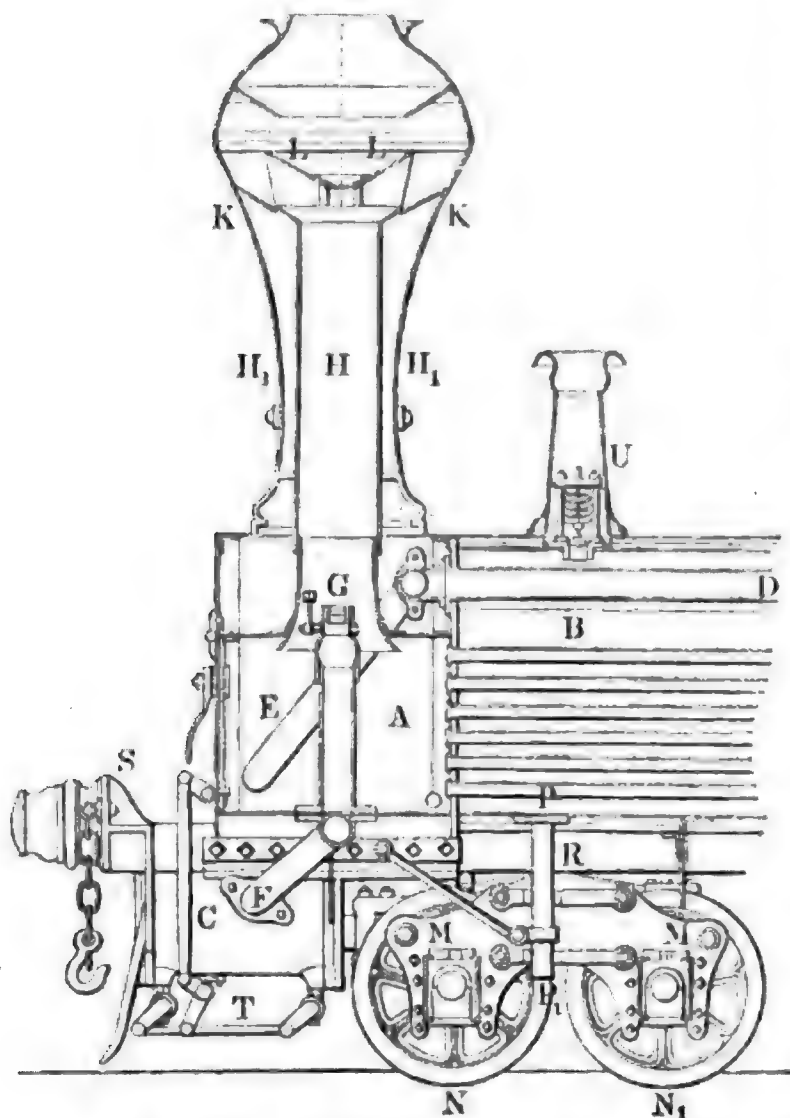


Die Einrichtung einer Locomotive mit beweglichem Vordergestelle ist aus einem Längendurchschnitte des vorderen Theiles eines solchen Dampfzuges in Fig. 589 zu sehen. Es ist hier *A* der Rauchkasten, *B* ein Theil der Heizröhren und *C* ein Dampfzylinder; ferner sieht man in *DE* das Dampfrohr und *FG* das Blaserohr, welches bei *G* in den Schornstein *H* einmündet. Der letztere ist mit dem Klein'schen Funkenfänger versehen, welcher im Wesentlichen aus einem zwischen die Kegelmäntel *KL*, *KL* eingesetzten Leitschaukelssystem besteht, wodurch der

Drehbare  
Wagengestelle.

Rauch in eine drehende Bewegung geräth und ihm Gelegenheit gegeben wird, die mit sich fortführenden Funken oder glühenden Kohlenstückchen in den Raum zwischen der eigentlichen Esse  $H$  und ihrem Mantel  $H, H_1$

Fig. 590.



niederfallen zu lassen. Die Maschine hat sechs Räder; es sind jedoch die hinteren oder Treibräder in der Figur nicht sichtbar; dagegen sieht man aber in  $MM$  das bewegliche Vordergestell mit den Rädern  $NN_1$  und dem Bolzen oder Nagel  $PP_1$ , um welche sich dieses Gestell bei der Bewegung in Bahncurven dreht. Dieser Bolzen ist unter dem Kessel befestigt, und erhält seinen festen Stand besonders durch ein Paar Streben, wie  $Q$ , welche unter dem Rauchkasten feststehen. Der Gestellrahmen ruht bei  $R$  mittels stählerner Platten auf den in der Figur kaum sichtbaren Tragsfedern, deren Enden sich unmittel-

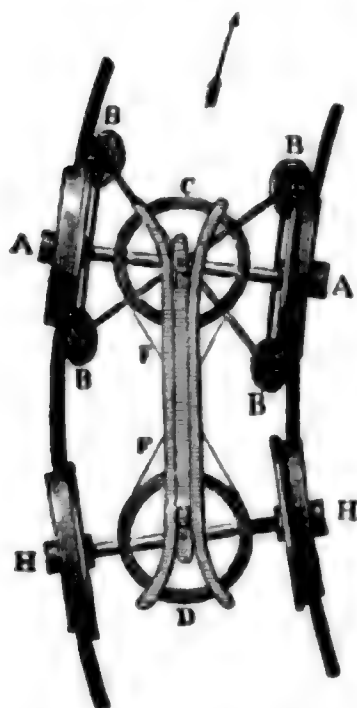
bar über den Axenhaltern auf die Schmierbüchsen stützen. Noch sieht man in der Figur bei  $S$  den gußeisernen Querbalken, welcher die aus gewalztem Flacheisen bestehenden Langschwelen an ihren Enden mit einander verbindet, und zugleich die Pufferbüchsen in sich enthält, ferner bei  $T$  den Mechanismus, wodurch die Hähne zum Auslassen des Condensationswassers aus den Dampfzylindern bewegt werden, und endlich bei  $U$  das durch eine Feder belastete Sicherheitsventil.

Bei dem Arnour'schen Axensystem dreht sich nicht allein jede Ase um einen festen Reihnagel, sondern es drehen sich auch, wie bei den gewöhnlichen Wagen auf Straßen, die Räder mittels ihrer Naben um die Radaxe. Damit sich die vorderste Radaxe  $AA$ , Fig. 591, beim Eintritt des Wagenzuges in eine Curve rechtwinkelig gegen diese stelle und folglich die Räder derselben in der Tangente der Curve laufen, ist mit dieser Ase das Gestelle eines Wagens fest verbunden, dessen vier Räder  $B, B..$  gegen

Von dem Fortschaffen der Lasten auf ganz oder nahe horizontalen Wegen. 673  
den Horizont geneigt sind und sich gegen die innere Seite der Bahnschienen stemmen, wodurch die gleitende Reibung des Spurkranzes in eine wäl-

Tragbare  
Wagengeleise.

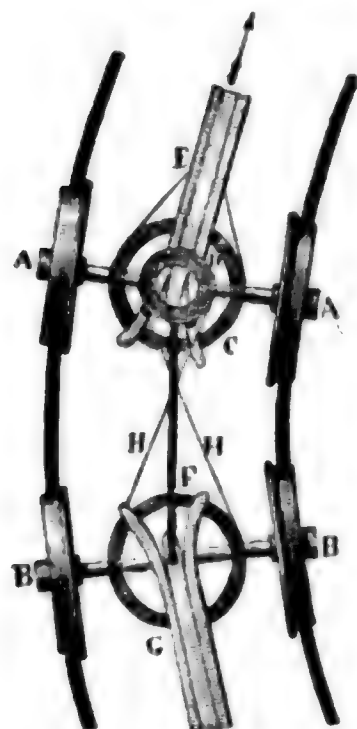
Fig. 591.



zende verwandelt wird, und damit sich auch die folgende Radaxe  $HH$  normal gegen die Bahncurve stelle, sind auf beide Axen die gleich großen Kränze  $C$  und  $D$  so befestigt, daß ihre Mittelpunkte in die Reihnagel  $E, G$  beider Axen fallen, und ist um die Umfänge beider Kränze eine gekreuzte Kette  $FF$  gelegt. Es ist leicht einzusehen, daß in Folge dieser Verbindung jede Drehung der Radaxe  $AA$  um ihren Reihnagel eine gleich große, jedoch entgegengesetzte Drehung der Radaxe  $HH$  um ihren Reih- oder Schloßnagel  $G$  bewirken müsse, und daher die Winkel  $GEA$  und  $EGH$ , welche diese Radaxen mit der Geraden  $EG$  durch beide Schloßnagel bilden, einander gleich bleiben. Da nun aber  $EG$  Sehne eines Kreises ist und von derselben die Normalen oder Halbmesser in ihren Endpunkten  $E$  und  $G$  um gleiche Winkel  $GEA$  und  $EGH$  abweichen, so folgt, daß mittels dieses Mechanismus die zweite Radaxe  $HH$  durch die erste rechtwinkelig gegen die Bahncurve gestellt wird.

Die Verbindung der hinteren Axe  $AA$ , Fig. 592, eines Wagens mit der vorderen Axe des nächstfolgenden erfolgt zwar ebenfalls durch zwei Kränze  $D$  und  $G$  und eine Kette  $HH$ , aber es hat einer dieser Kränze einen nur halb so großen Halbmesser als der andere, und es sitzt derselbe nicht auf der Axe  $AA$ , sondern auf der Verbindungsstange  $E$  beider Wagen fest. Sind nun die Abstände je zweier Radaxen von einander dieselben, so schließen sie auch, als Sehnen eines Kreises, mit den Halbmessern oder Normalen in ihren Endpunkten gleiche Winkel ein, und es ist folglich der Winkel zwischen den Verbindungsstangen  $E$  und  $F$  doppelt so groß als der Winkel  $FDA$  zwischen einer Radaxe  $AA$  und der Stange  $F$ . Es muß sich daher auch beim Eintritt in eine Curve oder bei Veränderung des Curvenhalbmessers die Verbindungsstange  $E$  doppelt so viel drehen als die

Fig. 592.



Axe  $BB$ , damit sich  $BB$  ebenso wie  $AA$  rechtwinkelig gegen die Bahncurve stelle. Dies wird aber auch dadurch, daß man den Halbmesser des Kranzes  $G$  doppelt so groß macht als den des Kranzes  $D$ , wirklich erreicht.

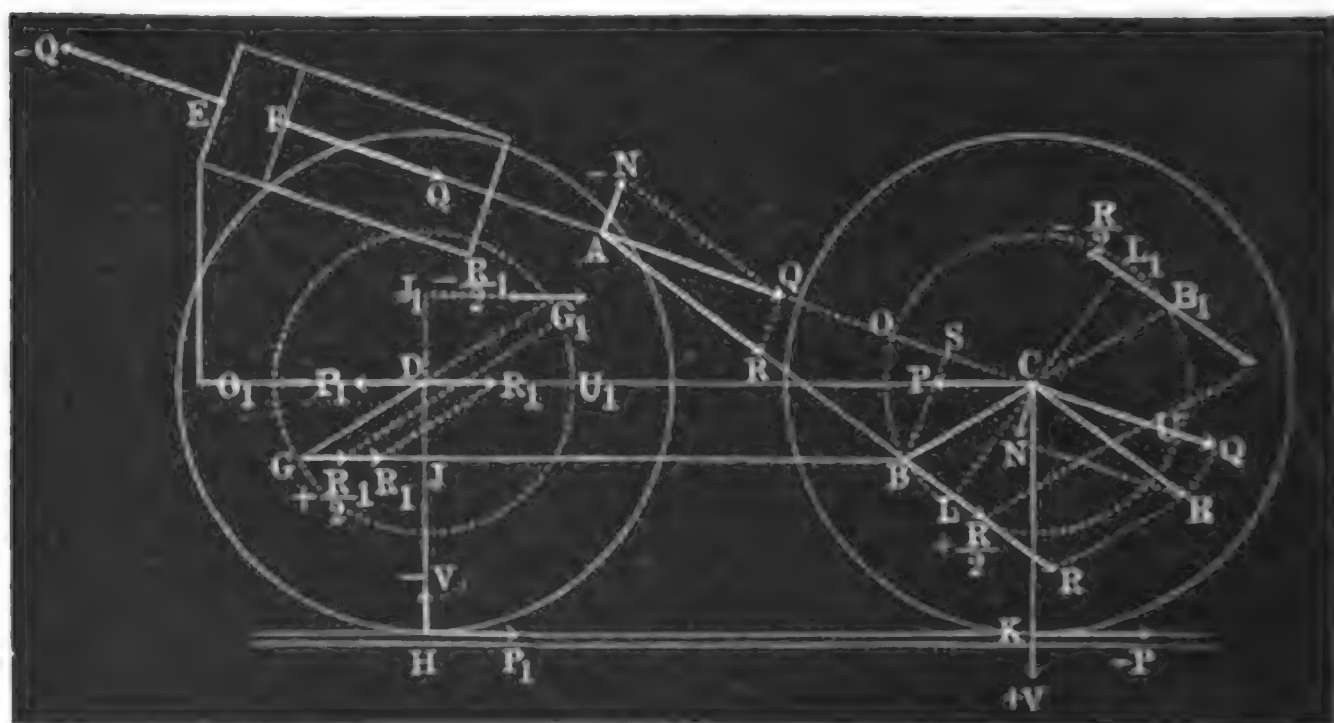


Durch dieses System verliert allerdings ein Wagenzug viel von seiner Stabilität und Sicherheit, und deshalb möchte es wohl kaum je allgemeiner in Anwendung kommen.

Theorie der  
Bewegung  
der Dampf-  
wagen.

§. 287. Die Theorie der Bewegung eines Dampfzuges ist im Wesentlichen die Theorie des Krummzapfens mit zwei auf den Quadranten gegen einander gestellten Armen (s. III., §. 106). Es sei in Fig. 593

Fig. 593.



$C$  die Drehungsaxe der Treibaxe,  $D$  die der vorderen Radaxe,  $HK$  die Schienenbahn, ferner  $F$  ein Dampfkolben,  $FA$  die entsprechenden Pleuellstange,  $AB$  die Pleuellstange und  $CB$  der Kurbelarm. Die Pleuellkraft  $\overline{FQ} = \overline{AQ} = Q$  zerlegt sich durch die Führung des Stangenkopfes  $A$  in zwei Seitenkräfte  $-N$  und  $R$ , wovon die erstere normal gegen die Führung steht und von derselben aufgenommen und die andere als  $\overline{BR} = \overline{AR}$  mittels der Pleuellstange  $AB$  auf die Kurbel übertragen wird. Da die letztere Kraft excentrisch auf die Rad- oder Kurbelaxe  $C$  wirkt, so zerlegt sie sich, wie bekannt, in eine gleiche Pleuellkraft  $\overline{CR} = R$  und in ein Kräftepaar  $\left(+\frac{R}{2}, -\frac{R}{2}\right)$ , welches die Axe  $C$  mit dem Momente  $CL \ R$  in Umbrehung setzt. Die Pleuellkraft  $\overline{CR} = R$  läßt sich wieder in eine Seitenkraft  $\overline{CN} = N$  und eine Seitenkraft  $\overline{CQ} = Q$  zerlegen, wovon die erstere mit  $\overline{AN} = -N$  ein Kräftepaar bildet und die letztere mittels des Wagengestelles von dem Dampfdrucke  $\overline{EQ} = -Q$  gegen die Bodenfläche  $E$  des Dampfzylinders aufgehoben wird. Das Kräftepaar  $(+N, -N)$  hat einen veränderlichen Hebelarm  $CA$  und folglich auch ein veränderliches Moment  $CA \ N$ . Im Mittel ist  $CA$

= der Länge  $AB = l$  der Treib- oder Kurbelstange und daher das Moment des Kräftepaars  $(+N, -N)$ ,  $= Nl$ . Dieses Kräftepaar vergrößert den Druck der Treibräder auf die Schienenbahn um eine Kraft  $KV = V$  und vermindert den Druck der vorderen Räder auf dieselbe um die Gegenkraft  $HV = -V$ , und es bilden  $+V$  und  $-V$  ein Kräftepaar, dessen Moment dem Momente  $Nl$  des Kräftepaars  $(+N, -N)$  gleich ist. Bezeichnet man den Horizontalabstand  $CD$  der beiden Radaxen  $C$  und  $D$  von einander durch  $e$ , so hat man  $Ve = Nl$ , und daher:

$$V = \frac{l}{e} N.$$

Die Fortbewegung des Dampfwagens erfolgt durch das Kräftepaar  $\left(+\frac{R}{2}, -\frac{R}{2}\right)$ , und zwar dadurch, daß sich dasselbe in ein anderes Kräftepaar  $(+P, -P)$  umsetzt, dessen einer Component  $CP = P$  dem Widerstande des Wagenzuges das Gleichgewicht hält, und dessen zweiter Component  $KP = -P$  von dem Widerstande der Schienenbahn aufgenommen wird. Der Hebelarm des letzteren Kräftepaars ist der Radhalbmesser  $CK = a$ ; setzen wir daher den veränderlichen Hebelarm  $CL$  des ersteren oder den senkrechten Abstand der Radaxe  $C$  von der Richtung der Lenkstange,  $= y$ , so haben wir  $Pa = Ry = Nl$ , und daher die Treib- oder Zugkraft des Dampfwagens:

$$P = \frac{y}{a} R = \frac{l}{a} N.$$

Der Widerstand  $(-P)$ , mit welchem die Zugkraft  $+P$  der Locomotive ein Kräftepaar bildet, erwächst aus dem Eingreifen der kleinen Erhabenheiten und Vertiefungen des Radumfanges und der Schienenbahn in einander, und hat die gleitende Reibung zwischen beiden zu seinem höchsten Grenzwerthe. Ist  $Z$  der Druck des Rades auf die Schienenbahn und  $\varphi$  der Reibungscoefficient, so hat man die Größe der gleitenden Reibung am Umfange des Rades  $= \varphi Z$ ; damit folglich sich das Rad wirklich fortwälze und den Wagen fortbewege, muß die Kraft zur Bewegung der Locomotive und des angehängten Wagenzuges kleiner sein als die gleitende Reibung, d. i.

$$P < \varphi Z.$$

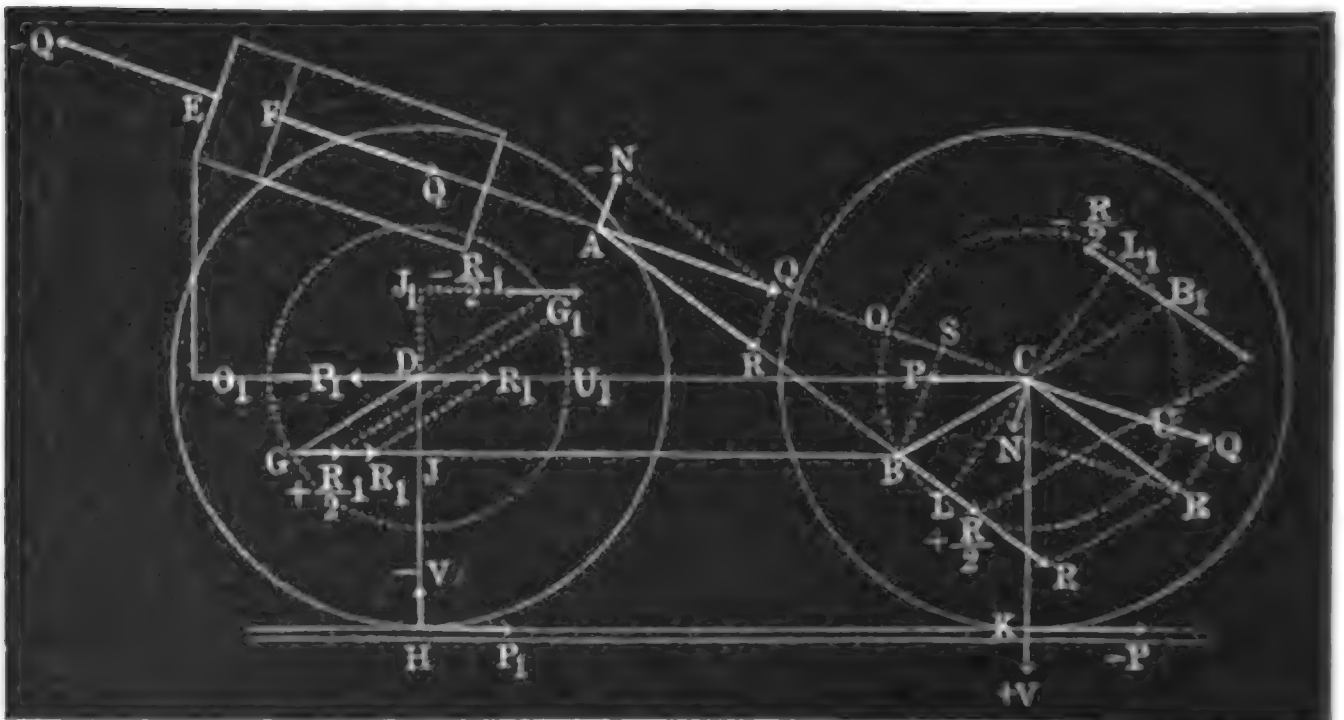
Da endlich  $Z$  dem Gewicht des Dampfwagens proportional ist, so folgt, daß dieses Gewicht um so größer sein muß, je größer der Widerstand des Wagenzuges ist. Die Geschwindigkeit, mit welcher sich die Wagenaxe  $C$ , und also auch der Wagen fortbewegt, ist gleich der Umdrehungsgeschwindigkeit des Radumfanges; nun ist aber diese nicht allein der Umdrehungszahl  $u$  p. min., sondern auch dem Radhalbmesser  $a$  proportional; folglich wächst auch die Geschwindigkeit des Trains mit dem Radhalbmesser, und

Theorie der  
Bewegung  
der Dampf-  
wagen.

man hat daher z. B. den Dampfswagen für Schnellzüge hohe und den für Güterzüge niedrigere Treibräder zu geben. In dem ersteren Falle macht man die übrigen Räder niedriger als die Treibräder, im zweiten Falle kann man dagegen die sämtlichen Räder des Dampfagens gleich hoch machen; und wenn man die Räder verschiedener Arten zur Verstärkung der Zugkraft kuppelt, wie z. B. bei den Gebirgslocomotiven nöthig ist, so muß man den gekuppelten Rädern eine gleiche Höhe geben, weil sonst ein theilweises Schleifen der Räder auf der Bahn eintreten würde.

Ist  $\overline{GR_1} = R_1$  die Zugkraft der Kuppelstange  $BG$ , und  $DJ = DJ_1 = y_1$  der Hebelarm derselben, so hat man das Moment des Kräftepaares,

Fig. 594.



durch welches das Vorderrad um seine Ase  $D$  gedreht wird,  $= R_1 y_1$ , und daher die Vergrößerung der Zugkraft in Folge der Arenkuppelung:

$$P_1 = \frac{y_1}{a} R_1$$

Das Kraftmoment  $Ry$  zerlegt sich hier in die zwei Momente  $R_1 y_1$  und  $Pa$ , es ist also:

$$\begin{aligned} Ry &= R_1 y_1 + Pa \\ &= Pa + P_1 a = (P_1 + P) a, \end{aligned}$$

und folglich hat man wieder die ganze Zugkraft:

$$P + P_1 = \frac{yR}{a}.$$

Ist nun noch  $Z_1$  der Druck des Rades  $DH$  auf die Schienenbahn, so erfordert das Fortrollen des Wagens auf der Bahn, nicht allein, daß



$$\begin{aligned} P &< \varphi Z, \text{ sondern auch} \\ P_1 &< \varphi Z_1, \text{ daß also} \\ P + P_1 &< \varphi (Z + Z_1) \text{ sei.} \end{aligned}$$

Theorie der  
Bewegung  
der Dampf-  
wagen.

Da  $Z + Z_1 > Z$  ist, so hat hiernach der Dampfswagen mit gekuppelten Rädern mehr Zugkraft als der Dampfswagen ohne gekuppelte Räder.

Die Axenkraft  $\overline{DR_1} = R_1$ , welche nebst dem Kräftepaare  $\left(+\frac{R_1}{2}, -\frac{R_1}{2}\right)$  aus der Stangenkraft  $\overline{GR_1} = R_1$  resultirt, wird durch eine gleiche entgegengesetzte Axenkraft in  $C$  aufgehoben, welche aus der Zerlegung der Stangenkraft in  $B$  resultirt, in der Figur aber nicht weiter angedeutet ist.

Wird der Dampfkolben rückwärts getrieben, so nehmen zwar die Kräfte  $Q$  und  $R$ , sowie  $-Q$  und  $-R$  die entgegengesetzten Richtungen an, da sich aber auch hierbei die Lenkarmstange  $AB$  auf der entgegengesetzten Seite der Schublinie  $EC$  befindet, so wird dadurch in der Größe und Richtung des Kräftepaares  $\left(+\frac{R}{2}, -\frac{R}{2}\right)$ , und folglich auch in der Zugkraft  $P$  nichts

geändert, auch bleibt hierbei das Kräftepaar  $\left(+\frac{R_1}{2}, -\frac{R_1}{2}\right)$  und folglich auch die Zugkraft  $P_1$  der vorderen Räder unverändert. Die Seitenkräfte  $-N$ ,  $+N$  behalten bei dem Rückgange des Kolbens ihre erste Richtung bei; es behält also auch hierbei das Kräftepaar  $(+N, -N)$  seine Richtung unverändert und es wird folglich durch dasselbe wieder der Druck des Treibrades in  $K$  um die oben gefundene Kraft  $V$  vergrößert und der Druck des vorderen Rades in  $H$  um die gleiche Kraft  $V$  vermindert. Steht die Warte in einem der toten Punkte  $O$ ,  $U$ , so ist natürlich  $N$  Null, ferner  $R = Q$  und der Hebelarm  $CL$  des Kräftepaares  $\left(+\frac{R}{2}, -\frac{R}{2}\right)$  also auch dessen Moment, und endlich auch die

Zugkraft Null. Auch ist aus demselben Grunde die Zugkraft  $P_1$  der gekuppelten Räder  $C = \text{Null}$ , wenn die Warte  $G$  in einem der toten Punkte  $O_1$  und  $U_1$  des Krummzapfens  $GD$  ankommt. Die stetige Veränderung der Zugkräfte  $P$  und  $P_1$  bewirkt, daß der Dampfswagen mit einer veränderlichen Geschwindigkeit fortrollt. Die Veränderung dieser Geschwindigkeit wird jedoch theils durch die träge Masse des Dampf-wagens und theils noch dadurch in engen Grenzen erhalten, daß die Treib-axe  $C$  nicht bloß durch eine, sondern durch zwei Maschinen in Umdrehung gesetzt wird, und daß dieselben mittels doppelter auf das Viertel gestellten Krummzapfen auf die Treibaxe  $C$  wirken. Wenn der eine Krummzapfen in einem toten Punkte steht und folglich nichts zur Umdrehung des Treib-

Theorie der  
Bewegung  
der Dampf-  
maschinen.

rades beiträgt, befindet sich der andere Krummzapfen nahe in seiner besten Wirkung, und ertheilt also der Treibaxe die größte Zugkraft. Da die Umdrehungsebenen der beiden Krummzapfen nicht zusammenfallen, sondern in einem gewissen Abstände von einander abstehen, der besonders bei Maschinen mit außen liegenden Cylindern sehr groß ist, so findet auch keine einfache Vereinigung der durch beide Kurbeln erzeugten Zugkräfte statt, sondern es bildet sich aus diesen beiden Kräften außer der in der Mitte der Nabe angreifenden Mittelkraft auch noch ein Kräftepaar, welches diese Axe um ihre vertikale Schwerlinie bald in der einen, bald in der anderen Richtung umzudrehen sucht. Bezeichnen wir in der Folge diese beiden Kräfte durch  $P_1$  und  $P_2$ , so haben wir, da sich

$$P_1 = \frac{P_1 + P_2}{2} + \frac{P_1 - P_2}{2} \text{ und}$$

$$P_2 = \frac{P_1 + P_2}{2} - \frac{P_1 - P_2}{2}$$

setzen läßt, für die in der Axenmitte angreifende Mittelkraft:

$$P = \frac{P_1 + P_2}{2} + \frac{P_1 + P_2}{2} = P_1 + P_2,$$

und dagegen die Componenten des gedachten Kräftepaares:

$$\frac{P_1 - P_2}{2} \text{ und } -\frac{P_1 - P_2}{2},$$

und folglich, wenn wir noch den Abstand der beiden Kurbel Ebenen von einander durch  $b$  bezeichnen, das Moment dieses Kräftepaares:

$$\frac{(P_1 - P_2) b}{2}$$

§. 288. Die Normalkraft oder der Component  $N$  des Kräftepaares ( $+N$ ,  $-N$ ), welches die beiden Naben  $C$  und  $D$ , je nach der Umdrehungsrichtung der Kurbelwelle, in der einen oder in der anderen Richtung umzudrehen sucht und dadurch den Druck des einen Räderpaares auf die Schienenbahn ebenso viel vergrößert, wie den des anderen verkleinert, ist durch die Formel:

$$N = Q \tan \alpha$$

bestimmt, wenn  $\alpha$  den veränderlichen Winkel  $BAC$  bezeichnet, um welchen die Axe  $AB$  der Treibstange von der Richtung  $AC$  der Kolbenstange abweicht.

Wenn wir ferner, der Bezeichnung in §. 95 entsprechend, den Umdrehungswinkel  $OCB$  der Kurbelwarze  $B$ , vom todtten Punkte  $O$  ausgehend, durch  $\beta$ , und die Kurbelarmlänge  $CB$  durch  $r$  bezeichnen, so haben wir die Armlänge dieses Kräftepaares:

$AC = AS + SC = l \cos. \alpha + r \cos. \beta$ ,  
und daher das Moment dieses Kräftepaars:

$\overline{AC} \cdot N = Q \tan. \alpha (l \cos. \alpha + r \cos. \beta)$ ,  
wofür wir, da  $\alpha$  klein, also

$$\cos. \alpha \text{ nahe} = 1 \text{ und } \tan. \alpha = \sin. \alpha = \frac{r}{l} \sin. \beta$$

gesetzt werden kann,

$$\overline{AC} \cdot N = \left(1 + \frac{r \cos. \beta}{l}\right) Qr \sin. \beta$$

schreiben wollen.

Dieses Moment ist für  $\beta = 0$  Grad und  $= 180$  Grad, also wenn die Räder in einem der toden Punkte  $O$  oder  $U$  stehen, Null, und dagegen für  $\cos. \beta = \frac{r}{l}$ , ein Maximum, und zwar  $= Qr$ . Kommt die Räder auf die andere Seite von  $OU$ , so ist  $\beta$  stumpf und  $Q$  negativ, daher folgt, wenn man vom toden Punkte  $U$  ausgeht, das Moment des Kräftepaars:

$$= \left(1 - \frac{r \cos. \beta}{l}\right) Qr \sin. \beta,$$

und das Maximum desselben wieder  $= Qr$ .

Die andere Räder des Krümmzapfens hat den Drehungswinkel  $90^\circ + \beta$ , für sie ist also das Moment des entsprechenden Kräftepaars:

$$\begin{aligned} &\left(1 \pm \frac{r}{l} \cos. (90^\circ + \beta)\right) Qr \sin. (90^\circ + \beta) \\ &= \left(1 \mp \frac{r}{l} \sin. \beta\right) Qr \cos. \beta. \end{aligned}$$

Dasselbe ist für  $\beta = 90$  und für  $\beta = 270$  Grad  $=$  Null, und dagegen  $\sin. \beta = -\frac{r}{l}$  ein Maximum, und zwar wieder  $= Qr$ .

Während einer Umdrehung der Räder nimmt also das Moment des einen Kräftepaars nach und nach die Werthe:

$$0, + Qr, 0, + Qr,$$

und das andere die Werthe:

$$+ Qr, 0, + Qr, 0$$

an, so daß das eine seinen Minimalwerth 0 hat, wenn das andere nahe in seinem Maximalwerthe  $Qr$  steht.

Setzen wir den Abstand der beiden Räder  $C$  und  $D$  von einander  $= e$ , so haben wir die dem Kräftepaar  $(+ N, - N)$  entsprechenden Kräfte, durch welche der Druck auf die eine Räder vergrößert und auf die andere um eben so viel verkleinert wird:

Theorie der  
Bewegung  
der Dampf-  
wagen.

$$V_1 = \left(1 \pm \frac{r \cos. \beta}{l}\right) \frac{Qr \sin. \beta}{e} \text{ und}$$

$$V_2 = \left(1 \mp \frac{r \sin. \beta}{l}\right) \frac{Qr \cos. \beta}{e}$$

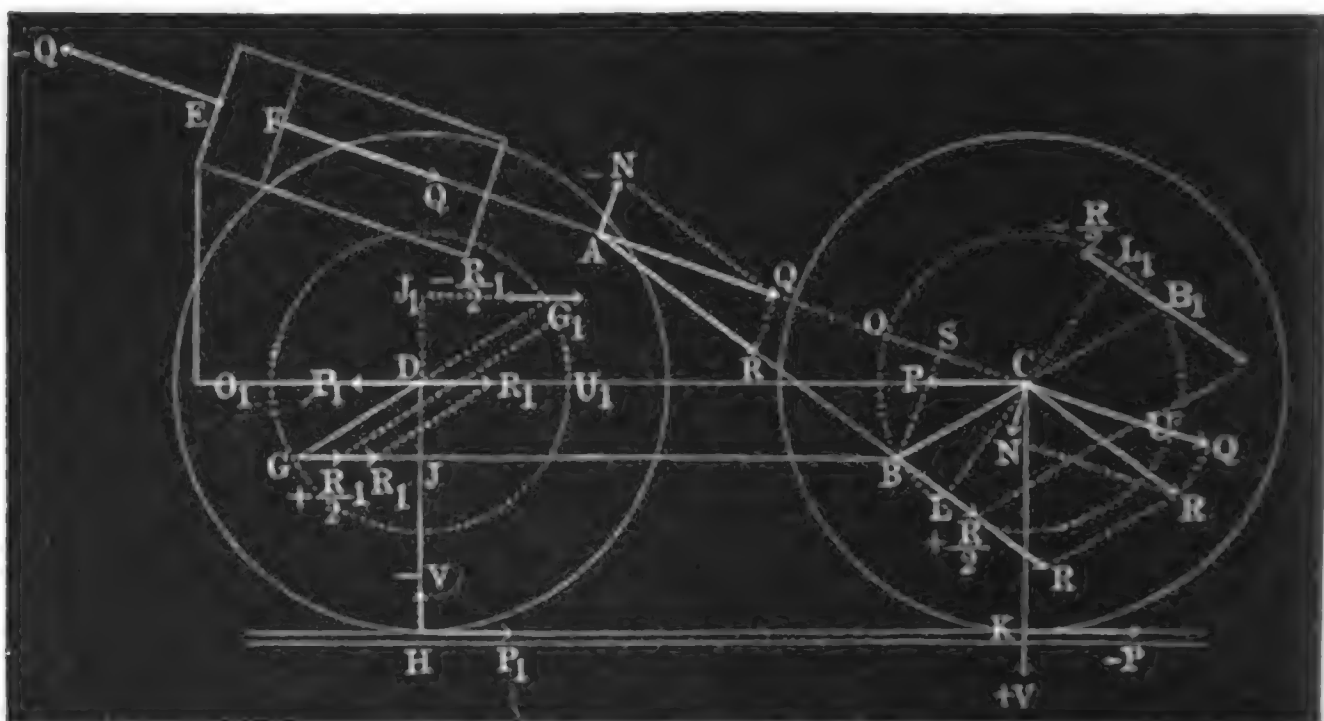
wofür wir aber im Folgenden die Mittelwerthe:

$$V_1 = \frac{Qr \sin. \beta}{e} \text{ und } V_2 = \frac{Qr \cos. \beta}{e}$$

annehmen wollen.

Bei der in der Figur angedeuteten Umbrehungsrichtung der Treibaxe

Fig. 595.



wirken die beiden Kräfte  $V_1$  und  $V_2$  auf die Treibaxe  $C$  von oben nach unten, und dagegen auf die Vorderaxe  $D$  von unten nach oben; wird aber die Treibaxe umgekehrt umgedreht, also die Locomotive in eine rückgängige Bewegung versetzt, so wirken diese Kräfte entgegengesetzt; d. i. sie vermindern den Druck auf die Axe  $C$  und vergrößern den Druck auf die Axe  $D$ .

Da die Vertikalebene, in welchen diese Kräfte wirken, nicht mit den Radebenen zusammenfallen, so gehen diese Kräfte auch nicht unmittelbar auf die Räder über, sondern es wird, da sich

$$V_1 = \frac{V_1 + V_2}{2} + \frac{V_1 - V_2}{2} \text{ und}$$

$$V_2 = \frac{V_1 + V_2}{2} - \frac{V_1 - V_2}{2}$$

setzen läßt, jedes Rad von einer Mittelkraft:

$$Z_1 = \frac{V_1 + V_2}{2} = (\sin. \beta + \cos. \beta) \frac{Qr}{2e}$$

und außerdem noch von einem Componenten eines Kräftepaars:

$$\left( + \frac{V_1 - V_2}{2}, - \frac{V_1 - V_2}{2} \right)$$

ergriffen.

Ist  $b$  der Abstand der Kurbeleneben und  $b_1$  der Abstand der Radebenen von einander, so hat man das Moment des letzten Kräftepaars:

$$\frac{(V_1 - V_2) b}{2},$$

und die Kraft, mit welcher durch dasselbe der Druck des einen Rades einer und derselben Axe vergrößert und der des anderen verkleinert wird:

$$Z_2 = \frac{(V_1 - V_2) b}{2 b_1} = (\sin. \beta - \cos. \beta) \frac{Q r b}{2 e b_1}.$$

Hiernach ist also die Vergrößerung des Druckes eines Treibrades:

$$Z_1 + Z_2 = \left( \sin. \beta + \cos. \beta + (\sin. \beta - \cos. \beta) \frac{b}{b_1} \right) \frac{Q r}{2 e},$$

und die gleichzeitige Vergrößerung dieses Druckes des anderen Rades:

$$Z_1 - Z_2 = \left( \sin. \beta + \cos. \beta - (\sin. \beta - \cos. \beta) \frac{b}{b_1} \right) \frac{Q r}{2 e}.$$

Der Druck  $Z_1 + Z_2$  des einen Rades ist:

$$\text{für } \beta = 0 \text{ Grad, } = \frac{(b_1 - b) r Q}{2 b_1 e},$$

$$* \text{ tang. } \beta = \left( \frac{b_1 + b}{b_1 - b} \right), \text{ das Maximum } \sqrt{\frac{b_1^2 + b^2}{2}} \cdot \frac{r Q}{b_1 e} \text{ und}$$

$$* \beta = 90 \text{ Grad, } = \frac{(b_1 + b) r Q}{2 b_1 e};$$

dagegen der Druck  $Z_1 - Z_2$  des anderen Rades:

$$\text{für } \beta = 0 \text{ Grad, } = \frac{(b_1 + b) r Q}{2 b_1 e},$$

$$* \text{ tang. } \beta = \left( \frac{b_1 - b}{b_1 + b} \right), \text{ das Maximum } \sqrt{\frac{b_1^2 + b^2}{2}} \cdot \frac{r Q}{b_1 e} \text{ und}$$

$$* \beta = 90 \text{ Grad } \frac{(b_1 - b) r Q}{2 b_1 e}.$$

Es variiert hiernach die Vergrößerung des Druckes auf ein Treibrad  $C$  und ebenso die Verminderung des Druckes auf ein Vorderrad  $D$ , hervorgebracht durch die Normalkräfte  $+ N$  und  $- N$ , je nachdem  $b$  kleiner oder größer als  $b_1$  ist, entweder zwischen den Grenzen:

$$\frac{(b_1 - b) r Q}{2 b_1 e} \text{ und } \sqrt{\frac{b_1^2 + b^2}{2}} \cdot \frac{r Q}{b_1 e}$$

oder zwischen den Grenzen:

$$\frac{(b_1 - b) r Q}{2 b_1 e} \text{ und } \frac{(b_1 + b) r Q}{2 b_1 e}.$$



Theorie der  
Bewegung  
der Dampf-  
wagen.

Da die Differenz dieser Grenzwerthe um so größer ausfällt, je größer der Abstand  $b$  der Kurbelebenen von einander ist, so folgt, daß bei Locomotiven mit außenliegenden Cylindern, wo sogar  $b > b_1$  ist, die durch die Normalkräfte  $+N$  und  $-N$  herbeigeführten Schwankungen in der Stabilität der Locomotiven größer sind als bei Locomotiven mit zwischen den Rädern liegenden Cylindern.

Diese Kräfte wirken besonders dadurch sehr nachtheilig und störend auf die Locomotive, daß sie nur zur Hälfte unmittelbar auf die Treibaxe  $C$  wirken, und dagegen die andere Hälfte derselben zunächst von der am Wagengestelle sessigenden Führung aufgenommen, und von dem ersteren erst mittels der Druckfeder auf die vordere Radaxe  $D$  übertragen werden. Um die aus der Veränderlichkeit dieser Kräfte hervorgehenden Schwankungen zu mäßigen, ist es daher nöthig, möglichst starke Druckfedern in Anwendung zu bringen.

§. 289. Die Kraft, welche die Treibstange in ihrer Azenrichtung fortpflanzt, ist:

$$R = \frac{Q}{\cos. \alpha}$$

Sie wirkt beim Hingange des Kolbens an dem Hebelarme:

$$CL = y = r \sin. (\beta + \alpha),$$

und dagegen beim Rückgange desselben, wenn man hier vom todtten Punkte  $U$  ausgeht, an dem Hebelarme:

$$CL_1 = y_1 = r \sin. (\beta - \alpha).$$

Hiernach ist das Umdrehungsmoment dieser Kraft in dem einen Falle:

$$Ry = \frac{Qr \sin. (\beta + \alpha)}{\cos. \alpha} = Qr (\sin. \beta + \tan. \alpha \cos. \beta),$$

annähernd:

$$= Qr \sin. \beta, \text{ oder genauer } Qr \sin. \beta \left(1 + \frac{r}{l} \cos. \beta\right),$$

und im anderen Falle:

$$Ry_1 = \frac{Qr \sin. (\beta - \alpha)}{\cos. \alpha} = Qr (\sin. \beta - \tan. \alpha \cos. \beta),$$

annähernd:

$$= Qr \sin. \beta, \text{ oder genauer } Qr \sin. \beta \left(1 - \frac{r}{l} \cos. \beta\right).$$

Es ist folglich die entsprechende Zugkraft für den einen Krummzapfen:

$$P_1 = \frac{Qr \sin. \beta}{a} \left(1 \pm \frac{r}{l} \cos. \beta\right),$$

und dagegen für den anderen, welcher diesem um  $90^\circ$  vorläuft:

$$P_2 = \frac{Qr \sin. (90^\circ + \beta)}{a} \left( 1 \pm \frac{r}{l} \cos. (90^\circ + \beta) \right) \\ = \frac{Qr \cos. \beta}{a} \left( 1 \mp \frac{r}{l} \sin. \beta \right).$$

Theorie der  
Bewegung  
der Dampf-  
wagen.

Bernachlässigen wir noch das Glied mit dem Factor  $\frac{r}{l}$ , machen wir also keinen Unterschied zwischen dem Hin- und dem Rückgange des Kolbens, so erhalten wir endlich die Zugkraft der Locomotive:

$$1) \quad P = P_1 + P_2 = \frac{Qr}{a} (\sin. \beta + \cos. \beta),$$

und dagegen das Moment des Kräftepaars, welches die Treibare bald in der einen, bald in der anderen Richtung um eine vertikale Ase zu drehen sucht:

$$2) \quad \frac{(P_1 - P_2)b}{2} = \frac{Qrb}{2a} (\sin. \beta - \cos. \beta).$$

Die Zugkraft  $P$  ist für  $\tan. \beta = 1$ , d. i. für  $\beta = 45$  Grad, ein Maximum, und zwar  $P = \frac{Qr\sqrt{2}}{a}$ , und fällt dagegen für  $\beta = 0$  und  $\beta = 90$  Grad nur  $\frac{Qr}{a}$  aus. Es nimmt folglich diese Kraft während der Umdrehung um einen Quadranten von

$$\frac{Qr}{a} \text{ bis } \frac{Qr\sqrt{2}}{a} \text{ zu, von } \frac{Qr\sqrt{2}}{a} \text{ bis } \frac{Qr}{a} \text{ ab,}$$

während der mittlere Werth derselben (s. III., §. 98)

$$P = \frac{4}{\pi} Qr \text{ ist.}$$

Das Moment des Kräftepaars  $\left( + \frac{P_1 - P_2}{2} - \frac{P_1 - P_2}{2} \right)$  geht dagegen bei der Umdrehung der Kurbel um einen Quadranten entweder

$$\text{aus } - \frac{Qrb}{2a} \text{ in 0 und aus 0 in } + \frac{Qrb}{2a}, \text{ oder}$$

$$\text{aus } + \frac{Qrb}{2a} \text{ in 0 und aus 0 in } - \frac{Qrb}{2a} \text{ über.}$$

Die Kraft, mit welcher hiernach bald das eine, bald das andere Treibrad vor- oder zurückgeschoben wird, schwankt also stets zwischen

$$0 \text{ und } \pm \frac{Qrb}{2ab_1}.$$



Theorie der  
Bewegung  
der Dampf-  
wagen.

Dieses Vor- und Rückwärtschieben wird zum Theil durch die Torsion der Treibaxe, und zum Theil durch die Schienenbahn, zumal wenn der Spielraum der Räder auf derselben klein ist, verhindert, oder wenigstens in engen Grenzen erhalten.

Man ersieht aus den vorstehenden Formeln (1) und (2), daß die Zugkraft, und ebenso auch die Störungen in der fortschreitenden Bewegung einer Locomotive direct wie der Kurbelhalbmesser und umgekehrt wie der Treibradhalbmesser wachsen, und daß ins Besondere noch die letzteren dem Abstände der Kurbelbenen oder Cylinderebenen von einander proportional sind, und dagegen mit der Spurweite im umgekehrten Verhältnisse zunehmen. Locomotiven mit außen liegenden Cylindern haben daher größere Störungen als solche mit innen liegenden Cylindern. Uebrigens läßt sich das Vor- und Rückwärtsgehen des einen oder anderen Rades dadurch vermindern, daß man den Wagenzug nicht bloß in einem, sondern in mehreren Punkten an die Locomotive anschließt, also z. B. durch scharfes Anspannen der Verbindungskette die Puffer des ersten Wagens stark gegen die der Locomotive anpreßt.

Beispiel. Es sei die Kolbenkraft einer Locomotive  $Q = 6000$  Pfund, der Halbmesser des Warzenkreises oder der halbe Kolbenshub  $r = 12$  Zoll, der Halbmesser eines Treibrades  $a = 33$  Zoll, der Abstand der beiden Kolbenaren oder Kurbelbenen von einander  $b = 72$  Zoll, die Spurweite oder der Abstand der Radebenen von einander  $b_1 = 55$  Zoll, die Entfernung der vorderen Räder von der Treibaxe,  $e = 62$  Zoll, und die der äußersten Rädaren von einander,  $e_1 = 124$  Zoll; man wünscht die Zugkraft und die Störungen der Treibkraft kennen zu lernen.

Die Seitenkräfte  $(+N, -N)$  der Treibstangen verändern den Druck der Treibräder auf die Schienenbahn um eine Größe, welche zwischen

$$+ \frac{(b_1 - b) r Q}{2 b_1 e} = \frac{(55 - 72) \cdot 12 \cdot 6000}{2 \cdot 55 \cdot 62} = - 179 \text{ Pfund, und}$$

$$+ \frac{(b_1 + b) r Q}{2 b_1 e} = \frac{(55 + 72) \cdot 12 \cdot 6000}{2 \cdot 55 \cdot 62} = + 1341 \text{ Pfund}$$

schwankt, und dagegen den Druck der vorderen Räder um die entgegengesetzte Größe, welche also zwischen

$$- \frac{(b_1 - b) r Q}{2 b_1 e} = 179 \text{ Pfund und } - \frac{(b_1 + b) r Q}{2 b_1 e} = - 1341 \text{ Pfund}$$

variirt.

Die Zugkraft der Locomotive schwankt zwischen

$$P = \frac{Qr}{a} = \frac{6000 \cdot 12}{33} = 2182 \text{ Pfund und}$$

$$\frac{Qr \sqrt{2}}{a} = 2182 \cdot \sqrt{2} = 3085 \text{ Pfund}$$

und ist im Mittel:

$$= \frac{4}{\pi} \cdot \frac{Qr}{a} = 2778 \text{ Pfund.}$$

§. 290. Die fortschreitende Bewegung der Locomotive und des ganzen Wagenzuges läßt sich nach der Theorie des doppelten Krummzapfens (s. III., §. 106 u. f. w.) unmittelbar beurtheilen. Sehen wir wieder von der veränderlichen Neigung der Treibaxe gegen die Ase der Kolbenstange ab, so haben wir für die Bewegung der Locomotive auf der Schienenbahn folgende Formel (s. S. 200) in Anwendung zu bringen:

Theorie der Bewegung der Dampfmaschinen.

$$Qr \left( 1 + \sin.\beta - \cos.\beta - \frac{4}{\pi} \beta \right) = (M + M_1 + W) \frac{v^2 - c^2}{2},$$

in welcher  $M$  die Masse einer Kolbenstange sammt zwei Dritteln der Masse der Treibstange,  $M_1$  die rotirende Masse der Radaxen, Räder u. f. w. sammt einem Drittel der Treibstangenmasse, alle auf den Umfang der Treibräder reducirt,  $W$  die Masse der Locomotive sammt der des ganzen Wagenzuges bezeichnen, und worin  $c$  die mittlere und  $v$  die veränderliche, dem Drehungswinkel  $\beta$  entsprechende Geschwindigkeit des Wagenzuges oder der Radumfänge der Treibräder bedeuten. Es ist hiernach:

$$v = c \left( 1 + \frac{Qr \left( 1 + \sin.\beta - \cos.\beta - \frac{4}{\pi} \beta \right)}{(M + M_1 + W) c^2} \right),$$

woraus sich der Maximalwerth:

$$v_1 = \left( 1 + 0,0422 \frac{Qr}{(M + M_1 + W) c^2} \right) c,$$

und der Minimalwerth:

$$v_2 = \left( 1 - 0,0422 \frac{Qr}{(M + M_1 + W) c^2} \right) c$$

ergiebt, so daß sich der Ungleichförmigkeitsgrad der fortschreitenden Bewegung des Wagenzuges:

$$\delta = 0,0844 \frac{Qr}{(M + M_1 + W) c^2}$$

ergiebt, der allerdings in

$$\delta = 0,2705 \frac{Qr}{(M + M_1 + W) c^2}$$

übergeht (s. III., §. 112), wenn das Verhältniß  $\frac{r}{l}$  nicht Null, sondern  $\frac{1}{3}$  ist. Man kann hiernach ermessen, daß die Veränderlichkeit in der Geschwindigkeit des Dampfswagenzuges klein genug ist, um  $\delta = 0$ , d. i.  $v = c$  setzen, also annehmen zu können, daß sich der Zug gleichförmig fortbewegt. Nehmen wir z. B.  $Qr = 6000$  Fußpfund,  $c$  nur  $= 20$  Fuß und  $M + M_1 + M_2 = 4000$  Pfund an, so erhalten wir durch die letzte Formel:

$$\delta = 0,2705 \frac{6000}{4000 \cdot 400} = 0,001.$$

Theorie der  
Bewegung  
des Dampf-  
wagens.

Mit dieser fortschreitenden Bewegung der Locomotive sind aber noch besondere schwingende Bewegungen verbunden, welche störende Einflüsse auf die Stabilität der Locomotive ausüben. Diese schwingenden Bewegungen bestehen entweder

1) in dem sogenannten Rücken (franz. le tangage) der Locomotive, wobei dieselbe gegen ihre mittlere Bewegung bald etwas voreilt und bald etwas zurückbleibt; oder 2) in dem sogenannten Schlängeln (franz. le lacet) oder einem Drehen um eine vertikale Ase; oder ferner 3) in dem Schwan-  
ken (franz. le roulis) oder einer Drehung um eine horizontale Längsaxe oder endlich 4) in dem Stampfen oder Galopiren (franz. le galop) oder einer Drehung um eine horizontale Queraxe. Die beiden letzten Störungen dürfen sich natürlich nur auf das Gestelle der Locomotive erstrecken, welches vermöge seiner Aufhängung in Federn ohne die Radaxen auf- und niederschwingen kann; das Schwan- und Stampfen des ganzen Dampf-  
wagens würde das Entgleisen desselben zur Folge haben.

Es ist leicht zu ermessen, daß das Schwan- und Stampfen des Dampf-  
wagens durch die Vertikalkräfte  $V_1$  und  $V_2$  (s. §. 288) und dagegen das Rücken und Schlängeln durch die Veränderlichkeit und das excentrische Angreifen der Zugkräfte  $P_1$  und  $P_2$  befördert wird.

§. 291 \*). Durch die trägen Massen der Kolben, Kolbenstangen, Treib-  
stangen und Kurbeln wird die Stabilität der fortschreitenden Locomotiven noch besonders beeinträchtigt, entweder weil sich diese Massen nicht gleichförmig bewegen oder weil dieselben nicht gleichmäßig um die Treibaxe herum vertheilt sind. Der Kolben sammt seiner Stange hat am Anfang seines Ausschubes eine beschleunigte, und am Ende desselben eine verzögerte Bewegung; in Folge dessen nimmt er daher während der ersten Hälfte seines Schubes oder Zuges eine gewisse Trägheitskraft in Anspruch, die er in der zweiten Hälfte desselben wieder zurückgibt. Wenn also auch der Dampfdruck ( $— Q$ ) auf die Grundfläche  $E$  des Dampfzylinders, Fig. 596, unveränderlich derselbe bleibt, so wird doch nicht der Gegendruck  $Q_1$  an der Treibstange constant bleiben, sondern es wird dieser Druck stets um diejenige Kraft kleiner oder größer als der erstere sein, welche die träge Masse des Dampf-  
kolbens u. s. w. entweder vermöge ihrer Beschleunigung in sich aufnimmt, oder vermöge ihrer Verzögerung wieder zurückgibt. Dieser Kraftwechsel wirkt besonders deshalb nachtheilig auf die Solidität und Stabilität der Locomotive, weil nur die Kraft  $Q_1$  unmittelbar von der Treibaxe aufgenommen wird und dagegen der Druck  $— Q$  gegen die Grundfläche des Dampfzylinders erst mittelbar, d. i. durch die Druckfedern und Axenhalter auf die Axen übertragen wird.

Während die Warze  $B$  der Kurbel um den Winkel  $OCB = \beta$  umläuft, bewegt sich der Kolben  $F$  um den Weg:

Theorie der Bewegung der Dampfmaschinen.

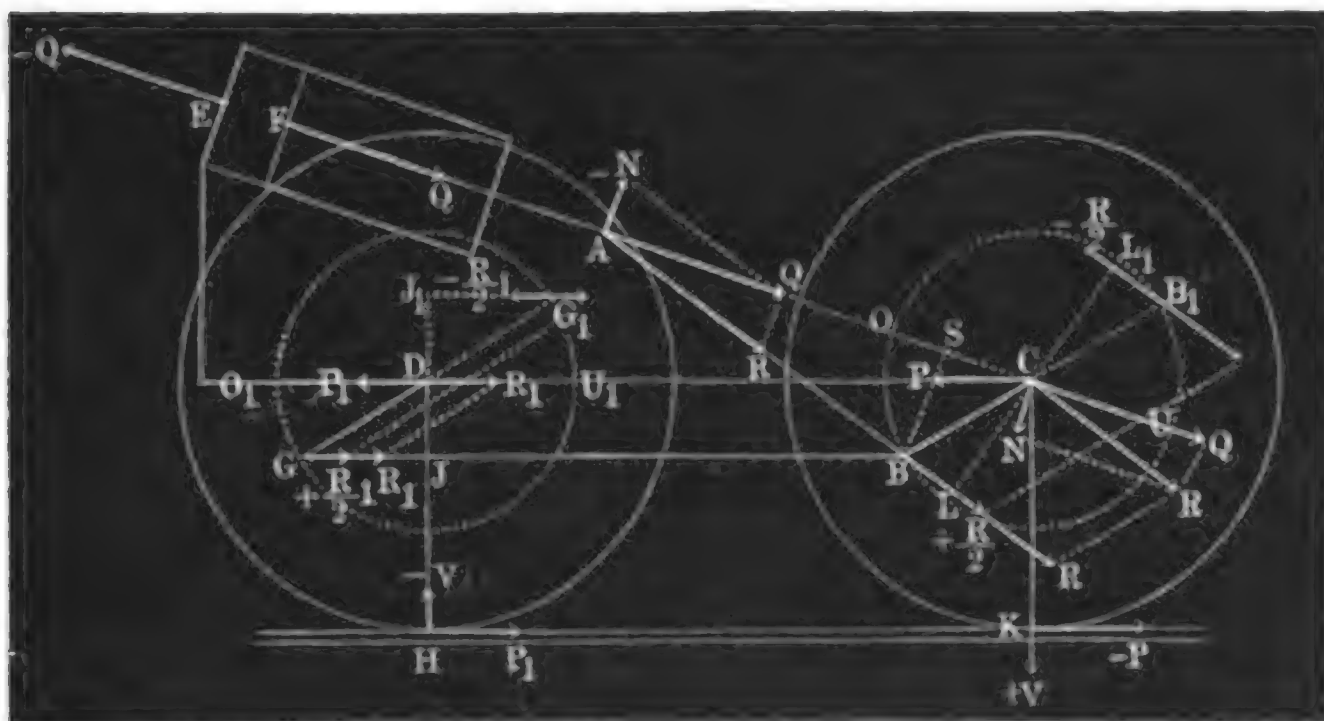
$$s = r (1 - \cos. \beta) - \frac{r^2 (\sin. \beta)^2}{2l} \quad (\text{f. III., §. 95}),$$

wofür wir indessen annähernd nur

$$s = r (1 - \cos. \beta)$$

setzen wollen.

Fig. 596.



Die entsprechende Kolbengeschwindigkeit ist:

$$v = \frac{ds}{dt} = r \sin. \beta \frac{d\beta}{dt} \quad (\text{f. I., §. 19 *)),$$

und da nun noch  $a\beta = ct$ , oder  $a d\beta = c dt$  ist, wofern  $c$  die Geschwindigkeit des Wagens und  $t$  die Zeit zum Durchlaufen des Weges  $s$  bezeichnet, so folgt:

$$v = r \sin. \beta \frac{c}{a} = \frac{cr \sin. \beta}{a},$$

und hieraus wieder die Acceleration des Kolbens:

$$p = \frac{dv}{dt} = \frac{cr}{a} \cos. \beta \frac{d\beta}{dt} = \frac{c^2 r}{a^2} \cos. \beta = \omega^2 r \cos. \beta,$$

wobei  $\omega$  die Winkelgeschwindigkeit der Treibare ausdrückt.

Multipliziert man nun diese Acceleration durch die Masse  $M$  des Kolbens u. s. w., so erhält man die gesuchte Trägheitskraft desselben:

$$K_1 = \omega^2 Mr \cos. \beta.$$

Für den Kolben der anderen Maschine ist statt  $\beta$ ,  $90^\circ + \beta$ , und daher die Trägheitskraft:

$$K_2 = \omega^2 Mr \cos. (90^\circ + \beta) = -\omega^2 Mr \sin. \beta.$$

Theorie der  
Bewegung  
des Dampf-  
wagens.

Aus diesen beiden Kräften folgt eine Mittelkraft, welche die Locomotive in kurzen Absätzen hin- und zurückschiebt und vorzüglich das Rücken derselben befördert:

$$1) K = K_1 + K_2 = \omega^2 Mr (\cos. \beta - \sin. \beta),$$

und ein Kräftepaar, welches die Locomotive um eine gegen die Ebenen durch beide Kolbenstangen rechtwinkelig stehende Axe zu drehen sucht, und das Moment:

$$2) \frac{(K_1 - K_2) b}{2} = \frac{\omega^2 Mr b}{2} (\cos. \beta + \sin. \beta)$$

hat.

Liegen die Dampfcylinder nicht horizontal, sondern sind sie unter dem Winkel  $\iota$  gegen den Horizont geneigt, so zerlegt sich die Mittelkraft  $K$  in eine Horizontalkraft:

$$H = K \cos. \iota,$$

und in eine Vertikalkraft:

$$V = K \sin. \iota.$$

Während die erstere Kraft das Rücken des Dampfzuges hervorbringt, erzeugt und befördert letztere das sogenannte Stampfen desselben.

Ebenso zerlegt sich das Kräftepaar in einen horizontalen und einen vertikalen Componenten, und es ist das Moment des ersteren:

$$(K_1 - K_2) \frac{b \cos. \iota}{2},$$

und das des zweiten:

$$(K_1 - K_2) \frac{b \sin. \iota}{2},$$

wovon das erstere das Schlängeln und das zweite das Schwanzen des Wagens erzeugt.

Die Mittelkraft  $K$  geht während der einen halben Umdrehung der Treibwelle aus:

$$\omega^2 Mr \text{ in } 0, \text{ in } -\omega^2 Mr, -\omega^2 Mr \sqrt{2}, -\omega^2 Mr$$

und während der zweiten aus:

$$-\omega^2 Mr \text{ in } 0, \text{ in } +\omega^2 Mr, +\omega^2 Mr \sqrt{2}, +\omega^2 Mr$$

über, es variirt folglich diese Kraft während einer ganzen Umdrehung zwischen den Grenzen:

$$-\omega^2 Mr \sqrt{2} \text{ und } +\omega^2 Mr \sqrt{2}.$$

Das Moment des Kräftepaares  $\left( +\frac{K_1 - K_2}{2} - \frac{K_1 - K_2}{2} \right)$  durchläuft während der einen halben Umdrehung die Werthe:

$$\frac{\omega^2 Mr b}{2}, \omega^2 Mr b \sqrt{1/2}, \frac{\omega^2 Mr b}{2}, 0, -\frac{\omega^2 Mr b}{2},$$



Von dem Fortschaffen der Lasten auf ganz oder nahe horizontalen Wegen. 689  
und während der anderen die Werthe:

Theorie der  
Bewegung  
der Dampf-  
maschinen.

$$-\frac{\omega^2 M r b}{2}, -\omega^2 M r b \sqrt{1/2}, -\frac{\omega^2 M r b}{2}, 0, +\frac{\omega^2 M r b}{2},$$

und schwankt folglich innerhalb einer ganzen Umdrehung zwischen den Grenzen:  $+\omega^2 M r b \sqrt{1/2}$  und  $-\omega^2 M r b \sqrt{1/2}$ .

§. 292. Da die Kurbel  $CB$  im Kreise herumläuft, so kann man die Bewegung derselben in zwei andere Bewegungen zerlegen, wovon die eine die Richtung der Kolbenaxe hat, und die andere um einen Rechtwinkel von dieser Axe abweicht. Es ist der Weg in der ersteren Richtung wieder:

$$OS = r (1 - \cos. \beta),$$

und dagegen der in der anderen Richtung:

$$SB = r \sin. \beta.$$

Daher folgt die Acceleration der ersteren Bewegung:

$$p = \frac{c^2 r}{a^2} \cos. \beta = \omega^2 r \cos. \beta,$$

und dagegen die der anderen:

$$q = -\frac{c^2 r}{a^2} \sin. \beta = -\omega^2 r \sin. \beta.$$

Ist nun  $M_1$  die Masse des Krummzapfens, von ihrem Schwerpunkte auf die Wardenaxe reducirt, so hat man die Trägheitskraft des Krummzapfens in der Richtung der Kolbenbewegung:

$$M_1 p = \omega^2 M_1 r \cos. \beta,$$

und dagegen die rechtwinkelig gegen jene:

$$M_1 q = -\omega^2 M_1 r \sin. \beta.$$

Für den anderen Krummzapfen ist dagegen die erstere Kraft:

$$\omega^2 M_1 r \cos. (90^\circ + \beta) = -\omega^2 M_1 r \sin. \beta,$$

und die andere:

$$-\omega^2 M_1 r \sin. (90^\circ + \beta) = -\omega^2 M_1 r \cos. \beta.$$

Da die Trägheitskräfte, welche parallel der Kolbenbewegung wirken, genau so bestimmt werden, wie die der Kolben, so kann man sie sogleich zu diesen addiren, und setzen:

$$K_1 = \omega^2 (M + M_1) r \cos. \beta, \text{ sowie}$$

$$K_2 = -\omega^2 (M + M_1) r \sin. \beta.$$

Was aber die Normalkräfte

$$S_1 = -\omega^2 M_1 r \sin. \beta \text{ und } S_2 = -\omega^2 M_1 r \cos. \beta$$

anlangt, so vereinigen sich dieselben wieder zu einer Mittelkraft:

$$S = S_1 + S_2 = -\omega^2 M_1 r (\sin. \beta + \cos. \beta),$$

und zu einem Kräftepaare mit dem Moment:

$$(S_1 - S_2) \frac{b}{2} = \frac{\omega^2 M_1 r b}{2} (\cos. \beta - \sin. \beta),$$

Theorie der  
Bewegung  
der Dampf-  
wagen.

wovon die erstere den Druck der Treibräder auf die Ase innerhalb der Grenzen:

$$- \omega^2 M_1 r \sqrt{2} \text{ und } + \omega^2 M_1 r \sqrt{2}$$

verändert und dadurch das Stampfen der Locomotive befördert, und das andere zwischen den Grenzen:

$$- \omega^2 M_1 r b \sqrt{1/2} \text{ und } + \omega^2 M_1 r b \sqrt{1/2}$$

variirt, wodurch das Schwanke des Dampfswagens hervorgebracht wird.

Die Treib- oder Kurbelstange  $M_2$  hat erstens die Bewegung mit der Kolbenstange gemeinschaftlich, weshalb man den entsprechenden Theil ihrer Trägheitskraft unmittelbar zu  $K_1$  und  $K_2$  addiren kann, so daß

$$K_1 \text{ in } \omega^2 (M + M_1 + M_2) r \cos. \beta \text{ und}$$

$$K_2 \text{ in } - \omega^2 (M + M_1 + M_2) r \sin. \beta$$

übergeht; außerdem hat aber noch der Schwerpunkt derselben eine Seitenbewegung, welche  $\frac{l_1}{l}$  der Seitenbewegung der Kurbelwarze zu setzen ist,

wenn  $l_1$  den Abstand des Schwerpunktes dieser Stange von dem Kolbenstangenkopfe bezeichnet. Deshalb sind denn auch die beiden Kurbelstangen entsprechenden Seitenkräfte:

$$- \omega^2 M_2 r \frac{l_1}{l} \sin. \beta \text{ und } - \omega^2 M_2 r \frac{l_1}{l} \cos. \beta.$$

Von diesen Kräften wird auf die Kurbelwarzen der  $\left(\frac{l_1}{l}\right)$ te, und auf die Parallelführung der  $\left(\frac{l-l_1}{l}\right)$ te Theil übertragen, so daß die Mittelkraft  $S = S_1 + S_2$  in:

$$- \omega^2 \left[ M_1 + M_2 \left( \frac{l_1}{l} \right)^2 \right] r (\sin. \beta + \cos. \beta)$$

und das Moment des Kräftepaares  $(S_1 - S_2) \frac{b}{2}$  in:

$$\omega^2 \left[ M_1 + M_2 \left( \frac{l_1}{l} \right)^2 \right] \frac{br}{2} (\cos. \beta - \sin. \beta)$$

übergeht, während die Seitenkräfte:

$$T_1 = - \omega^2 M_2 \frac{l_1 (l - l_1) r}{l^2} \sin. \beta \text{ und}$$

$$T_2 = - \omega^2 M_2 \frac{l_1 (l - l_1) r}{l^2} \cos. \beta$$

erst auf das Wagengestelle übergehen und von demselben mittels der Druckfedern und, nach Befinden, mittels der Axenhalter auf die Axen übertragen werden.

Bei gekuppelten Rädern sind natürlich noch die Trägheitskräfte der Kuppelwarzen und der Kuppelstangen in Betracht zu ziehen. Da jedes



Theilchen der Kuppelstangen dieselbe Kreisbewegung hat wie die Warzen, so sind auch die Trägheitskräfte dieser Stangen genau so zu bestimmen, wie die der Warzen oder Krummzapfen. Ist  $M_3$  die Masse einer Kuppelwarze und  $M_4$  die einer Kuppelstange, so hat man demnach für die entsprechenden Trägheitskräfte in der Richtung der Kolbenbewegung die Ausdrücke:

Theorie der  
Bewegung  
der Dampf-  
wagen.

$$K_3 = \pm \omega^2 (2 M_3 + M_4) r \cos. \beta \text{ und}$$

$$K_4 = \mp \omega^2 (2 M_3 + M_4) r \sin. \beta,$$

worin die oberen Zeichen zu nehmen sind, wenn die Kuppelstangen an den Warzen der Treibstangen angreifen, und dagegen die unteren, wenn die Kuppelwarzen den Treibstangenwarzen gegenüberstehen.

Sind zwei Räderpaare mit den Treibrädern gekuppelt, so hat man:

$$K_3 = \pm 2 \omega^2 (2 M_3 + M_4) r \cos. \beta \text{ und}$$

$$K_4 = \mp 2 \omega^2 (2 M_3 + M_4) r \sin. \beta.$$

Diese Kräfte ( $K_3$  und  $K_4$ ) vereinigen sich natürlich mit den Kräften  $K_1$  und  $K_2$  in der oben bestimmten Mittelkraft  $K$  und in dem gefundenen Kräftepaare:

$$\left( + \frac{K_1 - K_2}{2} - \frac{K_1 - K_2}{2} \right).$$

Außer diesen Kräften geben die letzten trägen Massen  $M_3$  und  $M_4$  auch noch die Seitenkräfte rechtwinkelig zur Bewegungsrichtung des Kolbens, und zwar:

$$S_3 = - \omega^2 (2 M_3 + M_4) r \sin. \beta \text{ und}$$

$$S_4 = - \omega^2 (2 M_3 + M_4) r \cos. \beta,$$

aus welchen nicht allein eine Mittelkraft, sondern auch ein Kräftepaar resultirt, welches letztere den Abstand  $b_3$  der Umdrehungsebenen der Kuppelwarzen zum Hebelarme hat.

§. 293\*). Da die Trägheitskraft

$$K = \omega^2 (M + M_1 + M_2) r (\cos. \beta - \sin. \beta)$$

des Kolbens sammt seiner Stange u. s. w. während der Umdrehung des Krummzapfens von 45 bis 225 Grad negativ, und während der folgenden halben Umdrehung von 225 bis 405 Grad wieder positiv ist, so ertheilt sie dem ohnedies schon nicht ganz gleichförmig fortschreitenden Dampfswagen noch eine kleine schwingende Bewegung, vermöge welcher er abwechselnd etwas vor- und rückwärts geschoben wird. Die Amplitude dieser schwingenden Bewegung läßt sich wie folgt ermitteln.

Ist  $W$  die Masse des Dampf wagens und  $p$  seine Acceleration in Hinsicht auf diese Schwingungsbewegung, so haben wir zunächst:

$$W p = K.$$

Nun ist  $p = \frac{du}{dt}$ , wenn  $u$  die Schwingungsgeschwindigkeit der Loco-

Theorie der  
Bewegung  
der Dampf-  
wagen.

motive,  $dt$  ein Zeitelement und  $du$  das entsprechende Geschwindigkeits-  
element bezeichnet, daher folgt:

$$W du = K dt,$$

und da  $t = \frac{\beta}{\omega}$ , also  $\omega t = \beta$  und  $\omega dt = d\beta$  gesetzt werden kann,

$$W du = \omega (M + M_1 + M_2) r (\cos. \beta - \sin. \beta) d\beta,$$

woraus

$$W u = \omega (M + M_1 + M_2) r (\sin. \beta + \cos. \beta)$$

folgt, und eine Constante nicht hinzuzufügen ist, weil  $u$  Null ist, wenn  $K$  seinen größten negativen Werth hat, d. i. wenn

$$\sin. \beta = \cos. \beta \text{ ist.}$$

Bezeichnet man ferner den Schwingungsweg der Locomotive durch  $z$ , so hat man:

$$u = \frac{dz}{dt}, \text{ oder } u d\beta = \omega dz,$$

und daher:

$$W dz = (M + M_1 + M_2) r (\sin. \beta + \cos. \beta) d\beta,$$

woraus sich durch Integriren:

$$W z = (M + M_1 + M_2) r (\sin. \beta - \cos. \beta),$$

und folglich:

$$z = \frac{(M + M_1 + M_2) r}{W} (\sin. \beta - \cos. \beta)$$

ergiebt.

Dieser Schwingungsweg ist für  $\tan. \beta = -1$ , d. i. für  $\beta = 135^\circ$  am größten, und zwar:

$$= \frac{(M + M_1 + M_2) r \sqrt{2}}{W},$$

und dagegen für  $\tan. \beta = 1$ , d. i. für  $\beta = 45^\circ$  Grad, = Null; folglich fällt die Schwingungselongation der Locomotive

$$z = \pm \frac{(M + M_1 + M_2) r \sqrt{2}}{W}$$

aus.

Die schwingende Bewegung der Locomotive um eine vertikale Ase, welche durch das Kräftepaar  $\left(\frac{K_1 - K_2}{2}, -\frac{K_1 - K_2}{2}\right)$  hervorgebracht wird, läßt sich auf ähnliche Weise beurtheilen.

Es sei  $T$  das Trägheitsmoment der Locomotive in Hinsicht auf ihre vertikale Schwerlinie, und  $p_1$  die Acceleration dieser Bewegung in der Ebene der Treibräder. Dann haben wir:

$$T p_1 = \frac{1}{4} \omega^2 (M + M_1 + M_2) r b b_1 (\cos. \beta + \sin. \beta);$$

daher für die entsprechende Geschwindigkeit  $u_1$ :

$$T u_1 = \frac{1}{4} \omega (M + M_1 + M_2) r b b_1 (\sin. \beta - \cos. \beta),$$

und endlich für den zugehörigen Schwingungsweg  $z_1$ :

$$T z_1 = - \frac{1}{4} (M + M_1 + M_2) r b b_1 (\cos. \beta + \sin. \beta),$$

also:

$$z_1 = - \frac{(M + M_1 + M_2) r b b_1}{4 T} (\cos. \beta + \sin. \beta).$$

Dieser Weg ist für  $\sin. \beta = \cos. \beta$  ein Maximum, und zwar

$$- \frac{(M + M_1 + M_2) r b b_1 \sqrt{2}}{4 T} \text{ und für } \sin. \beta = - \cos. \beta, \text{ Null;}$$

daher schwingt jeder Endpunkt der Treibaxe gegen seine mittlere Lage bald

$$\text{um } \frac{(M + M_1 + M_2) r b b_1 \sqrt{2}}{4 T} \text{ vor, bald eben so viel nach, wenn er}$$

nicht durch die Schienenbahn daran gehindert wird.

§. 294. Die im Vorstehenden betrachteten Störungen in der Stabi-  
lität und Bewegung der Locomotiven lassen sich, in so weit sie aus der  
Wirkungsweise der Treibkräfte hervorgehen, gar nicht, und insoweit sie in  
der Trägheit der Zwischenmaschine ihren Grund haben, nur zum Theil  
durch Gegengewichte aufheben. Am vollständigsten würde man denselben  
entgegenwirken, wenn man die Locomotive durch vier Dampfmaschinen in  
Bewegung setzen ließe, von welchen je zwei auf den entgegengesetzten Sei-  
ten der Treibaxe liegen und an entgegengesetzten Warzen der Treibwelle  
angreifen; oder wenn man wenigstens jedem der beiden Dampfkolben einer  
gewöhnlichen Locomotive auf der anderen Seite der Treibaxe noch einen  
anderen Kolbenmechanismus entgegensezte, welcher die entgegengesetzten  
Bewegungen des ersteren macht und daher auch entgegengesetzte Trägheits-  
kräfte hervorruft.

Gegen-  
gewichte.

Man hat jedoch von dieser Ausgleichungsweise abgestanden, weil da-  
durch der Bewegungsmechanismus des Dampfswagens noch complicirter  
ausfallen würde, und bedient sich daher jetzt nur der rotirenden Gegen-  
gewichte, welche allerdings auch nur theilweise, und zwar entweder nur  
die horizontalen oder nur die vertikalen Störungen aufzuheben vermögen.

Um die horizontalen Trägheitskräfte:

$$K_1 = \omega^2 (M + M_1 + M_2) r \cos. \beta \text{ und}$$

$$K_2 = \omega^2 (M + M_1 + M_2) r \sin. \beta$$

auszugleichen, hat man jeder der beiden Kurbelwarzen gegenüber in einem

beliebigen Abstände  $r_1$  eine Masse  $(M + M_1 + M_2) \frac{r}{r_1}$  anzubringen;

Gegen-  
gewichte.

die horizontalen Componenten der Centrifugal- oder Trägheitskräfte dieser Massen bilden dann mit  $K_1$  und  $K_2$  Kräftepaare, welche bekanntlich keinen Druck auf die Ase  $C$  ausüben.

Die vertikalen oder normalen Componenten der Trägheitskräfte:

$$S_1 = - \omega^2 \left[ M_1 + M_2 \left( \frac{l_1}{l} \right)^2 \right] r \sin. \beta \text{ und}$$

$$S_2 = - \omega^2 \left[ M_1 + M_2 \left( \frac{l_1}{l} \right)^2 \right] r \cos. \beta$$

lassen sich ebenfalls durch zwei Massen, jede von der Größe

$$\left[ M_1 + M_2 \left( \frac{l_1}{l} \right)^2 \right] \frac{r}{r_1}$$

ausgleichen, welche in einem willkürlichen Abstände  $r_1$  den Kurbelwarzen gegenüber anzubringen sind; denn es bilden die vertikalen Componenten der Centrifugalkräfte dieser Massen mit  $S_1$  und  $S_2$  Kräftepaare, welche nur auf die Rotation um die Ase  $C$ , nicht aber auf das Fortschreiten dieser Ase einwirken.

Diese letztere Ausgleichung ist deshalb um so vortheilhafter, da durch sie auch die horizontalen Trägheitskräfte auf die kleineren Werthe:

$$K_1 = \omega^2 \left( M + M_2 \left[ 1 - \left( \frac{l_1}{l} \right)^2 \right] \right) r \cos. \beta \text{ und}$$

$$K_2 = \omega^2 \left( M + M_2 \left[ 1 - \left( \frac{l_1}{l} \right)^2 \right] \right) r \sin. \beta$$

zurückgeführt werden, und außer diesen nur noch die in den Leitungen zur Wirksamkeit kommenden Seitenkräfte:

$$T_1 = - \omega^2 M_2 r \frac{l_1 (l - l_1)}{l^2} \sin. \beta \text{ und}$$

$$T_2 = - \omega^2 M_2 r \frac{l_1 (l - l_1)}{l^2} \cos. \beta$$

unausgeglichen zurückbleiben, wogegen durch die vollständige Ausgleichung der Horizontalkräfte mittels der Gegengewichte  $(M + M_1 + M_2) \frac{r}{r_1}$  die Vertikalkräfte auf:

$$S_1 = \omega^2 \left( M + M_2 \left[ 1 - \left( \frac{l_1}{l} \right)^2 \right] \right) r \sin. \beta \text{ und}$$

$$S_2 = \omega^2 \left( M + M_2 \left[ 1 - \left( \frac{l_1}{l} \right)^2 \right] \right) r \cos. \beta$$

gesteigert werden.

Beispiel. Es sei bei einer Locomotive von 50000 Pfund Gewicht, welche durch horizontal liegende Maschinen mit 60 Fuß Geschwindigkeit fortbewegt werden soll, das Gewicht eines Kolbens sammt Stange 360 Pfund, das Gewicht einer Lenkstange 260 Pfund, das Gewicht einer Kurbel, auf ihre Warte reducirt, 120 Pfund, die Länge eines Kurbelarmes,  $r = 1$  Fuß, der Halbmesser eines Treibrades,  $a = 3$  Fuß, der Abstand der Nabebenen von einander,  $b_1 = 55$  und der der Cylinderaren von einander,  $b = 72$  Zoll, und endlich sei das Trägheitsmoment des ganzen Wagens in Beziehung auf seine vertikale Schwerlinie,  $T = 16 M$  Fußpfund. Man soll die störenden Kräfte, sowie die Störungen, welche die trägen Massen der Bewegungsmechanismen dieses Wagens hervorbringen, und endlich noch die Größe der Gegengewichte zur Ausgleichung dieser Störungen ausmitteln.

Es ist die Winkelgeschwindigkeit der Treibare:

$$\omega = \frac{v}{a} = \frac{60}{3} = 20 \text{ Fuß,}$$

und es sind hiernach die horizontalen Trägheitskräfte:

$$K_1 = \omega^2 (M + M_1 + M_2) r \cos. \beta = 400 \cdot (360 + 120 + 260) \frac{\cos. \beta}{g} \\ = \frac{400 \cdot 740 \cos. \beta}{31,25} = 9472 \cos. \beta \text{ Pfund, sowie}$$

$$K_2 = - \omega^2 (M + M_1 + M_2) r \sin. \beta = - 9472 \sin. \beta \text{ Pfund.}$$

Da sowohl  $\cos. \beta$  als auch  $\sin. \beta$  zwischen  $+1$  und  $-1$  variirt, so sind auch die Kräfte  $K_1$  und  $K_2$  stetigen Veränderungen innerhalb der Grenzen  $+9472$  und  $-9472$  Pfund ausgesetzt. Der kleinste Werth von der Mittelkraft aus  $K_1$  und  $K_2$  ist 0 und der größte  $\pm 9472 \sqrt{2} = \pm 13395$  Pfund. Diese veränderliche Mittelkraft schiebt die Locomotive während einer Umdrehung der Treibare ein Mal vor und ein Mal zurück um

$$s = \frac{(M + M_1 + M_2) r \sqrt{2}}{W} = \frac{740 \sqrt{2}}{50000} = 0,0209 \text{ Fuß} = \frac{1}{4} \text{ Zoll.}$$

Das Moment des überdies noch aus den Kräften  $K_1$  und  $K_2$  hervorgehenden Kräftepaares schwankt zwischen den Grenzen:

$$+ \omega^2 (M + M_1 + M_2) r b \sqrt{\frac{1}{2}} = 9470 \cdot 6 \cdot \sqrt{\frac{1}{2}} = 40178 \text{ und}$$

$$- \omega^2 (M + M_1 + M_2) r b \sqrt{\frac{1}{2}} = - 40178 \text{ Fußpfund,}$$

und bewirkt, daß bald das eine und bald das andere Treibrad um den Weg

$$s_1 = \frac{(M + M_1 + M_2) r b b_1 \sqrt{2}}{4 T} = \frac{740 \cdot 6 \cdot 55 \sqrt{2}}{4 \cdot 12 \cdot 16 \cdot 50000} = 0,09 \text{ Fuß} = 0,11 \text{ Zoll}$$

seiner mittleren Bewegung voreilt, oder nachbleibt. Diese störenden Bewegungen der Locomotive lassen sich durch zwei Gegengewichte von je 740 Pfund aufheben, welche im Abstände  $r = 1$  Fuß von der Treibare, den entsprechenden Kurbelwarzen gegenüber, mit der Treibwelle fest zu verbinden sind.

Steht die Locomotive auf sechs Rädern, so können wir annehmen, daß jedes Rad ein Sechstel des ganzen Wagengewichtes, also  $\frac{50000}{6} = 8333$  Pfund Druck auf die Schienenbahn überträgt. Dieser Druck wird aber durch die vertikalen Trägheitskräfte abwechselnd noch vergrößert und verkleinert. Liegt der Schwerpunkt einer Lenkstange um  $l_1 = \frac{2}{5} l$ , d. i. um drei Fünftel der ganzen Lenkstange vom Querschnitte der Kolbenstange ab, so haben wir die vertikalen Trägheitskräfte:



Gegen-  
gewichte.

$$S_1 = - \omega_1 \left[ M_1 + M_2 \left( \frac{l_1}{l} \right)^2 \right] r \sin. \beta$$

$$= - \frac{400 (120 + 0,36 \cdot 260) \sin. \beta}{31,25} = - 2734 \sin. \beta \text{ und}$$

$$S_2 = - \omega^2 \left[ M_1 + M_2 \left( \frac{l_1}{l} \right)^2 \right] r \cos. \beta = - 2734 \cos. \beta.$$

Diese Kräfte geben die Mittelkraft:

$$S = S_1 + S_2 = - 2734 (\sin. \beta + \cos. \beta),$$

und ein Kräftepaar mit dem Elemente:

$$(S_1 - S_2) \frac{b}{2} = - 2734 \cdot 3 (\sin. \beta - \cos. \beta) = - 8202 (\sin. \beta - \cos. \beta),$$

welches den Druck auf ein Treibrad abwechselnd um

$$\frac{(S_1 - S_2) b}{2 b_1} = \frac{8202 (\sin. \beta - \cos. \beta)}{5\frac{5}{18}} = 1790 (\sin. \beta - \cos. \beta)$$

vergrößert oder verkleinert.

Hiernach folgt der beiden Kräften entsprechende Zuwachs des Druckes auf die Schienenbahn, für das eine Rad:

$$\frac{S}{2} + \frac{(S_1 - S_2) b}{2 b_1} = 1367 (\sin. \beta + \cos. \beta) + 1790 (\sin. \beta - \cos. \beta),$$

und für das andere Rad:

$$\frac{S}{2} - \frac{(S_1 - S_2) b}{2 b_1} = 1367 (\sin. \beta + \cos. \beta) - 1790 (\sin. \beta - \cos. \beta).$$

Die Grenzwerthe dieser Dreiecke sind:

$$\pm \sqrt{\frac{b_1^2 + b^2}{2}} \cdot \omega^2 \left[ M_1 + M_2 \left( \frac{l_1}{l} \right)^2 \right] \frac{r}{b_1} = \pm 3185 \text{ Pfund.}$$

Hiernach schwankt dann der Druck eines Treibrades auf die Schienenbahn zwischen den Grenzen:

$$8333 - 3185 = 5148 \text{ Pfund und}$$

$$8333 + 3185 = 11518 \text{ Pfund.}$$

Der letztere Grenzwert wird durch die in §. 288 bestimmte Vertikalkraft  $Z_1 + Z_2$ , welche aus der Zerlegung der Treibkraft in die Geradföhrung hervorgeht, noch um ein Ansehnliches vergrößert.Wenn man zur Ausgleichung der vertikalen Trägheitskräfte, den Kurbelwarzen gegenüber, im Abstände  $r = 1$  Fuß von der Radare ein Gegengewicht von  $120 + 0,36 \cdot 260 = 213,6$  Pfund anbringt, so werden nicht nur die letzten Störungen vollständig aufgehoben, sondern es werden auch die horizontalen Trägheitskräfte auf den

$$\frac{M + M_2 \left[ 1 - \left( \frac{l_1}{l} \right)^2 \right]}{M + M_1 + M_2} = \frac{360 + 166,4}{740} = 0,71 \text{sten Theil}$$

zurückgeföhrt.

Fast denselben Zweck erreicht man auch, wenn man im Abstände  $r_1 = 2\frac{1}{2}$  Fuß von der Radare, und zwar am innern Umfange der Treibräder, das Gegengewicht  $\frac{213,6}{2,5} = 85,44$  Pfund anbringt.

§. 295. Die Kraft zur langsamen Bewegung eines Wagens oder eines ganzen Wagenzuges auf einer horizontalen Schienenbahn ist genau so zu beurtheilen, wie die Kraft zum Fortziehen der Wagen auf Straßen. Sie ist (s. §. 261) durch die Formel:

Widerstand  
auf Schien-  
bahnen.

$$P = (1 + \nu) \left( \varphi \frac{Q}{r} + \frac{\psi}{r} \right) Q + \frac{\psi R}{r}$$

bestimmt, in welcher  $Q$  die reine Last,  $\nu Q = W$  das Gewicht der Wagen ohne Räder,  $R$  das Gewicht der Räder, ferner  $r$  den Halbmesser derselben,  $\varphi$  den Arenhalbmesser,  $\varphi$  und  $\psi$  die Coefficienten der Arenreibung und der Walzenreibung bezeichnen. Insofern findet aber zwischen beiden Wegen ein großer Unterschied statt, als bei den Fahrstraßen die wälzende, und dagegen bei den Schienenbahnen die Zapfenreibung das hauptsächlichste Bewegungshinderniß ausmacht. Der Coefficient der Arenreibung beträgt bei den Eisenbahnwagen (s. I., §. 164)  $\varphi = 0,050$ , und der der wälzenden Reibung (s. I., §. 174)  $\psi = 0,020$ , wobei  $r$  in preuß. Zoll gegeben sein muß. Nun ist aber das bei den gewöhnlichen Eisenbahnwagen im Mittel  $2\varphi = 2\frac{5}{8}$ , und  $2r = 40$  Zoll; daher folgt dann hier im Mittel:

$$P = (1 + \nu) \left( 0,05 \cdot \frac{21}{320} + \frac{0,02}{20} \right) Q + \frac{0,02}{20} R$$

$$= 0,00428 (1 + \nu) Q + 0,001 R,$$

während die Kraft zum Fortziehen vierräderiger Wagen auf guten Schotterstraßen (s. Tabelle §. 263, III.) mindestens

$$P = 0,05 (1 + \nu) Q,$$

d. i. circa  $12\frac{1}{2}$ mal so groß ist.

Diese Kraft wird beim schnellen Fahren noch durch den Widerstand der Luft vergrößert, der, wie bekannt, mit dem Quadrate der Geschwindigkeit  $c$  des Wagenzuges wächst. Ist  $F$  der größte Querschnitt des Wagenzuges,  $\gamma$  die Dichtigkeit der Luft und  $\xi$  ein Widerstandscoefficient, so läßt sich, wie bekannt (s. Bd. I., §. 429 u. s. w.), der Widerstand, welchen die Luft der Bewegung des Wagenzuges entgegensetzt, durch

$$P_1 = \xi \cdot F \gamma \cdot \frac{c^2}{2g}$$

ausdrücken, und hierin der Widerstandscoefficient  $\xi = 1,33$  annehmen.

Giebt man  $c$  in Fuß und  $F$  in Quadratfuß, und nimmt man das Gewicht eines Cubikfußes Luft  $\gamma = \frac{66}{800}$  Pfund an, so hat man:

$$P_1 = 1,33 \cdot 0,016 \cdot \frac{66}{800} F c^2 = 0,0017556 F c^2 \text{ Pfund}$$



Widerstand  
auf Eisen-  
bahnen.

Nach Pambour ist:

$$P_1 = 0,005064 F c^2 \text{ Kilogramm,}$$

wenn  $F$  in Quadratmetern und  $c$  in Kilometern pr. Stunde gegeben wird.

Nun beträgt aber:

$$\text{ein Meter} \quad . \quad . \quad = 3,1862 \text{ preuß. Fuß,}$$

$$\text{ein Quadratmeter} \quad . \quad . \quad = 10,15187 \text{ preuß. Quadratfuß,}$$

$$\text{ein Kilometer stündlich} \quad . \quad = \frac{1000}{3600} \text{ Meter pr. Sec., und}$$

$$\text{ein Kilogramm} \quad . \quad . \quad = 2,13807 \text{ preuß. Pfund;}$$

daher folgt denn für das preuß. Maaf:

$$\begin{aligned} P_1 &= 0,005064 \frac{F}{10,15187} \cdot \left( \frac{3600 c}{1000 \cdot 3,1862} \right)^2 \cdot 2,13807 \\ &= 0,001362 F c^2 \text{ Pfund.} \end{aligned}$$

Uebrigens rechnet Pambour für eine Locomotive mit Tender und mit einem Wagen  $F = 70$  Quadratfuß engl. = 66 Quadratfuß preuß. und für jeden folgenden Wagen noch 10 Quadratfuß engl. = 9,4 Quadratfuß preuß. zu.

Es ist leicht zu ermessen, daß nicht allein der Widerstand der Luft, sondern auch noch die Widerstände, welche aus den Vibrationen und Stößen der Wagen auf der Bahn hervorgehen, mit dem Quadrate der Geschwindigkeit des Trains wachsen, und daß man daher genauer

$$P_1 = (\alpha Q + 0,001362 F) c^2,$$

wo  $\alpha$  eine diesen Vibrationen und Stößen entsprechende Erfahrungszahl bedeutet, zu setzen hat.

Der Engländer M. Scott-Russell nimmt an, daß der letzte Widerstand nur mit  $c$  wachse, und hiernach findet M. W. Harding folgende auf mehrere neuere englische Versuche basirte empirische Formel für den Gesamtwiderstand eines Wagenzuges auf einer söligen und geraden Bahnstrecke:

$$P + P_1 = \left( 6 + \frac{c}{3} \right) Q_1 + 0,0025 F c^2 \text{ Pfund engl.,}$$

und es bedeutet hierin  $Q_1 = (1 + \nu) Q$  das ganze Gewicht des Trains in Tonnen,  $F$  den Inhalt des größten Querschnitts desselben in Quadratfuß, und  $c$  die Geschwindigkeit in engl. Meilen pr. Stunde.

Drücken wir  $Q_1$  in Pfund und  $c$  in Fuß pr. Sec. aus, so erhalten wir:

$$\begin{aligned} P + P_1 &= \left( 6 + \frac{1}{3} \cdot \frac{3600 c}{5280} \right) \frac{Q_1}{2240} + 0,0025 F \left( \frac{3600 c}{5280} \right)^2 \\ &= (0,002679 + 0,0001015 c) Q_1 + 0,001198 F c^2 \text{ Pfund,} \end{aligned}$$

und für preuß. Maaf:

$$P + P_1 = (0,002679 + 0,0001045 c) Q_1 + 0,001307 F c \text{ Pfund.}$$

Diese Formel gilt streng genommen nur für Personenzüge und giebt auch bei kleinen Geschwindigkeiten zu große Werthe, welches seinen Grund besonders darin haben mag, daß in denselben der Widerstand durch die Vibrationen und Stöße dem einfachen  $c$  und nicht  $c^2$  proportional wachsend angenommen wird. Nehmen wir an, daß das Glied  $0,0001045 c Q_1$  bei  $c = 60$  Fuß ein richtiges Resultat liefere, und ersetzen wir dasselbe durch ein Glied  $\psi c^2 Q$ , so erhalten wir folgende Gleichung:

Widerstand  
auf Oer-  
bahnen.

$\psi c^2 = 0,0001045 c$ , und daher:

$$\psi = \frac{0,0001045}{c} = \frac{0,0001045}{60} = 0,000001741, \text{ folglich:}$$

$$P + P_1 = (0,002679 + 0,000001741 c^2) Q_1 + 0,001307 F c^2 \text{ Pfund.}$$

§. 296. Durch den Wind kann der Widerstand des Wagenzuges einer Locomotive entweder noch vergrößert oder auch verkleinert werden. Bewegt sich der Wind mit der Geschwindigkeit  $v$  in der Richtung des Zuges, so ist die relative Geschwindigkeit des Zuges in Hinsicht auf die Luft nur  $c - v$ , und bewegt er sich mit dieser Geschwindigkeit dem Wagenzug direct entgegen, so ist die relative Geschwindigkeit des letzteren  $c + v$ . Wenn daher  $0,001307 F c^2$  den Widerstand in ruhiger Luft ausdrückt, so hat man denselben

$$P_1 = 0,001307 F (c \mp v)^2$$

in der nach der einen oder der anderen Richtung bewegten Luft.

Strömt der Wind schief gegen die Bewegungsrichtung des Zuges, und weicht dessen Richtung von der des letzteren um den Winkel  $\delta$  ab, so haben wir den Componenten der Windgeschwindigkeit in der Richtung des Zuges  $v \cos. \delta$ , und daher:

$$P_1 = 0,001307 F (c \mp v \cos. \delta)^2$$

zu setzen.

Aus den Componenten  $v \sin. \delta$  rechtwinkelig gegen die Bahn geht ein Seitenstoß hervor, durch welchen der Wagenzug seitwärts an den einen Schienenstrang angedrückt und die Reibung der Räder auf diesem Strange vergrößert wird. Diese Kraft ist dem Längendurchschnitt  $F_1$  des Wagenzuges proportional, und läßt sich daher

$$S = 0,001307 F_1 (c \sin. \delta)^2$$

setzen.

Uebrigens wirkt sie wie die Centrifugalkraft beim Durchfahren einer Curve (vergl. §. 268), sie schiebt die Wagen so weit von ihrer mittleren Bahn ab, bis sich in Folge der Conicität der Radreifen die Räder auf der einen Seite um eine Höhe  $\frac{\delta}{2}$  gehoben, und die auf der anderen Seite um eine Tiefe  $\frac{\delta}{2}$  gesenkt haben, folglich jene mit dem Durchmesser  $d + \delta$

Widerstand  
auf Eisen-  
bahnen.

und diese mit dem Durchmesser  $d - \delta$  fortrollen. Es ist hier  $\frac{S}{Q_1} = \frac{\delta}{b}$ , und daher:

$$\delta = \frac{S}{Q_1} b = 0,001307 \frac{F_1 b}{Q_1} (c \sin. \delta)^2,$$

wenn  $b$  wieder die Geleisweite bezeichnet.

Die gleitende Reibung, welche nun aus dem Fortrollen der Wagen mit verschiedenen Umfängen erwächst, ist, da dann die Räder auf der einen Seite bei jeder Umdrehung der mittleren Bewegung  $\pi d$  um  $\pi \delta$  vor- und die auf der anderen Seite um  $\pi \delta$  nachgehen müssen:

$$P_1 = \frac{\delta}{d} \varphi Q_1 = 0,001307 \varphi \frac{F_1 b}{d} (c \sin. \delta)^2.$$

Bei heftigem Winde werden die Räder auf der äußeren Seite mit ihren Spurkränzen gegen die Schienenbahn gedrückt, und dann fällt natürlich  $P_1$  noch größer aus.

Bei einer unter dem Winkel  $\alpha$  aufsteigenden Bahn kommt zu dem Widerstande  $P + P_1$  noch das relative Gewicht

$$P_2 = Q_1 \sin. \alpha = (1 + \nu) Q \sin. \alpha$$

des Wagenzuges hinzu, wogegen beim Befahren einer fallenden Bahnstrecke die Kraft

$$P_2 = Q_1 \sin. \alpha = (1 + \nu) Q \sin. \alpha$$

gewonnen wird und folglich die nöthige Zugkraft um so viel kleiner ausfällt. Ist dann  $P_2 > P + P_1$ , so muß natürlich der Wagenzug gebremst werden, damit er sich nicht beschleunigt bewege.

Der Widerstand eines Wagenzuges wird beim Durchlaufen einer Curve durch hinzutretende gleitende Reibungen noch besonders erhöht. Während ein Wagen  $DEFG$ , Fig. 597, in einer Curve  $AOB$  einen kleinen Weg  $BN$  durchläuft, gleitet er zugleich um einen kleinen Weg  $NO$  radial auswärts. Ist  $CM$  ein Perpendikel von dem Mittelpunkte  $C$  der Curve auf die Längsaxe  $AB$  des Wagens, so haben wir in  $OBN$  und  $CBM$  zwei ähnliche Dreiecke, für welche die Proportion:

$$\frac{NO}{BO} = \frac{BM}{CB}$$

gilt.

Bezeichnen wir den Curvenhalbmesser  $CB$  durch  $r$ , die Entfernung  $AB$  der Radaxen  $DE$  und  $FG$  von einander durch  $e$ , und den Weg  $BO$  durch  $s$ , so haben wir daher:

$$NO = \frac{es}{2r}.$$



Widerstand  
auf Eisen-  
bahnen.

Beispiel. Ein Dampfwagen wiege 25 Tonnen, sein Tender, vollständig belastet, 15 Tonnen, und der angehängte Wagenzug, bestehend aus 10 Wagen, jeder zu 6 Tonnen Gewicht,  $6 \cdot 10 = 60$  Tonnen; man soll die Kraft dieses Wagens bei 50 Fuß Fahrgeschwindigkeit ermitteln.

Die ganze Last ist hier  $Q_1 = (1 + \nu) Q = 25 + 15 + 60 = 100$  Tonnen, oder eine Tonne zu 2172 Pfund angenommen,  $= 217200$  Pfund. Nimmt man nach Pambour den Querschnitt des Wagenzuges  $= 66$  Quadratfuß an und rechnet man hierzu wegen der Zwischenräume zwischen den Wagen noch  $10 \cdot 9,4 = 94$  Quadratfuß, also im Ganzen  $F = 66 + 94 = 160$  Quadratfuß, so erhält man den Widerstand des Wagenzuges beim Befahren einer geraden schließigen Bahnstrecke, nach Harding's Formel:

$$\begin{aligned} P + P_1 &= (0,0002679 + 0,0001045 \cdot 50) \cdot 217200 + 0,001307 \cdot 160 \cdot (50)^2 \\ &= (0,0002679 + 0,005225) \cdot 217200 + 0,001307 \cdot 400000 \\ &= 1717 + 523 = 2240 \text{ Pfund,} \end{aligned}$$

und dagegen nach der zweiten Formel, welche voraussetzt, daß der Widerstand durch die Stöße und Vibrationen der Mechanismen nach dem Quadrate der Fahrgeschwindigkeit  $c$  wachse:

$$\begin{aligned} P + P_1 &= (0,0002679 + 0,000001741 \cdot 2500) \cdot 217200 + 523 \\ &= (0,007031 \cdot 217200 + 523) = 2050 \text{ Pfund.} \end{aligned}$$

Käme in der Bahnlinie noch Ansteigen von  $\frac{1}{100}$  vor, so würde die Kraft beim Aufwärtsfahren um

$$P_2 = 217200 \cdot 0,01 = 2172 \text{ Pfund}$$

gesteigert werden, also auf

$$P + P_1 + P_2 = 2050 + 2172 = 4222 \text{ Pfund}$$

anwachsen, und dagegen beim Abwärtsfahren um 2172 Pfund kleiner, also im Ganzen  $2050 + 2172 = 4222$  Pfund ausfallen, und deshalb das Anziehen der Bremsen nöthig sein.

Trägt die Treibare 0,4 des Locomotivengewichtes, d. i.  $0,4 \cdot 25 = 10$  Tonnen  $= 21720$  Pfund, und wird der kleinste Werth des Reibungscoefficienten zwischen den Treibrädern und der Bahn zu 0,1 angenommen, so hat man folglich die größtmögliche Zugkraft der Locomotive bei ungekuppelten Rädern nur  $0,1 \cdot 21720 = 2172$  Pfund. Wenn nun auch von den 4222 Pfund Widerstand circa ein Viertel auf die Locomotive selbst kommt, also für den Wagenzug ungefähr nur 3222 Pfund übrig bleiben, so ist doch die Locomotive nicht im Stande, den Train bei  $\frac{1}{100}$  Ansteigen mit sich fortzunehmen, und folglich das Kuppeln der Räder, wobei die Zugkraft auf  $0,1 \cdot 21720 \cdot 25 = 5430$  Pfund gesteigert werden kann, nothwendig.

Rechnen wir noch 25 Procent auf die Kraft zur Ueberwindung der Kolbenreibung und Bewegung der Mechanismen u. s. w., so erhalten wir die nöthige Dampfkraft:

$$\frac{5}{4} (P + P_1 + P_2) = \frac{5}{4} \cdot 4222 = 5278 \text{ Pfund,}$$

und ist noch das Verhältniß der Kurbelarmlänge  $r$  zum Halbmesser  $a$  der Treibräder:  $\frac{r}{a} = 0,4$ , so hat man die erforderliche Kraft eines Dampfkolbens:

$$\begin{aligned} R &= \frac{\pi}{4} \cdot \frac{a}{r} \cdot \frac{5}{4} (P + P_1 + P_2) = \frac{\pi}{4} \cdot \frac{5}{2} \cdot 5278 = \frac{\pi}{4} \cdot 13195 \\ &= 10363 \text{ Pfund (f. S. 289),} \end{aligned}$$



Von dem Fortschaffen der Lasten auf ganz oder nahe horizontalen Wegen. 703  
und ist der Dampfdruck pr. Quadrat Zoll,  $p = 60$  Pfund, so folgt die nöthige  
Kolbenfläche:

Widerstand  
auf Eisen-  
bahnen.

$$F = \frac{R}{p} = \frac{10363}{60} = 172,7 \text{ Quadrat Zoll,}$$

und endlich der Kolbendurchmesser:

$$d = \sqrt{\frac{4F}{\pi}} = 15 \text{ Zoll.}$$

Durch Curven in der Bahnlinie wird natürlich die erforderliche Dampfkraft ebenfalls vergrößert. Bei einem Curvenhalbmesser  $r = 2000$  Fuß, und der Geschwindigkeit  $v = 50$  Fuß, wäre die Centrifugalkraft des Wagenzuges:

$$K = \frac{v^2}{gr} Q_1 = 0,032 \cdot \frac{(50)^2}{2000} Q_1 = 0,04 Q_1,$$

also 4 Procent der Wagenlast, und folglich die Mittelkraft aus  $K$  und  $Q_1$ :

$$= \sqrt{1 + (0,04)^2} Q_1 = \sqrt{1,0016} Q_1 = 1,0008 Q_1,$$

d. i. so wenig über  $Q_1$ , daß man von dieser Vergrößerung des Drucks der Räder auf die Bahn ganz absehen kann. Setzen wir die Geleisweite in runder Zahl,  $b = 4,5$  Fuß, und den mittleren Raddurchmesser  $d = 3,5$  Fuß, so erhalten wir die Größe, um welche in Folge der Conicität der Räder die Durchmesser der mit der Schienenbahn in Berührung kommenden Radumfangs beim Eintritt in die Curve sich verändern:

$$\delta = \frac{bd}{2r} = \frac{4,5 \cdot 3,5}{4000} = 0,00383 \text{ Fuß} = 0,55 \text{ Linien,}$$

und die Erhebung des äußeren Schienenstranges über den inneren

$$h_1 = \frac{e^2 b}{gr} - \delta = 0,04 \cdot 4,5 - 0,00383 = 0,1762 \text{ Fuß} = 2,11 \text{ Zoll (f. S. 268).}$$

Nehmen wir im Durchschnitt die Entfernung der äußersten Aren eines Wagens von einander:  $e = 14$  Fuß an, und setzen wir den Coefficienten der gleitenden Reibung zwischen den Rädern und Schienen,  $\varphi_1 = 0,2$ , so erhalten wir die Vergrößerung der Zugkraft in Folge der gleitenden Reibung in der Curve:

$$P_2 = \varphi \frac{e}{2r} Q_1 = 0,2 \cdot \frac{14}{4000} \cdot 217200 = 152 \text{ Pfund.}$$

Nehmen wir endlich an, daß bei dem Durchfahren der Curve der innere Spurkranz die Schienenbahn in einem Kreise berühre, dessen Durchmesser  $d_1$  um  $1\frac{1}{2}$  Zoll größer ist als der Durchmesser  $d$  des Kreises, mit welchem die Räder auf der Bahn fortrollen, so erhalten wir noch die Reibung an den Spurkränzen im Ganzen:

$$P_4 = \varphi^2 \left( \frac{d_1 - d}{d} \right) Q_1 = (0,2)^2 \cdot \frac{\frac{3}{2}}{12 \cdot 3,5} \cdot 217200 = 310 \text{ Pfund.}$$

Nun erhalten wir die Gesamtkraft beim Vergauffahren:

$\Sigma(P) = P + P_1 + P_2 + P_3 + P_4 = 4222 + 152 + 310 = 4684$  Pfund,  
und mit Berücksichtigung der Kolbenreibung und der nöthigen Kraft zur Bewegung der Mechanismen:

$$\frac{3}{4} \Sigma(P) = \frac{3}{4} \cdot 4684 = 5855 \text{ Pfund.}$$

Widerstand  
auf Eisen-  
bahnen.

Die entsprechende Dampfkraft ist:

$$R = \frac{\pi}{4} \cdot \frac{5}{2} \cdot 5855 = 11496 \text{ Pfund,}$$

hiernach die Größe einer Kolbenfläche:

$$F = \frac{11496}{60} = 191,6 \text{ Quadrat Zoll}$$

und endlich der Durchmesser eines Kolbens:

$$d = 15,6 \text{ Zoll.}$$

Anmerkung. Ueber Eisenbahntransport und Dampfwagen ist die Literatur zu ausgedehnt, als daß sie hier vollständig mitgetheilt werden könnte; daher sollen im Folgenden nur die wichtigsten Schriften, und vorzüglich die wissenschaftlichen Abhandlungen genannt werden. Guide de mécaniciens constructeur et conducteur des machines locomotives par M. M. Lechatelier, Flachet, Petiet et Polonceau, Paris 1851. Etudes sur la stabilité des machines locomotives, par Lechatelier, Paris 1849. Théorie de la stabilité des machines locomotives en mouvement, par Yvon Villarceau, 1852. In den Annales des Mines. Cinquième Série, Tome III., 1853. Note sur la stabilité des machines locomotives, par Resal, und des contre-poids appliqués aux roues motrices des machines locomotives, par Couche. Eine Uebersetzung im Auszug vom Herrn Tellkamp ist im Notiz-Blatt des Architekten- und Ingenieurvereins in Hannover enthalten. Ferner hat der Verfasser diesen Gegenstand behandelt in einem Aufsatze: Die Mechanik des Dampfwagens, enthalten im Civil-Ingenieur, von Dr. Zeuner 10. Band 2. In dem ersten Bande der letzten Zeitschrift ist auch eine Uebersetzung von einer Abhandlung von Phillips über die Theorie der Stephenson'schen Couliße, ebenfalls aus den Annales des Mines, Band 3, zu finden. Der vierte Band dieser Annales (1853) enthält auch eine Abhandlung über das Arnour'sche articulirte Arensystem der Eisenbahnwagen. Ferner ist zu empfehlen: Abbildung und Beschreibung der Locomotivmaschinen, von E. Heussinger von Waldgege. Wiesbaden 1851—1854, sowie auch dessen Organ für die Fortschritte des Eisenbahnwesens 10., bis jetzt 9 Bände. Pamhour's theoretisch-praktisches Handbuch über Dampfwagen, Braunschweig 1841, ist schon jetzt größtentheils veraltet. Das Original ist 1840 in Paris unter dem Titel: „Traité théorique et pratique des machines locomotives“ erschienen. In historischer Hinsicht ist auch zu empfehlen: The steam-engine, steam-navigation, roads and railways by D. Lardner, Eighth. edit. London 1851.

Schiffahrts-  
canäle.

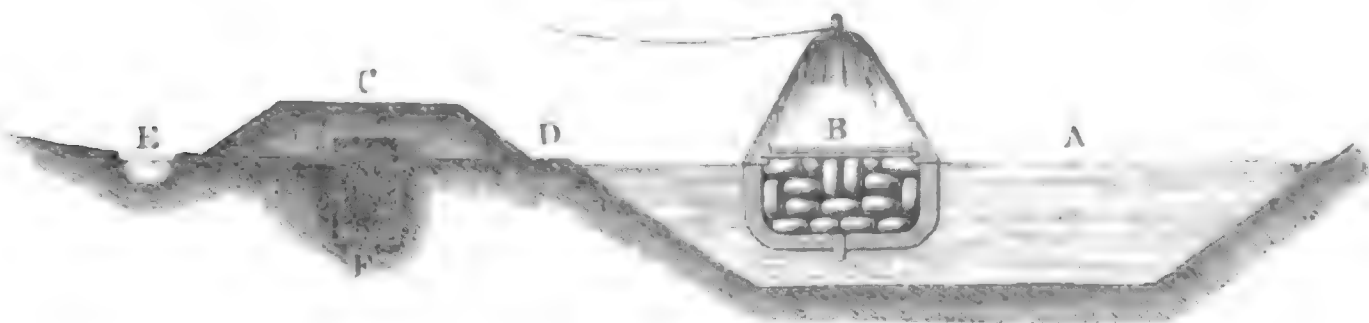
§. 297. Die Förderung zu Wasser (franz. le transport par eau; engl. the transport by water) erfolgt entweder in Canälen, oder in Flüssen, oder auf Seen, oder auf dem Meere. Die sogenannten Schiffahrts-canäle (franz. canaux navigables; engl. canals of navigation), in welchen die Förderung zu Wasser erfolgt, sind entweder Seitencanäle oder Verbindungscanäle. Im ersteren Falle ersetzen sie nur eine unschiffbare Flußstrecke, im zweiten Falle hingegen dienen sie zur Verbindung zweier schiffbaren Flüsse und überschreiten daher auch eine sogenannte Wasserscheide (franz. point de partage; engl. summit level).



Die Canalschiffahrt unterscheidet sich von der Flußschiffahrt wesentlich Schiffahrts-  
canäle. dadurch, daß jene in stehendem, diese aber in fließendem Wasser erfolgt. Damit das Wasser eines Schiffahrtscanales keine, oder wenigstens nur eine höchst unbedeutende Strömung annehme, ist es nöthig, diese Canäle möglichst söhlig zu führen, oder sie wenigstens aus söhlichen Abtheilungen bestehen zu lassen, welche mittels sogenannter Schleusen (franz. écluses; engl. locks) mit einander in Verbindung zu setzen sind.

Der Querschnitt eines solchen Canales richtet sich nach der Größe der in demselben fortzuziehenden Schiffe. Damit zwei sich begegnende Schiffe einander nicht hindern, muß die Breite des Schiffahrtscanales mindestens doppelt so groß sein als die eines Schiffes, auch ist es nöthig, daß zwischen dem Schiffe und dem Boden des Canales noch ein Raum von mindestens einem Fuß Höhe übrig bleibe. Uebrigens wächst der Widerstand des Schiffes, wenn das Verhältniß zwischen dem Querprofile des eingetauchten Schifftheiles und dem des Canales abnimmt, und deshalb ist es rathsam, das letztere Querprofil mindestens vier Mal so groß als das erstere zu machen. Die Seiten des Canales erhalten in der Regel eine Böschung von 1,5 oder 33°, 42'. Auf dem einen der beiden Dämme, welche den Canal begrenzen, befindet sich der Ziehweg oder sogenannte Leinpfad (franz. chemin de halage; engl. tow-path), auf welchem die Pferde laufen, während sie das Boot mittels eines Laues fortziehen. Die Breite dieses Leinpfades soll mindestens 10 Fuß betragen und die Höhe desselben über dem Wasserspiegel 1½ bis 3 Fuß. Mittlere Schiffahrts-canäle sind oben 30 bis 50 Fuß, unten 20 bis 35 Fuß breit und haben eine Tiefe von 4½ bis 6 Fuß. Der Caledonian-Canal in Schottland, welcher den Atlantischen Ocean mit der Nordsee verbindet und vorzüglich mit Dampfsschiffen befahren wird, jedoch auch Fregatten zweiter Classe den Durchgang gestattet, hat oben eine Breite von circa 110 Fuß, unten eine solche von 50, und eine Tiefe von 20 Fuß. Er enthält 22 Schleusen, wodurch die Schiffe gegen 90 Fuß hoch gehoben und niedergelassen werden können, und ist im Ganzen 36¾ engl. Meilen lang (s. von Gerstner's Mechanik Bd. II). In Fig. 598 ist das Querprofil eines Schiff-

Fig. 598.













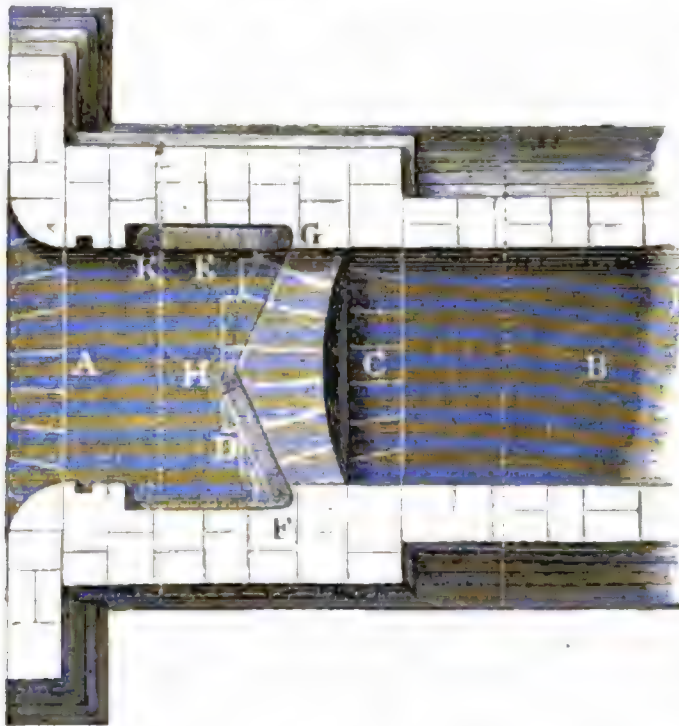




Kammer-  
schleusen.

haupte und der Kammer, *D* das eine und *E* das andere Thor, das eine

Fig. 604.



als geschlossen und das andere als geöffnet dargestellt. Diese Thore drehen sich mit ihren Wendesäulen *F* und *G* um vertikale Aren und stoßen während des Verschlusses mit ihren Schlagssäulen *H* und *K* an einander an. In Amerika hat man auch Schleusenthore, welche sich um eine horizontale Are drehen. In Fig. 605 ist noch ein Querschnitt des Oberhauptes *A* und in Fig. 606 ein Querschnitt

der Kammer *B* vorgestellt; die letztere zeigt auch bei *C* den Abfall, welcher

Fig. 605.

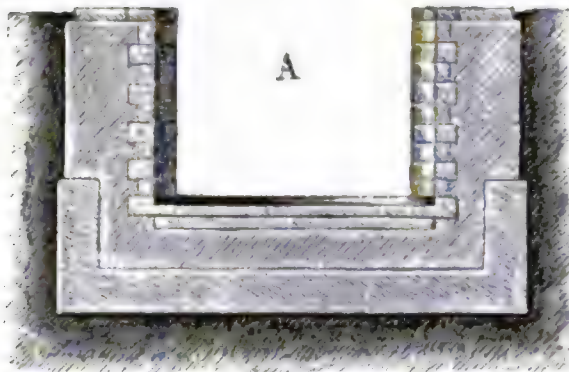
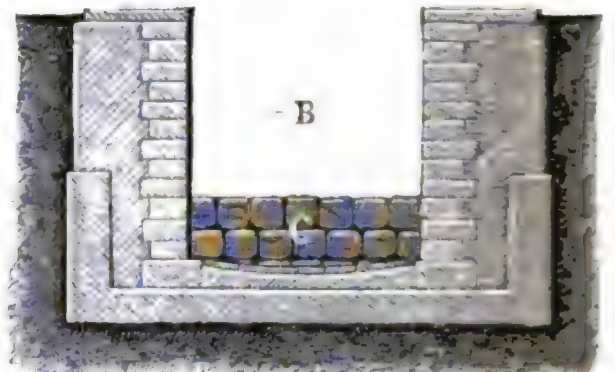


Fig. 606.



bald mehr bald weniger steil gelegt wird. Die Schleusenthore legen sich unten gegen die sogenannten Drempe (franz. buscs; engl. mitre-sills) und an den Seiten gegen die Wendenischen (franz. chardonnets; engl. hollow-quoins); während die Drempe 6 bis 10 Zoll über dem Boden des Oberhauptes vorstehen, sind die Wendenischen, entsprechend der Dicke der Thore, 10 bis 15 Zoll tief. Die Drempe sind entweder aus Steinquadern oder aus zwei Schwellen, den sogenannten Schlag-schwellen, gebildet; letztere bilden mit den Mittelbalken ein gleichschenkliges Dreieck, welches durch den Binder, dessen Länge circa ein Sechstel von der Weite des Canales oder der Länge des Mittelbalkens ist, in zwei gleiche Theile getheilt wird.

Der Fall oder die Höhe des Abfalles einer Schleuse (franz. le hute; engl. the lift of lock) beträgt meist 6 bis 8 Fuß, in seltenen Fäl-

Von dem Fortschaffen der Lasten auf ganz oder nahe horizontalen Wegen. 713  
 len 12 bis 18 Fuß. Sind die Gefälle größer, so wendet man lieber zwei  
 oder mehrere gekuppelte Schleusen an, bei welchen das Unterthor  
 zugleich Oberthor der anderen Schleusenkammer ist.

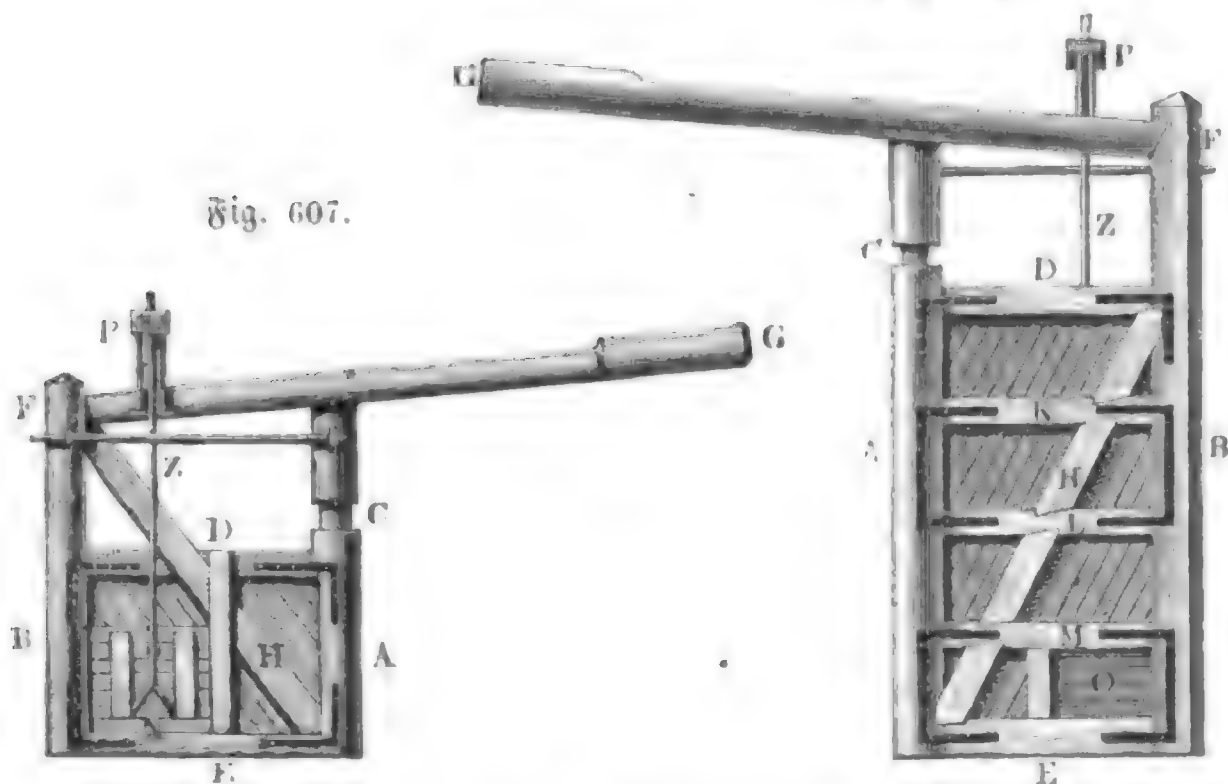
Kammer-  
 Schleusen.

Amerikanische Kammer Schleusen haben oft gar keinen Abfall, sondern  
 statt dessen eine sogenannte Fallmauer vor dem Oberthore.

§. 300. Das Gerippe der Schleusenthore wird aus zwei vertikalen  
 Säulen und einer gewissen Anzahl von Querriegeln gebildet. In Fig.  
 607 ist ein Oberthor und in Fig. 608 ein Unterthor abgebildet. In

Schleusen-  
 thore.

Fig. 608.



beiden Abbildungen ist *A* die Wendesäule (franz. poteau tourillon; engl. quoin oder heel-post, und *B* die Anschlagssäule (franz. poteau busqué; engl. mitre-post); ferner sieht man in *C* den Hals der Wendesäule, welcher die obere Drehaxe des Thores bildet, sowie in *D* das obere und in *E* das untere Rahmstück, oder den sogenannten Schwellrahmen. Ferner ist *FG* der Drehbaum, welcher theils als Hebel zum Oeffnen und Verschließen der Thore, theils auch als Gegengewicht dient, um das sogenannte Sacken der Thore zu verhindern. Diesem Sacken oder Aufliegen der Thore auf dem Boden der Thorammern wirkt man vorzüglich auch durch eine Strebe *H*, welche von der Anschlagssäule diagonal herab nach der Wendesäule läuft, entgegen; auch bringt man zu diesem Zwecke wohl noch schmiedeeiserne Zugbänder an, welche umgekehrt, von der Anschlagssäule nach der Wendesäule herauflaufen; endlich läßt man wohl auch, namentlich wenn die Thore sehr breit sind, dieselben mittels gußeiserner Laufträder auf einer Schienenbahn laufen, welche auf der

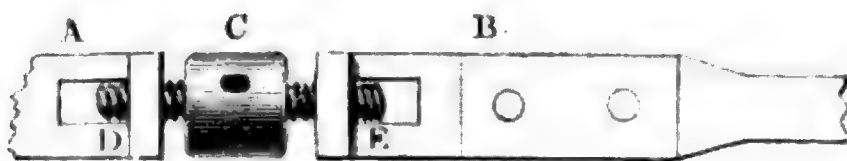


Schleusen-  
thore.

Sohle der Thorkammer liegt. Noch sieht man in der Abbildung Fig. 608 die Querriegel *K, L, M*, sowie in beiden Abbildungen die eisernen Beschläge und die Bekleidung der Thore mittels diagonal laufender Holzdielen. Statt derselben wendet man auch mit Vortheil Eisenblech an. Endlich sieht man noch in *O* die durch ein Schutzbrett *N* verschließbare Schutzöffnung, sowie in *Z* die Zugstange derselben, und in *P* das Gestelle für den Mechanismus zum Ziehen dieser Stange.

Um dem Sacken der Schleusenthore durch die Zugbänder soviel wie möglich entgegen zu wirken, läßt man dieselben aus zwei Theilen *A* und *B*, Fig. 609, bestehen, und verbindet dieselben durch eine Differenzial-

Fig. 609.

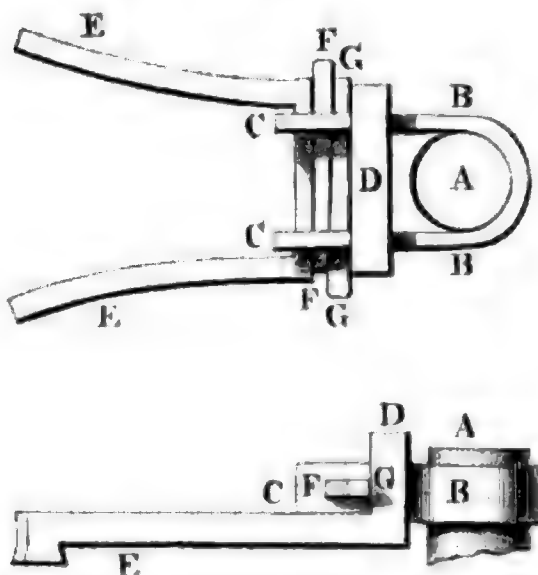


schraube *DCE* (s. III., S. 146). Wird der Kopf *C* dieser Schraube ein Mal umgedreht, so zieht sich das Band um die Differenz der Ganghöhen der Gewinde *D* und *E* zusammen.

In neueren Zeiten hat man das Sacken großer Thore auch durch Auspumpen des wasserdicht abgeschlossenen Raumes, welcher von einer doppelten Bekleidung des Thores gebildet wird, zu verhindern gesucht.

Die Wendesäule der Schleusenthore stützt sich unten mittels eines eisernen Zapfens auf ein eisernes Lager, genau wie die stehende Welle eines Göpels oder einer Turbine, und wird oben durch ein Halsband, welches um den runden Hals derselben herumläuft, in senkrechter Richtung erhalten. Dieses Halsband ist durch starke Anker mit dem Mauerwerke zu

Fig. 610



verbinden, und muß zum Lösen oder Abnehmen eingerichtet sein, um das Thor, wenn es nöthig ist, ausheben zu können. In Fig. 610 ist *A* der Hals eines Schleusenthores, *C B B C* das um denselben herumliegende Halsband, welches durch eine Nase *D* des Ankers *E D E* hindurchgesteckt ist, und durch die Schlüsselteile *F F* und *G G* fest mit derselben verbunden wird.

Da der Druck des Wassers auf ein Schleusenthor *AC*,



•  
Eckreusen-  
thore.

$$\text{Viereck } KEFL = \frac{\triangle BFL - \triangle BEK}{\triangle BDC} = \frac{D2 - D1}{DC} = \frac{12}{DC};$$

ist also  $D1 = 12 = \overline{23}$  u. s. w., so folgt auch:

$$\text{Dreieck } BEK = \text{Viereck } KEFL = \text{Viereck } LFGM \text{ u. s. w.}$$

Thorriegel wie  $EE_1, FF_1, GG_1$  u. s. w. theilen daher auch das Thor in Felder von gleichem hydrostatischen Drucke, und haben also auch nahe einen und denselben Druck auszuhalten. Ist  $n$  die Anzahl der Thorfelder, so hat man den Druck eines jeden  $\frac{P}{n} = \frac{b a^2 \gamma}{2n}$ , und es ist nun nach I., §. 203, für die Breite  $b_1$  und Höhe  $h_1$  (in horizontaler Richtung gemessen) eines Riegels:

$$\frac{P}{n} b = 8 b_1 h_1^2 \frac{K}{6},$$

d. i.

$$b_1 h_1^2 = \frac{\frac{1}{8} \frac{P b}{n} \cdot \frac{K}{6}}{\frac{K}{6}} = \frac{b^2 a^2 \gamma}{16 n \frac{K}{6}},$$

z. B. für Holz, wenn man  $\frac{K}{6} = 200$  und  $\gamma = \frac{66}{1728}$  setzt:

$$b_1 h_1^2 = \frac{1}{83800} \frac{b^2 a^2}{n},$$

oder wenn man  $a$  und  $b$  in Fuß,  $b_1$  und  $h_1$  in Zollen giebt:

$$n b_1 h_1^2 = 0,2475 \cdot a^2 b^2.$$

Die vorstehende Untersuchung setzt voraus, daß das Thor nur auf der einen Seite vom Wasser gedrückt werde. Ist aber, wie meist, noch ein Gegendruck vom Unterwasser vorhanden, so fällt der Ueberdruck unterhalb des Unterwasserspiegels constant aus (s. I., §. 302); es ist folglich dann unter  $a$  nur der Niveauabstand zwischen beiden Wasserspiegeln zu verstehen, und es sind daselbst die Streben in einem gleichen Abstände von einander zu legen.

Die Art und Weise, wie der Wasserdruck auf die Thore und auf deren Unterstüßung, die Wendenische, wirkt, ist folgende. Der Wasserdruck  $P$  eines Thores  $CA$ , Fig. 612, welcher in der Mittellinie  $M$  desselben angreift, zerlegt sich in zwei gleiche Seitenkräfte  $S, S$ , welche nach den beiden Wendensäulen  $C, C$  gerichtet sind, und aus den beiden Seitenkräften  $S$  und  $S$  einer Wendensäule entspringt eine Mittelkraft  $R$ , welche von der Wendenische aufgenommen werden muß. Ist der Winkel  $ACB$ , um



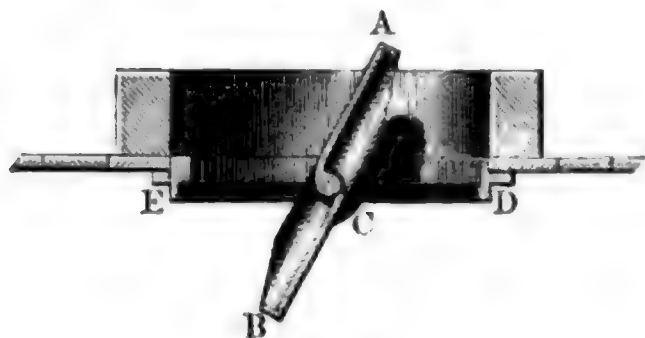
Schleusen-  
thore.

andere, welche auf der entgegengesetzten Seite hinter dem Thore steht, dasselbe verschlossen werden kann.

Die Schützen, womit man die Mündungen in den Thoren oder die Umläufe versieht, lassen sich meist zwischen Falzen, und zwar jedes Mal an der dem Oberwasser zugekehrten Seite vertikal auf- und niederbewegen. Zuweilen versieht man dieselben auch mit Gegengewichten, welche aber ebenfalls eine Führung durch Falze erhalten müssen. Um die Schütze nicht von der Fußbrücke am Thore, sondern von der Seitenmauer aus bewegen zu können, legt man wohl auch die Schützen schief, oder versieht dieselben mit einer Drehungsaxe, so daß sie sich bogenförmig bewegen lassen.

Klappen lassen sich, zumal wenn dieselben doppelt sind, leichter bewegen

Fig. 613.



als Schieber oder Schützen; nur geben dieselben meist nicht so guten Verschuß als die letzteren. Eine Doppelklappe für Schleusenthore ist in Fig. 613 abgebildet. Dieselbe besteht aus einer gußeisernen Platte *AB* mit ringsherum vorstehenden Rändern mit einer schmiedeeisernen Ase *C*,

und ist von einem gußeisernen Rahmen *DE* umschlossen.

Bei Umläufen sind die Schützen oder, nach Befinden, Ventile nahe an den Einmündungen derselben anzubringen. Das gewöhnlichste und einfachste Hülfsmittel zur Bewegung der Schützen, Klappen und Ventile besteht in einem Hebel. Man bewegt durch denselben die Schütze u. s. w. entweder in einem Zuge, oder in Absätzen. Im ersteren Falle ist die Zugkraft nur eine sehr mäßige; es kommt daher derselbe nur bei kleinen Schleusen vor. Im zweiten hat man es dagegen mit den sogenannten Hebeladen (s. S. 207) zu thun. Eine Vorrichtung dieser Art zeigt

Fig. 614.

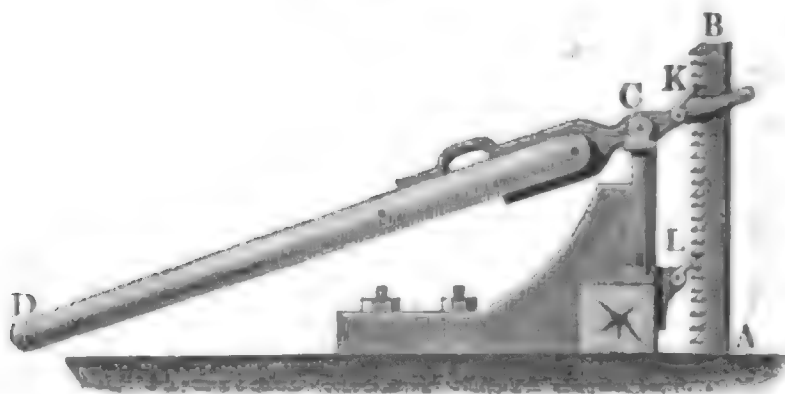


Fig. 614. Es ist hier *AB* die gezahnte Schützenstange, und *CD* die um *C* drehbare Hebelade, auf welcher eine Klinke *K* sitzt, die zwischen die Zähne der Schützenstange eingreift. Bei dem Niederdrücken des



Hebels  $D$  wird die Schütze mittels  $K$  emporgehoben, und beim Aufziehen desselben wird die letztere durch eine Sperrklinke  $L$  vor dem Zurückfallen gesichert. Um die Eröffnung bei einem Zuge möglichst groß zu machen, versieht man wohl das Schleusenthor mit mehreren Schutzmündungen übereinander, die man dann auch durch unter einander hängende Schützen eröffnet und verschließt. Sehr gewöhnlich bedient man sich zur Bewegung der Schützen der Kurbel, indem man dieselbe mit einem Zahnrade versieht, das man in die gezahnte Schützenstange eingreifen läßt. Um die Zugkraft zu verstärken, bedient man sich auch häufig noch eines Vorgeleges, indem man das kleine Treibrad auf der Kurbelwelle erst in ein größeres Getriebrad eingreifen läßt und auf die Welle des letzteren noch ein anderes kleines Rad setzt, welches unmittelbar auf die gezahnte Stange wirkt. Sehr oft bedient man sich endlich auch des Schraubenmechanismus zur Bewegung der Schützen, indem man das Ende der Schützenstange in eine Schraubenspindel auslaufen läßt und dieselbe mit einer Mutter umgiebt, deren Umfang mit Zähnen ausgerüstet ist, zwischen welche ein auf der Mitte einer Kurbel feststehendes Treibrad eingreift (siehe den Artikel »Bau- und Wagenwinden« S. 212).

2. Schleusenthore.

Ist  $a$  die Höhe und  $b$  die Breite einer rectangulären Schütze, ferner  $h$  die Tiefe ihres Schwerpunktes unter dem Wasserspiegel, oder, im Fall daß diese Schütze auf beiden Seiten unter Wasser steht, der Niveauabstand zwischen beiden Wasserspiegeln, und  $\gamma$  die Dichtigkeit des Wassers, so hat man die Kraft, mit welcher die Schütze auf ihre Lagerung drückt:

$$R = abh\gamma \text{ (s. I., §. 422),}$$

und daher die entsprechende Reibung, wenn  $\varphi = 1/4$  bis  $1/3$ , den Coefficienten der Reibung zwischen der Schütze und ihrem Lager bezeichnet:

$$F = \varphi R = \varphi abh\gamma.$$

Soll diese Schütze senkrecht aufgezogen werden, so ist die hierzu nöthige Kraft:

$$\begin{aligned} P &= F + G - V\gamma, \\ &= \varphi abh\gamma + G - V\gamma, \end{aligned}$$

wenn  $G$  das Gewicht und  $V$  das Volumen, also  $V\gamma$  das von ihr verdrängte Wasservolumen bezeichnet.

Man ersieht hieraus, daß man durch Vergrößerung des Volumens  $V$ , indem man z. B. auf die Rückwand der Schütze einen Windkessel aufschraubt, die Zugkraft beliebig herabziehen kann. Für

$$V = \varphi abh + \frac{G}{\gamma} \text{ wäre z. B. } P = 0.$$

Beim Niederlassen der Schütze ist  $h$  ganz oder fast Null, folglich die erforderliche Gegenkraft:

$$P_1 = V\gamma - G.$$

Schleusen-  
thore.Soll  $P = P_1$  sein, so muß

$$V = \frac{1}{2} \varphi a b h + \frac{G}{\gamma}$$

sein.

Fordert man dagegen  $P_1 = \text{Null}$ , so hat man:

$$V = \frac{G}{\gamma} \text{ und}$$

$$P = F = \varphi a b h \gamma,$$

und es wirkt also dann der Auftrieb  $V\gamma$  wie ein gewöhnliches Gegengewicht zur Ausgleichung von  $G$ .

Die Kraft zum Eröffnen eines einfachen Ventiles oder einer einfachen Klappe ist, wenn  $F$  den Inhalt derselben bezeichnet:

$$P = F h \gamma,$$

und der Angriffspunkt derselben ist der sogenannte Mittelpunkt des Wasserdruckes (s. I., §. 300). Ist das Ventil oder die Klappe eröffnet, so nimmt die Kraft schnell ab, weil dann das durchfließende Wasser noch einen Gegendruck auf das Ventil ausübt, der natürlich um so größer ausfällt, je langsamer das Wasser durch die Eröffnung des Ventiles fließt, je größer also der Querschnitt derselben ist.

Wasserbedarf  
beim Durch-  
schleusen.

§. 302. Um das Wasser eines Canales in einem und demselben Niveau zu erhalten, ist es nöthig, den Verlust des Wassers durch Verdunstung, durch Filtration oder Durchsickern und durch den unvollkommenen Verschluß der Schleusenthore zu ersetzen, sowie den Bedarf desselben beim Durchschleusen zu decken. Die Verdunstung ist zwar bei verschiedenem Wetter sehr verschieden, läßt sich aber im Mittel täglich auf 2 Linien schätzen. Der Verlust durch Filtration fällt bei Sand- und Kiesboden viel größer aus als bei Thonboden, ist aber im Mittel täglich 1 bis  $1\frac{1}{2}$  Zoll anzunehmen. Nicht minder unbestimmt ist der tägliche Verlust, welcher aus dem unvollkommenen Verschlusse der Schleusenthore erwächst; man geht jedoch sicher, wenn man ihn gleich setzt dem Wasserbedarf für den Durchgang eines Schiffes durch 7 bis 8 Schleusen. Der Verbrauch des Wassers beim Durchschleusen hängt vorzüglich von dem Wasservolumen  $V = F s$  einer Schleusenkammer, dessen Basis der Querschnitt  $F$  der Kammer und dessen Höhe  $s$  der Vertikalabstand zwischen dem Ober- und Unterwasserspiegel ist, und nächstbem auch von dem verdrängten Wasservolumen  $W$  eines Schiffes ab. Ist  $G$  das Gewicht des Schiffes und  $\gamma$  die Dichtigkeit des Wassers, so hat man bekanntlich  $W = \frac{G}{\gamma}$ . Be-

stimmen wir im Folgenden den Wasserbedarf des Durchschleusens in verschiedenen Fällen, und zwar zunächst für eine einfache Kammer Schleuse.

1) Ein Schiff kommt von unten und findet die Schleuse geleert. Nach-  
dem dasselbe in die Kammer eingelaufen und das Unterthor geschlossen ist, Wasserbedarf  
beim Durch-  
schleusen. läßt man das Wasserquantum  $V$  aus dem Oberwasser zu; um es bis in  
das Niveau des Oberwassers zu heben; zuletzt öffnet man noch das Ober-  
thor, und zieht das Schiff aus der Kammer, wobei es noch das Wasser-  
quantum  $W$  aus dem Oberwasser in die Kammer drängt. Es ist folglich  
bei diesem Durchschleusen dem Oberwasser das Quantum  $V + W$  ent-  
nommen und also auch ebenso viel Wasser zum Durchschleusen verbraucht  
worden.

2) Ein Schiff kommt von oben und findet die Schleusenkammer leer.  
Das nöthige Anfüllen der letzteren erfordert das Wasserquantum  $V$ ; beim  
Einlaufen des Schiffes in die Kammer wird hiervon wieder das Quantum  
 $W$  aus der Kammer in das Oberwasser zurückgedrängt, und nun das  
Oberthor geschlossen. Es ist folglich hierbei die Wassermenge  $V - W$   
aus dem Oberwasser entnommen und also auch verbraucht worden.

3) Die beiden Schiffe in den soeben betrachteten Fällen erfordern also  
zusammen das Wasserquantum  $V + W + V - W = 2V$ , und so  
groß ist natürlich auch der Wasserbedarf eines Schiffes allein, welches in  
einer Schleuse gehoben und in der anderen niedergelassen wird.

Sind die beiden Schiffe unter (1) und (2) nicht gleich beladen, und  
verdrängt vielleicht das aufsteigende das Wasservolumen  $W$ , und das nie-  
dersinkende  $W_1$ , so hat man dagegen den Wasserbedarf für beide:

$$V + W + V - W_1 = 2V + W - W_1,$$

und es ist dann  $W - W_1$  das verdrängte Wasserquantum  $\frac{G - G_1}{\gamma}$ ,  
welches der Differenz der Schiffsladungen entspricht.

4) Ein Schiff kommt von oben und findet die Schleusenkammer ge-  
füllt. Hier geht nicht nur kein Wasser verloren, sondern es wird sogar  
das Wasserquantum  $W_1$  gewonnen, welches das Schiff beim Einfahren  
in die Kammer in das Oberwasser zurückdrängt.

5) War nun das Wasserquantum für das vorher emporgehobene Schiff,  
wobei die Schleuse gefüllt wurde,  $V + W$ , so ist folglich für beide  
Schiffe zusammen der Wasserbedarf:

$$V + W - W_1,$$

daher für  $W = W_1$ :

$$V + W - W_1 = V.$$

Es ist also in dem Falle, wenn man die zum Heben eines Schiffes ver-  
brauchte Füllmasse wieder zum Niederlassen eines anderen Schiffes be-  
nutzt, welches mit dem ersten gleich belastet ist, der Wasserbedarf nur

Wasserbedarf  
beim Durch-  
schleusen.

halb so groß, als wenn man für das niedergehende Schiff die Schleuse von Neuem füllen muß.

Da bei einer gefüllten Schleuse eine ansehnliche Wassermenge in Folge des unvollkommenen Verschlusses des unteren Schleusenthores verloren geht, so wird dadurch ein Theil des Gewinnes von einem solchen Doppelschleusen wieder aufgehoben.

6) In vielen Fällen, namentlich beim Transport von Bergproducten, erfolgt die Förderung bloß bergab, so daß aufwärts nur leere Schiffe gehen. Dann ist  $W_1 > W$ , und daher die Füllmasse für zwei in ihrem Lauf sich kreuzende Schiffe:

$$V - (W_1 - W) = V - \frac{G_1 - G}{\gamma} = V - \frac{Q}{\gamma},$$

wenn  $Q$  das Gewicht der Fördermasse oder der Schiffsladung bezeichnet. Ist  $F_1$  der mittlere Querschnitt des Schiffes und  $s_1$  die Senkung desselben in Folge der Ladung  $Q$ , so hat man auch:

$$V - \frac{Q}{\gamma} = Fs - F_1 s_1,$$

und daher den Wasserbedarf für zwei an einer Schleuse sich kreuzende Schiffe = Null, für

$$Fs = F_1 s_1.$$

Nun ist aber  $F$  mindestens  $1,2 F_1$ , folglich könnte hiernach  $s$  nur  $= \frac{5}{6} s_1$  sein. Für  $s_1 = 3$  Fuß wäre hiernach  $s = \frac{5}{2}$  Fuß. Die Anwendung eines so kleinen Schleusengefälles möchte, da hierdurch wieder die einer großen Anzahl von Schleusen bedingt wird, kaum praktisch vortheilhaft sein.

7) Passirt ein Schiff die Scheitelstrecke, so ist der Wasserbedarf zum Durchschleusen durch die beiden benachbarten Schleusenkammern derselbe wie zum Durchschleusen zweier Schiffe durch eine Kammer, wovon das eine gehoben und das andere niedergelassen wird, und zwar entweder  $2V$  oder  $V$ , je nachdem die zweite Schleuse, in welcher das Schiff seinen Niedergang beginnt, leer oder gefüllt ist. Das Erstere findet statt, wenn dem Schiffe ein anderes vorausgegangen, und das Zweite, wenn es einem andern Schiffe begegnet ist.

8) Bei gekuppelten Schleusen ist der Wasserbedarf größer als bei einfachen Schleusen mit zwischenliegenden längeren Haltungen.

Kommt ein Schiff von unten an eine aus zwei Kammern bestehende Schleuse, und findet es beide Kammern geleert, so kann man die untere Kammer nicht aus der oberen füllen, sondern man muß auch das nöthige Wasser aus der nächst höheren Haltung nehmen, und dieses erst in die obere und von da in die untere Kammer schlagen. Das Füllen der



zweiten Kammer erfolgt natürlich ebenfalls aus der nächst höheren Haltung. Es sind also zum Heben des Schiffes in den gekuppelten Schleusen gleichsam drei Füllungen, und hiervon deren zwei aus dem Oberwasser nöthig, während zwei einfache Schleusen mit einer zwischenliegenden Haltung nur zwei Füllungen, und zwar nur eine aus dem Oberwasser erfordern würden. Bei drei gekuppelten Schleusen ist dieser Wasserbedarf noch größer; hier würden aus dem Oberwasser drei Füllungen und im Ganzen sechs Füllungen nöthig sein, während bei getrennten Kammern aus dem Oberwasser nur eine Füllung und im Ganzen nur drei Füllungen zu entnehmen wären. Bei vier gekuppelten Schleusen ist natürlich das Verhältniß noch viel ungünstiger.

Wasserbedarf beim Durchschleusen.

9) Ein anderer Uebelstand stellt sich bei den gekuppelten Schleusen noch heraus, wenn beim Herabgehen eines Schiffes die Kammern derselben gefüllt sind. Da in diesem Falle die unteren Kammern nicht das Wasser der oberen Kammern fassen können, so ist es nöthig, daß dieselben erst in die nächst tiefere Haltung entleert und nach Befinden die Schützen der letzteren gezogen werden müssen, bevor zum Niederlassen des Schiffes geschritten werden kann.

Diese Nachtheile der gekuppelten Schleusen kommen in einem schwächeren Grade auch bei einfachen Schleusen vor, wenn dieselben keine langen und breiten Zwischenstrecken haben.

Anmerkung. Der Zeitaufwand, welchen das Füllen und Ausleeren der Schleusen erfordert, ist in I., S. 389 bestimmt.

§. 303. Um das beim Niederlassen des Schiffes in einer Schleuse verbrauchte Wasser in einer Weise aufzufangen, daß es beim Aufziehen eines anderen Schiffes oder bei einer folgenden Füllung der Schleuse wieder gebraucht werden kann, wendet man vor Allem sogenannte Seitenbassin an. Wenn man zunächst einen Theil der Füllmasse in dieses Bassin abschlägt, und dann, nach gehörigem Abschluß desselben, die übrige Füllmasse in das Unterwasser fließen läßt, so kann man umgekehrt zu der nächsten Füllung der Schleuse zunächst das im Seitenbassin aufgefangene Wasser verwenden, und dann das fehlende aus dem Oberwasser entnehmen. Eine Schleuse  $AB$  mit drei solchen Seitenbassin ( $C, D, E$ ) führt Fig. 615 (a. f. S.) vor Augen. Denken wir uns den ganzen Schleusenraum über der Oberfläche des Unterwassers  $W$  durch Horizontalschnitte in fünf gleiche Theile getheilt, und nehmen wir an, daß jedes Seitenbassin mit der Schleuse einerlei Basis habe. Das Entleeren dieser Schleuse geht auf folgende Weise vor sich. Zuerst läßt man eine Wasserschicht (1) durch die Röhre  $c$  in das Bassin  $C$  ab, dann verschließt man  $c$  und eröffnet die Röhre  $d$ , welche eine zweite Wasserschicht (2) in das Bassin  $D$

Seitenbassin.









Schwimmer, welcher, wie ein Gasometer, mittels Ketten an Gewichten *G, G . . .* aufgehangen ist. Die gekröpfte Röhre *K*, welche die Verbin- Strach's  
Schleuse mit  
Schwimmer. dung des Oberwassers mit der Abtheilung *C* des Schwimmers vermittelt, hat in ihrer Einmündung *V* ein Ventil, und geht bei ihrer Ausmündung durch eine Stopfbüchse *ff* am unteren Ende einer Röhre *F*, welche luft- und wasserdicht durch die untere Abtheilung *D* des Schwimmers hindurchgeht; ebenso hat die gekröpfte Röhre *L*, welche vom Unterwasser *H* nach der unteren Abtheilung *D* des Schwimmers führt, bei ihrer Einmündung *W* ein Ventil, und geht bei ihrer Ausmündung durch eine zweite Stopfbüchse *gg* im Boden des Schwimmers, und damit die Abtheilung *D* zugleich mit der äußeren Luft in Communication bliebe, ist noch ein Rohr *M* durch die obere Abtheilung *C* luft- und wasserdicht hindurchgeführt. Hiernach ist nun leicht die Wirkungsweise des Schwimmers zu ermessen.

Es sei die Schleusenkammer leer, es habe also der Schwimmer seinen höchsten Stand in Fig. 617, wobei das Wasser in seinen beiden Kammern nur circa 2 Zoll hoch stehen mag. Deffnet man nun bei geschlossener Schleusenkammer die Ventile bei *V* und *W*, so sinkt der Schwimmer nieder, indem er das unter ihm stehende Wasser größtentheils in die Schleuse treibt, und es füllen sich hierbei die Abtheilungen *C* und *D* des Schwimmers resp. aus *E* und *H* mit Wasser. Zuletzt setzt sich der Schwimmer unten auf zu diesem Zwecke angebrachte Vorstöße auf, indem er den in Fig. 618 abgebildeten Stand annimmt, wobei das in dem Seitenbassin übrig bleibende, sowie das in die Kammer gebrängte Wasser das Niveau des Oberwassers angenommen hat. Wegen der Gleichheit zwischen der Größe der Schleusenkammer und der Größe des Bassins steigt das Wasser in letzterem gerade so viel als der Schwimmer sinkt, ist also die Tiefe der Eintauchung des letzteren doppelt so groß als die absolute Senkung des Schwimmers, und also auch gerade so groß als die Höhen der in *C* und *D* eingeflossenen Wasserschichten zusammengenommen, und folglich auch der Auftrieb des Wassers mit dem Gewichte dieser beiden Wasserschichten im Gleichgewichte. Wenn daher anfangs nur ein kleines Uebergewicht des Schwimmers vorhanden war, so wird dieses auch während und am Ende des Niedersinkens unverändert bleiben. Soll umgekehrt die gefüllte Schleuse geleert werden, so verschließt man erst das obere Schleusenthor, und öffnet die Ventile *V* und *W* von Neuem. Haben dies Mal die Gegengewichte *G, G* eine kleine Ueberwucht, so wird nun der Schwimmer langsam angehoben, wobei natürlich die entsprechenden Wassermengen aus *C* und *D* nach *E* und *H* zurückfließen, und dem Wasser in der Schleusenkammer der nöthige Raum in dem Bassin *AA* verschafft wird. Leicht ist einzusehen, daß dieses Aufsteigen des Schwimmers ebenfalls fast ganz gleichförmig vor sich geht, da hierbei die Abnahme des Auftriebs

Oben's  
Schleuse mit  
Schwimmer.

gleich dem Gewichte des aus beiden Abtheilungen durch *V* und *W* abgeflossenen Wassers gleich ist, folglich die anfängliche kleine Ueberwucht während dieses Aufsteigens unverändert bleibt.

Anmerkung. Man kann auch dadurch einen Theil des Wassers zum Durchschleusen wieder nutzbar machen, daß man durch das aus dem Oberhaupt nach der Schleusenkammer führende Wasser eine Maschine umtreiben läßt, welche auf der anderen Seite in einer besonderen Leitung Wasser aus der unteren Canalstrecke auf die obere schafft. Hierüber in den Niederlanden angestellte Versuche haben allerdings nicht zu dem erwünschten Ziele geführt (s. L. Baud, *Cursus over de Waterbouwkunde*, 1838, II., und Storm Buysing, *Handleiding tot de Kennis der Waterbouwkunde*, 1845, II.).

Schiffauf-  
züge.

§. 305. Man hat auch Schiffschleusen mit beweglichen Kammern in Anwendung gebracht, wobei die letzteren mit den Schiffen zugleich aufgezogen und niedergelassen werden. Eine solche Schleuse ist z. B. von dem Ingenieur M. James Green bei dem Great-Western-Canal in England erbaut worden. Die ganze Vorrichtung besteht aus zwei trogförmigen Kammern, welche mittels Ketten an den entgegengesetzten Seiten einer horizontalen Welle aufgehangen sind, und an beiden Enden durch Schützen verschlossen und geöffnet werden können. Beide Canalstrecken theilen sich in der Nähe der Schleuse in zwei ebenfalls durch Schützen zu verschließende Theile, so daß, je nach ihrem Stande, bald die eine Kammer an die obere rechte und die andere an die untere linke Canalabtheilung, oder umgekehrt, die eine Kammer an die untere rechte, und die andere an die obere linke Abtheilung anzuliegen kommt. Werden nun diese Kammern bei dem einen oder dem anderen Stande durch besondere Mechanismen mit ihren Stirnflächen scharf an die Canalenden angepreßt, und durch Eröffnung der Schützen mit den Canalstrecken in Communication gesetzt, so läßt sich nun ein Schiff ungehindert aus der einen Canalstrecke heraus in die Kammer, und umgekehrt ein solches aus einer Kammer in die anstoßende Canalstrecke schaffen. Nachdem dies geschehen, so sind natürlich die Schützen wieder zu verschließen und die Drücke der Kammern gegen die Canalenden wieder aufzuheben, und es kann nun das Aufziehen der einen und das damit verbundene Niedersinken der anderen Kammer ungehindert vor sich gehen. Da das Gewicht eines schwimmenden Körpers gleich ist dem des verdrängten Wassers, so ist das Gewicht der mit Wasser gefüllten Kammer gar nicht von der Größe der Ladung des in derselben schwimmenden Schiffes abhängig, und es balanciren daher beide Kammern stets mit einander, wie groß auch die Ladung der Schiffe in denselben, und ob überhaupt in beiden oder nur in der einen Kammer ein Schiff enthalten sei. Um indessen die nöthige Kraft zur Ueberwindung der passiven Hindernisse zu erhalten, läßt man ein wenig Wasser aus der unteren Kammer auslaufen, und damit beim weiteren Aufsteigen

und Sinken der Kammer keine beschleunigte Bewegung eintrete, wird noch ein Brems in Wirksamkeit gesetzt, welcher in Verbindung mit der Radwelle steht, woran die Kammern hängen. Uebrigens sind zur Ausgleichung der Kettengewichte noch besondere Gegengewichtsketten an die Kammern angehängen (s. S. 172).

Schiffsaufzüge.

Wenn die beweglichen Kammern nicht senkrecht auf- und niedergelassen werden können, so stellt man dieselben auf Wagen, die man auf sogenannten Rampen und mittels Dampfkraft fort schafft. Eine solche Rampe mit beweglichen Schleusen-kammern ist von Pestie nach A. Thomson's Plan auf dem Monkland-Canal bei Glasgow ausgeführt worden. Es ist hier die Entfernung der Canalenden 960 Fuß englisch und die Steighöhe 96 Fuß, das Gewicht eines mittels 20 Rädern auf einer Eisenbahn von 7 Fuß Spurweite laufenden Wagens sammt Kammer und Schiff 70 Tonnen. Einfacher ist es natürlich noch, wenn man bei Anwendung einer schiefen Eisenbahnebene die Schleusen-kammern ganz fallen läßt und die Schiffe unmittelbar auf die Wagen stellt. In diesem Falle läßt man entweder die obere Canalstrecke in eine Schleuse auslaufen, innerhalb welcher das Aufsetzen des Schiffes auf den Wagen erfolgt, und welche zu entleeren ist, bevor das Aufziehen oder Niederlassen des Wagens sammt Schiff erfolgen kann, oder man begrenzt beide Canalenden durch die Gebirgsabhänge, worauf die Eisenbahn ruht, weshalb zwischen beiden Canalstrecken ein Scheitel herzustellen ist, wenn derselbe nicht schon vorhanden war. Die aus einem Längenprofile und einem Grundrisse bestehende Skizze eines solchen Schiffsaufzuges ist in Fig. 619, I. und II. (a. f. S.) abgebildet. Die achträderigen Wagen A und B, welche zum Fortschaffen der Schiffe C und D dienen, sind durch ein Drahtseil ohne Ende verbunden, welches auf der einen Seite um die Leitrolle E und auf der anderen Seite um die Rollen F und G und außerdem noch über die Rollen H und K am Scheitel, sowie um die Trommel L gelegt ist, welche mit der aus einer Dampfmaschine oder einem Wasserrade bestehenden Umtriebsmaschine in Verbindung steht. Wird diese Trommel durch die Umtriebskraft nach der einen oder der anderen Richtung umgedreht, so steigt natürlich entweder das eine Schiff empor und das andere nieder, oder umgekehrt, es geht das eine Schiff nieder und das andere aufwärts. Die großartigsten Schiffsaufzüge sind in Nordamerika zu finden. Der Morris-Canal hat z. B. bei Philippsburg außer 25 gewöhnlichen Schleusen noch 23 schiefe Ebenen, wodurch die Schiffe von 700 Centner Ladung nach und nach 1627 Fuß hoch hinab oder hinauf befördert werden.

Kleinere Schiffe oder Rähne kann man auch durch Krähne oder andere Aufzüge in senkrechter Richtung von einer Canalstrecke auf eine andere fördern. Ein Beispiel dieser Art bietet der Churprinzen-Canal bei Frei-

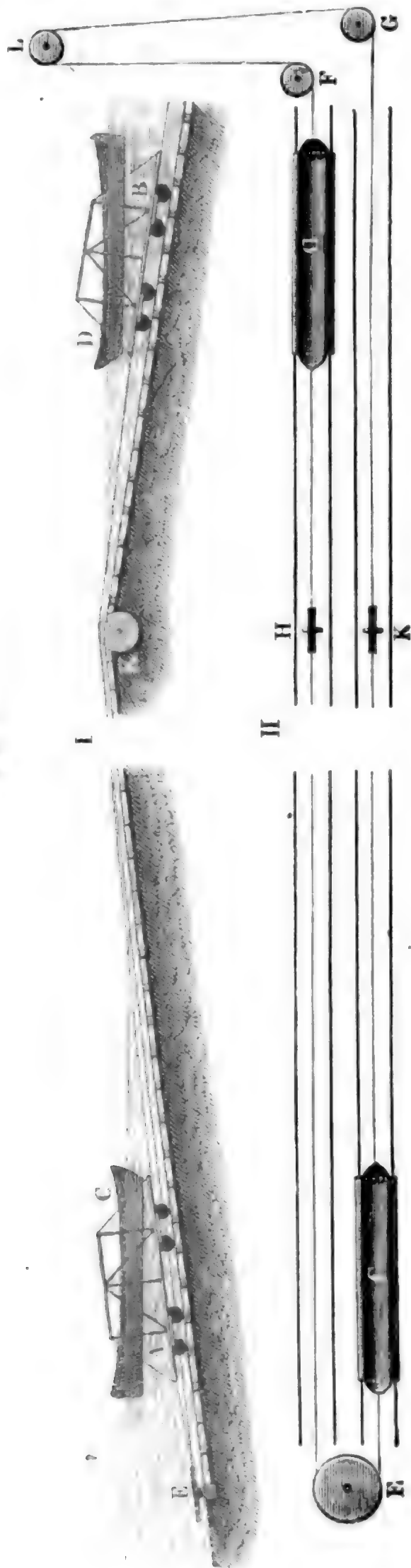
Schiffsauf-  
züge.

Fig. 619.

Construction  
der Schiffe.

berg dar, auf welchem die Erze von Churprinz-Erbstolln nach dem Hüttenwerke Halsbrücke geschifft werden. In dem sogenannten Hebehaufe werden die mit circa 50 Centner Erz beladenen Rähne aus dem Muldenflusse in die obere Canalstrecke 24 Fuß hoch gehoben und die hierzu angewendete Maschine besteht in der Hauptsache in einem durch eine Kurbel in Umdrehung zu setzenden Räderwerke und zwei Flaschenzügen, an welchen der Rahn mittels 20 Seilen angehangen ist.

§. 306. Die Hauptbestandtheile eines Schiffes sind der Kiel, der Border- und der Hintersteven, die Spanten, die Balken, der Deckbalken, das Deck, die Beplankung, das Ruder und die Masten. Der Kiel (franz. quille; engl. keel) und die Spanten (franz. courbes; engl. ribs, frames) sind mit dem Rückgrat und mit den Rippen eines auf dem Rücken liegenden menschlichen Körpers zu vergleichen. Der erstere ist ein starker, oft aus Stücken zusammengelassener Balken, welcher sich längs der Mittellinie des Schiffsbodens erstreckt, und die letzteren sind krumme, aus mehreren Holzstücken zusammen-



gesehte Sparren, welche die Querschnitte des Schiffes begrenzen. Das untere oder sogenannte Bauchstück eines Spantes ruht in der Mitte auf dem Kiele. Die Spanten nehmen von dem sogenannten Hauptspanten (franz. maitre-couple; engl. mid-ship-frame) aus nach den beiden Schiffsenden zu immer mehr und mehr an Breite und Fülle ab. Sehr verschieden ist die Entfernung der Spanten von einander; bei Flußschiffen ist sie 3 bis 4 Fuß, bei Seeschiffen aber 1 Fuß und bei Kriegsschiffen stehen die Spanten sogar dicht neben einander. Die Steven (franz. étraves, étambots; engl. stems, prowposts, sternposts) bilden die aufgebogenen Enden des Kieles, und sind daher auch die äußersten Enden des Schiffes selbst. Die sogenannten Kantenspanten, welche die Steven umfassen, werden nicht rechtwinkelig auf die Längsaxe des Schiffes, sondern mehr oder weniger rechtwinkelig gegen die Steven gelegt. Die Deckbalken (franz. banx; engl. beams) sind quer über das Schiff weg liegende Balken, und werden mittels der sogenannten Balkweger mit den Spanten verbunden. Auf die Deckbalken kommt das Deck (franz. le pont; engl. the deck) zu liegen, welches aus Planken von  $1\frac{1}{2}$  bis 4 Zoll Dicke und 4 bis 6 Zoll Breite zusammengesetzt wird. Bei Flußschiffen bildet das Deck die oberste Begrenzung des Schiffes; Seeschiffe hingegen, welche tiefer gehen, erhalten noch Zwischendecke, wodurch das ganze Schiffesgebäude, wie ein gewöhnliches Wohngebäude, in Fluren oder Etagen abgetheilt wird.

Den nächst wichtigsten Theil eines Schiffes bildet die Bekleidung oder Beplankung (franz. le bordage; engl. the plankings) desselben. Flußschiffe werden zur Erzielung einer größeren Leichtigkeit nur außen, Seeschiffe aber außen und innen bekleidet. Die Haupt- oder Außenplanken werden von außen auf die Spanten aufgenagelt, und mit ihren Enden in die Sponung oder ritzenförmigen Vertiefungen an den Seiten der Steven eingesetzt. Die Fugen zwischen den Planken werden mit Berg ausgestopft oder kalfatert. Diejenigen Planken, welche den Vorder- und Hinterbug des Schiffes bilden, werden, damit sie sich beim Umbiegen um die Spanten fügen, vorher gedämpft, d. i. mehrere Stunden lang in einen mit Wasserdampf angefüllten Kasten gesteckt.

In Fig. 620 und 621 (a. f. S.) sind die Hälften der Hauptquerschnitte eines See- und eines Flußschiffes abgebildet. Der Kiel *A* tritt nur bei dem Seeschiffe in Fig. 620 besonders hervor, bei dem Flußschiffe in Fig. 621 bildet er dagegen nur einen Theil der Beplankung. *BC* ist in beiden Abbildungen der Hauptspanten sammt seiner Bekleidung. Ferner sind in Fig. 620 *F*, *G*, *H* die Deckbalken sammt ihren Decken, wodurch das Schiff in Etagen getheilt wird, zu sehen. Das Flußschiff, Fig. 621, hat dagegen nur eine Deckbalkenreihe *F*, und also

Construction  
der Schiffe.

nur ein Deck, das sogenannte Berdeck *K*. In beiden Abbildungen ist endlich noch *L* die Brüstung des Berdecks, die sogenannte Reilings- oder Schanzbekleidung.

Fig. 620.

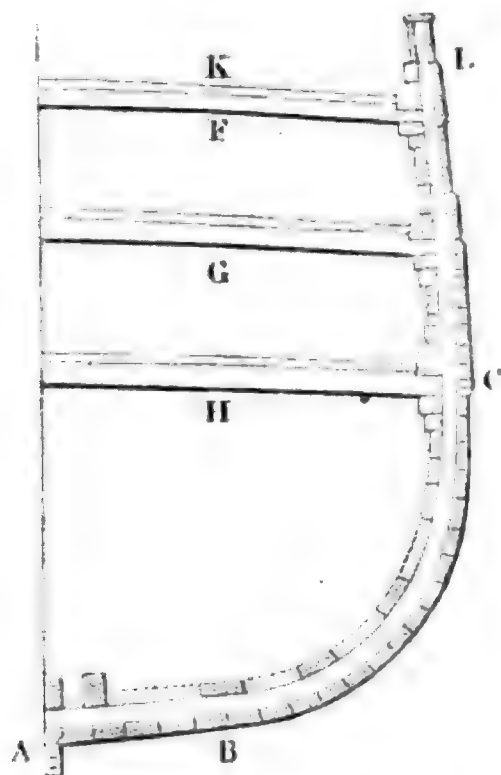
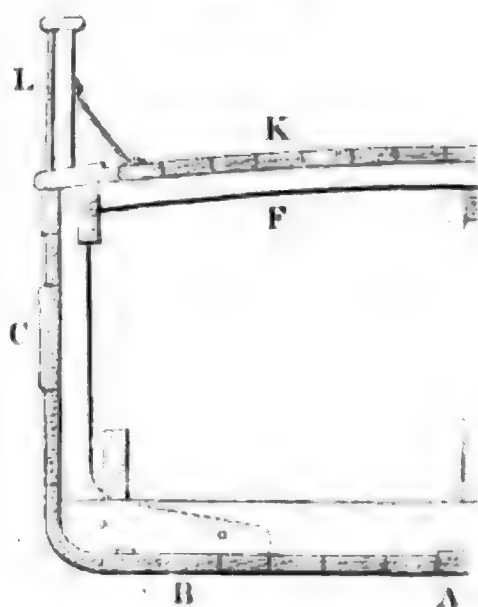


Fig. 621.



Eiserne Schiffe, welche durch ihr kleineres Gewicht und durch ihre längere Dauer große Vorzüge vor den hölzernen haben, erhalten ein Gerippe aus Winkeleisen und eine aus Blechtafeln von  $\frac{1}{2}$  bis  $\frac{3}{4}$  Zoll Stärke zusammengeklebte Bekleidung. Eiserne Querwände aus Eisenblech theilen diese Schiffe in mehrere gänzlich getrennte Räume, und es wird dadurch nicht allein die Stärke der Schiffe erhöht, sondern auch die Gefahr des Untersinkens derselben, bei Entstehung eines Lecks, vermindert. Durch ihre schlanke Gestalt, welche man den eisernen Schiffen geben kann, durchschneiden diese Schiffe das Wasser mit größerer Leichtigkeit als hölzerne Schiffe, und fahren daher auch unter übrigens gleichen Verhältnissen schneller als diese.

§. 307. Das Ruder oder Steuer, Steuerruder (franz. gouvernail; engl. rudder), dient zum Steuern oder Regieren des Schiffes und hängt wie eine Thür in Angeln. Man unterscheidet an ihm den Schaft, das Blatt, die Pinne, den Haken, die Fingerlinge und die Pfannen. Der Ruderschaft oder das Rudherz ist oben durch ein Loch, den sogenannten Guker, in den Schiffsraum geführt, und trägt unten mehrere eiserne Haken, die in die Dosen oder sogenannten Fingerlinge eingreifen, welche am Hinter- oder Achterstegen befestigt sind. Um die Reibung der Haken in den Fingerlingen möglichst herabzuziehen, ist





Construction  
der Schiffe.

welche bei  $K$  und  $K_1$  an die Schiffswand befestigt sind, und dazu dienen, das Ende  $HH_1$  des Ruderhebels  $D$  mit dem Wellenumfange des Steuerrades zu verbinden. Es ist hiernach leicht zu ermessen, wie durch Umdrehung dieses Rades nach der einen oder der anderen Seite das Ruder nach rechts oder links gewendet werden kann. Uebrigens beträgt der Winkel, um welchen man auf diese Weise das Steuerruder rechts oder links wendet, nie über 42 Grad.

Die Besegelung oder Zutakelung eines Schiffes wird angewendet, um dasselbe entweder ganz oder theilweise durch die Kraft des Windes in Bewegung zu setzen. Dieser Theil der Zurüstung eines Schiffes besteht

- 1) aus dem Rundholz, den sogenannten Masten und Stengen,
- 2) aus dem Tau- und Takelwerk, und
- 3) aus den Segeln.

Je nachdem das Tauwerk zur Befestigung der Segel an die Masten und Stengen, oder zur Regierung und Richtung der Segel nach dem Kurse und Wind dient, ist es entweder stehendes oder laufendes Tauwerk. Um endlich noch den Segeln die nöthige Spannung zu geben, werden die sogenannten Raaen, Gaffeln, Spieren und Leitern angewendet.

Kleinere Schiffe und Boote haben nur einen Mast (Mastbaum), größere Seeschiffe sind dagegen zwei- und dreimastig. Die letzteren Schiffe haben außerdem noch ein schief liegendes, über das Vorderende des Schiffes hinaus ragendes Rundholz, das sogenannte Bugspriet. Uebrigens unterscheidet man die drei Masten durch die Namen Fockmast, großer Mast und Besanmast von einander, wobei man von vorn nach hinten zählt. Die Masten größerer Schiffe bestehen nicht aus einem einzigen Stücke, sondern werden noch durch besondere Stangen, die sogenannten Stengen, verlängert. Diese Stengen kommen an die Vorderseite der Masten zu liegen, und werden durch ein besonderes Stück Holz, das sogenannte Eselschoofd (Eselshaupt) gesteckt, welches am Ende eines Mastes festliegt. Um an eine Stenge eine zweite ansetzen zu können, ist natürlich die erstere ebenfalls mit einem Eselschoofd auszurüsten. Masten und Stengen werden durch Taue unterstützt, wovon diejenigen, welche nach den Schiffseiten herabgehen, Wanten, und die nach der Schiffsspiße herabgehenden Stage genannt werden.

Um die aus sogenanntem Segeltuche bestehenden Segel auszuspannen und zu regieren, dienen die sogenannten Raaen, d. i. quer am Maste hängende Rundhölzer, sowie verschiedene Taue, die sogenannten Schoten, Halsen, Brassen u. s. w. Zum Spannen der Seile werden vorzüglich die sogenannten Blöcke (Rollen) und ihre Verbindungen zu sogenannten Takeln (Flaschenzügen, s. III., S. 209) verwendet.



Construction.  
der Schiffe.

den Takel und in  $G$  das Tau zum Aufrichten des Mastes, dessen geneigte Lage durch  $C_1$ ,  $D_1$ ,  $G_1$  in punktirten Linien angedeutet wird. Der Mast ist noch durch die Stenge  $H$  verlängert, und das hintere Segel  $K$  wird durch die beiden Maaen  $M$  und  $N$ , dagegen das Vordersegel  $L$  nur mittels eines Seiles gerichtet und gespannt. Noch sieht man in  $O$  eine kleine Kajüte und in  $P$  die sogenannte Schiffsluke (franz. *écoutille*; engl. *hatch-way*), d. i. eine Oeffnung in dem Berdeck, durch welche man die Güter in den inneren Schiffsraum herabläßt, oder nach Befinden in denselben hinabsteigt.

Schiffsriffe.

§. 308. Die Schiffsförm ist ein wesentlich wichtiger Gegenstand des Schiffsbauwes, da von derselben vorzüglich die Kraft zum Fortbewegen und also auch die Geschwindigkeit des Schiffes abhängt. Es ist aus der Hydroaulik bekannt, daß der Widerstand eines im Wasser bewegten Körpers vorzüglich von der Gestalt der vorderen und der hinteren Begrenzung desselben abhängt, und daß derselbe um so kleiner ausfällt, je schärfer diese Begrenzungen sind und je abgerundeter die ganze eingetauchte Oberfläche des Schiffes ist. Sind dagegen die äußersten Begrenzungen des eingetauchten Schiffskörpers stumpf, und enthält die Schiffsoberfläche wenig abgerundete Ecken oder Kanten, oder überhaupt stark gekrümmte Stellen, so wird das Wasser durch das bewegte Schiff nicht allein in starke, sondern auch in wirbelnde Bewegungen versetzt, wodurch der Widerstand desselben zu einer großen Höhe anwächst. Speciellere Regeln über die vortheilhaftesten Schiffsförm lassen sich aus der Theorie nicht ableiten, man muß sich daher bei Construction der Schiffskörper vorzüglich von der Erfahrung leiten lassen. Solchen Constructionen müssen natürlich gute Zeichnungen von Schiffsgefäßen zu Grunde gelegt werden.

Diese Zeichnungen oder Risse werden vorzüglich nach den drei Hauptdimensionen des Raumes, nämlich

- 1) nach Horizontalschnitten,
- 2) nach vertikalen Längen-, und
- 3) nach vertikalen Querschnitten entworfen.

Die Horizontalschnitte geben auf der äußeren Begrenzung des Schiffes die sogenannten Wasserlinien an, von welchen diejenige, welche die Schwimmebene des belasteten Schiffes begrenzt, die geladene, und diejenige, welche die Schwimmebene des leeren Schiffes umschließt, die leere Wasserlinie genannt wird. Man trägt die in gleichen Höhen über einander liegenden Wasserlinien in den Grundriß, ferner die in gleichen Abständen von einander angenommenen Längenschnitte des Schiffes in das Längen- und die in gleichen Abständen von einander gelegten Querschnitte in die Querprofile des Vorder- und Hinterschiffes ein. Solche mit einem Systeme von Querschnitten (Spanten) versehenen Querprofile eines Schiffskörpers bilden den sogenannten Spantenriß desselben. Außer diesen Profilen fertigt man aber auch noch sogenannte Sentenriffe an.





Schiffen giebt man kleinere Breiten, damit sie das Wasser leicht durchschneiden, und mehr rectanguläre Spantenformen, damit sie keinen großen Tiefgang haben. Gewöhnlich ist das Verhältniß der größten Schiffsbreite zur ganzen Schiffslänge:

Schiffs-  
formen.

bei Seefegelschiffen . . . . . =  $\frac{1}{4}$ ,

bei Seedampfschiffen . . . . . =  $\frac{1}{6}$ , und

bei Flußdampfschiffen . . . . . =  $\frac{1}{8}$ ;

ferner das Verhältniß der größten Schiffshöhe zur Schiffsbreite:

bei Seeschiffen . . . . . =  $\frac{2}{3}$ , und

bei Flußschiffen . . . . . =  $\frac{1}{2}$ ;

endlich das Verhältniß der größten Eintauchung zur größten Schiffsbreite:

bei Seeschiffen . . . . . =  $\frac{2}{5}$ , und

bei Flußschiffen . . . . . =  $\frac{1}{5}$ .

Ein Anhalten bei Beurtheilung der Abrundung und Zuschärfung der Schiffssformen geben noch die sogenannten Völligkeitscoefficienten, oder die Verhältnisse der Inhalte der Hauptquerschnitte des Schiffes zu denen der sie umschließenden Rechtecke, sowie das Verhältniß des Volumens des eingetauchten Schiffstraumes zu dem des denselben umschließenden Parallelepipedes.

Ist  $a$  der Tiefgang,  $b$  die größte Breite und  $l$  die größte Länge des eingetauchten Schiffstheiles, ferner  $F$  der Inhalt des eingetauchten Theiles des Hauptspantens,  $G$  der Inhalt der Schwimmfläche oder des von der geladenen Wasserlinie begrenzten Raumes, und  $V$  das Volumen des verdrängten Wassers, so hat man:

$$\alpha = \frac{F}{ab} = 0,82 \text{ bis } 0,92,$$

$$\lambda = \frac{G}{bl} = 0,80 \text{ bis } 0,65,$$

$$\varphi = \frac{V}{abl} = 0,60 \text{ bis } 0,45,$$

und zwar erstere Verhältnisse bei See- und letztere bei Flußschiffen.

Zur Beurtheilung des Tragvermögens und der Stabilität eines Schiffes ist nöthig, daß man eine möglichst genaue Bestimmung der Inhalte seiner Schnitte vornehme und hiernach wieder den Inhalt des verdrängten Wassers, sowie die Lage seines Schwerpunktes bestimme. Hierzu reichen die in I., §. 118 angegebenen Formeln:

$$1) V = (F_0 + 4 F_1 + 2 F_2 + \dots + 4 F_{n-1} + F_n) \frac{h}{3 n} \text{ und}$$

$$2) y = \frac{0 \cdot F_0 + 1 \cdot 4 F_1 + 2 \cdot 2 F_2 + 3 \cdot 4 F_3 + \dots + (n-1) 4 F_{n-1} + n F_n}{F_0 + 4 F_1 + 2 F_2 + 4 F_3 + \dots + 4 F_{n-1} + F_n} \frac{h}{6}$$



Seiff.  
formen.

aus, wenn man darin unter  $h$  die in  $n$  gleiche Theile getheilte Höhe oder Länge, unter  $F_0, F_1, F_2 \dots F_n$  die durch die Theilpunkte  $0, 1, 2 \dots n$  gelegten Querschnitte eines Körpers versteht, und  $V$  das Volumen dieses Körpers, sowie  $y$  den Abstand seines Schwerpunktes von der Grundfläche oder nullten Schnittfläche ( $F_0$ ) bezeichnet.

Wir können in diesen beiden Formeln einmal statt  $h$  die Wassertracht ( $a$ ) oder die Tiefe der Eintauchung, und statt  $F_0, F_1 \dots F_n$  die Inhalte der Horizontalschnitte oder die von den Wasserlinien begrenzten Flächräume, von unten nach oben gerechnet, und das andere Mal statt  $h$  die Länge ( $l$ ) der geladenen Wasserlinie und statt  $F_0, F_1 \dots F_n$  die Inhalte der vertikalen Querschnitte (Spanten) einsetzen, und bekommen dann in beiden Fällen durch die Formel (1) das Volumen  $V$  des verdrängten Wassers, in dem ersten Falle durch die Formel (2) den Abstand ( $y$ ) des Schwerpunktes des Schiffes von dem Kiele, und im zweiten Falle durch die zweite Formel den horizontalen Abstand ( $y$ ) dieses Schwerpunktes von dem als Nullpunkt angenommenen Schiffsende.

Was die Bestimmung der Schnittflächen  $F_0, F_1 \dots F_n$  anlangt, so ist dieselbe ebenfalls durch Formel (1) zu vollziehen, wenn man darin statt  $h$  die Länge oder Höhe der Schnittfläche, und statt  $F_0, F_1 \dots F_n$  die in gleichen Abständen von einander abgenommenen Breiten einer solchen Fläche einsetzt.

Uebrigens liegt der Schwerpunkt des Wasserraumes in dem vertikalen Hauptlängenschnitt des Schiffes. Der Auftrieb  $V\gamma$  des Schiffes (siehe I., §. 307) ist  $= Q + Q_1 + Q_2$ , wenn:

$Q$  die Größe der Schiffsladung (Lastigkeit),

$Q_1$  das Gewicht des leeren Schiffes und

$Q_2$  das Gewicht des Treibapparates, der Dampfmaschine sammt Kessel u. s. w. bezeichnen.

Die Stabilität des Schiffes fordert, daß man sowohl den Schwerpunkt von  $Q$  als auch den von  $Q_1$  und den von  $Q_2$  nicht allein in den vertikalen Hauptlängenschnitt des Schiffes, sondern auch so tief wie möglich lege. Auch ist es natürlich nöthig, daß der Schwerpunkt des ganzen Schiffes ( $Q + Q_1 + Q_2$ ) von dem Schiffsende ebenso viel abstehe als der Schwerpunkt des Auftriebes  $V\gamma$ . Sind die Abstände der Schwerpunkte der Gewichte  $Q, Q_1, Q_2$  und der Kraft  $V\gamma$ , von dem Schiffsende der Reihe nach  $x, x_1, y$  und  $z$ , so haben wir hiernach:

$$Qx + Q_1x_1 + Q_2y = Vz\gamma$$

zu setzen, so daß sich hiernach die Ordinate des Schwerpunktes der Schiffsmaschine:

$$x_1 = \frac{Vz\gamma - Qx - Q_2y}{Q_1}$$

bestimmen läßt.

§. 310. Die Größe ( $S$ ) der Stabilität eines Schiffes ist in I., Stabilität  
der Schiffe.  
§. 312 durch die Formel:

$$S = \left( \frac{b^3}{12 F} + e \right) P \varphi$$

ausgedrückt worden, worin  $b$  die Breite des Schiffes in der Schwimmebene,  $F$  den Inhalt des vertikalen Querschnittes des verdrängten Wassers,  $e$  die Höhe des Schwerpunktes des Schiffes über dem des verdrängten Wassers,  $P$  den Auftrieb  $V\gamma = F/\gamma$  und  $\varphi$  die Neigung des Schiffes nach der einen oder der anderen Seite bezeichnen. Diese Formel ist nur für ein prismatisches Schiff entwickelt worden; da aber der Querschnitt  $F$  nach den Schiffsenden zu immer kleiner und kleiner wird, so läßt sie sich unmittelbar nur auf kurze Stücke anwenden, deren Querschnitte als unveränderlich angesehen werden können. Sind nun  $l_0, l_1, l_2 \dots$  die Längen,  $b_0, b_1, b_2 \dots$  die oberen Breiten,  $F_0, F_1, F_2 \dots$  die Querschnitte,  $V_0, V_1, V_2 \dots$  die Volumina und  $e_0, e_1, e_2 \dots$  die Tiefen der Schwerpunkte dieser Stücke unter dem Schwerpunkte des ganzen Schiffes, so haben wir die entsprechenden Stabilitäten:

$$\begin{aligned} S_0 &= \left( \frac{l_0 b_0^3}{12} - V_0 e_0 \right) \varphi \gamma, \\ S_1 &= \left( \frac{l_1 b_1^3}{12} - V_1 e_1 \right) \varphi \gamma, \\ S_2 &= \left( \frac{l_2 b_2^3}{12} - V_2 e_2 \right) \varphi \gamma \text{ u. s. w.} \end{aligned}$$

und daher die Stabilität des ganzen Schiffes:

$$\begin{aligned} S &= S_0 + S_1 + S_2 + \dots \\ &= \left( \frac{1}{12} (l_0 b_0^3 + l_1 b_1^3 + l_2 b_2^3 + \dots) \right. \\ &\quad \left. - (V_0 e_0 + V_1 e_1 + V_2 e_2 + \dots) \right) \varphi \gamma, \end{aligned}$$

oder, da:

$$\frac{1}{12} (l_0 b_0^3 + l_1 b_1^3 + l_2 b_2^3 + \dots) = \frac{1}{3} \Sigma \left[ b l \left( \frac{b}{2} \right)^2 \right]$$

gleich dem Trägheitsmomente  $J$  der Schwimmfläche in Hinsicht auf die Längsaxe des Schiffes, und

$$V_0 e_0 + V_1 e_1 + V_2 e_2 + \dots$$

das Moment des ganzen verdrängten Wasservolumens  $V$  oder das Product aus diesem Raume und dem Abstände  $e$  seines Schwerpunktes von dem des ganzen Schiffes ist:

$$S = (J - V e) \varphi \gamma.$$

Damit das Schiff Stabilität besitze, muß natürlich

$$J > V e$$

sein.

Stabilität  
der Schiffe.

Wird das Schiff durch den Windstoß oder durch irgend eine Ursache aus seiner Gleichgewichtslage gebracht, so nimmt es eine schwingende Bewegung an, welche sich nach der Theorie des Pendels beurtheilen läßt. Diese pendelnden Bewegungen bestehen entweder in einem Auf- und Niedersteigen, oder in einem Schwanken nach der einen oder anderen Seite des Schiffes, oder in einem Schwanken um die horizontale Queraxe des Schiffes; die erstere Bewegungsweise läßt sich mit dem Namen Steigen bezeichnen, die zweite wird in der Schiffssprache Schlingern, und die letzte Stampfen des Schiffes genannt (s. §. 290). Die Schwingungszeiten dieser Bewegungen lassen sich sämmtlich durch den in I, Anhang, §. 2 \*) gefundenen Ausdruck:

$$t = \frac{\pi}{\sqrt{\mu}}$$

in welchem:

$$\mu = \frac{p}{x},$$

oder das Verhältniß der Acceleration  $p$  zu dem zurückgelegten Weg  $x$  bezeichnet, bestimmen.

Wenn sich der Schwerpunkt des Schiffes um den Weg  $x$  senkrecht niederbewegt, so ist bei dem Inhalte  $G$  der Schwimmfläche der entsprechende Zuwachs des Auftriebes oder die bewegende Kraft:

$$P = Gx\gamma;$$

und hat nun noch das Schiff die Masse  $M = \frac{V\gamma}{g}$ , so folgt die Acceleration der schwingenden Bewegung des Schiffes in vertikaler Richtung:

$$p = \frac{P}{M} = \frac{Gx\gamma}{M},$$

daher:

$$\mu = \frac{p}{x} = \frac{G\gamma}{M},$$

und endlich die Schwingungszeit des Steigens:

$$t = \frac{\pi}{\sqrt{\mu}} = \pi \sqrt{\frac{M}{G\gamma}} = \pi \sqrt{\frac{V}{Gg}},$$

oder, wenn man noch  $V = \varphi a b l$  und  $G = \lambda b l$  setzt:

$$t = \pi \sqrt{\frac{\varphi}{\lambda} \cdot \frac{a}{g}}.$$

Die Schwingungszeiten des Schlingerns und Stampfens des Schiffes

sind einfach nach der Theorie des materiellen Pendels (I., §. 267) zu bestimmen. Es ist diese Zeit: Stabilität  
des Schiffes.

$$= \pi \sqrt{\frac{\text{Trägheitsmoment}}{\text{Statisches Moment}}}.$$

Ist folglich  $\frac{T_1 \gamma}{g}$  das Trägheitsmoment des Schiffes in Hinsicht auf seine Längsaxe durch den Schwerpunkt desselben, und  $J$  das Trägheitsmoment der Schwimmsfläche in Hinsicht auf ihre Längsaxe, also  $(J - Ve) \gamma$  das statische Moment des Schiffes, so hat man die Schwingungszeit des Schlingerns:

$$t_1 = \pi \sqrt{\frac{T_1}{g (J - Ve)}},$$

und bezeichnet dagegen  $T_2$  das Trägheitsmoment des Schiffes in Hinsicht auf seine Queraxe durch den Schwerpunkt, und  $J_1$  das Trägheitsmoment der Schwimmsfläche  $G$  in Hinsicht auf ihre Queraxe, so hat man die Schwingungszeit des Stampfens:

$$t_2 = \pi \sqrt{\frac{T_2}{g (J_1 - Ve)}}.$$

Beispiel. Die Form eines Flußdampfschiffes ist durch die in folgender Tabelle enthaltenen Coordinaten gegeben, wobei die Schiffslänge = 20 und die halbe Schiffsbreite = 1000 gesetzt, der Abscissenanfangspunkt am hinteren Schiffsende angenommen worden ist, und die Abscissenaxe die Richtung des Rieles hat; man soll die Laßigkeit dieses Schiffes und seine Stabilitätsverhältnisse u. s. w. ausmitteln.

H i n t e r s c h i f f.					V o r d e r s c h i f f.				
Abscissen.	Ordinaten der Wasserlinien.				Abscissen.	Ordinaten der Wasserlinien.			
	I.	II.	III.	Verdeck		I.	II.	III.	Verdeck
0	30	30	30	800	10	830	910	960	1000
1	45	100	165	850	11	810	910	950	990
2	120	230	390	900	12	760	870	930	990
3	240	400	600	930	13	680	810	870	960
4	380	590	750	930	14	570	700	780	930
5	520	700	825	970	15	440	570	650	860
6	630	790	880	990	16	310	420	500	770
7	730	840	910	990	17	200	270	340	640
8	790	880	940	990	18	110	150	200	480
9	830	910	960	1000	19	30	40	60	270
10	830	910	960	1000	20	—	—	—	30

Stabilität  
der Schiffe.

Der Inhalt  $G_0$  der nullten oder untersten Wasserlinie ist = Null zu setzen, der der ersten Wasserlinie aber:

$$G_1 = [30 + 4 (45 + 240 + 520 + \dots + 30) + 2 (120 + 380 + 630 + \dots + 110)] \frac{bl}{60000}$$

$$= 0,452 \, bl,$$

ferner der der folgenden:

$$G_2 = [30 + 4 (100 + 400 + \dots + 40) + 2 (230 + 590 + \dots + 150)] \frac{bl}{60000}$$

$$= 0,557 \, bl,$$

und der der obersten oder geladenen Wasserlinie:

$$G_3 = [30 + 4 (165 + \dots + 60) + 2 (390 + \dots + 200)] \frac{bl}{60000}$$

$$= 0,663 \, bl.$$

Hieraus folgt das Volumen des verdrängten Wassers (siehe »Ingenieur-Seite 254):

$$V = [G_0 + 3(G_1 + G_2) + G_3] \frac{a}{8} = (0 + 3 \cdot 1,009 + 0,663) \frac{abl}{8} = 0,461 \, abl.$$

Die Inhalte der Querschnitte der Spanten bestimmen sich ebenfalls durch Formel:

$$F = [y_0 + 3(y_1 + y_2) + y_3] \frac{a}{8},$$

und es ist hiernach:

$$F_0 = (0 + 3 \cdot 60 + 30) \frac{ab}{8000} = 0,026 \, ab,$$

$$F_1 = (0 + 3 \cdot 145 + 165) \frac{ab}{8000} = 0,075 \, ab,$$

$$F_2 = (0 + 3 \cdot 350 + 390) \frac{ab}{8000} = 0,180 \, ab,$$

$$F_3 = (0 + 3 \cdot 640 + 600) \frac{ab}{8000} = 0,315 \, ab,$$

und es folgt so weiter:

$$F_4 = 0,457 \, ab, \quad F_5 = 0,561 \, ab, \quad F_6 = 0,642 \, ab, \quad F_7 = 0,703 \, ab,$$

$$F_8 = 0,744 \, ab, \quad F_9 = 0,772 \, ab, \quad F_{10} = 0,773 \, ab, \quad F_{11} = 0,764 \, ab,$$

$$F_{12} = 0,728 \, ab, \quad F_{13} = 0,667 \, ab, \quad F_{14} = 0,624 \, ab, \quad F_{15} = 0,460 \, ab,$$

$$F_{16} = 0,336 \, ab, \quad F_{17} = 0,219 \, ab, \quad F_{18} = 0,122 \, ab, \quad F_{19} = 0,034 \, ab,$$

$$F_{20} = 0.$$

Mit Hülfe der Formel:

$$V = [F_0 + 4(F_1 + F_2 + \dots + F_{19}) + 2(F_3 + F_4 + \dots + F_{18}) + F_{20}] \frac{l}{50}$$

ergiebt sich hiernach das Wasservolumen:

$$V = 0,459 \, abl,$$

und nimmt man nun aus beiden Werthen das Mittel, so erhält man:

$$V = 0,460 \, abl.$$

Wäre die absolute Länge dieses Wasserraumes:  $l = 200$  Fuß, die größte Breite desselben:  $b = \frac{l}{6} = \frac{100}{3}$ , und seine Tiefe  $a = \frac{b}{3} = \frac{20}{3}$  Fuß, so hätte man das ganze Wasservolumen:

$$V = 0,460 \cdot \frac{20 \cdot 100 \cdot 200}{3 \cdot 3} = 20444 \text{ Cubiffuß.}$$



Von dem Fortschaffen der Lasten auf ganz oder nahe horizontalen Wegen. 745  
und folglich die ganze Tragkraft des Schiffes:

Stabilität  
des Schiffes.

$$Q + Q_1 + Q_2 = V\gamma = 20444 \cdot 66 = 1349304 \text{ Pfund.}$$

Der Angriffspunkt dieser Kraft liegt über dem Schiffeskiel um

$$z = \frac{(0 \cdot G_0 + 1 \cdot 3 G_1 + 2 \cdot 3 G_2 + 3 \cdot G_3) \frac{a}{3}}{1 G_0 + 3 G_1 + 3 G_2 + G_3}$$

$$= \frac{3 \cdot 0,452 + 6 \cdot 0,557 + 3 \cdot 0,663}{0 + 3 \cdot 0,452 + 3 \cdot 0,557 + 0,663} \frac{a}{3} = \frac{2,229}{3,690} \frac{a}{3} = 0,602 a = 4,01 \text{ Fuß,}$$

und vom Schiffsende in horizontaler Richtung ab:

$$s = \frac{0 \cdot 1 \cdot F_0 + 1 \cdot 4 F_1 + 2 \cdot 2 F_2 + 3 \cdot 4 F_3 + \dots + 19 \cdot 4 F_{19} + 20 F_{20}}{1 F_0 + 4 F_1 + 2 F_2 + 4 F_3 + \dots + 4 F_{19} + F_{20}} \frac{l}{20}$$

$$= 0,483 l = 96,6 \text{ Fuß.}$$

Das Trägheitsmoment der Schwimmfläche in Beziehung auf ihre Längs-  
axe ist:

$$J = [30^3 + 4(165^3 + 600^3 + \dots) + 2(390^3 + 750^3 + \dots)] \cdot \frac{2(\frac{1}{2}b)^2 l}{3 \cdot 60 \cdot 10000000000}$$

$$= 0,0355 b^3 l;$$

und daher die Bedingung der Stabilität des Schiffes:

$$Ve < J, \text{ oder } e < \frac{J}{V}, \text{ d. i.}$$

$$e < \frac{0,0355 b^3 l}{0,461 a b l} \text{ oder } < 0,077 \frac{b^2}{a}.$$

Wenn also der Schwerpunkt des ganzen Schiffes noch nicht

$$0,077 \frac{b^2}{a} = 0,077 \cdot \frac{500}{3} = 12,83 \text{ Fuß}$$

über dem des verdrängten Wassers, also noch nicht 16,84 Fuß über dem Schiffes-  
kiel liegt, besitzt das Schiff Stabilität.

Die Zeit der Schwingungen dieses Schiffes in vertikaler Richtung ist:

$$t = \pi \sqrt{\frac{\varphi}{\lambda} \frac{a}{g}} = \pi \sqrt{\frac{0,460}{0,663} \cdot \frac{20}{3 \cdot 31,25}} = \pi \sqrt{\frac{9,2}{1,989 \cdot 31,25}} = 1,208 \text{ Sec.}$$

Wäre das Trägheitsmoment des ganzen Schiffes in Hinsicht auf seine hori-  
zontale Längsaxe durch den Schwerpunkt:  $T_1 \gamma = 20444 \cdot 100 \gamma$ , und die  
Höhe des Schiffeschwerpunktes über dem des verdrängten Wassers:  $e = 8$  Fuß,  
so würde die Zeit einer Schwingung um die genannte Axe, oder die des soge-  
nannten Schlingerns:

$$t_1 = \pi \sqrt{\frac{T_1}{g(J - Ve)}} = \pi \sqrt{\frac{20444 \cdot 100}{31,25 \left[ 0,0355 \cdot \left(\frac{100}{3}\right)^3 \cdot 200 - 20444 \cdot 8 \right]}}$$

$$= \pi \sqrt{\frac{2044400}{31,25 (262963 - 163532)}} = 2,549 \text{ Sec.}$$

betragen.

Widerstand  
des Wassers.

§. 311. Der Widerstand  $W$  bei der Bewegung eines Schiffes im stillstehenden Wasser ist durch die (aus I, §. 429) bekannte Formel:

$$W = \xi \frac{v^2}{2g} F \gamma,$$

in welcher  $F$  den Hauptquerschnitt des Schiffes,  $v$  die Geschwindigkeit desselben,  $\xi$  den sogenannten Widerstandscoefficienten u. s. w. bezeichnen, zu bestimmen. Steht das Wasser, in welchem sich das Schiff bewegt, nicht still, sondern läuft es dem Schiffe mit der Geschwindigkeit  $c$  entgegen, so hat man:

$$W = \xi \frac{(v + w)^2}{2g} F \gamma,$$

und fließt es dagegen in der Richtung des Schiffes mit der Geschwindigkeit  $w$  fort, so ist:

$$W = \xi \frac{(v - w)^2}{2g} F \gamma$$

zu setzen.

Dieser Widerstand geht theils aus dem Aufstauen des ausweichenden Wassers vor dem Schiffe, theils aus der Senkung des zufließenden Wassers hinter dem Schiffe und theils auch aus der Reibung des Wassers an der Schiffsoberfläche hervor, und hängt daher auch noch vorzüglich von der Form des Schiffes ab. Sind die Vorder- und Hintertheile eines Schiffes hinreichend zugespitzt und an den Stellen, wo sie sich an das Mittelschiff anschließen, sehr gut abgerundet, so geht das Fortschieben und Wiederzusammenfließen des Wassers fast ohne alle wirbelnde Bewegungen desselben vor sich, und es wird dann die Kraft, welche das Ausstauen des Wassers vom Schiffsvordertheil in Anspruch nimmt, durch den Druck des Wassers am Schiffshintertheil fast wieder ersetzt, folglich das hauptsächlichste Hinderniß der Bewegung des Schiffes nur in der Ueberwindung der Reibung des Wassers bestehen. In diesem Falle sinkt der entsprechende Widerstandscoefficient  $\xi$  bis auf 0,05 bis 0,10, während er bei einem prismatischen Schiffe ohne alle Zuspitzung circa 1,1 beträgt. Nach Campaignac's Versuchen an Dampfschiffen auf dem Meere (siehe dessen *Traité sur l'état actuel* [1842] de la marine à vapeur) ist im Mittel  $\xi = 0,0755$  zu nehmen.

Bei Segelschiffen, sowie auch bei Rähnen, ist die Zuspitzung der Schiffsenden, und die Abrundung an den Seiten weniger vollkommen, so daß hier sich  $\xi$  auf 0,2 bis 0,45 steigert.

Diese Coefficienten fallen noch größer aus, wenn sich das Schiff in einem engen Canale bewegt, dessen Querschnitt  $F_1$  (nach Du Buat) nicht mindestens  $6\frac{1}{2}$  mal so groß ist als der Querschnitt  $F$  des Schiffes. In diesem Falle kann das Wasser nicht ungehindert zur Seite des Schiffes



ausweichen; es staut sich deshalb dasselbe vor dem Schiffe höher auf, als wenn der Wasserspiegel unbegrenzt wäre, und wird überdies noch durch die Reibung an dem Bette des Canales in seiner Bewegung gestört. Du Buat entwickelt aus den hierüber angestellten Versuchen von Bossut Formeln zu entsprechender Correction von  $\xi$ , es scheinen aber nach D'Aubuisson's Berechnungen (siehe D'Aubuisson's Hydraulik, §. 228 u. f. w.) dieselben zu große Werthe zu liefern. Die Reductionsformel:

$$\xi_1 = \left( 1 + \frac{1}{\left( \frac{F_1}{F} - 1 \right)^2} \right) \xi,$$

in welcher  $F_1$  den Querschnitt des Canales, und  $\xi_1$  den entsprechenden Widerstandscoefficienten des Schiffes bezeichnen, möchte sich vielleicht eher begründen lassen und auch mit den Erfahrungen besser übereinstimmen. Sie giebt für

$$\frac{F_1}{F} = \infty, \xi_1 = \xi, \text{ und für}$$

$$\frac{F_1}{F} = 2, \xi_1 = 2\xi.$$

Auch in Beziehung auf die Geschwindigkeit des Schiffes scheint der Coefficient  $\xi$  nicht ganz constant zu sein. Die hierüber angestellten Versuche von Macneil, Russell und Morin an kleinen Canalschiffen weisen diese Veränderlichkeit vollständig nach (siehe Introduction à la Mécanique industrielle par Poncelet). So lange die Geschwindigkeit des Schiffes 6 Fuß nicht übersteigt, ist diesen Versuchen zufolge,  $\xi$  ziemlich constant, bei größeren Geschwindigkeiten von 8 bis 12 Fuß nimmt dagegen  $\xi$  rasch, jedoch höchst unregelmäßig, zu, und fällt vielleicht doppelt so groß aus als bei kleinen Geschwindigkeiten, bei sehr großen Geschwindigkeiten von 15 und mehr Fuß geht endlich  $\xi$  wieder in seinem Werthe herab. Die Ursachen dieser großen Veränderlichkeit von  $\xi$  sind keinesweges genau bekannt. Eine große Rolle spielen hierbei jedenfalls die Wellen, welche das unvollkommen zugespitzte Boot bei seinem schnellen Durchschneiden des Wassers an der Oberfläche desselben erzeugt.

§. 312. Die Fortbewegung der Schiffe auf dem Wasser erfolgt entweder: Schiffsziehen.

1) durch das sogenannte Schiffsziehen (franz. le halage; engl. the towing), oder

2) durch den Windstoß mittels Segel (franz. voiles; engl. sails), oder

3) durch das Rudern mittels einfacher Ruder oder besonderer Ruderäder.

Schiffsziehen.

Außerdem können natürlich auch die Schiffe durch das fließende Wasser selbst fortbewegt werden.

Das Schiffsziehen wird entweder:

1) durch Menschen oder Thiere, oder

2) durch stehende, oder

3) durch locomobile Maschinen

verrichtet.

Im ersteren Falle laufen die Menschen oder Thiere an dem Ufer des Wassers (oder dem sogenannten Leinpfade) hin und ziehen dabei an einem Seile, welches mit seinem hinteren Ende an dem Schiffsmast oder an einem anderen hervorstehenden Theile des fortzuziehenden Schiffes angeknüpft ist. Im zweiten Falle wird das Schiff durch ein langes Seil fortgezogen, welches sich um eine Trommel oder einen Korb wickelt, der einen Theil eines Dampf- oder Wassergöpels bildet (vergl. §. 246, §. 251, §. 270). Was die locomobilen Maschinen zum Fortziehen eines Schiffes anlangt, so können dieselben entweder in einem Dampfswagen bestehen, welcher auf einer Eisenbahn längs der Ufer fortrollt und das Schiff mittels eines Seiles nachzieht, oder es kann hierzu eine auf dem fortzuziehenden Schiffe selbst aufgestellte Dampfmaschine dienen, in welchem Falle dieselbe eine unter dem Schiffe angebrachte Trommel in Umdrehung setzt, um welche sich eine lange Kette wickelt, die längs des ganzen von dem Schiffe zu durchlaufenden Weges über dem Boden hin ausgespannt und an ihren Enden mit demselben fest verbunden ist. Zu dem Schiffsziehen mittels locomobiler Maschinen gehört auch noch das Bugfieren (franz. remorquer; engl. tow) eines Schiffes durch ein anderes, z. B. durch ein Dampfsschiff.

Der Widerstand beim Ziehen eines Schiffes in einem Schiffahrtscanal ist nach der Formel:

$$W = \xi \frac{v^2}{2g} F \gamma$$

zu berechnen (siehe den vorigen Paragraphen), und hierin, wenn die Geschwindigkeit  $v$  des Schiffes nicht sehr groß ist, nach Morin's Versuchen  $\xi = 0,21$  bis  $0,27$  einzuführen.

Bei dem Fortziehen in einem fließenden Wasser hat man dagegen:

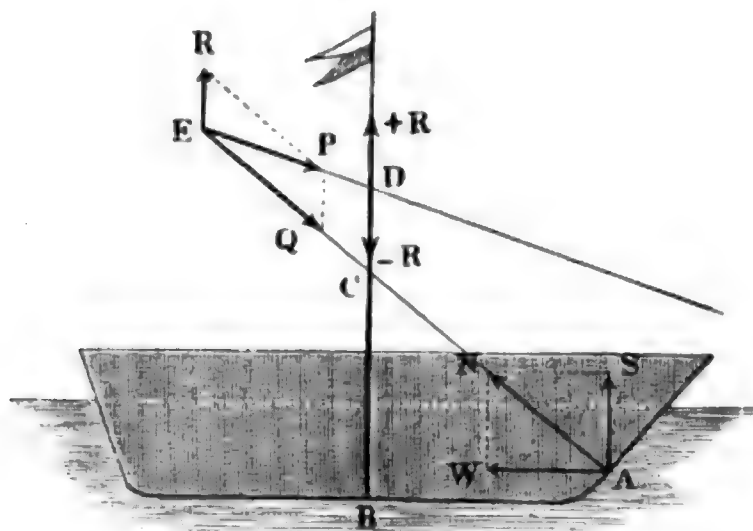
$$W = \xi \frac{(v \pm w)^2}{2g} F \gamma \pm (Q + Q_1) \sin. \alpha$$

zu setzen, wobei  $c$  die Geschwindigkeit des Wassers,  $\alpha$  den Abhang der Oberfläche des fließenden Wassers, und  $Q + Q_1 = V \gamma$  das ganze Gewicht des Schiffes bezeichnet. Die Pluszeichen gelten natürlich für das Bergauf- und die Minuszeichen für das Bergabfahren.



Schiffziehen. das Schiff etwas im Ganzen, sondern giebt ihm auch noch eine kleine

Fig. 628.



Neigung nach hinten. Ist  $J$  das Trägheitsmoment der Schwimmfläche des Schiffes in Hinsicht auf seine Quersaxe,  $d$  der Abstand  $DE$  des Durchschnittspunktes  $E$  von dem Mast, so haben wir die entsprechende Neigung der Längensaxe des Schiffes:

$$\varphi = \frac{R d}{J - V_e} \quad (\text{f. §. 310}).$$

Die zu verrichtende mechanische Arbeit beim Schiffziehen ist natürlich:

$$L = P v,$$

also mindestens annähernd:

$$= \left( \xi \frac{(v \pm w)^2 F \gamma}{2 g} \pm (Q + Q_1) \sin. \alpha \right) v,$$

und daher bei der Bewegung im stehenden Wasser:

$$L = \xi \frac{v^2}{2 g} F \gamma v = \frac{\xi \gamma}{2 g} F v^3.$$

Es wächst also die letzte Arbeit wie der Cubus der Geschwindigkeit des Bootes, und es ist folglich der Transport zu Wasser um so vortheilhafter, je langsamer das Schiff fortgezogen wird.

Beispiel. Welche Kraft erfordert das Fortziehen eines Schiffes in einem Schiffahrts canale, wenn der Hauptquerschnitt desselben 60 Quadratfuß und die Geschwindigkeit  $v = 3$  Fuß beträgt. Setzen wir  $\xi = 0,25$ , so erhalten wir:

$$P = \xi \cdot \frac{v^2}{2 g} F \gamma = 0,25 \cdot 0,016 \cdot 9 \cdot 60 \cdot 66 = 142,56 \text{ Pfund},$$

und folglich die nöthige Arbeit pr. Secunde:

$$L = P v = 142,56 \cdot 3 = 427,7 \text{ Pfund},$$

welche also nach II., §. 80 von einem Pferde allein verrichtet werden kann.

Wenn dasselbe Schiff mit derselben Geschwindigkeit in einem fließenden Wasser bergauf gezogen werden sollte, so würde bei der Geschwindigkeit  $w = 2$  Fuß dieses Wassers, bei dessen Abhange  $\sin. \alpha = 0,0001$ , und bei dem von dem geladenen Schiffe verdrängten Wasservolumen  $V = 2500$  Cubikfuß, die nöthige Zugkraft:

$$P = \xi \frac{(v + w)^2}{2 g} F \gamma + V \gamma \sin. \alpha = 0,25 \cdot 0,016 \cdot 25 \cdot 60 \cdot 66 + 2500 \cdot 66 \cdot 0,0001 \\ = 396 + 0,25 \cdot 66 = 412,5 \text{ Pfund},$$

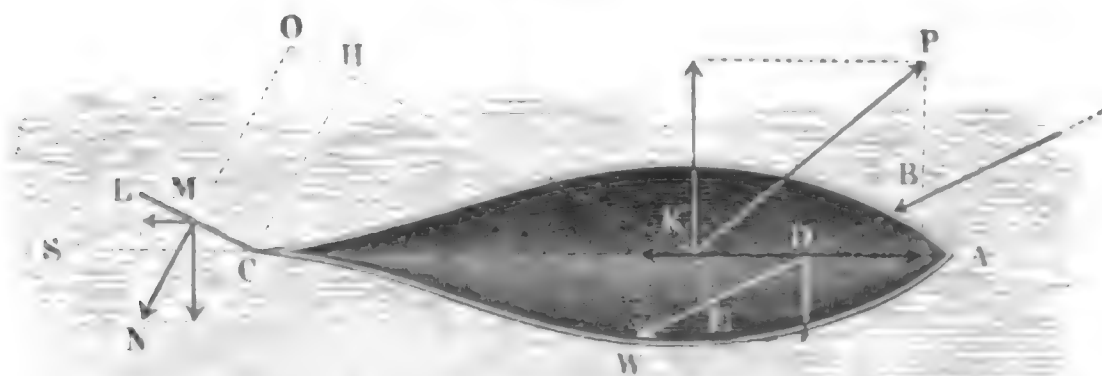
also die mechanische Arbeit  $L = P v = 1237,5$  Fußpfund sein.

Verwendet man hierzu drei Pferde, so vermögen diese die Arbeit:

Schiffsziehen.

$L = 3 \left( 2 - \frac{v}{c} \right) P v = 3 \left( 2 - \frac{3}{4} \right) \cdot 120 \cdot 3 = 1350$  Fußpfund  
zu verrichten.

§. 313. Wenn die Richtung der Zugkraft  $P$  eines Schiffes  $ABC$ , Fig. 629, von der Längsaxe  $AC$  desselben abweicht, so nimmt auch die  
Das Steuern  
des Schiffes.  
Fig. 629.



Bewegung desselben eine andere Richtung  $DB$  an. Es hat dann das Schiff einen schrägen Lauf und es heißt der Winkel  $ADB = \delta$ , um welchen die Schiffsaxe  $AC$  von der Bewegungsrichtung  $DB$  abweicht, die Abtrifft des Schiffes. Nehmen wir an, daß der Widerstand  $W$ , welchen das Wasser der Bewegung des Schiffes entgegensetzt, in  $B$  angreife, und verlegen wir noch diesen Angriffspunkt in die Schiffsaxe, nach  $D$ . Wenn nun die Zugkraft  $P$  in  $D$  angreife und dem Widerstand  $W$  genau entgegen wirkte, so würde das Schiff ohne Weiteres, d. i. ohne Zuhilfenahme des Steuers, diesen schrägen Lauf annehmen, ohne sich zu drehen. Greift aber die bewegende Kraft  $P$ , d. i. die eines Seiles oder die der Segel, in einem anderen Punkte  $K$  an, und wirkt sie in einer anderen Richtung als die Bewegung des Schiffes, so hat das Schiff ein Bestreben zum Drehen, dem nur durch eine angemessene Stellung des Steuers  $CL$  begegnet werden kann. Bezeichnen wir den Winkel, um welchen die Richtung der Zug- oder Treibkraft  $\overline{KP} = P$  von der Schiffsaxe abweicht, also  $\overline{PKA}$ , durch  $\beta$ , und den Drehungswinkel des Steuers, oder die Abweichung  $SCL$  desselben von der Schiffsaxe, durch  $\varphi$ , setzen wir ferner die aus dem Widerstande des Wassers erwachsende Kraft des Steuers  $= N$ , den Abstand  $CM$  ihres Angriffspunktes  $M$  von der Axe  $C$ ,  $= s$ , den Abstand  $KD$  des Angriffspunktes  $K$  von dem Angriffspunkte  $D$  des Widerstandes  $W$ ,  $= a$ , und den von der Axe  $C$  des Steuers,  $CK = b$ , so können wir nach den Lehren der Statik (§. I., §. 88) folgende drei Gleichungen aufstellen:

Das Steuern  
der Schiffe.

- 1)  $N \cos. \varphi + W \sin. \delta = P \sin. \beta,$
  - 2)  $N \sin. \varphi + W \cos. \delta = P \cos. \beta,$  und
  - 3)  $N (s + b \cos. \varphi) = W a \sin. \delta,$
- und es kommt hierzu noch der Ausdruck:

$$N = \xi_1 \frac{v^2}{2g} [\sin. (\delta + \varphi)^2] S\gamma,$$

worin  $\xi_1$  den Widerstandcoefficienten des Steuerers, circa  $= 1$ ,  $S$  den Flächeninhalt desselben, und  $v$  die Geschwindigkeit des Schiffes bezeichnet. Damit diese Kraft so wenig wie möglich durch die Wellenbewegung des Wassers beeinträchtigt werde, läßt man das Hinterschiff ganz scharf zulaufen.

Der Widerstand  $W$  ist natürlich von der Größe  $\delta$  der Abtrifft abhängig, und hat bei  $\delta = 0$ , seinen Minimalwerth:

$$W = \xi \frac{v^2}{2g} F\gamma,$$

wobei das Moment  $N (s + b \cos. \varphi) = 0$  ausfällt.

Für diesen Fall, muß demnach  $b = -\frac{s}{\cos. \varphi}$  sein, also der Angriffspunkt  $K$  der bewegenden Kraft hinter der Steueraxe liegen, was jedenfalls nicht leicht vorkommen wird.

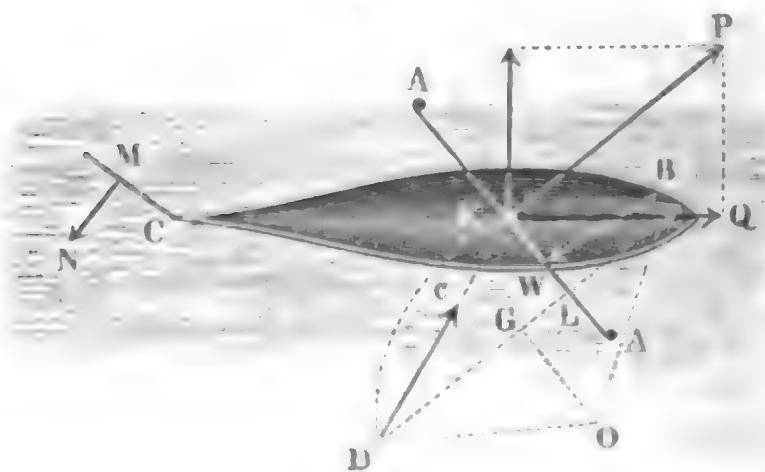
Das Drehungsmoment:

$$N (s + b \cos. \varphi) = \xi_1 \frac{v^2}{2g} (\sin. \varphi)^2 (s + b \cos. \varphi) S\gamma$$

ist annähernd auch  $= \xi_1 \frac{v^2}{2g} (\sin. \varphi)^2 \cos. \varphi \cdot Sb\gamma$ , und fällt für  $\tan. \varphi = \sqrt{2}$ , d. i. für  $\varphi = 54^\circ, 44'$  am größten, nämlich  $\frac{2}{\sqrt{27}} \xi_1 \frac{v^2}{2g} Sb\gamma$  aus. Es ist also deshalb nie nöthig, das Steuer über  $54\frac{3}{4}$  Grad zu drehen.

Besteht die bewegende oder Triebkraft  $P$  eines Schiffes in dem Wind-

Fig. 630.



stoß gegen ein Segel  $AKA_1$ , Fig. 630, so ist das letztere so zu richten, daß der Component  $Q$  der Kraft  $P$  parallel zur Schiffsaxe  $CK$ , ein Maximum werde. Um diesen Richtungswinkel nur annähernd genau zu bestimmen, wollen wir



voraussetzen, daß die Windgeschwindigkeit  $c$  groß genug sei, um die Schiffsgeschwindigkeit in Hinsicht auf sie vernachlässigen zu können. Nehmen wir an, daß die Richtung  $DK$  der Geschwindigkeit  $c$  mit der Schiffsbaxe  $CK$ , den Winkel  $CKD = \alpha$  einschließe, und daß die Ebene des Segels  $AA_1$  von der ersteren Richtung um den Winkel  $AKD = \psi$  abweiche; ist dann noch  $F_1$  der Inhalt der Segelfläche und  $\gamma_1$  die Dichtigkeit des Windes, so haben wir nach II., §. 256 den normalen Windstoß:

Das Steuern  
der Schiffe.

$$P = 3 \cdot \frac{c^2 (\sin. \psi)^2}{2g} F_1 \gamma_1,$$

und daher den Componenten desselben in der Schiffsbaxe:

$$\begin{aligned} Q &= P \sin. KPQ = P \sin. AKQ = P \sin. (\alpha + \psi) \\ &= 3 \frac{c^2 (\sin. \psi)^2}{2g} \sin. (\alpha + \psi) F_1 \gamma_1. \end{aligned}$$

Dieser Werth ist in Hinsicht auf  $\psi$  ein Maximum für

$$\text{tang. } \psi = -2 \text{ tang. } (\alpha + \psi);$$

also, wenn man diese Gleichung auflöst, für

$$\text{tang. } \psi = \frac{3}{2} \cotg. \alpha + \sqrt{2 + \frac{3}{4} (\cotg. \alpha)^2}$$

Um die entsprechende Segelrichtung construierend zu finden, theilen wir eine beliebige Linie  $DE$  in zwei und in drei gleiche Theile, errichten in den Theilpunkten  $G$  und  $L$  Perpendikel zu dieser Linie; tragen an  $D$  und  $E$  den Winkel  $GDO = GEO = 90^\circ - \alpha^\circ$  an, und beschreiben aus dem erhaltenen Durchschnitte  $O$  mit der Linie  $OD = OE$  einen Kreisbogen  $DKE$ . Dieser Bogen schneidet dann das zweite Perpendikel in einem Punkte  $K$  so, daß  $DKL = \psi$  ausfällt, denn es ist dann:

$$\angle DOG = \angle EOG = \angle CKD = \alpha,$$

und

$$DL = 2 EL,$$

d. i.

$$KL \cdot \text{tang. } DKL = 2 KL \text{ tang. } EKL,$$

oder:

$$\text{tang. } DKL = -2 \text{ tang. } CKL = -2 \text{ tang. } (\alpha + DKL),$$

folglich  $\angle DKL = \psi$ , der gesuchte Richtungswinkel des Segels  $AA_1$ .

§. 314. Die Bewegung der Schiffe durch Ruder und Räder ist von dem Schiffsziehen dadurch wesentlich verschieden, daß bei dem letzteren der Motor einen festen Stützpunkt hat, während er bei der ersteren nur in dem Wasser einen Stützpunkt findet. Dieser Stützpunkt ist aber beweglich, da das Wasser nur durch seine Trägheit, also dadurch, daß es selbst in Bewegung versetzt wird, einen Widerstand ausüben kann. Es ist deshalb auch bei der Bewegung eines Schiffes durch Ruder oder Räder eine doppelte mechanische Arbeit, nämlich nicht allein eine Arbeit zur Ueber-

Bewegung der  
Schiffe durch  
Ruder.

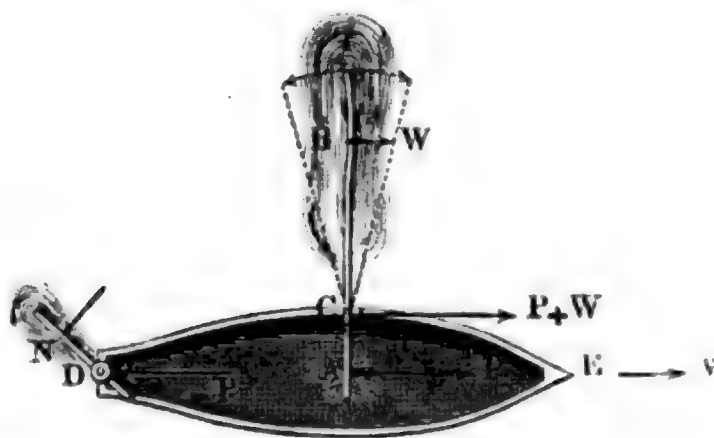


Fortbewe-  
gung der  
Schiffe durch  
Rudern.

windung der Bewegungshindernisse des Schiffes, sondern auch eine Arbeit zur Ueberwindung der Trägheit des Wassers nöthig, und folglich die Nutzleistung bei dieser Bewegungsweise der Schiffe verhältnißmäßig kleiner als beim Schiffsziehen. Der zur Fortbewegung eines Schiffes nöthige Widerstand des Wassers wird, welches mechanische Hülfsmittel auch hierzu dienen möge, stets dadurch erzeugt, daß eine feste Fläche schnell und so viel wie möglich der Bewegungsrichtung des Schiffes entgegengesetzt, gegen das Wasser geschlagen wird.

Bei der Bewegung eines Bootes  $DE$ , Fig. 631, durch ein Ruder

Fig. 631.



(franz. rame; engl. oar)  $AB$  stützt sich das letztere gegen einen Bolzen  $C$  auf der Bauchwand des Bootes; während das Ende  $A$  durch eine Kraft  $P$  in der Bewegungsrichtung des Bootes fortgeführt wird, bewegt sich das schaufelförmige Ende  $B$  des Ruders

in entgegengesetzter Richtung gegen das Wasser, wobei dieses in der Bewegungsrichtung des Schiffes einen Widerstand  $W$  ausübt, der in Vereinigung mit der Kraft  $P$  den Bolzendruck  $R = P + W$  erzeugt. Dieser Druck ist aber keinesweges die bewegende Kraft des Bootes; denn bei der Ausübung der Kraft  $P$  wirkt der Ruderer mit einer gleichen Kraft ( $-P$ ) in entgegengesetzter Richtung auf das Boot, es gesellt sich also zu dem Drucke  $R = P + W$  noch die Kraft  $-P$ , woraus eine Kraft  $W$  in der Auenrichtung des Bootes und ein Kräftepaar  $+(P + W, - (P + W))$  mit dem Momente  $\overline{CA} \cdot (P + W)$  hervorgeht. Während die erstere Kraft das Boot in seiner Auenrichtung forttreibt, sucht das letztere dem Boote eine drehende Bewegung zu ertheilen. Um diese Drehbewegung zu verhindern, muß man entweder das Steuer  $DN$  nach der Seite des Ruders stellen, oder noch ein zweites Ruder auf der anderen Schiffseite in Gang setzen. Es versteht sich übrigens von selbst, daß das Ruder bei seiner rückgängigen Bewegung durch die Luft bewegt werden muß, damit hierbei die beim Hingange erzeugte Wirkung nicht wieder aufgehoben werde.

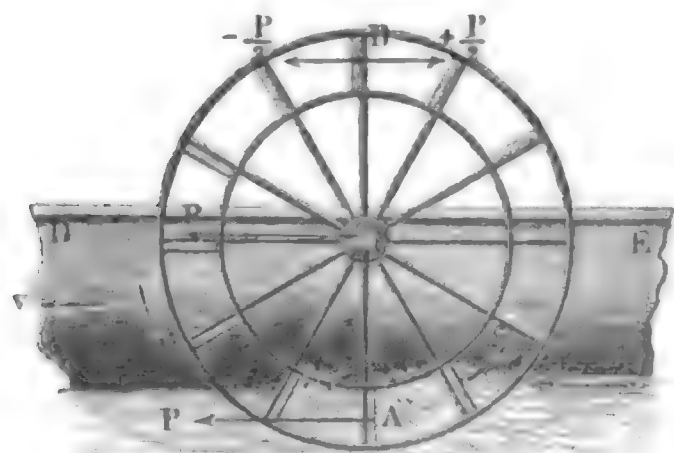
Die Ruderräder sind entweder Schaufelräder (franz. roues a pales; engl. paddle-wheels) oder Flügelräder, gewöhnlich Schrau-

Von dem Fortschaffen der Lasten auf ganz oder nahe horizontalen Wegen. 755

ben oder Schraubenräder (franz. hélices; engl. screws) genannt. Die gewöhnlichen Ruder- oder Schaufelräder sind von den einfachen unterschlägigen Wasserrädern, namentlich aber von den sogenannten Schiffmühlenträdern (s. II., §. 149) nicht verschieden. Jedes Schiff hat zwei solche Räder, dieselben sitzen an den Enden einer Welle fest, welche quer durch das Schiff hindurchgeht und in der Regel durch eine Dampfmaschine in Bewegung gesetzt wird, weshalb auch das ganze Schiff ein Dampfschiff (franz. bateau à vapeur; engl. steam-vessel) genannt wird. Während die Welle  $C$  des in Fig. 632 nur theilweise sichtbaren Schiffes

Fortbewegung der Schiffe durch Rudern.

Fig. 632.



$DE$  in Umdrehung gesetzt wird, schlagen die Schaufeln des auf ihr sitzenden Ruderrades  $AB$  mit einer gewissen Geschwindigkeit  $c$  gegen das Wasser, in welches sie eingetaucht sind, und dieses übt dabei einen Widerstand  $\overline{AP} = P$  aus, welcher sich, da er in Beziehung auf  $C$  excentrisch wirkt, in eine Axenkraft  $\overline{CP} = P$  und in ein Kräfte-

paar  $\left(+\frac{P}{2}, -\frac{P}{2}\right)$  zerlegt. Diese Axenkraft ist es, welche in Vereinigung mit der Axenkraft des Rades auf der anderen Seite des Schiffes das Schiff mit einer gewissen Geschwindigkeit  $v$  forttreibt; das Umdrehungsmoment  $\frac{P}{2} \cdot CA + \frac{P}{2} \cdot CB = \frac{P}{2} (CA + CB) = P \cdot CA$  des Kräftepaares wird natürlich von dem Momente der Umtriebsmaschine (Dampfmaschine) aufgenommen.

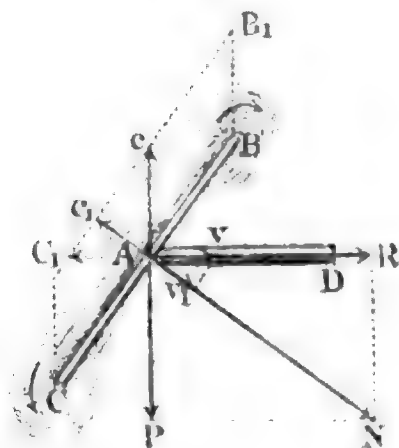
Die neueren Schraubenräder sind von den Flügelrädern, wie sie z. B. als Instrumente zum Messen der Geschwindigkeit des Wassers (s. I., §. 415), oder zur Aufnahme des Windstoßes bei Windmühlen (s. II., §. 245 u. s. w.) angewendet werden, wesentlich nicht sehr verschieden, nur werden die Flügel dieser Räder nach einer Schraubenfläche gekrümmt, während die gewöhnlichen Flügelräder ebene oder windschiefe Flügel erhalten. Das Schraubenrad wird in das Hintertheil des Schiffes, und zwar unmittelbar vor dem Steuer eingesetzt, seine Welle liegt in der Richtung der Längsaxe des Schiffes und ist da, wo sie in das Innere des Schiffes tritt, mit einer Stopfbüchse umschlossen.

Wird die Welle  $AD$ , Fig. 633 (a. f. S.), eines solchen Rades durch

Fortbewe-  
gung der  
Schiffe durch  
Rudern.

die Dampfmaschine in Umdrehung gesetzt, so schlägt der Flügel  $BC$  der-

Fig. 633.



selben (vergl. die Betrachtung in II., §. 257) mit einer gewissen Geschwindigkeit  $c$  gegen das Wasser, und dieses übt nun in Folge seiner Trägheit einen Normaldruck  $N$  auf den Flügel aus, dessen einer Component  $P$  von der Umdribskraft der Welle aufgenommen und dessen anderer Component  $R$  mittels der Welle auf das Schiff übertragen wird, und dieses mit einer gewissen Geschwindigkeit  $v$  fortreibt.

Unter-  
schau-  
fel.

§. 315. Wird der Mittelpunkt einer Ruderschaukel mit der Geschwindigkeit  $c$  bewegt, während das Schiff in der entgegengesetzten Richtung mit der Geschwindigkeit  $v$  fortgeht, so ist die relative Geschwindigkeit, mit welcher diese Schaukel auf das stillstehende Wasser trifft:  $c - v$ , und folglich bei dem Inhalte  $F_1$  der Schaukelfläche der Stoß:

$$P = \xi_1 \frac{(c - v)^2}{2g} F_1 \gamma,$$

wobei für ein gewöhnliches Ruder  $\xi_1$  wohl kaum größer als 1,25 annehmen sein dürfte (s. I., §. 431).

Ist nun noch  $s$  der Weg der Schaukelmitte bei jedem Ruderschlag, und  $n$  die Anzahl der Ruderschläge pr. Minute, so hat man die auf das Rudern pr. Secunde verwendete mechanische Arbeit:

$$L = \frac{nPs}{60} = \xi_1 \frac{(c - v)^2}{2g} \frac{ns}{60} F_1 \gamma.$$

Bezeichnet dagegen  $F$  den Hauptquerschnitt des Bootes, so hat man den Widerstand, welcher bei der Bewegung desselben mit der Geschwindigkeit  $v$  zu überwinden nöthig ist:

$$W = \xi \frac{v^2}{2g} F \gamma.$$

Da das Ruder ohne Kraftausübung zurückgeht; so kann man die mittlere Kraft desselben  $= \frac{P}{2}$ , und die mittlere Geschwindigkeit seines Stoßpunktes,  $c = \frac{2ns}{60} = \frac{ns}{30}$  setzen. Nimmt man nun  $\frac{P}{2} = W$ , so erhält man die Bedingungsgleichung:

$$\frac{1}{2} \xi_1 (c - v)^2 F_1 = \xi v^2 F,$$

Ruderschaukel,  
Schaufelrad.

wonach:

$$c - v = v \sqrt{\frac{\xi F}{\frac{1}{2} \xi_1 F_1}},$$

und folglich:

$$c = v \left( 1 + \sqrt{\frac{2 \xi F}{\xi_1 F_1}} \right)$$

sich ergibt.

Der Wirkungsgrad dieser Arbeitsverrichtung ist:

$$\eta = \frac{Wv}{L} = \frac{Wv}{\frac{1}{2} Pc} = \frac{v}{c} = \frac{1}{1 + \sqrt{\frac{2 \xi F}{\xi_1 F_1}}}$$

Es fällt also derselbe um so größer aus, je größer das Verhältniß  $\frac{v}{c}$  oder je kleiner das Verhältniß  $\frac{F}{F_1}$ , je größer also die Ruderfläche  $F_1$  in Hinsicht auf den Schiffsquerschnitt  $F$  ist.

Ganz ähnliche Verhältnisse kommen auch bei dem Ruderschaukelrade vor. Ist hier  $F_1$  der Inhalt der stoßenden Ruderschaukelflächen von beiden Rädern zusammengenommen, und  $c$  die Umdrehungsgeschwindigkeit der Schaukelmitte, so hat man die Umdrehungskraft der beiden Ruderräder:

$$P = \xi_1 \frac{(c - v)^2}{2g} F_1 \gamma,$$

worin nach Compagnac im Mittel  $\xi_1 = 2,76$  zu setzen ist.

Die erforderliche Leistung dieser Räder ist:

$$L = Pc = \xi_1 \frac{(c - v)^2 c}{2g} F_1 \gamma.$$

Setzt man die Kraft  $P$  dem Widerstande  $W = \xi \frac{v^2}{2g} F \gamma$  des Schiffes gleich, so erhält man die Bedingung:

$$\xi_1 (c - v)^2 F_1 = \xi v^2 F,$$

wonach:

$$c - v = v \sqrt{\frac{\xi F}{\xi_1 F_1}},$$

also:

$$c = v \left( 1 + \sqrt{\frac{\xi F}{\xi_1 F_1}} \right)$$

folgt.

Ruderschaukel,  
Schaufelrad.

Der Wirkungsgrad der Ruderräder ist:

$$\eta = \frac{Wv}{L} = \frac{Wv}{Pc} = \frac{v}{c} = \frac{1}{1 + \sqrt{\frac{\xi F}{\xi_1 F_1}}},$$

also um so größer, je näher  $\frac{v}{c}$  der Einheit, also  $v = c$  kommt, je größer also das Verhältniß  $\frac{F_1}{F}$  der Schaufelfläche  $F_1$  zum Schiffsquerschnitte  $F$  ist.

Setzt man in die obige Formel für  $L$  den gefundenen Werth für  $c$  ein, so erhält man folgenden Ausdruck für den Arbeitsaufwand:

$$L = \left(1 + \sqrt{\frac{\xi F}{\xi_1 F_1}}\right) \frac{v^3}{2g} F \gamma = \xi \cdot \frac{c}{v} \cdot \frac{v^3}{2g} F \gamma.$$

Führt man für  $\xi \frac{c}{v} \cdot \frac{\gamma}{2g}$  den Coefficienten  $\mu$  ein, so erhält man einfach:

$$L = \mu F v^3.$$

Das Verhältniß  $\frac{c}{v}$  variiert erfahrungsmäßig zwischen 1,25 und 1,55, ist daher im Mittel 1,40; führt man daher noch den Mittelwerth  $\xi = 0,0755$ , sowie  $\gamma = 66$  und  $\frac{1}{2g} = 0,016$  ein, so erhält man im Mittel:

$$\mu = 0,0755 \cdot 1,4 \cdot 0,016 \cdot 66 = 0,112,$$

und daher:

$$L = 0,112 F v^3 \text{ Fußpfund.}$$

Da der Widerstandscoefficient  $\xi$  kleiner wird, wenn die Größe oder der Querschnitt  $F$  des Schiffes wächst, und umgekehrt, der Stoßcoefficient  $\xi_1$  mit der Größe  $F_1$  der Schaufelfläche zunimmt, so ist der Coefficient:

$$\mu = \xi \cdot \frac{c}{v} \cdot \frac{\gamma}{2g} = \xi \left(1 + \sqrt{\frac{\xi F}{\xi_1 F_1}}\right) \frac{\gamma}{2g}$$

bei verschiedenen Schiffsgrößen nicht unansehnlich verschieden, und zwar bei kleinen Dampfschiffen von 12 bis 25 Pferdekraften:

$$\mu = 0,150,$$

bei mittleren von 50 bis 150 Pferdekraften:

$$\mu = 0,112,$$

und bei großen Dampfschiffen von 300 bis 500 Pferdekraften:

$$\mu = 0,075.$$



§. 316. Bei einem Flügel- oder Schraubenrade hängt die Leistung vorzüglich noch von dem Steigwinkel  $B A c = C A P = \alpha$ , Flügelrad.

Fig. 634.

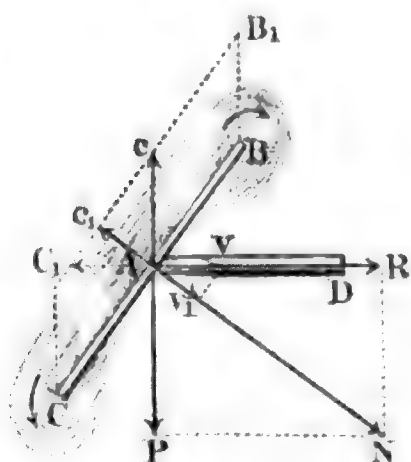


Fig. 634, ab. Ist  $c$  die mittlere Umdrehungsgeschwindigkeit des Rades, und  $v$  die des Schiffes und also auch der Radares, so hat man die Geschwindigkeit, mit welcher sich die Flügelfläche in normaler Richtung umdreht:

$$c_1 = c \sin. \alpha,$$

und die Geschwindigkeit, mit welcher sie in eben dieser Richtung zurückgeht:

$$v_1 = v \cos. \alpha,$$

und folglich die Geschwindigkeit, mit welcher die Flügelfläche normal auf das Wasser aufschlägt:

$$c_1 - v_1 = c \sin. \alpha - v \cos. \alpha.$$

Ist nun noch  $F_1$  der Inhalt sämtlicher Flügelflächen und  $\gamma$  die Dichtigkeit des Wassers, so hat man nach II., §. 257 den normalen Widerstand des Wassers:

$$N = 3 \frac{(c \sin. \alpha - v \cos. \alpha)^2}{2 g} F_1 \gamma,$$

daher die Antriebskraft:

$$R = N \cos. \alpha = 3 \frac{(c \sin. \alpha - v \cos. \alpha)^2}{2 g} \cos. \alpha F_1 \gamma,$$

die Umdrehungskraft:

$$P = N \sin. \alpha = 3 \frac{(c \sin. \alpha - v \cos. \alpha)^2}{2 g} \sin. \alpha F_1 \gamma.$$

und den entsprechenden Arbeitsaufwand:

$$L = P c = 3 \frac{(c \sin. \alpha - v \cos. \alpha)^2}{2 g} c \sin. \alpha \cdot F_1 \gamma.$$

Der Sicherheit wegen wollen wir aber lieber

$$R = \xi_1 \frac{(c \sin. \alpha - v \cos. \alpha)^2}{2 g} \cos. \alpha F_1 \gamma,$$

$$P = \xi_1 \frac{(c \sin. \alpha - v \cos. \alpha)^2}{2 g} \sin. \alpha F_1 \gamma$$

und

$$L = \xi_1 \frac{(c \sin. \alpha - v \cos. \alpha)^2}{2 g} c \sin. \alpha F_1 \gamma$$

schreiben.

Schaufelrad.

Wenn wir wieder die Antriebskraft  $R$  gleich dem Widerstande  $W$ , also

$$\xi_1 (c \sin. \alpha - v \cos. \alpha)^2 \cos. \alpha \cdot F_1 = \xi v^2 F$$

setzen, so erhalten wir folgende Gleichung:

$$c \sin. \alpha - v \cos. \alpha = v \sqrt{\frac{\xi F}{\xi_1 F_1 \cos. \alpha}},$$

wonach:

$$\begin{aligned} c &= v \left( \cotg. \alpha + \sqrt{\frac{\xi F}{\xi_1 F_1 (\sin. \alpha)^2 \cos. \alpha}} \right) \\ &= v \cotg. \alpha \left( 1 + \sqrt{\frac{\xi F}{\xi_1 F_1 (\cos. \alpha)^3}} \right), \end{aligned}$$

und umgekehrt:

$$v = \frac{c}{\cotg. \alpha + \sqrt{\frac{\xi F}{\xi_1 F_1 (\sin. \alpha)^2 \cos. \alpha}}} = \frac{c \tang. \alpha}{1 + \sqrt{\frac{\xi F}{\xi_1 F_1 (\cos. \alpha)^3}}}$$

folgt.

Die Geschwindigkeit  $v$  des Schiffes ist hiernach für verschiedene Steigwinkeln  $\alpha$  verschieden. Durch Differenziren findet man, daß sie für

$$\frac{1 - 3 (\cos. \alpha)^2}{(\cos. \alpha)^{3/2}} = 2 \sqrt{\frac{\xi_1 F_1}{\xi F}}$$

ein Maximum, und zwar

$$v = \frac{1 - 3 \cos. \alpha^2}{3 \sin. \alpha \cos. \alpha} \cdot c$$

wird.

Der Wirkungsgrad des Schraubenrades ist:

$$\eta = \frac{R v}{P c} = \frac{v \cos. \alpha}{c \sin. \alpha} = \frac{v}{c} \cotg. \alpha = \frac{1}{1 + \sqrt{\frac{\xi F}{\xi_1 F_1 (\cos. \alpha)^3}}}$$

Er fällt um so größer aus, je näher  $\frac{v}{c} \cotg. \alpha$  der Einheit kommt, je weniger also  $v$  von  $c \tang. \alpha$  abweicht, oder je kleiner  $\frac{\xi F}{\xi_1 F_1 (\cos. \alpha)^3}$ , je größer also das Flächenverhältniß  $\frac{F_1}{F}$  und je kleiner der Steigwinkel  $\alpha$  ist. Uebrigens läßt sich das Arbeitsquantum dieses Rades ganz auf gleiche Weise wie das des Schaufelrades ausdrücken, indem man in

$$L = P c = R c \tang. \alpha = W c \tang. \alpha = \xi \frac{v^2}{2 g} F \gamma c \tang. \alpha,$$

den oben gefundenen Werth für  $c$  einsetzt. Es folgt dann:

$$L = \xi \left( 1 + \sqrt{\frac{\xi F}{\xi_1 F_1 (\cos. \alpha)^3}} \right) \frac{v^3}{2 g} F \gamma = \xi \frac{c}{v} \tang. \alpha \cdot \frac{v^3}{2 g} F \gamma.$$



oder, wenn wir wieder  $\xi \frac{c}{v} \cdot \frac{\gamma}{2g} = \mu$  setzen:

$$L = \mu F v^3 \tan \alpha.$$

So lange nicht noch genauere und umfassendere Versuche vorliegen, müssen wir auch hier:

$$\xi = 0,0755, \text{ und } \frac{c \tan \alpha}{v} = 1,40$$

setzen, so daß, wie für die Schaufelräder,  $\mu \tan \alpha$  im Mittel  $= 0,112$  und  $L = 0,112 F v^3$  Fußpfund folgt.

§. 317. Bewegt sich das Schiff nicht in stillstehendem Wasser, sondern Bugfren durch Dampfische. hat das letztere eine gewisse Geschwindigkeit  $w$ , so hat man die relative Geschwindigkeit des Schiffes:

1) beim Fahren stromaufwärts:  $v + w$ , und

2) beim Fahren stromabwärts:  $v - w$ .

Diese Werthe sind denn auch in den obigen Formeln statt  $v$  einzusetzen.

Wenn ein Dampfboot zum Schleppen oder Bugfren (Remorquieren) eines anderen Schiffes angewendet wird, dessen Hauptquerschnitt  $F_2$  und Widerstandscoefficient  $\xi_2$  ist, so hat man natürlich:

$$W = \xi \frac{v^2}{2g} F \gamma + \xi_2 \frac{v^2}{2g} F_2 \gamma = (\xi F + \xi_2 F_2) \frac{v^2}{2g} \gamma,$$

daher auch z. B. bei Anwendung von Schaufelrädern

$$\xi_1 F_1 (c - v)^2 = (\xi F + \xi_2 F_2) v^2$$

zu setzen, so daß hier:

$$c = v \left( 1 + \sqrt{\frac{\xi F + \xi_2 F_2}{\xi_1 F_1}} \right) \text{ ist.}$$

Die Leistung ist dann:

$$\begin{aligned} L = Wc &= (\xi F + \xi_2 F_2) \frac{c}{v} \cdot \frac{v^3}{2g} \gamma = \left( 1 + \frac{\xi_2 F_2}{\xi F} \right) \cdot \xi \frac{c}{v} \cdot \frac{v^3}{2g} F \gamma \\ &= \mu (1 + \psi) F v^3, \end{aligned}$$

wenn  $\xi \frac{c}{v} \cdot \frac{\gamma}{2g}$  durch  $\mu$  und  $\frac{\xi_2 F_2}{\xi F}$  durch  $\psi$  bezeichnet wird.

Damit ein Dampfsschiff beim Schleppen eines anderen Schiffes mit der vortheilhaftesten Geschwindigkeit  $\left( \frac{c}{v} = 1,4 \right)$  arbeiten könne, ist es folglich nöthig, daß man dasselbe mit einer stärkeren Dampfmaschine versieht, als wenn es allein ginge.

Wenn wir ferner noch Rücksicht darauf nehmen, daß das Gewicht der Dampfmaschine und der stündliche Aufwand an von dem Schiffe mit fortzunehmendem Brennmaterial mit der Leistung der Maschine zunimmt, so erhält unsere Leistungsformel eine noch etwas andere Gestalt. Es sei

Suppliren  
durch  
Dampfmaschine.

$b$  die obere Breite und  $F$  der Inhalt des Hauptquerschnittes, sowie  $G$  der Inhalt der Schwimmfläche des belasteten Schiffes ohne Dampfmaschine und ohne Brennmaterial, ferner sei das Gewicht der Maschine  $= q_2 L$ , das Gewicht des Brennmaterialaufwandes pr. Sec.  $= q_3 L$ , also für die Fahrzeit von  $t$  Secunden:  $q_3 L t$ , endlich werde die Vergrößerung der Tauchung des Schiffes durch die letzten beiden Gewichte durch  $\sigma$  bezeichnet. Wir haben dann  $(q_2 + q_3 t) L = G \sigma \gamma$ , daher:

$$\sigma = \frac{(q_2 + q_3 t) L}{G \gamma},$$

woraus nun die entsprechende Vergrößerung des Hauptquerschnittes  $F$ :

$$= b \sigma = \frac{(q_2 + q_3 t) b L}{G \gamma},$$

und daher:

$$L = \mu (F + b \sigma) v^3 = \mu \left( F + \frac{(q_2 + q_3 t) b L}{G \gamma} \right) v^3$$

folgt, wonach sich

$$L = \frac{\mu F v^3}{1 - \mu (q_2 + q_3 t) \frac{b v^3}{G \gamma}}$$

ergiebt.

Der ganze Arbeitsaufwand für eine Fahrzeit von  $t$  Secunden und eine Strecke  $s = v t$  Fuß ist:

$$L t = L \frac{s}{v} = \frac{\mu F s v^2}{1 - \mu (q_2 + q_3 t) \frac{b v^3}{G \gamma}}$$

Es ist hiernach zu ermessen, daß es mechanisch unvorthailhaft ist, Schiffe mit großen Geschwindigkeiten fahren zu lassen.

Uebrigens ist nach dem Obigen  $F$  aus der reinen Schiffslast  $Q$  und dem Schiffsgewichte  $Q_1 = v Q$ , durch die Ausdrücke:

$$Q + Q_1 = (1 + v) Q = \varphi a b l \gamma \text{ und } F = \alpha a b$$

bestimmt, denn man hat hiernach:

$$F = \alpha \frac{Q + Q_1}{\varphi l \gamma} = \frac{\alpha}{\varphi \gamma} (1 + v) \frac{Q}{l}.$$

Verbindung  
der Ruderräder  
mit  
der Dampf-  
maschine.

§. 318. Aus der mittleren Geschwindigkeit  $c$  eines Ruderrades und aus dem mittleren Halbmesser  $r$  desselben bestimmt sich die Anzahl seiner Umdrehungen pr. Minute durch die bekannte Formel:

$$u = \frac{30 c}{\pi r} = 9,549 \frac{c}{r}.$$

Soll nun die Dampfmaschine direct, d. i. ohne ein Zahnradvorgelege

Von dem Fortschaffen der Lasten auf ganz oder nahe horizontalen Wegen. 763  
 nur mit Hülfe des Kurbelmechanismus auf die Welle des Ruderrades wir-  
 ken, so hat man die Anzahl der Spiele einer Dampfmaschine pr. Minute

Verbindung  
 der Ruder-  
 räder mit  
 der Dampf-  
 maschine.

$$.n = u = 9,549 \frac{c}{r}$$

zu setzen.

Bei Anwendung von Schaufelrädern läßt sich diese einfache Anordnung in der Regel bewerkstelligen; bei den Schraubenträdern, welche bedeutend kleinere Halbmesser  $r$  erhalten müssen, fällt aber die Umdrehungszahl  $u$  so groß aus, so daß man zur Erzielung eines vortheilhaften Ganges der Dampfmaschine mittels eines Räderwerkes die kleinere Umdrehungszahl  $n$  der Kurbelwelle in die größere Umdrehungszahl  $u$  des Ruderrades umsetzen muß. Sehr oft umgeht man aber auch bei den Schraubenträdern das Vor-  
 gelege ganz, indem man die große Anzahl von Kolbenspielen durch ange-  
 messene Herabziehung des Kolbenhubes ermöglicht.

Ist  $n_1$  die Anzahl der Zähne des Treibrades auf der Kurbelwelle und  $n_2$  die Anzahl der Zähne des Getriebes auf der Welle des Schraubentrades, so hat man:

$$\frac{u}{n} = \frac{n_1}{n_2}.$$

Der Hub oder Schub  $s_1$  des Dampfkolben ist natürlich der doppelten Länge  $r_1$  des Kurbelarmes gleich, also  $s_1 = 2 r_1$ ; ist folglich  $v_1$  die mittlere Kolbengeschwindigkeit, so hat man bei einem Ruderrade ohne Vor-  
 gelege:

$$\frac{r}{r_1} = \frac{2}{\pi} \frac{c}{v_1}.$$

In der Regel besteht die Umtriebsmaschine eines Ruderrades aus zwei Dampfmaschinen, welche, wie bei einem Dampfwagen, eine und dieselbe Kurbelwelle in Umdrehung setzen. Ist nun  $P$  die reine Kraft einer solchen Maschine, so hat man folglich:

$$\frac{n}{60} 2 P \cdot 2 s_1 = \mu F v^3,$$

und daher:

$$P = \frac{60}{4 n s_1} \mu F v^3 = \frac{15}{n s_1} \mu F v^3 = \frac{\mu F v^3}{2 v_1},$$

wonach sich nun die Dimensionen der Dampfmaschine berechnen lassen (siehe II., §. 379 u. f. w.).

Beispiel. Bei einem Dampfschiffe ist die Länge der Schwimmfläche,  $l = 144$  Fuß, die Breite derselben,  $b = \frac{1}{8} l = 18$  Fuß, und die Tauchung,  $a = 0,2 b = 3,6$  Fuß; ferner der Coefficient  $\beta = 0,80$  und der Coefficient  $\varphi = 0,45$ ; man sucht die Kraft, welche nöthig ist, um durch dieses Schiff je

Verbindung  
der Räder  
mit  
der Dampf-  
maschine.

eine Tonne, à 2000 Pfund, mit 12 Fuß Geschwindigkeit im stillstehenden Wasser fortzubewegen. Es ist der Inhalt des Hauptquerschnittes:

$$F = \beta a b = 0,80 \cdot 3,6 \cdot 18 = 51,84 \text{ Quadratsfuß,}$$

das Volumen des verdrängten Wassers:

$$V = \varphi a b l = 0,45 \cdot 3,6 \cdot 18 \cdot 144 = 4199 \text{ Cubikfuß,}$$

und folglich das ganze Gewicht des Schiffes:

$$V \gamma = 4199 \cdot 66 = 277134 \text{ Pfund.}$$

Dieses Schiff ist jedenfalls nur Klein zu nennen, daher setzen wir in der Formel  $L = \mu F v^3$  für die mechanische Arbeit zu seiner Fortbewegung durch Dampfkraft, für  $\mu$  den Maximalwerth 0,150 ein, so daß wir nun die Leistung

$$L = 0,15 \cdot 51,84 \cdot 12^3 = 13436 \text{ Fußpfund} = 26,35 \text{ Pferdekkräfte}$$

und die entsprechende Kraft  $\frac{L}{v} = 1120$  Pfund erhalten.

Nehmen wir an, daß das Gewicht des Schiffes mit Ausrüstung 70000 Pfund, das Gewicht der Dampfmaschine sammt Kessel und dessen Füllung 60000 Pfund und das nöthige Brennmaterial stündlich 300 Pfund, also für eine Fahrzeit von 8 Tagen im Ganzen  $300 \cdot 24 \cdot 8 = 57600$  Pfund, und im Mittel 28800 Pfund betrage, so erhalten wir die Nutzlast:

$$Q = V \gamma - (70000 + 60000 + 28800) = 277134 - 158800 \\ = 118334 \text{ Pfund.}$$

Es folgt hieraus das Verhältniß der Zugkraft zur Nutzlast:

$$\frac{L}{Q v} = \frac{1120}{118334} = \frac{1}{106}$$

Es ist möglich, daß der Dampfswagenzug im Beispiel zu §. 296 ebenfalls eine Nutzlast von 118334 Pfund mit sich fortnehme. Nehmen wir der Vergleichung wegen die Eisenbahnstrecke schiefliegend an, so haben wir hier bei 50 Fuß Geschwindigkeit die Zugkraft  $2050 \cdot \frac{1}{4} = 2562,5$  Pfund, und folglich das Verhältniß derselben zur Nutzlast:

$$\frac{L}{Q v} = \frac{2562,5}{118334} = \frac{1}{46}$$

also viel größer als bei dem obigen Transport durch das Dampfschiff. Bei 12 Fuß Geschwindigkeit wäre allerdings nach der letzten Formel in §. 295 die Zugkraft nur:

$$P + P_1 = \frac{1}{4} [(0,002679 + 0,000011741 \cdot 144) \cdot 217200 + 0,001307 \cdot 160 \cdot 144] \\ = \frac{1}{4} (0,00293 \cdot 217200 + 0,2091 \cdot 144) = 832,5 \text{ Pfund,}$$

und daher ihr Verhältniß zur Nutzlast:

$$\frac{L}{Q v} = \frac{832,5}{118334} = \frac{1}{142}$$

also kleiner als bei dem obigen Wassertransport.

Wenn dasselbe Schiff in einem Flusse, dessen mittlere Geschwindigkeit  $w = 3$  Fuß ist, stromauf mit  $v = 12$  Fuß Geschwindigkeit bewegt werden soll, so ist die erforderliche Kraft:

$$P = \mu F (v + w)^3 = 0,15 \cdot 51,84 \cdot 15^3 \cdot 1 = 1750 \text{ Pfund,}$$

die Arbeit:

$$P v = 1750 \cdot 12 = 21000, \text{ und}$$

$$\frac{L}{Q v} = \frac{1750}{118334} = \frac{1}{68}$$

Die mittlere Umfangsgeschwindigkeit der Ruderräder im letzteren Falle ist  $c = 1,4 (v + w) = 1,4 \cdot 15 = 21$  Fuß, und nehmen wir den mittleren Durchmesser  $2r$  eines Ruderrades  $= \frac{3}{2}$  der Schiffshöhe,  $= \frac{3}{4}$  der Schiffsbreite  $b = \frac{3}{4} \cdot 18 = 13,5$  Fuß an, so erhalten wir die erforderliche Umdrehungszahl der Welle:

Verbindung  
der Ruderräder  
mit  
der Dampf-  
maschine.

$$u = 9,549 \frac{c}{r} = 9,549 \cdot \frac{21 \cdot 2}{13,5} = 29,7,$$

wofür  $= 30$  genommen werden kann.

Ferner ist  $\frac{\xi F}{\xi_1 F_1} = \left( \frac{c}{v + w} - 1 \right)^2 = 0,4^2 = 0,16$ , folglich der Querschnitt der eingetauchten Schaufeln,  $F_1 = \frac{\xi F}{0,16 \xi_1} = 6,25 \cdot \frac{\xi}{\xi_1} F$ , also wenn wir hier  $\frac{\xi}{\xi_1} = 2 \cdot 0,0274 = 0,0548$  setzen,

$F_1 = 6,25 \cdot 0,0548 F = 0,3425 F = 0,3425 \cdot 51,84 = 17,75$  Quadratfuß, wofür 18 Quadratfuß angenommen werden soll.

Macht man nun die Höhe  $h_1$  einer Schaufel  $= 0,2$  ihrer Breite  $b_1$ , so hat man hiernach:

$$2 b_1 h_1 = 0,4 b_1^2 = F_1 = 18 \text{ Quadratfuß,}$$

folglich:

$$b_1 = \sqrt{\frac{18}{0,4}} = \sqrt{45} = 6,71, \text{ also in runder Zahl } 6\frac{3}{4} \text{ Fuß,}$$

und

$$h_1 = 0,2 \cdot 6,75 = 1,35, \text{ also in runder Zahl } = 1\frac{1}{2} \text{ Fuß.}$$

Nehmen wir die mittlere Kolbengeschwindigkeit, nach II., §. 379,  $v_1 = 43$  Zoll an, so erhalten wir den Kurbelhalbmesser:

$$r_1 = \frac{\pi v_1}{2c} r = \frac{43}{12 \cdot 21} \cdot \frac{13,5 \pi}{4} = 1,809 \text{ Fuß,}$$

also den Hub der Dampfmaschine:

$$s_1 = 2 r_1 = 3,618 \text{ Fuß} = 43,3 \text{ Zoll.}$$

und die Kolbenkraft beider Maschinen zusammengekommen:

$$Q = \frac{L}{v_1} = \frac{21000 \cdot 12}{43} = 5860 \text{ Pfund.}$$

Nimmt man endlich noch an, daß jeder Kolben mit der mittleren Kraft von 4 Pfund pr. Quadrat Zoll Kolbenfläche wirkt, so folgt der Inhalt einer Kolbenfläche:  $F_2 = \frac{5860}{2 \cdot 4} = 735$  Quadrat Zoll, und folglich der Durchmesser derselben  $d_2 = 30,6$  Zoll.

§. 319. Während sich die Höhe der Schaufelräder vorzüglich nach der Höhe des Schiffes außerhalb des Wassers richtet, wird die Höhe der Ruderräder durch die Tiefe der Eintauchung des Schiffes bestimmt. Es giebt Schaufelräder von 10 bis 30 Fuß Durchmesser, im Mittel aber nimmt man den letzteren  $= \frac{3}{2}$  der ganzen Schiffshöhe. Die Schrauben- oder Flügelräder haben hingegen nur Durchmesser von 4 bis 15 Fuß, und zwar meist nahe gleich der Eintauchung oder Wassertracht. Je nach der Höhe der Schaufelräder ist die Umdrehungszahl derselben pr. Minute

Ruderräder.



Ruderräder. 6 bis 48; und aus demselben Grunde variiert auch die Umdrehungszahl der Schraubenräder zwischen 40 und 120. Die Anzahl der Schaufeln eines Schaufelrades richtet sich nach der Höhe desselben; nimmt man die äußere Entfernung je zweier Schaufeln von einander  $= 3$  Fuß, so giebt der Durchmesser des Rades in Fuß beinahe die nöthige Anzahl der Radschaufeln. Ein Flügel- oder Schraubenrad enthält jetzt meist zwei, drei oder vier Flügel. Im Mittel ist die Ganghöhe der Schraubenfläche, wonach die Flügel gewunden sind, 1,25mal dem Durchmesser des Rades, und folglich der mittlere Steigwinkel  $\alpha$  dieser Fläche (s. III., §. 135) durch

$$\tan \alpha = \frac{h}{2\pi r} = \frac{1,25}{3,14} = 0,40$$

bestimmt, wonach  $\alpha = 23$  Grad ausfällt.

Die Größe der Schaufel- und Flügelflächen der Ruderräder ist natürlich durch die Größe des Schiffswiderstandes oder durch die Stärke der Dampfmaschine bestimmt. Bei kleinen Flußschiffen nimmt man das Verhältniß  $\frac{F_1}{F}$  der beiden eingetauchten Schaufelflächen zum Hauptquerschnitt des Schiffes nahe 0,4, und bei großen Seeschiffen nur circa 0,2.

Jedenfalls sind die langen und schmalen Radschaufeln den kurzen und breiten vorzuziehen; bei schmalen Flußschiffen ist deshalb das Verhältniß der Schaufelbreite zur Schaufellänge nur  $\frac{1}{7}$  bis  $\frac{1}{6}$ , und bei breiten Seeschiffen  $\frac{1}{6}$  bis  $\frac{1}{4}$ . Die Blätter oder Flügel der Schraubenräder haben mehr oder weniger die Formen von Kreissectoren, und nehmen, je nachdem ihre Anzahl kleiner oder größer ist, ein bis zwei Drittel der Fläche ihres Umdrehungskreises ein.

Das Verhältniß der mittleren Geschwindigkeit  $c$  einer Radschaufel zu der des Schiffes  $v$  ist 1,25 bis 1,4; und das Verhältniß der mittleren Geschwindigkeit eines Radflügels in axialer Richtung zu der des Schiffes im Mittel 1,2. Man nennt die Differenz  $c \tan \alpha - v = 0,2$  den Rücklauf (engl. the slip) der Schraube. Es ist nicht immer ein Vorzug, wenn dieser Rücklauf sehr klein ausfällt, weil diese Kleinheit sehr gewöhnlich ihren Grund in der unzumuthigen Form des Hinterschiffes hat. Wenn die Wasserlinien nach dem Hinterschiff nicht ganz scharf zulaufen, so geräth das Wasser hinter dem Schiffe in eine bedeutende Bewegung, indem es den hinter dem Schiffe frei werdenden Raum ausfüllt, und dabei der Umdrehungsbewegung der Schraube entgegenwirkt. Dabei geht allerdings auch ein Theil der Wirkung des Wassers auf das Hinterschiff verloren, welches wieder eine Vergrößerung des Schiffswiderstandes im Ganzen zur Folge hat. Bewegt sich das Wasser hinter dem Schiffe mit der Geschwindigkeit  $w$  in der Richtung des Schiffes, so ist die relative Ge-

Von dem Fortschaffen der Lasten auf ganz oder nahe horizontalen Wegen. 767  
 schwindigkeit, mit deren Quadrat der Widerstand des Wassers gegen die  
 Schraube proportional wächst:

$$c_1 = c \operatorname{tang.} \alpha + w - v,$$

und es fällt daher der Rücklauf der Schraube:

$$c \operatorname{tang.} \alpha - v = c_1 - w,$$

bei constantem  $c_1$  oder constanter Dampfkraft um so kleiner aus, je größer die Geschwindigkeit des dem Hinterschiffe nachströmenden Wassers ist. Ist  $w = c$ , so fällt natürlich der Rücklauf Null aus, und ist  $w > c$ , so wird derselbe sogar negativ.

Der Rücklauf der Ruderräder, und zwar nicht bloß der Schraubens-, sondern auch der Schaufelräder fällt besonders noch dann sehr klein aus, wenn die Schiffe durch die Dampf- und Windkraft zugleich in Bewegung gesetzt werden. Ist  $P$  die Windkraft,  $P_1 = k_1 F_1 (c - v)^2$  die Kraft der Schaufelräder und  $W = k F v^2$  der Widerstand des Schiffes, so haben wir:

$$P + P_1 = W, \text{ d. i. } P + k_1 F_1 (c - v)^2 = k F v^2,$$

und daher den Rücklauf:

$$c - v = \sqrt{\frac{k F v^2 - P}{k_1 F_1}}.$$

Wäre nun die Dampfkraft, und also auch  $c - v$  constant, so würden  $c$  und  $v$  mit  $P$  wachsen; da aber die Kraft der Dampfmaschine sich um so mehr der Null nähert, je größer  $c$  wird, so giebt es bei einer sehr großen Windkraft eine Geschwindigkeit:

$$c = v = \sqrt{\frac{P}{k F}},$$

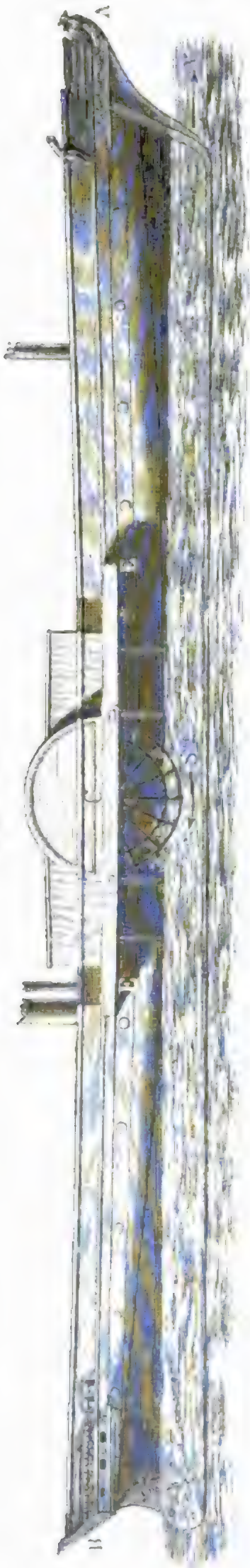
bei welcher der Wind die alleinige Triebkraft ist. Um in den Fällen, wenn in Folge der Wind- oder Segelkraft die Geschwindigkeit  $c$  eine ungewöhnlich große wird, die Dampfkraft nicht unzweckmäßig oder gar unnütz zu verwenden, versieht man die Ruderräder mit einer Ein- und Ausrückvorrichtung (s. III., §. 202), wodurch die Verbindung der Ruderräder mit der Dampfmaschine ganz aufgehoben werden kann. Sowie das Ausrücken des Ruderrades erfolgt ist, nimmt dasselbe eine Umdrehungsgeschwindigkeit  $c$  an, welche der Schiffsgeschwindigkeit  $v$  fast gleichkommt.

§. 320. Bei der Construction der Schaufelräder sind mannigfaltige Veränderungen versucht worden, man ist jedoch immer wieder zu der gewöhnlichen einfachen Form derselben zurückgekehrt, wobei die hölzernen Schaufeln in radialer Richtung zwischen zwei eisernen Reifen auf den Enden der eisernen Radarme befestigt sind. Die untere Hälfte eines solchen

Schaukel-  
 räder.



Fig. 635.



Schaufelrades führt das in Fig. 635 abgebildete Dampfschiff *AB* vor Augen. Die Ase *C*, um welche sich das Rad dreht, ist von dem halbkreisförmigen Radkasten *D*, welcher auf dem Radgestelle *EE* ruht, verdeckt. Während das Rad in der Richtung des Pfeiles umgedreht wird und die Schaufeln *S* desselben mit der Geschwindigkeit *c* gegen das Wasser schlagen, bewegt sich das Schiff in der umgekehrten Richtung mit der Geschwindigkeit *v* fort. Da das Rad mit dem Schiffe zugleich fortgeht, so bewegen sich die Schaufeln desselben in einer Cycloide, und zwar nicht in einer gemeinen Cycloide, sondern in einer verkürzten Cycloide *ABDEFBG*, Fig. 636, weil die Umdrehungsgeschwindigkeit *c* der Schaufel *A* größer ist als die fortschreitende Geschwindigkeit *v* derselben. Um diese Curve zu construiren, ziehen wir zunächst durch die Mitte *K* der untersten Radschaukel eine Horizontale, und tragen hierauf den Weg  $KE = \frac{v}{c}$  mal Halbkreis *AHK*  $= \frac{v}{c} \cdot \pi a$  auf, um welchen sich das Rad horizontal fortbewegt, während es eine halbe Umdrehung macht, während also auch die Schaufel *A* nach *E* kommt. Nun theilen wir den mittleren Schaufelkreis *AK* in gleiche Theile, führen durch die Theilpunkte 1, 2, 3... desselben ebenfalls Horizontalen, und tragen auf dieselben die entsprechenden Wege des Rades in gerader Linie, also z. B.:

$$1 \alpha = \frac{\text{Bog. } A1}{\text{Halbkfr. } AK} \cdot KE = \frac{1}{6} KE,$$

$$2 \beta = \frac{\text{Bog. } A2}{\text{Halbkfr. } AK} \cdot KE = \frac{2}{6} KE.$$

$$3 \gamma = \frac{\text{Bog. } A3}{\text{Halbkfr. } AK} \cdot KE = \frac{3}{6} KE$$

u. s. w. auf; die sich dadurch ergebenden Punkte  $\alpha, \beta, \gamma, \delta, \varepsilon$  u. s. w. liegen in der







Schaufel-  
räder.

$$\begin{aligned}
 &= \frac{MU^2}{8a} - \frac{NR^2}{8a} = \frac{(a \sin. \varphi)^2 - (a \sin. \varphi) + e - l)^2}{8a} \\
 &= \frac{2(l - e)a \sin. \varphi - (l - e)^2}{8a},
 \end{aligned}$$

daher folgt:

$$\sin. \psi = \frac{(l - e) \sin. \varphi}{4l} - \frac{(l - e)^2}{8al} = \frac{l - e}{4l} \left( \sin. \varphi - \frac{l - e}{2a} \right).$$

Es fällt also die Neigung der Schaufelarme gegen den Horizont, und folglich auch die Abweichung der Schaufelebenen von der Vertikalen um so kleiner aus, je kleiner nicht allein der Drehungswinkel  $\varphi$ , sondern auch je kleiner das Verhältniß  $\frac{l - e}{l}$  ist. Für  $\varphi = 0$  hat man hiernach:

$$\sin. \psi = - \frac{(l - e)^2}{8la};$$

damit folglich die Schaufel bei ihrem tiefsten Stande vertikal stehe, muß ihre Ebene um den Winkel  $90^\circ - \psi$ , wo  $\psi$  durch die letzte Formel zu bestimmen ist, von der Richtung ihres Armes abweichen.

Anmerkung. Bei den Schaufelrädern von Field ist jede Schaufel aus mehreren schmälern Theilen zusammengesetzt, welche stufenförmig, und zwar in einem Cycloidenbogen hinter einander stehen und schmale Zwischenräume zwischen sich lassen. Man hat durch diese Schaufelconstruction das Stauchen der Schaufeln beim Ein- und Austritt aus dem Wasser beseitigen wollen. Es ist dies jedoch sehr unvollkommen gelungen; und vielmehr die Leistung der Ruderräder dadurch, wie es scheint, etwas herabgezogen worden. Mit Vortheil wendet man dagegen, vorzüglich in Amerika, Ruderräder an, welche durch ein mittleres Armsystem in zwei gleiche Theile getheilt werden, deren Schaufelungen gegen einander so versetzt sind, daß je eine Schaufel der einen Abtheilung mit der Mitte der Theilung zwischen je zwei Schaufeln der anderen Abtheilung zusammenfällt. Hierbei erhalten die mittleren Nadarme eine solche Breite, daß sich die Schaufeln der einen Abtheilung auf der einen und die der anderen Abtheilung auf der anderen Seite derselben befestigen lassen.

Andere Aenderungen, welche man an der Construction der Schaufelräder versucht hat, erstrecken sich bloß auf die Form der Schaufeln. Nach den Versuchen des Amerikaners Gwbank sollen namentlich trianguläre Schaufeln, deren Spitzen der Nadare zugekehrt sind, doppelt so viel leisten als rechteckige von gleichem Flächeninhalte. Näheres hierüber s. The steam engine by Tredgold, Vol. III., London 1852.

Schrauben-  
räder.

§. 321. Die Schaufelräder vereinigen mehrere Nachtheile in sich, welche durch Anwendung der Schraubenträder vermieden werden können. Die Schaufelräder zu beiden Seiten des Schiffes erschweren nicht allein die Wendung, sondern auch die Durchfahrt des Schiffes durch enge Fahrwasser, und sind überhaupt den Zerstörungen weit mehr ausgesetzt als die viel kleineren und ganz unter Wasser befindlichen Schraubenträder, die







Nun ist, wenn wir die obige Formel nur auf ein Element der Fläche Schrauben-  
räder. anwenden:

$$dP = \frac{3\gamma}{2g} \left( \frac{\omega h}{2\pi} - v \right)^2 (\cos. \alpha)^3 dF$$

oder, da

$$dF \cdot \cos. \alpha = dG,$$

d. i. die kreisförmige Projection der Schraubenfläche rechtwinkelig gegen die Umdrehungsaxe ausdrückt:

$$dP = \frac{3\gamma}{2g} \left( \frac{\omega h}{2\pi} - v \right)^2 (\cos. \alpha)^2 dG.$$

Das Element  $dG$  ist ein schmaler Kreisring vom Halbmesser  $z$ , von einem gegebenen Centriwinkel  $\beta^0$  und von der Breite  $dz$ , daher:

$$dG = \beta z dz,$$

oder, da aus dem Obigen

$$z = \frac{h}{2\pi} \cotg. \alpha, \text{ und hieraus wieder } dz = - \frac{h d\alpha}{2\pi \sin. \alpha^2} \text{ folgt,}$$

$$dP = - \frac{3\gamma\beta}{2g} \left( \frac{h}{2\pi} \right)^2 \left( \frac{\omega h}{2\pi} - v \right)^2 (\cotg. \alpha)^3 \cdot d\alpha.$$

Nun ist:

$$\int (\cotg. \alpha)^3 d\alpha = - \frac{1}{2 \sin. \alpha^2} - \text{Ln. sin. } \alpha,$$

folglich:

$$\begin{aligned} \int_{\frac{\pi}{2}}^{\alpha} (\cotg. \alpha)^3 d\alpha &= \frac{1 - \sin. \alpha^2}{2 \sin. \alpha^2} + \text{Ln. sin. } \frac{\pi}{2} - \text{Ln. sin. } \alpha \\ &= - \frac{(\cotg. \alpha)^2}{2} - \text{Ln. sin. } \alpha, \end{aligned}$$

daher die ganze Kraft des Flügelrades:

$$P = \frac{3\gamma\beta}{2g} \left( \frac{h}{2\pi} \right)^2 \left( \frac{\omega h}{2\pi} - v \right)^2 \left( \frac{(\cotg. \alpha)^2}{2} + \text{Ln. sin. } \alpha \right).$$

Ferner ist der Inhalt der Flügelprojection winkelrecht zur Axe:

$$G = \beta \int z dz = \frac{\beta z^2}{2} = \frac{\beta}{2} \left( \frac{h}{2\pi} \right)^2 (\cotg. \alpha)^2;$$

Daher läßt sich auch

$$\begin{aligned} P &= \frac{3\gamma\beta}{2g} \left( \frac{h}{2\pi} \right)^2 \left( \frac{\omega h}{2\pi} - v \right)^2 \frac{2}{\beta} \left( \frac{2\pi}{h} \right)^2 (\tan g. \alpha)^2 \left( \frac{(\cotg. \alpha)^2}{2} + \text{Ln. sin. } \alpha \right) G \\ &= \frac{3\gamma}{2g} \left( \frac{\omega h}{2\pi} - v \right)^2 \cdot [1 + 2 (\tan g. \alpha)^2 \text{Ln. sin. } \alpha] \cdot G \end{aligned}$$

setzen.

Schrauben-  
räder.

Führen wir jetzt  $c = \omega r$  und  $\text{tang. } \alpha = \frac{h}{2\pi r}$  ein, wobei wir  $c$  und  $\alpha$  auf den äußersten Radumfang beziehen, so erhalten wir:

$$P = \frac{3}{2} \frac{\gamma}{g} (c \text{ tang. } \alpha - v)^2 [1 + 2 (\text{tang. } \alpha)^2 \text{Ln. sin. } \alpha] G.$$

Bezeichnen wir nun  $3 [1 + 2 (\text{tang. } \alpha)^2 \text{Ln. sin. } \alpha]$  durch  $\xi_1$ , so ergibt sich:

$$P = \xi_1 \frac{(c \text{ tang. } \alpha - v)^2}{2g} G \gamma;$$

und da nun noch  $P =$  dem Widerstande  $\xi \frac{F v^2}{2g} \gamma$  des Schiffes gleich zu setzen ist, so folgt:

$$c \text{ tang. } \alpha - v = v \sqrt{\frac{\xi F}{\xi_1 G}},$$

daher:

$$c \text{ tang. } \alpha = v \left( 1 + \sqrt{\frac{\xi F}{\xi_1 G}} \right),$$

und folglich die erforderliche Arbeit des Ruderrades:

$$\begin{aligned} L &= P c \text{ tang. } \alpha = \xi \frac{F v^2}{2g} \gamma \cdot v \left( 1 + \sqrt{\frac{\xi F}{\xi_1 G}} \right) \\ &= \xi \frac{F v^3}{2g} \gamma \left( 1 + \sqrt{\frac{\xi F}{\xi_1 G}} \right). \end{aligned}$$

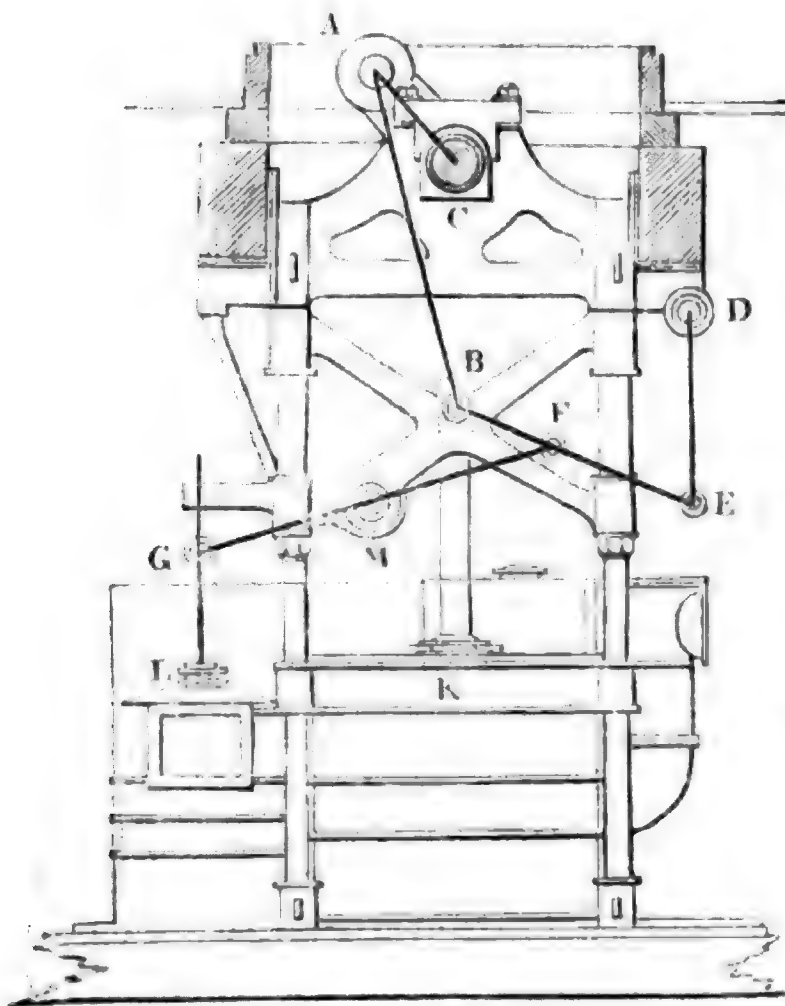
Dampfmaschinen.

§. 322. Die Dampfmaschinen, welche zur Bewegung der Dampfschiffe dienen, sind in der Regel gewöhnliche Watt'sche Maschinen mit Condensation; jedoch wendet man auch zur Erzielung eines kleineren Gewichtes in neuerer Zeit Hochdruckmaschinen an. Da diese Maschinen keine Anwendung eines Schwungrades gestatten, so läßt man sie in der Regel aus zwei Dampfzylindern bestehen, und giebt der nahe unter das Verdeck zu legenden Welle für jeden Dampfkolben eine besondere Kröpfung. Um eine möglichst gleichförmige Umdrehungsbewegung zu erzielen, läßt man die Warzen der beiden Kröpfe oder Krummzapfen genau wie bei der Treibare eines Dampfzuges um 90 Grad von einander abstehen. Wegen der Beschränktheit des Raumes und um auch eine größere Anzahl von Spie len oder Umdrehungen zu erhalten, giebt man den Schiffsmaschinen immer einen kleinen Hub, der vielleicht noch nicht einmal der Cylinderweite gleich kommt. Die ersten Schiffsmaschinen waren Balanciermaschinen. Um das Verdeck frei zu lassen, mußten die Balanciers unter der Welle, und zwar nahe über dem Schiffsboden gelagert werden, und um die Kolbenstange mittels der bekannten Geradsführung (s. Fig. 271, §. 130) zu be-

wirken, war es auch nöthig, jeden Balancier aus zwei gleichen, um eine gemeinschaftliche Axe schwingenden und den Dampfzylinder zwischen sich fassenden Theilen bestehen zu lassen. In den neueren Zeiten wendet man aber meist nur direct wirkende Maschinen an, wobei man circa ein Drittel des Raumes und zwei Fünftel des Gewichtes erspart.

Sehr mannigfaltig sind die direct wirkenden Maschinen. Sie sind entweder solche mit feststehenden, oder solche mit schwingenden Cylindern. Bei den letzteren wird die Kurbelwalze unmittelbar von dem Kopfe der Kolbenstange ergriffen, und bei den ersteren wird die Verbindung der Kolbenstange mit der Kurbel durch eine Kurbelstange bewirkt. Hierbei ist natürlich eine besondere Senkrechtführung nöthig, welche, wie wir aus §. 121 u. s. w. wissen, entweder aus einem Hebelmechanismus, oder aus einem festen Leitungsrahmen bestehen kann. Die oscillirenden Dampfmaschinen von Penn, bei welchen der Dampf durch die hohle Schwingungsaxe zu- und abgeführt wird, und die Kolbenstangen außer den Stopfbüchsen ohne eine weitere Geradsführung auf die Krummzapfen wirken, haben eine allgemeine Verbreitung erlangt. Bei den Maschinen mit feststehenden Cylindern wird das aus

Fig. 642.



§. 133 bekannte Princip der Senkrechtführung mit einem schwingenden Träger sehr gewöhnlich angewendet. Die Skizze einer solchen Maschine von Fairbairn u. Comp. führt Fig. 642 vor Augen. Es ist hier C die Kurbelwelle, A die Kurbelwarze, A B die Kurbelstange, B K die Kolbenstange, ferner D E der um die Axe D schwingende Träger, und M F der um M schwingende Lenkarm, welcher das Gestell B E in F und die Kolbenstange G L der Luft- und Warmwasserpumpe in G ergreift. Auch hat man bei diesen direct wir-

kenden Maschinen das in §. 122 behandelte und durch Fig. 254 illustrierte Princip mit hohler Kolbenstange angewendet. Um durch diese hohle Kolbenstange so wenig wie möglich an Kolbenfläche zu verlieren, ist

Dampf-  
schiff-  
maschinen.

bei den Maschinen von Mr. Humphry der Querschnitt derselben länglich geformt worden.

Sehr mannigfach sind die direct wirkenden Maschinen mit festen Leitungen. Bei den Maschinen von Rennie, Bury &c. laufen die Leitungen an den Seiten des Dampfcylinders herab, und bei der Maschine von Maubslay und Field liegen sie zwischen zwei Dampfcylindern, deren Kolbenstangen durch ein T förmiges Querhaupt zusammengekuppelt sind, und folglich auch gemeinschaftlich auf- und niedergehen. Der Leitungsblock, welcher das Ende der Kurbelstange mit dem Querhaupte verbindet, sitzt hier am vertikal herabhängenden Stiele des letzteren.

Wenn man endlich die Dampfkolben mit zwei oder vier Kolbenstangen ausrüstet, so kann man den Krummzapfen dicht über den Dampfcylinder legen, wodurch natürlich eine bedeutende Höhe für diese Cylinder gewonnen wird. Es kommt dann das Querhaupt der Kolbenstangen, und dessen aus cylindrischen Stangen bestehende Führung über die Welle, und folglich auch über das Verdeck zu liegen. Diese Maschinen kommen sehr gewöhnlich auf den Dampfschiffen vor, welche auf dem Clyde fahren, und sind unter dem Namen *steeple-engines* bekannt.

Meist ganz abweichend hiervon sind die nordamerikanischen Dampfschiffmaschinen. Diese arbeiten mit einem enormen Dampfdruck von vielleicht 100 Pfund pr. Quadrat Zoll, befinden sich über dem Verdeck und haben oft nur einen Cylinder und einen sehr großen Kolbenhub von 10 Fuß.

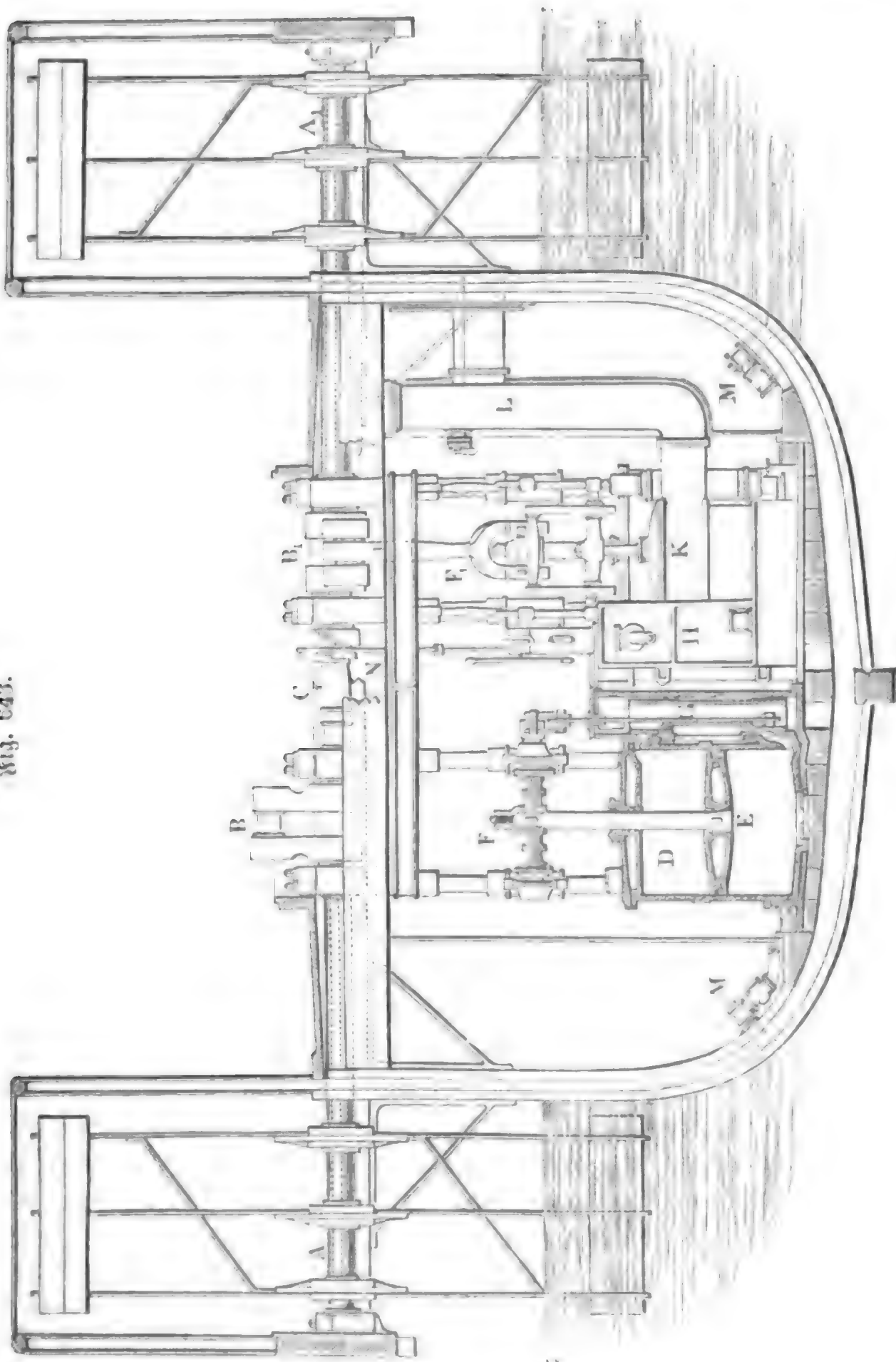
Die wesentliche Einrichtung einer Dampfschiffmaschine ist aus dem Querschnitt in Fig. 643 zu ersehen. Es ist hier  $ACA_1$  die Triebwelle mit den beiden Kuberrädern  $A, A_1$  und den Krummzapfen  $B, B_1$ . Ferner sieht man in  $D$  den einen Dampfcylinder, sammt seiner Kolbenstange  $EF$  und dem Querhaupte  $F$  der letzteren. Die Kurbelstange zwischen  $BF$  ist abgenommen, dagegen ist aber die Kurbelstange  $B_1 F_1$  der anderen Maschine vollständig sichtbar. Noch sieht man in dieser Abbildung bei  $G$  den Durchschnitt der Dampfkammer des einen Cylinders, in  $K$  das Aeußere des Condensators, in  $H$  das der Luft- und Warmwasserpumpe, in  $L$  das hierzu gehörige Austragerrohr, in  $M, M$  Hähne zum Ein- und Auslassen des Condensations- und Kesselwassers, in  $N$  das eine Excentrik u. s. w. Die Geradföhrungen dieser Maschinen sind genau wie Fig. 642 andeutet.

Zur Umdrehung der Schraubenräder wendet man am einfachsten direct wirkende Dampfmaschinen mit horizontal liegenden Cylindern an. Um dieselben pr. Minute 80 bis 90 Spiele machen lassen zu können, ist es nöthig, ihren Schub auf das Minimum zu beschränken. Wenn nun auch durch diese große Anzahl von Spielen die Dampfkraft nicht ansehnlich herabgezogen wird, so ist es jedoch ganz unvortheilhaft, die Luft- und Warm-

Von dem Fortschaffen der Lasten auf ganz oder nahe horizontalen Wegen. 779  
 wasserpumpe mit so großer Geschwindigkeit arbeiten zu lassen. Aus diesem Grunde leistet man hier entweder auf die Condensation ganz Verzicht, oder man reducirt durch eine Zwischenmaschine die Geschwindigkeit dieser

Dampfmaschinen.

Fig. 643.

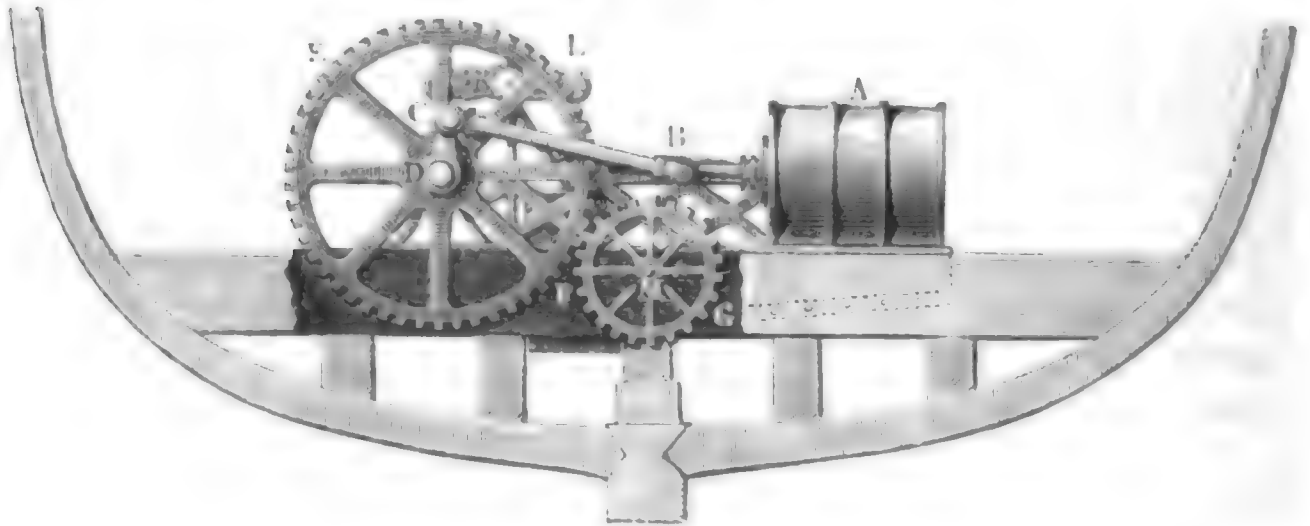




Dampfmaschinen.

Pumpe, oder man läßt dieselbe durch eine besondere Dampfmaschine in Bewegung setzen. In mechanisch-ökonomischer Beziehung ist es allerdings vortheilhafter, die Dampfmaschine nicht unmittelbar auf die Triebwelle wirken zu lassen, sondern ein Zahn- oder Riemenradvorgelege anzuwenden, welches bewirkt, daß die Radwelle in derselben Zeit zwei- bis dreimal so viel Umdrehungen macht als die Kurbelwelle. Einen solchen Umtriebsmechanismus, und zwar mit Zahnradvorgelege, sieht man in Fig. 644.

Fig. 644.

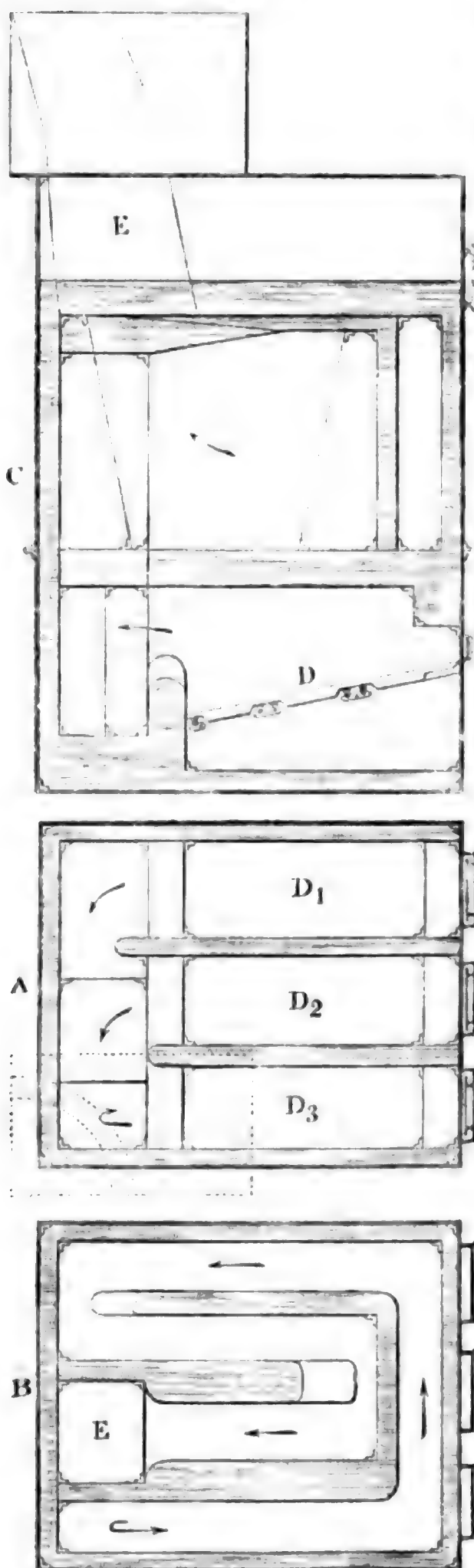


Es ist hier *A* der Dampfcylinder, *BC* die Kurbelstange und *CD* der Krummzapfen. Auf der Welle *D* des letzteren sitzt das Zahnrad *EF*, und dieses greift in ein kleineres Zahnrad *FG* ein, welches auf der Welle *M* des Schraubenrades befestigt ist. Noch sieht man in *KL* einen Hebel, durch welchen die Luft- und Warmwasserpumpe mit der Kurbelwelle in Verbindung gesetzt wird.

Schiffs-  
dampfmaschine.

§. 323. Die Dampfkessel der Schiffsmaschinen sind natürlich so zu construiren, daß sie nicht allein möglichst leicht ausfallen, sondern auch möglichst wenig Raum einnehmen. Der Heerd eines solchen Kessels läßt sich natürlich nicht aus Steinen aufmauern, sondern er ist, wie bei einem Dampfwagen, aus Blech herzustellen, und mit dem eigentlichen Kessel zu einem Ganzen zu verbinden. Es befindet sich deshalb der Brennheerd im Innern des ganzen Kessels selbst und es sind zur Verhütung der Feuergefahr und zur Erzeugung einer möglichst großen Erwärmungsfläche die Heizcanäle von allen Seiten mit Wasser zu umgeben. Statt der Kessel mit gewöhnlichen Heizcanälen wendet man auch jetzt häufig, zumal bei Hochdruckmaschinen, sogenannte Röhrenkessel an (s. II., §. 300). Die letzteren nehmen mindestens nur  $\frac{3}{4}$ mal so viel Raum ein als die ersteren und sind auch um ein Viertel leichter als diese. Die Heiz- oder Feuercanäle haben einen mehr oder weniger rectangulären Quer-

Fig. 645.



schnitt und sind anderthalb- bis dreimal so hoch als weit, die Heiz- oder Feuerrohren sind 8 bis 10 Fuß lang und 3 Zoll weit, und ihre Anzahl ist 300 bis 400. Während die Wasserräume bei den Kesseln mit Heizcanälen 5 bis 6 Zoll weit sind, giebt man den Heizrohren nur 1 Zoll Abstand von einander.

E. 645.  
Dampfessel.

Kessel für größere Dampfschiffe erhalten zwei Etagen über einander, so daß die warme Luft erst die Züge in der einen und dann die in der anderen durchläuft. In Fig. 645 sieht man in A den Horizontal-durchschnitt der unteren und in B den der oberen Etage, sowie in C den vertikalen Längendurchschnitt eines solchen Kessels. Vier solche Kessel mit 12 Brennheerden haben eine gemeinschaftliche Esse. Den Weg, welchen die warme Luft von den Brennheerden D<sub>1</sub>, D<sub>2</sub>, D<sub>3</sub> bis zur Esse E macht, ersieht man aus den Richtungen der beigefügten Pfeile.

Die Einrichtung eines Röhrenkessels für Dampfschiffe läßt sich aus dem vertikalen Längendurchschnitt A B C D E, Fig. 646 (a. f. S.), eines solchen Kessels entnehmen. Es ist hier A der Brennheerd, B der Rost, C die Feuerbrücke, D der Röhrenapparat, E die Esse, F F' der Wasser- und G der Dampfraum. Auch hier bilden vielleicht drei Brennheerde einen Kessel, und vier solche wieder ein Ganzes mit gemeinschaftlicher Esse.

Was die letzteren anlangt, so sind dieselben aus Eisenblech und haben eine Höhe von 20 bis 40 Fuß.

Schiff-  
dampfkessel.

Man versteht dieselben entweder mit einen Charniere, um sie beim Durchfahren unter Brücken niederlegen zu können, oder man giebt ihnen eine perspectivähnliche Einrichtung, indem man sie aus mehreren einander um-

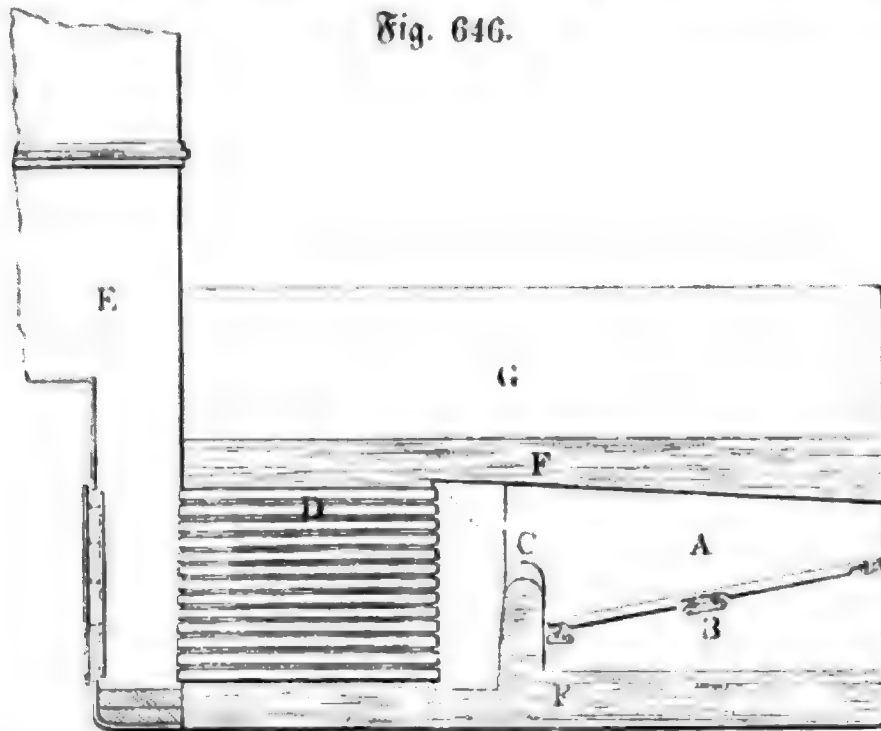


Fig. 646.

fassenden Röhren bestehen läßt, welche sich in- und auseinander verschieben lassen.

Abläßen des  
Kesselwassers.

§. 324. Ein wesentlicher Uebelstand entspringt bei den Seedampfschiffen aus dem Gebrauch des eine bedeutende Menge alkalischer Substanzen (3,2 bis 3,8 Procent) enthaltenden Seewassers. Während die Hitze einen Theil des Wassers in Dampf verwandelt, bleiben die salzigen Bestandtheile desselben in dem übrigen Wasser zurück; und da nun durch das Speisewasser immer mehr und mehr solcher salzige Theile dem Kessel zugeführt werden, so überschreitet endlich die das Kesselwasser bildende Solution ihren Sättigungspunkt, es schlägt sich aus derselben das Salz in fester Gestalt nieder und überzieht den Boden mit einer festen Kruste, welche den Durchgang der Wärme erschwert, wodurch wieder eine Ueberhitzung und das damit verbundene schnellere Abführen des Kessels herbeigeführt wird. Diesem Uebelstande kann man auf zweierlei Weise begegnen. Man kann entweder

- 1) das Speisen des Kessels so reguliren, daß das Salzwasser in demselben nie den Sättigungspunkt erreicht, oder man kann
- 2) das aus der Condensation des Dampfes hervorgehende reine Wasser wiederholt zum Speisen des Kessels verwenden.

Das einfachste Mittel, um die Sättigung des Salzwassers im Kessel zu verhindern, besteht darin, daß man von Zeit zu Zeit, etwa nach je 2 Stunden, einen Theil desselben abläßt und denselben wieder mittels der Speispumpe

Von dem Fortschaffen der Lasten auf ganz oder nahe horizontalen Wegen. 783

durch Condensationswasser ersetzt. Natürlich geht durch dieses Ablassen oder Ausblasen des heißen Wassers und Zuführen des nur warmen Condensationswassers eine ansehnliche Wärmemenge verloren; um daher durch unnöthige Wiederholung dieses Processes kein Brennmaterial zu verschwenden, ist der Gebrauch eines Instrumentes, des sogenannten Salinometers, welches den Salzgehalt des Kesselwassers anzeigt, von großem Nutzen. Da die Temperatur des Siedepunktes eine um so größere ist, je mehr das Wasser Salz in sich enthält, so kann man umgekehrt, aus dieser Temperatur auf die Größe des Salzgehaltes des Wassers schließen. Wenn z. B. das reine Wasser bei 100 Grad siedet, so gelangt das gewöhnliche Seewasser von  $\frac{1}{32}$  Salzgehalt erst bei  $100\frac{2}{3}$  Grad C., ferner das abzulasende Kesselwasser, von  $\frac{4}{32}$  Salzgehalt, bei  $102^{\circ},6$  C., und das gesättigte Kesselwasser von  $\frac{12}{32}$  Salzgehalt bei  $107^{\circ},8$  C. zum Sieden. Wenn man daher eine kleine aus dem Kessel abgelassene Wassermenge in einem Kupfergefäße zum Sieden bringt, und die Temperatur desselben an einem genauen Thermometer beobachtet, so kann man dadurch den Salzgehalt des Kesselwassers finden. Ein Aräometer (s. I., §. 315) mit einer hohlen Metallkugel und einer eingetheilten Scala läßt sich natürlich ebenfalls anwenden, um die Grädigkeit des Kesselwassers zu finden.

Das Ablassen einer kleinen Menge Wasser aus dem Kessel, um den Salzgehalt desselben zu finden, wird bei Anwendung des Salinometers von Seaward ganz umgangen. Die wesentliche Einrichtung eines solchen Salinometers hat mit der aus II., §. 312, Fig. 437 bekannten Wasserstandsrohre die größte Aehnlichkeit. In diese Rohre bringt man zwei hohle Kugeln, wovon die eine auf dem Wasser schwimmt und die andere in dem Wasser zu Boden sinkt, wenn dasselbe den Salzgehalt ( $\frac{4}{32}$ ) hat, bei welchem das Ausblasen nöthig oder zweckmäßig ist. So lange nun beide Kugeln noch am Boden liegen, hat das Kesselwasser noch nicht diese Grädigkeit, und wenn hingegen beide Kugeln schwimmen, so ist dieselbe bereits überschritten.

Um das Ausblasen des Kesselwassers zu reguliren, läßt man dasselbe nicht unmittelbar in die See, sondern erst in einen besonderen Behälter von etwa einer Tonne Fassungsraum laufen, und versieht nun nicht allein die Rohre, welche das Wasser in diesen Behälter, sondern auch diejenige, welche es aus demselben durch die Schiffswand in das Meer führt, mit einem Hahne. Hat man nun während der Eröffnung des ersten Hahnes den Behälter aus dem Kessel gefüllt, so kann man nachher, indem man denselben verschließt und den anderen Hahn eröffnet, dieses Füllwasser in das Meer ablassen, und es ist dadurch das ausgeblasene Quantum vollständig bekannt. Auch kann man das Ablassen des Salzwassers leicht dadurch

Ablassen des  
Kesselwassers.



reguliren des  
Ablaschwassers

reguliren, daß man das Ventil, welches das Ausblaserohr von innen verschließt, mit einem Schwimmer verbindet, welcher dasselbe eröffnet, sowie das Wasser in dem Kessel eine gewisse Höhe übersteigt.

Ein anderes Hülfsmittel zum Ablassen des Salzwassers aus dem Dampfkessel besteht in der Anwendung einer besonderen Salzwasserpumpe (engl. brine-pump). Diese Pumpe wird wie die Speisepumpe durch die Maschine in Bewegung gesetzt, sie entnimmt so viel Wasser aus dem Kessel, daß das Salzquantum in demselben gleich ist der durch das Speisewasser zugeführten Salzmenge. Enthält das Speisewasser  $\frac{1}{32}$  und das durch die Salzwasserpumpe abzuführende Wasser  $\frac{5}{32}$  Salz, so ist das Salzquantum 5 Cubikfuß Speisewasser gleich der Salzmenge in 1 Cubikfuß Ablaswasser. Um daher in einer bestimmten Zeit 4 Cubikfuß Wasser in Dampf zu verwandeln, hat man unter den gegebenen Umständen in derselben Zeit 5 Cubikfuß Speisewasser zu- und 1 Cubikfuß Salzwasser abzuführen.

Eine wesentliche Ersparniß wird bei dem Ausblasen des Salzwassers noch dadurch erzielt, daß man dasselbe erst durch einen Vorwärmer hindurchgehen läßt, ehe es in die See abfließt.

Das Speisen der Seedampfschiffkessel mit Süßwasser ist durch Anwendung eines schon von Watt erfundenen Röhrencondensators zu ermöglichen. Dieser Condensator besteht aus einem System von vielen engen Röhren, welche von außen mit einem Strome von kaltem Wasser umgeben sind und durch welche der Dampf strömt, nachdem er in dem Dampfcylinder seine Wirkung vollbracht hat. Bei diesem Durchströmen schlägt sich dieser Dampf als Wasser nieder, und dieses wird in einem Gefäße aufgefangen, aus welchem es wieder durch eine Pumpe dem Kessel als Speisewasser zugeführt wird. Da bei dieser Methode des Condensirens gar keine Vermischung des niedergeschlagenen Dampfes mit dem kalten Wasser vorkommt, so erhält man hierbei auch ganz reines, weder mit Salz noch mit Luft vermengtes Wasser. Watt hat die Anwendung dieses in der genannten Beziehung so zweckmäßigen Apparates vorzüglich deshalb aufgegeben, weil die Condensation durch denselben zu langsam vor sich ging, und deshalb noch immer ein namhafter Gegendruck auf den Dampfkolben zurückblieb. Der Condensator von Hall ist von dem Watt'schen nicht wesentlich verschieden. Da natürlich immer etwas Dampf oder Wasser verloren geht, so muß dies durch eine kleine Menge destillirten Seewassers ersetzt werden!

Schlussanmerkung. Ausführlich über Schiffahrtsanale u. s. w. handelt Hagen in seiner Wasserbaukunst II. Ueber den Schiffbau ist nachzulesen: Bobrik's Handbuch der praktischen Schiffahrtskunde; ferner James Peake: Rudimentary Treatise on Ship-Building, und über Dampfschiffe in Robert

Von dem Fortschaffen der Lasten auf ganz oder nahe horizontalen Wegen. 785

Murray: Rudimentary Treatise on the Marine Engine, Gardner: The Steam Engine, Tredegold: On the Steam Engine. Siehe auch Medtenbacher's Resultate des Maschinenbaues, ferner Glaubel: Formules, Tables et Renseignements pratiques; Aide-Mémoire des Ingénieurs et Architects etc., deutsch unter dem Titel: Bademecum für den Ingenieur und Baumeister, Stuttgart 1854. Unter den Werken über Dampfmaschinen überhaupt ist es besonders das schon am Ende von Bd. II. citirte Werk von Bataille und St. Julien, welches die Dampfschiffmaschinen ausführlicher behandelt.

---

## **Zweiter Abschnitt.**

### **Von den Wasserhebungsmaschinen.**

---

#### **Erstes Kapitel.**

#### **Von den Maschinen zum Heben des Wassers auf kleinere Höhen.**

§. 325. Das Fortschaffen des Wassers ist von dem Fortschaffen oder Fördern der festen Körper dadurch wesentlich verschieden, daß das Wasser vermöge seiner großen Beweglichkeit auf nur wenig geneigten Wegen (ohne Hülfe einer Maschine) von selbst fortläuft, wenn ihm nur das dazu nöthige Bett zubereitet ist (s. II., §. 88, §. 101 u. s. w.). Da das Wasser nur in seltenen Fällen, und zwar nur vorübergehend (wie z. B. bei Feuerbrünsten), in Gefäßen und mittels Wagen oder Schlitten, wie ein fester Körper, auf mehr oder weniger horizontalen Wegen fortgeschafft wird, so sind denn auch die Wasserförderungsmaschinen im eigentlichen Sinne nur Wasserhebungsmaschinen (franz. machines à élever de l'eau; engl. water-raising engines, water-works).

Zum Heben des Wassers auf kleine Höhen dienen in der Regel Gefäße, welche entweder unmittelbar mit der bloßen Hand, oder mittels besonderer Maschinen in Bewegung gesetzt werden. Diese Art des Wasserhebens nennt man Schöpfen des Wassers (franz. puiser de l'eau; engl. draw-up water), und die hierzu dienenden Maschinen Schöpfmaschinen.

Die Arbeit des Wasserschöpfens kommt besonders beim Trockenlegen von Baugruben, bei Entwässerung von Niederungen, sowie auch bei Bewässerung von Wiesen und beim Herbeischaffen von Wasser für besondere ökonomische und industrielle Zwecke in Anwendung.



Das einfachste Mittel zum Wassers schöpfen besteht in der Anwendung des sogenannten Handeimers (franz. sceau, baquet; engl. bucket) von circa  $\frac{1}{2}$  Cubikfuß = 22 Pfund Wasser. Man hebt mittels desselben durch einen Mann das Wasser nur 3 bis 4 Fuß hoch; um es höher zu heben, sind zwei oder mehrere Arbeiter nöthig, welche über einander stehen und den Eimer einander zulangen. Man rechnet, daß ein Mann pr. Minute mit dem Eimer 15 Mal Wasser schöpfen und denselben jedes Mal 3 Fuß hoch heben könne. Dies giebt dann die Arbeit pr. Minute:

$$= 15 \cdot 22 \cdot 3 = 990 \text{ Fußpfund,}$$

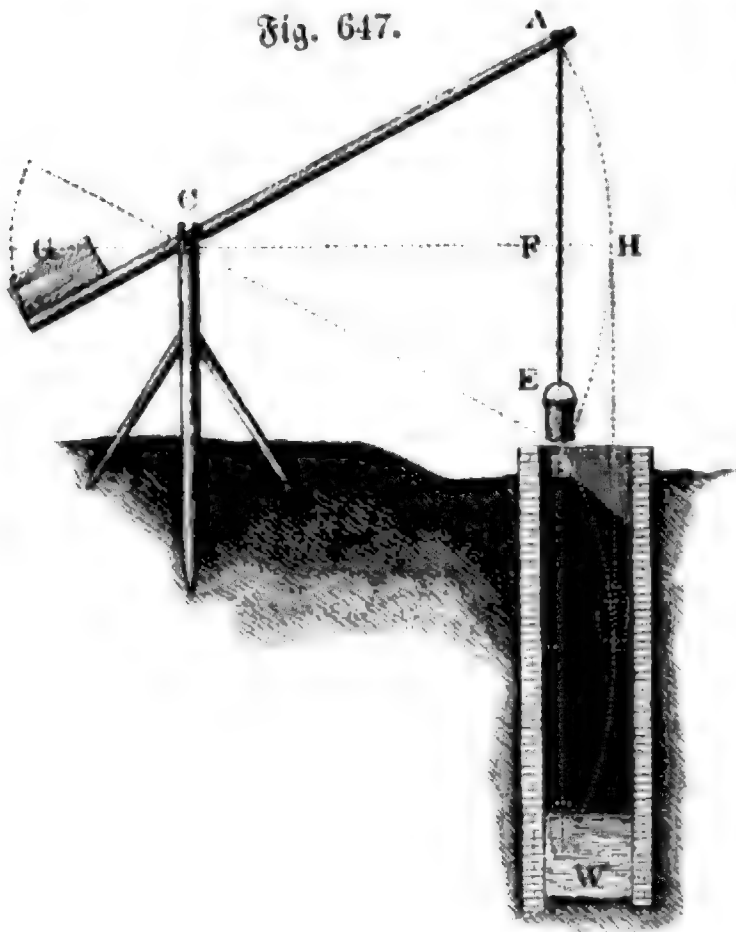
und für eine wirkliche tägliche Arbeitszeit von sechs Stunden das tägliche Arbeitsquantum eines Mannes nur

$$6 \cdot 60 \cdot 990 = 356400 \text{ Fußpfund.}$$

Um das Wasser durch einen Arbeiter allein höher zu heben, versteht man am einfachsten den Eimer mit einem 6 bis 7 Fuß langen Stiel, welcher dann als Hebel wirkt. Hierbei muß man natürlich kleinere Eimer anwenden, oder wenigstens dieselben nicht ganz füllen. Die tägliche Leistung beim Wassers schöpfen mit Hülfe der gestielten Eimer ist nicht ansehnlich größer als die mittels der einfachen Eimer. Die Anwendung derselben ist besonders dann zweckmäßig, wenn der Arbeiter nicht unter, sondern über der Oberfläche des Wassers steht, aus welchem das Schöpfen erfolgt, weil sich hier der Arbeiter mit dem einfachen Eimer zu sehr bücken und folglich einen Theil seines Körpers mitheben mußte.

Wenn es darauf ankommt, das Wasser auf größere Höhen von 12 bis

Fig. 647.



20 Fuß, z. B. aus Brunnen emporzuheben, so hängt man den Eimer an einen sogenannten Schwenkel oder Hebel  $ACG$  mit Gegengewicht, wie Fig. 647 vor Augen führt. Wenn man durch das Gegengewicht  $G$  den Schwenkel bei der halben Füllung des Eimers äquilibrirt, so erfordert das Herausziehen des gänzlich gefüllten Eimers dieselbe Kraft, wie das Niederziehen des leeren Kübels. Die Sehne  $AB$  des von dem Aufhängepunkte  $A$  des Eimers  $E$

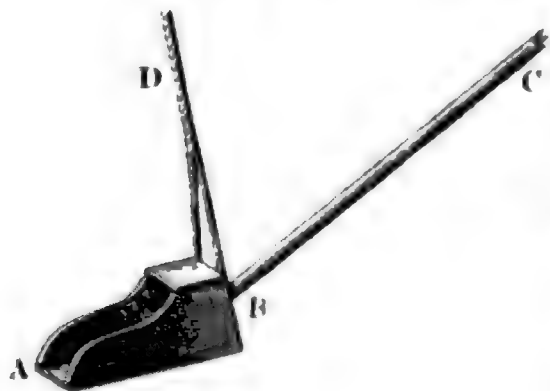
beschriebenen Bogens muß mindestens der Brunnentiefe gleich sein, damit der Eimer hinreichend tief in das Wasser *W* eintauchen könne; auch muß die Weite des Brunnens um die Weite des Eimers größer sein als die Bogenhöhe *FH*, damit sich der Eimer nicht an die Seitenmauer des Brunnens anlege.

Um mittels Eimer oder Zober Wasser aus noch größeren Tiefen zu ziehen, bedient man sich entweder einer einfachen Leitrolle oder einer Radwelle, z. B. eines gewöhnlichen Haspels oder Göpels, indem man an jedes Ende des um die Rolle oder Welle liegenden Seiles einen solchen Eimer oder Zober hängt. Da dann das eine Gefäß niedersinkt, während das andere gehoben wird, so ist die erforderliche Zugkraft nur gleich dem Gewichte des Wassers in dem aufsteigenden Zober.

Beim Bergbau kommt auch das Wasserfördern in Tonnen mittels Göpel (s. §. 238) vor. Diese Tonnen erhalten am besten ein Ventil im Boden, welches sich beim Eintauchen derselben in den Sumpf nach innen öffnet, wobei sich dieselben mit Wasser anfüllen, ohne sich umzulegen. Das Entleeren der gefüllten Tonne erfolgt entweder auf die bekannte Weise (s. §. 242) durch Stürzen der Tonne oder durch Aufziehen des Ventils. Ein unter die Ausflußmündung gebrachtes Gerinne leitet dann das Wasser von der Schachtmündung weg weiter ab.

§. 326. Das Wasser läßt sich auch wie jeder andere schwere Körper durch Werfen oder Schleudern fortschaffen und auf eine mäßige Höhe heben. Das einfachste Hülfsmittel hierzu besteht in der Anwendung einer Schaufel (franz. pelle; engl. shovel). Man unterscheidet die Wurf- Wasserschau-  
feln. schaufel und die Schwungschaufel von einander. Die erstere ist ein großer Löffel aus Buchen- oder Ahornholz mit einem Stiel von 3 bis 5 Fuß Länge, und wird stets von dem Arbeiter mit freier Hand bewegt. Man wendet sie vorzüglich dann an, wenn es darauf ankommt, das Wasser vollständig aus einem Raume, z. B. aus einem Boote, zu entfernen. Die Schwungschaufel *AB*, Fig. 648, ist aus Brettchen oder Blech

Fig. 648.



zusammengesetzt, hat einen langen Stiel *BC* von 8 bis 12 Fuß, und wird mittels eines Seiles *D* an einem Bock aufgehängt. Die Länge der eigentlichen Schaufel ist  $1\frac{1}{2}$  bis 2 Fuß, die Breite 1 Fuß und die Tiefe  $\frac{3}{4}$  Fuß. Indem der Arbeiter diese Schaufel mittels ihres Stieles vor sich hinstößt, schöpft er circa  $\frac{1}{2}$  Cubikfuß Wasser ein und wirft dabei dasselbe etwa

Wasserschau-  
felu.

3 Fuß hoch und 6 Fuß weit fort. Sehr gewöhnlich stellt man hier dem ersteren Arbeiter gegenüber noch zwei andere Arbeiter an, welche die Schaufel mittels Seilen bei jedem Schwunge nach sich ziehen. Die Leistung eines Arbeiters mittels einer Wurf-schau-fel ist nicht ansehnlich größer als die beim Schöpfen mittels eines Eimers. Drei Arbeiter geben in der Minute der Schwung-schau-fel 28 Stöße, wobei sie jedes Mal  $\frac{3}{4}$  Cubikfuß = 50 Pfund Wasser circa  $3\frac{1}{2}$  Fuß hoch werfen. Hiernach ist die Arbeit derselben pr. Minute =  $50 \cdot 28 \cdot \frac{7}{2} = 4900$  Fußpfund, also ihre tägliche Leistung, bei sechs Stunden wirklicher Arbeitszeit:

$$4900 \cdot 60 \cdot 6 = 1,764,000 \text{ Fußpfund,}$$

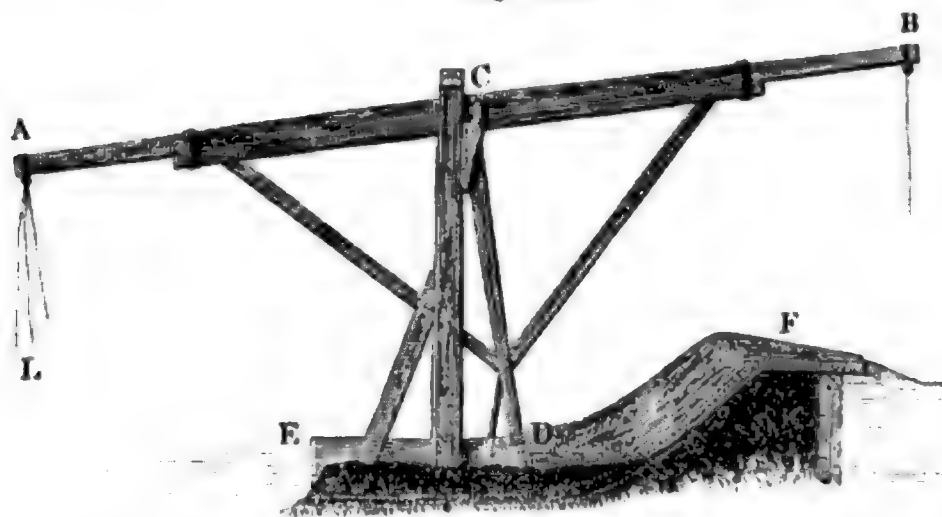
so daß auf einen Arbeiter allein dieselbe = 588,000 Fußpfund angenommen werden kann.

Das Wasserwerfen läßt sich auch durch Maschinen bewirken, und zwar

- 1) durch die Wasserwippe, und
- 2) durch Wurfräder.

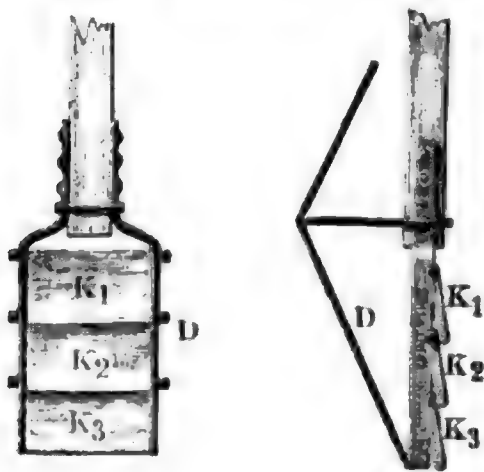
Die Wasserwippe ist eine mit einem Schwengel  $ACB$ , Fig. 649, in Verbindung gesetzte Schwung-schau-fel  $CD$ , welche sich in einem Kropf-

Fig. 649.



gerinne  $EF$  bewegt. Diese Maschine wird von vier bis sechs Arbeitern

Fig. 650.



wie eine gewöhnliche Zugramme mittels Zugseilen  $L$  in eine schwingende Bewegung gesetzt, wobei sie in der Minute 10 bis 12 Spiele macht, und 70 bis 85 Cubikfuß Wasser 4 Fuß hoch empor-schleudert. Damit die Schaufel  $D$  mit Leichtigkeit in das Unterwasser zurück-gehe, läßt man dieselbe aus sich nach oben öffnenden Klappen  $K_1, K_2, K_3$ , Fig. 650, von  $1\frac{1}{2}$  Fuß Länge und je 8 Zoll Breite bestehen, und umgibt dieselben mit

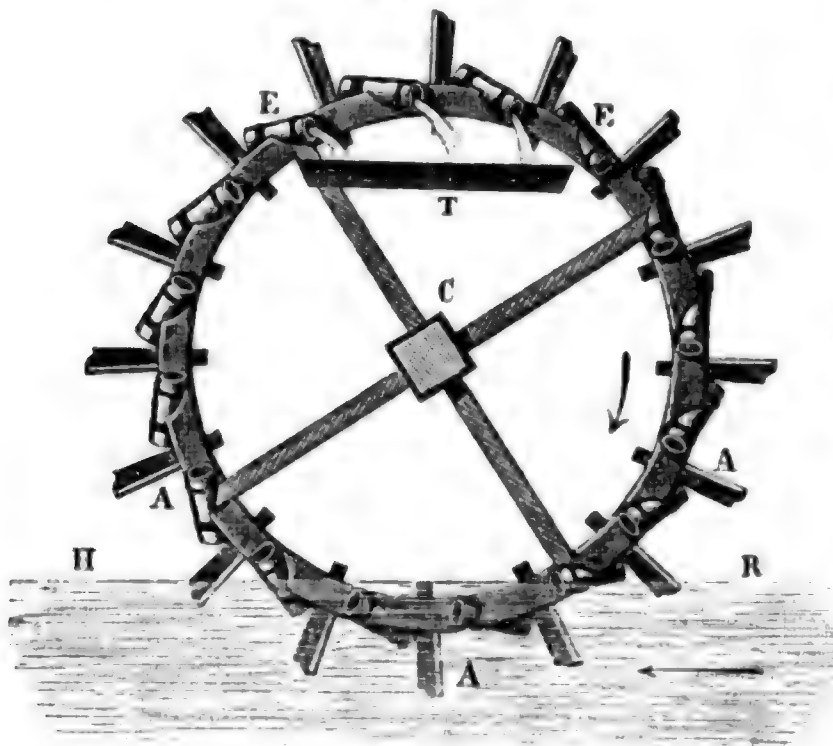








Schöpfräder, auf den Radkranz befestigt sind. Die Bewegung dieses Rades erfolgt durch die Strömung des Wassers  $HR$ , indem dasselbe auf die Schaufeln  $A, A, A$  schlägt, welche, wie bei einem gewöhnlichen Streberade, mittels Stielen an den äußeren Umfang des Radkranzes ange-  
 Fig. 654.

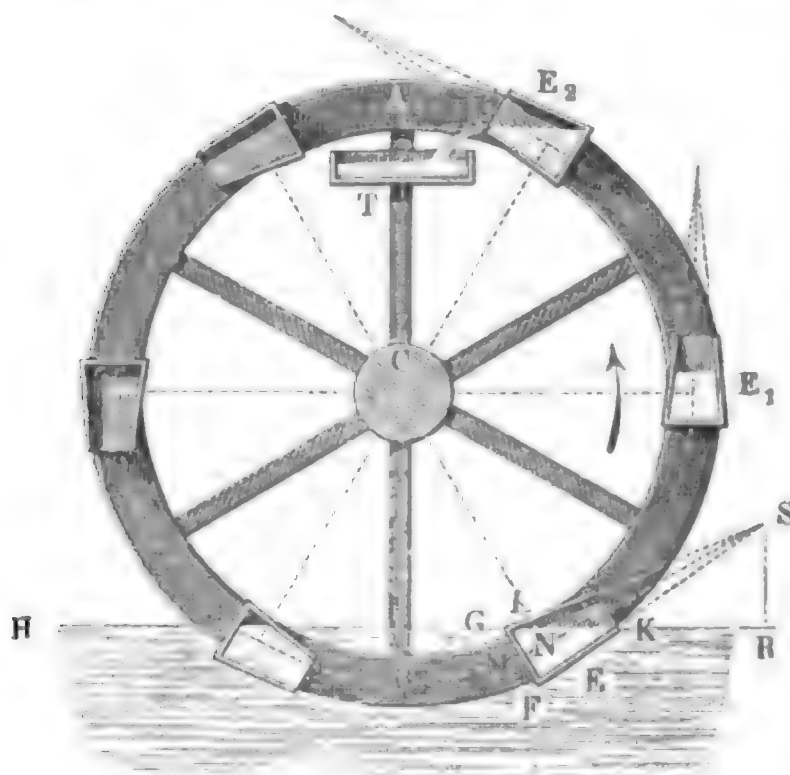


durch die Strömung des Wassers  $HR$ , indem dasselbe auf die Schaufeln  $A, A, A$  schlägt, welche, wie bei einem gewöhnlichen Streberade, mittels Stielen an den äußeren Umfang des Radkranzes ange-  
 Das oben ausgegossene Wasser wird ebenfalls in einem Troge aufgefassen, wobei natürlich ein Theil der Steighöhe wieder verloren geht. Diese Räder werden jetzt auch

in Europa nicht selten angewendet. In Tyrol haben dieselben noch die besondere Eigenthümlichkeit, daß sie auf einem Schemel mit Gegengewicht ruhen, wodurch sie, dem jedesmaligen Wasserstande entsprechend, höher oder tiefer gestellt werden können.

Das sogenannte fränkische Schöpfrad, wie es an der Rednitz bei Erlangen angewendet wird, zeigt Fig. 655. Es ist dies ein im freien Strome hängendes Streberad  $ACB$ , an dessen Kränzen kegelförmige Eimer oder Kübel  $E, E \dots$  so

Fig. 655.



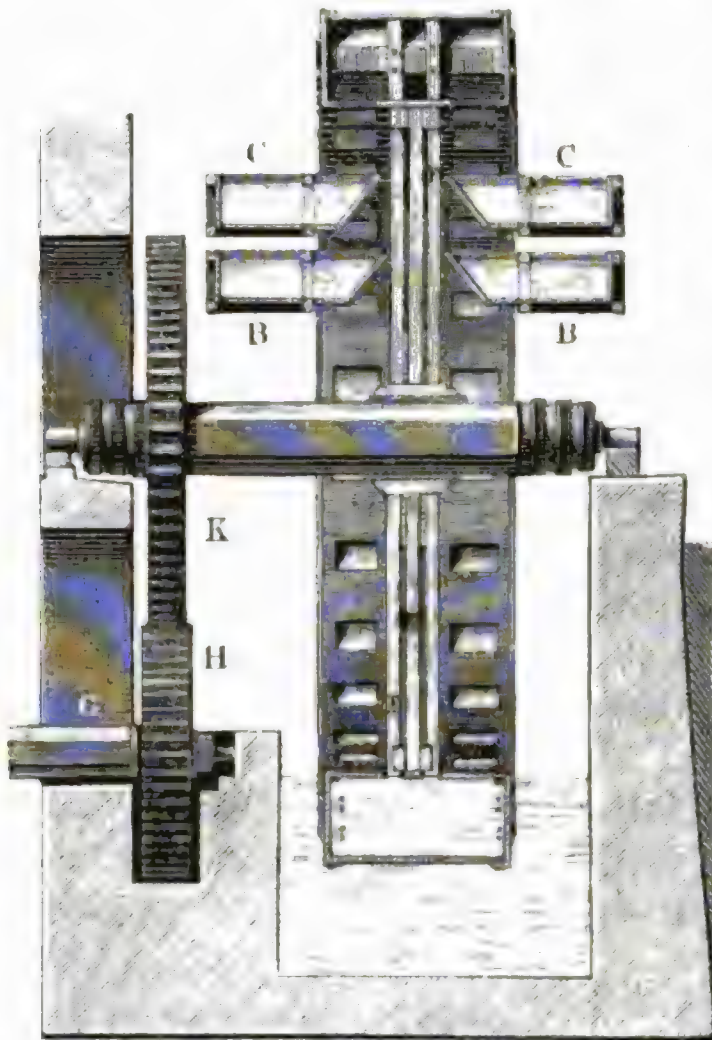
oder Kübel  $E, E \dots$  so befestigt sind, daß ihre Axen den Sehnen der von ihnen bedeckten Ringstücke parallel laufen. Bei der Umdrehung dieses Rades füllen sich diese Eimer, indem sie in das Wasser  $HR$  tauchen, zum großen Theil mit Wasser an, welches sie in das Gerinne  $T$  nahe unter dem Radscheitel  $A$  wieder ausgießen. Damit durch dieses Rad



Zellen- und  
Schnecken-  
räder.

und 658 in  $\frac{1}{80}$  der natürlichen Größe vor Augen geführt. Während

Fig. 658.



dieses Rad umläuft, füllen sich die in das Wasser *AA* (Fig. 657 a. v. S.) eintauchenden Zellen desselben von außen mit Wasser an, und sind dieselben auf eine gewisse Höhe gestiegen, so gießen sie das mitgenommene Wasser durch in dem Boden des Rades angebrachte Oeffnungen in die Gerinne *BD* und *CE*, welche das Rad gabelförmig umgeben. Die drei Armsysteme *FF* und die zwischen denselben liegenden Reifen, wodurch der Radcanal mit der Welle des Rades in eine feste Verbindung gebracht wird, sind nahe an einander gerückt, damit sie sich, ohne an die Gerinnköpfe *BB* und

*CC*, Fig. 658, anzustoßen, umdrehen können. Ein tiefer hängendes Kropfrad setzt durch seine Welle *G* und mittels des Zahnradvorgeleges *HK* das Schöpfrad in Umdrehung.

Figur 659 zeigt den vertikalen Längendurchschnitt eines zu Ransstedt im Kreise Midda befindlichen Schöpfrades in  $\frac{1}{40}$  der natürlichen Größe. Die linke Hälfte *AAA* dieser Abbildung zeigt das auf bekannte Weise eingerichtete Kropfrad, und die rechte Hälfte *BBB* das unmittelbar an das erstere anstoßende Schöpfrad. Dieses ist am äußeren Umfang ganz verschlossen, und durch einfache schiefstehende Schaufeln in Zellen zertheilt. Das zu hebende Wasser wird dem Rade durch einen Seitencanal zugeführt, und fließt bei *E* von innen in die Radzellen, sowie bei *F* aus denselben wieder heraus, nachdem dieselben von *E* bis *F* emporgestiegen sind.

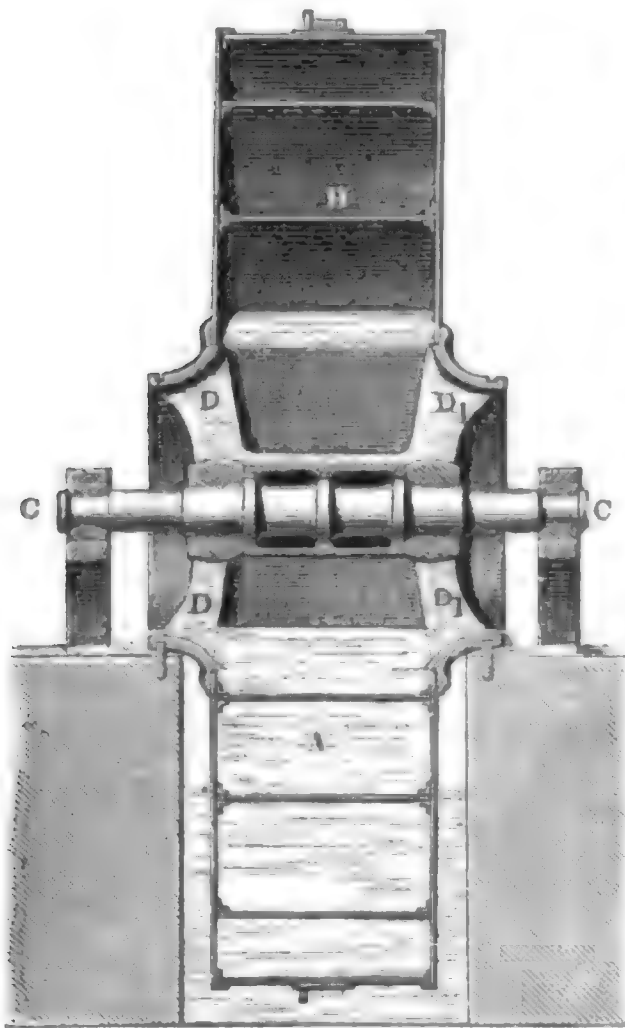
Das Trommelrad oder Tympanum nach Vitruv bestand in einer hohlen Trommel *AB*, Fig. 660, mit einer hohlen Welle *C* und war durch radiale Scheidewände in sectorförmige Räume getheilt. Jeder dieser Räume hatte eine Mündung *a* am äußeren Umfang zum Einnehmen des Wassers, und stand auch durch eine Seitenmündung *b* in der hohlen





Beide Formeln sind natürlich auch auf die Wurfäder anwendbar, wenn hier  $n$  die Anzahl der Schaufeln und  $V$  das von je einer Schaufel emporgeschleuderte Wasser bezeichnet.

3ellen- und  
Schneden-  
räder.



Wegen der Nebenhindernisse muß man natürlich sowohl bei den Wurf- als auch bei den Schöpfädern die gefundene Arbeit  $L$  noch um ein Namhaftes vergrößern.

Da das durch ein Schöpfad gehobene Wasser bei seinem Ausgusse die Geschwindigkeit  $v$  mit dem Rade gemeinschaftlich hat, so nimmt die Trägheit desselben überdies noch die Arbeit  $\frac{v^2}{2g} Q\gamma$  in Anspruch, und damit das Wasser ungehindert ausgegossen werden könne, muß es auch noch auf eine Höhe  $h_1$  über das Niveau des Oberwassers gehoben werden, so daß hiernach noch die Arbeit  $Qh_1\gamma$  verrichtet werden muß.

Mit Berücksichtigung dieser beiden Arbeitsverluste ist folglich die ganze auf die Umdrehung eines Schöpfades zu verwendende mechanische Arbeit:

$$3) L = \left( h + h_1 + \frac{v^2}{2g} \right) Q\gamma = \left( h + h_1 + \frac{v^2}{2g} \right) \cdot \frac{nn}{60} V\gamma.$$

Um nach dieser Formel den nöthigen Arbeitsaufwand eines Schöpfades berechnen zu können, ist nöthig, daß man vorher eine Bestimmung des Wasservolumens in einem Eimer oder Schöpfgefäße vornehme. Bei einem Schöpfade mit kegelförmigen Eimern, Fig. 663 (a. folgd. S.), ist dieses Wasservolumen die Differenz zwischen einem Kegel  $FGS$  mit kreisförmiger Basis  $FG$  und einem Kegel  $KLS$  mit elliptischer Basis. Ist  $s$  die Höhe  $SM$  und  $\alpha$  der halbe Convergenzwinkel  $FSM = GSM$  des einen Kegels, so hat man dessen Volumen:

$$V_1 = \frac{1}{3} \pi s^3 (\tan \alpha)^2,$$

und schneidet die Basis  $KL$  des zweiten Kegels die Axe  $SM$  desselben unter dem Winkel  $SNK = \beta$  im Abstände  $SN = s_1$  von der Spitze  $S$ , so hat man die große Axe dieser Basis:



Wellen- und  
Schnecken-  
räder.

$$2a = KL = KN + NL = \frac{s_1 \sin. \alpha}{\sin. (\beta + \alpha)} + \frac{s_1 \sin. \alpha}{\sin. (\beta - \alpha)}$$

$$= \frac{s_1 \sin. 2\alpha \sin. \beta}{\sin. (\beta + \alpha) \sin. (\beta - \alpha)},$$

dagegen die kleine Axc derselben:

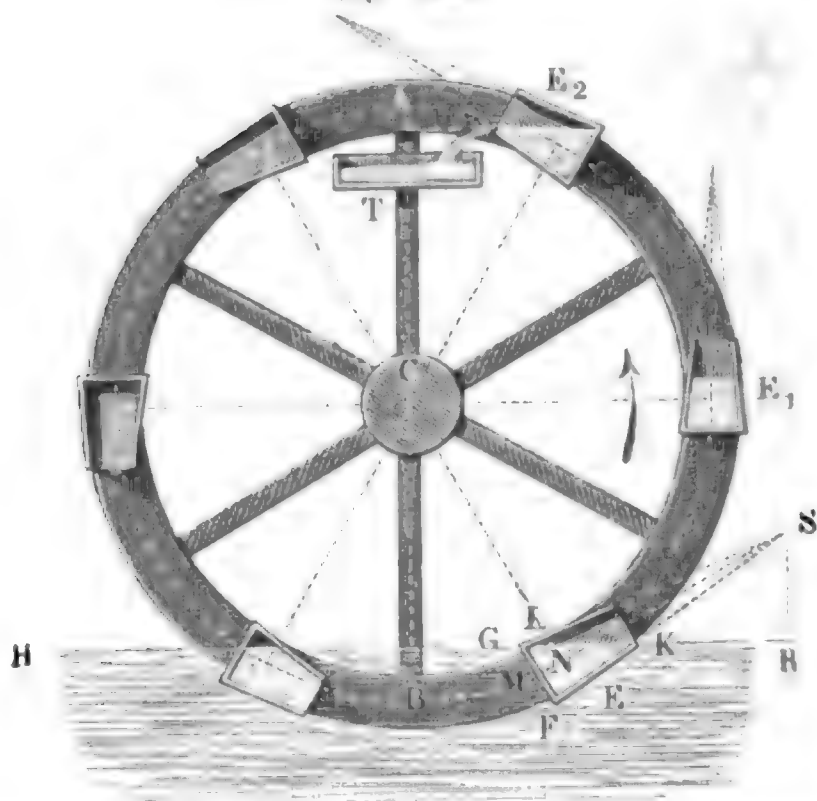
$$2b = 2s_1 \tan. \alpha,$$

und da noch die Höhe dieses Kegels  $SR = s_1 \sin. \beta$  ist, das Volumen desselben:

$$V_2 = \pi ab \cdot \frac{s_1 \sin. \beta}{3}$$

$$= \frac{\pi}{3} s_1^3 \frac{(\sin. \alpha)^2 (\sin. \beta)^2}{\sin. (\beta + \alpha) \sin. (\beta - \alpha)} = \frac{1/3 \pi s_1^3}{(\cot. \alpha)^2 - (\cot. \beta)^2}.$$

Fig. 663.



Hiernach bestimmt sich das Wasservolumen eines Eimers:

$$V = V_1 - V_2.$$

Bei dem Schneckenrade, oder dem Schöpf-  
rade mit Spiralwän-  
den ist der vertikale  
Längenschnitt des Was-  
serkörpers in einer Ab-  
theilung ein Segment,  
und es läßt sich dabei  
annähernd das Volum-  
en desselben:

$$V = 2/3 a b l$$

setzen, wenn  $a$ ,  $b$  und

$l$  die Höhe, Breite und Länge dieses Wasserkörpers bezeichnen.

Beispiel. Ein Schöpf-  
rad habe 12 conische Eimer von folgenden Dimen-  
sionen: Halbmesser der unteren Grundfläche:  $r = 6$  Zoll, Halbmesser der oberen  
Grundfläche:  $r_1 = 3$  Zoll, Höhe des Gefäßes:  $a = 21$  Zoll, und es sei die  
Neigung der Axc dieser Gefäße beim Austritt aus dem Unterwasser:  $\beta = 2$   
Grad. Wie viel liefert dieses Schöpf-  
rad Wasser pr. Minute, und wie viel er-  
fordert dasselbe zu seiner Bewegung mechanische Arbeit, wenn die Anzahl der  
Umdrehungen dieses Rades pr. Minute  $n = 5$  ist und die Höhe, auf welche es  
das Wasser hebt, 11 Fuß beträgt?

Es ist für den Convergenzwinkel  $2\alpha$  des Gefäßes:

$$\tan. \alpha = \frac{r - r_1}{a} = \frac{6 - 3}{21} = 1/7,$$

ferner die Höhe des ganzen Kegels (Fig. 663):

$$MS = s = r \cot. \alpha = 6 \cdot 7 = 42 \text{ Zoll},$$

und die Arenlänge  $NS$  des schiefen Ergänzungsegels:

$$s_1 = r_1 (\cotg. \alpha + \cotg. \beta) = 3 \cdot 9,1445 = 27,4335 \text{ Zoll,}$$

folglich hat man das Volumen des ganzen Kegels:

$$V_1 = \frac{1}{3} \pi r^2 s = \frac{\pi}{3} \cdot 6^2 \cdot 42 = 1512 \cdot \frac{\pi}{3}.$$

Das des Ergänzungsegels ist:

$$V_2 = \frac{\pi}{3} \cdot \frac{s_1^3}{\cotg. \alpha^2 - \cotg. \beta^2} = \frac{\pi}{3} \cdot \frac{(27,4335)^3}{7^2 - (2,1445)^2} = 465 \cdot \frac{\pi}{3};$$

daher folgt das Wasserquantum in einem Eimer;

$$V = V_1 - V_2 = (1512 - 465) \frac{\pi}{3} = 1096 \text{ Kubitzoll} = 0,6345 \text{ Kubifuß} \\ = 41,88 \text{ Pfund.}$$

Das gehobene Wasserquantum pr. Minute ist:

$$60 Q = n u V = 12 \cdot 5 V = 60 V = 38,07 \text{ Kubifuß,}$$

und die erforderliche Arbeit pr. Secunde:

$$L = \frac{n u}{60} V \gamma \cdot 11 = 41,88 \cdot 11 = 461 \text{ Fußpfund,}$$

oder mit Berücksichtigung der Zapfentreibung circa eine Pferdekraft.

Jellen- und  
Schnecken-  
räder.

Paternoster-  
werke.

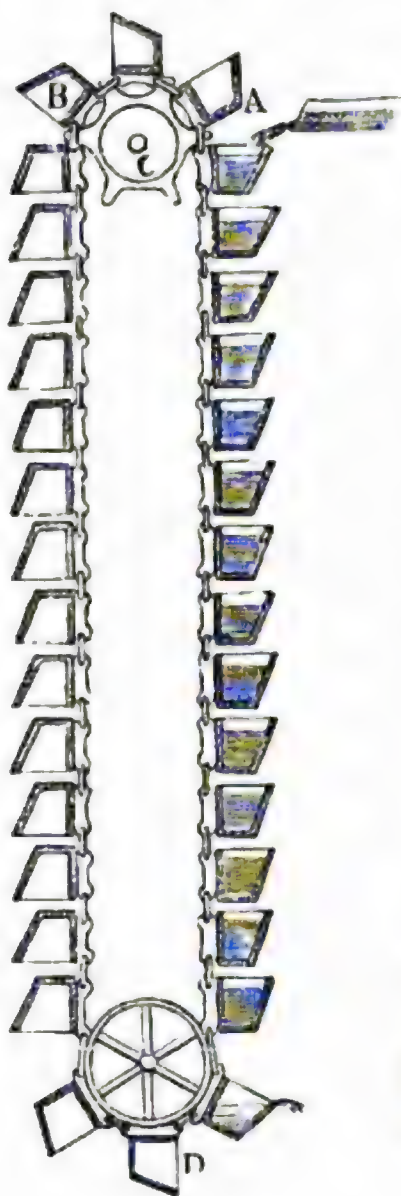
§. 331. Anstatt die Schöpfeimer an ein umlaufendes Rad zu befestigen, verbindet man dieselben auch wohl mit einer Kette ohne Ende (s. §. 29 und §. 36). Wird diese Kette mit dem unteren Ende in das Wasser eingetaucht, und durch Umdrehung des oberen Rades, um welches dieselbe gelegt ist, in Bewegung gesetzt, so schöpfen die an ihr sitzenden Eimer Wasser, führen dasselbe mit sich empor und gießen es am oberen Ende der Maschine in ein untergesetztes Gefäß aus. Man kann auch statt der Eimer oder Kästen einfache Schaufeln, Kolben oder Scheiben u. s. w. anwenden, welche man in einem Lutten oder einer Röhre emporsteigen läßt. Diese Maschinen heißen im Allgemeinen Paternosterwerke (franz. chapelets; engl. chain-pumps), und zwar insbesondere Eimer- oder Kastenkünste, wenn das Wasser in Eimern oder Kästen, Schaufeln- oder Scheibenkünste, wenn es durch Schaufeln oder Scheiben, und Püschelkünste, wenn es durch ausgepolsterte Kugeln oder Rissen emporgehoben wird.

Die einfachste Eimerkunst oder sogenannte Noria ist schon aus II., §. 244 bekannt. Dort wurde sie als eine Umtriebsmaschine dargestellt, indem man annahm, daß diese Maschine  $ABD$ , Fig. 664 (a. f. Seite), durch oben zufließende und auf der einen Seite in den Eimern niedersinkende Wasser in Umdrehung gesetzt wird; wenn man aber dem oberen Rade durch eine andere Kraft die entgegengesetzte Umdrehung giebt und die Maschine so tief ins Wasser taucht, daß sich die unter dem unteren Rade weglaufenden Eimer  $D$  mit Wasser füllen können, so wird das letztere bei dem Aufsteigen der Eimer auf der einen Seite mitgenommen und gelangt oben zum Ausgusse, indem die Eimer über dem oberen Rade  $C$

Vatemoer-  
werke.

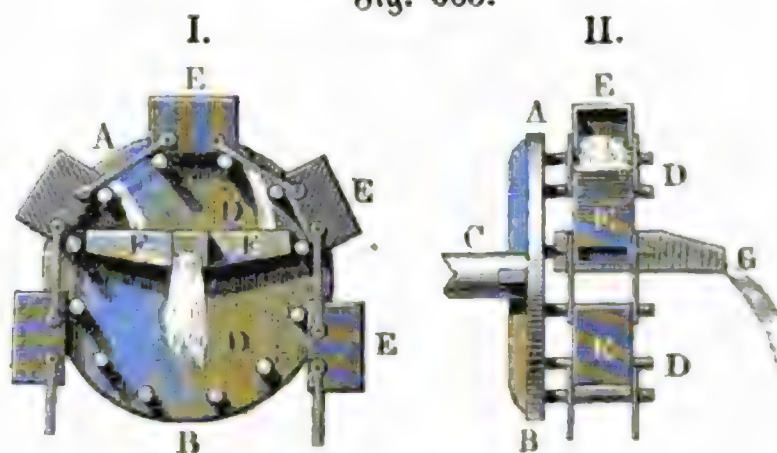
weglaufen. Obgleich diese Art der Wasserhebung sehr vollkommen zu sein

Fig. 664.



scheint, so hat man doch auch bei ihrer Anwendung mit mehreren Uebelständen zu kämpfen. So setzt z. B. die Luft in den Gefäßen, zumal wenn dieselben senkrecht herab ins Wasser eintauchen, dem Eintritt des Wassers in dieselben leicht Hindernisse entgegen, und es ist auch das Entleeren der Gefäße nicht leicht ohne Zurückfallen von einer ansehnlichen Menge Wasser zu bewirken. Hierzu kommt noch, daß das Wasser zum Theil auf eine beträchtlich größere Höhe gehoben werden muß, als es aufgefangen wird. Auch fordert das ungestörte Einschöpfen und Ausgießen des Wassers, sowie das regelrechte Auflegen der Kettenglieder auf die Räder oder Trommeln, daß diese Maschine nur langsam umgehe.

Fig. 665.



Die Art und Weise wie eine Noria durch ein umlaufendes Rad mit Triebstöcken in Bewegung gesetzt und wie das Wasser aus den Gefäßen ausgegossen und aufgefangen wird, ist aus Fig. 665, I. und II. zu erkennen, wo *AB* das um die Ase *C* umlaufende Rad, *D, D* die aus der Stirnfläche desselben hervorstehenden Triebstöcke, *E, E* die kastenförmigen Gefäße und *FF* den Trog zum Auffangen des Wassers, sowie *G* das Gerinne zum Ableiten desselben vorstellen.

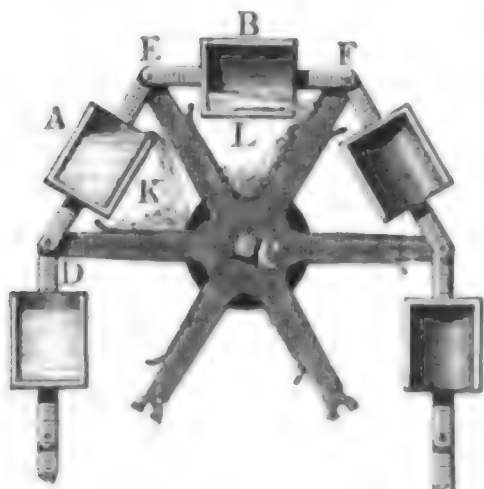
Um das Wasser bei seinem Ausgießen aufzufangen, stellt man auch wohl durch zwischen je zwei Triebstöcke oder Radarme eingesezte und mit dem Rade fest verbundene Bleche Gerinne hat, welche das Wasser seitwärts in einen Trog leiten. Das obere Ende einer solchen Schöpfmaschine führt Fig. 666 vor Augen. Diese Maschine besteht aus zwei Ketten, welche



die Gefäße *A, B* u. s. w. zwischen sich fassen, und sich mittels ihrer Bol-

paternoster-  
werke.

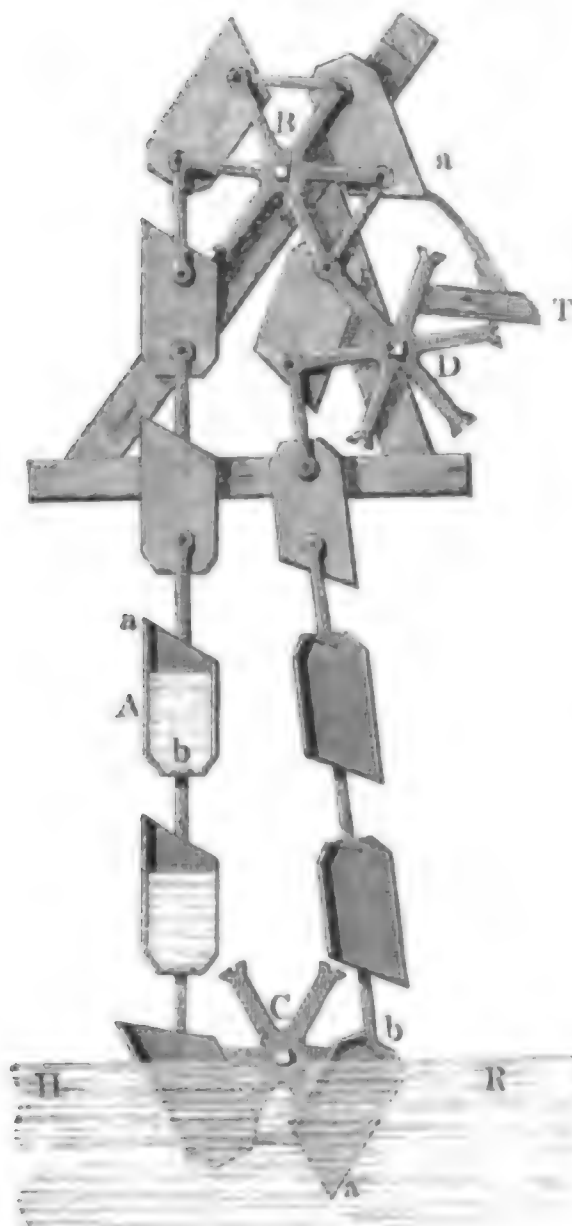
Fig. 666.



zen auf die Enden der Radarme *D, E, F* ... stützen. Die Räume *K, L* u. s. w. zwischen den beiden Rädern der oberen Welle und zwischen je zwei Armen eines und desselben Rades sind durch Blechwände begrenzt, und dienen zur Aufnahme und zur Weiterführung des ausgegossenen Wassers.

Eine andere Moria, welche in Frankreich häufig angewendet und zuerst von Gateau construiert worden ist, zeigt Fig. 667. Dieselbe besteht aus Bleheimern wie *A* u. s. w. von 1 Fuß Höhe, 6 Zoll

Fig. 667.



Breite und 9 Zoll Länge, welche oben neben dem schrägen Boden eine größere Seitenöffnung *a* zum Einschöpfen und Ausgießen des Wassers, und unten ein kleines durch ein Klappventil bedecktes Loch *b* zum Ein- und Abführen der Luft enthalten. Beim Aufsteigen der Gefäße sind natürlich die Ventile geschlossen, und wenn die Gefäße oben über das Rad weglafen, so öffnen sich die Ventile durch ihr eigenes Gewicht, und lassen die zum Abfließen des Wassers nöthige Luft in die Gefäße. Wenn die Gefäße in das Unterwasser *H R* tauchen, so strömt die durch das eindringende Wasser verdrängte Luft durch die Ventilöffnungen wieder ab. Um das gehobene Wasser mittels des Troges gut auffangen zu können, ist unterhalb des oberen Rades *B* ein zweites Rad *D*, welches die niedergehende Kette so weit zurückdrängt, daß die Rinne nahe unter das ausgießende Gefäß gerückt werden kann, angebracht.

Vaternoster-  
werke.

Anmerkung. Die Gimerkette wird auch zum Heben von Körnern und lockeren oder halbflüssigen Massen verwendet (s. S. 217). In den Getreidemühlen dient sie unter dem Namen Elevator zum Aufziehen von Getreidekörnern und Mehl. Die Gimer oder Becher sind hier kleine Blechgefäße mit viertelkreisförmigen Seitenflächen und von je 25 bis 75 Cubikzoll Inhalt, und werden auf einen 4 bis 6 Zoll breiten Riemen ohne Ende aufgenietet, der um zwei Trommeln von circa  $1\frac{1}{4}$  bis  $1\frac{3}{4}$  Fuß Durchmesser läuft. Diese Trommeln machen pr. Minute 25 bis 30 Umdrehungen, und ertheilen folglich dem Riemen eine Geschwindigkeit von  $1\frac{1}{2}$  bis  $2\frac{1}{2}$  Fuß. Nehmen wir diese Geschwindigkeit 2 Fuß an, ferner die Entfernung zwischen je zwei Gimern  $1\frac{1}{2}$  Fuß, und den Inhalt eines Gimers 30 Cubikzoll, so folgt das gehobene Mahlgutquantum pr. Secunde:

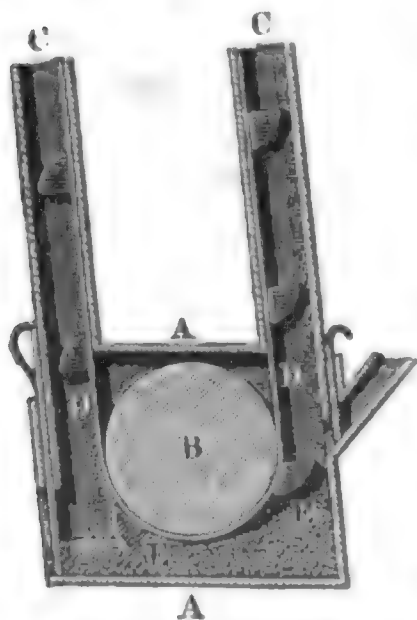
$$= 30 \cdot 2 : \frac{3}{2} = 40 \text{ Cubikzoll,}$$

also stündlich:

$$= 3600 \cdot 40 = 144000 \text{ Cubikzoll} = \frac{144000}{3072} = 47 \text{ Scheffel.}$$

Beide, nämlich sowohl der aufsteigende als auch der niedersteigende Riemen, sind sammt ihren Gimern von wenig geneigten Putten so wie die beiden Trommeln von hölzernen Kästen umgeben. Der vertikale Durchschnitt des unteren Kastens *AA* sammt der darin eingeschlossenen Riemenscheibe *B* und den unteren Enden

Fig. 668.



*CC* der Putten mit den darin laufenden Riemen *DD* sammt Bechern *EE* ist in Fig. 668 abgebildet.

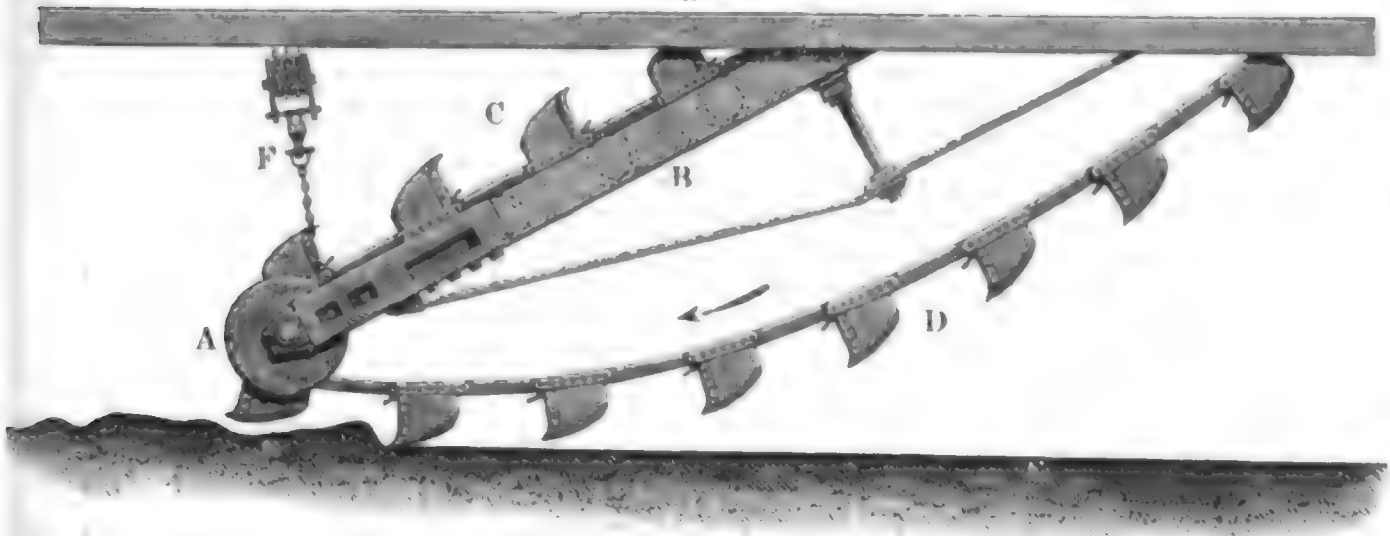
Die Baggermaschinen (franz. machines à curer; engl. dredging machines) sind gewöhnliche Gimerketten, welche von einem Fahrzeuge aus mittels einer Dampfmaschine in Bewegung gesetzt werden, und dazu dienen, die Flußbetten und Wasserbassins durch Wegnahme von Sand und Schlamm zu reinigen und auszutiefen (auszubaggern).

Die Kästen oder Körbe bestehen aus starkem Eisenblech, und erhalten einen durchlöchernten Boden zum Ablassen des Wassers. Sie sind an zwei durch Querbolzen mit einander verbundene Kaskenketten befestigt, welche oben und unten über eine vierkantige Trommel laufen. Die Welle der

oberen Trommel wird mittels Vorgelege durch eine Dampfmaschine so in Umdrehung gesetzt, daß sie pr. Minute 3 bis 10 Umdrehungen macht. Der Inhalt eines Korbes ist  $1\frac{1}{2}$  bis 3 Cubikfuß, und die Anzahl der Körbe zwischen einer Doppelfette 25 bis 30. An der Umtriebswelle ist noch ein vorzüglich aus zwei mit Eisen beschlagenen Balken bestehender Rahmen oder sogenannter Schlitten aufgehängt, welcher sowohl die Kaskenkette als auch die untere Trommel zu beiden Seiten umgiebt, und mittels eiserner Rollen die aufsteigende Kette mit den gefüllten Kästen unterstützt. Um diesen Bagger je nach der Tiefe des Wassertrettes höher oder tiefer zu legen, ist das untere Ende desselben an Ketten aufgehängt, welche sich um eine Trommel im Schiffsraume wickeln lassen. Man hat einfache und doppelte Baggermaschinen; die ersteren gehen durch ein mit Seitenwänden bekleidetes Loch in der Mitte des Schiffes, doppelte Bagger liegen dagegen außerhalb, und zwar zu beiden Seiten des Schiffes. In Fig. 669 ist das untere

Ende einer Baggerkette abgebildet. Es ist *A* die untere Trommel, *B*, der Schlitten, *C* die aufsteigende und *D* die niedergehende Kette, ferner stellt *EE* das Paternoster-  
werk.

Fig. 669.



auszutiefende Wasserbett und *F* die Kette u. s. w., woran das untere Ende des Schlittens u. s. w. aufgehangen ist, vor. Ausführlicheres hierüber s. die Zeitschrift »Der Ingenieur«, Bd. II., und Publication industrielle par Ar-  
mengaud, Bd. VII.

§. 332. Die Schaufelwerke werden, da sie transportabel sind, Schaufelwerke. und auch bei unreinem Hubwasser noch gut arbeiten, nicht selten angewendet, um das Grundwasser aus mäßigen Tiefen von 5 bis 10 Fuß emporzuheben. Sie bestehen in der Hauptsache aus einer doppelten Kette ohne Ende, mit rectangulären Holzschaufeln von 1 bis  $1\frac{1}{2}$  Zoll Dicke, 12 bis 16 Zoll Länge und 6 bis 8 Zoll Höhe, welche rechtwinkelig auf den Kettengliedern und zwar mitten zwischen den Gelenken derselben befestigt sind. Die Länge der Kettenglieder, und folglich auch der Abstand je zweier Schaufeln von einander, ist ebenfalls 6 bis 8 Zoll, und die Getriebe oder Kettenräder, über welche die Doppelkette läuft, haben meist sechs Triebstöcke, zuweilen aber auch acht oder mehr radial gehende Zinken, worauf die Gelenke der Kettenglieder zu liegen kommen. Die emporsteigende Schaufelkette zieht sich durch einen parallelepipedischen Lutten, die sogenannte Steigrinne, und hat darin am oberen Rande und an den Seiten der Schaufeln einen Spielraum von  $\frac{1}{4}$  bis  $\frac{1}{2}$  Zoll; die niedergehende Schaufelkette stützt sich entweder auf ein bloßes Laufbrett oder auf eine oben offene Laufrinne. Die Länge dieser Rinne ist 15 bis 30 Fuß und ihre Neigung gegen den Horizont 10 bis 30 Grad. Die Bewegung dieser Maschine geht von der Welle des oberen Kettenrades aus und wird meistens mittels Kurbeln durch Menschenhände hervorgebracht. Will man die Maschine durch Pferde mittels eines Göpels in Bewegung setzen, so versieht man die stehende Welle desselben (s. §. 243) mit einem gezahnten Rade, und die Welle des oberen Kettenrades mit einem gezahn-



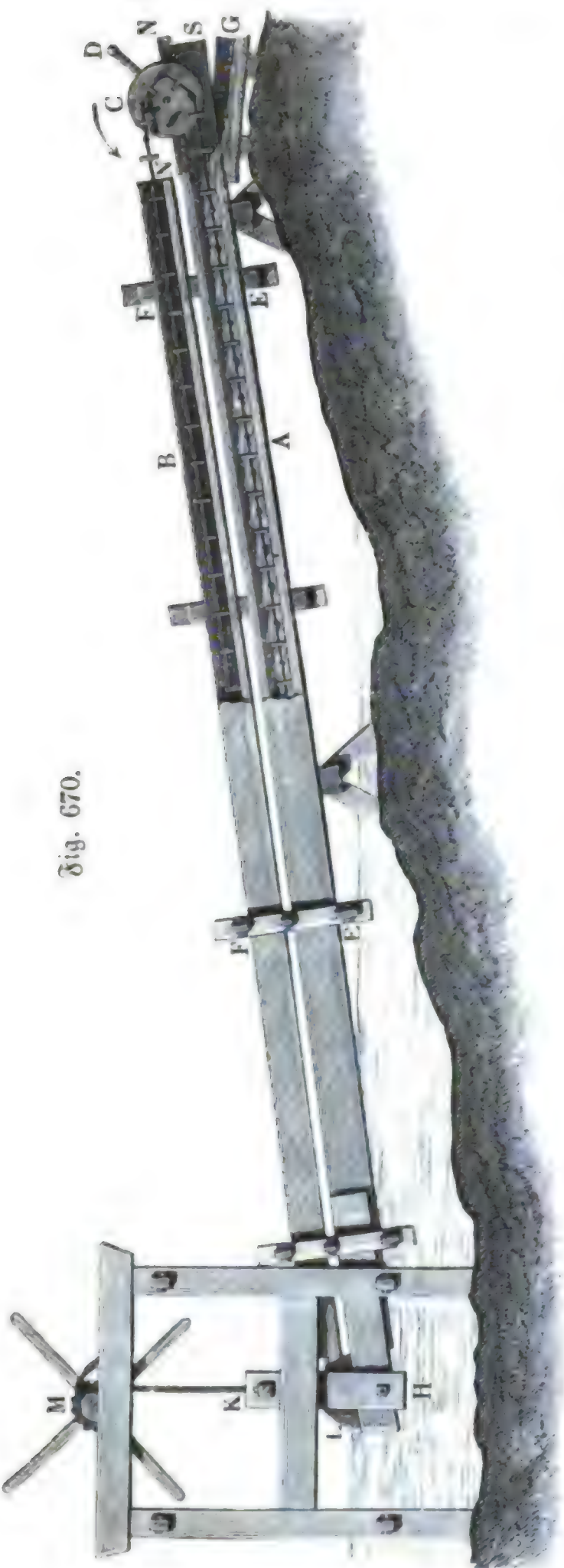
**Schaufelwerke.** ten Getriebe, und läßt diese gezahnten Räder in einander eingreifen. Ganz auf ähnliche Weise trifft man auch die Anordnung, wenn das Schaufelwerk entweder durch ein Wasserrad oder durch ein Windrad in Umdrehung gesetzt wird.

Die Einrichtung eines gewöhnlichen Schaufelwerkes ist aus Figur 670, und zwar zum Theil in der äußeren Längensansicht und zum Theil im Längendurchschnitt zu ersehen. Es ist *A* die aufsteigende und *B* die niedergehende Schaufelkette, sowie *C* das obere nur mit vier Triebstöcken ausgerüstete und mittels der Kurbel *D* in Umdrehung zu setzende Getriebe. Ferner sieht man in *EE* die Steig- und in *FF* die Laufrinne, sowie in *G* die Ableitungsrinne, und in *EF*, *EF* . . . die Zwingen, durch welche die beiden ersteren Rinnen mit einander verbunden sind. Um der Maschine die der Steighöhe des Wassers entsprechende Neigung geben zu können, bringt man noch am unteren Ende derselben eine zugleich als Angewäge des unteren Getriebes *L* dienende Zwinge *HK* an, und hängt dieselbe mittels eines Seiles an einen mit einem Sperrrade versehenen Kreuzhaspel *M*, und um der ganzen Schaufelkette die nöthige Spannung zu geben, läßt man das Angewäge für die Zapfen des oberen Getriebes aus einem Schlitten *NN* bestehen, und verbindet denselben mittels einer Sperrklinke und einer gezahnten Stange mit der sogenannten Scheere *S*, welche den Kopf der Steigrinne *EE* bildet.

Bei der Scheibenkunst (s. Fig. 671) trägt die Kette statt der Schaufeln kreisrunde Scheiben oder Kolben, und steigt dieselbe in einer vertikal stehenden cylindrischen Röhre, der sogenannten Steigröhre, *AB* empor. Es besteht eine solche Scheibe aus dem hölzernen Stocke oder Kolben *aa*, einer darüber liegenden Lederscheibe *bb*, welche mit einer Mischung von Talg, Del und Theer getränkt wird, einer eisernen Deckplatte *cc* und einer durch das Ganze hindurchgehenden Spindel, welche beiderseits mit der Kette verbunden wird. Die Scheibenkette liegt an beiden Enden über den gabelförmigen Armenden der Räder *C* und *D*, wovon das obere mittels einer Kurbel *K* in Umdrehung gesetzt wird, wobei die Kette in der durch den Pfeil angegebenen Richtung in Bewegung geräth, und die Scheiben Wasser aus dem mit dem Sumpfe in Communication stehenden Kasten *F* in der Steigröhre emporführen und oben durch das Rohr *A* ausgießen. Man giebt der Steigröhre eine Weite von 5 bis 6 Zoll, macht die Durchmesser der Lederscheiben, um eine große Reibung zu vermeiden, etwa  $\frac{1}{8}$  Zoll kleiner, und läßt sie 30 bis 40 Zoll von einander abstehen. Um ohne bedeutende Vergrößerung der Reibung der Scheiben an der Röhrenwand das Zurückfallen des Wassers so viel als möglich zu vermeiden, bedient man sich statt der hölzernen Steigröhren auch solcher von Eisen, oder läßt wenigstens

Fig. 671.

Fig. 670.



das untere Ende derselben aus einer eisernen Röhre bestehen, und paßt die Federscheiben genau in dieselbe ein.

Leistung der  
Paternoster-  
werke.

§. 333. Die Leistung eines Paternosterwerkes läßt sich wie folgt berechnen. Ist  $V$  das Volumen des Wassers, welches ein Eimer oder eine Schaufel u. s. w. mit sich empornimmt, ferner  $n$  die Anzahl der Triebstöcke, Arme oder Gabeln des oberen Getriebes, auf welche sich die Gelenke der Kette legen, und  $u$  die Anzahl der Umdrehungen dieses Getriebes pr. Minute, so hat man das Wasserquantum, welches diese Maschine pr. Secunde hebt:

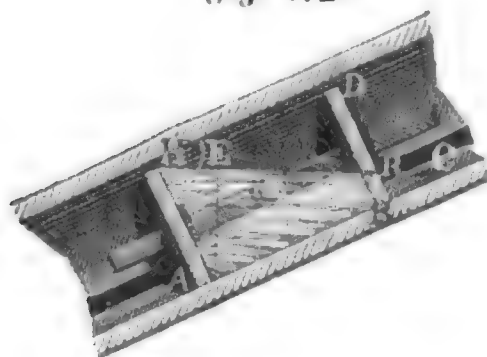
$$Q = \frac{nu}{60} V.$$

Wird nun das Wasser auf die senkrechte Höhe  $h$  emporgehoben, so hat man folglich, bei Vernachlässigung aller Nebenhindernisse, den nöthigen Arbeitsaufwand pr. Secunde:

$$\begin{aligned} L &= Q h \gamma \\ &= \frac{nu}{60} V h \gamma. \end{aligned}$$

Das Wasservolumen  $V$  läßt sich in der Regel als ein prismatischer Körper berechnen. Bei der Schaufelkunst hängt dieses Volumen vorzüg-

Fig. 672.



lich von der Neigung derselben gegen den Horizont ab. Bezeichnet  $d$  die Höhe  $AH$ , Fig. 672, einer Schaufel, ferner  $b$  die Breite derselben und  $e$  den Abstand  $AB$  je zweier Schaufeln von einander, so hat man bei dem Neigungswinkel  $ACH = RHD = \alpha$  der Steigrinne gegen den Horizont, das Wasservolumen einer Schaufel:

$$\begin{aligned} V &= b \cdot (\text{Viereck } AHDR - \text{Dreieck } HDR) \\ &= b (AB \cdot AH - \frac{1}{2} HD \cdot DR) \\ &= b (d \cdot e - \frac{1}{2} e \cdot e \tan \alpha) = b e (d - \frac{1}{2} e \tan \alpha). \end{aligned}$$

Diese Formel gilt jedoch nur so lange als der Wasserspiegel  $HR$  zwischen je zwei Schaufeln beide Schaufeln trifft; schließt sich aber derselbe einerseits (bei  $C$ ) an den Boden der Steigrinne an, ist also  $AC < AB$ , d. i.  $d \cot \alpha < e$ , so bildet der Querschnitt des Wasserkörpers zwischen zwei Schaufeln nicht mehr ein Trapez  $AHRB$ , sondern ein Dreieck  $AHC$  von der Grundlinie  $AC = d \cot \alpha$ , und es ist folglich dann:

$$V = \frac{1}{2} d^2 b \cot \alpha.$$

Bei den Scheibenkünsten mit vertikaler Steigröhre ist das Volumen



$V = Ge$ , wenn  $G$  den Querschnitt einer Scheibe und  $e$  den inneren Abstand der benachbarten Scheiben von einander bezeichnen. Reibung der Paternosterwerke.

Das wirklich gehobene Wasserquantum ist allerdings noch etwas kleiner; es geht hiervon erstens der Raum  $V_1$  ab, welchen die Kettenlieder zwischen je zwei Schaufeln oder Scheiben verdrängen, und zweitens das Wasserquantum, welches durch den Spielraum zwischen einer Schaufel oder Scheibe und der Rinne oder Röhre zurückfällt. Es ist dieser Verlust nur für eine und zwar nur für die jedesmalige oberste Schaufel oder Rinne in Rechnung zu bringen, weil das unten abfließende Wasser, je einer Zelle der aufsteigenden Kette durch den Zufluß von oben wieder ersetzt wird.

Bei einer Scheibenkunst berechnet sich dieser Wasserverlust wie folgt. Ist  $r$  der Durchmesser einer Scheibe und  $r_1$  der innere Durchmesser der Röhre, so hat man zunächst den Flächeninhalt des Spielraumes:

$$F = \pi (r_1^2 - r^2),$$

wofür aber auch annähernd

$$= 2\pi r s$$

gesetzt werden kann, wenn  $s = r_1 - r$ , die Breite des Spielraumes bezeichnet.

Ist  $z$  die veränderliche Höhe des Wassers über der ausgießenden Scheibe und  $\mu$  der dem Querschnitt  $F_1$  entsprechende Ausflußcoefficient (0,7), so folgt das Ausgußquantum während des Zeitelementes  $dt$ :

$$dW = \mu F \sqrt{2gz} \cdot dt \quad (\text{f. I., §. 388}).$$

Bewegt sich nun die Kette mit der Geschwindigkeit  $c$  und ist wieder der Abstand zwischen je zwei Scheiben  $= e$ , so hat man:

$$z = e - ct, \text{ daher } dz = -cdt, \text{ und } dt = -\frac{dz}{c}.$$

Hiernach folgt:

$$dW = \mu F \sqrt{2gz} \cdot \left(-\frac{dz}{c}\right) = -\frac{\mu F}{c} \sqrt{2g} \cdot z^{1/2} dz,$$

und daher:

$$W = -\frac{\mu F}{c} \sqrt{2g} \cdot \frac{2}{3} z^{3/2} + \text{Con.},$$

oder, da  $z$  von  $e$  allmählig bis 0 abnimmt, das ganze zurückfallende Wasserquantum einer Scheibe:

$$W = \frac{\mu F}{c} \sqrt{2g} \cdot \frac{2}{3} e^{3/2} = \frac{2}{3} \frac{\mu F e}{c} \sqrt{2ge}$$

(f. »Analytische Hülfslehren« I. Art. 13).

Reibung  
der Vater-  
schiffwerke.

Nun ist aber  $\frac{e}{c}$  die Zeit  $t$  während des Ausgusses einer Schaufel, folglich läßt sich auch

$$W = \frac{2}{3} \mu F t \sqrt{2 g e},$$

und das zurückfallende Wasserquantum pr. Secunde:

$$\frac{W}{t} = Q_1 = \frac{2}{3} \mu F \sqrt{2 g e}$$

setzen.

Bei einer Schaufelkunst kann man annehmen, daß nur an den beiden Seiten der Schaufel Wasser zurückfällt, da der Wasserspiegel in einer Zelle nur bis zum oberen Rande der unteren Schaufel reicht und die letztere mit ihrem unteren Rande auf dem Bodenbrett der Steigrinne hingleitet. Die veränderliche Druckhöhe läßt sich hier, bei dem Neigungswinkel  $\alpha$  der Rinne gegen den Horizont

$$z \sin. \alpha,$$

und die veränderliche Mündungshöhe

$$z \tan g. \alpha$$

setzen. Ist daher  $s$  der Spielraum zwischen den Seitenrändern einer Schaufel und den Seitenbrettern der Rinne, so hat man (s. Band I. §. 340):

$$\begin{aligned} dW &= \mu \cdot 2 s z \tan g. \alpha \sqrt{2 g z \sin. \alpha} \cdot dt \\ &= - 2 \mu \frac{s}{c} \tan g. \alpha \sqrt{2 g \sin. \alpha} \cdot z^{3/2} dz, \end{aligned}$$

und hiernach:

$$W = - 2 \mu \frac{s}{c} \tan g. \alpha \sqrt{2 g \sin. \alpha} \cdot \frac{2}{5} z^{5/2} + \text{Con.}$$

Nehmen wir wieder dieses Integral zwischen den Grenzen  $z = e$  und  $z = 0$ , so erhalten wir:

$$\begin{aligned} W &= 2 \mu \frac{s}{c} \tan g. \alpha \sqrt{2 g \sin. \alpha} \cdot \frac{2}{5} e^{5/2} \\ &= 2 \cdot \frac{2}{5} \mu \frac{e}{c} s e \tan g. \alpha \sqrt{2 g e \sin. \alpha} \end{aligned}$$

und daher das zurückfallende Wasser pr. Secunde:

$$Q_1 = \frac{W}{t} = \frac{W c}{e} = \frac{4}{5} \mu s e \tan g. \alpha \sqrt{2 g e \sin. \alpha}.$$

Die Kraft zur Bewegung eines Schaufelwerkes wird vorzüglich noch durch die Reibung der Schaufeln auf den Bodenbrettern beider Rinnen vergrößert. Ist  $R$  das Gewicht der armirten Schaufelkette (samt Schaufeln) und bezeichnet  $\varphi$  den Reibungscoefficienten (nach I., §. 161, ist  $\varphi = \frac{1}{4}$ ), so hat man, der Theorie der schiefen Ebene zu Folge, die Reibung der Schaufelkette  $= \varphi R$ .

Zu dieser Reibung gesellt sich noch die Zapfenreibung der beiden Getriebe und Reibung der Kettengewinde beim Auflegen auf die Getriebe und Abwickeln von denselben. Beide lassen sich nach den in Bd. I., §. 177 entwickelten Formeln berechnen.

Leistung der  
Paternoster-  
werke.

Die Kraft in der Kettenaxe ist, ohne Rücksicht auf Nebenhindernisse:

$$P = \frac{L}{c} = \frac{nu}{60} \cdot \frac{Vh}{c} \gamma,$$

oder, da der Raum

$$e = cl = \frac{60}{nu} c, \text{ also } \frac{nu}{60} = \frac{c}{e} \text{ ist:}$$

$$\frac{L}{c} = \frac{Vh\gamma}{e},$$

folglich mit Berücksichtigung der Schaufelreibung, vorausgesetzt, daß die Armlänge der Kurbel  $= a$  und der mittlere Halbmesser des Getriebes  $= b$  ist, die erforderliche Umdrehungskraft an der Kurbel:

$$P = \frac{b}{a} \left( \frac{L}{c} + \varphi R \right) = \frac{b}{a} \left( \frac{Vh\gamma}{e} + \varphi R \right).$$

Anmerkung. Bei einem Schaufelwerke von gegebener Länge  $l$  giebt es eine gewisse Neigung  $\alpha$ , wobei die Nupleistung oder das Product aus dem Wasserquantum  $Q$  und der Steighöhe  $h = l \sin. \alpha$  ein Maximum ist. Sehen wir das Wasserquantum pr. Secunde nach dem Obigen:

$$Q = \frac{nu}{60} V = \frac{nu}{60} b e (d - \frac{1}{2} e \tan \alpha) = b c (d - \frac{1}{2} e \tan \alpha),$$

so erhalten wir:

$$Qh = bcl \sin. \alpha (d - \frac{1}{2} e \tan \alpha).$$

Dieser Werth ist mit  $d \sin. \alpha - \frac{1}{2} e \tan \alpha \sin. \alpha$  ein Maximum. Die Differentialrechnung bestimmt den entsprechenden Werth für  $\alpha$  mittels der Gleichung:

$$d \cos. \alpha - \frac{e}{2} \left( \tan \alpha \cos. \alpha + \frac{\sin. \alpha}{\cos. \alpha^2} \right) = 0,$$

oder:

$$\tan \alpha^3 + 2 \tan \alpha = \frac{2d}{e}.$$

Hiernach hat man z. B. für  $d = e$ ,  $\tan \alpha^3 + 2 \tan \alpha = 2$ , und diesem entsprechend,  $\alpha = 37^{\circ} 38'$ .

Beispiel. Bei einer Schaufelkunst ist die Breite einer Schaufel,  $b = 1$  Fuß, die Höhe derselben,  $d = \frac{1}{2}$  Fuß, die innere Entfernung derselben von einander,  $e = \frac{2}{3}$  Fuß, ferner die Neigung der Schaufelkette gegen den Horizont,  $\alpha = 20$  Grad, die Steig- oder Hubhöhe des Wassers,  $h = 6$  Fuß, der Spielraum der Schaufeln zwischen den Seiten und dem Steiggerinne,  $s = \frac{3}{8}$  Zoll, die Anzahl der Triebstöcke oder Arme des oberen Getriebes  $n = 6$ , und die Anzahl der Umdrehungen desselben pr. Minute  $u = 40$ ; es soll die durch diese Maschine zu hebende Wassermenge und der hierzu nöthige Arbeitsaufwand gefunden werden.



Bestimmung der  
Palernmessen-  
werthe.

Ohne Rücksicht auf Verluste ist das gehobene Wasserquantum pr. Secunde:

$$Q = \frac{n u}{60} b e (d - \frac{1}{2} e \tan \alpha) = \frac{6 \cdot 40}{60} \cdot 1 \cdot \frac{2}{3} (\frac{1}{2} - \frac{1}{3} \tan 20^\circ) \\ = \frac{8}{3} (0,500 - 0,121) = 1,011 \text{ Cubikfuß.}$$

Nehmen wir an, daß das Kettenstück zwischen je zwei Schaufeln 10 Cubik-  
zoll  $= \frac{10}{1728} = 0,006$  Cubikfuß Wasser verdrängt, so geht hiernach von  $Q$ ,

$$0,006 \cdot \frac{n u}{60} = 0,006 \cdot 4 = 0,024 \text{ Cubikfuß}$$

ab, und bringen wir noch das zurückfallende Wasserquantum zu

$$Q_1 = \frac{1}{5} \mu s e \tan \alpha \sqrt{2 g e \sin \alpha} \\ = \frac{1}{5} \cdot 0,7 \cdot \frac{3}{8 \cdot 12} \frac{2}{3} \tan 20^\circ \sqrt{2 \cdot 31,25 \cdot \frac{2}{3} \sin 20^\circ} \\ = 0,0117 \tan 20^\circ \sqrt{41,7 \sin 20^\circ} = 0,017$$

in Anschlag, so bleibt als wirklich gehobene Wassermenge:

$$Q = 1,011 - 0,024 - 0,017 = 0,97 \text{ Cubikfuß.}$$

Die Geschwindigkeit der Schaufelkette ist bestimmt durch  $c = \frac{n u}{60} e$ , worin aber zur Erlangung einer größeren Genauigkeit für  $e$  der mittlere Schaufelabstand, oder der innere Schaufelabstand ( $\frac{2}{3}$  Fuß) plus Schaufelstärke (1 Zoll), also im Ganzen  $\frac{8}{12} + \frac{1}{12} = \frac{3}{4}$  Fuß einzusetzen ist. Es folgt hiernach:

$$c = 4 \cdot \frac{3}{4} = 3 \text{ Fuß.}$$

Der nöthige Arbeitsaufwand ist:

$$L = Q h \gamma = 1,011 \cdot 6 \cdot 66 = 400 \text{ Fußpfund,}$$

also die Kraft:

$$P = \frac{L}{c} = \frac{400}{3} = 133,3 \text{ Pfund.}$$

Die Länge einer Kette ist reichlich  $\frac{h}{\sin \alpha} = \frac{6}{\sin 20^\circ} = 18$  Fuß, setzen wir jedoch dieselbe 24, also die Länge beider Ketten zusammen 48 Fuß, so erhalten wir die Anzahl aller Schaufeln derselben:

$$48 : \frac{3}{4} = 64;$$

wiegt folglich eine Schaufel sammt dem zugehörigen Kettenstücke 4 Pfund, so hat die ganze Schaufelkette das Gewicht  $R = 4 \cdot 64 = 256$  Pfund, und es ist die entsprechende Reibung derselben auf den Gerinnböden,  $\varphi R = \frac{1}{4} \cdot 256 = 64$  Pfund. Hiernach ist nun die Gesamtlast  $133,3 + 64 = 197,3$  Pfund; und ist nun das Verhältniß  $\frac{b}{a}$  des Getriebehalbmessers  $b$  zur Kurbelhöhe  $a$ ,  $= \frac{3}{4}$ , so folgt die nöthige Kraft an der Kurbel:

$$P = \frac{3}{4} \cdot 197,3 = 148 \text{ Pfund,}$$

ferner die Geschwindigkeit derselben:

$$\frac{a}{b} \cdot c = 3 \cdot \frac{4}{3} = 4 \text{ Fuß,}$$

und folglich die gesammte Arbeit:

$$L = 148 \cdot 4 = 592 \text{ Fußpfund.}$$

Nehmen wir an, daß zu dieser Arbeitsverrichtung 8 Mann verwendet werden, Leistung der wovon jeder 1000000 Fußpfund täglich verrichtet, so ist die Zahl der wirklichen Wasserschnecke. Arbeitszeit:

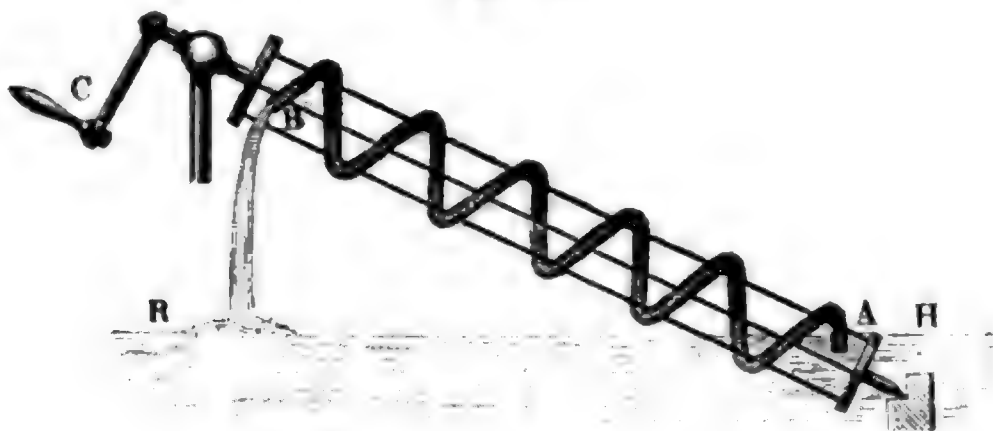
$$t = \frac{1000000 \cdot 8}{592 \cdot 60 \cdot 60} = 3\frac{3}{4} \text{ Stunden} = 13514 \text{ Secunden,}$$

und folglich das von diesen 8 Arbeitern täglich gehobene Wasserquantum:

$$Qt = 0,97 \cdot 13514 = 12973 \text{ Cubikfuß.}$$

§. 334. Eine der ältesten Wasserhebungsmaschinen ist die Archime- Archimedische dische Wasserschnecke (franz. vis d'Archimède; engl. Archimedes Wasserschnecke. screw). Dieselbe besteht der Hauptsache nach in einer Röhre, welche um eine gegen den Horizont geneigte Ase  $AB$  (Fig. 673) schraubenförmig ge-

Fig. 673.



wunden ist, und durch eine Kurbel  $C$  oder ein anderes Rad um diese Ase  $AB$  in Umdrehung gesetzt werden kann. Wird diese Schraube so aufgestellt, daß ihre Gänge nicht bloß ansteigen, sondern auch zum Theil fallen, und daß ihr unteres Ende  $A$  bis zu einer gewissen Tiefe in das Wasser  $HR$  eintaucht, so nimmt dieselbe bei jeder Umdrehung eine gewisse Wassermenge  $V$  in sich auf, die bei den folgenden Umdrehungen immer höher und höher steigt, und zuletzt am oberen Ende  $B$  der Röhre zum Ausguß gelangt. Die Wassermenge  $V$  hängt von dem Querschnitte  $F$  der schraubenförmig gebogenen Röhre oder sogenannten Schlange, und von der Länge  $l$  des wasserhaltenden Bogens eines Ganges oder Umlaufes derselben ab, und läßt sich, zumal wenn die Weite dieser Röhre in Hinsicht auf den Durchmesser des Cylinders, um welchen sie sich windet, klein ist,  $V = Fl$  setzen.

Besteht die Maschine nur aus einer Schlange, und macht dieselbe pr. Minute  $u$  Umdrehungen, so ist das von ihr gehobene Wasserquantum pr. Secunde:

$$Q = \frac{u}{60} V = \frac{u}{60} Fl;$$

Archimedische  
Wasserschnecke.

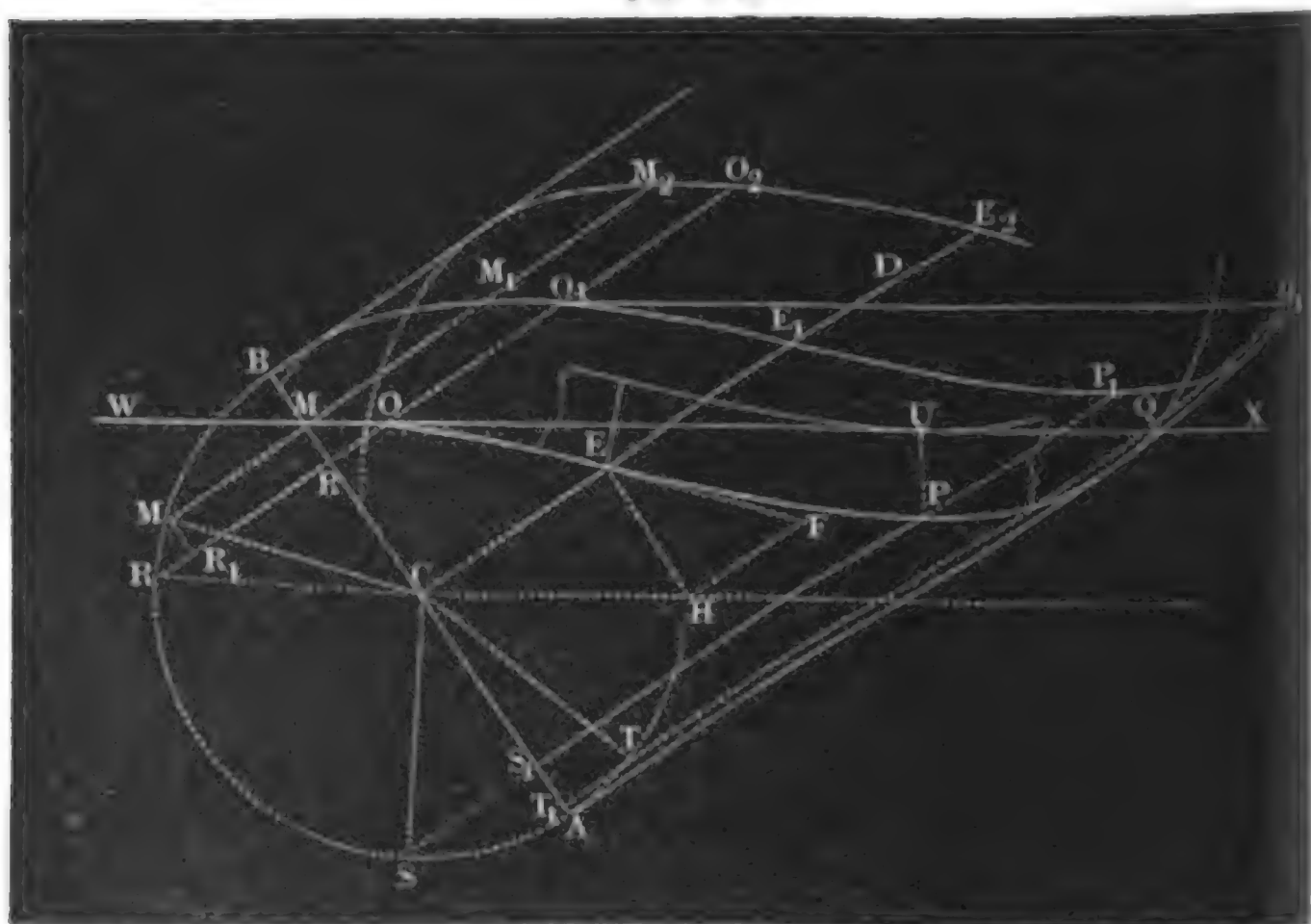
hat aber dieselbe  $n$  Windungen oder Schlangen, welche alle um dieselbe Ase laufen und in einem und demselben Querschnitt aus- und einmünden, so ist:

$$Q = \frac{nu}{60} V = \frac{nu}{60} Fl,$$

und das entsprechende theoretische Arbeitsquantum, bei der ganzen senkrechten Steighöhe des Wassers in der Schnecke:

$$L = Q h \gamma = \frac{nu}{60} V h \gamma = \frac{nu}{60} Fl h \gamma.$$

Die Länge  $l$  des wasserhaltenden Bogens hängt ab von dem Ansteigen oder Steigwinkel  $FEH = \alpha$  (Fig. 674) der Ase der Schlange in  
Fig. 674.



Hinsicht auf den Querschnitt  $AB$  zur Umbrehungsaxe  $CD$ , und von dem Neigungswinkel  $DCH = \beta$  der letzteren Ase gegen den Horizont  $CH$  oder gegen die Oberfläche  $WX$  des Unterwassers. Damit beim Austritt der Einmündung  $M$  der Schlange  $MOPQ$  aus dem Wasserspiegel  $WX$  kein Wasser aus derselben zurückfließe, ist es nöthig, daß das erste Schlangenglied  $MOEP$  abwärts geneigt, daß folglich das erste Element  $MO$  derselben horizontal sei und also in die Ebene des Wasserspiegels  $WX$  falle. Nehmen wir an, daß die Einmündungsstelle  $M$  um den Winkel  $BCM = \delta^\circ$  von dem Scheitel  $B$  der (in der Figur auf die Bildebene umgelegten) Basis  $BMSA$  der Schraube abstehe, und setzen wir das

Element  $MC R$  des Umdrehungswinkels, welches dem Schlangenelemente  $MO$  entspricht,  $\varphi$ , so haben wir bei dem Halbmesser  $CA = CB = r$  der Schraube, das Bogenelement  $MR = MC \cdot \varphi = r \varphi$ , und folglich die Steighöhe des Elementes  $MO$ :

$$RO = MR \operatorname{tang.} \alpha = r \varphi \operatorname{tang.} \alpha.$$

Diese Steighöhe bestimmt sich aber auch aus der Projection des rechtwinkligen Dreiecks  $MRO$  in der vertikalen und durch die Axe  $CD$  der Schraube gelegten Bildebene dadurch, daß man

$$\overline{MR} = MR_1 = \widehat{MR} \sin. MRR_1 = r \varphi \sin. \delta$$

und den Winkel  $MOR = DCH = \beta$  setzt, und zwar:

$$RO = \overline{MR} \operatorname{cotg.} MOR = r \varphi \sin. \delta \operatorname{cotg.} \beta.$$

Es ist also hiernach:

$$r \varphi \sin. \delta \operatorname{cotg.} \beta = r \varphi \operatorname{tang.} \alpha,$$

folglich:

$$\sin. \delta = \operatorname{tang.} \alpha \operatorname{tang.} \beta.$$

Durch diesen Winkel  $\delta$  ist die erforderliche Tiefe der Eintauchung der Schnecke unter das Wasser bestimmt. Es ist

$$CM = r \cos. \delta, \text{ folglich } BM = r (1 - \cos. \delta)$$

und die senkrechte Höhe des Scheitels  $B$  über dem Wasserspiegel:

$$h = r (1 - \cos. \delta) \cos. \beta.$$

Das Fallen der Schlange, von der Einmündung  $M$  ausgegangen, erstreckt sich übrigens nur bis zu einer gewissen Stelle  $P$ ; über  $P$  hinaus nach  $Q$  u. s. w. hin fängt die Schlange an zu steigen; es ist folglich dieselbe in  $P$  wieder horizontal, und also auch für diese Stelle die Gleichung

$$\sin. \delta = \operatorname{tang.} \alpha \operatorname{tang.} \beta$$

giltig.

Leicht ist nun zu ermessen, daß der spitze Winkel  $BCM = \delta$  der Einmündungs- und der stumpfe Nebenwinkel

$$BCS = 180^\circ - BCM = 180^\circ - ACS = 180^\circ - \delta$$

der tiefsten Stelle  $P$  des ersten Schraubenganges entspricht.

Diese beiden Punkte  $M$  und  $P$  rücken einander immer näher und näher, oder das abfallende Bogenstück  $MP$  wird um so kleiner, je näher  $\delta$  und  $180^\circ - \delta$  dem Rechtwinkel ( $90^\circ$ ) kommen, und fallen für  $\delta = 90^\circ$ , also für

$$\sin. \delta = \operatorname{tang.} \alpha \operatorname{tang.} \beta = 1,$$

ganz zusammen.

In diesem Falle ist:

$$\operatorname{tang.} \beta = \frac{1}{\operatorname{tang.} \alpha} = \operatorname{cotang.} \alpha = \operatorname{tang.} (90^\circ - \alpha),$$

also:

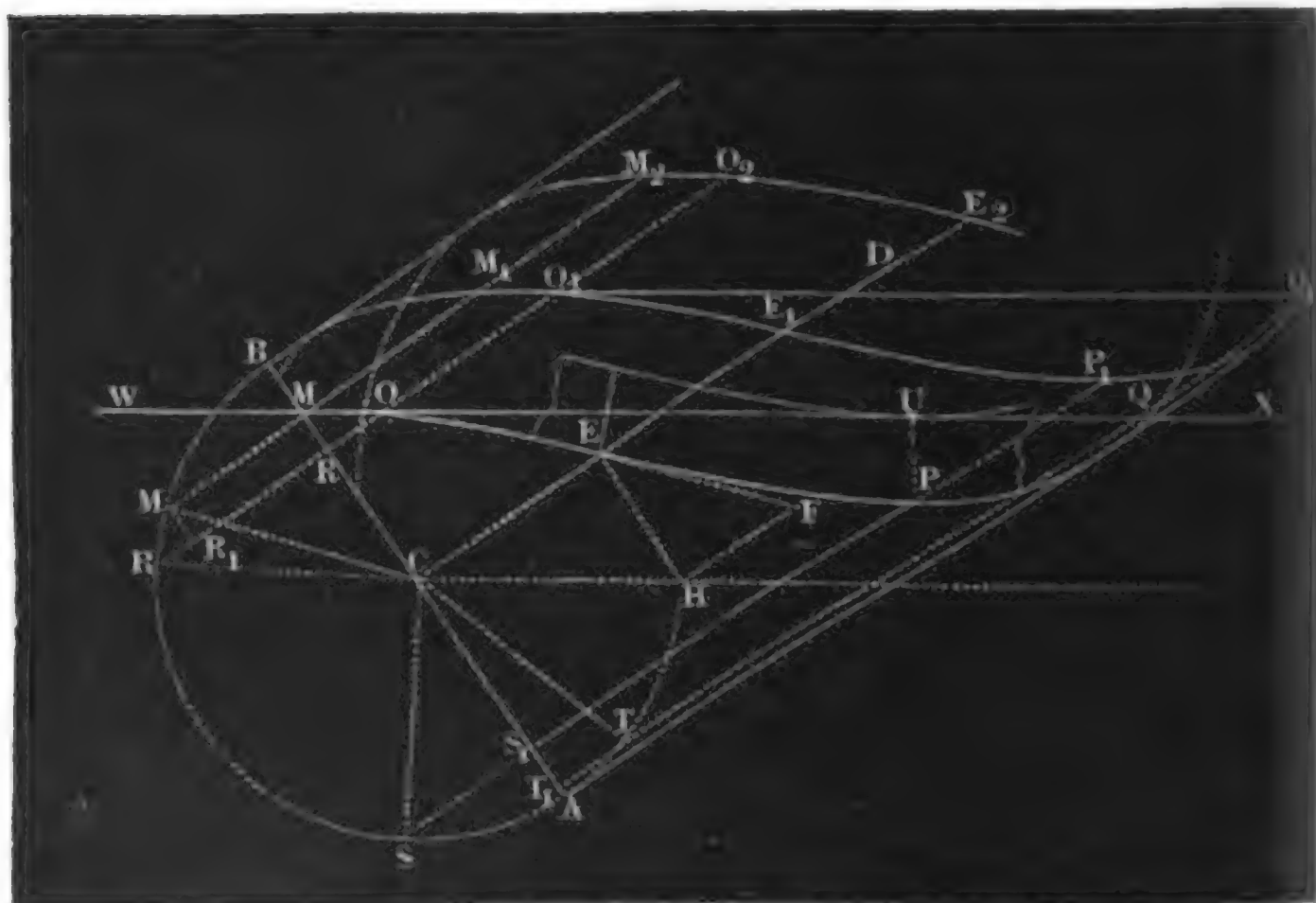
$$\beta = 90^\circ - \alpha \text{ oder } \alpha + \beta = 90^\circ \text{ Grad,}$$

Archimedische  
Wasserschnecke

und dann läuft die Schlange gleich von der Mündung aus aufwärts, und nimmt folglich auch gar kein Wasser auf. Damit also die umlaufende Wasserschnecke wirklich Wasser mit sich empornehme, ist es nöthig, daß der Steig- oder Windungswinkel der Schraube und der Neigungswinkel ihrer Ase, der sogenannte Standwinkel derselben, zusammen noch nicht einen Rechtwinkel (90 Grad) betragen.

§. 335. In dem Punkte  $Q$ , Fig. 675, wo die Schlangenasse  $MPQ$  die Ebene  $WX$  des Wasserspiegels schneidet, liegt natürlich das Ende des

Fig. 675.



mit Wasser erfüllten oder sogenannten wasserhaltenden Bogens der Schlange. Setzen wir den Drehungswinkel  $MCT$ , oder den Centriwinkel der kreisförmigen Projection  $MST$  des wasserhaltenden Bogens  $\psi$ ; so haben wir die Länge dieser Projection  $MST$ ,  $= r \psi$ , und folglich die Steighöhe des ganzen wasserhaltenden Bogens:

$$T_1 Q = r \psi \operatorname{tang.} \alpha.$$

Die Auflösung des rechtwinkligen Dreieckes  $MQT_1$  in der vertikalen Bildebene durch  $CD$  giebt auch:

$$\begin{aligned} T_1 Q &= \overline{MT_1} \cdot \operatorname{cotg.} MQT_1 = (MC + CT_1) \operatorname{cotg.} DCH \\ &= r [\cos. \delta - \cos. (\delta + \psi)] \operatorname{cotg.} \beta; \end{aligned}$$

folglich ist auch:



$$\psi \operatorname{tang.} \alpha = [\cos. \delta - \cos. (\delta + \psi)] \operatorname{colg.} \beta, \text{ oder:}$$

$$\psi \operatorname{tang.} \alpha \operatorname{tang.} \beta + \cos. (\delta + \psi) = \cos. \delta, \text{ d. i.:}$$

$$\psi \sin. \delta = \cos. \delta - \cos. (\delta + \psi).$$

Arithmetische  
Wasserschnecke.

Durch natürlich nur auf dem Wege der Annäherung zu bewirkende Auflösung dieser Gleichung erhält man das nöthige Element  $\psi$  zur Bestimmung der Länge  $l$  des wasserhaltenden Bogens  $MPQ$ , es ist nämlich:

$$l = \text{Bog. } MST : \cos. \alpha$$

$$= \frac{\psi r}{\cos. \alpha}.$$

Während der Umdrehung der Schraube um ihre Ase  $CD$  ändert sich weder die Größe noch die Gestalt des wasserhaltenden Bogens; denn es rückt derselbe hierbei allmählig so empor, daß sich alle, und folglich auch die Endpunkte desselben in den mit der Ase  $CD$  parallelen Linien  $MM_1$ ,

$EE_1$ ,  $PP_1$ ,  $QQ_1$  fortbewegen. Da von der ganzen Länge  $\frac{2\pi r}{\cos. \alpha}$  eines

Schraubenganges nur der Theil  $\frac{\psi r}{\cos. \alpha}$  mit Wasser erfüllt ist, so bleibt für die Luft noch die Bogenlänge:

$$l_1 = \frac{2\pi r}{\cos. \alpha} - \frac{\psi r}{\cos. \alpha} = \frac{(2\pi - \psi) r}{\cos. \alpha}$$

übrig.

Während einer Umdrehung beschreibt die Einmündung der Schlange nur einen Bogen  $2\widehat{MB} = 2\delta r$  in der Luft, es wird daher auch hierbei

von derselben nur ein Luftbogen  $\frac{2\delta r}{\cos. \alpha}$  eingenommen, und es kann sich

folglich derselbe, sowie die Einmündung der Schlange wieder unter das Wasser getreten ist, nur auf Kosten der Dichtigkeit der in derselben eingeschlossenen Luft verlängern. Da mit einer solchen Ausdehnung oder Dichtigkeitsverminderung der Luft auch eine Verminderung der Pressung derselben verbunden ist, so wird dadurch der Gleichgewichtszustand des wasserhaltenden Bogens gestört, und in Folge dessen ein Theil Wasser desselben in den verdünnten Luftbogen zurückfließen. Um die dadurch herbeigeführten Störungen in dem regelmäßigen Aufsteigen des Wassers zu vermeiden, versieht man entweder die Schlange längs ihrer ganzen Erstreckung mit vielen feinen Löchern, durch welche die zur Ausfüllung des Bogens  $l_1$  nöthige Luft zugeführt, allerdings aber auch ein kleiner Theil des Wassers aus dem Bogen  $l$  abgeführt wird, oder man giebt der Schlange eine Weite, wobei die sämtlichen Luftbögen einer Schlange mit einander communiciren und folglich die fehlende Luft durch Zufluß von oben nach unten ersetzt werden kann. Diese Weite  $d$  ist jedenfalls gleich der senkrechten



Mathematische  
Wasserschnecke.

Höhe  $PU$  des wasserhaltenden Bogens  $MPQ$ , und folglich bestimmt durch die Formel:

$$\begin{aligned} d &= \text{Vertikalprojection von } \overline{MS} \text{ minus Vertikalprojection von } SP \\ &= 2r \cos. \delta \cos. \beta - (\pi - 2\delta) r \operatorname{tang.} \alpha \\ &= [2 \cos. \beta \cos. \delta - (\pi - 2\delta) \operatorname{tang.} \alpha] r. \end{aligned}$$

In dem letzteren Falle, sowie überhaupt bei weiteren Schlangen, kann man natürlich den Querschnitt  $F$  des Wasserbogens nicht  $= \frac{\pi d^2}{4}$  setzen, sondern es ist nöthig, daß man einen Mittelwerth desselben ausmittele, um hieraus den Fassungsraum  $V = Fl$  berechnen zu können. Hierbei kann man sich mit Vortheil der Simpson'schen Regel bedienen, nachdem man den abgewickelten Cylindermantel, sammt dem wasserhaltenden Bogen  $MPQ$  und der Horizontalen  $MUQ$  auf das Papier aufgetragen und die Abstände dieser beiden Linien von einander an verschiedenen Stellen derselben ausgemessen hat.

Damit sich der Bogen  $MPQ$  auch wirklich mit Wasser anfüllen könne, ist nöthig, daß die Umdrehungsgeschwindigkeit klein sei.

Beispiel. Wenn bei einer Wasserschnecke der Bindungswinkel  $\alpha = 30^\circ$  und der Standwinkel  $\beta = 35^\circ$  beträgt, so ist für den vortheilhaftesten Gintangungswinkel  $\delta$ :

$\sin. \delta = \operatorname{tang.} \alpha \operatorname{tang.} \beta = \operatorname{tang.} 30^\circ \operatorname{tang.} 35^\circ = 0,4043$ ,  
folglich  $\delta = 23^\circ, 51'$ ; ferner ist für den Centriwinkel  $\psi$ , welcher dem wasserhaltenden Bogen entspricht:

$\psi \sin. \delta + \cos. (\delta + \psi) = \cos. \delta$ ,  
 $\psi \sin. 23^\circ, 51' + \cos. (23^\circ, 51' + \psi) = \cos. 23^\circ, 51'$ ,  
d. i.  $0,4043 \psi + \cos. (23^\circ, 51' + \psi) = 0,91461$ . Hieraus folgt  $\psi^\circ = 211^\circ, 4'$ ,  
und daher die Länge des wasserhaltenden Bogens:

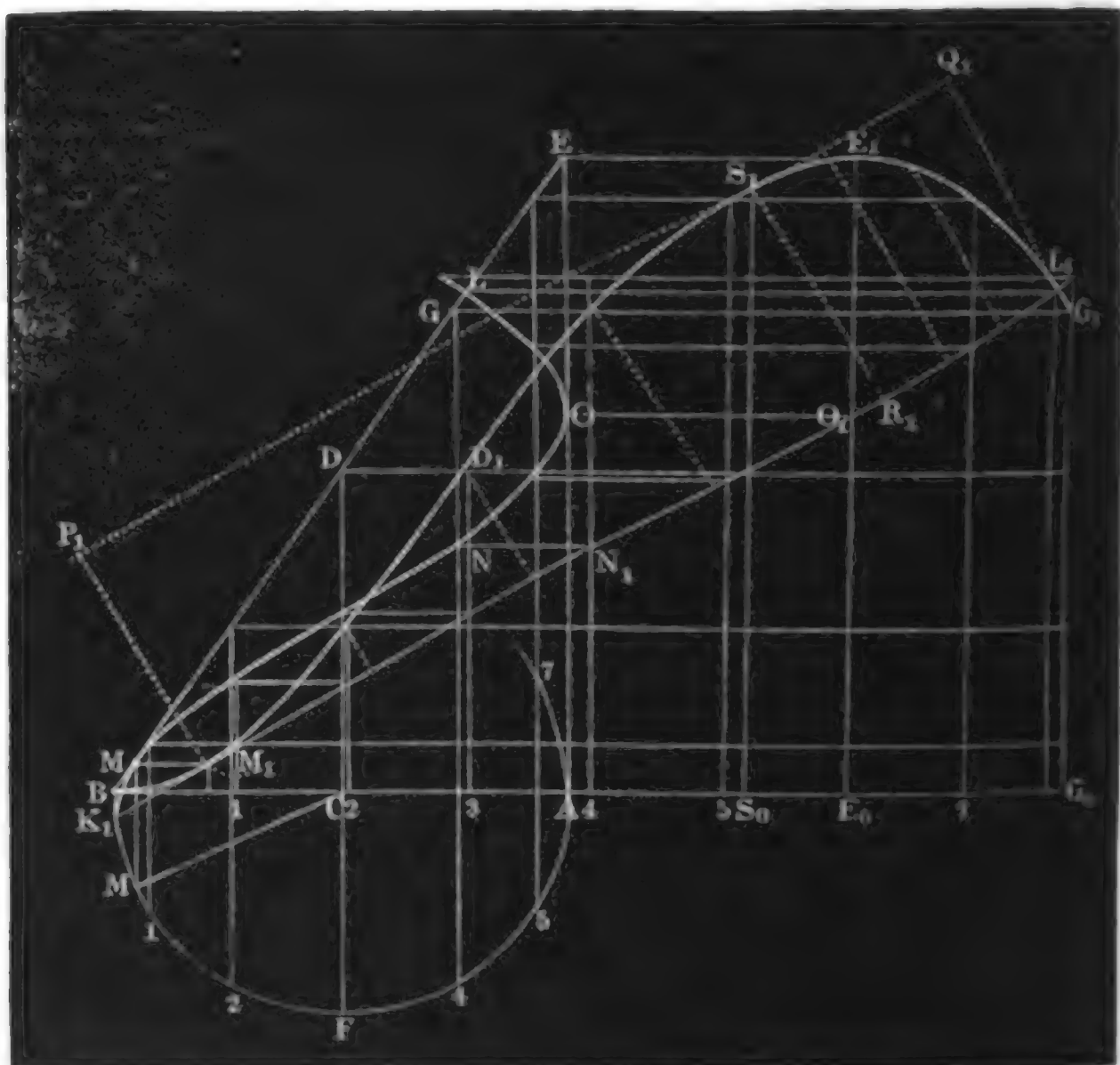
$$l = \frac{\psi r}{\cos. \alpha} = \frac{3,6839 r}{\cos. 30^\circ} = 4,254 r.$$

Die Winkel  $\delta$  und  $\psi$  lassen sich auch leicht construierend finden, wenn man den Cylindermantel sammt der elliptischen Begrenzung des Wasserspiegels und der schraubenförmigen Schlangenaxe auf die Ebene des Papiers abwickelt. Es stelle in Fig. 676  $AB$  die Basis,  $CD$  die Axe und  $BE$  den von dem Wasserspiegel gebildeten (die Basis unter dem Winkel  $ABE = 90^\circ - \beta = 90^\circ - 35^\circ = 55^\circ$  schneidenden) elliptischen Schnitt des Cylinders, um welchen die Axe der Schlange gewunden ist, vor. Macht man  $BE_0 = \pi r$  gleich dem halben Umfange  $AFB$  der Basis des Cylinders, theilt man ferner sowohl den zu diesem Zwecke umgeklappten Halbkreis  $AFB$  als auch die Gerade  $BE_0$  in (6) gleiche Theile, zieht hierauf durch die Theilpunkte (1, 2, 3 . . .) beider Linien Vertikalen und endlich durch die mittels des ersten Liniensystemes erhaltenen Durchschnittspunkte (1, 2, 3 . . .) mit dem Schnitte  $BE$  Horizontalen, so schneiden sich diese mit dem Liniensysteme in einer Curve  $BM_1 D_1 E_1 G_1$ , welche nichts weiter als der abgewickelte elliptische Cylinderschnitt, und überhaupt eine unter dem Namen Sinusoide bekannte Curve ist. Legt man nun eine Gerade  $K_1 L_1$  so, daß sie die Basis  $AB$  unter dem gegebenen Steigwinkel  $\alpha$  ( $30^\circ$ ) schneidet und die letzte Curve in einem Punkte  $M_1$



also ziemlich dasselbe wie die Rechnung; ferner ist die größte Tiefe  $S_1 R_1$  der Schraube unter dem Wasserspiegel,  $R_1 S_1 = 1,1 r$ . Damit die Luftbögen alle unter sich communiciren, geben wir der Schlange dieselbe Weite, machen also

Fig. 677.



Durch Anwendung der Simpson'schen Regel bestimmt sich nun das Wasservolumen des Röhrenstückes  $M_1 R_1$ :

$$3,30r \cdot (0 + 4 \cdot 0,375 + 2 \cdot 1,571 + 4 \cdot 2,751 + 3,142) \frac{r_1^2}{12} = 5,167 r r_1^2,$$

und das des Röhrenstückes  $R_1 L_1$ :

$$0,95r (3,142 + 3 \cdot 3,075 + 3 \cdot 2,446 + 0) \frac{r_1^2}{8} = 2,340 r r_1^2,$$

und es ist folglich der Inhalt des ganzen Wasservolumens eines Schlangenganges:

$$V = 5,167 r r_1^2 + 2,340 r r_1^2 = 7,507 r r_1^2 = 7,507 \cdot (0,55)^2 r^3 \\ = 7,507 \cdot 0,3025 \cdot r^3 = 2,27 r^3.$$

Hätte nun die Schnecke  $n =$  vier Schlangen, und würde dieselbe pr. Minute 20 Mal umgedreht, so wäre das von derselben gehobene Wasserquantum pr. Secunde:

$$Q = \frac{nu}{60} V = \frac{4 \cdot 20}{60} \cdot 2,27 r^3 = 3,03 r^3,$$

also z. B. für den Schraubenhalbmesser  $r = \frac{1}{2}$  Fuß,  $Q = 0,38$  Cubikfuß. Ist nun noch die Arenlänge der Schnecke 18 Fuß, so hat man bei der Neigung  $\beta = 35$  Grad, die Förderhöhe  $h = 18 \sin. 35^\circ = 10,32$  Fuß, und das theoretische Arbeitsquantum pr. Secunde:

$$L = Q h \gamma = 0,38 \cdot 10,32 \cdot 66 = 259 \text{ Fußpfund.}$$

§. 336. Da die Herstellung einer Schnecke mit kreisförmigem Querschnitt ihre großen Schwierigkeiten hat, so wendet man jetzt fast nur Wasserschnecken oder sogenannte Wasserschrauben mit rechteckigem Querschnitt an, indem man rechtwinkelige Schraubenflächen (s. §. 136, Fig. 278) um die Schraubenspindel herumführt und dieselben durch einen cylindrischen Mantel von außen umgrenzt. Wenn man diesen Mantel fest mit den Schraubengängen verbindet, so erhält diese Maschine das äußere Ansehen eines langen Fasses oder einer Tonne, weshalb sie dann auch gewöhnlich eine Tonnenmühle genannt wird. Bei der gewöhnlichen oder sogenannten holländischen Wasserschraube besteht dagegen dieser Mantel in einem festliegenden Troge, dem sogenannten Kumm, und es umhüllt derselbe die Schraube nur von unten. Der Kumm wird entweder wie der Mantel einer Torkenmühle aus hölzernen Dauben zusammengesetzt, oder man construirt denselben aus Eisen, oder man mauert denselben aus Backsteinen mittels Wassermörtel auf. Damit so wenig wie möglich Wasser in dem Spielraume zwischen den Schraubengängen und dem Kumm zurückfalle, muß man nicht allein die Weite dieses Zwischenraumes möglichst klein (1 bis 2 Linien) machen, sondern auch den ganzen Kumm selbst möglichst genau und solid herstellen. In Holland, wo man die Wasserschrauben zum Trockenlegen von Niederungen verwendet, führt man die Kumm derselben mit möglichster Sorgfalt aus sogenannten Klinkern auf. Während die gewöhnlichen transportablen Tonnenmühlen mittels einer Kurbel durch Menschenhände in Bewegung gesetzt werden, sind es in

Wasser-  
schraube.

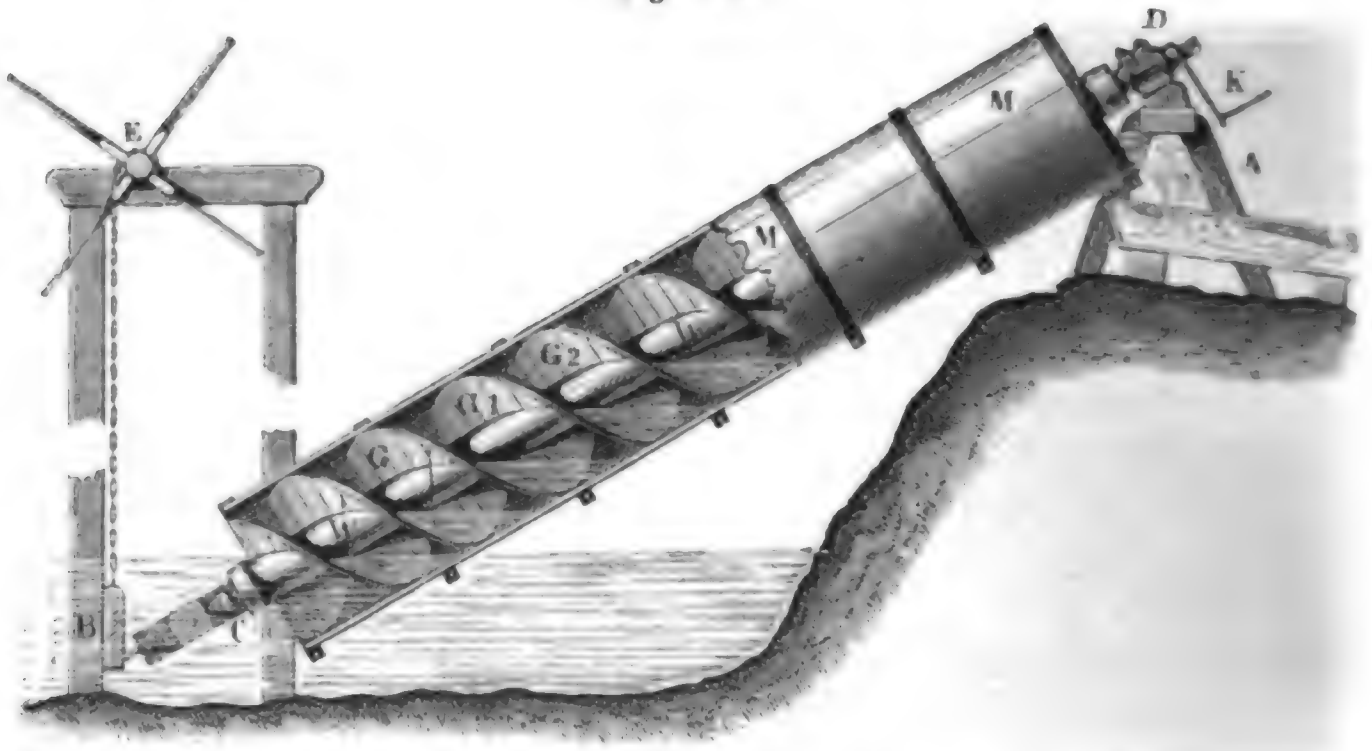


Wasserschraube.

Holland vorzüglich Windräder, welche die Wasserschrauben in Umtrieb setzen. Zu diesem Zwecke versieht man das obere Ende der Schraubenspindel mit einem Zahnrade, und läßt dasselbe in ein anderes Zahnrad eingreifen, welches auf dem unteren Ende des Königsbaumes der Windmühle befestigt ist.

Die Einrichtung einer Tonnenmühle mit drei Schraubenwindungen führt Fig. 678 vor Augen. Diese Maschine ruht mit ihren Zapfen *C* und *D*

Fig. 678.



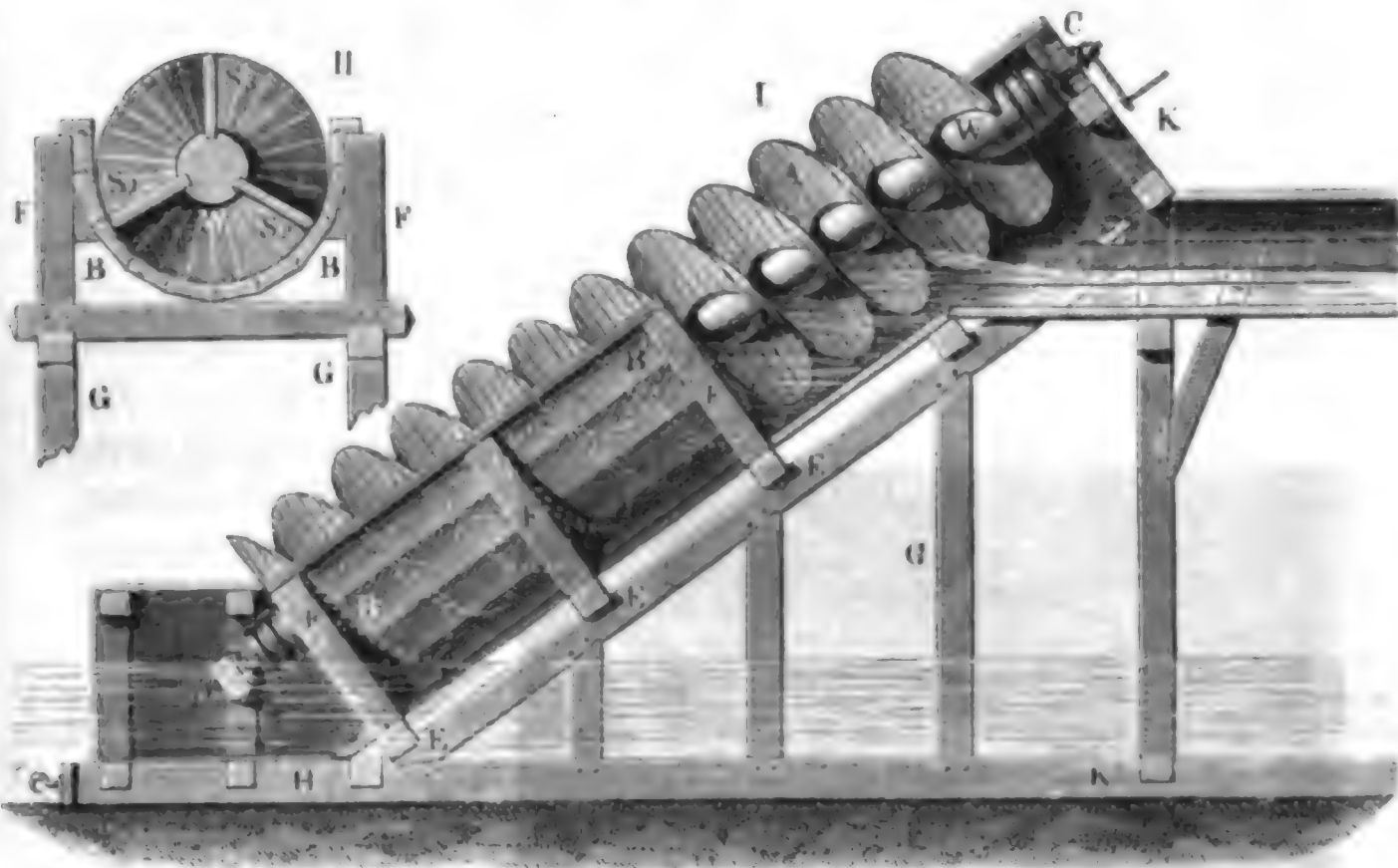
auf einem hölzernen Rahmen, welcher sich oben auf einen Bock *A* und unten an ein Leitholz *B* stützt, welches mittels Ketten an einen Kreuzhaspel *E* aufgehangen ist, wodurch man der Wellenaxe die der Hubhöhe entsprechende Neigung geben kann. Die Kurbel *K* wird nicht unmittelbar durch Menschenhände bewegt, sondern es sind an der Spille derselben mit Handhaben ausgerüstete Stoßstangen angeschlossen, welche durch 4 bis 6 Arbeiter hin- und hergezogen werden. In der Figur ist die untere Hälfte der Maschine durchschnitten dargestellt; man sieht hier in *G*, *G*<sub>1</sub>, *G*<sub>2</sub> die um die Welle *W* *W* laufenden Schraubengänge, dagegen in *MM* von der oberen Hälfte den mit eisernen Ringen umgebenen Mantel der Tonnenmühle.

In Fig. 679, I., ist eine ebenfalls dreigängige Wasserschraube mit hölzernem Kumm und zwar so abgebildet, daß die obere Hälfte *A*, vom Kumm befreit, sichtbar ist. Der Kumm *BB* liegt auf den Querschwellen *E*, *E* . . . und zwischen den Säulen *F*, *F* . . . , welche in die ersteren eingezapft sind, und das Ganze ruht auf einem transportablen Gestelle *G H K*. Die Kurbel *K* am oberen Zapfen *C* wird auch hier durch Stoßstangen in Bewegung gesetzt, und das Lager des unteren Zapfens *D* ruht

auf einem zwischen zwei Säulen befestigten Querholze. Einen Querschnitt der Schraube sammt ihrem Kummer *BB* und der Lagerung der letzteren stellt Fig. 679, II., vor; es ist hier *W* die Welle und es sind

Wasser-  
schraube

Fig. 679.



$S_1$ ,  $S_2$ ,  $S_3$  die Querschnitte der drei Schraubengänge. Das gehobene Wasser wird durch das Ablaufgerinne *Z*, welches mit dem Kummer fest verbunden ist und ebenfalls auf dem Maschinengestelle ruht, abgeführt.

Anmerkung. Die holländische Schraube wird auch zuweilen zum Transport lockerer Massen, z. B. in den Mahlmühlen zum Zufördern des aus Mehl und Kleie bestehenden Mahlgutes nach dem Elevator verwendet, und hat dann in der Regel eine horizontale Anlage.

§. 337. Die Wasserschrauben werden zwar gewöhnlich ganz aus Holz hergestellt, sie lassen sich aber auch leicht aus Eisen, namentlich die Gänge derselben eben so leicht aus Eisenblech wie aus Holzsectoren zusammensetzen. Werden die Schneckengänge durch hölzerne Splissen oder sogenannte Schaufelbreter von circa 1 Zoll Dicke gebildet, so erhält die Welle oder Spindel der Schraube schraubenförmige Nuthen von circa 1 Zoll Tiefe, in welche diese Bretstücke zu sitzen kommen. Die an einander anstoßenden Schaufelbreter werden durch Klammern mit einander fest verbunden, und es ist eine weitere Befestigung derselben an die Spindel nicht nöthig. Ebenso wird auch die Innenfläche des Mantels mit Nuthen versehen, in welche die äußeren Enden der Schaufelbreter ein-



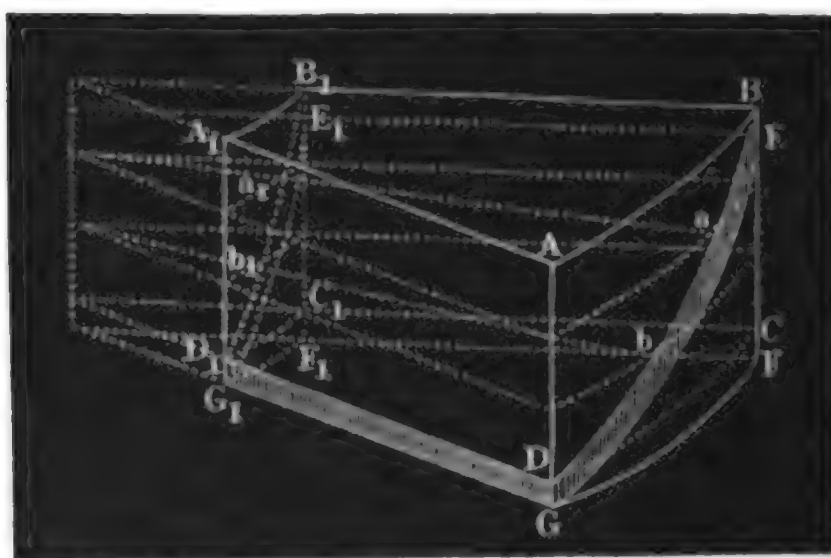
Wasser-  
schraube.

greifen müssen. Die feste Verbindung dieses Mantels mit den Gewinden wird endlich durch eiserne Reifen bewirkt, welche man in Abständen von je 2 Fuß von einander auf den Mantel auftreibt. Sehr gewöhnlich erhalten diese Wasserschrauben einen Theerüberzug.

Setzt man die Schneckengänge aus Eisenblechstücken zusammen, so bedient man sich einer gußeisernen Welle, welche statt der Nuthen mit schraubenförmig laufenden Kränzen versehen ist, worauf dann die Schraubengänge aufgenietet werden. Macht man auch den Mantel von Eisenblech, so verbindet man denselben am besten durch Winkleisen mit den Gewinden.

Um die Formen der Schaufelbleche und Schaufelbreter zu erhalten, schneidet man ein prismatisches Holzstück  $ACD_1B_1$ , Fig. 680, aus, dessen

Fig. 680.



Basis  $AB_1 = CD_1$  ein Kreissector ist, welcher die Projection einer Schaufel rechtwinkelig gegen die Schraubenaxe darstellt. Zeichnet man sich nun auf die beiden cylindrischen Stirnflächen  $AC$  und  $A_1C_1$  dieses Körpers die Schraubenlinien  $BD$  und  $B_1D_1$  auf, und führt man einen

Sägeschnitt  $BabDD_1b_1a_1B_1$ , welcher beide Curven überall in gleich hoch liegenden Punkten  $a, a_1; b, b_1$  verfolgt, so erhält man in demselben die Seitenfläche für ein Schaufelblech oder ein Schaufelbret.

Wenn man nun den Körper  $ABDD_1B_1A_1$  mit seiner windschiefen Begrenzungsfläche so genau als möglich auf das Blech legt, aus welchem die Schaufeln geschnitten werden sollen, so kann man sich dann leicht den Umriss einer Schaufel auf dieses Blech aufreißen, und hiernach dieselbe ausschneiden. Um dagegen ein Schaufelbret anzufertigen, ist es nöthig, ein Holzprisma hierzu anzuwenden, welches noch um die in der Axenrichtung der Schraubenrichtung zu messende Schaufeldicke  $CF = DG$  höher ist, und wenn man nun außer dem windschiefen Schnitte  $BDD_1B_1$ , im Abstände  $BE = B_1E_1$  noch einen Parallelschnitt  $EGG_1E_1$  führt, so erhält man in dem zwischen beiden Schnitten enthaltenen Holzstück  $BGG_1B_1$  die verlangte Schaufel.

Man kann auch statt der windschiefen Schaufelbreter einfache sectorförmige anwenden, wenn man dieselben so einsetzt, daß sie zum Theil über

einander wegreifen und ihre Grundflächen rechtwinkelig gegen die Schraubenaxe stehen. In diesem Falle erhält man nach Art der Wendeltreppen stufenförmig geformte Schraubengänge.

Wasserschraube.

Die gewöhnlichen Wasserschrauben und Tonnenmühlen haben eine Spindellänge von 10 bis 20 Fuß, und eine Spindelstärke von  $\frac{1}{2}$  bis 1 Fuß, und es beträgt die ganze Weite derselben  $1\frac{1}{2}$  bis 3 Fuß. Man giebt den Windungen am äußeren Umfang eine Steigung von 10 bis 30 Grad, und der Spindelaxe eine Steigung von 30 bis 35 Grad. An dem Umfang der Spindel ist natürlich das Ansteigen der Windungen viel größer, denn es ist, der Formel  $\tan \alpha = \frac{h}{2\pi r}$  (s. §. 135) zufolge, die Tangente dieses Winkels  $\alpha$  der Entfernung  $r$  von der Spindelaxe umgekehrt proportional. Wäre z. B. der Durchmesser der Spindel  $\frac{1}{3}$  von dem der Schraube, und das Ansteigen derselben am äußeren Umfange 15 Grad, so würde das Ansteigen derselben am Umfange der Spindel durch  $\tan \alpha = 3 \tan 15^\circ = 0,80385$  bestimmt sein und folglich  $38\frac{3}{4}$  Grad ausfallen.

Um ein möglichst gleichförmiges Einnehmen und Ausgießen des Wassers zu erhalten, macht man den Abstand der Windungen von einander in der Regel nur  $\frac{1}{2}$  bis  $\frac{2}{3}$  Fuß, und wendet deshalb mehr als ein Gewinde, z. B. drei oder vier von einander getrennte Gänge an. Ist  $h$  die Höhe eines Schraubenganges,  $n_1$  die Anzahl der Schraubengewinde und  $h_1$  der parallel der Axenrichtung gemessene Abstand derselben von einander, so hat man:

$$h = 2\pi r \tan \alpha = n_1 h_1,$$

und daher:

$$n_1 = \frac{2\pi r \tan \alpha}{h_1},$$

z. B. für  $r = \frac{3}{2}$ ,  $h_1 = \frac{1}{2}$  Fuß und  $\alpha = 12\frac{1}{2}$  Grad:

$$n = 2 \cdot 3 \cdot \pi \tan 12\frac{1}{2}^\circ = 4.$$

Die Anzahl der Gänge eines und desselben Gewindes ist bei der Länge  $l$  der Spindel:

$$n = \frac{l}{h} = \frac{l}{n_1 h_1},$$

z. B. für  $n_1 = 4$ ,  $h_1 = \frac{1}{2}$  und  $l = 20$  Fuß:

$$n = \frac{20}{4 \cdot \frac{1}{2}} = 10.$$

Anmerkung. Die Wasserschraube ist jedenfalls eine der vollkommensten Wasserhebungsmaschinen, und der Wirkungsgrad derselben mindestens 0,75 anzunehmen. Nach Mallet's Beobachtungen konnten an einer Tonnenmühle mit dreifachen Gewinden neun Arbeiter, bei 35 Umdrehungen pr. Minute, stündlich 1358 Cubikfuß Wasser  $10\frac{1}{2}$  Fuß hoch heben. Die entsprechende stündliche Leistung ist

Wasser-  
schraube.

hiernach  $1358 \cdot 10,5 \cdot 66 = 941094$  Fußpfund, d. i. für einen Arbeiter allein 104566 Fußpfund; also täglich, bei sechs Stunden wirklicher Arbeitszeit,  $L = 6 \cdot 104566 = 627396$  Fußpfund. In Frankreich rechnet man  $L = 100000$  Kilogr.-Meter  $= 681300$  Fußpfund.

§. 338. Die geometrische Bestimmung der Wassermenge, welche eine Tonnenmühle oder Wasserschraube bei jeder Umdrehung aufnimmt und nach und nach emporfördert, ist mit besonderen Weitläufigkeiten verbunden, weil man es hier nicht mit einem wasserhaltenden Bogen, sondern mit eigenthümlichen, von Cylindern und Schrauben und einer horizontalen Ebene begrenzten Körpern zu thun hat. Am kürzesten gelangt man zum Ziele, wenn man die Construction zu Hülfe nimmt, und sich hierbei wieder der Methode des Abwickelns bedient, wobei die Schraubencurven in gerade Linien und die elliptischen Begrenzungen der Oberfläche des Wassers in Sinusoiden übergehen.

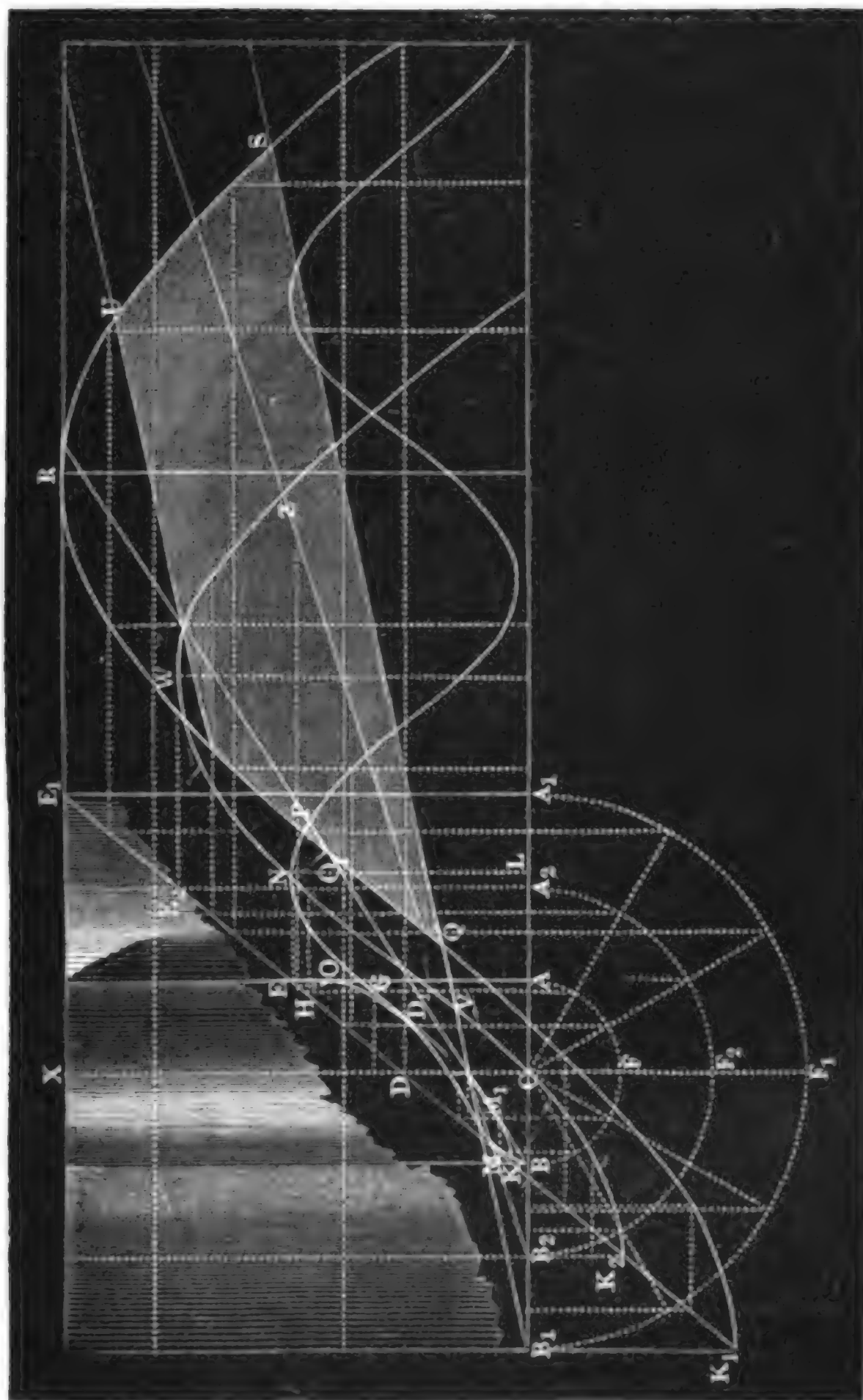
Es sei in Fig. 681  $CX$  die Ase der Schraube in aufrechter Stellung, ferner  $AFB$  der halbe Querschnitt der Spindel, sowie  $A_1F_1B_1$  der halbe Querschnitt der ganzen Schraube, beide auf die vertikale Bildebene niedergeklappt. Ferner sei  $AO$  die halbe Höhe eines Schraubenganges, und  $BMGOH$  die nach bekannten Regeln entworfene Vertikalprojection der Schraube, sowie  $KMDE$  die Tangente an dieselbe, welche die Vertikalprojection des Wasserspiegels in einem Schraubengange darstellt. Macht man  $BL =$  dem Halbkreis  $AFB = \pi \cdot CB$  und  $LO_1 =$  der halben Ganghöhe, so ist die Gerade  $BO_1$  die abgewickelte Schraubenlinie, wogegen  $KM_1D_1NP$  die abgewickelte Ellipse vorstellt, in welcher der Wasserspiegel die Schraubenspindel schneidet. Durch die beiden Linien  $M_1D_1NP$  sind  $M_1P$  wird die Fläche begrenzt, in welcher die Spindel von dem Wasser in einer Zelle berührt wird; dieselbe ist ein Element zur Bestimmung des gesuchten Wasserraumes und läßt sich leicht mit Hülfe der Simpson'schen Regel ermitteln. Der dem Wasserspiegel in einem Gange entsprechende Schnitt  $K'E$  trifft den Mantel der Wasserschraube in einer anderen Ellipse, deren große Ase  $K_1E_1 = 2DE_1 = 2DK_1$  ist, und deren Abwicklung eine Sinusoide  $K_1QTRUS$  giebt, welche von der abgewickelten Schraubenlinie  $B_1QS$  am Umfange des Schraubenmantels in zwei Punkten  $Q$  und  $S$  durchschnitten wird. Bestände diese Wasserschraube nur aus einem Gewinde, so würde folglich die Fläche  $QTRUS$  zwischen dem Sinusoidenbogen  $QTRUS$  und der Geraden  $QS$  das Flächenstück darstellen, in welchem die innere Fläche des Mantels vom Wasser in einem Gange berührt wird. Geben wir aber der Schraube zwei Gewinde, so können wir die gedachte Sinusoide noch durch eine zweite Linie  $TU$  durchschneiden, welche parallel, und zwar um die halbe Schraubenganghöhe  $AO$  über  $QS$  hinläuft, und es ist dann die Zone  $QTUS$  zwischen diesen

Parallelen das gesuchte Flächenstück oder Element zur Bestimmung des Wasserraumes eines Ganges.

Wasser-  
schraube.

Wenn man nun zwischen der Spindel über  $AFB$  und dem Mantel über  $A_1F_1B_1$  noch andere Cylinder einschaltet und auf diese eben dasselbe

Fig. 651.





Wasser-  
schraube.

Verfahren anwendet, wie an dem Mantel, so bekommt man noch andere Flächenstücke oder Elemente zur Bestimmung des gedachten Wasserraumes, wie z. B.  $VWZ$ , welches dem Cylinder entspricht, dessen Halbmesser  $CA_2 = CB_2$  das Mittel von dem der Spindel und der ganzen Schraube ist. Nachdem man die Inhalte aller dieser Flächenstücke durch die Simpson'sche Regel ermittelt hat, findet man endlich das gesuchte Wasservolumen in einem Gange oder einer Zelle dadurch, daß man den ebenfalls mittels der Simpson'schen Regel zu bestimmenden Mittelwerth von diesen verschiedenen Flächenstücken mit dem Normalabstand zwischen der inneren Mantelfläche und dem Umfange der Spindel multiplicirt.

Beispiel. Bei der in Fig. 682 dargestellten Tonnenmühle sei der Spindelhalbmesser  $CA = CB = r = \frac{1}{2}$  Fuß, der Mantelhalbmesser  $CA_1 = CB_1 = r_1 = 1\frac{1}{2}$  Fuß, die halbe Schraubenganghöhe  $AO = \frac{1}{2}h = 1$  Fuß, die Anzahl der Schraubengewinde  $n = 2$  und der Neigungswinkel der Spindelaxe gegen den Horizont, d. i.  $\angle EDX = 40$  Grad. Hiernach ist für das Ansteigen der innersten Schraubenlinie (am Umfange der Spindel):

$$\text{tang. } \alpha = \frac{h}{2\pi r} = \frac{\frac{1}{2}h}{\pi r} = \frac{2}{\pi} = 0,6366, \text{ folglich } \alpha = PBC = 32^\circ 29',$$

ferner für das der äußersten Schraubenlinie (im Mantel):

$$\text{tang. } \alpha_1 = \frac{\frac{1}{2}h}{\pi r_1} = \frac{2}{3\pi} = 0,2122, \text{ folglich } \alpha_1 = QB_1C = 11^\circ 59',$$

und für einen mittleren Winkel  $ZB_2C = \alpha_2$ :

$$\text{tang. } \alpha_2 = \frac{\frac{1}{2}h}{\pi r_2} = \frac{1}{\pi} = 0,3183, \text{ folglich } \alpha_2 = 17^\circ 39'.$$

Construirt man nach diesen Angaben zu den den abgewickelten Schraubenlinien entsprechenden geraden Transversalen  $BP$ ,  $B_1QS$  und  $B_2VZ$  auch noch die Sinusoiden  $KNP$ ,  $K_1QRS$  und  $K_2VWZ$ , welchen die abgewickelten elliptischen Begrenzungen der Oberfläche des Wassers in einer Zelle zugehören, und zieht man noch im Abstände  $\frac{1}{2}h = 1$  Fuß über  $QS$  die abgewickelte Schraubenlinie des folgenden Ganges ab, so erhält man die Flächenstücke  $M_1NP$ ,  $QTUS$  und  $VWZ$ , wonach sich der Wasserraum in einer Zelle leicht bestimmen läßt.

Der Flächenraum  $F_0 = M_1NP$  wurde  $= 0,293$  Quadratsfuß,

„ „  $F_1 = QTUS$  „  $= 3,410$  „

„ „  $F_2 = VWZ$  „  $= 1,634$  „

gefunden, und folglich das Mittel hieraus:

$$F = \frac{F_0 + 4F_2 + F_1}{6} = \frac{0,293 + 6,536 + 3,410}{6} = 1,706 \text{ Quadratsfuß.}$$

und da die Weite  $r_1 - r = AA_1 = BB_1$  des Wasserraumes  $= 1$  Fuß beträgt, das gesuchte Wasservolumen:

$$V = F(r_1 - r) = 1,706 \cdot 1 = 1,706 \text{ Cubikfuß.}$$

Da die Schraube zwei Gewinde hat, so liefert sie bei jeder Umdrehung  $2 \cdot V = 3,412$  Cubikfuß Wasser. Wäre nun noch die Arenlänge der Schraube  $l = 20$  Fuß, so würde sie das Wasser ziemlich auf die Höhe

$$h = l \sin. \beta = 20 \sin. 40^\circ = 20 \cdot 0,6428 = 12,856 \text{ Fuß}$$

fordern und folglich der Arbeitsaufwand pro Umdrehung

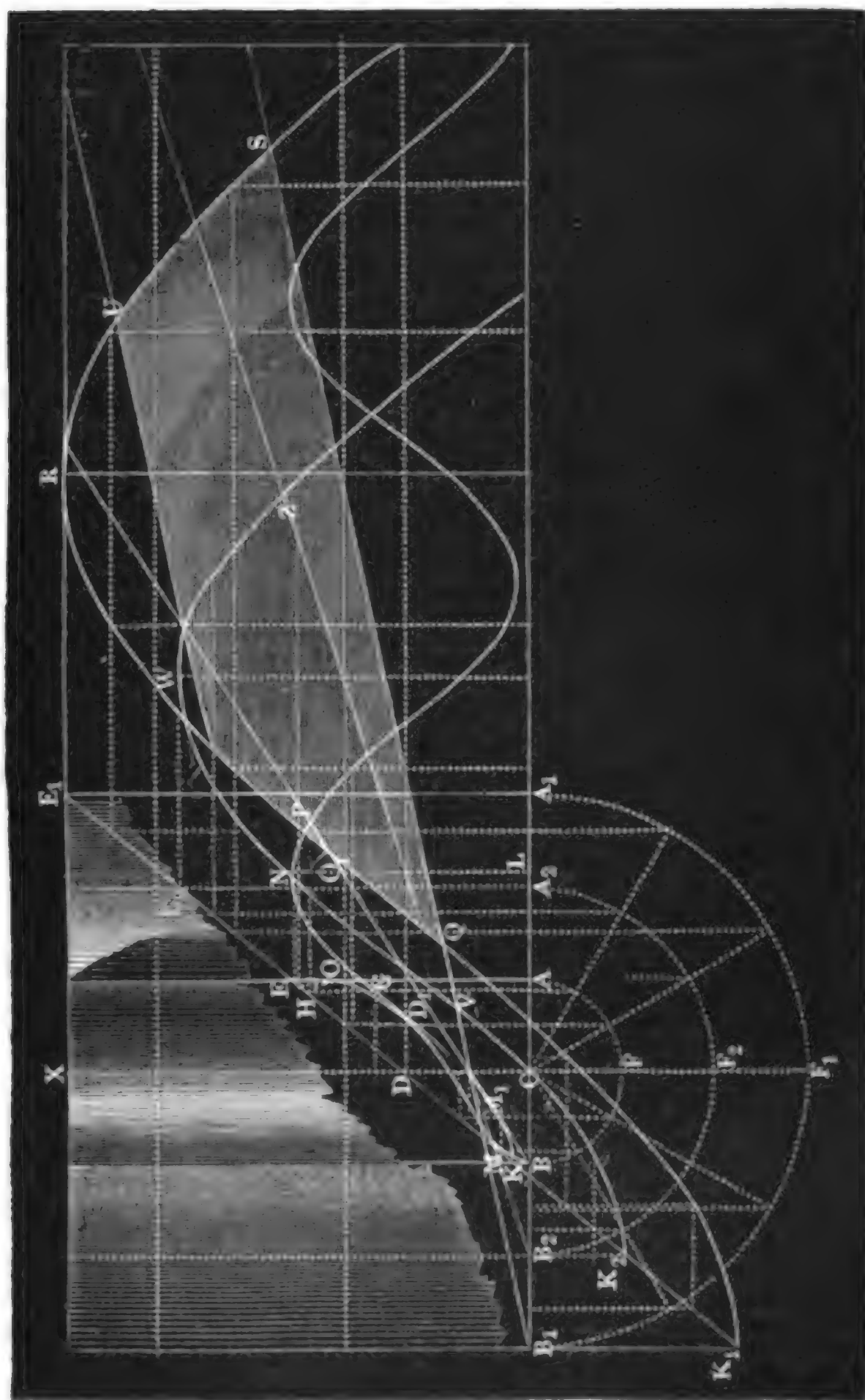
$$Vh\gamma = 1,706 \cdot 12,856 \cdot 66 = 1447,5 \text{ Fußpfund}$$

betragen.

Soll die Schraube pr. Minute  $u = 30$  Mal umlaufen, so ist endlich die nöthige Leistung: Wasser-  
schraube.

$$L = \frac{u}{60} \cdot V h \gamma = \frac{1}{2} \cdot 1447,5 = 724 \text{ Fußpfund.}$$

Fig. 682.







als  $k$ , ferner die Luft im Bogen  $GH$  einen Druck, welcher wieder um Epiralpumpe. die Höhe  $h_2$  der Wassersäule  $FG$  größer ist, als der in  $EF$  u. s. w. Es ist also:

der Druck in  $EF$ ,  $= k + h_1$ ,

„ „ „  $GH$ ,  $= k + h_1 + h_2$ ,

„ „ „  $JK$ ,  $= k + h_1 + h_2 + h_3$ ,

„ „ „  $LM$ ,  $= k + h_1 + h_2 + h_3 + h_4$  u. s. w.,

wenn die Höhen der übrigen Wasserbögen  $HJ$ ,  $K'L$  u. s. w. durch  $h_3$ ,  $h_4$  . . . bezeichnet werden. Damit dem Druck der Luft im Raume  $LBM$  Gleichgewicht gehalten werde, ist nun nöthig, daß in der Steig-  
röhre  $BMN$  eine Wassersäule von der Höhe

$$h = h_1 + h_2 + h_3 + h_4 + \dots$$

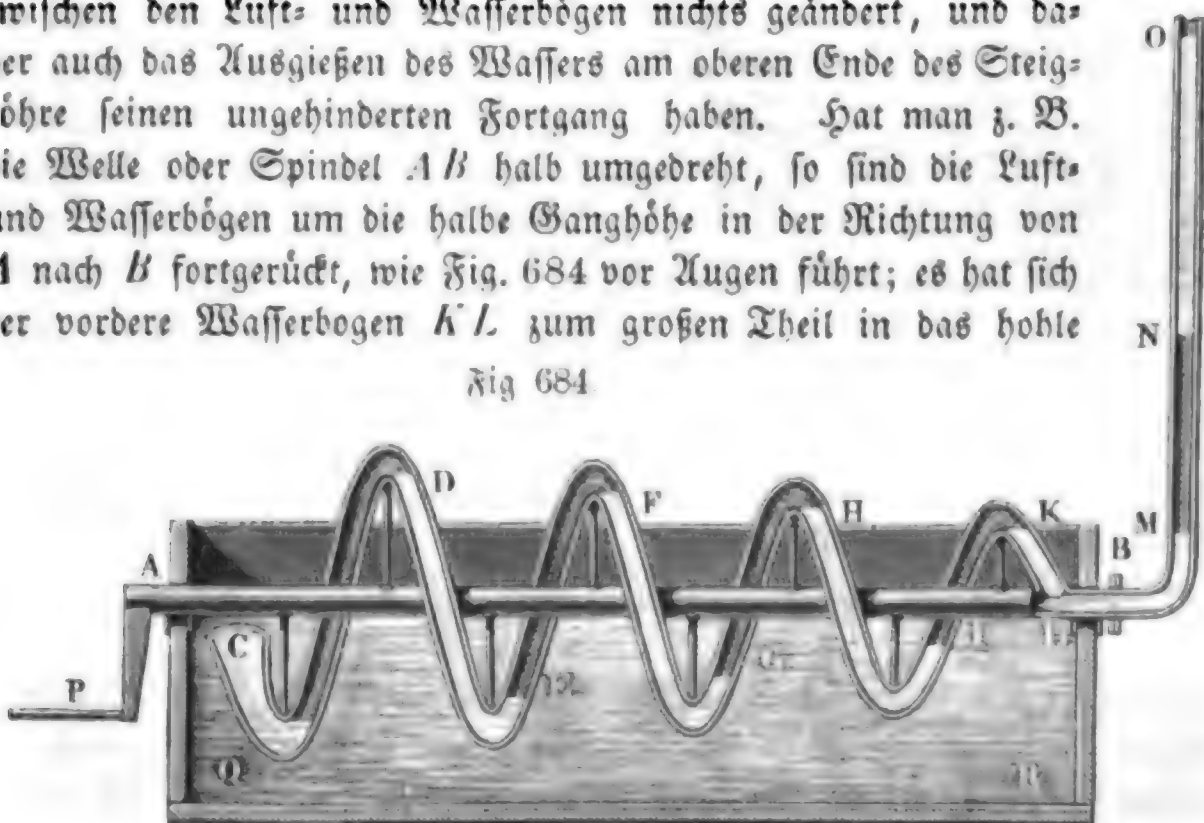
enthalten sei, denn es wird dann die Luft in diesem Raume auf beiden Seiten von einer und derselben Kraft

$$k + h = k + h_1 + h_2 + h_3 + h_4 + \dots$$

gedrückt.

Während einer langsamen Umdrehung der Schlange rücken die Luft- und Wasserbögen in derselben allmählig nach der Einmündung  $B$  in der Steigröhre  $BMN$  . . . , worin sie auch noch emporsteigen, bis sie endlich am oberen in der Figur nicht abgebildeten Ende zum Ausfluß gelangen. Wenn sich der Windungshalbmesser der Schlange von dem Horne  $C$  bis zur Einmündung  $L$  in das Steigrohr hin, dem allmählichen Zusammenziehen der Luftbögen entsprechend, verjüngt, und wenn das Horn  $C$  bei jeder Umdrehung einen Luft- und einen Wasserbogen einnimmt, so wird durch die langsame Umdrehung der Schlange in dem Gleichgewichtszustande zwischen den Luft- und Wasserbögen nichts geändert, und daher auch das Ausgießen des Wassers am oberen Ende des Steig-  
röhre seinen ungehinderten Fortgang haben. Hat man z. B. die Welle oder Spindel  $AB$  halb umgedreht, so sind die Luft- und Wasserbögen um die halbe Ganghöhe in der Richtung von  $A$  nach  $B$  fortgerückt, wie Fig. 684 vor Augen führt; es hat sich der vordere Wasserbogen  $K'L$  zum großen Theil in das hohle

Fig 684





mittlere  $BD = BE$  der ersten Windung  $DEF$ , Fig. 685, und  $\varrho$  der Extrapumpe. Querschnittshalbmesser derselben, so haben wir das Volumen des Wasserbogens  $DE$ :

$$V = \pi \varrho^2 \cdot \pi r_1 = \pi^2 \varrho^2 r_1,$$

und die Höhe  $DQ$  desselben:

$$h_1 = 2(r_1 - \varrho).$$

Ist  $h$  die Höhe der Wassersäule im Steigrohre, oder nach Befinden die der Wassersäulen in demselben zusammengekommen, und  $k$  die Höhe der Wassersäule, welche dem Atmosphärendruck entspricht, so hat man das Volumen des  $n$ ten oder innersten Luftbogens:

$$V_n = \left( \frac{k}{k + h} \right) V,$$

folglich die Länge desselben:

$$l_n = \frac{V_n}{\pi \varrho^2} = \frac{k}{k + h} \cdot \frac{\pi^2 \varrho^2 r_1}{\pi \varrho^2} = \frac{k}{k + h} \cdot \pi r_1,$$

und addirt man nun hierzu die Länge eines Wasserbogens  $l = \pi r_1$ , so folgt die ganze Länge der  $n$ ten Windung:

$$l + l_n = \left( \frac{k}{k + h} + 1 \right) \pi r_1,$$

und daher der erforderliche Halbmesser dieser Windung:

$$r_n = \frac{l + l_n}{2\pi} = \left( \frac{k}{k + h} + 1 \right) \frac{r_1}{2} = \left( \frac{2k + h}{k + h} \right) \frac{r_1}{2}.$$

Läßt man die Windungshalbmesser nach einer arithmetischen Progression von außen nach innen abnehmen, so hat man die Differenz der benachbarten Glieder dieser Progression:

$$d = \frac{r_1 - r_n}{n - 1} = \left( \frac{(k + h) - (k + \frac{1}{2}h)}{k + h} \right) \frac{r_1}{n - 1} = \frac{h}{k + h} \cdot \frac{r_1}{2(n - 1)},$$

und es ist diese von den Windungshalbmessern gebildete Progression folgende:

$$r_1, (1 - d)r_1, (1 - 2d)r_1, (1 - 3d)r_1 \dots [1 - (n - 1)d]r_1.$$

Für den Centriwinkel  $\beta$  des Wasserbogens  $l$  in der innersten Windung hat man:

$$\frac{\beta^\circ}{360^\circ} = \frac{l}{l + l_n} = \frac{k + h}{2k + h},$$

also:

$$\beta^\circ = 360^\circ \left( \frac{k + h}{2k + h} \right) = \frac{r_1}{r_n} \cdot 180^\circ,$$

und hiernach bestimmt sich die Höhe dieser Wirkung:

$$h_n = r_n - \varrho + r_n \cos.(180^\circ - \beta) = r_n (1 - \cos.\beta) - \varrho.$$

Spiralpumpe.

Die mittlere Wasserhöhe in allen Umdrehungen ist:

$$\frac{h_1 + h_n}{2} = \left(1 + \frac{2k + h}{k + h} \cdot \frac{1 - \cos.\beta}{4}\right) r_1 - \frac{3}{2} \varrho,$$

und es folgt die erforderliche Anzahl von Windungen der Schlange:

$$n = \frac{2h}{h_1 + h_n}.$$

Macht die Welle pr. Minute  $u$  Umdrehungen, so ist das durch diese Maschine pr. Secunde gehobene Wasserquantum:

$$Q = \frac{u}{60} V = \frac{u}{60} \cdot \pi^2 \varrho^2 r_1.$$

Die erforderliche mechanische Arbeit ist, da die Maschine nicht allein Wasser hebt, sondern auch Luft comprimirt, eine doppelte, und zwar:

$$\begin{aligned} L &= Qh\gamma + Qk\gamma \text{ Log. nat. } \left(\frac{k + h}{k}\right) \\ &= \left[h + k \text{ Log. nat. } \left(\frac{k + h}{k}\right)\right] Q\gamma \text{ (s. I., §. 330).} \end{aligned}$$

Wenn sich die Luft in der Steigröhre mit dem Wasser in derselben gleichmäßig vermengt und sich während des Aufsteigens in derselben allmählig ausdehnt, so vergrößert sie die Steighöhe dergestalt, daß dieselbe

$$h + k \text{ Log. nat. } \left(\frac{k + h}{h}\right)$$

ausfällt; bleiben aber die Räume der Luft- und Wasserbögen auch in der Steigröhre getrennt, so ist die ganze Steighöhe gleich der Summe aus den Höhen der in dieser Röhre emporsteigenden Luft- und Wassersäulen. Ist  $\varrho_1$  der Halbmesser der Steigröhre, so hat man die Länge einer Wassersäule in derselben, welche aus einem Wasserbogen hervorgeht:

$$= \frac{l\varrho^2}{\varrho_1^2},$$

und folglich die Anzahl dieser Säulen sowie auch die der Luftsäulen in der ganzen Steigröhre:

$$m = h : \frac{l\varrho^2}{\varrho_1^2} = \frac{h\varrho_1^2}{l\varrho^2}.$$

Die oberste Luftsäule hat, da sie durch eine Wassersäule von der Länge  $\frac{l\varrho^2}{\varrho_1^2} = \frac{h}{m}$  zusammengedrückt wird, die Länge

$$\left(\frac{k}{k + \frac{h}{m}}\right) \frac{h}{m} = \frac{kh}{mk + h},$$

die nächsttiefere Luftsäule besitzt ferner, da sie von einer Wassersäule zusammengedrückt wird, deren Länge  $\frac{2h}{m}$  ist, die Länge:

$$\left( \frac{k}{k + \frac{2h}{m}} \right) \frac{h}{m} = \frac{kh}{mk + 2h},$$

Spiralpumpe.

die folgende tiefere Luftsäule hat die Länge  $\frac{kh}{mk + 3h}$  u. s. w., und es ist folglich die ganze Förderhöhe:

$$h + \frac{kh}{mk + h} + \frac{kh}{mk + 2h} + \frac{kh}{mk + 3h} + \dots + \frac{kh}{m(k + h)} \\ = \left[ 1 + k \left( \frac{1}{mk + h} + \frac{1}{mk + 2h} + \frac{1}{mk + 3h} + \dots + \frac{1}{m(k + h)} \right) \right] h.$$

Ist die Länge des Armes, an welchem die Umdrehungskraft  $P$  der Welle wirkt,  $= a$ , so hat man:

$$P = L: \frac{\pi u a}{30} = \left( h + k \text{ Log. nat. } \frac{k + h}{k} \right) \frac{V \gamma}{2 \pi a}.$$

Bei der Berechnung der Hubwassermenge:

$$Q = \frac{u}{60} V = \frac{u}{60} \pi^2 \varrho^2 r_1,$$

ist auf die schraubenförmige Gestalt der Schlange nicht Rücksicht genommen worden, weil vorausgesetzt werden kann, daß die Ganghöhe der Schlange, da dieselbe ganz unwesentlich ist, sehr klein gemacht wird. Wenn auch die Weite der Schlange sehr klein ist gegen den Halbmesser der Schlangengewindung, so können sogar die Axen sämtlicher Windungen in eine und dieselbe Ebene fallen und eine ebene Spirallinie bilden.

Anmerkung. Die Spiralpumpe ist bis jetzt nur noch sehr selten in Anwendung gekommen, und auch nur von Gytelwein (siehe dessen »Handbuch der Mechanik fester Körper und der Hydraulik«) gründlich behandelt worden.

Beispiel. Eine Spiralpumpe hat eine Schlange und eine Steigröhre von  $\varrho = \varrho_1 = 3$  Zoll Weite, und einen äußeren Halbmesser  $r_1 = 3$  Fuß; man soll den inneren Halbmesser ihrer Schlange, sowie die Förderhöhe und die nöthige Umdrehungskraft derselben bestimmen, vorausgesetzt, daß letztere an einem Arme von 2 Fuß Länge wirkt, und daß die Höhe der Wassersäule in der Steigröhre,  $h = 40$  Fuß beträgt. Das größtmögliche Wasservolumen einer Windung ist:

$$V = \pi^2 \varrho^2 r_1 = 9,8696 \cdot (0,25)^2 \cdot 3 = 1,85 \text{ Cubikfuß;}$$

ferner, wenn man den Luftdruck  $k = 30$  Fuß Wassersäule setzt, der Halbmesser der innersten Windung:

$$r_n = \left( \frac{2k + h}{k + h} \right) \frac{r_1}{2} = \frac{60 + 40}{30 + 40} \cdot \frac{3}{2} = \frac{10 \cdot 3}{7 \cdot 2} = 2,143 \text{ Fuß,}$$

und der Centriwinkel für den innersten Wasserbogen:

$$\beta^0 = \frac{r_1}{r_n} \cdot 180^0 = \frac{3 \cdot 180^0}{2,143} = \frac{540^0}{2,143} = 252 \text{ Grad.}$$

Während nun die Höhe des Wasserbogens in der äußersten Windung

$$h_1 = 2(r_1 - \varrho) = 2(3 - 0,25) = 5,5 \text{ Fuß}$$

beträgt, ist dieselbe für die innerste Windung:

$$h_n = r_n (1 - \cos. \beta) - \varrho = 2,143 (1 + \cos. 72^0) - 0,25 = 2,555 \text{ Fuß.}$$



Extraspumpe. folglich die mittlere Höhe eines Wasserbogens:

$$\frac{h_1 + h_n}{2} = \frac{8,055}{2} = 4,0275 \text{ Fuß,}$$

und die erforderliche Anzahl aller Windungen:

$$n = \frac{2h}{h_1 + h_2} = \frac{40}{4,0275} = 10.$$

Noch ist:

$$\begin{aligned} k \text{ Log. nat. } \frac{k + h}{k} &= 30 \text{ Ln } \frac{70}{30} = 30 (\text{Log. nat. } 7 - \text{Log. nat. } 3) \\ &= 30 \cdot 0,8473 = 25,42; \end{aligned}$$

daher die größte Steighöhe, bei vollständiger Vermengung der Luft mit dem Wasser in derselben:

$$h + k \text{ Log. nat. } \left( \frac{k + h}{k} \right) = 40 + 25,42 = 65,42 \text{ Fuß,}$$

und die erforderliche Kraft:

$$P = 65,42 \cdot \frac{V\gamma}{2\pi a} = 65,42 \cdot \frac{1,85 \cdot 66}{2 \cdot 2\pi} = 635,6 \text{ Pfund.}$$

Soll die Maschine pr. Minute 12 Umdrehungen machen, so ist das pr. Secunde gehobene Wasserquantum:

$$Q = \frac{n}{60} \cdot V = \frac{12}{60} \cdot 1,85 = 0,37 \text{ Cubitfuß,}$$

und das theoretische Arbeitsquantum, ohne Rücksicht auf Nebenhindernisse, wie z. B. Zapfen- und Wasserreibung:

$$L = \left[ h + k \text{ Log. nat. } \left( \frac{k + h}{k} \right) \right] Q\gamma = 65,42 \cdot 0,37 \cdot 66 = 1598 \text{ Fußpfund.}$$

Die Länge eines Wasserbogens oder einer Wassersäule in der Steigröhre ist:

$$l = \pi r_1 = 3\pi = 9,425 \text{ Fuß,}$$

folglich die Anzahl der letzteren in der Steigröhre, im Mittel:

$$m = \frac{h}{l} = \frac{40}{9,425} = 4\frac{1}{4}.$$

Die Luftsäulenlängen in der Steigröhre sind folgende:

$$l_1 = \left( \frac{k}{k + l} \right) l = \frac{30l}{39,425} = 0,02536 \cdot 30l,$$

$$l_2 = \left( \frac{k}{k + 2l} \right) l = \frac{30l}{48,850} = 0,02047 \cdot 30l,$$

$$l_3 = \left( \frac{k}{k + 3l} \right) l = \frac{30l}{58,275} = 0,01716 \cdot 30l,$$

$$l_4 = \left( \frac{k}{k + 3l} \right) l = \frac{30l}{67,70} = 0,01477 \cdot 30l.$$

Die Summe dieser vier Höhen beträgt:

$$0,07776 \cdot 30l = 2,3328 \cdot 9,425 = 22 \text{ Fuß,}$$

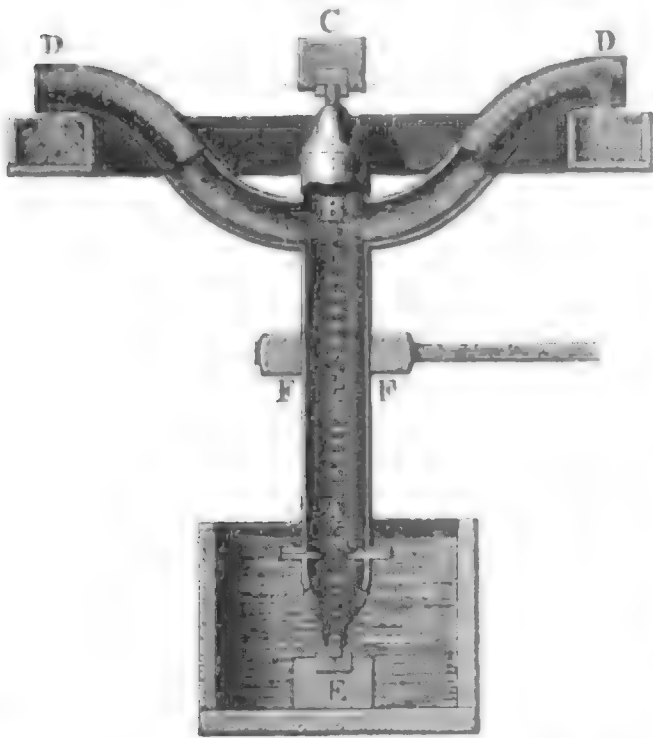
und folglich die ganze Steighöhe:

$$40 + 22 = 62 \text{ Fuß.}$$

§. 341. Die sogenannte Centrifugalpumpe oder der Sangeschwingheber (franz. pompe centrifuge; engl. centrifugal-pump) ist ein ziemlich unvollkommenes Hülfsmittel zum Heben des Wassers. Dieselbe besteht in einer verticalen Röhre AB, Fig. 687, welche sich oben in meh-

rerer Seiten- oder sogenannten Schwungröhren, wie  $BD$ ,  $BD$ , Epiralpumpe. ausgabelt, und mit ihrem unteren Ende  $A$  in dem Unterwasser steht.

Fig. 687.



Setzt man diese Maschine, z. B. durch das auf ihr sitzende Rad  $FF$ , in eine schnelle Umdrehung, nachdem man sie mit Wasser angefüllt hat, so wird das letztere durch die Centrifugalkraft aus den Mündungen  $D, D$  der Schwungröhre herausgetrieben, während die Atmosphäre von unten durch die mit einem Ventile ausgerüstete Mündung  $A$  immer wieder anderes Wasser nachsendet. Man sieht leicht ein, daß diese Wasserhebungs-  
maschine nichts weiter ist als ein umgekehrtes Reactions- oder

Segner'sches Wasserrad, und daß dessen Wirkung auf dieselbe Weise zu ermitteln ist wie die Arbeit eines Rotationsrades.

Ist  $v$  die Umdrehungsgeschwindigkeit der Ausmündungen  $D, D$  und  $h$  die Steighöhe, vom Wasserspiegel des Unterwassers bis Mitte der Ausmündungen gemessen, und sieht man von allen hydraulischen Nebenhindernissen ab, so hat man die theoretische Ausflußgeschwindigkeit des Wassers bei  $D$ :

$$c = \sqrt{v^2 - 2gh}.$$

Ist folglich  $F$  der Inhalt einer Ausmündung, und  $n$  die Anzahl derselben, so fällt das pr. Secunde gehobene Wasserquantum

$$Q = nFc = nF\sqrt{v^2 - 2gh}$$

aus.

Läßt man das Wasser radial ausströmen, so hat es die absolute Ausflußgeschwindigkeit

$$w = \sqrt{c^2 + v^2},$$

läßt man es hingegen durch Seitenöffnungen der Umdrehungsbewegung entgegengesetzt ausfließen, so fällt diese Geschwindigkeit nur

$$w = v - c$$

aus, und dies ist daher auch die zweckmäßigere Construction.

Die Nutzleistung ist jedenfalls:

$$Qh\gamma = nF\sqrt{v^2 - 2gh} \cdot h\gamma = nFh\gamma\sqrt{v^2 - 2gh};$$

Zentralsumme. der nöthige Arbeitsaufwand hingegen:

$$L = \left( h + \frac{w^2}{2g} \right) Q\gamma,$$

also der Wirkungsgrad der Maschine:

$$\begin{aligned} \eta &= \frac{Qh\gamma}{L} = \frac{h}{h + \frac{w^2}{2g}} = \frac{2gh}{2gh + (v - \sqrt{v^2 - 2gh})^2} \\ &= \frac{gh}{v(v - \sqrt{v^2 - 2gh})}. \end{aligned}$$

Dieser Werth nähert sich nur dann der Einheit, wenn das Verhältniß von  $h$  zu  $\frac{v^2}{2g}$  unendlich klein ist, es arbeitet also diese Maschine nur dann vortheilhaft, wenn entweder  $h$  sehr klein, oder wenn  $v$  sehr groß ist.

Vergl. Bd. II. (3. Aufl.) §. 222. Es giebt z. B.  $\frac{v^2}{2g} = h$ :

$$\eta = \frac{gh}{v^2} = 0,5,$$

dagegen  $\frac{v^2}{2g} = 2h$ :

$$\eta = \frac{gh}{v(v - \sqrt{2gh})} = \frac{2 + \sqrt{2}}{4} = 0,5 + 0,351 = 0,854,$$

und für  $\frac{v^2}{2g} = 4h$ :

$$\eta = \frac{2 + \sqrt{3}}{4} = 0,5 + 0,433 = 0,933.$$

Da diese Maschine zum Theil durch Saugen wirkt, so ist die Höhe  $h$ , auf welche sie das Wasser hebt, durch die Größe des Atmosphärendruckes eingeschränkt. Ist  $h_1$  die Höhe vom Anfang  $B$  der Schwungröhren bis Unterwasserspiegel, ferner  $k$  die den Atmosphärendruck messende Höhe einer Wassersäule (der Wasserbarometerstand) und  $c_1$  die Geschwindigkeit des Wassers an der Stelle  $B$ , wo dasselbe aus der Steigröhre in die Schwungröhren tritt, so hat man die Druckhöhe des Wassers an dieser Stelle:

$$x = k - h_1 - \frac{c_1^2}{2g}.$$

Damit kein luftleerer Raum in  $B$  entstehe, darf  $x$  nicht Null werden, muß also

$$k > h_1 + \frac{c_1^2}{2g}$$

sein.

Ist nun  $F_1$  der Querschnitt der Steigrohre bei  $B$ , so hat man, Zentralpumpe  
 $F_1 c_1 = n F c$ , folglich:

$$\frac{c_1^2}{2g} = \left(\frac{nF}{F_1}\right)^2 \cdot \frac{c^2}{2g} = \left(\frac{nF}{F_1}\right)^2 \left(\frac{v^2}{2g} - h\right),$$

und es ist daher der Forderung

$$k > h_1 + \left(\frac{nF}{F_1}\right)^2 \left(\frac{v^2}{2g} - h\right) \text{ oder}$$

$$\frac{v^2}{2g} < h + \left(\frac{F_1}{nF}\right)^2 (k - h_1)$$

Genüge zu leisten. Natürlich muß aber auch  $c > 0$ , d. i.

$$\frac{v^2}{2g} > h$$

sein. Damit also die Centrifugalpumpe wirklich Wasser hebe, muß

$$v > \sqrt{2gh} \text{ und}$$

$$< \sqrt{2g \left[ h + \left(\frac{F_1}{nF}\right)^2 (k - h_1) \right]},$$

und folglich auch  $h_1 < k$ , d. i. die Länge des Steigrohres stets kleiner als der Wasserbarometerstand ( $k$ ) ausfallen.

Läßt man die Schwungröhren am Fuße der Steigrohre einmünden, so hat man  $h_1 = 0$ , und folglich die Maximalgeschwindigkeit des Rades:

$$v = \sqrt{2g \left[ h + \left(\frac{F_1}{nF}\right)^2 k \right]},$$

größer als in jedem anderen Falle.

§. 342. In neueren Zeiten hat man noch andere Centrifugalpumpen construirt, welche der Hauptsache nach in einem kleinen und sehr schnell umlaufenden Schaufelrade bestehen, wodurch das Wasser von unten in ein Steigrohr getrieben wird, aus dem es oben wieder abfließt. Diese Wasserhebungsmaschinen sind eigentlich umgekehrte Reactionsturbinen, und es ist daher auch die Leistung derselben nach der Theorie der Turbinen zu beurtheilen. Die vorzüglichste dieser Maschinen ist die Appolds'sche Centrifugalpumpe, und zwar nicht bloß aus theoretischen Gründen, sondern auch den mit denselben angestellten Versuchen zufolge. (Siehe den Artikel: »Versuche über die Leistung der in der Londoner Industrie-Ausstellung (1851) befindlich gewesenen Centrifugalpumpen«, in dem Polytechn. Centralblatte 1852.) Die angeführten Versuche sind von Herrn A. Morin angestellt worden, und haben gezeigt, daß diese Pumpen bei 1 Fuß äußerem Durchmesser und 3 Zoll Weite, mit sechs krummen Schaufeln ausgerüstet, im günstigsten Falle, d. i. bei 788 Umdrehungen pr. Minute, 5,61 Liter Wasser pr. Minute auf eine Höhe von 5,90 Me-



leicht zu ermessen, daß sich auch nach dem Principe der *Fontaine'schen* Epiralrumpfe. und *Jonval'schen* Turbinen Wasserhebungsmaschinen construiren lassen.

§. 343. Die Wirkung einer Centrifugalpumpe, wie in Fig. 688 abgebildet ist, läßt sich auf dem schon in Bd. II., §. 229 bei den Turbinen eingeschlagenen Wege ermitteln. Lassen wir bei der folgenden Entwicklung jedoch die Nebenhindernisse außer Betracht. Bezeichnen wir

die Saughöhe  $CH$  durch . . . . .  $h_1$ ,

die Steighöhe  $CN$  durch . . . . .  $h_2$ ,

und die ganze Förderhöhe  $h_1 + h_2$  durch  $h$ ;

ferner den äußeren Radhalbmesser durch  $r$ , den inneren durch  $r_1$ , die äußere Radgeschwindigkeit durch  $v$  und die innere durch  $v_1$ , sowie die Geschwindigkeit, mit welcher das Wasser in das Rad eintritt, durch  $c$ , die Geschwindigkeit, mit welcher es seinen Weg im Rade beginnt, durch  $c_1$ , die, mit welcher es an dem äußeren Radumfang ankommt, durch  $c_2$ , und die, mit welcher es aus dem Rade tritt, durch  $w$ ; setzen wir ferner den Eintrittswinkel  $(cDv_1) = \alpha$ , und die Winkel, unter welchen die Radschaufeln mit dem inneren und äußeren Radumfang zusammenstoßen,  $= \beta$  und  $\delta$ . Bezeichnen wir endlich die Höhe der Wassersäule, welche den Atmosphärendruck mißt, durch  $k$ , die Höhe der Wassersäule, welche dem Drucke des Wassers bei seinem Eintritte in das Rad entspricht, durch  $x$ , und die bei seinem Austritte aus demselben durch  $y$ . Dann lassen sich folgende Gleichungen auf gleiche Weise wie in Bd. II., §. 229 aufstellen.

$$(1) \quad c^2 = 2g(k - h_1 - x),$$

$$(2) \quad c_1^2 = c^2 + v_1^2 + 2cv_1 \cos. \alpha,$$

$$(3) \quad c_2^2 = c_1^2 + v^2 - v_1^2 + 2g(x - y),$$

$$(4) \quad w^2 = c_2^2 + v^2 - 2c_2v \cos. \delta,$$

$$(5) \quad w^2 = 2g(k + h_2 - y).$$

Verbindet man diese Formeln mit einander, indem man die Größen  $k$ ,  $x$ ,  $y$  und  $w$  nach und nach eliminirt, so stößt man auf Folgendes:

$$c_2^2 + v^2 - 2c_2v \cos. \delta = 2g(k + h_2 - y),$$

$$c_1^2 + 2v^2 - v_1^2 - 2c_2v \cos. \delta = 2g(k + h_2 - x),$$

$$cv_1 \cos. \alpha + v^2 - c_2v \cos. \delta = gh.$$

Giebt man dem Rade die äußere Weite  $e$  und die innere Weite  $e_1$ , so hat man, wenn von dem Raume, welchen die Schaufeln einnehmen, abgesehen wird, für den Querschnitt des in das Rad eintretenden Wasserstromes:

$$F = 2\pi r_1 e_1 \sin. \alpha,$$

und ebenso für den Querschnitt des Wasserstromes beim Austritte aus dem Rade:

$$F_2 = 2\pi r e \sin. \delta,$$



Centrifugalpumpe, und folglich für das gehobene Wasserquantum:

$Q = Fc = F_2 c_2 = 2\pi r_1 e_1 \sin. \alpha c = 2\pi r e \sin. \delta \cdot c_2$ ,  
so daß sich nun

$$c_2 = \frac{e_1}{e} \cdot \frac{r_1}{r} \frac{\sin. \alpha}{\sin. \delta} c$$

ergiebt, und obige Endgleichung in folgende übergeht:

$$\left( \cos. \alpha - \frac{e_1}{e} \sin. \alpha \cotg. \delta \right) \frac{r_1}{r} cv + v^2 = gh.$$

Ferner ist:

$$\frac{c}{v_1} = \frac{\sin. \beta}{\sin. (\beta - \alpha)},$$

wenn das Wasser ohne Stoß in das Rad eintritt, daher folgt:

$$c = \frac{r_1}{r} \frac{v \sin. \beta}{\sin. (\beta - \alpha)}, \text{ und}$$

$$\left[ \left( \cos. \alpha - \frac{e_1}{e} \sin. \alpha \cotg. \delta \right) \left( \frac{r_1}{r} \right)^2 \frac{\sin. \beta}{\sin. (\beta - \alpha)} + 1 \right] v^2 = gh,$$

woraus sich nun die erforderliche äußere Radgeschwindigkeit:

$$v = \sqrt{\frac{gh}{1 + \left( \cos. \alpha - \frac{e_1}{e} \sin. \alpha \cotg. \delta \right) \left( \frac{r_1}{r} \right)^2 \frac{\sin. \beta}{\sin. (\beta - \alpha)}}}$$

ergiebt.

Damit das Wasser möglichst leicht aus dem Rade tritt, macht man:

$$v = c_2 \cos. \delta = \frac{e_1}{e} \left( \frac{r_1}{r} \right)^2 \frac{\sin. \alpha \cotg. \delta \sin. \beta}{\sin. (\beta - \alpha)} v, \text{ oder:}$$

$$\left( \frac{r_1}{r} \right)^2 \frac{e_1}{e} \sin. \alpha \cotg. \delta \frac{\sin. \beta}{\sin. (\beta - \alpha)} = 1, \text{ daher:}$$

$$v = \frac{r}{r_1} \sqrt{\frac{gh \sin. (\beta - \alpha)}{\cos. \alpha \sin. \beta}} \text{ und}$$

$$v_1 = \sqrt{\frac{gh \sin. (\beta - \alpha)}{\cos. \alpha \sin. \beta}} \text{ ausfällt.}$$

Für Centrifugalpumpen ohne Leitschaufeln ist  $\alpha = 90^\circ$ , daher  $\cos. \alpha = 0$  und  $v = \infty$ , sowie auch  $c = \infty$ .

Da das Wasser dem Rade höchstens mit der Geschwindigkeit  $c = \sqrt{2g(k - h_1)}$  zufließen kann, so ist natürlich eine unendlich große Umdrehungsgeschwindigkeit schon aus diesem Grunde unmöglich. Damit jedoch diese Geschwindigkeit möglichst groß ausfallen könne, macht man  $h_1 = 0$  oder negativ, und stellt zu diesem Zwecke das Rad ganz unter Wasser, welches auch schon wegen des leichteren Ingangsehens der Maschine zweckmäßig ist. In den meisten Fällen möchte

$$v = \sqrt{\frac{gh}{1 + \left(\frac{r_1}{r}\right)^2 \frac{e_1}{e} \tan \beta \cot \delta}}$$

kaum größer als  $\sqrt{2gh}$  ausfallen.

Der zum Umtrieb dieser Maschine nöthige Arbeitsaufwand ist, wenn man von den hydraulischen Nebenhindernissen abieht:

$$L = \left(h + \frac{w^2}{2g}\right) Q\gamma.$$

Beispiel. Wenn eine Centrifugalpumpe ohne Leitschaufeln dazu bestimmt ist, pr. Secunde 5 Cubikfuß Wasser auf 25 Fuß Höhe zu fördern, und wenn man dieselbe so construirt, daß  $\frac{r_1}{r} = \frac{1}{3}$ ,  $\frac{e_1}{e} = 3$ ,  $\delta = 20^\circ$  und  $\beta = 140^\circ$  ist, so hat man die erforderliche Umdrehungsgeschwindigkeit derselben:

$$v = \sqrt{\frac{31,25 \cdot 25}{1 + \frac{1}{9} \tan 140^\circ \cot 20^\circ}} = \sqrt{\frac{781,25}{1 - 0,7685}} = 58,09 \text{ Fuß,}$$

und folglich die innere Radgeschwindigkeit:

$$v_1 = \left(\frac{r_1}{r}\right) v = \frac{58,09}{3} = 19,36 \text{ Fuß,}$$

ferner die Eintrittsgeschwindigkeit des Wassers in das Rad:

$$c = -v_1 \tan \beta = -19,36 \tan 140^\circ = 16,24 \text{ Fuß,}$$

und folglich die Austrittsgeschwindigkeit desselben:

$$c_2 = \frac{e_1}{e} \cdot \frac{r_1}{r} \frac{c}{\sin \delta} = 3 \cdot \frac{1}{3} \cdot \frac{16,24}{\sin 20^\circ} = 47,50 \text{ Fuß.}$$

Die absolute Ausfluggeschwindigkeit ist nun:

$$w = \sqrt{c_2^2 + v^2 - 2c_2 v \cos \delta} = \sqrt{2256,2 + 3374,4 - 5186,0} \\ = \sqrt{444,6} = 21,10 \text{ Fuß,}$$

und daher die entsprechende Geschwindigkeitshöhe:

$$\frac{w^2}{2g} 0,016 \cdot 21,1^2 = 0,016 \cdot 445,21 = 7,12 \text{ Fuß.}$$

Hiernach ist nun die erforderliche Arbeit der Maschine:

$$L = \left(h + \frac{w^2}{2g}\right) Q\gamma = (25 + 7,12) Q\gamma = 32,12 Q\gamma \\ = 32,12 \cdot 5 \cdot 66 = 10600 \text{ Fußpfund,}$$

und der Wirkungsgrad derselben:

$$\eta = \frac{h}{h + \frac{w^2}{2g}} = \frac{25}{32,12} = 0,778.$$

Damit das Wasser in der Zuleitungsröhre mit der mäßigen Geschwindigkeit  $c_0$  von 10 Fuß zuflöme, muß der Querschnitt  $F_0$  des cylindrischen Raumes innerhalb des Rades

$$F_0 = \frac{Q}{c_0} = \frac{5}{10} = \frac{1}{2} \text{ Quadratfuß,}$$

folglich der innere Radhalbmesser:

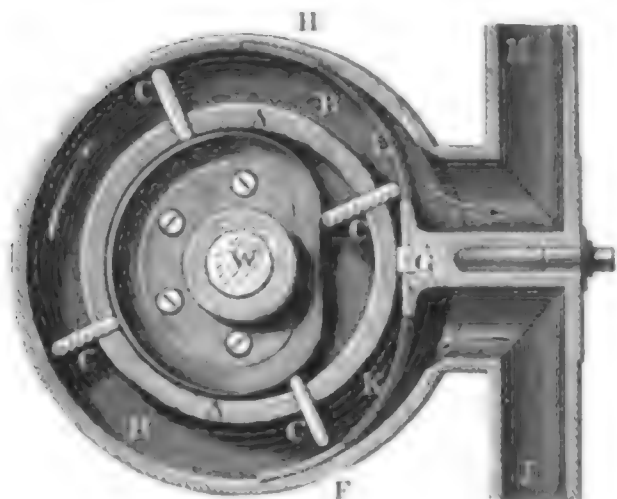
$$r_1 = \sqrt{\frac{F}{\pi}} = 0,4 \text{ Fuß} = 4,8 \text{ Zell,}$$



Eine andere Rotationspumpe (von Dieß) ist in Fig. 690 abgebildet. Der auf der Welle *W* feststehende Ring *AA* bewegt sich in einem Ge-

Rotations-  
pumpen.

Fig. 690.

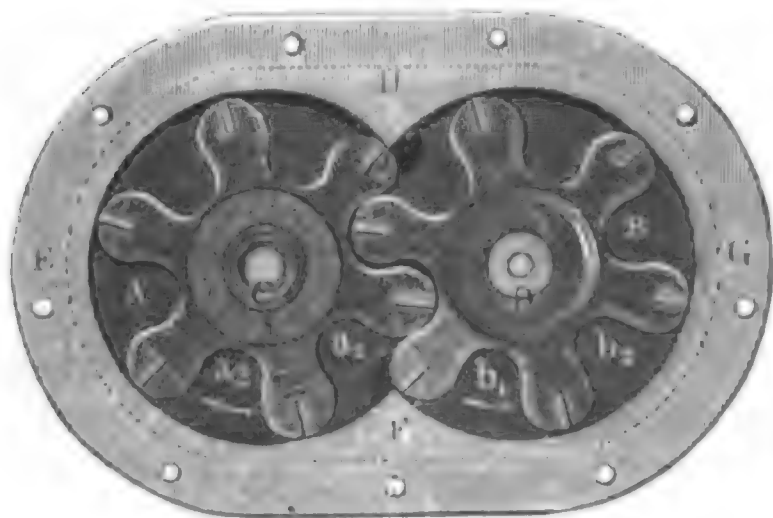


häuse *BB* und trägt vier verschiebbare Kolben *C*, *C* u. s. w. Diese Kolben stemmen sich inwendig gegen ein mit dem Gehäuse *BB* fest verbundenes Excentrif und auswendig theils gegen die cylindrische Wand des Gehäuses *BB*, theils gegen eine eiserne Schiene *FGH*, welche mit ihren Enden *F* und *H* an jener Wand anliegt und in ihrer Mitte *G* an den Umfang des

Ringes *AA* angedrückt wird. Durch Löcher *K* und *L* in der Schiene *FGH* steht der Raum *BB*, worin die Kolben *C*, *C* . . . rotiren, einerseits mit dem Saugrohre *J* und andererseits mit dem Steigrohre *M* in Communication. Wird die Welle sammt dem Ringe *AA* und den in ihm sitzenden Kolben *C*, *C* . . . in der Richtung des Pfeiles umgedreht, so saugen die letzteren, während sie von dem Schienentheil *GF* einwärts geschoben werden, Wasser aus der Röhre *J* an, und drücken dasselbe, während sie an dem Schienentheil *HG* hingeleiten und durch das Excentrif von innen nach außen geschoben werden, in die Steigrohre *M*.

Eine Abänderung dieses Pumpensystems besteht darin, daß man den Ring *AA* durch ein einfaches oder doppeltes Excentrif ersetzt, welches den inneren Umfang des Gehäuses in einem oder zwei Punkten berührt, und statt der vier Kolben *C*, *C* . . . nur einen Schieber anbringt, welcher aber nicht in *AA*, sondern in der Querwand zwischen der Saug- und Steigrohre sitzt. Während der Umdrehung des Excentriks wird der

Fig. 691.



Schieber durch eine Feder gegen den Umfang dieses Excentriks gedrückt, und dadurch die Communication zwischen dem Saug- und dem Steigrohre verhindert.

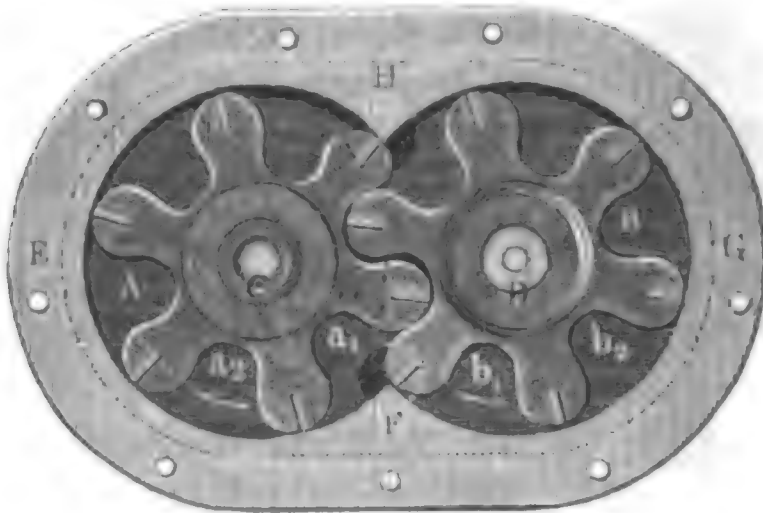
Die von Leclerc verbesserte Bramah'sche Rotationspumpe besteht der Hauptsache nach in einem Räderwerke *AB*, Fig. 691, welches in einem Gehäuse



Rotations-  
pumpen.

*EFGH* eingeschlossen ist, woran sich einerseits, bei *F*, die Saugröhre und andererseits, bei *H*, die Steigröhre anschließt. Wird das Rad *A* um seine

Fig. 692.



Are *C* in der durch den Pfeil angegebenen Richtung umgedreht, so setzt es mittels seiner Zähne das andere Rad in die entgegengesetzte Umdrehungsbe-  
wegung, und es saugen hierbei beide Räder in den Zwischenräumen  $a_1, a_2 \dots, b_1, b_2 \dots$  Wasser aus der Saugröhre *F* und führen dasselbe in entgegengesetzten Richtungen

nach der Einmündung des Steigrohres *H*.

Die Repsold'schen Rotationspumpen weichen von den Leclerc'schen Pumpen dadurch ab, daß sie statt der beiden Zahnräder mit Excentriks ausgerüstet sind, welche zwar einander berühren, aber nicht so in einander greifen, daß das eine oder das andere Rad in Umdrehung gesetzt werden kann; zur Erreichung dieses Zweckes dienen vielmehr zwei besondere Räder außerhalb des Pumpengehäuses.

Die durch eine Rotationspumpe bei jeder Umdrehung angesaugte und emporgebrückte Wassermenge ist bei vollkommenem Abschluß gleich dem Raume, welchen die rotirenden Räder oder Excentriks von dem ganzen Gehäusraume übrig lassen, fällt aber oft, in Folge des unvollkommenen Abschließens, um 15 bis 20 Procent kleiner aus.

Anmerkung. Es giebt noch eine Menge anderer Rotationspumpen, wovon die sogenannte Farcot'sche oder amerikanische Rotationspumpe, von dem Amerikaner Hale (s. Portefeuille industriel, Bd. I.), eine der gewöhnlichsten ist.

Pumpen.

§. 345. Die Pumpen (franz. pompes; engl. pumps) sind die vorzüglichsten und am allgemeinsten angewandten Wasserhebungsmaschinen. Sie heben das Wasser mittels eines in einem Cylinder auf- und nieder-, oder hin- und hergehenden Kolbens, und sind zu diesem Zwecke noch mit den nöthigen Röhren und Steuerungs- oder Regulirungsapparaten versehen. Die im Vorstehenden abgehandelten Spiral-, Centrifugal- und Rotationspumpen sind keine Pumpen in der gewöhnlichen Bedeutung des Wortes, wenn man aber unter Pumpen diejenigen Maschinen versteht, welche das Wasser nicht unmittelbar, sondern mittels des hydrostatischen Druckes in Röhren emporheben, so kann man die genannten Wasserhebungsmaschinen den Pumpen ebenfalls beizählen.

Die Haupttheile einer Pumpe sind:

Ventile

- 1) der Pumpencylinder (Pumpenstiefel) oder das Kolbenrohr (franz. corps de pompe; engl. body of the pump);
- 2) der in diesem Cylinder bewegliche Kolben (frz. piston; engl. piston, plug);
- 3) die Pumpenröhren (frz. tuyaux; engl. pipes, tubes), durch welche das Wasser dem Pumpencylinder zu- und von demselben abgeführt wird;
- 4) die Ventile (franz. soupapes; engl. valves), wodurch die Communication des Pumpencylinders mit den Pumpenröhren abwechselnd hergestellt und aufgehoben, also das eigentliche Steuern der Pumpe bewirkt wird.

Jede Pumpe hat zwei Ventile, ein Admissions- und ein Emissionsventil; durch jenes wird der Eintritt des Wassers in den Pumpencylinder regulirt, durch dieses dagegen der Austritt des Wassers aus demselben. Beide Ventile haben entweder einen festen Sitz, oder nur das eine, das andere hingegen ist mit dem Kolben verbunden, und hiernach hat man denn auch zwei verschiedene Pumpensysteme, nämlich:

- I. Pumpen mit massiven Kolben und
- II. Pumpen mit durchlochten und Ventilen versehenen Kolben (ventilirten Kolben).

Von den beiden Pumpenröhren, welche mit dem Kolbenrohr verbunden sind, heißt diejenige, welche das Wasser von dem Kolbenrohr fortführt, die Steigröhre (franz. tuyau d'ascension; engl. rising pipe), und dagegen diejenige Röhre, durch welche das Wasser in den Pumpenkörper gelangt, entweder die Einfallröhre (s. Bd. II. (Aufl. 3) §. 257), oder die Saugröhre (franz. tuyau d'aspiration; engl. suction tube (pipe)), je nachdem sie das Wasser dem Cylinder fallend oder steigend zuführt. Zuweilen läßt man auch die eine dieser beiden Röhren ganz ausfallen, indem man den Pumpencylinder entweder unmittelbar in das Unterwasser setzt, oder ihn unmittelbar über dem Oberwasser ausmünden läßt. Pumpen mit einer Saugröhre und ohne Steigröhre heißen Saugpumpen (franz. pompes aspirantes; engl. suction pumps), und Pumpen mit einer Steigröhre und ohne Saugröhre heißen entweder Hubpumpen (franz. pompes soulevantes ou élévatoires; engl. lifting pumps), oder Druckpumpen (franz. pompes foulantes; engl. forcing pumps), je nachdem die Steigröhre über oder unter dem Kolben in das Kolbenrohr einmündet und folglich der Kolben mit seiner oberen oder mit seiner unteren Fläche auf die Wassersäule, d. i. hebend oder drückend, wirkt. In den meisten Fällen bedient man sich entweder der vereinigten Saug- und Hub-, oder der vereinigten Saug- und Druckpumpen.

§. 346. Die Art und Weise, wie die Pumpen mit Ventilkolben wirken, ist aus Fig. 693 (a. f. S.) zu sehen, welche die Durchschnitte dreier Pumpen, Pumpen mit Ventilkolben.



Pumpen mit  
Ventilkolben.

und zwar in A. die Kolben im Aufgange und in B. dieselben im Niedergange

Fig. 693 A.

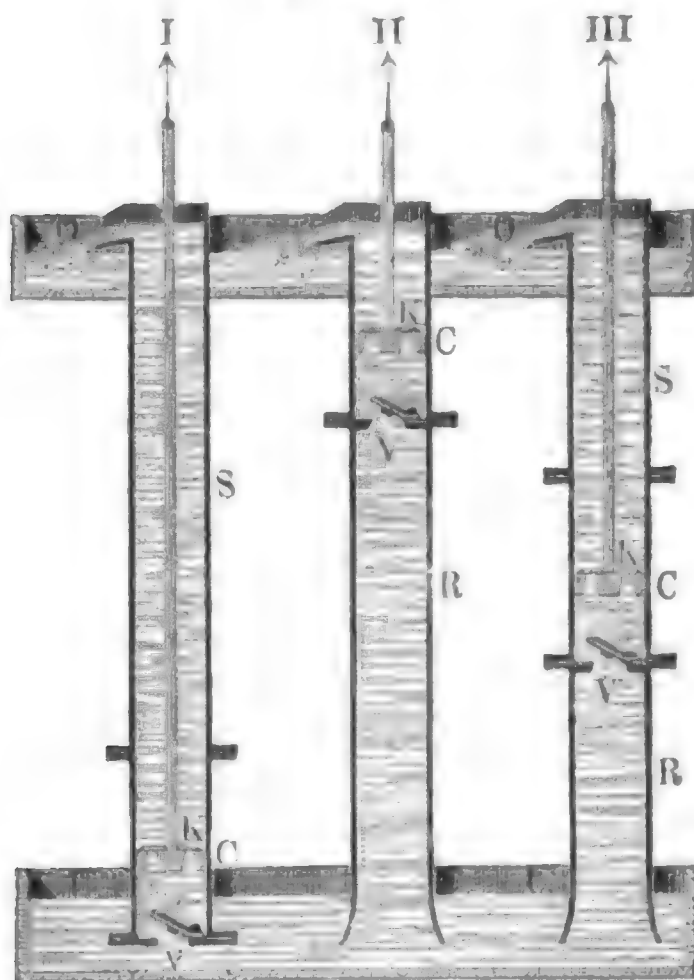
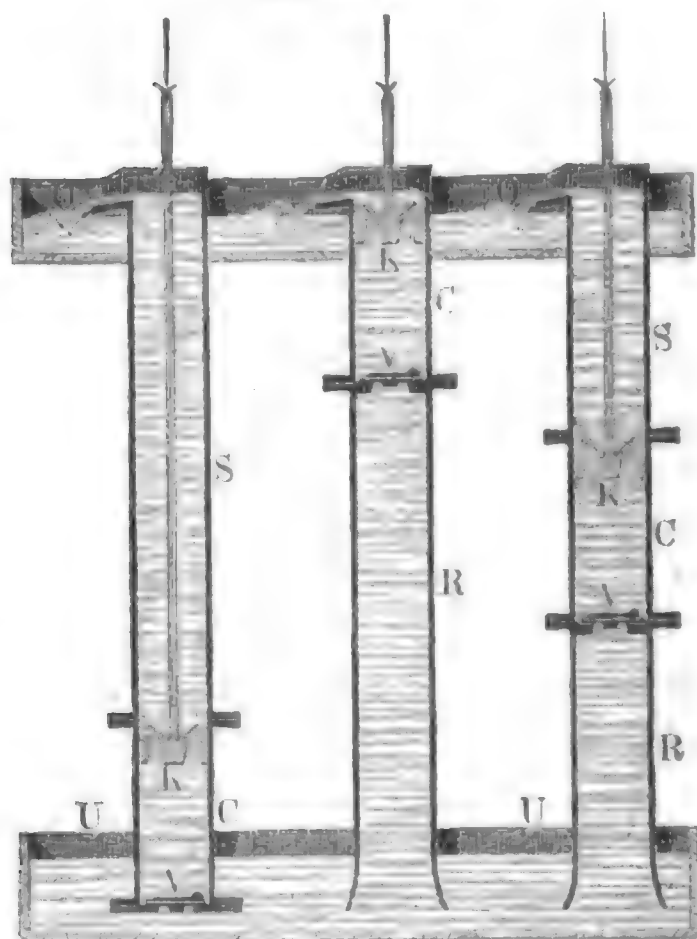


Fig. 693 B.



vor Augen führt. Der Durchschnitt in I. gehört einer Hub-, der in II. einer Saug- und der in III. einer Saug- und Hubpumpe an. Es ist bei allen drei Pumpen C das Kolbentrohr, K der in demselben auf- und niedergehende und mit zwei Ventilen ausgerüstete Kolben, V das Saug- oder Einlaßventil, UU das Unterwasser und OO das Oberwasser, ferner zeigt in I. und III. S das Steigrohr, und in II. und III. R das Saugrohr. Bei dem in A dargestellten Aufgange sind die Kolbenventile geschlossen und die Saugventile (V) in Folge des Luftdruckes auf den Unterwasserspiegel geöffnet; es wird daher hierbei ein Theil des über den Kolben stehenden Wassers oben ausgegossen und die unter dem Kolben befindliche Wassermasse durch Zufluß aus dem Unterwasser entsprechend vergrößert. Bei dem in B. dargestellten Kolbenniedergange sind dagegen die Kolbenventile geöffnet und die Saugventile geschlossen; es wird also hierbei kein neues Wasser aufgenommen, sondern es fließt nur das von den niedergehenden Kolben verdrängte Wasser durch die

Kolbenlöcher und füllt den über den Kolben frei werdenden Raum aus, so daß nur so viel Wasser oben zum Ausgusse gelangt, als die Kolbenstange verdrängt. Pumpen mit Ventilkolben

Vom theoretischen Standpunkte aus betrachtet, ist die Kraft und die Wirkung dieser drei Pumpen eine und dieselbe. Ist  $k$  die Wasserbarometerhöhe,  $h_1$  die Höhe der Wassersäule über den Kolben, sowie  $h_2$  die Höhe der Wassersäule unter denselben, bis zum Unterwasserspiegel  $UU$  gemessen, bezeichnet ferner  $F$  den Inhalt der Kolbenfläche, und  $\gamma$  die Dichtigkeit des Wassers oder der zu hebenden Flüssigkeit, so ist für den Aufgang des Kolbens zu setzen:

1) der Druck der Luft und des Wassers auf den Kolben  $K$  von oben nach unten:

$$R_1 = F(k + h_1)\gamma \text{ (s. Band I., §. 324); und}$$

2) der Druck der Luft und des Wassers auf den Kolben von unten nach oben:

$$R_2 = F(k - h_2)\gamma.$$

Die Differenz dieser Drücke giebt nun die gesuchte Kraft zum Aufziehen des Kolbens:

$$P = R_1 - R_2 = F(k + h_1 - k + h_2)\gamma = F(h_1 + h_2)\gamma,$$

d. i.:

$$P = Fh\gamma,$$

wenn  $h$  die ganze senkrechte Förderhöhe  $h_1 + h_2$  bezeichnet, welche vom Unterwasserspiegel bis zur Oberfläche des Wassers in der Pumpe zu messen ist.

Es ist hiernach bei den Pumpen mit Ventilkolben die Kraft zum Aufziehen des Pumpenkolbens constant und weder vom Kolbenstande noch vom Atmosphärendrucke abhängig, und zwar gleich dem Gewichte einer Wassersäule, welche den Kolbenquerschnitt  $F$  zur Basis und die Förderhöhe  $h$  zur Länge hat.

Da die auf den Unterwasserspiegel  $UU$  drückende Luft höchstens eine Wassersäule von der Höhe  $k$  (33 Fuß) zu tragen vermag, so kann das Wasser den aufsteigenden Kolben nur so lange folgen, bis die Höhe  $h_2$  der unteren Grundfläche desselben über dem Unterwasserspiegel noch nicht die Wasserbarometerhöhe  $k$  erreicht.

Bezeichnet  $s$  den Kolbenweg, so ist unter dieser nothwendigen Voraussetzung das pr. Aufgang ausgegossene Wasserquantum:

$$V = Fs.$$

Wenn man den Querschnitt des Kolbenstandes und die sämtlichen Nebenhindernisse unbeachtet läßt, so ist beim Niedergange des Kolbens, wobei die Kolbenventile geöffnet sind, der Druck des Wassers über und unter dem Kolben einer und derselbe, und daher auch die Kraft zum Niedergange des Kolbens, sowie auch das hierbei gehobene Wasserquantum, = Null.

Pumpen mit  
Ventilkolben.

Hiernach ist nun auch die erforderliche mechanische Arbeit zum Heben der Wassermenge  $V$  auf die Höhe mittels dieser Pumpen:

$$A = Ps = Fh\gamma s = Fsh\gamma = Vh\gamma = V\gamma h,$$

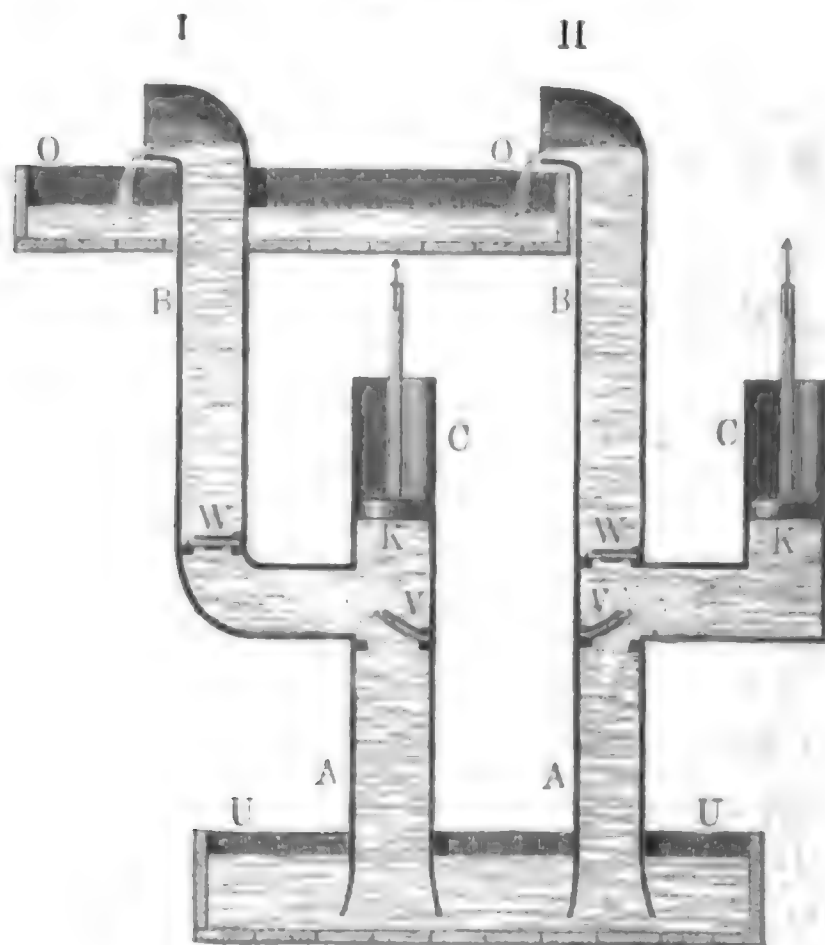
oder wenn  $G = V\gamma$  das Gewicht der gehobenen Wassermenge bezeichnet:

$$A = Ps = Gh \text{ (vergl. I., §. 69).}$$

Pumpen mit  
Massivkolben.

§. 347. Die Wirkungsweise der Pumpen mit Massivkolben ist aus den Abbildungen in Fig. 694 zu ersehen, worin A. den Kolbenaufgang

Fig. 694 A.



und B. den Kolbenrückgang darstellt. Bei der Pumpe in I. bildet die Saugröhre A die Fortsetzung des Pumpenzylinders oder Stiefels C; bei der in II. hingegen bildet sie die Fortsetzung der Steigröhre B. Uebrigens ist die Bewegungsweise von beiden Pumpen eine und dieselbe. Bei dem Aufgange (A) des Kolbens K ist das Saugventil V geöffnet und das Steigventil W geschlossen; dagegen beim Niedergange (B) desselben das erstere geschlossen und das letztere geöffnet. Im ersteren Falle wird der durch den Kolbenaufgang frei gewordene Raum der Kolbenröhre C vom Wasser angefüllt, welches der Atmosphärendruck mittels der Saugröhre A zuführt, im zweiten Falle drückt der Kolben dieses Wasser aus der Kolbenröhre in die Steigröhre, und bewirkt dadurch den Ausguss einer gleichen Wassermenge in den Ausgusskasten OO.

Ist wieder  $F$  der Inhalt des Kolbenquerschnittes,  $k$  die Wasserbarometerhöhe und  $h_1$  die senkrechte Höhe des Kolbens  $K$  über dem Unterwasser, so hat man während des Kolbenaufganges den Druck der Atmosphäre auf den Kolben von oben nach unten:

$$R = F k \gamma;$$

dagegen den Druck der Atmosphäre und des Wassers auf denselben von unten nach oben:

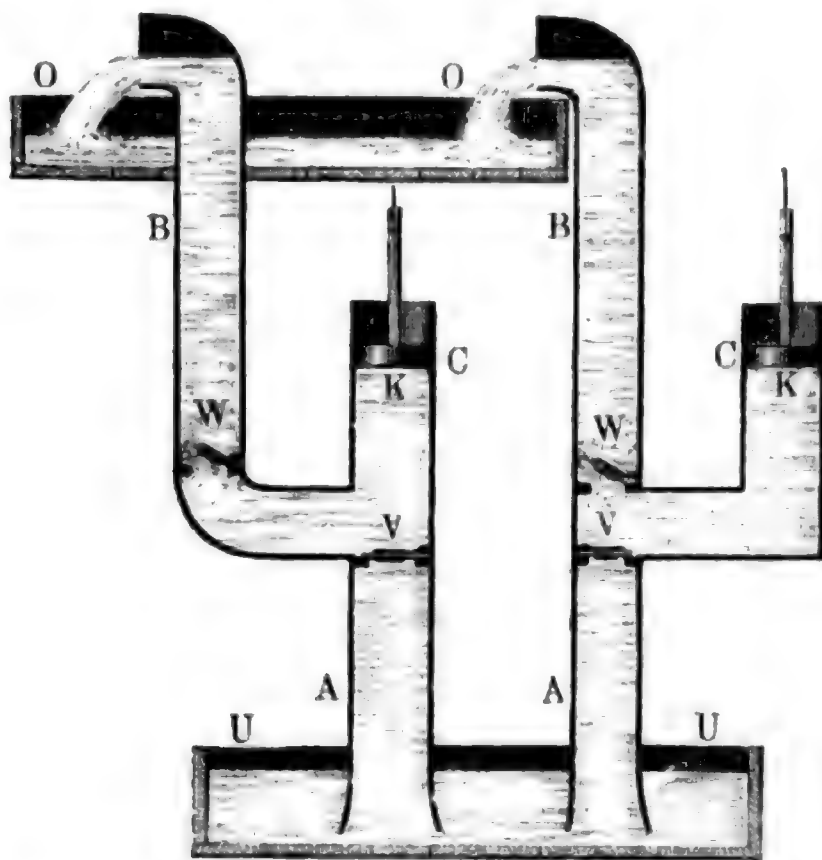
$$R_1 = (F k - h_1) \gamma,$$

und es folgt daher die nöthige Kraft zum Aufziehen des Kolbens, bei Vernachlässigung aller Nebenhindernisse:

$$P_1 = R - R_1 = F (k - k + h_1) \gamma = F h_1 \gamma.$$

Ist ferner  $h_2$  die senkrechte Höhe der Oberfläche des Wassers in der

Fig. 694 B.



Steigröhre  $B$  über dem Kolben  $K$ , so hat man den Druck des Wassers auf den Kolben von unten nach oben:

$$R_2 = F (k + h_2) \gamma,$$

folglich die gesammte Kraft zum Niederdrücken des Kolbens:

$$P_2 = R_2 - R_1 = F (k + h_2) \gamma - F k \gamma = F h_2 \gamma.$$

Da sich die Höhen  $h_1$  und  $h_2$  während der Kolbenbewegung unaufhörlich verändern, so sind folglich auch die Kolbenkräfte  $P_1$  und  $P_2$  nicht constant, und es sind daher

$$P_1 = F h_1 \gamma \quad \text{und} \quad P_2 = F h_2 \gamma$$

nur Mittelwerthe derselben, wenn man für  $h_1$  die senkrechte Höhe vom

Pumpen mit  
Kraftkolben.

mittleren Kolbenstande (bei halbem Kolbenhub) bis zum Unterwasserspiegel, sowie unter  $h_2$  die vom mittleren Kolbenstande bis zum Ausgußpunkte ver-  
steht. Ist  $s$  der Kolbenhub, so geht während des Kolbenaufganges die Kraft  $P_1$  von  $F \left( h_1 - \frac{s}{2} \right) \gamma$  allmählig in  $F \left( h_1 + \frac{s}{2} \right) \gamma$  und während des Kolbenniederganges die Kraft  $P_2$  von  $F \left( h_2 - \frac{s}{2} \right) \gamma$  nach und nach in  $F \left( h_2 + \frac{s}{2} \right) \gamma$  über.

Die aufzuwendende mechanische Arbeit pr. Spiel ist wieder

$$A = P_1 s + P_2 s = (F h_1 \gamma + F h_2 \gamma) s = F s (h_1 + h_2) \gamma = F s h \gamma.$$

d. i.

$$= V h \gamma = G h,$$

wenn wieder  $h = h_1 + h_2$  die ganze Förderhöhe, und  $V = F s$  das Volumen der pr. Spiel zum Ausguß gelangenden Wassermenge, sowie  $G = V \gamma$  das Gewicht derselben bezeichnet.

Es ist also bei den Pumpen mit massiven Kolben die Arbeit auf beide Kolbenshübe vertheilt, dagegen bei den Pumpen mit Ventilkolben nur auf den Kolbenaufgang beschränkt.

§. 348. Wenn das offene Ende des Pumpencylinders nach unten gerichtet ist, so muß man die Kolbenstange entweder durch eine Stopfbüchse führen, oder sie ebenfalls nach unten richten. Die erstere Einrichtung führt Fig. 695 und die letztere Fig. 696 vor Augen. Die erstere Abbildung stellt eine vereinigte Saug- und Druckpumpe dar; es ist  $R$  das Saugrohr mit dem Saugventile  $V$  und  $S$  das Steigrohr mit dem Steigventile  $W$ . Hier wird beim Niedergange des Kolbens  $K$  Wasser durch  $R$  angesaugt und beim Aufgange desselben durch  $S$  aufgedrückt, im ersteren Falle öffnet sich natürlich das Ventil  $V$ , und im zweiten Falle, welchen die Abbildung darstellt, das Ventil  $W$ . In Fig. 696 ist eine Druckpumpe mit Einfallrohr  $R$  bei niedergehenden Kolben abgebildet. Es findet bei dieser Einrichtung der Pumpe der Unterschied statt, daß hier der Kolben unter der Oberfläche des Unterwasserspiegels spielt, während er bei den Pumpen mit Saugröhre über derselben auf- und niedergeht; es ist also bei der Pumpe mit Einfallröhre der senkrechte Abstand  $h_1$  zwischen dem Unterwasserspiegel und dem mittleren Kolbenstande negativ, wenn derselbe bei den Pumpen mit Saugröhre positiv gesetzt wird. Bezeichnet wieder  $h_2$  die senkrechte Höhe vom mittleren Kolbenstande bis zum Oberwasserspiegel  $B$ , sowie  $F$  die Größe der Kolbenfläche, so hat man bei der Pumpe in Fig. 695 mit Saugröhre die Kraft zum Niederschieben des Kolbens:

$$P_1 = F h_1 \gamma;$$



dagegen bei den Pumpen in Fig. 696 mit Einfalldröhre:

$$P_1 = - F h_1 \gamma,$$

während die Kraft zum Aufziehen des Kolbens in beiden Fällen

$$P_2 = F h_2 \gamma$$

ist

Pumpen mit  
Raströhren.

Fig. 695.

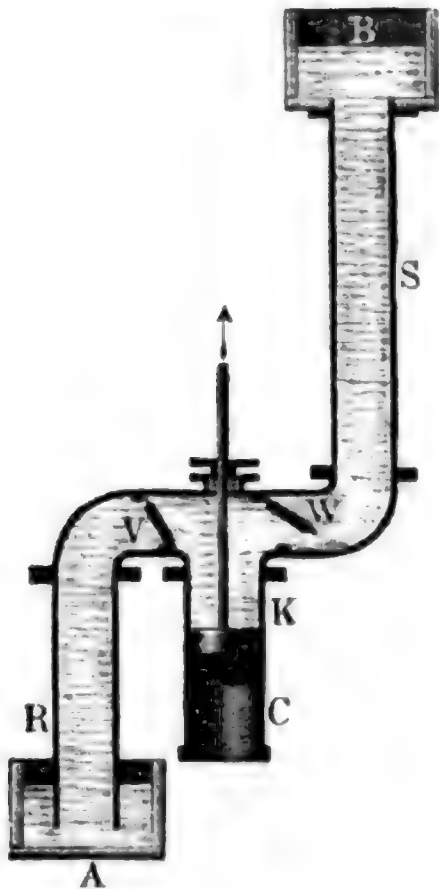
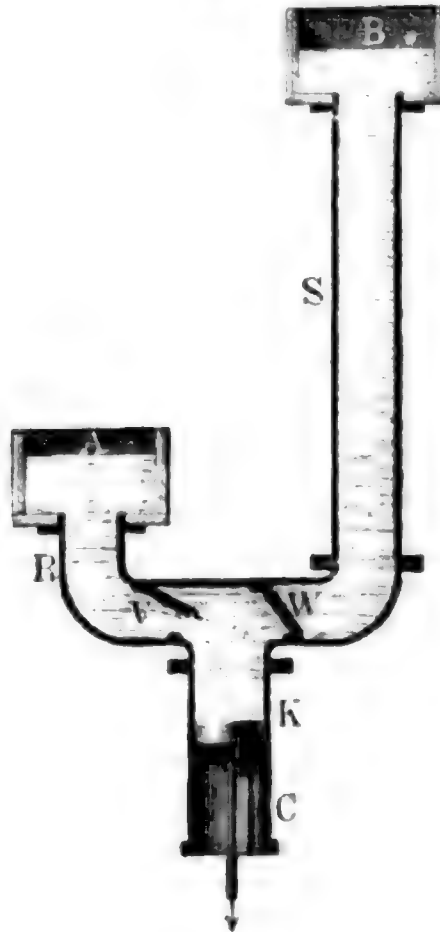


Fig. 696.



Die erforderliche mechanische Arbeit pr. Kolbenspiel ist daher bei der ersten Pumpe:

$$A = P_1 s + P_2 s = F s (h_1 + h_2) \gamma = V (h_1 + h_2) \gamma$$

und bei der letzteren:

$$A = P_1 s + P_2 s = F s (h_2 - h_1) \gamma = V (h_2 - h_1) \gamma;$$

da aber die ganze Förderhöhe, von Wasserspiegel zu Wasserspiegel gemessen, im ersten Falle

$$h = h_1 + h_2,$$

dagegen im zweiten

$$h = h_2 - h_1$$

ist, so ist bei beiden Pumpen die mechanische Arbeit pr. Spiel:

$$A = V h \gamma.$$

Nicht immer sind die Pumpencylinder aufrecht stehend, man legt dieselben auch zuweilen horizontal oder giebt ihnen wohl eine geneigte Lage; daß sich hierbei die Wirkungsweise und die Betriebskraft nicht ändert, ist leicht zu ermessen.



Doppel-  
pumpe.

§. 349. Um einen stetigeren Ausguß des Wassers zu erhalten, bringt man entweder eine einzige doppelwirkende Pumpe, oder eine Verbindung von zwei einfachwirkenden Pumpen in Anwendung.

Eine doppelwirkende Saug- und Druckpumpe ist in Fig. 697 abgebildet. Dieselbe hat eine Saugröhre *R* und Steigröhre *S* wie jede andere einfachwirkende Pumpe, dagegen steht der Pumpencylinder *CC* an beiden Enden mit den Röhren *R* und *S* in Verbindung, und es sind daher auch die vier Communicationsröhren, welche vom Cylinder *CC* nach der Saug- und nach der Steigröhre führen, mit zwei Saugventilen *V* und *V<sub>1</sub>* und

Fig. 697.

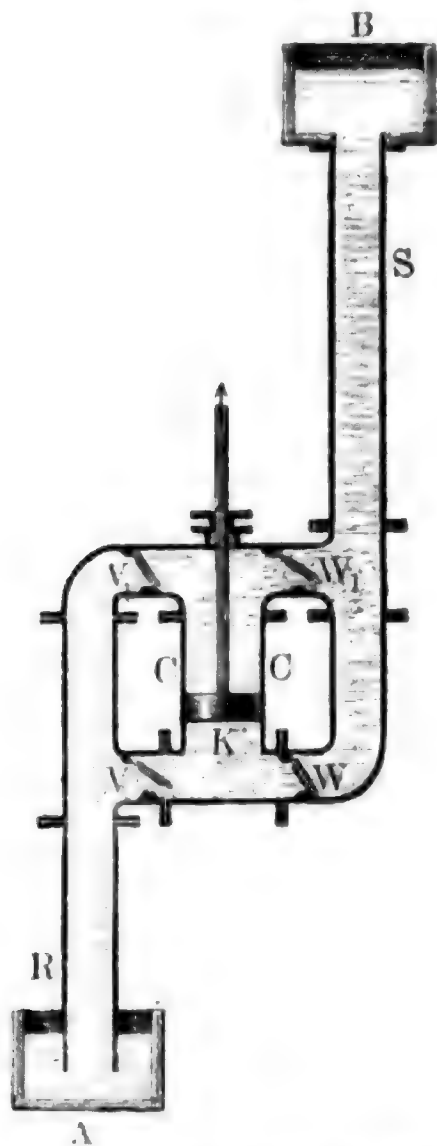
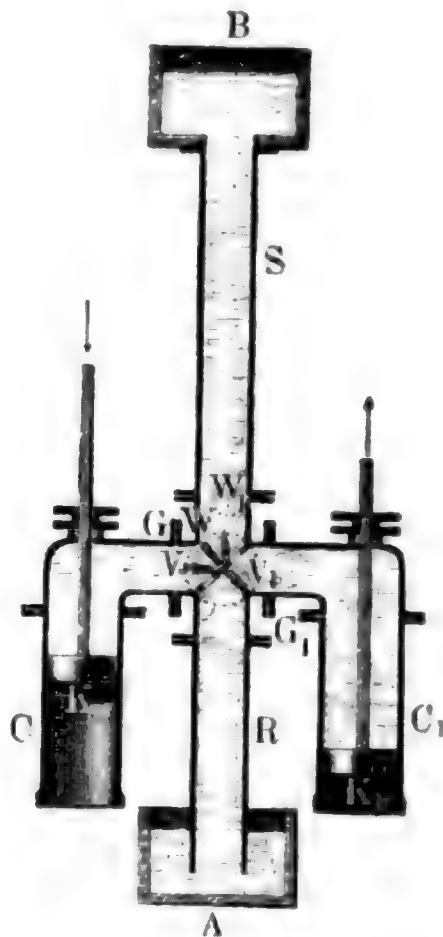


Fig. 698.



zwei Steigventilen *W* und *W<sub>1</sub>* ausgerüstet. Da sich die Saugventile nur nach innen, und die Steig- oder Druckventile nur nach außen öffnen lassen, so ist leicht einzusehen, daß sich bei einem Kolbenschube auf der einen Seite das Saugventil und auf der anderen Seite das Steigventil öffnet. Die Abbildung stellt z. B. den Pumpenkolben *K* im Aufgange befindlich dar, wobei die Ventile *V* und *W<sub>1</sub>* geöffnet sind; geht dagegen der Kolben *K* nieder, so öffnen sich die Ventile *V<sub>1</sub>* und *W*, in beiden Fällen wird aber Wasser mittels *R* angesaugt und mittels *S* aufgetrieben.

Denselben Zweck erreicht man auch durch eine Verbindung, Fig. 698, von zwei einfachwirkenden Pumpen, deren Kolben  $K$  und  $K_1$  abwechselnd auf- und niedergehen. Bei der abgebildeten Pumpe befinden sich die vier Ventile  $V$  und  $V_1$ ,  $W$  und  $W_1$  in einem und demselben Ventilgehäuse  $G G_1$  und ihre Sitze bilden daselbst zwei auf einander winkelrecht stehende Ebenen. Die Abbildung stellt die Maschine so dar, daß der linke Kolben  $K$  nieder- und der rechte Kolben  $K_1$  aufgeht, es sind daher auch hier die Ventile  $V$  und  $W_1$  geöffnet, dagegen die Ventile  $V_1$  und  $W$  geschlossen, wobei natürlich Wasser mittels  $R$  aus  $A$  nach  $C$  und mittels  $S$  aus  $C_1$  nach  $B$  gehoben wird. Beide Pumpensysteme (in Fig. 697 und Fig. 698) gewähren noch den Vortheil, daß die Kraft beim Auf- und Niedergange des Kolbens  $K$  eine und dieselbe, nämlich  $P = Fh\gamma$  ist, wenn wieder  $h$  die ganze Förderhöhe, vom Unterwasserspiegel bis Oberwasserspiegel gemessen, sowie  $F$  die Größe der Kolbenfläche bezeichnet.

Doppelpumpen.

Bei den Pumpen mit Ventilkolben (Fig. 693 A und B) läßt sich derselbe Zweck auch durch eine dicke Kolbenstange erreichen. Ist  $F_1$  der Querschnitt dieser Stange, so verdrängt dieselbe bei ihrem Niedergange das Wasserquantum  $F_1 s$ , und es ist daher das beim Aufgange des Kolbens ausgegossene Wasserquantum nur  $(F - F_1)s$ ; soll daher beim Niedergange ebensoviel Wasser zum Ausgusse gelangen als beim Aufgange, so hat man nur

$$F_1 = F - F_1, \text{ d. i. } F_1 = \frac{1}{2} F$$

zu machen.

Bezeichnet  $d$  den Durchmesser des Kolbens und  $d_1$  den der Kolbenstange, so folgt hiernach:

$$d_1^2 = \frac{1}{2} d^2, \text{ also } d_1 = d \sqrt{\frac{1}{2}} = 0,707 d.$$

Mit einer solchen Vertheilung des Hubwassers ist natürlich auch eine entsprechende Kraftvertheilung verbunden. Es ist dann die Kraft zum Aufziehen des Kolbens:

$$\begin{aligned}
 P_1 &= F h_1 \gamma + (F - F_1) h_2 \gamma = F (h_1 + h_2) \gamma - F_1 h_2 \gamma \\
 &= F h \gamma - F_1 h_2 \gamma,
 \end{aligned}$$

und dagegen die zum Niedergange desselben, da hierbei das Wasser mit der Druckhöhe  $h_2$  von unten auf die Fläche  $F$  und von oben auf die Fläche  $F - F_1$  drückt:

$$P_2 = [F - (F - F_1)] h_2 \gamma = F_1 h_2 \gamma,$$

z. B. für  $F_1 = \frac{1}{2} F$ :

$$P_1 = F (h - \frac{1}{2} h_2) \gamma \text{ und } P_2 = \frac{1}{2} F h_2 \gamma.$$

Wäre noch  $h_2 = h$ , daher  $h_1 = 0$ , also die Pumpe eine einfache Hubpumpe (Fig. 693, 1.), so fiel  $P_1 = P_2 = \frac{1}{2} F h \gamma$  aus.

Um ein möglichst gleichmäßiges Ausströmen des Wassers aus dem Steigrohr zu erhalten, wie es z. B. bei Feuersprizen nöthig ist, kann man auch

Doppel-  
pumpen.

noch einen sogenannten Windkessel (s. Band II., §. 298, Anmerkung) in Anwendung bringen. Derselbe nimmt während der Kolbenbewegung einen Theil des durch die Steigventile zugeführten Hubwassers auf und bringt denselben durch den Druck der in ihm eingeschlossenen atmosphärischen Luft beim Umsehn des Kolbens zum Ausgusse.

Saughöhe.

§. 350. Während die Steig- oder Druckhöhe einer Pumpe jede beliebige sein kann, darf dagegen die Saughöhe derselben eine gewisse von dem Luftdrucke und von der Zeit und Größe eines Kolbenshubes abhängige Grenze nicht überschreiten. Damit bei jedem einfachen Kolbenspiele ein der Kolbenfläche  $F$  und dem Kolbenwege  $s$  entsprechendes Wasserquantum  $V = Fs$  angesaugt werde, ist zu fordern, daß der Pumpencylinder stets mit Wasser gefüllt bleibe und sich folglich das Wasser während des Ansaugens von der Kolbenfläche nicht lostrenne, daß wenigstens am Ende des Kolbenaufganges kein leerer Raum zwischen dieser Fläche und der Oberfläche des Wassers in dem Pumpencylinder zurückbleibe.

Jedenfalls tritt ein solches Lostrennen des Wassers von der Kolbenfläche ein, sowie die Kolbengeschwindigkeit größer ist als die Geschwindigkeit des ihm nachfolgenden Wassers. Bezeichnet  $k$  die Wasserbarometerhöhe,  $h_0$  die Höhe des tiefsten Kolbenstandes über dem Unterwasserspiegel und  $x$  den veränderlichen von Null allmähig in den ganzen Kolbenhub  $s$  übergehenden Kolbenweg, so ist die auf die Bewegung des Wassers in der Saug- und Kolbenröhre verwendete Druckhöhe:

$$= k - h_0 - x.$$

Ist ferner  $v$  die Geschwindigkeit des in der Kolbenröhre aufsteigenden Wassers,  $v_1$  die in der Saugröhre und  $v_2$  die des durch den Querschnitt  $F_2$  der Apertur des Ventiles fließenden Wassers, sowie  $d$  der Durchmesser der Kolbenröhre,  $d_1$  der der Saugröhre,  $l_1$  die Länge dieser Röhre und  $\xi_1$  der Coefficient der Wasserreibung, so läßt sich bekannten hydraulischen Gesetzen zufolge (s. Bd. I., §. 398, §. 406 u. s. w.),

$$\begin{aligned} k - h_0 - x &= \frac{v^2}{2g} + \frac{(v_2 - v)^2}{2g} + \xi_1 \frac{l_1}{d_1} \cdot \frac{v_1^2}{2g} \\ &= \frac{v^2}{2g} \left[ 1 + \left( \frac{F}{\alpha F_2} - 1 \right)^2 + \xi_1 \frac{l_1}{d_1} \cdot \left( \frac{d}{d_1} \right)^4 \right]. \end{aligned}$$

folglich

$$v = \frac{\sqrt{2g(k - h_0 - x)}}{\sqrt{1 + \left( \frac{F}{\alpha F_2} - 1 \right)^2 + \xi_1 \frac{l_1}{d_1} \left( \frac{d}{d_1} \right)^4}}$$

setzen, auch können wir einfach

$$v = \mu \sqrt{2g(k - h_0 - x)}$$

schreiben, wenn wir unter  $\mu$  den Ausflußcoefficienten

Saughöhe.

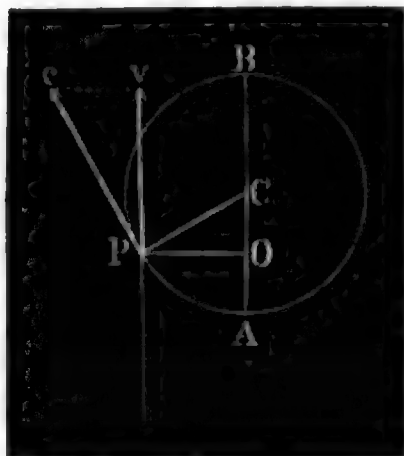
$$\frac{1}{V \sqrt{1 + \left( \frac{F}{\alpha F_2} - 1 \right)^2 + \xi_1 \frac{l_1}{d_1} \left( \frac{d}{d_1} \right)^4}}$$

verstehen.

Wenn nun dieser Geschwindigkeitswerth von der Geschwindigkeit des aufsteigenden Kolbens erreicht wird, so beginnt auch das Lostrennen des Kolbens von dem darunter befindlichen Wasser.

Da in den meisten Fällen die Pumpen mittels einer Kurbel in Bewegung gesetzt werden, so wollen wir im Folgenden auch einen vereinigten Pumpen- und Kurbelmechanismus voraussetzen. Es ist hier die Länge  $r$  des Kurbelarmes  $CA = CB = CP$ , Fig. 699, gleich dem halben Kolbenhube  $s$ ,

Fig. 699.



also  $r = \frac{1}{2} s$ , ferner die dem Kolbenwege  $AO = x$  entsprechende Kolbengeschwindigkeit  $\overline{Pv} = v$  gleich der Projection der Winkelgeschwindigkeit  $\overline{Pc} = c$ , parallel zur Bewegungsrichtung  $AB$  des Kolbens, und da sich das Loth  $OP$  auf  $AB$  der mittleren Proportionale  $\sqrt{x(s-x)}$  der Theile  $x$  und  $s-x$  des ganzen Kolbenhubes gleichsetzen läßt:

$$\frac{v}{c} = \frac{OP}{CP} = \frac{\sqrt{x(s-x)}}{\frac{1}{2} s}.$$

Setzen wir nun die hieraus resultirende Kolbengeschwindigkeit gleich der oben gefundenen Geschwindigkeit des nachfolgenden Wassers, so erhalten wir folgende Gleichung:

$$\frac{c \sqrt{x(s-x)}}{\frac{1}{2} s} = \mu \sqrt{2g(k - h_0 - x)}$$

zur Bestimmung des Kolbenstandes, bei welchem das Lostrennen des Kolbens von der Wassersäule in die Saug- und Kolbenröhre eintritt. Es ist hiernach:

$$x(s-x) = \mu^2 \cdot \frac{2g}{c^2} \cdot \frac{s^2}{4} (k - h_0 - x),$$

oder

$$x^2 - \left( 1 + \mu^2 \cdot \frac{2g}{c^2} \cdot \frac{s}{4} \right) s x = - \mu^2 \cdot \frac{2g}{c^2} \cdot \frac{s^2}{4} (k - h_0),$$

und daher der gesuchte Kolbenweg:

$$x = \left[ 1 + \mu^2 \cdot \frac{2g}{c^2} \cdot \frac{s}{4} \pm \sqrt{\left( 1 + \mu^2 \cdot \frac{2g}{c^2} \cdot \frac{s}{4} \right)^2 - \mu^2 \cdot \frac{2g}{c^2} (k - h_0)} \right] \frac{s}{2}.$$

Damit dieses Lostrennen gar nicht eintreten könne, ist die Bedingung

zu machen, daß die GröÙe unter dem Wurzelzeichen negativ ausfalle, und daher

$$\mu^2 \cdot \frac{2g}{c^2} (k - h_0) > \left(1 + \mu^2 \cdot \frac{2g}{c^2} \cdot \frac{s}{4}\right)^2 \text{ sei.}$$

Hiernach folgt

$$k - h_0 > \frac{s}{2} + \frac{c^2}{2\mu^2 g} + \mu^2 \cdot \frac{2g}{c^2} \cdot \left(\frac{s}{4}\right)^2,$$

und daher die zuläÙfÙge Saughöhe:

$$h_0 < k - \frac{s}{2} - \frac{1}{\mu^2} \cdot \frac{c^2}{2g} - \mu^2 \cdot \frac{2g}{c^2} \cdot \left(\frac{s}{4}\right)^2.$$

Ist  $t$  die Zeit des Kolbenshubes, so hat man auch  $c = \frac{\pi s}{2t}$ , und daher:

$$h_0 < k - \frac{s}{2} - \frac{1}{2g} \left(\frac{\pi s}{2\mu t}\right)^2 - 2g \left(\frac{\mu t}{2\pi}\right)^2.$$

Wenn die Kolbenbewegung nicht mittels einer Kurbel, z. B. durch die Kraftmaschine, direct erfolgt, so ist zwar das Bewegungsgesetz ein anderes; da jedoch auch dann bei jedem Kolbenshube der Kolben allmählig aus der Ruhe in Bewegung und aus der Bewegung in Ruhe übergeht, so läÙt sich erwarten, daß bei gleicher Aufgangszeit  $t$  die gefundene Bedingung annähernd auch bei anderen Bewegungsmechanismen gültig sei.

Bei einer sehr schnellen Kolbenbewegung, wo  $t$  sehr klein ist, läÙt sich einfacher

$$h_0 < k - \frac{s}{2} - \frac{1}{2g} \left(\frac{\pi s}{2\mu t}\right)^2$$

setzen.

$$\text{Da für } h_0 = k - \frac{s}{2} - \frac{1}{\mu^2} \cdot \frac{c^2}{2g} - \mu^2 \cdot \frac{2g}{c^2} \cdot \left(\frac{s}{4}\right)^2,$$

$$\text{der Kolbenweg } x = \left(1 + \mu^2 \cdot \frac{2g}{c^2} \cdot \frac{s}{4}\right) \frac{s}{2}$$

folgt, und  $x$  höchstens  $= s$  sein kann, so ergibt sich, daß ein Lostrennen des Kolbens von der darunter stehenden Wassersäule auch dann nicht eintritt, wenn

$$1 + \mu^2 \cdot \frac{2g}{c^2} \cdot \frac{s}{4} > 2,$$

d. i. wenn

$$\frac{c^2}{2g} < \frac{\mu^2 s}{4} \text{ ist.}$$

Setzen wir  $\frac{c^2}{2g} = \frac{\mu^2 s}{4}$  in die gefundene Vergleichung für  $h$  ein, so folgt



$$h_0 < k - \frac{s}{2} - \frac{s}{4} - \frac{s}{4},$$

Saughöhe.

d. i.

$$h_0 < k - s.$$

Beispiel. Eine Saugpumpe hat folgende Dimensionen und Bewegungsverhältnisse: Durchmesser der Kolbenröhre,  $d = 1$  Fuß, Durchmesser der Saugröhre,  $d_1 = \frac{1}{2}$  Fuß, die Länge derselben,  $l_1 = 25$  Fuß, Hub des Kolbens,  $s = 3$  Fuß, Zeit eines Kolbenaufganges  $t = 5$  Sec.; ferner sei der Coefficient der Reibung des Wassers in der Saugröhre,  $\zeta = 0,025$  (s. Band I., §. 397) und der Widerstandcoefficient für den Durchgang des Wassers durch das Saugventil  $\left(\frac{F'}{\alpha F_1} - 1\right)^2 = 16$  (s. Band I., §. 410). Es ist dann das Quadrat des Ausflußcoefficienten für die Bewegung des Wassers in der Saug- und Kolbenröhre:

$$\mu^2 = \frac{1}{1 + \left(\frac{F'}{\alpha F_1} - 1\right)^2 + \zeta_1 \frac{l_1}{d_1} \left(\frac{d}{d_1}\right)^4} = \frac{1}{1 + 16 + 0,025 \cdot 50 \cdot 2^4} = \frac{1}{37}$$

und daher die Saughöhe, bei welcher eine vollständige Füllung der Kolbenröhre nicht gefährdet wird:

$$h_0 < k - \frac{s}{2} - \frac{1}{2g} \left(\frac{\pi s}{2\mu t}\right)^2 - 2g \left(\frac{\mu t}{2\pi}\right)^2,$$

d. i.

$$h_0 < k - 1,5 - 0,016 \cdot 37 \cdot \left(\frac{3,14 \cdot 3}{10}\right)^2 - 62,5 \cdot \frac{1}{37} \left(\frac{5}{2 \cdot 3,14}\right)^2,$$

$$h_0 < k - 1,5 - 0,53 - 1,04,$$

$$h_0 < k - 3,07.$$

Wäre nun noch der niedrigste Wasserbarometerstand  $k = 30$  Fuß, so ergäbe sich die zulässige Saughöhe, oder die Höhe des tiefsten Kolbenstandes über dem Unterwasserspiegel:

$$h_0 < 30 - 3,07,$$

d. i.

$$h_0 < 26,93 \text{ Fuß.}$$

§. 351. Die Saughöhe wird auch noch durch den sogenannten schädlichen Raum (franz. espace nuisible; engl. noxious space), d. i. durch den Raum zwischen dem tiefsten Kolbenstande und dem Saugventile eingeschränkt, weil sich in demselben Luft ansammeln kann, deren Expansivkraft das Nachfließen des Wassers aus der Saugröhre verhindert. Setzen wir voraus, der Kolben  $K$ , Fig. 700 (a. f. S.), habe bereits die Luft aus der Saugröhre ausgepumpt; es stehe das Wasser in derselben bis zum Saugventil  $V$  und es habe beim tiefsten Kolbenstande die im schädlichen Raume  $VK$  zurückgebliebene Luft die Pressung  $k$  der äußeren Luft. Steigt nun der Kolben empor, so dehnt sich die unter demselben befindliche Luft allmählig immer mehr und mehr aus, wobei die Expansivkraft derselben immer kleiner und kleiner wird. Ist  $s$  der Kolbenhub  $KB$  und  $\sigma$  die Höhe  $VK$  des schädlichen Raumes, so fällt unter der Voraussetzung, daß das Saugventil

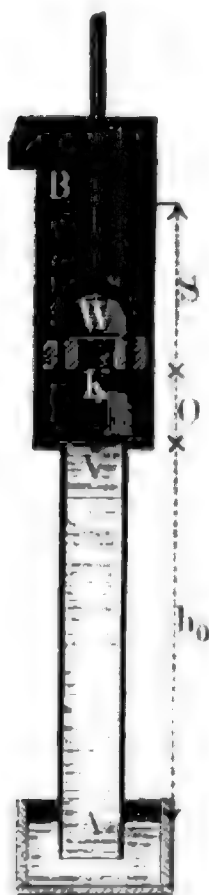
Schädlicher Raum.



schädlicher  
Raum.

geschlossen bleibt, dem Mariotte'schen Gesetze zufolge, die durch die Höhe einer Wassersäule gemessene Spannung der abgesperrten Luft

Fig. 700.



$$k_1 = \frac{\sigma k}{s + \sigma} \text{ aus.}$$

Da nun die Wassersäule  $AV$  unter dem Saugventile in Folge des äußeren Luftdruckes mit der Kraft  $k - h_0$  von unten nach oben drückt, so wird folglich nur dann das Saugventil gehoben und Wasser durch dessen Mündung gedrückt, wenn

$$k - h_0 > k_1,$$

also

$$h_0 < k - k_1,$$

oder

$$h_0 < k - \frac{\sigma k}{s + \sigma},$$

d. i., wenn  $h_0 < \frac{sk}{s + \sigma}$  ist.

Ist dagegen  $h_0 > \frac{sk}{s + \sigma}$ , so bleibt das Saugventil während des ganzen Kolbenaufganges geschlossen, und es wird ebenso beim darauf folgenden Niedergange das Kolbenventil nicht geöffnet, weil hierbei die Pres-

sung der abgeschlossenen Luft von  $k_1 = \frac{\sigma k}{s + \sigma}$  in  $k$  übergeht, also die der äußeren Luft erst am Ende des Hubes erreicht. Es besteht also dann die Wirkung des auf- und niedergehenden Kolbens nur in einer abwechselnden Verdünnung und Verdichtung der unter demselben befindlichen und durch beide Ventile abgeschlossenen Luft.

Eine Saugpumpe kann also nur dann Wasser fördern, wenn  $h_0 < \frac{s}{s + \sigma}$  ist; man hat daher die Saughöhe  $h_0$  derselben um so kleiner zu machen, je größer der schädliche Raum  $\sigma$  ist, und dagegen den schädlichen Raum möglichst zu vermindern, wenn es darauf ankommt, eine möglichst große Saughöhe zu erlangen. Um dem Aufschlagen des Saugventiles kein Hinderniß in den Weg zu legen, ist es allerdings nöthig, dem schädlichen Raum eine Höhe von 2 bis 6 Zoll zu geben.

Setzt man die ganze Förderhöhe  $AB = h_0 + \sigma + s$  einer Saugpumpe  $= h$ , so hat man

$$s + \sigma = h - h_0,$$

und daher auch

$$h_0 (h - h_0) < s k.$$

schädlicher  
Raum.

Nun ist aber  $h_0 (h - h_0)$  ein Maximum für  $h_0 = \frac{h}{2}$ , und zwar  $= \frac{h^2}{4}$ , daher folgt auch

$$\frac{h^2}{4} < s k \text{ oder } s > \frac{h^2}{4 k}.$$

Man ersieht hieraus, daß der Kolbenschub  $s$  um so größer sein muß, je größer die ganze Förderhöhe  $h$  ist. Man kann zwar das Ansammeln der Luft im schädlichen Raume dadurch verhindern, daß man die Kolbenröhre  $BV$  durch Zugießen von oben mit Wasser anfüllt, da jedoch während des Ganges unter dem Kolben ein Theil der im Wasser enthaltenen Luft (s. Bd. II., §. 474) frei wird, so ist es möglich, daß dieser Raum nach und nach ganz wieder mit Luft erfüllt werde.

Beispiel. Beträgt der Kolbenhub  $s = 3$  Fuß und die Höhe des schädlichen Raumes,  $\sigma = 4$  Zoll, so ist bei dem kleinsten Wasserbarometerstande  $h = 30$  Fuß, die größte Saughöhe vom Unterwasserspiegel bis zum Saugventil gemessen,

$$h_0 = \frac{s}{s + \sigma} k = \frac{36}{36 + 4} \cdot 30 = 0,9 \cdot 30 = 27 \text{ Fuß,}$$

wofür man der Sicherheit wegen nur 25 bis 26 Fuß zu setzen hat.

§. 352. Die unbeweglichen Theile einer Pumpe sind die Kolbenröhre oder der Pumpencylinder und die Saug- und Steigröhren. Die Kolbenröhre oder derjenige Theil der Pumpe, in welchem sich der Kolben bewegt, ist in der Regel ein innen ausgeschliffener Cylinder aus Gußeisen, seltener macht man ihn aus Messing oder Kanonenmetall, und nur bei rohen Ausführungen besteht derselbe aus Holz, und zwar entweder aus Ahorn oder aus Eichenholz. Die Länge der Röhre übertrifft den Kolbenhub mindestens um die Liderungsbreite des Kolbens, die Weite derselben beträgt bei kleinen Handpumpen oft nur wenige Zoll, bei gewöhnlichen Pumpenwerken aber  $1\frac{1}{2}$  bis  $1\frac{1}{2}$  Fuß, bei großen Pumpenwerken, namentlich bei großen Dampfkünsten, 2 bis 4 Fuß, und bei einigen neueren Anlagen sogar 5 bis 7 Fuß. Die Wandstärke der gußeisernen Pumpencylinder ist mittels der in Band II., §. 277 gegebenen Formel

Pumpen-  
röhren.

$$e = 0,0025 p d + 1,25 \text{ Zoll}$$

zu berechnen, ist daher bei den gewöhnlichen Saugpumpen, wo die drückende Wassersäule nur einige Fuß Höhe hat, nur  $1\frac{1}{4}$  Zoll, und steigt sich nur bei Druckpumpen, welche das Wasser sehr hoch drücken, auf mehrere Zoll.

Die Pumpenröhren (Saug- und Steigröhren) sind bei vollkommeneren Maschinenanlagen aus Metall, und zwar aus Gußeisen, Eisenblech, Blei u. s. w., bei kleineren und gewöhnlichen aber aus Holz, und zwar aus

Pumpen-  
röhren.

Tannen-, Fichten- oder Kiefernholz. Um den letzteren die nöthige Widerstandsfähigkeit und Dichtigkeit zu verschaffen, umgiebt man sie noch mit eisernen Ringen. Die gewöhnliche Weite dieser Röhren ist  $\frac{2}{5}$  bis  $\frac{2}{3}$  des Kolbendurchmessers oder der Weite der Kolbenröhre. Deshalb ist auch die Geschwindigkeit des Wassers in diesen Röhren  $(\frac{3}{2})^2 = \frac{9}{4}$  bis  $(\frac{5}{2})^2 = \frac{25}{4}$  mal so groß als die mittlere Geschwindigkeit des Kolbens. Letztere beträgt gewöhnlich  $\frac{1}{2}$  bis 1 Fuß, geht nur selten auf  $\frac{1}{3}$  Fuß herab, steigert sich aber bei Pumpen mit einem sehr großen Hube, z. B. bei Dampfkünsten, auf 2 bis 3 Fuß, in welchem Falle den Saug- und Steigröhren verhältnißmäßig eine sehr große Weite zu geben ist.

Die Wandstärken der Pumpenröhren sind nach der bekannten Formel  $e = \mu p d + e_1$  (s. Bd. I., §. 334) zu berechnen, nur giebt man hier die Anfangsstärke  $e_1$  größer als die der gewöhnlichen Leitungsröhren an.

Bezeichnet  $p_1$  den inneren Ueberdruck in Atmosphären und  $d_1$  die Weite der Röhren, so hat man die erforderliche Wandstärke für gußeiserne Röhren:

$$e = 0,0025 p_1 d_1 + \frac{1}{2} \text{ Zoll,}$$

für schmiedeeiserne Röhren:

$$e = 0,0009 p_1 d_1 + \frac{1}{6} \text{ Zoll,}$$

für bleierne Röhren:

$$e = 0,0040 p_1 d_1 + \frac{1}{3} \text{ Zoll,}$$

und für hölzerne Röhren:

$$e = 0,0050 p_1 d_1 + 2 \text{ Zoll.}$$

Während bei den Steigröhren ein Ueberdruck  $p_2 = h_2 \gamma$  von innen nach außen statthat, ist dagegen bei den Saugröhren der äußere Druck  $k \gamma$  größer als der innere Druck  $p_1 = h_1 \gamma$ , und daher die Festigkeit dieser Röhren mit der der Feuerröhren bei Dampfkesseln (s. Bd. II., §. 382) zu vergleichen. Der innere Ueberdruck der Saugröhren ist an dem unteren Ende der Saugröhre  $k \gamma - p_1 = (k - h_1) \gamma$ , und nimmt nach oben mit der Abnahme von  $h_1$  immer mehr und mehr zu, daher ist auch die Wandstärke dieser Röhre, von unten nach oben gerechnet, allmählig stärker zu nehmen. Wäre die Saughöhe  $h_1$  nahe gleich der Wasserbarometerhöhe, so hätte man hiernach die untere Röhrenstärke  $e = e_1$  und die obere  $e = \mu d + e_1$  zu setzen; da aber bei mäßigen Röhrenweiten die Differenz zwischen diesen Stärken nur klein ist, so giebt man diesen Röhren eine gleichmäßige Stärke und zwar eine solche, welche hinreicht, um die Röhre gehörig luftdicht zu machen. Bei den gußeisernen Saugröhren ist die Wandstärke  $e = \frac{1}{2}$  bis  $\frac{3}{4}$  Zoll, bei den hölzernen Saugröhren aber  $e = 2$  bis 3 Zoll.

Um den Eintritt des Wassers aus dem Sumpfe oder dem Sammelkasten in die Saugröhre zu erleichtern, muß man durch Abrundung der Einmündung dieser Röhre die Contraction des eintretenden Wassers aufheben. Um Unrath von dem Eintritte in die Saugröhre abzuhalten, schließt man an

das untere Ende dieser Röhre auch wohl noch ein Seiherblech oder Seiherkasten (franz. couloir; engl. strainer) an. Auch versieht man das Ende der Steigröhre, oder nach Befinden, der Kolbenröhre, oft noch mit einem besonderen Ausgußstück oder einer Ausgußröhre (franz. gorguille; engl. spout), wodurch das Wasser in den zur Seite stehenden Ausgußkasten geführt wird.

Pumpen-  
röhren.

§. 353. Die Pumpenventile sitzen in besonderen Gehäusen, den sogenannten Ventilkammern (franz. boîtes des soupapes; engl. clack-boxes), welche mit den Saug- und Steigröhren ein Ganzes bilden, und mit durch Spünde, Platten oder Thüren verschließbaren Seitendöffnungen versehen sind, um von da aus den Zustand der Ventile untersuchen und Reparaturen an denselben vornehmen zu können. Bei den einfachen Saugpumpen ist nur eine Kammer für das Saugventil nöthig, da hier das im Kolben sitzende Steigventil von der Mündung des Ausgußstückes aus be-  
sichtigt und reparirt werden kann; bei den Saughubpumpen oder sogenannten hohen Sägen muß dagegen eine zweite Kammer unmittelbar über der Kolbenröhre angebracht werden, um zum Kolben gelangen und an demselben die etwa nöthigen Reparaturen vornehmen zu können.

Pumpen-  
ventile.

Die Pumpenventile sind entweder einfache oder zusammengesetzte. Letztere werden zur Erzielung einer leichteren und größeren Eröffnung vorzüglich bei großen Pumpen angewendet. Die einfachen Ventile sind entweder Klappventile oder Hubventile (s. Bd. I., §. 410). Die Klappventile (franz. soupape à clapet; engl. clack-valves) sind an einer Seite befestigt und drehen sich beim Eröffnen und Verschließen ähnlich wie eine Fallthür um ihre Angeln; die Hubventile verschieben sich dagegen beim Eröffnen und Verschließen in ihrer geometrischen Ase. Es gehören vorzüglich hierher die sogenannten Kegelfventile (franz. soupapes coniques; engl. conical-valves) und Kugelfventile (franz. soupapes à boulet; engl. spherical-valves). Während jene die Form eines niedrigen abgekürzten Kegels haben, bilden diese vollständige Kugeln; im ersten Falle ist natürlich auch der Ventilsitz kegelförmig sowie im zweiten kugelförmig ausgedreht. Die sogenannten Muschelventile sind nichts weiter als hohle Kegelfventile. Auch sind schon von Belidor sogenannte Balancierventile in Vorschlag gebracht worden, welche ähnlich wie die Balancierschützen (in Bd. I., §. 288) durch die horizontale Ase in zwei ungleiche Theile getheilt sind, und sich daher bei der Eröffnung einerseits über den Ventilsitz erheben und andererseits unter denselben herabziehen.

Man muß die Ventile so anordnen, daß sie dem Durchgang des Wassers so wenig wie möglich Hindernisse in den Weg legen. Deshalb ist auch



Pumpen-  
ventile.

der Ventilmündung eine dem Querschnitte der Ventilkammer und dem Ventilhub wieder eine dem Ventildurchmesser entsprechende Größe zu geben. Ist  $r$  der Halbmesser  $CD$  der Ventilkammer oder Kolbentöhre  $N$ , Fig. 701, sowie  $r_1$  der mittlere Halbmesser  $CB$  eines Hubventiles  $BB$ , gleich dem mittleren Halbmesser der Apertur  $AA$ , und  $s$  der Ausschub  $AB$  des Ventiles, so hat man den Inhalt der Kreismündung  $AA$ :

$$\pi r_1^2,$$

der der Ringsfläche zwischen  $DD$  und  $BB$ :

$$\pi (r^2 - r_1^2),$$

und den der Cylinderfläche  $ABBA$ :

$$2 \pi r_1 s.$$

Damit nun das Wasser durch diese drei Querschnitte mit gleicher Ge-

Fig. 701.

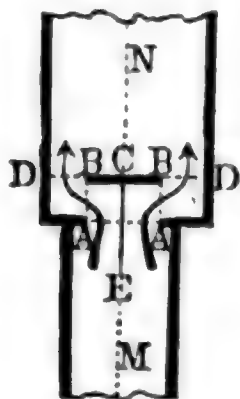
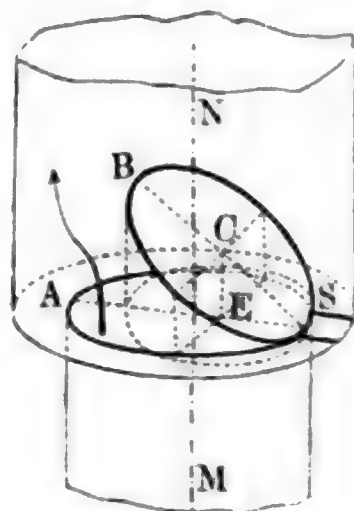


Fig. 702.



schwindigkeit hindurchgehe, muß  $\pi r_1^2 = \pi (r^2 - r_1^2) = 2 \pi r_1 s$  sein wonach nun

$$r_1^2 = \frac{r^2}{2} \text{ und } s = \frac{r_1}{2},$$

d. i.

$$r_1 = r \sqrt{1/2} = 0,707 r \text{ und } s = r \sqrt{1/8} = 0,3535 r$$

folgt.

Wenn sich das Klappventil  $BS$ , Fig. 702, um den Winkel  $ASB = \beta$  eröffnet oder über den Ventilsitz erhebt, so ist seine Projection im Röhrenquerschnitte eine Ellipse mit den Halbachsen  $r_1$  und  $r_1 \cos. \beta$ , und die mittlere Eröffnungshöhe  $EC = r_1 \beta$ ; wonach sich die Querschnitte des Wasserstromes:

$$\pi r_1^2, \pi r^2 - \pi r_1^2 \cos. \beta \text{ und } 2 \pi r_1^2 \beta$$

ergeben, und  $\pi r_1^2 = \pi (r^2 - r_1^2 \cos. \beta) = 2 \pi r_1^2 \beta$  zu setzen ist, so daß  $\beta = 1/2$ , d. i.

$$\beta^0 = 28^{1/2} 0 \text{ und } r_1^2 (1 + \cos. \beta) = r^2,$$

also

$$r_1 = \frac{r}{\sqrt{1 + \cos. \beta}},$$

oder annähernd

$$= \frac{r}{\sqrt{2 - \frac{\beta^2}{2}}} = \left(1 + \frac{\beta^2}{8}\right) \sqrt{1/2} \cdot r,$$

d. i.

$$r_1 = {}^{33/32} \sqrt{1/2} \cdot r_1 = 0,730 r$$

folgt.

Man kann hiernach als Regel aufstellen: der mittlere Halbmesser eines Ventiles und der zugehörigen Ventilmündung soll reichlich 7 Zehntel der Weite der Ventilkammer oder Kolbenröhre sein, ferner der Hub- oder Ausschub eines Hubventiles soll die Hälfte des Ventildurchmessers sowie der Ausschlag des Klappventiles reichlich 28 Grad betragen.

§. 354. Die speciellere Einrichtung zweier einfachen Hubventile ist aus den Figuren 703 und 704 zu ersehen. Es ist in beiden Abbildungen

Fig. 703.

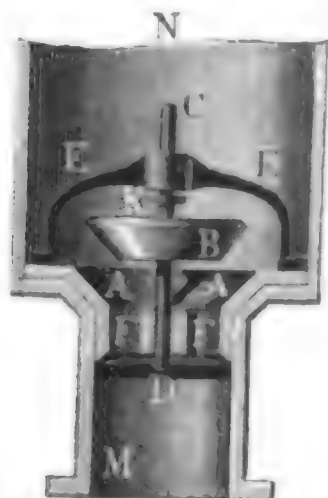
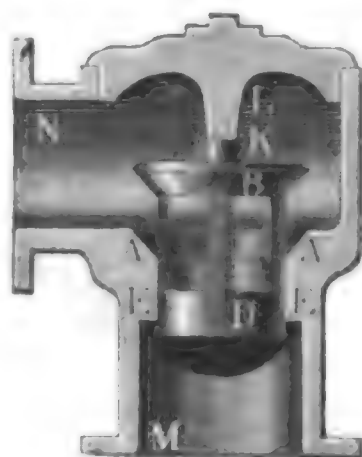


Fig. 704.



*A A* der Ventilsitz, *B* die konische Ventilplatte, ferner *M* das Rohr, wodurch das Wasser dem Ventil zugeführt wird, und *N* die Ventilkammer oder das Ventilgehäuse. Damit sich das Ventil genau in seiner geometrischen Axe ausschieben könne, wird es entweder mit einem Stiel *C D*, Fig. 703, versehen, oder es erhält dasselbe drei bis vier radiale Flügel, wie z. B. das Sicherheitsventil in Fig. 639 des 2. Bandes, oder es wird an demselben ein cylindrischer Mantel mit Fenstern oder Durchgangsöffnungen, wie *D*, Fig. 704, angebracht, in welchem Falle man es wohl ein Laternenventil nennt.

Bei dem ersten Ventile wird der Stiel durch einen oder besser, zwei Ringe *C* und *D* geführt, welche durch Arme *E E* und *F F* mit dem Ventilsitz fest verbunden sind; bei den beiden anderen Ventilen dient der an den Ventilsitz



THE UNIVERSITY OF MICHIGAN LIBRARY

UNIVERSITY MICROFILMS  
SERIALS ACQUISITION  
300 NORTH ZEEB ROAD  
ANN ARBOR MI 48106-1500

FIG. 100



FIG. 101



FIG. 102: A black and white photograph of a small, dark, rectangular object, similar to Figure 100, but with a slightly different shape or orientation, standing upright on a light-colored surface.

FIG. 103: A black and white photograph of a small, dark, rectangular object, similar to Figure 100, but with a slightly different shape or orientation, standing upright on a light-colored surface.

FIG. 104



FIG. 105



FIG. 106: A black and white photograph of a small, dark, rectangular object, similar to Figure 100, but with a slightly different shape or orientation, standing upright on a light-colored surface.

FIG. 107: A black and white photograph of a small, dark, rectangular object, similar to Figure 100, but with a slightly different shape or orientation, standing upright on a light-colored surface.

Hier ruht die Lederklappe  $CC$  in der Mitte auf einem diametral laufenden Steg, und wird durch einen zweiten an den Enden festzuschraubenden Steg

Pumpen-  
ventile

Fig. 709.

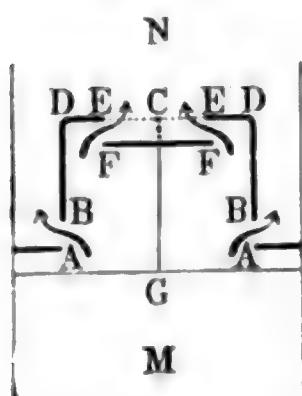


$SS$  darauf festgehalten. Uebrigens wird auch hier jeder der beiden Flügel der Klappe oben und unten von Eisenplatten bedeckt.

Um das Aufklappen schwerer Ventile zu erleichtern, giebt man denselben auch eine Neigung, zumal wenn sie die Mündungen horizontaler Röhren bedecken. Solche Ventile erhalten auch wohl statt der Lederklappen besondere Scharniere mit Drehaxen, und bilden dann förmliche Fallthüren. Der Durchschnitt einer solchen Ventilklappe zum Verschluß einer parallelepipedischen Röhre ist in Fig. 709 abgebildet. Es ist hier  $AB$  die eigentliche Klappe, ferner  $AD$  ein auf ihr feststehendes, sowie  $EF$  ein mit der Röhre  $R$  ein Ganzes bildendes Ohr und  $C$  die durch beide Ohren hindurchgehende Drehungsaxe.

§. 355. Bei großen Pumpenwerken bringt man in neueren Zeiten nicht selten die doppelsitzigen Ventile (franz. soupapes à double siège; engl. double beat valves) nach Harven und West in Anwendung. Diese Ventile sind den doppelsitzigen Dampfsventilen (s. Bd. II, §. 414, Fig. 662) nachgemacht. Das glockenförmige Ventil  $BDE$ , Fig. 710, ruht mit der weiteren

Fig. 710.



Mündung  $BB$  auf dem ringförmigen Sitze  $AA$  und mit der engeren Mündung auf dem tellerförmigen Sitze  $FF$ , und bietet daher bei seiner Eröffnung dem Wasser zwei ringförmige Mündungen  $ABBA$  und  $FEFF$  zum Durchströmen dar. Bezeichnen  $r$  und  $r_1$  die Halbmesser  $CD$  und  $CE$  der Ventilmündungen, und ist  $s$  die Größe  $AB = FE$  des Ventilschubes, so hat man den Inhalt des Querschnitts der Durchgangsmündungen:

$$F_1 = 2\pi r s + 2\pi r_1 s = 2\pi s(r + r_1).$$

Bezeichnet ferner  $z$  die durch die Höhe einer Wassersäule gemessene Differenz zwischen dem Wasserdrucke unter dem Ventile und dem über demselben, so hat man die Kraft, mit welcher das Wasser das Ventil zu heben sucht:

$$\pi (r_1^2 - r^2) z \gamma,$$

und ist nun diese Kraft größer als das Ventilgewicht  $G$ , also

$$\pi (r_1^2 - r^2) z \gamma > G,$$

so findet dieses Aufheben auch wirklich statt.

The following is a list of the names of the persons who were present at the meeting of the Board of Directors of the United States Bank, held on the 10th day of January, 1825, at the City of New York.

1825.



John C. Calhoun, President of the Board of Directors, and the other members of the Board, were present at the meeting. The meeting was held at the City of New York, on the 10th day of January, 1825.

The following is a list of the names of the persons who were present at the meeting of the Board of Directors of the United States Bank, held on the 10th day of January, 1825, at the City of New York.

The following is a list of the names of the persons who were present at the meeting of the Board of Directors of the United States Bank, held on the 10th day of January, 1825, at the City of New York.

1825.



The following is a list of the names of the persons who were present at the meeting of the Board of Directors of the United States Bank, held on the 10th day of January, 1825, at the City of New York.

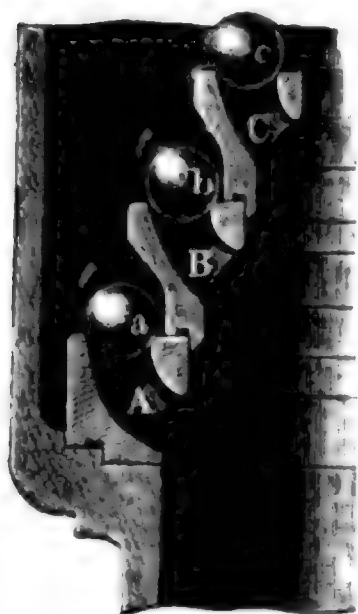
The following is a list of the names of the persons who were present at the meeting of the Board of Directors of the United States Bank, held on the 10th day of January, 1825, at the City of New York.

The following is a list of the names of the persons who were present at the meeting of the Board of Directors of the United States Bank, held on the 10th day of January, 1825, at the City of New York.

Diese Klappen bestehen entweder aus Leder oder aus Kautschuk und bilden ent-

Pumpen-  
ventile.

Fig. 713.



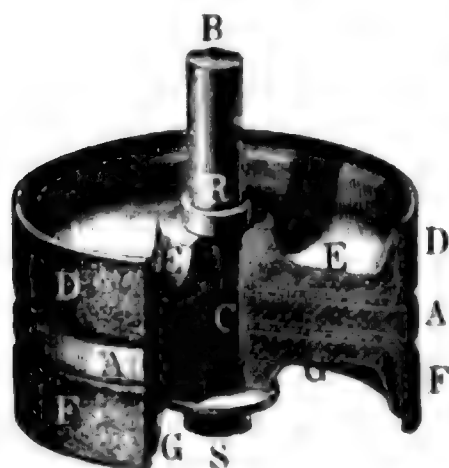
weder vollständige Ringe oder getrennte Ringstücke. Jede dieser Klappen wird durch den darüber befindlichen Ventilsitz festgehalten, und sämtliche Ventilsitze werden wieder durch einen Schraubenbolzen *DE* fest mit einander verbunden. Statt der Klappen hat man auch mit Vortheil Kautschukbälle *a, b, c.* angewendet, welche in konischen Sitzen aufliegen und von besonderen Gehäusen, wie Fig. 713 vor Augen führt, eingeschlossen werden (siehe *On Improvements in Pump Valves in The Artizan*, Vol. XVII, May 1. 1859).

Bei den sogenannten Kastenpumpen, von welchen in §. 361 die Rede ist, sind es ebenfalls ganze Reihen von Ventilen, durch welche das Wasser in und aus dem Pumpencylinder gelangt.

§. 356. Die massiven Pumpenkolben (s. §. 345) gleichen den Treibkolben der Wassersäulenmaschinen (s. Bd. II, §. 278), und bestehen daher entweder aus einem niedrigen Cylinder, dem sogenannten Kolbenstocke, und der denselben umgebenden Liderung, oder sie bilden einen langen ungeliderten Cylinder, den sogenannten Mönch, und werden durch eine in dem Pumpencylinder feststehende Liderung abgedichtet. Der Kolbenstock besteht entweder aus Buchenholz, welches vorher in Del gekocht wird, oder er wird aus Eisen oder Bronze gegossen. Die Liderung besteht bei den gewöhnlichen Pumpenkolben aus einfachen oder zusammengenähten Lederstreifen, dem sogenannten Stulpe, bei den Luft- und Warmwasserpumpen der

Pumpen-  
kolben

Fig. 714.



Dampfmaschinen, wo das Leder durch die Wärme zu sehr leidet, aus Hanfzöpfen. Die Breite des Liderungsfranzes ist nach der Formel  $b = 2 \text{ Zoll} + 0,1 d$ , wo  $d$  den Durchmesser des Kolbens bezeichnet, zu berechnen. Kolben für doppelwirkende Pumpen müssen natürlich zwei Liderungsfränze erhalten. Einen solchen Kolben führt Fig. 714 vor Augen. Es ist hier *AA* der eigentliche Kolbenstock, *BC* die durch denselben hindurchgehende Kolben-

stange, *DD* der eine und *FF* der andere Stulp, ferner *EE* der obere und *GG* der untere Stulpdeckel, endlich *S* eine über das untere Ende der

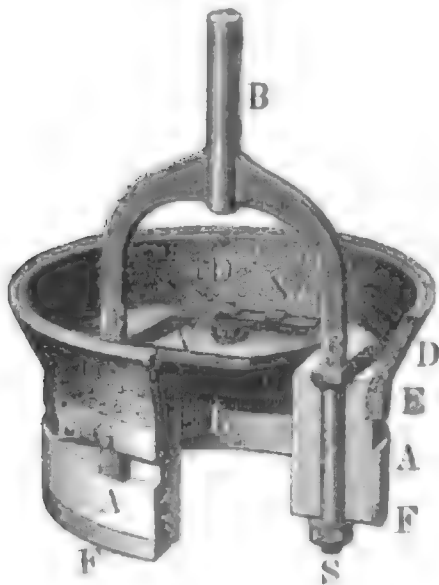
Temper-  
kolben.

Kolbenstange greifende Schraube, womit diese Theile gegen einen aus der Kolbenstange vorstehenden Ring *R* gepreßt und zu einem Ganzen vereinigt werden.

Bei den Ventilkolben sind die Kolbenstöcke nach der Auenrichtung durchlocht, d. i. mit cylindrischen Löchern zum Durchgang des Wassers versehen, und besitzen Klappenventile, welche diese Durchgangscanäle von oben bedecken. Um den Durchgang des Wassers möglichst zu erleichtern, muß man der Durchgangsöffnung einen möglichst großen Querschnitt geben, und an der Stelle, wo das Wasser eintritt, abrunden. Wenn man das Ende der Kolbenstange nicht gabelt, sondern in gerader Linie durch den Kolbenstock führt, so erhält derselbe zwei Durchgänge und auch zwei Ventilkappen.

Ein hölzerner Ventilkolben mit gegabelter Kolbenstange und einer Durchgangsöffnung ist in Fig. 715 monodimetrisch abgebildet. Es ist

Fig. 715.



*AA* der Kolbenstock, *CB* die das Ende der Kolbenstange bildende Gabel, welche mit ihren Zinken *CS*, *CS* durch den Kolbenstock geht und durch Schrauben, wie *S*, mit demselben fest verbunden wird.

Ferner ist *DD* der zusammengeheftete und auf den Kolbenstock aufgenagelte Lederstulp, welcher durch einen von unten angetriebenen eisernen Ring *EE* festgehalten wird, sowie *FF* ein zweiter eiserner Ring, welcher in Vereinigung mit dem ersteren das Aufreißen des Kolbenstockes verhindert. Endlich ist *V* die oben durch Eisenblechtafeln bedeckte Lederklappe, welche das Kolben-

loch *L* bedeckt und bei *N* auf den Kolbenstock aufgenagelt oder aufgeschraubt wird. Um das Zurückgehen des Ringes *EE* zu verhindern, werden einige Holz- oder Lederstücke wie *G* in die Rinne, welche derselbe vor seinem Aufstreifen einnimmt, genagelt.

Ein eiserner Ventilkolben mit einfacher Kolbenstange und zwei Kolbenlöchern ist in Fig. 716 ebenfalls monodimetrisch abgebildet. Es ist hier *AA* der gußeiserne Kolbenstock, *BB* der Lederstulp, welcher auf der konischen Außenfläche des Kolbenstockes feststeht und auf demselben durch den oben zugespitzten schmiedeeisernen Ring *CC* festgehalten wird; ferner ist *DE* die Kolbenstange, mit welcher der Steg *F* ein Ganzes ausmacht, und *GG* ein von unten über die Kolbenstange gesteckter Steg, sowie *H* ein Keil, durch dessen Eintreiben der Kolbenstock zwischen den Stegen festge-

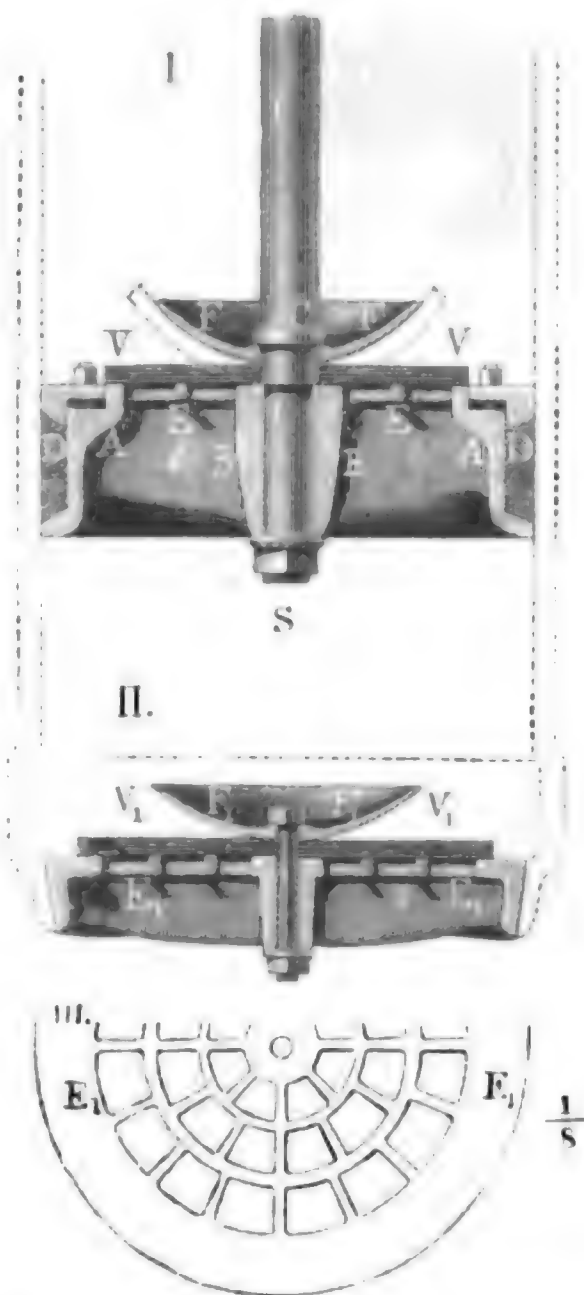
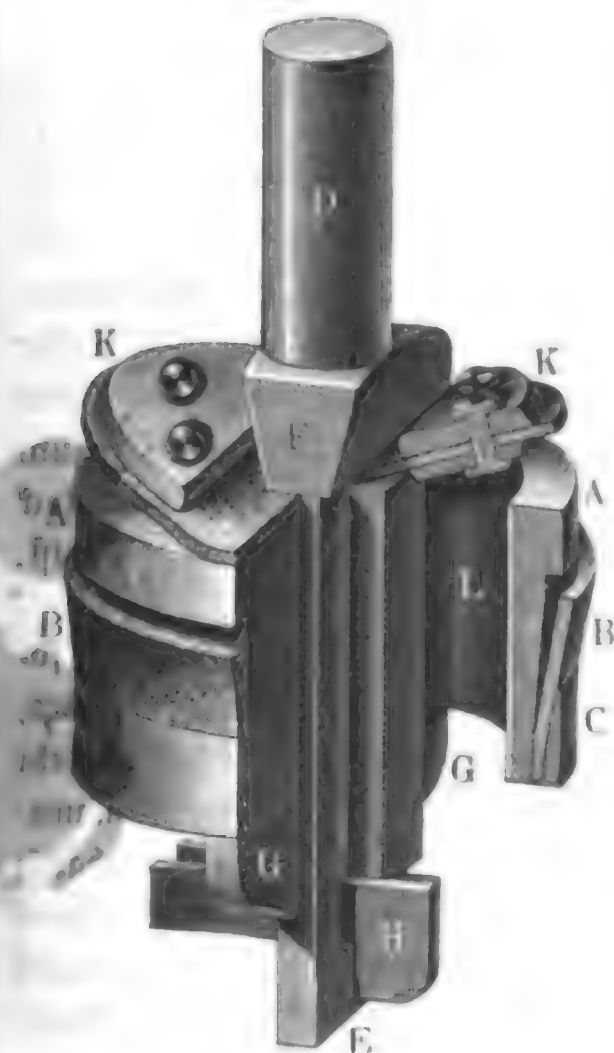
klemmt und mit der Kolbenstange fest verbunden wird; endlich sind *K* und *K* die beiden von Eisenplatten bedeckten ledernen Ventilkappen, welche die beiden kreissegmentförmigen Durchgangsöffnungen des Kolbens von oben bedecken.

Pumpen-  
kolben.

Bei den Luft- und Warmwasserpumpen der Dampfmaschinen haben sich die Ventilkappen mit Kautschuk sehr bewährt, da dieselben besser abschließen als die Metallventile. Die Einrichtung eines Pumpenkolbens mit solchen Kautschukventilen ist aus Fig. 717 I. zu ersehen. Der Pumpenkörper be-

Fig. 717.

Fig. 716.



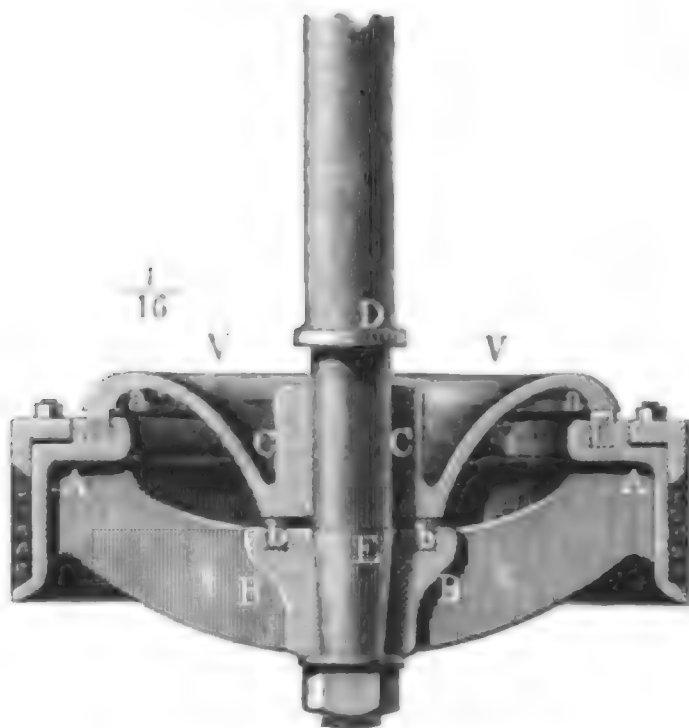
steht hier aus einem Kranze *A A*, welcher durch vier Arme mit der Hülse *B B*, durch welche das Ende der Kolbenstange *C S* hindurchgeht, verbunden ist. Die Liderung oder Packung *D D* besteht aus Hanfzöpfen und ist dieselbe wie bei einem Dampfkolben mit Hanfliderung (s. Band II, S. 408, Fig. 648). Die das Ventil bildende Kautschuk- oder Gummiplatte *V V* ruht auf einem Gitter *E E*, welches auf den Armen des Kolbenstockes fest-



Pumpen-  
selben

sigt, und legt sich beim Aufgehen an einen auf der Kolbenstange feststehenden

Fig. 718.



Teller *FF*. In Fig. 717, II. ist das genau wie das Kolbenventil eingerichtete Fuß- oder Saugventil *V<sub>1</sub>V<sub>1</sub>*, sowie in Fig. 717, III. die gitterförmige Lagerplatte *E<sub>1</sub>E<sub>1</sub>* desselben abgebildet. Um das Strecken der Kautschukplatten zu verhindern, giebt man denselben eine Leinwandeinlage.

Endlich hat man noch Luft- und Warmwasserpumpenkolben mit metallenen Doppelventilen, wie Fig. 718. Der Kolben-

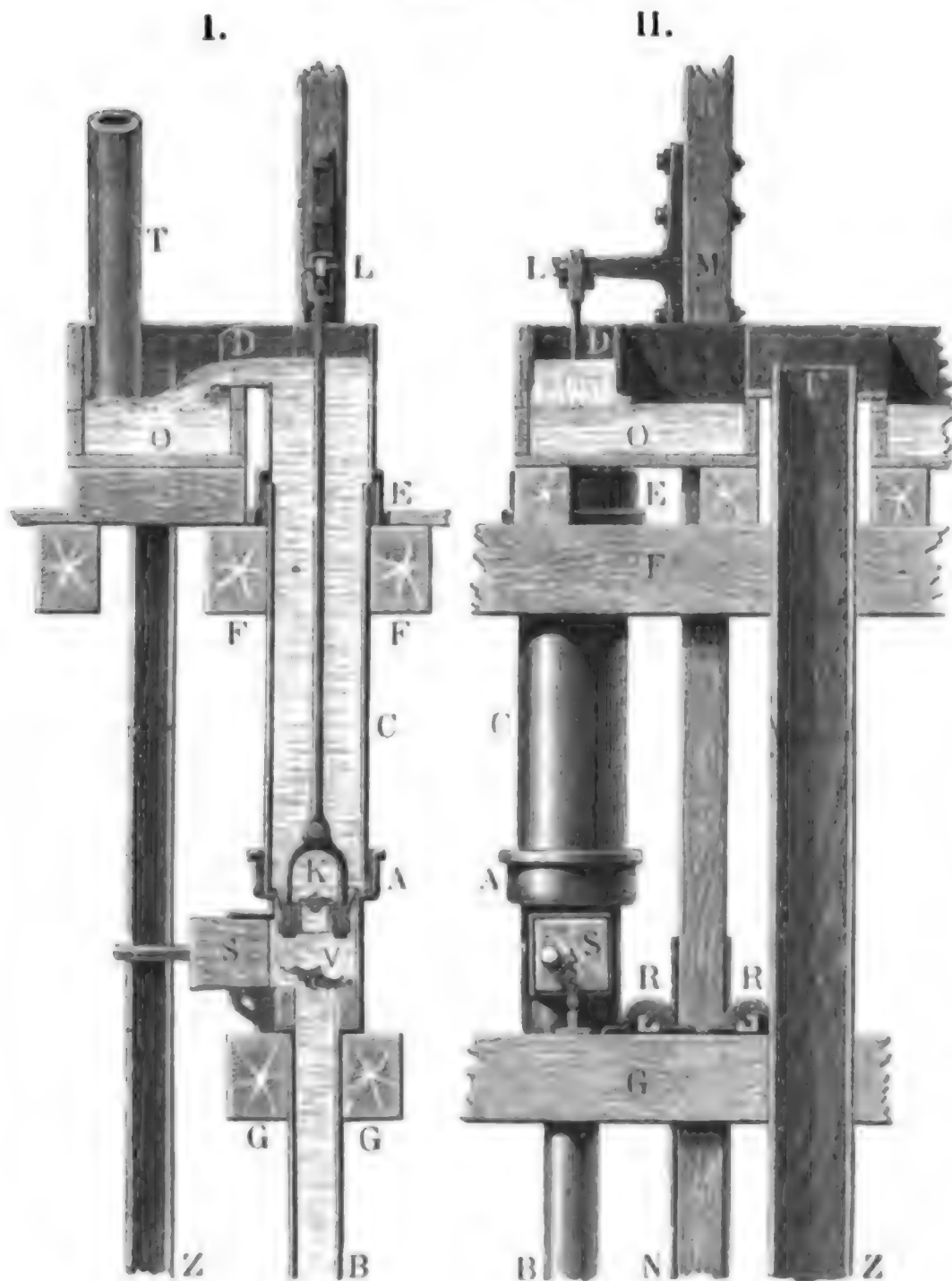
stock *AA* ist hier ähnlich geformt wie bei den Kolben in Fig. 717; aber das Ventil *VV* besteht hier aus einem gußeisernen Teller und ist mittels einer Hülse *CC* auf dem abgedrehten Theil *DE* der Kolbenstange bis zum Anlauf *D* verschiebbar. Den Abschluß bewirken zwei in den Kolbenstock eingesezte Messingringe *aa* und *bb*, auf welche der Ventilteller aufgeschliffen ist.

Sauglab.

§. 357. Die specielle Einrichtung einer Saugpumpe oder eines sogenannten Saugsages, wie er beim Freiburger Bergbau angewendet wird, ist aus den Abbildungen Fig. 719 I. und II. zu ersehen. Es besteht hier der gußeiserne Pumpencylinder in einer einfachen Röhre, der sogenannten Kolbenröhre *C*. Dieselbe sitzt in dem oben ausgeschraubten Ventilgehäuse oder unterem Sagstück *AB*, welches zugleich den Anfang oder den oberen Theil *B* der Saugröhre bildet, und ist am oberen Ende mit dem ebenfalls ausgeschraubten Ausguß- oder oberen Sagstück *DE* verbunden. Beide Sagstücke ruhen auf den sogenannten Saghölzern *F, F* und *G, G* auf. Das Loch, von welchem aus das Saugventil *V* untersucht und nach Befinden reparirt wird, ist durch einen hölzernen Spund *S* verschlossen. Die Kolbenstange *KL* wird an einen Arm *LM*, den sogenannten Krumms, angeschlossen, welcher mittels drei Schrauben fest mit dem Schachtgestänge *MV* verbunden ist. Um dem Biegen des letzteren in Folge des excentrischen Angriffes der Pumpenlast entgegenzuwirken, läßt man dieses Gestänge zwischen den sogenannten Gestängwalzen *R, R* auf- und niedergehen. Das gehobene Wasser wird mittels des Ausgusses *D* in den sogenannten Sakasten *O* geleitet, über dessen Boden die nächst höhere Saugröhre *I*

einmündet. Wenn der Saß *MCB* mehr Wasser in den Kasten *O* ausgießt, als der folgende Saß hebt, und daher das Wasser in diesem Kasten

Fig. 719.



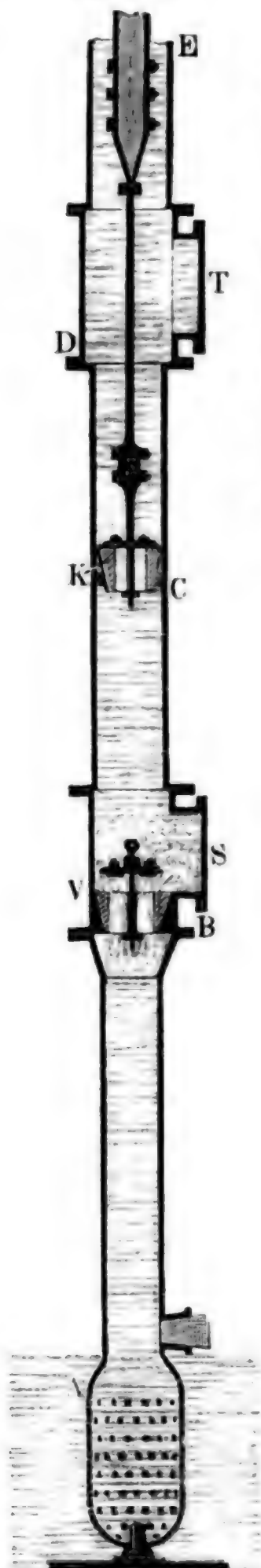
sehr hoch steigt, so fällt ein Theil des Wassers durch den Lutter *UZ* zurück in den unteren Saßkasten, worin die Saugröhre *B* mündet.

In manchen Bergwerksrevieren wendet man auch sogenannte hohe Sätze an, welche sich von dem im Vorstehenden beschriebenen Saugsaß im Wesentlichen dadurch unterscheiden, daß hier auf das Kolbenrohr noch mehrere Röhren aufgesetzt sind, welche eine längere Steigröhre (s. S. 345) bilden. Der verticale Durchschnitt eines solchen Sasses ist in Fig. 720 (a. f. S.) abgebildet. Es ist hier *C* die Kolbenröhre, *AB* die Saugröhre und *DE* die Steigröhre, ferner ist *B* die Ventilkammer für das Saugventil *V* mit der

1. Aufl. 2. Aufl.

durch eine Eisenplatte *S* verschlossenen Seitenmündung, wodurch die Besichtigung, etwaige Reparatur u. s. w. des Ventiles ermöglicht wird. Um auch

Fig. 720.



zum Kolben und Kolbenventil bequem gelangen und, wenn es nöthig ist, Reparaturen an denselben vornehmen zu können, ist über der Kolbenröhre ein zweites Gehäuse *D* mit einer Seitenöffnung angebracht, welche ebenfalls durch eine Eisenplatte *T* verschlossen wird. Das untere Ende der Saugröhre ist birnförmig erweitert, und, zum Abhalten von Unreinigkeiten, mit vielen feinen Eintrittslöchern versehen.

§. 358. Man kann auch die Steighöhe bei Pumpen mit Ventilkolben dadurch vergrößern, daß man die Kolbenstange derselben durch eine Stopfbüchse führt, und die Steigröhre seitwärts in den Pumpencylinder einmünden läßt. Der verticale Durchschnitt einer solchen Construction ist in Fig. 721 abgebildet. Es

Fig. 721.



ist hier *CC* der Pumpencylinder mit dem Seitenrohr *D*, worauf die Steig- hohe Höhe. röhre zu stehen kommt, sowie *B* die Ventilkammer mit dem Ansaßrohr *A* für die Saugröhre. Das Ganze ruht mittels der an *B* angegossenen Füße *EE* auf den Schwellen *SS*. Der Ventilsitz besteht aus zwei rectangulären Rahmen *GG*, welche sich unter einer Neigung von 45 Grad gegen eine verticale Wand *BF* stützen; die Ventile *VV* sind messingene Fallthüren und schlagen mittels angegossener Nasen bei ihrer Eröffnung gegen die verticalen Seitenwände der Ventilkammer. Der Kolbenstock *KK*, welcher in der Abbildung nur halb durchschnitten dargestellt wird, ist eine kurze Messingröhre mit einer zum Einlegen der Liderung *L* dienenden Nuth und einer die Angeln der halbkreisförmigen Ventilplatten *WW* tragenden Scheidewand *M*. Um einen möglichst gleichförmigen Ausguß zu erhalten, läßt man die Kolbenstange *OP* in einen hohlen Mönch *NO* endigen, an welchen dann der Kolbenstock mittels eines Bügels und durch eine Schraube *H* befestigt wird. Nimmt der äußere Querschnitt dieses Mönchs die Hälfte des Querschnitts des Pumpencylinders ein, so hebt die Pumpe beim Niedergang ebenso viel Wasser als beim Aufgang (s. S. 349), und ist hierbei noch die Saughöhe sehr klein gegen die Steighöhe, so fällt auch die Kraft beim Aufgang des Kolbens nicht viel größer aus als die Kraft beim Niedergang.

Man kann auch den gewöhnlichen Ventilkolben durch eine außen abgedrehte Röhre ersetzen, welche in ihrem Inneren ein Ventil trägt und in den zu diesem Zwecke mit Stopfbüchsen versehenen Enden der Saugröhre und der Steigröhre auf- und niedergeschoben wird. Es gehören hierher die Perspectiv- pumpen. Perspectivpumpen von Althans und Rittinger. Die ersteren Pumpen sind zuerst von Herrn Bergrath Althans bei der Wassersäulenmaschine auf der Grube Pfingstwiese bei Ems angewendet worden. Sie haben noch das Eigenthümliche, daß hier der Kolben aus zwei ineinandersteckenden Röhren besteht, so daß man je nach dem Bedürfniß entweder nur die innere oder beide Röhren vereinigt auf- und niedergehen lassen kann. Die Einrichtung einer Rittinger'schen Perspectivpumpe ist, wie sie beim Bergbau in Joachimsthal und Schemnitz angewendet wird (s. Polytechn. Centralblatt 1851, ferner Rittinger's Erfahrungen im berg- und hüttenmännischen Maschinenwesen u. s. w. 1856), aus dem verticalen Durchschnitt Fig. 722 (a. f. S.) zu ersehen. Es ist hier *V* das am Ende *A* der Saugröhre sitzende Saugventil, *W* das in dem röhrenförmigen Kolben *CCDD* sitzende Steig- oder Kolbenventil, ferner *BB* der die eigentliche Kolbenröhre bildende Aufsatz auf der Saugröhre, *EE* die Steigröhre, endlich ist *CC* die auf der Kolbenröhre *BB* feststehende Stopfbüchse, womit das untere Ende des Röhrenkolbens umgeben ist, und *DD* die Stopfbüchse, welche auf dem oberen Ende des Röhrenkolbens feststeht und das abgedrehte Ende der Steigröhre *EE*



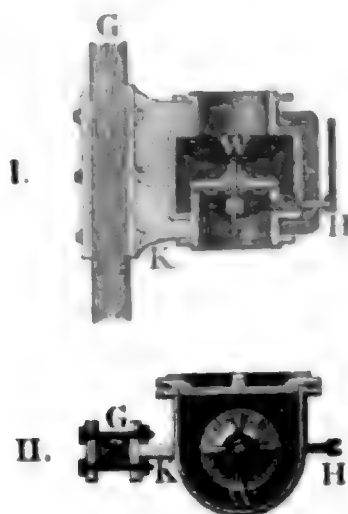
Perspectiv-  
pumpen.

umgibt. Die Art und Weise wie der Röhrenkolben *CCDD* an das auf- und niedergehende Gestänge angeschlossen ist, führen die beiden Durchschnitte

Fig. 722.

Saug- und  
Druckpumpen

Fig. 723.



I. und II. in Fig. 723 vor Augen. Es ist auch hier *H* das Kolbenventil, ferner *G* das Gestänge und *K* der mit dem Ventilgehäuse ein Ganzes bildende und an das Gestänge angeschraubte Pumpenarm oder sogenannte Krumms.

Der von außen mit einer Handhabe versehene Hahn *H* dient

zum Ablassen des Wassers aus dem Ventilraum. Bei den Perspektivpumpen von *Althaus* ist der Röhrenkolben mittels Doppelarme und besonderer Kolbenstange an das Gestänge angeschlossen, und daher der Angriff der Kraft ein vollkommen centrisher. *S. Prechtls techn. Encyclopädie. Bd. 11. Art. Pumpen.*

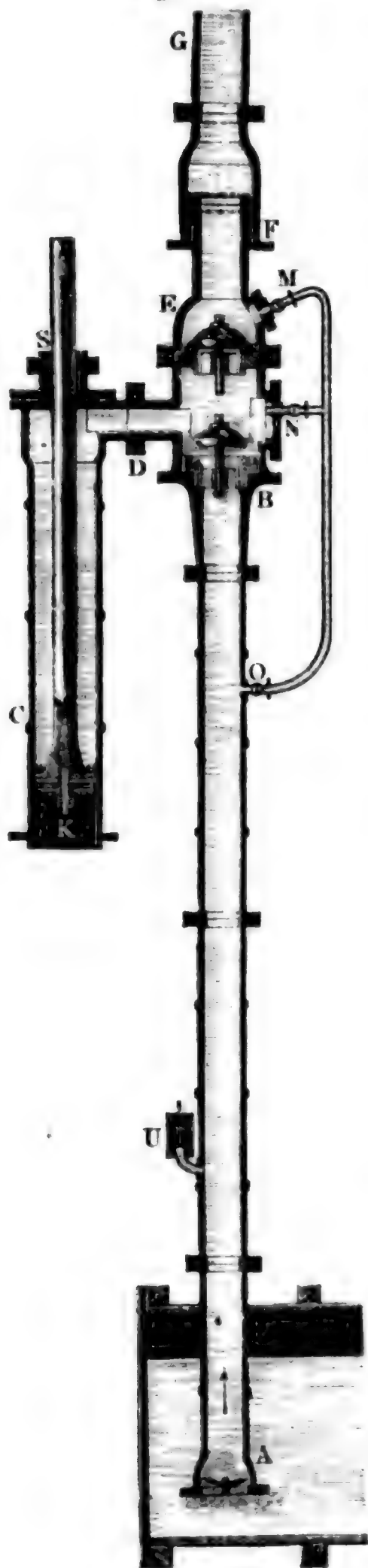
Damit diese Pumpe beim Aufgang und Niedergang gleichviel Wasser giebt, macht man auch hier den äußeren Querschnitt des Steigrohres halb so groß als den des Röhrenkolbens, d. i. den Durchmesser des ersteren  $= \sqrt{1/2} = 0,707$  des Durchmessers vom letzteren.

Diese Pumpen haben mit den gewöhnlichen Mönchspumpen den Vorzug, daß sie leichter zu beaufsichtigen und zu schmieren sind, und sich auch beim Heben von unreinem oder sandigem Wasser gut anwenden lassen.

§. 359. Eine vorzügliche Saug- und Hubpumpe mit massivem Kolben ist in Fig. 724 abgebildet. Dieselbe gehört zu der in Band II. (§. 293) beschriebenen Wassersäulenmaschine zu *Huelgoat* in der Bretagne, und wird von dieser unmittelbar so in Bewegung gesetzt, daß sie in der Minute  $5\frac{1}{2}$  Spiele zu je 2,3 Meter Hub macht. Die gedachte Wassersäulenmaschine hat bei einem Gefälle von 61 Meter einen Treibkolben von 120 Centim. Durchmesser, wogegen die von ihr bewegte Pumpe mittels eines Kolbens von  $42\frac{1}{4}$  Centimeter Durchmesser, das Wasser 230 Meter hoch hebt. In der Abbildung ist *AB* die  $27\frac{1}{2}$  Centimeter weite Saugröhre, *B* die Ven-

tillkammer für das Saugventil, *E* die für das Steigventil und *FG* das untere Saug- und Druckpumpen

Fig. 724.



Stück der Steigröhre. Die Einmündung der Saugröhre befindet sich ungefähr  $\frac{1}{2}$  Meter unter dem Unterwasserspiegel und ist mit einem aus zwei Klappen bestehenden Fußventile *A* versehen. Die Saughöhe beträgt circa 6 Meter, folglich die Steighöhe  $230 - 6 = 224$  Meter. Die Ventilkammer *B* und der unten offene Pumpencylinder *CD* sind durch ein Halsstück *D* unmittelbar mit einander verbunden. Der Pumpencylinder und die Kolbenstange *KS* sammt dem mit ihr ein Ganzes bildenden Kolbenstock, sowie auch die Ventile bestehen aus Bronze. Um einen luft- und wasserdichten Abschluß des Kolbens und des Kolbenstocks zu erlangen, ist der erstere sowohl mit einem nach unten als auch mit einem nach oben gerichteten Lederstulp versehen und letzterer durch eine mit Lederscheiben ausgefüllte Stopfbüchse geführt. Die Verbindung der Steigröhre mit der Ventilkammer *E* wird ebenfalls durch einen Lederstulp bewirkt. Man kann daher auch nach gehöriger Schraubenlösung das Halsstück *EF* etwas aufwärts schieben, und die Kammer *BE* abnehmen, wenn es darauf ankommt, neue Ventile einzusetzen.

Noch ist die Pumpe mit einer engen Röhre *MNO* versehen, wodurch der Raum zwischen beiden Ventilen ohne Eröffnung der Ventile, sowohl mit der Steigröhre als auch mit der Saugröhre in Verbindung gesetzt und die ganze Pumpe vor dem Eingange derselben mit Wasser angefüllt werden kann. Eröffnet man bei gefüllter Steigröhre die Hähne *M* und *O*, sowie auch einen engen Hahn, welcher aus der Kammer



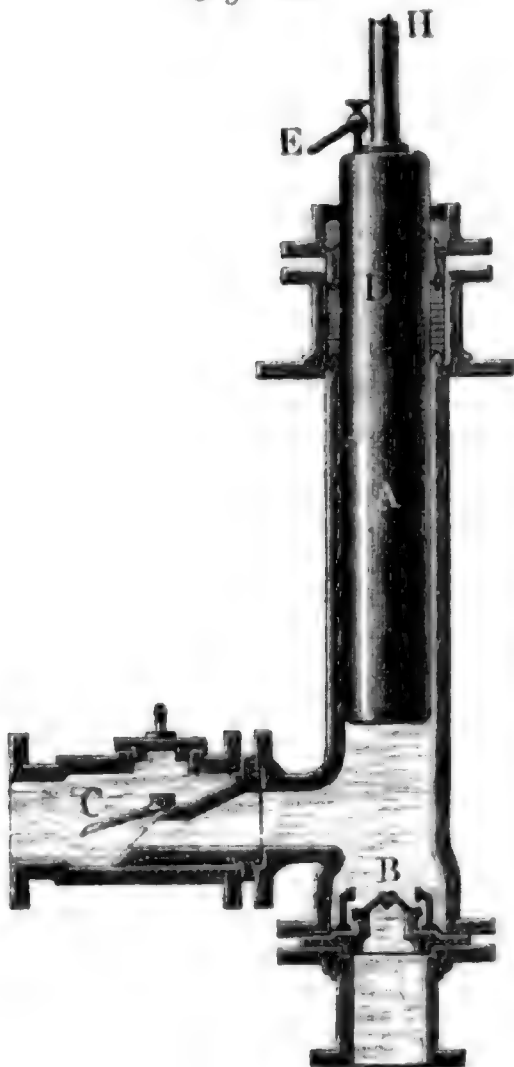
Saug- und  
Druckpumpen.

*BE* in die freie Luft führt, so fließt das Wasser auf dem Wege *MO* in die Saugröhre *AB*, und die in derselben befindliche Luft hebt das Ventil und strömt durch den Seitenhahn in das Freie. Um den Pumpenraum und die Ventilkammer *BE* ganz mit Wasser anzufüllen, öffnet man auch noch den Hahn *N* so lange, bis die Luftausströmung durch den Seitenhahn in ein Ausfließen von Wasser übergeht.

Endlich befindet sich in der Saugröhre ein durch eine Art Sicherheitsventil verschlossenes Seitenröhrchen, an welchem das wasserdichte Abschließen der Ventile zu erkennen ist. Schließt das Saugventil nicht gehörig ab, so tritt beim Aufgang des Pumpenkolbens die Saugröhre mit der Steigröhre in Communication, es hebt sich in Folge dessen das Probeventil *U* und läßt Wasser ausströmen. Dasselbe findet auch bei einem unvollkommenen Abschluß des Steigventiles statt, wenn man während des Stillstandes der Maschine die Hähne *N* und *O* eröffnet.

Die Maschine hat, so lange die Pumpe ganz mit Wasser angefüllt ist, einen ganz sanften Gang, wobei die Kolbengeschwindigkeit bei jedem Auf- oder Niedergang mit Null beginnt, sich anfangs allmählig steigert, nachher wieder allmählig abnimmt und zuletzt wieder in Null übergeht. Hat sich aber, etwa in Folge des unvollkommenen Abschließens der Liderung, Luft in

Fig. 725.



Minche  
pumpen.

der Ventilkammer *BE* angesammelt, so erfolgt die Eröffnung des Steigventiles erst dann, wenn diese Luft bis zu einem gewissen Grade zusammengedrückt ist und der Kolben eine größere Geschwindigkeit angenommen hat. Es muß hierbei auch die ganze Wassermasse in der Steigröhre diese Geschwindigkeit plötzlich annehmen und daher eine Erschütterung der ganzen Maschine erfolgen.

§. 360. Die Druckpumpen, welche das Wasser beim Kolbenniedergange empordrücken, lassen sich mittels eines langen Gestänges nicht direct in Bewegung setzen, weil sich dieses zu stark biegen würde; sie kommen daher entweder nur dann zur Anwendung, wenn der Pumpenkörper nahe bei der Kraftmaschine steht, oder wenn sie das Wasser durch das Gewicht des niedergehenden Gestänges empordrücken. We-

The following information is provided for the purpose of providing a general overview of the information contained in the report. It is not intended to provide a detailed description of the information contained in the report. The information is provided for the purpose of providing a general overview of the information contained in the report. It is not intended to provide a detailed description of the information contained in the report.



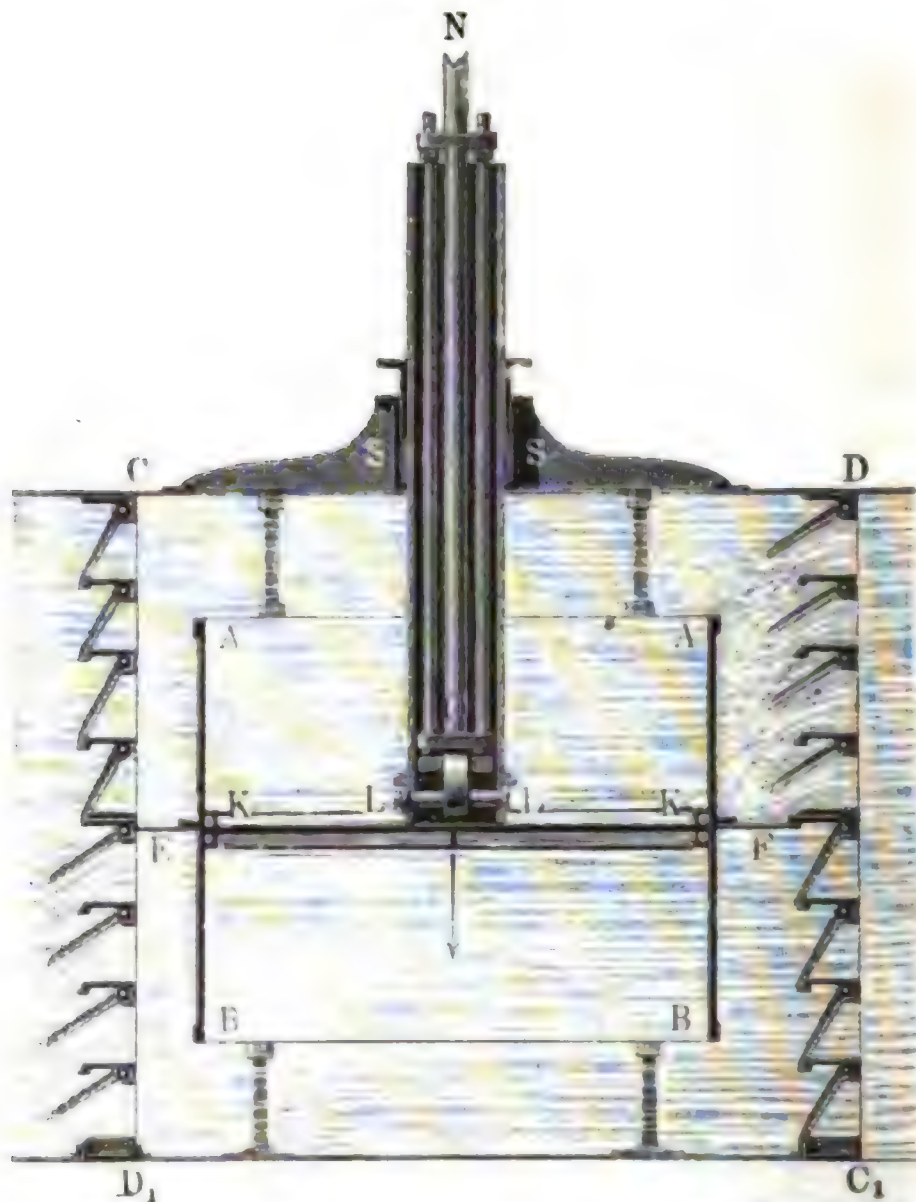
1. **Introduction**  
 2. **Background**  
 3. **Methodology**  
 4. **Results**  
 5. **Discussion**  
 6. **Conclusion**  
 7. **References**  
 8. **Appendix**  
 9. **Figure 1**  
 10. **Figure 2**  
 11. **Figure 3**  
 12. **Figure 4**  
 13. **Figure 5**  
 14. **Figure 6**  
 15. **Figure 7**  
 16. **Figure 8**  
 17. **Figure 9**  
 18. **Figure 10**  
 19. **Figure 11**  
 20. **Figure 12**  
 21. **Figure 13**  
 22. **Figure 14**  
 23. **Figure 15**  
 24. **Figure 16**  
 25. **Figure 17**  
 26. **Figure 18**  
 27. **Figure 19**  
 28. **Figure 20**  
 29. **Figure 21**  
 30. **Figure 22**  
 31. **Figure 23**  
 32. **Figure 24**  
 33. **Figure 25**  
 34. **Figure 26**  
 35. **Figure 27**  
 36. **Figure 28**  
 37. **Figure 29**  
 38. **Figure 30**  
 39. **Figure 31**  
 40. **Figure 32**  
 41. **Figure 33**  
 42. **Figure 34**  
 43. **Figure 35**  
 44. **Figure 36**  
 45. **Figure 37**  
 46. **Figure 38**  
 47. **Figure 39**  
 48. **Figure 40**  
 49. **Figure 41**  
 50. **Figure 42**  
 51. **Figure 43**  
 52. **Figure 44**  
 53. **Figure 45**  
 54. **Figure 46**  
 55. **Figure 47**  
 56. **Figure 48**  
 57. **Figure 49**  
 58. **Figure 50**  
 59. **Figure 51**  
 60. **Figure 52**  
 61. **Figure 53**  
 62. **Figure 54**  
 63. **Figure 55**  
 64. **Figure 56**  
 65. **Figure 57**  
 66. **Figure 58**  
 67. **Figure 59**  
 68. **Figure 60**  
 69. **Figure 61**  
 70. **Figure 62**  
 71. **Figure 63**  
 72. **Figure 64**  
 73. **Figure 65**  
 74. **Figure 66**  
 75. **Figure 67**  
 76. **Figure 68**  
 77. **Figure 69**  
 78. **Figure 70**  
 79. **Figure 71**  
 80. **Figure 72**  
 81. **Figure 73**  
 82. **Figure 74**  
 83. **Figure 75**  
 84. **Figure 76**  
 85. **Figure 77**  
 86. **Figure 78**  
 87. **Figure 79**  
 88. **Figure 80**  
 89. **Figure 81**  
 90. **Figure 82**  
 91. **Figure 83**  
 92. **Figure 84**  
 93. **Figure 85**  
 94. **Figure 86**  
 95. **Figure 87**  
 96. **Figure 88**  
 97. **Figure 89**  
 98. **Figure 90**  
 99. **Figure 91**  
 100. **Figure 92**  
 101. **Figure 93**  
 102. **Figure 94**  
 103. **Figure 95**  
 104. **Figure 96**  
 105. **Figure 97**  
 106. **Figure 98**  
 107. **Figure 99**  
 108. **Figure 100**  
 109. **Figure 101**  
 110. **Figure 102**  
 111. **Figure 103**  
 112. **Figure 104**  
 113. **Figure 105**  
 114. **Figure 106**  
 115. **Figure 107**  
 116. **Figure 108**  
 117. **Figure 109**  
 118. **Figure 110**  
 119. **Figure 111**  
 120. **Figure 112**  
 121. **Figure 113**  
 122. **Figure 114**  
 123. **Figure 115**  
 124. **Figure 116**  
 125. **Figure 117**  
 126. **Figure 118**  
 127. **Figure 119**  
 128. **Figure 120**  
 129. **Figure 121**  
 130. **Figure 122**  
 131. **Figure 123**  
 132. **Figure 124**  
 133. **Figure 125**  
 134. **Figure 126**  
 135. **Figure 127**  
 136. **Figure 128**  
 137. **Figure 129**  
 138. **Figure 130**  
 139. **Figure 131**  
 140. **Figure 132**  
 141. **Figure 133**  
 142. **Figure 134**  
 143. **Figure 135**  
 144. **Figure 136**  
 145. **Figure 137**  
 146. **Figure 138**  
 147. **Figure 139**  
 148. **Figure 140**  
 149. **Figure 141**  
 150. **Figure 142**  
 151. **Figure 143**  
 152. **Figure 144**  
 153. **Figure 145**  
 154. **Figure 146**  
 155. **Figure 147**  
 156. **Figure 148**  
 157. **Figure 149**  
 158. **Figure 150**  
 159. **Figure 151**  
 160. **Figure 152**  
 161. **Figure 153**  
 162. **Figure 154**  
 163. **Figure 155**  
 164. **Figure 156**  
 165. **Figure 157**  
 166. **Figure 158**  
 167. **Figure 159**  
 168. **Figure 160**  
 169. **Figure 161**  
 170. **Figure 162**  
 171. **Figure 163**  
 172. **Figure 164**  
 173. **Figure 165**  
 174. **Figure 166**  
 175. **Figure 167**  
 176. **Figure 168**  
 177. **Figure 169**  
 178. **Figure 170**  
 179. **Figure 171**  
 180. **Figure 172**  
 181. **Figure 173**  
 182. **Figure 174**  
 183. **Figure 175**  
 184. **Figure 176**  
 185. **Figure 177**  
 186. **Figure 178**  
 187. **Figure 179**  
 188. **Figure 180**  
 189. **Figure 181**  
 190. **Figure 182**  
 191. **Figure 183**  
 192. **Figure 184**  
 193. **Figure 185**  
 194. **Figure 186**  
 195. **Figure 187**  
 196. **Figure 188**  
 197. **Figure 189**  
 198. **Figure 190**  
 199. **Figure 191**  
 200. **Figure 192**  
 201. **Figure 193**  
 202. **Figure 194**  
 203. **Figure 195**  
 204. **Figure 196**  
 205. **Figure 197**  
 206. **Figure 198**  
 207. **Figure 199**  
 208. **Figure 200**  
 209. **Figure 201**  
 210. **Figure 202**  
 211. **Figure 203**  
 212. **Figure 204**  
 213. **Figure 205**  
 214. **Figure 206**  
 215. **Figure 207**  
 216. **Figure 208**  
 217. **Figure 209**

[illegible]

**1.000. Die von Deutschland zu leistende Kriegsschuld**  
 Diese Frage ist nicht nur eine Frage der Gerechtigkeit, sondern auch eine Frage der Politik. Die deutsche Regierung hat sich verpflichtet, die von Deutschland zu leistende Kriegsschuld zu begleichen. Diese Verpflichtung ist in der Versailler Vertrag festgelegt. Die deutsche Regierung hat sich verpflichtet, die von Deutschland zu leistende Kriegsschuld zu begleichen. Diese Verpflichtung ist in der Versailler Vertrag festgelegt.

saugend wirkenden Kastenpumpe ist in Fig. 727 abgebildet. Es ist hier  $AB$  der oben und unten offene und auf Füßen stehende Pumpencylinder,  $KK$  der

Fig. 727.



in demselben auf- und niedergehende und mit Holzreifen abgeliderte Kolben, ferner ist  $CDC_1D_1$  ein diesen Cylinder umgebender Blechkasten, welcher durch eine rings um den Cylinder herumlaufende Scheidewand  $EF$  in zwei Kammern abgetheilt wird. Die mittels eines Bolzens  $LL$  an den Kolben angeschlossene Kolbenstange  $NO$  ist von einer ebenfalls mit dem Kolben fest verbundenen Röhre umgeben, welche durch eine Stopfbüchse  $SS$  im Deckel  $CD$  des Pumpenkastens geführt wird. Die offenen Seiten  $CD_1$  und  $C_1D$  dieses Kastens sind mit gußeisernen Rahmen versehen, woran die gußeisernen und mit Holz bekleideten Ventile in etwas schräger Lage aufgehängt werden. Der Kastenraum steht auf der Seite  $C_1D$  mit dem Unterwasser, und auf der Seite  $CD_1$  mit dem Oberwasser in Communication, es öffnen sich daher die an der ersteren hängenden Ventile nach innen und die an der zweiten hängenden Ventile nach außen. Diese Pumpen haben vor anderen Pumpen den großen Vorzug, daß sie dem Wasser

Einzelne Bauteile aus gelbem Eisen mit gelbem Eisen. 1000

Das Bild zeigt eine Ansicht von oben auf ein Bauteil, das aus einem gelben Eisen besteht. Das Bauteil ist in der Mitte durch eine vertikale Linie in zwei Hälften geteilt. Die linke Hälfte ist etwas höher als die rechte. Die Oberfläche ist glatt und hat eine matte, gelbe Farbe. Die Bauteile sind auf einer ebenen Fläche aufgestellt.

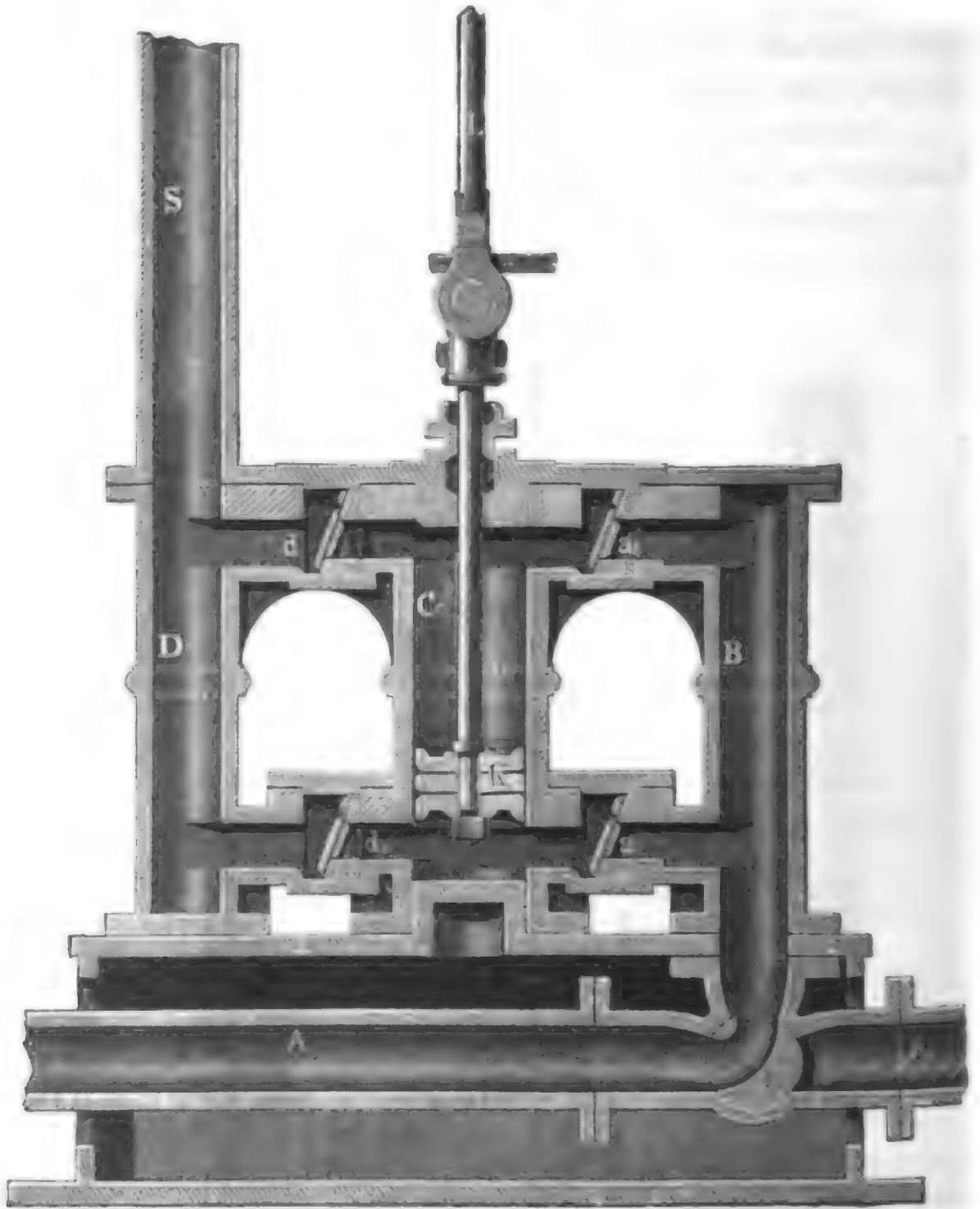
Das Bauteil ist in der Mitte durch eine vertikale Linie in zwei Hälften geteilt. Die linke Hälfte ist etwas höher als die rechte. Die Oberfläche ist glatt und hat eine matte, gelbe Farbe. Die Bauteile sind auf einer ebenen Fläche aufgestellt.



Feysselmith.  
Tende Pumpe.

Es ist hier der 5 $\frac{1}{4}$  Zoll weite Stiefel oder Pumpencylinder C mit den Ventilgehäusen und den Röhrenstücken B und D zum Zu- und Abführen des Wassers aus einem Stücke gegossen. Die Kolbenstange ist

Fig. 729.



mittels einer Kurbelstange L an einen umlaufenden Krummzapfen angeschlossen, und der letztere hat eine Armlänge von 4 Zoll, schiebt folglich den Kolben K bei jeder Umdrehung auf dem Wege von  $2 \cdot 4 = 8$  Zoll ein Mal hin und zurück. Das Wasser kann, je nach der Stellung des Hahnes H, entweder durch das Rohr A oder durch das vielleicht in ein anderes Bassin einmündende Rohr A<sub>1</sub> der Pumpe zugeführt werden. Die Ventilgehäuse sind von oben durch Deckungen zugänglich, welche mittels aufzuschraubender Deckel verschlossen werden. Beim Kolbenaufgange sind



die Ventile  $a$  und  $d$ , sowie beim Niedergange desselben, die Ventile  $a_1$  und  $d_1$  geöffnet; es wird folglich bei beiden Bewegungen Wasser angesaugt und in das Steigrohr  $DS$  gedrückt.

§. 362. Bezeichnet  $F$  den Inhalt des Kolbenquerschnitts und  $s$  den Kolbenhub, so ist das theoretische Wasserquantum, welches eine einfach wirkende Pumpe pr. Spiel hebt: Hubwasser-  
menge einer  
Pumpe.

$$V = Fs;$$

folglich ist bei  $n$  Spielen pr. Minute das Wasserquantum pr. Secunde:

$$Q = \frac{n}{60} Fs = \frac{Fns}{60} = \frac{Fv}{2},$$

wenn  $v = \frac{2ns}{60} = \frac{ns}{30}$  die mittlere Kolbengeschwindigkeit bezeichnet.

Bei einer doppeltwirkenden Pumpe ist dagegen:

$$Q = \frac{n}{60} 2Fs = F \cdot \frac{2ns}{60} = Fv.$$

In Wirklichkeit ist jedoch die gehobene Wassermenge viel kleiner als das theoretische Wasserquantum, welches dem vom Kolben durchlaufenen Raume entspricht, weil selbst bei der vollkommensten Pumpe eine namhafte Wassermenge während des Kolbenspieles wieder zurückfällt. Dieses Zurückfallen hat theils in dem unvollkommenen Abschluß der Liderung und Ventile, theils in dem allmäligen, nicht momentanen Zurückfallen der letzteren seinen Grund. Läßt die Kolbenliderung oder eines der Ventile dem Wasser eine kleine Durchgangsöffnung übrig, so fließt bei der Förderhöhe  $h$  das Wasser mit der Geschwindigkeit  $w = \sqrt{2gh}$  durch dieselbe zurück, und ist  $f$  der Inhalt des Querschnitts dieser Oeffnung, so beträgt das auf diese Weise verloren gehende Wasserquantum pr. Secunde

$$q = fw = f\sqrt{2gh},$$

also relativ, d. i. im Verhältniß zum Hubwasserquantum:

$$\frac{q}{Q} = \frac{f\sqrt{2gh}}{Fv}.$$

Hiernach fällt also der durch unvollkommenen Abschluß der Liderung und der Ventile herbeigeführte Wasserverlust um so größer aus, je kleiner der Querschnitt  $F$  und die Geschwindigkeit  $v$  des Kolbens und je größer die Förderhöhe  $h$  ist. Deshalb läßt man auch unvollkommene Pumpen schneller gehen als vollkommene, und wendet hier auch lieber mehrere Säße an als einen einzigen, welcher das Wasser auf dieselbe Höhe fördert, wie die einzelnen Säße zusammen. Bei den Pumpen mit Massivkolben hat der unvollkommene Abschluß des Kolbens noch den Nachtheil, daß hier während des Ansaugens Luft von außen durch die Liderung in den Pumpen-



Hubwasser-  
menge einer  
Pumpe.

cylinder tritt, welche das vollständige Anfüllen des Cylinderraumes mit Wasser verhindert (vergl. §. 360).

Die Wassermenge, welche während des Zufallens eines Ventiles zurückfließt, läßt sich wie folgt annähernd bestimmen.

Ist  $V_1$  das Volumen und  $\varepsilon$  das specifische Gewicht eines Körpers unter Wasser, so fällt derselbe mit der Acceleration

$$p = \frac{\text{Kraft}}{\text{Masse}} = \left( \frac{V_1 \varepsilon \gamma - V_1 \gamma}{V_1 \varepsilon \gamma} \right) g = \left( \frac{\varepsilon - 1}{\varepsilon} \right) g$$

senkrecht nieder, und ebenso ist es auch bei einem geöffneten Ventile, welches auf beiden Seiten vom Wasser mit einer und derselben Kraft gedrückt wird. Bezeichnet  $s_1$  die senkrechte Fallhöhe des Ventiles und  $t_1$  die Fallzeit desselben, so hat man:

$$s_1 = \frac{p t_1^2}{2} = \left( \frac{\varepsilon - 1}{\varepsilon} \right) \frac{g t_1^2}{2},$$

und daher

$$t_1 = \sqrt{\frac{2 \varepsilon}{\varepsilon - 1} \cdot \frac{s_1}{g}}.$$

Ist nun noch  $F_1$  der Querschnitt der Durchgangsöffnung bei geöffnetem Ventile, und setzt man den mittleren Werth desselben für die Fallzeit  $t_1$  des Ventiles  $= \frac{1}{2} F_1$ , so erhält man das in dieser Zeit zurückfallende Wasserquantum:

$$v_1 = \frac{1}{2} F_1 w t_1 = \frac{1}{2} F_1 \sqrt{2 g h} \sqrt{\frac{2 \varepsilon}{\varepsilon - 1} \cdot \frac{s_1}{g}} = F_1 \sqrt{\frac{\varepsilon}{\varepsilon - 1} h s_1},$$

und sein Verhältniß zur ganzen Hubwassermenge:

$$\frac{q_1}{Q} = \frac{v_1}{V} = \frac{F_1}{F s} \sqrt{\frac{\varepsilon}{\varepsilon - 1} h s_1} = \sqrt{\frac{\varepsilon}{\varepsilon - 1}} \cdot \frac{F_1}{F} \cdot \frac{\sqrt{h s_1}}{s}.$$

Dieser Verlust wächst hiernach mit dem Querschnittsverhältniß  $\frac{F_1}{F}$ , mit der Förderhöhe  $h$  und dem Ventilhub  $s_1$ , dagegen umgekehrt wie der Kolbenhub  $s$ . Aus diesem Grunde ist es zweckmäßig, enge Ventilöffnungen, kleinere Förderhöhen und größere Kolbenhube, vor Allem aber keinen unnöthig großen Ventilhub in Anwendung zu bringen.

Diese Verluste betragen bei den besten Pumpenanlagen 5, bei ziemlich guten Pumpen aber 10, nicht selten aber auch 15 und noch mehr Procent von dem theoretischen oder geometrisch bestimmten Förderquantum  $V = F s$ . Deshalb ist es auch der Sicherheit wegen rathsam,  $V = \mu F s = 0,85 F s$  zu setzen, also einen Ausgußcoefficienten  $\mu = 0,85$  anzunehmen.

Dies vorausgesetzt, erhält man nun das Förderquantum pr. Secunde bei einfachwirkenden Pumpen:

$$Q = \frac{\mu n F s}{60} = \frac{\mu F v}{2} = 0,85 F v = 0,425 F v,$$

Kolbendurch-  
messer einer  
Pumpe.

und daher den einer geforderten Ausgußmenge  $Q$  entsprechenden Kolben-  
querschnitt:

$$F = \frac{2Q}{\mu v} = 2,353 \frac{Q}{v},$$

und folglich den nöthigen Kolbendurchmesser

$$d = \sqrt{\frac{4F}{\pi}} = 1,1284 \sqrt{F} = 1,731 \sqrt{\frac{Q}{v}} \text{ Fuß} = 20,77 \sqrt{\frac{Q}{v}} \text{ Zoll.}$$

Bei den doppelwirkenden Pumpen ist hingegen:

$$Q = \mu \cdot \frac{2nFs}{60} = \mu F v = 0,85 F v,$$

daher

$$F = \frac{Q}{\mu v} = 1,1765 \frac{Q}{v}$$

und

$$d = \sqrt{\frac{4F}{\pi}} = 1,1284 \sqrt{F} = 1,2239 \sqrt{\frac{Q}{v}} \text{ Fuß} = 14,69 \sqrt{\frac{Q}{v}} \text{ Zoll.}$$

Die mittlere Kolbengeschwindigkeit beträgt zwar, wie oben (§. 352) angegeben worden ist,  $v = 1/2$  bis  $5/4$  Fuß; allein dieselbe hängt eigentlich von dem Verhältniß der Weite  $d_1$  der Saug- und Steigröhren zum Kolbendurchmesser  $d$  ab, da die Geschwindigkeit  $v_1$  des Wassers in diesen Röhren wegen der hydraulischen Hindernisse, bei guten Ausführungen eine Größe von 3 bis 4 Fuß haben, wenigstens eine solche von 6 Fuß nie erreichen soll. Es ist

$$v d^2 = v_1 d_1^2,$$

und daher

$$v = v_1 \left( \frac{d_1}{d} \right)^2,$$

also z. B.  $v_1 = 4$  Fuß angenommen,

$$v = 4 \left( \frac{d_1}{d} \right)^2 \text{ Fuß.}$$

Macht man  $\frac{d_1}{d} = 1/3$ , so folgt hiernach  $v = 4/9 = 0,45$  Fuß,

nimmt man aber  $\frac{d_1}{d} = 2/3$ , so kann man  $v = 16/9 = 1,78$  Fuß in Anwendung bringen.

Beispiel 1. Wenn ein Pumpenventil aus Messing, dessen specifisches Gewicht  $s = 8,5$  ist, bei einem Kolbenhub  $s = 4$  Fuß und einer Förderhöhe  $h = 36$  Fuß,  $1/4$  Fuß ausschleibt, und das Querschnittsverhältniß  $\frac{F_1}{F} = 1/3$  ist, so beträgt das durch dasselbe zurückfallende Wasserquantum:

Stoßendurch-  
messer einer  
Pumpe.

$$q_1 = \sqrt{\frac{s}{s-1}} \cdot \frac{F_1}{F} \frac{V h s_1}{s} Q = \sqrt{\frac{8,5}{7,5}} \cdot \frac{1}{5} \cdot \frac{V 36 \cdot \frac{1}{4}}{4} Q = 1,065 \cdot \frac{3Q}{20}$$

d. i. circa 16 Proc. des theoretischen Hubwassers.

Beispiel 2. Wenn eine einfachwirkende Pumpe bei einer mittleren Kolbengeschwindigkeit  $v = 1$  Fuß, ein Wasserquantum  $Q = \frac{3}{4}$  Cubikfuß heben soll, so erfordert sie den Kolbendurchmesser:

$$d = 20,77 \sqrt{\frac{Q}{v}} = 20,77 \sqrt{0,75} = 18 \text{ Zoll};$$

und wenn sich das Wasser in der Saug- und Steigröhre derselben mit einer Geschwindigkeit von 4 Fuß bewegen soll, so ist die erforderliche Weite dieser Röhren:

$$d_1 = d \sqrt{\frac{v}{v_1}} = d \sqrt{\frac{1}{4}} = \frac{d}{2} = 9 \text{ Zoll}.$$

Neben-  
hinder-  
nisse der  
Pumpen.

§. 363. Es ist schon oben die Kraft zur Bewegung der Pumpen theoretisch bestimmt worden; im Folgenden aber soll diese Kraftbestimmung mit Rücksicht aller Nebenhindernisse vollzogen werden.

Bei den Pumpen mit Ventilkolben ist (nach §. 346) die theoretische Kraft zum Aufziehen des Kolbens:

$$P = F h \gamma;$$

da nun aber der Stulp vom Wasser mit einer Wassersäule von der Höhe  $k + h_1 - (k - h_2) = h_1 + h_2 = h$  an die innere Wand der Kolbenröhre angedrückt wird, so ist hier, wie bei den Wassersäulen- und Dampfmaschinen, die Kraft zur Ueberwindung der Kolbenreibung:

$$W = 4 \varphi \frac{b}{d} F h \gamma,$$

und folglich die Kraft zum Aufziehen des Kolbens mit Rücksicht auf die Kolbenreibung:

$$P = \left(1 + 4 \varphi \frac{b}{d}\right) F h \gamma,$$

wobei  $\varphi$  den Reibungscoefficienten  $= 0,25$ ,  $b$  die Breite des an der Kolbenröhre anliegenden Theiles des Liderungsstulpes und  $d$  die Weite der Kolbenröhre bezeichnet (vergl. Bd. II, §. 297).

Die hydraulischen Nebenhindernisse sind fast dieselben wie die der Wassersäulenmaschinen (Band II, §. 298).

Bezeichnet  $\xi_0$  den Widerstandscoefficient für den Eintritt des Wassers in die Saugröhre,  $d_1$  die Weite dieser Röhre und  $v_2$  die Eintrittsgeschwindigkeit und  $v_1$  die Geschwindigkeit des aufsteigenden Kolbens, so ist die hydraulische Widerstandshöhe für diesen Eintritt:

$$\xi_0 = \xi_0 \frac{v_2^2}{2g} = \xi_0 \left(\frac{d}{d_1}\right)^4 \frac{v_1^2}{2g}.$$

Bei einer cylindrischen Einmündung ohne Abrundung ist  $\xi_0 = 0,50$  (s. Bd. I, §. 390), bei einer glatt und gut abgerundeten Mündung aber  $\xi_0 = 0,100$  zu setzen.

Ferner ist die Widerstandshöhe der Reibung des Wassers in der Saugröhre, wenn  $l_1$  die Länge dieser Röhre und  $\xi_1 = 0,024$  (s. Bd. I, §. 397) den entsprechenden Coefficienten bezeichnet: Nebenwirkungs-  
höhe der  
Wumpen.

$$z_1 = \xi_1 \cdot \frac{l_1}{d_1} \frac{v_1^2}{2g} = \xi_1 \frac{l_1}{d_1} \left( \frac{d}{d_1} \right)^4 \frac{v_1^2}{2g}.$$

Ist  $\xi_m$  der Widerstandscoefficient für den Durchgang des Wassers durch das Saugventil, so hat man die entsprechende Widerstandshöhe:

$$z_2 = \xi_m \frac{v_1^2}{2g}.$$

Theoretisch läßt sich der Widerstandscoefficient  $\xi_m$  aus dem Contractionscoefficienten  $\alpha$ , dem Querschnitt  $F$  des Kolbens und dem Querschnitt  $F_2$  der Oeffnung des Ventiles durch die bekannte Formel

$$\xi_m = \left( \frac{F}{\alpha F_2} - 1 \right)^2$$

berechnen (s. Bd. I, §. 410).

Nimmt man  $\alpha = 0,60$  und  $\frac{F}{F_2} = \frac{5}{2}$  an, so erhält man hiernach

$$\xi_m = 10 \text{ und } z_2 = 10 \cdot \frac{v_1^2}{2g},$$

was auch mit den Ergebnissen der Versuche des Verfassers gut übereinstimmt.

Ferner ist die Reibung des Wassers in der Kolbenröhre, deren Länge  $= l$  sein möge:

$$z_3 = \xi \frac{l}{d} \frac{v_1^2}{2g},$$

sowie die in der Steigröhre, wenn  $\xi_2$  den Reibungscoefficienten,  $l_2$  die Länge und  $d_2$  die Weite dieser Röhre bezeichnen:

$$z_4 = \xi_2 \frac{l_2}{d_2} \frac{v_2^2}{2g} = \xi_2 \frac{l_2}{d_2} \left( \frac{d}{d_2} \right)^4 \frac{v_1^2}{2g}.$$

Endlich nimmt noch die Erzeugung der Geschwindigkeit  $v_2$  des Wassers in der Steigröhre die Höhe

$$z_5 = \frac{v_2^2}{2g} = \left( \frac{d}{d_2} \right)^4 \frac{v_1^2}{2g}$$

in Anspruch.

Der Inbegriff dieser Widerstandshöhen führt nun auf folgenden Werth der hydraulischen Last:

$$\begin{aligned} W &= (z_0 + z_1 + z_2 + z_3 + z_4 + z_5) F h \gamma \\ &= \left[ \xi_m + \xi \frac{l}{d} + \left( \xi_0 + \xi_1 \frac{l_1}{d_1} \right) \left( \frac{d}{d_1} \right)^4 \right. \\ &\quad \left. + \left( 1 + \xi_2 \frac{l_2}{d_2} \right) \left( \frac{d}{d_2} \right)^4 \right] \frac{v_1^2}{2g} F \gamma, \end{aligned}$$

Rechenhülfe der Pumpen. und daher ist die Gesamtkraft zum Aufziehen des Ventilkolbens:

$$P_1 = \left( \left( 1 + 4 \varphi \frac{b}{d} \right) h + \left[ \xi_m + \xi \frac{l}{d} + \left( \xi_0 + \xi_1 \frac{l_1}{d_1} \right) \left( \frac{d}{d_1} \right)^4 + \left( 1 + \xi_2 \frac{l_2}{d_2} \right) \left( \frac{d}{d_2} \right)^4 \right] \frac{v_1^2}{2g} \right) F \gamma$$

$$= \left[ \left( 1 + 4 \varphi \frac{b}{d} \right) h + \kappa_1 \frac{v_1^2}{2g} \right] F \gamma,$$

wenn der Inbegriff

$$\xi_m + \xi \frac{l}{d} + \left( \xi_0 + \xi_1 \frac{l_1}{d_1} \right) \left( \frac{d}{d_1} \right)^4 + \left( 1 + \xi_2 \frac{l_2}{d_2} \right) \left( \frac{d}{d_2} \right)^4$$

sämmtlicher hydraulischer Widerstandscoefficienten durch  $\kappa_1$  bezeichnet wird.

§. 364. Beim Niedergange des Kolbens ist das Saugventil geschlossen und das Kolbenventil geöffnet, es drückt folglich das Wasser über dem Kolben mit einer und derselben Kraft  $F(k + h_2)\gamma$ , und es ist daher dann die reine Pumpenlast = Null. Hat die Kolbenliderung vollkommene Elasticität, so ist hierbei sogar auch die Kolbenreibung = Null, denn es fließt dann auch Wasser am Kolbenumfang von unten nach oben und drückt hierbei die Liderung vom Umfang der Kolbenröhre ab. Die einzige Kolbenlast, welche beim Niedergange des Kolbens zu überwinden ist, besteht in der Kraft zur Erzeugung der Geschwindigkeit  $v_n$  des durch das Kolbenventil strömenden Wassers. Es ist die Wassermenge, welche beim Kolben-niedergange durch den Querschnitt  $F_n$  der Ventilöffnung strömt, gleich dem Wasserquantum, welches der Kolbenstoß bei seinem Querschnitte  $F - F_n$  verdrängt, also

$$F_n v_n = (F - F_n) v_2,$$

und daher

$$v_n = \left( \frac{F - F_n}{F_n} \right) v_2,$$

wobei  $v_2$  die Geschwindigkeit des niedergehenden Kolbens bezeichnet. Die entsprechende Geschwindigkeitshöhe giebt, wenn man noch  $F_n$  mit einem durch Erfahrung zu bestimmenden Contractionscoefficienten  $\alpha_n$  multiplicirt, die Widerstandshöhe:

$$h_n = \frac{v_n^2}{2g} = \left( \frac{F - \alpha_n F_n}{\alpha_n F_n} \right)^2 \frac{v_2^2}{2g},$$

und daher die Kraft zum Niederschieben des Kolbens:

$$P_2 = F h_n \gamma = \left( \frac{F - \alpha_n F_n}{\alpha_n F_n} \right)^2 \frac{v_2^2}{2g} F \gamma,$$

oder



$$P_2 = \kappa_2 \cdot \frac{v_2^2}{2g} F \gamma,$$

Nebenbedeutung  
niste der  
Pumpen.

wenn wir den Coefficienten  $\left(\frac{F - \alpha_n F_n}{\alpha_n F_n}\right)^2$  durch  $\kappa_2$  bezeichnen.

Um diese Kraft so viel wie möglich herabzuziehen, muß man die Kolbenbohrungen möglichst weit, also die Ventilquerschnitte möglichst groß machen.

Der Widerstandscoefficient ist hier, bei circa 30° Eröffnung der Klappe, und wenn  $\frac{F_n}{F}$  nicht viel von  $\frac{1}{2}$  abweicht,  $\kappa_2 = 30$  zu setzen.

Uebrigens wird die Kraft zum Aufziehen des Kolbens noch durch das Gewicht  $G$  des Kolbens sammt seiner Stange vergrößert, dagegen aber auch die Kraft zum Niederschieben desselben um eine gleiche Kraft vermindert. Die entgegengesetzte Wirkung hat der Auftrieb des Wassers. Ist  $V$  das Volumen des Kolbens sammt demjenigen Theil der Kolbenstange, welcher durchschnittlich beim ganzen Kolbenspiel ins Wasser eingetaucht bleibt, so beträgt die Verminderung der Kraft zum Aufziehen des Kolbens, sowie die Vergrößerung der Kraft zum Niederschieben desselben in Folge des Auftriebes (s. Bd. I, §. 335)  $= V \gamma$ .

Es hat hiernach weder das Gewicht des armirten Kolbens, noch der Auftrieb, welchen der armirte Kolben vom Wasser erleidet, eine Vergrößerung der Arbeitskraft zur Folge.

§. 365. Die mechanische Arbeit, welche zur Verrichtung eines Kolbenspieles nöthig ist, bestimmt sich nun mit Hülfe des Kolbenhubes durch den bekannten Ausdruck

Arbeit zur  
Bewegung  
der Pumpen.

$$\begin{aligned} A &= P_1 s + P_2 s = (P_1 + P_2) s \\ &= \left[ \left( 1 + 4 \varphi \frac{b}{d} \right) h + \kappa_1 \frac{v_1^2}{2g} + \kappa_2 \frac{v_2^2}{2g} \right] F s \gamma \\ &= \left[ \left( 1 + 4 \varphi \frac{b}{d} \right) h + \kappa_1 \frac{v_1^2}{2g} + \kappa_2 \frac{v_2^2}{2g} \right] V \gamma, \end{aligned}$$

wenn  $V$  das theoretische Hubwasserquantum ( $F s$ ) pr. Spiel bezeichnet. Wenn nun die Pumpe pr. Minute  $n$  Spiele macht, so ist der erforderliche Arbeitsaufwand pr. Secunde:

$$L = \left[ \left( 1 + 4 \varphi \frac{b}{d} \right) h + \kappa_1 \frac{v_1^2}{2g} + \kappa_2 \frac{v_2^2}{2g} \right] \frac{n}{60} V \gamma,$$

oder, wenn das durchschnittlich pr. Secunde gehobene Wasserquantum  $\frac{n V}{60} = Q$  gesetzt wird:

$$L = \left[ \left( 1 + 4 \varphi \frac{b}{d} \right) h + \kappa_1 \frac{v_1^2}{2g} + \kappa_2 \frac{v_2^2}{2g} \right] Q \gamma.$$



Arbeit zur  
Hervorbringung  
der Pumpen.

Auch läßt sich

$$L = \left[ \left( 1 + 4 \varphi \frac{b}{d} \right) h + \alpha_1 \frac{v_1^2}{2g} + \alpha_2 \frac{v_2^2}{2g} \right] \frac{Fv}{2} \gamma$$

setzen, wenn  $v$  die mittlere Kolbengeschwindigkeit während eines Spieles bezeichnet.

Es ist die Zeit eines Spieles,  $t = \frac{2ns}{60v}$ , die des Kolbenaufganges

$t_1 = \frac{ns}{60v_1}$ , sowie die des Niederganges,  $t_2 = \frac{ns}{60v_2}$ , folglich:

$$\frac{2ns}{60v} = \frac{ns}{60v_1} + \frac{ns}{60v_2}, \text{ d. i. } \frac{2}{v} = \frac{1}{v_1} + \frac{1}{v_2},$$

und daher die mittlere Kolbengeschwindigkeit  $v = \frac{2v_1v_2}{v_1 + v_2}$ , annähernd, wenn  $v_1$  und  $v_2$  nicht sehr verschieden von einander sind:

$$v = \frac{v_1 + v_2}{2}.$$

Die effective Hubwassermenge  $Q_1 = \mu Q = 0,85 Q$  gesetzt, folgt

$$Q = \frac{Q_1}{\mu} = \frac{Q_1}{0,85} = 1,18 Q_1,$$

und daher die Leistung, ausgedrückt durch das effective Hubwasserquantum:

$$\begin{aligned} L &= \left[ \left( 1 + 4 \varphi \frac{b}{d} \right) h + \alpha \frac{v_1^2}{2g} + \alpha \frac{v_2^2}{2g} \right] \frac{Q_1 \gamma}{\mu} \\ &= 1,18 \left[ \left( 1 + 4 \varphi \frac{b}{d} \right) h + \alpha \frac{v_1^2}{2g} + \alpha \frac{v_2^2}{2g} \right] Q_1 \gamma. \end{aligned}$$

Um genauer zu rechnen, hat man nach Bd. II, §. 452, für  $v^2$  nicht das Quadrat der mittleren Kolbengeschwindigkeit, sondern das mittlere Geschwindigkeitsquadrat, und zwar für den Kolbenaufgang

$$v_1^2 = 1,645 \left( \frac{s}{t_1} \right)^2,$$

und für den Kolbenniedergang

$$v_2^2 = 1,645 \left( \frac{s}{t_2} \right)^2$$

einzusetzen.

Der Wirkungsgrad einer Pumpe ist hiernach

$$\begin{aligned} \eta &= \frac{Q_1 h \gamma}{L} = \frac{\mu}{\left( 1 + 4 \varphi \frac{b}{d} \right) h + \alpha_1 \frac{v_1^2}{2g} + \alpha_2 \frac{v_2^2}{2g}} \\ &= \frac{\mu}{1 + 4 \varphi \frac{b}{d} + \alpha_1 \frac{v_1^2}{2gh} + \alpha_2 \frac{v_2^2}{2gh}}. \end{aligned}$$

Bei sehr gut ausgeführten und vortheilhaft arbeitenden Pumpen setzt man  $\eta = 0,80$ , bei Pumpen von mittlerer Vollkommenheit hat man  $\eta = 0,75$  und bei gewöhnlichen Pumpen,  $\eta = 0,70$  oder gar nur 0,65 zu setzen.

Beispiel. Bei einer Saug- und Hubpumpe ist der Kolbendurchmesser  $d = 1$  Fuß, der Kolbenhub  $s = 3$  Fuß, die Weite der Saugröhre,  $d = 6$  Zoll, die Länge derselben,  $l_1 = 24$  Fuß, die Weite der Steigröhre,  $d_2 = 12$  Zoll und die Länge der vereinigten Kolben- und Steigröhre,  $l_2 = 12$  Fuß; ferner ist die Breite des Liderungsringes,  $b = 2$  Zoll, und es sind die beiden Halbaren des elliptischen an beiden Mündungen abgerundeten Kolbenloches,  $2a_1 = 8$  und  $2b_1 = 6$  Zoll; endlich erfolgt die Bewegung des Kolbens in der Art, daß der Aufgang 6 und der Niedergang desselben 4 Secunden Zeit in Anspruch nimmt, man soll die Kraft und die mechanische Arbeit, welche die Bewegung dieser Pumpe erfordert, ermitteln.

Es ist die Kolbenfläche:

$$F = \frac{\pi d^2}{4} = \frac{\pi}{4} \cdot 1 = 0,7854 \text{ Quadratfuß} = 113,1 \text{ Quadratzoll},$$

ferner der Querschnitt des Kolbenloches:

$$F_n = \pi \cdot a_1 b_1 = \frac{1}{3} \cdot \frac{1}{4} \pi = \frac{\pi}{12} = \frac{F}{3} = 0,2618 \text{ Quadratfuß},$$

ferner die mittlere Aufgangsgeschwindigkeit des Kolbens:

$$v_1 = \frac{s}{t_1} = \frac{3}{6} = 0,5 \text{ Fuß},$$

die mittlere Geschwindigkeit desselben beim Niedergange:

$$v_2 = \frac{s}{t_2} = \frac{3}{4} = 0,75 \text{ Fuß},$$

folglich das mittlere Geschwindigkeitsquadrat für den Kolbenaufgang:

$$v_1^2 = 1,645 \left( \frac{s}{t_1} \right)^2 = 1,645 \cdot 0,25 = 0,411,$$

dagegen für den Niedergang:

$$v_2^2 = 1,645 \left( \frac{s}{t_2} \right)^2 = 1,645 \cdot \frac{9}{16} = 0,925.$$

Die reine Pumpenlast beträgt:

$$F h \gamma = F (h_1 + h_2) \gamma = 0,7854 \cdot (24 + 12) \cdot 66 = 1866 \text{ Pfund},$$

dagegen die Pumpenlast mit Einschluß der Kolbenreibung:

$$\left( 1 + 4 \varphi \frac{b}{d} \right) F h \gamma = \left( 1 + 4 \cdot \frac{1}{4} \cdot \frac{1}{6} \right) \cdot 1866 = \frac{7}{6} \cdot 1866 = 2177 \text{ Pfund}.$$

Nimmt man den Widerstandscoefficienten für den Eintritt in die Saugröhre,  $\zeta_0 = 0,500$  und den für den Durchgang durch das Saugventil,  $\zeta_m = 16$ , den Reibungscoefficienten für die Bewegung des Wassers in der Saugröhre  $\zeta_1 = 0,026$ , und dagegen für die in der vereinigten Kolben- und Steigröhre  $\zeta = \zeta_2 = 0,038$  an (s. Bd. I, S. 397), so erhält man die vollständige Widerstandshöhe beim Aufgange des Kolbens:

$$\alpha_1 \frac{v_1^2}{2g} = \left[ \zeta_m + \zeta \frac{l}{d} + \left( \zeta_0 + \zeta_1 \frac{l_1}{d_1} \right) \left( \frac{d}{d_1} \right)^4 + \left( 1 + \zeta_2 \frac{l_2}{d_2} \right) \left( \frac{d}{d_2} \right)^4 \right] \frac{v_1^2}{2g},$$

Arbeit zur  
Bewegung  
der Pumpen.

oder, da hier  $d_2 = d$  ist,

$$\begin{aligned} \alpha_1 \frac{v_1^2}{2g} &= \left[ 1 + \zeta_m + \zeta \cdot \frac{l_1 + l_2}{d} + \left( \zeta_0 + \zeta_1 \frac{l_1}{d_1} \right) \left( \frac{d}{d_1} \right)^4 \right] \frac{v_1^2}{2g} \\ &= \left[ 1 + 16 + 0,038 \cdot \frac{12}{1} + \left( 0,500 + 0,026 \cdot \frac{24}{1/2} \right) \left( \frac{2}{1} \right)^4 \right] \cdot 0,016 \cdot 0,411 \\ &= (17,45 + 27,97) \cdot 0,00658 = 0,300 \text{ Fuß.} \end{aligned}$$

daher die entsprechende Vergrößerung der Pumpenlast:

$$\alpha_1 \frac{v_1^2}{2g} F \gamma = 0,300 \cdot 0,7854 \cdot 66 = 16 \text{ Pfund,}$$

und folglich die vollständige Kraft zum Aufziehen des Kolbens:

$$P_1 = \left[ \left( 1 + 4 \varphi \frac{b}{d} \right) h + \alpha_1 \frac{v_1^2}{2g} \right] F \gamma = 2177 + 16 = 2193 \text{ Pfund.}$$

Die Kraft zum Niederschieben des Kolbens ist, wenn man den Contractantcoefficienten  $\alpha_n = \frac{2}{3}$  annimmt:

$$\begin{aligned} P_2 &= \left( \frac{F - \alpha_n F_n}{\alpha_n F_n} \right)^2 \frac{v_2^2}{2g} F \gamma = \left( \frac{1 - \frac{2}{3} \cdot \frac{1}{3}}{\frac{2}{3} \cdot \frac{1}{3}} \right)^2 \cdot 0,016 \cdot 0,925 F \gamma \frac{49}{4} \cdot 0,0148 F \gamma \\ &= 0,181 F \gamma = 0,181 \cdot 0,7854 \cdot 66 = 10 \text{ Pfund.} \end{aligned}$$

Nun folgt die erforderliche Arbeit der Pumpen pr. Spiel:

$$A = (P_1 + P_2) s = (2193 + 10) \cdot 3 = 2203 \cdot 3 = 6609 \text{ Fußpfund,}$$

also pr. Secunde:

$$L = \frac{n}{60} A = \frac{1}{t} A = \frac{A}{6 + 4} = \frac{6609}{10} = 660,9 \text{ Fußpfund.}$$

Setzt man das gehobene Wasserquantum pr. Spiel:

$$V_1 = \mu V = \mu F s = 0,85 \cdot 0,7854 \cdot 3 = 2 \text{ Cubikfuß,}$$

so erhält man das theoretische Arbeitsquantum pr. Secunde:

$$Q_1 h \gamma = \frac{n}{60} V_1 h \gamma = \frac{1}{10} \cdot 2 \cdot 66 \cdot 36 = 475,2 \text{ Fußpfund,}$$

und es ist folglich der Wirkungsgrad der Pumpe:

$$\eta = \frac{475,2}{660,9} = 0,719.$$

§. 366. Bei den Pumpen mit massiven Kolben ist zu unterscheiden, ob die Kolbenröhre eine stehende, wie Fig. 694 A und B, oder eine hängende, wie Fig. 695 und Fig. 696, ist. Bei der ersteren Einrichtung wird das Wasser während des Kolbenaufganges angesaugt und während des Kolbenniederganges aufgedrückt; bei der zweiten Einrichtung findet das Umgekehrte statt. Sehen wir bei den folgenden Entwicklungen eine Pumpe, Fig. 730, der ersten Arbeit voraus.

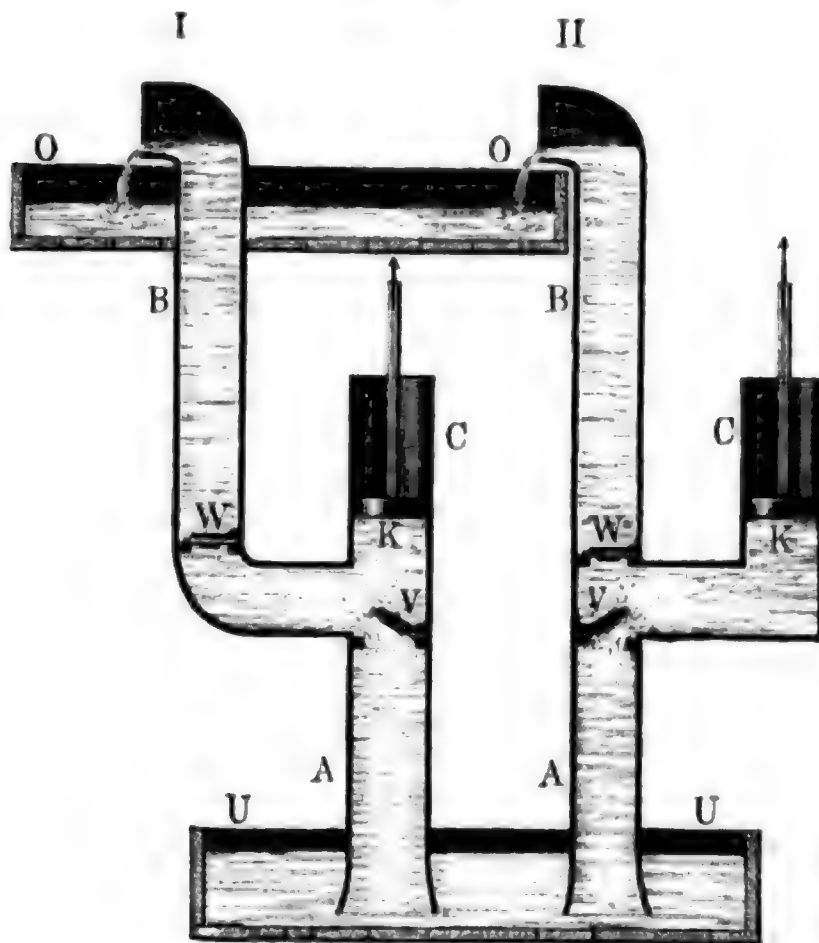
Ist  $h_1$  die mittlere Saughöhe vom Unterwasserspiegel bis mittleren Kolbenstand gemessen, ferner  $d$  der Kolbendurchmesser,  $b$  die Liderungsbreite,  $v_1^2$  das mittlere Quadrat der Kolbengeschwindigkeit und  $\alpha_1$  der Begriff der Widerstandcoefficienten von sämtlichen hydraulischen Hindernissen, und bezeichnet  $F$  den Inhalt des Kolbenquerschnittes, so läßt sich die Kraft zum Aufziehen des Kolbens setzen:

$$P_1 = \left[ \left( 1 + 4 \varphi \frac{b}{d} \right) h_1 + \alpha_1 \frac{v_1^2}{2g} \right] F \gamma.$$

Bezeichnet dagegen  $h_2$  die mittlere Steighöhe, vom mittleren Kolbenstande bis Ausgusspunkt gemessen,  $v_2^2$  das mittlere Quadrat der Geschwindigkeit des niedergehenden Kolbens und  $\alpha_2$  den Inbegriff der Widerstandscoefficien-

Arbeit zur Bewegung der Pumpen.

Fig. 730.



ten von den hydraulischen Hindernissen bei dem Niedergange des Kolbens, so kann man ebenso die Kraft zum Niederdrücken des Kolbens setzen:

$$P_2 = \left[ \left( 1 + 4 \varphi \frac{b}{d} \right) h_2 + \alpha_2 \frac{v_2^2}{2g} \right] F \gamma.$$

Multipliziert man nun jede dieser Kräfte durch den Kolbenhub  $s$ , und vereinigt beide Producte durch Addition, so erhält man die zu einem Kolbenspiel erforderliche mechanische Arbeit:

$$\begin{aligned} A &= P_1 s + P_2 s = \left[ \left( 1 + 4 \varphi \frac{b}{d} \right) (h_1 + h_2) + \alpha_1 \frac{v_1^2}{2g} + \alpha_2 \frac{v_2^2}{2g} \right] F s \gamma \\ &= \left[ \left( 1 + 4 \varphi \frac{b}{d} \right) h + \alpha_1 \frac{v_1^2}{2g} + \alpha_2 \frac{v_2^2}{2g} \right] F s \gamma \\ &= \left[ \left( 1 + 4 \varphi \frac{b}{d} \right) h + \alpha_1 \frac{v_1^2}{2g} + \alpha_2 \frac{v_2^2}{2g} \right] V \gamma, \end{aligned}$$

wobei noch  $h = h_1 + h_2$ , die ganze Förderhöhe und  $V = F s$ , den vom Kolben pro Auf- oder Niedergang durchlaufenen Raum bezeichnet.

Diese Formel stimmt zwar mit der für die Pumpen mit Ventilkolben

Arbeit zur  
Bewegung  
der Pumpen.

gefundenen vollkommen überein, weicht jedoch in sofern von dieser ab, als hier die Coefficienten  $\kappa_1$  und  $\kappa_2$  etwas abweichende Größen ausdrücken.

Bezeichnet auch hier  $l$  die Länge der Kolbenröhre,  $l_1$  die Länge und  $d_1$  die Weite der Saugröhre, ferner  $l_2$  und  $d_2$  die Länge und Weite der Steigröhre, ferner  $\xi_0$  den Widerstandscoefficienten des Wassers beim Eintritt desselben in die Steigröhre, sind  $\xi$ ,  $\xi_1$  und  $\xi_2$  die Coefficienten der Reibung des Wassers in der Kolbenröhre und in den beiden anderen Röhren,  $\xi_m$  und  $\xi_n$  die Widerstandscoefficienten für den Durchgang des Wassers durch die beiden Ventile, und  $\xi_{k_1}$ ,  $\xi_{k_2}$  die den Querschnitts- und Richtungsveränderungen des Communicationsrohres entsprechenden Widerstandscoefficienten, so hat man

$$\kappa_1 = \xi \frac{l}{d} + \left( \xi_0 + \xi_1 \frac{l_1}{d_1} + \xi_m + \xi_{k_1} \right) \left( \frac{d}{d_1} \right)^4,$$

sowie

$$\kappa_2 = \xi \frac{l}{d} + \left( 1 + \xi_2 \frac{l_2}{d_2} + \xi_n + \xi_{k_2} \right) \left( \frac{d}{d_2} \right)^4,$$

zu sehen.

In der Regel kann das Glied  $\xi \frac{l}{d}$  wegen seiner Kleinheit außer Acht bleiben. Was dagegen die Widerstandscoefficienten  $\xi_m \left( \frac{d}{d_1} \right)^4$  und  $\xi_n \left( \frac{d}{d_2} \right)^4$  für den Durchgang durch die Ventile anlangt, so hängen diese von den Querschnitten  $F_m$  und  $F_n$  der Ventilmündungen, von den entsprechenden Contractionscoefficienten  $\alpha_m$  und  $\alpha_n$  und von den Querschnitten  $F_3$  und  $F_4$  der zugehörigen Ventilkammern ab. Bezeichnen dann noch  $v_3$  und  $v_4$  die Geschwindigkeiten des Wassers in diesen Kammern, so hat man die Widerstandshöhen für diese Ventildurchgänge:

$$h_m = \left( \frac{F_3}{\alpha_m F_m} - 1 \right)^2 \frac{v_3^2}{2g} = \left( \frac{F_3}{\alpha_m F_m} - 1 \right)^2 \left( \frac{F}{F_3} \right)^2 \frac{v_1^2}{2g},$$

sowie

$$h_n = \left( \frac{F_4}{\alpha_n F_n} - 1 \right)^2 \frac{v_4^2}{2g} = \left( \frac{F_4}{\alpha_n F_n} - 1 \right)^2 \left( \frac{F}{F_4} \right)^2 \frac{v_2^2}{2g},$$

und daher

$$\xi_m \left( \frac{d}{d_1} \right)^4 = \left( \frac{F_3}{\alpha_m F_m} - 1 \right)^2 \left( \frac{F}{F_3} \right)^2$$

sowie

$$\xi_n \left( \frac{d}{d_1} \right)^4 = \left( \frac{F_4}{\alpha_n F_n} - 1 \right)^2 \left( \frac{F}{F_4} \right)^2$$

zu sehen.



Die mechanische Arbeit, welche die Pumpenbewegung pr. Secunde erfordert, ist wieder: Arbeit zur Bewegung der Pumpen.

$$L = \left[ \left( 1 + 4 \varphi \frac{b}{d} \right) h + \kappa_1 \frac{v_1^2}{2g} + \kappa_2 \frac{v_2^2}{2g} \right] \frac{n F s}{60} \gamma$$

$$= \left[ \left( 1 + 4 \varphi \frac{b}{d} \right) h + \kappa_1 \frac{v_1^2}{2g} + \kappa_2 \frac{v_2^2}{2g} \right] Q \gamma.$$

Bei der Pumpe mit hängendem Cylinder ist die Kraft zum Aufziehen des Kolbens gleich der oben bestimmten Kraft zum Niederschieben desselben, und ebenso, die Kraft zum Zurückgehen des Kolbens gleich der oben ermittelten Kraft zum Aufziehen; folglich gilt die gefundene Leistungsformel auch für diese zweite Art von Pumpen.

Ebenso ist bei den doppelwirkenden und den zweistiefeligen einfachwirkenden Pumpen, wie Fig. 697 und Fig. 698, die Bestimmung der Kraft und Leistung nach den gefundenen Formeln zu vollziehen; nur hat man hier für  $Q = \frac{2 n F s}{60} = F v$ , und folglich auch für  $L$  den doppelten Werth.

Beispiel. Eine einfachwirkende Saug- und Druckpumpe soll pr. Minute bei einem Kolbenhub  $s = 30$  Zoll, 10 Cubikfuß Wasser 60 Fuß hoch heben, welche Dimensionen sind dieser Pumpe zu geben und welchen Kraftaufwand wird dieselbe erfahren? Bei einer mittleren Kolbengeschwindigkeit  $v = \frac{2}{3}$  Fuß  $= 8$  Zoll ist die Anzahl der Kolbensviele  $n = \frac{60 v}{2 s} = \frac{60 \cdot 8}{2 \cdot 30} = 8$ , und der erforderliche Kolbenquerschnitt, da das effective Hubwasserquantum pr. Secunde  $Q_1 = \frac{10}{60} = \frac{1}{6}$  Cubikfuß, und die theoretische Wassermenge

$$Q = \frac{Q_1}{0,85} = \frac{1}{5,1} = 0,1961 \text{ Cubikfuß beträgt:}$$

$$F = \frac{2 Q}{v} = \frac{2 \cdot 0,1961}{\frac{2}{3}} = 0,5883 \text{ Quadratfuß} = 84,7 \text{ Quadratzoll,}$$

woraus sich der erforderliche Kolbendurchmesser

$$d = \sqrt{\frac{4 F}{\pi}} = 10,385 \text{ Zoll}$$

ergiebt, wofür aber  $10\frac{1}{2}$  Zoll gesetzt werden mag.

Der Durchmesser der Saug-, Steig- und Communicationröhren läßt sich hiernach  $= d_1 = d_2 = 5$  Zoll, wegen der der Ventilkammern,  $d_3 = 8$  Zoll setzen. Die Länge der Saugröhre  $l_1 = 24$  und die Länge der Steigröhre  $l_2 = 36$  Fuß gesetzt, und  $4 \varphi \frac{b}{d} = 4 \cdot \frac{1}{3} \cdot \frac{1}{10} = \frac{2}{15}$  angenommen, folgt die Kraft zum Aufziehen des Kolbens, bei Vernachlässigung der hydraulischen Nebenhindernisse:

$$P_1 = \left( 1 + 4 \varphi \frac{b}{d} \right) F h \gamma = \left( 1 + \frac{2}{15} \right) \cdot 0,5883 \cdot 24 \cdot 66$$

$$= \frac{17}{6} \cdot 8 \cdot 38,83 = 1056 \text{ Pfund,}$$

und die zum Niederdrücken desselben, unter der nämlichen Voraussetzung:



Arbeit zur  
Bewegung  
der Pumpen.

$$P_2 = \left(1 + 4\varphi \frac{b}{d}\right) F h_2 \gamma = \frac{h_2}{h_1} P_1 = \frac{36}{24} \cdot P_1 = 1,5 \cdot 1056 = 1584 \text{ Pfund.}$$

Da sich das Wasser in den Pumpenröhren mit der Geschwindigkeit

$$\left(\frac{d}{d_1}\right)^2 v = \left(\frac{d}{d_2}\right)^2 v = \left(\frac{10,5}{5}\right)^2 v = (2,1)^2 v = 4,41 \cdot \frac{2}{3} = 2,94 \text{ Fuß}$$

bewegt, so ist der entsprechende Widerstandscoefficient  $\zeta_1 = \zeta_2 = 0,0245$ , und es ist hiernach die Widerstandshöhe der Reibung in der 24 Fuß langen Saugröhre:

$$\zeta \frac{l_1}{d_1} \left(\frac{d}{d_1}\right)^4 \frac{v^2}{2g} = 0,0245 \cdot \frac{24 \cdot 12}{5} \cdot 0,016 \cdot (2,94)^2 \\ = 0,0049 \cdot 4,608 \cdot 8,644 = 0,195 \text{ Fuß,}$$

ferner die in der 36 Fuß langen Steigröhre:

$$= \frac{36}{24} \cdot 0,195 = \frac{3}{2} \cdot 0,195 = 0,293 \text{ Fuß.}$$

Ist ferner der Durchmesser von beiden Ventilmündungen  $d_m = d_n = 5$  Zoll, und der Contractionscoefficient für beide Ventildurchgänge  $\alpha_m = \alpha_n = 0,6$ , so hat man die Widerstandshöhen für diese Durchgänge:

$$h_m = h_n = \left(\frac{F_3}{\alpha_m F_m} - 1\right)^2 \left(\frac{F}{F_3}\right)^2 \frac{v^2}{2g} = \left[\frac{1}{\alpha_m} \left(\frac{d_3}{d_m}\right)^2 - 1\right]^2 \left(\frac{d}{d_3}\right)^4 \frac{v^2}{2g} \\ = \left[\frac{1}{0,6} \left(\frac{8}{5}\right)^2 - 1\right]^2 \left(\frac{10,5}{8}\right)^2 \frac{v^2}{2g} = 3,266^2 \cdot 1,3125^2 \cdot 0,016 \cdot \frac{4}{9} = 0,131.$$

Setzt man nun noch den Widerstandscoefficienten für den Eintritt in das Saugrohr,  $\zeta_0 = 0,25$  und den Widerstandscoefficienten für den Durchgang des Wassers durch die von der Steigröhre nach dem Pumpencylinder und von diesem nach der Steigröhre führende Communicationröhre,  $\zeta_{11} = \zeta_{12} = 1,5$ , und folglich die entsprechenden Widerstandshöhen

$$\zeta_0 \left(\frac{d}{d_1}\right)^2 \frac{v^2}{2g} = 0,25 \cdot 0,016 \cdot 8,644 = 0,035,$$

$$\text{und } \zeta_{11} \left(\frac{d}{d_1}\right)^4 \frac{v^2}{2g} = \zeta_{12} \left(\frac{d}{d_2}\right)^4 \frac{v^2}{2g} = 1,5 \cdot 0,016 \cdot 8,644 = 0,207,$$

so sind hiernach nun die vollständigen hydraulischen Widerstandshöhen:

$$x_1 \frac{v_1^2}{2g} = \left(\zeta_0 + \zeta_1 \frac{l_1}{d_1} + \zeta_m + \zeta_{11}\right) \left(\frac{d}{d_1}\right)^4 \frac{v^2}{2g} \\ = 0,035 + 0,195 + 0,131 + 0,207 = 0,568 \text{ Fuß,}$$

$$\text{und } x_2 \frac{v_2^2}{2g} = \left(1 + \zeta_2 \frac{l_2}{d_2} + \zeta_n + \zeta_{12}\right) \left(\frac{d}{d_2}\right)^4 \frac{v^2}{2g} \\ = 0,139 + 0,293 + 0,131 + 0,207 = 0,770 \text{ Fuß.}$$

Wäre die Kolbengeschwindigkeit dreimal so groß, also 2 Fuß, so würden sich diese Widerstandshöhen auf das  $3^2 = 9$ fache steigern; hätten überdies noch die Saug- und Steigröhren sowie die Ventilmündungen u. s. w. nur drei Viertel der vorausgesetzten Weite, so würden dieselben sogar

$$9 \cdot \left(\frac{4}{3}\right)^4 = \frac{256}{9} \text{ mal so groß,}$$

$$\text{also } x_1 \frac{v_1^2}{2g} = 0,568 \cdot \frac{256}{9} = 16,16 \text{ Fuß und}$$

$$x_2 \frac{v_2^2}{2g} = 0,770 \cdot \frac{256}{9} = 21,90 \text{ Fuß ausfallen.}$$

Wenn man statt dem Quadrate der mittleren Geschwindigkeit das mittlere Geschwindigkeitsquadrat einführt, erhält man

$$x_1 \cdot \frac{v_1^2}{2g} = 1,645 \cdot 0,568 = 0,935 \text{ Fuß und } x_2 \cdot \frac{v_2^2}{2g} = 1,645 \cdot 0,770 = 1,267 \text{ Fuß.}$$

Die Kraft zum Aufziehen des Kolbens ist unter der ersten Voraussetzung: Arbeit zur Bewegung der Pumpen.

$$P_1 = \left[ \left( 1 + 4 \varphi \frac{b}{d} \right) h_1 + \alpha_1 \frac{v_1^2}{2g} \right] F \gamma = 1056 + 0,935 \cdot 0,5883 \cdot 66 \\ = 1056 + 36 = 1092 \text{ Pfund,}$$

und dagegen die zum Niederdrücken desselben:

$$P_2 = \left[ \left( 1 + 4 \varphi \frac{b}{d} \right) h_2 + \alpha_2 \frac{v_2^2}{2g} \right] F \gamma = 1584 + 1,267 \cdot 0,5883 \cdot 66 \\ = 1584 + 49 = 1633 \text{ Pfund.}$$

Hiernach folgt nun die erforderliche mechanische Arbeit pr. Kolbenspiel:

$$A = (P_1 + P_2) s = (1092 + 1633) \cdot \frac{5}{2} = 6812 \text{ Fußpfund,}$$

und daher der Arbeitsaufwand pr. Secunde:

$$L = \frac{n}{60} A = \frac{8}{60} \cdot 6812 = 908 \text{ Fußpfund.}$$

Die theoretische Leistung ist:

$$Q_1 h \gamma = \frac{1}{6} \cdot 60 \cdot 66 = 660 \text{ Fußpfund,}$$

folglich der Wirkungsgrad der Pumpe:

$$\eta = \frac{660}{908} = 0,727.$$

Unter der zweiten Voraussetzung bei der dreifachen Kolbengeschwindigkeit u. s. w. wäre:

$$L = \frac{8}{60} \cdot \frac{5}{2} [1056 + 1584 + (16,16 + 21,90) \cdot 1,645 \cdot 0,5883 \cdot 66] \\ = \frac{1}{3} (2640 + 62,75 \cdot 38,83) = \frac{1}{3} (2640 + 2416) = 1685 \text{ Fußpfund,}$$

und folglich der Wirkungsgrad:

$$\eta = \frac{660}{1685} = 0,392.$$

§. 367. Die Verbindung einer oder mehrerer Pumpen mit der Umtriebs- Handpumpen. maschine bildet ein sogenanntes Pumpenwerk oder eine Wasserkunst (franz. pomperie; engl. pump-work). Es gehören auch hierher die sogenannten Kunstgezeuge, durch welche das Wasser aus den Gruben emporgehoben wird. Die einfachen und kleineren Pumpen werden gewöhnlich durch Menschenhände in Bewegung gesetzt, und deshalb schlechtweg Handpumpen (franz. pompes à main; engl. hand-pumps) genannt. Diese sind je nach der Art und Weise des Angriffs, Krücken- oder Hebelpumpen. Bei der Krüdenpumpe ist das Ende der Kolbenstange mit einem Querarm ausgerüstet, welcher von den Händen des Arbeiters ergriffen wird. Die Anwendung dieser Pumpe ist deshalb sehr eingeschränkt, weil die Pumpenlast die direct wirkende Menschenkraft von höchstens 20 Pfund nicht überschreiten darf. Anders ist es bei der Hebelpumpe, wo der Kraftarm drei bis sechs Mal so lang gemacht wird als der Lastarm, und folglich die Pumpenlast drei bis sechs Mal so groß ausfallen kann als die Kraft des Menschen, und ohnedies mehrere Arbeiter zugleich arbeiten können. Bezeichnet  $s$  den Weg des Angriffspunktes der Kraft,  $a$  den Hebelarm der Kraft und  $b$  den der Last, so ist der entsprechende Kolbenhub:

$$s_1 = \frac{b}{a} s,$$



weilen versteht man den Pumpenhebel auch noch mit einem Gegengewichte (s. Bd. III., §. 172), durch welches die Kraft zum Rückgange des Hebels bis auf Null oder jede beliebig kleine Größe herabgezogen werden kann.

Die Einrichtung einer doppeltwirkenden Krückenpumpe ist aus der Abbildung in Fig. 731 zu ersehen. Es ist hier *HH* die am Ende der Kolbenstange sitzende Krücke oder Handhabe, womit der Kolben *K* auf- und niederbewegt wird. Die übrige Einrichtung läßt sich als bekannt voraussetzen.

Eine einfache Saug- und Hebepumpe mit Hebelbewegung (Drückelpumpe) ist in Fig. 732 abgebildet. Die Bewegung des Pumpenkolbens *E* erfolgt hier mittels eines um die Ase *B* drehbaren Winkelhebels *ABC*. Derselbe hat eine Handhabe *A* und ist mittels einer gegabelten Hebelstange *CD* an den Kopf *D* der Kolbenstange *DE* angeschlossen, welche sich mittels eines cylindrischen Verlängerungsstückes in einer festen Führung bewegt. Das durch die Saugröhre *H* angesaugte Wasser fließt beim Niedergange des Kolbens durch das Loch des Kolbens *E* hindurch, und kommt bei geöffnetem Hahne durch die Seitenröhre *K*, bei abgeschlossenem Hahne hingegen, durch das Steigrohr *L* zum Ausguß. Um das Wasser während des Stillstandes der Pumpe in der Steigröhre zu erhalten, ist außer dem Kolbenventil noch ein besonderes Steigventil *G* angebracht.

§. 368. Die Handpumpen finden ihre vorzüglichste Anwendung bei Feuerspritzen. den Feuerspritzen (franz. pompes à incendie; engl. fire-engines). Die Feuerspritzen sind im Wesentlichen transportable Pumpen, welche das Wasser nicht in Röhren, sondern in springenden Strahlen emportreiben. Da die gewöhnlichen Pumpen keinen gleichförmigen Ausguß gewähren, so erfordern die Feuerspritzen zur Erzeugung eines stetigen Strahles noch einen Windkessel, d. i. ein Luftreservoir, in welches das Wasser mittels der Pumpenkolben zunächst eingepreßt wird, bevor es in das Gußrohr tritt und zur Ausmündung gelangt. Je nach der Größe sind die Feuerspritzen entweder Tragspritzen oder Fahrspritzen, und letztere wieder entweder Schlitten- oder Wagenspritzen. Zuweilen werden auch feststehende, durch die Wasser- oder Dampfkraft in Bewegung gesetzte Pumpenwerke als Feuerlöschspritzen verwendet.

Im Wesentlichen besteht eine Feuerspritze aus einem oder zwei Pumpencylindern von Messing oder Bronze sammt einem Saug- und einem Druckventil, aus dem Windkessel und dem von den ersteren nach dem letzteren führenden einfachen oder doppelten Gurgelrohre, ferner aus dem Saug- oder Zuleitungsrohre, aus dem Gußrohre nebst dem Schlauch und Mundstück; sowie aus dem Hebelwerke sammt den

Feuerspritzen. Kolben und Kolbenstangen, und endlich aus dem Wasserkasten, welcher zugleich zur Aufnahme des ganzen Pumpenwerks dient. Das Wasser wird der Feuerspritze entweder in Eimern zugetragen oder durch das Saugrohr zugeführt, oder durch eine besondere Pumpe, den sogenannten Zubringer, zugebracht.

Die allgemeine Einrichtung einer zweistiefeligen Feuerspritze ist aus den Abbildungen Fig. 733, 734 und 735 zu ersehen. Diese Spritze ist zwar

Fig. 733.

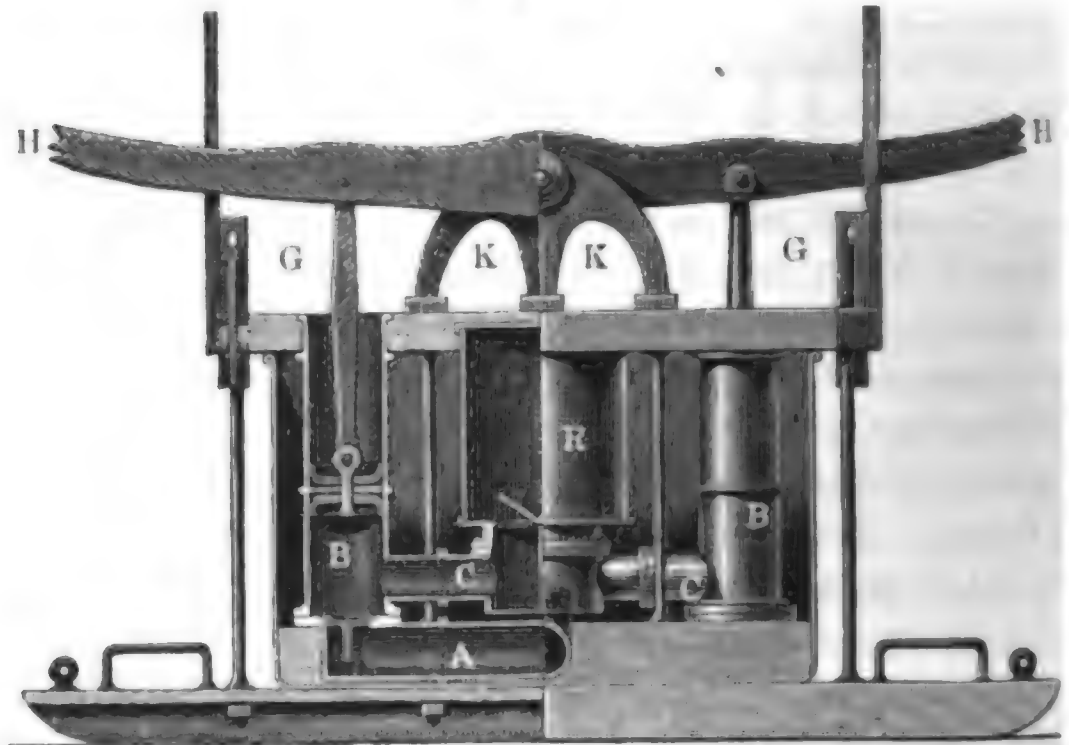
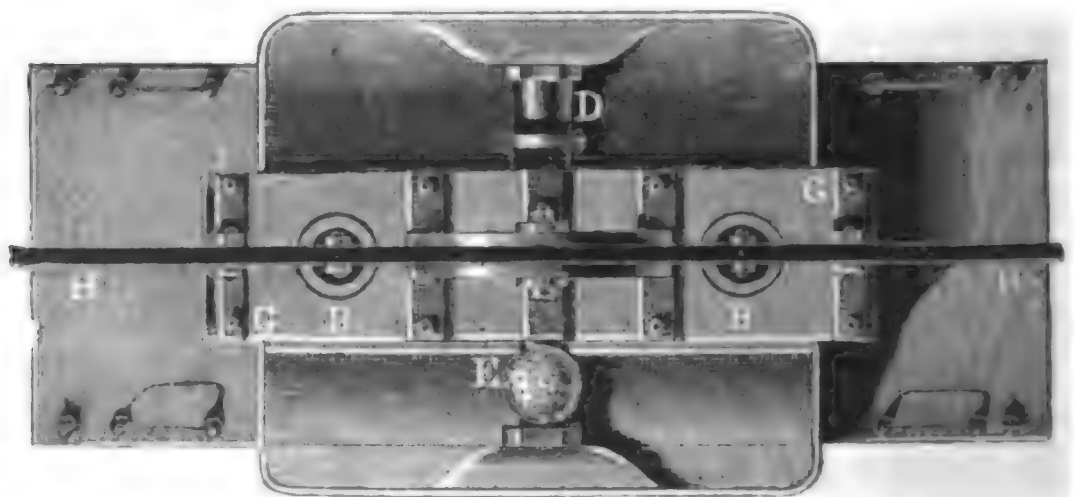


Fig. 734.



eine sogenannte Schlittenspritze, wird jedoch gewöhnlich auf einem Karren oder Wagen transportirt. Fig. 733 zeigt zur Hälfte den Längendurchschnitt und zur Hälfte die Längensicht der Spritze, Fig. 734 stellt dieselbe im Grundriß dar und Fig. 735 führt den Querschnitt derselben mitten durch den Windkessel vor Augen. Man sieht in A das Saugrohr, in B, B die beiden Pumpencylinder, in C, C die Gurgelröhren, in R den Windkessel.





THEY WERE BORN IN THE TOWN OF BOWEN, IN THE COUNTY OF BOWEN, IN THE YEAR 1800. THEY WERE BORN IN THE TOWN OF BOWEN, IN THE COUNTY OF BOWEN, IN THE YEAR 1800.



THEY WERE BORN IN THE TOWN OF BOWEN, IN THE COUNTY OF BOWEN, IN THE YEAR 1800. THEY WERE BORN IN THE TOWN OF BOWEN, IN THE COUNTY OF BOWEN, IN THE YEAR 1800.



THEY WERE BORN IN THE TOWN OF BOWEN, IN THE COUNTY OF BOWEN, IN THE YEAR 1800. THEY WERE BORN IN THE TOWN OF BOWEN, IN THE COUNTY OF BOWEN, IN THE YEAR 1800.

THEY WERE BORN IN THE TOWN OF BOWEN, IN THE COUNTY OF BOWEN, IN THE YEAR 1800. THEY WERE BORN IN THE TOWN OF BOWEN, IN THE COUNTY OF BOWEN, IN THE YEAR 1800.

Fig. 102



welche den Durchschnitt des hinteren Theils einer solchen Spritze darstellt. Zuerstfertig.  
 Das aus dem Wasserlasten *W* von oben in den Cylinder *C* tretende Wasser drückt beim Aufgang des Kolbens den Lederstulp vom trichterförmigen Pumpenkörper *K* ab, und fließt hierbei durch die Löcher in demselben hindurch; beim Niedergange des Kolbens drückt dagegen das unter demselben befindliche Wasser den Lederstulp gegen den Blechconus an, hebt das Steigventil *V* und tritt in den Windkessel *R*. Noch führt *ABC* die eine Hälfte des um *C* drehbaren und in *A* den Druckbaum erfassenden Druckhebels vor Augen.

Eine andere abweichende Spritzenconstruction besteht in der Anwendung einer sogenannten Priesterpumpe *ABA*, Fig. 739. Hier ist der Kolben

Fig. 739.

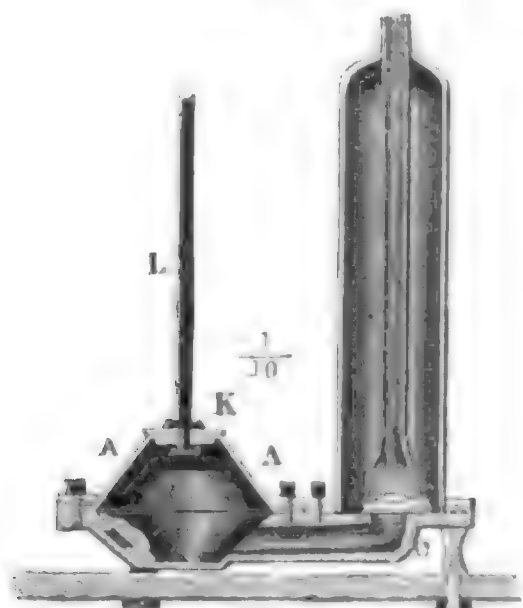


Fig. 740.



durch einen Lederkegel *AA* ersetzt, welcher unten mittels eines Ringes auf den Pumpenkörper auf- und oben an das Ende *K* der Kolbenstange *KL* angeschraubt ist. Die übrige Einrichtung ist ohne weitere Erklärung aus der Figur zu ersehen. Beim Niederdrücken des Kolbens *AA*, Fig. 740, bis auf den Boden *BB* der Pumpe wird der ganze aus zwei abgekürzten Kegeln *AADD* und *DDBB* bestehende Pumpenraum ausgeleert; bezeichnen  $r_1$  und  $r_2$  die Halbmesser der Grundflächen *AA* und *DD* und ist  $h$  die Höhe  $CK = EK$  eines solchen Kegels, also der Kolbenhub  $s = 2h$ , so hat man folglich das theoretische Wasserquantum, welches eine solche Pumpe pr. Spiel liefert:

$$V = \frac{2}{3} \pi h (r_1^2 + r_1 r_2 + r_2^2).$$

In der Regel ist jedoch der Kolbenweg  $s$  kleiner, z. B. nur  $= CK = h$ , wo dieses Volumen *AAOONN*:

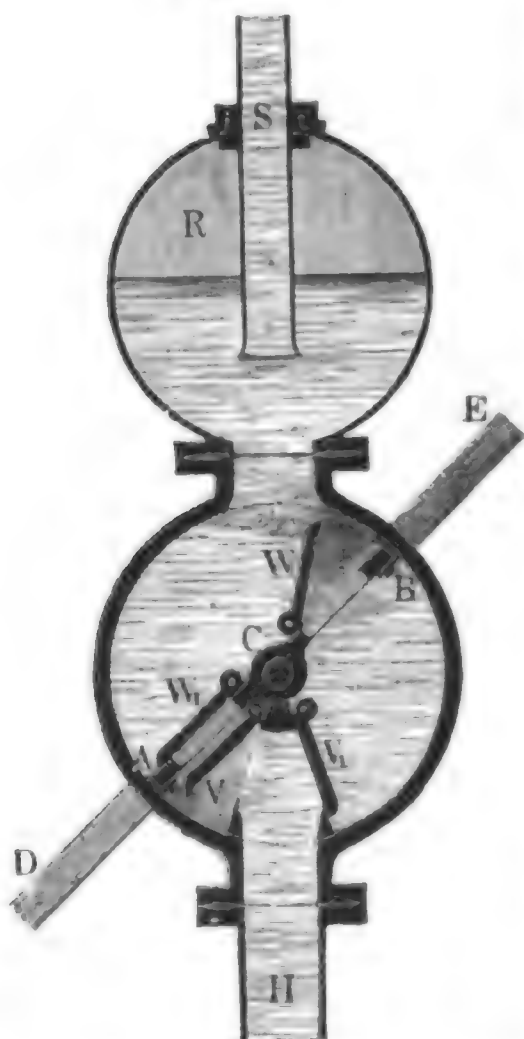
$$\begin{aligned} V &= \frac{1}{3} \pi h \left[ r_1^2 + r_1 \left( \frac{r_1 + r_2}{2} \right) + \left( \frac{r_1 + r_2}{2} \right)^2 \right] \\ &= \frac{\pi h}{6} \left( \frac{7}{2} r_1^2 + 2 r_1 r_2 + \frac{r_2^2}{2} \right) \text{ ausfällt.} \end{aligned}$$

Feuersprizen.

Man hat auch bei den Feuersprizen die Pumpencylinder horizontal gelegt, namentlich sind mehrfache Zubringer auf diese Weise ausgeführt worden. Zu diesen Feuersprizen mit liegenden Cylindern gehören namentlich die Feuersprizen von Etter, von Kronauer u. s. w. (s. Kronauer's Zeitschrift für Technologie, Bd. I.).

Endlich hat man auch die sogenannten Rotationspumpen bei den Feuer-

Fig. 741.

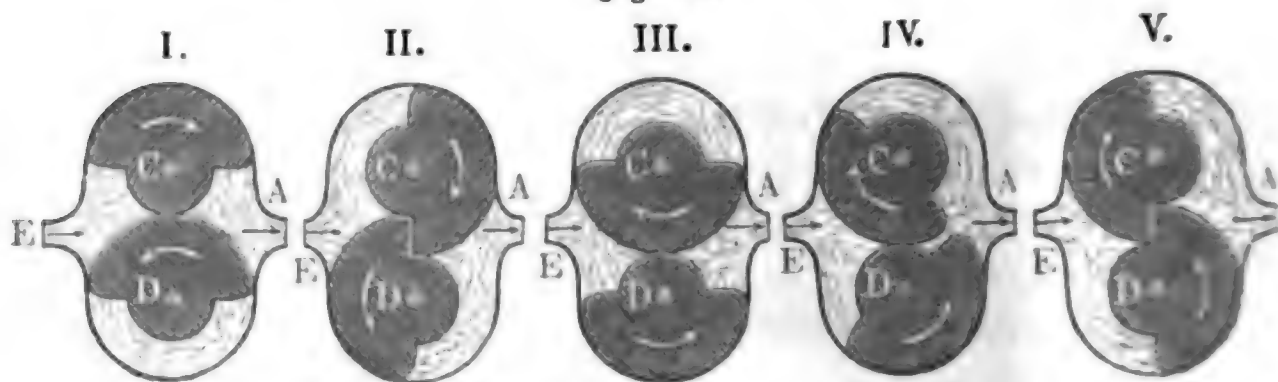


sprizen in Anwendung gebracht. Es gehören hierher die Bramahpumpen, sowie die Hale'schen und Repsold'schen Pumpen. Bei den Bramahpumpen schwingt der Kolben in einem cylindrischen Gehäuse um eine Ase, welche mit der geometrischen Ase dieses Gehäuses zusammenfällt. Die wesentliche Einrichtung einer solchen Bramahsprize ist aus dem in Fig. 741 abgebildeten Durchschnitt zu ersehen. Der Kolben AB wird durch den Schwenkel oder Druckhebel DE um die Ase C in einem Bogen von circa 90 Grad auf- und niederbewegt, wobei sich abwechselnd eins der beiden Saugventile V und V<sub>1</sub> und eins der Kolbenventile W und W<sub>1</sub> eröffnet. Es wird in Folge dessen bei jedem Kolbenschwunge Wasser durch die Saugröhre H angesaugt

und in den Windkessel R gedrückt, von wo aus es das Gussrohr S in einem stetigen Strome weiterführt. Der Hale'schen und der Repsold'schen Rotationspumpen ist schon S. 344 gedacht worden.

Die allgemeine Einrichtung und Wirkungsweise der letzteren Pumpe ist aus den fünf Abbildungen in Fig. 742 zu ersehen.

Fig. 742.



Auf den Wellen *C* und *D* sitzen zwei Räder mit theils geradlinig, theils epicycloidisch geformten Stufen (s. S. 60), sowie zwei in einander eingreifende Zahnräder, wodurch die mittels einer Kurbel bewirkte Umdrehung der einen Welle in entgegengesetzter Richtung auf die andere Welle übertragen wird. Während dieser Umdrehung bleiben die in einem Gehäuse eingeschlossenen Stufenräder in steter Berührung, saugen durch das Seitenrohr *E* Wasser ein und drücken es in das an *A* anschließende Steigrohr.

§. 370. Die den Feuerspritzen eigenthümlichen Theile sind vorzüglich die Zu- und Ableitungsröhren und Schläuche, nebst den Mundstücken, ferner der Windkessel, die Druckhebel und die Behälter oder Fortschaffungsmittel. Ueber diese Theile ist noch Folgendes mitzutheilen. Die Saugröhren sind 2

Fig. 743.

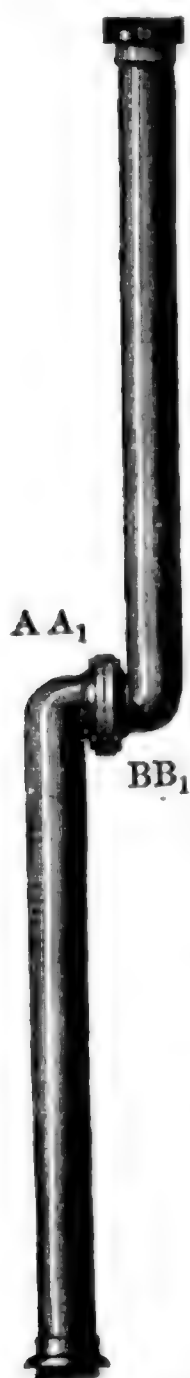
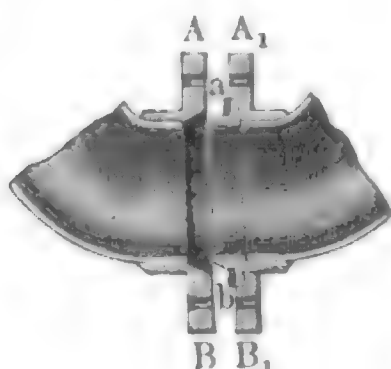


Fig. 744.



bis 3 Zoll weit und bestehen entweder aus Leder oder aus vulcanisirtem Kautschuk oder aus Kupfer. Die ledernen Saugröhren oder Schläuche werden entweder zusammengenäht oder zusammengenietet und, damit sie dem äußern Luftdruck widerstehen können, innen mit einer Spirale von 2 Linien dickem Draht oder

in Abständen von  $\frac{1}{4}$  bis  $\frac{1}{2}$  Zoll, mit 1 bis 2 Zoll breiten Kupferringen bekleidet. Kupferne Saugröhren erhalten in der Mitte ein Gelenk wie *AB B1 A1*, Fig. 743 und 744, welches im Inneren mit einem Lederring *ab* abgedichtet ist und dazu dient, die Richtung des Wasserstromes nach Bedürfniß abzuändern. Die Einmündung des nach Befinden aus mehreren solchen Schläuchen zusammengeschraubten Zuleitungsröhres ist mit einem durchlöcherten Saugkopf zu versehen.

Der Windkessel ist entweder aus Messingguß oder aus Kupfer- oder Messingblech und erhält in der Regel die Form eines aufrecht stehenden Cylinders mit segmentförmigen Endflächen. Sein Fassungsraum soll mindestens das Achtefache eines Pumpencylinders sein, und seine Wandstärke ist wie die der ihm sehr ähnlichen Dampfkessel zu berechnen (s. Bd. II., §. 378). Die Gurgelröhren, deren Weite die Hälfte der Stiefelweite ist, münden am Boden des Windkessels aus, das Standrohr mündet entweder nahe über dem Boden in den Windkessel oder man führt es von oben durch den Deckel in denselben ein. Zunächst über dem Wasserkasten schließt man mittels eines

Anschließen.

Gelenkes *A A*, Fig. 745, eine Kropfröhre an das Standrohr an, an welches dann nach Befinden der nöthige Schlauch mit der Gusröhre angeschraubt wird. Bei größeren Sprizen setzt man statt derselben ein sogenanntes Wenderohr unmittelbar auf die Deckplatte des Windkessels. Ein solches Wenderohr enthält mehrere Gelenke, wie *A, B, C*, Fig. 746, sowie auch zwei Kröpfe *D* und *E*, eine Seitenröhre *F* und ein paar Hähne *G* und *H*. Ein zweckmäßiges Rohrgelenk ist in Fig. 747 abgebildet. Der gespalten

Fig. 745.

Fig. 746.

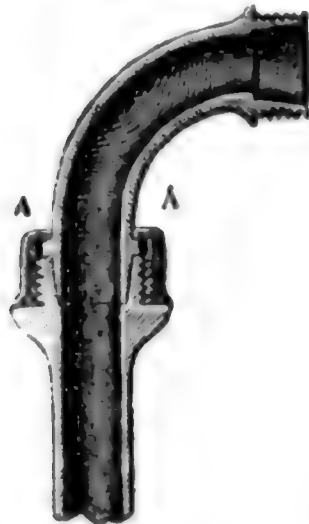
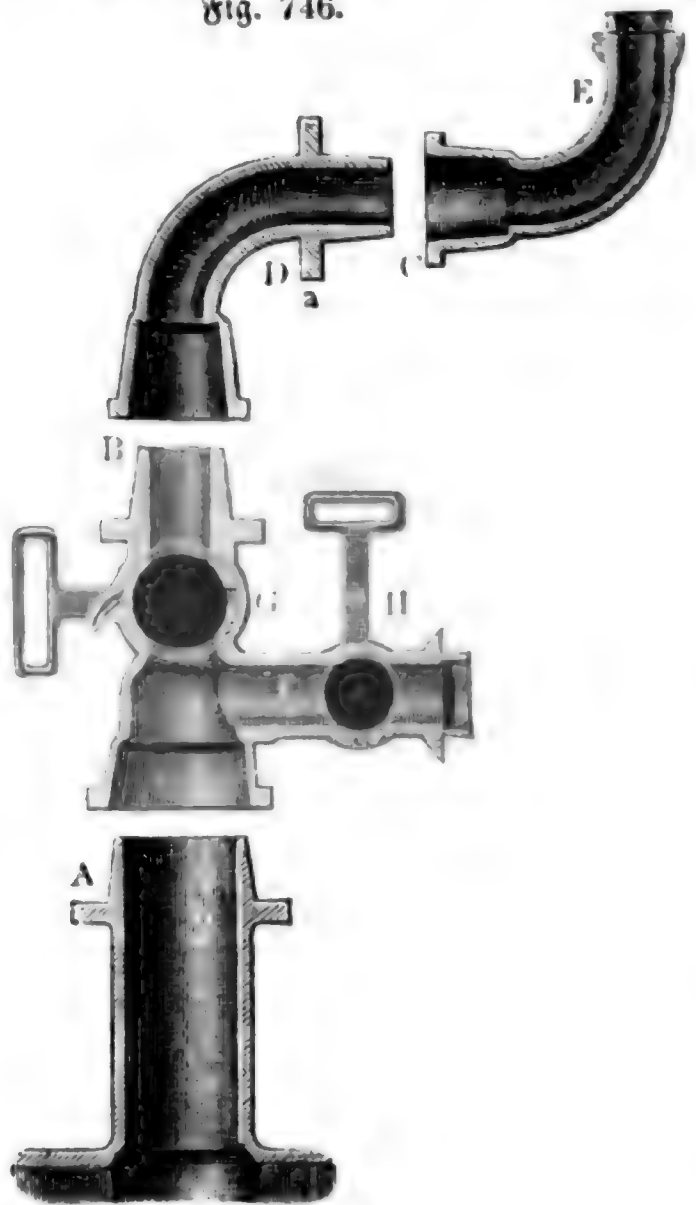
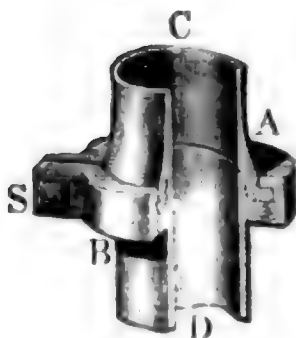


Fig. 747.



Ring *AB*, welcher die Rohrenden *C* und *D* mit einander verbindet, ist an der Flantsche des einen Rohrendes angeschraubt, ergreift die Flantsche am anderen Rohrende und wird nach vollbrachter Drehung, mittels einer Pressschraube *S* fest aufgedrückt.

Die Sprizenschläuche, welche das Wasser von der Spritze aus nach entfernteren Punkten führen, sind entweder lederne oder leinene. Dieselben haben eine Weite von 1 bis 2 Zoll, und bestehen aus Stücken von 20 bis 30 Fuß Länge. Während die ledernen Schläuche entweder mittels des sogenannten Schusterdrahtes zusammengenäht oder durch kupferne Nietbolzen von circa  $\frac{1}{2}$  Linie Dicke zusammengenietet werden, sind die leinenen



Schläuche gleich rund gewoben. Damit die Schläuche nicht hart und steif werden, sind sie im feuchten Zustande von Zeit zu Zeit einzuschmieren. Die Art und Weise, wie die Schläuche durch Schrauben verbunden werden, ist aus den Abbildungen in Fig. 748 und 749 zu ersehen. Es läuft sowohl die Mutter *A*, Fig. 748, wie die Schraube *B B*, Fig. 749, in eine kurze cylindrische Messingröhre *C* aus, über welche das Schlauchende *D D* weggezogen und worauf es durch eine umwickelte Schnur befestigt wird.

Die Guföhre, durch welche der Ausfluß erfolgt, hat, um sie bequem

Fig. 748.

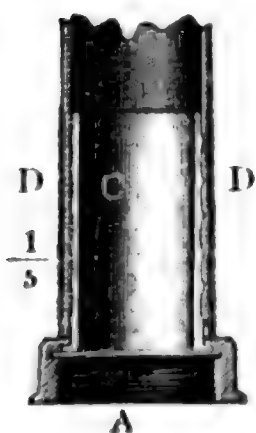
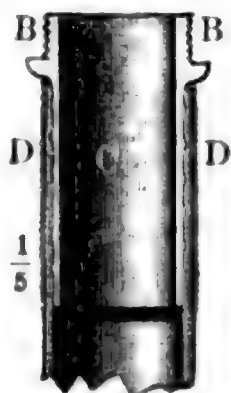


Fig. 749.



und leicht richten zu können, eine innere Weite von nur 1 bis  $1\frac{1}{2}$  Zoll und eine Länge von mindestens 12 Zoll; sie hat an einem Ende eine Schraubennutter zum Anschluß an das Standrohr oder an das Schlauchende, und am andern Ende ein Schraubengewinde, um das Mundstück anschrauben zu können. Das Mundstück ist eine messingene konische Röhre *A B*, Fig. 750, von 6 bis 8 Zoll Länge, welche bei ihrer

Einmündung die Weite von 1 bis  $1\frac{1}{2}$  Zoll des Gufrohres und bei der

Fig. 750.



Ausmündung die von  $\frac{1}{3}$  bis  $\frac{2}{3}$  Zoll hat. Man giebt mit Vortheil diesem Mundstücke eine Seitenconvergenz *B C B* von 5 Grad. Der Widerstandscoefficient eines solchen Mundstückes ist bei mehrfachen Versuchen von dem Verfasser nicht größer als 0,03 gefunden worden; es wird also durch die Reibung des Wassers an der innern Wand dieses Mundstückes die Steighöhe des Strahles nur um 3 Proc. vermindert.

Der Druckhebel, wodurch die Kolben größerer Feuerspritzen in Bewegung gesetzt werden, besteht bei größeren Spritzen aus zwei durch Querstangen zu einem Ganzen verbundenen Hebeln. Dieselben umschließen das Wenderohr und das Standbrett für den Rohrführer zu beiden Seiten. Die Enden dieser Hebel laufen in Hülfsen aus, in welche die hölzernen Druckbäume zu liegen kommen. Ein Druckbaum ist 2 bis  $2\frac{3}{4}$  Zoll dick, höchstens 10 Fuß lang, und gestattet die Anstellung von höchstens 10 Mann. Uebrigens sind die Druckhebel so lang zu machen und so nach unten zu krümmen, daß das Wagengestell den Spritzenleuten bei der Arbeit nicht hinderlich ist.



**Figure 1.** The Boeing and Lockheed Martin Stealth Bombers. The Stealth Bomber is the most advanced bomber in the world. It is the only bomber that can fly undetected by radar and is the only bomber that can fly at supersonic speeds.

FIGURE 1



The B-2 Spirit is the only bomber in the world that can fly undetected by radar. It is the only bomber that can fly at supersonic speeds. It is the only bomber that can fly at Mach 2.0.

**Figure 2.** The B-2 Spirit is the only bomber in the world that can fly undetected by radar. It is the only bomber that can fly at supersonic speeds. It is the only bomber that can fly at Mach 2.0. The B-2 Spirit is the only bomber in the world that can fly undetected by radar. It is the only bomber that can fly at supersonic speeds. It is the only bomber that can fly at Mach 2.0.

The B-2 Spirit is the only bomber in the world that can fly undetected by radar. It is the only bomber that can fly at supersonic speeds. It is the only bomber that can fly at Mach 2.0. The B-2 Spirit is the only bomber in the world that can fly undetected by radar. It is the only bomber that can fly at supersonic speeds. It is the only bomber that can fly at Mach 2.0.

sowie

$$w = \sqrt{\frac{1}{3} 2 g z} = 1,155 \sqrt{2 g z} = 9,13 \sqrt{z} \text{ Fuß.}$$

Berechnung  
der  
Hebersprizen.

Die Erzeugung dieser Geschwindigkeit fordert die Druckhöhe

$$h = \frac{w^2}{2g} = \frac{1}{3} \cdot z$$

und folglich die theoretische Kraft, wenn  $F_0$  den Inhalt der Kolbenfläche bezeichnet:

$$P = F_0 h \gamma = \frac{1}{3} F_0 z \gamma.$$

Ist  $K$  die Kraft eines Arbeiters am Spritzenhebel,  $n$  die Anzahl der angestellten Spritzenleute,  $a$  der Hebelarm der Kraft und  $b$  der der Last oder eines Pumpenkolbens, so hat man  $n K a = P b$ , und folglich auch

$$n K = \frac{1}{3} \frac{b}{a} F_0 z \gamma,$$

wonach sich dann der Kolbenquerschnitt

$$F_0 = \frac{3}{4} \frac{a}{b} \cdot \frac{n K}{z \gamma}$$

bestimmt.

Wir haben in Bd. II., §. 123, bei dem Arbeiten der Menschen am Hebel die Kraft eines Arbeiters nur 10,7 Pfund und eine Geschwindigkeit von 3,5 Fuß angenommen, und dabei vorausgesetzt, daß der Arbeiter täglich 8 Stunden arbeite. Da aber bei den Spritzenleuten die Arbeitszeit eine viel kleinere ist, so können wir die Leistung derselben pr. Secunde viel größer und zwar erfahrungsmäßig dreimal so groß, d. i.  $3 \cdot 10,7 \cdot 3,5 = 112$  Fußpfund annehmen. Setzen wir eine Geschwindigkeit des Kraftpunktes von 5 Fuß voraus, so ist folglich die entsprechende Kraft eines

Arbeiters  $K = \frac{112}{5} = 22\frac{1}{2}$  Pfund; da die Arbeiter nur beim Niederdrücken des Hebels wirken, so ist hierbei die effective Kraft  $= 2 K = 45$  Pfd.,

dafür aber die Anzahl der arbeitenden Spritzenleute nur  $= \frac{n}{2}$  anzunehmen.

Die gefundene Formel gilt nur für eine gewöhnliche zweistiefelige Spritze mit einfacher und für eine einstiefelige Spritze mit doppelter Wirkung; bei einer einstiefeligen einfachwirkenden Spritze ist die Kolbenfläche  $F$  doppelt, und bei einer zweistiefeligen doppeltwirkenden Pumpe ist diese Fläche nur halb so groß zu machen, als diese Formel angiebt.

In Folge der Kolbenreibung ist aber, wenn  $d_0$  den Kolbendurchmesser,  $b_0$  die Liderungsbreite bezeichnet (s. Bd. II., §. 297), die Kolbenkraft  $\left(1 + 4 \varphi \frac{b_0}{d_0}\right)$  mal so groß, und im Mittel  $1 + 4 \varphi \frac{b_0}{d_0} = 1,15$  zu

Rechnung der Feuerströme. setzen. Deshalb geht nun auch obige Formel mit Berücksichtigung dieser Reibung in folgende über:

$$F_0 = \frac{3}{4} \frac{a}{b} \cdot \frac{nK}{1,15 z \gamma} = \frac{2}{3} \frac{a}{b} \cdot \frac{nK}{z \gamma}.$$

Endlich wird noch wegen der hydraulischen Hindernisse in den Leitungen die Widerstandshöhe  $\frac{w^2}{2g}$  auf

$$\left[ 1 + \xi + \xi_1 \frac{l_1}{d_1} \left( \frac{d}{d_1} \right)^4 + \xi_2 \left( \frac{d}{d_2} \right)^4 + \dots \right] \frac{w^2}{2g}$$

gesteigert, wenn  $\xi$  den Widerstandscoefficienten für das Gussrohr sammt Mundstück,  $\xi_1$  den Coefficienten der Reibung in den Röhren und Schläuchen,  $l_1$  die Länge und  $d_1$  die Weite derselben,  $\xi_2$  den Widerstandscoefficienten für den Durchgang durch das Steigventil,  $d_2$  den Durchmesser der Ventilöffnung u. s. w. und endlich  $d$  den Durchmesser des Mundstückes in der Ausmündung bezeichnet. Nimmt man den Coefficienten  $\xi_1 = 0,03$ , also um  $\frac{1}{3}$  größer als gewöhnlich an (s. Bd. II., §. 298), setzt ferner die Schlauchlänge  $l_1 = 60$  Fuß, die Schlauchweite  $d_1 = 2$  Zoll, und nimmt die Mündungsweite  $d = \frac{2}{3}$  Zoll an, so erhält man:

$$\xi_1 \frac{l_1}{d_1} \left( \frac{d}{d_1} \right)^4 = 0,03 \cdot 60 \cdot 6 \left( \frac{1}{3} \right)^4 = \frac{1,2}{9} = 0,133 \dots$$

Setzen wir nun noch  $\xi = 0,05$  und  $\xi_2 \left( \frac{d}{d_2} \right)^4 = 0,066 \dots$ , so erhalten wir in dem Falle, wenn durch den Schlauch gespritzt wird,

$$\begin{aligned} 1 + \xi + \xi_1 \frac{l_1}{d_1} \left( \frac{d}{d_1} \right)^4 + \xi_2 \left( \frac{d}{d_2} \right)^4 \\ = 1 + 0,05 + 0,133 + 0,066 = 1,25, \end{aligned}$$

wogegen wir, wenn aus dem Standrohr gespritzt wird, also  $l_1$  viel kleiner ist, diesen Werth nur  $= 1,125$  setzen wollen. Mit Berücksichtigung dieser hydraulischen Nebenhindernisse erhalten wir nun für die erforderliche Größe der Kolbenfläche:

1. beim Spritzen aus dem Standrohr:

$$F_0 = \frac{2}{3} \frac{a}{b} \frac{nK}{1,125 z \gamma} = 0,6 \frac{a}{b} \cdot \frac{nK}{z \gamma}, \text{ und dagegen}$$

2. beim Spritzen mittels Schlauchführung:

$$F_0 = \frac{2}{3} \frac{a}{b} \frac{nK}{1,25 z \gamma} = \frac{8}{15} \frac{a}{b} \cdot \frac{nK}{z \gamma},$$

wofür wir der Einfachheit und Sicherheit wegen,

$$F_0 = 0,5 \frac{a}{b} \cdot \frac{nK}{z \gamma}$$

setzen wollen.

Führen wir noch  $K = 22\frac{1}{2}$  Pfd. und  $\gamma = 66$  Pfd. ein, so erhalten wir hiernach den erforderlichen Kolbendurchmesser: Berechnung  
der  
Feuerspritzen.

1. Für das Spritzen aus dem Standrohr:

$$d_0 = \sqrt{\frac{4 F_0}{\pi}} = \sqrt{\frac{2,4 \cdot a}{\pi b} \cdot \frac{22,5 n}{66 z}} = \sqrt{\frac{9}{11 \pi} \cdot \frac{a}{b} \cdot \frac{n}{z}}$$

$$= 0,510 \sqrt{\frac{a}{b} \cdot \frac{n}{z}} \text{ Fuß} = 6,12 \sqrt{\frac{a}{b} \cdot \frac{n}{z}} \text{ Zoll.}$$

2. Für das Spritzen aus dem Schlauche:

$$d_0 = \sqrt[3]{\frac{5}{8}} \cdot 0,51 \sqrt{\frac{a}{b} \cdot \frac{n}{z}} = 0,466 \sqrt{\frac{a}{b} \cdot \frac{n}{z}} \text{ Fuß}$$

$$= 5,59 \sqrt{\frac{a}{b} \cdot \frac{n}{z}} \text{ Zoll.}$$

Uebrigens sind diese Werthe entweder noch mit  $\sqrt{2} = 1,41$ , oder mit  $\sqrt[3]{\frac{1}{2}} = 0,707$  zu multipliciren, je nachdem die Spritze eine eincylindrige einfachwirkende oder eine zweistiefelige doppelwirkende ist.

Bei der Entwickelung dieser Formeln ist auf die Kraft zum Einsaugen des Wassers nicht Rücksicht genommen, weil dieselbe nur dann eine namhafte wird, wenn die Spritze das Wasser mittels eines langen Schlauches aus einer entfernten Pumpe ansaugt, in welchem Falle es aber stets besser ist, einen Zubringer anzubringen.

§. 372. Die Geschwindigkeit  $v$  des Kraftpunktes ist als gegeben anzusehen, und zwar ist dieselbe 5 Fuß angenommen worden; aus ihr bestimmt sich die mittlere Kolbengeschwindigkeit  $v_0 = \frac{b}{a} v$ , und hiernach wieder mittels der bekannten Gleichung  $d_0^2 v_0 = d^2 w$ , der Durchmesser der Ausmündung:

$$d = d_0 \sqrt{\frac{v_0}{w}} = d_0 \sqrt{\frac{b}{a} \cdot \frac{v}{\sqrt{\frac{4}{3} \cdot 2 g z}}} = d_0 \sqrt{\frac{b}{a} \cdot \frac{v}{9,13 \sqrt{z}}}$$

$$= 0,331 d_0 \sqrt{\frac{b v}{a \sqrt{z}}},$$

also für  $v = 5$  Fuß:

$$d = 0,74 \sqrt{\frac{b}{a} \cdot \frac{d_0}{\sqrt{z}}}.$$

Ist  $s$  der Weg des Angriffspunktes beim einmaligen Niederdrücken des Schwengels, so hat man die Anzahl der Kolbenspiele pr. Minute:

$$n = \frac{20 v}{s},$$

also für  $v = 5$  Fuß gesetzt:

Berechnung  
der  
Feuerförigen.

$$n = \frac{30.5}{s} = \frac{150}{s}.$$

Der Kolbenhub ist  $s_0 = \frac{b}{a} s$ .

Endlich folgt das pr. Secunde ausgetriebene Wasserquantum

$$Q = \frac{n}{60} \cdot 2 F_0 s_0,$$

wofür der Sicherheit wegen jedoch nur 85 Proc. anzunehmen, also

$$Q = 0,85 \cdot \frac{n}{60} \cdot 2 F_0 s_0 = 0,0283 n_0 F_0 s_0$$

zu setzen ist.

Was endlich noch die Größe des Windkessels anlangt, so hängt diese von der Ungleichförmigkeit des Wasserzutrittes in denselben und von der Gleichförmigkeit der Ausströmungsgeschwindigkeit des Wassers ab. Je ungleichförmiger das Wasser dem Windkessel zugeführt wird und je gleichförmiger dasselbe aus dem Mundstücke austreten soll, desto größer muß auch der Fassungsraum des Windkessels sein.

Ist ein Mal das Luftvolumen im Windkessel  $W$ , und die entsprechende Steighöhe  $z$ , und ein anderes Mal dieses Volumen  $= W_1$  sowie die zugehörige Steighöhe  $z_1$ , so gilt die Formel

$$\frac{W_1}{W} = \frac{z}{z_1};$$

daher auch

$$\frac{W - W_1}{W} = \frac{z_1 - z}{z_1}.$$

Ist nun der Grad der Veränderlichkeit der Sprunghöhe  $\frac{z_1 - z}{z_1} = \delta$  gegeben, so läßt sich der entsprechende Fassungsraum des Windkessels

$$W = \frac{W - W_1}{\delta}$$

bestimmen.

Die Differenz  $W - W_1$  ist auch gleich der im Windkessel angesammelten Wassermenge und beträgt in der Regel einen gewissen Theil des Stiefelraumes, ist also  $= \mu V = \mu F_0 s_0$  zu setzen. Jedenfalls bewegt sich der Kolben am Anfange des Niederganges beschleunigt und am Ende desselben verzögert; da aber der Abfluß des Wassers mehr gleichförmig erfolgt, so sammelt sich in der ersten Hälfte des Kolbenshubes eine gewisse Wassermenge im Windkessel an, und es fließt dagegen in der zweiten Hälfte desselben eine solche Wassermenge im Uebermaß ab.

Würden die Sprigenkolben durch eine gleichförmig umlaufende Kurbel bewegt, so ließe sich  $W - W_1 = \mu V$  auf folgende Weise ermitteln. Es

sei  $r$  die Länge des Kurbelarmes, also  $2r$  der ganze Kolbenhub. Hat die Kurbel vom todtten Punkte aus den Winkel  $\beta$  durchlaufen, so ist die in den Windkessel eingeführte Wassermenge: Berechnung  
der  
Sauerprisen.

$$W_1 = Fr (1 - \cos. \beta),$$

und dagegen die gleichzeitig abfließende Wassermenge:

$$W = F \frac{\beta}{\pi} \cdot 2r,$$

folglich

$$W - W_1 = Fr \left( \frac{2\beta}{\pi} - (1 - \cos. \beta) \right).$$

Diese Differenz ist ein Maximum für  $\sin \beta = \frac{2}{\pi}$  oder  $\beta = 39^\circ 32'$  (s. S. 104), und zwar  $= 0,2105 Fr$ . Für  $\beta = 90^\circ$  ist  $W - W_1$  wieder  $=$  Null, für  $\beta = 140^\circ 28'$  ist ferner  $W - W_1 = -0,2105 Fr$ , und endlich für  $\beta = 180^\circ$  wieder  $=$  Null; es ergibt sich folglich die größte Differenz

$W - W_1 = 2 \cdot 0,2105 Fr = 0,2105 \cdot F \cdot 2r = 0,2105 V$ ,  
und daher hiernach die erforderliche Größe des Windkessels:

$$W = 0,2105 \frac{V}{\delta}.$$

Nimmt man  $\delta = \frac{1}{50}$  an, gestattet man also der Steighöhe des Strahles nur ein Schwanken von 2 Proc., so erhält man den erforderlichen Fassungsraum des Windkessels

$$W = 10,5 V,$$

also über zehn Mal so groß als den Stiefelraum.

Wenn auch die Bewegung der Pumpenkolben mittels eines Druckhebels nicht dieselbe ist wie die mittels einer Kurbel, so haben beide Bewegungsweisen doch das Verhältniß gemeinschaftlich, daß sie mit Null Geschwindigkeit beginnen und aufhören und auf dem halben Wege die Maximalgeschwindigkeit haben; es läßt sich folglich erwarten, daß die gefundene Beziehung zwischen der Größe des Windkessels und der des Pumpenstiefels auch bei den Druckhebelsprisen nahe dieselbe sei.

Bei den einfachwirkenden einstiefeligen Sprisen hängt das Verhältniß zwischen  $W$  und  $V$  vorzüglich von dem Verhältniß der Aufgangszeit zur Niedergangszeit des Kolbens ab. Da beim Aufgang die Arbeitsverrichtung fast Null ist, so kann auch die Aufgangszeit viel kleiner als die Niedergangszeit sein; nehmen wir sie halb so groß als die letztere, also ein Drittel der ganzen Zeit eines Spieles an, so fällt auch

$$W - W_1 = \frac{1}{3} \cdot 2 Fr = \frac{1}{3} V$$

aus, und es ist daher dann

$$W = \frac{1}{3} \frac{V}{\delta},$$



Berechnung  
der  
Feuerspritzen.

also für  $\delta = 1/50$

$$W = 16,67 V$$

zu setzen.

Gewöhnlich begnügt man sich hier mit einer größeren Ungleichförmigkeit des Wasserstrahles, z. B. mit

$$\delta = 1/25, \text{ wobei}$$

$$W = 8,33 V \text{ ausfällt.}$$

Bei den gewöhnlichen einfachwirkenden zweistiefeligen Feuerspritzen auf Wagen, wo die arbeitende Mannschaft 8 bis 32 ist, beträgt der Durchmesser eines Pumpenkolbens 5 bis 7 Zoll, und es wird durch dieselbe in der Minute eine Wassermenge von 10 bis 20 Cubikfuß, 70 bis 100 Fuß hoch gespritzt, wobei die Weite der Ausmündung des Spritzenmundstückes 0,5 bis 0,7 Zoll beträgt.

Beispiel. Wenn eine einfachwirkende zweistiefelige Feuerspritze bei einer Bedienung mit 16 Mann und bei dem Hebelverhältniß  $\frac{a}{b} = 5/1$  das Wasser auf 90 Fuß Höhe werfen soll, so ist unter der Voraussetzung, daß dieselbe das Wasser bloß aus dem Standrohr austreibt, die erforderliche Cylinderrweite

$$d_0 = 6,12 \sqrt{\frac{a}{b} \cdot \frac{n}{z}} = 6,12 \sqrt{\frac{5 \cdot 16}{90}} = 6,12 \sqrt{\frac{8}{9}} = 5,75 \text{ Zoll.}$$

und dagegen die Mündungswerte des Spritzenrohres:

$$d = 0,74 \sqrt{\frac{b}{a} \cdot \frac{d_0}{\sqrt{z}}} = 0,74 \sqrt{\frac{1}{5} \cdot \frac{d_0}{\sqrt{90}}} = \frac{0,74 \cdot 0,447}{3,08} d_0 = 0,1075 d_0 \\ = 0,1075 \cdot 5,75 = 0,6175 \text{ Zoll.}$$

Nimmt man den Weg des Druckbaumes beim Niederdrücken desselben,  $s = 3$  Fuß an, so erhält man den Kolbenhub

$$s_0 = \frac{b}{a} s = \frac{36}{5} = 7,2 \text{ Zoll,}$$

und die Anzahl der Spiele eines Kolbens pr. Minute:

$$n = \frac{150}{s} = \frac{150}{3} = 50.$$

Der Stiefelraum ist

$$V = F_0 s_0 = \frac{\pi d_0^2}{4} s_0 = 7,2 \cdot 5,75^2 \cdot \frac{\pi}{4} = 187 \text{ Cubizoll} = 0,1082 \text{ Cubikfuß;}$$

folglich das pr. Minute ausströmende Wasserquantum:

$$60 Q = 2 \cdot n V = 100 \cdot 0,1082 = 10,82 \text{ Cubikfuß.}$$

Der Fassungsraum des Wasserkessels ist

$$V_1 = 3/2 \cdot 60 Q = 90 Q = 16,23 \text{ Cubikfuß}$$

anzunehmen.

Giebt man demselben eine lichte Weite von  $2\frac{3}{4}$  Fuß, eine lichte Länge von 4 Fuß, und rechnet man auf eine Wassertiefe von  $1\frac{3}{4}$  Fuß, so erhält man:

$$V_1 = 4 \frac{11}{4} \cdot \frac{7}{4} = \frac{77}{4} = 19,25 \text{ Cubikfuß,}$$

wovon jedoch noch der von den Stiefeln und vom Windkessel eingenommene Raum abzuziehen ist.

Anmerkung. Ausführlich über die Feuersprizen handelt: Fried, die Feuersprizen. Feuersprize. Anleitung zu deren Bau, Berechnung, Behandlung und Prüfung; für Sprizenfabrikanten, Sprizenmeister, Polizei- und Gemeindebeamte, Löschvereine und Feuerversicherungsgesellschaften. Mit 263 in den Text eingedruckten Holzschnitten. Braunschweig, Druck und Verlag von Friedrich Vieweg und Sohn.

§. 373. Bei den Pumpenwerken oder Wasserkünsten, welche durch Kunstgezeuge. Wasserräder bewegt werden, erfolgt die Kraftübertragung und Umsehung in der Regel durch Krummzapfen. Hat man es mit einem gewöhnlichen verticalen Wasserrad zu thun, so ist eine weitere Umsehung durch Räderwerke nicht nöthig, da die Umdrehungszahl eines solchen Rades der Spielzahl einer Pumpe (4 bis 8 pr. Minute) entspricht. Anders ist es bei Turbinenkünsten; die Anzahl der Umdrehungen einer Turbine ist so groß, daß hier stets ein oder mehrere Zahnradvorgelege nöthig sind, um der Krummzapfenwelle die der geforderten Anzahl der Pumpenspiele gleiche Umdrehungszahl zu verschaffen.

Die gewöhnlichen Wasserradkünste oder Kunstgezeuge sind entweder ohne oder mit einem Hebelvorgelege. Bei jenen hängt das Pumpengestänge unmittelbar an den Krummzapfen, welche entweder mit der Wasserradwelle ein Ganzes bilden, oder deren Welle an die Wasserradwelle angekuppelt ist; bei diesen hängt es hingegen an einem Hebel, welcher mittels einer besonderen Kurbelstange vom Krummzapfen in auf- und niedergehende Bewegung versetzt wird. Bei Pumpenwerken mit einem Zahnradvorgelege sitzt auf der Wasserrad- oder Turbinenwelle ein kleineres Zahnrad und dieses setzt ein größeres auf der Krummzapfenwelle sitzendes Zahnrad in Umdrehung; bei solchen mit zwei Radvorgelegen ist zwischen der Turbinenwelle und der Kurbelwelle noch eine dritte Welle eingeschaltet, welche mittels eines größeren Zahnrades die Kraft der Turbinenwelle aufnimmt, und mittels eines kleineren dieselbe auf die Kurbelwelle überträgt. Macht z. B. die Turbinenwelle pr. Minute 60 Umdrehungen und fordert man von der Kurbelwelle deren nur 5, ist also eine Umsehung von  $\psi = \frac{5}{60} = \frac{1}{12}$  nöthig, so kann man zwei Zahnradvorgelege in Anwendung bringen, wovon das eine mit dem Umsehungsverhältnisse  $\psi_1 = \frac{1}{3}$ , und das andere mit dem Umsehungsverhältnisse  $\psi_2 = \frac{1}{4}$  überträgt. Zu diesem Zwecke erhält die Zwischenwelle ein Getriebrad, welches drei Mal so viel Zähne hat als das Treibrad auf der Turbinenwelle, und ein Treibrad, dessen Zähnezahl vier Mal enthalten ist in der des Getriebrades auf der Kurbelwelle. Dieses ein- oder mehrmalige Umsehn durch Zahnradvorgelege macht die Turbinen zum Umtrieb von Wasserkünsten weniger geeignet, als die weit langsamer umlaufenden verticalen Wasserräder.

Kleinere Pumpenwerke, welche mit Unterbrechungen und nicht auf lange Zeit arbeiten, setzt man auch durch Pferde mittels einer stehenden Welle

*Runnengeuge.* in Bewegung. Solche Wasserhebungs-künste oder sogenannte Rostkünste sind im Wesentlichen wie die Wasserradkünste eingerichtet, nur erfordern dieselben stets ein Zahnradvorgelege wegen der kleinen Umdrehungszahl der stehenden Welle. Bei der mittleren mechanischen Schwengellänge  $a = 25$  Fuß und der Geschwindigkeit  $v = 3$  Fuß des Pferdes (s. Bd. II, §. 125) ist die Umdrehungszahl der stehenden Göpelwelle

$$u = \frac{30 v}{\pi r} = \frac{30 \cdot 3}{25 \pi} = \frac{18}{15,7} = 1,15,$$

also nicht viel über Eins; soll nun die Pumpe pr. Minute fünf Spiele machen, so ist folglich ein Zahnradvorgelege nöthig, welches die Umdrehungszahl der stehenden Welle verfünffacht, wobei also die Zähnezahl des auf der stehenden Welle sitzenden Treibrades fünfmal so groß ist als die der Kurbelwelle.

Endlich hat man auch noch sogenannte Windkünste, welche durch ein Windrad in Bewegung erhalten werden. Die einfachste Einrichtung einer Windkunst besteht darin, daß man die Windradwelle kröpft und das Pumpengefänge mittels einer Kurbelstange an die durch diese Kröpfung gebildete Kurbel anhängt. Eine solche Windkunst ohne Vorgelege giebt aber eine sehr große Anzahl der Kolbenspiele, wobei nur ein sehr kleiner Kolbenhub anwendbar ist und die Nukleistung ansehnlich herabgezogen wird. Ist z. B. der Halbmesser des Windrades  $r = 28$  Fuß und die Umfangsgeschwindigkeit desselben  $v = 42$  Fuß, so fällt die Umdrehungszahl desselben

$$u = \frac{30 v}{\pi r} = \frac{30 \cdot 42}{28 \pi} = \frac{45}{\pi},$$

also über 14 aus. Aus diesem Grunde ist es zweckmäßig, den Windkünstigen Zahnradvorgelege zu geben, welche im Verhältnisse 1 : 3 umsetzen, also bewirken, daß die Kurbelwelle eine Umdrehung macht, während das Windrad drei Mal umläuft. Da das Windrad stets dem Winde entgegen zu richten und folglich um die verticale Ase des Mühlengebäudes zu drehen ist, so muß bei der Windkunst ohne Vorgelege das Pumpengefänge mittels eines sogenannten Gewindes an die Kurbelstange angeschlossen werden, und dagegen eine Windkunst mit Vorgelege eine in der gedachten Ase stehende Vorgelegswelle, den sogenannten Königsbaum, erhalten, wobei der Eingriff des auf der Windradwelle sitzenden Treibrades in das mit dem Königsbaum verbundene Getriebrad nicht gestört wird, wenn auch die Windradwelle eine andere Richtung erhält.

Die Figuren 752 bis 757 führen einige Skizzen von den im Vertheilenden angegebenen Wasserkünsten vor Augen.

Eine einfache Radkunst ist Fig. 752;  $W W'$  stellt das Wasserrad dar,  $CA$  den um  $C$  drehbaren Krummzapfen,  $AB$  die Kurbelstange,  $BD$  das Gefänge, und  $EF$  eine mittels des Armes  $E$  an  $BD$  angeschlossene und den Kolben  $F$  tragende Kolbenstange. Fig. 753 und Fig. 754 sind da-





Sowohl flache Gestänge als auch saigere Gestänge mit excentrischem Anschluß erfordern eine Unterstützung durch Gestängwalzen. Bei einem flachen Gestänge  $DE$ , Figur 759, nimmt die Gestängwalze  $B$  den Componenten

$$N = G \cos. \alpha$$

vom Gewichte  $G$  des unter dem Neigungswinkel  $\alpha$  gegen den Horizont geneigten Gestänges auf.

Ist  $\varphi$  der Reibungscoefficient,  $r$  der Halbmesser der Gestängwalze und bezeichnet  $\varrho$  den Zapfenhalbmesser derselben, so beträgt folglich die auf die Gestängaxe reducirte Zapfenreibung dieser Walzen

$$F = \varphi \frac{\varrho}{r} N = \varphi \frac{\varrho}{r} G \cos. \alpha,$$

oder annähernd, mit Berücksichtigung des Gewichtes  $G_1$  sämtlicher Gestängwalzen:

$$F = \varphi \frac{\varrho}{r} (G + G_1) \cos. \alpha.$$

Vereinigt man diesen Widerstand mit der übrigbleibenden Seitenkraft  $S = G \sin. \alpha$ , so erhält man

1.) die Kraft zum Aufziehen des leeren Gestänges:

$$P = S + F = G \sin. \alpha + \varphi \frac{\varrho}{r} (G + G_1) \cos. \alpha,$$

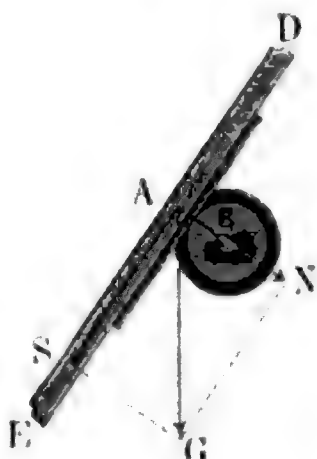
und 2.) die Kraft, mit welcher dasselbe niedergeht:

$$P_1 = S - F = G \sin. \alpha - \varphi \frac{\varrho}{r} (G + G_1) \cos. \alpha.$$

Um bei excentrischem Anschluß der Kolbenstange das Biegen des Gestänges zu verhindern, muß man dasselbe, auch wenn es saiger hängt, von zwei Gestängwalzen  $D$  und  $E$ , Fig. 760 (a. f. S.), einschließen. Ist in diesem Falle  $Q$  die Pumpenlast,  $a$  die Excentricität oder der Abstand  $AB$  zwischen der Axe der Kolbenstange und der des Gestänges, und  $l$  die Entfernung  $DE$  der beiden Gestängwalzen von einander, so wird jede der beiden Gestängwalzen  $D$  und  $E$  von dem Gestänge mit der Kraft

$$N = \pm \frac{Qa}{l}$$

gedrückt, weil sich hier eine Kräftepaar  $(Q, -Q)$  vom Momente  $Qa$  mit einem Kräftepaar  $(N, -N)$  vom Momente  $Nl$  ins Gleichgewicht setzt.





**Ausgehänge.** Sind mehrere Pumpen auf derselben Seite an das Gestänge angeschlossen, so hat man für  $Qa$  die Summe  $Q_1 a_1 + Q_2 a_2 + \dots$ , wo  $Q_1, Q_2 \dots$  die Pumpenlasten und  $a_1, a_2 \dots$  die entsprechenden Armenabstände bezeichnen, einzusetzen, es ist daher dann

$$N = \pm \frac{Q_1 a_1 + Q_2 a_2 + \dots}{l}$$

Sind dagegen die Pumpenlasten  $Q_1$  und  $Q_2$  an den entgegengesetzten Seiten an das Gestänge angeschlossen, so hat man

$$N = \pm \frac{Q_1 a_1 - Q_2 a_2 + \dots}{l}$$

zu setzen.

Ist dann  $Q_1 a_1 - Q_2 a_2 + \dots = \text{Null}$ , z. B. bei nur zwei Pumpenlasten  $Q_1$  und  $Q_2$ ,  $Q_1 a_1 = Q_2 a_2$ , so fällt  $N = \text{Null}$  aus, es ist folglich dann das Einschließen des Gestänges zwischen Gestängwalzen gar nicht nöthig.

Wenn bei einem flachen Gestänge die Kolbenstange nicht seitwärts, sondern oben oder unten an das Gestänge angeschlossen ist, so hängt der Druck

Fig. 760.

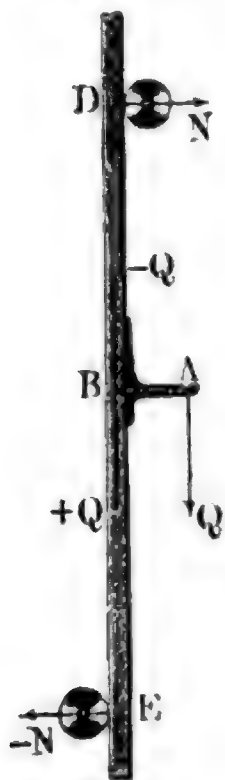
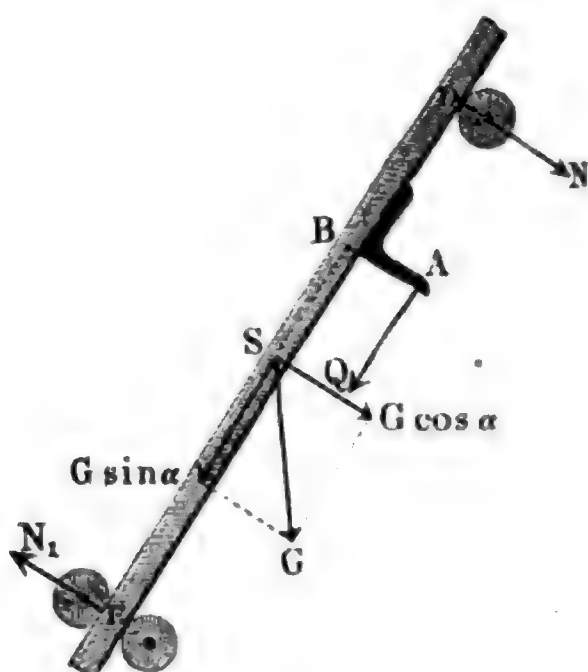


Fig. 761.



des Gestänges auf die Gestängwalzen von der Pumpenlast und dem Gestänggewicht zugleich ab. Liegt der Schwerpunkt  $S$  eines solchen Gestänges  $DE$ , Fig. 761, in der Mitte zwischen beiden Gestängwalzen, so drückt das Gestänge durch sein Gewicht in  $D$  und  $E$  normal abwärts mit der Kraft  $\frac{1}{2} G \cos. \alpha$ , wogegen es in Folge der Pumpenlast  $Q$  nur in  $D$  mit der Kraft  $\frac{Qa}{l}$  abwärts, dagegen in  $E$  mit derselben aufwärts drückt. Es ist folglich der Gesamtdruck des Gestänges auf die Gestängwalze  $D$ :

$$N = \frac{Qa}{l} + \frac{1}{2} G \cos. \alpha,$$

Kunstgezeug.

und dagegen auf die Gestängwalze  $E$ :

$$N_1 = \frac{Qa}{l} - \frac{1}{2} G \cos. \alpha.$$

Die aus beiden Drücken hervorgehende Zapfenreibung der Gestängwalzen, reducirt auf die Gestänge, ist

$$F = \varphi \frac{\rho}{r} (N + N_1),$$

und zwar entweder

$$= \varphi \frac{\rho}{r} \cdot \frac{2Qa}{l},$$

oder

$$= \varphi \frac{\rho}{r} G \cos. \alpha,$$

je nachdem  $\frac{Qa}{l}$  größer oder kleiner als  $\frac{1}{2} G \cos. \alpha$  ist.

Wenn ein Kunstgezeug nur mit einem Gestänge ausgerüstet ist, so erfordert das Gewicht des letzteren eine Ausglei chung, welche entweder in einem Gegengewichtsbalancier (s. §. 172), oder in einem hydraulischen Balancier (s. §. 176), oder auch in der gleichzeitigen Anwendung von Saug- und Druckpumpen, wobei die Drucklast gleich der Sauglast plus Stangen gewicht ist, bestehen kann.

Gewöhnlich erhält ein Kunstgezeug zwei gleich belastete Gestänge, welche so an die Umtriebsmaschine angeschlossen oder mit einander verbunden sind, daß das eine aufsteigt, während das andere niedergeht, und folglich das Gewicht des einen das Gewicht des anderen ausgleicht. Ueber diese Verbindungen zweier Gestänge wird in §. 179 und §. 180 das Nöthige mitgetheilt.

§. 375. Die allgemeine Einrichtung einer sogenannten Radkunst oder eines Kunstgezeuges mit verticalem Wasserrade ist aus der Abbildung in Fig. 762 (a. f. S.) zu ersehen. Die Umtriebsmaschine besteht in einem überschlägigen Wasserrade  $RCO$ , dessen Construction aus Bd. II, §. 152, bekannt ist. Das bei  $W$  zufließende Aufschlagwasser wird mittels einer Spannschütze  $S$  in das Rad eingeführt (s. Bd. II, §. 156). Die Wasserradwelle  $C$  endigt sich in zwei entgegengesetzt gerichteten Krummzapfen, welche mittels Kurbelstangen und Kunstkreuze zwei gleich belastete Schachtgestänge abwechselnd auf- und niederziehen. Die Abbildung führt nur einen Krummzapfen  $CA$  mit seiner Kurbelstange  $AB$  und dem Kunstkreuze  $BDE$  sammt Schachtgestänge  $EF$  vor Augen. Von den angeschlossenen Saugpumpen ist nur

Radkunst.



der oberste Saß  $KL$  vollständig, dagegen der nächst tiefere Saß  $H_1$ , welcher dem obersten das Wasser zuhebt, zum Theil sichtbar. Die Krummsee  $G$  und  $G_1$ , womit die Kolbenstangen an das Gestänge angeschlossen sind, sitzen auf den entgegengesetzten Seiten auf dem Gestänge fest; es heben daher auch die aus diesem excentrischen Anschluß hervorgehenden Kräftepaare einander auf und findet folglich eine Biegung des Gestänges nicht statt. Die bei  $L$  ausgegossenen Hubwasser fließen auf dem Stolln  $M$ , sowie die Aufschlagwasser nach vollbrachter Wirkung auf der Rösche  $P$  ab. Bei dieser Maschinenanlage befindet sich zwischen der Abzugrösche und dem Stolln noch ein freies Gefälle, da die Aufschlagwasser mit den Hubwassern zugleich auf dem Stolln abgeführt werden können.

Bei der genauen Berechnung eines solchen Kunstgezeuges ist es nöthig, auch außer den nach §. 363 u. s. w. zu berechnenden Pumpen oder Kolbenlasten die Reibungen an den Zapfen und Bolzen der Kunstkreuze, sowie auch die an den Zapfen und Warzen der Kurbeln oder Krummzapfen in Betracht zu ziehen. Zur Bestimmung dieser Nebenhindernisse sind in §. 15 und §. 99 die nöthigen Formeln entwickelt worden.

Der Wirkungsgrad  $\eta$  des ganzen Kunstgezeuges ist ein Product  $\eta_1 \eta_2 \eta_3$  aus dem Wirkungsgrade  $\eta_1$  des Wasserrades, dem Wirkungsgrade  $\eta_2$  der aus den Krummzapfen, Kunstkreuzen, Kurbelstangen und Gestängen bestehenden Zwischenmaschine und aus dem Wirkungsgrade  $\eta_3$  der Pumpen; sind diese drei Verhältnißzahlen bekannt, so kennt man folglich auch den Wirkungsgrad der ganzen Maschine, und es läßt sich nun auch mit Hülfe desselben das Verhältniß zwischen der reinen Pumpenlast und der Umtriebskraft angeben.

Ist  $Q$  das Aufschlagquantum pr. Secunde,  $h$  das Radgefälle, und sind  $Q_1, Q_2 \dots$  die durch die Kunstsäße auf die Höhen  $h_1, h_2 \dots$  zu hebenden Wassermengen pr. Secunde, so gilt folgende allgemeine Formel:

$$\eta Q h \gamma = Q_1 h_1 \gamma + Q_2 h_2 \gamma + \dots,$$

oder einfacher:

$$\eta Q h = Q_1 h_1 + Q_2 h_2 \dots,$$

und es läßt sich hiernach aus den gegebenen Wassermengen  $Q_1, Q_2 \dots$  und den entsprechenden Förderhöhen  $h_1, h_2 \dots$ , die nöthige Wasserkraft, und aus dem bekannten Gefälle derselben, das erforderliche Aufschlagwasserquantum

$$Q = \frac{Q_1 h_1 + Q_2 h_2 + \dots}{\eta h} \text{ berechnen.}$$

Ist  $s$  der Kolbenhub,  $n$  die Anzahl der Kolbenspiele pr. Minute und  $\mu$  der Ausgußcoefficient (s. §. 362) und sind  $F_1, F_2 \dots$  die Kolbenquerschnitte, so hat man:

$$Q_1 = \mu \frac{n}{60} F_1 s, \quad Q_2 = \mu \frac{n}{60} F_2 s \text{ u. s. w.,}$$

Maßzahl. und daher auch

$$Q = \frac{\mu n s}{60 \eta h} (F_1 h_1 + F_2 h_2 + \dots).$$

Die Umdrehungszahl  $u$  des Widerstandes ist = der Spielzahl  $n$  des Gezeuges; bezeichnet  $a$  den Radhalbmesser, so ist folglich die Radgeschwindigkeit

$$v = \frac{\pi u a}{30} = \frac{\pi n a}{30},$$

und es bestimmt sich nun auch mittels der in Bd. II, S. 154, gegebenen Formel  $Q = \varepsilon d e v$  die zur Aufnahme der Wassermenge  $Q$  erforderliche Radweite:

$$e = \frac{Q}{\varepsilon d v} = \frac{30 Q}{\varepsilon \pi n d a} = \frac{9,55 Q}{\varepsilon n d a}.$$

Beispiel. Es ist ein Radkunstgezeug anzuordnen und zu berechnen, welches vom Tiefften aus pr. Minute 3 Cubikfuß Wasser 150 Fuß, dann weiter aufwärts, pr. Minute 5 Cubikfuß Wasser, 200 Fuß und noch weiter, bis Stolln, pr. Minute 8 Cubikfuß, 250 Fuß hoch zu heben und hierzu eine Wasserkraft von 30 Fuß Gefälle zu verwenden hat.

Den Wirkungsgrad der ganzen Maschine  $\eta = 0,50$  angenommen, folgt von Allem die erforderliche Aufschlagwassermenge pr. Minute:

$$\begin{aligned} 60 Q &= 60 \left( \frac{Q_1 h_1 + Q_2 h_2 + Q_3 h_3}{\eta h} \right) = \frac{3 \cdot 150 + 5 \cdot 200 + 8 \cdot 250}{0,5 \cdot 30} \\ &= \frac{3450}{15} = 230 \text{ Cubikfuß.} \end{aligned}$$

also pr. Secunde,  $Q = \frac{230}{60} = 3,83$  Cubikfuß, wofür der Sicherheit wegen  $= 4$  Cubikfuß anzunehmen sein möchte.

Setzen wir die Umdrehungs- und Spielzahl pr. Minute,  $u = n = 5$  rev aus, und geben wir dem Rade den Halbmesser  $a = \frac{27}{2} = 13,5$  Fuß, so erhalten wir die Umfangsgeschwindigkeit des Rades:

$$v = \frac{\pi u a}{30} = \frac{3,1416 \cdot 5 \cdot 13,5}{30} = 0,5236 \cdot 13,5 = 7,07 \text{ Fuß.}$$

Wird nun noch die Kranzbreite  $d = 1$  Fuß und der Füllungscoefficient  $\varepsilon = \frac{1}{4}$  angenommen, so folgt die erforderliche Radweite:

$$e = \frac{Q}{\varepsilon d v} = \frac{4}{\frac{1}{4} \cdot 1 \cdot 7,07} = \frac{16}{7,07} = 2,26 \text{ Fuß.}$$

Lassen wir das Kunstgezeug aus Saugsägen bestehen, wovon jeder das Wasser 25 Fuß hoch hebt, so erhalten wir, vom Tiefften bis Stolln aufwärts gerechnet,  $\frac{150}{25} = 6$  kleinere Sägen,  $\frac{200}{25} = 8$  mittlere und  $\frac{250}{25} = 10$  größere Sägen wovon jeder dem nächst höheren das Wasser zuhebt. Bei Anwendung von 12 Gestängen ist es folglich nöthig, an jedes Gestänge 3 + 4 + 5 = 12 Sägen anzubauen. Setzen wir den Ausgußcoefficienten  $\mu = 0,85$ , und geben wir den Pumpen 3 Fuß Hub, so erhalten wir den Kolbenquerschnitt der sechs ersten und kleinsten Sägen:



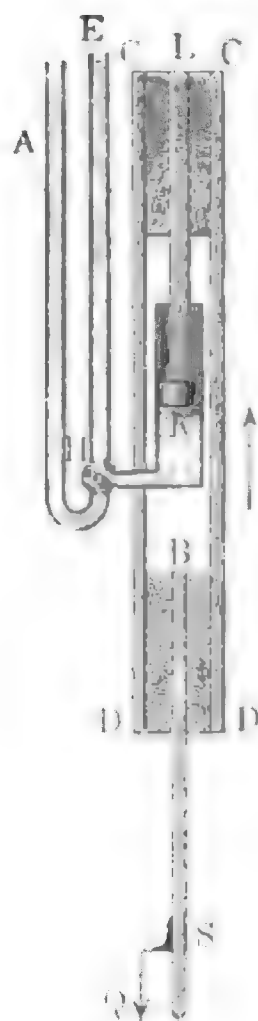
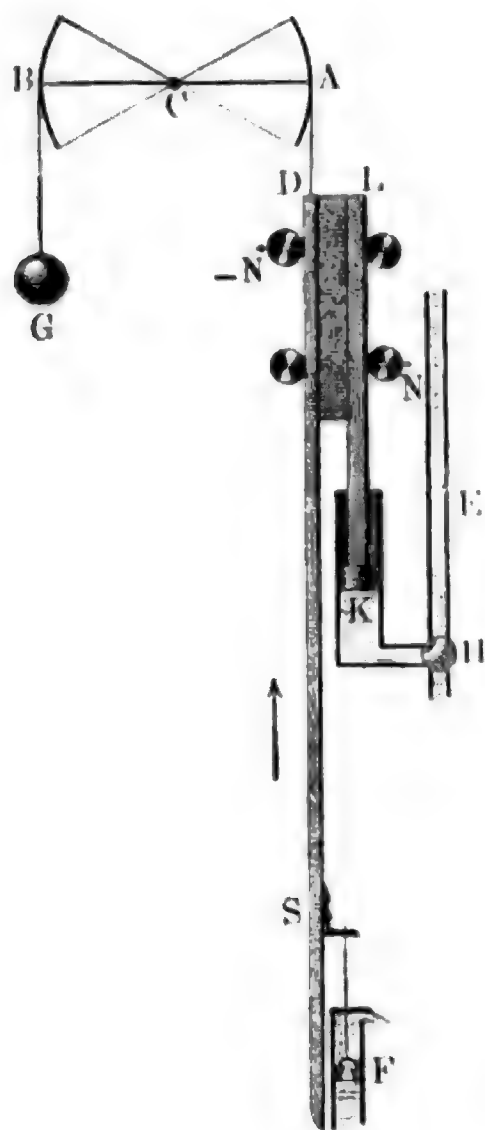


Wassersäulen-  
künste.

einen Gegengewichtsbalancier  $ACB$  aufgehangen. Vollkommener ist die in Fig. 765 abgebildete Verbindung des Schachtgestänges  $BS$  mit der

Fig. 764.

Fig. 765.



Kolbenstange  $KL$  durch eine Scheere oder Gabel  $CDDC$ , da hier ein vollkommen centrischer Angriff der Kraft statt hat. Um dem Gewichte des Gestänges bei seinem Niedergange das Gleichgewicht zu halten, ist hier ein sogenannter hydraulischer Balancier  $HA$  (s. Bd. II, S. 294), durch welchen das Wasser aufsteigend zum Ausguß gelangt, in Anwendung gebracht. Damit eine vollkommene Ausgleichung des Gestängengewichtes statt habe, ist es nöthig, der Wassersäule im hydraulischen Balancier die Höhe

$$z = \frac{G}{F\gamma} \text{ zu geben.}$$

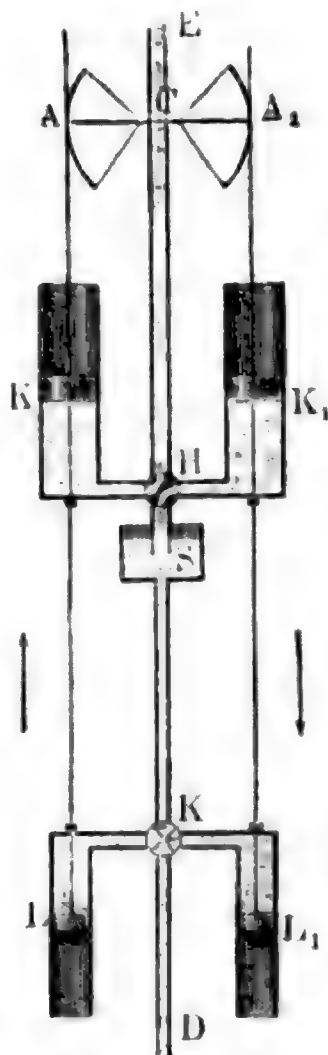
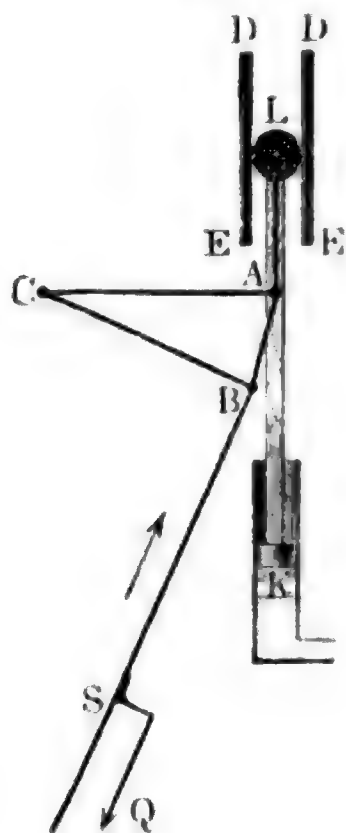
Kommt es darauf an, eine Wassersäulenkunst in einem flachen Schachte aufzustellen, so legt man entweder den Treibenzylinder, sowie die Pumpen in die Falllinie des Schachtes, oder man stellt denselben aufrecht und schließt das Schachtgestänge  $BS$ . Fig. 766, mittels eines Winkelhebels

oder einer sogenannten Bruchschwinde  $ABC$  (s. §. 13) an die Kolbenstange  $KL$  an, deren Kopf noch mit einem in einer senkrechten Leitung

Wassersäulen-  
künstle

Fig. 766.

Fig. 767.



$DE ED$  laufenden Frictionsrade  $L$  zu versehen ist.

Einige ältere Wassersäulenkünste bestehen aus zwei Wassersäulenmaschinen mit gemeinschaftlicher Einfallröhre  $EH$ , Fig. 767. Diese Maschinen gehen abwechselnd auf und nieder und sind durch einen gleicharmigen Balancier  $ACA_1$  so mit einander verbunden, daß sich die Gestängengewichte das Gleichgewicht halten und folglich eine weitere Ausgleichung dieser Gewichte gar nicht nöthig ist. Bei der abgebildeten Kunst besteht das ganze Pum-

penwerk  $LKL_1$  aus zwei Druckpumpen mit einer gemeinschaftlichen Saugröhre  $DK$  und einer gemeinschaftlichen Steigröhre  $RS$ .

§. 377. Die allgemeine Einrichtung einer Wassersäulenkunst ist aus den Abbildungen in Fig. 768 bis Fig. 771 von der auf der Grube »Beschert Glück« bei Freiberg befindlichen, nach den Angaben des Herrn Oberkunstmeisters Braunsdorf konstruirten Wasserhebungsmaschine zu ersehen. Die Abbildungen in Fig. 768 und Fig. 769 (a. f. S.) stellen die in einer Wassersäulenmaschine bestehende Kraftmaschine dar. Es ist  $EE$  die Einfallröhre,  $D$  das nach dem Steuerzylinder führende und ein Absperrventil enthaltende Communicationsrohr, ferner  $TT$  der Treibzylinder,  $CC$  das vom Steuerzylinder nach demselben führende Communicationsrohr, und  $AA$  die Austragröhre mit der nöthigen Regulirungsklappe. Die Verbindung des Schachtgestänges  $PQ$  mit der Kolbenstange  $K$  ist (wie in Fig. 765) durch eine aus den Kuppelstangen  $MN, MN$ , u. s. w. bestehende, den Treibzylinder umschließende Gabel bewirkt. Die Hauptsteuerung be-



steht aus dem Steuerkolben *S* und dem Gestängkolben *G*, die Hülfssteuerung aus dem Kolben *H*, dessen Stange *LH* an einem Hebel *L* aufgehängt ist, welcher mittels Knaggen von der Kolbenstange *K* abwechselnd auf- und niedergedrückt wird. Auch gehört hierzu noch das nach der Einfallröhre führende Communicationrohr *c*, sowie die Austragröhre *a* für das Steuerwasser. Die Abbildungen stellen die Maschine beim Niedergange des Treibkolbens dar, wobei sowohl die Hauptsteuerkolbenverbindung *SG* als auch der Hülfssteuerkolben *H* seinen höchsten Stand hat. Gegen Ende des Treibkolbenniederganges gelangt der Hülfssteuerkolben *H* in seinen tieferen Stand, wobei nun der Raum über dem Gegenkolben *G* durch die Röhre *c* mit der Kraftwassersäule in Communication tritt, und in Folge desselben die Kolbenverbindung *SG* zum Niedergange genöthigt wird. Hat auf diese Weise der Steuerkolben *S* seinen tieferen Stand erreicht, so tritt *CC*, und folglich auch der Raum unter dem Treibkolben mit der Kraftwassersäule *EED* in Communication und es beginnt nun der Aufgang des Treibkolbens u. s. w.

Wassersäulen-  
pumpen.

Die Abbildungen in Fig. 770 u. Fig. 771 (a. f. S.) führen die Einrichtung der von der beschriebenen Wassersäulenmaschine bewegten Drucksäke vor Augen. Das Schachtgestänge *PQ* bildet auch hier eine Gabel *MNM*, welche den Pumpencylinder oder die sogenannte Kolbenröhre *CC* umschließt, und den Kopf der Kolbenstange *KK'* mittels eines Laschenschlosses *MM* erfaßt. Die Saug- und Steigröhre *DS* enthält das Saugventil *V* und Steigventil *W* und steht durch eine kurze Röhre mit dem unteren Ende der Kolbenröhre in Verbindung. Bei dem dargestellten Niedergange des Pumpenkolbens *KK'*, wobei *V* verschlossen und *W* geöffnet ist, wird das Wasser im Steigrohr *WS* emporgedrückt, geht hingegen der Kolben *KK'* aufwärts, so öffnet sich *V* und schließt sich *W*, und es wird neues Wasser mittels des Saugrohres *SV* aus dem Sakkasten *S* angesaugt, welcher seinen Zufluß aus der Steigröhre *AB* des nächst tieferen Drucksackes erhält.

Die mechanischen Verhältnisse einer Wassersäulenkunst von der gewöhnlicheren im Vorstehenden beschriebenen Einrichtung sind auf folgende Weise zu beurtheilen.

Der Wirkungsgrad  $\eta = \eta_1 \eta_2$  der ganzen Maschine ist hier ein Product aus dem Wirkungsgrade  $\eta_1$  der Wassersäulenmaschine und aus dem Wirkungsgrade  $\eta_2$  des Pumpenwerkes; ist folglich *Q* das Aufschlagwasserquantum, *h* das Wassersäulengefälle und sind wieder  $Q_1, Q_2 \dots$  die durch die Pumpen auf die Höhen  $h_1, h_2 \dots$  zu hebenden Wassermengen, so kann man setzen:

$$\eta Q h \gamma = Q_1 h_1 \gamma + Q_2 h_2 \gamma + \dots$$

oder

$$\eta Q h = Q_1 h_1 + Q_2 h_2 \dots$$



$$F = \frac{\mu}{\eta} \left( \frac{F_1 h_1 + F_2 h_2 + \dots}{h} \right)$$

Wassersäulen-  
länge.

zur Bestimmung des nöthigen Treibkolbenquerschnitts ergibt. In der Regel macht man bei einer neuen Maschinenanlage diesen Querschnitt noch größer, um noch hinreichende Kraft zu besitzen, wenn es nöthig ist, in der Folge noch mehrere Säue anzuschließen. So lange dies nicht geschehen ist, muß natürlich die überflüssige Kraft durch Stellung des Regulirungsventiles vernichtet werden.

Bei der Einrichtung der beschriebenen Wassersäulenkunst wird das Wasser durch das Gewicht  $G$  des niedergehenden Gestänges emporgedrückt, wogegen der Treibkolben der Wassersäulenmaschine nur das Wasser ansaugt und das Gestänge emporhebt.

Setzt man hier

$$\begin{aligned} h &= y - z \\ h_1 &= y_1 + z_1 \\ h_2 &= y_2 + z_2 \text{ u. s. w.,} \end{aligned}$$

wobei  $y$  die Druckhöhe beim Aufgang des Treibkolbens,  $z$  die Steighöhe beim Niedergange desselben,  $y_1, y_2 \dots$  die Saughöhen, sowie  $z_1, z_2 \dots$  die Steighöhen der einzelnen Pumpen bezeichnen, so hat man

$$1) \frac{\eta}{\mu} (F y \gamma - G) = (F_1 y_1 + F_2 y_1 + \dots) \gamma$$

und

$$2) \frac{\eta}{\mu} (G - F z \gamma) = (F_1 z_1 + F_2 z_2 + \dots) \gamma,$$

wonach sich durch Addition

$$\frac{\eta}{\mu} F (y - z) = F_1 (y_1 + z_1) + F_2 (y_2 + z_2) + \dots$$

oder

$$\frac{\eta}{\mu} F h = F_1 h_1 + F_2 h_2 + \dots$$

genau wie oben, ergibt.

Hat man mit Hülfe dieser Formel den Kolbenquerschnitt  $F$  bestimmt, so läßt sich nun mittels der ersten Gleichung entweder das erforderliche Gestängengewicht  $G$ , oder die erforderliche Steighöhe  $y$  des hydraulischen Balanciers berechnen.

Beispiel. Wenn, wie im Beispiel zu §. 375, durch ein Kunstgezeug pr. Minute die Wassermengen von 3, 5 und 8 Cubikfuß resp. auf die Höhen von 150, 200 und 250 Fuß gehoben werden sollen und hierzu ein Gefälle von 240 Fuß zu Gebote steht, so kann man die Kraftmaschine in einer Wassersäulenmaschine bestehen lassen, für welche sich Folgendes im Voraus geben läßt. Nimmt man wieder den Wirkungsgrad der ganzen Maschine  $\eta = 0,50$  an, so erhält man die erforderliche Aufschlagwassermenge pr. Secunde:



Wassersäulen-  
Höhe.  $60 Q = 60 \left( \frac{Q_1 h_1 + Q_2 h_2 + \dots}{\eta h} \right) = \frac{3 \cdot 150 + 5 \cdot 200 + 8 \cdot 250}{0,5 \cdot 240} = \frac{3450}{120}$

$= 28,75$  Cubikfuß, also pr. Secunde,  $Q = \frac{28,75}{60} = 0,479$  Cubikfuß,

wofür recht gut 0,5 Cubikfuß anzunehmen ist.

Wenden wir nun drei Drucksäuge wie in Fig. 770 und Fig. 771 an, setzen wir hierbei den Hub  $s = 7$  Fuß, die Spielzahl  $n = 4$  und den Ausgußcoefficienten  $\mu = 0,85$  voraus, so erhalten wir für die Kolbenquerschnitte dieser Säuge folgende Werthe:

$$F_1 = \frac{60 Q_1}{\mu n s} = \frac{60 Q_1}{0,85 \cdot 4 \cdot 7} = 2,521 Q_1 = 2,521 \cdot \frac{3}{60} = \frac{2,521}{20}$$

$$= 0,1261 \text{ Quadratfuß} = 18,15 \text{ Quadratzoll,}$$

$$F_2 = 2,521 \cdot \frac{5}{60} = \frac{2,521}{12} = 0,2101 \text{ Quadratfuß} = 30,25 \text{ Quadratzoll}$$

$$\text{und } F_3 = 2,521 \cdot \frac{8}{60} = \frac{5,042}{15} = 0,3361 \text{ Quadratfuß} = 48,40 \text{ Quadratzoll}$$

wonach sich die Kolbendurchmesser

$$d_1 = 4,81 \text{ Zoll, } d_2 = 6,21 \text{ Zoll, } d_3 = 7,85 \text{ Zoll ergeben.}$$

Ferner ist die Treibkolbenfläche:

$$F = \frac{60 Q}{n s} = \frac{60 \cdot 0,479}{28} = 1,0136 \text{ Quadratfuß} = 146 \text{ Quadratzoll,}$$

und der entsprechende Kolbendurchmesser

$$d = 13,63 \text{ Zoll.}$$

Nach Gleichung (1) ist die erforderliche Höhe der Drucksäule:

$$y = \frac{\mu}{\eta} \cdot \frac{F_1 y_1 + F_2 y_2 + F_3 y_3}{F} + \frac{G}{F \gamma},$$

Beträgt nun das Gewicht des armirten Schachtgestänges  $G = 18000$  Pfund, und macht man die Saughöhen der drei Pumpen nur je 15 Fuß, so erhält man die gesuchte mittlere Druckhöhe:

$$y = \frac{0,85}{0,50} \cdot \frac{(0,1261 + 0,2101 + 0,3361) \cdot 15}{1,0136} + \frac{18000}{1,0136 \cdot 66}$$

$$= \frac{1,7 \cdot 0,6723 \cdot 15}{1,0136} + \frac{20000}{66,90} = 16,91 + 269,07 = 276 \text{ Fuß.}$$

Da das Gefälle nur 240 Fuß beträgt, so ist folglich die Wassersäulenmaschine 276 — 240 = 36 Fuß unter die Stollensohle zu legen. Zieht man die Saughöhe  $y_1 = y_2 = y_3 = 15$  Fuß von den gegebenen Förderhöhen ab, so resultiren die Steighöhen der drei Pumpen:

$$z_1 = h_1 - y_1 = 150 - 15 = 135 \text{ Fuß}$$

$$z_2 = h_2 - y_2 = 200 - 15 = 185 \text{ „ und}$$

$$z_3 = h_3 - y_3 = 250 - 15 = 235 \text{ „ .}$$

§. 378. Auf der Soollenleitung zwischen Berchtesgaden, Reichenbach, Traunstein und Rosenheim in Oberbaiern befinden sich neun vom berühmten Reichenbach construirte Wassersäulenmaschinen zum Betrieb von Pumpen, welche dazu bestimmt sind, die Salzsoole über Berge wegzuführen. Es lassen sich an diesen Maschinen drei Systeme von einander unterscheiden: die in Fig. 772 abgebildete Maschine stellt die dem neueren und vorzüglicheren Systeme angehörende Wassersäule in Berchtesgaden dar. Drei



Wassersäulen-  
maschine.

Wassersäulenmaschine unterscheidet sich vorzüglich dadurch von den gewöhnlichen Wassersäulenmaschinen, daß sie zwei Treibkolben hat, welche auf derselben Kolbenstange festsetzen; einen kleineren, welcher von der Kraftwassersäule nach oben geschoben wird und das Zufördern der Salzsoole durch Ansaugen bewirkt, und einen größeren, welcher von dem Kraftwasser nach unten bewegt wird und hierbei die Salzsoole in der Steigrohre empordrückt. Das Gefälle dieser Maschine ist 116 Meter und die Höhe, auf welche dieselbe die Salzsoole fördert, beträgt 378 Meter.

Die eigentliche Wassersäulenmaschine besteht aus den Treibcylindern *CC* und *DD* mit den Treibkolben *K* und *L*, aus der Einfallrohre *E*, der Austragrohre *A*, der in einem gemeinschaftlichen Steuerzylinder eingeschlossenen Steuerkolbenstange mit den drei Kolben *S*, *T* und *U*, und einer aus zwei kleinen Kolben *m* und *p* bestehenden Hülfssteuerung, welche mittels eines Hebels *s r q* von der Treibkolbenstange *KP* in Bewegung gesetzt wird. Die Wasserhebungsmaschine ist aus dem Pumpenzylinder sammt dem in ihm beweglichen und an dem Ende der Treibkolbenstange befindlichen Pumpenkolben *P*, ferner aus dem Ventilgehäuse, in dessen Innerem sich das Saugventil *V* und Steigventil *W* befindet, und aus der bei *Q* anschließenden Saugrohre sowie aus der mit *RR* verbundenen Steigrohre zusammengesetzt. Bei der in der Abbildung dargestellten Kolbenstellung gelangt das Kraftwasser auf dem Wege *EF* über den größeren Treibkolben *K* und nöthigt die ganze Kolbenverbindung *LKP* zum Niedergange, wobei das unter dem kleineren Treibkolben *L* befindliche Wasser durch das Communicationsrohr *G* in den Steuerzylinder zurück- und durch die Mündung *M* ausfließt, sowie die unter dem Pumpenkolben *P* stehende Salzsoole durch das Steigventil *W* hindurch und in das Steigrohr *RR* gedrückt wird. Gegen Ende des Treibkolbenniederganges wird die Kolbenverbindung *mp* mittels des Hebels *s r q* emporgeschoben, und dadurch die Unterfläche des Wendekolbens *U* mit dem in der engen Röhre *I* stehenden Kraftwasser in Communication gesetzt. In Folge dessen steigt nun das Steuerkolbensystem *UST* empor, wobei der erste oder Hauptsteuerkolben *S* das Kraftwasser vom Treibkolben *K* absperirt und dagegen der zweite Steuerkolben *T* die Communication des kleineren Treibcylinders *DD* mit der Einfallrohre *E* herstellt.

In Folge dessen treibt der Druck des Wassers auf den kleinen Treibkolben *L* die armirte Treibkolbenstange *PKL* wieder empor, und es saugt der ebenfalls aufsteigende Pumpenkolben *P* mittels der bei *Q* angeschlossenen Saugrohre, bei geöffnetem Saugventile *V*, neue Salzsoole in den Pumpenzylinder ein, wogegen das über dem Treibkolben *K* stehende todt Wasser auf dem Wege *EA* zum Ausgusse gelangt. Gegen Ende dieses Aufganges wird das Kolbenpaar *mp* wieder mittels des Hebels *s r q* her-



Wassersäulen-  
künfte. abgezogen, folglich auch der Wasserdruck auf  $U$  aufgehoben; es bewegt sich nun, da der Druck des Kraftwassers auf den größeren Kolben  $S$  auch größer ist als der auf den kleineren Kolben  $T$ , das Steuerkolben-system wieder abwärts und beginnt so ein neues Spiel.

Bezeichnet  $h$  das Gefälle der Wassersäulenmaschine,  $h_1$  die Saughöhe,  $h_2$  die Steighöhe und  $\varepsilon$  das specifische Gewicht der zu hebenden Salzsoole, bezeichnet ferner  $F$  den Querschnitt des großen Treibkolbens  $K$ ,  $F_1$  den des kleineren Treibkolbens  $L$  und  $F_2$  den des Pumpenkolbens  $P$ , so ist, wenn man von allen Nebenhindernissen absieht, zu setzen:

$$F_1 h = \varepsilon F_2 h_1$$

und

$$(F - F_1) h = \varepsilon F_2 h_2,$$

so daß nun

$$\frac{F_1}{F - F_1} = \frac{h_1}{h_2},$$

folglich das erforderliche Querschnittsverhältniß:

$$\frac{F_1}{F} = \frac{h_1}{h_1 + h_2} \text{ folgt.}$$

Das über der Einfallröhre stehende und mit einem Hahne  $N$  versehen Rohr dient zum Einlassen von Luft, wenn es nach eingetretenem Stillstand darauf ankommt, das Wasser aus der Maschine abzulassen. Die übrigen Theile der Wassersäulenmaschine sind aus Bd. II, Abschn. I, Kap. VI, bekannt. Die beschriebene Maschine hat den Hub von nahe 1 Meter, den größeren Treibkolbendurchmesser  $d = 0,738$  Meter, und den kleinen Treibkolbendurchmesser = dem Pumpendurchmesser  $d_1 = 0,292$  Meter; es ist folglich das pr. Spiel verbrauchte Aufschlagwasserquantum:

$$V = \frac{\pi(d^2 + d_1^2)s}{4} = 0,495 \text{ Cubikmeter.}$$

Rechnet man hierzu noch 0,015 Cubikmeter Steuerwasser, so folgt die theoretische Arbeit der Kraftmaschine pr. Spiel:

$$A = V h \gamma = (0,495 + 0,015) \cdot 116 \cdot 1000 = 59160 \text{ Kilogrammmeter.}$$

Das theoretische Salzsoolenquantum pr. Spiel ist:

$$V_1 = \frac{\pi d_1^2}{4} s = 0,067 \text{ Cubikmeter.}$$

und setzt man das specifische Gewicht der Salzsoole  $\varepsilon = 1,200$ , so folgt das theoretische Arbeitsquantum der Pumpe pr. Spiel:

$$A_1 = V_1 (h_1 + h_2) \gamma = 0,067 \cdot 378 \cdot 1200 = 30391 \text{ Kilogrammmeter,}$$

und es ist folglich der Wirkungsgrad dieser Maschine:

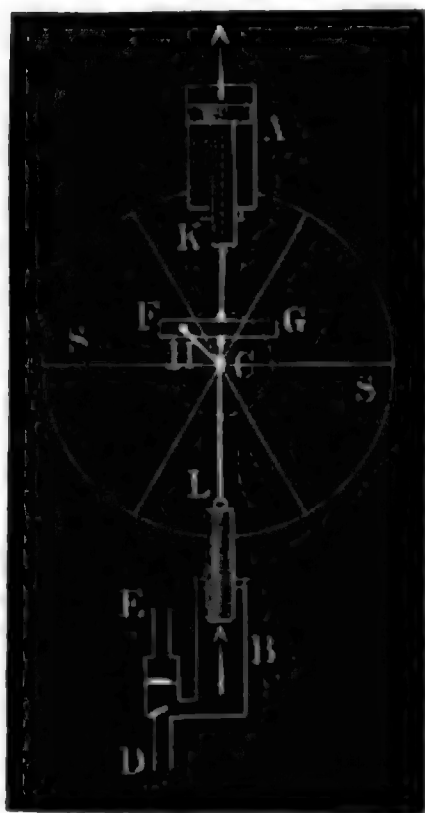
$$\eta = \frac{A_1}{A} = \frac{30391}{59160} = 0,514.$$

§. 379. Die durch die Dampfkraft in Bewegung gesetzten Pumpen sind entweder einfache und kleinere Dampfpumpen, oder zusammengesetztere und größere Dampfklünste. Erstere kommen vorzüglich beim Emporheben und Empordrücken kleinerer Wassermengen, insbesondere als Speisepumpen bei Dampfmaschinen in Anwendung, letztere hingegen dienen zum Heben des Wassers auf größere Höhen, insbesondere zum Heben des Wassers aus Bergwerken.

Sowohl die einfachen Dampfpumpen als auch die Dampfkrünste sind entweder direct- oder indirectwirkende. Bei den directwirkenden Wasserhebungsmaschinen bildet die Kolbenstange der Dampfmaschine mit der Kolbenstange der Pumpe oder mit dem Pumpengestänge ein Ganzes, wobei folglich der Hub der Dampfmaschine unverändert auf die Pumpe oder auf das ganze Pumpensystem übergeht. Die Wasserhebungsmaschinen mit indirecter Dampfwirkung sind entweder solche mit geradlinig wiederkehrender, oder solche mit stetig rotirender Bewegung; bei jenen Maschinen besteht die Zwischenmaschine bloß in einem Hebel oder Balancier, bei diesen hingegen in einem Kurbel- und Zahnradmechanismus; während dort nur eine Abänderung in der Richtung der Größe des Hubes vorkommt, tritt hier auch noch eine Veränderung in der Anzahl der Kolbenspiele ein. Der äußere Mechanismus großer directwirkender Dampfkrünste stimmt mit dem der Wassersäulentkrünste vollkommen überein (s. die Abbildungen Fig. 545 von S. 291). Die hierbei in Anwendung kommenden Dampfmaschinen sind einfachwirkende, und erhalten zur Ausgleichung des Ge-

stängengewichtes sowie zur Erzielung eines regelmäßigen Ganges ein Gegengewicht (s. S. 172). Kleinere und schnellergehende Dampfpumpen und Dampfkinste arbeiten dagegen doppeltwirkend und erhalten zur Erzielung eines stetigen Ganges ein rotirendes Schwungrad.

Fig. 774.







sondern auch ein kleineres Zahnrad *EE*. Letzteres setzt wieder ein größeres Zahnrad *FF* in Umdrehung, dessen Welle in einen Krummzapfen *DM* ausläuft, welcher auf die bekannte Weise (s. Fig. 753) mittelst der Kurbelstange *MN* das Kunstkreuz *NOP* sammt dem daran hängenden Pumpen- gestänge in die erforderlich schwingende Bewegung setzt. Da eine liegende Dampfmaschine 25 bis 50 Spiele pr. Minute macht und die zweckmäßige Spielzahl der Pumpen nur 5 bis 10 ist, so ist durch das Zahnradvorgelege eine Umsehung im Verhältniß von circa  $\frac{1}{5}$  erforderlich, und daher der Halbmesser des Getriebrades *FF* im Mittel 5 mal so groß zu machen als der des Treibrades *EE*.

Dampf-  
pumpen.

Um einen möglichst regelmäßigen Gang zu erhalten, schließt man zwei Gestänge *PQ*, *PQ* an das in diesem Falle dreiarmige Kunstkreuz an u. s. w.

§. 380. Die specielle Einrichtung einer Dampfpumpe mit stehendem Cylinder (nach Wiebes' Skizzenbuch, Heft 1) ist aus dem verticalen Durch- schnitt derselben in Fig. 777 (a. f. S.) zu ersehen. Es ist *A* der Dampf- cylinder, *B* der Pumpencylinder, ferner *C* die Kolbenstange der Dampf- maschine und *D* die den Plunger bildende Kolbenstange der Pumpen. Beide Stangen sind durch einen Rahmen *EE* (wie Fig. 774) fest mit einan- der verbunden, und derselbe umfaßt die Warze eines doppelten Krummzapfens *FF*, dessen Welle *HH* auf der einen Seite das Schwungrad *SS* trägt und auf der anderen Seite in ein Excentrif *L* ausläuft, woran der Dampf- schieber *G* mittelst der gegliederten Stange *GL* angeschlossen ist. Noch sieht man bei *H* einen Theil der Saugröhre sammt dem Saugventil *V*, sowie bei *K* die Einmündung der Steigröhre sammt dem Steigventil *W*.

Es ist der Durchmesser des Plungers *D*,  $d_1 = 2\frac{1}{4}$  Zoll und der Hub der Maschine,  $s = 5\frac{1}{2}$  Zoll, folglich das theoretische Wasserquantum pr. Kolbenspiel:

$$V = \frac{\pi d_1^2}{4} s = \frac{\pi}{4} \left(\frac{9}{4}\right)^2 \frac{11}{2} = 21,87 \text{ Cubitzoll.}$$

Ferner mißt der Durchmesser des Dampfkolbens 4 Zoll und die Stärke der zugehörigen Kolbenstange  $2\frac{1}{2}$  Zoll, folglich verhält sich die Kraft beim Niedergange des Kolbens zu der beim Aufgange wie

$$\left(\frac{4}{5\frac{1}{2}}\right)^2 = \left(\frac{8}{5}\right)^2 = \frac{64}{25} = \frac{2,56}{1}.$$

Diesem Verhältnisse entsprechend kann also auch die Druckhöhe der Pumpe circa  $2\frac{1}{2}$  mal so groß sein als die Saughöhe.

Uebrigens ist bei der Berechnung der Kraft einer Speisepumpe, welche das Wasser in den Dampfkessel drückt, statt der Druckhöhe die Steighöhe, vom mittleren Kolbenstande bis zur Oberfläche des Wassers im Dampfkessel gemessen, plus den durch die Höhe einer Wassersäule ausgedrückten Ueber-



druck des Dampfes einzuführen. Bezeichnet  $h_2$  die Steighöhe und  $p$  den Dampfdruck im Kessel in Atmosphären, so hat man die in Rechnung zu bringende Druckhöhe  $= h_2 + 33(p - 1)$  Fuß, und bezeichnet noch  $F$  den Querschnitt des Pumpenkolbens, so ist die Kraft des letzteren zum

Dampf-  
pumpen.

Fig. 778.

Drücken des Speisewassers in den Dampfkessel:

$P_2 = F(h_2 + 33[p - 1])\gamma$  Pfund,  
während die Kraft zum Ausaugen des Wassers auf die Höhe  $h_1$  unverändert

$$P_1 = Fh_1\gamma \text{ bleibt.}$$

Bezeichnet ferner  $p_1$  den Dampfdruck in der Speisepumpe,  $q$  den Gegendruck (gewöhnlich eine Atmosphäre), ferner  $d_1$  den Durchmesser des Dampf-  
kolbens und  $d_2$  den der Dampf-  
kolbenstange, so hat man das Verhältniß zwischen der Kraft des Dampf-  
kolbens beim Niedergange und der beim Aufgange:

$$\frac{P_2}{P_1} = \frac{d_1^2 p_1 - (d_1^2 - d_2^2)q - d_2^2 q}{(d_1^2 - d_2^2)p_1 + d_2^2 q - d_1^2 q} = \frac{d_1^2}{d_1^2 - d_2^2},$$

und es gilt daher die Gleichung

$$\frac{d_1^2}{d_1^2 - d_2^2} = \frac{h_2 + 33(p - 1)}{h_1}, \text{ wonach nun}$$

$$\frac{d_2}{d_1} = \sqrt{\frac{h_2 - h_1 + 33(p - 1)}{h_2 + 33(p - 1)}} \text{ folgt.}$$

Sehr gewöhnlich wird auch die Speisepumpe einer Dampfmaschine von der letzteren selbst in Bewegung gesetzt. Da dieselbe in der Regel mehr Wasser zufördert, als zum Speisen des Kessels nöthig ist, so ist sie während des Ganges der Dampfmaschine öfters außer Thätigkeit zu setzen. Zu diesem Zwecke wird entweder das Saugventil abgestellt oder der Plunger von seiner Stange abgelöst. Die Art und Weise, wie dies bewerkstelligt wird, führt Fig. 778 vor Augen. Das Haupt des Plungers  $AA$  besteht hier in einer Gabel  $BC$  und einer Hülse  $C$ , welche die auf- und niedergehende Kolbenstange

$DE$  umfaßt, und die feste Verbindung dieser Stange mit jener Hülse erfolgt durch Eintreiben eines Keiles  $F$  in zu diesem Zwecke angebrachte Seitenlöcher.

Beispiel. Wenn die Saughöhe des Wassers einer Dampfmaschine zum Speisen eines Dampfkessels,  $h_1 = 25$  Fuß, die Steighöhe, bis Oberfläche des Wassers im Kessel gemessen,  $h_2 = 5$  Fuß und der Dampfdruck im Kessel,  $p = 4$  Atmosphären beträgt, dagegen der Dampfdruck in dem Dampfsylinder,  $p_1 = 3,5$  Atmosphären und der Gegendruck  $q = 1$  Atmosphäre mißt, so hat man das er-



100. (continued) (continued) (continued)

101. (continued) (continued) (continued)

102. (continued) (continued) (continued)

103. (continued) (continued) (continued)

104. (continued) (continued) (continued)

105. (continued) (continued) (continued)

106. (continued) (continued) (continued)

107. (continued) (continued) (continued)

108. (continued) (continued) (continued)

109. (continued) (continued) (continued)

110. (continued) (continued) (continued)

111. (continued) (continued) (continued)

112. (continued) (continued) (continued)

113. (continued) (continued) (continued)



sowie den Civilingenieur Band V, 1859.) Der liegende Dampfzylinder *A* hat bei einem Hub von 36 Zoll (engl.) einen Durchmesser von  $35\frac{1}{2}$  Zoll, und der ebenfalls liegende Pumpenzylinder *B* einen solchen von  $21\frac{1}{2}$  Zoll. Die Kolbenstangen *KC* und *LC* beider Maschinen sind durch ein Quershaupt *C* fest mit einander verbunden, welches sich in einem horizontalen Leitungsrahmen bewegt und woran die gegabelte Kurbelstange *CE* der Kurbel- und Schwungradwelle *D* angeschlossen ist. Eine zweite, dieser vollkommen gleiche, jedoch nicht abgebildete Maschine ist so an diese Welle angeschlossen, daß, wie bei den Dampfswagen u. s. w., die Kurbelarme beider Maschinen den Rechtwinkel zwischen sich einschließen. Ein zwischen zwei Hebeln auf *D* sitzendes Excentrik (ähnlich wie Fig. 703, Bd. II.) setzt die an diese Hebel angeschlossene Excentrik- und Schieberstange *H* in Bewegung, welche das regelmäßige Zu- und Ablassen des durch das Dampfrohr *T* in die Dampfkammer geführten Dampfes bewirkt. Der letztere strömt nach vollbrachter Wirkung durch das Rohr *Q* in den Condensator *Z*, und das zur Condensation nöthige kalte Wasser wird durch die Pumpe *O* zugeführt, sowie das aus der Condensation hervorgehende warme Wasser u. s. w. mittels der Luft- und Warmwasserpumpe *P* entfernt. Beide Pumpen sind an einen doppelten Winkelhebel *FGMN* angeschlossen, welcher mittels eines Gelenkes *CF* von dem Quershaupt *C* in die nöthige schwingende Bewegung um die Are *G* versetzt wird. Der Durchmesser der Luft- und Warmwasserpumpe mißt 22 Zoll und der Hub derselben die Hälfte vom Dampfkolbenschube, also 18 Zoll. Uebrigens ist die Pumpe noch insofern eigenthümlich construirt, als hier das Saugventil unter dem Pumpenkolben durch ein Steigventil über demselben ersetzt ist.

Der gußeiserne Pumpenzylinder *B*, welcher mit einem  $\frac{3}{8}$  Zoll dicken Futter aus Bronze bekleidet ist, communicirt mit den verticalen Pumpenkammern *VW*, *V<sub>1</sub>W<sub>1</sub>*, welche unten durch die Saugventile *V*, *V<sub>1</sub>* und oben durch die Steigventile *W*, *W<sub>1</sub>* abgeschlossen werden. Die im Unterwasser *U* stehenden und sich an die Saugventile *V* und *V<sub>1</sub>* anschließenden Saugröhren führen das Wasser in die Pumpenkammern *VW*, *V<sub>1</sub>W<sub>1</sub>*, u. s. w., von wo es wieder mittels des Pumpenkolbens in den  $3\frac{3}{4}$  Fuß weiten und  $8\frac{1}{4}$  Fuß langen Windkessel *R* gedrückt wird. Das im Boden dieses Kessels angebrachte Austrittsrohr *X* führt das Wasser in die weitere Röhre *Y*, vereinigt sich hier mit dem von der zweiten Pumpe zugeführten Wasser und steigt von da bis zur Sohle des Glaspalastes, 123 Fuß hoch empor. Da das Wasser mittels 900 Fuß langer Röhren aus dem in der Nähe des Glaspalastes befindlichen See den Pumpen zugeführt wird, wobei es jedenfalls bedeutende hydraulische Hindernisse zu überwinden hat, so war es nöthig, die Maschinen 20 Fuß tief unter der Oberfläche dieses Sees aufzustellen und überdies noch einen aus einem 22 Fuß hohen,



**Dampfzylinder.**  $7\frac{1}{3}$  Fuß langen und  $2\frac{1}{3}$  Fuß breiten gußeisernen Standrohre bestehenden Wasserregulator (Accumulator) in der Nähe der Maschinen aufzustellen, durch welchen das Wasser erst hindurchströmen muß, bevor es nach den übrigen ganz kurzen Saugröhren gelangen kann.

Die Pumpenventile bestehen aus Kanonenmetall, sind doppelsitzig und haben zwei ringförmige Durchgangsöffnungen von zusammen 63 Quadrat-zoll Inhalt. Sie verschieben sich wie das in Fig. 718 abgebildete Kolben-ventil an einem Stiel, und es ist bei  $\frac{9}{16}$  Zoll Ausschub der Querschnitt der Ventilöffnungen ebenfalls 63 Quadrat-zoll. Uebrigens hat man den Metallmassen dieser Ventile solche Querschnitte gegeben, daß sie sich immer mehr und mehr schließen, je kleiner die Kolbengeschwindigkeit ist, und zuletzt ohne Stoß in den Ventilsitz zurückkehren.

Ist  $F_3$  der Querschnitt der Ventilkammer,  $F_m$  der der Ventilöffnungen,  $\alpha_m$  der Contractionscoefficient des durch diese Oeffnungen fließenden Wasserstrahles,  $F$  die Kolbenfläche und  $C$  die Kolbengeschwindigkeit, so hat man (nach §. 366) den Verlust an Druckhöhe beim Durchgang des Wassers durch diese Ventile:

$$h_m = \left( \frac{F_3}{\alpha_m F_m} - 1 \right)^2 \left( \frac{F}{F_3} \right)^2 \frac{c^2}{2g},$$

und bezeichnet nun noch  $F_2$  den Querschnitt des massiven Theiles des Ventiles, so ist die Kraft, mit welcher das Ventil vom Wasser gehoben wird:

$$R = F_2 h_m \gamma = \left( \frac{F_3}{\alpha_m F_m} - 1 \right)^2 \left( \frac{F}{F_3} \right)^2 \frac{c^2}{2g} \cdot F_2 \gamma.$$

Diese Kraft ist nun dem Gewichte  $\left( 1 - \frac{1}{\varepsilon} \right) G$  des Ventiles gleichzusetzen, wenn dasselbe durch den Druck des durchfließenden Wassers balancirt werden soll; es läßt sich folglich

$$F_2 = \frac{\left( 1 - \frac{1}{\varepsilon} \right) G}{\left( \frac{F_3}{\alpha_m F_m} - 1 \right)^2 \left( \frac{F}{F_3} \right)^2 \frac{c^2}{2g} \gamma}$$

setzen.

Uebrigens macht die Maschine pr. Minute 15 dreifußige Spiele, bei also eine mittlere Kolbengeschwindigkeit  $v = \frac{6 \cdot 15}{60} = 1,5$  Fuß, wobei sie das Wasser 103 Fuß hoch fördert, und bei dreifacher Expansion, durch Dampf von 18 Pfund Ueberdruck gespeist wird.

**Beispiel.** Wenn bei der in Figur 779 abgebildeten Dampfmaschine des Krystallpalastes das Gewicht eines Ventiles,  $G = 37$  Pfund, das specifische Gewicht seiner Masse,  $\varepsilon = 8,5$ , also das Gewicht dieses Ventiles unter Wasser:

$$\left(1 - \frac{1}{\epsilon}\right) G = (1 - 0,11765) \cdot 37 = 32,65 \text{ Pfund}$$

Dampfklappe.

beträgt, wenn ferner die größte Kolbengeschwindigkeit

$$c = \frac{\pi}{2} v = 1,57 \cdot 1,5 = 2,36 \text{ Fuß,}$$

also das entsprechende Geschwindigkeitsquadrat,

$$\frac{c^2}{2g} = 0,01553 \cdot c^2 = 0,0865$$

mißt, wenn der Querschnitt  $F_3$  der Ventilkammer  $\frac{1}{3}$  mal in dem Kolbenquerschnitt  $F$  enthalten, sowie der Querschnitt  $F_m$  der Ventilöffnung  $\frac{1}{3}$  von dem der Ventilkammer ist und endlich der Contractionscoefficient für den Durchgang des Wassers durch die Oeffnung,  $\alpha_m = 0,75$ , sowie die Dichtigkeit des Wassers 62,33 (engl.) Pfund angenommen wird, so ist zur gehörigen Aequilibrirung dieses Ventiles dem massiven Theil desselben der Querschnitt

$$F_2 = \frac{32,65}{(3 \cdot \frac{1}{3} - 1)^2 (\frac{1}{3})^2 \cdot 0,0865 \cdot 62,33} = \frac{32,65}{16 \cdot 0,0865 \cdot 62,33} \\ = 0,378 \text{ Quadratfuß} = 54,5 \text{ Quadrat Zoll}$$

zu geben.

Für einen größeren Ventilschub, wobei vielleicht  $\frac{F_3}{F_m}$  nicht = 3, sondern

$\frac{5}{2}$ , also  $\left(\frac{F_3}{\alpha F_m} - 1\right)^2$  statt 9, nur =  $(\frac{5}{2} \cdot \frac{1}{3} - 1) = \frac{1}{6}$  ist, so würde

$$F_2 = \frac{9 \cdot 9}{16} \cdot 54,5 = \frac{81}{16} \cdot 54,5 = 90 \text{ Quadrat Zoll}$$

betragen müssen. Sollte das Ventil nur dann die gegebene Gröfßnung von  $\frac{F_m}{F_3} = \frac{1}{3}$  geben, wenn der Kolben die mittlere Geschwindigkeit  $v = 1,5$  Fuß hat, so müßte der massive Theil des Ventiles den Querschnitt

$$F_2 = 54,5 \left(\frac{v}{c}\right)^2 = 54,5 \left(\frac{\pi}{2}\right)^2 = 134,5 \text{ Quadrat Zoll}$$

erhalten.

§. 382. Bei den einfachwirkenden Wasserhebungs- und Dampfmaschinen wirkt der Dampf nur auf der einen Seite des Dampfkolbens, und wird der Rückgang des Kolbens durch das Stangenengewicht hervorgerufen. Ist das Schachtgestänge unmittelbar an die nach unten gerichtete Kolbenstange der Dampfmaschine angeschlossen, also die Maschine eine sogenannte directwirkende, (s. Bd. II, §. 417, Fig. 668), so wirkt der Dampf auf die untere Grundfläche des Kolbens; ist hingegen das Schachtgestänge mittels eines Hebels oder sogenannten Balanciers an die Kolbenstange der Dampfmaschine angeschlossen, so findet die Wirkung des Dampfes auf der oberen Grundfläche des Dampfkolbens statt; es wird folglich das Schachtgestänge im ersten Falle beim Aufgange, und im zweiten Falle beim Niedergange des Dampfkolbens gehoben. Da die directwirkenden Dampfmaschinen unmittelbar über die Schachtmündung zu stehen kommen, so sind dieselben nicht überall in Anwendung zu bringen. Uebrigens haben die Balanciermaschinen vor den directwirkenden Wasserhebungs- und Dampfmaschinen noch den Vor-

**Dampfmaschinen.** zug, daß sie bei Uebertragung der Kraft auf das Gestänge eine Verminderung des Gestängehubes gestatten, wodurch es möglich wird, den Pumpen eine angemessenere Geschwindigkeit zu geben. Sehr gewöhnlich macht man den Lastarm des Balanciers, woran das Gestänge hängt,  $\frac{3}{4}$  bis  $\frac{1}{2}$  mal so lang als den des Kraftarmes. Läßt man die Dampfmaschine mit 3 Fuß mittlerer Geschwindigkeit arbeiten, so ist hiernach die der Pumpen nur 2,25 bis 2,40 Fuß; man geht aber mit der Geschwindigkeit des Dampfkolbens lieber auf 2 Fuß herab, so daß dann die Pumpengeschwindigkeit nur  $\frac{1}{5}$  bis  $\frac{1}{6}$  Fuß ausfällt. Auf der anderen Seite steigert man aber auch, namentlich bei weiten Pumpenröhren, die Geschwindigkeit des Dampfkolbens auf 4 bis 5 Fuß, und wendet dabei nach Befinden einen gleicharmigen Balancier oder eine directe Verbindung des Schachtgestänges mit der Kolbenstange der Dampfmaschine an, so daß dann die Pumpenkolbengeschwindigkeit ebenfalls 4 bis 5 Fuß ausfällt.

Die einfachwirkenden Wasserhebungs- und Dampfmaschinen mit Balancier sind entweder sogenannte Watt'sche oder Cornwaller Dampfmaschinen. Der Hauptunterschied zwischen beiden Maschinen besteht darin, daß jene mit niedrigem Dampfdruck zu 1,1 Atmosphäre, diese aber mit hohem Dampfdruck zu 2,5 bis 5 Atmosphären arbeiten. Uebrigens gehören beide Maschinensysteme den Condensations- und Expansionsmaschinen an, nur ist die Expansion der Cornwaller Dampfmaschinen eine viel stärkere, und vorzüglich deshalb der Wirkungsgrad dieser Maschinen größer als der der Watt'schen Maschinen. Während bei diesen Maschinen nur eine dreihalb- bis dreifache Expansion des Dampfes angewendet wird, kommen bei diesen Dampfmaschinen vier- bis achtfache Expansionen vor. Nach den Versuchen von Th. Wicksteed (s. *An Experimental Inquiry concerning the relative power etc. of the Cornish and Boulton and Watt Pumping Engines*, by Th. Wicksteed, London 1841) wird bei den Cornwaller Wasserhebungs- und Dampfmaschinen von einem Centner (112 Pfund) Newcastle'scher Steinkohlen eine Nutzleistung von 97'146268 Fußpfund, und dagegen von den Boulton- und Watt'schen Maschinen eine solche von 42'847548 Fußpfund. erzielt. Hiernach ist die Leistung für ein Pfund Steinkohle im ersten Falle

$$= \frac{97'146268}{112} = 867377 \text{ Fußpfund,}$$

und im zweiten Falle

$$= \frac{42'847548}{112} = 382567 \text{ Fußpfund.}$$

Nun giebt aber eine Pferdekraft stündlich die Leistung

$$543 \cdot 60 \cdot 60 = 1'954800 \text{ Fußpfund,}$$

folglich erfordert hiernach eine Pferdekraft im ersten Falle:

$$\frac{1954800}{867377} = 2,25 \text{ Pfund,}$$

Dampfmaschine.

und im zweiten Falle:

$$= \frac{1954800}{382567} = 5,10 \text{ Pfund Steinkohle stündlich.}$$

Nach neueren Angaben ist jedoch im Durchschnitt die Nutzleistung der Cornwaller Maschinen nur 67'700000 Fußpsd. pr. 1 Centner Kohle, also = 604464 Fußpsd. pr. 1 Pfund Kohle zu setzen, wonach eine

$$\text{Pferdekraft } \frac{1954800}{604464} = 3,23 \text{ Pfd. Kohlenaufwand stündlich erfordert.}$$

Erfahrungsmäßig ist im Durchschnitt pr. Pferdekraft stündlich ein Kohlenaufwand von 4,2 Pfund oder circa 2 Kilogramm zu rechnen. Die gewöhnlich vorkommenden Cornwaller Wasserhebungs- und Dampfmaschinen machen bei einem Hub von 8 bis 10 Fuß, pr. Minute 6 bis 10 Spiele, wobei der Durchmesser des Dampfkolbens 60 bis 90 Zoll engl. beträgt und der Quadratzoll des letzteren im Durchschnitt mit 10 bis 16 Pfund belastet ist.

Zwei sehr große Cornwaller Wasserhebungs- und Dampfmaschinen arbeiten in Bleiberg bei Aachen. Dieselben sind aus der rühmlichst bekannten Maschinenbauwerkstatt zu Seraing hervorgegangen und in Armengaud's Publication industrielle, 6. Bd. sowie in John Cockerill's Portefeuille abgebildet. Jede dieser Maschinen hat einen Durchmesser von 2,67 Meter und Hub von 3,66 Meter, während der Durchmesser der Pumpenkolben 1 Meter und der Hub derselben 2,86 Meter mißt; ferner hat jede dieser Maschinen bei 7 Spielen pr. Minute, und wenn sie ohne Expansion arbeitet, 700 bis 800 Pferdekräfte Arbeitsvermögen; da sie jedoch mit fünffacher Expansion arbeitet, so beträgt dasselbe nur 234 Pferdekräfte. Nach gründlich angestellten Versuchen erfordert eine solche Maschine stündlich nur 1,45 Kilogramm Kohle pr. Pferdekraft, wogegen die gewöhnlichen Belgischen Wasserhebungs- und Dampfmaschinen 4 bis 5 Kilogramm Kohle pr. Pferdekraft in Anspruch nehmen.

§. 383. Obgleich im zweiten Bande (§. 427 und §. 428) bereits der allgemeine Bewegungs- und Steuerungsmechanismus einer einfachwirkenden Wasserhebungs- und Dampfmaschine beschrieben und durch Abbildungen illustriert wird, so möchte doch die folgende, mehr das Ganze einer solchen Maschine umfassende Darstellung einer Cornwaller Wassermaschine nicht ohne Wichtigkeit sein. Fig. 780 (a. f. S.) giebt die Hauptansicht der Maschine. Man sieht in *A* den Dampfzylinder, in *B* die Kolbenstange, in *CE* den um seine Are *D* schwingenden Balancier und in *F* das am kürzeren Arme des letzteren aufgehangene Pumpengestänge. Die an *F* angeschlossenen Pumpen sind, mit Ausnahme des untersten oder sogenannten Sumpfsäges, lauter Drucksäges; es hat daher der Dampf beim Niedergange des Dampf-

Dampfmaschine mit Balancier.

© 2004 Blackwell Publishing Ltd, *Journal of Internal Medicine* 255: 105–112

[illegible]



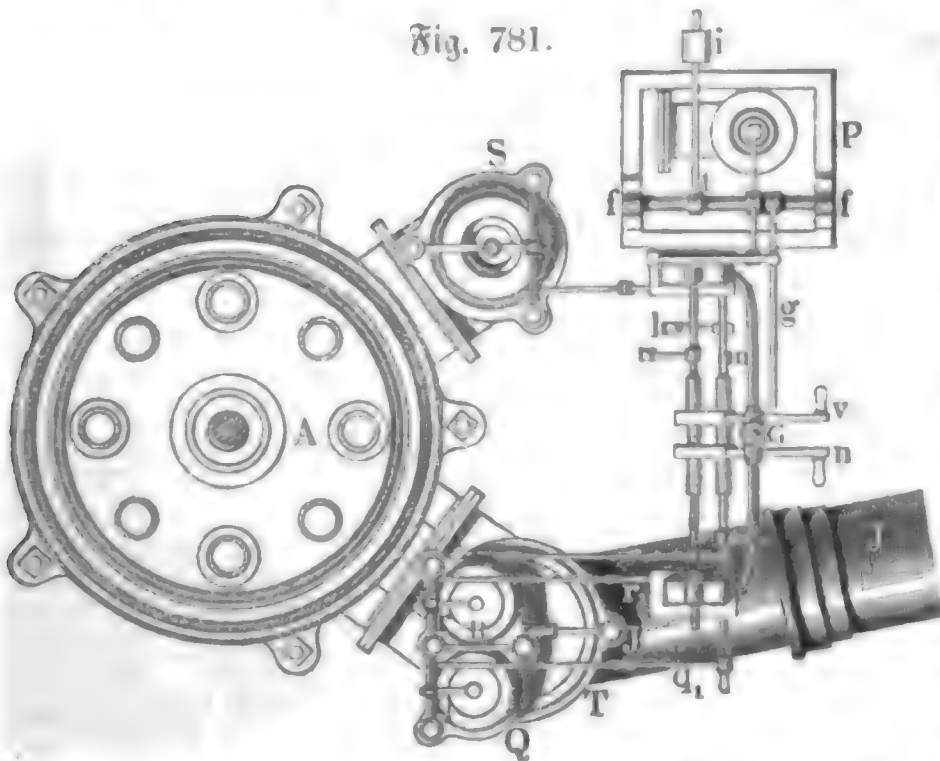
Stangbruch vor, so schlägt das Fanghorn des Balanciers auf gepolsterte Lager, wie *V*, und es setzt sich das losgerissene Gestänge mittels dieser Fangböcke auf starke Balkenunterlagen auf. An dem Balancier ist auch noch aufgehangen: die Steuerstange *G*, die Kolbenstange der Speisepumpe *M* und die Kolbenstange der Luft- und Warmwasserpumpe *L*.

Ferner sieht man in *K* den Condensator, und in *P* den Cataract, dessen Einrichtung und Wirkungsweise aus Band II, S. 428 bekannt ist. Zur Steuerung der Maschine dienen vier doppelseitige Ventile, deren Stellung gegen den Dampfcylinder *A* besser aus dem Grundrisse in Figur 781 zu ersehen ist, und zwar

1. das Regulirventil *Q*,
2. das Einlaßventil *R*,
3. das Gleichgewichtsventil *S*, und
4. das Auslaß- oder Condensatorventil *T*.

Das Regulirungsventil *Q*, welchem der Dampf von unten zugeführt wird,

Fig. 781.



ist an dem Hebel *q q<sub>1</sub>* aufgehangen und läßt sich mittels der Stange *q<sub>2</sub>*, an deren Ende ein Schraubenmechanismus angebracht ist, dem Dampfbedarf entsprechend einstellen. Aus diesem Ventil tritt der Dampf in das benachbarte Einlaßventil *R*, welches an einem anderen Hebel *r r<sub>1</sub>* aufge-

hängen ist, und bei Eröffnung dieses Ventils durch ein fallendes Gewicht, tritt der Dampf oben in den Dampfcylinder ein und treibt daselbst den Dampfkolben abwärts. Nachdem dieser einen Theil seines ganzen Weges zurückgelegt hat, wird dieses Ventil geschlossen, und es legt nun derselbe den übrigen Theil des Weges während der Expansion des Dampfes zurück. Am Ende des Kolbenniederganges eröffnet sich das Gleichgewichtsventil *S*, wodurch mittels der senkrecht stehenden Röhre *H* eine Communication zwischen dem oberen und unteren Theil des Dampfcylinders hergestellt wird; es steigt nun in Folge des Gestängengewichtes der Dampfkolben wieder empor, und treibt dabei den vorher in Thätigkeit gewesenen Dampf unter den Kolben. Zuletzt eröffnet sich durch Niederfallen eines Gewichtes das Auslaßventil *T*, so daß nun der



Fig. 70



current supply circuit. The current transformer is a magnetic circuit with two windings. The primary winding is connected to the main circuit, and the secondary winding is connected to the measuring instrument. The current transformer is used to measure the current in the main circuit. The current transformer is a magnetic circuit with two windings. The primary winding is connected to the main circuit, and the secondary winding is connected to the measuring instrument. The current transformer is used to measure the current in the main circuit.

The current transformer is a magnetic circuit with two windings. The primary winding is connected to the main circuit, and the secondary winding is connected to the measuring instrument. The current transformer is used to measure the current in the main circuit. The current transformer is a magnetic circuit with two windings. The primary winding is connected to the main circuit, and the secondary winding is connected to the measuring instrument. The current transformer is used to measure the current in the main circuit.

The current transformer is a magnetic circuit with two windings. The primary winding is connected to the main circuit, and the secondary winding is connected to the measuring instrument. The current transformer is used to measure the current in the main circuit. The current transformer is a magnetic circuit with two windings. The primary winding is connected to the main circuit, and the secondary winding is connected to the measuring instrument. The current transformer is used to measure the current in the main circuit.

Fig. 10.1



The current transformer is a magnetic circuit with two windings. The primary winding is connected to the main circuit, and the secondary winding is connected to the measuring instrument. The current transformer is used to measure the current in the main circuit. The current transformer is a magnetic circuit with two windings. The primary winding is connected to the main circuit, and the secondary winding is connected to the measuring instrument. The current transformer is used to measure the current in the main circuit.



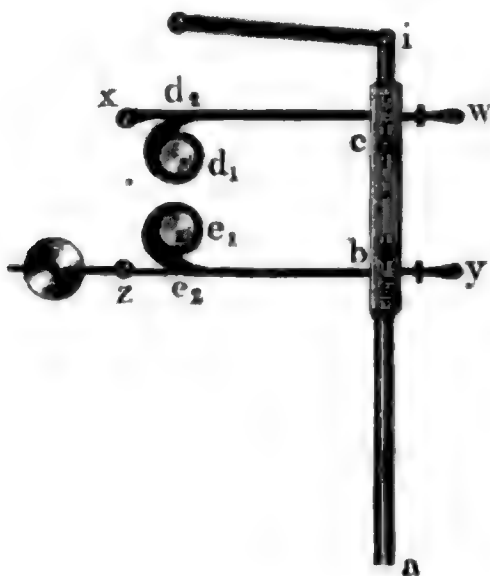
There is a growing body of research that suggests that the use of technology in the classroom can enhance student learning and engagement. This research is based on the idea that technology can provide students with access to a wide range of resources and tools that can help them to learn more effectively. For example, students can use technology to access online resources, such as videos and interactive simulations, which can help them to understand complex concepts more easily. Additionally, technology can be used to create a more personalized learning experience for each student, allowing them to learn at their own pace and in a way that suits their individual needs. This research also suggests that technology can be used to foster collaboration and communication among students, which can help them to develop critical thinking and problem-solving skills. Overall, the research indicates that technology has the potential to significantly improve student learning and engagement in the classroom.



Direct-  
wirkende  
Zugstange.

Stange  $f$  vom Gegengewichtsbalancier  $EFG$  beim Aufgang des Schachtgestänges aufwärts, dagegen am Ende des Gestängaufganges vom Gewichte  $g$  niedergedrückt, und die an ihm angeschlossene Stange  $ac$  wird

Fig. 786.



hierbei erst abwärts gezogen und dann wieder aufwärts geschoben, wobei mittels der an dieser Stange sitzenden Bolzen  $b$  und  $c$ , Fig. 786, die eine oder die andere der Sperrklinken  $yz$  und  $xw$  aus den Sperrrädern  $e_1$  und  $d_1$  sich auslöst. Das Steuerungsspiel geht nun mit Hülfe des Katarakts auf folgende Weise vor sich. Der Dampfkolben und also auch das Schachtgestänge stehen unten, und beide Dampfventile seien geschlossen. Das nun niedersinkende Gewicht  $g$  des Katarakts schiebt die Stange  $ac$  aufwärts, löst

am Ende die Sperrklinke  $xw$  aus dem Sperrrade  $d_1$  aus, und das an der Steuerwelle  $d$  hängende Gewicht  $p$  dreht diese Welle von links nach rechts und diese eröffnet nun mittels ihres Armes  $dk$  u. s. w. das Admissionsventil  $U$ . Nachdem der nun aufsteigende Dampfkolben ein Drittel oder einen anderen Theil seines Weges zurückgelegt hat, wird der Steuerhebel  $s$  von der Knagge  $S$  ergriffen und emporgehoben, wobei sich natürlich das Admissionsventil  $U$  wieder verschließt und die Sperrklinke  $wx$  sich wieder in das Sperrrad  $d_1$  einlegt. Während des übrigen Kolbenganges wirkt der Dampf nur noch durch Expansion, und es hebt der Gegengewichtsbalancier den rechten Arm  $og$  des Hebels  $ag$ , und folglich auch das Gewicht  $g$  und den Plunger  $h$  empor, wobei natürlich die Stange  $ac$  abwärtsgezogen wird. Am Ende des Kolbenaufganges rückt der Bolzen  $b$  die Klinke  $yz$  aus dem Sperrrade  $e_1$  aus, es wird nun die Welle  $e$  frei und von dem an ihr hängenden Gewichte  $r$  von rechts nach links gedreht, sowie das an den Arm  $el$  dieser Welle angeschlossene Emissionsventil  $V$  geöffnet. In Folge dessen geht nun der Dampfkolben sammt dem Gestänge und der Steuerstange  $LK$  wieder nieder, und wenn endlich der Steuerhebel  $t$  von der Knagge  $T$  ergriffen und niedergedrückt, sowie das Ventil  $V$  wieder geschlossen und die Sperrklinke  $yz$  wieder in das Sperrrad  $e_1$  eingerückt ist, hat die Maschine ein Spiel vollendet. Die nun eintretende Pause hängt natürlich davon ab, wieviel Zeit der Plunger  $h$  zum Niedergange nöthig hat, und diese Zeit ist natürlich wieder von der durch einen Hahn zu stellenden Ausmündung des Plungercylinders abhängig. Vergl. Band II, S. 428.

Der Durchmesser des Dampfzylinders mißt 1,88 Meter und der Durchmesser der an dem Gestänge angeschlossenen Pumpenkolben 0,50 Meter; der Kolben- und Gestängehub mißt 3 Meter und die Anzahl der Spiele der Maschine pr. Minute ist 6 bis 8.

Direct-  
wirkende  
Dampfmaschine.

§. 385. Nicht immer heben oder drücken die Pumpenwerke das Wasser unmittelbar auf eine größere Höhe, sondern sie dienen nur dazu, dasselbe in einen besonderen Raum zu drücken, welcher mit einem unter höheren Drucke erfüllten Fluidum, z. B. Luft, Dampf oder anderem Wasser, erfüllt ist. Dieser Fall kommt nicht allein bei den Speisepumpen der Dampfkessel (s. §. 380), sondern auch fast bei allen Wasserwerken zur Versorgung großer Städte mit Wasser vor. Damit die ungleichförmige Bewegung des von den Pumpen zugeführten Wassers nicht auf die Wassermasse in den meist sehr langen Leitungsröhren übergehe, wodurch nicht allein die Wirksamkeit der ganzen Maschine sehr beeinträchtigt, sondern auch die Festigkeit dieser Röhren übermäßig in Anspruch genommen werden würde, ist es nöthig, das zugepumpte Wasser zunächst in einem nahe bei dem Pumpenwerk stehenden Reservoir aufzufangen, und von hier aus mittels Leitungsröhren nach den verschiedenen Punkten des Bedarfs fortzuführen. Um das Wasser auch in die höheren Stockwerke der Wohngebäude leiten zu können, ist einem solchen Wasserreservoir eine größere Höhe und folglich eine thurm- oder säulenförmige Gestalt zu geben. In neuerer Zeit setzt man solche Wasserthürme (fr. châteaux d'eau, engl. water-towers) aus Eisenplatten oder Eisenblech zusammen, und bilden sie dann sogenannte Standröhren (fr. tuyaux verticaux, engl. stand-pipes) von 4 bis 5 Fuß Weite und von nicht selten ein- bis zweihundert Fuß Höhe. Zuweilen wendet man auch zwei nebeneinanderstehende Standröhren an, in welchem Falle das zugepumpte Wasser in der einen Röhre emporsteigt, dann oben durch ein Seitenrohr in die andere Standröhre tritt und hier wieder niedersinkt, ehe es in die Hauptleitungsröhre gelangt.

Städtische  
Wasserhe-  
bungsdampf-  
maschine.

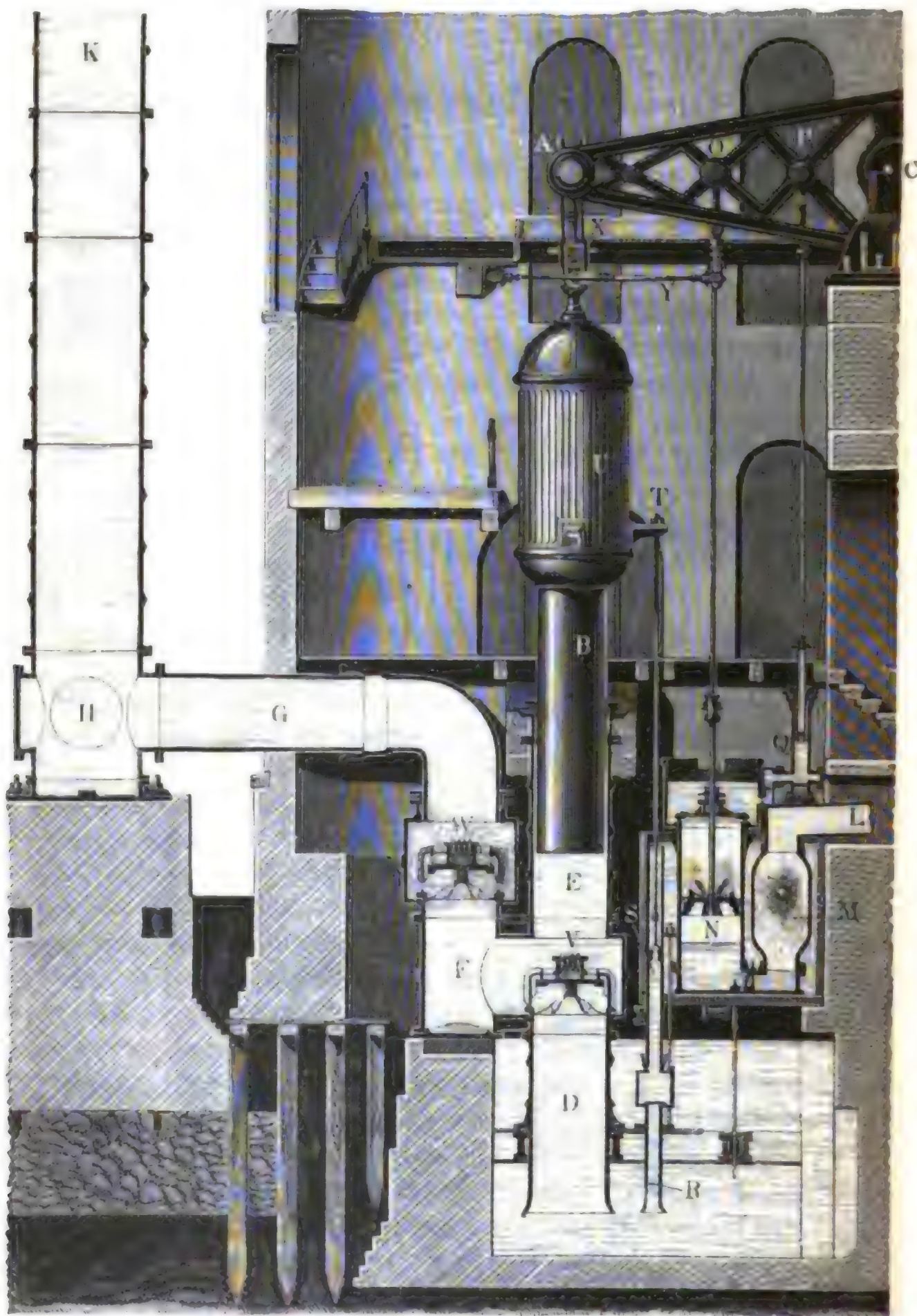
In neueren Zeiten, namentlich in Frankreich, bedient man sich auch statt der hohen Standröhren großer säulenförmiger Windkessel (s. Bd. II, §. 298), und versieht dieselben mit einer kleinen Luftpumpe, welche die durch die Wandfugen durchdringende und mit dem Wasser fortgeführte Luft durch Zudrücken anderer Luft wieder ersetzt.

Die Einrichtung des Pumpenmechanismus einer Wasserhebungs-  
dampfmaschine für eine städtische Wasserversorgung läßt sich aus der Abbildung in Fig. 787 (a. f. S.) ersehen, welche den verticalen Durchschnitt von einem Theile der Cornwaller Wasserhebungsmaschine von East London Waterworks, Old-Ford vorstellt. (S. The Cornish and Boulton and Watt Engines erected of the East London Waterworks,



Erste  
Wasser-  
hebe-  
ma-  
schin-  
e.

Old-Ford, by Th. Wicksteed, London 1842). Es ist CA die linke  
Fig. 787.



Hälfte des Balanciers, welcher von einer an der rechten Hälfte mittels eines Watt'schen Parallelogramms angreifenden einfachwirkenden Cornwaller Dampfmachine in schwingende Bewegung versetzt wird, ferner ist *B* der Pumpenplunger mit dem Gehäuse *U* zur Aufnahme der Regulirungs-Gewichte. Ferner sieht man in *E* den Pumpenkörper, in *HK* einen Theil des Standrohres, in *F* und *G* Communicationsröhren zwischen dem Pumpenkörper und dem Standrohr, und in *V* das Saug-, sowie in *W* das Steigventil. Uebrigens ist der Plunger im Niedergange begriffen und deshalb *V* verschlossen, dagegen *W* geöffnet dargestellt. An dem Balancier hängt noch die Kolbenstange *ON* der Luftpumpe *N*, sowie die Kolbenstange *PQ* der Speisepumpe *Q*. Die Kolbenstange *ST* der Kaltwasserpumpe *R, S*, welche wie die Hauptpumpe, das Wasser aus einem gemauerten Bassin nimmt, ist dagegen an den Plunger *B* befestigt, und hat folglich mit diesem einen und denselben Hub. Endlich sieht man in *L* das Austragerrohr des Dampfes und im *M* den Condensator, in welchem der durch *L* zugeführte Dampf condensirt wird.

Städtische  
Wasserbe-  
bahrung-Dampf-  
maschine.

Der Durchmesser des Dampfkolbens mißt  $80\frac{1}{4}$  Zoll engl., der des Pumpenkolbens 41 Zoll, ferner der der Pumpenröhren 43 Zoll, und der des 124 Fuß hohen Standrohres 50 Zoll. Ferner ist der Hub des Dampfkolbens 124 Zoll und der des Pumpenkolbens *B* nun 114 Zoll. Der Hochdruckdampf, mit welchem diese Maschine arbeitet, wird in vier cylindrischen Kesseln erzeugt, wovon jeder 3192 Quadratfuß Heizfläche hat und stündlich 46,9 Cubikfuß Wasser in Dampf verwandelt.

Noch ist in Fig. 788 (a. f. S.) der Grundriß der ganzen Maschinenanlage sammt Dampfkessel und Kesselhaus, jedoch ohne Balancier und Steuerung, vor Augen geführt. Es stellt hier wie in der vorigen Abbildung, *E* den Pumpencylinder, *FG* das Communicationsrohr, *K* das Standrohr, ferner *L* das Austragerrohr, *M* den Condensator, *N* die Luftpumpe, *Q* die Speisepumpe und *S* die Kaltwasserpumpe dar. Von den vier Dampfkesseln *D*<sub>1</sub>, *D*<sub>2</sub>, *D*<sub>3</sub>, *D*<sub>4</sub> sind die letzteren zwei im Durchschnitt gezeichnet. Der Feuerheerd *R* befindet sich im Innern derselben und die Circulation der warmen Luft ist dieselbe wie bei dem in Fig. 606, Bd. II, abgebildeten Dampfkessel, nur ist hier die Feuerung eine einfache und außerdem noch eine Siederöhre angebracht. Der Dampfeylinder *A* ist mit einem Holzmantel umgeben, und der Zwischenraum zwischen diesem und dem Cylinder mit Asche ausgefüllt. Das Dampfrohr *BB*<sub>1</sub>*B*<sub>2</sub>, durch welches der Dampf dem Cylinder zugeführt wird, verbindet die Dampfäume sämmtlicher vier Kessel mit einander. Die Speisepumpe *Q* drückt das Wasser mittels der Speiseröhre *TT*<sub>1</sub>*T*<sub>2</sub> in den Vorwärmer *UU*, von welchem aus es mittels der Röhre *VV* in die Kessel geführt wird. Noch



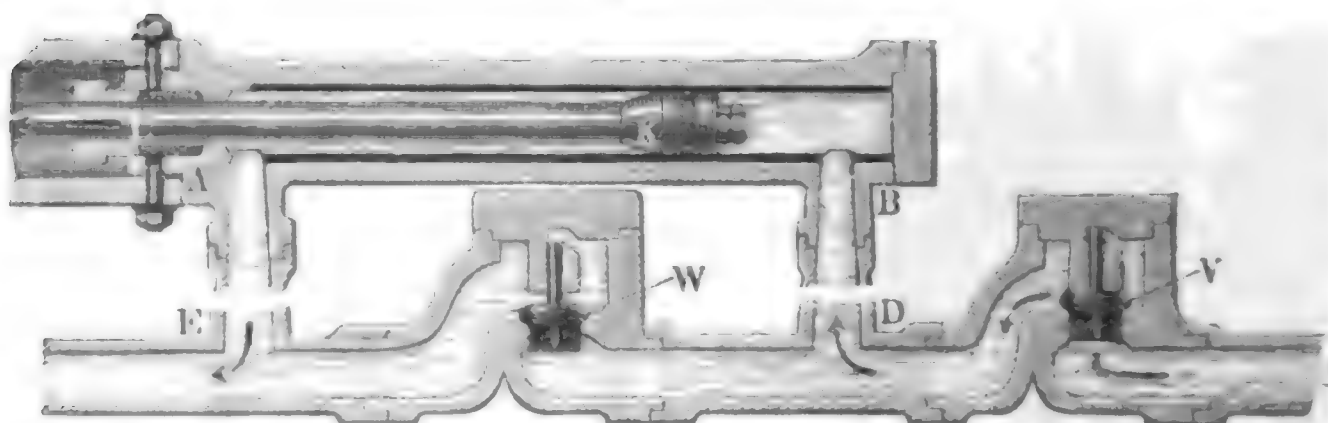




Accumulator.  $\frac{600}{12} = 50$  Atmosphären  $= 50 \cdot 30 = 1500$  Fuß Höhe ersetzt wird. Der aus Eisenblech zusammengenietet und mit Roheisenstücken, Gesteinsstücken u. s. w. angefüllte Gewichtskasten  $GG$  hängt an dem Querhaupte  $CC$  des Taucherkolbens, und dieses ist in einer an den Säulen  $SS_1SS_1$  befestigten Schienenleitung  $EE_1EE_1$  beweglich. Bei dem tiefsten Stande des Kolbens setzt sich der Boden des Gewichtskastens auf einen starken Holzring  $HH$  auf, und bei dem höchsten Stande des Kolbens verschließt derselbe mittels eines Hebels u. s. w. das Dampfventil der Dampfmaschine des Druckwerks, so daß dieselbe zum Stillstande kommt. Wenn aber wieder eine größere Menge Wasser aus dem Accumulator abgeführt ist, so öffnet sich mit dem nun sinkenden Kolben  $A$  auch wieder das Dampfventil und es wird von Neuem Wasser in den Accumulator eingeführt.

Die Einrichtung der doppeltwirkenden Dampfmaschine, welche das Wasser in den Accumulator drückt, ist aus dem Längendurchschnitt derselben in Fig. 790 zu ersehen. Der liegende Pumpencylinder  $AB$  steht mit der

Fig. 790.

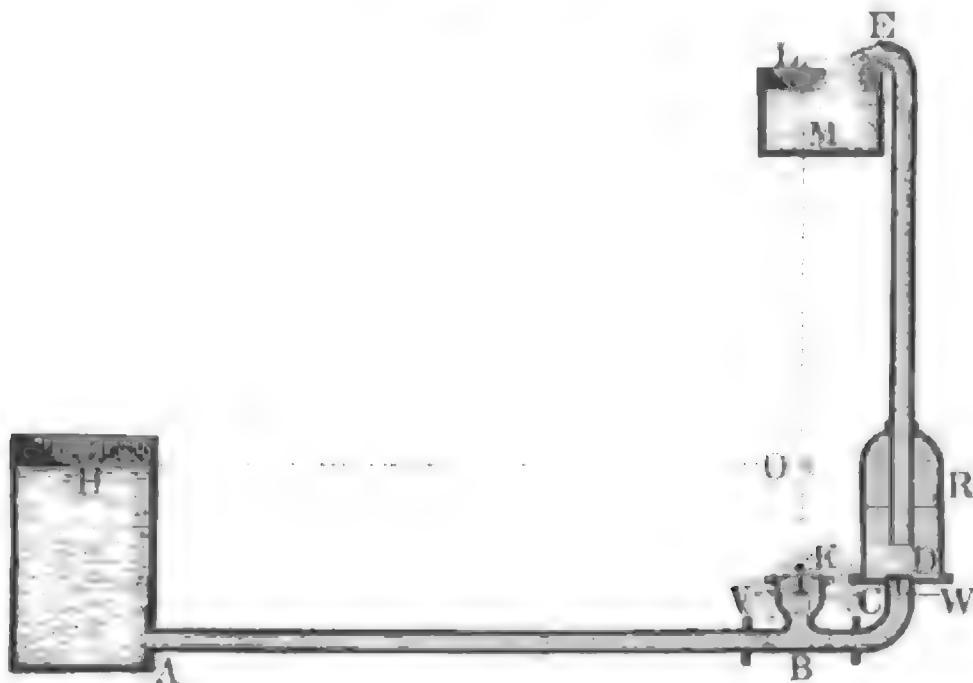


Röhre  $DE$ , in welcher das Wasser angesaugt und fortgedrückt wird und welche die Ventile  $V$  und  $W$  enthält, durch die Kanäle  $AD$  und  $BE$  in Verbindung, und es bewegt sich in demselben ein Kolben  $K$ , dessen Kolbenstange  $KL$  einen Querschnitt hat, welcher die Hälfte des Kolbenquerschnittes ist. Bei dieser Einrichtung wird, wie auch aus §. 358 bekannt ist, beim Hingange des Kolbens ebensoviel Wasser durch das Rohr  $E$  fortgedrückt, als beim Rückgange desselben. Durch die Accumulatoren ist der Anwendung der Wassersäulenmaschinen zum Betrieb von Aufzügen, Krähnen, zur Bewegung der Drehscheiben und Schiebebühnen, zum Öffnen und Schließen der Schleußenthore u. s. w. ein großer Vorschub geleistet worden. Es sind jetzt in England mehr als 1200 Wassersäulen-Krahne, Aufzüge u. s. w. mit 125 Dampfmaschinen und einem Arbeitsvermögen von 3000 Pferdekraften im Gange. Da sich das Wasser überall leicht hinführen und ansammeln läßt und die Wasserkraft in jedem Augenblick disponibel ist, so haben aber

auch diese Wasserdruckmaschinen vor den durch die Dampfkraft in Bewegung gesetzten Arbeitsmaschinen große Vorzüge.

§. 387. Wenn es darauf ankommt, kleinere Wassermengen auf eine mäßige Höhe zu heben, so ist hierzu der sogenannte hydraulische Widder oder Stoßheber (fr. *bélier hydraulique*, engl. *hydraulic ram*) ein einfaches und vorzügliches Hülfsmittel. Diese 1796 von Montgolfier erfundene Maschine unterscheidet sich von den gewöhnlichen Wasserhebungs-  
hydraulische  
Widder.
maschinen dadurch, daß sie ohne Rad- und ohne Kolbenmechanismus in Bewegung erhalten wird, und einen Theil des Aufschlagwassers unmittelbar auf eine größere Höhe empordrückt. Die wesentliche Einrichtung eines hydraulischen Widders ist folgende. Der Behälter *HA*, Fig. 791, in wel-

Fig. 791.



chem das Aufschlag- und Hubwasser angesammelt wird, steht durch eine Leitungsröhre *ABC* mit dem Windkessel *R* in Verbindung, und in letzteren mündet eine Steigröhre *DE* ein, deren Mündung *E* über dem zur Aufnahme des Hubwassers dienenden Behälter *LM* steht. Ferner ist die Einmündung *C* der Leitungsröhre in den Windkessel durch ein sich nach oben öffnendes Ventil *W*, das sogenannte Steigventil, dagegen die kurze Seitenröhre *BK* mit einem sich nach unten öffnenden Ventil, dem sogenannten Sperrventil *V*, versehen.

Um die Wirkungsweise dieser Wasserhebungsmaschine zu erklären, setzen wir voraus, daß gleich anfangs die beiden Ventile *V* und *W* verschlossen, und die beiden Röhren *ABC* und *DE* gänzlich mit Wasser, sowie der Windkessel *R* theils mit Wasser, theils mit Luft angefüllt ist. Eröffnen wir nun durch Niederdrücken des Ventiles *V* die Mündung *K*,





röhre,  $V$  das Sperrventil,  $R$  der Windkessel mit der Steigröhre  $DE$ ; hydraulischer Widder. außerdem ist aber noch ein Windkessel  $S$  angebracht, welcher einerseits durch das Rohr  $C$  mit der Ventilkammer  $BK$  und auf der anderen Seite durch die Steigventile  $W, W'$  mit dem äußeren Windkessel  $R$  communicirt. Der Nutzen des inneren Windkessels ist leicht zu ermessen; die in demselben eingeschlossene Luft schwächt die nachtheiligen Wirkungen des mit dem plötzlichen Auf- und Abschließen des Sperrventiles verbundenen Stoßes, wodurch nicht allein die Maschine selbst mehr geschont, sondern auch die Wirksamkeit derselben erhöht wird.

Um die Luft wieder zu ersetzen, welche sich unter dem höhern Drucke im Windkessel  $R$  nach und nach mit dem Wasser mechanisch verbindet und durch die Steigröhre abgeführt wird, bringt man am Boden des Windkessels  $R$  noch ein Mundstück  $H$  an, welches mit einem sich nach innen öffnenden Ventile versehen ist. Dieses Ventil öffnet sich bei der rückgängigen Bewegung des Wassers in der Leitungsröhre, sowie der Druck desselben unter den Atmosphärendruck sinkt, und es dringt auf diese Weise bei jedem Spiele eine kleine Luftmenge in die Windkessel  $S$  und  $R$ , welche die durch die Steigröhre abgeführte Luftmenge ersetzt, so daß beide Windkessel immer die gehörige Luftmenge behalten.

§. 388. Man kann auch den hydraulischen Widder so einrichten, daß er das Wasser mittels Saugen emporhebt. Saugender Stoßheber. Einen solchen saugenden hydraulischen Widder hat schon Boulton ausgeführt (s. Journal des mines, Bd. II.), auch Hachette behandelt in seinem *Traité élémentaire des Machines* diese Maschine unter dem Namen *bélier aspirateur*. In der neueren Zeit ist von dem belgischen Ingenieur Leblanc ein doppelwirkender saugender Stoßheber zur Wasserhaltung beim Schleußen-, Quai- und Brückenbau construirt und in Anwendung gebracht worden. Derselbe ist in den *Annales des ponts et chaussées*, 3. sér. 7. année, 1858, sowie auch im 5. Band des *Civilingenieur* beschrieben, und hier in Fig. 793 (a. f. S.) abgebildet. Es ist  $A$  der Speisebehälter,  $BCD$  die in denselben einmündende Leitungsröhre, ferner  $SG$  der obere Theil der Saugröhre,  $R$  ein Windkessel und  $BR$  das vom letzteren nach der Leitungsröhre führende Communicationsrohr. Das Sperrventil des gewöhnlichen Stoßhebers ist hier durch das Eintrittsventil  $V$ , sowie das Steigventil des ersteren durch das Saugventil  $W$  ersetzt. Ist  $V$  eröffnet, so fließt das Wasser aus  $A$  in die Leitungsröhre, und in derselben weiter bis in den Sumpf  $U$ . Nachdem hierbei die Geschwindigkeit des Wassers in  $BCD$  eine gewisse Größe erreicht hat, so wird  $V$  von dem darüber stehenden Wasser niedergedrückt, und da nun aus  $A$  kein Wasser mehr nachfließen kann, so sinkt der Druck des Wassers bei  $B$  unter den Atmosphärendruck herab und es eröffnet



klappen. Uebrigens hängen beide Ventile mittels ihrer Stiele an einem um die horizontale Ase  $K'K'$  drehbaren gleicharmigen Hebel  $HK'H_1$ ; deshalb ist mit dem Schließen des einen Ventiles auch das Eröffnen des anderen verbunden, und es werden ebenso die beiden Saugventile  $W$  und  $W_1$  abwechselnd eröffnet und geschlossen.

saugende  
Stoßheber.

Bei dem beschriebenen saugenden Doppelpstoßheber ist die Weite sämtlicher Röhren und Mündungen 0,2 Meter, ferner die Länge der Leitungsröhre 3,29 Meter, das Gefälle 1,7 Meter und die Förderhöhe 2,25 Meter. Ueber die Wirkung desselben sind genaue Angaben nicht bekannt, nur wird angegeben, daß dieser Heber ebensoviel leistet als sechs hölzerne Pumpen, von denen jede täglich  $3 \cdot 4 = 12$  Arbeiter zur Bedienung erfordert.

§. 389. Ueber die Leistungsfähigkeit des gewöhnlichen Stoßhebers sind von Eytelwein sehr ausführliche Versuche, und zwar an zwei Modellen angestellt worden. Die Ergebnisse derselben enthält die Schrift: Bemerkungen über die Wirkung und vortheilhafte Anwendung des Stoßhebers von J. A. Eytelwein, Berlin 1805. Das größere der Versuchsmodelle hatte eine horizontale Leitungsröhre von  $2\frac{1}{8}$  Zoll, eine Steigröhre von 1 Zoll Weite und einen aus Kupfer getriebenen Windkessel von 9 Zoll Weite und 12 Zoll Höhe. Sowohl die Röhrenlängen als auch die Gefälle und die Förderhöhe wurden innerhalb weiter Grenzen mehrfach abgeändert. Die kleinste Länge der Leitungsröhre war  $11\frac{1}{2}$  Fuß, die größte  $42\frac{1}{2}$  Fuß, die Länge der Steigröhre betrug 31,6 bis 49,4 Fuß, ferner betrug das Gefälle oder die Druckhöhe 1 bis 10 Fuß, und die Förderhöhe 15 bis 47 Fuß. Uebrigens kamen bei den Versuchen an dem größeren Stoßheber fünf verschiedene tellerförmige Sperrventile vor, und von denselben hatte nur das eine eine Durchflußöffnung, deren Querschnitt von 3,496 Quadratzoll nahe gleich dem Querschnitt von 3,690 Quadratzoll der Leitungsröhre war. Das Steigventil war aus Messing, und bestand entweder in einer hängenden Klappe, oder in einem horizontal auschiebenden Tellerventil. Die Anzahl der Spiele oder Schläge pr. Minute betrug 10 bis 180, das Aufschlagwasserquantum in eben dieser Zeit  $\frac{1}{7}$  bis  $5\frac{1}{2}$  Cubikfuß, und die gehobene Wassermenge  $\frac{1}{42}$  bis 1 Cubikfuß.

Leistung des  
Stoßhebers

Bezeichnet  $Q$  das durch das Sperrventil abgeflossene Wasserquantum, und  $Q_1$  die durch die Steigröhre emporgeführte Wassermenge, ferner  $h$  das Gefälle  $OK$ , Fig. 794 (a. f. S.), vom Wasserspiegel  $H$  im Speisereservoir bis zur Ausmündung  $K'$  des Sperrventiles gemessen, und  $h_1$  die Förderhöhe  $OL$ , von eben diesem Wasserspiegel bis zur Ausgußmündung  $E$  gerechnet, so ist der Wirkungsgrad des Stoßhebers:

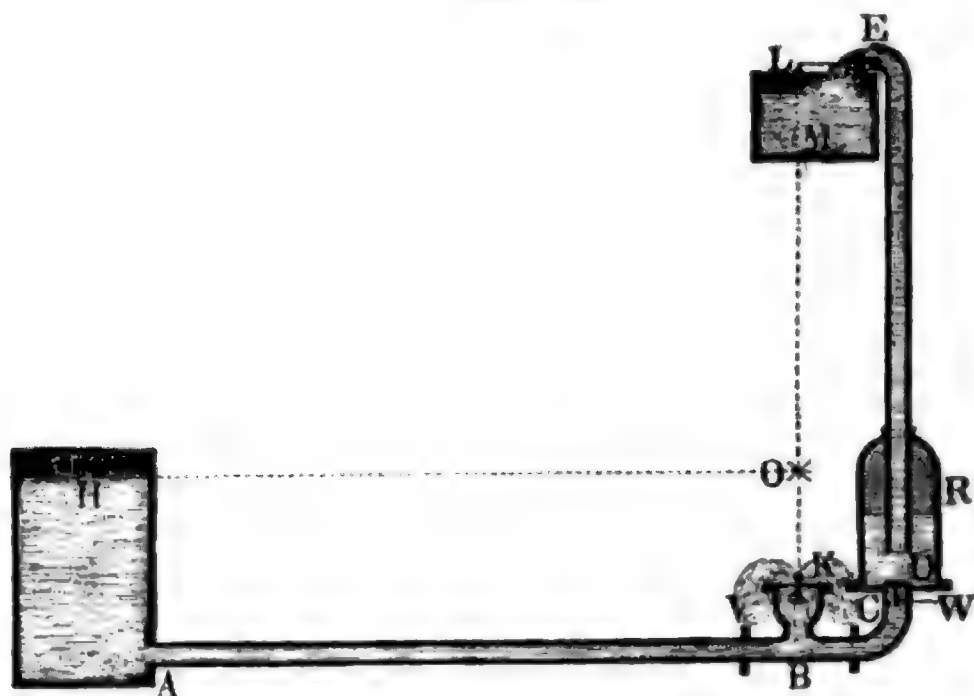
$$\eta = \frac{Q_1 h_1}{Q h} \text{ zu setzen.}$$

Verzerrung des  
Stoßhebels.

Eytelwein berechnet aus seinen 1123 theils mit dem großen, theils mit dem kleinen Stoßheber angestellten Versuchen:

$$\eta = 1,12 - 0,2 \sqrt{\frac{h_1}{h}},$$

Fig. 794.



wonach sich nun für

das Höhenver-												
hältniß $\frac{h_1}{h} =$	1	2	3	4	5	6	8	10	12	15	20	
der Wirkungs-												
grad $\eta =$	0,920	0,837	0,774	0,720	0,673	0,630	0,555	0,488	0,427	0,345	0,226	

herausstellt. Es nimmt also hiernach der Wirkungsgrad des Stoßhebels immer mehr und mehr ab, je größer bei gegebenem Gefälle  $h$  die Förderhöhe  $h_1$  ist, und es schlägt deshalb Eytelwein vor, bei größeren Förderhöhen statt eines Stoßhebels mehrere Stoßheber, wovon der eine dem andern das Wasser zuhebt, in Anwendung zu bringen. Noch zieht Eytelwein aus den Ergebnissen seiner Versuche folgende wichtige Construktionsregeln.

1. Die verbrauchten Wassermengen  $(Q + Q_1)$  verhalten sich ohngefähr wie die Quadrate der Durchmesser  $(d)$  der Leitungsröhren, und es ist, wenn 60  $(Q + Q_1)$  die Wassermenge pr. Minute in Cubikzollen bedeutet, die erforderliche Weite der Leitungsröhre:

$$d = \frac{\sqrt{60 (Q + Q_1)}}{21} \text{ Zoll,}$$

oder, wenn man  $Q + Q_1$  in Cubikfuß giebt,  

$$d = 2 \sqrt{60 (Q + Q_1)}.$$

Leistung der  
Stoßheber.

2. Die Länge  $l$  der Leitungsröhre muß der Steighöhe  $h_1$  angemessen sein, und läßt sich

$$l = h_1 + \frac{h_1}{h} \text{ Fuß setzen.}$$

3. Die Weite  $d_1$  der Steigröhre ist von untergeordnetem Einfluß auf die Wirkung der Maschine; es genügt, wenn man  $d_1 = \frac{1}{2} d$  macht.

4. Der Sperrmündung ist derselbe Querschnitt zu geben, wie der Leitungsröhre, auch ist

5. das Gewicht des Sperrventiles möglichst klein, nur der erforderlichen Festigkeit entsprechend zu machen.

6. Uebrigens kann das Sperrventil unter Wasser stehen, ohne daß dadurch die Leistung der Maschine beeinträchtigt wird.

7. Beide Ventile müssen möglichst nahe an einander stehen.

8. Der Windkessel vermindert die Erschütterungen und trägt zur Erhöhung der Leistung der Maschine bei. Es ist hinreichend, den Fassungsraum des Windkessels gleich dem der Steigröhre zu machen.

Beispiel. Man soll für ein Gefälle von 6 Fuß einen Stoßheber construiren, welcher pr. Minute 1 Cubikfuß Wasser 24 Fuß hoch hebt.

Es ist hier  $h = 6$ ,  $h_1 = 24$ ,  $Q_1 = 1$ , folglich der Wirkungsgrad

$$\eta = 1,12 - 0,2 \sqrt{\frac{h_1}{h}} = 1,12 - 0,2 \sqrt{4} = 0,72.$$

Nun folgt das erforderliche Aufschlagquantum

$$60 Q = 60 \frac{Q_1 h_1}{\eta h} = \frac{1 \cdot 24}{0,72 \cdot 6} = 5,55 \text{ Cubikfuß;}$$

daher der ganze Wasserverbrauch pr. Minute:

$$60 (Q + Q_1) = 1 + 5,55 = 6,55 \text{ Cubikfuß.}$$

und die erforderliche Weite der Leitungsröhre, sowie die der Ventilmündungen:

$$d = 2 \sqrt{60 (Q + Q_1)} = 2 \sqrt{6,55} = 2 \cdot 2,56 = 5,12 \text{ Zoll,}$$

wogegen für die Steigröhre die Weite  $d_1 = \frac{1}{2} d = 2,56$  Zoll genügt.

Die Länge der Leitungsröhre ist

$$l = h_1 + \frac{h_1}{h} = 24 + \frac{24}{6} = 28 \text{ Fuß.}$$

Das erforderliche Volumen des Windkessels ist gleich dem der Steigröhre:

$$W = \frac{\pi d_1^2}{4} \cdot h_1 = 0,7854 \cdot 2,56^2 \cdot 24 \cdot 12 = 1482 \text{ Cubizoll.}$$

Macht man ihn cylindrisch und 12 Zoll weit, so muß er eine Höhe von

$$\frac{1482}{113,1} = 13,1 \text{ Zoll erhalten.}$$

§. 390. Die allgemeine Theorie des hydraulischen Widders ist ziemlich complicirt und setzt die Anwendung ungewöhnlicher analytischer Hülfsmittel voraus (s. Naviers Résumé des Leçons sur l'application de la

Theorie des  
Stoßhebers.



Theorie des  
Stückhebers.

Mécanique, Part. II., sowie Venturoli's Elementi di Meccanica e d'Idraulica, Vol. II.); da dieselbe zur Beurtheilung der Leistung dieser Maschine nicht ausreicht, sondern hierzu noch immer Erfahrungsverhältnisse nöthig sind, so wollen wir sie im Folgenden unter einer Voraussetzung entwickeln, welche nur annähernd richtig ist, jedoch der Wahrheit um so näher kommt, je größer die Wassermasse in der Leitungsröhre ist und je schneller das Ventilspiel vor sich geht, je größer also die Anzahl der Spiele des Widders in einer Minute ist.

Bezeichnet  $F$  den Querschnitt der Leitungsröhre,  $l$  die Länge derselben und  $h$  das Gefälle, so hat man die bei Eröffnung des Sperrventiles durch die Kraft  $F h \gamma$  zu bewegende träge Wassermasse:  $\frac{F l \gamma}{g}$ , und es ist hier: nach die Acceleration dieser Masse:

$$p = \frac{F h \gamma}{F l \gamma} g = \frac{h}{l} g,$$

daher die nach  $t$  Secunden in Folge dieser constanten Acceleration erlangte Geschwindigkeit derselben:

$$v = p t = \frac{h}{l} g t,$$

und wenn nun die Sperrmündung denselben Querschnitt  $F$  hat, wie die Leitungsröhre, so folgt das in dieser Zeit  $t$  ausgeflossene Wasserquantum:

$$V = F \frac{v}{2} \cdot t = \frac{F h}{l} \frac{g t^2}{2} = \frac{F l}{h} \cdot \frac{v^2}{2 g}.$$

Ist nun die Wassermasse in der Steigröhre klein in Hinsicht auf die Wassermasse in der Leitungsröhre, so läßt sich bei geschlossenem Sperr- und geöffnetem Steigventil die Retardation der letzteren Masse in Folge des Gegendruckes  $F h_1 \gamma$  in der Steigröhre setzen:

$$p_1 = \frac{F h_1 \gamma}{F l \gamma} g = \frac{h_1}{l} g,$$

so daß nun für die Zeit  $t_1$  nach Eröffnung des Steigventiles, die Geschwindigkeit der Wassermasse in der Leitungsröhre:

$$v_1 = v - p_1 t_1 = v - \frac{h_1}{l} g t_1 \text{ ist,}$$

und daher die Zeit  $t_1$ , in welcher die ganze Wassermasse zur Ruhe gelangt, also  $v_1 = \text{Null}$  wird,

$$t_1 = \frac{l}{h_1} \cdot \frac{v}{g} = \frac{h}{h_1} t,$$

sowie die hierbei in den Windkessel eingeflossene Wassermenge

$$V_1 = \frac{F l}{h_1} \cdot \frac{v^2}{2 g} = \frac{F h^2}{h_1 l} \cdot \frac{g t^2}{2} \text{ folgt.}$$

Bleibt nun beim darauf erfolgenden Zurückströmen des Wassers in der

Leitungsröhre das Steigventil noch eine kurze Zeit  $t_2$  lang auf, so erlangt, da dann die bewegende Kraft  $F h_1 \gamma$  ist, die Wassermasse  $F l \gamma$  die Geschwindigkeit: Theorie des  
Stoßhebers

$$v_2 = \frac{h_1}{l} g t_2,$$

und es fließt hierbei das Wasserquantum

$$V_2 = \frac{F h_1}{l} \cdot \frac{g t_2^2}{2}$$

wieder aus dem Windkessel ab.

Ist zuletzt noch das Steigventil geschlossen und das Sperrventil geöffnet, so bewegt sich die Wassermasse  $F l \gamma$  mit der Retardation

$$p_3 = \frac{h}{l} g,$$

und nimmt folglich nach der Zeit  $t_3$  die Geschwindigkeit

$$v_2 = v_2 - p_3 t_3 = v_2 - \frac{h}{l} g t_3 \text{ an.}$$

Es ist endlich die Wassermasse  $F l \gamma$  wieder in Ruhe, also  $v_3 = \text{Null}$ , und beginnt folglich ein neues Spiel nach der Zeit

$$t_3 = \frac{l}{h} \cdot \frac{v_2}{g} = \frac{h_1}{h} \cdot t_2,$$

wobei das Wasserquantum

$$V_3 = \frac{F v_2 t_3}{2} = \frac{F v_2}{2} \cdot \frac{h_1}{h} t_2 = \frac{F h_1^2}{h l} \cdot \frac{g t_2^2}{2}$$

zurückfließt, und ein gleiches Luft- oder Wasserquantum durch die Sperrmündung einströmt.

Das Aufschlagwasserquantum, welches der Stoßheber pr. Secunde erfordert, ist

$$Q = \frac{V - V_3}{t + t_1 + t_2 + t_3},$$

oder annähernd, wenn man  $V_3$ ,  $t_2$  und  $t_3$  wegen Kleinheit außer Acht läßt:

$$Q = \frac{V}{t + t_1} = \frac{V}{t \left(1 + \frac{h}{h_1}\right)} = \frac{h_1}{h + h_1} \cdot \frac{F v}{2} = \frac{h_1}{h + h_1} \cdot \frac{h}{l} \cdot F \cdot \frac{g t}{2}.$$

Ferner das emporgedrückte Wasserquantum pr. Secunde ist

$$Q_1 = \frac{V_1 - V_2}{t + t_1 + t_2 + t_3},$$

annähernd

$$Q_1 = \frac{V_1}{t + t_1} = \frac{h_1}{h + h_1} \cdot \frac{V_1}{t} = \frac{h}{h + h_1} \cdot \frac{F v}{2} = \frac{h}{h + h_1} \cdot \frac{h}{l} F \cdot \frac{g t}{2},$$

Theorie des  
Stoßhebers.

und daher das Verhältniß der geförderten Wassermenge zum Aufschlagwasserquantum:

$$\frac{Q_1}{Q} = \frac{h}{h_1}.$$

Hiermit stimmen auch diejenigen Eytelwein'schen Versuche ziemlich überein, wobei der Wirkungsgrad groß, z. B. 0,80, gefunden worden ist. Auch folgt das ganze verbrauchte Wasserquantum:

$$Q + Q_1 = \left( \frac{h_1}{h + h_1} + \frac{h}{h + h_1} \right) \frac{Fv}{2} = \frac{Fv}{2};$$

wonach, wie auch Eytelwein findet, der Querschnitt  $F$  der Leitungsröhre dem verbrauchten Wasserquantum  $Q + Q_1$  proportional sein soll.

Der Wirkungsgrad des Stoßhebers ist unter der Voraussetzung, daß der Widder durch das Sperrventil die Wassermenge  $V_3 = \frac{Fv_2 t_3}{2}$  beim Zurückfließen einsauge:

$$\eta = \frac{(V_1 - V_2) h_1}{(V - V_3) h} = \frac{\left( \frac{h^2}{h_1} t^2 - h_1 t_2^2 \right) h_1}{\left( h t^2 - \frac{h_1^2 t_2^2}{h} \right) h} = \frac{h^2 t^2 - h_1^2 t_2^2}{h^2 t^2 - h_1^2 t_2^2} = 1.$$

Findet ein solches Einsaugen durch das Sperrventil nicht statt, so hat man den Wirkungsgrad

$$\eta = \frac{(V_1 - V_2) h_1}{V h} = \frac{h^2 t^2 - h_1^2 t_2^2}{h^2 t^3} = 1 - \left( \frac{h_1}{h} \right)^2 \left( \frac{t_2}{t} \right)^2$$

zu setzen.

Es nähert sich also derselbe den Erfahrungen entsprechend, der Einheit um so mehr, je kleiner das Verhältniß  $\left( \frac{h_1}{h} \right)$  der Steighöhe  $h_1$  zum Gefälle  $h$  und je kürzer die Zeit  $t_2$  ist, während welcher das Steigventil beim Zurückfließen des Wassers offen steht.

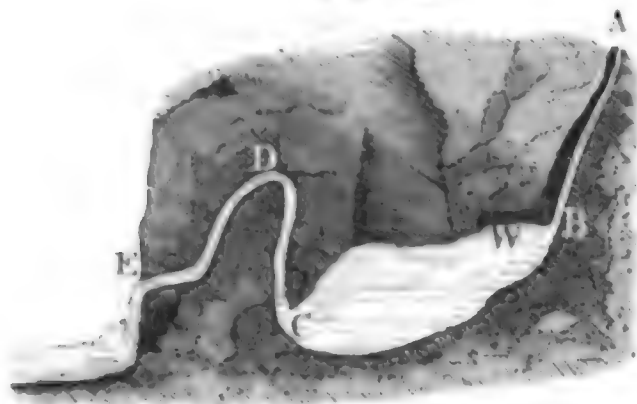
Anmerkung. Ueber die Leistungen  $\eta = 0,57$  bis  $0,67$  von fünf in Arras reich arbeitenden Stoßhebern ist nachzusehen: Formules, Tables etc., par Claudel, Paris 1854.

Saugheber.

§. 391. Der sogenannte Saugheber (franz. und engl. siphon) ist im eigentlichen Sinne des Wortes keine Wasserhebungsmaschine, weil dadurch das Wasser nicht höher, sondern nur über eine Erhöhung weggeführt wird, und ist aus diesem Grunde nichts als eine Wasserleitungsröhre (s. Bd. II., §. 145) mit einem aufwärts gerichteten Kropf. Es soll hier nicht von den kleinen Saughebern, welche in physikalischen und chemischen Laboratorien gebraucht werden, da deren Einrichtung und Wirkungsweise als bekannt vorausgesetzt werden kann, die Rede sein, sondern es handelt sich hier nur um die Beschreibung und Entwicklung

der Theorie des zur Ableitung größerer Wassermengen dienenden Hebers Saugheber. bei hydrotechnischen und maschinellen Anlagen. Ein gemauerter kurzer Heber dieser Art, welchen die Franzosen *épanchoir à siphon* nennen, ist bereits in Band II., §. 140, wo vom Reguliren des Wasserstandes in einem Canale die Rede ist, abgehandelt worden. Auch gehören hierher jedenfalls die sogenannten intermittirenden Quellen, wie *ABCDE*, Fig. 795. Steht das Wasser in der Höhle *W* über dem höchsten Punkt *D* des einen

Fig. 795.



Heber bildenden unterirdischen Canals *CDE*, so wird von demselben die Luft aus letzterem ausgetrieben, und es erfolgt nun ein Ausfluß des Wassers durch *E*, welcher so lange anhält, als der Wasserspiegel in *W* über der Einmündung *C* steht. Derselbe wird aber nur so lange unterbrochen, als der Wasserspiegel unter dem Niveau von *D* steht, füllt sich aber die Höhle *W* durch Zufließen des Wassers mittels der Kluft *AB* wieder bis zu diesem Niveau, so beginnt der Abfluß des Hebers durch *CDE* von Neuem.

Die Einrichtung eines einfachen Saughebers zum Ableiten des Wassers aus einem Sumpfe oder Teiche führt die Abbildung Fig. 796 vor Augen.

Fig. 796.



Derselbe besteht in der Hauptsache aus drei gußeisernen Röhren, aus dem steigenden Schenkel *AB*, aus dem horizontalen Mittelstück *BC* und aus dem fallenden Schenkel *CD*; nächstdem ist aber derselbe noch in der Einmündung *A* mit einem Regulierungsschieber *S*. sowie die mit dem Abzugsgerinne *EF* in Verbindung stehende Ausmündung *D* mit einem Klappenventil *E* versehen, und ist auch noch im Mittelstück *BC* ein mit einem Stöpsel zu verschlie-

Eaugheber. hendes kurzes Mundstück  $K$  angebracht. Um den Heber in Gang zu setzen, wird der Schieber  $S$  und das Ventil  $E$  geschlossen, und so lange Wasser durch  $K$  eingeführt, bis der ganze Heber damit angefüllt ist. Schließt man nun  $K$  luftdicht ab, eröffnet  $S$  und macht  $E$  frei, so beginnt die Wirksamkeit des Hebers, indem das Wasser in einem zusammenhängenden Strome in der Richtung  $ABCD$  durch denselben hindurchfließt und bei  $E$  zum Ausflusse gelangt. Dieses Fortströmen ist jedoch noch an zwei Bedingungen gebunden.

Erstens ist nöthig, daß der Wasserspiegel  $H$  im Speisereservoir  $AB$  über der Ausmündung  $E$  stehe, denn die Abflußgeschwindigkeit  $v$  des Wassers bei  $E$  ist

$$v = \mu \sqrt{2gh},$$

wenn  $\mu$  den Ausflußcoefficienten und  $h$  die Druckhöhe oder den senkrechten Abstand  $HE$  des Wasserspiegels  $H$  über der Ausmündung  $E$  bezeichnet, und folglich = Null, für  $h = \text{Null}$ .

Zweitens darf die Höhe  $KO = h_1$  des Mittelstückes  $BC$  oder Heberscheitels  $K$  über dem Wasserspiegel  $H$  im Speisereservoir noch nicht die dem Atmosphärendruck entsprechende Wassersäulenhöhe  $k$  von circa 33 Fuß erreichen, denn der Druck des Wassers an der höchsten Stelle ist

$$k - h_1 \text{ und daher } = \text{Null für } h_1 = k;$$

es entsteht also für  $h_1 = k$ , bei  $K$  ein luftleerer Raum, und wird an dieser Stelle die Continuität des Wasserstromes  $ABCD$  unterbrochen.

Da in jedem Falle der Druck des Wassers im Heberscheitel  $k - h_1$  kleiner als der Atmosphärendruck ist, so scheidet sich die im zufließenden Wasser unter dem äußeren Luftdrucke befindliche Luft an dieser Stelle nach und nach aus, und häuft sich am Ende in solcher Menge an, daß dadurch nach einiger Zeit der Abfluß des Wassers ganz gehemmt wird. Deshalb ist es denn nöthig, von Zeit zu Zeit die Luft aus dem Heberscheitel zu entfernen, was sich bei dem in Fig. 796 abgebildeten einfachen Heber nur durch Abschließen der Mündungen  $S$  und  $F$  und Nachfüllen von Wasser bewerkstelligen läßt, bei vollkommenen Heberanlagen aber mittels einer auf dem Heberscheitel angebrachten Luftpumpe hervorgebracht wird.

§. 392. Eine größere und vollkommener Heberanlage ist in Fig. 797 abgebildet. Dieser Heber ist vom belgischen Ingenieurofficier F. Ablay ausgeführt, und hat den Zweck, den Graben der Festung St. Marie unweit Antwerpen durch Wasser aus der dicht vorbeisfließenden Schelde zu speisen (s. Annales des Travaux publics de Belgique, Tome IX., 1850 und 1851). Der Röhrenstrang  $ABCD$ , welcher diesen Heber umgiebt, ist aus gußeisernen Röhren von 0,2 Meter Weite zusammengesetzt und hat im Ganzen eine Länge von 36 Meter. An den Enden desselben befinden sich zwei paralle-





Saugheber. *K* der in demselben spielende Kolben und endlich *EDF* der um *D* drehbare Hebel, wodurch der letztere in *B* auf- und niederbewegt wird. Noch sieht man bei *V* das Saug- und bei *W* das Ausblaseventil, sowie in *H* einen

Fig. 798.



kleinen Hahn, wodurch man zur Erzielung eines dichteren Abschlusses den ganzen Pumpenapparat vom Lustrecipienten *ACA* absperrern kann.

Soll der Heber in Gang gesetzt werden, so kommt es nur darauf an, daß man die beiden Behälter *AH* und *RD* mit Wasser anfülle, und die Luftpumpe in Gang setze; nach einiger Zeit füllt sich der Heber mit Wasser und es beginnt seine Wirksamkeit, die natürlich wieder aufhört, wenn der Wasserspiegel *W* unter das Niveau des Unterwassers *R* herabgesunken ist, aber auch von selbst wieder beginnt, wenn sich *W* wieder über *R* erhebt. Uebrigens ist die sich in *ACA*, Fig. 798, nach und nach ansammelnde Luft von Zeit zu Zeit mittels der Luftpumpe zu entfernen.

Es hat das ununterbrochene Fließen eines Saughebers besonders dann seine Schwierigkeiten, wenn die Röhren desselben nicht ganz luftdicht sind, und deshalb im Mittelstück Luft einsaugen. Aus diesem Grunde ist es auch unmöglich, einen Saugheber aus Holzröhren auf die Dauer fließend zu erhalten, wenigstens ist es dann nöthig, die eingesaugte Luft durch eine stetig arbeitende Pumpe aus demselben zu entfernen. Gelegenheit zum Einsaugen und Ansammeln von Luft geben zumal solche Heber, welche ein langes Mittelstück haben. Es ist dann allemal nöthig, daß man demselben noch ein kleines Ansteigen geben und die Luftpumpe am Ende desselben, unmittelbar über dem abfallenden Schenkel, anbringe (wie in Fig. 797), damit die Luftblasen mit dem Wasserstrom fort- und dem Recipienten zugeführt werden. Ueber die Erfahrungen, welche man beim Bergbau in Sachsen und am Harz an Saughebern mit sehr langen Mittelstücken gemacht hat, ist nachzulesen: Jahrbuch für den Sächs. Berg- und Hüttenmann 1843, sowie die berg- und hüttenmännische Zeitung 1858.

Aberte des  
Saughebers.

§. 393. Die Theorie der Bewegung des Wassers im Saugheber ist von der in gewöhnlichen Leitungsröhren nicht verschieden (s. Bd. I., §. 395, und Bd. II., §. 147). Bezeichnet *h* die Druckhöhe oder die Höhe *RE*, Fig. 799, des Oberwasserspiegels *H* über dem Unterwasserspiegel, *l* die ganze Arenlänge des Hebers, *d* die Weite desselben, *v* die Ausfluß-



Theorie des  
Saughebels.

Wenn man nun diese beiden Werthe der Geschwindigkeitshöhen einander gleichsetzt, so erhält man folgende Gleichung:

$$\frac{k - h_1 - z}{1 + \xi \frac{l_1}{d} + \xi_0 + \xi_1} = \frac{h}{1 + \xi \frac{l}{d} + \xi_0 + \xi_1 + \xi_2}.$$

woraus nun für die Druckhöhe im Heberscheitel folgender Ausdruck folgt:

$$z = k - h_1 - \left( \frac{1 + \xi \frac{l_1}{d} + \xi_0 + \xi_1}{1 + \xi \frac{l}{d} + \xi_0 + \xi_1 + \xi_2} \right) h.$$

Ist die Mittel- oder Scheitelröhre des Hebers sehr lang, so hat man  $l_1$  nahe  $= l$ , folglich auch

$$1 + \xi \frac{l_1}{d} + \xi_0 + \xi_1 \text{ nahe } = 1 + \xi \frac{l}{d} + \xi_0 + \xi_1 + \xi_2,$$

und daher

$$z = k - h - h_1 = k - (h + h_1).$$

Damit ein Saugheber stetig fließe, ist nicht nur nöthig, daß  $h$ , sondern daß auch  $z$  positiv, daß also allgemein

$$\left( \frac{1 + \xi \frac{l_1}{d} + \xi_0 + \xi_1}{1 + \xi \frac{l}{d} + \xi_0 + \xi_1 + \xi_2} \right) h + h_1 < k,$$

und folglich bei einem Heber mit sehr langer Mittelröhre:

$$h + h_1 < k \text{ ist.}$$

Wenn also der Heber einen stetig durchfließenden Wasserstrom geben soll, so darf die Höhe  $KU = h + h_1$  des Heberscheitels über dem Unterwasserspiegel noch nicht die Wasserbarometerhöhe  $k$  erreichen. Macht man bloß die Steighöhe  $KO = h_1$  kleiner als  $k$ , so steigt zwar das Wasser bis in die Scheitelröhre, es fließt aber derselben das Wasser nicht so schnell zu, als es durch den fallenden Schenkel abgeführt wird, so daß nur ein intermittirender Ausfluß durch  $D$  erfolgt. Um in einem solchen Falle einen stetigen Ausfluß zu erhalten, muß man der Ausmündung  $D$  des Hebers eine kleinere Weite  $d_1$  geben, als der Röhre. Dann ist, wenn  $v_1$  die Ausflußgeschwindigkeit und  $\xi_m$  den Widerstandscoefficienten für das Mundstück bezeichnet:

$$\begin{aligned} h &= \left( \xi \frac{l}{d} + \xi_0 + \xi_1 + \xi_2 \right) \frac{v^2}{2g} + (1 + \xi_m) \frac{v_1^2}{2g} \\ &= \left[ \xi \frac{l}{d} + \xi_0 + \xi_1 + \xi_2 + (1 + \xi_m) \left( \frac{d}{d_1} \right)^4 \right] \frac{v^2}{2g} \end{aligned}$$

und

$$k - h_1 - z = \left(1 + \zeta \frac{l_1}{d} + \zeta_0 + \zeta_1\right) \frac{v^2}{2g},$$

Weite des  
Saughebers

daher

$$\frac{k - h_1 - z}{h} = \frac{1 + \zeta \frac{l_1}{d} + \zeta_0 + \zeta_1}{\zeta \frac{l}{d} + \zeta_0 + \zeta_1 + \zeta_2 + (1 + \zeta_m) \left(\frac{d}{d_1}\right)^4},$$

und die den Druck im Röhrenscheitel messende Höhe:

$$z = k - h_1 - \frac{\left(1 + \zeta \frac{l_1}{d} + \zeta_0 + \zeta_1\right) h}{\zeta \frac{l}{d} + \zeta_0 + \zeta_1 + \zeta_2 + (1 + \zeta_m) \left(\frac{d}{d_1}\right)^4},$$

Damit der Heber stetig fließe, muß hiernach

$$h_1 + \frac{\left(1 + \zeta \frac{l_1}{d} + \zeta_0 + \zeta_1\right) h}{\zeta \frac{l}{d} + \zeta_0 + \zeta_1 + \zeta_2 + (1 + \zeta_m) \left(\frac{d}{d_1}\right)^4} < k \text{ sein.}$$

Ist nun  $d_1$  viel kleiner als  $d$ , so läßt sich

$$\frac{1 + \zeta \frac{l_1}{d} + \zeta_0 + \zeta_1}{\zeta \frac{l}{d} + \zeta_0 + \zeta_1 + \zeta_2 + (1 + \zeta_m) \left(\frac{d}{d_1}\right)^4} = \text{Null}$$

setzen, und es ist daher nur

$$h_1 < k \text{ zu fordern.}$$

Beispiel. Ein überall gleich weiter Saugheber von 250 Fuß Arenlänge und 4 Zoll =  $\frac{1}{3}$  Fuß Weite, bei welchem der Widerstandscoefficient für die Einmündung,  $\zeta_0 = 0,100$  und die Widerstandscoefficienten für die beiden Krepshücke,  $\zeta_1 = \zeta_2 = 0,300$  sind, hat bei dem Gefälle  $h = 10$  Fuß, die Ausflugs- geschwindigkeit

$$v = \frac{\sqrt{2gh}}{\sqrt{1 + \zeta \frac{l}{d} + \zeta_0 + \zeta_1 + \zeta_2}} = \frac{\sqrt{62,5 \cdot 10}}{\sqrt{1,7 + 250 \cdot 3 \zeta}} = \frac{25}{\sqrt{1,7 + 750 \zeta}}.$$

Nimmt man  $\zeta = 0,02$  an, so folgt dann

$$v = \frac{25}{\sqrt{1,7 + 15}} = \frac{25}{\sqrt{16,7}} = 6,118 \text{ Fuß.}$$

Nach Bd. I. §. 397, ist aber für  $v = 6$  Fuß,  $\zeta = 0,0213$  zu setzen, daher folgt genauer

$$v = \frac{25}{\sqrt{1,7 + 750 \cdot 0,0213}} = \frac{25}{\sqrt{17,675}} = 5,946 \text{ Fuß.}$$

und endlich die gesuchte Ausflugsmenge pr. Secunde:

$$Q = \frac{\pi d^2}{4} \cdot v = \frac{\pi \cdot 5,946}{4 \cdot 9} = 0,519 \text{ Cubifuß.}$$

Theorie des  
Saughebers.

Damit das Wasser in diesem Heber stetig fließe, muß, wenn der Scheitel des Hebers um  $l_1 = 200$  Fuß von der Einmündung desselben entfernt ist,

$$\frac{(1 + \zeta \frac{l_1}{d} + \zeta_0 + \zeta_1) h}{1 + \zeta \frac{l}{d} + \zeta_0 + \zeta_1 + \zeta_2} + h_1 < k,$$

d. i.

$$\frac{1 + 0,0213 \cdot 200 \cdot 3 + 0,4}{17,675} \cdot 10 + h_1 < 33,$$

d. i.

$$\frac{14,18 \cdot 10}{17,675} + h_1 < 33,$$

also die Höhe des Heberscheitels über dem Oberwasserspiegel:

$$h_1 < 33 - \frac{141,8}{17,675}, \text{ oder } h_1 < 33 - 8,023, \text{ d. i.}$$

$$h_1 < 24,977 \text{ Fuß sein.}$$

Außerdem ist es nöthig, dem Heber eine engere Ausmündung zu geben.

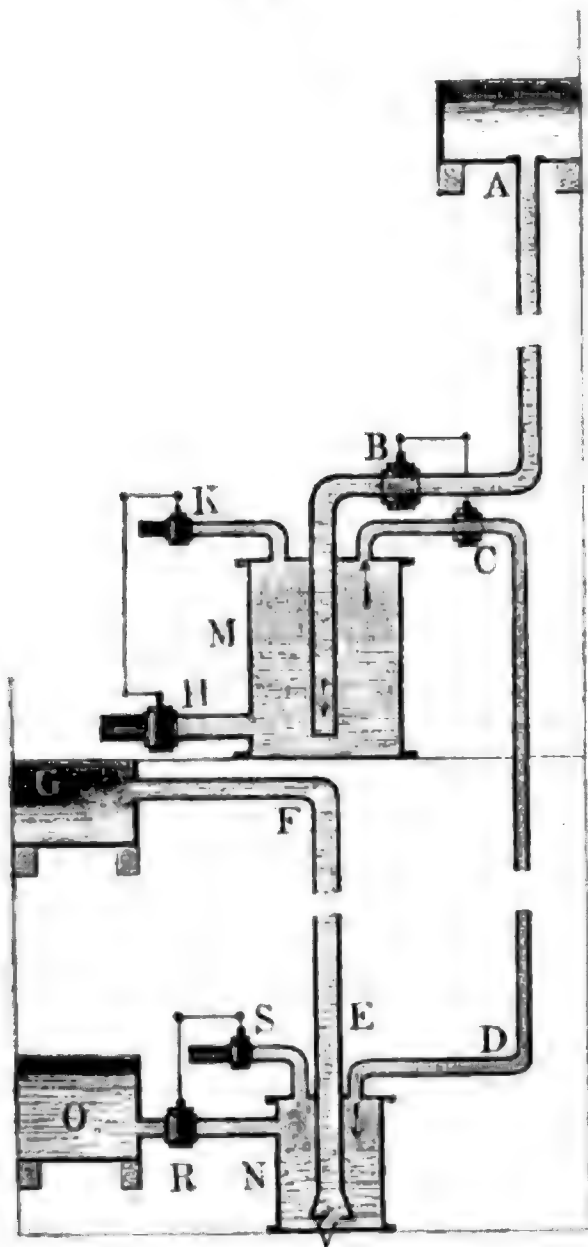
Die Luft-  
maschine.

§. 394. Zu den verschiedenen Wasserhebungsmaschinen ist endlich auch noch der Heronsbrunnen (franz. Fontaine de Héron; engl. Fountain of Heron) zu rechnen. Die allgemeine Einrichtung und Wirkung desselben ist aus der Physik bekannt, hier soll nur von der Anwendung desselben bei der sogenannten Hóll'schen Luftmaschine (franz. Machine de Schemnitz, engl. Hungarian machine) die Rede sein. In der Hauptsache dient diese Maschine dazu, die bewegende Kraft einer Wassersäule mittels comprimierter Luft fortzupflanzen und auf eine andere Wassersäule so überzutragen, daß mit dem Niedersinken des Wassers in der ersten Säule ein Aufsteigen des Wassers in der anderen verbunden ist. Die wesentliche Einrichtung einer solchen Wasserhebungsmaschine ist aus der einen verticalen Durchschnitt derselben darstellenden Abbildung in Fig. 800 zu ersehen. Die in dem Behälter  $M$  und in der Communicationsröhre  $CD$  eingeschlossene Luft wird durch die Wassersäule in der Einfallröhre  $AB$  zusammengedrückt und letztere treibt durch ihre erhöhte Expansivkraft das Wasser des Behälters  $N$  in der unten mit einem sich nach innen öffnenden Ventile  $V$  versehenen Steigröhre  $EF$  empor, welches in Folge dessen bei  $G$  zum Ausgusse gelangt. Wenn sich das Gefäß  $M$  mit Wasser angefüllt hat, so verschließt man die Hähne  $B$  und  $C$  der Röhren  $AB$  und  $CD$  und eröffnet sowohl die Hähne  $H$  und  $K$  im Behälter  $M$  für das Kraftwasser, als auch die Hähne  $R$  und  $S$  im Behälter  $N$  des Hubwassers; es fließt in Folge dessen das Wasser durch  $H$  aus  $M$  und in den gemeinschaftlichen Ausgüßkasten  $G$ ; dagegen füllt sich das Reservoir  $N$  aus dem Behälter  $O$ , wobei sich das Fußventil  $V$  von selbst abschließt und die vorher angesammelte Luft durch  $S$  entweicht. Nach erfolgtem Entleeren des Behälters  $M$  und Anfüllen des Reservoirs  $N$  werden die vier Hähne  $H$ ,  $K$ ,  $R$  und  $S$  wieder verschlossen, dagegen die Hähne  $B$  und  $C$  eröffnet,

und es beginnt nun ein neues Spiel. Bei der von Höll 1753 im Amaliaschacht zu Schemnitz ausgeführten Maschine (s. N. Poda, Kurzge-

Höll'sche  
Luftmaschine.

Fig. 800.



Prag 1771) waren zur Bewegung der Hähne und übrigen Abwartung der Maschine zwei Kunstwärter nöthig. Boswell beschreibt 1796 zuerst eine solche Maschine mit Selbststeuerung (s. Hachette's *Traité élémentaire des machines*).

Die Wasserhebungsmaschine von Darwin besteht aus einem System von Luftmaschinen, welche das Wasser einander zudrücken; ferner bei der Wasserhebungsmaschine von Destrouville ist die Steigröhre durch eine Saugröhre ersetzt, wird also das Wasser saugend emporgehoben. Die in der neuesten Zeit zum Umtrieb der Bohrmaschinen bei der Durchbohrung des Mont-Cenis angewendete hydraulische Luftpresse ist im Wesentlichen eine Höll'sche Luftmaschine, welche jedoch kein Wasser hebt, sondern nur Luft comprimirt und daher den Gebläsen oder Luftcompressionsmaschinen beizuzählen ist (s. in der schweizerischen polytechn. Zeitschrift Bd. II., die Mittheilungen

über die Durchbohrung des Mont-Cenis, von F. Reuleaux).

Die Leistung der Höll'schen Luftmaschine ist wie folgt zu beurtheilen. Es sei das Gefälle, vom Oberwasserspiegel über A bis tiefstes Niveau in M gerechnet,  $= h$ , ferner die Steig- oder Förderhöhe, von der Ausmündung G der Steigröhre bis tiefstem Wasserstande in N gemessen,  $= h_1$ , die den Atmosphärendruck messende Wassersäulenhöhe  $= k$ , der Querschnitt des Gefäßes M,  $= F$ , der des Gefäßes N,  $= F_1$ , die Höhe, um welche das Wasser bei jedem Spiele in M steigt und sinkt,  $= s$  und ebenso dieselbe im Gefäße N,  $= s_1$ . Dann ist

$$k + h - s = k + h_1 + s_1 \text{ oder } h - s = h_1 + s_1$$

und nach dem Mariotte'schen Gesetze:



Säulische  
Luftmaschine.

$$\frac{k + h_1 + s_1}{k} = \frac{Fs}{F_1 s_1},$$

folglich der Wirkungsgrad der Maschine:

$$\eta = \frac{F_1 s_1 h_1}{Fs h} = \frac{k h_1}{(k + h_1 + s_1) h} = \frac{k h_1}{(k + h_1 + s_1) (h_1 + s + s_1)}$$

Damit derselbe möglichst groß ausfalle, müssen die Gefäßhöhen  $s$  und  $s_1$  möglichst klein (nahe Null) sein.

Dann ist  $h = h_1$

$$\text{und } \eta = \frac{k}{k + h_1},$$

folglich  $\eta$  um so größer, je kleiner das Gefälle  $h$  oder die Förderhöhe  $h_1$  ist, jedoch erst  $= 1$ , für  $h = h_1 = \text{Null}$ . Bei größeren Höhen sinkt jedoch  $\eta$  bedeutend unter Eins, z. B. für  $h = h_1 = k$ , ist  $\eta = 1/2$ , für  $h_1 = h = 3k$ ,  $\eta = 1/4$  u. s. w., es ist daher die Luftmaschine zum Heben des Wassers auf größere Höhen ganz untauglich.

Schlussanmerkung. Die Monographien über Wasserhebungsmaschinen sind in den entsprechenden Artikeln bereits citirt worden, es bleibt daher nur noch übrig, die über Wasserhebungsmaschinen überhaupt handelnden Schriften anzuführen. Von den deutschen Werken gehören hierher: Gytelwein's Handbuch der Mechanik und Hydraulik, Berlin 1842, Gerstner's Handbuch der Mechanik, Bd. II und III, Kaiser's Handbuch der Mechanik, Karlsruhe 1842. Langsdorf's Vollständiges System der Maschinenkunde, Leipzig 1828. Hagen's Handbuch der Wasserbaukunst, Theil I, 1853. Die vorzüglichsten französischen Schriften über diesen Gegenstand sind folgende: Hachette, *Traité élémentaire des machines*, Paris 1819. Borgnis, „*Traité complet de Mécanique appliq.*“ T. IV, des machines hydrauliques, Paris 1819. Navier, *Résumé des Leçons sur l'application de la Mécanique*, Part. II, Paris 1838. D'Aubuisson, „*Traité d'Hydraulique*“, Paris 1840. Férner Combes's *Traité de l'exploitation des Mines* T. III, Paris 1845. Noch ist anzuführen: *Elementi di Meccanica e D'idraulica* di G. Venturoli, Napoli 1833. John Robison „*a System of Mechanical Philosophy with Notes by Brewster*“ Vol. II. 1822. *Hydraulica, an historical and descriptive account of the Waterworks of London*, by W. Matthews, London 1855.

### Dritter Abschnitt.

## Von den Luftbewegungsmaschinen.

### Erstes Kapitel.

### Bewegung der Luft durch die Wärme.

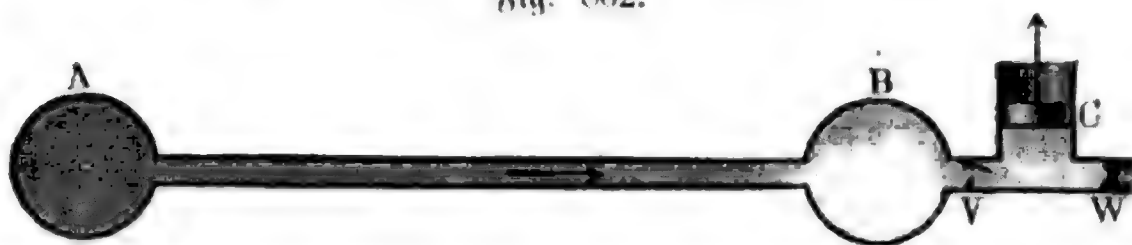
§. 395. Das Fortschaffen der Luft von einem Punkte *A* nach einem Punkte *B*, Fig. 801 und Fig. 802, kann entweder dadurch erfolgen, daß

Gebäude-  
und Wetter-  
maschinen.

Fig. 801.



Fig. 802.



man die Expansivkraft der Luft in *A* vergrößert, oder dadurch, daß man sie in *B* vermindert. Bezeichnen  $p$ ,  $\gamma$  und  $t$  Spannkraft, Dichtigkeit und Temperatur der Luft in *A*, sowie  $p_1$ ,  $\gamma_1$  und  $t_1$  Spannkraft, Dichtigkeit und Temperatur der Luft in *B*, so ist nach dem (aus Band I, §. 360) bekannten Gesetze von Mariotte und Gay-Lussac:

$$\frac{p_1}{p} = \frac{1 + 0,00367 t_1}{1 + 0,00367 t} \cdot \frac{\gamma_1}{\gamma},$$

und daher die den Bewegungszustand bedingende Differenz ( $p_1 - p$ ) der Spannungen entweder durch eine Temperaturveränderung ( $t_1 - t$ ) oder durch eine Dichtigkeitsveränderung ( $\gamma_1 - \gamma$ ) zu erlangen. Hiernach hat man nun auch zweierlei Hülfsmittel zur Fortbewegung der Luft, nämlich

Gebläse  
und Wetter-  
maschinen.

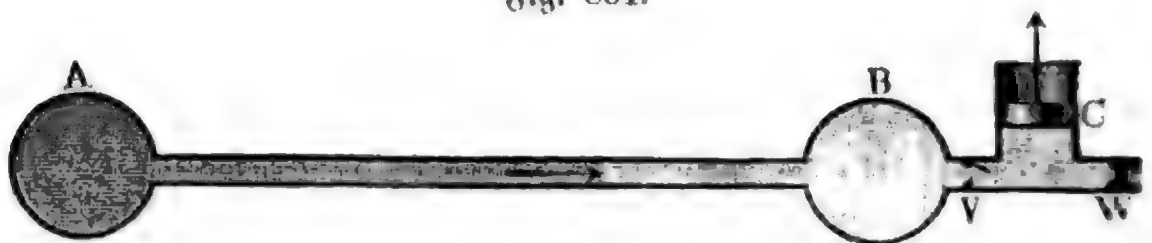
- 1) die einseitige Erwärmung oder Erkältung, oder
- 2) die einseitige Verdichtung oder Verdünnung (Zusammendrückung oder Ausdehnung) derselben.

Zu den Hilfsmitteln der ersten Art gehören die Brennherde bei Feuerungsanlagen und die Wetteröfen in den Bergwerken, in Verbindung mit den Essen, Anzuchten, Wetterschächten u. s. w.; zu denen der zweiten Art: die Wettermaschinen und Gebläse der Berg- und Hüttenleute. Die Wettermaschinen der Bergleute sind in der Regel Luft- oder Wetter-sauger, d. i. sie erzeugen die Bewegung der Luft von *A* nach *B* durch Verdünnung in *B*, die Gebläse der Metallurgen hingegen sind Luft- oder Windbläser, denn sie bewirken eine Bewegung der Luft von *A* nach *B* durch Compression derselben in *A*. Bei den gewöhnlichen Wettermaschinen kommt es nur darauf an, einen Luftzug zu erzeugen, wobei die schlechtere nicht zum Brennen und Athmen taugliche Luft durch möglichst reine atmosphärische Luft ersetzt wird, wogegen die Gebläse den Zweck haben, atmosphärische Luft bei erhöhter Pressung mit einer großen Geschwindigkeit in den Schmelzraum eines Ofens zu führen. Uebrigens ist die Unterscheidung der Luftbewegungs- oder pneumatischen Maschinen in Luftbläser und Luftsauger nicht wesentlich, da sich in der Regel eine dieser Maschinen durch Veränderung ihrer Stellung oder der Ventile derselben u. s. w. in die andere umändern läßt. Die Wettermaschine oder die Saugpumpe *C*, womit z. B. bei der Wetterführung *AB* in Fig. 804, die Luft in *B* verdünnt wird, ist z. B. von dem Gebläse oder der Druckpumpe *C*, wodurch bei der Windleitung *AB* in Fig. 803, die Luft in *A* verdichtet

Fig. 803.



Fig. 804.



wird, nur durch eine entgegengesetzte Stellung gegen die Behälter *A* und *B*, mit welchen diese Maschinen zunächst communiciren, verschieden.

Endlich ist leicht zu ermessen, daß auch der größte Theil der Wasserhebungsmaschinen, namentlich die Kolbenmaschinen, als Luftbewegungs-



Bewegung  
der Luft durch  
Temperatur-  
differenz

Diese Geschwindigkeit wird durch die Bewegungshindernisse in der Leitung, namentlich aber durch die Reibung an den Röhrenwänden noch besonders

herabgezogen. Ist  $l$  die Axenlänge der ganzen Leitung  $ABCD$ ,  $d = \frac{4F}{p}$  (s. Band I, §. 438) ihre mittlere Weite, sowie  $\xi = 0,024$  der Reibungscoefficient der Luft, und bezeichnet man der Kürze wegen, die Summe der Widerstandscoefficienten aller übrigen Bewegungshindernisse in der Leitung durch  $\xi_1$ , so folgt, unter der Voraussetzung, daß der Röhrenquerschnitt überall derselbe und folglich auch den Mündungsquerschnitten gleich ist, die Geschwindigkeit der Luft in der Leitung:

$$v = \sqrt{\frac{\delta(t_1 - t)}{1 + \delta t} \cdot \frac{2gh}{1 + \xi \frac{l}{d} + \xi_1}} = \sqrt{\frac{0,00367(t_1 - t)}{1 + 0,00367 t} \cdot \frac{2gh}{1 + 0,024 \frac{l}{d} + \xi_1}},$$

oder annähernd, wenn man  $1 + 0,00367 t = 1$  setzt,

$$v = 0,06058 \sqrt{\frac{(t_1 - t) \cdot 2gh}{1 + 0,024 \frac{l}{d} + \xi_1}} = 0,479 \sqrt{\frac{(t_1 - t) h}{1 + 0,024 \frac{l}{d} + \xi_1}} \text{ Fuß.}$$

Sind die Röhren- oder Canalwände sehr rauh, so ist jedenfalls  $\xi$  noch größer als 0,024, nach Befinden vielleicht der Sicherheit wegen, = 0,05 zu setzen, wie auch oben, Bd. II, §. 391, bei der Berechnung der Geschwindigkeit der Luft in Essen geschehen ist.

Bezeichnet nun noch  $F$  den Querschnitt der Röhre, so hat man für das pr. Secunde durch dieselbe strömende Luftquantum

$$Q_1 = Fv = 0,06058 F \sqrt{\frac{(t_1 - t) \cdot 2gh}{1 + 0,024 \frac{l}{d} + \xi_1}},$$

und dasselbe reducirt auf die äußere Temperatur  $t$ :

$$Q = \frac{1 + \delta t}{1 + \delta t_1} Q_1, \text{ annähernd}$$

$$Q = [1 - \delta(t_1 - t)] Q_1$$

$$= F[1 - \delta(t_1 - t)] \sqrt{\frac{\delta(t_1 - t)}{1 + \delta t} \cdot \frac{2gh}{1 + \xi \frac{l}{d} + \xi_1}}$$

$$= F[1 - \delta(t_1 - \frac{1}{2}t)] \sqrt{\frac{\delta(t_1 - t) \cdot 2gh}{1 + \xi \frac{l}{d} + \xi_1}}$$

$$= 0,06058 F[1 - 0,00367(t_1 - \frac{1}{2}t)] \sqrt{\frac{(t_1 - t) \cdot 2gh}{1 + 0,024 \frac{l}{d} + \xi_1}},$$

oder, da bei den gewöhnlichen Ventilationen  $0,00367 (t_1 - \frac{1}{2} t)$  immer nur ein kleiner Bruch ist,

Bewegung  
der Luft durch  
Temperatur-  
differenz.

$$Q = Q_1 = 0,479 F \sqrt{\frac{(t_1 - t) h}{1 + \xi \frac{l}{d} + \xi_1}} \text{ Cubikfuß.}$$

Umgekehrt folgt der zum Durchführen einer gewissen Luftmenge nöthige Querschnitt der Leitung:

$$F = \sqrt{\frac{1 + \xi \frac{l}{d} + \xi_1}{(t_1 - t) h}} \cdot \frac{Q}{0,479} = 2,088 Q \sqrt{\frac{1 + \xi \frac{l}{d} + \xi_1}{(t_1 - t) h}}$$

Quadratfuß.

Diese Berechnungen fallen, wie leicht zu ermessen ist, noch complicirter aus, wenn in der Leitung noch mehrfache Richtungs- und Querschnitts- veränderungen vorkommen, oder wenn der Querschnitt  $F_1$  der Ausmündung ein anderer ist, als der Querschnitt  $F$  der ganzen Leitung. Jedenfalls lassen sich hier, wo nur kleine Dichtigkeitsveränderungen vorkommen, die bekannten Coefficienten und Formeln der Hydraulik anwenden, und ist hiernach Folgendes anzunehmen.

1) Für den Durchgang der Luft durch eine Mündung in der dünnen Wand, z. B. durch die einer geöffneten Thür, ist der Widerstandcoefficient:

$$\xi_1 = \left( \frac{F}{\alpha F_1} - 1 \right)^2$$

(s. Band I, §. 404), wobei  $F$  den Querschnitt der Leitung unmittelbar hinter der Mündung,  $F_1$  den der Mündung und  $\alpha$  den Contractionscoefficienten (0,60) des Luftstromes bezeichnet.

2) Für den Eintritt des Luftstromes in eine engere Leitung ist  $F_1 = F$ , und daher der entsprechende Widerstandcoefficient im Mittel:

$$\xi_1 = \left( \frac{1}{\alpha} - 1 \right)^2 = \left( \frac{10}{6} - 1 \right)^2 = \frac{4}{9} = 0,444 \dots$$

oder den Erfahrungen besser entsprechend,  $\xi = 0,50$  zu setzen.

3) Ferner für den Eintritt desselben in einen weiteren Canal ist ferner der Widerstandcoefficient:

$$\xi_1 = \left( \frac{F}{F_1} - 1 \right)^2,$$

wenn  $F$  den Querschnitt des weiteren und  $F_1$  den des engeren Canales bezeichnet (s. Band I, §. 403). Ist  $v$  die Geschwindigkeit der Luft in der weiteren Röhre und  $v_1$  die in der engeren Röhre, so hat man hiernach die entsprechende Widerstandshöhe:

$$h_1 = \xi_1 \frac{v^2}{2g} = \left( \frac{F}{F_1} - 1 \right)^2 \frac{v^2}{2g} = \left( 1 - \frac{F_1}{F} \right)^2 \frac{v_1^2}{2g},$$



Bewegung  
der Luft durch  
Temperatur-  
differenz.

also für kleine Werthe von  $\frac{F_1}{F}$ ,

$$h_1 = \frac{v_1^2}{2g}.$$

4) Für den Durchgang des Luftstromes durch ein rechtwinkeliges Knie ist der Widerstandscoefficient

$$\xi_1 \text{ nahe} = \text{Eins},$$

folglich die Widerstandshöhe nahe = der Geschwindigkeitshöhe. Für eine spitze Knieröhre ist  $\xi_1$  größer, für eine stumpfe sowie für eine Kropfröhre kleiner als Eins (s. Band I. §. 406 und §. 407).

5) Ist der Querschnitt  $F_1$  der Ausmündung der Luft- oder Wetterleitung von dem Querschnitt  $F$  der letzteren verschieden, ist z. B.  $F_1$  der Querschnitt der Mündung einer Thüre am Ausgang der Leitung, so hat man die Ausströmungsgeschwindigkeit zu setzen:

$$v_1 = 0,479 \sqrt{\frac{(t_1 - t)h}{1 + \left(\xi \frac{l}{d} + \xi_1\right) \left(\frac{\alpha F_1}{F}\right)^2}},$$

weil die Geschwindigkeit in der Leitung

$$v = \frac{\alpha F_1}{F} v_1$$

ist und die Widerstände in der Leitung der Höhe

$$\frac{v^2}{2g} = \left(\frac{\alpha F_1}{F}\right)^2 \frac{v_1^2}{2g}$$

proportional wachsen.

Das pr. Secunde durch- und ausströmende Luftquantum ist

$$Q = \alpha F_1 v_1$$

$$= 0,479 \alpha F_1 \sqrt{\frac{(t_1 - t)h}{1 + \left(\xi \frac{l}{d} + \xi_1\right) \left(\frac{\alpha F_1}{F}\right)^2}}$$

oder, wenn man  $d = \frac{4F}{p}$  einführt, wobei  $p$  den Umfang des Röhrenquerschnittes bezeichnet:

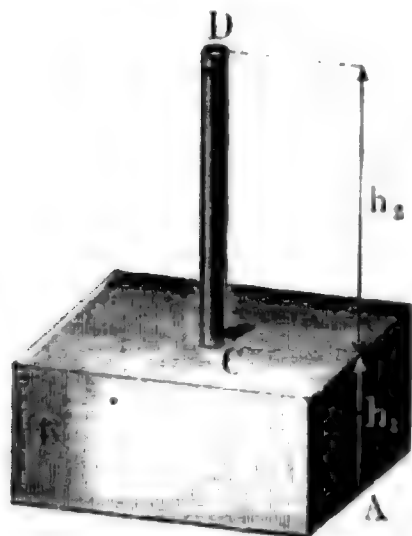
$$Q = 0,479 \alpha F_1 \sqrt{\frac{(t_1 - t)h}{1 + \left(\frac{1}{4} \xi \frac{pl}{F} + \xi_1\right) \left(\frac{\alpha F_1}{F}\right)^2}}.$$

Beispiel. Ein übrigens abgeschlossener Saal  $ABC$ , Fig. 807, von 9 Fuß Höhe, communicirt durch eine rectanguläre Bodenöffnung  $A$  von 6 Zoll Breite und 4 Zoll Höhe und durch eine senkrechte Blechröhre  $CD$  von 6 Zoll Weite und 36 Fuß Länge mit der äußeren Luft; wenn nun die mittlere Temperatur im Saal 20, die mittlere Temperatur in der Röhre 25 und die äußere Lufttemperatur 10 Grad ist, welches Luftquantum wird durch diesen Raum stündlich circuliren?

Es ist hier statt  $(t_1 - t)h$ ,  $(t_1 - t)h_1 + (t_2 - t)h_2$  zu setzen, wobei  $t_1$  die Temperatur im Saale und  $h_1$  die Höhe derselben, sowie  $t_2$  die Temperatur in der Abzugsröhre und  $h_2$  die Höhe derselben bezeichnet, so daß nun diese Größe

Bewegung der Luft durch Temperaturdifferenz.

Nia. 807.



folgt.

Ferner ist der Querschnitt der Einmündung,  $F = 6 \cdot 4 = 24$  Quadrat Zoll, und der der Röhre,

$$F_1 = \frac{\pi \cdot 6^2}{4} = 28,274 \text{ Quadrat Zoll,}$$

folglich die Geschwindigkeit der eintretenden Luft

$$v = \frac{F_1}{F} v_1 = \frac{28,274}{24} v_1 = 1,178 v_1$$

und die Geschwindigkeitshöhe derselben

$$\frac{v^2}{2g} = (1,178)^2 \frac{v_1^2}{2g} = 1,388 \frac{v_1^2}{2g}.$$

Sehen wir die Öffnung als die einer kurzen Ansaugröhre an und setzen für dieselbe den Widerstandcoefficienten  $\zeta_0 = 0,5$ , so erhalten wir die Druckhöhe, welche die Einführung der Luft in den Saal in Anspruch nimmt:

$$(1 + \zeta_0) \frac{v^2}{2g} = 1,5 \cdot 1,388 \frac{v_1^2}{2g} = 2,08 \frac{v_1^2}{2g}.$$

Nehmen wir nun noch den Reibungcoefficienten für die Bewegung der Luft in der Röhre,  $\zeta = 0,032$  an, so erhalten wir die zur Abführung der verdorbenen Luft nöthige Druckhöhe:

$$\left(1 + \zeta_0 + \zeta \frac{l}{d}\right) \frac{v_1^2}{2g} = (1,5 + 0,032 \cdot 36 \cdot 2) \frac{v_1^2}{2g} = 3,80 \frac{v_1^2}{2g},$$

und es folgt daher die Geschwindigkeit, mit welcher die Luft durch die Röhre  $CD$  aus dem Saal abgeführt wird:

$$v_1 = 0,479 \sqrt{\frac{740}{2,08 + 3,80}} = 0,479 \sqrt{\frac{740}{5,88}} = 5,437 \text{ Fuß.}$$

Nun ist der Querschnitt der Röhre:

$$F_1 = \frac{28,274}{144} = 0,1963 \text{ Quadratsfuß,}$$

daher folgt die pr. Secunde abströmende Luftmenge:

$$Q_1 = F_1 v_1 = 5,437 \cdot 0,1963 = 1,055 \text{ Cubikfuß,}$$

also die stündliche Menge:

$$3600 Q_1 = 3798 \text{ Cubikfuß.}$$

Ein Mensch athmet stündlich  $\frac{1}{2}$  Cubikmeter Luft ein, hat aber im eingeschlossenen Raum 6 bis 7 Cubikmeter, d. i. circa 200 Cubikfuß frische Luft nöthig, und es ist daher unter den gegebenen Verhältnissen dieser Saal nur zur Aufnahme von  $\frac{3852}{200} = 19$  Personen geeignet.

§. 397. Der natürliche Luft- oder Wetterwechsel in Gruben ist vorzüglich durch die Erdwärme bedingt. Die Schwankungen der Wärme auf der Erdoberfläche nehmen nach dem Innern der Erde zu

Natürlicher Luft- und Wetterwechsel.

Natürlicher  
Luft- und  
Wetterwechsel.

immer mehr und mehr ab, und verschwinden bei unseren Klimaten ungefähr schon bei 24 Meter =  $76\frac{1}{2}$  Fuß unter der Erdoberfläche ganz. Von dieser Tiefe an nimmt die Erdwärme sehr regelmäßig mit der weiteren Tiefe zu, und zwar auf je 90 bis 100 Fuß Zunahme an Tiefe, um  $1^{\circ}$  C. Die constante Temperatur bei 24 Meter Tiefe ist im Mittel ungefähr 1 Grad größer als die mittlere Jahrestemperatur an der Erdoberfläche, und zwar im mittleren Deutschland und an mäßig hochliegenden Punkten, circa  $7 + 1 = 8$  Grad. Während eines Jahres schwankt aber die Temperatur auf der Erdoberfläche an den gedachten Orten zwischen  $-1$  Grad und  $+17$  Grad; es ist folglich die Erdwärme bei circa 1000 Fuß Tiefe gleich der höchsten mittleren Juliwärme von 17 Grad über Tage. Hiernach folgt, daß bei Grubenbauen mit zwei Tagemündungen A und D wie Fig. 808 und Fig. 809 die Wetter im Winter, wo die innere Luftwärme

Fig. 808.

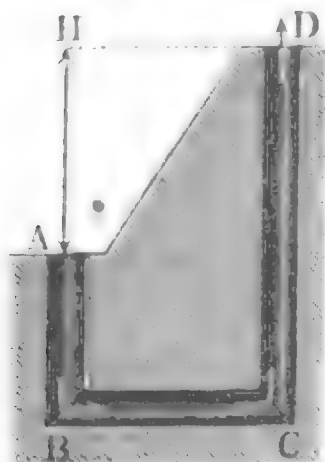


Fig. 809.



die größere ist, an dem tieferen Punkte A ein- und an dem höheren Punkte D (Fig. 808) ausströmt, und dagegen im Sommer, wo die äußere Luftwärme die größere ist, dieselbe an dem höheren Punkte D (Fig. 809) ein- und am tieferen Punkte A ausströmt. Befinden sich dagegen beide Mündungen A und D der gedachten Grubenbaue um mindestens  $76\frac{1}{2}$  Fuß unter der Erdoberfläche, so werden sich die Luftsäulen AB und DC das Gleichgewicht halten, und es bedarf daher künstlicher Mittel oder besonderer Wärmeverhältnisse, um einen Wetterzug in ABCD nach der einen oder anderen Richtung zu erzielen. Uebrigens ist gewöhnlich die Temperatur der Wetter in Folge der Ausdünstung der Arbeiter, der Verbrennung bei der Beleuchtung und anderer Ursachen nicht selten einige Grad höher als die des Gesteins an derselben Stelle, was natürlich ebenfalls auf den Wetterzug Einfluß hat.

Um den Wetterzug (franz. *aéragé*; engl. *airing*) in einem Gruben-



Natürlicher  
Wetter-  
wechsel.

noch weiter emporzuleiten, führt man auch wohl über dem Schacht einen besonderen Wetterthurm auf. Uebrigens ist der natürliche Wetterwechsel im Winter, wo die Wetter an den höher liegenden Punkten ausziehen, kräftiger als im Sommer.

Beispiel. Um einem Stellen  $AO$ , Fig. 810, von 1000 Fuß Länge, 9 Fuß Höhe und 4 Fuß Weite den nöthigen Wetterwechsel zu verschaffen, hat man denselben mit einem 3 Fuß über der Stollnsohle liegenden ganzen Tragwerk versehen und 100 Fuß entfernt von dem Stollnmundloch einen Wetterthurm  $CD$  von 60 Fuß Höhe, 3 Fuß Länge und 3 Fuß Weite angebracht, welche Wettermenge wird zu einer Zeit, wo die äußere Lufttemperatur 13 und die mittlere Temperatur der Wetter in der Grube 10 Grad ist, den Stolln durchströmen?

Die Geschwindigkeit  $v_1$ , mit welcher die Wetter durch den Wetterthurm  $CD$  ausströmen, ist durch die Formel

$$v_1 = 0,479 \sqrt{\frac{(t_1 - t)h}{\left(1 + \zeta_0 + \zeta \frac{l}{d}\right) \left(\frac{F_1}{F}\right)^2 + 1 + \zeta_1 + \zeta \frac{l_1}{d_1}}} \text{ Fuß}$$

bestimmt, und hierin zu setzen:

$$(t_1 - t)h = (13 - 10) \cdot 60 = 180,$$

ferner für die Bewegung der Wetter in Thurme, dessen Querschnitt den Umfang  $p_1 = 4 \cdot 3 = 12$  Fuß und den Inhalt  $F_1 = 3 \cdot 3 = 9$  Quadratuß hat,

$$1 + \zeta_1 + \zeta \frac{l_1}{d_1} = 1 + 0,50 + 0,04 \frac{p_1 l_1}{4 F_1} = 1,50 + 0,04 \cdot \frac{4 \cdot 3 \cdot 60}{4 \cdot 3 \cdot 3} \\ = 1,50 + 0,80 = 2,30;$$

für die Bewegung der Wetter unter dem Tragwerk, da hier  $p = 2(3 + 4) = 14$  Fuß und  $F = 3 \cdot 4 = 12$  Quadratuß, und der Rauigkeit des Gesteins u. s. w. wegen,  $\zeta = 0,05$  zu setzen ist,

$$\left(1 + \zeta_0 + \zeta \frac{l}{d}\right) \left(\frac{F_1}{F}\right)^2 = \left(1,50 + 0,05 \frac{pl}{4F}\right) \left(\frac{F_1}{F}\right)^2 \\ = \left(1,50 + 0,05 \cdot \frac{14 \cdot 1000}{4 \cdot 12}\right) \left(\frac{9}{12}\right)^2 = 16,08 \cdot \frac{9}{16} = 9,04.$$

Hierzu kommt noch für die rückgängige Bewegung der Wetter über dem Tragwerke, für welche  $p = 2(6 + 4) = 20$ ,  $F = 6 \cdot 4 = 24$ , und  $l = 1000 - 100 = 900$  ist,

$$\left(1 + \zeta_0 + \zeta \frac{l}{d}\right) \left(\frac{F_1}{F}\right)^2 = \left(1,50 + 0,05 \cdot \frac{20 \cdot 900}{4 \cdot 24}\right) \left(\frac{9}{24}\right)^2 = 10,87 \cdot \frac{9}{64} = 1,53,$$

so daß nun

$$v = 0,479 \sqrt{\frac{180}{2,30 + 9,04 + 1,53}} = 0,479 \sqrt{\frac{180}{12,87}} = 1,791 \text{ Fuß,}$$

und das pr. Secunde durch den Stolln ziehende Luftquantum

$$Q_1 = F_1 v_1 = 1,791 \cdot 9 = 16,2 \text{ Cubituß beträgt.}$$

Künstlicher  
Luft- und  
Wetter-  
wechsel.

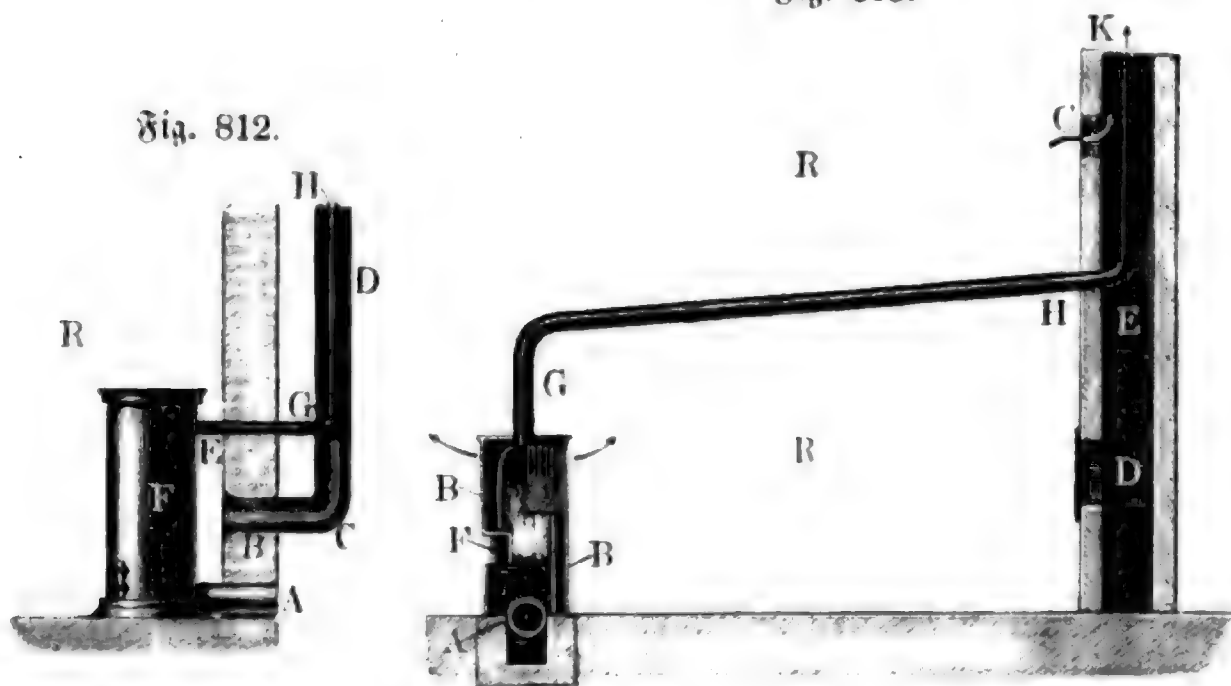
§. 398. Wenn der natürliche Wetterwechsel eines Gebäudes oder einer Grube nicht ausreicht, so erzeugt man eine künstliche Ventilation und zwar entweder durch Erhitzung in Oefen oder durch besondere Luft- oder Wettermaschinen. Bei der Ventilation eines Gebäudes befindet sich der Ofen entweder in der Zugesse selbst oder außerhalb derselben, letzteres besonders

dann, wenn die Ventilation zugleich mit der Heizung des Locales verbunden ist. Der Rauch eines solchen Zugofens wird in beiden Fällen durch eine Blechröhre abgeführt, welche in der Mitte der Zugesse emporsteigt, und so am besten ihre Wärme an die durch die Zugesse abzuführende Luft absetzt. Eine einfache Ventilation mit Zugesse u. s. w. ist in Fig. 812 abgebildet. *F* stellt einen gewöhnlichen Zugofen vor, welcher dazu bestimmt ist, den Raum *R* zu erwärmen. Die zur Verbrennung nöthige Luft wird demselben durch die Röhre *A* zugeführt, wogegen die Verbrennungsluft durch die Röhre *EGH* aus dem Ofen und in die weitere als Zugesse dienende Röhre *BCD* abgeleitet wird. Die verdorbene Luft des Zimmers tritt bei *B* in die Zugesse *BCD* und wird während ihres Emporsteigens in derselben von der Rauchröhre *EGH* erwärmt.

Künstlicher  
Luft- und  
Wetter-  
wechsel.

Eine andere mit Luftheizung verbundene Ventilation ist in Fig. 813

Fig. 813.



abgebildet. Der Ofen *F* steht hier entfernt von der Zugesse *E* und die in demselben erwärmte Luft wird durch das Rauchrohr *GHK* in diese Esse geleitet. Ferner ist der Ofen von einem weiten Mantel aus Blech oder Ziegeln umgeben, so daß ein Raum *BB* entsteht, in welchem die durch das Rohr *A* zugeführte frische Luft erwärmt wird. Die so erwärmte Luft tritt durch die am Haupt des Mantels angebrachten Seitendöffnungen in den Saal, und von da durch eine Oeffnung *C* in die durch die Rauchröhre *GHK* erwärmte Zugesse *E*. Statt der Luftheizung in *BB* läßt sich natürlich auch eine Dampf- oder eine Wasserheizung anbringen. Fig. 814 (a. f. S.) führt die Einrichtung einer Zimmerheizung durch Wasser oder Wasserdampf vor Augen. Die das warme Wasser oder den Wasserdampf enthaltenden Transmissionsröhren *P* und *Q* sind von Blechmänteln umgeben, und diese wieder in einem Holzkasten *FGD* eingeschlossen. Die durch das Rohr *ABC*







Theorie des  
künstlichen  
Wetter-  
zuges.

sammt Rauchcanal durch  $\kappa_1$  an, so erhalten wir für die Geschwindigkeit der bei  $H$  ausströmenden Wetter:

$$1. \quad v_2 = 0,479 \sqrt{\frac{(t_2 - t) h + (t_2 - t_1) h_1}{1 + \kappa \left(\frac{F_2}{F_1}\right)^2}},$$

und folglich das ausströmende Luftquantum pr. Secunde

$$2. \quad Q_2 = F_2 v_2.$$

Ferner ist die Geschwindigkeit der Wettern im Grubenbau

$$3. \quad v_1 = \frac{F_2 v_2}{F_1},$$

sowie die Geschwindigkeit der bei  $F$  aus dem Wetterofen in den Wetterschacht strömenden heißen Luft:

$$4. \quad v_3 = 0,477 \sqrt{\frac{(t_3 - t_1) h_2 + v_2^2}{1 + \kappa_1}}.$$

Da die Wärmemenge, welche aus der Verbrennung im Wetterofen hervorgeht, gleich ist der Wärmemenge, welche die Wettern im Wetterschachte in sich aufnehmen, so ist noch

$$F_1 v_1 (t_2 - t_1) = F_3 v_3 (t_3 - t_1),$$

und daher auch

$$5. \quad v_3 = \frac{F_1 v_1 (t_2 - t_1)}{F_3 (t_3 - t_1)}.$$

Wenn man die Werthe für  $v_3$  aus (4) und (5) einander gleich setzt, so erhält man eine Gleichung zur Bestimmung der Temperatur  $t_3$  im Wetterofen, woraus sich denn erst mittels (4) oder (5) die Geschwindigkeit  $v_3$  und das durch den Wetterofen ziehende Luftquantum

$$Q_3 = F_3 v_3$$

berechnen läßt.

Endlich ist auch noch der zur Unterhaltung des Feuers im Wetterofen nöthige Brennmaterialaufwand zu ermitteln. Bezeichnet  $\gamma$  die Dichtigkeit der Luft und  $w$  die Wärmemenge, welche aus der Verbrennung des 1 Pfund Brennstoff hervorgeht (s. Band II, §. 371), so hat man, da wir die specifische Wärme der Luft ein Viertel setzen läßt, den gesuchten Brennstoffaufwand

$$K = \frac{Q_3 \gamma (t_3 - t_1)}{4 w} = \frac{Q_2 \gamma (t_2 - t_1)}{4 w} \text{ Pfund.}$$

Nach Band I, §. 361, ist, wenn auch nur annähernd,

$$\gamma = \frac{0,003059 \cdot b}{1 + 0,00367 t},$$

wobei  $b$  den Barometerstand in Pariser Zollen ausdrückt, also für  $b = 28$  Zoll,

$$\gamma = 0,086 \text{ Pfund.}$$

Führt man den Werth für  $v_2$  aus (1) in die Gleichung für  $K$  ein, so erhält man

Künstlicher  
Wetterzug.

$$K = 0,479 \frac{F_2 \gamma (t_2 - t_1)}{4 w} \sqrt{\frac{(t_2 - t) h + (t_2 - t_1) h_1}{1 + \alpha \left(\frac{F_2}{F_1}\right)^2}}$$

und hiernach läßt sich folgern, daß es ökonomisch vortheilhafter ist, den Wetterzug durch Tieferlegen des Wetterofens als durch Erzeugung einer größeren Wärme zu verstärken.

Beispiel. Es liege die Mündung  $H$  des Wetterschachtes  $HE$ , Fig. 817, um  $h = 200$  Fuß über der Mündung  $B$  des Schachtes, wo die Wettern einziehen; es liege ferner die Ausmündung der Gße des Wetterofens um  $h_1 = 600$  Fuß unter  $B$  und es sei die senkrechte Höhe  $EF$  der Gße oder des Rauchcanales  $DF$ ,  $h_2 = 60$  Fuß; ferner sei die Temperatur der äußeren Luft,  $t = 15^\circ$ , die mittlere Temperatur der Grubenluft,  $t_1 = 12^\circ$  und die im oberen Theile des Wetterschachtes,  $t_2 = 20^\circ$ ; ferner, es sei der Inhalt des mittleren Querschnittes des Grubenbaues:

$$F_1 = 5 \cdot 9 = 45 \text{ Quadratfuß,}$$

der Umfang desselben

$$p_1 = 2(5 + 9) = 28 \text{ Fuß,}$$

und die ganze Länge des Grubenbaues:

$$l_1 = 10000 \text{ Fuß;}$$

dagegen sei der mittlere Inhalt vom Querschnitte der Seitenstrecken u. s. w. für den Wetterofen:

$$F_3 = 3 \cdot 5 = 15 \text{ Quadratfuß,}$$

der Umfang desselben

$$p_3 = 2(3 + 5) = 16 \text{ Quadratfuß,}$$

und die Länge dieser Strecke:

$$l_3 = 300 \text{ Fuß;}$$

endlich sei der Querschnitt des Wetterschachtes:

$$F_2 = 6 \cdot 12 = 72 \text{ Quadratfuß;}$$

man soll das Luftquantum  $Q_2$  angeben, welches pr. Secunde durch den Wetterschacht ausströmt, sowie die nöthige Temperatur der Erwärmerkraft und den erforderlichen Brennstoffaufwand bestimmen.

Es ist

$$(t_2 - t) h + (t_2 - t_1) h_1 = (20 - 15) \cdot 200 + (20 - 12) \cdot 600 = 5800,$$

ferner

$$\alpha \left(\frac{F_2}{F_1}\right)^2 = \zeta \frac{p_1 l_1}{4 F_1} \left(\frac{F_2}{F_1}\right)^2 = 0,05 \cdot \frac{28 \cdot 10000}{4 \cdot 45} \left(\frac{72}{45}\right)^2 = 199,$$

daher die Geschwindigkeit, mit welcher die Wettern im Wetterschacht ausziehen:

$$v_2 = 0,479 \sqrt{\frac{(t_2 - t) h + (t_2 - t_1) h_1}{1 + \alpha \left(\frac{F_2}{F_1}\right)^2}} = 0,479 \sqrt{\frac{5800}{200}} = 0,479 \sqrt{29}$$

$$= 2,58 \text{ Fuß,}$$

und das ausziehende Luftquantum pr. Secunde:

$$Q_2 = F_2 v_2 = 72 \cdot 2,58 = 186 \text{ Cubißuß.}$$

Ferner ist die mittlere Geschwindigkeit, mit welcher die Wettern die Grubenbaue durchziehen:

III.

Räumlicher  
Wetterzug.

$$v_1 = \frac{Q_2}{F_1} = \frac{186}{45} = 4,13 \text{ Fuß.}$$

Für die Geschwindigkeit der Erwärmungsluft ist

$$\begin{aligned} v_3 &= 0,479 \sqrt{\frac{(t_3 - t_1) h_2 + v_1^2}{1 + \alpha_1}} = 0,479 \sqrt{\frac{(t_3 - 12) \cdot 60 + v_1^2}{1 + 0,05 \cdot \frac{p_3 l_3}{4 F_3}}} \\ &= 0,479 \sqrt{\frac{60(t_3 - 12) + 6,65}{1 + 0,05 \cdot \frac{16}{4 \cdot 15} \cdot 300}} = 0,479 \sqrt{\frac{60(t_3 - 12) + 0,111}{5}} \\ &= 1,659 \sqrt{t_3 - 11,89} \end{aligned}$$

ferwie auch

$$v_3 = \frac{F_1 v_1 (t_2 - t_1)}{F_3 (t_3 - t_1)} = \frac{186 \cdot 8}{15 (t_3 - 12)} = \frac{92,5}{t_3 - 12},$$

und es folgt nun

$$(t_3 - 12) \sqrt{t_3 - 11,89} = \frac{92,5}{1,659} = 55,76,$$

d. i. annähernd

$$(t_3 - 12)^{3/2} = 55,76,$$

wonach sich zunächst

$$t_3 = 12 + \sqrt[3]{(55,76)^2} = 12 + 14,6 = 26,6 \text{ Grad.}$$

und dann genauer

$$t_3 = 26,6 \left(1 - \frac{0,111}{3 \cdot 14,6}\right) = 26,6 - 0,1 = 26,5 \text{ Grad ergibt.}$$

Ferner folgt die Geschwindigkeit der erhitzten Wettern im Wetterofen:

$$v_3 = \frac{92,5}{26,5 - 12} = \frac{92,5}{14,5} = 6,38 \text{ Fuß,}$$

und daher das durch den Wetterofen erhitzte Luftquantum pr. Secunde

$$Q_3 = F_3 v_3 = 15 \cdot 6,38 = 95,7 \text{ Cubiffuß.}$$

Wenn das Pfund Brennstoff bei der Verbrennung im Wetterofen 5000 Calorien giebt, so folgt nun die erforderliche Brennstoffmenge pr. Secunde:

$$K = \frac{Q_3 \gamma (t_3 - t_1)}{4 w} = \frac{95,7 \cdot 0,085 \cdot 14,5}{4 \cdot 5000} = 0,00597 \text{ Pfund,}$$

und daher stündlich:

$$3600 K = 3600 \cdot 0,00597 = 22\frac{1}{2} \text{ Pfund.}$$

Anmerkung. Da nach Bd. II, §. 391, die Ausströmungsgeschwindigkeit der Luft durch die Formel

$$v = \sqrt{\frac{\delta(t_1 - t)}{1 + \delta t}} \cdot 2gh$$

bestimmt wird, so wäre auch hier genauer statt

$$\begin{aligned} v_2 &= \sqrt{\frac{(t_2 - t) h + (t_2 - t_1) h_1}{1 + \alpha \left(\frac{F_2}{F_1}\right)^2}} \cdot 2\delta g = 0,479 \sqrt{\frac{(t_2 - t) h + (t_2 - t_1) h_1}{1 + \alpha \left(\frac{F_2}{F_1}\right)^2}} \\ v_2 &= 0,479 \sqrt{\frac{\frac{(t_2 - t) h}{1 + \delta t} + \frac{(t_2 - t_1) h_1}{1 + \delta t_1}}{1 + \alpha \left(\frac{F_2}{F_1}\right)^2}}, \end{aligned}$$

wo  $\delta = 0,00367$  ist, zu setzen.

Auch hätte man hiernach das Ausflußquantum reducirt auf die äußere Temperatur:

Äußerlicher  
Wetterzug.

$$Q = \frac{1 + \delta t}{1 + \delta t_2} Q_2 = \frac{1 + \delta t}{1 + \delta t_2} F_2 v_2$$

zu setzen, sowie überhaupt auf die Abhängigkeit der Dichtigkeit der Luft von der Temperatur mit Rücksicht zu nehmen, z. B. statt

$$F_1 v_1 = F_2 v_2, \text{ zu setzen:}$$

$$\frac{F_1 v_1}{1 + \delta t_1} = \frac{F_2 v_2}{1 + \delta t_2},$$

sowie statt

$$F_2 v_2 (t_2 - t_1) = F_3 v_3 (t_3 - t_1)$$

den Ausdruck

$$\frac{F_2 v_2 (t_2 - t_1)}{1 + \delta t_2} = \frac{F_3 v_3 (t_3 - t_1)}{1 + \delta t_3}$$

in Anwendung zu bringen; da aber bei den gewöhnlichen Werthen für  $t$ ,  $t_1$ ,  $t_2$  und  $t_3$ , diese Correctionen nur unbedeutend ausfallen, so sind dieselben im Obigen unberücksichtigt geblieben. Für  $t = 15^\circ$  und  $t_1 = 12^\circ$  wäre z. B.

$1 + \delta t = 1 + 0,00367 \cdot 15 = 1,055$  und  $1 + \delta t_1 = 1 + 0,00367 \cdot 12 = 1,044$ , und daher im letzten Beispiele, die Ausströmungsgeschwindigkeit der Wetterern statt  $v_2 = 2,58$  Fuß:

$$v_2 = 0,479 \sqrt{\left(\frac{1000}{1,055} + \frac{4800}{1,044}\right) : 200} = 0,479 \sqrt{27,7} = 2,53 \text{ Fuß,}$$

sowie das ausströmende Luftquantum auf die äußere Temperatur reducirt:

$$Q = \frac{1,055}{1,0734} \cdot 72 \cdot 2,53 = 178,7 \text{ Cubifuß}$$

zu setzen.

## Zweites Kapitel.

### Fortbewegung der Luft durch directes Zusammen- drücken oder Ausdehnen derselben.

§. 400. Das Ausdehnen oder Zusammendrücken der Luft, wodurch dieselbe in den Stand gesetzt wird, sich fortzubewegen, kann durch eine äußere Kraft entweder mittels eines festen Körpers oder mittels eines flüssigen Körpers, z. B. Wasser, erfolgen. Hiernach giebt es zunächst zwei Hauptsysteme von Gebläsen und Wettermaschinen (franz. machines soufflantes et aspirantes; engl. blast machines, exhausting machines). Die Gebläse des ersten Systemes, bei welchen die indirecte Bewegung der Luft durch einen festen Körper hervorgebracht wird, haben entweder

Gebläse des  
ersten Systems.

1. eine absehbende geradlinige Bewegung, oder
2. eine absehbende Kreisbewegung, oder
3. eine stetige Kreisbewegung,



Gebläse und Ventilatoren.

und sind entweder ungelidert, oder gelidert, und zwar entweder durch einen festen Körper, oder durch einen flüssigen Körper, namentlich Wasser.

Zu den Gebläsen mit absehbender oder hin- und hergehender Bewegung ohne Liderung gehören die sogenannten ledernen Balgen (franz. soufflets; engl. bellows), zu solchen mit fester Liderung die hölzernen Balgen, Kasten- und Cylindergebläse (franz. pompes soufflantes; engl. cylinder blast engines), und zu solchen mit Wasserliderung der Harzer Wettersack, das Baader'sche Gebläse, Tonnengebläse (franz. caisse et tonne soufflante; engl. gasometer bellow and blast barrel) u. s. w. Gebläse oder Ventilatoren des ersten Systemes mit stetiger Kreisbewegung sind die von Fabry, von Lemelle u. s. w. Während die erst genannten Gebläse den Kolbenmaschinen und gewöhnlichen Pumpen beizuzählen sind, hat man diese als Radmaschinen oder Rotationspumpen anzusehen.

Die Gebläse und Ventilatoren oder Wettermaschinen des zweiten Systemes, welche die Zusammendrückung und Bewegung der Luft durch Wasser bewirken, sind von sehr verschiedener Construction; es gehören hieher

1. das Schnecken- und Schraubengebläse,
2. das Wassersäulengebläse,
3. das Kettengebläse,
4. das Wassertrommelgebläse.

Endlich kann aber auch die Verdichtung und Bewegung der Luft durch die Centrifugalkraft erfolgen, indem dieselbe im Kreise herumgeführt wird. Die Maschinen, welche auf diese Weise die Fortbewegung der Luft bewirken, heißen Centrifugalgebläse oder Centrifugalventilatoren und bilden dem Wesen nach ein besonderes Gebläsesystem.

Diese Maschinen sind mit den Centrifugalpumpen (s. S. 341) und in gewisser Beziehung mit den Turbinen zu vergleichen, während die Schnecken- und Schraubengebläse im Wesentlichen mit den Spiralpumpen (s. S. 339 u. s. w.) übereinstimmen, und das Kettengebläse in der Hauptsache die Einrichtung eines Kolbenrades (s. Bd. II, S. 306) hat.

Kolbengebläse.

§. 401. Die wesentliche Einrichtung und Wirkungsweise der Kolbengebläse ist bei allen Arten dieser Maschinen eine und dieselbe. Ein an der einen Seite durch einen beweglichen Kolben von der äußeren Luft abgeschlossener Raum ist mit zwei Ventilen versehen, wovon das eine nach innen und das andere nach außen beweglich ist; dieser Raum füllt sich beim Auschieben des Kolbens mit Luft, welche die Atmosphäre durch das erste Ventil zupreßt, und es wird die so angesaugte Luft beim darauf erfolgenden Rückgang des Kolbens durch das zweite Ventil in eine nach dem Punkte des Bedarfs führende Röhre gedrückt. Erfolgt das Einsaugen und Ausblasen der Luft nur auf der einen Seite des Kolbens, so hat man es mit

einem einfach-wirkenden Kolbengebläse zu thun, wird aber auf beiden Seiten des Kolbens Luft eingesaugt und ausgeblasen, so ist das Kolbengebläse ein doppelt-wirkendes.

Bei den sogenannten Kasten- und Cylindergebläsen (Fig. 818) bewegt sich der Kolben *AB* in einem Kasten oder Cylinder *CDEF* und ist an seinem Umfange, zur Herstellung eines luftdichten Abschlusses, mit einem elastischen Liderungsringe versehen; bei den ledernen Kastenbalgen (Fig. 819)

Fig. 818.

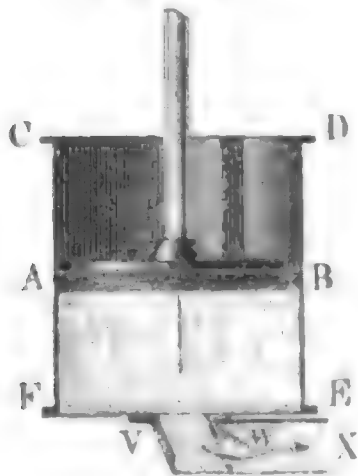
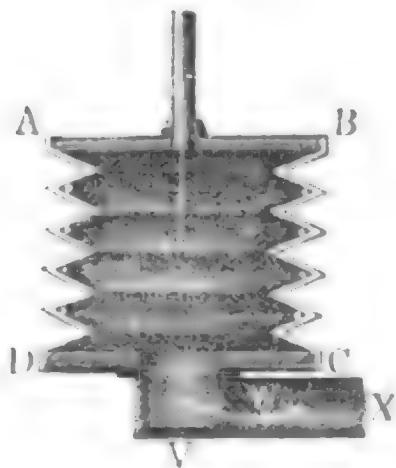


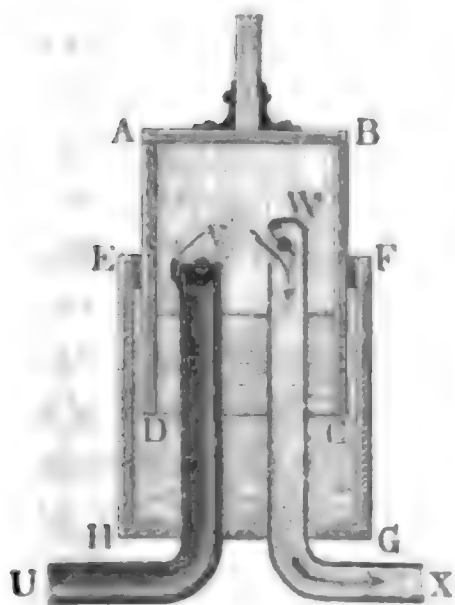
Fig. 819.



ist dagegen der Kolben *AB* durch einen in Falten gelegten Ledermantel *ABCD* mit dem Boden *CD*, worin der Ventilkasten mit den Ventilen *V* und *W* einmündet, verbunden. Es erfolgt hier die abwechselnde Vergrößerung und Verkleinerung des abgeschlossenen Raumes durch Auseinanderziehen und Zusammenlegen der Falten des Mantels, und fällt also die Liderung ganz weg.

Bei dem Harzer Wetterfah und dem Baader'schen Gebläse (Fig. 820) ist der Kolben *AB* mit dem bodenlosen Kasten *ABCD* fest verbunden, und wird der luftdichte Abschluß durch

Fig. 820.



Wasser bewirkt, welches den Kasten von unten umgiebt. Um das Wasser von den Ventilen *V* und *W* entfernt zu halten, führt man die Luft mittels Röhren *UV* und *WX* zu und ab.

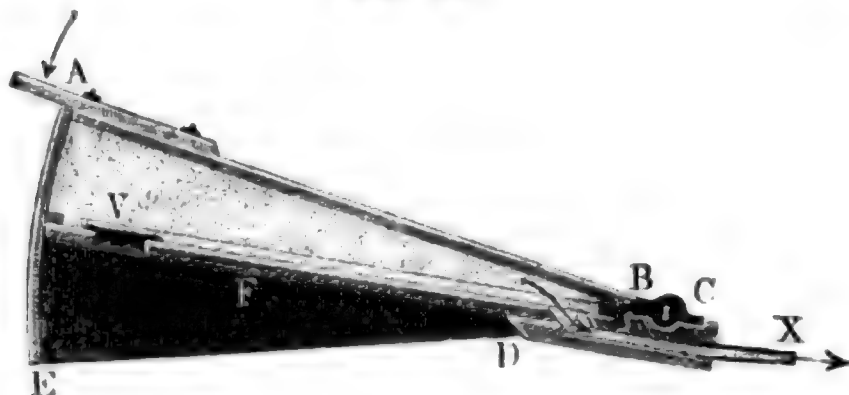
Anstatt den Kolben in gerader Linie hin- und her- oder auf- und niederzubewegen, kann man demselben auch eine absehbende Kreisbewegung geben. Dadurch geht das gewöhnliche Kasten-gebläse in einen sogenannten hölzernen Spitzbalgen, der lederne Kastenbalgen in einen ledernen Spitzbalgen und der Harzer Wetterfah in ein Ton-gebläse über.

Der hölzerne Balgen *ABDE*, Fig. 821 (a. f. S.), besteht aus einem

Kolben-  
gebläse.

Kasten mit trapezoidalem Querschnitt, und aus einem gleich geformten Kol-

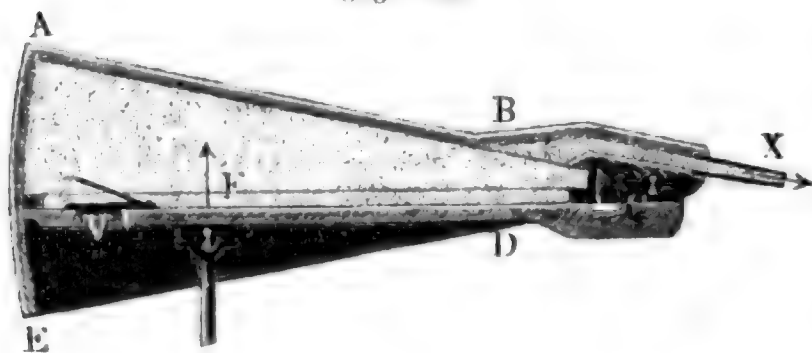
Fig. 821.



ben. In der Regel ist der Kolben *F* fest und es dreht sich der Kasten um eine auf dem Kolben gelagerte horizontale Axe *C*; bei dem sogenannten

Widholmgebläse in Fig. 822 ist dagegen, wie bei anderen Gebläsen, der

Fig. 822.

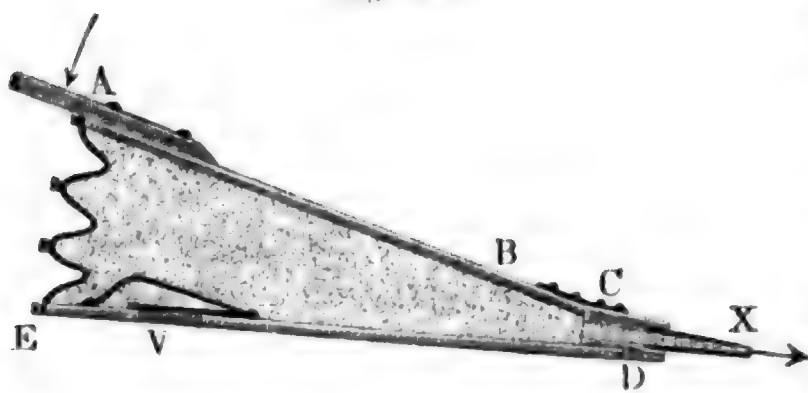


Kasten fest, und es dreht sich der Kolben *F* um eine mit dem Kasten fest verbundene horizontale Axe *C*. Bei beiden ist *V* das Saugventil und *X* die eiserne Düse (franz. buse; engl. nozzle),

welche den Wind in den Feuer- oder Schmelzraum führt.

Der lederne Spitzbalgen *ABCD*, Fig. 823, hat ebenfalls einen trape-

Fig. 823.



zoidalen, um eine horizontale Axe *C* drehbaren Kolben und umschließt mit seinem in Falten gelegten Ledermantel einen im Ganzen obeliskenförmigen Raum. Das Einsaugen der Luft erfolgt bei den Spitzbalgen stets durch Ventile *V* im

trapezoidalen Boden oder Kolben des Gebläses, wogegen das Ausblasen durch die an dem fest liegenden Kopf *CD* desselben angesteckte Düse *X* vor sich geht. Man giebt diesen Gebläsen nur deshalb eine nach dem Balgenkopfe zu allmählig abnehmende Breite, um eine kürzere Drehungsaxe, ein leichteres luftdichtes Abschließen und einen kleineren schädlichen Raum zu erhalten.

Wie die Schwingungsbewegung auch bei dem Wetterfah in Anwen-

zung zu bringen ist, führt die Abbildung in Fig. 824 vor Augen; der Kolbengebläse.

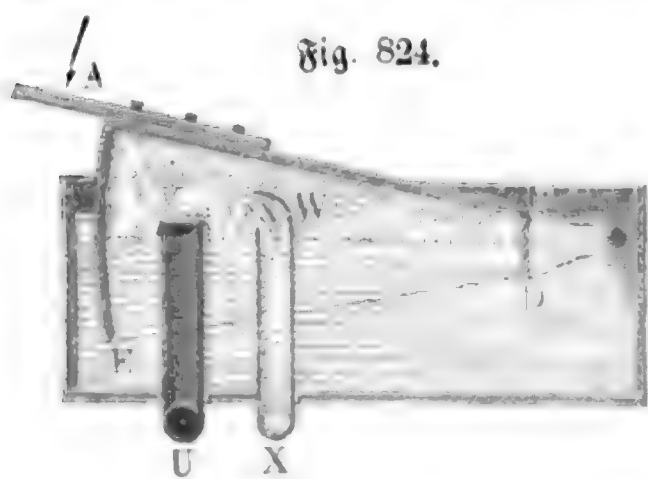
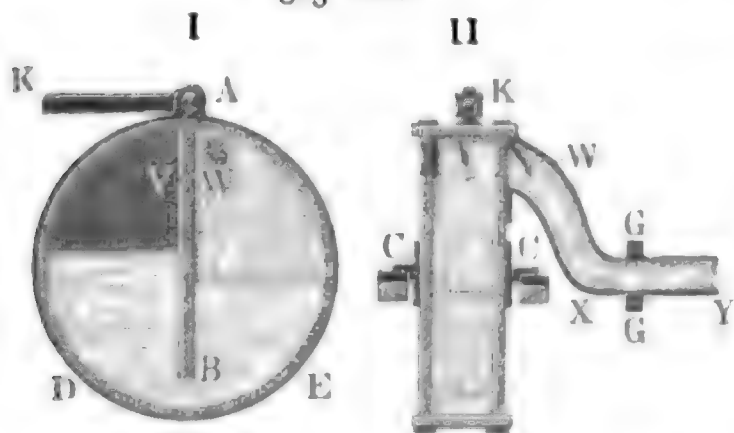


Fig. 824.

obeliskenförmige um die Ase *C* schwingende Raum *ABDE* ist auch hier von unten durch Wasser abgeschlossen, saugt bei seinem Aufgange die Luft durch das Rohr *UV* an, und bläst dieselbe bei seinem Niedergange durch das Rohr *WX* fort. Wenn man zwei schwingende Gefäße zu einem Ganzen ver-

bindet, oder ein solches Gefäß durch eine Scheidewand in zwei Abtheilungen bringt, und das absperrende Wasser im Gefäße einschließt, so erhält man ein doppelt-wirkendes Gebläse mit Wasserliderung, welches unter dem Namen »Tonnengebläse« bekannt ist. Die wesentliche Einrichtung eines solchen Gebläses ist aus den Abbildungen in Fig. 825, I. und II., zu

Fig. 825.



ersehen. Das Faß *ADE* ist durch die Zunge *AB* in zwei Abtheilungen getheilt und zur Hälfte mit Wasser angefüllt; zu beiden Seiten der Zunge, und zwar da, wo dieselbe an dem Mantel fest sitzt, sind zwei Paar Ventile angebracht, wovon sich das eine

nach innen und das andere nach außen öffnet. Die Mündungen der letzteren stehen mit dem Knierohre *WX* in Verbindung, welches sich mittels eines Gewindes *GG* an die Fortleitungsröhre *Y* anschließt. Wird nun dieses Faß durch einen Kurbelmechanismus um die Ase *CC* in eine schwingende Bewegung gesetzt, so saugt es bei jedem Ausschlag in der einen Abtheilung Luft durch das Saugventil *V* ein und drückt aus der anderen Abtheilung die vorher eingesaugte Luft durch das Ventil *W* in die Windleitung.

§. 402. Da sich die Ventile eines Gebläses nur in Folge eines Ueberdruckes der Luft auf der einen Seite derselben und folglich nicht eher eröffnen, als bis der Gebläsekolben schon einen Theil seines Weges zurückgelegt hat, so giebt selbst ein doppelt-wirkendes Kolbengebläse nicht den für einen Schmelzproceß nöthigen stetigen Luftstrom. Um denselben zu erhalten, ist es nöthig, mehrere einfache Kolbengebläse in Anwendung zu bringen, welche den Wind in ein gemeinschaftliches Reservoir drücken, aus dem derselbe

Wind.  
regulieren.



Wind-  
regulator.

durch ein einziges Rohr abgeführt wird. Dieses Reservoir, der sogenannte Windregulator (franz. régulateur du vent; engl. receiver, regulator of blast), hat entweder ein veränderliches oder ein unveränderliches Volumen. Im zweiten Falle besteht er meist aus einem großen kugel- oder dampfkesselförmigen Behälter, dessen Inhalt gegen 50mal so groß ist, als die pr. Secunde gelieferte Windmenge; jedoch hat man dazu auch unterirdische, von festem Gestein oder von Mauern umgebene Räume benutzt. Auf der Hütte L'Horme im Ardèche-Departement befindet sich z. B. ein in Form eines liegenden Halbcylinders von  $2\frac{1}{2}$  Meter Durchmesser aufgemauert und mit einer dicken Cementschicht umgebener Windregulator (s. Bulletin de la Soc. de l'Industr. min. I). Im ersteren Falle ist er, entweder von oben durch einen belasteten Kolben, oder von unten durch Wasser abgesperrt.

Der Kolbenregulator hat im Wesentlichen die Einrichtung eines einfachen Kolbengebläses ohne Ventile; er ist, wie dieses, entweder durch einen elastischen Ring gelidert, oder hat statt der Liderung einen elastischen Ledermantel, oder es wird der luftdichte Abschluß desselben durch eine stehende Wassersäule bewirkt. Bei dem eigentlichen Wasserregulator findet zwar diese Absperrung durch Wasser ebenfalls statt, aber es ist hier der bewegliche Kolben oder Kasten durch einen feststehenden Behälter ersetzt.

Ein ballonförmiger Windregulator *ABC* mit unveränderlichem Fassungsraum ist in Fig. 826 abgebildet. Derselbe ist aus Blechtafeln von  $2\frac{1}{2}$  Linien Dicke zusammengenietet, und hat einen Durchmesser von  $24\frac{3}{4}$  Fuß. Er ruht auf einem hohlen gußeisernen Sockel *C*, in welchen die  $3\frac{3}{4}$  Fuß weite ebenfalls aus Eisenblech zusammengesetzte Windleitung einmündet, welche den Wind nach sechs Hohöfen (in Decazeville) führt. Zwei Gebläse schicken den Wind mittels zweier gußeisernen Röhren wie *A*, von je 3 Fuß Weite, in den Regulator. Um einen übermäßigen Druck zu verhindern, ist an der höchsten Stelle des Regulators noch ein Sicherheitsventil *B* von 13 Zoll Durchmesser angebracht, welches durch runde Eisenplatten direct belastet wird.

Die Einrichtung eines Kolbenregulators (Trockenregulators) führt der verticale Durchschnitt *C* in Fig. 827 vor Augen. Derselbe steht durch das Rohr *AB* mit der Windleitung *A* in Verbindung, und wird durch einen geliderten Kolben *DD* abgeschlossen, welcher durch Eisenplatten, wie *G*, belastet, und dessen Kolbenstange *EF* mit einem Querkopfe *HH*, welches die Leitungsstangen *HL*, *HL* ergreift, versehen ist. Um bei starkem Zufließen das Herauswerfen des Kolbens aus dem Cylinders zu verhindern, schließt man das Drosselventil *B* im Communicationsrohr *AB* mittels eines (größtentheils verdeckten) Sectors *O* und einer durch ein kleines Gewicht *Q* gespannten Kette *OK* an einen Hebel an, welcher mittels eines Stiftes *K* von eben in den Cylinderraum hineingreift. Wenn sich der















*EE* umfaßt, und mittels der horizontalen Gleitschienen *FF* und *GG* vom Excentrik auf- und niedergeschoben wird.

Gleitschienen-  
gebläse.

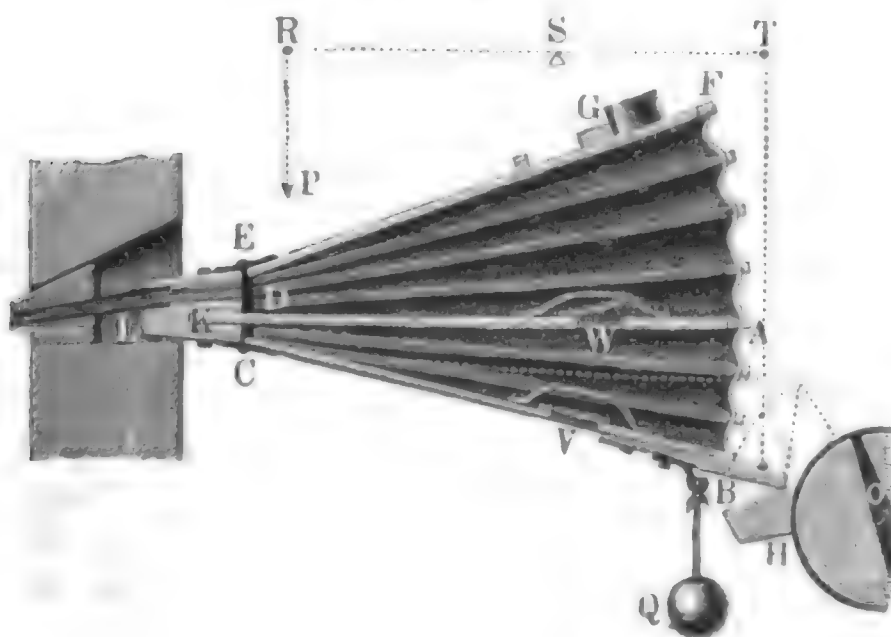
Um einen möglichst gleichförmigen Windstrom zu erhalten, läßt man die ganze Gebläsemaschine aus drei oder vier solchen einfach-wirkenden Gebläsen bestehen und setzt diese durch eine gemeinschaftliche Welle in Bewegung, und um die letztere nicht kröpfen zu müssen, wendet man statt der Krummzapfen die allerdings mehr Reibung gebenden Excentriks an (s. S. 87). Bei den ausgeführten Maschinen (z. B. die in Haraucourt, welche aus 6 Cylindern besteht) hat ein Gebläsecylinder 0,64 Meter Weite und 0,50 Meter Hub, und ist die Anzahl der Spiele pr. Minute 40 bis 60. Die größere Anzahl der Gebläsecylinder gewährt noch den großen Vortheil, daß der Hohofenproceß ungestört fortgehen kann, wenn eine Reparatur an einem derselben nöthig wird, welches natürlich nicht möglich ist, wenn die ganze Gebläsemaschine nur aus zwei oder gar aus einem doppelt-wirkenden Gebläsecylinder besteht.

§. 405. Die ledernen Balgen werden vorzüglich bei den Schmiede- und kleineren Wärmefeuern in Anwendung gebracht, sie sind in der Regel einfach-wirkend, jedoch mit einem ebenfalls ledernen Windregulator versehen. Zuweilen werden auch doppelt-wirkende Lederbalgen angewendet.

Lederne  
Balgen.

Die wesentliche Einrichtung eines einfach-wirkenden ledernen Spitzbalgens mit Windregulator ist aus dem in Fig. 834 abgebildeten Durchschnitt desselben zu ersehen. Es ist *ABCD* das eigentliche Gebläse mit dem festliegenden Deckel *AD* und dem beweglichen Boden oder Kolben *BC*,

Fig. 834.









Leberne  
Bläsen.

Rohr  $GHI$  den Wind aus dem letzteren in den Feuerraum  $R$ . Um ein möglichst gleichmäßiges Ausströmen des Windes zu erhalten, ist in dem Regulator  $CC$  noch ein beweglicher Kolben  $D$  angebracht, welcher mit dem Deckel von  $CC$  durch einen Ledermantel verbunden ist, und mittels einer Spiralfeder  $F$  nach unten gedrückt wird. Je nachdem der Wind in größerer oder kleinerer Menge dem Regulator zugeführt wird, nimmt der Kolben  $D$  eine höhere oder tiefere Stelle im Innern des Regulators ein, ist also auch der Raum desselben größer oder kleiner und daher die Pressung des Windes im Regulator nur innerhalb enger Grenzen veränderlich. Das Aufziehen des in einer Gußeisenplatte bestehenden Kolbens  $K$  erfolgt durch die Kolbenstange  $KL$ , welche mittels einer mit Leder oder Gummi abgedichteten Stopfbüchse durch den Boden des Gefäßes  $BB$  geführt ist; das Niedergehen wird hingegen durch das eigene Gewicht des Kolbens bewirkt. Der Bewegungsmechanismus besteht in einem gewöhnlichen Hebel  $PXQ$ , welcher bei  $P$  von der Hand des Schmiedes ergriffen wird und bei  $Q$  mittels einer Stange  $QN$  an einen zweiten Hebel  $NO$  angeschlossen ist, der die Kolbenstange  $KL$  mittels des Gelenkes  $LM$  ergreift.

Doppeltwirkende Gullin-  
dergebläse.

§. 406. Den verticalen Durchschnitt eines großen doppeltwirkenden Cylindergebläses führt Fig. 836 vor Augen. Dieses Gebläse ist in der Maschinenfabrik zu Seraing in Belgien ausgeführt worden (s. Portefeuille de John Cockrill, Tafel 31 bis 34). Es besteht dasselbe aus einem einzigen vertical stehenden Gebläsecylinder  $CD$  von 1,830 Meter innerer Weite und 2,727 Meter Höhe und wird mittels einer darunter stehenden Dampfmaschine von 80 Pferdekraften direct in Bewegung gesetzt. Der Durchmesser des Dampfeylinders ist 1,05 Meter, und der gemeinschaftliche Hub beider Maschinen 2,44 Meter. In der Abbildung zeigt  $KK$  den Gebläsekolben, und  $PR$  die 0,121 Meter dicke Kolbenstange. Letztere ist weiter unten mit der ebenfalls 0,121 Meter dicken Kolbenstange der Dampfmaschine durch einen Muff verbunden, und dieser bildet mit einem 3,1 Meter langen Querschnitte ein Ganzes, welches sich in zwei senkrecht stehenden Leitungsrahmen bewegt und an dessen Enden die Kurbelstangen zweier Schwungräder von 7,32 Meter Durchmesser und circa 90 Centner Gewicht, angeschlossen sind. Die Ventile  $V$  und  $V_1$  dienen zum Einsaugen, sowie die Ventile  $W$  und  $W_1$  zum Einblasen des Windes in die nach dem Regulator führende Windeitungsröhre  $W'W_1L$ . Die ersteren sind paarweise in den Ventilkästen eingeschlossen, wovon drei auf dem Deckel und drei am Boden des Gebläsecylinders feststehen. Die von den Seitenflächen dieser Kästen gebildeten rahmenförmigen Ventilsitze haben eine Neigung von 60 bis 70 Grad und umschließen Ventilmündungen von je 0,5 Meter Länge und 0,25 Meter Breite. Die Ausblaseventile bedecken dagegen rechteckigere





hergestellt, und damit sie sich leicht bewegen durch Arme  $VP$ ,  $V_1P_1$ ,  $WR$  und  $W_1R_1$  mit Gegengewichten äquilibrirt. Um das zu weite Aufschlagen der Saugventile zu verhindern, sind an den Armen derselben noch kurze Daumen  $Q$ ,  $Q_1$  angebracht, welche beim Aufschlagen an vorstehende Nasen des Ventilstübes anschlagen; um ferner ein sanftes Auf- und Niederschlagen der Blaseventile  $W$ ,  $W_1$  zu erlangen, sind dieselben mit kleinen Kolben  $F$ ,  $F_1$  ausgerüstet, welche beim Niederschlagen durch kleine Oeffnungen  $E$ ,  $E_1$  Luft in die kleinen Cylinder  $EF$ ,  $E_1F_1$  einsaugen, und dieselbe beim Aufschlagen wieder durch diese Oeffnungen ausstoßen. Der durch Metall abgeliderte Kolben  $KK$  wird mittels seiner Stange  $ML$  durch eine Kurbelwelle in Bewegung gesetzt.

Verstellende Ventil-  
gebläse.

§. 407. Um die Cylindergebläse schnell arbeiten lassen zu können, muß man denselben möglichst große Querschnitte zum Einsaugen und Ausblasen der Luft geben; da aber große Ventile bei der nöthigen Festigkeit sehr schwer ausfallen und sich deshalb auch schwer eröffnen, so zieht man es zu Erreichung des gedachten Zweckes vor, das Gebläse mit vielen kleinen Oeffnungen zum Einsaugen und Ausblasen der Luft zu versehen, und diese entweder einzeln durch kleine, oder im Ganzen durch größere Leder- oder Kautschukventile zu bedecken. Ein Gebläse mit einer solchen Ventilation hat die in Fig. 838 (a. f. S.) abgebildete Luftpumpe, welche bei der Versuchseisenbahn zu St. Quen (s. Armengaud, Publication industrielle, T. VI.) angewendet worden ist. Der Gebläse- oder Pumpencylinder  $CD$  besteht hier aus einem Blechmantel und aus einem gußeisernen Boden, sowie einem gleichen Deckel mit vielen, 4 Centimeter weiten kreisrunden Oeffnungen. Von diesen Oeffnungen mündet die eine Hälfte ( $W$ ,  $W_1$ ) in die freie Luft, und die andere ( $V$ ,  $V_1$ ) in die mit dem auszupumpenden Raume in Verbindung stehenden Röhren  $EF$ ,  $E_1F_1$ ; jene werden durch Lederdecken  $w$ ,  $w_1$  von außen, sowie diese durch solche ( $v$ ,  $v_1$ ) von innen bedeckt. Diese Decken sind an ihren Umfängen fest und luftdicht aufgeschraubt, haben aber ebenfalls eine Menge kreisrunder Löcher, welche jedoch nicht mit den Löchern in der Boden- und Deckplatte zusammenfallen, sondern auf die Zwischenräume zu liegen kommen. Wenn sich nun die Luft im Innern des Cylinders auf der einen Seite des Kolbens verdichtet und auf der anderen desselben verdünnt, so hebt und drückt sie die elastischen Lederdecken von ihren Lagerflächen ab, so daß nun die Löcher in je einer Lagerplatte mit denen der Lederdecke in Communication treten und die Luft durch dieselben ein- und ausströmen kann.

Eine andere Gebläseventilation führt der Durchschnitt eines horizontalen Gebläses zu Wittkowitz bei Mährisch Ostrau (s. Tunner's Stabeisen- und Stahlbereitung, Bd. I.) in Fig. 839 (a. f. S.) vor Augen. Die Löcher,





$VV$ ,  $V_1V_1$ , und die, durch welche sie in die Windleitung tritt, in einem engeren Kreise  $WW$ ,  $W_1W_1$  um die Kolbenstange  $LM$  herum, welche mittels Stopfbüchsen durch beide Cylinderdeckel hindurchgeführt ist. Die eigentlichen Ventile oder Ventilkappen bestehen aus vier Kautschuk- oder Lederkränzen, welche an ihren äußeren Umfängen zwischen den Verbindungs-kränzen der Cylinderdeckel eingeklemmt sind; die zwei größeren Kränze  $vv$ ,  $v_1v_1$  bedecken die Saugöffnungen von innen, sowie die zwei kleineren  $ww$ ,  $w_1w_1$  die Blase- oder Windöffnungen von außen. Es ist nun leicht zu ermessen, wie beim Hin- und Hergang des Kolbens  $KK$  die Luft auf der einen Seite durch die äußeren Ventillöcher eingesaugt, und auf der anderen Seite durch die inneren Ventillöcher in die Windleitung geblasen wird.

Doppeltwir-  
kende Cylin-  
dergebläse.

Anstatt die Saug- und Blaselöcher in den Kreis zu stellen, kann man dieselben auch auf die ganze Deckelfläche gleichmäßig vertheilen, oder wenigstens in geraden Linien an einander reihen, und zwar so, daß die Sauglöcher die eine, und die Blaselöcher die andere Hälfte der Cylinderdeckelfläche einnehmen. Den verticalen Durchschnitt von einem Theile eines auf diese Weise ventilirten Gebläsedeckels führt Fig. 840 I. und II. vor Augen. Es sind  $A, B, C$  die Ventillöcher und  $da, db, dc$  die zugehörigen, bei  $d, d, d$  fest aufgeschraubten und durch dünne Metallplatten bedeckten Klappventile aus Leder.

Bei aufrecht stehenden Gebläsecylindern wendet man auch mit Vortheil

Fig. 840.

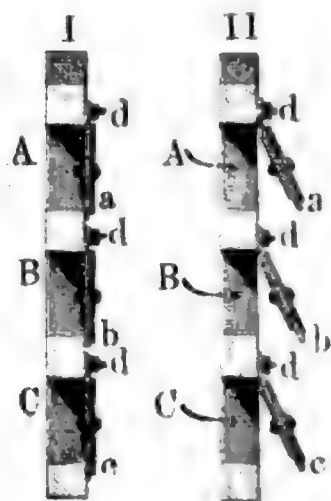
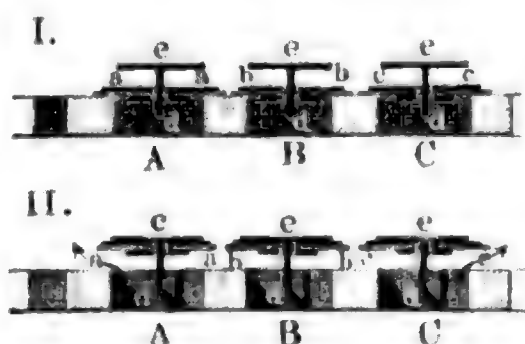


Fig. 841.



einfache Hubventile an, wie z. B. aus Fig. 841, I. und II. zu ersehen ist. Diese Ventile  $aa, bb, cc$  sind mittels Hülfsen an feststehenden Stiften  $de, de \dots$  verschiebbar, und schlagen bei ihrem Ausschub gegen die scheibenförmigen Köpfe  $e, e, e$  dieser Stifte.

Ein horizontales Gebläse mit Ventilkappen führt Fig. 842 (a. f. S.) im verticalen Durchschnitt vor Augen. Dasselbe ist nach Thomas und Laurent von Cavé construirt und in Armengaud's Publication



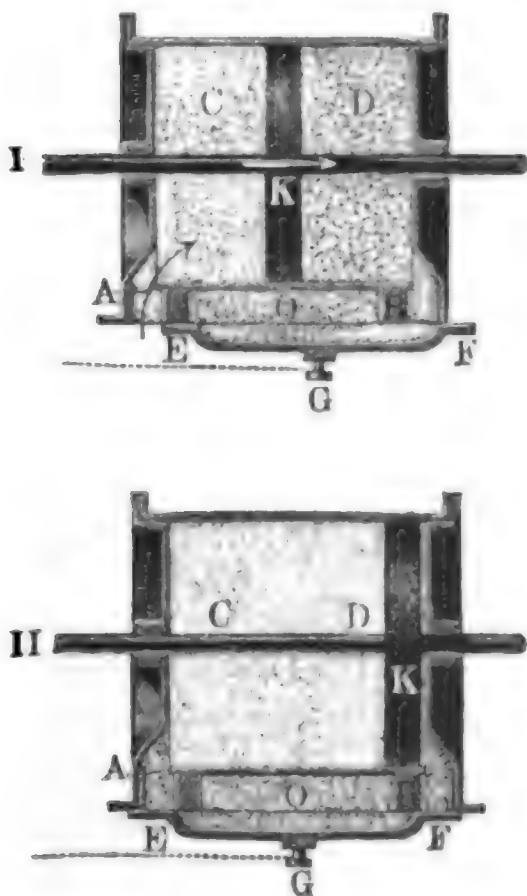
sondern mit mehreren schmalen Klappventilen auszurüsten. Natürlich hängt hierbei die Bewegungszeit eines Ventiles noch immer von der Schwerkraft und von dem Unterschiede zwischen dem inneren und äußeren Luftdrucke ab; um sich hiervon ganz unabhängig zu machen und das Gebläse mit fast beliebig großer Geschwindigkeit arbeiten lassen zu können, ist es nöthig, dasselbe mit Ventilen oder Schiebern auszurüsten, welche, wie die Steuerungsmechanismen einer Dampfmaschine, von der Umtriebsmaschine selbst in Bewegung gesetzt werden. Hierher gehören die sogenannten Schiebergebläse (franz. machines soufflantes à tiroir; engl. blowing engines with slide-valves) von Clate, sowie von Thomas und Laurent u. s. w. Diese Gebläse haben vor den gewöhnlichen Ventilgebläsen noch den Vortheil, daß sie einen schärferen Abschluß und daher auch bei guter Construction einen kleineren Windverlust geben als diese Maschinen.

Die allgemeine Einrichtung und Wirkungsweise eines solchen Gebläses ist aus Fig. 843, I. und II. zu ersehen. Es sind hier *A* und *B* die beiden

Mündungen, durch welche die Luft in den Cylinder *CD* ein- und aus denselben heraustritt, und es ist *EF* eingewöhnlicher Vertheilungsschieber, der mittels einer in *G* angreifenden Stange in Bewegung gesetzt wird. Derselbe ist bei dem Aus- schube des Gebläsekolbens *K*, wie in I. am rechten Ende seines Weges, nimmt aber die Mitte desselben ein, wenn der Gebläsekolben *K*, wie in II. den Ausschub nach rechts vollendet hat, und befindet sich am linken Ende seines Weges, während der Kolben *K* auf dem Wege nach links begriffen ist. Die bei einem Kolbenschube durch *A* oder *B* eingesaugte Luft tritt beim folgenden Kolbenschube durch *B* oder *A* in den vom Schieber bedeckten Raum *O* und gelangt von da in die Windleitung. Damit bei der Ab-

Sperrung der Gebläsemündungen *A* und *B* durch den Schieber einerseits nur eine mäßige Ausdehnung und andererseits nur eine schwache Compression der Luft statthabe, ist es nöthig, daß die Zeit dieser Absperrung nur eine sehr kurze und folglich die Schieberbedeckung zu beiden Seiten der Mündungen nur eine sehr kleine sei.

Fig. 843.











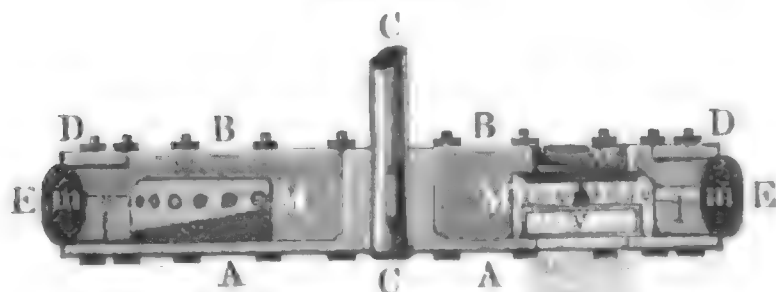




gegen die Federn *FF*.. stemmen. Die Kolbenstange *CC* ist hohl und Gebälscylinder n. mittels eines Doppelconus mit der aus zwei Stücken zusammengesetzten Hülse *HH*<sub>1</sub> durch Schrauben fest verbunden. Uebrigens wird der ganze Kolben von zwei converen Blechwänden *E*, *E*<sub>1</sub> bedeckt, und um den Liderungskranz, wenn es nöthig ist, schärfer andrücken zu können, ist die Ase des Getriebes *R* mittels einer Stopfbüchse *P* durch die eine Blechdecke geführt, und erhält auch der eine Cylinderdeckel ein durch eine Schraube verschließbares Loch, durch welches sich der Schlüssel zum Umdrehen dieses Getriebes stecken läßt. Diese Kolbenliderung eignet sich vorzüglich für liegende Gebläscylinder, wo sich das bei stehenden Cylindern übliche Schmieren mittels in den Cylinder geworfenen Graphits nicht bewährt hat.

§. 410. Man lidert auch mittels einer mit Wolle oder Roßhaaren ausgestopften Wulst (franz. *bourrelet*; engl. *pudding*) aus Fuchtenleder ab. Um den Liderungskranz nicht übermäßig stark an die Cylinderwand anzudrücken, wobei natürlich die Kolbenreibung unnöthig vergrößert wird, hat man auch eine *autoclave*, und insbesondere eine pneumatische Liderung angebracht, wobei der Liderungskranz von dem eingeschlossenen Wind angedrückt wird (vergl. die hydrostatische Liderung in Band II, §. 278). Hierher gehört namentlich die Kolbenliderung des Herrn Ingenieur *Schulz*. Der verticale Durchschnitt eines Gebläsekolbens mit dieser Liderung ist in Fig. 849 abgebildet. Es ist *AA* der gußeiserne Kolbenstock, *BB* ein aus-

Fig. 849.



gedrehter Zeller aus Lindenholz, *EE* die lederne Liderungswulst, *DD* ein eiserner Kranz, welcher *BB* und *EE* mit *AA* durch Schrauben zu einem Ganzen verbindet, und *mm* ein

mit Kammwolle ausgefüllter von *BB* und *EE* ringförmig umschlossener Raum; ferner ist *MM* der hohle Kolbenraum, welcher einerseits durch die Ventile *v* und *w* mit dem Gebläsecylinderraum, und andererseits durch viele radiale Löcher *l*, *l*... mit dem Raume *mm* communicirt. Diese Ventile öffnen sich nach innen und sind durch ein Scharnier so mit einander verbunden, daß sich das eine verschließt, wenn das andere von der comprimten Luft aufgestoßen wird. Auf diese Weise bleibt der Raum *MM* stets mit comprimter Luft erfüllt, und wird die Liderungswulst mit dem der Spannung derselben entsprechenden Druck gegen die innere Cylinderwand gedrückt.

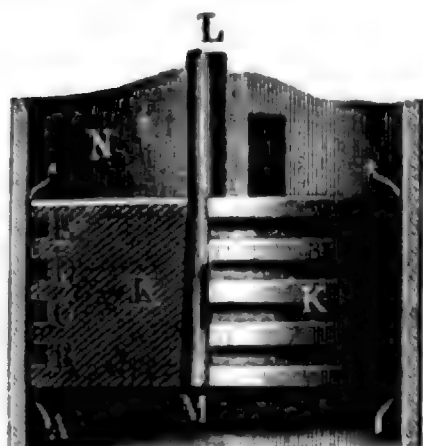
Es läßt sich eine *autoclave* Liderung auch ohne eine solche Ventilirung



Fortbewegung der Luft durch directes Zusammendrücken oder Ausdehnen. 1025  
 anderen strömenden Luft, ist ferner  $\gamma$  die mittlere Dichtigkeit derselben, und sind  
 $p, p_1, p_2 \dots p_v$  die Pressungen der Luft in  $A, B, C$  und  $N$ , wobei  $A$  der  
 einen und  $N$  der anderen Seite des Kolbens  
 angehört, so hat man (s. Bd. I, §. 367)

Gebläse-  
folben.

Fig. 851.



$$\begin{aligned} \frac{v^2}{2g} \gamma &= p - p_1 \\ &= p_1 - p_2 \\ &= p_2 - p_3 \\ &\vdots \\ &= p_{n-1} - p_v, \end{aligned}$$

und folglich

$$v \cdot \frac{v^2}{2g} \gamma = p = p_v,$$

wo  $v$  die Anzahl der verengten, die ringförmigen Räume verbindenden  
 Durchgänge (hier = 5) bezeichnet. Hiernach ist nun die Geschwindigkeit  
 der von  $A$  nach  $N$  entweichenden Flüssigkeit

$$v = \sqrt{2g \cdot \frac{p - p_v}{v \gamma}},$$

wogegen sie

$$v = \sqrt{2g \cdot \frac{(p - p_v)}{\gamma}}$$

betragen würde, wenn diese Rinnen nicht vorhanden, also  $v = 1$  wäre.

Ist noch  $r$  der Kolbendurchmesser und  $\sigma$  die Weite des Spielraumes, so  
 hat man das Flüssigkeitsquantum, welches auf diese Weise pr. Secunde  
 am Umfange des Kolbens entweicht:

$$Q_1 = 2\pi r \sigma \cdot v = 2\pi \sigma r \sqrt{2g \left( \frac{p - p_v}{v \gamma} \right)}.$$

§. 411. Zwischen den Wetter- und den Windleitungen findet in-  
 sofern ein wesentlicher Unterschied statt, als jene dazu dienen, die Luft  
 (Wetter) von einem entfernten Punkte nach der in einem Luftsauger be-  
 stehenden Wettermaschine zu leiten, und dagegen die letzteren den Zweck  
 haben, die durch ein Gebläse comprimirt Luft, den sogenannten Wind  
 (franz. le vent; engl. the blast) nach dem Ofen zu führen; während jene  
 einem in der Regel sehr mäßigen Ueberdruck von außen ausgesetzt sind, haben  
 diese dagegen einen meist größeren Ueberdruck von innen auszuhalten. Es  
 sind deshalb auch die Wetterleitungen durch Anwendung äußerer Mittel,  
 z. B. durch Zustopfen mittels Berg oder Zuschmieren mittels Thon, Theer  
 u. s. w., leichter luftdicht zu machen als die Windleitungen, und bestehen

Wind-  
leitungen.



Wind-  
leitungen.

aus diesem Grunde nicht selten bloß in aus Brettern zusammengenagelten und mit eisernen Ringen umgebenen vierseitigen Kuten. Einen sicheren Luftabschluß geben allerdings die cylindrischen Röhren aus Zink- oder Eisenblech, dieselben müssen aber im Verhältniß zum Ueberdruck eine größere Wanddicke oder wenigstens innere Verstärkungen und einen möglichst kreisförmigen Querschnitt erhalten, damit sie von der äußeren Luft nicht zusammengedrückt werden (s. Bd. II, §. 382).

Die gewöhnlichen Windleitungen (franz. porte-vents; engl. blast pipes) sind cylindrische Röhren aus Gußeisen oder Eisenblech; letztere werden wie die Dampfkessel, aus Blechtafeln zusammengenietet. Die Weite dieser Röhren ist von der Geschwindigkeit  $v$  und dem Quantum  $Q$  des durchzuführenden Windes abhängig. Bei kurzen Windleitungen und größeren Windpressungen kann man den Wind, wie den Dampf in Dampfleitungen, mit  $v = 70$  Fuß Geschwindigkeit durchströmen lassen; bei langen Windleitungen, sowie bei schwachen Windpressungen, muß man sich aber, um nicht zu große Reibungsverluste zu erhalten, mit einer Windgeschwindigkeit  $v = 35$  Fuß, und nach Befinden noch mit einer noch kleineren begnügen. Aus dem angenommenen Geschwindigkeitswerthe  $v$  und dem durchzuführenden Windquantum  $Q$  pr. Secunde folgt dann die erforderliche Weite der Windleitung:

$$d = \sqrt{\frac{4Q}{\pi v}} = 1,13 \sqrt{\frac{Q}{v}},$$

z. B. für  $v = 35$  Fuß,

$$d = 0,191 \sqrt{Q} \text{ Fuß} = 2,29 \sqrt{Q} \text{ Zoll.}$$

Die Wandstärke der Windleitungsröhren ist nach den Formeln in Bd. I, §. 334 zu berechnen.

Die Verbindung der Röhren mit einander erfolgt entweder durch Kränze oder, namentlich bei Leitungen für erhitzte Gebläseluft, durch Muffen (s. Bd. II, §. 145 und §. 276). Zum Abdichten an den Verbindungsstellen genügt bei Leitungen für unerhitzten Wind, Pappe, Filz oder Blei; bei Leitungen für erhitzten Wind ist dagegen ein feuerfester Eisenkitt in Anwendung zu bringen. Man setzt diesen Eisenkitt zusammen aus 30 bis 60 Theilen Eisenseile (auch Bohr- oder Drehspäne), 1 Theil Salmiak und 1 Theil Schwefel, oder auch aus 15 Theilen Eisenspäne, 5 Theilen Lehm und 1 Theil Kochsalz. Plötzliche Querschnitts- und Richtungsveränderungen sind, aus bekannten Gründen, bei den Windleitungen zu vermeiden, daher hat man auch in dem letzteren Falle keine Knie-, sondern Kropfstücke mit einem größeren Krümmungshalbmesser in Anwendung zu bringen. Bei den größeren und vollkommeneren Gebläseanlagen theilt sich in der Regel die Windleitung in mehrere Zweige, und es führt jede Zweigröhre den Wind nach einem anderen Punkte. Um endlich noch das durch die Düse auszublasende Windquantum

reguliren zu können, ist in jeder Zweigröhre, und zwar nahe an der Düse, ein Windstock oder Windkasten mit einem Sperrhahn oder Sperrventil angebracht.

Wind-  
leitungen.

§. 412. Die Düse ist eine aus Eisenblech zusammengelöthete konische Röhre; sie hat eine Länge von 1 bis 4 Fuß und eine Mündungsweite von 1 bis 4 Zoll; erstere bei Gebläsen für Schmiedefeuer, letztere bei solchen für Roaks- und Anthracit-Hohöfen. Die Ausmündung der Düse reicht nicht bis in den Feuer- oder Schmelzraum des Ofens, sondern befindet sich innerhalb der sogenannten Form (franz. tuyère; engl. tuyere), eines aus Thon, Eisen oder Kupfer bestehenden Futter der Oeffnung zur Einführung des Windes in den Ofen. Letztere hat die Gestalt eines abgekürzten Kegelmantels mit halb- oder vollkreisförmigen Grundflächen. Um das Abschmelzen der Formen zu verhindern, macht man die Formenwände auch hohl und führt einen Strom kalten Wassers durch den hohlen Raum. Diese Wasserformen bestehen gewöhnlich aus Kesselblech, dagegen die Röhren, welche das Wasser zu- und abführen, aus Blei. Die Lage der Form gegen den Schmelzraum ist sehr verschieden und durch die Art des Schmelzprozesses bedingt; die Ase der Form liegt entweder ganz oder nahe horizontal, und die Mündung derselben liegt entweder in der Ofenwand, oder ragt etwas in den Ofenraum hinein u. s. w.

Düsen.

Damit die Form den aus der Düse kommenden Wind ungehindert in den Ofen führe, ist nöthig, daß die Ase der Düse mit der des Formrüssels möglichst zusammenfalle, sowie auch daß die Düsenmündung der Formmündung nahe gleich sei und möglichst nahe liege. Deshalb schließt man auch die Düsen nicht fest an die Windleitung an, sondern verbindet sie durch besondere Mechanismen mit der letzteren, wodurch man ihnen die erforderliche Stellung giebt. Das einfachste Mittel einer solchen Verbindung besteht in der Einschaltung eines ledernen Schlauches, welcher durch eiserne Ringe mit Schrauben, einerseits mit der Windleitung und andererseits mit der Düse fest verbunden wird. Eine solche Einrichtung führt Fig. 852 (a. f. S.) im Grundriß vor Augen. Die Windleitung  $WA$  theilt sich hier bei  $A$  in drei Zweige  $AC$ ,  $AE_1$  und  $AE_2$ , welche mittels der Düsen  $D$ ,  $K_1$  und  $K_2$  den Wind in den Schmelzraum  $S$  führen, und mit den Regulirungs- oder Sperrventilen  $B$ ,  $F_1$  und  $F_2$ , sowie mit den Schläuchen  $C$ ,  $G_1$  und  $G_2$  ausgerüstet sind.

Bei der erhigten Gebläseluft lassen sich lederne Schläuche nicht anwenden und ist daher ein feuerfester Mechanismus zur Düsenstellung nöthig.

Einen solchen Apparat führt Fig. 853 (a. f. S.) vor Augen. Es enthält hier die mit einem besonderen Mundstück versehene Düse  $CD$  ein Kugelgelenk  $K$  und es ist das außen abgedrehte Ende  $C$  derselben mittels





Zulassung.

Endlich ist die letztere über das Ende der Kropfröhre *C* weggeschoben und läßt sich mittels des Schraubenmechanismus *MNM* durch Umdrehung der Kurbel *O* vor- und rückwärtsziehen. Noch sieht man in der Abbildung bei *F* die Ofenform und bei *H* den Stellhahn zum Reguliren der Windmenge.

Erhitzte  
Gebläseluft.

§. 413. Die Anwendung der erhitzten Gebläseluft hat sich besonders bei der Erzeugung des Roheisens in Hohöfen und nächstdem bei dem Umschmelzen desselben in Kupolöfen, sowie bei Verarbeitung des Eisens in Frisch- und Schmiedefeuern bewährt. Es wird durch die erhitzte Gebläseluft dem Ofen ein Theil Wärme zugeführt, welcher bei Anwendung der unerwärmten Luft auf Kosten des Brennmaterials im Ofen erzeugt wird, und hieraus ist die durch die erstere erlangte Ersparniß an Brennmaterial oder Vergrößerung der Production zu erklären. Natürlich ist hierbei auch noch derjenige Brennmaterialaufwand mit in Betracht zu ziehen, welchen das Erhitzen der Gebläseluft erfordert.

Die Erhitzung des Windes erfolgt in der Regel dadurch, daß man den durch das Gebläse erzeugten und im Regulator angesammelten Wind durch ein System von eisernen Röhren strömen läßt, welche man außen in einem Ofen erwärmt. Die Mittheilung der Wärme durch einen solchen Röhrenapparat ist genau so zu beurtheilen, wie die durch Dampfkessel; es erfolgt dieselbe um so vollkommener, je größer die Oberfläche des Röhrenapparates zum Inhalte desselben ist (s. Bd. II, §. 373) und je länger die Luft in diesem Erwärmungsapparat verweilt. Jedenfalls verhält sich die Oberfläche zum Inhalte des Röhrenapparates wie der Umfang zum Inhalte des Röhrenquerschnittes, und die Erwärmungszeit, bei gleicher Windgeschwindigkeit, direct wie die Röhrenlänge, deshalb ist die Erwärmung der Luft um so vortheilhafter, je größer das Verhältniß  $\frac{p}{F}$  des Umfangs *p* zum Inhalte *F* des Röhrenquerschnittes und je größer die Länge *l* der ganzen Röhre ist. Das Verhältniß  $\frac{p}{F}$  ist bei einem kreisförmigen Querschnitt am kleinsten, größer bei einem elliptischen sowie bei einem rectangulären Querschnitt; auch ist es bei zwei getrennten Flächen größer als bei einer einzigen, noch größer aber bei drei Flächen u. s. w. Deshalb wendet man bei der Luft-erhitzung mit Vorthail statt der Röhren mit kreisförmigen Querschnitten solche mit elliptischen Querschnitten und statt einer einzigen schlangenförmigen Röhre ein ganzes System von Röhren an. Da der Reibungswiderstand der Luft in der Röhre auch mit  $\frac{p}{F} l$  wächst, so hat natürlich die Vergrößerung von  $\frac{p}{F}$  und *l* ihre durch die Praxis zu bestimmenden Grenzen.



Die Erwärmung der Röhren eines Lusterhigungsapparates erfolgt entweder durch eine besondere Feuerung oder durch die Gichtflamme des Ofens, in welchen die erhitzte Luft eingeführt wird, oder auch durch die Verbrennung von Gasen, namentlich solcher, welche aus dem oberen Theil des Hohofens abgeleitet werden. Gewöhnlich erfolgt die Erhizung der Gebläseluft durch eine besondere Feuerung in einem nahe bei der Düse stehenden Zugofen, welcher den ganzen Röhrenapparat mit einer dicken Mauer umschließt. Die unerhitzte Gebläseluft wird oben, wo die Verbrennungsluft in den Schornstein tritt und die Hitze am kleinsten ist, in den Ofen eingeführt und strömt unten, unmittelbar über dem Brennherd, wo die Wärmeentwicklung am stärksten ist, in das mit der Düse in Verbindung stehende letzte Windleitungsstück.

Erhitzte  
Gebläseluft.

Bei einem Erwärmungsapparate, welcher durch die Gichtflamme oder durch Gichtgase erhitzt wird, fällt der Brennherd weg, übrigens ist aber die Construction dieselbe wie bei einem solchen Apparate mit besonderer Feuerung. Auch ist noch nöthig, dem Erwärmungsapparat die zur Verbrennung der größtentheils aus Kohlenoxydgas bestehenden Gicht- oder Hohofengase nöthige atmosphärische Luft durch besondere Canäle zuzuführen.

Da sich dieser Erhigungsapparat auf der Gicht befindet, so ist es natürlich nöthig, den kalten Wind durch die Windleitung am Hohofen in die Höhe bis zur Gicht, und den erwärmten Wind von da wieder herab bis zum Formgewölbe zu leiten. Um die Abkühlung des letzteren soviel wie möglich zu verhindern, muß man den abwärts führenden Röhrenstrang mit einem Mantel oder einem schlechten Wärmeleiter umgeben.

Bei den Feuerungen mit Zugessen, wie z. B. bei Kupolöfen, Flammöfen, Frischfeuern, befindet sich der Lusterhigungsapparat in der Esse selbst, und erhält daher gar keine besondere Umfangsmauer. Die Erhizung der Gebläseluft durch die gewöhnlichen Erwärmungsapparate steigt auf 150 bis 300 Grad C. Sehr gewöhnlich benutzt man auch die Gichtflamme u. s. w. zur Heizung von Dampfkesseln.

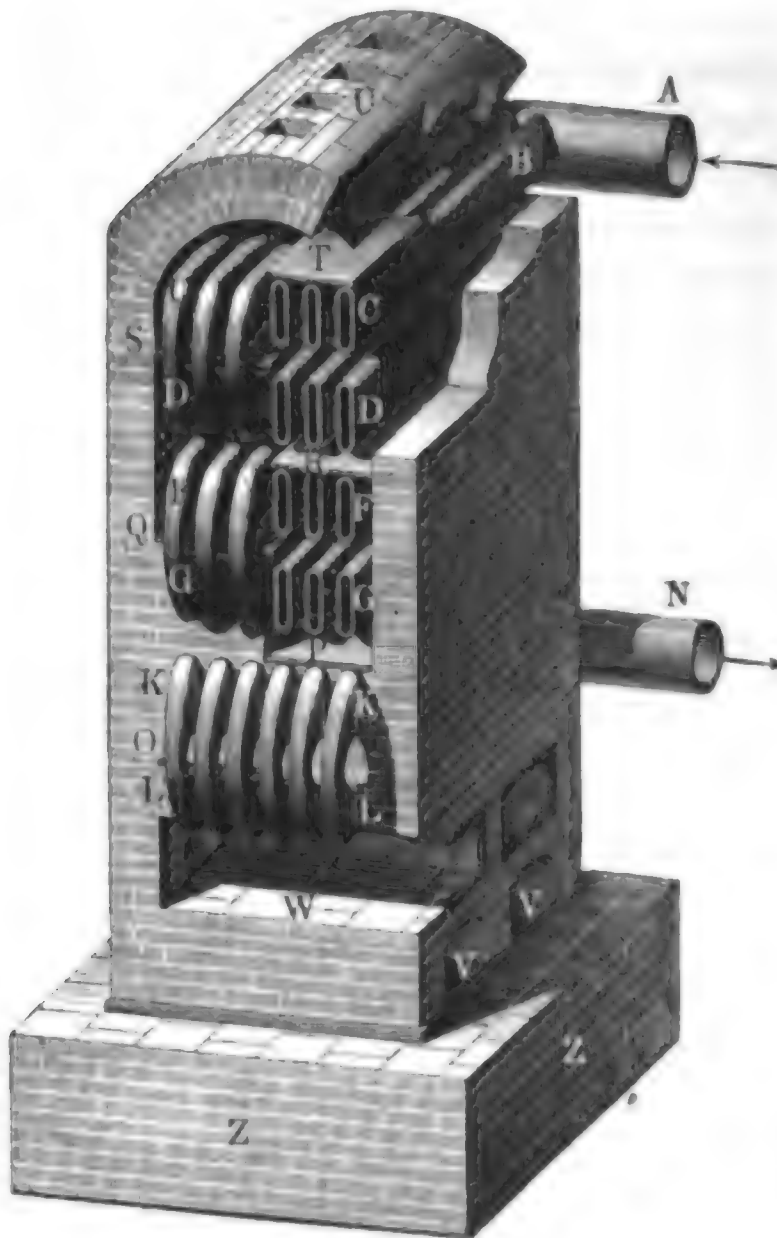
Einen neuen Apparat zur Erhizung der Gebläseluft (Warmwindapparat), welcher von der Friedrich-Wilhelmshütte bei Siegburg für die Eisenhütte zu Haslinghausen construirt worden ist (s. Zeitschrift des Vereins deutscher Ingenieure, Jahrgang I, 1857), führt Fig. 855 (a. f. S.) in einer monometrischen Abbildung vor Augen. Das Ofengemäuer und die Heizröhren sind hier theilweise, zur Erhöhung der Deutlichkeit, abgebrochen oder abgeschnitten dargestellt worden. Dieser Apparat besteht aus 36 Röhren von elliptischen Querschnitten, wovon jedoch nur sechs einen zusammenhängenden Canal bilden. Die lichte Weite dieser Röhren beträgt 3, dagegen die lichte Höhe derselben 18 Zoll und die Länge des geraden Theiles einer solchen Röhre ist  $9\frac{1}{2}$  Fuß. Die Verbindung der übereinander



Erhitzte  
Gebläseluft.

liegenden Röhren eines Canales erfolgt durch Kröpfe mit halbkreisförmiger Aue. Der ganze Ofen nimmt, bei einer Höhe von 22 Fuß, eine Basis von

Fig. 855.



nur  $8 \cdot 10 = 80$  Quadratfuß ein. In der Abbildung ist *A* der den kalten Wind zuführende, und *N* der den erhitzten Wind abführende Theil der Windleitung, ferner *BCDFGKL* der erste der sechs Heizcanäle, *W* die eine von den zwei Feuerungen und *ZZ* die Grundmauer des Ofens. Die durch *V, V* zuströmende Luft, welche durch die Verbrennung in *W* erhitzt wird, steigt in Folge der den halben Querschnitt des Ofens einnehmenden Scheidewände *O, P, Q, R, S, T* im Ofen schlangenförmig empor, wobei die Heizröhren von allen Seiten umspielt werden, und tritt oben, nachdem sie einen Theil ihrer Wärme an diese Röhren

abgesetzt hat, durch die Löcher bei *U* aus dem Ofen heraus.

Theoretische  
Arbeit der  
Gebläse.

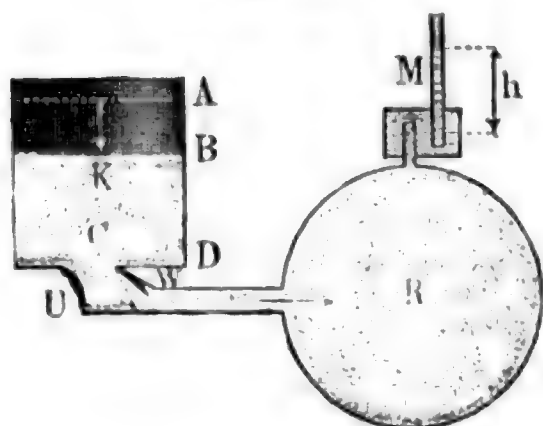
§. 414. Die erste und wesentliche Verrichtung einer Luftbewegungsmaschine, es möge dieselbe ein Windbläser oder ein Wettersauger sein, besteht in einem Zusammendrücken der Luft. Kämen hierbei keine Temperaturveränderungen vor, erfolgte also die Compression der Luft nach dem Mariotte'schen Gesetze, so würde sich der hierzu erforderliche Arbeitsaufwand wie folgt ermitteln lassen.

1. Es sei die im Gebläsecylinder *C*, Fig. 856, befindliche atmosphärische Luft von der Pressung *p* durch den niedergehenden Kolben *K* in den Regulator *R* zu drücken, welcher bereits mit Luft von der größeren

Pressung  $p_1$  erfüllt ist. Zuerst legt der Kolben einen gewissen Theil  $AB = s_1$  seines ganzen Weges  $AD = s$  zurück, wobei noch keine Luft in den Regulator  $R$  übertritt, sondern nur eine Zusammendrückung derselben statt-

Theoretische  
Arbeit der  
Gebläse.

Fig. 856.



hat und die Pressung  $p$  in  $p_1$  über-  
geht. Bezeichnet  $F$  den Inhalt der  
Kolbenfläche, so ist der hierzu erfor-  
derliche Arbeitsaufwand

$$A_1 = FpsLn\left(\frac{p_1}{p}\right)$$

(s. Bd. I, §. 358).

Bei Zurücklegung des übrigen  
Kolbenweges  $s - s_1$  ist der Wider-  
stand der comprimierten Luft constant  
und zwar für die ganze Kolbenfläche

$F, = Fp_1$ , daher der entsprechende Arbeitsaufwand

$$A_2 = Fp_1(s - s_1).$$

Nun drückt aber auf der anderen Seite des Kolbens die atmosphärische  
Luft mit der Kraft  $Fp$ , und verrichtet bei Zurücklegung des ganzen Kolben-  
weges die Arbeit  $A_3 = Fps$ , folglich ist der gesammte Arbeitsaufwand zum  
Niederdrücken des Kolbens, bei Vernachlässigung aller Nebenhindernisse:

$$A = A_1 + A_2 - A_3 = FpsLn\left(\frac{p_1}{p}\right) + Fp_1(s - s_1) - Fps,$$

oder einfach, da dem Mariotte'schen Gesetze zufolge,  $ps = p_1(s - s_1)$  ist,

$$A = FpsLn\left(\frac{p_1}{p}\right).$$

Sehen wir auch von den Nebenhindernissen beim Rückgange des Kolbens  
ab, und denken wir uns das Saugventil  $U$  unendlich leicht, so können wir  
bei dieser Bewegung die Kräfte auf den beiden Seiten des Kolbens  $K$  ein-  
ander gleich und folglich die hierbei zu verrichtende Arbeit = Null setzen,  
und es bleibt daher die gesammte mechanische Arbeit zum Comprimiren  
der Luft von der Dichtigkeit  $\gamma$  auf die Dichtigkeit  $\gamma_1$ , wobei die Spannung  
 $p$  in die Spannung  $p_1 = \frac{\gamma_1}{\gamma} p$  übergeht:

$$I. A = FpsLn\left(\frac{p_1}{p}\right) = VpLn\left(\frac{p_1}{p}\right) = VpLn\left(\frac{b+h}{b}\right),$$

wenn  $V = Fs$  das aus dem Gebläsecylinder in den Regulator gepresste  
Luftvolumen,  $b$  den äußeren Barometer- und  $h$  den Manometerstand der in  
 $R$  eingeschlossenen Luft bezeichnet.

Es ist nach dem Mariotte'schen Gesetze

$$Fps = Fp_1(s - s_1), \text{ oder } Vp = V_1p_1,$$

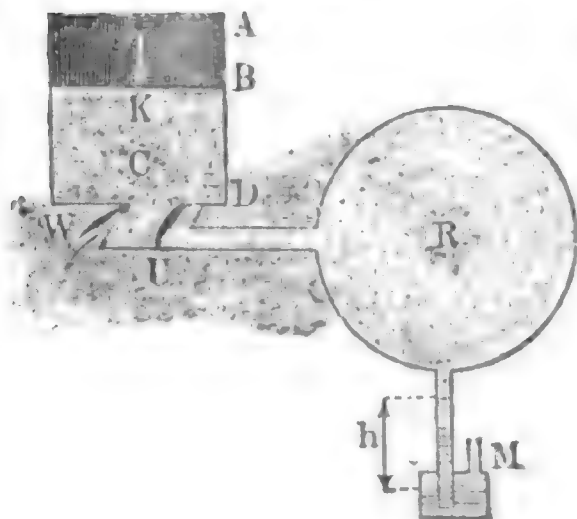
Theoretische  
Arbeit der  
Gebläse.

wenn  $V_1 = F(s - s_1)$  das unter der inneren Pressung gemessene, in den Regulator  $R$  eingeführte Luftvolumen bezeichnet, und daher auch

$$I_{*} \quad A = V_1 p_1 \operatorname{Ln} \left( \frac{p_1}{p} \right) = V_1 p_1 \operatorname{Ln} \left( \frac{b + h}{b} \right).$$

2. Es sei durch Auf- und Niederbewegung des Kolbens  $K$ , Fig. 857, aus dem Regulator  $R$ , welcher Luft von der kleinen Pressung  $p_1$  enthält,

Fig. 857.



ein gewisses Luftquantum  $V_1 = Fs$  in die äußere Luft zu schaffen, welche die größere Pressung  $p$  hat. Beim Aufziehen des Kolbens drückt die äußere Luft mit der Kraft  $Fp$  der Bewegung entgegen und die innere Luft mit der Kraft  $Fp_1$  in der Richtung der Bewegung, folglich ist der nöthige Arbeitsaufwand:

$$\begin{aligned} A_1 &= (Fp - Fp_1)s \\ &= Fs(p - p_1) = V_1(p - p_1). \end{aligned}$$

Um die auf diese Weise in den Gebläsecylinder eingeführte Luft von der

Pressung  $p_1$  in die äußere Luft zu schaffen, muß dieselbe erst vom Kolben comprimirt und in die Pressung  $p$  versetzt werden, wozu die Arbeit

$$A_2 = V_1 p_1 \operatorname{Ln} \frac{p_1}{p}$$

erforderlich ist.

Nach Vollendung dieser Compression, wobei das Luftvolumen  $V_1$  in  $V = \frac{p_1}{p} V_1$  übergegangen ist, eröffnet sich das Ausblaseventil  $W$ , es wird nun die Luft auf beiden Seiten des Kolbens gleich stark gedrückt und ist folglich ein Arbeitsaufwand zur weiteren Zurückbewegung des Kolbens nicht nöthig.

Ist  $s_1$  der Kolbenweg während der Compression, so hat man noch die mechanische Arbeit, mit welcher die äußere Luft der Compression der inneren zu Hülfe kommt,

$$A_3 = Fps_1,$$

oder, da nach dem Mariotte'schen Gesetze

$$\frac{s - s_1}{s} = \frac{p_1}{p}, \text{ also}$$

$$s_1 = \left( 1 - \frac{p_1}{p} \right) s = \left( \frac{p - p_1}{p} \right) s \text{ ist,}$$

$$A_3 = Fs(p - p_1) = V_1(p - p_1) = A_1,$$

und es resultirt die gesammte mechanische Arbeit zum Fortschaffen der Luftmenge  $V_1$  aus dem Reservoir in die freie Luft:

Theoretische  
Arbeit der  
Gebläse.

$$\text{II. } A = A_1 + A_2 - A_3 = A_2 = V_1 p_1 \text{Ln} \left( \frac{p_1}{p} \right) = V p \text{Ln} \left( \frac{p_1}{p} \right).$$

Ist  $h$  der Manometerstand oder Ueberschuß des äußeren Luftdruckes über dem Druck der im Regulator eingeschlossenen Luft, so hat man noch  $\frac{p_1}{p} = \frac{b-h}{b}$ , und daher auch

$$\text{II}_*. A = V p \text{Ln} \left( \frac{b-h}{b} \right) = V_1 p_1 \text{Ln} \left( \frac{b-h}{b} \right).$$

Aus der Uebereinstimmung der Formel unter I, I<sub>\*</sub>, II und II<sub>\*</sub> geht hervor, daß der gesammte Arbeitsaufwand zum Ausdehnen einer gewissen Luftmenge genau nach derselben Formel bestimmt wird, wie der zum Comprimiren derselben, und daß nur insofern ein Unterschied vorhanden ist, als der Manometerstand  $h$  beim Comprimiren positiv und beim Ausdehnen negativ ist.

§. 415. Die im vorigen Paragraphen entwickelten Ausdrücke zur Berechnung des Arbeitsaufwandes beim Zusammendrücken und Ausdehnen der Luft haben nur dann die zum Gebrauche in der Praxis genügende Genauigkeit, wenn diese Dichtigkeitsveränderung nicht mit einer beträchtlichen Temperaturveränderung verbunden ist, welches aber allemal dann vorausgesetzt werden kann, wenn die Spannungsdifferenz  $p_1 - p$  nur klein, z. B. noch unter  $\frac{p}{20}$  ist, oder wenn diese Dichtigkeitsveränderung so langsam vor sich geht, daß die Wärme, welche im einen Falle frei und im anderen gebunden wird, hinreichend Zeit hat, sich mit der der äußeren Luft ins Gleichgewicht zu setzen. Bei der gewöhnlichen Geschwindigkeit der Gebläsekolben möchte allerdings eine solche Wärmeausgleichung bei Gebläsen nicht anzunehmen sein, wohl aber giebt es Gebläse und zumal Wettermaschinen, wo der Manometerstand  $h$  noch unter 1 Zoll Quecksilber oder 1 Fuß Wasser, also  $\frac{p_1 - p}{p}$  kaum größer als  $\frac{1}{30}$  ist; bei denselben sind ohne Weiteres die im Vorstehenden entwickelten Formeln anwendbar. Hat man es dagegen mit größeren Manometerständen oder Spannungsunterschieden zu thun, so ist der Einfluß der Wärme auf die Dichtigkeitsveränderung zu groß, als daß er außer Acht gelassen werden könnte und daher bei Bestimmung der mechanischen Arbeit von der in Bd. I, §. 430 und Bd. II, §. 348 entwickelten Formel

Theoretische  
Arbeit der  
Gebläse.

$$\text{III. } A = \frac{\kappa}{\kappa - 1} \left( \left( \frac{p_1}{p} \right)^{\frac{\kappa-1}{\kappa}} - 1 \right) V p,$$

in welcher  $\kappa = 1,42$ , das Verhältniß der specifischen Wärme der Luft bei gleichem Drucke zu der bei gleichem Volumen bezeichnet, Gebrauch zu machen.

Da selbst bei den stärksten Gebläsen für Eisenhohöfen mit Coaksfeuerung der Ueberdruck des Windes nicht ein Drittel Atmosphäre überschreitet, also  $\frac{p_1}{p}$  höchstens  $\frac{4}{3}$  ist, so kann man für die Anwendung auf Gebläse den letzten Ausdruck durch Entwicklung in eine Reihe, von welcher man nur die ersten zwei oder drei Glieder beibehält, eine zur Berechnung leichtere Form geben.

Es ist

$$\begin{aligned} \left( \frac{p_1}{p} \right)^{\frac{\kappa-1}{\kappa}} &= \left( 1 + \frac{p_1 - p}{p} \right)^{\frac{\kappa-1}{\kappa}} = \left( 1 + \frac{h}{b} \right)^{\frac{\kappa-1}{\kappa}} \\ &= 1 + \frac{\kappa-1}{\kappa} \cdot \frac{h}{b} + \frac{1}{2} \cdot \frac{\kappa-1}{\kappa} \left( \frac{\kappa-1}{\kappa} - 1 \right) \left( \frac{h}{b} \right)^2 \\ &\quad + \frac{1}{6} \frac{\kappa-1}{\kappa} \cdot \left( \frac{\kappa-1}{\kappa} - 1 \right) \left( \frac{\kappa-1}{\kappa} - 2 \right) \left( \frac{h}{b} \right)^3, \end{aligned}$$

daher

$$\frac{\kappa}{\kappa - 1} \left( \left( \frac{p_1}{p} \right)^{\frac{\kappa-1}{\kappa}} - 1 \right) = \left[ 1 - \frac{1}{2\kappa} \cdot \frac{h}{b} + \frac{\kappa+1}{6\kappa^2} \cdot \left( \frac{h}{b} \right)^2 \right] \frac{h}{b},$$

so daß nun die obige Formel für den Arbeitsaufwand eines Kolbenspieles die Gestalt

$$A = \left[ 1 - \frac{1}{2\kappa} \cdot \frac{h}{b} + \frac{\kappa+1}{6\kappa^2} \cdot \left( \frac{h}{b} \right)^2 \right] \frac{V h}{b} p$$

annimmt,

Bezeichnet  $\gamma$  die Dichtigkeit der Manometerfüllung, so kann man noch  $p = 1 \cdot b \gamma$  einsetzen, und es geht nun die Leistungsformel in folgende über:

$$\text{III.}^* \quad A = \left[ 1 - \frac{1}{2\kappa} \cdot \frac{h}{b} + \frac{\kappa+1}{6\kappa^2} \left( \frac{h}{b} \right)^2 \right] V h \gamma.$$

Entwickelt man ebenso die erste Leistungsformel (I)

$$A = V p \operatorname{Ln} \left( \frac{p_1}{p} \right) = V p \operatorname{Ln} \left( \frac{b+h}{b} \right) = V p \operatorname{Ln} \left( 1 + \frac{h}{b} \right)$$

in eine Reihe u. s. w., so erhält man nach Art. 19 der analytischen Hülfslehren in Bd. I.:



$$A = \left[ \frac{h}{b} - \frac{1}{2} \left( \frac{h}{b} \right)^2 + \frac{1}{3} \left( \frac{h}{b} \right)^3 \right] Vp = \left[ 1 - \frac{1}{2} \frac{h}{b} + \frac{1}{3} \left( \frac{h}{b} \right)^2 \right] \frac{Vh}{b} p, \quad \text{Theoretische Arbeit der Gebläse.}$$

oder

$$\text{IV. } A = \left[ 1 - \frac{1}{2} \frac{h}{b} + \frac{1}{3} \left( \frac{h}{b} \right)^2 \right] Vh\gamma.$$

Hätte man es mit einer incompressiblen Flüssigkeit, z. B. mit Wasser, zu thun, so würde der Arbeitsaufwand, welcher nöthig ist, um das Flüssigkeitsquantum  $V$  in einen Raum zu drücken, worin der Druck  $h\gamma$  größer ist als in dem anfänglichen Raum, durch den einfachen Ausdruck

$$\text{V. } A = Vh\gamma$$

bestimmt sein.

Es ist folglich unter gleichen Verhältnissen der Arbeitsaufwand nach der ersten oder Wärmeformel (von Poisson) um

$$\Delta A = \left[ \frac{1}{2\kappa} \cdot \frac{h}{b} - \frac{\kappa + 1}{6\kappa^2} \left( \frac{h}{b} \right)^2 \right] Vh\gamma,$$

und nach der zweiten, dem Mariotte'schen Gesetze entsprechenden Formel, sogar um

$$\Delta A_1 = \left[ \frac{1}{2} \frac{h}{b} - \frac{1}{3} \left( \frac{h}{b} \right)^2 \right] Vh\gamma$$

kleiner als nach der letzteren oder Wasserformel. Nur bei sehr kleinen Manometerständen, z. B. für  $\frac{h}{b} = \frac{1}{100}$ , geben alle drei Formeln nahe einen und denselben Werth  $Vh\gamma$  für  $L$ , und zwar denselben, wie für das Heben und Fortschaffen des Wassers.

Setzen wir  $\kappa = 1,42$ , so folgt

$$\Delta A = \left[ 0,3521 \frac{h}{b} - 0,2000 \left( \frac{h}{b} \right)^2 \right] Vh\gamma,$$

z. B. für  $\frac{h}{b} = \frac{1}{20}$ ,

$$\Delta A = 0,0171 Vh\gamma \text{ und } \Delta A_1 = 0,0242 Vh\gamma,$$

ferner für  $\frac{h}{b} = \frac{1}{10}$ ,

$$\Delta A = 0,0332 Vh\gamma \text{ und } \Delta A_1 = 0,0467 Vh\gamma,$$

für  $\frac{h}{b} = \frac{1}{5}$ ,

$$\Delta A = 0,0624 Vh\gamma \text{ und } \Delta A_1 = 0,0867 Vh\gamma,$$

und für  $\frac{h}{b} = \frac{2}{5}$ ,

$$\Delta A = 0,1088 Vh\gamma \text{ und } \Delta A_1 = 0,1467 Vh\gamma.$$

Im letzteren Falle giebt die Wärmeformel:



Theoretische  
Arbeit der  
Gebläse.

$$A = \frac{\kappa}{\kappa - 1} \left( \frac{p_1}{p}^{\frac{\kappa - 1}{\kappa}} - 1 \right) Vp = 3,381 [(7/5)^{0,2958} - 1] \cdot \frac{5}{2} Vh\gamma$$

$$= 0,8847 Vh\gamma,$$

folglich

$$\Delta A = 0,1153 Vh\gamma,$$

und die auf das Mariotte'sche Gesetz basirte Formel

$$A = Vp \operatorname{Ln} \left( \frac{p_1}{p} \right) = \frac{5}{2} Vh\gamma \operatorname{Ln} \left( \frac{b+h}{b} \right) = \frac{5}{2} Vh\gamma \operatorname{Ln} (7/5)$$

$$= 0,8412 Vh\gamma,$$

daher

$$\Delta A_1 = 0,1588 Vh\gamma.$$

Es läßt sich hiernach ermessen, daß für stärkere Windpressungen, wo  $\frac{h}{b}$  größer als  $\frac{1}{5}$ , oder  $h$  über 6 Zoll ist, zur Bestimmung des Arbeitsaufwandes die Annäherungsformel

$$A = \left[ 1 - \frac{1}{2\kappa} \cdot \frac{h}{b} + \frac{\kappa + 1}{6\kappa^2} \left( \frac{h}{b} \right)^2 \right] Vh\gamma$$

nicht mehr ausreicht, und daher die Grundformel

$$A = \frac{\kappa}{\kappa - 1} \left( \left( \frac{p_1}{p} \right)^{\frac{\kappa - 1}{\kappa}} - 1 \right) Vp$$

$$= 3,381 \left[ \left( \frac{b+h}{b} \right)^{0,2958} - 1 \right] Vp$$

in Anwendung zu bringen ist.

Wenn die Gebläsemaschine pr. Minute  $n$  Füllungen Wind in den Regulator drückt, so ist das von derselben pr. Secunde gelieferte theoretische Windquantum

$$Q = \frac{n}{60} V = \frac{n}{60} F s,$$

und ebenso die theoretische Leistung dieser Maschine:

$$L = \frac{n}{60} A = 3,381 \left[ \left( \frac{b+h}{b} \right)^{0,2958} - 1 \right] Qp,$$

annähernd

$$= \left[ 1 - 0,3521 \left( \frac{h}{b} \right) + 0,2000 \left( \frac{h}{b} \right)^2 \right] Qh\gamma.$$

Besteht die ganze Gebläsemaschine aus  $n_1$  einfach-wirkenden Kolben, wovon jede pr. Minute  $n_2$  Spiele macht, so ist  $n = n_1 n_2$ , besteht sie aber aus  $n_1$  doppelt-wirkenden Kolben, welche sowohl beim Hin- als auch beim Rückgang Luft in den Regulator drücken, so ist  $n = 2 n_1 n_2$ , daher auch im ersten Falle

$$Q = \frac{nV}{60} = \frac{nFs}{60} = \frac{n_1 n_2}{60} \cdot Fs,$$

Theoretische  
Arbeit der  
Gebläse.

und im zweiten

$$Q = \frac{n_1 n_2}{30} \cdot Fs.$$

Hat man es mit einem Exhaustor oder Wetterfänger zu thun, welcher das Luftquantum  $Q$  pr. Secunde von der Pressung  $p_1 = (b - h)\gamma$  in die äußere Luft, deren Pressung  $p = b\gamma$  ist, drückt, so ist die erforderliche Leistung

$$L = 3,381 \left[ 1 - \left( \frac{b - h}{b} \right)^{0,2958} \right] Q p,$$

annähernd

$$= \left[ 1 - 0,3521 \left( \frac{h}{b} \right) + 0,2000 \left( \frac{h}{b} \right)^2 \right] Q h \gamma,$$

wie bei der Compression zu sehen.

Beispiel 1. Ein Hohofengebläse arbeitet mit zwei doppelt-wirkenden Kolben von 4 Fuß Durchmesser, wovon jeder pr. Minute 10 Spiele von je 4 Fuß Hub macht, und bei einer äußeren Luftpressung von 27 Zoll, Wind von 32 Zoll Pressung erzeugt. Wie groß ist der erforderliche theoretische Arbeitsaufwand pr. Secunde?

Es ist hier  $n_1 = 2$  und  $n_2 = 10$ , ferner  $F = \pi \left( \frac{d}{2} \right)^2 = 4\pi = 12,566$  Quadratfuß, und  $s = 4$  Fuß, daher das pr. Secunde erzeugte Windquantum

$$Q = \frac{n_1 n_2}{30} Fs = \frac{2 \cdot 10}{30} \cdot 12,566 \cdot 4 = 33,51 \text{ Cubikfuß.}$$

Nun ist noch  $h = 32 - 27 = 5$  Zoll  $= \frac{5}{12}$  Fuß und das Gewicht eines Cubikfußes Quecksilber (Barometer- und Manometerfüllung)  $\gamma = 66.13,6 = 897,6$  Pfund, daher folgt die gesuchte Arbeit, wenn man die Luft als incompressible Flüssigkeit behandelt:

$$Q h \gamma = 33,51 \cdot \frac{5}{12} \cdot 897,6 = 12533 \text{ Fußpfund} = 24,57 \text{ Pferdekkräfte.}$$

Wegen der mit der Vergrößerung des Druckes verbundenen Dichtigkeitsveränderung ist aber die gesuchte theoretische Leistung

$$\begin{aligned} L &= \left[ 1 - 0,3521 \left( \frac{h}{b} \right) + 0,2000 \left( \frac{h}{b} \right)^2 \right] Q h \gamma \\ &= \left[ 1 - 0,3521 \left( \frac{5}{27} \right) + 0,2000 \left( \frac{5}{27} \right)^2 \right] \cdot 12533 \\ &= (1 - 0,0652 + 0,0069) \cdot 12533 = 0,9417 \cdot 12533 \\ &= 11802 \text{ Fußpfund} = 23,14 \text{ Pferdekkräfte.} \end{aligned}$$

Beispiel 2. Eine Wettermaschine besteht aus zwei einfach-wirkenden Kolben von je 10 Fuß Durchmesser, welche bei 6 Fuß Hub pr. Minute 12 Spiele machen und mit einem Ueberdruck von 4 Zoll Wassersäule (auf der Seite der äußeren Luft) arbeiten. Wie groß ist die theoretische Wettermenge, welche von dieser Maschine in der Secunde weggesaugt wird, und wie groß ist der hierzu nöthige theoretische Arbeitsaufwand?



men hat. Der Weg  $CH = DK = \lambda$ , welchen hierbei der Kolben zu Der schädliche Raum. rücklegt, ist bestimmt durch die Mariotte'sche Formel

$$\frac{\sigma + \lambda}{\sigma} = \frac{p_1}{p},$$

und daher

$$\lambda = \left( \frac{p_1}{p} - 1 \right) \sigma = \left( \frac{b + h}{b} - 1 \right) \sigma = \frac{h}{b} \sigma.$$

Bei dem übrigen Kolbenwege  $s - \lambda$  strömt die Luftmenge

$$F(\sigma - \lambda) = F \left( s - \frac{h}{b} \sigma \right) = F s \left( 1 - \frac{h}{b} \frac{\sigma}{s} \right)$$

in den Gebläsecylinder; es findet daher in Folge der Ausdehnung der Luft im schädlichen Raume, der Windverlust  $W = \frac{h}{b} \frac{\sigma}{s} F s$ , also relativ, im Vergleich zum theoretischen Windquantum:

$$\frac{W}{V} = \frac{h}{b} \cdot \frac{\sigma}{s}$$

statt.

Wenn wir oben das theoretische Luftquantum eines Gebläses pr. Secunde

$$Q = \frac{n}{60} F s$$

gesetzt haben, so folgt hiernach das effective Windquantum

$$Q_1 = \frac{n}{60} F s \left( 1 - \frac{h}{b} \frac{\sigma}{s} \right).$$

Es wächst also der aus dem schädlichen Raume hervorgehende Windverlust wie die Höhe  $\sigma$  dieses Raumes und wie der erzeugte Ueberdruck oder der Manometerstand  $h$ . Bei Gebläsen von niedrigem Druck, wo z. B.  $\frac{h}{b} = 1/20$  ist, fällt überhaupt dieser Verlust unbedeutend klein aus, denn stiege  $\frac{\sigma}{s}$  auf  $1/10$ , so wäre dieser Verlust doch nur  $1/20 \cdot 1/10 = 1/200$ , d. i.  $1/2$  Procent der geometrischen oder theoretischen Windmenge.

Da bei dem Durchlaufen des Weges  $CH = DK = \lambda$  die abgesperrte Luft mit einer stärkeren Kraft auf den Kolben drückt als die äußere Luft, so erfordert hierbei aber auch der Kolben gar keine Kraft, sondern es nimmt derselbe von der sich allmählig bis zur Spannung der äußeren Luft ausdehnenden, im schädlichen Raume abgesperrten Luft das Arbeitsquantum

$$F \sigma p_1 L n \left( \frac{p_1}{p} \right) = F \sigma p_1 L n \left( \frac{b + h}{h} \right)$$

auf, so daß das resultirende Arbeitsquantum pr. Spiel

Der schädliche  
Raum.

$$\begin{aligned}
 A &= F(s + \sigma)p \operatorname{Ln}\left(\frac{p_1}{p}\right) - F\sigma p_1 \operatorname{Ln}\left(\frac{p_1}{p}\right) \\
 &= [Fsp - F\sigma(p_1 - p)] \operatorname{Ln}\left(\frac{p_1}{p}\right) = Fp\left(s - \frac{h}{b}\sigma\right) \operatorname{Ln}\left(\frac{p_1}{p}\right) \\
 &= Fp(s - \lambda) \operatorname{Ln}\left(\frac{b + h}{b}\right),
 \end{aligned}$$

theoretisch genau dasselbe ist, welches dem gelieferten Windquantum  $V = F(s - \lambda)$  entspricht.

Ähnlich ist das Verhältniß bei dem Luftsauger. Hier ist beim tiefsten Kolbenstande  $CD$  der schädliche Raum mit atmosphärischer Luft angefüllt, und es ist für den Weg  $CH = DK = \lambda$ , welchen der Kolben bei geschlossenem Saugventile  $V$  zurücklegt, bestimmt durch die Formel

$$\frac{\sigma + \lambda}{\sigma} = \frac{b}{b - h},$$

so daß

$$\lambda = \left(\frac{b}{b - h} - 1\right)\sigma = \frac{h}{b - h}\sigma$$

ausfällt.

Es ist also hier das Verhältniß des Luftverlustes zu dem geometrischen Windquantum:

$$\frac{W}{V} = \frac{\lambda}{s} = \frac{h}{b - h} \cdot \frac{\sigma}{s}$$

und das effective Luftquantum, gemessen unter dem inneren Drucke  $(b - h)$ :

$$Q_1 = \frac{n}{60} F(s - \lambda) = \frac{n}{60} Fs \left(1 - \frac{h}{b - h} \cdot \frac{\sigma}{s}\right).$$

Da  $\frac{h}{b - h}$  größer als  $\frac{h}{b}$  ist, so fällt dieser Verlust an Luftmenge, unter übrigen gleichen Umständen und Verhältnissen, bei den Luftsaugern größer aus als bei den Luftbläsern. Für  $\frac{h}{b - h} \frac{\sigma}{s} = 1$ , d. i. für  $h = \frac{sb}{s + \sigma}$  oder

$$\sigma = \left(\frac{b - h}{h}\right)s, \text{ ist sogar } Q_1 = \text{Null, weil dann erst am Ende des Kolbenshubes der Druck der im schädlichen Raume abgesperrten Luft,} \\ = \frac{b\sigma}{s + \sigma} = \frac{\sigma}{s} h = b - h \text{ ist und sich folglich das Saugventil } M \text{ gar}$$

nicht eröffnet. Diesem Luftverlust entsprechend erwächst aber auch wieder ein Arbeitsgewinn, indem der Kolben am Anfange des Aufganges noch nicht die ganze Kraft auszuüben hat, sondern dieselbe erst dann den Wert

$$Fh\gamma \text{ annimmt, wenn der Kolben den Weg } \lambda = \frac{h}{b - h} \sigma \text{ zurückgelegt}$$

hat. Es ist deshalb auch bei dem Luftsauger die Arbeit pr. Spiel





Verluste durch  
die Schleber.

Abstand  $D_1 K_1$  der Mitte  $K$  der ersteren Mündung von der Drehungsaxe  $D$ , sowie  $a_2$  den der zweiten Mündung, so hat man für den durch die Höhe  $z_1$  einer Flüssigkeitssäule von der Dichtigkeit  $\gamma$  gemessenen Ueberdruck im ersteren Falle:

$$F_1 z_1 \gamma a_1 = G_1 b_1,$$

daher

$$z_1 = \frac{G_1 b_1}{F_1 a_1 \gamma},$$

und im zweiten Falle:

$$F_2 z_2 \gamma a_2 = G_2 b_2,$$

daher

$$z_2 = \frac{G_2 b_2}{F_2 a_2 \gamma}.$$

Es ist also während des Einsaugens der Druck im Gebläsecylinder nicht  $b\gamma$ , sondern  $(b - z_1)\gamma$ , und dagegen während des Ausblasens derselbe nicht  $(b + h)\gamma$ , sondern  $(b + h + z_2)\gamma$ , und nun leicht zu ermessen, daß aus diesen Ueberdrücken sowohl ein Verlust an Windmenge, als auch ein solcher an mechanischer Arbeit erwächst. Um diese Verluste möglichst herabzuziehen, muß man die Ventile möglichst leicht und ihre Hebelarme möglichst klein machen. Aus letzterem Grunde soll man die Ventile nicht horizontal legen, sondern in geneigter Lage aufhängen.

Das beim Kolbenaufgange eingenommene Luftquantum ist, ohne Rücksicht auf den Verlust durch den schädlichen Raum,  $V = Fs$ , und hat die Pressung  $z_1\gamma$ ; es ist folglich das auf den äußeren Luftdruck  $b\gamma$  reducirte Luftquantum:

$$V_1 = \left(\frac{b - z_1}{b}\right) V = \left(1 - \frac{z_1}{b}\right) Fs,$$

und daher der Windverlust in Folge des Ueberdruckes  $z_1$ :

$$V - V_1 = \frac{z_1}{b} Fs = \frac{z_1}{b} V.$$

Die Kraft, mit welcher die Luft im Cylinder den Kolben aufzuschieben sucht, ist  $= F(b - z_1)\gamma$ , und daher die von derselben verrichtete Arbeit

$$A_1 = Fs(b - z_1)\gamma.$$

Die Arbeit beim Zusammendrücken der Luft, wobei  $b - z_1$  in  $b + h + z_2$  übergeht, ist

$$A_2 = Fs(b - z_1)\gamma \ln \left(\frac{b + h + z_2}{b - z_1}\right),$$

und die beim hierauf zu erfolgenden Ausblasen:

$$A_3 = F(s - s_1)(b + h + z_2)\gamma;$$

daher ist der ganze Arbeitsbedarf während eines Kolbenshubes, wobei das Luftvolumen  $V_1 = \left(1 - \frac{z_1}{b}\right) Fs$  aus der Pressung  $b$  in die Pressung  $b + h$  gebracht wird,

$$A = A_2 + A_3 - A_1 = F s \gamma \left[ (b - z_1) \operatorname{Ln} \left( \frac{b + h + z_2}{b - z_1} \right) + (s - s_1) (b + h + z_2) - s (b - z_1) \right],$$

Verluste durch  
die Ventile.

oder einfach, da nach dem Mariotte'schen Gesetze,  $(s - s_1)(b + h + z_2) = s(b - z_1)$  ist,

$$A = F s (b - z_1) \gamma \operatorname{Ln} \left( \frac{b + h + z_2}{b - z_1} \right).$$

$$\text{Nun ist aber } \frac{b + h + z_2}{b - z_1} \text{ annähernd } = \frac{b + h}{b} + \frac{z_1 + z_2}{b},$$

daher läßt sich auch

$$\begin{aligned} A &= F s b \gamma \operatorname{Ln} \left( \frac{b + h}{b} + \frac{z_1 + z_2}{b} \right) - F s z_1 \gamma \operatorname{Ln} \left( \frac{b + h}{b} \right) \\ &= F s b \gamma \left[ \operatorname{Ln} \left( \frac{b + h}{b} \right) + \frac{z_1 + z_2}{b + h} \right] - F s z_1 \gamma \frac{h}{b}, \end{aligned}$$

d. i.

$$= F s b \gamma \operatorname{Ln} \left( \frac{b + h}{b} \right) + F s \gamma \left( \frac{b}{b + h} (z_1 + z_2) - \frac{h}{b} z_1 \right),$$

oder, wenn man noch im letzten Gliede  $\frac{h}{b}$  vernachlässigt,

$$\begin{aligned} A &= F s b \gamma \operatorname{Ln} \left( \frac{b + h}{b} \right) + F s (z_1 + z_2) \gamma \\ &= V p \operatorname{Ln} \left( \frac{b + h}{b} \right) + V (z_1 + z_2) \gamma \end{aligned}$$

sehen.

Bei dem Luft- oder Wettersauger findet ein ganz ähnliches Verhältniß statt.

Während des Einsaugens der Luft aus dem Regulator in den Cylinder ist die Pressung der Luft in letzteren,  $= b - h - z_1$ , folglich das Luftquantum pr. Schub, reducirt auf die Pressung  $b - h$  im Reservoir:

$$V_1 = \left( \frac{b - h - z_1}{b - h} \right) F s$$

und der Windverlust

$$V - V_1 = \frac{z_1}{b - h} F s = \frac{z_1}{b - h} V.$$

Die Kraft, mit welcher die Luft den Kolben auf- oder fortzuschieben sucht, ist  $= F(b - h - z_1) \gamma$ , und die entsprechende Arbeit

$$A_1 = F s (b - h - z_1) \gamma.$$

Beim Rückgange des Kolbens ist dagegen die Arbeit zum Comprimiren von  $b - h - z_1$  auf  $b + z_2$ :

Verluste durch  
die Ventile.

$$A_2 = F s (b - h - z_1) \gamma \operatorname{Ln} \left( \frac{b + z_2}{b - h - z_1} \right),$$

und die Arbeit zum Ausblasen in die freie Luft:

$$A_3 = F (s - s_1) (b + z_2) \gamma.$$

Nun hat man aber noch  $(s - s_1)(b + z_2) = s(b - h - z_1)$  daher folgt das gesammte Arbeitsquantum pr. Spiel:

$$A = A_2 + A_3 - A_1 = A_2 = F s (b - h - z_1) \gamma \operatorname{Ln} \left( \frac{b + z_2}{b - h - z_1} \right).$$

Wenn man  $\frac{b + z_2}{b - h - z_1}$  annähernd  $= \frac{b}{b - h} + \frac{z_1 + z_2}{b}$  setzt, u. s. w., so folgt:

$$A = F s (b - h) \gamma \operatorname{Ln} \left( \frac{b}{b - h} \right) + F s \gamma \cdot \frac{b - h}{b} (z_1 + z_2),$$

oder, wenn man im letzten Gliede  $\frac{h}{b}$  vernachlässigt,

$$\begin{aligned} A &= V (b - h) \gamma \operatorname{Ln} \left( \frac{b}{b - h} \right) + V (z_1 + z_2) \gamma \\ &= V p_1 \operatorname{Ln} \left( \frac{b}{b - h} \right) + V \left( \frac{G_1 b_1}{F_1 a_1} + \frac{G_2 b_2}{F_2 a_2} \right). \end{aligned}$$

Es ist also der Arbeitsverlust, welcher aus dem Widerstande der Ventile hervorgeht, sowohl bei den Luftsaugern als auch bei den Luftbläsern:

$$\Delta A = V (z_1 + z_2) \gamma = V \left( \frac{G_1 b_1}{F_1 a_1} + \frac{G_2 b_2}{F_2 a_2} \right).$$

Wenn wir die Nutzleistung durch die schärfere Formel ausdrücken, so können wir folglich die erforderliche Leistung eines Gebläses pr. Secunde

$$L = \left( \left[ 1 - 0,3521 \left( \frac{h}{b} \right) + 0,2000 \left( \frac{h}{b} \right)^2 \right] h \gamma + \frac{G_1 b_1}{F_1 a_1} + \frac{G_2 b_2}{F_2 a_2} \right) Q$$

setzen.

Beispiel. Bei dem Barometerstand  $b = 27$  Zoll ist der Manometerstand eines Gebläses,  $h = 3$  Zoll, das Ventilgewicht pr. Quadratzuß Ventilmündung  $\frac{G_1}{F_1} = \frac{G_2}{F_2} = 10$  Pfund und der Hebelarm dieses Gewichtes ein Viertel der Ventiltbreite, also

$$\frac{b_1}{a_1} = \frac{b_2}{a_2} = \frac{1}{4}.$$

daher die zur Bewegung desselben erforderliche Leistung pr. Secunde:

$$\begin{aligned} L &= \left( \left[ 1 - 0,3521 \cdot \left( \frac{3}{27} \right) + 0,2000 \left( \frac{3}{27} \right)^2 \right] \frac{3}{12} \cdot 66 \cdot 13,6 + 10 \cdot \frac{1}{4} + 10 \cdot \frac{1}{4} \right) Q \\ &= [(1 - 0,0355) \cdot 224,4 + 5] Q = (216,4 + 5) Q = 221,4 Q \text{ Fußpfund.} \end{aligned}$$

Ist noch der Inhalt der Kolbenfläche  $F = 10$  Quadratzuß und die mittlere Kolbengeschwindigkeit  $v = 3$  Fuß, so hat man das theoretische Windquantum gemessen unter dem äußeren Luftdrucke:

$$Q = Fv = 10 \cdot 3 = 30 \text{ Cubiffuß.}$$

daher den Windverlust wegen der Ventilgewichte:

Verluste durch  
die Ventile.

$$\Delta Q = \frac{z_1}{b} Q = \frac{10 Q}{4 b \gamma} = \frac{10 \cdot 12}{4 \cdot 27 \cdot 66 \cdot 13,6} Q = \frac{Q}{806} = 0,037 \text{ Cubiffuß,}$$

also sehr unbedeutend, und endlich die Leistung

$$L = 221,4 \cdot 30 = 6642 \text{ Fußpfund} = 13 \text{ Pferbekräfte.}$$

§. 418. Andere und größere Windverluste erwachsen den Kolbengebläsen mit Ventilen aus dem Entweichen des Windes während des Zuschlagens und in Folge des undichten Abschließens der Ventile. Es fließt natürlich bei dem Zuschlagen des Saugventiles eine gewisse Windmenge wieder aus dem Cylinder zurück in die freie Luft, und ebenso beim Zuschlagen des Blaseventiles, eine gewisse Windmenge aus dem Regulator zurück in den Cylinder (vergl. §. 362); da ferner die Gebläseventile nicht ganz luftdicht abschließen, so strömt auch während des Ansaugens etwas Wind aus dem Regulator zurück in den Cylinder, und entweicht ebenso beim Ausblasen ein Theil des Windes aus dem Cylinder in die freie Luft. Deshalb ist denn auch bei diesen Gebläsen die effective Windmenge pr. Secunde, gemessen unter dem äußeren Luftdrucke, nur

$$Q_1 = \chi Q = 0,60 Q \text{ bis } 0,75 Q$$

in Ansatz zu bringen.

An diesem Verluste hat, wie aus dem Obigen (§. 416) hervorgeht, der sogenannte schädliche Raum den kleinsten Antheil. Derselbe ist bei den gewöhnlichen Kolbengebläsen mit Ventilen von gar keinem Belang, denn am Ende reducirt sich der ganze Verlust, welchen derselbe verursacht, auf die Arbeit zur Ueberwindung der Nebenhindernisse, zumal der Kolbenreibung, bei Durchlaufung des Kolbenweges  $\lambda$ , welcher nach dem Mariotte'schen Gesetze,

$$= \frac{h}{b} \sigma, \text{ und nach dem Poisson'schen Gesetze sogar nur } = \frac{h}{\chi b} \sigma = 0,704 \frac{h}{b} \sigma$$

zu setzen ist.

Ganz anders ist aber der Einfluß des schädlichen Raumes auf die Wirkung des Gebläses bei den Kolbengebläsen mit Schiebersteuerung. Um eine genaue Einsicht in die Wirkungsweise eines solchen Gebläses zu erlangen, denken wir uns den Gebläsekolben  $K$  und Schieber in drei auf einander folgenden Stellungen I, II und III, Fig. 860 (a. f. S.), wobei der erstere nahe am Ende und der letztere nahe in der Mitte seines Weges befindlich ist. Bei der Stellung I ist der Kolben auf dem Wege von links nach rechts begriffen, bei der Stellung II ist er am Ende seines Weges, und bei der wieder mit I zusammenfallenden Stellung III hat er bereits seinen Weg von rechts nach links angetreten, wogegen sich der Schieber bei allen drei Stellungen von rechts nach links bewegt. In dem Augenblicke, wo der Kolben in die Stellung I gelangt, werden die Zugänge  $M$  und  $N$  zu dem Gebläsecylinder von den beiden Schieberdecken versperrt, und es hört

Verluste durch  
die Schieber.



daher die pr. Kolbenshub eingesaugte und ausgeblasene Luftmenge, gemessen unter dem äußeren Luftdrucke: Verluste durch die Schieber.

$$V_1 = C_1 - C_2 = F \left( s - s_1 + \sigma - (s_1 + \sigma) \frac{b + h}{b} \right)$$

d. i.

$$V_1 = F \left( s - 2s_1 - (s_1 + \sigma) \frac{h}{b} \right),$$

und der entsprechende Windverlust:

$$V - V_1 = F \left( 2s_1 + (s_1 + \sigma) \frac{h}{b} \right).$$

Das bei der Stellung III durch *M* abgesperrte Luftvolumen  $F(s_1 + \sigma)$  geht bei der weiteren Fortbewegung des Schiebers durch Ausblasen in die freie Luft aus der Pressung  $b + h$  in die Pressung  $b$  über, wobei das Windquantum

$$\Delta V = F(s_1 + \sigma) \frac{b + h}{b} - F(s_1 + \sigma) = F \frac{h}{b} (s_1 + \sigma)$$

ganz verloren geht.

Auch tritt in sofern noch eine Unregelmäßigkeit in der Winderzeugung des Schiebergebläses ein, als anfangs, bei Eröffnung der Luftwege, wo der Schieber aus der Stellung III in die nächst folgende übergeht, Wind aus dem Regulator zurück in den Cylinderraum strömt.

Die mechanische Arbeit, welche das Schiebergebläse zur Erzeugung der Windmenge  $F \left( s - 2s_1 - (s_1 + \sigma) \frac{h}{b} \right)$  erfordert, ist daher:

$$A = \left[ 1 - 0,3521 \frac{h}{b} + 0,2000 \left( \frac{h}{b} \right)^2 \right] F(s - 2s_1) h \gamma.$$

Der im Vorstehenden gefundene Windverlust und das gedachte nachtheilige Zurückströmen des Windes aus dem Regulator in den Cylinder lassen sich dadurch herabziehen, daß man den Schieber nicht genau seine mittlere Stellung einnehmen läßt, wenn der Kolben am Ende seines Weges ist, sondern daß man denselben gegen die Kolbenbewegung etwas zurückbleiben läßt, wie z. B. Fig. 861 (a. f. S.) darstellt, und die Luftwege *M* und *N* von dem Schieber erst dann absperrt, wenn der Kolben *K* am Ende seines Weges ankommt. In diesem Falle ist die pr. Kolbenshub gelieferte Windmenge:

$$V_1 = C_1 - C_2 = F(s + \sigma) - F\sigma \frac{b + h}{b} = Fs = F\sigma \frac{h}{b},$$

also größer als im ersten Falle; dagegen ist aber die erforderliche mechanische Arbeit des Gebläses in diesem Falle eine etwas größere, weil der Schieber bei der darauf folgenden Bewegung des Kolbens von rechts nach links die













o D bei II viel eher erfolgt als bei I und daß hierbei die Verdünnung der Luft bedeutend kleiner ist und auch nur eine viel kürzere Zeit lang anhält als bei I. Auch bemerkt man aus dem Laufe des oberen Curvenstückes, daß die Compression der Luft in II eine regelmäßigere und stärkere als in I, jedoch noch immer viel veränderlicher als bei dem Gebläse mit Ventilen ist (s. Fig. 863, II), wo nach Zurücklegung eines kleinen Kolbenweges eine ziemlich constante Pressung eintritt. Vor Allem geht aus der Vergleichung der Curven I und II in Fig. 864 hervor, daß durch eine größere Geschwindigkeit und durch ein größeres Zurückbleiben des Schiebers die Wirkung des Schiebergebläses herabgezogen wird. (S. Publication industr. par M. Armengaud aîné, Vol. XII).

Gebläse-  
Indicatoren.

§. 421. Die Nebenhindernisse eines Kolbengebläses bestehen hauptsächlich aus dem Widerstande beim Durchgange der Luft durch die Ventilöffnungen und aus der Reibung des Gebläsekolbens an der inneren Cylinder- oder Kastenwand.

Nebenhinder-  
nisse der  
Gebläse.

Nach dem Durchgange der Luft durch eine Verengung geht dieselbe plötzlich aus einer größeren Geschwindigkeit  $v_m$  in eine kleinere Geschwindigkeit  $v_1$  über, wobei die Geschwindigkeitshöhe

$$\frac{(v_m - v_1)^2}{2g}$$

verloren geht (s. Band I, §. 404).

Ist  $p$  die Pressung und  $\gamma$  die Dichtigkeit der Luft vor, sowie  $p_1$  die Pressung nach dem Durchgange der Luft durch die Verengung, so hat man nach Band I, §. 431, die der Pressungsdifferenz  $(p_1 - p)$  entsprechende Geschwindigkeitshöhe

$$\frac{v^2}{2g} = \frac{p}{\gamma} \frac{\kappa}{\kappa - 1} \left( 1 - \left( \frac{p_1}{p} \right)^{\frac{\kappa - 1}{\kappa}} \right);$$

daher ist hier

$$\frac{(v_m - v_1)^2}{2g} = \frac{p}{\gamma} \frac{\kappa}{\kappa - 1} \left( 1 - \left( \frac{p_1}{p} \right)^{\frac{\kappa - 1}{\kappa}} \right)$$

zu sehen.

Jedenfalls fällt der Pressungsverlust  $(p - p_1)$  beim Durchgange der Luft durch ein Ventil nur klein aus, daher läßt sich annähernd

$$\frac{\kappa}{\kappa - 1} \left( 1 - \left( \frac{p_1}{p} \right)^{\frac{\kappa - 1}{\kappa}} \right) = \frac{p - p_1}{p}$$

und

$$p - p_1 = q_1 = \frac{(v_m - v_1)^2}{2g} \gamma$$

sehen.

Bezeichnet noch  $F_m$  den Inhalt der Ventilöffnung,  $\alpha$  den zugehörige



Nebenbinder-  
nisse der  
Gebläse. Contractionscoefficienten und  $F_1$  den Querschnitt des Luftstromes nach dem Durchgange durch das Ventil, so hat man annähernd

$$\alpha F_m v_m = F_1 v_1,$$

und daher

$$q_1 = \left( \frac{F_1}{\alpha F_m} - 1 \right)^2 \frac{v_1^2}{2g} \gamma.$$

Um diese Formel auf das Einsaugen der Luft in den Gebläsecylinder anwenden zu können, muß man statt  $v_1^2$  das mittlere Quadratrad der Kolbengeschwindigkeit, sowie statt  $F_1$  die Kolbenfläche  $F$  einführen. Dies giebt hier

$$q_1 = \left( \frac{F}{\alpha F_m} - 1 \right)^2 \frac{v^2}{2g} \gamma.$$

Bezeichnet  $F_1$  die Ventilfläche,  $G_1$  das Gewicht des Saugventiles,  $b_1$  den Hebelarm desselben und  $a_1$  die halbe Ventilbreite, so hat man auch (nach §. 417)

$$q_1 = \frac{G_1 b_1}{F_1 a_1},$$

hiernach

$$\left( \frac{F}{\alpha F_m} - 1 \right)^2 \frac{v^2}{2g} \gamma = \frac{G_1 b_1}{F_1 a_1},$$

und daher den Inhalt der (nicht mit der Ventilmündung zu verwechselnden) Ventilöffnung

$$F_m = \frac{F}{\alpha \sqrt{\frac{G_1 b_1}{F_1 a_1} \cdot \frac{2g}{v^2 \gamma} + 1}}.$$

annähernd

$$= \frac{F}{\alpha} \sqrt{\frac{F_1 a_1}{G_1 b_1} \cdot \frac{v^2}{2g} \gamma}.$$

Hiernach ist nun die Kolbenkraft beim Einsaugen der Luft:

$$W_1 = F q_1 = \left( \frac{F}{\alpha F_m} - 1 \right)^2 \frac{v^2}{2g} F \gamma = \frac{G_1 b_1}{F_1 a_1} F.$$

Bezeichnet  $d$  den Kolbendurchmesser, ist also  $F = \frac{\pi d^2}{4}$ , und giebt  $e$  die Breite des Liderungs Kranzes an, so ist die Kolbenreibung

$$W_2 = \varphi \pi d e q_1 = 4 \varphi \frac{e}{d} F q_1,$$

und daher die gesammte Kolbenkraft beim Ansaugen der Luft durch Ventile:

$$\begin{aligned} P_1 &= W_1 + W_2 = \left( 1 + 4 \varphi \frac{e}{d} \right) F q_1 \\ &= \left( 1 + 4 \varphi \frac{e}{d} \right) \left( \frac{F}{\alpha F_m} - 1 \right)^2 \frac{v^2}{2g} F \gamma = \left( 1 + 4 \varphi \frac{e}{d} \right) \frac{G_1 b_1}{F_1 a_1} F. \end{aligned}$$

Bezeichnet  $F_n$  den Querschnitt der Durchgangsmündung des Blaseventiles,  $F_3$  den Querschnitt der nach dem Regulator führenden Windleitung, und  $v_3$  die Geschwindigkeit des Windes in derselben, so hat man für den Druck, welcher beim Durchgange durch  $F_n$  verloren geht, bei der mittleren Dichtigkeit des Windes  $= \gamma_1$ ,

$$q_2 = \left( \frac{F_3}{\alpha F_n} - 1 \right) \frac{v_3^2}{2g} \gamma_1,$$

oder, wenn man noch  $Fv = F_3 v_3$  setzt,

$$q_2 = \left( \frac{F_3}{\alpha F_n} - 1 \right)^2 \left( \frac{F}{F_3} \right)^2 \frac{v^2}{2g} \gamma_1.$$

Dieser Druckverlust wird aber durch den Druck zur Erzeugung der Geschwindigkeit  $v_3$  und zur Ueberwindung der Reibung in der Windleitung noch vergrößert und zwar um

$$\left( 1 + \xi \frac{p_3 l_3}{4 F_3} \right) \left( \frac{F}{F_3} \right)^2 \frac{v^2}{2g} \gamma_1,$$

wobei  $\xi$  den Reibungscoefficienten der Luft,  $p_3$  den Umfang und  $l_3$  die Länge der Windleitung bezeichnet (s. Bd. I, §. 427), daher ist vollständig

$$q_2 = \left[ \left( \frac{F_3}{\alpha F_n} - 1 \right)^2 + 1 + \xi \frac{p_3 l_3}{4 F_3} \right] \left( \frac{F}{F_3} \right)^2 \frac{v^2}{2g} \gamma_1.$$

$$\text{Auch ist } \left[ \left( \frac{F_3}{\alpha F_n} - 1 \right)^2 + 1 \right] \left( \frac{F}{F_3} \right)^2 \frac{v^2}{2g} \gamma_1 = \frac{G_2 b_2}{F_2 a_2}, \text{ wenn, wie}$$

oben (§. 417),  $G_2$  das Gewicht des Blaseventiles und  $b_2$  den Hebelarm desselben, sowie  $F_2$  die Ventilfläche und  $a_2$  die halbe Breite derselben bezeichnet; so daß sich der Querschnitt der Ventilöffnung:

$$F_n = \frac{\frac{1}{\alpha} F_3}{\sqrt{\frac{G_2 b_2}{F_2 a_2} \left( \frac{F_3}{F} \right)^2 \frac{2g}{v^2 \gamma_1} - 1 + 1}}$$

bestimmt.

Nun ist aber die mittlere Kraft zum Comprimiren der Luft von  $p = b \gamma$  auf  $p_1 = (b + h) \gamma$ ,

$$P = \frac{x}{x-1} \left( \left( \frac{p_1}{p} \right)^{\frac{x-1}{x}} - 1 \right) F p,$$

daher folgt die gesammte Kolbenkraft beim Zusammendrücken und Ausblasen der Luft:

Gebläsekraft.

$$\begin{aligned}
 P_2 &= \left(1 + 4 \varphi \frac{e}{d}\right) \left( \left[ \frac{x}{x-1} \left( \left( \frac{p_1}{p} \right)^{\frac{x-1}{x}} - 1 \right) \right] p + q_2 \right) F \\
 &= \left(1 + 4 \varphi \frac{e}{d}\right) \left[ \frac{x}{x-1} \left( \left( \frac{b+h}{b} \right)^{\frac{x-1}{x}} - 1 \right) p \right. \\
 &\quad \left. + \left[ \left( \frac{F_3}{\alpha F_2} - 1 \right)^2 + 1 + \xi \frac{p_3 l_3}{4 F_3} \right] \left( \frac{F}{F_3} \right)^2 \frac{v^2}{2g} \gamma_1 \right] F \\
 &= \left(1 + 4 \varphi \frac{e}{d}\right) \left[ \frac{x}{x-1} \left( \left( \frac{b+h}{b} \right)^{\frac{x-1}{x}} - 1 \right) p + \frac{G_2 b_2}{F_2 a_2} \right. \\
 &\quad \left. + \xi \frac{p_3 l_3}{4 F_3} \left( \frac{F}{F_3} \right)^2 \frac{v^2}{2g} \gamma_1 \right] F,
 \end{aligned}$$

und die ganze Arbeit für ein Spiel, bei einfacher Wirkung:

$$A = (P_1 + P_2) s$$

$$\begin{aligned}
 &= \left(1 + 4 \varphi \frac{e}{d}\right) \left[ \frac{x}{x-1} \left( \left( \frac{b+h}{b} \right)^{\frac{x-1}{x}} - 1 \right) p + \frac{G_1 b_1}{F_1 a_1} + \frac{G_2 b_2}{F_2 a_2} \right. \\
 &\quad \left. + \xi \frac{p_3 l_3}{4 F_3} \left( \frac{F}{F_3} \right)^2 \frac{v^2}{2g} \gamma_1 \right] F s.
 \end{aligned}$$

Liefert das Gebläse pr. Minute  $n$  Cyliinderräume Luft in den Regulator, so ist die erforderliche Arbeit desselben pr. Secunde

$$L = \frac{n}{60} A$$

$$\begin{aligned}
 &= \left(1 + 4 \varphi \frac{e}{d}\right) \left[ \frac{x}{x-1} \left( \left( \frac{b+h}{b} \right)^{\frac{x-1}{x}} - 1 \right) p + \frac{G_1 b_1}{F_1 a_1} + \frac{G_2 b_2}{F_2 a_2} \right. \\
 &\quad \left. + \xi \frac{p_3 l_3}{4 F_3} \left( \frac{F}{F_3} \right)^2 \frac{v^2}{2g} \gamma_1 \right] \frac{n}{60} F s \\
 &= \left(1 + 4 \varphi \frac{e}{d}\right) \left[ \frac{x}{x-1} \left( \left( \frac{b+h}{b} \right)^{\frac{x-1}{x}} - 1 \right) p + \frac{G_1 b_1}{F_1 a_1} + \frac{G_2 b_2}{F_2 a_2} \right. \\
 &\quad \left. + \xi \frac{p_3 l_3}{4 F_3} \left( \frac{F}{F_3} \right)^2 \frac{v^2}{2g} \gamma_1 \right] Q,
 \end{aligned}$$

wenn  $Q = \frac{n}{60} F s$  das theoretische Windquantum, gemessen unter dem äußeren Luftdrucke, bezeichnet.

Beispiel. Ein Cylindergebläse besteht aus zwei Cylindern von je  $4\frac{1}{2}$  Fuß Gebläsekratt. Durchmesser mit doppelt-wirkenden Kolben, wovon jeder pr. Minute sechszehn  $4\frac{1}{2}$ füßige Spiele macht, und einen Uederungsfranz von 4 Zoll Breite hat. Dasselbe soll bei dem Barometerstand  $b = 27$  Zoll. Wind von  $h = 6$  Zoll Ueberdruck liefern und es ist nun die Frage nach dem erforderlichen Arbeitsaufwand.

Die Ausleistung ist

$$L_1 = \frac{x}{x-1} \left( \left( \frac{b+h}{b} \right)^{\frac{x-1}{x}} - 1 \right) Qp = 3,381 \left[ \left( \frac{33}{27} \right)^{0,2958} - 1 \right] Qp$$

$$= 3,381 \cdot 0,06115 Qp = 0,20675 Qp = 0,20675 \cdot \frac{27}{12} \cdot 897,6 Q$$

$$= 417,5 Q \text{ Fußpfund.}$$

Ist das Hebelarmverhältniß der Ventile:

$$\frac{b_1}{a_1} = \frac{b_2}{a_2} = \frac{1}{2},$$

und das Gewicht derselben pr. Quadratfuß Ventilfläche:

$$\frac{G_1}{F_1} = \frac{G_2}{F_2} = 15 \text{ Pfund,}$$

so nimmt der Durchgang der Luft durch die Ventile die Arbeit

$$L_2 = \left( \frac{G_1 b_1}{F_1 a_1} = \frac{G_2 b_2}{F_2 a_2} \right) Q = 2 \cdot \frac{1}{2} \cdot 15 Q = 15 Q \text{ Fußpfund}$$

in Anspruch.

Ist das Verhältniß der Länge  $l_3$  der Windleitung zur mittleren Weite,  $d_3 = \frac{4F_3}{p_3}$ ,  $\frac{l_3}{d_3} = 20$ , und der Querschnitt der Windleitung ein Zwanzigstel der Kolbenfläche, also  $F_3 = \frac{F}{20}$ ; setzt man ferner die Dichtigkeit des Windes,  $\gamma_1 = 0,085$  Pfund und den Reibungscoefficienten desselben,  $\zeta = 0,024$ , so hat man den durch die Reibung des Windes in der nach dem Regulator führenden Röhre erzeugten Arbeitsverlust

$$L_3 = \zeta \frac{p_3 l_3}{4F_3} \left( \frac{F}{F_3} \right)^2 \frac{v^2}{2g} \gamma_1 Q = 0,024 \cdot 20 \cdot 400 \cdot 0,085 \cdot 0,016 Q v^2$$

$$= 0,2611 Q v^2.$$

Die mittlere Kolbengeschwindigkeit ist

$$v = \frac{16 \cdot 9}{60} = 2,4 \text{ Fuß,}$$

folglich das Quadrat derselben,  $= 5,76$  und das mittlere Geschwindigkeitsquadrat (nach Bd. II, §. 452),  $= 1,645 \cdot 5,76 = 9,47$ ; daher folgt

$$L_3 = 0,2611 \cdot 9,47 Q = 2,47 Q,$$

und daher das erforderliche Arbeitsquantum des Gebläses:

$$L = \left( 1 + 4\varphi \frac{e}{d} \right) (L_1 + L_2 + L_3)$$

$$= (417,5 + 15 + 2,47) \left( 1 + 4\varphi \frac{e}{d} \right) Q = 435 \left( 1 + 4\varphi \frac{e}{d} \right) Q.$$

Führt man noch  $\varphi = \frac{1}{4}$  und  $\frac{e}{d} = \frac{1}{64} = \frac{2}{27}$ , setzt also  $4\varphi \frac{e}{d}$

$$= \frac{e}{d} = \frac{2}{27} = 0,07407 \text{ ein, so erhält man}$$

$$L = 435 \cdot 1,07407 Q = 467 Q.$$



$$\frac{v}{c} = \frac{x}{r_1} \text{ und } \frac{v}{x} = \frac{c}{r_1},$$

Widerstände  
bei Schieber-  
gebilden.

so daß endlich

$$q = \left( \frac{F}{\alpha b r_1} \right)^2 \frac{c^2}{2g} \gamma$$

folgt.

Noch ist bei einer kleinen Schieberbedeckung  $r_1$  nahe gleich der Mündungshöhe  $a$ , folglich  $b r_1 = b a =$  dem Querschnitt  $F_m$  der ganzen Schiebermündung, daher auch

$$q = \left( \frac{F}{\alpha F_m} \right)^2 \frac{c^2}{2g} \gamma,$$

und die ganze Kolbenkraft zum Einsaugen der Luft:

$$P_1 = \left( 1 + 4 \varphi \frac{e}{d} \right) F q = \left( 1 + 4 \varphi \frac{e}{d} \right) \left( \frac{F}{\alpha F_m} \right)^2 \frac{c^2}{2g} \gamma.$$

Auf ähnliche Weise und in Uebereinstimmung mit der Kraftbestimmung bei den Ventilgebläsen ist auch die Kraft zur Erzeugung und zur Einführung des Windes in den Regulator zu berechnen.

Bezeichnet  $F_3$  den Querschnitt des Windstromes im Schieberaume, ist also  $v_3 = \frac{F}{F_3} v$  die Geschwindigkeit desselben, so hat man bei völliger Eröffnung der Austrittsmündung, den verlorenen Druck beim Eintritte des Windes aus dem Cylinder in den Schieberaum

$$q_1 = \left( \frac{F_3}{\alpha F_m} - 1 \right)^2 \frac{v_3^2}{2g} \gamma = \left( \frac{F_3}{\alpha F_m} - 1 \right)^2 \left( \frac{F}{F_3} \right)^2 \frac{v^2}{2g} \gamma,$$

da aber auch hier ein allmäliges Eröffnen und Verschließen der Austrittsmündung statthat, so ist wie oben, die Kurbelgeschwindigkeit  $c$  statt der Kolbengeschwindigkeit  $v$  einzuführen, und

$$q_1 = \left( \frac{F_3}{\alpha F_m} - 1 \right)^2 \left( \frac{F}{F_3} \right)^2 \frac{c^2}{2g} \gamma$$

zu setzen.

Bezeichnet ferner  $F_4$  den Querschnitt der Windleitung, so läßt sich der Verlust an Druck beim Eintritte des Windes aus dem Schieberaume in dieselbe durch

$$q_2 = \left( \frac{F_4}{F_3} - 1 \right)^2 \left( \frac{F}{F_4} \right)^2 \frac{v^2}{2g} \gamma$$

ausdrücken, und ist noch  $d_4$  der mittlere Durchmesser, sowie  $l_4$  die Länge der Windleitung, so kann man den zur Bewegung des Windes durch dieselbe nöthigen Druck:

$$q_3 = \left( 1 + \xi \frac{l_4}{d_4} \right) \left( \frac{F}{F_4} \right)^2 \frac{v^2}{2g} \gamma$$



Kolbenkraft  
der Gebläse-  
maschine.

sehen, wonach sich nun die Kolbenkraft zum Comprimiren und Fortschaffen des Windes in den Regulator:

$$P_2 = \left(1 + 4 \varphi \frac{e}{d}\right) \left[ \frac{x}{x-1} \left( \left( \frac{b+h}{b} \right)^{\frac{x-1}{x}} - 1 \right) p + q_1 + q_2 + q_3 \right] F,$$

sowie die ganze Arbeit pr. Kolbenshub:

$$A = (P_1 + P_2) s$$

$$= \left(1 + 4 \varphi \frac{e}{d}\right) \left[ \frac{x}{x-1} \left( \left( \frac{b+h}{b} \right)^{\frac{x-1}{x}} - 1 \right) p + q + q_1 + q_2 + q_3 \right] F s$$

bestimmen läßt.

Bezeichnet  $Q$  das theoretische Windquantum  $\frac{n}{60} F s$  pr. Secunde, so folgt endlich die ganze Arbeit der Gebläsemaschine pr. Secunde:

$$L = \left(1 + 4 \varphi \frac{e}{d}\right) \left[ \frac{x}{x-1} \left( \left( \frac{b+h}{b} \right)^{\frac{x-1}{x}} - 1 \right) p + q + q_1 + q_2 + q_3 \right] Q$$

$$= \left(1 + 4 \varphi \frac{e}{d}\right) \left[ \frac{x}{x-1} \left( \left( \frac{b+h}{b} \right)^{\frac{x-1}{x}} - 1 \right) p + \left[ \left( \frac{F}{\alpha F_m} \right)^2 + \left( \frac{F_3}{\alpha F_m} - 1 \right)^2 \left( \frac{F}{F_3} \right)^2 \right] \frac{c^2}{2g} \gamma + \left[ \left( \frac{F_4}{F_3} - 1 \right)^2 + 1 + \xi \frac{l_4}{d_4} \right] \left( \frac{F}{F_4} \right)^2 \frac{v^2}{2g} \gamma \right] Q,$$

oder, wenn man zur Vereinfachung,

$$\left( \frac{F}{\alpha F_m} \right)^2 + \left( \frac{F_3}{\alpha F_m} - 1 \right)^2 \left( \frac{F}{F_3} \right)^2 = \xi_1$$

und

$$\left( \frac{F_4}{F_3} - 1 \right)^2 + 1 + \xi \frac{l_4}{d_4} = \xi_2$$

setzt,

$$L = \left(1 + 4 \varphi \frac{e}{d}\right) \left[ \frac{x}{x-1} \left( \left( \frac{b+h}{b} \right)^{\frac{x-1}{x}} - 1 \right) p + \xi_1 \frac{c^2}{2g} \gamma + \xi_2 \left( \frac{F}{F_4} \right)^2 \frac{v^2}{2g} \gamma \right] Q.$$

Noch ist nach Bd. II, §. 452,  $v^2 = \frac{2}{3} c^2 = 1,645 v_1^2$ , wenn  $v_1$  die mittlere Kolbengeschwindigkeit  $\left( \frac{s}{t} \right)$  bezeichnet, daher läßt sich auch

Reibkraft  
des Schieber-  
gebläse.

$$L = \left(1 + 4 \varphi \frac{e}{d}\right) \left[ \frac{x}{x-1} \left( \left( \frac{b+h}{b} \right)^{\frac{x-1}{x}} - 1 \right) p + \left[ \zeta_1 + \frac{2}{3} \zeta_2 \left( \frac{F}{F_4} \right)^2 \right] \frac{c^2}{2g} \gamma \right] Q$$

$$= \left(1 + 4 \varphi \frac{e}{d}\right) \left[ \frac{x}{x-1} \left( \left( \frac{b+h}{b} \right)^{\frac{x-1}{x}} - 1 \right) p + \left[ \zeta_1 + \frac{2}{3} \zeta_2 \left( \frac{F}{F_4} \right)^2 \right] \left( \frac{\pi}{2} \right)^2 \frac{v_1^2}{2g} \gamma \right] Q$$

setzen.

Beispiel. Wenn man bei dem im Beispiele zu §. 421 behandelten Gebläse die Ventile durch Schieber ersetzt, und die Verhältnisse

$$\frac{1}{a} = \frac{10}{7}, \quad \frac{F_m}{F} = \frac{1}{20}, \quad \frac{F_3}{F} = \frac{1}{10}, \quad \frac{F_4}{F} = \frac{1}{6} \quad \text{und} \quad \frac{l_4}{d_4} = 20$$

in Anwendung gebracht werden, so sind die Widerstände desselben folgende.

Es ist

$$\zeta_1 = \left( \frac{10}{7} \cdot 20 \right)^2 + \left( \frac{10}{7} \cdot 2 - 1 \right)^2 10^2 = \left( \frac{200}{7} \right)^2 + \left( \frac{130}{7} \right)^2 = 1018,$$

$$\zeta_2 \left( \frac{F}{F_4} \right)^2 = \left[ \left( \frac{6}{3} - 1 \right)^2 + 1 + 0,024 \cdot 20 \right] 6^2 = 1,92 \cdot 36 = 69$$

$$v_1 = 2,4 \quad \text{und} \quad \gamma = 0,085, \quad \text{daher}$$

$$\left[ \zeta_1 + \frac{2}{3} \zeta_2 \left( \frac{F}{F_4} \right)^2 \right] \left( \frac{\pi}{2} \right)^2 \frac{v_1^2}{2g} \gamma = (1018 + \frac{2}{3} \cdot 69) \cdot 2,467 \cdot 0,016 \cdot 5,76 \cdot 0,085$$

$$= 1064 \cdot 0,0395 \cdot 0,4896 = 20,58.$$

Nun ist aber nach dem obigen Beispiele

$$\frac{x}{x-1} \left( \left( \frac{b+h}{b} \right)^{\frac{x-1}{x}} - 1 \right) p = 417,5 \quad \text{und} \quad 1 + 4 \varphi \frac{e}{d} = 1,07407,$$

daher folgt die gesuchte Arbeit zur Bewegung dieses Schiebergebläses:

$$L = 1,07407 \cdot (417,5 + 20,58) Q = 1,07407 \cdot 438,08 Q = 470,5 Q,$$

also, da  $Q = 76,34$  Cubikfuß ist,

$$L = 470,5 \cdot 76,34 = 35918 \text{ Fußpfund} = 70,4 \text{ Pferdekraft},$$

fast wie bei dem Ventilgebläse.

§. 423. Ein anderer Gegenstand der Berechnung ist die Größe des Windregulators. Um uns hierzu die nöthige Grundlage zu verschaffen, denken wir uns ein doppelst-wirkendes Cylindergebläse mit einem Cylinder und setzen voraus, daß dessen Kolben mittels eines gleichförmig umlaufenden Krummzapfens in Bewegung gesetzt werde, während der Wind gleichförmig aus dem Regulator abströmt, welches letztere natürlich nur annähernd richtig ist. Zuerst legt der Gebläsekolben  $K$ , Fig. 866 (a. f. S.), einen gewissen Weg  $AD = s_1$  zurück, wobei die Luft comprimirt wird und noch gar kein Wind in den Regulator übertritt. Bezeichnet  $s = 2r$  den

Größe des  
Windregula-  
toren.



$$\frac{b + h - z}{b + h} = \frac{W - F(y_1 - y_2)}{W},$$

Größe der  
Windregula-  
toren.

oder

$$\frac{z}{b + h} = \frac{F(y_1 - y_2)}{W}.$$

Bezeichnet man noch den Inhalt  $F \cdot 2r$  des Gebläsecylinders durch  $C$ , so hat man auch

$$\frac{z}{b + h} = \frac{(y_1 - y_2) C}{2 W r}.$$

Giebt man nun das Verhältniß  $v = \frac{z}{b + h}$  der größten Pressungs-  
differenz zur mittleren Windpressung, so folgt die erforderliche Größe des  
Regulators:

$$W = \frac{y_1 - y_2}{2 r} \cdot \frac{C}{v},$$

oder giebt man das Verhältniß  $\delta = \frac{z}{h}$  der Differenz  $z$  zum mittleren  
Manometerstand, so ist der nöthige Fassungsraum des Regulators

$$\begin{aligned} \text{I. } W &= \frac{y_1 - y_2}{2 r} \cdot \frac{b + h}{\delta h} C \\ &= \left( \frac{b(\beta_1 - \beta_2)}{\pi} + (b + h) \frac{\cos. \beta_1 - \cos. \beta_2}{2} \right) \frac{C}{\delta h}. \end{aligned}$$

Bei sehr kleinen Pressungen entsprechen  $\sin. \beta = \frac{2}{\pi}$ , die Winkel  
 $\beta_1 = 39^\circ 32'$  und  $140^\circ 28'$ , wonach sich dann  
 $y_1 = 0,2105 r$  sowie  $y_2 = -0,2105 r$ , und daher

$$\text{II. } W = 0,2105 \frac{b}{\delta h} C$$

bestimmt.

Setzt man  $\theta = \beta$ , so erhält man

$$\frac{h}{b} = \left( \sin. \frac{\beta}{2} \right)^2 = (\sin. 19^\circ 46')^2 = (0,3382)^2 = 0,1145.$$

Ist nun  $\theta > \beta$  oder  $\frac{h}{b} > 0,1145$ , so tritt der Maximalwerth  $y_1$   
bei dem Drehungswinkel  $\theta$  ein, für welchen dann

$$y_1 = \frac{b}{b + h} \frac{\theta}{\pi} 2 r$$

ausfällt, während der Minimalwerth  $y_2$  unverändert bleibt.

Dieselbe Bestimmung gilt auch für zwei einfach-wirkende Gebläsecylinders,  
welche den Wind in denselben Regulator blasen; besteht dagegen das  
Gebläse aus zwei doppelt-wirkenden Cylindern, so ist eine andere, im Fol-  
genden entwickelte Formel in Anwendung zu bringen.

Größe der  
Windregula-  
tionen.

Da hier eine Kurbelwarze der anderen um  $\frac{\pi}{2} = 90$  Grad vorausgeht, so ist

$$\begin{aligned} y &= \frac{b}{b+h} \frac{\beta}{\pi} 2r - r(1 - \cos. \beta) + s_1 + \frac{b}{b+h} \left( \frac{\pi + 2\beta}{\pi} \right) r \\ &\quad - r(1 + \sin. \beta) + s_1 \\ &= \frac{b}{b+h} \left( 1 + \frac{4}{\pi} \beta \right) r - (2 - \cos. \beta + \sin. \beta) r + 2s_1. \end{aligned}$$

Nach §. 107 ist diese veränderliche Winddifferenz ein Maximum oder Minimum für

$$\sin. \beta + \cos. \beta = \frac{b}{b+h} \cdot \frac{4}{\pi},$$

wonach

$$\sin. 2\beta = \left( \frac{b}{b+h} \cdot \frac{4}{\pi} \right)^2 - 1$$

folgt.

Setzt man den kleineren Werth ( $\beta_1$ ), welcher diesem Sinus zukommt, in die Formel für  $y$  ein, so erhält man den Maximalwerth  $y_1$ , und führt man den größeren Winkelwerth ( $\beta_2$ ) ein, so stellt sich der Minimalwerth heraus; übrigens ist aber der Fassungsräum  $W$  ganz nach Formel I. zu berechnen, und daher

$$W = \left( \frac{2}{\pi} (\beta_1 - \beta_2) b + [(\cos. \beta_1 - \cos. \beta_2) - (\sin. \beta_1 - \sin. \beta_2)] \frac{b+h}{2} \right) \frac{C}{\delta h}$$

zu setzen.

Fällt  $\beta_1 < \theta$  aus, so muß man  $y_1$  aus  $\theta$  berechnen, und daher

$$W = \left( \frac{2}{\pi} (\theta - \beta_2) b + [(\cos. \theta - \cos. \beta_2) - (\sin. \theta - \sin. \beta_2)] \frac{b+h}{2} \right) \frac{C}{\delta h}$$

setzen.

Für sehr kleine Pressungen hat man

$$2\beta_1 = 38^\circ 24' \text{ und } 2\beta_2 = 141^\circ 36'.$$

also

$$\beta_1 = 19^\circ 12' \text{ und } \beta_2 = 70^\circ 48',$$

und es ist hiernach

$$y_1 = 0,0422r \text{ sowie } y_2 = -0,0422r,$$

so daß nun

$$\text{III. } W = 0,0422 \frac{b}{\delta h} C$$

folgt.

Gewöhnlich begnügt man sich mit dem Regulierungsgrad

$$\delta = \frac{z}{h} = 0,04 \text{ bis } 0,06.$$

Beispiel. Wenn ein einschländrisches Kolbengebläse mit doppelter Wirkung bei einem Barometerstande von 27 Zoll, Wind vom Manometerstande  $h = 2$  Zoll erzeugt, so ist der erforderliche Fassungsraum des Windregulators

Größe der  
Windregula-  
toren.

$$W = 0,2105 \cdot \frac{b}{\delta h} C = 0,2105 \cdot \frac{27}{0,05 \cdot 2} C = 53 C,$$

d. i. 53mal dem Gebläsechylinderraum. Wenn aber dieses Gebläse dazu bestimmt ist, Wind von 5 Zoll Ueberdruck zu erzeugen, wo also

$$\frac{h}{b} = \frac{5}{27} = 0,1852$$

ist, so muß man die Bestimmung des Fassungsraumes  $W$  nach der Hauptformel (I) vornehmen und darin  $\beta_1 = \theta$  setzen.

Es ist dann

$$\sin. \frac{\theta}{2} = \sqrt{\frac{h}{b}} = \sqrt{\frac{5}{27}} = 0,4303,$$

daher

$$\frac{\theta}{2} = 25^\circ 29' \text{ und } \beta_1 = \theta = 50^\circ 58',$$

dagegen hat man

$$\sin. \beta_2 = \frac{2}{\pi} \cdot \frac{b}{b+h} = \frac{27}{32} \cdot \frac{2}{\pi} = \frac{27}{16\pi} = 0,5372,$$

wonach sich  $\beta_2 = 180^\circ - 32^\circ 30' = 147^\circ 30'$  ergibt.

Nun folgt

$$\left( \frac{\beta_1 - \beta_2}{\pi} \right) b = \left( \frac{50^\circ 967 - 147,5}{180} \right) \cdot 27 = -14,48$$

und

$$\left( \frac{\cos. \beta_1 - \cos. \beta_2}{2} \right) (b+h) = 23,571,$$

daher ergibt sich der erforderliche Fassungsraum des Windregulators:

$$W = \left[ \left( \frac{\beta_1 - \beta_2}{\pi} \right) b + \frac{\cos. \beta_1 - \cos. \beta_2}{2} (b+h) \right] \frac{C}{\delta h} = (23,571 - 14,48) \frac{C}{0,05 \cdot 5} \\ = \frac{9,091}{0,25} C = 35,36 C.$$

§. 424. Der Kolbenregulator regulirt den Wind ebenfalls nur unvollständig, weil in Folge der Kolbenreibung ein gewisser Kraftüberschuß nöthig ist, um den Kolben in Bewegung zu setzen. Ist  $F$  die Fläche,  $G$  die Belastung und  $R$  die Reibung des Regulatorkolbens, so hat man den mittleren Ueberdruck des Windes im Regulator:

$$p = \frac{G}{F},$$

den Maximalwerth des Ueberdruckes

$$p_1 = \frac{G + R}{F},$$

und den Minimalwerth desselben

$$p_2 = \frac{G - R}{F},$$



Druck der  
Windregula-  
toren.

folglich die größte Differenz der Windpressung:

$$p_1 - p_2 = \frac{2R}{F},$$

und ihr Verhältniß zum mittleren Ueberdruck:

$$\delta = \frac{p_1 - p_2}{p} = \frac{2R}{G}.$$

Nun ist aber  $R = \varphi \pi d e p$  (s. §. 421), wenn  $d$  den Durchmesser des Regulatorkolbens und  $e$  die Breite seines Liderungsfranzes bezeichnet, daher folgt

$$\delta = \frac{2 \varphi \pi d e p}{F p} = 8 \varphi \pi \frac{e}{d},$$

und ist, wie gewöhnlich,  $\delta$  gegeben, so hat man hieraus den erforderlichen Durchmesser des Kolbenregulators:

$$d = 8 \varphi \frac{\pi e}{\delta},$$

zu berechnen. Wenn man  $\varphi \pi = 0,2 \cdot 3,14 = 0,628$  einsetzt, so folgt

$$d = \frac{5e}{\delta},$$

z. B. für  $\delta = 0,05$ ,

$$d = 100 e.$$

Um also durch einen solchen Regulator den gewünschten Grad der Gleichförmigkeit in der Windpressung zu erlangen, müßte der Durchmesser des Regulatorkolbens 100mal so groß sein als die Breite seines Liderungsfranzes, da aber hiernach schon eine Kranzbreite von 1 Zoll auf einen Kolbendurchmesser von 100 Zoll =  $8\frac{1}{3}$  Fuß führt, so ist leicht zu er-messen, daß die Kolbenregulatoren von den gewöhnlichen Dimensionen sehr unvollkommen reguliren.

Bei dem Glockenregulator mit Wasserabschluß sind die Bewegungshindernisse fast Null und ist daher die Regulirung eine sehr vollkommene.

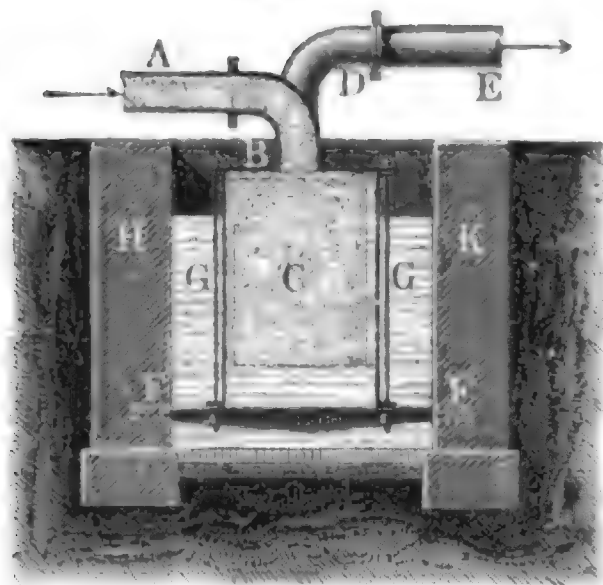
Anders ist es aber bei dem sogenannten Wasserregulator, welcher aus einem feststehenden und von unten durch Wasser abgesperrten Reservoir besteht. Die Wirksamkeit desselben ist auf ähnliche Weise zu beurtheilen wie die des Gefäßregulators. Setzen wir wie im vorigen Paragraphen die größte Veränderung der dem Regulator zugeführten Windmenge,  $= F(y_1 - y_2)$  und die entsprechende Veränderung des Manometerstandes  $= z$ ; bezeichnen wir ferner den Querschnitt des eigentlichen Regulators  $C$ , Fig. 867, durch  $G$ , sowie den Querschnitt des Reservoirs  $HK$ , worin  $C$  steht (nach Abzug von  $G$ ) durch  $G_1$ , und die dem  $z$  entsprechende Steigung oder Senkung des Wasserspiegels in  $C$  durch  $x$ , sowie die entsprechende Senkung oder Steigung der Oberfläche des Wassers in  $HK$  durch  $x_1$ , so haben wir

$$Gx + G_1 x_1, \text{ daher } x_1 = \frac{G}{G_1} x$$

Größe der  
Windregula-  
toren.

und

Fig. 867.



$$z = x + x_1 = \left( \frac{G + G_1}{G_1} \right) x.$$

Die durch Senkung des Wasserspiegels in C bewirkte Vergrößerung des Windraumes ist

$$Gx = \frac{G G_1}{G + G_1} z,$$

und daher

$$\frac{z}{b + h} = \frac{F(y_1 - y_2) - Gx}{W},$$

oder

$$\frac{z}{b + h} W = F(y_1 - y_2) - \frac{G G_1 z}{G + G_1}.$$

Führt man noch  $z = \delta h$  ein, so folgt

$$W = \left( \frac{F(y_1 - y_2)}{\delta h} - \frac{G G_1}{G + G_1} \right) (b + h),$$

oder, wenn man den Inhalt  $2Fr$  des Gebläsecylinders durch  $C$  bezeichnet:

$$\text{I. } W = \left( \frac{y_1 - y_2}{2r} \cdot \frac{C}{\delta h} - \frac{G G_1}{G + G_1} \right) (b + h).$$

Ist  $a$  die mittlere Höhe des Regulatorraumes  $C$ , so hat man

$$W = Ga,$$

und daher

$$\text{II. } a = \left( \frac{y_1 - y_2}{2r} \cdot \frac{C}{\delta h} - \frac{G_1}{G + G_1} \right) (b + h),$$

wobei aber  $b$  und  $h$  Wasserbarometer- und Wassermanometerhöhen ausdrücken.

Um einen möglichst kleinen Fassungsraum zu erhalten, muß man  $\frac{G_1}{G}$  sehr groß machen, also den Windlasten in ein großes Bassin, z. B. in einen Teich, stellen; dann ist  $\frac{G_1}{G + G_1} = 1$ , und daher

$$W = \left( \frac{y_1 - y_2}{2r} \cdot \frac{C}{\delta h} - G \right) (b + h),$$

oder

$$W \left( 1 + \frac{b + h}{a} \right) = \frac{y_1 - y_2}{2r} \cdot \frac{b + h}{\delta h} C,$$

und daher

Größe der  
Windregula-  
toren.

$$\text{III. } W = \frac{y_1 - y_2}{2r} \cdot \frac{b + h}{\delta h} \cdot \frac{C}{1 + \frac{b + h}{a}}$$

Beispiel. Bei dem Trockenregulator im Beispiel zum vorigen Paragraphen haben wir für  $b = 27$ ,  $h = 5$  Zoll,  $\delta = 0,05$ ,

$$\frac{y_1 - y_2}{2r} \cdot \frac{b + h}{\delta h} C = 35,76 C$$

gefunden; wenden wir aber statt desselben einen in ein großes Faß zu ähnelnden Wasserregulator an, dessen mittlerer Fassungsraum für den Wind die Höhe  $a = 5$  Fuß hat, so ist die Größe dieses Raumes:

$$W = \frac{35,76 C}{1 + \frac{32 \cdot 13,6}{12 \cdot 5}} = \frac{35,76 C}{7,25} = 4,93 C,$$

also nahe 4mal so groß zu machen als den Fassungsraum des Gebläsecylinders

Größe der  
Düsenmündung.

§. 425. Aus dem von dem Gebläse in den Windregulator geführten Windquantum und aus der Pressung ( $h$ ) des Windes im Regulator ist nun der erforderliche Querschnitt  $F_\mu$  der Düsenmündungen zu bestimmen. Wäre die Düse unmittelbar an dem Windregulator angebracht, so würde das unter dem äußeren Drucke  $p$  gemessene Ausströmungsquantum nach der in Bd. I, §. 431 entwickelten Formel:

$$Q = \mu F_\mu \left(\frac{p_1}{p}\right)^{\frac{x-1}{x}} \sqrt{2g \frac{p_1}{\gamma_1} \frac{x}{x-1} \left(1 - \left(\frac{p}{p_1}\right)^{\frac{x-1}{x}}\right)}$$

$$= \mu F_\mu \left(\frac{b+h}{b}\right)^{0,2958} \sqrt{2g \frac{p_1}{\gamma_1} \cdot 3,381 \left[1 - \left(\frac{b}{b+h}\right)^{0,2958}\right]}$$

zu setzen, und hierin für Metermaß:

$$\sqrt{2g \frac{p_1}{\gamma}} = 395 \sqrt{1 + 0,00367 \tau},$$

für Fußmaß aber

$$= 1258 \sqrt{1 + 0,00367 \tau},$$

wo  $\tau$  die Temperatur des Windes im Regulator bezeichnet, einzuführen sei. Letztere kann man, wenn keine Winderhitzung statt findet, der Temperatur der äußeren Luft gleichsetzen, denn wenn auch der Wind durch die Zusammendrückung von  $p$  auf  $p_1$  erwärmt wird, so verliert dieselbe aber auf wieder einen großen Theil dieser Wärme durch die Abkühlung an den Wänden des Gebläsecylinders, der Windleitung und des Regulators.

Ist  $\tau_1$  die Wärme des Windes unmittelbar nach der Zusammendrückung; sowie  $\tau$  die Temperatur der eingesaugten Luft, so hat man

$$\frac{1 + \delta \tau_1}{1 + \delta \tau} = \left(\frac{b+h}{b}\right)^{\frac{x-1}{x}} = \left(1 + \frac{h}{b}\right)^{0,2958}.$$

Annähernd ist

Größe der  
Lüftungsmün-  
dung.

$$\left(\frac{b+h}{b}\right)^{\frac{x-1}{x}} = 1 + \frac{x-1}{x} \cdot \frac{h}{b} - \frac{x-1}{2x^2} \left(\frac{h}{b}\right)^2,$$

daher folgt

$$\tau_1 = \tau + \frac{x-1}{x} \cdot \frac{h}{b} \left[1 - \frac{1}{2x} \left(\frac{h}{b}\right)^2\right] \left(\tau + \frac{1}{\delta}\right),$$

oder da  $\delta = 0,00367$  ist,

$$\tau_1 = \tau + 0,2958 \frac{h}{b} \left[1 - 0,3521 \left(\frac{h}{b}\right)^2\right] (\tau + 272,5^{\circ}),$$

z. B. für  $\frac{h}{b} = 0,1$ ,

$$\tau_1 = \tau + 0,02848 (\tau + 272,5^{\circ}),$$

daher die Zunahme an Temperatur

$$\tau_1 - \tau = 0,02848 (\tau + 272,5^{\circ}) = 7,76^{\circ} + 0,0285 \tau,$$

also für gewöhnliche Lufttemperaturen,  $\tau_1 - \tau$  circa 8 Grad.

Um recht sicher zu gehen, möchte jedoch die Temperatur des Windes im Regulator nur um  $\frac{\tau_1 - \tau}{2}$  größer, also für  $\frac{h}{b} = 0,1$ , um 4 Grad höher anzunehmen sein als die äußere Lufttemperatur.

Für die gewöhnlichen Windpressungen ist obiger Ausdruck für  $Q$ , für den praktischen Gebrauch viel bequemer, in folgende Näherungsformel umzusetzen.

Es ist

$$\begin{aligned} & \left(\frac{p_1}{p}\right)^{\frac{x-1}{x}} \sqrt{\frac{x}{x-1} \left(1 - \left(\frac{p}{p_1}\right)^{\frac{x-1}{x}}\right)} \\ &= \sqrt{\left(\frac{p_1}{p}\right)^{\frac{x-1}{x}} \frac{x}{x-1} \left(\left(\frac{p_1}{p}\right)^{\frac{x-1}{x}} - 1\right)} \\ &= \sqrt{\left(1 + \frac{h}{b}\right)^n \left[\left(1 + \frac{h}{b}\right)^n - 1\right] : n} \\ &= \sqrt{\left[1 + n \frac{h}{b} + \frac{n(n-1)}{2} \left(\frac{h}{b}\right)^2\right] \left[1 + \frac{n-1}{2} \left(\frac{h}{b}\right) + \frac{(n-1)(n-2)}{2 \cdot 3} \left(\frac{h}{b}\right)^2\right] \frac{h}{b}} \\ &= \sqrt{\left[1 + \frac{3n-1}{2} \cdot \left(\frac{h}{b}\right) + \frac{7n^2-9n+2}{6} \cdot \left(\frac{h}{b}\right)^2\right] \frac{h}{b}}, \end{aligned}$$

oder statt  $n$  wieder  $= \frac{x-1}{x}$  eingeführt:

Größe der  
Düsenmün-  
dung.

$$\left(\frac{p_1}{p}\right)^{\frac{x-1}{x}} \sqrt{\frac{x}{x-1} \left(1 - \left(\frac{p}{p_1}\right)^{\frac{x-1}{x}}\right)}$$

$$= \sqrt{\left[1 + \frac{2x-3}{2x} \left(\frac{h}{b}\right) - \frac{5x-7}{6x^2} \left(\frac{h}{b}\right)^2\right] \frac{h}{b}},$$

und daher die ausströmende Windmenge:

$$Q = \mu F_\mu \sqrt{2g \frac{p_1}{\gamma_1} \frac{h}{b} \left[1 + \frac{2x-3}{2x} \left(\frac{h}{b}\right) - \frac{5x-7}{6x^2} \left(\frac{h}{b}\right)^2\right]}.$$

Führt man  $x = 1,42$  ein, so ergibt sich

$$Q = \mu F_\mu \sqrt{2g \frac{p_1}{\gamma_1} \frac{h}{b} \left[1 - 0,0563 \left(\frac{h}{b}\right) - 0,0083 \left(\frac{h}{b}\right)^2\right]}.$$

Bei kleinen Windpressungen ist einfacher

$$Q = \mu F_\mu \sqrt{2g \frac{p_1}{\gamma_1} \frac{h}{b} \left[1 - 0,0563 \left(\frac{h}{b}\right)\right]}$$

$$= \mu F_\mu \left[1 - 0,028 \left(\frac{h}{b}\right)\right] \sqrt{2g \frac{p_1}{\gamma_1} \cdot \frac{h}{b}},$$

oder noch einfacher,

$$Q = \mu F_\mu \sqrt{2g \frac{p_1}{\gamma_1} \cdot \frac{h}{b}} = \mu F_\mu \sqrt{2g \frac{p}{\gamma} \cdot \frac{h}{b}},$$

oder endlich, wenn  $\varepsilon = \frac{b\gamma}{p}$  die Dichtigkeit der Manometerfüllung in Hinsicht auf die äußere Luft bezeichnet,

$$Q = \mu F_\mu \sqrt{2g \varepsilon h},$$

genau wie bei einer incompressiblen Flüssigkeit (s. Bd. I, S. 422).

Aus dem Windquantum  $Q$  folgt nun der Querschnitt der Düsenmündung, oder bei mehreren Düsen, die Summe der Querschnitte sämtlicher Düsenmündungen:

$$F_\mu = \frac{Q}{\mu \left(1 - 0,028 \frac{h}{b}\right) \sqrt{2g \frac{p}{\gamma} \cdot \frac{h}{b}}} = \frac{\left(1 + 0,028 \frac{h}{b}\right) Q}{\mu \sqrt{2g \frac{p}{\gamma} \cdot \frac{h}{b}}}$$

d. i. für Metermaß:

$$F_\mu = \frac{\left(1 + 0,028 \frac{h}{b}\right) Q}{395 \mu \sqrt{\left(1 + 0,00367 \tau\right) \frac{h}{b}}} \text{ Quadratmeter,}$$

und für Fußmaß:

$$I. F_{\mu} = \frac{\left(1 + 0,028 \frac{h}{b}\right) Q}{1258 \mu \sqrt{\left(1 + 0,00367 \tau\right) \frac{h}{b}}} \text{ Quadratsfuß.}$$

Düsenquer-  
schnitt.

Es ist anzunehmen, daß das effective Windquantum eines Cylinders-  
gebläses nur 60 bis 75 Proc. des theoretischen Windquantums  $Q = \frac{nFs}{60}$   
sei, und man hat hiernach in obigen Formeln statt  $Q$ , nur  $0,60 Q$  bis  
 $0,75 Q$  einzusetzen. Der Ausflußcoefficient ist ebenfalls nicht ganz constant,  
sondern für kleine Manometerstände ( $h$ ) von 1 Centimeter,  $\mu = 0,910$ ,  
und für große Manometerstände ( $h$ ) von 20 Centimeter,  $\mu = 0,928$ , je-  
doch im Mittel,  $\mu = 0,920$  zu setzen. Aus dem gefundenen Querschnitt  
 $F_{\mu}$  und der Anzahl der Düsen lassen sich nun leicht die Durchmesser der  
Düsenmündungen, wosern letztere die Kreisform haben, bestimmen.

Anmerkung. Näheres über diese Ausflußverhältnisse des Windes siehe:  
„Verläufige Mittheilungen über die Ergebnisse vergleichender Versuche über den  
Ausfluß der Luft und des Wassers unter hohem Drucke“, von J. Weisbach; im  
„Civilingenieur“ Band V; ferner Tabelle zur Berechnung der Windmengen u. s. w.,  
von G. Reuschle; in der berg- und hüttenmännischen Zeitung, Jahrg. 1859;  
sowie „Ueber die neueren Fortschritte in der Theorie der Gebläse“, von J. v. Hauer;  
in den „Erfahrungen des berg- und hüttenmännischen Maschinen-, Bau- und Auf-  
bereitungswesens, von Rittinger“, Jahrg. 1858.

Beispiel. Wenn ein Gebläse der Luft zum Eintritt pr. Secunde den  
Raum  $\frac{nFs}{60} = 76,34$  Cubikfuß darbietet, so kann man annehmen, daß dasselbe  
pr. Secunde die unter dem äußeren Luftdrucke gemessene Windmenge

$$Q = 0,7 \cdot 76,34 = 53,44 \text{ Cubikfuß}$$

liefere. Ist dann noch bei dem Barometerstande  $b = 27$  Zoll, die Windpressung  
 $h = 5$  Zoll Quecksilbersäule, sowie die Temperatur des Windes:  $\tau = 15$  Grad,  
und nimmt man den Ausflußcoefficienten  $\mu = 0,92$  an, so folgt der erforderliche  
Düsenquerschnitt:

$$F_{\mu} = \frac{\left(1 + 0,028 \cdot \frac{5}{27}\right) \cdot 53,44}{1258 \cdot 0,92 \sqrt{\left(1 + 0,00367 \cdot 15\right) \frac{5}{27}}} = \frac{1,005 \cdot 53,44}{1157 \sqrt{1,055 \cdot \frac{5}{27}}}$$

$$= \frac{53,7}{1157} \sqrt{\frac{27}{5,275}} = 0,1050 \text{ Quadratsfuß} = 15,12 \text{ Quadratzoll.}$$

Ist die Anzahl der Düsen = 2, und haben die Mündungen derselben di-  
Kreisform, so folgt der nöthige Durchmesser einer Düse:

$$d_{\mu} = \sqrt{\frac{2 F_{\mu}}{\pi}} = \sqrt{15,12 \cdot 0,637} = \sqrt{9,63} = 3,103 \text{ Zoll.}$$

§. 426. Bei der im vorigen Paragraphen angegebenen Bestimmungs-  
weise ist vorausgesetzt worden, daß der Manometerstand  $h$  des Windes im



Düsenmündung.

Regulator gegeben sei; ist aber das Manometer am Ende der Windleitung, unmittelbar vor der Düse angebracht, so zeigt dasselbe einen niedrigeren Stand  $h_1$ , weil hier ein Theil des ursprünglichen Druckes auf die Erzeugung der Geschwindigkeit des Windes in der Leitung verwendet worden ist.

Bezeichnet  $F_1$ ,  $v_1$  und  $\gamma_1$  Querschnitt der Röhre, Geschwindigkeit und Dichtigkeit des Windes an der Einmündungsstelle des Manometers, sowie  $F_\mu$ ,  $v_\mu$  und  $\gamma_\mu$ , Querschnitt der Düse, Geschwindigkeit und Dichtigkeit des Windes an der Ausmündung, so ist das Gewicht der ausströmenden Windmenge:

$$F_1 v_1 \gamma_1 = F_\mu v_\mu \gamma_\mu,$$

und daher

$$\frac{v_1}{v_\mu} = \frac{F_\mu}{F_1} \cdot \frac{\gamma_\mu}{\gamma_1} = \frac{F_\mu}{F_1} \left( \frac{b}{b + h_1} \right)^{\frac{1}{x}},$$

daher die zur Vergrößerung der Geschwindigkeit von  $v_1$  auf  $v_\mu$  nöthige Druckhöhe:

$$\frac{v_\mu^2 - v_1^2}{2g} = \left( 1 - \left( \frac{F_\mu}{F_1} \right)^2 \left( \frac{b}{b + h_1} \right)^{\frac{2}{x}} \right) \frac{v_\mu^2}{2g},$$

die entsprechende Ausflußgeschwindigkeit:

$$v_\mu = \sqrt{2g \frac{p_1}{\gamma_1} \cdot \frac{x}{x-1} \left( 1 - \left( \frac{b}{b+h} \right)^{\frac{x-1}{x}} \right)} \\ : \sqrt{1 - \left( \frac{F_\mu}{F_1} \right)^2 \left( \frac{b}{b+h_1} \right)^{\frac{2}{x}}},$$

und die Ausflußmenge, gemessen unter dem äußeren Drucke:

$$Q = \mu F_\mu \left( \frac{p_1}{p} \right)^{\frac{x-1}{x}} \sqrt{2g \frac{p_1}{\gamma_1} \cdot \frac{x}{x-1} \left( 1 - \left( \frac{b}{b+h_1} \right)^{\frac{x-1}{x}} \right)} \\ \sqrt{1 - \left( \frac{F_\mu}{F_1} \right)^2 \left( \frac{b}{b+h_1} \right)^{\frac{2}{x}}},$$

oder annähernd, und zur Berechnung einfacher:

$$Q = \left( 1 - 0,028 \frac{h_1}{b} \right) \mu F_\mu \sqrt{\frac{2g \frac{p_1}{\gamma_1} \cdot \frac{h_1}{b}}{1 - \left( \frac{F_\mu}{F_1} \right)^2 \left( \frac{b}{b+h_1} \right)^{\frac{2}{x}}}},$$

Fortbewegung der Luft durch directes Zusammendrücken oder Ausdehnen. 1075  
oder noch einfacher und meist hinreichend genau:

Düsenmün-  
dung.

$$Q = \left(1 - 0,028 \frac{h_1}{b}\right) \mu F_\mu \sqrt{\frac{2g \frac{p_1}{\gamma} \cdot \frac{h}{b}}{1 - \left(\frac{F_\mu}{F_1}\right)^2}}.$$

Hiernach ist nun der gesuchte Düsenquerschnitt:

$$\text{II. } F_\mu = \left(1 + 0,028 \frac{h_1}{b}\right) \sqrt{\frac{1 - \left(\frac{F_\mu}{F_1}\right)^2}{(1 + 0,00367 \tau) \frac{h_1}{b}}} \cdot \frac{Q}{1258 \mu}$$

Quadratfuß.

Wenn ferner der Regulator durch eine längere Zwischenröhre mit der Düse verbunden ist, so muß auch noch auf die Reibung des Windes in dieser Röhre Rücksicht genommen werden.

Bezeichnet  $l_1$  die Länge,  $d_1$  die Weite, und  $F_1$  den Querschnitt dieser Zwischenröhre, so ist die Druckhöhe, welche die Reibung des Windes in derselben in Anspruch nimmt,

$$z = \xi_1 \frac{l_1}{d_1} \left(\frac{F_\mu}{F_1}\right)^2 \frac{v_\mu^2}{2g} = \xi_1 \frac{l_1}{d_1} \left(\frac{d_\mu}{d_1}\right)^4 \frac{v_\mu^2}{2g},$$

wobei der Widerstandscoefficient  $\xi_1 = 0,025$  gesetzt werden kann.

Außer diesem Widerstande kommen noch andere Bewegungshindernisse in der Zwischenröhre oder Windleitung vor, namentlich Krümmungswiderstände und Widerstände an Stellhähnen u. s. w. Dieselben lassen sich wie bei den Wasserleitungen in Betracht ziehen, namentlich ist auch hier der verlorene Druck bei einer plötzlichen Umkehrung der Geschwindigkeit  $v_1$  in  $v_2$ :

$$z_1 = \frac{(v_1 - v_2)^2}{2g} \text{ u. s. w.}$$

Bezeichnen wir den Widerstandscoefficienten  $\frac{1}{\mu^2} - 1$  der Düse durch  $\xi_\mu$  und die Summe der Widerstandscoefficienten für die übrigen Hindernisse der Bewegung des Windes in der Windleitung durch  $\Sigma(\xi)$ , so folgt dann

$$\begin{aligned} Q &= \left(1 - 0,028 \frac{h}{b}\right) \mu F_\mu \sqrt{\frac{2g \frac{p_1}{\gamma_1} \cdot \frac{h}{b}}{1 + \xi_\mu + \left(\Sigma(\xi) + \xi_1 \frac{l_1}{d_1}\right) \left(\frac{F_\mu}{F_1}\right)^2}} \\ &= 1258 \left(1 - 0,028 \frac{h}{b}\right) \mu F_\mu \sqrt{\frac{(1 + 0,00367 \tau) \frac{h}{b}}{1 + \xi_\mu + \left(\Sigma(\xi) + \xi_1 \frac{l_1}{d_1}\right) \left(\frac{F_\mu}{F_1}\right)^2}} \end{aligned}$$



einsetzt, worin  $l_2$ ,  $d_2$  u. s. w. die Länge, Weite u. s. w. einer der  $n$  Zweigröhren bezeichnen, so giebt dieselbe in  $F_\mu$  den Querschnitt der Düsenmündung dieser Zweigröhre.

Düsen-  
mündung

Beispiel. Wenn bei der Windführung in Fig. 868 der Wind in der 15 Fuß langen Hauptröhre  $WA$  mit  $v_1 = 30$  Fuß Geschwindigkeit zugeführt werden soll und das Windquantum, wie im vorigen Beispiele,  $Q = 53,44$  Cubikfuß beträgt, so ist der erforderliche Querschnitt dieser Röhre:

$$F_1 = \frac{Q}{v_1} = \frac{53,44}{30} = 1,781 \text{ Quadratfuß,}$$

und daher der Durchmesser derselben:

$$d_1 = \sqrt{\frac{4 F_1}{\pi}} = 1,5 \text{ Fuß,}$$

und führt man noch den Widerstandcoefficienten für den Eintritt in die Leitung,  $\zeta_0 = 0,500$ , den Reibungcoefficienten  $\zeta_1 = 0,025$ , den Manometerstand im Regulator,  $h = 5$  Zoll, und das specifische Gewicht des Windes in Hinsicht auf Quecksilber:

$$\frac{1}{s} = \frac{1}{800 \cdot 13,6} = \frac{1}{10880}$$

ein, so erhält man den Manometerstand des Windes am Theilpunkte oder Ende  $A$  dieser Röhre:

$$\begin{aligned} z &= h - \left(1 + \zeta_0 + \zeta \frac{l_1}{d_1}\right) \frac{v_1^2}{2g s} = 5 - \left(1,5 + 0,025 \cdot \frac{15}{1,5}\right) \cdot \frac{0,016 \cdot 900 \cdot 12}{10880} \\ &= 5 - 1,74 \cdot 0,09 \cdot \frac{3}{17} = 5 - 0,030 = 4,97 \text{ Zoll.} \end{aligned}$$

Annähernd ist nach dem obigen Beispiel, der Inhalt der sämtlichen drei Düsenmündungsquerschnitte:

$3 F_\mu = 0,1050$  Quadratfuß =  $15,12$  Quadrat Zoll, folglich der Querschnitt einer Düse  $F_\mu = 5,04$  Quadrat Zoll, und der Durchmesser derselben:  $d_\mu = 2,54$  Zoll.

Giebt man einer Zweigröhre den Querschnitt

$$F_2 = \frac{F_1}{3} = \frac{1,781}{3} = 0,594 \text{ Quadratfuß} = 85,5 \text{ Quadrat Zoll,}$$

und hiernach die Weite

$$d_2 = 0,87 \text{ Fuß} = 10,44 \text{ Zoll,}$$

so hat man

$$1 - \left(\frac{F_\mu}{F_2}\right)^2 = 1 - \left(\frac{5,04}{85,5}\right)^2 = 1 - 0,00348 = 0,9965,$$

und nimmt man  $\Sigma(\zeta) = 2$ , sowie  $\zeta_2 = 0,025$  und die Länge der Zweigröhre,  $l_2 = 30$  Fuß an, so erhält man

$$\left(\Sigma(\zeta) + \zeta_2 \frac{l_2}{d_2}\right) \left(\frac{F_\mu}{F_2}\right)^2 = \left(2 + 0,025 \cdot \frac{30}{0,87}\right) \cdot 0,00348 = 0,0100,$$

und da nun noch

$$\zeta_\mu = \left(\frac{1}{0,92}\right)^2 - 1 = 0,1814,$$

$$\left(1 + 0,028 \frac{z}{b}\right) = 1 + 0,028 \cdot \frac{4,97}{27} = 1,005,$$

ferner für  $\tau = 15^\circ$ ,

Düsen-  
querschnitt.

$$(1 + 0,00367 \tau) \frac{z}{b} = 1,055 \cdot \frac{4,97}{27} = 0,1942,$$

und

$$\frac{\frac{1}{n} Q}{1258} = \frac{1}{3} \cdot \frac{53,44}{1258} = \frac{17,813}{1258} = 0,01416 \text{ ist,}$$

so folgt der nöthige Mündungsquerschnitt einer Düse:

$$F_{\mu} = 1,005 \sqrt{\frac{0,9965 + 0,1814 + 0,0100}{0,1942}} \cdot 0,01416 = 0,01423 \sqrt{\frac{1,1879}{0,1942}}$$

$$= 0,03519 \text{ Quadratfuß} = 5,07 \text{ Quadratzoll,}$$

und daher der entsprechende Düsenmündungsdurchmesser  $d_{\mu} = 2,55$  Zoll, also nur wenig größer als wenn die Zweigröhre ganz kurz wäre.

Diese kleine Differenz hat in dem großen Verhältniß  $\frac{d_2}{d_{\mu}} = \frac{10,44}{2,55} = 4,094$  der Röhrenweite zur Düsenmündungsweite ihren Grund.

Erhitzte  
Gebläseluft.

§. 427. Bei Anwendung der erhitzten Gebläseluft durchläuft der Wind, ehe er zur Düse gelangt, noch den durch einen Ofen geführten Röhrenapparat, und hat daher auch die Reibungs- und Krümmungswiderstände in demselben zu überwinden. Diese Widerstände fallen hier um so bedeutender aus, da zur Erlangung einer schnellen Mittheilung der Wärme die einzelnen Röhren dieses Apparates eine kleine mittlere Weite  $\left(d = \frac{4F}{p}\right)$  erhalten müssen. In diesem Röhrenapparate geht die Temperatur  $\tau_1$  der aus dem Regulator kommenden Luft allmählig in die höhere Temperatur  $\tau_2$  von 200 bis 300 Grad über, wobei ihre Dichtigkeit  $\gamma_1$  nach und nach eine kleinere Dichtigkeit  $\gamma_2$  wird, und auch die Geschwindigkeit  $v_1$  einen anderen Werth  $v_2$  annimmt. Da sich das Gewicht des die Röhre vom Querschnitt  $F$  durchströmenden Windquantums  $= F v_1 \gamma_1 = F v_2 \gamma_2$  setzen läßt, so folgt

$$\frac{v_2}{v_1} = \frac{\gamma_1}{\gamma_2}.$$

Ist der Manometerstand am Endpunkt der Heizröhre um  $y$  kleiner als der Manometerstand  $h$  am Anfangspunkt derselben, so hat man (s. Bd. I. §. 360):

$$\frac{\gamma_1}{\gamma_2} = \frac{b + h}{b + h - y} \cdot \frac{1 + \delta \tau_2}{1 + \delta \tau_1},$$

daher folgt auch

$$\frac{v_2}{v_1} = \frac{b + h}{b + h - y} \cdot \frac{1 + \delta \tau_2}{1 + \delta \tau_1},$$

oder annähernd,

$$\frac{v_2}{v_1} = \left(1 + \frac{y}{b + h}\right) \frac{1 + \delta \tau_2}{1 + \delta \tau_1},$$

so daß nun, wenn man zur Abkürzung

erhitzte  
Gebäueluft.

$$1) \frac{1 + \delta \tau_2}{1 + \delta \tau_1} = \chi \text{ setzt,}$$

$$\left(\frac{v_2}{v_1}\right)^2 = \left(1 + \frac{2y}{b+h}\right) \chi^2$$

folgt, und sich

$$v_2^2 - v_1^2 = \left(\chi^2 - 1 + \frac{2y}{b+h} \chi^2\right) v_1^2$$

sowie

$$v_2^2 + v_1^2 = \left(\chi^2 + 1 + \frac{2y}{b+h} \chi^2\right) v_1^2$$

setzen läßt.

Bezeichnet  $\Sigma(\xi)$  die Summe der Coefficienten des Krümmungswiderstandes,  $\xi_2$  den Reibungscoefficienten,  $l_2$  die Länge und  $d_2$  die Weite der Heizröhre, so läßt sich die von den Widerständen in dieser Röhre in Anspruch genommene Druckhöhe:

$$\left(\Sigma(\xi) + \xi_2 \frac{l_2}{d_2}\right) \frac{1/2(v_1^2 + v_2^2)}{2g} = \left(\Sigma(\xi) + \xi_2 \frac{l_2}{d_2}\right) \left(\frac{\chi^2 + 1}{2} + \frac{y}{b+h} \chi^2\right) \frac{v_1^2}{2g}$$

setzen, und ist noch  $\varepsilon$  das Verhältniß der Dichtigkeit des Quecksilbers zu der der äußeren Luft unter dem Drucke  $b$  und bei der Temperatur  $\tau$ , so folgt

$$\varepsilon y = \left(\chi^2 - 1 + \frac{2y}{b+h} \chi^2\right) \frac{v_1^2}{2g} + \left(\Sigma(\xi) + \xi_2 \frac{l_2}{d_2}\right) \left(\frac{\chi^2 + 1}{2} + \frac{y}{b+h} \chi^2\right) \frac{v_1^2}{2g}$$

oder

$$\begin{aligned} &\left(\varepsilon - \left[2\chi^2 + \left(\Sigma(\xi) + \xi_2 \frac{l_2}{d_2}\right) \chi^2\right] \cdot \frac{v_1^2}{2g(b+h)}\right) y \\ &= \left[\chi^2 - 1 + \left(\Sigma(\xi) + \xi_2 \frac{l_2}{d_2}\right) \frac{\chi^2 + 1}{2}\right] \frac{v_1^2}{2g}, \end{aligned}$$

so daß nun die Verminderung des Manometerstandes in der Heizröhre:

$$2) y = \frac{\left[\chi^2 - 1 + \left(\Sigma(\xi) + \xi_2 \frac{l_2}{d_2}\right) \frac{\chi^2 + 1}{2}\right] \frac{v_1^2}{2g}}{\varepsilon - \left(2 + \Sigma(\xi) + \xi_2 \frac{l_2}{d_2}\right) \chi^2 \frac{v_1^2}{2g(b+h)}}$$

folgt, und sich nun auch die Geschwindigkeit  $v_2$  des erhitzten Windes am Ende der Heizröhre mittels der Formel

$$3) v_2 = \left(1 + \frac{y}{b+h}\right) \chi v_1 = \left(1 + \frac{y}{b+h}\right) \left(\frac{1 + \delta \tau_2}{1 + \delta \tau_1}\right) v_1$$

berechnen läßt.

Bezeichnet, wie oben,  $h$  den Manometerstand im Regulator, und  $d_1$  die Weite,  $l_1$  die Länge des Stückes der Windleitung, welches den Wind vom



Gelegte  
Gebläseluft.

Regulator nach dem Heizapparat führt, u. s. w., so hat man den Manometerstand am Ende des Heizapparates:

$$4) z = h - y - \left(1 + \xi_0 + \xi_1 \frac{l_1}{d_1}\right) \frac{v_1^2}{2g\varepsilon}.$$

Es ist nun das durch die Düse ausströmende Windquantum von der Temperatur  $\tau_2$  und reducirt auf den äußeren Druck  $b$ :

$$Q_1 = \left(1 - 0,028 \frac{z}{b}\right) \mu F_\mu \sqrt{\frac{2g \frac{p_1}{\gamma_1} \cdot \frac{z}{b}}{1 - \left(\frac{F_\mu}{F_3}\right)^2 + \xi_\mu + \left(\Sigma(\xi_1) + \xi_3 \frac{l_3}{d_3}\right) \left(\frac{F_\mu}{F_3}\right)^2}},$$

wo bei  $l_3$ ,  $d_3$  und  $F_3$  Länge, Weite und Querschnitt der nach den Düsen führenden Zweigröhren, so  $\xi_3$  den Reibungscoefficienten und  $\Sigma(\xi_1)$  die Summe der übrigen Widerstandscoefficienten derselben bezeichnen, und daher das Windquantum reducirt auf die äußere Temperatur  $\tau$  und auf den äußeren Barometerstand  $b$ :

$$Q = \frac{1 + \delta\tau}{1 + \delta\tau_2} Q_1 = 1258 F_\mu \left(1 - 0,028 \frac{z}{b}\right) \frac{1 + \delta\tau}{1 + \delta\tau_2}.$$

$$\sqrt{\frac{(1 + \delta\tau_2) \frac{z}{b}}{1 - \left(\frac{F_\mu}{F_3}\right)^2 + \xi_\mu + \left(\Sigma(\xi_1) + \xi_3 \frac{l_3}{d_3}\right) \left(\frac{F_\mu}{F_3}\right)^2}} \text{ Cubikfuß}$$

$$= 1258 F_\mu \left(1 - 0,028 \frac{z}{b}\right) (1 + 0,00367 \tau).$$

$$\sqrt{\frac{\frac{z}{b}}{(1 + 0,00367 \tau_2) \left[1 - \left(\frac{F_\mu}{F_3}\right)^2 + \xi_\mu + \left(\Sigma(\xi_1) + \xi_3 \frac{l_3}{d_3}\right) \left(\frac{F_\mu}{F_3}\right)^2\right]}}$$

so daß nun bei gegebenem Windquantum der erforderliche Mündungsquerschnitt von jeder der  $n$  Düsen:

$$5) F_\mu = \frac{1 + 0,028 \frac{z}{b}}{1 + 0,00367 \tau}.$$

$$\sqrt{(1 + 0,00367 \tau_2) \left[1 - \left(\frac{F_\mu}{F_3}\right)^2 + \xi_\mu + \left(\Sigma(\xi_1) + \xi_3 \frac{l_3}{d_3}\right) \left(\frac{F_\mu}{F_3}\right)^2\right] \frac{b}{z} \cdot \frac{1}{n}} \cdot \frac{1}{1258} Q$$

Quadratfuß folgt.

Es ist also der Düsenmündung ein um so größerer Querschnitt zu geben, je niedriger die Temperatur  $\tau$  der äußeren Luft und je höher die Temperatur  $\tau_2$  des ausströmenden Windes ist.

Um über die Menge des durch das Gebläse in den Schmelzraum ein-  
geblasenen Sauerstoffs Vergleiche anstellen zu können, reducirt man das <sup>erhigte</sup>  
Windquantum auf Null Grad Wärme und auf den mittleren Barometer-<sup>Gebläseluft.</sup>  
stand  $b_0 = 28$  Zoll. Dieses reducirte Windquantum ist:

$$6) \quad Q_0 = \frac{1}{1 + \delta \tau_2} \cdot \frac{b}{b_0} \cdot Q_1 = \frac{1}{1 + \delta \tau} \cdot \frac{b}{b_0} Q.$$

§. 428. Um das Windquantum  $Q$  beim Durchströmen der Heizröhre  
von der Temperatur  $\tau_1$  auf die verlangte Temperatur  $\tau_2$  zu erhöhen, ist  
nöthig, derselben eine gewisse Oberfläche  $O$  zu geben. Wir haben in Bd. II,  
§. 375, nach Cavé angenommen, daß ein Quadratmeter Heizfläche stünd-  
lich 19 Pfund Dampf oder circa  $19 \cdot 600 = 11400$  Wärmeeinheiten,  
also pr. Minute  $\frac{11400}{60} = 190$  Wärmeeinheiten liefere; nach Walter  
(s. dessen Eisenhüttenkunde) soll man bei einem Winderhigungsapparat nur  
100 Wärmeeinheiten pr. Minute auf ein Quadratmeter Heizfläche rechnen.  
Da die specifische Wärme der Luft ein Viertel von der des Wassers ist, so  
erwärmt folglich 1 Quadratmeter Heizfläche 1 Kilogramm Luft pr. Mi-  
nute um  $4 \cdot 100 = 400$  Grad, oder  $\frac{4}{3}$  Kilogramm auf 300 Grad; nun  
wiegt aber 1 Cubikmeter unerhigte Luft ungefähr  $\frac{1000}{800} = \frac{5}{4}$  Kilo-  
gramm, folglich kann man mit 1 Quadratmeter Heizfläche,  $\frac{4}{3} \cdot \frac{4}{5}$   
 $+ \frac{16}{15}$ , d. i. circa 1 Cubikmeter Wind auf 300 Grad erhöhen.  
Da 1 Meter = 3,186 Fuß ist, so läßt sich daher auch annehmen, daß  
1 Quadratfuß Heizfläche hinreiche, um 3,186 Cubikfuß Wind zu erhöhen,  
oder daß zur Erhigung von 1 Cubikfuß Wind eine Erwärmungs-  
fläche von  $\frac{1}{3,186} = 0,314$  Quadratfuß nöthig sei.

Bezeichnen  $p_w$  den äußeren Perimeter und  $l_w$  den von außen mit war-  
mer Luft umgebenen Theil der Heizröhre, so hat man hiernach:

$$p_w l_w = 0,314 \cdot 60 Q = 18,84 Q,$$

oder allgemeiner

$$= 0,0628 (\tau_2 - \tau_1) Q$$

zu setzen, und hiernach die erforderliche Länge sämmtlicher Heizröhren zu-  
sammengenommen:

$$l_w = 0,0628 (\tau_2 - \tau_1) \frac{Q}{p_w}.$$

Ist der Querschnitt einer Heizröhre eine Ellipse mit den Halbaxen  $a_2$   
und  $b_2 = v a_2$ , so hat man den lichten Querschnitt einer Heizröhre:

$$F_2 = \pi a_2 b_2 = v \pi a_2^2,$$

und daher

Erhitzte  
Gebläseluft.

$$a_2 = \sqrt{\frac{F_2}{v\pi}}, \text{ sowie } b = v \sqrt{\frac{F_2}{v\pi}} = \sqrt{\frac{vF_2}{\pi}},$$

sowie den inneren Perimeter derselben (s. »Ingenieur« Seite 172)

$$p_2 = \pi (a_2 + b_2) \left[ 1 + \frac{1}{4} \left( \frac{a_2 - b_2}{a_2 + b_2} \right)^2 \right],$$

daher

$$\frac{p_2}{F_2} = \frac{a_2 + b_2}{a_2 b_2} \left[ 1 + \frac{1}{4} \left( \frac{a_2 - b_2}{a_2 + b_2} \right)^2 \right].$$

Der äußere Perimeter einer Heizröhre ist, bei der Wandstärke  $e_2$  derselben

$$p_w = \pi (a_2 + b_2 + 2e_2) \left( 1 + \frac{1}{4} \left( \frac{a_2 - b_2}{a_2 + b_2 + 2e} \right)^2 \right).$$

Beispiel. Wenn man bei der in den letzten Beispielen (§. 421 und §. 426) behandelten Windleitung eines Cylindergebläses noch einen Lusterhitzungsapparat, wie Fig. 855, mit sechs getrennten Röhrensträngen einschaltet, und den elliptischen Querschnitt eines solchen Röhrenstranges innerlich sechsmal so hoch als weit macht, so ist bei dem gegebenen Querschnitt von 1,781 Quadratfuß = 256,5 Quadrat Zoll der ganzen Leitungsröhre, und daher bei dem Querschnitt  $F_2 = \frac{256,5}{6} = 42,75$  Quadrat Zoll eines Röhrenstranges die innere Höhe desselben

$$2a_2 = 2 \sqrt{\frac{F_2}{v\pi}} = 2 \sqrt{\frac{42,75 \cdot 6}{\pi}} = 2 \sqrt{\frac{256,4}{\pi}} = 2 \cdot 9 = 18 \text{ Zoll}$$

und die Weite desselben:

$$2b_2 = 2 \cdot \frac{9}{6} = 2 \cdot \frac{3}{2} = 3 \text{ Zoll},$$

ferner der innere Perimeter

$$p_2 = \pi (a_2 + b_2) \left[ 1 + \frac{1}{4} \left( \frac{a_2 - b_2}{a_2 + b_2} \right)^2 \right] = 10,5 \pi \left[ 1 + \frac{1}{4} \left( \frac{7,5}{10,5} \right)^2 \right] \\ = 10,5 \cdot 1,1276 \pi = 11,84 \pi,$$

und daher das Verhältniß

$$\frac{p_2}{F_2} = \frac{11,84 \pi}{9 \cdot \frac{3}{2} \pi} = \frac{11,84 \cdot 2}{9 \cdot 3} = 0,877, \text{ für Zollmaß,}$$

also

$$\frac{p_2}{F_2} = 0,877 \cdot 12 = 10,524 \text{ für Fußmaß.}$$

Macht man die Wanddicke  $e_2 = \frac{2}{3}$  Zoll, so ist  $a_2 + b_2 + 2e = 11,53$  Zoll und daher der äußere Röhrenumfang

$$p_w = 11,53 \cdot \left[ 1 + \frac{1}{4} \left( \frac{7,5}{11,53} \right)^2 \right] \pi = 11,53 \cdot 1,1057 \pi = 40 \text{ Zoll} = 3,33 \text{ Fuß}$$

Erhitzt man den Wind um  $300^\circ$ , setzt man also  $\tau_2 - \tau_1 = 300$ , so ist, da das kalte Windquantum pr. Secunde  $Q = 53,44$  Cubikfuß ist, die erforderliche Länge der Heizfläche:

$$l_w = 0,0628 (\tau_2 - \tau_1) \frac{Q}{p_w} = 0,0628 \cdot 300 \cdot \frac{53,44}{3,33} = 302 \text{ Fuß.}$$

Hiernach ist die Länge des erhitzten Theiles eines Röhrenstranges:

$$\frac{l_w}{6} = \frac{302}{6} = 50,33 \text{ Fuß.}$$

Bewegung der Luft durch directes Zusammendrücken oder Ausdehnen. 1083

und daher die eines Röhrenstückes, da jeder Röhrenstrang aus sechs Stücken besteht,

$$\frac{50,33}{6} = 8,39 \text{ Fuß.}$$

Größe  
Gebirgsluft.

Wegen der nöthigen Einmauerung möchte aber diese Länge = 9,5 Fuß, folglich die ganze Länge des geraden Röhrenstückes =  $6 \cdot 9,5 = 57$  Fuß gemacht werden; und wenn nun noch die Länge eines kropfförmigen Verbindungsstückes =  $\pi \cdot 1,5 = 4,71$  Fuß, und folglich von allen fünf Kropfstücken, =  $5 \cdot 4,71 = 23,55$  Fuß mißt, so ist die ganze Länge eines der sechs Röhrenstränge

$$l_2 = 57 + 23,55 = 80,55 \text{ Fuß,}$$

und daher

$$\zeta_2 \frac{l_2}{d_2} = \zeta_2 \frac{p_2 l_2}{4 F_2} = 0,025 \cdot \frac{10,524 \cdot 80,55}{4} = 0,0658 \cdot 80,55 = 5,33.$$

Noch ist die Summe der Widerstandscoefficienten für die fünf Kropfstücke und zwei Kniestücke eines Stranges:

$$\Sigma(\zeta) = 5 \cdot 0,5 + 2 \cdot 1,25 = 5 \text{ zu setzen,}$$

daher folgt

$$\Sigma(\zeta) + \zeta_2 \frac{l_2}{d_2} = 5,33 + 5 = 10,33.$$

Ferner ist für  $r_1 = 15$  und  $r_2 = 300$ ,

$$\chi = \frac{1 + 0,00367 \cdot 300}{1 + 0,00367 \cdot 15} = \frac{2,101}{1,055} = 1,992,$$

$$\chi^2 - 1 = 2,968,$$

$$2 \chi^2 = 7,936,$$

$$\frac{\chi^2 + 1}{2} = 2,482,$$

und, wenn man von der Compression des Windes absteht, die Geschwindigkeit desselben beim Eintritt in die Heizröhren:

$$v_1 = \frac{Q}{F_1} = \frac{53,44}{1,717} = 31,125 \text{ Fuß,}$$

daher

$$\frac{v_1^2}{2g} = 0,016 \cdot (31,125)^2 = 15,501 \text{ Fuß}$$

und

$$\frac{v_1^2}{2g(b+h)} = \frac{15,501 \cdot 12}{32} = \frac{3}{8} 15,501 = 5,813.$$

Setzt man endlich noch das specifische Gewicht des Quecksilbers in Hinsicht auf die äußere Luft:

$$\epsilon = 13,6 \cdot 66 \cdot \frac{0,003059 \cdot 27}{1,055} = 11465$$

(s. Band I, S. 361), so folgt die Senkung des Manometerstandes des Windes beim Durchlaufen der Heizröhre:

$$y = \frac{\left[ \chi^2 - 1 + \left( \Sigma(\zeta) + \zeta_2 \frac{l_2}{d_2} \right) \frac{\chi^2 + 1}{2} \right] \frac{v_1^2}{2g}}{\epsilon - \left( 2 + \Sigma(\zeta) + \zeta_2 \frac{l_2}{d_2} \right) \chi^2 \frac{v_1^2}{2g(b+h)}} = \frac{(2,968 + 10,33 \cdot 2,482) \cdot 15,501}{11465 - 12,33 \cdot 3,968 \cdot 5,813}$$

$$= \frac{28,61 \cdot 15,501}{11465 - 254} = \frac{443,4}{11181} = 0,03966 \text{ Fuß} = 0,476 \text{ Zoll.}$$

Nun ist der Manometerstand des Windes beim Austritt aus dem Erhigungsapparate:

Geht die  
Gebläseluft.  $z = h - y - \left(1 + \zeta_0 + \zeta_1 \frac{l_1}{d_1}\right) \frac{v_1^2}{2g} = 5 - 0,476 - \left(1,5 + 0,025 \cdot \frac{15}{1,5}\right) \cdot \frac{15,50}{11465}$   
 $= 4,524 - 1,75 \cdot 0,001352 = 4,522,$   
daher

$$1 + 0,028 \frac{z}{b} = 1 + 0,028 \cdot \frac{4,527}{27} = 1,0047,$$

und der erforderliche Querschnitt einer Düsenmündung ohne Berücksichtigung der Widerstände in den Zweigröhren:

$$F_\mu = \frac{1 + 0,028 \frac{z}{b}}{1 + 0,00367 \tau} \sqrt{(1 + 0,00367 \tau) \frac{b}{z} \cdot \frac{Q}{1258 \mu n}}$$

$$= \frac{1,0047}{1,055} \sqrt{\frac{2,101 \cdot 27}{4,522} \cdot \frac{0,01416}{0,92}} = 0,05189 \text{ Quadratfuß}$$

$$= 7,472 \text{ Quadratzoll}$$

sowie der entsprechende Durchmesser

$$d_\mu = 3,084 \text{ Zoll.}$$

Nun ist  $\left(\frac{F_\mu}{F_3}\right)^2 = \left(\frac{7,472}{85,5}\right)^2 = 0,007637$ , und

$$\Sigma(\zeta_1) + \zeta \frac{l_3}{d_3} = 2 + 0,025 \cdot \frac{30}{0,87} = 2,862,$$

wie im vorigen Beispiele, daher folgt

$$\frac{1 - \left(\frac{F_\mu}{F_3}\right)^2 + \zeta_\mu + \left[\Sigma(\zeta_1) + \zeta_3 \frac{l_3}{d_3}\right] \left(\frac{F_\mu}{F_3}\right)^2}{1 + \zeta_\mu} = \frac{1,1814 - 0,00764 + 2,862 \cdot 0,00764}{1,1814} = \frac{1,1956}{1,1814} = 1,012;$$

und der gesuchte Düsenmündungsquerschnitt, mit Berücksichtigung der Nebenhindernisse:

$$F_\mu = 7,472 \sqrt{1,012} = 7,517 \text{ Quadratzoll,}$$

sowie der entsprechende Mündungsdurchmesser:

$$d_\mu = 3,094 \text{ Zoll.}$$

Dimensionen  
eines Kolben-  
gebläses.

§. 429. Um ein Kolbengebläse construiren zu können, muß von dem Metallurgen u. s. w. das zu liefernde Windquantum  $Q$  und die erforderliche Windpressung oder der Manometerstand  $h$  gegeben sein. Unter der Windpressung versteht man gewöhnlich den Ueberdruck des Windes über den Atmosphärendruck. Bezeichnet  $h$  den Manometerstand und  $\gamma$  die Dichtigkeit der Manometerfüllung, so ist die Windpressung

$$p_1 - p = h \gamma.$$

Besteht die Manometerfüllung aus Quecksilber, und giebt man  $h$  in Zollen, so hat man die Windpressung pr. Quadratzoll:

$$p_1 - p = 0,520 h \text{ Pfund,}$$

und daher umgekehrt,

$$h = 1,923 (p_1 - p) \text{ Zoll.}$$

Bei einem Wassermanometer hat man

$$p_1 - p = 0,03825 h \text{ Pfund,}$$



Fortbewegung der Luft durch directes Zusammendrücken oder Ausdehnen und umgekehrt,

$$h = 26,14 (p - p_1) \text{ Zoll.}$$

Bei den Schachthöfen zur Kupfererzeugung ist

$$h = 1\frac{1}{2} \text{ Zoll Quecksilber}$$

oder

$$p_1 - p = 0,78 \text{ Pfund,}$$

bei Hohöfen zur Roheisenerzeugung mittels Holzkohlen

$$h = 1\frac{1}{2} \text{ bis } 2\frac{1}{2} \text{ Zoll}$$

oder

$$p_1 - p = 0,786 \text{ bis } 1,30 \text{ Pfund}$$

bei solchen mittels leichten Coaks

$$h = 3 \text{ bis } 5 \text{ Zoll}$$

oder

$$p_1 - p = 1,56 \text{ bis } 2,60 \text{ Pfund,}$$

und solchen mittels dichten Coaks oder Anthracits,

$$h = 6 \text{ bis } 7 \text{ Zoll}$$

oder

$$p_1 - p = 3,12 \text{ bis } 3,64 \text{ Pfund.}$$

Die mittlere Windmenge ist für einen Schachthofen zur Kupfergewinnung pr. Minute

$$60 Q = 200 \text{ Cubikfuß,}$$

für einen Holzkohlen-Eisenhohofen pr. Minute

$$60 Q = 500 \text{ bis } 1500 \text{ Cubikfuß,}$$

und einen Coakshohofen pr. Minute

$$60 Q = 2000 \text{ bis } 5000 \text{ Cubikfuß.}$$

Bezeichnet  $F$  den Inhalt der Kolbenfläche, sowie  $s$  die Größe des Hubes, und  $n$  die Anzahl der Cylinderfüllungen, welche das Kolben pr. Minute ausbläst, so hat man auch

$$Q = \frac{n F s}{60};$$

da aber die effective Windmenge nur 60 bis 70 Proc. der theoretischen Windmenge ist, so muß man

$$Q = 0,60 \cdot \frac{n F s}{60} \text{ bis } 0,75 \frac{n F s}{60}$$

setzen, oder allgemein, wenn der Ausblascoefficient oder das Verhältniß (0,60 bis 0,75) der ausgeblasenen Windmenge zur theoretisch eingestellten durch  $\psi$  bezeichnet wird,

$$Q = \psi \cdot \frac{n F s}{60};$$

auch ist

$$Q = \psi \cdot \frac{n_1 n_2 F s}{60},$$

wenn das Gebläse aus  $n_1$  einfach-wirkenden Kolben besteht, wovon pr. Minute  $n_2$  Spiele macht, dagegen

$$Q = \psi \cdot \frac{n_1 n_2 F s}{30},$$



Dimensionen  
der Kolben-  
gebläse.

wenn das Gebläse aus  $n_1$  doppelt-wirkenden, pr. Minute  $n_2$  Spiele machenden Kolben besteht (s. §. 415).

Nun ist aber auch  $\frac{2 n s_2}{60} = v$  die mittlere Kolbengeschwindigkeit, daher läßt sich auch im ersten Falle

$$Q = \psi \cdot \frac{n_1 F v}{2},$$

und im zweiten

$$Q = \psi \cdot n_1 F v$$

sehen.

Die mittlere Kolbengeschwindigkeit ist bei unvollkommenen, namentlich bei Balgen- und Kasten-gebläsen, sowie Wetterfaugern und bei Cylinder-gebläsen mit engen Luftcanälen und engen Windleitungen,  $v = 2$  bis 3 Fuß, bei vollkommeneren Gebläsen, namentlich bei solchen, welche weite Ventilmündungen und weite Windleitungen haben, steigert man  $v$  auf 4 bis 5 Fuß; endlich bei Schiebergebläsen und Ventilgebläsen, welche durch Hochdruckdampfmaschinen bewegt werden, wendet man mittlere Kolbengeschwindigkeiten von 6 bis 10 Fuß an. Aus der angenommenen Geschwindigkeit  $v$  folgt nun der Inhalt der Kolbenflächen

$$n_1 F = \frac{2 Q}{\psi v}$$

für einfach-wirkende, und

$$n_1 F = \frac{Q}{\psi v}$$

für doppelt-wirkende Gebläsemaschinen.

Die Anzahl  $n_1$  der Gebläsecylinder, welche den Wind in einen gemeinschaftlichen Regulator blasen, ist bei einfacher Wirkung der Kolben gewöhnlich 2 bis 4, und bei doppelter Wirkung 1 bis 2. Aus  $n_1$  folgt dann die Kolbenfläche  $F$  und der entsprechende Kolbendurchmesser

$$d = \sqrt{\frac{4 F}{\pi}} = \sqrt{\frac{8 Q}{\psi \pi n_1 v}} = 1,596 \sqrt{\frac{Q}{\psi n_1 v}},$$

bei einfacher, und

$$d = \sqrt{\frac{4 F}{\pi}} = \sqrt{\frac{4 Q}{\psi \pi n_1 v}} = 1,1284 \sqrt{\frac{Q}{\psi n_1 v}}$$

bei doppelter Wirkung.

Führt man  $\psi = 0,675$  ein, so erhält man für den ersten Fall:

$$d = 1,942 \sqrt{\frac{Q}{n_1 v}} \text{ Fuß} = 23,31 \sqrt{\frac{Q}{n_1 v}} \text{ Zoll},$$

und für den zweiten:

$$d = 1,373 \sqrt{\frac{Q}{n_1 v}} \text{ Fuß} = 16,49 \sqrt{\frac{Q}{n_1 v}} \text{ Zoll}.$$



Dimensionen  
der Kolben-  
gebläse.

nur bei kleinen Pressungen mit Vortheil anwenden, eignen sich daher nicht zum Hohofenbetriebe, zumal nicht zur Erzeugung von Roheisen mittels Coaks.

Die Querschnitte der Mündungen zum Einsaugen und Ausblasen sind der Größe der Kolbenfläche und der Kolbengeschwindigkeit anzumessen. Bei langsam gehenden Balgen und Kasten-gebläsen, ist, wenn  $F$  den Inhalt der Kolbenfläche bezeichnet, der Querschnitt der Saugmündungen  $\frac{F}{15}$  bis  $\frac{F}{12}$ , bei Cylindergebläsen von mittlerer Geschwindigkeit ist dieser Querschnitt  $\frac{F}{10}$  bis  $\frac{F}{6}$ ; bei schnell gehenden Cylindergebläsen macht man ihn sogar  $\frac{F}{4}$  bis  $\frac{F}{2}$ . Die Querschnitte der Blasenmündungen können ansehnlich kleiner sein; bei langsam gehenden Gebläsen ist der Querschnitt der Blasenmündungen  $= \frac{F}{24}$  bis  $\frac{F}{18}$ , bei mäßig schnell gehenden Gebläsen ist derselbe  $\frac{F}{16}$  bis  $\frac{F}{12}$ , bei sehr schnell gehenden Gebläsemaschinen sogar  $\frac{F}{8}$  bis  $\frac{F}{6}$ . Damit sich die diese Mündungen bedeckenden Ventile schnell öffnen und schließen, muß man ihnen eine kleine Breite geben, und sie deshalb in größerer Anzahl anwenden. Uebrigens erhalten sie einen Anschlag von  $\frac{1}{2}$  bis 1 Zoll Breite.

Bei den Schiebergebläsen dienen die Saugmündungen auch als Blasenmündungen; ihr Inhalt ist  $\frac{F}{6}$  bis  $\frac{F}{10}$ . Die Weite der Windleitungen ist nach der in §. 411 gegebenen Regel zu bestimmen, bei langsam gehenden Gebläsen ist der Querschnitt derselben  $\frac{F_v}{25}$  bis  $\frac{F_v}{20}$ , bei solchen mit mittlerer Geschwindigkeit  $\frac{F_v}{18}$  bis  $\frac{F_v}{12}$  und bei sehr schnell gehenden Gebläsen  $\frac{F_v}{10}$  bis  $\frac{F_v}{5}$ , wobei  $F_v$  die Summe der Flächeninhalte von den gleichzeitig blasenden Kolben bezeichnet.

Wenn eine Windleitung erhitzte Luft von der Temperatur  $\tau_2$  fortführt, so muß man ihren Querschnitt circa  $\left( \frac{1 + 0,004 \tau_2}{1 + 0,004 \tau_1} \right)$  mal so groß machen als den der Windleitung für unerhitzte Luft. Dieselbe Regel kann man auch für die Summe der Querschnitte der Winderhitzungsrohre in Anwendung bringen. Die Länge dieser Röhren ist nach der in §. 428 entwickelten Formel u. s. w. zu bestimmen.

Der Brennstoffaufwand zur Erzeugung der heißen Luft ist wie folgt:

ermitteln. Ein Pfund Kohle liefert bei der Verbrennung 6000 Wärme-  
einheiten, erhöht also, wenn die specifische Wärme der Luft 1 Viertel gesetzt  
wird,  $6000 \cdot 4 = 24000$  Pfund Luft um 1 Grad, oder 80 Pfund

Dimensionen  
der Kolben-  
gebläse.

$$= \frac{80 \cdot 800}{66} = 970 \text{ Cubikfuß Luft um 300 Grad. Es erfordert also}$$

ein Cubikfuß Luft zu seiner Erhitzung auf 300 Grad,  $\frac{1}{970} = 0,001266$   
Pfund Kohle. Nach vielfachen Erfahrungen lassen sich aber in dem Luft-  
erhitzungsapparat nur 50 Procent der Verbrennungswärme nutzbar machen,  
daher ist zur Erwärmung von 1 Cubikfuß Luft die Kohlenmenge von 0,00253  
Pfund nöthig. Setzt man die Luftmenge  $= Q$  Cubikfuß und die Brenn-  
stoffmenge  $= K$ , so ist hiernach für Steinkohlen

$$K = 0,00253 Q,$$

oder allgemeiner,

$$K = 0,00000843 (\tau_1 - \tau) Q,$$

dagegen für Holz,

$$K = 0,000004215 (\tau_1 - \tau) Q$$

zu setzen.

Zur Bestimmung des erforderlichen Düsenmündungsquerschnitts, giebt  
§. 425 u. f. w. die nöthige Anleitung.

Der Wirkungsgrad eines Kolbengebläses ist, mit Einschluß des Wind-  
verlustes durch die Ventile u. f. w.

$$\eta = 0,40 \text{ bis } 0,60$$

zu setzen, wonach sich nun die erforderliche Leistung der Kraft- und Zwi-  
schenmaschine mittels der Formel

$$L = \left[ 1 - 0,3521 \left( \frac{h}{b} \right) + 0,2000 \left( \frac{h}{b} \right)^2 \right] \frac{Q h \gamma}{\eta}$$

bestimmen läßt, in welcher  $b$  den Barometerstand,  $h$  den Manometerstand  
im Regulator,  $Q = \frac{n F s}{60}$ , das geometrisch bestimmte Windquantum pr.

Secunde und  $\gamma$  die Dichtigkeit der Manometerfüllung bezeichnen.

Beispiel. Um ein Paar Hohöfen mit dem Windquantum  $60 Q = 4000$   
Cubikfuß pr. Minute von 2,5 Pfund Ueberdruck zu versorgen, soll ein doppelt-  
wirkendes Cylindergebläse mit einem Cylinder in Anwendung kommen, und sol-  
len dessen Dimensionen und anderen mechanischen Verhältnisse im Folgenden  
ermittelt werden.

Die effective Windmenge zu 67,5 Procent des geometrisch bestimmten Wind-  
quantums, also  $\psi = 0,675$ , und die mittlere Kolbengeschwindigkeit  $v = 5$  Fuß  
angenommen, folgt die nöthige Fläche des Gebläsekolbens:

$$F = \frac{Q}{\psi v} = \frac{4000}{0,675 \cdot 60 \cdot 5} = \frac{40}{2,025} = 19,75 \text{ Quadratfuß}$$

$$= 2844 \text{ Quadrat Zoll,}$$

und der entsprechende Kolbendurchmesser

$$d = \sqrt{\frac{4 F}{\pi}} = 5,015 \text{ Fuß} = 60,2 \text{ Zoll,}$$

Dimensionen  
der Kolben-  
gebläse.

wofür wir aber, der Einfachheit wegen, genau 5 Fuß = 60 Zoll annehmen wollen. Bei einem Hub von 6 Fuß ist die Anzahl der Kolbenspiele pr. Minute,

$$n_2 = \frac{30 v}{s} = \frac{30 \cdot 5}{6} = 25.$$

Den Querschnitt der Saugmündungen kann man  $= \frac{F}{6} = \frac{2270}{6} = 378$  Quadrat Zoll annehmen. Bei drei quadratischen Saugmündungen, ähnlich zu das Gebläse in Fig. 836 darstellt, kann man einer solchen Mündung eine Seitenlänge von 12 Zoll geben, und in jede zwei Klappventile einhängen; für die Mündungen der Druck- oder Blaseventile genügt hingegen der Mündungsquerschnitt  $\frac{F}{8} = \frac{2270}{8} = 284$  Quadrat Zoll. Wendet man zwei solche Blasemündungen von je 24 Zoll Länge und 6 Zoll Breite an, so erhält man diesen Querschnitt  $= 2 \cdot 24 \cdot 6 = 2 \cdot 144 = 288$  Quadrat Zoll. Den Querschnitt der Windleitung für kalten Wind  $= \frac{F_v}{10} = \frac{F}{10} = 227$  Quadrat Zoll angenommen, erhält man einen Röhrendurchmesser von 17 Zoll und eine Windgeschwindigkeit in derselben von  $5 \cdot 10 = 50$  Fuß. Bei Anwendung von bis 200 Grad erhitztem Wind ist den Heizröhren und den Röhren zur Fortleitung dieses Windes der Querschnitt von  $(1 + 0,004 \cdot 200) \cdot 227 = 1,8 \cdot 227 = 408,6$  Quadrat Zoll und der Durchmesser von 23 Zoll zu geben.

Die erforderliche Leistung der Umtriebsmaschine ist, wenn man den äußeren Luftdruck pr. Quadrat Zoll 14,5 Pfund, und daher  $\frac{h}{b} = \frac{2,5}{14,5} = 0,1728$  jezt  $h\gamma = 2,5$  Pfund einführt, und den Wirkungsgrad  $\eta = 0,50$  annimmt:

$$\begin{aligned} L &= \left[ 1 - 0,3521 \frac{h}{b} + 0,2000 \left( \frac{h}{b} \right)^2 \right] \cdot \frac{F v h \gamma}{\eta} \\ &= (1 - 0,3521 \cdot 0,1728 + 0,2000 \cdot 0,02986) \cdot \frac{144 \cdot 19,75 \cdot 5 \cdot 2,5}{0,5} \\ &= (1 - 0,0608 + 0,0060) \cdot 71100 = 0,9452 \cdot 71100 = 67214 \text{ Fußpfund} \\ &= 131,8 \text{ Pferdekraft.} \end{aligned}$$

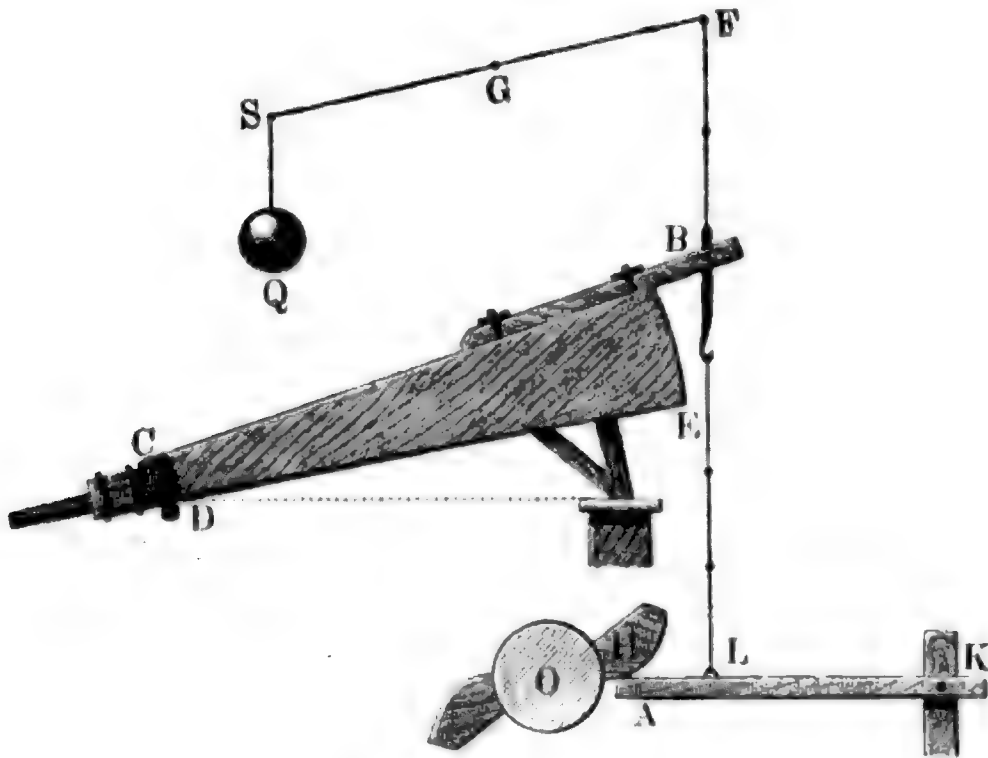
Umtriebs-  
maschinen  
der Gebläse.

§. 430. Die Verbindung eines Kolbengebläses mit der Umtriebsmaschine ist im Wesentlichen dieselbe wie bei den Wasserpumpen und anderen Arbeitsmaschinen mit hin- und hergehender Bewegung, nur findet insofern ein Unterschied zwischen den Kolbengebläsen (Luftpumpen) und den Wasserpumpen (Pumpen) statt, als die ersteren mit einer zwei- bis drei- bis viermal so großen Geschwindigkeit arbeiten als die letzteren. Je nach der Art der Umtriebskraft hat man entweder Hand- und Trittsgebläse, oder Wasserrad- und Turbinengebläse, oder Dampfgebläse u. s. w. Die durch die menschliche Kraft in Bewegung gesetzten Gebläse sind gewöhnlich nur kleine Lederbalgen, und je nachdem sie mit der Hand oder mit den Füßen bewegt werden, entweder Handbalgen oder Trittbalgen. Sie werden entweder unmittelbar oder mittels eines Hebels von der menschlichen Kraft in Bewegung gesetzt. Beispiele dieser Bewegungsmechanismen bieten die in Fig. 834 und Fig. 835 abgebildeten Balgen.

Größere Holz- und Lederbalgen werden in der Regel durch ein Wasserrad und zwar mittels Hebedaumen oder Wellfüße in Bewegung gesetzt. Die letzteren sitzen an der Wasserradwelle fest, und wirken entweder direct oder mittels eines Hebels auf den um eine horizontale Ase drehbaren, entweder den Boden oder den Deckel des Balgens bildenden Gebläsekolben. Die erstere Wirkungsweise ist aus der Abbildung in Fig. 834 zu ersehen; dieselbe ist dann anzuwenden, wenn die Ase der Wasserradwelle nahe im Niveau des Gebläsekolbens liegt; befindet sich aber die Wasserradwelle *O*, Fig. 870, tiefer oder höher als der Kolben *BC*, so ist es nöthig, den

Umtriebs-  
maschinen  
der Gebläse.

Fig. 870.



Wellfuß *H* auf einen einarmigen Hebel *A-K* wirken zu lassen, welcher durch eine senkrechte Zugstange *B-L* mit dem beweglichen Balgenboden oder Deckel verbunden ist. Der Wellfuß bewegt den Balgenkasten *B-C-E* nur nach der einen Richtung, z. B. hier abwärts; damit aber derselbe wieder zurückgehen kann und hierbei von neuen Luft einsaugt, ist noch ein Gegengewicht *Q* und zwar hier durch einen Hebel *F-G-S*, mit dem Balgenkasten zu verbinden. In der Regel hat man zwei solcher Balgen vor einem Ofen liegen; dieselben werden dann durch die Welle *O* abwechselnd auf- und niederbewegt, und sind zuweilen, um die Gegengewichte zu ersparen, durch einen gleicharmigen Hebel, ähnlich wie Fig. 767, mit einander gekuppelt.

Die einfachwirkenden Kasten- und Cylindergebläse werden in der Regel durch auf der Wasserradwelle sitzende Wellfüße oder Excentriks in Bewegung gesetzt, z. B. das in Fig. 830 abgebildete Gerstner'sche Lastengebläse und das in Fig. 833 abgebildete Cylindergebläse von Fouriet.









kleinen Cylindergebläse vor Augen. Dasselbe dient auf der Kreuzburger Hütte in Oberschlesien zur Windversorgung für den Frischfeuerbetrieb und besteht aus zwei doppeltwirkenden Gebläsekolben von 24 Zoll Durchmesser und 30 Zoll Hub. Man sieht in *BB* das als Umtriebsmaschine dienende eiserne Wasserrad, in *A* den Wassereinlauf für dasselbe, und in *C* die in Krummzapfen, wie *DE*, auslaufende Wasserradwelle. Zwei gußeiserne Armkreuze, wie *R*, verbinden das Rad mit der Welle, und zwei gußeiserne Böcke, wie *O*, dienen zur Unterstützung der Zapfenlager. Die beiden Gebläsecylinder *X, X* ruhen auf Balken *S* und *T*, welche durch andere Böcke *PQ, PQ* unterstützt werden, und die Gebläsekolben *K* erhalten mittels der Kurbelstange *EF*, welche unten an die Kurbeln und oben an die, die senkrechten Leitstangen erfassenden Querköpfe *GG* der Kolbenstangen angeschlossen sind, die erforderliche auf- und niedergehende Bewegung. Noch sieht man bei *V, V*, die Saug-, sowie bei *W, W*, die Blaseventile, sowie in *LMN* die Windleitung, in *w, w* Gegengewichte für die unteren Blaseventile und in *H* die Stopfbüchse für die durch den Boden des Gebläsecylinders gehende Kolbenstange *KF*.

§. 431. Bei den durch die Dampfkraft in Bewegung gesetzten Cylindergebläsen ist deshalb die directe Uebertragung der Dampfkraft auf den Gebläsekolben ohne Nachtheile zu bewirken, weil beide Maschinen, das Cylindergebläse und die Dampfmaschinen, bei derselben Geschwindigkeit fast gleich vortheilhaft arbeiten. Deshalb werden jetzt nur noch selten und nur unter besonderen Umständen Dampfmaschinengebläse mit Zahnradvorgelegen in Anwendung gebracht, wohl aber verbindet man zur Erzielung eines gleichmäßigen Ganges mit Hülfe eines Krummzapfenmechanismus gewöhnlich noch ein rotirendes Schwungrad mit der ganzen Gebläsemaschine. Ist das Cylindergebläse ein stehendes, so stellt man die Cylinder von beiden Maschinen entweder über- oder nebeneinander; im ersteren Falle haben dieselben eine gemeinschaftliche Kolbenstange, im zweiten Falle hat dagegen jede Maschine eine besondere Kolbenstange, und es sind dieselben durch einen Hebel oder Balancier mit einander verbunden. Liegende Cylindergebläse werden in der Regel direct an die umtreibende, ebenfalls liegende Dampfmaschine angeschlossen und erhalten zur Ausgleichung der veränderlichen Kraft meist ebenfalls ein umlaufendes Schwungrad.

Einige Skizzen von diesen verschiedenen Dampfmaschinen-Gebläsen bieten die Abbildungen in Fig. 875, 876, 877 und 878 (a. ff. S.) dar.

Fig. 875 (a. f. S.) ist die Skizze von einem stehenden Cylindergebläse mit Zahnradvorgelege und liegendem Dampfzylinder *M*. Die Kolbenstange *PQ* der Dampfmaschine setzt mittels der Kurbelstange *QR* und der Kurbel *CR* die Welle *C* mit dem Schwungrade *SS* in Umdrehung, und













des Kurbelmechanismus  $GHO$  an ein um die Ase  $O$  drehbares Schwungrad  $SSS$  umdreht. Das eigentliche Gebläse ist ähnlich wie Fig. 836 darstellt und sich aus §. 406 ersehen läßt, eingerichtet. Damit sich der an die Kolbenstange  $KL$  angeschlossene Balancierkopf  $B$  nahe senkrecht auf- und niederbewegen könne, ist er mit einem um  $M$  drehbaren Gegenlenker  $FM$  versehen und von einem um  $E$  drehbaren Träger  $DE$  (ähnlich wie Fig. 272, §. 133) unterstützt. Der Gebläsecylinder  $G$  ruht auf gußeisernen Trägern  $B_1, B_1$ , und drückt den Wind durch die Hälse  $L_1, L_2$  in die Windleitung  $W_1$ . Der durch das Dampfrohr  $D_1$  zugeführte Dampf tritt zunächst in die mit beiden Ventilkammern  $V$  und  $W$  communicirende Röhre  $A$ , und strömt dann durch das eine oder andere Admissionsventil in den Cylinder  $C$ ; wogegen er nach vollbrachter Wirkung in die Röhre  $J$  gelangt und von da mittels der Röhre  $D_2$  in den Condensator geführt wird. Der (nicht abgebildete) Condensator steht sammt der Luft- und Warmwasserpumpe  $Q$  in dem Wasserbassin  $R$ , welches mittels der an der Stange  $O$  angeschlossenen Pumpe mit kaltem Wasser versorgt wird. Von den beiden anderen Stangen  $N$  und  $P$ , welche vom Balancier  $BD$  auf- und niederbewegt werden, setzt die eine die Speise- und die andere die Luft- und Warmwasserpumpe in Bewegung. Die äußere Steuerung der Dampfmaschine besteht aus einer Welle, welche durch die Zahnräder  $T, U$  und  $X$  an die Schwungradwelle  $O$  angeschlossen ist, und mittels vier Excentriks  $E_1$  die Stangen  $Y, Y_1$  und  $Z, Z_1$  bewegt, wodurch sowohl die beiden Ventile in der oberen als auch die in der unteren Dampfammer in der erforderlichen Folge eröffnet und verschlossen werden. (Vergl. Bd. II, Fig. 658, §. 413, sowie Fig. 694 und 695, §. 426.)

Vom Herrn Fabrikdirector E. Schmidt in Breslau sind in der neuesten Zeit mehrere stehende Schiebergebläse construirt worden, deren zum Theil eigenthümliche Einrichtung aus der monodimetrischen Abbildung in Fig. 881 (a. f. S.) zu ersehen ist. Der Dampfcylinder  $AB$  steht hier unmittelbar auf dem Gebläsecylinder  $LL$ , und der letztere ist, wie beim Schiebergebläse von Slate (s. Fig. 846) oben und unten mit, den ganzen Umkreis einnehmenden Oeffnungen  $UU$  und  $VV$  versehen. Der Gebläseschieber  $MM$  besteht aus zwei gußeisernen Ringstücken und einem beide verbindenden Mantel aus Eisenblech. Um das Gewicht desselben durch den Druck des eingeschlossenen Windes auszugleichen, hat der obere Ring  $WW$  eine größere Breite erhalten als der untere Ring  $XX$ . Jeder dieser Ringe schließt noch einen Liderungskranz ein, welcher mittels Keile und Schrauben gegen die abgedrehten Ringflächen, nahe am Deckel und Boden des Gebläsecylinders angebrückt werden, so daß ein luftdichter Abschluß entsteht. Der aus dem Gebläse in den Schieberraum tretende Wind wird durch zwei mit dem Schiebermantel fest verbundene Kropfröhren, welche sich mittels Stopf-



büchsen in den kurzen Ansaßröhren  $Q, Q$  der Windleitung  $R R$  verschieben lassen, in die letztere geleitet. Bei der abgebildeten Schieberstellung saugt der niedergehende Gebläsekolben Luft durch die Mündungen  $UU$  an, und drückt den Wind durch die Mündungen  $VV$  in den Schieberaum u. s. w. Steht der Schieber oben und geht der Kolben aufwärts, so findet natürlich Einsaugen durch  $VV$  und Ausblasen durch  $UU$  statt. Die Kolbenstange  $CE$  der Dampfmaschine und die beiden Kolbenstangen  $KJ, KJ$  des Gebläses sind durch einen langen Querarm mit einander verbunden, und an dessen Enden sind die Kurbelstangen  $FG, FG$  angeschlossen, welche die Schwungräder  $H, H$  mit der ganzen Gebläsemaschine in Verbindung setzen. Der Gebläsecylinder ruht auf dem cylindrischen Fußgestelle  $NN$ , durch welches die Schwungradwelle hindurchgeführt ist. Die Bewegung des Schiebers geschieht durch zwei auf dieser Welle sitzende Excentriks wie  $Y$  und zwei Stangen wie  $YZ$ , welche das Haupt des Schiebers mittels Bolzen, wie  $Z$  ergreifen. Der in der Dampfkammer  $S$  eingeschlossene Dampfschieber wird mittels eines Hebelmechanismus  $T$  u. s. w. an die Bolzen  $Z, Z$  des Gebläseschiebers angeschlossen und daher mit diesem auf- und niederbewegt. Auf der Walterhütte zu Nikolai in Oberschlesien (s. die Zeitschrift des Vereins deutscher Ingenieure, Band 2) versorgen zwei solche durch eine gemeinschaftliche Schwungradwelle zusammengekuppelte Gebläse von je 5 Fuß Durchmesser und 4 Fuß Hub, bei 26 Umgängen, zwei Coaks-Eisenhohöfen mit 5000 Cubikfuß Wind pr. Minute von  $2\frac{1}{2}$  Pfund Ueberdruck, wobei die Dampfmaschine mit fünffacher Expansion arbeitet.

Ähnliche Gebläse sind auch in England für die East India Iron Company nach den Zeichnungen von E. A. Comper, in der Maschinenbauanstalt von James Watt u. Comp. construirt worden.

§. 433. Die specielle Einrichtung eines liegenden Schiebergebläses von M. M. Thomas und Laurens, dessen Cylinder Fig. 844 im Querschnitt darstellt, ist aus der Seitenansicht in Fig. 882 (a. f. S.) zu ersehen. Es ist  $A$  der Dampfcylinder,  $B$  die Dampfkammer, sowie  $C$  der Gebläsecylinder und  $F$  der Gebläseschieber; ferner zeigt  $P$  die Kolbenstange der Dampfmaschine, sowie  $K$  die des Gebläses, und  $LML$  eine Gabel, welche beide Stangen mit einander verbindet und die Schwungradwelle umschließt. Diese Welle ist mittels der Kurbel  $DN$  und der Kurbelstange  $MN$  an die Traverse  $M$  angeschlossen, welche in einer horizontalen Leitung gleitet. Auf der Welle  $D$  sitzen drei Excentriks  $E, H$  und  $Q$ , wovon das erstere den Dampf- sowie das zweite den Gebläseschieber und das dritte die Kolbenstange  $QS$  der Luft- und Warmwasserpumpe  $X$  in Bewegung setzt. Die letztere ist doppelt-wirkend und communicirt mit dem Condensator  $W$  durch die beiden Saugventile  $Y, Y_1$ , sowie mit dem Reservoir  $T$  durch die Druck-









§. 434. Die Kraftverluste, welche die Zwischen- und Hülfsmaschinen eines Gebläses verursachen, wie z. B. die Reibungen an der Kurbel, an den Stangenleitungen, Zahnrädern u. s. w., sind nach den in der ersten Abtheilung dieses Bandes enthaltenen Regeln zu berechnen, und es läßt sich hiernach auch außer dem nach den in Band II. enthaltenen Anleitungen zu bestimmenden Wirkungsgrade  $\eta_3$  der Umtriebsmaschine auch der Wirkungsgrad  $\eta_2$  der Zwischenmaschine ermitteln, und wenn man noch den Wirkungsgrad  $\eta_1$  des eigentlichen Gebläses oder der Arbeitsmaschine bestimmt, so ist es endlich auch möglich, den Wirkungsgrad  $\eta = \eta_1 \eta_2 \eta_3$  der vollständigen Gebläsemaschine anzugeben, und hiernach das letztere anzuordnen und zu berechnen.

Ist die Umtriebsmaschine ein Wasserrad,  $Q_1$  das Aufschlagquantum pr. Secunde,  $h_1$  das Gefälle und  $\gamma_1$  die Dichtigkeit des Wassers, ferner  $Q$  das auszublasende Windquantum, gemessen unter dem äußeren Drucke und unter der äußeren Temperatur,  $h$  der Manometerstand und  $\gamma$  die Manometerfüllung, so hat man dem Obigen zu Folge,

$$\eta Q_1 h_1 \gamma_1 = \left[ 1 - 0,3521 \frac{h}{b} + 0,2000 \left( \frac{h}{b} \right)^2 \right] Q h \gamma,$$

und es läßt sich hiernach das zur Erzeugung einer gegebenen Windmenge von gegebener Pressung nöthige Aufschlagquantum

$$Q_1 = \left[ 1 - 0,3521 \frac{h}{b} + 0,2000 \left( \frac{h}{b} \right)^2 \right] \frac{Q h \gamma}{\eta h_1 \gamma_1}$$

berechnen.

Uebrigens ist  $Q = \chi \frac{n F s}{60}$ , und insbesondere  $Q$  entweder

$$= \chi \frac{n_1 n_2}{60} F s = \chi n_1 \frac{F v}{2} \text{ oder } = \chi \frac{n_1 n_2}{30} F s = \chi n_1 F v$$

zu setzen, je nachdem das Gebläse aus  $n_1$  einfach-wirkenden oder aus  $n_1$  doppelt-wirkenden Gebläsekolben besteht, wobei  $\chi$  den Windcoefficienten (s. §. 418),  $F$  die Größe der Kolbenfläche,  $s$  den Kolbenhub,  $v$  die Kolbengeschwindigkeit und  $n_2$  die Anzahl der Spiele eines Gebläsekolbens pr. Minute bezeichnen. Aus der gegebenen Umdrehungszahl  $u$  des als Umtriebsmaschine dienenden Wasserrades läßt sich nun noch das erforderliche Umsehungsverhältniß des Vorgeleges

$$\psi = \frac{n_2}{u} = \frac{r_1}{r}$$

berechnen, wonach sich nun auch die nöthigen Bestimmungen in Betreff der Halbmesser  $r$  und  $r_1$  sowie der Zähnezahlen der Vorgelegsräder (s. §. 26 u. s. w.) machen lassen. Die nöthige Dimensionen und Verhältnisse des Wasserrades ergeben sich natürlich aus  $Q_1$  und  $u$  (s. Band II, §. 153 u. s. w.)

Dient eine Dampfmaschine zum Umtriebe eines Kolbengebläses, so ist die Anordnung und Berechnung der ganzen Gebläsemaschine insofern

Umtriebskraft  
des Gebläse.

noch einfacher, als hier in der Regel eine directe Uebertragung der Dampfkraft auf das Gebläse statthat. Es ist hier der Wirkungsgrad der Dampfmaschine  $\eta = \eta_1 \eta_2$ , d. i. ein Product aus dem Wirkungsgrade  $\eta_2$  der Dampfmaschine und aus dem Wirkungsgrade  $\eta_1$  des Gebläses und dabei bei Zugrundlegung der einfacheren Formel,

$$\eta \cdot Q_1 p_0 \left( 1 + L n \varepsilon - \frac{q_0}{p_1} \right) = \left[ 1 - 0,3521 \frac{h}{b} + 0,2000 \left( \frac{h}{b} \right)^2 \right] Q h \gamma$$

zu setzen, wenn außer den oben angegebenen Bedeutungen der Buchstaben für das Gebläse,  $Q_1$  das Dampfquantum der Dampfmaschine,  $p_0$  die Dampfspannung im Dampfkessel,  $q_0$  die Spannung im Condensator oder

nach Befinden in der freien Luft,  $\varepsilon$  das Expansionsverhältniß und  $p_1 = \frac{p}{\varepsilon}$

die berechnete Dampfspannung am Ende des Kolbenschubes bezeichnet.

Hiernach bestimmt sich die einer gegebenen Windmenge  $Q$  und Windpressung ( $h$ ) entsprechende Dampfmenge:

$$Q_1 = \left( \frac{1 - 0,3521 \frac{h}{b} + 0,2000 \left( \frac{h}{b} \right)^2}{1 + L n \varepsilon - \frac{\varepsilon q}{p}} \right) \frac{Q h \gamma}{\eta p_0}.$$

und es lassen sich nun hieraus nach den in Bd. II, §. 469 u. f. w. gegebenen Anleitungen die erforderlichen Verhältnisse, Dimensionen u. f. w. der Dampfmaschine berechnen. Natürlich sind bei den direct wirkenden Dampfmaschinengebläsen der Hub, die Anzahl der Kolbenspiele, Geschwindigkeit u. f. w. der Kraftmaschine dieselben wie bei der Arbeitsmaschine.

Beispiel. Ein Gebläse soll für einen Eisenhohofen ein Windquantum von pr. Minute 2000 Cubikfuß mit 4 Zoll Ueberdruck liefern, und zu seinem Umtriebe eine Wasserkraft von 25 Fuß Gefälle benutzen; wie groß ist die hierzu nöthige Aufschlagwassermenge? Setzt man den Wirkungsgrad der Arbeitsmaschine,  $\eta_1 = 0,60$ , den der Zwischenmaschine,  $\eta_2 = 0,90$  und den des Wasserrades,  $\eta_3 = 0,75$ , also den Wirkungsgrad der ganzen Maschine

$$\eta = \eta_1 \eta_2 \eta_3 = 0,60 \cdot 0,90 \cdot 0,75 = 0,405,$$

und nimmt man den kleinsten Barometerstand des Ortes,  $h = 27$  Zoll an, erhält man die gesuchte Aufschlagwassermenge

$$\begin{aligned} Q_1 &= \left[ 1 - 0,3521 \frac{h}{b} + 0,2000 \left( \frac{h}{b} \right)^2 \right] \frac{Q h \gamma}{\eta h_1 \gamma_1} \\ &= \left[ 1 - 0,3521 \cdot \frac{4}{27} + 0,2000 \left( \frac{4}{27} \right)^2 \right] \frac{2000 \cdot \frac{1}{3} \cdot 13,6}{0,405 \cdot 25 \cdot 60} \\ &= (1 - 0,0478) \frac{27200}{1822,5} = 0,9522 \cdot \frac{10880}{729} = 14,21 \text{ Cubikfuß} \end{aligned}$$

Läßt man das Gebläse aus zwei doppelt wirkenden Kolben bestehen und dieselben mit der mittleren Geschwindigkeit  $v = 3$  Fuß arbeiten, so hat man bei Annahme des Windcoefficienten  $\chi = 0,65$ , den erforderlichen Kolbenquerschnitt

$$F = \frac{Q}{\chi n_1 v} = \frac{2000}{0,65 \cdot 2 \cdot 3 \cdot 60} = \frac{2000}{234} = 8,548 \text{ Quadratsfuß}$$

$$= 1231 \text{ Quadratzell,}$$

Umrtebtkraft  
der Gebälge.

und hiernach den Kolbendurchmesser

$$d = 39,6 \text{ Zoll,}$$

wofür 40 Zoll anzunehmen ist.

Geben wir jedem Kolben den Hub von 48 Zoll = 4 Fuß, so erhalten wir noch die Anzahl der Kolbenspiele oder der Umdrehungen der Kurbelwelle pr. Minute:

$$n_2 = \frac{30 v}{5} = \frac{30 \cdot 3}{4} = 45/2 = 22\frac{1}{2},$$

und macht dagegen das Wasserrad pr. Minute sechs Umdrehungen, so ist folglich ein Zahnradvergelege mit dem Umsehungsverhältnisse

$$\psi = \frac{22\frac{1}{2}}{6} = 45/12 = 15/4$$

nöthig, also auf die Wasserradwelle ein Zahnrad zu setzen, welches  $15/4$  mal so viel Zähne hat als das auf der Kurbelwelle sitzende Zahnrad. Wäre z. B. die Anzahl der Zähne des letzteren = 24, so müßte die des ersteren = 90 sein.

§. 435. Ein wichtiger Gegenstand bei Construction direct wirkender Dampfmaschinen, und zwar nicht allein solcher, welche zur Erzeugung von Wind, als auch solcher, welche zum Wasserheben dienen, ist noch die Bestimmung der Größe des zur Ausgleichung der variablen Kraft nöthigen Schwungrades. Die Veränderlichkeit der bewegenden Kraft dieser Maschinen hat vorzüglich in der Expansion des Dampfes nach Absperrung des Dampfzuflusses, und nächstdem bei Gebläsen, in der Compression der eingesaugten Luft am Anfange eines jeden Kolbenshubes ihren Grund; unter übrigens gleichen Umständen und Verhältnissen erfordert eine solche Maschine zur Erzeugung eines gewissen Gleichförmigkeitsgrades im Gange eine kleinere Schwungradmasse, als solche Maschinen, wo mittels des Krummzapfenmechanismus eine Umsehung der geradlinig absehbenden Bewegung in kreisförmige, oder das Umgekehrte statthat.

Schwungrad  
direct wirkender Dampf-  
maschinen-  
gebläse.

Auf dem in §. 117 betretenen Wege, können wir die Bestimmung der erforderlichen Schwungradmasse wie folgt vornehmen. Während der Kolben einen willkürlichen Weg  $x$  zurücklegt, dreht sich die Kurbelwarze um den Winkel  $\beta$  und geht aus der Geschwindigkeit  $c$  in eine Geschwindigkeit  $v$  über; bezeichnet ferner  $\varepsilon$  das Expansionsverhältniß der Dampfmaschine,  $s_1$  den Weg des Dampfkolbens vor der Expansion und  $P_1$  die Dampfkraft vor dem Eintritte der Expansion, sowie  $M$  die auf den Warzenkreis reducirte Umdrehungsmasse und  $M_1$  die gesammte Kolben- und Kolbenstangenmasse, so ist die von der Dampfkraft verrichtete Arbeit

$$P_1 s_1 \left( 1 + L n \frac{(1 - \cos. \beta) \varepsilon}{2} \right),$$



Ermungrat  
direct wirken-  
der Dampf-  
maschinenge-  
bläse.

und die gleichzeitig von den trägen Massen in Anspruch genommene Arbeit

$$\frac{M(v^2 - c^2)}{2} + \frac{M_1 v^2}{2} \sin. \beta^2.$$

Bezeichnet man noch die Kraft zur Bewegung des Gebläsekolbens nach vollbrachter Compression  $Fh\gamma$  durch  $P$ , die Kurbelarmlänge  $\frac{s}{2}$  durch  $r$  und den Weg  $\frac{h}{\pi b}$   $s$  des Gebläsekolbens während der Compression durch  $s_0$ , so kann man die Arbeit des Gebläses

$$P \left( r(1 - \cos. \beta) - \frac{s_0}{2} \right)$$

und daher endlich

$$\begin{aligned} P_1 s_1 \left( 1 + \operatorname{Ln}(1 - \cos. \beta) \frac{\varepsilon}{2} \right) - P \left[ r(1 - \cos. \beta) - \frac{1}{2} s_0 \right] \\ = \frac{M(v^2 - c^2)}{2} + \frac{M_1 v^2}{2} \sin. \beta^2 \end{aligned}$$

setzen, so daß nun

$$v^2 = \frac{Mc^2 + 2 \left[ P_1 s_1 \left( 1 + \operatorname{Ln}(1 - \cos. \beta) \frac{\varepsilon}{2} \right) - P \left[ r(1 - \cos. \beta) - \frac{1}{2} s_0 \right] \right]}{M + M_1 \sin. \beta^2}$$

folgt.

Jedenfalls muß  $M$  so groß sein, daß  $v$  nur wenig von  $c$  verschieden ist, und daher sich annähernd

$$v = c \left( 1 + \frac{P_1 s_1 \left( 1 + \operatorname{Ln}(1 - \cos. \beta) \frac{\varepsilon}{2} \right) - P \left[ r(1 - \cos. \beta) - \frac{1}{2} s_0 \right] - \frac{M_1}{2M} \sin. \beta^2}{Mc^2} \right)$$

setzen läßt.

Dieser Ausdruck ist ein Maximum oder Minimum für

$$\frac{P_1 s_1 \sin. \beta}{1 - \cos. \beta} - Pr \sin. \beta = M_1 c^2 \sin. \beta \cos. \beta,$$

d. i. für

$$\frac{P_1 s_1}{1 - \cos. \beta} - Pr = M_1 c^2 \cos. \beta,$$

oder, gehörig umgekehrt, für

$$M_1 c^2 \cos. \beta^2 + (Pr - M_1 c^2) \cos. \beta = Pr - P_1 s_1,$$

so daß sich nun für den gesuchten Umdrehungswinkel  $\beta$  die Formeln

$$1) \sin. \beta = 0$$

und

$$2) \cos. \beta = -\frac{Pr - M_1 c^2}{2 M_1 c^2} \pm \sqrt{\frac{Pr - P_1 s_1}{M_1 c^2} + \left(\frac{Pr - M_1 c^2}{2 M_1 c^2}\right)^2}$$

Schwungrad  
direct wirkend.  
der Dampf-  
maschinen-  
Gebläse.

ergeben.

Von den hierdurch bestimmten Winkelwerthen giebt der kleinere das Maximum  $v_1$  und der größere das Minimum  $v_2$  von  $v$ . Setzt man nun die so gefundenen Werthe von  $v_1$  und  $v_2$  in die bekannte Formel  $v_1 - v_2 = \delta c$  und führt man für  $\delta$  den verlangten Ungleichförmigkeitsgrad (s. §. 112) ein, so erhält man dadurch die Gleichung zur Bestimmung der erforderlichen Schwungradmasse  $M$ . Natürlich ist für  $\beta = 180^\circ$ , die Geschwindigkeit  $v$  wieder  $= c$ , daher

$$P_1 s_1 (1 + \text{Ln } \epsilon) = P (2r - \frac{1}{2} s_0)$$

und

$$\frac{P_1}{P} = \frac{2r - \frac{1}{2} s_0}{(1 + \text{Ln } \epsilon) s_1} = \frac{\epsilon}{1 + \text{Ln } \epsilon} \cdot \frac{s - \frac{1}{2} s_0}{s}.$$

Beispiel. Wenn ein direct wirkendes Dampfmaschinengebläse Wind von  $\frac{h}{b} = \frac{1}{5}$  Atmosphäre Ueberdruck liefert und mit dreifacher Dampferpanction arbeitet, so ist der Hub beim Eintritte des Ausblasens,  $s_0 = 0,7042 \frac{h}{b} s = 0,1408 s$ , sowie der beim Eintritte der Dampferpanction,  $s_1 = \frac{s}{3} = \frac{1}{3} s$ , und daher das Kraftverhältniß:

$$\frac{P_1}{P} = \frac{\epsilon}{1 + \text{Ln } \epsilon} \left(1 - \frac{s_0}{2s}\right) = \frac{3}{1 + \text{Ln } 3} (1 - 0,0704) = \frac{3 \cdot 0,9296}{2,0986} = 1,3289.$$

Auch folgt nun  $P_1 s_1 = 1,3289 \cdot \frac{2}{3} Pr = 0,8859 Pr$ .

Wäre ferner  $M_1 c^2 = 0,2 Pr$ , so hätte man

$$\frac{Pr - M_1 c^2}{2 M_1 c^2} = \frac{1 - 0,2}{0,4} = 2 \quad \text{und} \quad \frac{Pr - P_1 s_1}{M_1 c^2} = \frac{1 - 0,8859}{0,2} = 0,5705,$$

so daß nun für die eminenten Geschwindigkeitswerthe folgt:

$$\cos. \beta = -2 \pm \sqrt{4 + 0,5704} = -2 \pm \sqrt{4,5704} = -2 \pm 2,13786,$$

d. i. entweder

$$= 0,13786$$

oder

$$= -4,13786.$$

Der erstere Werth giebt den der Maximalgeschwindigkeit entsprechenden Winkel

$$\beta_1 = 82^\circ 51\frac{1}{2}'.$$

Da der zweite Werth die Zahl  $-1$  überschreitet, so ist für denselben gar kein Winkel möglich, und daher das Minimum der Geschwindigkeit  $v$  durch  $\sin. \beta = 0$  oder  $\beta = 180$  Grad bestimmt.

Für  $\beta = 82^\circ 51\frac{1}{2}'$  ist

$$(1 - \cos. \beta) \frac{\epsilon}{2} = 0,86214 \cdot \frac{3}{2} = 1,29321,$$

daher

$$1 + \text{Ln} (1 - \cos. \beta) \frac{\epsilon}{2} = 1,25696,$$

und

$$P_1 s_1 \left(1 + \text{Ln} (1 - \cos. \beta) \frac{\epsilon}{2}\right) = 0,8859 \cdot 1,25696 Pr = 1,1136 Pr;$$

Schwungrad  
direct wirken.  
der Dampf-  
maschinen-  
gebläse.

ferner folgt

$$P [r (1 - \cos. \beta) - \frac{1}{2} s_0] = Pr (0,8621 - 0,1408) = 0,7213 Pr,$$

und

$$\frac{1}{2} \sin. \beta^2 = 0,4905,$$

daher ergibt sich die Maximalgeschwindigkeit

$$v_1 = c \left( 1 + (1,1136 - 0,7213) \frac{Pr}{Mc^2} - 0,4905 \frac{M_1}{M} \right),$$

und da nun noch die Minimalgeschwindigkeit  $v_2 = c$  ist, so folgt

$$\delta = \frac{v_1 - v_2}{c} = \frac{v_1}{c} - 1 = 0,3923 \frac{Pr}{Mc^2} - 0,4905 \frac{M_1}{M},$$

und die gesuchte Schwungradmasse

$$M = \left( 0,3923 \cdot \frac{Pr}{c^2} - 0,4905 M_1 \right) : \delta.$$

Wäre das Kraftmoment  $Pr = 10000$  Fußpfund, das Gewicht der Kellen sammt Kolbenstange  $M_1 g = 2500$ , also

$$M_1 = \frac{2500}{31,25} = 80 \text{ Pfund},$$

und die mittlere Umdrehungsgeschwindigkeit der Kurbelwarze  $c = 6$  Fuß, so würde die erforderliche Schwungradmasse

$$M = \left( 0,3923 \cdot \frac{10000}{36} - 0,4905 \cdot 80 \right) : \delta = (108,9 - 39,2) : \delta = \frac{69,7}{\delta}$$

sein müssen. Fordert man den Ungleichförmigkeitsgrad  $\delta = \frac{1}{30}$ , so folgt nun

$$M = 69,7 \cdot 30 = 2091 \text{ Pfund}.$$

Soll das Schwungrad mit  $c_1 = 3c = 18$  Fuß Geschwindigkeit umlaufen, so ist daher das erforderliche Gewicht desselben:

$$G = Mg \left( \frac{c}{c_1} \right)^2 = \frac{2091 \cdot 31,25}{9} = 7261 \text{ Pfund}.$$

Rotirende  
Kolben-  
gebläse.

§. 436. In der neueren Zeit sind auch Gebläse mit oscillirenden Cylindern, ähnlich wie die oscillirenden Dampfmaschinen (s. Band II, §. 437), construirt worden, namentlich von dem Ingenieur Jolly, sowie von dem Ingenieur Robert (s. Armengaud's Publication industrielle, Vol. XII). Bereits mehr in Aufnahme sind aber die rotirenden Kolbengebläse, welche, ähnlich wie die Rotationspumpen (s. §. 344), mit rotirenden Kolben ausgerüstet sind; namentlich werden solche Maschinen vorzüglich zu Wettersaugern verwendet. Jedenfalls lassen sich diese Maschinen nur dann mit Vortheil anwenden, wo es nur darauf ankommt, kleine Pressungen zu erzeugen.

Vor Allem gehört hierher der Ventilator oder das Wetterrad (roue pneumatique) von M. Fabry. Diese Wettermaschine besteht aus zwei Wellen  $C$  und  $D$ , Fig. 885, mit je drei Paar Hauptarmen  $CA_1, CA_2, CA_3$  und  $DB_1, DB_2, DB_3$ , welche große Schaufeln tragen und mit Querarmen wie  $E_1 F_1, G_1 H_1 \dots$  versehen sind, deren epicycloidale Enden z. B.  $E_1$  und  $H_1$ , sowie  $F_1$  und  $G_2$ , wie die Zähne zweier Zahnräder in einander greifen. Diese Räder hängen in zwei Trögen  $K$  und  $L$ .









Notrende  
Reiben-  
gebläse.

$$Q = \frac{u}{60} \cdot 6 V = \frac{u V}{10}.$$

Führt man  $\beta = \frac{\pi}{3}$  ein, so erhält man

$$\begin{aligned} V &= \left( \frac{\pi}{3} r_1^2 - \left( \frac{9}{3} \pi - 32 \sin. 15^\circ \right) r_2^2 \right) \cdot e \\ &= [\pi r_1^2 - (9\pi - 24,8466) r_2^2] \frac{e}{3} = (\pi r_1^2 - 3,4277 r_2^2) \frac{e}{3}, \end{aligned}$$

und daher die ganze abgeführte Wettermenge pr. Minute:

$$Q = (\pi r_1^2 - 3,4277 r_2^2) \frac{u e}{30}.$$

In Folge des Spielraumes zwischen den Schaufeln und den Wänden des Troges u. s. w. ist das effective Wetterquantum nur 0,7 der durch diese Formel theoretisch bestimmten Luftmenge. Bei gewöhnlich angewendeten Fabry'schen Wetterrädern ist  $e = 2$  Meter,  $r_1 = 1,7$  und  $r_2 = 1$  Meter, ferner die Umdrehung pr. Minute,  $u = 36$  bis 40, die Differenz zwischen der Pressung der äußeren Luft und der in der Einmündung  $h = 4$  bis 5 Centimeter Wassersäule, und der Wirkungsgrad, bei circa 15 Pferdekraften theoretisches Arbeitsvermögen der zur Umtriebsmaschine dienenden Dampfmaschine,  $\eta = 0,51$ .

In neuerer Zeit hat man auch Fabry'sche Ventilatoren construirt, bei welchen jedes Rad nur mit zwei Flügeln ausgerüstet und der Trog zu beiden Seiten bis über die Wellenmitteln heraufgeführt ist.

Näheres über diese Wettermaschinen wird mitgetheilt im zweiten Bande von Ponsons *Traité de l'exploitation des Mines de Houille*, ferner von dem Ingenieur Jochams in den *Annales des travaux publics de Belgique*, Tome XI und Tome XV.

§. 437. Die allgemeine Einrichtung und Wirkungsweise einer Rotationspumpe, welche auch zur Bewegung der Luft angewendet worden ist, läßt sich aus der ideellen Darstellung in Fig. 888 erschen. Es ist  $A E F G$  ein feststehendes cylindrisches Gehäuse mit zwei Zugängen  $M$  und  $N$ , wovon der eine zum Einsaugen und der andere zum Ausblasen der Luft dient, ferner  $A H B K$  eine in diesem Gehäuse eingeschlossene Trommel, welche um ihre von der Axe  $C$  des Gehäuses um  $C D$  abweichende Axe  $D$  umgedreht wird, endlich sind  $E R$  und  $G S$  zwei in dieser Trommel verschiebbare Kolben, welche durch Stahlfedern nach außen und mit ihren äußersten Kanten gegen den Umfang des Gehäuses gedrückt werden. Uebrigens wird das Gehäuse bei  $A$  von der Trommel berührt, und dadurch die directe Verbindung der beiden Canäle mit einander aufgehoben, dagegen führt aber die umlaufende Trommel mittels der Kolben  $E R$  und  $G S$  bei jeder



Rotirende  
Kolben-  
gebläse.

Kolben bei jeder Umdrehung von  $M$  nach  $N$  fördert, gleich dem ringförmigen Raume  $EFGKBH = \text{Sector } EFGC$  plus Dreieck  $HCK$  minus Halbkreis  $HBK$  mal Weite des Gehäuses:

$$V = \left( \pi - \frac{\beta}{2} \right) r_1^2 e + \frac{1}{2} r_2^2 e \sin. \beta - \frac{\pi r_2^2 e}{2}$$

$$= [(2\pi - \beta) r_1^2 - (\pi - \sin. \beta) r_2^2] \frac{e}{2},$$

wobei wieder  $r_1$  den Halbmesser  $CA$  des Gehäuses,  $r_2$  den Halbmesser  $DA$  der Trommel,  $e$  die Weite des Gehäuses und der Trommel bezeichnen, und

$$\cos. \frac{\beta}{2} = \frac{d}{r_2}$$

ist, wenn  $d$  die Excentricität  $CD = r_1 - r_2$  angiebt. Macht die Trommel pr. Minute  $u$  Umdrehungen, so ist das Luftquantum, welches diese Gebläsemaschine pr. Secunde von  $M$  nach  $N$  schafft,

$$Q = \frac{2Vu}{60} = \frac{Vu}{30} = [(2\pi - \beta)r_1^2 - (\pi - \sin. \beta) r_2^2] \frac{ue}{60}.$$

Hiernach sind die Gebläse des Amerikaners Mackenzie zu Jersey in den Vereinigten Staaten construirt (s. Practical Mechanics Journal, Sept. 1857, und polytechn. Centralblatt, 1857). Bei diesen Gebläsen ist der Durchmesser des Gehäuses,  $2r_1 = 40$  Zoll, die Weite desselben,  $e = 36$  Zoll, der Durchmesser der Trommel,  $2r_2 = 30$  Zoll, folglich die Excentricität  $d = r_1 - r_2 = 5$  Zoll. Die Schaufeln bestehen aus Eisenblech von  $\frac{1}{4}$  bis  $\frac{1}{2}$  Zoll Dicke und ihre Gelenke  $H$  und  $K$  bestehen aus 3 Zoll dicken, mit einem weichen Metall ausgefüllten Cylindern; ihre Anzahl ist aber nicht 2, sondern gewöhnlich 3 oder 4. Der luftdichte Abschluß bei  $A$  wird durch mit Leder überzogenes Holz bewirkt. Damit die  $Ar$ :  $C$  eine feste Lage behalte, macht man auch die Welle  $D$  fest, verbindet dieselbe im Inneren der Trommel durch Arme mit einander, und läßt die Trommel mittelst zweier Raben, ähnlich wie ein gewöhnliches Wagenrad, um  $D$  umlaufen. Man verwendet in Nordamerika diese Gebläse vorzüglich beim Umschmelzen des Roheisens in Kupolöfen, wobei sie pr. Minute 80 bis 150 Umdrehungen machen und Wind von  $\frac{1}{2}$  bis 2 Pfund Ueberdruck liefern.

Eine ganz ähnliche Einrichtung und Wirkungsweise hat der Ventilator oder das Kolbenrad von Lemierre (s. Annales des Travaux publ. de Belgique, Tome XVI, auch Civil-Engineer and Architect's Journal, Septb. 1858, sowie Bulletin de la Société de l'Industrie generale, T. III, Dingler's polytechn. Journal, Bd. 150). Eine Darstellung dieser Maschine giebt Fig. 890. Es dreht sich auch hier eine Trommel  $AB$  excentrisch in einem cylindrischen Gehäuse  $A EFG$ .













Centrifugal-  
ventilatoren.

digkeit in der Entfernung  $x$  von der Ase  $C$ ,  $v = \omega x$ , und daher die Centrifugalkraft eines Luftelementes  $1 \cdot \partial x = \partial x$ , von dem Querschnitt  $= 1$ , der Länge  $= \partial x$ , und der Dichtigkeit  $\gamma$ :

$$\partial p = \omega^2 x \frac{\gamma \partial x}{g}$$

(s. Bd. I, §. 273).

Nun ist aber nach dem Mariotte'schen Gesetze

$$\gamma = \frac{0,005682 p}{1 + 0,00367 t} \text{ Pfund}$$

(s. Bd. I, §. 361), oder

$$\gamma = \psi p,$$

wenn  $\psi$  einen nur von der hier als constant anzunehmenden Temperatur abhängigen Coefficienten bezeichnet, daher folgt

$$\partial p = \omega^2 \cdot \frac{\psi}{g} p x \partial x, \text{ oder } \frac{\partial p}{p} = \omega^2 \frac{\psi}{g} x \partial x,$$

und nun durch Integriren (s. Art. 19 der analyt. Hülfslehren, Bd. I.),

$$\text{Ln. } p = \frac{\psi}{g} \omega^2 \frac{x^2}{2} + \text{Const.}$$

Ist der äußere Radhalbmesser  $CB = r$ , und der innere Radhalbmesser  $CA = r_1$ , ferner die äußere Umfangsgeschwindigkeit  $= v$ , die innere  $= v_1$ , und die Windpressung am äußeren Umfang  $= p$ , sowie die am inneren Umfang  $= p_1$ , so hat man

$$\text{Ln. } p = \frac{\psi}{g} \frac{\omega^2 r^2}{2} + \text{Const.} = \psi \frac{v^2}{2g} + \text{Const.}$$

und

$$\text{Ln. } p_1 = \frac{\psi}{g} \frac{\omega^2 r_1^2}{2} + \text{Const.} = \psi \frac{v_1^2}{2g} + \text{Const.},$$

daher

$$\text{Ln. } \left( \frac{p}{p_1} \right) = \frac{\psi}{2g} \omega^2 (r^2 - r_1^2) = \psi \left( \frac{v^2 - v_1^2}{2g} \right)$$

sowie

$$p = p_1 e^{\frac{\psi (v^2 - v_1^2)}{2g}},$$

wobei  $e$  die Grundzahl 2,71828 der natürlichen Logarithmen bezeichnet.

Wenn wir, wie gewöhnlich,  $g$  und  $v$  in Fuß angeben, so ist

$$\psi = \frac{0,005682}{144 (1 + 0,00367 t)} = \frac{0,00003946}{1 + 0,00367 t}$$

zu setzen, und daher

$$\frac{\psi (v^2 - v_1^2)}{2g} = \frac{0,00003946 (v^2 - v_1^2)}{62,5 (1 + 0,00367 t)} = \frac{0,0000006316 (v^2 - v_1^2)}{1 + 0,00367 t}$$

Wenn nun auch  $v_1 = 0$  wäre und  $v$  auf 200 Fuß stiege, so würde  $\frac{\psi(v^2 - v_1^2)}{2g}$  doch nur

$$\frac{0,0000006316 \cdot 40000}{(1 + 0,003671)} = \frac{0,02526}{1 + 0,003671}$$

betragen, und daher recht gut

$$e \frac{\psi(v^2 - v_1^2)}{2g} = 1 + \frac{\psi(v^2 - v_1^2)}{2g}$$

oder mindestens

$$= 1 + \frac{\psi(v^2 - v_1^2)}{2g} \left( 1 + \frac{\psi(v^2 - v_1^2)}{4g} \right)$$

gesetzt werden können.

Hiernach ist nun einfach

$$p - p_1 = \psi p_1 \left( \frac{v^2 - v_1^2}{2g} \right) = \gamma_1 \left( \frac{v^2 - v_1^2}{2g} \right),$$

oder, wenn  $h$  und  $h_1$  die den Pressungen  $p$  und  $p_1$  entsprechenden Wasserbarometerstände bezeichnen:

$$h - h_1 = \psi h_1 \left( \frac{v^2 - v_1^2}{2g} \right) = \frac{\gamma_1}{\gamma_0} \left( \frac{v^2 - v_1^2}{2g} \right) = \frac{1}{\epsilon_1} \left( \frac{v^2 - v_1^2}{2g} \right),$$

wenn  $\epsilon_1$  das Verhältniß der Dichtigkeit  $\gamma_0$  der Manometerflüssigkeit (Wasser) zu der Dichtigkeit  $\gamma_1$  der bei  $A$  eintretenden Luft bezeichnet.

Machen wir den äußeren Radumfang viel größer als den inneren, so ist auch  $v_1$  viel größer als  $v$ , und es läßt sich daher

$$h - h_1 = \frac{v^2}{2g\epsilon_1}$$

setzen.

Strömt die Luft am Umfang des Rades unmittelbar in den freien Raum, so geht daselbst die der Umdrehungsgeschwindigkeit  $v$  nahe gleichkommende Ausströmungsgeschwindigkeit ohne Wirkung in Null über; es ist daher auch  $h$  die Pressung oder der Barometerstand der äußeren Luft, sowie  $h_1$  der Barometerstand der dem Ventilator am Umfang der Rade zugeführten Luft, und folglich

$$h = h - h_1 = \frac{v^2}{2g\epsilon_1},$$

der (negative) Manometerstand der Luft in dem Zuleitungscanal in Hinsicht auf den äußeren Luftdruck. Umgiebt man aber den Ventilator mit Auslaufwänden (s. Rittinger's Centrifugalventilatoren, Wien 1858), oder einen sogenannten Diffuser  $DD$  (s. Bd. II, S. 254), wie Fig. 894 vor Augen führt, so geht in demselben die Geschwindigkeit  $v$  der aus dem Rade tretenden Luft allmähig fast in Null über; es wächst daher hierbei

Centrifugal-  
ventilatoren.

ihre Pressung um  $\frac{v^2}{2g}$ , so daß die Pressung der äußeren Luft in

$$b_0 = b + \frac{v^2}{2g\varepsilon_1} = b_1 + 2 \cdot \frac{v^2}{2g\varepsilon_1}$$

übergeht, und der Manometerstand der zuströmenden Luft:

$$h = b_0 - b_1 = 2 \cdot \frac{v^2}{2g\varepsilon_1},$$

also doppelt so groß ausfällt, als bei dem Ventilator ohne einen solchen Mantel.

Der Ventilator, welcher zur Erzeugung des Windes dient, communicirt an der Axenmündung mit der freien Luft und sammelt den an seinem Umfange ausströmenden Wind in einem Gehäuse, von welchem aus er dann mittels einer Röhre nach dem Punkte des Bedarfs weitergeführt wird. Wenn die Geschwindigkeit  $v$  des aus dem Rade ausströmenden Windes im Innern dieses Gehäuses allmählig in Null übergeht, also das Gehäuse wie der Diffuser einer Turbine oder eines Wetterventilators wirkt, so ist auch der Barometerstand der Luft im Ventilatorgehäuse:

$$b_0 = b_1 + 2 \frac{v^2}{2g\varepsilon_1},$$

und der Manometerstand des Windes in demselben in Hinsicht auf die äußere Luft:

$$h = b_0 - b_1 = 2 \cdot \frac{v^2}{2g\varepsilon_1} = \frac{v^2}{g\varepsilon_1}.$$

In Folge der Reibung der Luft und anderer störenden Einflüsse fällt allerdings in Wirklichkeit, wo die radiale Geschwindigkeit der Luft im Rade im Vergleich zur Radgeschwindigkeit nicht sehr klein ist, bei beiden Ventilatoren der Manometerstand ansehnlich kleiner als  $\frac{v^2}{g\varepsilon_1}$  aus.

Die Geschwindigkeit, mit welcher der Wind aus der Mündung  $F$  des Gehäuses in die freie Luft strömt, ist bei dem Stande  $h$  des Manometers  $M$  (s. S. 425),

$$c = \sqrt{2g\varepsilon_1 h}, \text{ daher hier } c = v\sqrt{2} = 1,414 v.$$

In der Wirklichkeit fällt aber  $h$  nicht viel größer als  $\frac{v^2}{2g\varepsilon_1}$  aus, und dabei ist auch die Ausflußgeschwindigkeit  $c$  nahe gleich der Umfangsgeschwindigkeit. Bezeichnet  $F$  den Inhalt des Querschnitts der Düsenmündung und sieht man von allen Nebenhindernissen ab, so hat man das gelieferte Windquantum

$$Q = Fc = F\sqrt{2g\varepsilon_1 h} = 1,414 Fv,$$

in Wirklichkeit fällt es jedoch nahe  $= Fv$  aus.

Die erforderliche Leistung pr. Secunde des Ventilators ist





Theorie der  
Ventilatoren.

für die absolute Eintrittsgeschwindigkeit  $c$  der Luft die schon aus Bd. II, §. 229 bekannte Formel:

$$1) \quad (1 + \xi_1) c^2 = 2 g \varepsilon (k + h_1 - x).$$

Bezeichnet ferner  $v$  die äußere und  $v_1$  die innere Radgeschwindigkeiten,  $y$  den durch die Höhe einer Wassersäule gemessenen Druck der Luft außerhalb des Rades, und  $\xi_2$  den Widerstandscoefficienten für den Durchgang der Luft durch das Rad, so folgt für die relative Austrittsgeschwindigkeit  $c_2$  der Luft:

$$2) \quad (1 + \xi_2) c_2^2 = c^2 + v^2 - v_1^2 + 2 g \varepsilon (x - y).$$

Hieraus berechnet sich dann noch mittels der Formel

$$3) \quad w^2 = v^2 + c_2^2$$

die absolute Austrittsgeschwindigkeit  $w$ .

Strömt die Luft aus dem Rade unmittelbar in die freie Luft, oder in einen weiten Behälter, so geht die der Geschwindigkeit  $w$  entsprechende lebendige Kraft der Luft für die Maschine verloren, strömt aber dieselbe erst durch einen Diffuser, worin die Geschwindigkeit  $w$  allmählig nahe auf Null zurückgeführt wird, so bewirkt die inwohnende lebendige Kraft der Luft noch eine Vergrößerung der Pressung. Ist  $h_2$  der Manometerstand der Luft am Umfange des Diffuser, oder in dem Reservoir, in welchem sich die ausgestoßene Luft ansammelt, und  $\xi_3$  der Widerstandscoefficient für die Bewegung der Luft im Diffuser, so gilt endlich noch die Gleichung:

$$4) \quad (1 - \xi_3) w^2 = 2 g \varepsilon (k + h_2 - y),$$

die im ersteren Falle, wo  $\xi_3 = 1$  ist, in

$$y = k + h_2$$

übergeht.

Die Addition der Gleichungen (1) und (2) führt auf die Gleichung

$$(1 + \xi_2) c_2^2 + \xi_1 c^2 = v^2 - v_1^2 + 2 g \varepsilon (k + h_1 - y),$$

und subtrahirt man dieselbe von der Gleichung (4), so erhält man die Gleichung

$$(1 - \xi_3) w^2 = (1 + \xi_2) c_2^2 + \xi_1 c^2 - v^2 + v_1^2 + 2 g \varepsilon (h_2 - h_1).$$

Nun ist aber noch  $w^2 = v^2 + c_2^2$  und  $h_2 - h_1 = h$ , die Höhe der Wassersäule, welche die Pressungsdifferenz zwischen der vom Ventilator zugeführten und der demselben zugeführten Luft mißt, daher hat man

$$5) \quad (2 - \xi_3) v^2 - [v_1^2 + \xi_1 c^2 + (\xi_2 + \xi_3) c_2^2] = 2 g \varepsilon h.$$

Bezeichnet man den äußeren Radhalbmesser durch  $r$  sowie den inneren Radhalbmesser durch  $r_1$ , ferner die äußere Radweite durch  $e$  und die innere Radweite durch  $e_1$ , so ist der ringförmige Querschnitt des Luftstromes beim Austritt aus dem Rade:

$$F_2 = 2 \pi r e,$$

sowie der Querschnitt beim Eintritt in das Rad:

$$F_1 = 2 \pi r_1 e_1,$$

und daher die geförderte Luftmenge pr. Secunde:

$$Q = F_2 c_2 = 2 \pi r e c_2 = F c = 2 \pi r_1 e_1 c,$$

wonach nun

$$\frac{c_2}{c} = \frac{r_1 e_1}{r e}$$

folgt.

Führt man in der letzten Hauptgleichung (5)  $c_2 = \frac{r_1 e_1}{r e} c$  und  $v_1 = \frac{r_1}{r} v$  ein, so nimmt dieselbe die Form

$$\left[ 2 - \left( \frac{r_1}{r} \right)^2 - \xi_3 \right] v^2 - \left[ \xi_1 + (\xi_2 + \xi_3) \left( \frac{r_1 e_1}{r e} \right)^2 \right] c^2 = 2 g \varepsilon h$$

an.

Wenn man dem Geschwindigkeitsverhältnisse  $\theta = \frac{c}{v}$  einen bestimmten Werth giebt, so erhält man hiernach

$$\left( 2 - \left( \frac{r_1}{r} \right)^2 - \xi_3 - \theta^2 \left[ \xi_1 + (\xi_2 + \xi_3) \left( \frac{r_1 e_1}{r e} \right)^2 \right] \right) v^2 = 2 g \varepsilon h,$$

und daher die dem Manometerstande  $h$  entsprechende Umfangsgeschwindigkeit des Ventilators:

$$v = \sqrt{\frac{2 g \varepsilon h}{2 - \left( \frac{r_1}{r} \right)^2 - \xi_3 - \theta^2 \left[ \xi_1 + (\xi_2 + \xi_3) \left( \frac{r_1 e_1}{r e} \right)^2 \right]}}.$$

Da die Geschwindigkeit des aus der Düse strömenden Windes:

$$v_\mu = \mu \sqrt{2 g \varepsilon h}$$

ist (s. §. 425), so folgt auch

$$v = \frac{v_\mu}{\mu \sqrt{2 - \left( \frac{r_1}{r} \right)^2 - \xi_3 - \theta^2 \left[ \xi_1 + (\xi_2 + \xi_3) \left( \frac{r_1 e_1}{r e} \right)^2 \right]}}$$

und das pr. Secunde erzeugte Windquantum:

$$Q = F_\mu v_\mu = \mu F_\mu v \sqrt{2 - \left( \frac{r_1}{r} \right)^2 - \xi_3 - \theta^2 \left[ \xi_1 + (\xi_2 + \xi_3) \left( \frac{r_1 e_1}{r e} \right)^2 \right]}.$$

Der zur Erzeugung der Windmenge  $Q$  von der Pressung  $h$  nöthige Arbeitsaufwand pr. Secunde ist:

$$\begin{aligned} L &= \left( h + \frac{v_1^2}{2 g \varepsilon} + \xi_1 \frac{c^2}{2 g \varepsilon} + \xi_2 \frac{c_2^2}{2 g \varepsilon} + \xi_3 \frac{v^2 + c_2^2}{2 g \varepsilon} \right) Q \gamma \\ &= \left( h + \left[ \left( \frac{r_1}{r} \right)^2 + \xi_3 \right] \frac{v^2}{2 g \varepsilon} + \left[ \xi_1 + (\xi_2 + \xi_3) \left( \frac{r_1 e_1}{r e} \right)^2 \right] \frac{c^2}{2 g \varepsilon} \right) Q \gamma \\ &= \left[ h + \left( \left( \frac{r_1}{r} \right)^2 + \xi_3 + \theta^2 \left[ \xi_1 + (\xi_2 + \xi_3) \left( \frac{r_1 e_1}{r e} \right)^2 \right] \right) \frac{v^2}{2 g \varepsilon} \right] Q \gamma = 2 \cdot \frac{v^2}{2 g \varepsilon} Q \gamma, \end{aligned}$$

Theorie der Ventilatoren.

und daher der Wirkungsgrad des Ventilators:

$$\eta = \frac{h}{2 \cdot \frac{v^2}{2g\epsilon}} = 1 - \frac{1}{2} \left( \left( \frac{r_1}{r} \right)^2 + \xi_3 + \theta^2 \left[ \xi_1 + (\xi_2 + \xi_3) \left( \frac{r_1 e_1}{r e} \right) \right]^2 \right).$$

Man sieht aus dem Vorstehenden, daß das Windquantum eines Ventilators, wie die Geschwindigkeit, der Manometerstand, wie das Quadrat, und der Arbeitsaufwand zum Umtrieb des Ventilators, wie der Cubus der Umdrehungsgeschwindigkeit wächst, was auch durch die Erfahrung vollkommen bestätigt wird.

§. 441. Bei den gewöhnlichen Ventilatoren zum Wetter saugen ist die Pressungsdifferenz oder der Wasserbarometerstand der zuströmenden Luft:

$$h = - 1,25 \text{ bis } - 2,5 \text{ Zoll,}$$

bei den Ventilatoren zur Winderzeugung für Schmelzprocesse hingegen die Pressung des Windes:

$$h = + 6 \text{ bis } + 18 \text{ Zoll,}$$

also der Quecksilbermanometerstand circa

$$h = \frac{1}{2} \text{ bis } 1\frac{1}{2} \text{ Zoll,}$$

d. i. nahe 9 Mal so groß als bei den ersteren; und deshalb erfordern auch die Blaseventilatoren eine nahe 3 Mal so große Umdrehungsgeschwindigkeit ( $v$ ) als die Saugventilatoren. Dagegen ist das Wetterquantum, welches die gewöhnlichen Saugventilatoren bei einer Leistung der Umtriebsmaschine von 8 bis 16 Pferdekraften liefert, pr. Secunde 120 bis 250, also im Mittel 180 Cubikfuß, und die erzeugte Windmenge der gewöhnlichen Blaseventilatoren, bei einer Stärke der Umtriebsmaschine von 4 bis 10 Pferdekraften, pr. Secunde nur 8 bis 16, also im Mittel 12 Cubikfuß. Endlich ist der gewöhnliche Durchmesser eines Saugventilators 4 bis 8 Fuß, dagegen der eines Blaseventilators nur 3 bis 4 Fuß.

Setzen wir annähernd die Umfangsgeschwindigkeit des Ventilators

$$v = \sqrt{2g\epsilon h},$$

so erhalten wir für Saugventilatoren:

$$\begin{aligned} v &= 8 \sqrt{\frac{5}{48} \cdot 800} = 8 \sqrt{83} = 73 \text{ bis } v = 8 \sqrt{\frac{1}{4} \cdot 800} \\ &= 8 \sqrt{200} = 113 \text{ Fuß,} \end{aligned}$$

also im Mittel:

$$v = 93 \text{ Fuß,}$$

und dagegen für Blaseventilatoren:

$$\begin{aligned} v &= 8 \sqrt{\frac{1}{2} \cdot 800} = 8 \sqrt{400} = 160 \text{ bis } v = 8 \sqrt{\frac{3}{2} \cdot 800} \\ &= 8 \sqrt{1200} = 277 \text{ Fuß,} \end{aligned}$$

also im Mittel:

$$v = 218 \text{ Fuß.}$$

Berechnet man aus diesen Angaben mittels der bekannten Formel

Theorie der Ventilatoren.

$$u = \frac{30 v}{\pi r} = 9,55 \frac{v}{r},$$

die Umdrehungszahl  $u$  (pr. Minute), so erhält man für Saugventilatoren, wo  $r = 2$  bis 4 Fuß ist,

$$u = 9,55 \cdot \frac{9}{2} = 440 \text{ bis } 9,55 \cdot \frac{9}{4} = 220 \text{ Fuß},$$

dagegen für Blaseventilatoren, wo  $r = 1\frac{1}{2}$  bis 2 Fuß ist,

$$u = 9,55 \cdot 218 \cdot \frac{2}{3} = 1728 \text{ bis } 9,55 \cdot \frac{218}{2} = 1040.$$

Ferner ist bei den gewöhnlichen Saugventilatoren der innere Radhalbmesser  $r_1 = \frac{r}{2}$ , dagegen bei Blaseventilatoren  $r_1 = \frac{r}{3}$ , und bei beiden Ventilatoren die innere Radweite  $e_1 = r_1$ . Berechnet man den Querschnitt des Luftstromes beim Eintritte in das Rad nach der Formel

$$F_1 = 2 \pi r_1 e_1 = 2 \pi r_1^2,$$

so ergibt sich für die Saugventilatoren:

$$\begin{aligned} F_1 &= 6,28 \cdot \left(\frac{r}{2}\right)^2 = 1,57 r^2 = 1,57 \cdot 4 = 6,28 \text{ bis } 1,57 \cdot 16 \\ &= 25,12 \text{ Quadratfuß}, \end{aligned}$$

und dagegen für Blaseventilatoren:

$$\begin{aligned} F_1 &= 6,28 \left(\frac{r}{3}\right)^2 = 0,698 r^2 = 0,698 \cdot \frac{9}{4} = 1,58 \text{ bis } 0,698 \cdot 4 \\ &= 2,79 \text{ Quadratfuß}. \end{aligned}$$

Nun folgt die Geschwindigkeit der Luft beim Eintritte in das Rad,

$$c = \frac{Q}{F_1} = \frac{Q}{2 \pi r_1^2} = 0,159 \frac{Q}{r_1^2},$$

für Saugventilatoren:

$$c = \frac{180}{6,28} = 28,7 \text{ bis } \frac{180}{25,12} = 7,2 \text{ Fuß},$$

also im Mittel = 18 Fuß, und dagegen für Blaseventilatoren:

$$c = \frac{12}{1,58} = 7,6 \text{ bis } \frac{12}{2,79} = 4,3 \text{ Fuß},$$

also im Mittel = 6 Fuß.

Endlich ergibt sich der mittlere Werth von dem in den Formeln des letzten Paragraphen eingeführten Geschwindigkeitsverhältnisse  $\theta = \frac{c}{v}$ , für Saugventilatoren:

$$\theta = \frac{18}{93} = 0,193,$$

und für Blaseventilatoren:

$$\theta = \frac{6}{218} = 0,0275.$$

also nahe nur ein Siebentel von dem ersten Verhältnißwerthe.

Leistung der Ventilatoren.

Das in den §. 440 gefundenen Formeln für die Umdrehungsgeschwindigkeit und Leistung der Ventilatoren enthaltene Glied

$$\theta^2 \left[ \zeta_1 + (\zeta_2 + \zeta_3) \left( \frac{r_1 e_1}{r e} \right)^2 \right]$$

nimmt hiernach für die Saugventilatoren den Werth

$$(0,193)^2 \left[ \zeta_1 + (\zeta_2 + \zeta_3) \left( \frac{r_1 e_1}{r e} \right)^2 \right] = 0,0372 \left[ \zeta_1 + (\zeta_2 + \zeta_3) \left( \frac{r_1 e_1}{r e} \right)^2 \right],$$

dagegen für die Blaseventilatoren den Werth

$$(0,0275)^2 \left[ \zeta_1 + (\zeta_2 + \zeta_3) \left( \frac{r_1 e_1}{r e} \right)^2 \right] = 0,000756 \left[ \zeta_1 + (\zeta_2 + \zeta_3) \left( \frac{r_1 e_1}{r e} \right)^2 \right]$$

an, und es ist nun leicht zu ermessen, daß dieser Werth überhaupt sehr klein und bei den letzteren Ventilatoren sogar so klein ist, daß man ihn ganz außer Acht lassen und daher die relative Geschwindigkeit des Wassers im Rade als Null ansehen kann. Uebrigens möchte, was die Saugventilatoren oder Wetterräder betrifft, wie bei Turbinen,  $\zeta_1 = \zeta_2 = 0,10$  zu setzen sein. Was aber den Widerstandscoefficienten  $\zeta_3$  betrifft, so ist derselbe bei einem Ventilator ohne einen Diffuser,  $= 1$ , und bei einem Ventilator mit Diffuser, nach dem Grade der Vollkommenheit desselben, zwischen den Grenzen 0,50 bis 1,00 zu setzen.

Beispiel 1. Ein Wetterrad soll ein Wetterquantum  $Q = 200$  Cubikfuß pr. Secunde unter dem Manometerstand  $h = \frac{1}{8}$  Fuß  $= 1\frac{1}{2}$  Zoll aus einem Schachte zu Tage fördern; welche Dimensionen wird dasselbe erhalten, welche Anzahl von Umdrehungen wird es machen müssen, und welchen Kraftaufwand wird es erfordern?

Hier ist  $2gh = 62,5 \cdot 800 \cdot \frac{1}{8} = 6250$ , ferner  $\zeta_1 = \zeta_2 = 0,1$  und  $\zeta_3 = 1$  gesetzt, sowie  $\frac{r_1}{r} = \frac{1}{2}$ ,  $\frac{e_1}{e} = 1$  und  $\theta = 0,2$  angenommen, folgt

$$2 - \left( \frac{r_1}{r} \right)^2 - \zeta_3 - \theta^2 \left[ \zeta_1 + (\zeta_2 + \zeta_3) \left( \frac{r_1 e_1}{r e} \right)^2 \right] = 2 - 0,25 - 1 - 0,04(0,1 + 1,1\frac{1}{4}) \\ = 0,75 - 0,04 \cdot 0,375 = 0,735.$$

und daher die erforderliche Umdrehungsgeschwindigkeit des Rades:

$$v = \sqrt{\frac{6250}{0,735}} = 92,22 \text{ Fuß.}$$

Ferner ist der Wirkungsgrad desselben:

$$\eta = 1 - \frac{1}{2} \left[ \left( \frac{r_1}{r} \right)^2 + \zeta_3 + \theta^2 \left[ \zeta_1 + (\zeta_2 + \zeta_3) \left( \frac{r_1 e_1}{r e} \right)^2 \right] \right] \\ = 1 - \frac{1}{2} \cdot 1,265 = 1 - 0,6325 = 0,3675,$$

und daher die erforderliche Leistung des Ventilators:

$$L = \frac{Q h \gamma}{\eta} = \frac{200 \cdot \frac{1}{8} \cdot 66}{0,3675} = \frac{50 \cdot 33}{0,3675} = \frac{1650}{0,3675} = 4490 \text{ Fußrund} \\ = \frac{4490}{510} = 8,8 \text{ Pferdekkräfte.}$$

Ferner ist die Eintrittsgeschwindigkeit der Wetter:

$$c = \theta v = 0,2 \cdot 92,22 = 18,44 \text{ Fuß,}$$



daher der erforderliche Querschnitt des eintretenden Wetterstromes:

Theorie der Ventilatoren.

$$F_1 = \frac{Q}{c} = \frac{200}{18,44} = 10,85 \text{ Quadratsfuß,}$$

und der innere Radhalbmesser:

$$r_1 = \sqrt{\frac{F_1}{2\pi}} = \sqrt{\frac{5,425}{\pi}} = 1,314 \text{ Fuß} = 15\frac{3}{4} \text{ Zoll.}$$

Nehmen wir  $r_1 = 16$  Zoll an, so erhalten wir die Radweite  
 $e = r_1 = 16$  Zoll, und den äußeren Radhalbmesser  
 $r = 2r_1 = 32$  Zoll, also den Raddurchmesser  
 $d = 2r = 64$  Zoll  $= 5\frac{1}{3}$  Fuß.

Beispiel 2. Ein Ventilator soll für einen Cupolofen pr. Minute 800 Cubisfuß Wind von 1 Fuß Wassermanometerstand erzeugen; welche Dimensionen wird derselbe erhalten, welche Geschwindigkeit wird er annehmen müssen, und welchen Kraftaufwand wird er beanspruchen?

Es ist hier  $2g\epsilon h = 62,5 \cdot 800 \cdot 1 = 50000$ , ferner  $\frac{r_1}{r} = \frac{1}{3}$ ,  $\frac{e_1}{e} = 1$ ,

und setzt man noch  $\zeta_3 = 0,75$ , so folgt, da hier  $\theta^2 \left[ \zeta_1 + (\zeta_2 + \zeta_3) \left( \frac{r_1 e_1}{r e} \right)^2 \right]$  wegen Kleinheit vernachlässigt werden kann, die erforderliche Umdrehungsgeschwindigkeit des Rades:

$$v = \sqrt{\frac{2g\epsilon h}{2 - \left( \frac{r_1}{r} \right)^2 - \zeta_3}} = \sqrt{\frac{50000}{2 - 0,25 - 0,75}} = \sqrt{50000} = 223,6 \text{ Fuß.}$$

Ferner ist der Wirkungsgrad des Rades:

$$\eta = 1 - \frac{1}{2} \left[ \left( \frac{r_1}{r} \right)^2 + \zeta_3 \right] = 1 - \frac{0,25 + 0,75}{2} = 0,50,$$

und daher die erforderliche Leistung desselben:

$$L = \frac{Q h \gamma}{\eta} = \frac{800 \cdot 1 \cdot 66}{0,50 \cdot 60} = \frac{800 \cdot 66}{30} = 80 \cdot 22 = 1760 \text{ Fußpfund.}$$

Die Geschwindigkeit, mit welcher die Luft in das Rad einströmt, ist, wenn man  $\theta = 0,03$  setzt,

$$c = 0,03 \cdot v = 0,03 \cdot 223,6 = 6,71 \text{ Fuß,}$$

folglich der erforderliche Querschnitt des eintretenden Luftstromes:

$$F_1 = \frac{Q}{c} = \frac{800}{6,71 \cdot 60} = \frac{40}{20,13} = 1,987 \text{ Quadratsfuß,}$$

wofür 2 Quadratsfuß angesetzt werden mögen.

Nun folgt der innere Radhalbmesser

$$r_1 = \sqrt{\frac{F_1}{2\pi}} = \sqrt{\frac{1}{\pi}} = 0,564 \text{ Fuß} = 6,77 \text{ Zoll.}$$

Nehmen wir hiernach in runder Zahl,  $r_1 = e = 6\frac{3}{4}$  Zoll an, so erhalten wir den äußern Radhalbmesser

$$r = 3e_1 = 20\frac{1}{4} \text{ Zoll,}$$

und endlich die Radhöhe

$$d = 2r = 40\frac{1}{2} \text{ Zoll} = 3 \text{ Fuß } 4\frac{1}{2} \text{ Zoll.}$$





Setzt man den Ausdruck für  $w^2$  aus (6) in (7) ein, so folgt

Ventilatoren  
mit krummen  
Schaufeln.

$$(1 - \xi_3)(c_2^2 + v^2 - 2c_2v \cos. \delta) = 2g\epsilon(k + h_2 - y);$$

subtrahirt man hiervon die Gleichung (5) und führt für  $h_2 - h_1 = h$  die Höhe der Wassersäule ein, welche die durch den ganzen Ventilator bewirkte Pressungsdifferenz mißt, so erhält man folgende Hauptgleichung:

$$8) \quad 2v^2 - v_1^2 + c^2 \cotg. \beta^2 - 2c_2v \cos. \delta - [\xi_1 c^2 + \xi_2 c_2^2 + \xi_3 (c_2^2 + v^2 - 2c_2v \cos. \delta)] = 2g\epsilon h.$$

Bezeichnet nun wieder  $r$  den äußeren und  $r_1$  den inneren Radhalbmesser, sowie  $e$  die äußere und  $e_1$  die innere Radweite, so läßt sich unter der Voraussetzung, daß die Anzahl der Radschaufeln eine größere ist, der Querschnitt des Luftstromes beim Austritte aus dem Rade:

$$F_2 = 2\pi r e \sin. \delta,$$

sowie der beim Eintritte in das Rad:

$$F_1 = 2\pi r_1 e_1 \sin. \beta$$

setzen; es ist nun das geförderte Luftquantum

$$Q = Fc = F_1 c_1 = F_2 c_2 \\ = 2\pi r_1 e_1 c = 2\pi r_1 e_1 c_1 \sin. \beta = 2\pi r e c_2 \sin. \delta,$$

und daher

$$c_2 = \frac{r_1 e_1}{r e} \frac{c}{\sin. \delta}.$$

Führt man diesen Ausdruck für  $c_2$ , sowie  $v_1 = \frac{r_1}{r} v$ , in die Gleichung

(8) ein, und setzt wieder das Geschwindigkeitsverhältniß  $\frac{c}{v} = \theta$ , so folgt folgende Gleichung zwischen dem Manometerstande  $h$  und der Geschwindigkeit  $v$  des Ventilators:

$$9) \quad \left[ 2 - \left( \frac{r_1}{r} \right)^2 + \theta^2 \cotg. \beta^2 - 2\theta \frac{r_1 e_1}{r e} \cotg. \delta - \left( \theta^2 \left[ \xi_1 + \xi_2 \left( \frac{r_1 e_1}{r e \sin. \delta} \right)^2 \right] + \xi_3 \left[ 1 + \left( \frac{\theta r_1 e_1}{r e \sin. \delta} \right)^2 - 2\theta \frac{r_1 e_1}{r e} \cotg. \delta \right] \right) \right] v^2 = 2g\epsilon h.$$

Hiernach bestimmt sich aus dem Manometerstande  $h$ , die Umfangsgeschwindigkeit des Rades, wenn man noch

$$\xi_1 + \xi_2 \left( \frac{r_1 e_1}{r e \sin. \delta} \right)^2$$

durch  $\chi$  und

$$1 + \left( \frac{\theta r_1 e_1}{r e \sin. \delta} \right)^2 - 2\theta \frac{r_1 e_1}{r e} \cotg. \delta$$

durch  $\xi$  bezeichnet, durch die Formel

Ventilatoren  
mit freier  
Umdrehung.

$$v = \sqrt{\frac{2 g \varepsilon h}{2 - \left(\frac{r_1}{r}\right)^2 + \theta^2 \cotg. \beta^2 - 2 \theta \frac{r_1 e_1}{r e} \cotg. \delta - (\theta^2 \chi + \xi_1 \xi_2)}}$$

Die Bestimmung der Ausströmungsgeschwindigkeit  $v_u$  und der der Ausflußmenge aus dem Manometerstande  $h$  bleibt die obige. Dagegen folgt die erforderliche Leistung des Ventilators ohne Rücksicht auf die Zapfenreibung und auf andere äußere Nebenhindernisse, jedoch mit Rücksichtnahme auf den Verlust an Kraft beim Eintritt in das Rad, da beim Eintritt in das Rad die tangentielle Geschwindigkeit  $v_0 = c \cotg. \beta$  plötzlich in  $v_1$  übergehen muß:

$$\begin{aligned} L &= \left[ h + \frac{(v_1 - c \cotg. \beta)^2}{2 g \varepsilon} + \xi_1 \frac{c^2}{2 g \varepsilon} + \xi_2 \frac{c_2^2}{2 g \varepsilon} \right. \\ &\quad \left. + \xi_3 \left( \frac{v^2 + c_2^2 - 2 v c_2 \cos. \delta}{2 g \varepsilon} \right) \right] Q \gamma \\ &= \left[ h + \left( \left( \frac{r_1}{r} - \theta \cotg. \beta \right)^2 + \theta^2 \left[ \xi_1 + \xi_2 \left( \frac{r_1 e}{r e \sin. \delta} \right)^2 \right] \right. \right. \\ &\quad \left. \left. + \xi_3 \left[ 1 + \left( \frac{\theta r_1 e_1}{r e \sin. \delta} \right)^2 - 2 \theta \frac{r_1 e_1}{r e} \cotg. \delta \right] \right) \frac{v^2}{2 g \varepsilon} \right] Q \gamma \\ &= 2 \left( 1 + \theta^2 \cotg. \beta^2 - \theta \frac{r_1}{r} \cotg. \beta - \theta \frac{r_1 e_1}{r e} \cotg. \delta \right) \frac{v^2}{2 g \varepsilon} Q \gamma \end{aligned}$$

und daher der Wirkungsgrad des Ventilators:

$$\begin{aligned} \eta &= \frac{g \varepsilon h}{\left( 1 + \theta^2 \cotg. \beta^2 - \theta \frac{r_1}{r} \cotg. \beta - \theta \frac{r_1 e_1}{r e} \cotg. \delta \right) v^2} \\ &= \frac{1}{2} \cdot \frac{2 - \left(\frac{r_1}{r}\right)^2 + \theta^2 \cotg. \beta^2 - 2 \theta \frac{r_1 e_1}{r e} \cotg. \delta - (\theta^2 \chi + \xi_1 \xi_2)}{1 + \theta^2 \cotg. \beta^2 - \theta \frac{r_1}{r} \cotg. \beta - \theta \frac{r_1 e_1}{r e} \cotg. \delta} \end{aligned}$$

Diese Ausdrücke für  $v$ ,  $L$  und  $\eta$  gehen in die entsprechenden Formeln des §. 440 über, wenn man  $\beta = \delta = 90^\circ$  also  $\cotg. \beta = \cotg. \delta = 0$  setzt.

Für Blaseventilatoren, wo  $\theta^2$  sehr klein ist, kann man das Glied  $\theta^2 \chi$  ganz außer Acht lassen und statt

$$\begin{aligned} \xi_3 \xi &= \xi_3 \left[ 1 + \left( \frac{\theta r_1 e_1}{r e \sin. \delta} \right)^2 - 2 \theta \frac{r_1 e_1}{r e} \cotg. \delta \right] \\ &= \xi_3 \left( 1 - 2 \theta \frac{r_1 e_1}{r e} \cotg. \delta \right), \end{aligned}$$

daher die erforderliche Umdrehungsgeschwindigkeit

$$v = \sqrt{\frac{2 g \varepsilon h}{2 - \left(\frac{r_1}{r}\right)^2 + \theta^2 \cot g. \beta^2 - 2 \theta \frac{r_1 e_1}{r e} \cot g. \delta - \xi_3 \left(1 - 2 \theta \frac{r_1 e_1}{r e} \cot g. \delta\right)}}$$

setzen.

Um die Luft ohne Stoß in das Rad einzuführen, muß man  $c \cot g. \beta = v_1$ , also

$$\cot g. \beta = \frac{v_1}{c} = \frac{r_1}{r} \frac{v}{c} = \frac{r_1}{\theta r}, \text{ oder}$$

$$\tan g. \beta = \theta \left(\frac{r}{r_1}\right) \text{ machen.}$$

Dann ist einfacher

$$v = \sqrt{\frac{2 g \varepsilon h}{2 \left(1 - \theta \frac{r_1 e_1}{r e} \cot g. \delta\right) - (\theta^2 \chi + \xi_3 \xi)}}$$

und

$$\eta = \frac{1 - \theta \frac{r_1 e_1}{r e} \cot g. \delta - 1/2 (\theta^2 \chi + \xi_3 \xi)}{1 - \theta \frac{r_1 e_1}{r e} \cot g. \delta} \\ = 1 - 1/2 \frac{\theta^2 \chi + \xi_3 \xi}{1 - \theta \frac{r_1 e_1}{r e} \cot g. \delta}.$$

Damit bei einer gegebenen Radgröße und Windmenge  $Q$ , die Umfangsgeschwindigkeit  $v$  und folglich auch die mit derselben wachsenden Nebenhindernisse sehr klein ausfallen, muß man  $\theta \frac{r_1 e_1}{r e} \cot g. \delta$  möglichst klein, also  $\delta = 90$  Grad oder wenigstens nahe 90 Grad machen.

Für diesen Fall ist die Umdrehungsgeschwindigkeit

$$v = \sqrt{\frac{2 g \varepsilon h}{2 - \left(\theta^2 \left[\xi_1 + \xi_2 \left(\frac{r_1 e_1}{r e}\right)^2\right] + \xi_3 \left[1 + \left(\frac{\theta r_1 e_1}{r e}\right)^2\right]\right)}}$$

und der Wirkungsgrad

$$\eta = 1 - 1/2 \left(\theta^2 \left[\xi_1 + \xi_2 \left(\frac{r_1 e_1}{r e}\right)^2\right] + \xi_3 \left[1 + \left(\frac{\theta r_1 e_1}{r e}\right)^2\right]\right).$$

Für Blaseventilatoren, wo  $\theta^2$  sehr klein ist, läßt sich einfacher

$$v = \sqrt{\frac{2 g \varepsilon h}{2 - \xi_3}} \text{ und} \\ \eta = 1 - 1/2 \xi_3 \text{ setzen.}$$















**Special Advertising Section**  
This section is devoted to the publication of advertisements for the products of the American Medical Association. It is published as a separate section of the journal and is not included in the regular subscription price.



**THE AMERICAN MEDICAL ASSOCIATION**  
The American Medical Association is a non-profit organization of medical professionals. It is the largest and most influential of the medical organizations in the United States. The association's primary purpose is to advance the interests of the medical profession and to improve the quality of medical care for the public. It does this through a variety of activities, including the publication of the *Journal of the American Medical Association*, the sponsorship of medical research, and the provision of medical education and training.

### MEMBERSHIP

The American Medical Association has over 50,000 members. These members are divided into two classes: regular members and life members. Regular members are those who have been active in the medical profession for at least five years. Life members are those who have been active in the medical profession for at least 25 years. The association also has a number of honorary members who have made significant contributions to the medical profession.

The American Medical Association is a non-profit organization. It does not have a president or a board of directors. Instead, it is governed by a council of representatives from the various medical organizations in the United States.









Rad- und  
Zufuhr-  
id. aufeln.

$$r_1 = \sqrt{\frac{2Q}{3\pi c}} = 0,4607 \sqrt{\frac{Q}{c}} = 0,4607 \sqrt{\frac{10}{5,5}} = 0,4607 \cdot 1,348 = 0,621 \text{ Fuß} \\ = 7,45 \text{ Zoll.}$$

Nehmen wir zur Sicherheit,  $r_1 = 8$  Zoll an, so folgt  $r = 16$  Zoll und die Radhöhe  $2r = 32$  Zoll, ferner die innere Radweite  $e_1 = \frac{3}{4}r_1 = 6$  Zoll und die äußere Radweite  $e = 0,4317 e_1 = 2,59$  Zoll, wofür wir aber 3 Zoll annehmen wollen. Die Zuleitungsröhre oder der Einlauf möge, um sie gehörig abrunden zu können, die Weite  $2r_0 = \frac{3}{4} \cdot 2r_1 = 12$  Zoll erhalten. Ferner ist für die Weite der Windleitung  $= e = 3$  Zoll, die Höhe derselben

$$a = \frac{Q}{\psi e v} = \frac{10}{\frac{1}{8} \cdot \frac{1}{4} \cdot 183,3} = \frac{320}{183,3} = 1,75 \text{ Fuß} = 21 \text{ Zoll};$$

gibt man ferner dem Diffuser vier Schaufeln, wie Fig. 905 darstellt, je erhält man den kleinsten Abstand je zweier Schaufeln von einander:

$$a_1 = \frac{Q}{n_1 e v} = \frac{10 \cdot 12}{4 \cdot \frac{1}{4} \cdot 183,3} = \frac{120}{183,3} = \frac{2}{3} \text{ Zoll,}$$

und dagegen den größten Abstand derselben von einander:

$$a_2 = \frac{a}{n_1} = \frac{21}{4} = 5\frac{1}{4} \text{ Zoll.}$$

Die Anzahl der Umdrehungen des Rades pr. Minute ist

$$u = \frac{30v}{\pi r} = \frac{9,55 \cdot 183,3}{\frac{4}{3}} = 1313.$$

Endlich ist der erforderliche Querschnitt der Düsenmündungen:

$$F_\mu = \frac{10 \cdot 144}{\mu \sqrt{2gsh}} = \frac{10 \cdot 144}{0,92 \sqrt{62,5 \cdot 800 \cdot \frac{5}{6}}} = \frac{10,87 \cdot 144}{\sqrt{41667}} = 7,668 \text{ Quadratzell.}$$

und daher bei Anwendung von einer Düse, der Durchmesser derselben

$$d = 3,125 \text{ Zoll.}$$

Verschiedene  
Ventilatoren.

§. 445. Folgendes enthält die Beschreibung und Abbildungen einiger ausgeführten Ventilatoren.

In Fig. 906 ist ein vom Herrn Oberkunstmeister Schwamkrug construirter Grubenventilator für Handbetrieb, welcher ebenfogat als Bläser wie als Sauger gebraucht werden kann, monodimetrisch abgebildet. Das gußeiserne Radgehäuse  $F G H$  ist aus zwei Theilen zusammengesetzt, welche mittels diametraler Flantschen und einer Einlage von in Firnisfitt getränktem Tuch- oder Pappstreifen auf einander zu liegen kommen und durch Schrauben fest mit einander verbunden werden. Mit dem unteren Theile bildet somit das radiale Saug- oder Zuleitungsröhr  $W$  als auch das tangential-Blas- oder Ableitungsröhr  $H$  ein Ganzes. Das Rad hat eine Höhe von 28 Zoll (zu je 2,381 Centimeter) und besteht aus sechs Blechschaufeln wie  $AB$  von 8 Zoll Breite und Höhe, und die Welle  $C$  desselben läuft in Lagern  $K$ , welche an dem unteren Theile des Gehäuses angegossen und mit bronzenen Lagerschalen ausgefüttert sind. Eine andere Welle  $LM$  außerhalb des Gehäuses trägt ein Zahnrad  $RR$  mit 102 Zähnen, welches in ein (nicht sichtbares) Getriebe mit 12 Zähnen eingreift und mittels der Spille  $Q$



approximately 100 metres in diameter. It was 15 metres long when it was first used for the experiment. The 100 metres diameter stage is shown in Fig. 1(a).

Fig. 1(a)



When the experiment was first run, the stage was surrounded by a 100 metres diameter canopy. The canopy was 100 metres in diameter and 100 metres in length. The canopy was made of a material that was 100 metres in diameter and 100 metres in length. The canopy was made of a material that was 100 metres in diameter and 100 metres in length.

Fig. 1(b)



The canopy was made of a material that was 100 metres in diameter and 100 metres in length. The canopy was made of a material that was 100 metres in diameter and 100 metres in length. The canopy was made of a material that was 100 metres in diameter and 100 metres in length. The canopy was made of a material that was 100 metres in diameter and 100 metres in length.

cylinder  $FF$  befestigt und letzterer in das Wasser eingetaucht, womit eine rings um  $WW$  laufende Rinne angefüllt ist. Der äußere Radhalbmesser mißt 0,85 Meter und der innere 0,68 Meter, und die Weite des Rades ist 0,340 bis 0,355 Meter. Dieser Ventilator saugt bei einer Pressungsdifferenz von 0,013 bis 0,0379 Meter Wassersäule, und bei 413 bis 542 Umdrehungen pr. Minute, 2,41 bis 4,57 Cubikmeter Wettern, aus dem Schachte  $WW$ , wobei er mit dem Wirkungsgrade 0,19 bis 0,22 arbeitet. Diese kleine Nuhleistung der Combes'schen Ventilatoren hat jedenfalls in der kleinen Schaufelzahl und in der nahe tangentiellen Schaufelstellung, wobei die Luft bei ihrer Bewegung von innen nach außen nur zum kleinsten Theile der Richtung der Schaufel folgt, und die Anzahl der Umdrehungen im Vergleiche zur Pressungsdifferenz eine große ist, ihren Grund. Auch hat man den Wasserabschluß desselben wieder ganz abgeworfen.

Verschiedene Ventilatoren.

Da die Ventilatoren mit krummen Schaufeln den Erwartungen nicht entsprochen haben, so ist man in der neueren Zeit wieder zu den Ventilatoren mit geraden Schaufeln zurückgekehrt. Namentlich werden die Ventilatoren von Létoret in Belgien zum Wettersaugen vielfach angewendet. Diese Ventilatoren haben bei einem äußeren Halbmesser von 1,3 bis 1,4 Meter, vier Schaufeln von 1,15 bis 1,20 Meter Länge und 0,80 bis 1,00 Meter Breite und geben bei 228 bis 266 Umdrehungen, unter einer Pressungsdifferenz von 0,040 bis 0,058 Meter Wassersäule, pr. Minute 3,6 bis 6,9 Cubikmeter Luft, wobei sie jedoch nur 26 bis 34 Procent des gesammten Kraftaufwandes nutzbar machen. Uebrigens sind die Schaufeln der Létoret'schen Ventilatoren verstellbar, auch saugen dieselben die Wettern von beiden Seiten her ein.

§. 446. Eine eigenthümliche Construction hat der L'loyd'sche Ventilator in Fig. 909 I und II (a. f. S.), wo I den verticalen und II den horizontalen Querschnitt darstellt. Das Rad dieses Ventilators besteht aus sechs gebogenen Blechschaufeln, wie  $AB$ , welche auf einem gußeisernen Gerippe  $GG$  aufgeschraubt und an den Seiten von zwei konischen Blechscheiben  $DD, D_1 D_1$  bedeckt sind. Dasselbe ist in einem gußeisernen Gehäuse  $HH$  eingeschlossen, welches aus vier Theilen zusammengeschaubt und bei  $K$  mit der Windleitung verbunden wird. Die kreisförmigen Einmündungen des Rades sind von Metallringen  $EE, E_1 E_1$  umgeben, welche nahe vor den gußeisernen Ringen  $FF, F_1 F_1$  vorbeigehen, wodurch die Einmündungen in das Gehäuse begrenzt werden. Die Welle  $C$  des Rades ruht bei  $L, L_1$  in metallenen Lagern und wird mittels eines Riemens durch die Riemenscheibe  $R$  u. s. w. in Umdrehung gesetzt. Die Umschließung der Schaufeln durch die konischen Kränze hat den Zweck, den Querschnitt der Austrittsöffnungen, sowie auch jeden anderen kreisförmigen Querschnitt des Rades gleich dem der beiden Eintrittsöffnungen zu machen. Man verhindert dadurch die Bildung







Ausgeführte  
Ventilatoren.

wird. Ein solcher Ventilator von 36 Zoll Durchmesser versorgt bei 30 bis 32 Umdrehungen pr. Minute, einen oder zwei Cupolöfen mit dem nöthigen Wind, und zwar im ersten Falle, beim Ausblasen durch eine sechsblöhlige Düse, mit Wind von 15 Zoll, und im zweiten Falle, beim Ausblasen durch zwei solche Düsen, mit Wind von 12 Zoll Wasserdruck (s. Romberg's Zeitschrift für prakt. Baukunst 1855. Auch Wiebe's Handbuch der Maschinenkunde Bd. I: die Maschinenbaumaterialien).

Unter den vielen Ventilatorconstructionen hat vorzüglich die eine von Downie (s. Civil-Eng. and Archit. Jour. 1858, oder polytechn. Centralblatt 1858), mit den Turbinenconstructionen die meiste Aehnlichkeit. Der Downie'sche Ventilator *BCB*, Fig. 913, besteht hier aus acht getrennten Radcanälen wie *AB*, *AB* von fast constanter Weite, und das Gehäuse desselben ist durch einen

Fig. 913.



Spiralscheider in zwei Canäle *DE* und *FG* getheilt, welche den Wind bei *E* und *G* in die Windleitung *H* führen. Es ist zu erwarten, daß hier die Radcanäle ohne Bildung von Wirbeln von der Luft durchlaufen werden.

Der sogenannte Hochdruckventilator von Rittinger unterscheidet sich von den gewöhnlichen Ventilatoren vorzüglich durch seine Größe und durch die große Anzahl der am äußeren Radumfang radial auslaufenden Schaufeln.

Das Rad besteht hier aus einer gußeisernen Scheibe von 1,6 Meter Durchmesser, einem blechernen Kranze mit der Einstromungsmündung von 0,36 Meter Durchmesser, und aus 24 Blechschaufeln, welche den 9 Centimeter weiten Zwischenraum zwischen dem Teller und dem Kranze einnehmen. Uebrigens ist das ganze Rad von einem gußeisernen Gehäuse umgeben, welches aus zwei Theilen zusammengeschraubt wird, wovon der eine nahe an der Nabe, womit der Radteller auf der Welle feststeht, anschließt, und der andere mit dem halsförmigen Einlaufe ein Ganzes bildet, welcher in einer schmalen Ringfläche an den Radkranz anliegt (s. Rittinger's Centrifugalventilatoren u. s. w., Wien 1858).

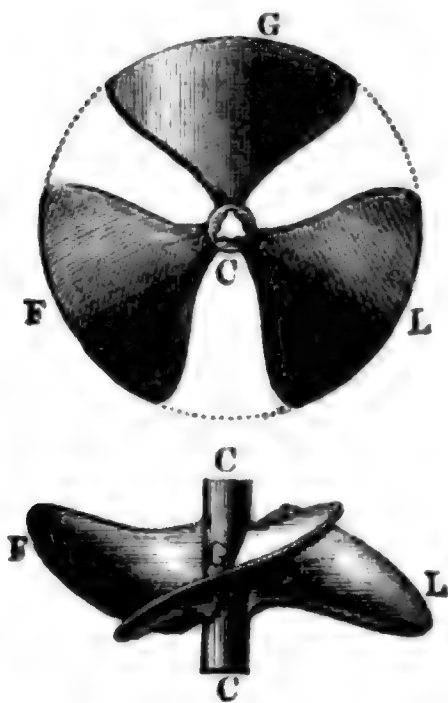
Bei den mit diesem Ventilator ausgeführten Versuchen ergab sich, daß bei 730 bis 1060 Umdrehungen pr. Minute, 33,4 bis 46,8 Cubikmeter

Wind von 0,300 bis 0,590 Meter Wasserdruck ausgeblasen wurden, jedoch der Wirkungsgrad nur 0,28 bis 0,30 ausfiel. Ausgeführte Ventilatoren.

Um höhere Pressungen zu erzeugen, ist es nöthig, zwei solche Ventilatoren so mit einander arbeiten zu lassen, daß der eine dem anderen den Wind durch den Einlauf zuführt.

§. 447. Die Bewegung der Luft mittels rotirender Ventilatoren ist nicht an die Wirkung der Centrifugalkraft gebunden; es kommt hierbei nur darauf an, daß sich die Flügel in einer Richtung bewegen, welche mit der Fläche derselben einen schiefen Winkel einschließen. Wie ein Flügelrad durch den Wind bewegt wird, ebenso läßt sich die Luft durch ein mittels einer anderen Kraft in Umdrehung gesetztes Flügelrad fortbewegen. Es ist daher ein gewöhnliches Flügelrad ein anderes einfaches Mittel zum Fortschaffen der Luft oder zur Erzeugung von Wind. Besondere Aehnlichkeit hat ein solches Flügelrad mit der sogenannten Wasserschraube der Dampfschiffe, wie *FGL*, Fig. 914. Wird dieses Rad in ein cylindrisches Gehäuse ge-

Fig. 914.



bracht und um seine Ase *CC* umgedreht, so saugt dasselbe an der Seite, wo seine Flügelflächen mit der Umdrehungsbe-  
wegung einen stumpfen Winkel bilden, Luft ein und bläst dieselbe an der Seite, wo diese Flächen mit der Umdrehungsbe-  
wegung einen spitzen Winkel einschließen, aus, und es entsteht dadurch ein stetiger Luftstrom in der Richtung der Radare.

Ein sehr einfaches Wetterrad mit Windflügeln ist von Lefoigne ange-  
geben worden und wird auf der Kohlen-  
grube Grand-Bac bei Lüttich zum Wet-  
tersaugen angewendet. Dieser Ventilator hat sechs windschiefe Flügel, wie *ACA*, *A<sub>1</sub>CA<sub>1</sub>*, *A<sub>2</sub>CA<sub>2</sub>*. Fig. 915 (a. f. S.),

aus Eisenblech von  $1\frac{1}{2}$  bis 2 Millimeter Dicke. Dieselben sind auf schmiedeeisernen Armen aufgenietet und letztere mit einer auf der Welle *CD* feststehenden Nabe *CC*, sowie mit einem das ganze Rad umschließenden Kranz *EG*, welcher mittels der Arme *EF*, *E<sub>1</sub>F<sub>1</sub>*, *E<sub>2</sub>F<sub>2</sub>* u. s. w. getragen wird, fest verbunden. Uebrigens sind diese Flügel an der Nabe *CC* unter einem Winkel von 18 bis 19 Grad, und am Kranze *FG* unter einem solchen von 6 bis 7 Grad gegen die Umdrehungsebene geneigt. Die Umdrehung dieses Ventilators erfolgt durch ein Riemenrad *R* u. s. w.; da aber der Riemen leicht rutscht, so hat man bei dem später construirten Ventilator









beiden Seiten des Flügels wäre die relative Eintrittsgeschwindigkeit der Luft in den Raum,  $AB_1 = -v_1 = -v \cos. \beta$ ; ist aber die Pressung in  $M = h_1$  und in  $N = h_2$ , also die Pressungsdifferenz  $h = h_2 - h_1$ , so bleibt zur Bewegung der Luft von  $M$  nach  $N$  nur die Geschwindigkeitshöhe

$$\frac{c^2}{2g} = \frac{v_1^2}{2g} + \varepsilon (h_1 - h_2) = \frac{v^2}{2g} \cos. \beta^2 - \varepsilon h$$

übrig, so daß folglich die Geschwindigkeit, mit welcher die Luft von  $M$  nach  $N$  strömt,

$$c = \sqrt{v^2 \cos. \beta^2 - 2g\varepsilon h}$$

ausfällt.

Ist nun noch  $F$  die Summe der Querschnitte aller Radcanäle und  $\mu$  ein durch Versuche zu ermittelnder Durchflusssoefficient, so folgt die pr. Secunde durch das Rad fließende Luftmenge:

$$Q = \mu F c = \mu F \sqrt{v^2 \cos. \beta^2 - 2g\varepsilon h}.$$

Bezeichnen noch  $r$  und  $r_1$  die beiden Radhalbmesser und ist  $v^0$  die Summe der Centriwinkel, welche die Projectionen der Flügelflächen in der Umdrehungsebene einnehmen, so läßt sich der Inhalt dieser Projection  $= \frac{1}{2} v (r^2 - r_1^2)$  und der Querschnitt

$$F = \frac{1}{2} v (r^2 - r_1^2) \sin. \beta$$

setzen, wonach endlich das Förderquantum

$$Q = \frac{1}{2} \mu v (r^2 - r_1^2) \sin. \beta \sqrt{v^2 \cos. \beta^2 - 2g\varepsilon h}$$

folgt.

Da die Umdrehungsgeschwindigkeit  $v$ , und nach Befinden auch der Schaufelwinkel  $\beta$ , in verschiedenen Abständen  $z$  von der Radaxe verschieden ist, so gilt die Formel

$Q = \mu F \sqrt{v^2 \cos. \beta^2 - 2g\varepsilon h}$  eigentlich nur für ein Flügелеlement  $F = v z \frac{(r - r_1)}{n}$ , von der Breite  $\frac{r - r_1}{n}$ , und es ist daher

$Q = \mu v (r - r_1)$  mal Mittelwerth von  $z \sin. \beta \sqrt{v^2 \cos. \beta^2 - 2g\varepsilon h}$  zu setzen.

Bezeichnet noch  $\omega$  die Windgeschwindigkeit des Rades, so hat man  $v = \omega z$  und daher

$z \sin. \beta \sqrt{v^2 \cos. \beta^2 - 2g\varepsilon h} = z \sin. \beta \sqrt{\omega^2 z^2 \cos. \beta^2 - 2g\varepsilon h}$  zu setzen.

Damit an allen Stellen des Rades auch wirklich Luft von  $M$  nach  $N$  ströme, muß

$$\omega^2 z^2 \cos. \beta^2 > 2g\varepsilon h,$$

also der kleinste Radhalbmesser

$$r_1 > \frac{\sqrt{2g\varepsilon h}}{\omega \cos. \beta}$$

sein.

Ist die Flügelfläche schraubenförmig gebogen, so hat man

$$\tan \beta = \frac{a}{2 \pi z},$$

wobei  $a$  die Schraubenganghöhe bezeichnet, und daher

$$a > \frac{2 \pi}{\omega} \frac{\sin \beta}{\cos \beta^2} \sqrt{2 g \epsilon h}.$$

Uebrigens läßt sich der Mittelwerth von  $z \sin \beta \sqrt{\omega^2 z^2 \cos \beta^2 - 2 g \epsilon h}$  nach der Simpson'schen Regel berechnen, indem man statt  $z$  die Werte  $r$ ,  $\frac{r + r_1}{2}$  und  $r_2$ , und bei Schraubenflügeln, für  $\tan \beta$ ,  $\frac{a}{2 \pi r}$ ,  $\frac{a}{\pi (r + r_1)}$  und  $\frac{a}{2 \pi r_1}$  einführt.

Der Arbeitsaufwand, welchen die Umdrehung des Windradventilators erfordert, besteht aus zwei Theilen, den einen macht die Ueberwindung der Pressungsdifferenz  $h$  und den anderen die des Trägheitswiderstandes der Luft nöthig. Aus statischen Gründen ist die Differenz der Luftdrücke auf beide Flügelflächen pr. Flächeneinheit:  $p = h \gamma$ , wobei  $\gamma$  die Dichtigkeit der Flüssigkeit des Manometers bezeichnet, welches die Pressungsdifferenz  $h$  anzeigt, und daher der entsprechende Widerstand des ganzen Rades in der Umdrehungsrichtung gemessen:

$$F_1 p = F_1 h \gamma,$$

wenn  $F_1$  den Inhalt der Flügelprojection in der radialen Ebene bezeichnet. Multipliziert man diesen Widerstand mit der Umdrehungsgeschwindigkeit  $v$ , so erhält man die zur Ueberwindung dieser Druckdifferenz nöthige mechanische Arbeit:

$$L_1 = F_1 p v = F_1 h \gamma v,$$

oder, wenn man noch  $F_1 = \frac{1}{2} v (r^2 - r_1^2) \sin \beta$  einsetzt:

$$L_1 = \frac{1}{2} v (r^2 - r_1^2) \sin \beta \cdot h \gamma v.$$

Die Arbeit, welche der Trägheitswiderstand der Luft nöthig macht, ist

$$L_2 = \frac{w^2}{2 g \epsilon} Q \gamma,$$

wobei  $w$  die absolute Geschwindigkeit der Luft beim Austritte aus dem Rade bezeichnet.

Es ist aber:

$$w^2 = c^2 + v^2 - 2 c v \cos \beta \text{ und } Q = \frac{1}{2} v (r^2 - r_1^2) \sin \beta \cdot c,$$

daher folgt:

$$L_2 = \frac{(c^2 + v^2 - 2 c v \cos \beta)}{2 g \epsilon} \cdot \frac{v}{2} (r^2 - r_1^2) \sin \beta \cdot c \gamma,$$

und die ganze Radleistung, ohne Rücksicht auf Zapfenreibung und andere Nebenhindernisse:

$$L = L_1 + L_2 = \frac{1}{2} \nu (r^2 - r_1^2) \gamma \sin. \beta \left[ h \nu + c \left( \frac{c^2 + v^2 - 2 c v \cos. \beta}{2 g \varepsilon} \right) \right] \quad \text{Theorie der Windrad-ventilatoren.}$$

Wegen der Veränderlichkeit von  $v = \omega z$  u. s. w. kann man

$$L = \nu \gamma (r - r_1) \text{ mal Mittelwerth von } \left( \omega z^2 h \sin. \beta + z \sin. \beta \frac{w^2}{2 g \varepsilon} \right)$$

setzen, und diesen Mittelwerth ebenfalls mittels der Simpson'schen Regel berechnen.

Beispiel. Ein Windradventilator soll den äußeren Radhalbmesser  $r = 5$  Fuß und den mittleren Schraubwinkel  $\beta = 15$  Grad erhalten; ferner soll seine Projection in der Umdrehungsebene,  $\frac{3}{4}$  der Kreisfläche einnehmen, also  $\nu = \frac{3}{2} \pi$  betragen, und endlich soll derselbe mit der Pressungsdifferenz  $h = 1$  Zoll Wassersäule arbeiten und pr. Minute 240 Umdrehungen machen, welches Wetterquantum wird dieser Ventilator auslaugen, und welchen Arbeitsaufwand wird er erfordern?

Die Winkelgeschwindigkeit dieses Rades ist:

$$\frac{2 \pi \cdot 240}{60} = 8 \pi = 25,13 \text{ Fuß,}$$

und folglich der innere Radhalbmesser:

$$r_1 > \frac{\sqrt{2 g \varepsilon h}}{\omega \cos. \beta} > \frac{\sqrt{62,5 \cdot 800 \cdot \frac{1}{12}}}{25,13 \cos. 12^\circ} > \frac{\sqrt{4167}}{24,58} > 2,626.$$

Machen wir diesen Halbmesser  $2\frac{3}{4}$  Fuß, so folgt die Flüßlänge:

$$r - r_1 = 5 - 2,75 = 2,25 \text{ Fuß.}$$

Die äußere Radgeschwindigkeit ist nun  $= 5 \cdot 25,13 = 125,65$  Fuß, die innere  $= 2,75 \cdot 25,13 = 69,10$  Fuß und die mittlere  $= 97,38$ , folglich sind die entsprechenden Geschwindigkeiten beim Durchgange durch das Rad:

$$\begin{aligned} \sqrt{v^2 \cos. \beta^2 - 2 g \varepsilon h} &= \sqrt{0,9568 v^2 - 4167} \\ &= 111,0 \text{ Fuß, } 28,7 \text{ Fuß und } 74,35 \text{ Fuß.} \end{aligned}$$

Diese Geschwindigkeitswerthe mit den entsprechenden Abständen 5 Fuß, 2,75 Fuß und 3,875 Fuß multiplicirt, erhält man die Zahlen 555,0, 78,9 und 288,1, deren Mittel nach der Simpson'schen Regel

$$\frac{555,0 + 78,9 + 4 \cdot 288,1}{6} = 297,7$$

ist.

Nun folgt noch  $\mu \nu (r - r_1) \sin. \beta$ , wenn man  $\mu = 0,7$  annimmt:

$$= 0,7 \cdot \frac{3}{2} \pi \cdot 2,25 \sin. 12^\circ = 2,362 \cdot 0,2079 \cdot \pi = 1,542,$$

daher ergibt sich die geförderte Wettermenge:

$$\begin{aligned} Q &= \mu \nu (r - r_1) \sin. \beta \text{ mal Mittelwerth } z \sqrt{\omega^2 z^2 \cos. \beta^2 - 2 g \varepsilon h} \\ &= 1,542 \cdot 297,7 = 459 \text{ Cubißfuß.} \end{aligned}$$

Die mittlere Umdrehungsgeschwindigkeit

$$v = \frac{125,65 + 69,10 + 4 \cdot 97,38}{6} = 97,38 \text{ Fuß}$$

und die relative Ausströmungsgeschwindigkeit

$$c = \frac{111 + 28,7 + 4 \cdot 77,35}{6} = 72,85 \text{ Fuß}$$

angenommen, folgt für die mittlere absolute Austrittsgeschwindigkeit  $w$  der Luft

$$\begin{aligned} w^2 &= v^2 + c^2 - 2 v c \cos. \beta \\ &= 97,38^2 + 72,85^2 - 2 \cdot 97,38 \cdot 72,85 \cos. 12^\circ \\ &= 9483 + 5317 - 13505 = 1295, \end{aligned}$$

Theorie der  
Windrad-  
ventilatoren.

und daher der erforderliche Arbeitsaufwand zur Ueberwindung der Trägheit:

$$L_2 = \frac{w^2}{2g} Q\gamma = 0,016 \cdot 1295 \cdot \frac{66}{800} \cdot 459 = 784,5 \text{ Fußpfund.}$$

Ferner da der Mittelwerth von  $z^2$

$$\frac{25 + 7,56 + 4 \cdot 15,02}{6} = 15,44,$$

ist, so folgt der Mittelwerth von

$$\omega z^2 h \sin. \beta = 25,13 \cdot 15,44 \cdot \frac{1}{12} \cdot 0,2079 = 6,722$$

und daher die erforderliche Arbeit zur Ueberwindung des ärostatischen Ueberdruckes auf der einen Seite des Flügelrades:

$$\begin{aligned} L_1 &= r\gamma (r - r_1) \text{ mal Mittelwerth von } \omega z^2 h \sin. \beta \\ &= \frac{3}{2}\pi \cdot 66 \cdot 2,25 \cdot 6,722 = 99 \cdot 2,25 \cdot 6,722 \pi = 4704 \text{ Fußpfund.} \end{aligned}$$

Durch Addition der beiden Arbeiten  $L_1$  und  $L_2$  ergibt sich nun der ganze Arbeitsaufwand zum Umtriebe dieses Ventilators:

$$L = L_1 + L_2 = 4704 + 784,5 = 5488,5 \text{ Fußpfund} = 10,7 \text{ Pferdekraft.}$$

Da die Nutzleistung

$$Q h \gamma = 459 \cdot \frac{66}{12} \cdot 459 = 11\frac{1}{2} = 2522,5 \text{ Fußpfund}$$

ist, so folgt der Wirkungsgrad des Ventilators, ohne Rücksicht auf Reibungen und andere äußere Nebenhindernisse,

$$\eta = \frac{Q h \gamma}{L} = \frac{2522,5}{5488,5} = 0,460.$$

## Viertes Kapitel.

### Zusammendrückung und Fortbewegung der Luft mittels des Wassers.

Schrauben-  
gebläse.

§. 449. Mehrere von den rotirenden Wasserhebungsmaschinen lassen sich auch zur Erzeugung von Wind oder als Luftbewegungsmaschinen anwenden, namentlich ist es die Spiralpumpe (s. §. 339), welche auch als Gebläse dienen kann. Damit diese Maschine nur Luft comprimirt und das Wasser in derselben nur circulire, muß man aber der Welle AB. Fig. 918 und 919, derselben eine Neigung gegen den Horizont geben und den Behälter W, welcher die Luft und das Wasser aus der Schlange CDEH... aufnimmt, mit einer Röhre R zur Abführung des Windes versehen, sowie durch eine Oeffnung S mit dem Wasserbassin U in Communication setzen. Uebrigens taucht man die ganze Maschine so tief unter Wasser, daß die Einmündung C der Schlange bei einer Umdrehung derselben einen Halbkreis in der Luft und einen Halbkreis unter dem Wasser





Schrauben-  
gebläse.

*EEG*, Fig. 918, der Tiefe  $h_1$  des Wasserspiegels *E* in der Schlange unter der Oberfläche *ZZ*, im Luftbogen *HKL* dem Niveauabstande  $h_1$  zwischen *C* und *E* plus dem Niveauabstande  $h_2$  zwischen *G* und *H*; ferner im Luftbogen *GH*, Fig. 919, der Tiefe  $h_3$  des Wasserspiegels *G* unter der Oberfläche *E* u. s. w.

Ein solches Spirals- oder Schraubengebläse (franz. machine soufflante à vis d'Archimède; engl. screw blast machine) ist zuerst von M. Cagniard-Latour (s. Bulletin de la Société d'Encouragement, Octbr. 1834, auch Dingler's polytechn. Journal Bd. 55) angewendet worden, weshalb es auch den Namen die »Cagniardelle« erhalten hat. Uebrigens hat dieses Gebläse noch die eigenthümliche Einrichtung, daß hier das Windreservoir *W* nicht feststeht, sondern auf der Gebläsewelle sitzt und mit derselben umläuft, wobei natürlich die Föderung am Umfange *B* des Schlangenendes beim Eintritte in diesen Behälter ganz wegfällt. Bei der Ausführung im Großen construirt man die Cagniardelle genau wie eine Tonnenmühle (s. Fig. 678, S. 336), indem man die Schlange durch gewöhnliche, um eine dicke Welle oder Spindel laufende flachgängige Schraubengewinde (s. Fig. 278, S. 136) ersetzt. Diese Welle ist hohl und besteht aus Gußeisen, die Schraubengewinde bestehen dagegen aus Kupfer- oder Eisenblech von  $\frac{1}{8}$  Zoll Dicke und werden auch von einem cylindrischen Mantel aus Blech von derselben Stärke umgeben. Die Blechstücke, welche den Mantel und die Schraubengewinde bilden, sind sowohl unter sich als auch mit der gußeisernen Welle durch Nieten luftdicht verbunden. Der Windbehälter wird durch die Verlängerung des cylindrischen Mantels und durch einen niedrigen konischen Blechboden gebildet, welcher in der Mitte eine kreisförmige Mündung enthält. Durch den ringsförmigen Raum, welchen der Querschnitt der Welle von dieser Mündung übrig läßt, fließt das Wasser aus der Schraube in das Bassin zurück und geht auch durch die Röhre hindurch, welche den Wind aus dem Windbehälter fortführt. Damit das Wasser nicht in die Windleitungsröhre trete, selbst wenn das Gebläse nicht arbeitet, ist nöthig, daß diese Röhre im Innern des Windbehälters bis über den äußeren Wasserspiegel geführt sei.

Uebrigens besteht die Cagniardelle entweder aus einer oder aus mehreren z. B. vier Schrauben und jede derselben wieder aus einen, zwei oder mehreren Gängen (s. S. 135 und S. 136).

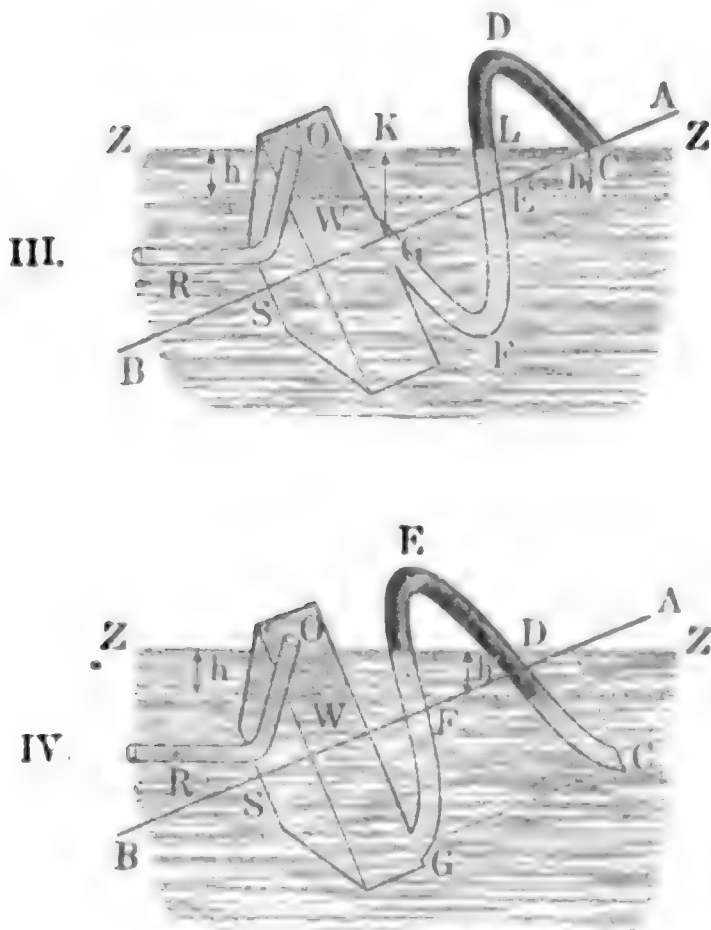
§. 450. Die Cagniardelle von A. Röchlin in Mühlhausen, welche in der oben citirten Schrift beschrieben und abgebildet ist, bestand aus vier Schraubengewinden, wovon jedes  $1\frac{1}{4}$ mal um die Spindel lief; sie hatte einen Durchmesser von 8 und eine Länge von 10 Fuß und lieferte bei fünf bis sechs Umdrehungen pr. Minute 800 Cubikfuß Wind von





Windung fast ganz mit Luft und die zweite Hälfte derselben mit Wasser <sup>Cagniardelle.</sup> angefüllt, also die Einführung der Luft in  $GW$  beendigt ist. Hat man die Schraube wieder um einen Quadranten, also im Ganzen um drei Viertel

Fig. 921.



im Kreise herumgeführt und dadurch in die Stellung IV gebracht, so ist das erste Viertel  $CD$  der Schraube wieder größtentheils mit Wasser gefüllt und es nimmt der Luftbogen  $DE$  ungefähr die Mitte der Schraube ein. Die durch die Ausmündung  $G$  in die Windkammer  $GW$  eingeführte Luft wird durch die Röhre  $OR$  abgeführt, wogegen das durch diese Mündung eingeführte Wasser durch das Loch  $S$  am Umfange der Welle  $AB$  in das Hauptreservoir zurückfließt.

Der verticale Abstand  $h$  zwischen dem Wasserspiegel

$W$  innerhalb des Windreservoirs und dem Wasserspiegel  $ZZ$  außerhalb desselben ist gleich dem Wassermanometerstand des in  $OW$  eingeschlossenen und durch die Röhre  $OR$  fortgeführten Windes, und ist auch gleich dem Niveauabstande der Schenkel des Wasserbogens  $CDE$  in I und des Wasserbogens  $DEF$  in II, sowie der Höhe der Oberfläche des Wassers im Schenkel  $DF$  bei der Stellung III und im Schenkel  $EG$  bei der Stellung IV, über der freien Oberfläche  $ZZ$  des Wassers im Bassin.

Bezeichnet  $a$  die Ganghöhe  $CG$  der Schraube und  $\alpha$  den Neigungswinkel  $BCK$  (I) der Spindel  $AB$  gegen den Horizont  $ZZ$ , so ist bei der der Abbildung zum Grunde liegenden Construction der Cagniardelle der Niveauabstand zwischen den beiden Mündungen  $C$  und  $G$  der Schlange bei den Stellungen I und III,  $GK = 2h = a \sin. \alpha$ , und der Manometerstand des Windes, d. i. die Tiefe des Wasserspiegels,  $W$  unter  $ZZ$ , sowie die Höhe desselben über  $G$ ,

$$h = \frac{1}{2} a \sin. \alpha.$$

Um bei gleicher Steigung der Schraube und bei derselben Neigung  $\alpha$  der Schraubenaxe eine größere Windpressung zu erzielen, hat man nur

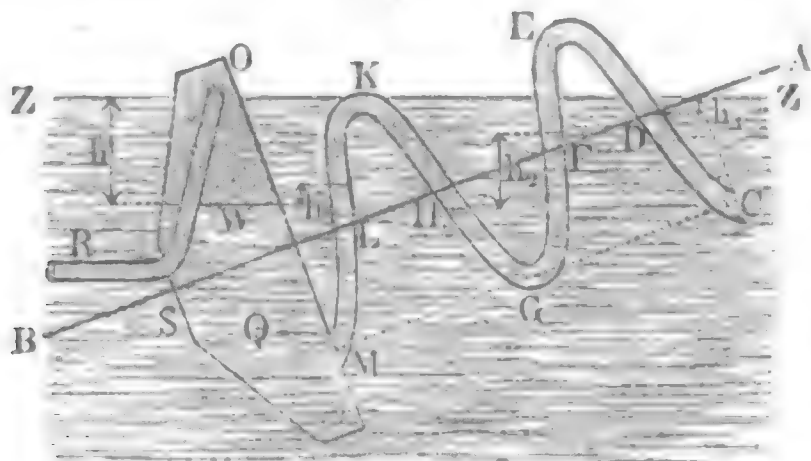
[illegible]

**How do I make a reservation?** Call your nearest to you, listing, 1-800-4-A-RENTAL or 1-800-4-A-RENTAL or visit our website at [www.4arental.com](http://www.4arental.com). Select your location, then select the vehicle you want to rent. You will be able to see the vehicle's availability and the rental rate. You will also be able to see the vehicle's location and the rental rate. You will also be able to see the vehicle's location and the rental rate.

die Luft aus dem Luftbogen  $LM$  in den Windraum  $OW$  der Windkammer Cagniard'sc.  $OQ$ ; hat ferner die Schraube eine halbe Umdrehung gemacht und ist dadurch in die Stellung III. gekommen, so tritt die Einmündung  $C$  der

Fig. 922.

IV.



Schraube wieder unter das Wasser, und es wird dadurch der Luftbogen  $CDE$  abgesperrt, welcher bei fortgesetzter Drehung nach und nach bis  $OW$  gelangt, während sich der Wasserbogen  $KLM$  in  $WQ$  ergießt. Nach Dreivierteldrehung steht die Schraube wie in IV., wo sich die Einmündung  $C$  unter Wasser befindet und Wasser einnimmt, und die Ausmündung  $M$  aus dem Bogen  $LM$  in den untern Theil der Windkammer Wasser einführt. Um die Einmündung  $O$  der Windröhre über den Wasserspiegel  $ZZ$  legen zu können, hat hier die Windkammer  $OQ$  einen größeren Durchmesser als die Schraube erhalten. Die Tiefe  $h$  des Wasserspiegels  $W$  in der Windkammer unter der freien Oberfläche  $ZZ$  des Wassers ist auch hier gleich dem Wassermanometerstand des Windes im oberen Raume  $OW$  der Windkammer und auch gleich der Summe der Niveauabstände zwischen den Oberflächen der Wasserbogen in der Schlange und zwar bei den Stellungen in I., II. und III.,  $h = h_1 + h_2$ , und bei der Stellung in IV.,  $h = h_1 + h_2 + h_3$ .

Nach einer vollständigen Umdrehung der Schraube treten die Verhältnisse wieder wie in I. ein und bei fortgesetzter Drehung wiederholen sich alle vorausgegangenen Bewegungs- und Pressungsverhältnisse.

Bei der Anordnung der Cagniardelle, welche die Abbildung (I.) darstellt, ist die Axenlänge der Schraube von der Einmündung  $C$  bis zur Ausmündung  $M$  gemessen,  $CM = 2a$ , die verticale Projection dieses Axenstückes  $= 2a \sin. \alpha$  und der Wassermanometerstand des Windes:

$$h = \frac{3}{4} \cdot 2a \sin. \alpha = \frac{3}{2} a \sin. \alpha,$$

also die Höhe des Wasserspiegels  $W$  über dem Axenende  $M$  (I. und III.)

$$\frac{1}{3} h = \frac{1}{2} a \sin. \alpha.$$

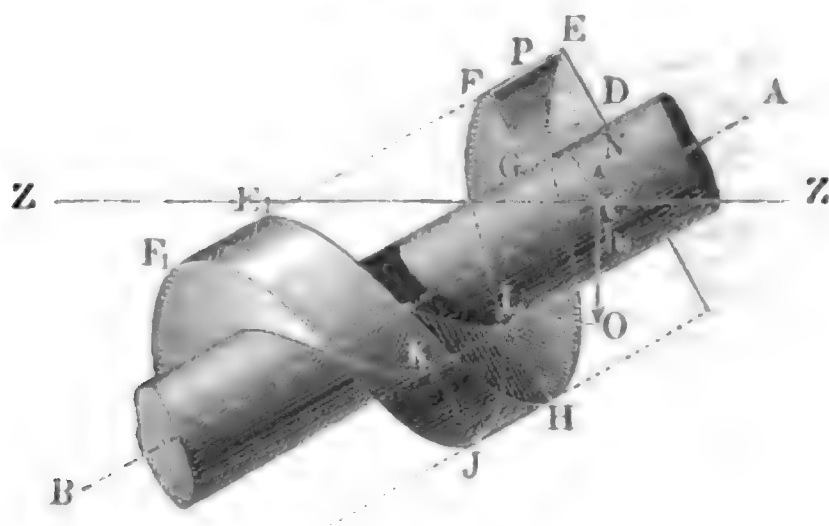
III.



Gagniardelle. §. 452. Bei den Schraubengebläsen, wie sie in der Praxis ausgeführt worden sind, hat die Schraube  $EHF_1$ , Fig. 923, einen rechteckigen Querschnitt  $DEFG$ , dessen Höhe ist:

$$DE = FG = r - r_1,$$

Fig. 923.



d. i. gleich der Differenz zwischen dem Halbmesser  $r$  des Mantels  $EHE_1$  und dem Halbmesser  $r_1$  der Spindel  $DLB$  der Schraube, und dessen Breite

$$EF = HJ = E_1F_1 = \frac{a}{n}$$

ist, wenn  $a$  die Ganghöhe  $EE_1 = FF_1$ , und  $n$  die Anzahl der einzelnen Schraubengewinde auf je eine Ganghöhe bezeichnen.

Bei der abgebildeten Schraube nimmt  $EF$  ein Viertel der Ganghöhe  $EE_1$  ein, lassen sich also noch drei Gewinde zwischen  $F$  und  $E_1$  anbringen, so daß dann  $n = 4$  ausfällt. Der innere Raum eines ganzen Schraubengewindes  $EJE_1$  ist nach der Guldini'schen Regel, gleich dem Querschnitte

$$\overline{DEFG} = \frac{(r - r_1) a}{n} \text{ desselben mal Projection } 2\pi \overline{CM} = 2\pi \frac{(r + r_1)}{2}$$

$= \pi(r + r_1)$  der die Mittelpunkte ( $M$ ) der Querschnitte verbindenden Schraubenlinie in der Ebene rechtwinkelig zur Schraubenaxe  $AB$ ; wenn man daher den Wasserspiegel  $ZZ$  durch den Mittelpunkt  $C$  des von der Mitte  $M$  der Einmündung beschriebenen Kreises legt, so läßt sich das bei jeder Umdrehung der Welle von einem Schraubengewinde aufgenommene Wasservolumen annähernd

$$\begin{aligned} W_1 &= \frac{1}{2} \cdot \frac{(r - r_1) a}{n} \cdot \pi(r + r_1) = \frac{\pi}{2} (r + r_1) (r - r_1) \frac{a}{n} \\ &= \frac{\pi a}{2n} (r^2 - r_1^2) \end{aligned}$$

sehen.

Da man aber bei der Breite  $EF = \frac{a}{n}$  eines Gewindes die ganze Wasser- Cagniardelle.

Schraube auch aus  $n$  Gewinden bestehen lassen wird, so hat man das Wasservolumen pr. Umdrehung der Schraube:

$$W = n W_1 = \frac{\pi}{2} (r^2 - r_1^2) a.$$

Das Luftvolumen  $V$  pr. Umdrehung ist wegen der Compressibilität der Luft stets etwas kleiner als das Wasservolumen  $W$ , und zwar bei einem eingängigen Gewinde, wie Fig. 921, annähernd um das Prisma  $EL$  (III.)

von dem Inhalte  $(r - r_1) \frac{a}{n} h \cos. \alpha$ , so daß

$$\begin{aligned} V &= n \left( \frac{\pi}{2} (r^2 - r_1^2) \frac{a}{n} - (r - r_1) \frac{a}{n} h \cos. \alpha \right) \\ &= \left( \frac{\pi (r + r_1)}{2} - h \cos. \alpha \right) (r - r_1) a \\ &= \left[ \pi \left( \frac{r + r_1}{2} \right) - \frac{1}{4} a \sin. 2\alpha \right] (r - r_1) a \end{aligned}$$

folgt.

Bei einem zweigängigen Gewinde, wie Fig. 922 darstellt, ist das Luftvolumen um ein Prisma  $EN$  (III.) kleiner als das Wasservolumen, dessen senkrechte Höhe  $x$  aus den Gleichungen

$$\begin{aligned} h_1 &= 2x + \frac{1}{2} a \sin. \alpha, \\ h_2 &= 2x \end{aligned}$$

und

$$h_1 + h_2 = h = \frac{3}{2} a \sin. \alpha$$

folgt.

Es ist hiernach  $x = \frac{1}{4} a \sin. \alpha = \frac{1}{6} h$  und daher das Luftvolumen pr. Umdrehung:

$$\begin{aligned} V &= n \left( \frac{\pi}{2} (r^2 - r_1^2) \frac{a}{n} - (r - r_1) \frac{a}{n} \cdot \frac{h}{6} \cos. \alpha \right) \\ &= \left[ \pi \left( \frac{r + r_1}{2} \right) - \frac{1}{6} h \cos. \alpha \right] (r - r_1) a \\ &= \left[ \pi \left( \frac{r + r_1}{2} \right) - \frac{1}{8} a \sin. 2\alpha \right] (r - r_1) a. \end{aligned}$$

Macht die Cagniardelle pr. Minute  $u$  Umdrehungen, so ist das von derselben geförderte Windquantum pr. Secunde, im ersten Falle:

$$Q = \frac{uV}{60} = \frac{ua}{60} (r - r_1) \left[ \pi \left( \frac{r + r_1}{2} \right) - \frac{1}{4} a \sin. 2\alpha \right]$$

und im zweiten:

$$Q = \frac{ua}{60} (r - r_1) \left[ \pi \left( \frac{r + r_1}{2} \right) - \frac{1}{8} a \sin. 2\alpha \right].$$

Capitularbelle. Die durchfließende Wassermenge pr. Secunde ist dagegen in beiden Fällen:

$$Q_1 = \frac{\pi u a}{120} (r^2 - r_1^2).$$

Die mechanische Arbeit, welche der Umtrieb dieses Gebläses erfordert, wird, wenn man von allen Nebenhindernissen absieht, mittels der bekannten Formel

$$L = \left[ 1 - 0,3521 \left( \frac{h}{b} \right) + 0,2000 \left( \frac{h}{b} \right)^2 \right] Q h \gamma$$

bestimmt.

Durch die Reibung des Wassers in der Schlange und am äußeren Umfange des Mantels, sowie durch den Widerstand, welchen das Wasser bei seinem Eintritte in die Windkammer und bei seinem Durchgange durch die Ausmündung derselben zu überwinden hat, wird dieser Arbeitsaufwand noch etwas vergrößert. Auch erfordert die Reibung an den Umfängen der beiden Wellenzapfen und an der Grundfläche des unteren Zapfens noch einen ansehnlichen Arbeitsaufwand, wie wohl der Zapfendruck durch den Auftrieb des Wassers vermindert wird.

Bezeichnet  $c$  die Geschwindigkeit, mit welcher sich das Wasser in der Schlange fortbewegt, und  $c_1$  die Geschwindigkeit, mit welcher es durch die ringförmige Oeffnung  $S$  in das Bassin zurückfließt, ferner  $l$  die Länge,  $d$  die mittlere Weite eines Schraubengewindes und  $Q_1$  die pr. Secunde durch das ganze Gebläse fließende Wassermenge, so hat man bekannten Regeln der Hydraulik zufolge, die auf die Ueberwindung der hydraulischen Nebenhindernisse zu verwendende mechanische Arbeit:

$$L_1 = \left[ \left( 1 + \xi \frac{l}{d} \right) \frac{c^2}{2g} + \frac{c_1^2}{2g} \right] Q_1 \gamma.$$

Ist endlich  $G$  das ganze Gewicht der Schraube,  $A$  der Auftrieb oder das Gewicht des von demselben verdrängten Wassers,  $v$  die Umfangsgeschwindigkeit der Trommel,  $\varphi$  der Halbmesser des oberen und  $\varphi_1$  der des unteren Wellenzapfens, so hat man noch die von der Zapfentreibung in Anspruch genommene Arbeit

$$\begin{aligned} L_2 &= \varphi \left( \frac{\varphi + \varphi_1}{2r} \right) v (G - A) \cos. \alpha + \frac{2}{3} \varphi \frac{\varphi_1}{r} v (G - A) \sin. \alpha \\ &= \left( \frac{\varphi + \varphi_1}{2r} \cos. \alpha + \frac{2}{3} \frac{\varphi_1}{r} \sin. \alpha \right) \varphi (G - A) v. \end{aligned}$$

Bezeichnet  $\beta$  den Steigwinkel der Schraube in Hinsicht auf die Umdrehungsebene derselben, so ist der Querschnitt des Schraubengewindes:

$$F_1 = (r - r_1) \frac{a}{n} \cos. \beta,$$

und daher

$$c = \frac{Q + Q_1}{n F_1} = \frac{Q + Q_1}{(r - r_1) a \cos. \beta}.$$

Ist ferner  $r_2$  der Halbmesser der unteren Trommelmündung und  $r_3$  der Cagniardelle. der Welle an der Stelle, wo dieselbe durch diese Mündung hindurchgeht, sowie  $F_3$  der durch eben diese Mündung gehenden Windableitungsröhre, so hat man den Querschnitt der Abflußmündung  $S$ :

$$F_2 - F_3 = \pi (r_2^2 - r_3^2),$$

und daher

$$c_1 = \frac{Q_1}{F_2 - F_3} = \frac{Q_1}{\pi (r_2^2 - r_3^2)}.$$

Ferner ist die Länge eines Schraubengewindes, wenn dasselbe aus  $\nu$  Gängen besteht:

$$l = \nu \left( \frac{r + r_1}{2} \right) \cdot \frac{2\pi}{\cos. \beta} = \frac{\nu \pi (r + r_1)}{\cos. \beta},$$

und die mittlere Weite desselben:

$$d = \frac{4 F_1}{p_1} = \frac{4 (r - r_1) a \cos. \beta}{2 [n (r - r_1) + a \cos. \beta]} = \frac{2 (r - r_1) a \cos. \beta}{n (r - r_1) + a \cos. \beta}.$$

Was endlich noch den Auftrieb anlangt, so ist dieser gleich dem Gewichte des von dem unter dem Wasserspiegel  $ZZ$  befindlichen Stücke der armirten Schraube verdrängten Wassers plus dem Ueberschusse des inneren Luftdruckes auf die Wasserspiegel im Innern der Schraube über den äußeren Luftdruck.

Uebrigens ist die Cagniardelle eines der vollkommensten Gebläse, da sie weder Ventile noch eine Fiderung nöthig und deshalb nur unbedeutende Nebenhindernisse zu überwinden und keine Windverluste hat. Dagegen macht man diesen Gebläsen den Vorwurf, daß sie feuchten, dem Schmelzproceß nicht zuträglichen Wind liefern.

Beispiel. Eine Cagniardelle soll ein Windquantum  $Q = 10$  Cubikfuß pr. Secunde von der Pressung  $h = 24$  Zoll Wassersäule liefern, welche Dimensionen sind derselben zu geben, und welchen Arbeitsaufwand wird ihr Umtrieb erfordern? Geben wir der Schraubenare eine Neigung von 20 Grad gegen den Horizont, und setzen wir die ganze Schraube aus drei Gewinden von je zwei Gängen oder Umläufen zusammen, so muß dieselbe die Ganghöhe

$$a = \frac{2h}{3 \sin. \alpha} = \frac{16}{\sin. 20^\circ} = 46,78 \text{ Zoll erhalten.}$$

Nehmen wir aber zur Sicherheit,  $a = 48$  Zoll und folglich die Länge der Schraube ohne die Windkammer,  $2a = 96$  Zoll = 8 Fuß an. Geben wir ferner der Schraube den mittleren Halbmesser  $\frac{r + r_1}{2} = 30$  Zoll =  $2\frac{1}{2}$  Fuß, und lassen wir dieselbe pr. Minute 6mal umlaufen, so erhalten wir die nöthige Höhe eines Gewindes:

$$\begin{aligned} r - r_1 &= \frac{60 Q}{u a \left[ \pi \left( \frac{r + r_1}{2} \right) - \frac{1}{8} a \sin. 2\alpha \right]} = \frac{600}{6 \cdot 4 \left( \frac{5}{2} \pi - \frac{1}{2} \sin. 40^\circ \right)} \\ &= \frac{25}{7,8540 - 0,3214} = \frac{25}{7,5326} = 3,319 \text{ Fuß} = 39,83 \text{ Zoll,} \end{aligned}$$

wofür sich = 40 Zoll setzen läßt.

Gagniardelle. Da aber  $r + r_1 = 60$  Zoll ist, so folgt der Halbmesser des Schraubenmantels:

$$r = \frac{60 + 40}{2} = 50 \text{ Zoll}$$

und der der Spindel:

$$r_1 = \frac{60 - 40}{2} = 10 \text{ Zoll.}$$

Hiernach steht der Wasserspiegel in der Windkammer um

$$\frac{a}{2} \sin. 20^\circ = 24 \sin. 20^\circ = 8\frac{1}{4} \text{ Zoll}$$

über der Wellenare und um

$r \cos. 20^\circ - 2a \sin. 20^\circ = 50.0,9397 - 96.0,3420 = 46,99 - 32,83 = 14,16$  Zoll unter dem Mantel, und es ist daher noch Raum genug vorhanden, um die Einmündung der Windröhre einige Zoll über den freien Wasserspiegel legen zu können. Die theoretische Leistung dieses Gebläses ist, bei 27 Zoll Barometerstand

$$\begin{aligned} L &= \left[ 1 - 0,3521 \cdot \frac{24}{27 \cdot 13,6} + 0,2000 \cdot \left( \frac{24}{27 \cdot 13,6} \right)^2 \right] \cdot 10 \cdot 2 \cdot 66 \\ &= (1 - 0,3521 \cdot 0,06536 + 0,2000 \cdot 0,00427) \cdot 1320 = 0,9778 \cdot 1320 \\ &= 1291 \text{ Fußpfund} = 2,53 \text{ Pferdekkräfte.} \end{aligned}$$

Bei der Ganghöhe  $a = 48$  Zoll und dem mittleren Schraubenhalbmesser  $\frac{r + r_1}{2} = 30$  Zoll, ist für den Steigwinkel der Schraubenare:

$$\tan. \beta = \frac{a}{\pi(r + r_1)} = \frac{48}{30 \cdot 3,1416} = \frac{8 \cdot 0,3183}{5} = 0,5093,$$

daher dieser Winkel selbst:

$$\beta = 27 \text{ Grad.}$$

Nun folgt der Querschnitt aller drei Schraubengewinde:

$$\begin{aligned} nF_1 &= (r - r_1) a \cos. \beta = 40.48 \cos. 27^\circ = 1920.0,891 = 1711 \text{ Quadratzoll} \\ &= 11,9 \text{ Quadratfuß.} \end{aligned}$$

Die Wassermenge, welche pr. Secunde durch diese Gagniardelle durchströmt, ist

$$\begin{aligned} Q_1 &= \frac{\pi u a}{120} (r^2 - r_1^2) = \frac{\pi}{20} \cdot 4 \frac{(50^2 - 10^2)}{12^2} = \frac{\pi}{5} \cdot \frac{2400}{144} = \frac{31,416}{3} \\ &= 10,472 \text{ Cubifuß,} \end{aligned}$$

folglich die mittlere Geschwindigkeit, mit welcher die Luft und das Wasser durch die Schraubengänge strömt:

$$c = \frac{Q + Q_1}{nF_1} = \frac{10 + 10,472}{11,9} = \frac{20,472}{11,9} = 1,72 \text{ Fuß.}$$

Die dieser Geschwindigkeit zugehörige Höhe ist

$$\frac{c^2}{2g} = 0,016 \cdot (1,72)^2 = 0,0473 \text{ Fuß.}$$

Giebt man der Ausmündung des Schraubenmantels den Halbmesser  $r_2 = 15$  Fuß = 15 Zoll, und der Spindel an der Stelle der Ausmündung den Halbmesser  $r_3 = 4$  Zoll, so erhält man den Querschnitt der ringförmigen Ausmündung:

$$F_2 = \pi (r_2^2 - r_3^2) = \frac{\pi (225 - 16)}{144} = \frac{209 \pi}{144} = 4,56 \text{ Quadratfuß}$$

Erhält nun noch die Windableitungsröhre den äußeren Querschnitt  $F_2 = 1$  Quadratfuß, so folgt der Querschnitt der Mündung zum Ausfließen des Wassers aus dem Mantel:



$$F_2 - F_3 = 4,56 - 1 = 3,56 \text{ Quadratsfuß,}$$

daher die Abflußgeschwindigkeit:

$$c_1 = \frac{Q_1}{F_2 - F_3} = \frac{10,472}{3,56} = 2,942 \text{ Fuß,}$$

und die entsprechende Geschwindigkeitshöhe:

$$\frac{c_1^2}{2g} = 0,016 \cdot (2,942)^2 = 0,138 \text{ Fuß.}$$

Noch ist die Arenlänge eines Schraubengewindes:

$$l = \frac{r\pi(r + r_1)}{\cos. \beta} = \frac{2 \cdot 5 \cdot \pi}{\cos. 27^\circ} = \frac{31,41}{0,891} = 35,26 \text{ Fuß,}$$

und die mittlere Weite desselben:

$$d = \frac{2(r - r_1)a \cos. \beta}{n(r - r_1) + a \cos. \beta} = \frac{2 \cdot 40 \cdot 48 \cdot \cos. 27^\circ}{3 \cdot 40 + 48 \cos. 27^\circ} = \frac{160 \cos. 27^\circ}{5 + 2 \cos. 27^\circ} \\ = 21,01 \text{ Zoll} = 1,75 \text{ Fuß.}$$

Nun folgt, wenn man noch den Reibungscoefficienten des Wassers,  $\zeta = 0,0272$  setzt, der Arbeitsaufwand, welchen die Ueberwindung der hydraulischen Nebenhindernisse erfordert:

$$L_1 = \left[ \left( 1 + \zeta \frac{l}{d} \right) \frac{c^2}{2g} + \frac{c_1^2}{2g} \right] Q_1 \gamma \\ = \left[ \left( 1 + 0,0272 \frac{35,26}{1,75} \right) \cdot 0,0473 + 0,138 \right] \cdot 10,472 \cdot 66 \\ = (1,548 \cdot 0,0473 + 0,138) \cdot 691 = 0,211 \cdot 692 = 140 \text{ Fußpfund.}$$

Hiernach ist die erforderliche Leistung dieses Gebläses ohne Rücksicht auf die Zapfenreibung:

$$L + L_1 = 1291 + 140 = 1431 \text{ Fußpfund.}$$

Nehmen wir an, daß die gußeiserne Welle der Maschine  $5\frac{1}{2}$  Cubikfuß, der schmiedeeiserne Plechmantel 2,5 Cubikfuß und die schmiedeeisernen Schraubengewinde 1,5 Cubikfuß Raum einnehmen, so können wir das Gewicht der Maschine  $G = 5,5 \cdot 475 + 4 \cdot 508 = 2612 + 2032 = 4645$  Pfund setzen. Ziehen wir noch den Auftrieb des Wassers  $= 5,5 \cdot 66 + 2 \cdot 66 = 7,5 \cdot 66 = 495$  Pfund ab, so folgt der Zapfendruck der Welle  $= 4645 - 495 = 4150$  Pfund.

Giebt man den oberen Zapfen den Halbmesser  $\varrho = 3$  Zoll, den unteren den Halbmesser  $\varrho_1 = 1$  Zoll und nimmt man den Reibungscoefficienten  $\varphi = 0,075$  an, so erhält man die Arbeit, welche die Zapfenreibung in Anspruch nimmt:

$$L_2 = (2/_{12} \cos. 20^\circ + 2/_{3} \cdot 1/_{12} \sin. 20^\circ) \cdot 0,075 \cdot \frac{6\pi}{30} \cdot 4150 \\ = (0,1566 + 0,0190) \cdot 62,25 \pi = 34 \text{ Fußpfund.}$$

Endlich folgt die gesammte Leistung zum Umtriebe dieses Gebläses:

$$L + L_1 + L_2 = 1431 + 34 = 1465 \text{ Fußpfund} = 3\frac{1}{2} \text{ Pferdekkräfte,}$$

und der Wirkungsgrad desselben:

$$\eta = \frac{L}{L_1 + L_2 + L_3} = \frac{1291}{1465} = 0,881.$$

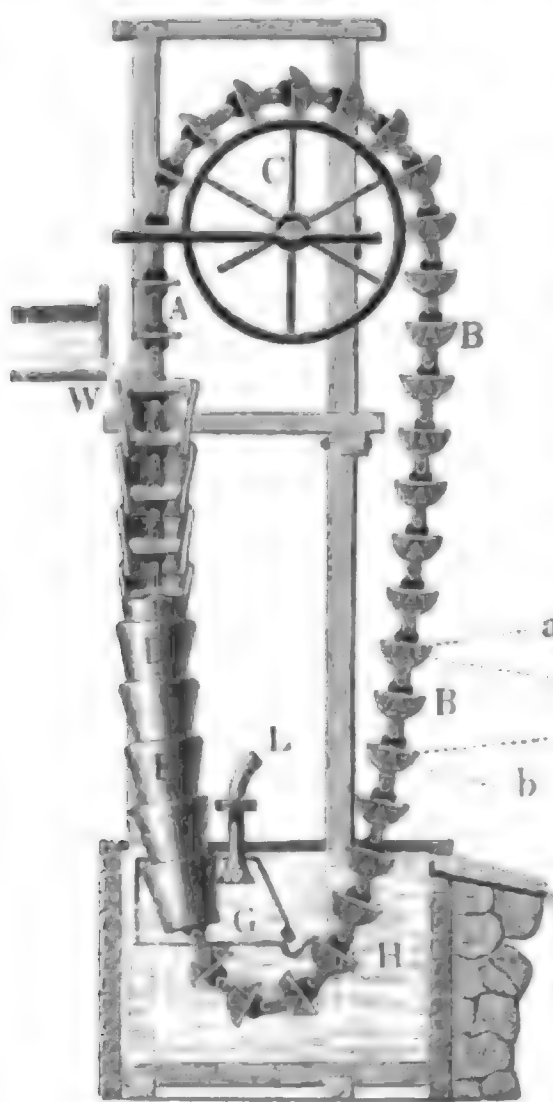
Anmerkung. Die Schöpfradgebläse wirken ähnlich wie die Schraubengebläse. Ueber Euler's Schöpfradgebläse s. Dingle's polytechn. Journal Bd. 128, 1853, und über Stecker's retirendes Gebläse: polytechn. Centralblatt, 7. Jahrgang, 2. Bd. 1841. Ein einfaches Schöpfradgebläse von H. Rischner, welches auf der bairischen Eisenhütte Hammerau angewendet ist, wird beschrieben in den Annales des Mines, T. VI, Série IV, 1844.



Kettengebläse.

§. 453. Das Ketten- oder Paternostergebläse (franz. le chapelet; engl. the rosary or chain-trompe) ist im Wesentlichen von der Folia oder dem Kolbentade (s. Band II, §. 306), sowie von einem Paternosterwerke (s. Band III, §. 331) nicht verschieden. Das erste Kettengebläse ist vom Herrn Oberberginspector Henschel zuerst und zwar für einige hessische Hütten und den Frischfeuerbetrieb am Silber-Nal bei Clauschal construirt worden (s. Studien des Göttingenschen Vereins bergmännischer Freunde Band I, 1824, auch Karsten's Metallurgie Band III, sowie Prechtl's Encyclopädie Bd. VI, Art. Gebläse). Die Kette ohne Ende, aus welcher dieses Gebläse besteht, hängt an einem eisernen Leitrade C, Fig. 924, und zieht sich durch eine eiserne, aus kürzeren Stücken zusammen-

Fig. 924.



gefügte Röhre *DE*, welche von oben mit Wasser gespeist wird und unten in dem Windbehälter *G* ausmündet. Die Scheiben oder Zeller, wodurch die Zellen im Innern der Röhre gebildet werden, bestehen aus je zwei halbkreisförmigen Blechklappen *b, b*, und je einem eisernen Ringe, *a, a*, welcher durch Rippen fest mit der Kette *AHB* verbunden ist. Diese Klappen legen sich auf der Seite, wo die Kette niedergeht, auf ihre Ringe auf und hängen dagegen auf der Seite, wo die Kette aufsteigt, herab. Das bei *W* einfallende Aufschlagwasser füllt die Zellen innerhalb der Röhre zum Theil mit Wasser, welches durch sein Gewicht die Scheiben, wodurch diese Zellen gebildet werden, niederdrückt und dadurch die ganze Kette in einer stetigen Bewegung erhält.

Die Luft, welche oben mit dem Wasser zugleich in die Röhre eintritt, gelangt am unteren Ende der Röhre *DE* in den bedeu-

losen Windkasten *G* und von da durch die Windleitung *GL* nach dem Feuer- raume oder dem Punkte des Bedarfs, wogegen das Aufschlagwasser beim Aus- tritte aus der Röhre in den Behälter *H* fließt. Durch ein an der Abflus- sung angebrachtes Schuttbrett läßt sich das Wasser in dem Behälter aufstauen und dem in *G* abgesperrten Wind die erforderliche Pressung geben. Die Höhe des freien Wasserspiegels im Behälter über der Oberfläche des Wassers im Windkasten ist zugleich der Wassermanometerstand *h* des erzeugten Windes.

Bezeichnet  $Q$  das Aufschlagwasserquantum pr. Secunde,  $h$  das Gefälle, Kettengebläse.  $Q_1$  die erzeugte Windmenge pr. Secunde,  $h_1$  die durch die Höhe einer Wassersäule gemessene Windpressung und  $\eta$  den Wirkungsgrad des ganzen Kettengebläses, so hat man die Gleichung:

$$\eta Q h = Q_1 h_1,$$

und es ist daher

$$Q = \frac{Q_1 h_1}{\eta h}.$$

Soll sich die Kette mit der Geschwindigkeit  $v$  bewegen, so ist die erforderliche Wasserkraft

$$P = \frac{Q h \gamma}{v} = \frac{Q_1 h_1 \gamma}{\eta v}.$$

Dieselbe ist aber auch gleich dem Gewichte des Wassers innerhalb der Röhre, und zwar

$$= n s F \gamma,$$

wenn  $F$  den Querschnitt der Röhre,  $s$  die Höhe der Wasserschicht in jeder Zelle und  $n$  die Anzahl der Zellen oder Wasserschichten innerhalb der Röhre bezeichnet. Es folgt daher:

$$F = \frac{P}{n s \gamma} = \frac{Q h}{n s v} = \frac{Q_1 h_1}{\eta n s v}.$$

Noch ist  $\frac{h}{n} = s + s_1$ , und  $\frac{s_1}{s} = \frac{\eta h}{h_1}$ , wenn  $s_1$  die Höhe der Luftschicht innerhalb einer Zelle bedeutet, daher folgt:

$$\frac{h}{n} = s + s_1 = \frac{s(\eta h + h_1)}{h_1},$$

sowie

$$n s = \frac{h h_1}{\eta h + h_1},$$

und der gesuchte Röhrenquerschnitt:

$$F = \frac{Q}{v} \cdot \frac{\eta h + h_1}{h_1} = \frac{Q_1}{v} \cdot \frac{\eta h + h_1}{\eta h}.$$

Die Geschwindigkeit der Kette bestimmt sich aus der Umdrehungszahl  $u$  des Leitrades  $C$  und aus dem Abstände  $r$  der Kettenaxe von der Radaxe mittels der bekannten Formel

$$v = \frac{\pi u r}{30}.$$

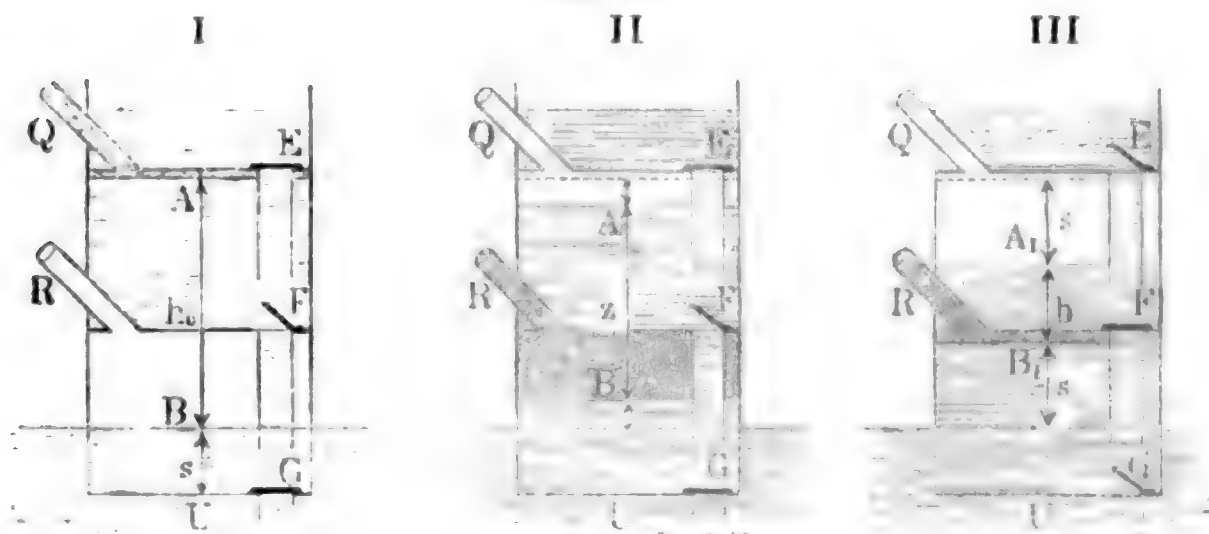
Die häufigen Reparaturen und größeren Unterhaltungskosten sind jedenfalls wesentliche Ursachen, weshalb diese Gebläse keine größere Anwendung gefunden haben.



wechselnd auf- und niederbewegt, und die Steuerung dieser Hilfsmaschine wird durch einen Schwimmer in Verbindung mit einem Gegengewichte hervorgebracht. Während bei geöffnetem Ventile  $F_3$  das Wasser aus einem Gefäße  $A_3$  in das andere Gefäß  $A_4$  fließt, eröffnet sich das Saugventil  $V_2$  und strömt in der Röhre  $E_2$  Luft nach, welche den frei werdenden Raum in  $A_3$  wieder ausfüllt. Die Luft in  $A_4$ , welche durch das bei  $B_3$  zufließende Wasser zusammengeedrückt wird, stößt das Blaseventil  $W_3$  auf und strömt durch die Knieröhre  $E_3 R_3$  in die nach dem Windregulator  $Q$  führende Windleitung  $OO$ . Bei der umgekehrten Stangenstellung findet natürlich auch ein umgekehrtes Einsaugen und Ausblasen der Luft statt; während jetzt die Gefäße  $A_1$  und  $A_3$  Luft eingesaugt, und die Gefäße  $A_2$  und  $A_4$  dieselbe ausgeblasen haben, wird bei der umgekehrten Stangenstellung, wo die Ventile  $F_1$  und  $F_3$  geschlossen, dagegen die Ventile  $F_2$  und  $F_4$  geöffnet sind, Luft in die Gefäße  $A_2$  und  $A_4$  ein- und aus den Gefäßen  $A_1$  und  $A_3$  ausströmen. Nachdem das Wasser die ganzen Gefäße durchlaufen hat, strömt es bei geöffnetem Ventile  $F_4$  in das Unterwasser  $U$ . Die specielle Einrichtung dieses ziemlich complicirten Gebläses ist in der oben citirten Monographie von Pfort beschrieben.

Der Gang und die Wirkungsweise des Wassersäulengebläses sind aus den Abbildungen I., II. und III. von Fig. 926 zu ersehen. In I. ist das

Fig. 926.

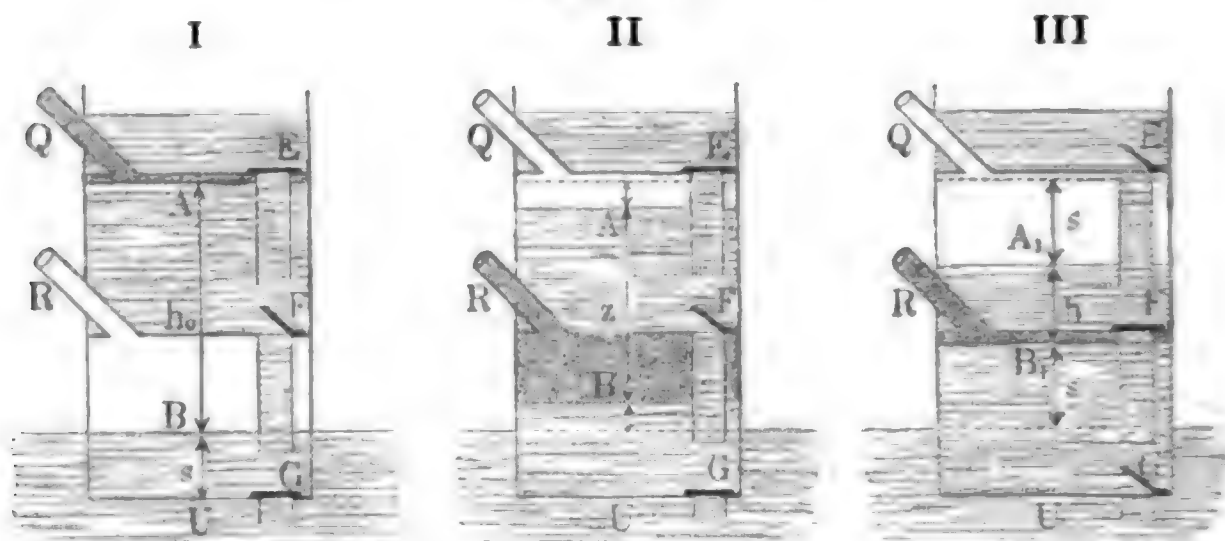


Ventil  $F$  eröffnet, dagegen sind die benachbarten Ventile  $E$  und  $G$  geschlossen; der obere Raum des Behälters  $B$  ist mit Luft von der äußeren Dichtigkeit erfüllt, während im Behälter  $A$  eine kleine Menge Wind von der inneren Pressung zurückbleibt. Kurz nach Eröffnung von  $F$  geht jedoch die letztere in die äußere Pressung über und es öffnet sich das Saugventil in der Röhre  $R$ ; es strömt daher anfangs mit einer übermäßigen Geschwindigkeit von  $A$  nach  $B$ , welche dem Abstände  $h_0$  der Wasserspiegel in  $A$  und  $B$  als Druckhöhe zukommt. Diese Geschwindigkeit wird allmählig kleiner und kleiner, da nicht allein die Druckhöhe  $AB = z$  (II.) allmählig ab-

Wassersäulen-  
gebläse.

nimmt, sondern auch die Pressung der Luft in  $B$  wächst, bis sie die der Luft im Regulator angenommen hat. Endlich hört der Ausfluß des Wassers aus  $A$  in  $B$  und das Fortströmen der Luft aus  $B$  nach dem

Fig. 927.



Regulator ganz auf, wenn, wie in III., der Abstand zwischen den beiden Wasserspiegeln dem Wassermanometerstande des Windes im Regulator gleich geworden ist. Nach Eintritt dieses Gleichgewichtszustandes verschließt man das Ventil  $F$  und eröffnet die Ventile  $E$  und  $G$ , worauf nun aus dem Behälter  $A$  durch die Röhre  $Q$  Wind in den Regulator gedrückt und Wasser aus  $B$  in das Unterwasser  $U$  abgelassen wird.

Bezeichnet  $a$  die Höhe eines Behälters wie  $A, B \dots$  und  $s$  die Höhe der jedesmal aus demselben abgelassenen Wasserschicht, so hat man die Druckhöhe am Anfange des Ausflusses (I.):

$$AB = h_0 = a + s,$$

und die am Ende desselben (III.):

$$A_1 B_1 = h = h_0 - 2s = a - s.$$

Umgekehrt ist die für eine gegebene Manometerhöhe nöthige Gefäßhöhe:

$$a = h + s.$$

Bezeichnet ferner  $F$  den Querschnitt eines Gefäßes, so ist das Wasserquantum und Luftvolumen, welches nach jeder Umsteuerung ausfließt und einströmt:

$$V = Fs,$$

und ist noch  $n_1$  die Anzahl der Gefäße, sowie  $n$  die Anzahl der Spiele oder Ausgüsse eines Gefäßes pr. Minute, so hat man das pr. Secunde geförderte Luftquantum, unter dem äußeren Drucke gemessen:

$$Q = \frac{n}{60} \cdot n_1 V = \frac{n}{60} n_1 Fs = \frac{nn_1}{60} Fs,$$

sowie die pr. Secunde verbrauchte Aufschlagwassermenge:

$$Q_1 = \frac{n}{60} V = \frac{n}{60} Fs = \frac{Q}{n_1}.$$



Das ganze Gefälle der Maschine ist  $h_1 = n_1 a$  und daher die Totalleistung derselben, ohne Rücksicht auf Nebenhindernisse: Wassersäulen-  
gebläse.

$$L_1 = Q_1 h_1 \gamma = n_1 a Q_1 \gamma.$$

Da sich die Nutzleistung  $L = Q h \gamma$  setzen läßt, so folgt der theoretische Wirkungsgrad dieser Gebläsemaschine:

$$\eta = \frac{L}{L_1} = \frac{Q h}{Q_1 h_1} = n_1 \frac{h}{n_1 a} = \frac{h}{a} = \frac{a - s}{a} = 1 - \frac{s}{a}.$$

Es nähert sich also der Wirkungsgrad eines solchen Gebläses der Einheit um so mehr, je kleiner die Höhe  $s$  der Luft- und Wasserschicht ist, welche bei je einer Ventileröffnung zu- und abfließt.

Für  $s = \frac{a}{4}$  ist  $\eta = \frac{3}{4}$  und

für  $s = \frac{a}{2}$  ist  $\eta = \frac{1}{2}$ .

Um einen vortheilhaften Effect zu erzielen, wird man  $s$  höchstens  $\frac{1}{3} h$  und daher die Gefäßhöhe  $a = \frac{4}{3} h$  machen müssen, wobei dann  $\eta = \frac{3}{4}$  ausfällt. Uebrigens ist es zur besseren Einführung der Luft nöthig, die Gefäße nicht ganz mit Wasser anzufüllen, und den höchsten Wasserspiegel noch ungefähr 1 Zoll vom Gefäßdeckel abstehen zu lassen.

Bei dem Wassersäulengebläse in Beckerhagen ist die Windpressung  $h = 2$  Fuß, das Gefälle  $h_1 = 28$  Fuß, die Anzahl der Behälter,  $n_1 = 8$ , folglich die Höhe eines einzelnen:

$$a = \frac{h_1}{n_1} = \frac{28}{8} = \frac{7}{2} = 3,5 \text{ Fuß,}$$

daher die Höhe der zu- und abfließenden Luft- und Wasserschicht:

$$s = a - h = 1,5 \text{ Fuß,}$$

und der theoretische Wirkungsgrad:

$$\eta = 1 - \frac{1,5}{3,5} = \frac{4}{7} = 0,57.$$

Ferner ist der Querschnitt der Behälter,  $F = 28,26$  Quadratfuß und die Anzahl der Füllungen eines Behälters pr. Minute,  $n = 2,5$ ; folglich die Aufschlagwassermenge pr. Secunde:

$$Q_1 = \frac{n}{60} F s = \frac{2,5}{60} \cdot 28,26 \cdot 1,5 = 1,76 \text{ Cubikfuß,}$$

die geförderte Windmenge pr. Secunde:

$$Q = n_1 Q_1 = 8 \cdot 1,76 = 14,13 \text{ Cubikfuß,}$$

und der theoretische Arbeitsaufwand zum Betriebe dieses Gebläses:

$$\begin{aligned} L_1 &= Q_1 h_1 \gamma = 1,76 \cdot 28 \cdot 66 = 3253 \text{ Fußpfund} \\ &= 6,38 \text{ Pferdekkräfte.} \end{aligned}$$





technology. The first stage of the process is the identification of the technology that is to be used. This is done by the teacher, who is responsible for selecting the technology that is most appropriate for the learning objectives of the lesson. The second stage is the integration of the technology into the lesson plan. This is done by the teacher, who is responsible for determining how the technology will be used to support the learning objectives. The third stage is the implementation of the technology in the classroom. This is done by the teacher, who is responsible for ensuring that the technology is used effectively and that the learning objectives are met. The fourth stage is the evaluation of the technology. This is done by the teacher, who is responsible for determining whether the technology has been used effectively and whether the learning objectives have been met. The fifth stage is the reflection on the technology. This is done by the teacher, who is responsible for reflecting on the use of the technology and determining whether it should be used again in the future.



THESE ARE THE MAIN POINTS OF THE ARTICLE. THE ARTICLE IS A REVIEW OF THE LITERATURE ON THE USE OF TECHNOLOGY IN THE CLASSROOM. THE ARTICLE IS A REVIEW OF THE LITERATURE ON THE USE OF TECHNOLOGY IN THE CLASSROOM. THE ARTICLE IS A REVIEW OF THE LITERATURE ON THE USE OF TECHNOLOGY IN THE CLASSROOM.

Wassertrom-  
melgebläse.

in das offene Ende der Einfallröhre eintreten läßt. Auch kann man zur Regulirung der Aufschlagwassermenge einen konischen Zapfen *Z* in den Trichter hineinschieben. Endlich führt man auch wohl die Luft durch eine konische Röhre *A* (III.) ein, welche die Mitte des Trichters einnimmt und über dem Oberwasserspiegel hervorragt.

Man läßt das Wasser bei seinem Eintritte in die Trommel auf eine Bank oder einen durchlöcherten Tisch *K* aufschlagen, nicht allein um es zu beruhigen, sondern auch um ihm die absorbirte Luft zu entziehen. Nach Bunsen soll letztere jedoch noch nicht 2 Procent des Wasservolumens betragen. Die Trommel besteht entweder in einem gewöhnlichen Holzbottich oder in einem gußeisernen Kasten oder cylindrischen Gefäße. Auf je eine Einfallröhre erhält die Trommel einen Fassungsraum von 20 bis 30 Cubikfuß, dessen kleinere Hälfte zur Aufnahme des Windes dient. Die Windpressung, welche man durch diese Gebläse erlangt, ist 2 bis 3 Fuß Wassersäule, das Gefälle derselben 15 bis 30 Fuß, die Aufschlagwassermenge, pr. Minute 2 bis 3 Cubikfuß und die von derselben gelieferte Windmenge, pr. Minute  $1\frac{1}{2}$  bis 4 Cubikfuß.

Der Wirkungsgrad dieser Gebläse ist nach D'Aubuisson sowie nach Thibaud und Tardy (s. Annales des Mines T. VIII und Karstens Archiv, Band 8) nur 0,10 bis 0,15; und soll nach neueren Versuchen von Rittinger sogar nur 0,05 betragen (s. die österreichische Zeitschrift für Berg- und Hüttenwesen, Jahrgang 1856, Nr. 35).

Die schönsten Wassertrommelgebläse hat der Verfasser auf der Eisenhütte zu Lauffen am Rheinfall bei Schaffhausen vorgefunden. Mit diesen Gebläsen wurden nicht nur zwei Frisch- und ein Stahlfeuer, sondern auch der Hohofen mit Wind versorgt. Das Gebläse für den letzteren bestand aus fünf gußeisernen Einfallröhren von circa 8 Zoll Weite, welche in einem ausgemauerten, von einer Eisenplatte bedeckten Bassin ausmündeten.

§. 456. Nach den bekannten Principien der Hydraulik läßt sich die Theorie der Wassertrommelgebläse wie folgt entwickeln. Es sei *a* die Tiefe der Trichtermündung und also auch die der Saugröhren unter dem Oberwasserspiegel, *k* der durch die Höhe einer Wassersäule gemessene äußere Luftdruck, *x* der auf gleiche Weise gemessene Luft- und Wasserdruck an der gedachten Einmündung im Inneren der Saugröhre; ferner  $\epsilon$  das Verhältniß der Dichtigkeit des Wassers zu der der eingesaugten Luft, *v* die Geschwindigkeit des Wassers und *v*<sub>1</sub> die der Luft beim Eintritte in den Raum unter dem Halse des Trichters. Dann ist

$$1) \quad k + a - x = \frac{v^2}{2g}$$

$$2) \quad k - x = \frac{v_1^2}{2g\epsilon}.$$

Bezeichnet ferner  $F$  den Querschnitt des Halses oder der Einmündung für das Wasser und  $F_1$  die Summe der Querschnitte der Sauglöcher, sowie  $Q$  das Aufschlagwasser und  $Q_1$  die eingesaugte Windmenge, so ist

$$3) \quad Q = Fv$$

und

$$4) \quad Q_1 = F_1 v_1.$$

Ist  $G$  der Querschnitt der Einfallröhre und  $w$  die Geschwindigkeit, mit welcher das Wasser und die Luft gemeinschaftlich in derselben niedersinken, so gilt auch die Gleichung:

$$5) \quad Fv + F_1 v_1 = Gw.$$

Die Einfallröhre, deren Höhe  $a_1$  von der Einmündung der Sauglöcher bis zu dem Unterwasserspiegel außerhalb der Trommel gemessen wird, ist theils mit Wasser, theils mit Luft erfüllt; nehmen wir an, daß das erstere im Ganzen die Höhe  $y$ , und die letztere im Ganzen die Höhe  $z$  einnehme, so können wir

$$y + z = a_1$$

und

$$\frac{y}{z} = \frac{Q}{Q_1}$$

sehen, so daß nun

$$6) \quad y = \frac{Q a_1}{Q + Q_1} \quad \text{und} \quad z = \frac{Q_1 a_1}{Q + Q_1}$$

folgt.

Endlich ist, wenn wir den Wassermanometerstand oder die Tiefe des Wasserspiegels innerhalb der Trommel unter dem Unterwasserspiegel außerhalb derselben durch  $a$  bezeichnen und annehmen, daß das Gefälle  $z$  von den Wasser- und Luftwirbeln aufgezehrt werde, zu sehen

$$7) \quad Q(x + y - k) + Q_1[x - (k + h_1)] \\ = Q\left(\frac{w^2 - v^2}{2g} + \frac{(v - w)^2}{2g}\right) + \frac{Q_1}{\varepsilon}\left(\frac{w^2 - v_1^2}{2g} + \frac{(v_1 - w)^2}{2g}\right),$$

weil das Wasserquantum  $Q$ , beim Niedersinken in der Einfallröhre aus der Pressung  $x + y$  in die von  $k$  und das Luftquantum  $Q_1$  aus der Pressung  $x$  in die von  $k + h$  übergeht, weil ferner hierbei das Wasser mit der Geschwindigkeit  $v$  und die Luft mit der Geschwindigkeit  $v_1$  zutritt und beide Geschwindigkeiten plötzlich in die Geschwindigkeit  $w$  übergehen, welche auch zugleich die Geschwindigkeit des Wassers und der Luft beim Austritte aus der Röhre ist.

Giebt man  $Q$ ,  $Q_1$ ,  $F$  und  $a$ , so läßt sich nach den Gleichungen (1, 2, 3, 4) berechnen:

$$v = \frac{Q}{F},$$

Wassertrom-  
melgebläse.

$$x = k + a - \frac{v^2}{2g},$$

$$v_1 = \sqrt{2g\varepsilon(k-x)},$$

$$F_1 = \frac{Q_1}{v_1}.$$

Ist noch der Querschnitt  $G$  und die Länge  $a_1$  der Einfüllröhre gegeben, so bestimmt sich mittels der Gleichungen (5 und 6)

$$w = \frac{Q + Q_1}{G}$$

$$y = \frac{Q a_1}{Q + Q_1},$$

und mittels der Gleichung (7) der Manometerstand:

$$h_1 = \frac{Q}{Q_1} \left( y - (k - x) + \frac{w(v - w)}{g} \right) - (k - x) + \frac{w(v_1 - w)}{\varepsilon g}.$$

Das ganze Gefälle des Gebläses ist

$$h = a + a_1$$

und der Wirkungsgrad desselben:

$$\eta = \frac{Q_1 h_1}{Q h} = \frac{Q_1}{Q} \cdot \frac{h_1}{a + a_1}.$$

Um den Wasserstoß beim Eintritte in die eigentliche Einfüllröhre zu vermeiden, muß man  $w = v$ , und folglich

$$G = \frac{Q + Q_1}{v} = F + \frac{Q_1}{v}$$

machen.

In der Regel fällt dann auch noch das Glied  $\frac{w(v_1 - w)}{\varepsilon g}$  klein genug aus, um es außer Acht lassen zu können, daher hat man dann einfach:

$$h_1 = \frac{Q}{Q_1} y - \frac{Q + Q_1}{Q_1} (k - x) = \frac{Q^2 a_1}{Q_1 (Q + Q_1)} - \frac{Q + Q_1}{Q_1} (k - x).$$

und

$$\eta = \left( \frac{Q^2 a_1}{Q + Q_1} - (Q + Q_1) (k - x) \right) : Q h = \frac{Q^2 a_1 - (Q + Q_1)^2 (k - x)}{Q (Q + Q_1) h}.$$

Man ersieht aus dieser Formel, daß der Wirkungsgrad eines Wassertrommelgebläses um so größer ausfällt, je größer die Länge  $a_1$  der Einfüllröhre, je kleiner also die Tiefe  $a$  der Trichtermündung unter dem Wasserspiegel, und je kleiner die Windmenge  $Q_1$  in Hinsicht auf die Wassermenge  $Q$  ist, ferner je mehr sich der innere Luft- und Wasserdruck  $x$  dem äußeren Luftdruck  $k$  nähert und je mehr das Gebläse Gefälle hat. Ist  $Q_1$  und  $k - x$  sehr klein, so hat man:

$$\eta = \frac{Q a_1}{(Q + Q_1) h}.$$

Beispiel. Ein Wassertrommelgebläse soll bei einem Gefälle  $h = 5$  Fuß und einem Aufschlagquantum  $Q = 2$  Cubikfuß pr. Secunde, eine Windmenge  $Q_1 = 4$  Cubikfuß liefern; welche Pressung wird von dem Winde, und welcher Wirkungsgrad von diesem Gebläse zu erwarten sein?

Wassertrommelgebläse.

Geben wir dem Halse oder der Ausmündung des Trichters eine Weite von 5 Zoll, also einen Querschnitt von 19,635 Quadrat Zoll, so erhalten wir die Geschwindigkeit des Wassers beim Durchgange durch dieselbe:

$$v = \frac{Q}{F} = \frac{2 \cdot 144}{19,635} = \frac{288}{19,635} = 14,67 \text{ Fuß.}$$

Ist die kleinste Wasserbarometerhöhe  $k = 30$  Fuß und machen wir den inneren Luft- und Wasserdruck nur um 1 Fuß kleiner, also  $x = 29$  Fuß, so folgt die Tiefe der Trichter- sowie die der Saugmündungen unter dem Oberwasserspiegel:

$$a = \frac{v^2}{2g} - (k - x) = 0,016 \cdot 14,67^2 - 1 = 2,442 \text{ Fuß.}$$

Setzen wir ferner  $\varepsilon = 800$ , so folgt die Geschwindigkeit der durch die Seitenlöcher zuströmenden Luft:

$$v_1 = \sqrt{2g\varepsilon(k - x)} = \sqrt{62,5 \cdot 800} = 223,6 \text{ Fuß,}$$

und daher der erforderliche Querschnitt der Saugmündungen:

$$F_1 = \frac{Q_1}{v_1} = \frac{4 \cdot 144}{223,6} = 2,576 \text{ Quadrat Zoll.}$$

Geben wir der Einfallröhre 8 Zoll Weite, also 50,265 Quadrat Zoll Querschnitt, so erhalten wir die Geschwindigkeit der Luft und des Wassers in der Einfallröhre:

$$w = \frac{Q + Q_1}{G} = \frac{6 \cdot 144}{50,265} = 17,19 \text{ Fuß.}$$

Die Länge der Einfallröhre ist:

$$a_1 = h - a = 25 - 2,442 = 22,558 \text{ Fuß,}$$

und die Höhe der Wassersäule in derselben:

$$y = \frac{Q a_1}{Q + Q_1} = \frac{2 \cdot 22,558}{6} = 7,519 \text{ Fuß.}$$

Noch ist

$$\frac{w(v - w)}{g} = 0,032 \cdot 17,19 (14,67 - 17,19) = -1,386,$$

und

$$\frac{w(v_1 - w)}{\varepsilon g} = \frac{0,032}{800} \cdot 17,19 (223,6 - 17,2) = 0,142,$$

daher folgt der Manometerstand oder die durch die Höhe einer Wassersäule gemessene Windpressung:

$$\begin{aligned} h_1 &= \frac{Q}{Q_1} \left( y - (k - x) + \frac{w(v - w)}{g} \right) - (k - x) + \frac{w(v_1 - w)}{\varepsilon g} \\ &= \frac{1}{2} (7,519 - 1 - 1,386) - 1 + 0,142 = 2,567 - 0,858 = 1,709 \text{ Fuß,} \end{aligned}$$

und der Wirkungsgrad dieses Gebläses:

$$\eta = \frac{Q_1 h_1}{Q h} = \frac{4 \cdot 1,709}{2 \cdot 25} = 8 \cdot 0,01709 = 0,1367.$$

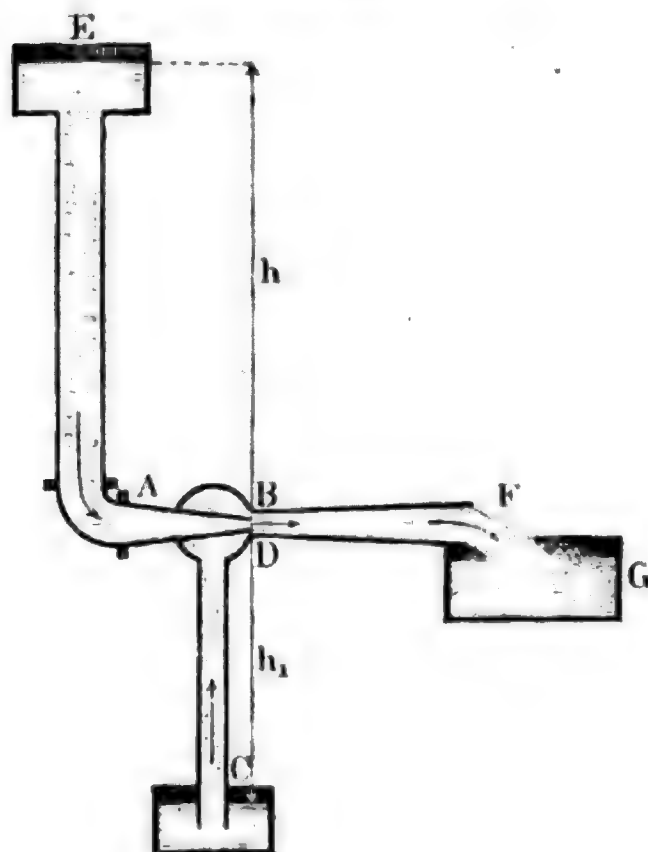
In Folge der Nebenhindernisse kann derselbe noch um 0,0367 kleiner, also  $= 0,100$  ausfallen.



Saugstrahl-  
pumpe.

§. 457. Die Saugstrahlpumpe vom Prof. James Thomson (s. the Report of the British Association etc. for 1852, auch Prof. Rankines Manual of the Steam-Engine etc.) wirkt auf dieselbe Weise wie das Wassertrommelgebläse. Eine Skizze dieser Pumpe führt Fig. 930 vor Augen. Das durch die Einfallröhre  $EA$  zugeführte Aufschlagwasser

Fig. 930.



strömt durch das konische Mundstück in eine horizontale Abflußröhre  $DF$  und saugt bei seinem Eintritte in diese Röhre durch die Steigröhre  $CD$  aus dem Reservoir  $C$  Wasser an, welches mit dem Aufschlagwasser zugleich durch die Ausmündung  $F$  der Abflußröhre zum Ausflusse in den Behälter  $G$  gelangt. Die größte Leistung dieser Pumpe findet nach den Thomson'schen Versuchen dann statt, wenn die Saughöhe  $h_1 = 0,9 h$ , d. i. 0,9 des Gefälles ist; das angesaugte Wasserquantum  $Q_1$  war dann  $\frac{1}{5}$  der Auf-

schlagwassermenge und folglich der Wirkungsgrad

$$\eta = 0,9 \cdot \frac{1}{5} = 0,18.$$

Nach der obigen Theorie ist hier, wenn  $x$  die Druckhöhe an der Ausmündung des Mundstückes,  $v$  die Geschwindigkeit des Aufschlagwassers beim Austritte aus dem Mundstücke,  $v_1$  die des Hubwassers beim Eintritte in die Abflußröhre, und  $w$  die des gesammten Wassers beim Austritte aus derselben bezeichnet:

$$k + h - x = \frac{v^2}{2g} \text{ und } k - (h_1 + x) = \frac{v_1^2}{2g},$$

ferner

$$Q = Fv, Q_1 = F_1 v_1, Q + Q_1 = Fv + F_1 v_1 = Gw,$$

sowie

$$Q \left( x - k + \frac{w(v-w)}{g} \right) + Q_1 \left( x - k + \frac{w(v_1-w)}{g} \right) = 0$$

und

$$\eta = \frac{Q_1 h_1}{Qh}.$$

3. B. für  $h = 30$ ,  $h_1 = 12$ ,  $k = 30$  und  $v_1 = w = 15$  Fuß, Saugstrahl-  
pumpe.  
folgt

$$x = k - h_1 - \frac{v_1^2}{2g} = 18 - 0,016 \cdot 225 = 14,4 \text{ Fuß,}$$

ferner

$$\begin{aligned} v &= \sqrt{2g(k - x + h)} = \sqrt{62,5 \cdot 45,6} = 53,39 \text{ Fuß,} \\ \frac{Q_1}{Q} &= - \frac{g(x - k) + w(v - w)}{g(x - k) + w(v_1 - w)} \\ &= - \frac{31,25 \cdot 15,6 - 15 \cdot 38,39}{31,25 \cdot 15,6} = \frac{88,3}{487,5} = 0,181, \end{aligned}$$

und der Wirkungsgrad

$$\eta = \frac{Q_1 h_1}{Qh} = 0,181 \cdot \frac{12}{30} = 0,072.$$

Die Wirkung des Blaserohres (franz. tuyau d'échappement; engl. blast-pipe) eines Dampfzuges (s. S. 274) ist nahe dieselbe wie die der Saugstrahlpumpe. Der von der Dampfmaschine verbrauchte Dampf ersetzt hier das Einfüllwasser und der in dem Schornstein fortzuführende Rauch tritt an die Stelle des Hubwassers. Es läßt sich hier die Geschwindigkeit des Dampfstrahles bei seinem Austritte aus der Mündung des Blaserohres aus dem verbrauchten Dampfquantum  $Q$  pr. Secunde und dem Querschnitte  $F$  dieser Mündung mittels der bekannten Formel

$$v = \frac{Q}{F},$$

und hieraus wieder aus der Dampfspannung  $h$ , die Pressung  $x$  in der Rauchkammer mittels der Formel

$$x = h - \frac{v^2}{2g\varepsilon}$$

berechnen, worin  $\varepsilon$  das Verhältniß der Dichtigkeit der Füllung des Manometers (welches die Pressungen  $h$  und  $x$  anzeigt) zu der des Dampfes bezeichnet.

Ferner, die Geschwindigkeit  $v_1$  des Rauches in dem Rauchkasten ist gegen  $v$  so klein, daß sie außer Acht gelassen werden kann, deshalb läßt sich auch das Verhältniß der durch den Schornstein abgeführten Rauchmenge  $Q_1$  zu der ausströmenden Dampfmenge  $Q$ :

$$\frac{Q_1}{Q} = \frac{w(v - w) - \varepsilon g(k - x)}{\varepsilon_1 g(k - x) + w^2}$$

setzen, wenn man noch das Verhältniß der Dichtigkeit der Manometerfüllung zur Dichtigkeit des mit der Geschwindigkeit  $w$  ausströmenden Rauches durch  $\varepsilon_1$  bezeichnet. Aus  $w$  und  $Q$  bestimmt sich noch der erforderliche Essenquerschnitt mittels der Formel

$$G = \frac{Q_1 + Q}{w}.$$

Saugrohr-  
pumpe.

Praktische, aus Versuchen abgeleitete Formeln zur Berechnung der Blasrohrpressung u. s. w. findet man in Welkner's Schrift »die Locomotive« zusammengestellt.

Es gehört hierher auch der Dampfstrahl-Ventilator und die in der neuesten Zeit sehr in Aufnahme gekommene selbstthätige Speisevorrichtung der Dampfkessel von Giffard (s. Bulletin de la Société d'Encouragement, T. VI, 2 Sér. 1859, sowie den »Civilingenieur« Band 5).

Giffard's  
Speisepumpe.

§. 458. Die Einrichtung und Wirkungsweise des letzteren ist folgende. Das Rohr *A*, Fig. 931, steht mit dem Dampfraume des Dampfkessels in Verbindung und führt bei geöffnetem Hahne *H* den Dampf durch eine Menge Löcher in die Röhre *BC* mit dem konischen Mundstück *C*. Letzteres mündet in einer als Condensator dienenden Kammer *DD* aus, welche durch das Saugrohr *F* mit dem Speisewasserbassin communicirt und mit einem konoidischen Mundstück *E* versehen ist, durch welches nicht allein das mittels des aus *C* austretenden Dampfstrahles durch die Röhre *F* angesaugte, sondern auch das Wasser, welches aus der Condensation des Dampfes hervorgeht, abströmt. Ein anderes nach oben gerichtetes konisches Mundstück *G* fängt den aus *E* kommenden Wasserstrahl auf und leitet denselben in die Röhre *K*, welche durch die Röhre *L* mit dem Wasserraume des Dampfkessels communicirt. Es ist hiernach leicht zu ermessen, daß auf diese Weise der bei *C* ausströmende Dampf nach seiner Condensation auf dem Wege *GKL* einen stetigen Wasserstrom in den Kessel leitet. Das Reguliren der Dampfmenge erfolgt durch eine Kurbel *M*, welche mittels eines in einer konischen Spitze auslaufenden Dornes *N* in das Mundstück *C* der Röhre *BC* beliebig tief hineingeschoben werden kann, sowie das Reguliren der Speisewassermenge, durch eine andere Kurbel *O*, mittels welcher die Röhre *BC* gehoben und gesenkt, folglich auch der Abstand ihrer Ausmündung von dem Boden der Kammer *DD* beliebig vergrößert und verkleinert werden kann. Das überflüssige Speisewasser, welches nicht in das Mundstück *G* eintritt, sammelt sich in der Kammer *R* und fließt durch die Röhre *S* ab.

Aus dem Dampfquantum *Q*, welches diesem Speiseapparat zugeführt wird, und aus dem specifischen Dampfvolumen  $\mu$ , folgt die Condensationswassermenge  $= \frac{Q}{\mu}$ , und hieraus wieder die nöthige Wassermenge, welche durch das Rohr dem Apparat zur Condensation zuzuführen ist:

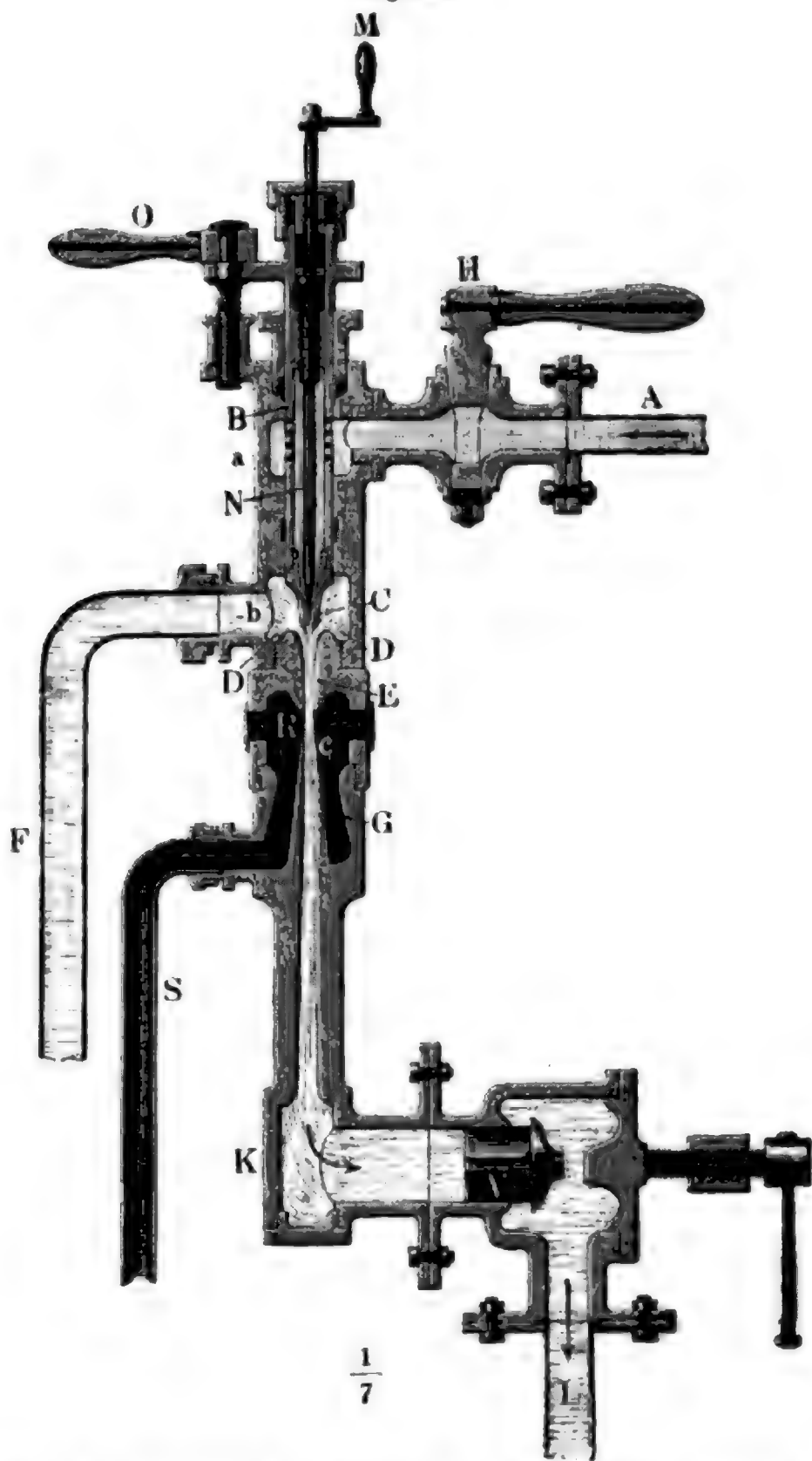
$$Q_1 = \frac{640 - t_2}{t_2 - t_1} \frac{Q}{\mu},$$

wofern  $t_1$  die Temperatur des dem Apparat zugeführten Injections- und  $t_2$  die des in den Kessel geführten Speisewassers bezeichnet (s. Bd. II, §. 472).

Die Bewegungsverhältnisse des Dampfes und des Wassers innerhalb dieses Speiseapparates sind durch folgende mit dem Obigen im Wesentlichen übereinstimmende Formeln ausgedrückt.

Wiffard's  
Erfindung.

Fig. 931.



Es bezeichne  $h$  den durch die Höhe einer Wassersäule angegebenen Ueberdruck des Dampfes,  $h_1$  die Höhe, auf welche das Wasser durch  $F$  angesaugt wird,  $x$  die Druckhöhe des Wassers in der Kammer  $DD$ ,  $v$  die Geschwindigkeit des Dampfes beim Ausströmen durch  $C$ , und  $v_1$  die des Wassers beim Eintritt in  $E$ ; dann ist:

Giffard's  
Speisepumpe.

$$1) \quad k + h - x = \frac{v^2}{2g\mu},$$

und

$$2) \quad k - h_1 - x = \frac{v_1^2}{2g}.$$

Ist ferner  $F$  der Querschnitt der Ausmündung von  $C$ ,  $F_1$  der der Mündung von  $DD$ ,  $G$  der des Mundstückes  $E$ , sowie  $G_1$  der Inhalt der Ausmündung des Speiserohres  $L$ , und sind  $w$  und  $w_1$  die Geschwindigkeiten, mit welcher das Wasser durch  $G$  und  $G_1$  strömt, so hat man:

$$3) \quad Gw = G_1w_1 = \frac{Q}{\mu} + Q_1 = \frac{Fv}{\mu} + F_1v_1,$$

und bezeichnet endlich noch  $h_2$  die Höhe der Ausmündung von  $C$  über der Oberfläche des Wassers im Dampfkessel, so ist:

$$4) \quad \left(\frac{Q}{\mu} + Q_1\right)[x + h_2 - (k + h)] + \frac{Qw(v - w)}{\mu g} + \frac{Q_1w(v_1 - w)}{g} + \left(\frac{Q}{\mu} + Q_1\right)\left(\frac{w^2 - w_1^2}{2g}\right) = 0.$$

Mit Hülfe dieser Formel läßt sich die Geschwindigkeit  $w_1$ , mit welcher das Speisewasser in den Dampfkessel eintritt, und hieraus wieder der nöthige Querschnitt  $G_1$  der Ausmündung des Speiserohres berechnen. Uebrigens wird  $w_1$  ein Maximum mit

$$\frac{Q}{\mu} (2vw - w^2) + Q_1 (2v_1w - w^2),$$

d. i. für

$$\frac{Q}{\mu} (v - w) + Q_1 (v_1 - w) = 0$$

oder

$$w = \frac{\frac{1}{\mu}Qv + Q_1v_1}{\frac{1}{\mu}Q + Q_1} = \frac{Qv + \mu Q_1v_1}{Q + \mu Q_1}.$$

Diese Speisevorrichtung ist nicht nur ein höchst einfacher, sondern auch ein sehr vortheilhaft wirkender Apparat, da hier die Wärme des verbrannten Dampfes nicht verloren, sondern auf das Speisewasser übergeht.

Beispiel. Ist bei einem Giffard'schen Speiseapparat die Höhe der den Atmosphärendruck messenden Wassersäule,  $k = 30$  Fuß, die Saughöhe  $h_1 = 5$  Fuß, die Druckhöhe  $h_2 = 6$  Fuß und die Geschwindigkeit des Injectionswassers beim Eintritt in das Mundstück,  $v_1 = 10$  Fuß, so folgt die Druckhöhe des Wassers an dieser Stelle:

$$x = k - h_1 - \frac{v_1^2}{2g} = 25 - 0,016 \cdot 100 = 23,4 \text{ Fuß.}$$



hat ferner der Dampf die Druckhöhe  $h = 100$  Fuß, d. i. circa 3 Atmosphären Ueberdruck, so ist das specifische Dampfvolumen  $\mu = 479$  (s. Band II, S. 362), Richard's Speisepumpe. und daher die Geschwindigkeit des Dampfes beim Austritte aus  $C$  (jedoch nur annähernd)

$$v = \sqrt{2g \cdot \mu (k + h - x)} = \sqrt{62,5 \cdot 479 \cdot (130 - 23,4)} \\ = \sqrt{62,5 \cdot 479 \cdot 106,6} = 1786 \text{ Fuß.}$$

Erzeugt der Dampfkessel pr. Secunde 2 Cubikfuß Dampf, so ist das entsprechende Speisewasserquantum pr. Secunde

$$\frac{Q}{\mu} + Q_1 = \frac{2}{\mu} = \frac{2}{479} = 0,004175 \text{ Cubikfuß} = 7,215 \text{ Cubikzoll.}$$

Hat das zum Speisen zu verwendende Injectionswasser die Temperatur  $t_1 = 15$  Grad und condensirt man den Dampf in der Kammer  $DD$  auf  $t_2 = 60$  Grad, so erhält man das Verhältniß

$$\frac{\mu Q_1}{Q} = \frac{640 - t_2}{t_2 - t_1} = \frac{580}{45} = \frac{116}{9} = 12,8,$$

daher:

$$Q_1 = 12,8 \frac{Q}{\mu} \text{ und } 13,8 \frac{Q}{\mu} = 0,004175,$$

so daß

$$\frac{Q}{\mu} = \frac{0,004175}{13,8} = 0,000302 \text{ Cubikfuß}$$

und

$$Q_1 = 0,004175 - 0,000302 = 0,003873 \text{ Cubikfuß}$$

folgt.

Die vortheilhafteste Eintrittsgeschwindigkeit in  $E$  ist

$$w = \frac{Qv + \mu Q_1 v_1}{Q + \mu Q_1} = \frac{0,000302 \cdot 1786 + 0,003873 \cdot 10}{0,000302 + 0,003873} = \frac{0,50064}{0,004175} = 120 \text{ Fuß.}$$

Bei Anwendung derselben folgt

$$\frac{w(v - w)}{g} = 0,032 \cdot 120 \cdot (1786 - 120) = 3,84 \cdot 1666 = 6398,$$

$$\frac{w(v_1 - w)}{g} = -0,032 \cdot 120 \cdot 110 = 422$$

sowie

$$\frac{w^2}{2g} = 0,016 \cdot 120^2 = 230,4;$$

und da nun noch  $x + h_2 - (k + h) = 29,4 - 130 = -100,6$  ist, so folgt:

$$\frac{w_1^2}{2g} = x + h_2 - (k + h) + \frac{Q}{Q + \mu Q_1} \cdot \frac{w(v - w)}{g} + \frac{\mu Q_1}{Q + \mu Q_1} \cdot \frac{w(v_1 - w)}{g} + \frac{w^2}{2g}$$

$$= -100,6 + \frac{1}{13,8} \cdot 6398 - \frac{12,8}{13,8} \cdot 422 + 230$$

$$= -100,6 + 463,6 - 391,5 + 230,4 = 201,9,$$

und daher die Eintrittsgeschwindigkeit des Speisewassers in den Dampfkessel:

$$w_1 = \sqrt{2g \cdot 201,9} = \sqrt{12619} = 112,33 \text{ Fuß.}$$

Mit Hülfe der Geschwindigkeiten  $v$ ,  $v_1$ ,  $w$  und  $w_1$  lassen sich nun auch die erforderlichen Röhrenquerschnitte berechnen. Es ist:

$$F = \frac{Q}{v} = \frac{0,000302 \cdot 479}{1786} = 0,000081 \text{ Quadratfuß} = 0,01166 \text{ Quadratzoll,}$$



Giffard's  
Explosionpump.  $F_1 = \frac{Q_1}{v_1} = \frac{0,003873}{10} = 0,0003873 \text{ Quadratfuß} = 0,05576 \text{ Quadratzell},$

$$G = \frac{\frac{1}{\mu} Q + Q_1}{w} = \frac{0,004175}{120} = 0,0000348 \text{ Quadratfuß} = 0,00501 \text{ Quadratzell}$$

und

$$G_1 = \frac{\frac{1}{\mu} Q + Q_1}{w_1} = \frac{0,004175}{112,33} = 0,00003717 \text{ Quadratfuß} = 0,005352 \text{ Quadratzell}.$$

Der Sicherheit wegen macht man diese Querschnitte größer und regulirt die Wassermenge durch die Hahnstellungen.

#### Literatur.

**Schlussanmerkung.** Da die benutzten einzelnen Abhandlungen über die Gebläse- und Wettermaschinen schon angeführt werden sind, so bleibt nur noch übrig, die hauptsächlichsten Schriften und zumal die vollständigen Werke über diese Maschinen zu citiren. In den älteren Werken über Mechanik ist über Gebläse- und Wettermaschinen nichts oder nur wenig enthalten. Gerstner behandelt im dritten Bande seiner Mechanik vorzüglich die Kasten-gebläse und theilt eine neue Berechnung der Koch'schen Versuche (s. Band I, Anmerkung zu §. 431) über die Ausströmung der Luft mit, welche jedoch wegen Verwechselung des Hannoverschen Fußes mit dem Pariser Fußes unrichtig ausgefallen ist. In D'Aubuisson's mehrfach citirter Hydraulik findet man nur eine kurze, sich größtentheils auf die Ausströmungsverhältnisse des Windes beschränkende Abhandlung über Gebläse. Ausführlicher und ziemlich systematisch sind die Gebläse in dem Cours des Machines von Vigout und Vergery behandelt. Der Artikel „Gebläse“ in Prechtl's technologischer Encyclopädie enthält nur eine beschreibende und zusammenstellende Abhandlung über diese Maschinen. Ausführlicher handelt von diesen Maschinen die praktische Eisenhüttenkunde von Walter de Saint-Ange, nächst dem Karsten's Eisenhüttenkunde, sowie Karsten's Handbuch und Scheerer's Lehrbuch der Metallurgie, und das Handbuch der Roheisensabrikation von Valerius. Die Literatur über Gebläse ist ziemlich vollständig mitgetheilt in Kerl's Handbuch der metallurgischen Hüttenkunde, sowie die über Ventilatoren und Centrifugalpumpen in Rittinger's Schrift „die Centrifugalventilatoren, Wien 1858“. Vollständige Beschreibungen einiger Gebläse enthält auch Tunner's Schrift „die Stabeisen- und Stahlbereitung in Frischherden, Freiberg 1858“. Ueber Wetterführung und Wettermaschinen handelt Ponson's Traité de l'Exploitation des Mines de Houille, Tom II, sowie Combes' Traité complet de l'Aérage des Mines, nebst Supplément, sowie auch dessen Handbuch der Bergbaukunst. Von der Ventilation der Gebäude u. s. w., sowie von den hierbei angewendeten Ventilatoren u. s. w. findet sich eine systematische Zusammenstellung und Beschreibung mit Abbildungen im 21. Jahrgange der allgemeinen Bauzeitung von Förster, Wien 1856. Mehrere wichtige praktische Mittheilungen und Bemerkungen über Gebläsemaschinen enthält Truran's Schrift „The Iron Manufacture of Great-Britain, 1855. Ueber die Theorie der Ventilatoren ist außer den Schriften von Combes, Redtenbacher, Ponson, Rittinger u. s. w. noch Resal's Abhandlung „die Berechnung des Rugeffectes und Construction der Ventilatoren“, im polytechn. Centralblatt 1855, oder in den Annales des Mines Sér. V, T. VI, 1854 nachzulesen. S. ferner Trausenfer's theoret. und experiment. Untersuchungen über Wettermaschinen im 2. Bande der Mém. de la Société Roy. des Science à Liège, deutsch im Ergänzungsbande der berg-

und hüttenmännischen Zeitung von 1844. Ferner in den Annales des Travaux publics de Belgique T. XI (1852 — 1853): Recherches expér. sur les Appareils destinés à l'Aérage par Jochams. Auch gehört hierher: Glepin's Mémoire sur les appareils appliqués à la ventilations des Mines, Mons 1844. Ueber verschiedene Systeme von Ventilatoren und Lüftungsmaschinen handelt Armengaud's Génie industriel 1854, auch Dingler's polytechn. Journal, Band 133, 1854. Literatur.

Ein Schiele'sches Flügelgebläse, getrieben von einer Henschel'schen Turbine mit horizontaler Aufstellung, arbeitet auf dem Hammerwerke Mandelholz am Harz, s. Mittheilung des Gewerbevereins im Königreich Hannover 1858.

---

## Vierter Abschnitt.

### Von den Maschinen, welche zur Formveränderung der Körper dienen.

Poch- und  
Hammerwerke.

§. 459. Von den verschiedenen Arbeitsmaschinen, welche dazu dienen, die Form der Körper zu verändern, sollen im Folgenden nur diejenigen abgehandelt werden, bei welchen die Formveränderung durch niederfallende Gewichte, durch sogenannte Stempel, Stampfer oder Hämmer bewirkt wird. Diese Gewichte fallen entweder in einer Senkrechtführung frei nieder, und heißen dann vorzugsweise Stempel oder Stampfer (franz. pilons; engl. stamps, pestles), oder sie werden durch eine horizontale Drehungsaxe genöthigt, in einem Bogen niederzufallen, in welchem Falle sie gewöhnlich Hämmer (franz. marteaux; engl. hammers) genannt werden; jedoch wird diese Unterscheidung nicht ganz fest innegehalten. Die gewöhnlichen Hämmer bestehen außer dem eigentlichen Hammer oder Hammerkopfe (franz. tête du marteau; engl. head of the hammer) aus dem Stiele oder Helme (franz. manche; engl. helve) und aus der Hammerhülse mit den beiden Zapfen (franz. hurasse; engl. helve-ring). Nur sehr schwer und langsam arbeitende Hammer, die sogenannten Quetsch- oder Putschhämmer, werden mit dem Helme und der Hülse aus dem Ganzen gegossen, die gewöhnlichen Hämmer haben hingegen einen Helm aus Eichen-, Buchen- oder Eschenholz, welches sowohl in dem Auge des Hammers, als auch in der schmiedeeisernen Hammerhülse festgekeilt wird. Auch die Stampfer oder Pochstempel sind in der Regel nicht aus dem Ganzen, sondern sie bestehen aus einem hölzernen oder gußeisernen Stempel und einem eingesetzten Schuh aus Schmiedeeisen, Stahl oder Bronze. Wenn ein Stempel oder Stampfer zum Schmieden des Eisens oder Kupfers verwendet

wird, so nennt man ihn einen Stempelhammer (franz. marteau pilon; engl. stamp-hammer), und wird derselbe direct durch die Kolbenstange einer Dampfmaschine in Bewegung gesetzt, so heißt er ein Dampfhammer (franz. marteau à vapeur; engl. steam hammer). Poch- und Hammerwerke.

Die gewöhnlichen Stempel und Hämmer werden durch die Daumen (franz. comes; engl. cams) einer Welle emporgehoben und bilden mit derselben u. s. w. entweder ein sogenanntes Pochwerk (franz. bocard; engl. stamp-mill) oder ein Hammerwerk (franz. forge; engl. hammer-mill). Die Poch- oder Stampfwerke mit senkrecht fallenden Stempeln werden angewendet: zum Zerpochen der Erze und Schlacken, auf Gruben- und Hüttenwerken, zum Zerstampfen der Samentörner in Delmühlen, zum Zerkleinern der Baumrinde in Lohmühlen, zum Zerstampfen und Mengen der Bestandtheile des Schießpulvers in Pulvermühlen u. s. w. Die Hammerwerke mit gestielten Hämmern dienen hingegen vorzüglich zum Schmieden des Eisens und Kupfers, seltener zum Zerpochen der Steine und anderer harten Körper. Die Walk- und Waschhämmer (franz. maillets; engl. fulling-woods), welche in den Walkmühlen (franz. foulons; engl. fullings) zum Walken des Tuches dienen, sind von den gewöhnlichen Schmiedehämmern dadurch verschieden, daß hier die Hammerköpfe nicht aus Eisen, sondern aus 2½ bis 3½ Centner schweren Holzblöcken bestehen.

§. 460. Die verschiedenen Poch- oder Stampfwerke haben im Wesentlichen eine und dieselbe Einrichtung; sie bestehen in der Regel aus mehreren, durch eine Leitung in aufrechter Stellung erhaltenen Stempeln, welche durch eine horizontale Daumenwelle abwechselnd emporgehoben werden und beim Niederfallen die untergeschobenen Körper zerkleinern. Die Stempel oder Stampfer bestehen gewöhnlich aus hartem Holze und haben im Ganzen eine parallelepipedische Form; ihre Dimensionen sowie die Form und das Gewicht ihrer Schuhe hängen von dem Zwecke des Pochwerkes ab; bei Erzpochwerken sind die Pochstempel 10 bis 15 Fuß lang, 7 bis 8 Zoll breit und 5 bis 6 Zoll dick; Delmühlstampfwerke haben dagegen Stampfer von nur 9 bis 12 Fuß Länge, 5 bis 6 Zoll Breite und 4 bis 5 Zoll Dicke; und bei den Stampfwerken zur Bereitung des Schießpulvers haben die 9 bis 12 Fuß langen Stempel gar nur 3½ Zoll Breite und 3 Zoll Dicke. In der Beschuhung der Stempel weichen die verschiedenen Pochwerke wesentlich von einander ab; bei den Erz-, Stein- und Schlackepochwerken besteht der Schuh in einem parallelepipedischen Stück Schmiedeeisen von circa 8 bis 10 Zoll Länge und nahe demselben Querschnitte wie der Holzstempel; derselbe wird mittels eines pyramidalen Zapfens oder Kieles von 8 bis 10 Zoll Länge und 2 bis 4 Zoll Dicke in dem Holzstempel befestigt. Zu diesem Zwecke wird von der Seite her ein Loch in den Stempel gemeißelt und Poch- und Stampfwerke.



Loch- und  
Stampfwerke.

nachdem man noch drei eiserne Ringe um denselben gelegt hat, dieses Loch an der Seite mit einem Holzkeile verschlossen, sowie das Pocheisen mit seinem Riele in dasselbe eingetrieben. Während der Holzstempel 125 bis 175 Pfund wiegt, hat das Pocheisen ein Gewicht von 75 bis 125 Pfund, also der armirte Stempel im Ganzen ein Gewicht von 200 bis 300 Pfund. Die Delmühlstampfer werden entweder an der Bahn mit breitköpfigen Nägeln beschlagen oder mit gußeisernen Schuhen versehen, und wiegen im Ganzen nur 100 bis 150 Pfund. Die Stampfer in den Pulvermühlen sind am Fuße bloß mit einem messingenen Ringe beschlagen und wiegen deshalb auch nur 60 bis 70 Pfund. Auch die Größe des Hubes (des Stempelweges pro Anhub) (franz. *levée*; engl. *lift*) ist nach der Art der zu zerstampfenden Körper sehr verschieden. Bei Erz- und Steinpochwerken ist der Hub 6 bis 15 Zoll, bei Delmühlen und bei Pulverstampfern aber 16 bis 20 Zoll. Endlich die Anzahl der Anhube eines Stempels pr. Minute ist bei Erzpochwerken u. s. w. 50 bis 60, bei Del- und Pulvermühlen, wegen des größeren Hubes, nur 40 bis 50.

Die Hebedaumen oder die sogenannten Heblinge der Welle ergreifen den Stempel an einem anderen Daumen, dem sogenannten Däumling (franz. *mentonnet*; engl. *tappet*), welcher rechtwinkelig aus dem Stempel hervorsticht. Der Kopf des Däumlings bildet ein Parallelepiped, welches mit dem Stempel eine gleiche Breite hat, der ebenfalls parallelepipedische Schwanz desselben hat hiervon nur den dritten Theil zur Breite; derselbe ist durch ein entsprechendes Loch im Stempel gesteckt, steht auf der entgegengesetzten Seite 5 bis 6 Zoll aus dem Stempel hervor und wird mittels zweier Keile mit dem Stempel fest verbunden. Um das schnelle Abführen des Däumlings zu verhindern, wird auf der Unterfläche des Däumlingkopfes noch eine schmiedeeiserne Platte aufgeschraubt. Die Länge des Däumlingkopfes hängt natürlich vom Hube und vom Drehungswinkel der Heblingswelle während des Anhubes ab; gewöhnlich ist dieselbe 6 bis 9 Zoll. Der Hebling ergreift den Stempel an dem vorderen Ende des Däumlings; es ist folglich der Angriff desselben ein excentrischer, wobei dem Stempel ein Bestreben zum Drehen ertheilt wird. Um die aus diesem Bestreben hervorgehenden Horizontalpressungen des Stempels gegen seine Leitung so viel wie möglich herabzuziehen, muß diese Däumlinglänge so klein wie möglich, oder wenigstens nicht unnöthig groß gemacht werden. Am mechanisch vollkommensten würde allerdings das Anheben des Stempels erfolgen, wenn der Däumling parallel zur Wellenaxe durch den Stempel ginge und an beiden Seiten aus demselben hervorstände, oder wenn der Hebling den Stempel in einem Schlitze angriffe; in beiden Fällen könnte das Gewicht des Stempels unmittelbar von der Kraft des Heblings aufgenommen werden. Man wendet jedoch diese vollkommenere Construction deshalb seltener an, weil

das Schließen des Heblings sowie das Durchlochen des Stempels die Haltbarkeit dieser Theile sehr beeinträchtigt, oder nach Befinden einen größeren Abstand der Stempel von einander nöthig macht.

Poch- und  
Stampfwerke.

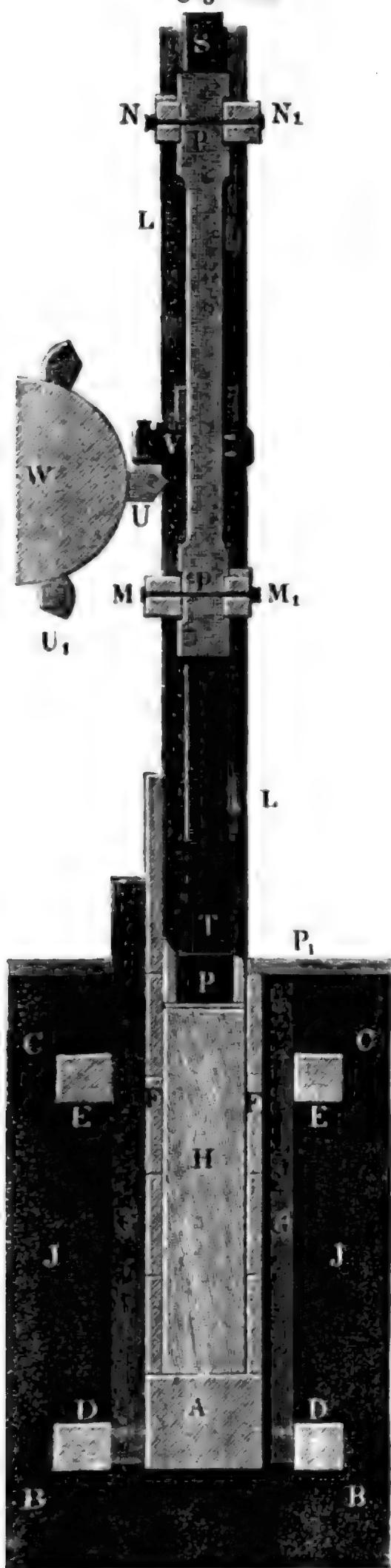
§. 461. Das Zerpochen oder Zerstampfen der Körper erfolgt bei den Erzpochwerken in sogenannten Pochtrögen, worin allemal 3 bis 5 Stempel zugleich arbeiten, und bei den Delmühlen, Pulvermühlen in sogenannten Stampfgruben, in welchen nur 1 bis 2 Stampfer zugleich arbeiten. Während die Pochtröge von Pfosten umgrenzte Kästen bilden, sind die Stampfgruben in einem Holzstamme, dem sogenannten Grubenstocke, ausgehöhlt. Die Sohle der Pochtröge besteht entweder aus Eisenstücken oder aus fest zusammengestampften quarzigen Gesteinstücken, die der Stampfgruben für Delmühlen aus gußeisernen Platten, die der Pulvermühlen aus Holzstücken. Um das Senken der Pochsohle in Folge des Aufschlagens der Stempel zu verhindern und den Stempeln eine stabile Leitung zu verschaffen, ist es nöthig, dem ganzen Pochwerke ein festes Fundament zu geben und das Gerüste des Pochwerkes, den sogenannten Pochstuhl, mit demselben zu einem Ganzen zu verbinden. Das Fundament besteht in einem Schwellenrost, welcher nicht allein auf einer Schicht festgestampfter Erde ruht, sondern auch ringsherum durch festgestampfte Erde umgeben ist.

Die ganze Einrichtung des Pochwerkes eines Erzpochwerkes sammt Pochstuhl u. s. w. ist aus dem verticalen Querschnitte in Fig. 932 (a. f. S.) zu ersehen. Die Grundschwelle *A* des ganzen Pochstuhles ist ungefähr 20 Zoll breit und 15 Zoll hoch und ruht auf Querschwellen wie *BB*; letztere, sowie auch die 5 Fuß höher liegenden Querschwellen, wie *CC*, sind durch die Pfahlschwellen *DD* und *EE* mit einander verbunden. Die Wände *FF* des Pochtroges sind aus Pfosten zusammengesetzt und werden von außen durch die Pfähle *GG*, welche sich gegen die Pfahlschwellen stemmen, in ihrer aufrechten Lage erhalten. Bei einem Nasspochwerke, durch welches die ärmeren Erze oder sogenannten Pochgänge mit Zutritt von Wasser zerpocht und in auf Herden zu verwaschenden Pochschlamm verwandelt werden, ist der Pochtrog bis zur Sohle, auf welcher die Zerkleinerung erfolgt, mit Pochgängen *H* angefüllt; bei Trockenspochwerken, welche dazu dienen, die reicheren oder weniger armen Erze zu zerstoßen, um sie entweder unmittelbar dem Schmelzproceß übergeben, oder sie durch die sogenannte Segwäsche weiter concentriren zu können, ist der Pochtrog mit Holzstücken *H*, Fig. 933 (a. S. 1201), ausgefüllt, auf welche dann noch die gußeiserne Pochsohle *P* zu liegen kommt. Noch ist bei *JJ* die Lehmrammelung, sowie in der ersten Abbildung bei *KK* die Mauerung zu sehen, welche den ganzen Pochstuhl umgiebt. In der Grundschwelle *A* sind auch die 16 bis 18 Fuß langen, 8 bis 10 Zoll breiten und 10 bis 12 Zoll dicken





Fig. 933.



Pochsäulen, wie  $L L$ , eingezapft, welche <sup>Pochwerke</sup> nicht allein den ganzen Pochstuhl, sondern auch jeden einzelnen, aus 3 bis 5 Stempeln bestehenden Pochsaß an den schmalen Seiten begrenzen, wobei die aneinander angrenzenden Pochsäße eine Pochsäule gemeinschaftlich haben. Je zwei Pochsäulen sind unter einander durch die sogenannten Scheidelatten oder Ladenhölzer  $M, M_1$  und  $N, N_1$  verbunden. Die eigentliche Führung der Stempel  $ST$  besteht in den Streichklammern  $mm, m_1 m_1, nn$  und  $n_1 n_1$ , (Fig. 932), welche zwischen den Stempeln und den Ladenhölzern eingesetzt werden, sowie in den Scheide- oder Streichlatten  $pp$ ; Fig. 933, welche zwischen den benachbarten Stempeln zu hängen kommen und durch Schrauben mit den Ladenhölzern fest verbunden werden. Noch ist in beiden Abbildungen  $W$  die Pochwelle mit den Heblingen  $U, U_1$  ..., welche den Däumling  $V$  des Stempels  $ST$  ergreifen.

Bei dem Maßpochwerke in Fig. 932 ist in  $X$  die sogenannte Pochrolle abgebildet, welche die oben eingeschütteten Pochgänge aufnimmt und durch einen Blechtrichter  $Y$  in das Rollgerinne  $Z$  führt. Letzteres ruht auf den Schwellen  $Y_1$  und  $Y_2$  und trägt einen Frosch  $R$ , auf welchen sich der Bolzen  $Q$  stützt, und dieser Bolzen steht unter einem Däumlinge  $O$ , dem sogenannten Klopfer, welcher außer dem Däumlinge  $V$  zum Anheben, an dem mittleren Stempel von je einem Pochsaße, dem sogenannten Unterschurer, angebracht ist. Es ist leicht einzusehen, daß der Klopfer  $O$  mittels des Bolzens  $QR$  auf den Frosch  $R$  aufschlägt und dadurch das Rollgerinne erschüttert, wenn der Unterschurer tief genug herabfällt, und daß auf diese Weise neue Pochgänge in den Pochtrog  $P$  zu rollen genöthigt werden,

these studies, however, indicate that the effects of the herbicide on the benthic invertebrate community are not necessarily adverse. In fact, the herbicide may have had a beneficial effect on the benthic invertebrate community. The herbicide may have reduced the amount of organic matter in the water column, which may have reduced the amount of organic matter available to the benthic invertebrates. This may have led to a reduction in the amount of organic matter available to the benthic invertebrates, which may have led to a reduction in the amount of organic matter available to the benthic invertebrates.

The herbicide may have had a beneficial effect on the benthic invertebrate community. The herbicide may have reduced the amount of organic matter in the water column, which may have reduced the amount of organic matter available to the benthic invertebrates. This may have led to a reduction in the amount of organic matter available to the benthic invertebrates, which may have led to a reduction in the amount of organic matter available to the benthic invertebrates.

The herbicide may have had a beneficial effect on the benthic invertebrate community. The herbicide may have reduced the amount of organic matter in the water column, which may have reduced the amount of organic matter available to the benthic invertebrates. This may have led to a reduction in the amount of organic matter available to the benthic invertebrates, which may have led to a reduction in the amount of organic matter available to the benthic invertebrates.



welle *WW* durch ein überschlägiges Wasserrad *R* in Umdrehung gesetzt Pochwerke. und das Pochwasser durch den mit einem Hahn *L* versehenen Wasserständer *K* in das Gerinne *M* geführt, aus welchem es in den Pochtrog läuft. Ferner sieht man *ST*, *ST*... die Pochstempel, welche von den Pochsäulen *B*, *B*, den Ladenhölzern *CC* u. s. w. eingeschlossen sind, sowie in *H*, *H*... die Heblinge und in *D*, *D*... die von letzteren ergriffenen Däumlinge, in *E* die Vorsetztafel, in *F* die Austragetafel mit der darüber herablaufenden Pochtrübe und in *GG* das Austragegerinne, endlich ist noch in *OQ* die Pochrolle u. s. w. wahrzunehmen.

§. 462. Bei der Delgewinnung aus Pflanzensamen kommen vorzüg- Stampfwerke. lich drei Arbeiten vor, nämlich das Zerkleinern der Delfrucht, die Trennung des Pflanzeneiweißes und Schleimes von dem Del gebenden Theil der Frucht durch Erwärmung, und das Auspressen des Deles. Die Zerkleinerung oder das Zerquetschen des Samens erfolgt entweder durch Quetschwalzen oder durch Mühlsteine mit horizontaler Ase, welche mittels einer stehenden Welle auf einem horizontal liegenden Steine, dem sogenannten Herde, in Umlauf gesetzt werden, oder durch Stampfwerke, welche im Wesentlichen wie die gewöhnlichen Erzpochwerke eingerichtet sind. Zur Erwärmung des zerquetschten Samens dient ein besonders construirter Wärmeofen, und zum Auspressen des Deles wird entweder eine Keil- oder eine Hebel- oder eine hydraulische Presse (s. §. 213) angewendet. Bei der Keilpresse erfolgt das Eintreiben des Keiles und damit verbundene Auspressen des Deles aus der in Säcken oder Tüchern eingepackten Delfrucht entweder durch einen Hammer, den sogenannten Schlägel, oder durch einen Stempel, die sogenannte Ramme.

Von diesen verschiedenen Mechanismen sollen hier nur die Stampfwerke in Betracht gezogen werden. Die beiden Ansichten eines solchen Stampfwerkes führt Fig. 935 I und II (a. f. S.) vor Augen. Die Stampfer *A*, *A*... bewegen sich auch hier innerhalb der Gerüstsäulen *BB*, *B<sub>1</sub>B<sub>1</sub>* und der Scheidelatten *CC*, *C<sub>1</sub>C<sub>1</sub>*, und arbeiten in den Löchern oder Gruben *D*, *D*..., welche in einem vierkantig behauenen Holzkloze, dem sogenannten Grubenstock, *EE* ausgearbeitet sind. Der Grubenstock ruht auf den Schwellen *F*, *F*, sowie dem Fundamente *GG* und ist mit dem letzteren durch die Schrauben *H*, *H*... fest verbunden; er trägt zugleich die Gerüstsäulen, deren Füße an seinen Kopfsenden eingelassen und durch Keile befestigt sind.

Die vortheilhafte Wirkung eines Stampfwerkes hängt vorzüglich auch von der Gestalt und Größe der Gruben ab. Es kommt hierbei besonders darauf an, daß die Stampfen den Samen an den Grubenwänden hinauf-treiben und denselben in Folge des Ueberhängens dieser Wände zum Ueberstürzen nöthigen, wobei er nicht allein Platz für die neu hinzukommenden

THESE TWO BUILDINGS ARE NEIGHBORS. ONE OF THEM HAS BEEN BUILT BY THE CITY OF NEW YORK AND THE OTHER BY THE NEW YORK CITY BOARD OF WATER SUPPLY.

THEY ARE

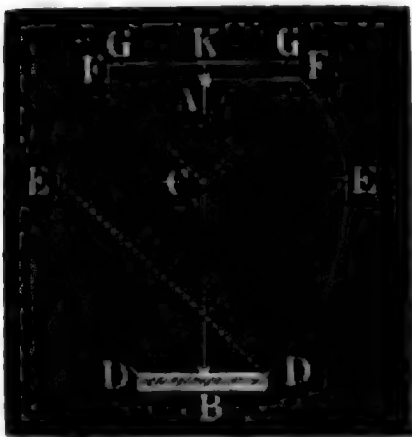


THESE TWO BUILDINGS ARE NEIGHBORS. ONE OF THEM HAS BEEN BUILT BY THE CITY OF NEW YORK AND THE OTHER BY THE NEW YORK CITY BOARD OF WATER SUPPLY. THE CITY OF NEW YORK HAS BUILT THE TALLER BUILDING, WHICH IS A WATER TOWER. THE NEW YORK CITY BOARD OF WATER SUPPLY HAS BUILT THE WIDER BUILDING, WHICH IS A WATER TREATMENT PLANT. THE TWO BUILDINGS ARE NEIGHBORS BECAUSE THEY ARE BOTH PART OF THE SAME WATER SUPPLY SYSTEM. THE CITY OF NEW YORK HAS BUILT THE TALLER BUILDING, WHICH IS A WATER TOWER. THE NEW YORK CITY BOARD OF WATER SUPPLY HAS BUILT THE WIDER BUILDING, WHICH IS A WATER TREATMENT PLANT. THE TWO BUILDINGS ARE NEIGHBORS BECAUSE THEY ARE BOTH PART OF THE SAME WATER SUPPLY SYSTEM.

setzt man den Grubenstock nicht selten aus zwei übereinander zu legenden Stampfwerke Stücken zusammen, auch bringt man wohl statt der eisernen Bodenplatte einen ganz eisernen Topf in die Stampfgrube oder versieht dieselbe mit einem Futter aus Weißblech.

Unter den verschiedenen Schablonen für das Querprofil einer Stampfgrube ist nach Scholl's Schrift: »Ueber den Bau und Betrieb der Dammühlen«, Darmstadt 1844, folgende einfach und zweckmäßig. Es ist die

Fig. 936.



Tiefe  $AB = \frac{3}{4}$  des Stampferhubes, die Bauchweite in der Höhe  $BC = \frac{2}{3} AB$ ,  $EE$  gleich dem vierfachen Stampferdurchmesser plus 1 Zoll; ferner ist  $C$  der Mittelpunkt für die Kreisbogen  $EF$ ,  $EF$  und es sind  $E, E$  die Mittelpunkte für die Kreisbogen  $DE, DE$ ; endlich mißt die Höhe  $AK$  des cylindrischen Halses  $FGGF$ ,  $1\frac{1}{4}$  Zoll. Für das Längenprofil hat man längs der Ase  $BK$  ein Rechteck einzuschalten, dessen Breite gleich ist dem Arenabstande der in derselben Grube arbeitenden Stempel.

§. 463. Die Heblinge, durch welche die Stempel oder Stampfer Heblinge. eines Poch- oder Stampfwerkes von der umlaufenden Welle emporgehoben werden, construirt man in der Regel nach der Kreisevolvente (s. §. 84, auch »Ingenieur« Seite 180); dieselben ergreifen den Stempel oder Däumling des Stempels nur in einem Punkte, und wirken in senkrechter Richtung so auf denselben, daß er fast gleichförmig emporsteigt. Diese Angriffs- und Bewegungsweise des Stempels hat zwar den Vortheil, daß hierbei die Reibung zwischen Hebling und Däumling und die des Stempels in seiner Führung am kleinsten ausfällt, dagegen aber auch den Nachtheil, daß hier der Stempel fast momentan aus der Ruhe in Bewegung gesetzt wird, womit nicht allein ein Arbeitsverlust, sondern auch ein stärkeres Abführen der activen Maschinentheile verbunden ist.

Aus diesem Grunde ist die in Fig. 223 (§. 89) dargestellte Heblingsconstruction nach dem Kreise, wobei der Stempel wie eine Kolbenstange mittels einer Kurbelwarze emporgehoben wird, die vorzüglichere, wenigstens läßt sich hierbei, ohne die senkrechte Wirkung des Heblings auf den Stempel zu beeinträchtigen, die Anfangsgeschwindigkeit des Stempels und die Stärke des daraus hervorgehenden Stoßes bedeutend herabziehen.

Bei dem gewöhnlichen Heblingspochwerke, Fig. 937 (a. f. S.), wird der Däumling  $AL$  vom Heblinge  $AK$  ergriffen, wenn der Angriffspunkt  $A$



and the  $\mathcal{H}^1$  norm of the solution after time  $t$  is the maximum of the  $\mathcal{H}^1$  norm of the initial data and the  $\mathcal{H}^1$  norm of the solution at time  $t$ . The  $\mathcal{H}^1$  norm of the solution at time  $t$  is the maximum of the  $\mathcal{H}^1$  norm of the initial data and the  $\mathcal{H}^1$  norm of the solution at time  $t$ .

Fig. 10.



Let  $u$  be a solution of the problem (1.1) with initial data  $u_0$  and boundary data  $g$ . Let  $u_0$  and  $g$  be in  $\mathcal{H}^1$ . Then  $u$  is in  $\mathcal{H}^1$  and the  $\mathcal{H}^1$  norm of  $u$  is bounded by the  $\mathcal{H}^1$  norm of  $u_0$  and the  $\mathcal{H}^1$  norm of  $g$ . Let  $u_0$  and  $g$  be in  $\mathcal{H}^1$ . Then  $u$  is in  $\mathcal{H}^1$  and the  $\mathcal{H}^1$  norm of  $u$  is bounded by the  $\mathcal{H}^1$  norm of  $u_0$  and the  $\mathcal{H}^1$  norm of  $g$ . Let  $u_0$  and  $g$  be in  $\mathcal{H}^1$ . Then  $u$  is in  $\mathcal{H}^1$  and the  $\mathcal{H}^1$  norm of  $u$  is bounded by the  $\mathcal{H}^1$  norm of  $u_0$  and the  $\mathcal{H}^1$  norm of  $g$ .

Let  $u$  be a solution of the problem (1.1) with initial data  $u_0$  and boundary data  $g$ . Let  $u_0$  and  $g$  be in  $\mathcal{H}^1$ . Then  $u$  is in  $\mathcal{H}^1$  and the  $\mathcal{H}^1$  norm of  $u$  is bounded by the  $\mathcal{H}^1$  norm of  $u_0$  and the  $\mathcal{H}^1$  norm of  $g$ .

Let  $u$  be a solution of the problem (1.1) with initial data  $u_0$  and boundary data  $g$ . Let  $u_0$  and  $g$  be in  $\mathcal{H}^1$ . Then  $u$  is in  $\mathcal{H}^1$  and the  $\mathcal{H}^1$  norm of  $u$  is bounded by the  $\mathcal{H}^1$  norm of  $u_0$  and the  $\mathcal{H}^1$  norm of  $g$ .

Let  $u$  be a solution of the problem (1.1) with initial data  $u_0$  and boundary data  $g$ . Let  $u_0$  and  $g$  be in  $\mathcal{H}^1$ . Then  $u$  is in  $\mathcal{H}^1$  and the  $\mathcal{H}^1$  norm of  $u$  is bounded by the  $\mathcal{H}^1$  norm of  $u_0$  and the  $\mathcal{H}^1$  norm of  $g$ .

$$\|u\|_{\mathcal{H}^1} \leq \|u_0\|_{\mathcal{H}^1} + \|g\|_{\mathcal{H}^1}.$$

Let  $u$  be a solution of the problem (1.1) with initial data  $u_0$  and boundary data  $g$ . Let  $u_0$  and  $g$  be in  $\mathcal{H}^1$ . Then  $u$  is in  $\mathcal{H}^1$  and the  $\mathcal{H}^1$  norm of  $u$  is bounded by the  $\mathcal{H}^1$  norm of  $u_0$  and the  $\mathcal{H}^1$  norm of  $g$ .

Let  $u$  be a solution of the problem (1.1) with initial data  $u_0$  and boundary data  $g$ . Let  $u_0$  and  $g$  be in  $\mathcal{H}^1$ . Then  $u$  is in  $\mathcal{H}^1$  and the  $\mathcal{H}^1$  norm of  $u$  is bounded by the  $\mathcal{H}^1$  norm of  $u_0$  and the  $\mathcal{H}^1$  norm of  $g$ . Let  $u_0$  and  $g$  be in  $\mathcal{H}^1$ . Then  $u$  is in  $\mathcal{H}^1$  and the  $\mathcal{H}^1$  norm of  $u$  is bounded by the  $\mathcal{H}^1$  norm of  $u_0$  and the  $\mathcal{H}^1$  norm of  $g$ .

$$\|u\|_{\mathcal{H}^1} \leq \|u_0\|_{\mathcal{H}^1} + \|g\|_{\mathcal{H}^1}.$$

Let  $u$  be a solution of the problem (1.1) with initial data  $u_0$  and boundary data  $g$ . Let  $u_0$  and  $g$  be in  $\mathcal{H}^1$ . Then  $u$  is in  $\mathcal{H}^1$  and the  $\mathcal{H}^1$  norm of  $u$  is bounded by the  $\mathcal{H}^1$  norm of  $u_0$  and the  $\mathcal{H}^1$  norm of  $g$ .

Let  $u$  be a solution of the problem (1.1) with initial data  $u_0$  and boundary data  $g$ . Let  $u_0$  and  $g$  be in  $\mathcal{H}^1$ . Then  $u$  is in  $\mathcal{H}^1$  and the  $\mathcal{H}^1$  norm of  $u$  is bounded by the  $\mathcal{H}^1$  norm of  $u_0$  and the  $\mathcal{H}^1$  norm of  $g$ .

Zeit eines Stempelspiels, d. i. vom Angriffe eines Stempels bis zum Heblingswelle. nächstfolgenden, ist

$$t = \frac{60''}{n_1} = \frac{60''}{nu}.$$

Bezeichnet  $v$  das Verhältniß der Anzahl der im Steigen begriffenen Stempel zur Anzahl aller Stempel des Pochwerkes, so ist die Zeit zum Steigen eines Stempels:

$$t_1 = vt = \frac{60''v}{n_1} = \frac{60''v}{nu}.$$

Nach der Theorie des freien Falles (s. Band I, §. 15) ist ferner die Fallzeit des Stempels, d. i. die Zeit, in welcher derselbe von der Höhe  $h$  herabfällt,

$$t_2 = \sqrt{\frac{2h}{g}};$$

daher folgt, wenn man vor der Hand die Ruhezeit des Stempels = Null, also

$$t = t_1 + t_2 = vt + \sqrt{\frac{2h}{g}}$$

setzt:

$$(1 - v)t = \sqrt{\frac{2h}{g}},$$

oder

$$1 - v = \frac{nu}{60} \sqrt{\frac{2h}{g}},$$

und

$$v = 1 - \frac{nu}{60} \sqrt{\frac{2h}{g}}.$$

Um sicher zu sein, daß der fallende Stempel nicht vom folgenden Hebling aufgefangen wird, ist allerdings

$$v < 1 - \frac{nu}{60} \sqrt{\frac{2h}{g}}$$

zu fordern.

Setzen wir für  $nu$  und  $h$  die größten Werthe, nämlich  $nu = 60$  und  $h = 1,5$  Fuß ein, so erhalten wir

$$v < 1 - \sqrt{\frac{3}{g}} = 1 - \sqrt{\frac{3}{31,25}} = 1 - 0,31,$$

d. i.

$$v < 0,69.$$

Hiernach kann man  $v = 0,666 = \frac{2}{3}$  annehmen, also das Pochwerk

so anordnen, daß von drei Stempeln zwei im Aufsteigen und der dritte im Niederfallen oder in der Ruhe begriffen ist.

Aus dem Verhältnisse  $v$ , dem Hube  $h$  u. s. w. läßt sich nun auch der erforderliche mechanische oder Theilkreishalbmesser der Heblingswelle berechnen. Es ist die Theilung oder der Bogen zwischen je zwei Stempeln eines und desselben Stempels:

$$h = v \cdot \frac{2\pi r}{n}$$

und daher der gesuchte Halbmesser

$$r = \frac{nh}{2\pi v} = 0,15915 \frac{nh}{v},$$

also für  $v = \frac{2}{3}$ ,

$$r = 0,2387 nh,$$

wofür man gewöhnlich  $= \frac{1}{4} nh$  annimmt.

Es wächst also der mechanische Halbmesser der Heblingswelle direct mit der Hub  $h$  des Stempels und wie die Hübigkeit  $n$  der Welle.

Den Halbmesser der physischen Welle macht man gewöhnlich 1 bis 2 Zoll kleiner als den mechanischen Halbmesser  $r$ . Aus  $r$  und  $h$  bestimmt sich nun auch die Länge  $BE = d$  des Heblings.

Es ist  $BE = CB - CE$ , d. i.:

$$d = \sqrt{r^2 + h^2} - r,$$

wozu aber noch der Unterschied von 1 bis 2 Zoll zwischen den beiden Wellehalbmessern hinzukommt.

Die Stärke  $BF$  des Heblings am äußeren Ende nimmt man  $\frac{1}{2} h$  bis  $\frac{1}{4} h$ . Der Evolventenbogen  $BD$  läßt sich aus einer sehr großen Anzahl  $m$  von Kreisbögen zusammensetzen, deren Halbmesser  $\frac{h}{m}, 2 \frac{h}{m}, 3 \frac{h}{m} \dots \frac{m}{m}$  sind, und wovon jeder den Centriwinkel  $\frac{\alpha^0}{m}$  hat; es ist folglich die ganze Bogenlänge:

$$\begin{aligned} BD = s &= \frac{h}{m} \cdot \frac{\alpha}{m} + 2 \frac{h}{m} \cdot \frac{\alpha}{m} + 3 \frac{h}{m} \frac{\alpha}{m} + \dots + m \frac{h}{m} \frac{\alpha}{m} \\ &= (1 + 2 + 3 + \dots + m) \frac{h\alpha}{m^2}, \end{aligned}$$

folglich, da sich  $1 + 2 + 3 + \dots + m = \frac{m^2}{2}$  setzen läßt (s. „Ingenieur“ Seite 88) und  $h = AB = \widehat{AD} = r\alpha$ , also  $\alpha = \frac{h}{r}$  ist,

$$s = \frac{1}{2} \alpha h = \frac{h^2}{2r}.$$



1. *Journal of Management Studies*, 1997, 34, 1, 1-14.  
 2. *Journal of Management Studies*, 1997, 34, 2, 1-14.

[illegible][illegible]

© 2000 Blackwell Science Ltd, *Journal of Internal Medicine* 247: 395–401


 THE UNIVERSITY OF MICHIGAN PRESS









Theorie der  
Vochwerke.

Die aus der Kraft  $P$  entspringende Reibung ist  $\varphi_1 P$  und wirkt horizontal auswärts, die aus den Seitendrücken  $N_1$  und  $N_2$  hervorgehenden Reibungen sind  $\varphi N_1$  und  $\varphi N_2$  und wirken vertical abwärts. Es ist nun den Regeln der Statik zufolge (s. Band I, §. 169)

$$1) \quad P = G + \varphi (N_1 + N_2),$$

$$2) \quad \varphi_1 P = N_1 - N_2,$$

und

$$3) \quad Ge = N_1 l_1 + N_2 l_2 - \varphi (N_1 + N_2) e.$$

Eliminirt man aus den ersten zwei Gleichungen  $P$ , so erhält man zur Bestimmung der Drücke  $N_1$  und  $N_2$  die Gleichungen

$$\varphi_1 G = N_1 (1 - \varphi \varphi_1) - N_2 (1 + \varphi \varphi_1)$$

und

$$Ge = N_1 (l_1 - \varphi e) + N_2 (l_2 - \varphi e),$$

so daß nun

$$N_1 = \frac{G(e + \varphi_1 l_2)}{l - 2\varphi e + \varphi \varphi_1 (l_1 - l_2)}$$

und

$$N_2 = \frac{G(e - \varphi_1 l_1)}{l - 2\varphi e + \varphi \varphi_1 (l_1 - l_2)}$$

folgt.

In der Regel ist das Glied  $\varphi \varphi_1 (l_1 - l_2)$  klein genug, um es außer Acht lassen zu können.

In diesem Falle ist:

$$N_1 = \frac{G(e + \varphi_1 l_2)}{l - 2\varphi e}$$

sowie

$$N_2 = \frac{G(e - \varphi_1 l_1)}{l - 2\varphi e}$$

und

$$N_1 + N_2 = \frac{G[2e - \varphi_1 (l_1 - l_2)]}{l - 2\varphi e}.$$

Hiernach folgt nun die Kraft zum Aufheben des Stempels:

$$P = \left[ 1 + \varphi \left( \frac{2e - \varphi_1 (l_1 - l_2)}{l - 2\varphi e} \right) \right] G.$$

Diese Entwicklung setzt voraus, daß die Drücke  $N_1$  und  $N_2$  gegen die Führung entgegengesetzt sind, oder daß  $N_2$  positiv ausfällt, also  $e > \varphi_1 l_1$  ist.

Für  $e = \varphi_1 l_1$  hat man  $N_2 = \text{Null}$  und daher

$$P = \left[ 1 + \varphi \left( \frac{e + \varphi_1 l_2}{l - 2\varphi e} \right) \right] G,$$

und dagegen in dem Falle, wenn  $N_2$  negativ oder  $e < \varphi_1 l_1$  ist, welches eintritt, wenn sich der Däumling nahe an der oberen Leitung befindet, mit

$$P = G + \varphi (N_1 - N_2) = \left(1 + \frac{\varphi \varphi_1 l}{l - 2 \varphi e}\right) G$$

Theorie der  
Hochwerke.

gesetzt werden.

Ist  $l_1 = l_2$ , befindet sich also der Stempel bei seiner mittleren Erhebung mitten zwischen beiden Führungen, so hat man im ersteren Falle:

$$P = \left(1 + \frac{2 \varphi e}{l - 2 \varphi e}\right) G.$$

Uebrigens ist aus allen diesen Ausdrücken zu ersehen, daß die Kraft zum Aufheben des Stempels um so kleiner ausfällt, oder dem Gewichte desselben um so näher kommt, je kleiner die Länge  $e$  des Däumlings und je größer die Entfernung  $KL = l$  der beiden Leitungen oder Ladenhölzer von einander ist.

Um eine allgemein gültige Formel zu erhalten, setzen wir

$$N_2 = \pm \frac{G(e - \varphi_1 l_1)}{l - 2 \varphi e},$$

so daher

$$P = \left(1 + \frac{\varphi}{l - 2 \varphi e} [e + \varphi_1 l_2 \pm (e - \varphi_1 l_1)]\right) G,$$

so fordern, daß für  $\pm (e - \varphi_1 l_1)$  dasjenige Zeichen angenommen werde, welches dieses Glied positiv macht.

Uebrigens ist bei Anwendung von Talgsmiere

$$\varphi = \varphi_1 = 0,10 \text{ bis } 0,15$$

anzusetzen.

Die Arbeit  $Ph$  der Kraft zum Heben des Stempels auf die Höhe  $B = h$  wird noch um die Arbeit der Reibung zwischen Hebling und Däumling vergrößert. Die Größe dieser Reibung ist  $\varphi_1 P$  und der Weg

selben während des Stempelhubes, der Evolventenbogen  $BD = s = \frac{h^2}{2r}$ ,

gleich die Arbeit desselben

$$= \varphi_1 P s = \varphi_1 \frac{Ph^2}{2r},$$

so die gesammte Arbeit zum Aufheben des Stempels:

$$= Ph + \varphi_1 \frac{Ph^2}{2r}$$

$$= \left(1 + \varphi_1 \frac{h}{2r}\right) \left(1 + \frac{\varphi}{l - 2 \varphi e} [e + \varphi_1 l_2 \pm (e - \varphi_1 l_1)]\right) Gh.$$

Da der Stempel nicht unendlich langsam aufsteigt, so ist auch noch die Zeit der Trägheit des Stempels in Betracht zu ziehen. Bezeichnet  $M$  die träge Masse eines Stempels,  $M_1$  die träge Masse der armirten Heblings-  
le, reducirt auf den Theilkreis der Welle oder den Angriffspunkt des

Theorie der  
Vehwerke.

Heblings,  $v_1$  die Geschwindigkeit dieses Punktes vor, sowie  $v$  die desselben nach dem Anstoß an den Däumling, so ist

$$v = \frac{M_1 v_1}{M + M_1}$$

(s. Band I, §. 306), und der mit dieser Geschwindigkeitsveränderung ( $v_1 - v$ ) verbundene Arbeitsverlust der Welle

$$\begin{aligned} A_2 &= \frac{M_1 (v_1^2 - v^2)}{2} = \frac{M_1 v_1^2}{2} \left[ 1 - \left( \frac{M_1}{M + M_1} \right)^2 \right] \\ &= \frac{(2 M_1 + M) M M_1}{(M + M_1)^2} \cdot \frac{v_1^2}{2}. \end{aligned}$$

In der Regel ist aber  $M$  klein gegen  $M_1$  und daher statt  $2 M + M_1$  sowie statt  $M + M_1$ ,  $M_1$  zu setzen erlaubt, so daß

$$A_2 = 2 M \frac{v_1^2}{2} = G \frac{v_1^2}{g}$$

folgt.

Auch kann man, da  $v$  und  $v_1$  wenig von einander verschieden sind, in der letzten Formel  $v_1 = v =$  der mittleren Umdrehungsgeschwindigkeit der Heblingswelle setzen, welche sich aus der Umdrehungszahl  $u$  derselben durch die bekannte Formel

$$v = \frac{\pi u r}{30}$$

bestimmt.

Die mechanische Arbeit  $A_2 = \frac{G v^2}{g} = \frac{G}{g} \left( \frac{\pi u r}{30} \right)^2$ , welche die Heblingswelle bei jedem Anhub eines Stempels in Anspruch nimmt, geht übrigens nur zur Hälfte verloren, denn da der Stempel noch die Geschwindigkeit  $v = \frac{\pi u r}{30}$  hat, wenn ihn der Hebling verläßt, so steigt er aus, wie ein senkrecht empor geworfener Körper, noch um die Höhe

$$\frac{v^2}{2g} = \frac{1}{2g} \left( \frac{\pi u r}{30} \right)^2$$

frei empor, hat also im Ganzen die Steig- und Fallhöhe

$$h_1 = h + \frac{v^2}{2g} = h + \frac{1}{2g} \left( \frac{\pi u r}{30} \right)^2,$$

und besitzt nun bei seinem Aufschlagen nicht das Arbeitsvermögen  $G h$  sondern das Arbeitsvermögen

$$G h_1 = G \left[ h + \frac{1}{2g} \left( \frac{\pi u r}{30} \right)^2 \right] = G h + \frac{1}{2} A_2.$$

Die zweite Hälfte von  $A_2$  geht allerdings durch den Stoß zwischen Hebling und Däumling verloren, und der entsprechende Arbeitsverlust ist

Von den Maschinen, welche zur Formveränderung der Körper dienen. 1217

üeberdies noch den Nachtheil, daß sie auf die Zerstörung und Abführung der Maschine verwendet wird. Theorie der Pochwerke.

Die Zeit  $\tau$ , welche der Stempel auf das letzte freie Aufsteigen verwendet, ist durch die bekannte Formel

$$\tau = \frac{v}{g}$$

bestimmt, und die Zeit zum Durchfallen der ganzen Höhe  $h_1 = h + \frac{v^2}{2g}$  ist hiernach

$$t_2 = \sqrt{\frac{2h_1}{g}} = \sqrt{\frac{2}{g} \left( h + \frac{v^2}{2g} \right)}$$

zu setzen.

Bei der gewöhnlichen Hebelingsgeschwindigkeit  $v = 2$  Fuß ist

$$\tau = \frac{v}{g} = \frac{2}{31,25} = 0,064 \text{ Secunden}$$

und

$$\frac{v^2}{2g} = \frac{4}{62,5} = 0,064 \text{ Fuß} = 0,768 \text{ Zoll},$$

und daher zu erwarten, daß durch dieses Aufwerfen des Stempels die Richtigkeit der in §. 463 gefundenen Formel

$$v = 1 - \frac{nu}{60} \sqrt{\frac{2h}{g}}$$

nicht wesentlich beeinträchtigt wird.

§. 467. Die gesammte Arbeit zum Aufheben eines Stempels folgt nun

$$A = A_1 + A_2 = \left[ \left( 1 + \varphi_1 \frac{h}{2r} \right) \left( 1 + \frac{\varphi}{l - 2\varphi e} [e + \varphi_1 l_2 \pm (e - \varphi_1 l_1)] \right) h + \frac{1}{g} \left( \frac{\pi ur}{30} \right)^2 \right] G,$$

und wenn nun das Pochwerk aus  $n_1$  Stempeln besteht, wovon jeder pr. Minute  $n$ mal angehoben wird, so ergibt sich die zur Bewegung desselben erforderliche Leistung pr. Secunde:

$$\begin{aligned} L &= \frac{n n_1 u}{60} A \\ &= \frac{n n_1 u}{60} \left[ \left( 1 + \varphi_1 \frac{h}{2r} \right) \left( 1 + \frac{\varphi}{l - 2\varphi e} [e + \varphi_1 l_2 \pm (e - \varphi_1 l_1)] \right) h + \frac{1}{g} \left( \frac{\pi ur}{30} \right)^2 \right] G. \end{aligned}$$

Ist  $P$  die am Hebelarme  $CN = a_1$  wirkende Umdrehungskraft der Pochwelle,  $\alpha_1$  der Winkel, welchen die Richtung derselben mit dem Horizont



Theorie der  
Hochwerke.

macht, und  $G_1$  das Gewicht dieser Welle, so läßt sich der Druck an den Zapfen derselben:

$$R = G_1 + \nu n_1 G + P_1 \sin. \alpha_1$$

setzen.

Ohne Rücksicht auf Nebenhindernisse ist das Moment  $P_1 a_1$  der Kraft gleich dem Momente  $\nu n_1 Gr$  der Nutzlast, daher

$$P_1 = \frac{r}{a_1} \nu n_1 G$$

und annähernd,

$$R = G_1 + \left(1 + \frac{r}{a_1} \sin. \alpha_1\right) \nu n_1 G.$$

Bezeichnet nun noch  $r_1$  den Halbmesser dieser Zapfen, sowie  $\varphi_2$  den Coefficienten der Zapfenreibung, so hat man die auf den Hebelkreis reducirte Zapfenreibung:

$$F = \varphi_2 \frac{r_1}{r} R = \varphi_2 \frac{r_1}{r} \left[ G_1 + \left(1 + \frac{r}{a_1} \sin. \alpha_1\right) \nu n_1 G \right],$$

und den zur Ueberwindung derselben nöthigen Arbeitsaufwand:

$$Fv = \varphi_2 \left( \frac{\pi u r_1}{30} \right) \left[ G_1 + \left(1 + \frac{r}{a_1} \sin. \alpha_1\right) \nu n_1 G \right],$$

oder, da  $\nu = \frac{nh}{2\pi r} = \frac{nuh}{60v}$  ist:

$$Fv = \varphi_2 \left[ \frac{\pi u r_1}{30} G_1 + \frac{r_1}{r} \left(1 + \frac{r}{a_1} \sin. \alpha_1\right) \frac{nn_1 u}{60} Gh \right].$$

Hiernach folgt endlich der ganze Arbeitsaufwand zur Bewegung des Hochwerkes:

$$L = \frac{nn_1 u}{60} \left[ \left(1 + \varphi_1 \frac{h}{2r}\right) \left(1 + \frac{\varphi}{l - 2\varphi e} [e + \varphi_1 l_2 \pm (e - \varphi_1 l_1)]\right) h + \frac{1}{g} \left( \frac{\pi u r}{30} \right)^2 \right] G + \varphi_2 \left[ \frac{\pi u r_1}{30} G_1 + \frac{r_1}{r} \left(1 + \frac{r}{a_1} \sin. \alpha_1\right) \frac{nn_1 u}{60} Gh \right],$$

oder annähernd,

$$L = \frac{nn_1 u}{60} \left( \left[ 1 + \varphi_1 \frac{h}{2r} + \varphi \frac{[e + \varphi_1 l_2 \pm (e - \varphi_1 l_1)]}{l} + \varphi_2 \frac{r_1}{r} \left(1 + \frac{r}{a_1} \sin. \alpha_1\right) \right] h + \frac{1}{g} \left( \frac{\pi u r}{30} \right)^2 \right) G + \varphi_2 \frac{\pi u r_1}{30} G_1,$$

oder, da gewöhnlich  $e > \varphi_1 l_1$  und  $l_1$  nahe  $= l_2$  ist:

$$L = \frac{nn_1 u}{60} \left( \left[ 1 + 2\varphi \frac{e}{l} + \varphi_1 \frac{h}{2r} + \varphi_2 r_1 \left( \frac{1}{r} + \frac{\sin. \alpha_1}{a_1} \right) \right] h + \frac{1}{g} \left( \frac{\pi u r}{30} \right)^2 \right) G + \varphi_2 \frac{\pi u r_1}{30} G_1.$$

Die Nugleistung des Pochwerkes ist

Theorie der  
Pochwerke.

$$L_1 = \frac{nn_1 u}{60} \left[ h + \frac{1}{2g} \left( \frac{\pi u r}{30} \right)^2 \right] G,$$

wonach sich der Wirkungsgrad desselben,  $\eta = \frac{L_1}{L}$ , leicht berechnen läßt.

Gewöhnlich ist  $\eta = 0,75$  bis  $0,85$ .

Durch die Umtriebsmaschine wird natürlich  $\eta$  noch ansehnlich weiter herabgezogen; besteht dieselbe in einem überschlägigen Wasserrade, so ist der Wirkungsgrad des vollständigen Pochwerkes gewöhnlich nur  $0,55$  bis  $0,65$ .

Beispiel. Welche Kraft und welchen Arbeitsaufwand erfordert ein Erzpochwerk mit 20 Stempeln von je 300 Pfund Gewicht, wenn jeder Stempel pr. Minute 50 Mal 1 Fuß hoch gehoben werden soll? Es ist hier  $nu = 50$ , setzen wir daher eine fünfhübigte Welle voraus, so ist die erforderliche Umdrehungszahl der Heblingswelle pr. Minute:

$$u = \frac{nu}{n} = \frac{50}{5} = 10.$$

Ferner ist der mechanische Halbmesser dieser Welle

$$r = 0,2387 nh = 0,2387 \cdot 5 \cdot 1 = 1,193 \text{ Fuß} = 14,3 \text{ Zoll},$$

wofür wir  $14\frac{1}{2}$  Zoll setzen wollen.

Nun folgt die Nugleistung des Pochwerkes:

$$\begin{aligned} L_1 &= \frac{nn_1 u}{60} \left[ h + \frac{1}{2g} \left( \frac{\pi u r}{30} \right)^2 \right] G = \frac{50 \cdot 20}{60} \left[ 1 + 0,016 \cdot \left( \frac{1,2 \cdot 10 \cdot \pi}{30} \right)^2 \right] \cdot 300 \\ &= [1 + 0,016 \cdot (0,4 \pi)^2] \frac{50}{3} \cdot 300 = (1 + 0,025) \cdot 5000 = 5125 \text{ Fußpfund}. \end{aligned}$$

Die geometrische Heblings- und Däumlingelänge ist

$$\begin{aligned} d &= \sqrt{r^2 + h^2} - r = \sqrt{14,5^2 + 12^2} - 12 = 18,82 - 12 = 6,82 \text{ Zoll} \\ &= 0,5683 \text{ Fuß}, \end{aligned}$$

die mechanische Däumlingelänge  $e$ , bis Stempelaxe gemessen, ist aber mindestens um die halbe Stempeldicke größer, also mindestens  $= 6,82 + 3,00 = 9,82$  Zoll; nehmen wir jedoch  $e = 10\frac{1}{2}$  Zoll  $= 0,875$  Fuß an.

Ferner sei im Augenblicke des halben Hubes, der Abstand  $l_1$  des Däumlings von den unteren Ladenhölzern,  $= 4$  und von den oberen,  $l_2 = 3$  Fuß, also der Abstand der Ladenhölzer von einander:

$$l = l_1 + l_2 = 4 + 3 = 7 \text{ Fuß}.$$

Setzen wir endlich noch voraus, daß die Umdrehungskraft der Heblingswelle senkrecht von oben nach unten und am Hebelarme  $a_1 = 3$  Fuß wirke, daß das ganze Gewicht der Heblingswelle,  $G_1 = 6000$  Pfund betrage, der Halbmesser der Zapfen an derselben,  $r_1 = 3$  Zoll messe und der Coefficient der gleitenden Reibung,  $\varphi_1 = \varphi = 0,125$ , dagegen der der Zapfenreibung  $\varphi_2 = 0,075$  sei.

Dann ist

$$1 + \varphi_1 \frac{h}{2r} = 1 + 0,125 \cdot \frac{12}{29} = 1,0517,$$

und da  $e = 10\frac{1}{2}$  größer als  $\varphi_1 l_1 = \frac{48}{8} = 6$  ist, so folgt

$$\begin{aligned} \frac{\varphi [e + \varphi_1 l_2 \pm (e - \varphi_1 l_1)]}{l} &= \frac{\varphi [2e + \varphi_1 (l_2 - l_1)]}{l} = 0,125 \frac{(21 + 0,125 \cdot 12)}{7} \\ &= \frac{22,5}{84 \cdot 8} = 0,0335; \end{aligned}$$

Theorie der  
Pochwerke.

ferner ist

$$\varphi_2 \frac{r_1}{r} \left( 1 + \frac{r \sin. \alpha_1}{a_1} \right) = 0,075 \frac{3}{14,5} \left( 1 + \frac{14,5}{36} \right) = 0,0155 + 0,0063 = 0,0218$$

$$\frac{1}{g} \left( \frac{\pi u r}{30} \right)^2 = 0,032 \left( 0,1047 \cdot 10 \cdot \frac{14,5}{12} \right)^2 = 0,032 \cdot 1,265^2 = 0,0512,$$

endlich ist

$$\varphi_2 \frac{\pi u r_1}{30} = 0,075 \cdot 0,1047 \cdot 10 \cdot \frac{1}{4} = 0,0191.$$

Endlich ist die ganze Leistung dieses Pochwerkes:

$$L = [(1,0517 + 0,0335 + 0,0218) \cdot 1 + 0,0512] \cdot \frac{n n_1 u}{60} G + 0,0191 \cdot G,$$

$$= (1,107 + 0,0512) \cdot 5000 + 0,0191 \cdot 6000 = 5791 + 115 = 5906,$$

und der Wirkungsgrad desselben:

$$\eta = \frac{L_1}{L} = \frac{5125}{5906} = 0,867.$$

Umtriebsma-  
schinen der  
Pochwerke.

§. 468. Die Poch- und Stampfwerke werden gewöhnlich durch Wasserräder, nicht selten aber auch durch Windräder, und zuweilen auch durch Dampfmaschinen in Bewegung gesetzt. Am häufigsten sind es vertikale Wasserräder, welche zum Umtriebe dieser Arbeitsmaschinen dienen. Bei der gewöhnlichen Anzahl von Anhuben eines Pochwerkes,  $nu = 40$  bis  $60$ , ist es nicht zweckmäßig, ein Pochwerk mit einem overschlägigen Wasserrad ohne Vorgelege anzulegen, also das Wasserrad auf die Heblingswelle zu setzen. Solche Räder arbeiten nur dann vortheilhaft, wenn sie pr. Minute 4 bis 8 Umdrehungen machen; wollte man folglich ein solches Rad auf die Heblingswelle selbst setzen, so müßte diese eine Hühigkeit  $n = \frac{1}{4}$  bis  $\frac{60}{4}$ , d. i. 6 bis 15 erhalten. Da nun aber selbst bei einer aufgesetzten Welle die Hühigkeit  $n$  nicht über 8 steigt, so sind jedenfalls Pochwerke mit overschlägigen Wasserrädern nur dann ohne Vorgelege anzulegen, wenn dieselben ein kleines Gefälle haben, wobei diese Räder 7 bis 8 Umdrehungen pr. Minute machen. Anders ist es bei den unterschlägigen und namentlich bei den Ponceléträdern; dieselben laufen bei Gefällen von 4 bis 9 Fuß mit der Geschwindigkeit  $v = 0,4 \sqrt{2gh} = 3,2 \sqrt{h}$ , d. i. mit 6,4 bis 9,6 Fuß um, und machen deshalb bei einer Höhe von 10 bis 20 Fuß, pr. Minute  $\frac{9,6}{10} = 9,6$  bis  $\frac{6,4}{5} = 12,8$  Umdrehungen; wenn man sie daher auf die Heblingswelle setzt, so hebt dieselbe bei der Hühigkeit  $n = 4$ , der Stempel pr. Minute 38,4 bis 51,2mal auf.

Besteht die Umtriebsmaschine eines Pochwerkes in einer Turbinenmaschine, wird dieselbe, selbst wenn diese auch eine horizontale Welle erhalten (s. Band II, §. 219, 270, 272), fast stets ein Zahnradvorgelege erhalten müssen, und zwar aus dem umgekehrten Grunde, nämlich um die Umdrehungszahl zu vermindern. Sehen wir die vortheilhaft-

Umdrehungsgeschwindigkeit einer Turbine,  $v = 0,75 \sqrt{2gh} = 6 \sqrt{h}$ ,  
 so erhalten wir schon bei dem kleinen Gefälle  $h = 9$  Fuß,  $v = 18$  Fuß;  
 nun ist aber der Halbmesser eines solchen Rades nur 1 bis 3 Fuß, daher  
 macht dasselbe pr. Minute

Umtriebsma-  
 schinen der  
 Pochwerke.

$$\frac{30 \cdot v}{\pi r} = \frac{540}{x} = 172 \text{ bis } \frac{540}{3\pi} = 57 \text{ Umdrehungen,}$$

also mindestens doppelt so viel als eine zweihübige Heblingswelle erfordert.  
 Bei hohen Gefällen ist es sogar nöthig, das Turbinenpochwerk mit einem  
 doppelten Zahnradvorgelege auszurüsten.

Bei dem Ver bau kommt es auch vor, daß das Wasserrad zum Umtriebe  
 eines Pochwerkes im Schachte tief unter denselben hängt und deshalb  
 beide entweder durch ein Stangen- oder durch ein Kettenvorgelege mit  
 einander verbunden werden müssen (s. Band III, §. 36 und §. 247).

Wassersäulenpochwerke, d. i. Pochwerke, welche durch eine Wassersäulenmaschine in Umtrieb gesetzt werden, erhalten nicht bloß den zum Umsetzen  
 der geradlinig wiederkehrenden Bewegung in eine stetig kreisförmige Be-  
 wegung nöthigen Krummzapfenmechanismus mit Schwungrad (s. Band III,  
 §. 249), sondern auch noch ein Zahnradvorgelege, durch welches die Anzahl  
 4 bis 6 der Umdrehung der Kurbelwelle vervielfacht, z. B. verdrei- oder  
 vervierfacht auf die Heblingswelle übertragen wird. Um einen möglichst  
 gleichförmigen Gang zu erhalten, construirt man die Wassersäulenpochwerke  
 mit zwei doppelt-wirkenden Kolben und zwei auf das Viertel gestellten  
 Krummzapfen (s. die Wassersäulenmaschine, oder Beiträge zur Bergbau-  
 kunde 2c. von J. Schitko, Wien 1834).

Bei Anwendung der Dampfkraft zum Umtriebe eines Pochwerkes  
 (Dampfpochwkes) kann man die Heblingswelle durch eine ein cylindrige  
 doppelwirkende Dampfmaschine mittels des gewöhnlichen Krummzapfen-  
 mechanismus u. s. w. unmittelbar in Umdrehung setzen lassen, da die Anzahl  
 der Spiele (25 bis 35) einer Dampfmaschine von mittlerer Stärke der  
 erforderlichen Umdrehungszahl einer zweihübigen Heblingswelle entspricht.  
 Bei einer größeren Hübigkeit dieser Welle ist es allerdings nöthig, auch hier  
 ein Zahnradvorgelege anzuwenden, um eine kleinere Umdrehungszahl der-  
 selben zu erzielen.

Nicht selten setzt man Stampfwerke auch durch die Windkraft mittels  
 Windräder (s. Band II, §. 310) in Umtrieb. Bei alten Stampfwerken,  
 namentlich bei Delstampfwerken, werden die Stampfer durch besonders  
 construirte Heblinge unmittelbar von der Windradwelle aufgehoben; neuere  
 Windstampfwerke versieht man jedoch mit Vorgelegen, indem man die  
 Kraft des Windrades zunächst auf eine stehende Welle, den sogenannten

the model. The model is run with a time step of 10 min. The model is run with a time step of 10 min. The model is run with a time step of 10 min.

The model is run with a time step of 10 min. The model is run with a time step of 10 min. The model is run with a time step of 10 min.

The model is run with a time step of 10 min. The model is run with a time step of 10 min. The model is run with a time step of 10 min.

The model is run with a time step of 10 min. The model is run with a time step of 10 min. The model is run with a time step of 10 min.

FIG. 10



FIG. 11

The model is run with a time step of 10 min. The model is run with a time step of 10 min. The model is run with a time step of 10 min.

The model is run with a time step of 10 min. The model is run with a time step of 10 min. The model is run with a time step of 10 min.



Ist die Tiefe, um welche das Wasserrad unter der Heblingswelle hängt, nicht groß, so kann man die Transmission auch durch eine stehende Welle bewirken, wie z. B. aus Fig. 950 zu ersehen ist. Das Wasserrad *W W*

Umtriebsma-  
schinen der  
Pochwerke.

Fig. 949.

Fig. 950.

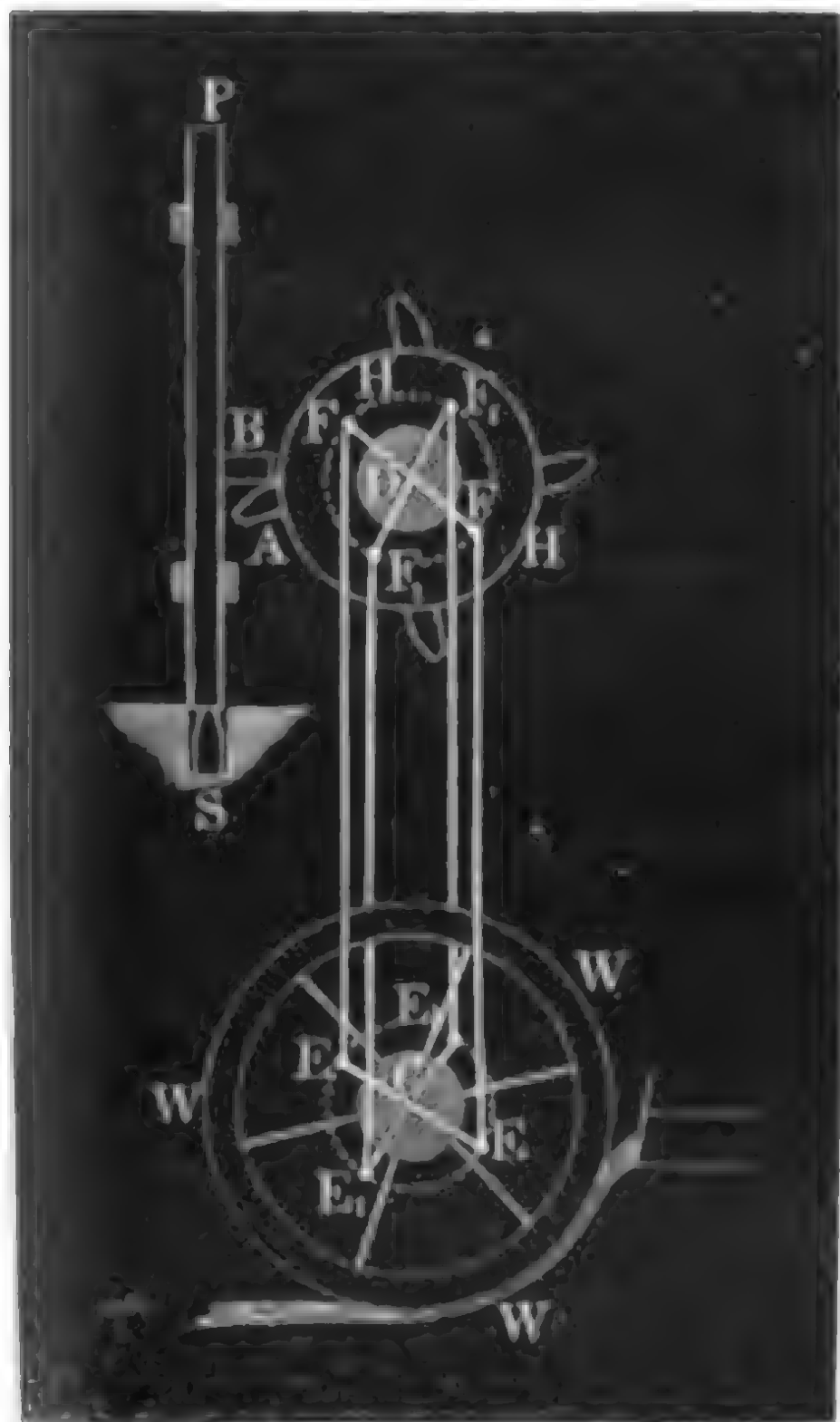
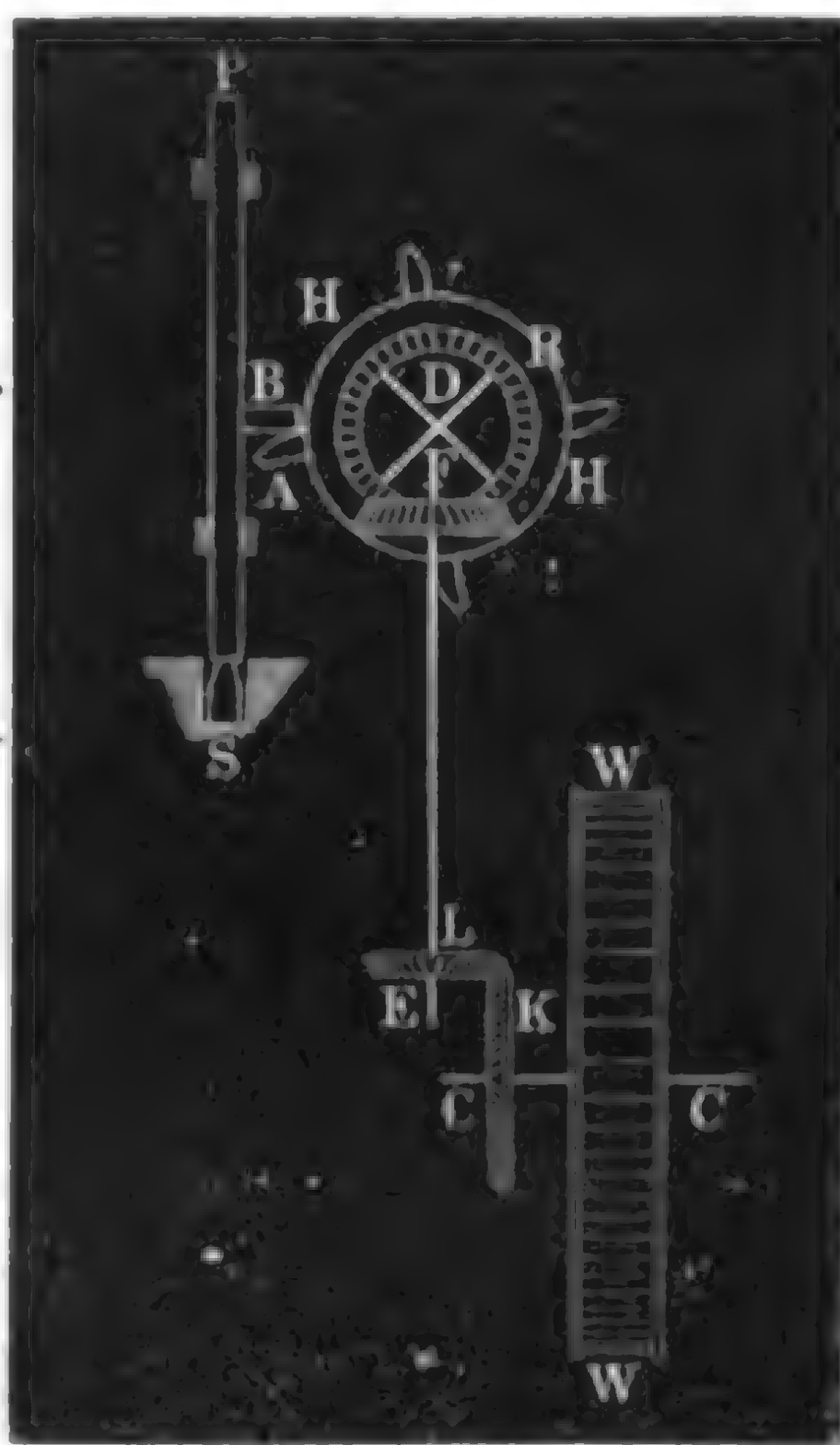


Fig. 951.



setzt hier mittels des Zahnradvorgele-  
ges *K, L* die stehende Welle *E F* in  
Umdrehung, und das oben auf dieser  
Welle sitzende Zahnrad *F* mittels des  
Zahnrades *R D* die Heblingswelle  
*H H*. Diese Anwendung eines dop-  
pelten Vorgeleges gewährt noch den  
Vorteil, daß man hier der Heblings-  
welle jede beliebige, der geforderten  
Hübigkeit derselben entsprechende  
Umdrehungszahl geben kann.

Ein Turbinenpochwerk mit  
einem einfachen Zahnradvor-  
gelege ist in Fig. 951 ideell darge-  
stellt. Die von dem bei *W* zufließen-  
den Wasser in Umdrehung gesezte  
Turbine *T T*, setzt mittels der stehenden





Umtriebsma-  
schinen der  
Dochwerke.

Welle  $EF$  und des auf ihr sitzenden Zahnrades  $F$  das größere auf der Heblingswelle  $HDH$  sitzende Zahnrad  $RRR$  in Umdrehung. Es ist hier

das Umseßungsverhältniß  $\psi = \frac{u}{u_1} = \frac{m_1}{m}$  ein echter Bruch; macht z. B.

die Turbinenwelle pr. Minute 60 Umdrehungen und soll die Heblingswelle deren 15 machen, so ist das Umdrehungsverhältniß  $\psi = \frac{15}{60} = \frac{1}{4}$  und es erhält das Zahnrad  $RRR$  auf der Heblingswelle 4mal so viel Zähne als das Zahnrad  $F$  auf der Turbinenwelle.

In Fig. 952 ist ein Wassersäulenpochwerk im Grundrisse dargestellt. Es sind  $T$  und  $T_1$  die beiden Treibecylinder mit dem zwischenliegenden Steuerungsmechanismus  $R, KL$  und  $K_1L_1$  die beiden Kurbelstangen, welche die Welle  $CC$  mit den Schwungrädern  $S, S$  in Umdrehung setzen, wodurch mittels des Zahnrades  $EF$  das auf der Heblingswelle  $HH$  sitzende Zahnrad  $EG$  umgetrieben wird. Ferner sind  $P, P...$

Fig. 952.

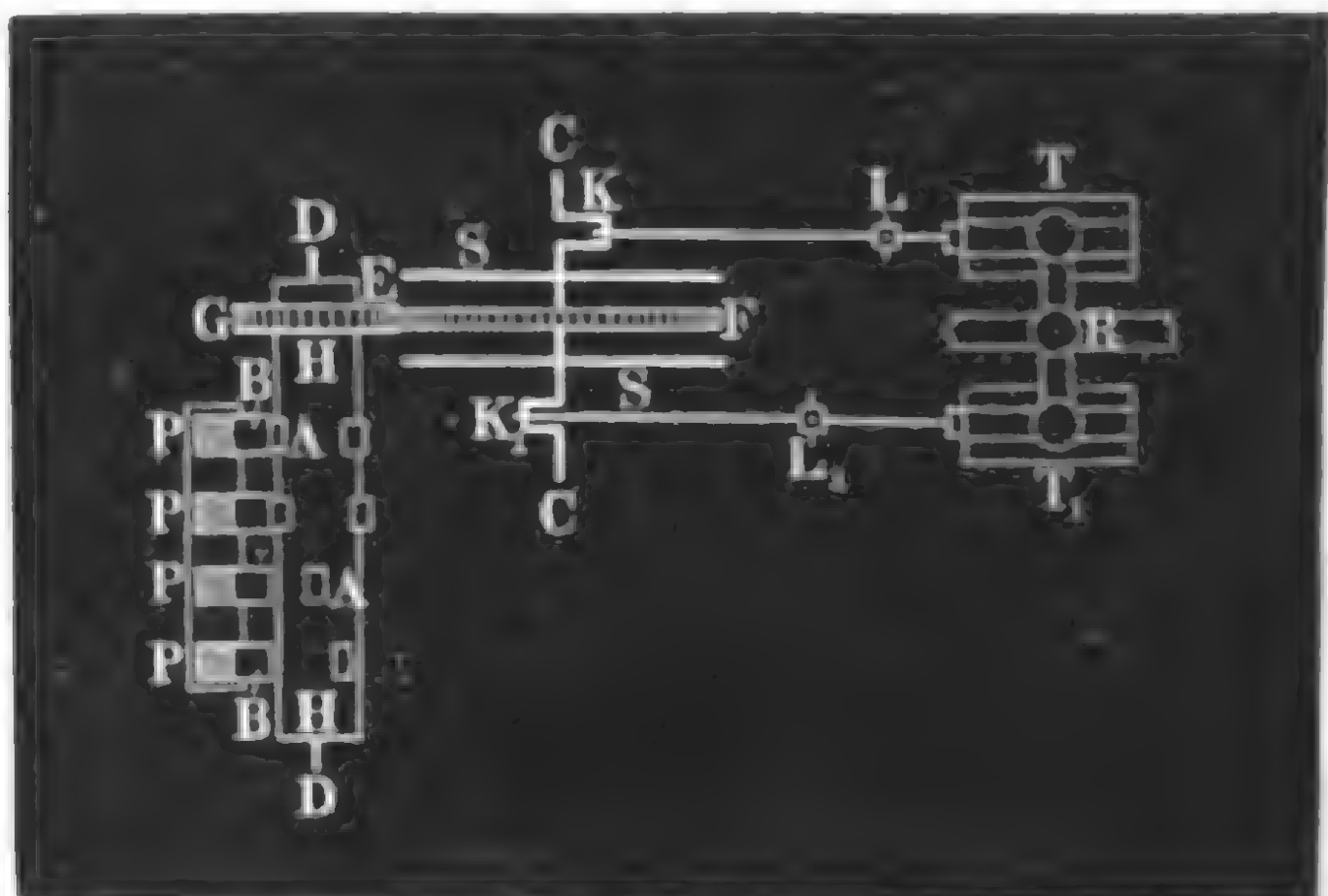
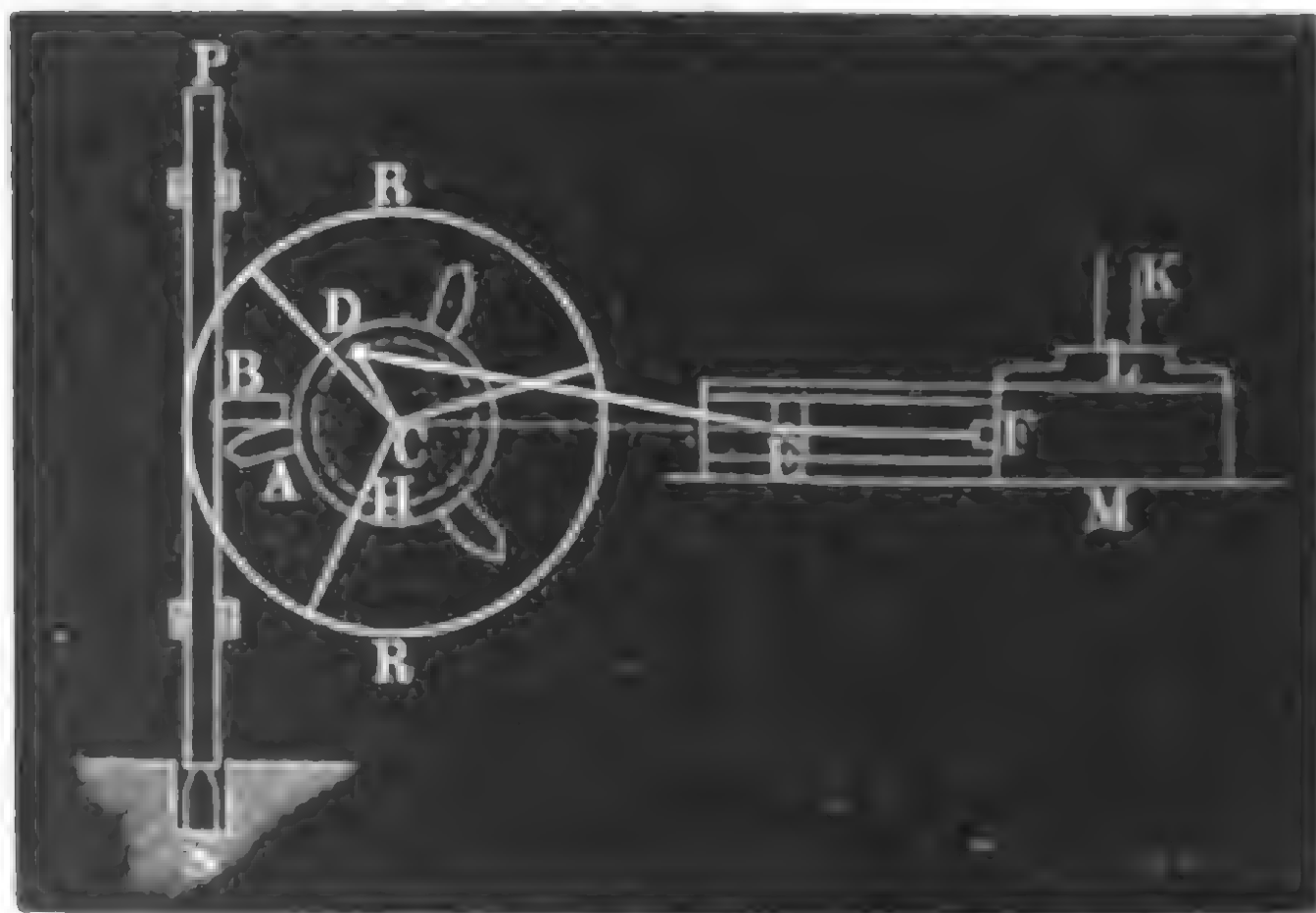


Fig. 953.



die Pochstempel mit den Däumlingen  $B, B \dots$ , sowie  $A, A \dots$  die auf der Welle  $HH$  sitzenden Heblinge.

Umtriebsma-  
schinen der  
Pochwerke.

Die Einrichtung eines Windpochwerkes mit Königsbaum u. s. w. ist ähnlich der einer Windkunst, Fig. 757; nur ist hier die Kurbelwelle  $CC$  durch eine Heblingswelle ersetzt.

Ein Dampfpochwerk ohne Zahnradvorgelege führt Fig. 953 vor Augen. Es stellt hier  $K$  das Dampfrohr,  $L$  die Dampfkammer und  $FM$  den Dampfcylinder vor; ferner ist  $EF$  der sichtbare Theil der Kolbenstange,  $ED$  die Kurbelstange und  $CD$  die Kurbel, wodurch die Kolbenbewegung in eine rotirende Bewegung umgesetzt und auf die Heblingswelle  $H$  übertragen wird. Außer dem Schwungrade  $RR$  haben die übrigen Bezeichnungen die obige Bedeutung.

§. 470. Besteht die Umtriebsmaschine eines Pochwerkes in einem horizontalen oder verticalen Wasserrade, dessen Wirkungsgrad mit Einschluß der Zapfenreibung  $= \eta_1$  ist, so verrichtet dieselbe bei dem Aufschlagquantum  $Q_1$  pr. Secunde und dem Gefälle  $h_1$  die mechanische Arbeit pr. Secunde

$$L = \eta_1 Q_1 h_1 \gamma.$$

Ist dagegen  $\eta$  der Wirkungsgrad des Pochwerkes,  $G$  das mittlere Gewicht eines Pochstempels,  $h$  der Stempelhub u. s. w., so hat man auch

$$L = \frac{1}{\eta} \left[ h + \frac{1}{2g} \left( \frac{\pi u r}{30} \right)^2 \right] \frac{n n_1 u}{60} G,$$

oder genauer, wenn man noch die Reibung zwischen den Zähnen der Vorgelegsräder in Betracht zieht, die Zähnezahlen durch  $m$  und  $m_1$  und den Coefficienten der Zahnreibung durch  $\varphi_1$  bezeichnet:

$$L = \frac{1}{\eta} \cdot \left[ 1 + \varphi_1 \pi \left( \frac{1}{m} + \frac{1}{m_1} \right) \right] \left[ h + \frac{1}{2g} \left( \frac{\pi u r}{30} \right)^2 \right] \frac{n n_1 u}{60} G.$$

Setzt man nun den letzten Ausdruck für  $L$  dem ersten gleich, so erhält man folgende Gleichung zwischen der Größe der Umtriebskraft und der Leistung eines Wasserradpochwerkes mit Vorgelege:

$$\eta \eta_1 Q_1 h_1 \gamma = \left[ 1 + \varphi_1 \pi \left( \frac{1}{m_1} + \frac{1}{m_2} \right) \right] \left[ h + \frac{1}{2g} \left( \frac{\pi u r}{30} \right)^2 \right] \frac{n n_1 u}{60} G,$$

wonach sich dann entweder aus der Anzahl  $n_1$ , sowie dem Gewichte  $G$ , dem Hube  $h$  und der Anzahl  $n u$  der Anhübe der Stempel eines Pochwerkes die Aufschlagwassermenge  $Q_1$ , oder umgekehrt, aus der letzteren, die Anzahl  $n_1$  der Stempel berechnen läßt.

Ist das Pochwerk ohne Vorgelege, so fällt natürlich der Factor  $\left[ 1 + \varphi_1 \pi \left( \frac{1}{m} + \frac{1}{m_1} \right) \right]$  ganz weg, auch wird dann der eine von den Coefficienten  $\eta$  und  $\eta_1$  etwas modificirt, da hier die Heblingswelle zugleich als

Umtriebsma-  
schinen der  
Bochwerke.

Wasserradwelle dient und daher nur die Zapfenreibung von einer Welle in Betracht zu ziehen ist. Hat dagegen das Wasserradvorgelege ein doppeltes Vorgelege, wie z. B. das in Fig. 950, so muß man auf der rechten Seite der letzten Hauptgleichung wegen der Zahnreibung des zweiten Vorgeleges noch einen Factor  $\left[1 + \varphi_1 \pi \left(\frac{1}{m_3} + \frac{1}{m_4}\right)\right]$  sowie noch ein Glied hinzufügen, welches die Arbeit der Zapfenreibungen der Vorgelegswelle  $EF$  ausdrückt. Bei einem Wasserradpochwerk mit Stangenvorgelege fällt zwar der Factor  $\left[1 + \varphi_1 \pi \left(\frac{1}{m} + \frac{1}{m_1}\right)\right]$  weg, dagegen ist die Arbeit der Warzenreibungen u. s. w. (nach §. 248) als Glied auf der rechten Seite der gedachten Gleichung hinzuzufügen.

Auf ein Turbinenpochwerk mit einem einfachen Zahnradvorgelege, wie Fig. 951, ist obige Hauptformel unmittelbar anwendbar, hat dasselbe aber ein doppeltes Vorgelege, so muß man diese Formel ähnlich wie bei dem Wasserradvorgelege in Fig. 950 mit zwei Vorgelegen ergänzen.

Die obige Hauptformel läßt sich auch auf ein Wassersäulenpochwerk, wie Fig. 952, anwenden, wenn man nur auf der Seite rechts noch die Arbeit der Reibungen an den Kurbelstangen als Glied hinzufügt. Setzt man dann in dieser Gleichung  $Q_1 = 4 F s \frac{u}{60} = \frac{F s u}{15}$  ein, so kann

man zu beiden Seiten den Factor  $u$  aufheben und nun die Gleichung in Hinsicht auf  $F$  auflösen, also die erforderliche Größe der Kolbenfläche der Wassersäulenmaschine berechnen. Endlich läßt sich diese Hauptgleichung auch auf ein Dampfpochwerk, wie Fig. 953 anwenden, wenn man nur statt

$h_1 \gamma, p_0 \left(1 + L n \varepsilon + \frac{Q_0}{p_1}\right)$  (s. Band II, §. 465) einsetzt und rechts ein Glied hinzufügt, welches die Arbeit der Reibungen an der Kurbelstange ausdrückt. Führt man hier  $Q_1 = 2 F s \frac{u}{60} = \frac{F s u}{30}$  ein, und hebt zu beiden

Seiten den gemeinschaftlichen Factor  $u$  auf, so kann man die Formel zur Bestimmung des Querschnittes  $F$  der Kolbenfläche der Dampfmaschine benutzen, wofern man den Kolbenhub  $s$  derselben vor der Expansion u. s. w. giebt.

Beispiel. Will man das Bochwerk im Beispiele zu §. 467 durch ein eberschlägiges Wasserrad in Umtrieb setzen, welches ein Gefälle  $h_1$  von 20 Fuß benützt und den Wirkungsgrad  $\eta_1 = 0,75$  hat, so ist die nöthige Aufschlagwassermenge pr. Secunde:

$$Q_1 = \frac{L}{\eta_1 h_1 \gamma} = \frac{5906}{0,75 \cdot 20 \cdot 66} = \frac{5906}{990} = 5,97,$$

d. i. nahe 6 Cubikfuß.

Bei Anwendung eines Zahnradvorgeleges, wodurch die Umdrehungszahl  $u_1 = 6$  des Wasserrades in die Umdrehungszahl  $u = 10$  der Hellingewelle

umgesetzt wird, kann man dem Treibrade 40 und dem Getriebrade 24 Zähne geben, und hiernach den die Zahnreibung messenden Factor

Umtriebsma-  
schinen der  
Pochwerke.

$$1 + \varphi_1 \pi \left( \frac{1}{m} + \frac{1}{m_1} \right) = 1 + 0,1 \cdot \pi \left( \frac{1}{24} + \frac{1}{40} \right) = 1 + 0,3142 \cdot 0,0667 = 1,021$$

setzen, so daß nun, wenn man die Zapfenreibungen unverändert annimmt, das erforderliche Aufschlagwasserquantum

$$Q_1 = \frac{5906 \cdot 1,021}{990} = 6,10 \text{ Cubikfuß}$$

folgt.

Soll dasselbe Pochwerk durch eine liegende Dampfmaschine mit Vorgelege in Umtrieb gesetzt werden, welche mit Dämpfen von 4 Atmosphären Spannung, bei zweifacher Expansion und Condensation arbeitet, so ist, wenn man

$144 \eta_1 Q_1 p_0 \left( 1 + L n \varepsilon + \frac{q_0}{p_1} \right) = L$  setzt und  $\eta_1 = 0,50$  annimmt, das nöthige Dampfquantum pr. Secunde:

$$Q = \frac{5906}{144 \cdot 0,5 \cdot 4 \cdot 15,05 \left( 1 + L n 2 - \frac{1,505}{2 \cdot 15,05} \right)} = \frac{5906}{4334 (1,693 - 0,05)}$$

$$= \frac{5906}{7121} = 0,830 \text{ Cubikfuß.}$$

Läßt man diese Maschine pr. Minute 30 Spiele machen, so ist eine Umsehung nach dem Verhältnisse  $\psi = \frac{10}{30} = \frac{1}{3}$  nöthig, und wenn man daher auf die Schwungradwelle ein Zahnrad mit 24 Zähnen setzt, so muß das Zahnrad auf der Heblingswelle 72 Zähne erhalten. Wendet man bei zweifacher Expansion und Condensation, Dampf von 4 Atmosphären an, setzt

$$\eta_1 Q_1 p_0 \left( 1 + L n \varepsilon + \frac{q_0}{p_1} \right) = \left[ 1 + \varphi_1 \pi \left( \frac{1}{m} + \frac{1}{m_1} \right) \right] L,$$

und führt  $\eta_1 = 0,50$  ein, so erhält man das nöthige Dampfquantum pr. Secunde:

$$Q_1 = \frac{5906 [1 + 0,3142 (\frac{1}{24} + \frac{1}{72})]}{144 \cdot 0,5 \cdot 4 \cdot 15,05 \left( 1 + L n 2 - \frac{1,505}{2 \cdot 15,05} \right)} = \frac{5906 \cdot 1,0175}{4334 (1,693 - 0,05)}$$

$$= \frac{6009}{7121} = 0,844 \text{ Cubikfuß,}$$

und daher bei Anwendung von 4 Fuß Kolbengeschwindigkeit und zweifacher Expansion, die nöthige Größe der Kolbenfläche:

$$F_1 = \frac{2 Q_1}{v_1} = \frac{2 \cdot 0,844}{4} = 0,422 \text{ Quadratfuß} = 60,77 \text{ Quadrat Zoll,}$$

so daß der nöthige Kolbendurchmesser  $d_1 = 8,19$  Zoll folgt, wofür zur Sicherheit 9 Zoll anzunehmen sein möchte.

§. 471. Die Stempel- oder Fallhammer (Freifallhammer), welche bei der Bearbeitung des Eisens in Anwendung kommen, sind in der Wirkungsweise mit den Stempeln oder Stampfern eines Pochwerkes zu vergleichen; nur sind sie von den Pochwerken dadurch verschieden, daß ein Pochwerk aus mehreren gemeinschaftlich arbeitenden, ein Fallhammer aber nur aus einem Stempel besteht.

Stempel-  
hammer.

\_\_\_\_\_

1. **Introduction**  
 2. **Background**  
 3. **Methodology**  
 4. **Results**  
 5. **Conclusion**  
 6. **References**  
 7. **Appendix**  
 8. **Index**  
 9. **Glossary**  
 10. **Notes**  
 11. **Footnotes**  
 12. **Endnotes**  
 13. **Supplementary Material**  
 14. **Tables**  
 15. **Figures**  
 16. **Equations**  
 17. **Formulas**  
 18. **Diagrams**  
 19. **Charts**  
 20. **Maps**  
 21. **Tables**  
 22. **Figures**  
 23. **Equations**  
 24. **Formulas**  
 25. **Diagrams**  
 26. **Charts**  
 27. **Maps**  
 28. **Tables**  
 29. **Figures**  
 30. **Equations**  
 31. **Formulas**  
 32. **Diagrams**  
 33. **Charts**  
 34. **Maps**  
 35. **Tables**  
 36. **Figures**  
 37. **Equations**  
 38. **Formulas**  
 39. **Diagrams**  
 40. **Charts**  
 41. **Maps**  
 42. **Tables**  
 43. **Figures**  
 44. **Equations**  
 45. **Formulas**  
 46. **Diagrams**  
 47. **Charts**  
 48. **Maps**  
 49. **Tables**  
 50. **Figures**  
 51. **Equations**  
 52. **Formulas**  
 53. **Diagrams**  
 54. **Charts**  
 55. **Maps**  
 56. **Tables**  
 57. **Figures**  
 58. **Equations**  
 59. **Formulas**  
 60. **Diagrams**  
 61. **Charts**  
 62. **Maps**  
 63. **Tables**  
 64. **Figures**  
 65. **Equations**  
 66. **Formulas**  
 67. **Diagrams**  
 68. **Charts**  
 69. **Maps**  
 70. **Tables**  
 71. **Figures**  
 72. **Equations**  
 73. **Formulas**  
 74. **Diagrams**  
 75. **Charts**  
 76. **Maps**  
 77. **Tables**  
 78. **Figures**  
 79. **Equations**  
 80. **Formulas**  
 81. **Diagrams**  
 82. **Charts**  
 83. **Maps**  
 84. **Tables**  
 85. **Figures**  
 86. **Equations**  
 87. **Formulas**  
 88. **Diagrams**  
 89. **Charts**  
 90. **Maps**  
 91. **Tables**  
 92. **Figures**  
 93. **Equations**  
 94. **Formulas**  
 95. **Diagrams**  
 96. **Charts**  
 97. **Maps**  
 98. **Tables**  
 99. **Figures**  
 100. **Equations**  
 101. **Formulas**  
 102. **Diagrams**  
 103. **Charts**  
 104. **Maps**  
 105. **Tables**  
 106. **Figures**  
 107. **Equations**  
 108. **Formulas**  
 109. **Diagrams**  
 110. **Charts**  
 111. **Maps**  
 112. **Tables**  
 113. **Figures**  
 114. **Equations**  
 115. **Formulas**  
 116. **Diagrams**  
 117. **Charts**  
 118. **Maps**  
 119. **Tables**  
 120. **Figures**  
 121. **Equations**  
 122. **Formulas**  
 123. **Diagrams**  
 124. **Charts**  
 125. **Maps**  
 126. **Tables**  
 127. **Figures**  
 128. **Equations**  
 129. **Formulas**  
 130. **Diagrams**  
 131. **Charts**  
 132. **Maps**  
 133. **Tables**  
 134. **Figures**  
 135. **Equations**  
 136. **Formulas**  
 137. **Diagrams**  
 138. **Charts**  
 139. **Maps**  
 140. **Tables**  
 141. **Figures**  
 142. **Equations**  
 143. **Formulas**  
 144. **Diagrams**  
 145. **Charts**  
 146. **Maps**  
 147. **Tables**  
 148. **Figures**  
 149. **Equations**  
 150. **Formulas**  
 151. **Diagrams**  
 152. **Charts**  
 153. **Maps**  
 154. **Tables**  
 155. **Figures**  
 156. **Equations**  
 157. **Formulas**  
 158. **Diagrams**  
 159. **Charts**  
 160. **Maps**  
 161. **Tables**  
 162. **Figures**  
 163. **Equations**  
 164. **Formulas**  
 165. **Diagrams**  
 166. **Charts**  
 167. **Maps**  
 168. **Tables**  
 169. **Figures**  
 170. **Equations**  
 171. **Formulas**  
 172. **Diagrams**  
 173. **Charts**  
 174. **Maps**  
 175. **Tables**  
 176. **Figures**  
 177. **Equations**  
 178. **Formulas**  
 179. **Diagrams**  
 180. **Charts**  
 181. **Maps**  
 182. **Tables**  
 183. **Figures**  
 184. **Equations**  
 185. **Formulas**  
 186. **Diagrams**  
 187. **Charts**  
 188. **Maps**  
 189. **Tables**  
 190. **Figures**  
 191. **Equations**  
 192. **Formulas**  
 193. **Diagrams**  
 194. **Charts**  
 195. **Maps**  
 196. **Tables**  
 197. **Figures**  
 198. **Equations**  
 199. **Formulas**  
 200. **Diagrams**  
 201. **Charts**  
 202. **Maps**  
 203. **Tables**  
 204. **Figures**  
 205. **Equations**  
 206. **Formulas**  
 207. **Diagrams**  
 208. **Charts**  
 209. **Maps**  
 210. **Tables**  
 211. **Figures**  
 212. **Equations**  
 213. **Formulas**  
 214. **Diagrams**  
 215. **Charts**  
 216. **Maps**  
 217. **Tables**  
 218. **Figures**  
 219. **Equations**  
 220. **Formulas**  
 221. **Diagrams**  
 222. **Charts**  
 223. **Maps**  
 224. **Tables**  
 225. **Figures**  
 226. **Equations**  
 227. **Formulas**  
 228. **Diagrams**  
 229. **Charts**  
 230. **Maps**  
 231. **Tables**  
 232. **Figures**  
 233. **Equations**  
 234. **Formulas**  
 235. **Diagrams**  
 236. **Charts**  
 237. **Maps**  
 238. **Tables**  
 239. **Figures**  
 240. **Equations**  
 241. **Formulas**  
 242. **Diagrams**  
 243. **Charts**  
 244. **Maps**  
 245. **Tables**  
 246. **Figures**  
 247. **Equations**  
 248. **Formulas**  
 249. **Diagrams**  
 250. **Charts**  
 251. **Maps**  
 252. **Tables**  
 253. **Figures**  
 254.

© 2004 Blackwell Publishing Ltd, *Journal of Internal Medicine* 255: 111–118

1. **Introduction**

1. **Identify the main topic of the passage.**  
 2. **Summarize the main idea in your own words.**  
 3. **Identify the author's purpose.**  
 4. **Identify the author's tone.**  
 5. **Identify the author's bias.**  
 6. **Identify the author's point of view.**  
 7. **Identify the author's audience.**  
 8. **Identify the author's style.**  
 9. **Identify the author's language.**  
 10. **Identify the author's structure.**

[illegible][illegible]

The following information is provided for informational purposes only. It is not intended to be used as a substitute for professional advice. The information is not intended to be used for any purpose other than that for which it was provided. The information is not intended to be used for any purpose other than that for which it was provided.

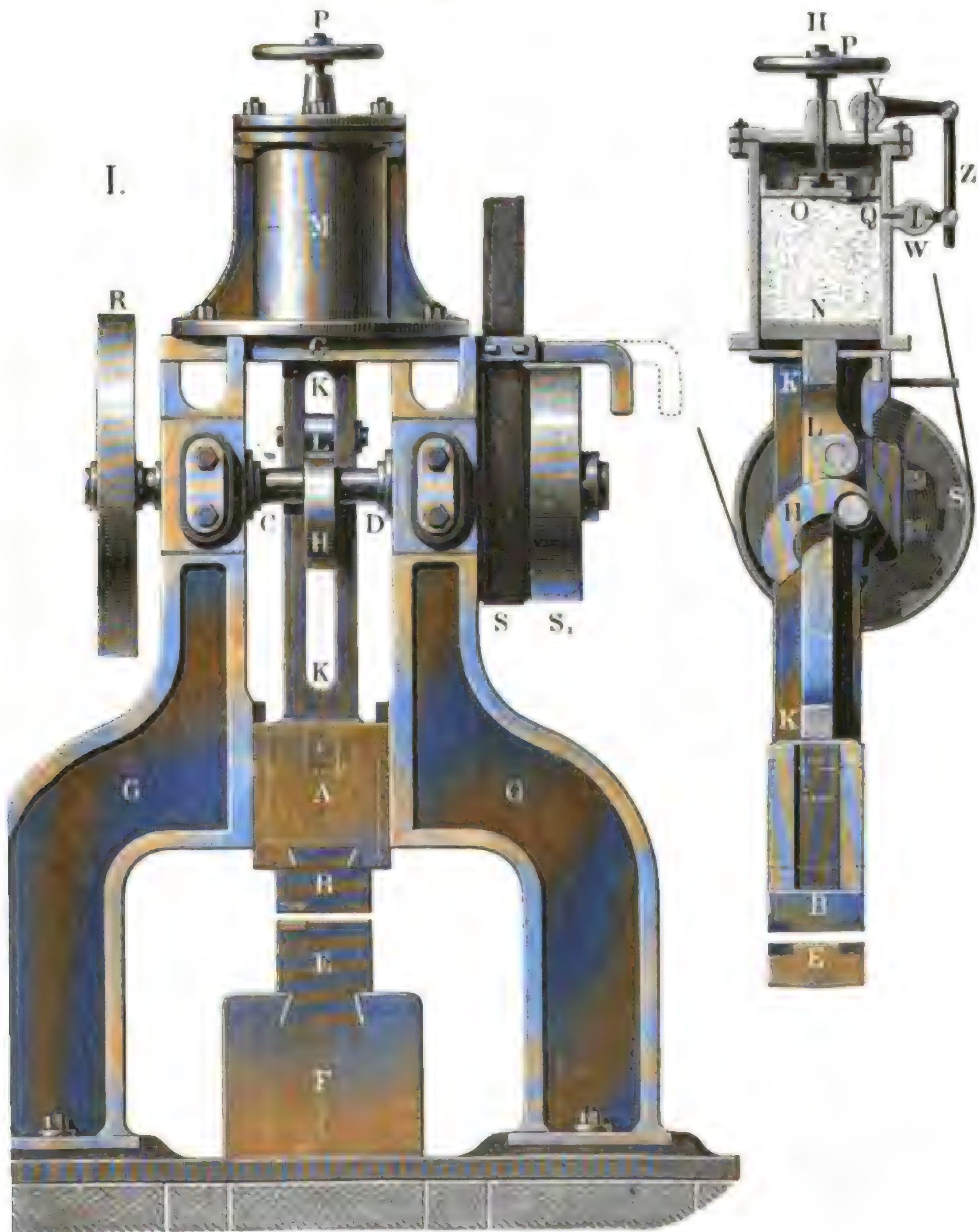


Druckgrade *R* und der festen und losen Riemenscheibe *S, S<sub>1</sub>*, sowie mit dem *F* ihr sitzenden Hebling *H*; noch ist *A* der eigentliche gußeiserne Hammer, das in denselben eingeteilte Bahnstück, *E* der Ambos und *F* der den Ambos stützende Hammerstock oder die sogenannte Chabotte.

Stein-  
hammer.

Ferner ist *KK* der geschligte Stiel des Hammers und *L* die in demselben

Fig. 955.

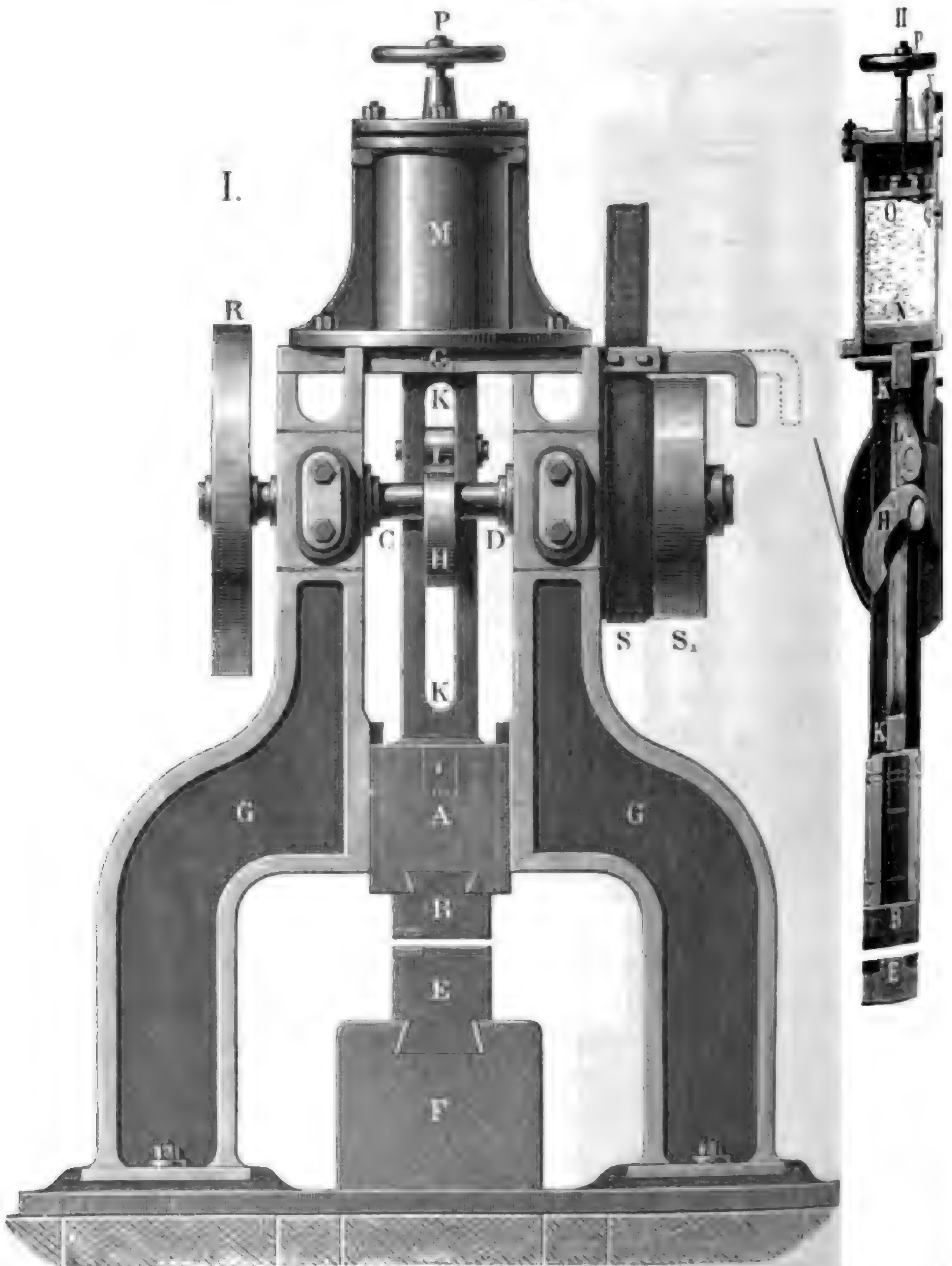




Stempel-  
hammer.

befindliche Frictionsrolle, womit der letztere vom Heblinge *H* ergriffen und emporgehoben wird. Noch ist auf dem Hammergerüste der Puffercylinder *M* aufgeschraubt, in welchem sich der Kolben *N* bewegt, der auf dem oberen Ende des Hammerstieles feststeht. Um die Federkraft der im Cylinderraum *NO* abgeschlossenen Luft nach Bedürfniß reguliren zu können, ist

Fig. 956.



ein zweiter Kolben *O* angebracht, welcher mittels einer Schraube, die durch den Deckel des Cylinders geht, und durch Umdrehen eines Kurbelringes *P*, von außen tiefer oder höher gestellt werden kann; auch sind zu diesem Zwecke noch die Hähne *V* und *W* angebracht, welche sich mittels der Stange *Z* eröffnen und verschließen lassen, und es ist endlich der Stellkolben *O* mit einem sich nach unten öffnenden Ventile *Q* versehen.

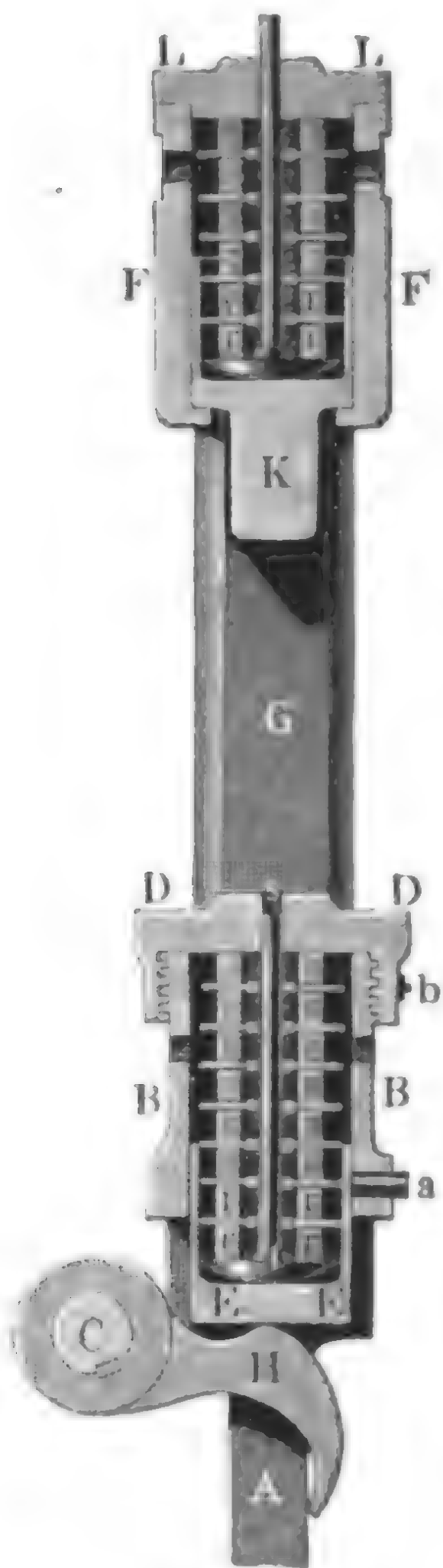
In der Abbildung beginnt der Hammer sammt dem Kolben seinen Aufgang und ist der über letzteren befindliche Lustraum durch *W* abgesperrt, so daß die Luft in demselben immer mehr und mehr zusammengeedrückt wird, je höher der Hammer steigt. Wenn daher später der Hebling den Hammer verläßt, so wird derselbe durch die Elasticität der abgeschlossenen Luft mit verstärkter Kraft zurückgeworfen. Hierbei ist natürlich nicht außer Acht zu lassen, daß die atmosphärische Luft mit constanter Kraft auf den Kolben von unten nach oben drückt und gleichsam das ganze Gewicht des Hammers um diese Kraft vermindert. Ist nun der ganze Raum mit Luft von der äußeren Dichtigkeit angefüllt, so wird während der Compression der äußere Luftdruck auf den Kolben von dem inneren Luftdrucke übertroffen, und daher durch beide zusammen der Aufgang erschwert und das Aufschlagen auf den Ambos verstärkt; hat dagegen die in *NO* abgesperrte Luft nur dann die Pressung der äußeren, wenn der Kolben *N* seinen höchsten Stand erreicht, so übertrifft bei jeder anderen Kolbenstellung der äußere Luftdruck auf diesen Kolben den inneren, und es wird daher durch das Zusammenwirken beider Kräfte der Aufgang des Kolbens unterstützt, sowie das Aufschlagen des Hammers auf das untergeschobene Metall gemäßiget. Es ist nun leicht einzusehen, wie man durch Ablassen der Luft mittels *W* und Zulassen derselben mittels *V* und *Q*, sowie auch mittels Stellung des Kolbens *O*, innerhalb gewisser Grenzen, jede beliebige Luftfüllung und Pressung herstellen kann.

Anstatt der Luftpuffer wendet man sehr gewöhnlich Puffer von Kautschukringen mit dazwischen gelegten Eisenplatten an. Um die Stöße beim Angriffe des Heblings zu mäßigen, versieht man auch den Angriffspunkt des Hammers mit einem solchen Puffer. Die specielle Einrichtung dieser Puffer ist aus dem verticalen Durchschnitte in Fig. 957 (a. f. S.) zu ersehen. Es ist hier *H* der auf der Welle *C* feststehende Hebling, *ABB* der Hammerstiel sammt dem mit ihm ein Ganzes bildenden Puffergehäuse *BB*, welches oben durch einen Deckel *DD* und unten durch den verschiebbaren Pufferkopf *EE* verschlossen ist. Die in diesem Gehäuse eingeschlossenen Kautschukringe *rr*, *rr*..., sowie die zwischenliegenden Eisenplatten sind zwischen dem Deckel *DD* des Gehäuses und einem Teller *t* eingeklemmt, welcher auf dem Pufferkopf aufruht und durch einen Stiel *st* in horizontaler Lage erhalten wird. Trifft der Hebling *H* auf den Pufferkopf, so

Stempel-  
hammer.

schiebt sich zunächst der letztere in das Gehäuse tiefer hinein, und nur erst dann, wenn die Kautschukringe so weit zusammengedrückt sind, daß ihre Spannkraft das Gewicht des Hammers übertrifft, beginnt das Aufsteigen

Fig. 957.



des letzteren. Die Feder *a*, welche in eine Nuth des Pufferkopfes eindringt, soll das Drehen des letzteren während seiner Verschiebung im Gehäuse, sowie die Klemmschraube *b* das Zurückgehen der Schraube verhindern, welche den Deckel mit dem Gehäuse verbindet. Der Puffer zum Auffangen und Zurückwerfen des Hammers ist ganz ähnlich construiert. Das Gehäuse *FF* desselben bildet mit dem Hammergerüste *G* ein Ganzes, ist oben durch den Deckel *LL*, sowie unten durch den Pufferkopf *K* abgeschlossen und enthält, wie der untere Puffer, eine Säule von Kautschukringen mit zwischen liegenden Eisenscheiben u. s. w. Sowie der Hebling *H* den Hammer, nachdem er ihn auf eine gewisse Höhe gehoben hat, verläßt, trifft der Deckel *DD* des Puffergehäuses *BB* auf den Pufferkopf *K* und dieser dringt nun so tief in das Gehäuse ein, bis die Elasticität der Kautschukringe die ganze lebendige Kraft des Hammers in sich aufgenommen hat und der letztere in Ruhe gekommen ist. Die mechanische Arbeit, welche hierbei die Kautschukringe in sich aufgenommen haben, geben dieselbe in Folge ihrer Elasticität beim darauf erfolgenden Zurückfallen des Hammers zu großen Theile demselben wieder zurück.

Theorie der  
Stempel-  
hammer.

(§. 472.) Wenn der Stempelhammer mit keinem Angriffspuffer gerüstet ist, so verzehrt der Stoß beim Angriffe desselben ein gewisses Arbeitsquantum, welches genau so zu beurtheilen ist, wie der Arbeitsverlust beim Angriffe eines Pochstempels (s. §. 466). Bezeichnet *v* die Geschwindigkeit des Hebedaumens beim Angriffe und zwar in der Hublinie gemeint und *v*<sub>1</sub> die Geschwindigkeit, mit welcher der Stempel und der Hebedaumen nach dem Stoße gemeinschaftlich fortgehen; ist ferner *M* die Masse des Hammers und *M*<sub>1</sub> die auf den Angriffspunkt reducirte träge Masse des Daumenwelle, so hat man



$$v_1 = \frac{M_1 v}{M_1 + M}$$

und den Arbeitsverlust der Daumenwelle in Folge des Stoßes:

$$L_1 = \frac{M_1 (v^2 - v_1^2)}{2} = \frac{(2 M_1 + M) M M_1 v^2}{(M + M_1)^2} \frac{1}{2}.$$

Wenn der Hammer den Hebendaumen mit der Geschwindigkeit  $v_1$  verläßt, so hat derselbe von diesem Arbeitsverlust den Theil  $\frac{M v_1^2}{2} = \frac{M M_1^2 v^2}{(M + M_1)^2} \frac{1}{2}$  in sich aufgenommen, und es ist daher der ganze Arbeitsverlust durch den Stoß nur

$$L_2 = \frac{M_1 (v^2 - v_1^2)}{2} - \frac{M v_1^2}{2} = \frac{M M_1}{M + M_1} \frac{v^2}{2}$$

(vergl. Band I, §. 306).

Dieser Arbeitsverlust ist für  $M_1 = M$ ,

$$L_2 = \frac{M v^2}{4},$$

und für  $M_1 = \infty M$ ,

$$L_2 = \frac{M v^2}{2},$$

wird sich aber immer dem letzteren Werth mehr nähern, da zur Erzeugung einer nahe gleichförmigen Umdrehungsbewegung der Welle,  $M_1$  viel größer als  $M$  gemacht werden muß.

Bezeichnet  $T$  das Trägheitsmoment der armirten Daumenwelle und  $r$  den Hebelarm des Hebendaumens, so hat man

$$M_1 = \frac{T}{r^2} \text{ (s. Band I, Seite 255)}$$

zu setzen.

Ist der Hammer mit einem Angriffspuffer versehen, so wird die Arbeit  $L_2 = \frac{M M_1}{M + M_1} \frac{v^2}{2}$  auf das Zusammendrücken der Federn verwendet und daher wieder gewonnen, wenn sich dieselben während und am Ende des Anhubes wieder ausdehnen. Auch werden durch Anwendung dieser Puffer die Erschütterungen der ganzen Maschine beim Angriffe verhindert oder wenigstens bedeutend vermindert.

Die Puffer, welche als Prallstock oder zum Zurückwerfen des Stempelhammers dienen, haben den Zweck, die Zeit zum Aufsteigen und Zurückfallen möglichst abzukürzen, um in derselben Zeit eine möglichst große Anzahl von Schlägen machen zu können, wobei natürlich auch von der Hitze des durch den Hammer zu bearbeitenden Eisens der größte Nutzen gezogen wird.

Bei einem Federpuffer, wie z. B. Fig. 957 darstellt, wächst innerhalb

Theorie  
des Stempel-  
hammers.

der gewöhnlichen Grenzen die Zusammendrückung  $x$  ( $x_1$ ) wie die drückende Kraft  $P$  ( $P_1$ ); es läßt sich also diese Kraft durch die Formel

$$P = \frac{P_1}{x_1} x$$

berechnen, wenn man  $P_1$  und  $x_1$  durch einen Versuch bestimmt hat.

Bezeichnet nun noch  $G$  das Gewicht des Stempelhammers, so hat man die Retardation des Hammers beim Anschlagen an den Puffer:

$$p = \frac{\text{Kraft}}{\text{Masse}} = \left( \frac{G + P}{G} \right) g = \left( 1 + \frac{P_1 x}{G x_1} \right) g = (1 + \mu x) g,$$

wenn man den Ausdruck  $\frac{P_1}{G x_1}$  durch  $\mu$  bezeichnet.

Ist nun  $c$  die Geschwindigkeit des Hammers beim Anschlagen an den Puffer und  $v$  die veränderliche Geschwindigkeit desselben während der Wirkung auf den Puffer, so hat man

$$\frac{c^2 - v^2}{2g} = x + \frac{1}{2} \mu x^2,$$

daher

$$x = -\frac{1}{\mu} + \sqrt{\left(\frac{1}{\mu}\right)^2 + \frac{c^2 - v^2}{\mu g}}$$

und

$$\partial x = -\frac{v \partial v}{g \sqrt{1 + (c^2 - v^2) \frac{\mu}{g}}}.$$

Nun ist noch  $\partial x = v \partial t$ , wenn  $\partial t$  das Zeitelement und  $\partial x$  das in demselben mit der Geschwindigkeit  $v$  durchlaufene Wegelement beider daher folgt

$$\partial t = -\frac{\partial v}{g \sqrt{1 + (c^2 - v^2) \frac{\mu}{g}}} = -\frac{\partial v}{g \sqrt{1 + \frac{\mu c^2}{g}} \sqrt{1 - \frac{\mu v^2}{g + \mu c^2}}}$$

Setzt man nun  $v \sqrt{\frac{\mu}{g + \mu c^2}} = u$ , also

$$\partial v = \partial u \sqrt{\frac{g + \mu c^2}{\mu}},$$

so folgt

$$\partial t = -\frac{\partial u}{\sqrt{\mu g} \sqrt{1 - u^2}},$$

und daher die Zeit

$$t = -\frac{1}{\sqrt{\mu g}} \int \frac{\partial u}{\sqrt{1-u^2}} = -\frac{1}{\sqrt{\mu g}} \operatorname{arc.}(\sin. = u) + \operatorname{Const.}$$

$$= -\frac{1}{\sqrt{\mu g}} \operatorname{arc.} \left( \sin. = v \sqrt{\frac{\mu}{g + \mu c^2}} \right) + \operatorname{Const.}$$

(S. Band. I, analyt. Hülfslehren, Artikel 22).

Nun ist aber anfangs  $v = c$ , daher ergibt sich

$$\operatorname{Const.} = \frac{1}{\sqrt{\mu g}} \operatorname{arc.} \left( \sin. = c \sqrt{\frac{\mu}{g + \mu c^2}} \right),$$

und es folgt die ganze Zeit zum Steigen des Stempels während seines Anstoßes an den Puffer, innerhalb welcher  $v$  in Null übergeht,

$$t_1 = \frac{1}{\sqrt{\mu g}} \operatorname{arc.} \left( \sin. = c \sqrt{\frac{\mu}{g + \mu c^2}} \right).$$

Da beim darauf folgenden Zurückfallen des Hammers die Acceleration ebenso groß ist, wie die Retardation beim Steigen, so folgt, daß die Zeit  $t_2$  zum Zurückstoßen durch den Puffer, innerhalb welcher der Hammer wieder die Geschwindigkeit  $c$  in umgekehrter Richtung annimmt, gleich der Zeit  $t_1$  zum Steigen, also die ganze Zeit des Stoßes

$$2 t_1 = \frac{1}{\sqrt{\mu g}} \operatorname{arc.} \left( \sin. = c \sqrt{\frac{\mu}{g + \mu c^2}} \right)$$

ist.

In der praktischen Ausführung ist  $\mu$  so groß, daß sich  $c \sqrt{\frac{\mu}{g + \mu c^2}} = 1$ ,  
daher

$$t_1 = \frac{1}{\sqrt{\mu g}} \cdot \frac{\pi}{2} \text{ und } 2 t_1 = \frac{\pi}{\sqrt{\mu g}}$$

setzen läßt.

Ohne eine solche Prallvorrichtung wäre

$$t_1 = \frac{c}{g} \text{ und } 2 t_1 = \frac{2 c}{g}$$

und es ist daher der ganze Zeitgewinn, welcher durch das Zurückprallen des Hammers an dem elastischen Prallstock erlangt wird,

$$\tau = \frac{2 c}{g} - \frac{\pi}{\sqrt{\mu g}}.$$

Diese Formeln gelten auch für den Fall, wenn der Stempelhammer gegen einen großen unvollkommen elastischen Prallstock anschlägt; nur hat hier beim Zurückwerfen  $\mu$  einen kleineren Werth  $\mu_1$ , und es ist daher hier die Zeit zum Zurückfallen:  $t_2 = \frac{1}{\sqrt{\mu_1 g}} \frac{\pi}{2}$ , eine größere. Der durch eine solche unvollkommene Abprallung erlangte Zeitgewinn ist folglich



Theorie  
der Stempel-  
hämmer.

$$\tau = \frac{2c}{g} - \frac{\pi}{2\sqrt{g}} \left( \frac{1}{\sqrt{\mu}} + \frac{1}{\sqrt{\mu_1}} \right).$$

Wäre  $\mu_1$  oder die Elasticität des Prallstockes sehr klein, so müßte man

$$\begin{aligned} t_2 &= \frac{1}{\sqrt{\mu_1 g}} \operatorname{arc.} \left( \sin. = c \sqrt{\frac{\mu_1}{g + \mu_1 c^2}} \right) \\ &= \frac{1}{\sqrt{\mu_1 g}} \operatorname{arc.} \left( \sin. = c \sqrt{\frac{\mu_1}{g}} \right) = \frac{c}{g} \end{aligned}$$

und daher

$$\tau = \frac{c}{g} - \frac{\pi}{2\sqrt{\mu g}}$$

sehen.

Der Weg, welchen der Hammer während der Zusammendrückung der Federn zurücklegt, oder die Größe der Durchbiegung der letzteren ist

$$s = -\frac{1}{\mu} + \sqrt{\frac{1}{\mu^2} + \frac{c^2}{\mu g}}.$$

Sind die Federn unvollkommen elastisch, oder besitzt der Prallstock nur eine unvollkommene Elasticität, so hat der Hammer in dem Augenblicke, wenn er beim Zurückfallen den Puffer verläßt, die Geschwindigkeit

$$c_1 = \sqrt{2gs(1 + \frac{1}{2}\mu_1 s)}.$$

Bezeichnet  $h$  die Höhe, auf welche der Hammer durch den Hebebaum gehoben, und von welcher er auch frei herabfällt, so ist die Geschwindigkeitshöhe des Hammers bei seinem Aufschlagen auf den Ambos:

- 1) bei vollkommener Elasticität der Prallvorrichtung, sowie bei einem Hammer ohne einen Prallstock,

$$h_1 = h + \frac{c^2}{2g} = h + s(1 + \frac{1}{2}\mu s); \text{ dagegen}$$

- 2) bei unvollkommener Elasticität des Prallstockes:

$$h_1 = h + \frac{c_1^2}{2g} = h + s(1 + \frac{1}{2}\mu_1 s) \text{ und}$$

- 3) bei gänzlicher Unelasticität des Prallstockes, wo  $\mu_1 = 0$  ist:

$$h_1 = h + s.$$

Beispiel. Wenn ein Stempelhammer den als Prallstock dienenden Puffer mit 6 Fuß Geschwindigkeit trifft und sich dieser in Folge dessen um 2 Zoll  $= \frac{1}{6}$  Fuß zusammendrückt, so ist der entsprechende Coefficient:

$$\mu = \left( \frac{c^2}{2g} - s \right) : \frac{1}{2}s^2 = (0,018.36 - 0,1667) : \frac{1}{2} \cdot \frac{1}{36} = 0,4093.72 = 29.5$$

und daher die Zeit des Ans- und Abprallens:

$$2t_1 = \frac{\pi}{\sqrt{\mu g}} = \frac{3,1416}{\sqrt{29,5 \cdot 31,25}} = 0,1035 \text{ Sekunden.}$$

Wenn dagegen der Hammer, nachdem ihn der Hebedaumen verlassen hat, frei steigt und fällt, so ist diese Zeit

Theorie  
des Stempel-  
hammers.

$$2 t_1 = \frac{2c}{g} = \frac{12}{31,25} = 0,3840 \text{ Sekunden,}$$

also der Zeitgewinn durch die Abprallung pr. Stempelhub:

$$0,3840 - 0,1035 = 0,2805 \text{ Sekunden.}$$

Setzt man die mittlere Geschwindigkeit des Hammers beim Anheben,  $c = 6$  Fuß, so erhält man bei der Hubhöhe  $h = 3$  Fuß, die Zeit des Anhebens:

$$= \frac{h}{c} = \frac{3}{6} = \frac{1}{2} \text{ Secunde,}$$

wogegen die Zeit des freien Zurückfallens

$$= \frac{\sqrt{c^2 + 2gh} - c}{g} = \frac{\sqrt{36 + 62,5 \cdot 3} - 6}{31,25} = (14,95 - 6) \cdot 0,032 = 0,2864 \text{ Sekunden}$$

beträgt. Hiernach ist folglich die ganze Zeit eines Stempelspieles:

$$0,5000 + 0,1035 + 0,2864 = 0,8899 \text{ Sekunden.}$$

Ohne eine solche Prallvorrichtung würde der Hammer, nachdem ihn der Hebedaumen verlassen hat, auf die Höhe  $\frac{c^2}{2g} = 0,016 \cdot 36 = 0,576$  Fuß frei steigen und nachher von der Höhe  $h + \frac{c^2}{2g} = 3,576$  frei herabfallen.

Die Zeit zum Herabfallen ist

$$t = \sqrt{\frac{2 \cdot 3,576}{g}} = \sqrt{0,064 \cdot 3,576} = 0,4785 \text{ Sekunden,}$$

und daher die Zeit eines ganzen Stempelspieles:

$$= 0,5000 + 0,1920 + 0,4785 = 1,1705,$$

d. i. um

$$\frac{117,05 - 88,99}{0,8899} = \frac{28,06}{0,8899} = 31,5 \text{ Procent}$$

größer als bei dem Stempelhammer mit elastischem Puffer. Läßt man in beiden Fällen den Stempel nach jedem Schlage 0,11 Sekunden ruhen, so erhält man die Anzahl der Stempelhübe, bei Anwendung eines Prallstockes:

$$n = \frac{60}{0,89 + 0,11} = \frac{60}{1} = 60,$$

und dagegen ohne denselben:

$$n = \frac{60}{1,17 + 0,11} = \frac{60}{1,28} = 47.$$

§. 473. Bei einem Luftpuffer, wie Fig. 956 darstellt, übt die Elasticität der Luft sowohl während des Anhebens als auch während des Fallens ihre Wirkung auf die Bewegung des Fallhammers aus. Bezeichnet  $v$  die Geschwindigkeit des Angriffspunktes,  $M$  die Masse des Hammers und  $M_1$  die auf diesen Punkt reducirte träge Masse der armirten Daumenwelle, so hat man, wie bekannt, die gemeinschaftliche Geschwindigkeit nach dem Stoße des Hebedaumens gegen den Hammer:

$$1) \quad c = \frac{M_1 v}{M_1 + M},$$

Theorie  
der Stempel-  
hämmer.

und die bei diesem Stöße verloren gehende mechanische Arbeit:

$$L_1 = \frac{M M_1}{M + M_1} \cdot \frac{v^2}{2}.$$

Ferner ist die mechanische Arbeit, welche die Elasticität der im Puffen oder Stoßreitel eingeschlossenen Luft während des Hubes  $h$  in Anspruch nimmt, wenn man die anfängliche Pressung der abgesperrten Luft  $= p$ , den Inhalt der Kolbenfläche  $= F$ , die ganze Höhe des abgesperrten Luftcylinders  $= s$  und die am Ende des Hubes,  $s - h = s_1$ , sowie das bekannte Wärmeverhältniß  $1,4 = \frac{7}{5} = \kappa$  setzt, nach Band II, §. 443:

$$L_2 = \frac{F p s^\kappa}{\kappa - 1} \left( \frac{1}{s_1^{\kappa-1}} - \frac{1}{s^{\kappa-1}} \right).$$

Bezeichnet  $q$  den äußeren Luftdruck pr. Flächeneinheit, so ist die Kraft, mit welcher die äußere Luft dem Aufgang des Hammers zu Hülfe kommt,  $Fq$ , und bezeichnet  $G$  das Gewicht des Hammers und  $v_1$  die Geschwindigkeit desselben am Ende des Hubes, so ist endlich die ganze mechanische Arbeit, welche das Aufheben des Hammers in Anspruch nimmt,

$$\begin{aligned} L &= L_1 + L_2 + (G - Fq) h + \frac{M v_1^2}{2} \\ &= \frac{M M_1}{M + M_1} \frac{v^2}{2} + \frac{F p s^\kappa}{\kappa - 1} \left( \frac{1}{s_1^{\kappa-1}} - \frac{1}{s^{\kappa-1}} \right) \\ &\quad + (G - Fq) (s - s_1) + \frac{M v_1^2}{2}. \end{aligned}$$

Ist  $r$  der Hebelarm des Angriffspunktes, oder der senkrechte Abstand der Axe der Daumenwelle von der Hublinie des Hammers, sowie  $\beta$  der Centriwinkel zwischen den benachbarten Hebedaumen, um welchen sich also auch die Welle von einem Anhub bis zum anderen dreht, so läßt sich die Arbeit der Kraft  $= Pr\beta$  setzen und es gilt daher auch die Gleichung:

$$\begin{aligned} 2) \quad Pr\beta &= \frac{M M_1}{M + M_1} \cdot \frac{v^2}{2} + \frac{F p s^\kappa}{\kappa - 1} \left( \frac{1}{s_1^{\kappa-1}} - \frac{1}{s^{\kappa-1}} \right) \\ &\quad + (G - Fq) h + \frac{1}{2} M v_1^2. \end{aligned}$$

Auch ist, da während des Anhubes die Umdrehungsgeschwindigkeit  $c$  der Welle in  $v_1$  übergeht:

$$\begin{aligned} 3) \quad \frac{1}{2} (M + M_1) (v_1^2 - c^2) &= (P + Fq - G) h \\ &\quad - \frac{F p s^\kappa}{\kappa - 1} \left( \frac{1}{s_1^{\kappa-1}} - \frac{1}{s^{\kappa-1}} \right). \end{aligned}$$

Nimmt man  $v_1^2$  aus der vorletzten Gleichung und setzt diesen Wert in die letzte Gleichung ein, so folgt:

$$\left[ Pr\beta - \frac{MM_1}{M+M_1} \cdot \frac{v^2}{2} - \frac{Fps^x}{x-1} \left( \frac{1}{s_1^{x-1}} - \frac{1}{s^{x-1}} \right) - (G - Fq)h \right] \frac{M+M_1}{M} \quad \text{Theorie der Stempel-  
hämmer,}$$

$$= (P + Fq - G)h - \frac{Fps^x}{x-1} \left( \frac{1}{s_1^{x-1}} - \frac{1}{s^{x-1}} \right) + \frac{(M+M_1)c^2}{2},$$

und daher

$$4) \quad P \left( \frac{M+M_1}{M} r\beta - h \right) = (G - Fq) \frac{M_1}{M} h$$

$$+ \frac{Fps^x}{x-1} \left( \frac{1}{s_1^{x-1}} - \frac{1}{s^{x-1}} \right) \frac{M_1}{M} + \frac{M_1(M+2M_1)}{M+M_1} \cdot \frac{v^2}{2}.$$

Hat man mit Hülfe der letzten Gleichung aus der Anfangsgeschwindigkeit  $v$  u. s. w. die erforderliche Umtriebskraft  $P$  bestimmt, so kann man nun durch eine der Gleichungen (2) und (3) die Geschwindigkeit des Hammers und des Hebedaumens für den Augenblick bestimmen, wenn der Hammer unter dem letzteren weggleitet.

Nach diesem steigt der Hammer noch auf eine Höhe  $h_1$ , welche, wenn man  $s = (h + h_1) = s_2$  setzt, durch die Gleichung

$$5) \quad (G - Fq)h_1 + \frac{Fps^x}{x-1} \left( \frac{1}{s_2^{x-1}} - \frac{1}{s_1^{x-1}} \right) = \frac{Mv_1^2}{2}$$

bestimmt ist, und endlich kommt der Hammer mit einer Geschwindigkeit  $v_2$  unten an, welche sich durch Auflösung der Gleichung

$$6) \quad (G - Fq)(h + h_1) + \frac{Fps^x}{x-1} \left( \frac{1}{s_2^{x-1}} - \frac{1}{s^{x-1}} \right) = \frac{1}{2} Mv_2^2$$

ermitteln läßt.

Die Zeiten  $t_1$  und  $t_2$ , welche der Hammer nöthig hat, um die Wege  $h$  und  $h_1$  steigend, sowie die Zeit  $t_3$ , welche er bedarf, um die Höhe  $h + h_1$  fallend zu durchlaufen, sind mittels der Simpson'schen oder Cotes'schen Regel zu bestimmen.

Hat man mittels (1) und (4) die Geschwindigkeit  $c$  nach dem Anstoße und die mittlere Umtriebskraft  $P$ , sowie mittels einer der Gleichungen (2) und (3) die Geschwindigkeit  $v$  bestimmt, so setze man in letztere auch noch statt  $h$ ,  $\frac{1}{2}h$ , sowie statt  $s_1 = s - h$ ,  $s - \frac{1}{2}h$  ein und ermittle durch Auflösung derselben die Geschwindigkeit  $w$  ( $v_1$ ) des Hammers, wenn derselbe um  $\frac{1}{2}h$  gestiegen ist. Aus den Geschwindigkeiten  $c$ ,  $w$  und  $v_1$  folgt dann die Zeit zum Steigen auf die Höhe  $h$ :

$$t_1 = \frac{h}{6} \left( \frac{1}{c} + \frac{4}{w} + \frac{1}{v_1} \right).$$

Hat man ferner mittels (5) die Höhe  $h_1$  bestimmt, auf welche der Hammer ohne Kraft steigt, so setze man auch  $\frac{h_1}{2}$  statt  $h_1$  in diese Gleichung,

Theorie  
des Stempel-  
hammer.

und löse dieselbe in Hinsicht auf  $v_1$  auf, wodurch sich die Geschwindigkeit  $w_1$  ergibt, welche der Hammer nach Zurücklegung des Weges  $h + \frac{1}{2} h_1$  hat. Aus den Geschwindigkeitswerthen  $v_1$ ,  $w_1$  und  $0$  folgt nun die Zeit, welche der Hammer zum Durchlaufen des zweiten Wegtheiles ( $h_1$ ) nöthig hat:

$$t_2 = \frac{h_1}{4} \left( \frac{1}{v_1} + \frac{1}{w_1} \right) + \frac{h_1}{w_1} = \frac{h_1}{4} \left( \frac{1}{v_1} + \frac{5}{w_1} \right).$$

Setzt man endlich in die Gleichung (6) statt  $h + h_1$ ,  $\frac{1}{3} (h + h_1)$  und  $\frac{2}{3} (h + h_1)$  ein, so erhält man außer der mittels eben dieser Gleichung zu bestimmenden Endgeschwindigkeit  $v_2$  noch zwei mittlere Geschwindigkeiten  $w_2$  und  $w_3$  und es folgt die Zeit zum Durchfallen der ganzen Höhe  $h + h_1$ :

$$\begin{aligned} t_3 &= \frac{2}{3} \left( \frac{h + h_1}{w_2} \right) + \frac{2}{3} \cdot \frac{h + h_1}{6} \left( \frac{1}{w_2} + \frac{4}{w_3} + \frac{1}{v_2} \right) \\ &= \frac{h + h_1}{9} \left( \frac{7}{w_2} + \frac{4}{w_3} + \frac{1}{v_2} \right). \end{aligned}$$

Um dem Hammer in einer gegebenen Zeit eine möglichst große Anzahl von Spielen machen lassen zu können, ist es nöthig, die Zeiten  $t_1$ ,  $t_2$  und  $t_3$  möglichst abzukürzen, folglich möglichst große Geschwindigkeiten in Anwendung zu bringen. Die letzteren fallen aber den Gleichungen (4), (5) und (6) zufolge um so größer aus, je größer die Anfangspressung  $p$  der im Puffer abgesperrten Luft ist.

Während der Hammer frei steigt und fällt, dreht sich die Welle um einen Winkel  $\beta_1$ , der durch die Gleichung  $r (\beta - \beta_1) = h$ , oder durch die Formel

$$\beta_1 = \beta - \frac{h}{r}$$

bestimmt ist, und da hierbei die Geschwindigkeit  $v_1$  der Welle in  $v$  übergeht, so gilt auch die Gleichung

$$7) \quad Pr\beta_1 = \frac{1}{2} M_1 (v^2 - v_1^2),$$

wie auch aus der Verbindung der ersten Gleichungen hervorgeht. Es ist daher einfacher, aus  $v$  und  $P$  die Geschwindigkeit mittels der aus der letzten Gleichung (7) hervorgehenden Formel

$$v_1 = \sqrt{v^2 - \frac{2 Pr\beta_1}{M_1}}$$

zu bestimmen.

Setzt man in der letzten Formel statt  $\beta_1$  auch  $\frac{1}{3} \beta_1$  und  $\frac{2}{3} \beta_1$  ein, so erhält man noch zwei zwischen  $v$  und  $v_1$  liegende Geschwindigkeitswerthe  $w_4$  und  $w_5$ , und es folgt nun die Zeit des Leerganges:

$$t_4 = \frac{r\beta_1}{8} \left( \frac{1}{v_1} + \frac{3}{w_4} + \frac{3}{w_5} + \frac{1}{v} \right).$$



Die Zeit eines ganzen Hammerspieles folgt nun:  $t = t_1 + t_4$ , und daher die Anzahl der Hammerschläge pr. Minute:

Theorie  
der Stempel-  
hämmer.

$$n = \frac{60''}{t} = \frac{60''}{t_1 + t_4}.$$

Beispiel. Es sei das Gewicht eines Fallhammers mit Luftpuffer,  $G = 500$  Pfd., der Daumenhub desselben,  $h = 1\frac{1}{2}$  Fuß, die Weite des Puffercylinders,  $z = \frac{3}{4}$  Fuß, die Höhe desselben,  $s = 2\frac{1}{2}$  Fuß, die Anfangs- oder Minimaldruckung  $p$  der eingeschlossenen Luft gleich der der äußeren Luft,  $q = 15$  Pfd. pr. Quadratzoll, ferner sei die ganze auf den Kraftpunkt reducirte Masse der Daumenwelle  $= 5000 : g$  Pfd., die Anzahl der Hebdaumen der Welle  $= 1$ , also der Drehungsbogen der Welle während eines Hammerspieles,  $= 2\pi$ ; und dagegen der Drehungsbogen derselben während des Anhubes gleich dem Bogen, während die Welle leer umgeht:  $\beta - \beta_1 = \beta_1 = \pi$ . Lassen wir endlich den Hammer von dem Hebdaumen mit der Geschwindigkeit  $v = 6$  Fuß angreifen und geben wir dem letzteren die bekannte Form (s. S. 463) einer Kreisevolvente, so ist der Weg des Kraftpunktes während des Anhubes gleich dem während des Abganges der Welle:

$= \beta_1 r = h = 1,5$  Fuß,  
folglich der mechanische Umfang der Daumenwelle:

$$= \beta r = 2\beta_1 r = 3 \text{ Fuß},$$

und der mechanische Halbmesser dieser Welle:

$$r = \frac{3}{2\pi} = 0,4775 \text{ Fuß} = 5,730 \text{ Zoll}.$$

Ferner ist der Inhalt der Kolbenfläche des Luftpuffers:

$$F = \frac{\pi d^2}{4} = \frac{81}{4} \pi = 63,62 \text{ Quadratzoll},$$

und die Höhe des Luftcylinders nach Zurücklegung des Weges  $h = 1,5$  Fuß,

$$s_1 = s - h = 2,5 - 1,5 = 1 \text{ Fuß}.$$

Nun ist

$$P \left( \frac{M + M_1}{M} \beta r - h \right) = \left( \frac{5 + 50}{5} \cdot 2h - h \right) P = 21 Ph = 31,5 P,$$

$$\frac{M_1}{M} (G - Fq) h = 10 \cdot 1,5 (500 - 63,62 \cdot 15) = - 15 \cdot 454,3 = - 6814$$

$$\frac{M_1}{M} \cdot \frac{Fp s x}{x-1} \left( \frac{1}{s_1 x - 1} - \frac{1}{s x - 1} \right) = \frac{10 \cdot 954,3 \cdot (2,5)^{1,4}}{0,4} \left[ 1 - \left( \frac{1}{2,5} \right)^{0,4} \right]$$

$$= 86050 (1 - 0,69314) = 26405, \text{ und}$$

$$\frac{I_1 (M + 2 M_1)}{M + M_1} \cdot \frac{v^2}{2} = \frac{5000 \cdot 105}{55} \cdot \frac{36}{2g} = \frac{105000}{11} \cdot 0,016 \cdot 36 = 5498;$$

daher folgt nach der Gleichung (4):

$$31,5 P = - 6814 + 26405 + 5498 = 25089,$$

und die erforderliche Umtriebskraft:

$$P = \frac{25089}{31,5} = 796,5 \text{ Pfund}.$$

Die Geschwindigkeit am Ende des Stoßes ist:

$$c = \frac{M_1 v}{M + M_1} = \frac{50}{55} \cdot 6 = \frac{60}{11} = 5,454 \dots \text{ Fuß},$$

und die Geschwindigkeit am Ende des Anhubes:



Theorie  
der Stempel-  
hämmer.

$$v_1 = \sqrt{v^2 - \frac{2Pr\beta_1}{M_1}} = \sqrt{6^2 - \frac{796,5 \cdot 3 \cdot 31,25}{5000}} = \sqrt{36 - 14,935} \\ = 4,590 \text{ Fuß.}$$

Die Höhe  $h_1$ , auf welche der Hammer steigt, nachdem ihn der Hebedaumen verlassen hat, wird durch die Auflösung der Gleichung

$$(G - Fq)h_1 + \frac{Fps^x}{x-1} \left( \frac{1}{s_2^{x-1}} - \frac{1}{s_1^{x-1}} \right) = \frac{1}{2} M v^2,$$

b. i.

$$- 454,3 h_1 + 8605 [(1 - h_1)^{0,4} - 1] = \frac{500 \cdot (4,590)^2}{62,5} = 168,5$$

bestimmt.

Jedenfalls ist  $h_1$  gegen 1 klein, und daher annähernd

$$(1 - h_1)^{-0,4} - 1 = 0,4 h_1$$

zu setzen, so daß nun

$$- 454,3 h_1 + 8605 \cdot 0,4 h_1 = 168,5$$

und

$$h_1 = \frac{168,5}{2988} = 0,05639 \text{ Fuß}$$

folgt.

Genauer folgt dann

$$(1 - h)^{-0,4} - 1 = 0,4 h_1 + 0,28 h_1^2 = 0,4 h_1 + 0,001,$$

daher

$$h_1 = \frac{168,5 - 8,6}{2988} = 0,05351 \text{ Fuß} = 0,6421 \text{ Zoll.}$$

Für die Geschwindigkeit  $v_2$ , mit welcher der Hammer auffällt, ist

$$\frac{1}{2} M v_2^2 = (G - Fq)(h + h_1) + \frac{Fps^x}{x-1} \left( \frac{1}{s_2^{x-1}} - \frac{1}{s_1^{x-1}} \right),$$

b. i.

$$\frac{500}{62,5} v_2^2 = - 454,3 \cdot 1,5535 + 8605 \left[ \left( \frac{1}{0,9465} \right)^{0,4} - \left( \frac{1}{2,5} \right)^{0,4} \right],$$

oder

$$8 v_2^2 = - 706 + 8605 (1,0222 - 0,6931) = - 706 + 2832 = 2126$$

daher

$$v_2 = \sqrt{\frac{2126}{8}} = \sqrt{265,75} = 16,302 \text{ Fuß.}$$

Annähernd, obgleich weniger genau, läßt sich die Zeit zum Ansehen, welche während der Wirkung des Hebedaumens auf den Hammer verfließt,

$$t_1 = \frac{h}{2} \left( \frac{1}{c} + \frac{1}{v_1} \right) = \frac{1,5}{2} \left( \frac{1}{5,454} + \frac{1}{4,590} \right) = 0,75 (0,1833 + 0,2179) \\ = 0,3009 \text{ Secunden setzen.}$$

Man kann auch annähernd die Zeit des Aufsteigens auf die letzte Höhe  $h_1$

$$t_2 = \frac{2h_1}{v_1} = \frac{2 \cdot 0,05351}{4,590} = 0,0233 \text{ Secunden setzen.}$$

Um zwischen 0 und  $v_2 = 16,302$  Fuß noch zwei andere Fallgeschwindigkeiten  $w_1$  und  $w_3$  zu interpoliren, setzen wir in die letzte Gleichung für  $\frac{1}{2} M v^2$

$$\text{statt } h + h_1, \text{ ein Mal } \frac{h + h_1}{3} = \frac{1,5535}{3} = 0,5178, \text{ und ein anderes Mal}$$

$$\frac{2}{3}(h + h_1) = 1,0357. \text{ Es folgt dann}$$

$$8 w_2^2 = - 235,3 + 8605 \left[ \left( \frac{1}{0,9465} \right)^{0,4} - \left( \frac{1}{1,4643} \right)^{0,4} \right]$$

$$= - 235,3 + 8605 \cdot (1,0222 - 0,8585) = 1173,4,$$

Theorie der  
Fallhämmer.

daher

$$w_2 = \sqrt{\frac{1173,4}{8}} = \sqrt{146,7} = 12,112 \text{ Fuß.}$$

ferner

$$8 w_3^2 = - 470,7 + 8605 \left[ \left( \frac{1}{0,9465} \right)^{0,4} - \left( \frac{1}{1,9821} \right)^{0,4} \right]$$

$$= - 470,7 + 2251,1 = 1780,4,$$

daher

$$w_3 = \sqrt{\frac{1780,4}{8}} = \sqrt{222,55} = 14,918 \text{ Fuß.}$$

Nun ergibt sich nach der obigen Formel, die ganze Fallzeit des Hammers:

$$t_3 = \frac{h + h_1}{9} \left( \frac{7}{w_2} + \frac{4}{w_3} + \frac{1}{v_2} \right) = \frac{1,5}{9} \left( \frac{7}{12,112} + \frac{4}{14,918} + \frac{1}{16,302} \right)$$

$$= \frac{1}{6} (0,5780 + 0,2681 + 0,0613) = \frac{0,9074}{6} = 0,1512 \text{ Secunden.}$$

Setzt man ferner in

$$v_1 = \sqrt{v^2 - \frac{2 Pr \beta}{M_1}}, \quad r \beta = \frac{1}{2} h = \frac{3}{2} \text{ Fuß,}$$

so erhält man eine mittlere Geschwindigkeit  $w_4$  zwischen  $v$  und  $v_1$ , und zwar

$$w_4 = \sqrt{36 - 7,4675} = 5,341 \text{ Fuß,}$$

und daher die mittlere Zeit, während die Welle leer geht:

$$t_4 = \frac{1,5}{6} \left( \frac{1}{4,590} + \frac{4}{5,341} + \frac{1}{6,000} \right) = \frac{1}{4} \cdot 1,1334 = 0,2833 \text{ Secunden;}$$

also, wie erforderlich, größer als  $t_2$ .

Die Zeit eines ganzen Hammerspiels ist nun:

$$t = t_1 + t_2 + t_4 = 0,3009 + 0,0233 + 0,2833 = 0,6075 \text{ Secunden,}$$

und daher die Anzahl der Hammerschläge pr. Minute:

$$n = \frac{60}{t} = \frac{60}{0,6075} = 98,76, \text{ also nahe } 100.$$

Die erforderliche theoretische Arbeit zum Umtrieb dieses Hammerwerkes ist

$$L = \frac{Pr \beta}{t} = \frac{3 \cdot 796,5}{0,6075} = \frac{796,5}{0,2025} = 3933 \text{ Fußpfund} = 7\frac{3}{4} \text{ Pferdekraft.}$$

Die Nutzleistung folgt dagegen:

$$L_1 = \frac{G v_2^2}{2 g t} = \frac{500 \cdot (16,302)^2}{62,5 \cdot 0,6075} = 3500 \text{ Fußpfund;}$$

wie auch ziemlich annähernd gefunden wird, wenn man von  $L$  die Arbeit des Stoßes:

$$\frac{M M_1}{M + M_1} \cdot \frac{v^2}{2 g t} = \frac{50}{55} \frac{500 \cdot 36}{62,5 \cdot 0,6075} = \frac{180000}{11 \cdot 62,5 \cdot 0,6075} = 431 \text{ Fußpfund}$$

abzieht.

§. 474. Durch eine gewöhnliche Daumenwelle kann man die Fallhämmer nur auf eine mäßige Höhe heben; um denselben einen größeren Hub zu geben, wendet man aber zwei den Hammerstiel zwischen sich fassende Frictionrollen an, wovon die eine durch die Umtriebskraft in Umdrehung gesetzt und die andere von der Hand des Arbeiters oder durch die Kraft einer Feder oder eines Gewichtes gegen den Stiel gedrückt wird. Ist der

Friction-  
hämmer.







diesem Zapfenträger ist noch ein langer Arm  $FM$  fest verbunden, an welchem das Ende  $N$  eines Seiles befestigt ist, welches sich über einer Leitrolle  $K$  wegzieht und am anderen Ende ein Gewicht  $P$  trägt, wodurch diese Rolle gegen den Hammerstiel angebrückt wird. Um die Geschwindigkeit des aufsteigenden Hammers zu mäßigen oder das Niederfallen des Hammers zu bewirken, zieht man, dem Gewichte  $P$  entgegen, den Hebel  $FM$  mittels der Zugstange  $MO$  u. s. w. abwärts, wobei auch das von ihm getragene Frictionsgrad  $F$  aus der Berührung mit dem Hammerstiel kommt. Um ferner den Hammer in jeder Stellung zum Stillstand bringen zu können, ist noch ein anderer um  $H$  drehbarer Hebel  $HLS$  angebracht, der durch das Gewicht  $Q$  niedergezogen wird und hierbei mittels der auf ihm sitzenden Bremsrolle  $L$  den Hammerstiel gegen die Frictionsrolle  $F$  preßt. Endlich ist das Ende  $S$  dieses Bremshebels noch durch ein über eine Leitrolle  $U$  weggeführtes Seil  $SUV$  mit einer Zugstange  $VW$  verbunden, wodurch die Bremsrolle  $L$ , dem Gewichte entgegenwirkend, von dem Hammerstiel zurückgezogen wird, wenn der Hammer seine Thätigkeit beginnen soll. Während des Schmiedens erfaßt der Arbeiter mit der einen Hand den Drückel  $O$  der Frictionsrolle und mit der anderen den Drückel  $W$  der Bremsrolle, und hat hierbei das Spiel des Hammers ganz in seiner Gewalt. Das Gestelle, welches die Zapfenlager der beiden Hebel trägt, ruht mittels vier Kautschuffedern  $T, T...$  auf dem Gerüste, um die Erschütterungen des letzteren zu verhindern, welche außerdem beim Angriff und Ingangsetzen des Hammers eintreten.

Frictions-  
hammer.

Nach den Angaben von Kitson macht ein solcher Frictionshammer bei 14 Zoll bis 5 Fuß Hub, pr. Minute 84 bis 25 Schläge. Am meisten leidet beim Gebrauch diejenige Stelle des Hammerstieles oder der Frictionschiene, wo der erste Angriff erfolgt; hier soll bei fortwährendem Gebrauch die Dicke der Schiene wöchentlich  $\frac{1}{8}$  Zoll abnehmen. (S. The Civil-Engineer, Febr. 1855, auch polytechn. Centralbl. 1855.)

Eine eigenthümliche Einrichtung hat der Frictionshammer von Cassie auf den Railway Timber and Iron Works zu Gloucester. Das Princip in der Bewegung dieses Hammers besteht in der Anwendung eines um eine horizontale Ase  $D$  drehbaren Rahmenstückes  $CDC_1$ , Fig. 961 (a. f. S.), mit zwei Frictionsrollen  $H$  und  $H_1$ , zwischen welchen der Hammerstiel  $AB$  hindurchgeht. Dieser Rahmen ist auf der einen Seite durch ein Gewicht  $Q$  belastet, welches die beiden Rollen an die entgegengesetzten Seiten des Hammerstieles andrückt. Die Wellen der Frictionsrollen sind durch ein Riemenräderwerk mit gekreuzten Riemen mit einander verbunden, und laufen daher in entgegengesetzten Richtungen um, wenn die eine derselben durch ein anderes Riemenräderwerk an die Umtriebswelle angeschlossen ist. Durch das Gewicht  $Q$  werden die umlaufenden Rollen mit zwei gleichen Kräften  $R$  und  $-R$  gegen den Hammerstiel gepreßt; und in Folge der aus





§. 475. Die Frictionshämmer haben zwar vor den Daumenhämmern den Vorzug, daß sie ohne Stoß von der Umtriebskraft ergriffen und dann auf eine größere Höhe gehoben werden können, aber sie haben auch den großen Mangel, daß sie in Folge des Gleitens der Frictionsrollen an den Seitenflächen des Stempelstieles beim Aufsteigen des Stempels eine nicht unansehnliche Hindernißlast mit überwinden müssen. Der hieraus erwachsende Arbeitsverlust fällt besonders dann sehr groß aus, wenn der die Reibung  $F = \varphi R$  erzeugende Druck während des Aufsteigens des Stempels auf die Höhe  $h$  constant ist.

Theorie der  
Frictions-  
hämmer.

Bezeichnet  $G$  das Gewicht,  $M = \frac{G}{g}$  die Masse und  $v_1$  die Endgeschwindigkeit des aufsteigenden Stempelhammers, so ist unter der gemachten Voraussetzung, nach dem Principe der mechanischen Arbeit:

$$\text{I. } (\varphi R - G) h = \frac{1}{2} M v_1^2.$$

Bezeichnet ferner  $P$  die auf den Umfang der arbeitenden Frictionsrolle reducirte Umtriebskraft,  $s$  den Weg derselben,  $M_1$  die eben dahin reducirte träge Masse der armirten Umtriebswelle und  $v$  die Geschwindigkeit des Lastpunktes beim Angriff, so ist, da während des Anhubes  $v$  allmählig in  $v_1$  übergeht, ebenfalls nach dem genannten Principe:

$$\text{II. } (\varphi R - P) s = \frac{1}{2} M_1 (v^2 - v_1^2).$$

Bezeichnet endlich noch  $s_1$  den Weg des Lastpunktes am Umfang der Frictionsrolle während dieselbe leer umläuft, so hat man die Arbeit der Umtriebswelle von einem Hammerschlage bis zum anderen:

$$\text{III. } P(s + s_1) = \varphi R s,$$

sowie auch

$$P s_1 = \frac{1}{2} M_1 (v^2 - v_1^2).$$

Endlich ist der Theorie der gleichförmig veränderten Bewegung zu Folge (s. Band I, §. 11 und §. 14) die Zeit zum Aufsteigen des Stempels auf die Höhe  $h$ :

$$\text{IV. } t = \frac{2h}{v_1} = \frac{2s}{v + v_1},$$

und die Zeit zum Zurückfallen und Ruhen desselben:

$$\text{V. } t_1 = \frac{2s_1}{v + v_1}.$$

Damit der Hammer während des Fallens von der Frictionsrolle nicht ergriffen werde, muß diese Zeit größer sein als die Zeit zum Steigen auf die letzte Höhe  $\frac{v_1^2}{2g}$  plus die Zeit zum Herabfallen von der Höhe  $h + \frac{v_1^2}{2g}$ , d. i.

$$t_1 > \frac{v_1}{g} + \sqrt{\frac{2h}{g} + \left(\frac{v_1}{g}\right)^2} \text{ sein.}$$

Theorie der  
Reibungs-  
hämmer.

Giebt man  $G, h, v, v_1$  und  $s_1$ , so lassen sich die übrigen Größen durch folgende Formeln bestimmen:

$$1) \quad t = \frac{2h}{v_1},$$

$$2) \quad t_1 = \frac{2s_1}{v + v_1},$$

$$3) \quad s = \left( \frac{v + v_1}{2} \right) t = \left( \frac{v + v_1}{v_1} \right) h,$$

$$4) \quad \varphi R = G + \frac{1}{2} \frac{M v_1^2}{h} = G \left( 1 + \frac{v_1^2}{2gh} \right),$$

also

$$R = \frac{G}{\varphi} \left( 1 + \frac{v_1^2}{2gh} \right),$$

$$5) \quad P = \frac{s}{s + s_1} \varphi R,$$

$$6) \quad M_1 = \frac{2Ps_1}{v^2 - v_1^2}.$$

Die Nutzleistung dieser Maschine ist pr. Hammerschlag:

$$A_1 = G \left( h + \frac{v_1^2}{2g} \right) = \varphi R h,$$

dagegen die Totalleistung derselben:

$$A = P(s + s_1) = \varphi R s,$$

folglich der Wirkungsgrad dieses Hammerwerkes:

$$\eta = \frac{A_1}{A} = \frac{h}{s} = \frac{v_1}{v + v_1} = \frac{1}{1 + \psi},$$

wenn das Geschwindigkeitsverhältniß  $\frac{v}{v_1}$  durch  $\psi$  bezeichnet wird.

Um hiernach einen möglichst großen Wirkungsgrad der Maschine zu erzielen, ist es nöthig,  $\psi = \frac{v}{v_1}$  möglichst klein, also

$$M_1 = \frac{2Ps_1}{(\psi^2 - 1)v_1^2}$$

möglichst groß zu machen.

Da aber schon bei  $\psi = 1$  die Umdrehungsmasse  $M_1$  unendlich groß ausfällt, so kann unter der Voraussetzung, daß die Druckkraft  $R$  constant ist, und folglich der Hammer gleichförmig beschleunigt aufsteigt, der Wirkungsgrad

$$\eta \text{ höchstens den Werth } \frac{1}{1 + 1} = \frac{1}{2} \text{ annehmen.}$$

Die ganze Zeit, welche auf einen Hammerschlag verwendet wird, ist  $t + t_1$ , daher die Anzahl der Hammerschläge pr. Minute:

$$n = \frac{60}{t + t_1},$$

und die ganze Leistung der Umtriebsmaschine pr. Secunde:

$$L = \frac{A}{t + t_1} = \frac{\varphi R s}{t + t_1} = (1 + \psi) \left(1 + \frac{v_1^2}{2gh}\right) \frac{G h}{t + t_1}.$$

Theorie der  
Frictions-  
hämmer.

Beispiel. Ein Frictionshammer vom Gewichte  $G = 500$  Pfund soll bei jedem Schläge 2 Fuß hoch emporgehoben, von der Frictionsrolle mit der Geschwindigkeit  $v = 6$  Fuß ergriffen, und mit der Geschwindigkeit  $v_1 = 5$  Fuß verlassen werden; wenn nun der Umfang dieser Rolle nach jedem Anhub im Leer- gang den Weg  $s_1 = 3,5$  Fuß zurücklegt, welches sind die übrigen Verhältnisse, Dimensionen u. s. w. dieses Hammerwerkes?

Es ist die Zeit zum Aufsteigen des Hammers:

$$t = \frac{2h}{v_1} = \frac{4}{5} = 0,8 \text{ Secunden,}$$

gegen die Zeit zum Zurückfallen und zur Ruhe desselben:

$$t_1 = \frac{2s_1}{v + v_1} = \frac{7}{11} = 0,636 \text{ Secunden,}$$

und zwar, wie erforderlich, größer als die Zeit

$$\frac{v_1}{g} + \sqrt{\frac{2h}{g} + \left(\frac{v_1}{g}\right)^2} = 0,160 + \sqrt{0,032 \cdot 4 + 0,032 \cdot 5^2} = 0,160 + \sqrt{0,128 + 0,0256} \\ = 0,160 + 0,392 = 0,552 \text{ Secunden}$$

um Zurückfallen.

Ferner ist die nöthige Reibung am Umfang der Frictionsrolle:

$$\varphi R = G \left(1 + \frac{v_1^2}{2gh}\right) = 500 \left(1 + 0,016 \cdot \frac{25}{2}\right) = 1,2 \cdot 500 = 600 \text{ Pfund,}$$

also, wenn der Reibungscoefficient  $\varphi = 0,3$  angenommen wird, der entsprechende Druck:

$$R = \frac{600}{0,3} = 2000 \text{ Pfund.}$$

Der Weg der Rolle während des Anhubes ist:

$$s = \left(\frac{v + v_1}{v_1}\right) h = \frac{11}{5} h = 2,2 h = 4,4 \text{ Fuß,}$$

die erforderliche Umtriebskraft:

$$P = \frac{s}{s + s_1} \varphi R = \frac{4,4}{7,9} \cdot 600 = 334,2 \text{ Pfund,}$$

die erforderliche Umdrehungsmaße:

$$M_1 = \frac{2 P s_1}{v^2 - v_1^2} = \frac{2 \cdot 334,2 \cdot 3,5}{36 - 25} = \frac{334,2 \cdot 7}{11} = 212,67 \text{ Pfund}$$

der

$$M_1 g = 212,67 \cdot 31,25 = 6646 \text{ Pfund.}$$

Der Wirkungsgrad dieses Hammerwerkes ist:

$$\eta = \frac{h}{s} = \frac{2}{4,4} = \frac{1}{2,2} = 0,4545,$$

erner die Anzahl der Hammerschläge pr. Minute:

$$n = \frac{60}{t + t_1} = \frac{60}{1,436} = 41,8,$$

und der erforderliche Arbeitsaufwand pr. Secunde, ohne Rücksicht auf die Reibungen der Welle u. s. w.:

$$L = \frac{\varphi R s}{t + t_1} = \frac{600 \cdot 4,4}{1,436} = 1838 \text{ Fußpfund} = 3,6 \text{ Pferdekkräfte.}$$

Theorie der  
Frictions-  
hämmer.

§. 476. Um einen höheren Wirkungsgrad des Frictionshammers zu erzielen, läßt man den Hammer, bei einem größeren Drucke  $R$ , anfangs beschleunigt, und dann bei einem kleineren Drucke  $R_1$ , verzögert aufsteigen, wobei ein Theil  $h$  des ganzen Hubes mit einer allmählig von Null bis  $v_1$  wachsenden, und ein Theil  $h_1$  desselben mit einer allmählig von  $v_1$  bis  $v_2$  abnehmenden Geschwindigkeit zurückgelegt wird. Während des ersten Theiles dieser Bewegung legt der Lastpunkt oder der Umfang der Frictionsrolle einen Weg  $s > h$  zurück, geht also durch die Reibung die mechanische Arbeit  $\varphi R(s - h)$  verloren, wogegen während des zweiten Theiles, wo der Hammer und der Umfang des Frictionsrades mit der von  $v_1$  bis  $v_2$  allmählig abnehmenden Geschwindigkeit gemeinschaftlich den zweiten Hubtheil  $h_1$  zurücklegen, die Kraft der Frictionsrolle ohne Arbeitsverlust auf den Hammer übertragen wird.

Für den ersten Theil ( $h$ ) des Hammerhubes gelten wieder die Grundgleichungen:

$$\text{I. } (\varphi R - G) h = \frac{1}{2} M v_1^2,$$

$$\text{II. } (\varphi R - P) s = \frac{1}{2} M_1 (v^2 - v_1^2),$$

und

$$\text{III. } t = \frac{2h}{v_1} = \frac{2s}{v + v_1};$$

für den zweiten Theil ( $h_1$ ) des Hammerhubes ist dagegen

$$\text{IV. } (G - \varphi R_1) h_1 = \frac{1}{2} M (v_1^2 - v_2^2)$$

$$\text{V. } (\varphi R_1 - P) h_1 = \frac{1}{2} M_1 (v_1^2 - v_2^2),$$

oder

$$(G - P) h_1 = \frac{1}{2} (M + M_1) (v_1^2 - v_2^2),$$

und

$$\text{VI. } t_1 = \frac{2h_1}{v_1 + v_2}.$$

Legt der Umfang der Rolle den Weg  $s_1$  zurück, während dieselbe leer- und ihre Umfangsgeschwindigkeit aus  $v_2$  allmählig in  $v$  übergeht, so gilt noch die Gleichung:

$$\text{VII. } P(s + h_1 + s_1) = \varphi R s + \varphi R_1 h_1,$$

wonach auch

$$P s_1 = \frac{1}{2} M_1 (v^2 - v_2^2) \text{ ist.}$$

Endlich ist die Zeit zum Zurücklegen des Weges  $s_1$ :

$$\text{VIII. } t_2 = \frac{2s_1}{v + v_2}.$$

Giebt man das Gewicht  $G = Mg$  und die Hubtheile  $h$  und  $h_1$  des Hammers sowie die Umfangsgeschwindigkeiten  $v$ ,  $v_1$  und  $v_2$  des Frictionsrades, so bestimmen sich die übrigen Verhältnisse, Dimensionen u. s. w. des Hammerwerkes wie folgt:



$$1) \quad s = \left( \frac{v + v_1}{v_1} \right) h = (1 + \psi) h,$$

$$2) \quad \varphi R = G \left( 1 + \frac{v_1^2}{2gh} \right),$$

$$3) \quad \varphi R_1 = G \left( 1 - \frac{v_1^2 - v_2^2}{2gh_1} \right),$$

$$4) \quad P = \frac{\varphi R_1 h_1 (v^2 - v_1^2) - \varphi R s (v_1^2 - v_2^2)}{h_1 (v^2 - v_1^2) - s (v_1^2 - v_2^2)},$$

$$5) \quad M_1 = \frac{2(\varphi R - P)s}{v^2 - v_1^2},$$

ferner

$$6) \quad s_1 = \frac{M_1 (v^2 - v_2^2)}{2P},$$

$$7) \quad t = \frac{2h}{v_1},$$

$$8) \quad t_1 = \frac{2h_1}{v_1 + v_2} \quad \text{und}$$

$$9) \quad t_2 = \frac{2s_1}{v + v_2}.$$

Die Formel unter (4) fordert, daß  $\frac{v^2 - v_1^2}{v_1^2 - v_2^2} > \frac{Rs}{R_1 h_1}$  sei.

Damit der Hammer frei herabfallen könne, muß die Zeit  $t_2$  größer sein als die Summe der Zeiten zum Steigen auf den letzten Hubtheil  $h_2 = \frac{v_2^2}{2g}$  und zum Herabfallen von der ganzen Fallhöhe  $h + h_1 + h_2$ , d. i.

$$t_2 > \frac{v_2}{g} + \sqrt{\frac{2(h + h_1)}{g} + \left( \frac{v_2}{g} \right)^2}.$$

Die Nutzleistung dieser Maschine pr. Hammerschlag ist:

$$A_1 = G \left( h + h_1 + \frac{v_2^2}{2g} \right) = \varphi R h + \varphi R_1 h_1,$$

und die Totalleistung:

$$A = P(s + h_1 + s_1) = \varphi R s + \varphi R_1 h_1,$$

folglich der Wirkungsgrad:

$$\eta = \frac{A_1}{A} = \frac{\varphi R h + \varphi R_1 h_1}{\varphi R s + \varphi R_1 h_1}.$$

Um hiernach eine möglichst große Nutzleistung zu erhalten, muß man den zweiten Theil  $h_1$  vom ganzen Hub  $h + h_1$  möglichst groß, also den ersten Theil  $h$  möglichst klein machen, folglich anfänglich einen sehr großen Druck  $R = \frac{G}{\varphi} \left( 1 + \frac{v_1^2}{2gh} \right)$  ausüben. In diesem Falle fällt



Theorie der  
Frictions-  
hämmer.

$$\eta \text{ nahe} = \frac{\varphi R_1 h_1}{\varphi R_1 h_1} = 1 \text{ aus.}$$

Die Zeit, welche auf einen Hammerschlag verwendet wird, ist  $t + t_1 + t_2$ , daher die Anzahl der Hammerschläge pr. Minute:

$$n = \frac{60}{t + t_1 + t_2},$$

und die erforderliche Leistung der Umtriebsmaschine pr. Secunde:

$$\begin{aligned} L &= \frac{A}{t + t_1 + t_2} = \frac{\varphi R s + \varphi R_1 h_1}{t + t_1 + t_2} \\ &= \left[ (1 + \psi) \left( h + \frac{v_1^2}{2g} \right) + h_1 - \frac{v_1^2 - v_2^2}{2g} \right] \frac{G}{t + t_1 + t_2}. \end{aligned}$$

Bezeichnet  $r$  den Halbmesser der Frictionsrolle, so ist die Umfangsgeschwindigkeit derselben:

$$c = \frac{\pi u r}{30} = \frac{s + h_1 + s_1}{t + t_1 + t_2},$$

folglich die Umdrehungszahl der Rolle:

$$u = \frac{s + h_1 + s_1}{t + t_1 + t_2} \cdot \frac{30}{\pi r}.$$

Ein nicht unansehnlicher Arbeitsverlust erwächst dem Hammerwerke noch durch die Zapfenreibungen der Frictionsrollen; bezeichnet  $\varphi_1$  den entsprechenden Reibungscoefficienten und  $r_1$  den Halbmesser der Zapfen dieser Rollen so ist der Arbeitsaufwand, welchen diese Zapfenreibungen außer  $L$  noch nöthig machen:

$$L_1 = 2 \varphi \frac{r_1}{r} \cdot \frac{R s + R_1 h_1}{t + t_1 + t_2}.$$

Beispiel. Theilen wir den Hammerhub von 2 Fuß bei dem im vorigen Beispiele behandelten Hammer in zwei Theile:  $h = \frac{3}{4}$  Fuß und  $h_1 = \frac{5}{4}$  Fuß und setzen wir die verschiedenen Umfangsgeschwindigkeiten des Frictionsrades  $v = 8$ ,  $v_1 = 5$  und  $v_2 = 4$  Fuß. Dann folgt:

$$s = (1 + \psi) h = (1 + \frac{8}{5}) h = \frac{13}{5} \cdot \frac{3}{4} = 1,95 \text{ Fuß,}$$

$$\varphi R = G \left( 1 + \frac{v_1^2}{2gh} \right) = 500 (1 + 0,016 \cdot \frac{4}{3} \cdot 25) = 1,533 \cdot 500 = 767 \text{ Pfund,}$$

folglich der anfängliche Druck:

$$R = \frac{767}{0,3} = 2557 \text{ Pfund;}$$

ferner

$$\begin{aligned} \varphi R_1 &= G \left( 1 - \frac{v_1^2 - v_2^2}{2gh_1} \right) = 500 (1 - 0,016 \cdot \frac{4}{5} \cdot 9) = 500 - 57,6 \\ &= 442,4 \text{ Pfund,} \end{aligned}$$

wonach sich der nöthige Druck bei Zurücklegung des zweiten Wegtheiles:

$$R_1 = \frac{442,4}{0,3} = 1475 \text{ Pfund}$$

ergiebt.

Nun folgt die erforderliche Umdrehungskraft

$$P = \frac{\varphi R_1 h_1 (v^2 - v_1^2) - \varphi R s (v_1^2 - v_2^2)}{h_1 (v^2 - v_1^2) - s (v_1^2 - v_2^2)} = \frac{442,4 \cdot 1,25 \cdot 39 - 767 \cdot 1,95 \cdot 9}{1,25 \cdot 39 - 1,95 \cdot 9}$$

$$= \frac{21567 - 13461}{48,75 - 17,55} = \frac{8106}{31,20} = 260 \text{ Pfund.}$$

Theorie der  
Frictions-  
hämmer.

Hieraus ergibt sich die nöthige Umdrehungsmasse

$$M_1 = \frac{2(\varphi R - P)s}{v^2 - v_1^2} = \frac{(767,0 - 260,2) 3,9}{39} = 50,7 \text{ Pfund,}$$

folglich

$$M_1 g = 31,25 \cdot 50,7 = 1584 \text{ Pfund,}$$

und der Weg des Lastpunktes, während die Frictionsrolle unbelastet umläuft:

$$s_1 = \frac{M_1 (v^2 - v_2^2)}{2P} = \frac{50,7 \cdot 48}{520} = \frac{50,7 \cdot 12}{130} = 4,68 \text{ Fuß;}$$

endlich ist

$$t = \frac{2h}{v_1} = \frac{1,5}{5} = 0,3000 \text{ Secunden,}$$

$$t_1 = \frac{2h_1}{v_1 + v_2} = \frac{2,5}{9} = 0,2778 \text{ Secunden}$$

und

$$t_2 = \frac{2s_1}{v + v_2} = \frac{4,68}{6} = 0,780 \text{ Secunden.}$$

Die Zeit, welche der Stempel zum freien Aufsteigen und zum Niederfallen nöthig hat, ist

$$\frac{v_2}{g} + \sqrt{\frac{2(h + h_1)}{g} + \left(\frac{v_2}{g}\right)^2} = 0,128 + \sqrt{0,032 \cdot 4 + (0,032 \cdot 4)^2} = 0,128 + \sqrt{0,1444}$$

$$= 0,508 \text{ Secunde,}$$

also wie erforderlich, kleiner als die Zeit  $t_2$  zum Zurückfallen und Ruhen.

Die letzte freie Steighöhe ist, wenn kein Prallstoß angewendet wird:

$$h_2 = \frac{v_2^2}{2g} = 0,016 \cdot 16 = 0,256 \text{ Fuß.}$$

Der Wirkungsgrad dieses Hammers ist:

$$\eta = \frac{\varphi R h + \varphi R_1 h_1}{\varphi R s + \varphi R_1 h_1} = \frac{767 \cdot 0,75 + 442,4 \cdot 1,25}{767 \cdot 1,95 + 442,4 \cdot 1,25} = \frac{1128,25}{2048,6} = 0,5507,$$

also größer als bei der Bewegungsweise des Hammers im vorigen Beispiele.

Die Anzahl der Hammerschläge pr. Minute beträgt

$$n = \frac{60}{t + t_1 + t_2} = \frac{60}{1,3578} = 44,2,$$

und der erforderliche Arbeitsaufwand pr. Secunde:

$$L = \frac{\varphi R s + \varphi R_1 h_1}{t + t_1 + t_2} = \frac{767 \cdot 1,95 + 442,4 \cdot 1,25}{1,3578} + \frac{2048,6}{1,3578} = 1508,7 \text{ Fußpfund}$$

$$= 2,958 \text{ Pferdekkräfte,}$$

also trotz der größeren Nutzleistung kleiner als bei der Bewegungsweise im vorigen Beispiele.

Bei einem Rollenhalbmesser  $r$  von 6 Zoll folgt nun die Umdrehungszahl der Frictionsrolle pr. Minute:

$$u = \frac{s + h_1 + s_1}{t + t_1 + t_2} \cdot \frac{30}{\pi r} = \frac{7,88 \cdot 30}{1,3578 \cdot 0,5 \cdot \pi} = \frac{472,8}{1,3578 \pi} = 110,8.$$

Giebt man den Zapfen der Frictionsrollen den Halbmesser  $r_1 = 1$  Zoll und setzt man den Coefficienten der Zapfenreibung,  $\varphi_1 = 0,1$ , so erhält man endlich noch den Arbeitsaufwand, welchen die Ueberwindung der Zapfenreibung an den beiden Frictionsrollen nöthig macht:

Theorie der  
Frictionshämmer.

$$L_1 = 2\varphi \frac{r_1}{r} \frac{Rs + R_1 h_1}{t + t_1 + t_2} = 0,2 \cdot \frac{1}{6} \cdot \frac{2048,6}{0,3 \cdot 1,3578} = \frac{2048,6}{9 \cdot 1,3578} = 167,6 \text{ Fußrfund,}$$

so daß die Gesamtleistung

$$L + L_1 = 676,3 \text{ Fußrfund} = 3,28 \text{ Pferdekkräfte}$$

resultirt.

Dampf-  
hammer.

§. 477. Unter einem Dampfhammer versteht man einen Fall- oder Stempelhammer, welcher durch die Kraft des Dampfes direct emporgehoben wird. Es sind zwei Systeme von Dampfhammern in Anwendung. Bei dem ersten Systeme, nach Nasmyth, bildet der Stiel des Stempelhammers zugleich die Kolbenstange einer Dampfmaschine, wird also auch der ganze Hammer mittels des aufsteigenden Dampfkolbens emporgehoben, bei dem zweiten Systeme, nach Condie, bildet dagegen der ganze Hammer den Cylinder einer Dampfmaschine, bei welcher der Dampf durch die hohle Kolbenstange zu- und abgeführt wird, welche sammt dem Kolben feststeht, während der Cylinder durch den Dampfdruck gegen den Cylinderdeckel emporgehoben wird. Dieses Constructions-system hat den Vorzug, daß hier das ganze Hammergerüste niedriger ausfällt und daher auch eine größere Stabilität besitzt; dagegen macht man ihr den Vorwurf, daß hier der den Hammer bildende Cylinder dem Zerbrechen sehr ausgesetzt und in Folge dessen das Hammerwerk öfter kostspieliger und den Betrieb störender Reparaturen unterworfen ist. Um dem Schwerpunkte des ganzen Hammerwerkes eine möglichst tiefe Lage zu geben und dadurch die Stabilität des Hammerwerkes zu vergrößern, hat auch das erstere Dampfhammersystem im Laufe der Zeit mehrfache Abänderungen erlitten. Es gehört hierher sowohl der Dampfhammer von Morrison als auch der von Voisin u. s. w.

Bei dem Morrison'schen Dampfhammer besteht der Hammer hauptsächlich in einer dicken Kolbenstange, welche nicht allein durch den Boden, sondern auch durch den Deckel des Cylinders hindurchgeht und über dem letzteren mit einer Führung versehen ist. Der Dampfhammer von Voisin bewegt sich zwischen zwei Dampfcylindern, und ist mittels eines Querhauptes mit den durch die Cylinderdeckel geführten Kolbenstangen verbunden. In Folge der Führung zwischen den beiden Cylindern wird natürlich in Vergleich mit dem älteren Nasmyth'schen Dampfhammer auch hier ein ansehnlicher Theil an der Höhe des Hammergerüstes erspart.

Ein großer einfacher Dampfhammer von Cavé nach dem älteren Principe ist in den Abbildungen von Fig. 962 dargestellt. Es ist I. eine Seitenansicht und II. ein verticaler Durchschnitt desselben, ferner stellt III. das Dampfventil, sowie IV. ein Sicherheitsventil in größerem Maßstabe dar (s. Génie industriel par Armengaud, Tome XV, Nr. 90, 1857, auch polytechn. Centralblatt, 1858). Der Hammerkopf besteht in einem großen Gußstücke D, in welches mittels einer Schwalbenschwanzverbindung und leicht



Dampf-  
hammer

lösbarer Keile die Bahn *B* eingesetzt ist. Er geht zwischen zwei Führungen *EF*, *EF*, welche an dem gußeisernen Hammergerüste *GG* festliegen. Das letztere ist unten in die 72000 Kilogramm schwere gußeiserne Schabotte *A* eingesetzt und mit der selben durch Keile und Splinte fest verbunden, eben sind die beiden Theile des Gerüsts durch eine starke gußeiserne Platte *HH* mit einander verbunden, auf welcher der Sockel des Dampfeylinders *CC* festliegt. Dieser Cylinder hat vier starke Rippen und ist oben durch einen besonderen Hut bedeckt, welcher mittels einer kurzen Ansafröhre *J* mit der Kammer der beiden Sicherheitsventile *X* und *Y* (IV.) in Verbindung steht. Die Kolbenstange oder der Hammerstiel *DK* ist mittels einer langen Stopfbüchse durch den Sockel oder Boden des Cylinders geführt und durch einen Keil u. s. w. fest mit dem Hammerkopfe *D* verbunden. Der Hammer wiegt 8000 Kilogramm und hat bei einer Cylinderweite von 0,80 Meter, einen Hub von 2,40 Meter. Durch den Sockel des Cylinders gehen auch die beiden Canäle, wodurch der Dampf zu- und abgeführt wird. Das abwechselnde Zu- und Ablassen des Dampfes wird durch zwei doppelseitige Ventile bewerkstelligt, welche bei ihrer Eröffnung vermittlest dieser Canäle die Verbindung zwischen dem Cylinderraume und der einen oder der andern Dampfkammer herstellen. Fig. 963 II. und III. führen den Durchschnitt der Dampfkammer mit dem Admissionsventile *V V*<sub>1</sub>, sowie den Durchschnitt *U* des Dampfrohres und den Durchschnitt *W* des nach dem Cylinder führenden Dampfcanales vor Augen. Wird *V V*<sub>1</sub> mittels seines Stieles *L V* emporgehoben, so strömt der Dampf von *U* nach *V* und *V*<sub>1</sub>, und von da durch *W* unter den Kolben *K* im Dampfeylinder *CC*. Der Apparat zum Ablassen des Dampfes ist von dem Admissionsapparate nur durch eine Scheidewand getrennt; auch er besteht in einem doppelseitigen Ventil und einer dasselbe umschließenden Ventilkammer. Bei Eröffnung dieses Emissionsventiles strömt der Dampf durch den zweiten Canal im Sockel des Cylinders in diese Ventilkammer und von da durch das Emissionsrohr in die freie Luft. Die Ventilstiele *L* und *L*<sub>1</sub> sind mittels kurzer Hebelarme an eine liegende Welle *M M* angeschlossen, und letztere steht wieder mittels eines dritten Hebelarmes *N* und einer Zugstange *NO* mit einem doppelarmigen Hebel *PSO* in Verbindung, dessen Ende eine Handhabe bildet. Um das abwechselnde Eröffnen und Verschließen der beiden Ventile und damit verbundene Aufheben und Niederfallen des Hammers zu bewirken, hat der Arbeiter nur nöthig, dieses Hebelende mit der Hand wechselweise niederzudrücken und aufzuheben.

Um endlich noch den Hammer augenblicklich zum Anhalten zu nöthigen, ist noch ein einarmiger Hebel *RQ* angebracht, bei dessen Emporziehen, mittels einer Schubstange *RZ*, eines Winkelhebels *Z* und eines Stieles *TZ*, ein schmiedeeiserner Keil gegen die mit Einschnitten versehene Seitenfläche des





Dampf-  
hammer.

Hammer gedrückt wird. Bei gehörigem Zuge ist der Arbeiter im Stande, den Hammer in jeder beliebigen Höhe über dem Amboss schwebend zu erhalten.

Man verwendet diese Hämmer vorzüglich zum Zängen der Eisenluppen und zum Schweißen von Packeten, welche zu Blechen von starken Dimensionen ausgewalzt werden sollen. Die Dämpfe, welche zum Betriebe der Dampfhammer dienen, werden gewöhnlich durch die bei Puddel- und Schweißöfen erübrigte Hitze erzeugt.

§. 478. Die Einrichtung und Wirkungsweise eines Condie'schen Dampfhammers ist aus der Seitenansicht mit theilweisem Durchschnitte u. s. w. in Fig. 964 zu ersehen. Das Hammergestelle besteht aus zwei gußeisernen Ständern  $G, G$  mit den Leitschienen  $EF, EF$  des Hammers  $BC$ . Diese Ständer sind unten auf einem starken Sohlstücke  $SS$  festgeschraubt und oben durch ein Querkreuz  $TT$  vereinigt, welches als Träger der Kolbenstange, der Dampfkammer u. s. w. dient. Die Kolbenstange  $LM$  ist hohl und sowohl unten, unmittelbar über dem Kolben  $KK$ , als auch oben, zwischen den Ventilgehäusen, mit Seitenslöchern versehen. Die innere Steuerung besteht aus zwei Glockenventilen, deren Stiele  $H, J$  mittels Federn an einem gleicharmigen Hebel  $H O J$  aufgehängt sind. Außerdem ist im Dampfrohre auch noch ein Dampfschieber angebracht, welcher wie ein gewöhnliches Sperr- oder Regulirungsventil zum Absperren und Zulassen des Dampfes dient und mittels des Hebels  $N$  gestellt wird. Die äußere Steuerung ist entweder eine Hand- oder eine Selbststeuerung; sie besteht in beiden Fällen aus einer Steuerwelle  $PQ$  und einer Steuerstange  $PR$ , welche durch einen Hebelarm  $P$  an die erstere und durch einen Hebelarm  $OR$  an den Steuerhebel  $H J$  angeschlossen ist. Eine Feder  $f$  (III.) zieht die Stange  $PR$  sammt dem Hebelende  $OR$  von rechts nach links und thut hierbei das Admissionsventil unter  $H$  offen, sowie das Emissionsventil unter  $J$  verschlossen. Ist folglich das Sperrventil von der Hand des Arbeiters eröffnet worden, so strömt der Dampf durch das Admissionsventil in das Innere der Kolbenstange sowie von da durch die Löcher  $L$  über den Kolben  $KK$  in den Cylinderraum  $CKK$  und treibt den ganzen Dampfcylinder oder hohlen Stempelhammer  $BC$  empor. Um den Hammer in seinem Aufsteigen aufzuhalten und das Zurückfallen desselben zu bewirken, hat man nur nöthig, die Steuerwelle  $PQ$  der Kraft der Feder  $f$  entgegenzusetzen umzudrehen, wobei das Admissionsventil  $H$  geschlossen und das Emissionsventil  $J$  eröffnet wird, und folglich der Dampf aus dem Cylinderraum  $CKK$  durch die hohle Kolbenstange zurückgeführt und in die freie Luft gelassen wird. Bei einem Dampfhammer mit Selbststeuerung wird die Steuerwelle  $PQ$  durch eine nasenförmige Knappe  $U$ , welche an



Dampf-  
hammer.

dem Cylinder *CD* festsetzt und mittels eines auf *PQ* verstellbaren Hebels *V* so weit umgedreht, daß sich das Admissionsventil schließt und das Emissionsventil eröffnet. In Folge dieser Ventilstellung strömt der Dampf, durch welchen der Cylinder emporgehoben worden ist, durch das Emissionsventil u. s. w. ab und es beginnt das Herabfallen des Cylinders; da sich aber während dieser Bewegung der Keil *U* allmählig wieder unter dem Hebel *V* zurückzieht, so verschließt sich hierauf in Folge der Kraft der Feder *f* auch das Austrageventil *J* wieder und es erhält sich der Cylinder durch den Ueberschuß des äußeren Luftdruckes über den Luft- und Dampfdruck im Cylinderraume schwebend über dem Amboss.

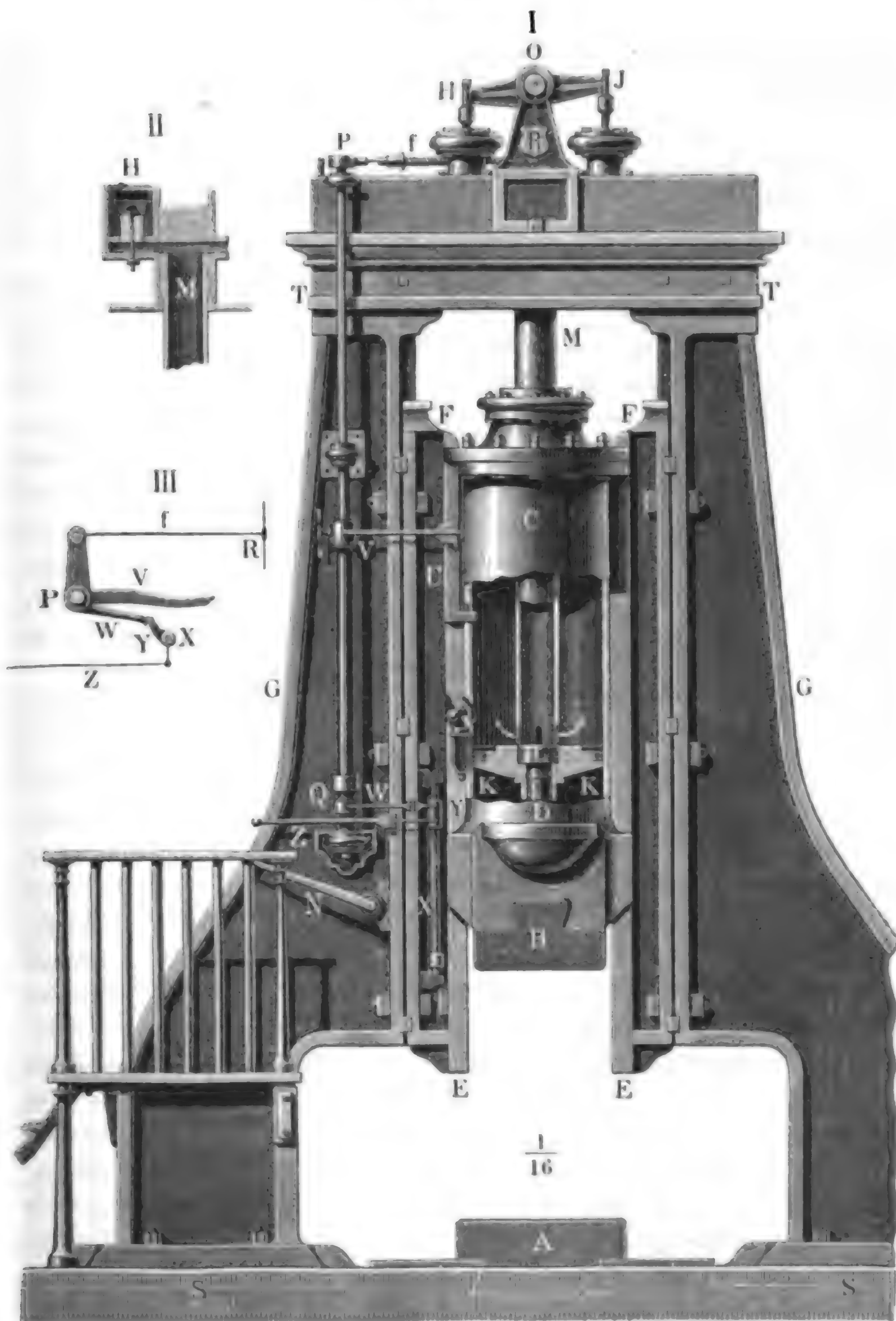
Um das Aufschlagen des Cylinders auf das auf dem Amboss liegende Eisen zu bewirken, ist noch eine Sperrvorrichtung angebracht, welche das Emissionsventil eröffnet und das Admissionsventil verschlossen erhält, wenn sich der Keil unter dem Hebel *V* weggezogen hat. Es tritt daher das Zuströmen von frischem Dampfe erst dann ein, wenn diese Sperrvorrichtung von der Hand des Arbeiters ausgelöst ist. Die wesentliche Einrichtung dieser Sperrvorrichtung ist aus dem Horizontalschnitt in Fig. 964 III. zu ersehen, wo *P* die Steuerwelle mit dem Arme *V* und der gefederten Schubstange *f* u. s. w., sowie *W* die auch in I. sichtbare Sperrklinke und *Y* den auf der stehenden Welle *X* befestigten Sperrhaken darstellt. Um nach vollbrachtem Schlage den Hammer wieder emporsteigen zu lassen, bedarf es nur der Auslösung des Sperrhakens *Y* mittels der Zugstange *Z*, worauf dann die Feder *f* ungehindert wirken und das Admissionsventil eröffnen kann. Bei dem späteren Zurückdrehen der Steuerwelle durch den Daumen *U*, wobei das Admissionsventil wieder geschlossen wird, legt sich auch der Sperrhaken wieder in die Sperrklinke ein.

Ein großer Condie'scher Dampfhammer ist vom Herrn Haswell an der kaiserlichen Puddlingshütte zu Neuenberg in Obersteiermark ausgeführt (s. berg- und hüttenmännisches Jahrbuch der montan. Anstalt zu Leoben, Bd. IV, auch Dinglers polytechn. Journal Band 145). Das Gewicht des eigentlichen Hammers oder armirten Cylinders ist 9500 Pfund, der Durchmesser 4 Fuß und die Anzahl der Hammerschläge, pr. Minute 50 bis 60. Um dem Aufschlagen des Hammers eine möglichst große Wasse entgegenzusetzen und dadurch die Wirkung desselben möglichst zu verstärken, hat man den 38 Centner schweren Amboss in eine Skabotte von 370 Centner eingezapft und diesen wieder auf einer mit eisernen Ringen umgebenen Holzbohle von 480 Cubikfuß Inhalt festgekeilt. Uebrigens ruht die ganze Maschine mittels einer gewöhnlichen Sohlplatte auf einer Bruchsteinmauer und ist wieder auf einem Bette von Steinschotter.

Dieser Hammer dient zum Betriebe von zwei Doppelpuddling- und zwei Schweißöfen; es reicht jedoch die Ueberhize eines einzigen Schmelzofens

Fig. 965.

Dampf-  
hammer.



Dampf-  
hammer.

vollkommen aus, um die nöthige Dampfmenge zum Betriebe des Hammers zu erzeugen. Die zwei Dampfkessel, welche zur Dampferzeugung dienen, haben je 22 Fuß Länge,  $3\frac{1}{2}$  Fuß Weite und 120 Quadratfuß Heizfläche, und liefern stündlich je 730 Pfund (Wiener) Dampf von 5 Atmosphären Spannung.

§. 479. Bei dem in Fig. 966 abgebildeten Dampfhammer von Morrison werden die beiden Ständer  $G, G$ , welche das Hammergerüste bilden, dadurch mit einander fest verbunden, daß man den Dampfcylinder  $C$  ähnlich wie einen liegenden Dampfcylinder auf die Sohlplatte, mittels der an ihn angegossenen Platten  $EE, E_1, E_1$  an die bearbeiteten Ständerflächen anschraubt. Die Kolbenstange  $KL$  ist hier sowohl durch den Boden als auch durch den Deckel des Dampfcylinders geführt und der Kolben, welcher an seinem Umfange mit den nöthigen Nuthen zur Aufnahme der metallenen Liderungsringe versehen ist, wird, wie auch das Gleitstück, auf die Kolbenstange aufgeschweißt. Zwei Paar durch Schrauben mit den Ständern festverbundene Schienen, wie  $NN, N_1, N_1$ , dienen dem Gleitstücke zur Leitung. Uebrigens wird der in der Hauptsache von der dicken Kolbenstange  $KL$  gebildete Hammer in seiner senkrechten Bewegung auch durch die beiden Stopfbüchsen, namentlich durch die zu diesem Zwecke sehr verlängerte Stopfbüchse, im Boden des Cylinders geleitet.

Die Steuerung dieses Hammers wird durch den Gang desselben selbst bewirkt; auch hat dieselbe die Einrichtung, daß man den Hub des Hammers nach Belieben abändern kann, ohne die Arbeit zu unterbrechen und ohne den Schieber mit der Hand zu bewegen. Das Ventilgehäuse  $V$  liegt zwischen den Hauptständern  $G, G$  hinter dem Dampfcylinder  $C$ ; das Ventil wird durch eine Feder offen gehalten und der Ventilhebel ist mittels eines Gelenkes an eine Stange  $FO$  angeschlossen, welche das Ventil verschließt, wenn man sie niederdrückt. Wenn das Querkopf  $M$  der Kolbenstange gegen Ende des Aufganges den an der horizontalen Welle  $WW$  sitzenden Arm oder Spanner  $S$  auswärts schiebt, so drückt der ebenfalls auf  $WW$  sitzende und durch eine Hülse mit der Stange  $FO$  verbundene Arm  $P$  die Stange  $FO$  nieder und versperrt dadurch den Zutritt des Dampfes zum Dampfcylinder. Damit bei dem darauf erfolgenden Niedergang des Stempels  $KL$  das Ventil verschlossen bleibe und sich dasselbe nur erst öffne, nachdem der Stempel seinen Schlag vollbracht hat, wird die Stange  $PO$  noch durch eine Knagge  $T$  festgehalten, welche sich erst im Momente des Aufschlagens auslöst. Zu diesem Zwecke ist eine in der Figur durch punktirte Linien angegebene Stange  $UU$  angebracht, welche durch die Winkelhebel  $X, X$  und eine Stange  $XH$  mit dem Hebel  $H$  verbunden ist, woran auch die Knagge  $T$  sitzt. Beim Niederfallen des Hammers schiebt das





Dampf-  
hammer.

zurück, welche nun durch die Kraft einer Feder gehoben wird. Hiermit ist nun auch die Eröffnung des Dampfventiles  $V$  und folglich auch der Ausgang des Stempels  $KL$  verbunden. Um endlich noch den Hammer beliebig abändern zu können, ist die Welle  $W$  des Spanners  $S$  in einer Büchse gelagert, welche sich mittels einer Stange  $J$  in einem Leiterrahmen senkrecht höher oder tiefer schieben läßt, und um auch gleichzeitig die Stange  $FO$  verlängern oder verkürzen zu können, setzt man diese aus zwei Theilen  $FY$  und  $YO$  zusammen, wovon der eine die Mutter und der andere die Spindel einer Schraube bildet.

Wenn man nun mittels eines Handrades  $R$  und eines (in der Abbildung nicht angegebenen) Schrauben- und Zahnradmechanismus die Stange  $J$  hebt oder senkt, so dreht man auch die Stange  $FY$  um und zieht dadurch die Stange  $YO$  mehr oder weniger aus  $FY$  heraus.

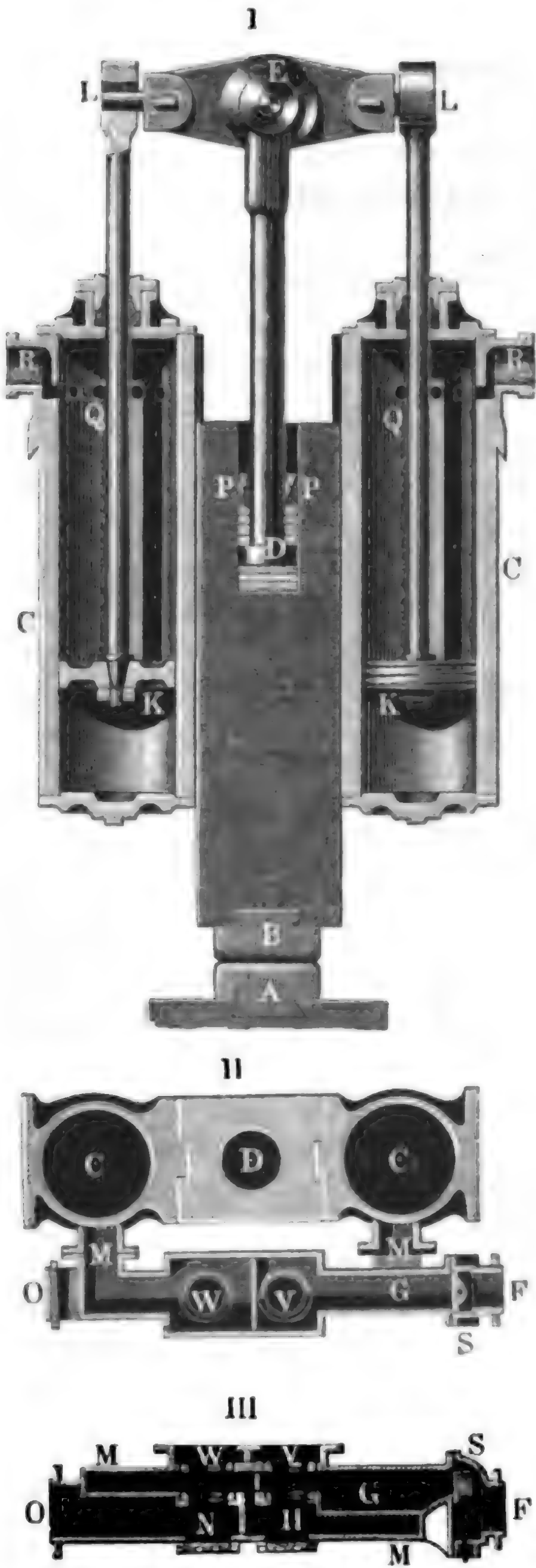
In den Dusburn'schen Maschinenbauwerken zu Newcastle arbeiten solcher Hammer von 35 Centner Gewicht und mit  $3\frac{1}{2}$  Fuß Hub (s. Practical-Mechanics Journal, 1854, auch Dingler's polytechn. Journal, Band 134). Zu den Vorzügen dieses Hammers gehört, daß hier der Schwerpunkt der ganzen Maschine sehr tief zu liegen kommt und daher die Stabilität derselben eine große ist, und daß der Raum um den Hammer auf der einen Seite ganz frei bleibt, so daß der Schmied alle Arbeiten ausführen kann, ohne vom Hammergerüste daran verhindert zu werden. Es ist daher auch möglich, durch diesen Hammer auf eine einzige Hitze ein Stück Eisen zu schweißen, auszustrecken und zu richten.

§. 480. Bei dem Dampfhammer von Voisin wird der Stempel  $BD$ , Fig 967, mittels der Kolbenstangen  $KL$ ,  $KL$  durch zwei Kolben  $K$ ,  $K$  zugleich emporgehoben, wobei er sich in einer von den einander zugekehrten Seiten der Dampfzylinder  $C$ ,  $C$  gebildeten Entladungsbewegung bewegt. Die Kolben sind sogenannte Ramsbottom'sche, und befinden sich in schmiedeeisernen Tellern, an deren Umfängen spiralförmige Ruten eingedreht sind, worin federnde Stahlstreifen zu liegen kommen. Die Kolbenstangen gehen durch, auf den Zylinderdeckeln sitzende, Stopfbüchsen und sind durch eine starke schmiedeeiserne Traverse  $LL$  mit einander verbunden, in deren Mitte mittels Bolzen und Scharnier der Stiel  $DE$  des Stempels  $BD$  befestigt ist. Um die Wirkung des Stoßes zu mäßigen, füttert man die Bolzenlager  $L$ ,  $L$  der Traverse mit Kautschuk aus, auch legt man den Fuß  $D$  des Hammerstieles zwischen Holzstücke, bevor man ihn durch zwei Keile  $P$ ,  $P$  im Bär festkeilt. Die beiden Zylinder  $C$ ,  $C$  sind an die beiden gußeisernen Ständer angeschraubt, welche das Hammergerüste bilden. Die innere Steuerung dieses Dampfhammers besteht aus einem Dampfventil  $S$  und zwei Ventilen, deren Sitze durch  $V$  und  $W$  dargestellt sind. Der

Von den Maschinen, welche zur Formveränderung der Körper dienen. 1267  
 erstere wird mittels eines Hebels von der Hand des Arbeiters bewegt, wo-

Dampf-  
hammer.

Fig. 967.



gegen die letzteren der Hammer selbst in Bewegung setzt. Ist der Schieber S und das Admissionsventil (V) eröffnet (s. II. und III.), so strömt der bei F zutretende Dampf auf dem Wege FG V nach dem Theilungspunkte H und von da in den Canälen M und M nach den Cylindern C und C. Wird hierauf V wieder verschlossen und das Emissionsventil W eröffnet, so strömt der Dampf durch die Canäle M und M aus den Cylindern C und C wieder ab und zwar durch W hindurch und in den Raum N, von wo ihn das Rohr NO in die freie Luft führt. Wegen der äußern Steuerung dieses Dampfhammers u. s. w. ist nachzusehen: *Revue universelle des Mines*, 2. année, 1. livr. deutsch in der Zeitschrift des Vereins deutscher Ingenieure, Band IV, Heft 1 und 2 unter dem Titel: Vergleichende Uebersicht der verschiedenen Systeme von Dampfhammern u. s. w.

Um das Anschlagen  
 80\*

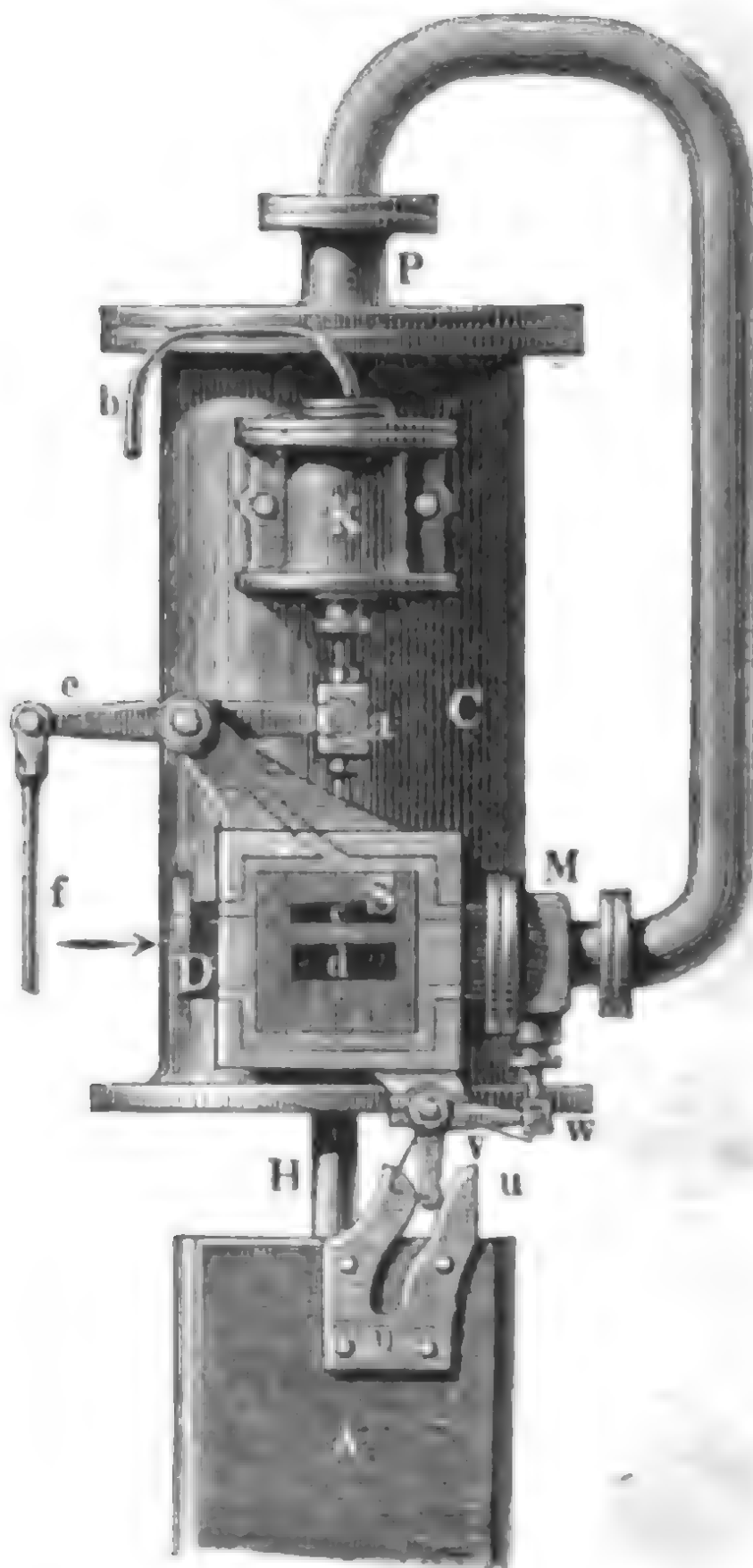
Dampf-  
hammer.

der Kolben an die Kolbendeckel zu verhindern, sind unterhalb dieser Deckel Löcher  $Q, Q$  in der Cylinderwand angebracht, welche mit einem ringsförmigen Canal communiciren, an den sich die Seitenrohre  $R, R$  anschließen. Wenn die Kolben  $K, K$  über diese Löcher in den Cylindern hinaufsteigen, so strömt der Dampf durch dieselben aus und es ist dadurch dem weiteren Aufsteigen dieser Kolben eine Grenze gesetzt.

Der in der citirten Abhandlung beschriebene Dampfhammer von Reiss hat einen Stempel von 6000 Kilogrammen Gewicht und von 1,5 Meter Hül.

§. 481. Bei den im Vorstehenden abgehandelten Systemen von Dampfhammern dient der Dampf nur dazu, den Stempel oder Bär emporzuheben; man kann aber auch noch nach vollbrachtem Anhub des Stempels den Dampf über den Kolben treten lassen und durch die Kraft desselben die Wirkung des niederfallenden Hammers verstärken. Wie die Steuerung eines solchen Dampfhammers mit Oberdampf einzurichten ist, läßt sich aus der Abbildung in Fig. 968 ersehen. Es ist hier  $A$  das obere Ende des Bärs,  $H$  der sichtbare Theil der Kolbenstange und  $C$  der Dampfcylinder, ferner

Fig. 968.



$S$  die gewöhnliche Schieberkammer mit den Canälen  $c$  und  $d$ , wovon  $c$  den bei  $D$  zuströmenden Dampf in den Cylinder führt und  $d$  den aus dem Cylinder kommenden Dampf ableitet. Je nachdem der Schieber  $S$  die Stellung I. oder II. Fig. 969 hat, erfolgt natürlich das Zu- oder das Ablassen des Dampfes. In Stellung I. behauptet der Schieber durch die Dampfkraft und zwar dadurch, daß der durch ein Rohr  $b$  in den kleinen Cylinder (Steuerzylinder  $K$ ) geführte Dampf auf einen Keil drückt, welcher am oberen Ende der Schieberstange feststeht. Um dagegen den Schieber in die Stellung II. zu bringen, ist es nöthig, die Schieberstange  $a$  durch die Stange  $e$  mittels des doppelarmigen Hebels  $g$  aufzuziehen. Zum Reguliren des Oberdampfes dient ein zweiter Schieber  $N$ , Fig. 970, welcher in dem Kasten  $M$  eingeschlossen ist, der auf



der einen Seite mit dem Hauptschieberkasten *J* und auf der anderen Seite mittels des Kupferrohres *OP*, Fig. 968, mit dem oberen Raume des Dampfzylinders communicirt. Ist der Dampfweg *MOP* durch den Schieber

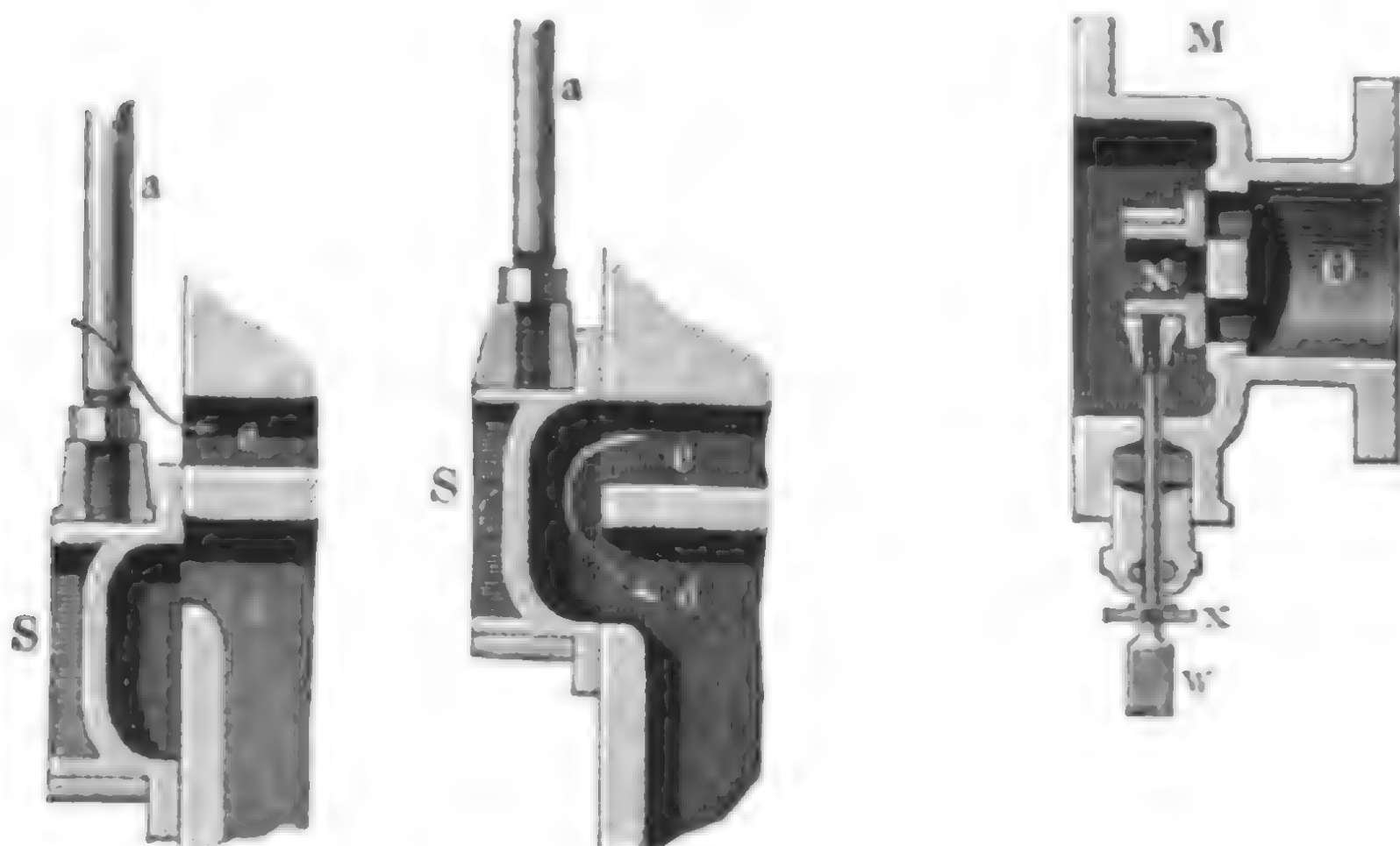
Dampf-  
hammer.

Fig. 969.

I.

II.

Fig. 970.



*N* eröffnet, so strömt frischer Dampf aus *M* über den Dampfkolben und es wird durch denselben das Niedergehen des letzteren beschleunigt. Das Eröffnen und Verschließen des Oberdampfsschiebers bringt der Hammerkloß mittels eines Gabelstückes *u* hervor, welches gegen Ende des Kolbenhubes den Hebel *v* ergreift und dadurch die Stange *w* des Schiebers *N* herabzieht. Kommt beim darauf erfolgenden Niederfallen des Hammerkloßes der Hebel *v* wieder in die erste Lage, so wird natürlich auch der Schieber *N* wieder verschlossen. Uebrigens drückt denselben eine Feder *x* stets nach oben. Der nach dem Abschlusse von *N* im Dampfzylinder zurückbleibende Oberdampf strömt endlich bei weiterem Herabfallen des Hammerkloßes durch die in der Cylinderwand angebrachten Seitenlöcher ab, welche auch den Zweck haben, die Steighöhe des Hammers zu begrenzen.

In den letzten Jahren sind unter anderen noch folgende Dampfhammer-systeme zur Anwendung gekommen:

1. Der Dampfhammer von Brown (s. Practical-Mechanics Journal, September 1853, auch Dingler's polytechn. Journal Band 131) besteht ähnlich wie der Condie'sche Dampfhammer aus einer fallenden Röhre; nur wird hier der Dampf durch den festen Kolbenstock von unten in den Cylinderraum geführt.

2. Der Dampfhammer von Türck in Chartres (s. Annales des Mines, Tome VIII, 5. série 1855, auch polytechn. Centralblatt 1856) soll vorzüglich bei einem kleineren Gewichte und mit einer größeren Geschwindigkeit

Dampf-  
hammer.

arbeiten und daher zum Schmieden mittlerer und kleinerer Metallstücke, als Eisenstangen, Wagenachsen u. s. w., dienen können. Dieser Hammer besteht ähnlich wie der von Morrison aus einer dicken Kolbenstange, welche mit dem Klose aus einem Stücke geschmiedet ist. Er arbeitet mit Oberdampf von  $2\frac{1}{2}$  bis 4 Atmosphären Druck. Bei einem solchen Hammer ist das Gewicht des Stempels = 200 Kilogramm, der Hub 1 Meter, die Anzahl der Schläge pr. Minute 100 bis 150, der Kolbendurchmesser 0,16 Meter und der Kolbenstangendurchmesser 0,10 Meter.

3. Der Dampfhammer von Daelen zu Hörde (s. Armengaud's Publication industrielle Bd. XI.) hat ebenfalls eine dicke Kolbenstange und arbeitet auch mit Oberdampf, jedoch zeichnet sich derselbe durch seine größeren Dimensionen sowie auch mehrere eigenthümliche Einrichtungen aus.

4. Der Dampfhammer von Farcot (s. Génie industrielle T. 17, Nr. 100, auch Hartmann's berg- und hüttenmännischen Atlas, 1860) wird durch Dampf von  $1\frac{1}{2}$  bis 2 Atmosphären Spannung gehoben und durch Dampf von 6 Atmosphären Druck zurückgeworfen. Die Ständer dieses Hammers sind hohl und dienen als Behälter des Dampfes, wodurch der Hammerkloß emporgehoben wird. Ein solcher Hammer, welcher zu Saint-Quen in Betrieb ist, hat einen Vär von 1000 Kilogramm Gewicht und 0,7 Meter Hub, bei 0,505 Meter Kolbendurchmesser.

5. Der hydraulische Stempelhammer (franz. marteau-pilon hydraulique) mit Luftpuffer von Guillemin et Minard zu Casamène bei Besançon wird ausführlich von Rösäl in den Annales des Mines, T. VII, 5. série 1855 behandelt (s. auch Dingler's polytechn. Journal Band 140). Dieser Hammer wird nicht unmittelbar, sondern, wie der Schmerber'sche Stempelhammer, durch die Dampfkraft mittels Riemenbetrieb in Bewegung gesetzt. Die Riemenwelle steht hier mittels eines Kurbelmechanismus mit einer Druckpumpe in Verbindung, welche Del ansaugt und in den Cylinderraum des Hammerstempels drückt. Es dient hier das Del als Transmissionsmittel, und zwar dadurch, daß sich die Kraft, mit welcher der Pumpenkolben auf das Del drückt, durch das Del hindurch und bis zur unteren Kolbenfläche des Hammerstempels fortpflanzt. Das beim Herabfallen des Hammers abfließende Del wird natürlich wieder aufgefangen, ist also während der Arbeit des Hammers in steter Circulation.

Theorie  
des Dampf-  
hämmer.

§. 482. Die Theorie des Dampfhammers ist auf ähnliche Weise zu entwickeln, wie die der gewöhnlichen Fallhammer mit Riemenbetrieb. Es bezeichne auch hier  $G$  das Gewicht und  $h$  die ganze Steighöhe des Stempels, ferner sei  $F$  die Größe der Kolbenfläche,  $F_1$  der Querschnitt der Kolbenstange,  $p$  der volle Dampfdruck und  $q$  der Gegendruck der äußeren Luft. Wenn

bei ungehindertem Dampfzuflusse der Dampfkolben den Weg  $s$  durchläuft und die Geschwindigkeit  $v$  annimmt, so gilt die Arbeitsgleichung

Theorie  
der Dampf-  
hämmer.

$$\text{I. } \frac{G v^2}{2g} = [(F - F_1) (p - q) - G] s,$$

woraus die Formel

$$v = \sqrt{2 g s \left( \frac{(F - F_1) (p - q)}{G} - 1 \right)}$$

folgt.

Legt nun noch der Kolben den Weg  $s_1 - s$  zurück, während der Dampf abgesperrt ist und daher durch Expansion wirkt, so gilt auch die Gleichung (s. Band II, §. 443)

$$\text{II. } \frac{G v_1^2}{2g} = (F - F_1) \left( p s \left[ 10 - 9 \left( \frac{s}{s_1} \right)^{1/9} \right] - q s_1 \right) - G s_1,$$

woraus sich die Formel

$$v_1 = \sqrt{2 g \left[ \left( \frac{F - F_1}{G} \right) \left( p s \left[ 10 - 9 \left( \frac{s}{s_1} \right)^{1/9} \right] - q s_1 \right) - s_1 \right]}$$

für die Kolbengeschwindigkeit  $v_1$  nach Zurücklegung des Weges  $s_1$  ergibt.

Wird am Ende dieses Weges der Dampf von unten ab- und dagegen von oben zugelassen, so durchläuft der Dampfkolben noch einen Weg  $s_2$ , wobei seine Geschwindigkeit allmählig in Null übergeht und daher die Gleichung

$$\text{III. } \frac{G v_1^2}{2g} = [F (p - q) + G] s_2$$

oder die Formel

$$s_2 = \frac{G}{F (p - q) + G} \frac{v_1^2}{2g}$$

gilt.

Weim darauf folgenden Niederfallen des Hammerklozes von der Höhe  $h = s_1 + s_2$  erlangt derselbe eine Geschwindigkeit  $v_2$ , welche der Gleichung

$$\text{IV. } \frac{G v_2^2}{2g} = G h + F (p - q) s_2 = G \left( h + \frac{v_1^2}{2g} - s_2 \right)$$

oder

$$\frac{v_2^2}{2g} = h + \frac{v_1^2}{2g} - s_2$$

entspricht, wonach

$$v_2 = \sqrt{2 g (h - s_2) + v_1^2} = \sqrt{2 g s_1 + v_1^2}$$

ist.

Giebt man den Weg  $s$  und die Geschwindigkeit  $v$  des Dampfkolbens vor der Expansion, so kann man mit Hülfe von I. den nöthigen Kolbenquerschnitt



Theorie  
des Dampf-  
hammers.

$$F - F_1 = \frac{G \left( s + \frac{v^2}{2g} \right)}{(p - q)s}$$

berechnen, und giebt man auch das Expansionsverhältniß  $\varepsilon = \frac{s_1}{s}$ , oder den Kolbenhub  $s_1$  am Ende der Expansion, so läßt sich nun auch mit Hülfe von II. die entsprechende Kolbengeschwindigkeit  $v_1$  ermitteln. Weiter folgt durch Anwendung von III. der letzte Wegtheil  $s_2$  des Kolbens, während derselbe allmählig in Ruhe übergeht und den Dampfdruck von oben aufnimmt, wonach sich nun auch der ganze Kolbenhub  $h = s_1 + s_2$  bestimmen läßt.

Endlich ist mittels IV. noch die Geschwindigkeit  $v_2$  des Hammers bei seinem Auffallen auf den Ambos oder auf das untergeschobene Metall zu finden.

Das Leistungsvermögen des mit der Geschwindigkeit  $v_2$  aufschlagenden Hammers ist

$$\frac{G v_2^2}{2g} = G \left( h + \frac{v_1^2}{2g} - s_2 \right) = G \left( s_1 + \frac{v_1^2}{2g} \right),$$

und das verbrauchte Dampfquantum  $V = (F - F_1)s + F s_2$ , folglich die Leistung des Dampfhammers pr. 1 Cubikfuß Dampf:

$$\frac{G v_2^2}{V \frac{2g}{2}} = \frac{G \left( s_1 + \frac{v_1^2}{2g} \right)}{(F - F_1)s + F s_2} = \frac{(F - F_1) \left( p s \left[ 10 - 9 \left( \frac{s}{s_1} \right)^{1/9} \right] - q s_1 \right)}{(F - F_1)s + F s_2}.$$

Dieses Arbeitsquantum ist für  $s_2 = \text{Null}$ , ein Maximum und zwar  $= p s \left[ 10 - 9 \left( \frac{s}{s_1} \right)^{1/9} \right] - q s_1$ ; dann ist aber auch  $v_1 = \text{Null}$  und die Zeit zum Steigen und Fallen eine größere, folglich die Benützung der Hitze eine unvollkommenere.

Der Theorie der gleichförmig beschleunigten Bewegung zufolge, ist die Zeit, welche der Stempel zum Steigen auf die Höhe  $s$  erfordert

$$t_1 = \frac{s}{\frac{1}{2}v} = \frac{2s}{v}.$$

Führen wir ferner in der Formel

$$v_1 = \sqrt{2g \left[ \frac{F - F_1}{G} \left( p s \left[ 10 - 9 \left( \frac{s}{s_1} \right)^{1/9} \right] - q s_1 \right) - s_1 \right]}$$

statt  $s_1$ ,  $\frac{s + s_1}{2}$  ein, so giebt sie uns in  $v_1$  eine mittlere Geschwindigkeit  $w$ , wonach sich dann die Zeit zum weitem Steigen des Hammers von  $s$  auf  $s_1$

$$t_2 = \frac{s_1 - s}{6} \left( \frac{1}{v} + \frac{4}{w} + \frac{1}{v_1} \right)$$

berechnen läßt.

Die Zeit zum Steigen von  $s_1$  auf  $s_1 + s_2$ , sowie zum Zurückfallen von  $s_1 + s_2$  auf  $s_1$ , ist ferner

Theorie der  
Dampf-  
hämmer.

$$t_3 = \frac{2 s_2}{v_1},$$

und endlich die Zeit, innerhalb welcher der Hammer von der Höhe  $s_1$  herabfällt:

$$t_4 = \frac{2 s_1}{v_1 + v_2} = \frac{2(h - s_2)}{v_1 + v_2}.$$

Nun folgt die Zeit von einem Hammerschlage bis zum anderen:

$$t > t_1 + t_2 + 2 t_3 + t_4,$$

und die Anzahl der Hammerschläge pr. Minute:

$$n = \frac{60}{t} < \frac{60}{t_1 + t_2 + 2 t_3 + t_4}.$$

Setzt man  $t = 1,05 (t_1 + t_2 + 2 t_3 + t_4)$ , so hat man

$$n = 0,95 \frac{60}{t_1 + t_2 + 2 t_3 + t_4} = \frac{57}{t_1 + t_2 + 2 t_3 + t_4}.$$

Wendet man keine Expansion des Dampfes an, so erhält man

$$s_1 = s \quad \text{und} \quad v_1 = v,$$

sowie

$$t_2 = 0, \quad t_3 = \frac{s_2}{s} t_1$$

und

$$n < \frac{60}{t_1 + 2 t_3 + t_4} < \frac{60}{\left(1 + \frac{2 s_2}{s}\right) t_1 + t_4}$$

Läßt man auch noch den Oberdampf weg, so hat man:

$$s_2 = \frac{v^2}{2g} \quad \text{und} \quad h = s + s_2 = s + \frac{v^2}{2g},$$

sowie

$$t_3 = \frac{v}{g} \quad \text{und} \quad t_4 = \sqrt{\frac{2h}{g}},$$

so daß

$$n < \frac{60}{\frac{2s}{v} + \frac{v}{g} + \sqrt{\frac{2h}{g}}},$$

d. i.

$$n < \frac{60}{\frac{2h}{v} + \sqrt{\frac{2h}{g}}}$$

folgt.

Theorie  
der Dampf-  
hämmer.

Führt man für die Endgeschwindigkeit den Werth  $v = 10$  Fuß ein, so erhält man

$$n < \frac{60}{0,2h + 0,253\sqrt{h}}.$$

Setzt man zur Sicherheit,  $n = \frac{57}{0,2h + 0,253\sqrt{h}}$ , so erhält man

für den Hammerhub $h =$	1	2	3	4	5	6 Fuß
die entsprechende Anzahl der Hammerschläge $n \dots$	126	75	55	44	36	31

Beispiel. Wenn der Stempel eines Dampfhammers das Gewicht  $G = 3000$  Pfund hat, wenn ferner derselbe erst durch die volle Dampfkraft von 5 Atmosphären Spannung  $1\frac{1}{4}$  Fuß hoch und dann, bei abgesperrtem Dampfe, noch  $1\frac{1}{2}$  Fuß höher gehoben wird, und wenn die Geschwindigkeit des Dampfkolbens im Augenblicke der Dampfabspernung,  $v = 10$  Fuß beträgt, so ist die erforderliche Größe der Kolbenfläche nach Abzug des Querschnittes der Kolbenstange:

$$F - F_1 = \frac{G \left( s + \frac{v^2}{2g} \right)}{(p - q)s} = \frac{3000 (1,25 + 0,016 \cdot 100)}{(5 - 1) \cdot 15 \cdot 1,25} = \frac{3000 \cdot 2,85}{75} = 114 \text{ Quadratfuß}$$

und die Geschwindigkeit des Kolbens am Ende des Kolbenweges  $s_1 = 2,5$  Fuß:

$$\begin{aligned} v_1 &= \sqrt{2g \left[ \frac{F - F_1}{G} \left( p s \left[ 10 - 9 \left( \frac{s}{s_1} \right)^{1/3} \right] - q s_1 \right) - s_1 \right]} \\ &= \sqrt{62,5 \left[ \frac{114}{3000} \left( 75 \cdot \frac{5}{4} \left[ 10 - 9 \left( \frac{1}{2} \right)^{1/3} \right] - 15 \cdot \frac{5}{2} \right) - 2,5 \right]} \\ &= \sqrt{62,5 \left[ \frac{114}{3000} (156,29 - 37,50) - 2,5 \right]} \\ &= \sqrt{62,5 \cdot 2,014} = 11,22 \text{ Fuß.} \end{aligned}$$

Macht man den Querschnitt der Kolbenstange,  $F_1 = 46$  Quadratfuß, so erhält man den Querschnitt der ganzen Kolbenfläche:

$F = (F - F_1) + F_1 = 114 + 46 = 160$  Quadratfuß und den letzten Wegtheil des aufsteigenden Kolbens, wobei derselbe vom Dampfe gedrückt wird:

$$\begin{aligned} s_2 &= \frac{G}{F(p - q) + G} \cdot \frac{v_1^2}{2g} = \frac{3000}{160 \cdot 60 + 3000} \cdot 0,016 \cdot 125,89 \\ &= \frac{30}{126} \cdot 2,014 = \frac{20,14}{42} = 0,480 \text{ Fuß.} \end{aligned}$$

Nun folgt der ganze Hammerhub:

$$h = s_1 + s_2 = 2,5 + 0,480 = 2,980 \text{ Fuß,}$$

und die Endgeschwindigkeit des zurückfallenden Stempels:

$$v_2 = \sqrt{2gs_1 + v_1^2} = \sqrt{62,5 \cdot 2,5 + 125,89} = 16,79 \text{ Fuß.}$$

Die Zeit zum Aufsteigen des Hammers auf die erste Höhe  $s = 1,25$  Fuß ist

$$t_1 = \frac{2s}{v} = \frac{2,5}{10} = 0,250 \text{ Secunden,}$$

Theorie  
des Dampf-  
hammers.

ferner die Zeit zum Aufsteigen um weitere 1,25 Fuß, wobei der Dampf durch Expansion wirkt:

$$t_2 = 2 \left( \frac{s - s_1}{v + v_1} \right) = \frac{2,5}{21,22} = 0,118 \text{ Secunden,}$$

die Zeit zum Steigen auf das letzte Stück  $s_2 = 0,480$  Fuß, wobei der Oberdampf wirkt:

$$t_3 = \frac{2s_2}{v_1} = \frac{0,960}{11,22} = 0,086 \text{ Secunden,}$$

folglich die ganze Zeit zum Aufsteigen des Hammers:

$$t_1 + t_2 + t_3 = 0,454 \text{ Secunden.}$$

Die Zeit zum Herunterfallen des Hammers von  $s_2$  ist wieder:

$$t_3 = \frac{2s_2}{v_1} = 0,086 \text{ Secunden,}$$

und die Zeit zum Herabfallen von dem zweiten Theile  $s_1$  der Höhe:

$$t_4 = \frac{2s_1}{v_1 + v_2} = \frac{5}{28,02} = 0,178 \text{ Secunden,}$$

daher folgt die ganze Fallzeit des Hammers:

$$t_3 + t_4 = 0,264 \text{ Secunden,}$$

und die Zeit von einem Schläge bis zum andern:

$$t = 1,05 (t_1 + t_2 + 2t_3 + t_4) = 1,05 \cdot (0,454 + 0,264) \\ = 1,05 \cdot 0,718 = 0,754 \text{ Secunden,}$$

wonach die Anzahl der Hammerschläge pr. Minute

$$n = \frac{60}{t} = \frac{60}{0,754} = 80$$

folgt.

Ohne Anwendung von Oberdampf ist

$$s_2 = \frac{v_1^2}{2g} = 0,016 \cdot 125,89 = 2,01 \text{ Fuß,}$$

folglich

$$h = s_1 + s_2 = 2,5 + 2,01 = 4,51 \text{ Fuß}$$

und

$$v_2 = \sqrt{2gh} = \sqrt{62,5 \cdot 4,51} = 16,79 \text{ Fuß,}$$

wie bei Anwendung von Oberdampf.

Die Zeit  $t_3$  ist  $= \frac{2s_2}{v} = \frac{4,02}{11,22} = 0,358 \text{ Secunden,}$  und die Fallzeit

$t_4 = \frac{2h}{v_2} = \frac{9,02}{16,79} = 0,537 \text{ Secunden,}$  folglich die Zeit eines vollständigen Hammerspieles:

$$t = 1,05 (t_1 + t_2 + t_3 + t_4) = 1,05 \cdot (0,368 + 0,358 + 0,537) \\ = 1,05 \cdot 1,263 = 1,326 \text{ Secunden,}$$

und die Anzahl der Hammerschläge pr. Minute:

$$n = \frac{60}{t} = \frac{60}{1,326} = 45.$$

Das Dampfquantum, welches zum Aufheben des Hammers in beiden Fällen erfordert wird, beträgt

$$(F - F_1) s = \frac{114,5}{144 \cdot 4} = \frac{570}{576} = 0,990,$$

Theorie der  
Dampf-  
hämmer.

also nahe 1 Cubikfuß; bei Anwendung von Oberdampf wird überdies noch das Dampfquantum

$$Fs_2 = \frac{160 \cdot 0,480}{144} = 0,533 \text{ Cubikfuß}$$

Dampf verbraucht.

Daher ist in diesem Falle der ganze Dampfverbrauch pr. Spiel  
 $= (F - F_1)s + Fs_2 = 1,523 \text{ Cubikfuß,}$   
 wofür aber auch die Anzahl der Hammerschläge pr. Minute um  $80 - 45 = 35$   
 größer ausfällt als im zweiten Falle, wenn kein Oberdampf zur Anwendung  
 kommt. Es ist also bei Anwendung des Oberdampfes, die Dampfmenge pr. Spiel  
 um  $\frac{5330}{99} = 54 \text{ Proc.}$  und die Anzahl der Spiele in derselben Zeit um  $\frac{3500}{45} = \frac{700}{9}$   
 $= 78 \text{ Proc.}$  größer aus als bei einem Hammer ohne Dampfsprallung.

Die mechanische Arbeit, welche in beiden Fällen der Hammer pr. Schlag verrichtet, ist

$$\frac{Gv_2^2}{2g} = 3000 \cdot 4,51 = 13530 \text{ Fußpfund,}$$

folglich die Leistung pr. Secunde:

1. bei pr. Minute 80 Schlägen:

$$L = \frac{80}{60} \cdot G \frac{v_2^2}{2g} = \frac{1}{3} \cdot 13530 = 18040 \text{ Fußpsd.} = 35\frac{1}{2} \text{ Pferdekkräfte,}$$

2. bei pr. Minute 45 Schlägen:

$$L = \frac{45}{60} \cdot G \frac{v_2^2}{2g} = \frac{1}{4} \cdot 13530 = 10148 \text{ Fußpsd.} = 20 \text{ Pferdekkräfte.}$$

Ohne Anwendung von Oberdampf und ohne Expansion ist

$$s_1 = s, v_1 = v, s_2 = \frac{v^2}{2g} = 0,016 \cdot 100 = 1,6 \text{ Fuß,}$$

$$h = s + s_2 = 2,85 \text{ Fuß}$$

und

$$v_2 = \sqrt{2gh} = \sqrt{62,5 \cdot 2,85} = 13,35 \text{ Fuß,}$$

ferner

$$t_2 = 0, t_3 = \frac{2s_2}{v} = \frac{3,2}{10} = 0,320 \text{ Secunden,}$$

und

$$t_4 = \frac{2h}{v_2} = \frac{5,70}{13,35} = 0,427 \text{ Secunden,}$$

folglich

$$t = 1,05 (t_1 + t_3 + t_4) = 1,05 \cdot 0,997 = 1,047 \text{ Secunden,}$$

daher die Anzahl der Spiele pr. Minute:

$$n = \frac{60}{1,047} = 57.$$

Endlich beträgt dann die Arbeit des Hammers bei einem Schläge:

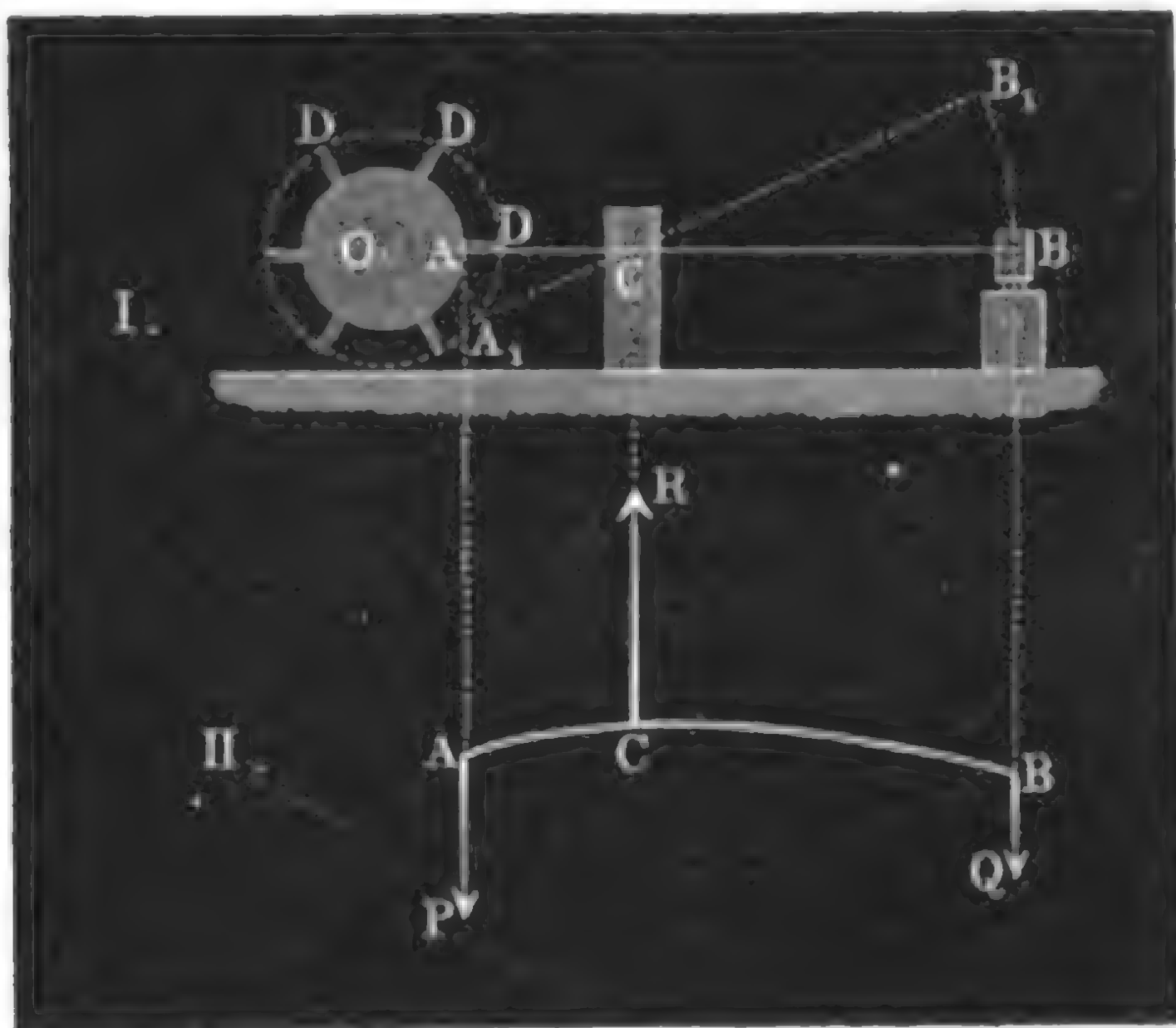
$$G \frac{v_2^2}{2g} = Gh = 30000 \cdot 2,85 = 8550 \text{ Fußpsd.,}$$

und daher die Leistung pr. Secunde, bei pr. Minute 57 Schlägen:

$$L = \frac{57}{60} \cdot 8550 = 8122 \text{ Fußpsd.} = 16 \text{ Pferdekkräfte.}$$



§. 483. Bei den gewöhnlichen Hammerwerken besteht der arbeitende Maschinentheil in einem gewöhnlichen, um eine horizontale Achse drehbaren Hammer. Im Wesentlichen bildet ein solcher Hammer sammt seinem Stiel einen physischen Hebel (s. Bd. I, §. 131); man kann ihn daher auch einen Hebelhammer (franz. *marteau à levier*; engl. *lever-hammer*) nennen, um ihn von dem Stempelhammer (franz. *marteau à pilon*, *marteau à mouton*; engl. *block- oder stamp-hammer*), welcher in einer Senkrechtführung aufsteigt und niederfällt, zu unterscheiden. Bildet der Hebelhammer einen doppelarmigen Hebel  $ACB$ , Fig. 971, so heißt derselbe ein Schwanzhammer (franz. *marteau à bascule*, *marteau à queue*, *martinet*; engl. *tilt-hammer*).



Das Aufheben eines solchen Hammers  $B$  erfolgt dadurch, daß das Ende  $A$  des kürzeren Armes oder Schwanzes  $CA$  von den Daumen  $D, D \dots$  einer stetig umlaufenden Welle  $O$  um eine gewisse Tiefe niedergedrückt wird. Hierbei dreht sich das Hammerhelm um seine Achse  $C$  und es steigt der Hammer um eine entsprechende Höhe über den Ambos. Bei einem einarmigen Hebelhammer kann die Kraft entweder außerhalb oder innerhalb des Schwerpunktes und der Achse des Hammers angreifen. Ein Hammer  $ABC$ , Fig. 972 (a. f. S.), der ersten Art, welcher von den Daumen  $D, D \dots$  einer stetig umlaufenden Welle  $O$  an der Stirn  $A$  ergriffen und fast direct emporgehoben wird, heißt ein Stirnhammer (franz. *marteau frontal*; engl. *front-hammer*), und ein Hammer  $BAC$ , Fig. 973, der zweiten Art, welcher von den Daumen  $D, D \dots$  der Hammerwelle  $O$  an der Brust  $A$  ergriffen und emporgehoben wird, ist ein Brusthammer





ebene des Hammers. Diese Abweichungen gehören jedoch keineswegs zu <sup>Hebelhämmer.</sup> den Vorzügen einer Hammerwerksanlage. Die hier aufgeführten Hämmer dienen in der Regel zum Schmieden des Eisens, Kupfers und anderer Metalle, jedoch verwendet man sie auch zum Zerpochen der Steine und anderer harten Körper, endlich kommen dieselben auch beim Walken des Tuches und Leders u. s. w. zur Anwendung. Die Walkhämmer (s. S. 459) sind den Stirnhämmern beizuzählen.

Bei gleicher Länge der Wellbaumen oder gleichem Wege des Kraftpunktes und bei gleicher Hohlmlänge, lektete von der Drehungsaxe bis zum Schwerpunkt des Hammers gemessen, giebt der Schwanzhammer den größten, der Brusthammer einen mittleren und der Stirnhammer den kleinsten Hammerhub; und deshalb ist es zur Erzielung einer gleichen Wirkung nöthig, den letzteren Hämmern, zumal aber dem Stirnhammer, ein größeres Gewicht zu geben als den Schwanzhämmern.

Einen wesentlichen Unterschied unter diesen drei Hammersystemen giebt noch die Anwendung einer Prallvorrichtung oder eines sogenannten Reitels (franz. rabat; engl. recoil). Durch diese Vorrichtung wird der Hammer, nachdem ihn der Wellbaumen verlassen hat, in seinem weiteren Aufsteigen verhindert und gegen den Ambos zurückgeworfen, so daß beinahe die Zeit

$t = \frac{2v}{g}$  gewonnen wird, welche der Hammer ohne den Rittel zu seinem

Aufsteigen auf und zu seinem Hera! fallen von der Höhe  $\frac{v^2}{2g}$  nöthig hat, wo-

bei seine Geschwindigkeit erst allmählig von  $v$  in Null und dann von Null in  $v$  übergeht. In Folge dieses Zeitgewinnes kann natürlich auch der Hammer in einer gegebenen Zeit eine größere Anzahl von Schlägen machen, und folglich auch bei derselben Hitze mehr Eisen aufgeschmiedet werden als bei einem Hammer ohne Rittel. Es ist daher die Anwendung eines Reitels bei allen denjenigen Hammerwerken von großem Vortheil, welche zum Ausschmieden und zur Herstellung verschiedener Eisensorten dienen, wogegen diejenigen Hämmer, welche nur den Zweck haben, größere Eisenmassen dichter zusammenzuschlagen, von Schlacken zu befreien und zur weiteren Verarbeitung vorzubereiten, eine Prallvorrichtung nicht erfordern. Hierher gehören vorzüglich die großen Stirn- und Brusthämmer, welche dazu dienen, die aus dem Puddelofen genommenen Luppen zusammenzudrücken und zu formiren, bevor sie zwischen die Walzen des Walzwerkes gelangen. Die kleineren Brusthämmer, namentlich aber die sogenannten Aufwerfhämmer, zumal aber die Schwanzhämmer werden dagegen stets mit einer Prallvorrichtung ausgerüstet, da dieselben vorzüglich zum Ausschmieden und weiteren Verarbeiten des Eisens dienen.

Was die Prallvorrichtung oder den Rittel selbst anlangt, so besteht diese

**Hebelhammer.** entweder in einem Prallstock oder in einem Prallbalken. Der Prallstock ist ein senkrecht in die Erde eingesetzter Holzstock mit einer eisernen Kopfplatte, auf welche der gehörig armirte Schwanz des Hammers aufschlägt, wogegen der Prallbalken in einem etwas nach hinten geneigten Balken besteht, welcher an dem hinteren Ende an zwei Stellen mit einem besonderen Theil des Hammergerüsts fest verbunden ist, und gegen dessen vorderes freies Ende der Hammerkopf oder der Nacken des Hammerheftes anschlägt.

§. 484. In Hinsicht auf die Leistung ist zwischen den verschiedenen Hebelhämmern ein wesentlicher Unterschied nicht zu machen. Bezeichnet  $G$  das Gewicht des Hammers  $B$ , und  $p$  die Acceleration, mit welcher derselbe emporsteigt, so ist die Kraft zum directen Aufheben desselben:

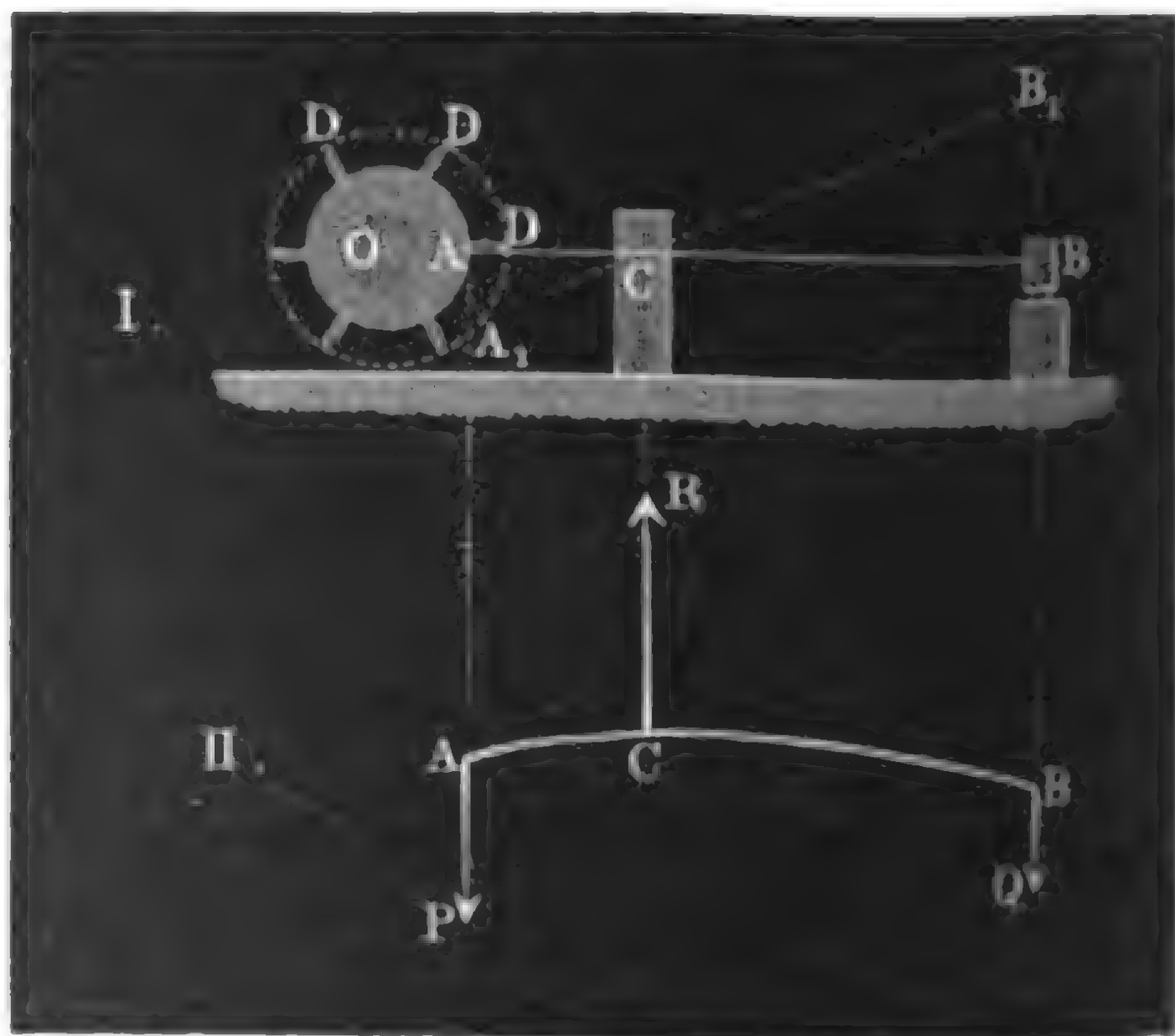
$$Q = G + Mp = \left(1 + \frac{p}{g}\right)G;$$

bezeichnet man ferner den Kraftarm oder den Abstand  $\overline{CA}$  des Angriffspunktes  $A$  der Kraft von der Drehungsaxe  $C$  durch  $a$ , und den Lastarm oder den Abstand  $\overline{CB}$  des Schwerpunktes  $B$  des Hammers von eben dieser Axe durch  $b$ , so hat man für alle Hebelhammer die Größe der indirecten Kraft zum Aufheben des Hammers:

$$P = \frac{b}{a} Q = \left(1 + \frac{p}{g}\right) \frac{b}{a} G.$$

Dagegen ist der aus  $P$  und  $Q$  resultirende Axendruck bei diesen verschiedenen Hammersystemen verschieden. Beim Schwanzhammer  $ACB$ . Fig. 974, ist dieser Druck

Fig. 974.



$$R = P + Q = \left(1 + \frac{b}{a}\right) Q = \left(1 + \frac{b}{a}\right) \left(1 + \frac{p}{g}\right) G, \quad \text{Hebelhammer.}$$

und zwar am größten; beim Stirnhammer  $ABC$ , Fig. 975, ist derselbe nur

$$R = Q - P = \left(1 - \frac{b}{a}\right) Q = \left(1 - \frac{b}{a}\right) \left(1 + \frac{p}{g}\right) G,$$

und beim Brusthammer  $BAC$ , Fig. 976, wo  $a$  kleiner, also  $\frac{b}{a}$  ein unechter Bruch ist, fällt der Axendruck

Fig. 975.

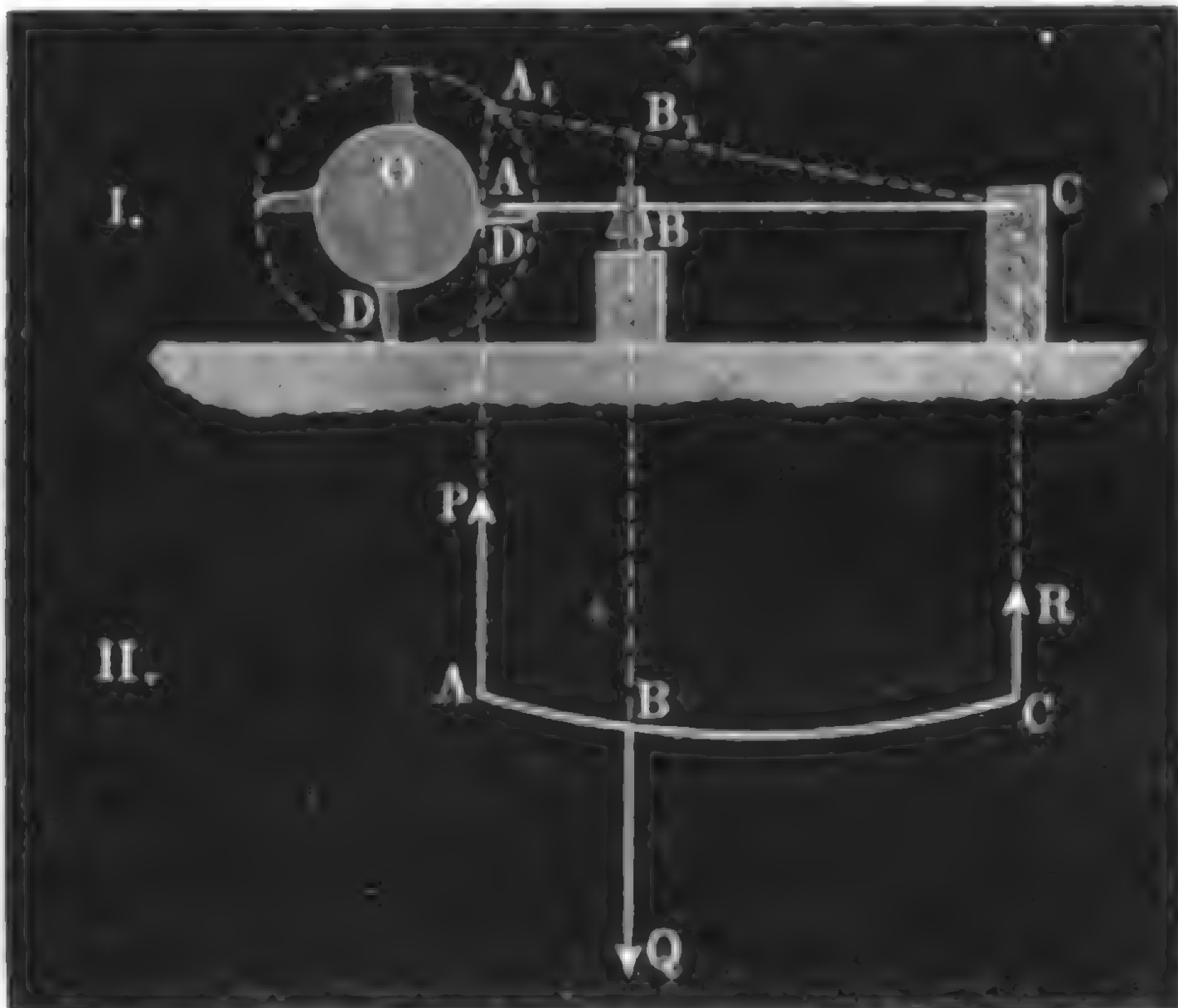
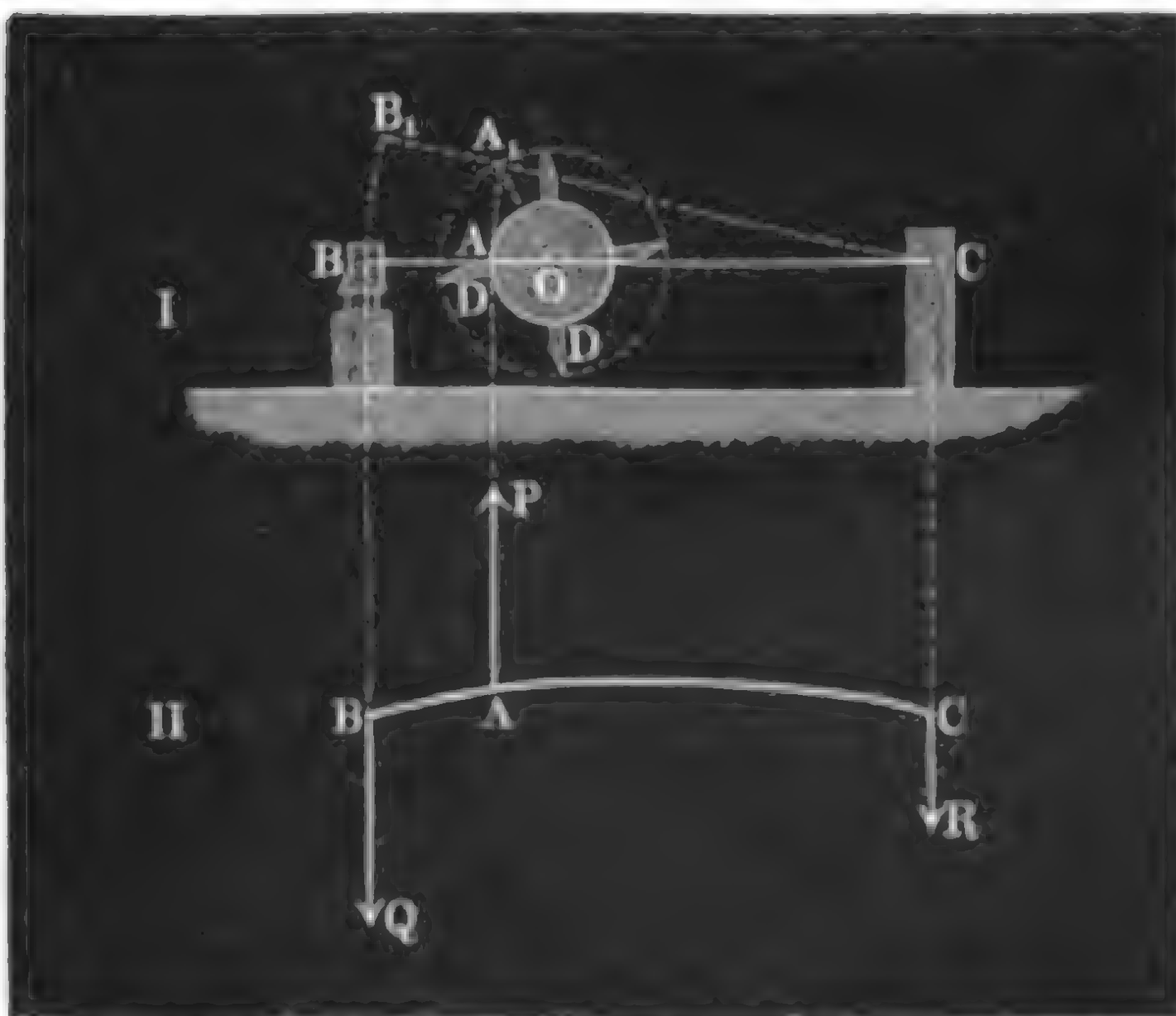


Fig. 976.



Fechthammer.

$$R = P - Q = \left(\frac{b}{a} - 1\right) Q = \left(\frac{b}{a} - 1\right) \left(1 + \frac{p}{g}\right) G,$$

negativ aus, ist also derselbe von unten nach oben gerichtet.

Ist  $\varphi$  der Reibungscoefficient und  $r$  der Halbmesser der Zapfen des Hammers, so hat man die auf den Kraftpunkt  $A$  reducirte Zapfenreibung  $F = \varphi \frac{r}{a} R$ , und es folgt daher die Kraft zum Aufheben eines Schwanzhammers, mit Einschluß der Zapfenreibung:

$$P = \frac{b}{a} Q + \left(1 + \frac{b}{a}\right) \varphi \frac{r}{a} Q = \left(\frac{b + \varphi r \left(1 + \frac{b}{a}\right)}{a}\right) \left(1 + \frac{p}{g}\right) G.$$

dagegen die zum Aufheben eines Stirnhammers:

$$P = \frac{b}{a} Q + \left(1 - \frac{b}{a}\right) \varphi \frac{r}{a} Q = \left(\frac{b + \varphi r \left(1 - \frac{b}{a}\right)}{a}\right) \left(1 + \frac{p}{g}\right) G,$$

und die zum Aufheben eines Brusthammers:

$$P = \frac{b}{a} Q + \left(\frac{b}{a} - 1\right) \varphi \frac{r}{a} Q = \left(\frac{b + \varphi r \left(\frac{b}{a} - 1\right)}{a}\right) \left(1 + \frac{p}{g}\right) G.$$

Es ist also in Folge der Zapfenreibung, unter übrigens gleichen Verhältnissen, die Kraft zur Bewegung eines Schwanzhammers größer als die zur Bewegung eines Stirn- oder Brusthammers. Hieraus ist jedoch in Beziehung auf die vortheilhafte Kraftverwendung eine Folgerung zum Nachtheil der Schwanzhammer nicht zu machen, denn da bei diesen Hämmer die Daumen der Hammerwelle von oben nach unten, die der übrigen Hämmer aber von unten nach oben wirken, so wird durch die Daumenkraft  $P$  der Zapfendruck, und daher auch die Zapfenreibung der Hammerwelle, bei dem Schwanzhammer vermindert, und bei dem Stirn- und Brusthammer vergrößert, folglich hierdurch der Vortheil der letzteren wieder aufgehoben, zumal da der Halbmesser der Zapfen der Hammerwelle größer ist als der der Zapfen des Hammers, also bei gleichem Gewichte der armirten Welle, das Moment der Reibung an den Zapfen der Welle größer ausfällt als das Moment der Reibung an den Zapfen des Hammers.

In Hinsicht auf die Tragkraft des Hammerhelmes findet dagegen ein wesentlicher Unterschied zwischen diesen Hammersystemen statt. Bei dem Schwanzhammer wird das Hammerhelm wie der Balken  $ACB$ , Fig. 977, II, gebogen, und es ist das Moment der biegenden Kraft:

$$Pa = Qb = \left(1 + \frac{p}{g}\right) Gb;$$

bei dem Stirnhammer erhält dagegen das Hammerhelm eine Biegung wie der Balken  $ABC$ , Fig. 978 II, wobei das Biegemoment



$$Rb = P(a - b) = \frac{Qb(a - b)}{a} = \left(1 + \frac{p}{g}\right) \left(1 - \frac{b}{a}\right) Gb \quad \text{Febelhammer.}$$

ist; und bei dem Brusthammer, welcher wie der Balken  $BAC$ , Fig. 979 II, (a. f. S.), gebogen wird, fällt das Biegemoment

$$Ra = Q(b - a) = \left(1 + \frac{p}{g}\right) G(b - a) = \left(1 + \frac{p}{g}\right) \left(1 - \frac{a}{b}\right) Gb$$

aus.

Fig. 977.

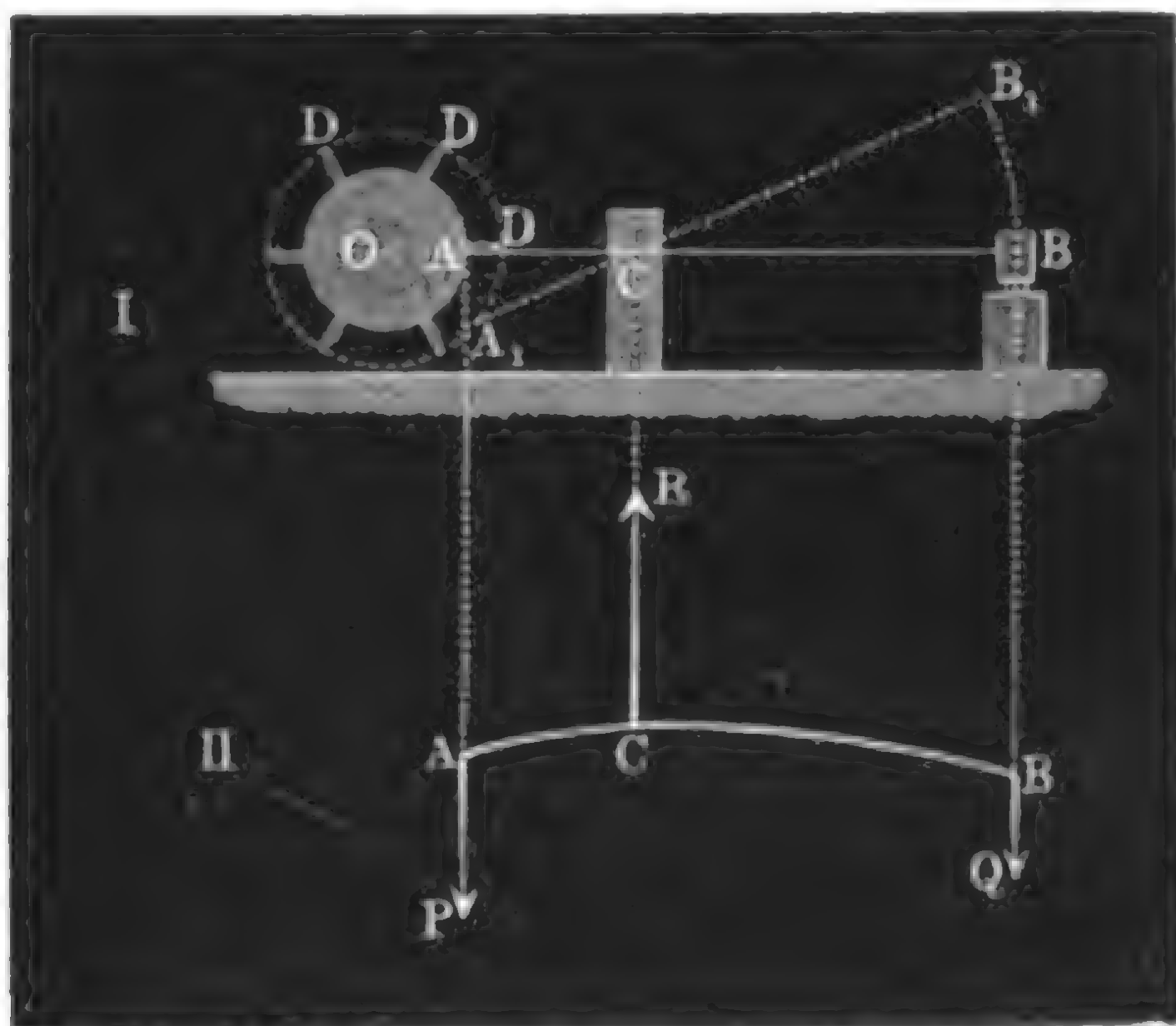
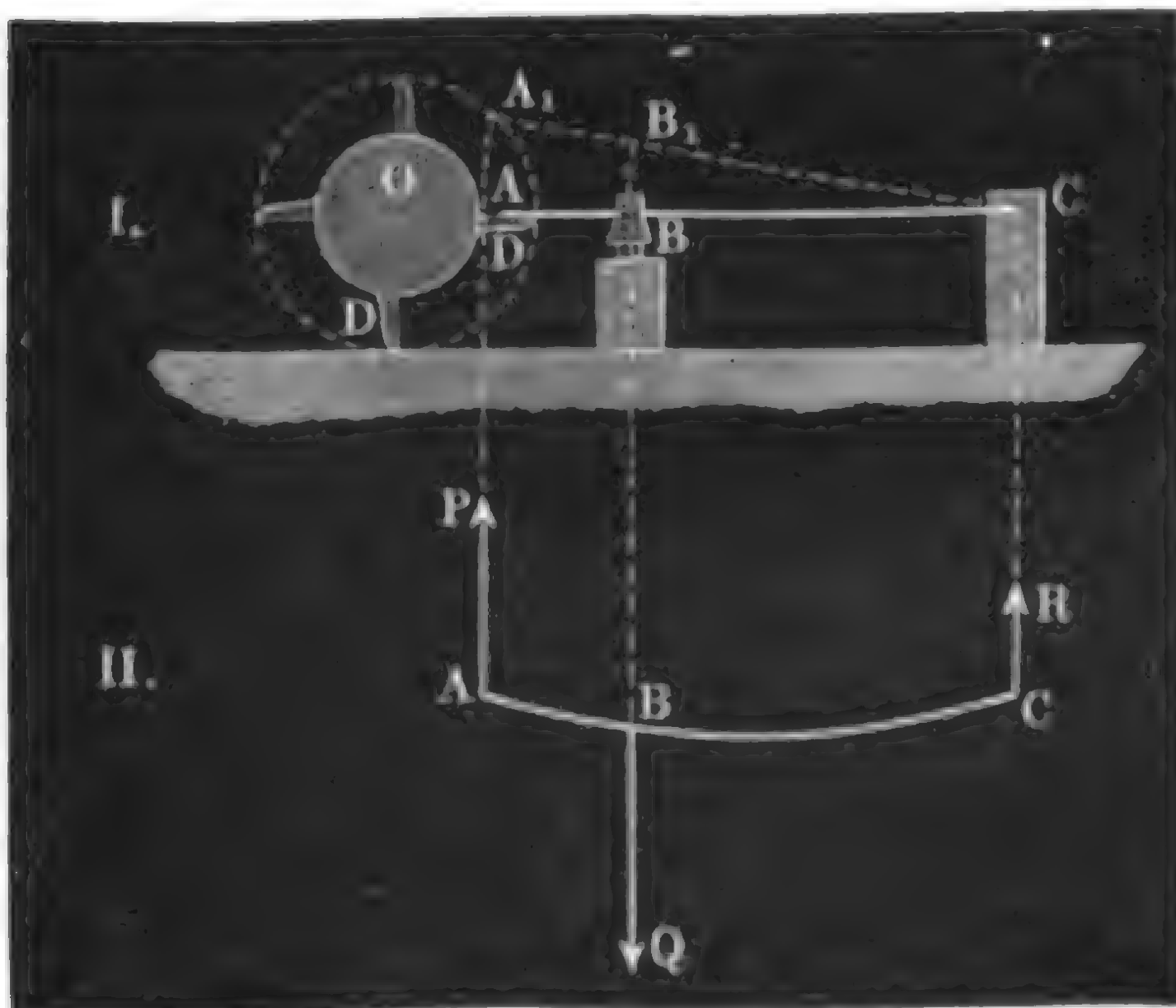


Fig. 978.







Wenn nun hiernach die Schwanzhämmer den Nachtheil haben, daß sie stärkere Hammerhelme erfordern, so gewähren sie dagegen die Vortheile, daß sie einfachere Hammergerüste nöthig haben, und um den Amboss herum für das Schmieden mehr Raum frei lassen.

§. 485. Die Schwanzhämmer dienen vorzüglich zum Ausschmieden feinerer Eisensorten, werden aber auch mit Vortheil zur Anfertigung größerer Eisensorten, sowie zum Zängen der Luppen bei der Herdfeischerei verwendet. Der eigentliche Hammer oder der Hammerkopf besteht entweder aus Guß- oder aus Schmiedeeisen, wiegt 100 bis 600 Pfund und wird bei jedem Hube  $\frac{3}{4}$  bis 2 Fuß hoch gehoben. Je nach der Größe dieser Hämmer ist die Anzahl der Schläge, welche dieselben in der Minute machen, 80 bis 300.

Bei gußeisernen Hämmern erhält die Hammerbahn durch Gießen in eisernen Schalen die nöthige Härte, schmiedeeiserne Hämmer werden dagegen zu diesem Zwecke an der Bahn verstäht. Um die Ausführung von Reparaturen zu erleichtern, wendet man nicht selten statt der festen Hammerbahnen besondere Einsätze oder sogenannte Kerne an, welche mittels Nuth und Falz mit dem Hammerkopf fest verbunden werden.

Diese Kerne bestehen aus Schmiedeeisen und sind nur an der Grundfläche verstäht. Die Hammerbahn hat je nach der Größe des Hammers eine Breite von  $\frac{1}{2}$  bis 2 Zoll und eine Länge von 12 bis 24 Zoll. Der Amboss besteht ebenfalls entweder aus Guß- oder aus Schmiedeeisen, und letzterer wird, wie der Hammer, entweder verstäht oder erhält einen Kerneinsatz. Uebrigens ist es nöthig, daß sich die Bahn des Hammers und die des Ambosses nur vorn berühren und daß diese Bahnen nach hinten, der mittleren Dicke der anzufertigenden Eisenstäbe entsprechend, divergiren.

Um besondere Eisensorten anzufertigen, wendet man entweder auf dem Hammer und dem Amboss festzukeilende Kerne mit Gesenken an, oder man bedient sich scheerenartiger Gesenke, welche mittels eines längeren Stieles von den Händen eines Hülfsarbeiters gehalten werden. Die Aren der beiden Gesenke stehen rechtwinkelig zur Bewegungsebene des Hammers und bilden zusammen einen der anzufertigenden Eisensorte entsprechenden hohlen prismatischen Raum, z. B. für Rundeisen einen hohlen Cylinder.

Der Amboss wird auf der gußeisernen Chabotte festgekeilt, welche zu diesem Zwecke mit einer Vertiefung versehen ist, und auf gleiche Weise wird die Chabotte im Kopfe des Chabotten- oder Hammerstockes befestigt. Der letztere ist gewöhnlich ein größtentheils in die Erde versenkter hölzerner Stock von 3 bis 4 Fuß Durchmesser und 6 bis 10 Fuß Höhe, und ruht entweder auf Felsengrund oder auf Steinschotter oder auf einem hölzernen Rost (Pfahlrost).

Schwanz-  
hammer.

Die Chabotte bildet gewöhnlich einen Würfel von 18 bis 24 Zoll Seitenlänge; zuweilen giebt man ihr auch die Gestalt eines aufrechtstehenden Cylinders. Um dieselbe im Hammerstocke fest verkeilen und ihr durch eingetriebene Keile eine feste Unterlage verschaffen zu können, umgiebt man noch den Kopf des Hammerstockes mit drei bis vier starken eisernen Ringen. Da der Hammer vorzüglich an der Stirnseite aufschlägt, so legt man die Chabotte etwas nach hinten geneigt in den Chabottenstock und giebt dem letzteren auch eine kleine Neigung nach hinten.

Das Hammerhelm besteht gewöhnlich aus Holz und zwar vorzüglich aus Buchenholz, jedoch hat man auch in neuerer Zeit Hammerhelme aus Eisenblech in Anwendung gebracht. Die gewöhnlichen buchenen Hammerhelme sind 12 bis 16 Fuß lang und 12 bis 20 Zoll dick und werden wie ein gewöhnlicher vierkantiger Balken aus dem Rundholze beschlagen. Zur Armitung des Hammerhelmes gehört außer dem Hammer oder Hammerkopfe die Hammerhülse oder der Wagring, der Schwanz- oder Sohlring und die sogenannten Helmringe. Die Hammerhülse wird so auf das Hammerhelm aufgekeilt, daß die durch ihre Zapfen gebildete Aue rechtwinkelig zu den Seitenflächen des Helmes zu liegen kommt und von dem einen Ende desselben doppelt soviel absteht als vom anderen. Wenn die Hammerhülse mit dem Helme gehörig verbunden ist, so werden die ungefähr 2 Zoll breiten und  $\frac{1}{2}$  Zoll dicken Helmringe, und zwar vorzüglich in der Nähe der Hammerhülse, sowie des Hammerkopfes und des Schwanzringes aufgetrieben. Hierauf erfolgt das Austreiben des Schwanz- oder Sohlringes mittels Holz- und Eisenkeilen. Dieser Ring hat einen doppelten Zweck; er dient nicht allein der Kraft, sondern auch dem Prallstocke als Angriffspunkt. Zu diesem Zwecke erhält er nicht allein eine größere Breite und Dicke als ein gewöhnlicher Helmring, sondern auch noch einen besonderen Kopf, den Prallkopf, womit derselbe auf den Prallstock aufschlägt. Damit der Schwanzring von dem aufschlagenden Welldaumen vom Schwanze nicht herabgezogen werde, giebt man ihm eine schräge Lage, wobei er oben dem Hammerkopfe etwas näher steht als unten.

Der eigentliche Hammer oder der Hammerkopf ist mit besonderer Sorgfalt auf das Hammerhelm aufzukeilen, da derselbe der unmittelbaren Wirkung des Stoßes ausgesetzt ist. Man bewerkstelligt diese Verbindung des Hammers mit dem Helme erst dann, wenn die Zapfen der mit dem Helme fest verkeilten Hammerhülse bereits in ihren Lagern ruhen. Zur Sicherheit und Dauerhaftigkeit dieser Verbindung tragen schmiedeeiserne Federn oder sogenannte Hammerseelen wesentlich bei (s. F. Fonn »Ueber die Vorrichtung eines künstlichen Hammerhelmkopfes, in Rittinger's Erfahrungen im berg- und hüttenmännischen Maschinen-, Bau- und Aufbereitungswesen«, Jahrgang 1858, sowie auch den ersten Band der Schrift

»Die Stabeisen- und Stahlbereitung in Frischherden, Freiberg 1858«, welche überhaupt das Praktische der Schwanzhammerwerke sehr ausführlich behandelt).

Schwanz-  
hammer.

Bei den gewöhnlichen Hammerwerken haben diese Federn bei einer Dicke von 1 Zoll, eine Breite von 5 bis 6 Zoll und eine Länge von 30 Zoll. Von denselben kommt die eine auf den Rücken und die andere auf die Brust, und zwar mit der halben Dicke, ins Holz zu liegen. Auch versieht man die hinteren Enden dieser Federn mit Klauen, womit sich dieselben noch tiefer in das Holz des Hammerhelmes einhaken, und hält sie durch drei bis vier eiserne Ringe auf dem letzteren fest. Nachdem man den Hals des Hammerhelms gehörig vorgerichtet hat, wird der Hammer mittels einer eisernen Stange über denselben gesteckt, und wenn nun derselbe hierbei seine richtige Lage gegen die Axt und gegen den Amboss hat, so werden noch zur Befestigung Holz- und Eisenkeile vom Kopfe aus in das Helmsende eingetrieben. Um einen schadhaften Helm wieder gebrauchen zu können, soll man Federn von  $5\frac{1}{2}$  bis  $7\frac{1}{2}$  Fuß Länge, 5 bis  $7\frac{1}{2}$  Zoll Breite und  $1\frac{1}{2}$  bis 2 Zoll Dicke einziehen und durch 8 Ringe befestigen, dann die schadhaften Stellen des Helmhalses wegschneiden und durch neue Holzstücke ersetzen. Auf den so ergänzten Hammerhelmhals wird nun der Hammer aufgeschoben und zunächst durch  $4\frac{1}{2}$  Fuß lange, 4 bis 6 Zoll breite und am Rücken  $1\frac{1}{2}$  Zoll dicke Holzkeile, zuletzt aber noch durch kleine Holz- und Eisenkeile, am Helme festgekeilt.

§. 486. Die Hammer- oder Daumenwelle (der Grindel) eines Schwanzhammers besteht gewöhnlich in einem Stück Baumstamm von Tannen-, Lärchen- oder Eichenholz von 18 bis 24 Fuß Länge und 2 bis  $2\frac{1}{2}$  Fuß Dicke. Wenn es an hinreichend starkem Stammholze mangelt, muß man entweder eine schmiedeeiserne oder eine aufgesattelte Holzwelle in Anwendung bringen. Die schmiedeeisernen Zapfen der Welle sind 3 bis 6 Zoll dick und 4 bis 6 Zoll lang, und die Flügel, womit dieselben in den Wellenhälften sitzen, erhalten eine Länge von 18 bis 30 Zoll. Nachdem man die Wellenhälfe mit drei bis vier Eisentringen umgeben hat, werden die Zapfenflügel in denselben festgekeilt. Daumen oder Ertel bestehen aus Schmiedeeisen und sind überdies noch verstäht. Zu ihrer Verbindung mit der Welle dient ein starker gußeiserner Ring oder Kranz, der Daumen- oder Wellkranz, welcher 15 bis 24 Zoll breit und  $2\frac{1}{2}$  bis  $3\frac{1}{2}$  Zoll dick ist und auf der Welle fest aufgekeilt wird. Um die schmiedeeisernen Daumen einsetzen zu können, sind auf der Außenfläche des Wellkranzes 3 bis 10 Löcher von 4 bis 8 Zoll Breite und Länge angebracht. In diesen Löchern, und zwar an der vordern, dem Helme zugekehrten Seite derselben, werden die Daumen durch Holz- und Eisenkeile so befestigt, daß von der ganzen



$$\text{arc. } \beta = \sin. \beta = \frac{h}{b} \text{ oder } \beta^{\circ} = 57,296^{\circ} \cdot \frac{h}{b}$$

Schwamm-  
hammer.

und

$$\text{Bog. } AD = \text{Bog. } AE = a \cdot \text{arc. } \beta = \frac{a h}{b}.$$

Bezeichnet man ferner den Halbmesser  $OA$  des Theilkreises des Wellenfranzes durch  $r$ , so hat man für den Centriwinkel  $AOE = \alpha$ , um welchen sich die Welle beim Aufheben des Hammers dreht:

$$\alpha^{\circ} = \frac{a}{r} \beta^{\circ} = 57,296^{\circ} \cdot \frac{a}{b} \cdot \frac{h}{r}.$$

Dieser Daumenwinkel  $\alpha$  muß in einem bestimmten Verhältnisse  $v = \frac{\alpha}{\psi}$  zum Theilwinkel  $EOF = \psi$ , welcher die Entfernung zwischen zwei benachbarten Daumen oder den sogenannten Zulauf derselben mißt, stehen.

Ist  $n$  die Hühigkeit der Welle oder die Anzahl der Daumen eines Hammers, so hat man auch

$$\psi = \frac{360^{\circ}}{n},$$

daher auch

$$\alpha = \psi v = \frac{360^{\circ} v}{n}.$$

Macht die Hammerwelle pr. Minute  $u$  Umdrehungen, so ist die Zeit eines Hammerspieles, von einem Angriffe bis zum andern:

$$t = \frac{60''}{n u},$$

und die eines Anhubes

$$t_1 = v t = \frac{60'' v}{n u}.$$

Wird nun der Hammer von dem Keitel fast momentan zurückgeworfen, sowie ihn der Daumen verlassen hat, so kann man die Zeit zum Zurückfallen und Ruhen des Hammers:

$$= t - t_1 = (1 - v) t = (1 - v) \frac{60''}{n u}$$

annehmen.

Da der Hammer in der Zeit  $t_1$  auf die Höhe  $h$  steigt, so läßt sich die Geschwindigkeit des aufsteigenden Hammers

$$v = \frac{h}{t_1} = \frac{n u h}{60 v}$$

und die Zeit zum Fallen des Hammers

$$t_2 = \sqrt{\frac{2h}{g} + \left(\frac{v}{g}\right)^2} - \frac{v}{g}$$

(s. §. 475) setzen.



Erreichte  
höchstens.

Nun ist aber zu fordern, daß  $t_2 < t - t_1$  sei, daher folgt

$$\sqrt{\frac{2h}{g} + \left(\frac{v}{g}\right)^2} < \frac{v}{g} + (1 - v)t,$$

oder

$$\frac{2h}{g} < \frac{2(1 - v)tv}{g} + (1 - v)^2 t^2,$$

oder, da  $tv = \frac{h}{v}$  ist,

$$\frac{2h}{g} \left(1 - \frac{1 - v}{v}\right) < (1 - v)^2 t^2,$$

und man hat folglich

$$\frac{v(1 - v)^2}{2v - 1} > \left(\frac{nu}{60}\right)^2 \frac{2h}{g}$$

zu fordern.

Jedenfalls ist hiernach  $2v > 1$ , oder  $v > \frac{1}{2}$ , schreiben wir daher  $v = 0,5 + \mu$ , so können wir annähernd

$$\frac{v(1 - v)^2}{2v - 1} = \frac{(0,5 + \mu)(0,5 - \mu)^2}{2\mu} = \frac{1}{16\mu}$$

setzen, also

$$\mu < \frac{1}{16} \cdot \left(\frac{60}{nu}\right)^2 \frac{g}{2h}$$

und

$$v < 0,5 + \frac{1}{32} \left(\frac{60}{nu}\right)^2 \frac{g}{h}$$

fordern.

Macht ein Hammer (Zerrennhammer) pr. Minute  $nu = 120$  Schläge von  $h = 1,5$  Fuß Hub, so ist hiernach

$$v < 0,5 + \frac{31,25}{32 \cdot 1,5} \left(\frac{60}{120}\right)^2 < 0,5 + 0,163,$$

d. i.

$$v < 0,663$$

zu machen.

Nimmt man dagegen für einen Reckhammer,  $nu = 240$  und  $h = 1$  Fuß an, so erhält man

$$v < 0,5 + \frac{31,25}{32 \cdot 1} \left(\frac{60}{240}\right)^2 < 0,5 + 0,061,$$

d. i.

$$v < 0,561.$$

Da der Hammer auch noch auf eine kleine Höhe frei steigt, ehe er den Keitel stößt und da ihm dieser wegen Mangels an vollkommener Elastizität auch nicht die volle Geschwindigkeit  $v$  zurückgibt, so ist

Sicherheit wenigstens  $v$  nicht größer als 0,5, oder praktischen Vorschriften zufolge (s. Tunner's citirte Schrift)

Schwanz-  
hammer.

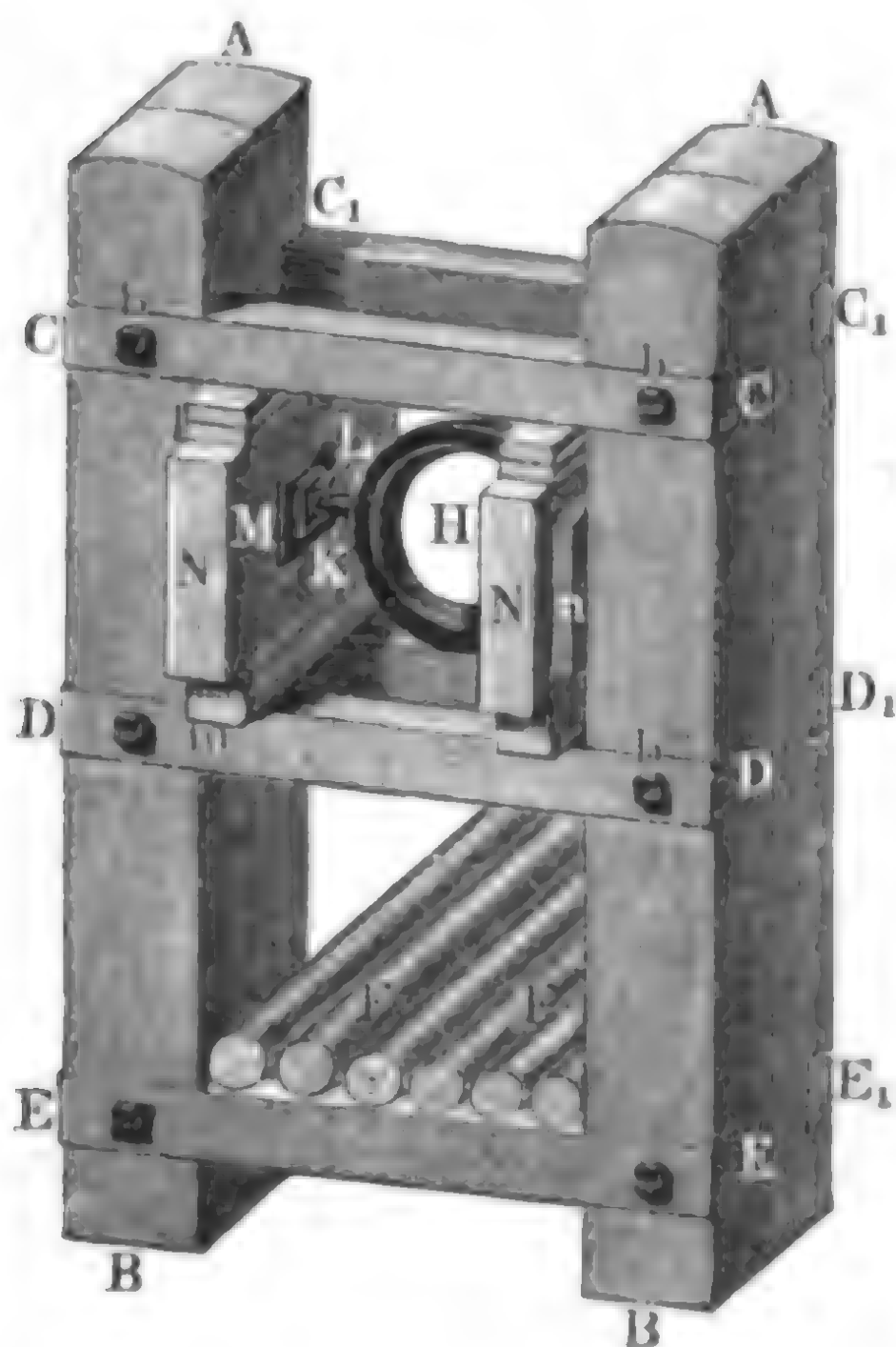
$$v = 0,4 = \frac{2}{5}$$

in Anwendung zu bringen.

§. 487. Das Hammergerüste (franz. l'ordon; engl. the frame) wird sehr gewöhnlich aus Holz, namentlich Lärchen- oder Fichtenholz, in der neueren Zeit aber auch nicht selten aus Gußeisen hergestellt. Die Haupttheile desselben sind die beiden Büchsen Säulen oder Gerüststöcke, wodurch der Drehungsaxe des Hammers die erforderliche fixe Lage gegeben wird. Hölzerne Gerüstsäulen, wie  $AB$ ,  $AB$ , Fig. 981, bestehen aus einem

hammer-  
gerüste.

Fig. 931.



Paar starker einfacher, oder aus zwei Stücken zusammengesetzter Stämme von 12 bis 14 Fuß Länge, welche reichlich zur Hälfte in den Grund versenkt werden. Diese Säulen sind unter einander durch drei Paar Gerüstbänder, wie  $CC$ ,  $C_1C_1$ ,  $DD$ ,  $EE$  u. s. w., und mittels starker Schraubensbolzen  $b$ ,  $b \dots$  fest zu verbinden. Um dem ganzen Gerüste die nöthige Stabilität zu verschaffen, wendet man in Steiermark eine sogenannte Schwerbrücke an, welche man aus 4 bis 8 Zoll dicken Holzstämmchen  $F$ ,  $F$  zusammensetzt. Diese Brücke legt man quer über die unteren Gerüstbänder  $EE$ ,  $EE$ , so daß sie noch 5 bis 6 Fuß an beiden Seiten vorstehen, und belastet man

durch Steinschotter und zwischenliegende Steinpflaster von 6 bis 8 Zoll Höhe. Die schmiedeeiserne Hammerhülse  $H$  kommt mittels ihrer konischen Zapfen oder Warzen, wie z. B.  $K$ , in die gußeisernen Büchsen oder Reint  $L$  zu liegen. Die hierzu dienenden konischen Löcher in denselben sind ungefähr  $\frac{3}{4}$  Zoll tief und äußerlich 2 Zoll weit. Um eine größere Druckfläche zu erhalten, setzt man sie nicht unmittelbar in die hölzernen Büchsenlager oder sogenannten Reintbeile  $N$ ,  $N$ , sondern erst in schmiedeeiserne Lager, wie  $M$  von 3 bis 4 Zoll Dicke und 8 bis 12 Zoll Seitenlänge ein. Man kann aber auch die Büchsen mit ihrem Lager aus einem



werken ruhen die Zapfen der Hammerwelle in Lagern von Gußeisen oder einer Metalllegirung, z. B. Hartblei, einer aus Blei und Antimon bestehenden Composition, und es werden diese Lager in hölzerne Angewäge (s. §. 8) eingesetzt, welche auf ein hölzernes Lagergerüste zu liegen kommen. Das Lagergerüste in der Nähe des Wasserrades besteht sehr gewöhnlich nur in einer aus Längens- und Querschwellen gebildeten Holzbank, wogegen das Lagergerüste in der Nähe des Daumentinges aus zwei 6 bis 7 Fuß tief in das Erdreich eingesetzten Zapfenstöcken besteht, welche durch zwei Paar Holzbänder mit einander verbunden sind und nach Befinden noch durch eine Schwerbrücke festgehalten werden. Diese Zapfenstöcke erhalten der Länge nach Löcher von  $\frac{1}{2}$  Fuß Breite und 3 Fuß Höhe, worin die Enden der Angewäge zu liegen kommen. Da die Welle beim Anschlagen eines Daumens gegen den Schwanz des Hammers an der Hammerseite eine bedeutende Reaction auszuhalten hat, so ist natürlich nöthig, das Zapfenlager noch mit einem Deckel zu versehen und den letzteren in ein besonderes Angewäge einzusetzen, welches, wie das des Zapfens, in den Löchern der Zapfenstöcke verkeilt wird.

Hammer-  
gerüste.

Bei eisernen Hammerwerken ruht die Hammerwelle auf gußeisernen Böcken, welche mittels Fuß- und Sohlplatten auf ein über ein Sohlgemäuer liegendes Schwellwerk aufgeschraubt werden (s. Fig. 20 in §. 8). Die Zapfenlager, welche entweder fest auf den Köpfen dieser Böcke sitzen oder auf diese aufgeschraubt werden, erhalten noch bronzene Lagerschalen und aufzuschraubende Lagerdeckel, wie Fig. 380 in §. 173, Band II, vor Augen führt.

§. 488. Die Umtriebsmaschine eines Hammerwerkes, insbesondere die eines Schwanzhammerwerkes, besteht entweder in einem Wasserrade oder in einer Dampfmaschine. Da die Schwanzlänge gewöhnlich ein Drittel der ganzen Helmlänge eines Schwanzhammers ist, so beträgt der Weg  $h_1$  des Schwanzendes pr. Hub auch nur die Hälfte des Hammerhubes  $h_0$ , macht man daher die Theilung oder den Bogenabstand  $s$  zwischen je zwei Daumen  $= \frac{5}{2}$  mal  $h_1$  (s. §. 486), so folgt

Umtriebs-  
maschine der  
Schwanz-  
hammer.

$$s = \frac{5}{2} \cdot \frac{1}{2} h_0 = \frac{5}{4} h_0,$$

und bezeichnet nun noch  $n$  die Hübigkeit der Hammerwerke oder die Anzahl der Daumen eines Hammers, sowie  $r$  den Theilkreishalbmesser oder den Halbmesser des Daumentkreises, so ist

$$2 \pi r = ns = \frac{5}{4} n h_0$$

und daher

$$r = \frac{5}{4} \frac{n h}{2 \pi} = 0,2 n h_0.$$

Umrlebs-  
maschine der  
Schmied-  
hämmer.

Für  $h_0 = 1$  Fuß ist  $r = 0,2n$ , und für  $h_0 = 1,5$  Fuß,  $r = 0,3n$ .

Hiernach ist nun für  $n = 6$ , der erforderliche Halbmesser des Daumenkreises:

$$r = 0,2 \cdot 6 = 1,2 \text{ bis } 0,3 \cdot 6 = 1,8 \text{ Fuß,}$$

und für  $n = 8$ :

$$r = 0,2 \cdot 8 = 1,6 \text{ bis } 0,3 \cdot 8 = 2,4 \text{ Fuß.}$$

Um keine zu große Auffattelung der Welle nöthig zu haben, macht man  $r$  nicht über 2,5 Fuß und daher die Hühigkeit der Welle höchstens  $= 12$ . Aus der verlangten Anzahl  $n_1$  der Hammerschläge pr. Minute und der Hühigkeit  $n$

folgt nun die Anzahl der Umdrehungen der Hammerwelle pr. Minute,  $u = \frac{n_1}{n}$ ,

z. B. für  $n_1 = 120$  und  $n = 8$ ,  $u = 15$ , dagegen für  $n_1 = 240$  und  $n = 12$ ,  $u = 20$ .

Den kleinsten Halbmesser eines überschlägigen Wasserrades,  $a = 5$  Fuß angenommen, folgt nun hiernach die kleinste Umfangsgeschwindigkeit desselben, wenn es unmittelbar auf die Heblingswelle aufgesetzt wird:

$$v = \frac{\pi u a}{30} = 0,1047 \cdot 15 \cdot 5 = 7,851 \text{ Fuß.}$$

Läßt man das Aufschlagewasser mit der Geschwindigkeit  $c = 2v = 15,7$  Fuß in das Rad einreten (s. Band II, §. 157), so folgt das nöthige Gefälle zur Erzeugung dieser Geschwindigkeit:

$$h_2 = \frac{c^2}{2g} = 0,016 \cdot 15,7^2 = 3,94 \text{ Fuß.}$$

Da von diesem Gefälle durch den Stoß des Wassers im Rade nur die Hälfte, also  $\frac{1}{2} h_2 = \frac{1}{2} \frac{c^2}{2g} = 1,97$  Fuß nutzbar gemacht wird, so bleibt vom ganzen Gefälle  $h$  des Rades nur das nutzbare Gefälle  $h - \frac{1}{2} h_2 = h - 1,97$  Fuß übrig. Um bei der großen Eintrittsgeschwindigkeit  $c = 15,7$  Fuß des Wassers dasselbe nach vollbrachtem Stöße so viel wie möglich im Rade zurückzuhalten, ist es nöthig, das Rad, namentlich an der Eintrittsstelle, mit einem Mantel, wie Fig. 421, §. 207, Band II, zu umgeben, um so mehr, da bei der großen Umdrehungszahl  $u$  (15) des Rades, auch die Centrifugalkraft des Wassers in demselben eine sehr große ist.

Es ist für den größten Werth der Neigung  $\chi$  des Wasserspiegels in den Radzellen (s. Band II, §. 166)

$$\begin{aligned} \sin. \chi &= \frac{a}{k} = \frac{\omega^2 a}{g} = \left( \frac{\pi u}{30} \right)^2 \frac{a}{g} = \frac{\pi u v}{30 g} = \frac{0,1047 \cdot u v}{g} \\ &= 0,00335 u v = 0,00335 \cdot 15 \cdot 7,851 = 0,3945, \end{aligned}$$

wonach  $\chi = 23^\circ 14'$  folgt.

Hiernach ist nun leicht zu ermessen, daß sich bei dieser großen Neigung der Oberfläche des Wassers in den Radzellen noch ein großer Theil des Wassers



der Wirkung im Rade entziehen wird und schließlich die Nutzleistung eines solchen überschlägigen Hammerrades nicht oder wenigstens nicht ansehnlich größer ausfallen wird, als die eines einfachen unterschlägigen Hammerrades, zumal wenn man dasselbe mit hohlen Blechschaufeln ausrüstet. Ponceletäder (s. Band I, §. 200) und Turbinen mit horizontaler Ase und theilweiser Beaufschlagung eignen sich bei Gefällen von 6 bis 12 Fuß besonders zum directen Betrieb von Hammerwerken, weil dieselben bei gehöriger Anordnung und Construction 15 bis 30 Umdrehungen pr. Minute machen, welche auch die Hammerwelle zu machen hat. Dagegen lassen sich die gewöhnlichen ober- und mittelschlägigen Wasserräder nicht unmittelbar auf die Daumenwelle eines Schwanzhammers aufsetzen, sondern es ist hier ein Vorgelege nöthig, welches die Umdrehungsgeschwindigkeit mindestens verdoppelt. Ein solches Vorgelege besteht aus einem größeren und einem kleineren Rade, wovon das erstere auf die Wasserrad- und das andere auf die Hammerwelle zu setzen ist. Ist z. B. die Umdrehungszahl des Wasserrades,  $u_1 = 6$  und soll die der Hammerwelle,  $u = 18$  sein, so hat man die Umdrehungsgeschwindigkeit durch das Zahnräderwerk zu verdreifachen und daher dem Zahnrade auf der Wasserradwelle drei Mal so viel Zähne zu geben, als dem Zahnrade auf der Daumen- oder Hammerwelle. Damit die Zähne dieser Vorgelegsräder durch die Stöße beim Aufschlagen der Daumen auf den Schwanz des Hammers nicht beschädigt oder zerbrochen werden und das Wasserrad möglichst gleichförmig umgehe, ist es noch nöthig, ein Schwungrad auf die Hammerwelle aufzusetzen.

Umtriebs-  
maschine der  
Schwanz-  
hammer.

Da endlich die einfachen kleineren Hochdruckdampfmaschinen pr. Minute 30 bis 40 Spiele machen (s. Band II, §. 470), so lassen sich die Hammerwellen mittels des gewöhnlichen Krummzapfenmechanismus durch solche Dampfmaschinen in Umtrieb setzen. Gewöhnlich bedient man sich dann zum Umtriebe eines Schwanzhammers einer Dampfmaschine mit oscillirendem Cylinder (s. Fig. 722, §. 437, Band II). Es ist dann die Hammerwelle mit einem Krummzapfen versehen, welcher von der Kolbenstange des oscillirenden Dampfcylinders unmittelbar umgedreht wird, und zur Ausgleichung der veränderlichen Wirkung der Kraft und Last noch ein Schwungrad auf die Hammerwelle aufgesetzt.

§. 489. Ein eigenthümliches unterschlägiges Hammerad, welches bei steiermärklischen Hammerwerken angewendet wird, beschreibt der Herr Sectionsrath Tunner in der Schrift »Die Stabeisen- und Stahlfabrikation in Frischherden u. s. w.« Ein solches Wasserrad hat keine Arme, sondern besteht in der Hauptsache in einer Aufsatte der Hammerwelle (s. §. 464), auf deren Umfang die Schaufeln eingezapft sind. Diese Aufsatte wird aus Holzstücken von  $1\frac{1}{2}$  bis 2 Fuß Länge zusammengesetzt, welche an den

Steiermär-  
klisches Ham-  
merrad.



Steiermär-  
kisches Ham-  
merrad.

Seiten so zugerichtet sind, daß ihre Querschnitte sogenannte Ringstücke (s. Ingenieur Fig. 52, Seite 88) bilden, und daß sie, gehörig in einander gezwängt, die Welle in zwei dicken Reifen umschließen.

Um ein Fortrutschen des Sattels auf der Welle zu verhindern, giebt man der letzteren an der Stelle der Auffattelung einen eckigen Querschnitt oder nagelt die unteren Sattelhölzer auf den Umfang der Welle auf. Diesen Holzsattel umgiebt man außen mit zwei starken Eisentringen und verkeilt man mit Keilen aus Lärchenholz, welche man in die Masse des Holzes eintreibt. Endlich stemmt man am Umfange des Sattels zwischen den beiden Radreifen die Löcher für die Zapfen aus, wodurch die Radschaufeln mit dem Sattel verbunden werden. Um eine größere Umdrehungsmasse zu erhalten, wodurch bekanntlich die Ungleichförmigkeit der Umdrehungsbewegung herabgezogen wird, rüstet man mit besonderem Vortheile die Hammerräder mit gußeisernen Schaufeln aus, und um die Wirkung des Wassers durch Stoß zu vergrößern, giebt man diesen Schaufeln gleich beim Guß die nöthige Krümmung. Daß solche löffelförmige Schaufeln dem Wasser ein größeres Arbeitsvermögen entziehen, als ebene Schaufeln, ist schon aus der allgemeinen Hydraulik (s. Band I, §. 460, oder die Experimentalydraulik §. 47 und §. 51) bekannt.

Um die hydraulischen Nebenhindernisse bei der Zuführung des Wassers möglichst herabzuziehen, muß man das Schußgerinne möglichst kurz machen, oder die Schußmündung möglichst nahe an das Rad legen und deshalb im Aufschlaggerinne durch Anwendung eines abschüssigen Bodens einen Wassersack bilden. Damit sich endlich bei ihrer großen Tiefe unter dem Wasserspiegel die Schüße leicht ziehen lasse, läßt man diese nur an der oberen Kante aufliegen und hält deren unteres Ende durch zwei lange eiserne Zugstangen fest, deren Richtungen einen stumpfen Winkel von 93 bis 95 Grad mit der Ebene des Schußbrettes einschließen (s. Fig. 421, §. 207, Band II). Um den Spielraum des Rades im Kropfe (Watursch) so viel wie möglich vermindern zu können, macht man denselben aus Gußeisen. Sind dann auch noch die Radschaufeln von Eisen, so kann man die Weite dieses Spielraumes auf  $\frac{1}{2}$  Zoll herabziehen.

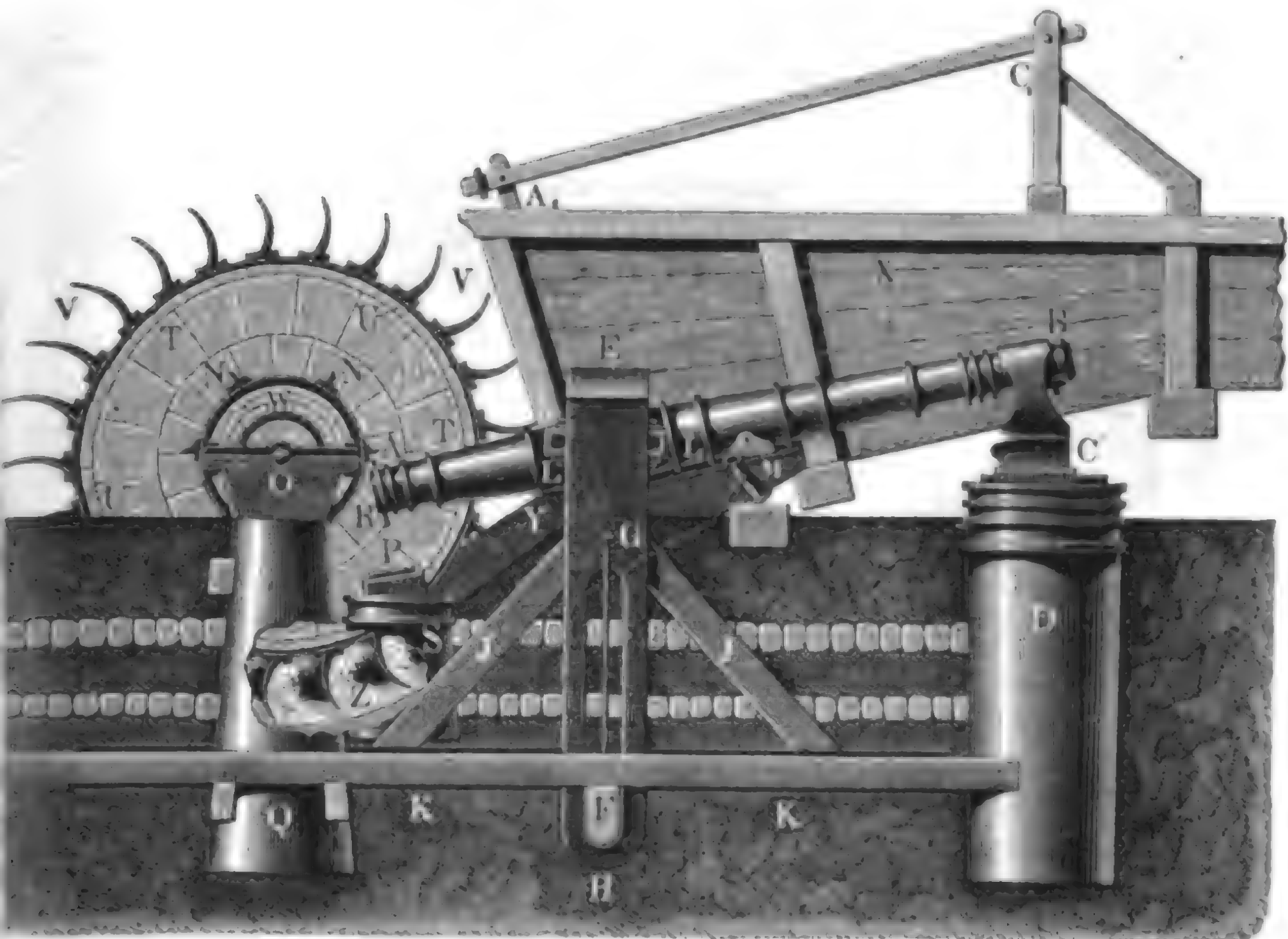
Steiermär-  
kisches Ham-  
merrad.

Die Anordnung und wesentliche Einrichtung eines steiermärkischen Schwanzhammers neuer Construction sammt Wasserrad u. s. w. ist aus Fig. 983 zu ersehen. Es ist *AB* das Hammerhelm, *C* der Amboß, *D* die Chabotte oder der Amboßstock, *EF* die eine von den beiden gußeisernen Büchsen Säulen, welche durch ein eisernes Querkaupt *E*, durch einen Querbalken *F* und durch eine schmiedeeiserne Gabel, deren Zinken *GH* die Enden des Balkens *F* erfassen, mit einander verbunden sind. Auf dem Balken ruhen die Brückenhölzer *KK*, welche die sogenannte Schwerbrücke bilden, und um die

Stabilität der Büchsenfüße noch zu erhöhen, werden dieselben zugleich durch die Spreizen *J, J* gestützt, welche unten in denjenigen Brückenhölzern eingelassen sind, die an den inneren Seiten der Säulensfüße anliegen. Noch sieht man

Stelen-  
märtisches  
Hammerwerk.

Fig. 983.



in *LL* die Enden der Büchsen und in *M* den sogenannten Bauer oder Knecht, wodurch der Hammer am Niederfallen verhindert wird, wenn es darauf ankommt, denselben in Stillstand zu versetzen, ohne die Hammerwelle in ihrer Bewegung aufzuhalten. Der Schwanzring *R*, welcher am Ende *A* des Hammerhelmes sitzt, wird von den Daumen *N, N...* der Hammerwelle *W* niedergedrückt und gegen die Reitelsplatte *P* im Reitelsstocke *S* gestoßen. Der auf der Hammerseite befindliche Zapfen der Hammerwelle *W* liegt in dem gesperrten Zapfenlager *O*, welches den Kopf der Zapfensäule *Q* bildet.

Die Umtriebsmaschine ist ein sogenanntes Stockrad und besteht aus dem hölzernen Sattel *TT*, den eisernen Reifen *UU* und den gekröpften eisernen Schaufeln *V, V*. Ferner ist *X* das Aufschlaggerinne und *Y* das daran anstoßende Schußgerinne, welches in den Kropf *Z* ausläuft, der in der Abbildung durch Ausschneiden des Zapfenstockes *Q* und des Reitelsstockes *S* sichtbar gemacht worden ist. Von der Schütze ist nur das Ende *A<sub>1</sub>* der Schützenstange und der um *C<sub>1</sub>* drehbare Schützenschwengel *A<sub>1</sub>C<sub>1</sub>* sichtbar;







Schwanz-  
hammer mit  
Dampfma-  
schinenbetrieb.

Lagern, wovon jedoch nur drei, nämlich *M*, *M* und *N*, abgebildet sind; endlich trägt diese Welle noch zwei Schwungräder, wie *LL*, von 5 Fuß Durchmesser und je 1100 Pfund Gewicht. Um den Hammer *B* plötzlich aufhalten zu können, ist noch eine Gabel *T* angebracht, welche mittels eines um die Ase *O* drehbaren Hebels *OP* und einer Zugstange *RS* aufgezogen wird. Diese Gabel ergreift dann das Hammerhelm und erhält den Hammer in seinem höchsten Stande, wobei der Schwanz *E* desselben gar nicht mehr von den Daumen *F*, *F* erreicht wird. Um den Hammer in Gang zu setzen, hat man dagegen den Hebel *OP* vorwärts zu bewegen; da sich dann die Gabel niederlegt, so hat der Hammer ein ungehindertes Spiel.

Noch sieht man in den Amboß, sowie in *Q*, den Chabottenstock des Hammerwerkes.

Aufwerf-  
hammer.

§. 491. Die sogenannten Aufwerfhammer werden vorzüglich zur Zängen der Luppen und Ausschmieden gröberer Eisensorten angewendet, wiewohl dazu auch die Schwanzhammer gebraucht werden können. Diese Hammer sind 400 bis 1000 Pfund schwer, haben 16 bis 24 Zoll Hut und machen pr. Minute 80 bis 130 Schläge; sie sind also schwerer als die gewöhnlichen Schwanzhammer zum Ausstrecken des Schmiedeeisens und gehen auch langsamer als diese, erhalten aber ebenfalls einen Stoßreitel, um die Zeit des Aufsteigens und Niederfallens soviel wie möglich abzukürzen. Das Hammerhelm eines Aufwerfhammers besteht gewöhnlich aus Buchenholz, ist 6 bis 8 Fuß lang, im Mittel 8 Zoll breit und 10 bis 12 Zoll dick. Dasselbe wird mit dem einen Ende im Auge der Hammerhülse und mit dem anderen im Auge des Hammers festgekeilt, und erhält bei zwei Drittel seiner Länge, von der Drehungsaxe aus gerechnet, für den Angriff der Wellen daumen eine schmiedeeiserne Bekleidung, welche das Helm ringförmig umgiebt und an der unteren Seite des Helmes ein ungefähr 6 Zoll breites Blech, das sogenannte Streichblech, bildet. Die Hammerhülse ist entweder von Guß- oder von Schmiedeeisen; sie hat ein 9 bis 12 Zoll weites Auge und zwei konische Zapfen von mindestens 3 Zoll Länge. Um möglichst kurze Daumen zu erhalten, ist es nöthig, das Hammerhelm dem Daumenkranz möglichst nahe zu rücken und daher den einen Zapfen der Hammerhülse so kurz wie möglich zu machen; auf der anderen Seite erfordert aber wieder der excentrische Angriff des Daumens, daß die Länge der Drehungsaxe des Hammers möglichst groß sei, und deshalb giebt man dem zweiten Zapfen der Hammerhülse eine größere Länge als dem ersten, auf der Seite der Hammerwelle befindlichen. Während das Ende des letzteren ungefähr 1 Fuß von der Mitte der Hülse absteht, giebt man dem Ende des zweiten vielleicht 2 Fuß Abstand von demselben Punkte.

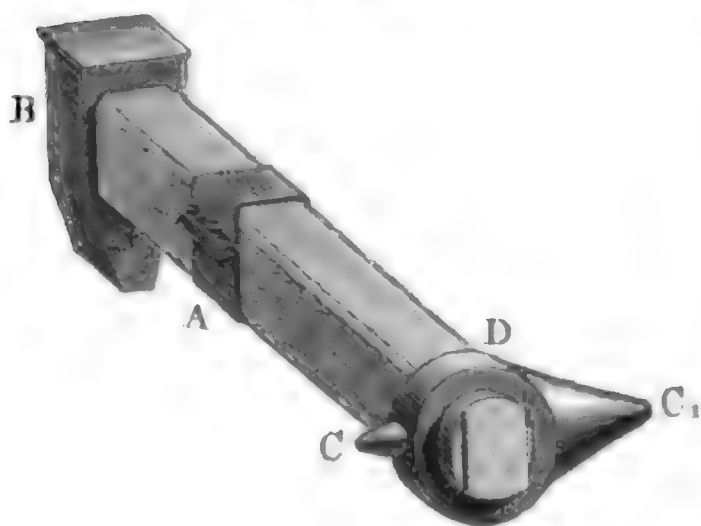
Die monodimetrische Abbildung in Fig. 986 führt einen armirten Auf-

werfhammer vor Augen. Es ist hier *B* der Hammer, *A* das Streichblech und *D* die Hammerhülse mit einem kurzen Zapfen *C* und einem langen Zapfen *C*<sub>1</sub>.

Aufwerf-  
hammer.

Zum Aufheben des Hammers dienen die Daumen oder Hebeköpfe. Die-

Fig. 986.

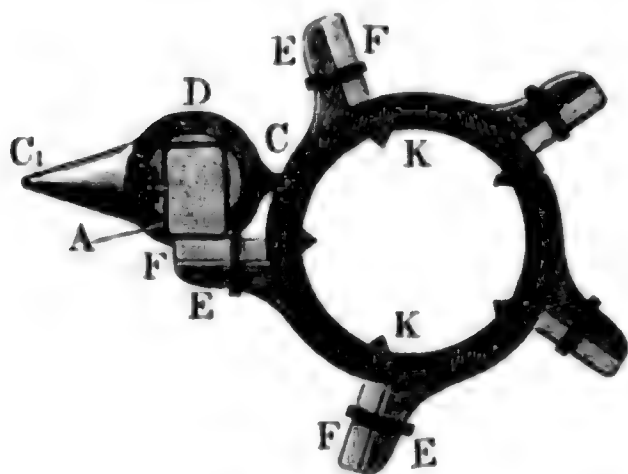


selben sind mit dem Well- oder Hebekranz aus dem Ganzen gegossen und werden mit hölzernen Futter, hölzern oder sogenannten Fröschen belegt, um den Stoß beim Ergreifen des Hammers zu mildern. Die Anzahl der Hebedaumen eines Wellkranzes ist gewöhnlich vier bis fünf, folglich die erforderliche Anzahl der Umdrehungen

der Welle, bei 100 Schlägen pr. Minute,  $= 100/4 = 25$  bis  $100/5 = 20$ . Um einen Schwanzhammer mit Vortheil durch ein überschlägiges Wasserrad, welches höchstens 10 Umdrehungen pr. Minute macht, in Umtrieb zu setzen, ist es daher nöthig, ein Zahnradvorgelege in Anwendung zu bringen, welches die Umdrehungszahl der Wasserradwelle verdoppelt bis verdreifacht.

Einen gußeisernen Wellkranz *KK'* mit fünf Daumen *E, E...*, welche mit den Fröschen *F, F...* bekleidet sind, stellt Fig. 987 dar, auch zeigt

Fig. 987.



diese Abbildung die Hammerhülse *CDC*<sub>1</sub> und das Streichblech *A*.

Die innere Weite dieses Wellkranzes ist  $2\frac{1}{4}$  bis  $2\frac{1}{2}$  Fuß, die Breite 6 Zoll, die Dicke 4 Zoll, die Länge eines Daumens nahe 1 Fuß, und das ganze Gewicht des armirten Wellkranzes 600 bis 700 Pfund.

Die beiden Zapfen der Hammerhülse bewegen sich in Büchsen von Gußeisen oder Rothguß, welche in von den Büchsen Säulen gebildeten Lagern ruhen und darin festgekeilt werden, ähnlich wie die Büchsen der Schwanzhammer.

Eigenthümlich ist aber der Keitel, der hier aus einem elastischen Holzbalken *HKL*, Fig. 988 (a. f. S.), besteht, an welchen der Hammer *B*





den beiden Büchsen Säulen (CS) hindurch und verbindet die letzteren an ihren oberen Enden (S) mit dem Drahmbaum, bei anderen Aufwerfhämmern, namentlich bei solchen mit eisernen Hammergerüsten, dienen die Büchsen Säulen zugleich mit als Reitelsäule. Ein solches Hammerwerk beschreibt Gerstner im dritten Bande seiner Mechanik. Man hat auch Schwanzhämmer mit Balkenreitern ausgerüstet (s. Karsten's Eisenhüttenkunde, auch die praktische Eisenhüttenkunde von Walter de St. Ange); es ist jedoch hiervon ein mechanischer Vortheil nicht zu erwarten, da diese Reiter durch ihre Schwingungen namhafte Arbeitsverluste verursachen.

Das Hammergerüste der Aufwerfhämmer wird in dem Erdboden durch einen aus mehrfachen Längen- und Querschwellen bestehenden und auf Pfählen ruhenden Rost befestigt und der Ambossstock wird auf einen besonderen Holzrost gesetzt. Um den Stoß auf den Querschnitt des Ambossstockes mehr zu vertheilen, setzt man den Amboss in eine kastenförmige Chabotte aus Gußeisen, welche in eine Vertiefung im Kopfe des Ambossstockes zu liegen kommt. Uebrigens ist natürlich der letztere noch mit eisernen Reifen zu umgeben, auch bedeckt man wohl noch die Stirnfläche desselben durch Eisenblech.

Endlich ist noch dafür zu sorgen, daß die Längsaxe der Hammer- und der Ambossbahn mit der Ase der Hammerwelle einen kleinen Winkel einschließt, damit beim Schmieden langer Eisenstäbe der Wellkranz kein Hinderniß in den Weg lege.

§. 492. Ein Aufwerfhämmer mit gußeisernem Hammergerüste nach schlesischer Construction (s. Karsten's Handbuch der Eisenhüttenkunde, Band V) ist in Fig. 989 (a. f. S.) abgebildet. Es ist hier *B* der Hammer, *BD* das Hammerhelm und *D* die Hammerhülse, sowie *WW* die Hammerwelle, *EEE* der aus fünf Hubdaumen bestehende Wellkranz und *HKL* der Reiterbalken sammt dem ausliegenden Sattelholze *H<sub>1</sub> K<sub>1</sub> L<sub>1</sub>*. Das gußeiserne Angewäge *F* der Hammerwelle ruht auf einem besonderen Holzroste *G* und der Ambossstock *X* wird durch ein von fünf Pfählen *Z* getragenes Schwellenkreuz *YY* unterstützt. Das übrige Hammergerüste ruht auf vier Querschwellen *O, O...*, wovon jede von zwei fest eingerammten Pfählen *P, P...* getragen wird.

Die beiden gußeisernen Gerüstsäulen *KUM* und *LVN*, welche den Reiter tragen und festhalten, bekommen ihre feste Stellung durch einen gußeisernen Kasten *QQ<sub>1</sub> RR<sub>1</sub>* von  $8\frac{5}{6}$  Fuß Länge, 5 Fuß Breite und  $5\frac{1}{4}$  Fuß Höhe, dessen Bodenplatte mittels vier Paar Schrauben *s, s...* auf den Schwellen *O, O...* befestigt wird. An diese Bodenplatte sind die Kästen *M* und *N* angegossen, welche die Füße der beiden Gerüstsäulen *KUM* und *LVN* aufnehmen. Der Kasten *M* hat bei einer Tiefe von 16 Zoll, eine dem



*ST* gehen nicht bis zur Fußplatte des Gerüstkastens herab, sondern stehen mit ihren Füßen auf der Deckplatte  $Q_1 R_1$  und zwar in 6 Zoll hohen Schuhen, welche von an diese Platte angegossenen Rippen  $t, t$  gebildet werden. Oben sind die Büchsen Säulen durch eine 5 Zoll dicke Kopfplatte *SS* mit einander verbunden, welche an dem Kopfe der Reitelsäule *KUM* angegossen ist und dazu dient, das Ausheben der Büchsen Säulen in Folge des Zapfendruckes der Hammerhülse beim Anheben des Hammers zu verhindern. Da die Säulensüße *T, T* in den Schuhen  $t, t$  festgekeilt sind, so sucht dieser Zapfendruck auch die Deckplatte an der vorderen Seite zu heben, und man verbindet deshalb dieselbe hier noch durch zwei Schraubenbolzen, wie  $b b$ , mit der Fußplatte des ganzen Gestellkastens  $Q Q_1 R_1 R$ . Die  $2\frac{1}{2}$  Fuß langen Köpfe *K* und *L* der Gerüstsäulen sind mit 2 Fuß hohen Kreuzlöchern versehen, welche nicht allein zur Aufnahme des Reitels *HKL*, sondern auch zur Lagerung der Reitelkeile dienen. Die Löcher zur Aufnahme des Reitels haben, wie der Reitel selbst, eine Breite von 1 Fuß dagegen ist das Reilloch in der Reitelsäule nur 7 Zoll und das in der Drahmsäule sogar nur  $5\frac{1}{2}$  Zoll weit. Uebrigens ist der Reitel sammt Sattelholz sowohl von oben als auch von unten in jeder der beiden Gerüstsäulen durch einen starken Holzkeil festgekeilt.

Aufwerthammer.

Die Büchsen sind aus Gußeisen, bilden niedrige, abgestumpfte, sechsseitige Pyramiden und sind, um sie beim Schadhastwerden auswechseln zu können, mit je drei Zapfenlöchern versehen. Die Büchsen Säulen erhalten zur Aufnahme der Büchsen 2 Zoll hohe sechsseitige Ansätze mit drei Zoll tiefen sechsseitigen Löchern.

§. 493. Die gewöhnlichen Stirn- und Brusthämmer dienen vorzüglich zum Zängen oder Zusammenschlagen der aus dem Puddelofen kommenden Luppen, seltener zum Ausschmieden von starken Paqueten und großen Maschinentheilen und arbeiten ohne einen Reitel. Sie sind in der Regel aus dem Ganzen gegossen, haben ein Gewicht von 50 bis 150 Centner und machen bei einem Hube von 1 bis 2 Fuß, pr. Minute 40 bis 90 Schläge. Das Hammerhelm ist ungefähr 8 Fuß lang, 1 Fuß breit und  $1\frac{1}{2}$  bis 2 Fuß hoch. Die Drehungsaxe des Hammers bildet mit dem Helme ein Ganzes und hat eine Länge von 4 bis 6 Fuß. Die Enden dieser Axe sind unten cylindrisch abgerundet und kommen in gewöhnliche offene Zapfenlager zu liegen, welche von gußeisernen Böcken getragen werden.

Stirnhammer.

Die Hammerbahn und die Streichplatte der Hebedaumen sind mit dem gußeisernen Hammerkörper besonders zu verbinden; es erhält deshalb der Hammerkopf nicht nur ein konisches Loch von 9 bis 12 Zoll mittlerer Weite, in welches ein mit der Hammerbahn ein Ganzes bildender konischer Zapfen eingesetzt wird, sondern auch eine oder zwei  $1\frac{1}{2}$  bis 2 Zoll weite

Stirn-  
hämmer.

Bohrungen, durch welche die Schraubenbolzen zu stecken sind, welche die Streichplatte mit dem Hammer fest verbinden.

Die Hebedaumen, deren Anzahl gewöhnlich 4 bis 5 ist, bestehen aus Gußeisen und werden in den auf der Hammerwelle aufgetheilten gußeisernen Daumenkranz eingesetzt, welcher zu diesem Zwecke mit den nöthigen Löchern versehen ist. Durch diese Hämmer erhält jede Puddelluppe 15 bis 30 Schläge; es reicht jedoch ein einziger Hammer aus, um 10 bis 13 Puddelöfen zu bedienen. In neueren Zeiten sind die Quetschwerke (franz. cingleurs, machines à cingler; engl. squeezers) statt der Stirnhämmer mehr in Anwendung gekommen.

Der Unterbau eines Stirn- oder Brusthammers besteht in einem Holzbette, welches aus dicht neben- und übereinander liegenden Längen- und Querschwellen gebildet wird und etwa 1000 bis 1500 Cubikfuß Raum einnimmt. Dieses Bett wird von gewöhnlich einer ungefähr 24 Fuß langen und 7 Fuß breiten Sohlplatte bedeckt, worauf dann sowohl die Lagerböcke für die Hammeraxe als auch der eine Lagerbock der Hammerwelle und der circa 100 Centner schwere gußeiserne Amboßstock zu stehen kommt. Nicht selten setzt man auch die Lagerböcke und den Amboßstock auf besondere Sohlplatten auf, auch führt man wohl den Amboßstock wie bei den anderen Hammerwerken, für sich bis auf den festen Grund herab. Endlich setzt man auch wohl das ganze Hammerwerk auf ein Fundament, welches aus einem hölzernen Schwellwerk und einer darüber liegenden Werksteinsmauer zusammengesetzt wird.

Die Bahnen des Hammers und des Amboßes bilden im Ganzen ein Rechteck von 15 bis 18 Zoll Länge und Breite; um aber den Hammer auch noch zum ersten Ausrecken des Eisens gebrauchen zu können, erhalten diese Bahnen noch eine T Rippe von 4 bis 6 Zoll Breite und ungefähr 2 Zoll Höhe.

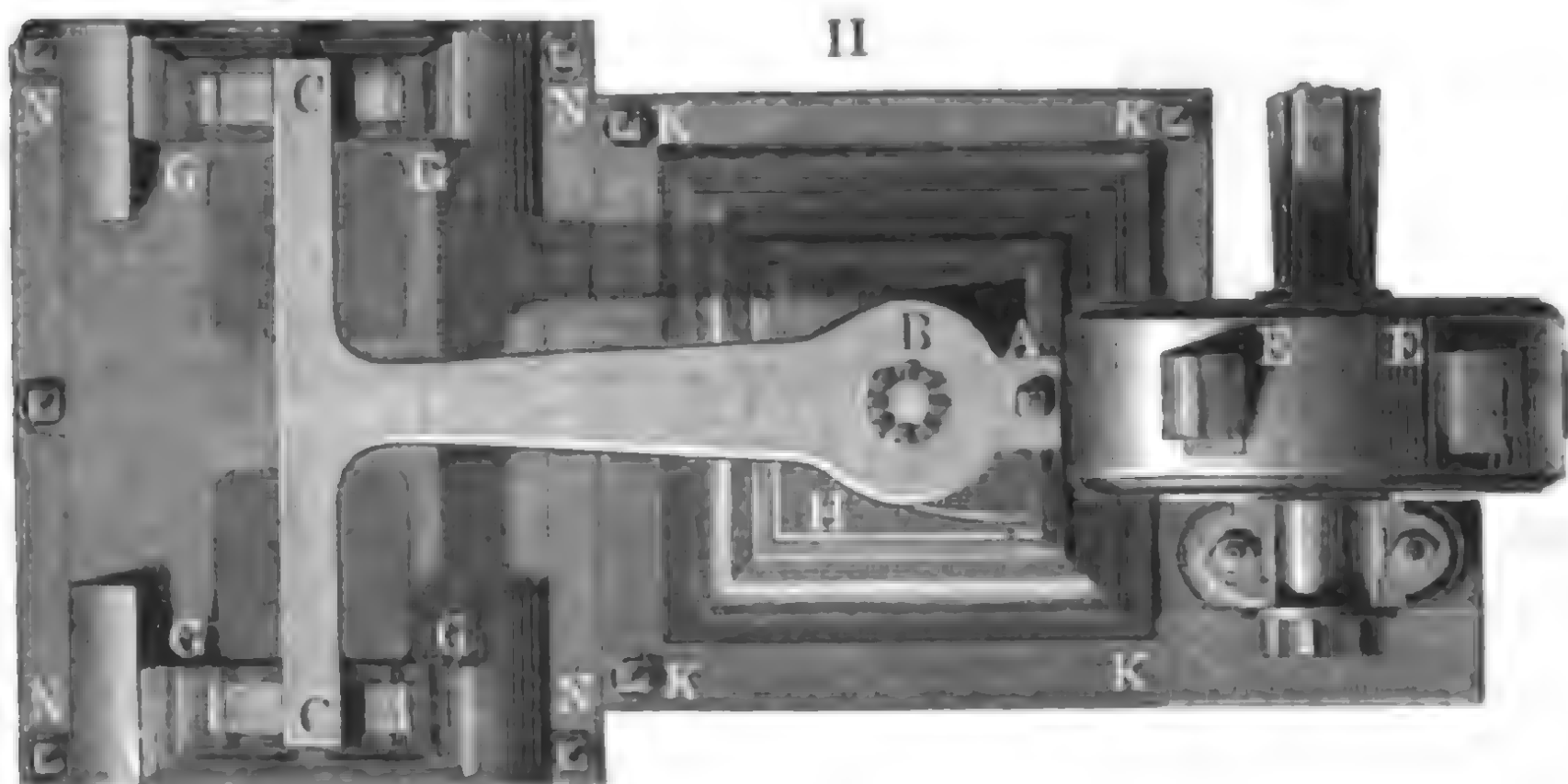
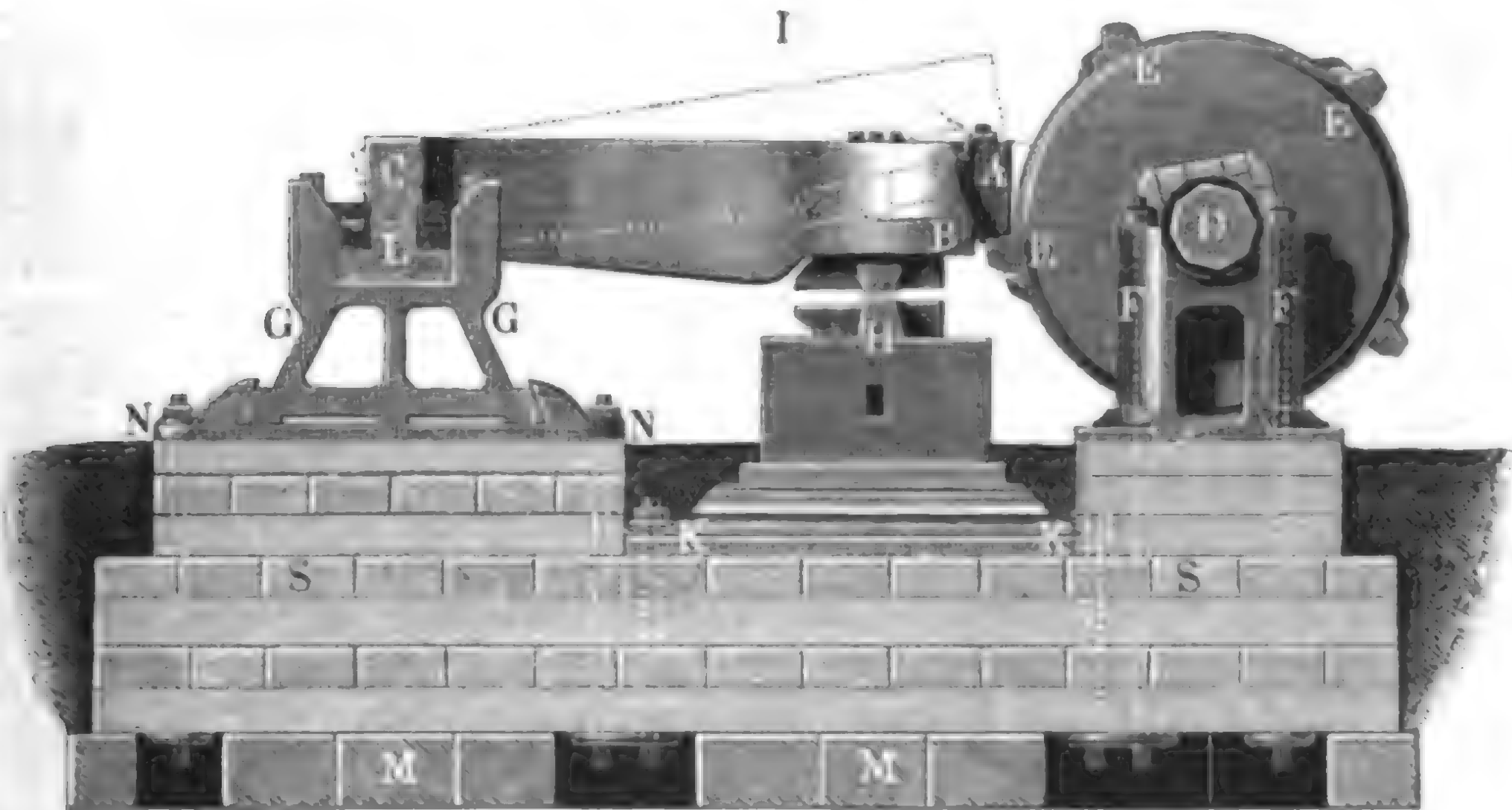
Ein gewöhnlicher Stirnhammer zum Zängen der Puddelluppen ist in Fig. 990 I. und II. und zwar durch I. im Auf- und durch II. im Grundriß abgebildet. Der Unterbau desselben besteht aus einem dichten Schwellwerke SS, welches auf einem aus Werksteinen aufgeführten Fundamente MM liegt. Die unterste Stelle auf diesem Schwellwerke nimmt der Amboßstock KHK ein, dessen besonders gegossene Fußplatte durch vier Schrauben K, K, K, K fest mit demselben verbunden wird; drei Schwellen höher ist der Lagerbock FF des Wellenzapfens D, sowie die Sohlplatte NN der Lagerböcke der Hammeraxe CC aufgeschraubt. Die Lagerböcke GG, GG werden zwischen vier an die Sohlplatte angegossenen Nasen auf dieser Platte festgekeilt. Die metallenen Lager (L), in welchen die Enden C, C der Are des Hammers ABCC aufruhend, liegen nicht unmittelbar auf dem Lagerständer, sondern auf einem eingeschobenen Lagerholz auf, und werden



auch durch Holzkeile zwischen den Lagerbacken festgekeilt. Die Hammerbahn *B* besteht aus verstähltem Schmiedeeisen und ist mit ihrem konischen Zapfen in dem ebenfalls konisch geformten Hammerkopf festgekeilt; die Streichplatte

Eisen-  
hammer

Fig. 990.



*A*, mittels welcher der Hammer von den Hebedaumen *E, E...* ergriffen wird, ist dagegen durch eine Schraube an den Hammerkopf befestigt. Der Amboss *H*, welcher wie der Hammer mit einer Kreuzbahn versehen ist, wird mittels eines Zapfens, welcher die Form einer vierseitigen abgestumpften Pyramide hat, in der Chabotte oder den mit ihr ein Ganzes bildenden Chabottenstock *K H K* eingesetzt. Der Wellkranz *E D E* ist auf den vierkantigen Theil der übrigens gerippten gußeisernen Hammerwelle aufgekeilt,





verändert den Hub eines solchen Hammers dadurch, daß man Streichstücke von verschiedener Dicke einsetzt. Ein solcher Hammer hat ein Gewicht von 80 bis 90 Centner und macht bei einem Hube von 14 Zoll, pr. Minute 85 bis 90 Schläge. Bruchhammer.

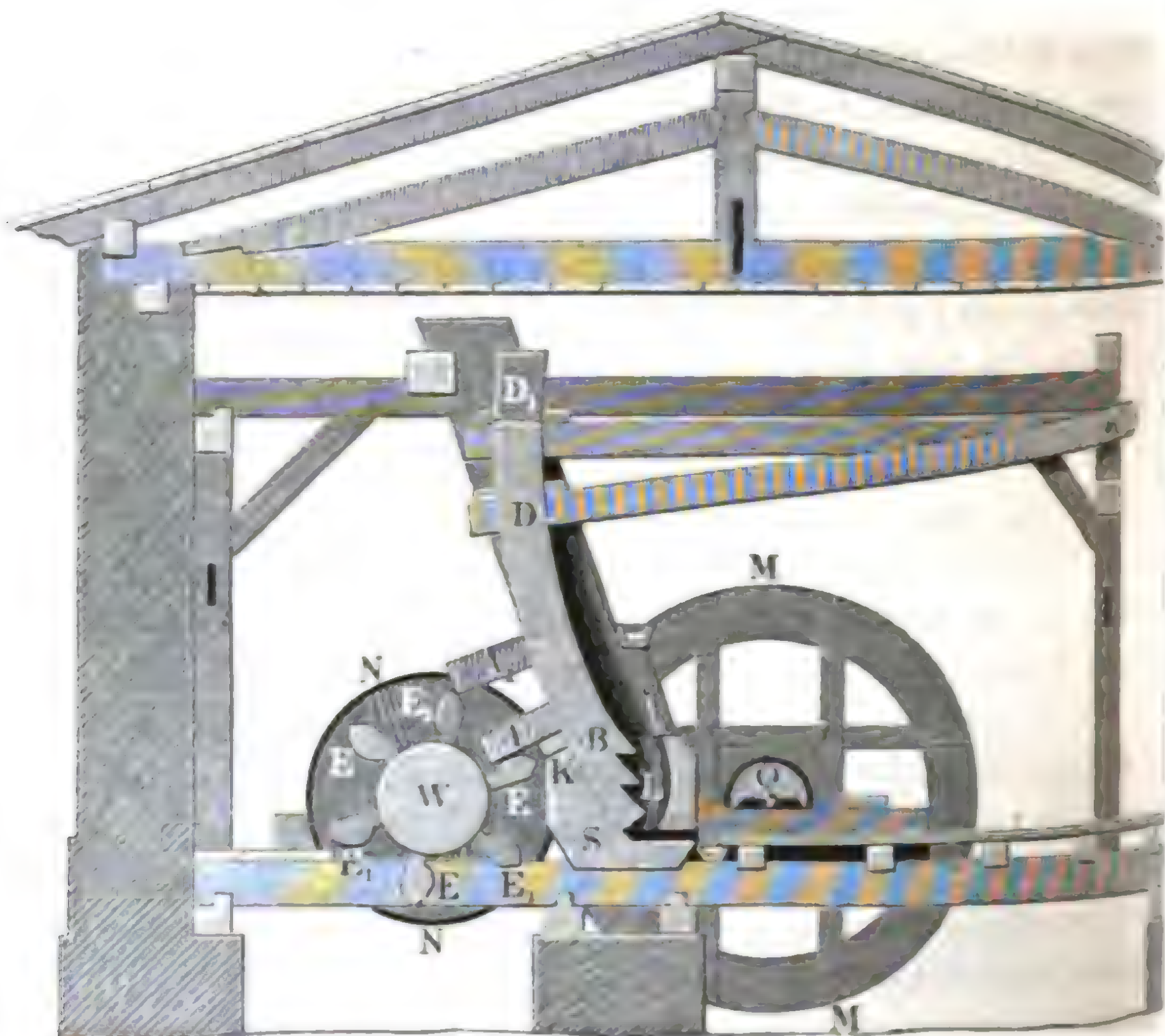
§. 494. Die Walkhämmer, welche zum Walken oder Versilzen des Tuches dienen, werden mittels einer liegenden Daumenwelle eben so emporgehoben wie die Stirnhämmer, nur liegen die Arme oder Stiele dieser Hämmer nicht horizontal, sondern es steigt in der Ruhelage die Linie von dem Fuß nach der Drehungsaxe des Hammers unter einem Winkel von 30 bis 45 Grad auf. Die Länge dieser Arme ist 6 bis 12 Fuß, ihre Breite 5 Zoll und Höhe 7 Zoll. Die Hämmer bestehen aus Holz und zwar gewöhnlich aus ausgelaugtem Eichen- oder Kiefernholz; sie haben eine Länge von 6 bis 8 Fuß, eine Breite (in radialer Richtung gemessen) von 8 bis 9 Zoll und eine Dicke von 6 bis 10 Zoll und sind nach dem aus ihrer Drehungsaxe beschriebenen Kreise gekrümmt. Ein armirter Walkhammer wiegt  $2\frac{1}{2}$  bis  $3\frac{1}{2}$  Centner, hat einen Hub von 16 bis 22 Zoll und macht pr. Minute 40 bis 60 Schläge. Es arbeiten jedes Mal zwei solche Hämmer neben einander in einem und demselben Walkloch, wobei sie im Anheben und Fallen mit einander abwechseln. Der Hebadaumen oder die Hebelatte wird entweder von dem durch den Hammerkörper hindurchgehenden äußeren Ende des Armes gebildet oder sie besteht in einem kurzen parallelepipedischen Körper, welcher auf die convexe Seitenfläche besonders aufgesetzt wird. Uebrigens dient die Hebelade nicht bloß zum Aufheben des Walkhammers mittels eines Hebblings, sondern auch zum Aufschlagen desselben auf die sogenannte Schlagleiste, wodurch verhindert wird, daß der Fuß des Hammers auf den Boden des Walkloches auftrifft und das dazwischen befindliche Tuch zerschlägt. Die Hubigkeit der Hebblingswelle ist gewöhnlich nur zwei bis drei, folglich die Anzahl der Hebblings der beiden Stempel, welche in einem und demselben Walkloche arbeiten, nur vier bis sechs. Hiernach folgt also die erforderliche Anzahl der Umdrehungen der Hebblingswelle pr. Minute, im Mittel  $= 40\frac{1}{2}$   $= 60\frac{2}{3} = 20$ , und es ist daher bei Anwendung eines oberschlägigen Wasserrades als Umtriebsmaschine, auch noch die eines Vorgeleges nöthig oder wenigstens sehr zweckmäßig. Eben so erfordern auch Roß- und Wind-Walkmühlen Vorgelege zur Umsehung der Geschwindigkeit, wogegen Walkmühlen mit unterschlägigen Wasserrädern und solche mit Dampfmaschinenbetrieb ein Vorgelege zur Umsehung der Umdrehungsgeschwindigkeit nicht bedürfen (vergl. §. 468 und §. 488). Walkhammer.

Das Walkloch ist entweder aus einem dicken Stücke Eichen- oder Föhrenholz, dem sogenannten Walkstocke, ausgenommen, oder es wird durch einen hölzernen oder mit Holz ausgefüllten eisernen Kasten, den sogenann-



ten Walkkasten, gebildet. In diesem Walkloche nimmt das zu walkende Tuch den vorderen und der Hammerfuß den hinteren Raum ein, damit der letztere das Tuch hinten niederziehe und vorn emportrabe, worauf es dann gehörig wende, erhält derselbe eine Art Verzahnung.

Die Abbildung in Fig. 992 stellt die Seitenansicht und theilweise den Querschnitt des Walkhammers dar.



Durchschnitt von zwei Walkhämmer, welche in einem und demselben Walkloche arbeiten, dar. Es ist  $BD$  der vordere Hammer,  $CD$  der um  $C$  drehbare Arm und  $A$  die Hebelatte desselben, ferner sieht man in  $S$  den Walkstock mit dem Walkloche  $L$  und der Schlagleiste  $K$ , sowie in  $W$  die dreihüblige Heblingswelle mit den Heblingen  $E, E, E$ . Von dem hinteren Hammer, welcher im höchsten Stande dargestellt ist, sieht man nur den Kopf  $D_1$ , den Arm  $CD_1$ , die Hebelatte  $A_1$  und die Heblinge  $E_1, E_1, E_1$ .

Die Welle  $W$  dient in der Regel zum Betriebe einer Walze mit mehreren Walkhämmer und hat folglich auch noch eine größere Anzahl von Heblingen als in der Abbildung dargestellt ist. Noch bemerkt man in  $O$  die Wasserradwelle und in  $MM$  das auf ihr sitzende Treibrad, sowie in  $NN$  das auf der Heblingswelle sitzende Getriebrad. Wenn die Hammer



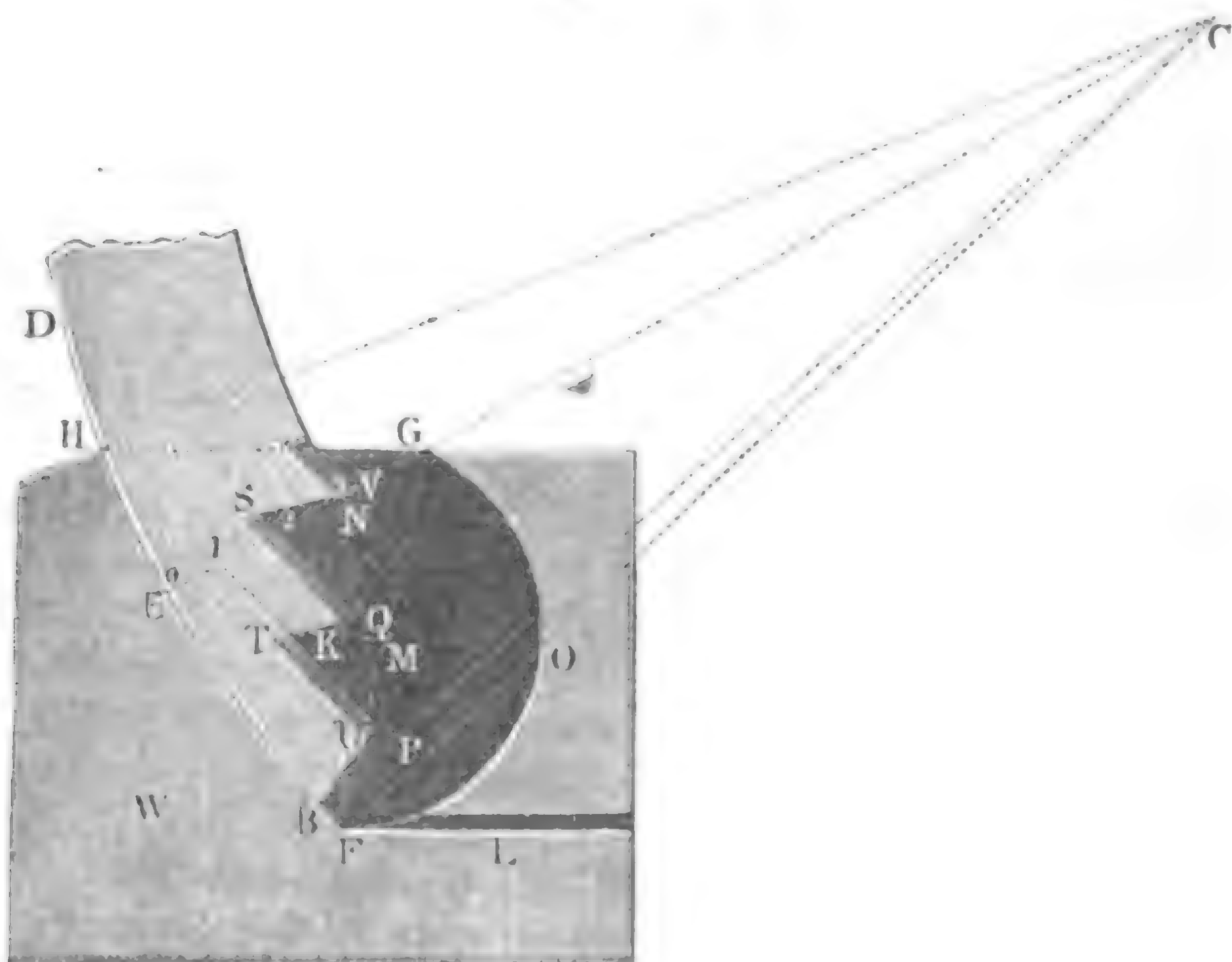
oder Zähnezahlen dieser beiden Räder im Verhältnisse ( $\frac{2}{1}$ ) zu einander Wasserzähler.  
stehen und die Wasserradwelle pr. Minute 8 Umdrehungen macht, so läuft  
hiernach die Heblingswelle pr. Minute  $2 \cdot 8 = 16$  Mal um und hebt  
jeden Stempel pr. Minute  $= 3 \cdot 16 = 48$  Mal auf.

Die Waschhämmer, welche man zum Waschen und Reinigen des Tuches verwendet, sind leichter als die Walkhämmer und bewegen sich in einem der Horizontallinie sich mehr nähernden Bogen, weswegen sie auch einen gelinderen Stoß ausüben, dagegen aber das Tuch schneller wenden. Die Form und Größe der Walklöcher, sowie die Art und Größe der Verzahnung der Hämmer sind in der Hauptsache nur nach empirischen Regeln anzugeben (s. G. G. Schwahn's Lehrbuch der prakt. Mühlenbaukunst, Abtheil. V. Berlin 1852).

Was die Balklöcher betrifft, so giebt man denselben eine Länge von 13 bis 20 Zoll und bestimmt die übrigen Dimensionen und Formen derselben nach folgender empirischen Regel.

Es sei  $C$ , Fig. 993, die Drehungsaxe und  $BD$  die äußere, convexe

Fig. 993.



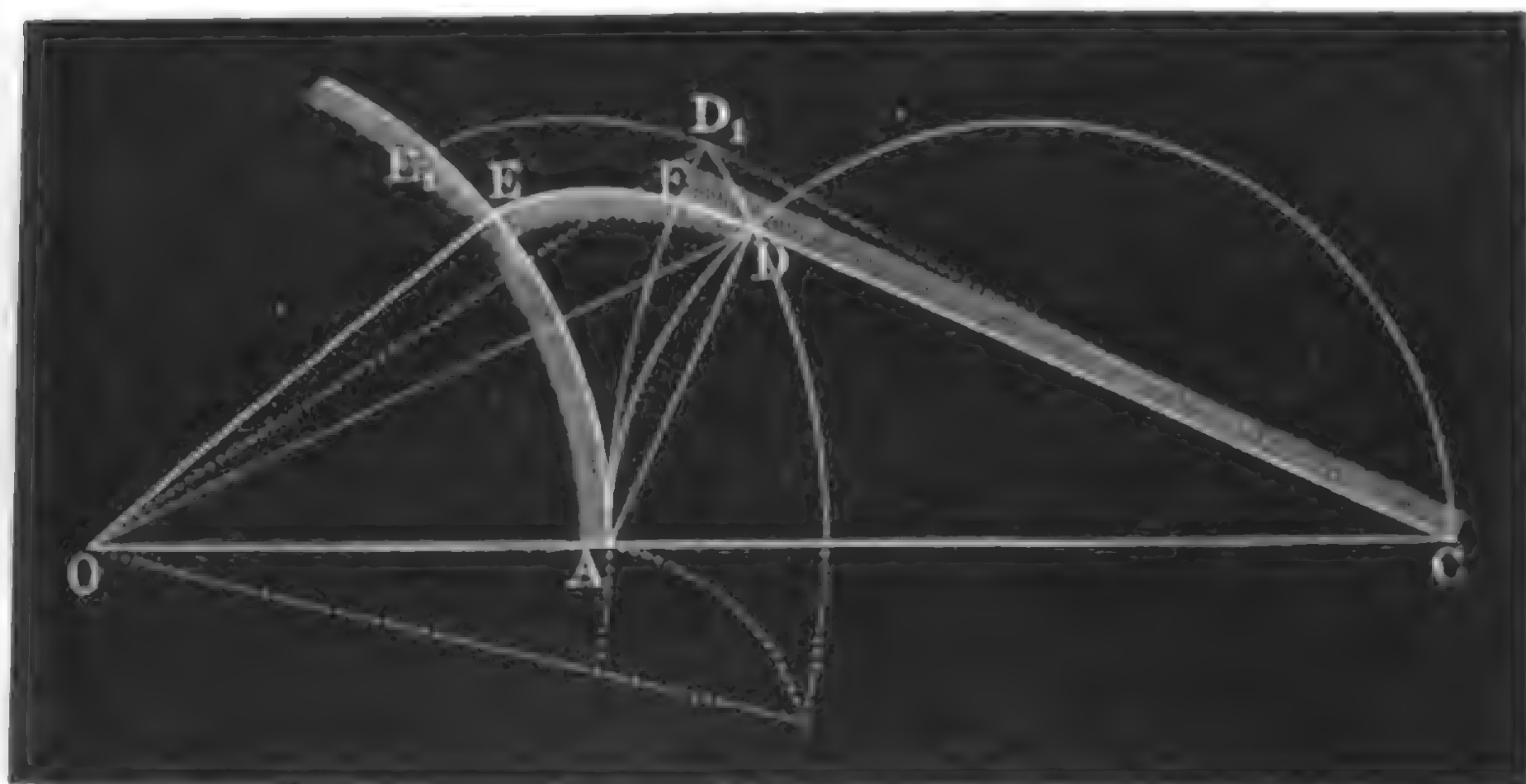
Seitenfläche des Walfhammers in seinem tiefsten Stande. Man verlängere noch den Bogen  $DB$  um  $BF = 2$  Zoll, schneide von  $F$  aus die Sehne  $FE$  und ebenso auch vom Radius  $CE$  das Stück  $EG = EF = 14$  Zoll ab. Nun ziehe man  $FG$ , halbire diese Linie in  $M$  und errichte in  $M$  auf  $FG$  eine Normale, endlich beschreibe man aus dem Durchschnitte  $K$  der letzteren mit einer



tenden Stirn- und Brusthämmern mit Vorsicht anzuwenden, weil sich der aus ihr hervorgegangene Daumen nicht sogleich vom Hammer entfernt, wenn er den Anhub desselben beendigt hat, und folglich auch der Hammer nicht sogleich ungehindert herabfallen kann. Die Wirkung des Daumens  $DE$ , Fig. 995, auf den Hammer ist beendigt, wenn sich das Hammerhelm  $CF$

Daumencon-  
struction.

Fig. 995.



im einen gewissen Winkel  $ACF = \beta$  gedreht und der Berührungspunkt auf demselben einen gewissen Weg  $FD$  zurückgelegt hat. Bezeichnet  $a$  die Längslänge  $CA$  des Hammers,  $r$  den Halbmesser  $OA$  und  $\alpha = \frac{a}{r} \beta$ , den Umdrehungswinkel  $AOE$  der Daumenwelle, so ist der Weg des Endpunktes beim freien Aufsteigen des Hammers:

$$FD_1 = FD \cotg. FD_1 D = \frac{a (1 - \cos. \beta)}{\tan g. FD_1 D},$$

annähernd

$$\begin{aligned} &= \frac{1/2 a \beta^2}{\text{arc. } ODF} = \frac{1/2 a \beta^2}{\alpha + \beta} = \frac{\beta}{\alpha + \beta} \frac{a \beta}{2} \\ &= \frac{r}{r + a} \frac{h_1}{2}, \end{aligned}$$

wenn man noch für  $a \beta$  den Weg oder Hub  $h_1$  des Kraftpunktes einführt. Ist noch  $v$  die Geschwindigkeit des Angriffspunktes im Augenblicke, wenn der Hammer frei zu steigen anfängt, so läßt sich die Steighöhe

$$FD_1 = \frac{v^2 \cos. \beta^2}{2g} \text{ annähernd } = \frac{v^2}{2g}$$

nehmen, so daß die Bedingungsgleichung

$$\frac{v^2}{g} = \frac{r}{r + a} h_1,$$

r

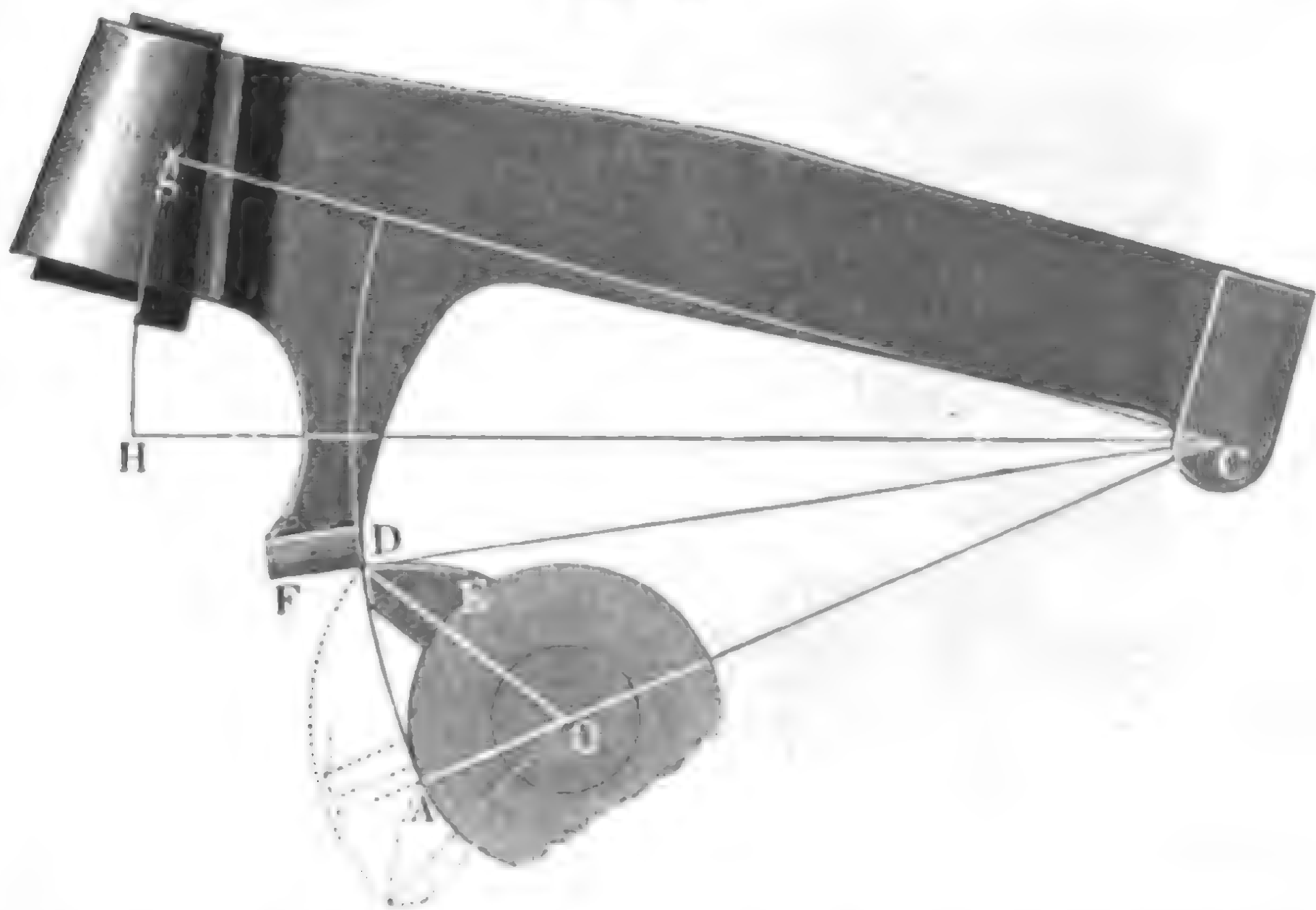




Von den Maschinen, welche zur Formveränderung der Körper dienen. 1315

Umdrehungsbare *O* parallel laufenden Kante *D* berühren, welche daher auch schneller abgeführt wird als die Oberfläche des Wellbaums, so daß es deshalb nöthig ist, den Hammerbaumen oder die Streichplatte öfter auszuwechseln als den Wellbaumen.

Damit der Hammer CS, Fig. 996 und Fig. 997, durch sein Gewicht  
Fig. 997.



möglichst direct und also auch möglichst stark auf das untergeschobene Metall schlage, muß man ihn so lagern, daß der Schwerpunkt  $S$  desselben im Augenblicke des Aufschlagens mit der Drehungsaxe  $C$  in gleicher Höhe liege. Damit ebenso der Wellbaumen  $DE$  die Last des Hammers möglichst direct aufhebe, legt man auch den Angriffspunkt  $D$  mit  $C$  und  $S$  in gleiche Höhe, d. i. in die Richtung der Geraden  $CS$ , wie z. B. Fig. 996 vor Augen führt. Diese Regel ist jedoch bei dem Brusthammer (Fig. 997) mit massivem Stiel nicht anwendbar, wo die Daumenwelle  $AOE$  tief unter das Hammerhelm gelagert werden muß, um demselben den nöthigen Platz zu verschaffen. Es ist dann der Zapfendruck  $R$  nicht mehr die Differenz zwischen der Kraft  $P$  und der Last  $Q$  (s. §. 484), sondern die Diagonale aus  $P$  und  $Q$ , und daher größer als in dem Falle, wenn  $C$ ,  $D$  und  $S$  in einer geraden Linie liegen.

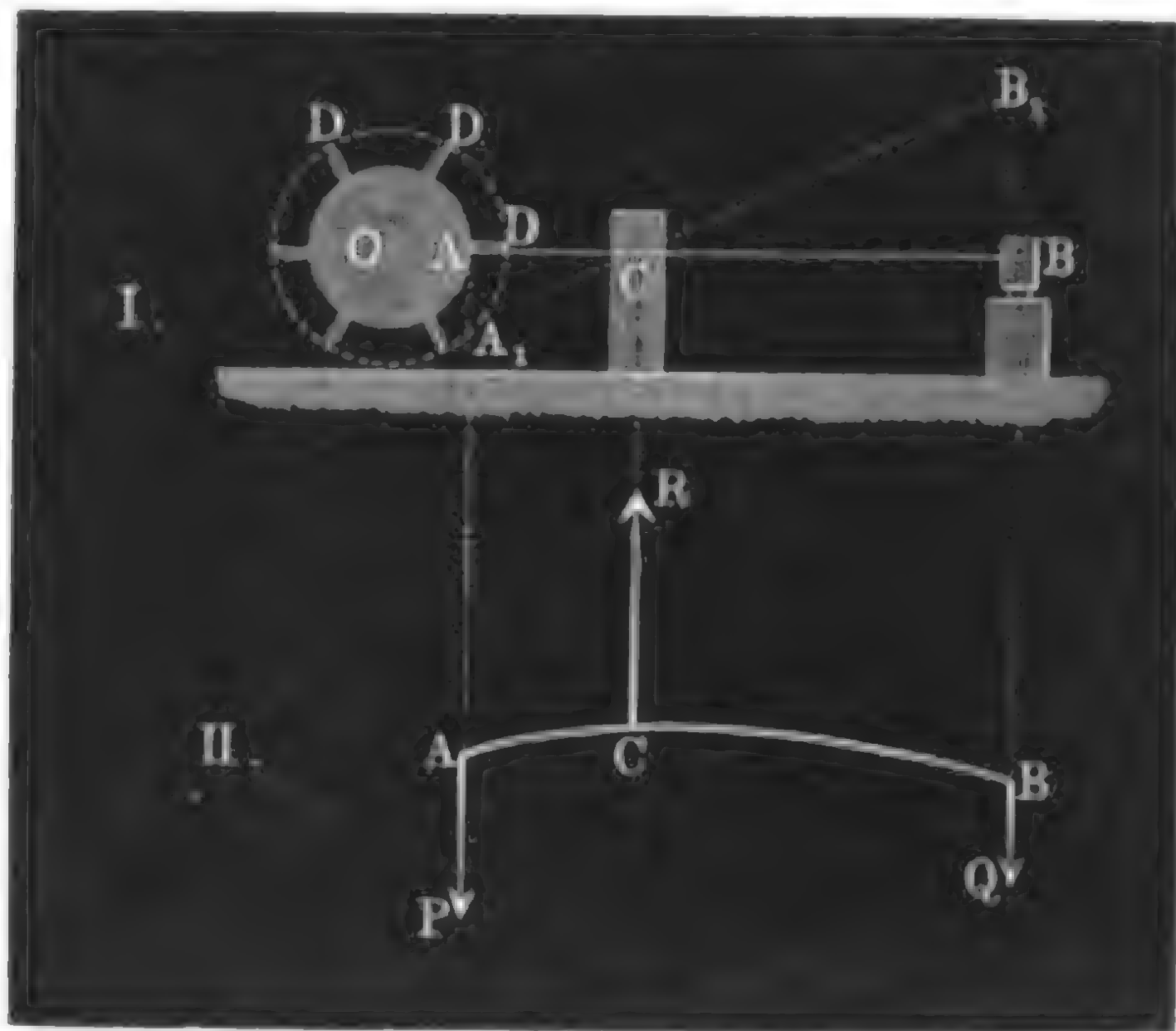
Bei dem gewöhnlichen Aufwerfhammer ist die Daumencurve  $DE$ , Fig. 998 (a.f.S.), die von der mittleren senkrechten Hublinie  $AD$  beschriebene Kreisevolvente, und die Oberfläche des Welldaumens eine windschiefe Fläche  $D_1ED_2$ , welche entsteht, wenn sich eine gerade Linie längs der Curve  $DE$  bewegt und dabei so dreht, daß sie allmählig aus der Lage parallel zur Ase  $O$  der Welle in die Lage der nach der Umdrehungsaxe  $C$  des Hammers gehenden Geraden  $CD$



$$P = \frac{G(b \sin. \beta + \varphi \varrho \beta)}{(a - \varphi \varrho) \beta}.$$

Statt der  
Fedelhammer-  
werke.

Führt man statt  $\beta$  den Hammerhub  $h = b \sin. \beta$  ein und setzt man  
Fig. 999.



annähernd  $\sin. \beta = \beta - \frac{\beta^3}{6} = \beta \left(1 - \frac{\beta^2}{6}\right) = \beta \left[1 - \frac{1}{6} \left(\frac{h}{b}\right)^2\right]$ ,  
so erhält man auch

$$P = \frac{G \left[ b \left(1 - \frac{1}{6} \sin. \beta^2\right) + \varphi \varrho \right]}{a - \varphi \varrho} = \frac{G \left( b \left[1 - \frac{1}{6} \left(\frac{h}{b}\right)^2\right] + \varphi \varrho \right)}{a - \varphi \varrho}.$$

Bei einem Stirnhammer ist der Axendruck  $R = G - P$ , daher  
 $Pa \beta = G b \sin. \beta + \varphi (G - P) \varrho \beta$ ,

und

$$P = \frac{G \left[ b \left(1 - \frac{1}{6} \sin. \beta^2\right) + \varphi \varrho \right]}{a + \varphi \varrho} = \frac{G \left( b \left[1 - \frac{1}{6} \left(\frac{h}{b}\right)^2\right] + \varphi \varrho \right)}{a + \varphi \varrho},$$

ferner bei den Brust- und Aufwerfhammern, wo  $P > G$  ausfällt,  
hat man

$$Pa \beta = G b \sin. \beta + \varphi (P - G) \varrho \beta,$$

und daher

$$P = \frac{G \left[ b \left(1 - \frac{1}{6} \sin. \beta^2\right) - \varphi \varrho \right]}{a - \varphi \varrho}.$$

Statt der  
Hebelhammer-  
werke.

Die erforderliche mechanische Arbeit zum langsamen Aufheben eines Schwanzhammers ist folglich

$$A_1 = Pa\beta = \frac{Ga(b \sin.\beta + \varphi \varrho \beta)}{a - \varphi \varrho},$$

annähernd

$$\begin{aligned} &= G(b \sin.\beta + \varphi \varrho \beta) \left(1 + \varphi \frac{\varrho}{a}\right) = G(h + \varphi \varrho \beta) \left(1 + \varphi \frac{\varrho}{a}\right) \\ &= \left(1 + \varphi \frac{\varrho}{a}\right) \left(1 + \varphi \frac{\varrho}{b}\right) Gh. \end{aligned}$$

Nimmt man in diesem Ausdrucke  $\varphi \frac{\varrho}{a}$  negativ, so gilt derselbe für den Stirnhammer, setzt man dagegen in ihm  $\varphi \frac{\varrho}{b}$  negativ, so entspricht derselbe den Brust- und Aufwerfhammern.

Diese Arbeit wird noch vergrößert durch die Reibung zwischen dem Hubdaumen und der Streichplatte. Bezeichnet  $r$  den mechanischen Halbmesser der Daumenwelle und  $h_1$  den Weg der letzteren bei jedem Anhub, so ist der Weg des Daumens auf der Streichplatte

$$s_1 = \left(\frac{1}{r} + \frac{1}{a}\right) \frac{h_1^2}{2} = \frac{1}{2} \left(\frac{1}{r} + \frac{1}{a}\right) \left(\frac{a}{b} h\right)^2,$$

daher die Arbeit der Reibung zwischen Daumen und Streichplatte:

$$A_2 = \varphi_1 P s_1 = \frac{\varphi_1}{2} \left(\frac{1}{r} + \frac{1}{a}\right) \left(\frac{a}{b} h\right)^2 P$$

und

$$A_1 + A_2 = \left(1 + \varphi \frac{\varrho}{a}\right) \left(1 + \varphi \frac{\varrho}{b}\right) \left[1 + \frac{1}{2} \varphi_1 \left(\frac{1}{r} + \frac{1}{a}\right) \left(\frac{a}{b}\right)^2 h\right] Gh.$$

Für den Brusthammer ist in diesem Ausdrucke  $\frac{1}{r} - \frac{1}{a}$  und für den Aufwerfhammer, wie bei konischen Räderwerken (s. S. 53),  $\sqrt{\left(\frac{1}{r}\right)^2 + \left(\frac{1}{a}\right)^2}$  statt  $\frac{1}{r} + \frac{1}{a}$  einzusetzen.

Ein anderes Nebenhinderniß besteht in der Zapfenreibung der Hammerwelle. Diese hängt nicht allein vom Gewichte  $G_1$  und dem Zapfenhalbmesser  $\varrho_1$  dieser Welle, sondern auch von dem Drucke  $P$  sowie von der Umdrehungskraft  $P_1$  und dem Hebelarme  $a_1$  derselben u. s. w. ab. Während der Schwanzhammer angehoben wird, dreht sich die Hammerwelle um einen Winkel  $\alpha = \frac{a}{r} \beta$ , macht folglich die Zapfenreibung den Weg

$$\alpha \varrho_1 = \frac{a}{r} \beta \varrho_1 = \frac{a}{r} \frac{h}{b} \varrho_1,$$

und während der Hammer fällt und ruht, also die Welle leer geht und sich

um einen gewissen, von Hühigkeit  $n$  der Heblingswelle abhängigen Winkel Statist der Hammerwerke.

$\psi - \alpha = \frac{2\pi}{n} - \alpha$  umdreht, legt diese Reibung den Weg

$$(\psi - \alpha) \varrho_1 = \left( \frac{2\pi}{n} - \frac{a}{r} \beta \right) \varrho_1 = \left( \frac{2\pi}{n} - \frac{a}{r} \frac{h}{b} \right) \varrho_1$$

zurück.

Ist nun die Richtung der Umdrehungskraft der Hammer- oder Daumenwelle unter dem Winkel  $\alpha_1$  gegen den Horizont geneigt, also der verticale Component derselben  $= P_1 \sin. \alpha_1$ , so läßt sich der Zapfendruck der Welle während des Anhebens  $= G_1 + P_1 \sin. \alpha - P$  und daher die Arbeit der Zapfenreibung

$$= \varphi (G_1 + P_1 \sin. \alpha_1 - P) \varrho_1 \alpha = \varphi \frac{a}{r} \frac{h}{b} \varrho_1 (G_1 + P_1 \sin. \alpha - P)$$

setzen.

Führt man noch für  $P_1$  den Näherungswerth  $\frac{Pr}{a_1}$  ein, so folgt dieser Arbeitswerth

$$= \varphi \frac{a}{r} \frac{h}{b} \varrho_1 \left[ G_1 - P \left( 1 - \frac{r \sin. \alpha_1}{a_1} \right) \right],$$

wogegen die Arbeit der Zapfenreibung während des Leerganges

$$= \varphi G_1 (\psi - \alpha) \varrho_1 = \varphi \left( \frac{2\pi}{n} - \frac{a}{r} \frac{h}{b} \right) \varrho_1 G_1$$

zu setzen ist, und es ist daher die Arbeit der Zapfenreibung während eines Hammerspieles:

$$\begin{aligned} A_3 &= \varphi \varrho_1 \left[ \frac{2\pi}{n} G_1 - \frac{a}{r} \frac{h}{b} \left( 1 - \frac{r \sin. \alpha_1}{a_1} \right) P \right] \\ &= \varphi \varrho_1 \left[ \frac{2\pi}{n} G_1 - \left( 1 - \frac{r \sin. \alpha_1}{a_1} \right) \frac{Gh}{r} \right]. \end{aligned}$$

Durch Addition der Arbeiten  $A_1$ ,  $A_2$  und  $A_3$  ergibt sich endlich die zu einem vollständigen Hammerspiele erforderliche mechanische Arbeit:

$$\begin{aligned} A &= \left( 1 + \varphi \frac{\varrho}{a} \right) \left( 1 + \varphi \frac{\varrho}{b} \right) \left[ 1 + \frac{1}{2} \varphi_1 \left( \frac{1}{r} + \frac{1}{a} \right) \left( \frac{a}{b} \right)^2 h \right] Gh \\ &\quad - \varphi \varrho_1 \left( 1 - \frac{r \sin. \alpha_1}{a_1} \right) \frac{Gh}{r} + \varphi \frac{2\pi \varrho_1}{n} G_1, \end{aligned}$$

oder schärfer

$$\begin{aligned} A &= \left( 1 + \varphi \frac{\varrho}{a} \right) \left( 1 + \varphi \frac{\varrho}{b} \right) \left[ 1 + \frac{1}{2} \varphi_1 \left( \frac{1}{r} + \frac{1}{a} \right) \left( \frac{a}{b} \right)^2 h \right] \\ &\quad \left[ 1 - \varphi \frac{\varrho_1}{r} \left( 1 - \frac{r}{a_1} \sin. \alpha_1 \right) \right] Gh + \frac{2\pi \varrho_1}{n} \varphi G_1. \end{aligned}$$

Macht die Hammerwelle pr. Minute  $u$  Umdrehungen und daher der Hammer pr. Minute  $nu$  Schläge, so folgt hiernach der Arbeitsaufwand des Hammerwerks pr. Secunde:



Statt der  
hammerwerk. I. 
$$L = \frac{nuA}{60} = \frac{nu}{60} \left(1 + \varphi \frac{\varrho}{a}\right) \left(1 + \varphi \frac{\varrho}{b}\right) \left[1 + \frac{1}{2} \varphi_1 \left(\frac{1}{r} + \frac{1}{a}\right) \left(\frac{a}{b}\right)^2 h\right]$$

$$\left[1 - \varphi \varrho_1 \left(\frac{1}{r} - \frac{\sin. \alpha_1}{a_1}\right)\right] Gh + \varphi \frac{\pi u \varrho_1}{30} G_1.$$

oder einfacher:

$$L = \frac{nu}{60} \left[1 + \varphi \varrho \left(\frac{1}{a} + \frac{1}{b}\right) + \frac{1}{2} \varphi_1 \left(\frac{a}{b}\right)^2 \left(\frac{1}{r} + \frac{1}{a}\right) h\right. \\ \left. - \varphi \varrho_1 \left(\frac{1}{r} - \frac{\sin. \alpha_1}{a_1}\right)\right] Gh + \varphi \frac{\pi u \varrho_1}{60} G_1.$$

Ohne Nebenhindernisse wäre natürlich der Arbeitsaufwand:

$$L_1 = \frac{nu}{60} Gh.$$

Für ein Stirnhammerwerk hat man:

$$\text{II. } L = \frac{nu}{60} \left(1 - \varphi \frac{\varrho}{a}\right) \left(1 + \varphi \frac{\varrho}{b}\right) \left[1 + \frac{1}{2} \varphi_1 \left(\frac{1}{r} + \frac{1}{a}\right) \left(\frac{a}{b}\right)^2 h\right] \\ \left[1 + \varphi \varrho_1 \left(\frac{1}{r} + \frac{\sin. \alpha_1}{a_1}\right)\right] Gh + \varphi \frac{\pi u \varrho_1}{30} G_1.$$

Für einen Brusthammer ist:

$$\text{III. } L = \frac{nu}{60} \left(1 + \varphi \frac{\varrho}{a}\right) \left(1 - \varphi \frac{\varrho}{b}\right) \left[1 + \frac{1}{2} \varphi_1 \left(\frac{1}{r} - \frac{1}{a}\right) \left(\frac{a}{b}\right)^2 h\right] \\ \left[1 + \varphi \varrho_1 \left(\frac{1}{r} + \frac{\sin. \alpha_1}{a_1}\right)\right] Gh + \varphi \frac{\pi u \varrho_1}{30} G_1.$$

und für einen Aufwerfhammer:

$$\text{IV. } L = \frac{nu}{60} \left(1 + \varphi \frac{\varrho}{a}\right) \left(1 - \varphi \frac{\varrho}{b}\right) \left[1 + \frac{1}{2} \varphi_1 \sqrt{\frac{1}{r^2} + \frac{1}{a^2}} \left(\frac{a}{b}\right)^2 h\right] \\ \left[1 + \varphi \varrho_1 \left(\frac{1}{r} + \frac{\sin. \alpha_1}{a_1}\right)\right] Gh + \varphi \frac{\pi u \varrho_1}{30} G_1.$$

Beispiel. Ein Stirnhammer habe ein Gewicht  $G = 10000$  Pfund er werde pr. Minute  $nu = 60$  Mal aufgehoben, wobei der Schwerpunkt jedes Mal auf die Höhe  $h = 1$  Fuß steigt, ferner sei die Länge seines Kraftarmes,  $a = 8$  die seines Lastarmes,  $b = 6$  Fuß, sowie der mechanische Halbmesser der Hammerwelle,  $r = 2$  Fuß, der Halbmesser des überschlägigen Wasserrades, welches die Daumenwelle direct in Bewegung setzt,  $a_1 = 10$  Fuß und das Gewicht desselben,  $G_1 = 40000$  Pfund; nehmen wir noch an, daß der mittlere Halbmesser der Drehungsare des Hammers,  $\varrho = \frac{1}{4}$  Fuß und der Zapfenhalbmesser der Daumenwelle,  $\varrho_1 = \frac{1}{2}$  Fuß betrage, daß der Coefficient der Zapfenreibung,  $\varphi = 0.1$  und der der gleitenden Reibung,  $\varphi_1 = 0.2$  sei, daß endlich die Umdrehungsare der Welle senkrecht wirke, also  $\alpha_1 = 90$  Grad messe und die Häufigkeit derselben,  $n = 1$  betrage, also die Welle pr. Minute,  $u = \frac{nu}{n} = \frac{60}{5} = 12$  Umdrehungen mache. Welches ist der erforderliche Arbeitsaufwand zum Umdriebe dieses Hammers?

Es ist der theoretische Arbeitsaufwand:

Statist der  
Hammerwerke.

$$L_1 = \frac{\eta u}{60} G h = G h = 10000 \text{ Fußpfund,}$$

also nahe 20 Pferdekkräfte.

Ferner ist

$$\varphi \frac{e}{a} = 0,1 \cdot \frac{1}{4 \cdot 8} = \frac{0,1}{32} = 0,0031,$$

$$\varphi \frac{e}{b} = 0,1 \cdot \frac{1}{4 \cdot 6} = \frac{0,1}{24} = 0,0042,$$

$$\frac{1}{2} \varphi_1 \left( \frac{1}{r} + \frac{1}{a} \right) \left( \frac{a}{b} \right)^2 h = 0,1 \left( \frac{1}{2} + \frac{1}{8} \right) \left( \frac{8}{6} \right)^2 \cdot 1 = 0,1 \cdot \frac{5}{8} \cdot \frac{16}{9} = 0,1111,$$

$$\varphi \varphi_1 \left( \frac{1}{r} + \frac{\sin. \alpha_1}{a_1} \right) = 0,1 \cdot \frac{1}{2} \left( \frac{1}{2} + \frac{1}{10} \right) = 0,05 \cdot \frac{3}{5} = 0,0300,$$

und

$$\varphi \frac{\pi u \varphi_1}{30} = 0,1 \cdot 0,1047 \cdot 12 \cdot \frac{1}{2} = 0,1 \cdot 0,6282 = 0,0628,$$

daher folgt die erforderliche Leistung dieses Hammerwerkes:

$$\begin{aligned} L &= \left[ 1 - \varphi \frac{e}{a} + \varphi \frac{e}{b} + \frac{1}{2} \varphi_1 h \left( \frac{a}{b} \right)^2 \left( \frac{1}{r} + \frac{1}{a} \right) + \varphi \varphi_1 \left( \frac{1}{r} + \frac{\sin. \alpha_1}{a_1} \right) \right] \frac{\eta u}{60} G h \\ &+ \varphi \frac{\pi u \varphi_1}{30} G_1 = (1 - 0,0031 + 0,0042 + 0,1111 + 0,0300) \cdot 10000 \\ &+ 0,0628 \cdot 40000 = 11422 + 2512 = 13934 \text{ Fußpfund.} \end{aligned}$$

§. 497. Bei den gewöhnlichen Hammerwerken, wo der Hammer mit 6 und mehr Fuß Geschwindigkeit emporgehoben wird, reicht die vorstehende statische Bestimmung der mechanischen Arbeit nicht mehr aus, hier treten noch die Wirkungen der trägen Massen besonders hervor, so daß es nöthig wird, auch dieselben mit in Betracht zu ziehen. Vor Allem ist die Wirkung des Stoßes beim Aufschlagen eines Daumens auf die Streichplatte des Hammers zu ermitteln. Es gehe bei diesem Stoße die Umdrehungsgeschwindigkeit der mechanischen Daumenwelle aus  $v$  in  $v_1$  über, und es nehme hierbei der anfangs ruhende Angriffspunkt des Hammers die gleiche Geschwindigkeit  $v_1$  an; setzen wir dann die jedenfalls sehr kurze Zeit des Stoßes  $= \tau$ , so können wir die Retardation der Bewegung des Angriffspunktes der Welle

$$p_1 = \frac{v - v_1}{\tau}$$

nud die Beschleunigung der Bewegung des Kraftpunktes des Hammers

$$p = \frac{v_1}{\tau},$$

folglich

$$\frac{p_1}{p} = \frac{v - v_1}{v_1}$$

sehen.

Mechanik der  
Hammerwerke.

Ist nun die auf den Kraftpunkt  $A$  des Hammers reducirte Masse, mit welchem während des Stoßes der Daumen auf den Schwanz des Hammers wirkt  $= M$ , so hat man das Moment des Druckes  $R$ ,

$$Ra = Mpa + \varphi \varrho \left( R + \frac{G}{g} \frac{b}{a} p \right)$$

oder

$$R(a - \varphi \varrho) = \left( Ma + \varphi \varrho \frac{G}{g} \frac{b}{a} \right) p,$$

weil derselbe nicht allein die Trägheitskraft  $Mp$ , sondern auch die aus dem Axendrucke  $R + \frac{G}{g} \frac{b}{a} p$  hervorgehende Axenreibung des Hammers zu überwinden hat.

Bezeichnet man ferner die auf den Angriffspunkt reducirte träge Masse der Daumenwelle durch  $M_1$ , so ist die Trägheitskraft derselben  $= M_1 p_1$ , und daher das Moment

$$M_1 p_1 r = Rr + \varphi Q \varrho_1 = R(r + \varphi \varrho_1)$$

zu setzen, weil während des Stoßes nicht allein die am Hebelarm  $r$  wirkende Kraft  $R$ , sondern auch die aus ihr erwachsende Zapfenreibung  $\varphi R$ , welche am Hebelarme  $\varrho_1$  wirkt, zu überwinden ist. Führt man den Werth für  $R$  aus der ersten Gleichung in die zweite ein, so folgt

$$M_1 p_1 r = \frac{(r + \varphi \varrho_1) \left( Ma + \varphi \varrho \frac{G}{g} \frac{b}{a} \right) p}{a - \varphi \varrho},$$

und daher

$$\begin{aligned} \frac{v - v_1}{v_1} &= \frac{p_1}{p} = \frac{(r + \varphi \varrho_1) \left( Ma + \varphi \varrho \frac{G}{g} \frac{b}{a} \right)}{(a - \varphi \varrho) M_1 r} \\ &= \frac{\left( 1 + \varphi \frac{\varrho_1}{r} \right) \left( 1 + \varphi \frac{\varrho}{a} \frac{b}{a} \frac{G}{Mg} \right)}{1 - \varphi \frac{\varrho}{a}} \cdot \frac{M}{M_1}, \end{aligned}$$

oder, da  $\frac{Mga^2}{Gb}$  der Abstand  $l$  des Schwingungspunktes des Hammers von der Drehungsaxe  $C$  ist (s. Band I, §. 298),

$$\frac{v - v_1}{v_1} = \frac{\left( 1 + \varphi \frac{\varrho_1}{r} \right) \left( 1 + \varphi \frac{\varrho}{l} \right)}{1 - \varphi \frac{\varrho}{a}} \cdot \frac{M}{M_1},$$

annähernd

$$= \left(1 + \varphi \frac{\varrho}{a} + \varphi \frac{\varrho_1}{r} + \varphi \frac{\varrho}{l}\right) \frac{M}{M_1}.$$

Bezeichnet man zur Vereinfachung

$$\frac{\left(1 + \varphi \frac{\varrho_1}{r}\right) \left(1 + \varphi \frac{\varrho}{l}\right)}{1 - \varphi \frac{\varrho}{a}} = \left(1 + \varphi \frac{\varrho}{a} + \varphi \frac{\varrho_1}{r} + \varphi \frac{\varrho}{l}\right)$$

durch  $\kappa$ , so folgt

$$M_1 (v - v_1) = \kappa M v_1,$$

und daher die Geschwindigkeit am Ende des Stoßes:

$$v_1 = \frac{M_1 v}{M_1 + \kappa M}.$$

Für die Stirn- und die Brusthammer ist

$$\kappa = 1 - \varphi \frac{\varrho}{a} + \varphi \frac{\varrho_1}{r} + \varphi \frac{\varrho}{l},$$

aber der Ausdruck für  $v_1$  derselbe.

Macht man  $a = l$ , läßt man also den Hammer im Schwingungspunkte oder Mittelpunkt des Stoßes vom Daumen ergreifen (s. Band I., §. 284 und §. 298), so ist die Reaction des Stoßes auf die Umdrehungsaxe des Hammers = Null und  $\kappa = 1 + \varphi \frac{\varrho_1}{r}$ .

Der durch den Stoß hervorgebrachte Arbeitsverlust der Daumenwelle ist

$$\frac{M_1 (v^2 - v_1^2)}{2} = \frac{(2 M_1 + \kappa M) \kappa M M_1}{(M_1 + \kappa M)^2} \frac{v^2}{2}$$

(s. §. 466, sowie §. 472 u. f. w.).

Mit diesem Arbeitsverluste der Welle ist aber wieder der Arbeitsgewinn

$$\frac{M v_1^2}{2} = \frac{M M_1^2}{(M_1 + \kappa M)^2} \frac{v^2}{2}$$

des Hammers verbunden; daher beträgt der Arbeitsverlust des ganzen Hammerwerkes nur

$$\begin{aligned} L_2 &= \frac{(2 M_1 + \kappa M) \kappa M M_1 - M M_1^2}{(M_1 + \kappa M)^2} \frac{v^2}{2} \\ &= \frac{(2 \kappa - 1) M_1 + \kappa^2 M}{(M_1 + \kappa M)^2} M M_1 \frac{v^2}{2}. \end{aligned}$$

Jedenfalls ist  $\kappa$  wenig größer als Eins, wir können daher auch annähernd  $\kappa = 1$  und

$$L_2 = \frac{M M_1}{M + M_1} \frac{v^2}{2}$$

setzen (s. §. 472), und erhalten nun für  $M_1 = M$ ,

Mechanik der  
Hammerwerke.sowie für  $M_1 = \infty M$ ,

$$L_2 = \frac{1}{4} M v^2,$$

$$L_2 = \frac{1}{2} M v^2,$$

also jedenfalls

$$L_2 > \frac{1}{4} M v^2 \quad \text{und} \quad < \frac{1}{2} M v^2.$$

Beispiel. Ist die auf den Kraftpunkt  $A$  reducirte träge Masse des Einhammers im Beispiele des letzten Paragraphen,  $M = 0,7 \frac{G}{g}$  und die eben der reducirte Masse der armirten Daumenwelle sammt Wasserrad,  $M_1 = 16 \frac{G}{g}$ , so folgt der Abstand des Schwingungspunktes desselben von seiner Umdrehungs-

$$l = \frac{0,7 \frac{G}{g} a^2}{\frac{G}{g} b} = 0,7 \frac{a^2}{b} = 0,7 \cdot \frac{64}{6} = \frac{22,4}{3} = 7,47 \text{ Fuß.}$$

und das Massenverhältniß:

$$\frac{M}{M_1} = \frac{0,7 \frac{G}{g}}{16 \frac{G_1}{g}} = \frac{0,7 G}{16 G_1} = \frac{0,7 \cdot 10000}{16 \cdot 40000} = \frac{0,7}{64} = 0,01094.$$

Nun ist aber noch:

$$\begin{aligned} x &= 1 - \varphi \frac{e}{a} + \varphi \frac{e_1}{r} + \varphi \frac{e}{l} \\ &= 1 - 0,1 \cdot \frac{1}{32} + 0,1 \cdot \frac{1}{4} + 0,1 \cdot \frac{1}{4 \cdot 7,47} = 1,025, \end{aligned}$$

und daher das Geschwindigkeitsverhältniß:

$$\frac{v_1}{v} = \frac{M_1}{M_1 + x M} = \frac{1}{1 + 1,025 \cdot 0,01094} = \frac{1}{1,0112} = 0,9889.$$

§. 498. Geht die Gesamtmasse  $M + M_1$  während des Hubes aus der Geschwindigkeit  $v_1$  in die Geschwindigkeit  $v_2$  über, so dreht sich die Welle um den Winkel

$$\alpha = \frac{b}{r} \beta = \frac{b}{r} \frac{h}{a} \left[ 1 + \frac{1}{6} \left( \frac{h}{a} \right)^2 \right]$$

dreht, so verrichtet die am Hebelarm  $a_1$  wirkende Umtriebskraft  $P_1$  mechanische Arbeit:

$$\begin{aligned} P_1 a_1 \alpha &= A_1 + A_2 + \varphi \left[ G_1 - P \left( 1 - \frac{r \sin. \alpha_1}{a_1} \right) \right] e_1 \alpha \\ &\quad - (M + M_1) \left( \frac{v_1^2 - v_2^2}{2} \right). \end{aligned}$$

Bei dem hierauf erfolgenden Leergange der Welle dreht sich dieselbe um den Winkel

$$\psi - \alpha = (1 - \nu) \psi = (1 - \nu) \frac{2\pi}{n},$$

Mechanik der  
Hammerwerke.

und es geht hierbei die Geschwindigkeit ihrer Masse aus  $v_2$  wieder in  $v$  über, folglich ist die entsprechende mechanische Arbeit der Umtriebskraft:

$$P_1 a_1 (\psi - \alpha) = \varphi G_1 \varrho_1 (\psi - \alpha) + M_1 \left( \frac{v^2 - v_2^2}{2} \right).$$

Um nun einen Ausdruck für die Endgeschwindigkeit  $v_2$  zu finden, kommt es nur darauf an, diese beiden Arbeitsformeln durch einander zu dividiren. Es ergibt sich auf diese Weise

$$\frac{\psi - \alpha}{\alpha} = \frac{\varphi G_1 \varrho_1 (\psi - \alpha) + 1/2 M_1 (v^2 - v_2^2)}{A_1 + A_2 + \varphi \left[ G_1 - P \left( 1 - \frac{r \sin. \alpha_1}{a_1} \right) \right] \varrho_1 \alpha - (M + M_1) \left( \frac{v_1^2 - v_2^2}{2} \right)},$$

$$\text{oder, wenn man } \varphi \varrho_1 \left[ G_1 \psi - P \left( 1 - \frac{r \sin. \alpha_1}{a_1} \right) \alpha \right] = A_3,$$

$$\varphi G_1 \varrho_1 (\psi - \alpha) = A_4 \text{ und} \\ A_1 + A_2 + A_3 = A$$

einsetzt und die Divisoren wegschafft:

$$(\psi - \alpha) [A - A_4 - 1/2 (M + M_1) (v_1^2 - v_2^2)] \\ = \alpha [A_4 + 1/2 M_1 (v^2 - v_2^2)],$$

d. i.

$$[(\psi - \alpha) (M + M_1) + \alpha M_1] \frac{v_2^2}{2} = (\psi - \alpha) (M + M_1) \frac{v_1^2}{2} \\ + \alpha M_1 \frac{v^2}{2} - (\psi - \alpha) A + \psi A_4,$$

so daß sich nun für die Endgeschwindigkeit  $v_2$  folgende Formel

$$v_2 = \sqrt{\frac{(\psi - \alpha) (M + M_1) v_1^2 + \alpha M_1 v^2 - 2 (\psi - \alpha) A + 2 \psi A_4}{(\psi - \alpha) (M + M_1) + \alpha M_1}}$$

ergiebt.

Da

$$A = \left[ 1 + \varphi \frac{\varrho}{a} + \varphi \frac{\varrho}{b} + 1/2 \varphi_1 \left( \frac{1}{r} + \frac{1}{a} \right) \left( \frac{a}{b} \right)^2 h \right. \\ \left. - \varphi \varrho_1 \left( \frac{1}{r} - \frac{\sin. \alpha_1}{a_1} \right) \right] G h + \frac{2\pi \varrho_1}{n} \varphi G_1$$

und

$$A_4 = \varphi G_1 \varrho_1 (\psi - \alpha) = \varphi (1 - \nu) G_1 \varrho_1 \psi \\ = (1 - \nu) \frac{2\pi \varrho_1}{n} \varphi G_1$$

ist, so folgt



Mechanik der Hammerwerke.  $(\psi - \alpha) A - \psi A_1 = \left[ 1 + \varphi \frac{\varrho}{a} + \varphi \frac{\varrho}{b} + \frac{1}{2} \varphi_1 \left( \frac{1}{r} + \frac{1}{a} \right) \left( \frac{a}{b} \right)^2 h - \varphi \varrho_1 \left( \frac{1}{r} - \frac{\sin. \alpha_1}{a_1} \right) \right] (\psi - \alpha) G h$

oder

$$= (1 + \xi) (\psi - \alpha) G h,$$

wenn man

$$\varphi \frac{\varrho}{a} + \varphi \frac{\varrho}{b} + \frac{1}{2} \varphi_1 \left( \frac{1}{r} + \frac{1}{a} \right) \left( \frac{a}{b} \right)^2 h - \varphi \varrho_1 \left( \frac{1}{r} - \frac{\sin. \alpha_1}{a_1} \right)$$

durch  $\xi$  bezeichnet, und daher

$$v_2 = \sqrt{\frac{(1 - v) [(M + M_1) v_1^2 - 2 (1 + \xi) G h] + v M_1 v^2}{(1 - v) (M + M_1) + v M_1}}.$$

Damit  $v_2$  nicht Null ausfalle, muß

$$(1 - v) (M + M_1) v_1^2 + v M_1 v^2 > 2 (1 - v) (1 + \xi) G h$$

also die Umdrehungsmasse

$$M_1 > \frac{(1 - v) [2 (1 + \xi) G h - M v_1^2]}{(1 - v) v_1^2 + v v^2}$$

sein.

Giebt man den zulässigen Grad  $\delta = \frac{v - v_2}{\frac{1}{2}(v + v_2)}$  der Ungleichförmigkeit des Ganges, so kann man die Endgeschwindigkeit mittels der Formel

$$v_2 = \left( \frac{1 - \frac{1}{2} \delta}{1 + \frac{1}{2} \delta} \right) v,$$

und hieraus die nöthige Umdrehungsmasse mittels des Ausdruckes

$$M_1 = \frac{(1 - v) [2 (1 + \xi) G h - M (v_1^2 - v_2^2)]}{v v^2 + (1 - v) v_1^2 - v_2^2}$$

berechnen.

Durch Anwendung eines Schwungrades (s. §. 184) kann man mittelst der Umdrehungsmasse jede beliebige und also auch die berechnete Größe ( $M_1$ ) geben.

Führt man in diese Gleichung die mittlere Geschwindigkeit

$$c = \frac{\pi u r}{30} = 0,10472 \cdot u r$$

ein und setzt man

$$v = (1 + \frac{1}{2} \delta) c,$$

also annähernd

$$v^2 = (1 + \delta) c^2,$$

sowie

$$v_1 = \frac{M_1 v}{M_1 + \kappa M}$$

annähernd

Mechanik der  
Hammerwerke.

$$= v \left( 1 - \kappa \frac{M}{M_1} \right) = (1 + \frac{1}{2} \delta) \left( 1 - \frac{\kappa M}{M_1} \right) c,$$

also

$$v_1^2 = (1 + \delta) \left( 1 - \frac{2\kappa M}{M_1} \right) c^2 = \left( 1 + \delta - \frac{2\kappa M}{M_1} \right) c^2$$

und

$$v_2 = (1 - \frac{1}{2} \delta) c,$$

also

$$v_2^2 = (1 - \delta) c^2,$$

so erhält man die erforderliche Umdrehungsmasse:

$$M_1 = \frac{(1 - v) \left[ (1 + \xi) G h - \left( \delta - \frac{\kappa M}{M_1} \right) M c^2 \right]}{\left( \delta - (1 - v) \frac{\kappa M}{M_1} \right) c^2},$$

d. i.

$$\begin{aligned} M_1 &= \frac{1 - v}{\delta} \left( (1 + \xi) \frac{G h}{c^2} + \left[ \kappa \left( 1 + \frac{M}{M_1} \right) - \delta \right] M \right) \\ &= \frac{1 - v}{\delta} \left( \left( \frac{30}{\pi u r} \right)^2 (1 + \xi) G h + \left[ \kappa \left( 1 + \frac{M}{M_1} \right) - \delta \right] M \right). \end{aligned}$$

Annähernd ist

$$M_1 = \frac{1 - v}{\delta c^2} (1 + \xi) G h = \frac{1 - v}{\delta} \left( \frac{30}{\pi u r} \right)^2 (1 + \xi) G h.$$

Bei den gewöhnlichen Hammerwerken genügt es, den Ungleichförmigkeitsgrad  $\delta$  auf  $\frac{1}{3}$  herabzuziehen; setzt man noch

$$1 - v = 1 - 0,4 = 0,6 \quad \text{und} \quad 1 + \xi = 1,3,$$

so erhält man

$$M_1 = 0,6 \cdot 5 \cdot 1,3 \frac{G h}{c^2} = 3,9 \frac{G h}{c^2} = 355,6 \frac{G h}{u^2 r^2},$$

und

$$M_1 g = 31,25 \cdot 355,6 \frac{G h}{u^2 r^2} = 11113 \frac{G h}{u^2 r^2} \text{ Pfund.}$$

3. B. für  $u = 16$ , also  $u^2 = 256$ ,

$$M_1 g = 43,41 \frac{G h}{r^2}.$$

Für einen Stirnhammer, wo  $G = 10000$  Pfund und  $h = 1,25$  Fuß ist,

$$M_1 g = 542625 \frac{G}{r^2},$$

Rechnung der Hammerwerke. ferner für einen Aufwerfhammer, wo  $Gh = 1500 \cdot 2 = 3000$  Fußpfund beträgt,

$$M_1 g = 130230 \frac{G}{r^2},$$

und für einen Schwanzhammer, wo  $Gh = 750 \cdot 3 = 2250$  Fußpfund ist,

$$M_1 g = 97672 \frac{G}{r^2}.$$

Diese Formeln geben in  $M_1 g$  zugleich auch das nöthige Gewicht des Schwungrades an, wenn man statt  $r$  den Halbmesser  $r_1$  desselben einsetzt.

Um einen genauen Werth der nöthigen Umdrehungsmasse  $M_1$  zu finden, hat man nur nöthig, in der vollständigeren Formel

$$M_1 = \frac{1 - v}{\delta} \left( \left( \frac{30}{\pi u r} \right)^2 (1 + \xi) Gh + \left[ x \left( 1 + \frac{M}{M_1} \right) - \delta \right] M \right)$$

rechts in  $\frac{M}{M_1}$ , den Näherungswerth

$$M_1 = \frac{1 - v}{\delta} \left( \frac{30}{\pi u r} \right)^2 (1 + \xi) Gh = 355,6 \frac{Gh}{u^2 r^2}$$

einzusetzen.

Beispiel. Für den in den letzten Beispielen (§. 496 u. f. w.) betrachteten Stirnhammer ist die nöthige Umdrehungsmasse annähernd

$$M_1 = 355,6 \frac{Gh}{u^2 r^2} = 355,6 \cdot \frac{10000 \cdot 1}{144 \cdot 4} = 6174 \text{ Pfund}$$

und das Gewicht des Schwungrades, wenn dasselbe den Halbmesser  $r_1 = 8$  hat:

$$G_1 = M_1 g \left( \frac{r}{r_1} \right)^2 = 31,25 \cdot \frac{6174}{16} = 12058 \text{ Pfund.}$$

Genauer ist, wenn man noch  $x = 1,1$  und  $M = \frac{7000}{31,25} = 224$  einsetzt

$$\begin{aligned} M_1 &= 355,6 \frac{Gh}{u^2 r^2} + \frac{1 - v}{\delta} \left[ x \left( 1 + \frac{M}{M_1} \right) - \delta \right] M \\ &= 355,6 \frac{Gh}{u^2 r^2} + 3 \cdot \left[ 1,1 \left( 1 + \frac{224}{6174} \right) - 0,2 \right] 224 \\ &= 6174 + 3 \cdot 0,9399 \cdot 224 = 6174 + 632 = 6806 \text{ Pfund} \end{aligned}$$

folglich

$$M_1 g = 31,25 \cdot 6806 = 212690,$$

und daher das Gewicht des erforderlichen Schwungrades vom Halbmesser  $r_1 = 8$ , wenn man die übrigen trägen Massen auf der Daumenwelle vernachlässigt.

$$G_1 = M_1 g \left( \frac{r}{r_1} \right)^2 = 212690 \left( \frac{2}{8} \right)^2 = \frac{212690}{16} = 13293 \text{ Pfund.}$$

§. 499. Um den gesammten Arbeitsaufwand, welcher zum Betrieb eines Hammerwerkes nöthig ist, zu finden, hat man nur zu der §. 497 ermittelten statischen Arbeit  $A = A_1 + A_2 + A_3$  noch den Arbeits-

wand zu addiren, welchen der Stoß beim Angriffe consumirt, und die mechanische Arbeit zu subtrahiren, welche die Hammermasse während des Aufsteigens des Hammers der Welle zurückgiebt. Es ist folglich die ganze Arbeit pr. Hammerspiel

$$P_1 a_1 \psi = A + \frac{1}{2} M_1 (v^2 - v_1^2) - \frac{1}{2} M (v_1^2 - v_2^2) \\ = A + \frac{1}{2} [M_1 v^2 + M v_2^2 - (M + M_1) v_1^2]$$

und daher die erforderliche Leistung pr. Secunde, wenn die Hammerwelle die Hühigkeit  $n$  hat und pr. Minute  $u$  Umdrehungen macht:

$$L = \frac{n u}{60} (A + \frac{1}{2} [M_1 v^2 + M v_2^2 - (M + M_1) v_1^2]) \\ = \frac{n u}{60} \left( (1 + \xi) G h + \frac{2\pi}{n} \varphi G_1 \varrho_1 + \frac{1}{2} [M_1 v^2 + M v_2^2 - (M + M_1) v_1^2] \right).$$

Nun ist aber noch

$$v_2 = \left( \frac{1 - \frac{1}{2} \delta}{1 + \frac{1}{2} \delta} \right) v, \\ v_1 = \frac{M_1 v}{M_1 + \kappa M},$$

und

$$v = (1 + \frac{1}{2} \delta) c = (1 + \frac{1}{2} \delta) \frac{\pi u r}{30},$$

daher folgt

$$M v_2^2 = M \left( \frac{1 - \frac{1}{2} \delta}{1 + \frac{1}{2} \delta} \right)^2 v^2$$

und

$$M_1 v^2 - (M + M_1) v_1^2 = \frac{M_1 (M_1 + \kappa M)^2 - (M + M_1) M_1^2}{(M_1 + \kappa M)^2} v^2 \\ = \frac{(2\kappa - 1) M_1 + \kappa^2 M}{(M_1 + \kappa M)^2} M M_1$$

und

$$L = \frac{n u}{60} \left( (1 + \xi) G h + \frac{2\pi}{n} \varphi G_1 \varrho_1 + \left[ \frac{(2\kappa - 1) M_1 + \kappa^2 M}{(M_1 + \kappa M)^2} M_1 \right. \right. \\ \left. \left. + \left( \frac{1 - \frac{1}{2} \delta}{1 + \frac{1}{2} \delta} \right)^2 \frac{M v^2}{2} \right) = \frac{n u}{60} \left( (1 + \xi) G h + \frac{2\pi}{n} \varphi G_1 \varrho_1 \right. \right. \\ \left. \left. + \left[ \frac{(2\kappa - 1) M_1 + \kappa^2 M}{(M_1 + \kappa M)^2} M_1 + \left( \frac{1 - \frac{1}{2} \delta}{1 + \frac{1}{2} \delta} \right)^2 \right] (1 + \frac{1}{2} \delta)^2 \left( \frac{\pi u r}{30} \right)^2 \frac{M}{2} \right) \right).$$

Um mittels dieser Formel die Leistung eines Hammerwerkes bestimmen zu können, ist es nöthig, vorher den Widerstandcoefficient

Befestigung der  
Hammerwerke.

$$\xi = \varphi \varrho \left( \frac{1}{a} + \frac{1}{b} \right) + \frac{1}{2} \varphi_1 \left( \frac{a}{b} \right)^2 \left( \frac{1}{a} + \frac{1}{r} \right) h - \varphi \varrho_1 \left( \frac{1}{r} - \frac{\sin \alpha_1}{a_1} \right)$$

sowie den Stoßcoefficient

$$\kappa = 1 + \varphi \varrho \left( \frac{1}{a} + \frac{1}{l} \right) + \varphi \frac{\varrho_1}{r}$$

und den Ungleichförmigkeitsgrad:

$$\delta = \frac{(1 - \nu) \left[ (1 + \xi) G h + \kappa \left( 1 + \frac{M}{M_1} \right) M c^2 \right]}{[M_1 + (1 - \nu) M] c^2}$$

$$= \frac{1 - \nu}{M_1 + (1 - \nu) M} \left[ (1 + \xi) \left( \frac{30}{\pi u r} \right)^2 G h + \kappa \left( 1 + \frac{M}{M_1} \right) M \right]$$

zu ermitteln.

Es ist annähernd

$$(1 + \frac{1}{2} \delta)^2 = 1 + \delta,$$

$$\left( \frac{1 - \frac{1}{2} \delta}{1 + \frac{1}{2} \delta} \right)^2 = 1 - 2 \delta$$

und

$$\frac{(2\kappa - 1) M_1 + \kappa^2 M}{(M_1 + \kappa M)^2} M_1 + \left( \frac{1 - \frac{1}{2} \delta}{1 + \frac{1}{2} \delta} \right)^2 = 2(\kappa - \delta) - (3\kappa - 2) \kappa \frac{M}{M_1}$$

daher einfacher

$$L = \frac{n u}{60} \left[ (1 + \xi) G h + \frac{2\pi}{n} \varphi G_1 \varrho_1 + \left( 2(\kappa - \delta) - (3\kappa - 2) \kappa \frac{M}{M_1} \right) (1 + \delta) \left( \frac{\pi u r}{30} \right)^2 \frac{M}{M_1} \right]$$

Bei einem Hammerwerke ohne Keitel, wo der Hammer, nachdem er den Daumen verlassen hat, vermöge seiner Geschwindigkeit  $v$ , noch zu einer Höhe  $z = \frac{1}{2} \frac{M v^2}{G} = \frac{M g}{G} \cdot \frac{v^2}{2g}$  frei aufsteigt, und daher aus dem Ganzen von der Höhe  $h + z$  herabfällt, ist die Nutzleistung:

$$L_1 = \frac{n u}{60} \cdot G(h + z) = \frac{n u}{60} (G h + \frac{1}{2} M v^2).$$

Bei einem Hammerwerke mit Keitel fällt der Hammer mit der Fangsgeschwindigkeit  $v_3 = v_2 \sqrt{\mu}$ , wo  $\mu$  ein echter Bruch ist (s. Art. §. 309) zurück, daher ist die Nutzleistung desselben auch nur

$$L_1 = \frac{n u}{60} G(h + \mu z) = \frac{n u}{60} (G h + \frac{1}{2} \mu M v^2)$$

$$= \frac{n u}{60} \left[ G h + \frac{1}{2} \mu (1 + \delta) \left( \frac{\pi u r}{30} \right)^2 M \right].$$

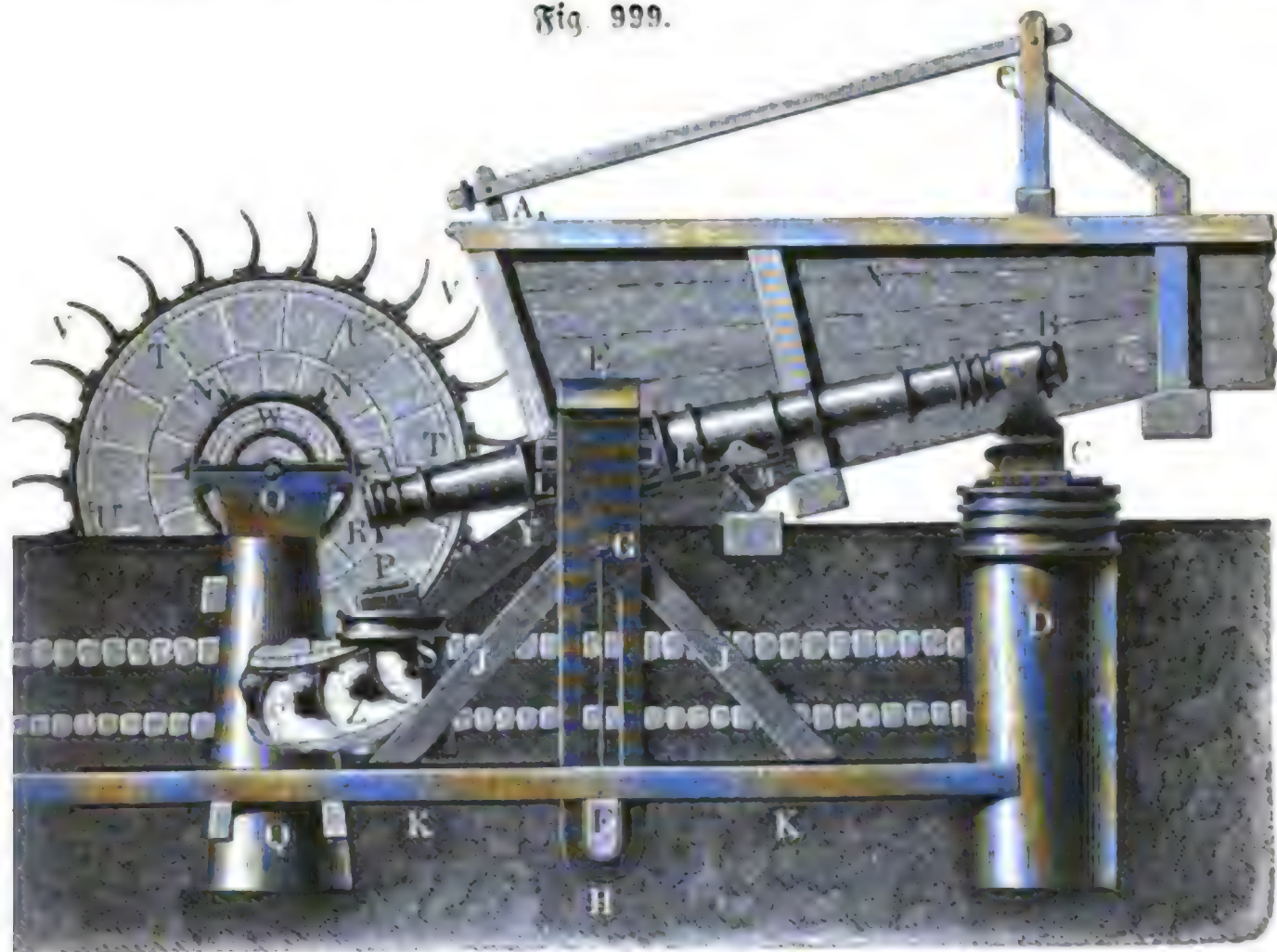
Durch Division ergibt sich folgender allgemeiner Ausdruck für den Wirkungsgrad des Hammerwerkes:

$$\eta = \frac{L_1}{L} = \frac{G h + \mu (1 + \delta) \left( \frac{\pi u r}{30} \right)^2 \frac{M}{2}}{(1 + \xi) G h + \frac{2\pi}{n} \varphi G_1 \varrho_1 + \left( 2(\kappa - \delta) - (3\kappa - 2) \kappa \frac{M}{M_1} \right) (1 + \delta) \left( \frac{\pi u r}{30} \right)^2 \frac{M}{M_1}}$$



Beispiel. Ein Schwanzhammerwerk, welches ähnlich wie das in Fig. 999 Zeichnung des Hammerwerks.

Fig. 999.



abgebildete von einem unterschlägigen Wasserrade in Umtrieb gesetzt wird, hat folgende Dimensionen, Verhältnisse und Gewichte; man soll den Gang und die Betriebskraft desselben ermitteln.

Das Gewicht des Hammers ist 500 Pfd., das des beschlagenen Helmes sammt Hammerhülse 2400 Pfd., das des Schlringes, = 100 Pfd., der Abstand des Schwerpunktes des Hammers von der Drehungsaxe, = 9 Fuß und der des Schwanzendes von derselben,  $a = \frac{1}{2} = 4,5$  Fuß, folglich das ganze Gewicht des Hammers

$$= G = 500 + 2400 + 100 = 3000 \text{ Pfd.},$$

das Moment desselben:

$$Gb = 500 \cdot 9 + 1600 \cdot \frac{1}{2} - 800 \cdot \frac{1}{4} - 100 \cdot \frac{1}{2} = 9455,$$

also der Hebelarm der Last:

$$b = \frac{9455}{3000} = 3,152 \text{ Fuß.}$$

Ferner ist der Hub des Hammerkörpers =  $1\frac{1}{2} = \frac{3}{2}$  Fuß

$$= 1\frac{1}{2} = \frac{3}{2} \text{ Fuß,}$$

daher der Hub des Schwerpunktes vom ganzen Hammer:

$$h = \frac{3}{2} \cdot \frac{3,152}{9} = 0,5254 \text{ Fuß}$$

und

$$Gh = 3000 \cdot 0,5254 = 1576 \text{ Fußpfund.}$$

Die Welle hat =  $n = 6$  Daumen und läuft pr. Minute  $nu = 20$  Mal um, folglich ist die Anzahl der Hammerhübe pr. Secunde:

$$\frac{nu}{60} = \frac{120}{60} = 2.$$



Leistung der  
Hammerwerke.

Der Weg des Schwanzendes pr. Hub beträgt  $= \frac{1}{2} \cdot 1,5 = \frac{3}{4}$  Fuß, folglich  
der Weg des Daumens pr. Spiel:

$$= \frac{3}{4} : \nu = \frac{3}{4} \cdot \frac{1}{2} = \frac{3}{8} \text{ Fuß,}$$

der Umfang des Daumenringes

$$p = \pi \cdot \frac{3}{8} = \frac{6 \cdot 15}{8} = 1\frac{3}{4} = 11,25 \text{ Fuß,}$$

und der nöthige Halbmesser dieses Ringes oder Theilkreises:

$$r = \frac{p}{2\pi} = \frac{11,25}{2\pi} = 1,790 \text{ Fuß.}$$

Noch ist das Trägheitsmoment des Hammers:

$$Mga^2 = 500 \cdot 81 + 1600 \cdot \frac{81}{4} + 800 \cdot \frac{81}{16} + 100 \cdot \frac{81}{4} = 1125 \cdot 81.$$

daher die träge Masse des Hammers, auf das Schwanzende reducirt:

$$Mg = \frac{1125 \cdot 81}{(\frac{3}{2})^2} = 1125 \cdot 4 = 4500 \text{ und } M = 144 \text{ Pfd.}$$

Das Gewicht der armirten Daumenwelle sammt Daumenring und Feder  
rad sei  $G_1 = 20000$  Pfd. und das Trägheitsmoment desselben:

$$M_1 gr^2 = 125000,$$

folglich die träge Masse der Hammerwelle, auf den Umfang des Sagenrades  
reducirt,

$$M_1 g = \frac{125000}{1,79^2} = \frac{125000}{3,204} = 89014 \text{ und } M_1 = 1248 \text{ Pfd.}$$

Ist nun noch der mittlere Halbmesser der Zapfen der Hammerhülse,  $\rho = \frac{1}{12}$  Fuß, der Halbmesser der Zapfen der Hammerwelle,  $\rho_1 = \frac{1}{4}$  Fuß, der mittlere Halbmesser des Wasserrades,  $a_1 = 4,5$  Fuß, und die mittlere Richtung des Wasserstoßes gegen den Horizont,  $\alpha_1 = 30$  Grad, und man den Reibungscoefficienten für die Zapfen der Hammerhülse und der Wasserradwelle,  $\varphi = 0,1$ , dagegen den für die Streichplatte,  $\varphi_1 = 0,2$  an, so erhält man den Widerstandscoefficienten:

$$\begin{aligned} \zeta &= \varphi \rho \left( \frac{1}{a} + \frac{1}{b} \right) + \frac{1}{2} \varphi_1 \left( \frac{a}{b} \right)^2 \left( \frac{1}{a} + \frac{1}{r} \right) h - \varphi \rho_1 \left( \frac{1}{r} - \frac{\sin \alpha_1}{a_1} \right) \\ &= \frac{1}{120} \left( \frac{1}{4,5} + \frac{1}{3,15} \right) + 0,1 \left( \frac{4,5}{3,15} \right)^2 \cdot 0,525 \left( \frac{1}{4,5} + \frac{1}{1,79} \right) - \frac{1}{40} \left( \frac{1}{1,79} - \frac{1}{4} \right) \\ &= 0,0045 + 0,0837 - 0,0112 = 0,077, \text{ und} \end{aligned}$$

$$\frac{2\pi}{n} \varphi G_1 \rho_1 = \frac{2\pi}{6} \cdot \frac{1}{40} \cdot 20000 = 523,6.$$

Da der Abstand des Schwingungspunktes von der Drehungsaxe des Hammers

$$l = \frac{81 \cdot 1125}{3,15 \cdot 3000} = \frac{27 \cdot 1,125}{3,15} = 9,64 \text{ Fuß ist,}$$

so folgt ferner der Stoßcoefficient:

$$\begin{aligned} x &= 1 + \varphi \rho \left( \frac{1}{a} + \frac{1}{l} \right) + \varphi \frac{\rho_1}{r} = 1 + \frac{1}{120} \left( \frac{1}{4,5} + \frac{1}{9,64} \right) + \frac{1}{40} \cdot \frac{1}{1,79} \\ &= 1 + 0,0027 + 0,0140 = 1,0167. \end{aligned}$$

Nun ergibt sich der Ungleichförmigkeitsgrad:

$$\begin{aligned} \delta &= \frac{1 - \nu}{M_1 + (1 - \nu)M} \left[ (1 + \zeta) \left( \frac{30}{\pi a r} \right)^2 G h + x \left( 1 + \frac{M}{M_1} \right) M \right] \\ &= \frac{0,6}{1248 + 0,6 \cdot 144} \left[ 1,077 \left( \frac{30}{20 \cdot 1,79 \pi} \right)^2 \cdot 1576 + 1,0167 \left( 1 + \frac{144}{1248} \right) 144 \right] \\ &= \frac{0,6}{1334,4} \left( \frac{9,693 \cdot 394}{(1,79 \pi)^2} + 146,4 \cdot 1,1154 \right) \\ &= \frac{0,6 (120,76 + 163,29)}{1334,4} = 0,1277, \end{aligned}$$

und daher die erforderliche Arbeit der Umtriebsmaschine pr. Secunde:

$$= \frac{nu}{60} \left[ (1+\zeta) Gh + \frac{2\pi}{n} \varphi G_1 \rho_1 + \left( 2(x-\delta) - (3x-2)x \frac{M}{M_1} \right) (1+\delta) \left( \frac{\pi u r}{30} \right)^2 \frac{M}{2} \right]$$

$$= 2 \left[ 1,077 \cdot 1576 + 523,6 + \left( 1,778 - 1,0501 \cdot 1,0167 \cdot \frac{144}{1248} \right) 1,1277 \cdot \left( \frac{2 \cdot 1,79\pi}{3} \right)^2 \cdot 72 \right]$$

$$= 2 [2221 + 1,655 \cdot 36,086 \cdot (1,79\pi)^2] = 2 (2221 + 1888)$$

$$= 8218 \text{ Fußpfund} = 16,11 \text{ Pferdekkräfte.}$$

Leistung der  
Hammerwerke.

Die Nutzleistung ist, wenn man  $\mu = \frac{3}{4}$  setzt,

$$= \frac{nu}{60} \left[ Gh + \frac{1}{2} \mu (1 + \delta) \left( \frac{\pi u r}{30} \right)^2 M \right]$$

$$= 2 \left[ 1576 + \frac{3}{4} \cdot 1,1277 \cdot \left( \frac{2 \cdot 1,79\pi}{3} \right)^2 144 \right] = 2 (1576 + 856) = 4864 \text{ Fußpfd.,}$$

daher der Wirkungsgrad des ganzen Hammerwerkes:

$$\eta = \frac{L_1}{L} = \frac{4864}{8218} = 0,592.$$

§. 500. Besteht die Umtriebsmaschine eines Hammerwerkes in einem auf der Daumenwelle sitzenden Wasserrade, welches mit dem Aufschlagwasserquantum  $Q_1$  und dem Gefälle  $h_1$  arbeitet und den Wirkungsgrad  $= \eta_1$ , also die Nutzleistung  $L = \eta_1 Q_1 h_1 \gamma$  hat, so ist die Nutzleistung des ganzen Hammerwerkes:

Umtriebskraft  
des  
Hammerwerkes.

$$\eta L = \eta \eta_1 Q_1 h_1 \gamma = \frac{nu}{60} \left[ Gh + \frac{1}{2} \mu (1 + \delta) \left( \frac{\pi u r}{30} \right)^2 M \right],$$

und daher die Formel zur Bestimmung der Aufschlagwassermenge folgende:

$$Q_1 = \frac{nu}{60} \left( \frac{Gh + \frac{1}{2} \mu (1 + \delta) \left( \frac{\pi u r}{30} \right)^2 M}{\eta \eta_1 h_1 \gamma} \right).$$

Damit das als Umtriebsmaschine des Hammerwerkes dienende Wasserrad mit vortheilhafter Geschwindigkeit umlaufen könne, ist es nöthig, ein Zahnradvorgelege anzuwenden, also das Wasserrad auf eine besondere Welle zu setzen, und diese Welle mit der Daumenwelle durch in einander greifende Zahnräder zu verbinden (s. §. 488). Bezeichnet dann  $m_1$  die Anzahl der Zähne des Triebrades auf der Wasserradwelle und  $m$  die Anzahl der Zähne des Getriebrades auf der Daumenwelle, so ist die Umdrehungs-

zahl des Wasserrades:  $u_1 = \frac{m}{m_1} u$ , und es geht in Folge der Zahnreibung

die Leistungsformel in folgende über:

$$\eta_1 Q_1 h_1 \gamma = \frac{nu}{60} \left[ 1 + \varphi_1 \pi \left( \frac{1}{m} + \frac{1}{m_1} \right) \right] \left[ Gh + \frac{1}{2} \mu (1 + \delta) \left( \frac{\pi u r}{30} \right)^2 M \right],$$

nach sich dann entweder aus der geforderten Nutzleistung die Aufschlagwassermenge  $Q_1$ , oder aus der gegebenen Größe der Wasserkraft die Nutzleistung berechnen läßt.

Umschreibkraft  
der  
Hammerwerke.

Dient eine Dampfmaschine zum Umtrieb des Hammerwerkes, so schließt man diese durch den bekannten Krummzapfenmechanismus (s. §. 490) unmittelbar an die Pleumenne an, und es ist daher dann

$$\eta \eta_1 \cdot 144 Q_1 p_0 \left( 1 + L n \varepsilon - \frac{q_0}{p_1} \right) = \frac{n u}{60} \left[ G h + \frac{1}{2} \mu (1 + \delta) \left( \frac{\pi u r}{30} \right)^2 \gamma \right]$$

wobei  $Q_1$  das Dampfquantum pr. Secunde,  
 $p_0$  die Dampfspannung im Kessel,  
 $\varepsilon$  das Expansionsverhältniß,  
 $q_0$  den Gegendruck auf den Dampfkolben,

$p_1 = \frac{p_0}{\varepsilon}$  die berechnete Dampfspannung am Ende des Kolbenhubes

und  $\eta_1$  den Wirkungsgrad der ganzen Dampfmaschine, mit Einschl. des Kurbelmechanismus, bezeichnet.

Mit Hülfe dieser Hauptgleichung kann man die Dampfmenge  $m_1$  berechnen, welche zum Umtrieb eines gegebenen Hammerwerkes nöthig ist und hieraus wieder, nach Anleitung der Dampfmaschinenlehre (Band 2, §. 468 u. f. w.), die übrigen mechanischen Verhältnisse, Dimensionen u. s. w. dieser Umtriebsmaschine bestimmen. Uebrigens ist, wenn  $F$  die Pleumenne und  $s$  den Pleubenhub der Dampfmaschine bezeichnet,

$$Q_1 = \frac{u F s}{30},$$

und daher auch

$$\eta \eta_1 \cdot 144 F s p_0 \left( 1 + L n \varepsilon - \frac{q}{p_1} \right) = \frac{n}{2} \left[ G h + \frac{1}{2} \mu (1 + \delta) \left( \frac{\pi u r}{30} \right)^2 \gamma \right]$$

zu setzen.

Andere Umtriebsmaschinen, als verticale Wasserräder und Dampfmaschinen, eignen sich nicht gut zum Umtrieb der Hebelhammerwerke.

Beispiel 1. Wenn man zum Umtrieb des in §. 499 berechneten Schenckhammers ein unterschlägiges Rad mit krummen Schaufeln, wie Fig. 999 stellt, anwendet, welches ein Gefälle  $h_1 = 8$  Fuß und den Wirkungsgrad  $\eta_1 = 0,5$  hat, so ist die nöthige Aufschlagwassermenge desselben:

$$Q_1 = \frac{L}{\eta_1 h_1 \gamma} = \frac{8218}{0,5 \cdot 8 \cdot 66} = \frac{8218}{264} = 31,13 \text{ Cubikfuß pr. Secunde}$$

Bei dem Radhalbmesser  $a_1 = 4,5$  Fuß und der Umdrehungszahl  $n_1 = 20$  ist die mittlere Radgeschwindigkeit:

$$w_1 = \frac{\pi \cdot 20 \cdot 4,5}{30} = 3 \pi = 9,425 \text{ Fuß.}$$

Die Geschwindigkeit des Wassers beim Anstoß an die Schaufeln ist dagegen

$$w = 0,85 \sqrt{2 g h} = 0,85 \sqrt{62,5 \cdot 8} = 0,85 \sqrt{500} = 19,00 \text{ Fuß}$$

also reichlich das Doppelte der Radgeschwindigkeit. Die radiale Schaufellänge  $d = 1\frac{1}{4}$  Fuß angenommen, folgt die Schaufellänge:

$$e = \frac{Q_1}{d w_1} = \frac{31,13}{1,25 \cdot 9,415} = \frac{31,13}{11,769} = 2,639 \text{ Fuß.}$$

wofür  $2\frac{3}{4}$  Fuß = 33 Zoll zu setzen sein möchte.

Beispiel 2 Wenn dagegen derselbe durch eine Dampfmaschine in Umtrieb gesetzt werden soll, bei welcher die Dampfspannung

Umtriebskraft  
der  
Hammerwerke.

$p_0 = 4$  Atmosphären = 60 Pfund, der Gegendruck

$q_0 = 1$  Atmosphäre, das Expansionsverhältniß

$\epsilon = \frac{3}{4}$ , also  $p_1 = 3$  Atmosphären = 45 Pfd.,

und der Wirkungsgrad  $\eta = 0,5$  ist, so hat man das nöthige Dampfquantum  
: Secunde:

$$Q_1 = \frac{L}{\eta \cdot 144 p_0 \left(1 + \ln \epsilon - \frac{q_0}{p_1}\right)} = \frac{8218}{72 \cdot 60 \left(1 + \ln \frac{3}{4} - \frac{1}{3}\right)}$$

$$= \frac{8218}{4320 \left(\frac{2}{3} + 0,2877\right)} = \frac{4109}{2160 \cdot 0,9544} = 2,0 \text{ Cubifuß.}$$

Hieraus folgt

$$Fs = \frac{\pi d^2}{4} s = \frac{30 Q}{u} = \frac{30 \cdot 2}{20} = 3,$$

und macht man  $s = 2d$ , so folgt  $\pi d^3 = 6$ , daher der nöthige Kolbendurchmesser:

$$d = \sqrt[3]{\frac{6}{\pi}} = 1,241 \text{ Fuß} = 14,9 \text{ Zoll.}$$

und der entsprechende Kolbenhub:

$$s_1 = \frac{s}{\epsilon} = \frac{2d}{\epsilon} = \frac{2}{3} \cdot 14,9 = 9,9 \text{ Zoll.}$$

(§. 501.) Um die Leistung eines Hammerwerkes vollständig beurtheilen zu können, ist noch nöthig, die Bewegungs- und Wirkungsverhältnisse des Hammers in dem Zeitraum, wo er den Hebedaumen verlassen hat, näher zu untersuchen. Hat das Hammerwerk keinen Keitel, so steigt, wie auch aus dem

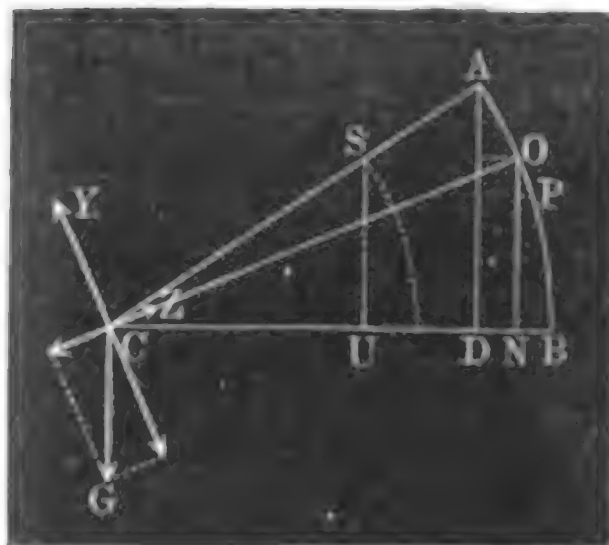
Fallzeit der  
Fehlhammer.

obigen bekannt, der Schwerpunkt desselben noch um die Höhe  $z = \frac{Mv^2}{2G}$ ,

ist daher die ganze Fallhöhe des Schwerpunktes,  $h + z$  und die entsprechende Arbeitsfähigkeit des Hammers beim Aufschlagen auf das unterschobene Metall,  $= G(h + z) = G\left(h + \frac{1}{2} Mv^2\right)$ .

Da sich nun aber der Hammer beim Herabfallen um die Ase der Hammerhülse dreht, also derselbe nicht ganz frei fällt, so ist die Fallzeit desselben jedenfalls

Fig. 1000.



nicht ganz gleich der Fallzeit  $t = \sqrt{\frac{2h}{g}}$

für den freien Fall von der Höhe  $h$ , und daher zu wissen nöthig, ob diese Zeiten so wenig von einander abweichen, daß man die erstere der letzteren gleichsetzen kann. Es kommt bei Bestimmung der ersten Zeit zunächst darauf an, die Zeit zu finden, in welcher ein materieller Punkt von A, Fig. 1000 in einem Bogen AB bis zu der durch den Mittelpunkt C dieses Bogens ge-

Fallzeit der  
Gabelhämmer.

henden Horizontalen  $CB$  herabfällt. Bezeichne  $l$  den Halbmesser  $CA = CB$  und  $h$  die senkrechte Fallhöhe  $AD$ . Ist der Punkt beim Fallen nach  $O$  gekommen und die noch übrige Fallhöhe  $ON = y$ , so hat er die Geschwindigkeit  $v = \sqrt{2g(h-y)}$ , und es ist daher das Zeitelement  $dt$  zum Durchlaufen des Wegelementes  $OP = ds$ :

$$dt = \frac{ds}{v} = \frac{ds}{\sqrt{2g(h-y)}}.$$

Nun ist aber

$$\frac{ds}{-dy} = \frac{CO}{CN} = \frac{l}{\sqrt{l^2 - y^2}},$$

daher auch

$$dt = - \frac{l dy}{\sqrt{2g(h-y)} (l^2 - y^2)},$$

oder wenn man annähernd

$$\frac{l}{\sqrt{l^2 - y^2}} = \frac{1}{1 - \frac{y^2}{2l^2}} = 1 + \frac{y^2}{2l^2}$$

setzt,

$$dt = - \frac{1}{\sqrt{2g}} \left( \frac{1 + \frac{y^2}{2l^2}}{\sqrt{h-y}} \right) dy.$$

Da nun

$$\int \frac{dy}{\sqrt{h-y}} = -2\sqrt{h-y},$$

sowie

$$\begin{aligned} \int \frac{y^2 dy}{\sqrt{h-y}} &= - \int \frac{(h-u)^2 du}{\sqrt{u}} = - \int (h^2 u^{-1/2} - 2hu^{1/2} + u^{3/2}) du \\ &= - \left( 2h^2 u^{1/2} - \frac{4}{3} h u^{3/2} + \frac{2}{5} u^{5/2} \right) \\ &= -2\sqrt{h-y} \left[ h^2 - \frac{2}{3} h(h-y) + \frac{1}{5} (h-y)^2 \right] \end{aligned}$$

ist und diese Integrale zwischen den Grenzen  $y=h$  und  $y=0$  zu nehmen sind, so folgt die Fallzeit eines materiellen Punktes im Bogen  $AB$ :

$$t = \frac{2}{\sqrt{2g}} \sqrt{h} \left( 1 + \frac{h^2}{2l^2} (1 - \frac{2}{3} + \frac{1}{5}) \right) = \sqrt{\frac{2h}{g}} \left[ 1 + \frac{1}{135} \left( \frac{h}{l} \right)^2 \right]$$

Wenn nun z. B.  $\frac{h}{l} = \frac{1}{6}$  ist, so folgt

$$t = \sqrt{\frac{2h}{g}} \left( 1 + \frac{1}{135} \right).$$

Es ist also dann die Fallzeit im Bogen  $AB$  nur um  $\frac{1}{135} = 0,74 \%$  von



hier als die in der Verticalen  $AD$ . Bei der Anwendung auf einen materiellen Hammer ist, wie beim gewöhnlichen materiellen Pendel, <sup>Fallzeit der Federhammer.</sup> und dem materiellen Punkte der Schwingungspunkt des Hammers zu verstehen, und daher für  $h$  die Fallhöhe des Schwingungspunktes einzusehen; nun wir nun seither unter  $h$  die Fallhöhe des Schwerpunktes verstanden haben, so ist bei der Anwendung auf einen Hammer

$$t = \sqrt{\frac{2h}{g} \cdot \frac{l}{b}} \left[ 1 + \frac{1}{15} \left( \frac{h}{l} \right)^2 \right],$$

er wegen der Kleinheit des Werthes  $\frac{1}{15} \left( \frac{h}{l} \right)^2$  gegen 1, für das praktische Bedürfnis genügend

$$t = \sqrt{\frac{2h}{g} \cdot \frac{l}{b}}$$

sehen.

§. 502. Bei dem Herabfallen des Hammers wirkt jedenfalls auch noch die Reibung verzögernd ein; es ist daher auch noch nöthig, die Wirkung dieser Reibung kennen zu lernen. Auf die Ase der Hammerhülse wirken hierbei drei Kräfte, nämlich das Gewicht  $G$  des Hammers vertical abwärts, die Träg-

heitskraft  $Y = \frac{G}{g} p = G \cos. \beta$  normal zur Längenasse des Hammerarmes aufwärts, und die Centrifugalkraft

$$= \omega^2 \frac{Gb}{g} = \frac{v^2 b}{gl^2} G = \frac{2(h-y)b}{l^2} G = \frac{2h}{l} (\sin. \beta_0 - \sin. \beta) G,$$

bei  $\beta_0$  den Anfangswerth  $ACB$  und  $\beta$  den veränderlichen Werth  $OCB$  des Schwingungswinkels bezeichnet.

Da der normale Component  $G \cos. \beta$  des Gewichtes  $G$  von der Trägheitskraft aufgehoben wird, so bleibt nur die radiale Kraft

$$\sin. \beta - \frac{2b}{l} G (\sin. \beta_0 - \sin. \beta) = G \left( \sin. \beta - \frac{2b}{l} (\sin. \beta_0 - \sin. \beta) \right)$$

als Zapfendruck übrig, und da sich der Mittelwerth von  $\sin. \beta = \frac{1}{2} \sin. \beta_0$  ergeben läßt, so folgt der entsprechende mittlere Zapfendruck:

$$X = \frac{1}{2} G \sin. \beta_0 \left( 1 - \frac{2b}{l} \right) = \frac{1}{2} \frac{h}{l} \left( 1 - \frac{2b}{l} \right) G,$$

und daher die beim Niederfallen des Hammers durch die Zapfenreibung vergebene mechanische Arbeit:

$$A_3 = \varphi \varrho \beta_0 X = \frac{1}{2} \varphi \varrho \left( \frac{h}{l} \right)^2 \left( 1 - \frac{2b}{l} \right) G.$$

Nun ist aber  $\frac{h}{l}$  ein kleiner Bruch, daher fällt dieser Verlust der Arbeits-



Verlethbarkeit  
beim Aufschlagen  
des Hammers.  
fähigkeit des fallenden Hammers so klein aus, daß man in der Praxis denselben außer Acht lassen kann.

Ein anderer Arbeitsverlust erwächst aus der Reaction des Stoßes auf die Hammerhülse beim Aufschlagen des Hammers auf den untergeschobenen Körper.

Bezeichnet  $e$  die Entfernung des Mittelpunktes der Hammerbahn von der Drehungsaxe des Hammers,  $P$  die mittlere Stoßkraft und  $\alpha$  die entsprechende Winkelacceleration, so ist das Moment der Stoßkraft:

$$Pe = Ma^2 \alpha,$$

und daher die Reaction des Stoßes auf die Drehungsaxe des Hammers:

$$\begin{aligned} R &= \frac{G}{g} \cdot \alpha b - P \\ &= \alpha \left( \frac{G}{g} b - \frac{Ma^2}{e} \right). \end{aligned}$$

Diese Kraft ist = Null für  $e = \frac{Mga^2}{Gb} = l$ , wenn also der Schwerpunkt oder Mittelpunkt des Hammerstoßes mit dem Mittelpunkt der Hammerbahn zusammenfällt.

Drückt sich beim Aufschlagen der untergeschobene Metallstab um  $\delta$  zusammen, so ist die mechanische Arbeit der Stoßkraft:

$$P\delta = Gh + \frac{1}{2} Mv^2 - \varphi R\varrho \frac{\delta}{e}, \quad (\text{f. Bd. I, §. 194})$$

daher

$$\left( P + \varphi \frac{R\varrho}{e} \right) \delta = Gh + \frac{1}{2} Mv^2,$$

oder

$$\frac{\alpha \delta}{e} \left[ Ma^2 + \varphi \varrho \left( \frac{G}{g} b - \frac{Ma^2}{e} \right) \right] = Gh + \frac{1}{2} Mv^2.$$

Bezeichnet endlich noch  $F$  den Theil der Bahnfläche des Ambosses, welche auf das glühende Metall aufschlägt, sowie  $d$  die Dicke und  $E$  den Elasticitätsmodul desselben, so ist auch, wenn man noch die Endkraft des Zusammenrückens  $= 2P$  setzt,

$$\delta = \frac{2P}{FE} d \quad (\text{f. Band I, §. 192}),$$

folglich

$$\alpha \delta = \frac{Pe}{Ma^2} \cdot \frac{2P}{FE} d = \frac{2P^2 d e}{Ma^2 FE},$$

und

$$\frac{2P^2 d}{FE} \left[ 1 + \varphi \varrho \left( \frac{Gb}{Mga^2} - \frac{1}{e} \right) \right] = Gh + \frac{1}{2} Mv^2,$$

so daß nun die mittlere Stoßkraft beim Aufschlagen des Hammers

$$P = \sqrt{\frac{Gh + \frac{1}{2} M v^2}{1 + \varphi \rho \left( \frac{1}{l} - \frac{1}{e} \right)}} \cdot \frac{FE}{2d}$$

Arbeitsverlust  
beim Fallen  
und Aufstei-  
gen des  
Hammers.

und die auf das Schmieden des Metalls wirklich verwendete Arbeit:

$$P\delta = \frac{2P^2d}{FE} = \frac{Gh + \frac{1}{2} M v^2}{1 + \varphi \rho \left( \frac{1}{l} - \frac{1}{e} \right)}$$

folgt.

§. 503. Endlich ist noch bei einem Hammerwerk mit einem Keitel die Wirkung des letzteren auf den Hammer etwas näher zu untersuchen. Stoß gegen  
den Hammer-  
keitel.

In der Regel läßt man dann den Hammer nur 1 bis 2 Zoll frei stehen, bevor er an den Keitel stößt und deshalb kann man auch vom freien Aufsteigen des Hammers ganz absehen, und annehmen, daß der Hammer gleich an den Keitel stößt, wenn ihn der Daumen verlassen hat. Bezeichnet  $M$  die Masse des Hammers, reducirt auf den Punkt, womit der Hammer auf den Keitel stößt, ferner  $M_0$  die auf denselben Punkt reducirte Masse des Keitels, und  $v_2$  die Geschwindigkeit, mit welcher der Hammer den Keitel anstößt, so ist, unter der Voraussetzung eines vollkommen elastischen Stoßes, nach Band I, §. 304, die Geschwindigkeit der Hammermasse  $M$  nach dem Stoße:

$$v_3 = v_2 - \frac{2 M_0}{M + M_0} v_2 = \left( \frac{M - M_0}{M + M_0} \right) v_2.$$

Wäre nun  $M_0 = M$ , so würde  $v_3 = \text{Null}$  sein, daher das ganze Arbeitsvermögen  $\frac{1}{2} M v_2^2$  der Hammermasse  $M$  verloren gehen, und der Hammer mit Null Anfangsgeschwindigkeit zurückfallen. Damit der Hammer durch den Keitel wirklich zurückgeworfen werde, muß aber  $v_3$  negativ, also die Keitelmasse  $M_0$  größer als die Hammermasse  $M$  sein. Z. B. für  $M_0 = 2M$  ist:

$$v_3 = \frac{1}{3} v_2,$$

so das Arbeitsvermögen der trägen Masse nach dem Stoße:

$$\frac{1}{9} \cdot \frac{M v_2^2}{2};$$

ferner  $M_0 = 4M$ , so folgt:

$$v_3 = \frac{3}{5} v_2 \quad \text{und} \quad \frac{M v_3^2}{2} = \frac{9}{25} \frac{M v_2^2}{2};$$

$M_0 = 10M$  ist:

$$v_3 = \frac{9}{11} v_2 \quad \text{und} \quad \frac{M v_3^2}{2} = \frac{81}{121} \frac{M v_2^2}{2};$$

endlich für  $M_0 = \infty M$ :

$$v_3 = v_2 \quad \text{und} \quad \frac{M v_3^2}{2} = \frac{M v_2^2}{2}.$$

Stoß gegen  
den Hammer-  
keitel.

Die Hammermasse verliert also durch den Stoß an den Keitel um so weniger an Arbeitsvermögen, je größer die Keitelmassa ist, und erleidet hierbei gar keinen Arbeitsverlust, da bei vollkommener Elasticität die Keitelmassa unendlich groß ist. Allgemein ist die Arbeitsfähigkeit der Hammermasse nach dem Stoße:

$$L_3 = \frac{M v_3^2}{2} = \left( \frac{M - M_0}{M + M_0} \right)^2 \frac{M v_2^2}{2},$$

und der Arbeitsverlust:

$$L_4 = \frac{M}{2} (v_2^2 - v_3^2) = 4 \frac{M M_0}{(M + M_0)^2} \cdot \frac{M v_2^2}{2}.$$

In allen den Fällen, wo die Masse  $M_0$  eine endliche ist, besteht dieselbe entweder in einem an beiden Enden ausliegenden, oder in einem an einem Ende fest gehaltenen Balken, und es ist (s. Band I, §. 320):

$$M_0 = \frac{17}{35} \frac{G_0}{g} \text{ zu setzen,}$$

wenn  $G_0$  das Gewicht dieses Körpers bezeichnet.

Ist die Keitelmassa kleiner als die Hammermasse, so tritt ein ähnliches Verhältniß ein, wie beim Aufschlagen des Welldaumens auf einen Stempel oder einen Hammer. Wie bei diesem Aufschlagen die Schwerkraft des Stempel oder Hammer gegen den Daumen zurücktreibt und macht, daß sich zuletzt beide gemeinschaftlich mit der Geschwindigkeit  $v_1 = \frac{M_1 v}{M + M_1}$  fortbewegen, ebenso wird nach dem Aufschlagen des Hammers auf die kleine Keitelmassa die relative oder Biegungeelasticität des Hammerstieles an Keitel bewirken, daß sich beide bis zu ihrer Trennung mit der gemeinschaftlichen Geschwindigkeit

$$v_3 = \frac{M v_2}{M + M_0}$$

fortbewegen, wobei die Hammermasse die Arbeitsfähigkeit

$$L_3 = \frac{M v_3^2}{2} = \left( \frac{M}{M + M_0} \right)^2 \frac{M v_2^2}{2}$$

zurückbehält, und daher das Arbeitsvermögen

$$L_5 = M \left( \frac{v_2^2 - v_3^2}{2} \right) = \frac{(2M + M_0) M_0 \frac{v_2^2}{2}}{(M + M_0)^2}$$

verliert.

Hiernach ist für  $M_0 = 0$ ,  $v_3 = v_2$ , und der Arbeitsverlust durch den Stoß gegen den Keitel = Null, ferner für  $M_0 = \frac{1}{2} M$ ,  $v_3 = \frac{1}{2} v_2$  und dieser Verlust =  $\frac{5}{9} \frac{M v_2^2}{2}$ , und für  $M_0 = M$ ,  $v_3 = \frac{1}{2} v_2$ , beträgt der Arbeitsverlust

$$= \frac{3}{4} \frac{M v_1^2}{2}.$$

Stoß gegen  
den Hammer-  
keitel.

Es nimmt also dieser Arbeitsverlust mit der Keitelmasse gleichzeitig ab.

Jedenfalls fällt aber dann, wenn die Keitelmasse der Hammermasse nahe gleich ist, die Geschwindigkeit der Hammermasse so klein aus, daß eine gemeinschaftliche Fortbewegung der beiden Massen nicht eintreten kann, und deshalb verlieren daher auch die letzten Formeln für  $L_3$  und  $L_4$  bei diesem Massenverhältnisse ihre Richtigkeit. Uebrigens erhält der Hammer durch die Biegeelasticität des Keitels die entgegengesetzte Bewegungsrichtung; es fällt daher derselbe mit der Geschwindigkeit

$$-v_3 = -\frac{Mv_2}{M + M_0}$$

zurück, die Zeit dieser Umsehung der Geschwindigkeitsrichtung des Hammers abzukürzen (s. S. 472).

Schlußanmerkung. Die hauptsächlichste Literatur über die Hoch- und Hammerwerke ist außer den bereits citirten Schriften folgende. Karsten's System der Metallurgie, Band 2, die Aufbereitung der Erze, Berlin 1831, ebenso Karsten's Handbuch der Eisenhüttenkunde, 4. und 5. Thl., 3 Aufl., Berlin 1841, wovon der erstere die Stabeisen- und Stahlfabrikation, und der letztere die Erläuterungen zu den Kupfertafeln enthält. Walter de St. Ange und de Blanc: Métallurgie pratique du fer, Paris 1838, ferner Flachot, Barcolt et Petiet, Traité de la Fabrication du fer et de la fonte, Paris 1842 und 1843, und Valerius: Traité theorique et pratique de la fabrication du fer, Bruxelles 1843 und 1844. Uebersetzungen dieser Schriften sind: Die praktische Eisenhüttenkunde u. s. w. nach den Werken von Walter u. s. w. von G. Hartmann, Weimar 1839 bis 1846, und das theoret. prakt. Handbuch der Stabeisenfabrikation von P. Valerius, Freiberg 1845. Karmarsch, Handbuch der mechanischen Technologie, Hannover 1857. Wiebe, Handbuch der Maschinenkunde, Bd. I, Stuttgart 1858. Ueber Stampf- und Hochwerke speciell handelt ein Artikel im 16. Band von Brechtel's technologischer Encyclopädie, Stuttgart 1850, und über Schemnitzer Hochwerke insbesondere ein Aufsatz des Herrn Vergrath Faller im berg- und hüttenmännischen Jahrbuch der k. k. Montanlehranstalten u. s. w., 9. Band. Wien 1860. Gute Lithographien von sächsischen Hochwerken sind an der K. Sächs. Bergakademie zu haben. Ueber die Theorie der Hebelhochwerke ist nachzulesen: Schnuse's Uebersetzung von Poncelet's Lehrbuch der Anwendung der Mechanik auf Maschinen, Band I, Darmstadt 1845, sowie Cours de Machines par Migout et Berchery, Metz u. 1842. Beschreibend über Stampf- und Hammerwerke handelt die 5. Abtheilung von Schwahn's Lehrbuch der prakt. Mühlenbaukunde, Berlin 1852. Im 4. Band von der Zeitschrift des Vereins deutscher Ingenieure ist ein Aufsatz über die Theorie der Dampfhämmer unter folgendem Titel enthalten: Berechnung des Ruheeffectes der Dampfhämmer nach Daelens Princip, von Knop. Auch ist im zweiten Bande dieser Zeitschrift ein eigenthümlicher Fallhammer (marteau-pilon) von Gutton beschrieben, welcher mittelst eines Riemens aufgehoben wird und mit einer Eins- und Ausrückvorrichtung versehen ist. Vergl. Mechanics Magazine, Jan. 1857, und Revue universelle des Mines, par Cuyper, Tome I.

Unde des dritten Theils.



# Alphabetisches Sachregister.

Die angegebenen Ziffern geben die Seitenzahlen an.

## A.

Abbohren, Abbohrmaschine [512](#).  
 Abstücken der Seile [42](#).  
 Abtrieb der Schiffe [751](#).  
 Accumulatoren [957](#).  
 Aequidistante [128](#).  
 Amboss 1229. [1285](#).  
 Angewäge, Angewelle [22](#).  
 Angriff ohne Stoß [163](#).  
 Anker, Ankerwinde [735](#).  
 Ankerhemmung [323](#).  
 Appold'sche Centrifugalpumpe [837](#).  
 Arbeitsmaschinen [7](#), [425](#).  
 Archimedische Spirallinie 159.  
 Archimedische Wasserschnecke [811](#).  
 Arnour's Wagengeßelle [671](#), [678](#).  
 Atmosphärische Eisenbahn [621](#).  
 Auf- und Abträge 606.  
 Aufsattelung 1210.  
 Auftrieb eines Schiffes [740](#).  
 Aufwerthammer [1278](#), [1300](#).  
 Aufzüge [452](#).  
 Ausblaserohr 628.  
 Ausgleichungskette [358](#).  
 Ausgleichungswagen 346.  
 Ausgußcoefficient [882](#).  
 Ausweichelpläze [512](#).  
 Autoclave Liderung [1023](#).  
 Arenldrücke [58](#).  
 Arenhalter [662](#).

## B.

Baader'sches Gebläse 997.  
 Backenbrems [331](#), [339](#).  
 Baggern, Baggermaschine [802](#).  
 Bahnhöfe 609.  
 Bajonettkupplung [419](#).  
 Balancier 170. [177](#), [924](#).  
 Balanciergewichte [525](#).  
 Balancierventile 861.  
 Balgen, hölzerner [997](#), [1005](#).  
 Balgen, lederne [1007](#).  
 Bandbrems [334](#).  
 Bandseile 526.  
 Bauchwalzen 526.  
 Bauwinde [440](#).  
 Beplankung, Bekleidung d. Schiffe 731.  
 Berghassel 516.  
 Besanmaß [734](#).  
 Befestigung, Zutafelung e. Schiffes [734](#).  
 Bewegung, geradlinig wiederkehrende [7](#), [314](#).  
 Bewegung, kreisförmig wiederkehrende [7](#), [316](#).

Bewegung der Luft durch Wärme 979.  
 Bewegungsarten [7](#).  
 Blaserohr d. Dampfwagens 624. 1189.  
 Blaseventilatoren [1143](#).  
 Blöcke, Tafeln 734.  
 Bodlager [22](#), [24](#).  
 Bohrer, Bohrgeräthe [512](#).  
 Bolzen 29. [38](#), [155](#), [272](#).  
 Bramahpumpen 902.  
 Bremsberg [620](#).  
 Bremse [330](#), [331](#), [668](#).  
 Bremse, Theorie derselben [337](#).  
 Bremsassel [467](#).  
 Bremszeug der Tender [668](#).  
 Brennstoffaufwand 1088.  
 Bruchschwingen 30. [925](#).  
 Brückenschienen 601.  
 Brunnenschwengel 786.  
 Bruthammer [1277](#), [1308](#).  
 Büchsen [25](#).  
 Büchsen, Büchsenfäulen 1291.  
 Bugüren durch Dampfsschiffe [761](#).  
 Bugspriet [734](#).

## C.

Cagniardelle 1164.  
 Centrifugalregulator 395.  
 Centrifugalpumpe [834](#), [837](#).  
 Centrifugalventilatoren [1122](#).  
 Centrifugalventilatoren, Theorie der  
 selben [1127](#).  
 Chabotte 1229. [1285](#).  
 Conische Centrifuge [315](#).  
 Conisches Pendel [395](#).  
 Conische Räder 80.  
 Conische Spiralaräder 305.  
 Contrebalancier 246.  
 Cernwaller Wasserhebungs- Dampf-  
 schine [944](#).  
 Ceulisse, Stephenson'sche [562](#), [640](#), [644](#).  
 Curven, Eisenbahncurven 612.  
 Cycleide [127](#).  
 Cylindergebläse, einfachwirkende 997.  
 997, 1006.  
 Cylindergebläse, doppeltwirkende 1014.  
 Cylinderhemmung 325.

## D.

Dampfcylinder [635](#).  
 Dampföpel 560.  
 Dampfhammer [1197](#), [1256](#).  
 Dampfhammer, Theorie derselben 1270.  
 Dampfkeßel für Dampfsschiffe 180.  
 Dampfkelben [635](#).  
 Dampfstrahl [491](#).



Dampfkünste [935.](#) [940.](#)  
 Dampfkunst, directwirkende [949.](#)  
 Dampfmaschinengebläse [1025.](#)  
 Dampfpeise [631.](#)  
 Dampfpochwerk [1225.](#)  
 Dampfmaschinen [935.](#) [958.](#)  
 Dampfmaschine [506.](#)  
 Dampfschiffmaschine [776.](#)  
 Dampfstrahlpumpe [1190.](#)  
 Dampfswagen [618.](#) [623.](#)  
 Dampfswagenegestelle [662.](#)  
 Dampfswagenegestelle, drehbare [670.](#)  
 Dampfswagen, Theorie der Bewegung desselben [674.](#)  
 Daumen [159.](#) [169.](#) [1281.](#)  
 Daumenconstruction [1312.](#)  
 Däumling [1198.](#) [1209.](#)  
 Deck, Deckbalken [731.](#)  
 Deichsel [529.](#) [573.](#) [586.](#)  
 Differenzialgetriebe [310.](#)  
 Differenzialhaspel [450.](#)  
 Differenzialregulator [409.](#)  
 Differenzialschraube [258.](#)  
 Diffuser, Diffuserschaukeln [1125.](#)  
 Doppelklappe [718.](#)  
 Doppelpumpen [852.](#) [879.](#)  
 Doppelschventile [865.](#)  
 Drahtbrems [335.](#)  
 Drahtseile [37.](#) [40.](#)  
 Drehbaum der Schleusenthore [713.](#) [717.](#)  
 Drehlinge [95.](#) [127.](#)  
 Drehscheiben [609.](#)  
 Drempel [712.](#)  
 Drops [469.](#)  
 Druckbaum, Druckhebel [905.](#)  
 Druckfedern [663.](#)  
 Druckpumpen, Drucksäge [846.](#) [876.](#)  
 Düsen [1027.](#)  
 Düsenmündung [1027.](#)  
 Durchlässe der Eisenbahnen [604.](#)  
 Durchschleusen, Wasserbedarf dazu [720.](#)

## E.

Egalisatoren [322.](#)  
 Eimerkunst [799.](#)  
 Ein- und Ausrückvorrichtungen [415.](#)  
 Eisenbahnen [598.](#)  
 Eisenbahnschienen [600.](#)  
 Eisenbahnwagen [616.](#)  
 Eisenbahnwagenräder [612.](#)  
 Eisendrahtseile [37.](#)  
 Eisenschienen [600.](#)  
 Elevator [802.](#)  
 Elliptische Räder [300.](#)  
 Epicykelvorgelege [309.](#) [311.](#)  
 Epicykloide [117.](#) [125.](#)  
 Epicykloide, sphärische [145.](#)  
 Erpochwerk [1199.](#)  
 Eselshoofst, Eselshaupt [784.](#)

Evolvente, Kreisevolvente [119.](#) [127.](#)  
 Evolventenzähne [138.](#)  
 Excentrif an einer Zugbrücke [360.](#)  
 Excentrifbrems [335.](#) [343.](#)  
 Excentrif, excentrische Scheiben [165.](#)  
 Excentrische Kreisräder [307.](#)  
 Expansionsdampfmaschinen [220.](#)  
 Expansionsrollen [76.](#)

## F.

Fallblock [504.](#)  
 Fallhammer [1227.](#)  
 Fangbock, Fanghorn [946.](#)  
 Federregulator [411.](#)  
 Federpuffer [1231.](#)  
 Feuerkasten [623.](#)  
 Feuersprizen [897.](#)  
 Feuersprizen, Berechnung derselben [906.](#)  
 Flaschenzüge [431.](#) [434.](#)  
 Flügelgebläse [1121.](#)  
 Flügelrad [322.](#) [759.](#)  
 Fluthgerinne, Leerläufe [708.](#)  
 Fockmast [734.](#)  
 Fördergefäße [560.](#) [569.](#)  
 Förderung zu Wasser [704.](#)  
 Förderungsmaschinen [427.](#)  
 Förderungsmethoden [568.](#)  
 Form für den Gebläsewind [1027.](#)  
 Fortpflanzungsmittel, biegsame [37.](#)  
 Fouriet'sche Gebläse [1006.](#)  
 Frictionshämmer [1244.](#)  
 Frictionshämmer, Theorie derselben [1249.](#)  
 Frictionskegelskuppelung [417.](#)  
 Frictionskuppelung [379.](#) [417.](#)  
 Frictionsrad [160.](#)  
 Frictionsrollen der Krahne [477.](#)  
 Fuhrwerke [568.](#)  
 Führung, Geradföhrung [234.](#)  
 Füllort [516.](#)  
 Fußlager [25.](#)  
 Futter der Zapfenlager [22.](#)

## G.

Gabel [416.](#) [418.](#) [573.](#)  
 Gabelkuppelung [419.](#)  
 Gabelsteuerung [641.](#)  
 Gebläse [425.](#) [995.](#) [996.](#)  
 Gebläse, Nebenhindernisse derselben [1055.](#)  
 Gebläse, theoretische Arbeit derselben [1032.](#)  
 Gebläse, Umtriebskraft derselben [1107.](#)  
 Gebläse-Umtriebsmaschinen [1090.](#)  
 Gebläse-Indicatoren [1053.](#)  
 Gebläsefolben [1020.](#)  
 Gebläsekraft [1058.](#)  
 Gebläseluft, erhitzte [1030.](#) [1078.](#)  
 Gebläseverluste [1040.](#)



Gegengewichte 345. [536](#). [693](#).  
 Gegengewichte der Locomotiven [693](#).  
 Gegengewicht der Krummzapfen [362](#).  
 Gegengewichtsbalancier [322](#). [345](#). [948](#).  
 Gegengewichtsfette 346.  
 Gegenlenker [237](#). [240](#).  
 Gegenmuttern [288](#).  
 Gegenwinde 450.  
 Gefröpfte Wellen 171.  
 Gefuppelte Schleusen [713](#).  
 Geleis der Wagenräder [579](#).  
 Gelenk [238](#).  
 Gelenkfetten [38](#).  
 Gestängkreuz [30](#).  
 Gestängschlösser [30](#).  
 Gestängwalzen [29](#). [917](#).  
 Getriebe, Getriebrad [953](#).  
 Gezahnte Stange [158](#).  
 Gichtaufzug mit Kette ohne Ende [453](#).  
 Gichtaufzug mit Wasserkraft 457.  
 Giffard'sche Speisevorrichtung 1190.  
 Girard's Schleuse 725.  
 Gliederbrems [334](#). [342](#).  
 Glockengebläse 1006. 1105.  
 Glockenregulator [1001](#). [1068](#).  
 Gouvernateren [322](#). 395.  
 Grad der Ungleichförmigkeit [209](#).  
 Gruben, Grubenstoß [1203](#).  
 Grubenventilator [1148](#).  
 Gurgelröhre [903](#).  
 Gusröhre [905](#).

## S.

Safen, englischer [323](#).  
 Halslager [26](#).  
 Haltungen [709](#).  
 Hämmer [1196](#).  
 Hammergerüste [1291](#).  
 Hammerhelm, Hammerhülse 1196. [1286](#).  
 Hammerrad, steiermärkisches [1295](#).  
 Hammerwelle [1287](#).  
 Hammerwerk [1277](#).  
 Hammerwerks-Umtriebsmaschinen [1293](#).  
 Handaufzug [457](#).  
 Handeimer 786.  
 Handgöpel [526](#).  
 Handpumpe 895.  
 Handramme [501](#).  
 Hanfseile [37](#). [42](#).  
 Hängegerüste [22](#).  
 Hängelager [22](#). [24](#).  
 Hängemaschinen [466](#).  
 Hängestangen [252](#).  
 Haspel mit Vorlege [447](#). 521.  
 Haspel, Zieh- oder Verghaspel [516](#).  
 Hebel [427](#).  
 Hebeladen [427](#). [718](#).  
 Hebelbewegung [162](#).  
 Hebelhammer [1277](#).

Hebelhammerwerke, Theorie der Bewegung derselben 1316.  
 Hebelpumpe [196](#).  
 Hebemaschine, tragbare von Long 448.  
 Heblinge [169](#). 1198. 1205. 1209.  
 Heblingswellentheilung 1211.  
 Hemmung [322](#).  
 Hemmfetten, Hemmfuß [331](#).  
 Heizröhren 624. 626.  
 Heronsbrunnen [976](#).  
 Hertscheiben 160.  
 Hochdruckventilator [1154](#).  
 Holländische Ramme [503](#).  
 Holzschraube [271](#). [273](#).  
 Hoyer, Rammbär 500.  
 Hülse, Muß [16](#). 155.  
 Hubpumpen [845](#).  
 Hubverluste [27](#).  
 Hubwassermenge der Pumpen [881](#).  
 Hubigkeit 1206.  
 Hydraulische Pressen [442](#).  
 Hydraulische Regulatoren [413](#).  
 Hydraulische Winde [444](#).  
 Hydraulischer Balancier 353.  
 Hydraulischer Stempelhammer [1272](#).  
 Hydraulischer Widder 959.  
 Hyperboloid [82](#).  
 Hyperboloidenräder [79](#). 84. 106. 141.  
 Hypocykloide [117](#). 126.  
 Hypocykloidenrad [237](#).

## I.

Indicator, Gebläse-Indicator 1053.

## R.

Ramm, Rammräder 95.  
 Rammerschleusen 709.  
 Rammräder [95](#). 150.  
 Rantenschienen [601](#).  
 Karren [573](#).  
 Rastenbalgen [997](#).  
 Rastengebläse [997](#). 1003. 1084.  
 Rastenspumpen [877](#).  
 Regelbrems [336](#). [343](#).  
 Regelventile 861.  
 Rehrad [541](#).  
 Reil, Splint [17](#). 30.  
 Kernleder, Rindleder [63](#).  
 Kette, Schurz- und Quenzelfette 34.  
 Ketten [37](#). [38](#).  
 Kettengebläse 1176.  
 Kettenräder [77](#).  
 Kettenstärke [47](#).  
 Kettentaue [39](#).  
 Kiel, Schiffskiel 730.  
 Riemenventile [867](#).  
 Rimmung [737](#).  
 Klappventile [864](#).  
 Klauenfuppelung 416. [413](#).



Klinkenkuppelung [415](#).  
 Kloben 50.  
 Klobenzüge, Flaschenzüge [431](#).  
 Klopfer bei Hochwerken [1201](#).  
 Königsbaum [914](#).  
 Kolbengebläse 996. [1084](#).  
 Kolbengebläse, rotirende [1112](#).  
 Kolbenregulator 1000. [1067](#).  
 Kolbenröhre 845.  
 Kolbenstangen 26.  
 Korb, Seilkorb 156. [524](#).  
 Korbsattel 1210.  
 Kraft- oder Umtriebsmaschinen [7](#).  
 Krahne, bewegliche [485](#).  
 Krahne, Kraniche [473](#).  
 Krahne, Statif derselben [393](#).  
 Kreisevolvente [138](#). [1205](#).  
 Kreisträder, excentrische [307](#).  
 Krenpelpalte 602.  
 Kreuze, Gestängekreuze 865.  
 Kronensperrrad [319](#).  
 Kronrad 95.  
 Krüdenisen 30.  
 Krüdenpumpe 895.  
 Krummse 916. 870.  
 Krummzapfen 168. 170.  
 Krummzapfen, doppelter und dreifacher [173](#).  
 Krummzapfen bei oscillirenden Dampfmaschinen [212](#).  
 Krummzapfen mit Balancier oder Hebel [213](#).  
 Krummzapfen mit veränderlicher Umdrehungskraft 220.  
 Krummzapfen, Theorie d. einfachen [179](#).  
 Krummzapfen, Theorie d. doppelten [197](#).  
 Krummzapfen, Theorie d. dreifachen [205](#).  
 Krummzapfenkuppelung [18](#).  
 Krumme, Trog [819](#).  
 Krumpe [132](#).  
 Kunstgestänge 26. 916.  
 Kunstgezeuge 895. 913.  
 Kunstkreuz [31](#). [171](#). 915.  
 Kunstkrumme [504](#).  
 Kunstschacht 916.  
 Kuppelstangen [638](#).  
 Kuppelungen [15](#). [415](#).  
 Kurbel 168.  
 Kurbelmechanismus [318](#).  
 Kurbelreibungen [185](#).  
 Kurbelstange 170. [174](#).  
 Kurbelstange, Trägheit derselben 190.

## K.

Kienhölzer [1201](#).  
 Kiergerüste [22](#).  
 Kierkasten [25](#).  
 Kienketten [32](#). [38](#).  
 Kien, Kieneschlösser [29](#).

Lastwagen, vierräderiger 584.  
 Laufgetriebe [312](#).  
 Lauftrüthen, Käufer [502](#).  
 Lederriemen [63](#).  
 Leerläufe [708](#).  
 Leinpfad der Canäle [705](#).  
 Leitrollen [48](#).  
 Leitung, feste 233. [637](#).  
 Leitung, schwingende [237](#).  
 Lemniscate, Schleifenlinie [239](#).  
 Lenkstange [174](#).  
 Lenker, Lenkarme [238](#). [253](#).  
 Leit- oder Rückgabel [418](#).  
 Letestu'sche Kolben [900](#).  
 Lichthaspel [450](#).  
 Lige, Schnur 40.  
 Locomotive [623](#).  
 Locomotivkessel [625](#).  
 Locomotivmechanismen [635](#).  
 Locomotivsteuerung [639](#).  
 Luftbläser, Luftsauger 980.  
 Luftmaschine von Höll [977](#).  
 Luftpuffer [1231](#). [1237](#).  
 Luftpumpen [1012](#).  
 Luftregulator [413](#).  
 Luftwechsel, künstlicher [981](#). [988](#).  
 Luftwechsel, natürlicher [985](#).

## M.

Mackenzie's Gebläse [1118](#).  
 Mäkler, Lauftrüthen 502.  
 Mangelrad [317](#).  
 Massivkolben [845](#). 867.  
 Mast, Mastbaum [734](#).  
 Maximal- und Minimalgeschwindigkeit [191](#). [201](#). [207](#).  
 Mikrometerschrauben [274](#).  
 Moderatoren [322](#).  
 Mönch [152](#). 530.  
 Mönchspumpen 876.  
 Muff, Hülse 16. 416. [417](#).  
 Mundstück [905](#).

## N.

Nabe, Radnabe [49](#). [155](#). 576.  
 Nasshochwerk [1199](#).  
 Norri's Wagengestelle [671](#).

## O.

Oberbau der Eisenbahnen [603](#).  
 Oberdampf [1268](#).  
 Odontographie [124](#).  
 Ortszeit 586.  
 Oscillirender Träger 261.

## P.

Parabolischer Centrifugalregulator [407](#).  
 Parallelogramm, Watt'sches [252](#).  
 Paternostergebläse 1176.



Paternosterwerke [799](#).  
 Paternosterwerke, Leistung derselben [810](#).  
 Pendel, conisches [395](#).  
 Pendelregulator [410](#).  
 Perspectivpumpen [873](#).  
 Pfadeisen [516](#).  
 Pfahlrost [500](#).  
 Pfannen [8](#).  
 Pferdegepöpel [528](#).  
 Plungerpumpe, Möncherpumpe [877](#).  
 Pneumatische Aufzüge [459](#).  
 Pneumatische Liderung [1023](#).  
 Pneumatischer Balancier [355](#).  
 Pochgänge, Pochschlamm [1199](#).  
 Pochrolle [1201](#).  
 Pochsohle [1199](#).  
 Pochstuhl, Pochtrog [1199](#).  
 Pochwerke [1197](#), [1220](#).  
 Pochwerke, mechanische Arbeit derselben [1213](#).  
 Polygonale Räder [303](#).  
 Präcisionsräderwerke [151](#).  
 Prägwerke [275](#).  
 Prallkopf, Prallstoß [1286](#).  
 Prallvorrichtungen [1279](#).  
 Presse, hydraulische [442](#).  
 Presse, Preßschrauben [275](#).  
 Priesterpumpe [901](#).  
 Puffer [1230](#).  
 Puffer mit Kautschukringen [1231](#).  
 Pumpen [841](#).  
 Pumpen, Arbeit zur Bewegung derselben [887](#).  
 Pumpen, Hubwassermenge derselben [881](#).  
 Pumpen, Nebenhindernisse ders. [884](#).  
 Pumpen mit Massivkolben [848](#).  
 Pumpen mit Ventilkolben [845](#).  
 Pumpenkolben [867](#).  
 Pumpenkolbendurchmesser [883](#).  
 Pumpenröhren [859](#), [895](#).  
 Pumpenventile [861](#).  
 Pumpenwerk [895](#).

## Q.

Querhaupt [234](#), [636](#).  
 Quetschhammer [1196](#).  
 Quetschwerke [1306](#).

## R.

Radarme [151](#).  
 Radconstruction [151](#).  
 Räder, Hook'sche [111](#).  
 Räder, Homer'sche [305](#).  
 Räder, White'sche [112](#).  
 Räderwerke [52](#).  
 Radfelgen, Radreifen, Radspeichen [576](#).  
 Radfränge [151](#).

Radkünste [919](#).  
 Radsector [95](#).  
 Radspeichen [576](#).  
 Radstuhl [152](#).  
 Radzirkel [132](#).  
 Raen, Schiffraen [734](#).  
 Rammbar, Rammfloß [500](#).  
 Ramme, Hand-, Zug- und Kunst-ramme [501](#).  
 Rammmaschinen [500](#).  
 Rammen, schiefe Ebenen [618](#), [729](#).  
 Rauchkasten [624](#), [627](#).  
 Rauchrohren [624](#), [626](#).  
 Regulatoren [321](#).  
 Regulatoren, hydraulische und pneumatische [413](#).  
 Reibungsräder [92](#).  
 Reichenbach's Wasserschälenmaschinen [930](#).  
 Reithnagel [586](#).  
 Reitel [1279](#), [1301](#).  
 Riemen, Treibriemen [63](#).  
 Riemen, offener oder gekreuzter [61](#).  
 Riemenführung [69](#).  
 Riemenräder [53](#), [59](#), [71](#).  
 Riemenspannung [60](#).  
 Rippen, Federn [8](#), [151](#).  
 Rohrencondensator [784](#).  
 Rohrenventilatoren [1123](#).  
 Rollen, feste und lose [418](#), [429](#).  
 Rollenzüge [431](#).  
 Rostpfähle [500](#).  
 Rostkünste [919](#).  
 Rotationspumpen für Luft [1116](#).  
 Rotationspumpenf. Wasser [842](#), [894](#), [902](#).  
 Rothguß [8](#).  
 Rücken der Dampfwagen [686](#).  
 Rück- oder Zeitgabel [418](#).  
 Ruder [753](#).  
 Ruderräder [754](#), [765](#).  
 Ruderräder mit Dampfmaschine [762](#).  
 Ruderschäufeln [756](#).  
 Ruderschäufelrad [757](#).  
 Rundbaum der Haspel [515](#).  
 Rundhelz [734](#).

## S.

Salinometer [783](#).  
 Salzwasserpumpe [784](#).  
 Saugheber [968](#).  
 Saugheber, Theorie desselben [972](#).  
 Saughöhe der Pumpen [854](#).  
 Saugkopf [899](#), [903](#).  
 Saugpumpen, Saugsäße [845](#), [874](#).  
 Saugröhre [845](#), [903](#).  
 Saugsaß [870](#).  
 Saugschwingheber [834](#).  
 Saugstrahlpumpe [1188](#).  
 Saugventil [846](#), [848](#).



- Saugventilatoren 1143.  
 Saugventilator von Combes [1149](#).  
 Säulen, Schlag- und Wendesäulen der Schleusenthore [712](#).  
 Schachtförderung [514](#).  
 Schädlicher Raum der Gebläse 1040.  
 Schädlicher Raum der Pumpen [857](#).  
 Schaufel, Wurf- und Schwungschaufel [787](#).  
 Schaufelräder [767](#).  
 Schaufelwerke [804](#).  
 Scheere [503](#).  
 Scheibenkunst 805.  
 Schieberbrücken 611.  
 Schieberbewegung [643](#).  
 Schiebergebläse [1017](#). [1050](#). 1060. [1101](#).  
 Schiebermechanismus d. Gebläse. [1051](#).  
 Schiebkarren [571](#).  
 Schiefe Ebenen [618](#). 620. [729](#).  
 Schienen, Schienenbahnen [598](#).  
 Schienenmühle [602](#).  
 Schiffahrtskanäle [704](#).  
 Schiffe, Construction derselben 730.  
 Schiffe, Stabilität, Schwingungen derselben [741](#).  
 Schiffsaufzüge 728.  
 Schiffsdampfkeffel [780](#).  
 Schiffsformen 736.  
 Schiffsmast [734](#).  
 Schiffsriffe 736.  
 Schiffsschraube [772](#).  
 Schiffsziehen [747](#).  
 Schlagleiste [1309](#).  
 Schlagsäulen und Schlagschwellen [712](#).  
 Schlagwerk der Uhren [328](#).  
 Schlagwerk, Rammmaschine 500.  
 Schlange [811](#). [1162](#).  
 Schlängeln der Dampfwagen 686.  
 Schleifen, Schlitten 569.  
 Schleifenlinie 289.  
 Schleifzeuge 333.  
 Schleppschiene [29](#).  
 Schleusen, Schleusenthore [705](#). [713](#).  
 Schleusen mit Schwimmer [725](#).  
 Schleusen m. beweglichen Kammern [728](#).  
 Schleusenthore [710](#).  
 Schlüssel, Schlüsselsteil [17](#). [155](#).  
 Schmierbüchse [23](#). [663](#).  
 Schnecke 290. 326.  
 Schneckenräder [795](#).  
 Schneckenräder zum Wassers schöpfen 795.  
 Schnurscheiben [77](#).  
 Schnurräderwerke [53](#).  
 Schöpfmaschinen [785](#).  
 Schöpfräder [791](#).  
 Schotterstraßen [598](#).  
 Schraube 270. [271](#).  
 Schraube ohne Ende 290.  
 Schraube, Theorie der flachgängigen [277](#).  
 Schraube, Theorie d. scharfgängigen 283.  
 Schraubenbewegung [271](#).  
 Schraubenfläche [268](#).  
 Schraubengang 267.  
 Schraubengebläse [1164](#). 1170.  
 Schraubengewinde [269](#).  
 Schraubenlinie [267](#).  
 Schraubenmutter 270.  
 Schraubenpresse [271](#).  
 Schraubenräder [112](#). [295](#).  
 Schraubenräder der Schiffe [755](#). [772](#).  
 Schraubenspindel 270.  
 Schraubenstock [272](#).  
 Schraubenventilator [1157](#).  
 Schraubenzieher, Schraubenschlüssel [273](#).  
 Schwanen der Dampfwagen 686.  
 Schwanzhammer [1277](#). [1285](#).  
 Schwanzhammer m. Dampfbetrieb 1298.  
 Schwanzhammer, steiermärkischer [1293](#).  
 Schwellen, Eisenbahnschwellen [602](#).  
 Schwengel 528. 786.  
 Schwerbrücke [1291](#).  
 Schwingungen eines Schiffes [742](#).  
 Schwungradregulator [322](#). [395](#).  
 Schwungräder [373](#). 376. [1109](#).  
 Schwungschaufel [787](#).  
 Seilbahnen [619](#).  
 Seilkorb 156. [524](#).  
 Seil, Riemen ohne Ende [59](#).  
 Seilscheiben [48](#). [525](#).  
 Seilstärke [44](#). 46.  
 Seitenabweichung [241](#). [249](#). [259](#).  
 Seitenbassin [723](#).  
 Seitenkanäle [704](#).  
 Senten, Sentenriffe [737](#).  
 Sohlplatte [22](#).  
 Sonnen- und Planetenrad [312](#).  
 Spannrollen [65](#).  
 Spanten, Schiffspanten 730. [731](#).  
 Speisebassin, Speisegräben 706.  
 Speisepumpe [939](#).  
 Speisung der Kanäle 706.  
 Sperrklinken [318](#).  
 Sperrräder [318](#). [415](#). 420.  
 Sperrventil [959](#).  
 Spießbäume bei Göpeln [530](#).  
 Spindeln [8](#).  
 Spiralkorb [524](#). 536.  
 Spirallinie, archimedische [159](#).  
 Spiralpumpe für Luft [1162](#).  
 Spiralpumpe für Wasser [828](#).  
 Spiralaräder [302](#). [304](#).  
 Spitzbalgen [997](#). [998](#).  
 Splint, Keil [17](#).  
 Spritzschlauch [904](#).  
 Spundpfähle [500](#).  
 Spurkranz [601](#). 612.  
 Spurplatte [25](#).  
 Spurschienen 600.



Stabilität eines Schiffes [741](#).  
 Stampfen der Dampfwagen 686.  
 Stampfgrube 1199.  
 Stampfwerke 1197. [1203](#).  
 Standröhren [903](#). 953.  
 Stange, gezahnte [95](#). [158](#).  
 Stangen 26.  
 Stangenvorgelege [78](#).  
 Stehbolzen 625.  
 Steighöhe, Traghöhe 906.  
 Steigrad [323](#).  
 Steigröhre [845](#).  
 Steigventil 959.  
 Stemmthore der Schleusen [710](#).  
 Stempel, Stampfer 1196.  
 Stempelhammer, Theorie derselb. [1233](#).  
 Stempelhammer 1197. [1228](#). [1270](#).  
 Steuer, Steuerruder der Schiffe [732](#).  
 Steuerung der Schiffe [751](#).  
 Steuerung von Stephenson [643](#). 650.  
 Steven, der Schiffer 730. [781](#).  
 Stifte [8](#).  
 Stirnhämmer [1277](#). [1305](#).  
 Stirnräder [79](#).  
 Storchschnabel [252](#).  
 Stoßheber [963](#).  
 Stoßheber, Theorie desselben 965.  
 Stube [502](#).  
 Stürzaren 526.  
 Stürzhafen 526.  
 Stufenräder von Hooke 111.  
 Stuhlschienen [601](#).

## T.

Taucherkolben [877](#).  
 Tauwerk 734.  
 Tender [625](#). 666.  
 Theer [43](#).  
 Theilung, Theilkreis [93](#). [98](#).  
 Thor, Ober- und Unterthor b. Schleusen [713](#).  
 Tonnenfach 516.  
 Tonnengebläse 999.  
 Tonnenmühle 819.  
 Tragen, einer Last [568](#).  
 Träger, oscillirender 261.  
 Treibbetonne [525](#).  
 Treibrad [53](#).  
 Treibriemen [63](#).  
 Treibstangen, Kurbelstangen [637](#).  
 Triebare [638](#).  
 Triebbröhre [621](#). [1012](#).  
 Triebstock [95](#). [127](#).  
 Trip-hammer [1228](#).  
 Trilling 95.  
 Trockenpochwerk 1199.  
 Trockenregulator 1000.  
 Trommel [71](#). 76. 156. 326.  
 Trommelrad 795.

Tunnel 606. [708](#).  
 Turbinengebläse 1093.  
 Turbinengöpel 546.  
 Turbinenpochwerk 1223.

## U.

Umhüllungskurve [117](#).  
 Umläufe, Dohlen 710.  
 Umtriebsmaschinen [7](#).  
 Umtriebsmaschinen der Gebläse 1090.  
 Umsehung, Umsehungsverhältniß 34.  
 Ungleichförmigkeitsgrad der Kräfte-  
 zapsenbewegung 209.  
 Universalgelenke [18](#).  
 Universalischraubenschlüssel 273.  
 Unruhe [324](#).  
 Unterschurer [1201](#).  
 Unterbau der Eisenbahnen 603.

## V.

Vaucanson'sche Ketten 38.  
 Ventilator von Downie 1154.  
 Ventilator von Fabry 1112.  
 Ventilator von Femielle 1118.  
 Ventilator von Floyd [1151](#).  
 Ventilator von Lefoine 1155.  
 Ventilator von Schwarzkerf 1152.  
 Ventilation [988](#).  
 Ventilator-Ausführungen 1121. 115.  
 Ventilatoren, Construction ders. 138.  
 Ventile, Doppelsäventile 865.  
 Ventilbahn [877](#).  
 Ventilkolben [845](#). 868.  
 Verbindungscanäle [704](#).  
 Verzahnung, äußere [94](#). 95.  
 Verzahnung conischer Räder [145](#). 14.  
 Verzahnung, innere 95. 136.  
 Viaducte, Landbrücken 607.  
 Vignolschienen [601](#).  
 Völligkeitscoefficient 739.  
 Vorgelege [54](#).  
 Vorgelegehaspel 446. [521](#).

## W.

Wagengestelle, drehbare [670](#).  
 Wagenräder 576.  
 Wagenwinde [272](#).  
 Wagenzug [625](#).  
 Walkhammer 1197. 1309.  
 Walkloch, Walkstock 1309.  
 Walzeisen [31](#).  
 Warmwindapparat [1031](#).  
 Warze 169.  
 Warzengeschwindigkeit 188. 191.  
 Warzenreibung [185](#).  
 Washhammer 1197.  
 Wasserbedarf beim Durchschleusen [72](#).  
 Wasserform [1027](#).



Wasserhebungsampfmaschine [943.](#) [949.](#)  
[953.](#)  
 Wasserhebungsampfen [425.](#) [785.](#)  
 Wasserkrahn, Wasserstation [667.](#)  
 Wasserkunst [895.](#)  
 Wasserleitung 996. [1105.](#)  
 Wasserlinien der Schiffe 736.  
 Wasserradgebläse [1092.](#)  
 Wasserradgöpel [540.](#)  
 Wasserradpochwerke 1222.  
 Wasserregulator 1000. [1002.](#) [1068.](#)  
 Wassersäulenaufzüge 463.  
 Wassersäulengebläse von Henschel [1178.](#)  
 Wassersäulengöpel [555.](#)  
 Wassersäulenkrahn [487.](#)  
 Wassersäulenlünste [923.](#) 930.  
 Wassersäulenpochwerke [1224.](#)  
 Wasserschaukeln [787.](#)  
 Wasserscheide [704.](#)  
 Wasserschnecke 811.  
 Wasserschraube [819.](#)  
 Wasserstandszeiger [630.](#)  
 Wassertrommelgebläse [1182.](#)  
 Wassertürme [953.](#)  
 Wasserwippe [788.](#)  
 Watt'sches Parallelogramm 252.  
 Watt'sche Wasserhebungsampfmaschine  
[944.](#)  
 Wellen [8.](#)  
 Wellenstärken [9.](#)  
 Wellenbaumen [1277.](#) [1287.](#) 1312.  
 Wellkranz [1287.](#) [1301.](#)  
 Wendeboden [32.](#)  
 Wendische [712.](#)  
 Wenderöhre [904.](#)  
 Wendesäule [713.](#)  
 Wetterblenden, Wetterthüren [987.](#)  
 Wetter- und Windleitungen [1025.](#)  
 Wetterlütten 987.  
 Wettermaschinen 425. [988.](#) [995.](#)  
 Wetteröfen [990.](#)  
 Wetterrad [1112.](#) [1155.](#)  
 Wettersag [997.](#) [1005.](#)  
 Wettersauger [1105.](#)  
 Wetterschacht [987.](#)  
 Wetterthurm [991.](#)  
 Wetterwechsel [981.](#)  
 Wetterzug 986.  
 Wetterzug, Theorie des künstlichen  
[991.](#)  
 Widder, hydraulischer [959.](#) [985.](#)  
 Widerstand auf Eisenbahnen [697.](#)

Widerstände bei Fuhrwerken [593.](#)  
 Widerstände bei Schiffen 746.  
 Widholmgebläse [998.](#)  
 Willi's Zahnformen [122.](#)  
 Willi's Zahnradconstruction [143.](#)  
 Winde, hydraulische [444.](#)  
 Winden, Bau- u. Wagenwinden [440.](#)  
 Windfang oder Flügelrad [328.](#)  
 Windkasten [1027.](#)  
 Windkessel [897.](#) [903.](#) [953.](#)  
 Windlünste [914.](#)  
 Windleitungen [1025.](#)  
 Windmenge [1072.](#)  
 Windradventilatoren [1123.](#) [1155.](#)  
 Windradventilatoren, Theorie dersel-  
 ben [1158.](#)  
 Windregulatoren 1000. [1063.](#)  
 Windstock [1027.](#)  
 Winkelräder [79.](#) 80.  
 Wippkarren [575.](#)  
 Wippwagen [617.](#)  
 Wurfräder [789.](#)  
 Wurfschaukel [787.](#)

### 3.

Zähne [53.](#) [93.](#) [95.](#) 151.  
 Zähnezahl [98.](#)  
 Zahnflächen [94.](#) [134.](#)  
 Zahnform, allgemeine [115.](#)  
 Zahnform, nach Willis [64.](#) [125.](#) [143.](#)  
 Zahnformen, verschiedene [113.](#) [117.](#) 120.  
 Zahnlücken [53.](#)  
 Zahnräder [79.](#) [93.](#) 151.  
 Zahnräderwerke [53.](#)  
 Zahnreibung [102.](#)  
 Zahnscheibenskuppelung 416.  
 Zahnstärke 96.  
 Zahnstange [95.](#) [158.](#)  
 Zapfen [8.](#)  
 Zapfenlager [8.](#) 22.  
 Zapfenstärken 13.  
 Zerkleinerungsmaschinen [425.](#)  
 Zeug, gangbares [54.](#)  
 Ziehweg, Leinpfad [705.](#)  
 Zubringer [898.](#)  
 Zugbrücken 356.  
 Zugrammen [502.](#)  
 Zungen, Schienenzungen [608.](#)  
 Zwangschienen [607.](#)  
 Zwischengeschirr [54.](#)  
 Zwischenmaschinen [7.](#)



Die Citate im dritten Bande beziehen sich, was die ersten Bände betrifft

- 1) von Seite 1 bis Seite 192 auf die erste Auflage,
- 2) von Seite 193 bis Seite 844 auf die zweite Auflage,
- 3) von Seite 845 bis Ende auf die dritte Auflage der ersten beiden Bände.

Um dieselben in jeder dieser drei Auflagen nachschlagen zu können, ist folgende Zusammenstellung der denselben Stoff behandelnden Paragraphen der drei Auflagen von den ersten beiden Bänden gemacht worden.

### Tabellarische Zusammenstellung

derjenigen Artikel und Paragraphen in den verschiedenen Auflagen des ersten und zweiten Bandes der Ingenieur- und Maschinenmechanik welche denselben Stoff behandeln.

#### Band I.

##### A. Artikelnummern in den analytischen Hülfslehren.

Auflage			Auflage		
8.	2.	1.	8.	2.	1.
1	1	—	18	16	—
2	2	—	19	17	—
3	3	—	20	18	—
4	4	—	21	19	—
5	5	—	22	20	—
6	6	—	23	21	—
7	7	—	24	22	—
8	8	—	25	23	—
9	—	—	26	24	—
10	—	—	27	25	—
11	9	—	28	26	—
12	10	—	29	27	—
13	11	—	30	28	—
14	12	—	31	—	—
15	13	—	32	29	—
16	14	—	33	—	—
17	15	—			

B. Paragraphennummern im Haupttexte.

Auflage			Auflage			Auflage		
3.	2.	1.	3.	2.	1.	3.	2.	1.
1	1	1	43	42	42	80	79	79
2	2	2	44	43	43	81	80	80
3	3	3	45	44	44	82	81	81
4	4	4	46	45	45	83	82	82
5	5	5	47	46	46	84	83	83
6	6	6	48	47	47	85	84	84
7	7	7	49	48	48	86	85	85
8	8	8	50	49	49	87	86	86
9	9	9	51	50	50	88	87	87
10	10	10	52	51	51	89	88	88
11	11	11	53	52	52	90	89	89
12	12	12	54	53	53	91	90	90
13	13	13	55	54	54	92	—	—
14	14	14	56	55	55	93	—	—
15	15	15	57	56	56	94	91	91
16	16	16	58	57	58	95	92	92
17	17	17	59	58	58	96	93	93
18	18	18	60	59	59	97	94	94
24	24	24	61	60	60	98	95	95
25	25	25	62	61	61	99	96	96
26	26	26	63	62	62	100	97	97
27	27	27	64	63	63	101	98	98
28	28	28	65	64	64	102	99	99
29	29	29	66	65	65	103	100	100
30	30	30	67	66	66	104	101	101
31	31	31	68	67	67	105	102	102
32	32	32	69	68	68	106	103	103
33	33	33	70	69	69	107	104	104
34	34	34	71	70	70	108	105	105
35	35	35	72	71	71	109	106	106
36	36	36	73	72	72	110	107	107
37	37	37	74	73	73	111	108	108
38	38	38	75	74	74	112	109	109
39	39	39	76	75	75	113	—	—
40	40	40	77	76	76	114	110	110
41	41	41	78	77	77	115	111	111
42	—	—	79	78	78	116	112	112

Auflage			Auflage			Auflage		
3.	2.	1.	3.	2.	1.	3.	2.	1.
<u>117</u>	<u>118</u>	<u>118</u>	<u>156</u>	<u>151</u>	<u>151</u>	<u>195</u>	—	—
<u>118</u>	<u>114</u>	<u>114</u>	<u>157</u>	<u>152</u>	<u>152</u>	<u>196</u>	<u>188</u>	<u>185</u>
<u>119</u>	<u>115</u>	<u>115</u>	<u>158</u>	<u>153</u>	<u>153</u>	<u>197</u>	—	—
<u>120</u>	<u>116</u>	<u>116</u>	<u>159</u>	<u>154</u>	<u>154</u>	<u>198</u>	—	—
<u>121</u>	<u>117</u>	<u>117</u>	<u>160</u>	<u>155</u>	<u>155</u>	<u>199</u>	—	—
<u>122</u>	<u>118</u>	<u>118</u>	<u>161</u>	<u>156</u>	<u>156</u>	<u>200</u>	{ <u>189</u>	<u>186</u>
<u>123</u>	—	—	<u>162</u>	<u>157</u>	<u>157</u>		<u>212</u>	<u>206</u>
<u>124</u>	<u>119</u>	<u>119</u>	<u>163</u>	<u>158</u>	<u>158</u>	<u>201</u>	—	—
<u>125</u>	<u>120</u>	<u>120</u>	<u>164</u>	<u>159</u>	<u>159</u>	<u>202</u>	<u>190</u>	<u>187</u>
<u>126</u>	<u>121</u>	<u>121</u>	<u>165</u>	<u>160</u>	<u>160</u>	<u>203</u>	—	—
<u>127</u>	<u>122</u>	<u>122</u>	<u>166</u>	<u>161</u>	<u>161</u>	<u>204</u>	<u>191</u>	<u>188</u>
<u>128</u>	<u>123</u>	<u>123</u>	<u>167</u>	<u>162</u>	<u>162</u>	<u>205</u>	<u>192</u>	<u>189</u>
<u>129</u>	<u>124</u>	<u>124</u>	<u>168</u>	<u>163</u>	<u>163</u>	<u>206</u>	<u>194</u>	—
<u>130</u>	<u>125</u>	<u>125</u>	<u>169</u>	—	—	<u>207</u>	—	—
<u>131</u>	<u>126</u>	<u>126</u>	<u>170</u>	<u>164</u>	<u>164</u>	<u>208</u>	—	—
<u>132</u>	<u>127</u>	<u>127</u>	<u>171</u>	<u>165</u>	<u>165</u>	<u>209</u>	—	—
<u>133</u>	<u>128</u>	<u>128</u>	<u>172</u>	<u>166</u>	<u>166</u>	<u>210</u>	<u>193</u>	<u>190</u>
<u>134</u>	<u>129</u>	<u>129</u>	<u>173</u>	<u>167</u>	<u>167</u>	<u>211</u>	<u>195</u>	<u>192</u>
<u>135</u>	<u>130</u>	<u>130</u>	<u>174</u>	<u>168</u>	<u>168</u>	<u>212</u>	—	—
<u>136</u>	<u>131</u>	<u>131</u>	<u>175</u>	<u>169</u>	<u>169</u>	<u>213</u>	<u>196</u>	<u>191</u>
<u>137</u>	<u>132</u>	<u>132</u>	<u>176</u>	<u>170</u>	<u>170</u>	<u>214</u>	{ <u>197</u>	<u>193</u>
<u>138</u>	<u>133</u>	<u>133</u>	<u>177</u>	<u>171</u>	<u>171</u>		<u>198</u>	<u>194</u>
<u>139</u>	<u>134</u>	<u>134</u>	<u>178</u>	<u>172</u>	<u>172</u>	<u>215</u>	—	—
<u>140</u>	<u>135</u>	<u>135</u>	<u>179</u>	<u>173</u>	<u>173</u>	<u>216</u>	—	—
<u>141</u>	<u>136</u>	<u>136</u>	<u>180</u>	<u>174</u>	<u>174</u>	<u>217</u>	<u>199</u>	<u>195</u>
<u>142</u>	<u>137</u>	<u>137</u>	<u>181</u>	<u>175</u>	<u>175</u>	<u>218</u>	—	—
<u>143</u>	<u>138</u>	<u>138</u>	<u>182</u>	<u>176</u>	<u>176</u>	<u>219</u>	—	—
<u>144</u>	<u>139</u>	<u>139</u>	<u>183</u>	<u>177</u>	<u>177</u>	<u>220</u>	<u>200</u>	<u>196</u>
<u>145</u>	<u>140</u>	<u>140</u>	<u>184</u>	<u>178</u>	<u>178</u>	<u>221</u>	—	—
<u>146</u>	<u>141</u>	<u>141</u>	<u>185</u>	<u>179</u>	<u>179</u>	<u>222</u>	—	—
<u>147</u>	<u>142</u>	<u>142</u>	<u>186</u>	<u>180</u>	—	<u>223</u>	{ <u>201</u>	<u>197</u>
<u>148</u>	<u>143</u>	<u>143</u>	<u>187</u>	<u>181</u>	—		<u>202</u>	—
<u>149</u>	<u>144</u>	<u>144</u>	<u>188</u>	<u>182</u>	<u>180</u>	<u>224</u>	<u>203</u>	<u>198</u>
<u>150</u>	<u>145</u>	<u>145</u>	<u>189</u>	<u>183</u>	<u>181</u>	<u>225</u>	<u>211</u>	<u>205</u>
<u>151</u>	<u>146</u>	<u>146</u>	<u>190</u>	<u>184</u>	<u>182</u>	<u>226</u>	—	—
<u>152</u>	<u>147</u>	<u>147</u>	<u>191</u>	—	—	<u>227</u>	<u>205</u>	<u>199</u>
<u>153</u>	<u>148</u>	<u>148</u>	<u>192</u>	<u>185</u>	<u>183</u>	<u>228</u>	<u>206</u>	<u>200</u>
<u>154</u>	<u>149</u>	<u>149</u>	<u>193</u>	<u>187</u>	<u>184</u>	—	<u>207</u>	<u>201</u>
<u>155</u>	<u>150</u>	<u>150</u>	<u>194</u>	<u>186</u>	—	<u>229</u>	<u>208</u>	<u>202</u>



Auflage			Auflage			Auflage		
3.	2.	1.	3.	2.	1.	3.	2.	1.
230	204	—	267	240	225	306	275	258
231	204	—	268	241	226	307	276	261
232	209	203	269	242	227	308	277	262
233			270	243	228	309	278	263
234	210	204	271	244	229	310	279	264
235	—	—	272	245	230	311	280	265
236	216	209	273	246	231	312	281	266
237	217	210	274	—	—	313	282	267
238	218	211	275	—	—	314	283	268
239	—	—	276	247	232	315	284	269
240	221	—	277	248	233	316	286	271
241	213	207	278	249	233	317	287	259
242	214	207	279	250	234	318	288	—
243	215	208	280	251	235	319	{289	—
244	—	—	281	252	236		{290	—
245	219	—	282	253	237		{291	
246	{220}	—	283	285	270	320	{292	260
	{222}		284			—	293	—
247	—	—	285	254	238	321	294	—
248	—	—	286	255	239	322	295	272
—	223	—	287	256	240	323	296	273
249	224	—	288	257	241	324	—	—
250	225	—	289	258	242	325	297	274
251	226	212	290	259	243	326	298	275
252	227	213	291	260	244	327	299	276
253	228	214	292	261	245	328	300	277
254	229	215	293	262	246	329	301	278
255	230	216	294	263	247	330	302	279
256	231	217	295	264	248	331	303	280
257	232	218	296	265	249	332	304	281
258	233	219	297	266	—	333	305	282
259	234	220	298	267	250	334	306	283
260	235	221	299	268	251	335	307	284
261	236	222	300	269	252	336	308	285
262	237	222	301	270	253	337	309	286
263	238	223	302	271	254	338	310	287
264	239	224	303	272	255	339	311	288
265	239	224	304	273	256	340	312	289
266	—	—	305	274	257			

Auflage			Auflage			Auflage		
3.	2.	1.	3.	2.	1.	3.	2.	1.
<a href="#">341</a>	<a href="#">313</a>	<a href="#">290</a>	<a href="#">380</a>	<a href="#">351</a>	<a href="#">318</a>	<a href="#">419</a>	<a href="#">388</a>	<a href="#">352</a>
<a href="#">342</a>	<a href="#">314</a>	<a href="#">291</a>	<a href="#">381</a>	<a href="#">352</a>	—	<a href="#">420</a>	<a href="#">389</a>	<a href="#">353</a>
<a href="#">343</a>	<a href="#">315</a>	<a href="#">292</a>	<a href="#">382</a>	<a href="#">353</a>	<a href="#">319</a>	<a href="#">421</a>	<a href="#">390</a>	—
<a href="#">344</a>	<a href="#">316</a>	<a href="#">293</a>	<a href="#">383</a>	<a href="#">354</a>	<a href="#">320</a>	<a href="#">422</a>	—	—
<a href="#">345</a>	<a href="#">317</a>	—	<a href="#">384</a>	<a href="#">355</a>	<a href="#">321</a>	<a href="#">423</a>	<a href="#">391</a>	<a href="#">354</a>
<a href="#">346</a>	<a href="#">318</a>	—	<a href="#">385</a>	<a href="#">356</a>	<a href="#">322</a>	<a href="#">424</a>	<a href="#">392</a>	<a href="#">355</a>
<a href="#">347</a>	<a href="#">319</a>	—	<a href="#">386</a>	—	—	<a href="#">425</a>	<a href="#">393</a>	<a href="#">356</a>
<a href="#">348</a>	<a href="#">320</a>	—	<a href="#">387</a>	—	—	<a href="#">426</a>	<a href="#">395</a>	<a href="#">358</a>
<a href="#">349</a>	<a href="#">321</a>	—	<a href="#">388</a>	<a href="#">357</a>	<a href="#">323</a>	<a href="#">427</a>	<a href="#">396</a>	<a href="#">359</a>
<a href="#">350</a>	<a href="#">322</a>	—	<a href="#">389</a>	<a href="#">358</a>	<a href="#">323</a>	<a href="#">428</a>	<a href="#">394</a>	<a href="#">357</a>
<a href="#">351</a>	<a href="#">323</a>	—	<a href="#">390</a>	<a href="#">359</a>	<a href="#">324</a>	<a href="#">429</a>	—	—
<a href="#">352</a>	<a href="#">324</a>	—	<a href="#">391</a>	<a href="#">360</a>	<a href="#">325</a>	<a href="#">430</a>	—	—
<a href="#">353</a>	<a href="#">325</a>	—	<a href="#">392</a>	<a href="#">361</a>	<a href="#">326</a>	<a href="#">431</a>	—	—
<a href="#">354</a>	<a href="#">326</a>	<a href="#">294</a>	<a href="#">393</a>	<a href="#">362</a>	<a href="#">327</a>	<a href="#">432</a>	<a href="#">397</a>	<a href="#">360</a>
<a href="#">355</a>	<a href="#">327</a>	<a href="#">295</a>	<a href="#">394</a>	<a href="#">363</a>	<a href="#">328</a>	<a href="#">433</a>	<a href="#">398</a>	<a href="#">361</a>
<a href="#">356</a>	<a href="#">328</a>	<a href="#">296</a>	<a href="#">395</a>	<a href="#">364</a>	<a href="#">329</a>	<a href="#">434</a>	<a href="#">399</a>	<a href="#">362</a>
<a href="#">357</a>	<a href="#">329</a>	<a href="#">297</a>	<a href="#">396</a>	<a href="#">365</a>	<a href="#">330</a>	<a href="#">435</a>	<a href="#">400</a>	<a href="#">364</a>
<a href="#">358</a>	<a href="#">330</a>	<a href="#">298</a>	<a href="#">397</a>	<a href="#">366</a>	<a href="#">331</a>	<a href="#">436</a>	<a href="#">401</a>	<a href="#">365</a>
<a href="#">359</a>	<a href="#">331</a>	<a href="#">299</a>	<a href="#">398</a>	<a href="#">367</a>	<a href="#">332</a>	<a href="#">437</a>	<a href="#">402</a>	<a href="#">366</a>
<a href="#">360</a>	<a href="#">332</a>	<a href="#">300</a>	<a href="#">399</a>	<a href="#">368</a>	—	<a href="#">438</a>	<a href="#">403</a>	<a href="#">367</a>
<a href="#">361</a>	<a href="#">333</a>	<a href="#">301</a>	<a href="#">400</a>	<a href="#">369</a>	<a href="#">335</a>	<a href="#">439</a>	<a href="#">404</a>	<a href="#">368</a>
<a href="#">362</a>	<a href="#">334</a>	<a href="#">302</a>	<a href="#">401</a>	<a href="#">370</a>	<a href="#">336</a>	<a href="#">440</a>	<a href="#">405</a>	<a href="#">369</a>
<a href="#">363</a>	—	—	<a href="#">402</a>	<a href="#">371</a>	<a href="#">344</a>	<a href="#">441</a>	<a href="#">406</a>	<a href="#">370</a>
<a href="#">364</a>	<a href="#">335</a>	<a href="#">303</a>	<a href="#">403</a>	<a href="#">372</a>	<a href="#">337</a>	<a href="#">442</a>	<a href="#">407</a>	<a href="#">371</a>
<a href="#">365</a>	<a href="#">336</a>	<a href="#">304</a>	<a href="#">404</a>	<a href="#">373</a>	<a href="#">338</a>	<a href="#">443</a>	<a href="#">408</a>	<a href="#">372</a>
<a href="#">366</a>	<a href="#">337</a>	<a href="#">305</a>	<a href="#">405</a>	<a href="#">374</a>	<a href="#">339</a>	<a href="#">444</a>	<a href="#">409</a>	<a href="#">373</a>
<a href="#">367</a>	<a href="#">338</a>	<a href="#">306</a>	<a href="#">406</a>	<a href="#">375</a>	<a href="#">333</a>	<a href="#">445</a>	<a href="#">410</a>	—
<a href="#">368</a>	<a href="#">339</a>	<a href="#">307</a>	<a href="#">407</a>	<a href="#">376</a>	<a href="#">334</a>	<a href="#">446</a>	<a href="#">411</a>	<a href="#">374</a>
<a href="#">369</a>	<a href="#">340</a>	<a href="#">308</a>	<a href="#">408</a>	<a href="#">377</a>	<a href="#">340</a>	<a href="#">447</a>	<a href="#">412</a>	<a href="#">375</a>
<a href="#">370</a>	<a href="#">341</a>	<a href="#">309</a>	<a href="#">409</a>	<a href="#">378</a>	<a href="#">341</a>	<a href="#">448</a>	—	—
<a href="#">371</a>	<a href="#">342</a>	<a href="#">310</a>	<a href="#">410</a>	<a href="#">379</a>	<a href="#">342</a>	<a href="#">449</a>	<a href="#">413</a>	<a href="#">376</a>
<a href="#">372</a>	<a href="#">343</a>	<a href="#">311</a>	<a href="#">411</a>	<a href="#">380</a>	<a href="#">343</a>	<a href="#">450</a>	<a href="#">414</a>	<a href="#">377</a>
<a href="#">373</a>	<a href="#">344</a>	<a href="#">312</a>	<a href="#">412</a>	<a href="#">381</a>	<a href="#">345</a>	<a href="#">451</a>	<a href="#">415</a>	<a href="#">378</a>
<a href="#">374</a>	<a href="#">345</a>	<a href="#">313</a>	<a href="#">413</a>	<a href="#">382</a>	<a href="#">346</a>	<a href="#">452</a>	<a href="#">416</a>	<a href="#">379</a>
<a href="#">375</a>	<a href="#">346</a>	<a href="#">314</a>	<a href="#">414</a>	<a href="#">383</a>	<a href="#">347</a>	<a href="#">453</a>	<a href="#">417</a>	<a href="#">380</a>
<a href="#">376</a>	<a href="#">347</a>	<a href="#">315</a>	<a href="#">415</a>	<a href="#">384</a>	<a href="#">348</a>	<a href="#">454</a>	<a href="#">418</a>	<a href="#">381</a>
<a href="#">377</a>	<a href="#">348</a>	—	<a href="#">416</a>	<a href="#">385</a>	<a href="#">349</a>	<a href="#">455</a>	<a href="#">419</a>	<a href="#">382</a>
<a href="#">378</a>	<a href="#">349</a>	<a href="#">316</a>	<a href="#">417</a>	<a href="#">386</a>	<a href="#">350</a>	<a href="#">456</a>	<a href="#">420</a>	—
<a href="#">379</a>	<a href="#">350</a>	<a href="#">317</a>	<a href="#">418</a>	<a href="#">387</a>	<a href="#">351</a>			

Auflage			Auflage		
3.	2.	1.	3.	2.	1.
457	421	—	464	428	389
458	422	383	465	429	390
459	423	384	466	430	391
460	424	385	467	431	392
461	425	386	468	432	393
462	426	387	469	433	394
463	427	388			

## C. Paragraphennummern im Anhange.

Auflage			Auflage		
3.	2.	1.	3.	3.	1.
1	1	—	15	15	—
2	2	—	16	16	—
3	3	—	17	17	—
4	4	—	18	18	—
5	5	—	19	19	—
6	6	—	20	20	—
7	7	—	21	21	—
8	8	—	22	22	—
9	9	—	23	23	—
10	10	—	24	24	—
11	11	—	25	25	—
12	12	—	26	26	—
13	13	—	27	27	—
14	14	—			



## Band II.

## Paragraphennummern.

Auflage			Auflage			Auflage		
3.	2.	1.	3.	2.	1.	3.	2.	1.
1	1	1	36	—	—	70	—	—
2	2 u. 8	2 u. 8	37	27	—	71	49	—
3	3	3	38	27	—	72	—	—
4	3	3	39	28	24	73	57	36
5	4	4	40	—	—	74	58	37
6	5	5	41	—	—	75	59	38
7	5 u. 7	5 u. 7	42	—	—	76	60	39
8	—	—	43	—	—	77	61	40
9	—	—	44	—	—	78	—	—
10	—	—	45	—	—	79	—	—
11	6	6	46	—	—	80	—	—
12	10	10	47	29	25	81	62	41
13	9	9	48	30	26	82	55	—
14	11	11	49	31	27	83	56	—
15	12	12	50	30	26	84	56	—
16	13	13	51	32	28	85	47	31
17	—	—	52	33	29	86	48	—
18	14	14	53	34	30	87	49	—
19	15	15	54	—	—	88	50	—
20	16	16	—	—	32	89	51	—
21	17	17	55	35	33	90	52	—
22	—	—	56	36	34	91	53	—
23	19	19	57	39	—	92	54	—
24	—	—	58	—	—	93	55 u. 57	36
25	18	18	59	—	—	94	63	42
26	—	—	60	37	35	95	64	43
27	20	20	61	37	35	96	65	44
28	21	21	62	38	—	97	66	45
29	—	—	63	40	—	98	67	46
30	—	—	64	41	—	99	68	47
31	22	22	65	42	—	100	69	48
32	23	23	66	43	—	101	70	49
33	24	—	67	44	—	102	71	50
34	25	—	68	45	—	103	72	51
35	26	—	69	46	—	104	73	52

Auflage			Auflage			Auflage		
3.	2.	1.	3.	2.	1.	3.	2.	1.
105	73	52	144	103	81	181	134	109
106	—	—	145	104	82	182	135	110
107	74	53	146	105	83	183	136	111
108	75	54	147	106	84	184	137	112
109	75	54	148	106	84	185	137	112
110	—	—	149	107	85	186	138	113
111	—	—	150	108	86	187	139	114
112	—	—	151	109	87	188	140	115
113	—	—	152	110	88	189	141	116
114	76	55	153	113	91	190	142	117
115	77	56	154	114	92	191	143	118
116	—	—	155	115	93	192	144	119
117	—	—	—	—	94	193	145	120
118	78	57	156	116	95	194	146	121
119	79	58	157	117	96	195	147	122
120	80	59	158	124	—	196	148	123
121	81	—	159	123	—	197	149	124
122	82	60	160	118	97	198	150	125
123	83	61	161	119	—	199	151	126
124	84	62	162	—	—	200	152	127
125	85	63	163	120	98	201	153	128
126	86	64	164	121	99	202	154	129
127	87	65	165	122	100	203	155	130
128	88	66	—	—	101	204	156	131
129	89	67	166	125	102	205	157	132
130	90	68	167	126	103	206	158	133
131	91	69	168	111	89	207	159	134
132	92	70	169	—	—	208	160	135
133	93	71	170	111	89	209	161	136
134	94	72	171	111	89	210	162	137
135	95	73	172	111	89	211	163	138
136	96	74	173	112	90	212	164	139
137	97	75	174	127	104	213	165	140
138	98	76	175	128	105	214	166	141
139	99	77	176	129	106	215	167	142
140	100	78	177	130	107	—	168	143
141	101	79	178	131	107	216	169	144
142	101	79	179	132	—	217	—	—
143	102	80	180	133	108	218	170	—



Auflage			Auflage			Auflage		
3.	2.	1.	3.	2.	1.	3.	2.	1.
<a href="#">219</a>	<a href="#">215</a>	186	<a href="#">257</a>	<a href="#">203</a>	176	<a href="#">294</a>	<a href="#">232</a>	<a href="#">203</a>
<a href="#">220</a>	<a href="#">171</a>	<a href="#">145</a>	258	<a href="#">204</a>	<a href="#">177</a>	<a href="#">295</a>	<a href="#">233</a>	<a href="#">204</a>
—	—	146	<a href="#">259</a>	<a href="#">205</a>	178	296	<a href="#">234</a>	<a href="#">205</a>
<a href="#">221</a>	<a href="#">172</a>	<a href="#">147</a>	<a href="#">260</a>	206	<a href="#">179</a>	<a href="#">297</a>	<a href="#">235</a>	206
<a href="#">222</a>	173	<a href="#">148</a>	<a href="#">261</a>	<a href="#">207</a>	180	298	236	<a href="#">207</a>
<a href="#">223</a>	<a href="#">174</a>	—	<a href="#">262</a>	—	—	299	<a href="#">237</a>	208
<a href="#">224</a>	<a href="#">175</a>	<a href="#">149</a>	<a href="#">263</a>	<a href="#">208</a>	<a href="#">181</a>	<a href="#">300</a>	238	<a href="#">209</a>
<a href="#">225</a>	176	150	<a href="#">264</a>	<a href="#">209</a>	<a href="#">182</a>	<a href="#">301</a>	239	<a href="#">210</a>
<a href="#">226</a>	<a href="#">177</a>	<a href="#">151</a>	<a href="#">265</a>	210	—	<a href="#">302</a>	240	<a href="#">211</a>
<a href="#">227</a>	178	<a href="#">152</a>	266	—	—	<a href="#">303</a>	<a href="#">241</a>	<a href="#">212</a>
<a href="#">228</a>	—	—	<a href="#">267</a>	<a href="#">211</a>	<a href="#">183</a>	<a href="#">304</a>	<a href="#">242</a>	<a href="#">213</a>
<a href="#">229</a>	<a href="#">181</a>	<a href="#">155</a>	268	<a href="#">212</a>	<a href="#">184</a>	<a href="#">305</a>	<a href="#">243</a>	<a href="#">214</a>
<a href="#">230</a>	<a href="#">182</a>	156	<a href="#">269</a>	<a href="#">213</a>	<a href="#">185</a>	306	<a href="#">244</a>	<a href="#">215</a>
<a href="#">231</a>	<a href="#">183</a>	<a href="#">157</a>	<a href="#">270</a>	<a href="#">214</a>	186	<a href="#">307</a>	<a href="#">245</a>	<a href="#">216</a>
<a href="#">232</a>	<a href="#">184</a>	<a href="#">158</a>	—	<a href="#">215</a>	—	308	246	<a href="#">217</a>
<a href="#">233</a>	<a href="#">185</a>	<a href="#">159</a>	<a href="#">271</a>	—	—	<a href="#">309</a>	<a href="#">247</a>	<a href="#">218</a>
<a href="#">234</a>	186	160	<a href="#">272</a>	—	—	310	<a href="#">248</a>	<a href="#">219</a>
<a href="#">235</a>	<a href="#">187</a>	—	<a href="#">273</a>	—	—	<a href="#">311</a>	<a href="#">249</a>	<a href="#">220</a>
<a href="#">236</a>	188	161	<a href="#">274</a>	—	—	<a href="#">312</a>	<a href="#">250</a>	<a href="#">221</a>
<a href="#">237</a>	<a href="#">189</a>	<a href="#">162</a>	<a href="#">275</a>	216	<a href="#">187</a>	<a href="#">313</a>	<a href="#">251</a>	<a href="#">222</a>
<a href="#">238</a>	<a href="#">190</a>	163	276	<a href="#">217</a>	<a href="#">188</a>	<a href="#">314</a>	<a href="#">252</a>	<a href="#">223</a>
<a href="#">239</a>	<a href="#">191</a>	<a href="#">164</a>	<a href="#">277</a>	<a href="#">218</a>	189	<a href="#">315</a>	<a href="#">253</a>	<a href="#">224</a>
<a href="#">240</a>	—	—	<a href="#">278</a>	<a href="#">219</a>	<a href="#">190</a>	316	<a href="#">254</a>	<a href="#">225</a>
<a href="#">241</a>	<a href="#">192</a>	<a href="#">165</a>	<a href="#">279</a>	220	<a href="#">191</a>	317	<a href="#">255</a>	<a href="#">226</a>
<a href="#">242</a>	<a href="#">193</a>	166	280	<a href="#">221</a>	<a href="#">192</a>	<a href="#">318</a>	<a href="#">256</a>	<a href="#">227</a>
<a href="#">243</a>	<a href="#">194</a>	<a href="#">167</a>	<a href="#">281</a>	<a href="#">222</a>	<a href="#">193</a>	<a href="#">319</a>	<a href="#">257</a>	<a href="#">228</a>
<a href="#">244</a>	<a href="#">195</a>	<a href="#">168</a>	<a href="#">282</a>	<a href="#">223</a>	<a href="#">194</a>	<a href="#">320</a>	<a href="#">258</a>	<a href="#">229</a>
<a href="#">245</a>	196	<a href="#">169</a>	283	—	—	<a href="#">321</a>	<a href="#">259</a>	<a href="#">230</a>
<a href="#">246</a>	<a href="#">197</a>	<a href="#">170</a>	<a href="#">284</a>	<a href="#">224</a>	<a href="#">195</a>	<a href="#">322</a>	260	<a href="#">231</a>
<a href="#">247</a>	—	—	<a href="#">285</a>	—	—	<a href="#">323</a>	261	<a href="#">232</a>
<a href="#">248</a>	180	<a href="#">154</a>	<a href="#">286</a>	—	—	<a href="#">324</a>	<a href="#">262</a>	<a href="#">233</a>
<a href="#">249</a>	<a href="#">179</a>	<a href="#">153</a>	<a href="#">287</a>	—	—	<a href="#">325</a>	363	<a href="#">234</a>
<a href="#">250</a>	198	<a href="#">171</a>	288	<a href="#">225</a>	196	326	<a href="#">264</a>	<a href="#">235</a>
<a href="#">251</a>	<a href="#">199</a>	<a href="#">172</a>	289	<a href="#">226</a>	<a href="#">197</a>	<a href="#">327</a>	<a href="#">265</a>	<a href="#">236</a>
<a href="#">252</a>	<a href="#">200</a>	<a href="#">173</a>	290	<a href="#">227</a>	<a href="#">198</a>	<a href="#">328</a>	<a href="#">266</a>	<a href="#">236</a>
<a href="#">253</a>	—	—	291	228	<a href="#">199</a>	329	266	<a href="#">237</a>
<a href="#">254</a>	—	—	<a href="#">291</a>	<a href="#">229</a>	<a href="#">200</a>	330	267	<a href="#">238</a>
<a href="#">255</a>	<a href="#">201</a>	<a href="#">174</a>	<a href="#">292</a>	230	<a href="#">201</a>	<a href="#">331</a>	<a href="#">268</a>	<a href="#">239</a>
<a href="#">256</a>	<a href="#">202</a>	<a href="#">175</a>	<a href="#">293</a>	<a href="#">231</a>	<a href="#">202</a>	<a href="#">332</a>	269	—

Auflage			Auflage			Auflage		
3.	2.	1.	3.	2.	1.	3.	2.	1.
<a href="#">333</a>	<a href="#">270</a>	<a href="#">240</a>	<a href="#">372</a>	<a href="#">298</a>	<a href="#">268</a>	<a href="#">411</a>	<a href="#">328</a>	<a href="#">297</a>
<a href="#">334</a>	<a href="#">271</a>	<a href="#">241</a>	<a href="#">373</a>	<a href="#">299</a>	<a href="#">269</a>	<a href="#">412</a>	<a href="#">329</a>	<a href="#">298</a>
<a href="#">335</a>	<a href="#">272</a>	<a href="#">242</a>	<a href="#">374</a>	<a href="#">300</a>	<a href="#">270</a>	<a href="#">413</a>	<a href="#">330</a>	<a href="#">299</a>
<a href="#">336</a>	<a href="#">273</a>	<a href="#">243</a>	<a href="#">375</a>	<a href="#">301</a>	<a href="#">271</a>	<a href="#">414</a>	<a href="#">331</a>	<a href="#">300</a>
<a href="#">337</a>	<a href="#">274</a>	<a href="#">244</a>	<a href="#">376</a>	<a href="#">302</a>	<a href="#">272</a>	<a href="#">415</a>	<a href="#">332</a>	<a href="#">301</a>
<a href="#">338</a>	<a href="#">275</a>	<a href="#">245</a>	<a href="#">377</a>	<a href="#">303</a>	<a href="#">273</a>	<a href="#">416</a>	<a href="#">333</a>	<a href="#">302</a>
<a href="#">339</a>	<a href="#">276</a>	<a href="#">246</a>	<a href="#">378</a>	<a href="#">304</a>	<a href="#">274</a>	<a href="#">417</a>	<a href="#">333</a>	<a href="#">302</a>
<a href="#">340</a>	<a href="#">277</a>	<a href="#">247</a>	<a href="#">379</a>	<a href="#">304</a>	—	<a href="#">418</a>	<a href="#">334</a>	<a href="#">303</a>
<a href="#">341</a>	<a href="#">278</a>	<a href="#">248</a>	<a href="#">380</a>	—	—	<a href="#">419</a>	<a href="#">335</a>	<a href="#">304</a>
<a href="#">342</a>	<a href="#">279</a>	<a href="#">249</a>	<a href="#">381</a>	<a href="#">304</a>	—	<a href="#">420</a>	<a href="#">336</a>	<a href="#">305</a>
<a href="#">343</a>	<a href="#">280</a>	<a href="#">250</a>	<a href="#">382</a>	<a href="#">305</a>	<a href="#">275</a>	<a href="#">421</a>	<a href="#">337</a>	<a href="#">306</a>
<a href="#">344</a>	<a href="#">281</a>	<a href="#">251</a>	<a href="#">383</a>	<a href="#">305</a>	<a href="#">275</a>	<a href="#">422</a>	<a href="#">338</a>	<a href="#">307</a>
<a href="#">345</a>	<a href="#">282</a>	<a href="#">252</a>	<a href="#">384</a>	—	—	<a href="#">423</a>	<a href="#">338</a>	<a href="#">307</a>
<a href="#">346</a>	<a href="#">283</a>	<a href="#">253</a>	<a href="#">385</a>	—	—	<a href="#">424</a>	—	—
<a href="#">347</a>	<a href="#">284</a>	<a href="#">254</a>	<a href="#">386</a>	<a href="#">306</a>	<a href="#">276</a>	<a href="#">425</a>	—	—
<a href="#">348</a>	—	—	<a href="#">387</a>	—	—	<a href="#">287</a>	<a href="#">339</a>	<a href="#">308</a>
<a href="#">349</a>	—	—	<a href="#">388</a>	<a href="#">307</a>	<a href="#">277</a>	<a href="#">426</a>	<a href="#">340</a>	<a href="#">309</a>
<a href="#">350</a>	—	—	<a href="#">389</a>	<a href="#">307</a>	<a href="#">277</a>	<a href="#">427</a>	<a href="#">341</a>	<a href="#">310</a>
<a href="#">351</a>	<a href="#">285</a>	<a href="#">255</a>	<a href="#">390</a>	<a href="#">308</a>	<a href="#">278</a>	<a href="#">428</a>	<a href="#">342</a>	<a href="#">311</a>
<a href="#">352</a>	<a href="#">286</a>	<a href="#">256</a>	<a href="#">391</a>	<a href="#">309</a>	<a href="#">279</a>	<a href="#">429</a>	<a href="#">343</a>	<a href="#">312</a>
<a href="#">353</a>	<a href="#">287</a>	<a href="#">257</a>	<a href="#">392</a>	<a href="#">310</a>	<a href="#">280</a>	<a href="#">430</a>	<a href="#">314</a>	<a href="#">313</a>
<a href="#">354</a>	<a href="#">288</a>	<a href="#">258</a>	<a href="#">393</a>	—	—	<a href="#">431</a>	<a href="#">345</a>	<a href="#">314</a>
<a href="#">355</a>	<a href="#">289</a>	<a href="#">259</a>	<a href="#">394</a>	<a href="#">311</a>	<a href="#">281</a>	<a href="#">432</a>	<a href="#">346</a>	<a href="#">315</a>
<a href="#">356</a>	—	—	<a href="#">395</a>	<a href="#">312</a>	<a href="#">282</a>	<a href="#">433</a>	<a href="#">347</a>	<a href="#">316</a>
<a href="#">357</a>	<a href="#">290</a>	<a href="#">260</a>	<a href="#">396</a>	<a href="#">313</a>	<a href="#">283</a>	<a href="#">434</a>	<a href="#">348</a>	<a href="#">317</a>
<a href="#">358</a>	<a href="#">291</a>	<a href="#">261</a>	<a href="#">397</a>	<a href="#">314</a>	<a href="#">284</a>	<a href="#">435</a>	<a href="#">349</a>	<a href="#">318</a>
<a href="#">359</a>	<a href="#">292</a>	<a href="#">262</a>	<a href="#">398</a>	<a href="#">315</a>	<a href="#">285</a>	<a href="#">436</a>	<a href="#">350</a>	—
<a href="#">360</a>	<a href="#">293</a>	<a href="#">263</a>	<a href="#">399</a>	<a href="#">316</a>	—	<a href="#">437</a>	—	—
<a href="#">361</a>	<a href="#">294</a>	<a href="#">264</a>	<a href="#">400</a>	<a href="#">317</a>	<a href="#">286</a>	<a href="#">438</a>	<a href="#">351</a>	<a href="#">319</a>
<a href="#">362</a>	<a href="#">295</a>	<a href="#">265</a>	<a href="#">401</a>	<a href="#">318</a>	<a href="#">287</a>	<a href="#">439</a>	<a href="#">352</a>	<a href="#">320</a>
<a href="#">363</a>	—	—	<a href="#">402</a>	<a href="#">319</a>	<a href="#">288</a>	<a href="#">440</a>	<a href="#">353</a>	<a href="#">321</a>
<a href="#">364</a>	—	—	<a href="#">403</a>	<a href="#">320</a>	<a href="#">289</a>	<a href="#">441</a>	<a href="#">354</a>	<a href="#">322</a>
<a href="#">365</a>	—	—	<a href="#">404</a>	<a href="#">321</a>	<a href="#">290</a>	<a href="#">442</a>	<a href="#">355</a>	<a href="#">323</a>
<a href="#">366</a>	—	—	<a href="#">405</a>	<a href="#">322</a>	<a href="#">291</a>	<a href="#">443</a>	—	—
<a href="#">367</a>	—	—	<a href="#">406</a>	<a href="#">323</a>	<a href="#">292</a>	<a href="#">444</a>	<a href="#">356</a>	<a href="#">324</a>
<a href="#">368</a>	<a href="#">296</a>	<a href="#">266</a>	<a href="#">407</a>	<a href="#">324</a>	<a href="#">293</a>	<a href="#">445</a>	<a href="#">357</a>	<a href="#">325</a>
<a href="#">369</a>	—	—	<a href="#">408</a>	<a href="#">325</a>	<a href="#">294</a>	<a href="#">446</a>	<a href="#">358</a>	<a href="#">326</a>
<a href="#">370</a>	—	—	<a href="#">409</a>	<a href="#">326</a>	<a href="#">295</a>	<a href="#">447</a>	<a href="#">359</a>	<a href="#">327</a>
<a href="#">371</a>	<a href="#">297</a>	<a href="#">267</a>	<a href="#">410</a>	<a href="#">327</a>	<a href="#">296</a>	<a href="#">448</a>	<a href="#">360</a>	<a href="#">328</a>

Auflage			Auflage		
<u>3.</u>	<u>2.</u>	<u>1.</u>	<u>3.</u>	<u>2.</u>	<u>1.</u>
<u>449</u>	<u>361</u>	<u>329</u>	<u>464</u>	<u>375</u>	<u>343</u>
<u>450</u>	<u>365</u>	<u>338</u>	<u>465</u>	<u>376</u>	<u>344</u>
<u>451</u>	<u>362</u>	<u>330</u>	<u>466</u>	<u>377</u>	<u>345</u>
<u>452</u>	<u>363</u>	<u>331</u>	<u>467</u>	<u>378</u>	<u>346</u>
<u>453</u>	<u>364</u>	<u>332</u>	<u>468</u>	<u>379</u>	<u>347</u>
<u>454</u>	<u>366</u>	<u>334</u>	<u>469</u>	<u>379</u>	<u>347</u>
<u>455</u>	<u>367</u>	<u>335</u>	<u>470</u>	<u>380</u>	<u>348</u>
<u>456</u>	<u>368</u>	<u>336</u>	<u>471</u>	<u>380</u>	<u>348</u>
<u>457</u>	<u>369</u>	<u>337</u>	<u>472</u>	<u>381</u>	<u>349</u>
<u>458</u>	—	—	<u>473</u>	<u>382</u>	<u>350</u>
<u>459</u>	<u>370</u>	<u>338</u>	<u>474</u>	<u>383</u>	<u>351</u>
<u>460</u>	<u>371</u>	<u>339</u>	<u>475</u>	<u>384</u>	<u>352</u>
<u>461</u>	<u>372</u>	<u>340</u>	<u>476</u>	—	—
<u>462</u>	<u>373</u>	<u>341</u>	<u>477</u>	—	—
<u>463</u>	<u>374</u>	<u>342</u>	<u>478</u>	—	—



## A n z e i g e

der hauptsächlichsten Druck- und Rechnungsfehler.

---

Seite	13,	Zeile 2 von unten,	$\left(\frac{d}{2}\right)^3$ ,	statt $\left(\frac{d}{2}\right)$
"	36,	" 9, 14 und 18 von oben,	$\varphi$ statt $f$ .	
"	41,	" 4 von oben,	arialen statt aronalen.	
"	104,	" 5 und 7 von oben,	$\frac{b}{a} Q$ statt $Q$ .	
"	133,	" 2 von unten,	0,076 statt 0,76.	
"	155,	" 11 " "	Deparcieux statt Depacieux.	
"	180,	" 3 " "	$\frac{(r \sin. \beta)^2}{l}$ statt $\left(\frac{r \sin. \beta}{l}\right)^2$ .	
"	191,	" 12 " oben,	$K =$ statt $l =$	
"	244,	" 5 " unten,	$\frac{1}{2} \beta$ statt $\beta$ .	
"	317,	" 1 " oben,	oder in statt und in.	
"	380,	" 1 " unten,	$\frac{F v^2 \gamma}{g}$ statt $\frac{F v^2 \gamma}{\gamma}$ .	
"	384,	" 5 " "	das $\mu$ fache statt der $\mu$ te Theil.	
"	394,	" 13 " oben,	$\frac{d}{\sqrt[3]{m n}}$ , statt $\frac{1}{\sqrt[3]{m n}}$ .	
"	395,	" 3 " "	Äußpfund statt Äuß.	
"	446,	" 8 " unten	$\frac{\pi}{4}$ statt $\pi$ .	
"	—	" 7 " "	$\frac{1}{4} \cdot 21822$ statt 21822.	
"	—	" 6 " "	$17^2 \cdot \frac{\pi}{4} = \frac{907,92}{4}$ statt $16^2 \cdot \pi = 804,25$ .	
"	—	" 5 " "	$\frac{21829}{907,92} = 24,03$ statt $\frac{21822}{804,25} = 27,13$ .	
"	498,	" 6 " "	3 $Q$ statt $\frac{Q}{3}$ .	



Seite 498, Zeile	1	von unten	$\frac{3 Q}{h \gamma}$	statt	$\frac{Q}{3 h \gamma}$ .
" 500, " 12 " oben,			$\frac{3 Q}{h \gamma} = \frac{3 \cdot 20000}{250 \cdot 66} = \frac{1000}{25 \cdot 11} = \frac{40}{11} = 3,636$		Quadratf.
			statt $\frac{Q}{3 h \gamma} = \frac{20000}{3 \cdot 250 \cdot 66} = \frac{40}{99} = 0,404$		Quadratfuß.
" — " 13 "		oben,	2,15	statt	0,72.
" — " 14 "		"	27	statt	10.
" 518, " 13 "		unten	0,141 S	statt	0,141 Q.
" 532, " 11 "		"	$\frac{e_3 l_2 + e_4 l_1}{b l}$	statt	$\frac{r_3 l_2 + r_4 l_1}{b l}$ .
" 533, " 10 "		"	1 —	statt	1 +
" 840, " 12 "		"	so daß daher,	statt	daher.

---

Die ersten Grundlehren

der

# Höheren Analysis

oder der

Differenzial- und Integralrechnung.

---

Für das Studium

der

praktischen Mechanik und Naturlehre

möglichst populär

bearbeitet

von

Dr. Julius Weisbach,

Königl. sächsischer Bergrath und Professor an der Königl. sächsischen Bergakademie zu Freiberg;  
Ritter des Königl. sächsischen Verdienstordens, correspondirendes Mitglied der Kaiserlichen Akademie der Wissenschaften  
zu St. Petersburg u. s. w.

---

Mit 38 in den Text eingedruckten Holzschnitten.

---

Braunschweig,

Druck und Verlag von Friedrich Vieweg und Sohn.

1 8 6 0.

---

Die Herausgabe einer Uebersetzung in englischer, französischer und andern  
modernen Sprachen wird vorbehalten.

---

## V o r w o r t.

---

Die vorliegende kleine Schrift ist zwar zunächst nur für die Leser der Ingenieur- und Maschinenmechanik des Verfassers bestimmt, sie wird aber auch denjenigen Studirenden der Naturlehre und Mechanik überhaupt von Nutzen sein, welche ohne ein umfängliches Vorstudium der höheren Mathematik in ein tieferes Studium der genannten Wissenschaften einzugehen wünschen. Es enthält dieselbe eine gedrängte und möglichst faßliche Darstellung der Differenzial- und Integralrechnung oder des sogenannten Infinitesimalcalculus. Der Verfasser gehört nicht zu Denjenigen, welche dem bekannten Ausspruche Euklid's: »Zur Geometrie giebt es keinen besonderen Weg für Könige,« unbedingt anhängen; er ist wenigstens der Meinung, daß es mehr als einen Weg giebt, welcher in das Gebiet der Geometrie und Mathematik überhaupt führt. Welchen Nutzen würde diese Wissenschaft schon gestiftet haben, wenn man allgemein und immer bemüht gewesen wäre, neben einem wissenschaftlichen (esoterischen) Wege noch einen populären oder akroamatischen Weg in das Gebiet der Mathematik aufzuführen! Gewiß würde man dadurch nicht allein der Naturlehre und Technik, sondern auch der allgemeinen Bildung überhaupt einen großen Vorschub geleistet, der Mathematik als Wissenschaft aber keineswegs Nachtheile zugefügt, sondern vielmehr manchen tüchtigen Jünger zugeführt haben! In anderen Wissenschaften ist man darin der Mathematik vorausgegangen, und wer wird es leugnen, daß durch die populären Schriften über Naturwissenschaften nicht schon sehr viel Nutzen gestiftet worden sei? Allerdings bietet eine populäre Darstellung der Mathematik, wenn darunter

nicht eine bloße Zusammenstellung von Regeln und Formeln ohne Entwicklungen und Beweise verstanden wird, manche Schwierigkeiten dar, allein der Erfolg, den man davon erlangt, ist auch desto belohnender. Die für die Anwendung der Mathematik so sehr nöthige Umsicht, Sicherheit und Fertigkeit läßt sich durch eine bloße Zusammenstellung von Formeln und Regeln gewiß nie erlangen, wohl aber ist dies möglich durch das Studium einer mehr das Einzelne als das Allgemeine ins Auge fassenden populären Schrift. Diese Ansichten sind das Resultat vielseitiger und vieljähriger Erfahrungen, zu welchen der Verfasser durch Unterrichtsertheilung und durch den Verkehr mit der Praxis gelangt ist.

Julius Weisbach.

## Inhalt.

---

Funktionen, Artikel 1., 2. und 3. . . . .	Seite 1 bis 4
Differenziale, Art. 4., 5. und 6. . . . .	„ 4 „ 8
Die Funktion $x^n$ , Art. 7. und 8. . . . .	„ 8 „ 11
Maxima, Minima u. s. w., Art. 9. und 10. . . . .	„ 12 „ 14
Integrale, Art. 11., 12. und 13. . . . .	„ 14 „ 17
Exponential- und logarithmische Funktionen, Art. 14. bis 17. . . . .	„ 17 „ 23
Trigonometrische und Kreisfunktionen, Art. 18. bis 21. . . . .	„ 23 „ 29
Reductionsformel, Art. 22. . . . .	„ 29 „ 30
Quadratur der Curven, Art. 23. bis 25. . . . .	„ 30 „ 37
Rectification der Curven, Art. 26. . . . .	„ 37 „ 38
Normalen und Krümmungshalbmesser, Art. 27. . . . .	„ 38 „ 39
Zusammensetzung der Curven, Art. 28 . . . . .	„ 39 „ 40
Theorie der kleinsten Quadrate, Art. 29. . . . .	„ 41 „ 43

---



## Hülfslehren aus der Analysis.

Art. 1. Die Abhängigkeit einer Größe  $y$  von einer anderen Größe  $x$  wird durch eine mathematische Formel, z. B.  $y = 3x^2$ , oder  $y = ax^m$  u. s. w. angegeben. Man schreibt allgemein  $y = f(x)$  oder  $z = \varphi(y)$  u. s. w., und nennt  $y$  eine Funktion von  $x$ , so wie  $z$  eine Funktion von  $y$ . Die Zeichen  $f$ ,  $\varphi$  u. s. w. deuten nur allgemein an, daß  $y$  von  $x$ , oder  $z$  von  $y$  abhängt; sie lassen die Abhängigkeit dieser Größen von einander ganz unbestimmt, schreiben also die algebraische Operation, durch welche  $y$  aus  $x$ , oder  $z$  aus  $y$  hervorgeht, nicht vor.

Eine Funktion  $y = f(x)$  ist eine unbestimmte Gleichung; es giebt unendlich viele Werthe von  $x$  und  $y$ , welche derselben entsprechen, giebt man jedoch die eine ( $x$ ), so ist die andere ( $y$ ) durch die Funktion bestimmt, und verändert man die eine, so erleidet die andere ebenfalls eine Veränderung. Man nennt deshalb die unbestimmten Größen  $x$  und  $y$  Variable oder veränderliche Größen, dagegen die gegebenen oder als gegeben anzusehenden Größen, die also die Operation vorschreiben, durch welche  $y$  aus  $x$  hervorgeht, Constanten oder beständige Größen. Von den veränderlichen Größen heißt diejenige, welche willkürlich anzunehmen ist, die Urvariable, und dagegen diejenige, welche als Funktion der letzteren durch eine bestimmte Operation aus dieser bestimmt wird, die Abhängigvariable. In  $y = ax^m$  sind  $a$  und  $m$  die Constanten und es ist  $x$  die Ur-, dagegen  $y$  die Abhängigvariable.

Die Abhängigkeit einer Größe  $z$  von zwei anderen  $x$  und  $y$  wird durch das Zeichen  $z = f(x, y)$  ausgedrückt. Es ist in diesem Falle  $z$  Funktion von  $x$  und  $y$  zugleich, und man hat es daher hier mit zwei Urvariablen zu thun.

Art. 2. Jede durch eine Funktion oder Formel  $y = f(x)$  ausgedrückte Abhängigkeit einer Größe  $y$  von einer anderen Größe  $x$  läßt sich durch

eine ebene Curve oder krumme Linie  $APQ$ , Fig. 1. und Fig. 2., darstellen: den verschiedenen Werthen der Urvariablen  $x$  entsprechen die Abscissen  $AM$ ,  $AN$  u. s. w., und den verschiedenen Werthen der Abhängigvariablen

Fig. 1.

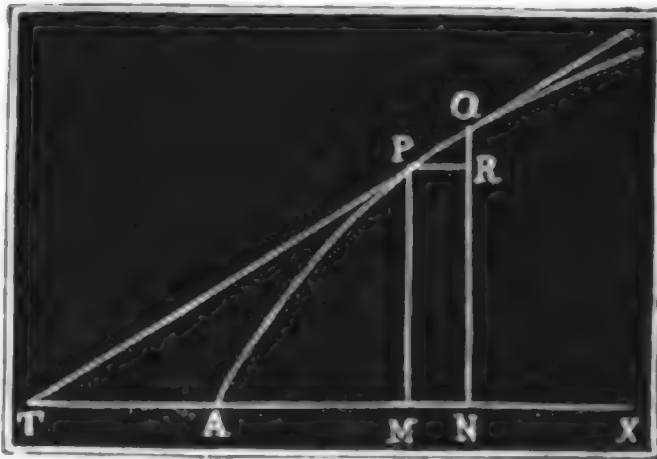
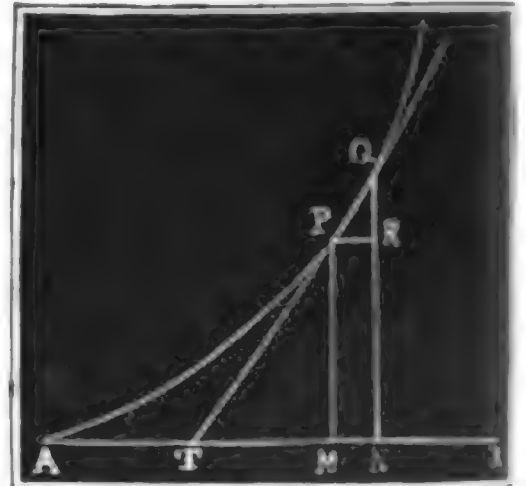
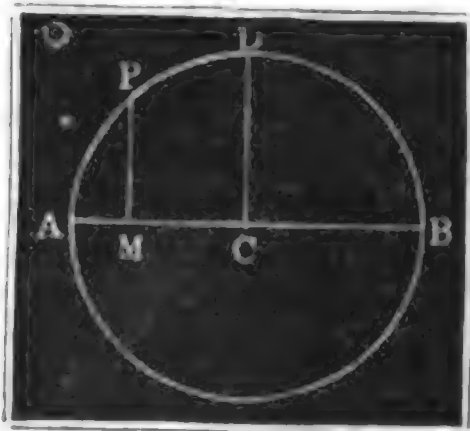


Fig. 2.



$y$  die Ordinate  $MP$ ,  $NQ$  u. s. w. der Curve. Die Coordinaten (Abscissen und Ordinate) der Curve stellen also die beiden Variablen der Funktion vor. Die graphische oder bildliche Darstellung einer Funktion oder die Zurückführung derselben auf eine Curve, vereinigt mehrere Vortheile in sich. Sie liefert uns erstens einen Ueberblick von dem Zusammenhange zwischen zwei veränderlichen Größen, sie ersetzt uns zweitens die Stelle einer Tabelle, oder eines Inbegriffes von je zwei zusammengehörigen Werthen einer Funktion, sie verschafft uns drittens die Kenntnis von den mannichfaltigsten Eigenschaften und Beziehungen der Funktionen. Der mit dem Halbmesser  $CA = CB = r$  beschriebene Kreis  $ADB$ , Fig. 3.

Fig. 3

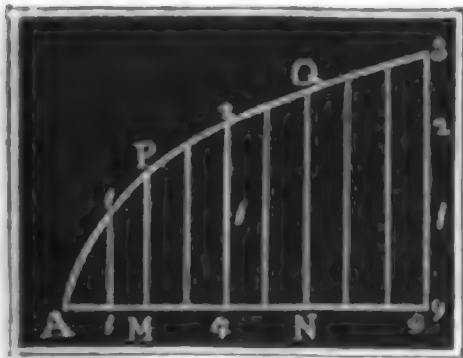


welcher der Funktion  $y = \sqrt{2rx - x^2}$  entspricht, gewährt uns z. B. nicht allein eine Uebersicht über die verschiedenen Werthe, welche diese Funktion annehmen kann, sondern macht uns auch mit andern Eigenthümlichkeiten dieser Funktion bekannt, da die Eigenschaften des Kreises auch ihre Bedeutung in der Funktion haben, wie wir besonders im Folgenden sehen werden.

Art. 3. Die Naturgesetze lassen sich in der Regel durch Funktionen zwischen zwei oder mehreren Größen ausdrücken und sind deshalb auch mit einer graphischen Darstellung fähig. Beim freien Fallen der Körper im luftleeren Raume hat man z. B. für die Fallgeschwindigkeit  $y$ , welche der Fallhöhe  $x$  entspricht,  $y = \sqrt{2gx}$ ; diese Formel stimmt aber auch mit der Gleichung  $y = \sqrt{px}$  der Parabel überein, wenn man den Parameter ( $p$ ) der letzteren gleichsetzt der doppelten Beschleunigung ( $2g$ ) der

Schwere, daher läßt sich auch das Fallgesetz durch eine Parabel  $APQ$ , Fig. 4., mit dem Parameter  $p = 2g$  graphisch darstellen. Die Abscissen  $AM, AN \dots$  dieser Curve sind natürlich die Fallräume, und die entsprechenden Ordinaten  $MP, NQ \dots$  die zugehörigen Geschwindigkeiten.

Fig. 4.



Ist  $a$  ein gewisses Luftvolumen unter der Pressung von 1 Atmosphäre, so hat man dem Mariotte'schen Gesetze zu Folge das Volumen derselben Luftmenge unter der Pressung von  $x$  Atmosphären:  $y = \frac{a}{x}$ .

Für  $x = 1$  ist  $y = a$ , für  $x = 2$ ,  $y = \frac{a}{2}$ , für  $x = 4$ ,  $y = \frac{a}{4}$ ,

„  $x = 10$  „  $y = \frac{a}{10}$ , „  $x = 100$ ,  $y = \frac{a}{100}$ , „  $x = \infty$ ,  $y = 0$ ;

man sieht also, daß das Volumen immer kleiner und kleiner wird, je größer die Spannung ist, und daß, wenn das Mariotte'sche Gesetz bei allen Spannungen richtig bliebe, einer unendlich großen Spannung  $x$  ein unendlich kleines Volumen  $y$  entspräche.

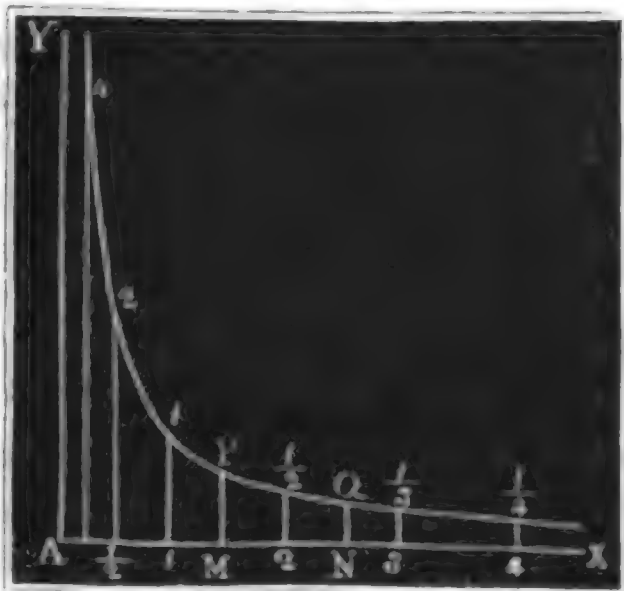
Ferner  $x = \frac{1}{2}$  giebt  $y = 2a$ ,  $x = \frac{1}{4}$ , giebt  $y = 4a$ ,

$x = \frac{1}{10}$  „  $y = 10a$ ,  $x = 0$ , „  $y = \infty a$ ,

je kleiner hiernach die Spannung wird, je größer fällt auch das Volumen aus, und wenn die Spannung unendlich klein ist, so stellt sich das Volumen unendlich groß heraus.

Die Curve, welche diesem Gesetze entspricht, ist in Fig. 5. abgebildet;  $AM, AN \dots$  sind die Spannungen oder Abscissen,  $MP, NQ \dots$  die entsprechenden Volumen oder Ordinaten. Man sieht, diese Curve nähert sich allmählig den Axen  $AX$  und  $AY$  der Coordinaten, ohne sie je zu erreichen.

Fig. 5.



Die Abhängigkeit der Expansivkraft  $y$  des gesättigten Wasserdampfes von der Temperatur  $x$  läßt sich wenigstens innerhalb gewisser Grenzen durch die Formel

$$y = \left( \frac{a+x}{b} \right)^m \text{ Atmosphären}$$

ausdrücken, und es ist erfahrungsmäßig, wenigstens innerhalb gewisser Grenzen,  $a = 75$ ,  $b = 175$  und

$m = 6$ . Wenn wir hiernach  $y = \left(\frac{75+x}{175}\right)^6$  setzen, und eine unbeschränkte Richtigkeit dieser Formel annehmen, so erhalten wir:

$$\text{für } x = 100^0, y = \left(\frac{175}{175}\right)^6 = 1 \text{ Atmosphäre,}$$

$$„ \ x = 50^0, y = \left(\frac{125}{175}\right)^6 = 0,133 \quad „$$

$$„ \ x = 0^0, y = \left(\frac{75}{175}\right)^6 = 0,006 \quad „$$

$$„ \ x = -75^0, y = \left(\frac{0}{175}\right)^6 = 0,000 \quad „$$

$$\text{ferner für } x = 120^0, y = \left(\frac{195}{175}\right)^6 = 1,914 \quad „$$

$$„ \ x = 150^0, y = \left(\frac{225}{175}\right)^6 = 4,517 \quad „$$

$$„ \ x = 200^0, y = \left(\frac{275}{175}\right)^6 = 15,058 \quad „$$

Fig. 6.



Die entsprechende Curve führt PQ. Figur 6., vor Augen; man sieht dieselbe geht in einem Abstände  $AO = -75$  vom Anfangspunkte  $A$  der Coordinaten durch die Abscissenaxe, und in einem Abstände  $AS = 0,006$  von eben diesem Punkte durch die Ordinate; ferner einer Abscisse  $AM < 100$  entspricht eine Ordinate  $MP$  unter 1 und einer Abscisse  $AN > 100$  gehört die Ordinate  $NQ > 1$  an. auch ist wahrzunehmen, daß nicht nur  $y$  mit  $x$  in's Unendliche wächst, sondern auch, daß die Curve immer steiler und steiler ansteigt, je größer  $x$  wird.

Art. 4. Wenn man die Urvariable einer Funktion oder Abscisse  $AM = x$  Fig. 7. und 8. auf folg. S., der entsprechenden Curve um eine unendlich kleine, künftig durch  $dx$  zu bezeichnende Größe  $MN$  wachsen läßt, so geht die entsprechende Abhängigvariable oder Ordinate  $MP = y$  in  $NQ = y_1$  über, und wird um den durch  $dy$  zu bezeichnenden unendlich kleinen Werth  $RQ = NQ - MP$  größer. Beide Wachstümer  $dx$  und  $dy$  von  $x$  und  $y$  nennt man Differenziale oder Elemente der Veränderlichen oder Coordinaten  $x$  und  $y$ , und es ist nun unsere Haupt-



aufgabe, für die am häufigsten vorkommenden Funktionen die Differenziale, oder vielmehr die Verhältnisse zwischen den zusammengehörigen Elementen

Fig. 7.

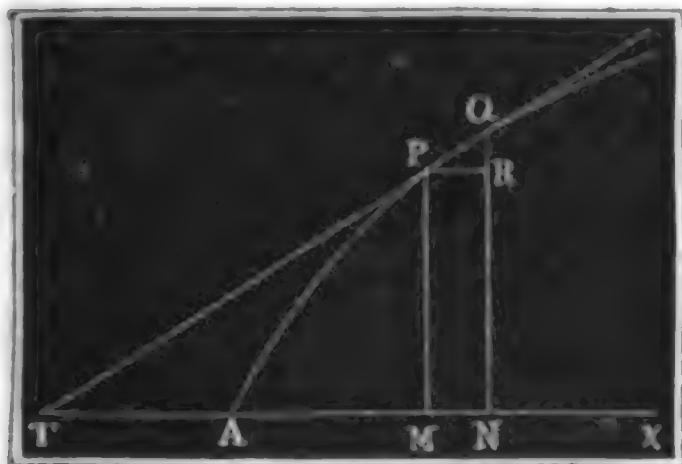
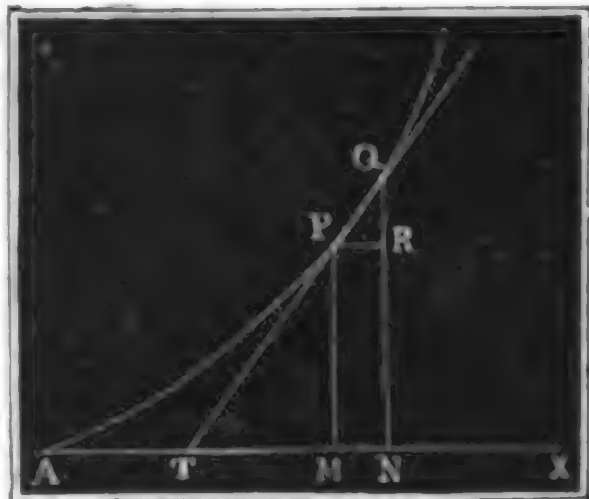


Fig. 8.



ihrer Variablen  $x$  und  $y$  zu finden. Setzt man in der Funktion  $y = f(x)$ , wo  $x$  die Abscisse  $AM$  und  $y$  die Ordinate  $MP$  vorstellt, statt  $x$ ,  $x + dx = AM + MN = AN$ , so erhält man statt  $y$ ,  $y + dy = MP + RQ = NQ$ , also

$$y + dy = f(x + dx),$$

und zieht man hiervon den ersten Werth von  $y$  ab, so bleibt das Element oder Differenzial der Variablen  $y$ , d. i.  $dy = df(x) = f(x + dx) - f(x)$  übrig.

Dies ist die allgemeinste Regel zur Bestimmung des Differenziales einer Funktion, aus welcher sich durch Anwendung auf verschiedene Funktionen wieder andere mehr oder weniger allgemeine Regeln ableiten lassen.

Ist z. B.  $y = x^2$ , so hat man

$$dy = (x + dx)^2 - x^2, \text{ oder, da}$$

$$(x + dx)^2 = x^2 + 2x dx + dx^2 \text{ zu setzen ist,}$$

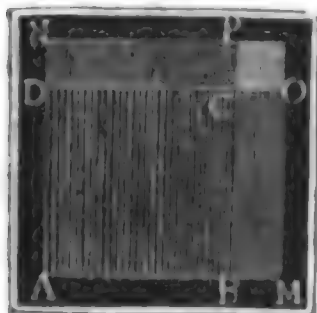
$$dy = 2x dx + dx^2 = (2x + dx) dx;$$

und einfacher, da  $dx$  als unendlich kleine Größe gegen  $2x$  verschwindet, oder  $2x$  durch Hinzutritt von  $dx$  nicht angebbar verändert wird und deshalb unbeachtet gelassen werden kann,

$$dy = d(x^2) = 2x dx.$$

Es entspricht  $y = x^2$  dem Inhalte eines Quadrates  $ABCD$ , Fig. 9.,

Fig. 9.

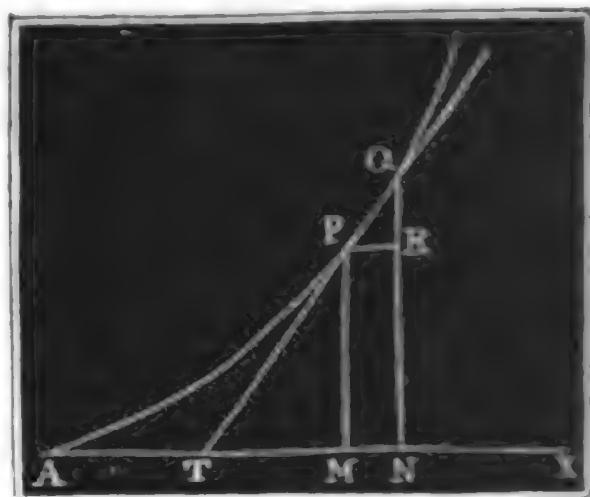
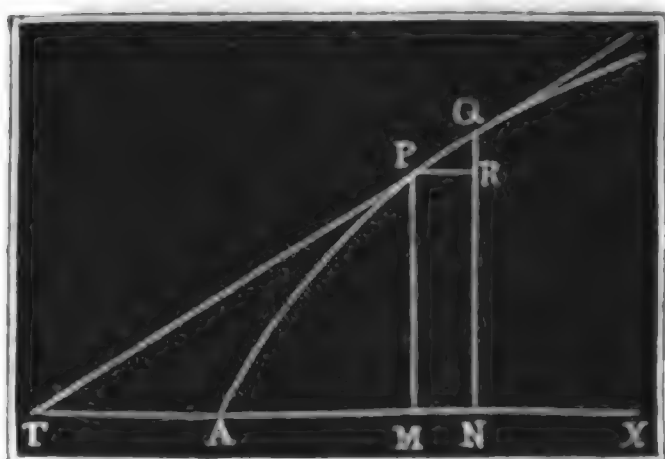


dessen Seite  $AB = AD = x$  ist, und es läßt sich auch aus der Figur entnehmen, daß durch Zunahme der Seite um  $BM = DN = dx$ , das Quadrat um zwei Rechtecke  $BO$  und  $DP = 2x dx$  und um ein Quadrat  $OP = (dx)^2$  wächst, daß also bei einem unendlich kleinen Wachsthum  $dx$  von  $x$ , das Quadrat  $y = x^2$  um das Element  $2x dx$  zunimmt.

Art. 5. Die gerade Linie  $PQ$ , Fig. 10. und 11., welche durch zwei unendlich nahe liegende Punkte  $P$  und  $Q$  einer Curve geht, heißt Tangente

Fig. 10.

Fig. 11.



oder Berührungslinie dieser Curve und giebt die Richtung derselben zwischen diesen Punkten an. Man giebt die Richtung der Tangente durch den Winkel  $PTM = \alpha$  an, unter welchem die Abscissenaxe  $AX$  von dieser Linie geschnitten wird. Bei einer concaven Curve wie  $APQ$ , Fig. 10., liegt die Tangente außerhalb der Curve und Abscissenaxe, bei einer convexen Curve  $APQ$ , Fig. 11., hingegen befindet sie sich zwischen der Curve und Abscissenaxe.

In dem unendlich kleinen rechtwinkligen Dreiecke  $PQR$ , Fig. 10. und 11., mit den Katheten  $PR = dx$  und  $RQ = dy$  ist der Winkel  $QPR$  gleich dem Tangentenwinkel  $PTM = \alpha$ , und da

$$\text{tang. } QPR = \frac{QR}{PR} \text{ ist,}$$

so hat man auch

$$\text{tang. } \alpha = \frac{dy}{dx},$$

es giebt also das Verhältniß oder der Quotient der beiden Elemente  $dy$  und  $dx$  die trigonometrische Tangente des Tangentenwinkels an.

3. B. für die Parabel, deren Gleichung  $y^2 = px$  ist, hat man, wenn man  $y^2 = px = z$  setzt,  $dz = (y + dy)^2 - y^2 = y^2 + 2ydy + dy^2 - y^2 = 2ydy + dy^2$ , oder da  $dy^2$  gegen  $2ydy$  oder, was auf eins herauskommt,  $dy$  gegen  $2y$  verschwindet,

$$dz = 2ydy, \text{ und ebenso}$$

$$dz = p(x + dx) - px = p dx.$$

Es ist hiernach  $2ydy = p dx$ , und daher für den Tangentenwinkel der Parabel:

$$\text{tang. } \alpha = \frac{dy}{dx} = \frac{p}{2y} = \frac{y^2}{2xy} = \frac{y}{2x}.$$



In der Regel nennt man das bestimmte Stück  $PT$  der Berührungslinie zwischen dem Berührungspunkte  $P$  und dem Durchschnittspunkte  $T$  mit der Abscissenaxe, Tangente, und die Projection  $TM$  desselben in der Abscissenaxe, Subtangente, und hat daher

$$\begin{aligned} \text{subtang. } TM &= PM \cotang. PTM \\ &= y \cotang. \alpha = y \frac{dx}{dy}, \end{aligned}$$

z. B. bei der Parabel  $\text{subtang.} = y \cdot \frac{2x}{y} = 2x$ . Es ist also hier die Subtangente der doppelten Abscisse gleich, und hiernach die Lage der Tangente für jeden Punkt  $P$  der Parabel leicht anzugeben.

Art. 6. Für eine Funktion  $y = a + m f(x)$  hat man

$$\begin{aligned} dy &= [a + m f(x + dx)] - [a + m f(x)] \\ &= a - a + m f(x + dx) - m f(x) \\ &= m [f(x + dx) - f(x)]; \end{aligned}$$

$$\text{d. i. } 1. \quad d[a + m f(x)] = m df(x),$$

z. B.  $d(5 + 3x^2) = 3[(x + dx)^2 - x^2] = 3 \cdot 2x dx = 6x dx$ .

Es ist ebenso  $d(4 - \frac{1}{2}x^3) = -\frac{1}{2}d(x^3) = -\frac{1}{2}[(x + dx)^3 - x^3] = -\frac{1}{2}(x^3 + 3x^2dx + 3xdx^2 + dx^3 - x^3) = -\frac{1}{2} \cdot 3x^2dx = -\frac{3}{2}x^2dx$ .

Wir können hiernach folgende wichtige Regel aufstellen: Die constanten Glieder ( $a, 5$ ) einer Funktion verschwinden beim Differenziiiren, und die constanten Factoren ( $m, 3$ ) bleiben hierbei unverändert.

Die Richtigkeit dieser Regel läßt sich auch graphisch darthun. Für die Curve  $APQ$ , Fig. 12., deren Coordinaten ein Mal  $AM = x$  und  $MP = y = f(x)$ , und ein anderes Mal  $A_1M_1 = x$  und  $M_1P = a + y = a + f(x)$  sind, ist  $PR = dx$  und  $RQ = dy = df(x)$  und auch  $= d(a + y) = d[a + f(x)]$ ; und für die Curven  $AP_1Q_1$  und  $APQ$ , Fig. 13., deren zusammengehörige Ordinaten  $MP_1$  und  $MP$ , so wie

Fig. 12.

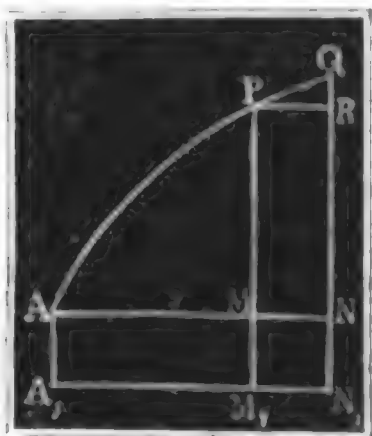
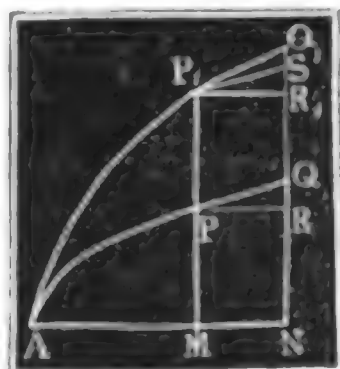


Fig. 13.



$NQ_1$  und  $NQ$  ein gewisses Verhältniß zu einander haben, ist auch das Verhältniß zwischen den Differenzialien  $Q_1R_1 = NQ_1 - MP_1$  und

ein negatives  $x$  aber einen imaginären Werth; deshalb finden sich auch die entsprechenden Curven nur im ersten und zweiten der von den Axen  $X\bar{X}$  und  $Y\bar{Y}$  begrenzten Quadranten. Die Funktionen

$$y = x^{-1}, x^{1/3}, x^{2/3} \text{ u. s. w., d. i.}$$

$$y = \frac{1}{x}, \sqrt[3]{x}, \sqrt[3]{x^2} \text{ u. s. w.}$$

geben für jedes negative  $x$  auch ein negatives  $y$ , weshalb die entsprechenden Curven außer dem ersten Quadranten  $XAY$  noch den dritten  $X\bar{A}\bar{Y}$  einnehmen. Die Funktionen

$$y = x^2, x^{-2}, x^{2/3} \text{ u. s. w., d. i.}$$

$$y = x^2, \frac{1}{x^2}, \sqrt{x^2} \text{ u. s. w.}$$

erhalten selbst bei negativem  $x$  positive  $y$ , und deshalb bleiben die entsprechenden Curven stets über der Abscissenaxe  $X\bar{X}$  oder im ersten und zweiten Quadranten.

Art. 8. Wenn wir in der Funktion  $y = x^n$ ,  $x$  um  $dx$  vergrößern lassen, so erhalten wir den Werth  $y_1 = (x + dx)^n$ , und daher ist das Differenzial oder Element  $dy = y_1 - y = (x + dx)^n - x^n$ .

Der binomischen Reihe

$$(a + x)^n = a^n + n a^{n-1} x + \frac{n(n-1)}{1 \cdot 2} a^{n-2} x^2 + \frac{n(n-1)(n-2)}{1 \cdot 2 \cdot 3} a^{n-3} x^3 + \dots$$

zufolge ist aber

$$(x + dx)^n = x^n + n x^{n-1} dx + \frac{n(n-1)}{1 \cdot 2} x^{n-2} dx^2 + \dots$$

daher erhalten wir denn

$$\begin{aligned} dy = d(x^n) &= n x^{n-1} dx + \frac{n(n-1)}{1 \cdot 2} x^{n-2} dx^2 + \dots \\ &= \left( n x^{n-1} + \frac{n(n-1)}{1 \cdot 2} x^{n-2} dx + \dots \right) dx; \end{aligned}$$

oder da  $\frac{n(n-1)}{1 \cdot 2} x^{n-2} dx + \dots$  wegen der unendlichen Kleinheit von

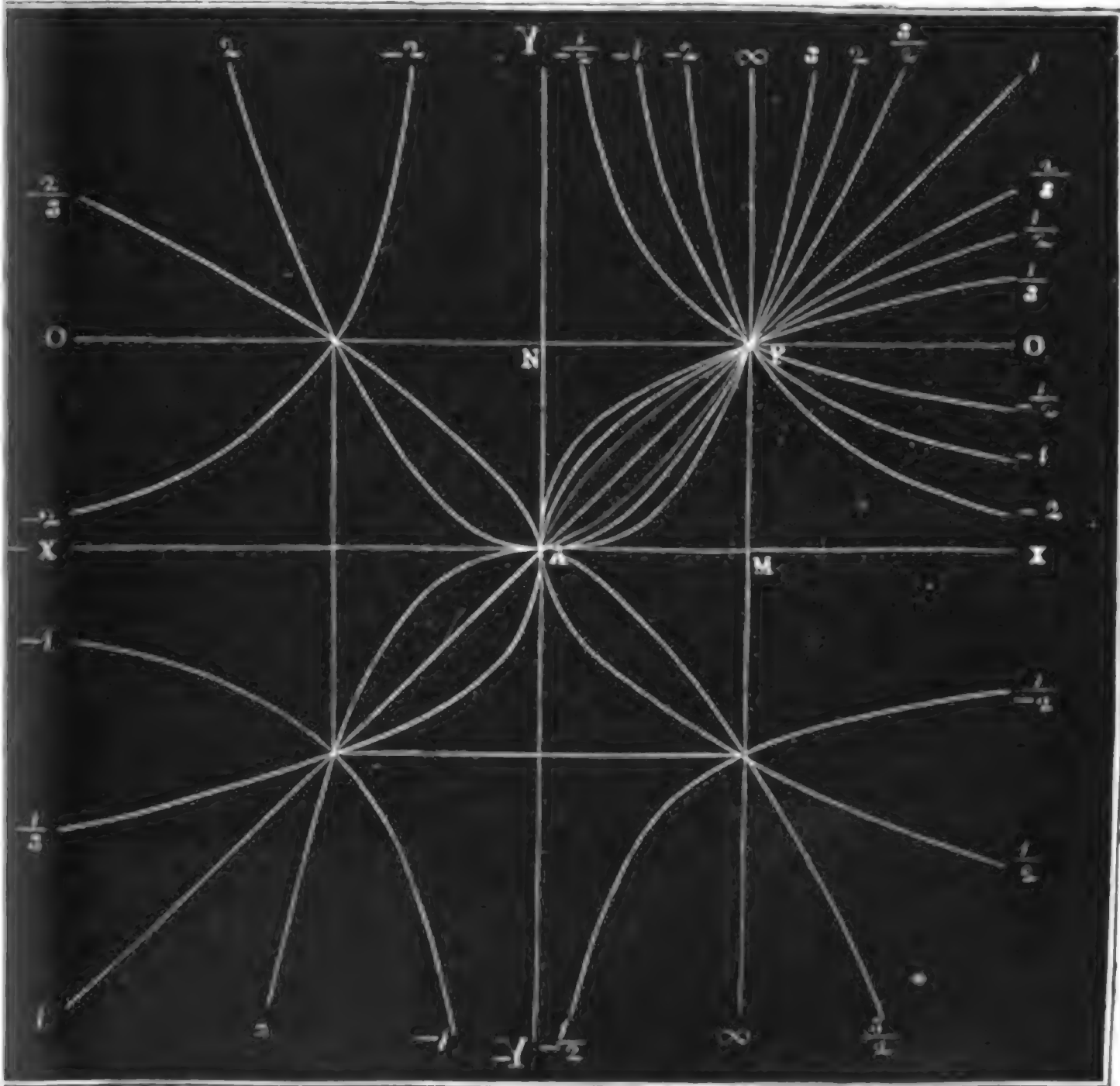
$dx$  gegen  $n x^{n-1}$  verschwindet,  $d(x^n) = n x^{n-1} dx$ .

$$\text{B. B. } d(x^3) = 3x^2 dx, d(\sqrt{x^3}) = d(x^{3/2}) = \frac{3}{2} x^{1/2} dx.$$

$$d\left(\frac{4}{x^2}\right) = 4 d(x^{-2}) = -8x^{-3} dx; \text{ ferner}$$

$$\begin{aligned}
 d\sqrt{2rx-x^2} &= d\sqrt{u} = d(u^{1/2}) = \frac{1}{2}u^{-1/2}du = \frac{1}{2}\frac{d(2rx-x^2)}{u^{1/2}} \\
 &= \frac{1}{2} \cdot \frac{2r dx - 2x dx}{\sqrt{u}} = \frac{(r-x)dx}{\sqrt{2rx-x^2}}.
 \end{aligned}$$

Aus der wichtigen Formel  $d(x^n) = nx^{n-1}dx$  folgt nun auch die Formel für den Tangentenwinkel der entsprechenden und in Fig. 16. abge-  
 riss. 16.



bildeten Curven; es ist nämlich  $\text{tang. } \alpha = \frac{dy}{dx} = nx^{n-1}$ .

Hiernach hat man z. B. für die sogenannte Neil'sche Parabel, deren Gleichung  $y = \sqrt[3]{\frac{x^3}{a}}$  ist,

$$\text{tang. } \alpha = \frac{1}{\sqrt[3]{a}} \frac{d(x^{3/2})}{dx} = \frac{1}{\sqrt[3]{a}} \cdot \frac{3}{2} x^{1/2} = \frac{3}{2} \sqrt{\frac{x}{a}}.$$

Art. 9. Wenn man in dem Elementeverhältniß  $\frac{dy}{dx}$  oder in der Formel für die Tangente des Tangentenwinkels für  $x$  nach und nach verschiedene Werthe setzt, so erhält man durch dieselbe die verschiedenen Lagen der Berührungslinie. Nimmt man  $x = 0$ , so erhält man die Tangente des Tangentenwinkels im Anfangspunkt, nimmt man  $x = \infty$ , so erhält man dieselbe für einen unendlich entfernten Punkt der Curve. Am wichtigsten sind die Punkte, wo die Tangente einer Curve mit der einen oder der andern Coordinatenaxe parallel läuft, weil hier in der Regel die eine oder die andere der Coordinaten  $x$  und  $y$  ihren größten oder kleinsten Werth hat, oder, wie man sagt, ein Maximum oder Minimum ist. Für den Parallelismus mit der Abscissenaxe hat man  $\alpha = 0$ , also auch  $\text{tang. } \alpha = 0$ , und für den mit der Ordinate  $\alpha = 90^\circ$ , also  $\text{tang. } \alpha = \infty$ ; und hiernach folgt die Regel: man findet diejenigen Werthe der Abscisse oder Urvariablen  $x$ , welchen die Maximal- oder Minimalwerthe der Ordinate oder Abhängigvariablen  $y$  entsprechen, wenn man das Differenzialverhältniß  $\frac{dy}{dx} = 0$ , oder  $= \infty$  setzt, und die erhaltenen Gleichungen in Hinsicht auf  $x$  auflöst.

z. B. für die Gleichung  $y = 6x - \frac{9}{2}x^2 + x^3$ , welcher der Curve  $APQR$  in Fig. 17. entspricht, ist

$$\frac{dy}{dx} = 6 - 9x + 3x^2 = 3(2 - 3x + x^2) = 3(1 - x)(2 - x),$$

und es folgt durch Nullsetzen von  $\frac{dy}{dx}$ ,  $1 - x = 0$  und  $2 - x = 0$ .

Fig. 17.

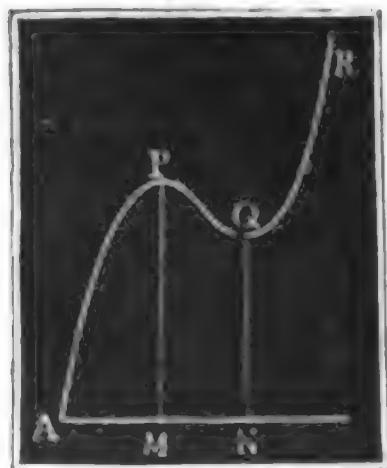
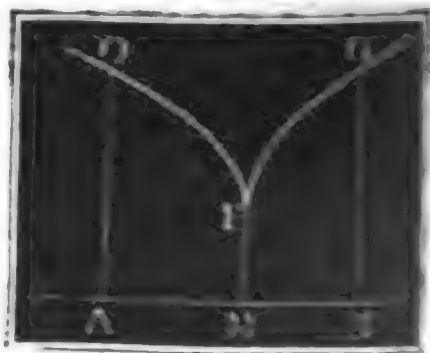


Fig. 18.



d. i.  $x = 1$  und  $x = 2$ . Diese Werthe in die Formel

$$y = 6x - \frac{9}{2}x^2 + x^3$$

gesetzt, ergibt sich der Maximalwerth von  $y$ :  $MP = 6 - \frac{9}{2} + 1 = \frac{5}{2}$  und der Minimalwerth  $NQ = 12 - 18 + 8 = 2$ .

Ferner für die Curve  $OPQ$ , Fig. 18., deren Gleichung  $y = a + (x - b)^2$

ist, hat man  $\frac{dy}{dx} = \frac{2}{3} (x-b)^{-1/3} = \frac{2}{3 \sqrt[3]{x-b}}$ , und um nun den

Minimalwerth  $MP$  von  $y$  zu finden, setzt man  $\frac{dy}{dx} = \infty$ ,

d. i.  $\frac{2}{3 \sqrt[3]{x-b}} = \infty$ ,  $3 \sqrt[3]{x-b} = 0$ , d. i.  $x = b$ . Der ent-

sprechende Minimalwerth ist  $y = a$ ; nimmt man dagegen  $x = 0$ , so erhält man  $y = a + \sqrt[3]{b^2}$ , und nimmt man  $x = 2b$ , so stellt sich ebenfalls  $y = a + \sqrt[3]{b^2}$ , also in beiden Fällen ein größerer Werth von  $y$  heraus.

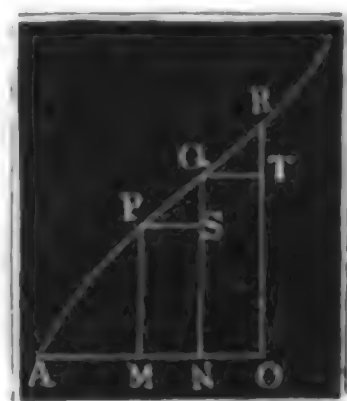
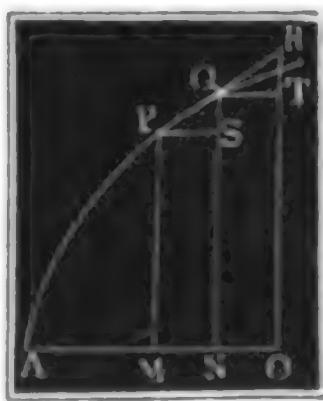
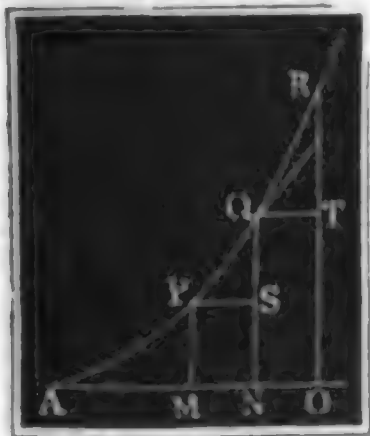
Art. 10. Sowie bei einer vom Anfangspunkte  $A$  aus aufsteigenden Curve  $y$  mit  $x$  wächst, und deshalb  $dy$  positiv ist, bei einer niedersteigenden hingegen  $y$  abnimmt, wenn  $x$  größer wird, und deshalb  $dy$  negativ ausfällt, und endlich an der Stelle, wo die Curve mit der Coordinatenaxe  $AX$  parallel läuft,  $dy$  Null ist, ebenso sind die gleichen Abscissen-Elementen  $dx = MN = NO = PS = QT \dots$  entsprechenden Ordinaten-Elemente  $SQ = PS \tan \alpha_1$ , d. i.  $dy = dx \cdot \tan \alpha_1$ .

$TR = QT \tan \alpha_2$ , d. i.  $dy = dx \cdot \tan \alpha_2$  u. s. w. und also auch die Tangentenwinkel  $\alpha_1, \alpha_2$  u. s. w. bei einer convexen Curve  $APR$ , Fig. 19. im Wachsen und bei einer concaven Curve  $APR$ , Fig. 20.,

Fig. 19.

Fig. 20.

Fig. 21.



im Abnehmen begriffen, es ist folglich im ersten Falle

$$d(\tan \alpha) = d\left(\frac{dy}{dx}\right) \text{ positiv,}$$

und im zweiten  $d(\tan \alpha) = d\left(\frac{dy}{dx}\right)$  negativ, und man hat endlich auch für den Wendepunkt  $Q$ , Fig. 21., d. i. für die Stelle  $Q$  der Curve, wo Convexität in Concavität übergeht, oder das Umgekehrte stattfindet, auch  $QS = RT$ , und daher

$$(\tan \alpha) = d\left(\frac{dy}{dx}\right) = \text{Null.}$$



Es gilt also die Regel: ist das Differenzial der Tangente des Tangentenwinkels positiv, so besitzt die Curve Convexität, ist es negativ, so hat dieselbe Concavität, und ist es Null, so hat man es mit einem Wendepunkte der Curve zu thun.

Auch ist hiernach leicht Folgendes zu ermessen. Die Stelle, wo die Curve parallel mit der Abscissenaxe läuft, für welche also  $\text{tang. } \alpha = 0$  ist, entspricht einem Minimo, Maximo oder Wendepunkte der Curve, wenn diese convex, concav oder keines von beiden, wenn also

$d(\text{tang. } \alpha)$  positiv, oder negativ oder Null ist.

Dagegen die Stelle, wo eine Curve mit der Ordinatenaxe parallel läuft, also  $\text{tang. } \alpha = \infty$  ist, entspricht einem Minimo, Maximo oder Wendepunkte der Curve, wenn dieselbe concav, convex oder theils concav, theils convex, wenn also  $d(\text{tang. } \alpha)$  vor und nach dieser Stelle negativ,

„ „ „ „ „ „ positiv, oder vor dieser Stelle ein anderes Zeichen hat als nach derselben.

Ein Curvenstück mit Wendepunkt  $Q$  der ersten Art führt Figur 22, und ein solches mit einem Wendepunkt der zweiten Art Figur 23. vor Augen. Man sieht, die entsprechende Ordinate  $NQ$  ist weder ein Maximum noch ein Minimum, denn es sind in keinem Falle die benachbarten Ordinaten  $MP$  und  $OR$  beide größer oder kleiner als  $NQ$ .

Fig. 22

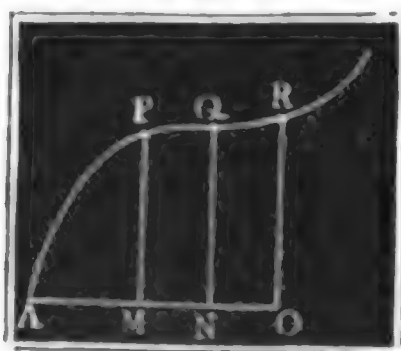


Fig. 23.

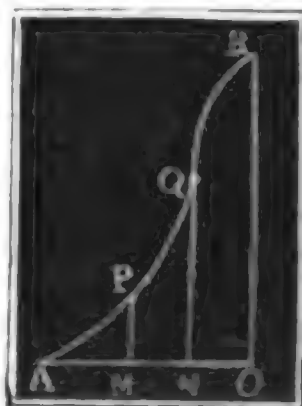
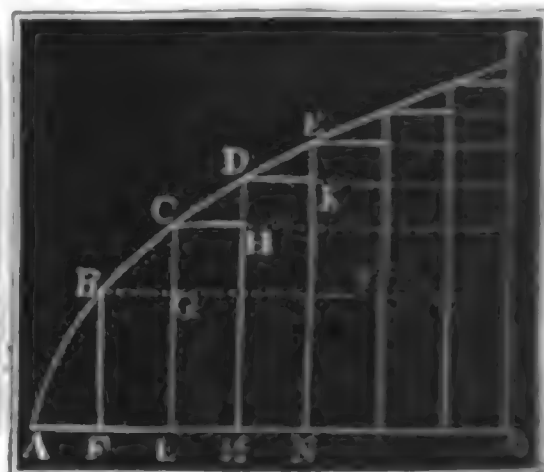


Fig. 24.



Art. 11. Die der Abscisse  $AO = x$ , Fig. 24., entsprechende Ordinate  $OP = y$  läßt sich aus unendlich vielen ungleichen Elementen  $dy = FB, GC, HD, KE \dots$  zusammensetzen, die lauter gleichen Elementen  $dx = AF = FL = LM = MN \dots$  entsprechen. Wäre daher  $dy = \varphi(x) \cdot dx$  gegeben, so würde man  $y$  durch Summation aller derjenigen Werthe von  $dy$  finden, die sich herausstellen wenn man in  $\varphi(x) \cdot dx$  statt  $x$  nach und nach  $dx, 2dx, 3dx, 4dx \dots$  bis  $ndx = x$  einsetzt. Diese Summation deutet man durch das sogenannte Integralzeichen  $\int$  an, welches man vor den allgemeinen Ausdruck für die summirenden Elemente setzt, schreibt also statt



$$y = [\varphi(dx) + \varphi(2dx) + \varphi(3dx) + \dots + \varphi(x)] dx,$$

$$y = \int \varphi(x) dx.$$

Auch nennt man in diesem Falle  $y$  das Integral von  $\varphi(x) dx$ , so wie  $\varphi(x) dx$  das Differenzial von  $y$ .

Zuweilen kann man das Integral  $\int \varphi(x) dx$  durch wirkliches Summiren der Reihe  $\varphi(dx)$ ,  $\varphi(2dx)$ ,  $\varphi(3dx)$  u. s. w. bestimmen, viel einfacher ist es jedoch bei Ausmittlung eines Integrals eine der im Folgenden entwickelten Regeln der sogenannten Integralrechnung in Anwendung zu bringen.

Für das Differenzial  $dy = mx dx$  hat man z. B. das Integral

$$y = \int mx dx = m dx (dx + 2dx + 3dx + \dots + x)$$

$$= \left(1 + 2 + 3 + \dots + \frac{x}{dx}\right) m dx^2,$$

oder, da  $1, 2, 3, \dots, \frac{x}{dx}$  eine gewöhnliche arithmetische Progression bildet

(s. Ingenieur S. 141.), deren erstes Glied  $= 1$ , letztes Glied  $= \frac{x}{dx}$  und

Anzahl der Glieder ebenfalls  $= \frac{x}{dx}$  ist,

$$\int mx dx = \frac{1}{2} \left(1 + \frac{x}{dx}\right) \frac{x}{dx} m dx^2,$$

und einfacher, da 1 gegen die unendlich große Zahl  $\frac{x}{dx}$  verschwindet,

$$\int mx dx = \frac{1}{2} \left(\frac{x}{dx}\right)^2 m dx^2 = \frac{1}{2} m x^2.$$

Art. 12. Aus der Formel  $d[a + mf(x)] = m df(x)$  folgt durch Umkehrung  $\int m df(x) = a + mf(x) = a + m \int df(x)$ ,

oder  $df(x) = \varphi(x) \cdot dx$  gesetzt,

$$1. \int m \varphi(x) dx = a + m \int \varphi(x) dx,$$

und hieraus folgt, daß der constante Factor  $m$  beim Integriren sowie beim Differenziren unverändert bleibt, und daß durch bloßes Integriren ein etwa vorhandenes constantes Glied  $a$  nicht bestimmt werden kann; daß also das Integriren allein ein noch unbestimmtes Integral liefert. Um das constante Glied zu finden, müssen zwei zusammengehörige Werthe von  $x$  und  $y = \int \varphi(x) dx$  bekannt sein. Ist für  $x = c$ ,  $y = k$ , und hat man  $y = \int \varphi(x) dx = a + f(x)$  gefunden, so muß auch  $k = a + f(c)$  sein, und es giebt daher die Subtraction  $y - k = f(x) - f(c)$ , also in diesem Falle

$$y = \int \varphi(x) dx = k + f(x) - f(c);$$

und man hat hiernach die Constante  $a = k - f(c)$ .

Wenn man z. B. weiß, daß das unbestimmte Integral

$$y = \int x dx = \frac{x^2}{2} \text{ für } x = 1, y = 3 \text{ giebt,}$$

so hat man die nöthige Constante  $a = 3 - \frac{1}{2} = \frac{5}{2}$ , und daher das Integral

$$y = \int x dx = a + \frac{x^2}{2} = \frac{5 + x^2}{2}.$$

Selbst die Constantenbestimmung läßt das Integral noch unbestimmt, weil noch für  $x$  als Urvariable jeder beliebige Werth angenommen werden kann; will man aber einen ganz bestimmten Werth  $k_1$  des Integrales haben, der einem bestimmten Werth  $c_1$  von  $x$  entspricht, so muß man noch diesen in das gefundene Integral ein-, also  $k_1 = k + f(c_1) - f(c)$  setzen:

$$\text{So giebt z. B. } y = \int x dx = \frac{5 + x^2}{2}, \text{ für } x = 5, y = 15.$$

Meist ist derjenige Werth von  $x$  bekannt, bei welchem  $y = 0$  ist; in diesem Falle hat man also  $k = 0$ , und es führt daher das unbestimmte Integral  $\int \varphi(x) dx = f(x)$  auf das bestimmte  $k_1 = f(c_1) - f(c)$ , das also gefunden wird, wenn man in den Ausdruck  $f(x)$  für das unbestimmte Integral die beiden gegebenen Grenzwerte  $c_1$  und  $c$  von  $x$  einsetzt, und die erhaltenen Werthe von einander subtrahirt. Um dies anzudeuten, schreibt man statt  $\int \varphi(x) dx$ ,  $\int_c^{c_1} \varphi(x) dx$ , wenn es

$$\text{z. B. } \int \varphi(x) dx = \frac{x^2}{2} \text{ ist, } \int_c^{c_1} \varphi(x) dx = \frac{c_1^2 - c^2}{2}.$$

Die Umkehrung der Differenzialformel  $d[f(x) + \varphi(x)] = df(x) + d\varphi(x)$  giebt die Integralformel  $\int [df(x) + d\varphi(x)] = f(x) + \varphi(x)$ , oder wenn man  $df(x) = \psi(x) dx$  und  $d\varphi(x) = \chi(x) dx$  setzt,

$$\text{II. } \int [\psi(x) dx + \chi(x) dx] = \int \psi(x) dx + \int \chi(x) dx.$$

Es ist also hiernach das Integral von einer Summe mehrerer Differenzialien gleich der Summe von den Integralen der einzelnen Differenzialien.

$$\text{z. B. } \int (3 + 5x) dx = \int 3 dx + \int 5x dx = 3x + \frac{5}{2}x^2.$$

Art. 13. Die wichtigste Differenzialformel des Artikels 8,

$$d(x^n) = nx^{n-1} dx,$$

führt durch Umkehrung ebenfalls auf die wichtigste Integralformel. Es ist hier  $\int nx^{n-1} dx = x^n$ , oder  $n \int x^{n-1} dx = x^n$ , oder

$$\int x^{n-1} dx = \frac{x^n}{n}, \text{ setzt man also } n - 1 = m, \text{ und hiernach}$$

$n = m + 1$ , so erhält man folgendes wichtige Integral:

$$\int x^m dx = \frac{x^{m+1}}{m+1},$$

das allein in der Anwendung mindestens eben so oft vorkommt, als alle übrigen zusammen.

Diese Form des Integrales weist auch darauf hin, daß dieses dem in Art. 7. abgehandelten und in Fig. 15. abgebildeten Curvensysteme entspreche.

Hiernach ist z. B.  $\int 5x^3 dx = 5 \int x^3 dx = \frac{5}{4}x^4$ ; ferner

$$\int \sqrt[3]{x^4} dx = \int x^{4/3} dx = \frac{3}{7}x^{7/3} = \frac{3}{7}\sqrt[3]{x^7};$$

$$\int \frac{dx}{2\sqrt{x}} = \frac{1}{2} \int x^{-1/2} dx = \frac{1}{2} \frac{x^{1/2}}{1/2} = \sqrt{x};$$

$$\begin{aligned} \int (4 - 6x^2 + 5x^4) dx &= \int 4 dx - \int 6x^2 dx + \int 5x^4 dx \\ &= 4 \int dx - 6 \int x^2 dx + 5 \int x^4 dx = 4x - 2x^3 + x^5; \end{aligned}$$

wenn man  $3x - 2 = u$ , also  $3dx = du$ , oder  $dx = \frac{du}{3}$  einsetzt,

$$\begin{aligned} \int \sqrt{3x-2} dx &= \int u^{1/2} \frac{du}{3} = \frac{1}{3} \frac{u^{3/2}}{3/2} = \frac{2}{9} \sqrt{u^3} \\ &= \frac{2}{9} \sqrt{(3x-2)^3}; \end{aligned}$$

endlich, wenn  $2x^2 - 1 = u$ , also  $4x dx = du$ , d. i.  $x dx = \frac{du}{4}$  gesetzt wird:

$$\begin{aligned} \int \frac{5x dx}{\sqrt[3]{2x^2-1}} &= \int \frac{5 du}{4 \sqrt[3]{u}} = \frac{5}{4} \int u^{-1/3} du = \frac{5}{4} \frac{u^{2/3}}{2/3} = \frac{15}{8} \sqrt[3]{u^2} \\ &= \frac{15}{8} \sqrt[3]{(2x^2-1)^2}. \end{aligned}$$

Durch Hinzufügung der Grenzwerte lassen sich diese unbestimmten Integrale sogleich in bestimmte verwandeln, z. B.

$$\int_1^2 5x^3 dx = \frac{5}{4}(2^4 - 1^4) = \frac{5}{4} \cdot (16 - 1) = 18\frac{3}{4}.$$

$$\int_4^9 \frac{dx}{2\sqrt{x}} = \sqrt{9} - \sqrt{4} = 1,$$

$$\int_1^6 \sqrt{3x-2} dx = \frac{2}{9}(\sqrt{16^3} - \sqrt{1^3}) = \frac{2}{9}(64 - 1) = 14.$$

Wäre z. B.  $\int (4 - 6x^2 + 5x^4) dx = 7$  für  $x = 0$ , so hätte man allgemein:  $\int (4 - 6x^2 + 5x^4) dx = 7 + 4x - 2x^3 + x^5$ .

Art. 14. Die binomische Reihe:

$$(1+x)^n = 1 + \frac{n}{1}x + \frac{n(n-1)}{1 \cdot 2}x^2 + \frac{n(n-1)(n-2)}{1 \cdot 2 \cdot 3}x^3 + \dots$$

giebt, wenn man  $n$  unendlich groß setzt, so daß 1, 2, 3 u. s. w. gegen  $n$  verschwindet,

$$(1+x)^n = 1 + \frac{n}{1}x + \frac{n^2}{1 \cdot 2}x^2 + \frac{n^3}{1 \cdot 2 \cdot 3}x^3 + \dots$$

Setzt man ferner  $x = dx$ , und statt  $n = \frac{x}{dx}$ , so erhält man

$$\begin{aligned} (1+dx)^{\frac{x}{dx}} &= 1 + \frac{x}{dx} \cdot dx + \frac{1}{1 \cdot 2} \left(\frac{x}{dx}\right)^2 dx^2 + \frac{1}{1 \cdot 2 \cdot 3} \left(\frac{x}{dx}\right)^3 dx^3 + \dots \\ &= 1 + \frac{x}{1} + \frac{x^2}{1 \cdot 2} + \frac{x^3}{1 \cdot 2 \cdot 3} + \frac{x^4}{1 \cdot 2 \cdot 3 \cdot 4} + \dots \end{aligned}$$

nehmen wir endlich  $x = 1$ , so erhalten wir

$$(1+dx)^{\frac{1}{dx}} = 1 + 1 + \frac{1}{2} + \frac{1}{6} + \frac{1}{24} + \dots = 2,71828\dots$$

eine Zahl, welche stets durch den Buchstaben  $e$  bezeichnet und die Basis des natürlichen oder hyperbolischen Potenzen- oder Logarithmen-Systemes genannt wird.

Da  $(1+dx)^{\frac{x}{dx}} = \left[ (1+dx)^{\frac{1}{dx}} \right]^x = e^x$ , so hat man hier nach für die sogenannte Exponentialfunktion  $e^x$  die Reihe:

$$e^x = 1 + \frac{x}{1} + \frac{x^2}{1 \cdot 2} + \frac{x^3}{1 \cdot 2 \cdot 3} + \frac{x^4}{1 \cdot 2 \cdot 3 \cdot 4} \dots$$

Setzt man  $a = e^{1/m}$ , so ist  $1/m = \text{Log. nat. } a$ , d. i. der natürliche oder hyperbolische Logarithme von  $a$ , und daher

$$a^x = (e^{1/m})^x = e^{\frac{x}{m}} = 1 + \frac{1}{1} \left(\frac{x}{m}\right) + \frac{1}{1 \cdot 2} \left(\frac{x}{m}\right)^2 + \frac{1}{1 \cdot 2 \cdot 3} \left(\frac{x}{m}\right)^3 + \dots$$

Setzt man  $y = a^x = e^{\frac{x}{m}}$ , so hat man umgekehrt

$$x = \text{Log.}_a y \text{ und } \frac{x}{m} = \text{Log. nat. } y, \text{ daher}$$

$$\text{Log.}_a y = m \text{ Log. nat. } y, \text{ so wie umgekehrt}$$

$$\text{Log nat. } y \text{ oder } \text{Log.}_e y = \frac{1}{m} \text{ Log.}_a y.$$

Die Zahl  $m$  heißt der Modul des der Grundzahl  $a$  entsprechenden Logarithmensystemes. Es läßt sich also mit Hülfe desselben der natürliche Logarithme in jeden künstlichen, und umgekehrt ein solcher in den natürlichen verwandeln. Für das Briggs'sche Logarithmensystem ist die Zahl

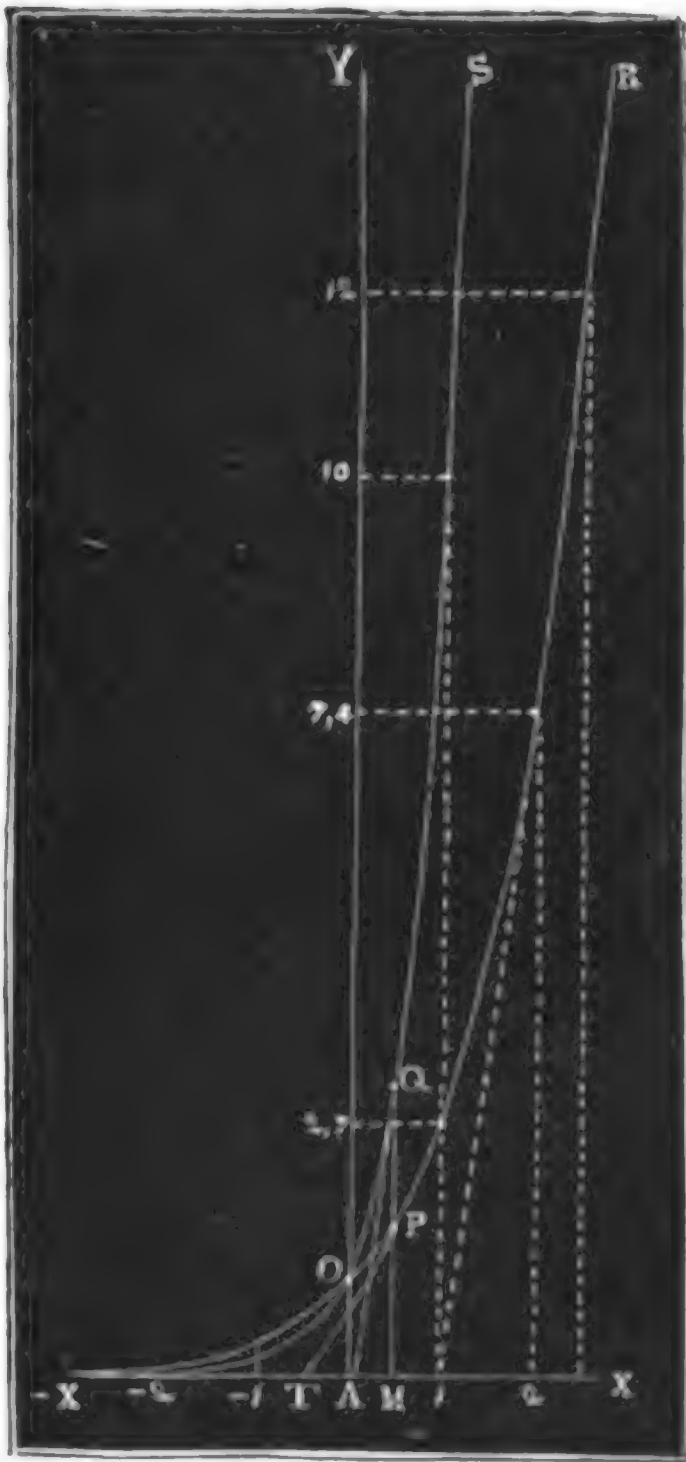
$a = 10$ , daher  $1/m = \text{Log. nat. } 10 = 2,30258 \dots$ , und umgekehrt  
 der Modul  $m = \frac{1}{\text{Log. nat. } 10} = 0,43429 \dots$

Es ist also  $\text{Log. } y = 0,43429 \text{ Log. nat. } y$ , und  
 $\text{Log. nat. } y = 2,30258 \text{ Log. } y$ .

(Vergleiche Ingenieur, Seite 136 u. f. w.)

Art. 15. Der Lauf der Curven, welche den Exponentialfunktionen  
 $y = e^x$  oder  $y = 10^x$  entsprechen, wird durch Fig. 25. veranschaulicht.

Fig. 25.



Für  $x = 0$  ist in beiden Fällen  $y = e^0 = a^0 = 1$ , deshalb gehen denn auch beide Curven  $PR$  und  $QS$  durch denselben Punkt ( $O$ ) in der Ordinatenaxe. Für  $x = 1$ , giebt  $y = e^x = 2,718\dots$ , und  $y = 10^x = 10$ , für  $x = 2$ , giebt

$y = e^x = 2,718^2 = 7,389$   
 und  $y = 10^x = 10^2 = 100$   
 u. f. w.; es steigen also auf der positiven Seite der Abscissenaxe beide Curven, zumal aber die letztere, sehr stark an; dagegen ist für  $x = -1$ :

$$e^x = e^{-1} = \frac{1}{2,718\dots} = 0,368 \text{ und}$$

$$10^x = 10^{-1} = 0,1;$$

ferner für  $x = -2$ ,

$$e^x = e^{-2} = \frac{1}{2,718^2} = 0,135$$

und  $10^x = 10^{-2} = 0,01$ ;  
 endlich für  $x = -\infty$ , geben beide Gleichungen

$$e^{-\infty} = \frac{1}{e^{\infty}} = \frac{1}{a^{\infty}} = 0.$$

Es nähern sich also beide Curven auf der negativen Seite der Abscissen-

senaxe dieser Axe immer mehr und mehr, und zwar die letztere mehr als die erstere; jedoch findet ein wirkliches Zusammentreffen mit dieser Axe nie Statt.

Da aus  $y = e^x$ ,  $x = \text{Log. nat. } y$  und ebenso

aus  $y = a^x$ ,  $x = \text{Log.}_a y$  folgt,

so geben diese Curven auch eine Scala der natürlichen und Briggschen Logarithmen ab; es sind nämlich die Abscissen die Logarithmen der Ordinaten; es ist z. B.  $AM = \text{Log. nat. } MP = \text{Log. } MQ$  u. s. w.

Art. 16. Das Differenzial der Exponentialfunktion  $y = a^x$  ergibt sich durch Anwendung der allgemeinsten Regel des Differenzirens:

$$dy = a^{x+dx} - a^x = a^x \cdot a^{dx} - a^x = a^x (a^{dx} - 1);$$

da aber die Exponentialreihe

$$a^x = 1 + \frac{x}{m} + \frac{1}{2} \left(\frac{x}{m}\right)^2 + \dots,$$

$$a^{dx} = 1 + \frac{dx}{m} + \frac{1}{2} \left(\frac{dx}{m}\right)^2 + \dots$$

gibt, und der letzte Werth  $a^{dx} = 1 + \frac{dx}{m}$  gesetzt werden kann, so

erhält man hiernach  $dy = a^x \left(1 + \frac{dx}{m} - 1\right)$ , d. i.

$$1. \quad d(a^x) = \frac{a^x dx}{m} = \text{Ln. } a \cdot a^x dx, \text{ und } a = e, \text{ so wie } m = 1 \text{ gesetzt}$$

$$1^*). \quad d(e^x) = e^x dx.$$

Der Tangentenwinkel  $\alpha$  der Exponentialcurve ist folglich bestimmt durch die einfache Formel:

$$\text{tang. } \alpha = \frac{dy}{dx} = \frac{a^x dx}{m dx} = \frac{a^x}{m} = \frac{y}{m} = y \text{ Log. nat. } a.$$

Bei der Curve  $QS$ , Fig. 25., ist folglich die  $\text{Subtang.} = y \text{ cotg. } \alpha = m$  also constant, und bei der Curve  $PR$  ist sie stets  $= 1$ .

Durch Umkehrung giebt die erste der beiden Differenzialformeln:

$$dx = m \cdot \frac{d(a^x)}{a^x}, \text{ oder statt } x, y \text{ gesetzt,}$$

$$dy = m \frac{d(a^y)}{a^y};$$

nun ist aber für  $x = a^y$ ,  $y = \text{Log.}_a x$ , daher hat man:



$$\text{II. } d(\text{Log.}_a x) = m \frac{dx}{x} = \frac{dx}{x \text{ Log. nat. } a}, \text{ so wie}$$

$$\text{II}^*). \quad d(\text{Log. nat. } x) = \frac{dx}{x}.$$

Mittels dieser vier Regeln sind nun leicht folgende Beispiele durchzurechnen.

$$d(e^{3x+1}) = e^{3x+1} \cdot d(3x+1) = 3e^{3x+1} dx.$$

$$d(\text{Log. nat. } \sqrt{x}) = \frac{d\sqrt{x}}{\sqrt{x}} = \frac{d(x^{1/2})}{x^{1/2}} = \frac{1}{2} \frac{x^{-1/2} dx}{x^{1/2}} = \frac{dx}{2x},$$

$$\text{oder auch} = d\left(\frac{1}{2} \text{Log. nat. } x\right) = \frac{1}{2} d(\text{Log. nat. } x) = \frac{1}{2} \cdot \frac{dx}{x}.$$

$$\begin{aligned} d \text{ Log nat. } \left(\frac{2+x}{x^2}\right) &= d[\text{Log. } (2+x) - \text{Log. } x^2] \\ &= d \text{ Log. } (2+x) - d \text{ Log. } (x^2) \\ &= \frac{dx}{2+x} - 2 \frac{dx}{x} = -\frac{(4+x) dx}{x(2+x)}. \end{aligned}$$

Art. 17. Wenn man die Differenzialformeln des vorigen Artikels umkehrt, so stößt man, wie folgt, auf andere wichtige Integralformeln.

$$\text{Aus } d(a^x) = \frac{a^x dx}{m}, \text{ folgt } \int \frac{a^x dx}{m} = a^x, \text{ d. i.}$$

$$1. \quad \int a^x dx = m a^x = a^x : \text{Log. nat. } a, \text{ und daher}$$

$$1^*). \quad \int e^x dx = e^x.$$

$$\text{Ferner aus } d(\text{Log.}_a x) = \frac{m dx}{x}, \text{ folgt } \int \frac{m dx}{x} = \text{Log.}_a x, \text{ d. i.}$$

$$\text{II. } \int \frac{dx}{x} = \frac{1}{m} \text{Log.}_a x = \text{Log. nat. } x, \text{ und dasselbe giebt auch}$$

$$\text{die Formel } d(\text{Log. nat. } x) = \frac{dx}{x}.$$

Hiernach lassen sich leicht folgende Beispiele berechnen.

$$\int e^{5x-1} dx = \frac{1}{5} \int e^{5x-1} d(5x-1) = \frac{1}{5} e^{5x-1}.$$

$$\int \frac{3 dx}{7x+2} = \frac{3}{7} \int \frac{d(7x+2)}{7x+2} = \frac{3}{7} \text{Log. nat. } (7x+2)$$

$$\int \left( \frac{x^2+1}{x-1} \right) dx = \int \left( x+1 + \frac{2}{x-1} \right) dx$$

$$= \int x dx + \int dx + 2 \int \frac{d(x-1)}{x-1} = \frac{x^2}{2} + x + 2 \text{Log. nat. } (x-1).$$

Die erste Integralsformel  $\int x^m dx = \frac{x^{m+1}}{m+1}$  läßt das letzte Integral unbestimmt, denn  $m = -1$  gesetzt, folgt

$$\int \frac{dx}{x} = \int x^{-1} dx = \frac{x^0}{0} + \text{eine Constante} = \infty + \text{Constante};$$

setzen wir aber  $x = 1 + u$ , also  $dx = du$ , so erhalten wir

$$\frac{dx}{x} = \frac{du}{1+u} = (1 - u + u^2 - u^3 + u^4 - \dots) du, \text{ und daher}$$

$$\begin{aligned} \int \frac{dx}{x} &= \int \frac{du}{1+u} = \int (1 - u + u^2 - u^3 + u^4 - \dots) du \\ &= \int du - \int u du + \int u^2 du - \int u^3 du + \dots \\ &= u - \frac{u^2}{2} + \frac{u^3}{3} - \frac{u^4}{4} + \dots; \end{aligned}$$

es läßt sich also auch  $\text{Log. nat. } (1+u) = u - \frac{u^2}{2} + \frac{u^3}{3} - \frac{u^4}{4} + \dots$ , oder

$$\text{III. } \text{Log. nat. } x = (x-1) - \frac{(x-1)^2}{2} + \frac{(x-1)^3}{3} - \frac{(x-1)^4}{4} + \dots$$

setzen.

Mit Hülfe dieser Reihe lassen sich die Logarithmen solcher Zahlen berechnen, welche wenig von 1 abweichen, hat man aber von größeren Zahlen die Logarithmen zu finden, so schlage man folgenden Weg ein.

Nimmt man  $u$  negativ, so giebt die vorletzte Reihe:

$$\text{Log. nat. } (1-u) = -u - \frac{u^2}{2} - \frac{u^3}{3} - \frac{u^4}{4} - \dots;$$

und es folgt nun durch die Subtraction beider Reihen:

$$\text{Log. nat. } (1+u) - \text{Log. nat. } (1-u) = 2(u + \frac{u^3}{3} + \frac{u^5}{5} + \dots), \text{ d. h.}$$

$$\text{Log. nat. } \left( \frac{1+u}{1-u} \right) = 2 \left( u + \frac{u^3}{3} + \frac{u^5}{5} + \dots \right), \text{ oder}$$

$$\frac{1+u}{1-u} = x, \text{ also } u = \frac{x-1}{x+1} \text{ gesetzt,}$$

$$\text{IV. } \text{Log. nat. } x = 2 \left[ \frac{x-1}{x+1} + \frac{1}{3} \left( \frac{x-1}{x+1} \right)^3 + \frac{1}{5} \left( \frac{x-1}{x+1} \right)^5 + \dots \right]$$

Diese Reihe ist auch zur Bestimmung der Logarithmen von solchen Zahlen zu gebrauchen, welche bedeutend von 1 abweichen, da  $\frac{x-1}{x+1}$  fast unter 1 ist.

$$\begin{aligned}
 \text{Es ist auch } \operatorname{Log.}(x+y) - \operatorname{Log.}x &= \operatorname{Log.}\left(\frac{x+y}{x}\right) = \operatorname{Log.}\left(1 + \frac{y}{x}\right) \\
 &= \frac{y}{x} - \frac{1}{2}\left(\frac{y}{x}\right)^2 + \frac{1}{3}\left(\frac{y}{x}\right)^3 - \kappa. \\
 &= 2 \left[ \frac{y}{2x+y} + \frac{1}{3}\left(\frac{y}{2x+y}\right)^3 + \frac{1}{5}\left(\frac{y}{2x+y}\right)^5 + \dots \right]
 \end{aligned}$$

und daher

$$\text{V. } \operatorname{Log.}(x+y) = \operatorname{Log.}x + 2 \left[ \frac{y}{2x+y} + \frac{1}{3}\left(\frac{y}{2x+y}\right)^3 + \dots \right].$$

Diese Formel ist anzuwenden, um aus einem Logarithmen einen nächst größeren zu berechnen.

$$\begin{aligned}
 \text{z. B. } \operatorname{Log. nat.} 2 &= 2 \left[ \frac{2-1}{2+1} + \frac{1}{3} \cdot \left(\frac{2-1}{2+1}\right)^3 + \dots \right] \\
 &= 2 \left( \frac{1}{3} + \frac{1}{3} \cdot \frac{1}{27} + \frac{1}{3} \cdot \frac{1}{243} + \dots \right) \\
 &= 2 \left\{ \begin{array}{l} 0,33333 \\ 0,01234 \\ 0,00082 \\ 0,00007 \end{array} \right\} = 2 \cdot 0,34656 = 0,69312. \\
 \text{genauer} \quad &= 0,69314718.
 \end{aligned}$$

$\operatorname{Log nat.} 8 = \operatorname{Log nat.} 2^3 = 3 \operatorname{Log nat.} 2$  ist hiernach  $= 2,0794415$ ,  
und endlich nach der letzten Formel

$$\begin{aligned}
 \operatorname{Log nat.} 10 &= \operatorname{Log nat.} (8+2) \\
 &= \operatorname{Log nat.} 8 + 2 \left[ \frac{2}{16+2} + \frac{1}{3}\left(\frac{2}{16+2}\right)^3 + \dots \right] \\
 &= 2,0794415 + 0,2231436 = 2,302585. \\
 &\quad (\text{Vergl. Artikel 14.}).
 \end{aligned}$$

Art. 18. Von praktischer Wichtigkeit sind endlich noch die trigonometrischen und Kreisfunktionen, weshalb wir deren Differenziale und Integrale ebenfalls noch kennen lernen müssen.

Die Funktion  $y = \sin. x$  giebt für  $x = 0$ ,  $y = 0$ ;

$$\text{für } x = \frac{\pi}{4} = \frac{3,141}{4} = 0,785 \dots \quad y = \sqrt{\frac{1}{2}} = 0,707,$$

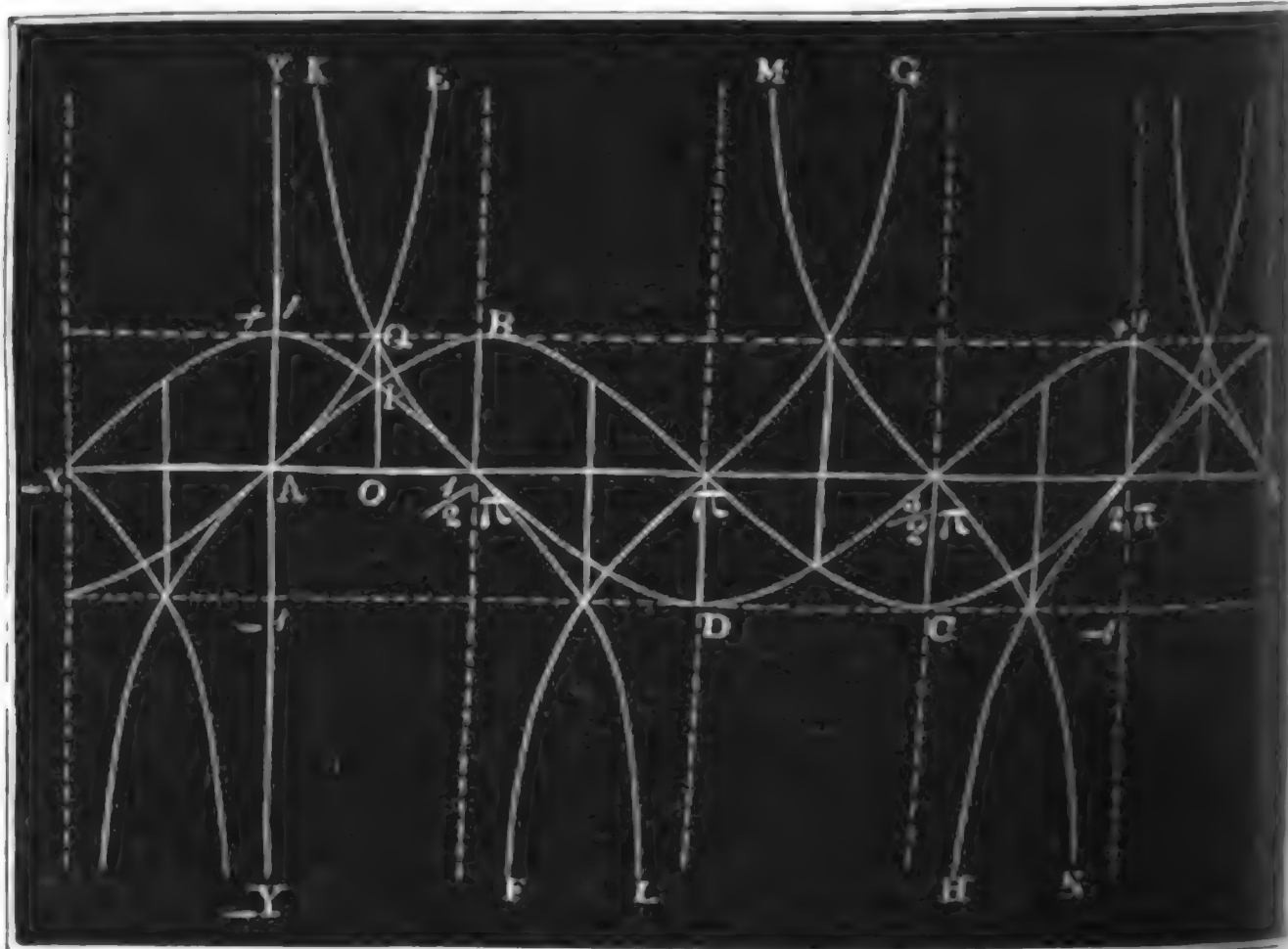
$$\text{für } x = \frac{\pi}{2}, \quad y = 1, \quad \text{für } x = \pi, \quad y = 0;$$

$$\text{für } x = \frac{3}{2}\pi, \quad y = -1, \quad \text{für } x = 2\pi, \quad y = 0 \text{ u. s. w.}$$

trägt man daher  $x$  als Abscissen  $AO$  und  $y$  als die entsprechenden Ordinaten  $OP$  auf, so erhält man die schlangenförmige Curve ( $APBC 2\pi$ ),

Fig. 26., welche sich nach beiden Seiten von  $A$  ins Unendliche fortsetzen läßt. Die Funktion  $y = \cos. x$  giebt für  $x = 0$ ,  $y = 1$ , für  $x = \frac{\pi}{2}$ .

Fig. 26.



$y = \sqrt{1/2}$ , für  $x = \frac{\pi}{2}$ ,  $y = 0$ , für  $x = \pi$ ,  $y = -1$ , für  $x = \frac{3}{2}\pi$ ,  $y = 0$  für  $x = 2\pi$ ,  $y = 1$  u. s. w.; ihr entspricht daher genau dieselbe Schlangenlinie  $\left( + 1 \ P \ \frac{\pi}{2} \ D \ \frac{3\pi}{2} + 1 \right)$  wie der Sinusfunktion, nur ist dieselbe auf den Abscissenachsen um  $\frac{1}{2}\pi = 1,570 \dots$  weiter vor oder hinter der Sinuscurve.

Ganz anders sind aber die Curven gestaltet, welche den Funktionen  $y = \text{tang. } x$  und  $y = \text{cotang. } x$  entsprechen. Setzt man in  $y = \text{tang. } x$   $x = 0, \frac{1}{4}\pi, \frac{1}{2}\pi$ , so erhält man  $y = 0, 1, \infty$ , und daher eine Curve (AQE), welche sich einer durch den Theilpunkt  $\left(\frac{\pi}{2}\right)$  der Abscissenaxe A A' gehenden Parallele zur Ordinatenaxe A Y immer mehr und mehr nähert, ohne sie je zu erreichen. Nimmt man ferner  $x = \frac{\pi}{2}, \pi, \frac{3}{2}\pi$ , so erhält man  $y = -\infty, 0, +\infty$ , und daher eine Curve (FπG), die sich den Parallelen durch  $\left(\frac{\pi}{2}\right)$  und  $\left(\frac{3}{2}\pi\right)$  bis ins Unendliche nähert, oder wie man sagt, diese Parallelen zu Asymptoten hat.

Bei fernerer Annahmen für  $x$  wiederholen sich dieselben Werthe von  $y$ , und deshalb wird also auch der Funktion  $y = \text{tang. } x$  durch lauter Curven wie  $(F \pi G)$ , welche um  $\pi$  in der Richtung der Abscissenaxe von einander absteigen, entsprochen.

Die Funktion

$y = \text{cotang. } x$ , giebt für  $x = 0, \frac{\pi}{4}, \frac{\pi}{2}, \pi$ ;  $y = \infty, 1, 0, -\infty$ .

daher entspricht derselben eine Curve  $(K Q \frac{\pi}{2} L)$ , welche von der Tangentencurve nur der Lage nach verschieden ist; auch ist leicht einzusehen, daß noch unendlich viele Curvenzweige, wie z. B.  $(M \frac{3\pi}{2} N)$  u. s. w. dieser Funktion angehören.

Art. 19. Die Differenziale der trigonometrischen Linien oder Funktionen ergeben sich durch Betrachtung der Figur 27., in welcher

Fig. 27.

$CA = CP = CQ = 1$ , Bog.  $AP = x$ ,  $PQ = dx$ .

ferner

$PM = \sin. x$   $CM = \cos. x$ ,  $AS = \text{tang. } x$ .

endlich

$OQ = NQ - MP = \sin. (x + dx) - \sin. x$   
 $= d \sin. x$ ,

$OP = -(CN - CM) = -\cos. (x + dx) + \cos. x$   
 $= -d \cos. x$ , und

$ST = AT - AS = \text{tang. } (x + dx) - \text{tang. } x$   
 $= d \text{ tang. } x$  ist.

Da das Bogenelement  $PQ$  rechtwinkelig auf dem Halbmesser  $CP$  steht, und der Winkel  $PCA$  zwischen zwei Linien  $CP$  und  $CA$  dem Winkel  $PQO$  zwischen ihren Perpendikeln  $PQ$  und  $OQ$  gleich ist, so sind die Dreiecke  $CPM$  und  $QPO$  einander ähnlich, und es ist:

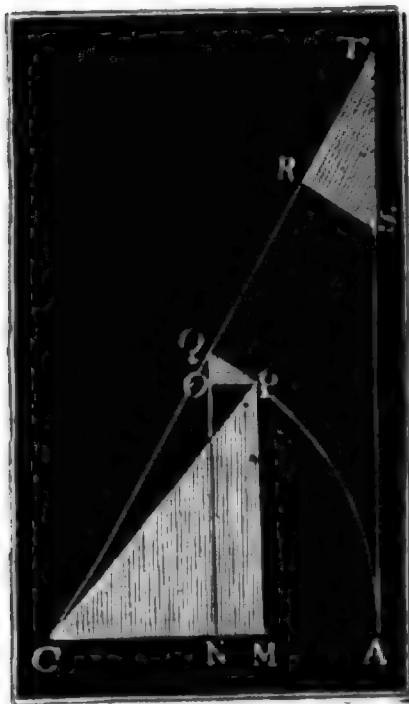
$$\frac{OQ}{PQ} = \frac{CM}{CP}, \text{ d. i. } \frac{d \sin. x}{dx} = \frac{\cos. x}{1}, \text{ daher}$$

I.  $d \sin. x = \cos. x \cdot dx$ ; ebenso auch

$$\frac{OP}{PQ} = \frac{PM}{CP}, \text{ d. i. } \frac{-d \cos. x}{dx} = \frac{\sin. x}{1}, \text{ d. i.}$$

II.  $d (\cos. x) = -\sin. x dx$ .

Man ersieht hieraus, daß kleine Fehler im Bogen oder Winkel auf den Sinus um so mehr Einfluß haben, je größer  $\cos. x$ , je kleiner also der Bogen oder Winkel ist, daß dagegen dieselben den Cosinus um so mehr



verändern, je größer  $\sin. x$  ist, je mehr also der Bogen sich  $\frac{\pi}{2}$  nähert, und daß endlich das Differenzial des Cosinus das entgegengesetzte Zeichen von dem des Bogens hat, also, wie bekannt, eine Zunahme von  $x$  eine Abnahme von  $\cos. x$  liefert, und umgekehrt eine Abnahme von  $x$  ein Wachsen von  $\cos. x$  giebt.

Legt man  $SR$  rechtwinkelig auf  $CT$ , so erhält man ein Dreieck  $SR$   $CT$  welches wegen der Gleichheit der Winkel  $RTS$  und  $CQN$  oder  $CPM$  dem Dreiecke  $CPM$  ähnlich ist, und weshalb man hat:

$$\frac{ST}{SR} = \frac{CR}{CM}, \text{ d. i. } \frac{d \text{ tang. } x}{SR} = \frac{1}{\cos. x}.$$

Nun ist aber auch  $\frac{SR}{CS} = \frac{PQ}{CP}$ , d. i.  $SR = \frac{CS \cdot d x}{1}$  und

$$CS = \secans. x = \frac{1}{\cos. x}, \text{ daher } SR = \frac{d x}{\cos. x} \text{ und}$$

$$\text{III. } d (\text{tang. } x) = \frac{d x}{(\cos. x)^2}.$$

Führt man statt  $x$ ,  $\frac{\pi}{2} - x$ , also statt  $d x$ ,  $d \left( \frac{\pi}{2} - x \right) = -d x$  ein, so erhält man

$$d \text{ tang. } \left( \frac{\pi}{2} - x \right) = - \frac{d x}{\left[ \cos. \left( \frac{\pi}{2} - x \right) \right]^2}, \text{ d. i.}$$

$$\text{IV. } d (\cotg. x) = - \frac{d x}{(\sin. x)^2}.$$

Durch Umkehrung geben diese Formeln für das Differenzial des Bogens:

$$d x = \frac{d \sin. x}{\cos. x} = - \frac{d \cos. x}{\sin. x} = (\cos. x)^2 d \text{ tang. } x \\ = - (\sin. x)^2 d \cotang. x.$$

oder

$$d x = \frac{d \sin. x}{\sqrt{1 - (\sin. x)^2}} = - \frac{d \cos. x}{\sqrt{1 - (\cos. x)^2}} = \frac{d \text{ tang. } x}{1 + (\text{tang. } x)^2} \\ = - \frac{d \cotang. x}{1 + (\cotang. x)^2}.$$

Bezeichnet man nun  $\sin. x$  durch  $y$ , und  $x$  durch  $\text{arc. } (\sin. = y)$ , so erhält man:

$$\text{V. } d \text{ arc. } (\sin. = y) = \frac{d y}{\sqrt{1 - y^2}}, \text{ und auf gleiche Weise findet man}$$

$$\text{VI. } d \text{ arc. } (\cos. = y) = - \frac{d y}{\sqrt{1 - y^2}}, \text{ endlich}$$



$$\text{VII. } d \text{ arc. (tang.} = y) = \frac{dy}{1+y^2}, \text{ so wie}$$

$$\text{VIII. } d \text{ arc. (cotang.} = y) = - \frac{dy}{1+y^2}.$$

Art. 20. Die letzten Differenzialformeln geben durch Umkehrung folgende Integralformeln

$$\text{I. } \int \cos. x \, dx = \sin. x,$$

$$\text{II. } \int \sin. x \, dx = - \cos. x,$$

$$\text{III. } \int \frac{dx}{\cos. x^2} = \text{tang. } x,$$

$$\text{IV. } \int \frac{dx}{\sin. x^2} = - \text{cotg. } x,$$

ferner:

$$\text{V. } \int \frac{dx}{\sqrt{1-x^2}} = \text{arc. (sin.} = x) = - \text{arc. (cos.} = x),$$

$$\text{VI. } \int \frac{dx}{1+x^2} = \text{arc. (tang.} = x) = - \text{arc. (cotang.} = x),$$

und hierzu lassen sich leicht noch folgende finden.

$$\text{Es ist } d(\text{Log. nat. sin. } x) = \frac{d \sin. x}{\sin. x} = \frac{\cos. x \cdot dx}{\sin. x} = \text{cotg. } x \cdot dx,$$

folglich

$$\text{VII. } \int \text{cotg. } x \, dx = \text{Log. nat. sin. } x, \text{ ebenso}$$

$$\text{VIII. } \int \text{tang. } x \, dx = - \text{Log. nat. cos. } x;$$

$$\begin{aligned} \text{ferner } d(\text{Log nat. tang. } x) &= \frac{d \text{ tang. } x}{\text{tang. } x} = \frac{dx}{\cos. x^2 \text{ tang. } x} \\ &= \frac{dx}{\sin. x \cos. x} = \frac{d(2x)}{\sin. 2x}, \end{aligned}$$

$$\text{IX. daher } d(\text{Log. nat. tg. } \frac{1}{2}x) = \frac{dx}{\sin. x}, \text{ und}$$

$$\text{X. } \int \frac{dx}{\sin. x} = \text{Log. nat. tang. } \frac{x}{2}, \text{ ebenso}$$

$$\begin{aligned} \text{XI. } \int \frac{dx}{\cos. x} &= \text{Log. nat. tang. } \left( \frac{\pi}{4} + \frac{x}{2} \right) \\ &= \text{Log. nat. cotg. } \left( \frac{\pi}{4} - \frac{x}{2} \right). \end{aligned}$$

$$\text{Ferner } \frac{1}{1-x^2} = \frac{a}{1+x} + \frac{b}{1-x} = \frac{a(1-x) + b(1+x)}{(1+x)(1-x)}, \text{ gesetzt,}$$

folgt  $1 = a(1-x) + b(1+x)$ . Nimmt man  $1+x=0$ , also  $x=-1$ , so erhält man hiernach  $1 = a(1+1)$ , daher  $a = \frac{1}{2}$ , und nimmt man

$1 - x = 0$ , also  $x = 1$ , so ergibt sich  $1 = 2b$ , daher  $b = \frac{1}{2}$  und

$$\frac{1}{1-x^2} = \frac{\frac{1}{2}}{1+x} + \frac{\frac{1}{2}}{1-x}, \text{ endlich aber}$$

$$\int \frac{dx}{1-x^2} = \frac{1}{2} \int \frac{dx}{1+x} + \frac{1}{2} \int \frac{dx}{1-x} \\ = \frac{1}{2} \text{Log. nat. } (1+x) - \frac{1}{2} \text{Log. nat. } (1-x)$$

d. i.

$$\text{XII. } \int \frac{dx}{1-x^2} = \frac{1}{2} \text{Log. nat. } \left( \frac{1+x}{1-x} \right), \text{ und ebenso}$$

$$\text{XIII. } \int \frac{dx}{x^2-1} = \frac{1}{2} \text{Log. nat. } \left( \frac{x-1}{x+1} \right).$$

Endlich ist

$$\text{XIV. } \int \frac{dx}{\sqrt{1+x^2}} = \text{Log. nat. } (x + \sqrt{1+x^2}) \text{ so wie}$$

$$\text{XV. } \int \frac{dx}{\sqrt{x^2-1}} = \text{Log. nat. } (x + \sqrt{x^2-1}).$$

Art. 21. Um  $\text{arc. (tang.} = x) = \int \frac{dx}{1+x^2}$  zu finden, darf man  $\frac{1}{1+x^2}$  durch Division in eine Reihe verwandeln und dann Glied für Glied integrieren. Man erhält so

$$\frac{1}{1+x^2} = 1 - x^2 + x^4 - x^6 + x^8 - \dots, \text{ und}$$

$$\int \frac{dx}{1+x^2} = \int dx - \int x^2 dx + \int x^4 dx - \int x^6 dx + \dots, \text{ d. i.}$$

$$1. \text{ arc. (tang.} = x) = x - \frac{x^3}{3} + \frac{x^5}{5} - \frac{x^7}{7} - \dots, \text{ z. B.}$$

$$\frac{\pi}{4} = \text{arc. (tang.} = 1) = 1 - \frac{1}{3} + \frac{1}{5} - \frac{1}{7} + \frac{1}{9} - \dots, \text{ also der}$$

$$\text{Halbkreis } \pi = 4 (1 - \frac{1}{3} + \frac{1}{5} - \frac{1}{7} + \frac{1}{9} - \dots), \text{ oder}$$

$$\frac{\pi}{6} = \text{arc. (tang.} = \sqrt{\frac{1}{3}}) = \sqrt{\frac{1}{3}} (1 - \frac{1}{3} \cdot \frac{1}{3} + \frac{1}{5} \cdot \frac{1}{3^3} - \frac{1}{7} \cdot \frac{1}{3^5} + \dots)$$

$$\text{folglich } \pi = 6 \sqrt{\frac{1}{3}} (1 - \frac{1}{9} + \frac{1}{45} - \frac{1}{189} + \dots) = 3,1415926 \dots$$

Auf gleiche Weise erhält man aus

$$\frac{1}{\sqrt{1-x^2}} = (1-x^2)^{-\frac{1}{2}} = 1 + \frac{1}{2}x^2 + \frac{3}{8}x^4 + \frac{5}{16}x^6 + \dots$$

$$\int \frac{dx}{\sqrt{1-x^2}} = \int dx + \frac{1}{2} \int x^2 dx + \frac{3}{8} \int x^4 dx + \frac{5}{16} \int x^6 dx + \dots, \text{ d. i.}$$

$$11. \text{ arc. (sin.} = x) = x + \frac{1 \cdot x^3}{2 \cdot 3} + \frac{1 \cdot 3 \cdot x^5}{2 \cdot 4 \cdot 5} + \frac{1 \cdot 3 \cdot 5 \cdot x^7}{2 \cdot 4 \cdot 6 \cdot 7} + \dots$$

z. B.  $\frac{\pi}{6} = \text{arc.}(\sin. = 1/2) = 1/2(1 + 1/24 + 3/640 + 5/7168 + \dots)$ , also

$$\pi = 3 \left\{ \begin{array}{l} 1,04167 \\ 0,00468 \\ 0,00070 \end{array} \right\} = 3,141 \dots$$

Ferner ist, wenn man

$$\sin. x = A_0 + A_1 x + A_2 x^2 + A_3 x^3 + A_4 x^4 + \dots \text{ setzt,}$$

$$\frac{d(\sin. x)}{dx} = \cos. x = A_1 + 2 A_2 x + 3 A_3 x^2 + 4 A_4 x^3 + \dots$$

$$\frac{d(\cos. x)}{dx} = - \sin. x = 2 A_2 + 2.3 A_3 x + 3.4 A_4 x^2 + \dots$$

$$- \frac{d(\sin. x)}{dx} = - \cos. x = 2.3. A_3 + 2.3.4. A_4 x + \dots$$

$$- \frac{d(\cos. x)}{dx} = \sin. x = 2.3.4. A_4 + \dots$$

Nun ist aber für  $x = 0$ ,  $\sin. x = 0$ , und  $\cos. x = 1$ , daher folgt aus der ersten Reihe  $A_0 = 0$ , aus der zweiten  $A_1 = \cos. 0 = 1$ , aus der dritten  $A_2 = 0$ , aus der vierten  $A_3 = -\frac{1}{2.3}$ , aus der fünften  $A_4 = 0$  u. s. w. und wenn man diese Werthe in die fingirte Reihe einsetzt, die Sinusreihe:

$$\text{III. } \sin. x = \frac{x}{1} - \frac{x^3}{1.2.3} + \frac{x^5}{1.2.3.4.5} - \frac{x^7}{1.2.3.4.5.6.7} + \dots$$

Auf gleiche Weise ergibt sich

$$\text{IV. } \cos. x = 1 - \frac{x^2}{1.2} + \frac{x^4}{1.2.3.4} - \frac{x^6}{1.2.3.4.5.6} + \dots, \text{ ferner}$$

$$\text{V. } \text{tang. } x = x + \frac{x^3}{3} + \frac{2x^5}{3.5} + \frac{17x^7}{3.5.7.3} + \dots \text{ und}$$

$$\text{VI. } \text{cotang. } x = \frac{1}{x} - \frac{x}{3} - \frac{x^3}{3.5.3} - \frac{2x^5}{3.5.7.9} - \dots$$

(Vergl. Ingenieur, Seite 225.)

Art. 22. Ist  $y = f(x) \varphi(x)$ , d. i. ein Produkt von zwei Funktionen der Urvariablen  $x$ , so hat man für das Differenzial

$$dy = f(x + dx) \varphi(x + dx) - f(x) \varphi(x), \text{ oder}$$

$f(x + dx) = f(x) + df(x)$  und  $\varphi(x + dx) = \varphi(x) + d\varphi(x)$  substituirt,

$dy = [f(x) + df(x)] [\varphi(x) + d\varphi(x)] - f(x) \varphi(x)$ , also, wenn man die Multiplication ausführt, und  $f(x) \varphi(x)$  gegen  $f(x) \varphi(x)$  hebt,  $dy = \varphi(x) . df(x) + f(x) . d\varphi(x) + df(x) . d\varphi(x)$ , und endlich,

wenn man  $df(x) \cdot d\varphi(x)$  als ein Produkt zweier Elemente oder unendlich kleiner Größen ausfallen läßt,

$$1. \quad d[f(x)\varphi(x)] = \varphi(x)df(x) + f(x)d\varphi(x).$$

$$\text{B. } d(x^2 \text{Log. nat. } x) = \text{Log. nat. } x \cdot d(x^2) + x^2 d \text{Log. nat. } x \\ = \text{Log. nat. } x \cdot 2x dx + x^2 \cdot \frac{dx}{x} = (2 \text{Log. nat. } x + 1)x dx$$

Ferner

$$d[(3x-1)\sqrt{x^2+1}] = \sqrt{x^2+1} \cdot d(3x-1) + (3x-1)d[\sqrt{x^2+1}] \\ = \sqrt{x^2+1} \cdot 3dx + (3x-1) \cdot \frac{x dx}{\sqrt{x^2+1}} = \frac{2x^2-x+1}{\sqrt{x^2+1}} \cdot 2dx$$

Umgekehrt giebt diese Formel

$$d\varphi(x) = \frac{d[f(x)\varphi(x)] - \varphi(x)df(x)}{f(x)}, \quad \text{oder } f(x)\varphi(x) = \psi(x)$$

$$\text{und folglich } \varphi(x) = \frac{\psi(x)}{f(x)} \text{ gesetzt,}$$

$$d\varphi(x) = \frac{d\psi(x) - \frac{\psi(x)}{f(x)} \cdot df(x)}{f(x)}, \quad \text{d. i.}$$

$$\text{II. } d\left(\frac{\psi(x)}{f(x)}\right) = \frac{f(x)d\psi(x) - \psi(x)df(x)}{[f(x)]^2}$$

$$\text{B. } d\left(\frac{x^2-1}{x+2}\right) = \frac{(x+2)d(x^2-1) - (x^2-1)d(x+2)}{(x+2)^2} \\ = \frac{(x+2)2xdx - (x^2-1)dx}{(x+2)^2} = \frac{x^2+4x+1}{(x+2)^2} dx.$$

Durch Umkehrung der vorletzten Differenzialformel erhält man auch noch folgende unter dem Namen der Reductionsformel bekannte Integralregel:  $f(x)\varphi(x) = \int \varphi(x)df(x) + \int f(x)d\varphi(x)$ , oder

$$\text{III. } \int \varphi(x)df(x) = f(x)\varphi(x) - \int f(x)d\varphi(x).$$

$$\text{B. } \int \text{Log. nat. } x \cdot dx = \text{Log. nat. } x \cdot x - \int x \cdot d \text{Log. nat. } x \\ = x \text{Log. nat. } x - \int \frac{x dx}{x} = x(\text{Log. nat. } x - 1).$$

$$\int x^2 e^x dx = x^2 e^x - \int e^x \cdot 2x dx = x^2 e^x - 2 \int x \cdot e^x dx \\ = x^2 e^x - 2(x e^x - \int e^x dx) = x^2 e^x - 2(x e^x - e^x) \\ = (x^2 - 2x + 2) e^x.$$

Art. 23. Eine Fläche  $ABC$ , Fig. 28., welche von einer Curve  $AB$  und ihren Coordinaten  $AC$  und  $BC$  begrenzt wird, läßt sich durch unendlich viele Ordinate wie  $MP$ ,  $NQ$  u. s. w. in lauter streifenförmige Elemente

von der constanten Breite  $MN = dx$  und der veränderlichen Länge  $MP = y$  zerlegen; setzen wir daher diesen Flächenraum  $ABC = F$ , so haben wir für sein Element  $MNQP$ :  $dF = y dx$ ,  
und daher für ihn selbst:  $F = \int y dx$ .

z. B. für eine Parabel mit dem Parameter  $p$  ist  $y^2 = px$ , und daher für die Fläche derselben

$$F = \int \sqrt{px} dx = \sqrt{p} \int x^{1/2} dx = \frac{\sqrt{p} x^{3/2}}{3/2} = \frac{2}{3} x \sqrt{px} = \frac{2}{3} xy.$$

Die Parabelfläche  $ABC$  ist also zwei Drittel von dem sie umschließenden Rechteck  $ACBD$ .

Fig. 28.

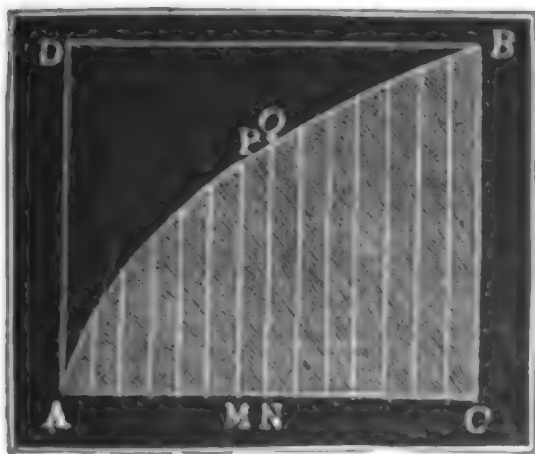
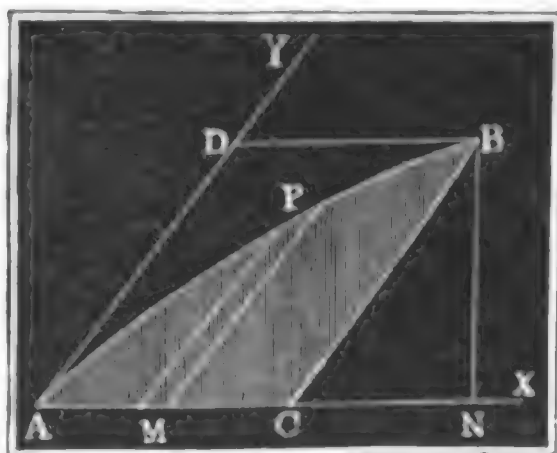
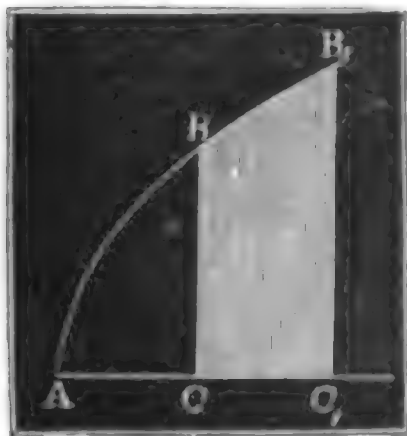


Fig. 29.



Diese Formel gilt auch für schiefwinkelige, unter einem Winkel  $\alpha$  zusammenstoßende Coordinaten, z. B. für die Fläche  $ABC$ , Fig. 29., wenn nur statt  $BC = y$  der Normalabstand  $BN = y \sin. \alpha$  eingesetzt wird; man hat also hier  $F = \sin. \alpha \int y dx$ , z. B. bei der Parabelfläche, wenn die Abscissenaxe  $AX$  einen Durchmesser und die Ordinatenaxe  $AY$  eine Tangente der Parabel bildet, also  $y^2 = p_1 x = \frac{px}{\sin. \alpha^2}$  ist (s. Ingenieur Seite 243.),  $F = \frac{2}{3} xy \sin. \alpha$ , d. i. Fläche  $ABC = \frac{2}{3}$  Parallelogramm  $ABCD$ .

Fig. 30.



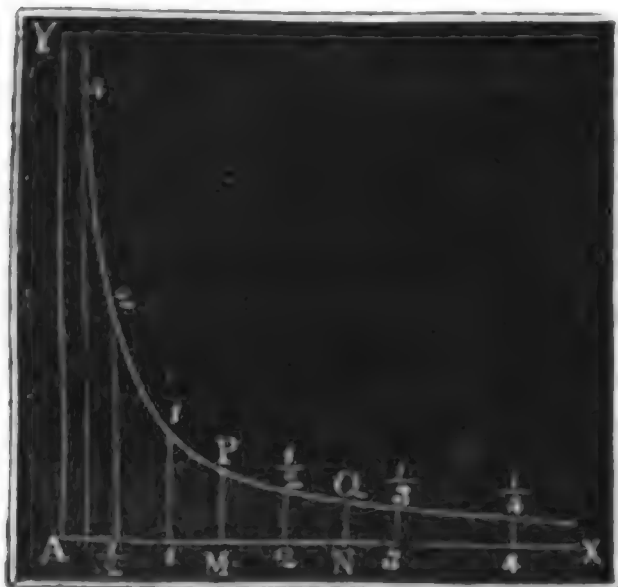
Für eine Fläche  $BCC_1B_1 = F$  zwischen den Abscissen  $AC_1 = c_1$  und  $AC = c$ , Fig. 30., ist nach Artikel 12,  $F = \int_c^{c_1} y dx$ .

z. B. für  $y = \frac{a^2}{x}$  ist  $F = \int_c^{c_1} \frac{a^2 dx}{x} = a^2 (\text{Log. nat. } c_1 - \text{Log. nat. } c)$ , d. i.  $F = a^2 \text{Log. nat. } \left( \frac{c_1}{c} \right)$ .

Der Gleichung  $\frac{a^2}{x}$  entspricht die oben in Artikel 3 kennen gelernte Curve  $PQ$ , Fig. 31. (s. folgd. Seite), und wenn

daher  $AN = c_1$  und  $AM = c$  ist, so giebt  $F = a^2 \text{ Log nat. } \left(\frac{c_1}{c}\right)$

Fig. 31.



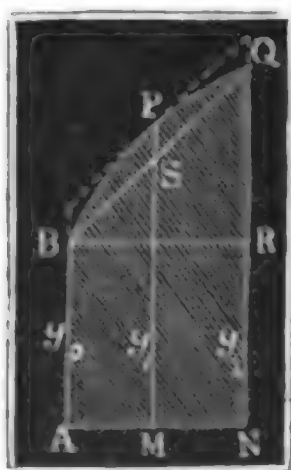
den Flächenraum von  $MNQP$  an. Nimmt man noch der Einfachheit wegen,  $a = c = 1$ , so hat man  $F = \text{Log. nat. } x$ ; es sind darnach die Flächenräume  $(1MP1)$ ,  $(1NQ1)$  u. s. w. die natürlichen Logarithmen der Abscissen  $AM$ ,  $AN$  u. s. w. Die Curve selbst ist eine sogenannte gleichseitige Hyperbel, und die Geraden  $AX$  und  $AY$ , welchen sich die Curve immer mehr und mehr nähert, ohne sie zu erreichen, sind die Asymptoten derselben.

Wegen dieses Zusammenhanges zwischen den Abscissen und den Flächenräumen, werden die natürlichen Logarithmen sehr oft hyperbolische Logarithmen genannt.

Art. 24. Man kann auch jedes Integral  $\int y dx = \int \varphi(x) dx$  gleich dem Inhalte einer Fläche  $F$  setzen, und wenn sich nun die Integration durch eine der bekannten Regeln nicht vollziehen läßt, so kann man es wenigstens annähernd finden, wenn man durch Anwendung der bekannten geometrischen Hülfsmittel den Inhalt des entsprechenden Flächenraumes ausmittelt.

Für eine Fläche  $ABQN$ , Fig. 32., die durch die Grundlinie  $AN = x$  und durch die drei gleich weit von einander ab-

Fig. 32.



stehenden Ordinaten  $AB = y_0$ ,  $MP = y_1$  und  $NQ = y_2$  bestimmt ist, hat man den trapezoidalen Theil  $ABQN = F_1 = (y_0 + y_2) \frac{x}{2}$  und den segmentförmigen Theil  $BPQS$ , wenn man  $BPQ$  als Parabel ansieht,

$$F_2 = \frac{2}{3} PS \cdot BR = \frac{2}{3} (MP - MS) \cdot AN \\ = \frac{2}{3} \left( y_1 - \frac{y_0 + y_2}{2} \right) x,$$

daher die ganze Fläche

$$F = F_1 + F_2 = \left[ \frac{1}{2} (y_0 + y_2) + \frac{2}{3} \left( y_1 - \frac{y_0 + y_2}{2} \right) \right] x \\ = \left[ \frac{1}{6} (y_0 + y_2) + \frac{2}{3} y_1 \right] x = (y_0 + 4y_1 + y_2) \cdot \frac{x}{6}$$

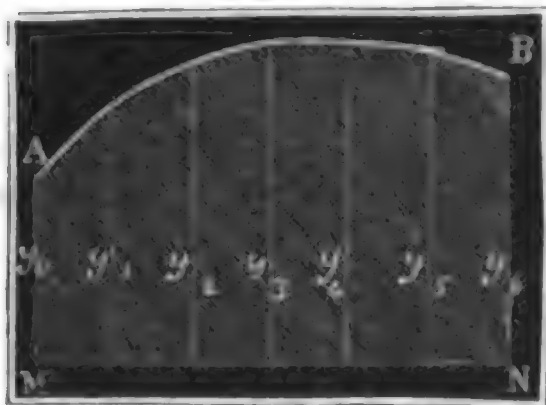


Führt man eine mittlere Ordinate  $y$  ein, und setzt  $F = xy$ , so erhält man hiernach für dieselbe:

$$y = \frac{y_0 + 4y_1 + y_2}{6}.$$

Um nun hiernach den Inhalt einer Fläche  $MABN$ , Fig. 33., zu fin-

Fig. 33.



den, welche über einer gegebenen Grundlinie  $MN = x$  steht, und durch eine ungerade Anzahl von Ordinaten  $y_0, y_1, y_2, y_3, \dots, y_n$  bestimmt ist, durch diese also in eine gerade Anzahl von gleich breiten Streifen zerlegt wird, bedarf es nur einer wiederholten Anwendung der letzten Regel. Es ist die Breite eines Streifens  $= \frac{x}{n}$  und

hiernach die Fläche

$$\text{des ersten Streifenpaares} = \frac{y_0 + 4y_1 + y_2}{6} \cdot \frac{2x}{n}.$$

$$\text{„ zweiten „} = \frac{y_2 + 4y_3 + y_4}{6} \cdot \frac{2x}{n},$$

$$\text{„ dritten „} = \frac{y_4 + 4y_5 + y_6}{6} \cdot \frac{2x}{n} \text{ u. f. w. ;}$$

also der Inhalt der ersten sechs Streifen oder ersten drei Streifenpaare, da hier  $n = 6$  ist:

$$F = (y_0 + 4y_1 + 2y_2 + 4y_3 + 2y_4 + 4y_5 + y_6) \frac{x}{3 \cdot 6}$$

$$= [y_0 + y_6 + 4(y_1 + y_3 + y_5) + 2(y_2 + y_4)] \frac{x}{18};$$

und nun leicht zu ermessen, daß der Inhalt einer in vier Streifenpaare zerlegten Fläche

$$F = [y_0 + y_8 + 4(y_1 + y_3 + y_5 + y_7) + 2(y_2 + y_4 + y_6)] \frac{x}{3 \cdot 8},$$

und daß allgemein für eine Fläche aus  $n$  Streifen

$$F = [y_0 + y_n + 4(y_1 + y_3 + \dots + y_{n-1}) + 2(y_2 + y_4 + \dots + y_{n-2})] \frac{x}{3n} \text{ ist.}$$

Auch ist die mittlere Höhe einer solchen Fläche

$$y = \frac{y_0 + y_n + 4(y_1 + y_3 + \dots + y_{n-1}) + 2(y_2 + y_4 + \dots + y_{n-2})}{3n},$$

wobei  $n$  stets eine gerade Zahl sein muß.

Diese unter dem Namen der Simpson'schen Regel bekannte Formel (s. Ingenieur S. 254.) findet ihre Anwendung bei der Bestimmung eines

Integrales  $\int_c^{c_1} y dx = \int_c^{c_1} \varphi(x) dx$ , wenn man  $x = c_1 - c$  in eine gerade Anzahl  $n$  gleicher Theile theilt, die Ordinaten

$$y_0 = \varphi(c_0), y_1 = \varphi\left(c_0 + \frac{x}{n}\right), y_2 = \varphi\left(c_0 + \frac{2x}{n}\right),$$

$$y_3 = \varphi\left(c_0 + \frac{3x}{n}\right) \dots \text{bis } y_n = \varphi(x)$$

berechnet, und diese Werthe in die Formel

$$\begin{aligned} \int_c^{c_1} y dx &= \int_c^{c_1} \varphi(x) dx \\ &= [y_0 + y_n + 4(y_1 + y_3 + \dots + y_{n-1}) + 2(y_2 + y_4 + \dots + y_{n-2})] \frac{c_1 - c}{3n} \end{aligned}$$

einsetzt.

3. B.  $\int_1^2 \frac{dx}{x}$  giebt, da hier  $c_1 - c = 2 - 1 = 1$  und  $y = \varphi(x) = \frac{1}{x}$

ist, wenn man  $n = 6$ , also  $\frac{x}{n} = \frac{c_1 - c}{6} = \frac{1}{6}$  nimmt,

$$y_0 = \frac{1}{1} = 1,0000, y_1 = \frac{1}{7/6} = 6/7 = 0,8571, y_2 = \frac{1}{8/6} = 3/4 = 0,7500,$$

$$y_3 = \frac{1}{9/6} = 6/9 = 0,6666, y_4 = \frac{1}{10/6} = 0,6000, y_5 = \frac{6}{11} = 0,5454$$

und  $y_6 = 0,5000$ , daher

$y_0 + y_6 = 1,5000$ ,  $y_1 + y_3 + y_5 = 2,0692$  und  $y_2 + y_4 = 1,3500$ ,  
und das gesuchte Integral

$$\int_1^2 \frac{dx}{x} = (1,5000 + 4 \cdot 2,0692 + 2 \cdot 1,3500) \cdot \frac{1}{18} = \frac{12,4768}{18} = 0,69315.$$

Nach Artikel 17. ist aber  $\int_1^2 \frac{dx}{x} = \text{Log. nat. } 2 - \text{Log. nat. } 1$   
 $= 0,693147,$

also die Uebereinstimmung die erwünschte.

§. 25. Im Folgenden soll noch eine andere Regel mitgetheilt werden, welche auch bei einer ungeraden Anzahl  $n$  von Streifen angewendet werden kann. Behandelt man ein sehr gedrücktes Segment  $AMB$ , Fig. 34.,

Fig. 34.



als ein Parabelsegment, so hat man nach Art. 23. für den Inhalt desselben  $F = \frac{2}{3} AB \cdot MD$ , oder, wenn  $AT$  und  $BT$  Tangenten an den Enden  $A$  und  $B$  sind, und deshalb  $CT = 2 CM$  ist,

$$F = \frac{2}{3} \cdot \frac{AB \cdot TE}{2} = \frac{2}{3} \text{ des}$$

Dreieck  $ATB = \frac{2}{3}$  des gleich hohen gleichschenkligen Dreiecks  $ASB$ , und also auch  $= \frac{2}{3} AC \cdot CS = \frac{2}{3} AC^2 \cdot \text{tang. } SAC$ . Der Winkel  $SAC = SBC$  ist  $= TAC + TAS = TBC - TBS$ ; setzt man daher die kleinen Winkel  $TAS$  und  $TBS$  einander gleich, so erhält man für dieselben

$$TAS = TBS = \frac{TBC - TAC}{2} \text{ und}$$

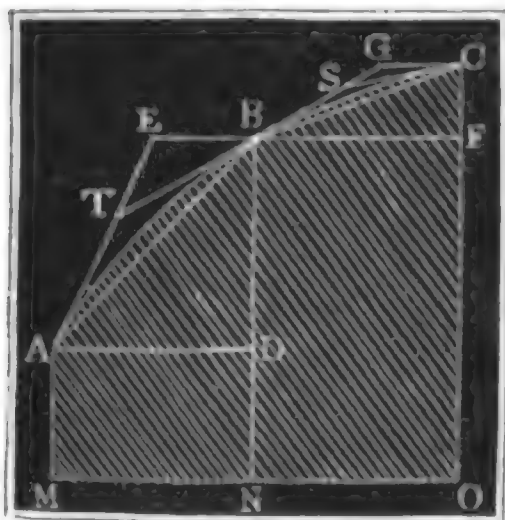
$$SAC = TAC + \frac{TBC - TAC}{2} = \frac{TAC + TBC}{2} = \frac{\delta + \varepsilon}{2},$$

wenn man die Tangentenwinkel  $TAC$  und  $TBC$  durch  $\delta$  und  $\varepsilon$  bezeichnet. Da nun noch  $AC = BC = \frac{1}{2} AB = \frac{1}{2}$  Sehne  $s$  ist, so hat man

$$F = \frac{1}{6} s^2 \text{ tang. } \left( \frac{\delta + \varepsilon}{2} \right).$$

Diese Formel läßt sich nun auch auf das Flächenstück  $MABN$ , Fig. 35., anwenden, dessen Tangentenwinkel  $TAD = \alpha$  und  $TBE = \beta$  gegeben

Fig. 35.



sind; setzt man nämlich noch den Sehnenwinkel  $BAD = ABE = \sigma$ , so hat man

$$TAB = \delta = TAD - BAD = \alpha - \sigma$$

und

$$TBE = \varepsilon = ABE - TBE = \sigma - \beta,$$

daher

$$\delta + \varepsilon = \alpha - \beta$$

und das Segment über  $AB$ :

$$F = \frac{1}{6} s^2 \text{ tang. } \left( \frac{\alpha - \beta}{2} \right),$$

oder, wegen der Kleinheit von  $\alpha - \beta$ ,

$$F = \frac{s^2}{12} \text{ tang. } (\alpha - \beta) = \frac{s^2}{12} \left( \frac{\text{tang. } \alpha - \text{tang. } \beta}{1 + \text{tang. } \alpha \text{ tang. } \beta} \right), \text{ oder, wenn } \alpha$$

und  $\beta$  nicht bedeutend von einander abweichen und deshalb in  $\text{tang. } \alpha \text{ tang. } \beta$  statt  $\alpha$  und  $\beta$  der Mittelwerth  $\sigma$  eingesetzt wird,

$$F = \frac{1}{12} s^2 \cdot \frac{\text{tang. } \alpha - \text{tang. } \beta}{1 + \text{tang. } \sigma^2} = \frac{1}{12} s^2 \cos. \sigma^2 (\text{tang. } \alpha - \text{tang. } \beta),$$

und also statt  $s \cos. \sigma$  die Grundlinie  $MN = x$  substituirt,

$$F = \frac{x^2}{12} (\text{tang. } \alpha - \text{tang. } \beta),$$

und daher das ganze Flächenstück  $MABN$ , wenn  $y_0$  und  $y_1$  dessen Ordinaten  $MA$  und  $NB$  bezeichnen:

$$F_1 = (y_0 + y_1) \frac{x}{2} + (\text{tang. } \alpha - \text{tang. } \beta) \frac{x^2}{12}.$$



Stößt an das vorige Flächenstück noch ein anderes  $NBCO$  mit einer gleichen Grundlinie  $NO = x$ , den Ordinaten  $BN$  und  $CO = y_1$  und  $y_2$  und den Tangentenwinkeln  $SBF = \beta$  und  $SCG = \gamma$ , so hat man für dasselbe den Inhalt

$$F_2 = (y_1 + y_2) \frac{x}{2} + (\text{tang. } \beta - \text{tang. } \gamma) \frac{x^2}{12}.$$

und daher für das Ganze, da sich  $-\text{tang. } \beta$  gegen  $+\text{tang. } \beta$  hebt,

$$F = F_1 + F_2 = (\frac{1}{2}y_0 + y_1 + \frac{1}{2}y_2)x + (\text{tang. } \alpha - \text{tang. } \gamma) \frac{x^2}{12}.$$

Für eine Fläche aus drei gleichbreiten Streifen ist ebenso, wenn  $\alpha$  den Tangentenwinkel des Anfangs, und  $\delta$  den des Endpunktes bezeichnet,

$$F = (\frac{1}{2}y_0 + y_1 + y_2 + \frac{1}{2}y_3)x + (\text{tang. } \alpha - \text{tang. } \delta) \frac{x^2}{12}.$$

und allgemein für eine durch die Abscissen  $\frac{x}{n}, \frac{2x}{n}, \frac{3x}{n}, \dots, x$ , die Ordinaten  $y_0, y_1, y_2, \dots, y_n$  und die Tangentenwinkel  $\alpha_0, \alpha_1, \dots, \alpha_n$  bestimmtes Flächenstück

$$F = (\frac{1}{2}y_0 + y_1 + y_2 + \dots + y_{n-1} + \frac{1}{2}y_n) \frac{x}{n} + \frac{1}{12}(\text{tg. } \alpha - \text{tg. } \alpha_n) \left(\frac{x}{n}\right)^2.$$

Ein Integral

$$\int_c^{c_1} y dx = \int_c^{c_1} \varphi(x) dx$$

$$= (\frac{1}{2}y_0 + y_1 + y_2 + \dots + y_{n-1} + \frac{1}{2}y_n) \frac{x}{n} + \frac{1}{12}(\text{tg. } \alpha - \text{tg. } \alpha_n) \left(\frac{x}{n}\right)^2$$

wird hiernach gefunden, wenn man  $x = c_1 - c$  setzt,

$$y_0 = \varphi(c), \quad y_1 = \varphi\left(c + \frac{x}{n}\right), \quad y_2 = \varphi\left(c + \frac{2x}{n}\right),$$

$$y_3 = \varphi\left(c + \frac{3x}{n}\right) \dots y_n = \varphi(c_1),$$

so wie  $\text{tang. } \alpha = \frac{dy}{dx} = \psi(x), = \psi(c)$  und  $\text{tang. } \alpha_n = \psi(c_1)$  berechnet, und diese Werthe in diese Gleichung einsetzt.

3. B. für  $\int_1^2 \frac{dx}{x}$  hat man, wenn  $n=6$  angenommen wird, da bei

$$x = c_1 - c = 2 - 1 = 1 \text{ und } y = \varphi(x) = \frac{1}{x} \text{ ist,}$$

$$y_0 = \frac{1}{c} = 1, \quad y_1 = \frac{1}{1 + \frac{1}{6}} = \frac{6}{7}, \quad y_2 = \frac{6}{8}, \quad y_3 = \frac{6}{9}, \quad y_4 = \frac{6}{10},$$

$$y_5 = \frac{6}{11} \text{ und } y_6 = \frac{6}{12}, \text{ ferner da sich } \frac{dy}{dx} = \frac{d(x^{-1})}{dx} = -\frac{1}{x^2} \text{ dar-}$$

ausstellt,  $\text{tang. } \alpha = -\frac{1}{1} = -1$  und  $\text{tang. } \beta = -\frac{1}{2^2} = -\frac{1}{4}$ , so daher ist

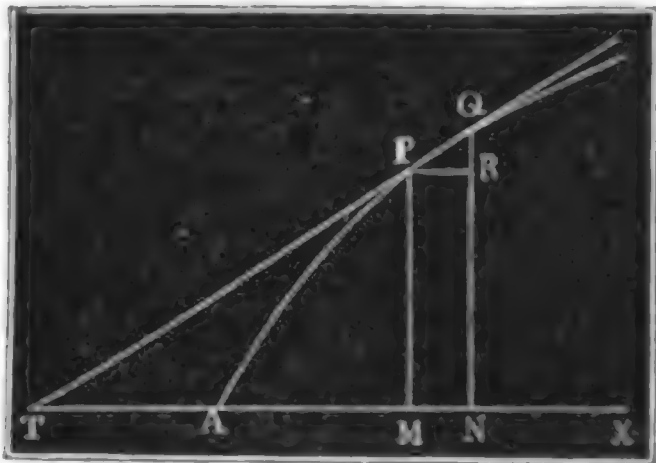
$$\int_1^2 \frac{dx}{x} = \left(\frac{1}{2} + \frac{6}{7} + \frac{6}{8} + \frac{6}{9} + \frac{6}{10} + \frac{6}{11} + \frac{1}{4}\right) \cdot \frac{1}{6} + \left(-1 + \frac{1}{4}\right) \cdot \frac{1}{12} \cdot \frac{1}{36}$$

$$= \frac{4,1692}{6} - \frac{3}{4} \cdot \frac{1}{12} \cdot \frac{1}{36} = 0,69487 - 0,00173 = 0,69314.$$

(Vergleiche das Beispiel des vorigen Artikels.)

§. 26. Aus der Gleichung  $y = f(x)$  zwischen den Coordinaten  $AM = x$  und  $MP = y$  (Fig. 36.) einer Curve muß sich auch eine Gleichung zwischen dem Bogen  $AP = s$  und der einen oder der anderen der beiden Coordinaten ableiten lassen. Läßt man  $x$  um  $MN = PR = dx$  wachsen, so nimmt  $y$  um  $RQ = dy$  und  $s$  um das Element  $PQ = ds$  zu, und es ist dem Pythagoräischen Lehrsatz zu Folge

Fig. 36.



$PQ^2 = PR^2 + QR^2$ , d. i.  
 $ds^2 = dx^2 + dy^2$ , also

$$ds = \sqrt{dx^2 + dy^2}, \text{ und hiernach der Curvenbogen selbst}$$

$$s = \int \sqrt{dx^2 + dy^2}.$$

z. B. für die Neil'sche Parabel (s. Fig. 15.), deren Gleichung  $ay^2 = x^3$  ist, hat man  $2ay dy = 3x^2 dx$ , daher

$$dy = \frac{3x^2 dx}{2ay} \text{ und } dy^2 = \frac{9x^4 dx^2}{4a^2 y^2} = \frac{9x dx^2}{4a},$$

hiernach  $ds^2 = \left(1 + \frac{9x}{4a}\right) dx^2$  und

$$s = \int \sqrt{1 + \frac{9x}{4a}} dx = \frac{4a}{9} \int \left(1 + \frac{9x}{4a}\right)^{1/2} d\left(\frac{9x}{4a}\right)$$

$$= \frac{4a}{9} \int u^{1/2} du = \frac{4a}{9} \cdot \frac{2}{3} u^{3/2} = \frac{8}{27} a \sqrt{\left(1 + \frac{9x}{4a}\right)^3}.$$

Um die hierzu nöthige Constante zu finden, wollen wir  $s$  mit  $x$  und  $y$  zugleich anfangen lassen. Wir erhalten dann

$$0 = \frac{8}{27} a \sqrt{1^3} + \text{Con.}, \text{ also } \text{Con.} = -\frac{8}{27} a \text{ und}$$

$$s = \frac{8}{27} a \left[ \sqrt{\left(1 + \frac{9x}{4a}\right)^3} - 1 \right].$$

z. B. für das Stück  $AP$ , dessen Abscisse  $x = a$  ist,

$$s = \frac{8}{27} a \left[ \sqrt{\left(\frac{13}{4}\right)^3} - 1 \right] = 1,736 a.$$

Führt man noch den Tangentenwinkel  $QPR = PTM = \alpha$  (Fig. 36.) ein, so hat man auch

$QR = PQ \cdot \sin. QPR$  und  $PR = PQ \cos. QPR$ , d. i.

$$dy = ds \sin. \alpha \text{ und } dx = ds \cos. \alpha,$$

und also außer  $\tan. \alpha = \frac{dy}{dx}$  (§. Art. 5.) auch

$$\sin. \alpha = \frac{dy}{ds} \text{ und } \cos. \alpha = \frac{dx}{ds}; \text{ so wie noch}$$

$$s = \int \sqrt{1 + \tan. \alpha^2} \cdot dx = \int \frac{dy}{\sin. \alpha} = \int \frac{dx}{\cos. \alpha}.$$

Ist nun die Gleichung zwischen zwei der Größen  $x$ ,  $y$ ,  $s$  und  $\alpha$  gegeben, so kann man hiernach auch Gleichungen zwischen je zwei anderen

dieser Größen finden. Ist z. B.  $\cos. \alpha = \frac{s}{\sqrt{c^2 + s^2}}$ , so hat man

$$dx = ds \cos. \alpha = \frac{s ds}{\sqrt{c^2 + s^2}} \text{ und}$$

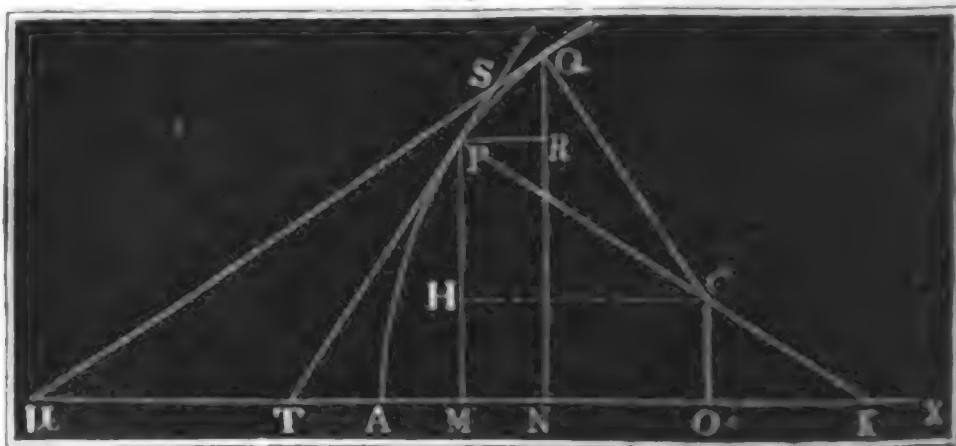
$$x = \int \frac{s ds}{\sqrt{c^2 + s^2}} = \frac{1}{2} \int \frac{2s ds}{\sqrt{c^2 + s^2}} = \frac{1}{2} \int \frac{du}{\sqrt{u}} = \frac{1}{2} \int u^{-1/2} du = u^{1/2} du$$

$$= \sqrt{c^2 + s^2} + \text{Con.}, \text{ und wenn nun } x \text{ und } s \text{ zugleich Null sind,}$$

$$x = \sqrt{c^2 + s^2} - c.$$

§. 27. Eine Gerade winkelrecht zur Tangente  $PT$ , Fig. 37., ist auch normal zur Berührungsstelle  $P$  der Curve, weil die Tangente die Richtung

Fig. 37.



dieser Stelle angiebt. Das Stück  $PK$  dieser Linie vom Berührungspunkte  $P$  bis Abscissenaxe, heißt *Normale* schlechtweg, und die Projection  $MK$  desselben in der Abscissenaxe *Subnormale*. Für die letztere hat man, da der Winkel  $MPK$  dem Tangentenwinkel  $PTM = \alpha$  gleich ist,  $MK = MP \cdot \tan. \alpha$ , d. i.

$$\text{Subnormale} = y \tan. \alpha = y \frac{dy}{dx}.$$

z. B. für die Parabel, wo  $y^2 = px$ , also  $dy = \frac{p dx}{2y}$  ist,

$$\text{Subnormale} = y \frac{p}{2y} = \frac{p}{2}; \text{ also constant.}$$



Errichtet man ferner in einem zweiten, dem  $P$  unendlich nahen Punkte  $Q$  eine andere Normallinie  $QC$ , so erhält man in dem Durchschnittspunkte  $C$  zwischen beiden ein Centrum für einen durch beide Berührungspunkte  $P$  und  $Q$  zu beschreibenden Kreis, den sogenannten Krümmungskreis, und es sind die Stücke  $CP$  und  $CQ$  der Normallinien die Halbmesser dieses Kreises oder die sogenannten Krümmungshalbmesser. Jedenfalls ist dieser Kreis derjenige unter allen durch  $P$  und  $Q$  zu legenden Kreisen, welcher sich am meisten an das Curvelement  $PQ$  anschmiegt, und deshalb anzunehmen, daß sein Bogen  $PQ$  mit dem Curvelemente  $PQ$  zusammenfalle.

Bezeichnen wir den Krümmungshalbmesser  $CP = CQ$  durch  $r$ , den Curvenbogen  $AP$  durch  $s$ , also sein Element  $PQ$  durch  $ds$ , und den Tangentenwinkel oder Bogen von  $PTM$  durch  $\alpha$ , also sein Element  $SUM - STM$ , d. i.  $-UST = -PCQ$ , durch  $d\alpha$ , so haben wir einfach, da  $PQ = CP$ . Bog. des Winkels  $PCQ$  ist,  $ds = -r d\alpha$ , und folglich den Krümmungshalbmesser  $r = -\frac{ds}{d\alpha}$ .

Gewöhnlich läßt sich  $\alpha$  nur mittels der Coordinatengleichung bestimmen, indem man setzt  $\text{tang. } \alpha = \frac{dy}{dx}$ . Nun ist aber noch  $d \text{ tang. } \alpha = \frac{d\alpha}{\cos. \alpha^2}$  und  $\cos. \alpha = \frac{dx}{ds}$ , daher hat man

$$d\alpha = \cos. \alpha^2 \cdot d \text{ tang. } \alpha = \frac{dx^2}{ds^2} \cdot d \text{ tang. } \alpha, \text{ und}$$

$$r = -\frac{ds^3}{dx^2 d \text{ tang. } \alpha}.$$

Durch Umkehrung dieser Formeln kann man auch wohl die Curve selbst rectificiren, also  $s$  selbst finden.

Für die Coordinaten  $AO = u$  und  $OC = v$  des Krümmungsmittelpunktes  $C$  hat man

$$u = AM + HC = x + CP \sin CPH, \text{ d. i.}$$

$$u = x + r \sin. \alpha, \text{ so wie}$$

$$v = OC = MP - HP = y - CP \cos. CPH, \text{ d. i.}$$

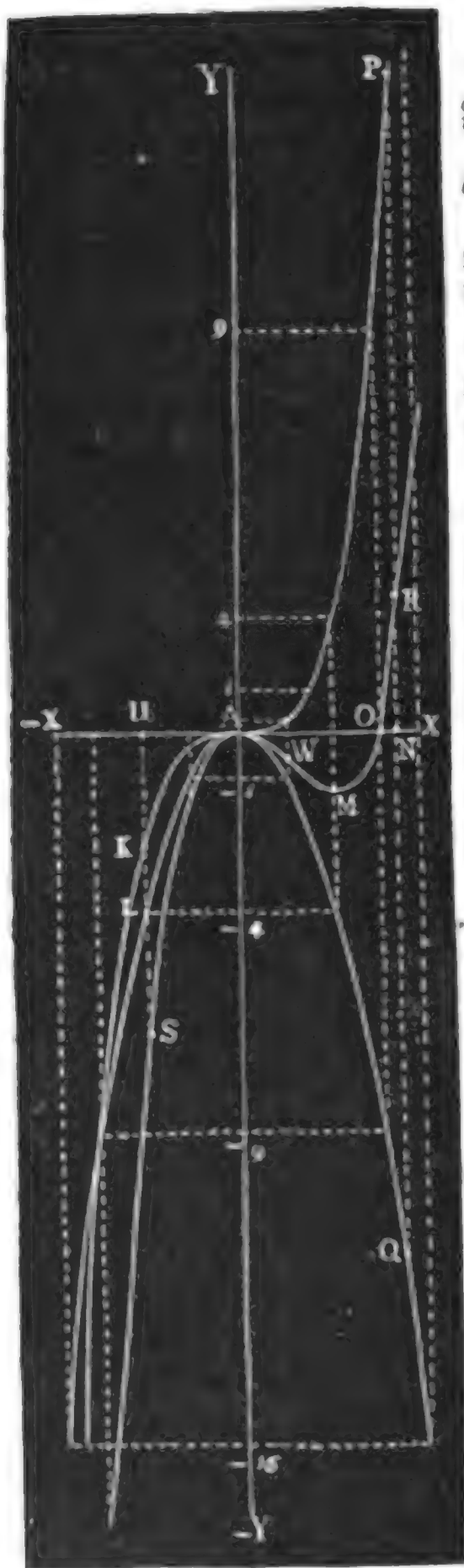
$$v = y - r \cos. \alpha.$$

Die stetige Folge der Krümmungsmittelpunkte giebt eine Curve, welche die *Evolute* von  $AP$  genannt wird, und deren Lauf durch die Coordinaten  $u$  und  $v$  bestimmt wird.

§. 28. Viele Funktionen, welche in der Anwendung auf die Praxis vorkommen, lassen sich aus den oben kennen gelernten Hauptfunktionen  $y = x^m$ ,  $y = e^x$  und  $y = \sin. x$ ,  $y = \cos. x$  u. s. w. zusammensetzen, und sind daher auch die Eigenschaften, entsprechend der Tangenten-

lage, Quadratur, Krümmungshalbmesser u. s. w. leicht mit Hülfe der vorstehenden Lehren aufzusuchen, so wie auch die entsprechenden Curven zu construiren, wie folgendes Beispiel zeigen wird.

Fig. 38.



Die Gleichung sei

$$y = x^2 \left( \frac{x}{3} - 1 \right) = \frac{x^3}{3} - x^2.$$

Für sie ist  $dy = (x^2 - 2x) dx$ , folglich  $\text{tang. } \alpha = \frac{dy}{dx} = x^2 - 2x$ , daher die Tan-

gente der Abscissenaxe parallel, für  $x^2 = 2x$ , d. i.  $x = 0$  und  $x = 2$ , ferner ist  $d \text{ tang. } \alpha = 2(x-1) dx$ , und daher für  $x = 1$  und  $y = \frac{1}{3} - 1 = -\frac{2}{3}$  ein Wendepunkt. Ferner ist noch

$$ds^2 = dx^2 + (x^2 - 2x)^2 dx^2 = [1 + (x^2 - 2x)^2] dx^2,$$

und daher der Krümmungshalbmesser der

$$\text{Curve: } r = -\frac{[1 + (x^2 - 2x)^2]^{\frac{3}{2}}}{2(x-1)}, \text{ i. B.}$$

für  $x = 0$ ,  $r = -\frac{1}{2} = \frac{1}{2}$ , für  $x = 1$ ,  $r = \infty$ , für  $x = 2$ ,  $r = -\frac{1}{2}$ ,  $x = 3$ ,  $r = -7,905$  u. s. w.

Die entsprechende Curve führt Fig. 38. vor Augen. Es ist  $X\bar{X}$  die Abscissen- und  $Y\bar{Y}$  die Ordinatenaxe,  $A$  aber der Anfangs- oder Nullpunkt. Durch diesen geht nicht nur die Curve  $KAP$ , welche der

Gleichung  $y_1 = \frac{x^3}{3}$  entspricht, sondern auch die Curve  $LAQ$ , welche der Gleichung  $y_2 = -x^2$  angehört. Da  $y = \frac{x^3}{3} - x^2$ ,

so findet man einen Punkt  $R$  der Curve, welcher dieser Gleichung entspricht, wenn man  $y_2 = NQ$  von  $y_1 = NP$  abzieht, also  $NR = NP - NQ$  macht. Dies an vielen Stellen ausgeführt, erhält man die gesuchte Curve  $SAWMOR$ , welche bei  $W$  einen

Wendungspunkt hat, bei  $A$  und  $O$  die Abscissenaxe trifft, und bei  $A$  und  $M$  parallel mit dieser Axe läuft.

Art. 29. Wenn für eine Funktion  $y = \alpha u + \beta v$  eine Reihe von zusammengehörigen Werthen der Variablen  $u$ ,  $v$  und  $y$  durch Beobachtung oder Messung gefunden worden sind, so kann man nach denjenigen Werthen der Constanten  $\alpha$  und  $\beta$  fragen, welche von den kleinen zufälligen und unregelmäßigen Beobachtungs- oder Messungsfehlern möglichst befreit sind und daher auch den Zusammenhang zwischen den Größen  $u$ ,  $v$  und  $y$ , wovon  $u$  und  $v$  auch bekannte Funktionen einer und derselben Variablen  $x$  bedeuten können, möglichst genau ausdrücken. Unter allen Regeln, welche man zur Beantwortung dieser Frage, d. i. zur Ausmittlung der möglich oder wahrscheinlich richtigsten Werthe der Constanten anwendet, ist die sogenannte Methode der kleinsten Quadrate die allgemeinste und wissenschaftlich begründetste.

$$\text{Sind } \left( \begin{array}{ccc} u_1, & v_1, & y_1 \\ u_2, & v_2, & y_2 \\ u_3, & v_3, & y_3 \\ . & . & . \\ . & . & . \\ . & . & . \\ u_n, & v_n, & y_n \end{array} \right) \text{ die der Funktion } y = \alpha u + \beta v \text{ entspre}$$

chenden Resultate der Beobachtung, so hat man für die Beobachtungsfehler und deren Quadrate folgende Werthe:

$$\left( \begin{array}{l} z_1 = y_1 - (\alpha u_1 + \beta v_1) \\ z_2 = y_2 - (\alpha u_2 + \beta v_2) \\ z_3 = y_3 - (\alpha u_3 + \beta v_3) \\ . \\ . \\ . \\ z_n = y_n - (\alpha u_n + \beta v_n) \end{array} \right) \text{ und}$$

$$\left( \begin{array}{l} z_1^2 = y_1^2 - 2\alpha u_1 y_1 - 2\beta v_1 y_1 + \alpha^2 u_1^2 + 2\alpha\beta u_1 v_1 + \beta^2 v_1^2 \\ z_2^2 = y_2^2 - 2\alpha u_2 y_2 - 2\beta v_2 y_2 + \alpha^2 u_2^2 + 2\alpha\beta u_2 v_2 + \beta^2 v_2^2 \\ z_3^2 = y_3^2 - 2\alpha u_3 y_3 - 2\beta v_3 y_3 + \alpha^2 u_3^2 + 2\alpha\beta u_3 v_3 + \beta^2 v_3^2 \\ . \\ . \\ . \\ z_n^2 = y_n^2 - 2\alpha u_n y_n - 2\beta v_n y_n + \alpha^2 u_n^2 + 2\alpha\beta u_n v_n + \beta^2 v_n^2 \end{array} \right),$$

und erhält nun für die Summe der Fehlerquadrate, wenn man sich der Abkürzung wegen des Summationszeichens  $\Sigma$  bedient, um eine Summation

gleichartiger Größen anzuzeigen, also  $y_1^2 + y_2^2 + y_3^2 + \dots + y_n^2 = \Sigma(y^2)$ ,  
 $v_1 y_1 + v_2 y_2 + v_3 y_3 + \dots + v_n y_n = \Sigma(v y)$  setzt, u. s. w.  
 $\Sigma(z^2) = \Sigma(y^2) - 2\alpha \Sigma(u y) - 2\beta \Sigma(v y) + \alpha^2 \Sigma(u^2) + 2\alpha\beta \Sigma(u v) + \beta^2 \Sigma(v^2)$

In dieser Gleichung sind natürlich außer der als Abhängigvariablen zu behandelnden Fehlerquadratsumme  $\Sigma(z^2)$  nur die hier als Urvariablen anzusehenden Constanten  $\alpha$  und  $\beta$  der Funktion  $y = \alpha u + \beta v$  unbekannt. Die Methode der kleinsten Quadrate fordert nun, sowohl  $\alpha$  als auch  $\beta$  so zu wählen, daß die Quadratsumme  $\Sigma(z^2)$  zum Minimum werde; und deshalb müssen wir die gewonnene Funktion für  $\Sigma(z^2)$  ein Mal in Beziehung auf  $\alpha$  und ein Mal in Beziehung auf  $\beta$  differenziren, und jeden der sich herausstellenden Differenzialquotienten von  $\Sigma(z^2)$  gleich Null setzen. Dadurch stößt man auf folgende zwei Bestimmungsgleichungen für  $\alpha$  und  $\beta$

$$\begin{aligned} - \Sigma(u y) + \alpha \Sigma(u^2) + \beta \Sigma(u v) &= 0, \\ - \Sigma(v y) + \beta \Sigma(v^2) + \alpha \Sigma(u v) &= 0; \end{aligned}$$

deren Auflösung auf folgende Ausdrücke führt:

$$\begin{aligned} \alpha &= \frac{\Sigma(v^2) \Sigma(u y) - \Sigma(u v) \Sigma(v y)}{\Sigma(u^2) \Sigma(v^2) - \Sigma(u v) \Sigma(u v)} \text{ und} \\ \beta &= \frac{\Sigma(u^2) \Sigma(v y) - \Sigma(u v) \Sigma(u y)}{\Sigma(u^2) \Sigma(v^2) - \Sigma(u v) \Sigma(u v)}. \quad (\text{Vgl. Ingenieur, S. 131.}) \end{aligned}$$

Diese Formeln gehen für eine Funktion  $y = \alpha + \beta v$ , da hier  $u = 1$ , also  $\Sigma(u v) = \Sigma(v)$ ,  $\Sigma(u y) = \Sigma(y)$  und  $\Sigma(u^2) = 1 + 1 + 1 + \dots = n$ , d. i. die Anzahl der Gleichungen oder Beobachtungen ist, in folgende über:

$$\begin{aligned} \alpha &= \frac{\Sigma(v^2) \Sigma(y) - \Sigma(v) \Sigma(v y)}{n \Sigma(v^2) - \Sigma(v) \Sigma(v)}, \\ \beta &= \frac{n \Sigma(v y) - \Sigma(v) \Sigma(y)}{n \Sigma(v^2) - \Sigma(v) \Sigma(v)}. \end{aligned}$$

Für die noch einfachere Funktion  $y = \beta v$ , wo  $\alpha = \text{Null}$  ist erhält man

$$\beta = \frac{\Sigma(v y)}{\Sigma(v^2)},$$

und endlich für den einfachsten Fall  $y = \alpha$ , wo es sich also um die Aermittelung des wahrscheinlichsten Werthes einer einzigen Größe handelt, ist

$$\alpha = \frac{\Sigma(y)}{n},$$

also dieser Werth das arithmetische Mittel aus allen durch Messung oder Beobachtung gefundenen Werthen.

Beispiel. Um das Gesetz einer gleichförmig beschleunigten Bewegung, deren Anfangsgeschwindigkeit  $c$  und Beschleunigungsmaaß  $p$  kennen zu lernen, bestimmet man die verschiedenen Zeiten  $t_1, t_2, t_3$  u. s. w. entsprechenden Räume  $s_1, s_2, s_3$  u. s. w. gemessen, und dabei folgendes gefunden:

Zeiten:	0	1	3	5	7	10 Sec.
Räume:	0	5	20	38	58½	101 Fuß.

Ist nun  $s = ct + \frac{pt^2}{2}$  das dieser Bewegung zu Grunde liegende Bewegungsgesetz, so handelt es sich um die Ermittlung der Constanten  $c$  und  $p$ . Setzt man in die obigen Formeln  $u = t$  und  $v = t^2$ , sowie  $\alpha = c$ ,  $\beta = \frac{p}{2}$  und  $y = s$ , so erhält man zur Berechnung von  $c$  und  $p$  folgende Formeln:

$$c = \frac{\Sigma(t^4) \Sigma(st) - \Sigma(t^3) \Sigma(st^2)}{\Sigma(t^2) \Sigma(t^4) - \Sigma(t^3) \Sigma(t^3)} \text{ und}$$

$$\frac{p}{2} = \frac{\Sigma(t^2) \Sigma(st^2) - \Sigma(t^3) \Sigma(st)}{\Sigma(t^2) \Sigma(t^4) - \Sigma(t^3) \Sigma(t^3)},$$

wonach sich folgende Rechnung führen läßt.

$t$	$t^2$	$t^3$	$t^4$	$s$	$st$	$st^2$
1	1	1	1	5	5	5
3	9	27	81	20	60	180
5	25	125	625	38	190	950
7	49	343	2401	58,5	409,5	2866,5
10	100	1000	10000	101	1010	10100
Summen	184 = $\Sigma(t^2)$	1496 = $\Sigma(t^3)$	13108 = $\Sigma(t^4)$	222,5 = $\Sigma(s)$	1674,5 = $\Sigma(st)$	14101,5 = $\Sigma(st^2)$

Hieraus bestimmt sich

$$c = \frac{13108 \cdot 1674,5 - 1496 \cdot 14101,5}{184 \cdot 13108 - 1496 \cdot 1496} = \frac{85340}{17386} = 4,908 \text{ Fuß und}$$

$$\frac{1}{2}p = \frac{184 \cdot 14101,5 - 1496 \cdot 1674,5}{184 \cdot 13108 - 1496 \cdot 1496} = \frac{89624}{173860} = 0,5155 \text{ Fuß,}$$

und daher folgende Formel für die beobachtete Bewegung

$$s = 4,908t + 0,5155 \cdot t^2.$$

Nach dieser Formel hat man

für die Zeiten:	0	1	3	5	7	10 Sec.
die Räume:	0	5,43	19,36	37,43	59,62	100,63 Fuß.





## Verbesserungen

in der ersten Auflage der Ingenieur- und Maschinenmechanik.

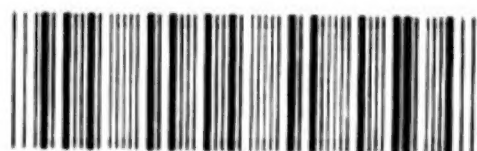
### Erster Band.

Seite	31	Zeile	3	von unten, statt:	als, als den.
38	16	"	"	"	gefügter materieller, gefügte materielle.
79	20	"	"	"	Summe 3 Pfd., 4 Pfd.
108	2	"	oben,	"	$= V, V =$ .
134	15	"	"	"	$- S_1 s, - S_2 s$ .
147	15	"	"	"	mal, mal den.
148	8	"	unten,	"	$p. fixed, fixed p$ .
"	5	"	"	"	$p. moveable, moveable p$
163	1	"	"	"	$f C \sin. \varrho, G \sin. \varrho$ .
181	8	"	oben,	"	$HR, HK$ .
202	3	"	unten,	"	$l^2, l^3$ .
206	13	"	"	"	$\frac{3h}{h}, \frac{3h}{n}$ .
219	6	"	oben,	"	$a_1, a_1^3$ .
244	16	"	"	"	einen, einem.
246	8	"	unten,	"	$ex, ex_1$ .
266	15	"	"	"	Führung, Führung.
311	16	"	oben,	"	$D, CD$ .
325	6	"	"	"	die, den.
345	9	"	unten,	"	$CK, CH$ .
353	2	"	oben,	"	$Fh\gamma, 2Fh\gamma$ (§. II., §. 146).
357	13	"	unten,	"	Homogen, homogen.
382	6	"	oben,	"	0,00267, 0,00367.
419	3	"	"	"	eine, um eine.
442	3, 11, 14, 16, 19	"	von oben, statt:	"	$\frac{l}{d}, \frac{l}{d_1}$ .
452	13	"	von unten, statt:	"	$13 - 3,084,7, 133,0 - 84,7$ .
479	4	"	"	"	ist $\mu$ zu streichen.
496	2	"	oben, statt	"	$\frac{lp}{F}, \frac{F}{lp}$ .
534	18 u. f. w.	"	von oben, statt:	"	$\frac{v_2^2}{2g} = \frac{v_1^2}{2g} - h_1 - \mu \frac{(v_1^2 + v_2^2)}{2g} s_1,$ $\frac{v_2^2}{2g} = \frac{v_1^2}{2g} - s_1 \sin. \alpha_1 - \mu \frac{(v_1^2 + v_2^2)}{2g} s_1;$ daher $v_2 = \sqrt{\frac{(1 - \mu s_1) v_1^2 - 2g s_1 \sin. \alpha_1}{1 + \mu s_1}}$ $= \sqrt{\frac{(1 - \mu \varphi_1 r_1) v_1^2 - 2g \varphi_1 r_1 \sin. \alpha_1}{1 + \mu \varphi_1 r_1}}$ u. f. w.

## Dritter Band.

Seite	41	Zeile	6	von unten, statt: gewölbter, gewölbter.
50	10	oben,	"	$\frac{1}{2} Q, Q.$
"	18	"	"	$2 \sin. \delta, \sin. \delta,$ und
"	"	"	"	$\frac{1}{2} Q, Q.$
117	7	"	"	$(G + G_1 - Q) \sin. \alpha, [(G + G_1) \sin. \alpha - Q]$
"	11	"	"	$f r \sin. \alpha, f r.$
175	11	"	"	es das Wasser, es das Rad.
220	14	unten,	"	$Q - (Q_2 + Q_3), Q_4 - Q_2.$
"	13	"	"	$Q_4 =, Q_4 = Q -$
248	11	"	"	$c^2, c^2 + 2gh_1.$
"	8	"	"	$c^2, c^2 + 2gh_1.$
"	7	"	"	ist $-2gh_1$ zu streichen.
"	5	"	"	ist $-gh_1$ zu streichen.
299	12	"	"	statt: $\frac{\pi}{8}, \frac{\pi}{80}.$
301	17	oben,	"	gefällverlust, Gefällverlust.
313	15	unten,	"	ihr, der.
373	10	oben,	"	$Q$ und $4Q, 2Q$ und $8Q.$
"	11	"	"	$4Q, 8Q.$
413	9	unten,	"	den Wind, die Luft.
442	19	oben,	"	" 2 " " " , " " " 2 "
"	20	"	"	" 3 " " 1, " 1 " " 3.
"	21	"	"	" 3 " " " , " " " 3.
448	4	"	"	Volumen, Drucke.
"	5	"	"	Drucke, Volumen.
"	8	"	"	Drucke, Gewichte.
"	10	"	"	0,276, 0,267.
463	1	"	"	$\frac{\gamma_1}{\gamma}, \frac{\gamma}{\gamma_1}.$
602	15	"	"	$\beta - p, \beta + p.$
613	5	"	"	$\varepsilon, \nu.$
615	11	"	"	$t_2 - t_0, \mu(t_2 - t_0).$
"	10	unten,	"	ist $Fs$ am Ende zu streichen.
618	11	"	"	statt Schmidt, Holzmann.

89088908009



b89088908009a